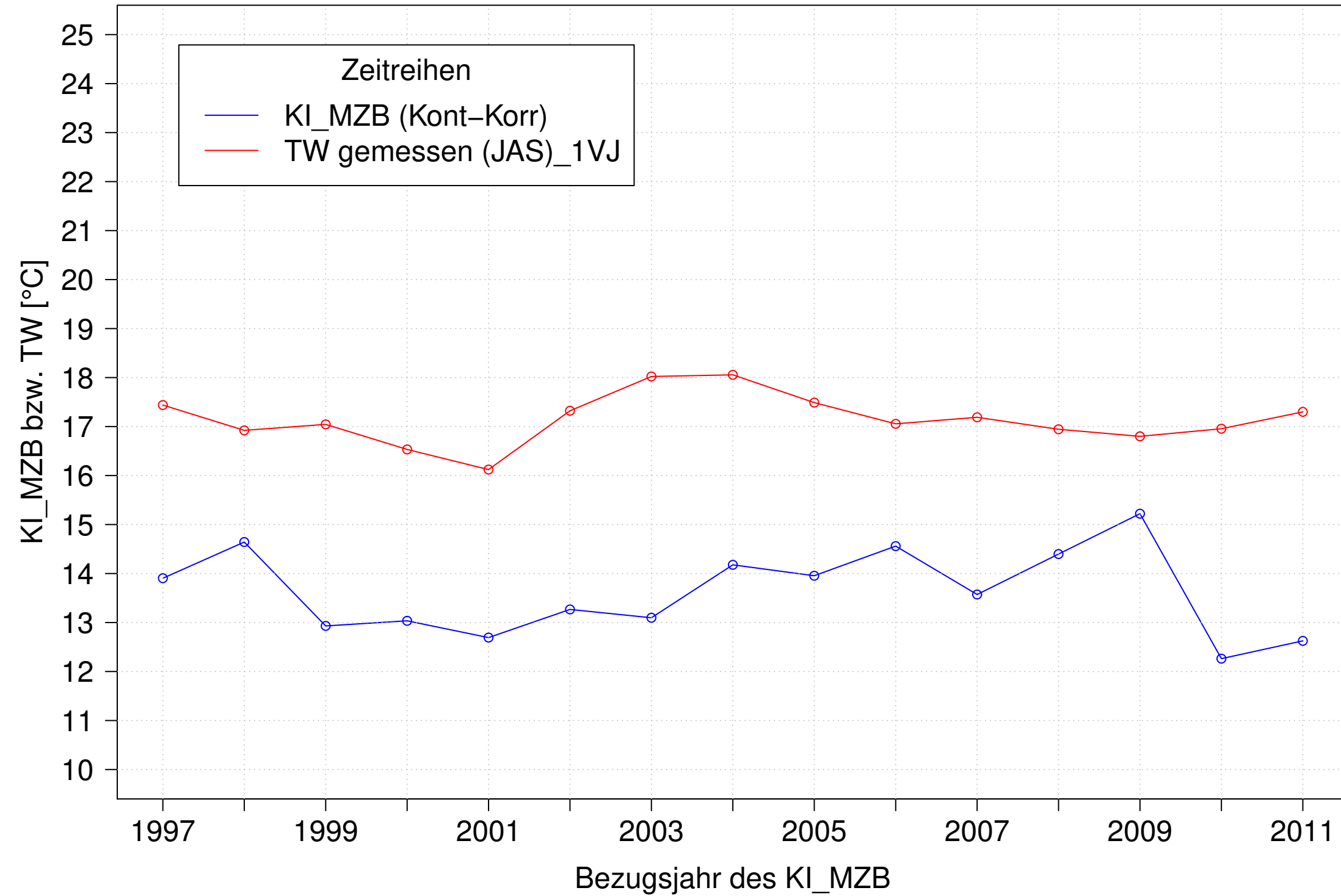
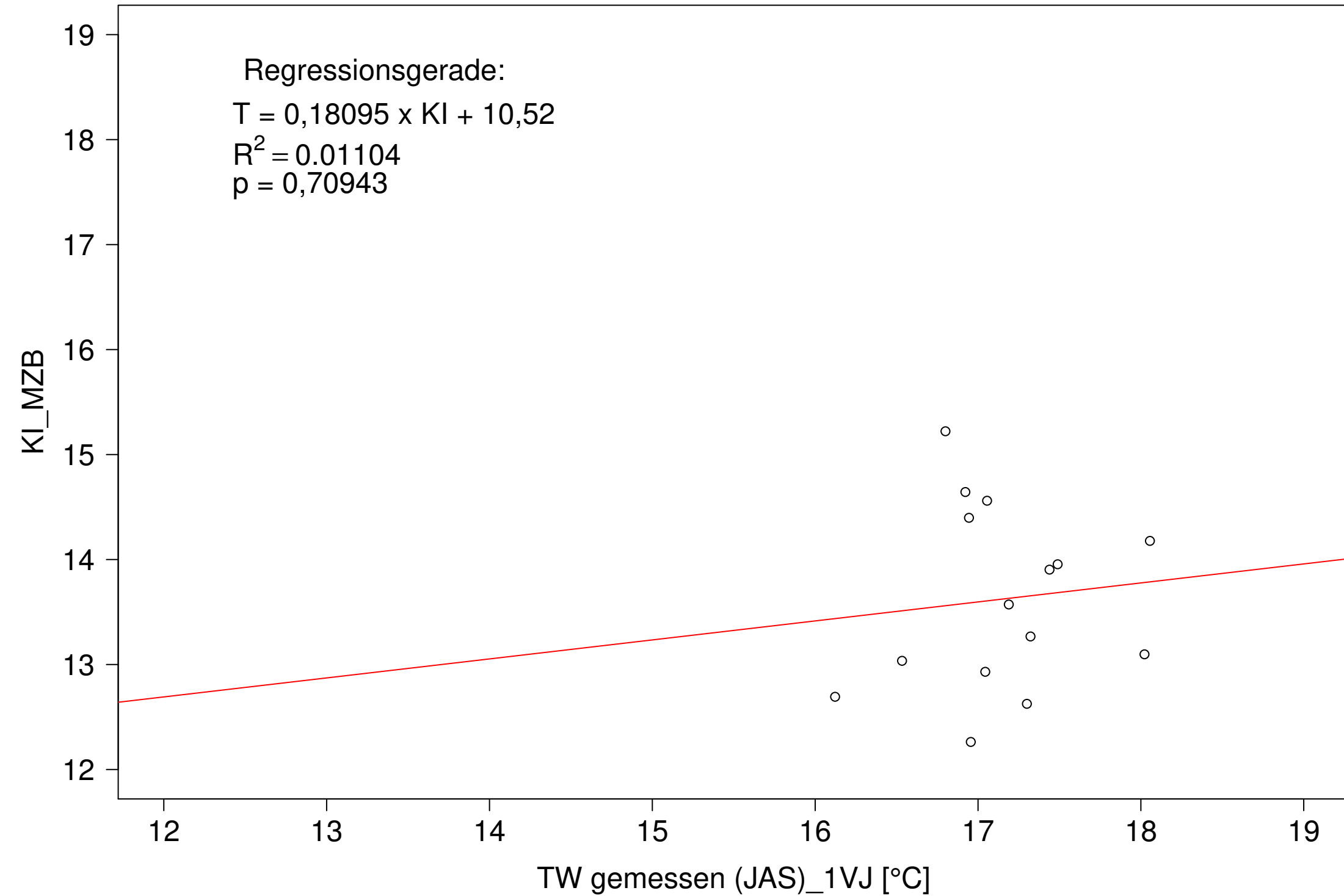


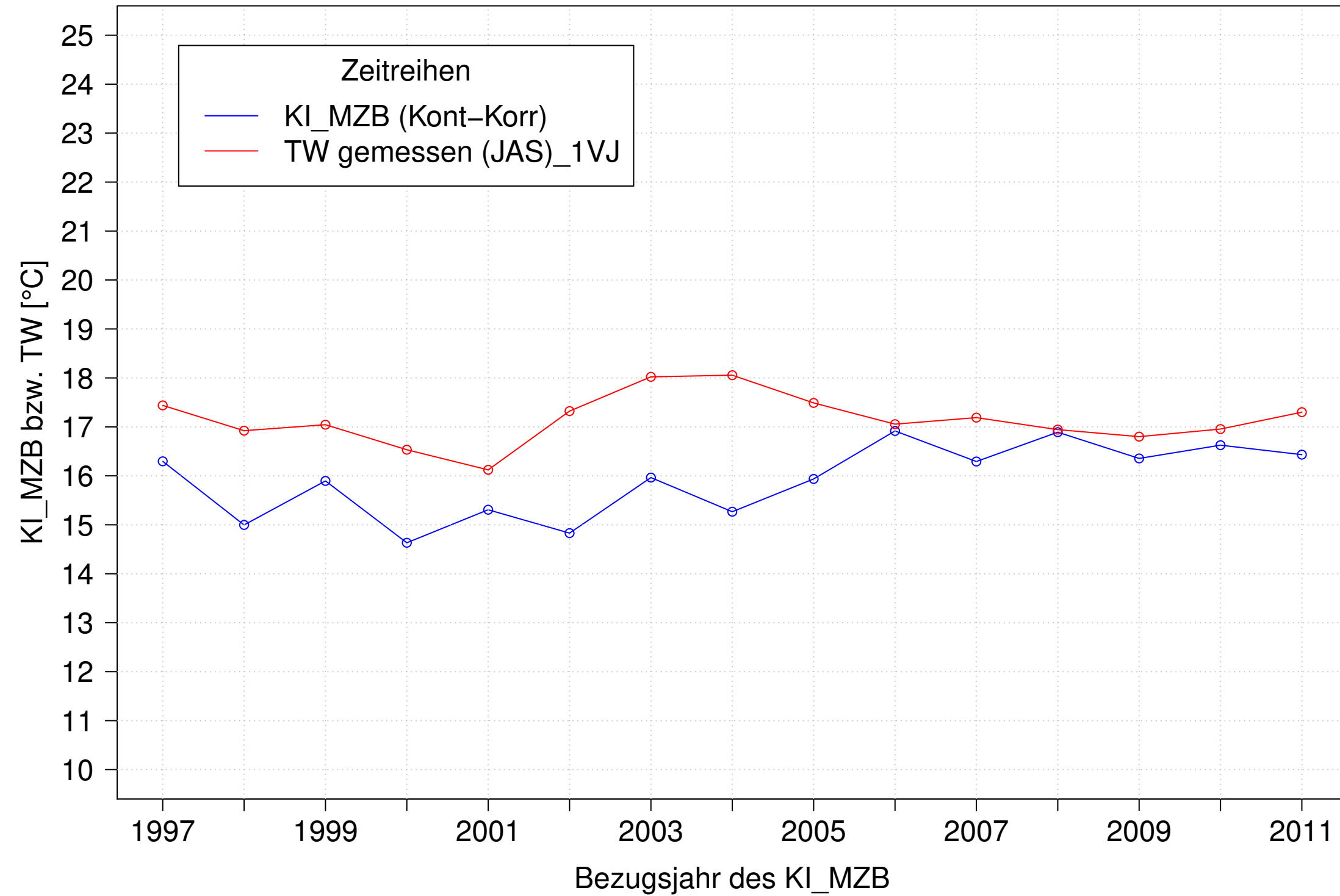
Argen_Giessen, Typ 03.2 mit Neozoen, Serie 1
KI_MZB (Kont-Korr) und 3JMW TW gemessen (JAS) des 1. Vorjahres



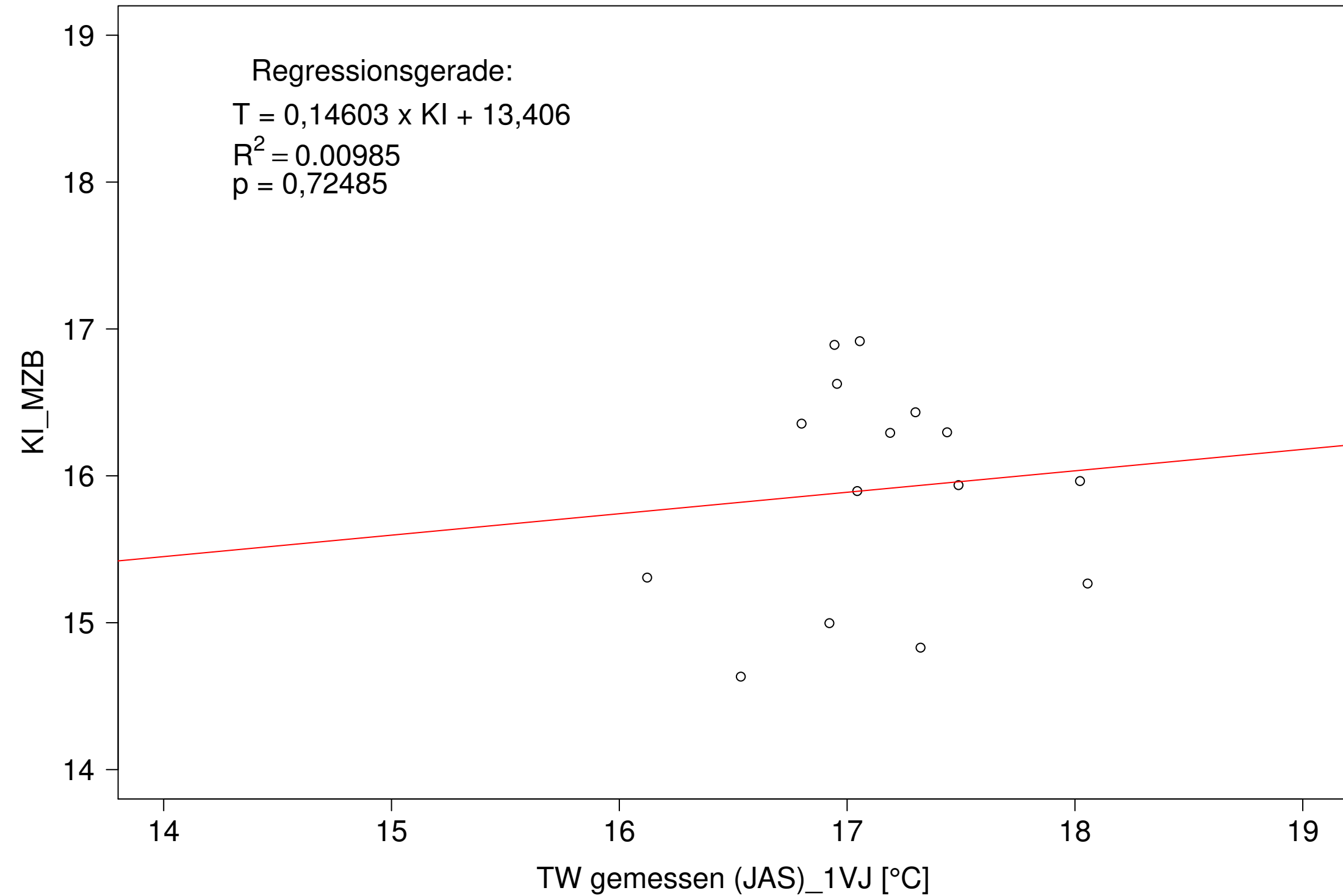
Argen_Giessen, Typ 03.2 mit Neozoen, Serie 1
KI_MZB (Kont-Korr) gegen 3JMW TW gemessen (JAS) des 1. Vorjahres



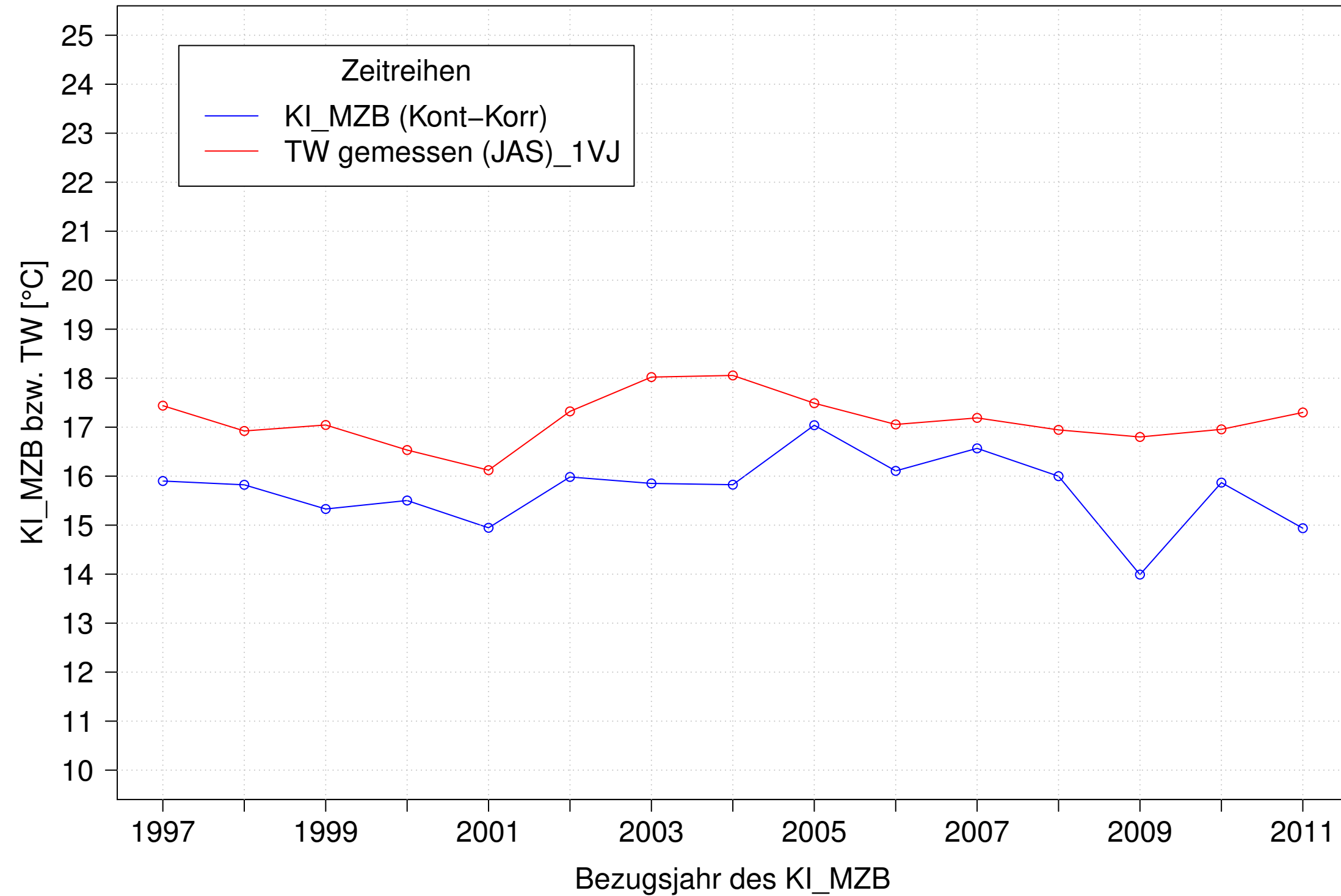
Argen_Giessen, Typ 03.2 mit Neozoen, Serie 2
 KI_MZB (Kont-Korr) und 3JMW TW gemessen (JAS) des 1. Vorjahres



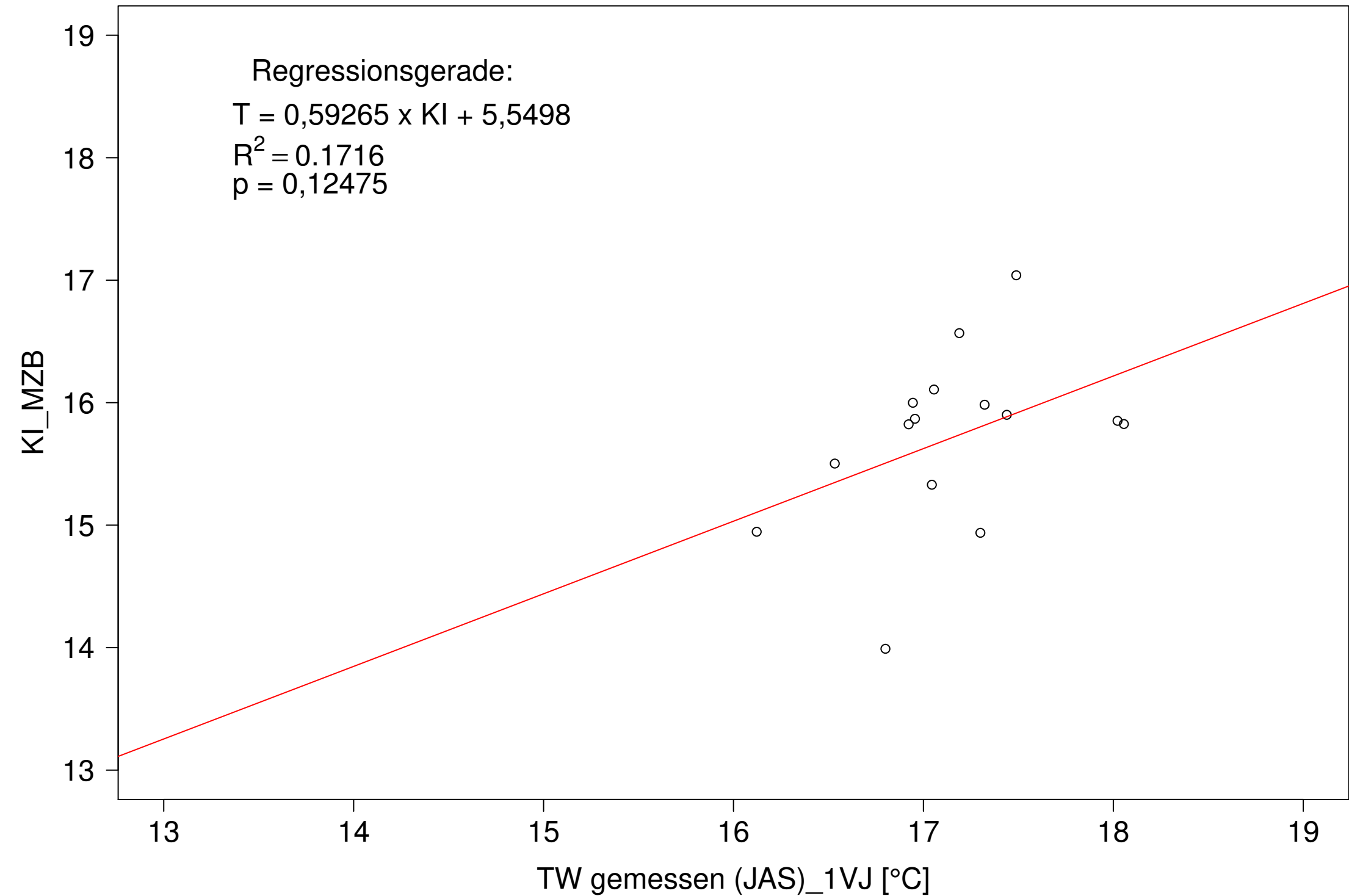
Argen_Giessen, Typ 03.2 mit Neozoen, Serie 2
 KI_MZB (Kont-Korr) gegen 3JMW TW gemessen (JAS) des 1. Vorjahres



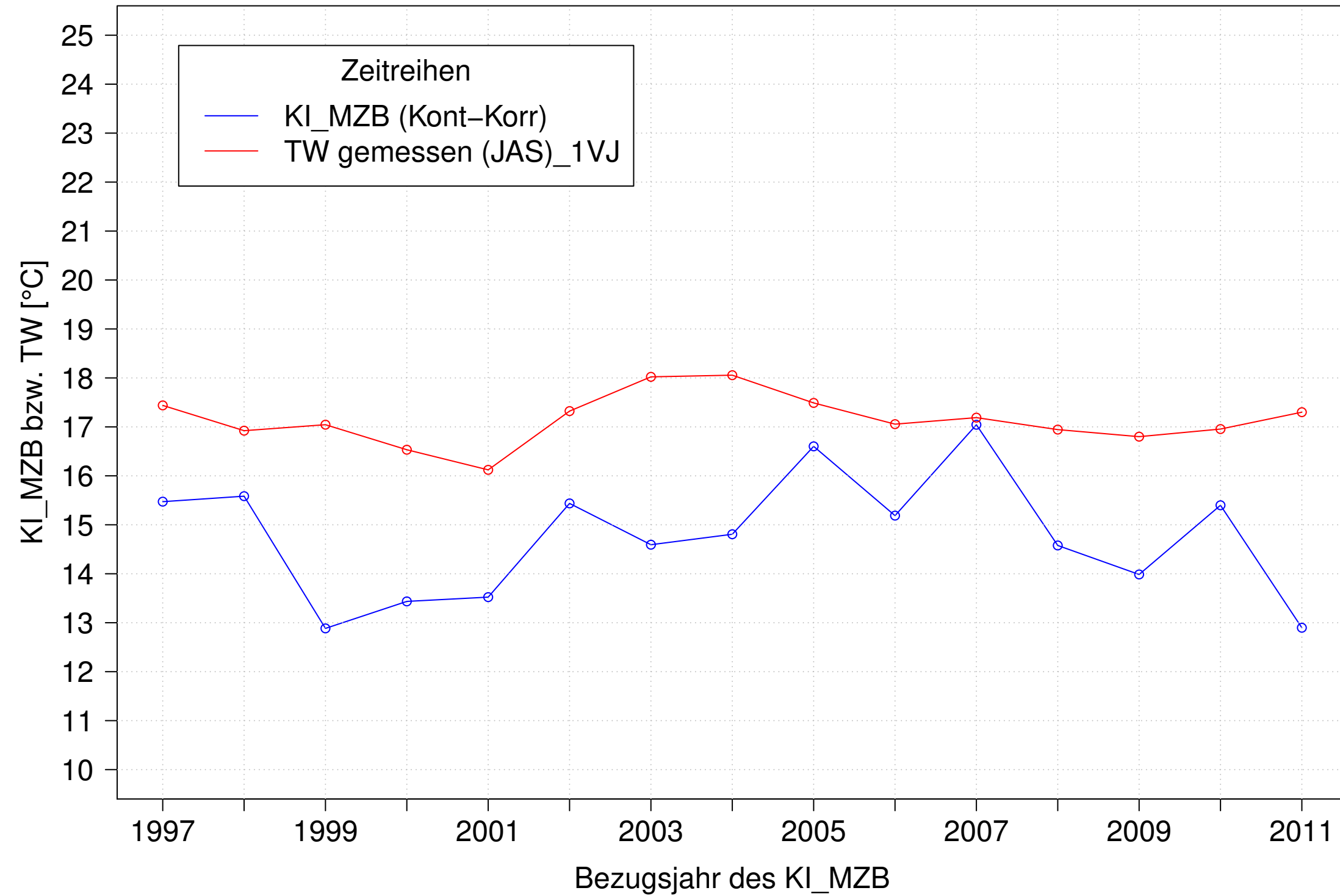
Argen_Giessen, Typ 03.2 mit Neozoen, Serie 3
 KI_MZB (Kont-Korr) und 3JMW TW gemessen (JAS) des 1. Vorjahres



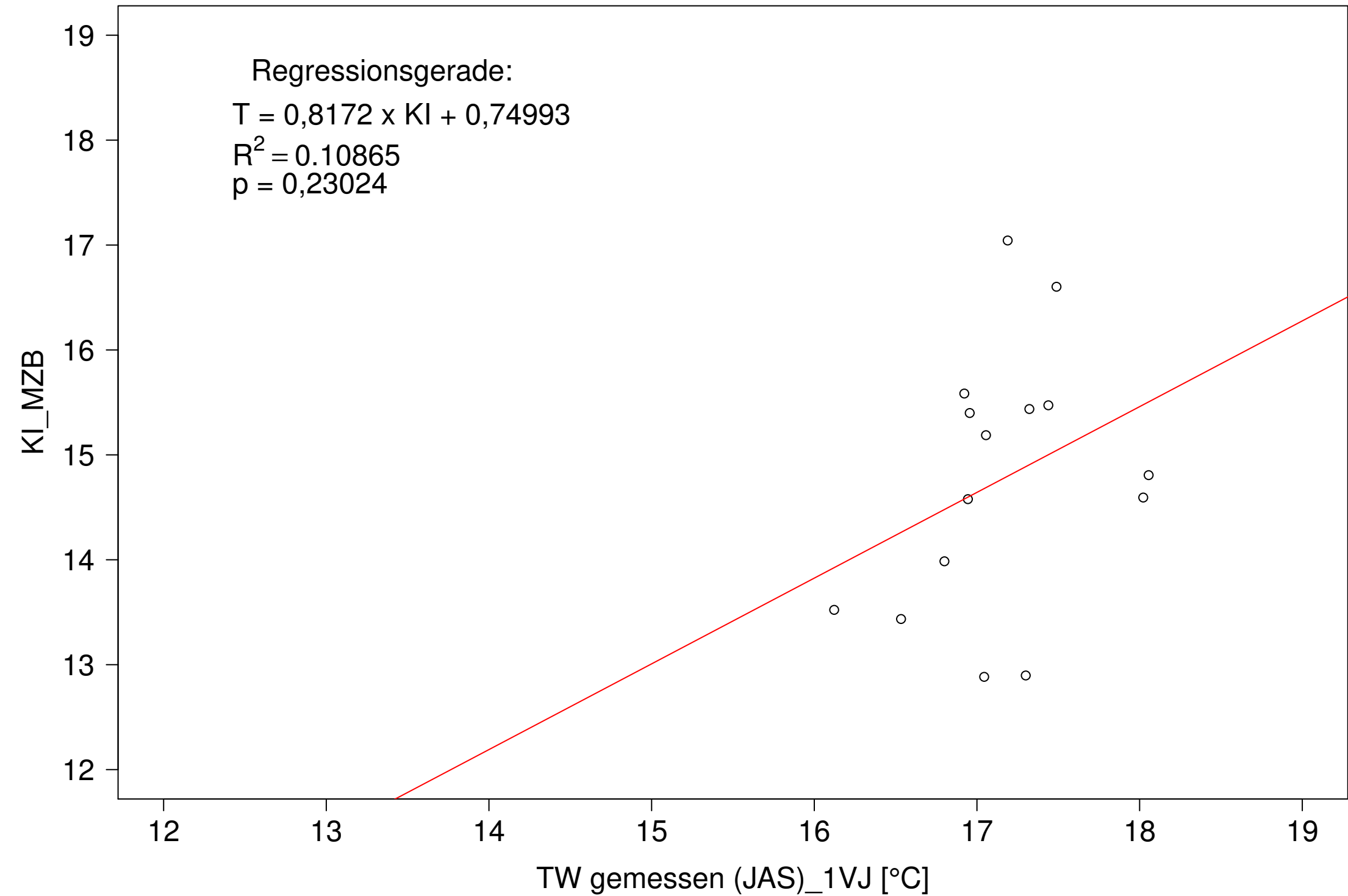
Argen_Giessen, Typ 03.2 mit Neozoen, Serie 3
 KI_MZB (Kont-Korr) gegen 3JMW TW gemessen (JAS) des 1. Vorjahres



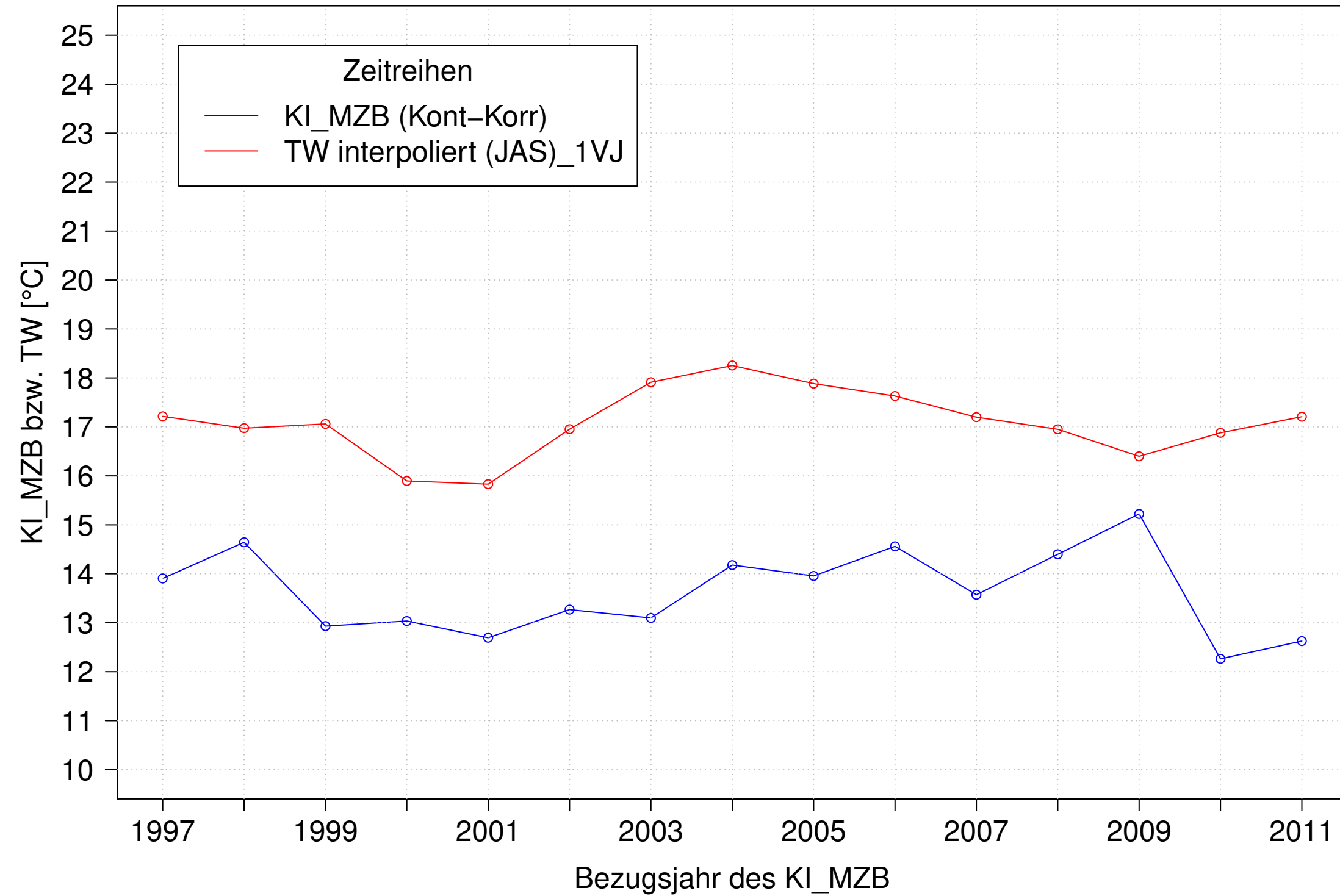
Argen_Giessen, Typ 03.2 mit Neozoen, Serie 4
 KI_MZB (Kont-Korr) und 3JMW TW gemessen (JAS) des 1. Vorjahres



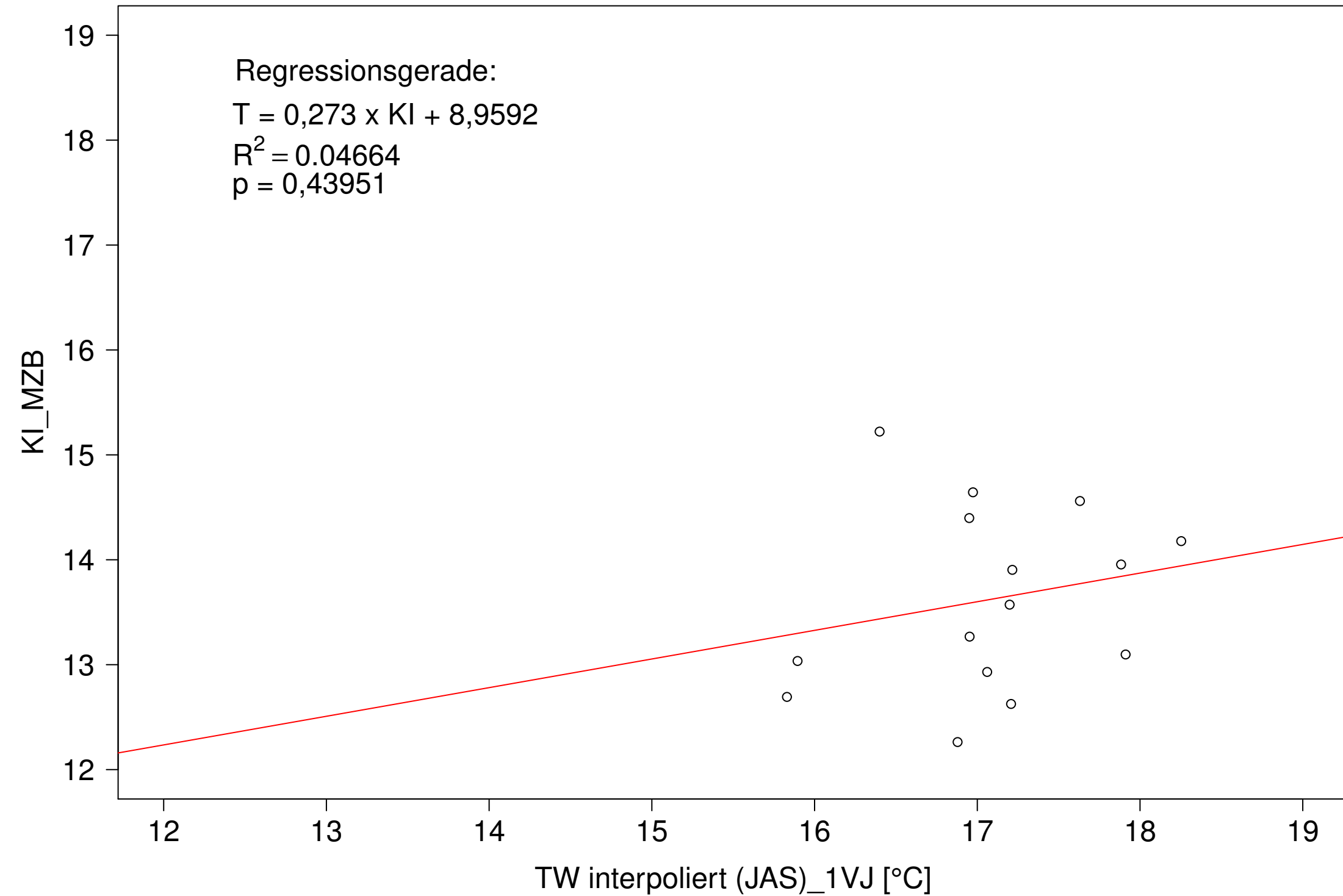
Argen_Giessen, Typ 03.2 mit Neozoen, Serie 4
 KI_MZB (Kont-Korr) gegen 3JMW TW gemessen (JAS) des 1. Vorjahres



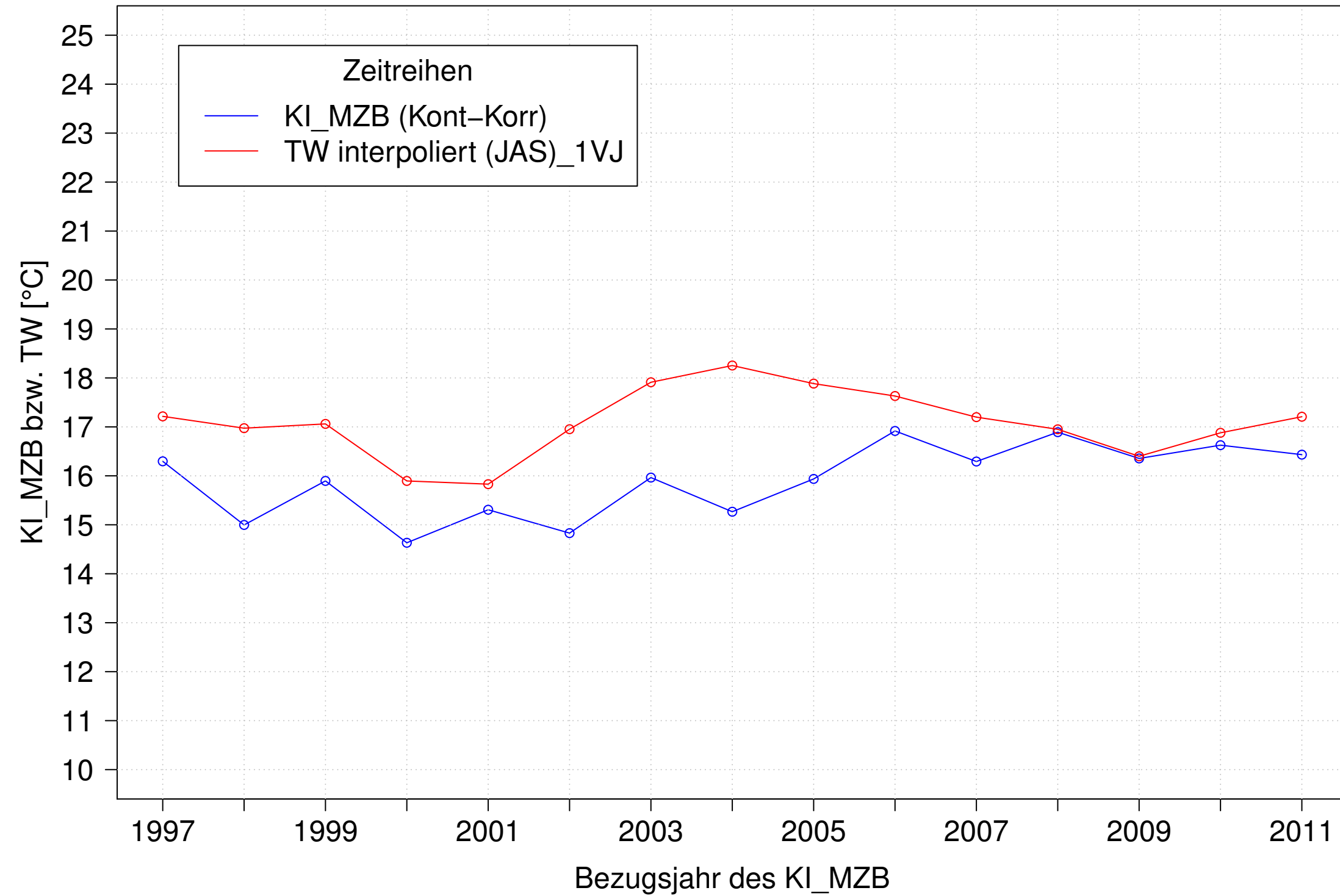
Argen_Giessen, Typ 03.2 mit Neozoen, Serie 1
KI_MZB (Kont-Korr) und 3JMW TW interpoliert (JAS) des 1. Vorjahres



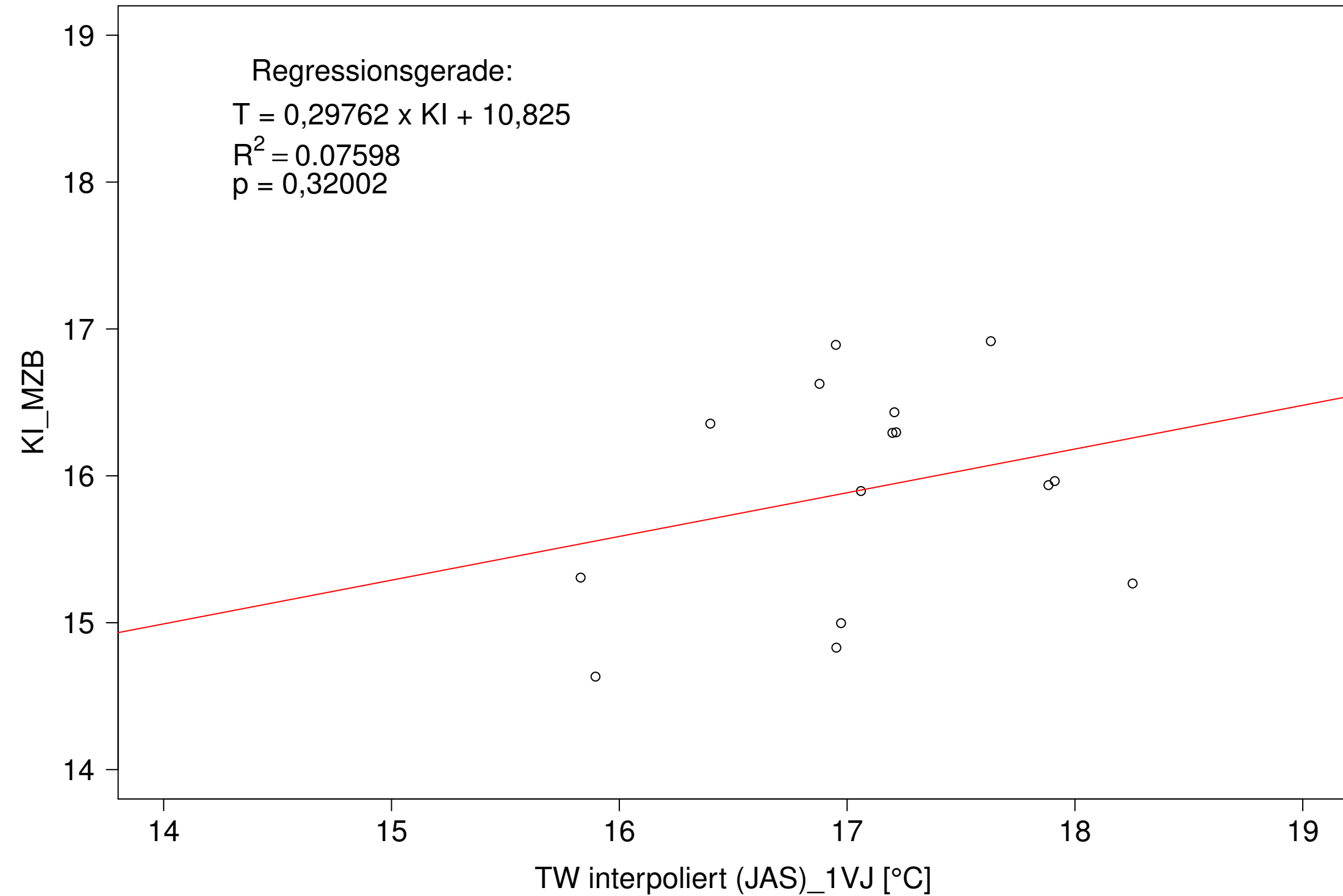
Argen_Giessen, Typ 03.2 mit Neozoen, Serie 1
KI_MZB (Kont-Korr) gegen 3JMW TW interpoliert (JAS) des 1. Vorjahres



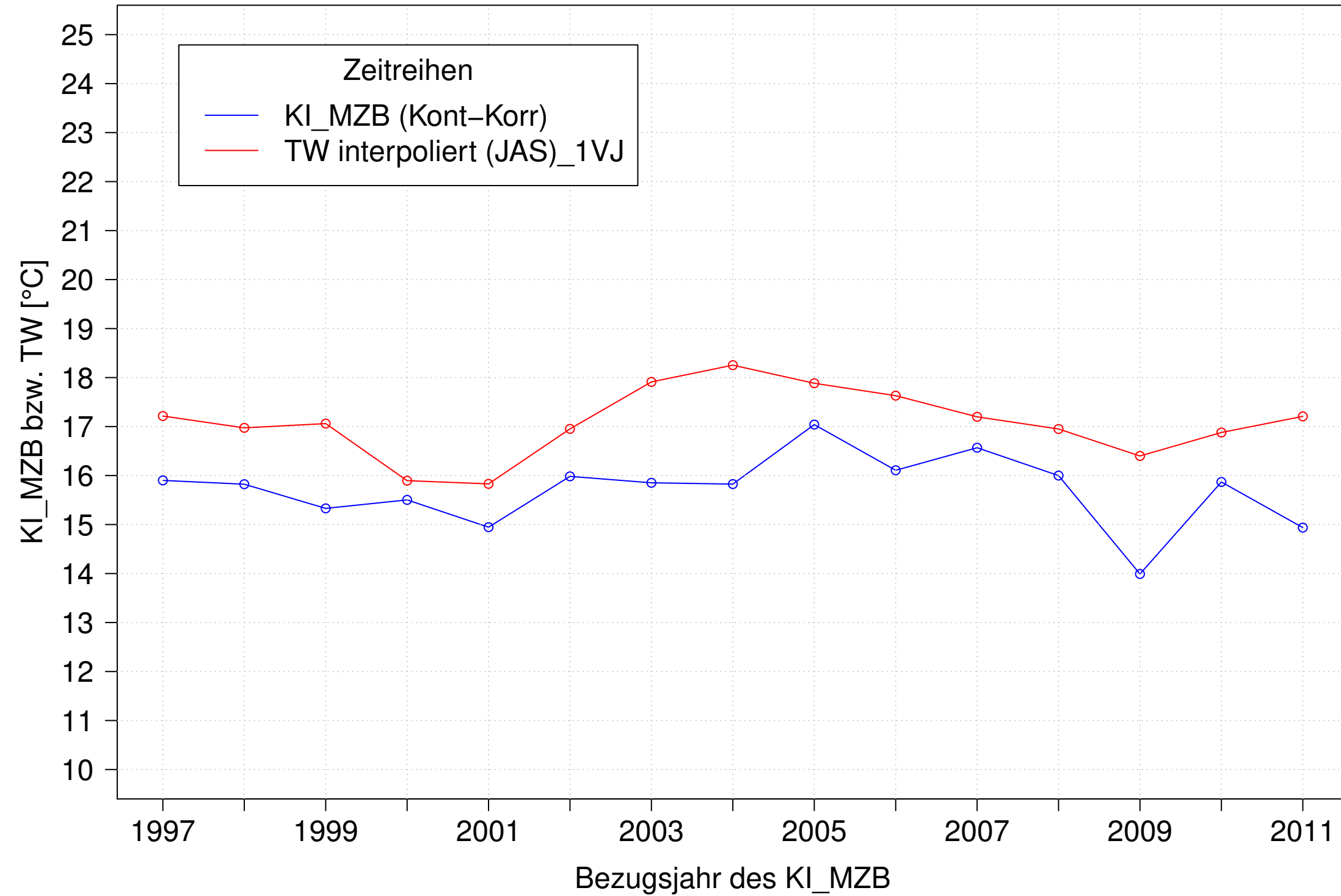
Argen_Giessen, Typ 03.2 mit Neozoen, Serie 2
KI_MZB (Kont-Korr) und 3JMW TW interpoliert (JAS) des 1. Vorjahres



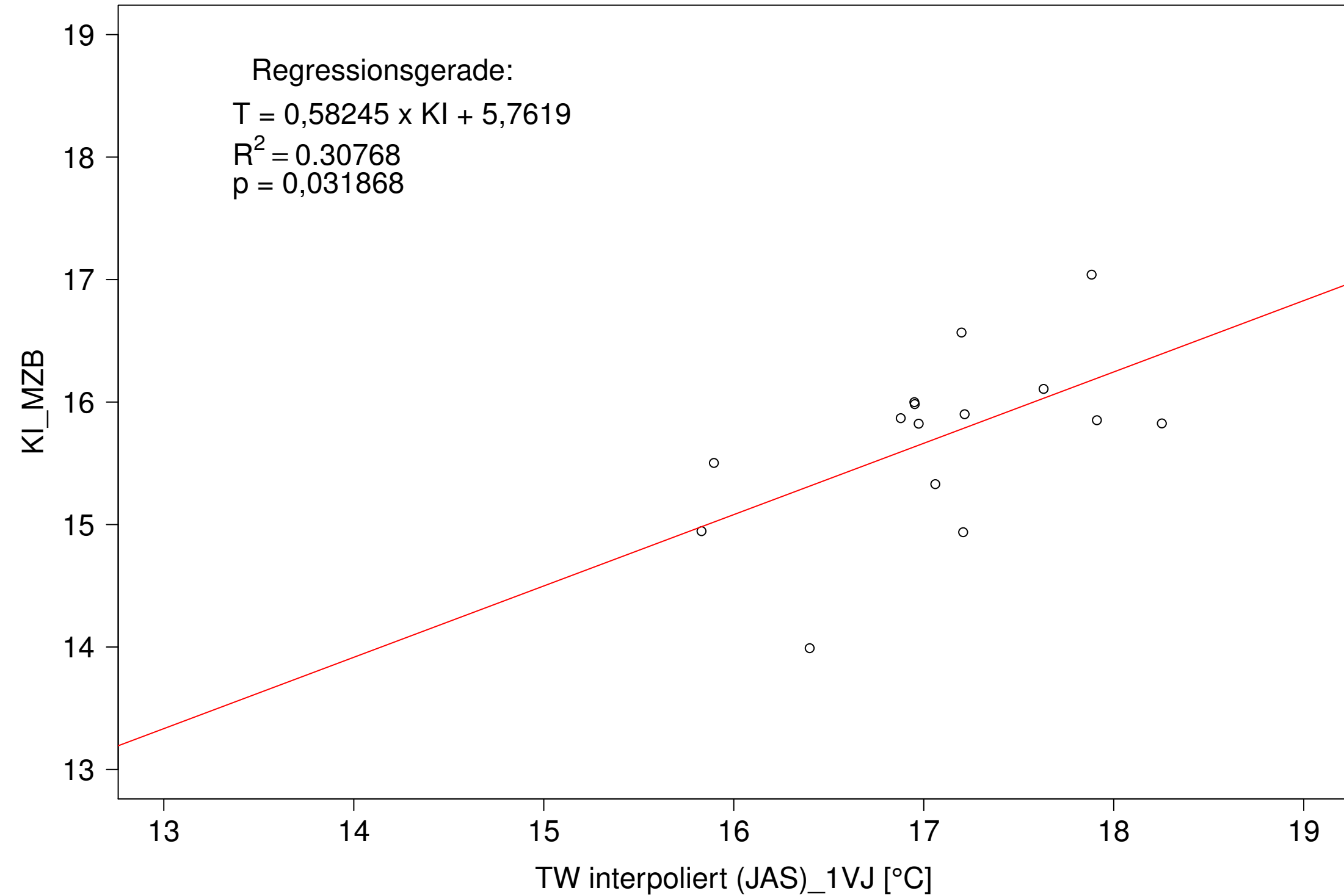
Argen_Giessen, Typ 03.2 mit Neozoen, Serie 2
KI_MZB (Kont-Korr) gegen 3JMW TW interpoliert (JAS) des 1. Vorjahres



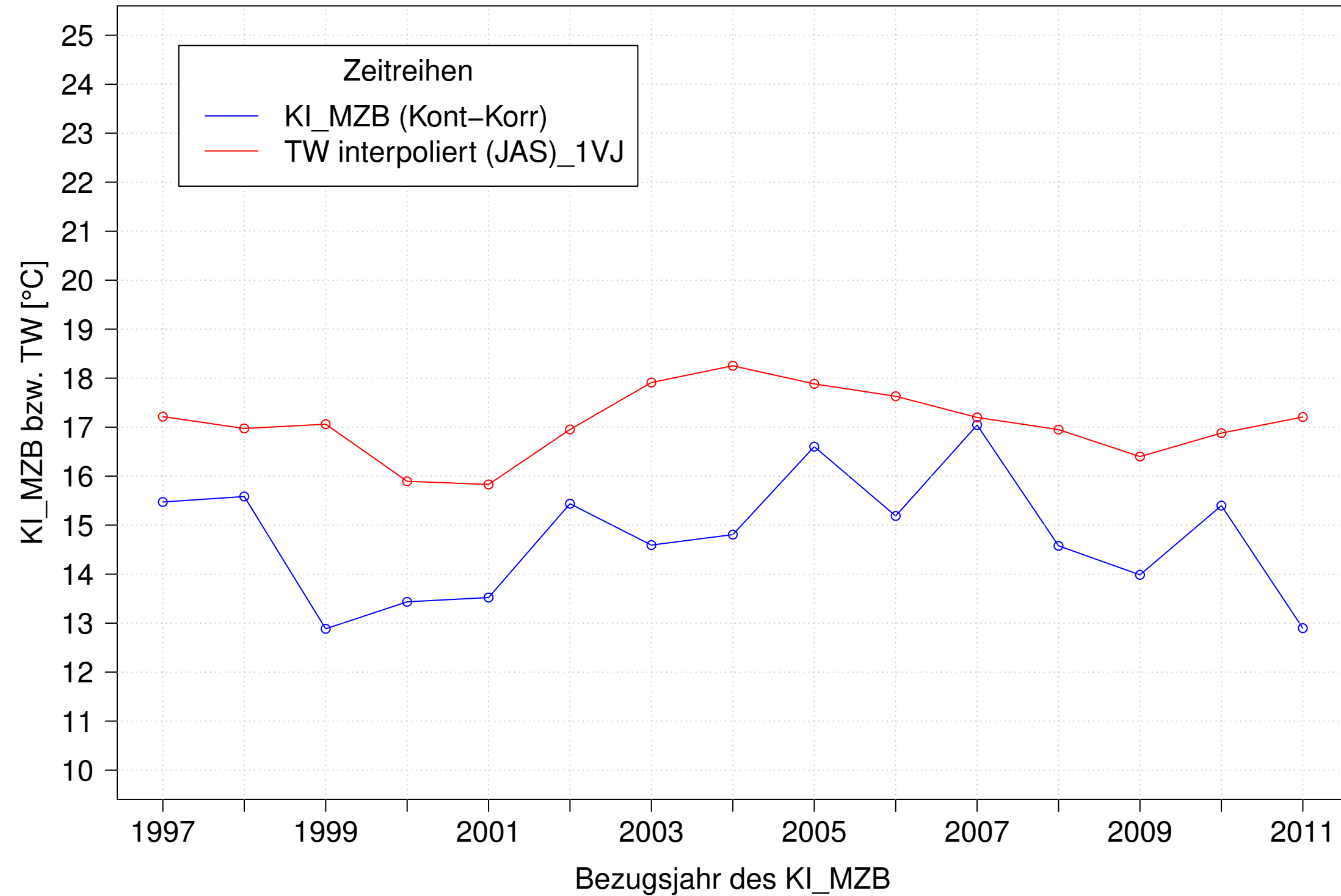
Argen_Giessen, Typ 03.2 mit Neozoen, Serie 3
KI_MZB (Kont-Korr) und 3JMW TW interpoliert (JAS) des 1. Vorjahres



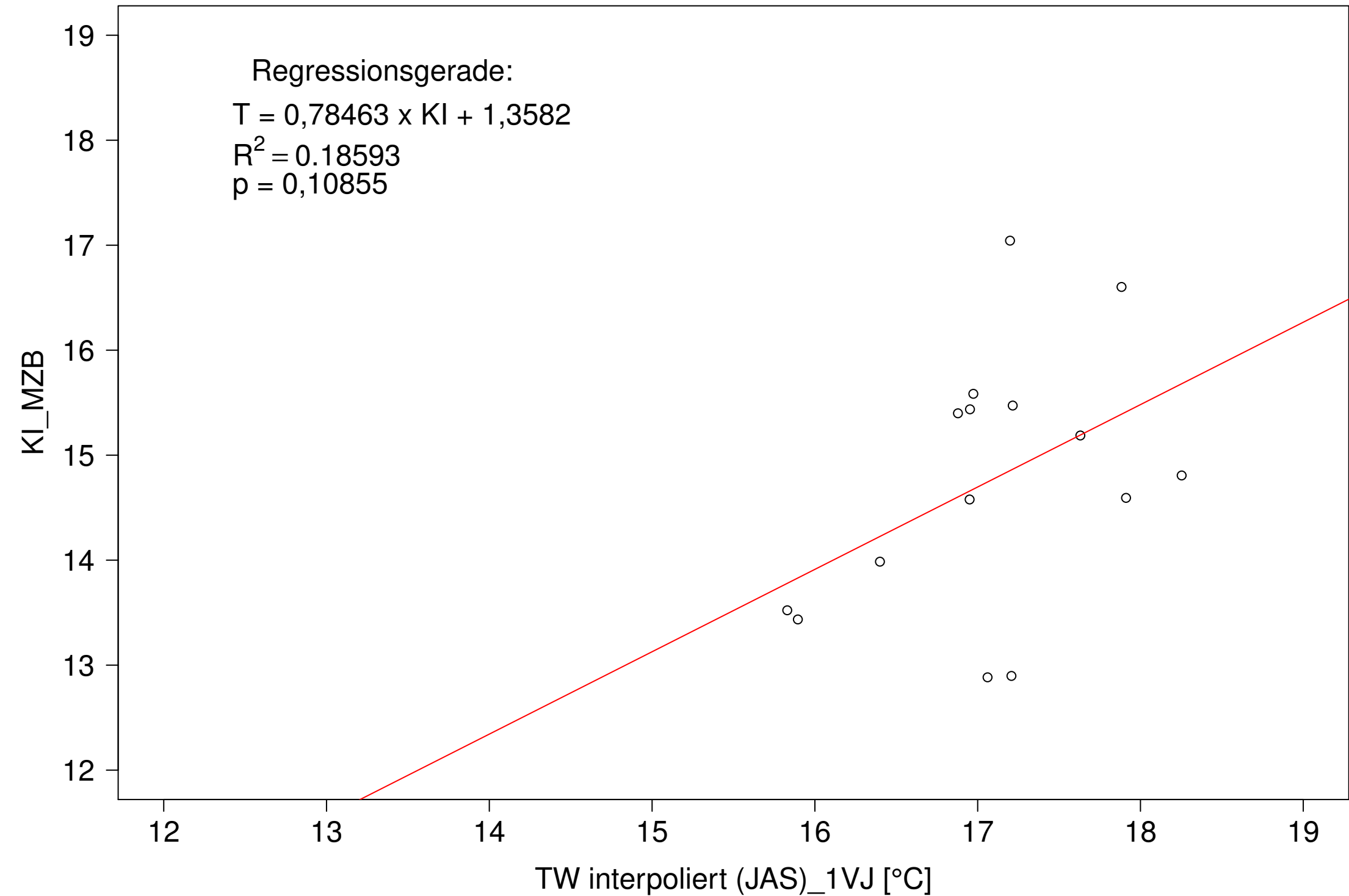
Argen_Giessen, Typ 03.2 mit Neozoen, Serie 3
KI_MZB (Kont-Korr) gegen 3JMW TW interpoliert (JAS) des 1. Vorjahres



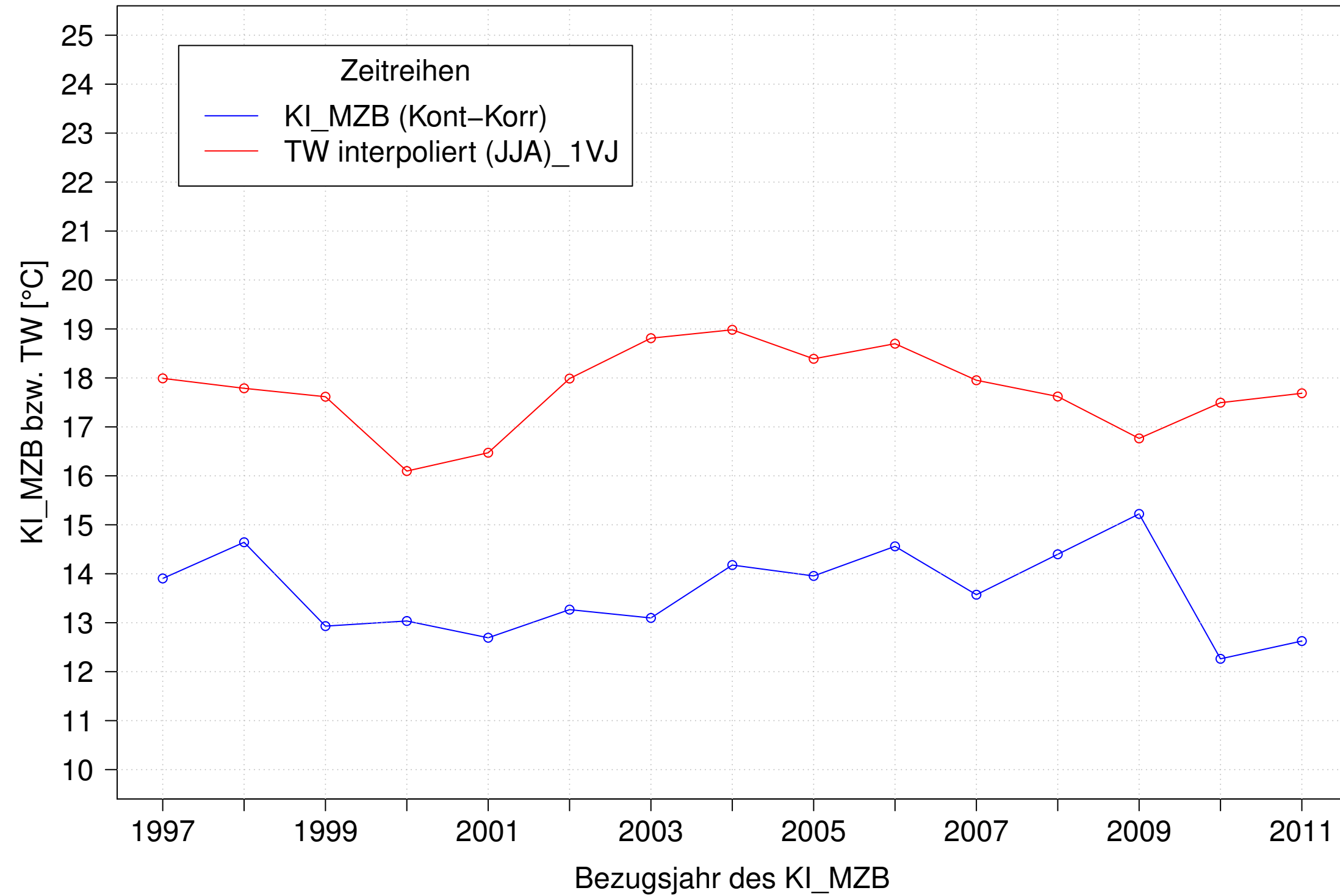
Argen_Giessen, Typ 03.2 mit Neozoen, Serie 4
KI_MZB (Kont-Korr) und 3JMW TW interpoliert (JAS) des 1. Vorjahres



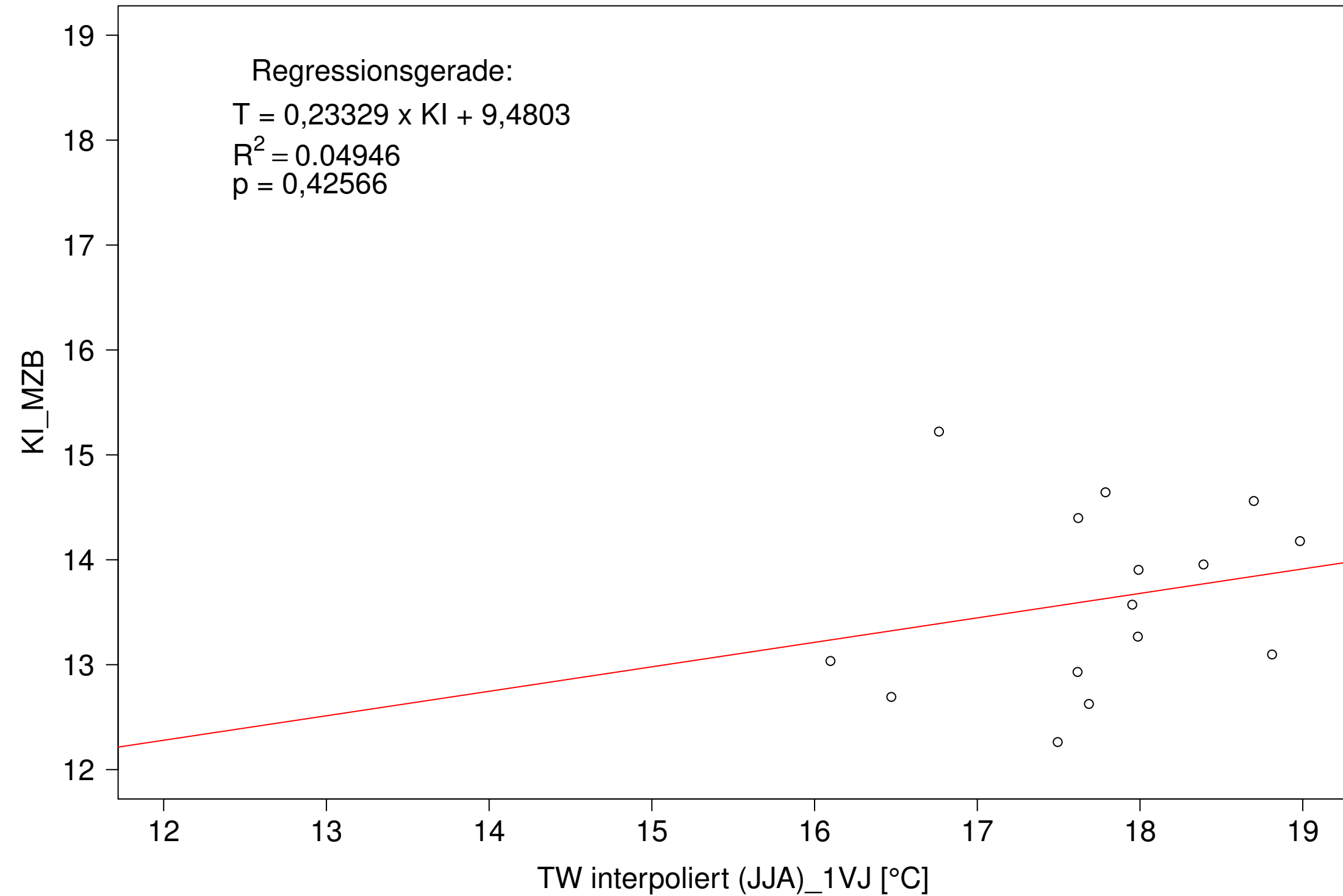
Argen_Giessen, Typ 03.2 mit Neozoen, Serie 4
KI_MZB (Kont-Korr) gegen 3JMW TW interpoliert (JAS) des 1. Vorjahres



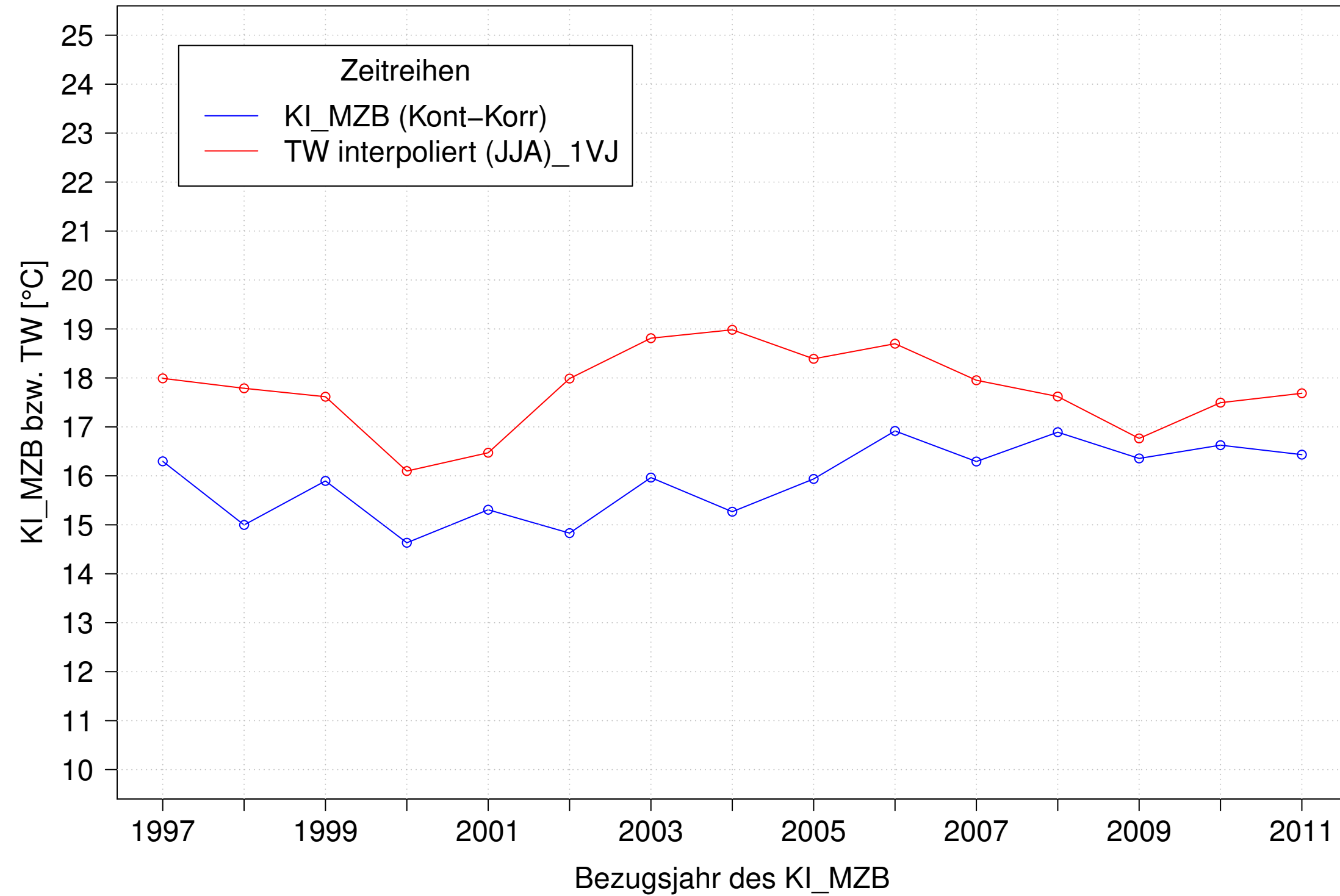
Argen_Giessen, Typ 03.2 mit Neozoen, Serie 1
KI_MZB (Kont-Korr) und 3JMW TW interpoliert (JJA) des 1. Vorjahres



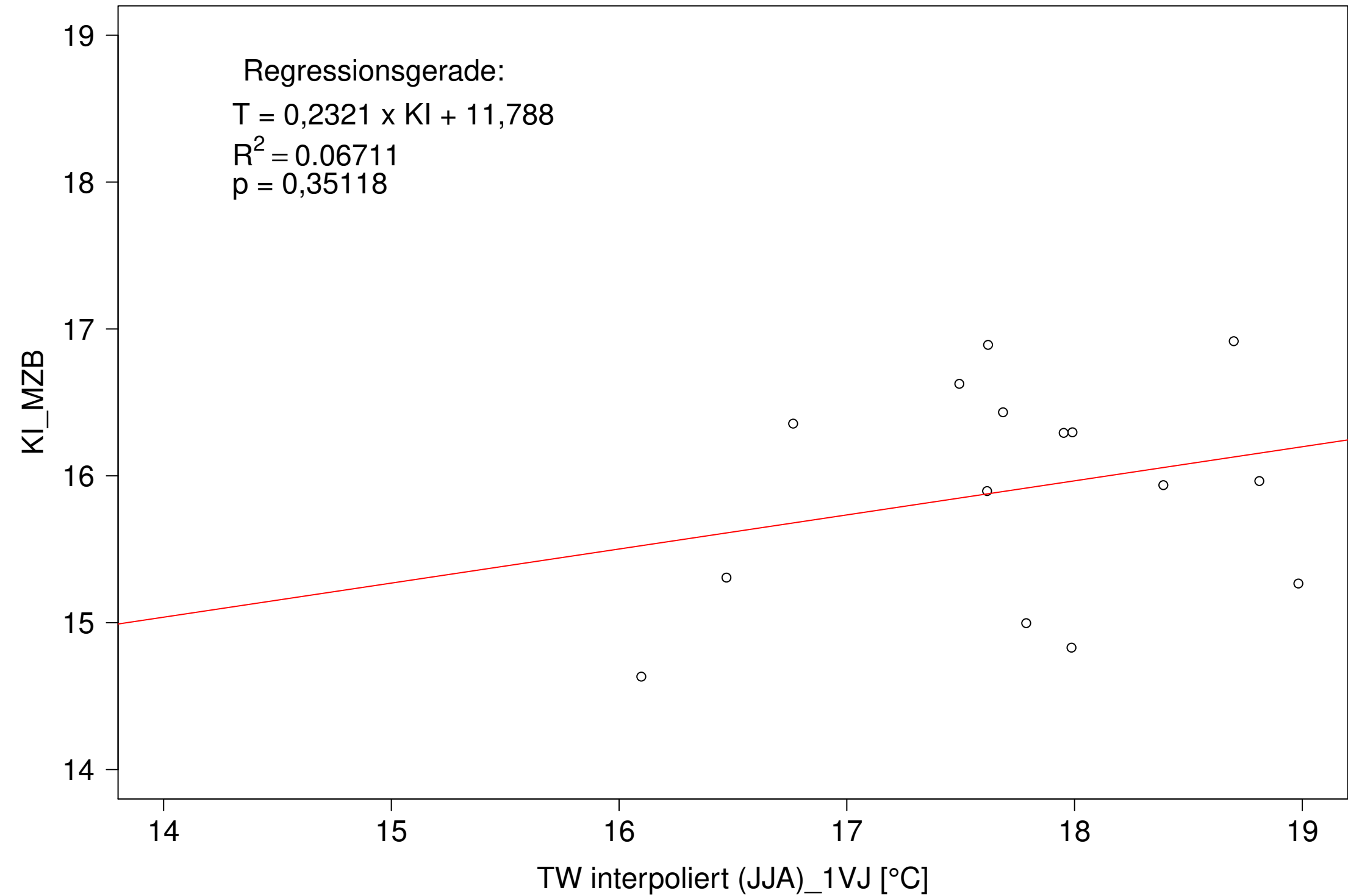
Argen_Giessen, Typ 03.2 mit Neozoen, Serie 1
KI_MZB (Kont-Korr) gegen 3JMW TW interpoliert (JJA) des 1. Vorjahres



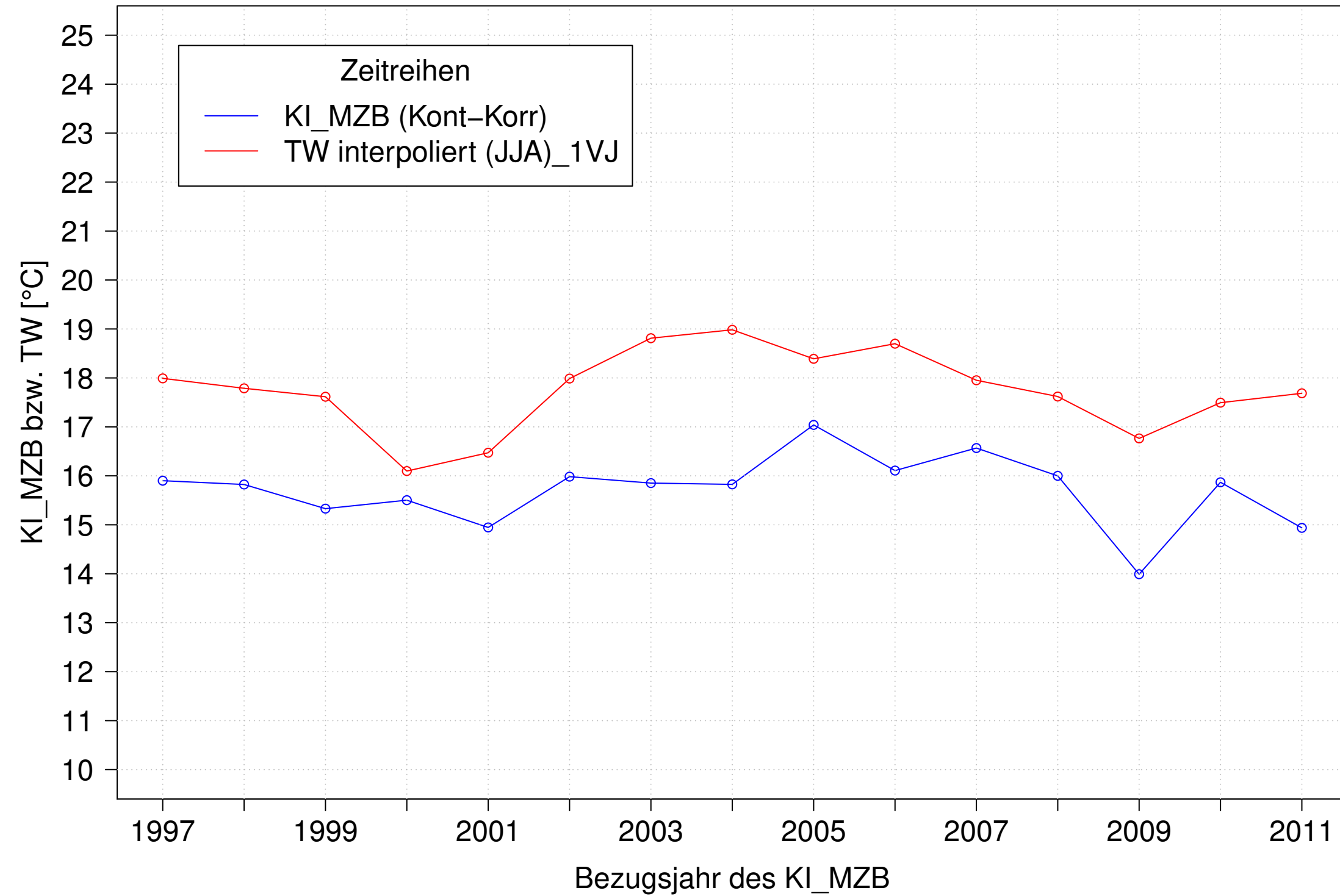
Argen_Giessen, Typ 03.2 mit Neozoen, Serie 2
KI_MZB (Kont-Korr) und 3JMW TW interpoliert (JJA) des 1. Vorjahres



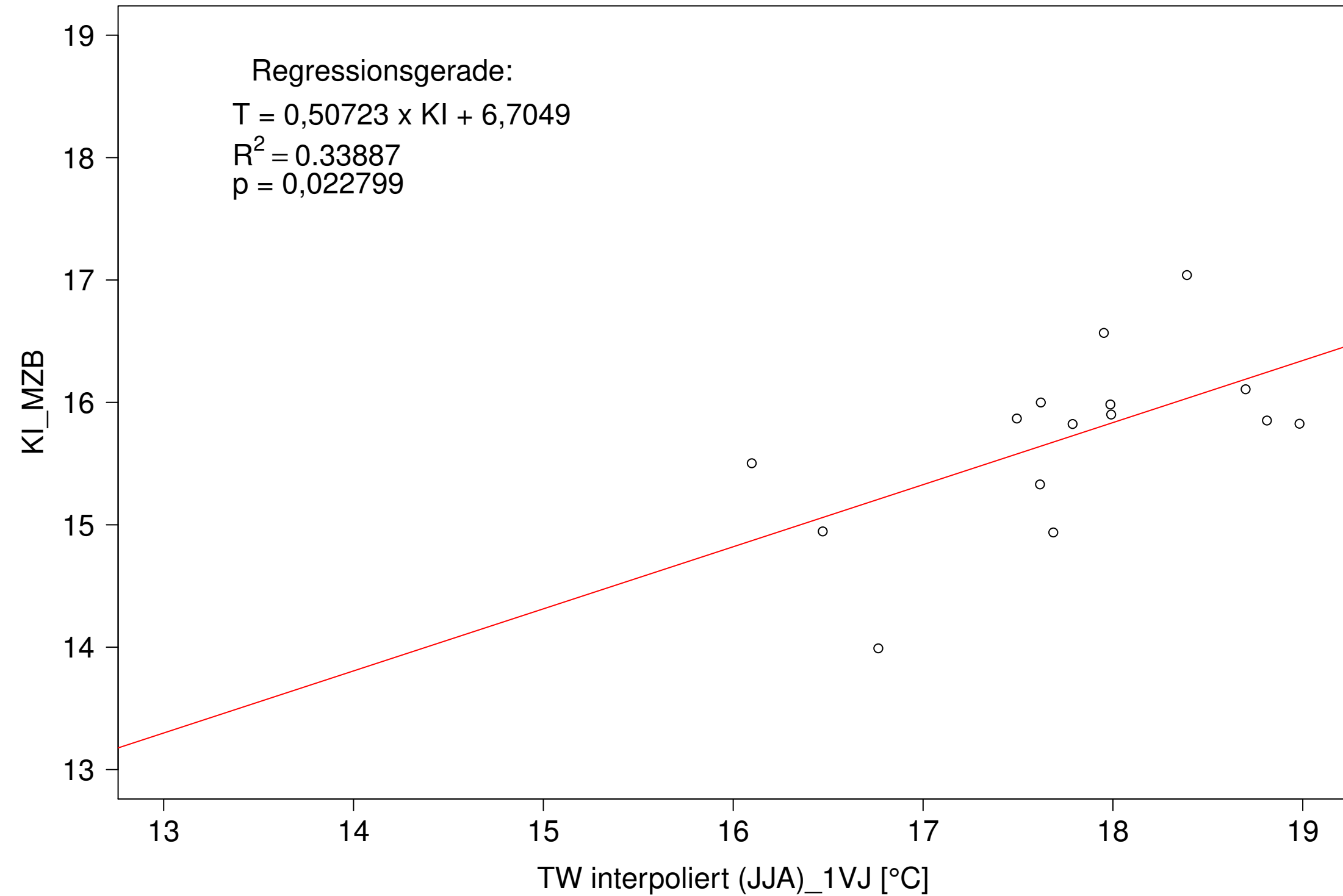
Argen_Giessen, Typ 03.2 mit Neozoen, Serie 2
KI_MZB (Kont-Korr) gegen 3JMW TW interpoliert (JJA) des 1. Vorjahres



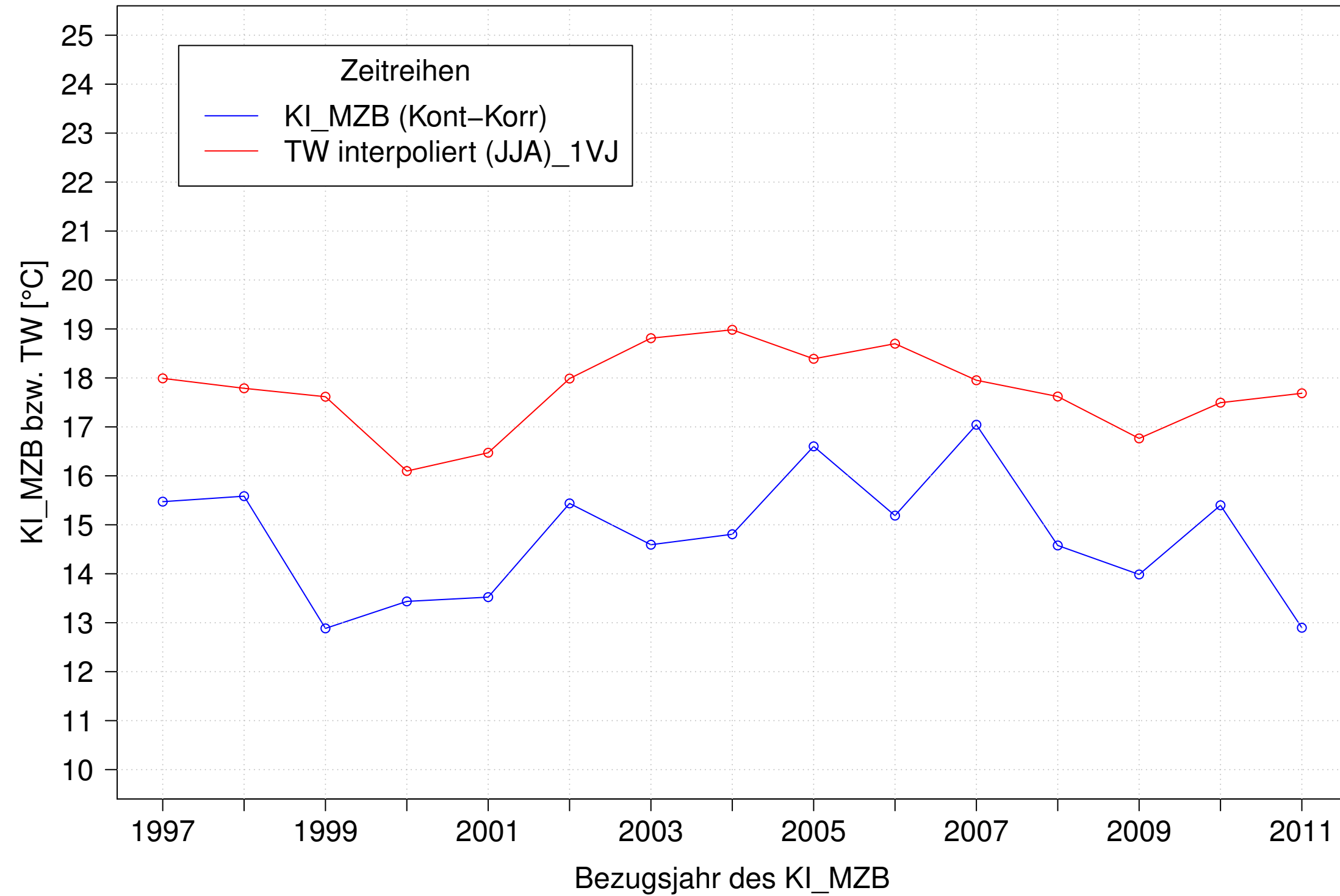
Argen_Giessen, Typ 03.2 mit Neozoen, Serie 3
 KI_MZB (Kont-Korr) und 3JMW TW interpoliert (JJA) des 1. Vorjahres



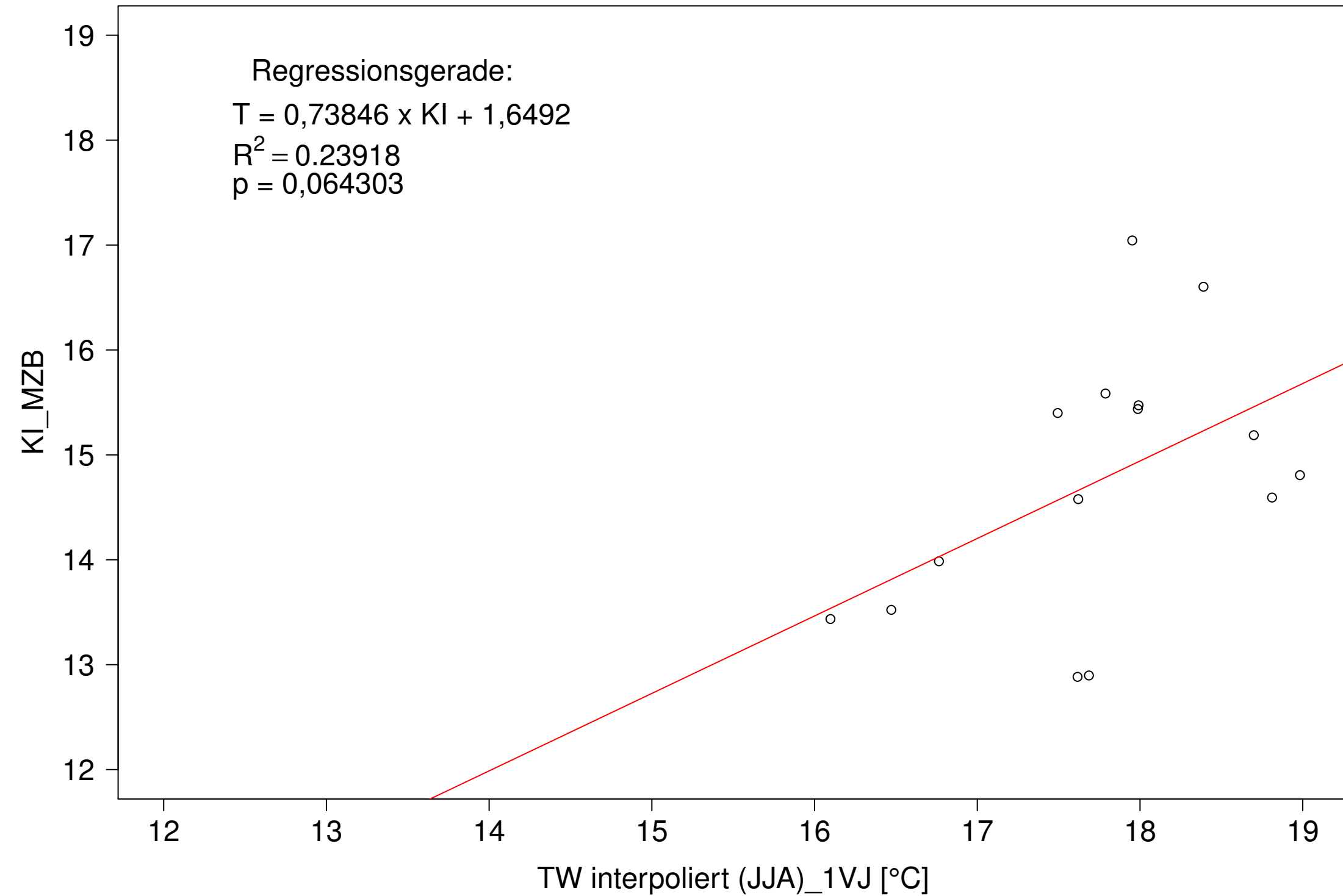
Argen_Giessen, Typ 03.2 mit Neozoen, Serie 3
 KI_MZB (Kont-Korr) gegen 3JMW TW interpoliert (JJA) des 1. Vorjahres



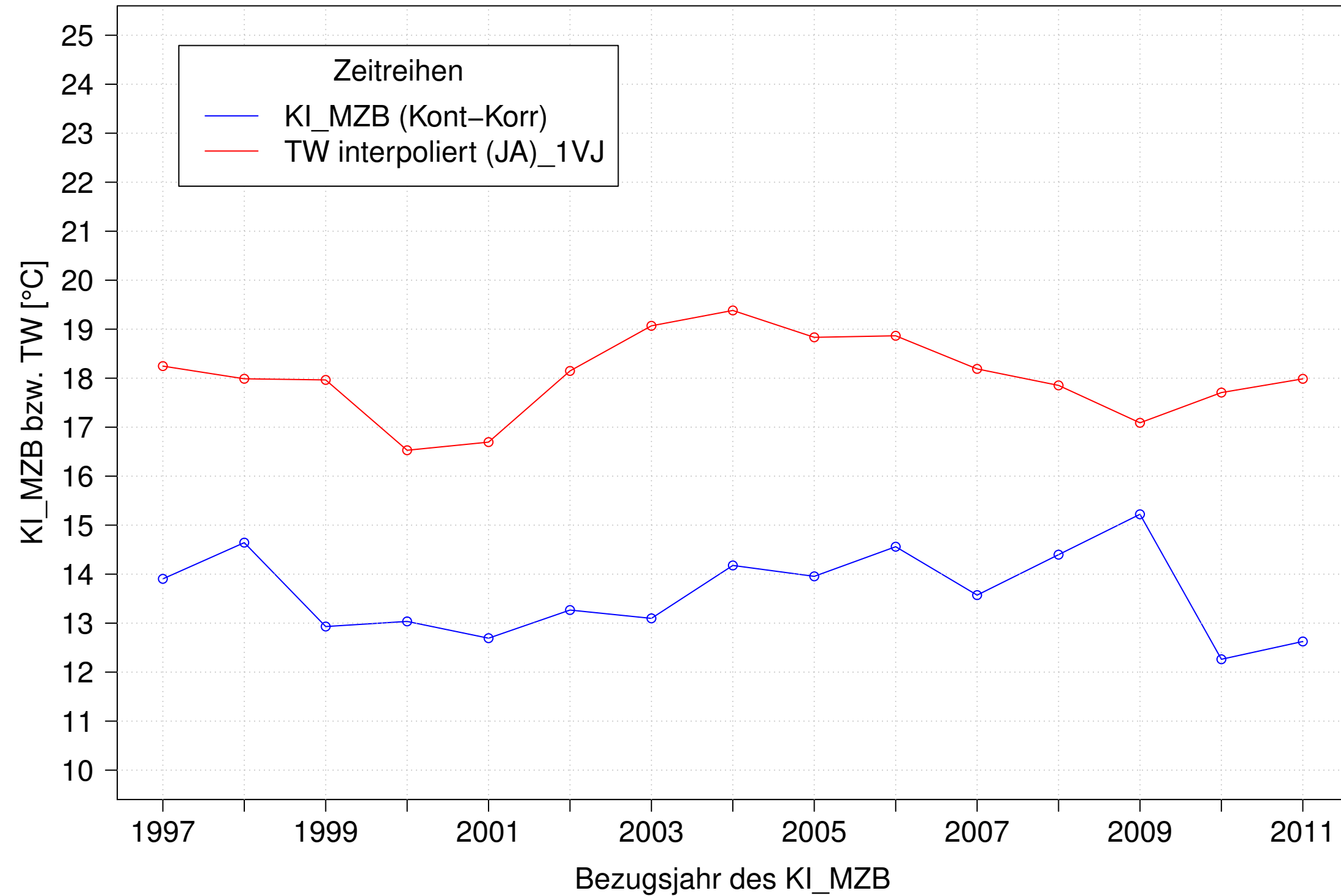
Argen_Giessen, Typ 03.2 mit Neozoen, Serie 4
KI_MZB (Kont-Korr) und 3JMW TW interpoliert (JJA) des 1. Vorjahres



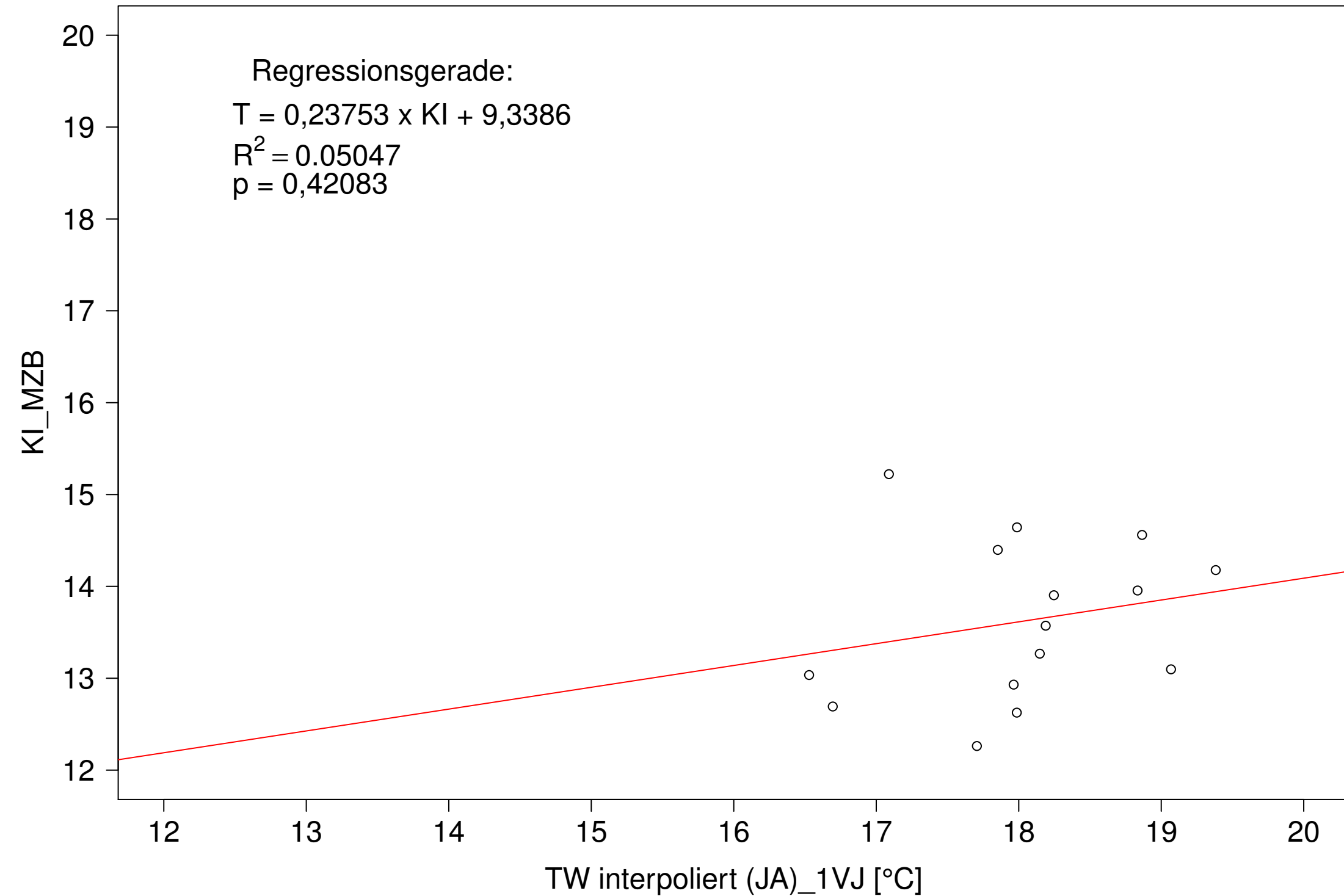
Argen_Giessen, Typ 03.2 mit Neozoen, Serie 4
KI_MZB (Kont-Korr) gegen 3JMW TW interpoliert (JJA) des 1. Vorjahres



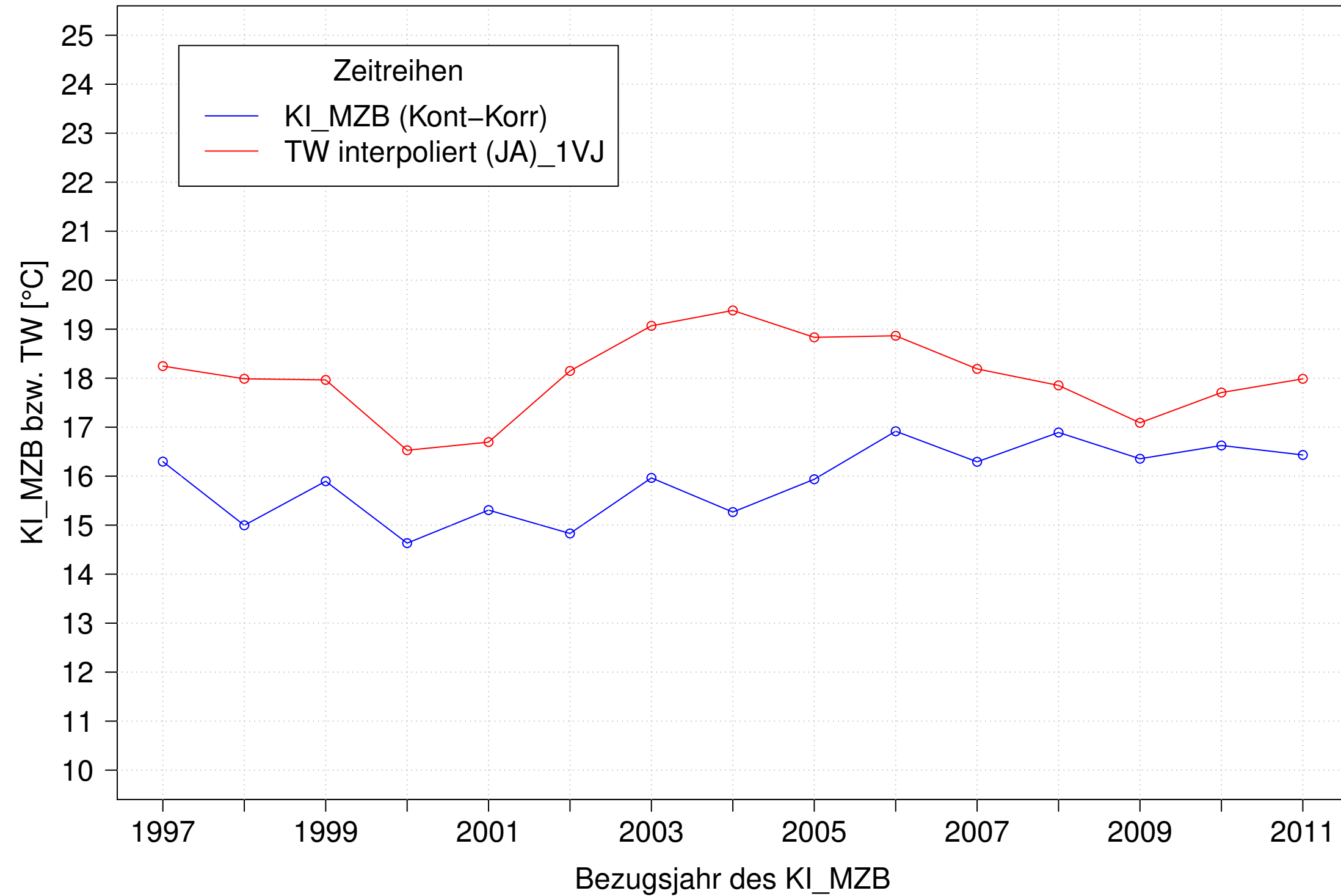
Argen_Giessen, Typ 03.2 mit Neozoen, Serie 1
KI_MZB (Kont-Korr) und 3JMW TW interpoliert (JA) des 1. Vorjahres



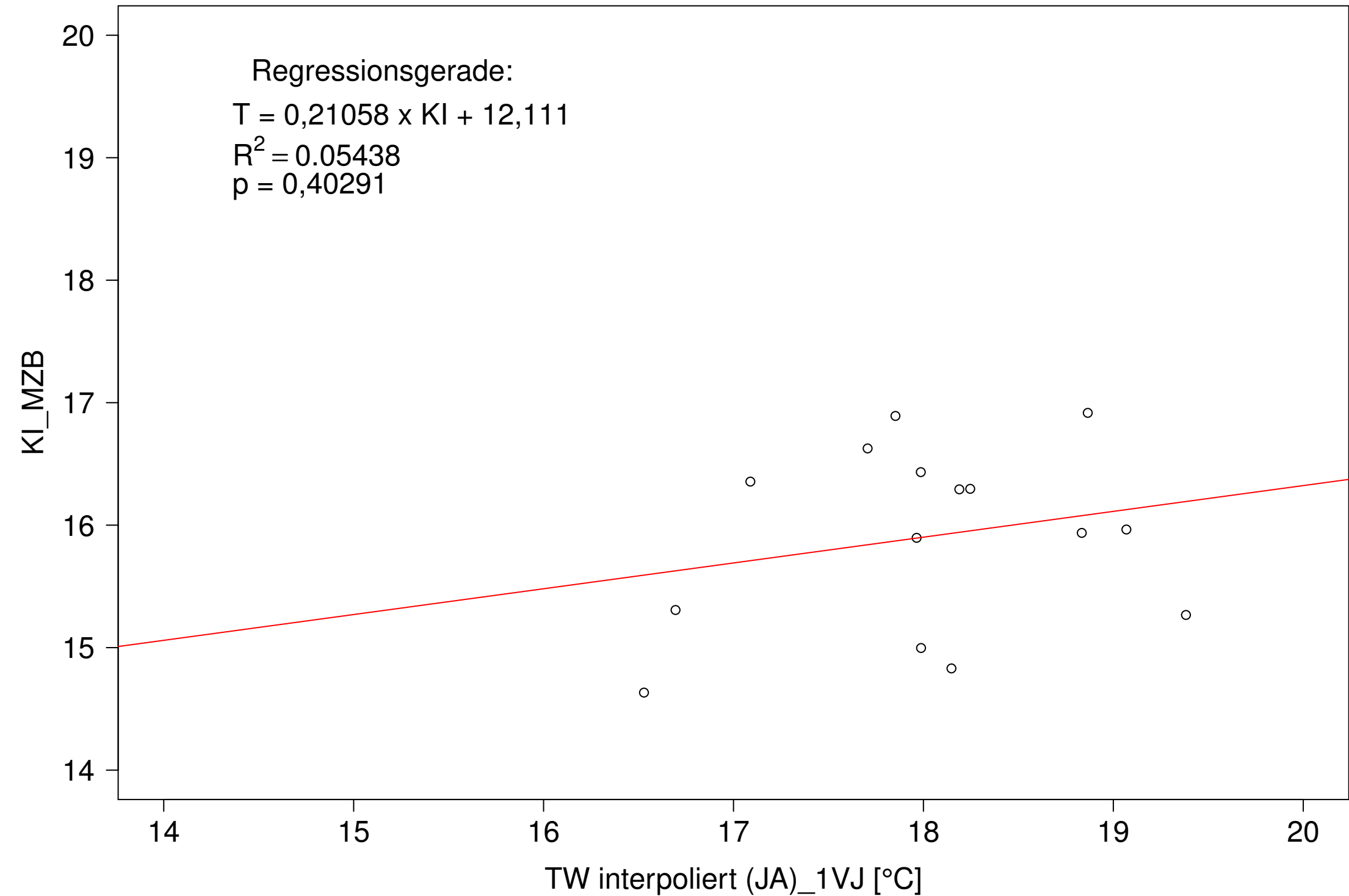
Argen_Giessen, Typ 03.2 mit Neozoen, Serie 1
KI_MZB (Kont-Korr) gegen 3JMW TW interpoliert (JA) des 1. Vorjahres



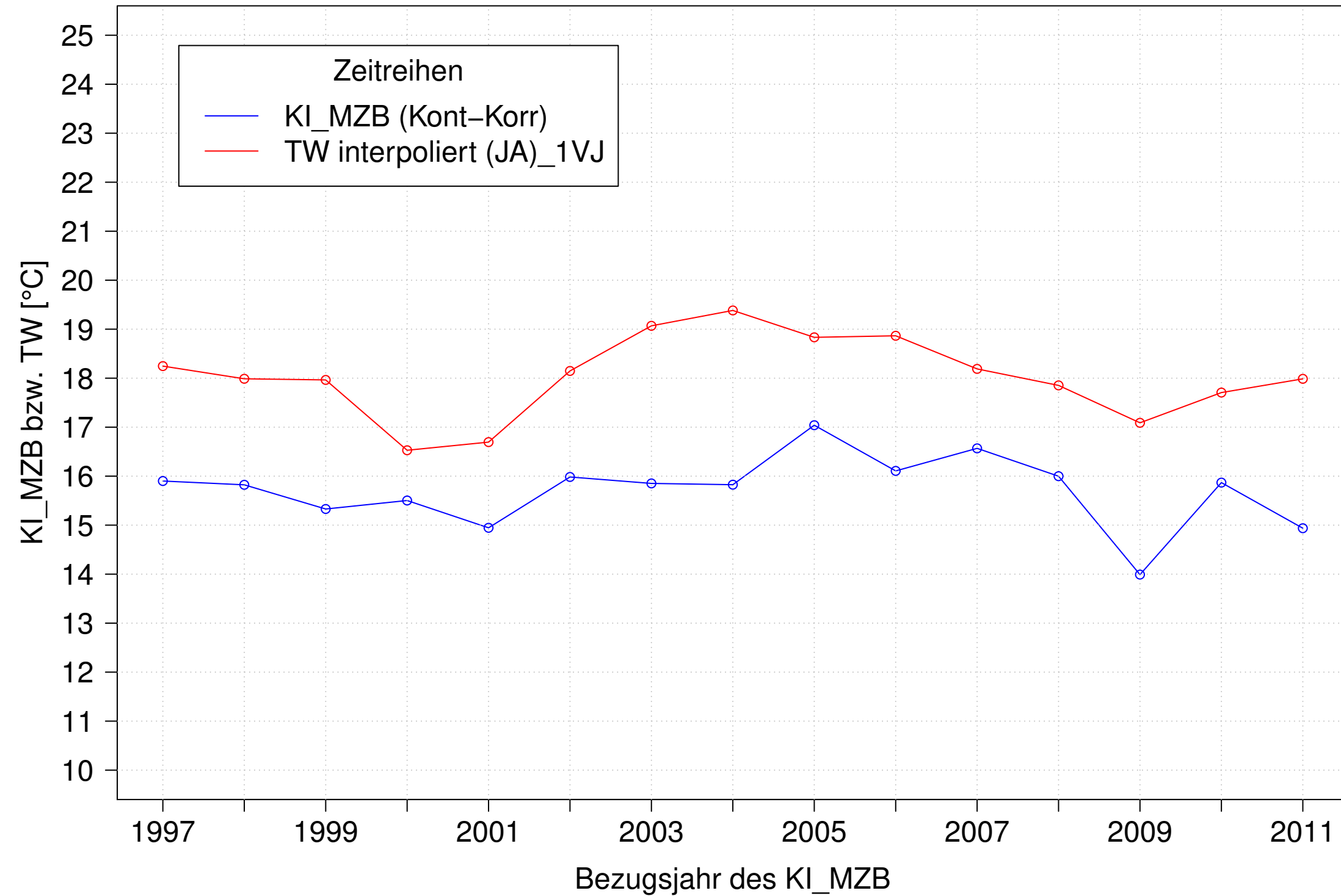
Argen_Giessen, Typ 03.2 mit Neozoen, Serie 2
 KI_MZB (Kont-Korr) und 3JMW TW interpoliert (JA) des 1. Vorjahres



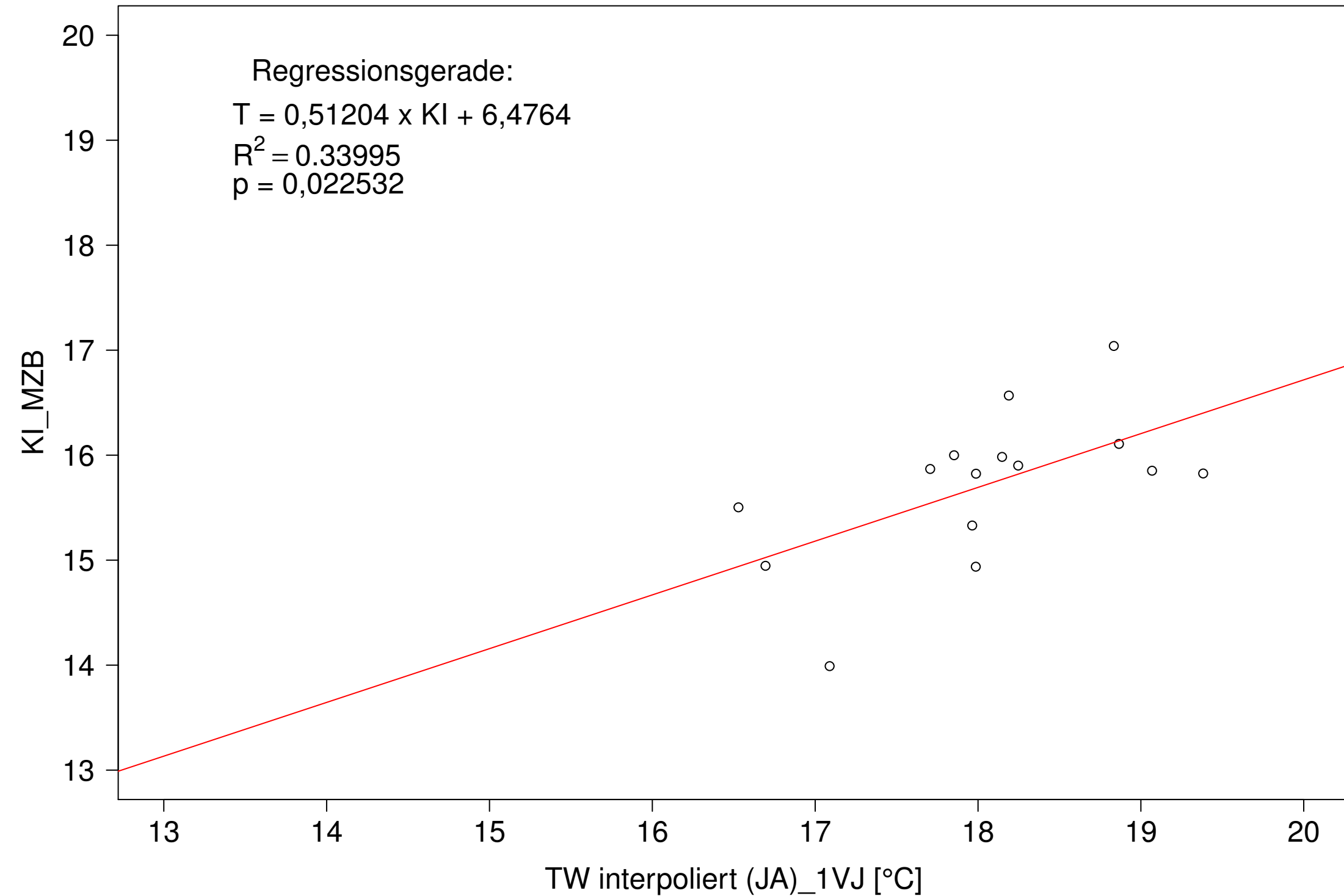
Argen_Giessen, Typ 03.2 mit Neozoen, Serie 2
 KI_MZB (Kont-Korr) gegen 3JMW TW interpoliert (JA) des 1. Vorjahres



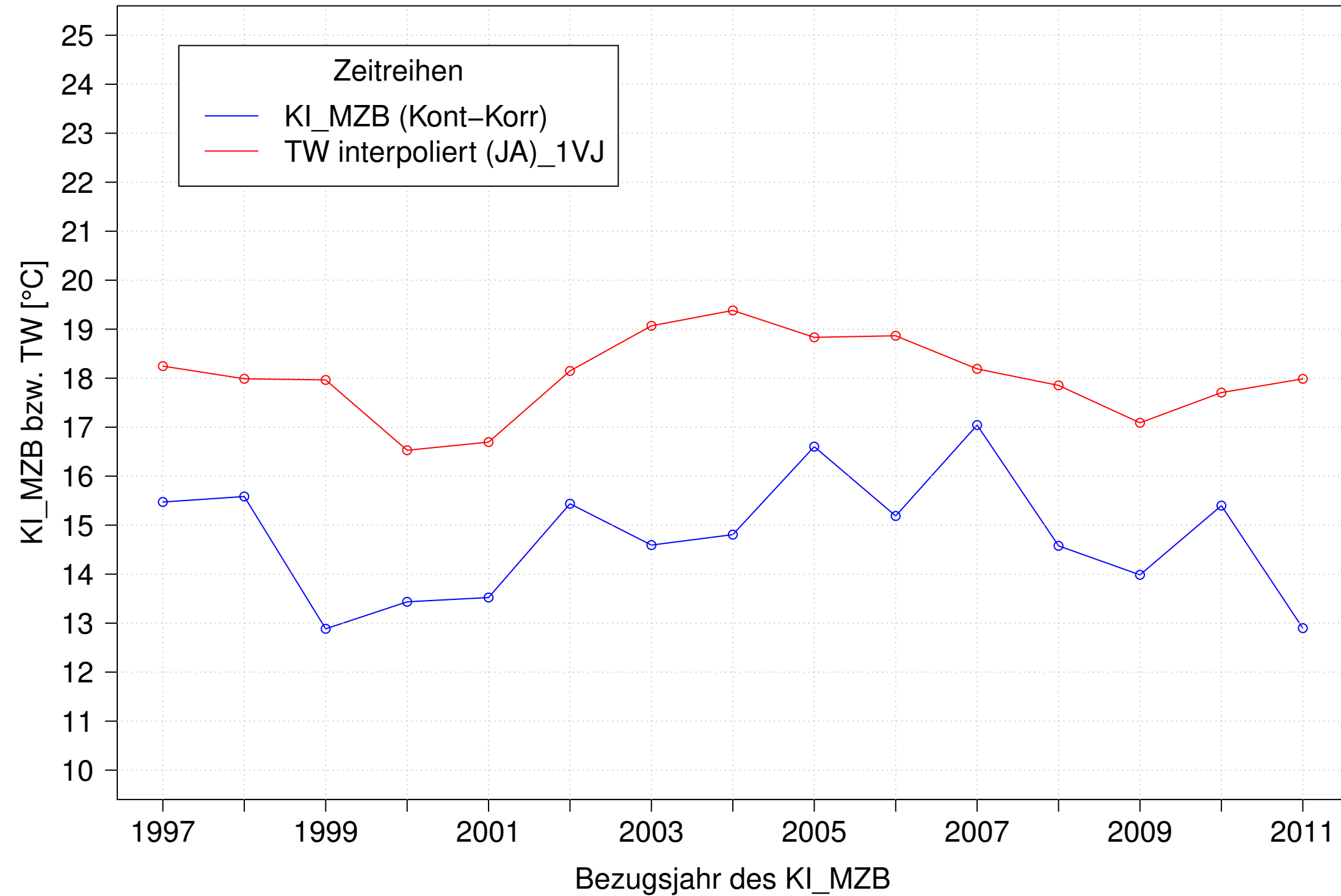
Argen_Giessen, Typ 03.2 mit Neozoen, Serie 3
KI_MZB (Kont-Korr) und 3JMW TW interpoliert (JA) des 1. Vorjahres



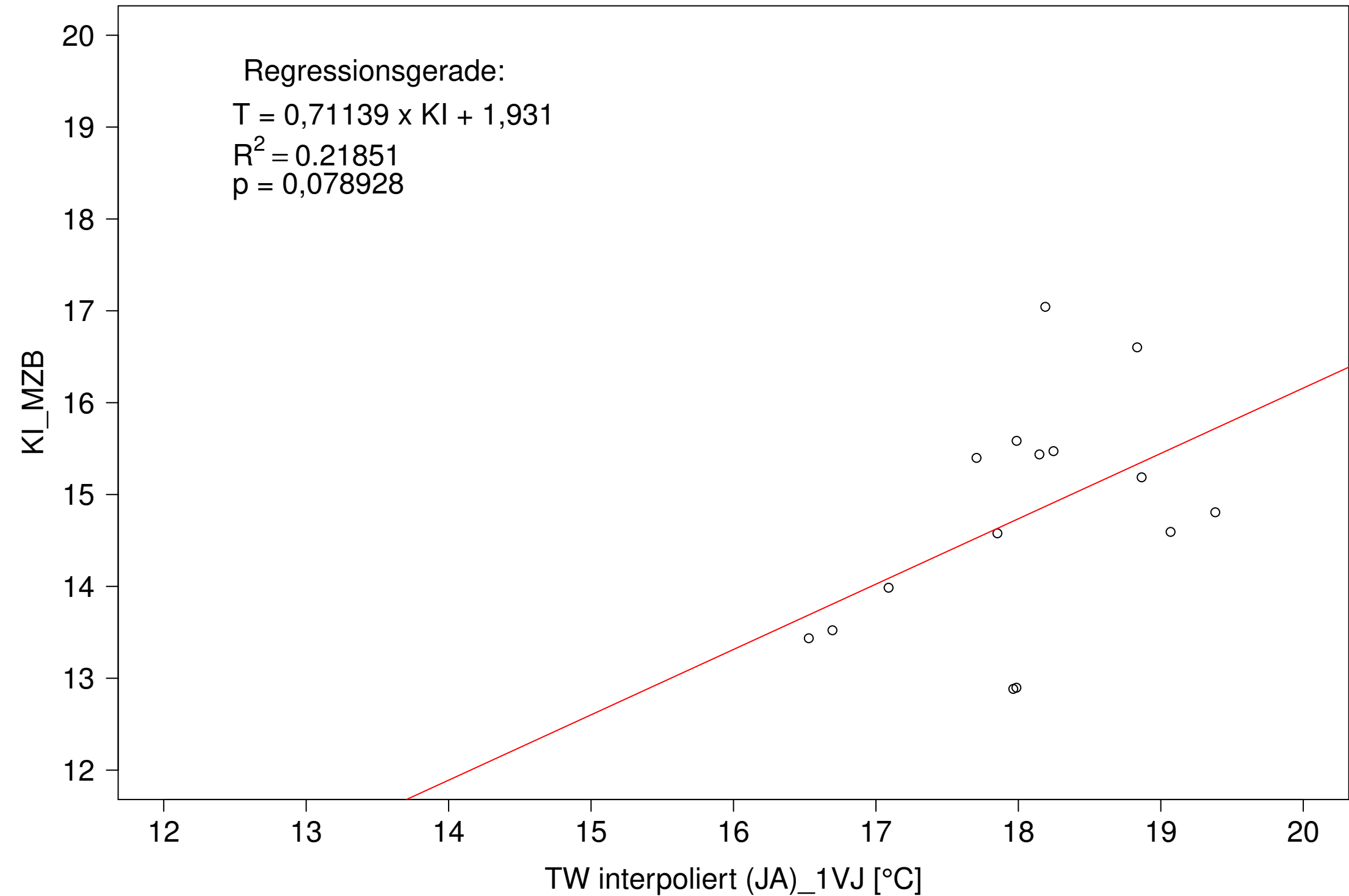
Argen_Giessen, Typ 03.2 mit Neozoen, Serie 3
KI_MZB (Kont-Korr) gegen 3JMW TW interpoliert (JA) des 1. Vorjahres



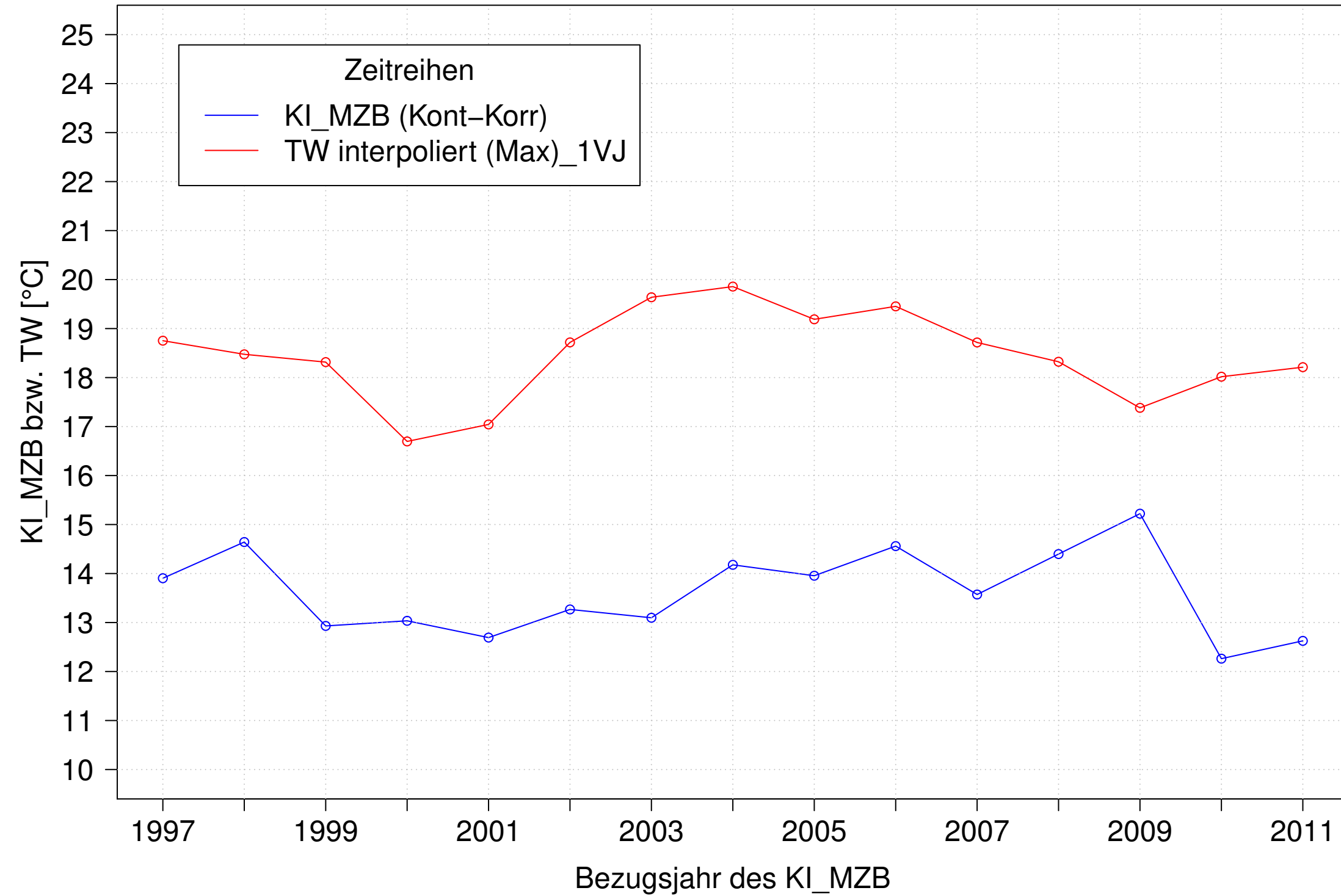
Argen_Giessen, Typ 03.2 mit Neozoen, Serie 4
KI_MZB (Kont-Korr) und 3JMW TW interpoliert (JA) des 1. Vorjahres



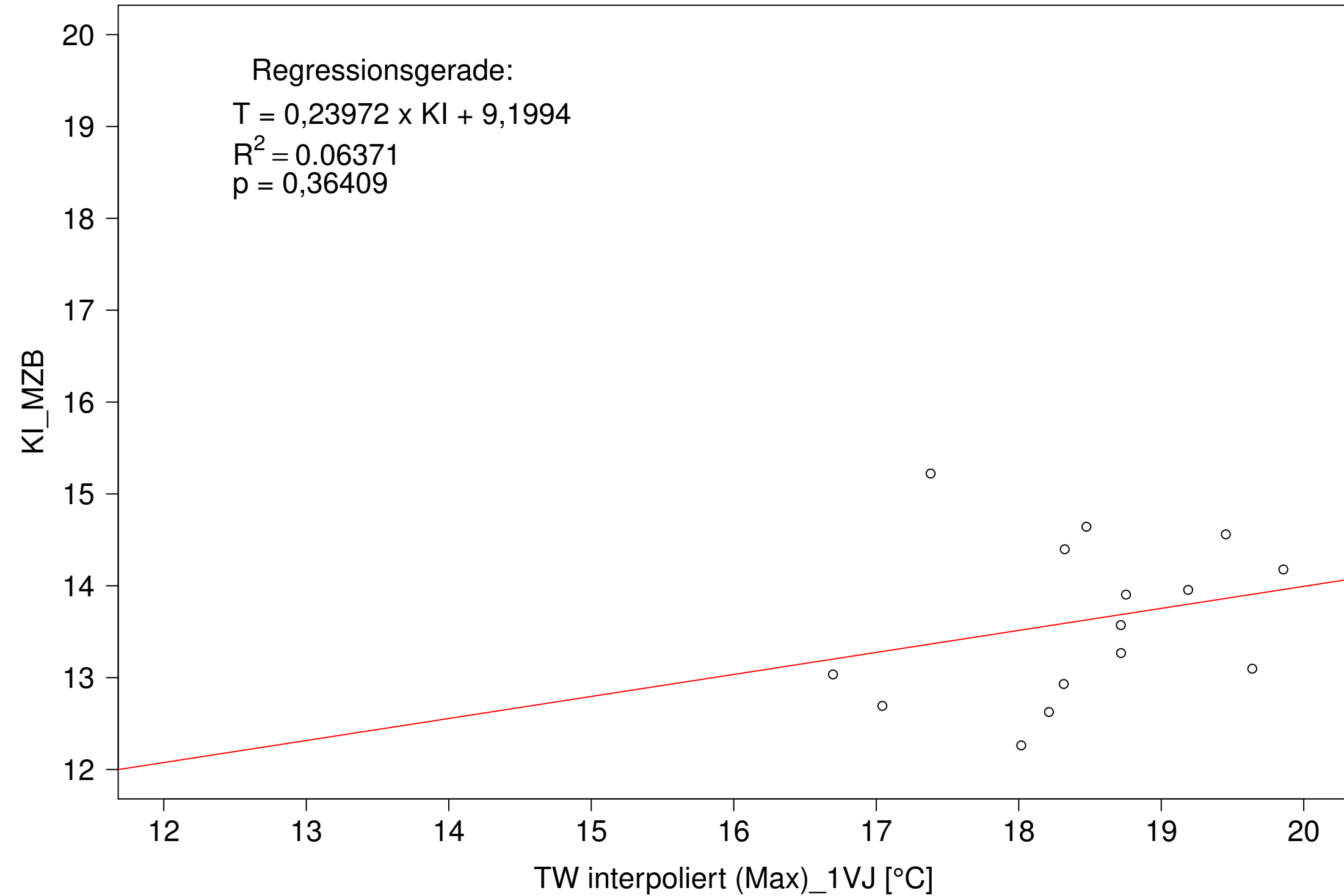
Argen_Giessen, Typ 03.2 mit Neozoen, Serie 4
KI_MZB (Kont-Korr) gegen 3JMW TW interpoliert (JA) des 1. Vorjahres



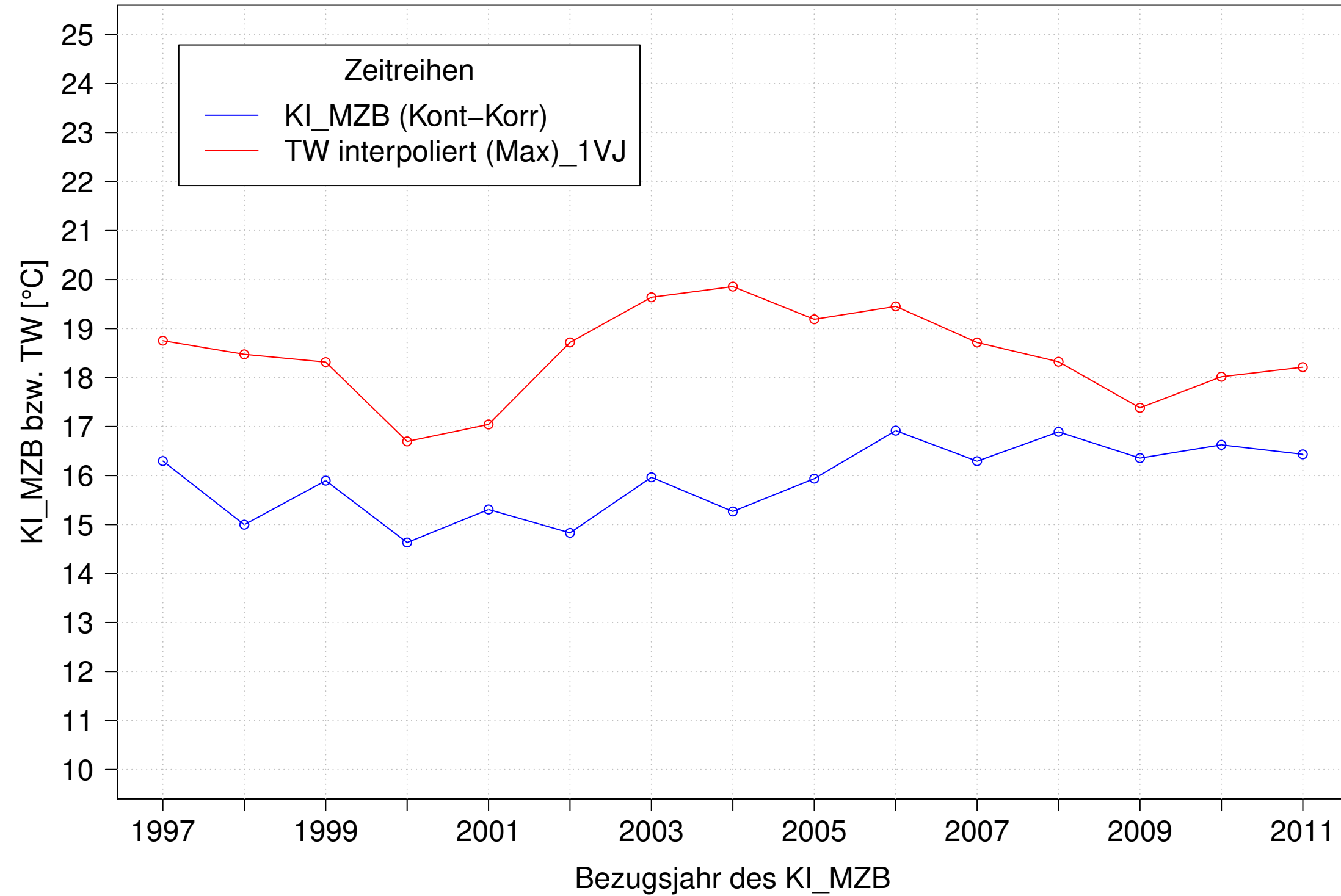
Argen_Giessen, Typ 03.2 mit Neozoen, Serie 1
KI_MZB (Kont-Korr) und 3JMW TW interpoliert (Max) des 1. Vorjahres



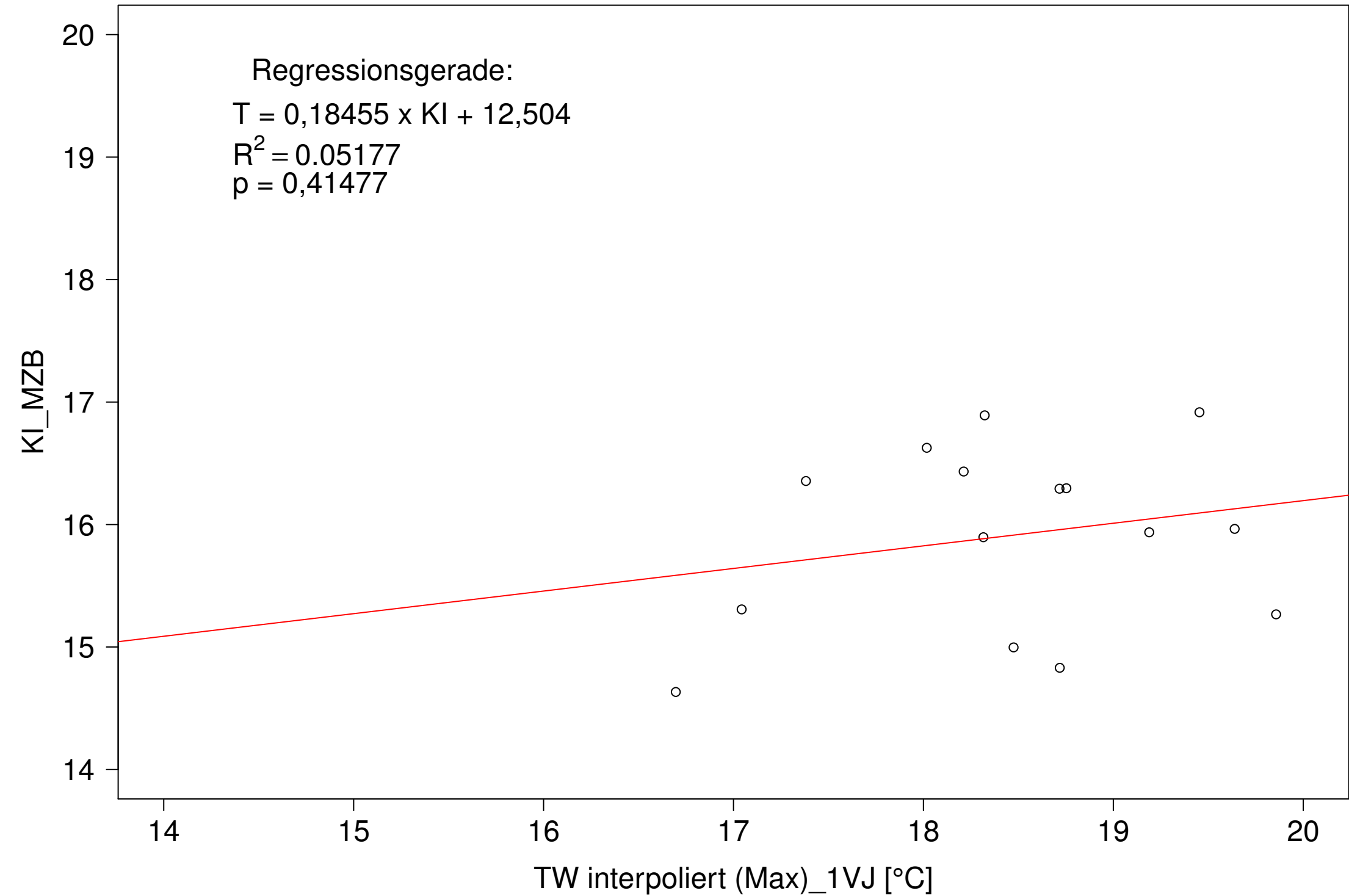
Argen_Giessen, Typ 03.2 mit Neozoen, Serie 1
KI_MZB (Kont-Korr) gegen 3JMW TW interpoliert (Max) des 1. Vorjahres



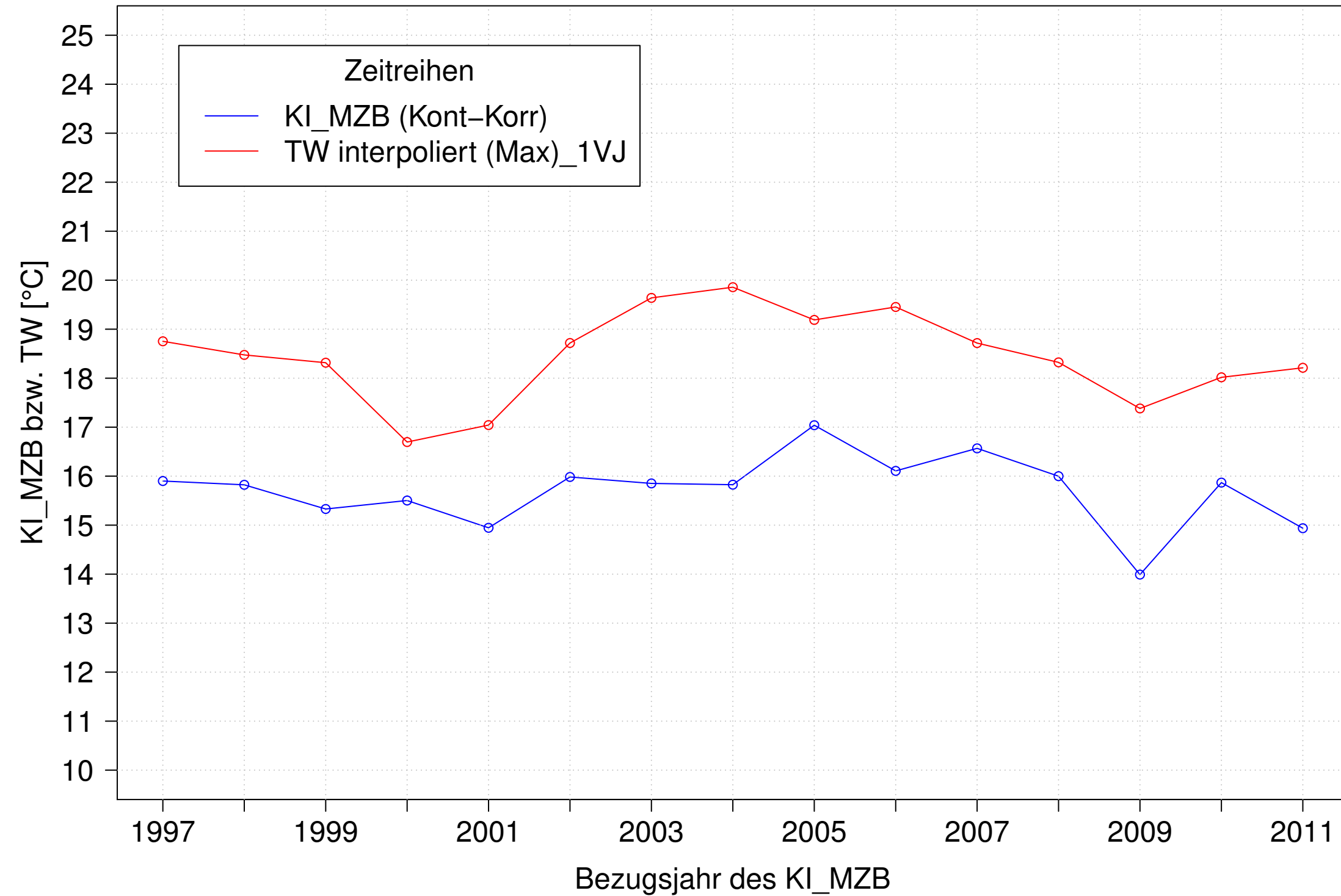
Argen_Giessen, Typ 03.2 mit Neozoen, Serie 2
KI_MZB (Kont-Korr) und 3JMW TW interpoliert (Max) des 1. Vorjahres



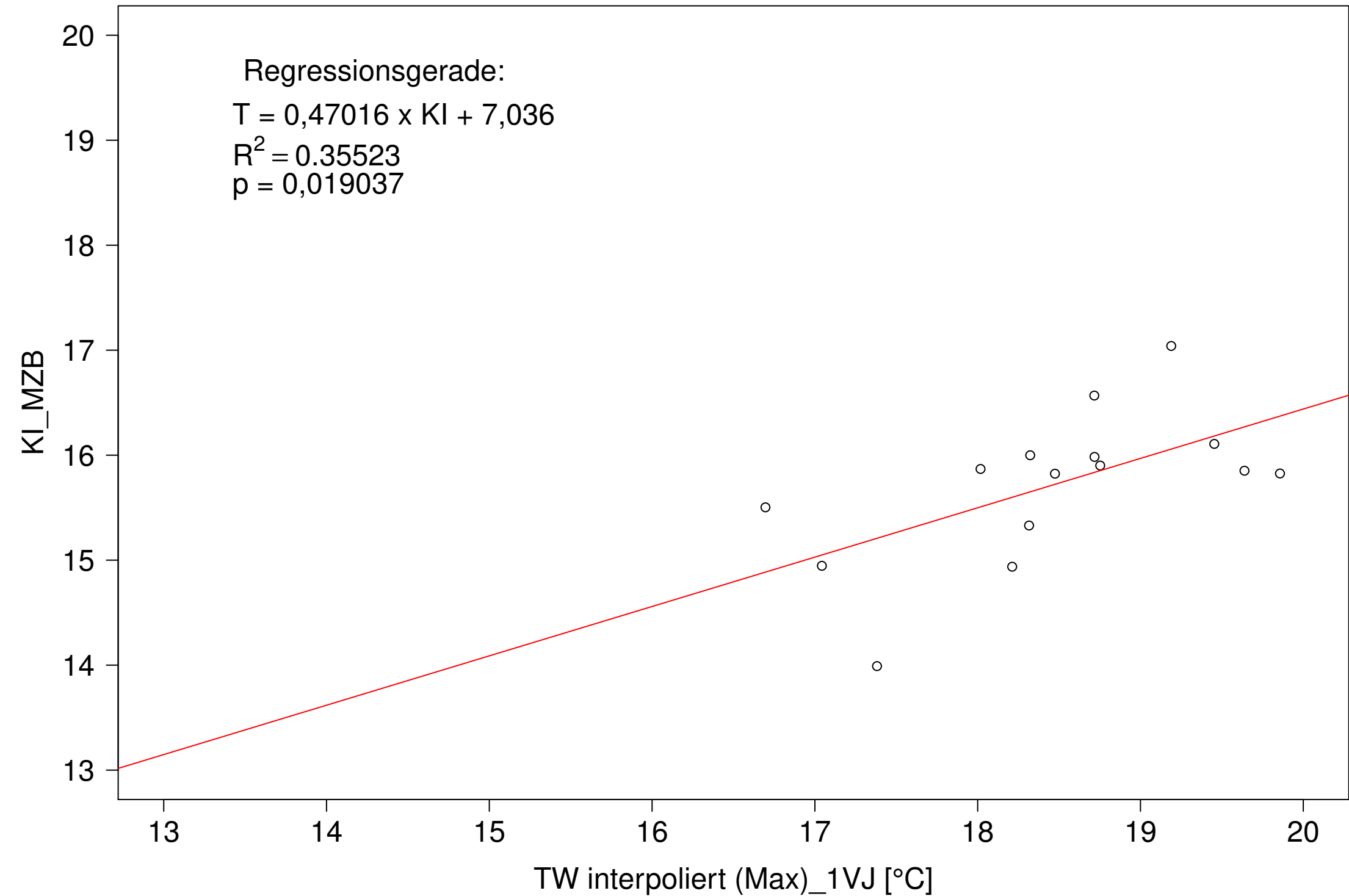
Argen_Giessen, Typ 03.2 mit Neozoen, Serie 2
KI_MZB (Kont-Korr) gegen 3JMW TW interpoliert (Max) des 1. Vorjahres



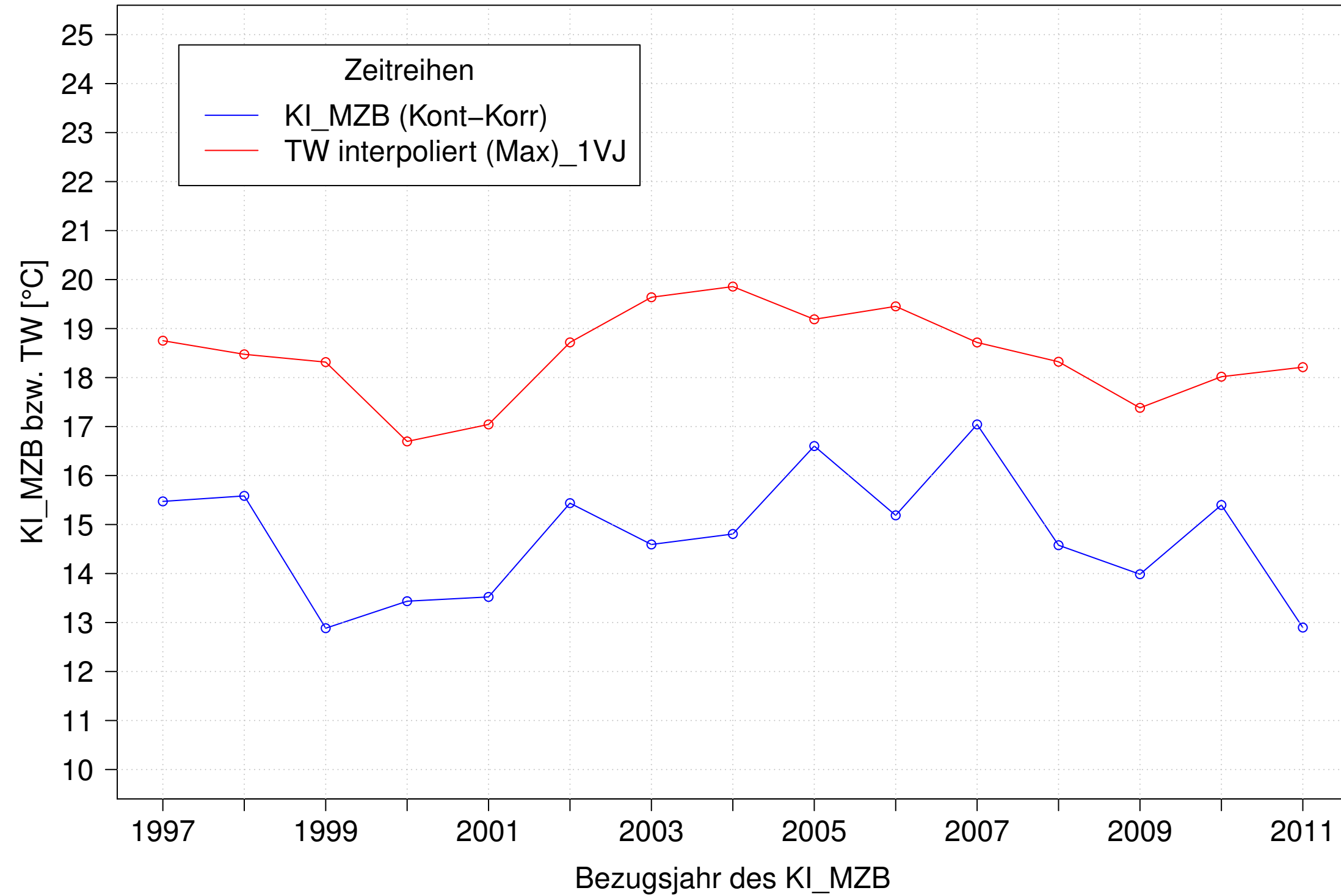
Argen_Giessen, Typ 03.2 mit Neozoen, Serie 3
KI_MZB (Kont-Korr) und 3JMW TW interpoliert (Max) des 1. Vorjahres



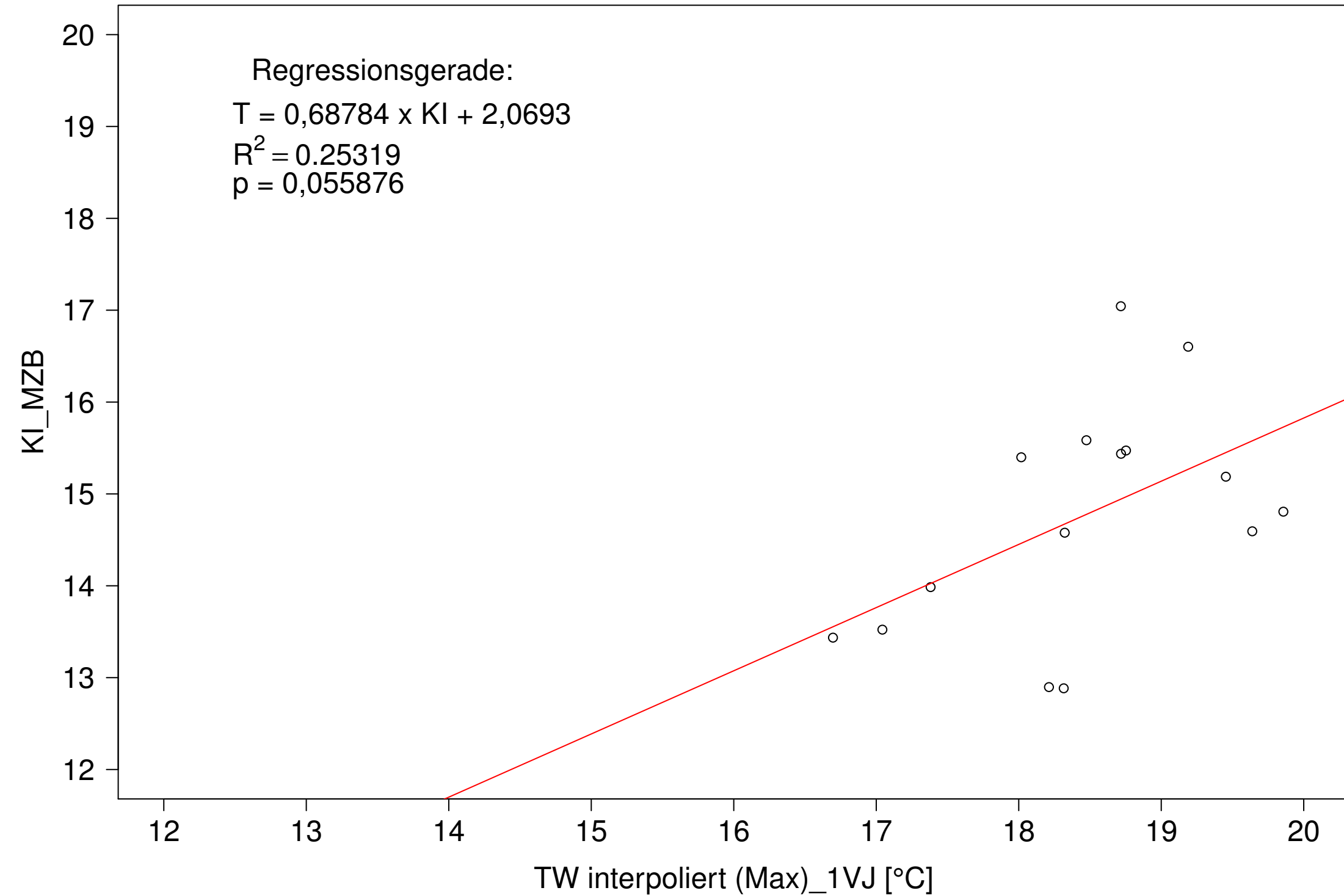
Argen_Giessen, Typ 03.2 mit Neozoen, Serie 3
KI_MZB (Kont-Korr) gegen 3JMW TW interpoliert (Max) des 1. Vorjahres



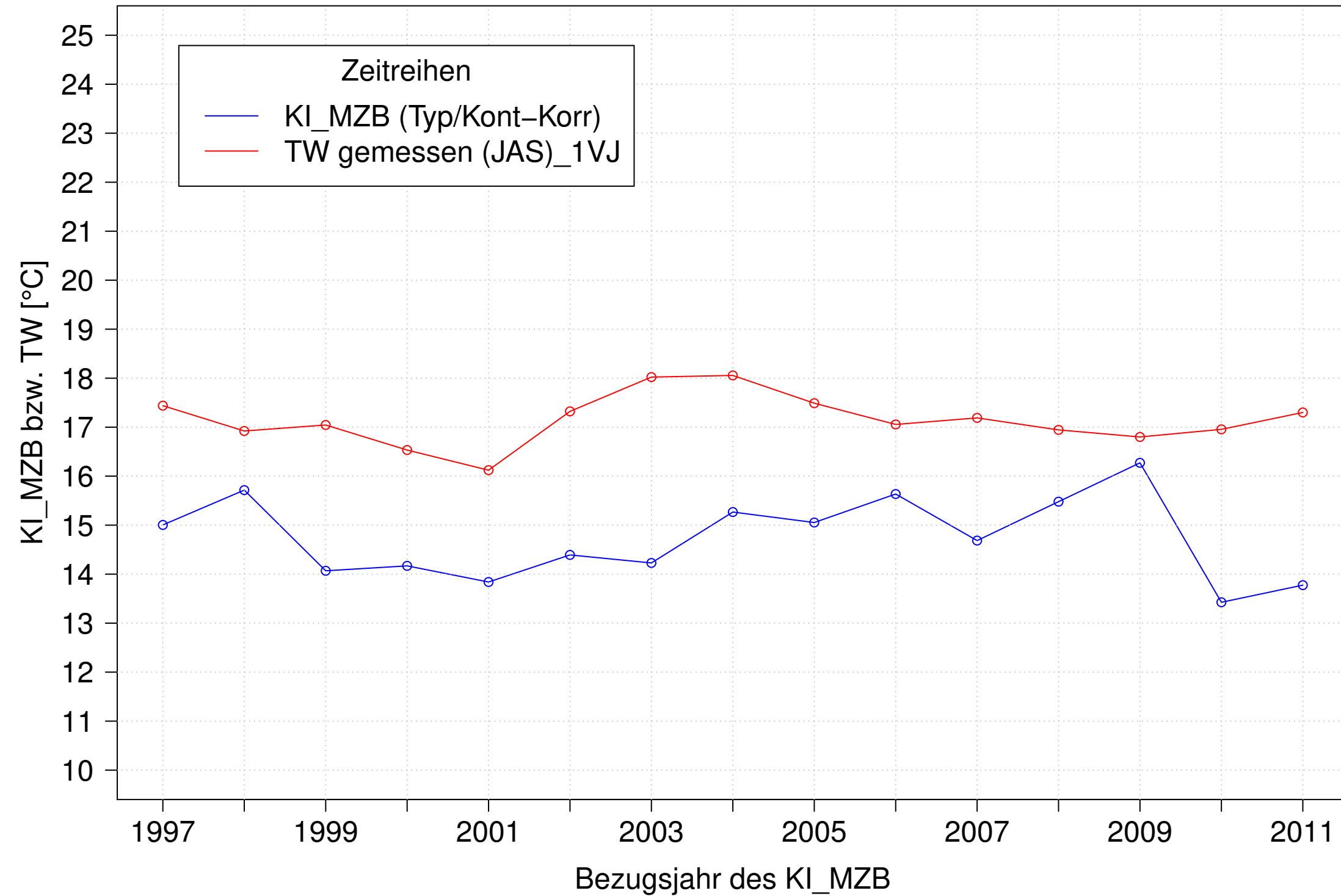
Argen_Giessen, Typ 03.2 mit Neozoen, Serie 4
KI_MZB (Kont-Korr) und 3JMW TW interpoliert (Max) des 1. Vorjahres



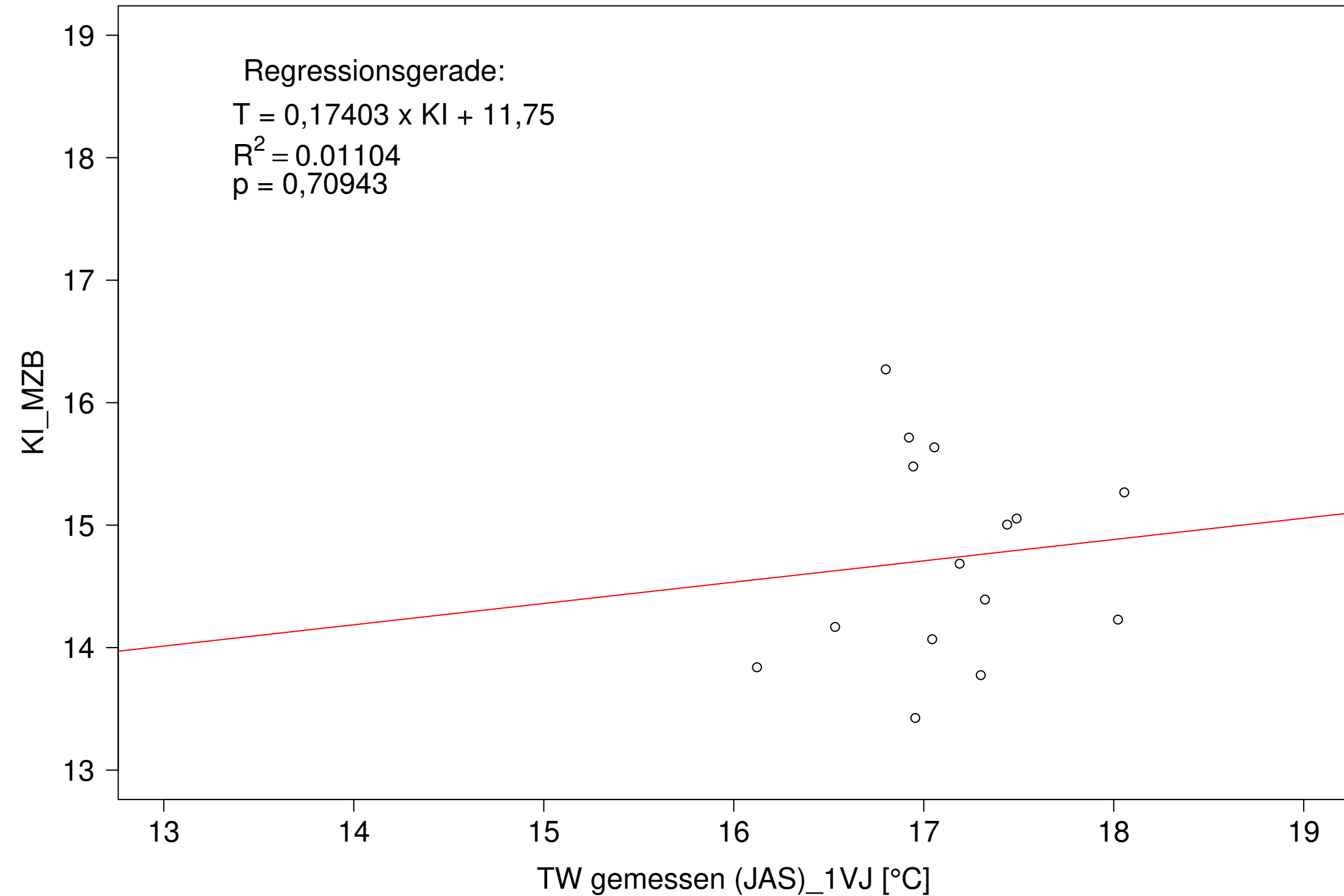
Argen_Giessen, Typ 03.2 mit Neozoen, Serie 4
KI_MZB (Kont-Korr) gegen 3JMW TW interpoliert (Max) des 1. Vorjahres



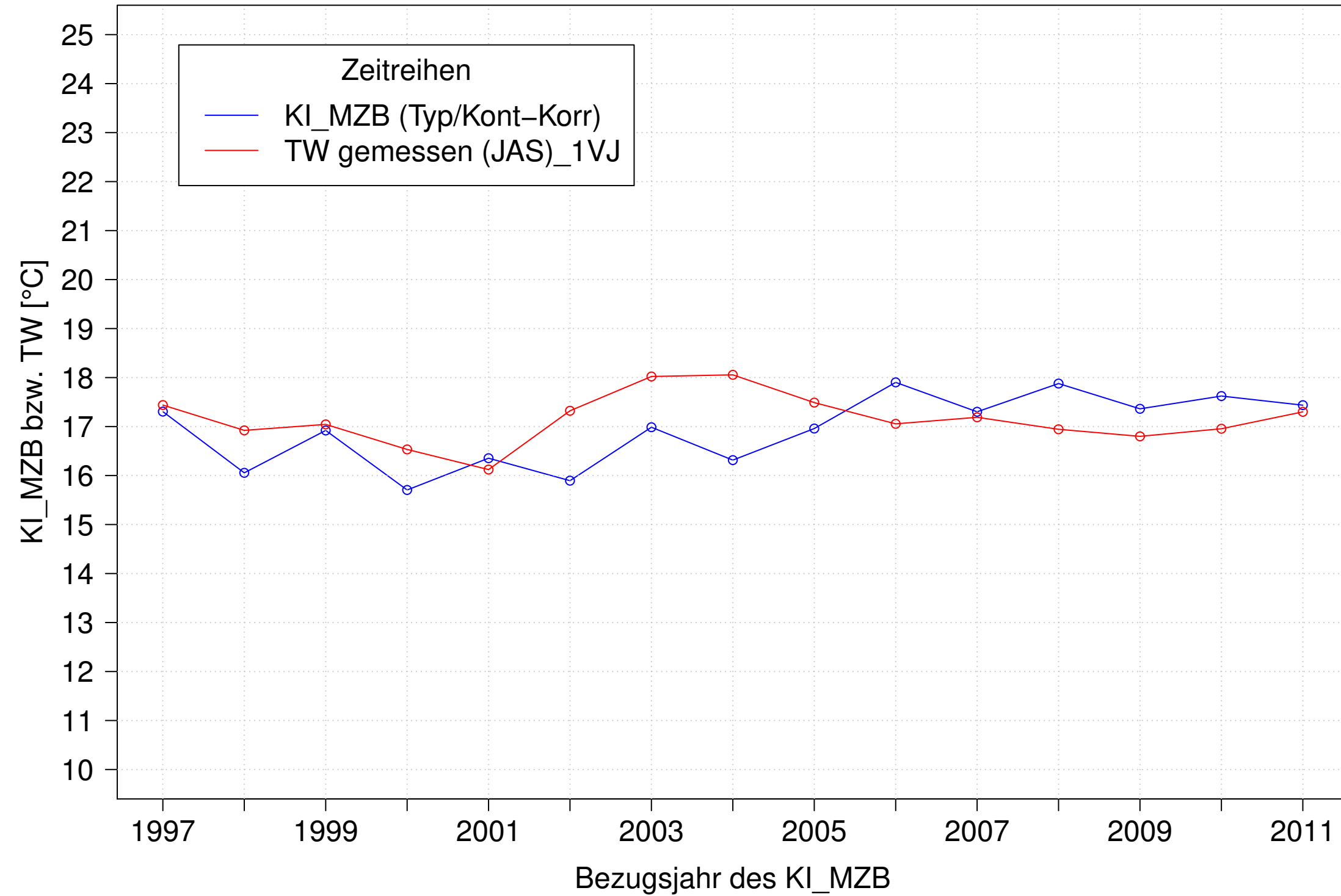
Argen_Giessen, Typ 03.2 mit Neozoen, Serie 1
 KI_MZB (Typ/Kont-Korr) und 3JMW TW gemessen (JAS) des 1. Vorjahres



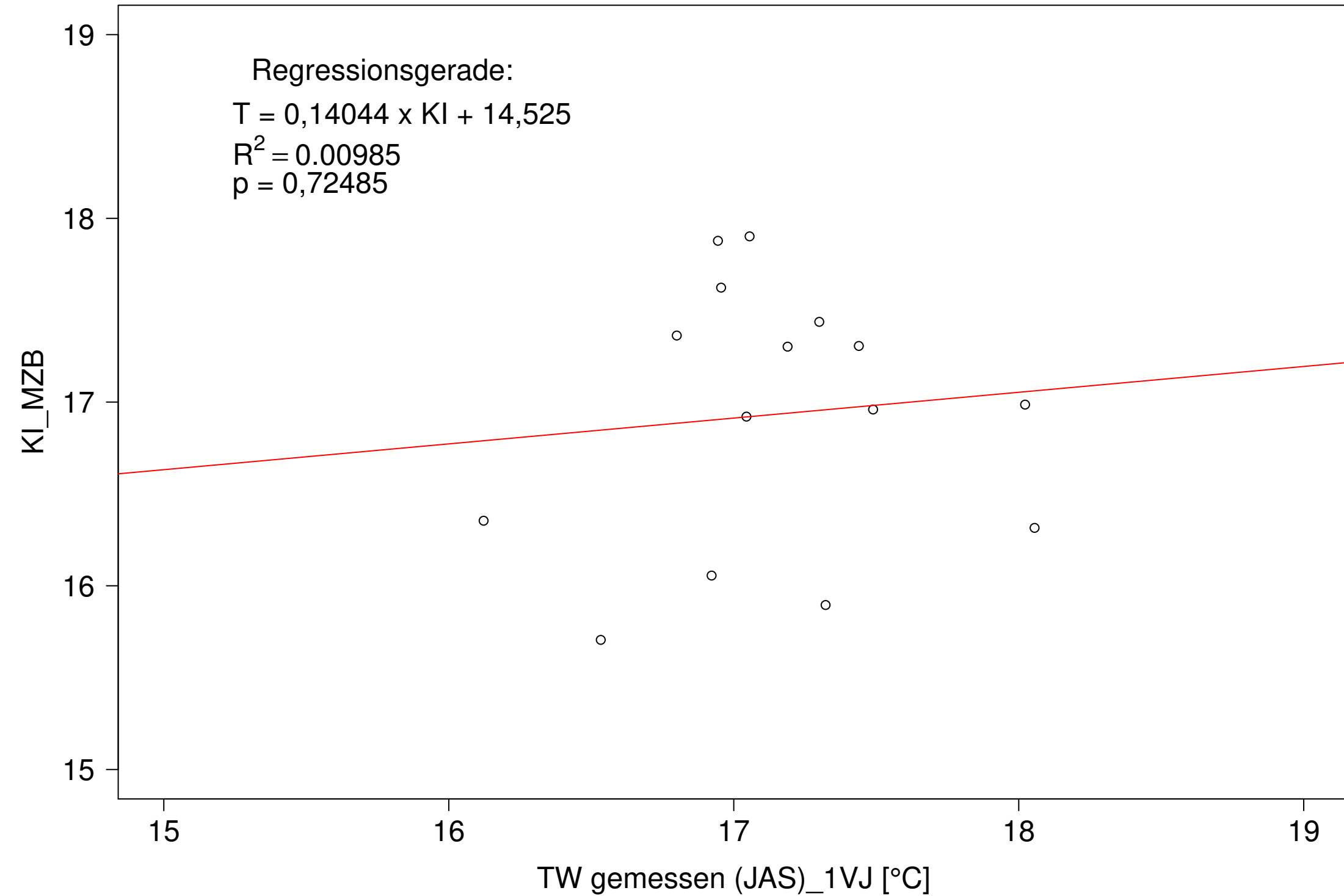
Argen_Giessen, Typ 03.2 mit Neozoen, Serie 1
 KI_MZB (Typ/Kont-Korr) gegen 3JMW TW gemessen (JAS) des 1. Vorjahres



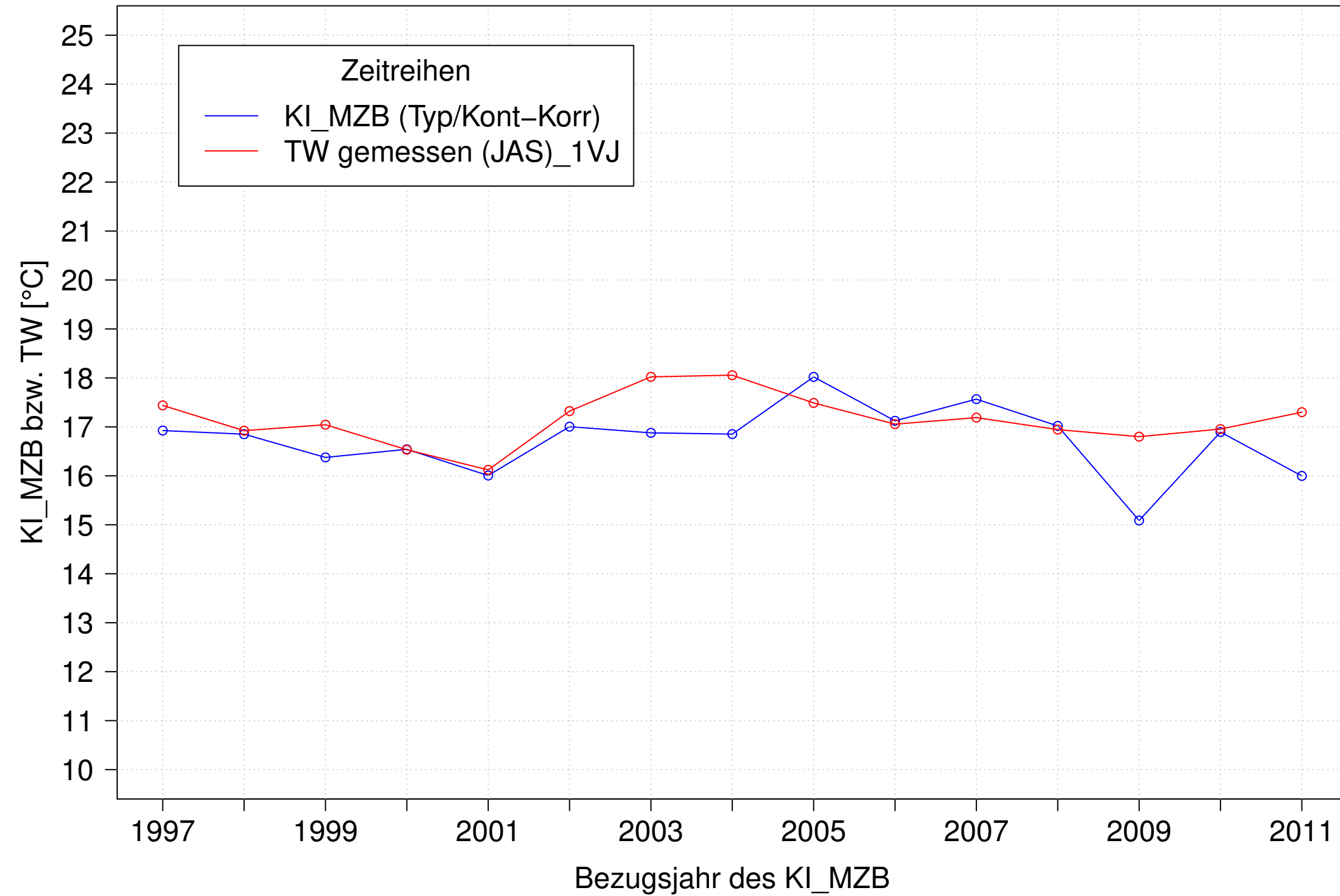
Argen_Giessen, Typ 03.2 mit Neozoen, Serie 2
 KI_MZB (Typ/Kont-Korr) und 3JMW TW gemessen (JAS) des 1. Vorjahres



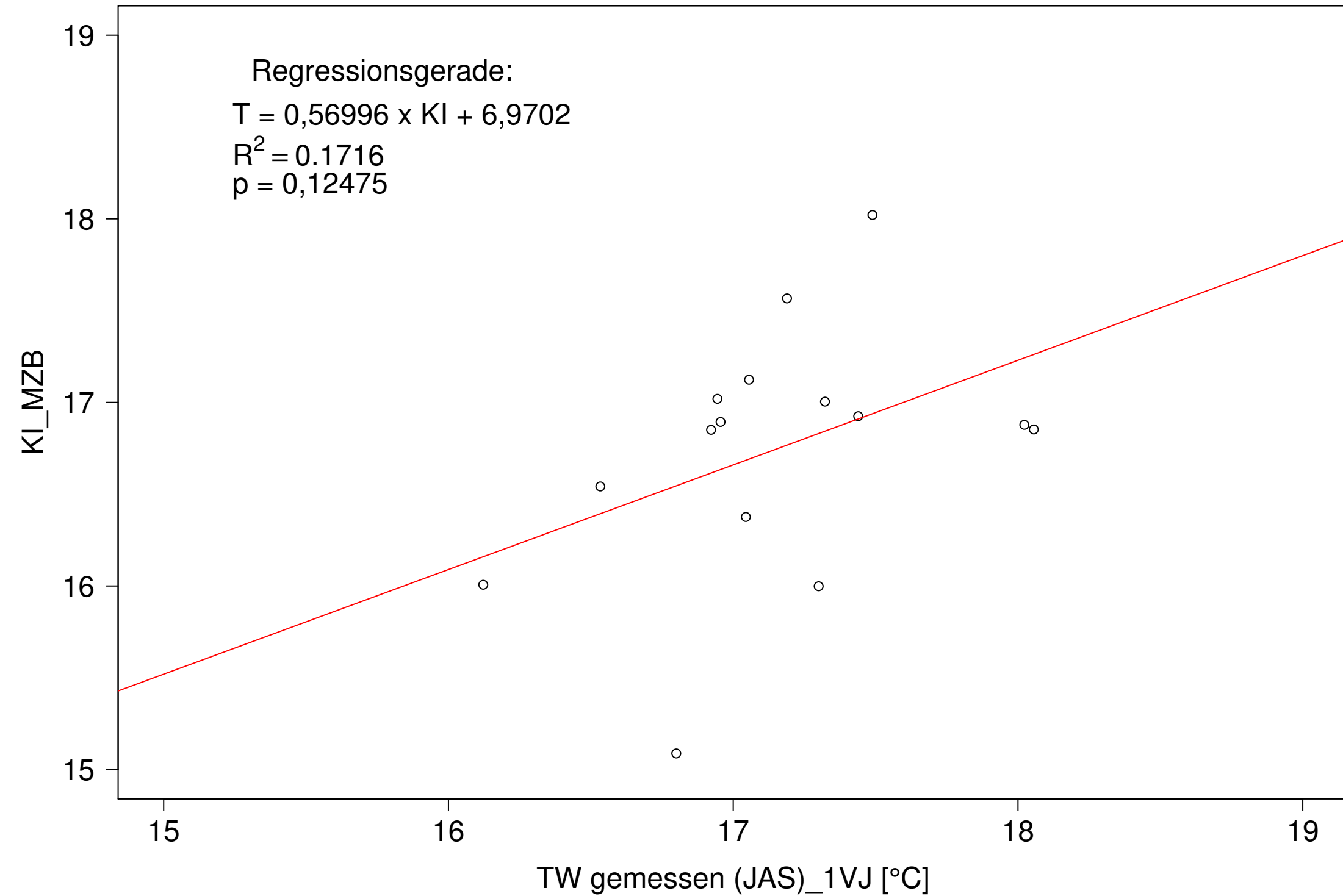
Argen_Giessen, Typ 03.2 mit Neozoen, Serie 2
 KI_MZB (Typ/Kont-Korr) gegen 3JMW TW gemessen (JAS) des 1. Vorjahres



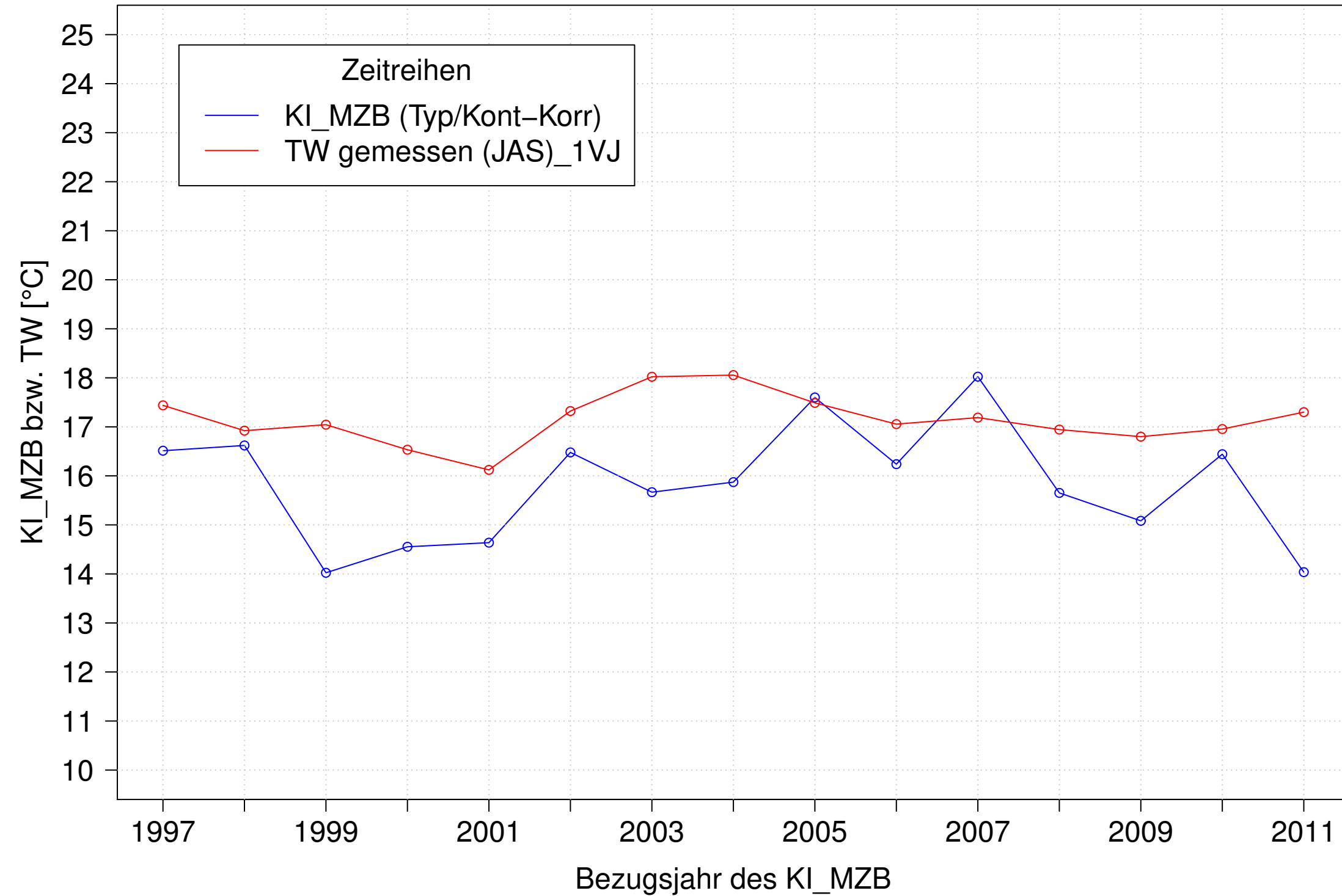
Argen_Giessen, Typ 03.2 mit Neozoen, Serie 3
 KI_MZB (Typ/Kont-Korr) und 3JMW TW gemessen (JAS) des 1. Vorjahres



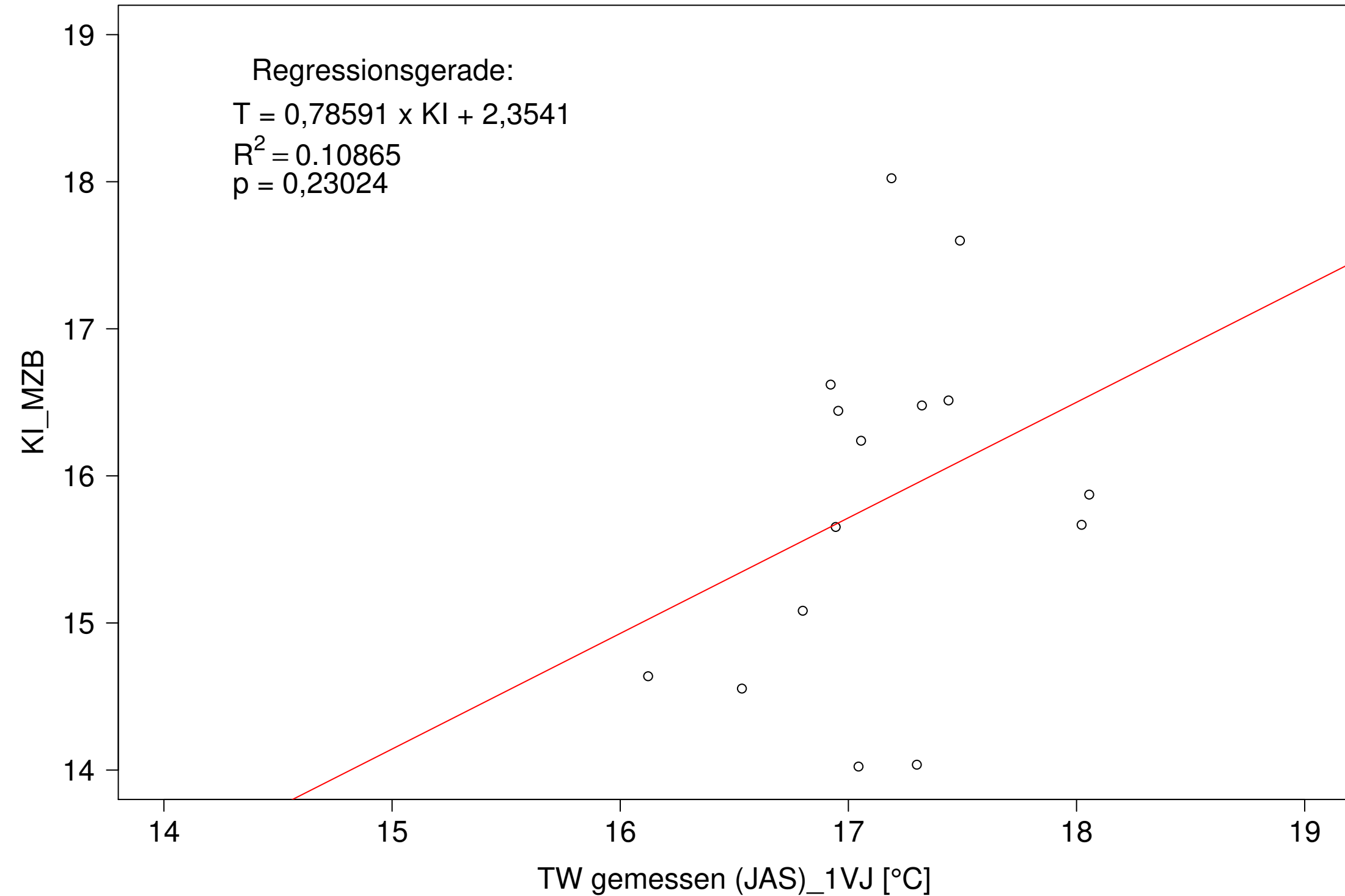
Argen_Giessen, Typ 03.2 mit Neozoen, Serie 3
 KI_MZB (Typ/Kont-Korr) gegen 3JMW TW gemessen (JAS) des 1. Vorjahres



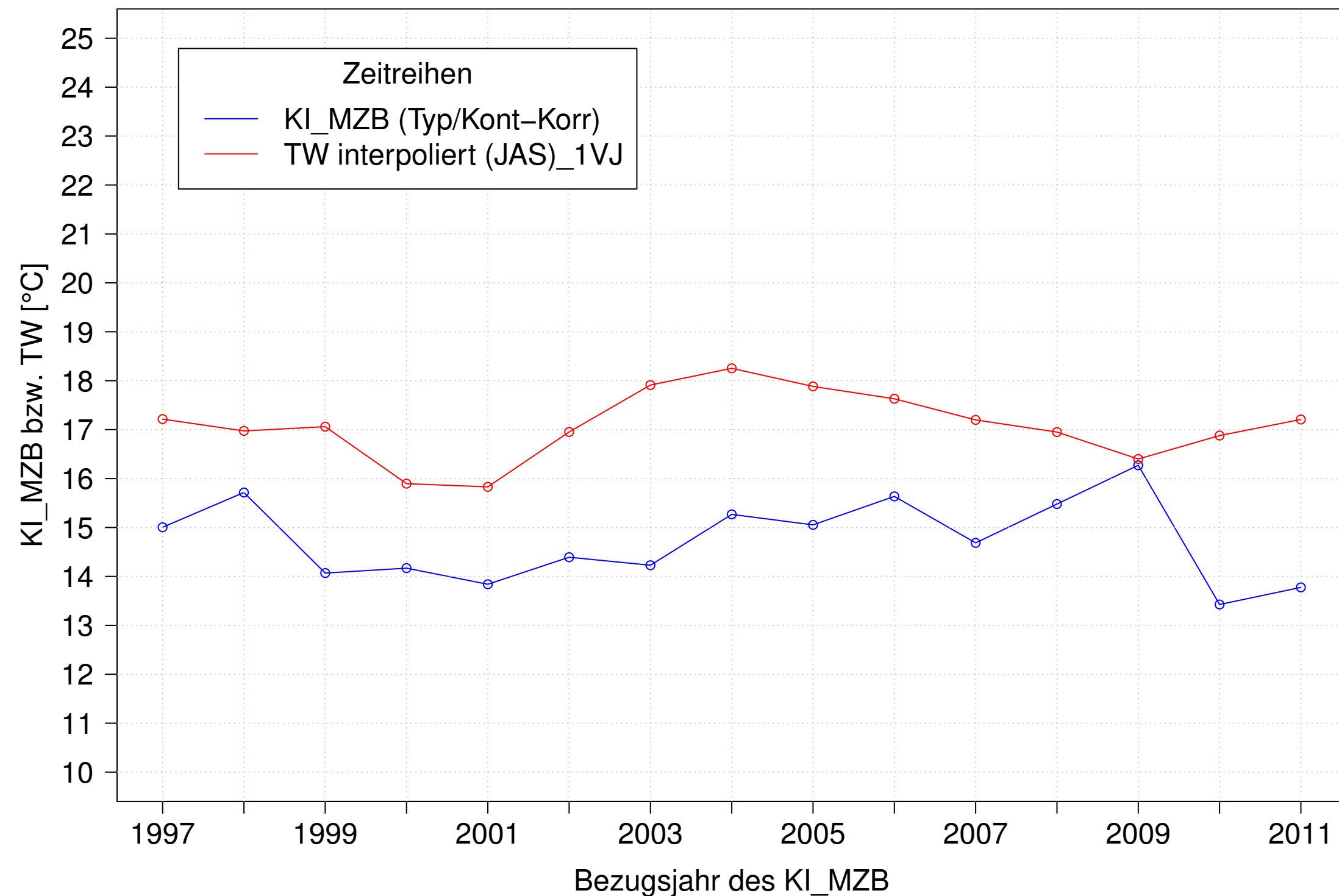
Argen_Giessen, Typ 03.2 mit Neozoen, Serie 4
 KI_MZB (Typ/Kont-Korr) und 3JMW TW gemessen (JAS) des 1. Vorjahres



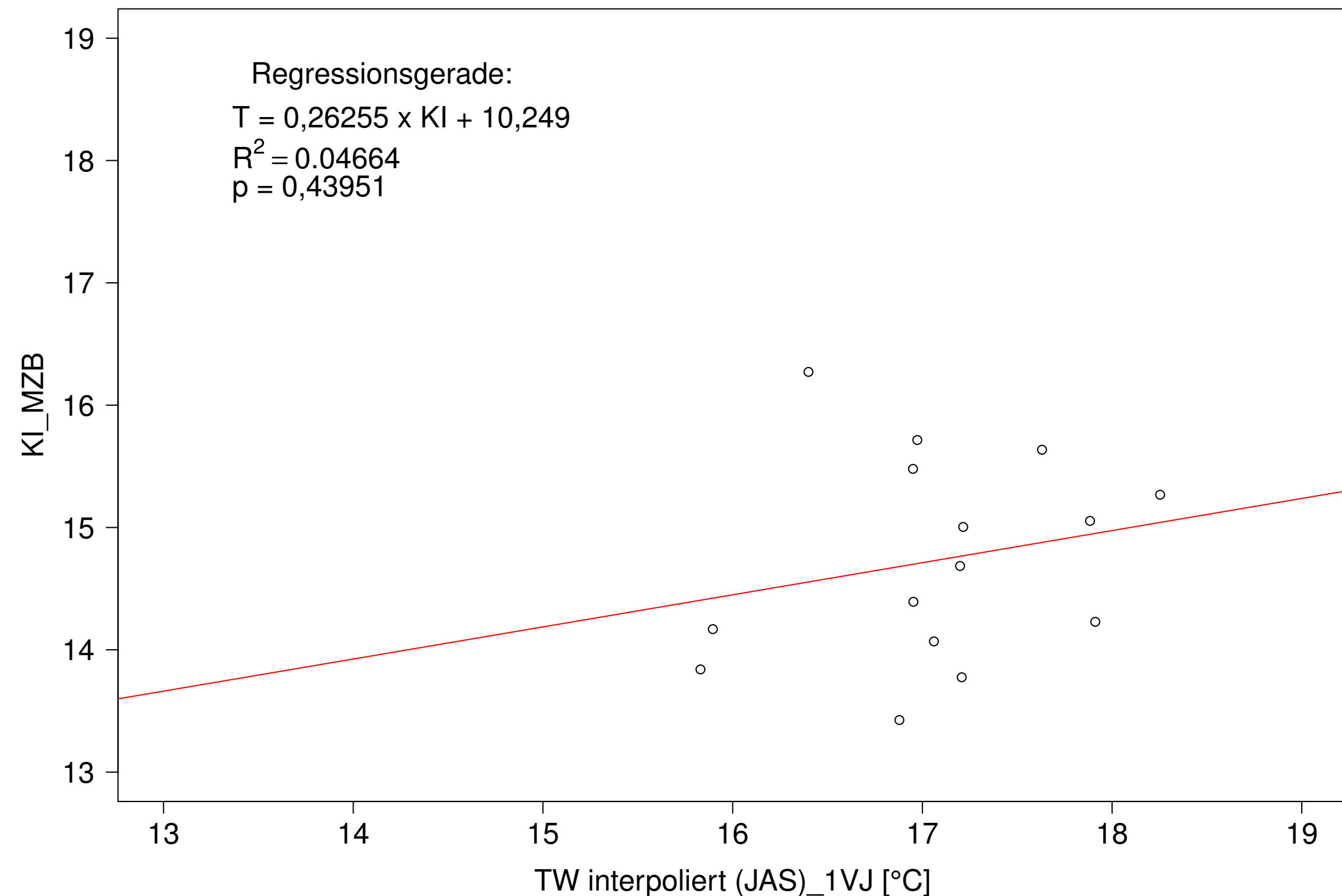
Argen_Giessen, Typ 03.2 mit Neozoen, Serie 4
 KI_MZB (Typ/Kont-Korr) gegen 3JMW TW gemessen (JAS) des 1. Vorjahres



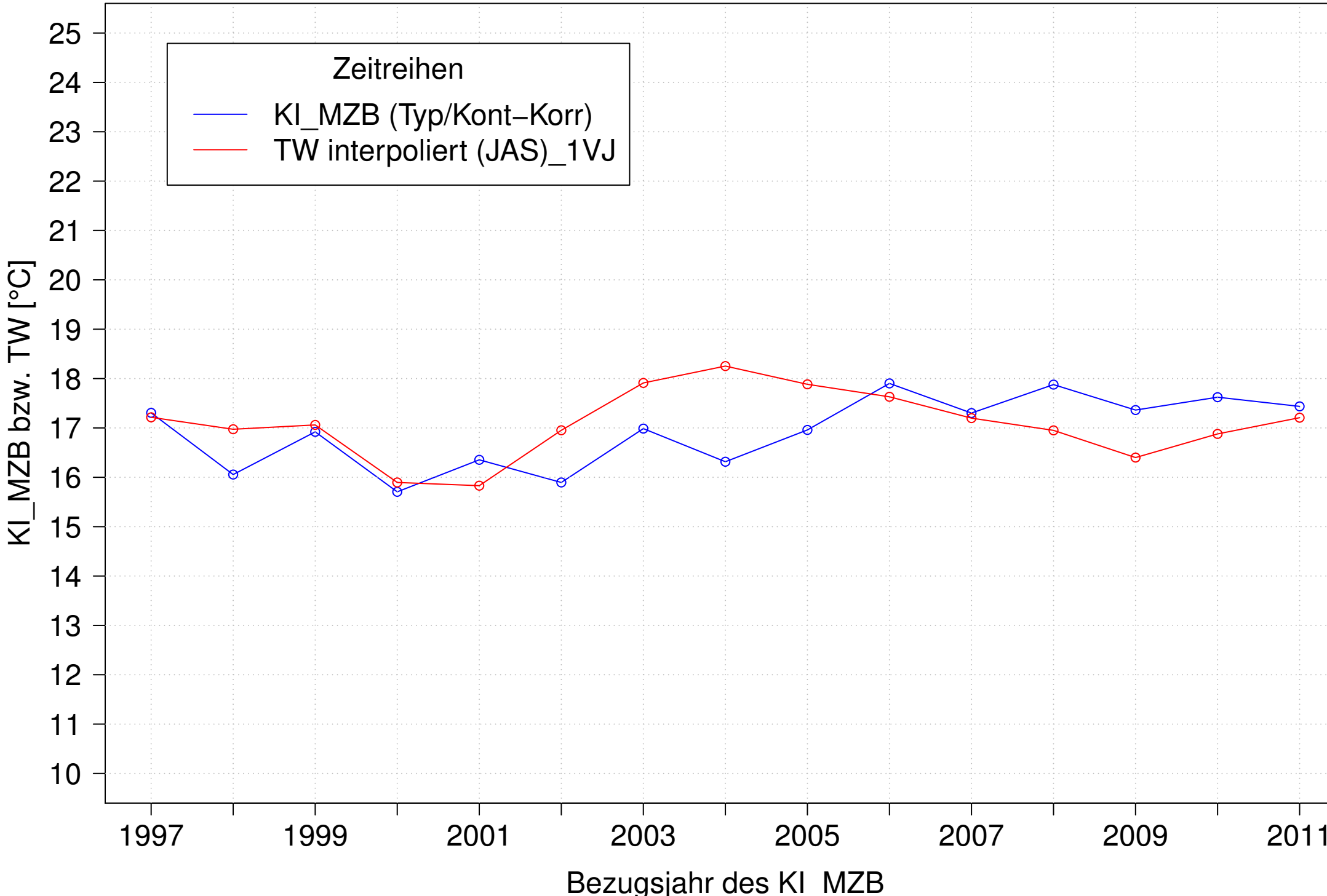
Argen_Giessen, Typ 03.2 mit Neozoen, Serie 1
 KI_MZB (Typ/Kont-Korr) und 3JMW TW interpoliert (JAS) des 1. Vorjahres



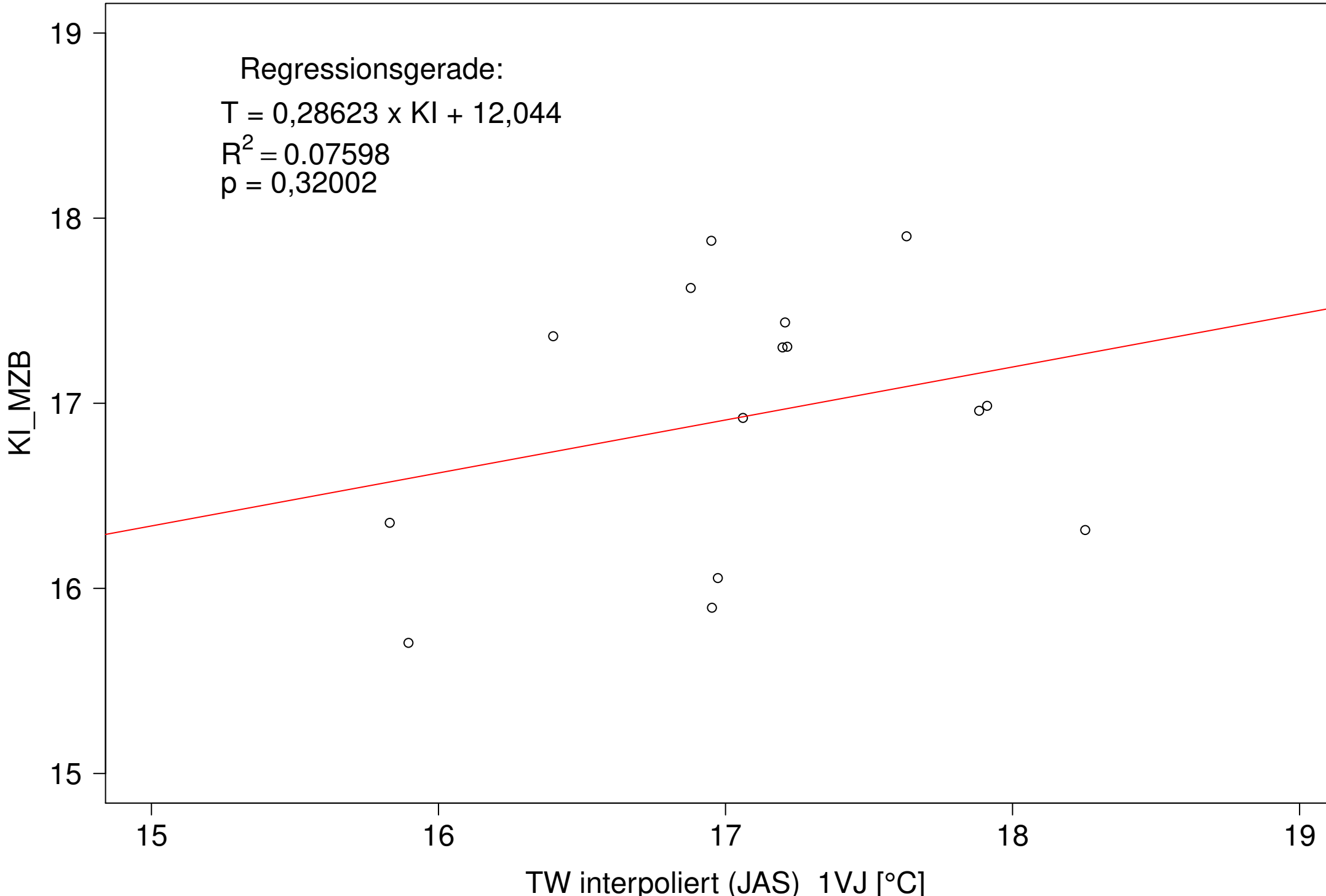
Argen_Giessen, Typ 03.2 mit Neozoen, Serie 1
 KI_MZB (Typ/Kont-Korr) gegen 3JMW TW interpoliert (JAS) des 1. Vorjahres



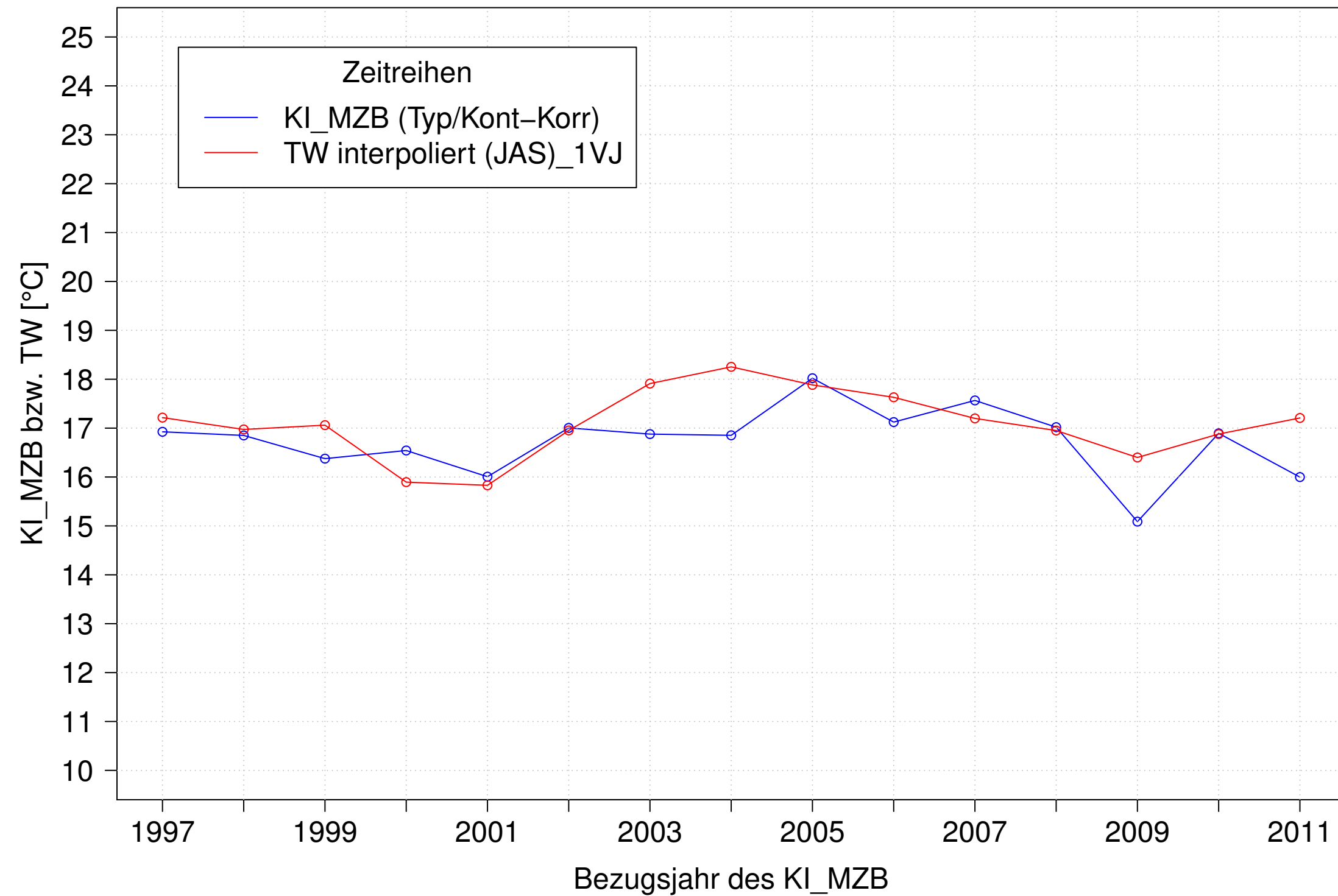
Argen_Giessen, Typ 03.2 mit Neozoen, Serie 2
KI_MZB (Typ/Kont-Korr) und 3JMW TW interpoliert (JAS) des 1. Vorjahres



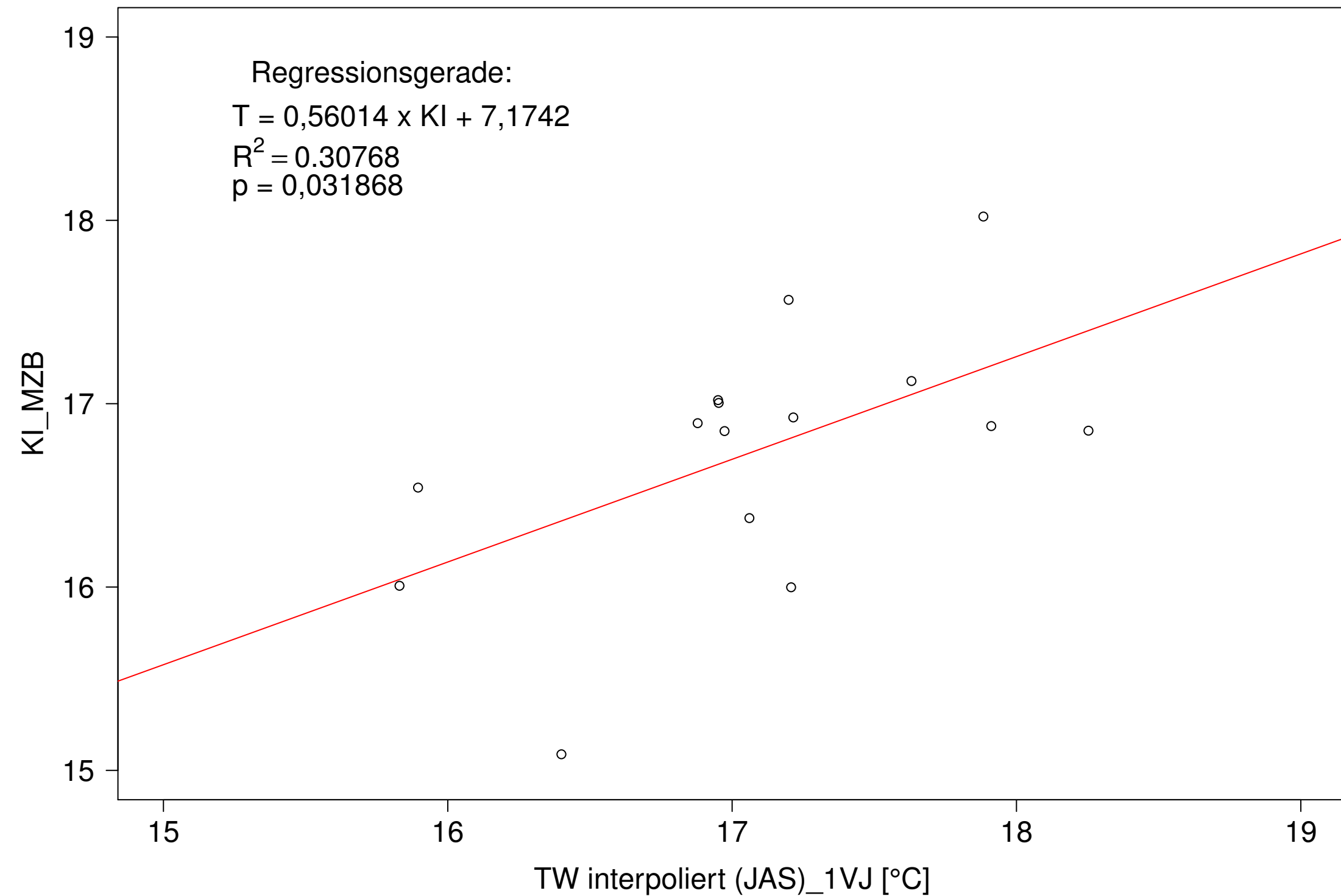
Argen_Giessen, Typ 03.2 mit Neozoen, Serie 2
KI_MZB (Typ/Kont-Korr) gegen 3JMW TW interpoliert (JAS) des 1. Vorjahres



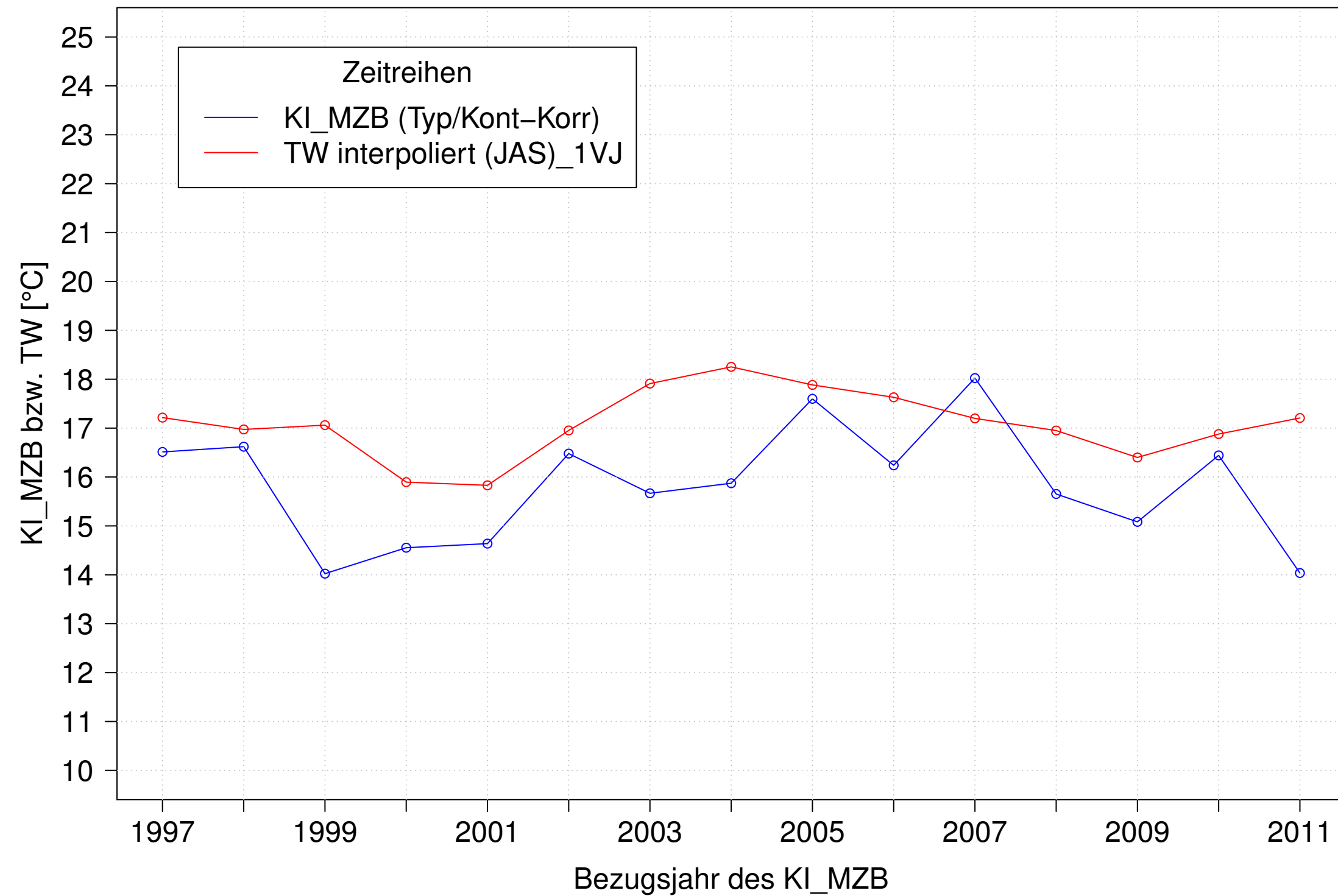
Argen_Giessen, Typ 03.2 mit Neozoen, Serie 3
 KI_MZB (Typ/Kont-Korr) und 3JMW TW interpoliert (JAS) des 1. Vorjahres



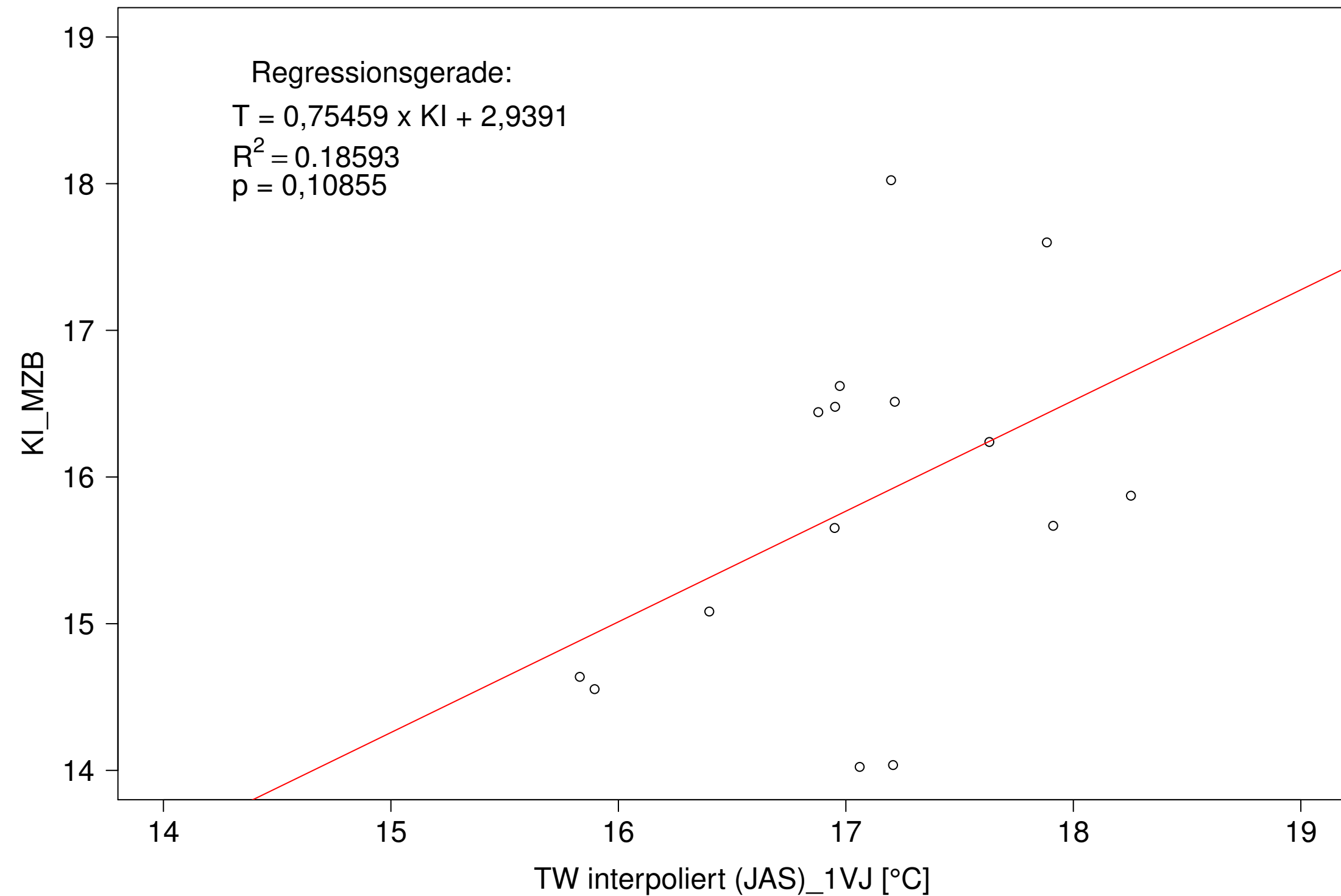
Argen_Giessen, Typ 03.2 mit Neozoen, Serie 3
 KI_MZB (Typ/Kont-Korr) gegen 3JMW TW interpoliert (JAS) des 1. Vorjahres



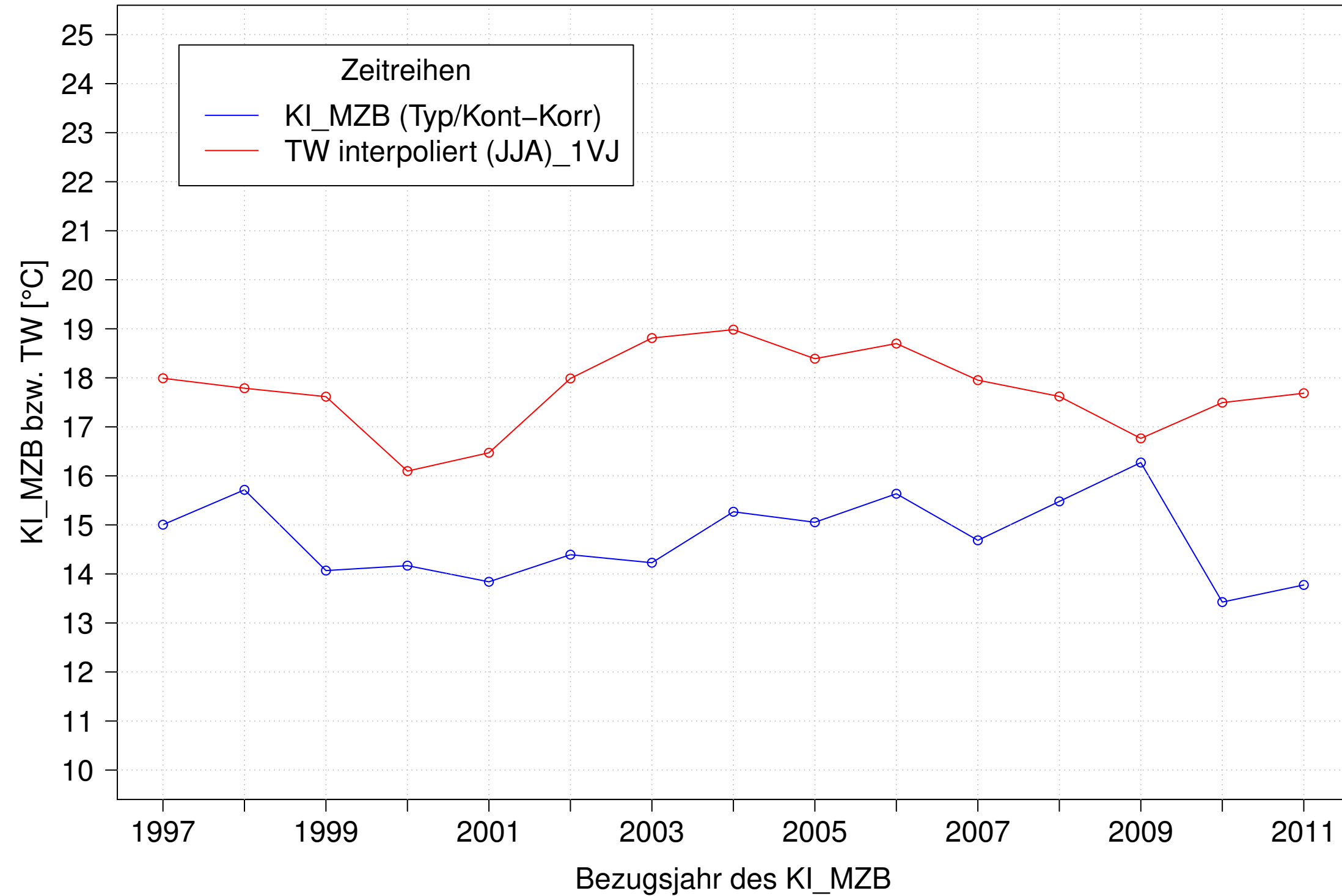
Argen_Giessen, Typ 03.2 mit Neozoen, Serie 4
 KI_MZB (Typ/Kont-Korr) und 3JMW TW interpoliert (JAS) des 1. Vorjahres



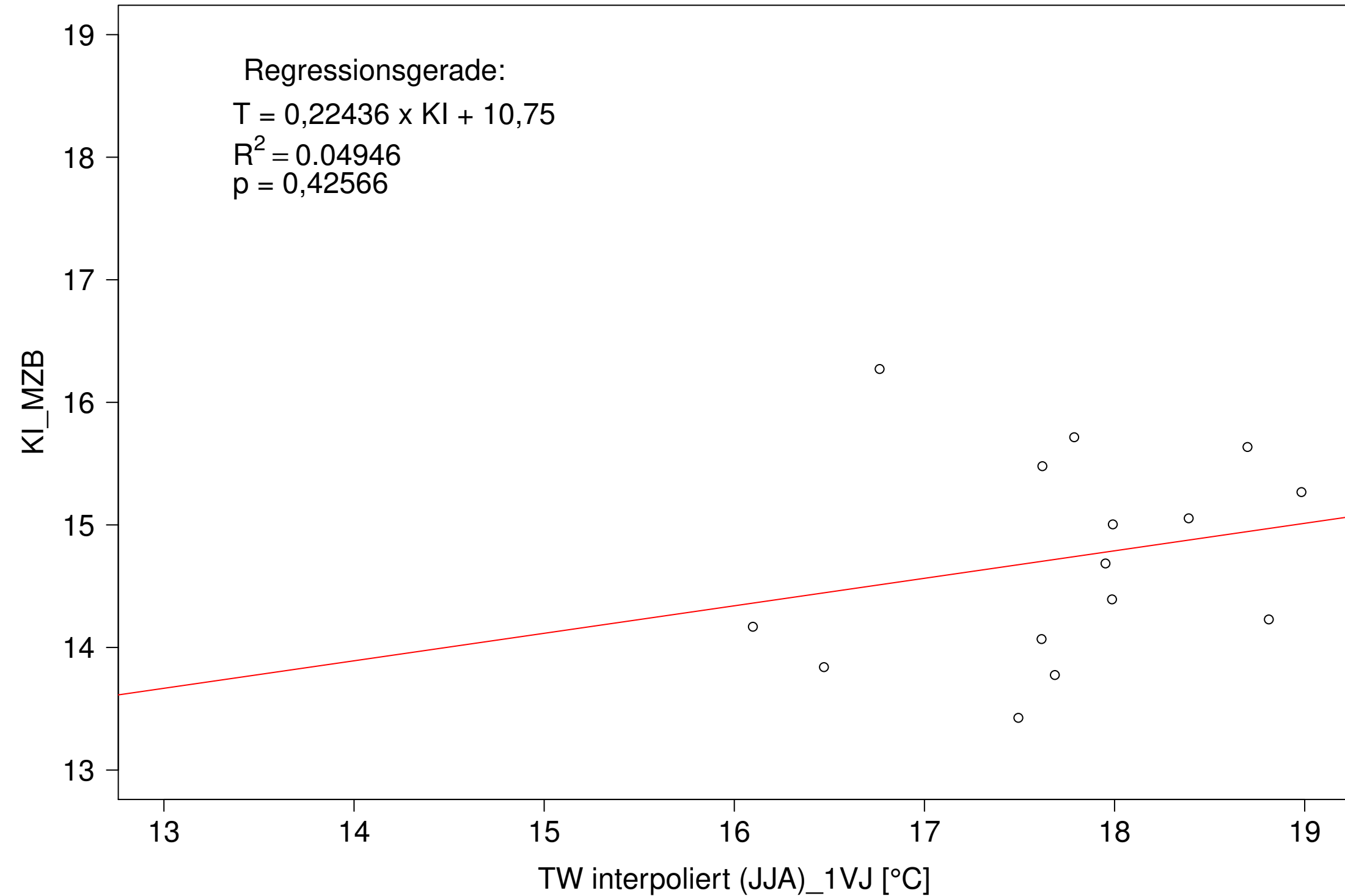
Argen_Giessen, Typ 03.2 mit Neozoen, Serie 4
 KI_MZB (Typ/Kont-Korr) gegen 3JMW TW interpoliert (JAS) des 1. Vorjahres



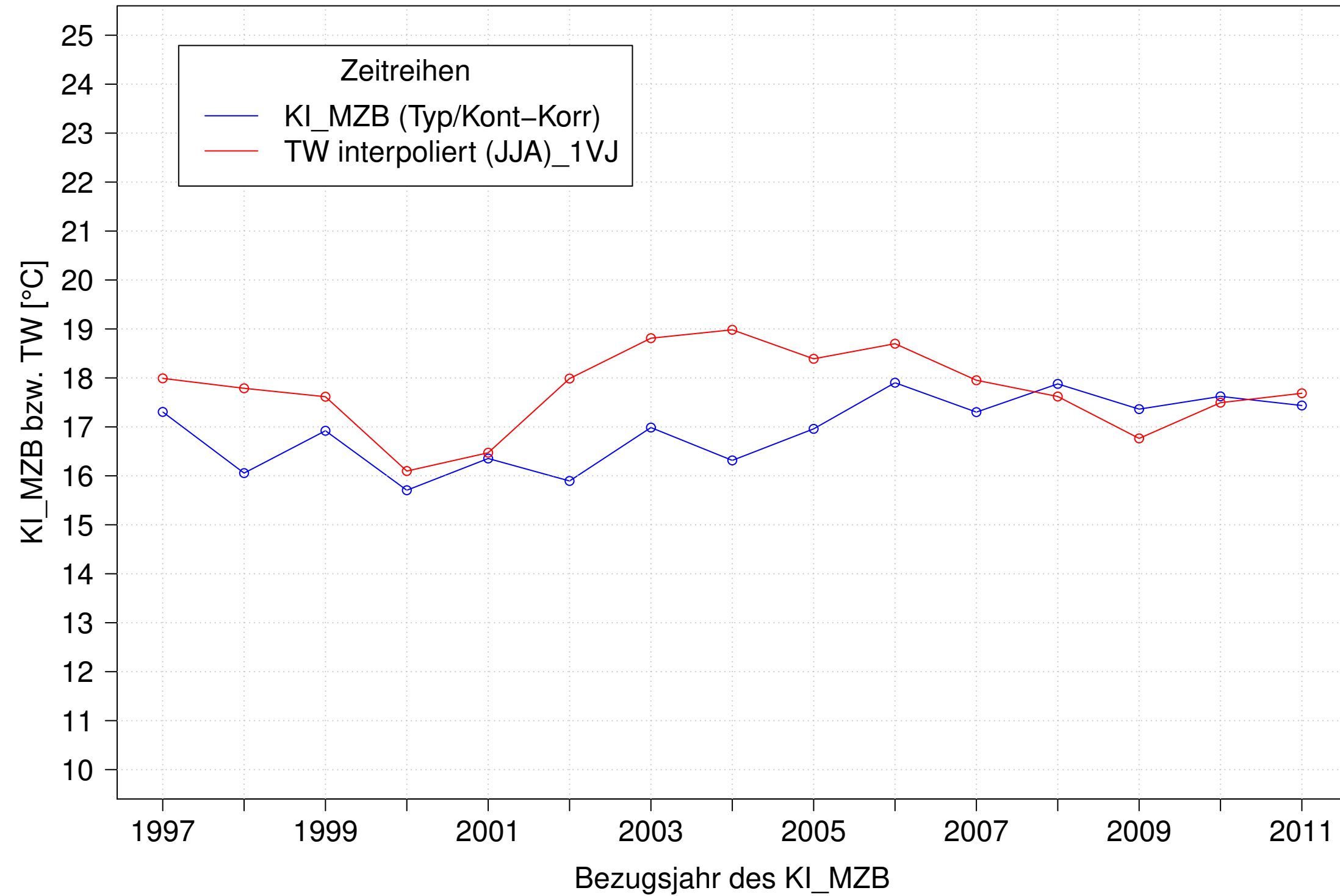
Argen_Giessen, Typ 03.2 mit Neozoen, Serie 1
 KI_MZB (Typ/Kont-Korr) und 3JMW TW interpoliert (JJA) des 1. Vorjahres



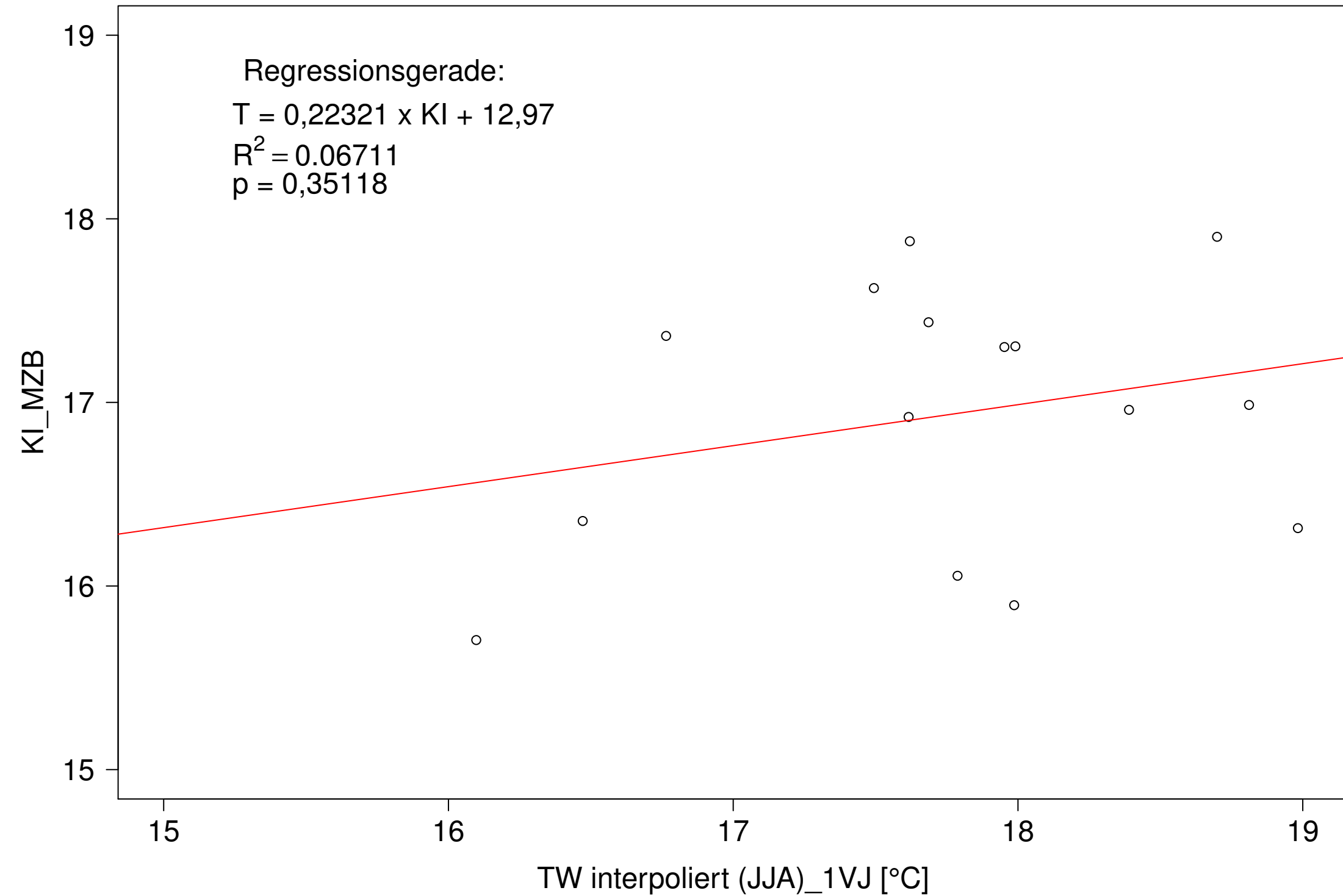
Argen_Giessen, Typ 03.2 mit Neozoen, Serie 1
 KI_MZB (Typ/Kont-Korr) gegen 3JMW TW interpoliert (JJA) des 1. Vorjahres



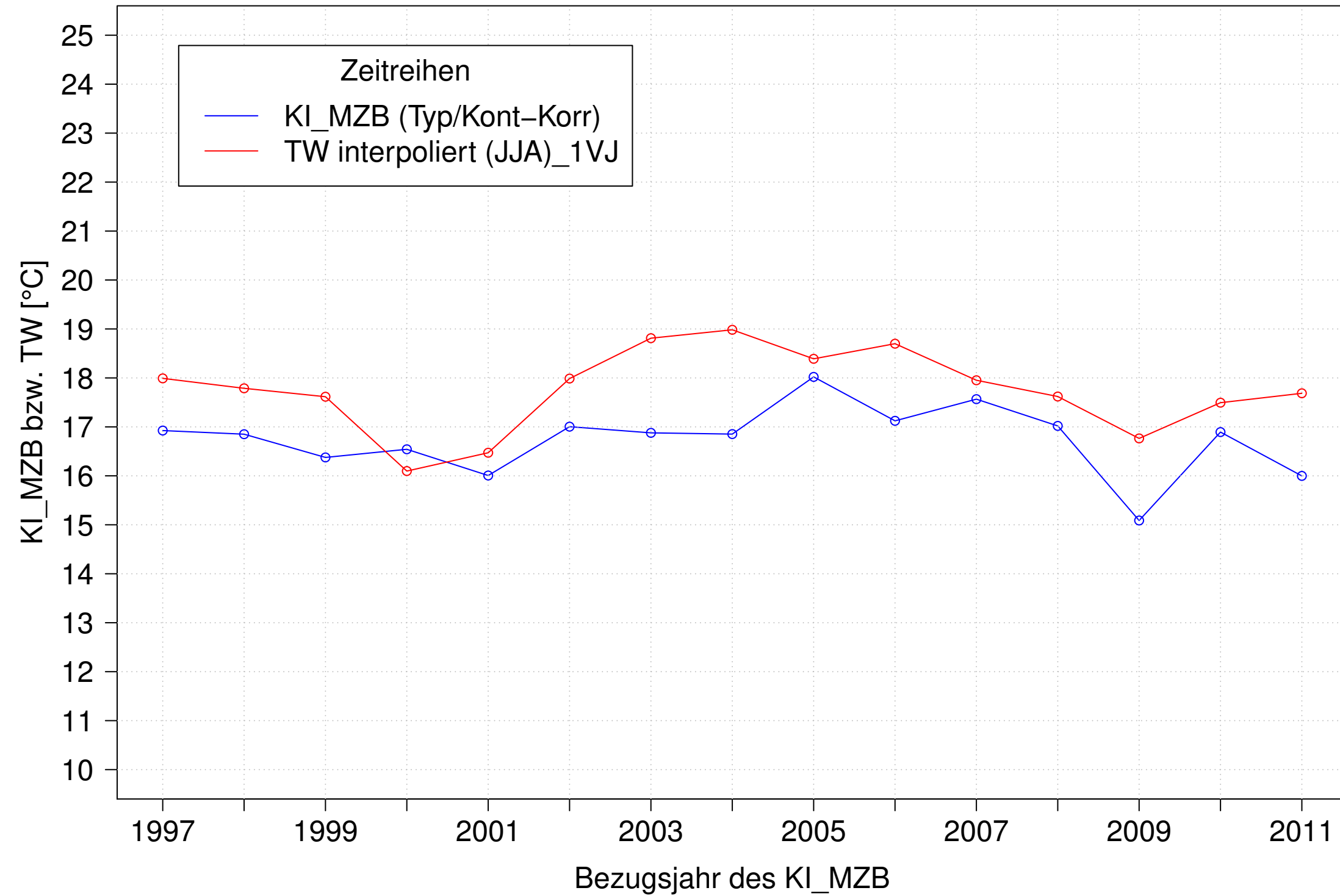
Argen_Giessen, Typ 03.2 mit Neozoen, Serie 2
 KI_MZB (Typ/Kont-Korr) und 3JMW TW interpoliert (JJA) des 1. Vorjahres



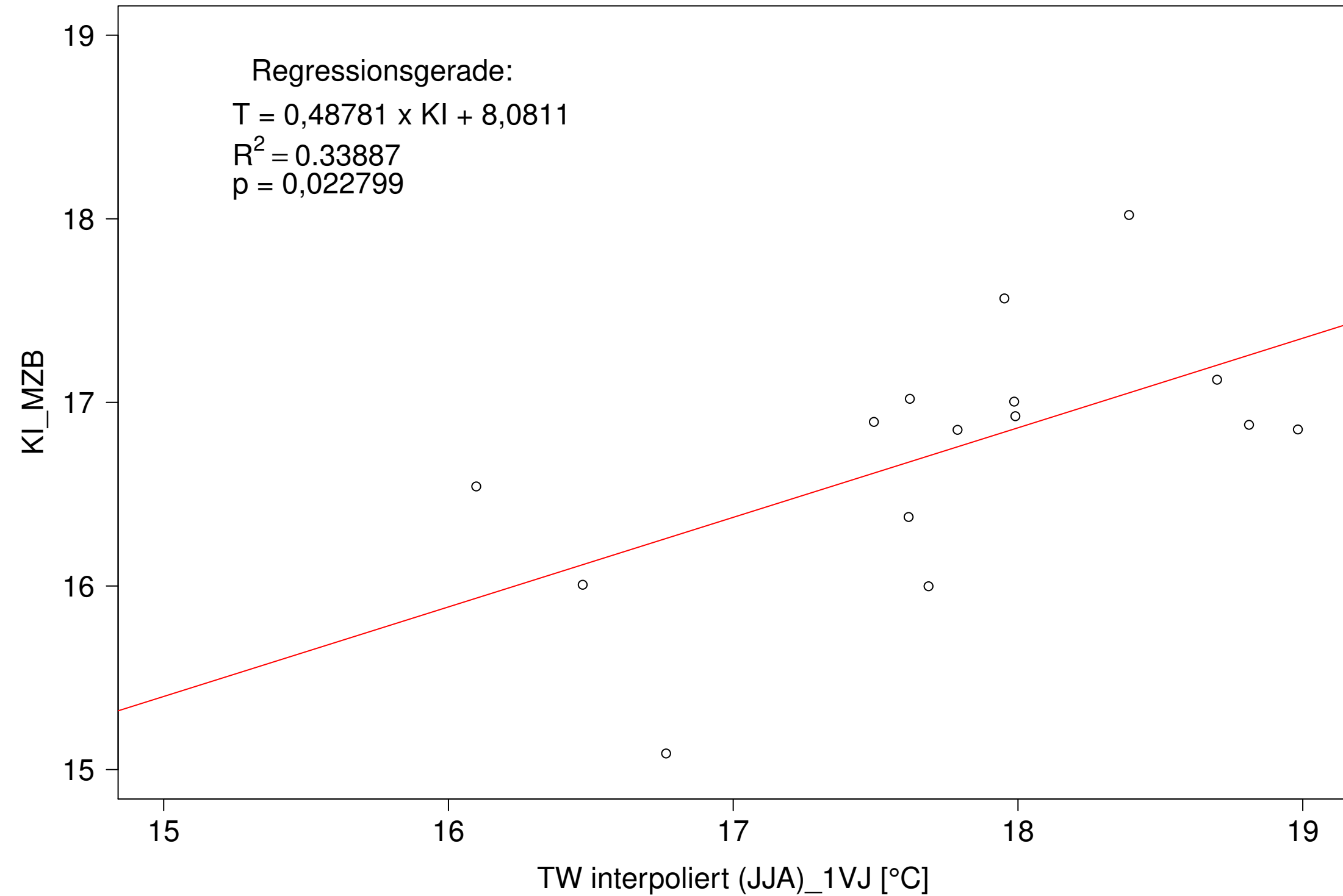
Argen_Giessen, Typ 03.2 mit Neozoen, Serie 2
 KI_MZB (Typ/Kont-Korr) gegen 3JMW TW interpoliert (JJA) des 1. Vorjahres



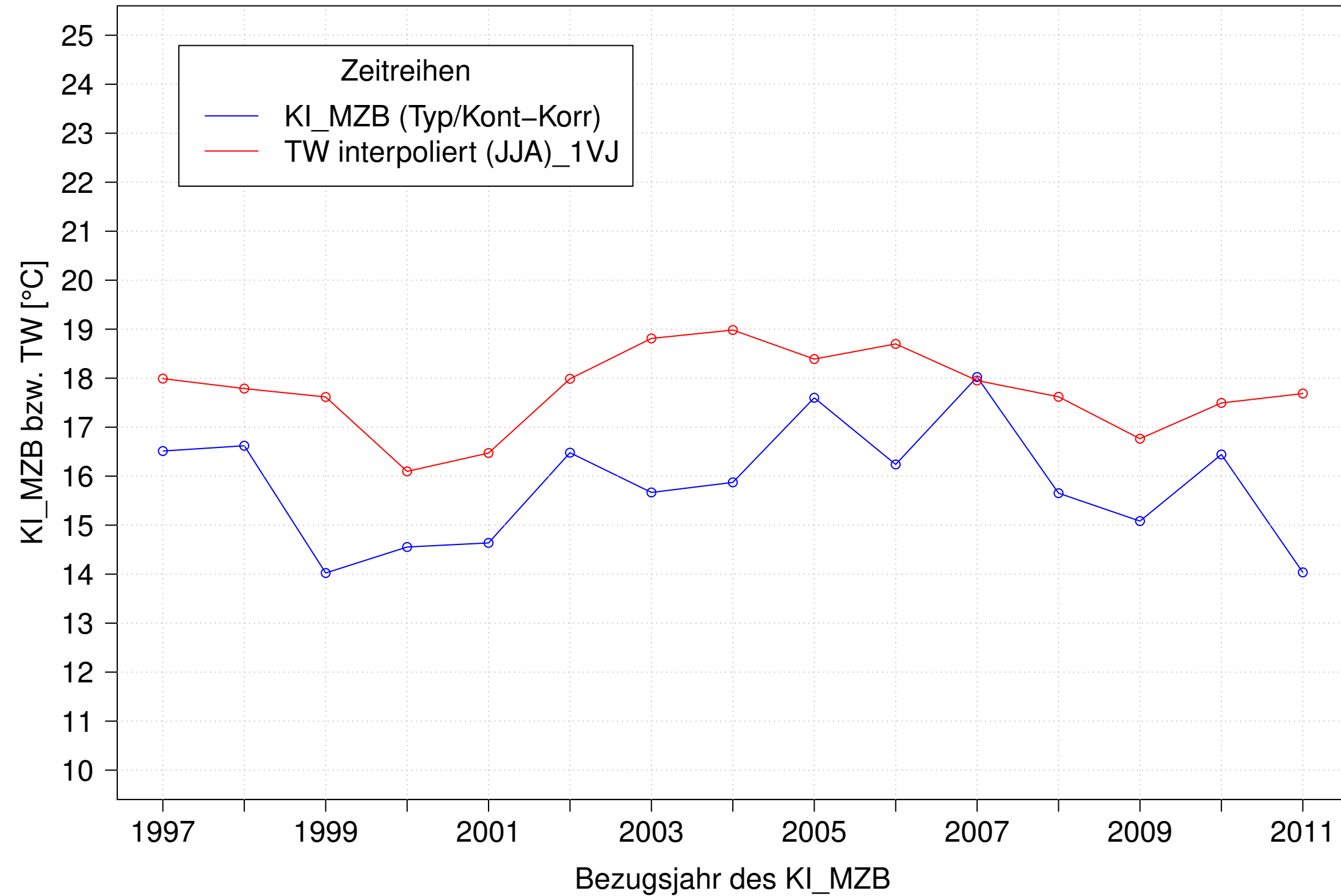
Argen_Giessen, Typ 03.2 mit Neozoen, Serie 3
 KI_MZB (Typ/Kont-Korr) und 3JMW TW interpoliert (JJA) des 1. Vorjahres



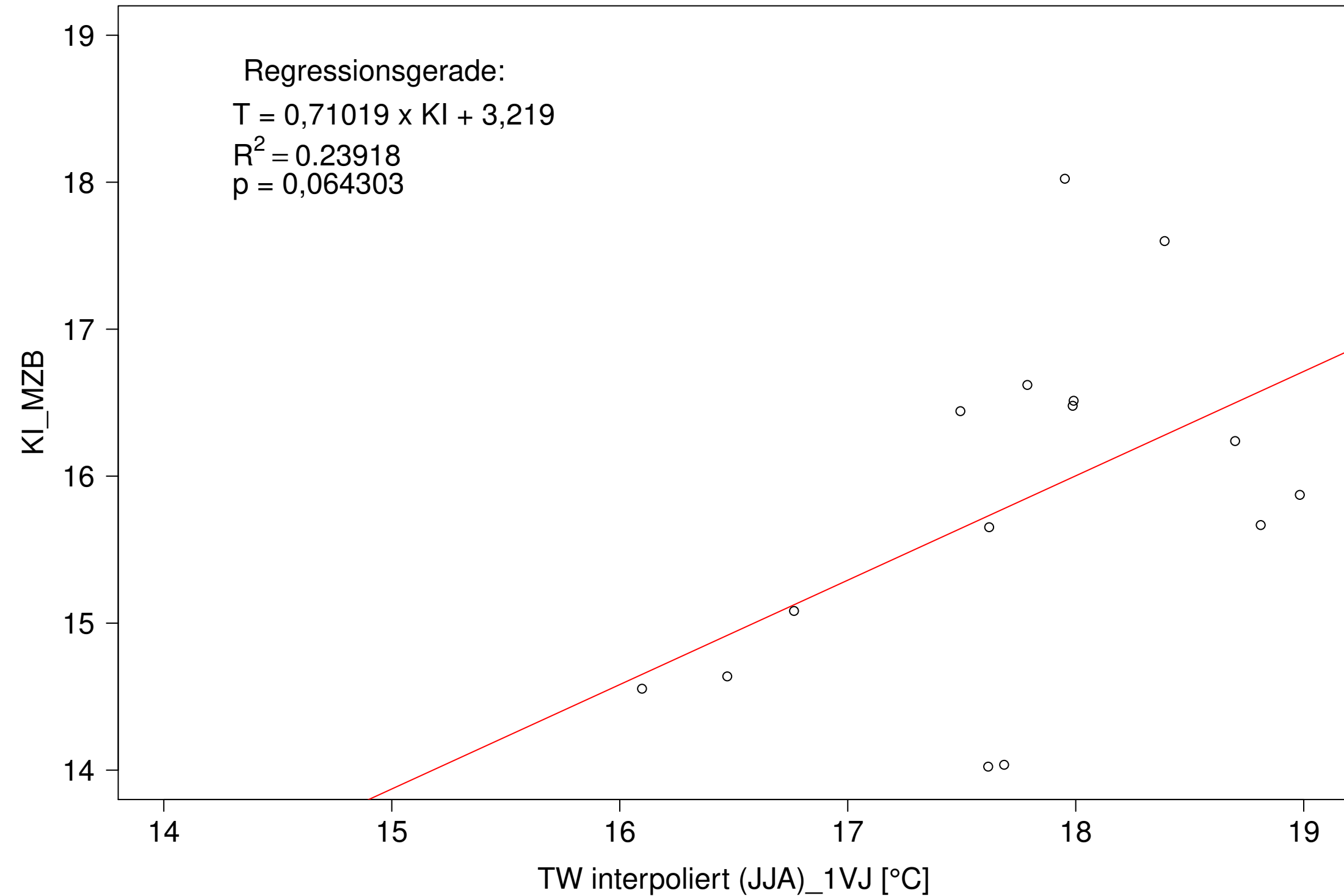
Argen_Giessen, Typ 03.2 mit Neozoen, Serie 3
 KI_MZB (Typ/Kont-Korr) gegen 3JMW TW interpoliert (JJA) des 1. Vorjahres



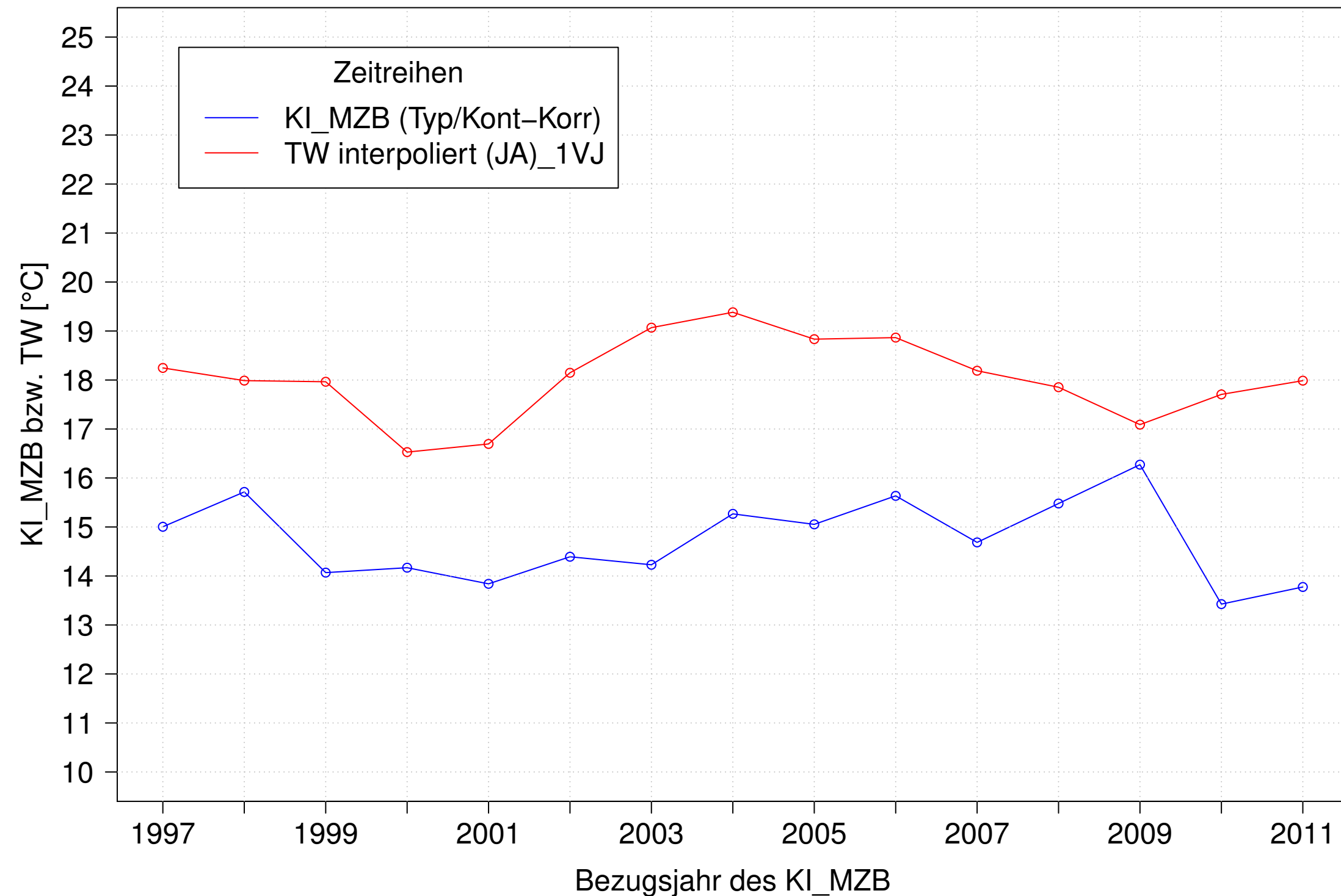
Argen_Giessen, Typ 03.2 mit Neozoen, Serie 4
 KI_MZB (Typ/Kont-Korr) und 3JMW TW interpoliert (JJA) des 1. Vorjahres



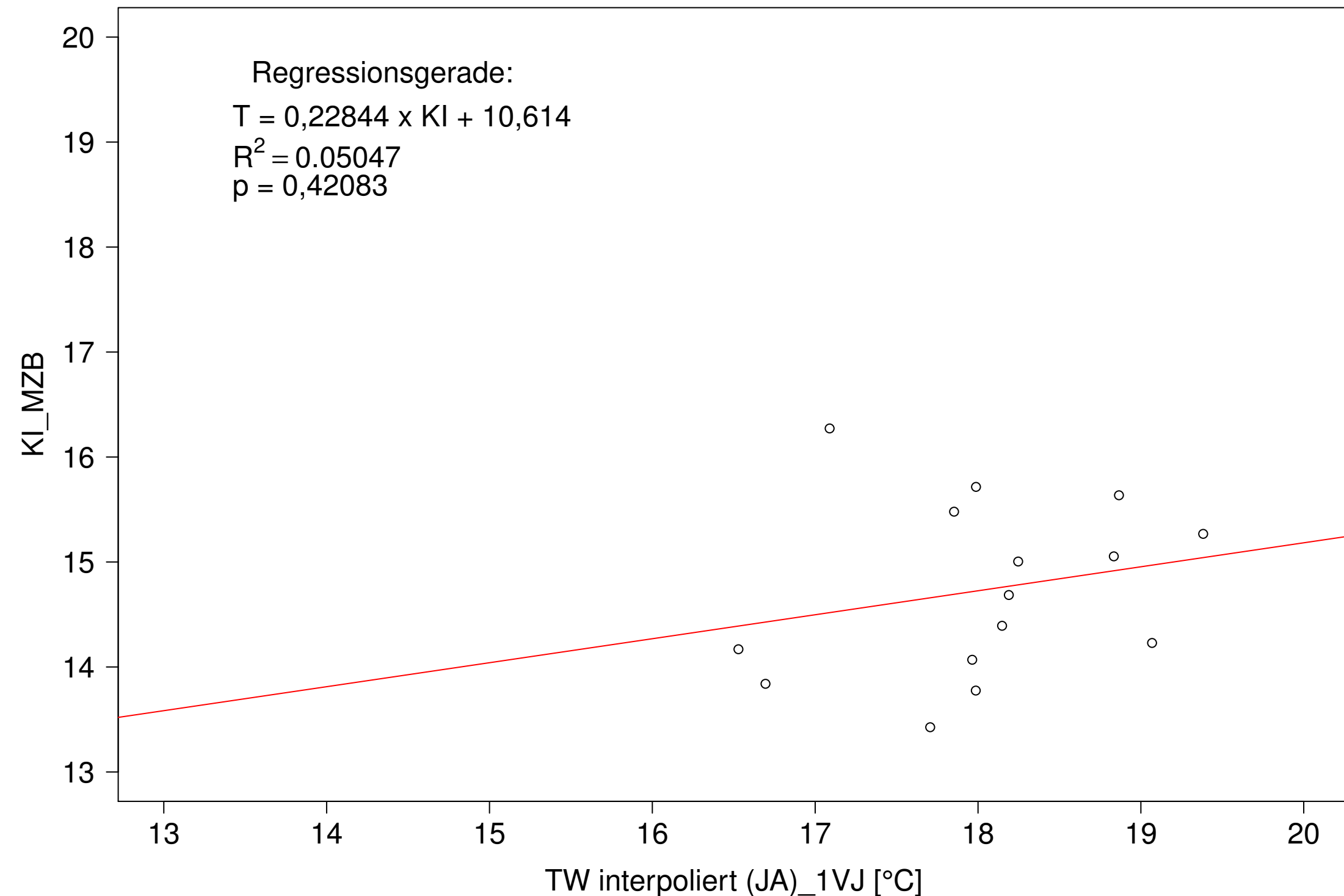
Argen_Giessen, Typ 03.2 mit Neozoen, Serie 4
 KI_MZB (Typ/Kont-Korr) gegen 3JMW TW interpoliert (JJA) des 1. Vorjahres



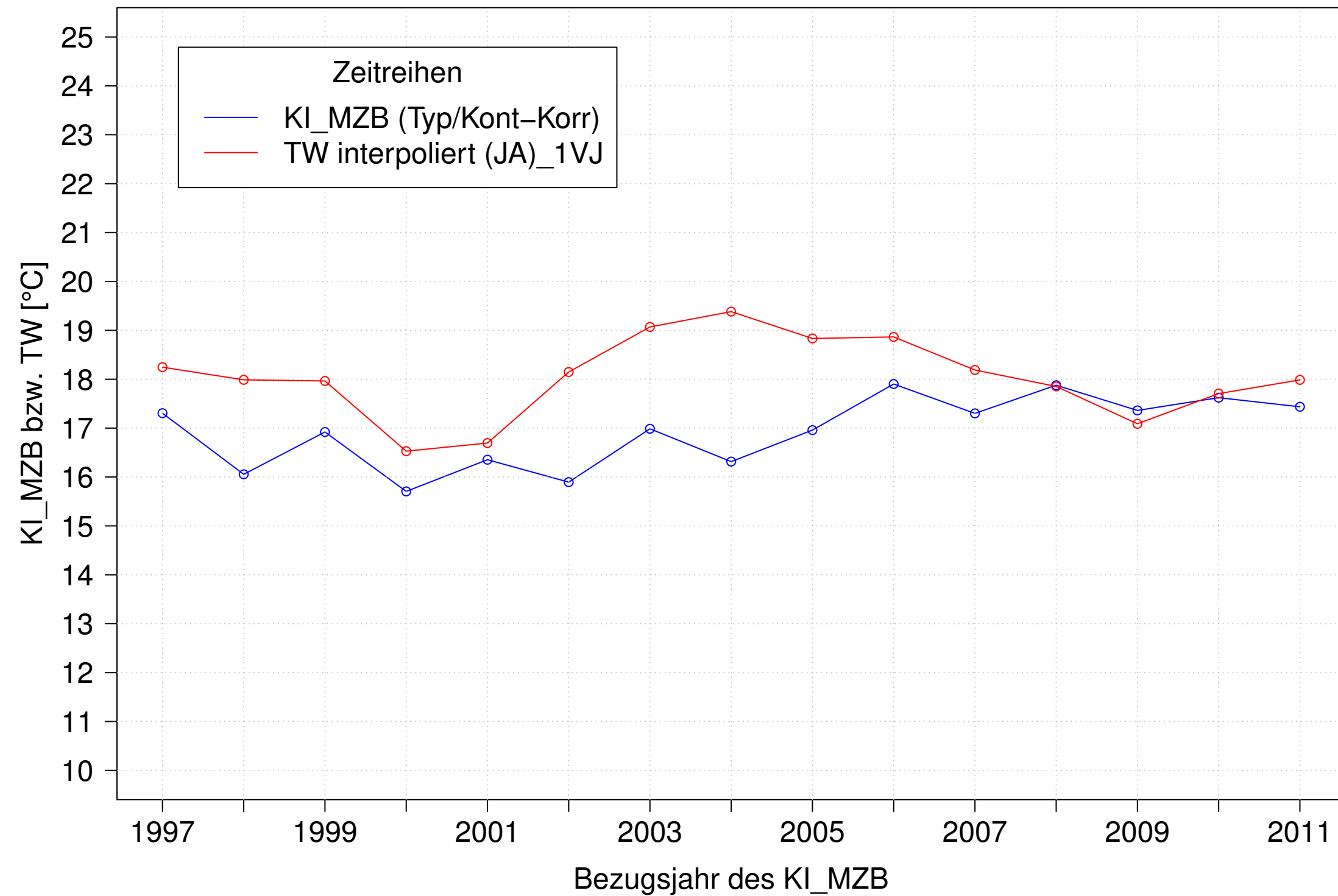
Argen_Giessen, Typ 03.2 mit Neozoen, Serie 1
 KI_MZB (Typ/Kont-Korr) und 3JMW TW interpoliert (JA) des 1. Vorjahres



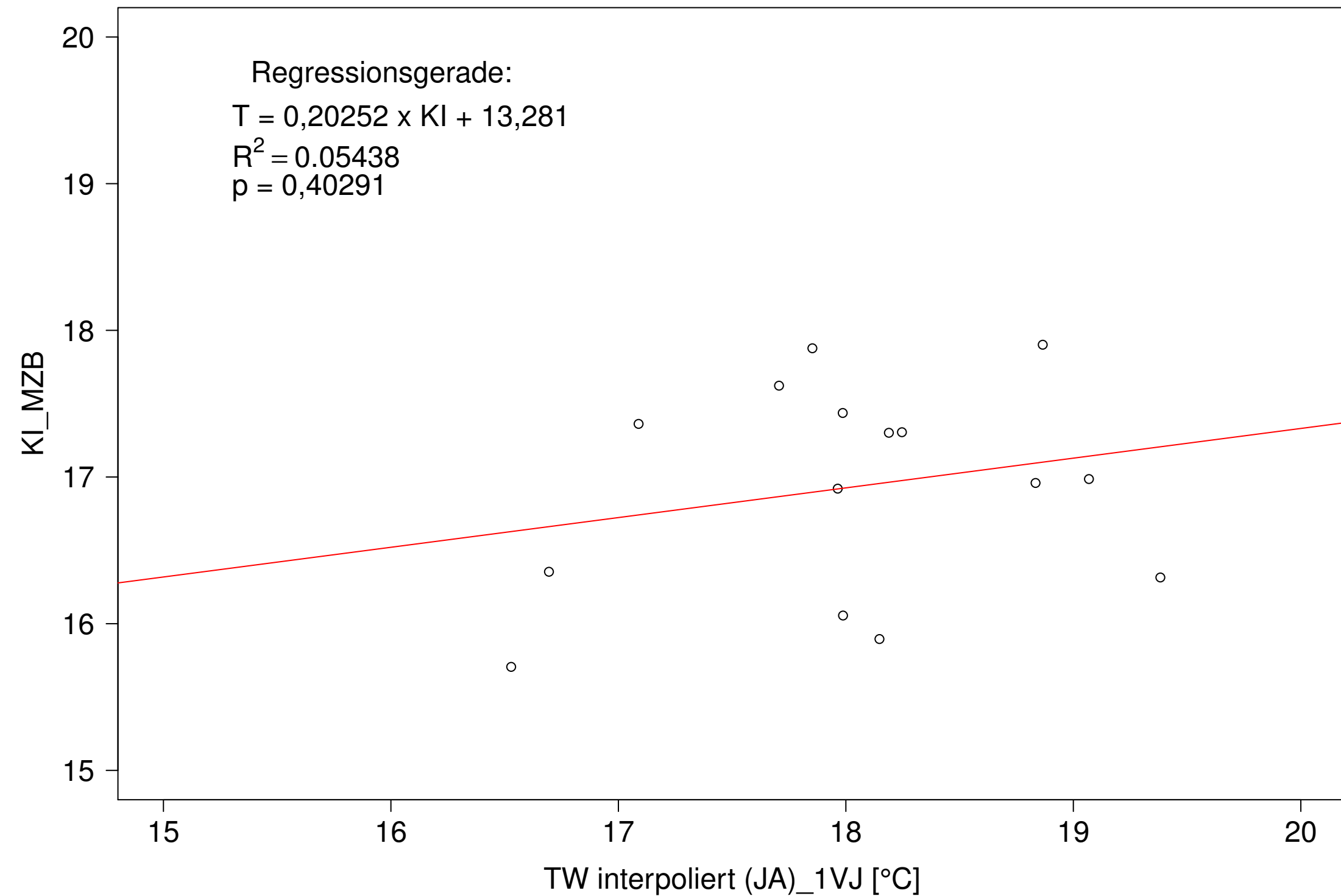
Argen_Giessen, Typ 03.2 mit Neozoen, Serie 1
 KI_MZB (Typ/Kont-Korr) gegen 3JMW TW interpoliert (JA) des 1. Vorjahres



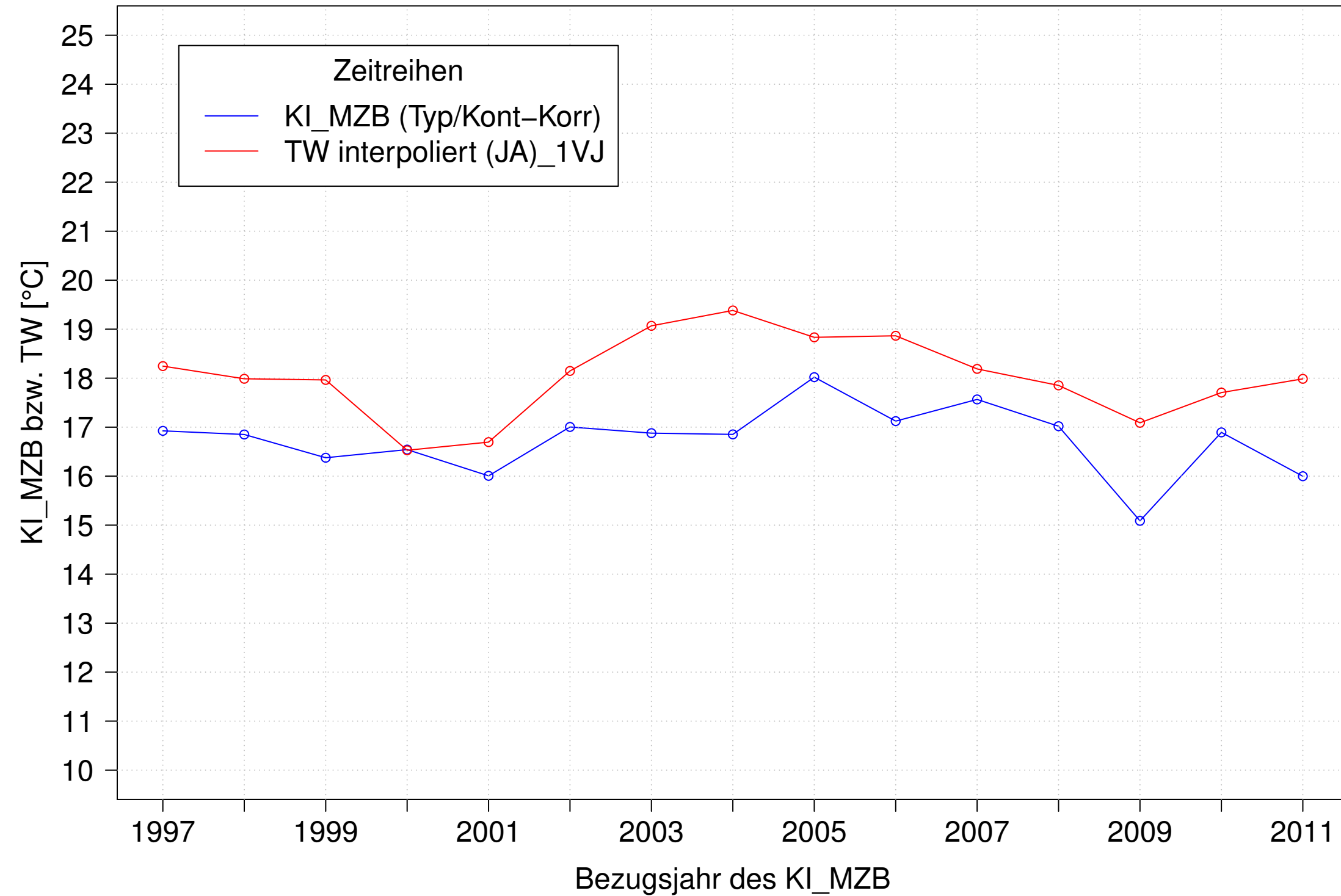
Argen_Giessen, Typ 03.2 mit Neozoen, Serie 2
 KI_MZB (Typ/Kont-Korr) und 3JMW TW interpoliert (JA) des 1. Vorjahres



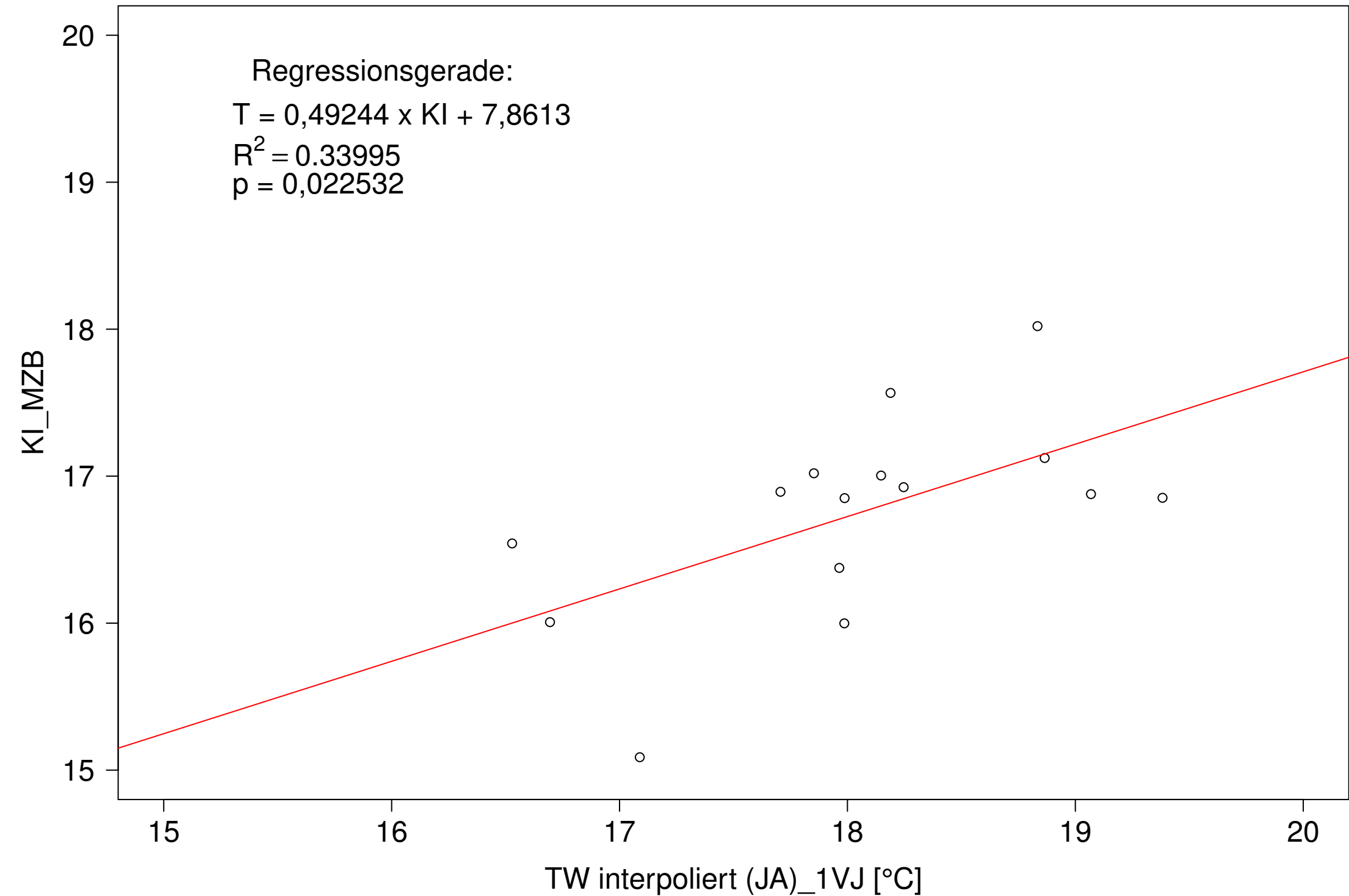
Argen_Giessen, Typ 03.2 mit Neozoen, Serie 2
 KI_MZB (Typ/Kont-Korr) gegen 3JMW TW interpoliert (JA) des 1. Vorjahres



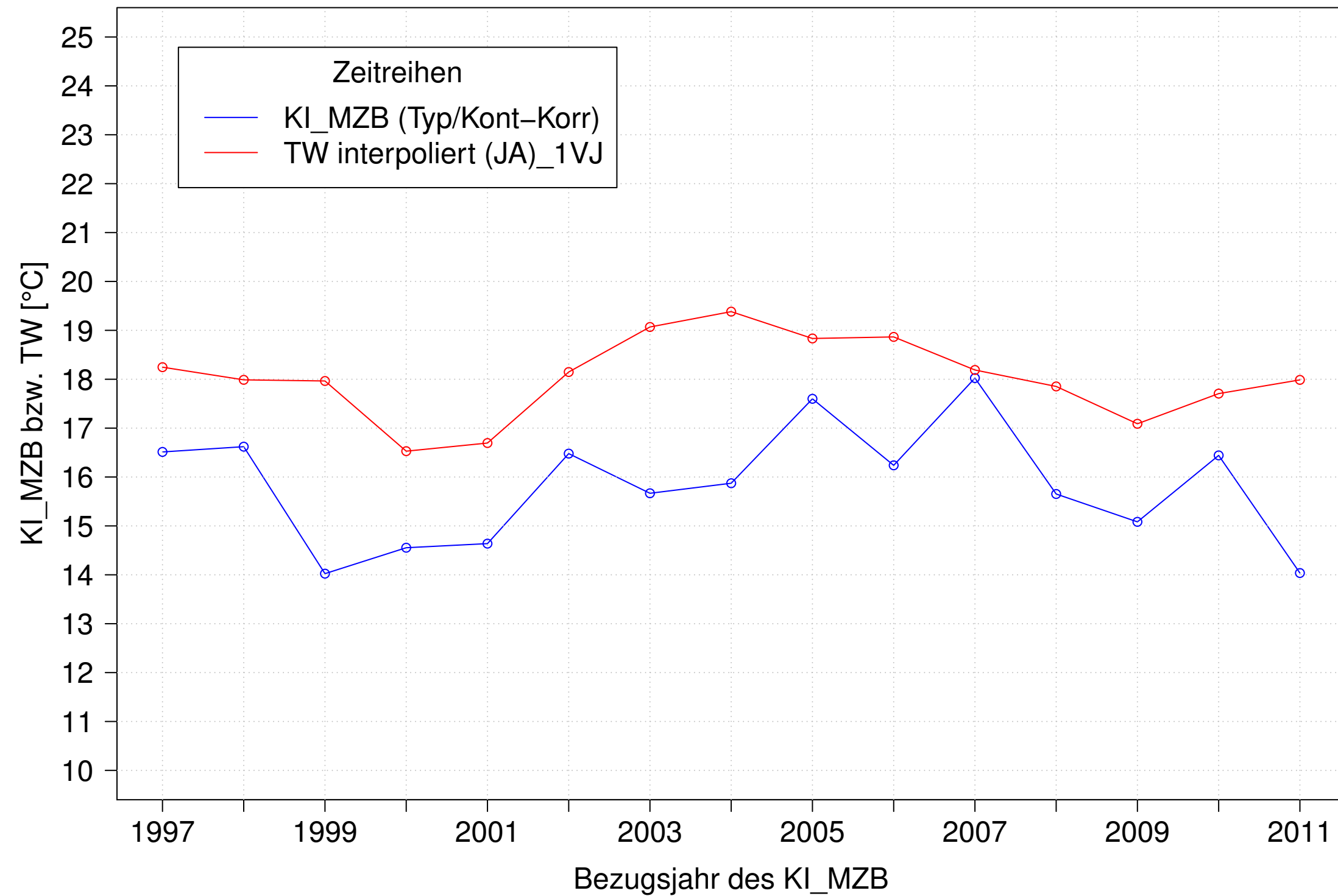
Argen_Giessen, Typ 03.2 mit Neozoen, Serie 3
 KI_MZB (Typ/Kont-Korr) und 3JMW TW interpoliert (JA) des 1. Vorjahres



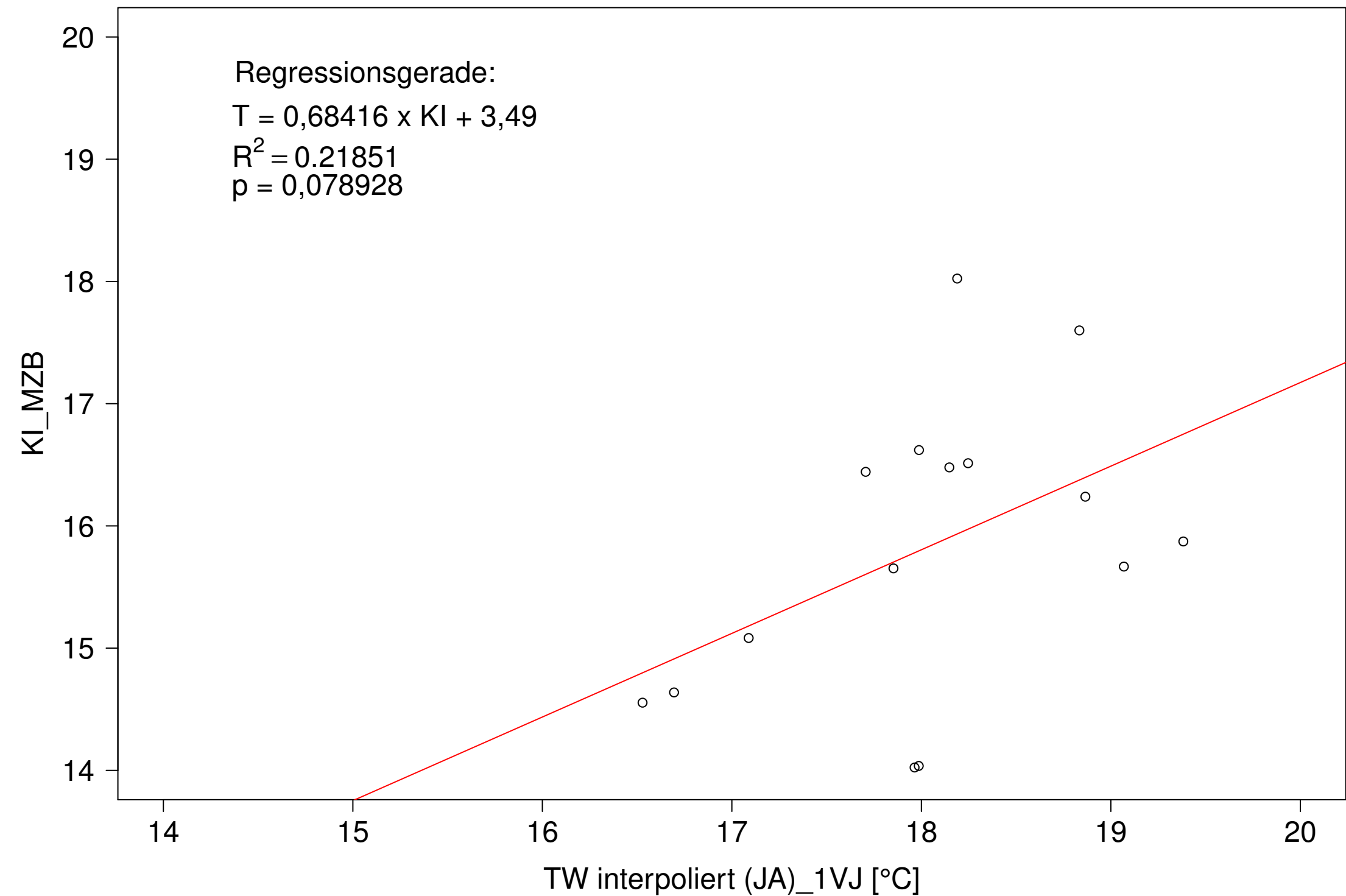
Argen_Giessen, Typ 03.2 mit Neozoen, Serie 3
 KI_MZB (Typ/Kont-Korr) gegen 3JMW TW interpoliert (JA) des 1. Vorjahres



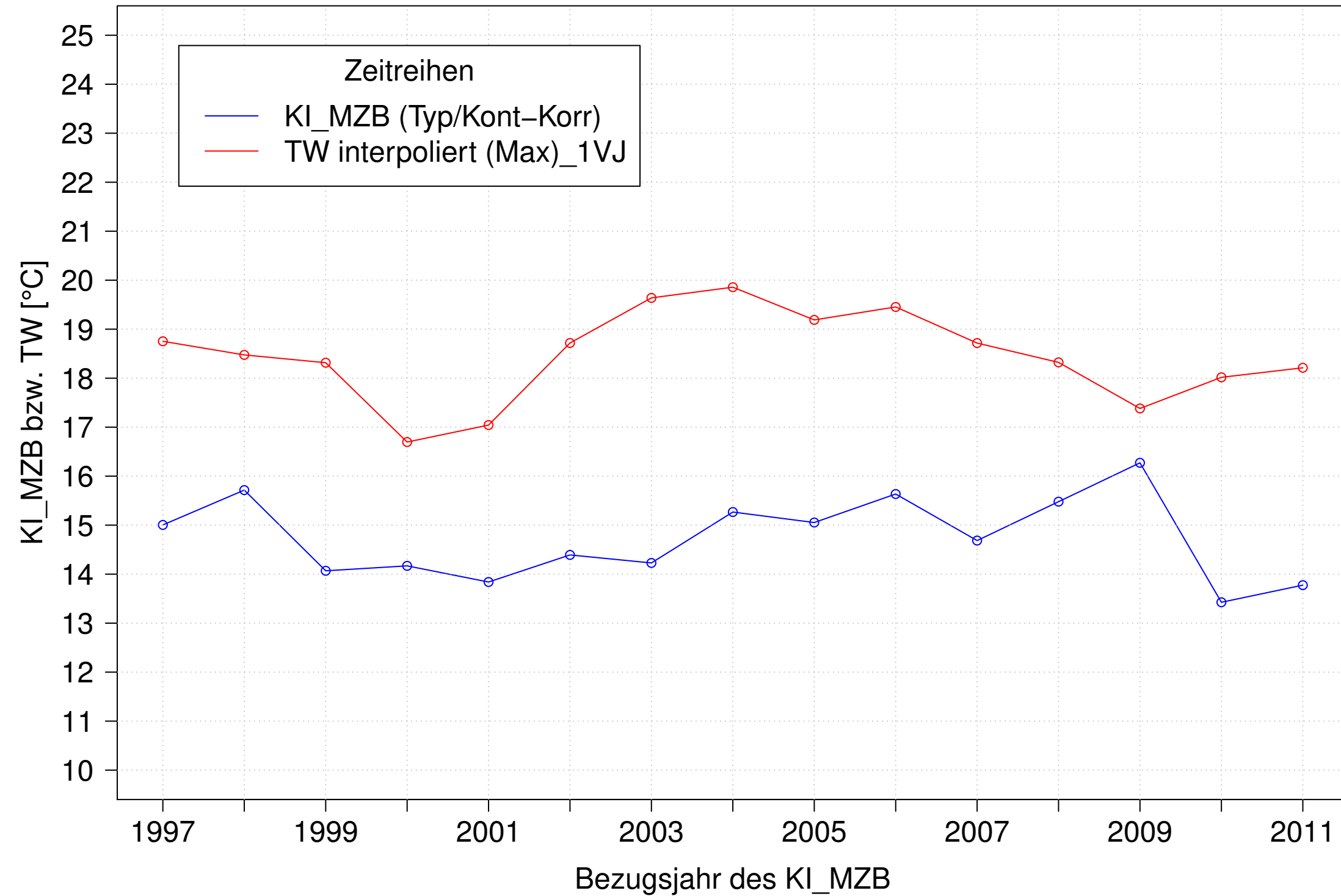
Argen_Giessen, Typ 03.2 mit Neozoen, Serie 4
 KI_MZB (Typ/Kont-Korr) und 3JMW TW interpoliert (JA) des 1. Vorjahres



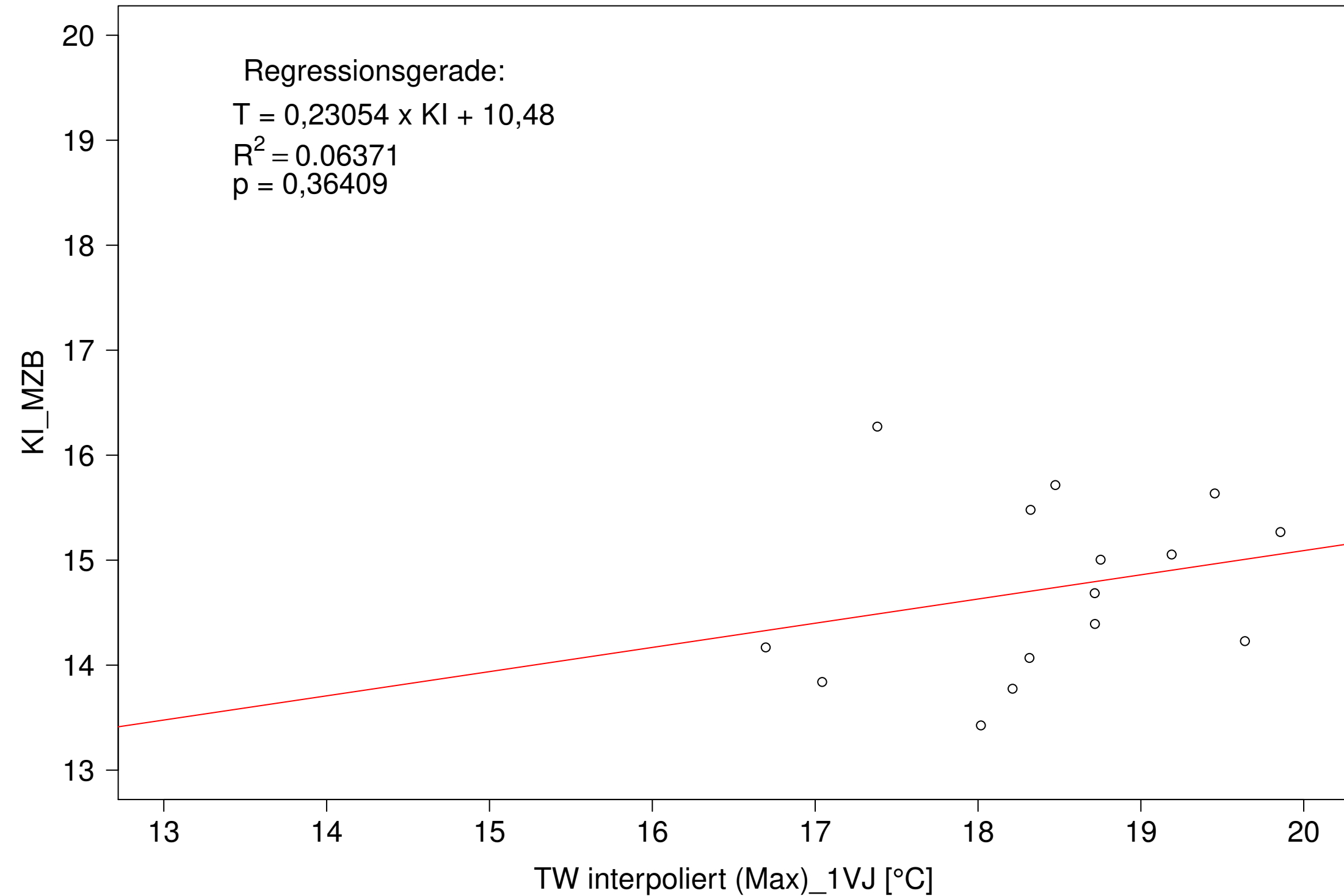
Argen_Giessen, Typ 03.2 mit Neozoen, Serie 4
 KI_MZB (Typ/Kont-Korr) gegen 3JMW TW interpoliert (JA) des 1. Vorjahres



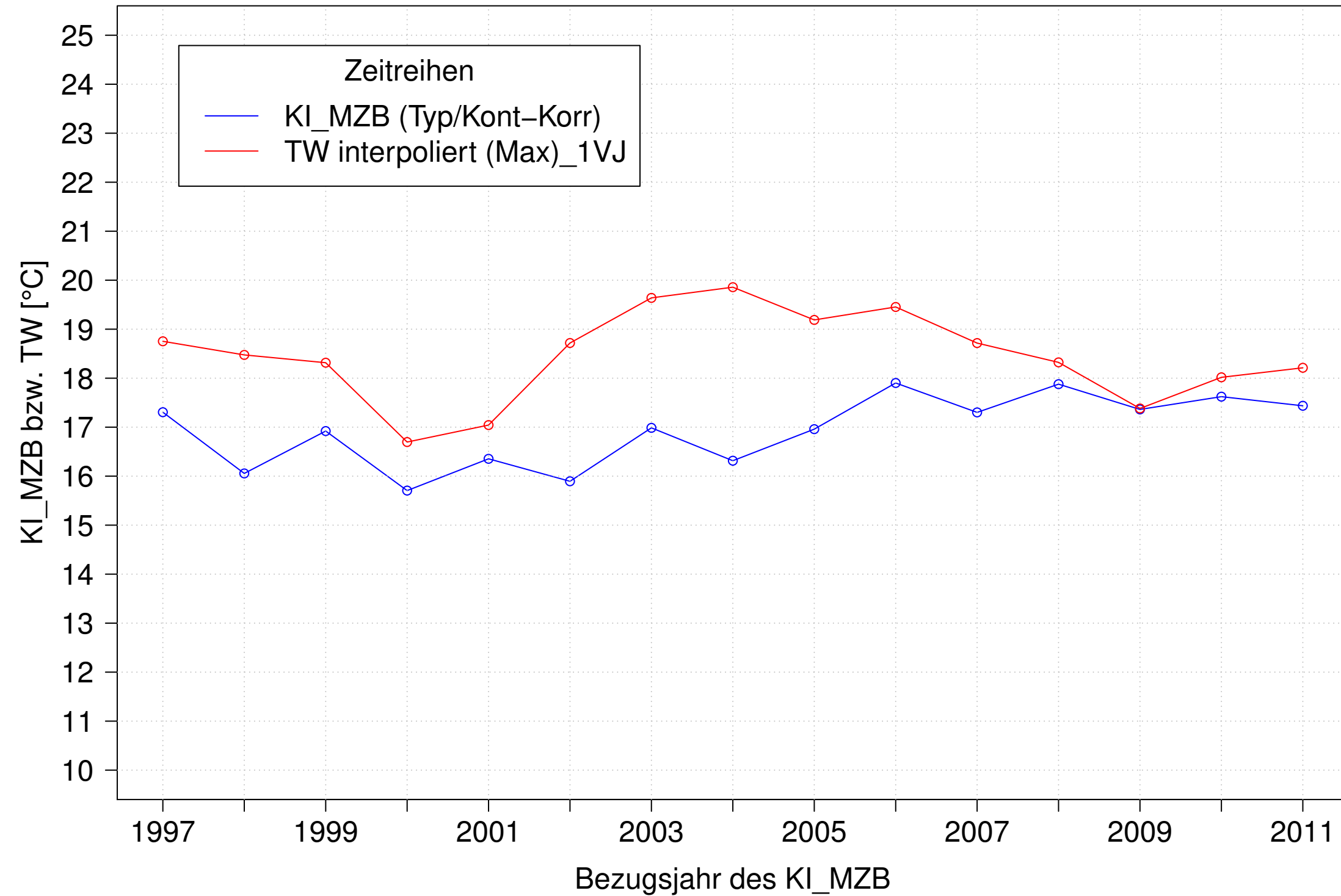
Argen_Giessen, Typ 03.2 mit Neozoen, Serie 1
 KI_MZB (Typ/Kont-Korr) und 3JMW TW interpoliert (Max) des 1. Vorjahres



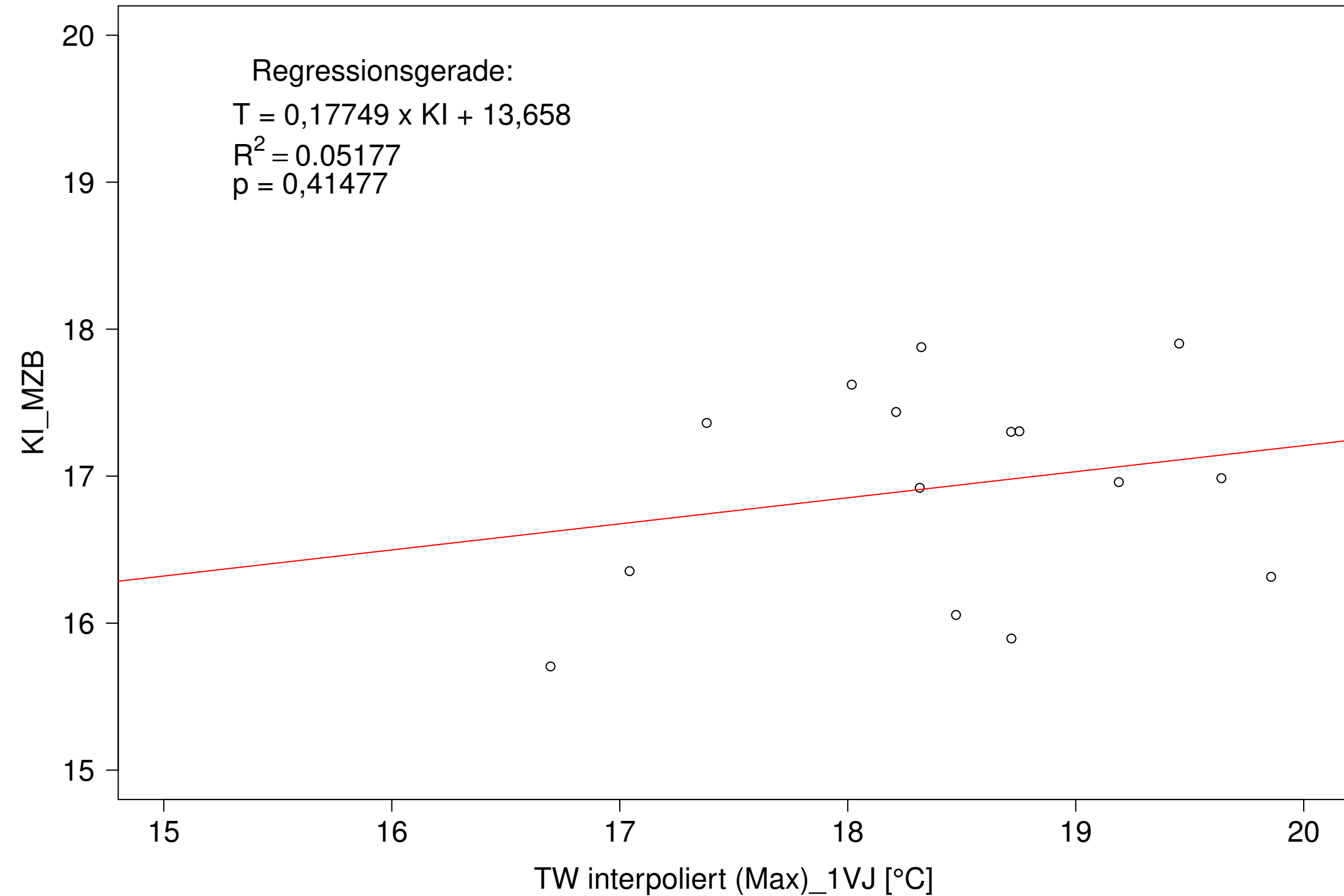
Argen_Giessen, Typ 03.2 mit Neozoen, Serie 1
 KI_MZB (Typ/Kont-Korr) gegen 3JMW TW interpoliert (Max) des 1. Vorjahres



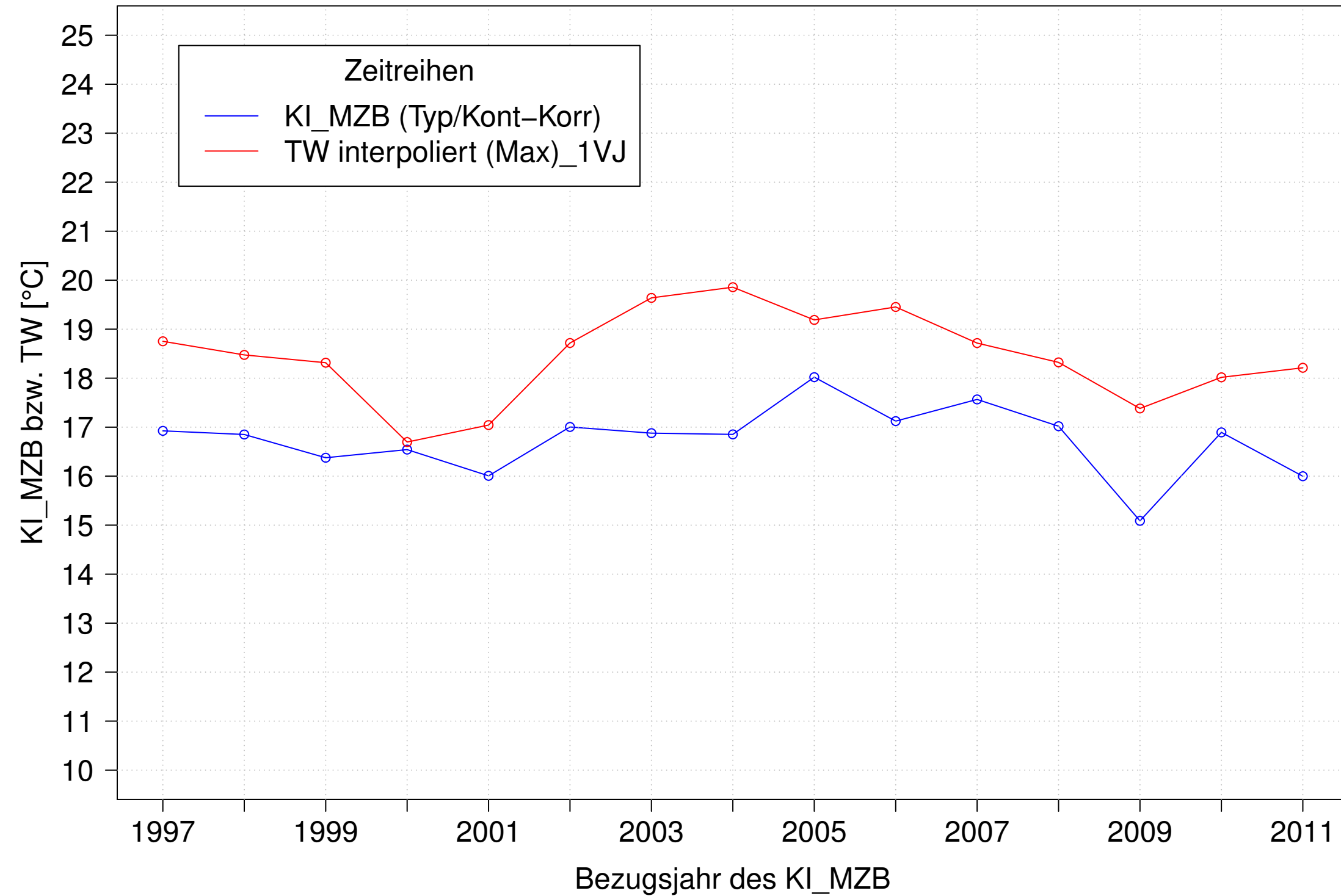
Argen_Giessen, Typ 03.2 mit Neozoen, Serie 2
 KI_MZB (Typ/Kont-Korr) und 3JMW TW interpoliert (Max) des 1. Vorjahres



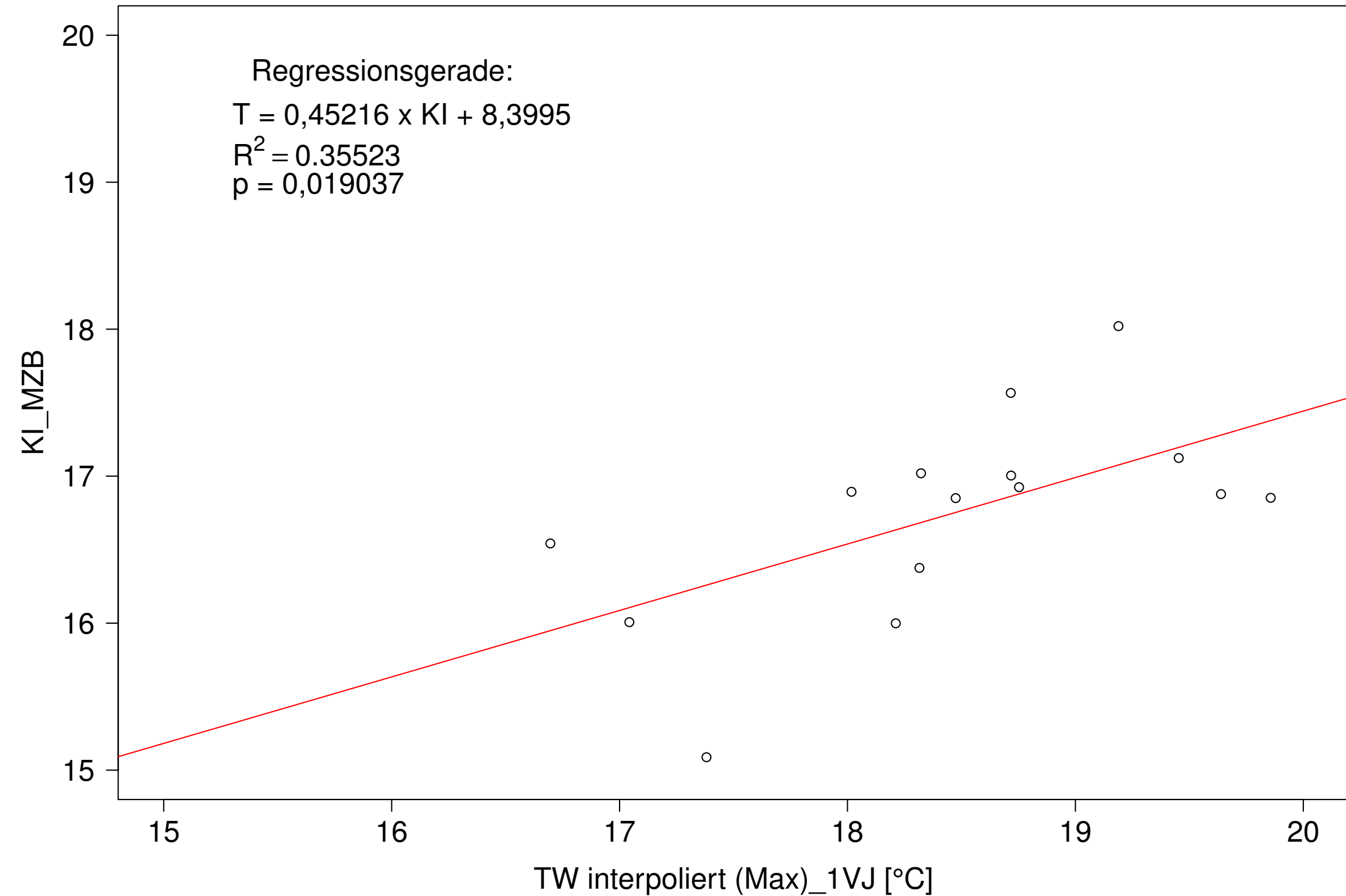
Argen_Giessen, Typ 03.2 mit Neozoen, Serie 2
 KI_MZB (Typ/Kont-Korr) gegen 3JMW TW interpoliert (Max) des 1. Vorjahres



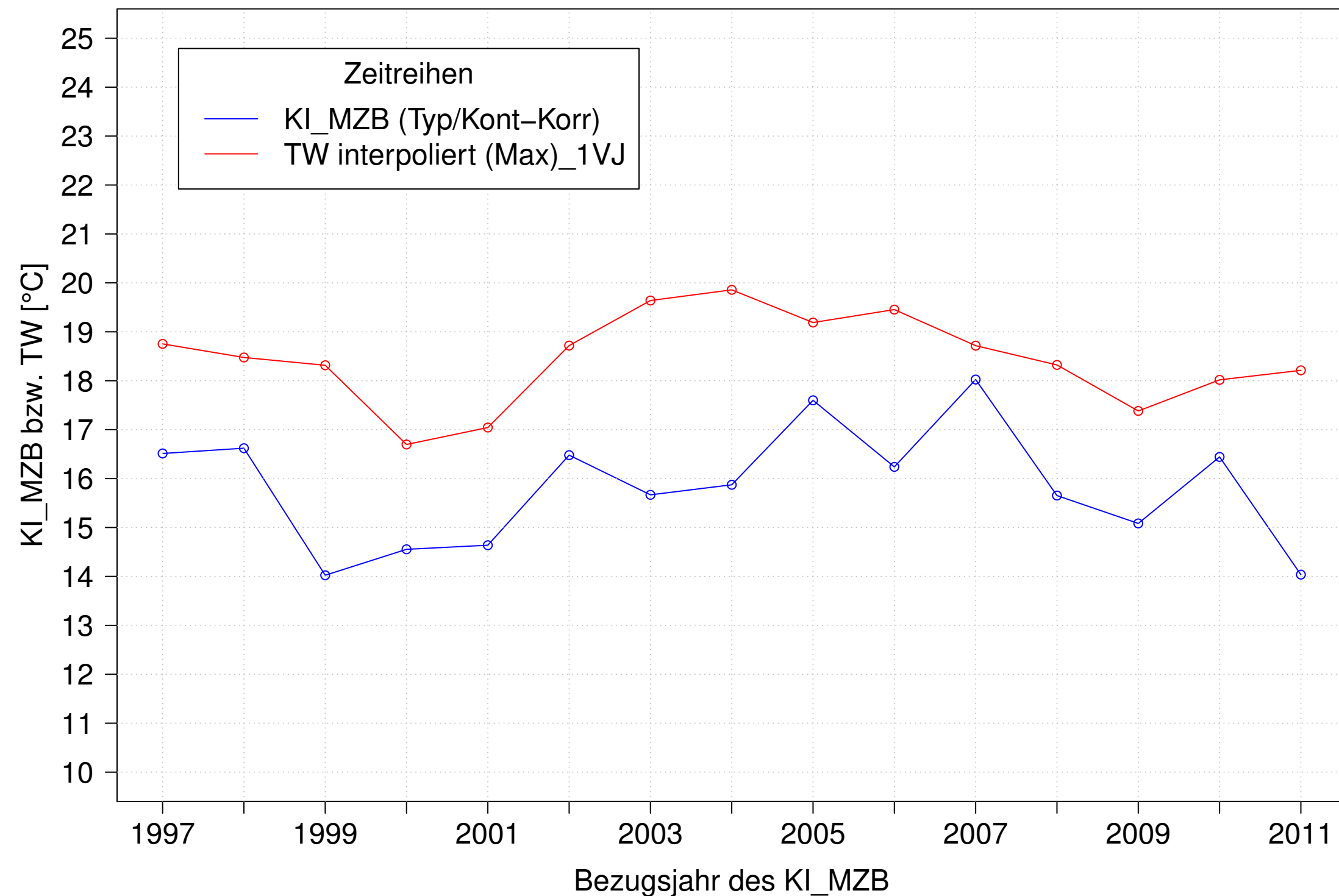
Argen_Giessen, Typ 03.2 mit Neozoen, Serie 3
 KI_MZB (Typ/Kont-Korr) und 3JMW TW interpoliert (Max) des 1. Vorjahres



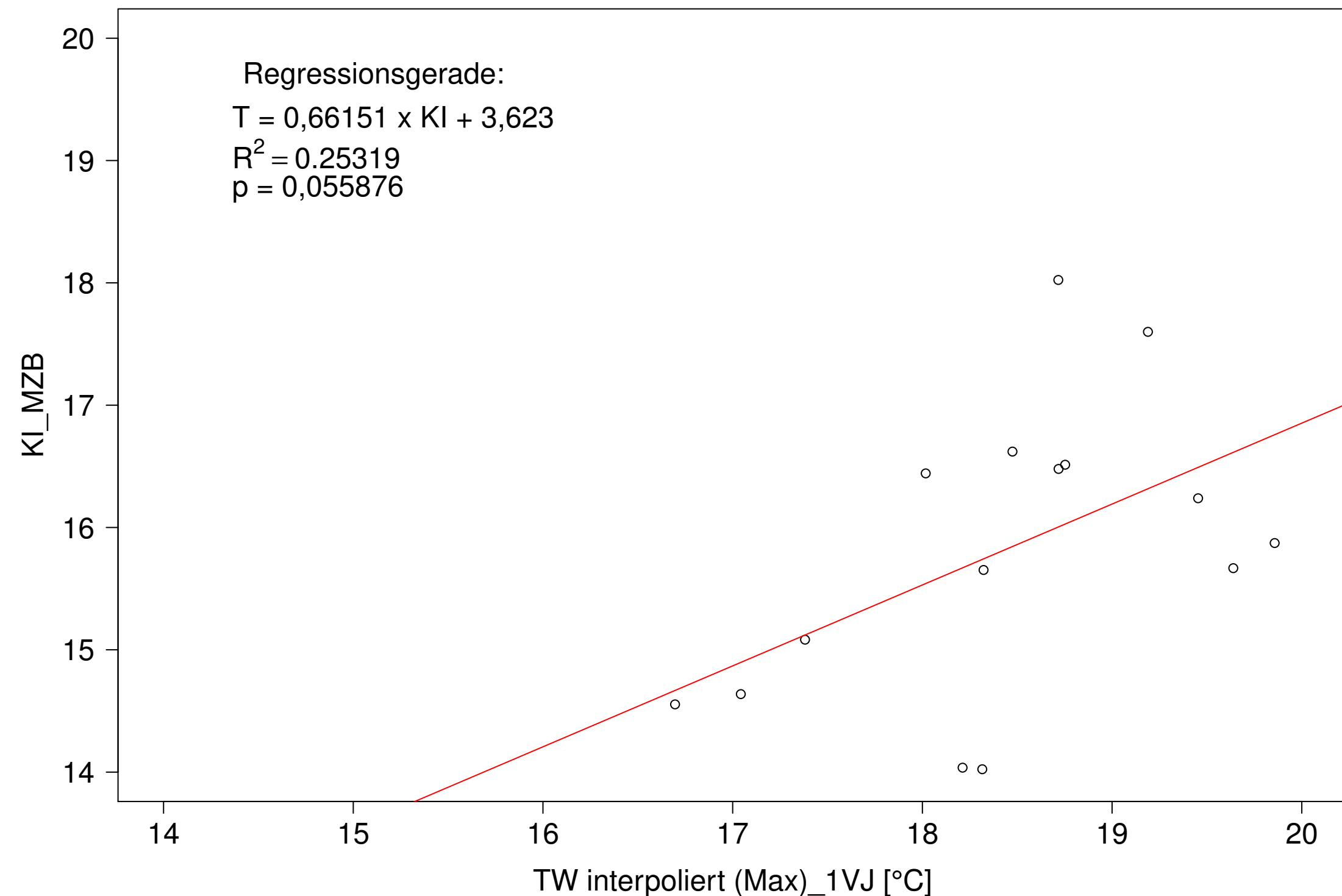
Argen_Giessen, Typ 03.2 mit Neozoen, Serie 3
 KI_MZB (Typ/Kont-Korr) gegen 3JMW TW interpoliert (Max) des 1. Vorjahres



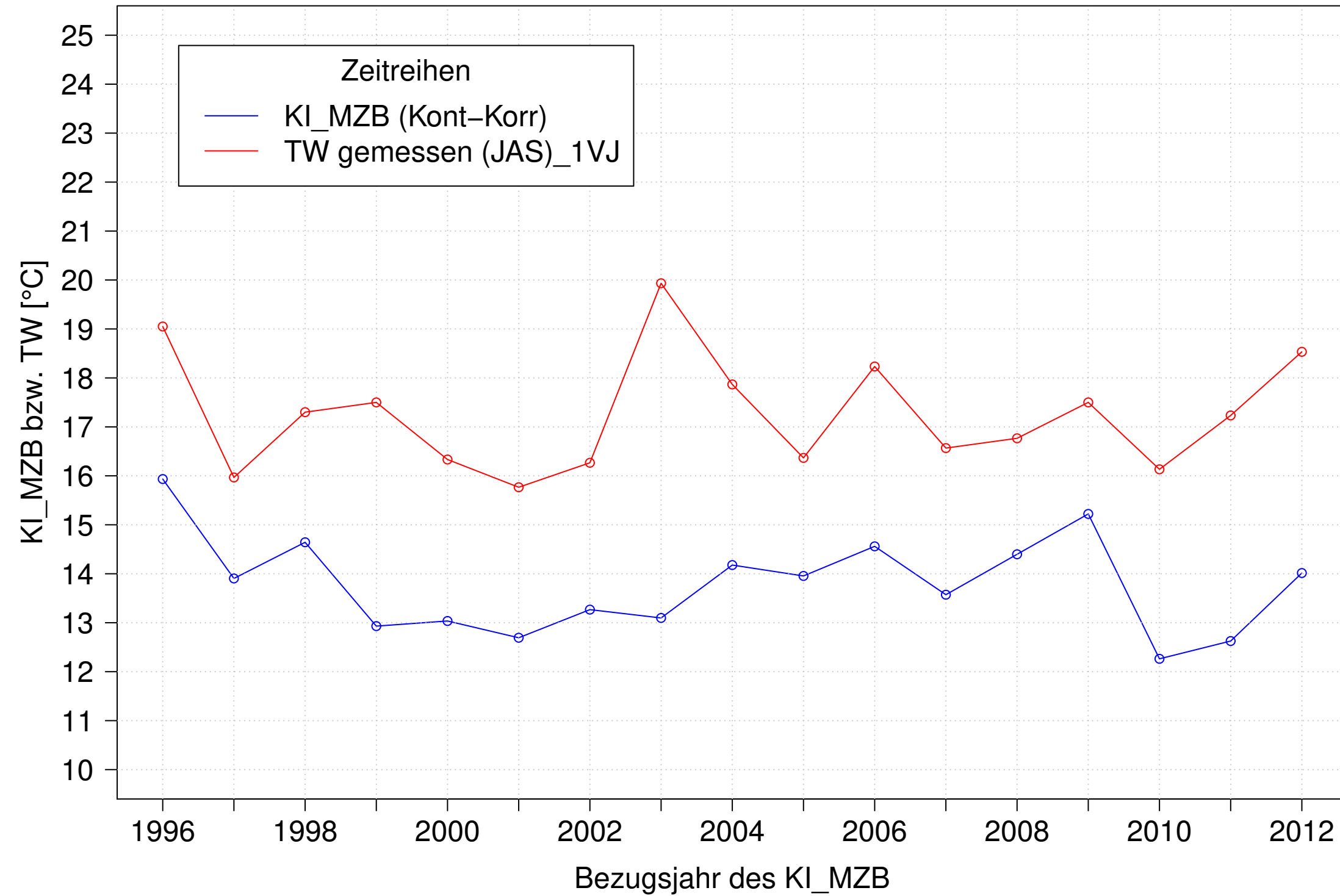
Argen_Giessen, Typ 03.2 mit Neozoen, Serie 4
 KI_MZB (Typ/Kont-Korr) und 3JMW TW interpoliert (Max) des 1. Vorjahres



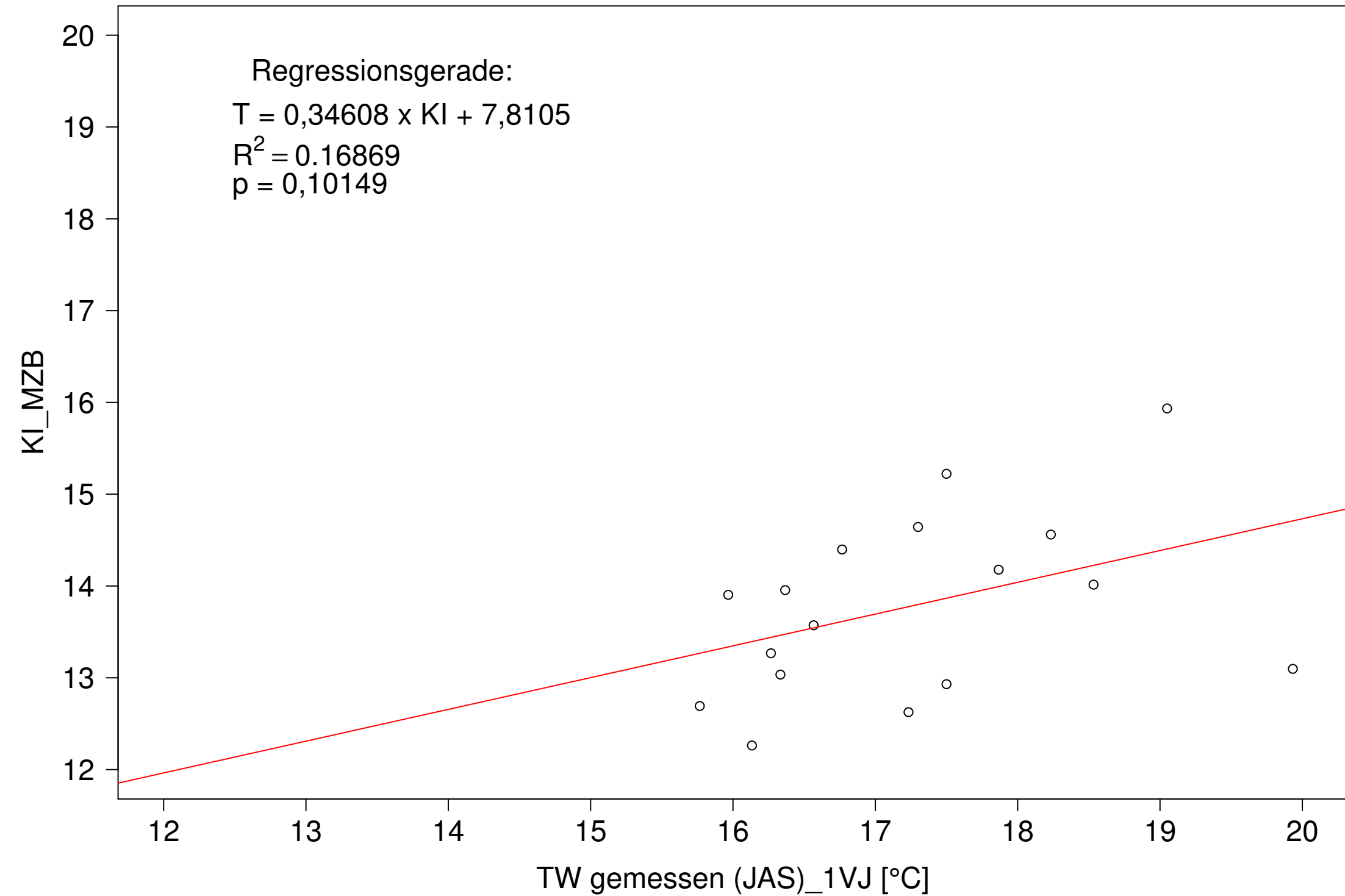
Argen_Giessen, Typ 03.2 mit Neozoen, Serie 4
 KI_MZB (Typ/Kont-Korr) gegen 3JMW TW interpoliert (Max) des 1. Vorjahres



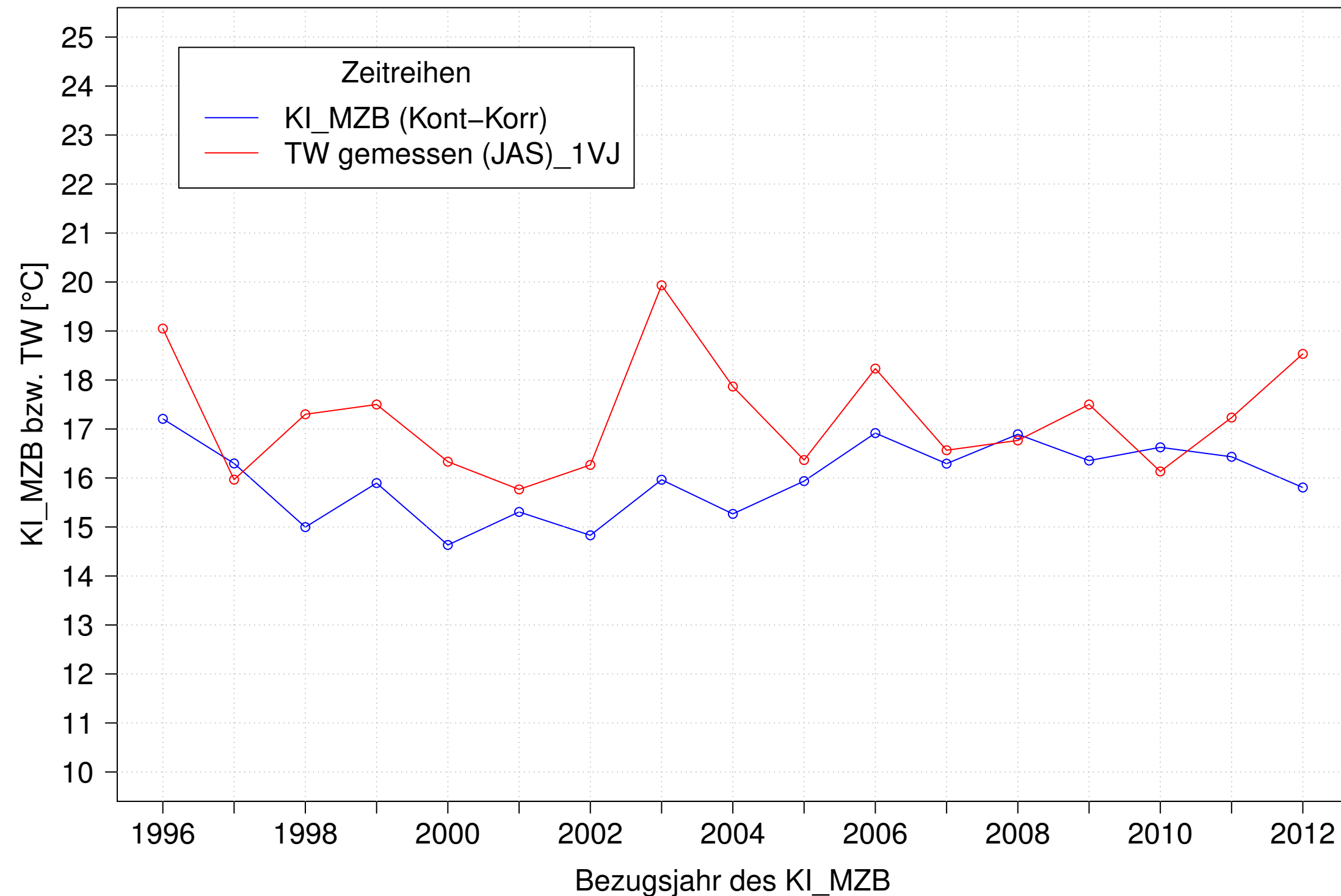
Argen_Giessen, Typ 03.2 mit Neozoen, Serie 1
KI_MZB (Kont-Korr) und TW gemessen (JAS) des 1. Vorjahres



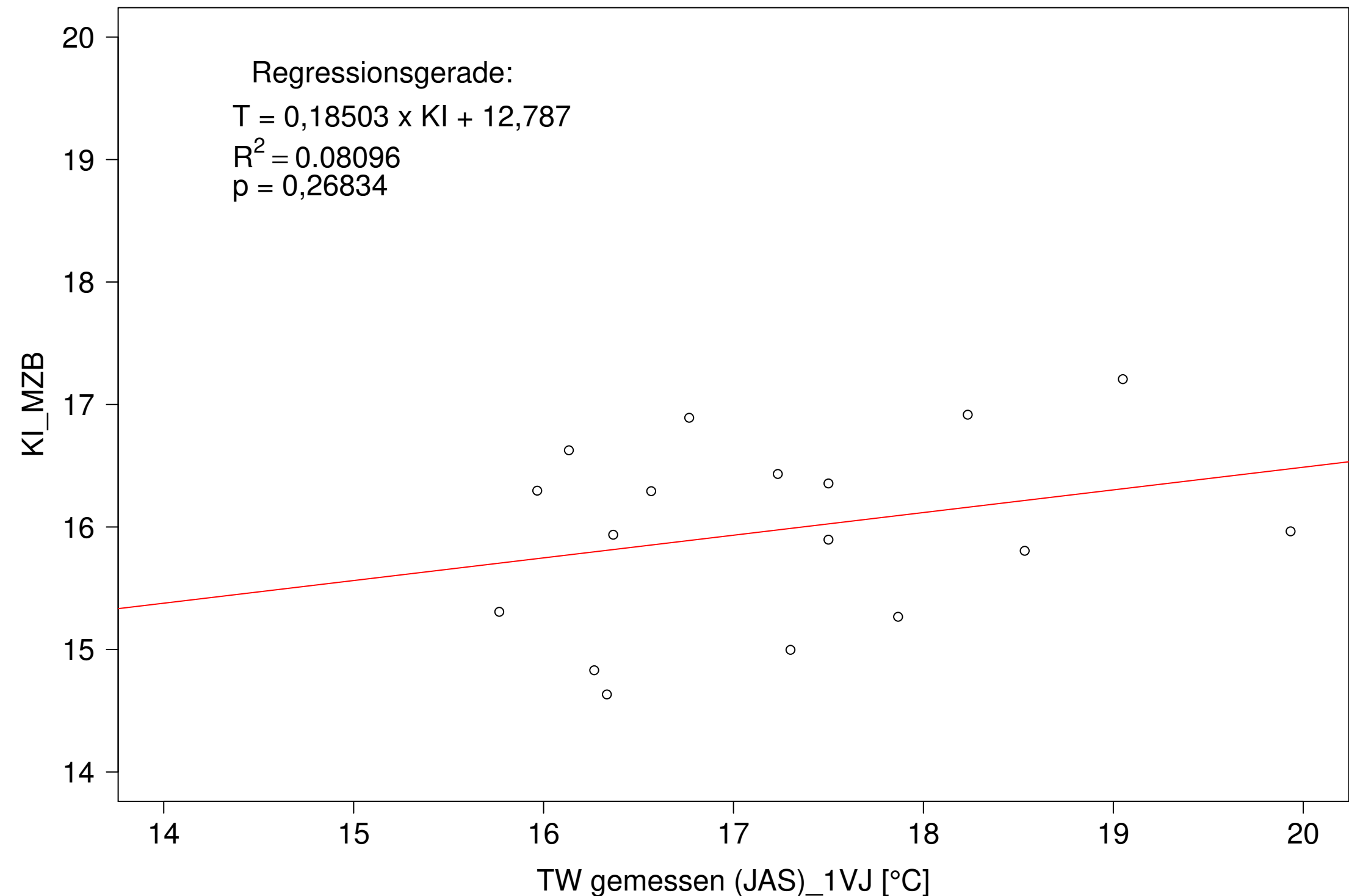
Argen_Giessen, Typ 03.2 mit Neozoen, Serie 1
KI_MZB (Kont-Korr) gegen TW gemessen (JAS) des 1. Vorjahres



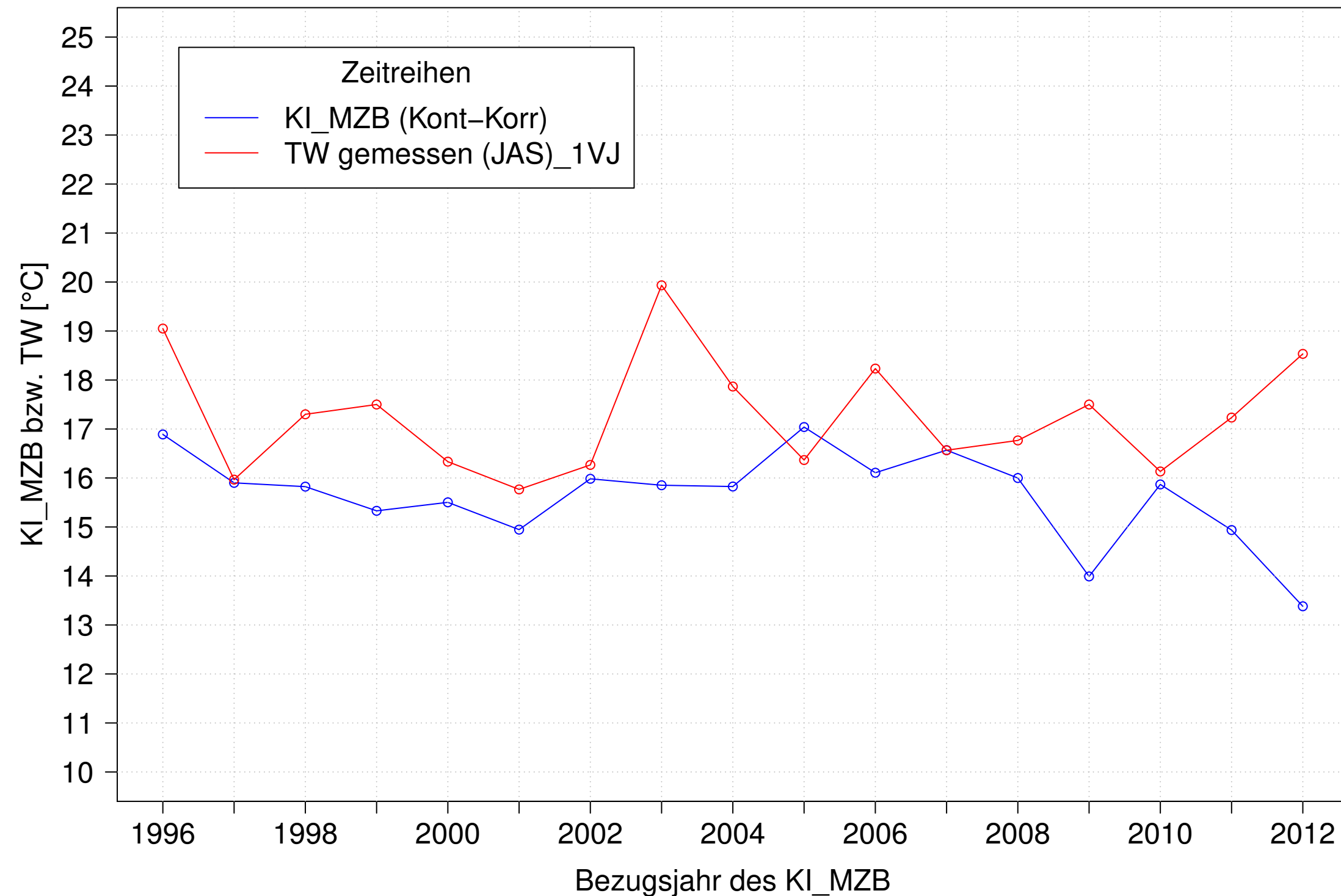
Argen_Giessen, Typ 03.2 mit Neozoen, Serie 2
 KI_MZB (Kont-Korr) und TW gemessen (JAS) des 1. Vorjahres



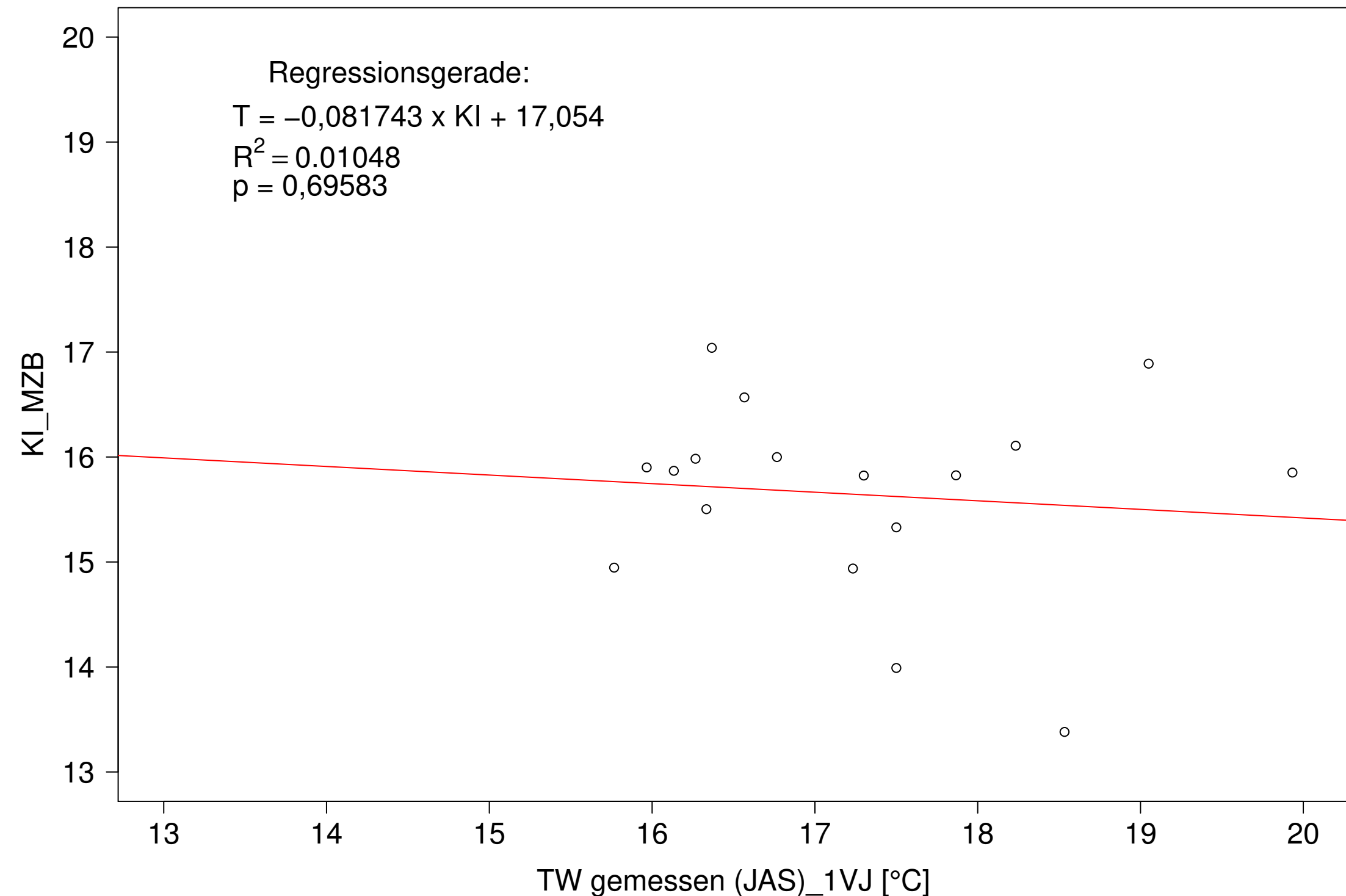
Argen_Giessen, Typ 03.2 mit Neozoen, Serie 2
 KI_MZB (Kont-Korr) gegen TW gemessen (JAS) des 1. Vorjahres



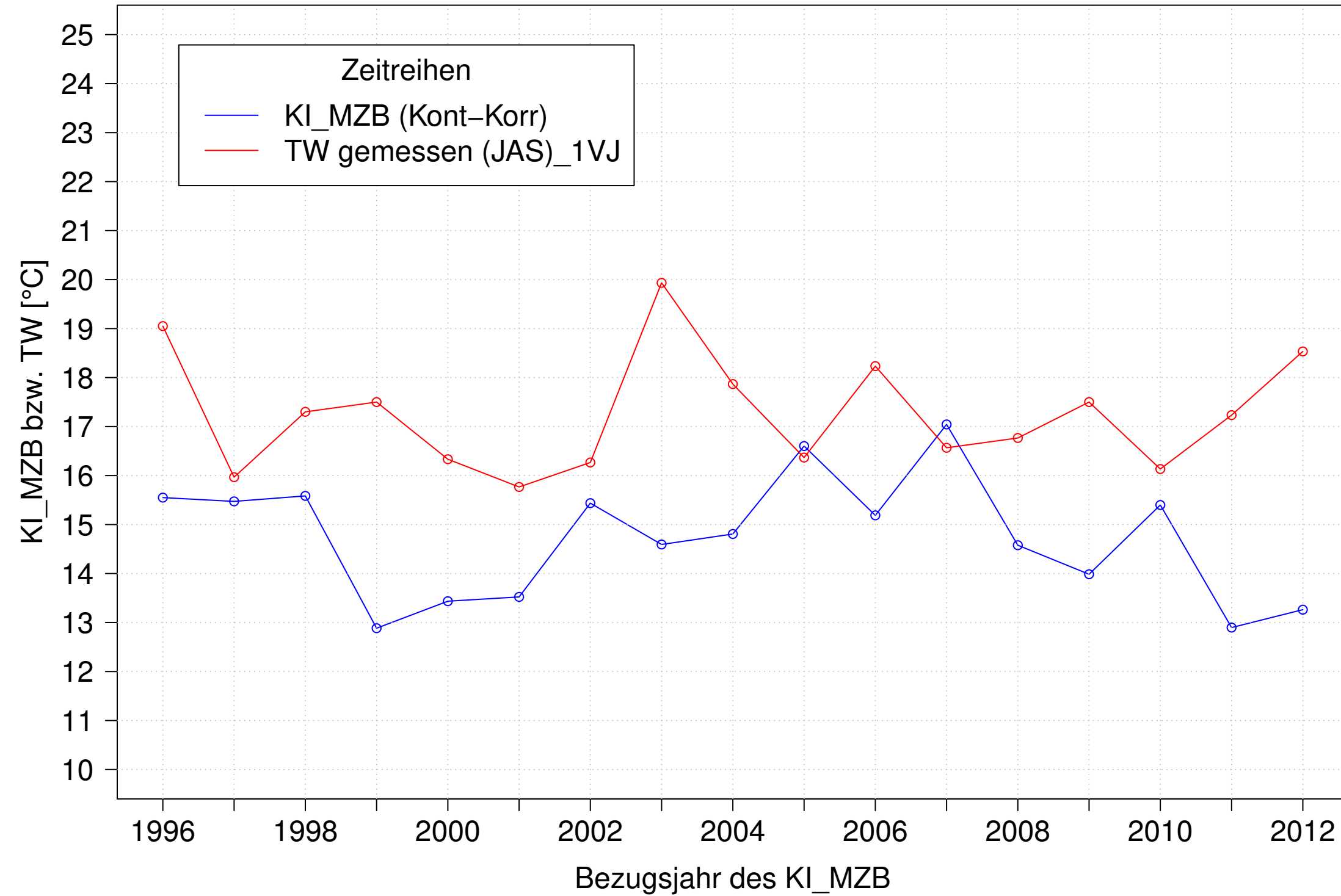
Argen_Giessen, Typ 03.2 mit Neozoen, Serie 3
KI_MZB (Kont-Korr) und TW gemessen (JAS) des 1. Vorjahres



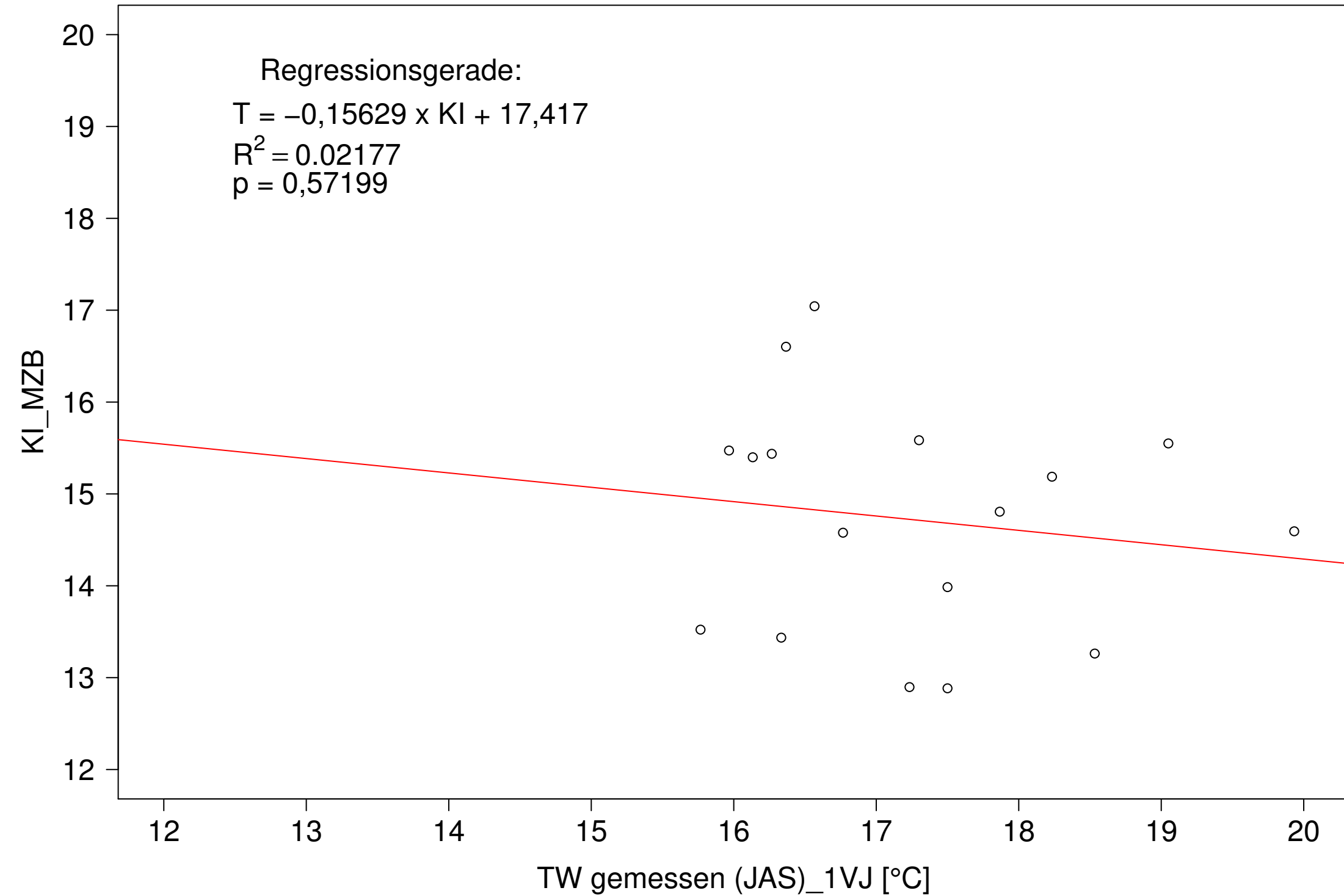
Argen_Giessen, Typ 03.2 mit Neozoen, Serie 3
KI_MZB (Kont-Korr) gegen TW gemessen (JAS) des 1. Vorjahres



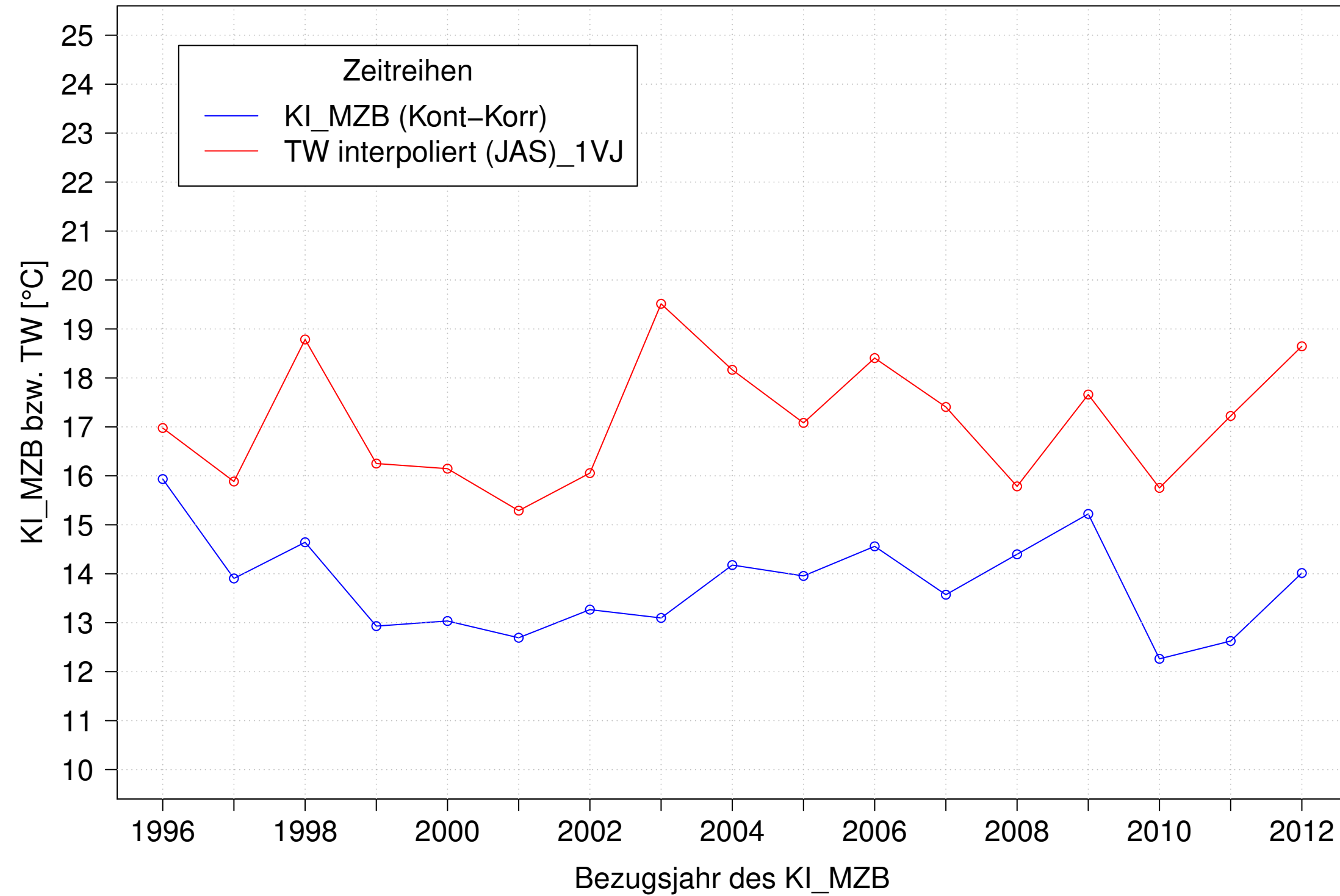
Argen_Giessen, Typ 03.2 mit Neozoen, Serie 4
KI_MZB (Kont-Korr) und TW gemessen (JAS) des 1. Vorjahres



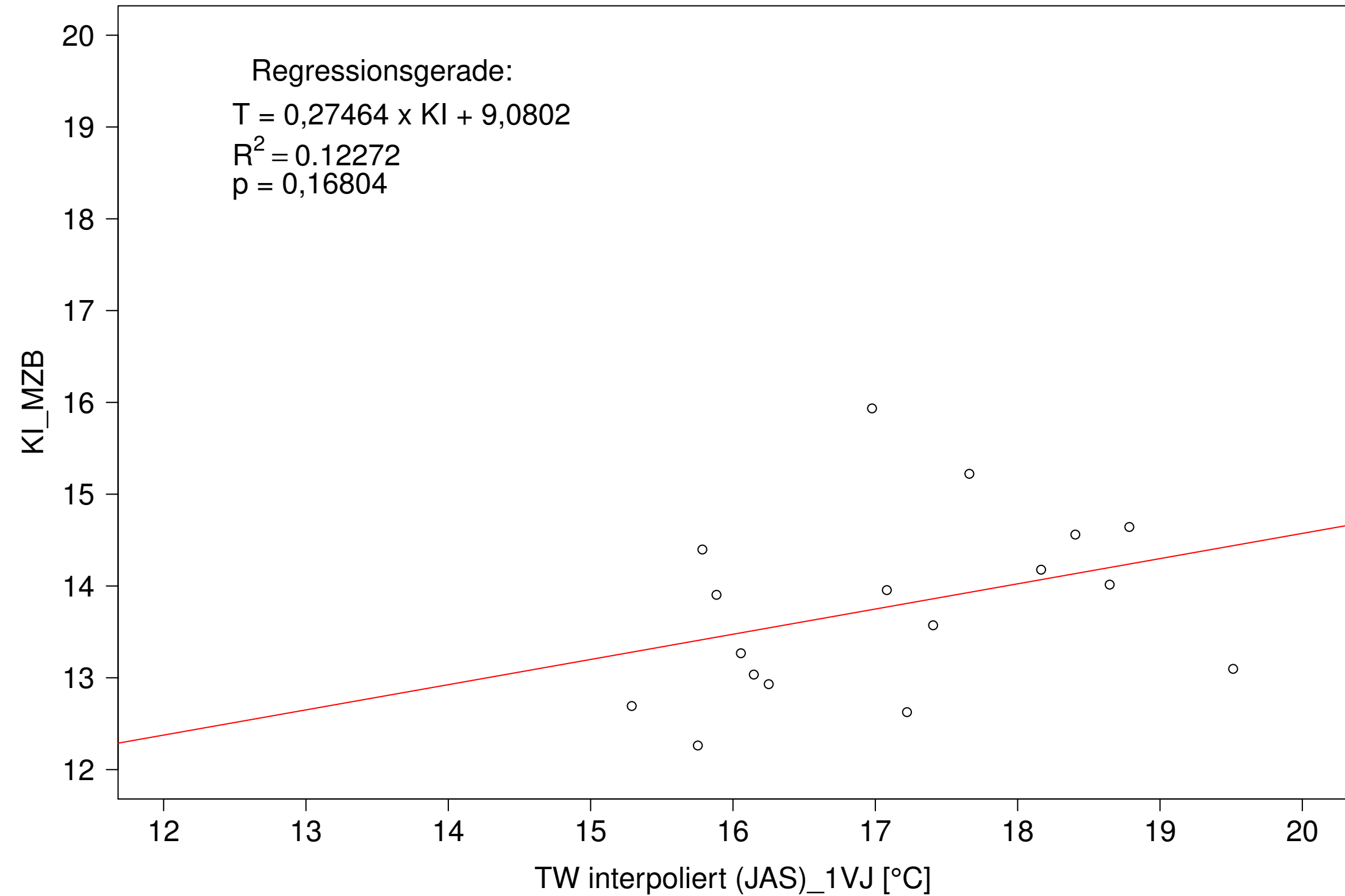
Argen_Giessen, Typ 03.2 mit Neozoen, Serie 4
KI_MZB (Kont-Korr) gegen TW gemessen (JAS) des 1. Vorjahres



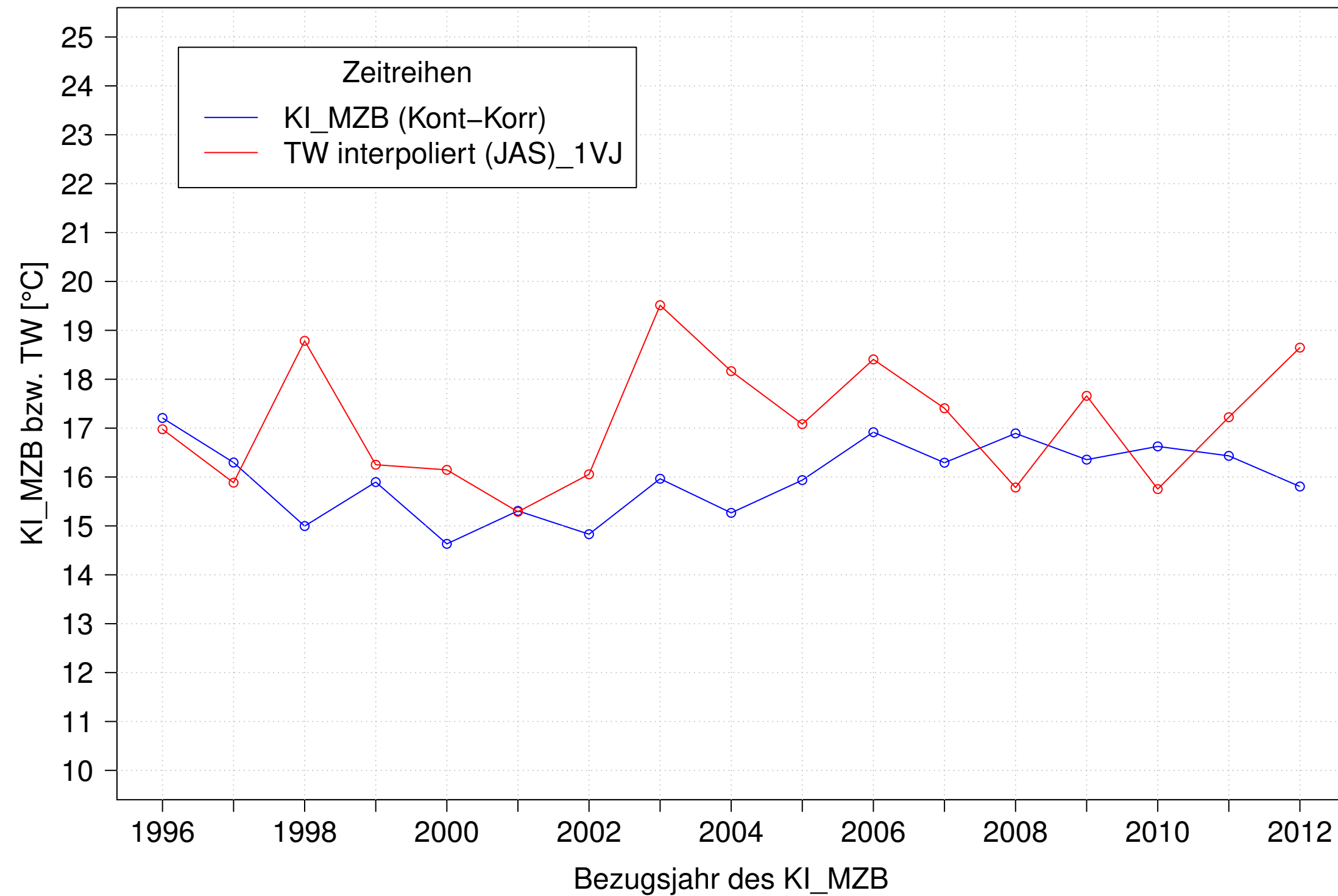
Argen_Giessen, Typ 03.2 mit Neozoen, Serie 1
KI_MZB (Kont-Korr) und TW interpoliert (JAS) des 1. Vorjahres



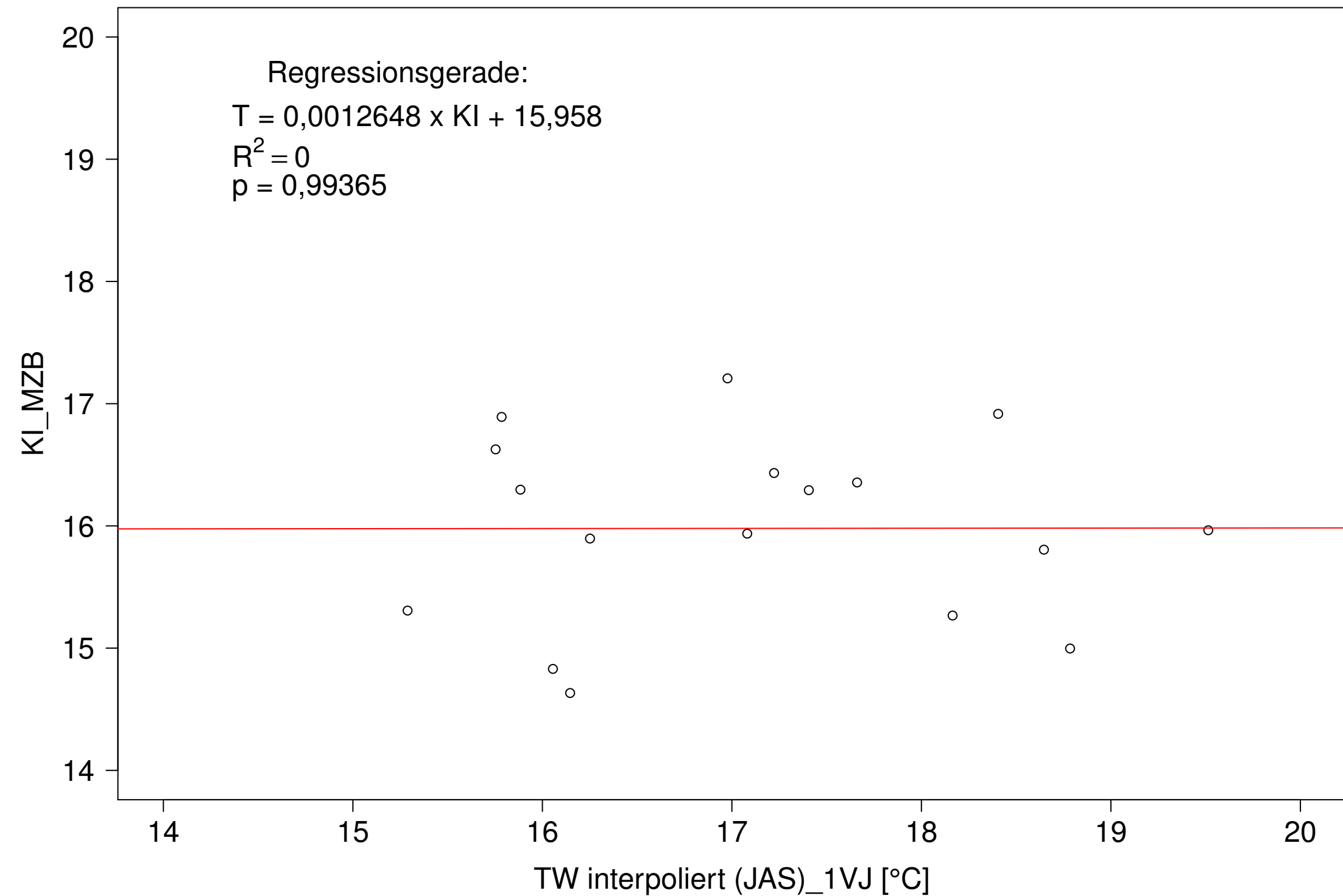
Argen_Giessen, Typ 03.2 mit Neozoen, Serie 1
KI_MZB (Kont-Korr) gegen TW interpoliert (JAS) des 1. Vorjahres



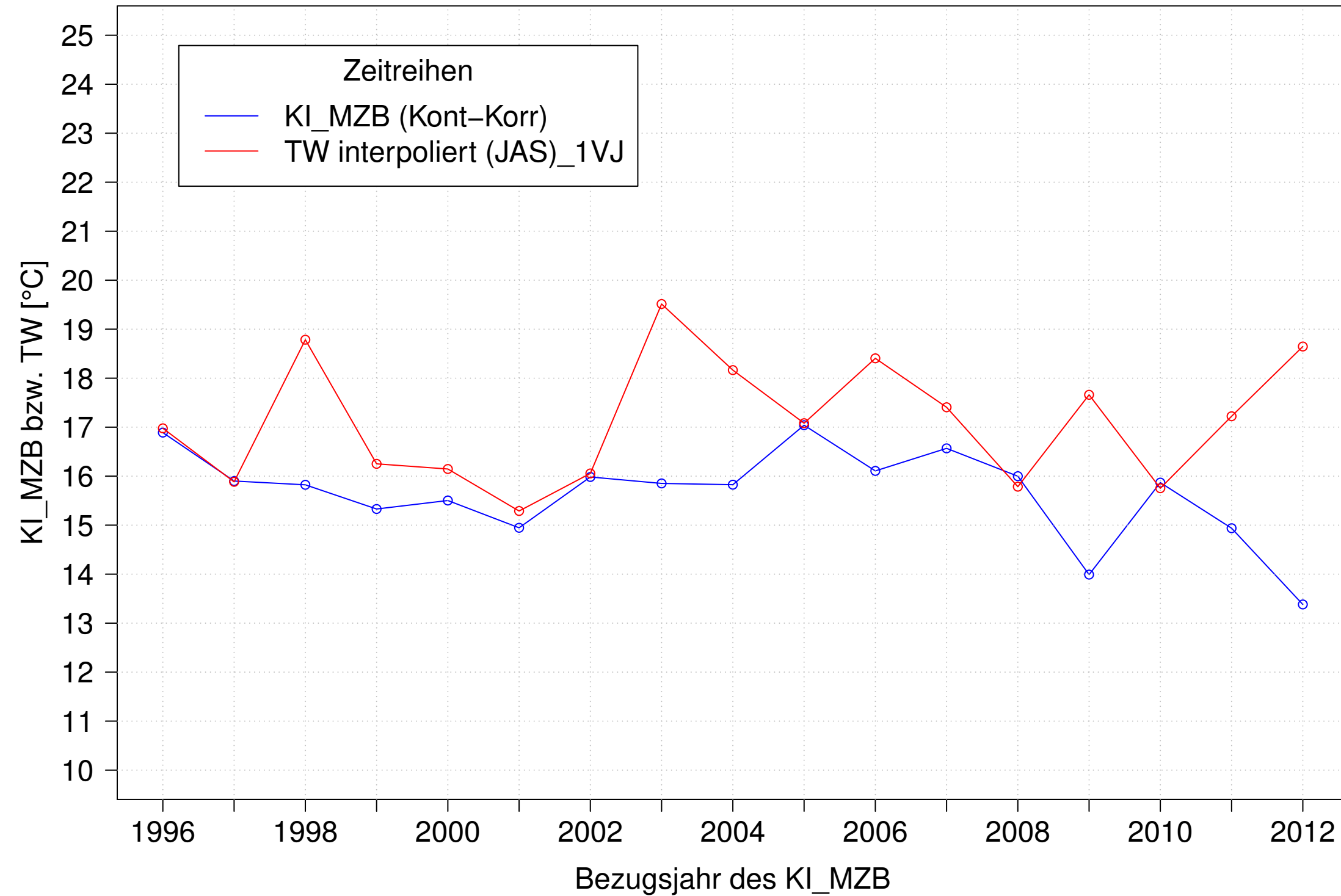
Argen_Giessen, Typ 03.2 mit Neozoen, Serie 2
KI_MZB (Kont-Korr) und TW interpoliert (JAS) des 1. Vorjahres



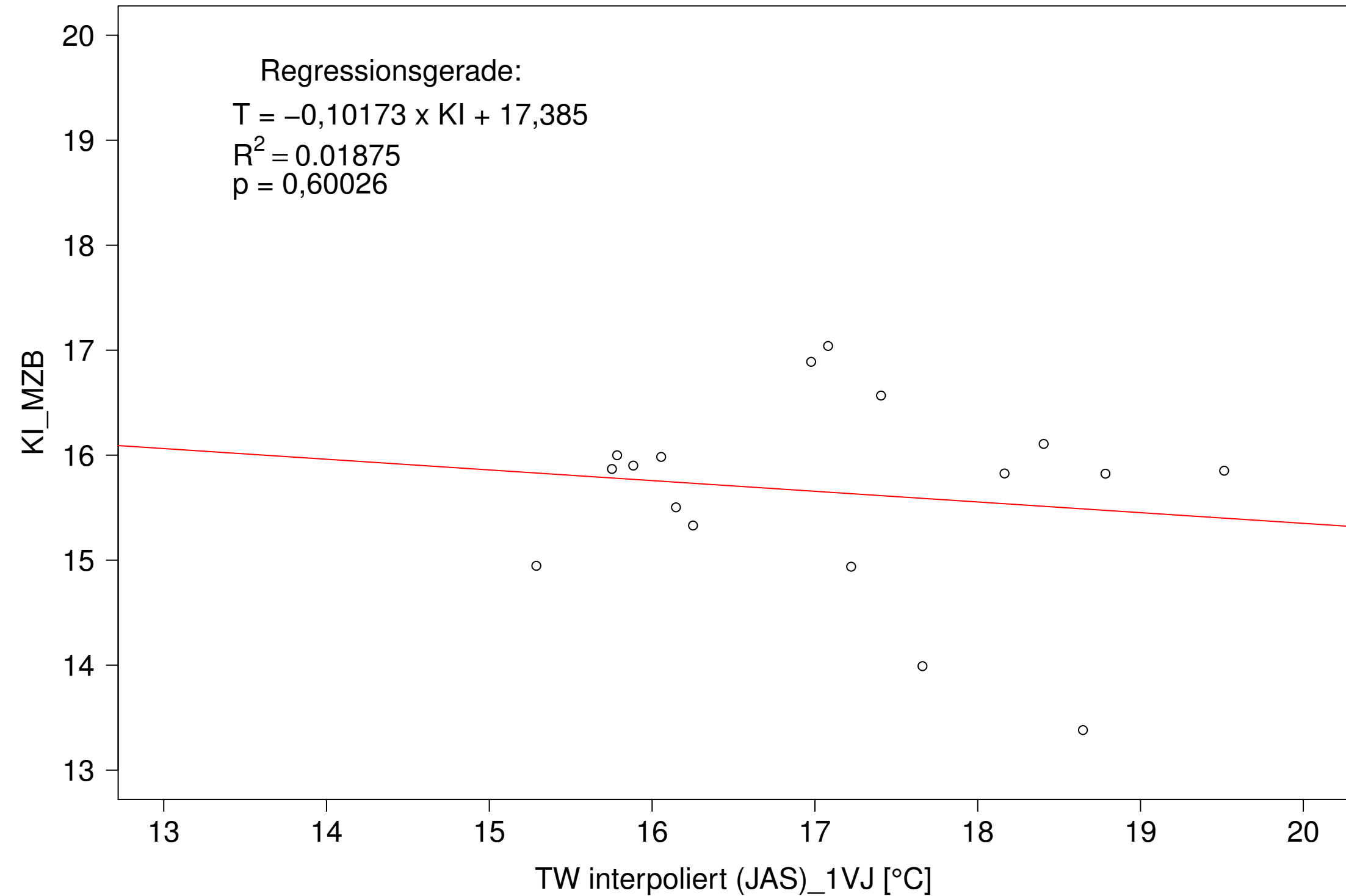
Argen_Giessen, Typ 03.2 mit Neozoen, Serie 2
KI_MZB (Kont-Korr) gegen TW interpoliert (JAS) des 1. Vorjahres



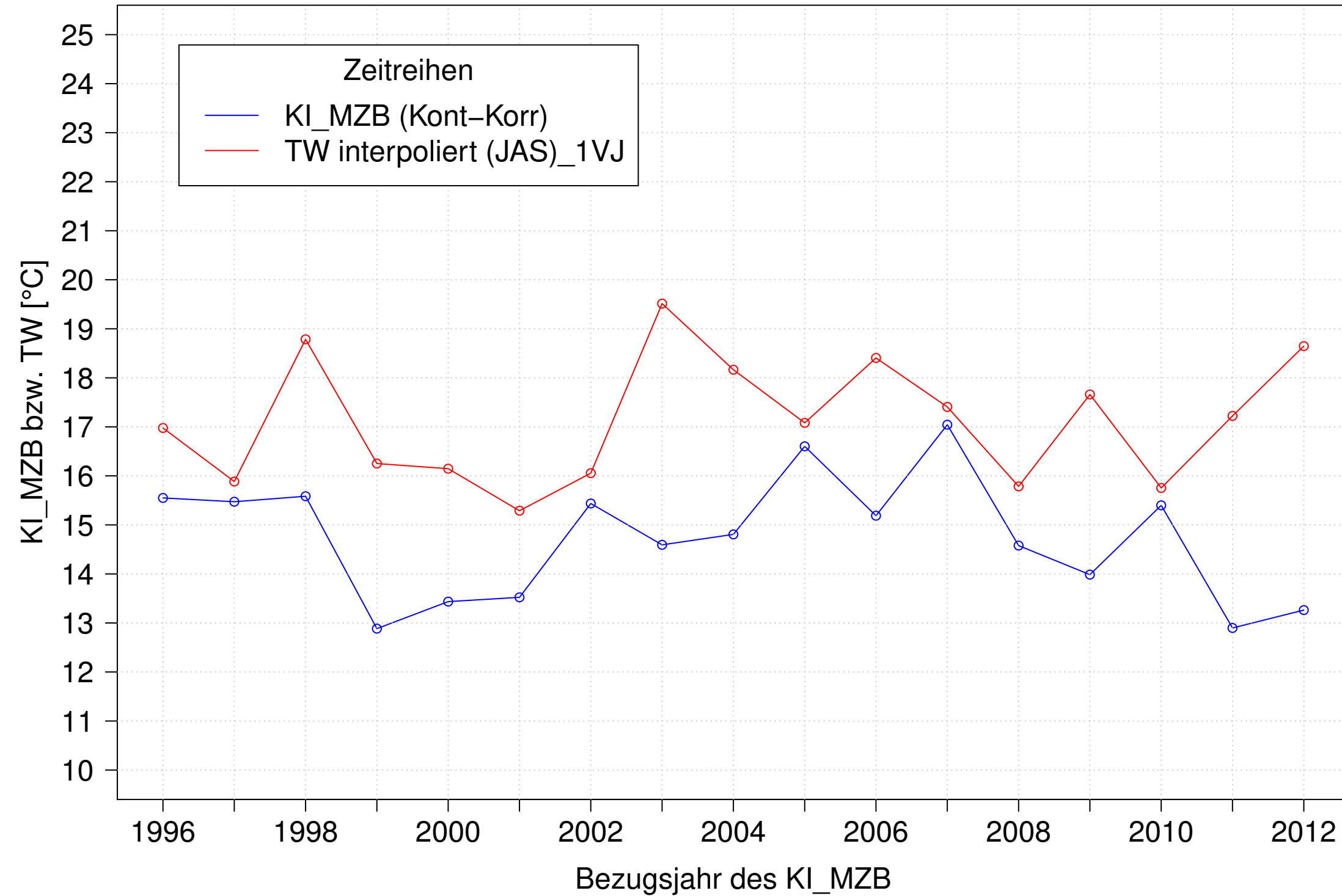
Argen_Giessen, Typ 03.2 mit Neozoen, Serie 3
KI_MZB (Kont-Korr) und TW interpoliert (JAS) des 1. Vorjahres



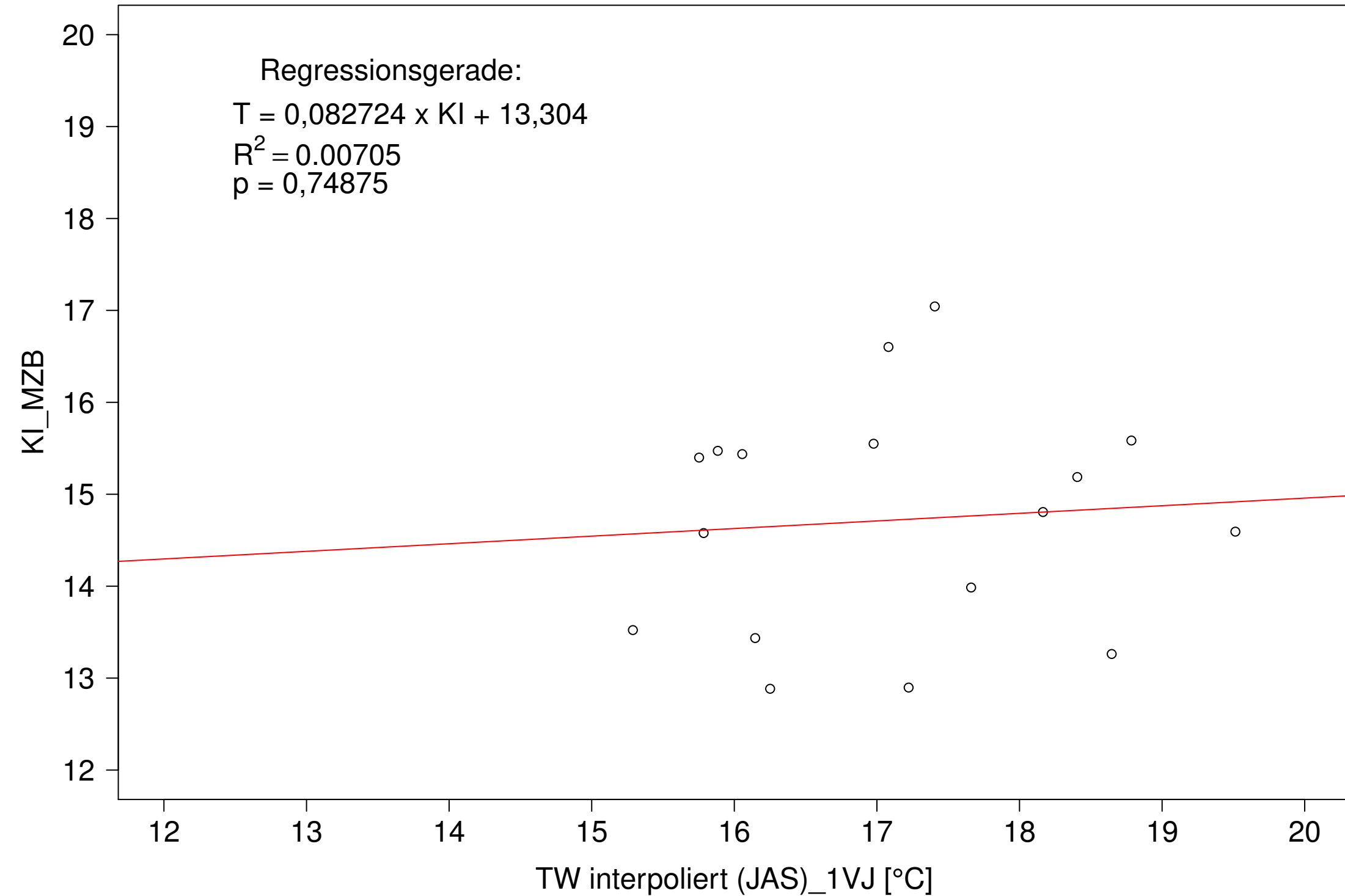
Argen_Giessen, Typ 03.2 mit Neozoen, Serie 3
KI_MZB (Kont-Korr) gegen TW interpoliert (JAS) des 1. Vorjahres



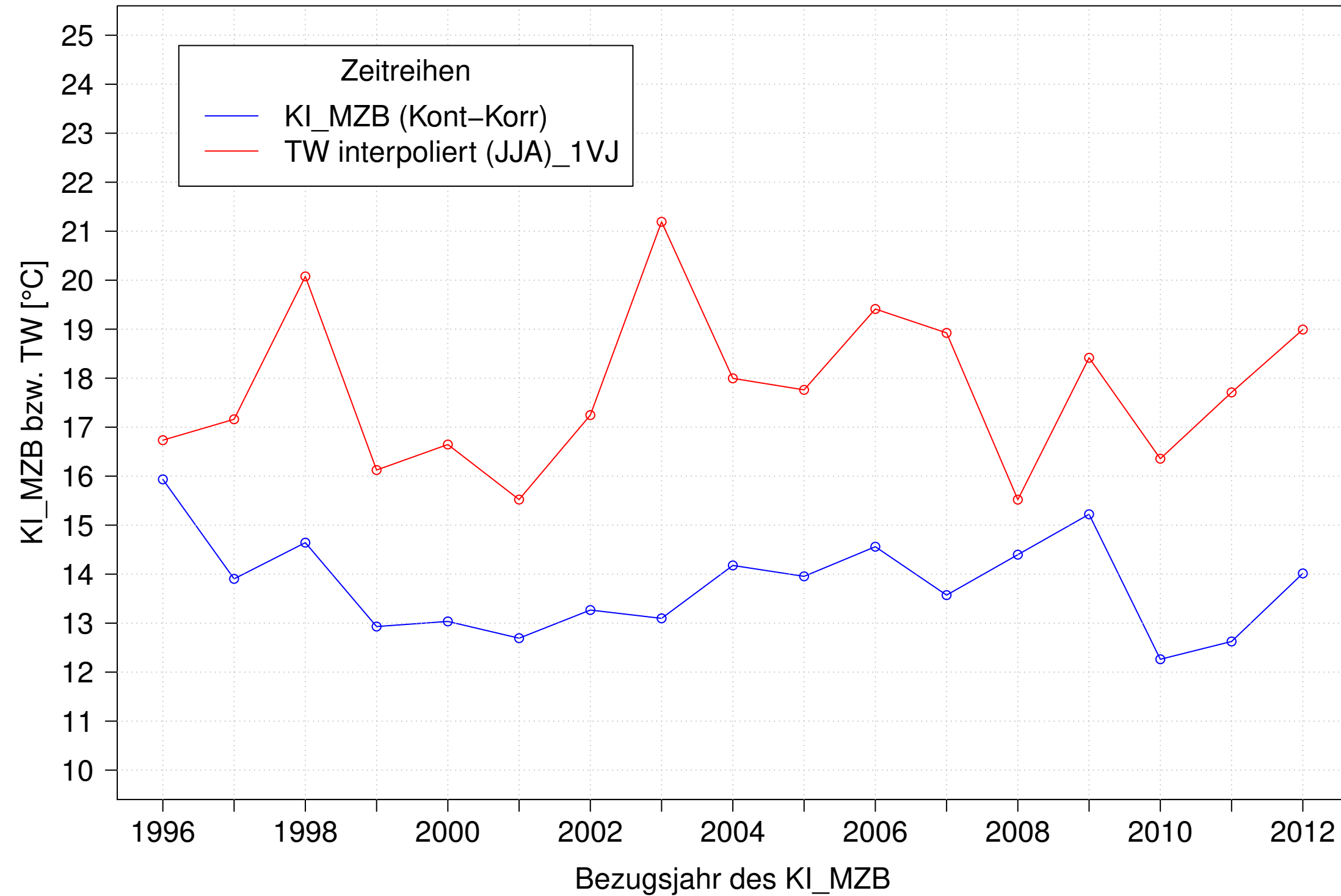
Argen_Giessen, Typ 03.2 mit Neozoen, Serie 4
KI_MZB (Kont-Korr) und TW interpoliert (JAS) des 1. Vorjahres



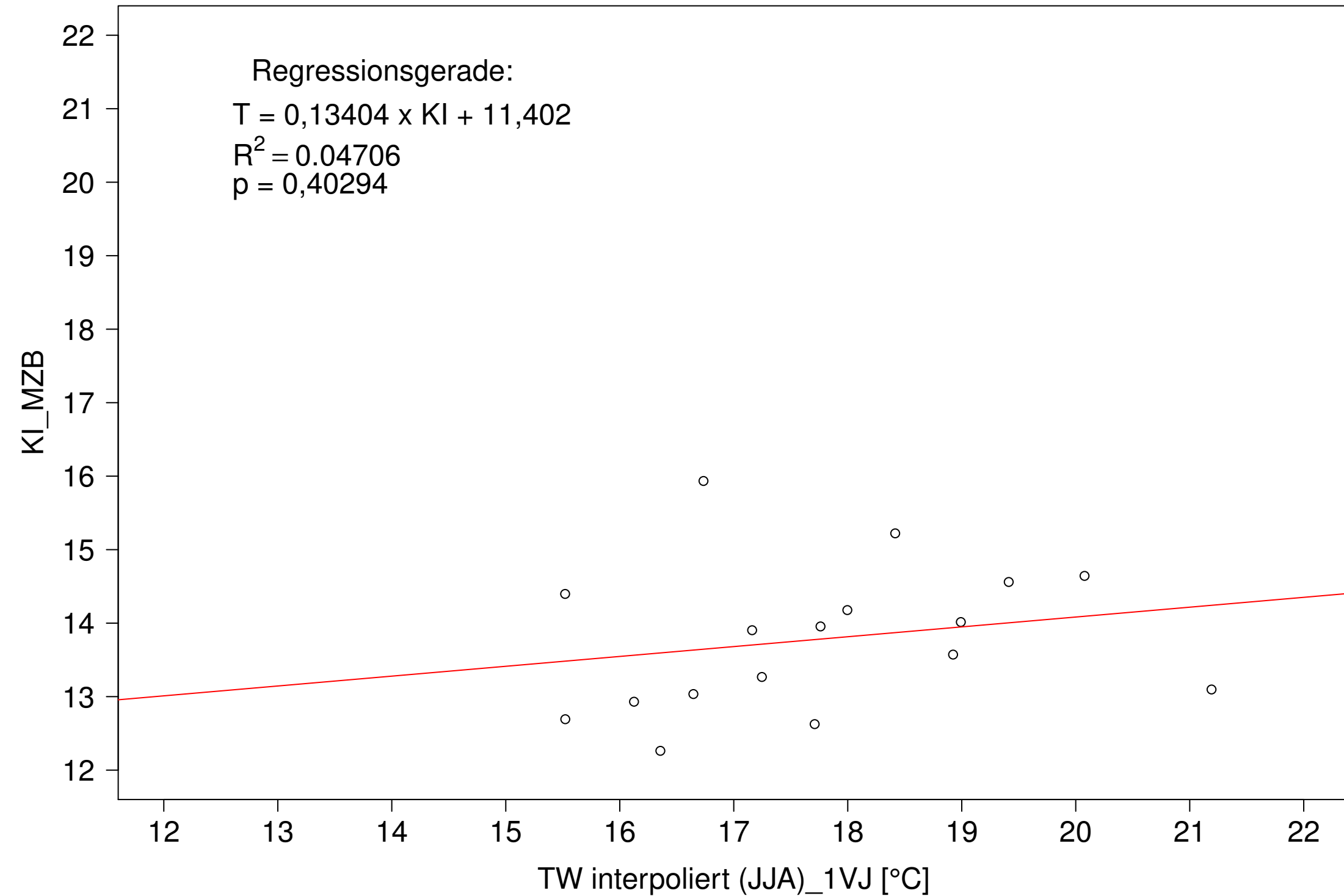
Argen_Giessen, Typ 03.2 mit Neozoen, Serie 4
KI_MZB (Kont-Korr) gegen TW interpoliert (JAS) des 1. Vorjahres



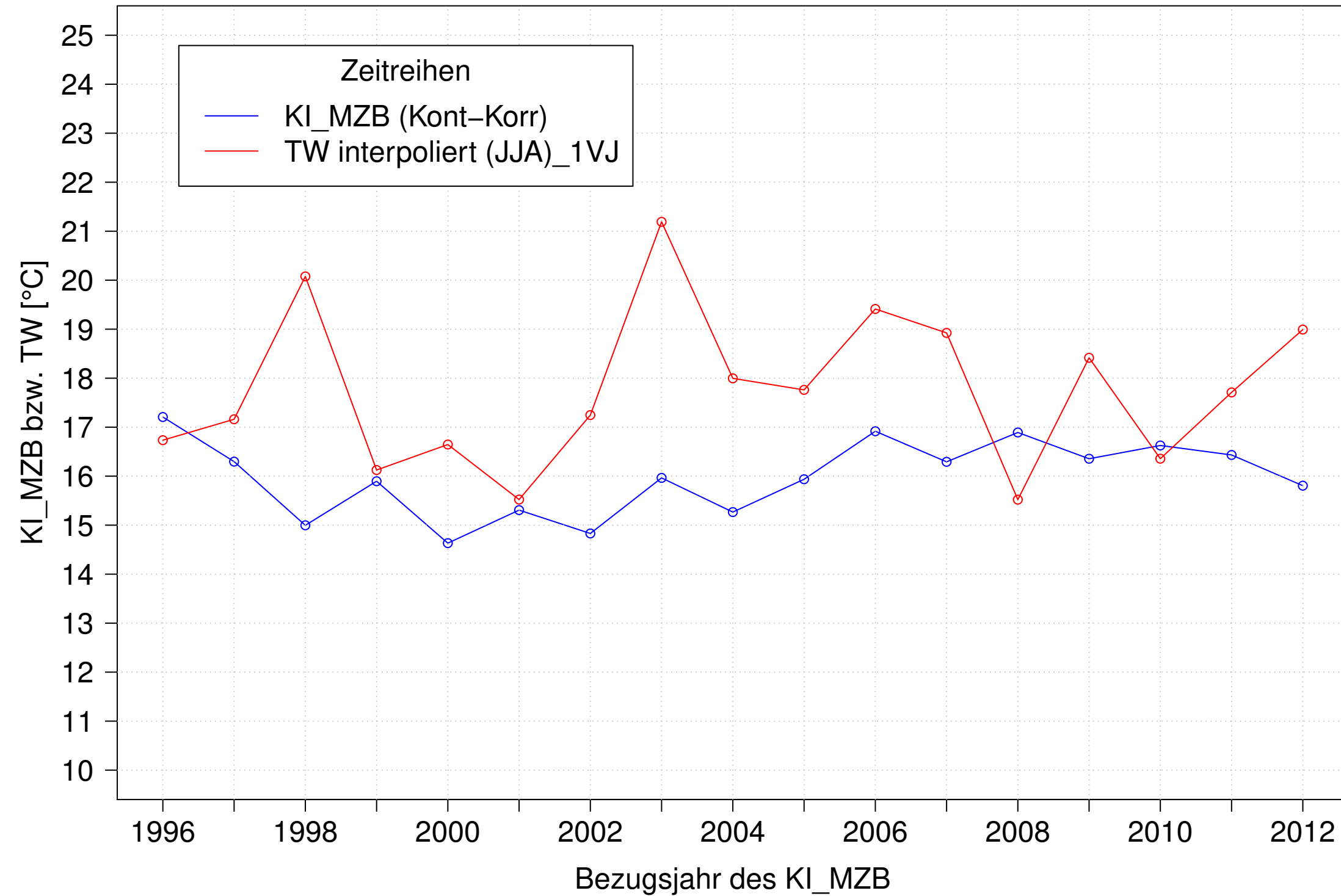
Argen_Giessen, Typ 03.2 mit Neozoen, Serie 1
KI_MZB (Kont-Korr) und TW interpoliert (JJA) des 1. Vorjahres



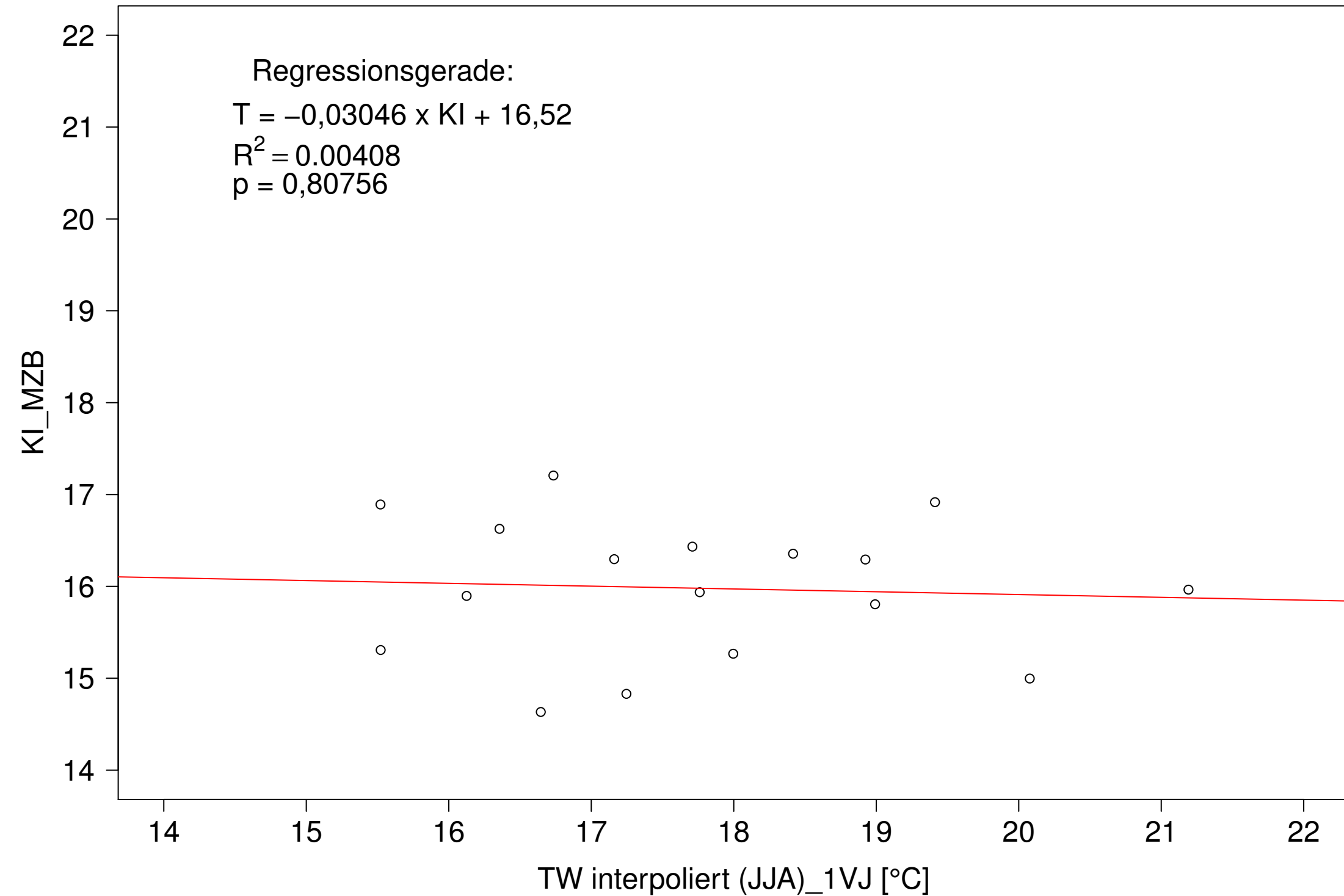
Argen_Giessen, Typ 03.2 mit Neozoen, Serie 1
KI_MZB (Kont-Korr) gegen TW interpoliert (JJA) des 1. Vorjahres



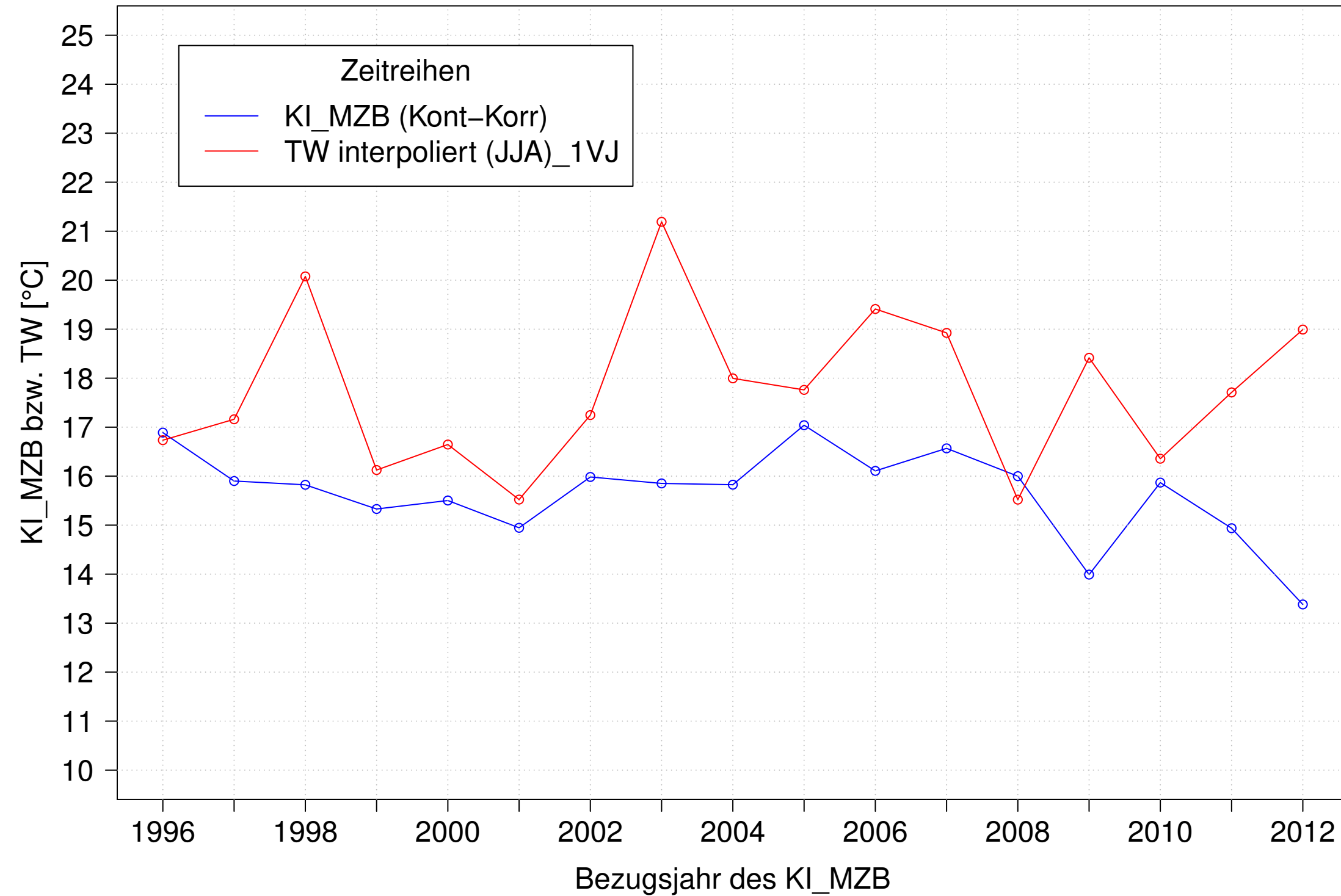
Argen_Giessen, Typ 03.2 mit Neozoen, Serie 2
KI_MZB (Kont-Korr) und TW interpoliert (JJA) des 1. Vorjahres



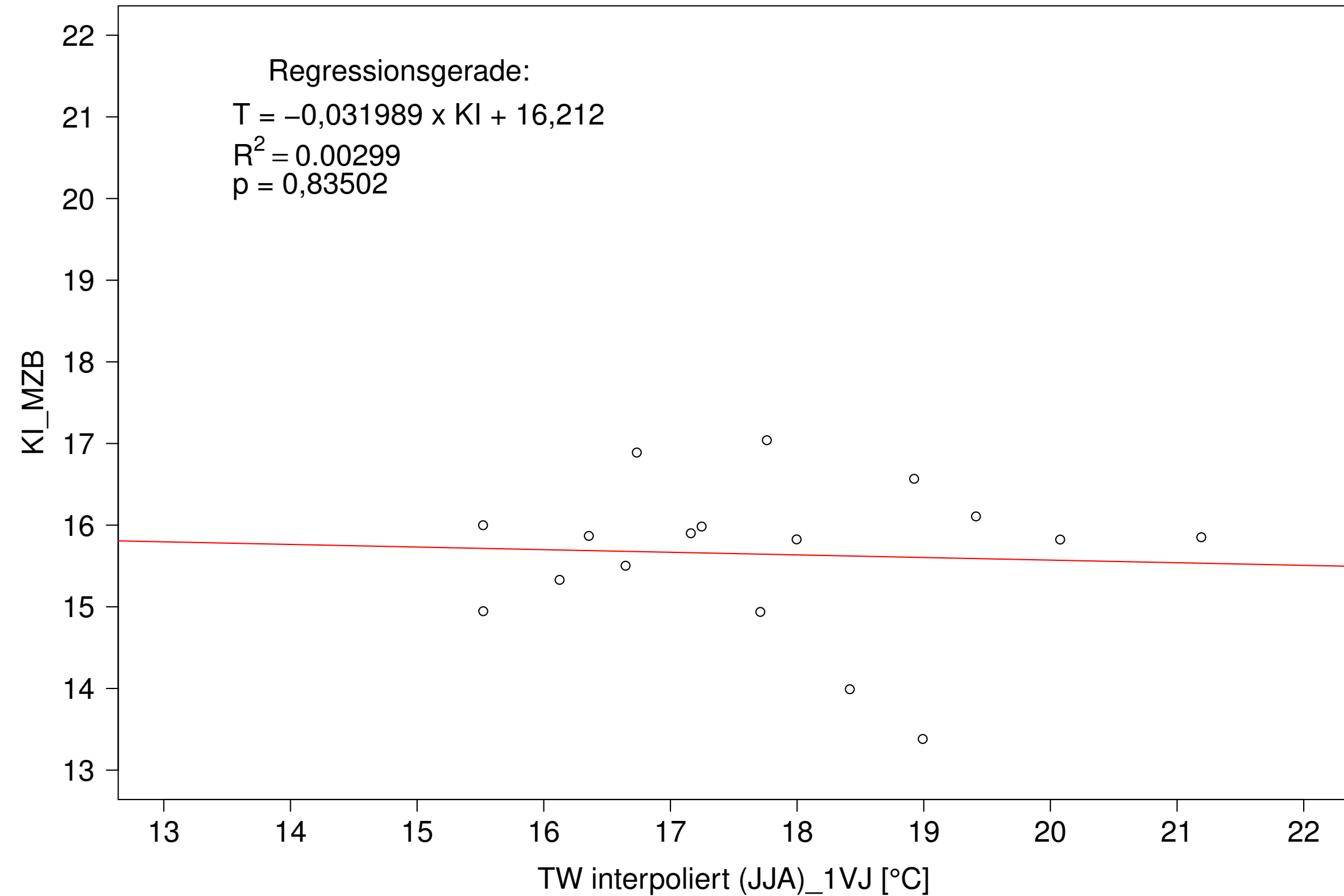
Argen_Giessen, Typ 03.2 mit Neozoen, Serie 2
KI_MZB (Kont-Korr) gegen TW interpoliert (JJA) des 1. Vorjahres



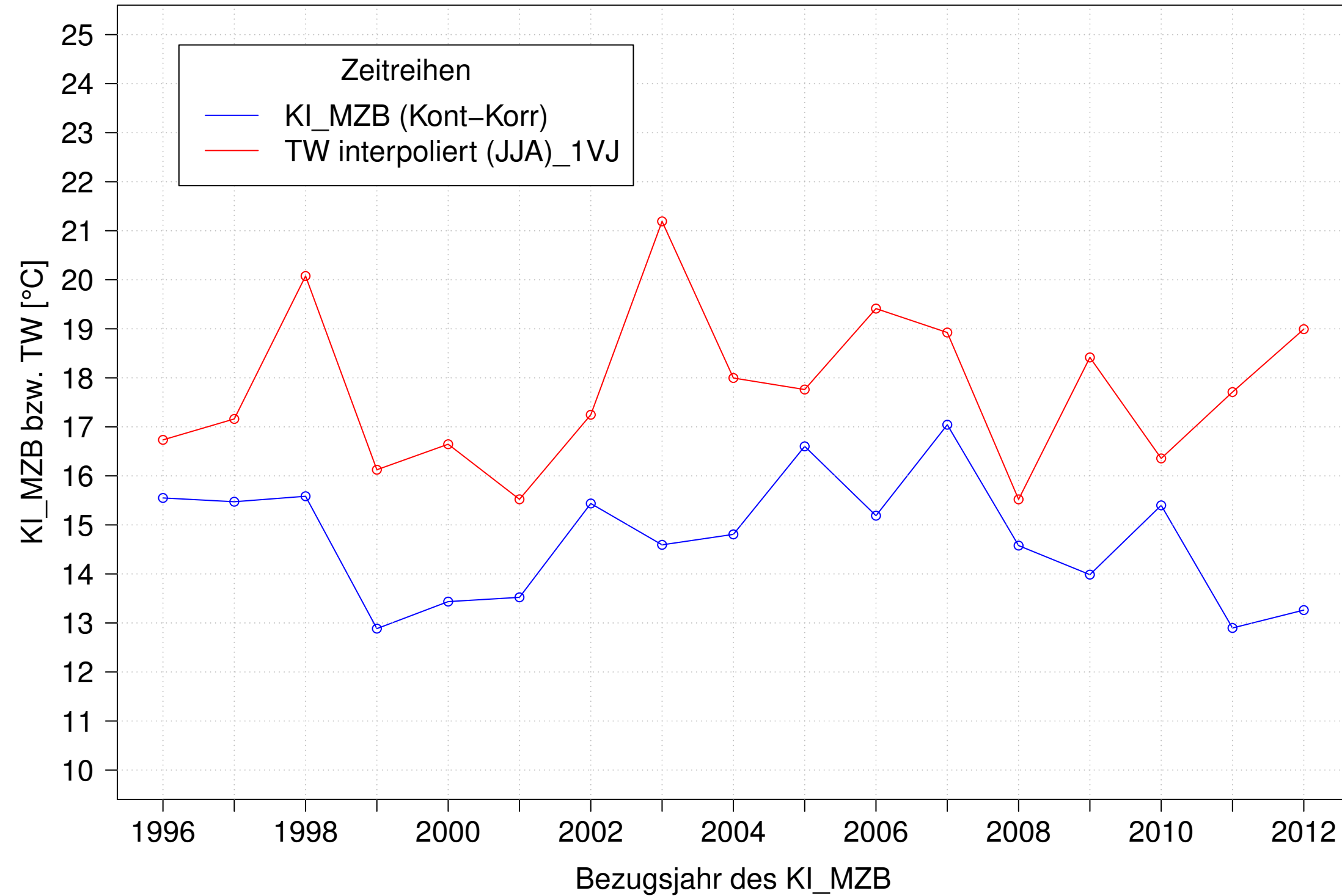
Argen_Giessen, Typ 03.2 mit Neozoen, Serie 3
KI_MZB (Kont-Korr) und TW interpoliert (JJA) des 1. Vorjahres



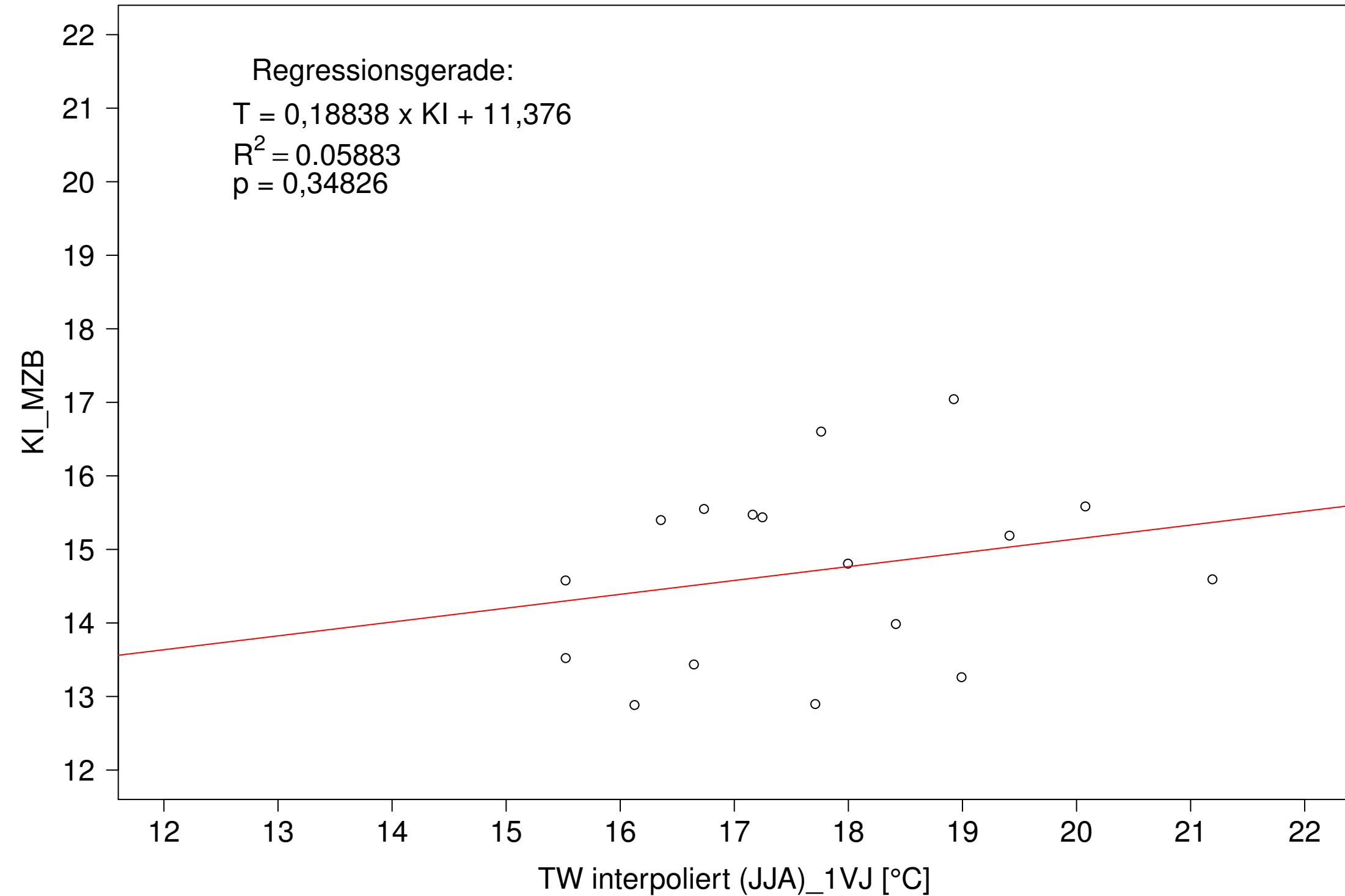
Argen_Giessen, Typ 03.2 mit Neozoen, Serie 3
KI_MZB (Kont-Korr) gegen TW interpoliert (JJA) des 1. Vorjahres



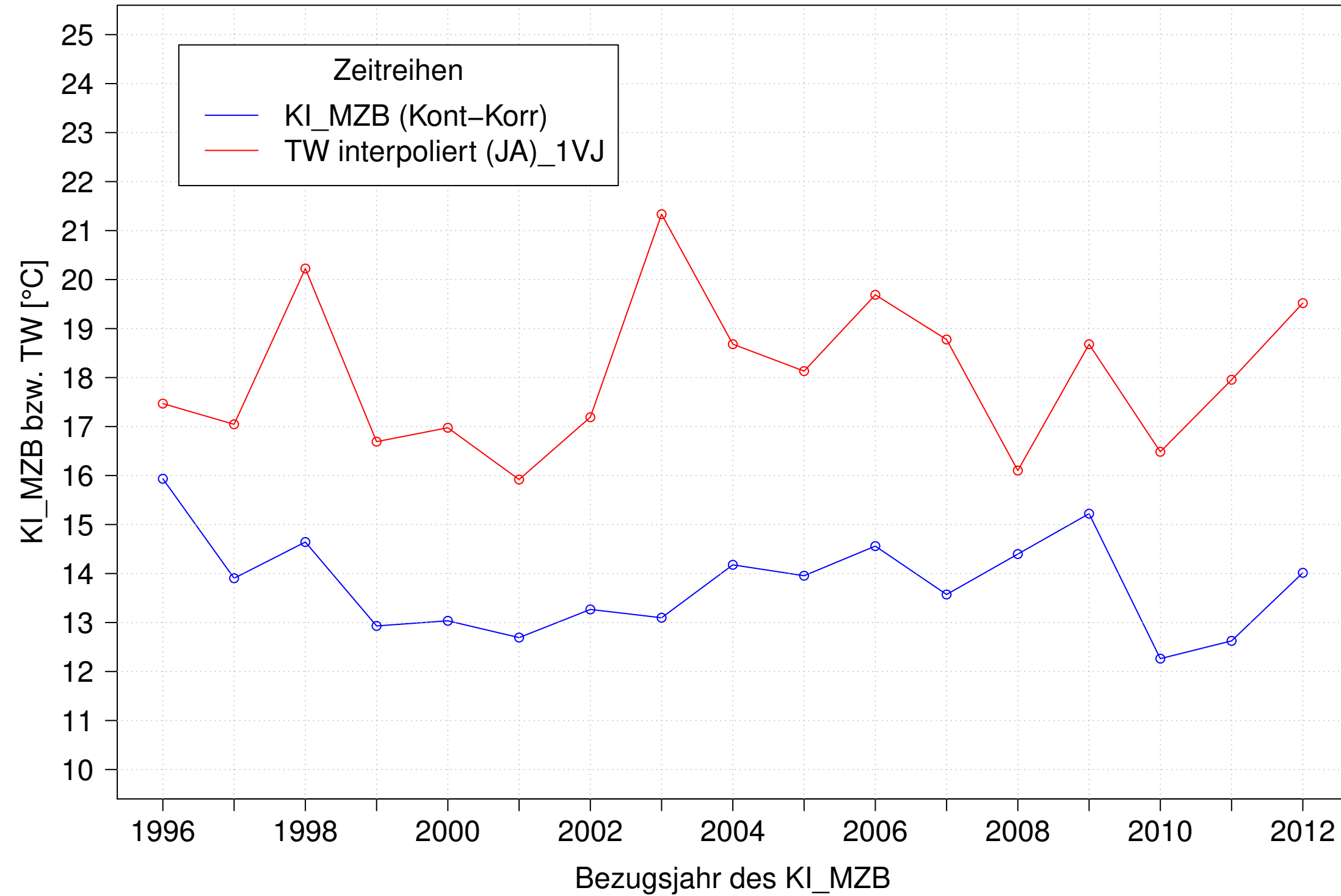
Argen_Giessen, Typ 03.2 mit Neozoen, Serie 4
KI_MZB (Kont-Korr) und TW interpoliert (JJA) des 1. Vorjahres



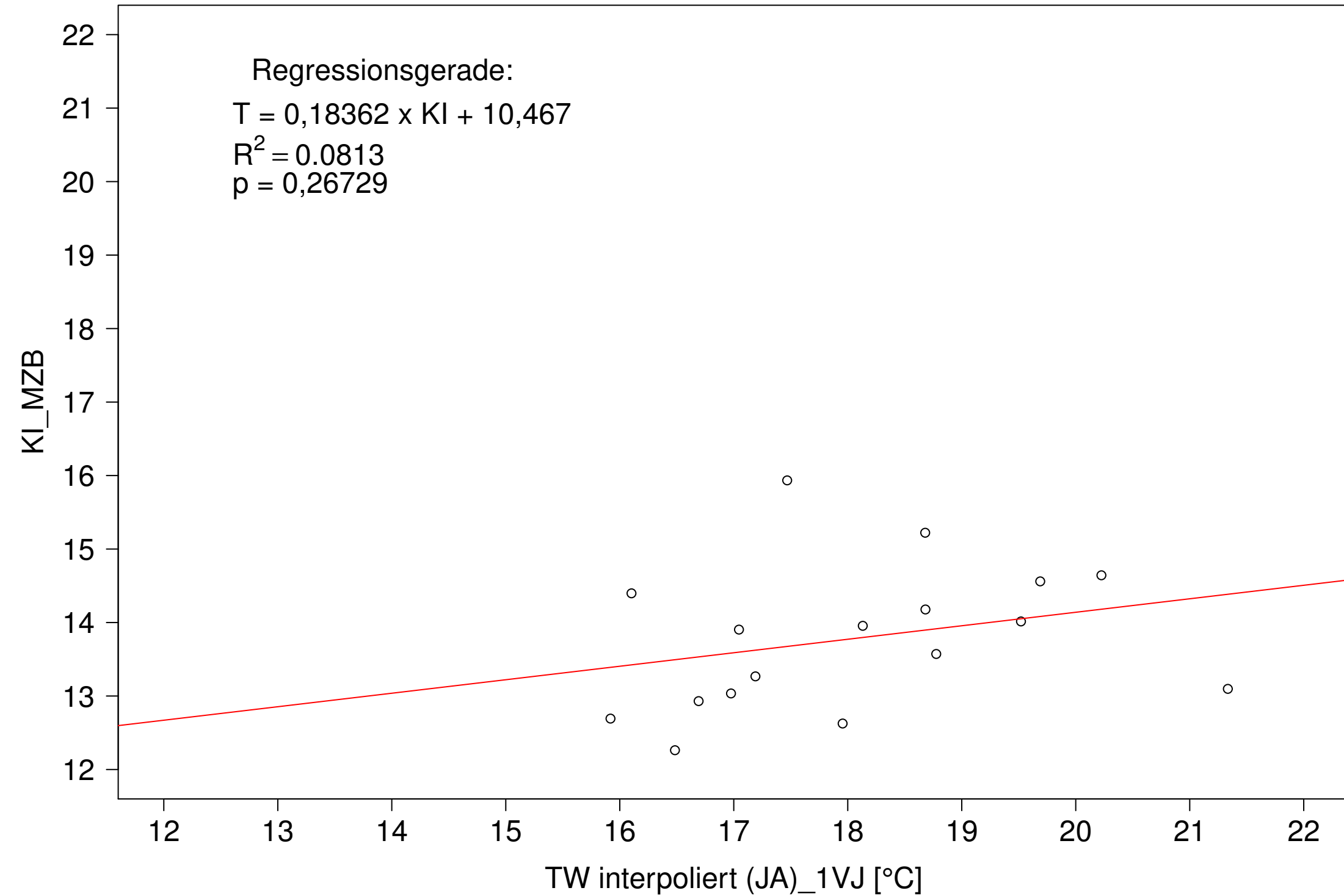
Argen_Giessen, Typ 03.2 mit Neozoen, Serie 4
KI_MZB (Kont-Korr) gegen TW interpoliert (JJA) des 1. Vorjahres



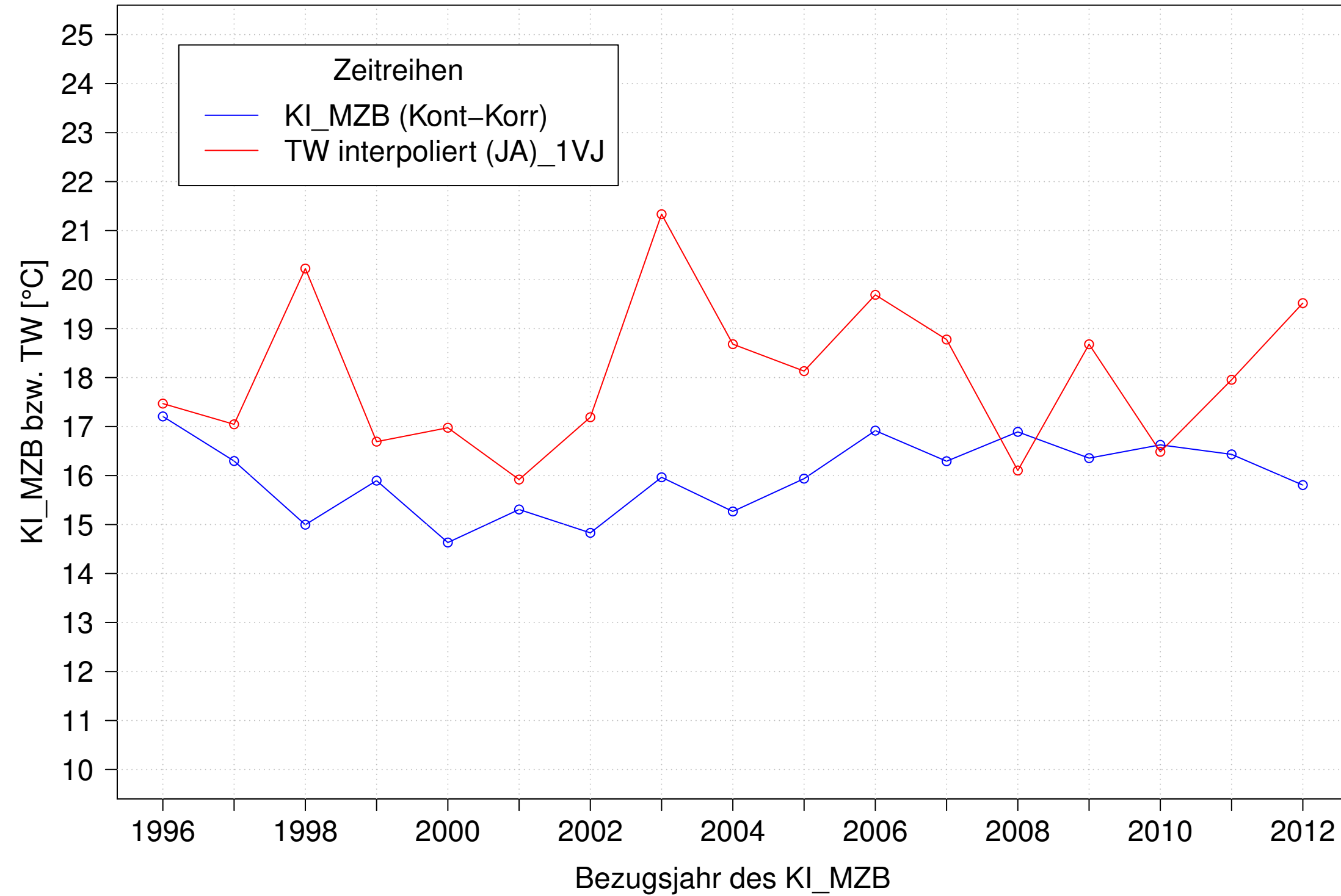
Argen_Giessen, Typ 03.2 mit Neozoen, Serie 1
KI_MZB (Kont-Korr) und TW interpoliert (JA) des 1. Vorjahres



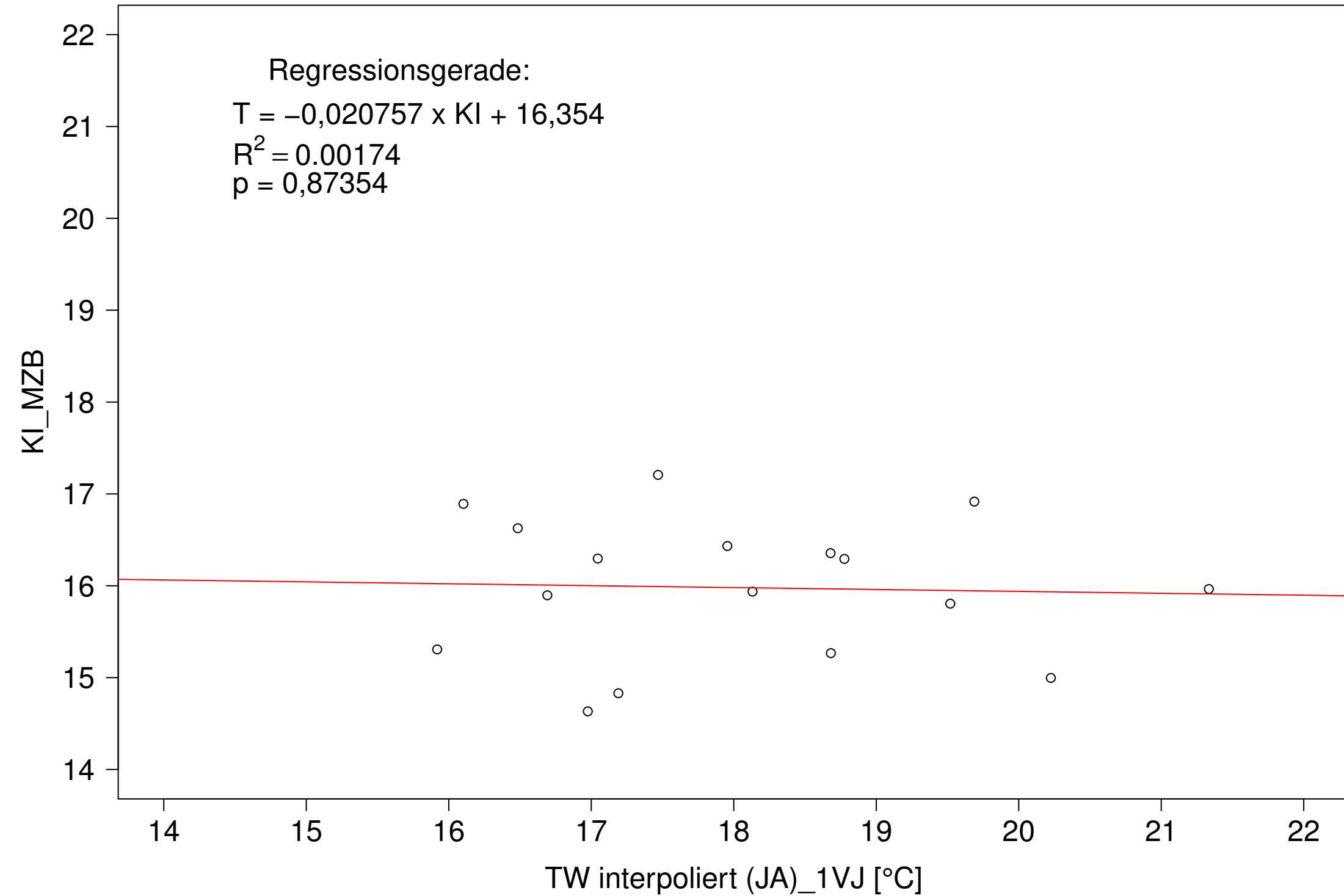
Argen_Giessen, Typ 03.2 mit Neozoen, Serie 1
KI_MZB (Kont-Korr) gegen TW interpoliert (JA) des 1. Vorjahres



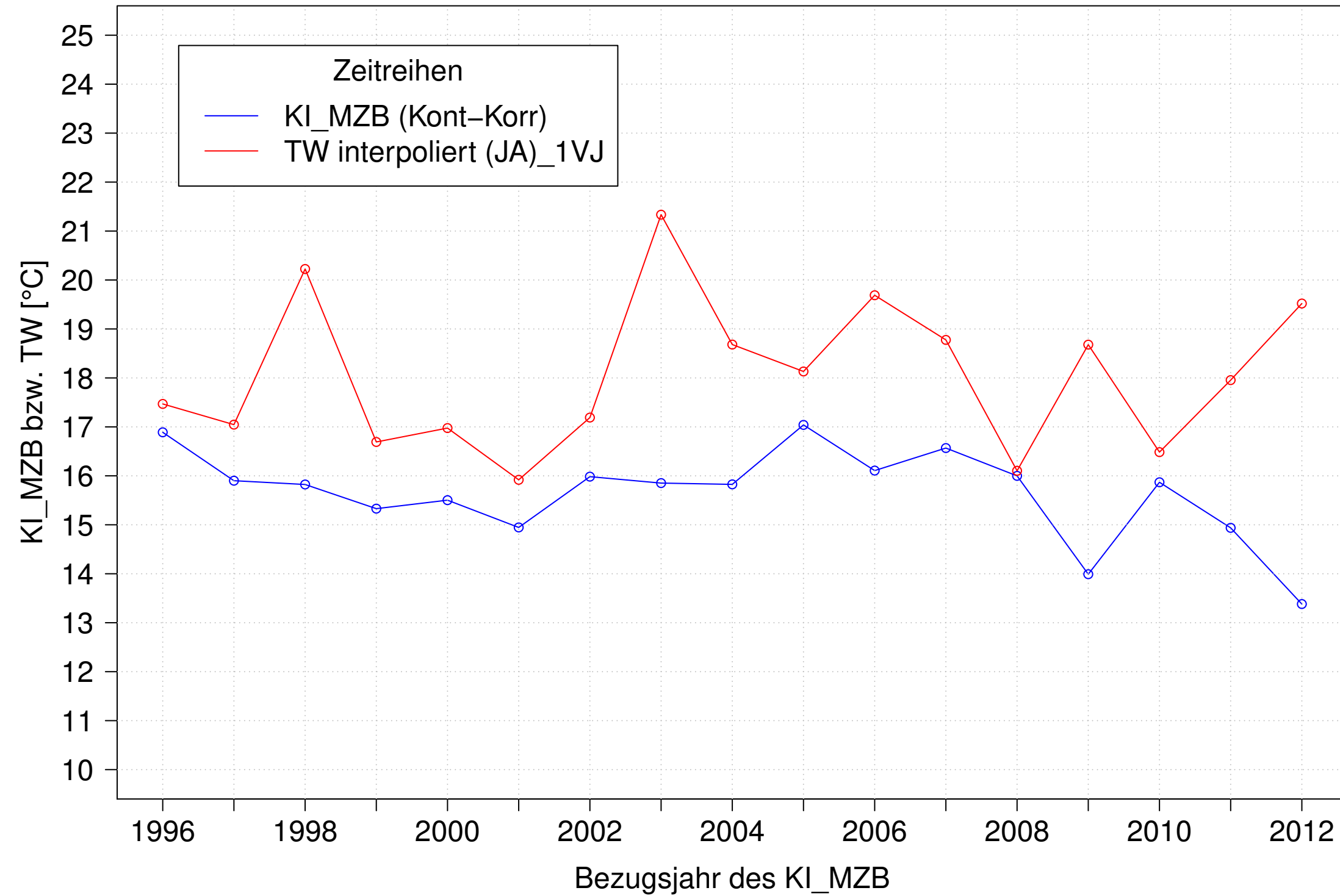
Argen_Giessen, Typ 03.2 mit Neozoen, Serie 2
KI_MZB (Kont-Korr) und TW interpoliert (JA) des 1. Vorjahres



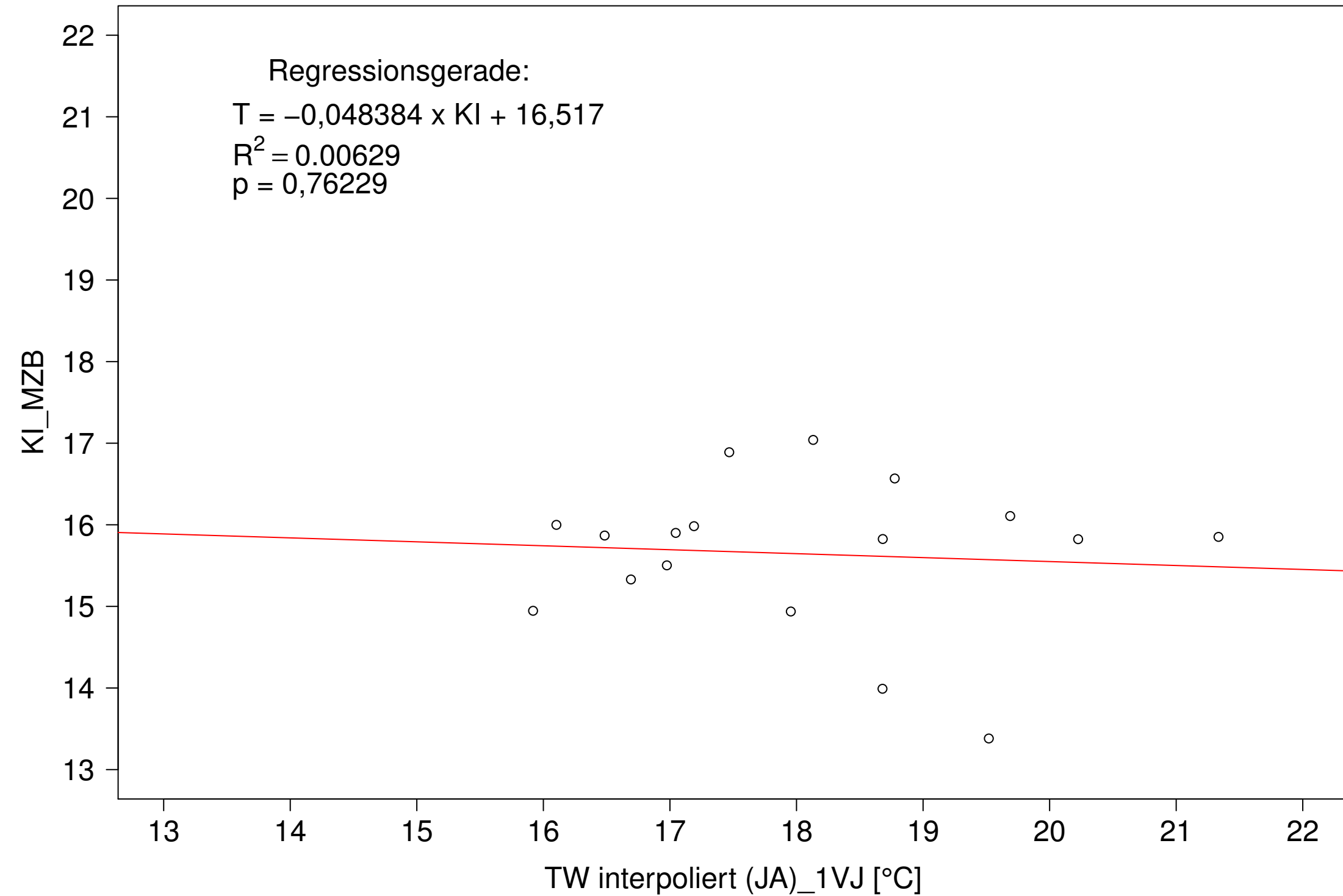
Argen_Giessen, Typ 03.2 mit Neozoen, Serie 2
KI_MZB (Kont-Korr) gegen TW interpoliert (JA) des 1. Vorjahres



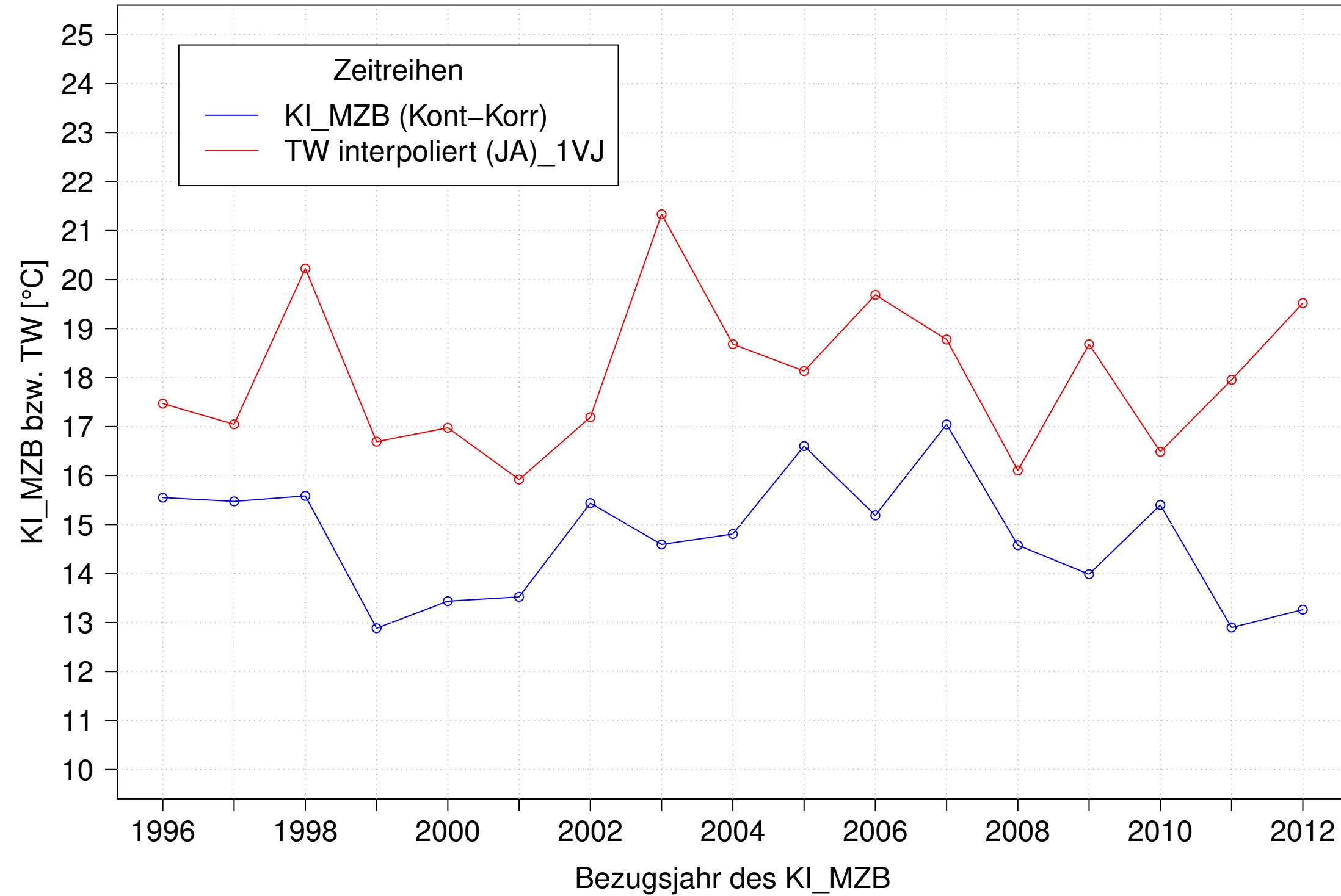
Argen_Giessen, Typ 03.2 mit Neozoen, Serie 3
KI_MZB (Kont-Korr) und TW interpoliert (JA) des 1. Vorjahres



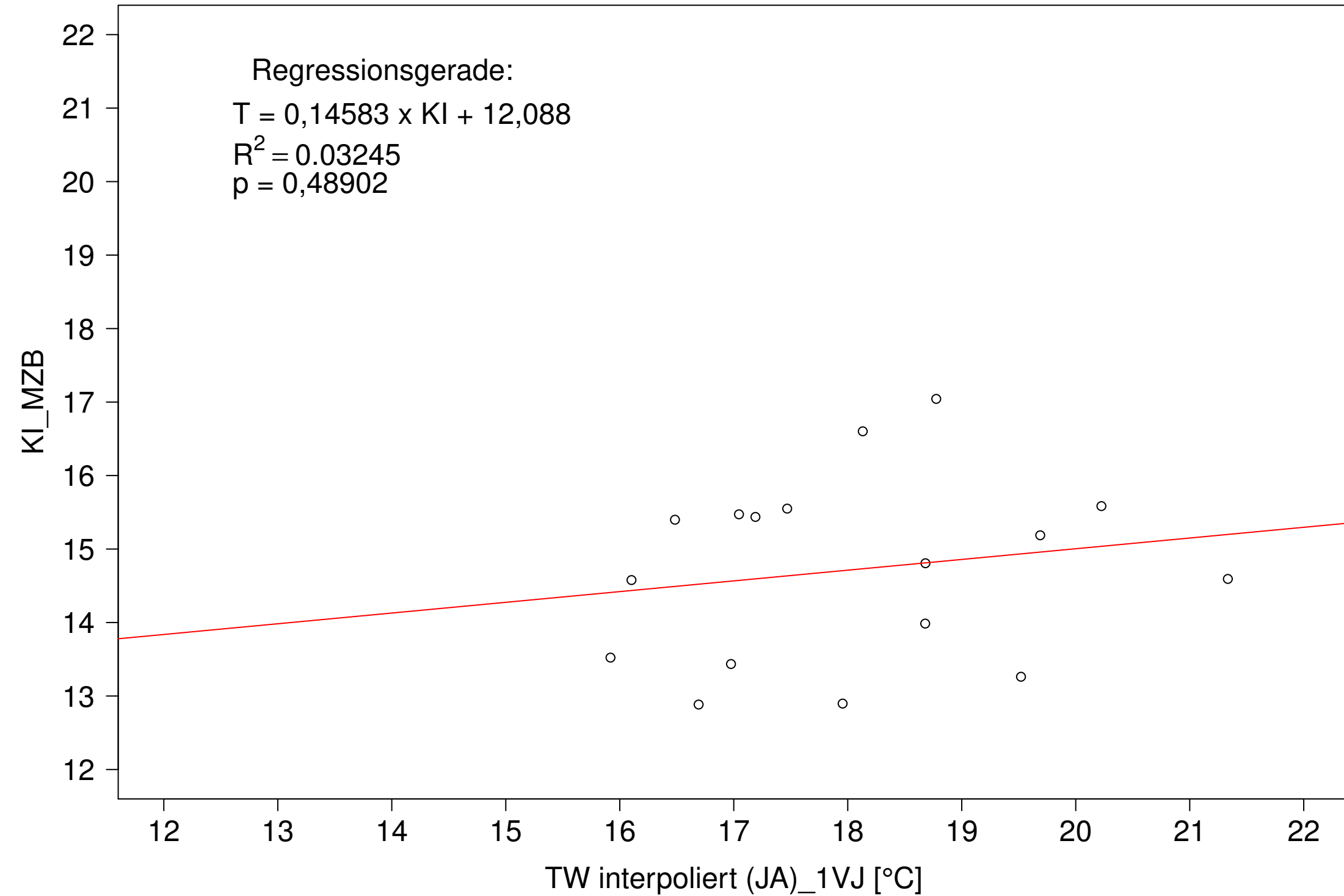
Argen_Giessen, Typ 03.2 mit Neozoen, Serie 3
KI_MZB (Kont-Korr) gegen TW interpoliert (JA) des 1. Vorjahres



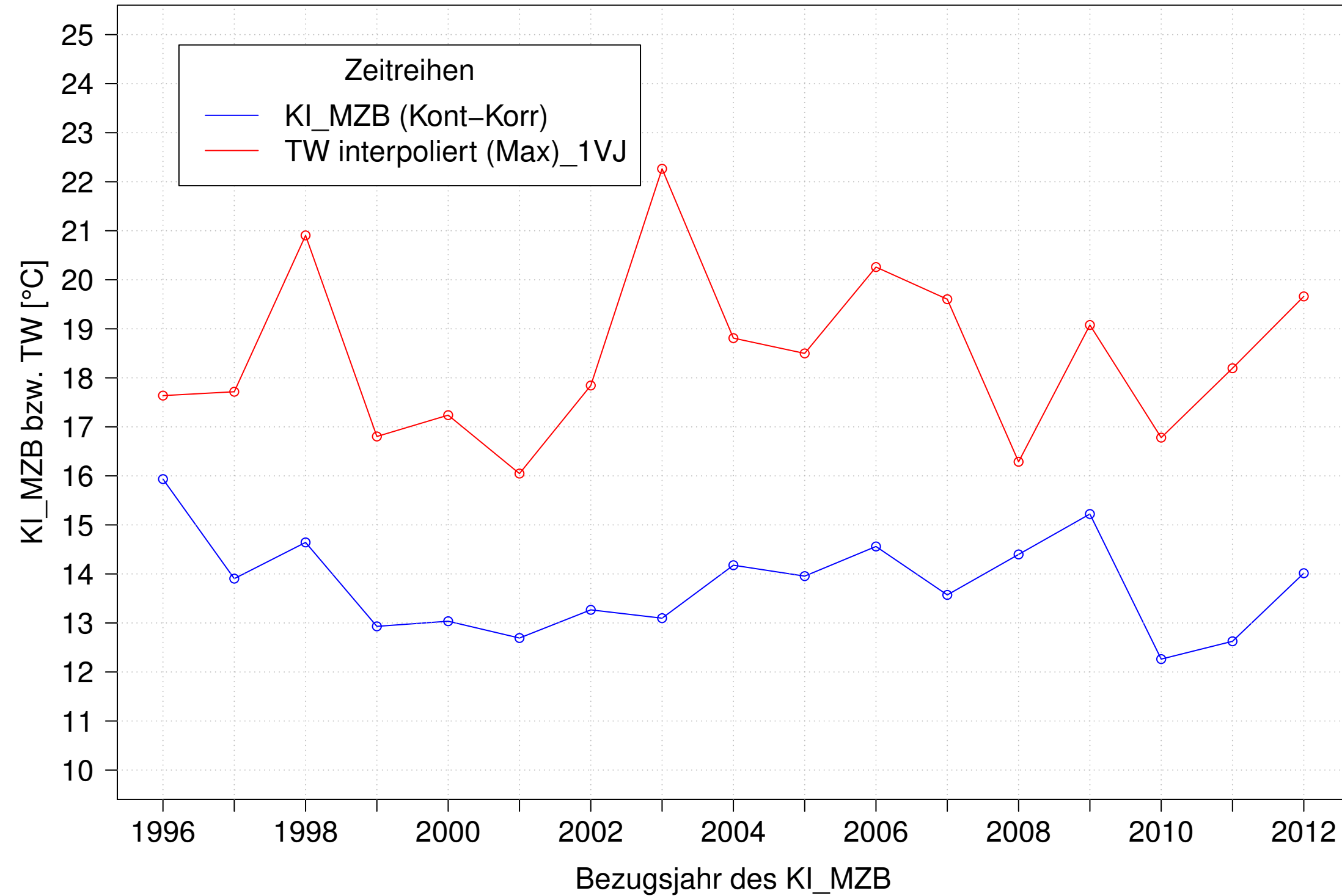
Argen_Giessen, Typ 03.2 mit Neozoen, Serie 4
KI_MZB (Kont-Korr) und TW interpoliert (JA) des 1. Vorjahres



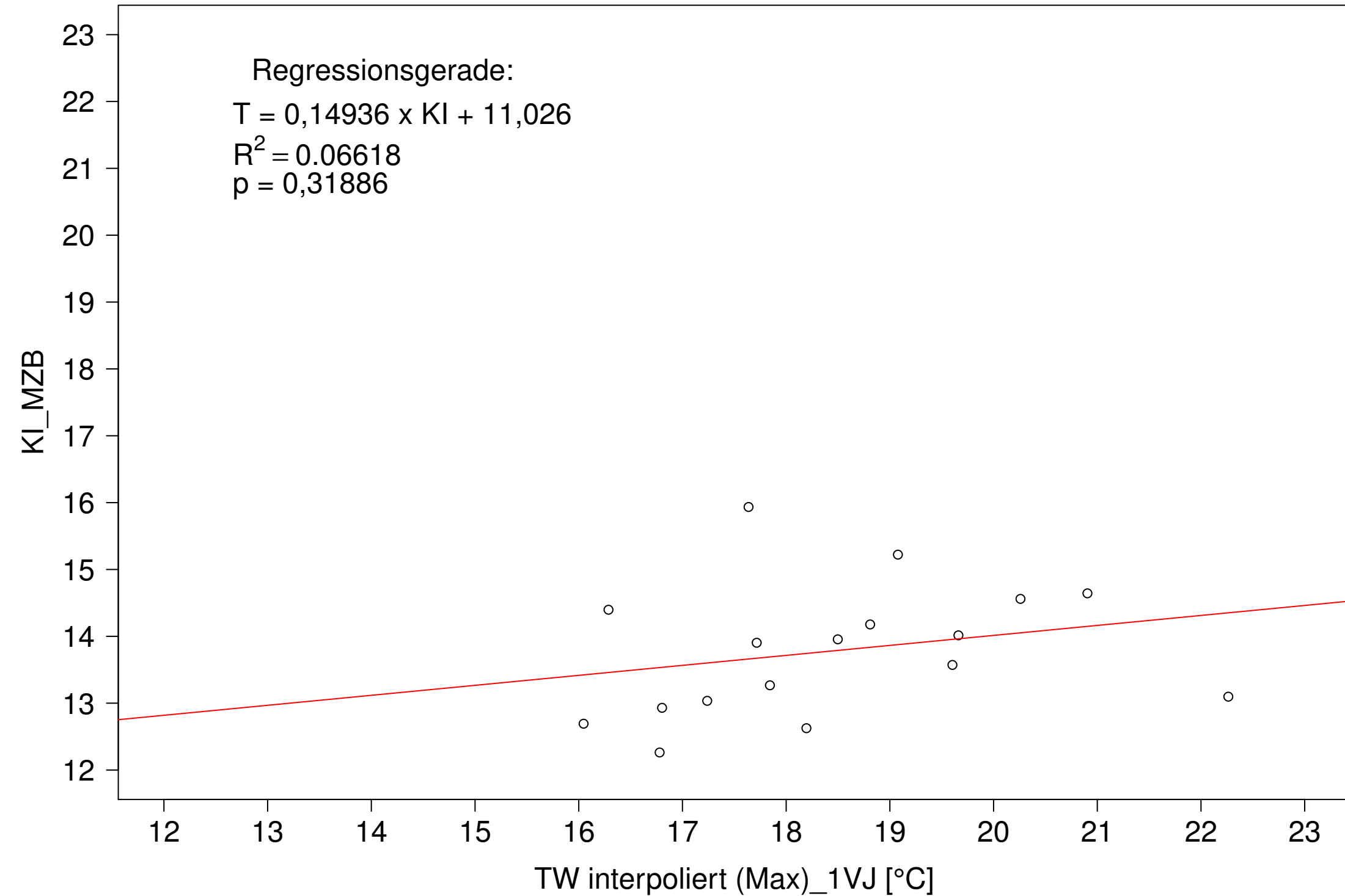
Argen_Giessen, Typ 03.2 mit Neozoen, Serie 4
KI_MZB (Kont-Korr) gegen TW interpoliert (JA) des 1. Vorjahres



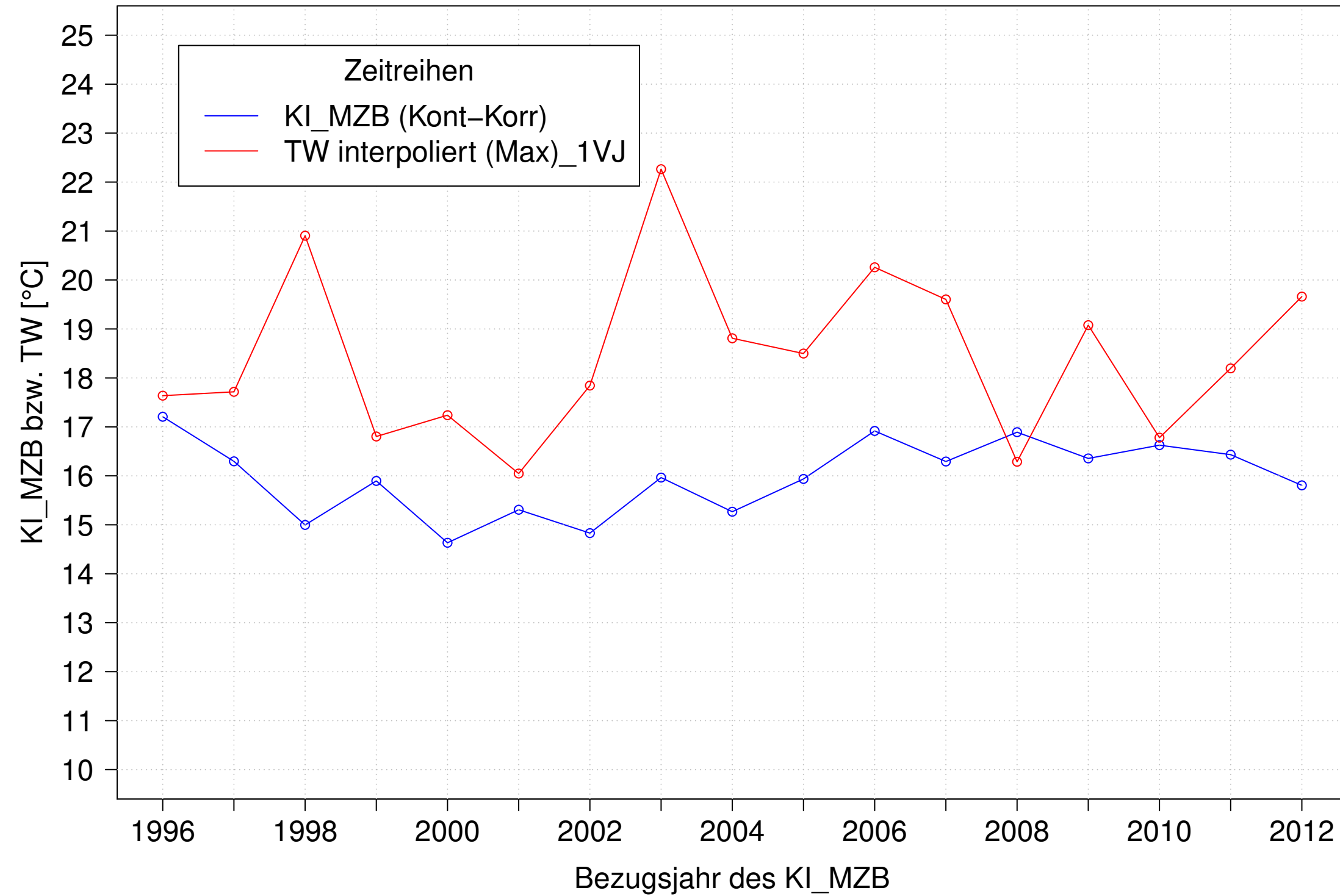
Argen_Giessen, Typ 03.2 mit Neozoen, Serie 1
 KI_MZB (Kont-Korr) und TW interpoliert (Max) des 1. Vorjahres



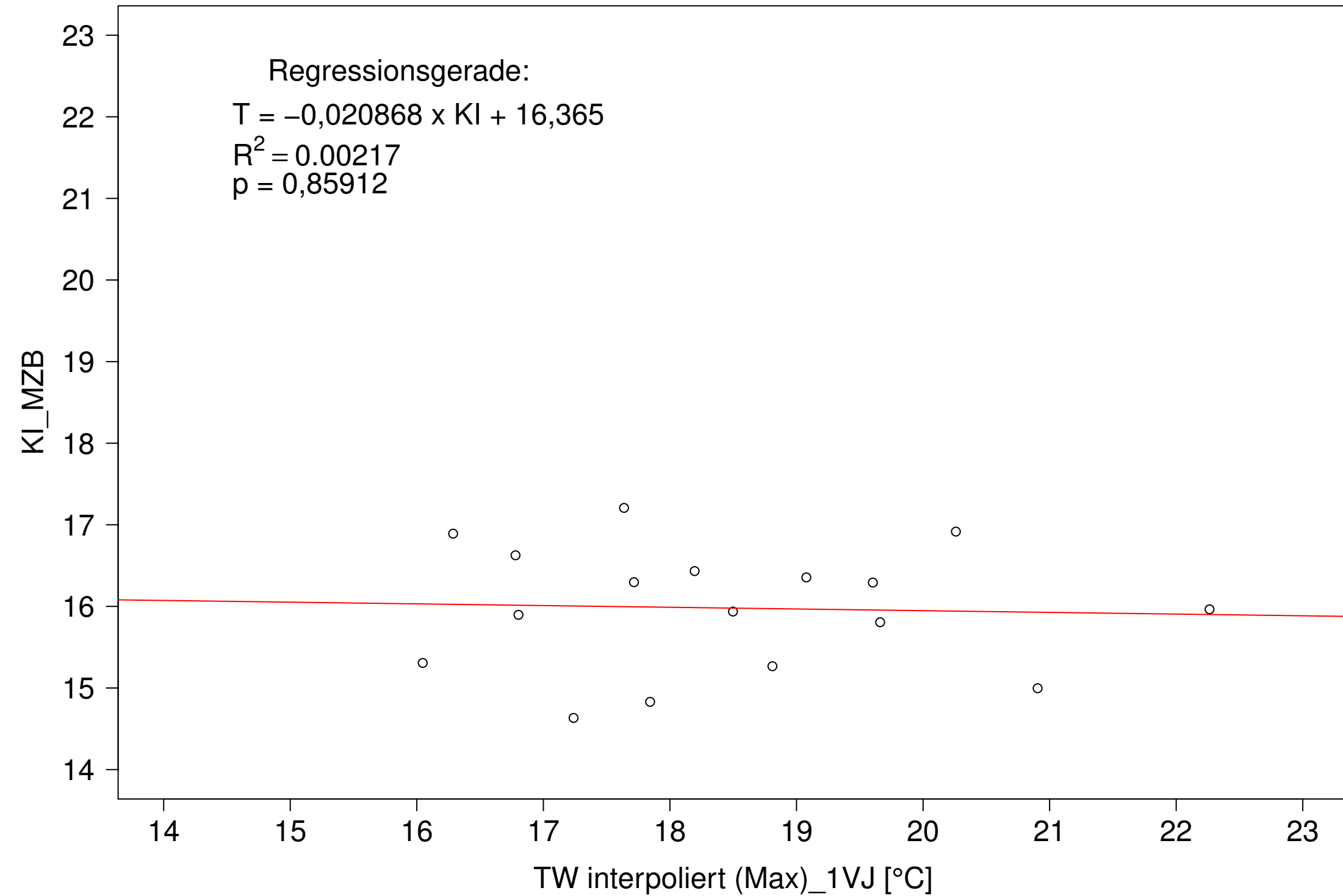
Argen_Giessen, Typ 03.2 mit Neozoen, Serie 1
 KI_MZB (Kont-Korr) gegen TW interpoliert (Max) des 1. Vorjahres



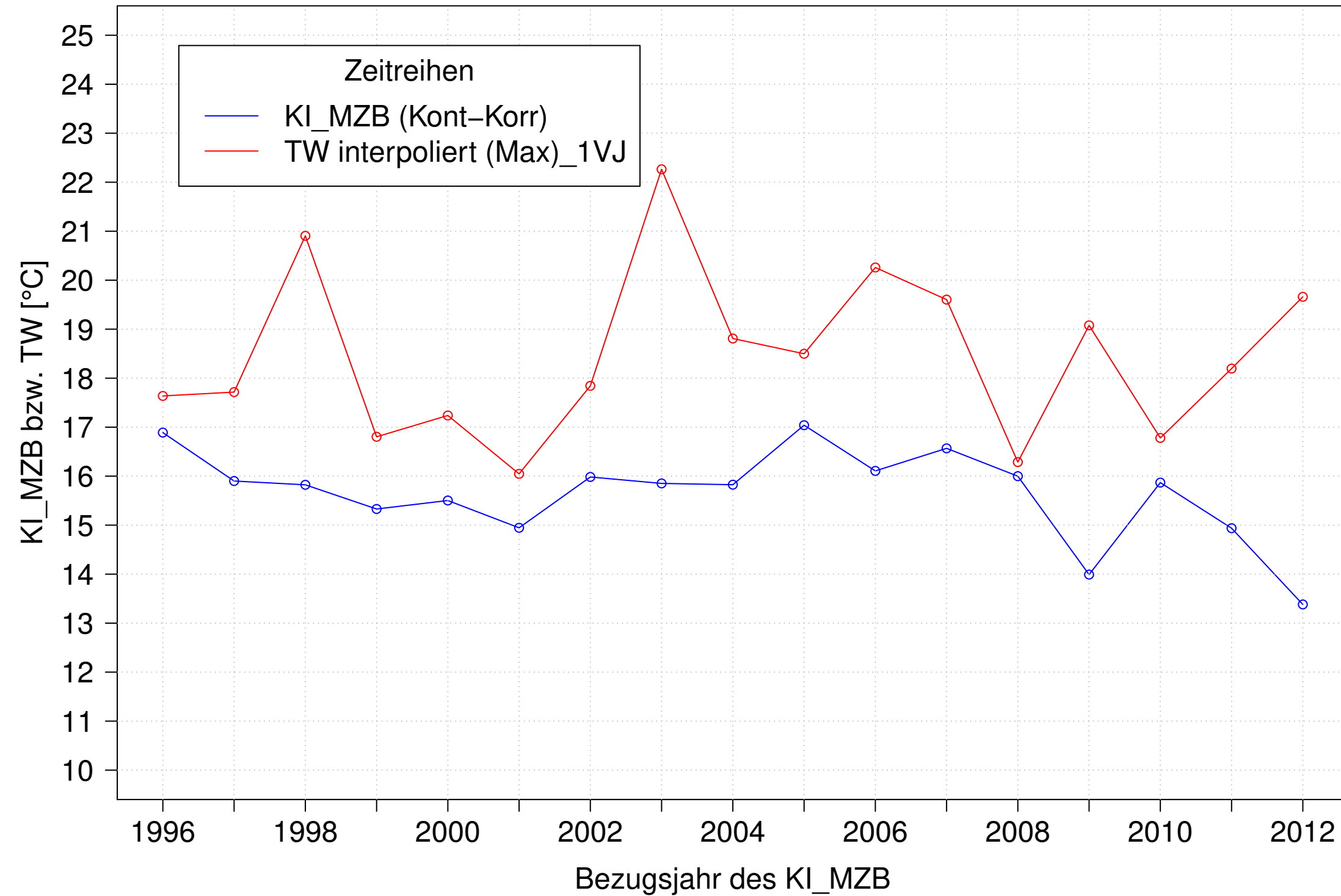
Argen_Giessen, Typ 03.2 mit Neozoen, Serie 2
KI_MZB (Kont-Korr) und TW interpoliert (Max) des 1. Vorjahres



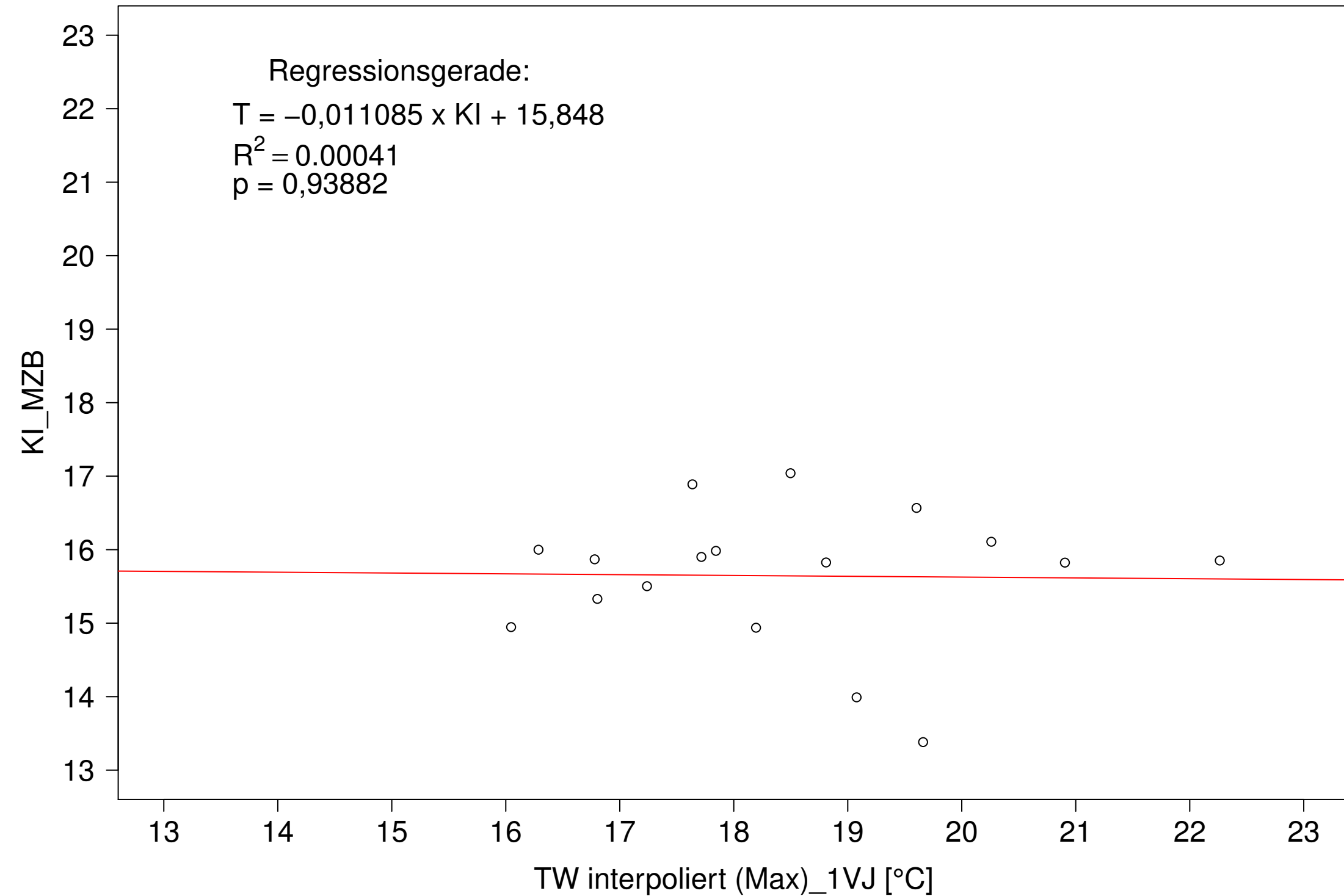
Argen_Giessen, Typ 03.2 mit Neozoen, Serie 2
KI_MZB (Kont-Korr) gegen TW interpoliert (Max) des 1. Vorjahres



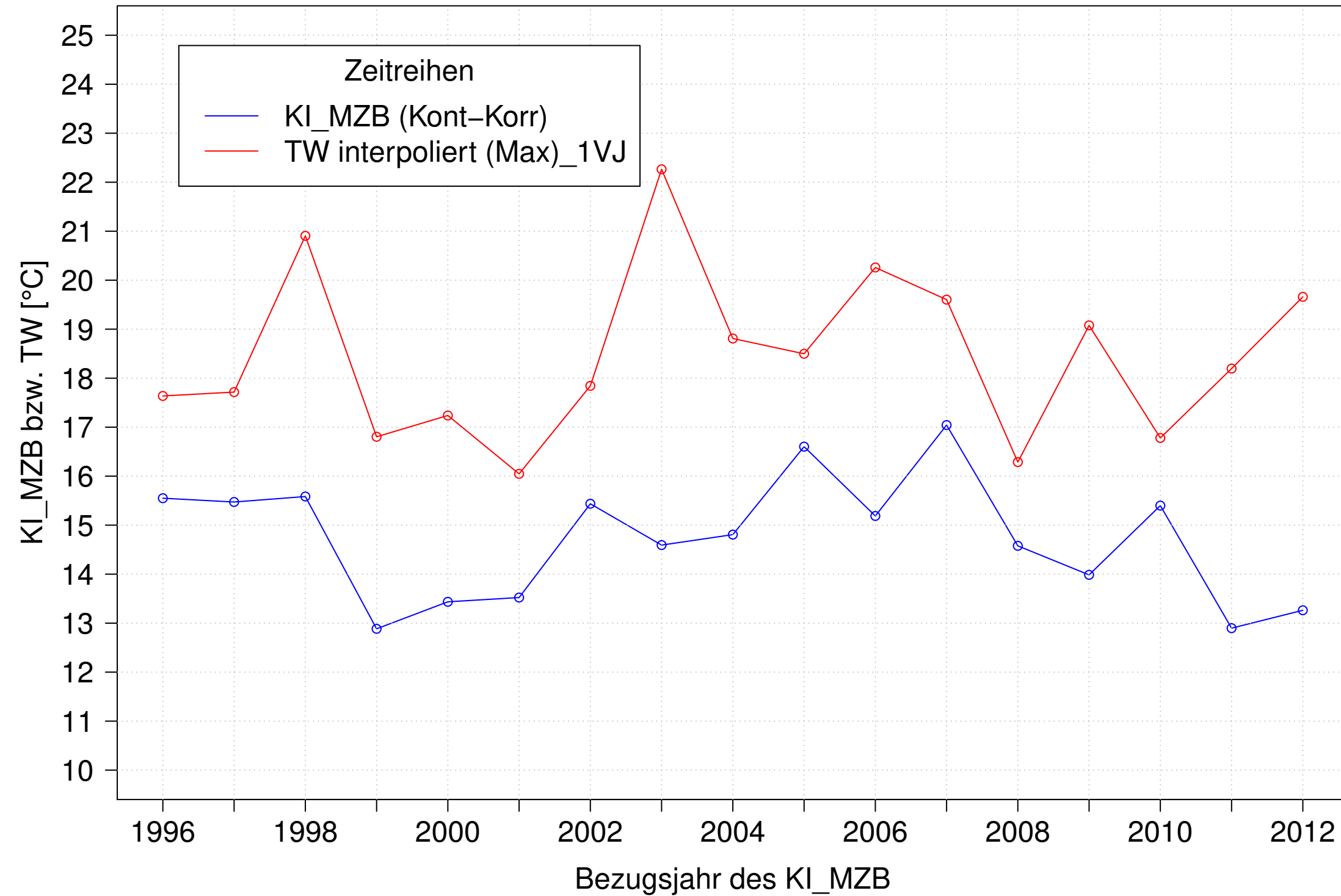
Argen_Giessen, Typ 03.2 mit Neozoen, Serie 3
KI_MZB (Kont-Korr) und TW interpoliert (Max) des 1. Vorjahres



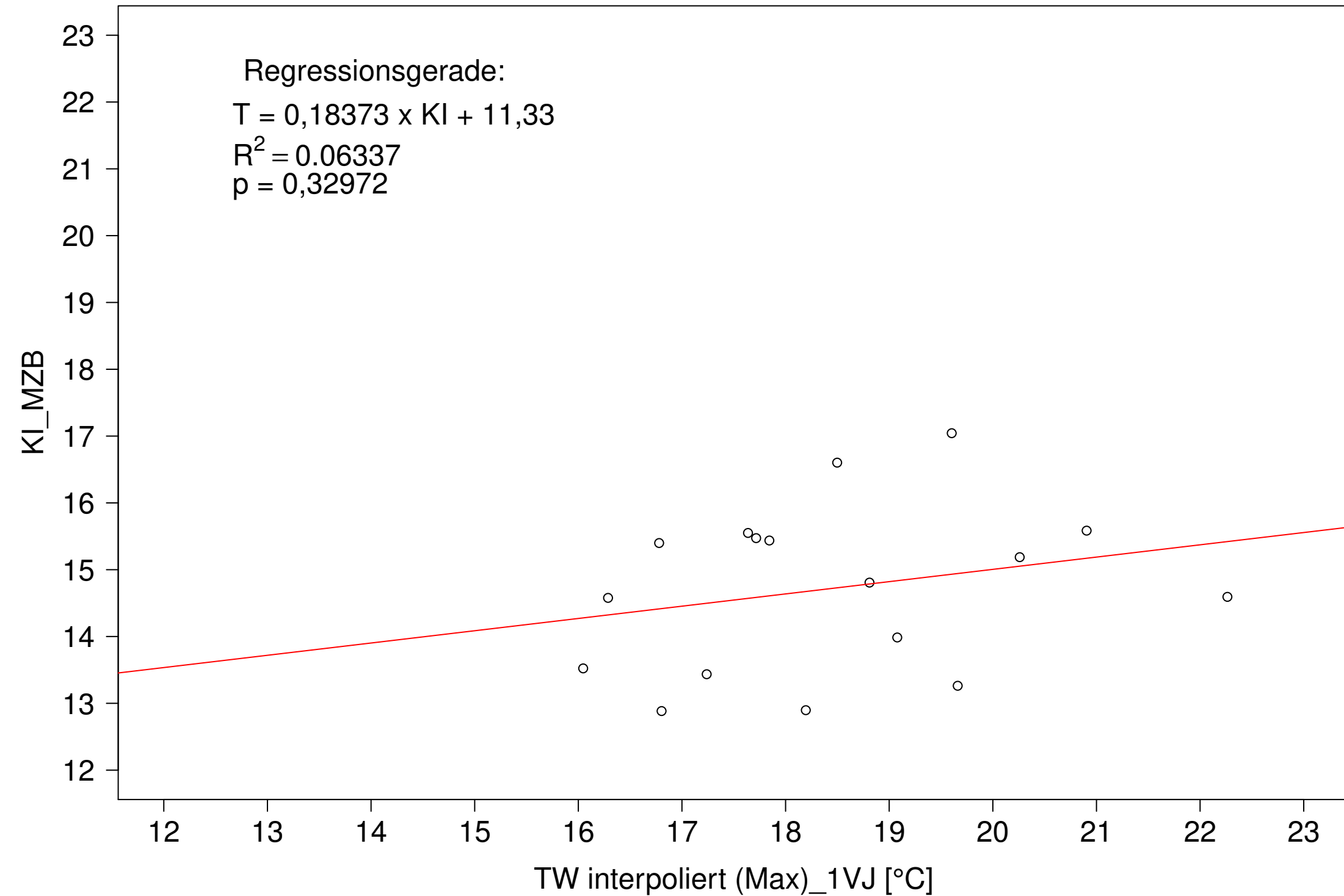
Argen_Giessen, Typ 03.2 mit Neozoen, Serie 3
KI_MZB (Kont-Korr) gegen TW interpoliert (Max) des 1. Vorjahres



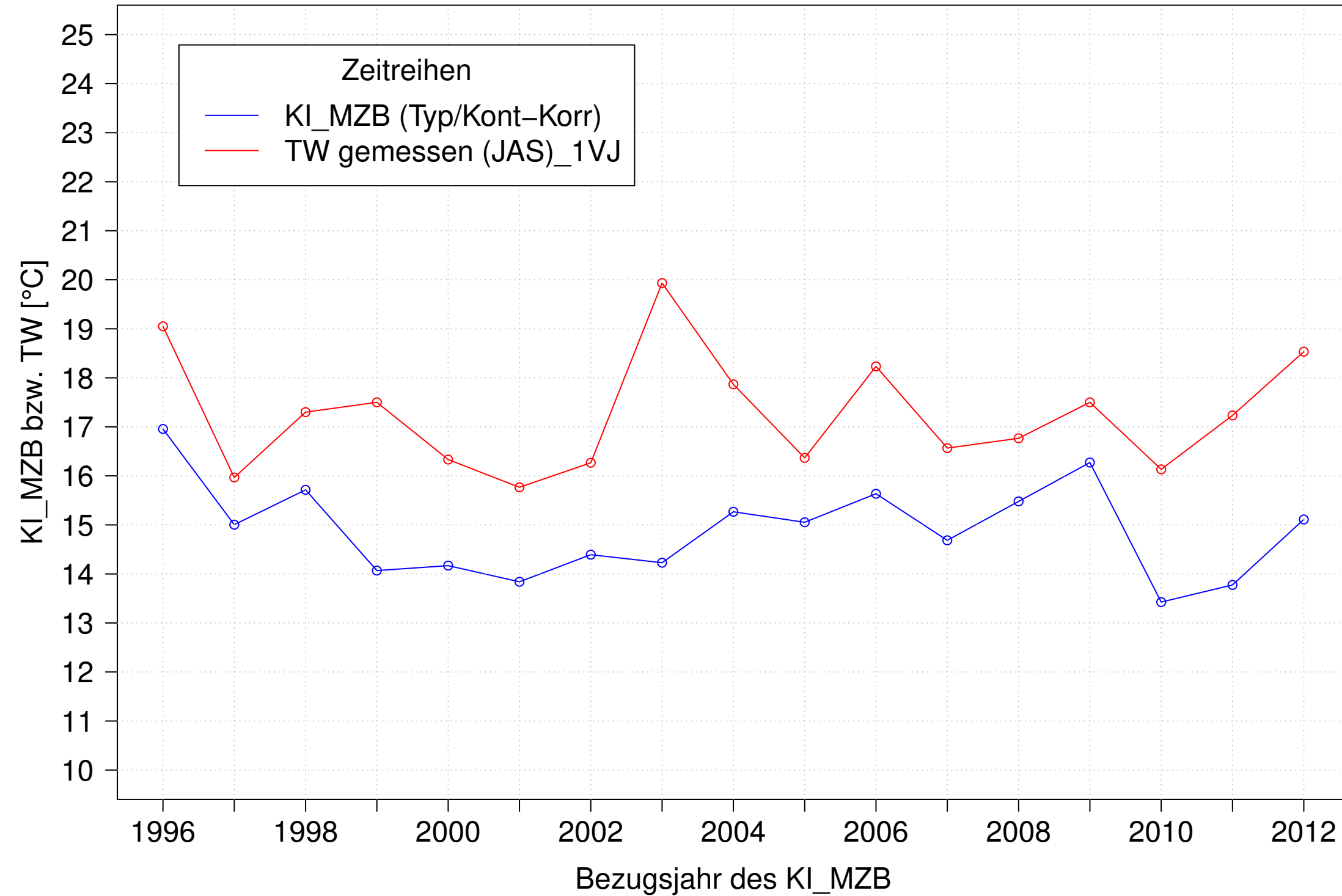
Argen_Giessen, Typ 03.2 mit Neozoen, Serie 4
KI_MZB (Kont-Korr) und TW interpoliert (Max) des 1. Vorjahres



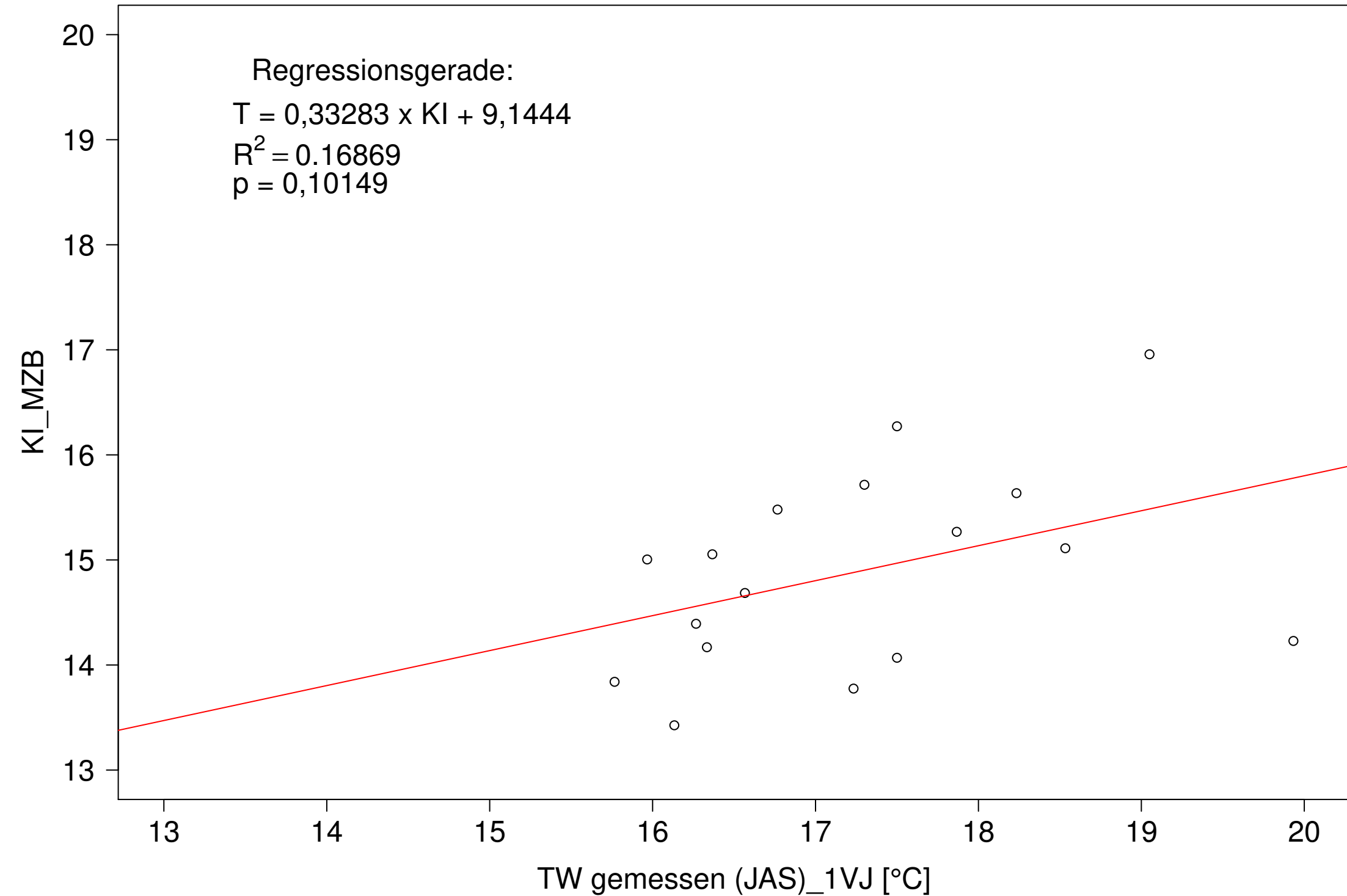
Argen_Giessen, Typ 03.2 mit Neozoen, Serie 4
KI_MZB (Kont-Korr) gegen TW interpoliert (Max) des 1. Vorjahres



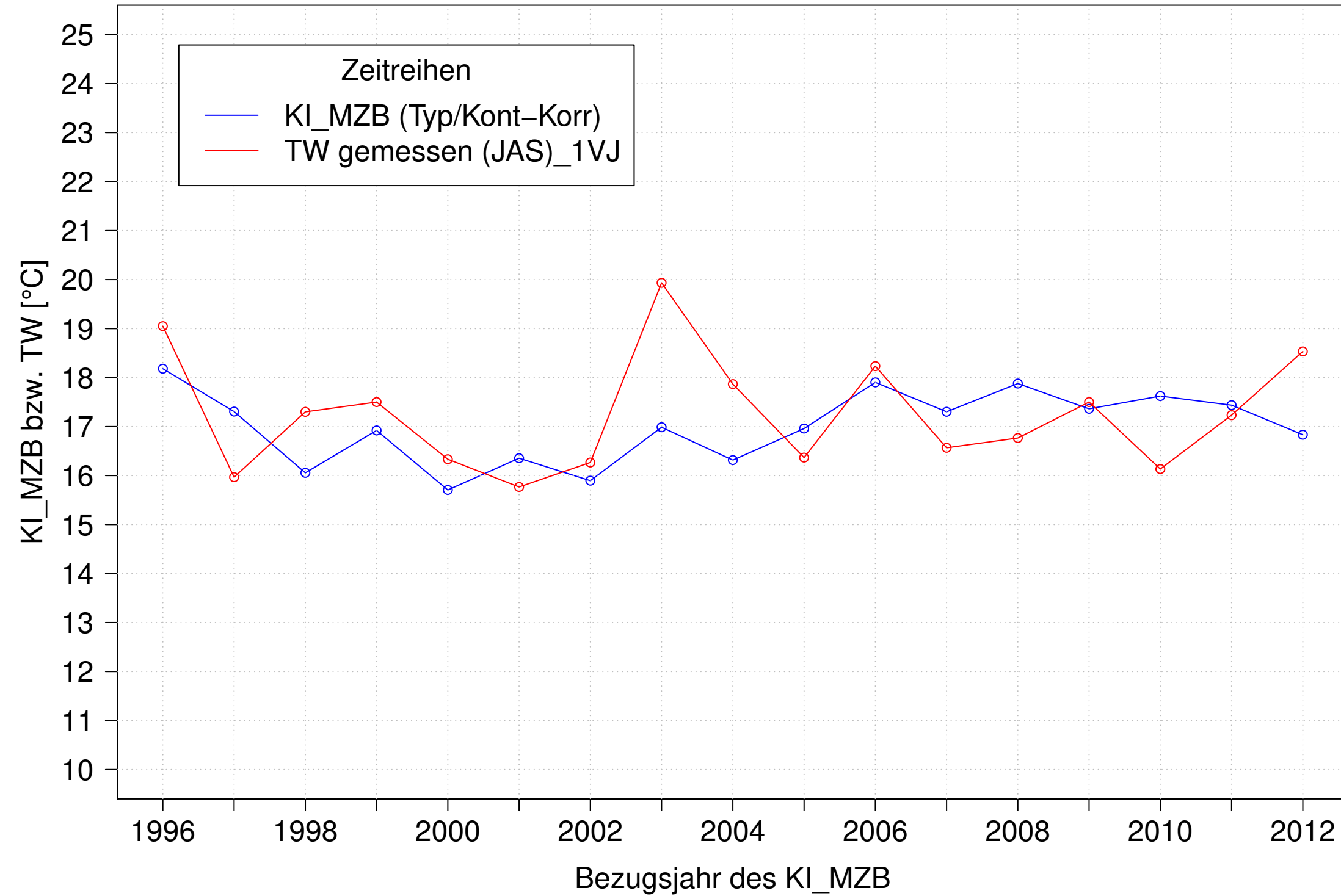
Argen_Giessen, Typ 03.2 mit Neozoen, Serie 1
 KI_MZB (Typ/Kont-Korr) und TW gemessen (JAS) des 1. Vorjahres



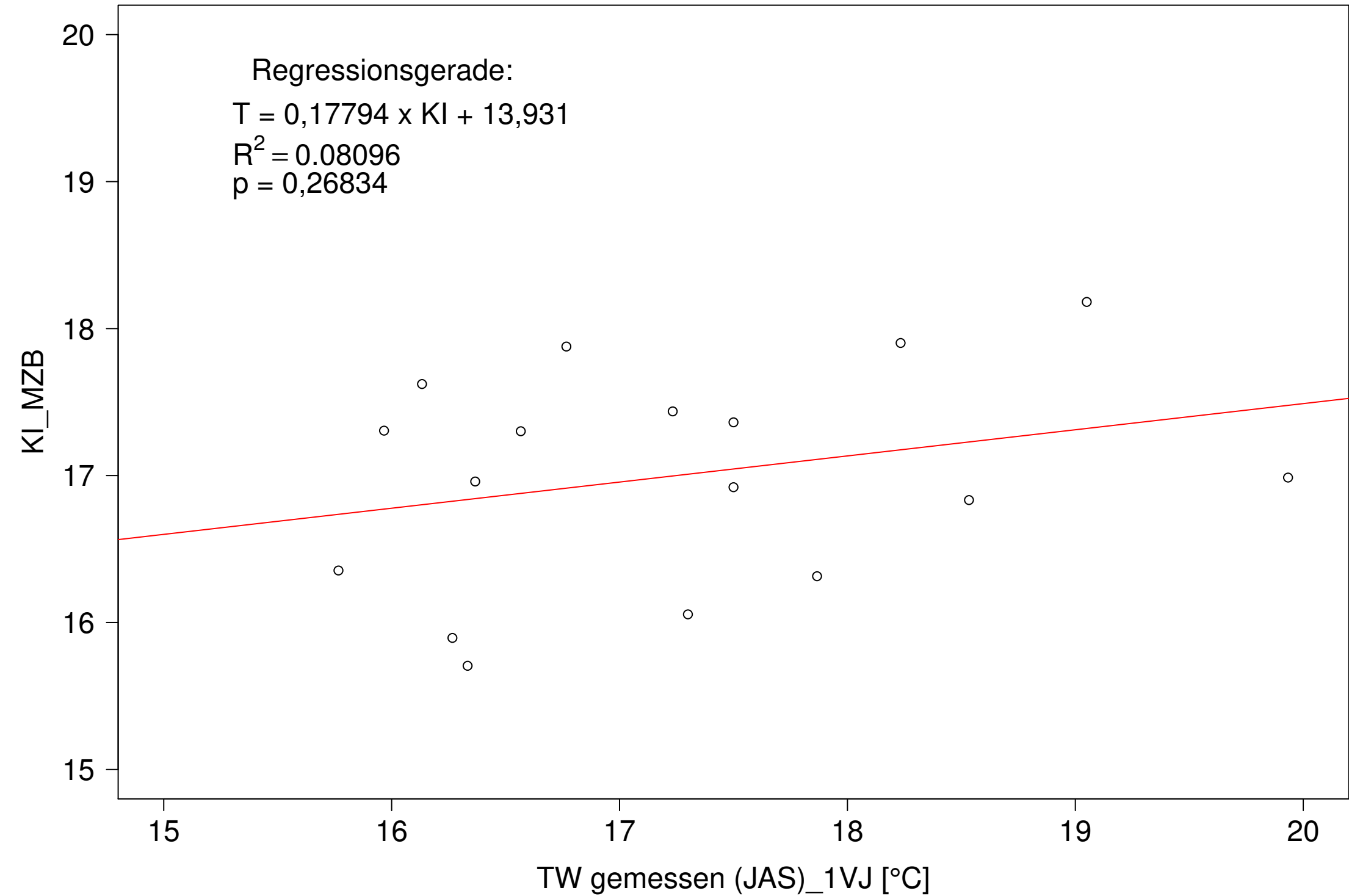
Argen_Giessen, Typ 03.2 mit Neozoen, Serie 1
 KI_MZB (Typ/Kont-Korr) gegen TW gemessen (JAS) des 1. Vorjahres



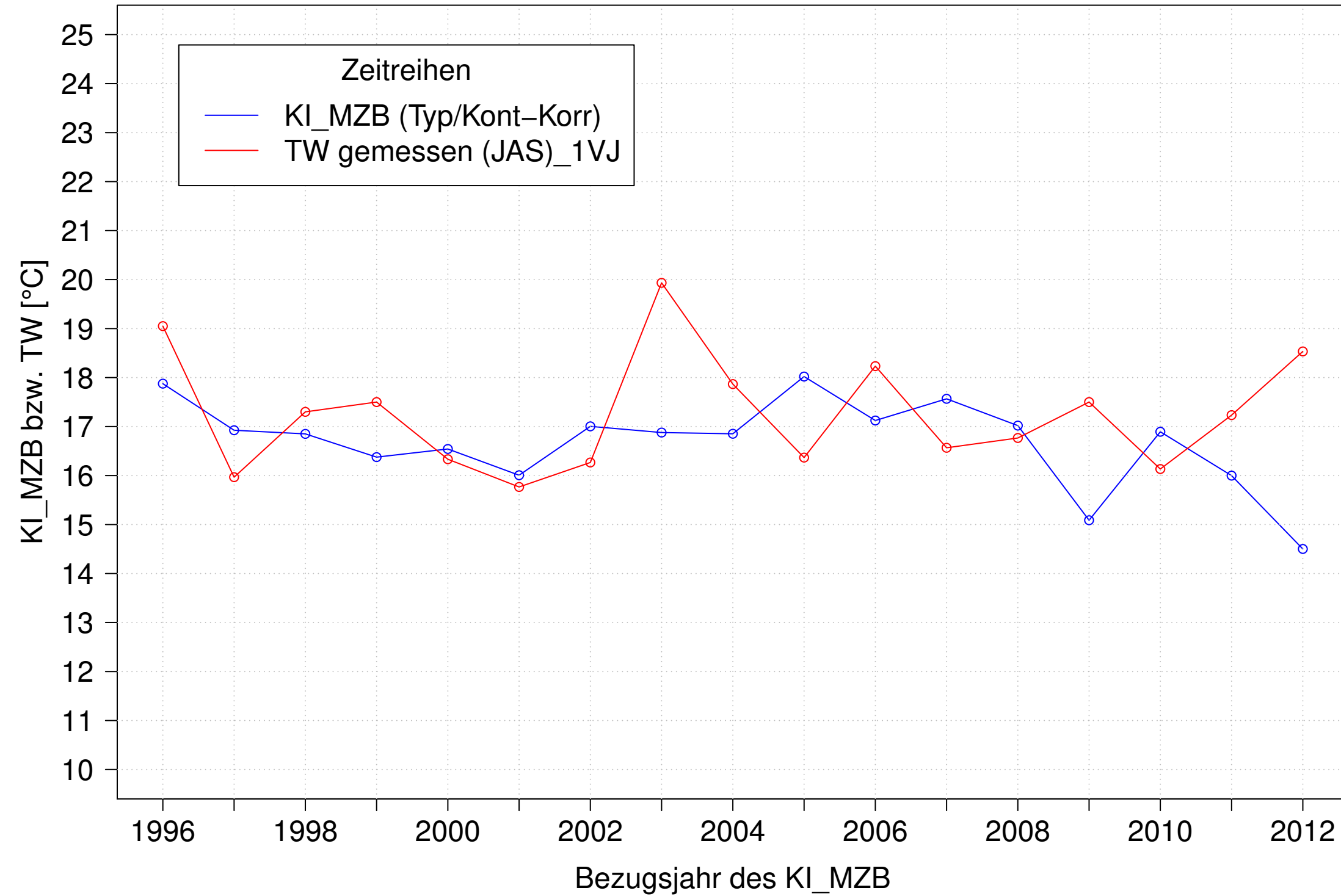
Argen_Giessen, Typ 03.2 mit Neozoen, Serie 2
 KI_MZB (Typ/Kont-Korr) und TW gemessen (JAS) des 1. Vorjahres



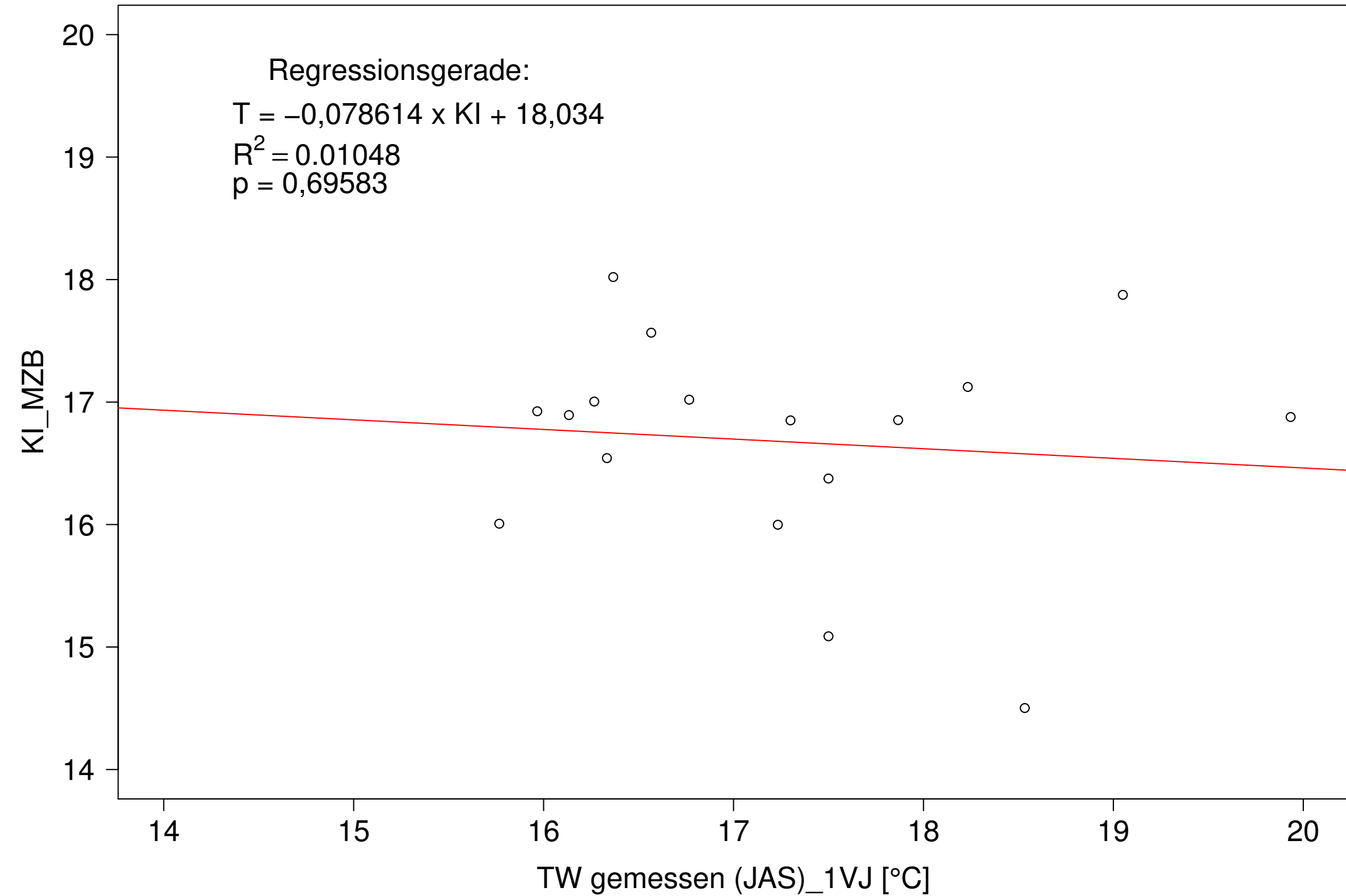
Argen_Giessen, Typ 03.2 mit Neozoen, Serie 2
 KI_MZB (Typ/Kont-Korr) gegen TW gemessen (JAS) des 1. Vorjahres



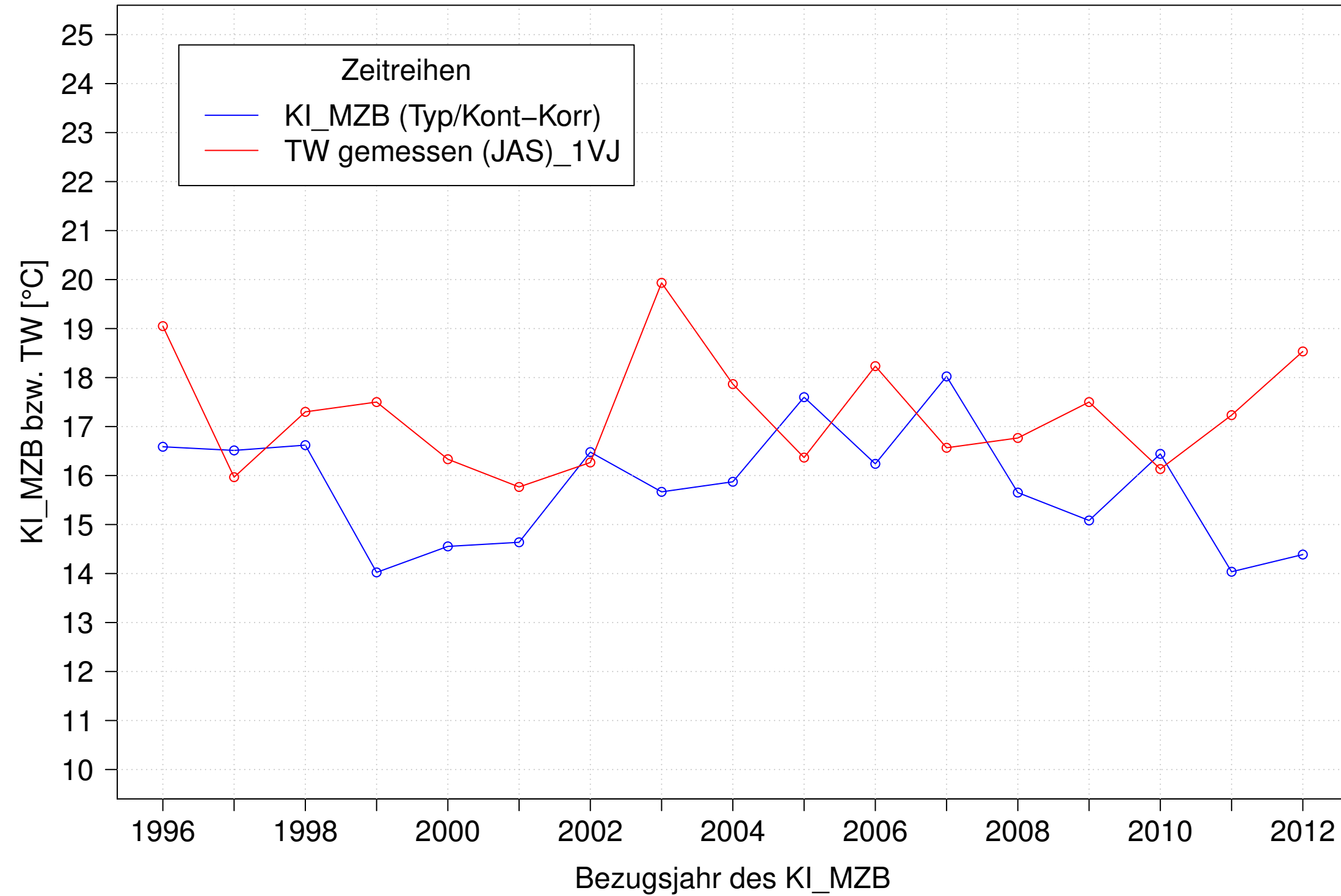
Argen_Giessen, Typ 03.2 mit Neozoen, Serie 3
 KI_MZB (Typ/Kont-Korr) und TW gemessen (JAS) des 1. Vorjahres



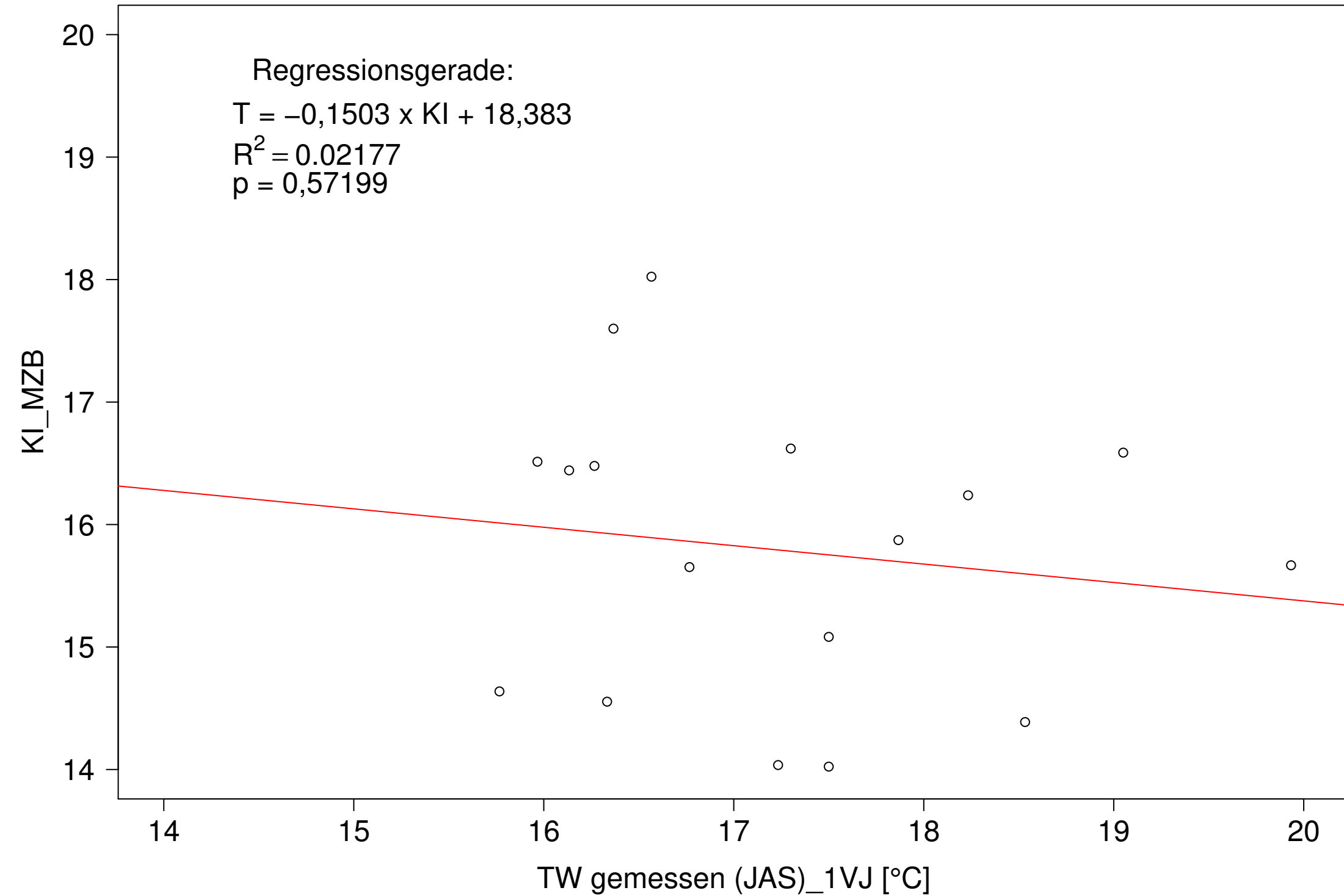
Argen_Giessen, Typ 03.2 mit Neozoen, Serie 3
 KI_MZB (Typ/Kont-Korr) gegen TW gemessen (JAS) des 1. Vorjahres



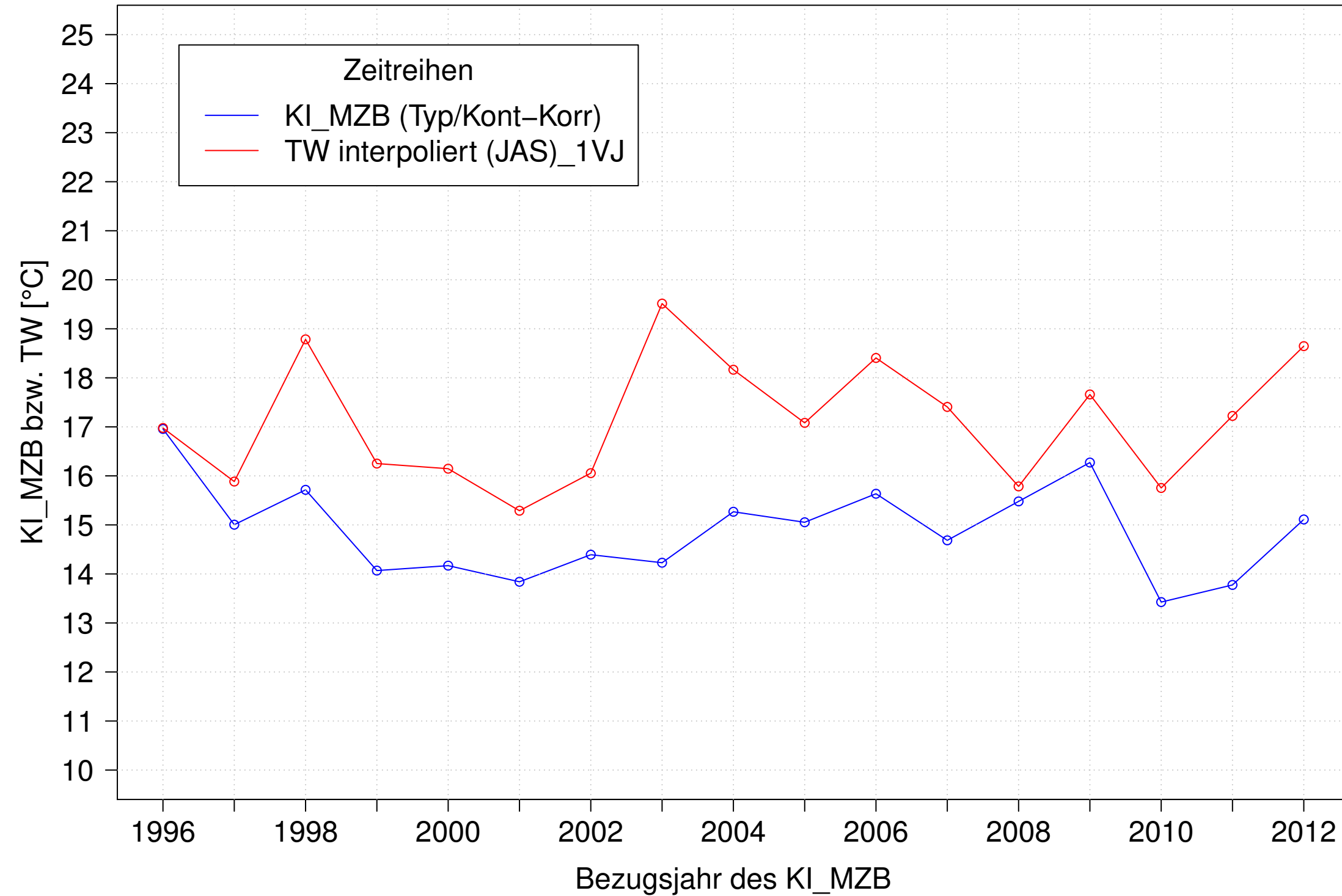
Argen_Giessen, Typ 03.2 mit Neozoen, Serie 4
 KI_MZB (Typ/Kont-Korr) und TW gemessen (JAS) des 1. Vorjahres



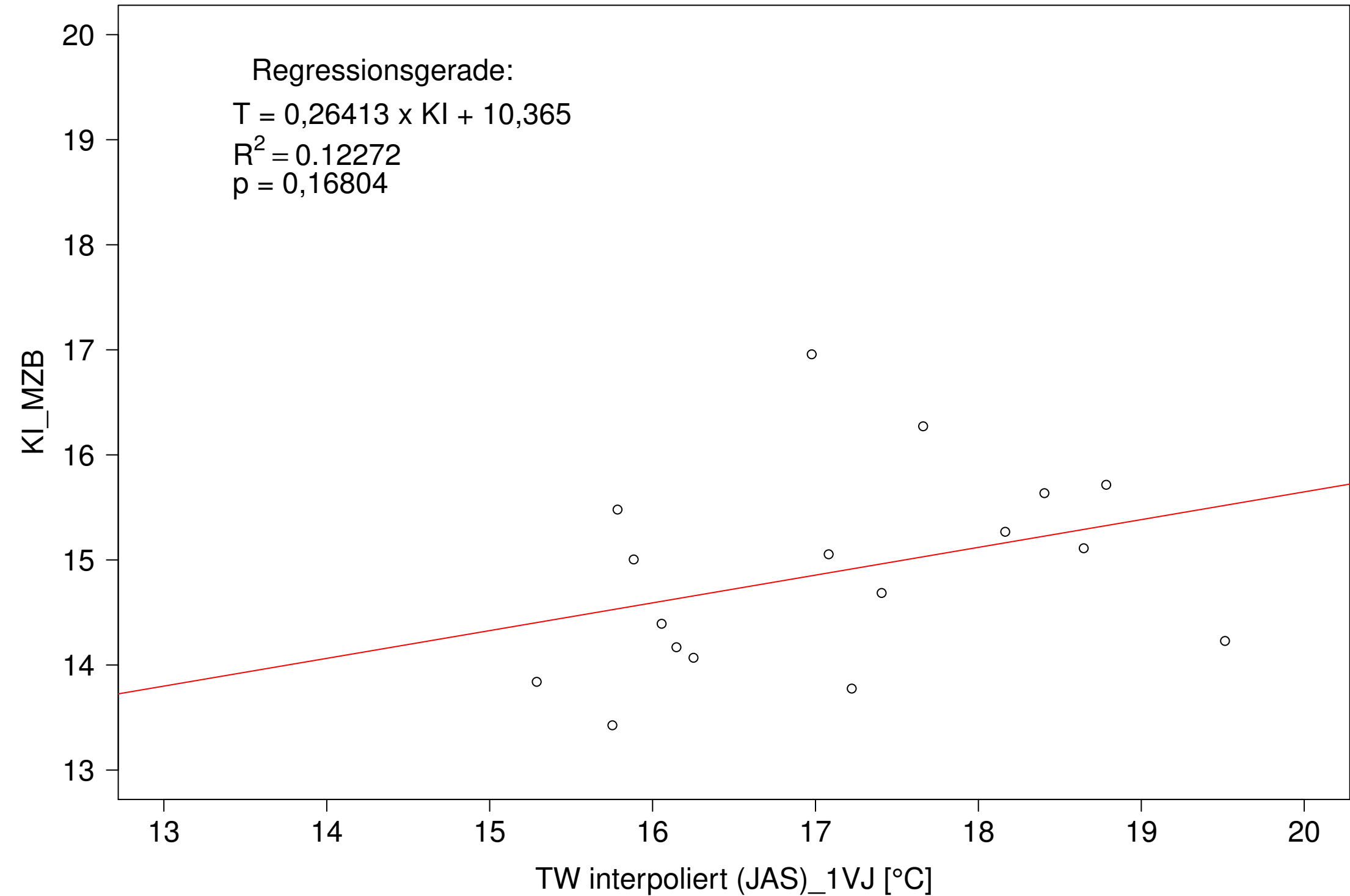
Argen_Giessen, Typ 03.2 mit Neozoen, Serie 4
 KI_MZB (Typ/Kont-Korr) gegen TW gemessen (JAS) des 1. Vorjahres



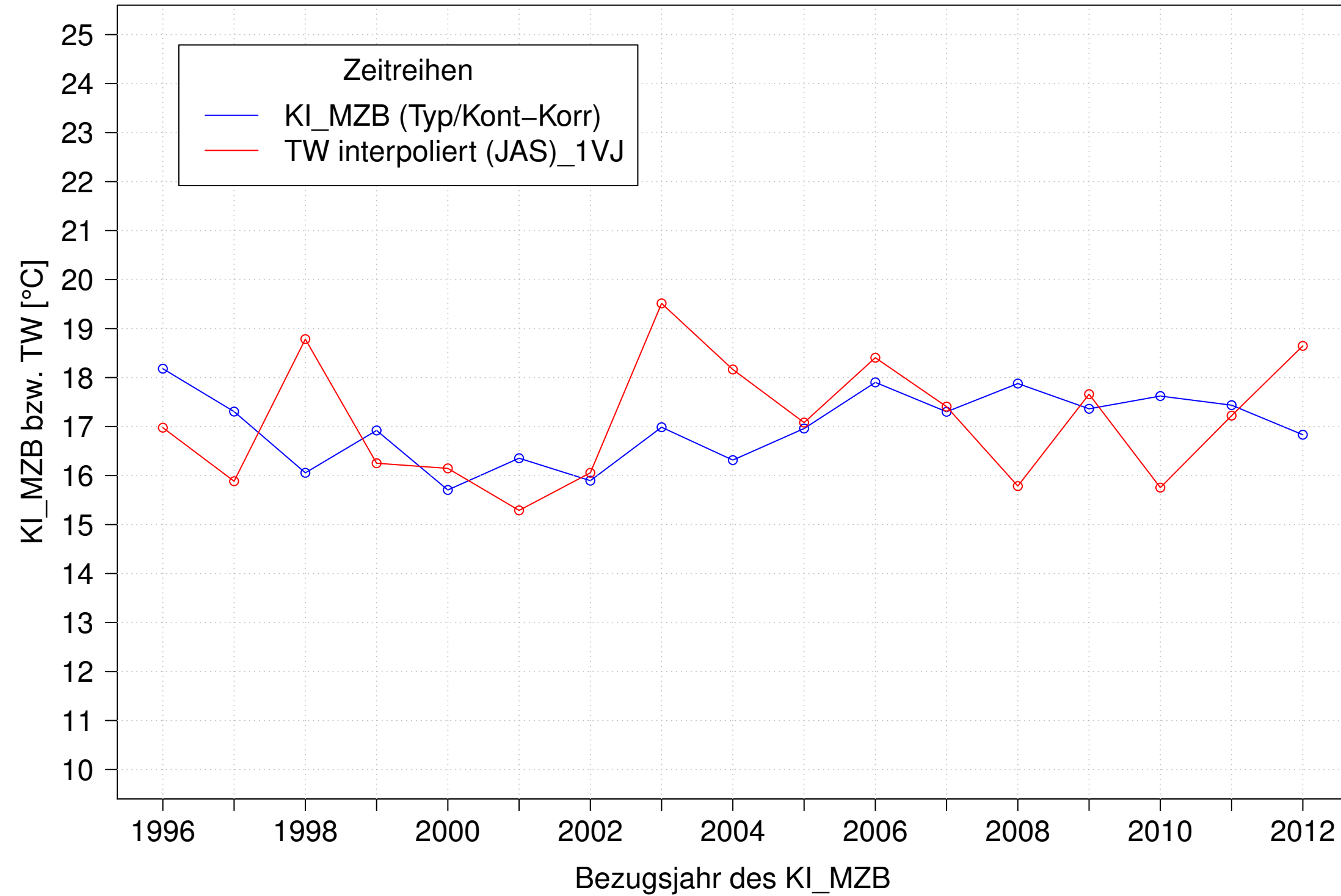
Argen_Giessen, Typ 03.2 mit Neozoen, Serie 1
KI_MZB (Typ/Kont-Korr) und TW interpoliert (JAS) des 1. Vorjahres



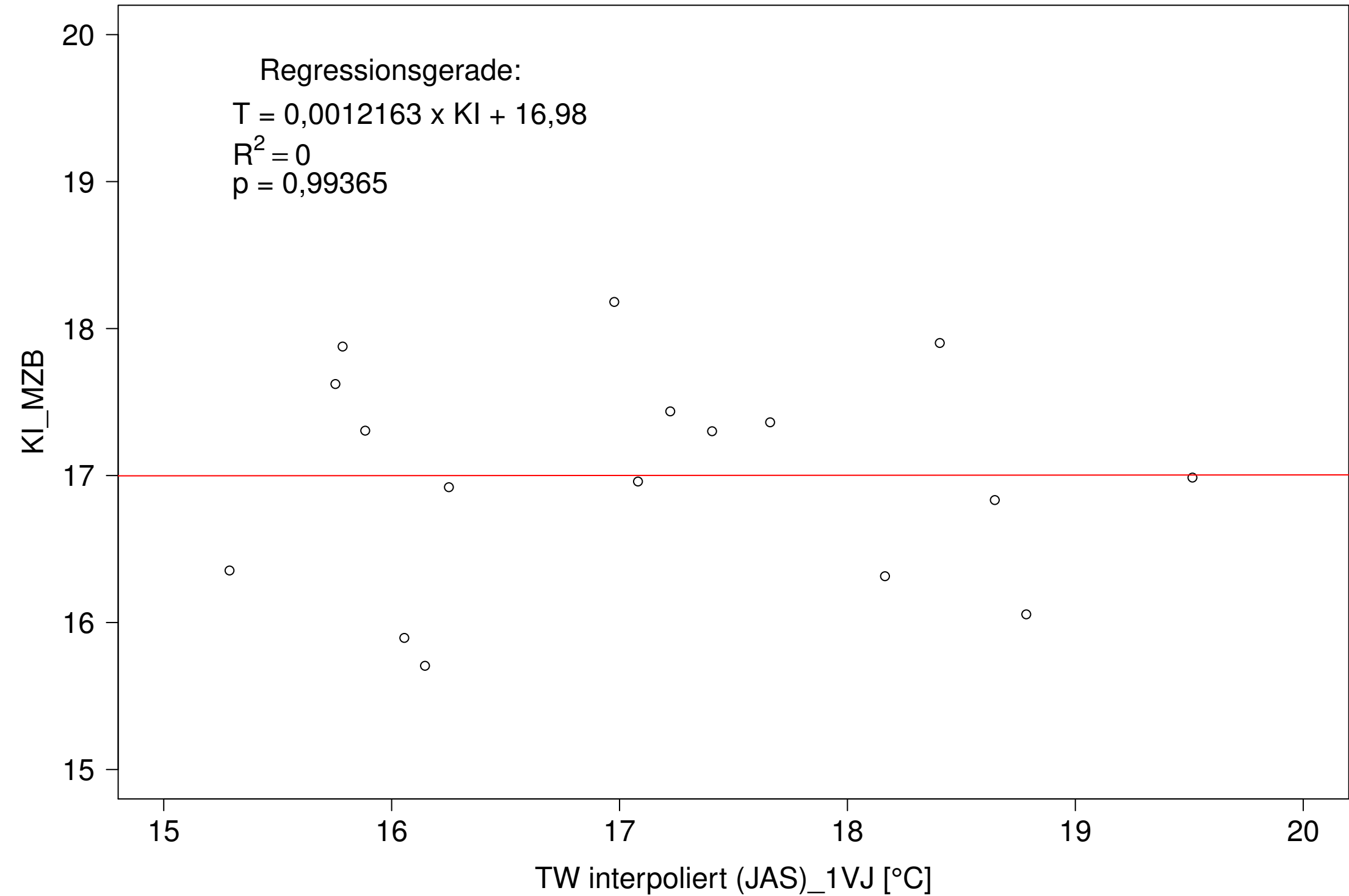
Argen_Giessen, Typ 03.2 mit Neozoen, Serie 1
KI_MZB (Typ/Kont-Korr) gegen TW interpoliert (JAS) des 1. Vorjahres



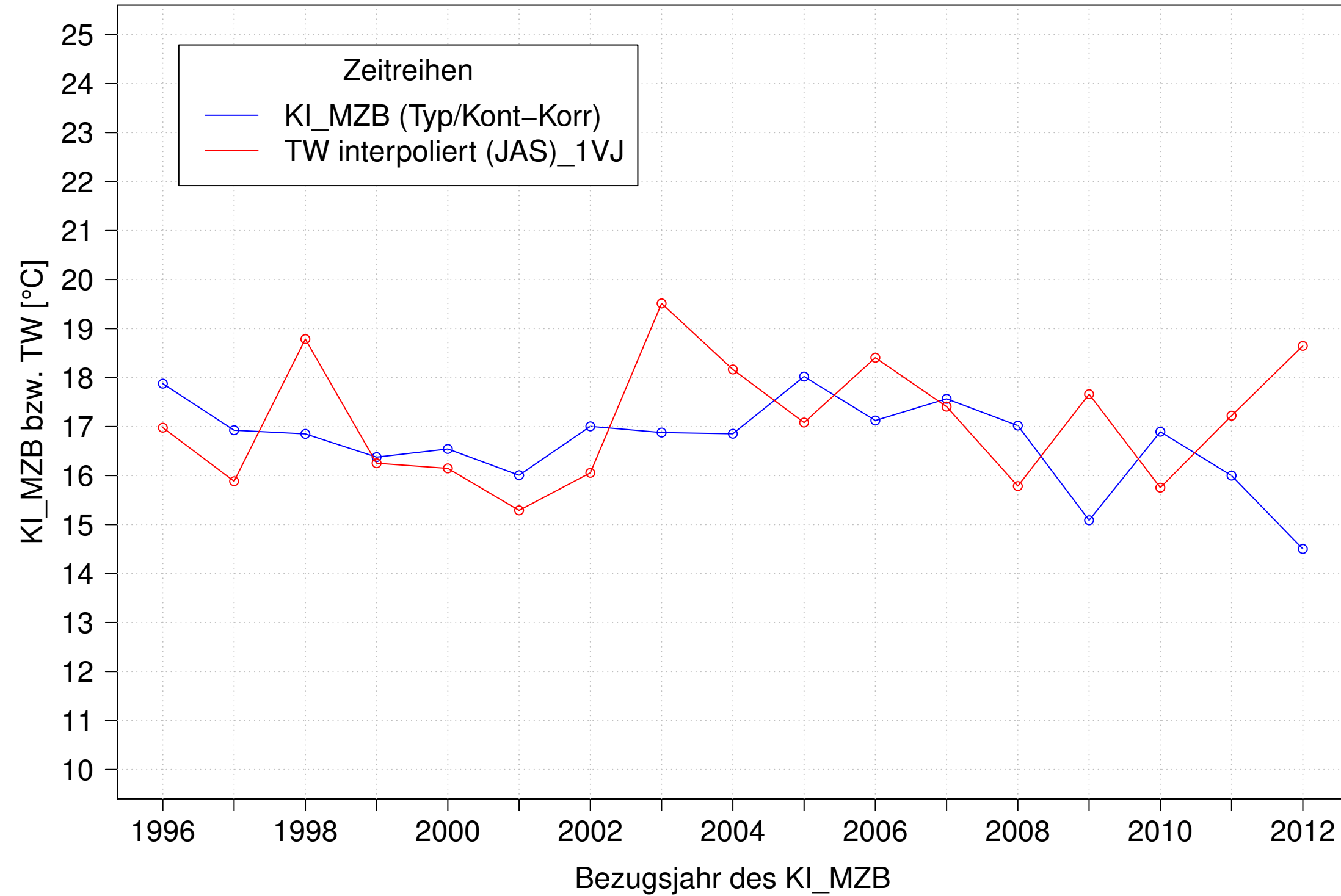
Argen_Giessen, Typ 03.2 mit Neozoen, Serie 2
 KI_MZB (Typ/Kont-Korr) und TW interpoliert (JAS) des 1. Vorjahres



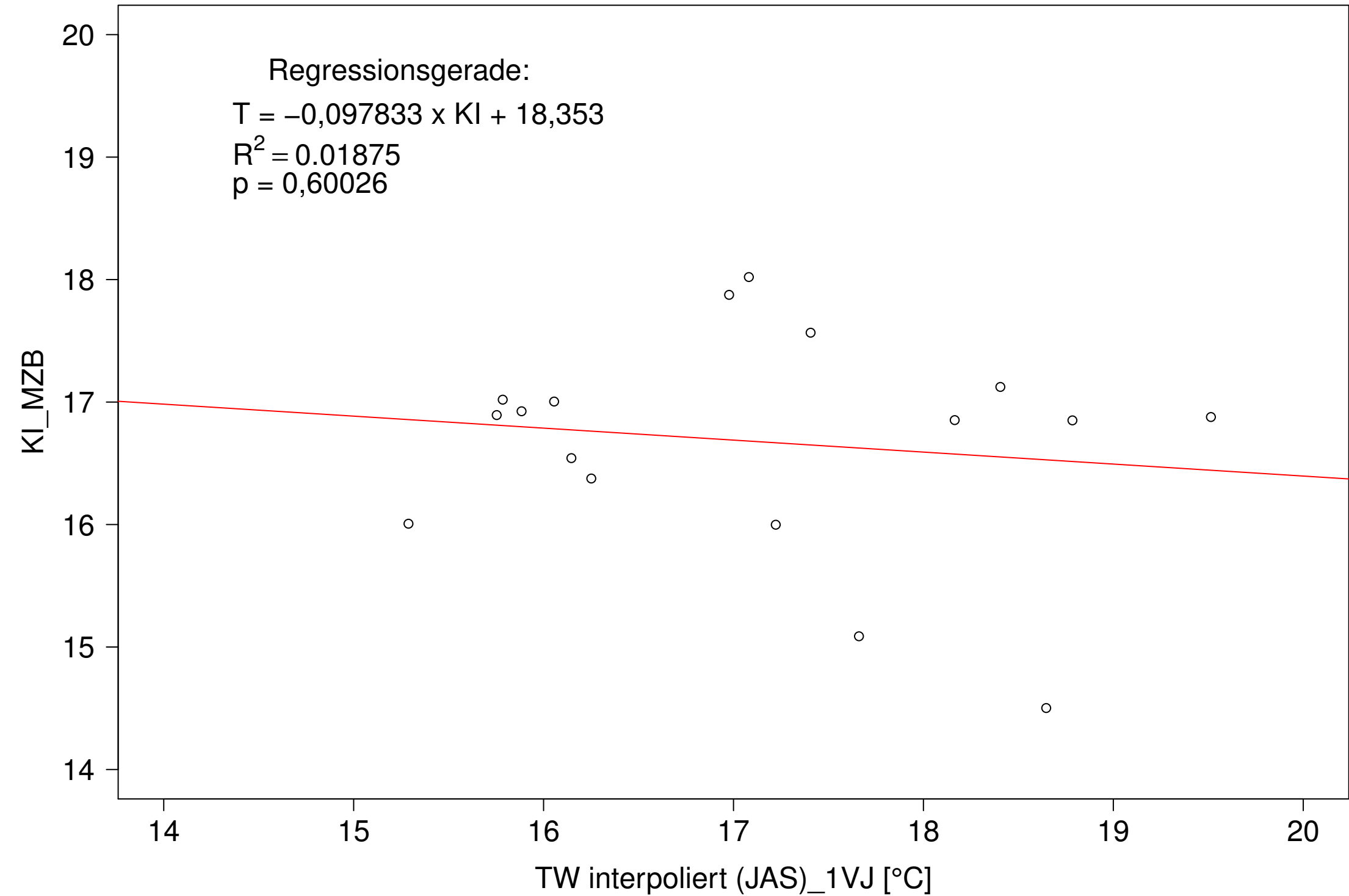
Argen_Giessen, Typ 03.2 mit Neozoen, Serie 2
 KI_MZB (Typ/Kont-Korr) gegen TW interpoliert (JAS) des 1. Vorjahres



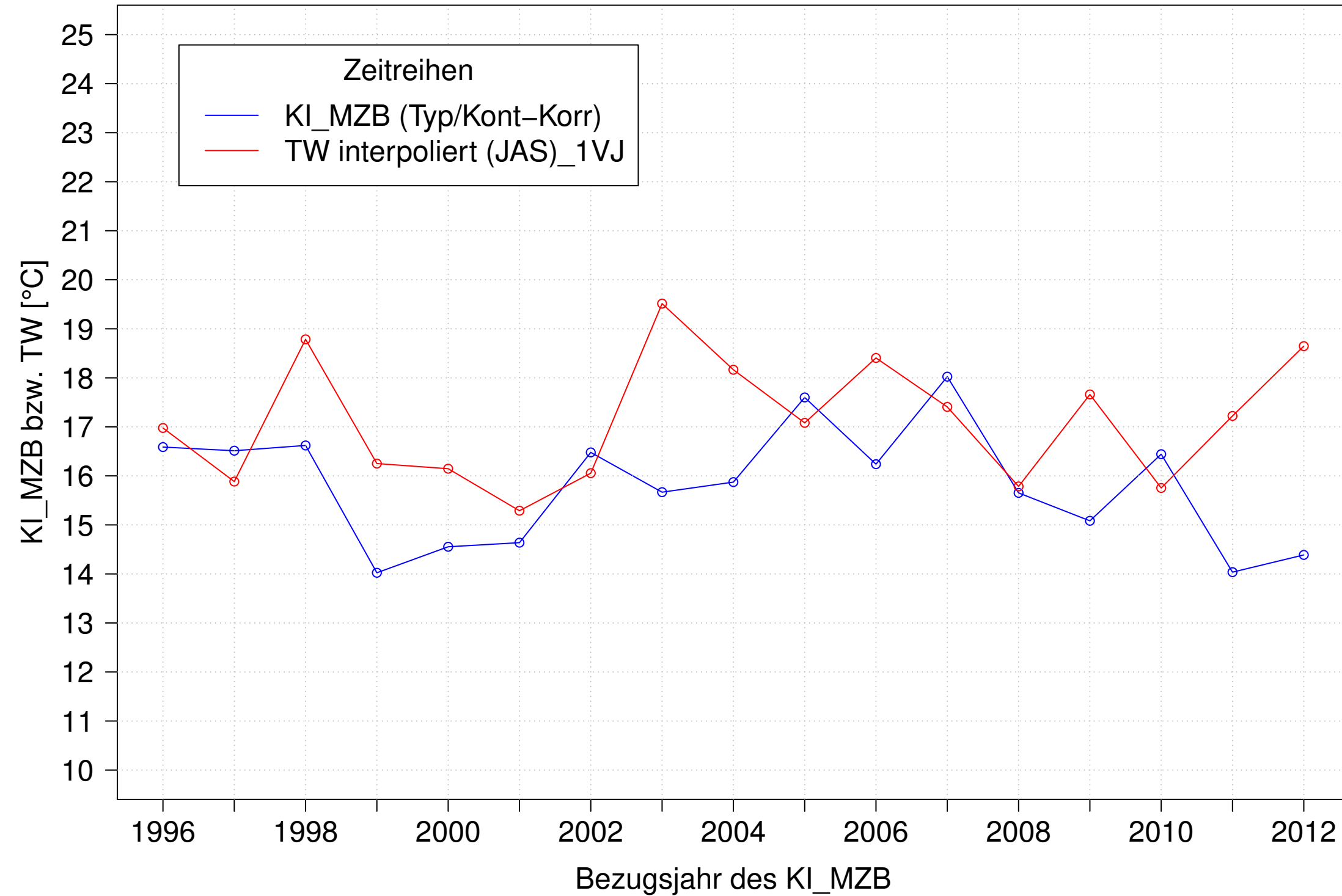
Argen_Giessen, Typ 03.2 mit Neozoen, Serie 3
KI_MZB (Typ/Kont-Korr) und TW interpoliert (JAS) des 1. Vorjahres



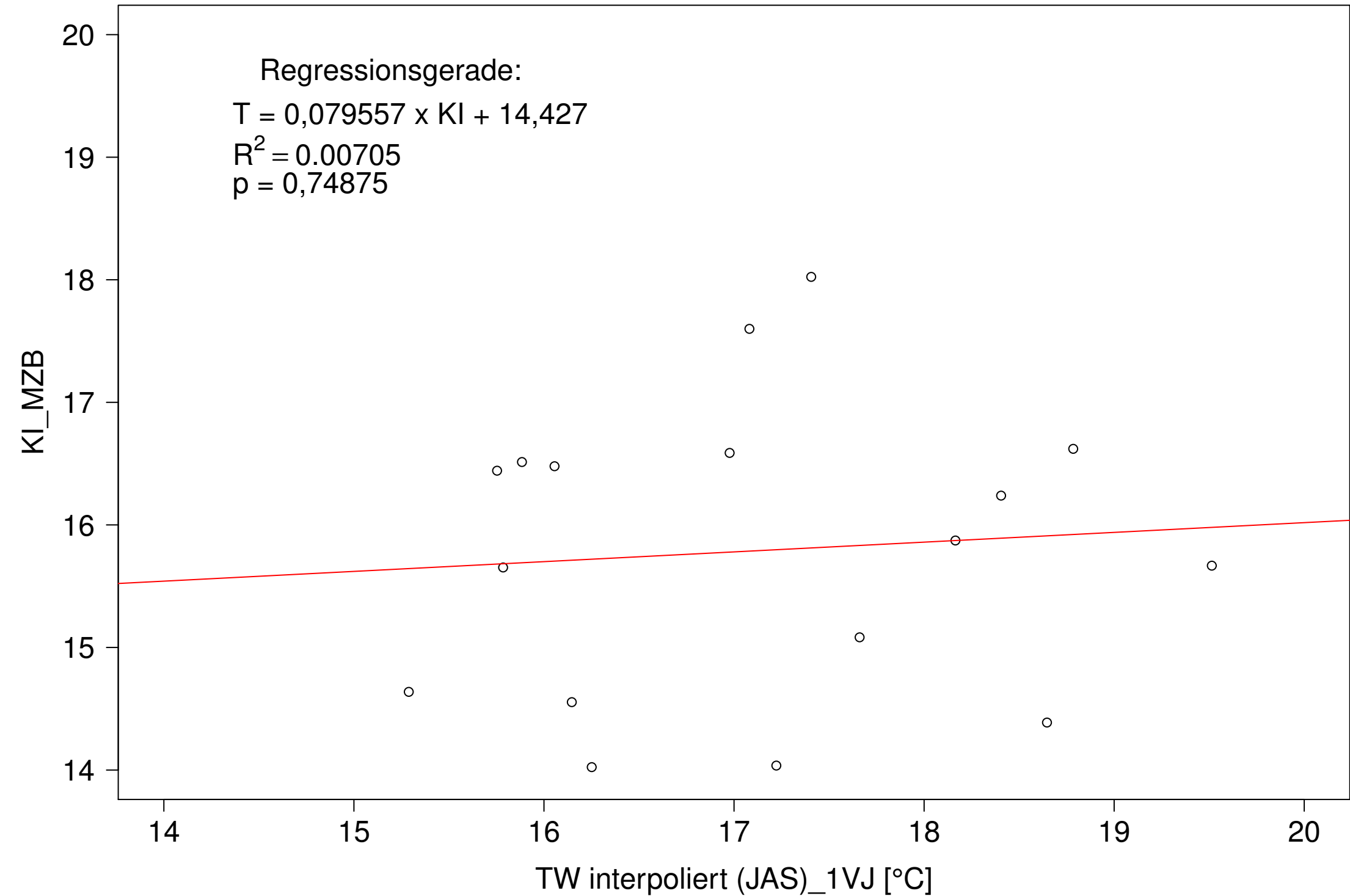
Argen_Giessen, Typ 03.2 mit Neozoen, Serie 3
KI_MZB (Typ/Kont-Korr) gegen TW interpoliert (JAS) des 1. Vorjahres



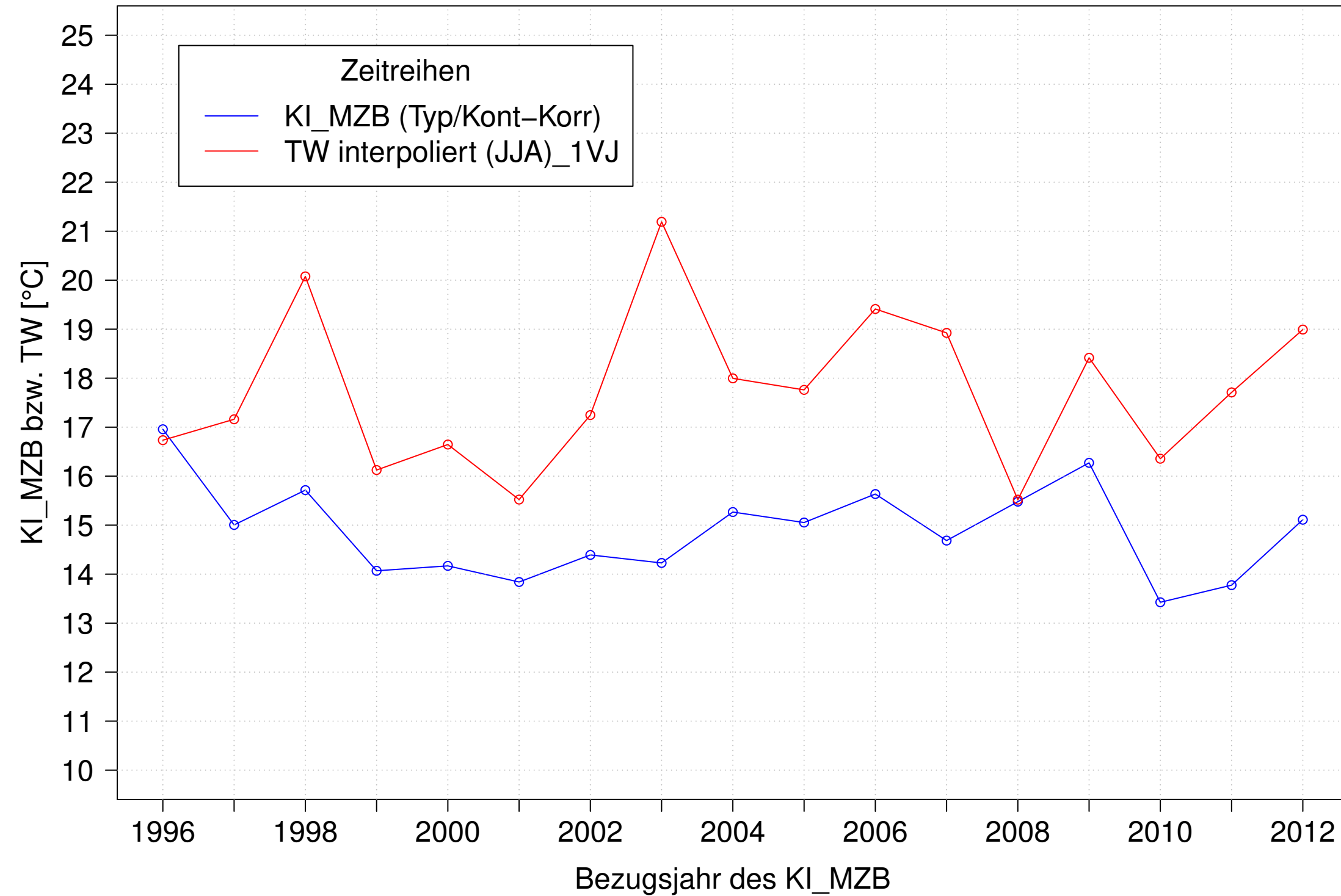
Argen_Giessen, Typ 03.2 mit Neozoen, Serie 4
KI_MZB (Typ/Kont-Korr) und TW interpoliert (JAS) des 1. Vorjahres



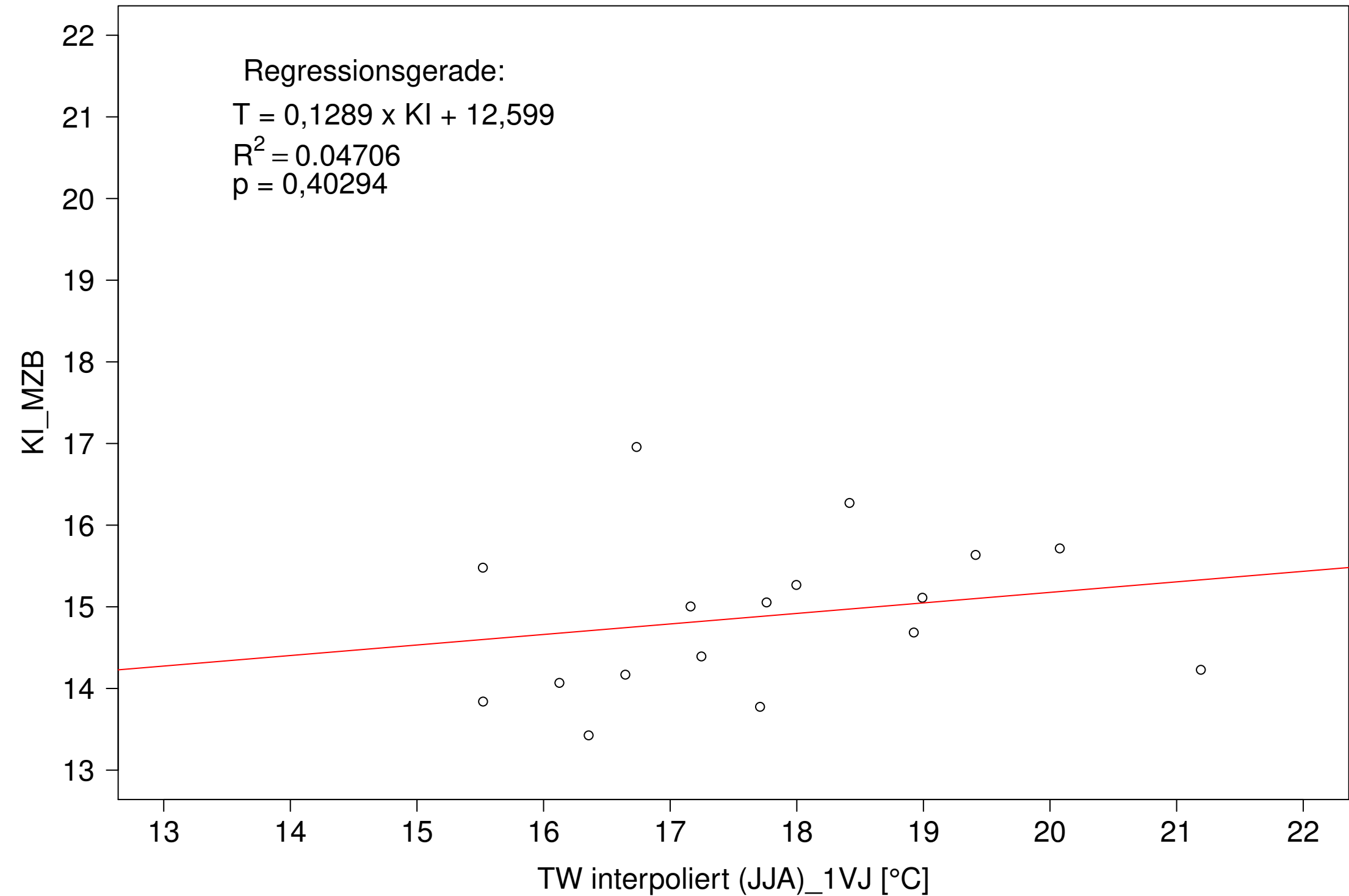
Argen_Giessen, Typ 03.2 mit Neozoen, Serie 4
KI_MZB (Typ/Kont-Korr) gegen TW interpoliert (JAS) des 1. Vorjahres



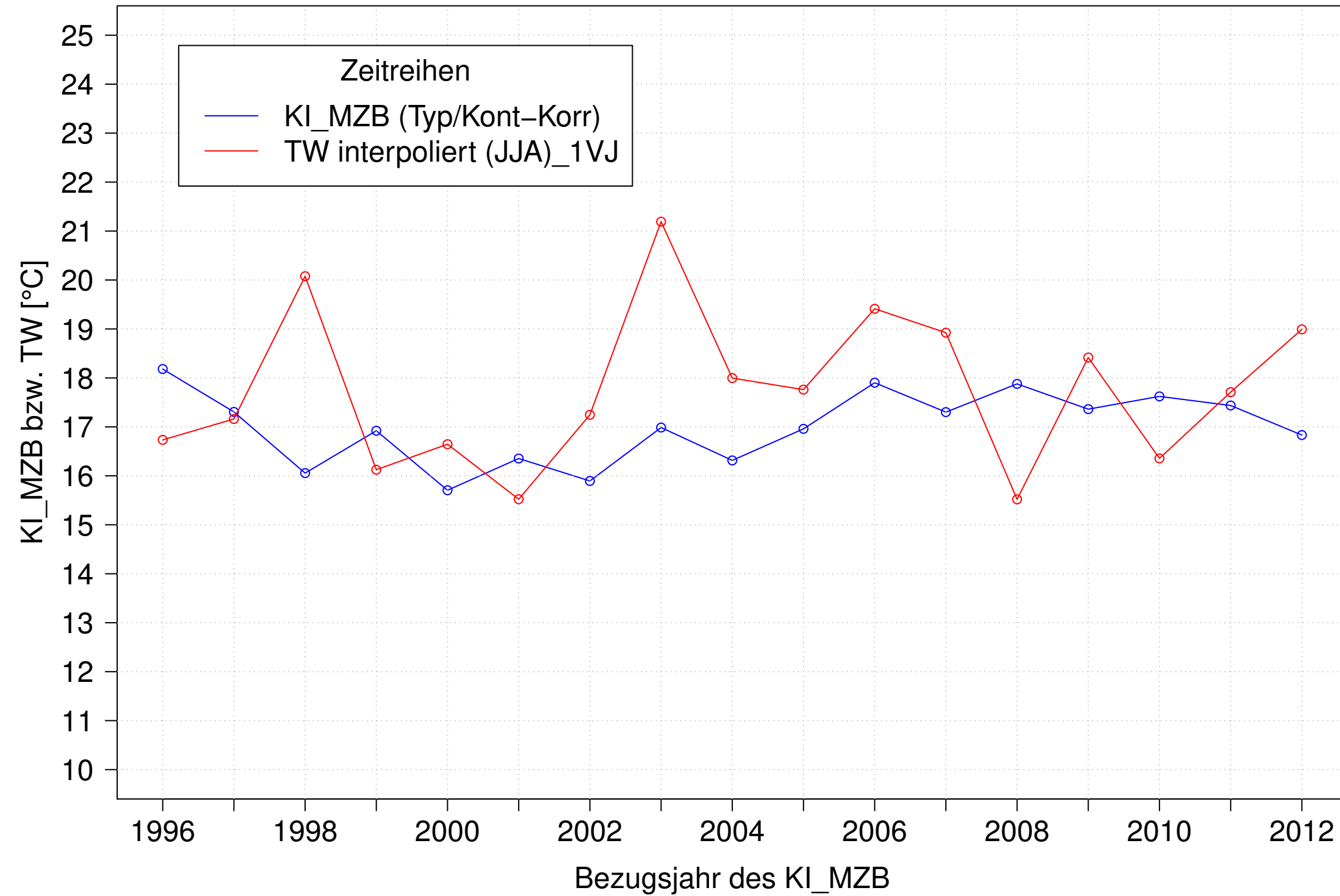
Argen_Giessen, Typ 03.2 mit Neozoen, Serie 1
KI_MZB (Typ/Kont-Korr) und TW interpoliert (JJA) des 1. Vorjahres



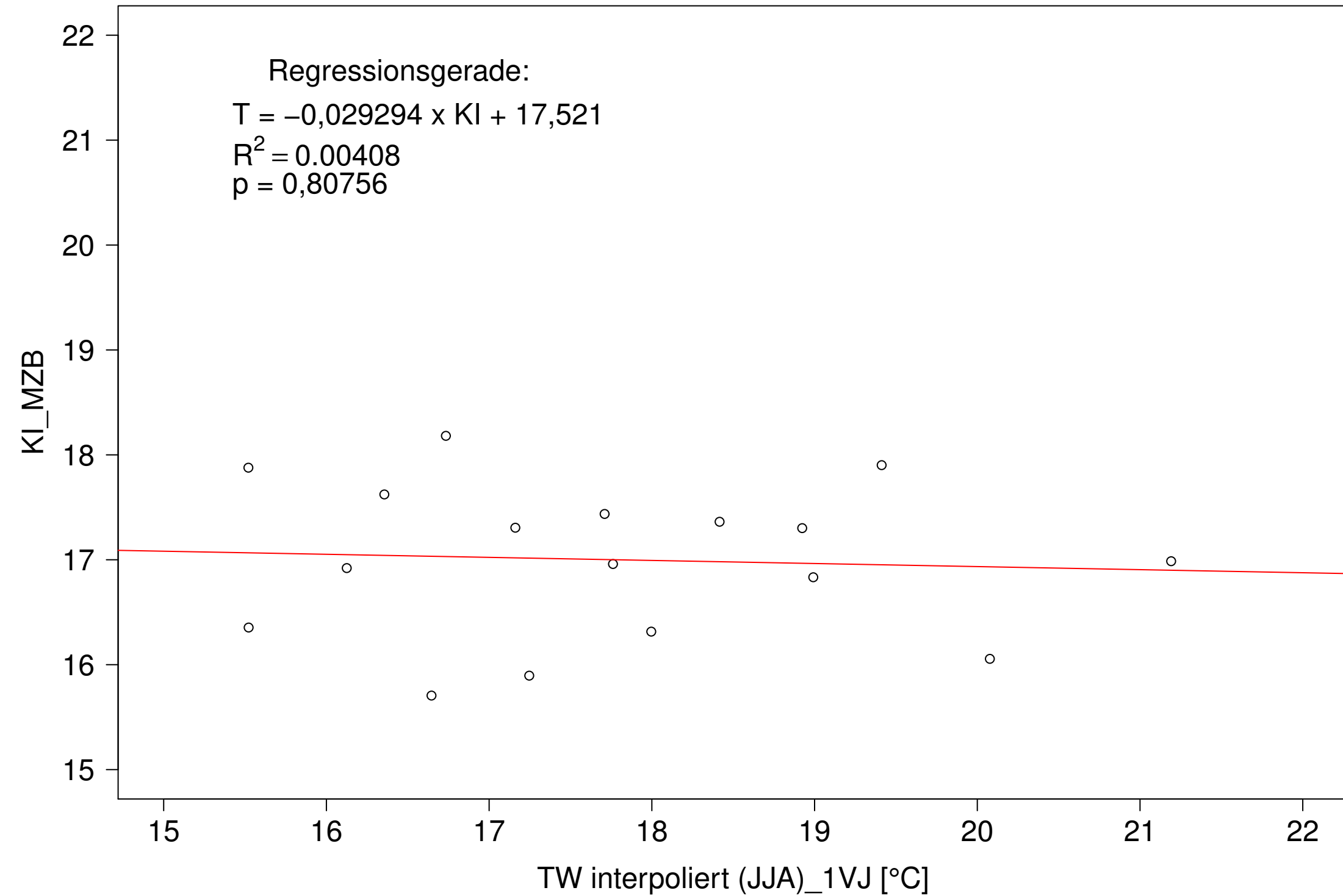
Argen_Giessen, Typ 03.2 mit Neozoen, Serie 1
KI_MZB (Typ/Kont-Korr) gegen TW interpoliert (JJA) des 1. Vorjahres



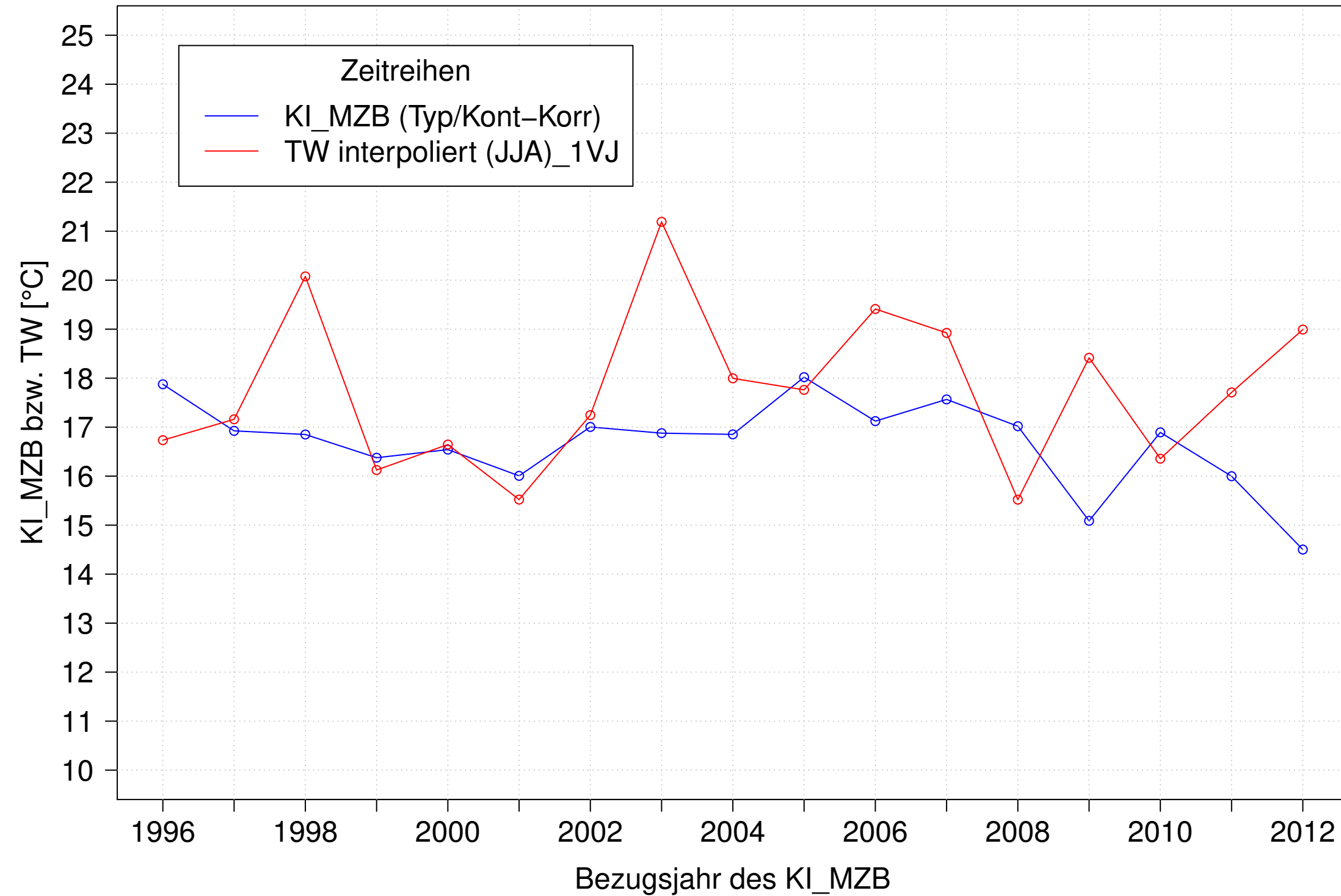
Argen_Giessen, Typ 03.2 mit Neozoen, Serie 2
KI_MZB (Typ/Kont-Korr) und TW interpoliert (JJA) des 1. Vorjahres



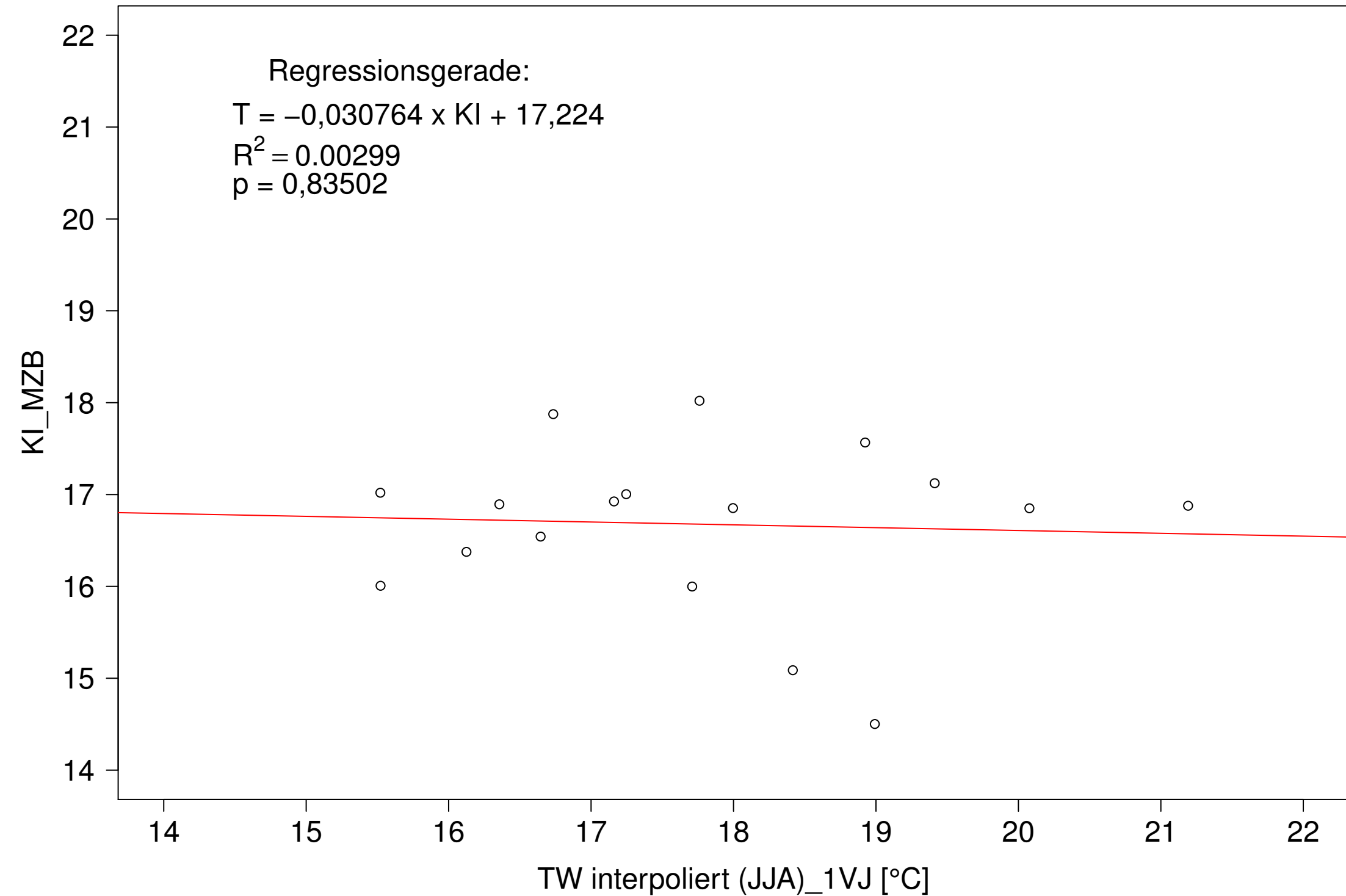
Argen_Giessen, Typ 03.2 mit Neozoen, Serie 2
KI_MZB (Typ/Kont-Korr) gegen TW interpoliert (JJA) des 1. Vorjahres



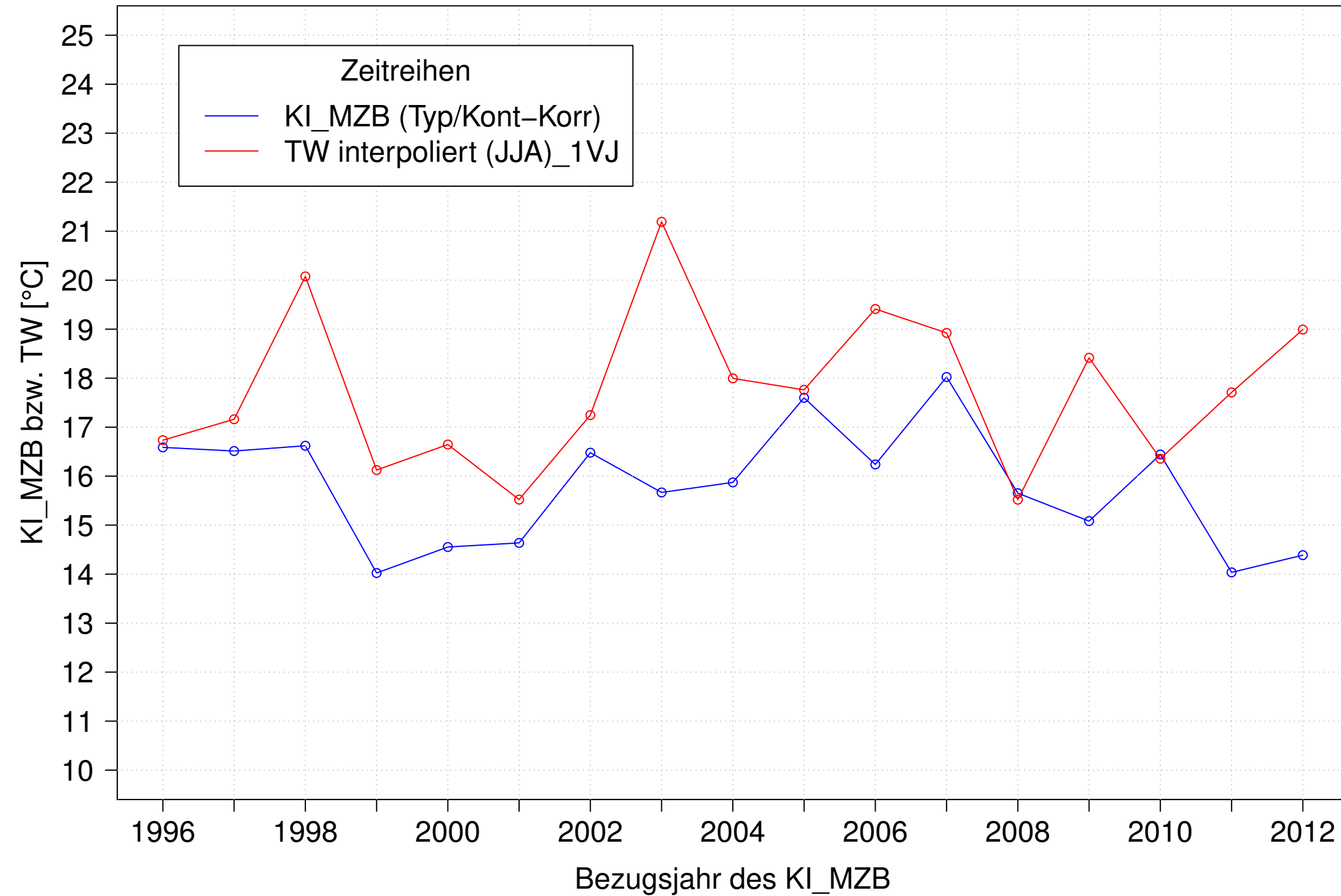
Argen_Giessen, Typ 03.2 mit Neozoen, Serie 3
KI_MZB (Typ/Kont-Korr) und TW interpoliert (JJA) des 1. Vorjahres



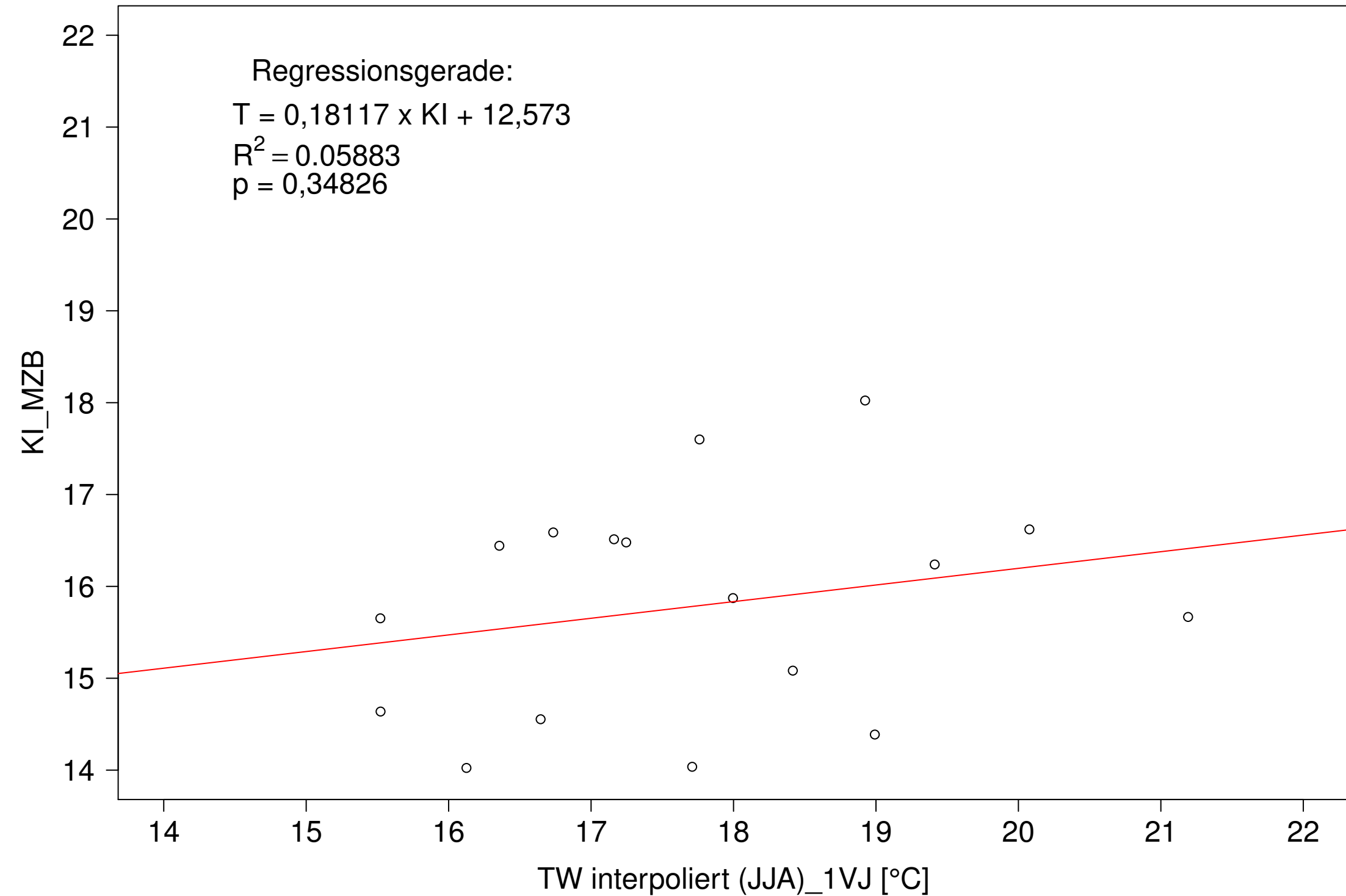
Argen_Giessen, Typ 03.2 mit Neozoen, Serie 3
KI_MZB (Typ/Kont-Korr) gegen TW interpoliert (JJA) des 1. Vorjahres



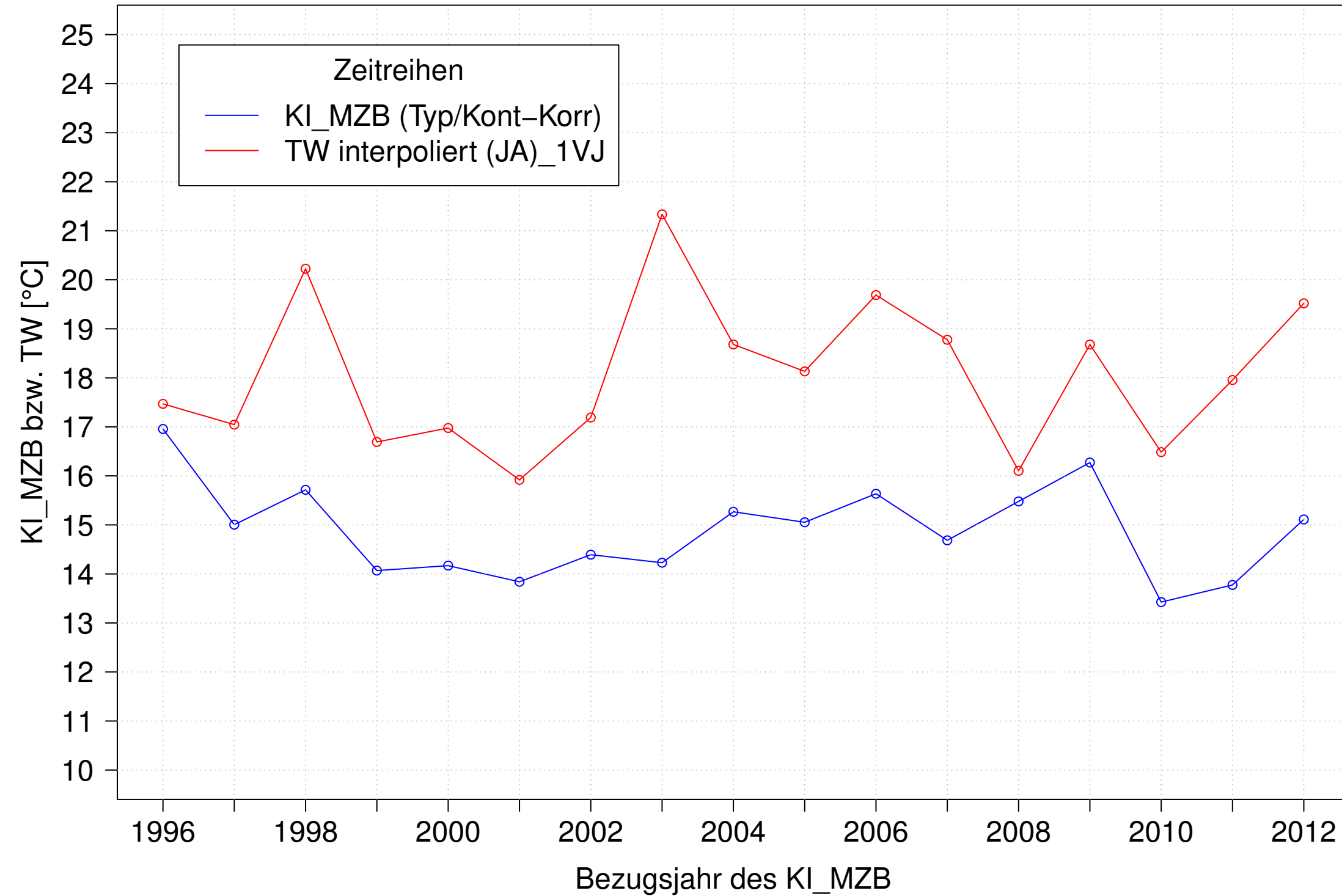
Argen_Giessen, Typ 03.2 mit Neozoen, Serie 4
KI_MZB (Typ/Kont-Korr) und TW interpoliert (JJA) des 1. Vorjahres



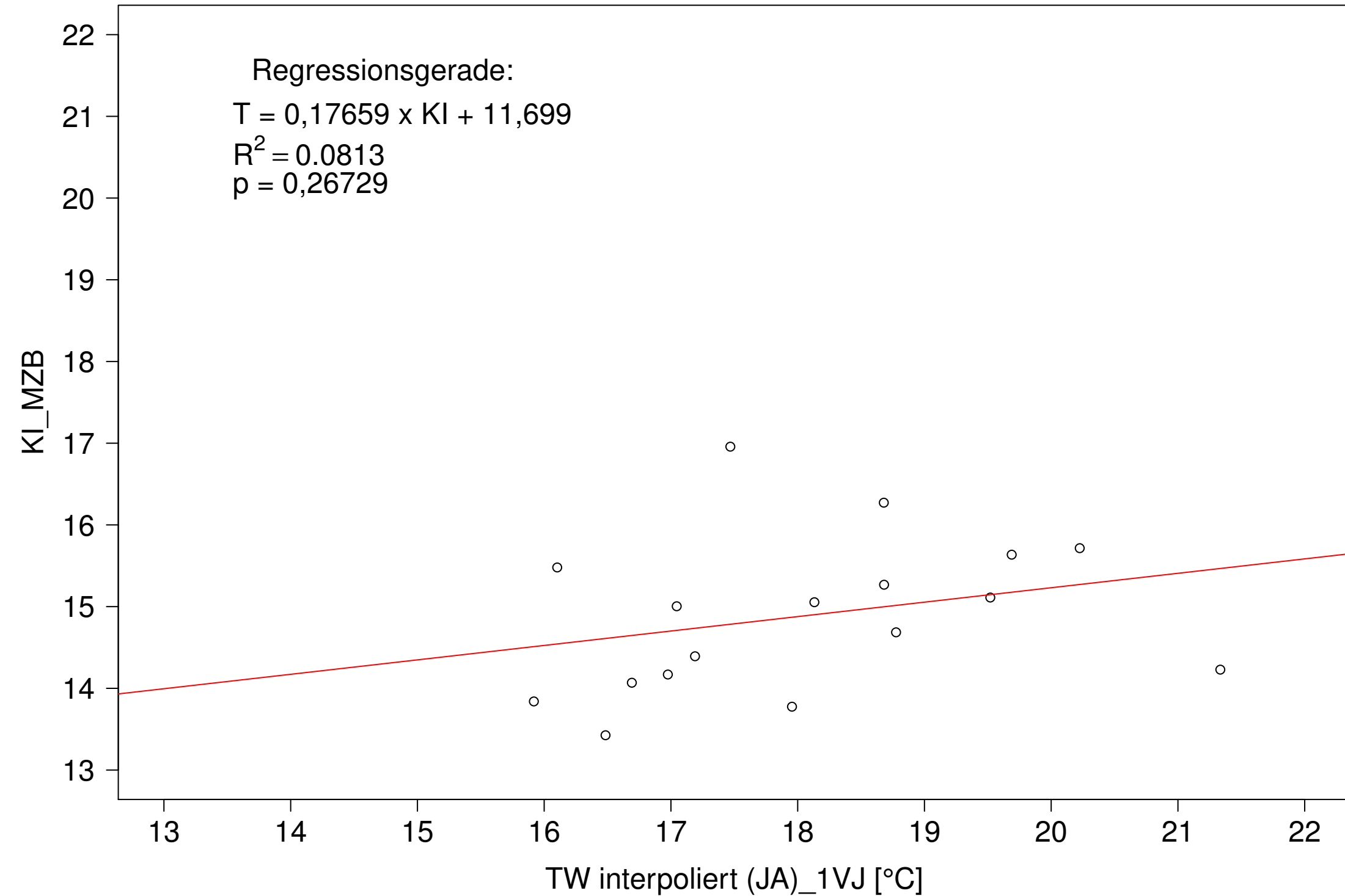
Argen_Giessen, Typ 03.2 mit Neozoen, Serie 4
KI_MZB (Typ/Kont-Korr) gegen TW interpoliert (JJA) des 1. Vorjahres



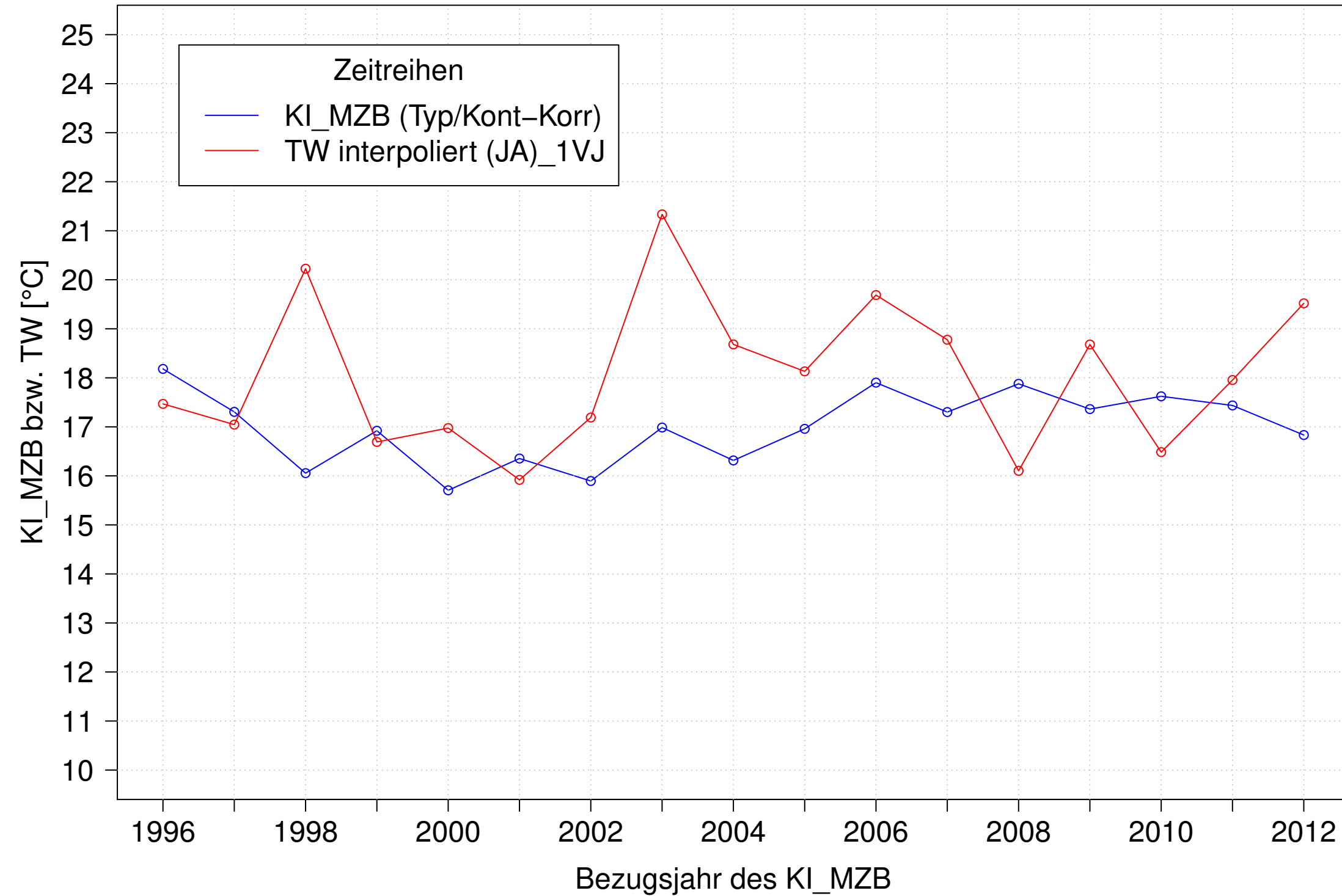
Argen_Giessen, Typ 03.2 mit Neozoen, Serie 1
 KI_MZB (Typ/Kont-Korr) und TW interpoliert (JA) des 1. Vorjahres



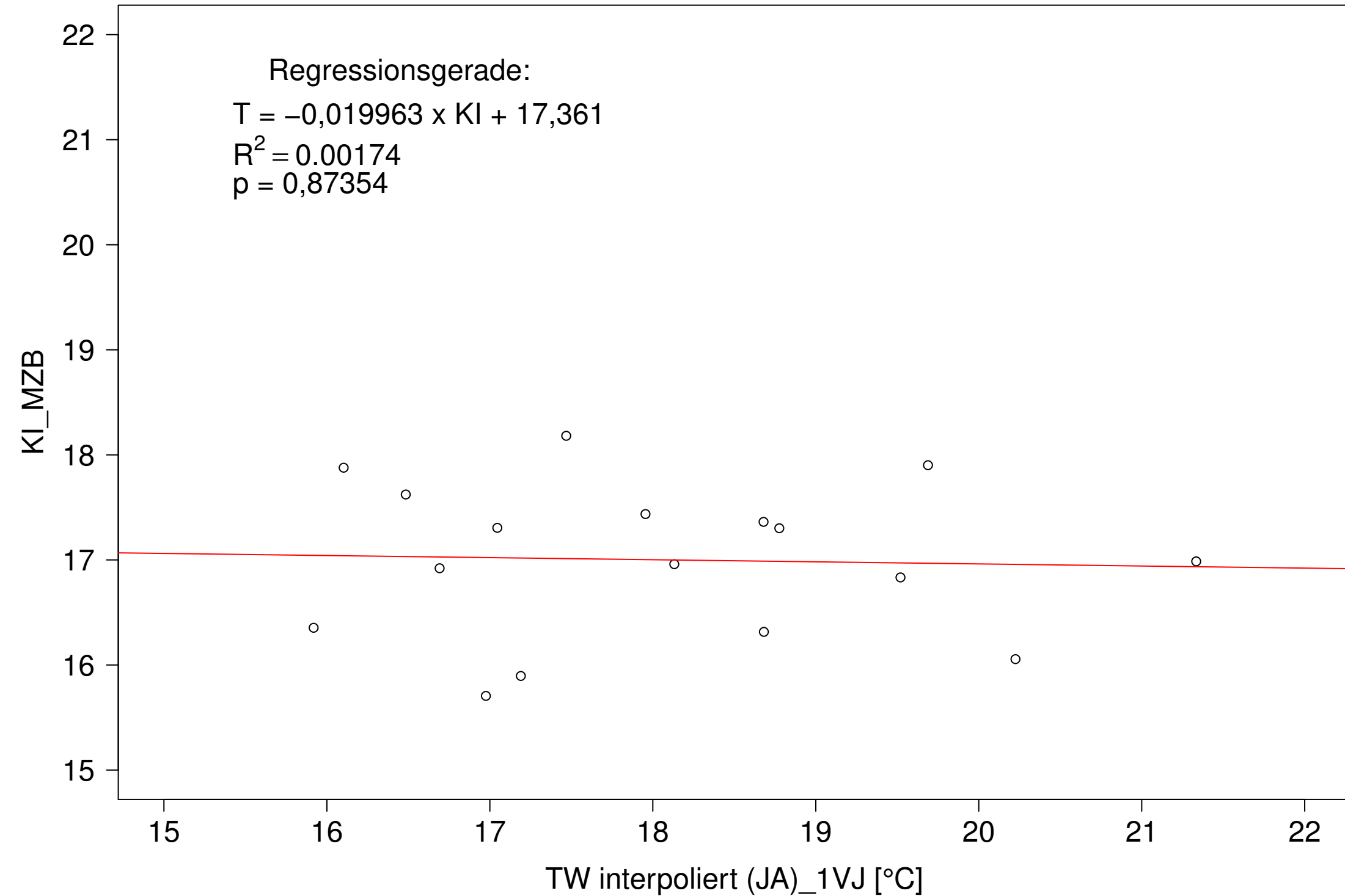
Argen_Giessen, Typ 03.2 mit Neozoen, Serie 1
 KI_MZB (Typ/Kont-Korr) gegen TW interpoliert (JA) des 1. Vorjahres



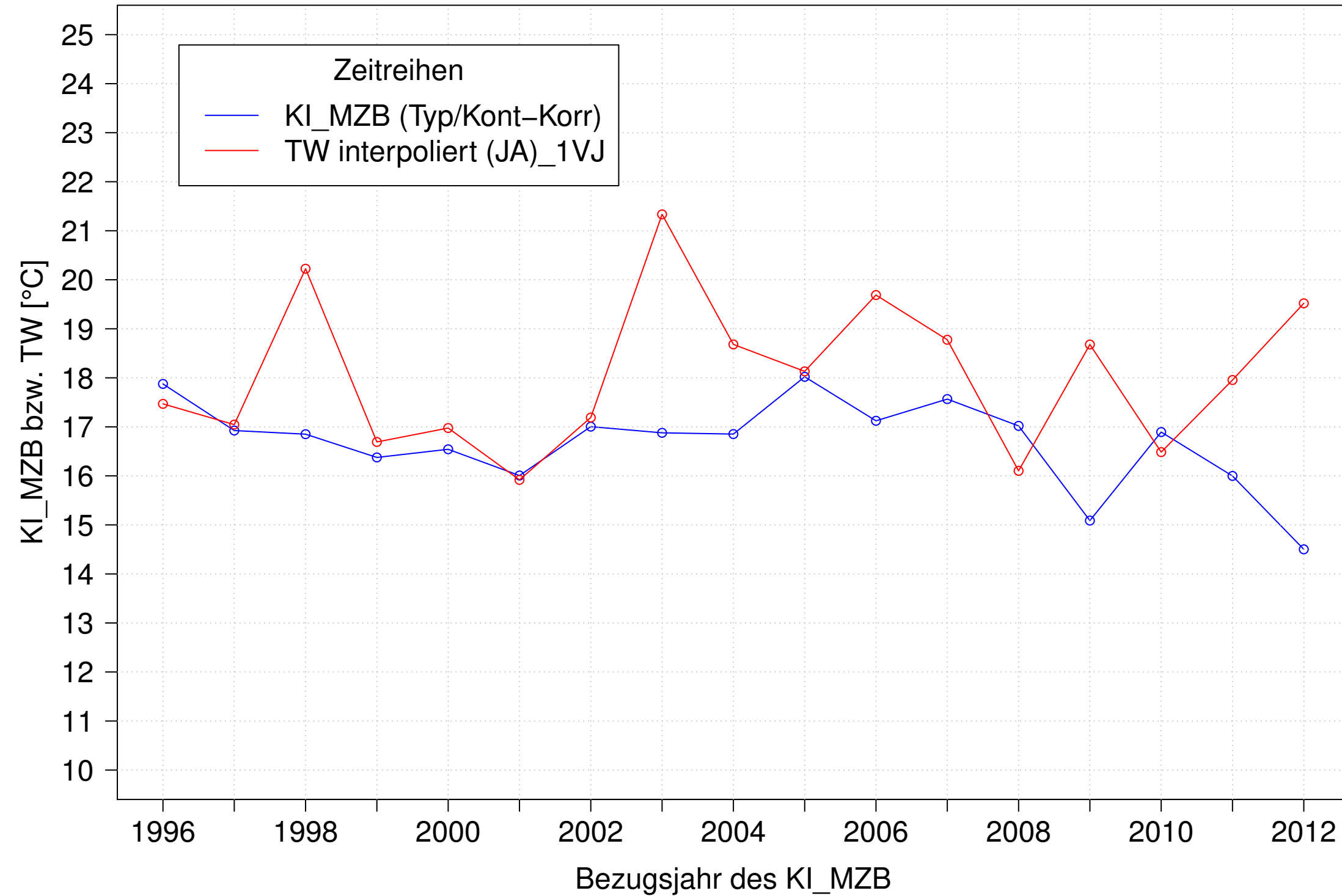
Argen_Giessen, Typ 03.2 mit Neozoen, Serie 2
 KI_MZB (Typ/Kont-Korr) und TW interpoliert (JA) des 1. Vorjahres



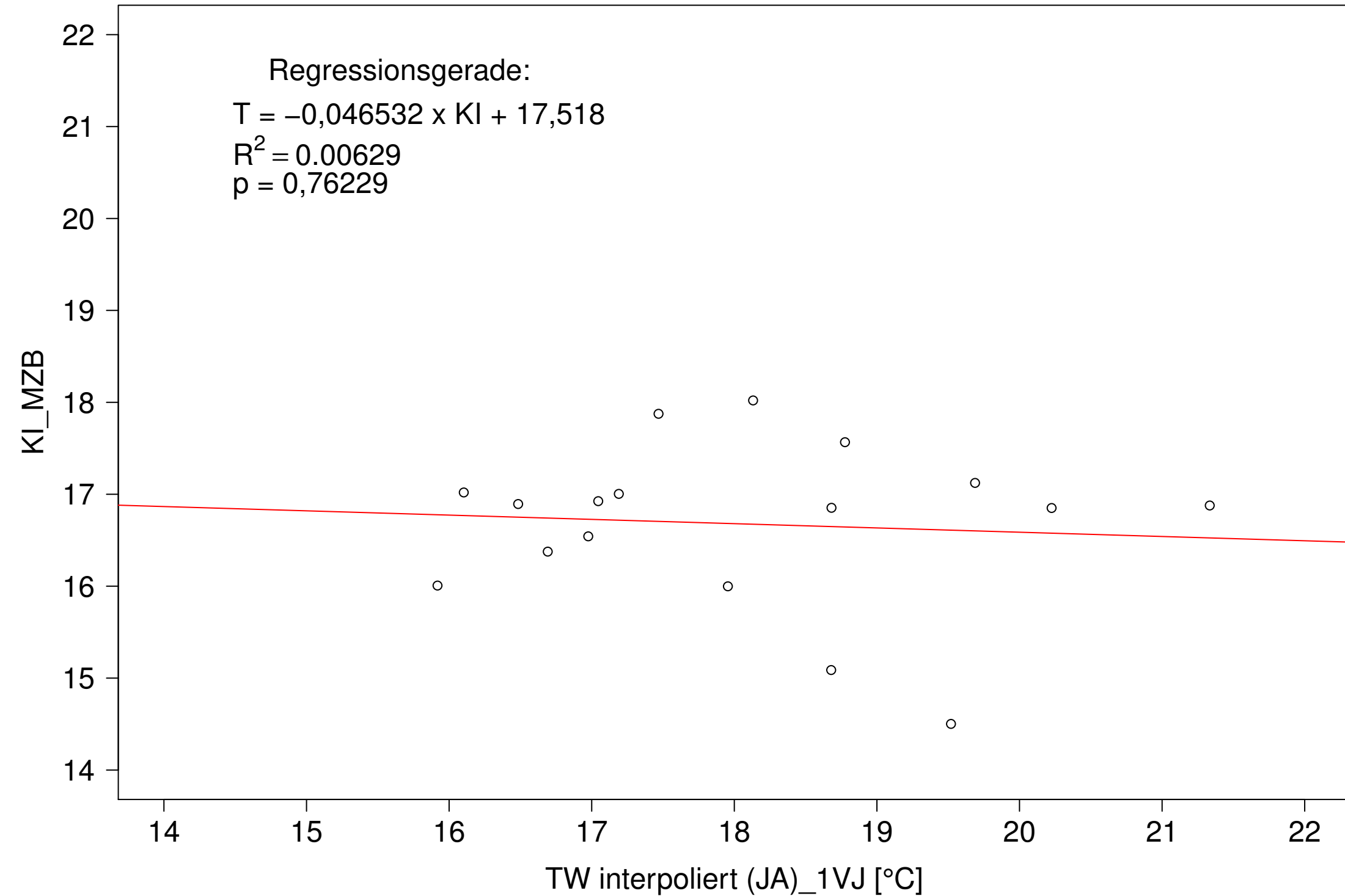
Argen_Giessen, Typ 03.2 mit Neozoen, Serie 2
 KI_MZB (Typ/Kont-Korr) gegen TW interpoliert (JA) des 1. Vorjahres



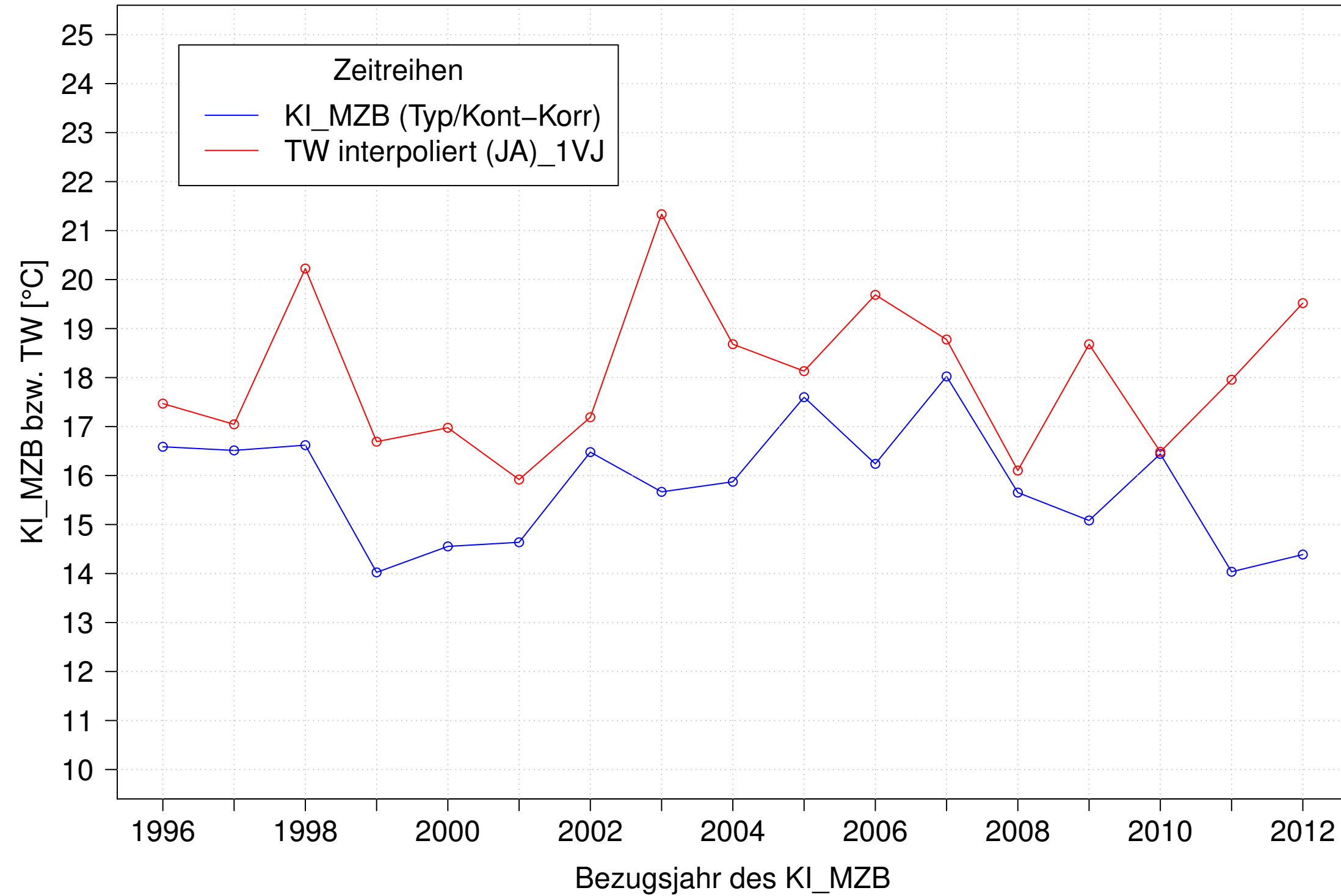
Argen_Giessen, Typ 03.2 mit Neozoen, Serie 3
 KI_MZB (Typ/Kont-Korr) und TW interpoliert (JA) des 1. Vorjahres



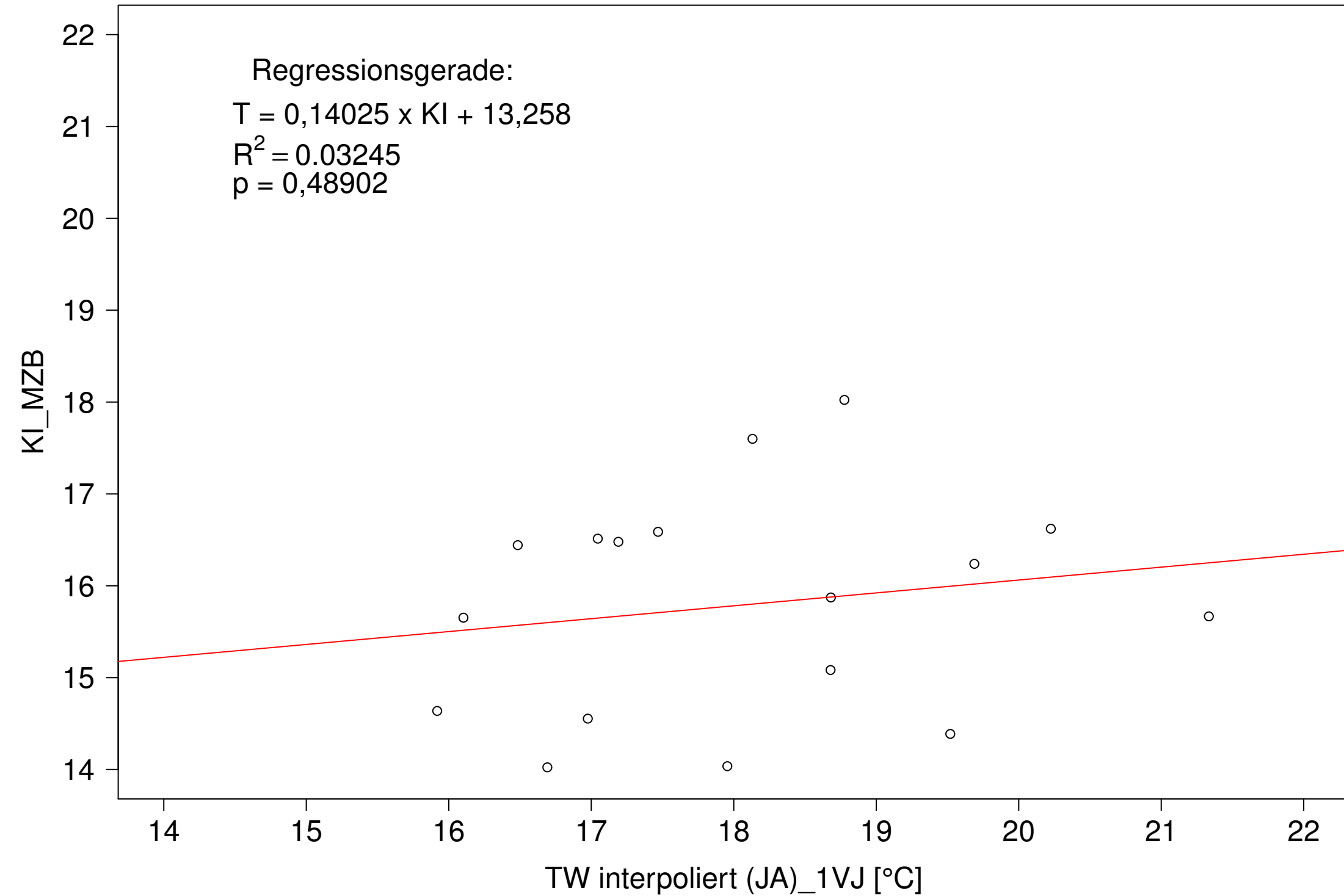
Argen_Giessen, Typ 03.2 mit Neozoen, Serie 3
 KI_MZB (Typ/Kont-Korr) gegen TW interpoliert (JA) des 1. Vorjahres



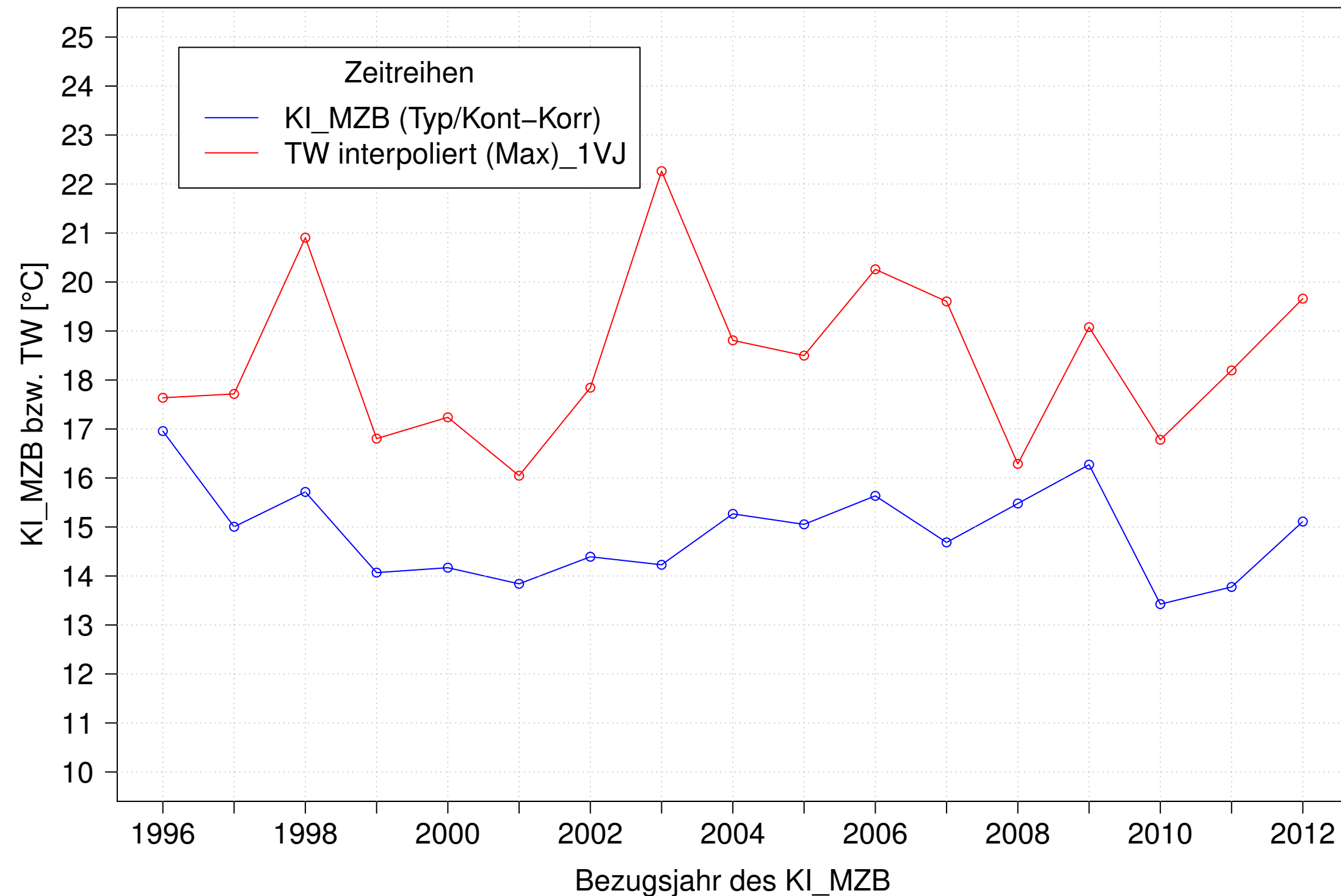
Argen_Giessen, Typ 03.2 mit Neozoen, Serie 4
 KI_MZB (Typ/Kont-Korr) und TW interpoliert (JA) des 1. Vorjahres



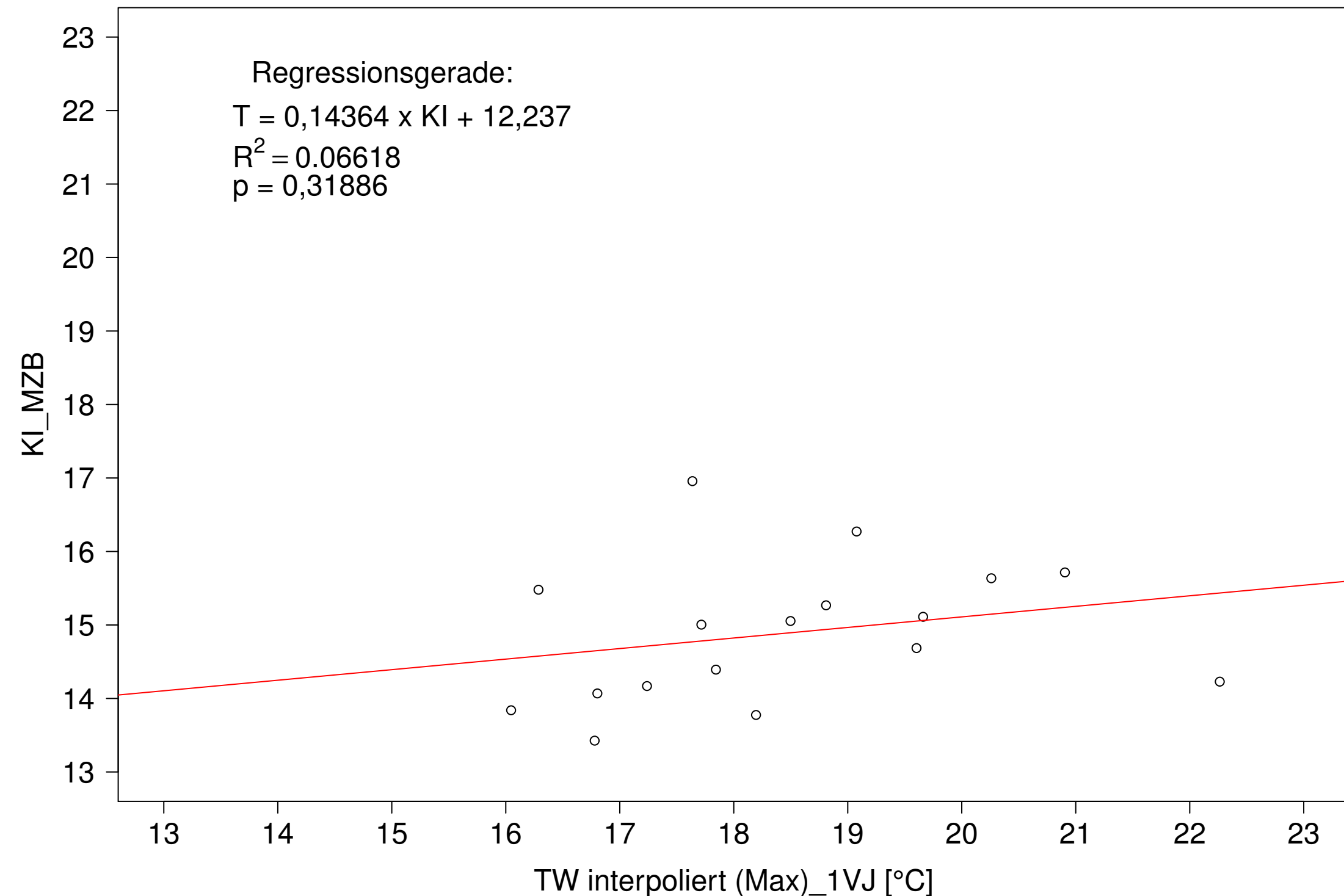
Argen_Giessen, Typ 03.2 mit Neozoen, Serie 4
 KI_MZB (Typ/Kont-Korr) gegen TW interpoliert (JA) des 1. Vorjahres



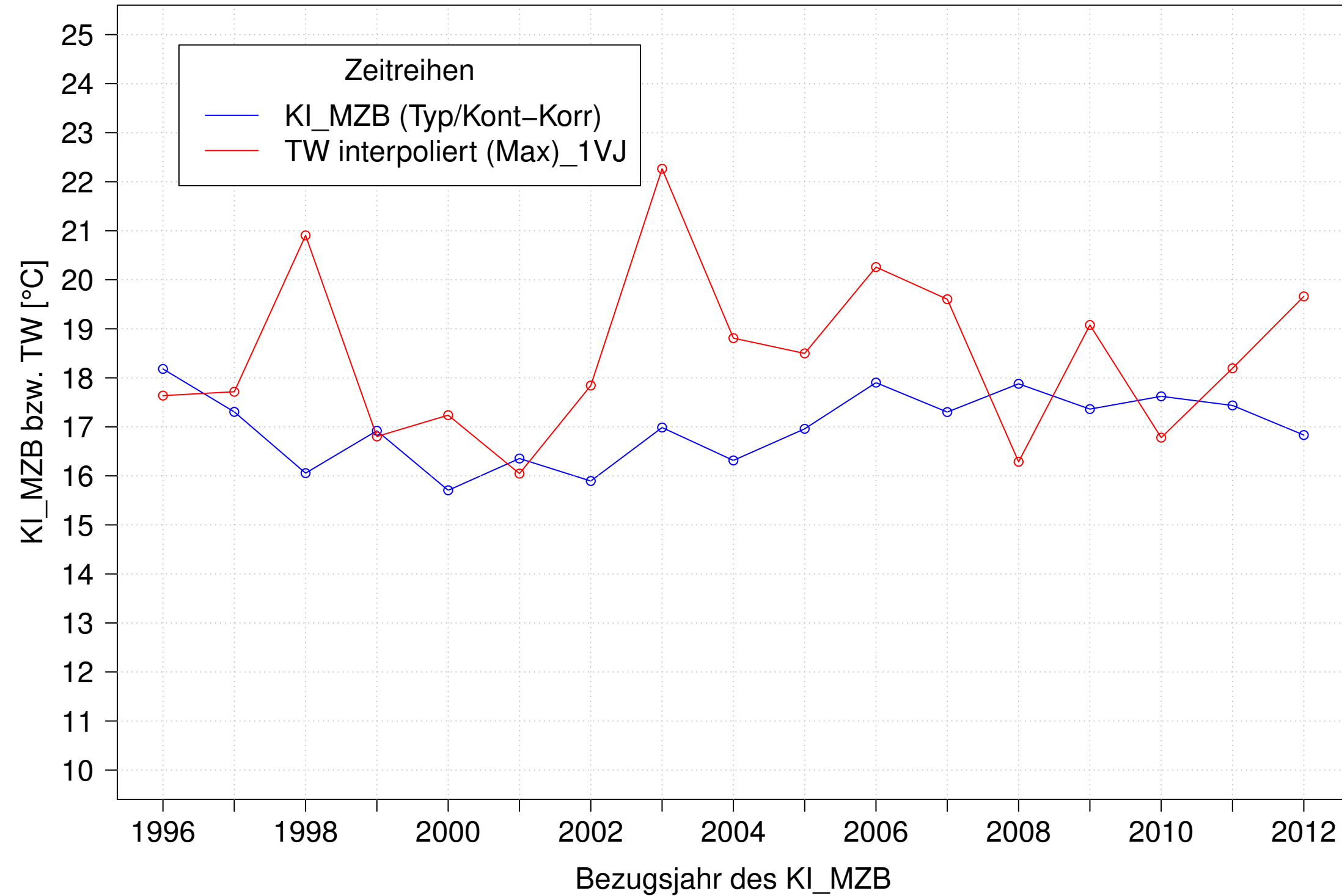
Argen_Giessen, Typ 03.2 mit Neozoen, Serie 1
KI_MZB (Typ/Kont-Korr) und TW interpoliert (Max) des 1. Vorjahres



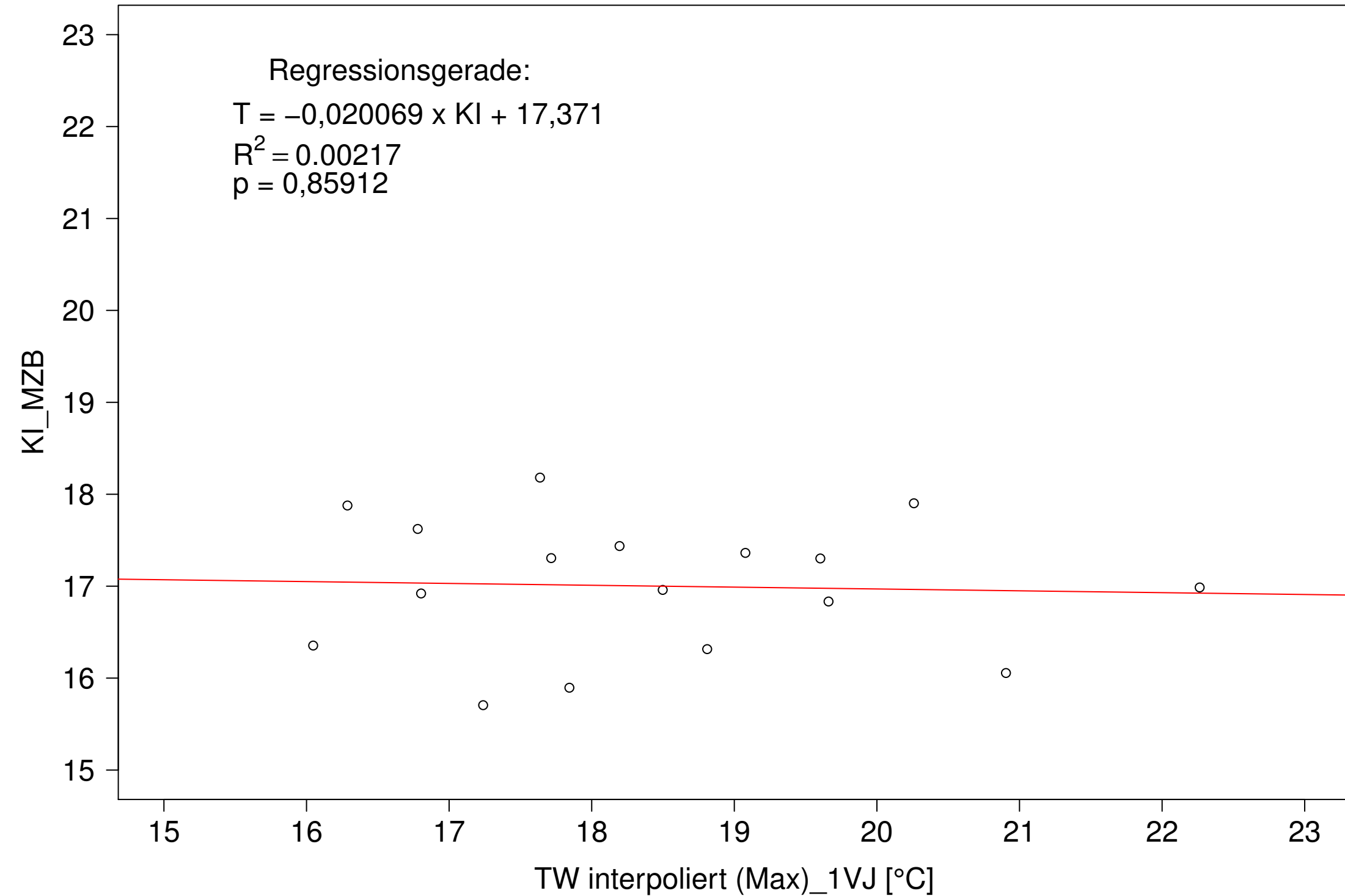
Argen_Giessen, Typ 03.2 mit Neozoen, Serie 1
KI_MZB (Typ/Kont-Korr) gegen TW interpoliert (Max) des 1. Vorjahres



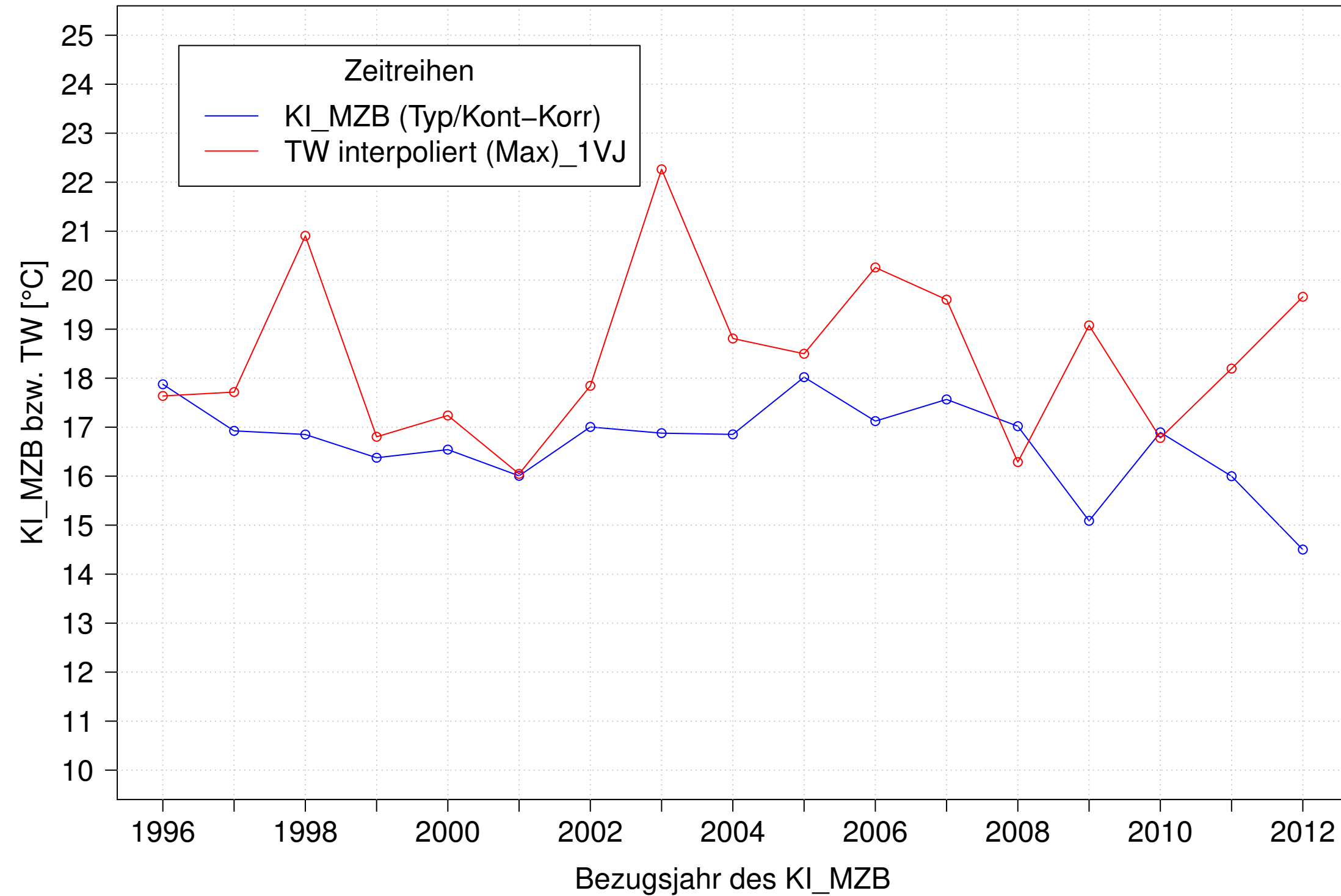
Argen_Giessen, Typ 03.2 mit Neozoen, Serie 2
 KI_MZB (Typ/Kont-Korr) und TW interpoliert (Max) des 1. Vorjahres



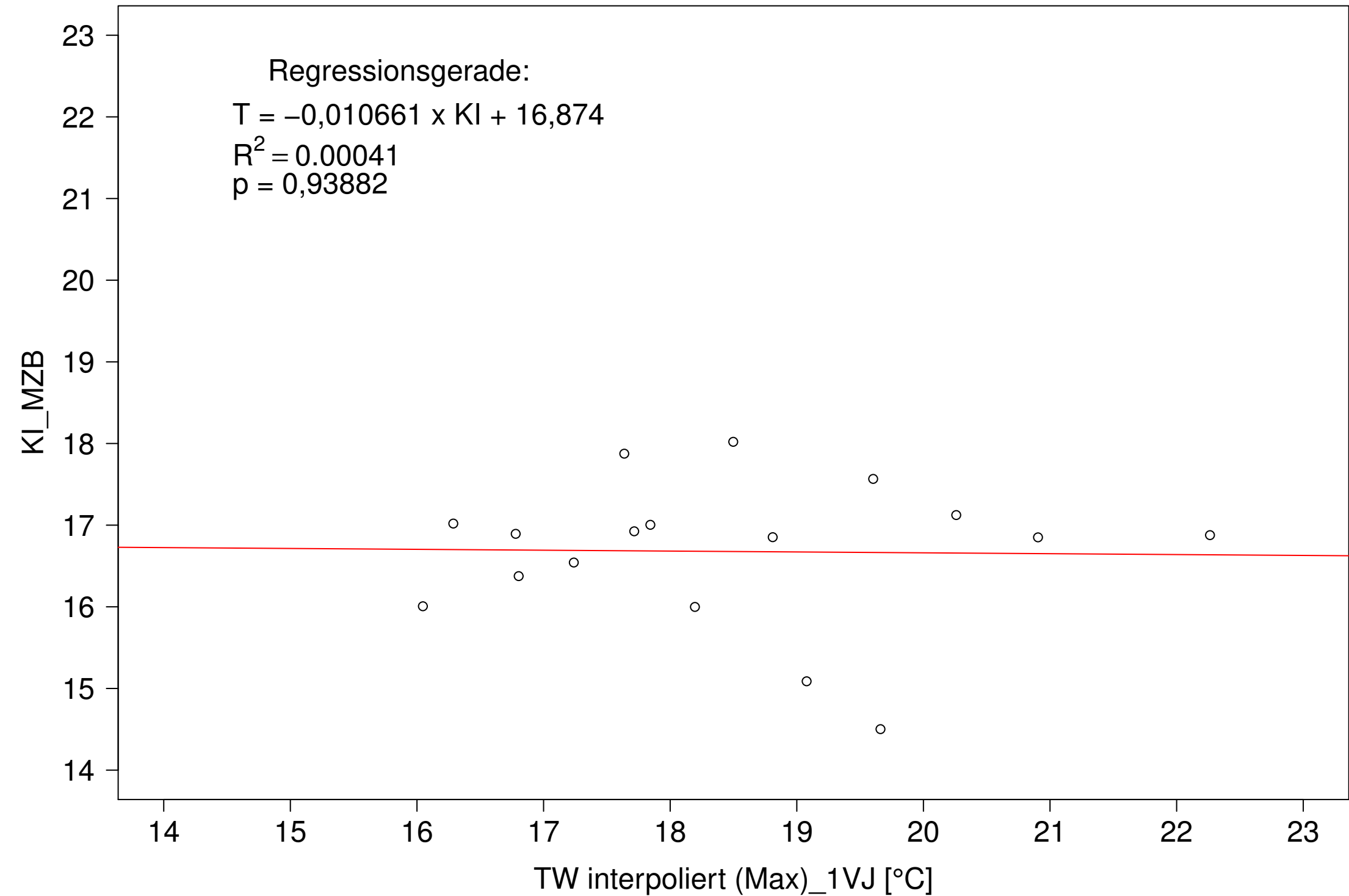
Argen_Giessen, Typ 03.2 mit Neozoen, Serie 2
 KI_MZB (Typ/Kont-Korr) gegen TW interpoliert (Max) des 1. Vorjahres



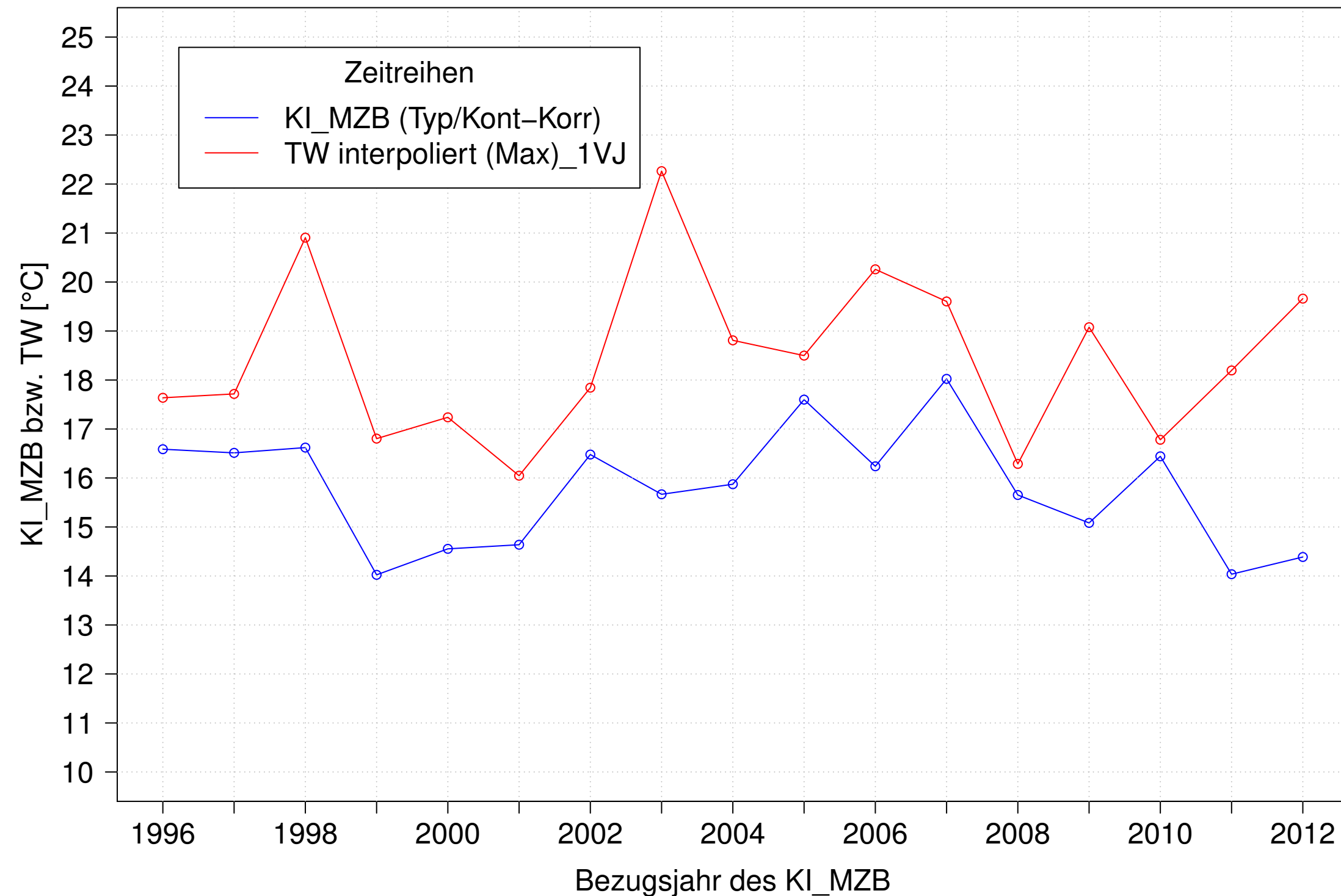
Argen_Giessen, Typ 03.2 mit Neozoen, Serie 3
KI_MZB (Typ/Kont-Korr) und TW interpoliert (Max) des 1. Vorjahres



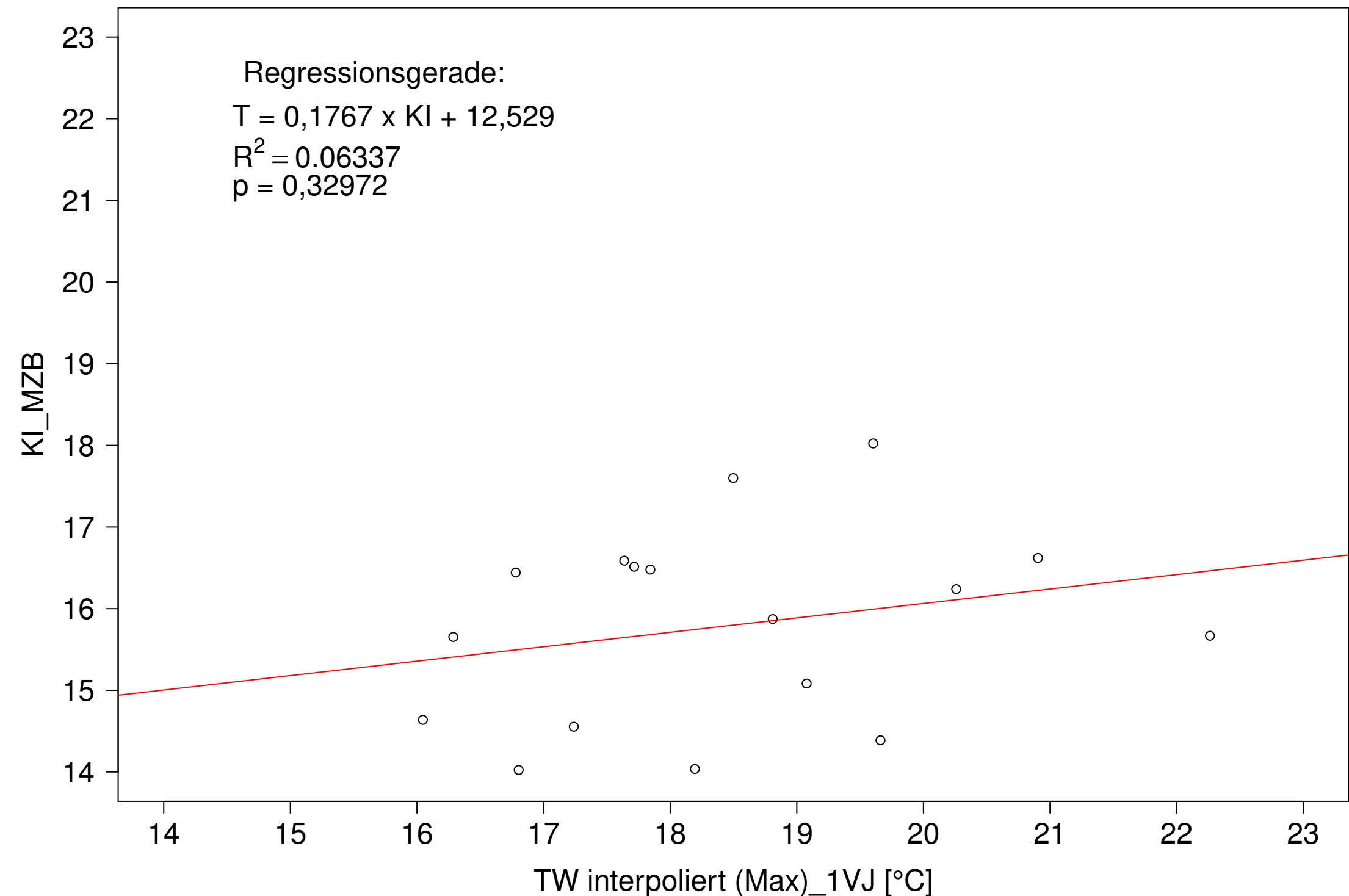
Argen_Giessen, Typ 03.2 mit Neozoen, Serie 3
KI_MZB (Typ/Kont-Korr) gegen TW interpoliert (Max) des 1. Vorjahres



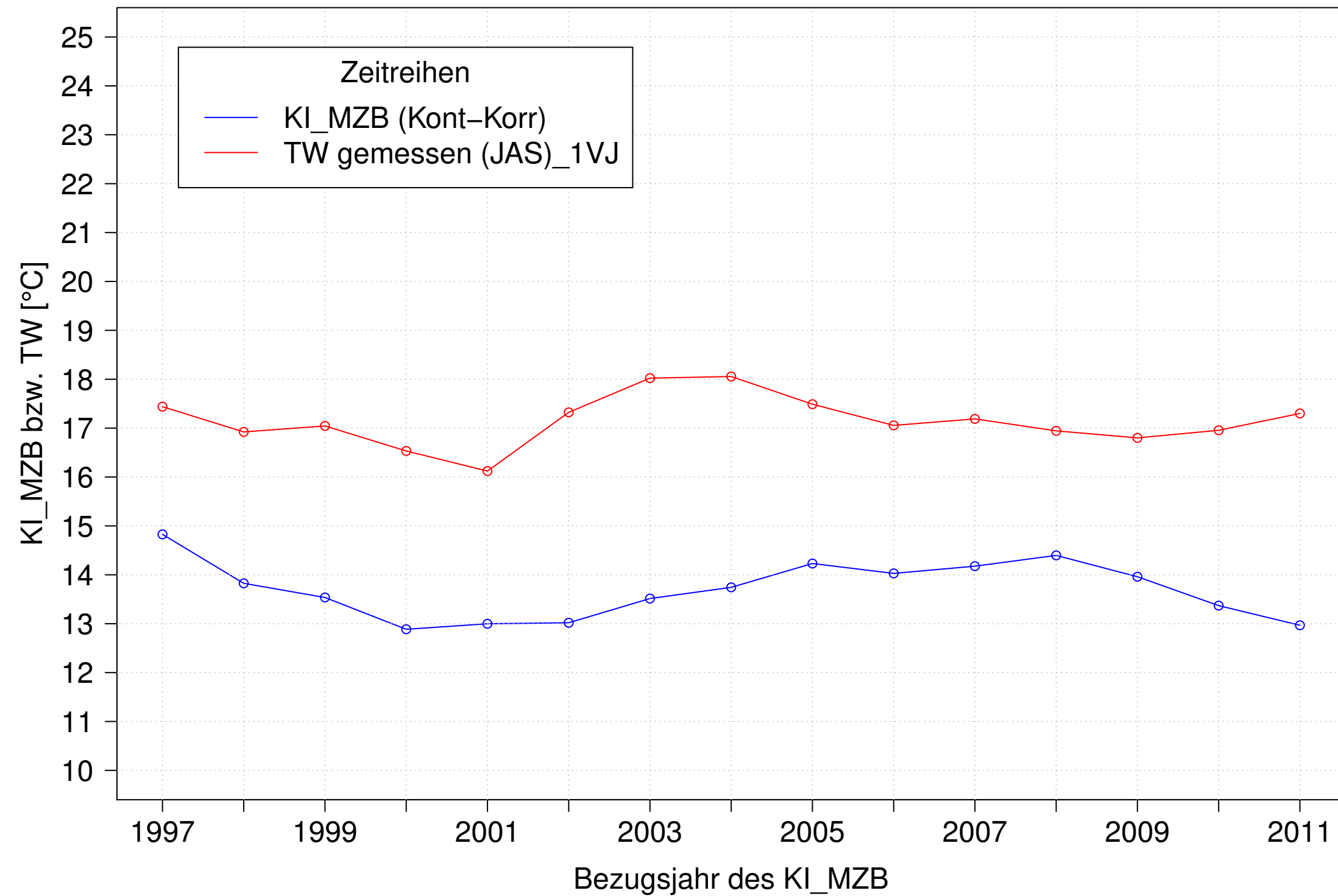
Argen_Giessen, Typ 03.2 mit Neozoen, Serie 4
KI_MZB (Typ/Kont-Korr) und TW interpoliert (Max) des 1. Vorjahres



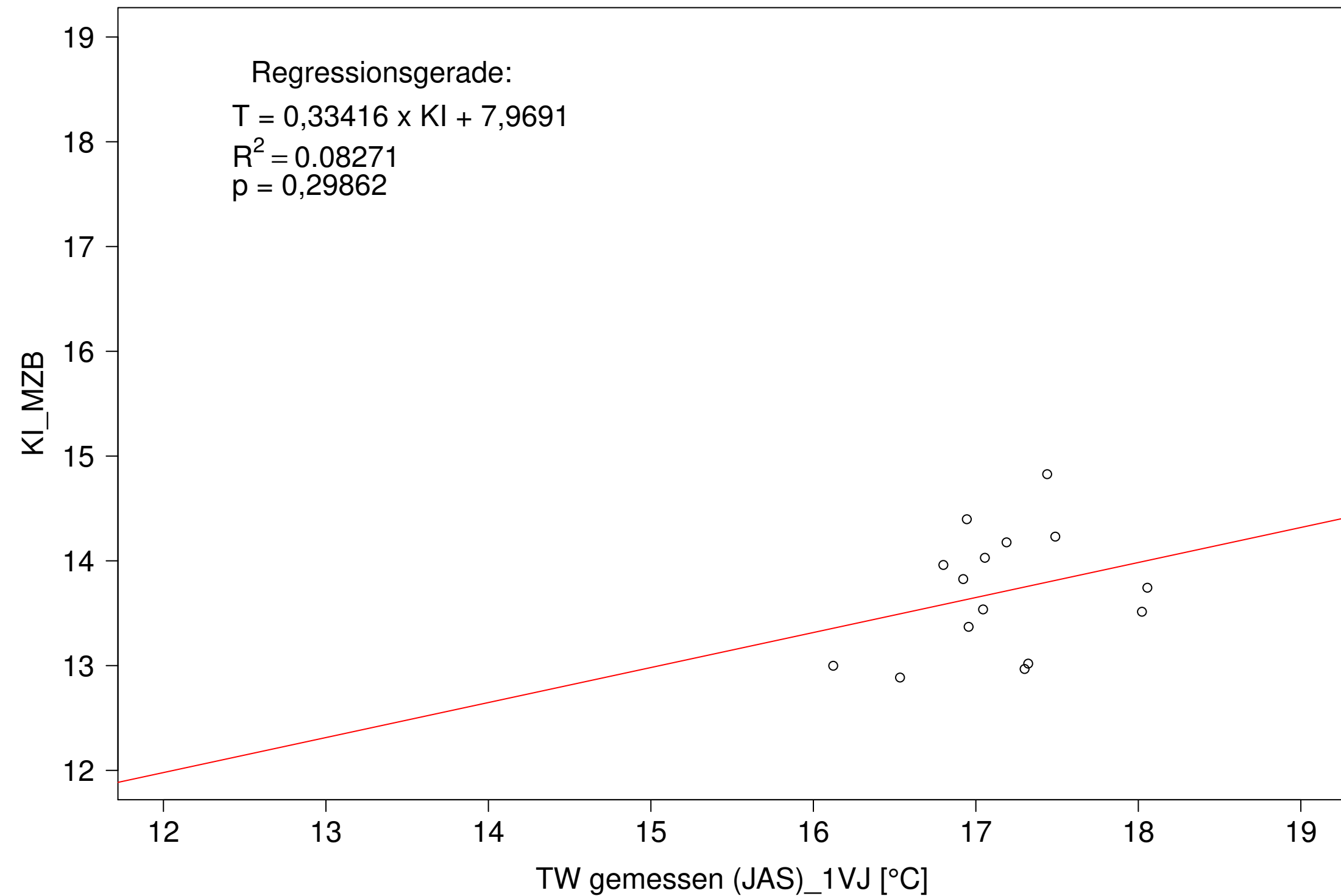
Argen_Giessen, Typ 03.2 mit Neozoen, Serie 4
KI_MZB (Typ/Kont-Korr) gegen TW interpoliert (Max) des 1. Vorjahres



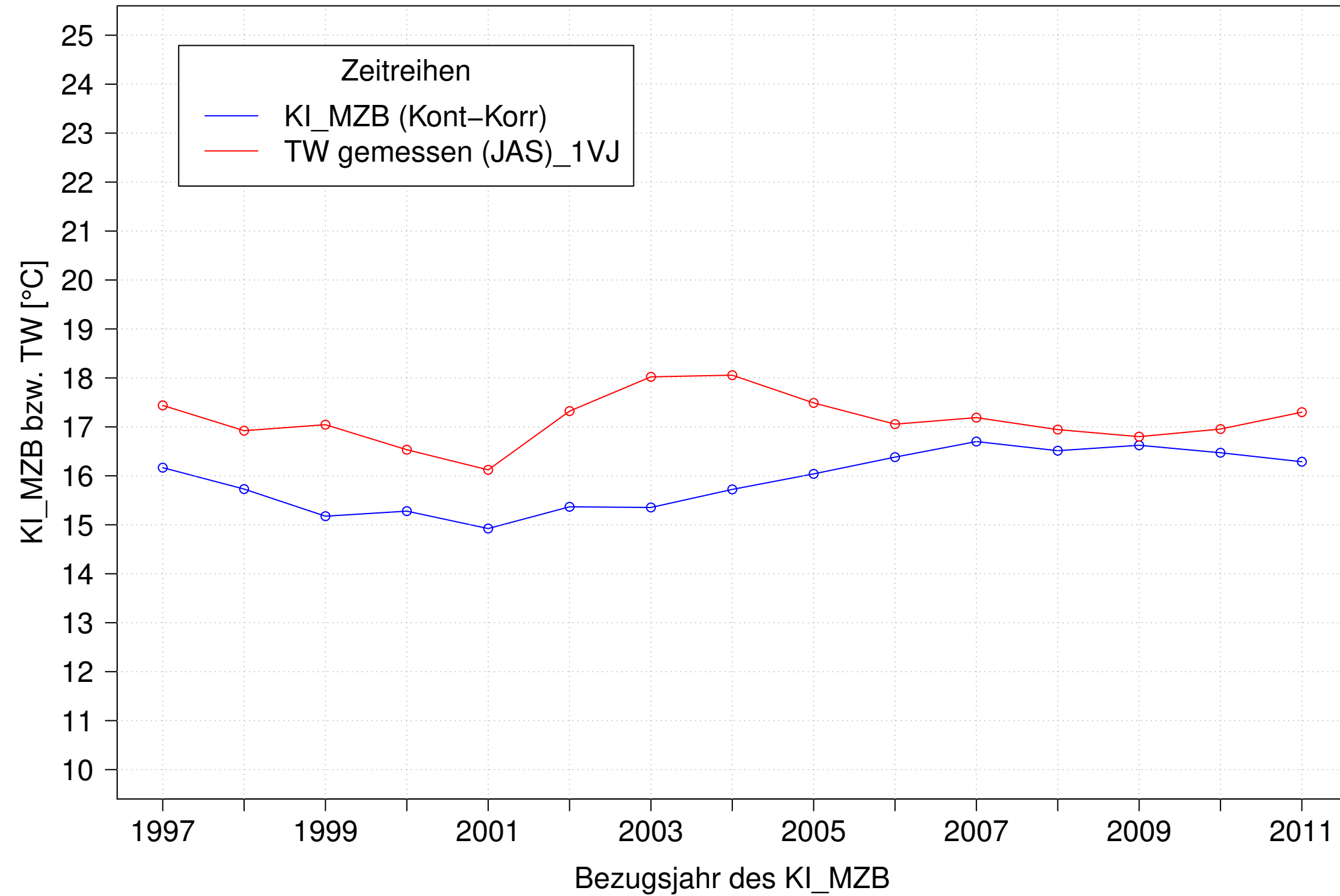
Argen_Giessen, Typ 03.2 mit Neozoen, Serie 1
3JMW KI_MZB (Kont-Korr) und 3JMW TW gemessen (JAS) des 1. Vorjahres



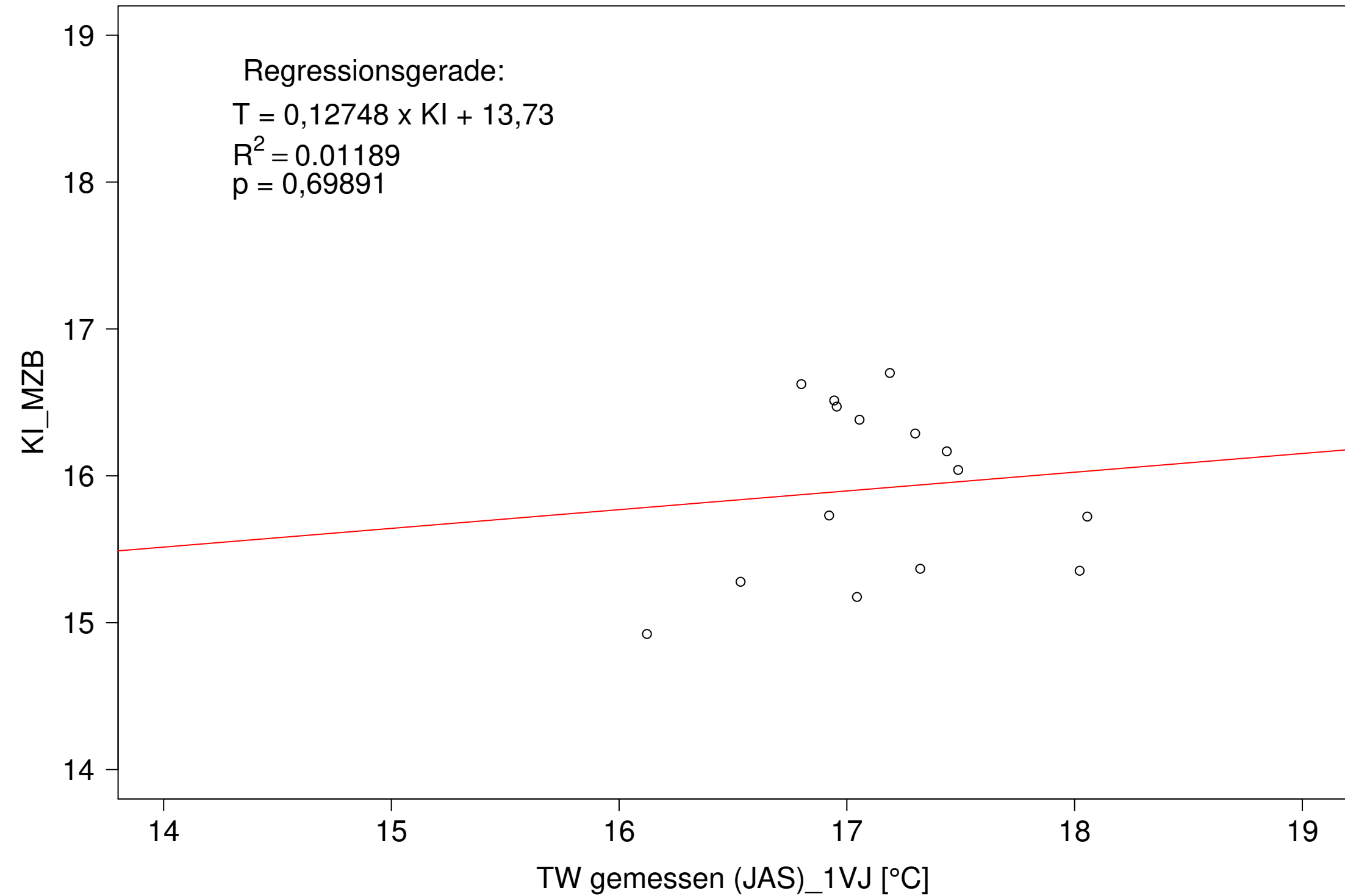
Argen_Giessen, Typ 03.2 mit Neozoen, Serie 1
3JMW KI_MZB (Kont-Korr) gegen 3JMW TW gemessen (JAS) des 1. Vorjahres



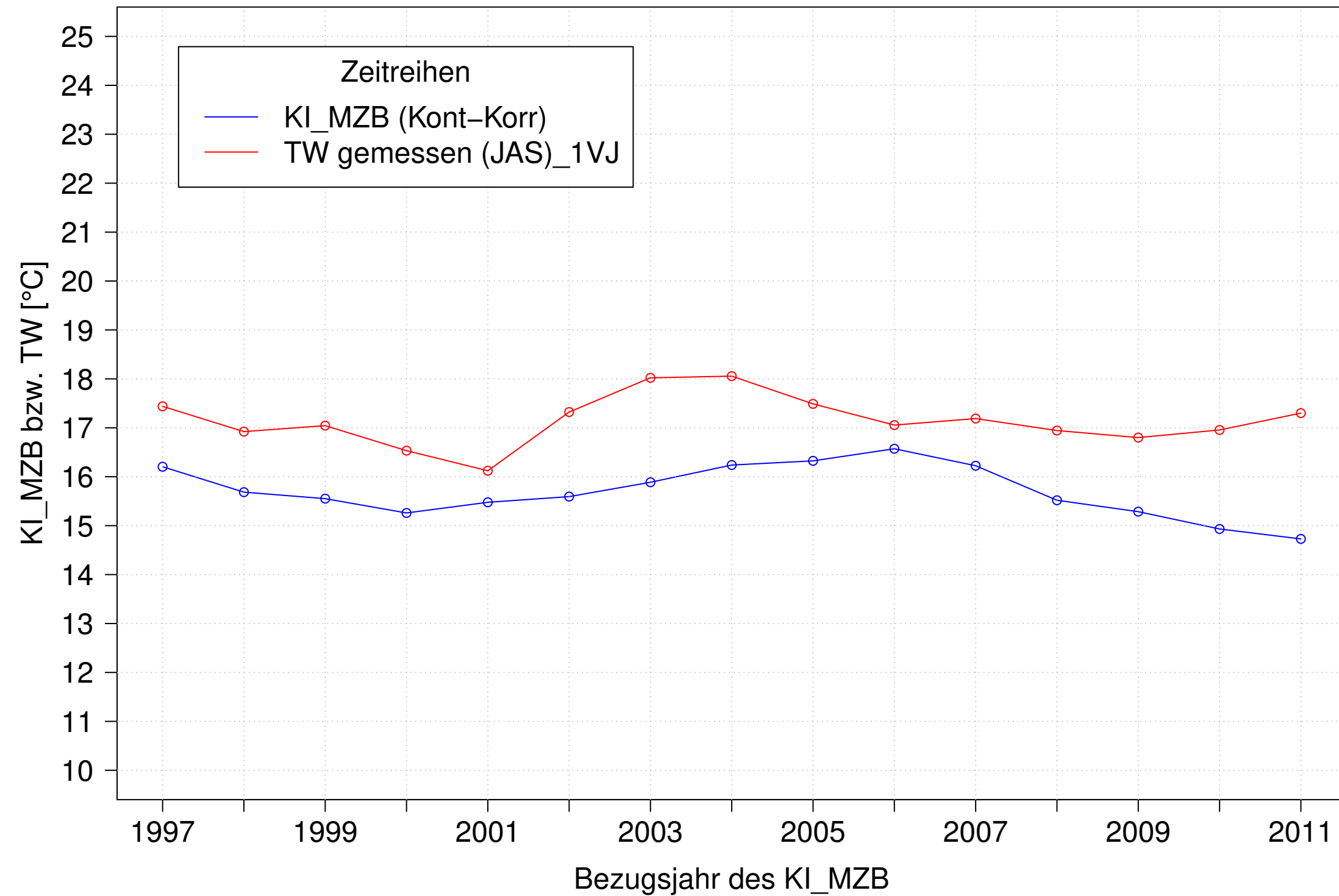
Argen_Giessen, Typ 03.2 mit Neozoen, Serie 2
3JMW KI_MZB (Kont-Korr) und 3JMW TW gemessen (JAS) des 1. Vorjahres



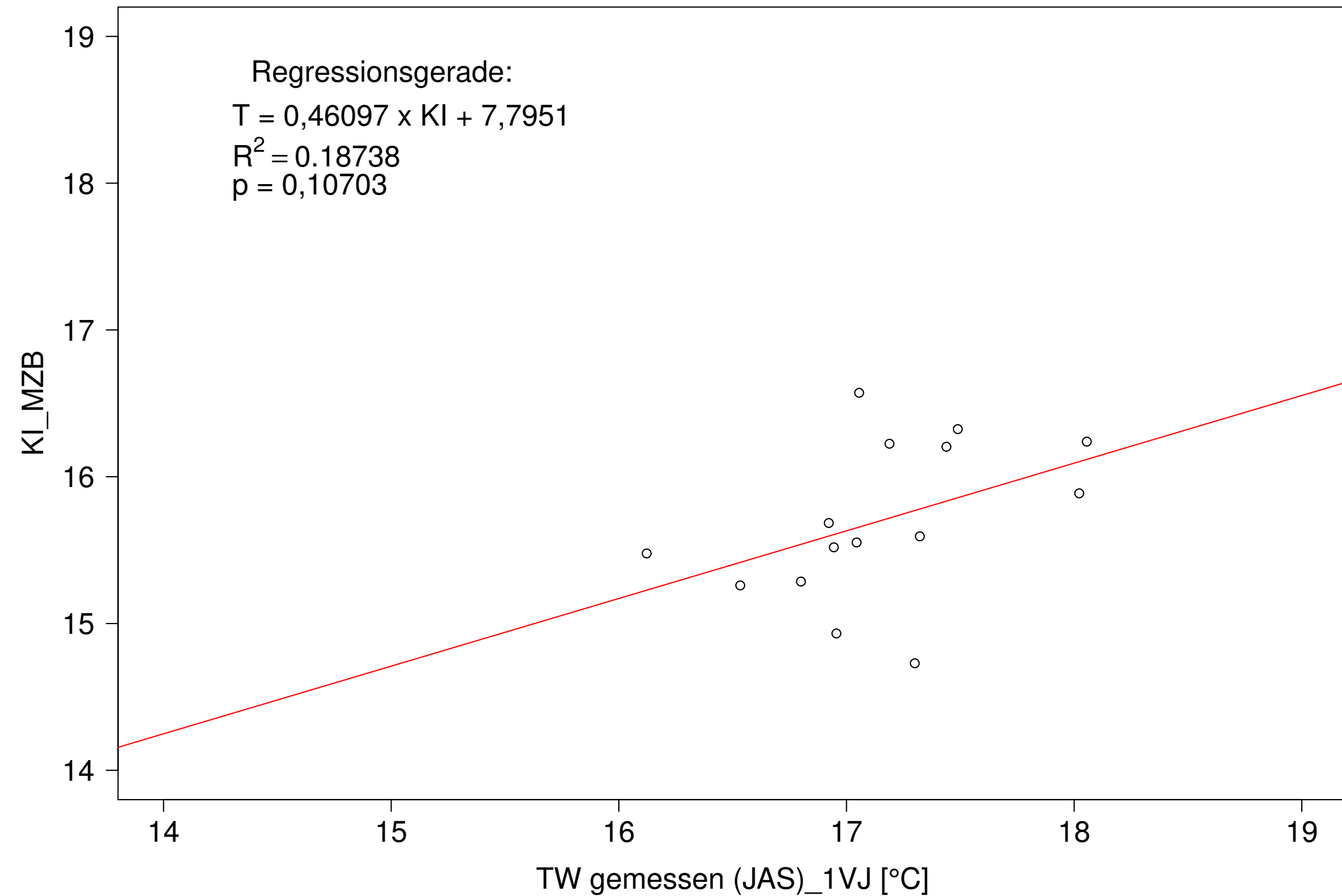
Argen_Giessen, Typ 03.2 mit Neozoen, Serie 2
3JMW KI_MZB (Kont-Korr) gegen 3JMW TW gemessen (JAS) des 1. Vorjahres



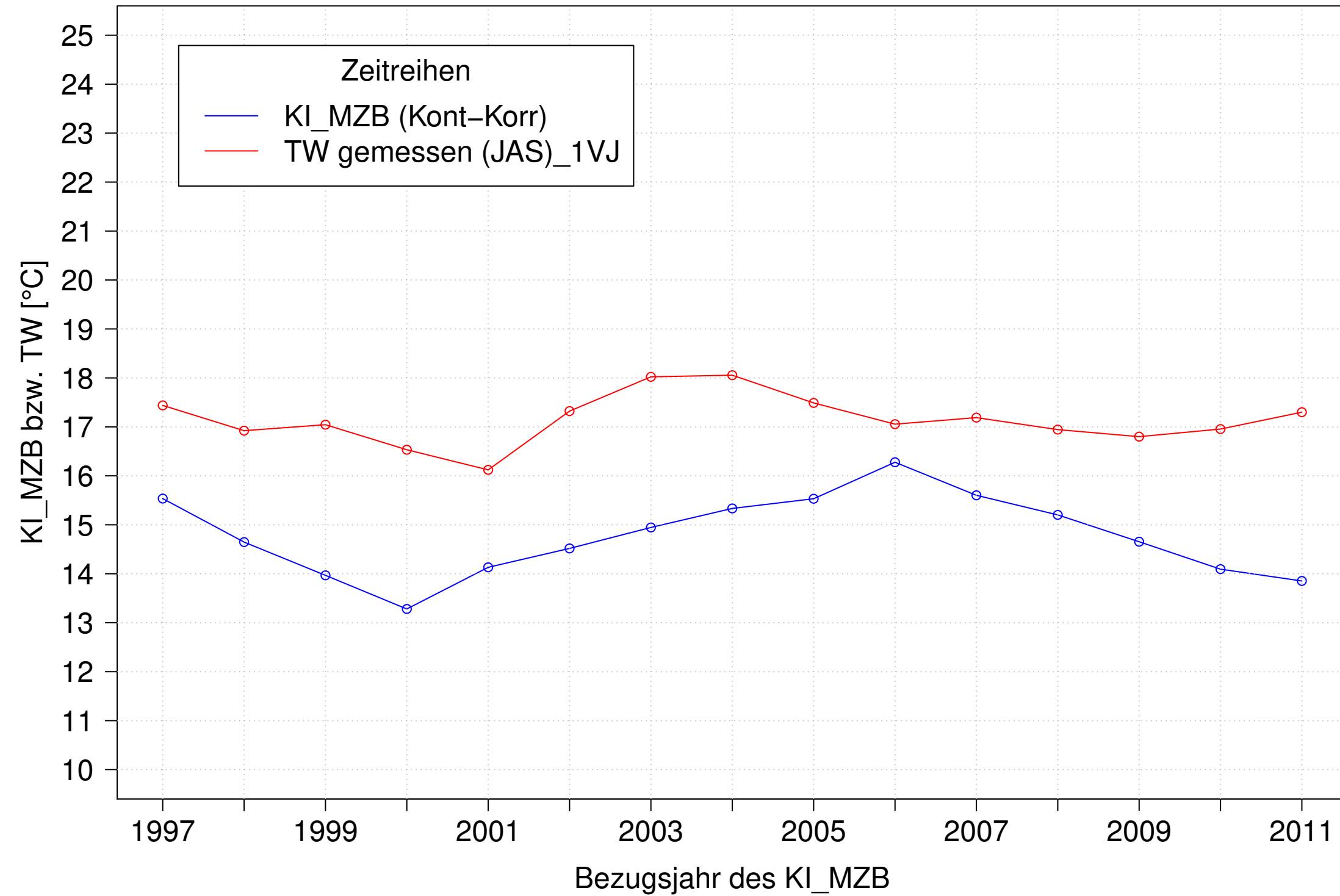
Argen_Giessen, Typ 03.2 mit Neozoen, Serie 3
3JMW KI_MZB (Kont-Korr) und 3JMW TW gemessen (JAS) des 1. Vorjahres



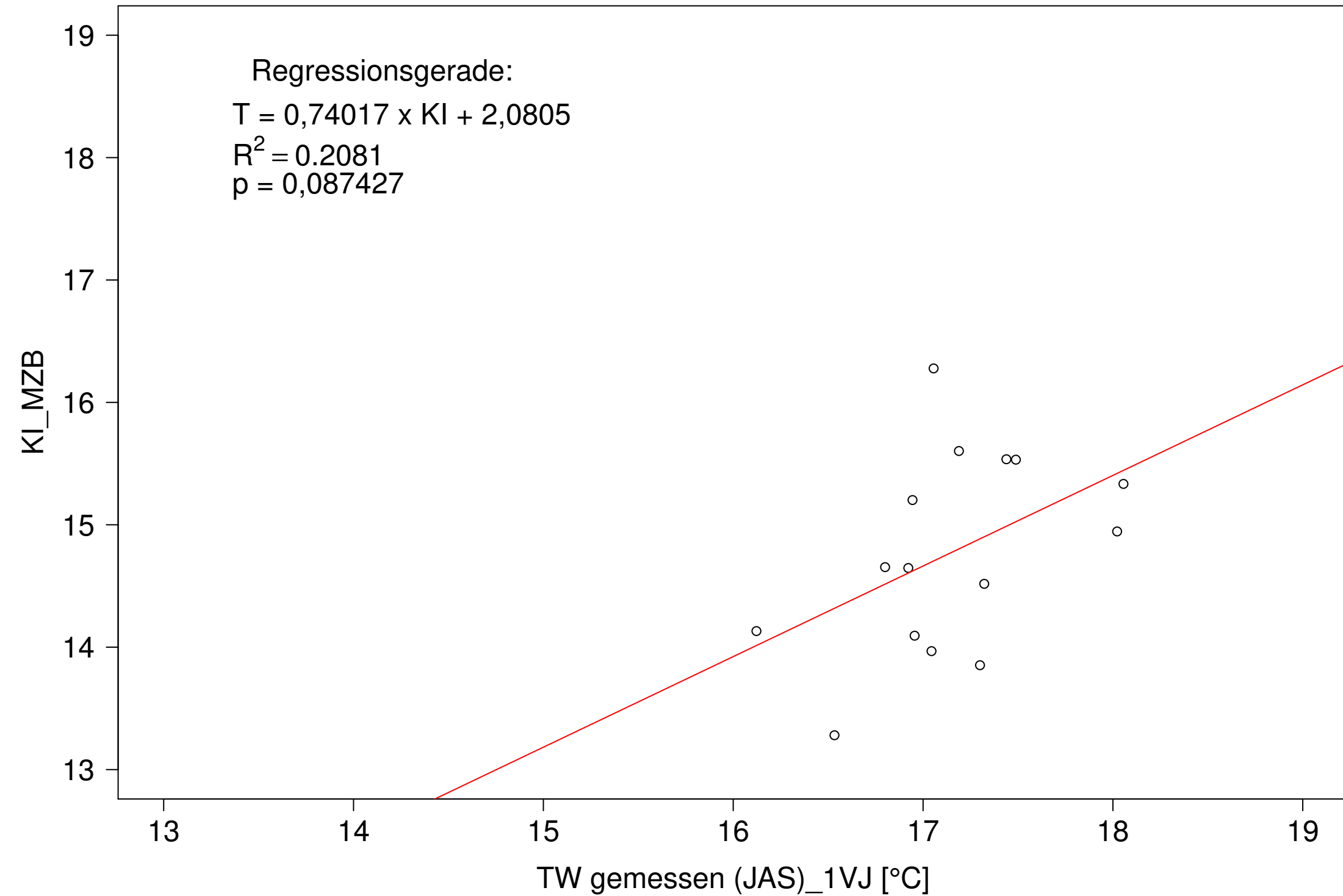
Argen_Giessen, Typ 03.2 mit Neozoen, Serie 3
3JMW KI_MZB (Kont-Korr) gegen 3JMW TW gemessen (JAS) des 1. Vorjahres



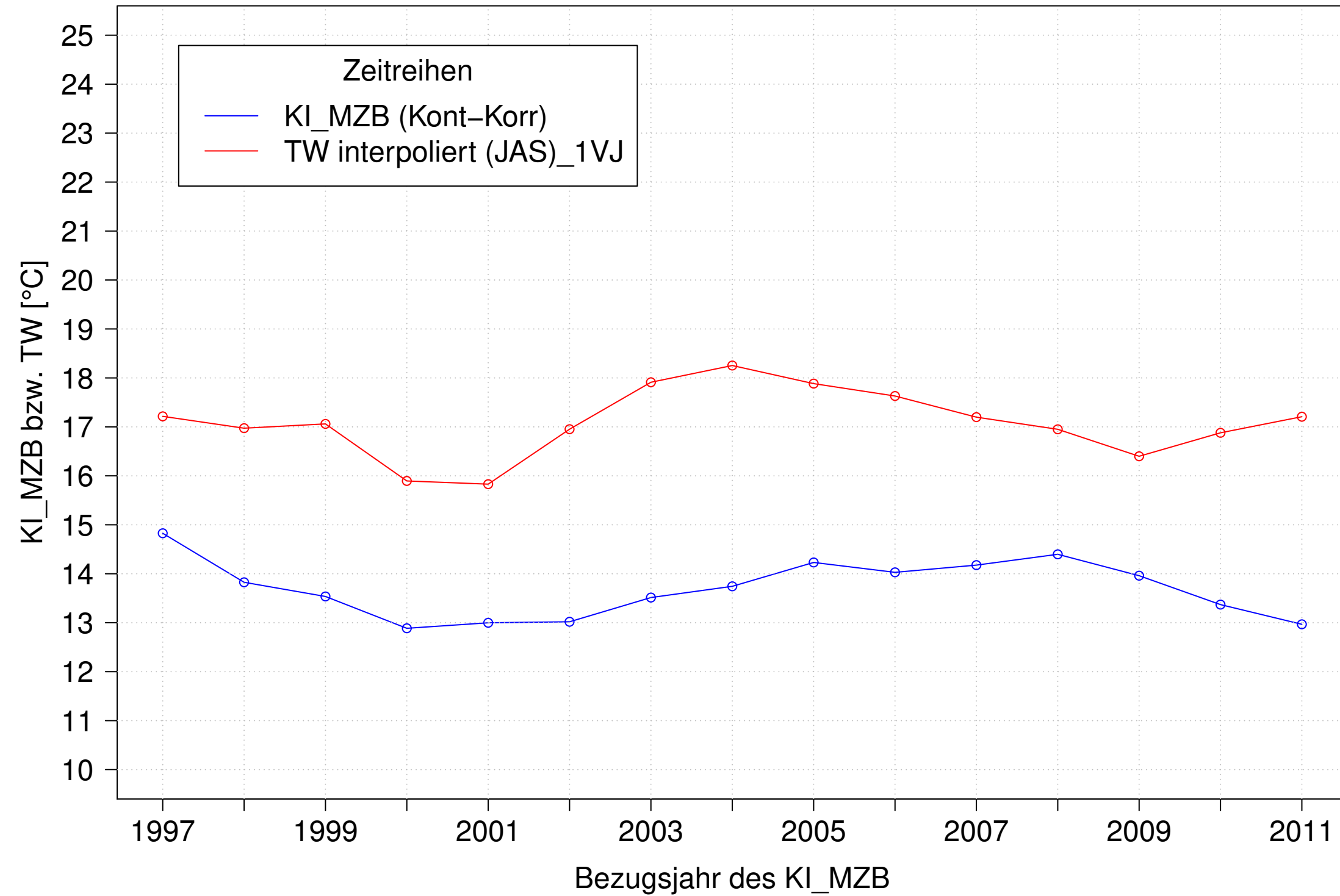
Argen_Giessen, Typ 03.2 mit Neozoen, Serie 4
3JMW KI_MZB (Kont-Korr) und 3JMW TW gemessen (JAS) des 1. Vorjahres



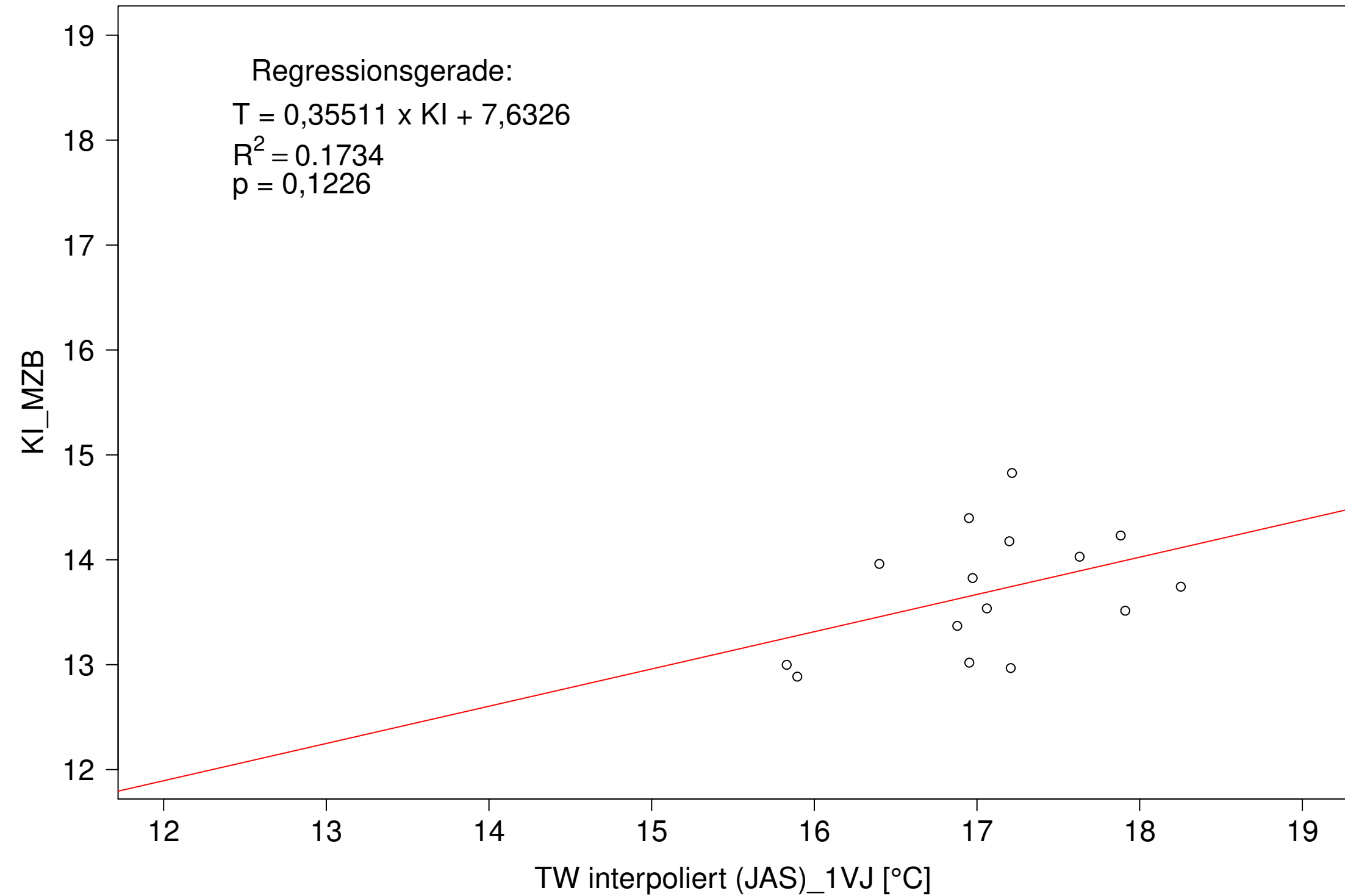
Argen_Giessen, Typ 03.2 mit Neozoen, Serie 4
3JMW KI_MZB (Kont-Korr) gegen 3JMW TW gemessen (JAS) des 1. Vorjahres



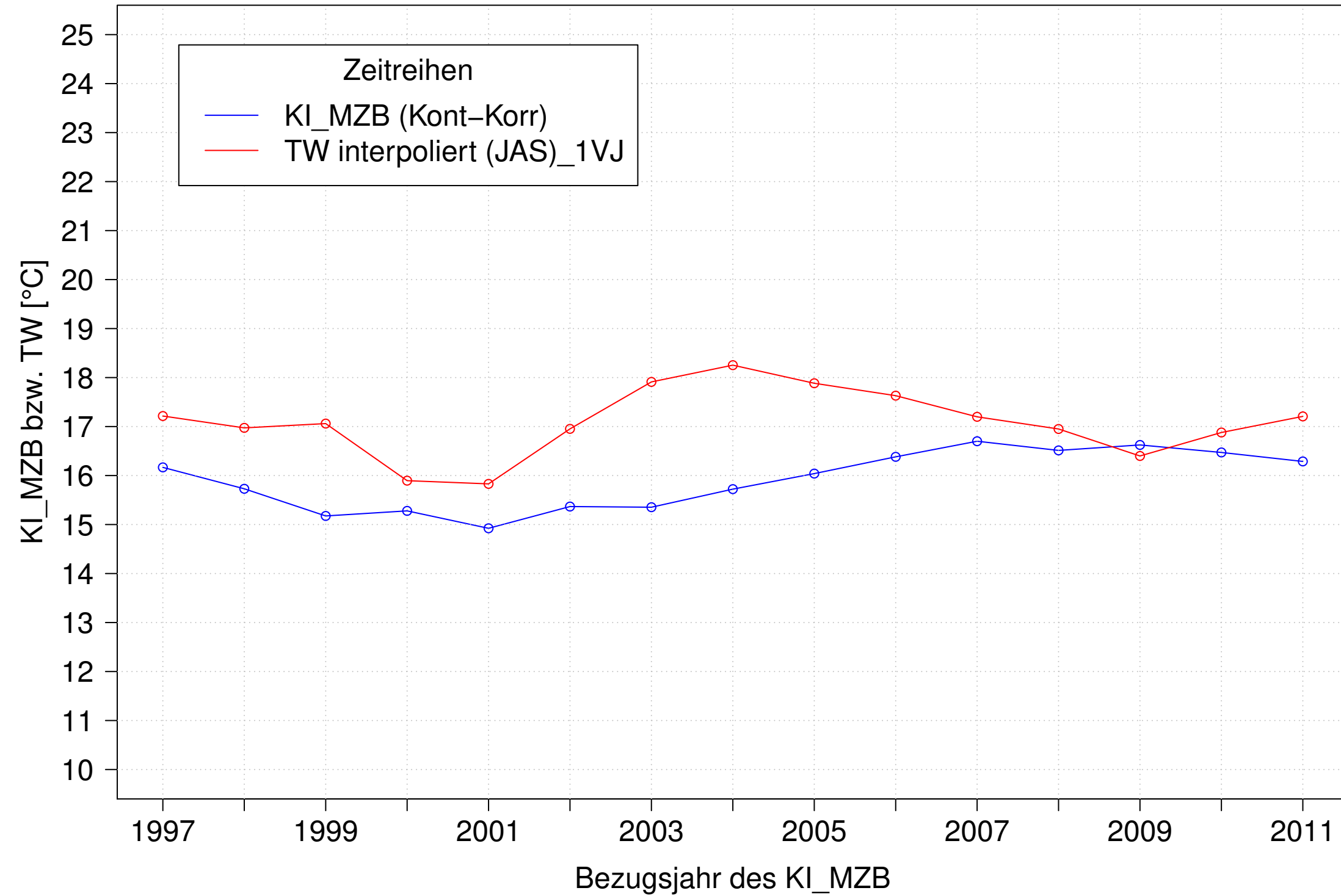
Argen_Giessen, Typ 03.2 mit Neozoen, Serie 1
3JMW KI_MZB (Kont-Korr) und 3JMW TW interpoliert (JAS) des 1. Vorjahres



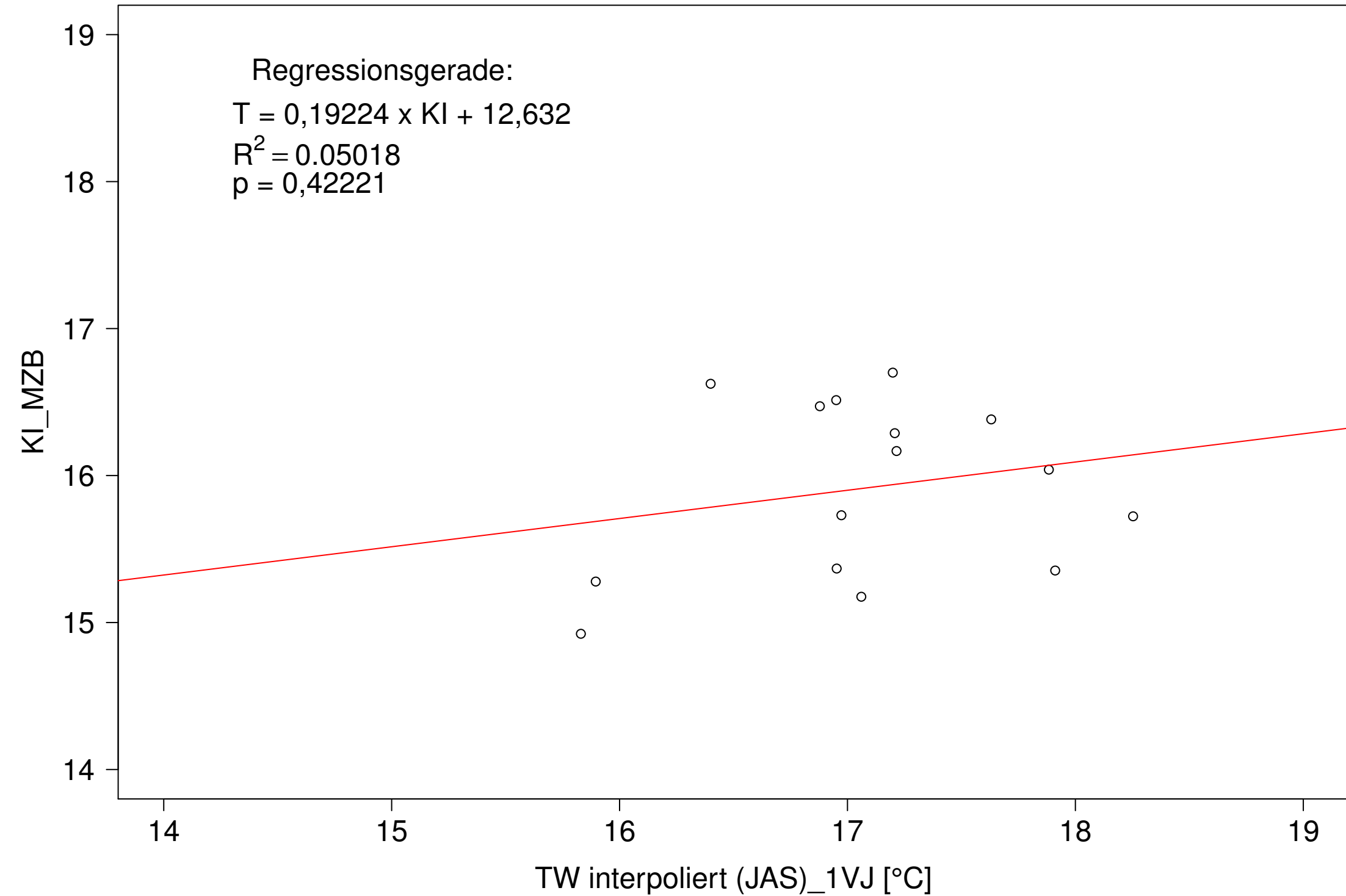
Argen_Giessen, Typ 03.2 mit Neozoen, Serie 1
3JMW KI_MZB (Kont-Korr) gegen 3JMW TW interpoliert (JAS) des 1. Vorjahres



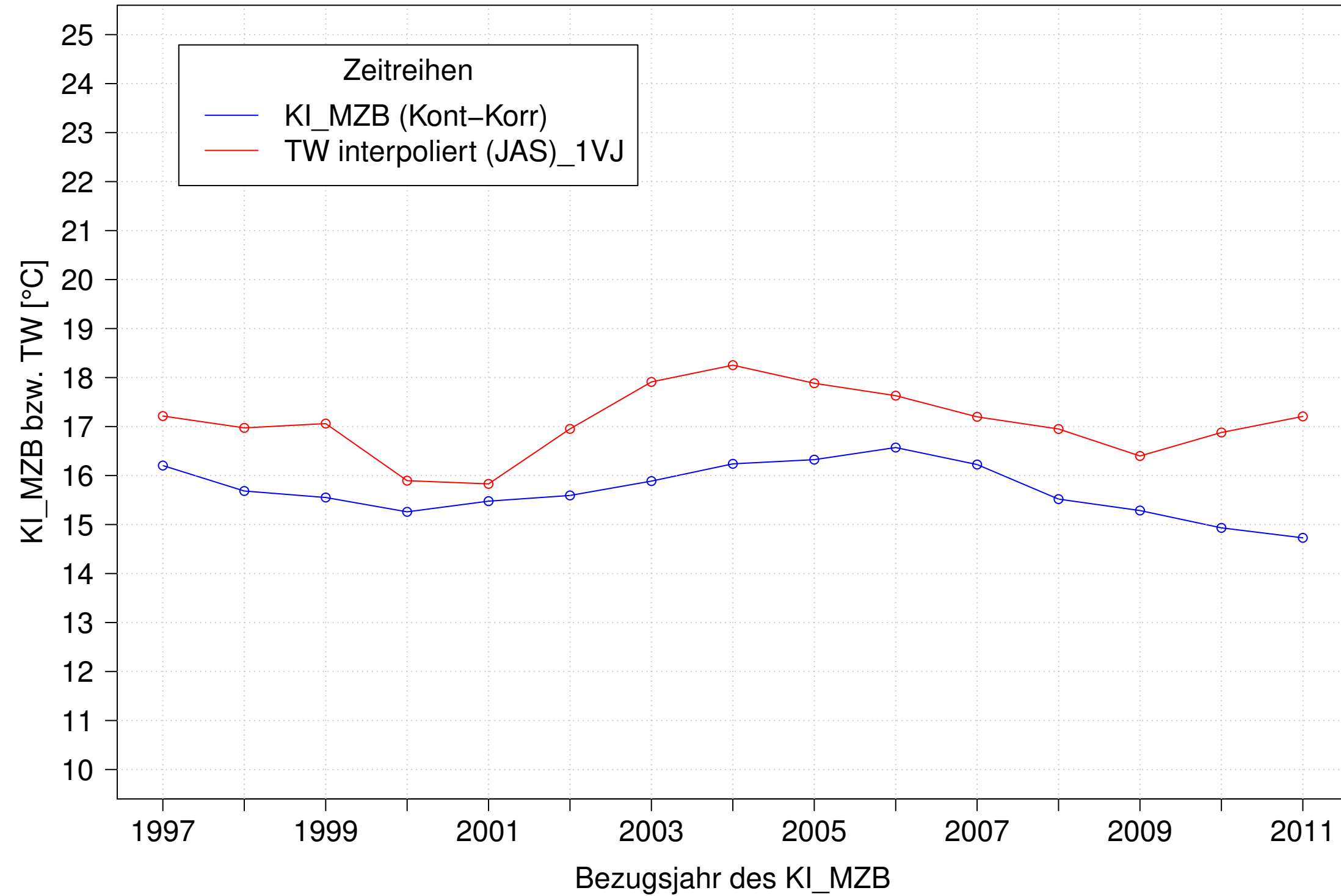
Argen_Giessen, Typ 03.2 mit Neozoen, Serie 2
3JMW KI_MZB (Kont-Korr) und 3JMW TW interpoliert (JAS) des 1. Vorjahres



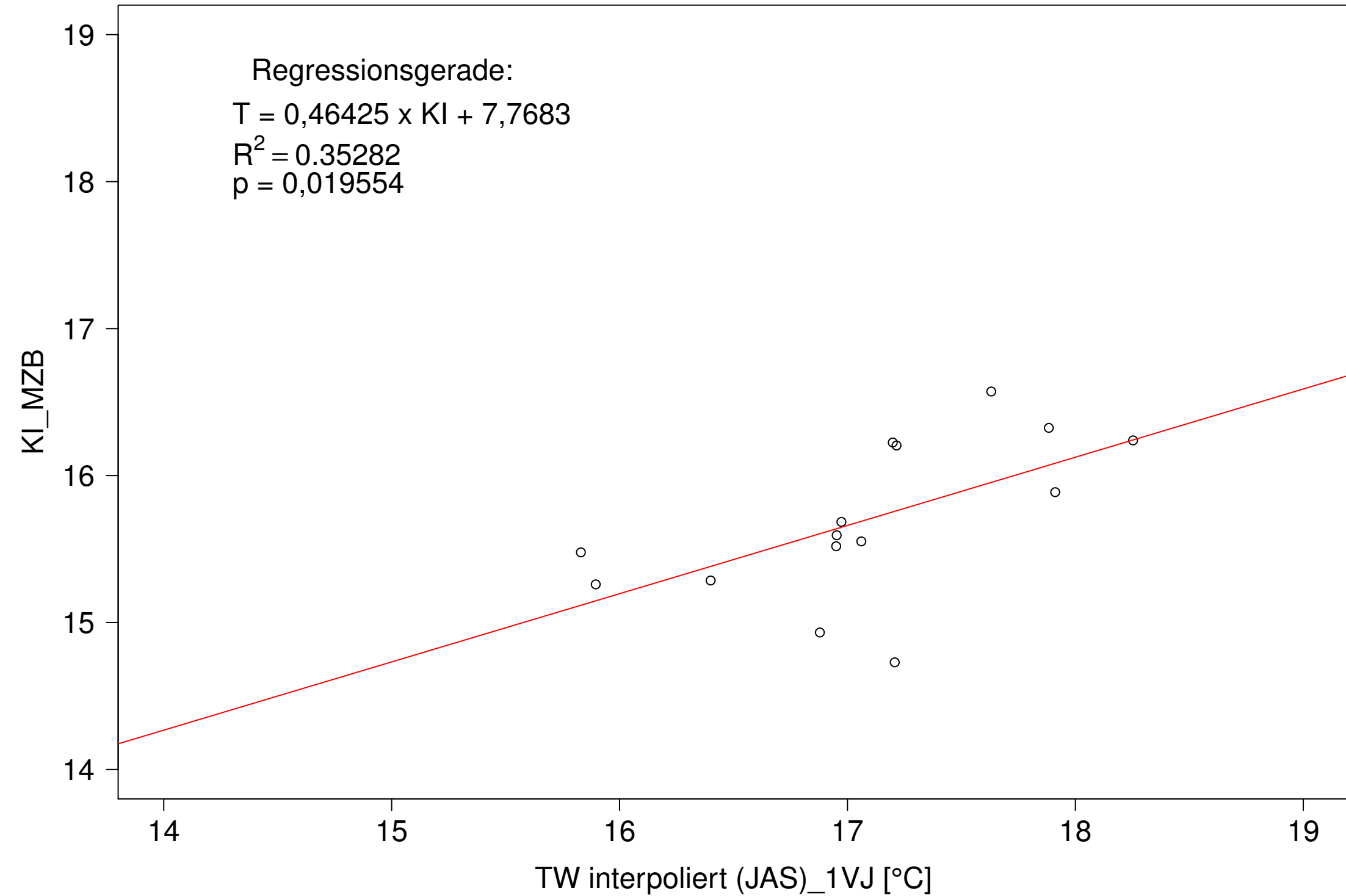
Argen_Giessen, Typ 03.2 mit Neozoen, Serie 2
3JMW KI_MZB (Kont-Korr) gegen 3JMW TW interpoliert (JAS) des 1. Vorjahres



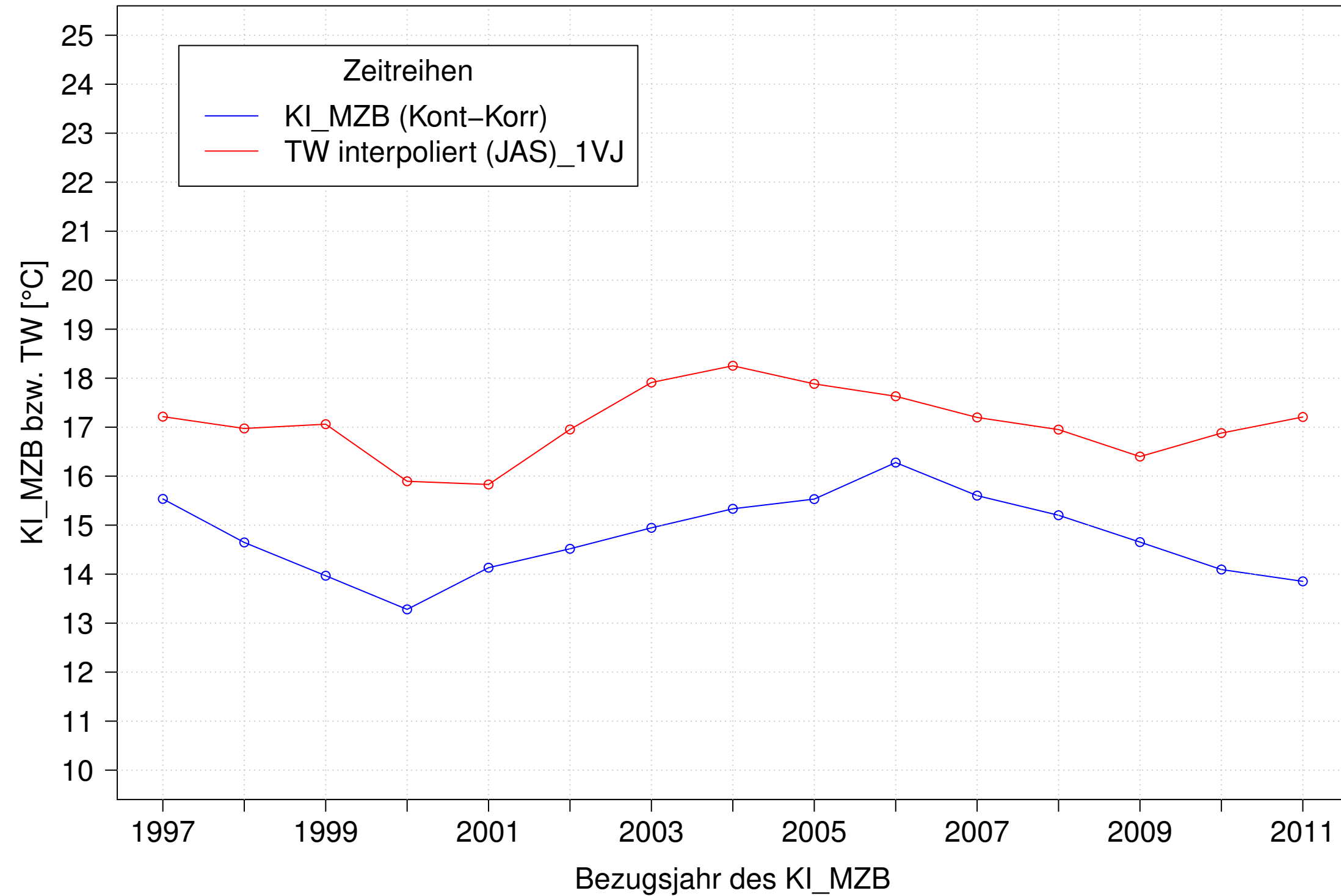
Argen_Giessen, Typ 03.2 mit Neozoen, Serie 3
3JMW KI_MZB (Kont-Korr) und 3JMW TW interpoliert (JAS) des 1. Vorjahres



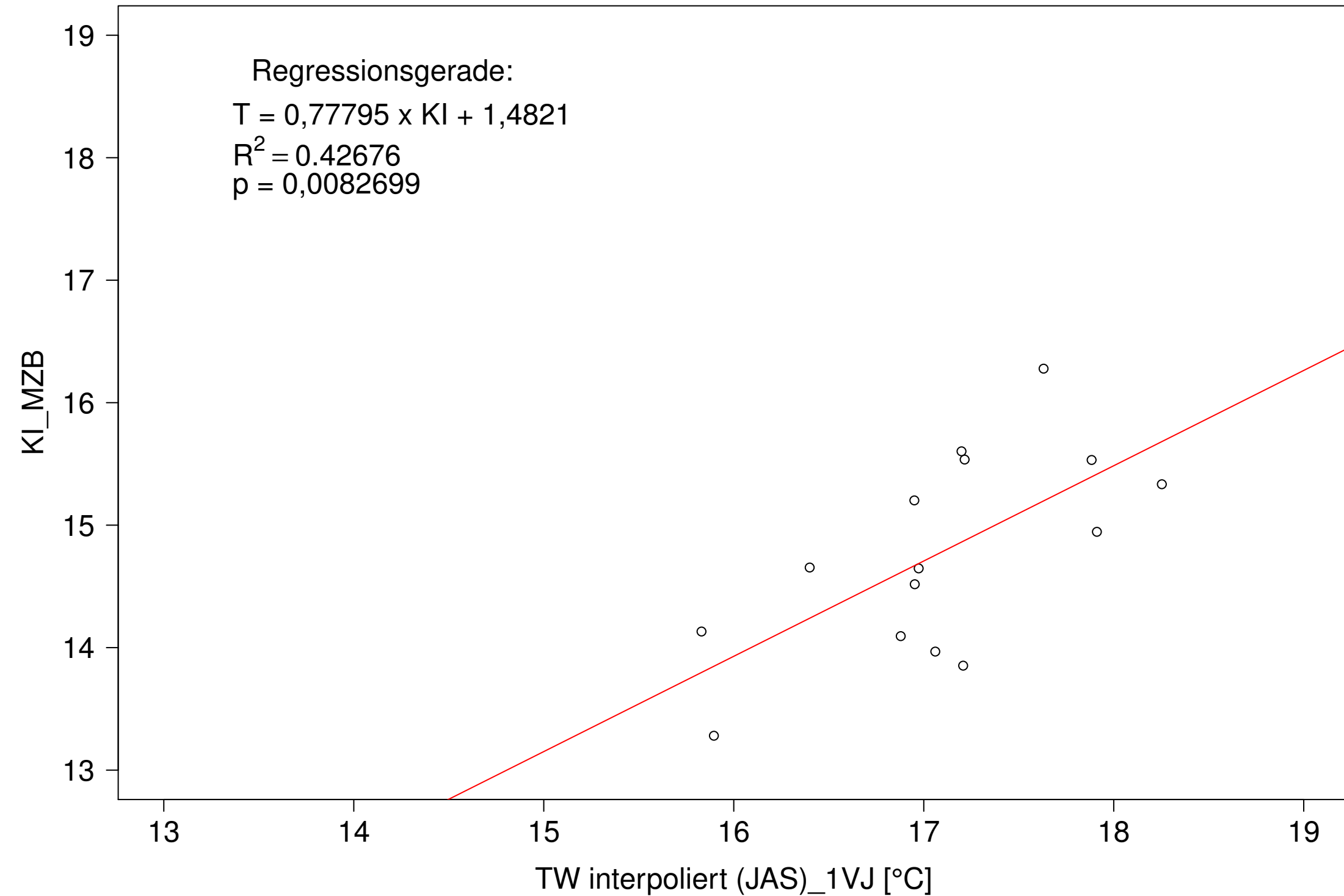
Argen_Giessen, Typ 03.2 mit Neozoen, Serie 3
3JMW KI_MZB (Kont-Korr) gegen 3JMW TW interpoliert (JAS) des 1. Vorjahres



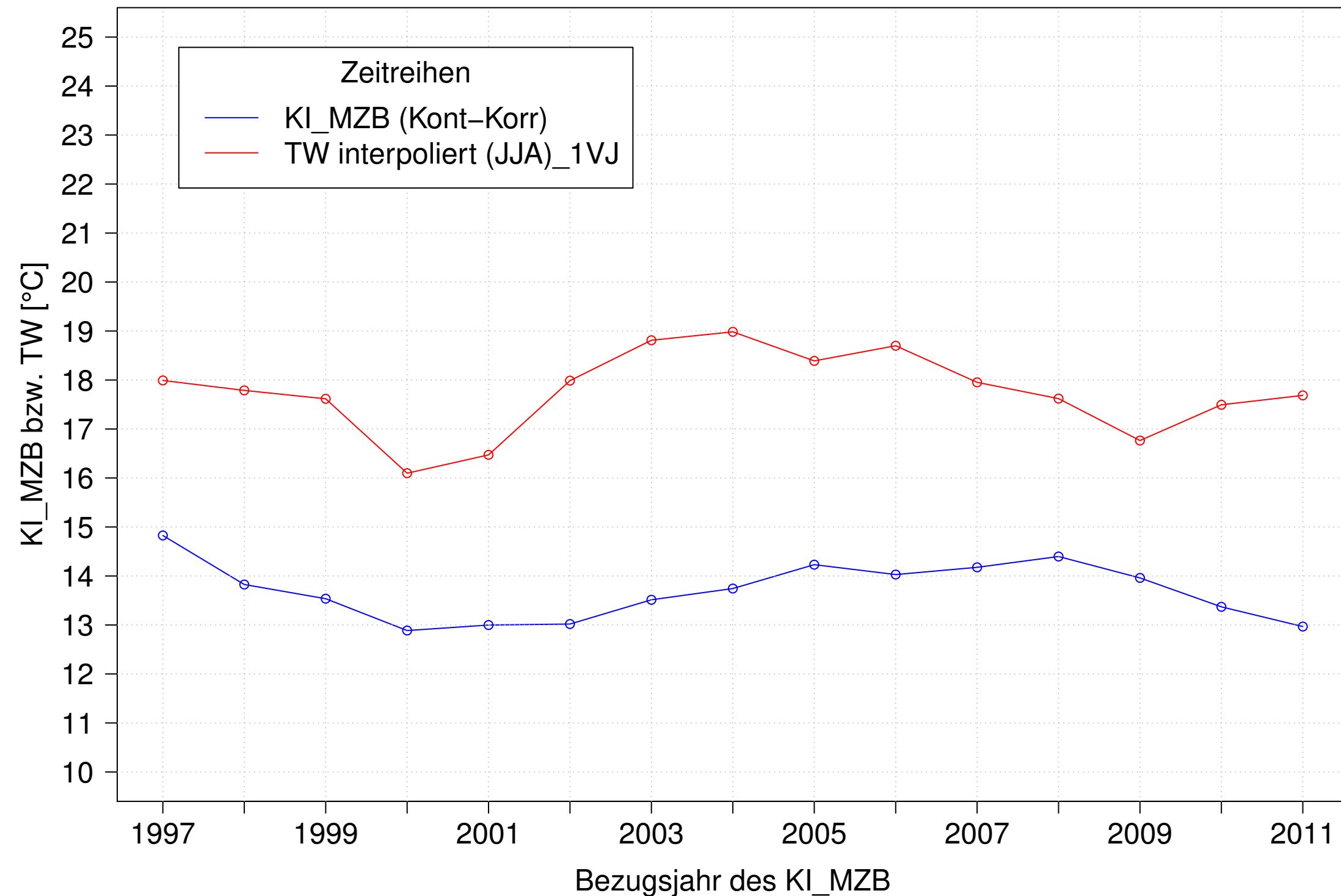
Argen_Giessen, Typ 03.2 mit Neozoen, Serie 4
3JMW KI_MZB (Kont-Korr) und 3JMW TW interpoliert (JAS) des 1. Vorjahres



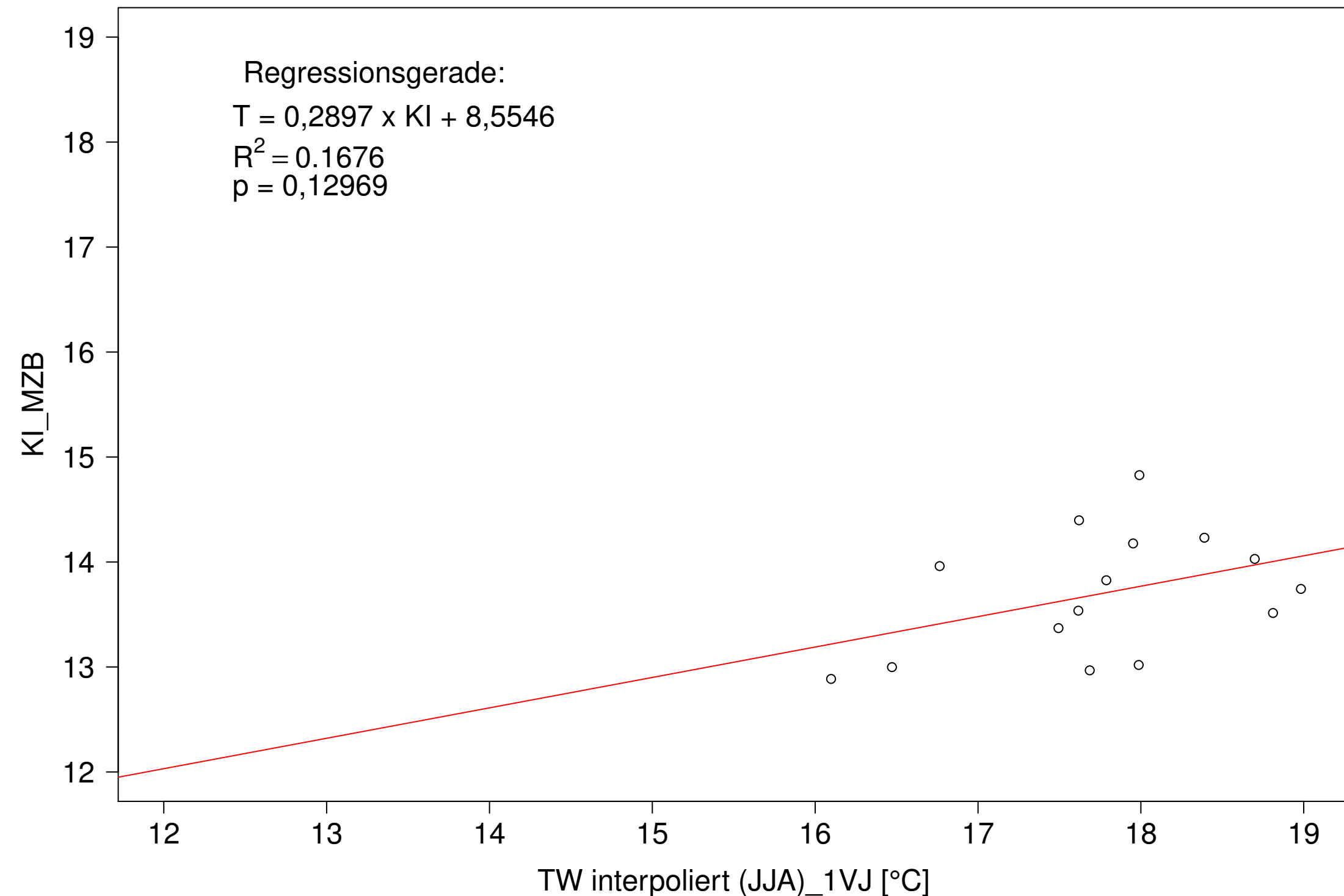
Argen_Giessen, Typ 03.2 mit Neozoen, Serie 4
3JMW KI_MZB (Kont-Korr) gegen 3JMW TW interpoliert (JAS) des 1. Vorjahres



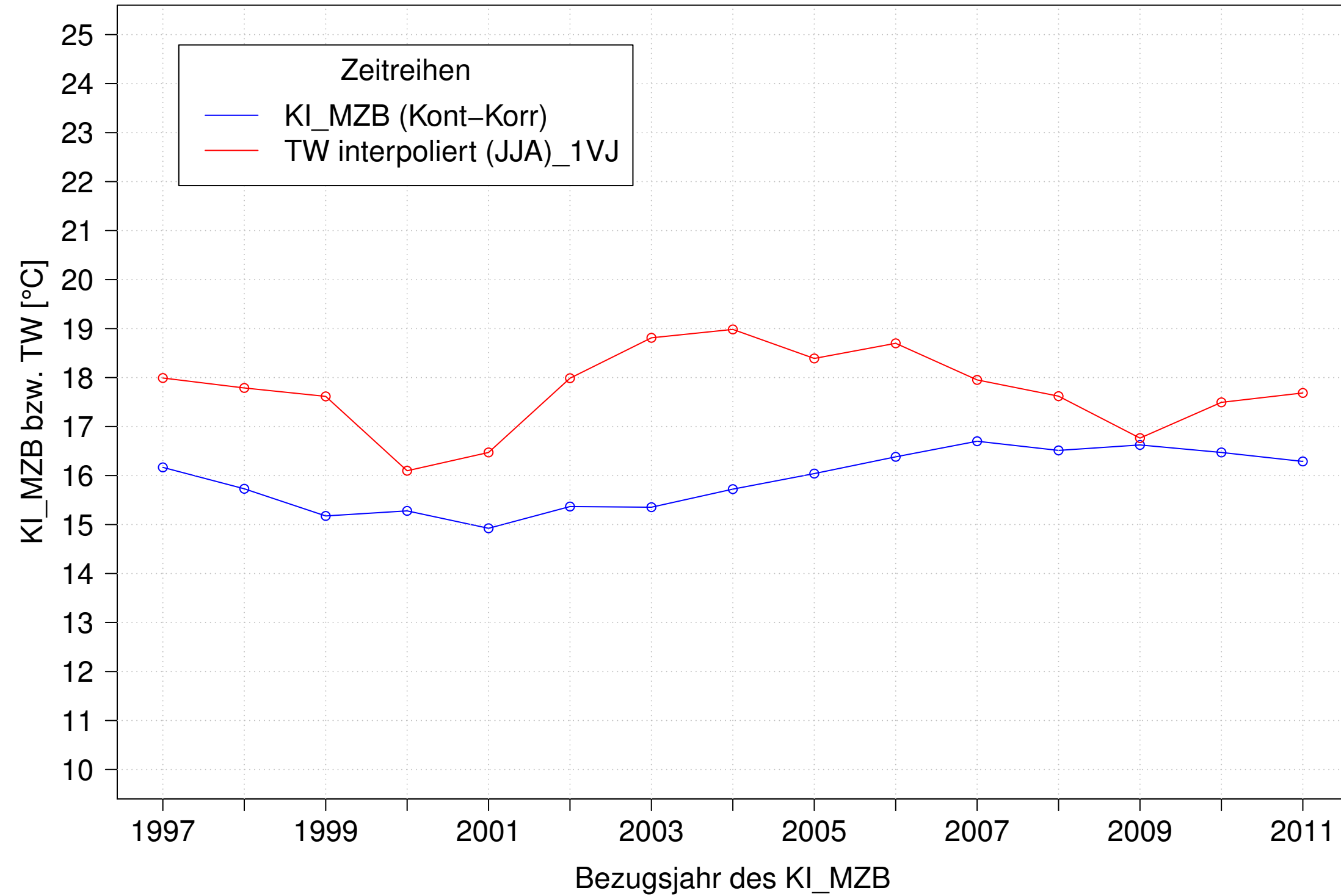
Argen_Giessen, Typ 03.2 mit Neozoen, Serie 1
3JMW KI_MZB (Kont-Korr) und 3JMW TW interpoliert (JJA) des 1. Vorjahres



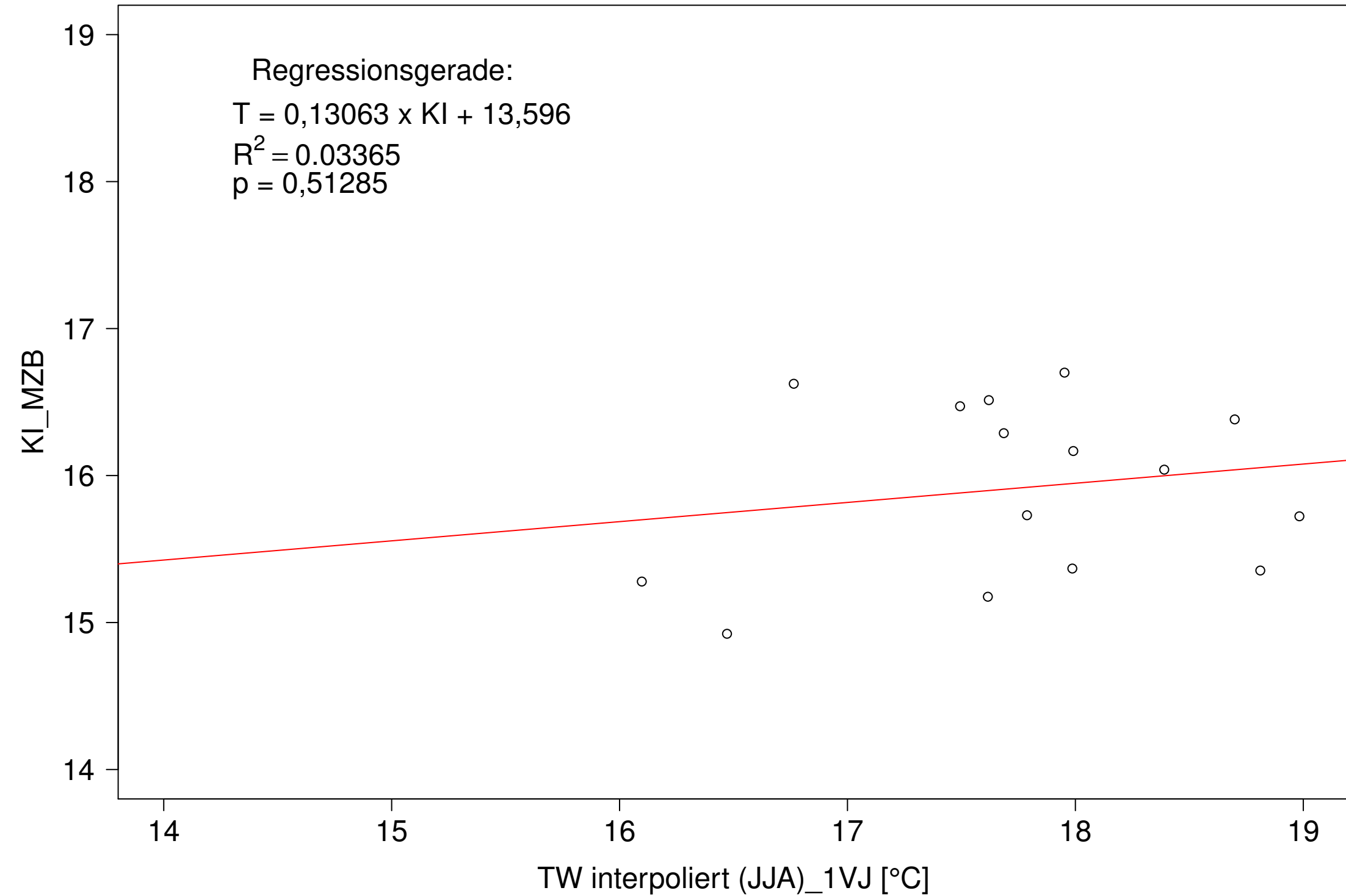
Argen_Giessen, Typ 03.2 mit Neozoen, Serie 1
3JMW KI_MZB (Kont-Korr) gegen 3JMW TW interpoliert (JJA) des 1. Vorjahres



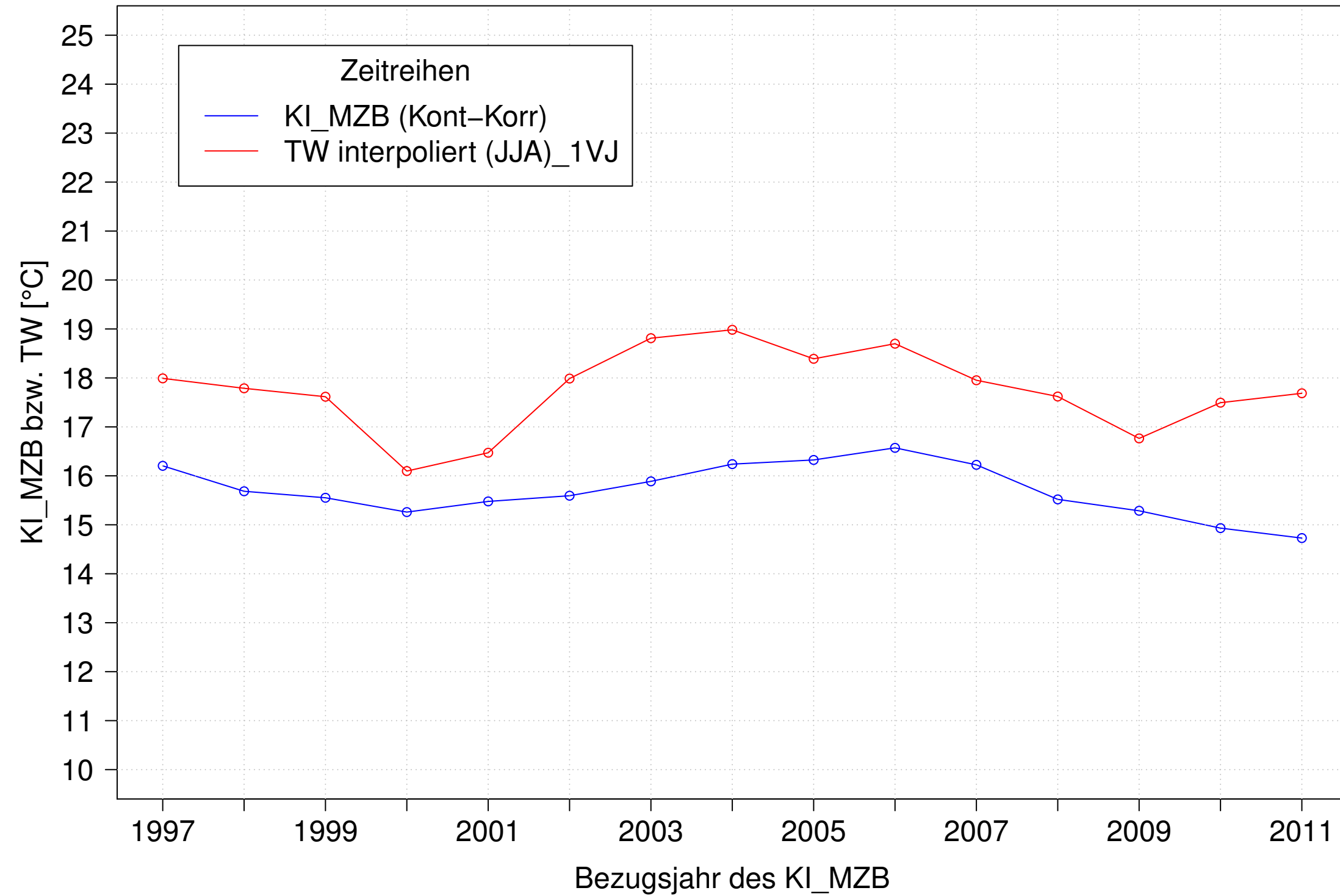
Argen_Giessen, Typ 03.2 mit Neozoen, Serie 2
3JMW KI_MZB (Kont-Korr) und 3JMW TW interpoliert (JJA) des 1. Vorjahres



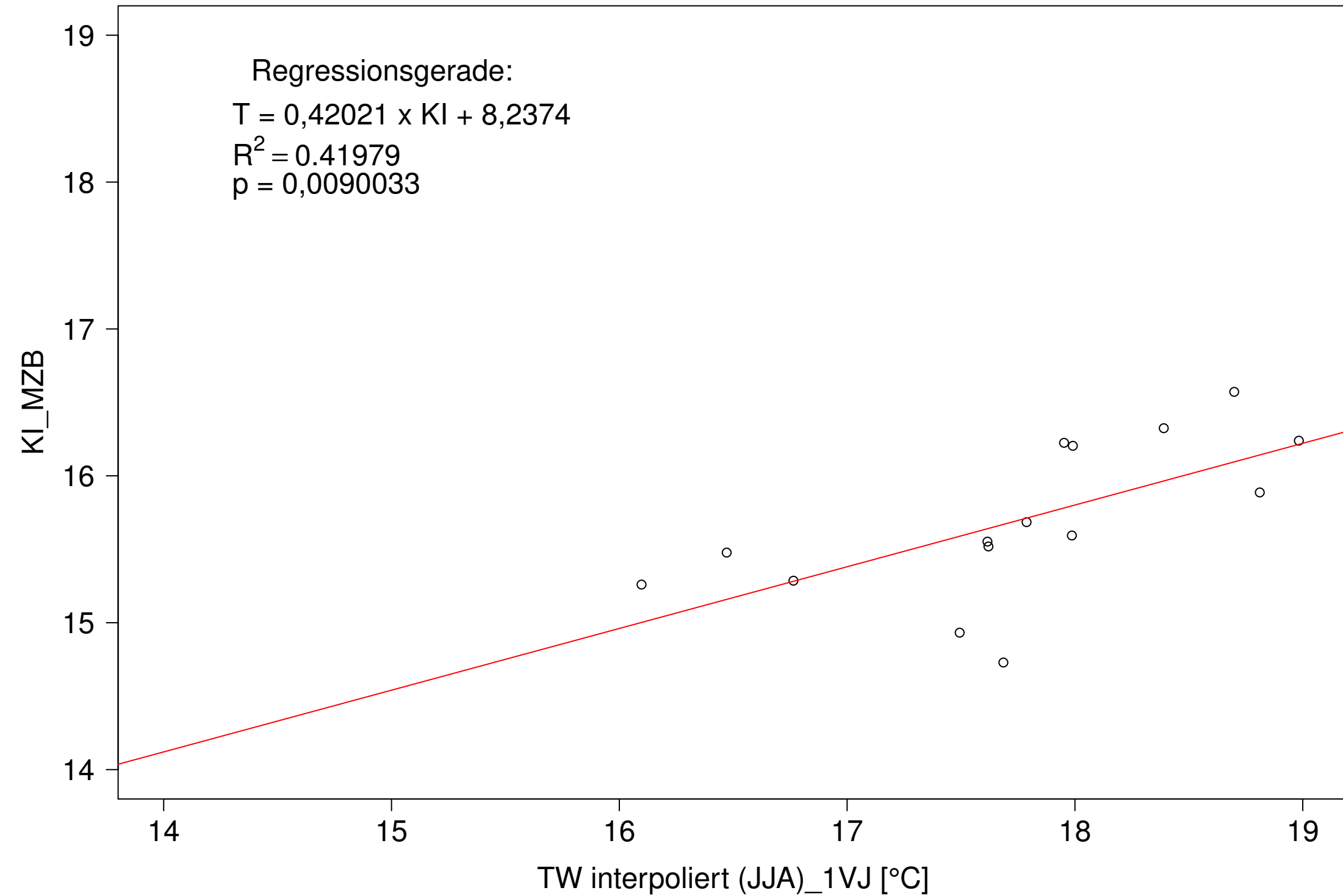
Argen_Giessen, Typ 03.2 mit Neozoen, Serie 2
3JMW KI_MZB (Kont-Korr) gegen 3JMW TW interpoliert (JJA) des 1. Vorjahres



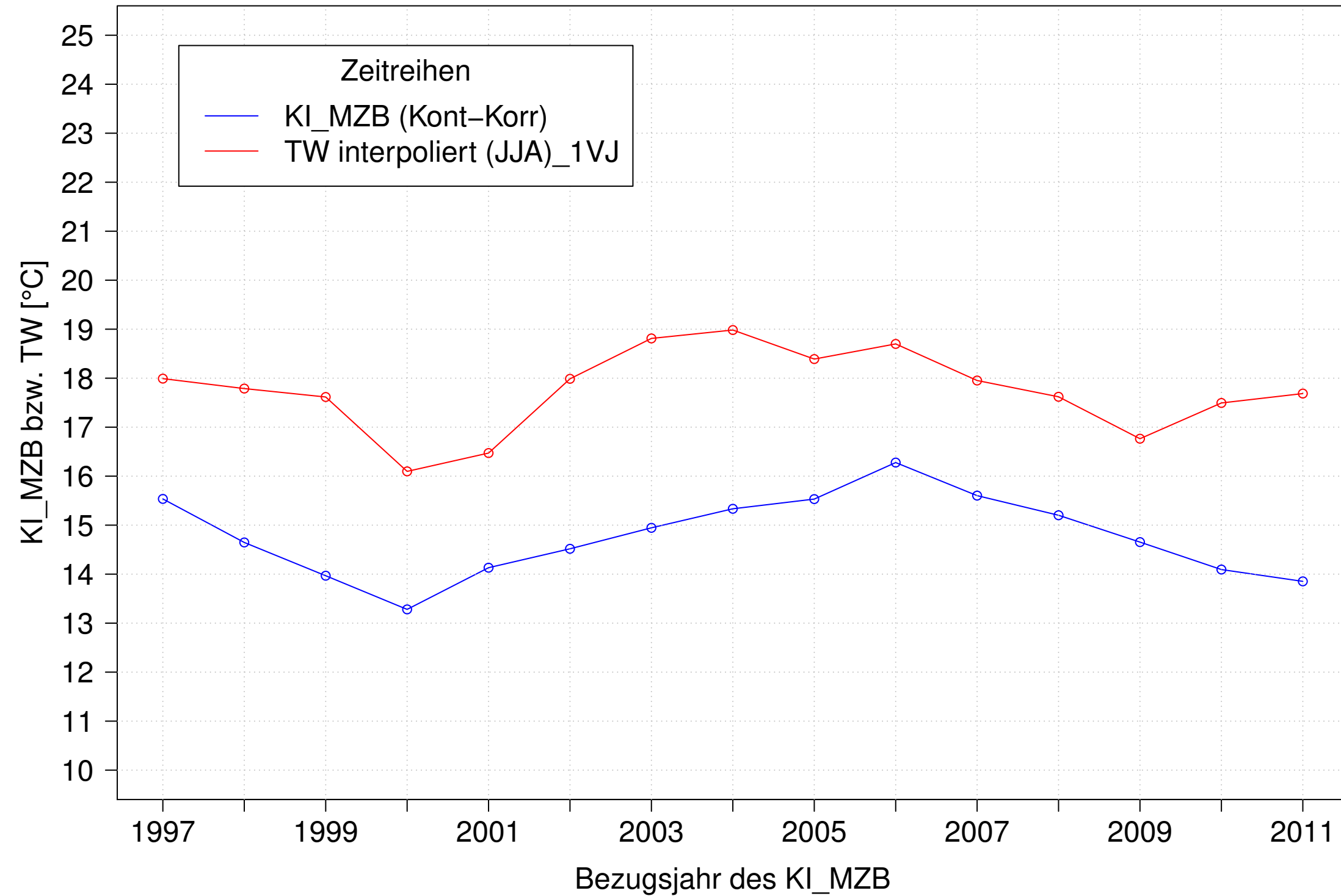
Argen_Giessen, Typ 03.2 mit Neozoen, Serie 3
3JMW KI_MZB (Kont-Korr) und 3JMW TW interpoliert (JJA) des 1. Vorjahres



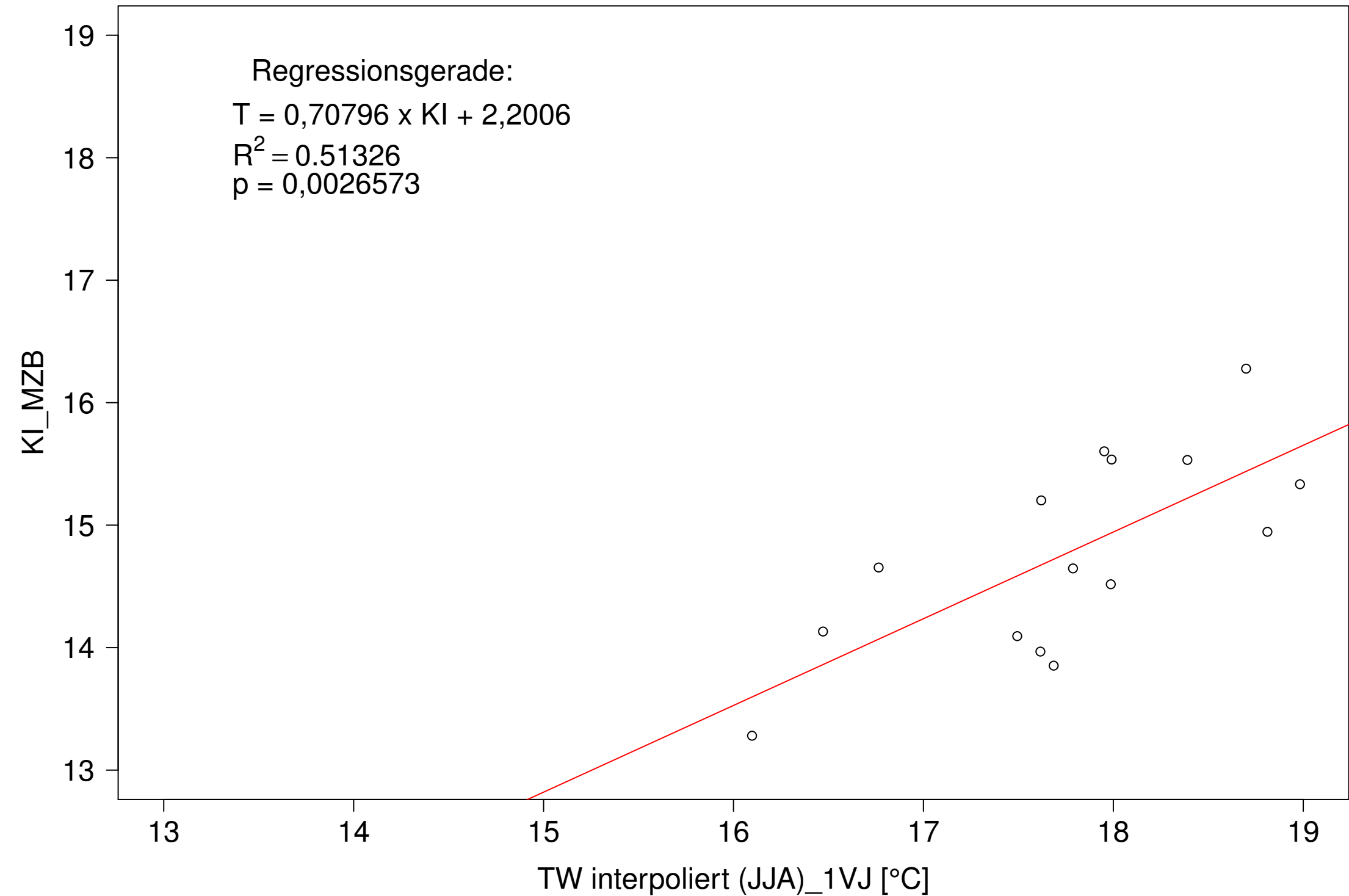
Argen_Giessen, Typ 03.2 mit Neozoen, Serie 3
3JMW KI_MZB (Kont-Korr) gegen 3JMW TW interpoliert (JJA) des 1. Vorjahres



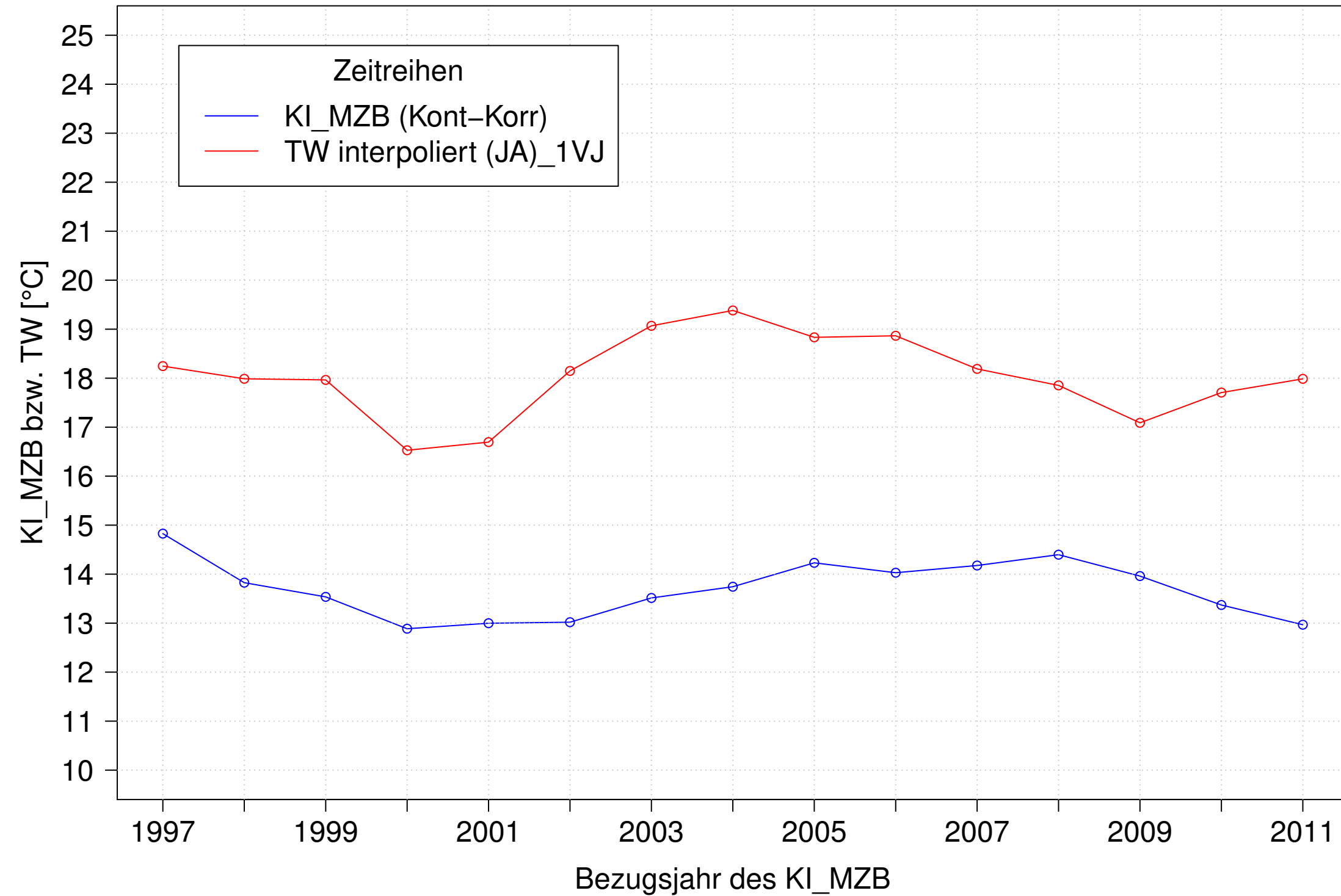
Argen_Giessen, Typ 03.2 mit Neozoen, Serie 4
3JMW KI_MZB (Kont-Korr) und 3JMW TW interpoliert (JJA) des 1. Vorjahres



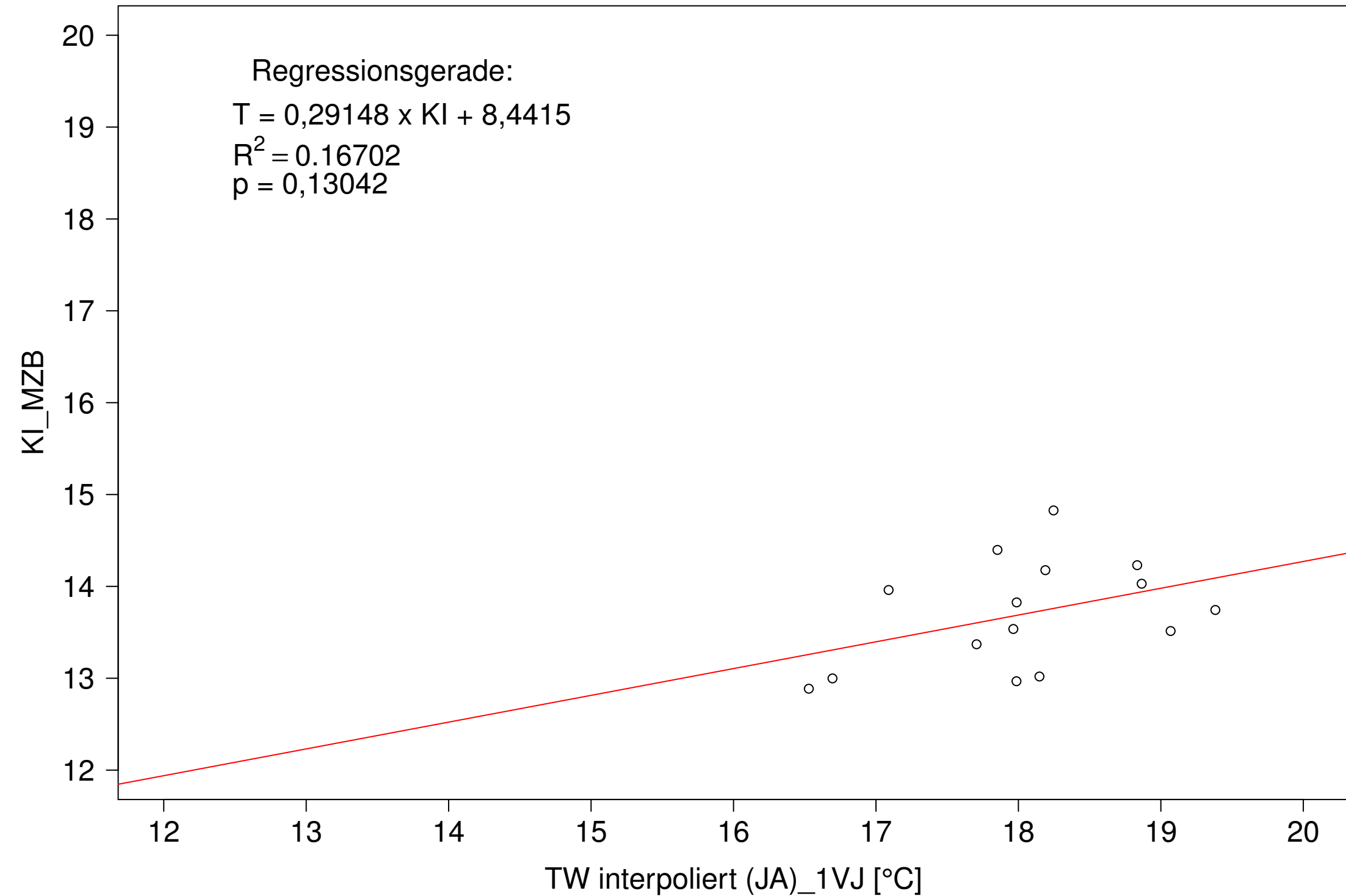
Argen_Giessen, Typ 03.2 mit Neozoen, Serie 4
3JMW KI_MZB (Kont-Korr) gegen 3JMW TW interpoliert (JJA) des 1. Vorjahres



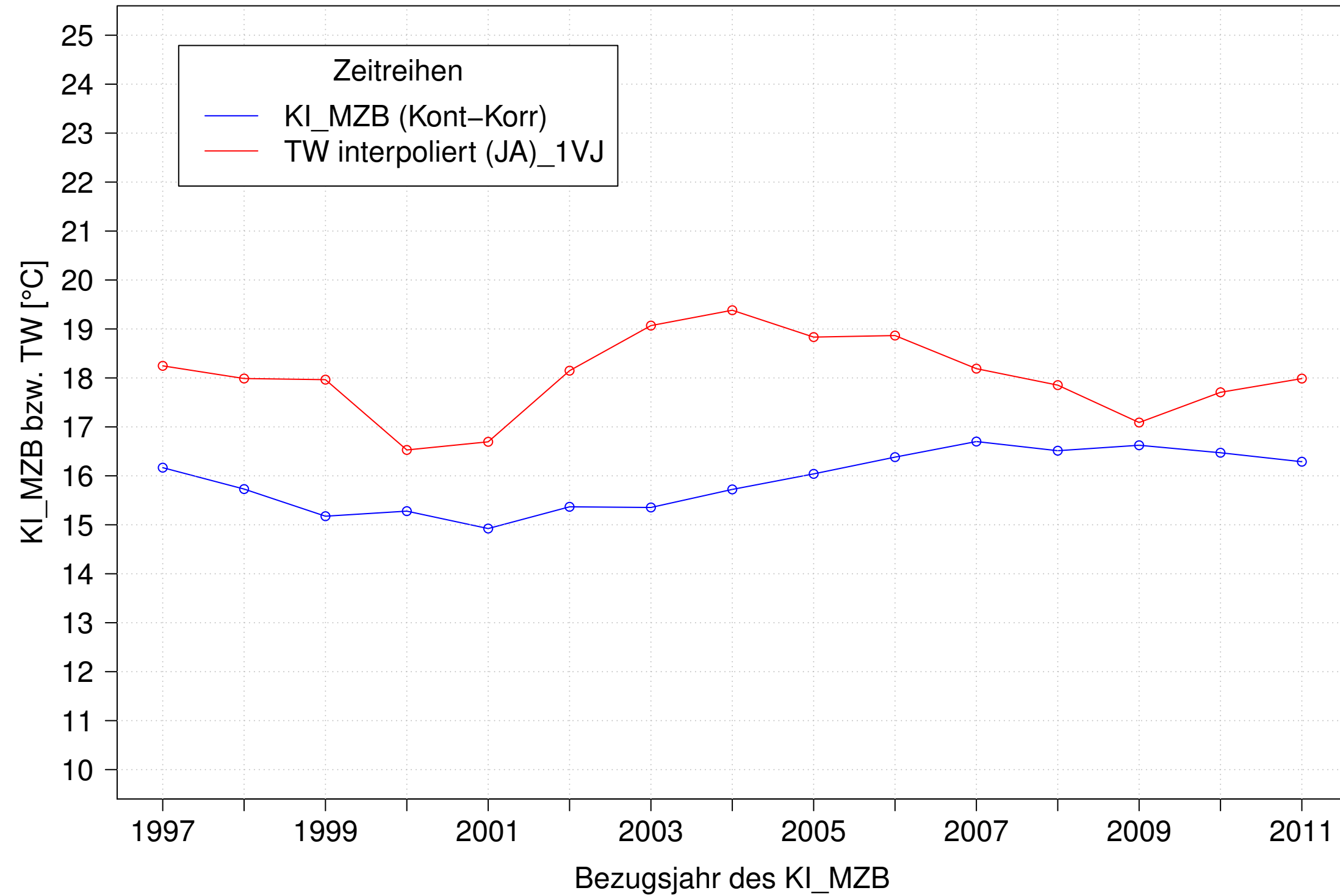
Argen_Giessen, Typ 03.2 mit Neozoen, Serie 1
3JMW KI_MZB (Kont-Korr) und 3JMW TW interpoliert (JA) des 1. Vorjahres



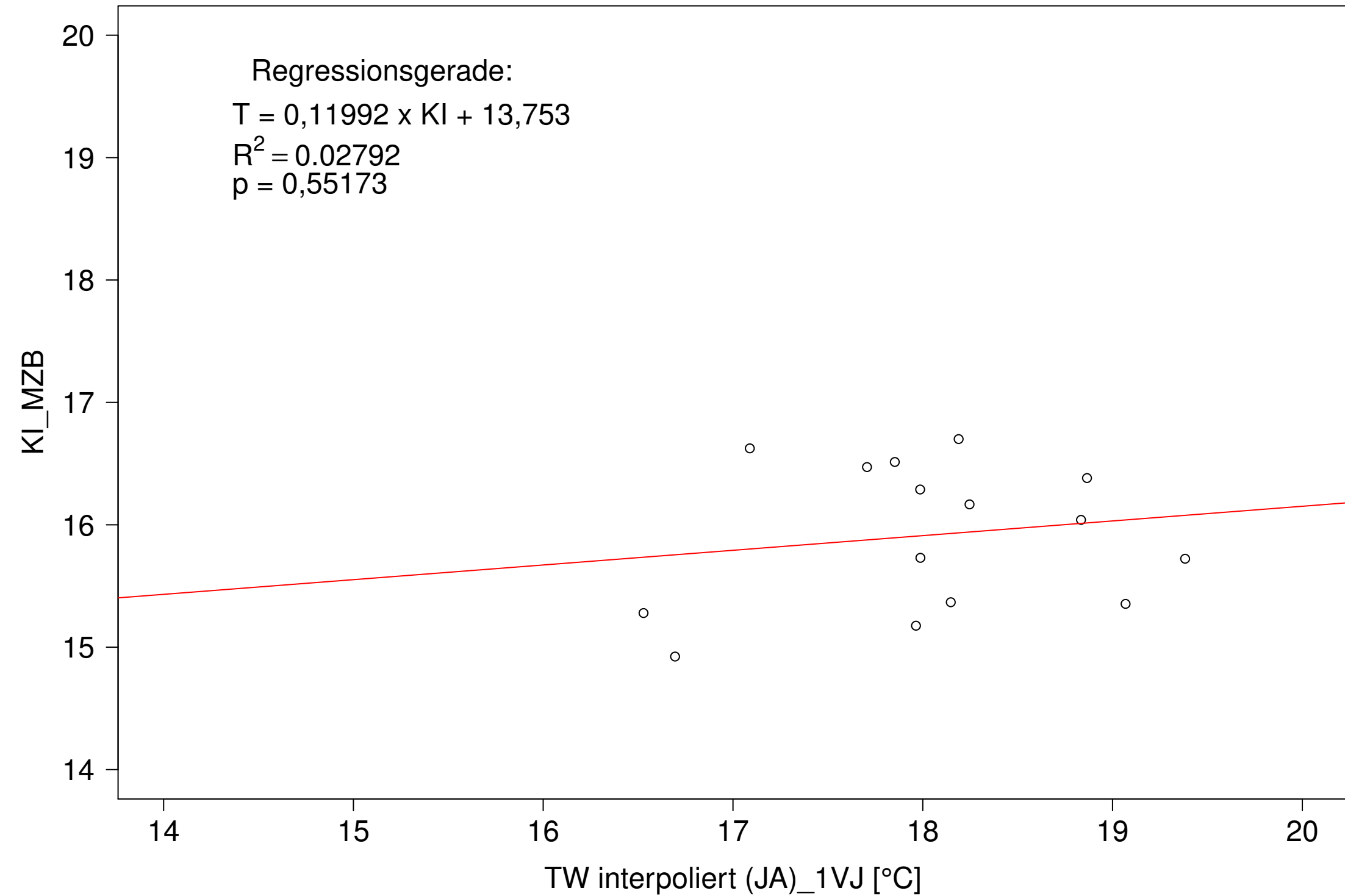
Argen_Giessen, Typ 03.2 mit Neozoen, Serie 1
3JMW KI_MZB (Kont-Korr) gegen 3JMW TW interpoliert (JA) des 1. Vorjahres



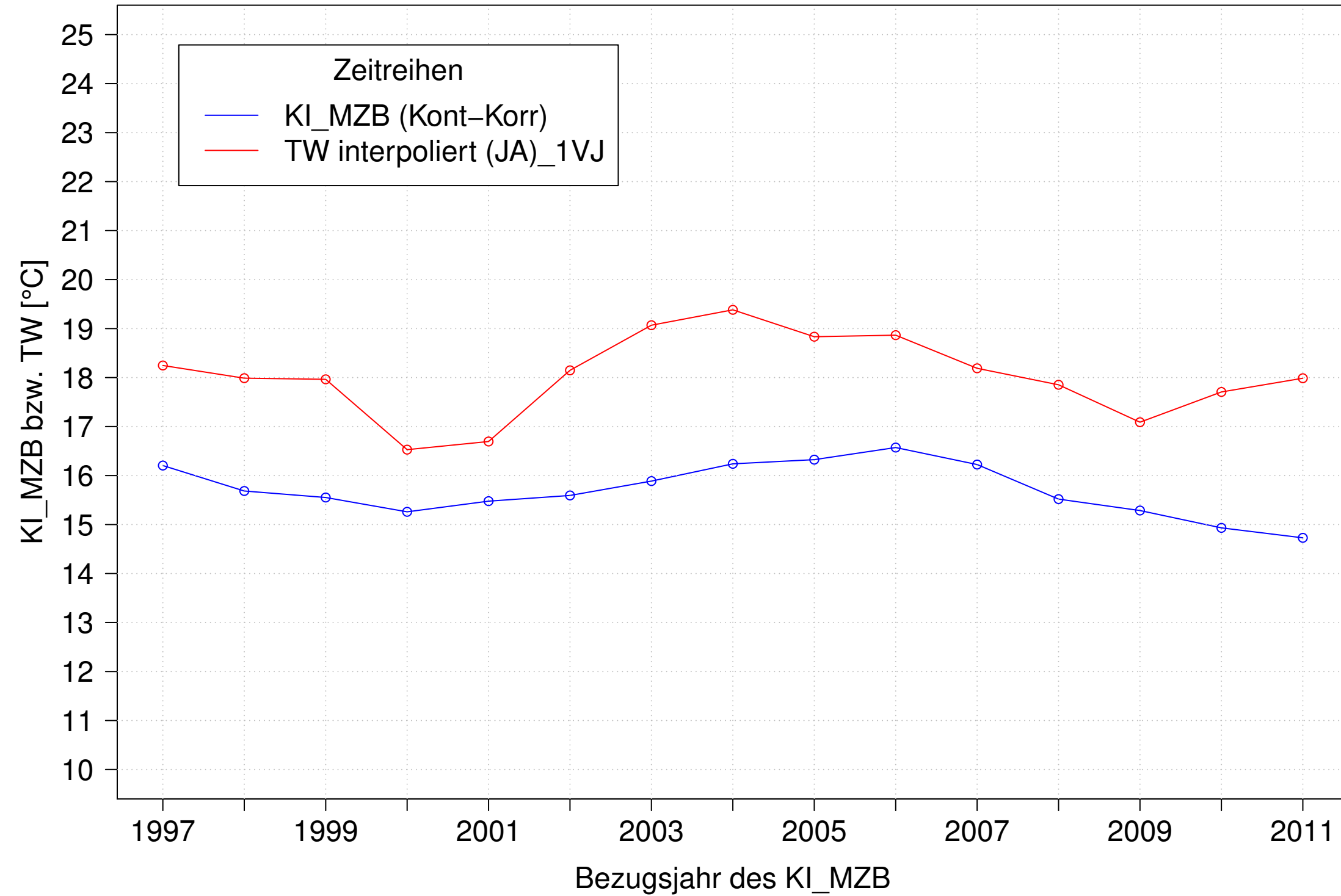
Argen_Giessen, Typ 03.2 mit Neozoen, Serie 2
3JMW KI_MZB (Kont-Korr) und 3JMW TW interpoliert (JA) des 1. Vorjahres



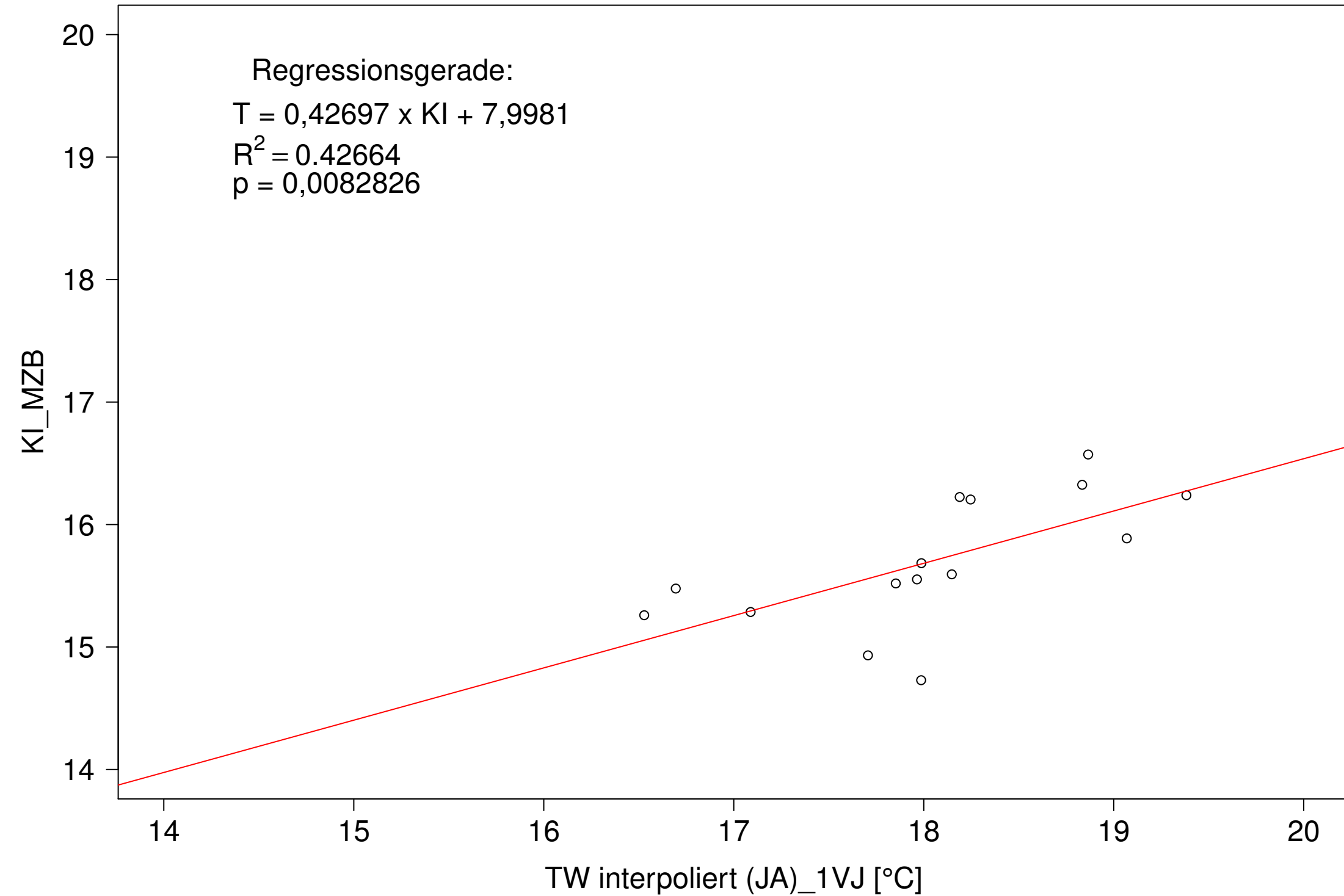
Argen_Giessen, Typ 03.2 mit Neozoen, Serie 2
3JMW KI_MZB (Kont-Korr) gegen 3JMW TW interpoliert (JA) des 1. Vorjahres



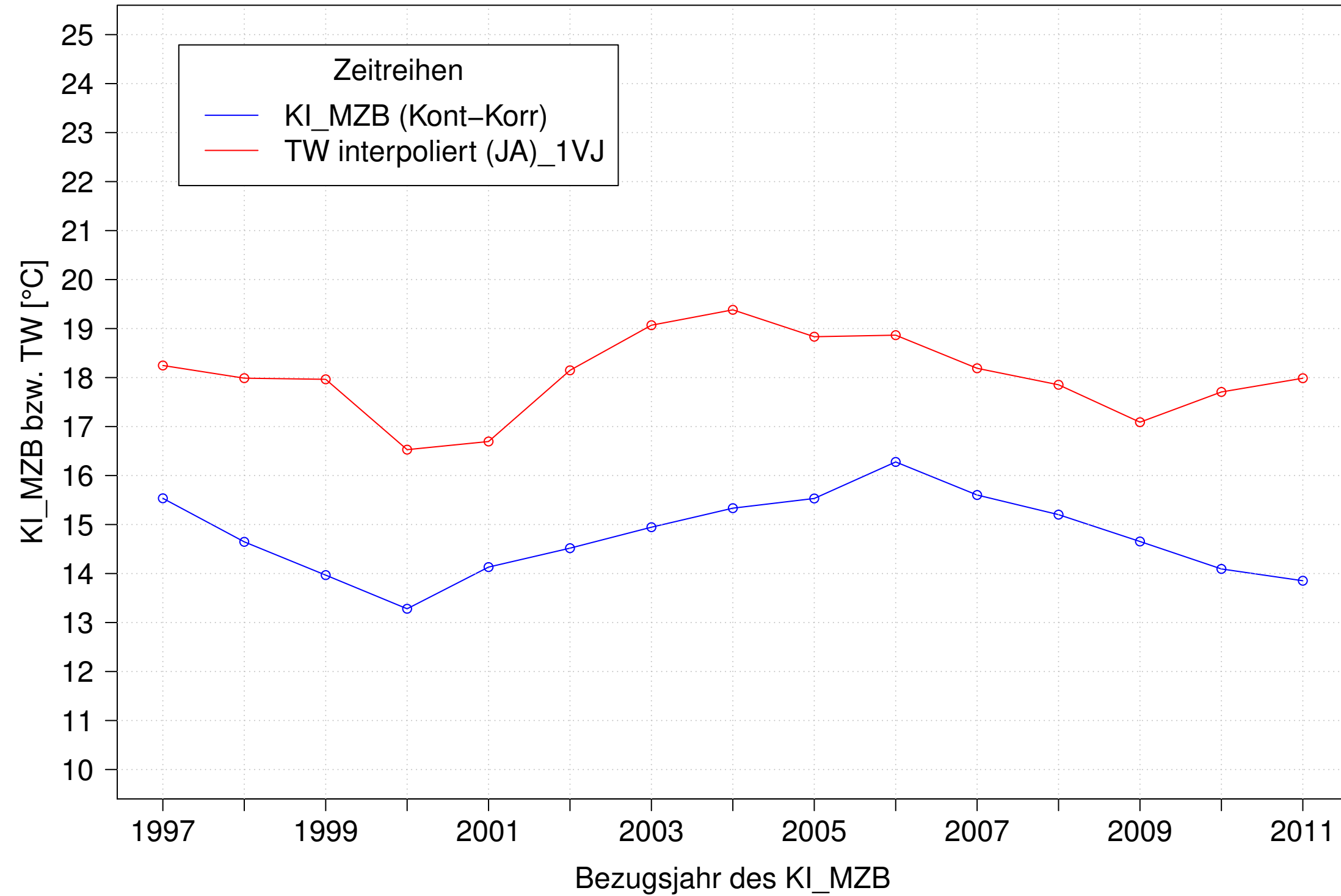
Argen_Giessen, Typ 03.2 mit Neozoen, Serie 3
3JMW KI_MZB (Kont-Korr) und 3JMW TW interpoliert (JA) des 1. Vorjahres



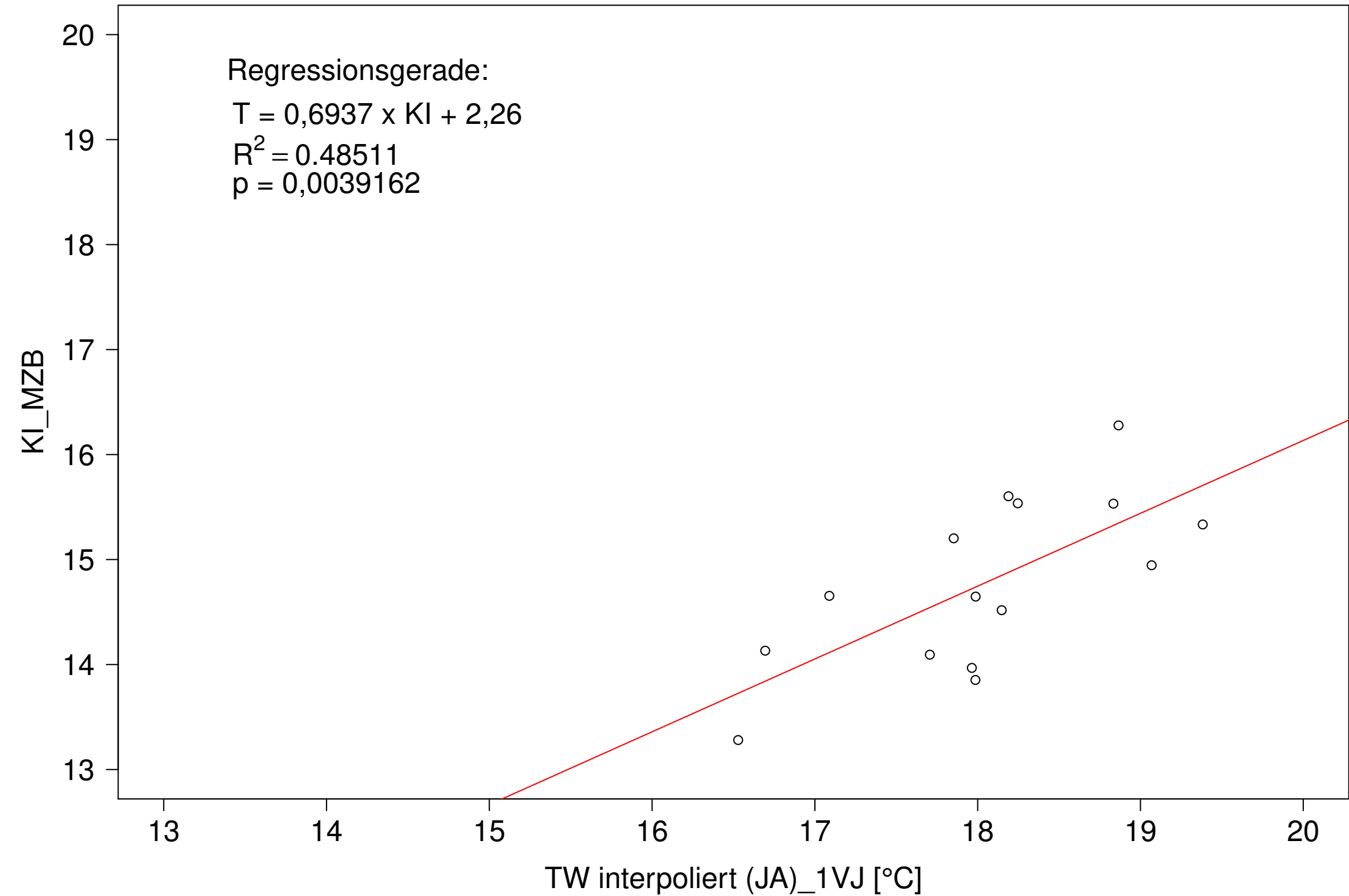
Argen_Giessen, Typ 03.2 mit Neozoen, Serie 3
3JMW KI_MZB (Kont-Korr) gegen 3JMW TW interpoliert (JA) des 1. Vorjahres



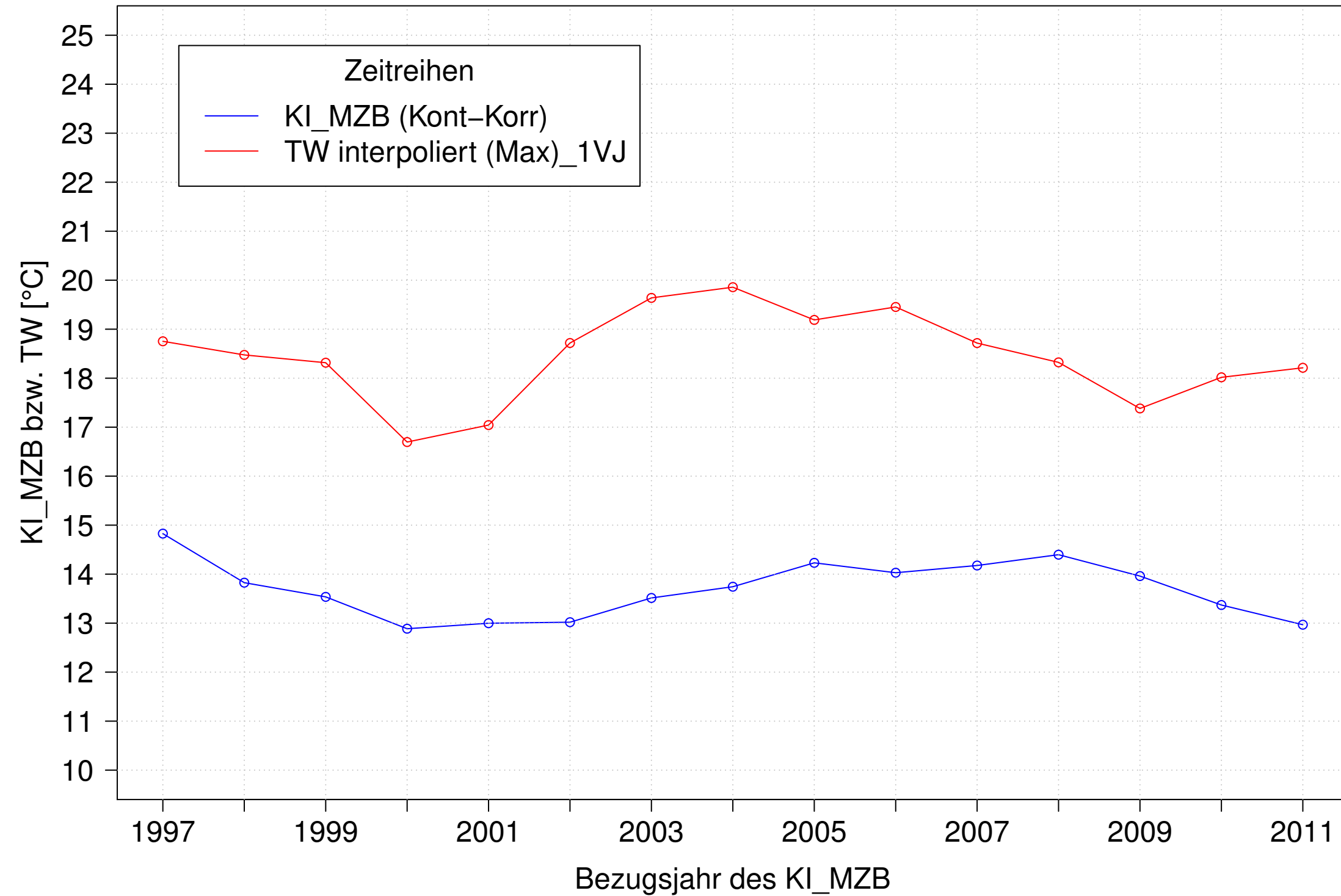
Argen_Giessen, Typ 03.2 mit Neozoen, Serie 4
3JMW KI_MZB (Kont-Korr) und 3JMW TW interpoliert (JA) des 1. Vorjahres



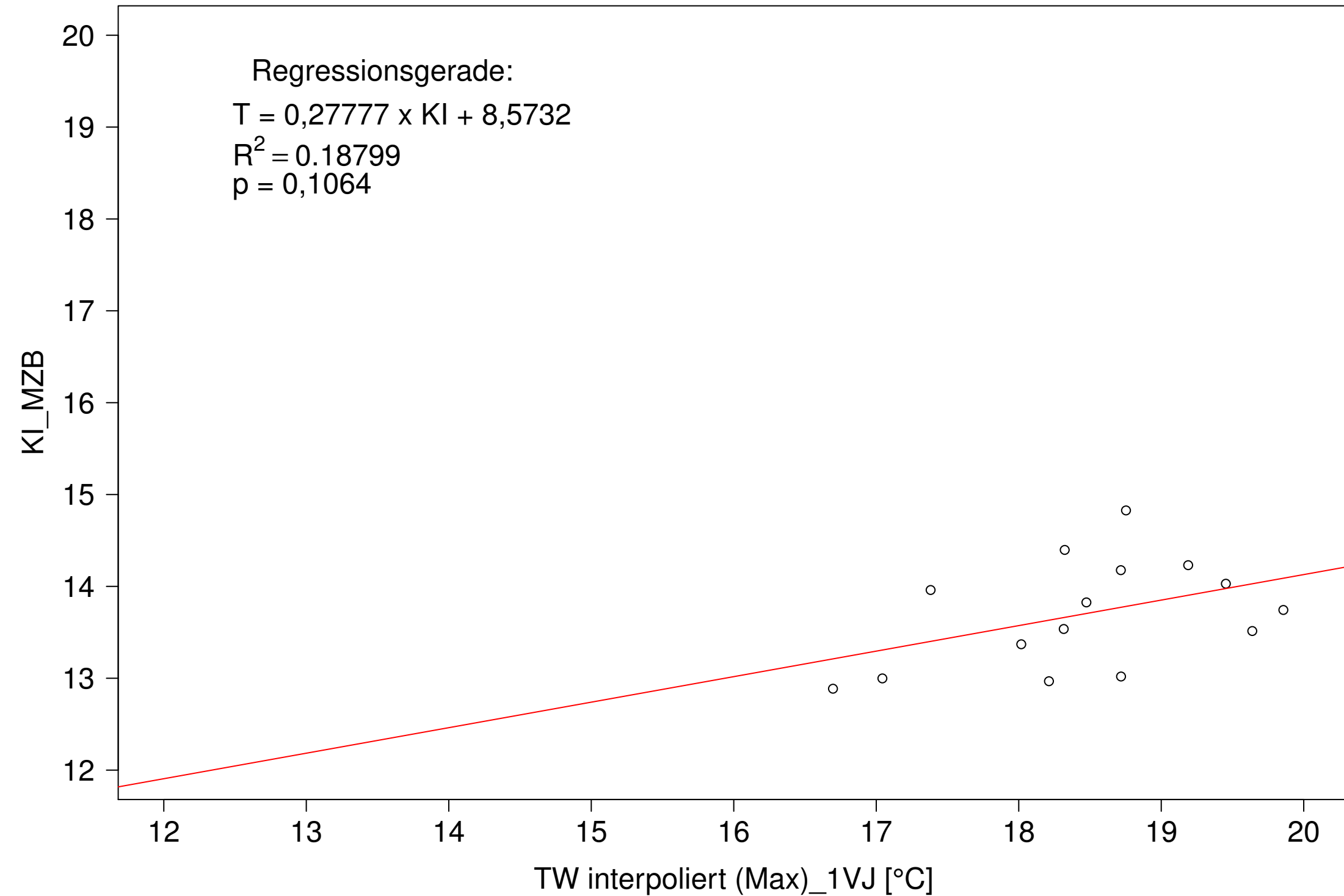
Argen_Giessen, Typ 03.2 mit Neozoen, Serie 4
3JMW KI_MZB (Kont-Korr) gegen 3JMW TW interpoliert (JA) des 1. Vorjahres



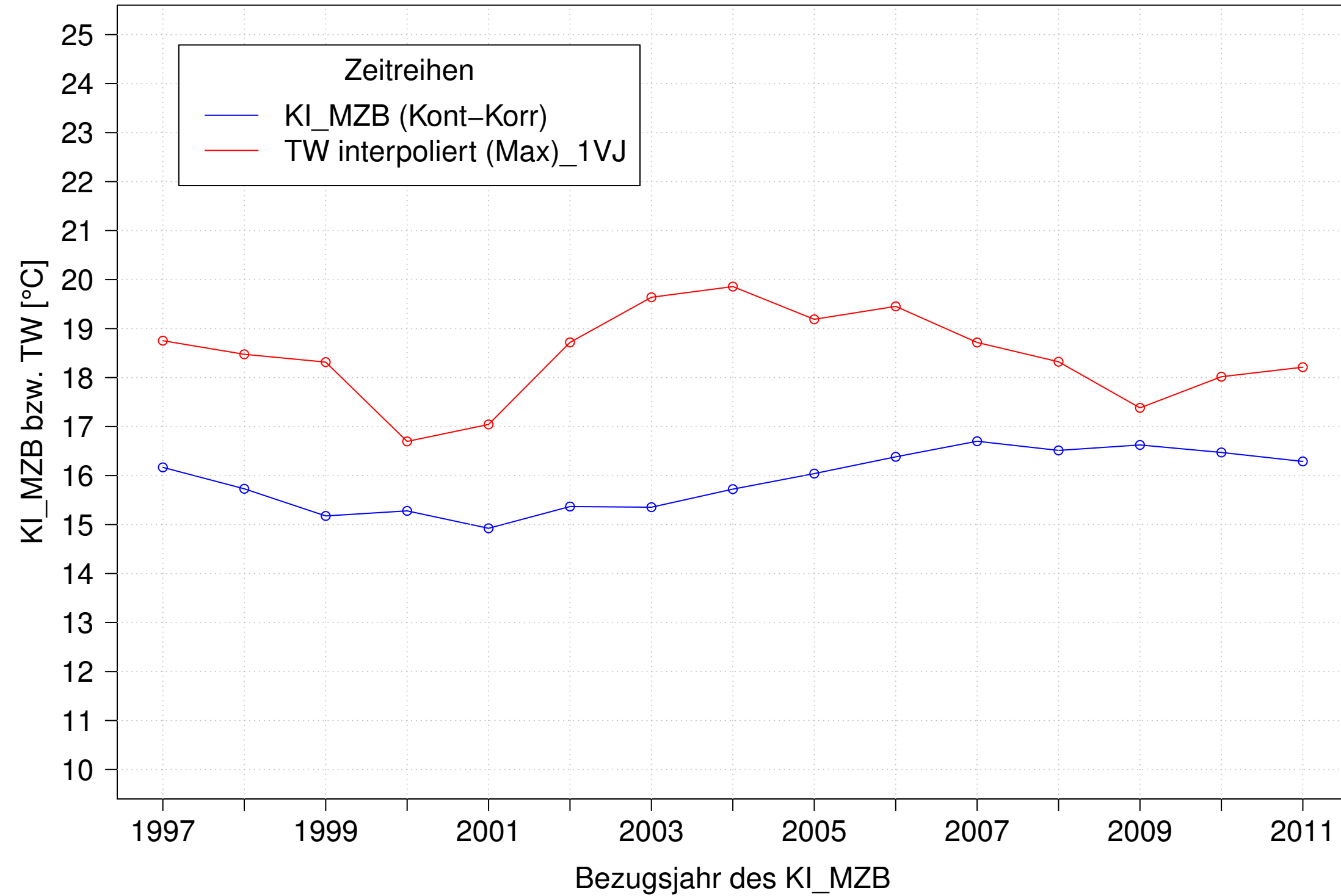
Argen_Giessen, Typ 03.2 mit Neozoen, Serie 1
3JMW KI_MZB (Kont-Korr) und 3JMW TW interpoliert (Max) des 1. Vorjahres



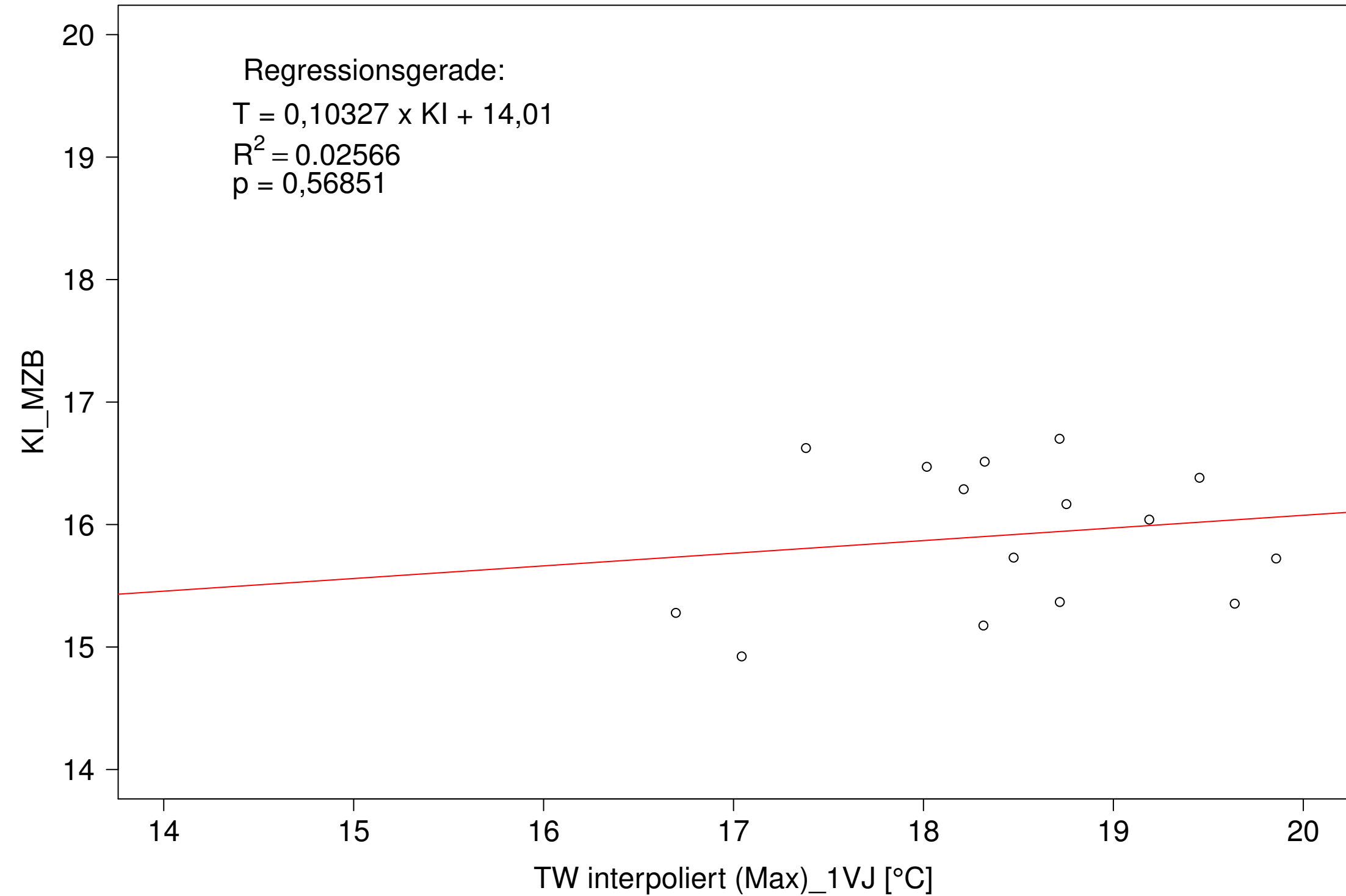
Argen_Giessen, Typ 03.2 mit Neozoen, Serie 1
3JMW KI_MZB (Kont-Korr) gegen 3JMW TW interpoliert (Max) des 1. Vorjahres



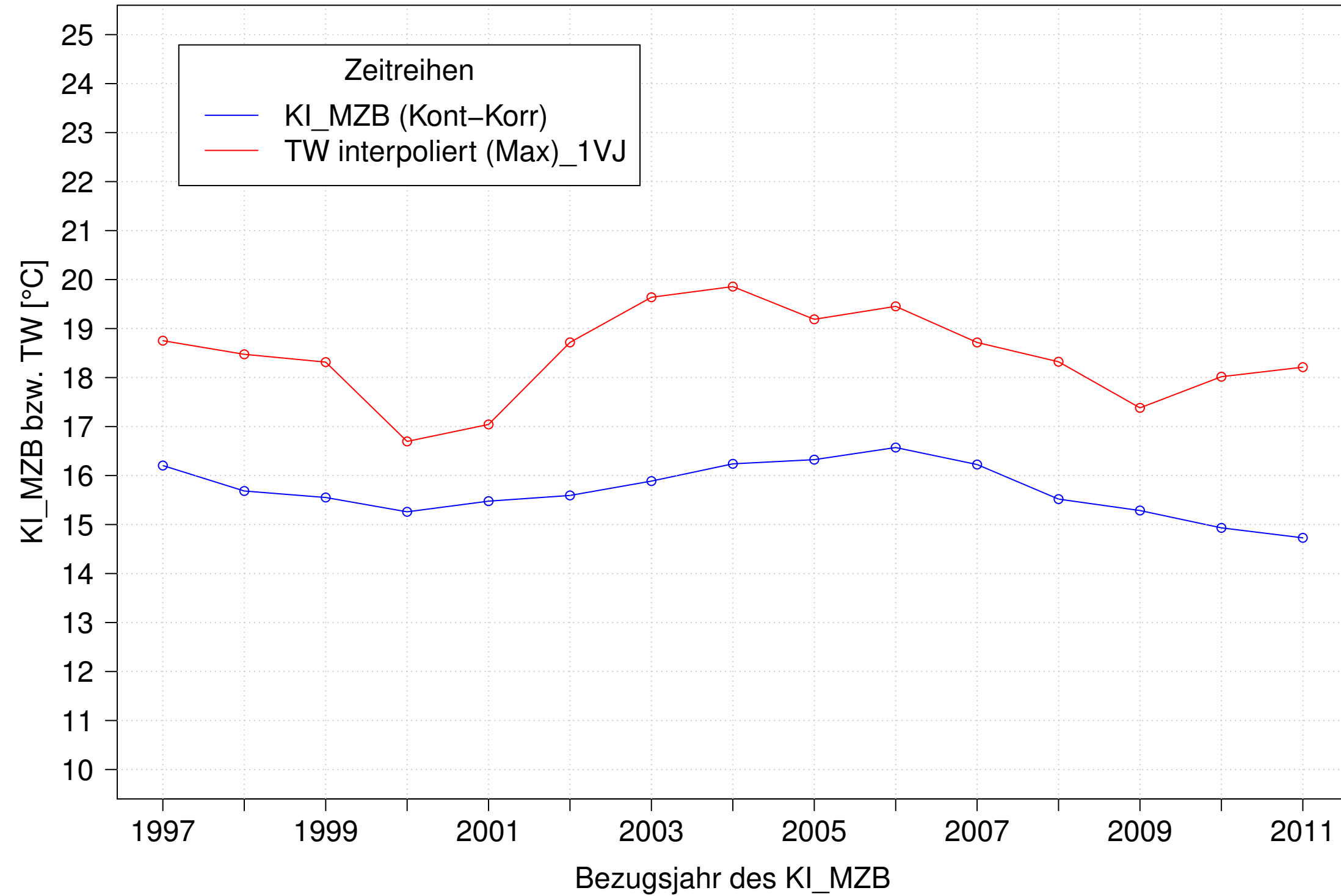
Argen_Giessen, Typ 03.2 mit Neozoen, Serie 2
3JMW KI_MZB (Kont-Korr) und 3JMW TW interpoliert (Max) des 1. Vorjahres



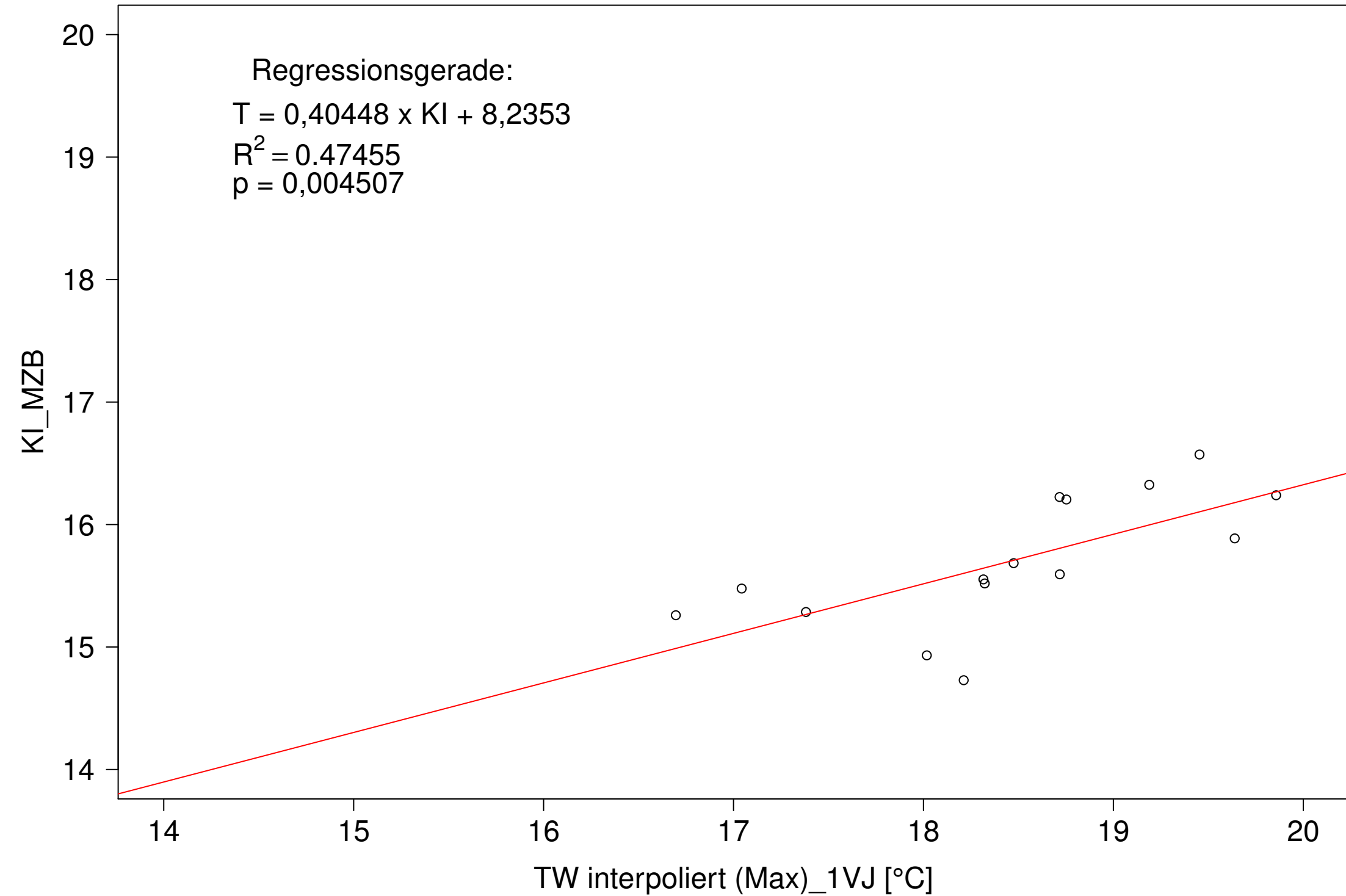
Argen_Giessen, Typ 03.2 mit Neozoen, Serie 2
3JMW KI_MZB (Kont-Korr) gegen 3JMW TW interpoliert (Max) des 1. Vorjahres



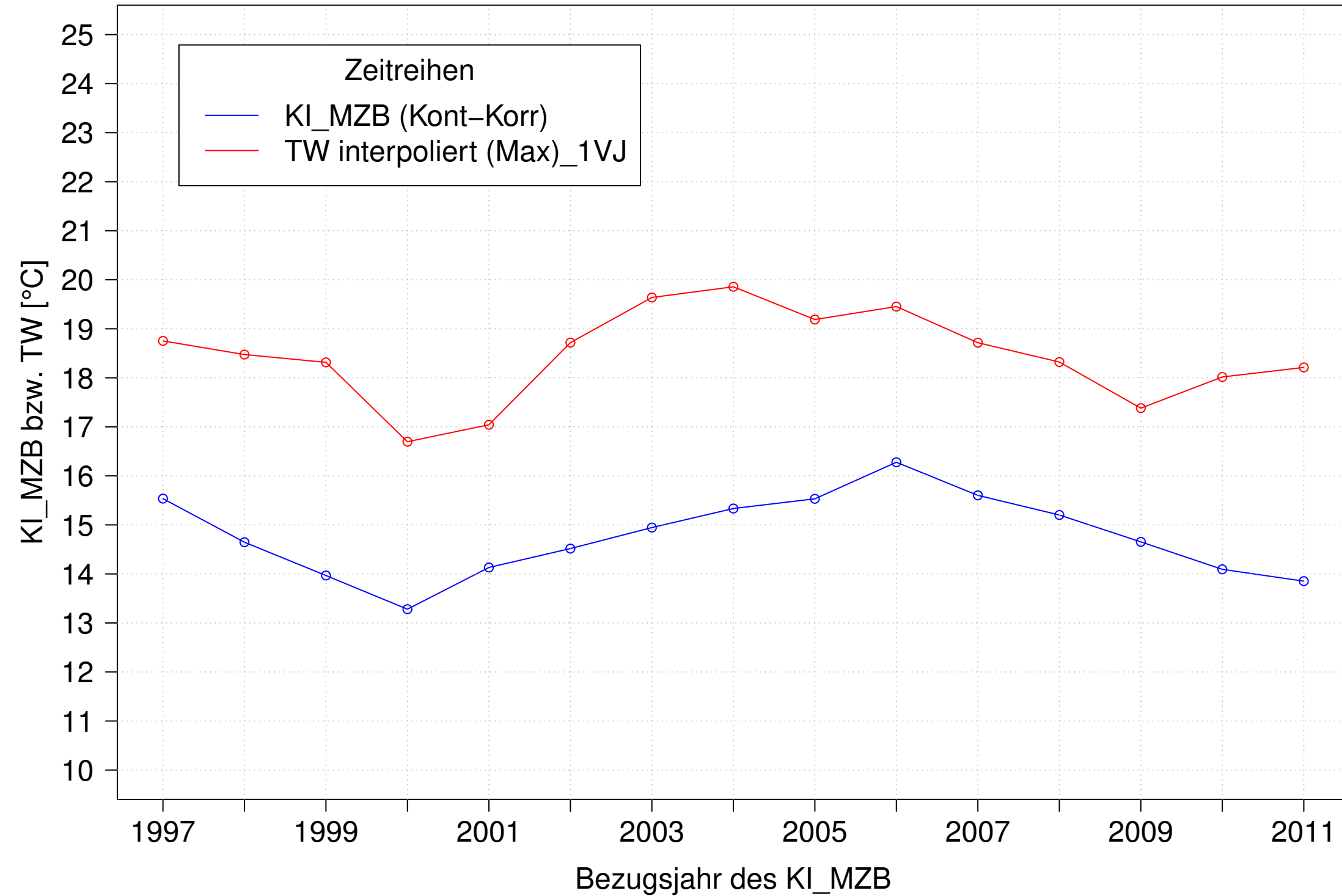
Argen_Giessen, Typ 03.2 mit Neozoen, Serie 3
3JMW KI_MZB (Kont-Korr) und 3JMW TW interpoliert (Max) des 1. Vorjahres



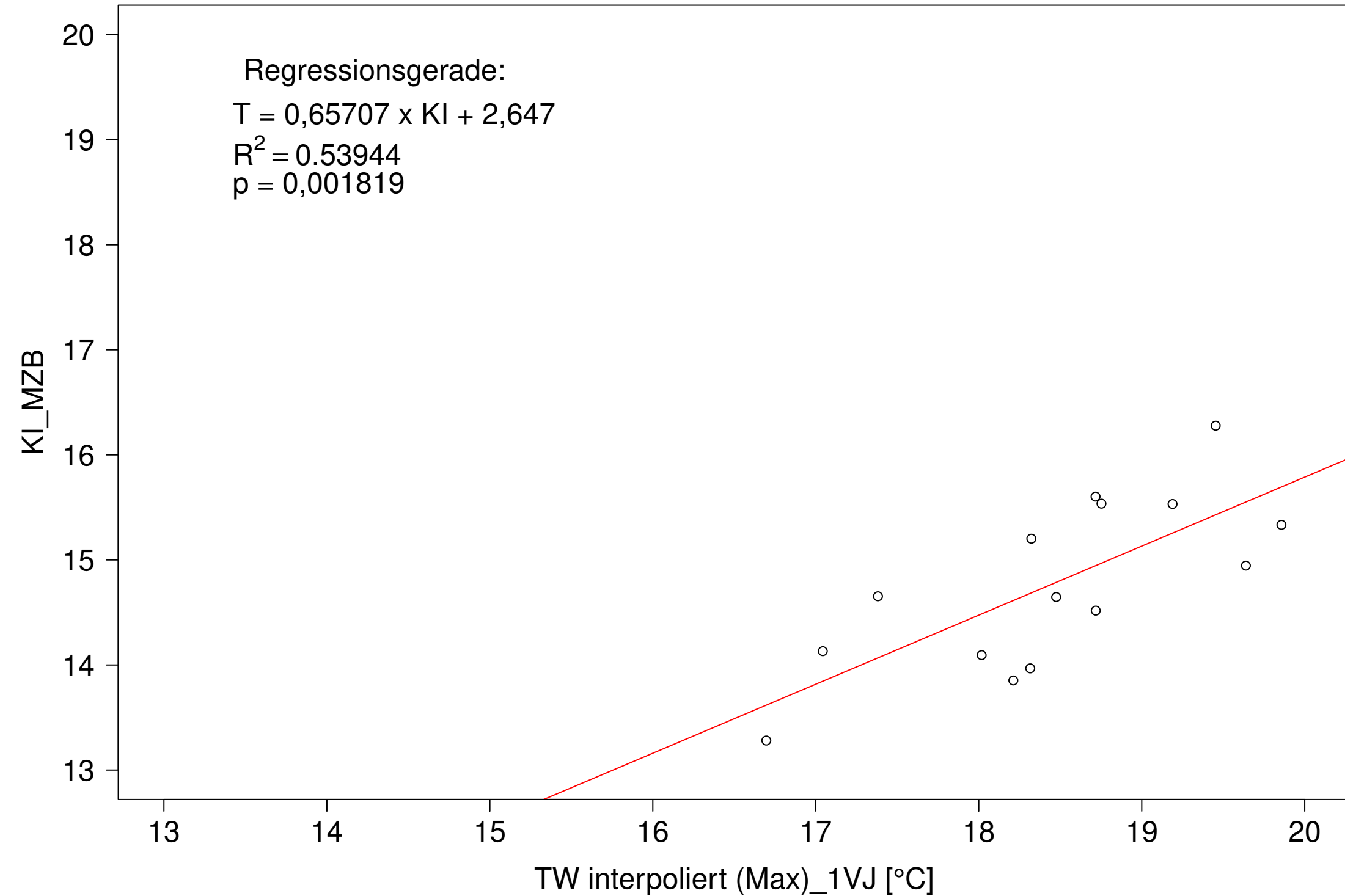
Argen_Giessen, Typ 03.2 mit Neozoen, Serie 3
3JMW KI_MZB (Kont-Korr) gegen 3JMW TW interpoliert (Max) des 1. Vorjahres



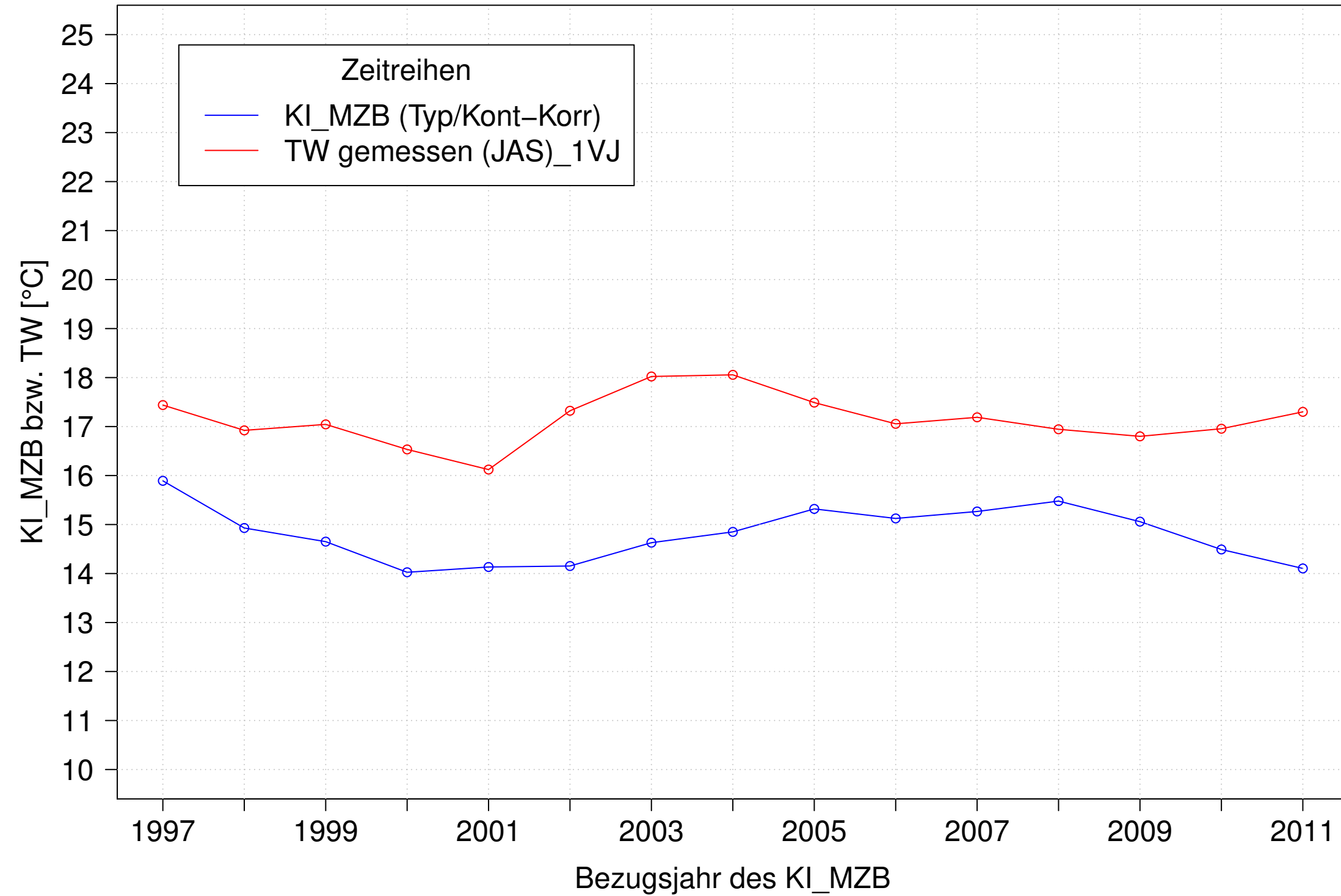
Argen_Giessen, Typ 03.2 mit Neozoen, Serie 4
3JMW KI_MZB (Kont-Korr) und 3JMW TW interpoliert (Max) des 1. Vorjahres



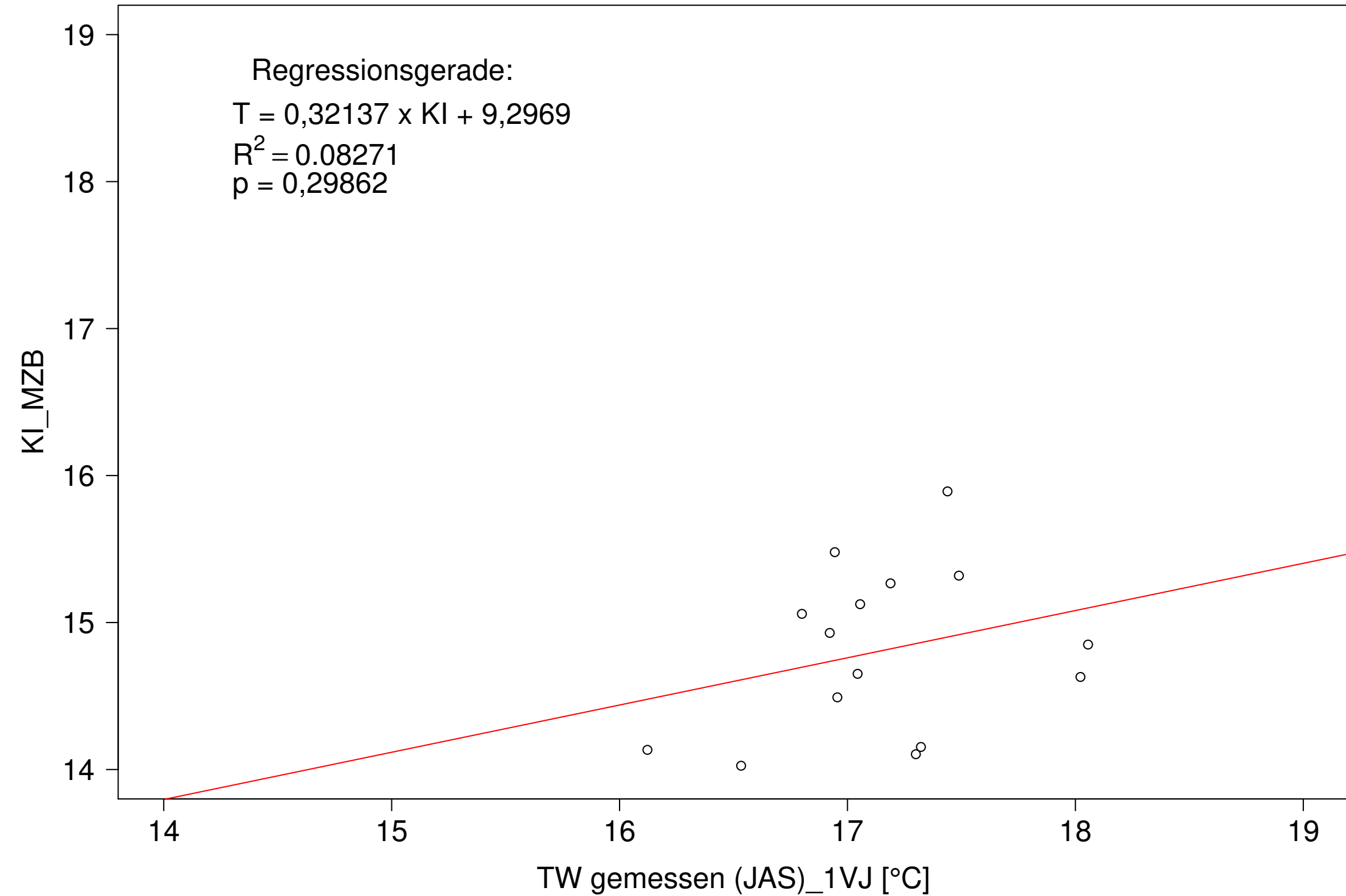
Argen_Giessen, Typ 03.2 mit Neozoen, Serie 4
3JMW KI_MZB (Kont-Korr) gegen 3JMW TW interpoliert (Max) des 1. Vorjahres



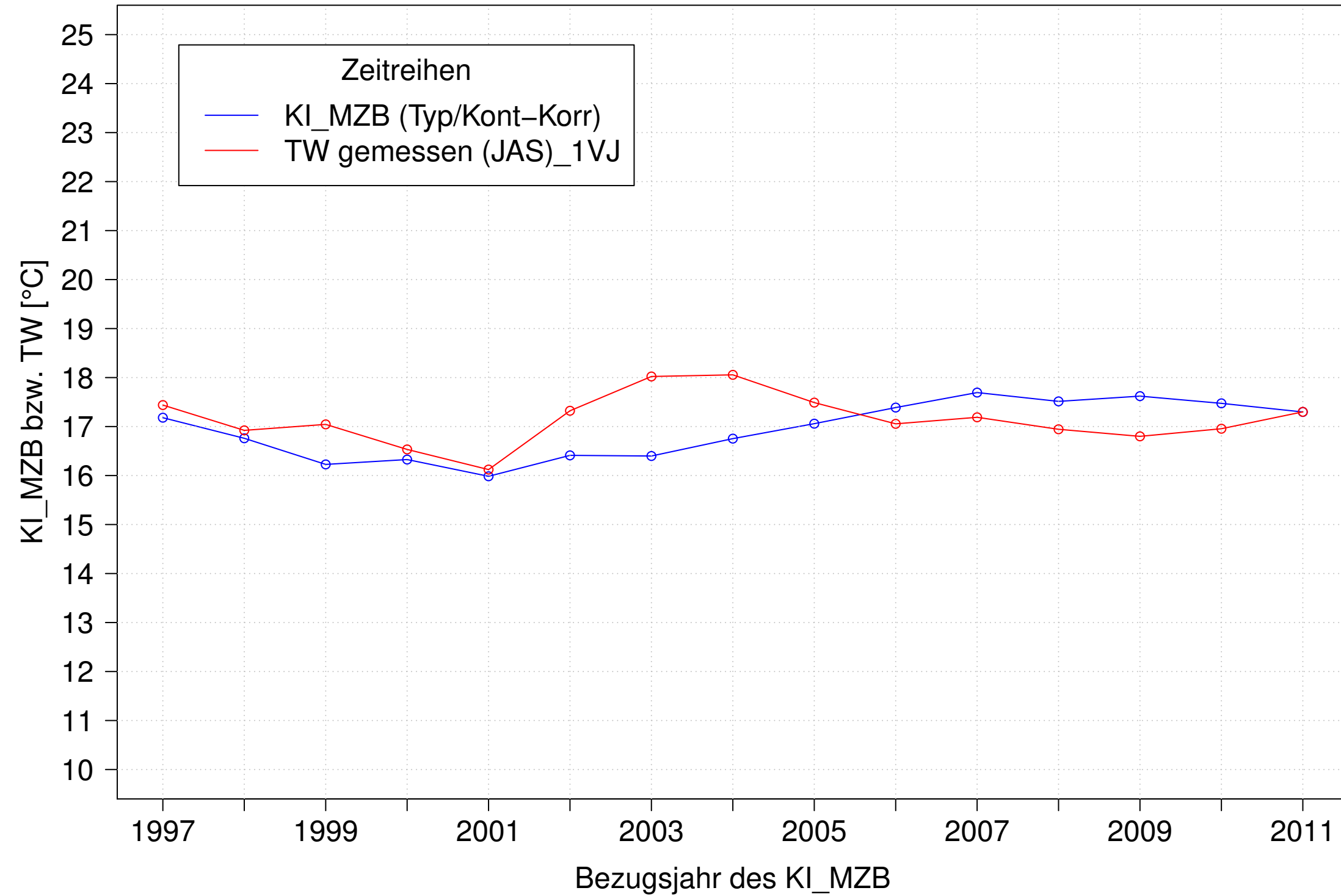
Argen_Giessen, Typ 03.2 mit Neozoen, Serie 1
3JMW KI_MZB (Typ/Kont-Korr) und 3JMW TW gemessen (JAS) des 1. Vorjahres



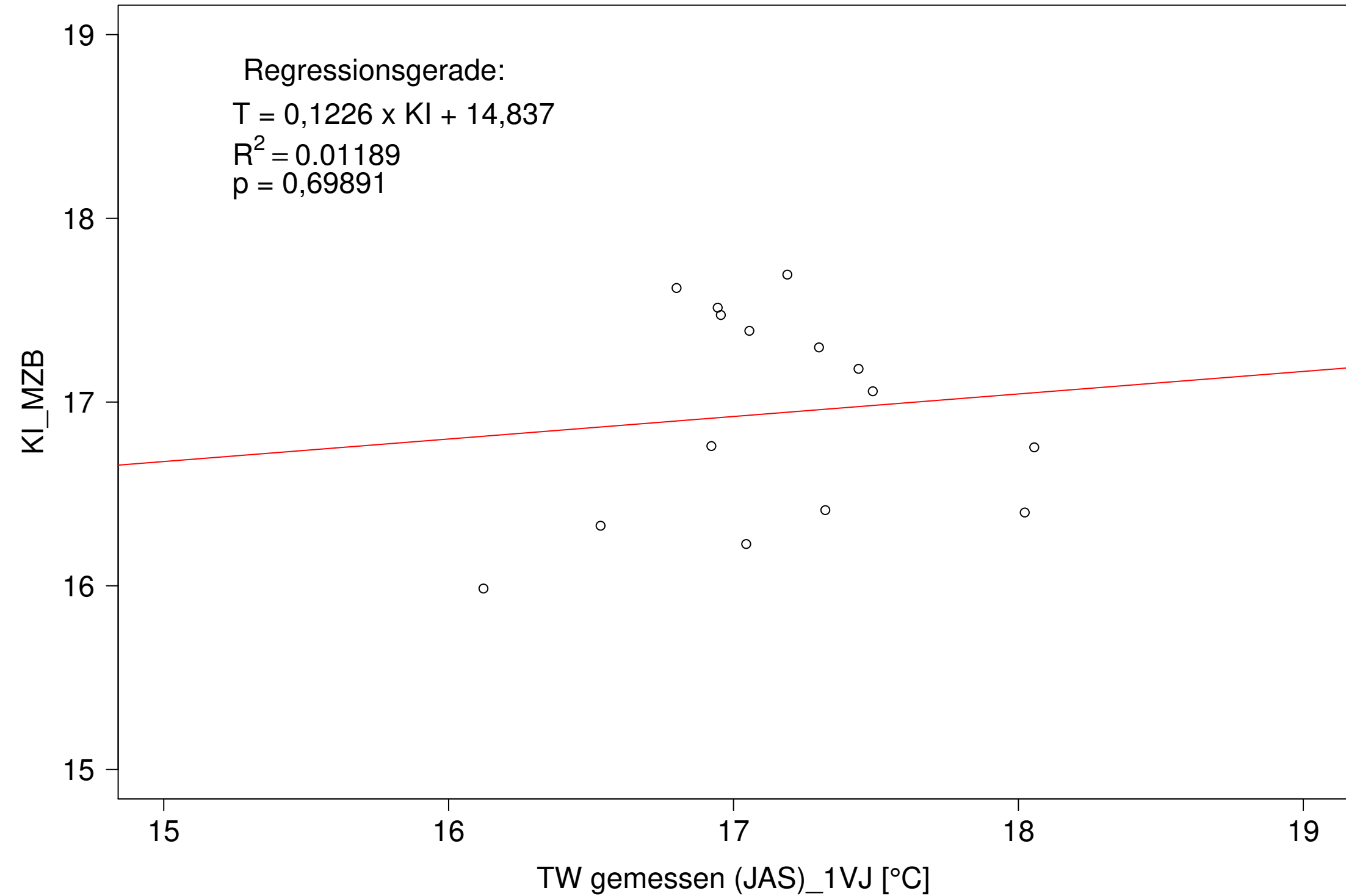
Argen_Giessen, Typ 03.2 mit Neozoen, Serie 1
3JMW KI_MZB (Typ/Kont-Korr) gegen 3JMW TW gemessen (JAS) des 1. Vorjahres



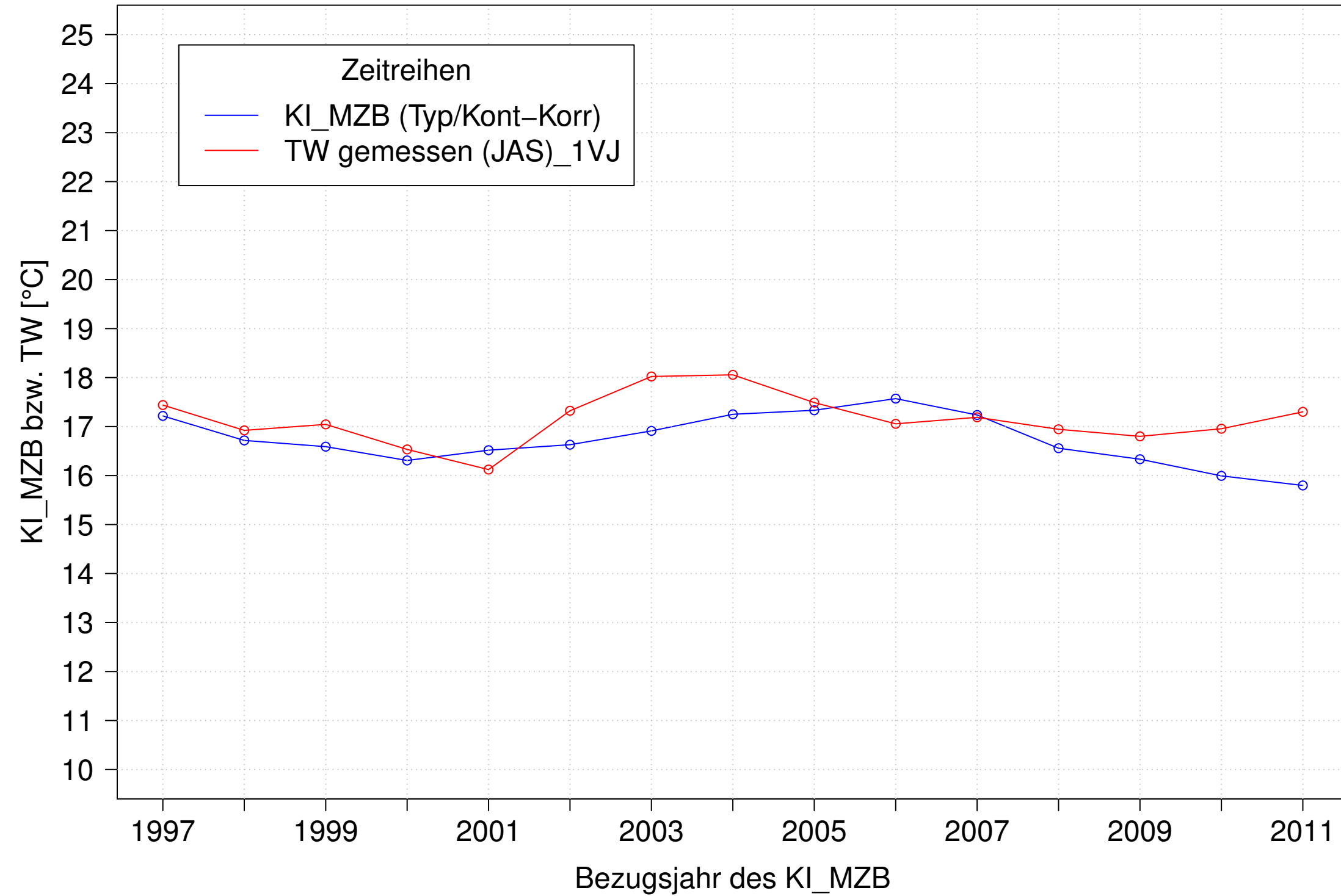
Argen_Giessen, Typ 03.2 mit Neozoen, Serie 2
3JMW KI_MZB (Typ/Kont-Korr) und 3JMW TW gemessen (JAS) des 1. Vorjahres



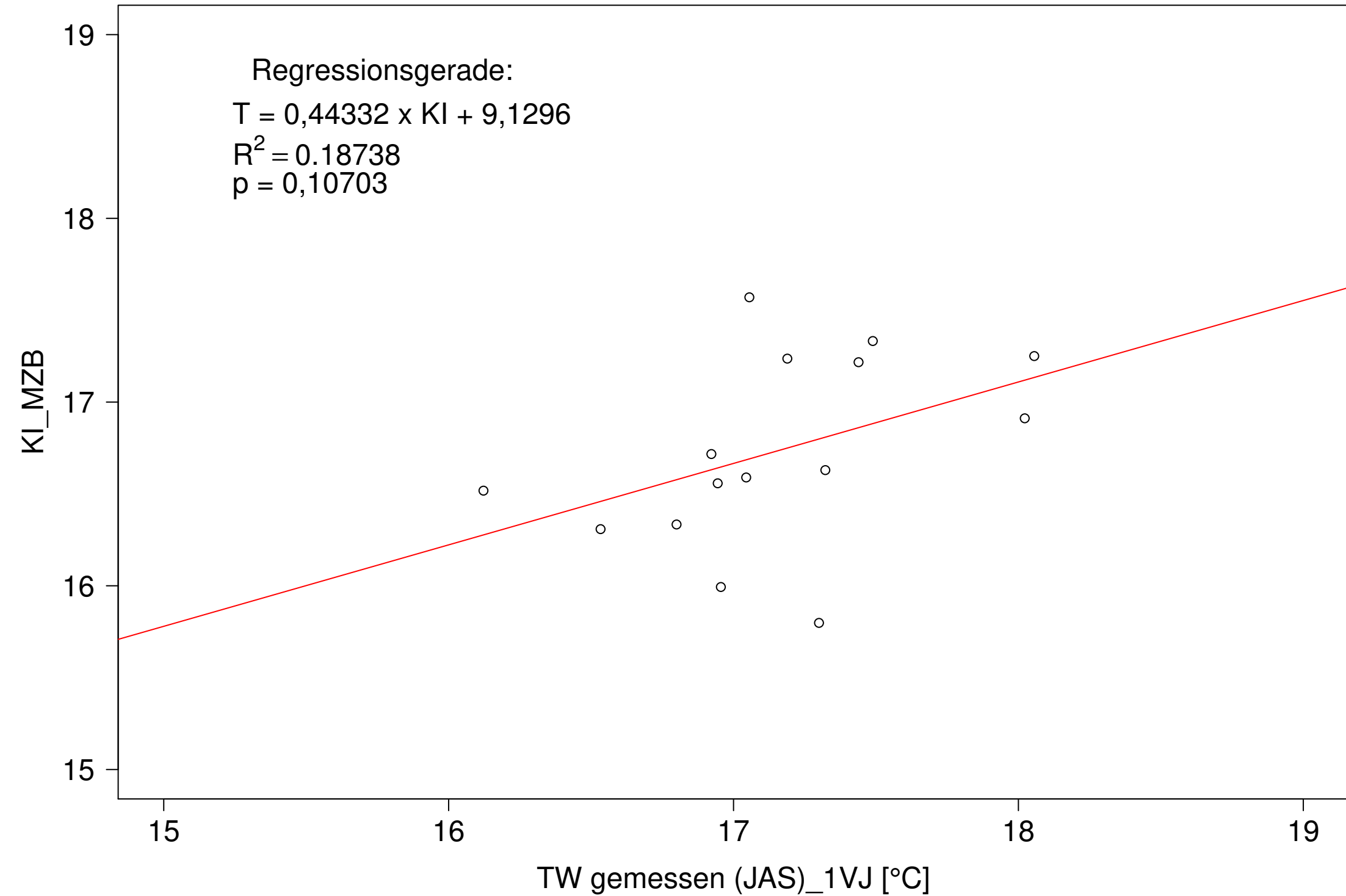
Argen_Giessen, Typ 03.2 mit Neozoen, Serie 2
3JMW KI_MZB (Typ/Kont-Korr) gegen 3JMW TW gemessen (JAS) des 1. Vorjahres



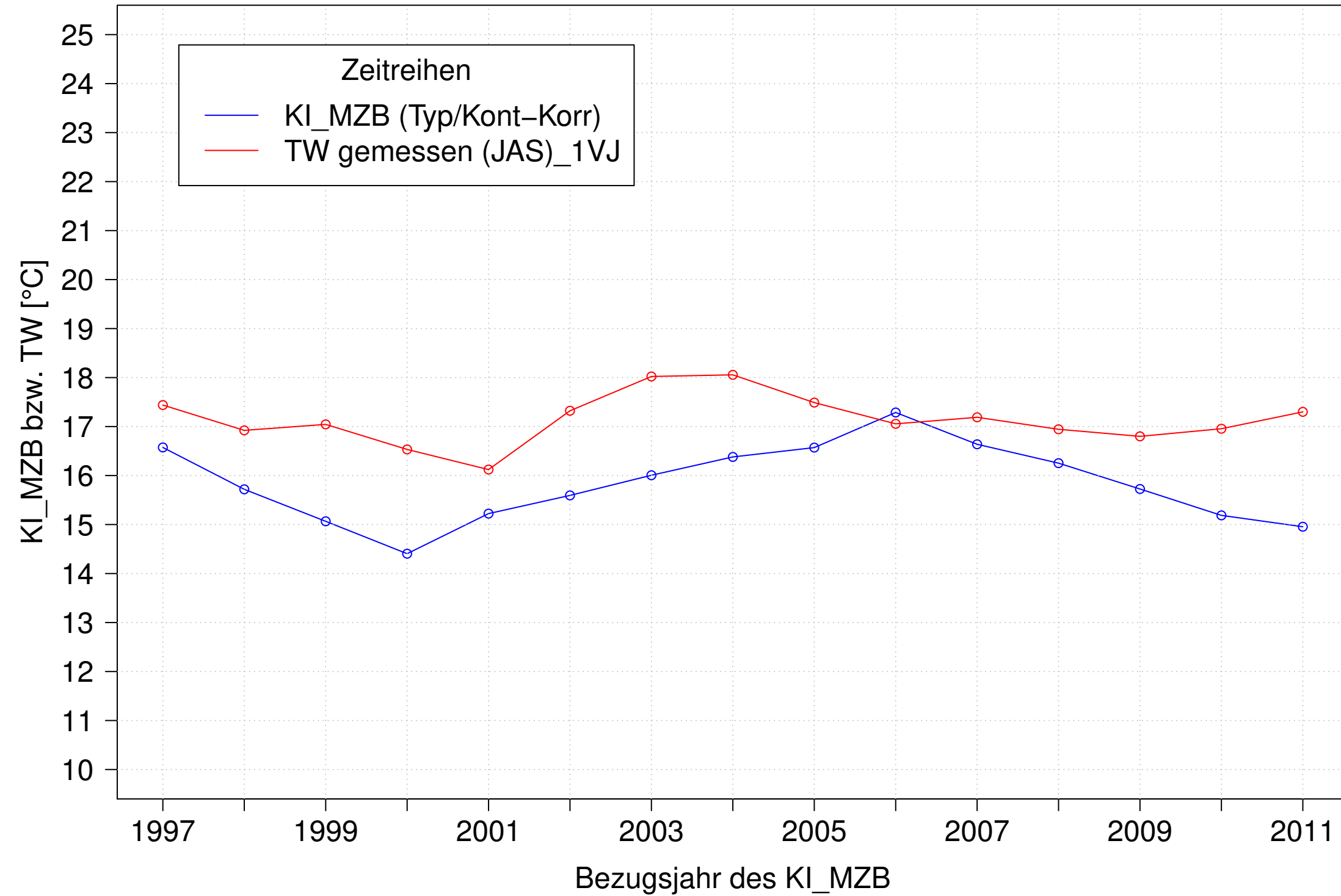
Argen_Giessen, Typ 03.2 mit Neozoen, Serie 3
3JMW KI_MZB (Typ/Kont-Korr) und 3JMW TW gemessen (JAS) des 1. Vorjahres



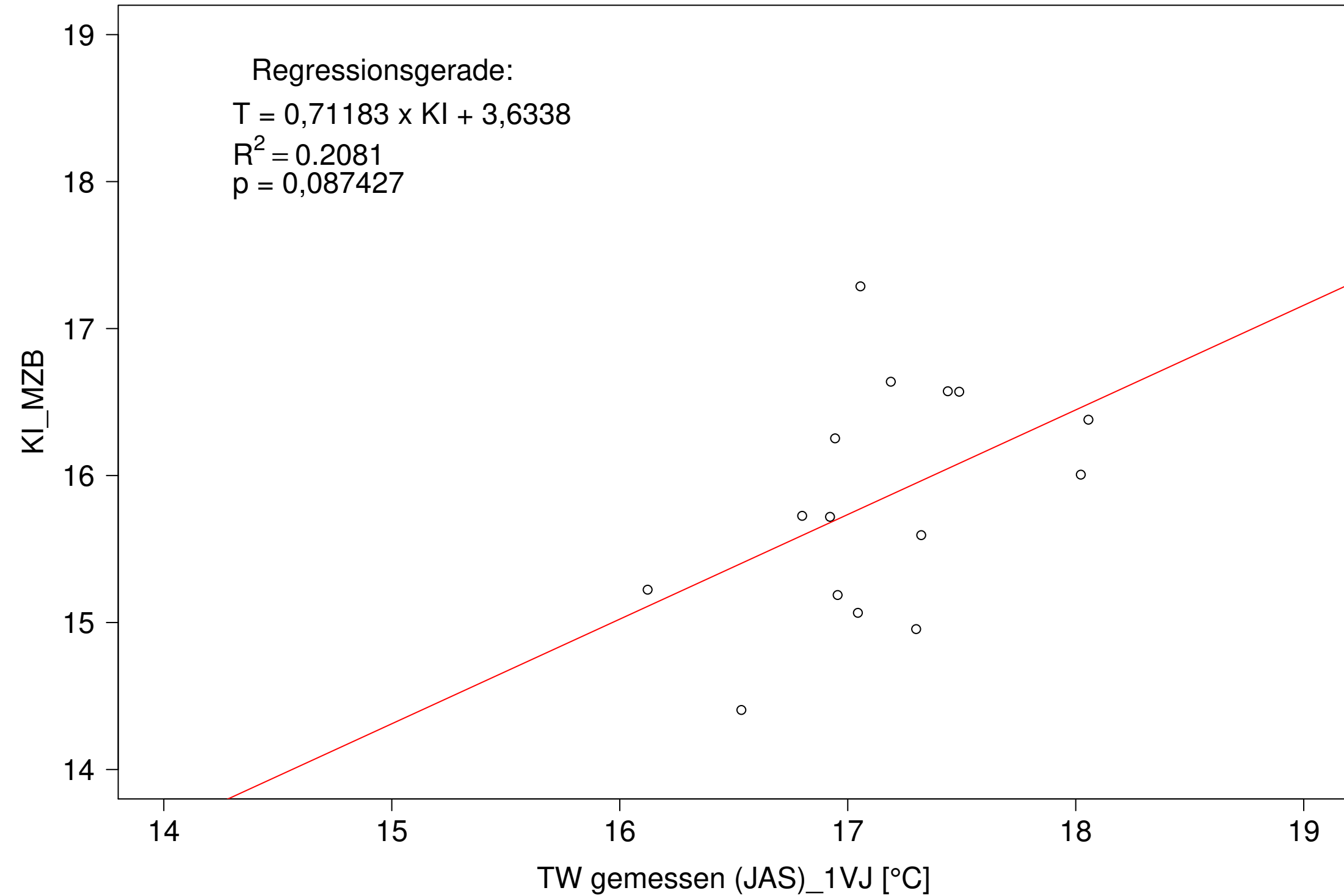
Argen_Giessen, Typ 03.2 mit Neozoen, Serie 3
3JMW KI_MZB (Typ/Kont-Korr) gegen 3JMW TW gemessen (JAS) des 1. Vorjahres



Argen_Giessen, Typ 03.2 mit Neozoen, Serie 4
3JMW KI_MZB (Typ/Kont-Korr) und 3JMW TW gemessen (JAS) des 1. Vorjahres



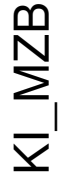
Argen_Giessen, Typ 03.2 mit Neozoen, Serie 4
3JMW KI_MZB (Typ/Kont-Korr) gegen 3JMW TW gemessen (JAS) des 1. Vorjahres



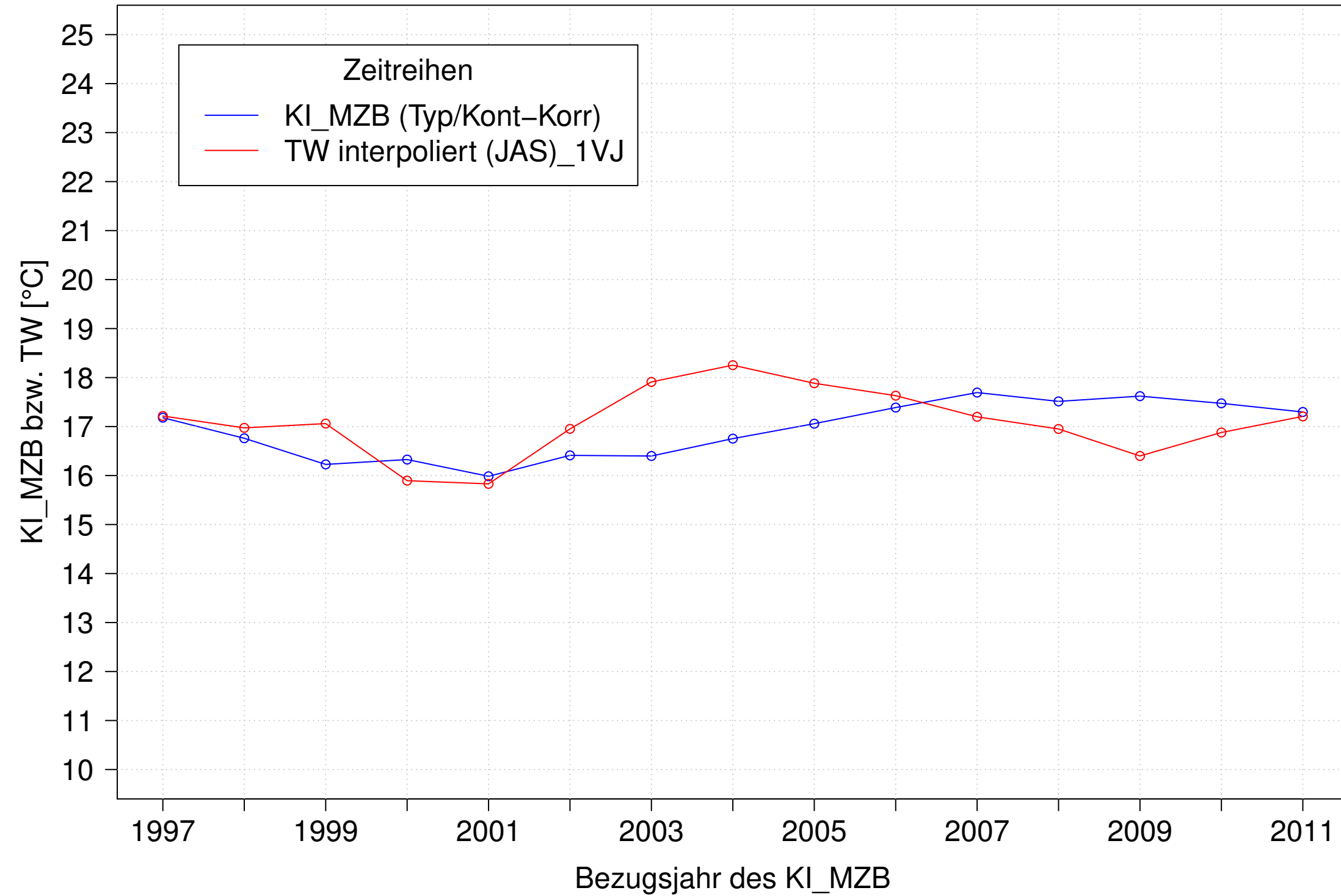
Argen_Giessen, Typ 03.2 mit Neozoen, Serie 1



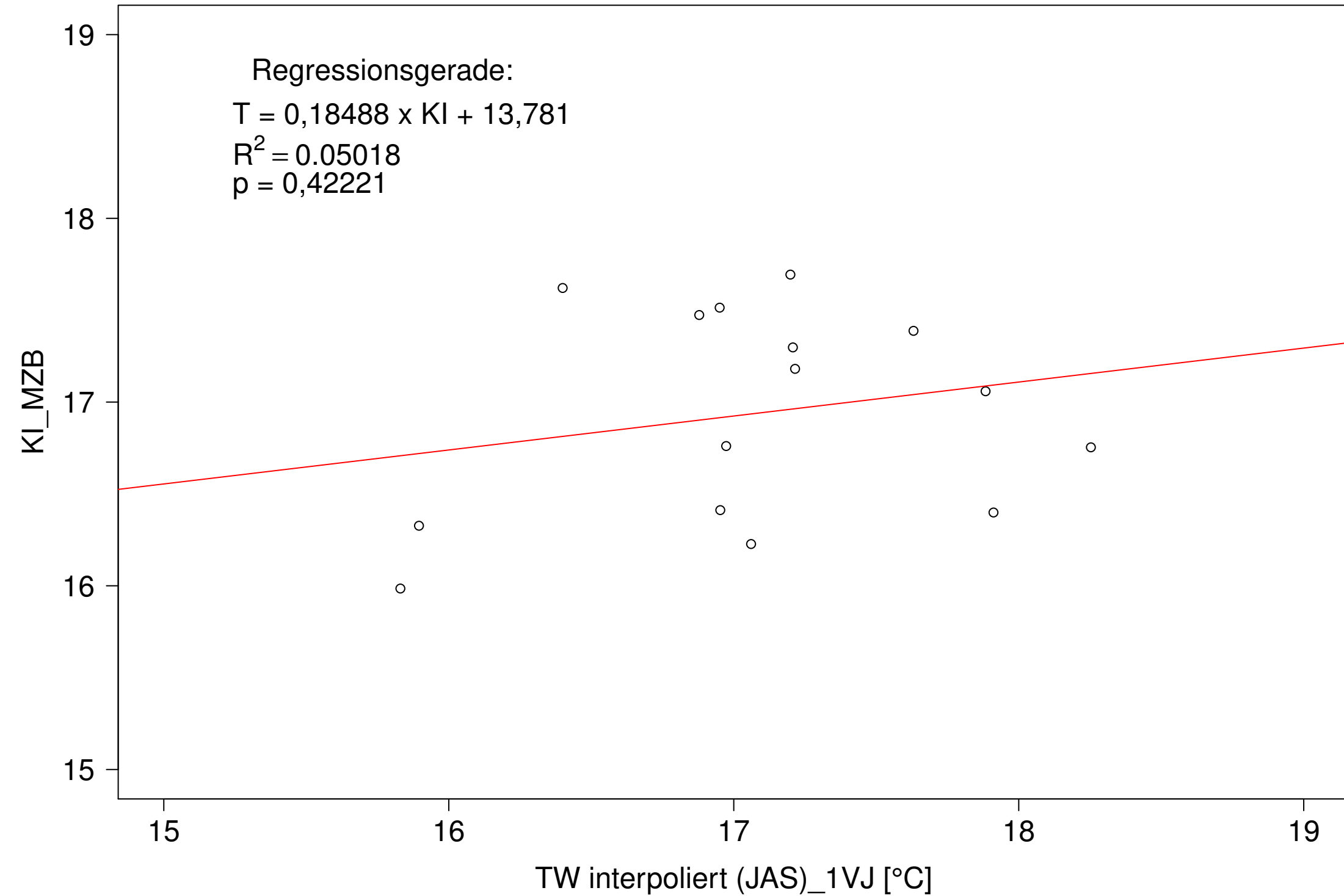
Argen_Giessen, Typ 03.2 mit Neozoen, Serie 1



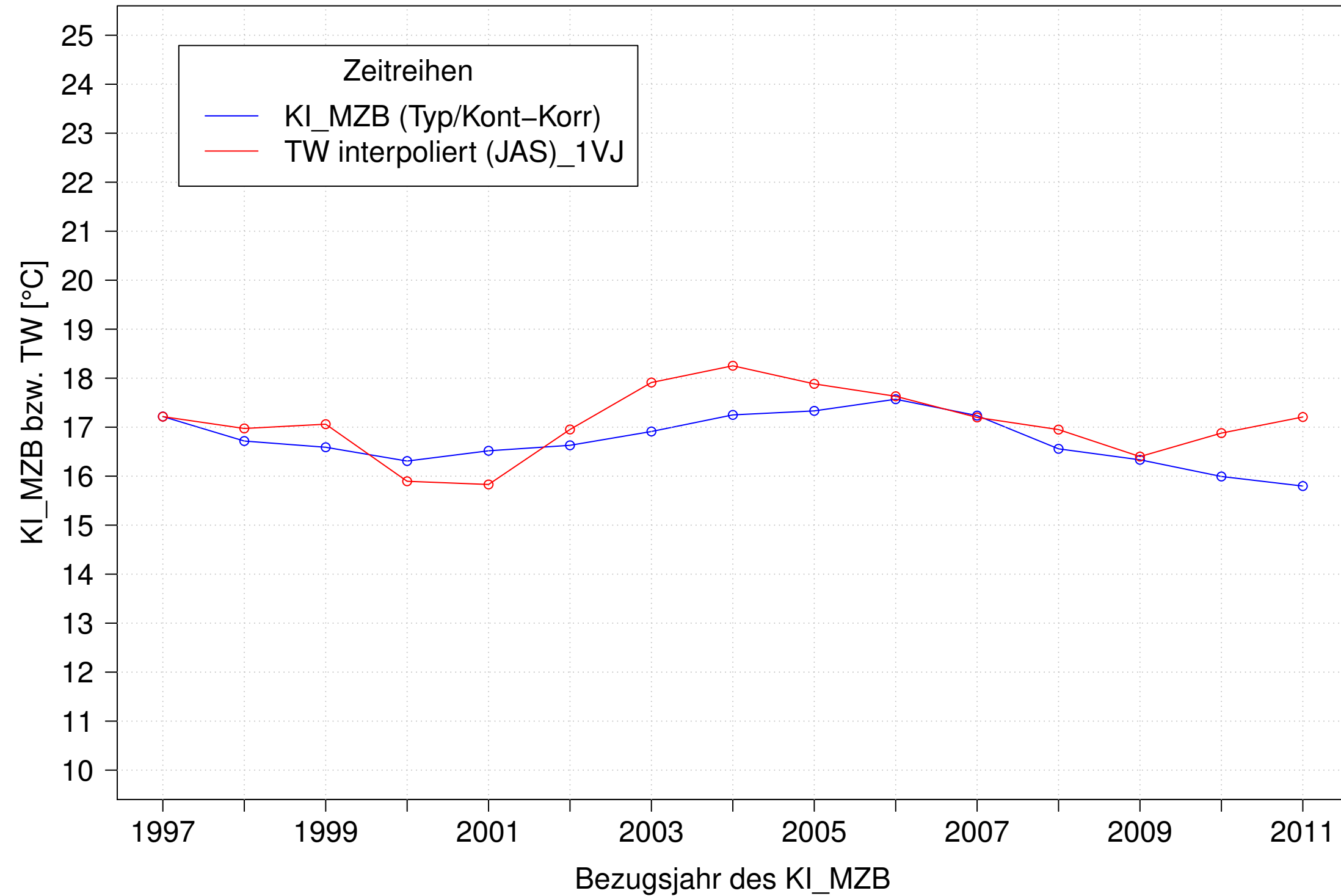
Argen_Giessen, Typ 03.2 mit Neozoen, Serie 2
3JMW KI_MZB (Typ/Kont-Korr) und 3JMW TW interpoliert (JAS) des 1. Vorjahres



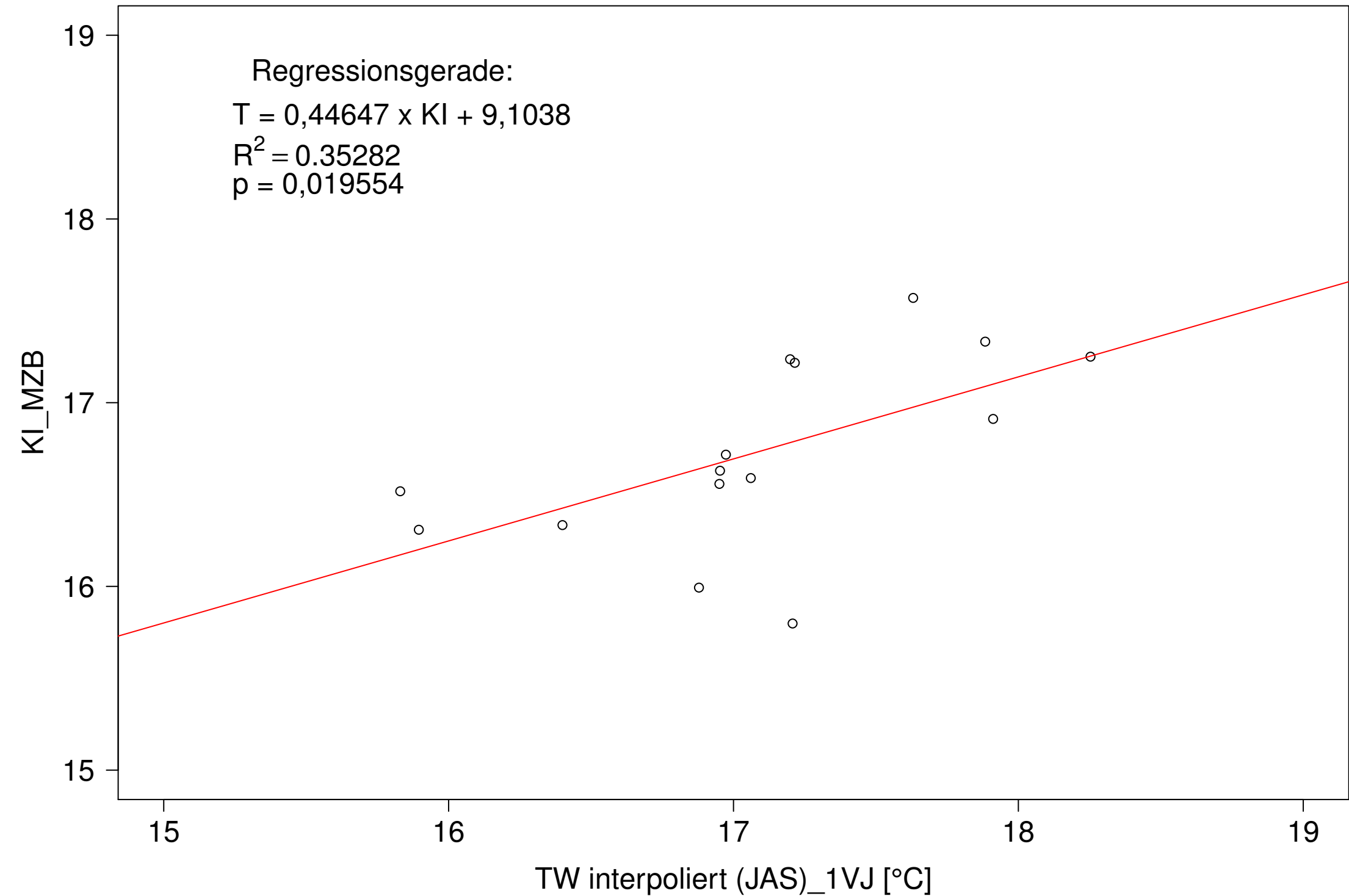
Argen_Giessen, Typ 03.2 mit Neozoen, Serie 2
3JMW KI_MZB (Typ/Kont-Korr) gegen 3JMW TW interpoliert (JAS) des 1. Vorjahres



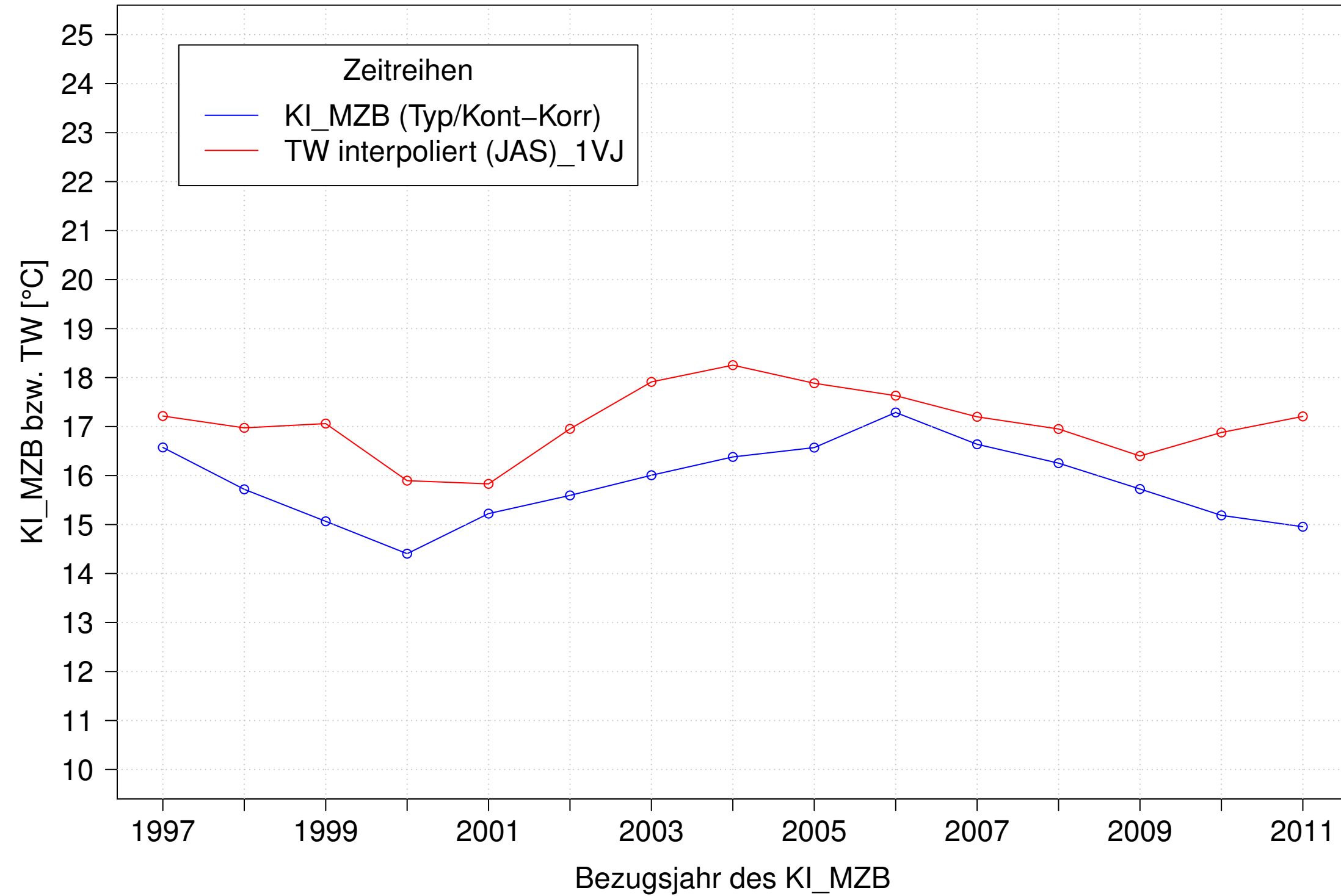
Argen_Giessen, Typ 03.2 mit Neozoen, Serie 3
3JMW KI_MZB (Typ/Kont-Korr) und 3JMW TW interpoliert (JAS) des 1. Vorjahres



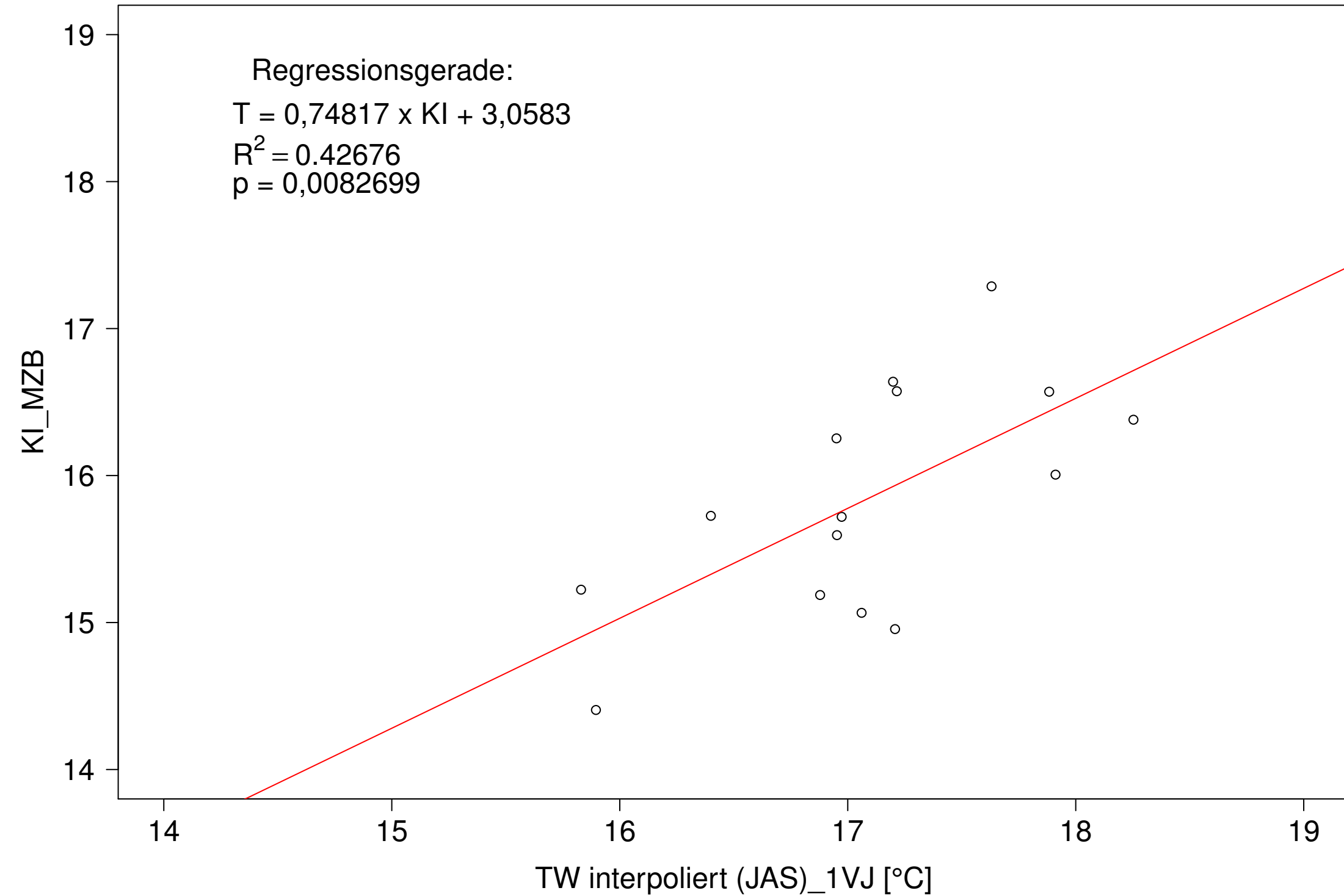
Argen_Giessen, Typ 03.2 mit Neozoen, Serie 3
3JMW KI_MZB (Typ/Kont-Korr) gegen 3JMW TW interpoliert (JAS) des 1. Vorjahres



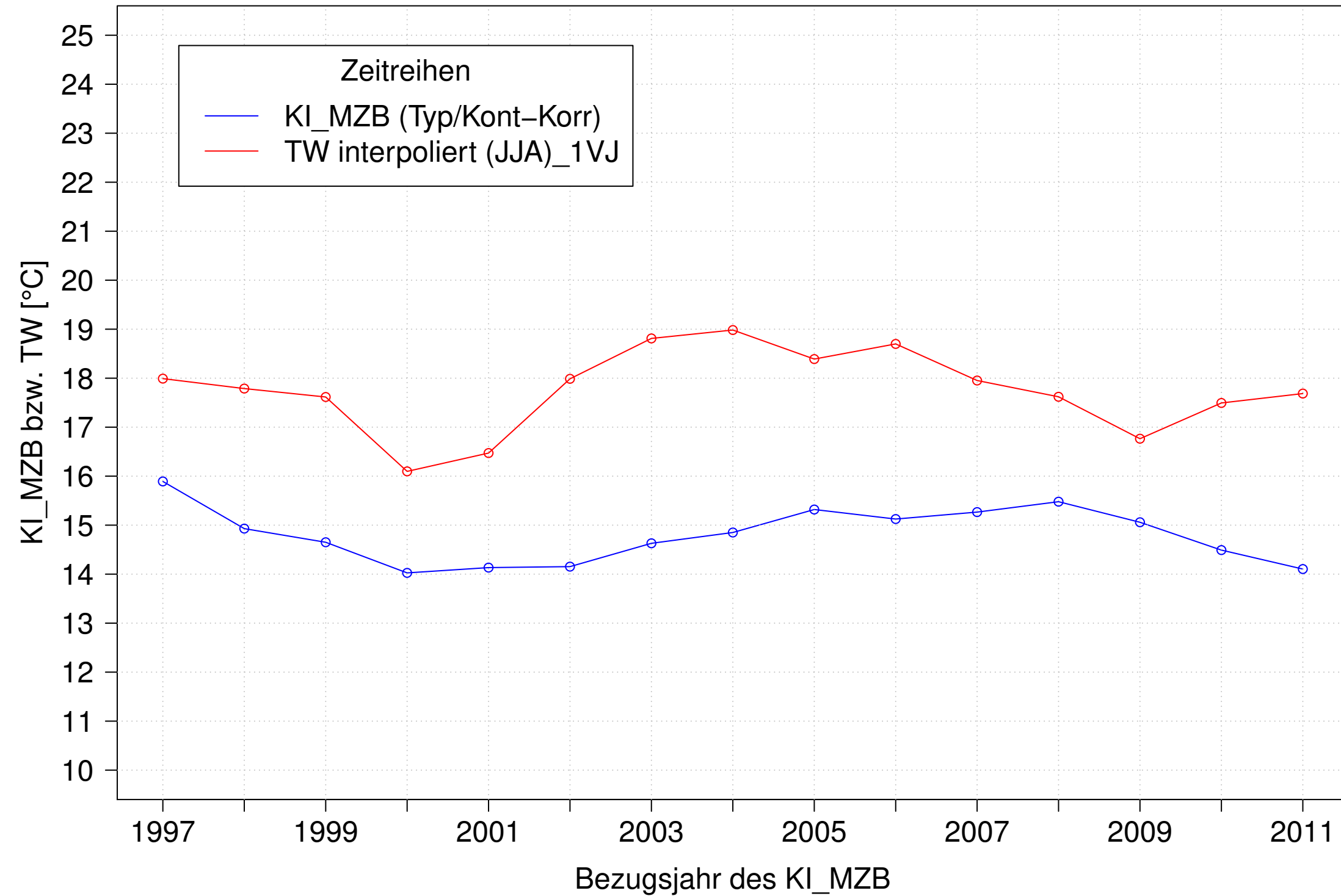
Argen_Giessen, Typ 03.2 mit Neozoen, Serie 4
3JMW KI_MZB (Typ/Kont-Korr) und 3JMW TW interpoliert (JAS) des 1. Vorjahres



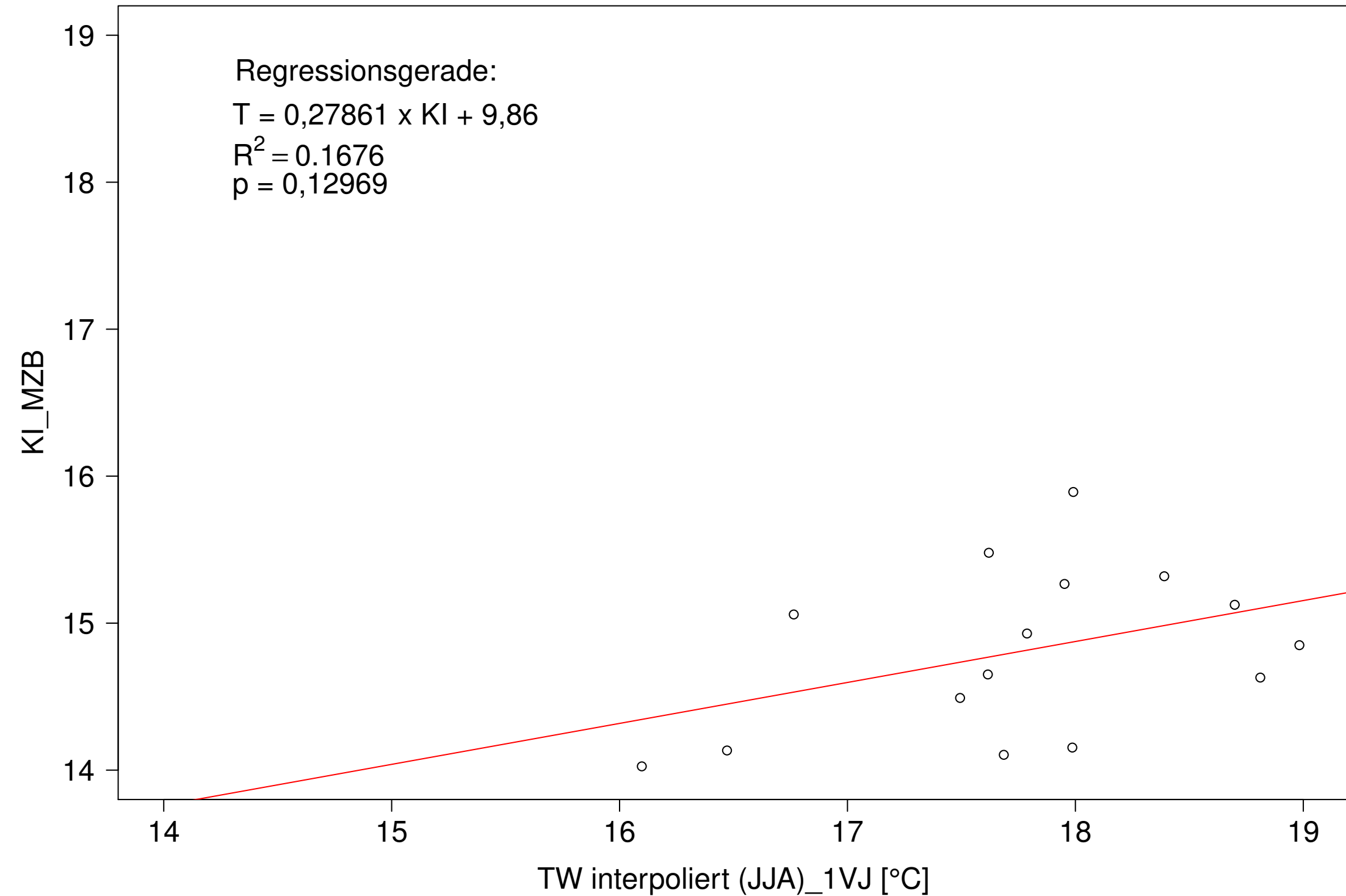
Argen_Giessen, Typ 03.2 mit Neozoen, Serie 4
3JMW KI_MZB (Typ/Kont-Korr) gegen 3JMW TW interpoliert (JAS) des 1. Vorjahres



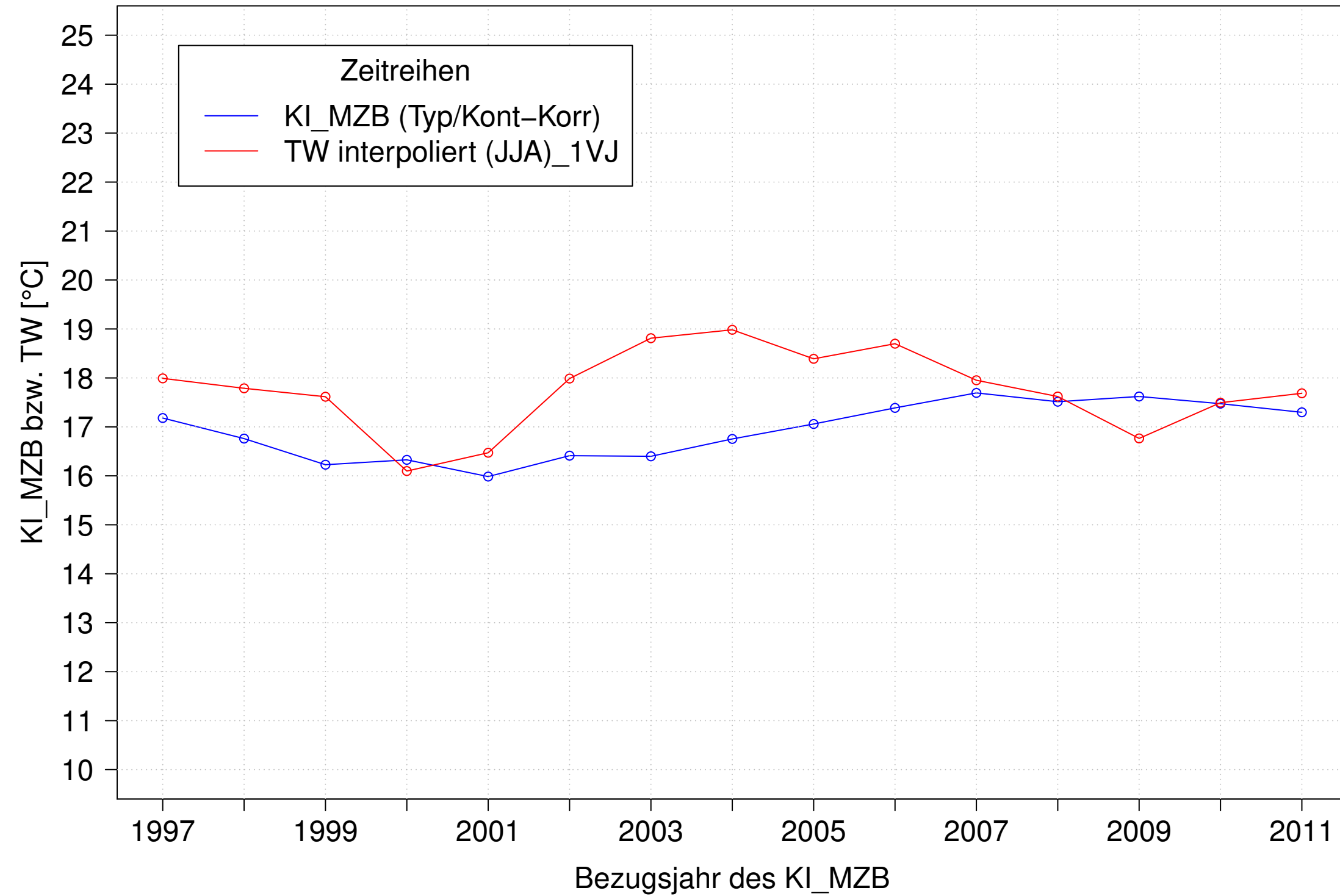
Argen_Giessen, Typ 03.2 mit Neozoen, Serie 1
3JMW KI_MZB (Typ/Kont-Korr) und 3JMW TW interpoliert (JJA) des 1. Vorjahres



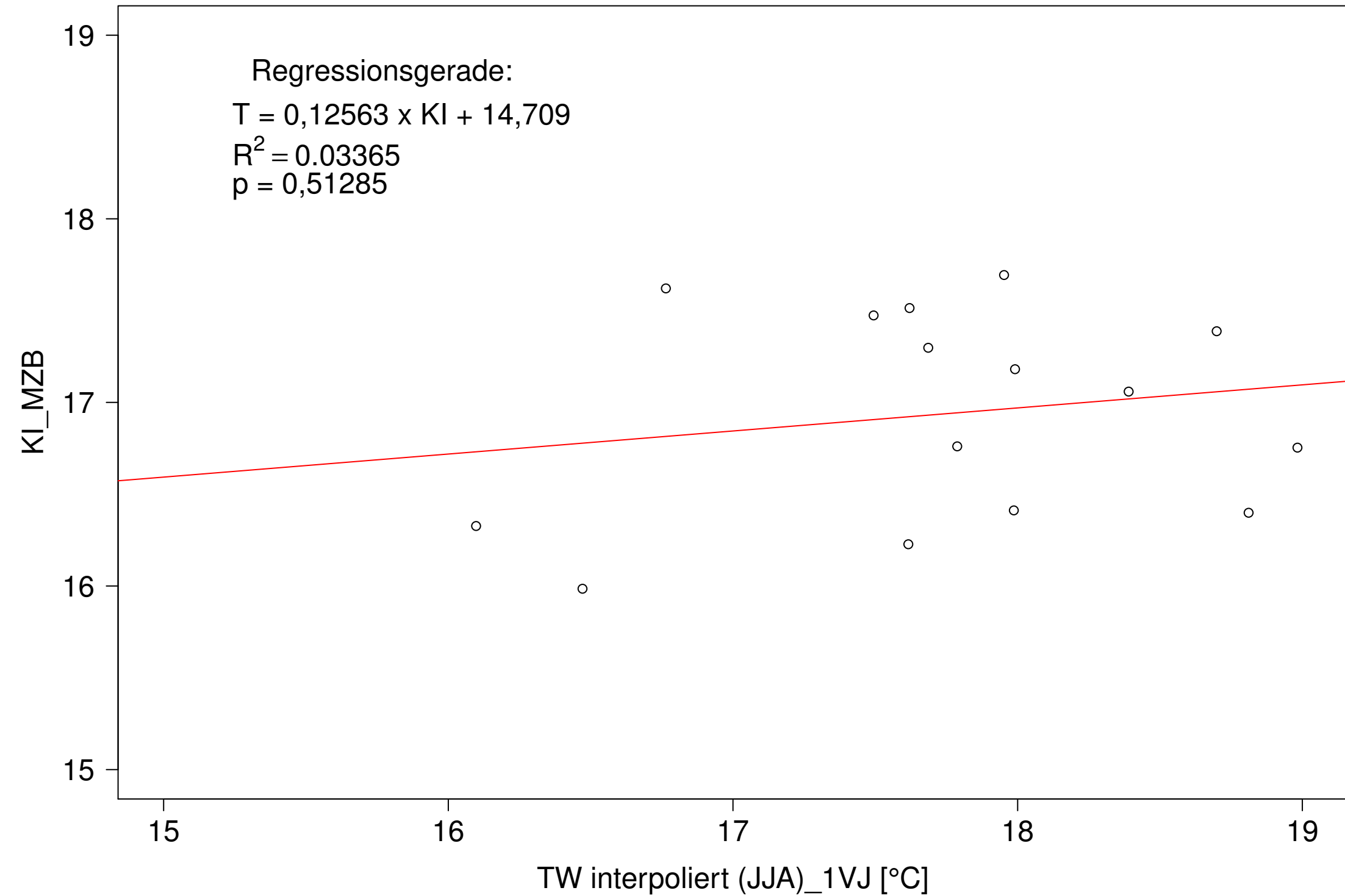
Argen_Giessen, Typ 03.2 mit Neozoen, Serie 1
3JMW KI_MZB (Typ/Kont-Korr) gegen 3JMW TW interpoliert (JJA) des 1. Vorjahres



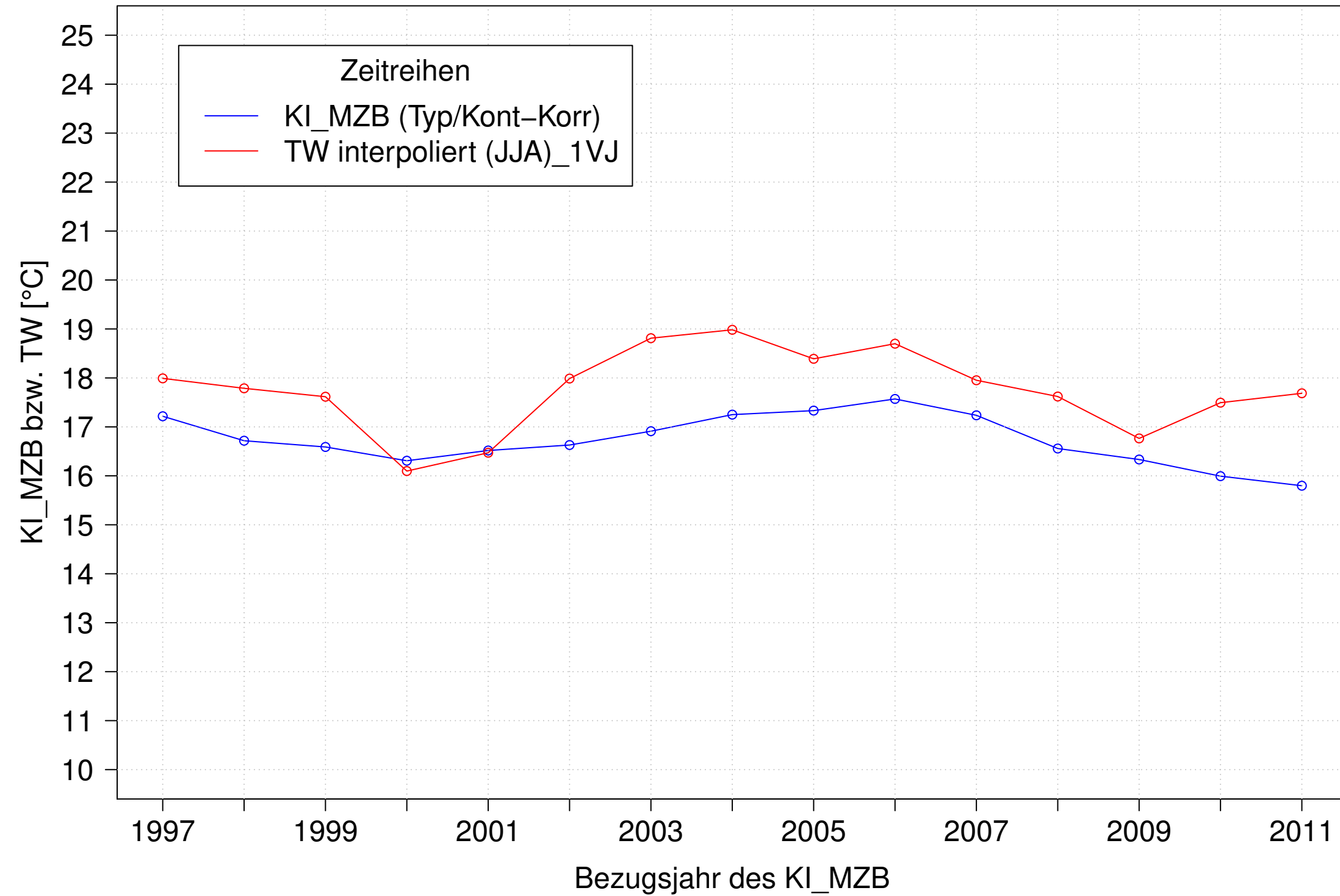
Argen_Giessen, Typ 03.2 mit Neozoen, Serie 2
3JMW KI_MZB (Typ/Kont-Korr) und 3JMW TW interpoliert (JJA) des 1. Vorjahres



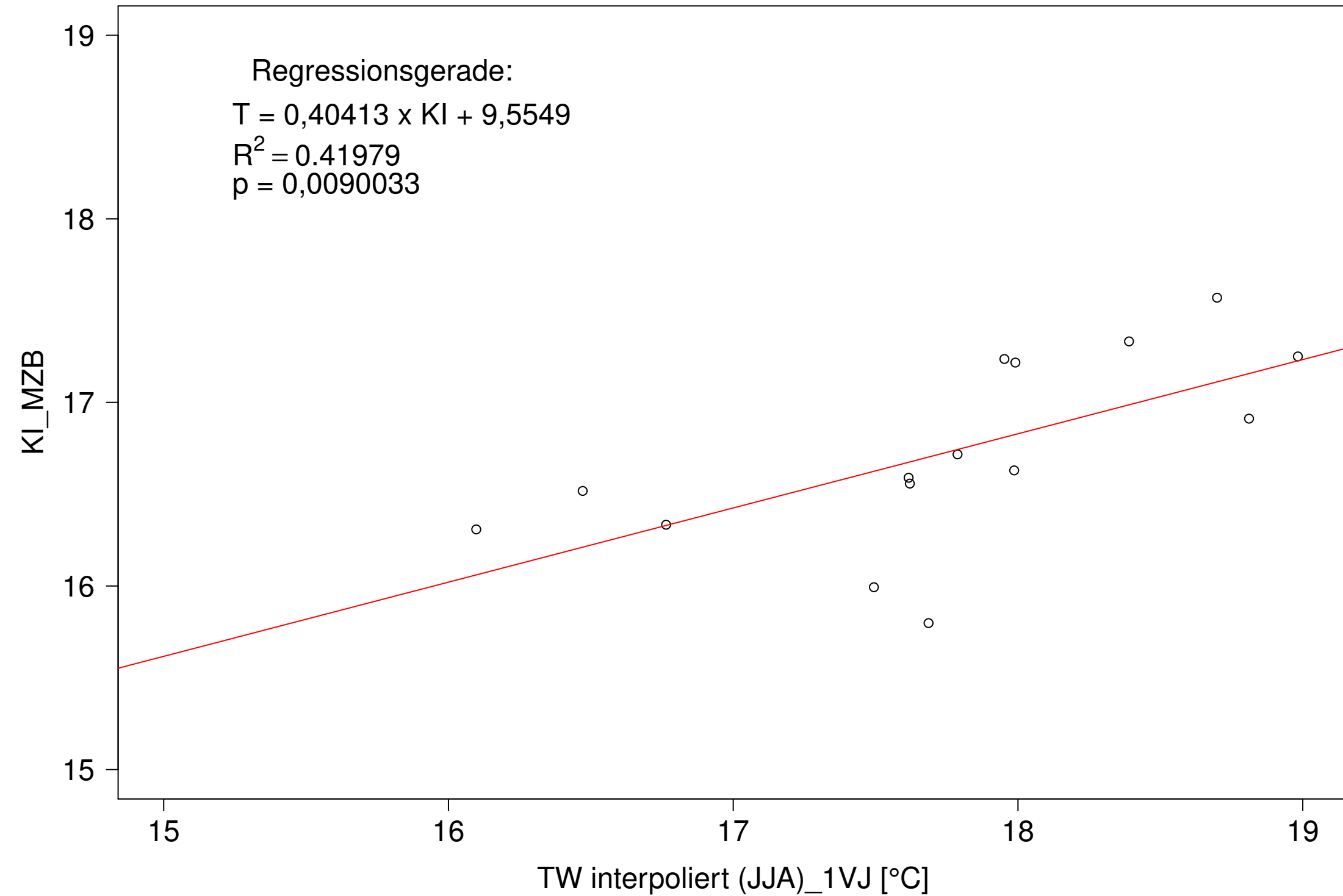
Argen_Giessen, Typ 03.2 mit Neozoen, Serie 2
3JMW KI_MZB (Typ/Kont-Korr) gegen 3JMW TW interpoliert (JJA) des 1. Vorjahres



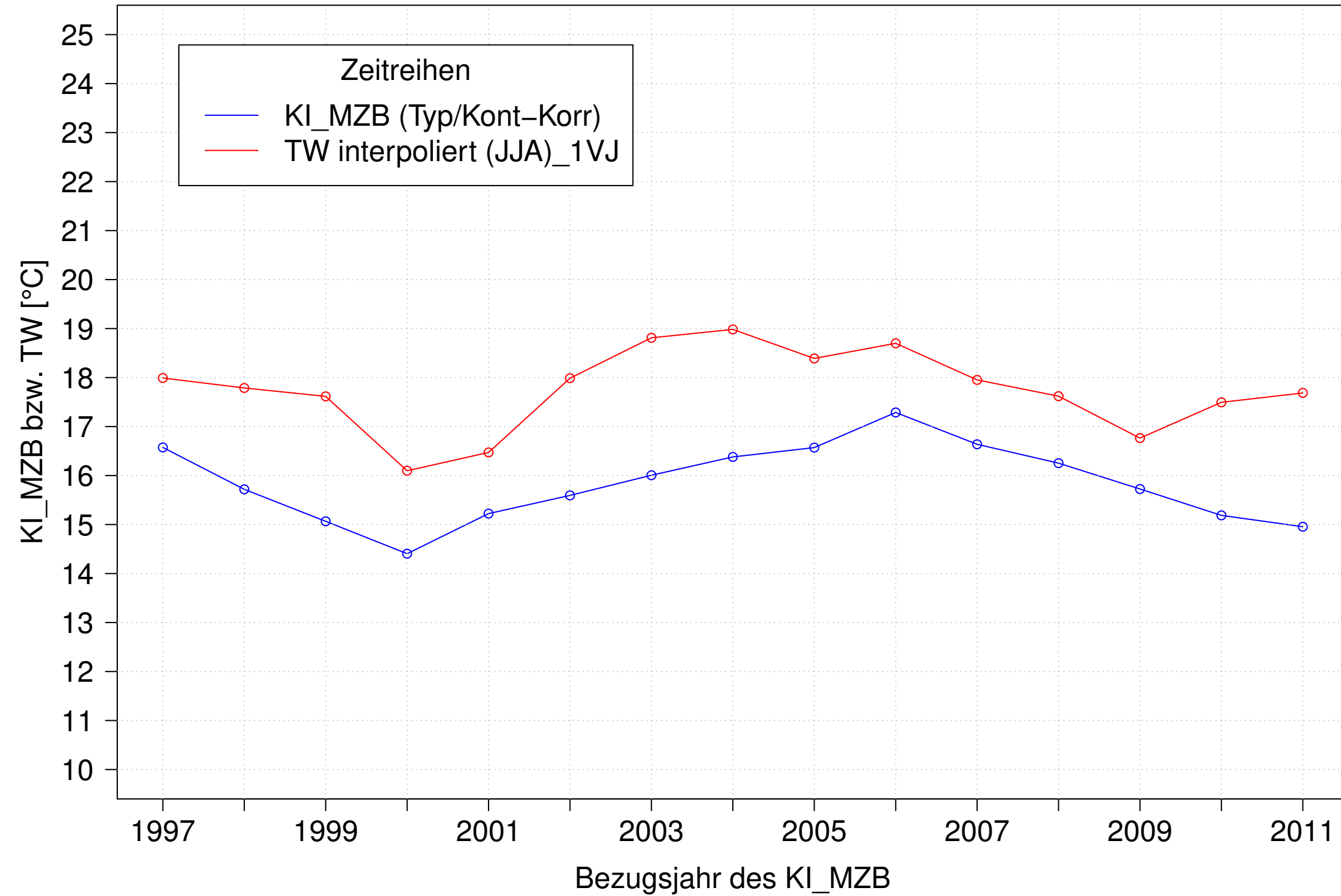
Argen_Giessen, Typ 03.2 mit Neozoen, Serie 3
3JMW KI_MZB (Typ/Kont-Korr) und 3JMW TW interpoliert (JJA) des 1. Vorjahres



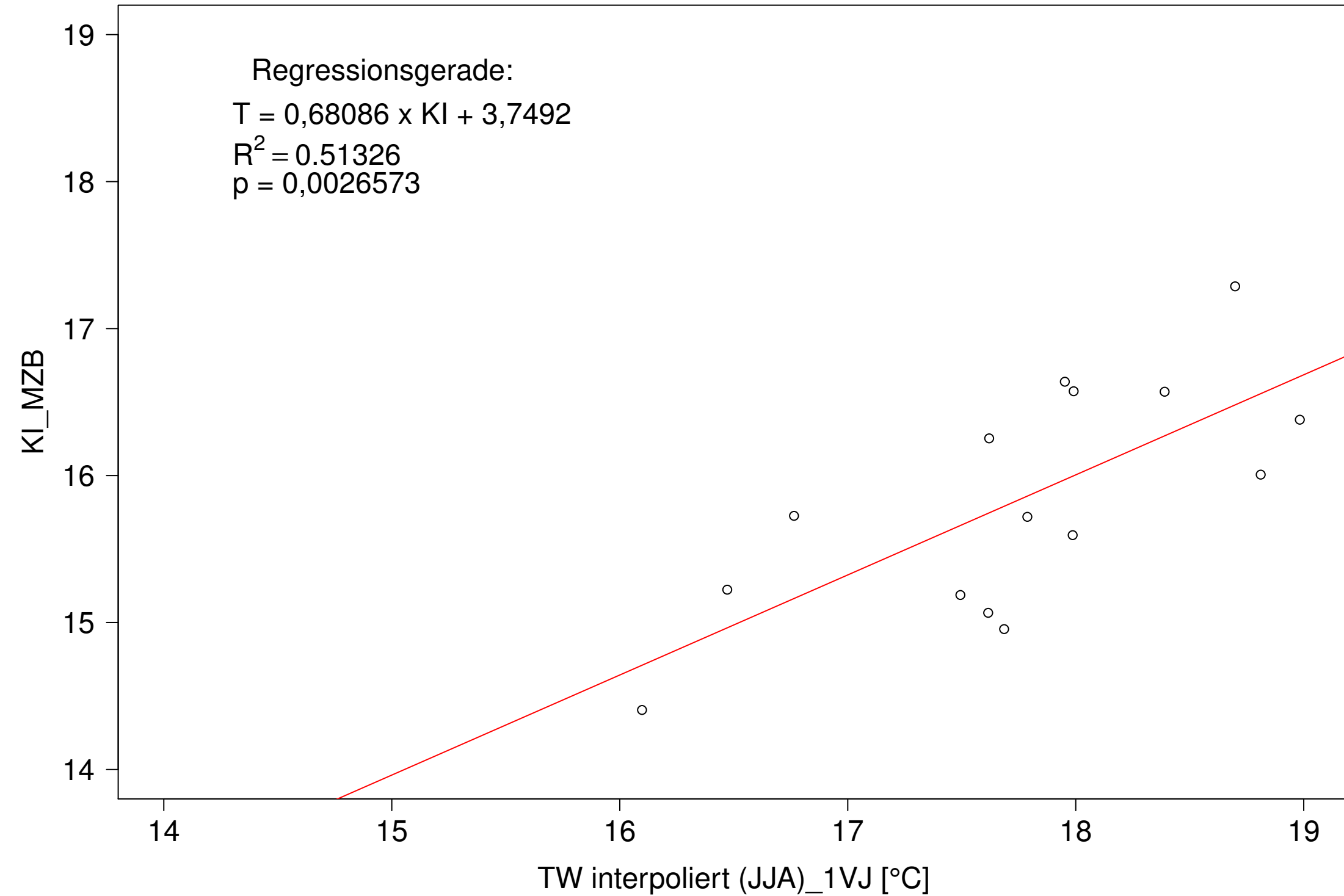
Argen_Giessen, Typ 03.2 mit Neozoen, Serie 3
3JMW KI_MZB (Typ/Kont-Korr) gegen 3JMW TW interpoliert (JJA) des 1. Vorjahres



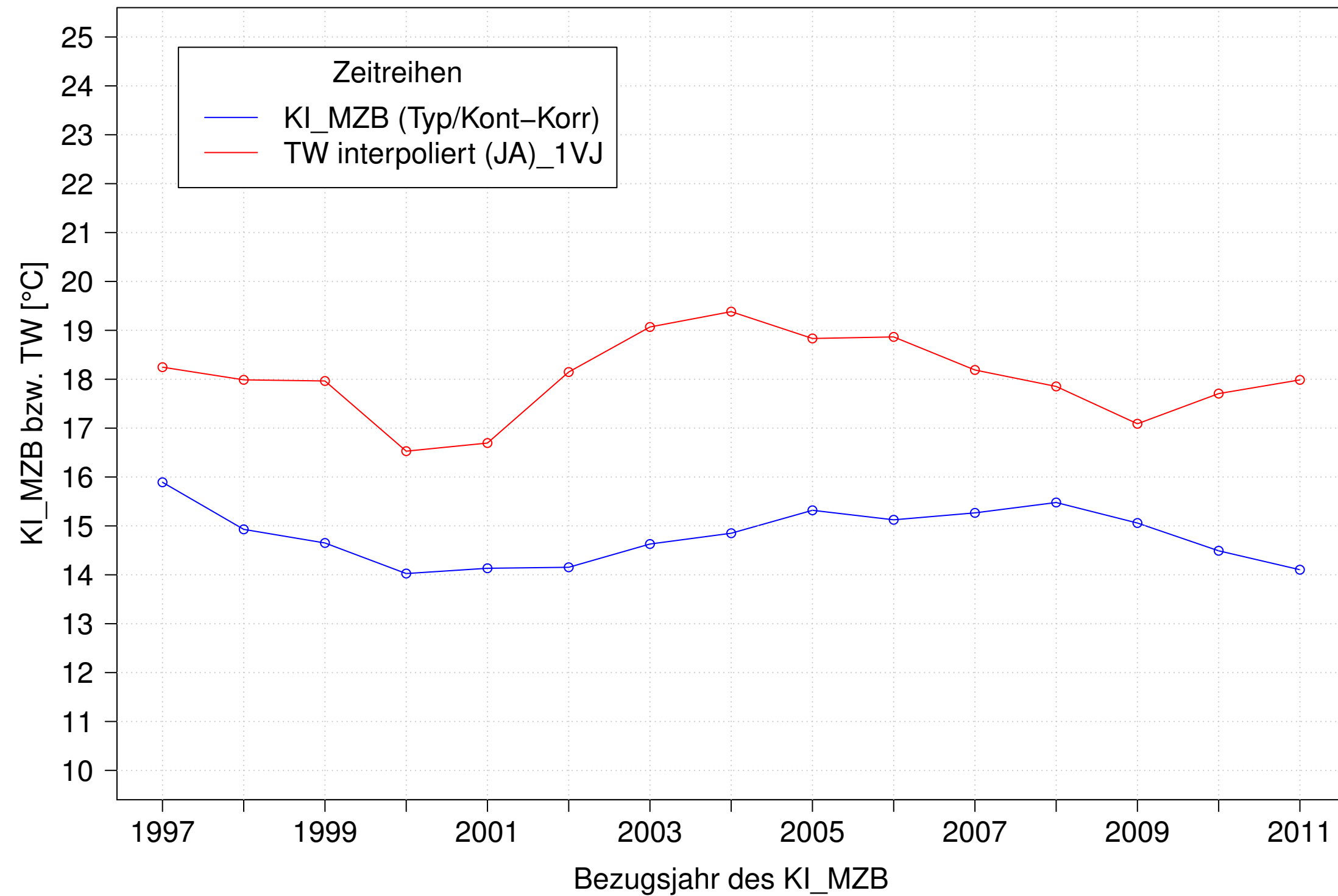
Argen_Giessen, Typ 03.2 mit Neozoen, Serie 4
3JMW KI_MZB (Typ/Kont-Korr) und 3JMW TW interpoliert (JJA) des 1. Vorjahres



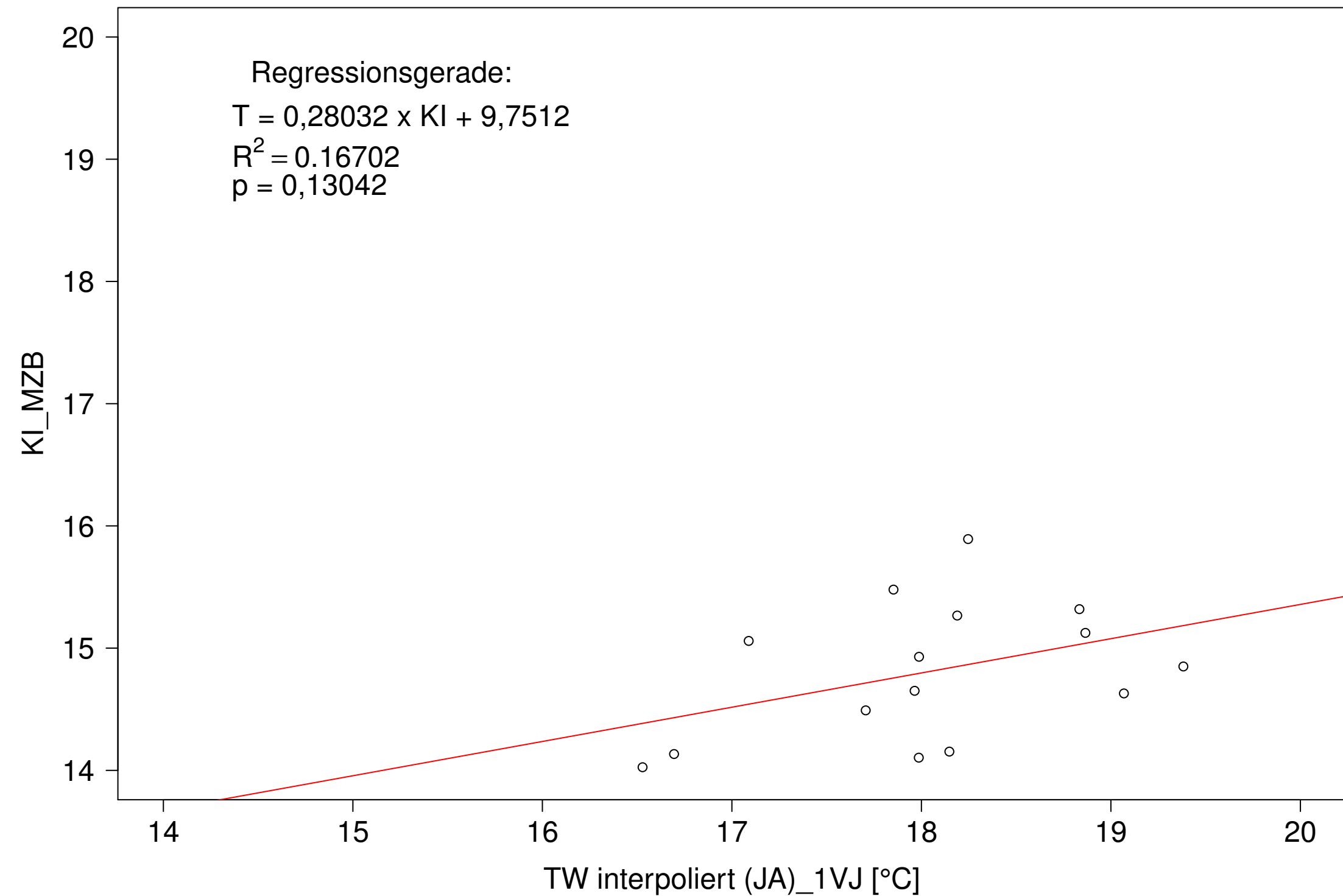
Argen_Giessen, Typ 03.2 mit Neozoen, Serie 4
3JMW KI_MZB (Typ/Kont-Korr) gegen 3JMW TW interpoliert (JJA) des 1. Vorjahres



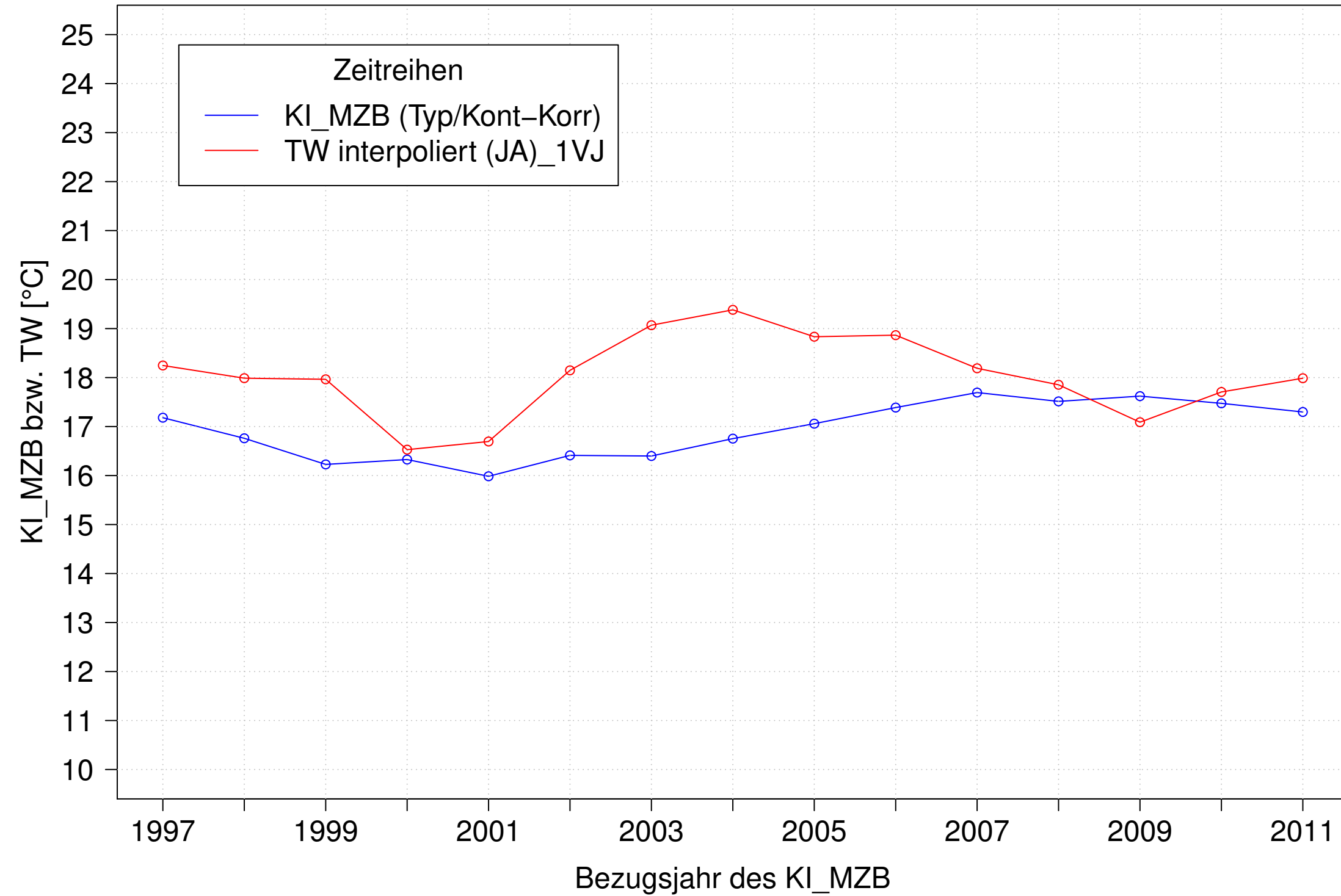
Argen_Giessen, Typ 03.2 mit Neozoen, Serie 1
3JMW KI_MZB (Typ/Kont-Korr) und 3JMW TW interpoliert (JA) des 1. Vorjahres



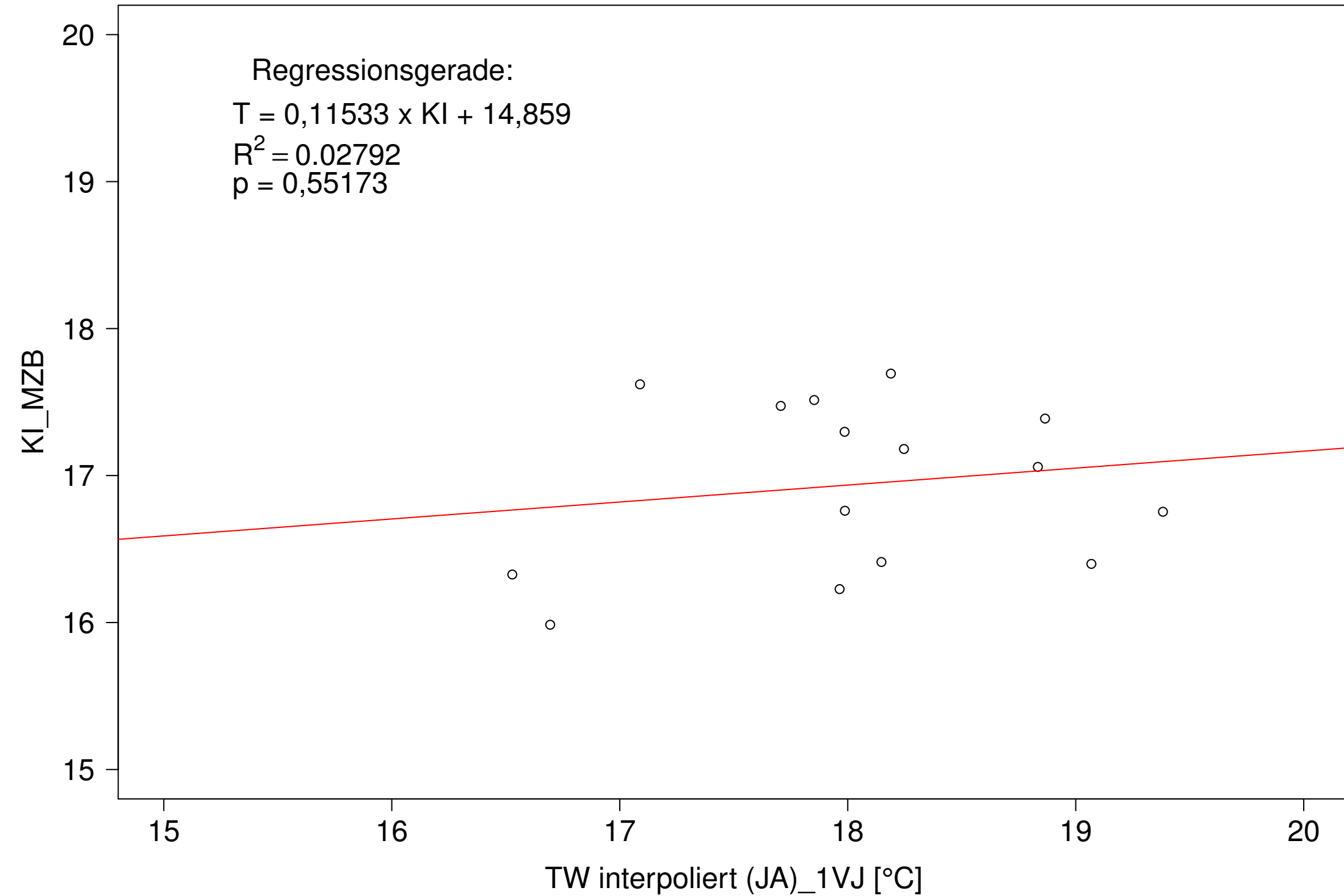
Argen_Giessen, Typ 03.2 mit Neozoen, Serie 1
3JMW KI_MZB (Typ/Kont-Korr) gegen 3JMW TW interpoliert (JA) des 1. Vorjahres



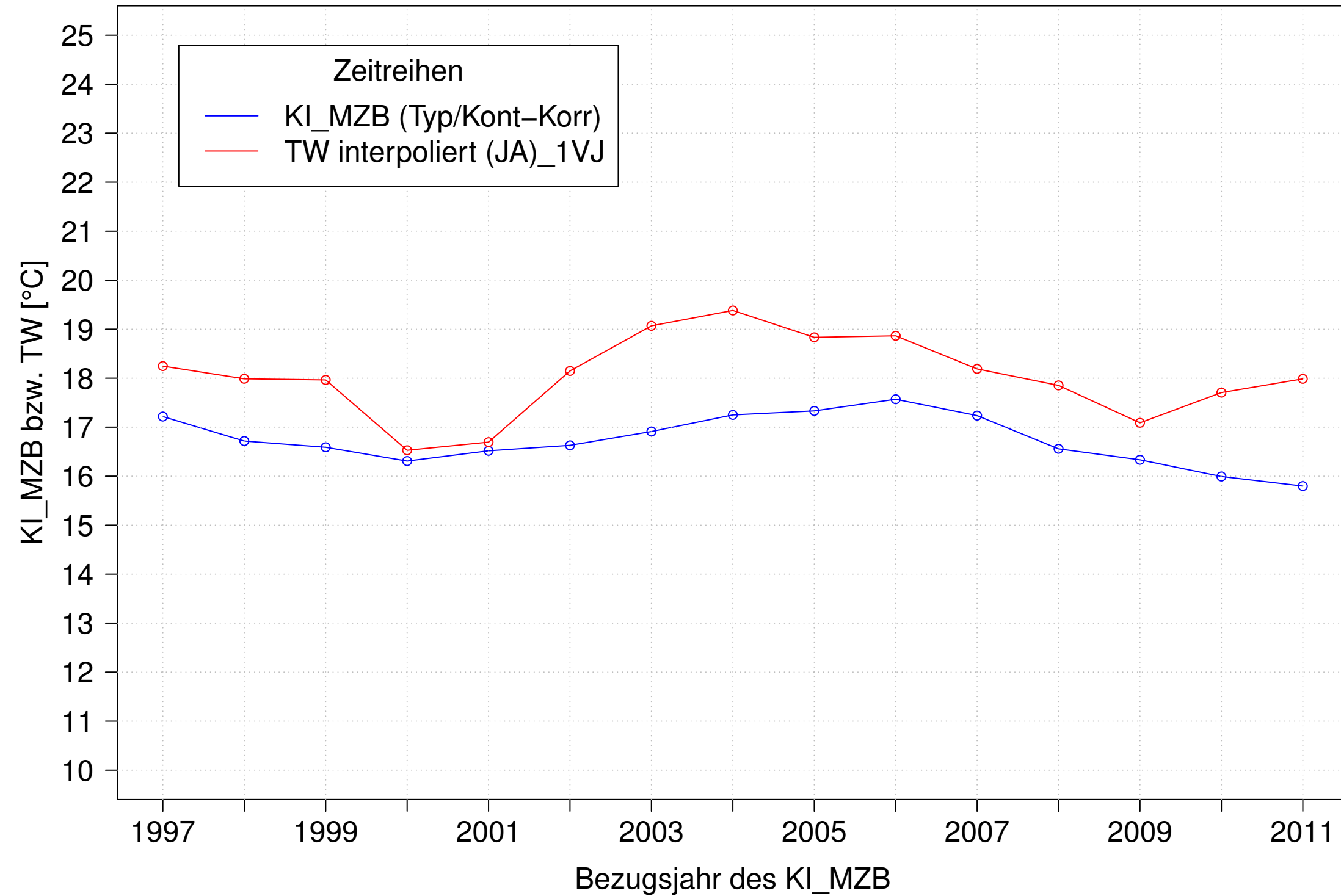
Argen_Giessen, Typ 03.2 mit Neozoen, Serie 2
3JMW KI_MZB (Typ/Kont-Korr) und 3JMW TW interpoliert (JA) des 1. Vorjahres



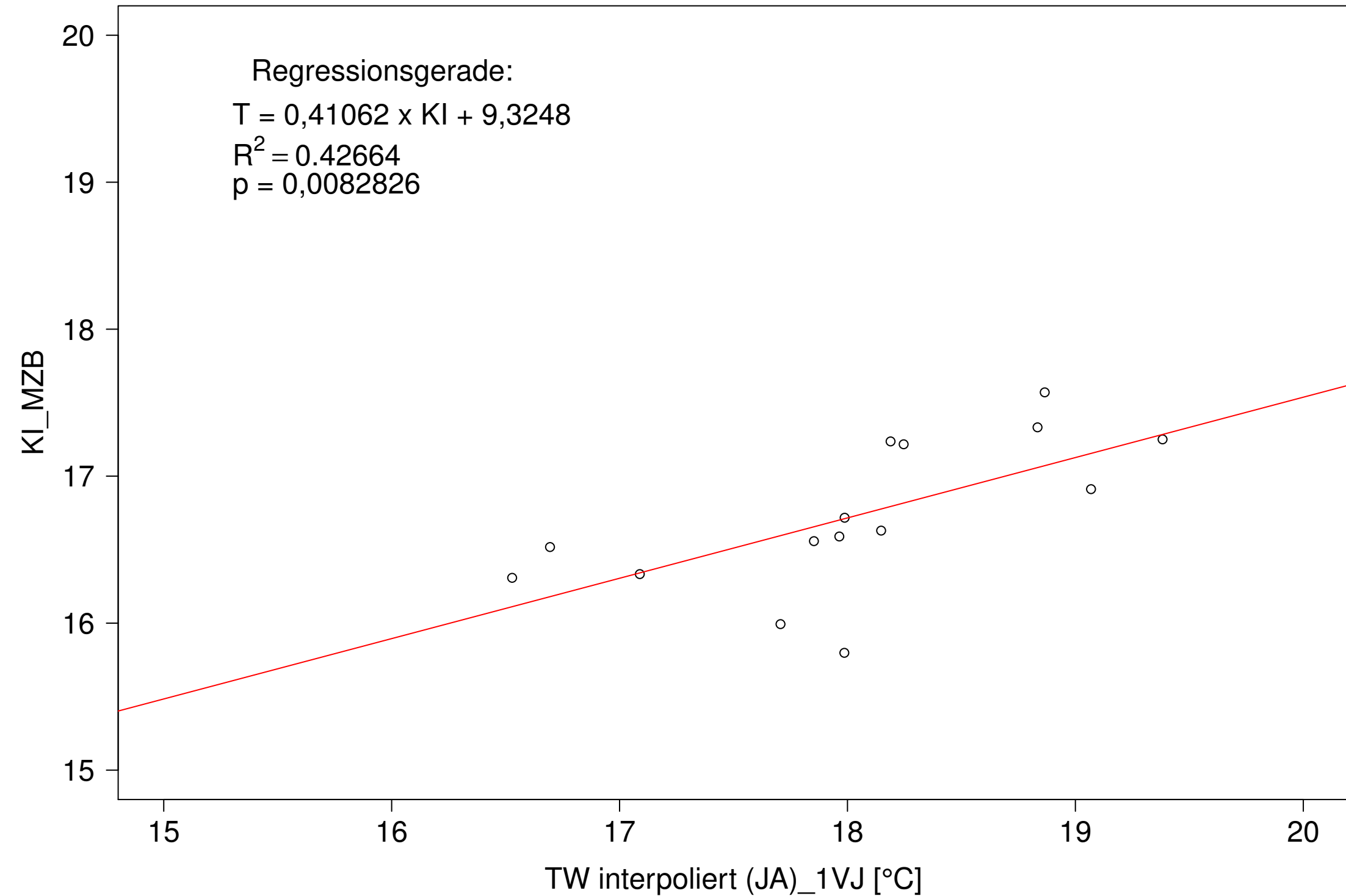
Argen_Giessen, Typ 03.2 mit Neozoen, Serie 2
3JMW KI_MZB (Typ/Kont-Korr) gegen 3JMW TW interpoliert (JA) des 1. Vorjahres



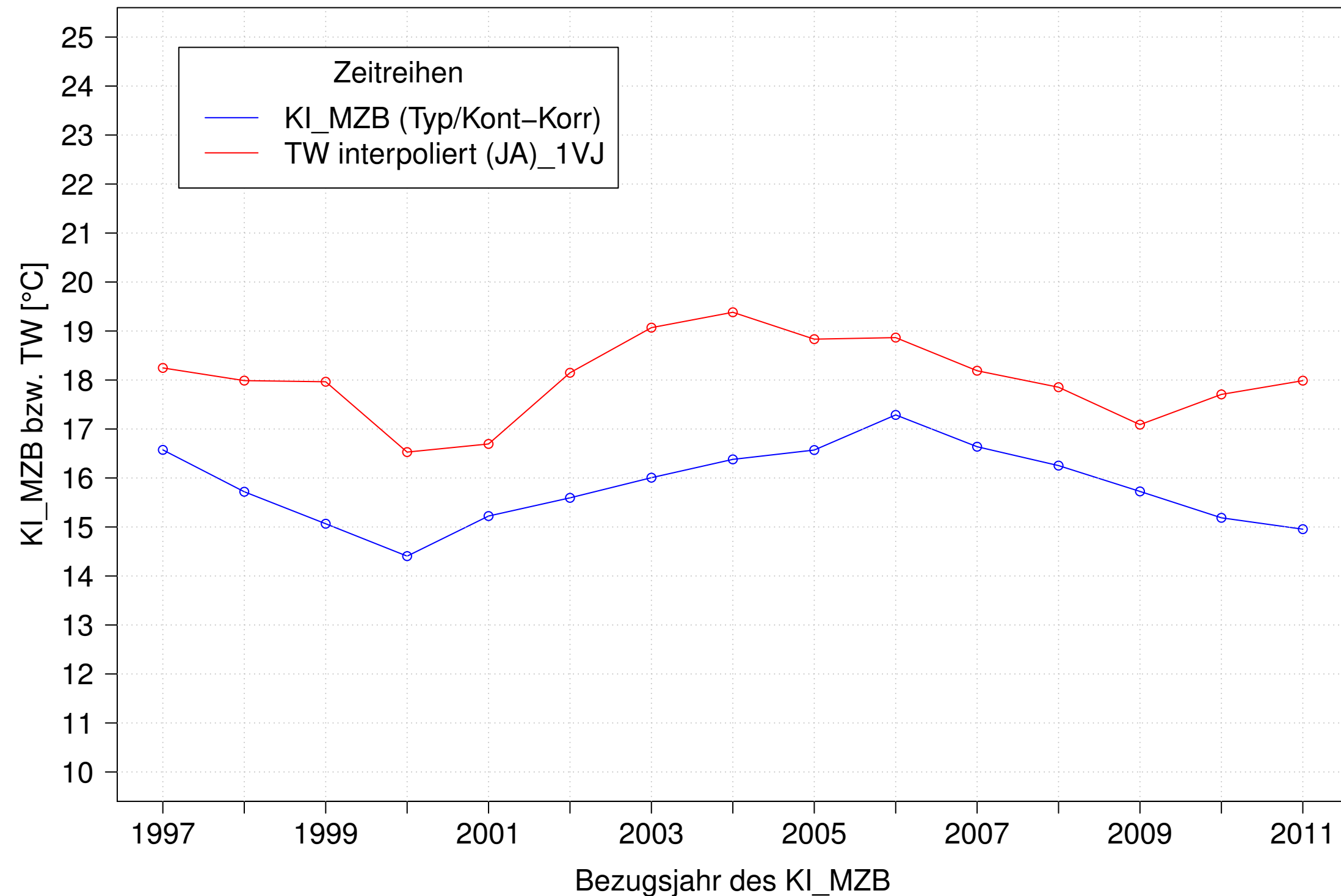
Argen_Giessen, Typ 03.2 mit Neozoen, Serie 3
3JMW KI_MZB (Typ/Kont-Korr) und 3JMW TW interpoliert (JA) des 1. Vorjahres



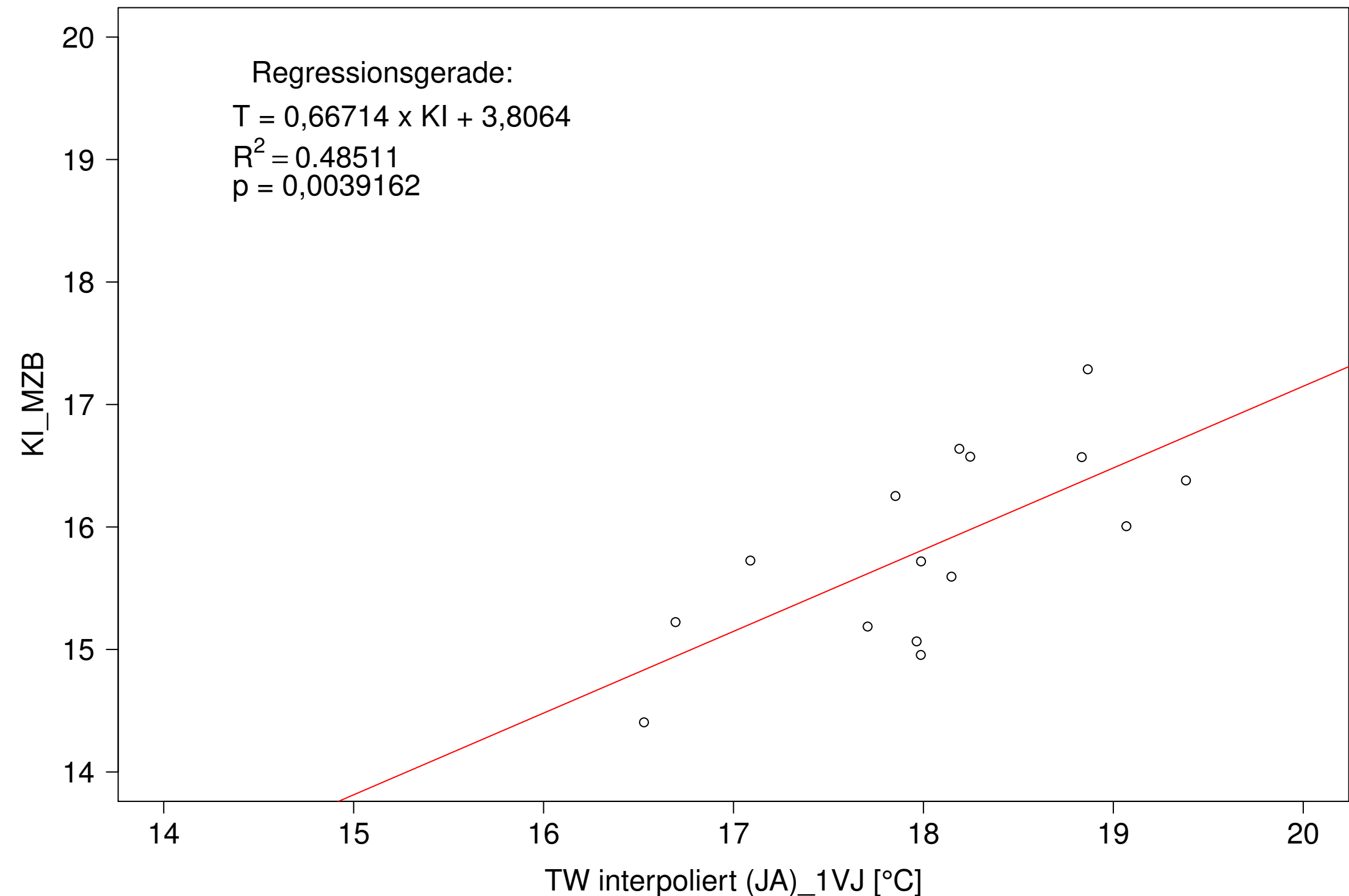
Argen_Giessen, Typ 03.2 mit Neozoen, Serie 3
3JMW KI_MZB (Typ/Kont-Korr) gegen 3JMW TW interpoliert (JA) des 1. Vorjahres



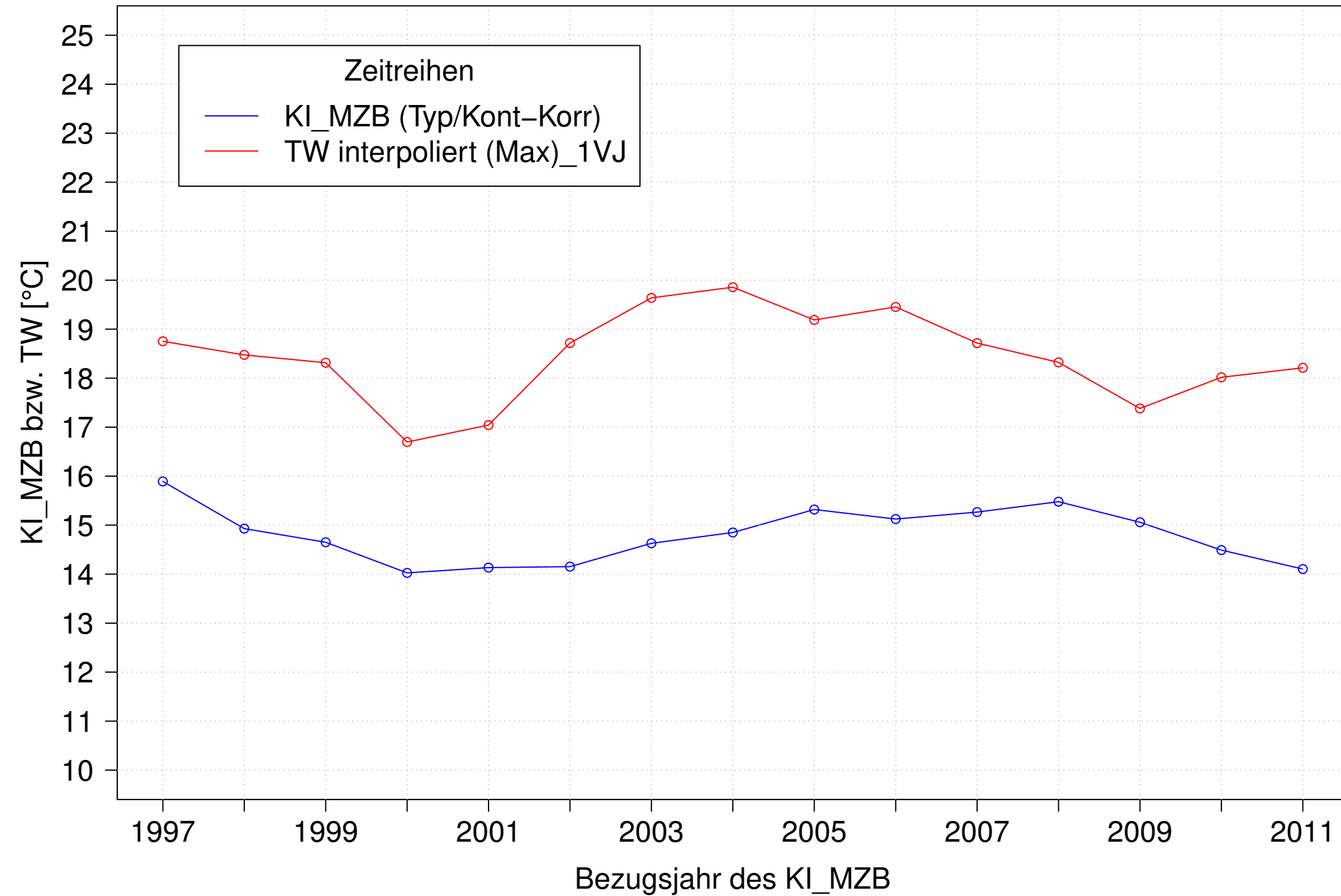
Argen_Giessen, Typ 03.2 mit Neozoen, Serie 4
3JMW KI_MZB (Typ/Kont-Korr) und 3JMW TW interpoliert (JA) des 1. Vorjahres



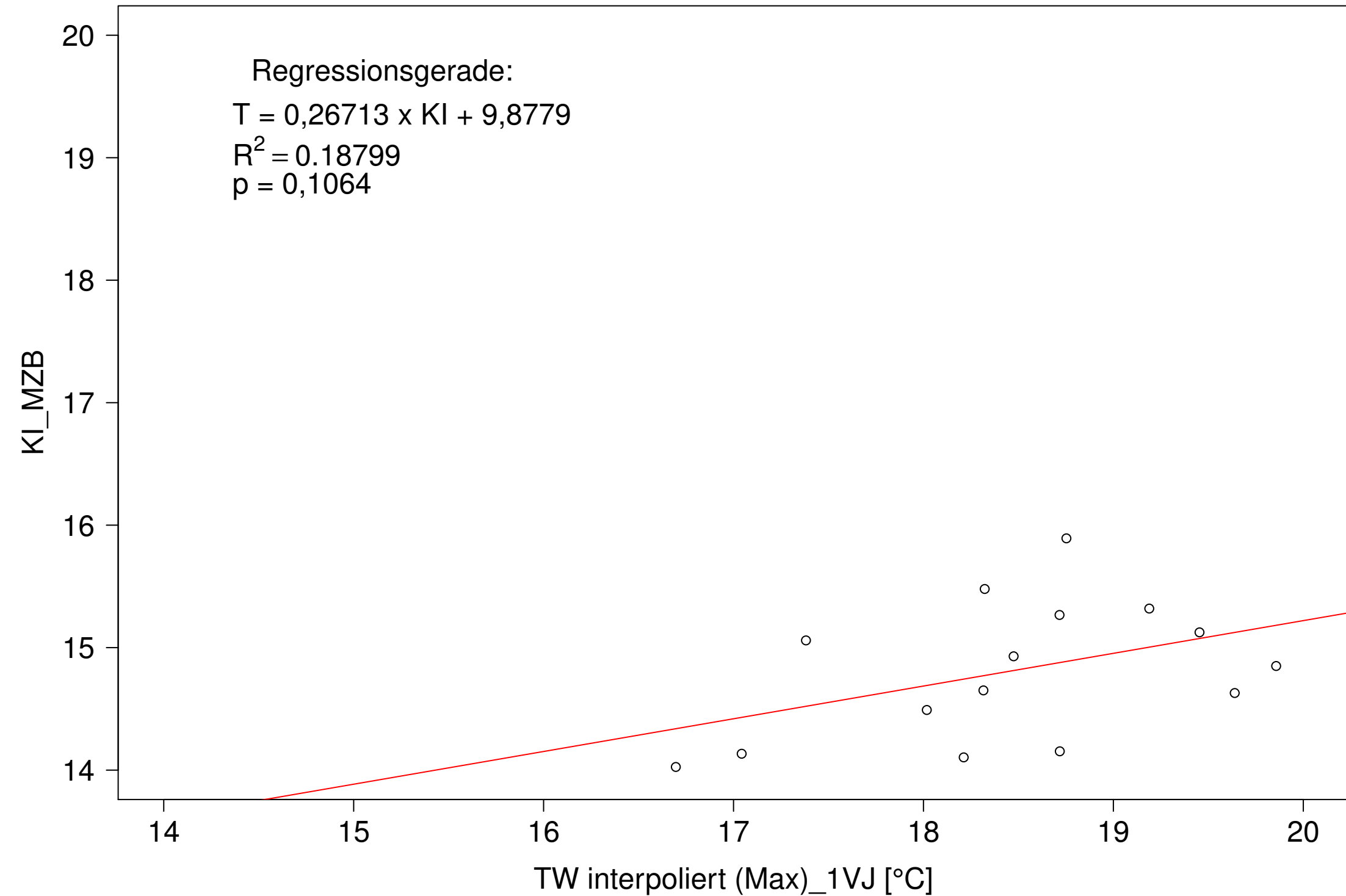
Argen_Giessen, Typ 03.2 mit Neozoen, Serie 4
3JMW KI_MZB (Typ/Kont-Korr) gegen 3JMW TW interpoliert (JA) des 1. Vorjahres



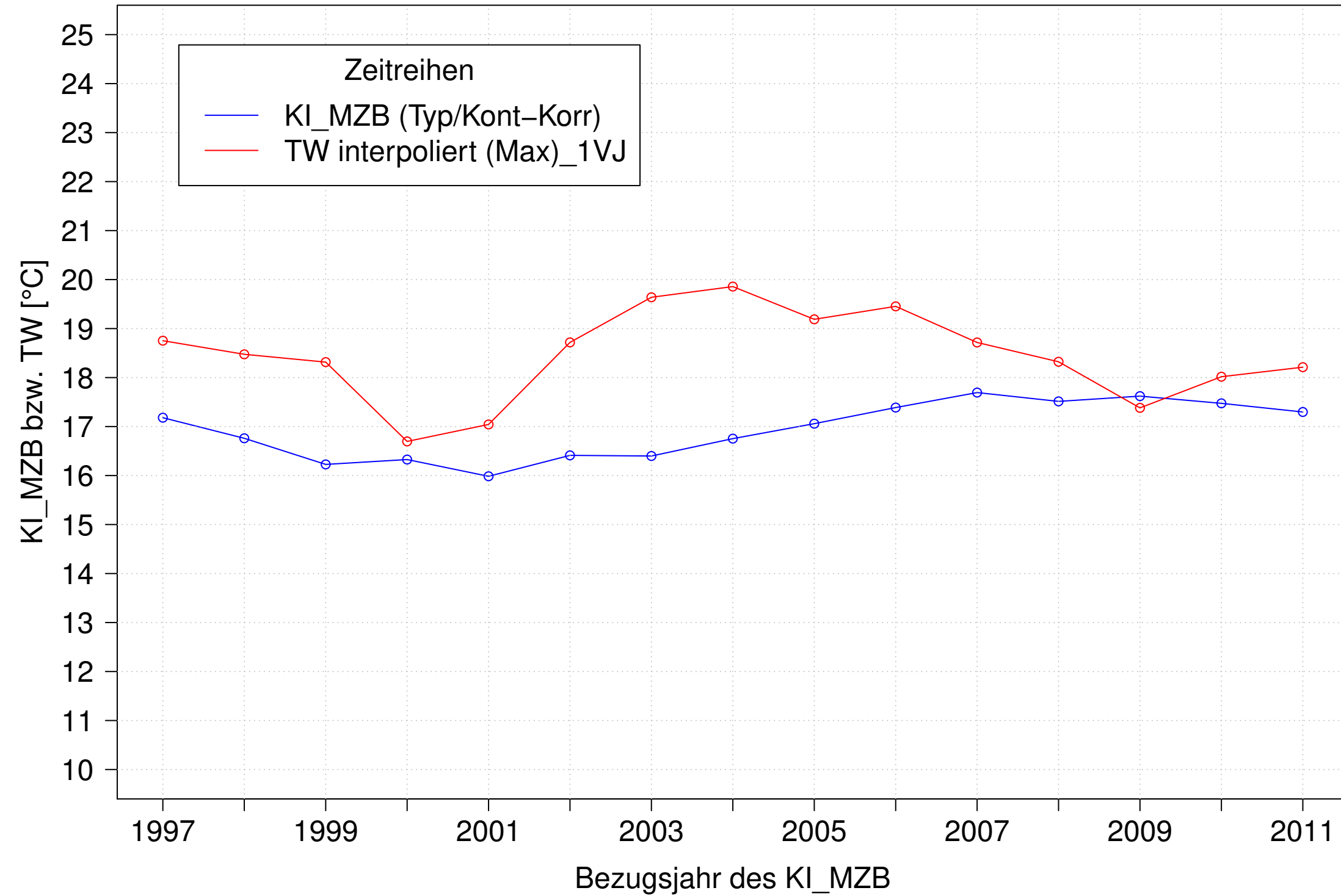
Argen_Giessen, Typ 03.2 mit Neozoen, Serie 1
3JMW KI_MZB (Typ/Kont-Korr) und 3JMW TW interpoliert (Max) des 1. Vorjahres



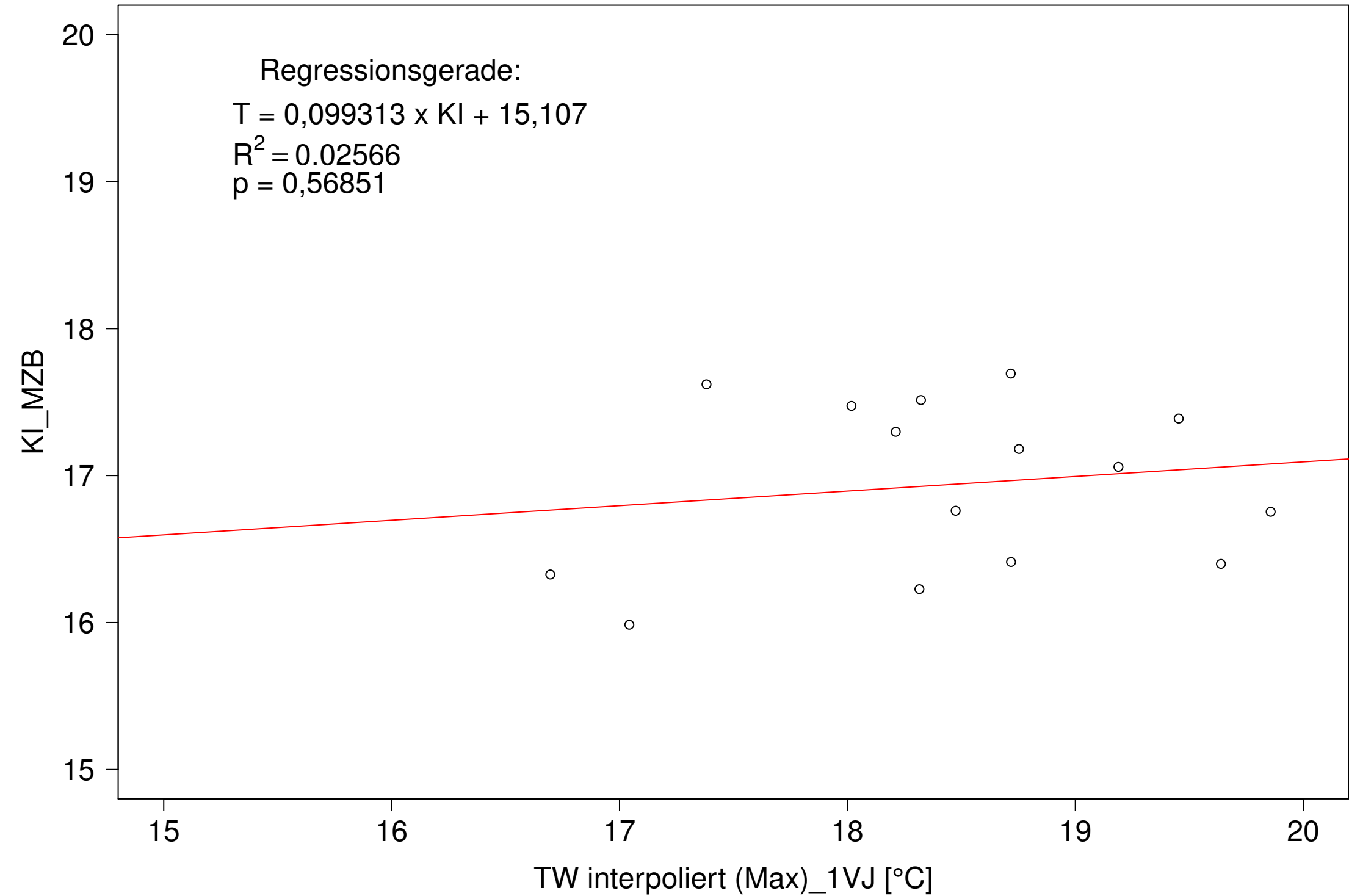
Argen_Giessen, Typ 03.2 mit Neozoen, Serie 1
3JMW KI_MZB (Typ/Kont-Korr) gegen 3JMW TW interpoliert (Max) des 1. Vorjahres



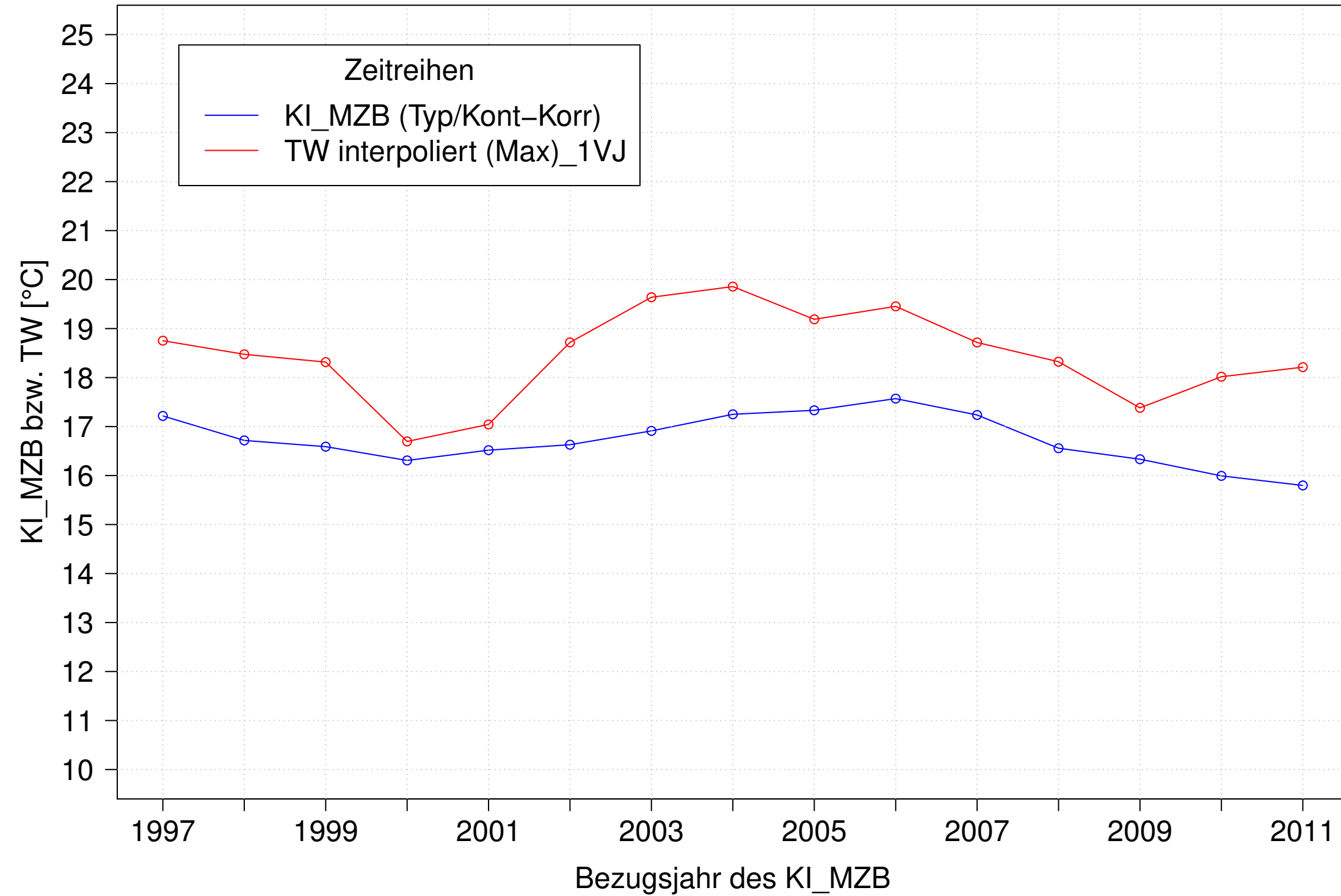
Argen_Giessen, Typ 03.2 mit Neozoen, Serie 2
3JMW KI_MZB (Typ/Kont-Korr) und 3JMW TW interpoliert (Max) des 1. Vorjahres



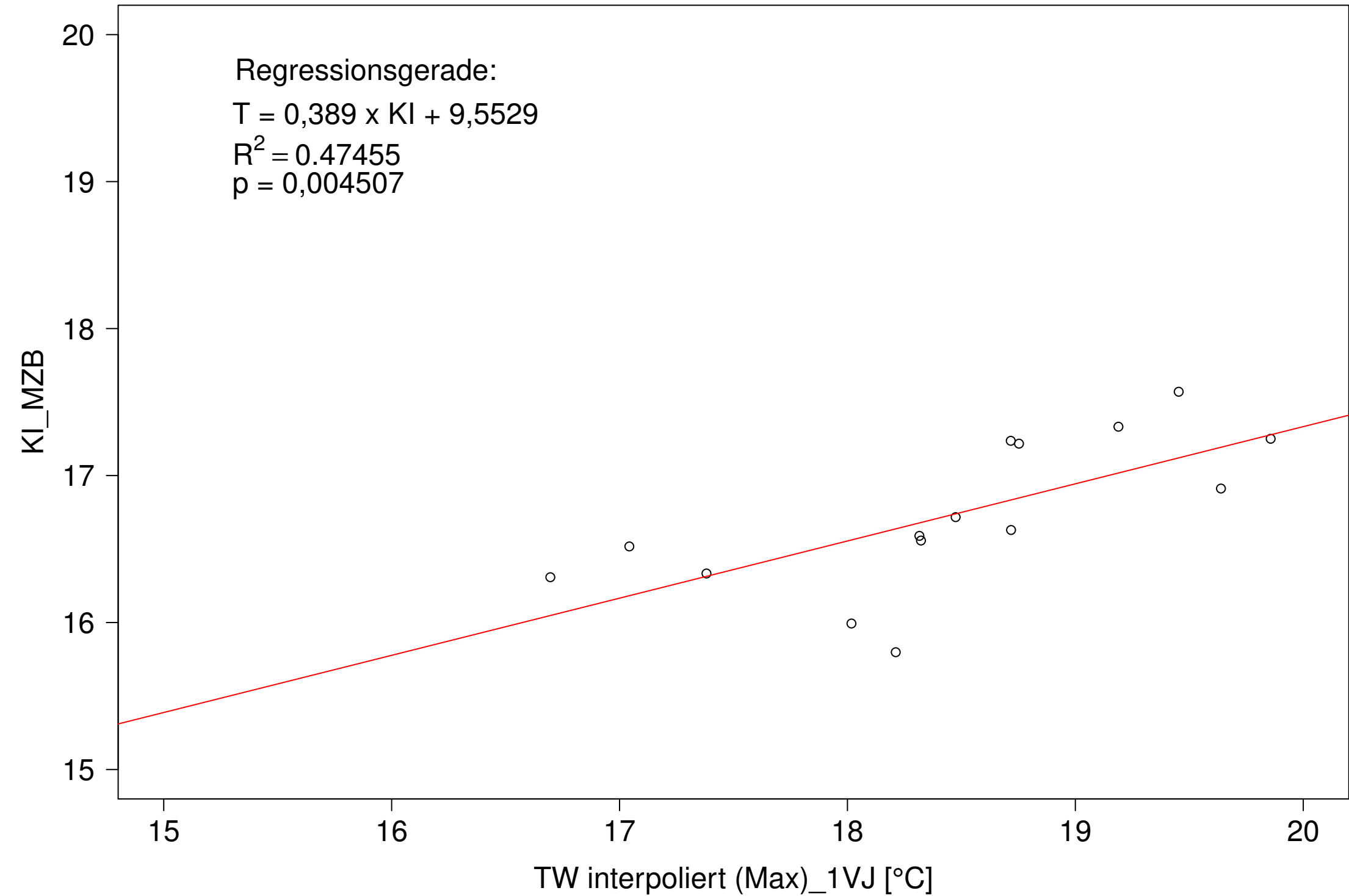
Argen_Giessen, Typ 03.2 mit Neozoen, Serie 2
3JMW KI_MZB (Typ/Kont-Korr) gegen 3JMW TW interpoliert (Max) des 1. Vorjahres



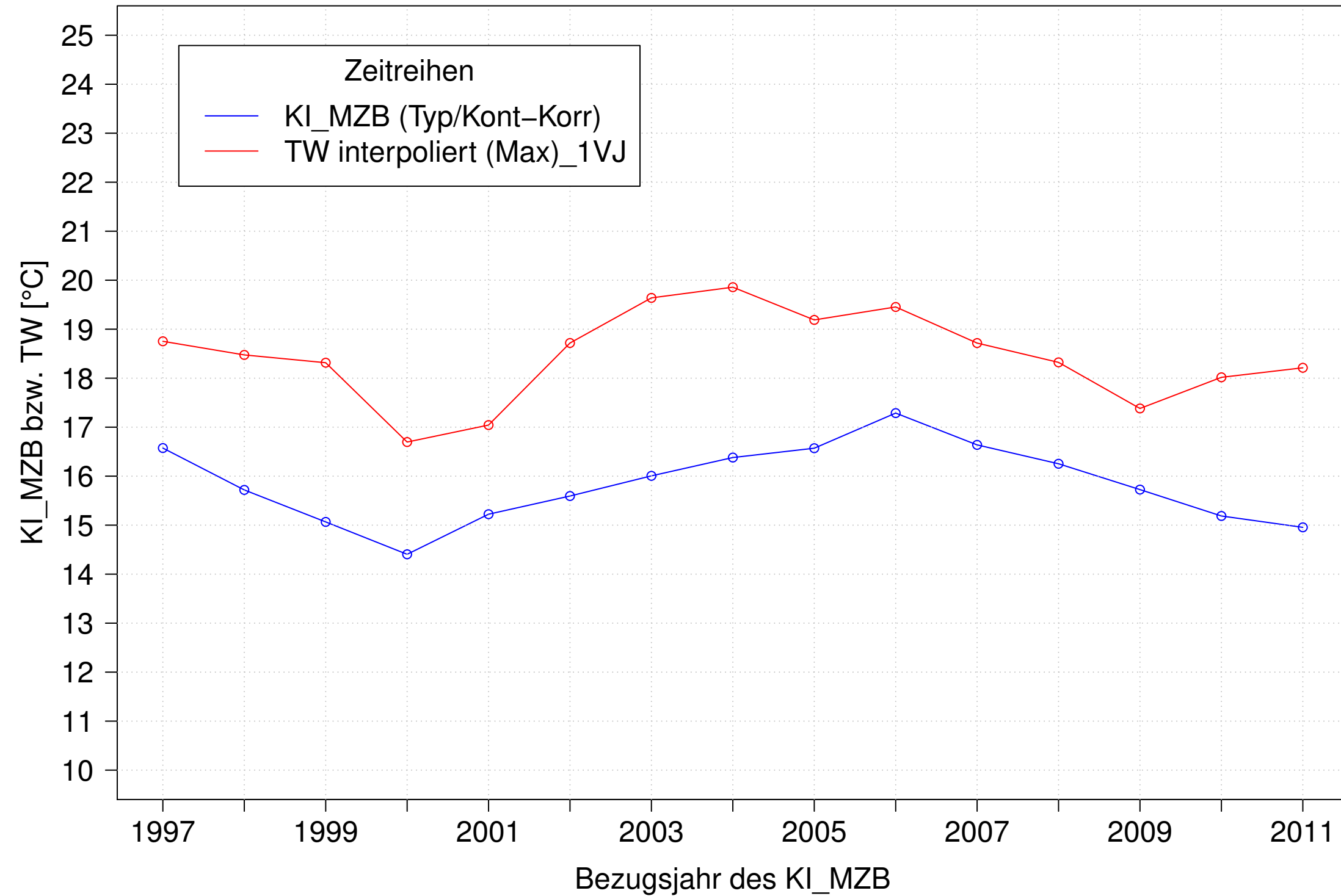
Argen_Giessen, Typ 03.2 mit Neozoen, Serie 3
3JMW KI_MZB (Typ/Kont-Korr) und 3JMW TW interpoliert (Max) des 1. Vorjahres



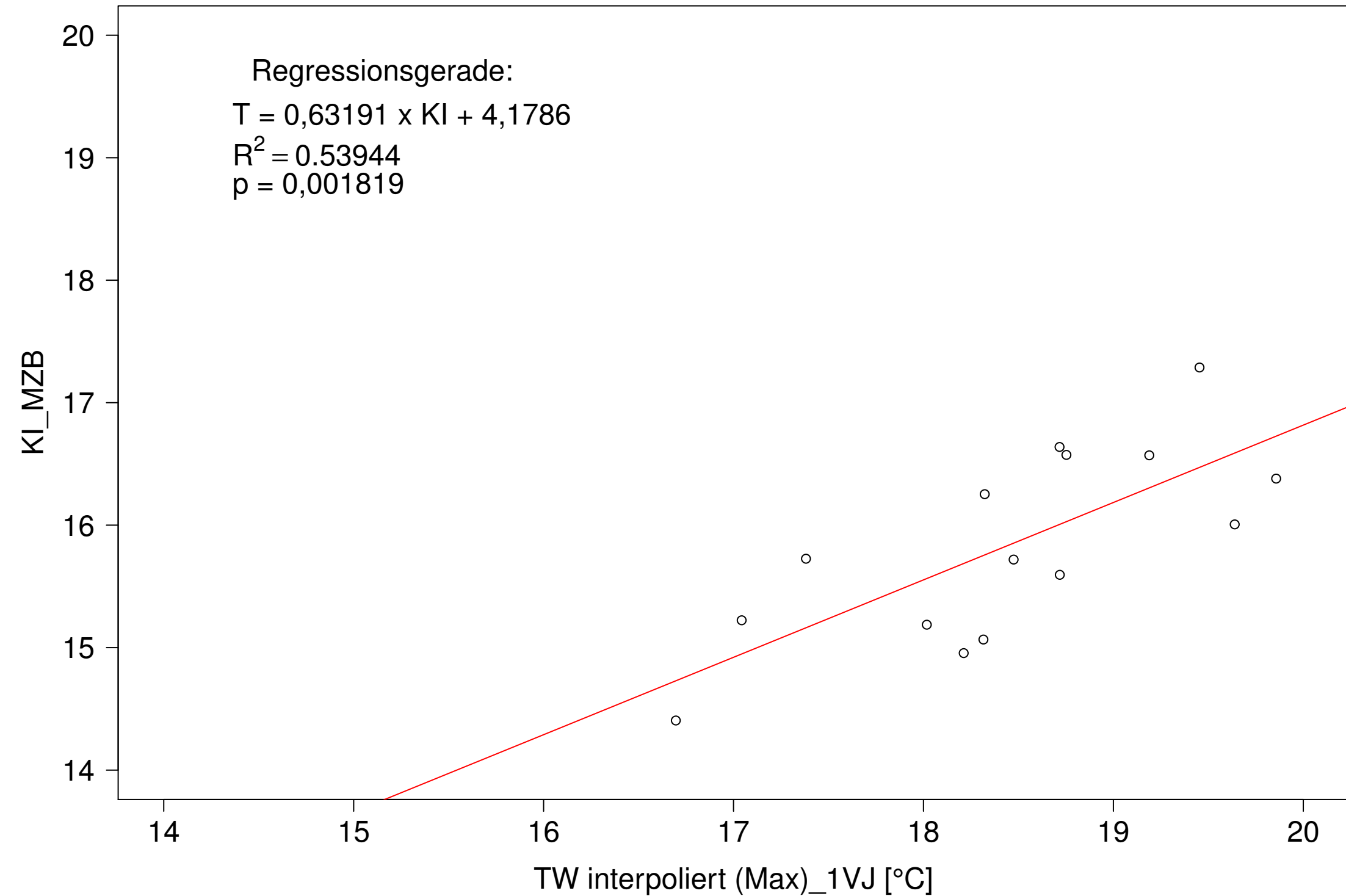
Argen_Giessen, Typ 03.2 mit Neozoen, Serie 3
3JMW KI_MZB (Typ/Kont-Korr) gegen 3JMW TW interpoliert (Max) des 1. Vorjahres



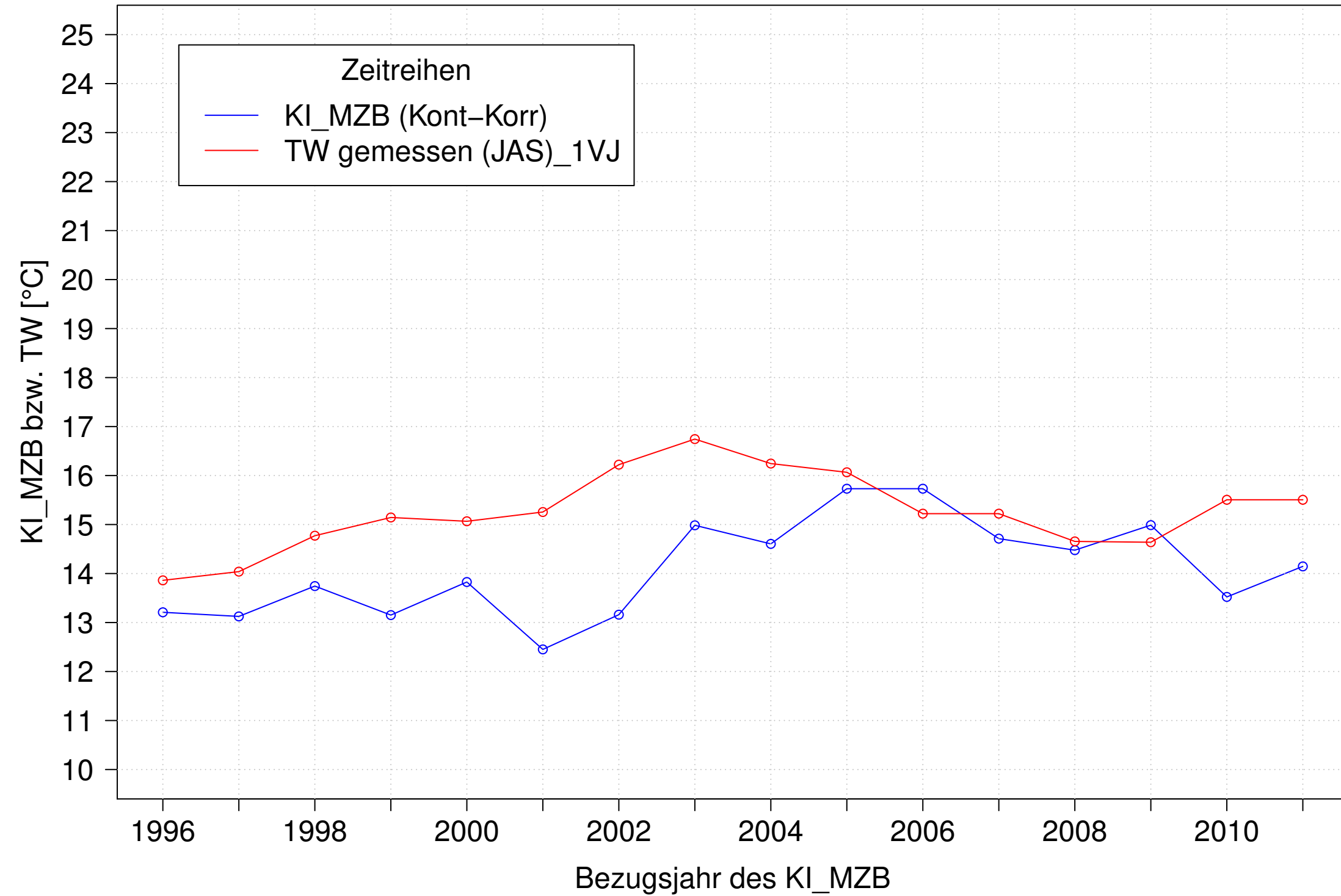
Argen_Giessen, Typ 03.2 mit Neozoen, Serie 4
3JMW KI_MZB (Typ/Kont-Korr) und 3JMW TW interpoliert (Max) des 1. Vorjahres



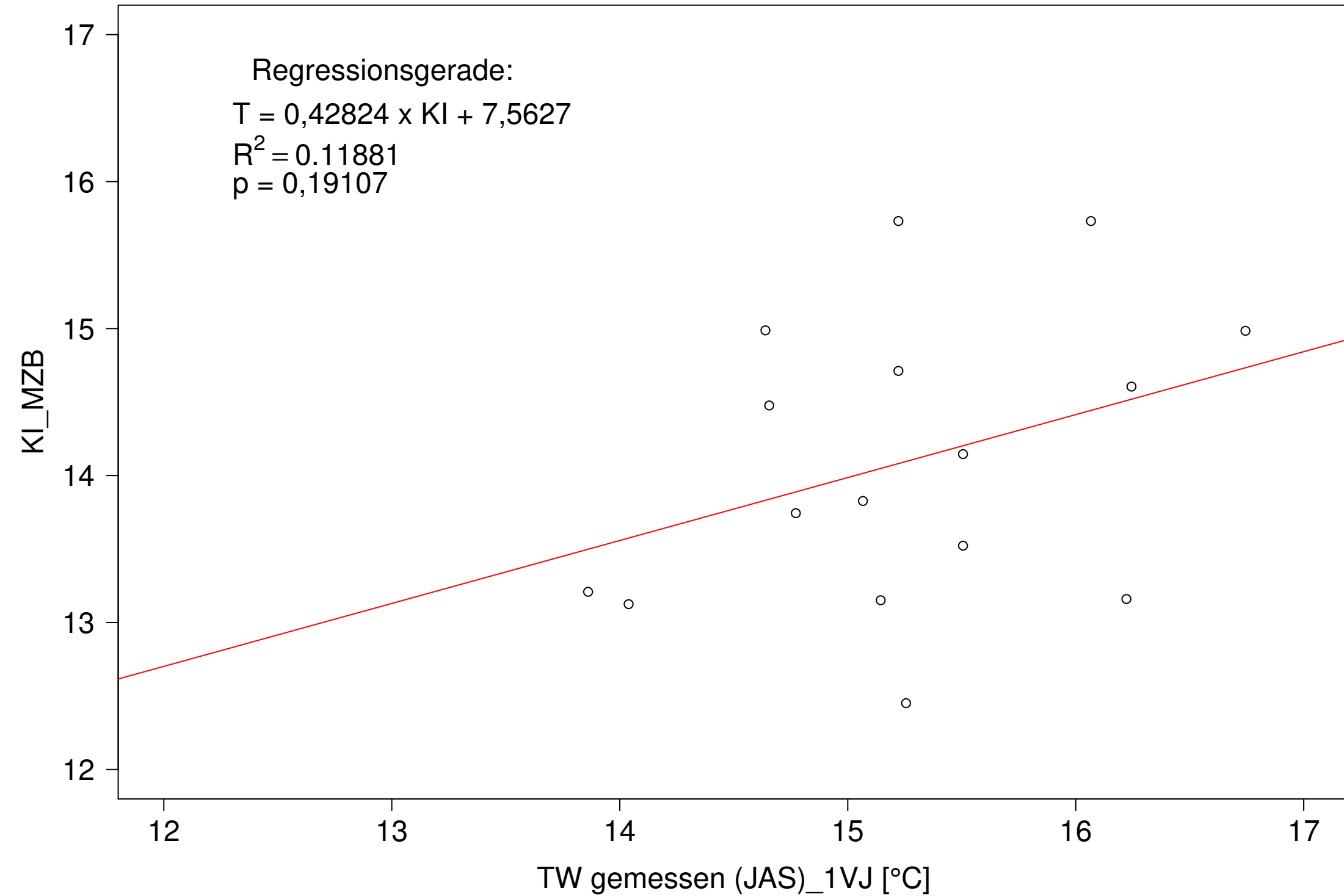
Argen_Giessen, Typ 03.2 mit Neozoen, Serie 4
3JMW KI_MZB (Typ/Kont-Korr) gegen 3JMW TW interpoliert (Max) des 1. Vorjahres



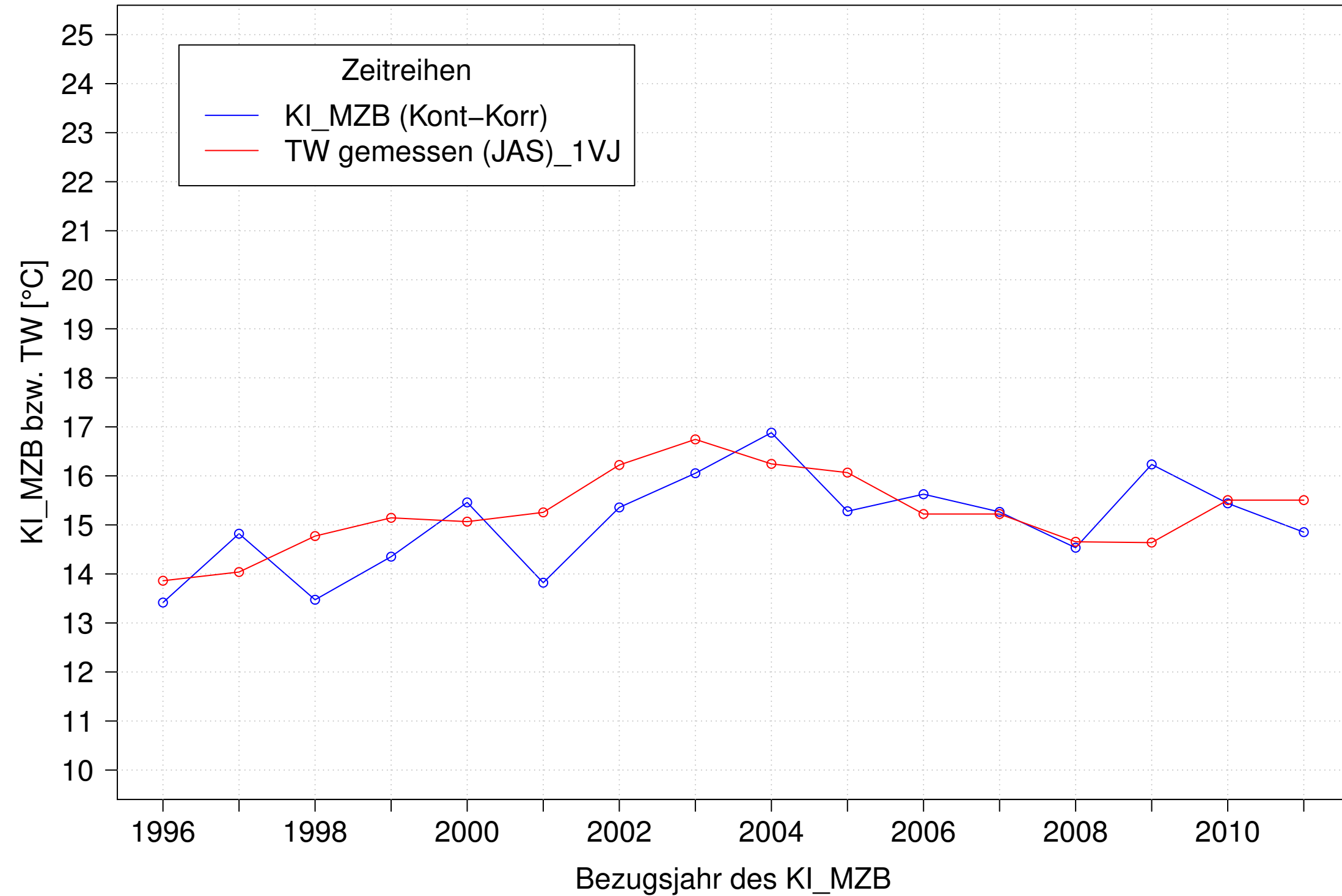
Brigach_Marbach, Typ 09.1 mit Neozoen, Serie 1
KI_MZB (Kont-Korr) und 3JMW TW gemessen (JAS) des 1. Vorjahres



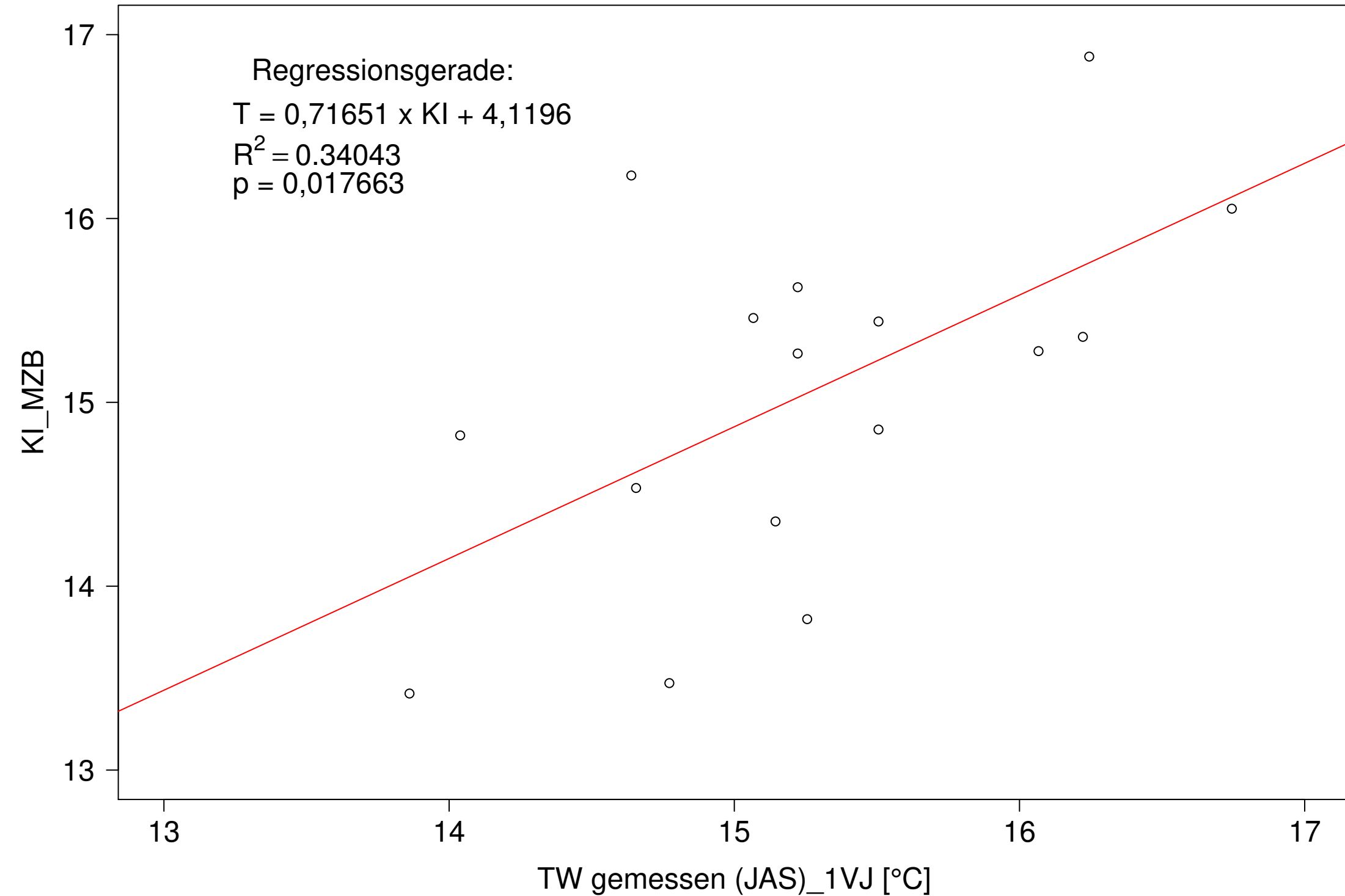
Brigach_Marbach, Typ 09.1 mit Neozoen, Serie 1
KI_MZB (Kont-Korr) gegen 3JMW TW gemessen (JAS) des 1. Vorjahres



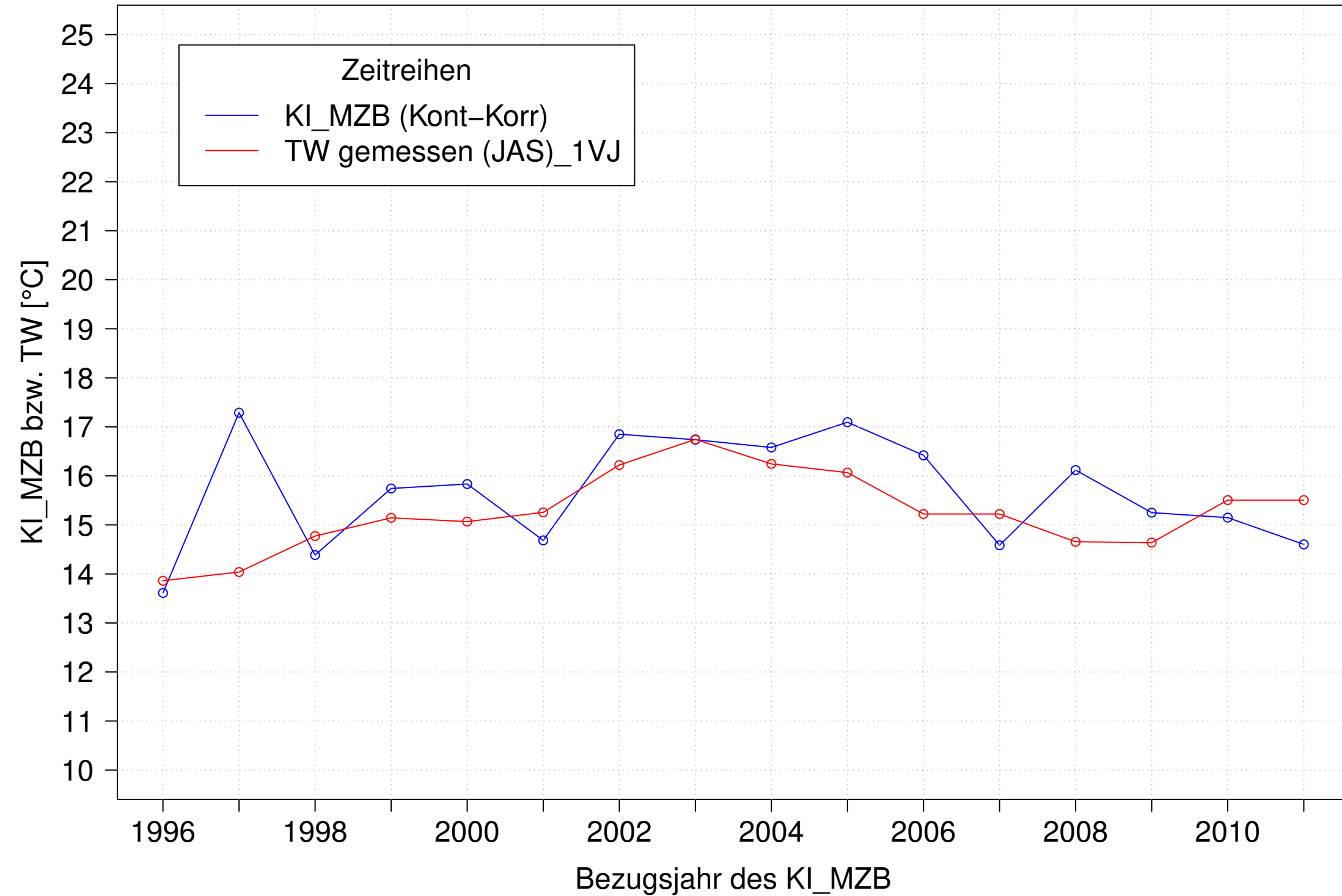
Brigach_Marbach, Typ 09.1 mit Neozoen, Serie 2
 KI_MZB (Kont-Korr) und 3JMW TW gemessen (JAS) des 1. Vorjahres



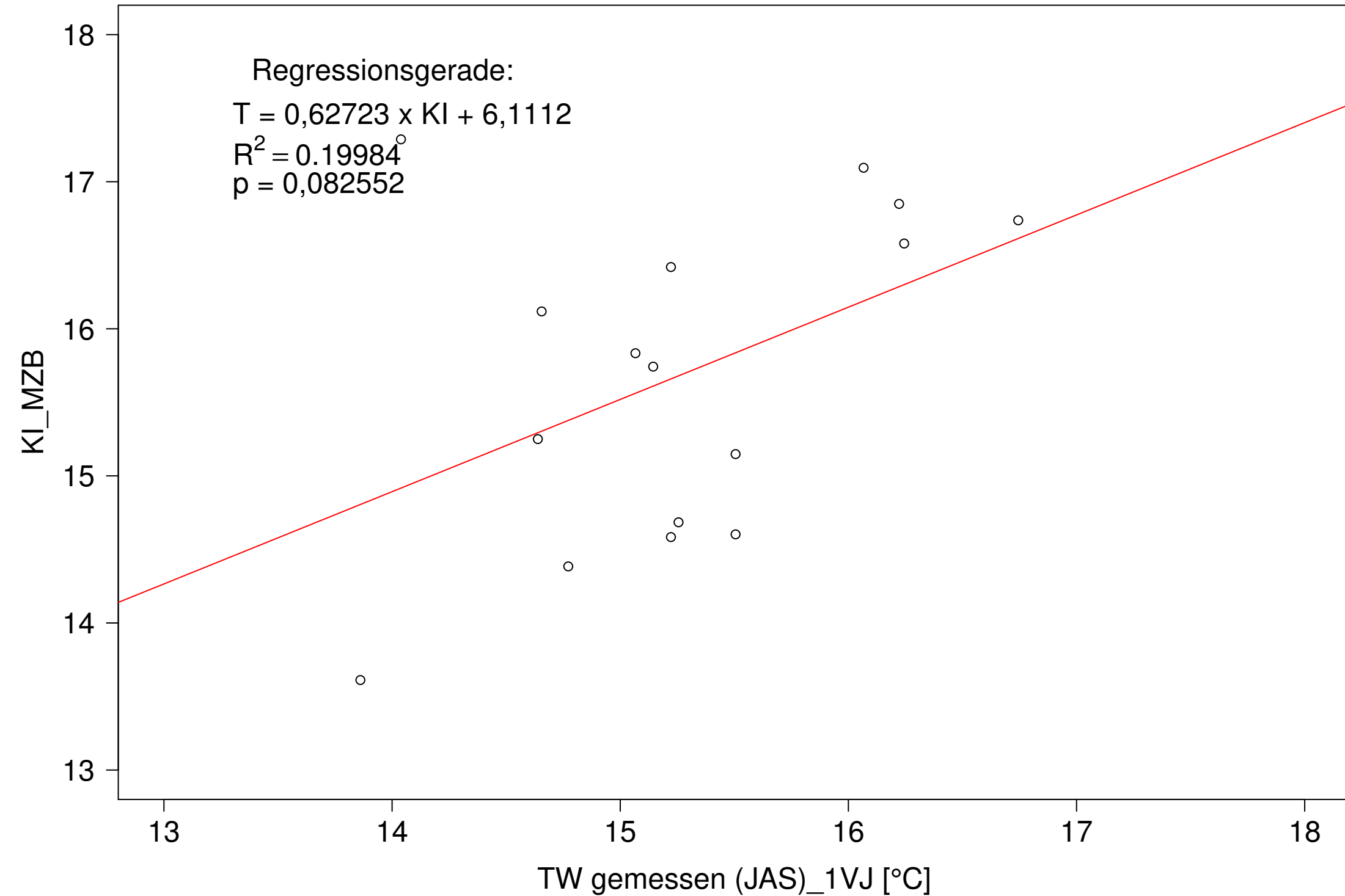
Brigach_Marbach, Typ 09.1 mit Neozoen, Serie 2
 KI_MZB (Kont-Korr) gegen 3JMW TW gemessen (JAS) des 1. Vorjahres



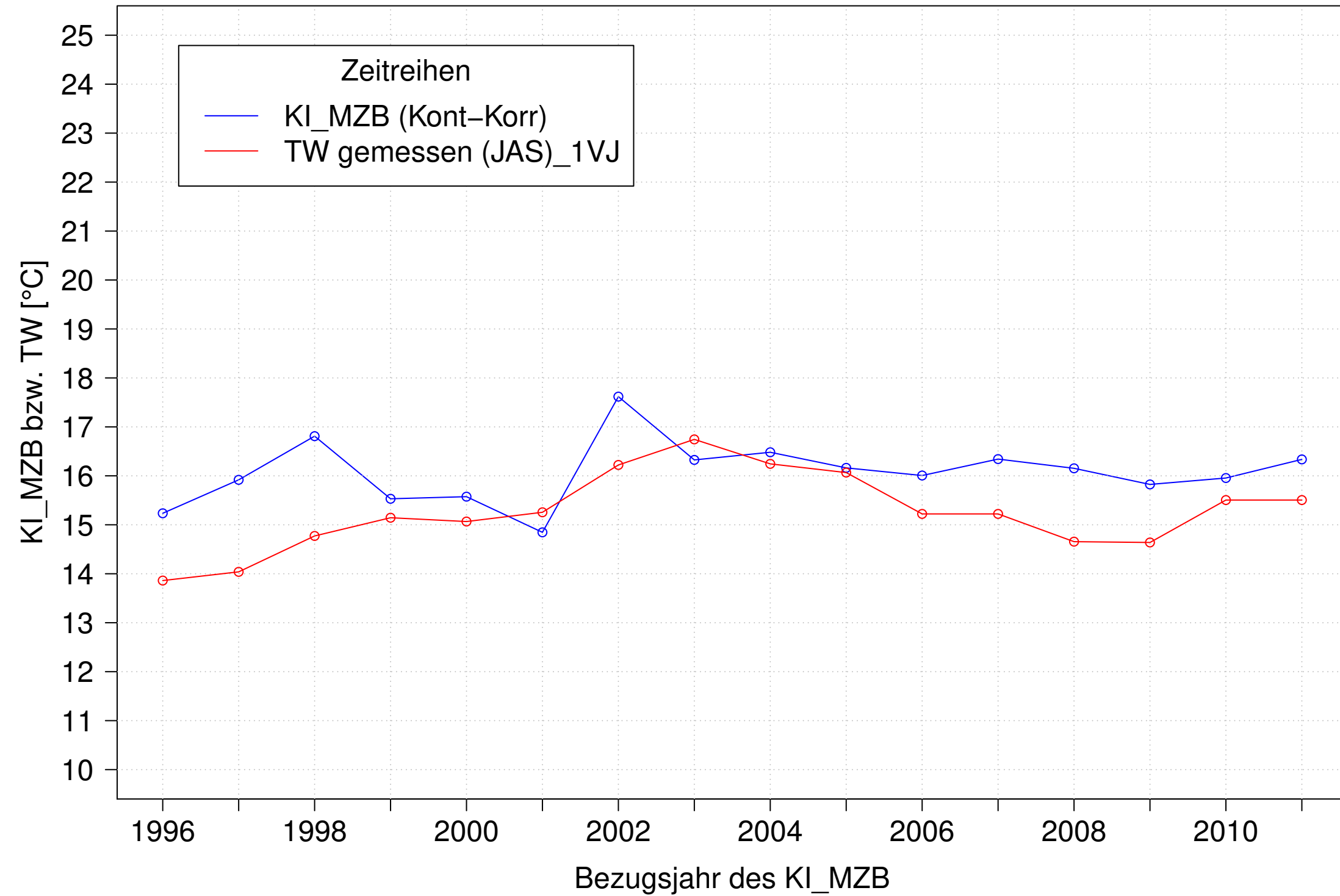
Brigach_Marbach, Typ 09.1 mit Neozoen, Serie 3
 KI_MZB (Kont-Korr) und 3JMW TW gemessen (JAS) des 1. Vorjahres



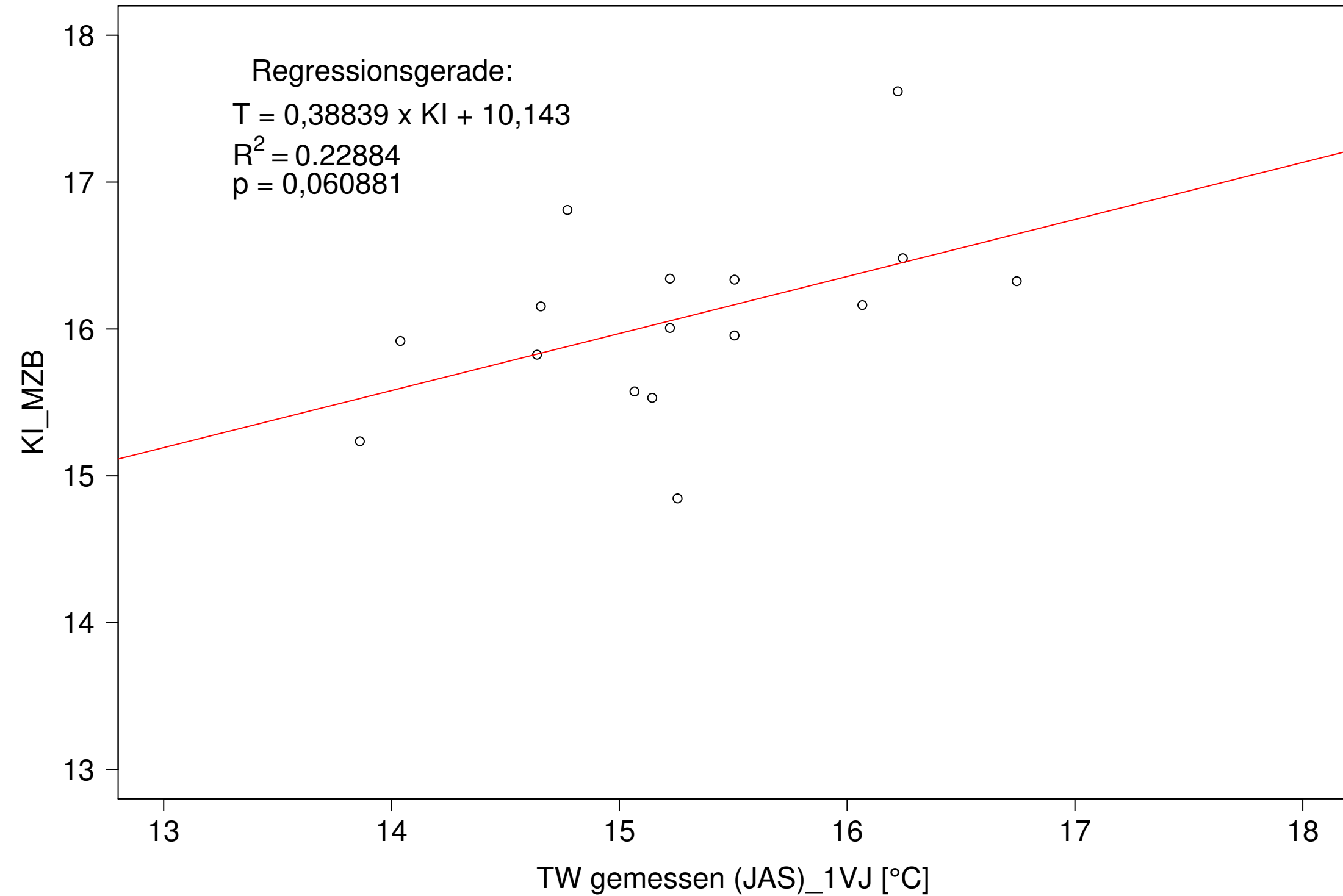
Brigach_Marbach, Typ 09.1 mit Neozoen, Serie 3
 KI_MZB (Kont-Korr) gegen 3JMW TW gemessen (JAS) des 1. Vorjahres



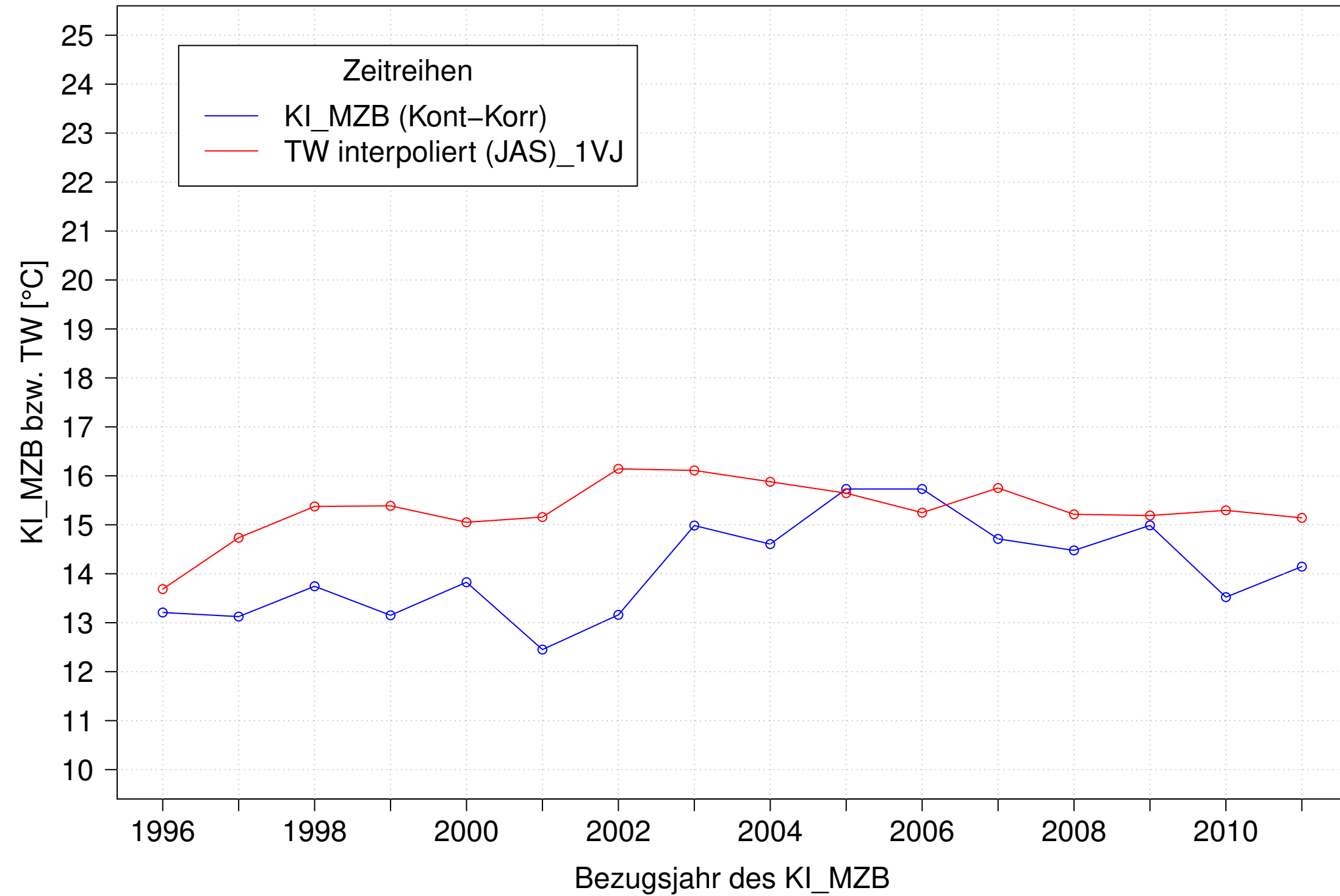
Brigach_Marbach, Typ 09.1 mit Neozoen, Serie 4
KI_MZB (Kont-Korr) und 3JMW TW gemessen (JAS) des 1. Vorjahres



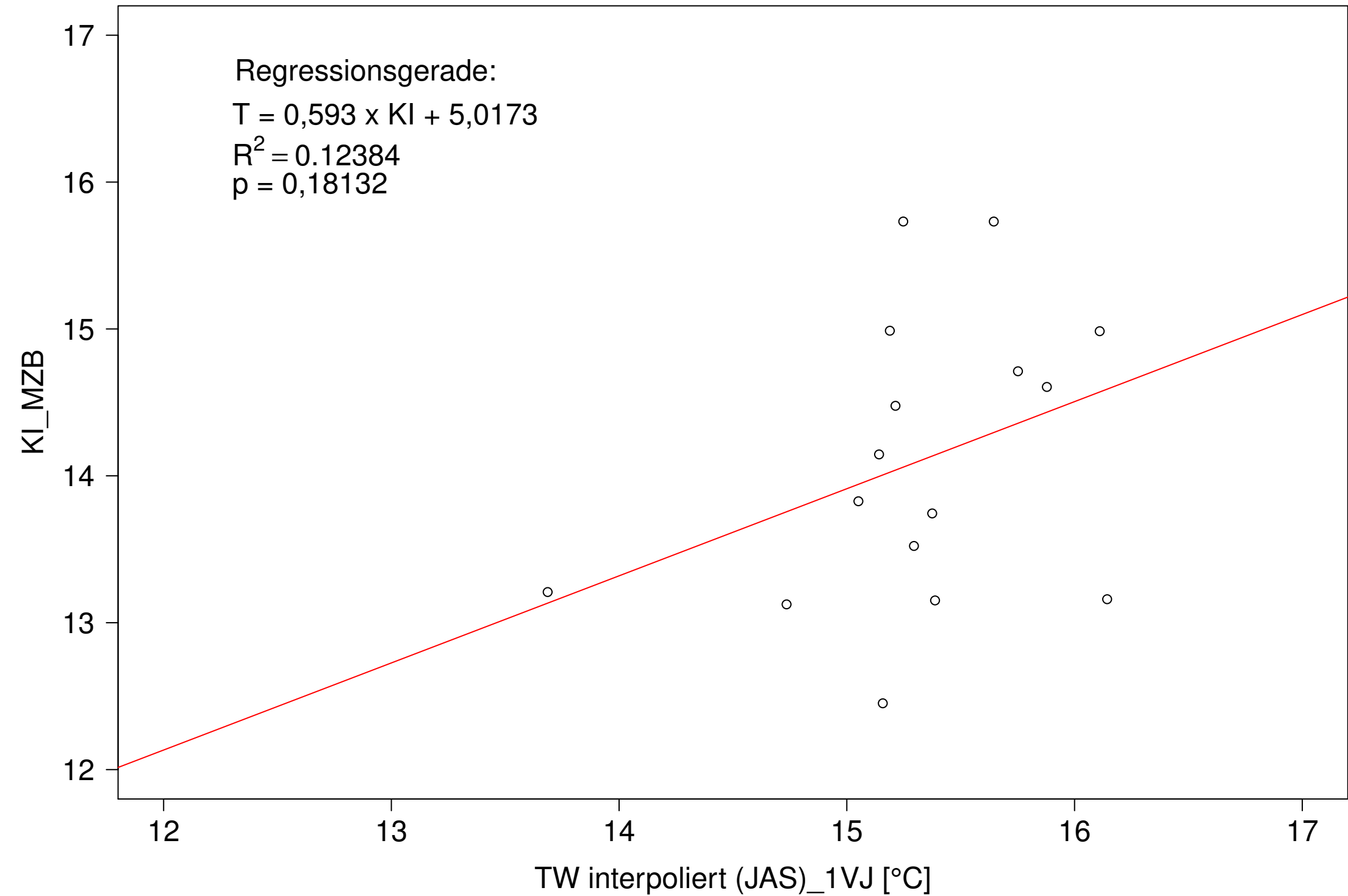
Brigach_Marbach, Typ 09.1 mit Neozoen, Serie 4
KI_MZB (Kont-Korr) gegen 3JMW TW gemessen (JAS) des 1. Vorjahres



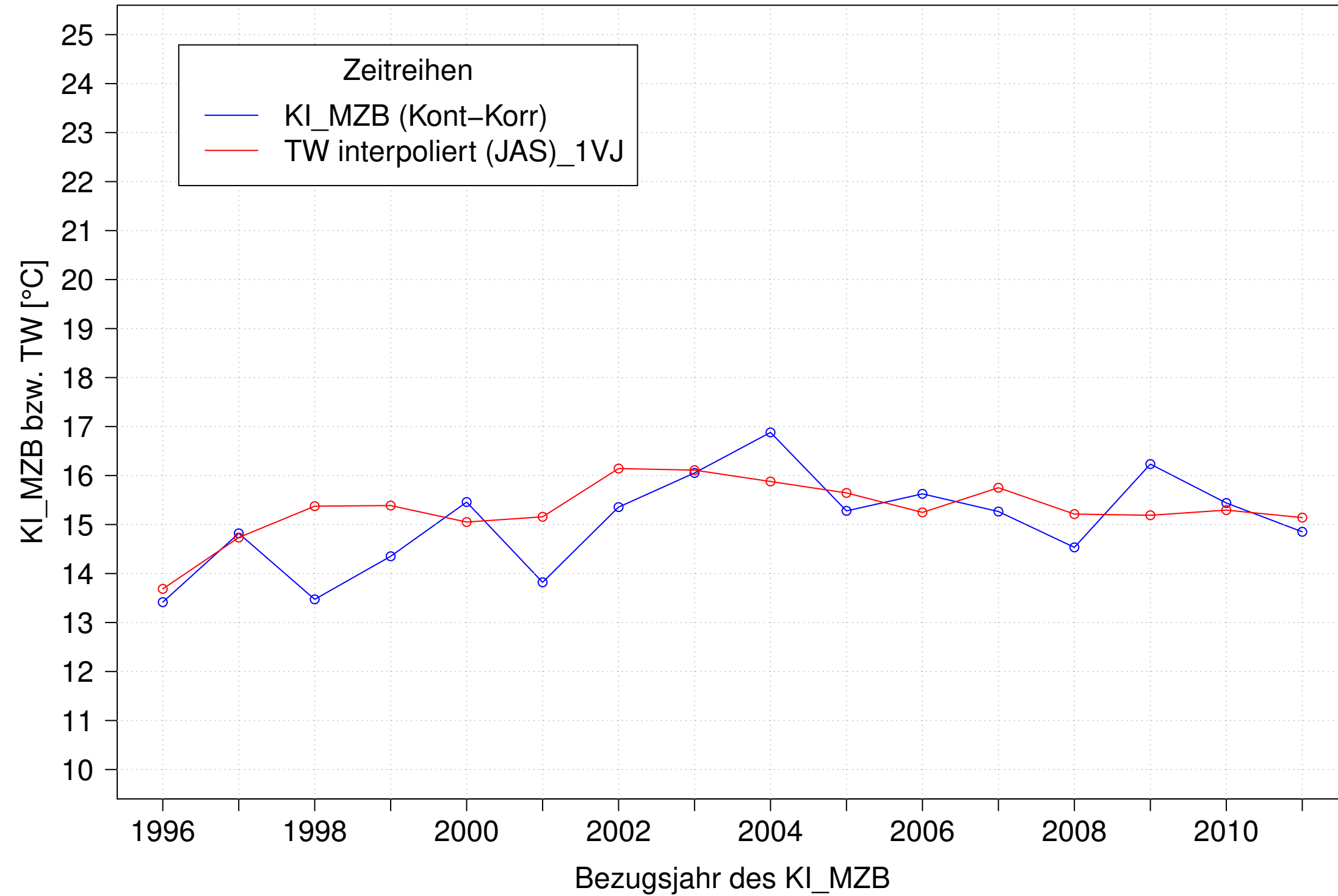
Brigach_Marbach, Typ 09.1 mit Neozoen, Serie 1
KI_MZB (Kont-Korr) und 3JMW TW interpoliert (JAS) des 1. Vorjahres



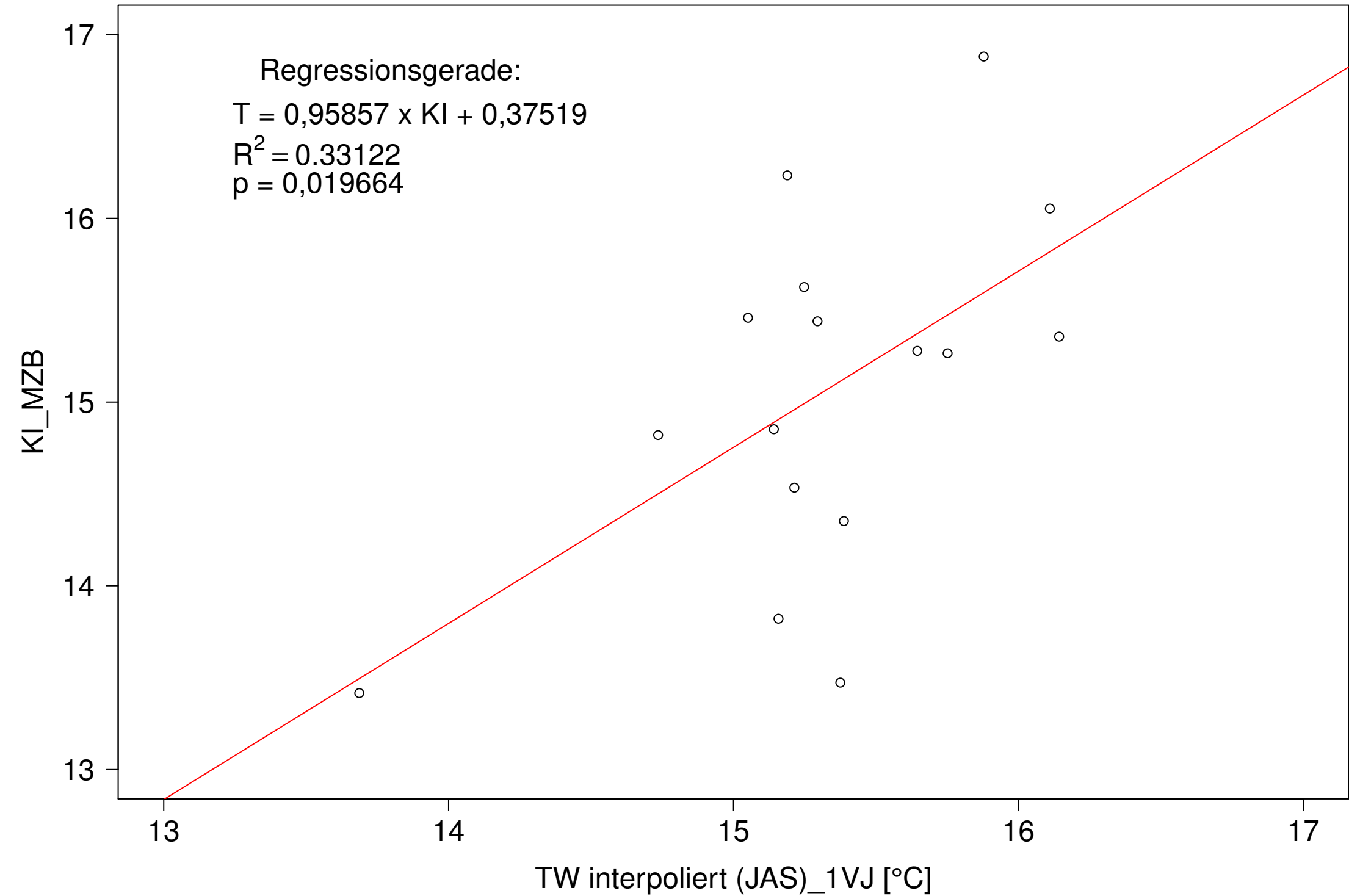
Brigach_Marbach, Typ 09.1 mit Neozoen, Serie 1
KI_MZB (Kont-Korr) gegen 3JMW TW interpoliert (JAS) des 1. Vorjahres



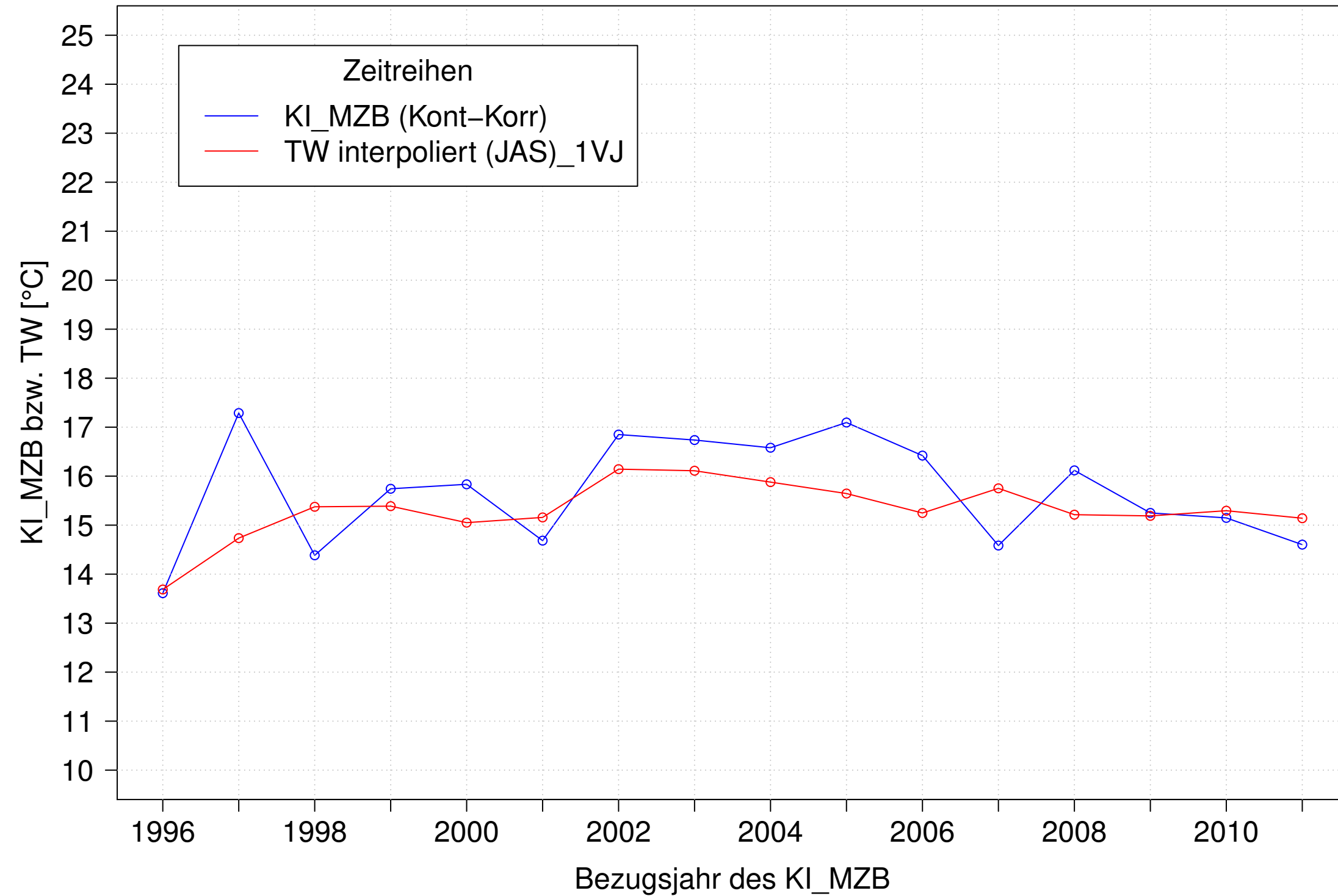
Brigach_Marbach, Typ 09.1 mit Neozoen, Serie 2
 KI_MZB (Kont-Korr) und 3JMW TW interpoliert (JAS) des 1. Vorjahres



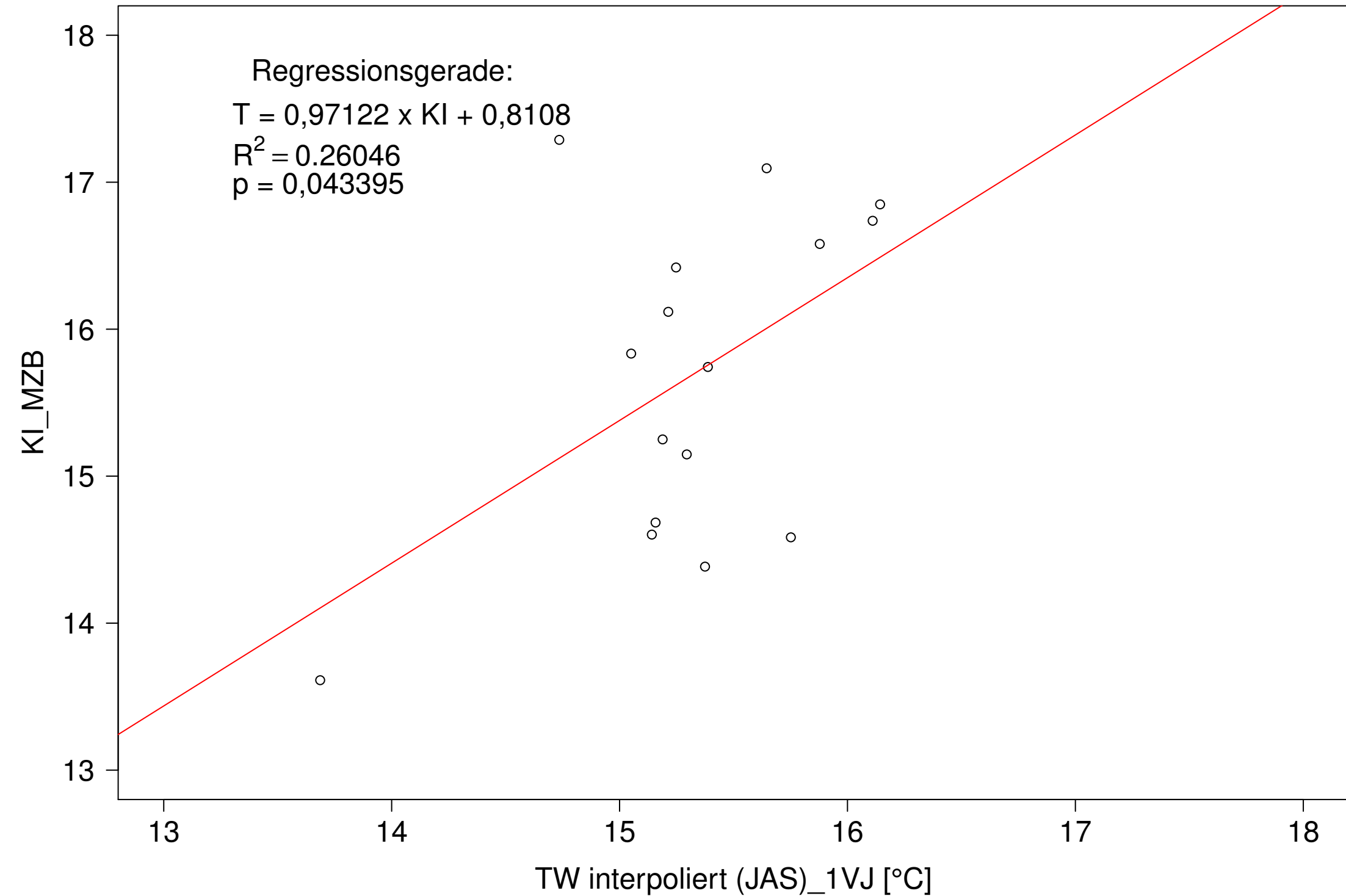
Brigach_Marbach, Typ 09.1 mit Neozoen, Serie 2
 KI_MZB (Kont-Korr) gegen 3JMW TW interpoliert (JAS) des 1. Vorjahres



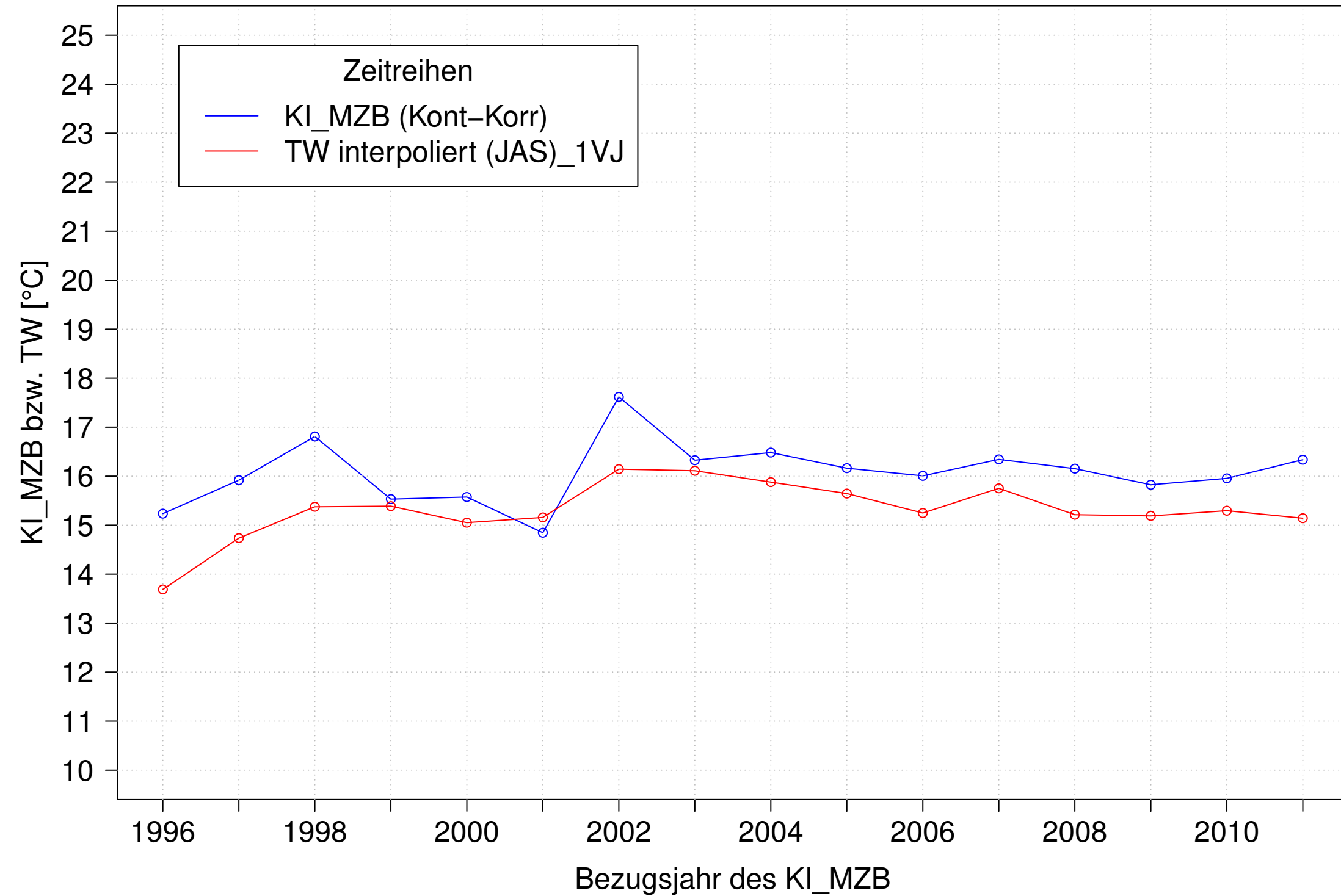
Brigach_Marbach, Typ 09.1 mit Neozoen, Serie 3
KI_MZB (Kont-Korr) und 3JMW TW interpoliert (JAS) des 1. Vorjahres



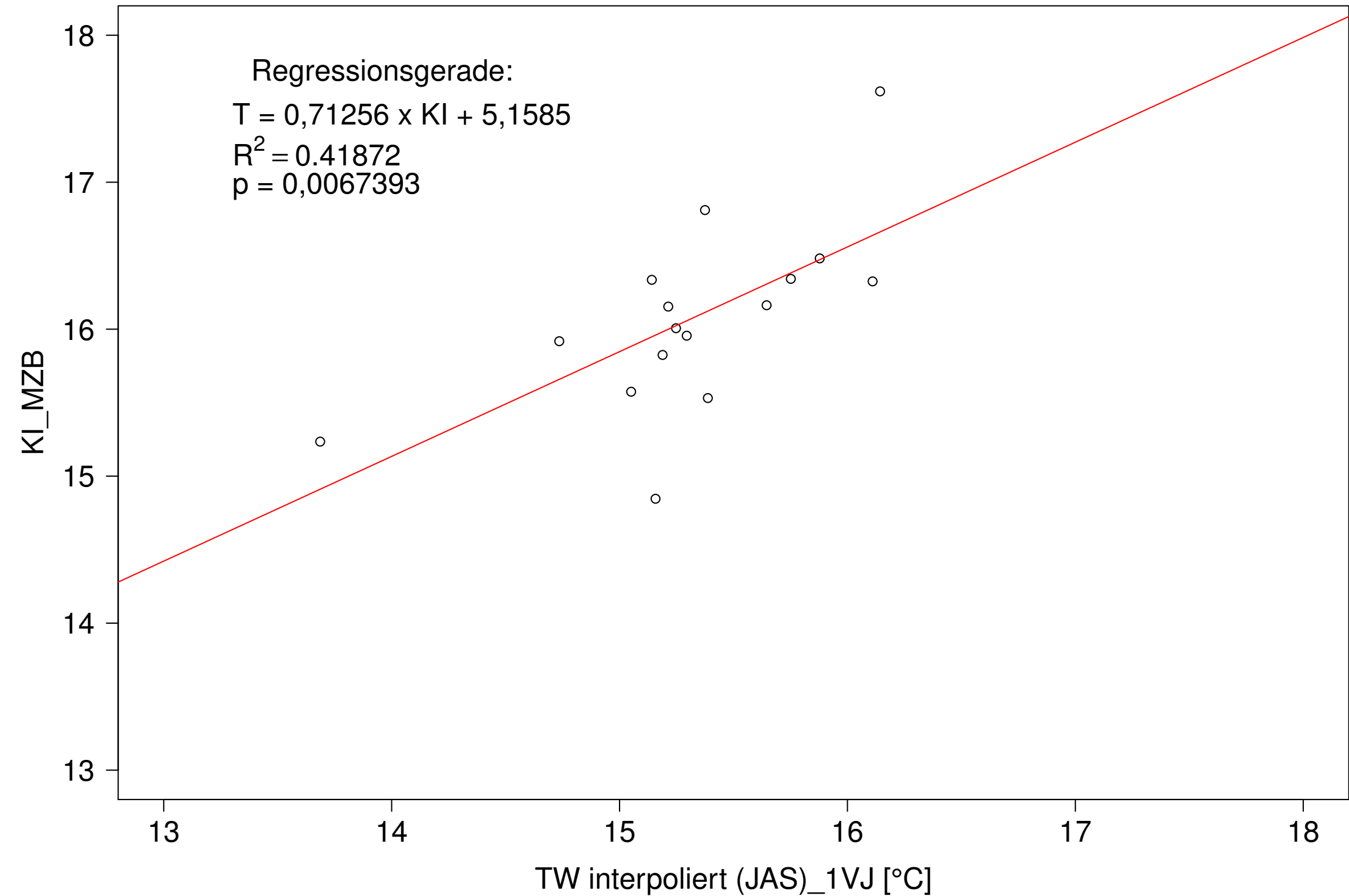
Brigach_Marbach, Typ 09.1 mit Neozoen, Serie 3
KI_MZB (Kont-Korr) gegen 3JMW TW interpoliert (JAS) des 1. Vorjahres



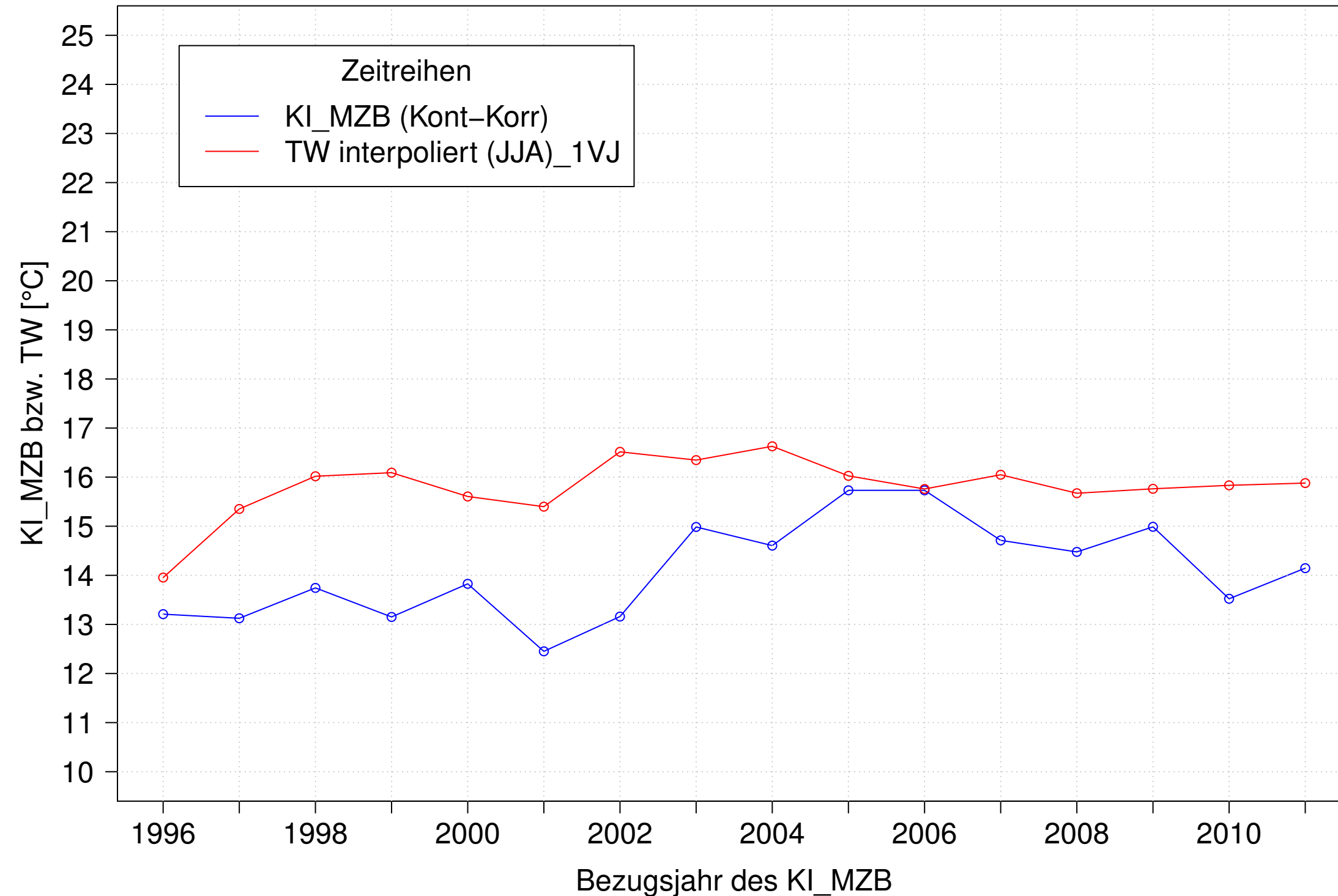
Brigach_Marbach, Typ 09.1 mit Neozoen, Serie 4
KI_MZB (Kont-Korr) und 3JMW TW interpoliert (JAS) des 1. Vorjahres



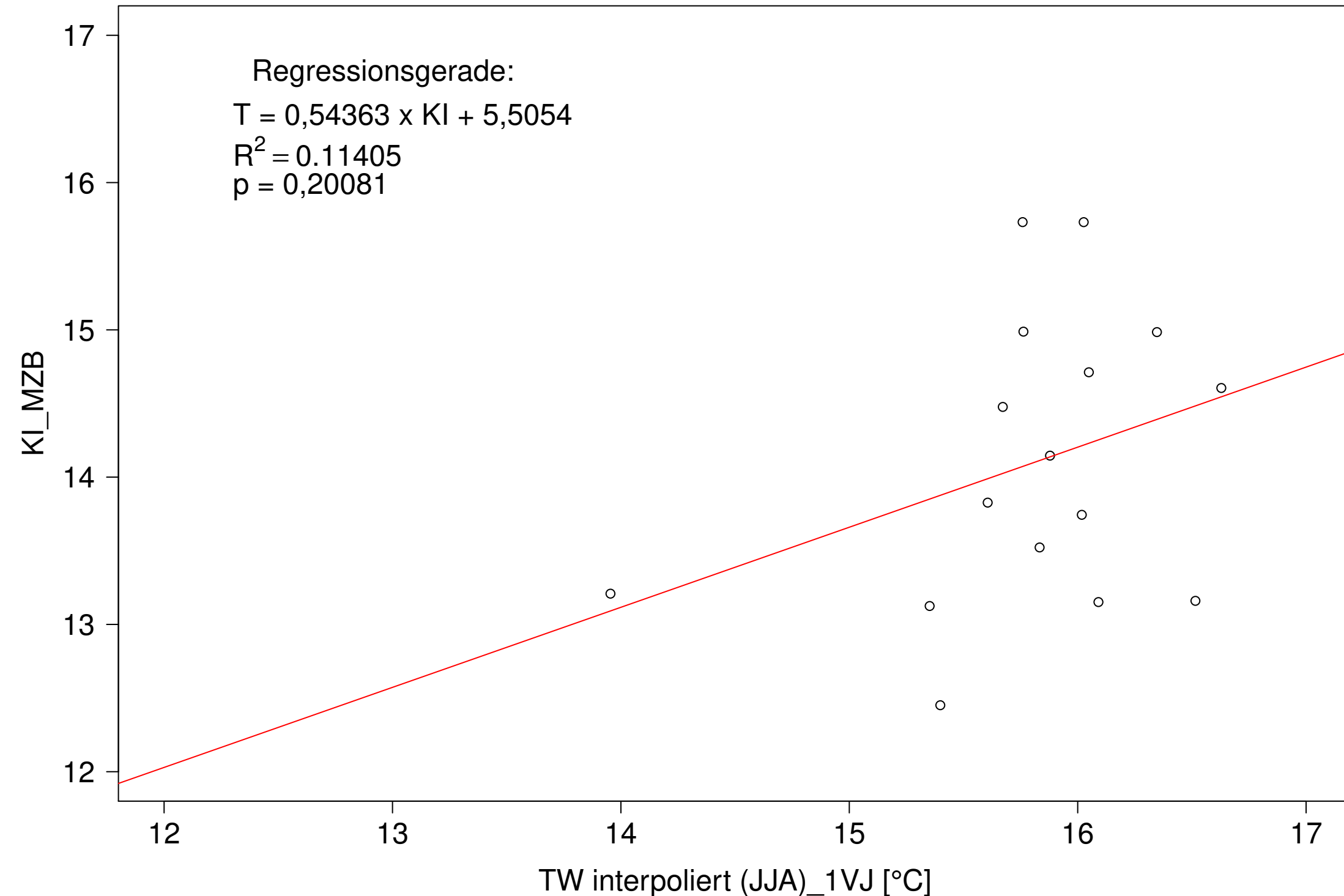
Brigach_Marbach, Typ 09.1 mit Neozoen, Serie 4
KI_MZB (Kont-Korr) gegen 3JMW TW interpoliert (JAS) des 1. Vorjahres



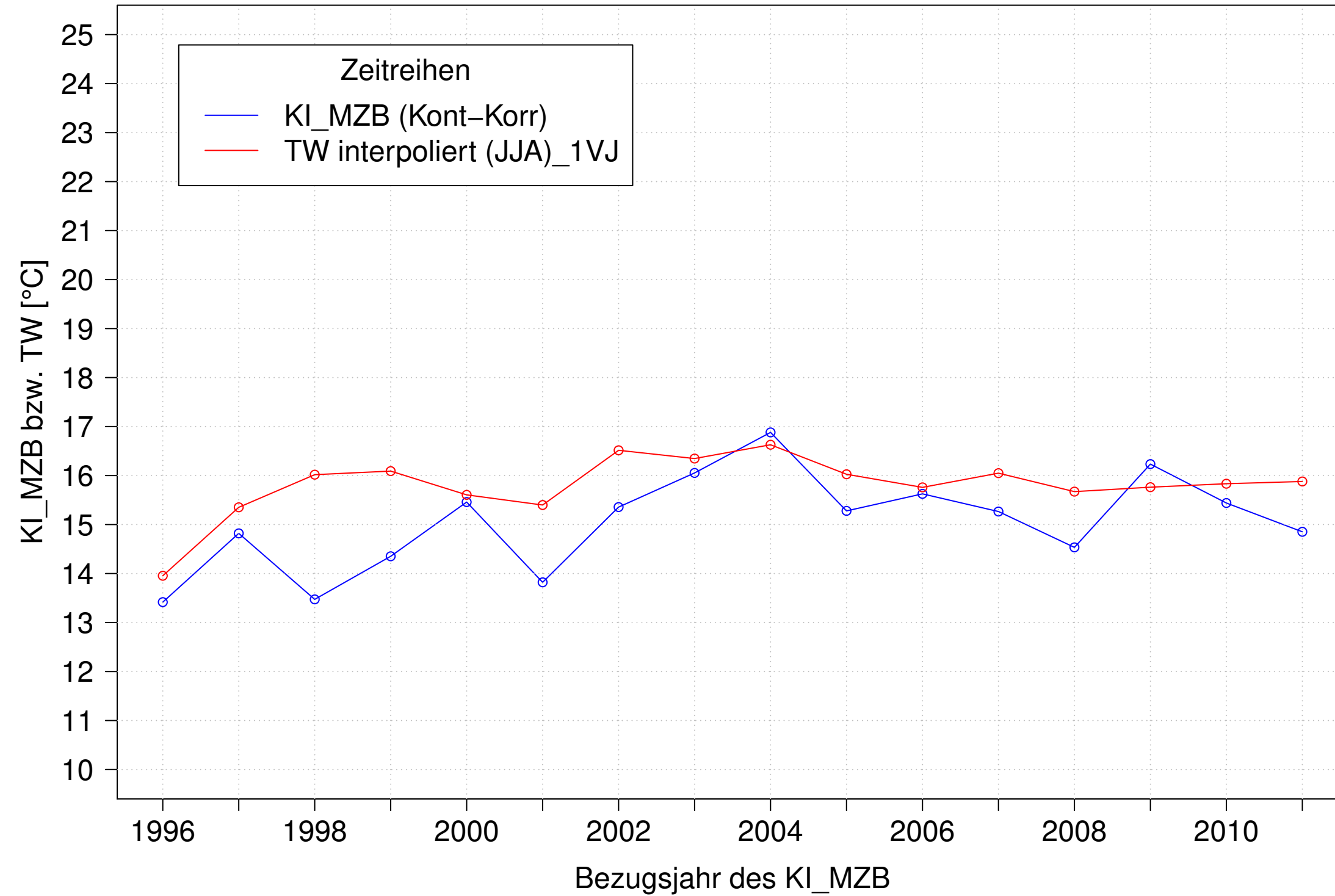
Brigach_Marbach, Typ 09.1 mit Neozoen, Serie 1
 KI_MZB (Kont-Korr) und 3JMW TW interpoliert (JJA) des 1. Vorjahres



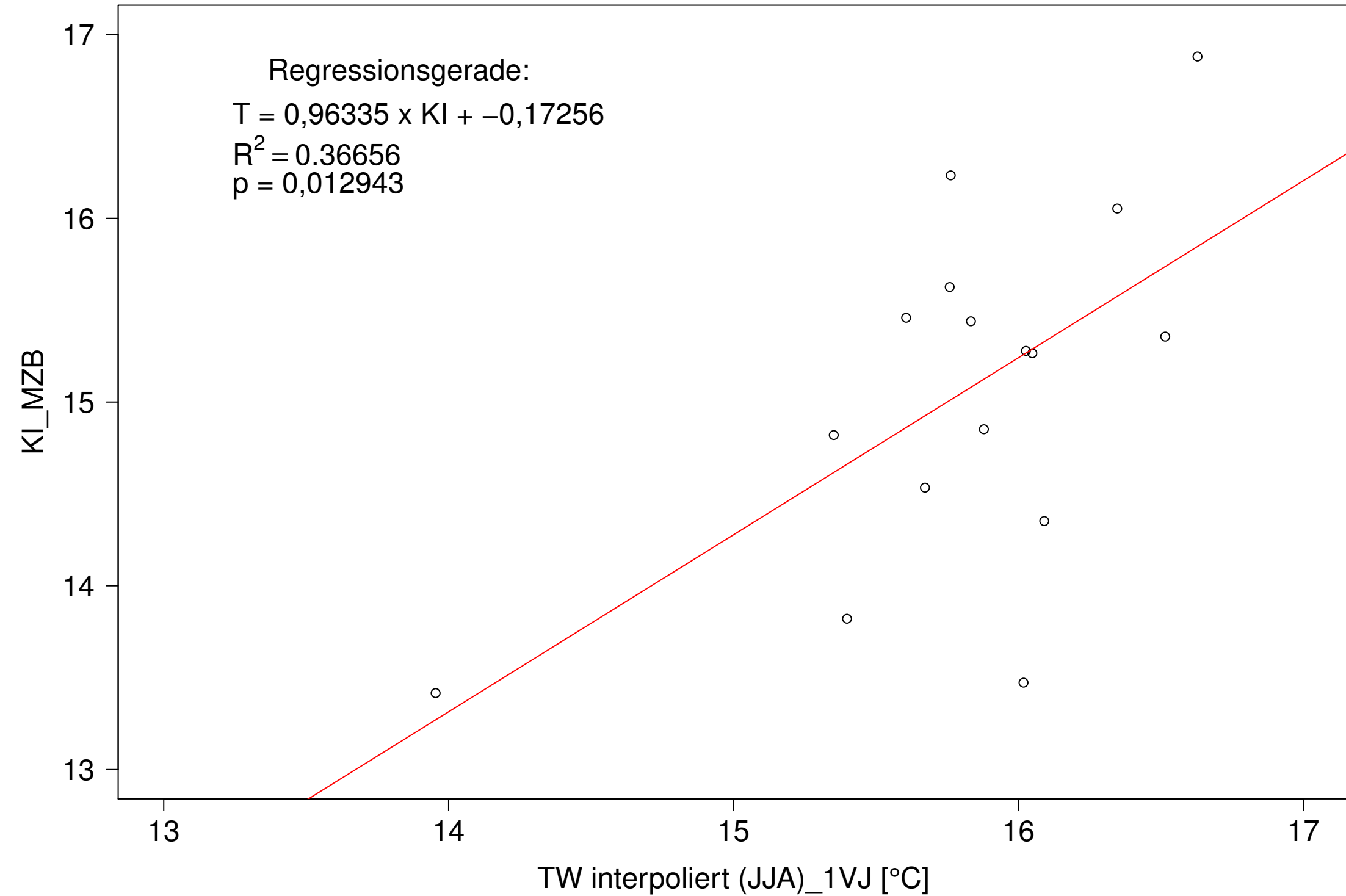
Brigach_Marbach, Typ 09.1 mit Neozoen, Serie 1
 KI_MZB (Kont-Korr) gegen 3JMW TW interpoliert (JJA) des 1. Vorjahres



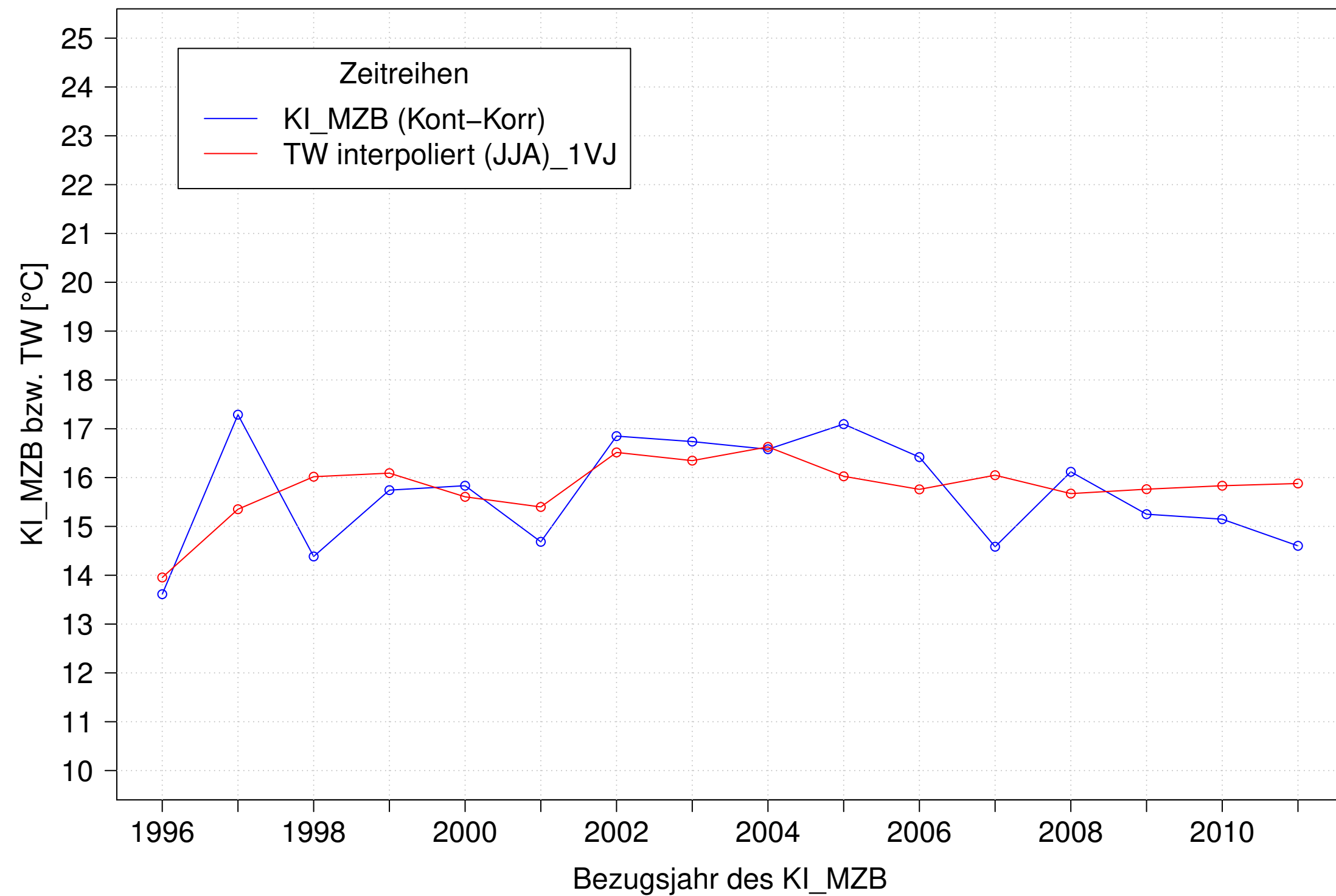
Brigach_Marbach, Typ 09.1 mit Neozoen, Serie 2
KI_MZB (Kont-Korr) und 3JMW TW interpoliert (JJA) des 1. Vorjahres



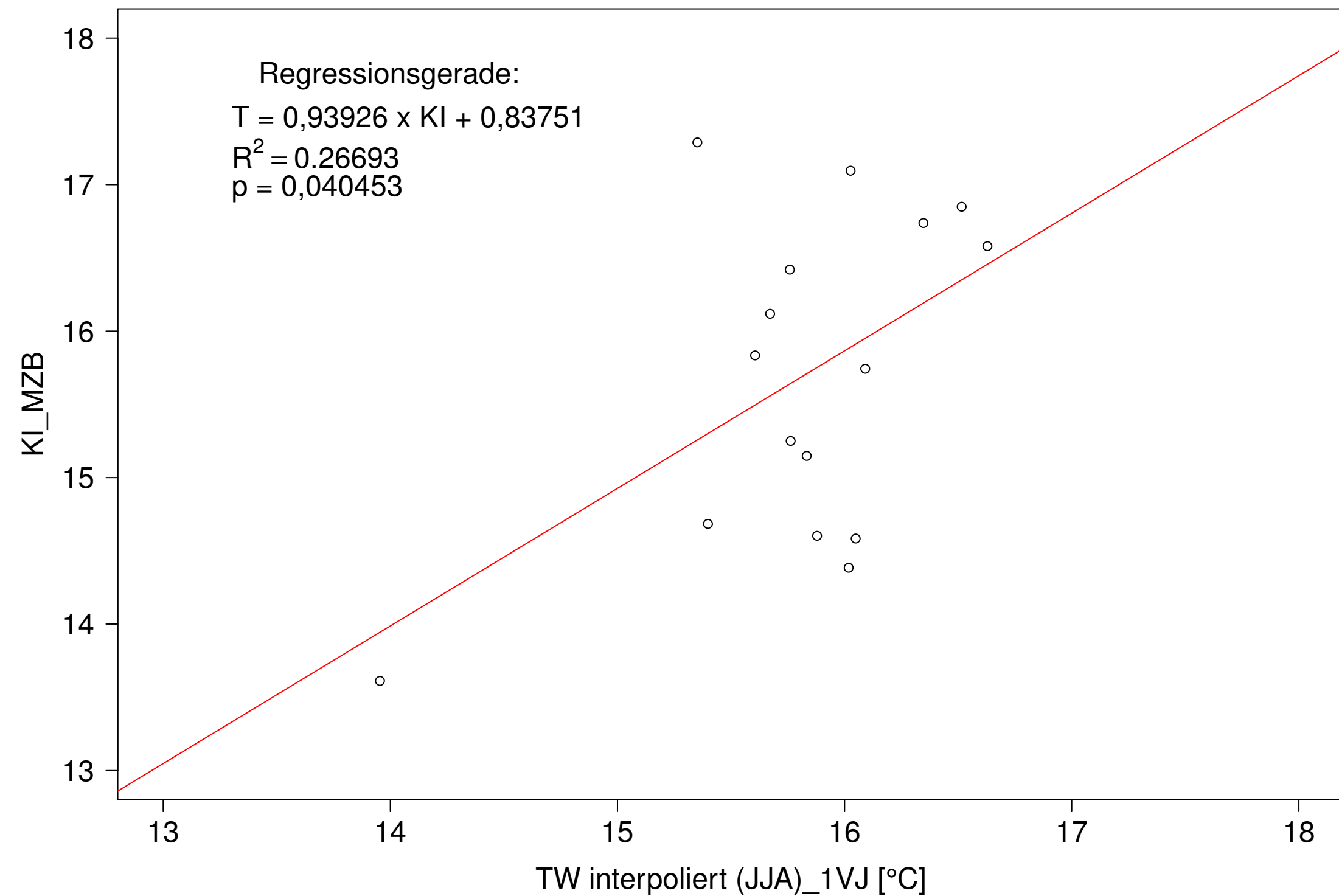
Brigach_Marbach, Typ 09.1 mit Neozoen, Serie 2
KI_MZB (Kont-Korr) gegen 3JMW TW interpoliert (JJA) des 1. Vorjahres



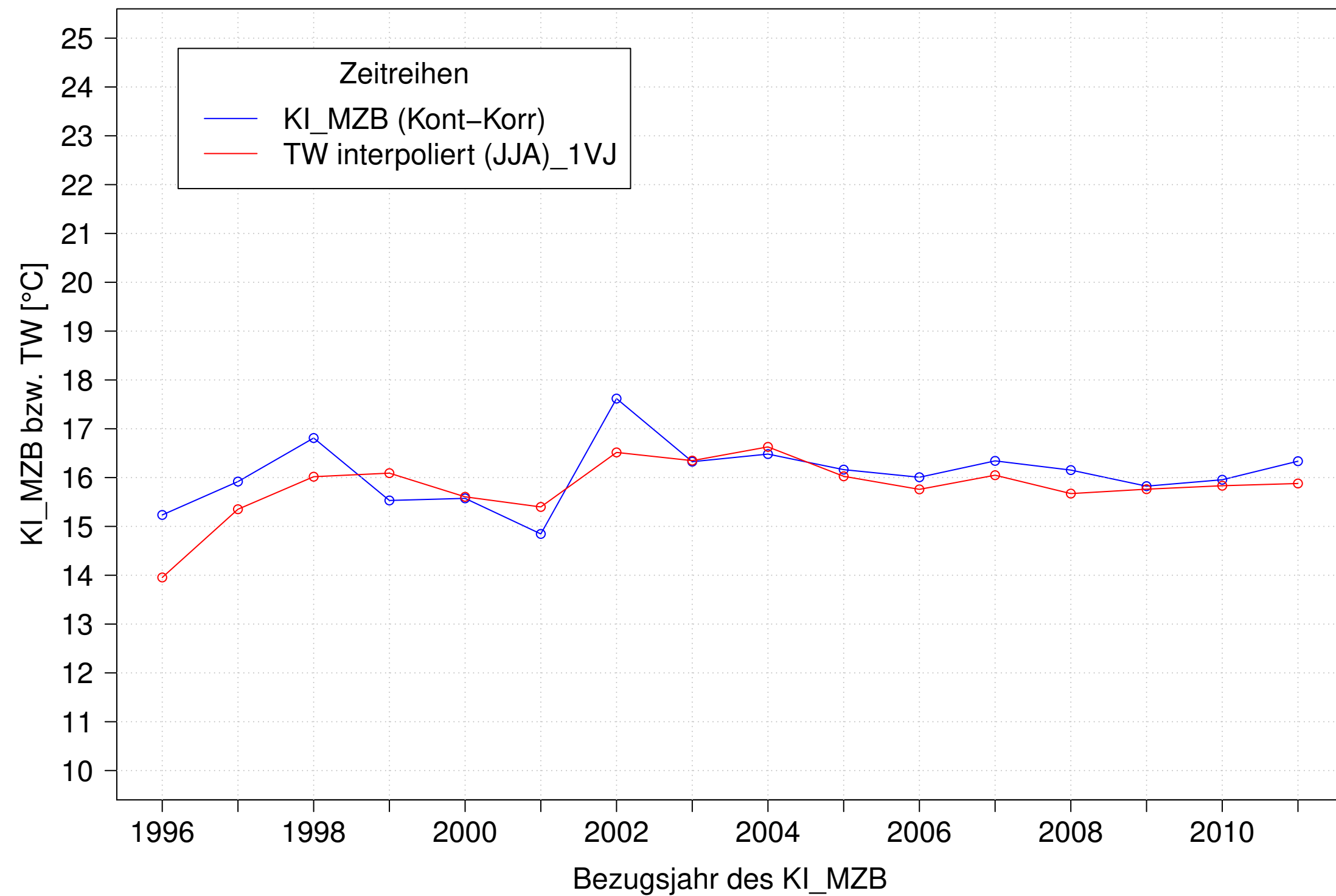
Brigach_Marbach, Typ 09.1 mit Neozoen, Serie 3
 KI_MZB (Kont-Korr) und 3JMW TW interpoliert (JJA) des 1. Vorjahres



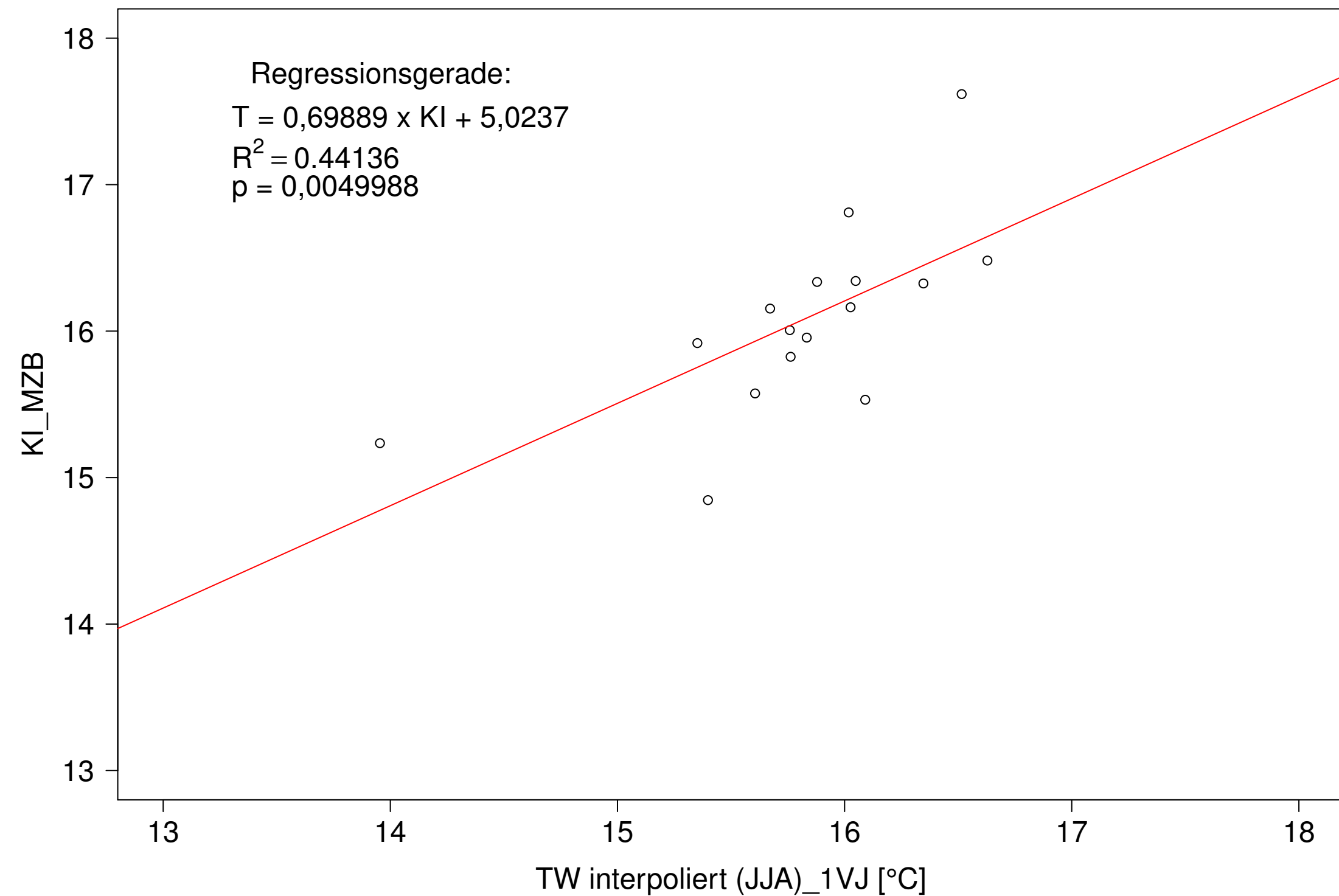
Brigach_Marbach, Typ 09.1 mit Neozoen, Serie 3
 KI_MZB (Kont-Korr) gegen 3JMW TW interpoliert (JJA) des 1. Vorjahres



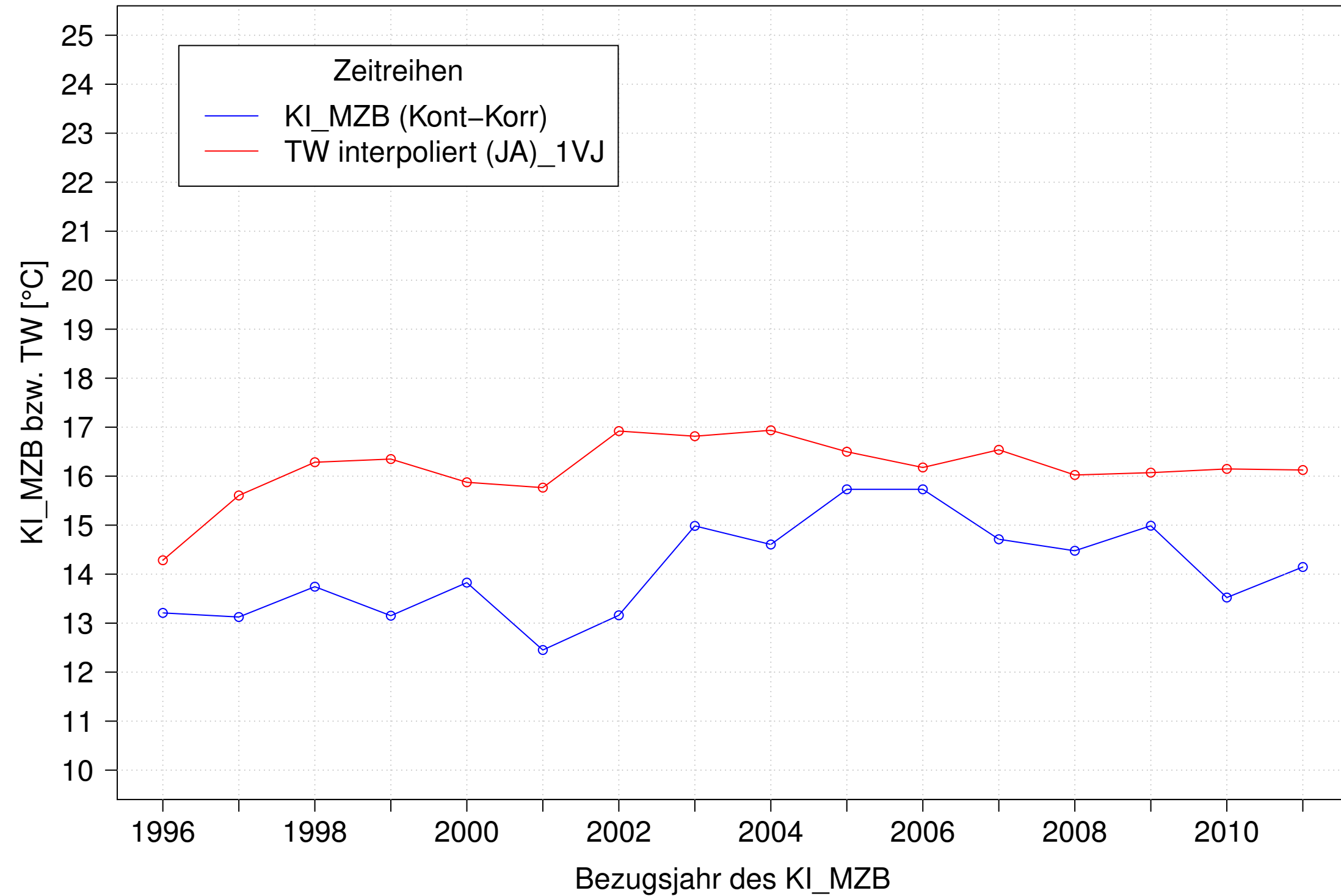
Brigach_Marbach, Typ 09.1 mit Neozoen, Serie 4
 KI_MZB (Kont-Korr) und 3JMW TW interpoliert (JJA) des 1. Vorjahres



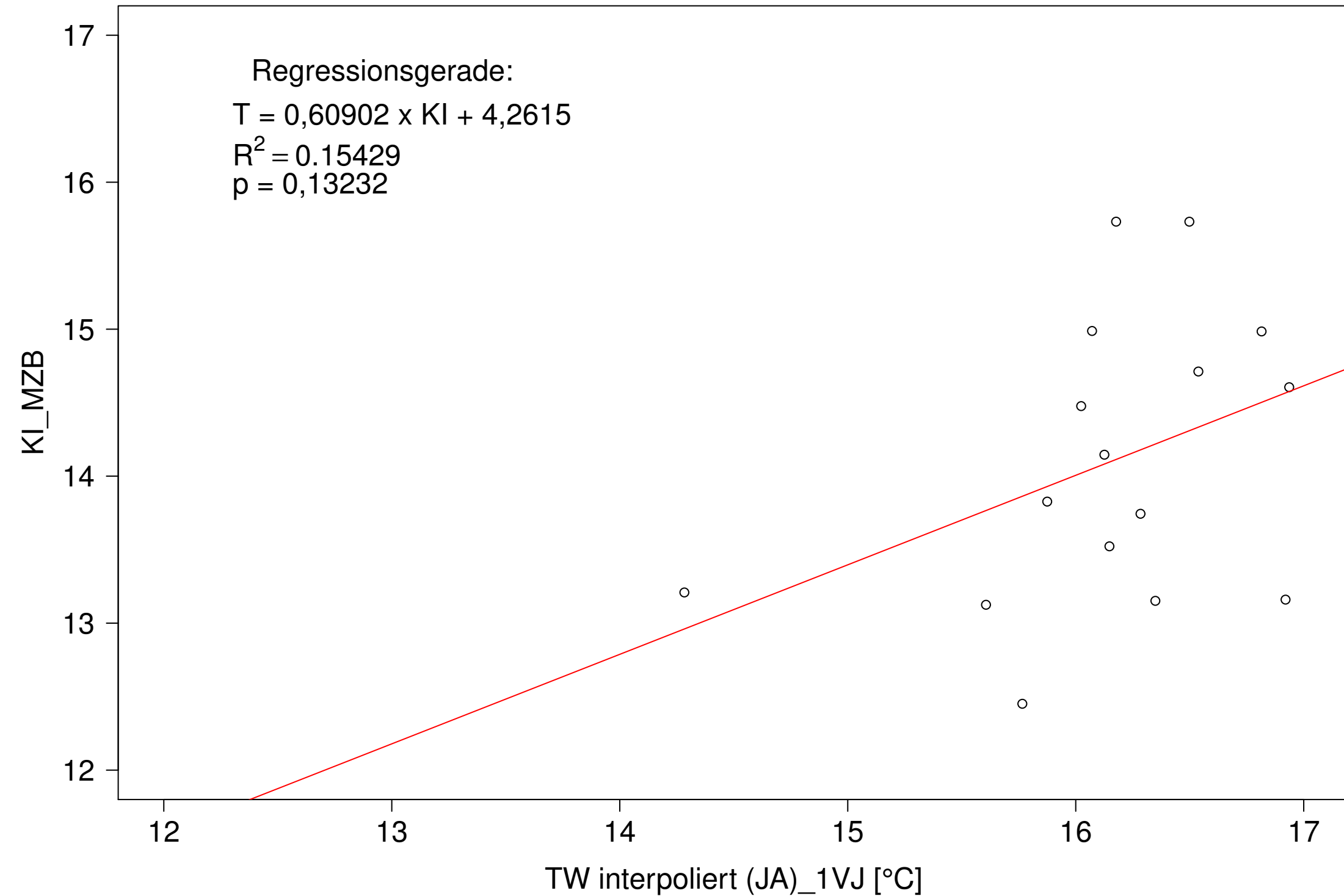
Brigach_Marbach, Typ 09.1 mit Neozoen, Serie 4
 KI_MZB (Kont-Korr) gegen 3JMW TW interpoliert (JJA) des 1. Vorjahres



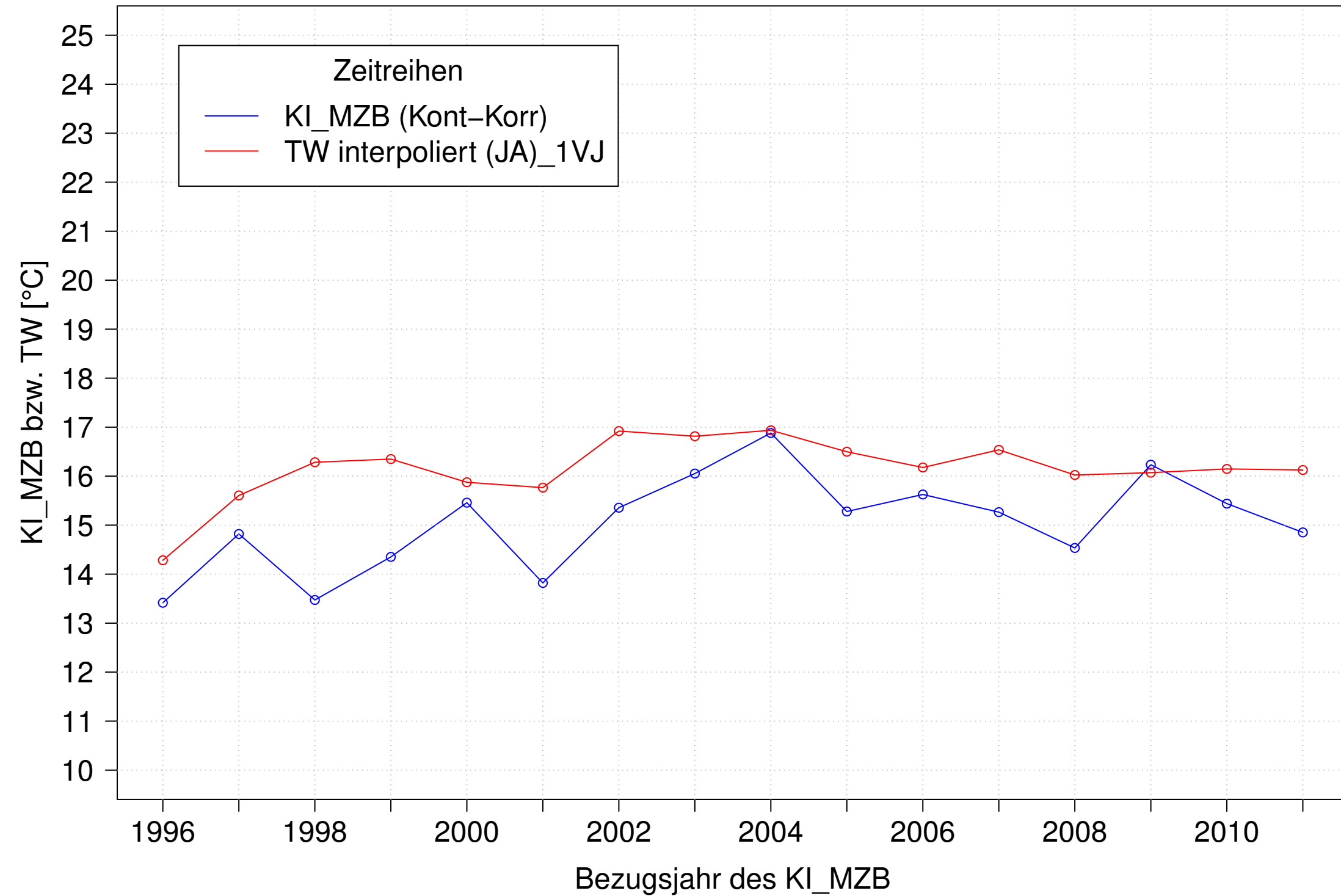
Brigach_Marbach, Typ 09.1 mit Neozoen, Serie 1
KI_MZB (Kont-Korr) und 3JMW TW interpoliert (JA) des 1. Vorjahres



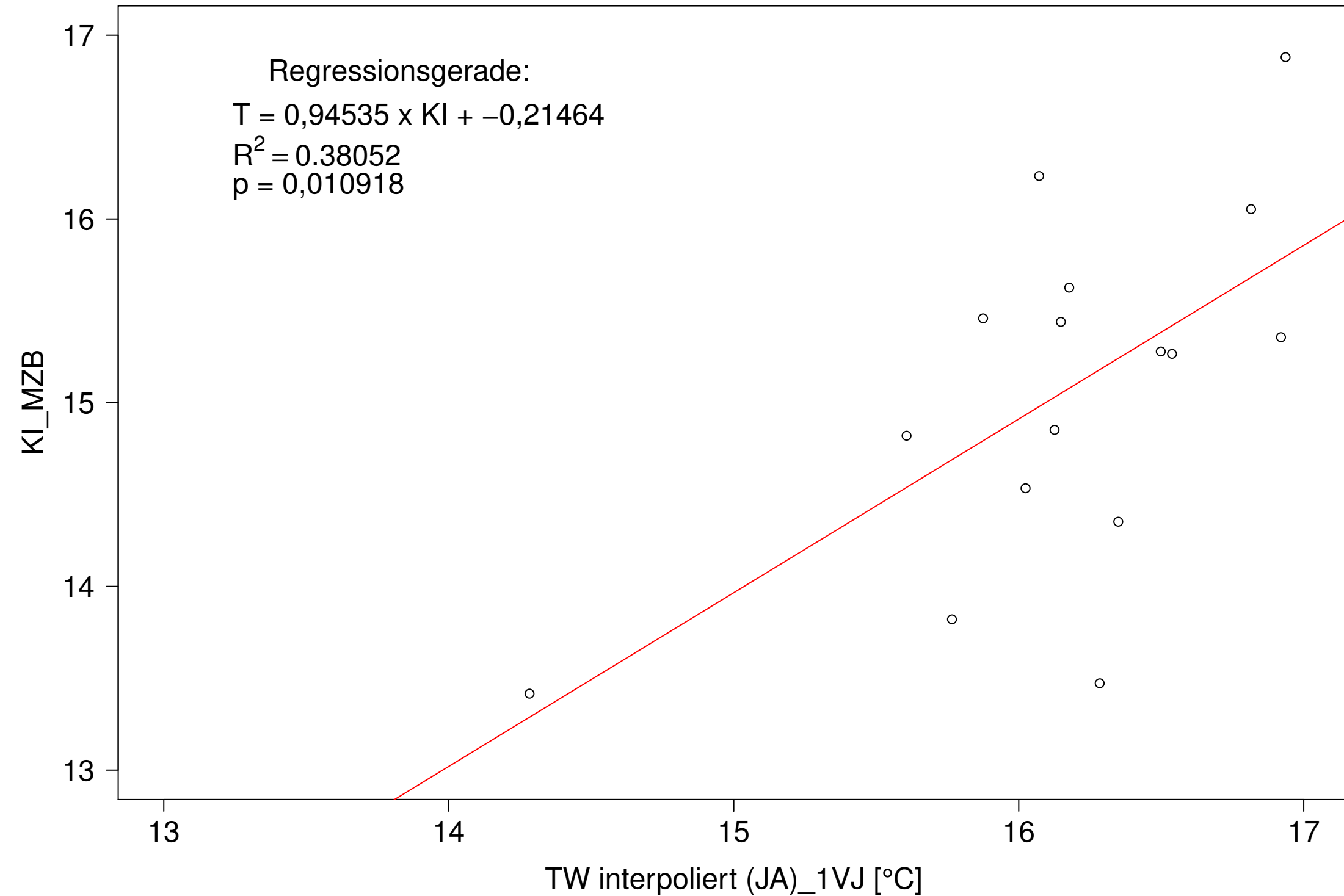
Brigach_Marbach, Typ 09.1 mit Neozoen, Serie 1
KI_MZB (Kont-Korr) gegen 3JMW TW interpoliert (JA) des 1. Vorjahres



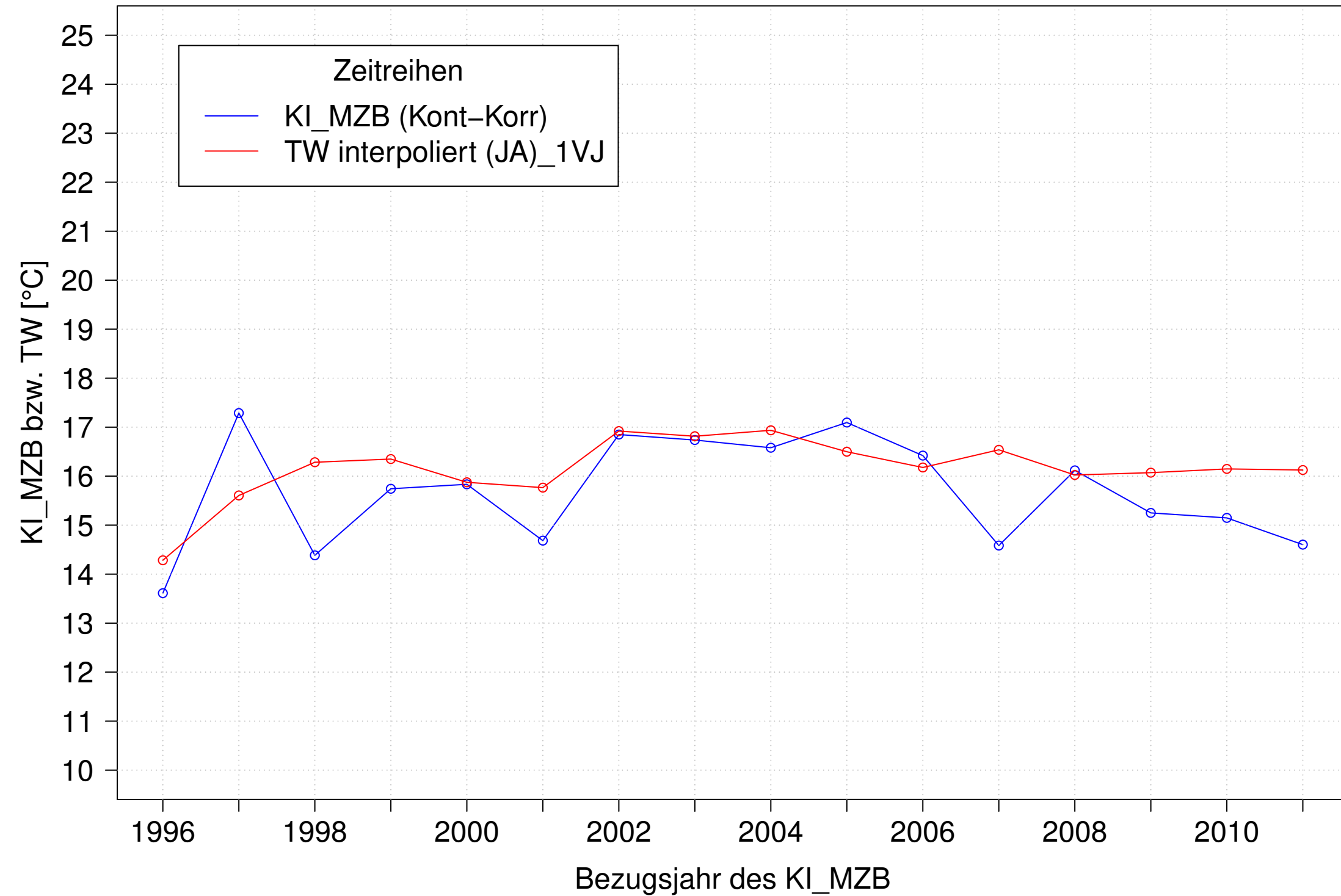
Brigach_Marbach, Typ 09.1 mit Neozoen, Serie 2
KI_MZB (Kont-Korr) und 3JMW TW interpoliert (JA) des 1. Vorjahres



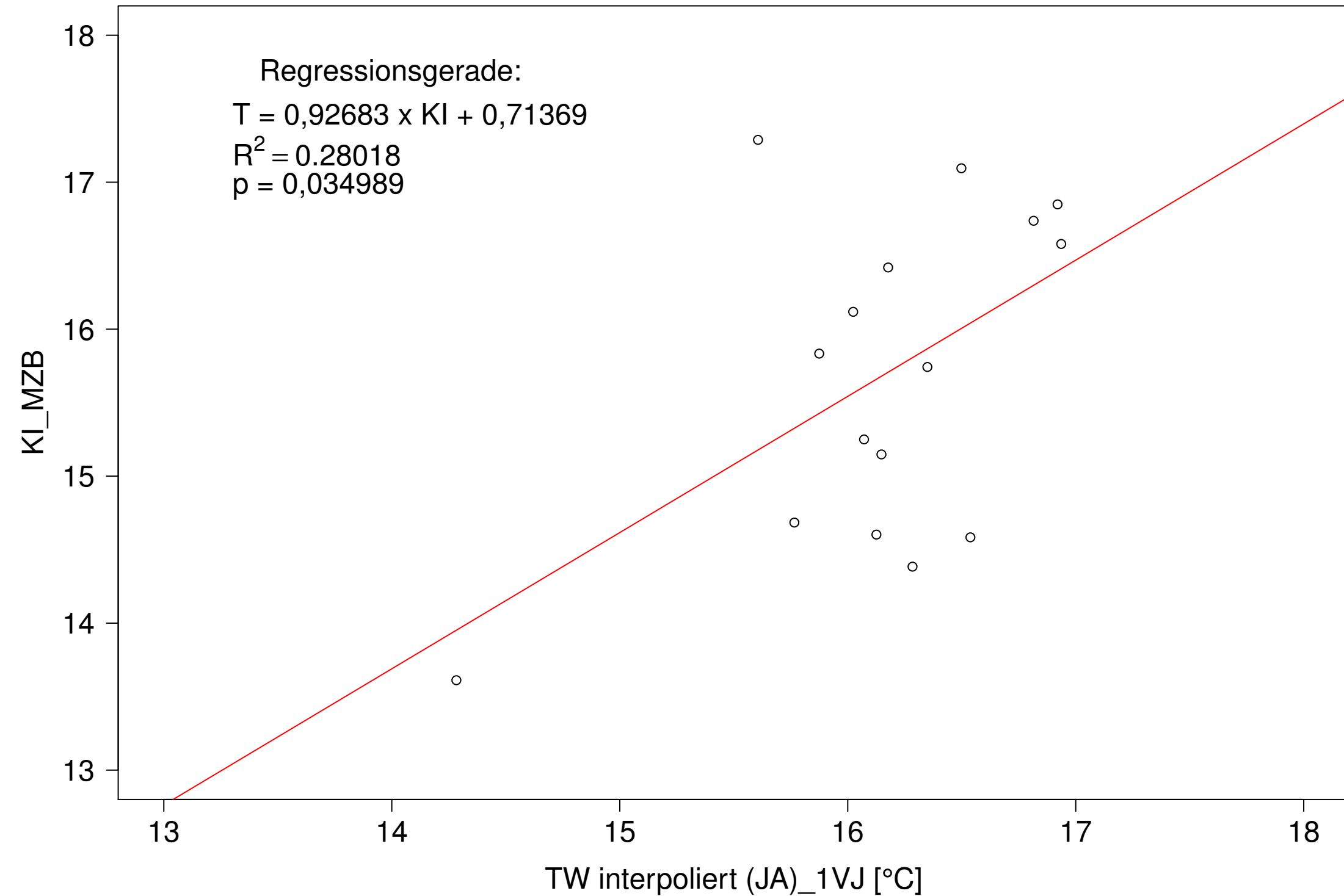
Brigach_Marbach, Typ 09.1 mit Neozoen, Serie 2
KI_MZB (Kont-Korr) gegen 3JMW TW interpoliert (JA) des 1. Vorjahres



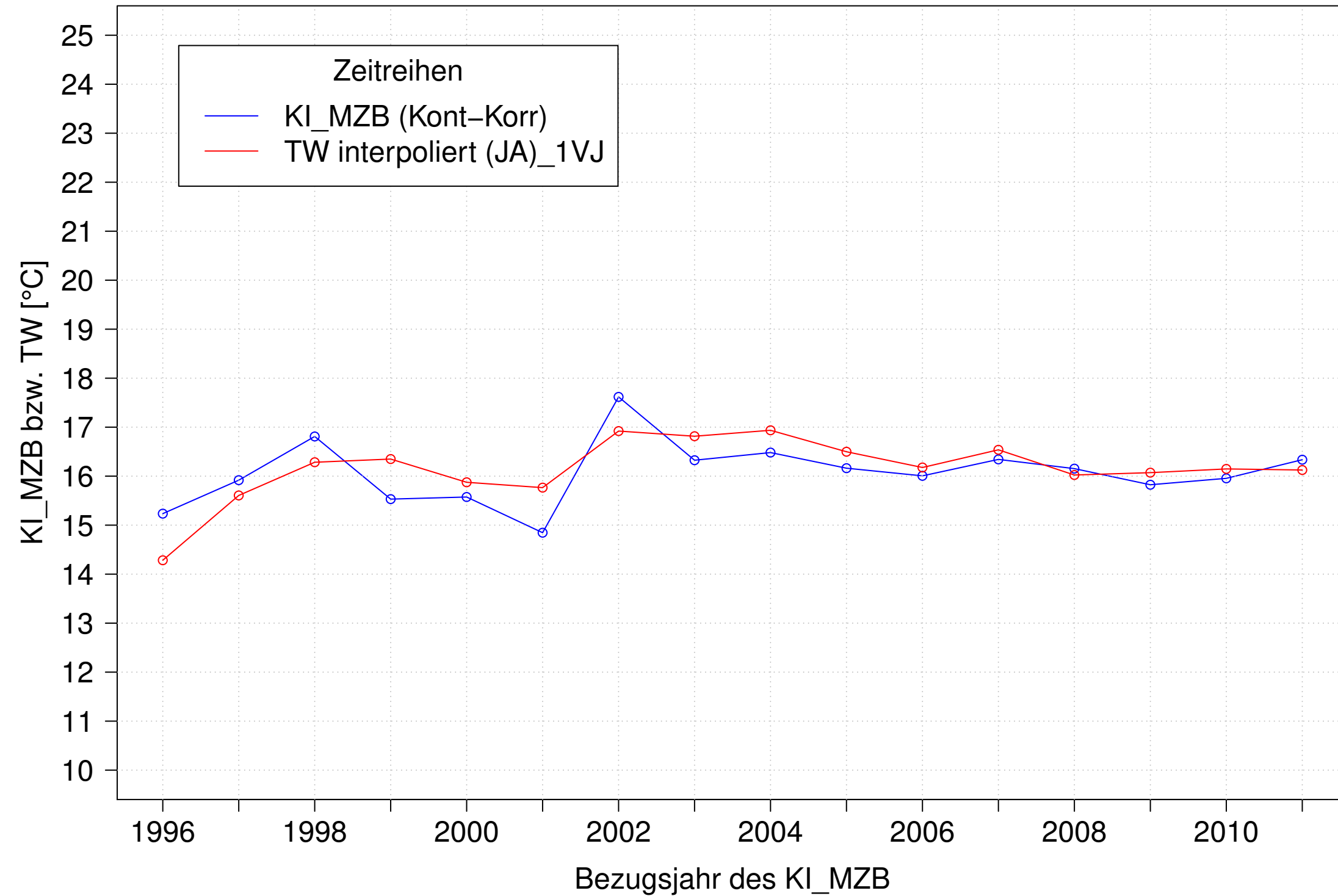
Brigach_Marbach, Typ 09.1 mit Neozoen, Serie 3
KI_MZB (Kont-Korr) und 3JMW TW interpoliert (JA) des 1. Vorjahres



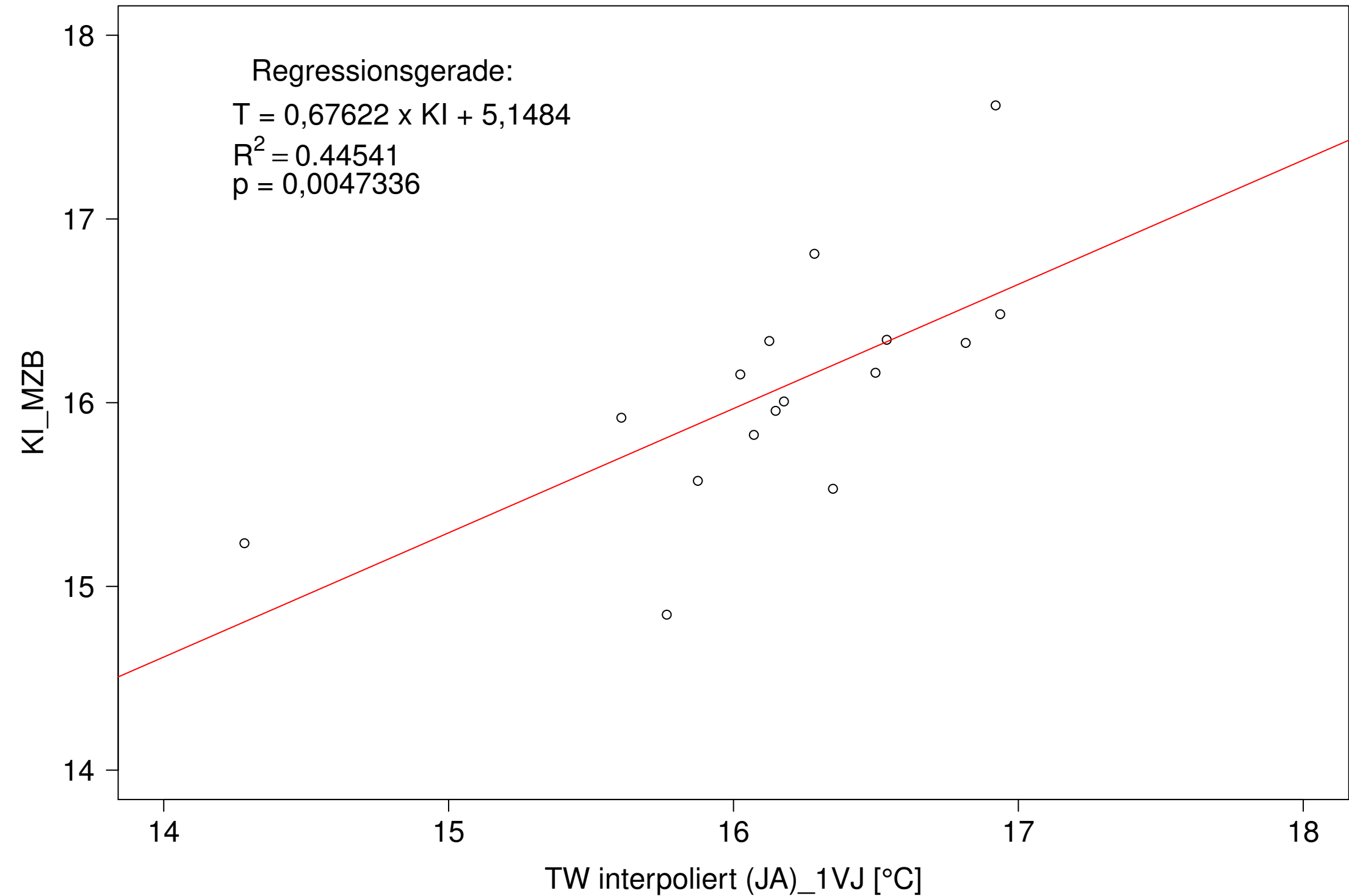
Brigach_Marbach, Typ 09.1 mit Neozoen, Serie 3
KI_MZB (Kont-Korr) gegen 3JMW TW interpoliert (JA) des 1. Vorjahres



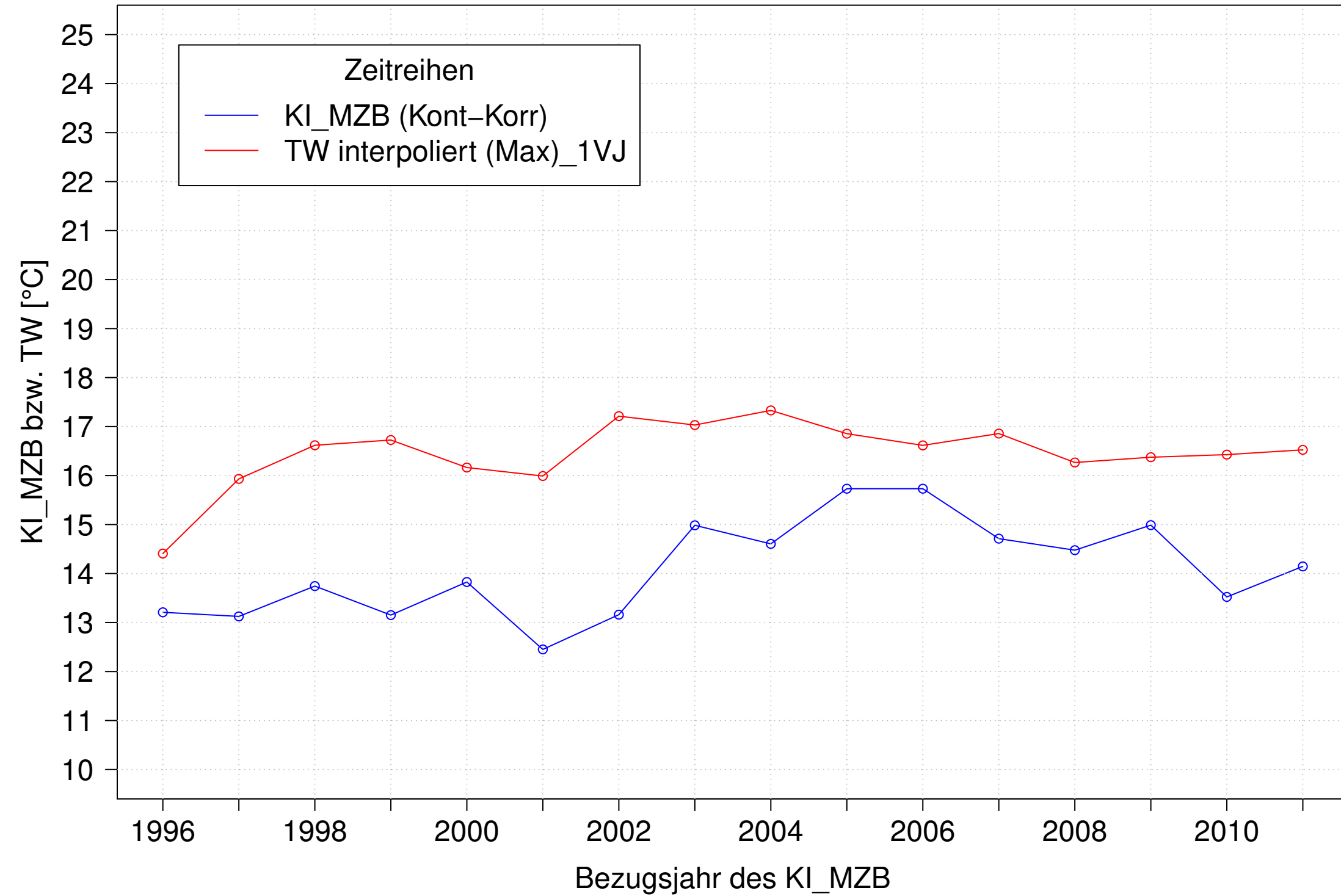
Brigach_Marbach, Typ 09.1 mit Neozoen, Serie 4
KI_MZB (Kont-Korr) und 3JMW TW interpoliert (JA) des 1. Vorjahres



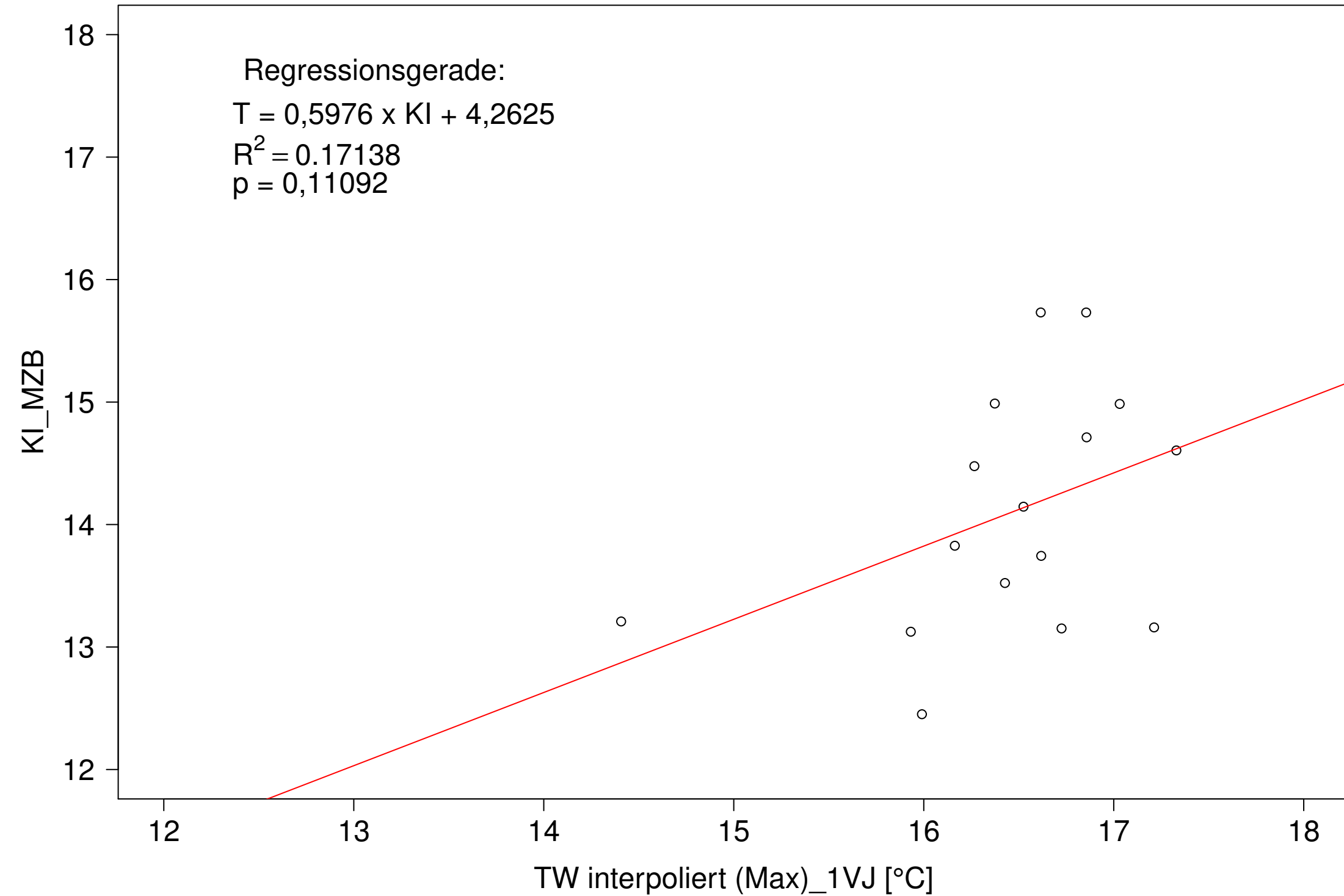
Brigach_Marbach, Typ 09.1 mit Neozoen, Serie 4
KI_MZB (Kont-Korr) gegen 3JMW TW interpoliert (JA) des 1. Vorjahres



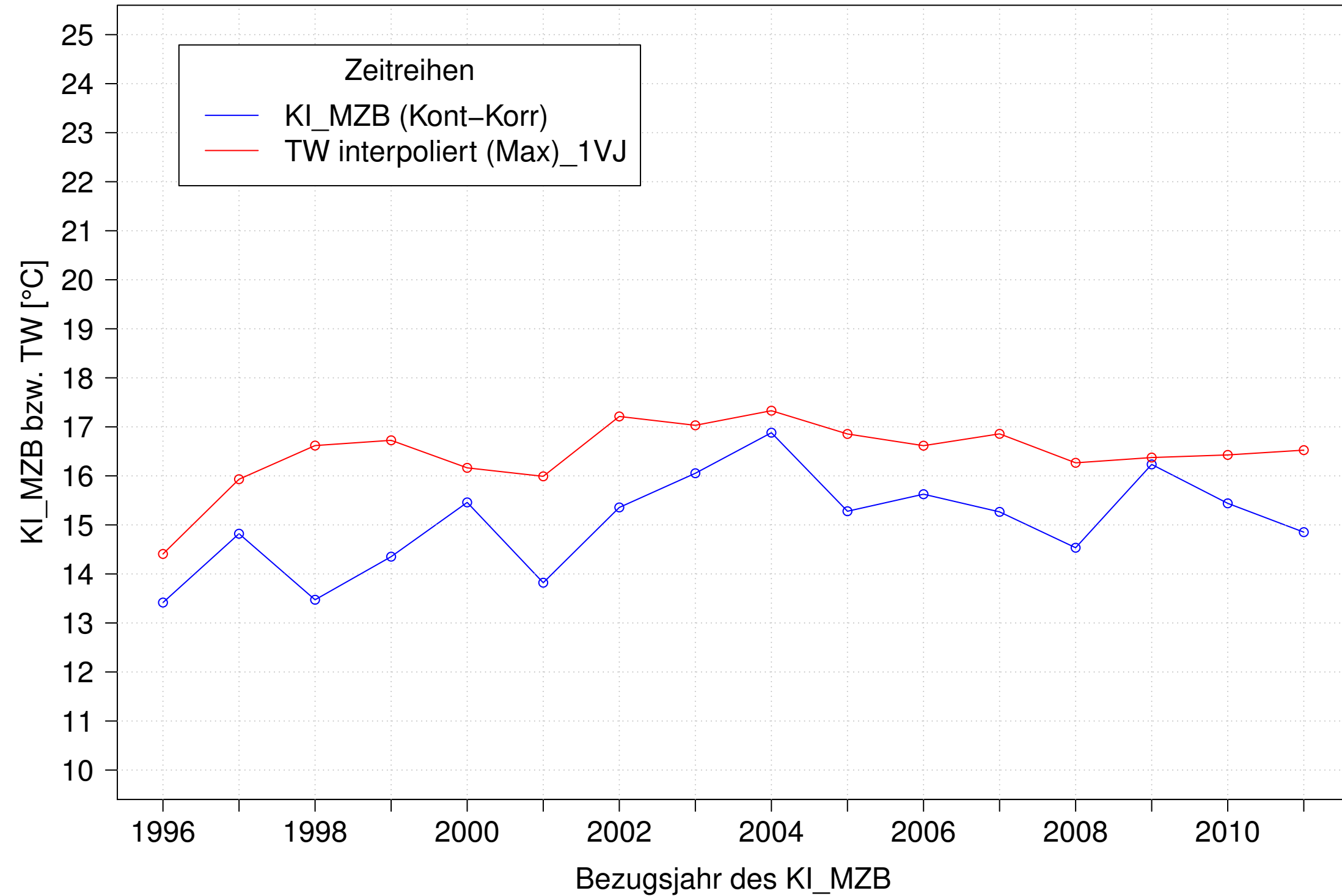
Brigach_Marbach, Typ 09.1 mit Neozoen, Serie 1
KI_MZB (Kont-Korr) und 3JMW TW interpoliert (Max) des 1. Vorjahres



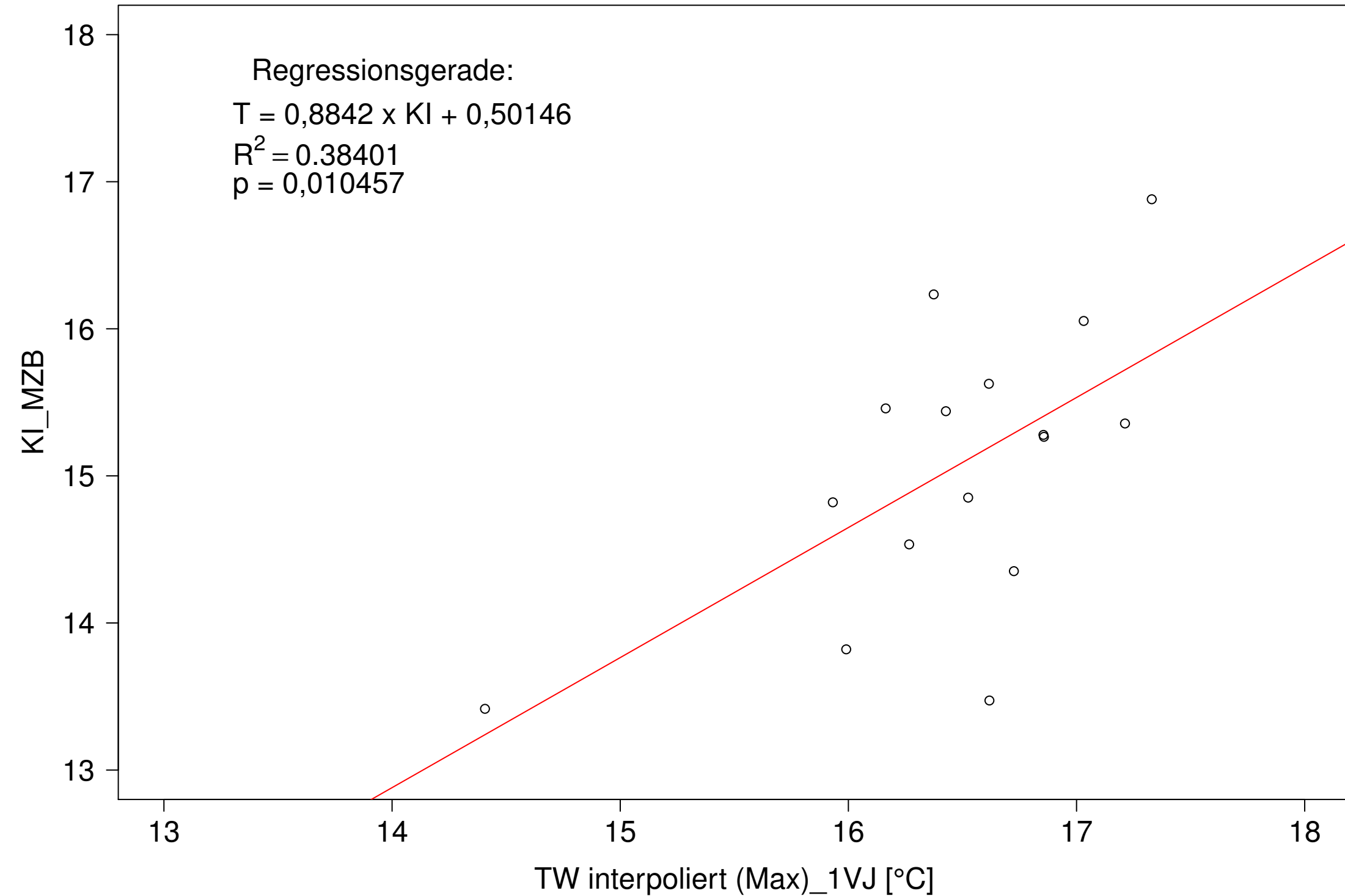
Brigach_Marbach, Typ 09.1 mit Neozoen, Serie 1
KI_MZB (Kont-Korr) gegen 3JMW TW interpoliert (Max) des 1. Vorjahres



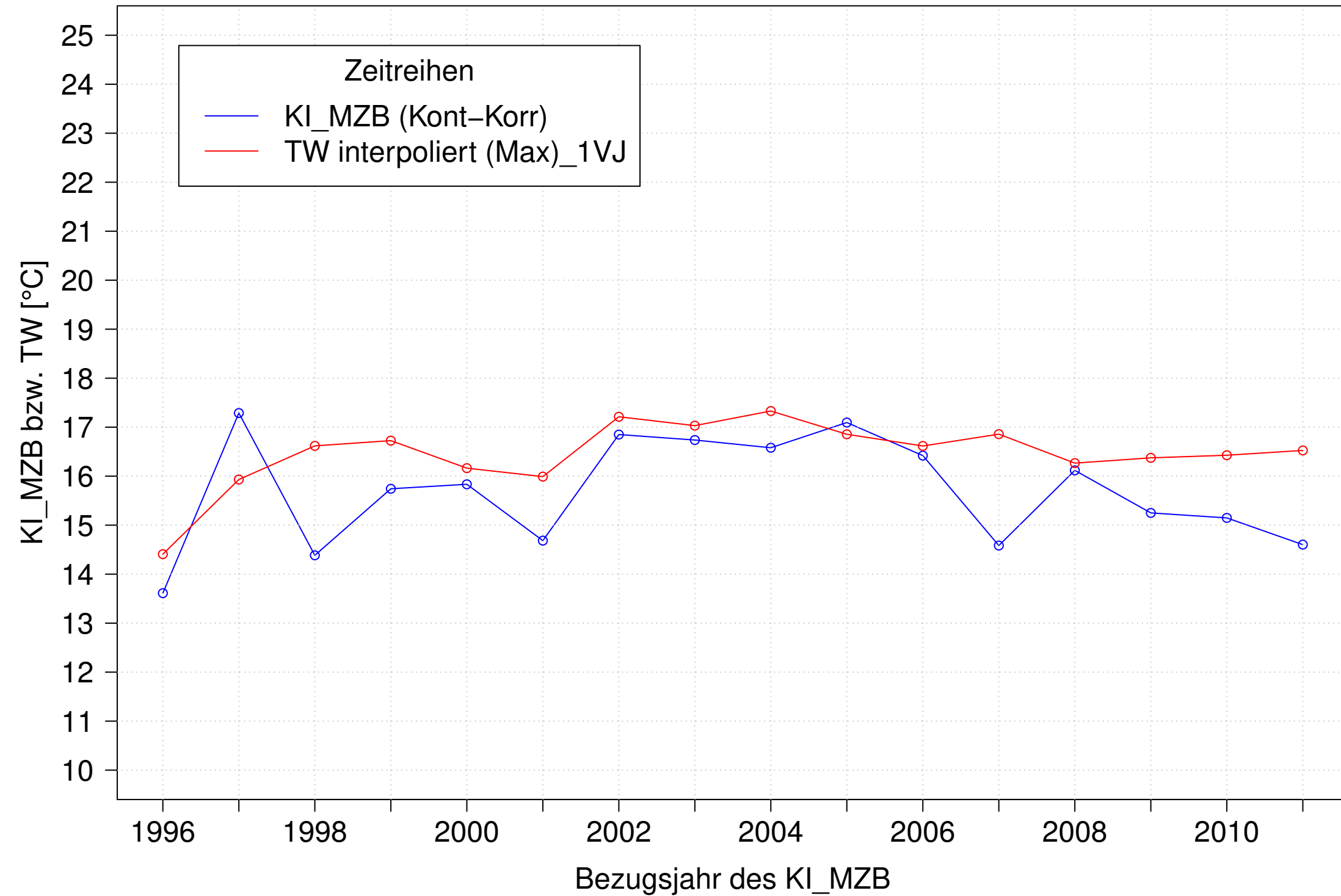
Brigach_Marbach, Typ 09.1 mit Neozoen, Serie 2
 KI_MZB (Kont-Korr) und 3JMW TW interpoliert (Max) des 1. Vorjahres



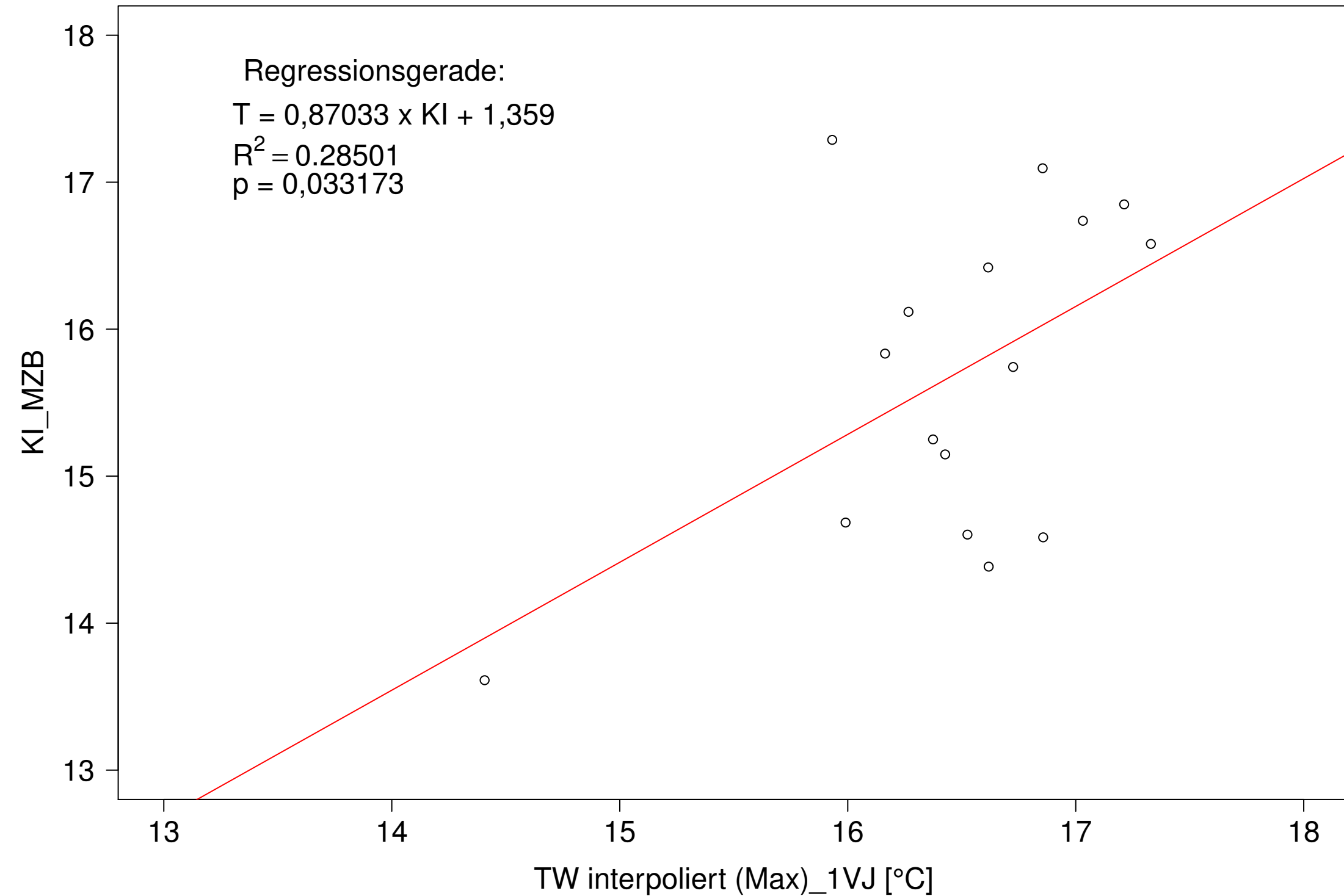
Brigach_Marbach, Typ 09.1 mit Neozoen, Serie 2
 KI_MZB (Kont-Korr) gegen 3JMW TW interpoliert (Max) des 1. Vorjahres



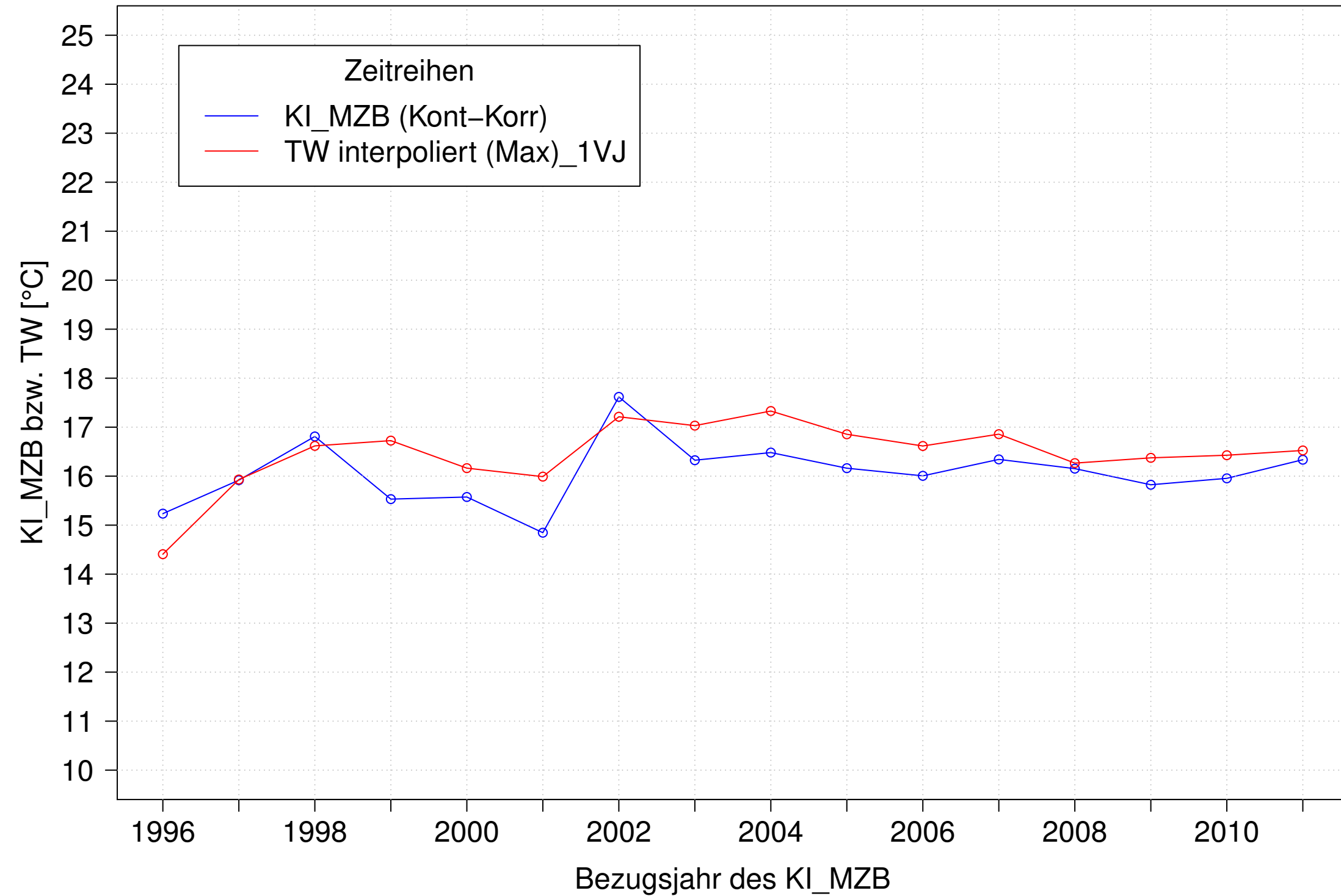
Brigach_Marbach, Typ 09.1 mit Neozoen, Serie 3
KI_MZB (Kont-Korr) und 3JMW TW interpoliert (Max) des 1. Vorjahres



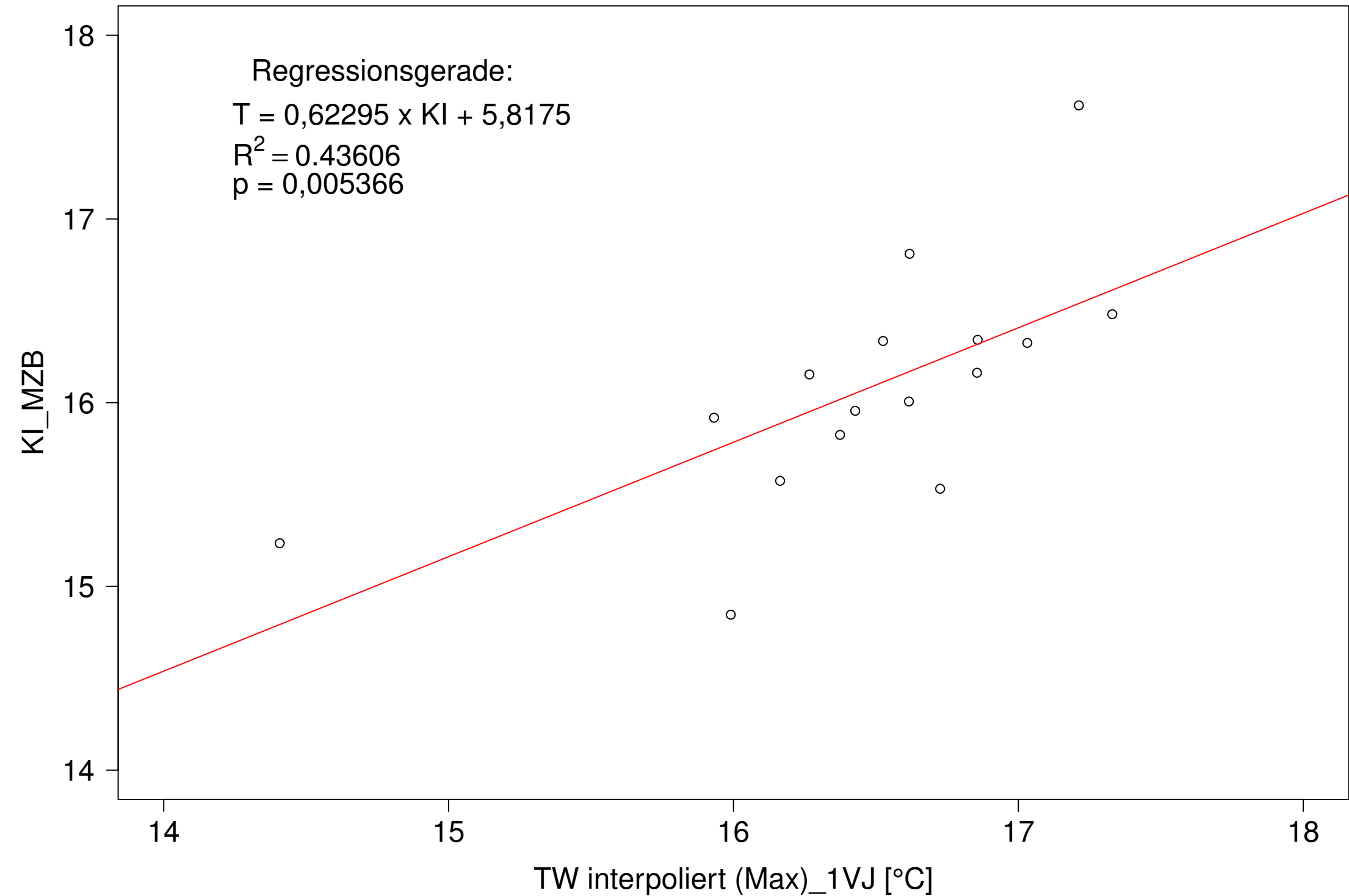
Brigach_Marbach, Typ 09.1 mit Neozoen, Serie 3
KI_MZB (Kont-Korr) gegen 3JMW TW interpoliert (Max) des 1. Vorjahres



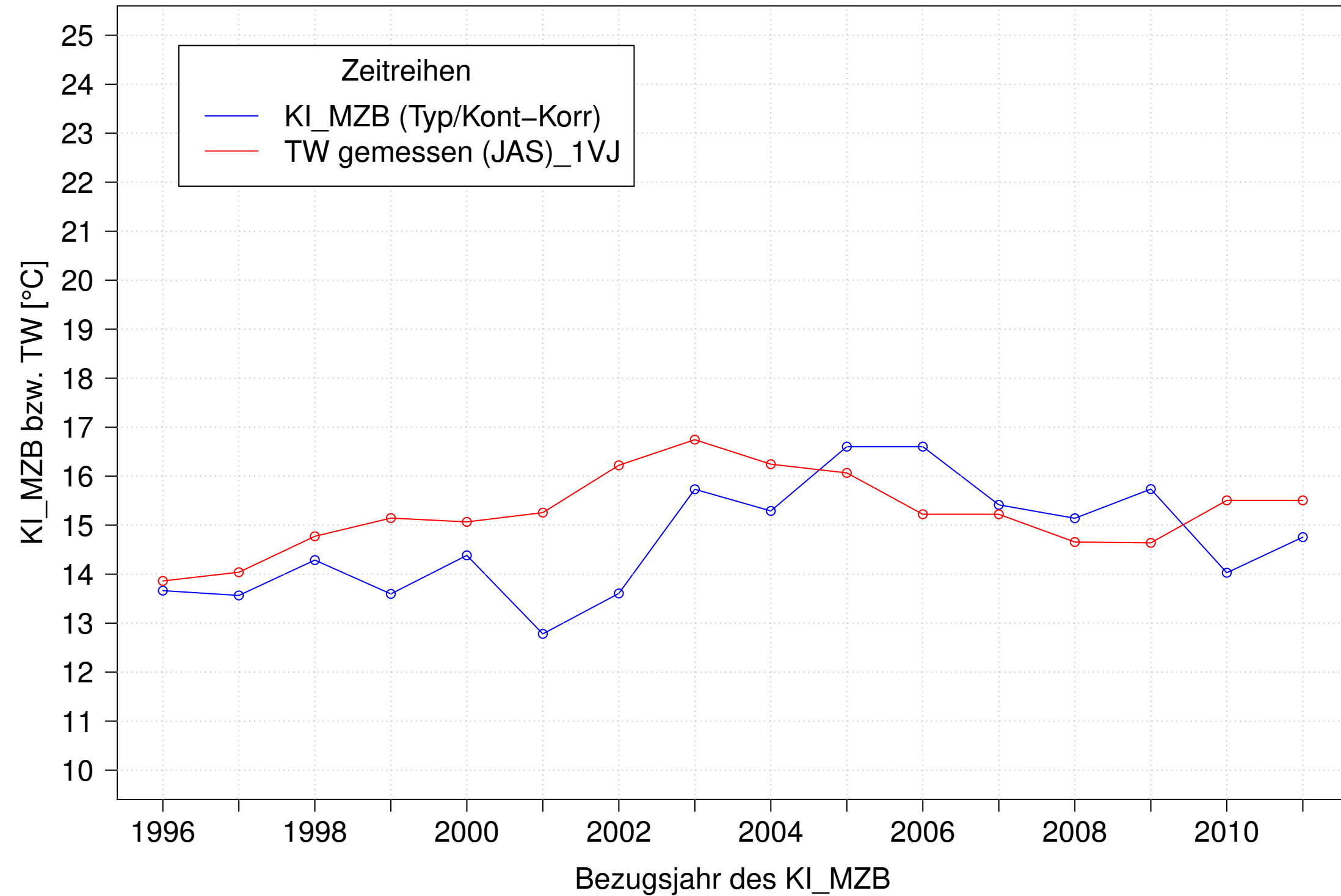
Brigach_Marbach, Typ 09.1 mit Neozoen, Serie 4
 KI_MZB (Kont-Korr) und 3JMW TW interpoliert (Max) des 1. Vorjahres



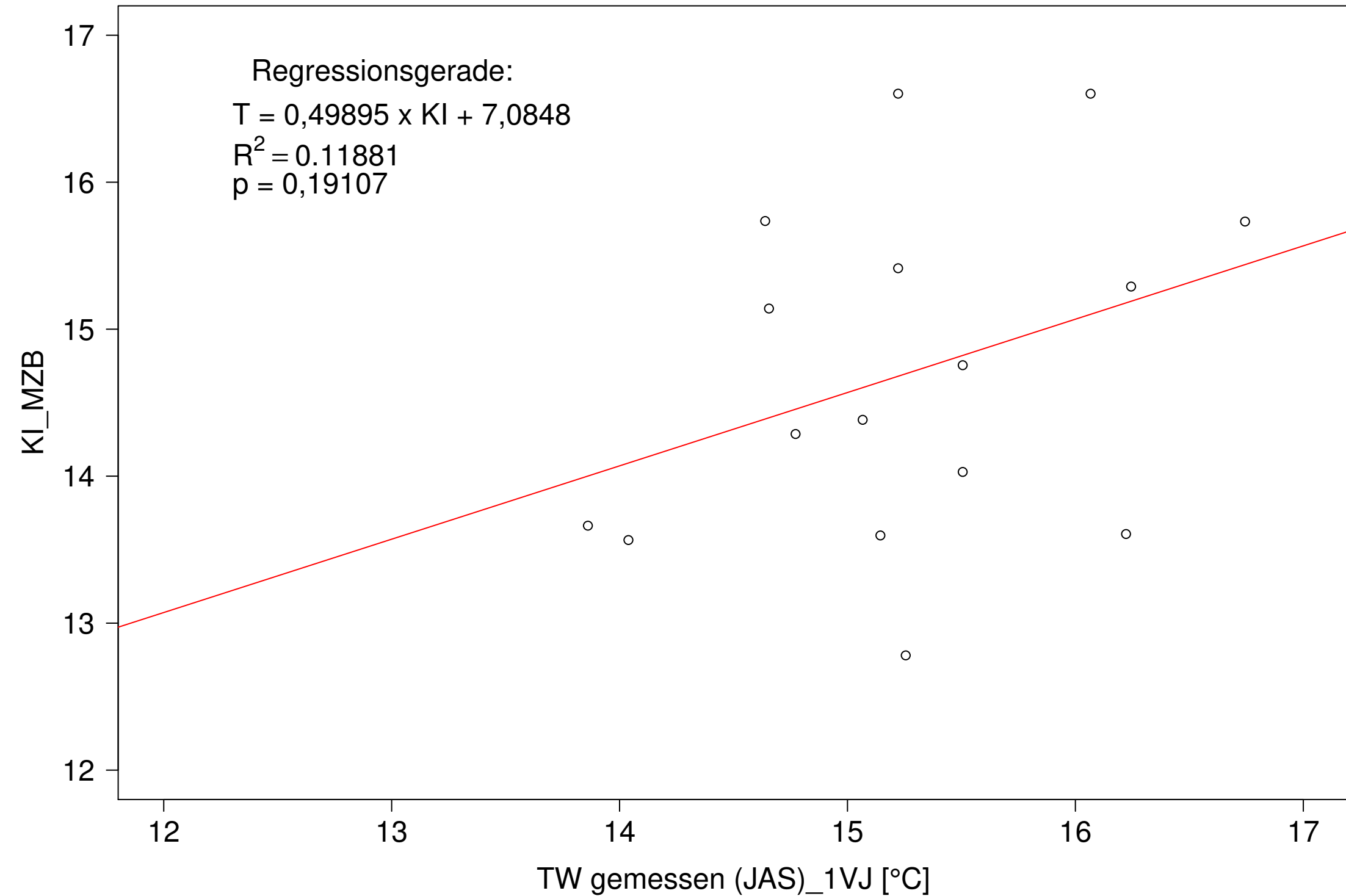
Brigach_Marbach, Typ 09.1 mit Neozoen, Serie 4
 KI_MZB (Kont-Korr) gegen 3JMW TW interpoliert (Max) des 1. Vorjahres



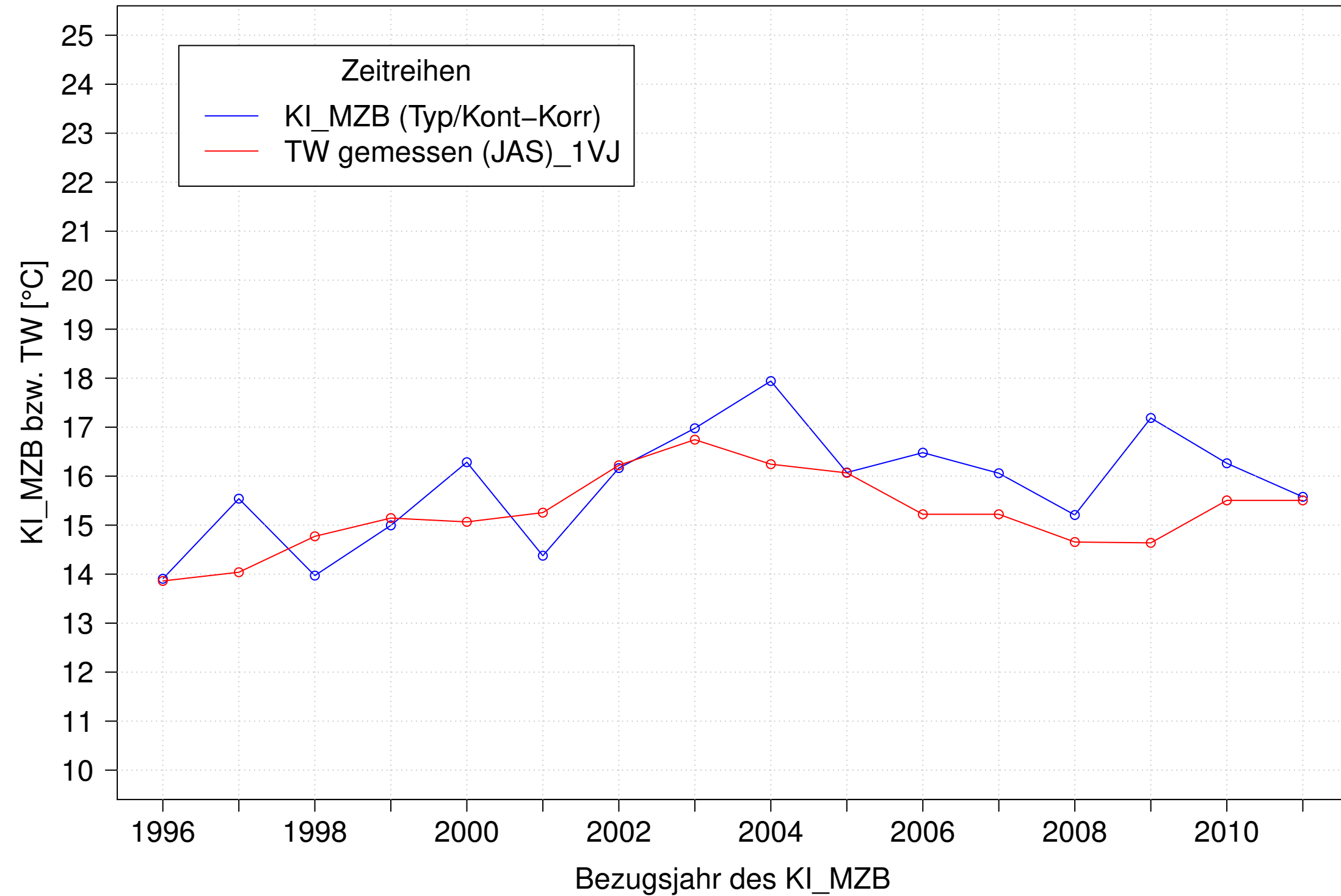
Brigach_Marbach, Typ 09.1 mit Neozoen, Serie 1
 KI_MZB (Typ/Kont-Korr) und 3JMW TW gemessen (JAS) des 1. Vorjahres



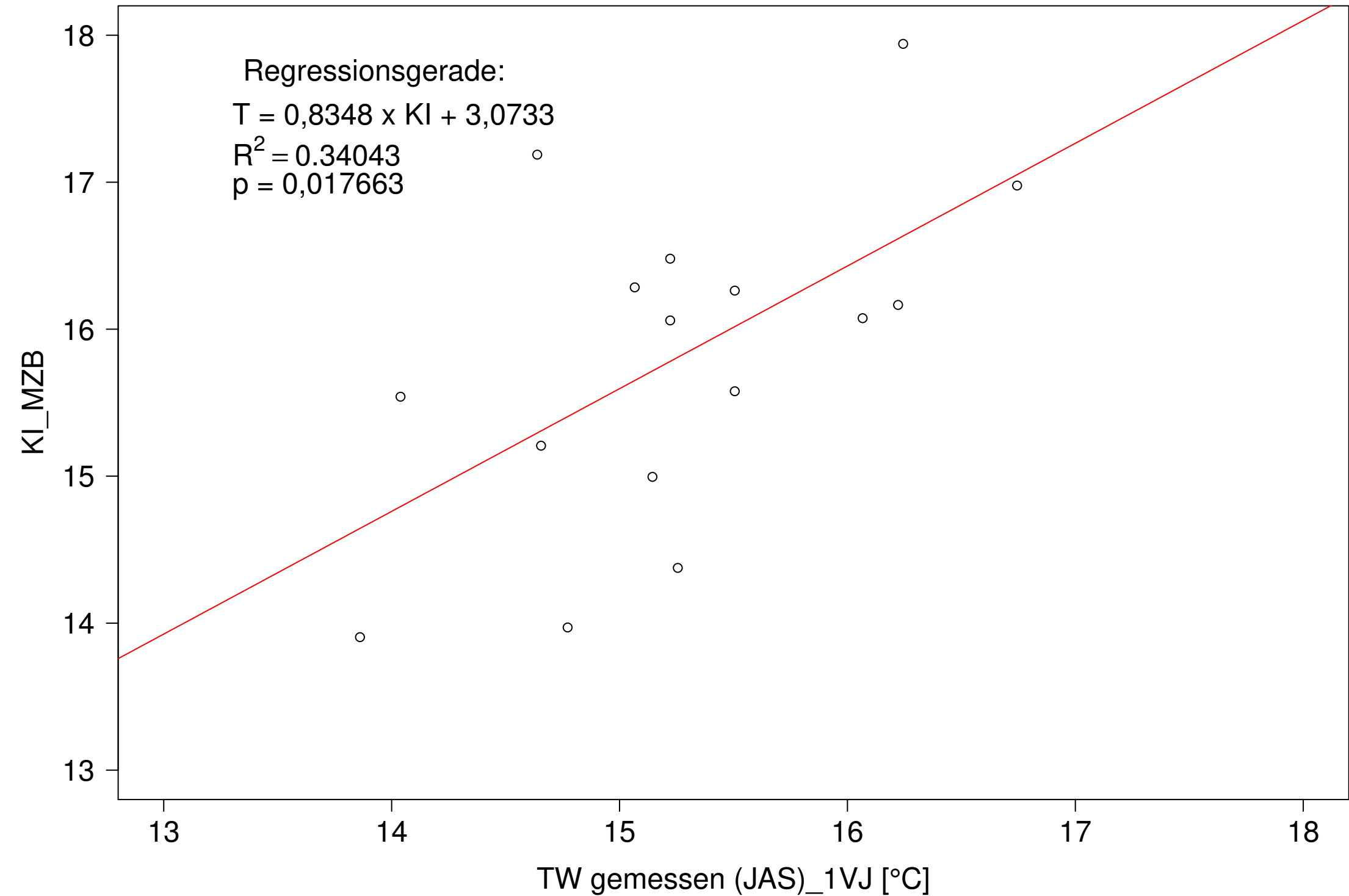
Brigach_Marbach, Typ 09.1 mit Neozoen, Serie 1
 KI_MZB (Typ/Kont-Korr) gegen 3JMW TW gemessen (JAS) des 1. Vorjahres



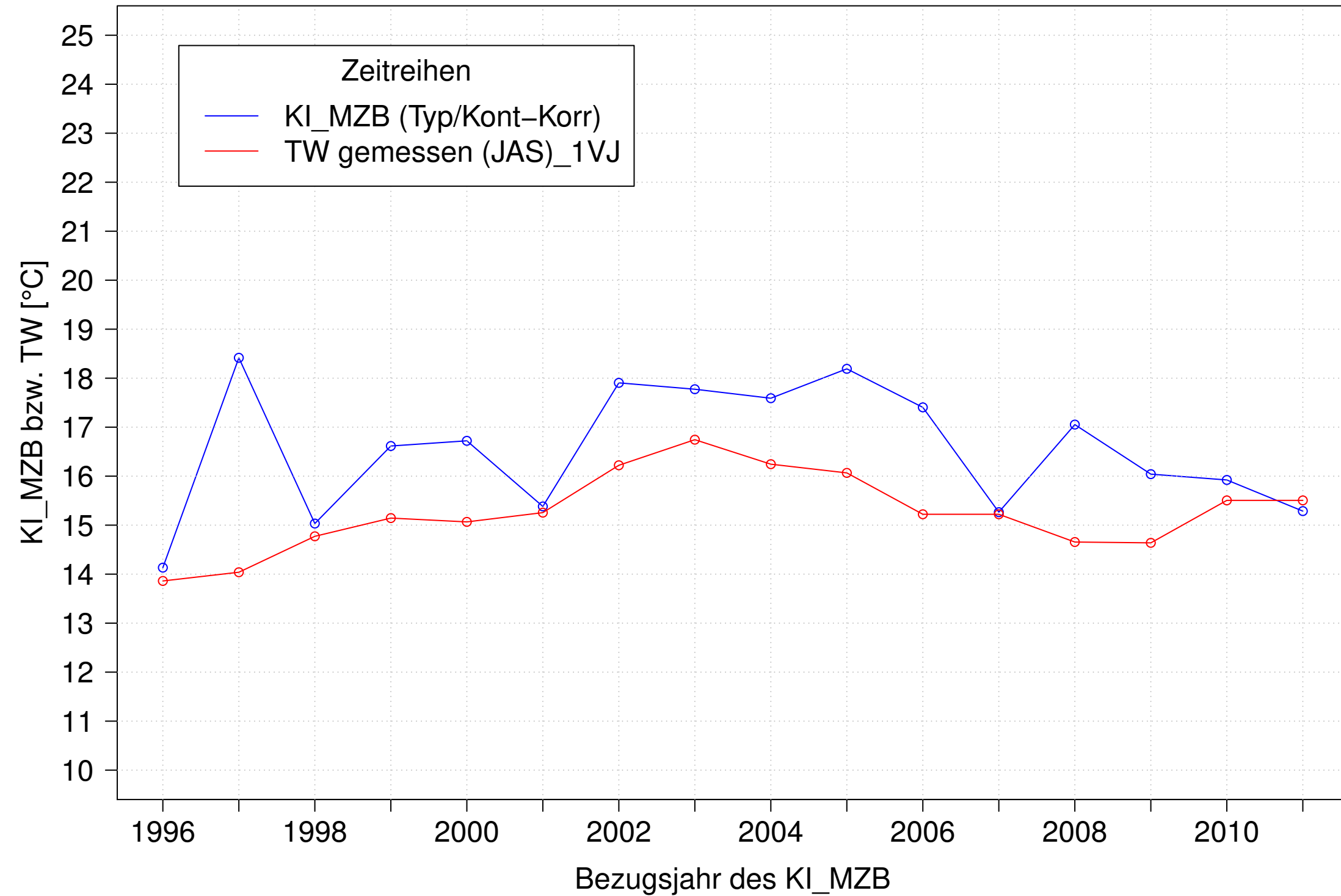
Brigach_Marbach, Typ 09.1 mit Neozoen, Serie 2
 KI_MZB (Typ/Kont-Korr) und 3JMW TW gemessen (JAS) des 1. Vorjahres



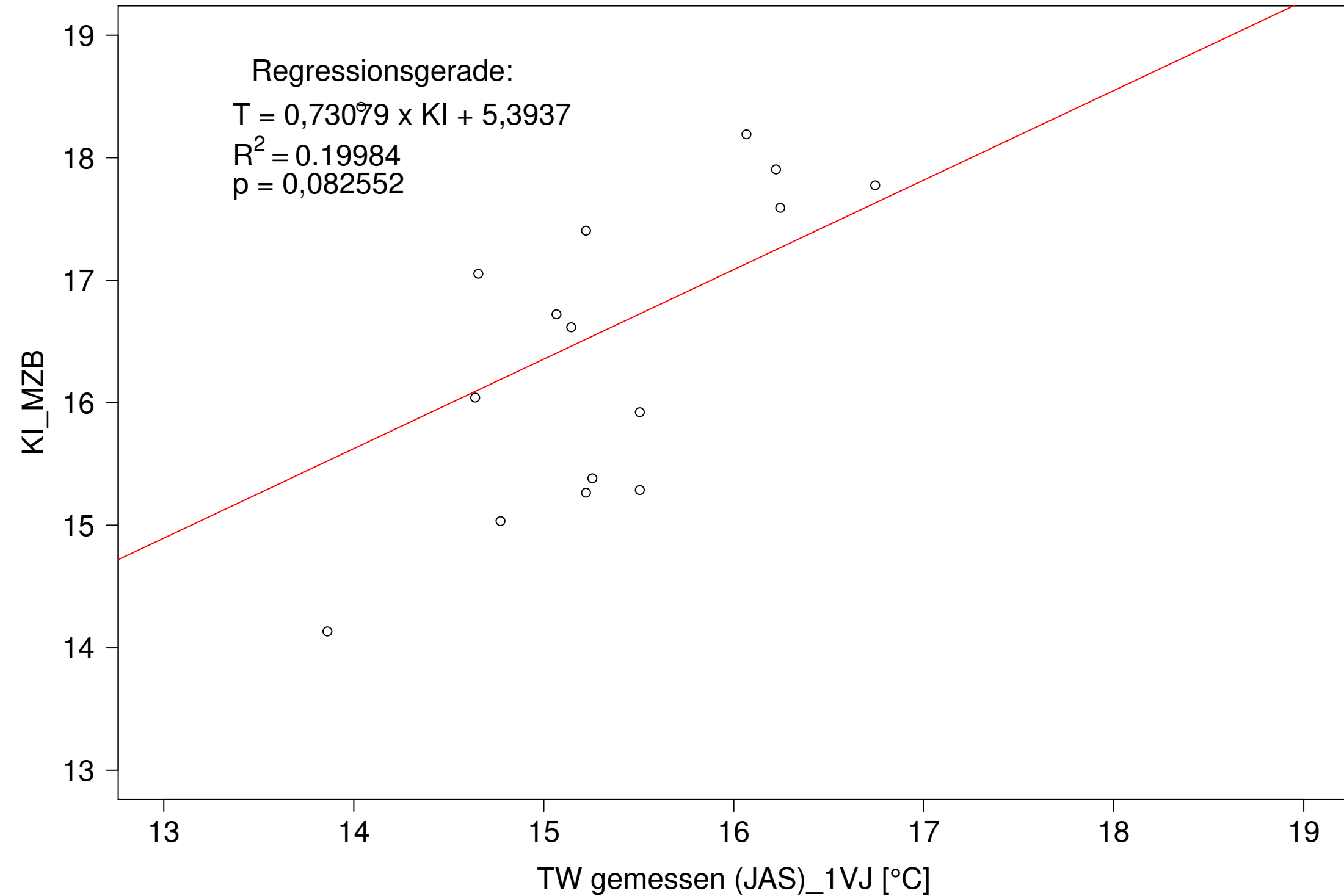
Brigach_Marbach, Typ 09.1 mit Neozoen, Serie 2
 KI_MZB (Typ/Kont-Korr) gegen 3JMW TW gemessen (JAS) des 1. Vorjahres



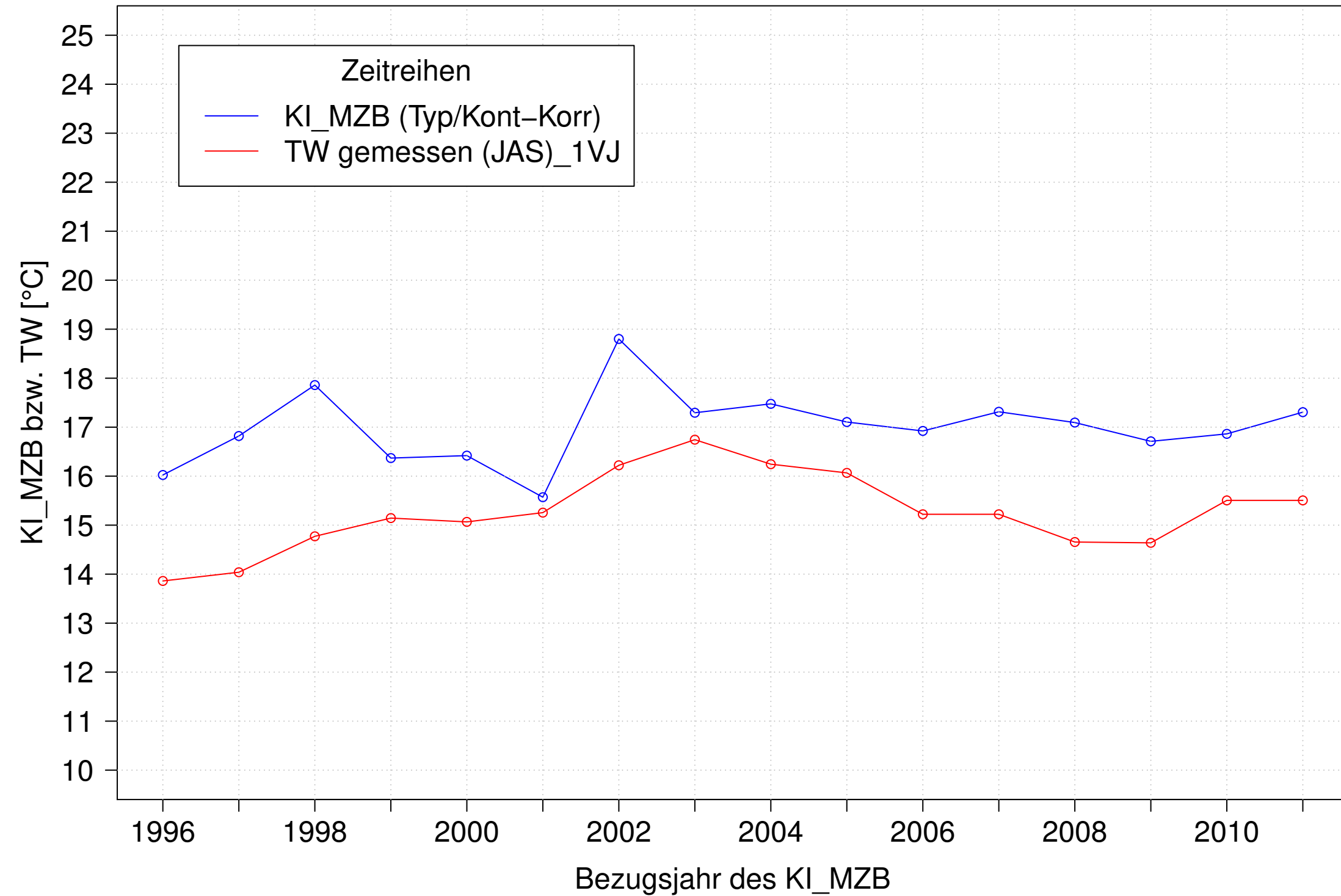
Brigach_Marbach, Typ 09.1 mit Neozoen, Serie 3
 KI_MZB (Typ/Kont-Korr) und 3JMW TW gemessen (JAS) des 1. Vorjahres



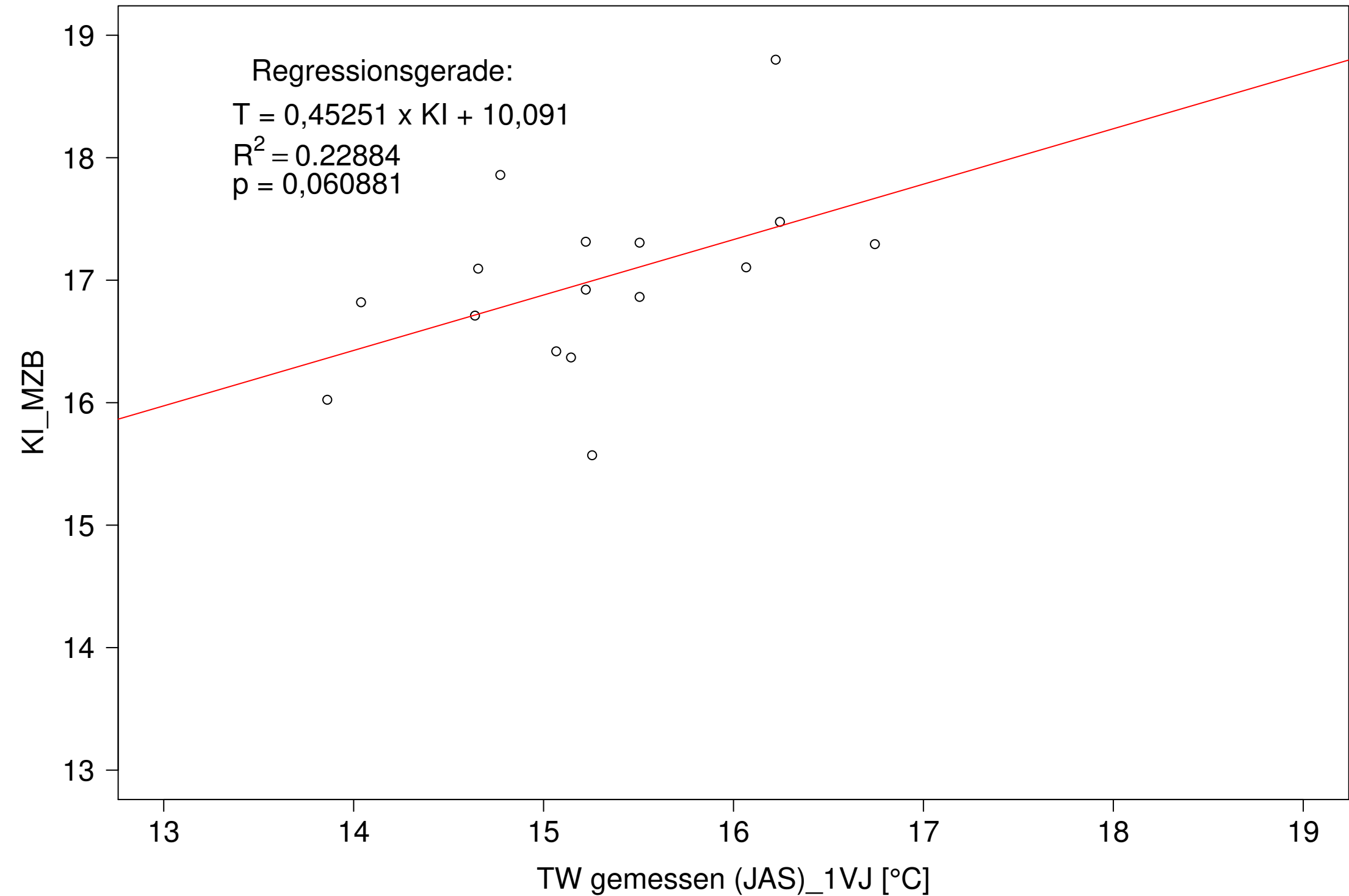
Brigach_Marbach, Typ 09.1 mit Neozoen, Serie 3
 KI_MZB (Typ/Kont-Korr) gegen 3JMW TW gemessen (JAS) des 1. Vorjahres



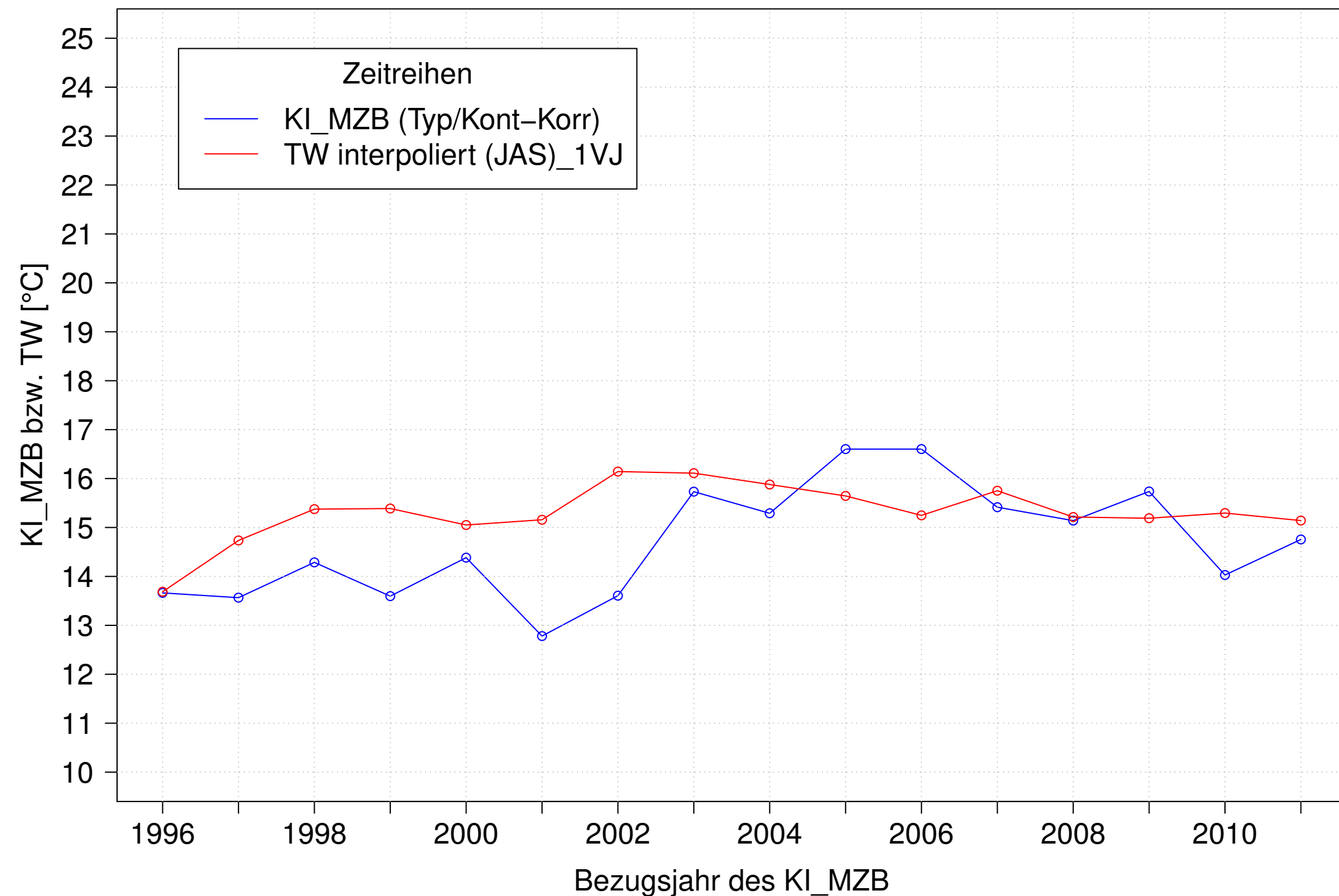
Brigach_Marbach, Typ 09.1 mit Neozoen, Serie 4
 KI_MZB (Typ/Kont-Korr) und 3JMW TW gemessen (JAS) des 1. Vorjahres



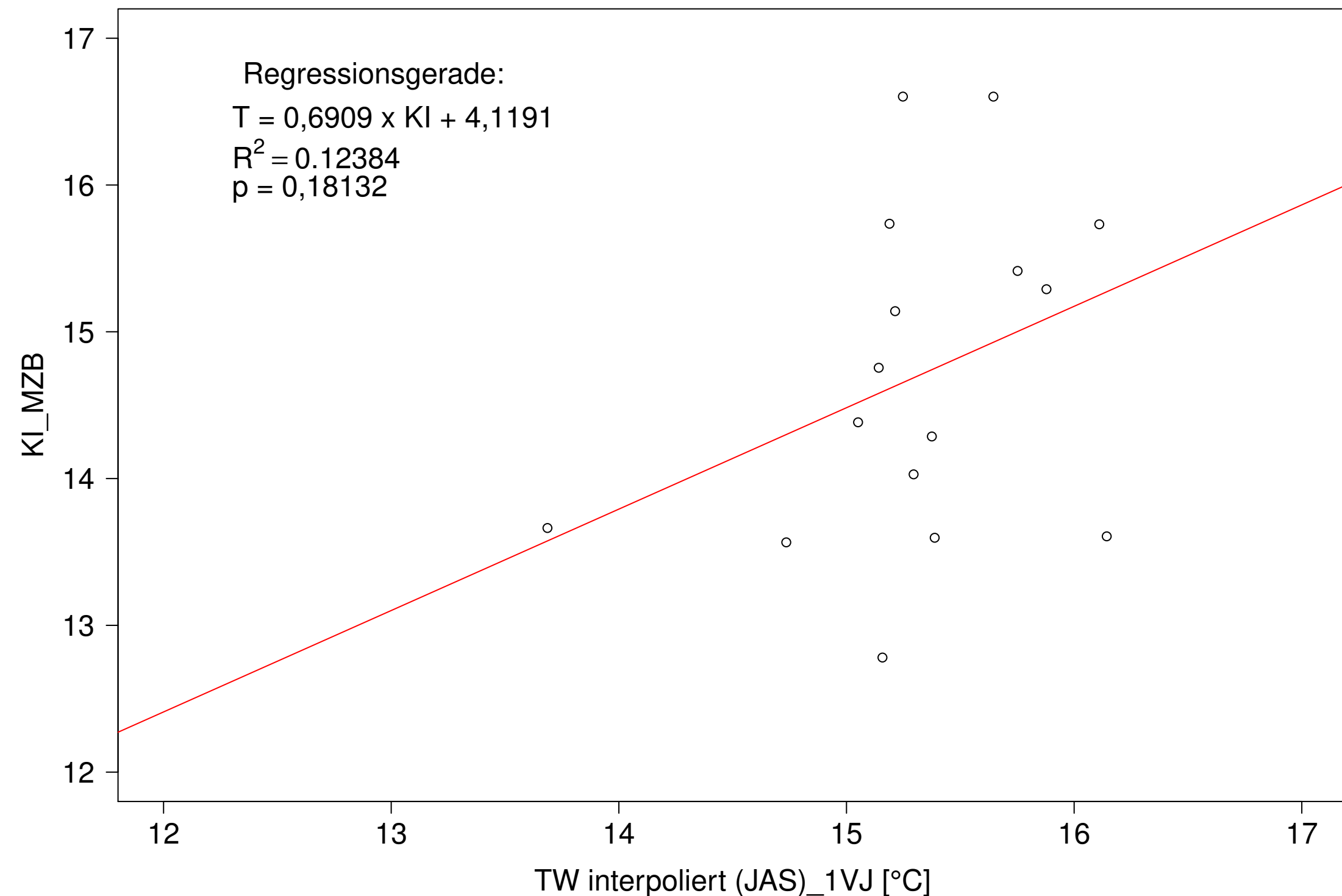
Brigach_Marbach, Typ 09.1 mit Neozoen, Serie 4
 KI_MZB (Typ/Kont-Korr) gegen 3JMW TW gemessen (JAS) des 1. Vorjahres



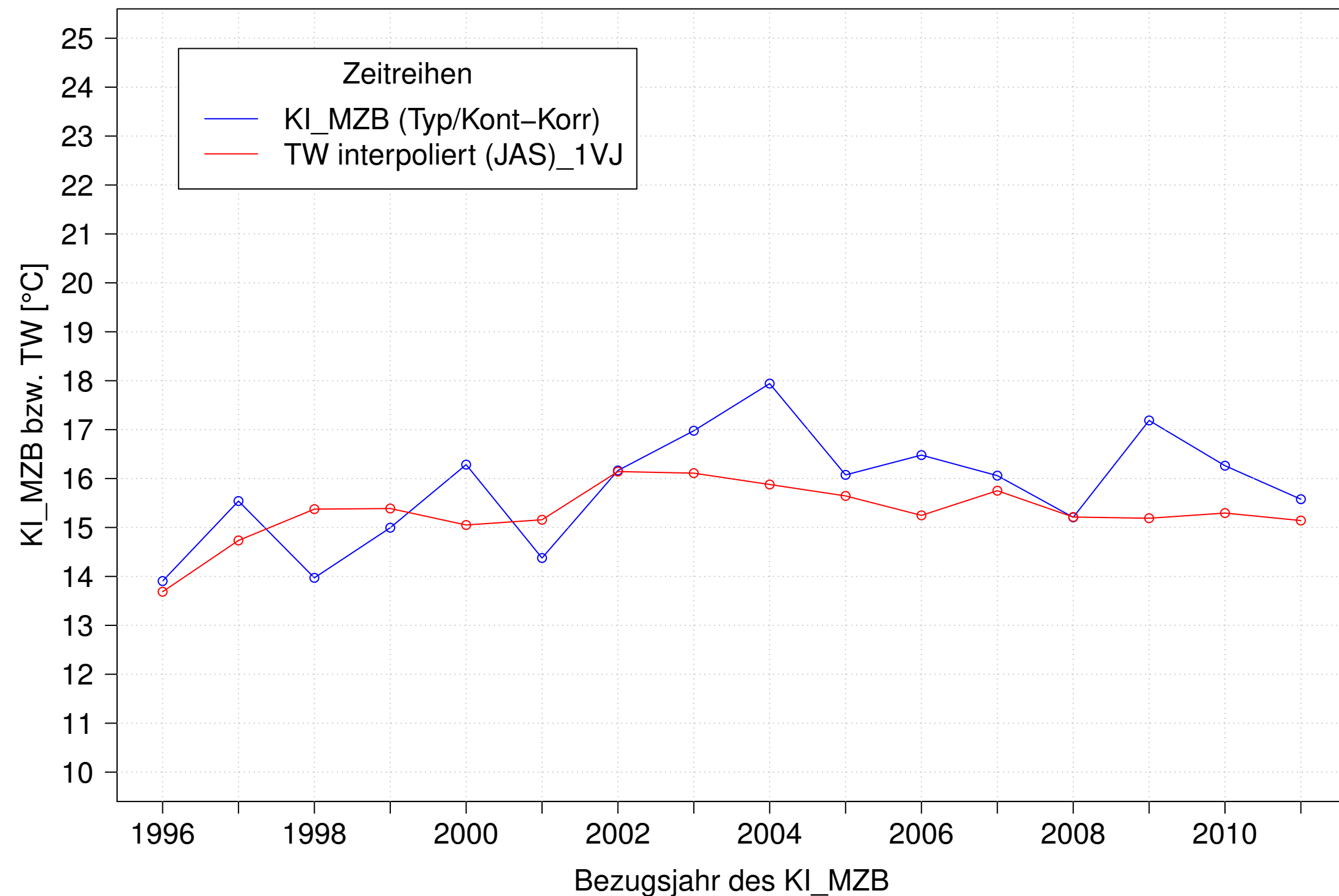
Brigach_Marbach, Typ 09.1 mit Neozoen, Serie 1
 KI_MZB (Typ/Kont-Korr) und 3JMW TW interpoliert (JAS) des 1. Vorjahres



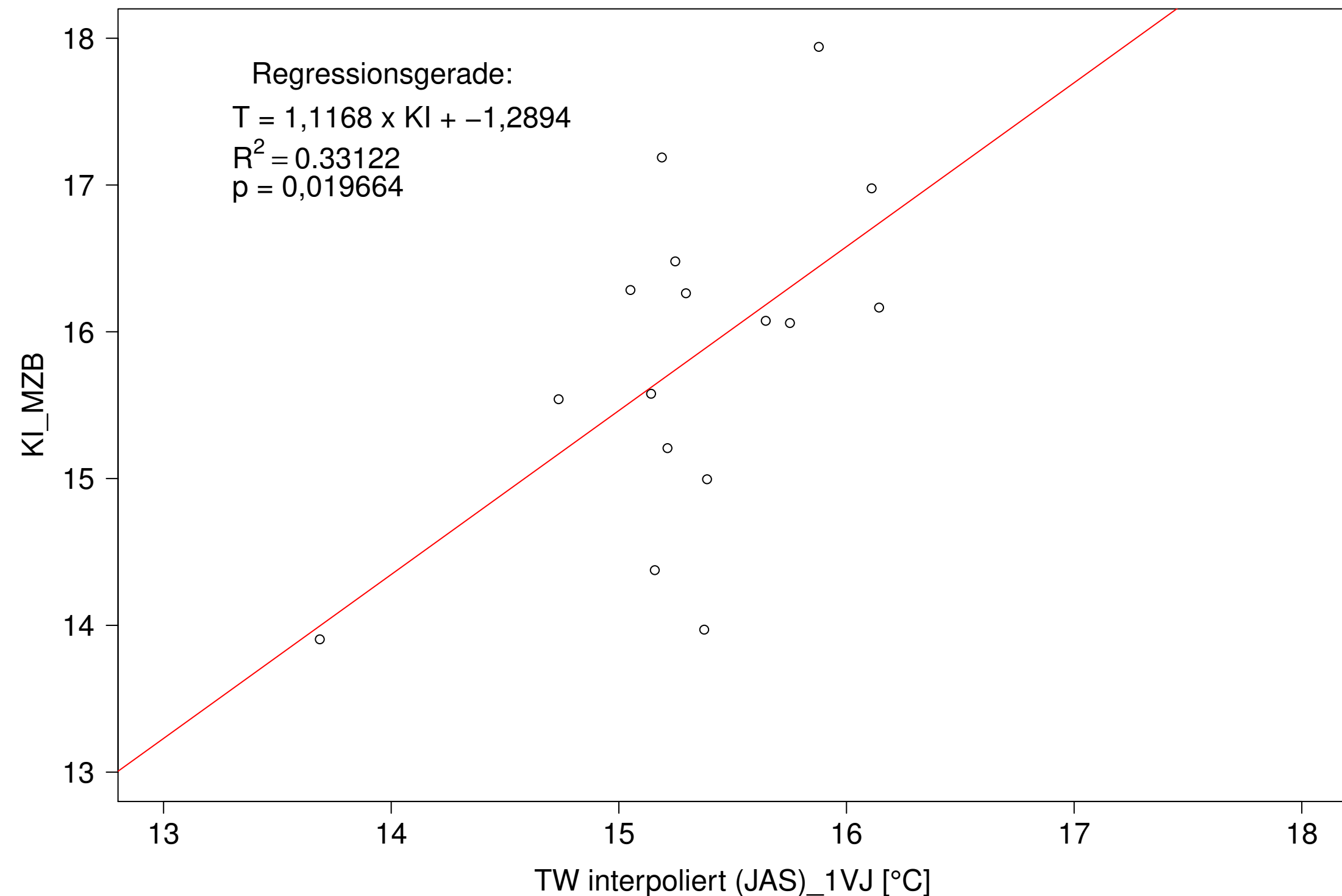
Brigach_Marbach, Typ 09.1 mit Neozoen, Serie 1
 KI_MZB (Typ/Kont-Korr) gegen 3JMW TW interpoliert (JAS) des 1. Vorjahres



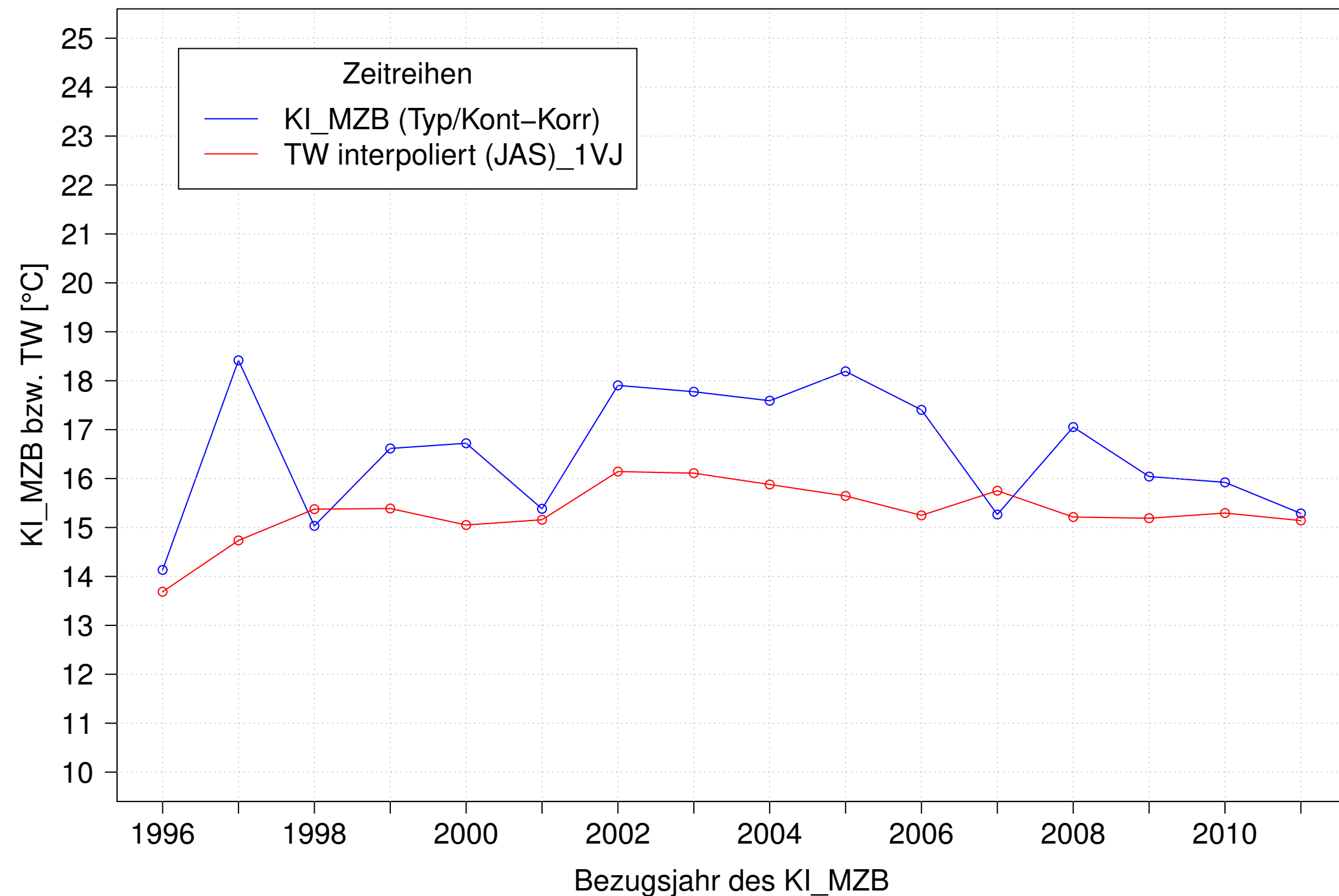
Brigach_Marbach, Typ 09.1 mit Neozoen, Serie 2
 KI_MZB (Typ/Kont-Korr) und 3JMW TW interpoliert (JAS) des 1. Vorjahres



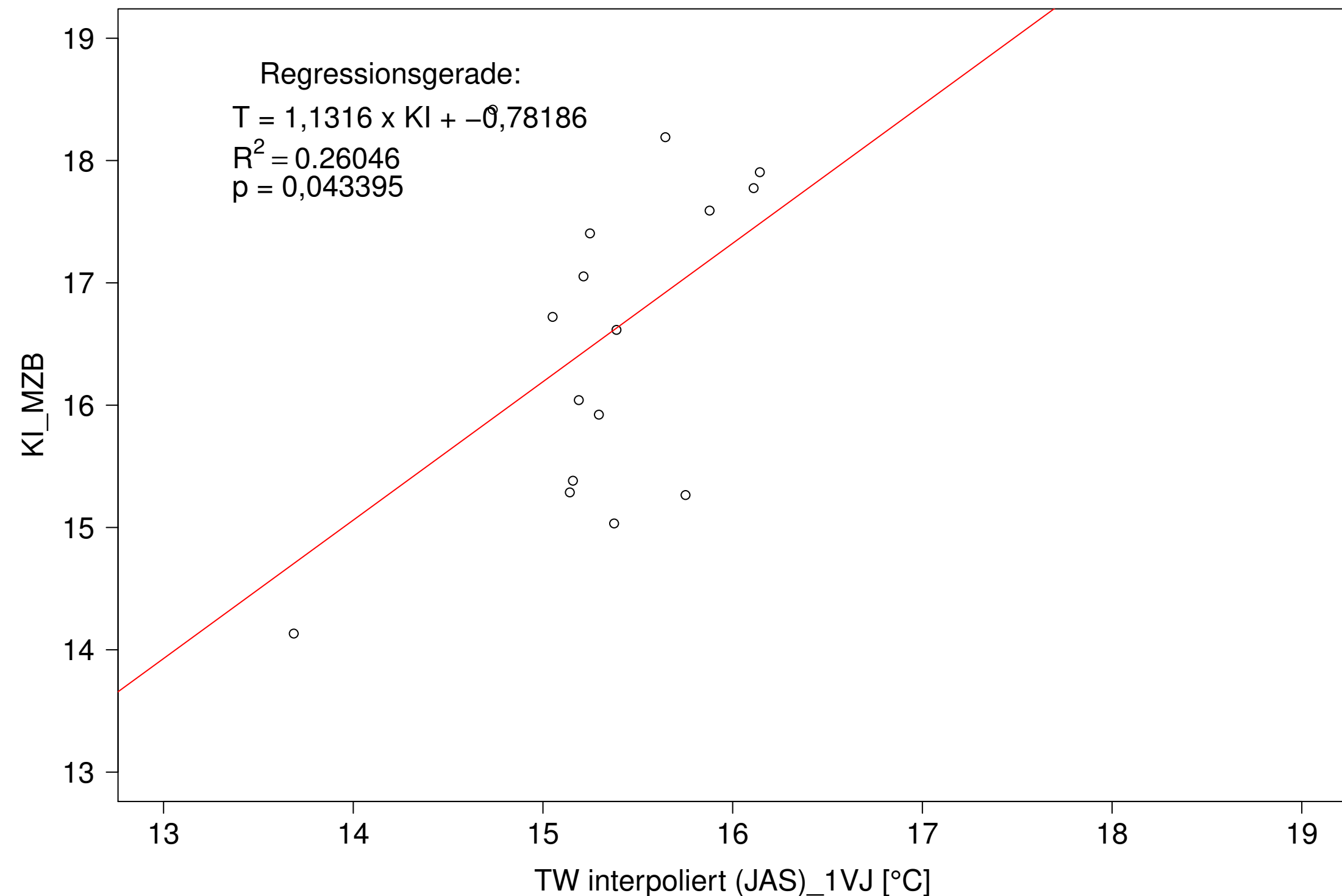
Brigach_Marbach, Typ 09.1 mit Neozoen, Serie 2
 KI_MZB (Typ/Kont-Korr) gegen 3JMW TW interpoliert (JAS) des 1. Vorjahres



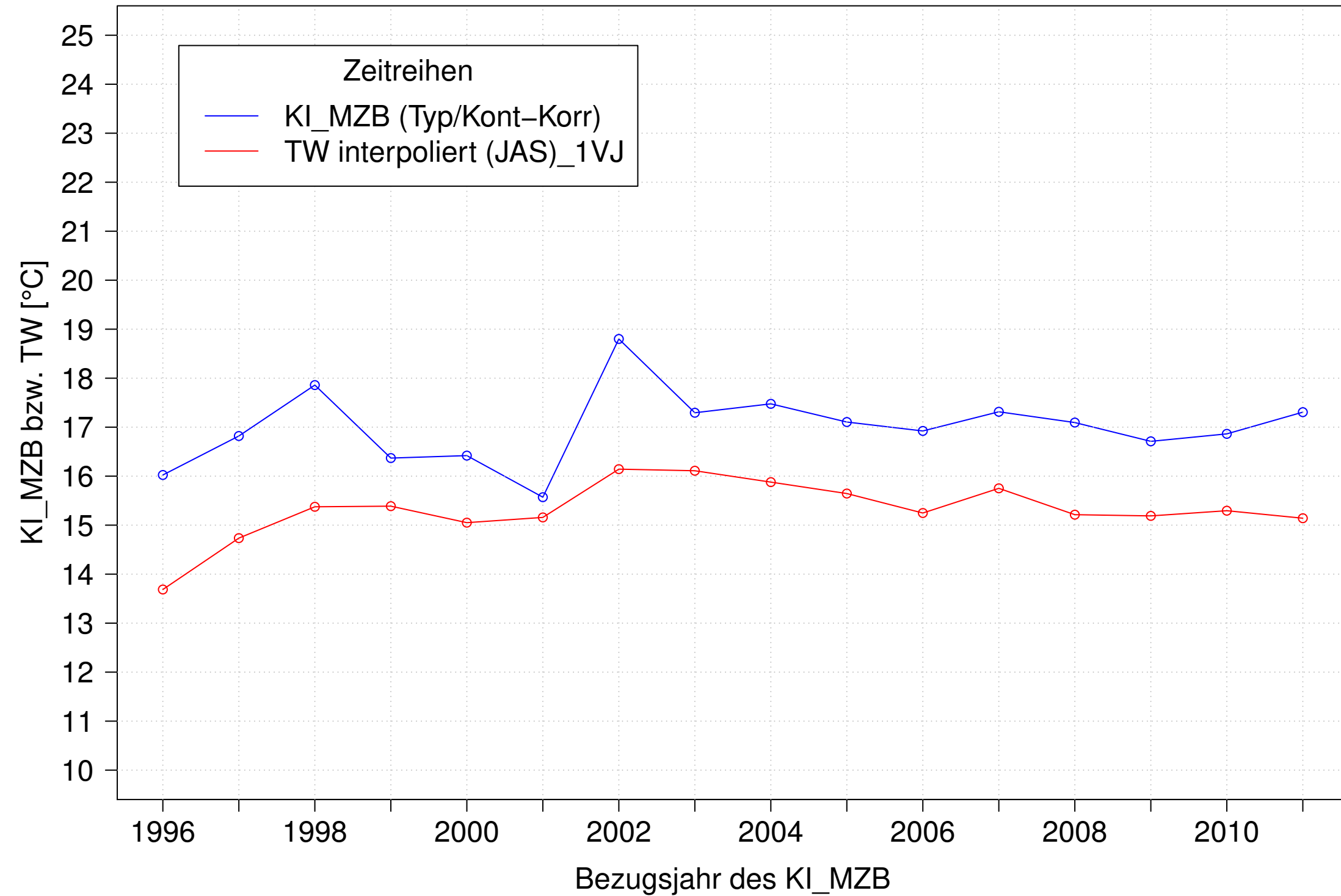
Brigach_Marbach, Typ 09.1 mit Neozoen, Serie 3
 KI_MZB (Typ/Kont-Korr) und 3JMW TW interpoliert (JAS) des 1. Vorjahres



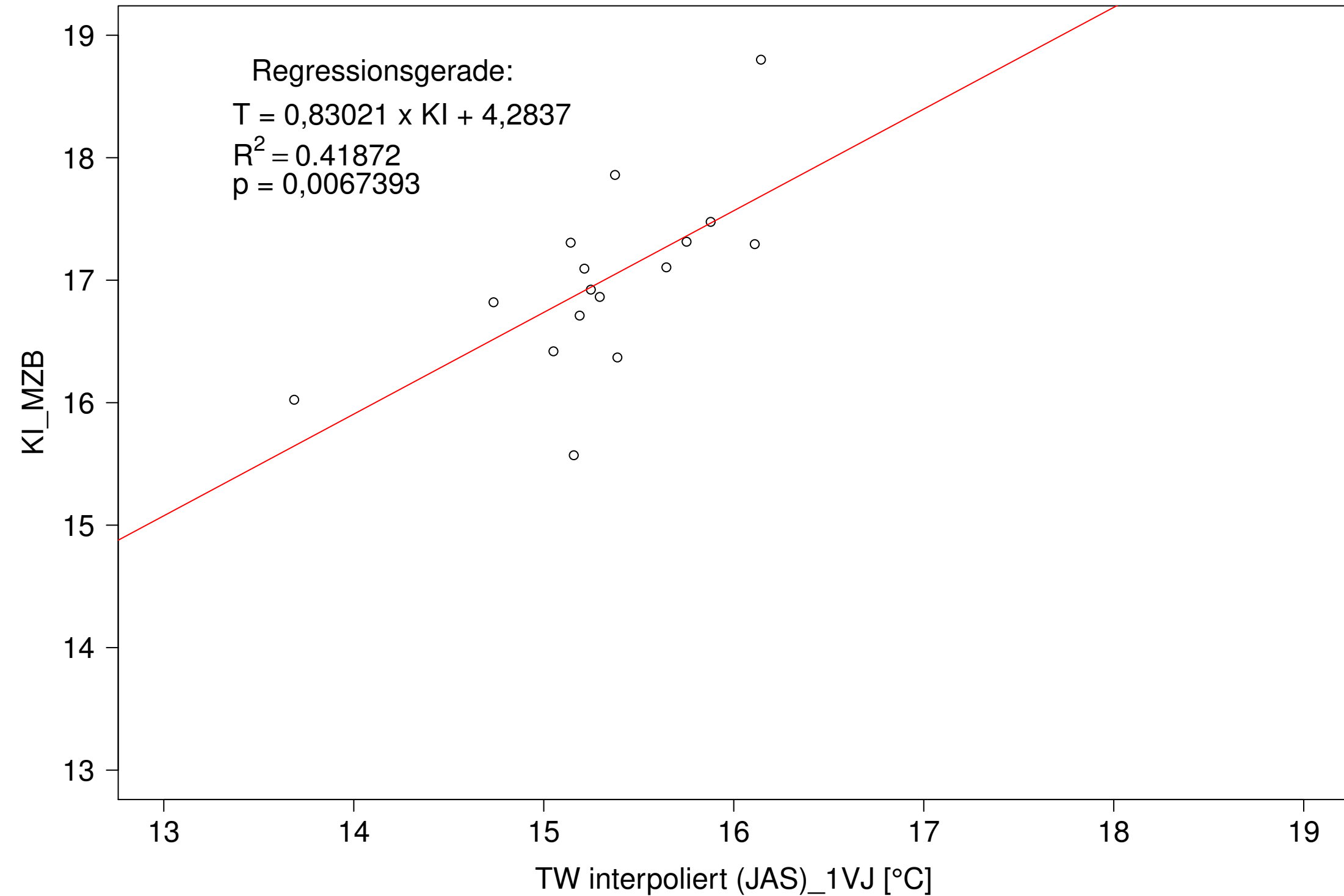
Brigach_Marbach, Typ 09.1 mit Neozoen, Serie 3
 KI_MZB (Typ/Kont-Korr) gegen 3JMW TW interpoliert (JAS) des 1. Vorjahres



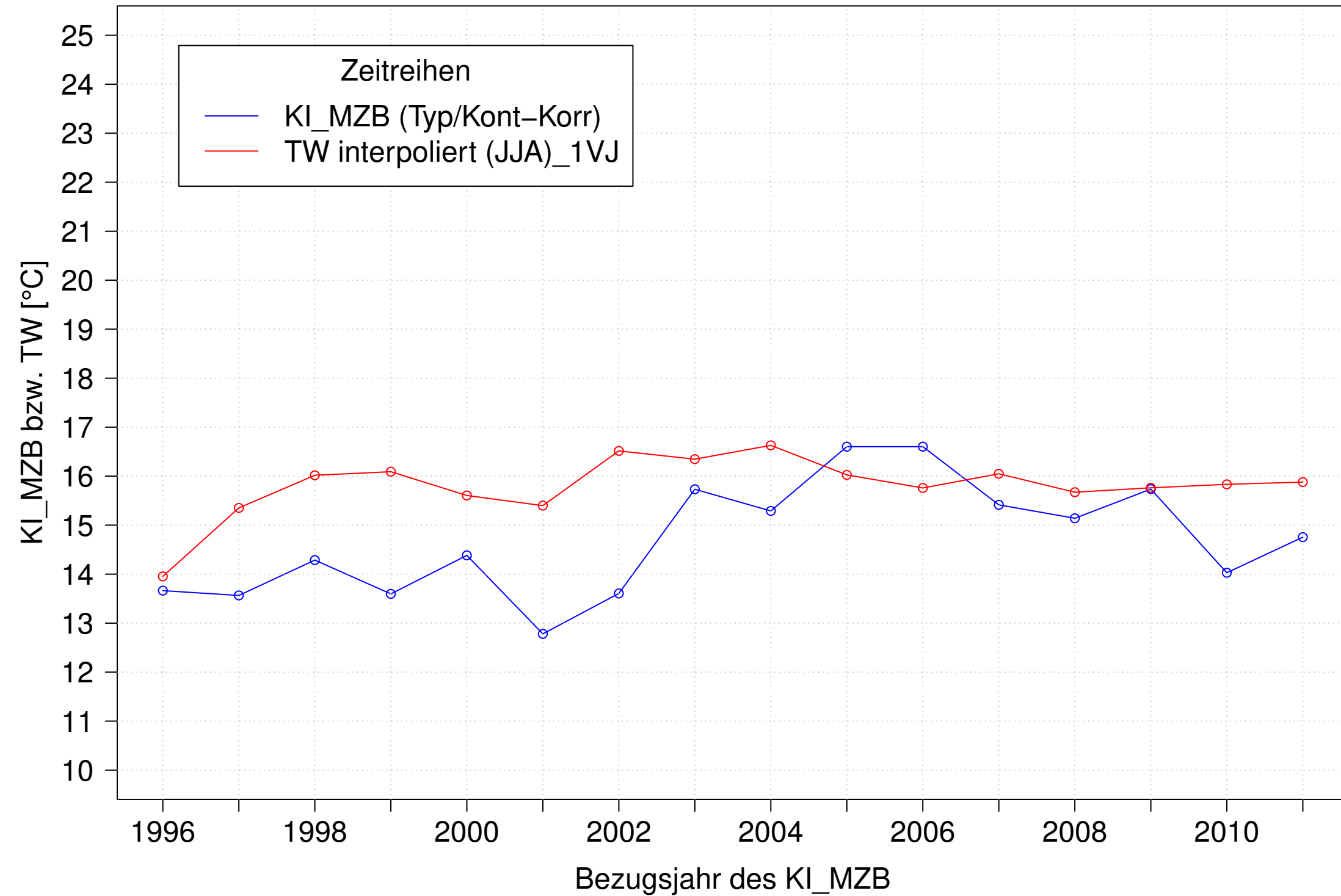
Brigach_Marbach, Typ 09.1 mit Neozoen, Serie 4
 KI_MZB (Typ/Kont-Korr) und 3JMW TW interpoliert (JAS) des 1. Vorjahres



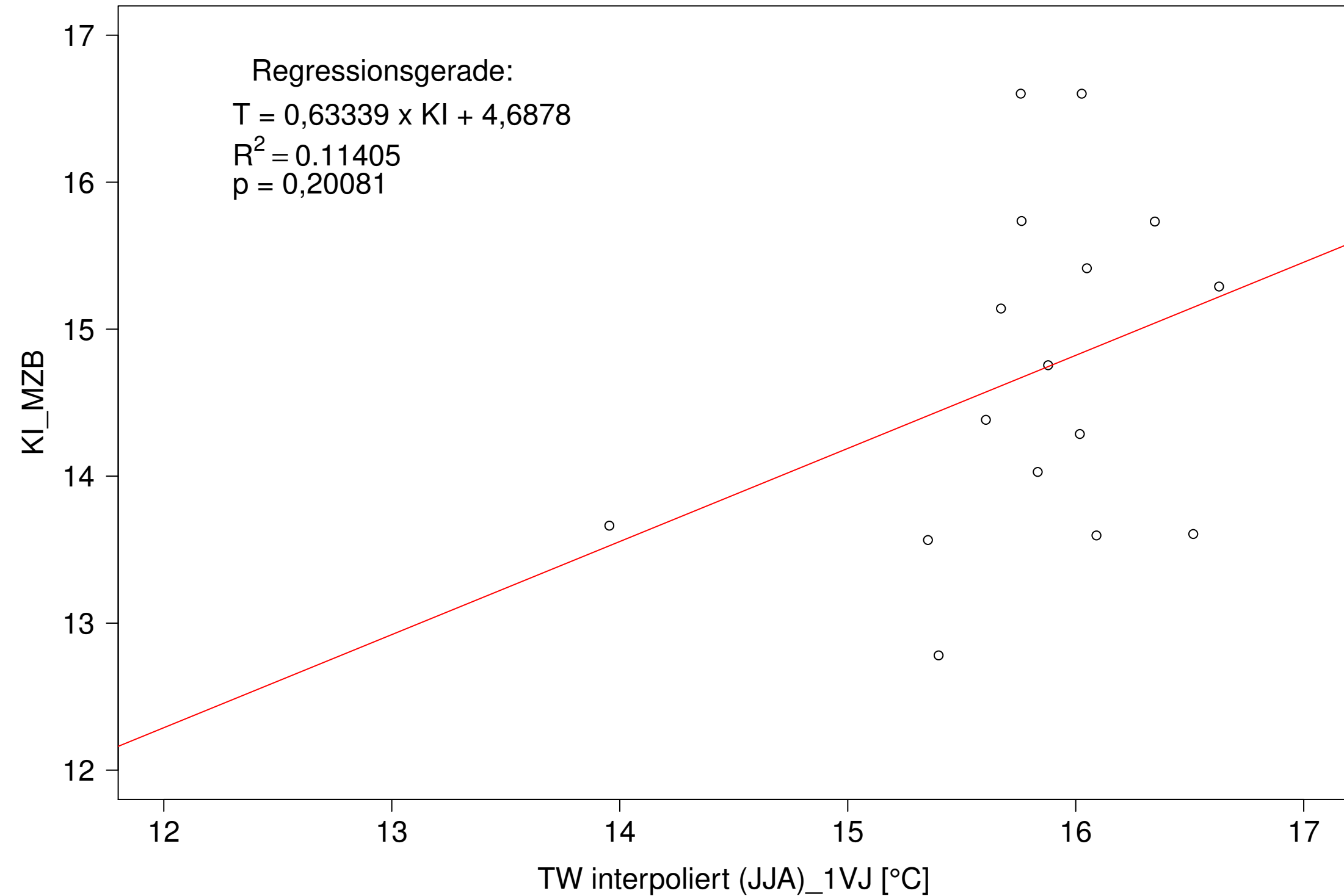
Brigach_Marbach, Typ 09.1 mit Neozoen, Serie 4
 KI_MZB (Typ/Kont-Korr) gegen 3JMW TW interpoliert (JAS) des 1. Vorjahres



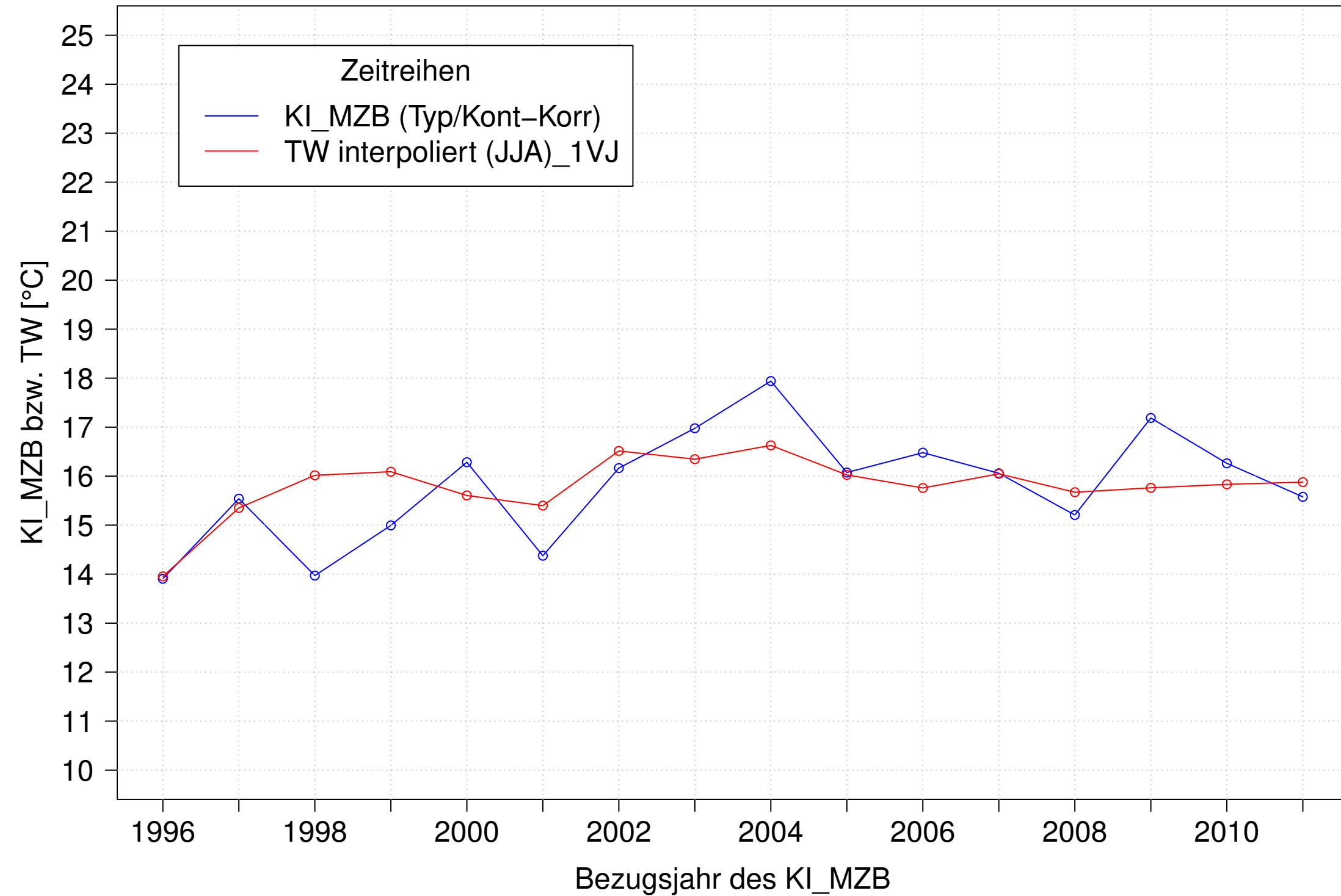
Brigach_Marbach, Typ 09.1 mit Neozoen, Serie 1
 KI_MZB (Typ/Kont-Korr) und 3JMW TW interpoliert (JJA) des 1. Vorjahres



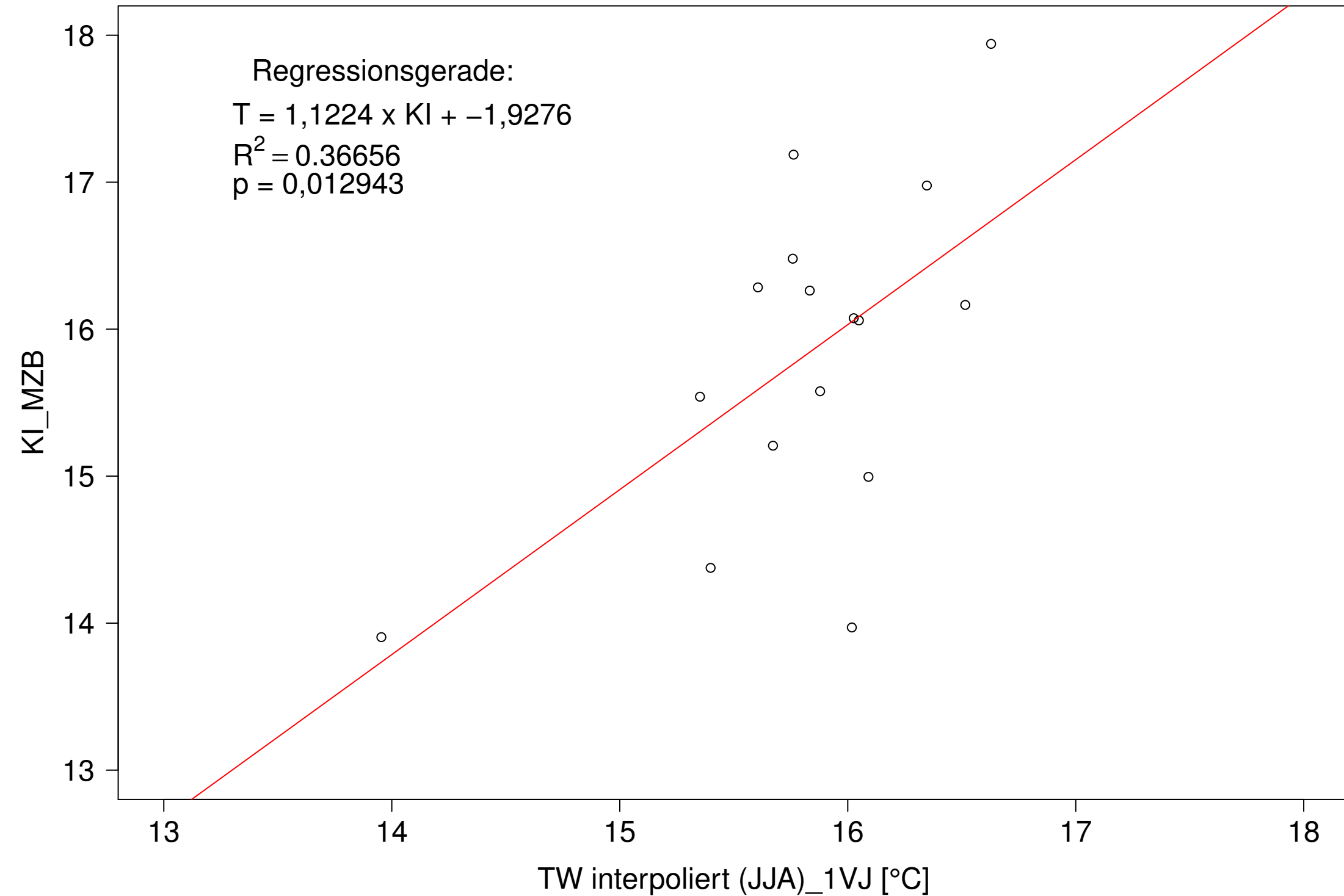
Brigach_Marbach, Typ 09.1 mit Neozoen, Serie 1
 KI_MZB (Typ/Kont-Korr) gegen 3JMW TW interpoliert (JJA) des 1. Vorjahres



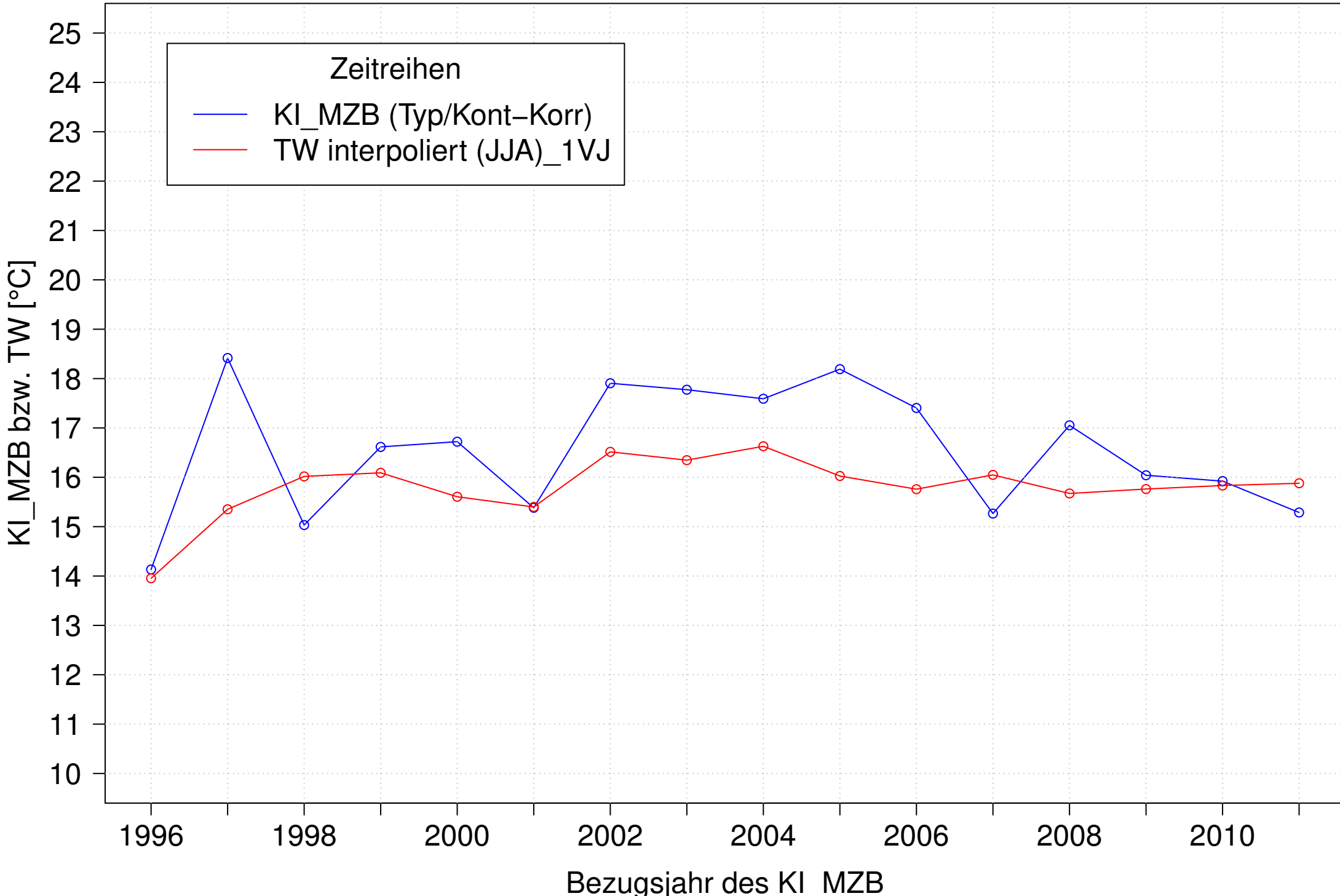
Brigach_Marbach, Typ 09.1 mit Neozoen, Serie 2
 KI_MZB (Typ/Kont-Korr) und 3JMW TW interpoliert (JJA) des 1. Vorjahres



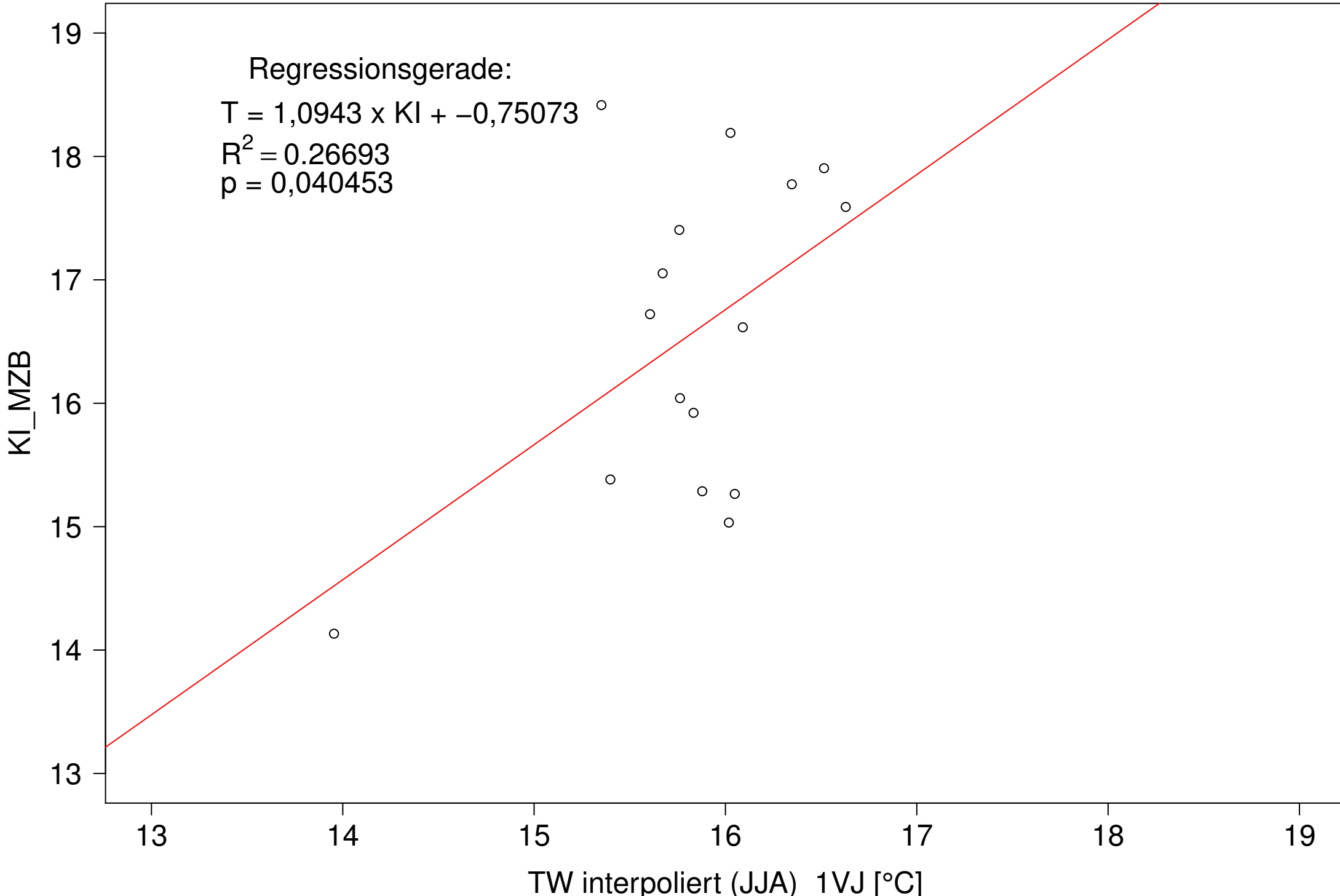
Brigach_Marbach, Typ 09.1 mit Neozoen, Serie 2
 KI_MZB (Typ/Kont-Korr) gegen 3JMW TW interpoliert (JJA) des 1. Vorjahres



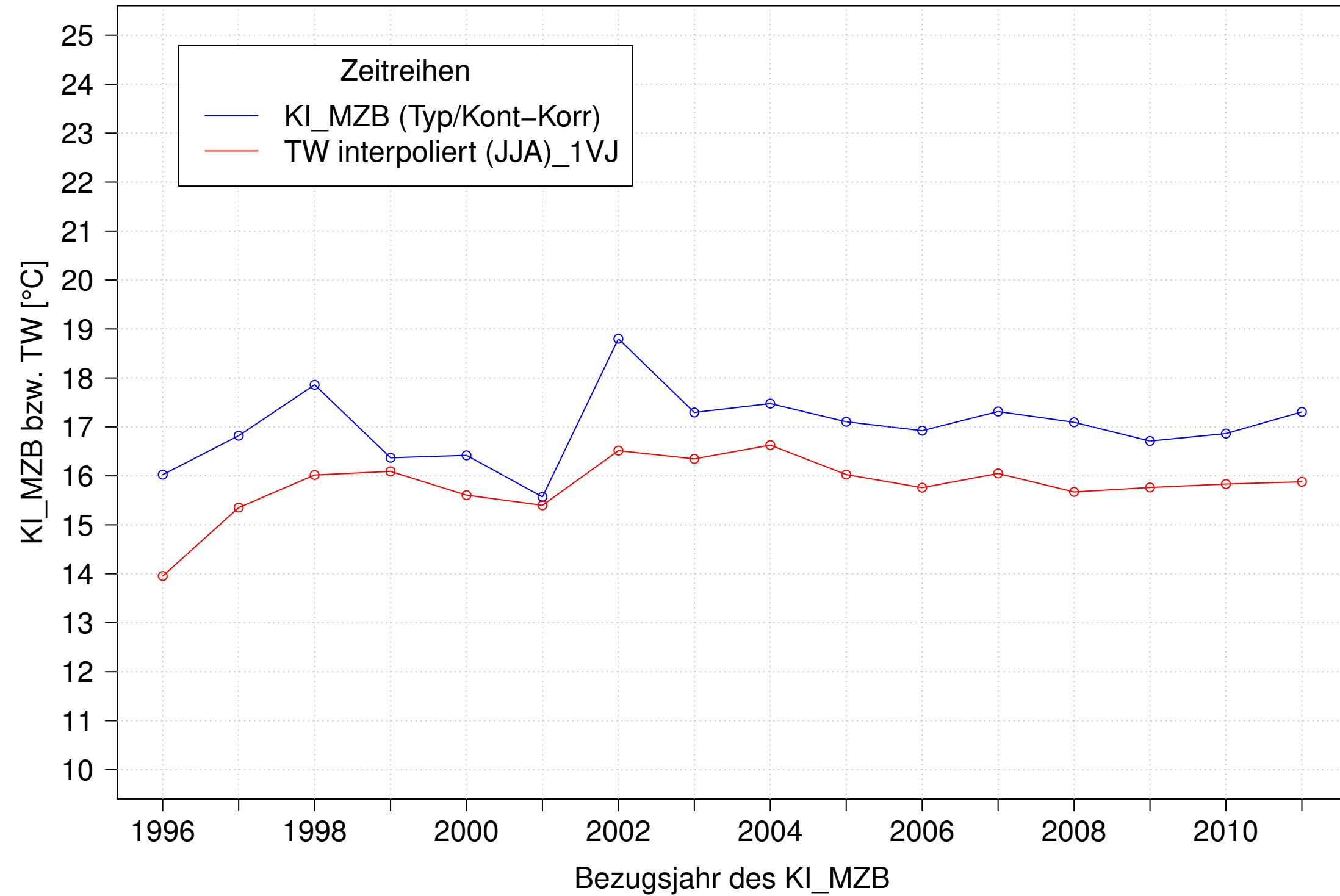
Brigach_Marbach, Typ 09.1 mit Neozoen, Serie 3
KI_MZB (Typ/Kont-Korr) und 3JMW TW interpoliert (JJA) des 1. Vorjahres



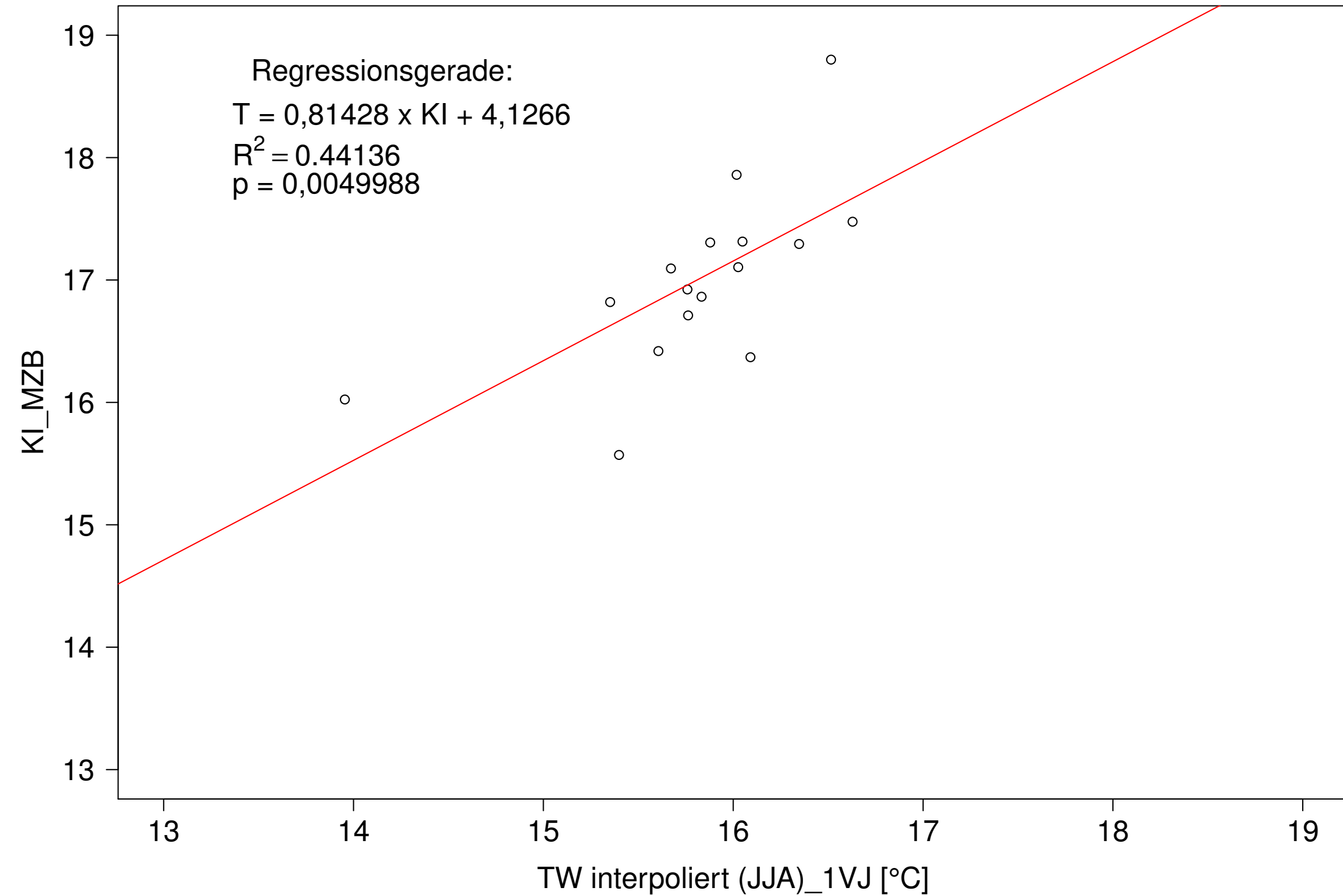
Brigach_Marbach, Typ 09.1 mit Neozoen, Serie 3
KI_MZB (Typ/Kont-Korr) gegen 3JMW TW interpoliert (JJA) des 1. Vorjahres



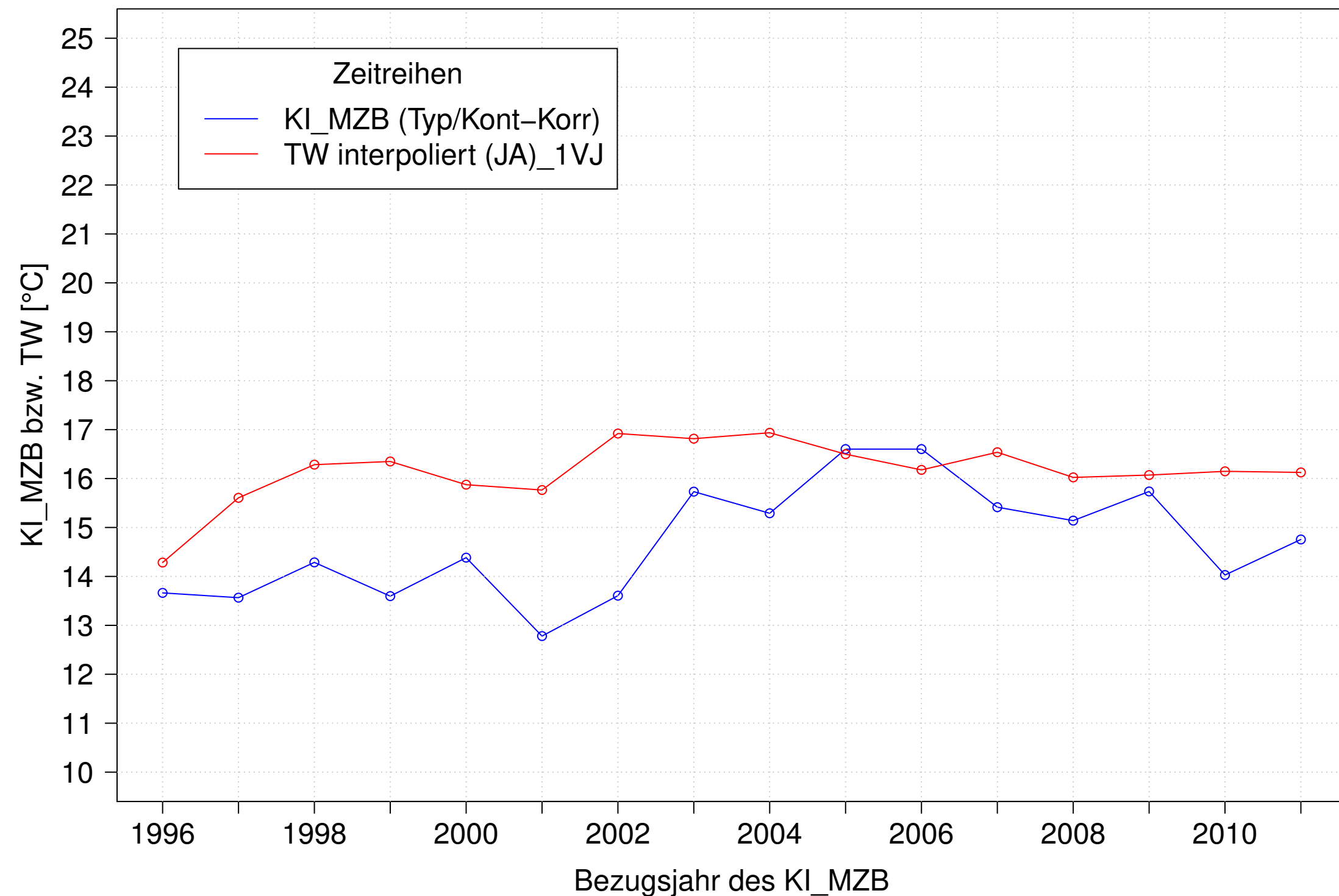
Brigach_Marbach, Typ 09.1 mit Neozoen, Serie 4
 KI_MZB (Typ/Kont-Korr) und 3JMW TW interpoliert (JJA) des 1. Vorjahres



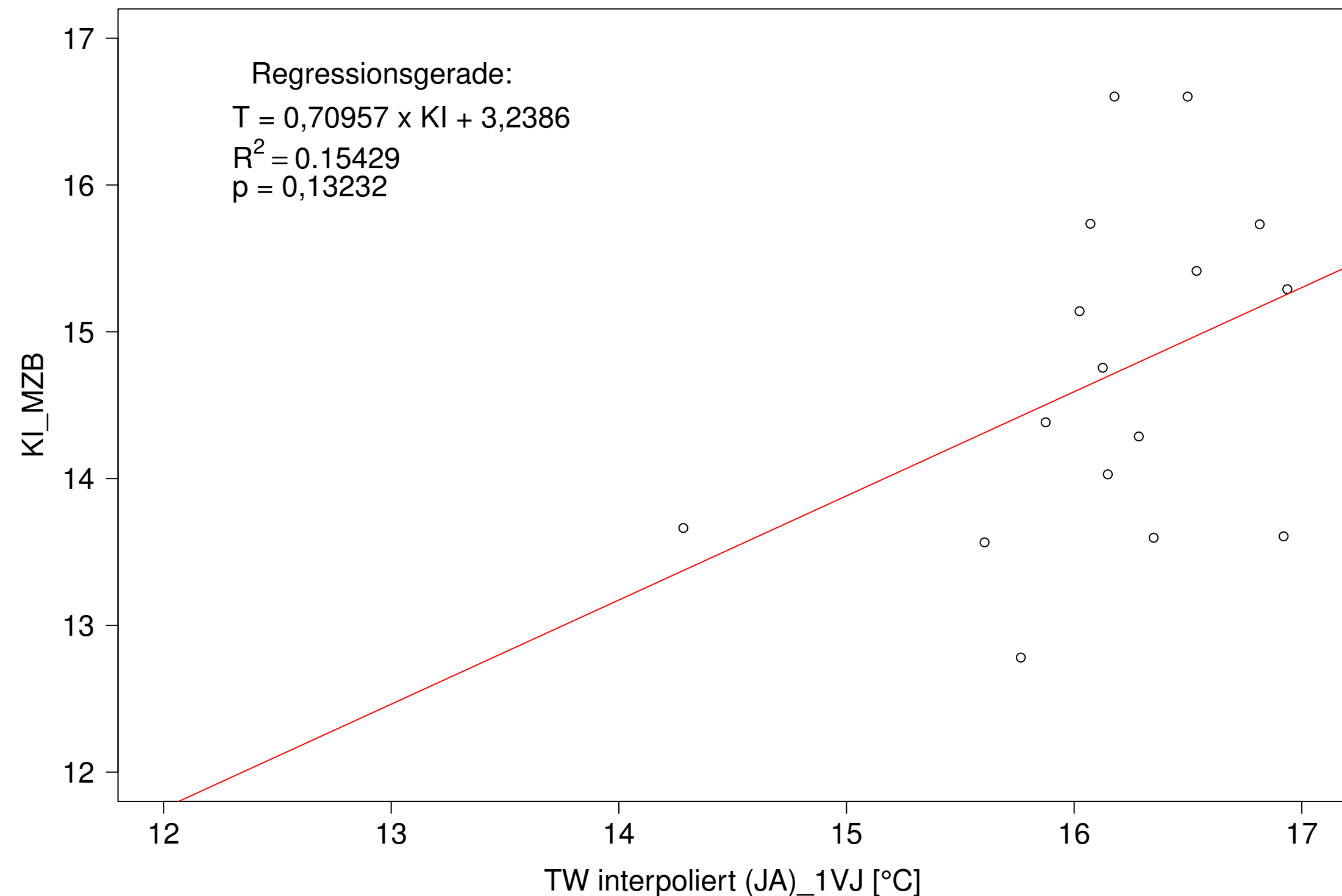
Brigach_Marbach, Typ 09.1 mit Neozoen, Serie 4
 KI_MZB (Typ/Kont-Korr) gegen 3JMW TW interpoliert (JJA) des 1. Vorjahres



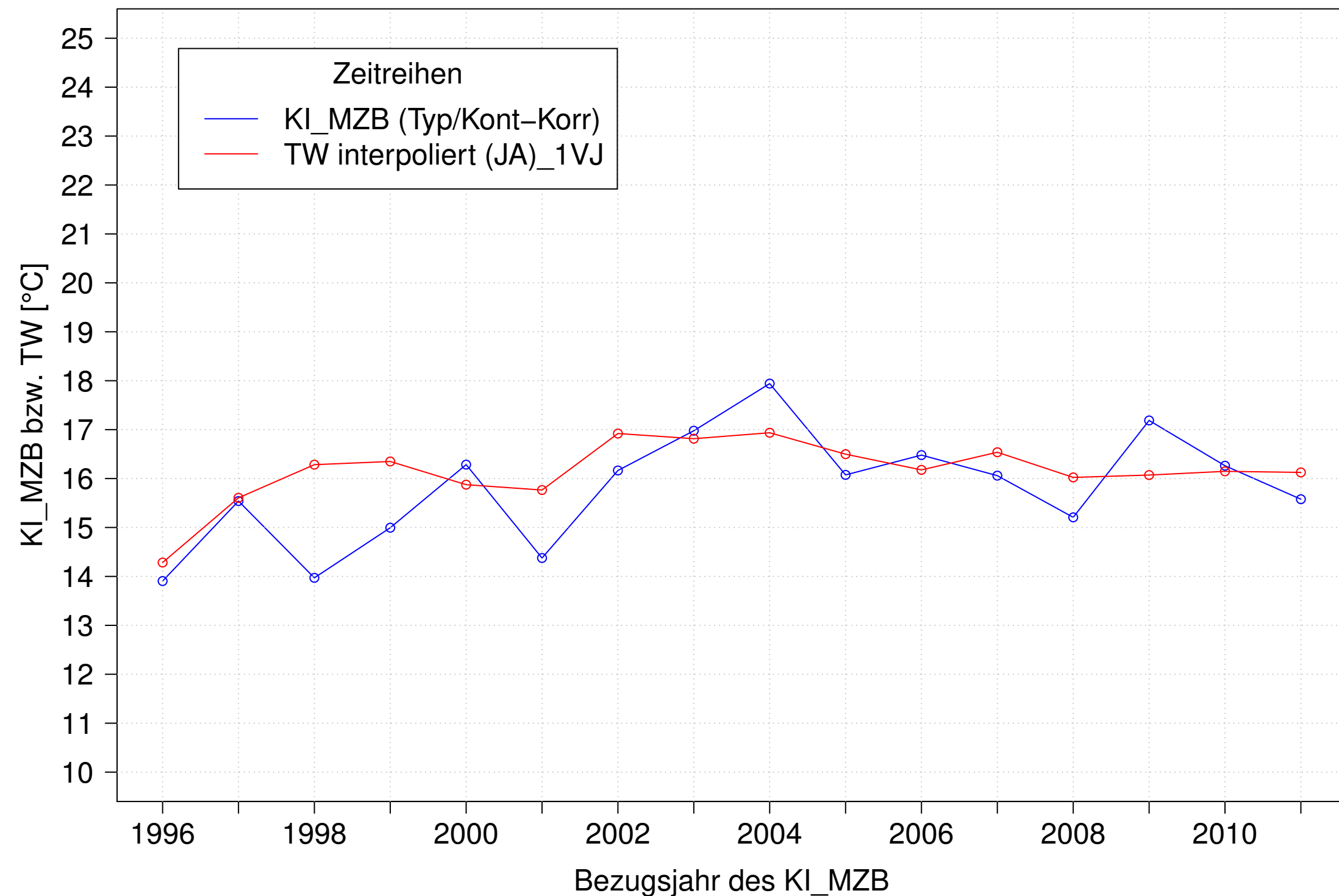
Brigach_Marbach, Typ 09.1 mit Neozoen, Serie 1
 KI_MZB (Typ/Kont-Korr) und 3JMW TW interpoliert (JA) des 1. Vorjahres



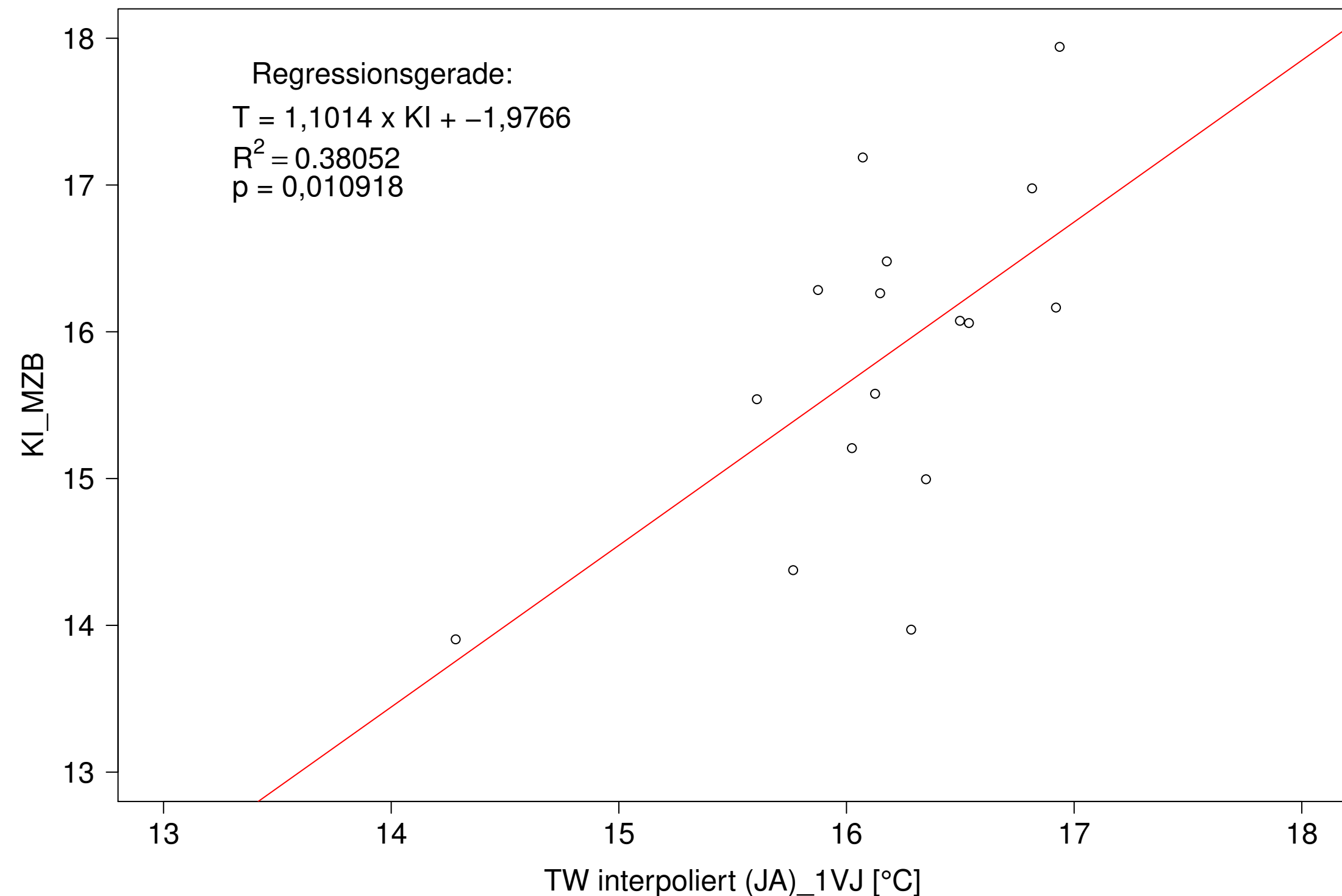
Brigach_Marbach, Typ 09.1 mit Neozoen, Serie 1
 KI_MZB (Typ/Kont-Korr) gegen 3JMW TW interpoliert (JA) des 1. Vorjahres



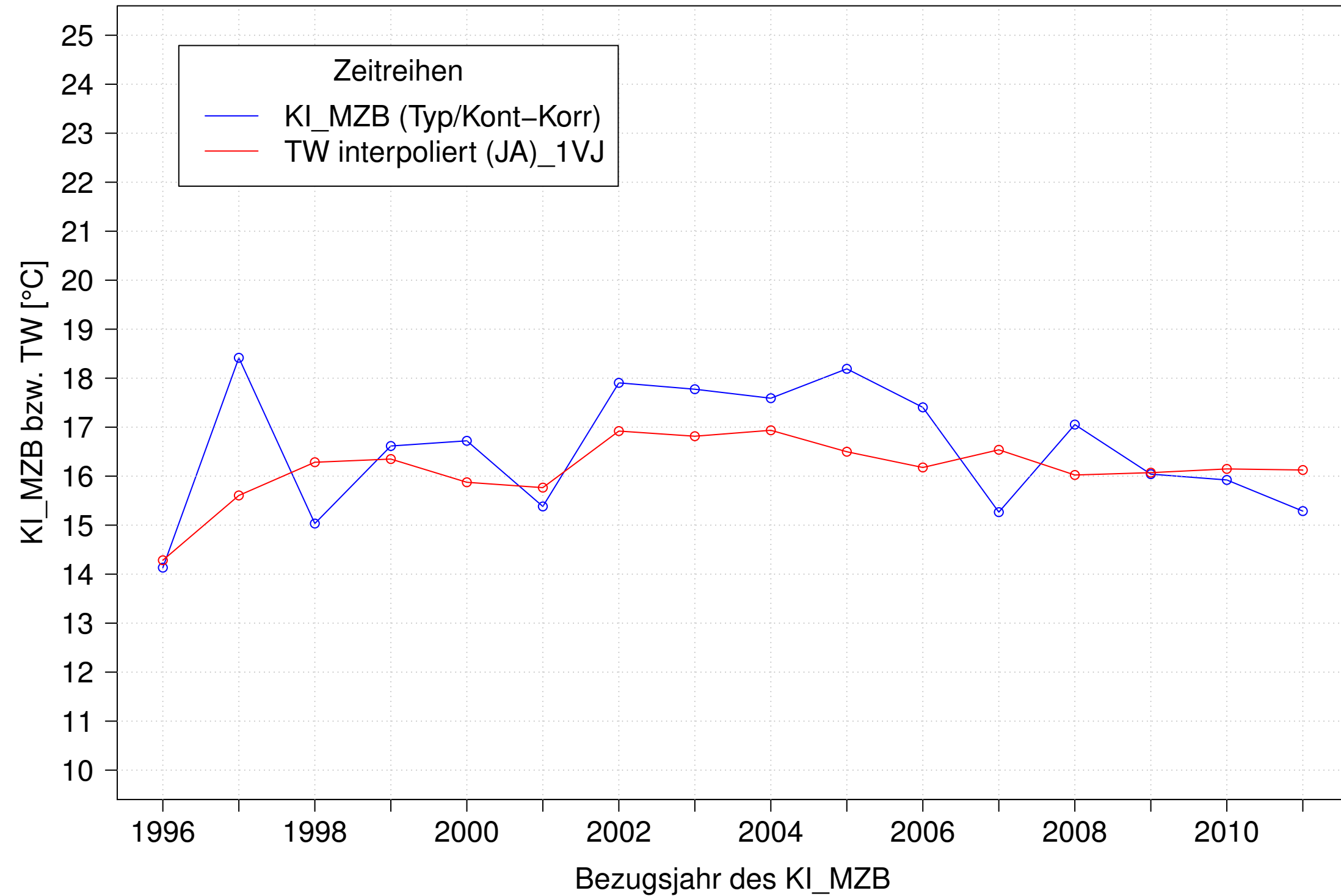
Brigach_Marbach, Typ 09.1 mit Neozoen, Serie 2
 KI_MZB (Typ/Kont-Korr) und 3JMW TW interpoliert (JA) des 1. Vorjahres



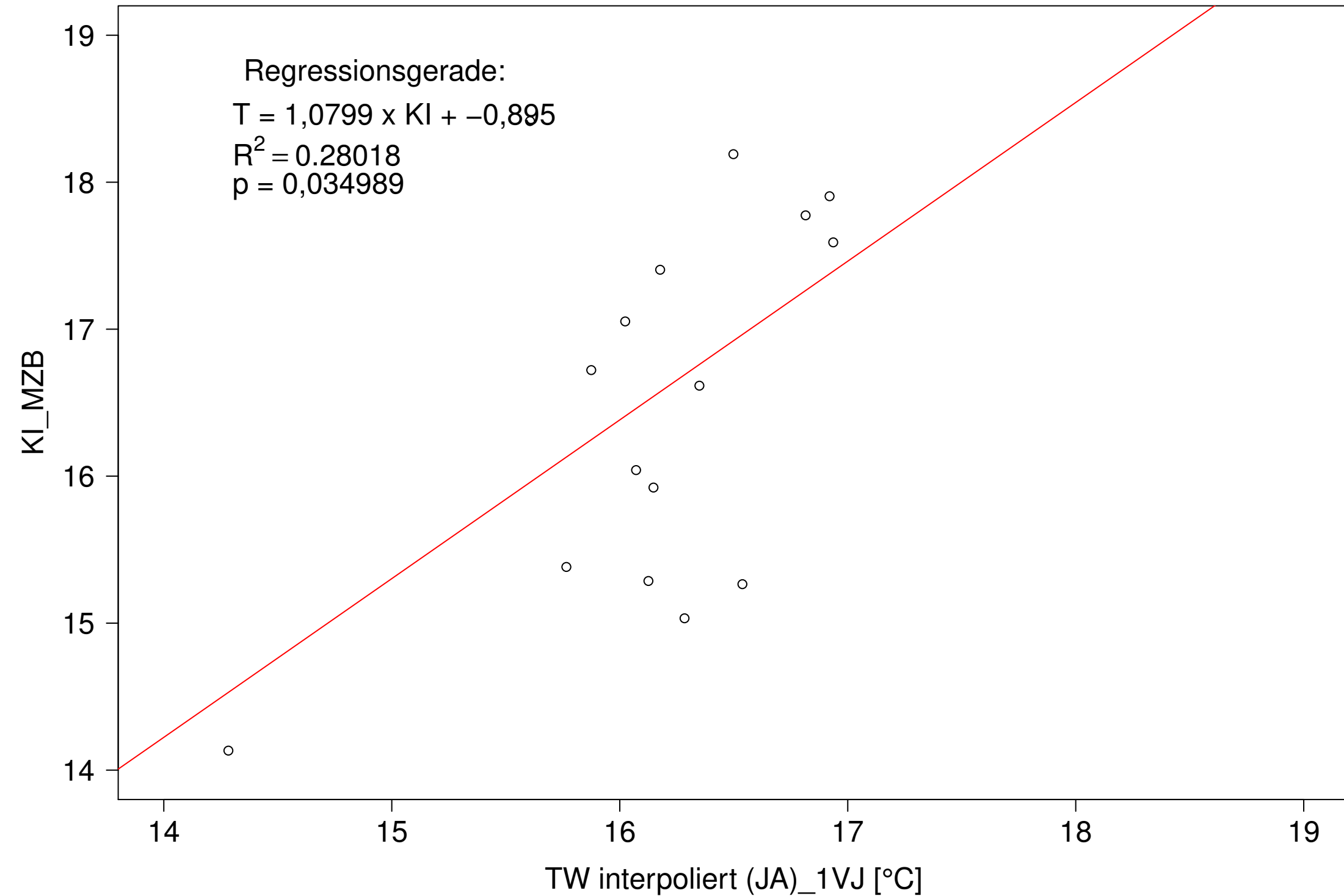
Brigach_Marbach, Typ 09.1 mit Neozoen, Serie 2
 KI_MZB (Typ/Kont-Korr) gegen 3JMW TW interpoliert (JA) des 1. Vorjahres



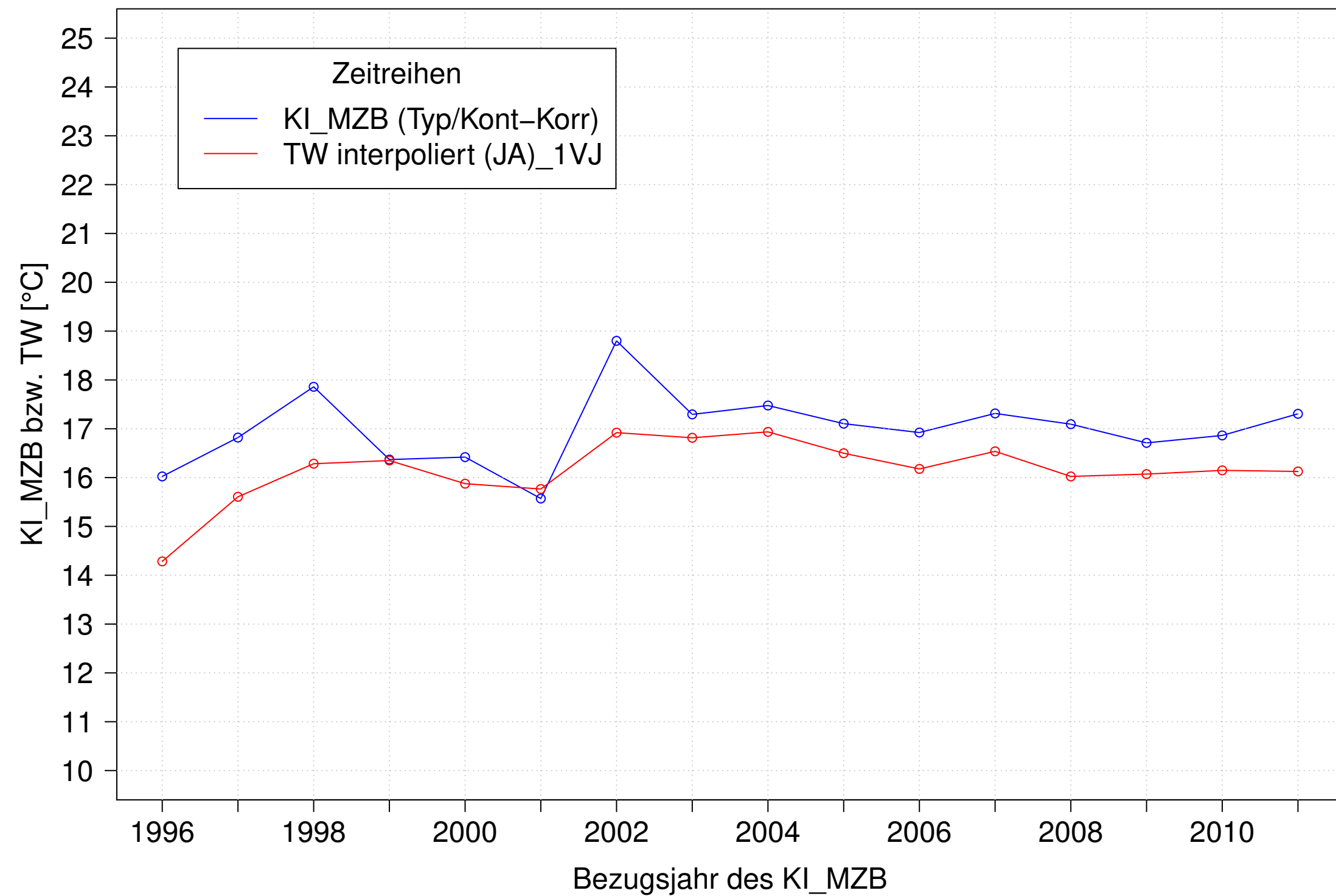
Brigach_Marbach, Typ 09.1 mit Neozoen, Serie 3
 KI_MZB (Typ/Kont-Korr) und 3JMW TW interpoliert (JA) des 1. Vorjahres



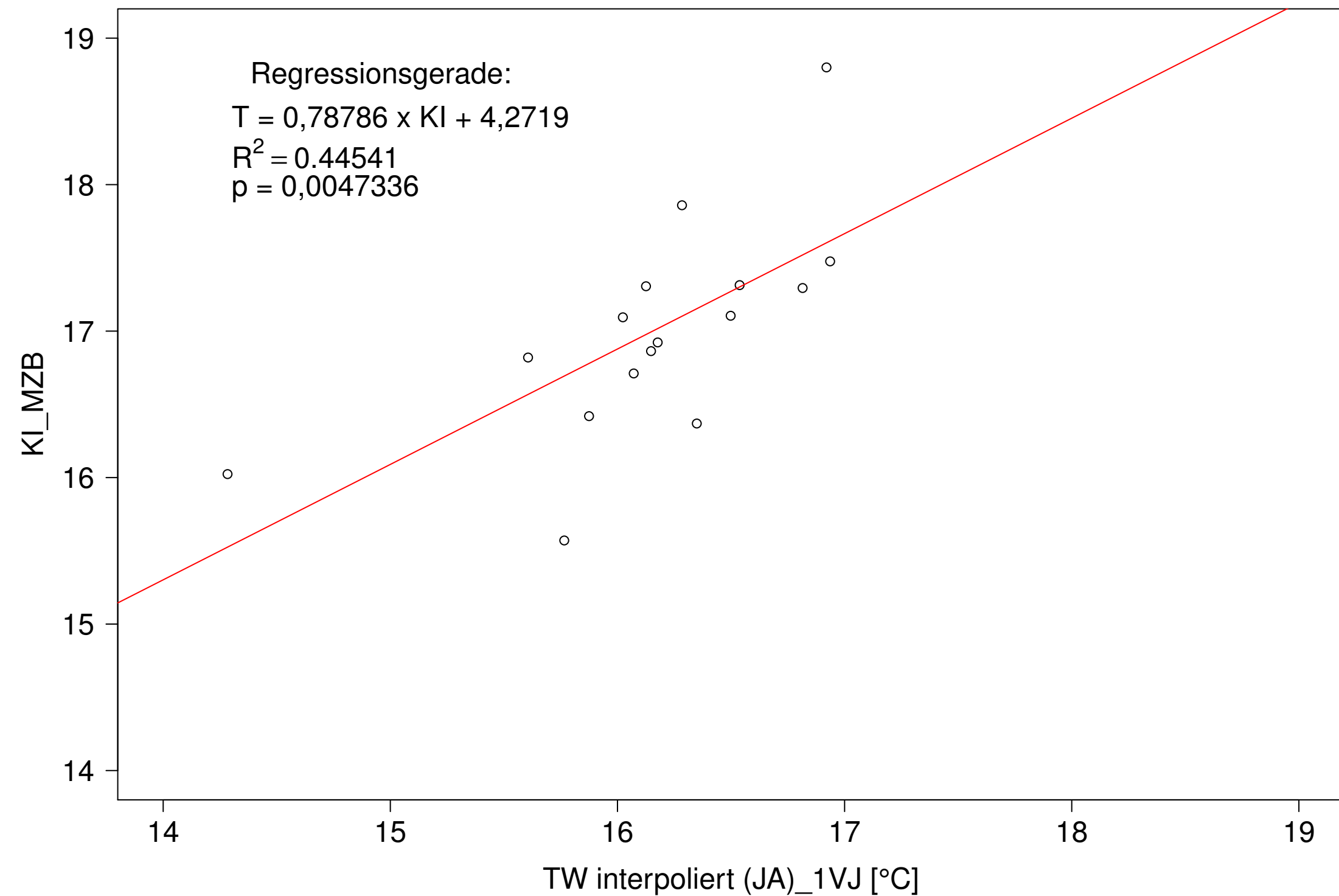
Brigach_Marbach, Typ 09.1 mit Neozoen, Serie 3
 KI_MZB (Typ/Kont-Korr) gegen 3JMW TW interpoliert (JA) des 1. Vorjahres



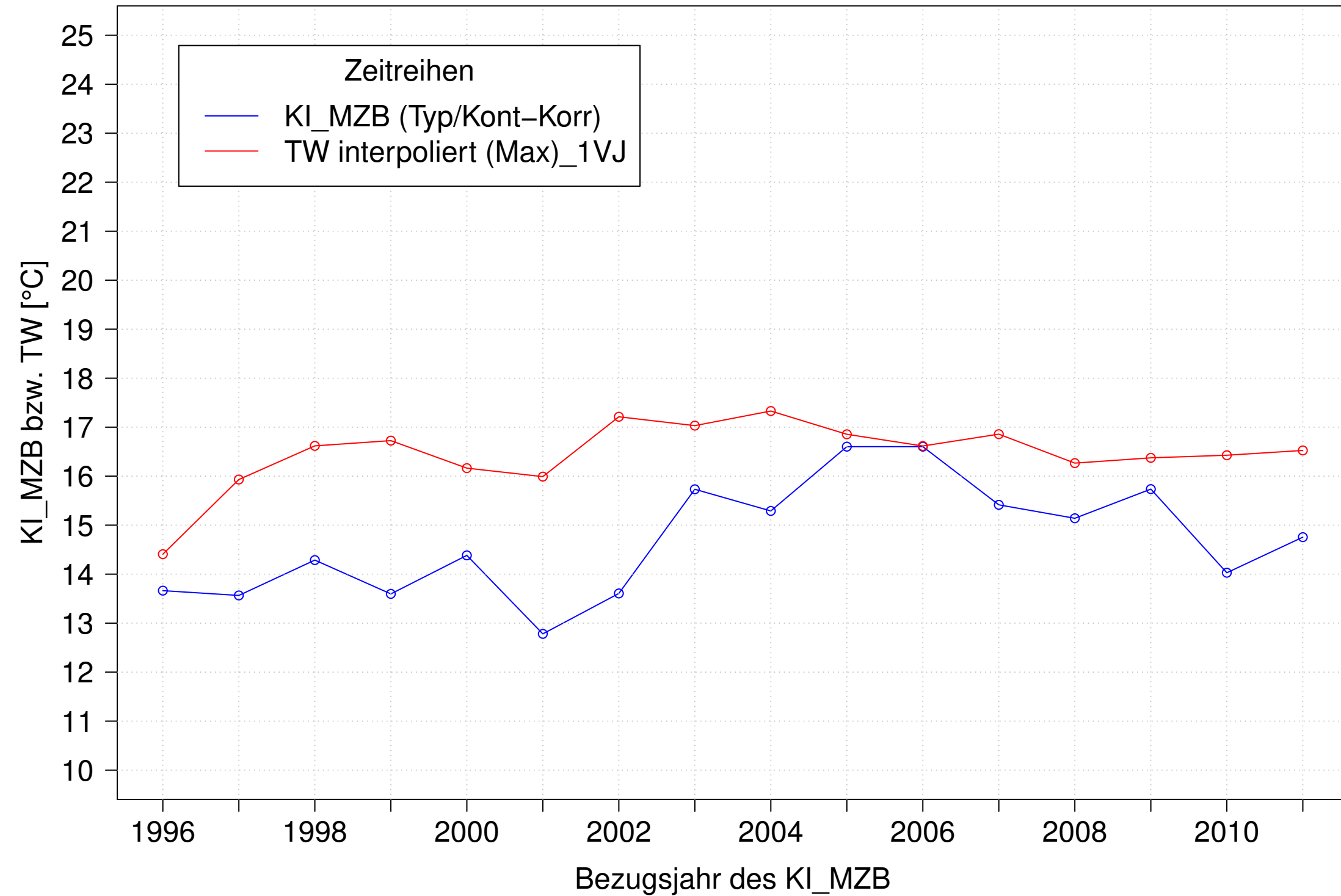
Brigach_Marbach, Typ 09.1 mit Neozoen, Serie 4
 KI_MZB (Typ/Kont-Korr) und 3JMW TW interpoliert (JA) des 1. Vorjahres



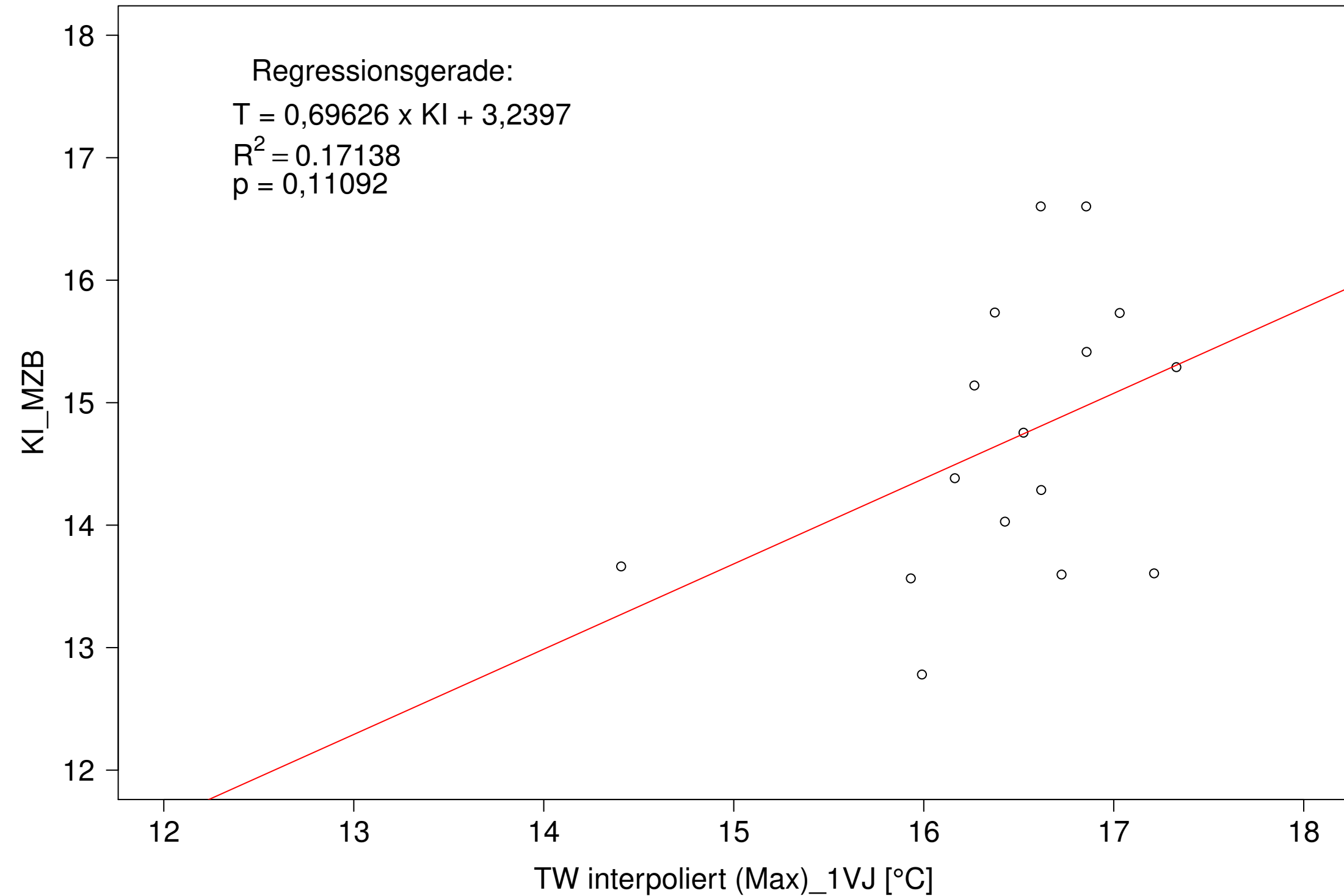
Brigach_Marbach, Typ 09.1 mit Neozoen, Serie 4
 KI_MZB (Typ/Kont-Korr) gegen 3JMW TW interpoliert (JA) des 1. Vorjahres



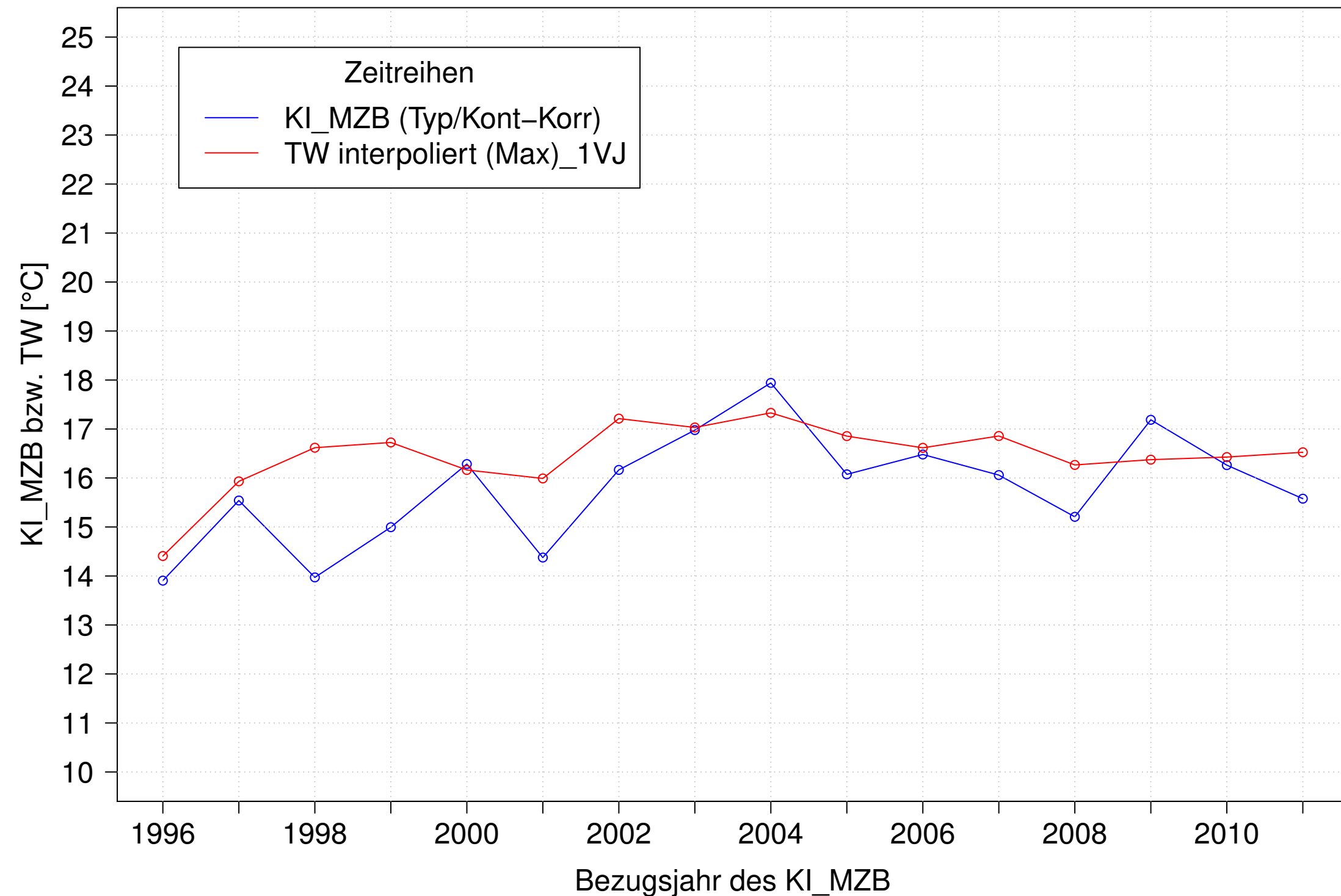
Brigach_Marbach, Typ 09.1 mit Neozoen, Serie 1
 KI_MZB (Typ/Kont-Korr) und 3JMW TW interpoliert (Max) des 1. Vorjahres



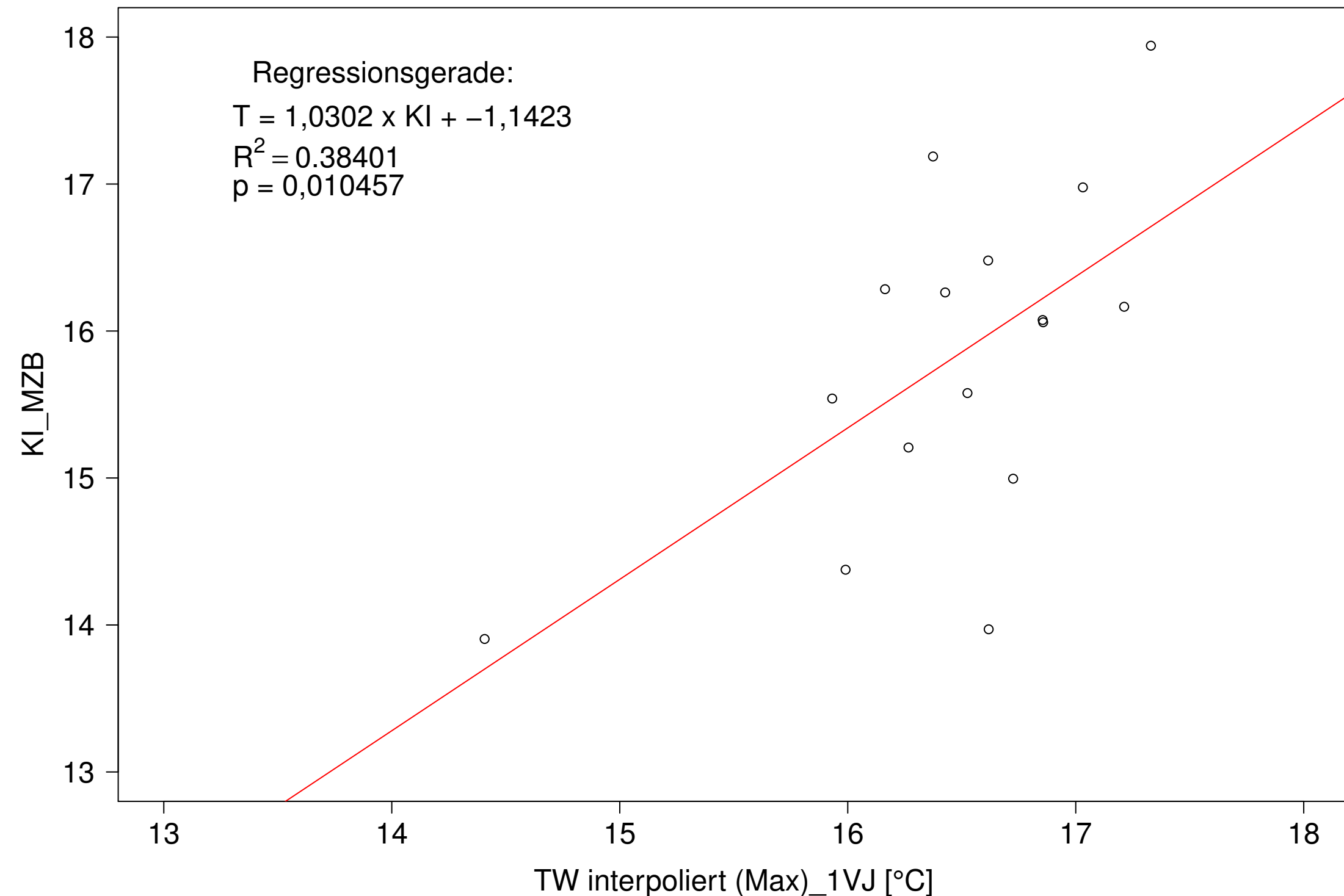
Brigach_Marbach, Typ 09.1 mit Neozoen, Serie 1
 KI_MZB (Typ/Kont-Korr) gegen 3JMW TW interpoliert (Max) des 1. Vorjahres



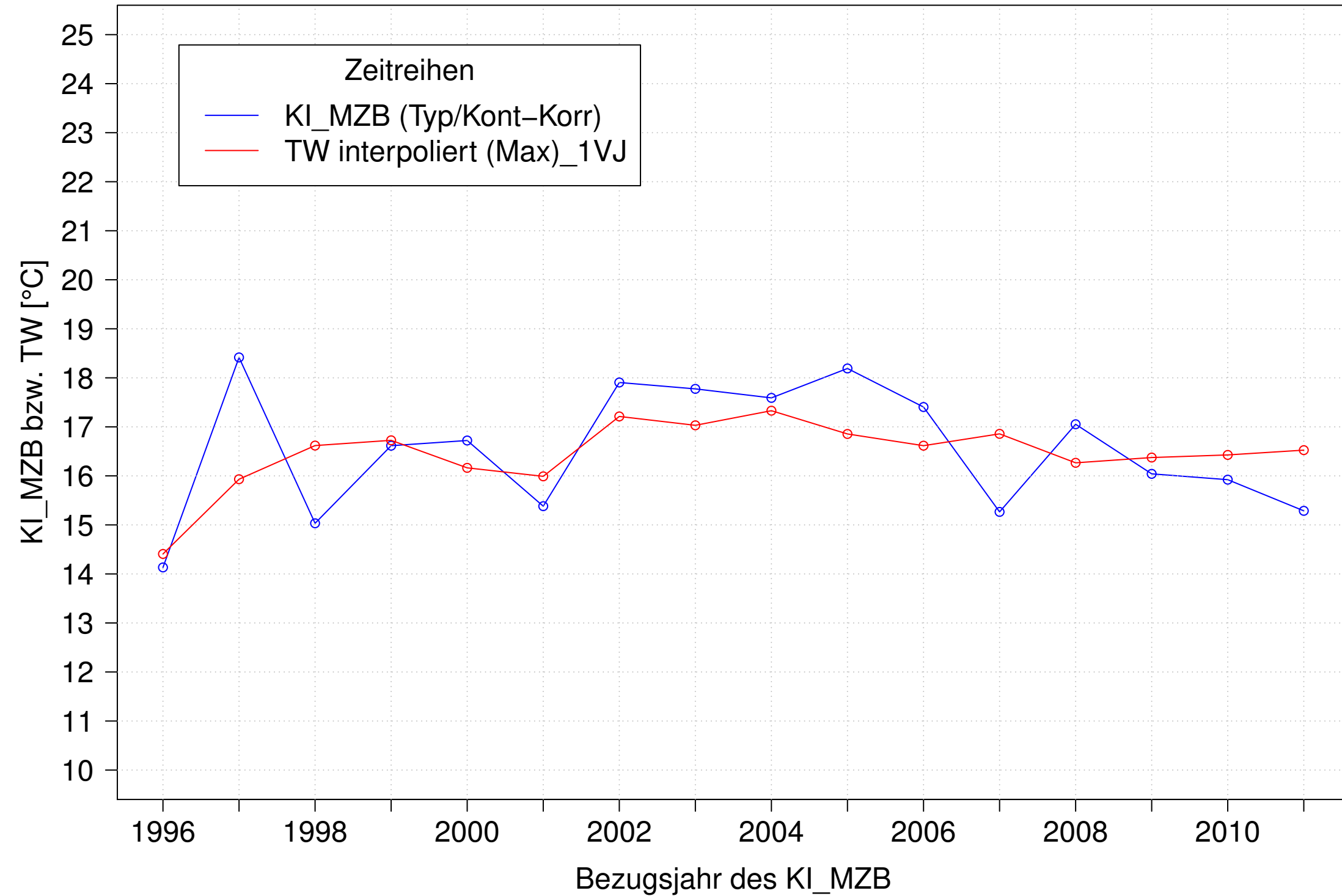
Brigach_Marbach, Typ 09.1 mit Neozoen, Serie 2
 KI_MZB (Typ/Kont-Korr) und 3JMW TW interpoliert (Max) des 1. Vorjahres



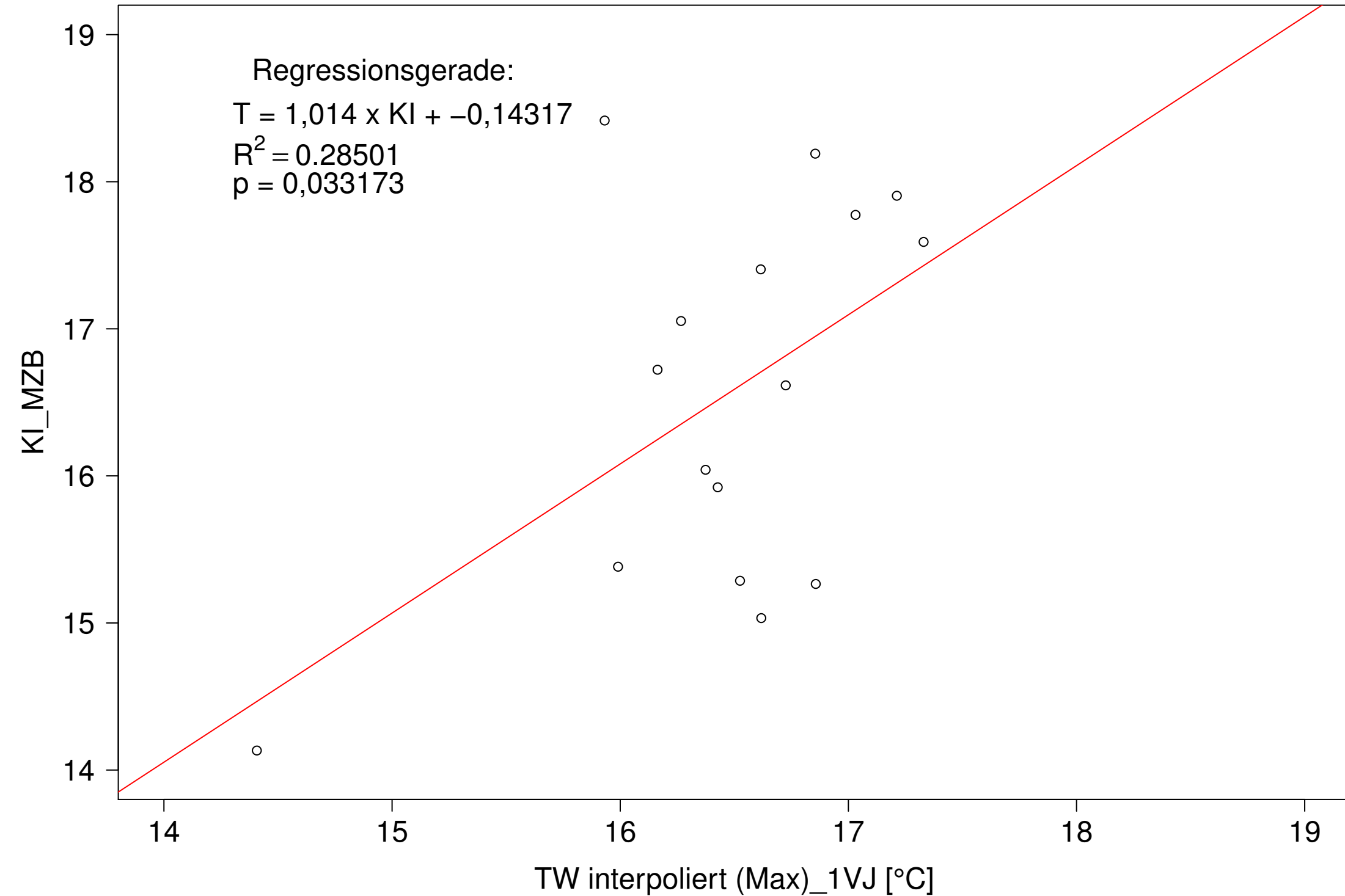
Brigach_Marbach, Typ 09.1 mit Neozoen, Serie 2
 KI_MZB (Typ/Kont-Korr) gegen 3JMW TW interpoliert (Max) des 1. Vorjahres



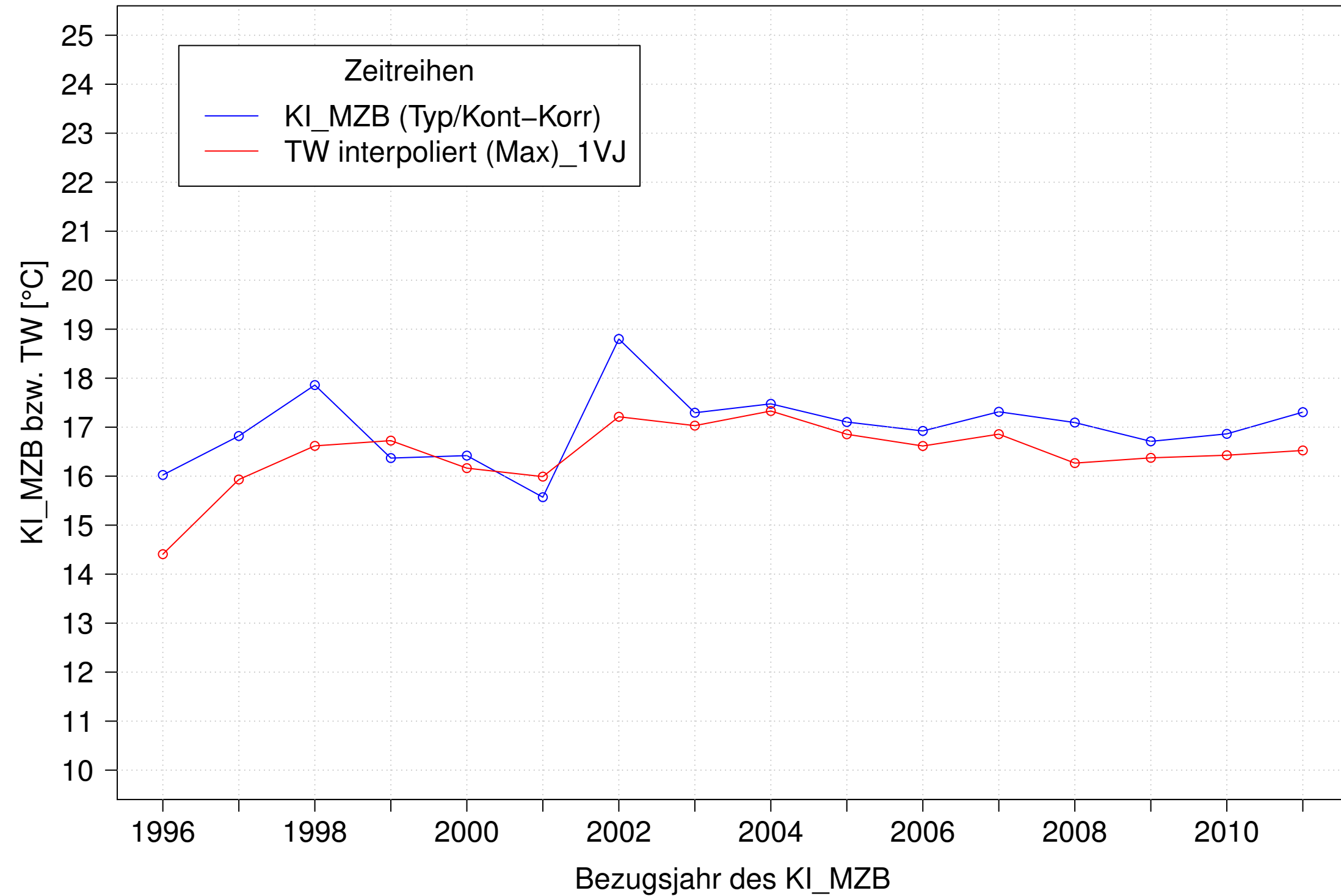
Brigach_Marbach, Typ 09.1 mit Neozoen, Serie 3
 KI_MZB (Typ/Kont-Korr) und 3JMW TW interpoliert (Max) des 1. Vorjahres



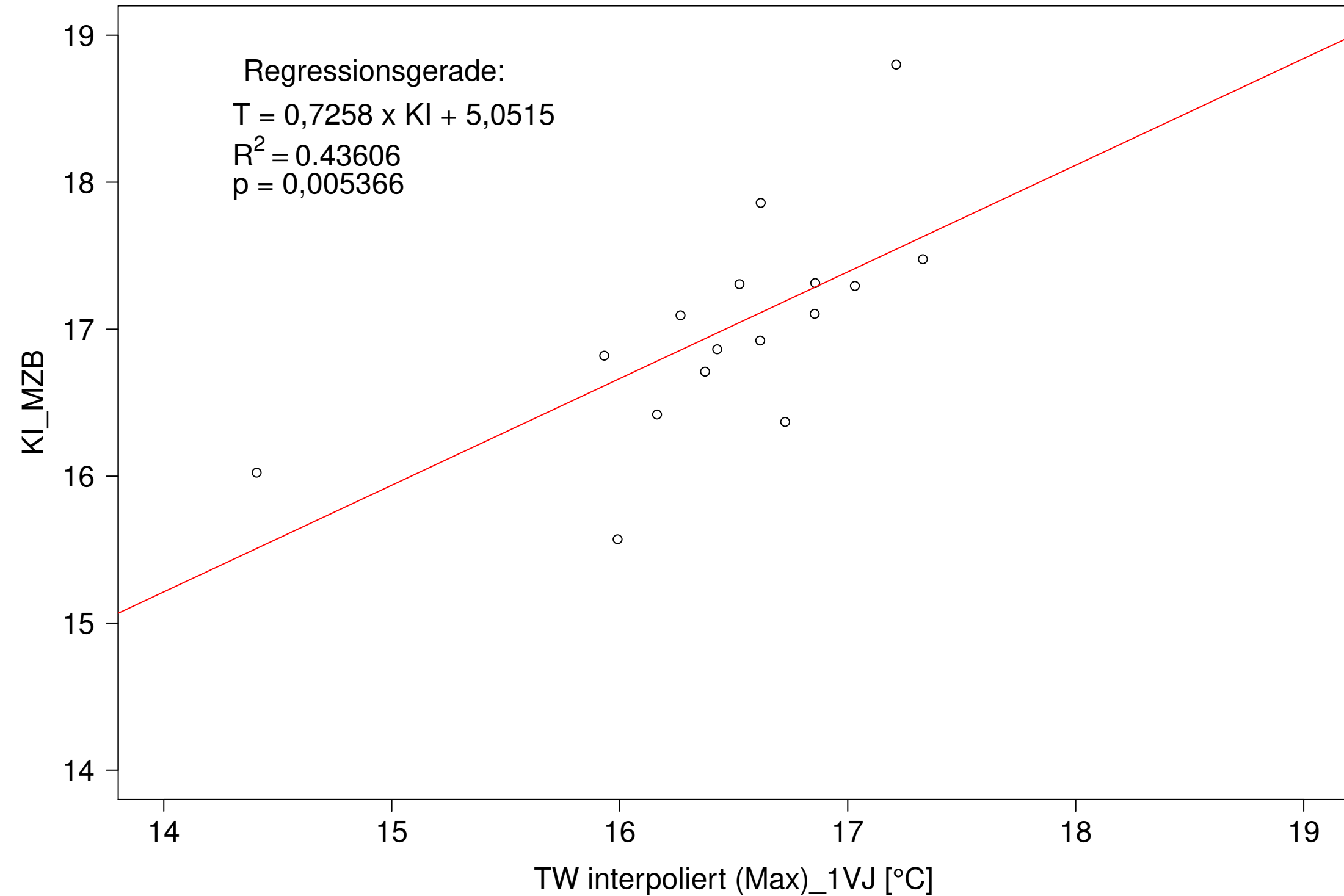
Brigach_Marbach, Typ 09.1 mit Neozoen, Serie 3
 KI_MZB (Typ/Kont-Korr) gegen 3JMW TW interpoliert (Max) des 1. Vorjahres



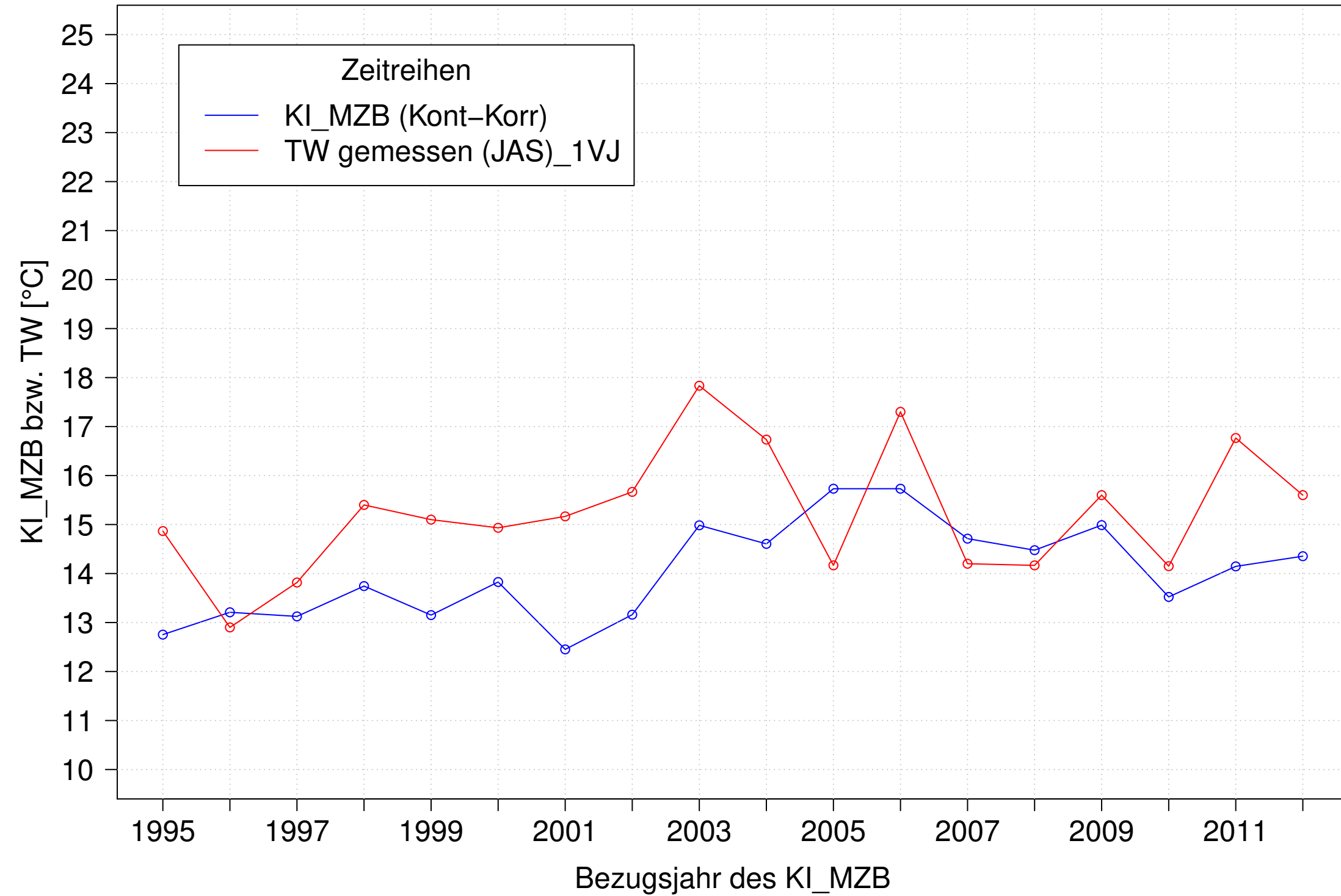
Brigach_Marbach, Typ 09.1 mit Neozoen, Serie 4
 KI_MZB (Typ/Kont-Korr) und 3JMW TW interpoliert (Max) des 1. Vorjahres



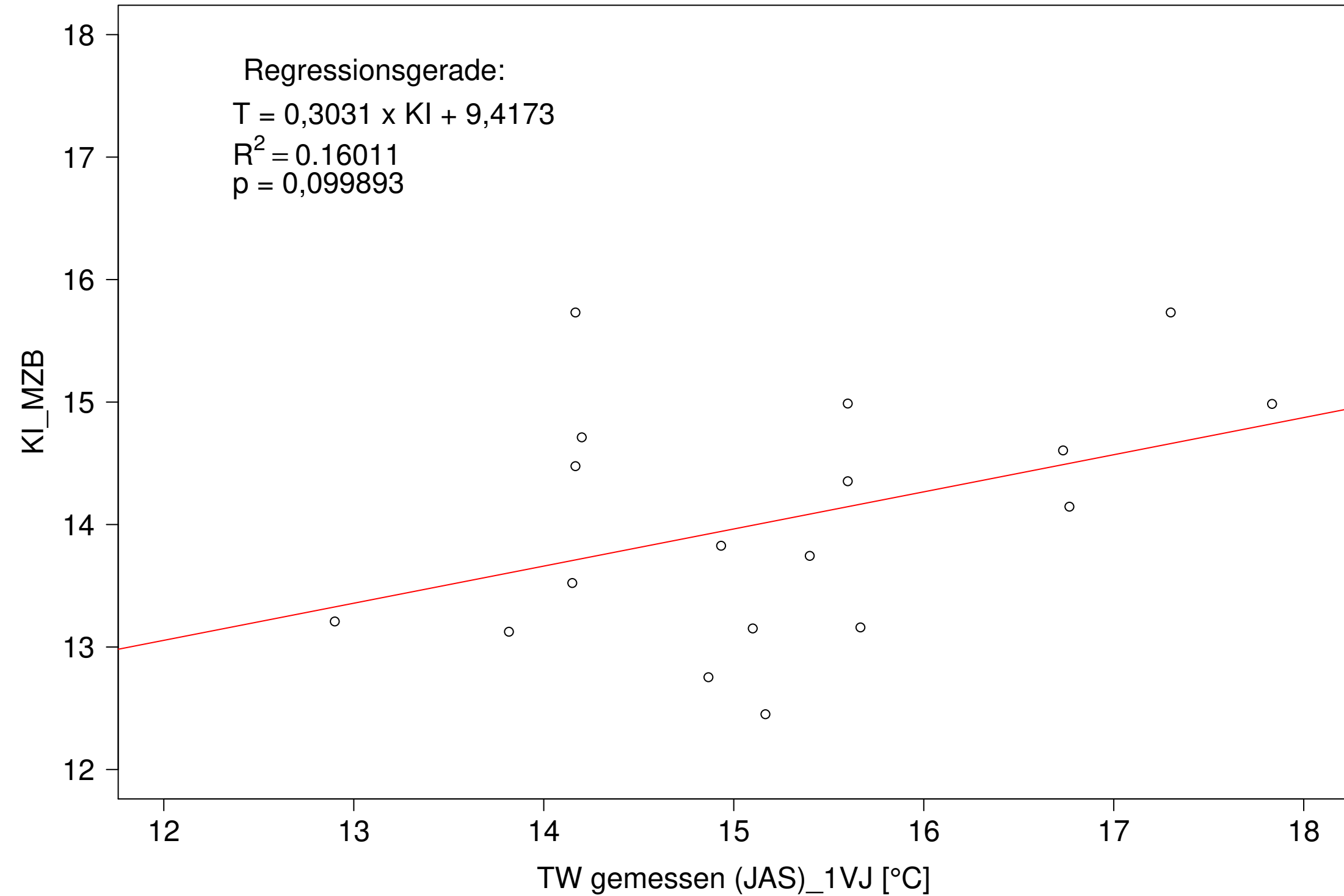
Brigach_Marbach, Typ 09.1 mit Neozoen, Serie 4
 KI_MZB (Typ/Kont-Korr) gegen 3JMW TW interpoliert (Max) des 1. Vorjahres



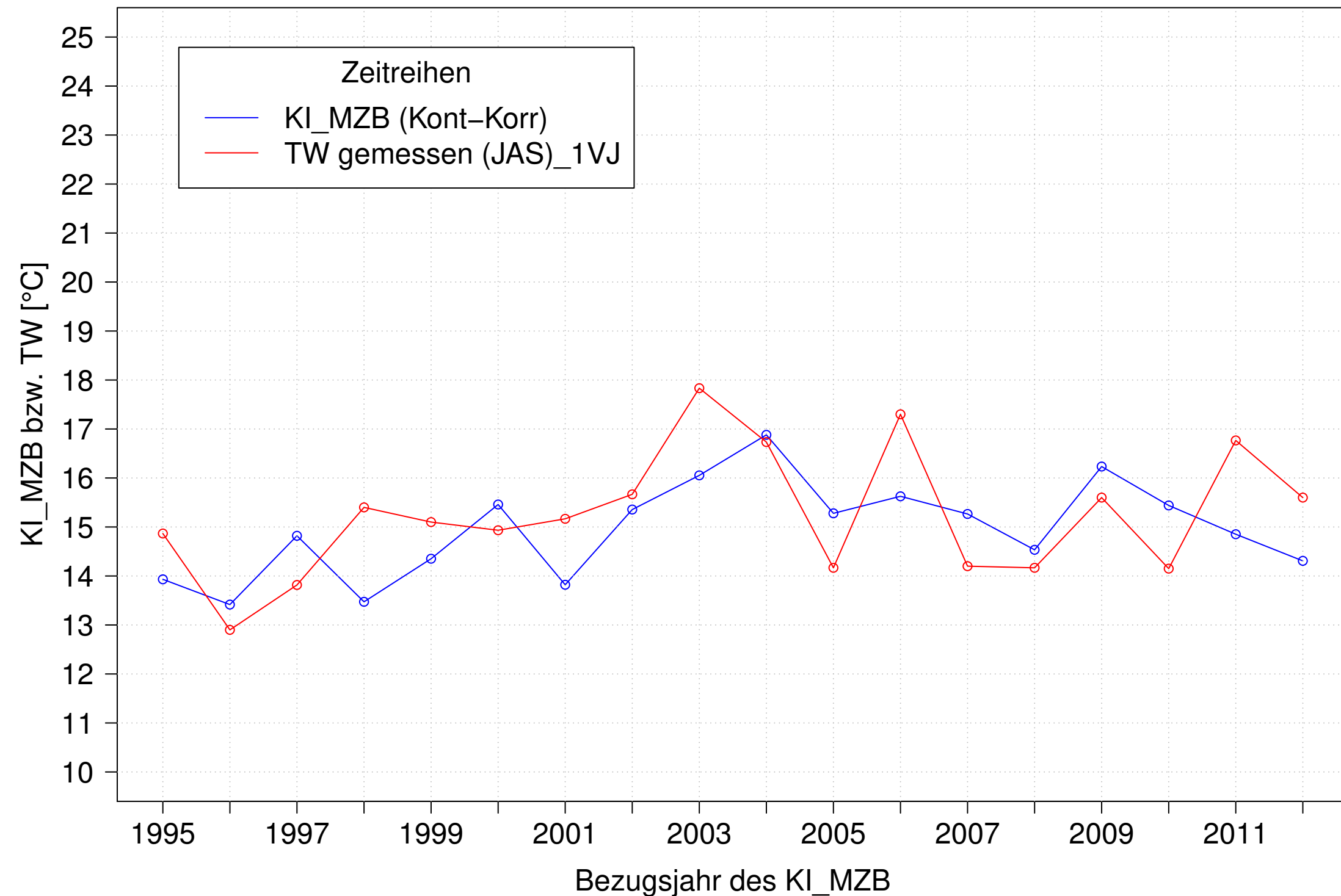
Brigach_Marbach, Typ 09.1 mit Neozoen, Serie 1
KI_MZB (Kont-Korr) und TW gemessen (JAS) des 1. Vorjahres



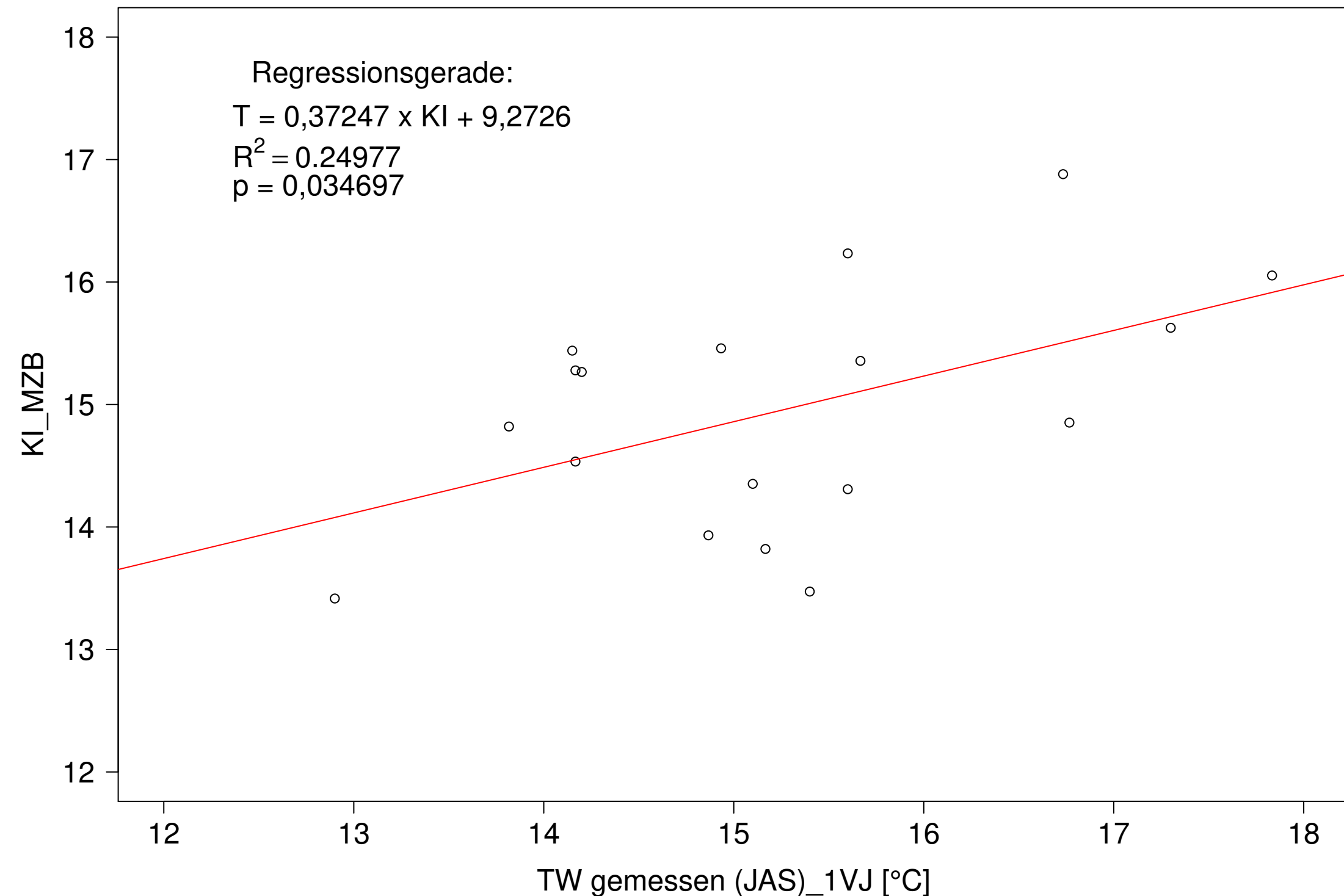
Brigach_Marbach, Typ 09.1 mit Neozoen, Serie 1
KI_MZB (Kont-Korr) gegen TW gemessen (JAS) des 1. Vorjahres



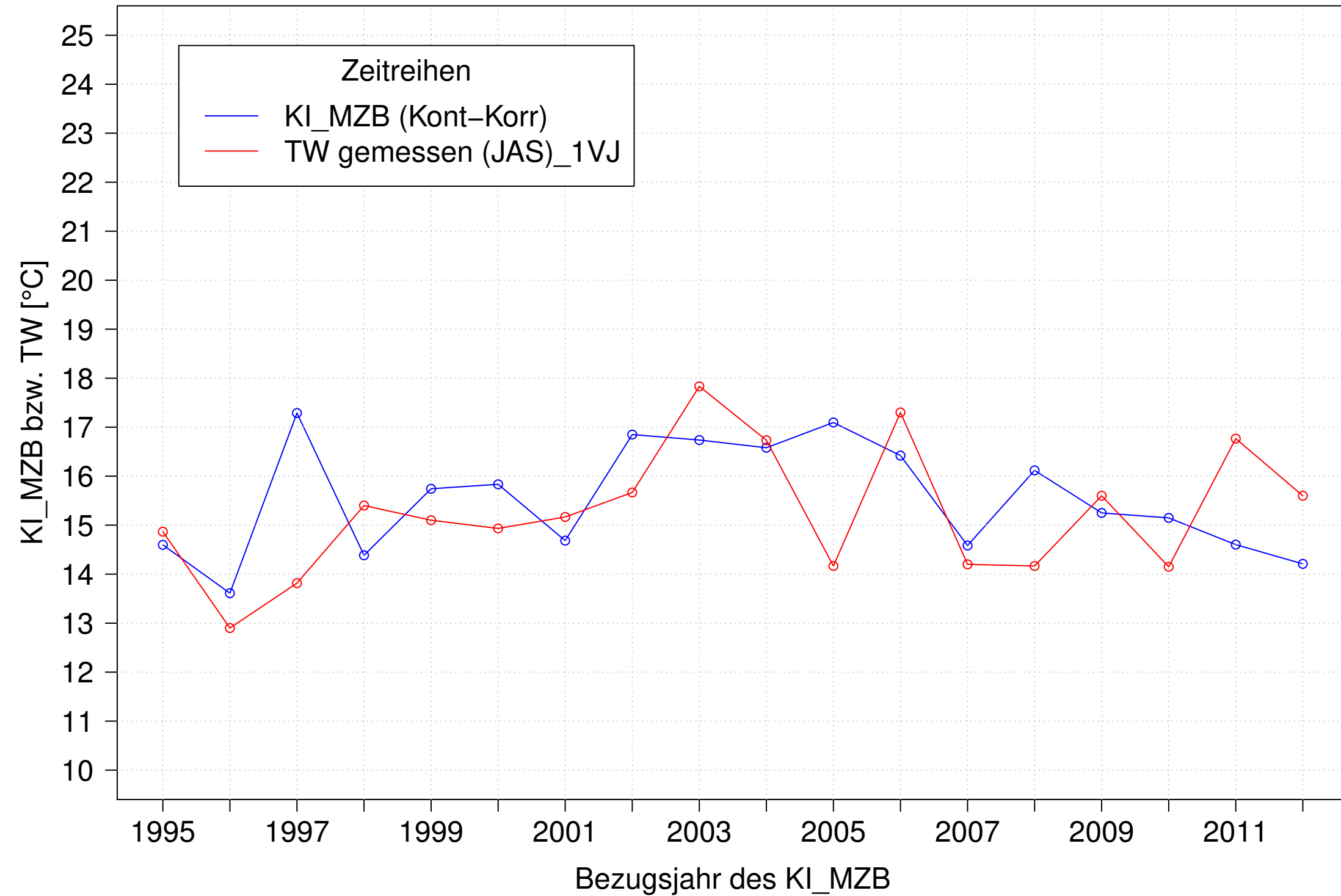
Brigach_Marbach, Typ 09.1 mit Neozoen, Serie 2
KI_MZB (Kont-Korr) und TW gemessen (JAS) des 1. Vorjahres



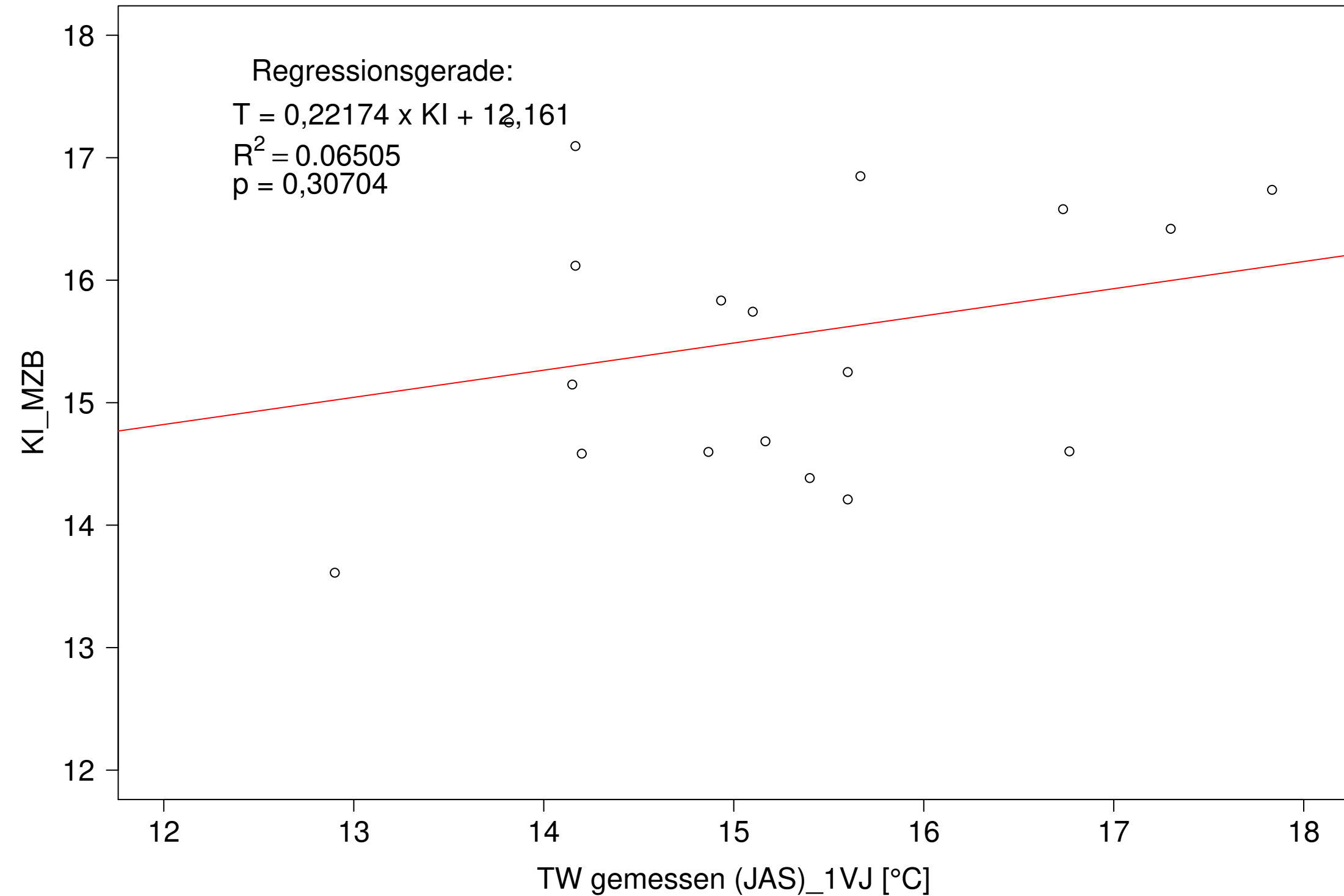
Brigach_Marbach, Typ 09.1 mit Neozoen, Serie 2
KI_MZB (Kont-Korr) gegen TW gemessen (JAS) des 1. Vorjahres



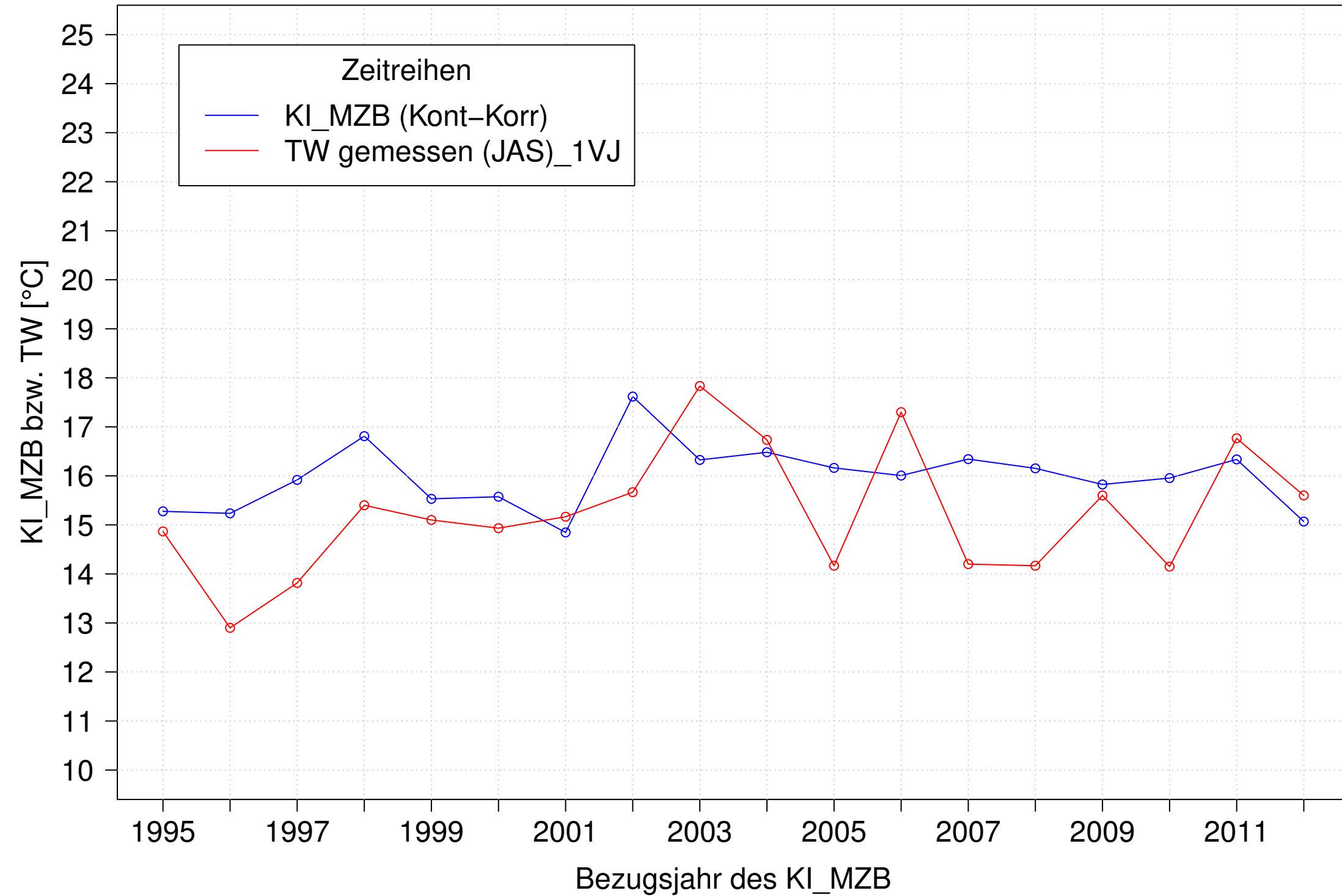
Brigach_Marbach, Typ 09.1 mit Neozoen, Serie 3
KI_MZB (Kont-Korr) und TW gemessen (JAS) des 1. Vorjahres



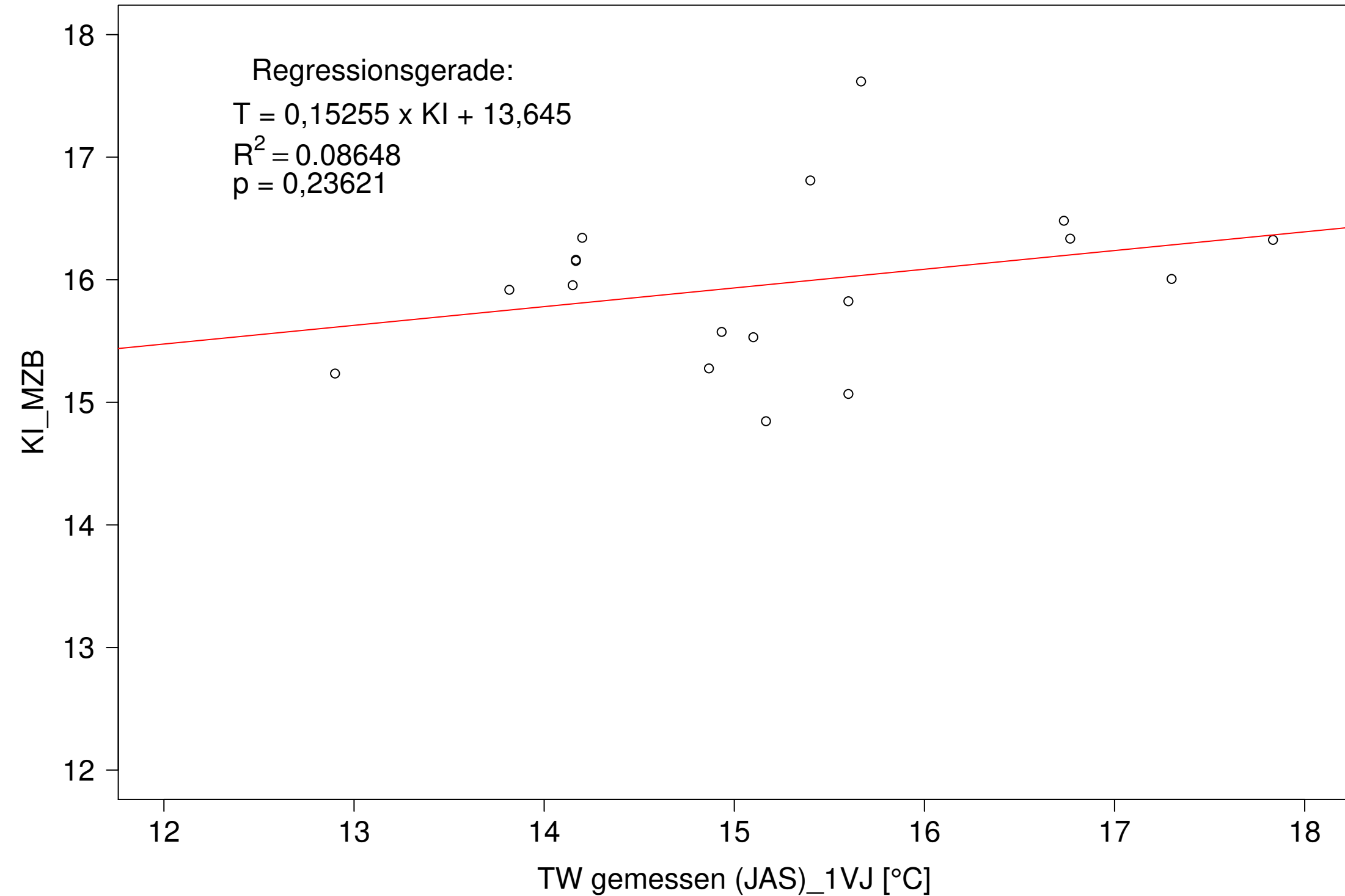
Brigach_Marbach, Typ 09.1 mit Neozoen, Serie 3
KI_MZB (Kont-Korr) gegen TW gemessen (JAS) des 1. Vorjahres



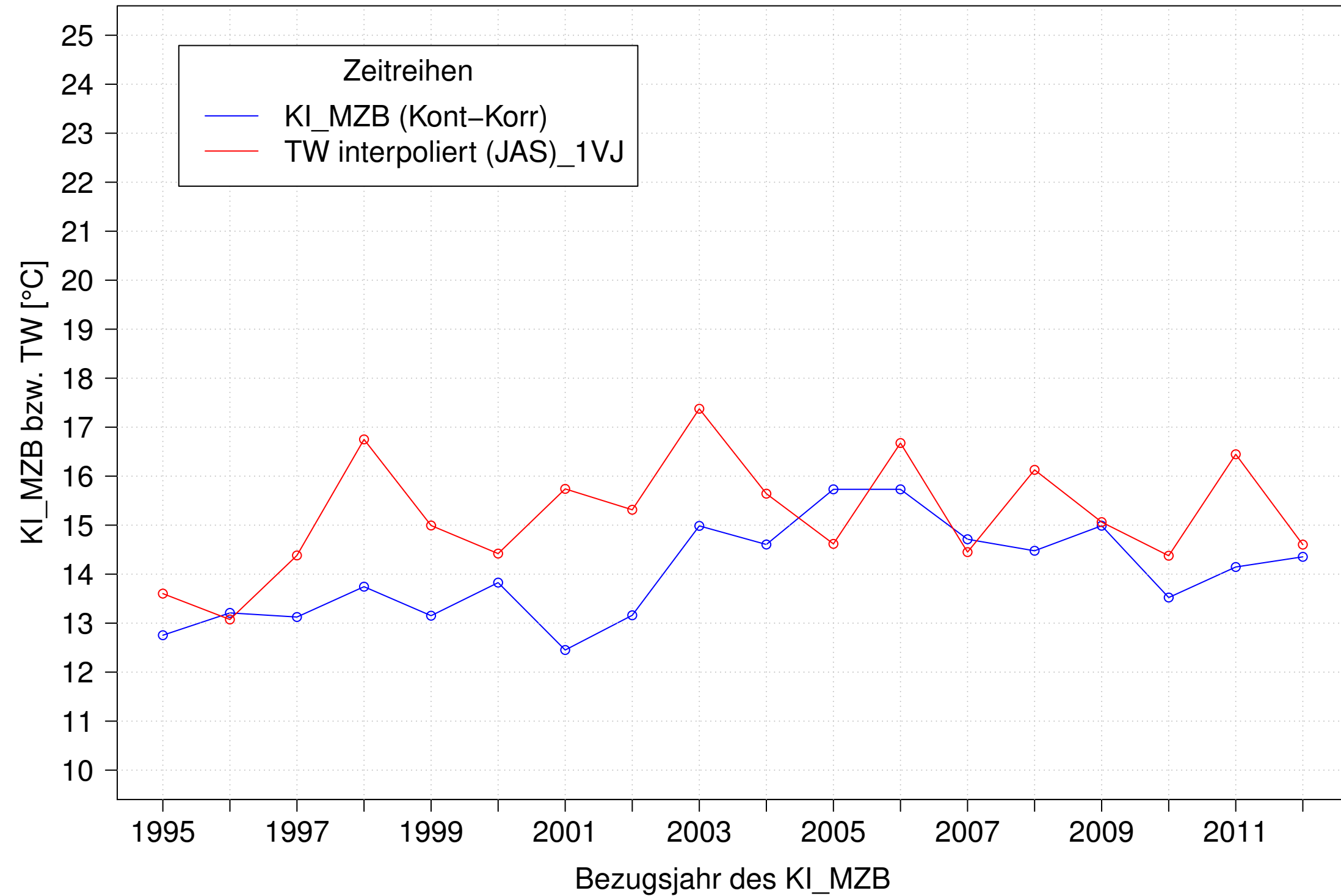
Brigach_Marbach, Typ 09.1 mit Neozoen, Serie 4
KI_MZB (Kont-Korr) und TW gemessen (JAS) des 1. Vorjahres



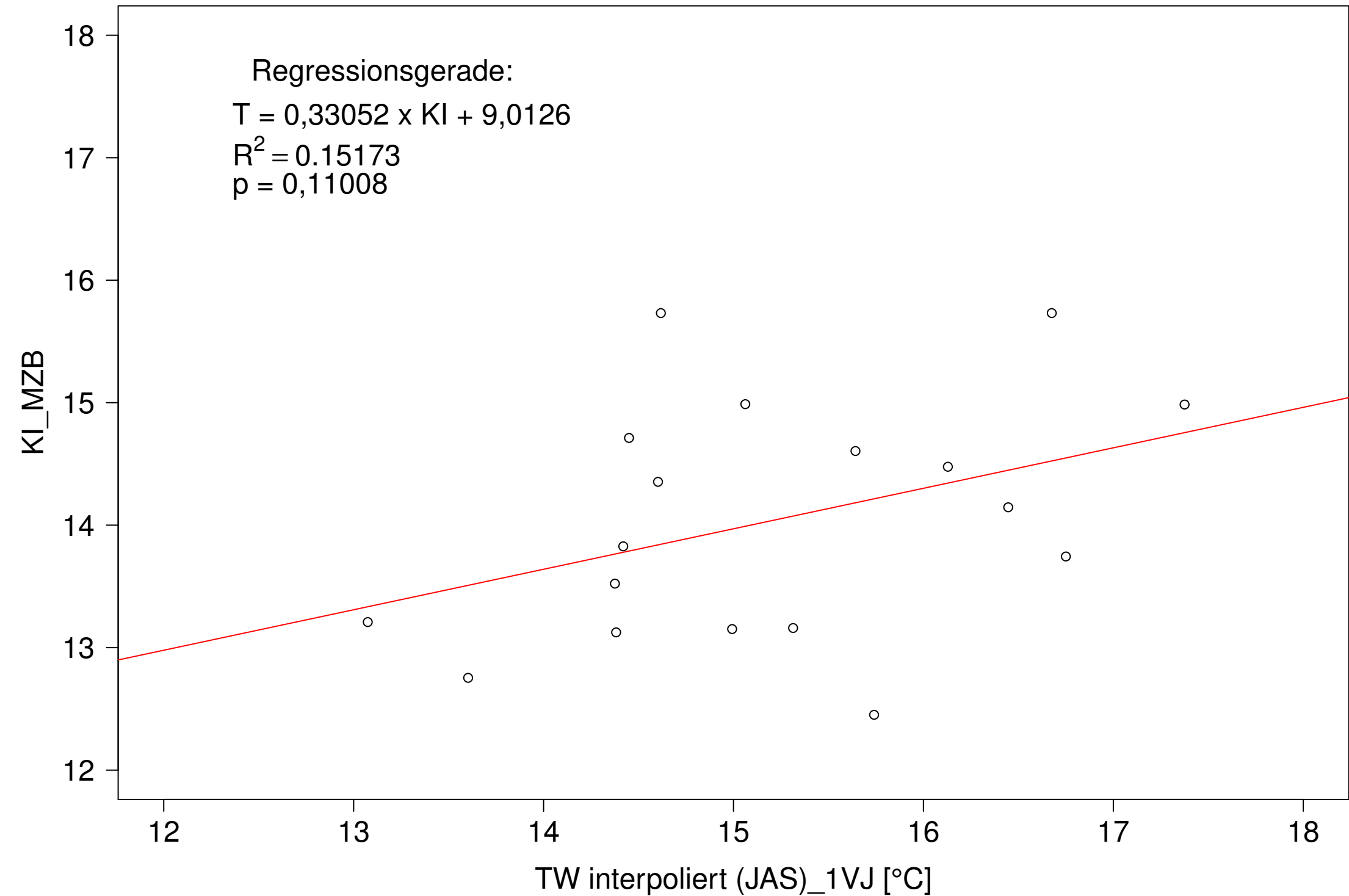
Brigach_Marbach, Typ 09.1 mit Neozoen, Serie 4
KI_MZB (Kont-Korr) gegen TW gemessen (JAS) des 1. Vorjahres



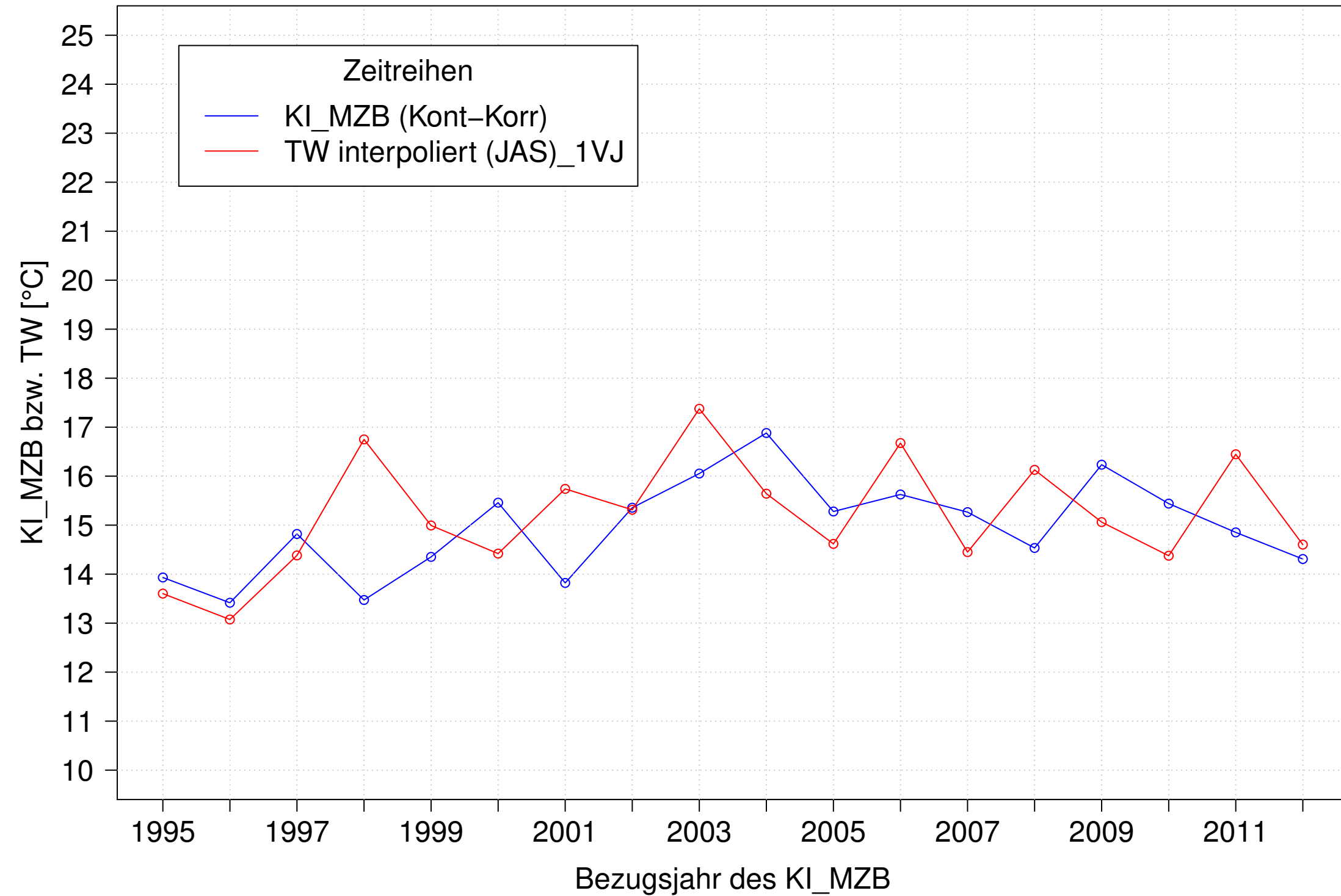
Brigach_Marbach, Typ 09.1 mit Neozoen, Serie 1
KI_MZB (Kont-Korr) und TW interpoliert (JAS) des 1. Vorjahres



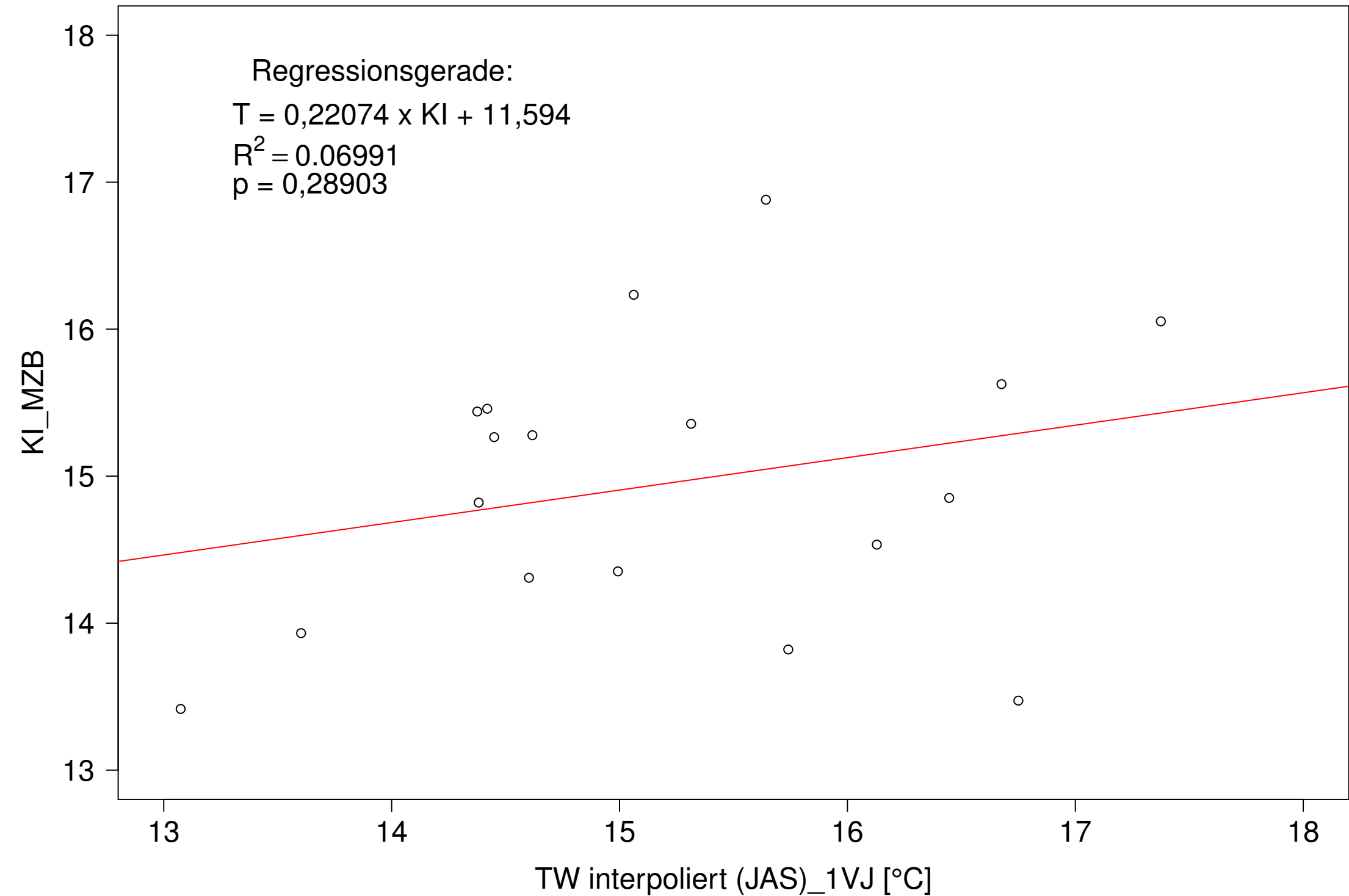
Brigach_Marbach, Typ 09.1 mit Neozoen, Serie 1
KI_MZB (Kont-Korr) gegen TW interpoliert (JAS) des 1. Vorjahres



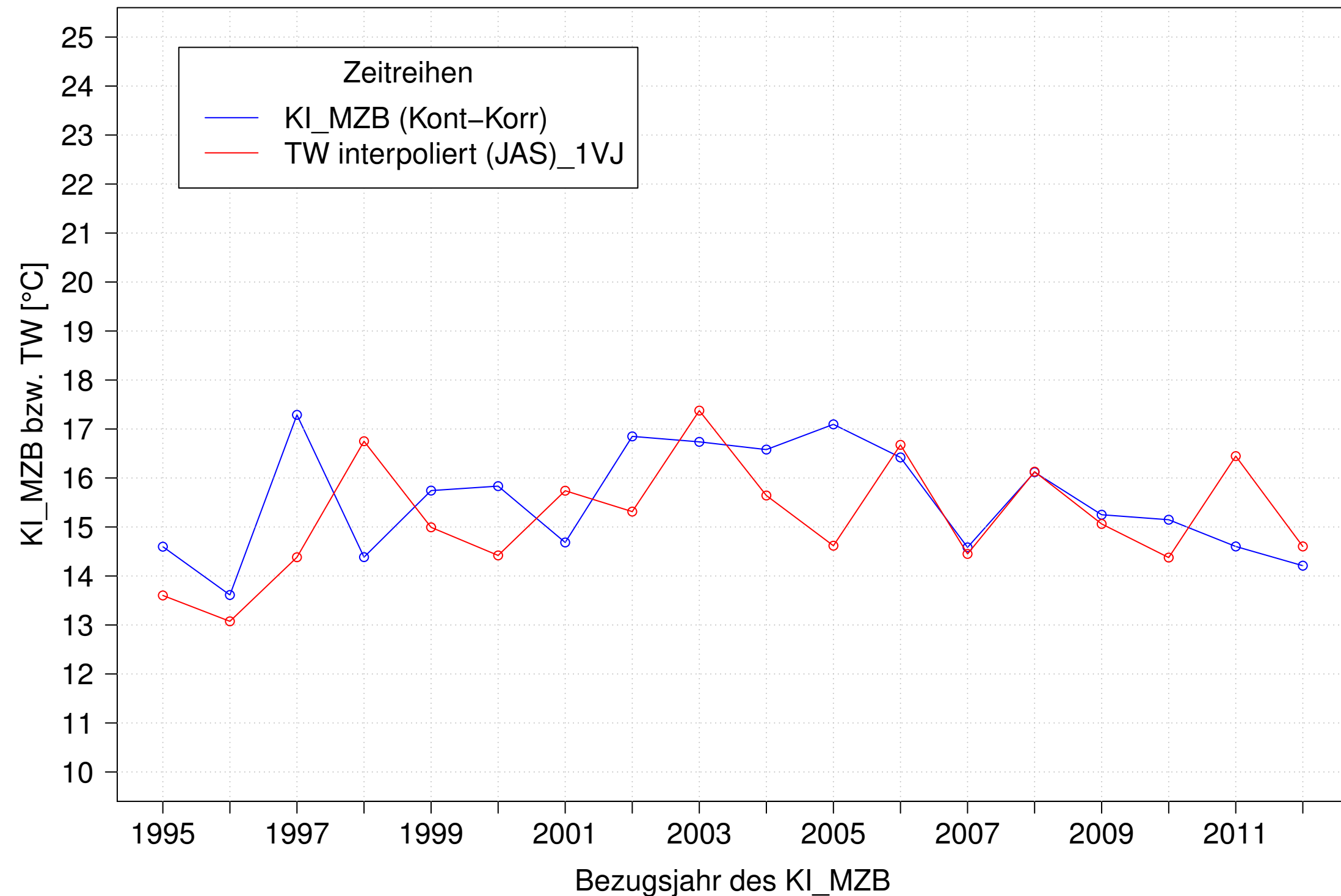
Brigach_Marbach, Typ 09.1 mit Neozoen, Serie 2
KI_MZB (Kont-Korr) und TW interpoliert (JAS) des 1. Vorjahres



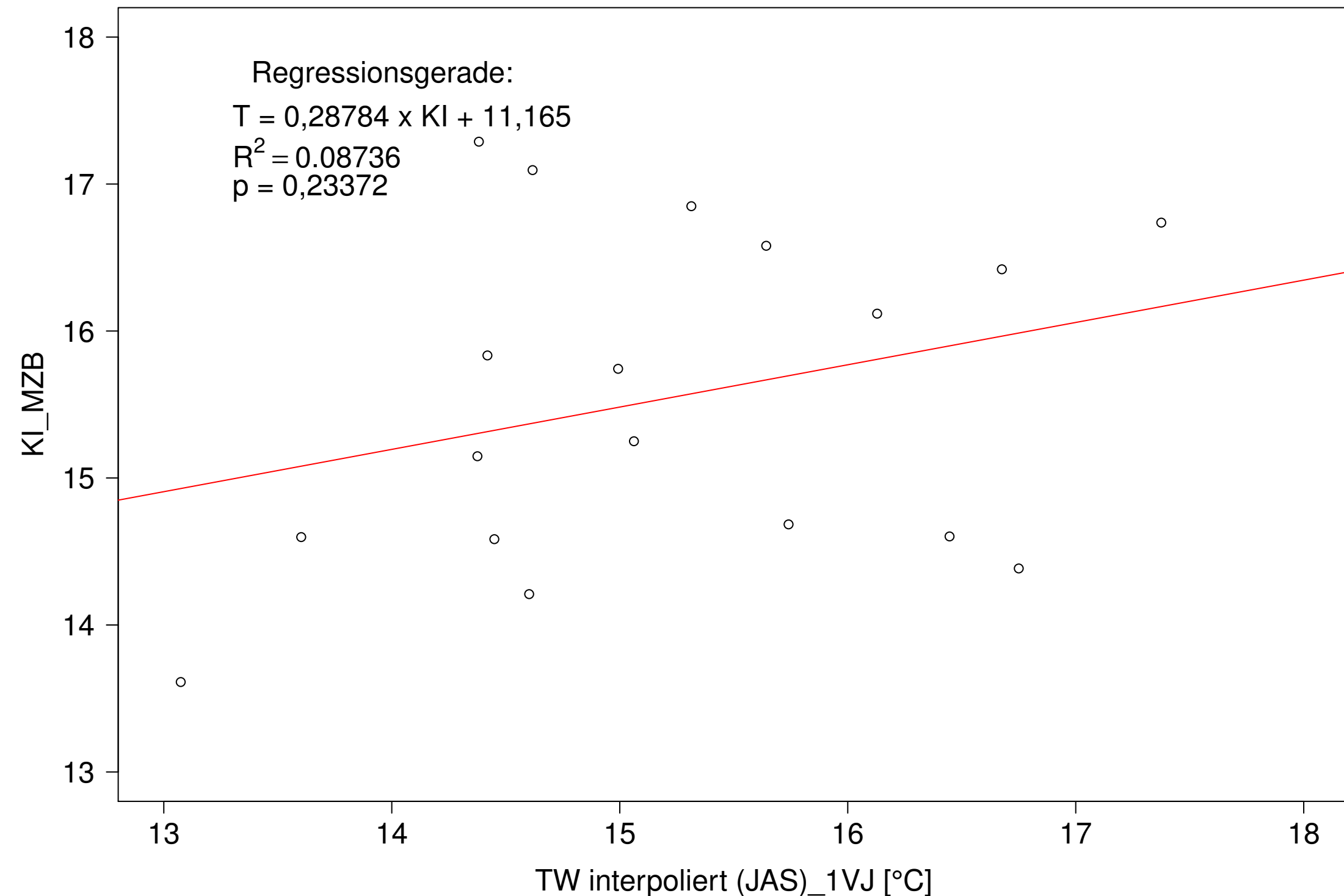
Brigach_Marbach, Typ 09.1 mit Neozoen, Serie 2
KI_MZB (Kont-Korr) gegen TW interpoliert (JAS) des 1. Vorjahres



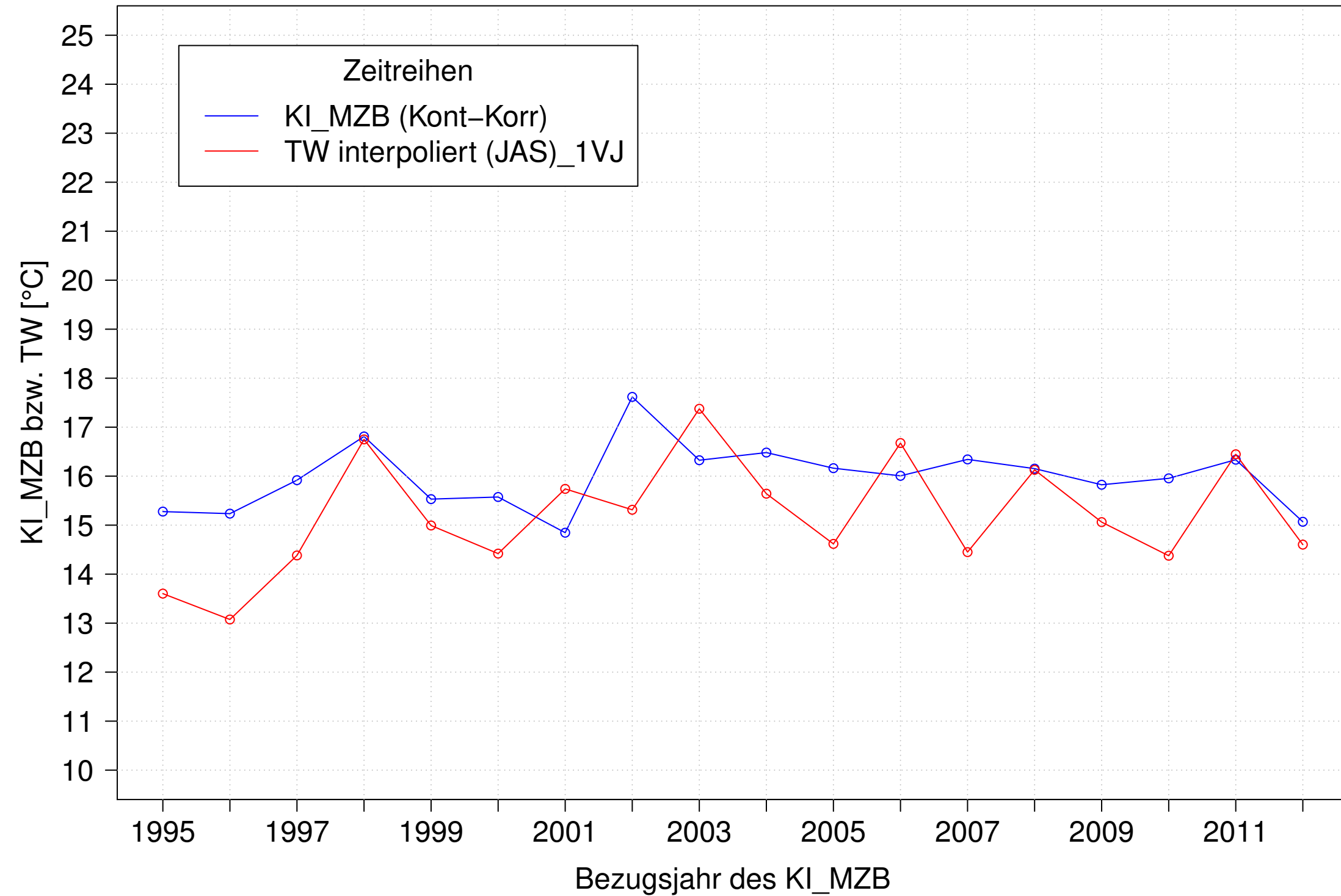
Brigach_Marbach, Typ 09.1 mit Neozoen, Serie 3
KI_MZB (Kont-Korr) und TW interpoliert (JAS) des 1. Vorjahres



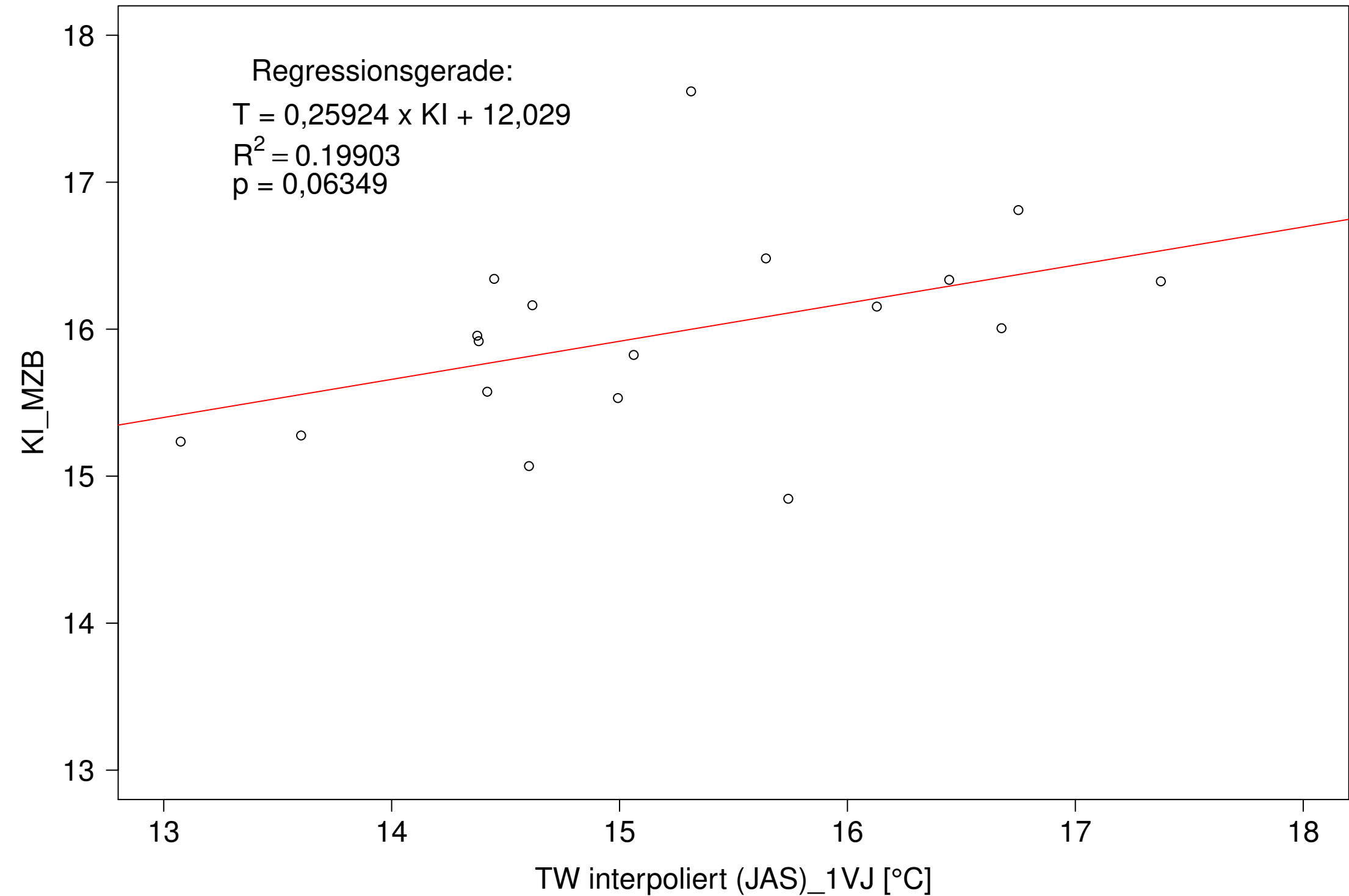
Brigach_Marbach, Typ 09.1 mit Neozoen, Serie 3
KI_MZB (Kont-Korr) gegen TW interpoliert (JAS) des 1. Vorjahres



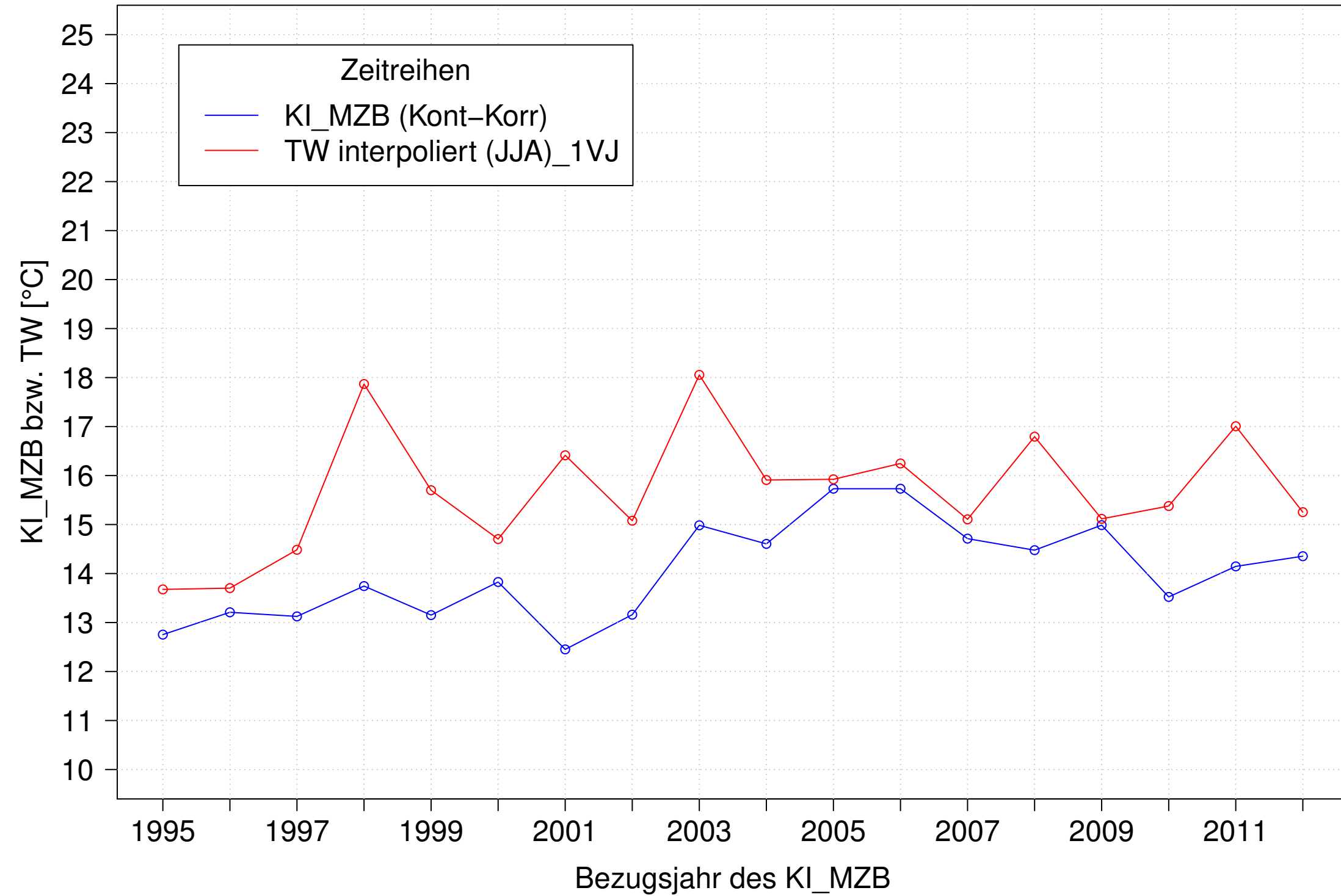
Brigach_Marbach, Typ 09.1 mit Neozoen, Serie 4
KI_MZB (Kont-Korr) und TW interpoliert (JAS) des 1. Vorjahres



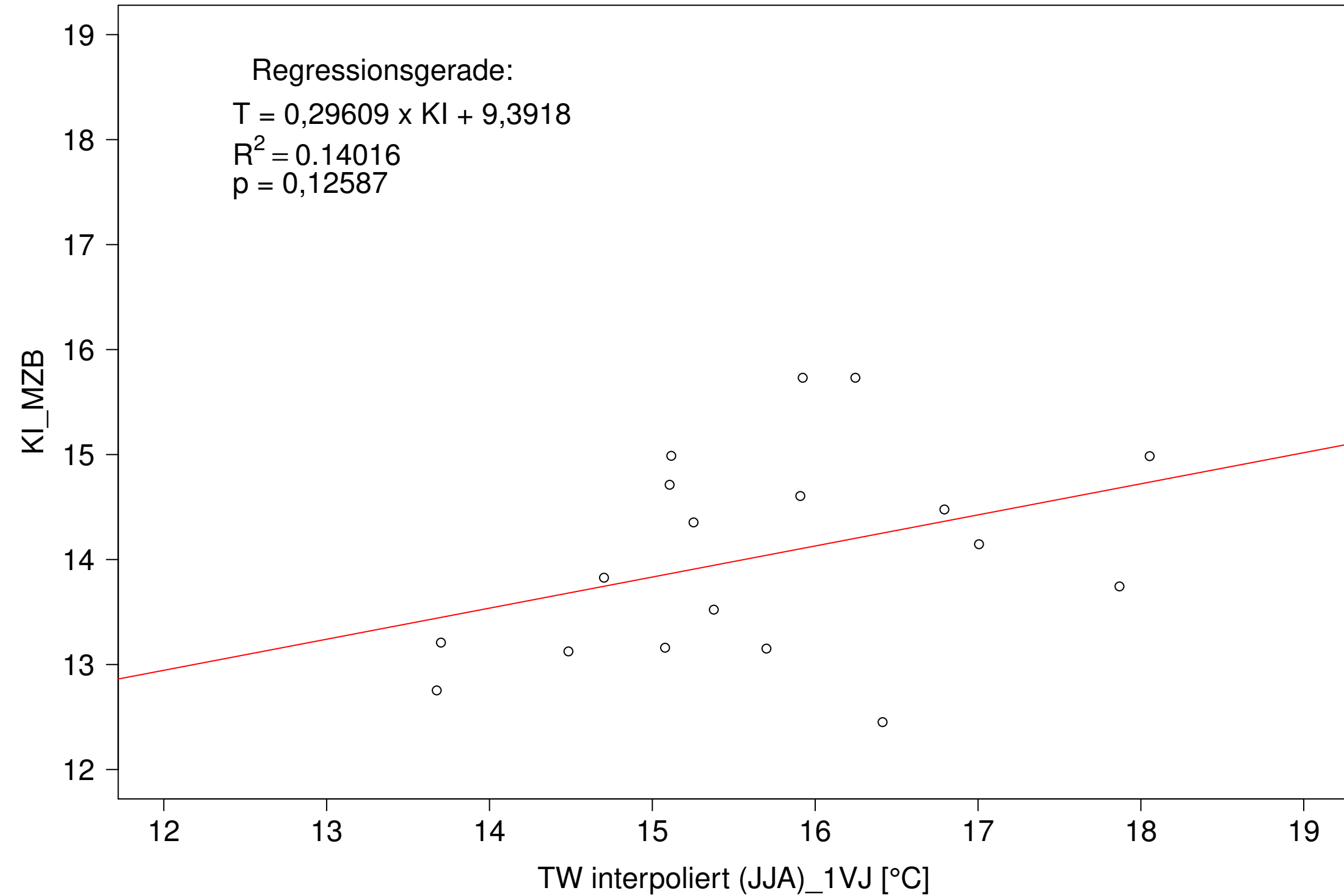
Brigach_Marbach, Typ 09.1 mit Neozoen, Serie 4
KI_MZB (Kont-Korr) gegen TW interpoliert (JAS) des 1. Vorjahres



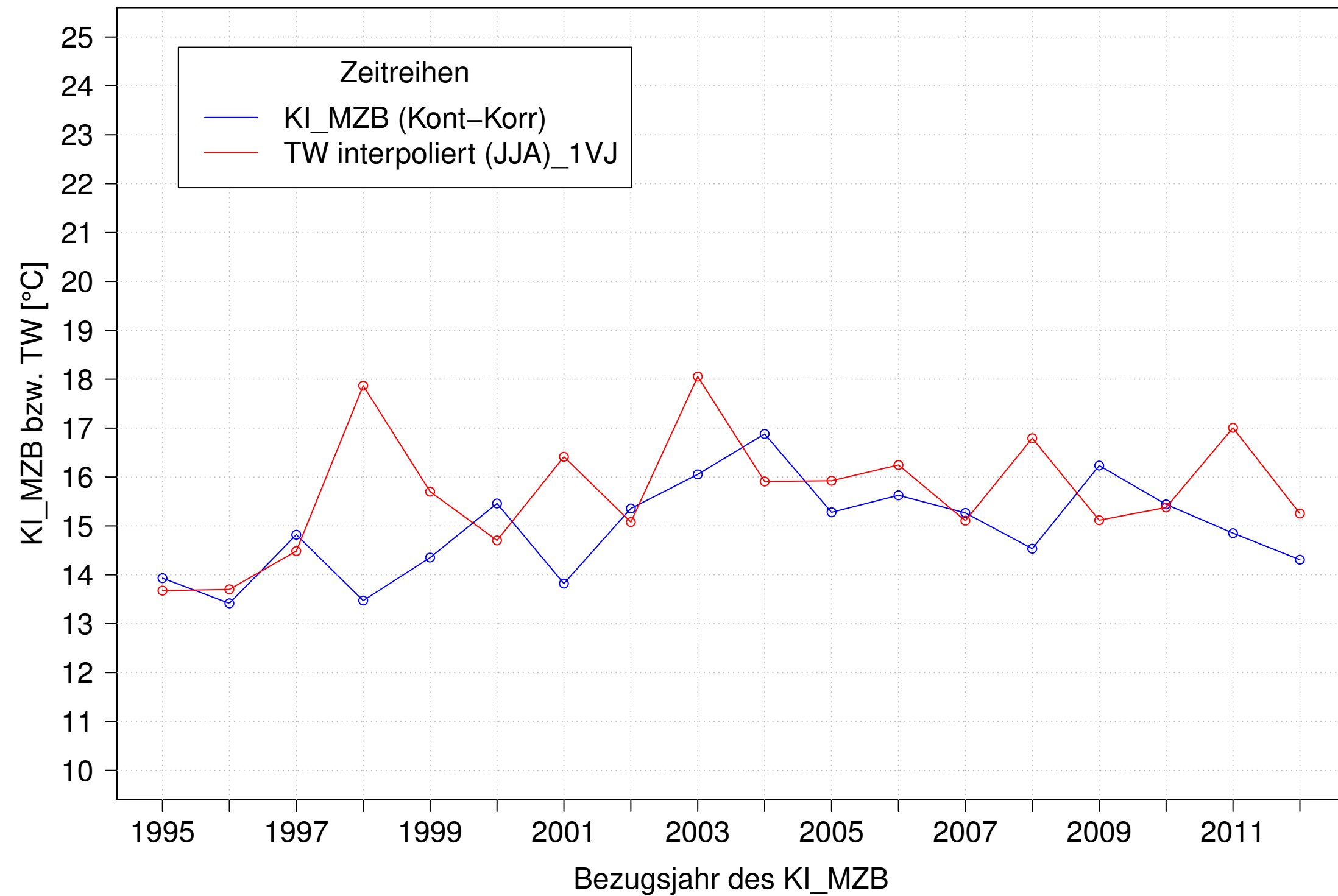
Brigach_Marbach, Typ 09.1 mit Neozoen, Serie 1
KI_MZB (Kont-Korr) und TW interpoliert (JJA) des 1. Vorjahres



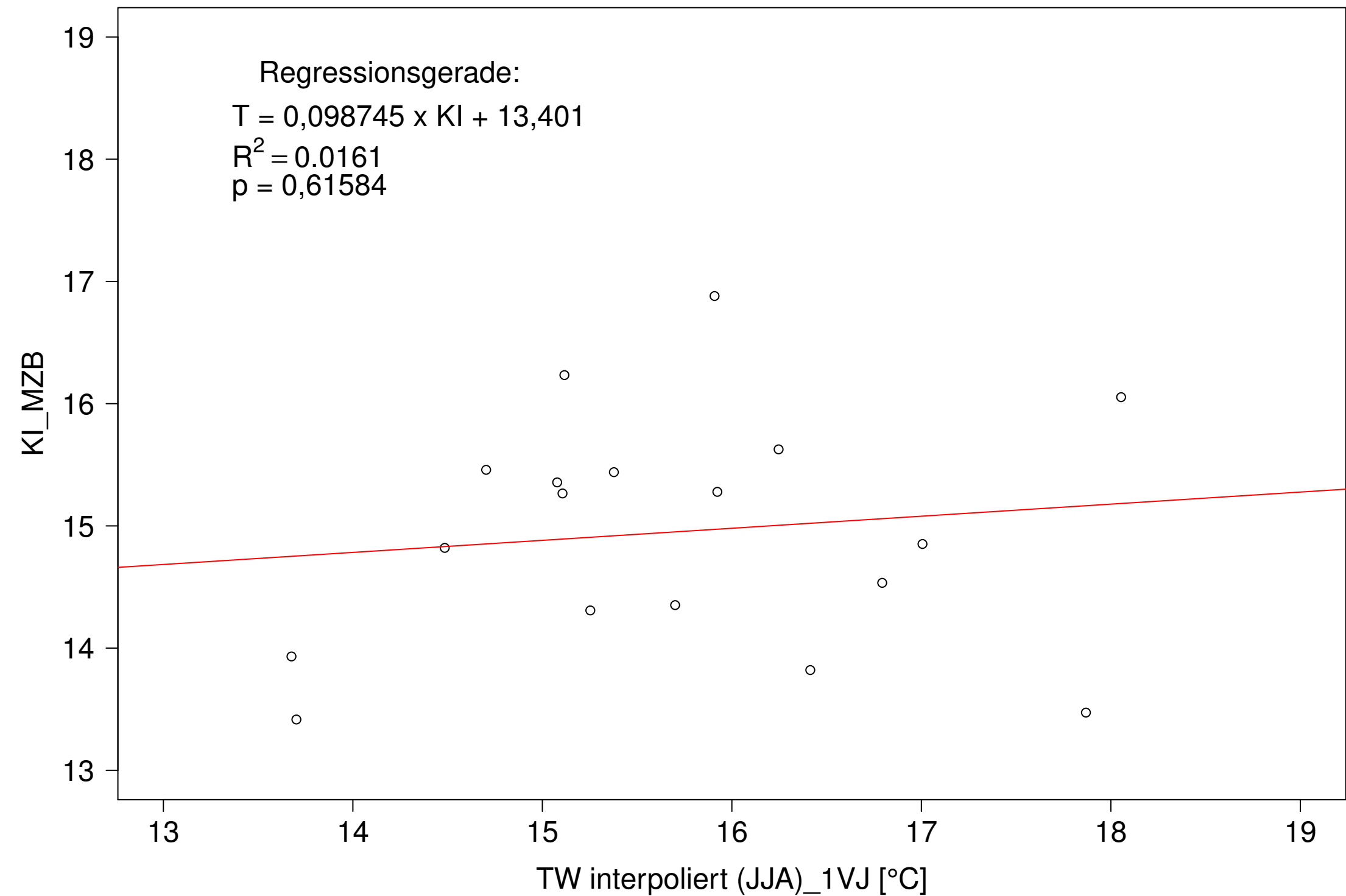
Brigach_Marbach, Typ 09.1 mit Neozoen, Serie 1
KI_MZB (Kont-Korr) gegen TW interpoliert (JJA) des 1. Vorjahres



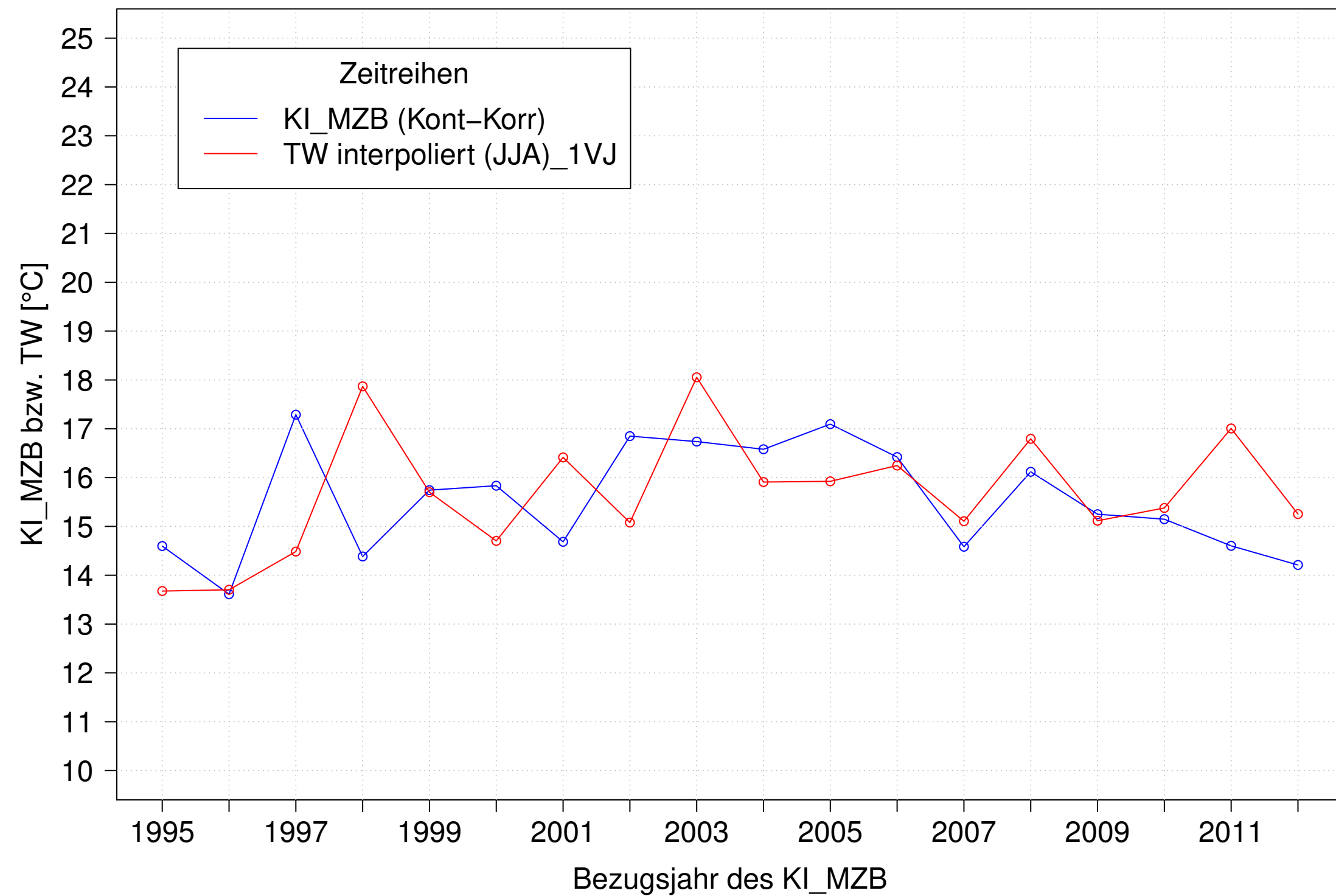
Brigach_Marbach, Typ 09.1 mit Neozoen, Serie 2
KI_MZB (Kont-Korr) und TW interpoliert (JJA) des 1. Vorjahres



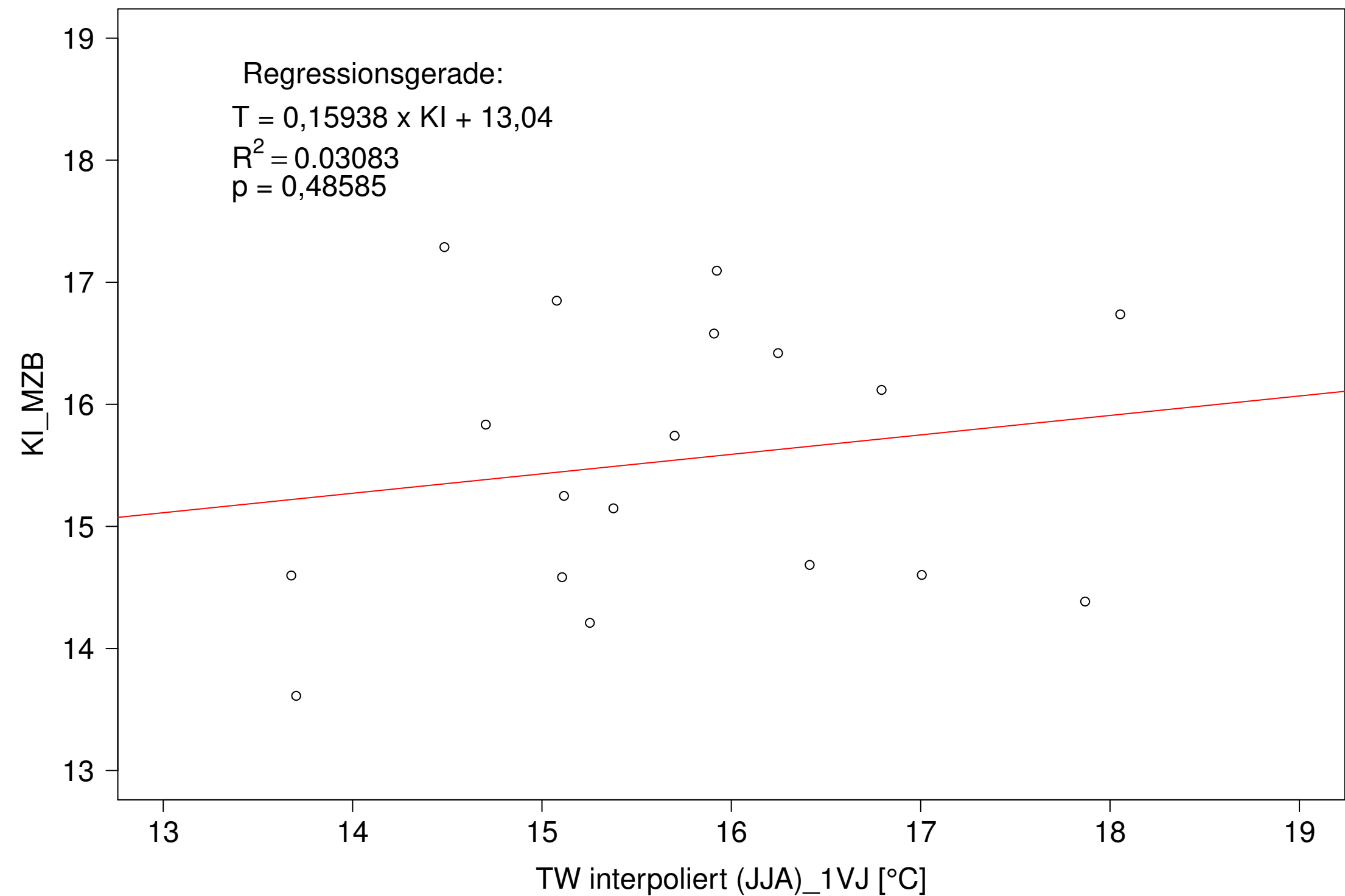
Brigach_Marbach, Typ 09.1 mit Neozoen, Serie 2
KI_MZB (Kont-Korr) gegen TW interpoliert (JJA) des 1. Vorjahres



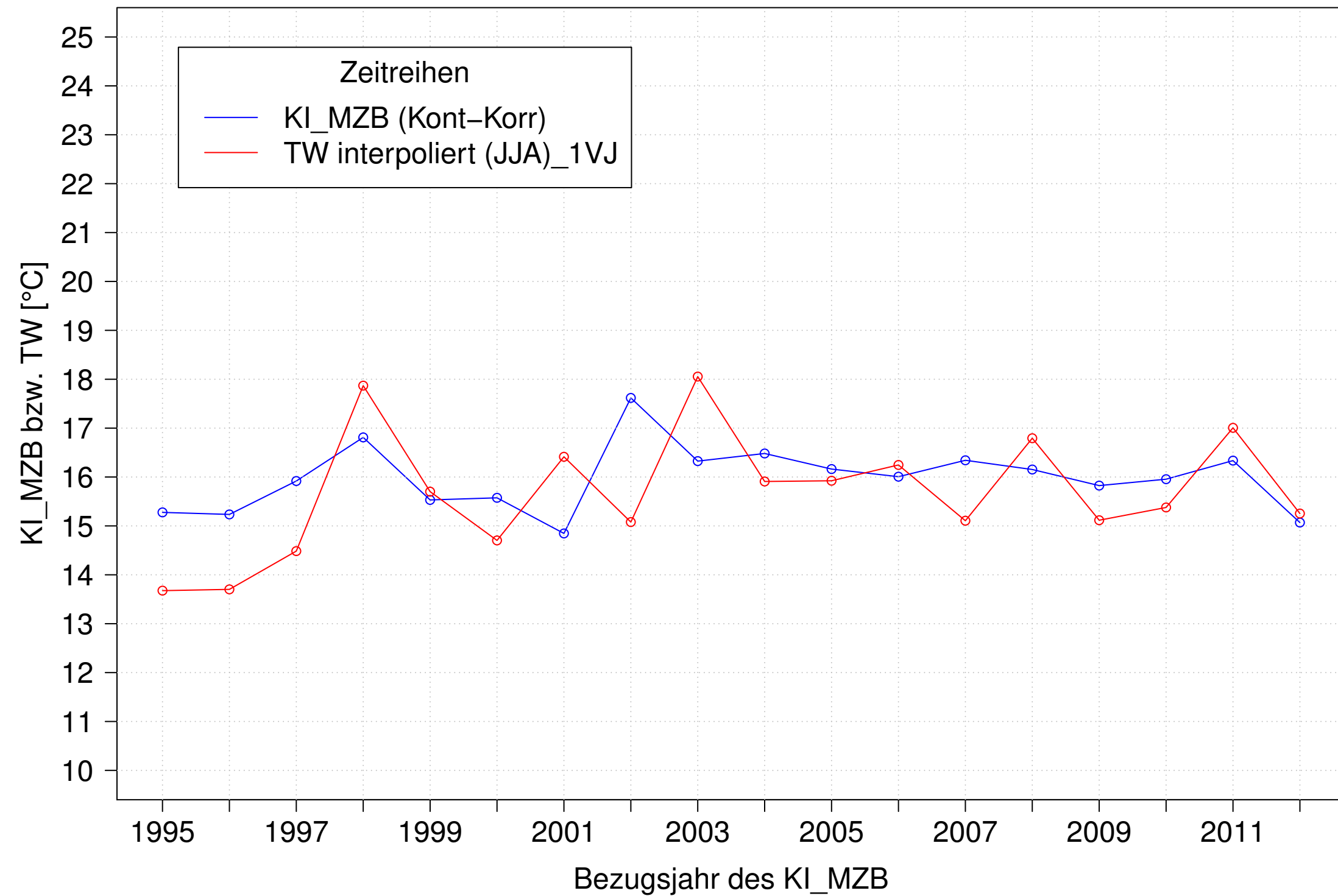
Brigach_Marbach, Typ 09.1 mit Neozoen, Serie 3
KI_MZB (Kont-Korr) und TW interpoliert (JJA) des 1. Vorjahres



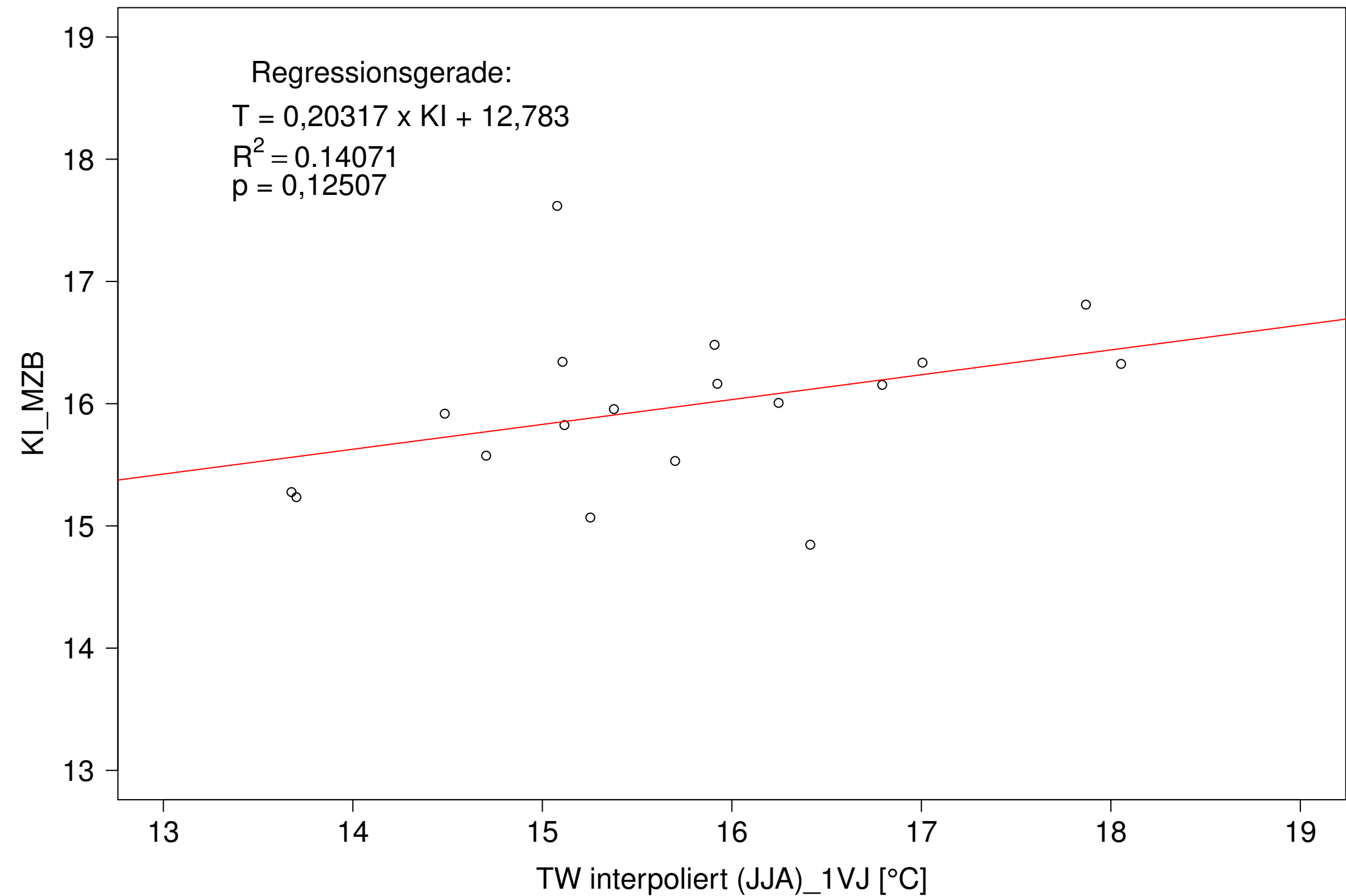
Brigach_Marbach, Typ 09.1 mit Neozoen, Serie 3
KI_MZB (Kont-Korr) gegen TW interpoliert (JJA) des 1. Vorjahres



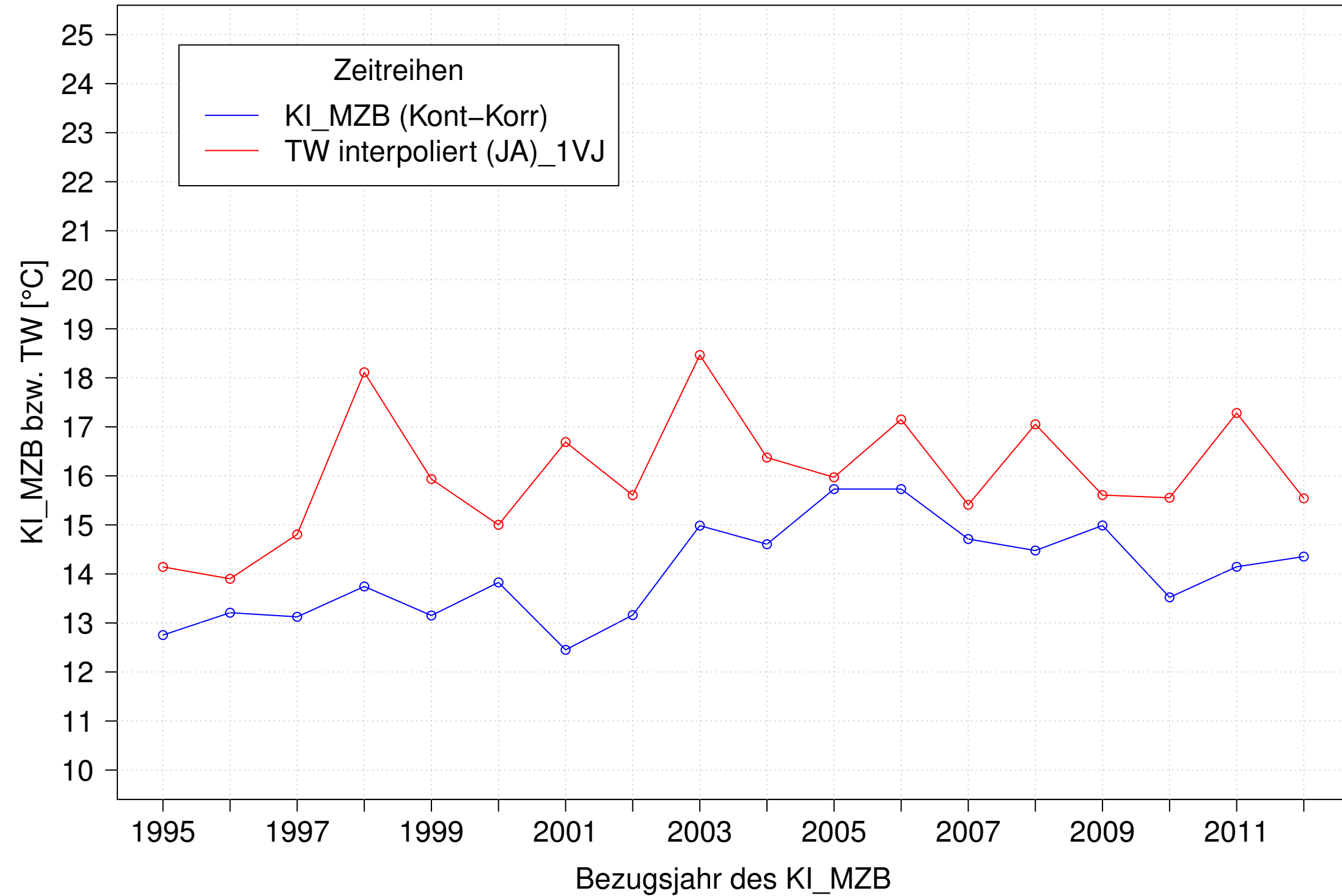
Brigach_Marbach, Typ 09.1 mit Neozoen, Serie 4
KI_MZB (Kont-Korr) und TW interpoliert (JJA) des 1. Vorjahres



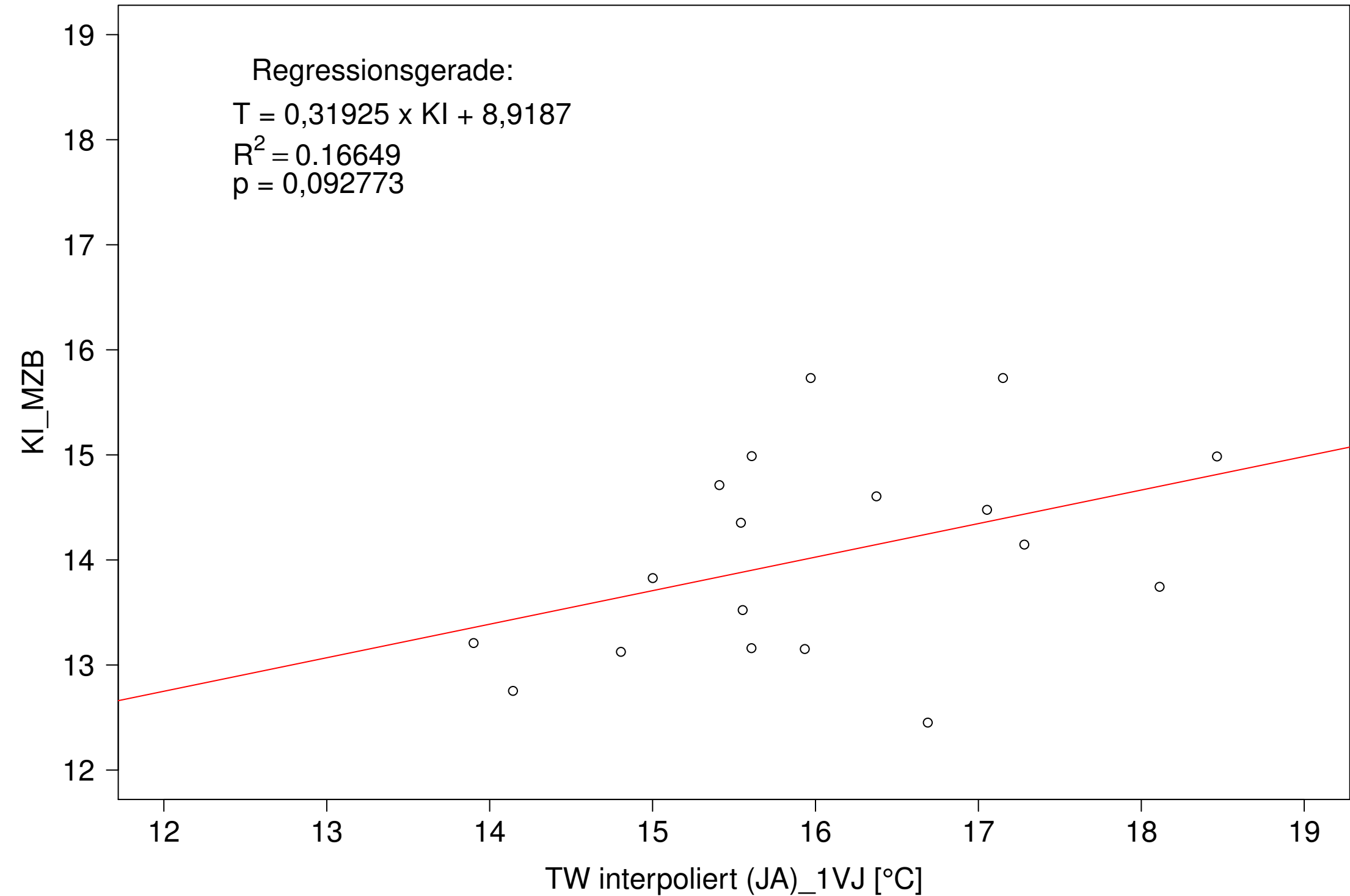
Brigach_Marbach, Typ 09.1 mit Neozoen, Serie 4
KI_MZB (Kont-Korr) gegen TW interpoliert (JJA) des 1. Vorjahres



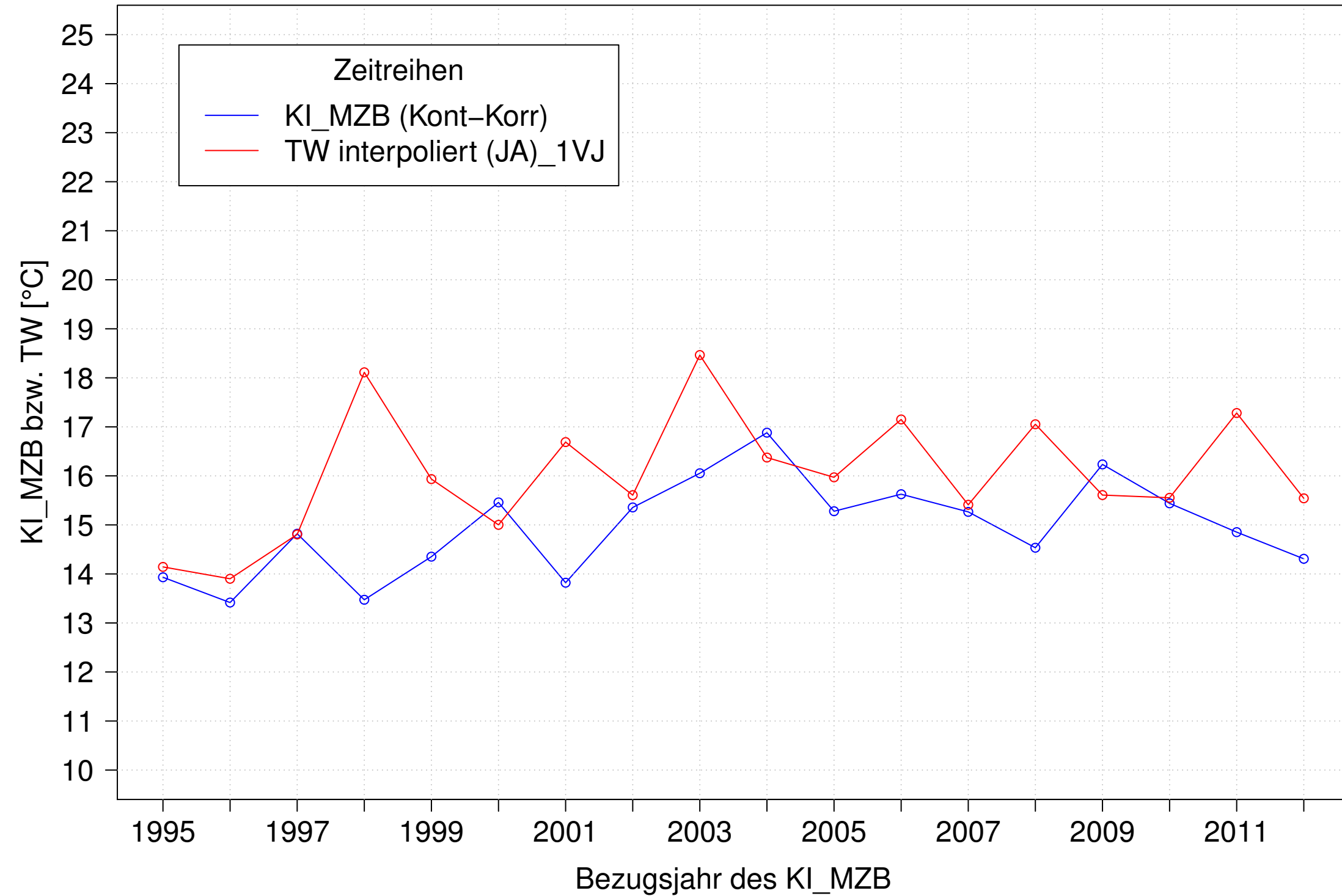
Brigach_Marbach, Typ 09.1 mit Neozoen, Serie 1
KI_MZB (Kont-Korr) und TW interpoliert (JA) des 1. Vorjahres



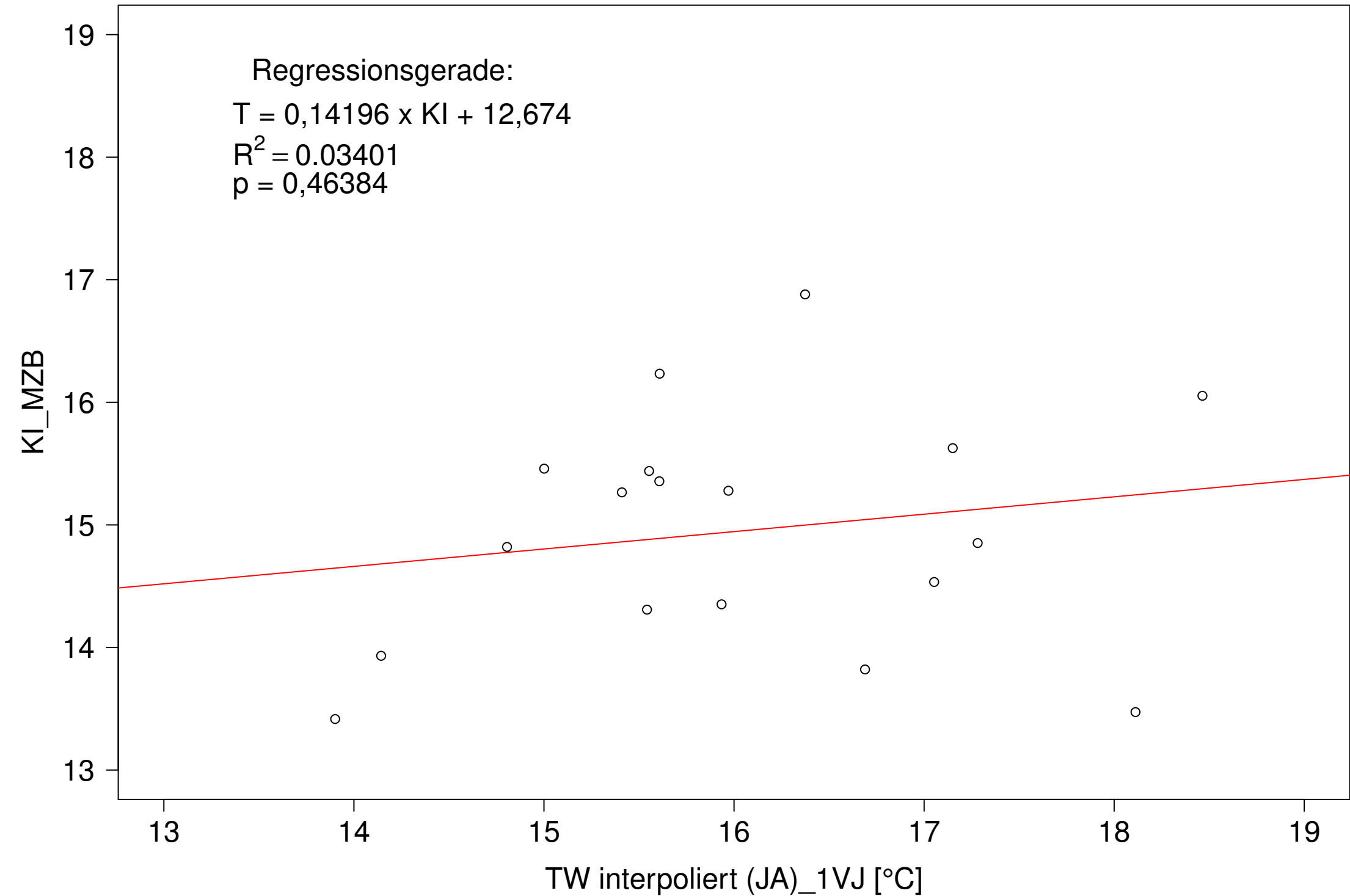
Brigach_Marbach, Typ 09.1 mit Neozoen, Serie 1
KI_MZB (Kont-Korr) gegen TW interpoliert (JA) des 1. Vorjahres



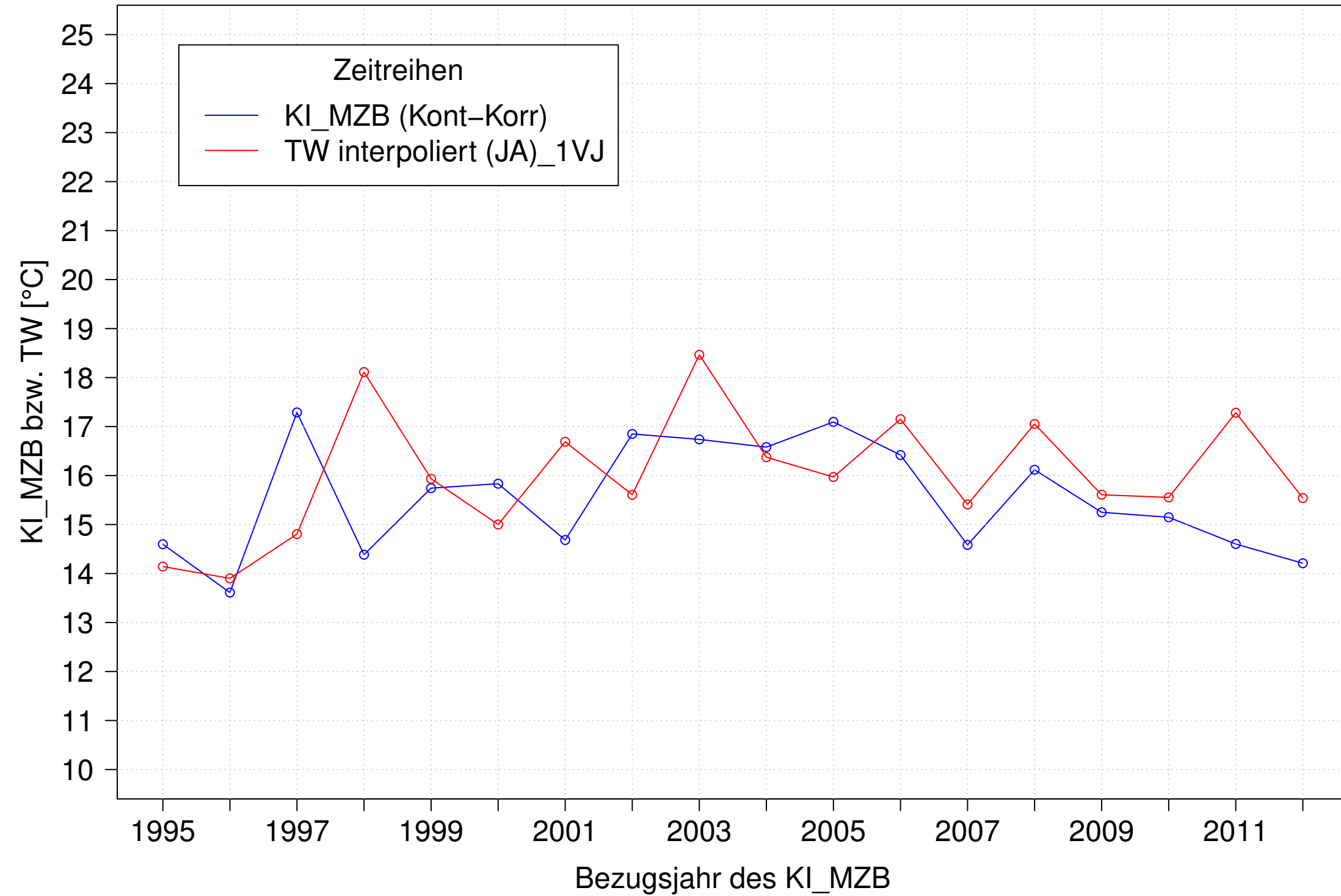
Brigach_Marbach, Typ 09.1 mit Neozoen, Serie 2
KI_MZB (Kont-Korr) und TW interpoliert (JA) des 1. Vorjahres



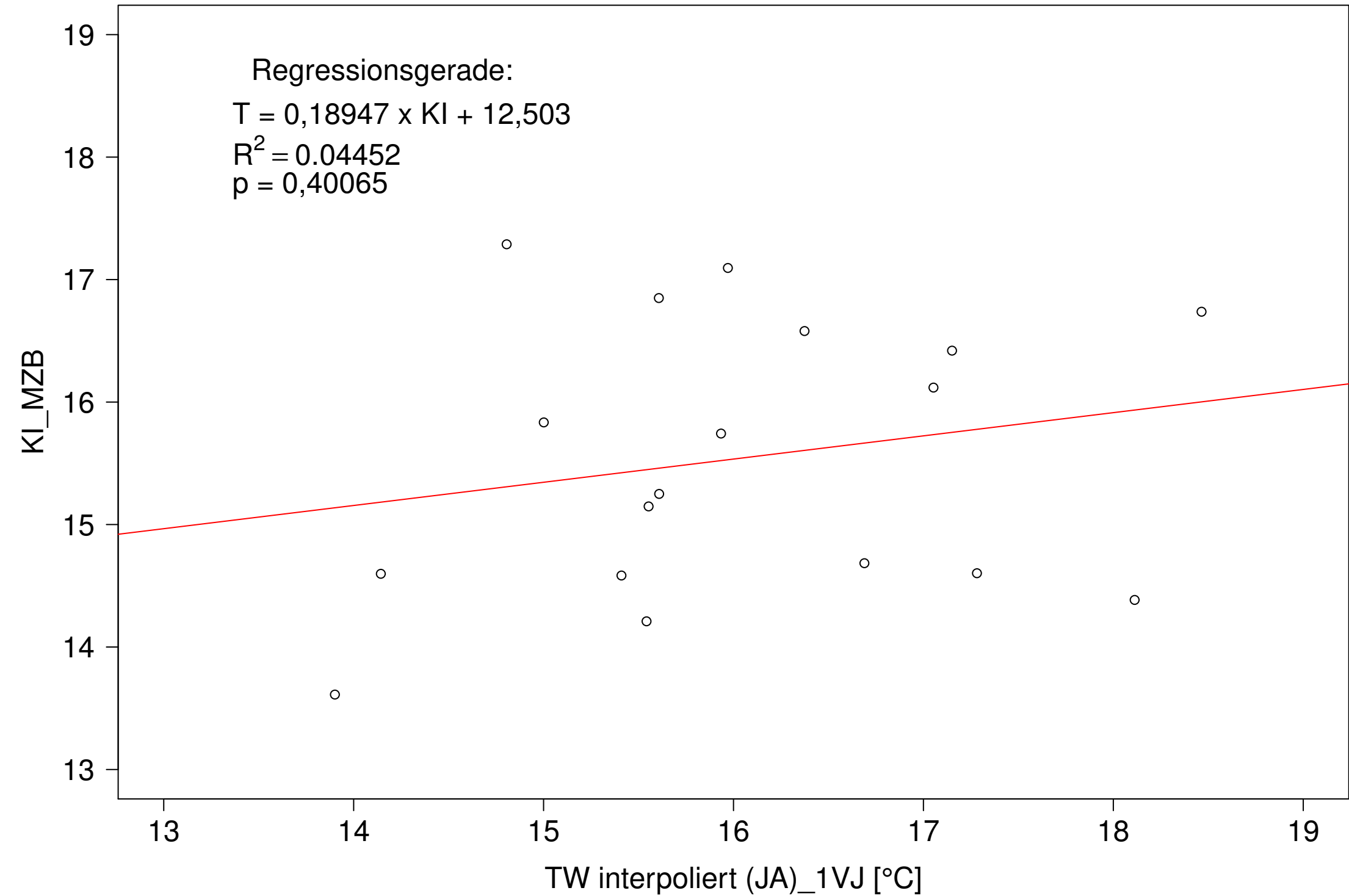
Brigach_Marbach, Typ 09.1 mit Neozoen, Serie 2
KI_MZB (Kont-Korr) gegen TW interpoliert (JA) des 1. Vorjahres



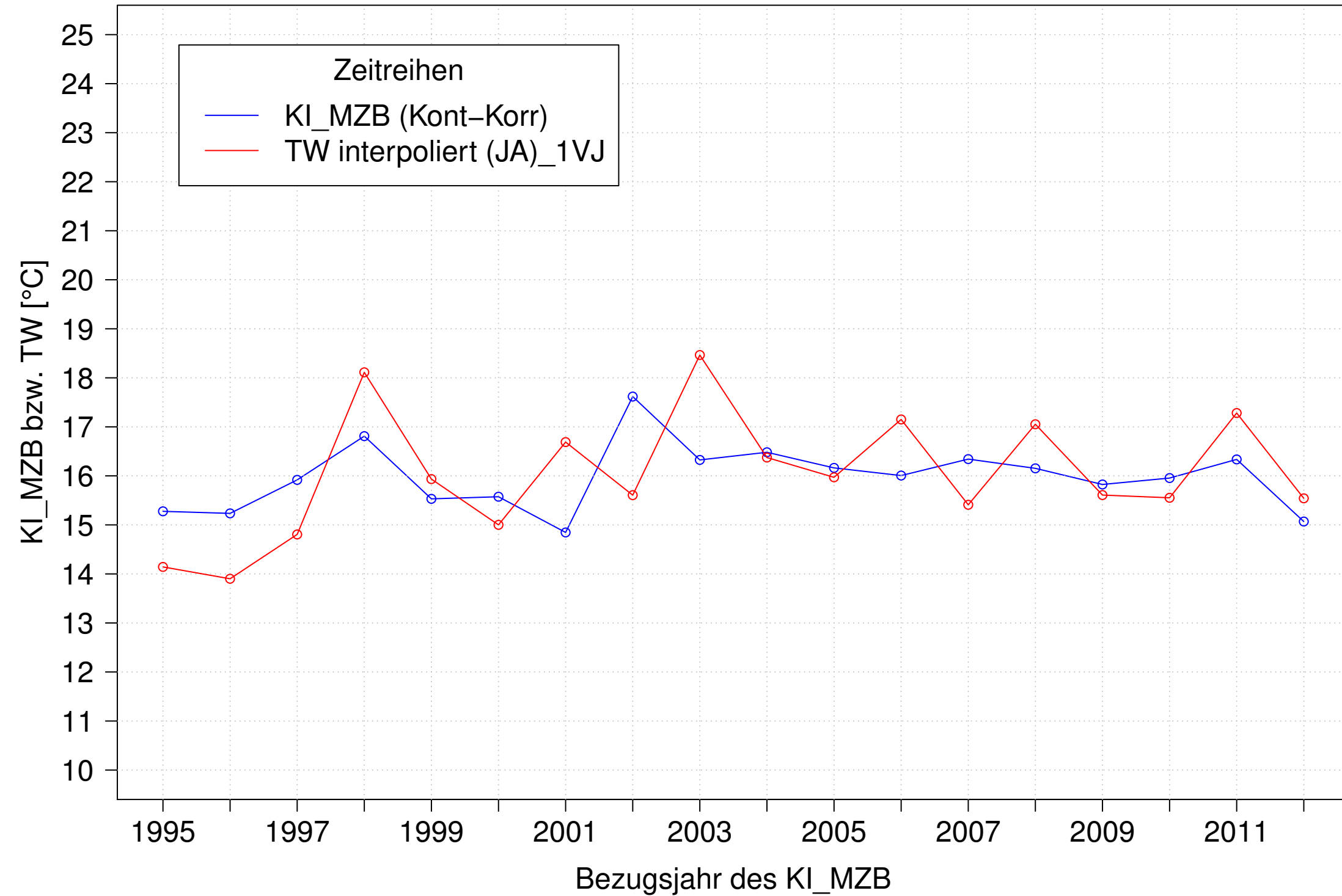
Brigach_Marbach, Typ 09.1 mit Neozoen, Serie 3
KI_MZB (Kont-Korr) und TW interpoliert (JA) des 1. Vorjahres



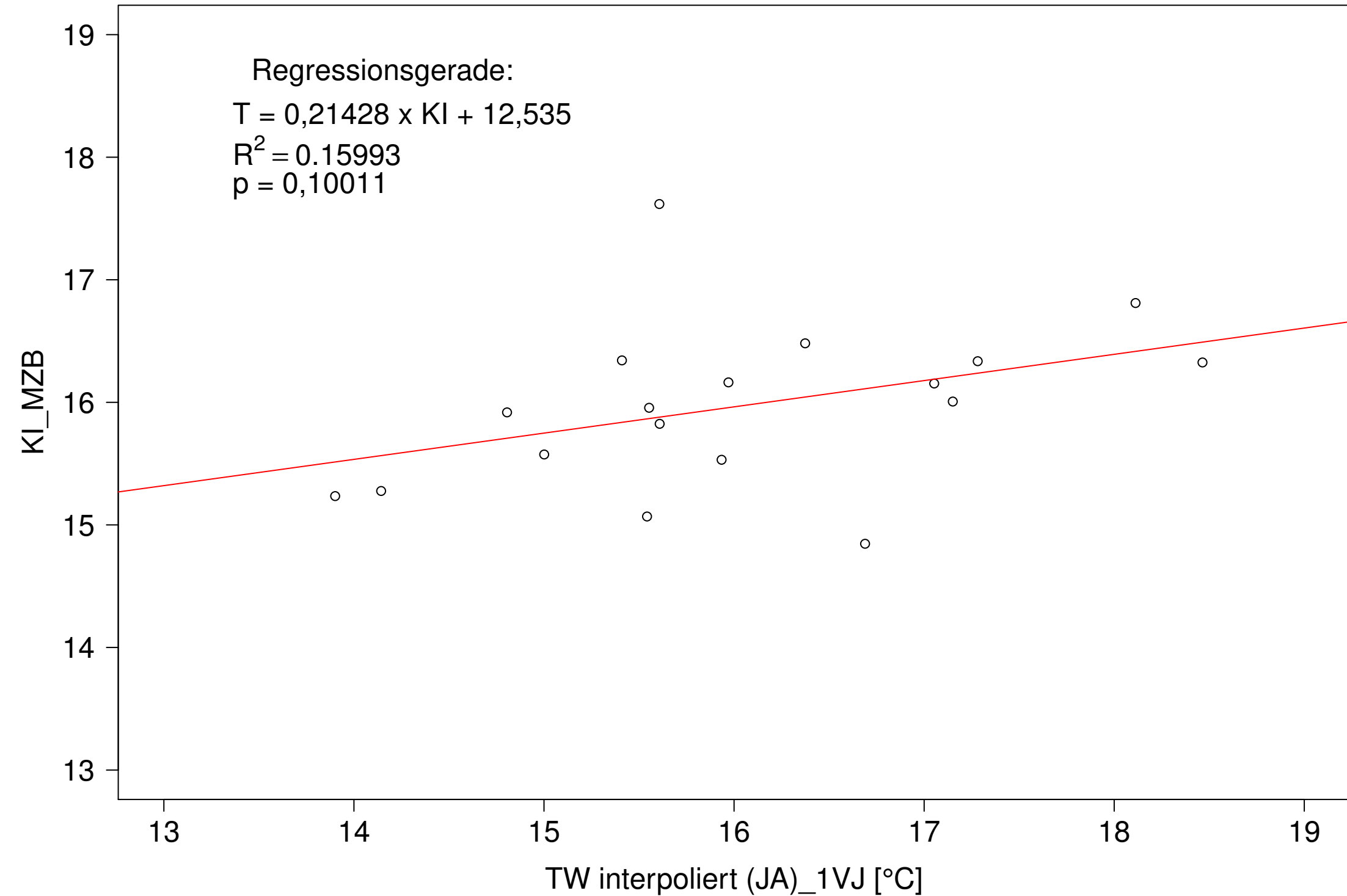
Brigach_Marbach, Typ 09.1 mit Neozoen, Serie 3
KI_MZB (Kont-Korr) gegen TW interpoliert (JA) des 1. Vorjahres



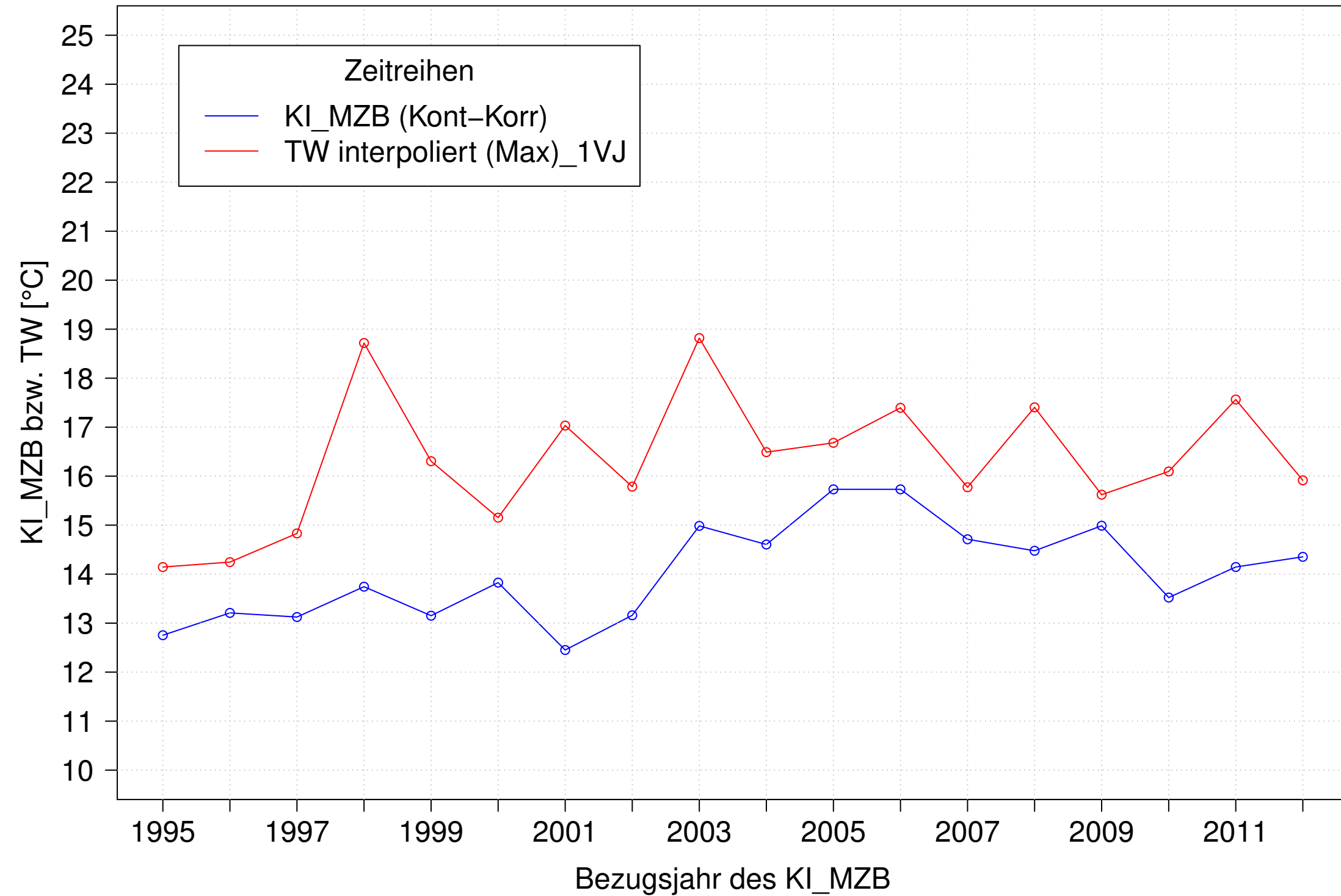
Brigach_Marbach, Typ 09.1 mit Neozoen, Serie 4
KI_MZB (Kont-Korr) und TW interpoliert (JA) des 1. Vorjahres



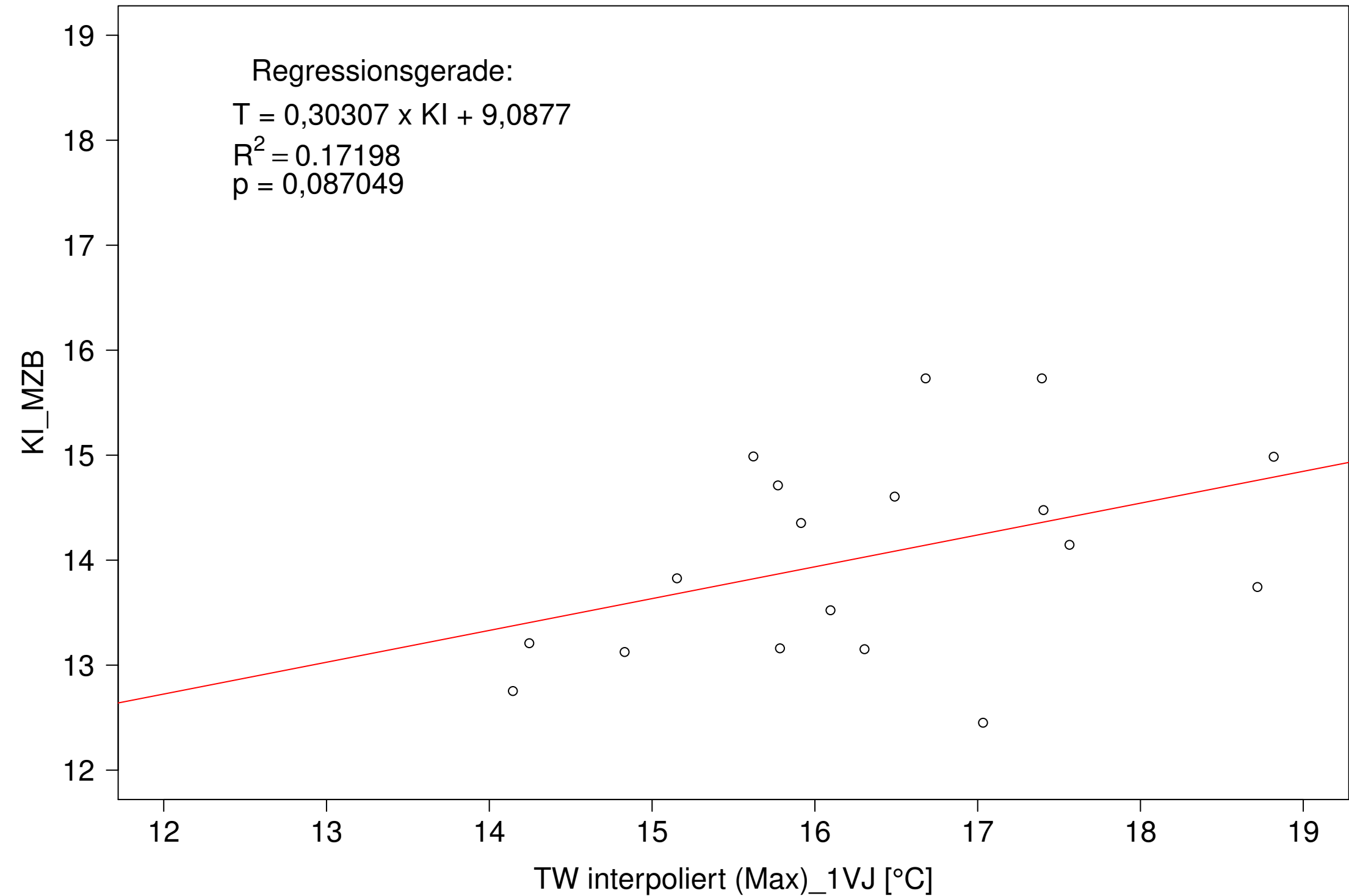
Brigach_Marbach, Typ 09.1 mit Neozoen, Serie 4
KI_MZB (Kont-Korr) gegen TW interpoliert (JA) des 1. Vorjahres



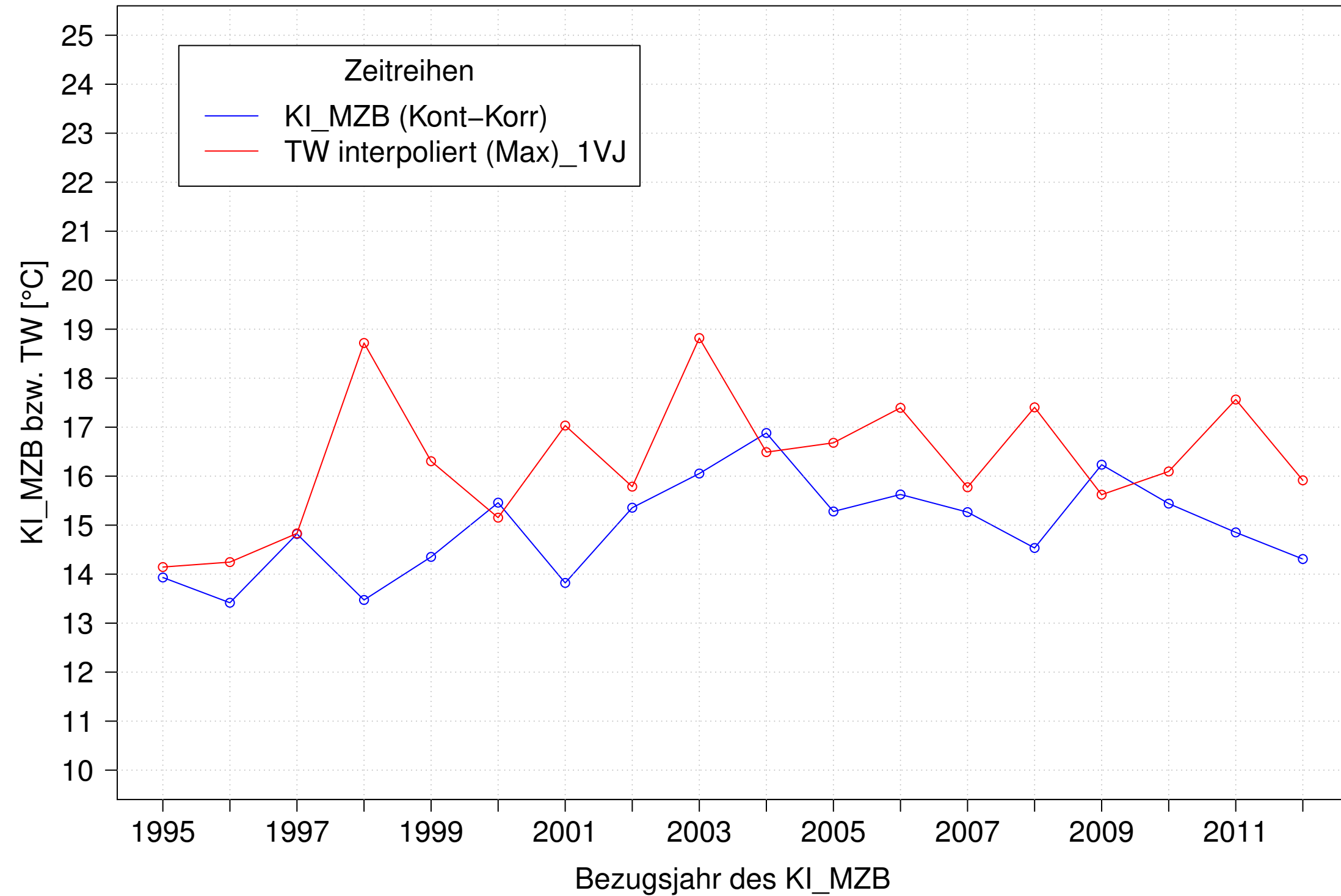
Brigach_Marbach, Typ 09.1 mit Neozoen, Serie 1
KI_MZB (Kont-Korr) und TW interpoliert (Max) des 1. Vorjahres



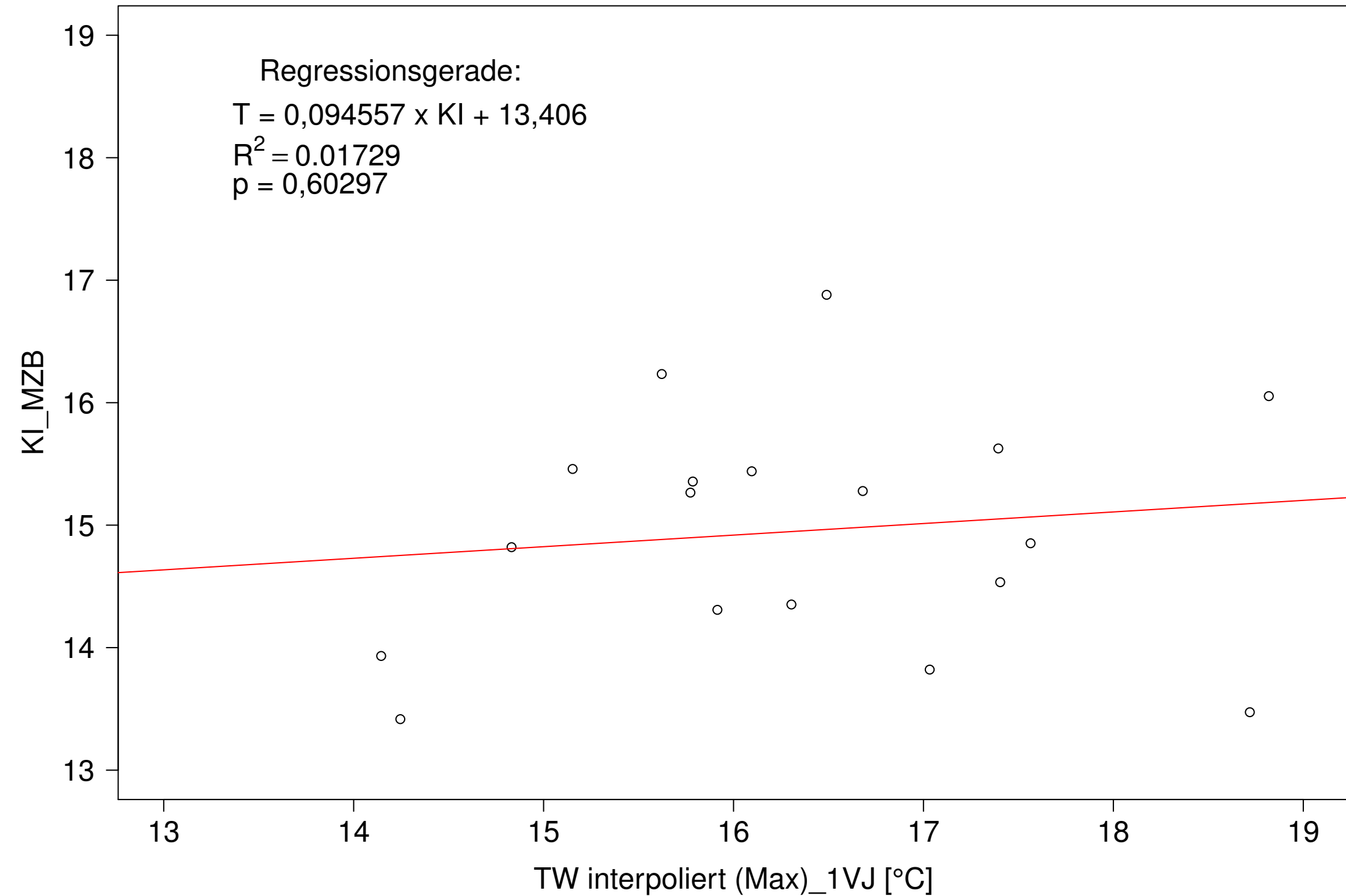
Brigach_Marbach, Typ 09.1 mit Neozoen, Serie 1
KI_MZB (Kont-Korr) gegen TW interpoliert (Max) des 1. Vorjahres



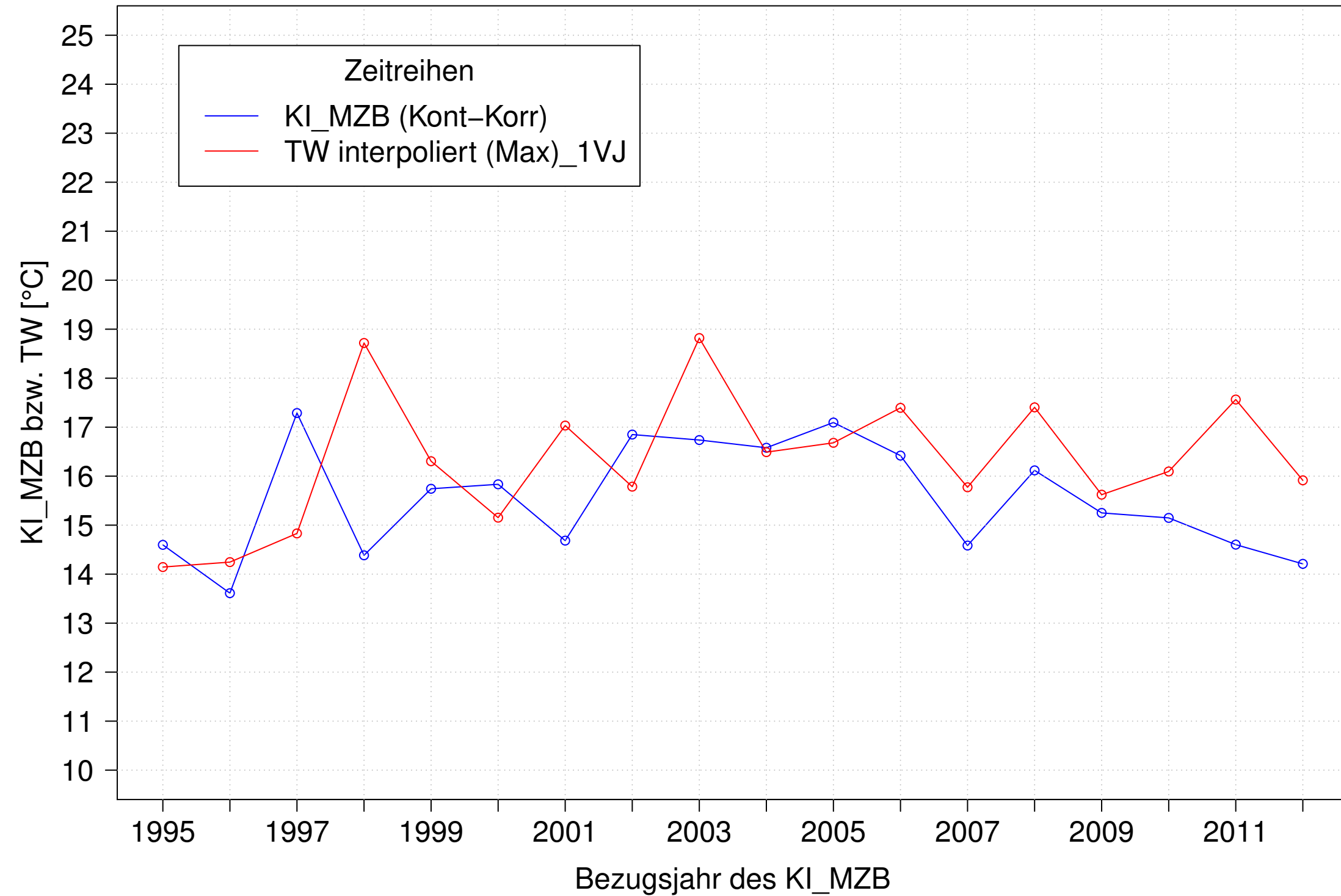
Brigach_Marbach, Typ 09.1 mit Neozoen, Serie 2
KI_MZB (Kont-Korr) und TW interpoliert (Max) des 1. Vorjahres



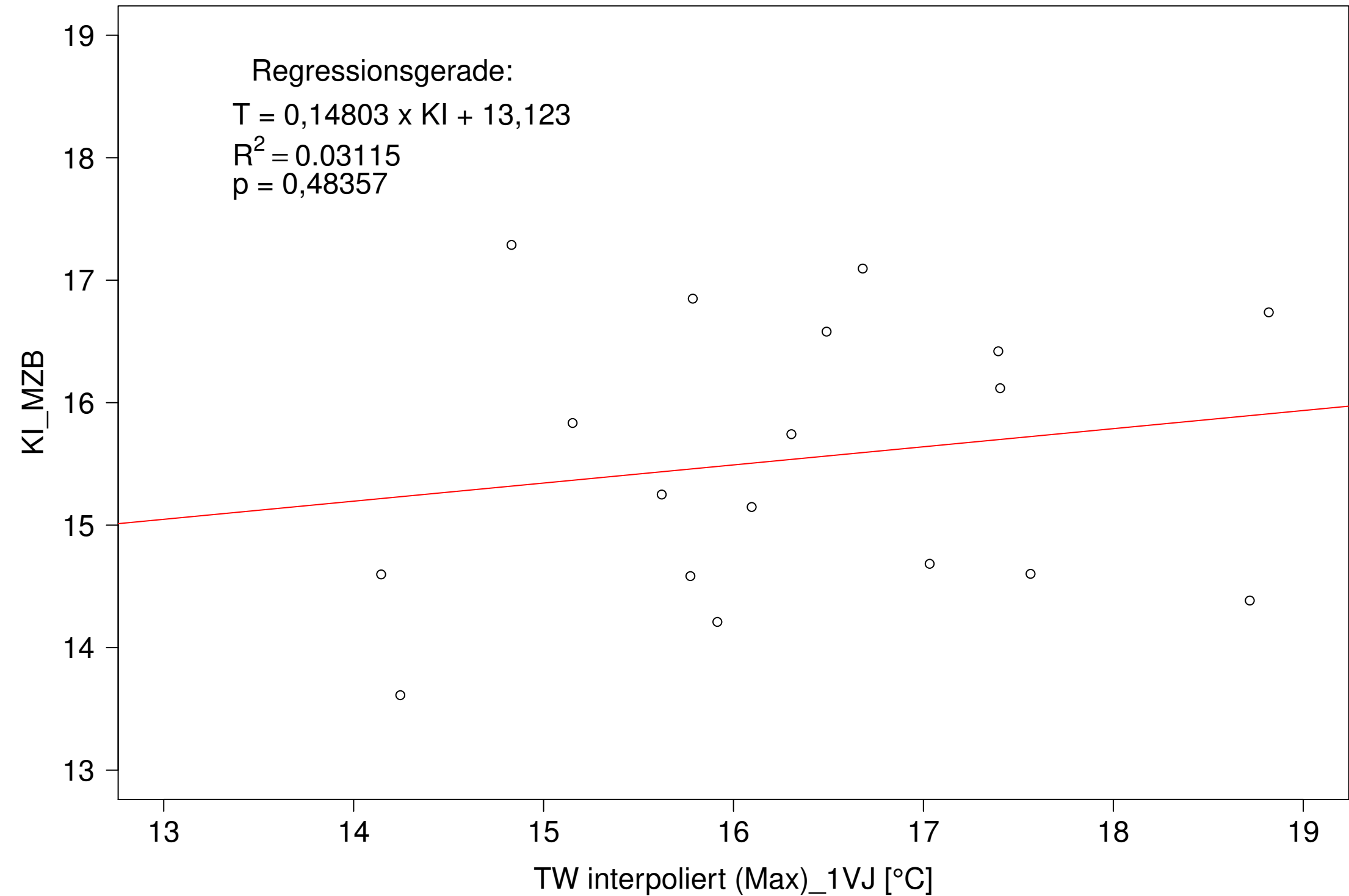
Brigach_Marbach, Typ 09.1 mit Neozoen, Serie 2
KI_MZB (Kont-Korr) gegen TW interpoliert (Max) des 1. Vorjahres



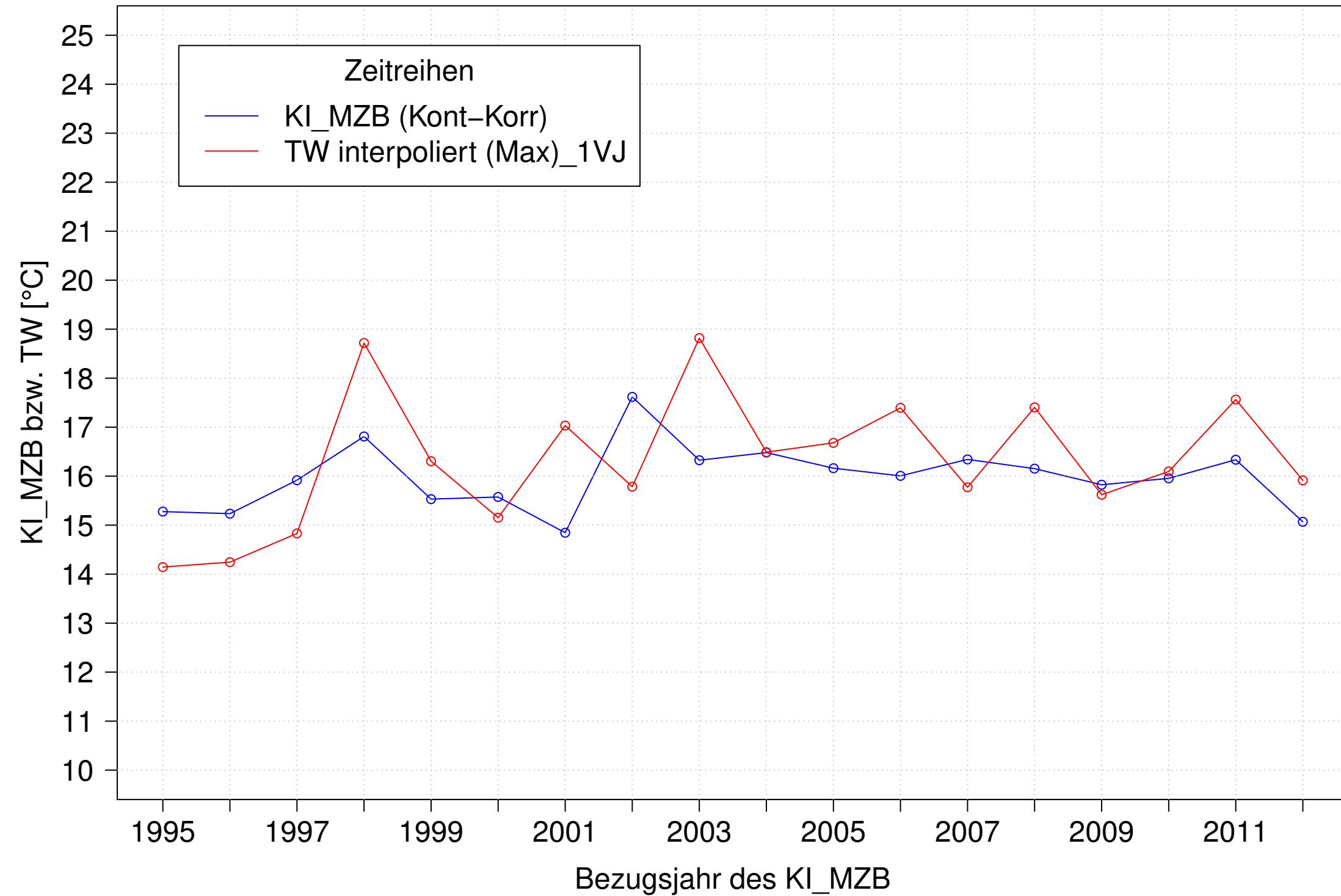
Brigach_Marbach, Typ 09.1 mit Neozoen, Serie 3
KI_MZB (Kont-Korr) und TW interpoliert (Max) des 1. Vorjahres



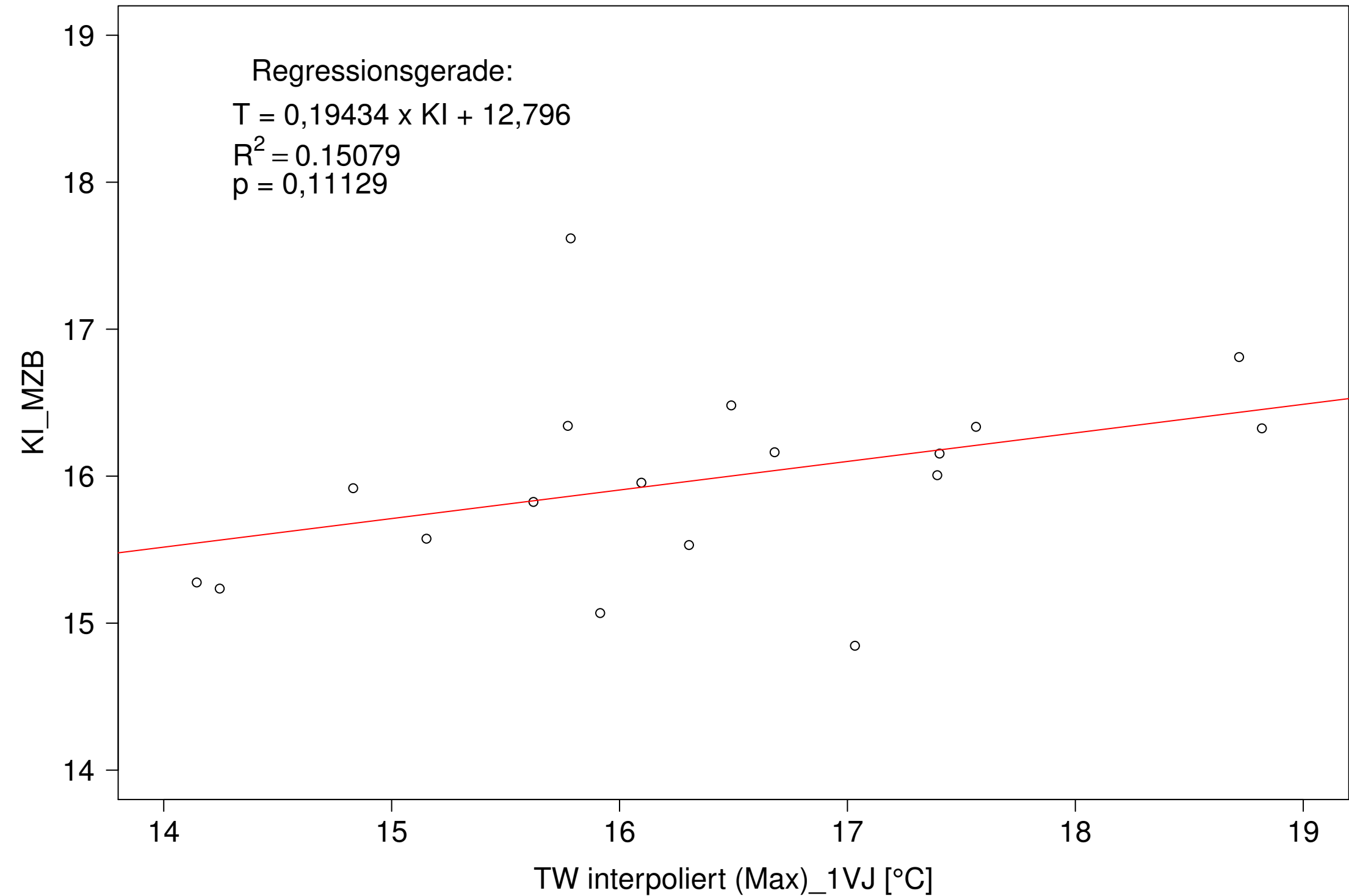
Brigach_Marbach, Typ 09.1 mit Neozoen, Serie 3
KI_MZB (Kont-Korr) gegen TW interpoliert (Max) des 1. Vorjahres



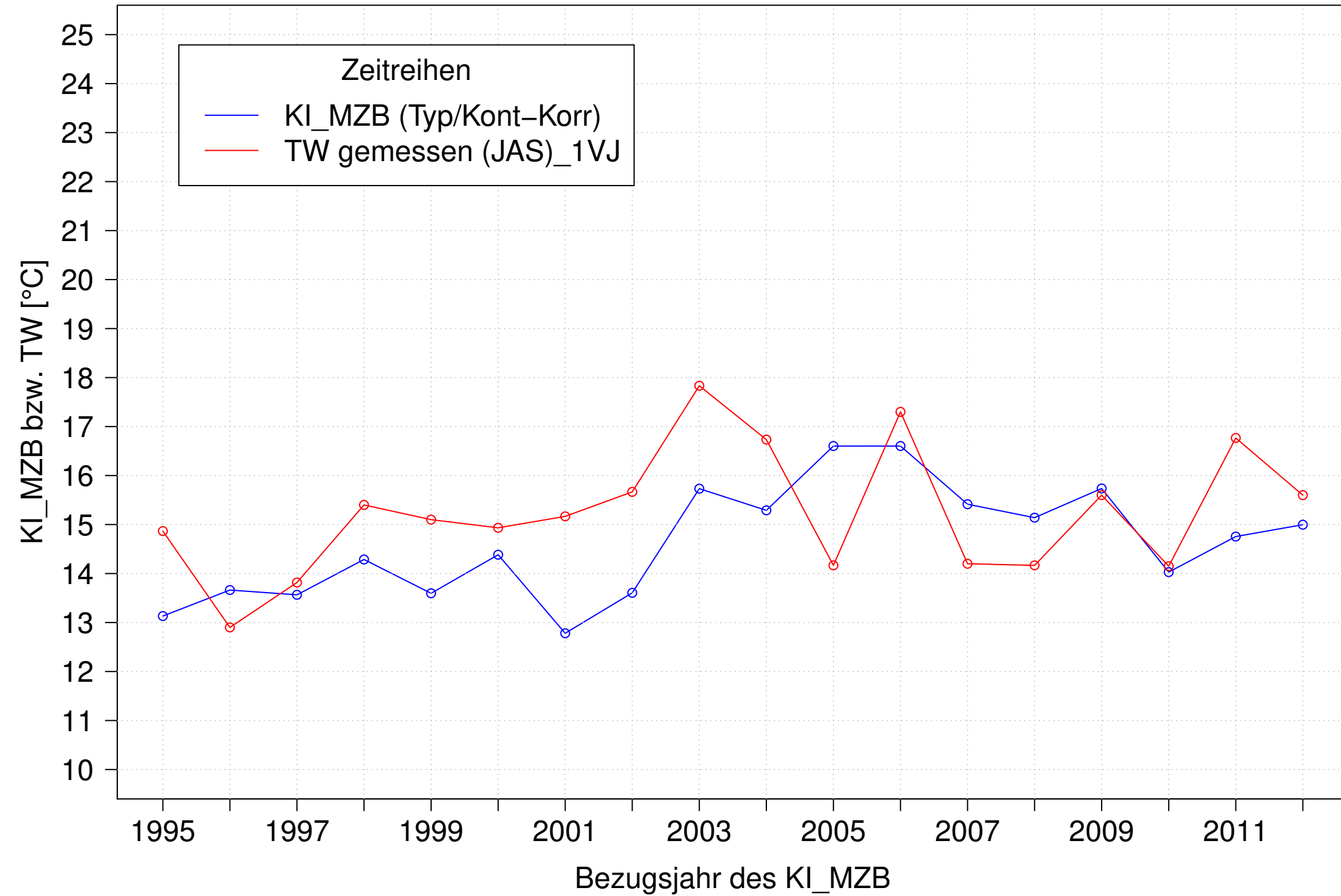
Brigach_Marbach, Typ 09.1 mit Neozoen, Serie 4
KI_MZB (Kont-Korr) und TW interpoliert (Max) des 1. Vorjahres



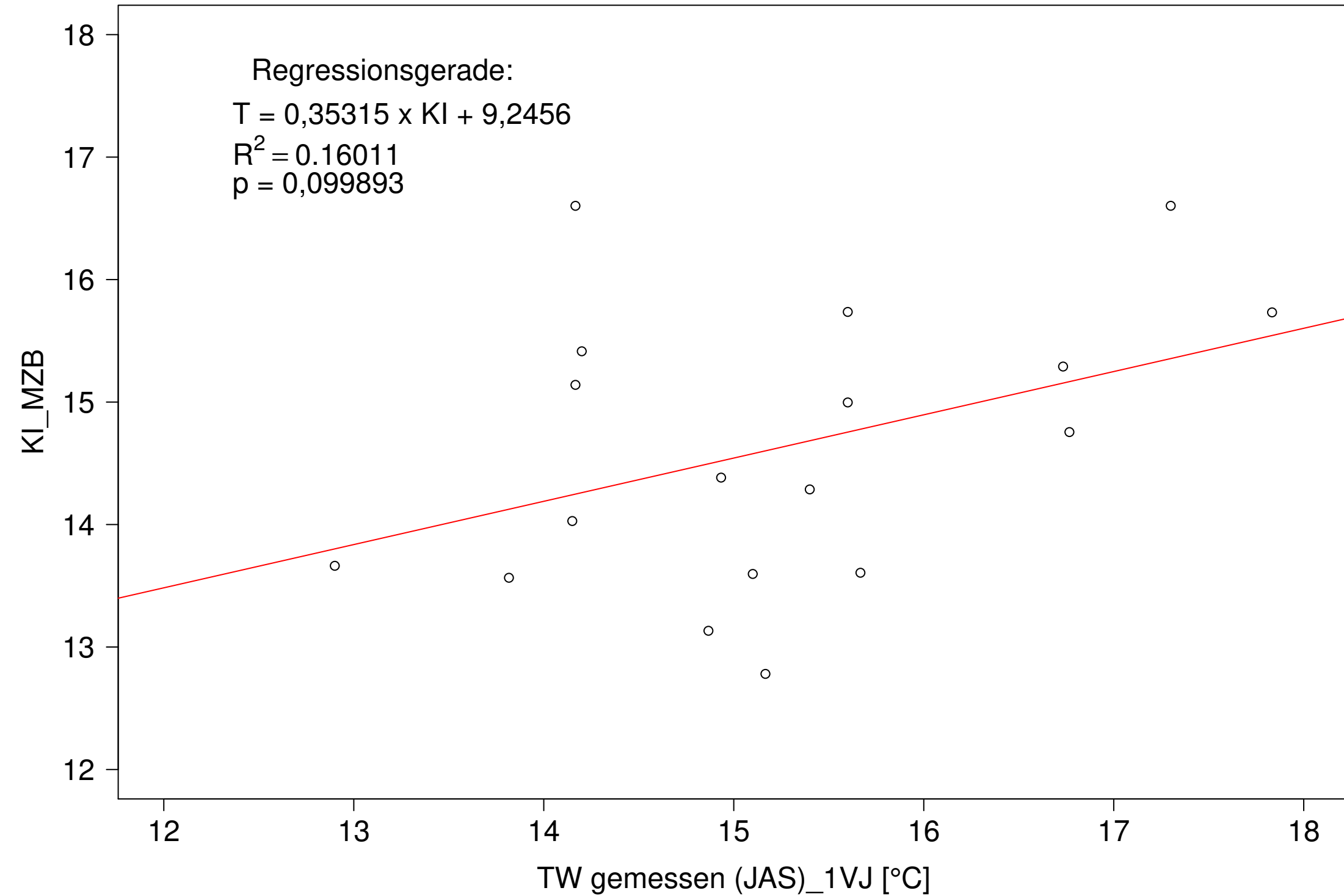
Brigach_Marbach, Typ 09.1 mit Neozoen, Serie 4
KI_MZB (Kont-Korr) gegen TW interpoliert (Max) des 1. Vorjahres



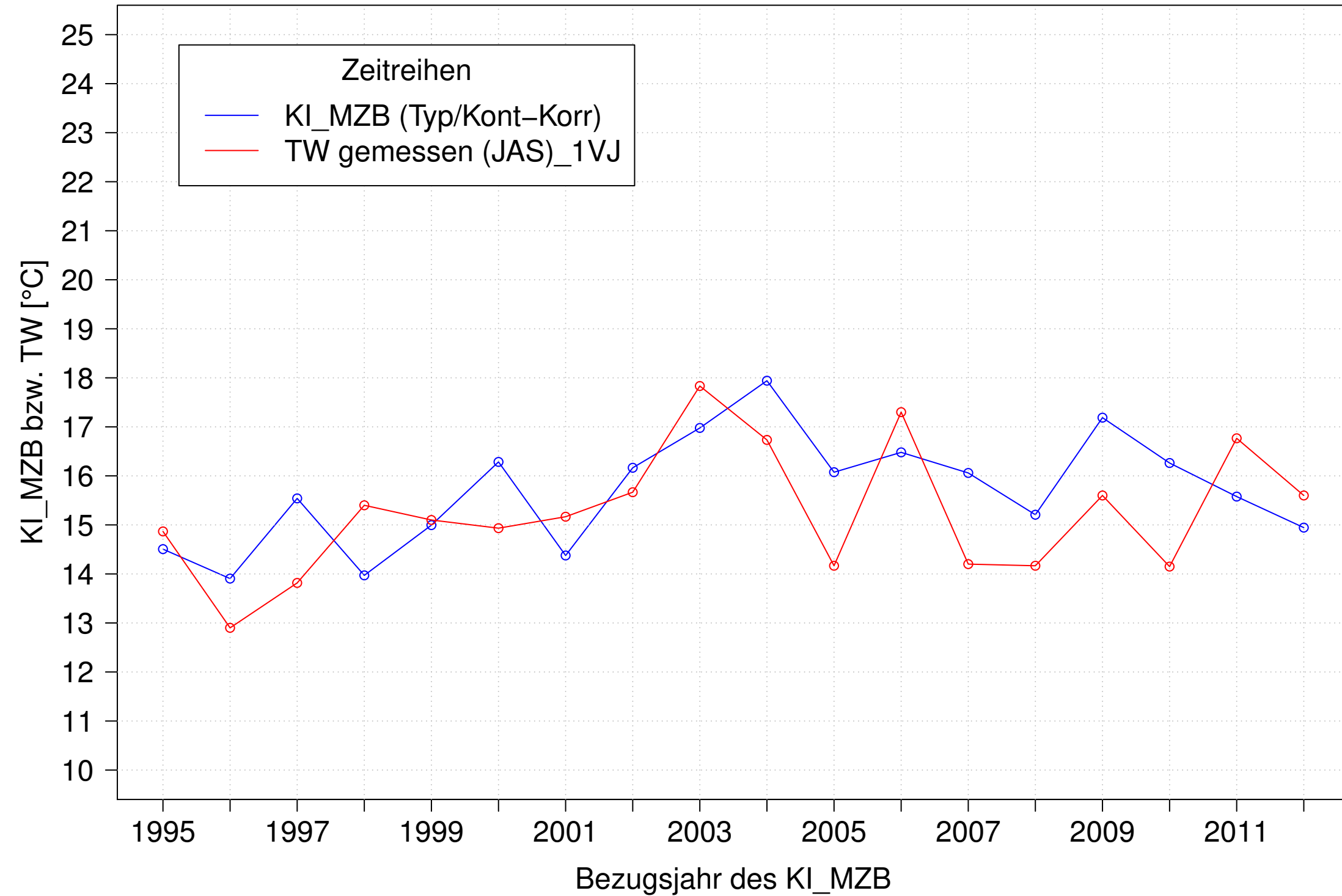
Brigach_Marbach, Typ 09.1 mit Neozoen, Serie 1
KI_MZB (Typ/Kont-Korr) und TW gemessen (JAS) des 1. Vorjahres



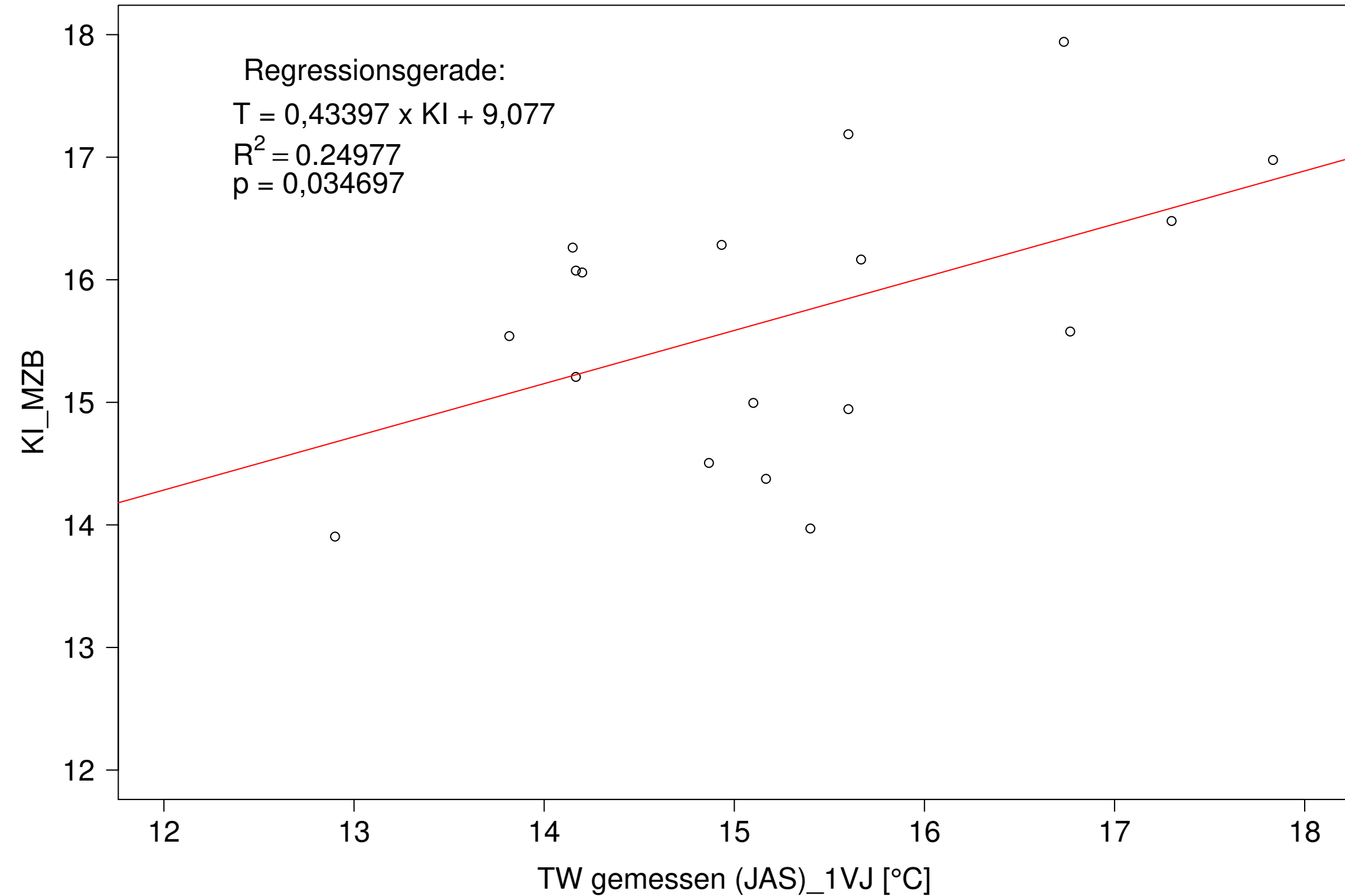
Brigach_Marbach, Typ 09.1 mit Neozoen, Serie 1
KI_MZB (Typ/Kont-Korr) gegen TW gemessen (JAS) des 1. Vorjahres



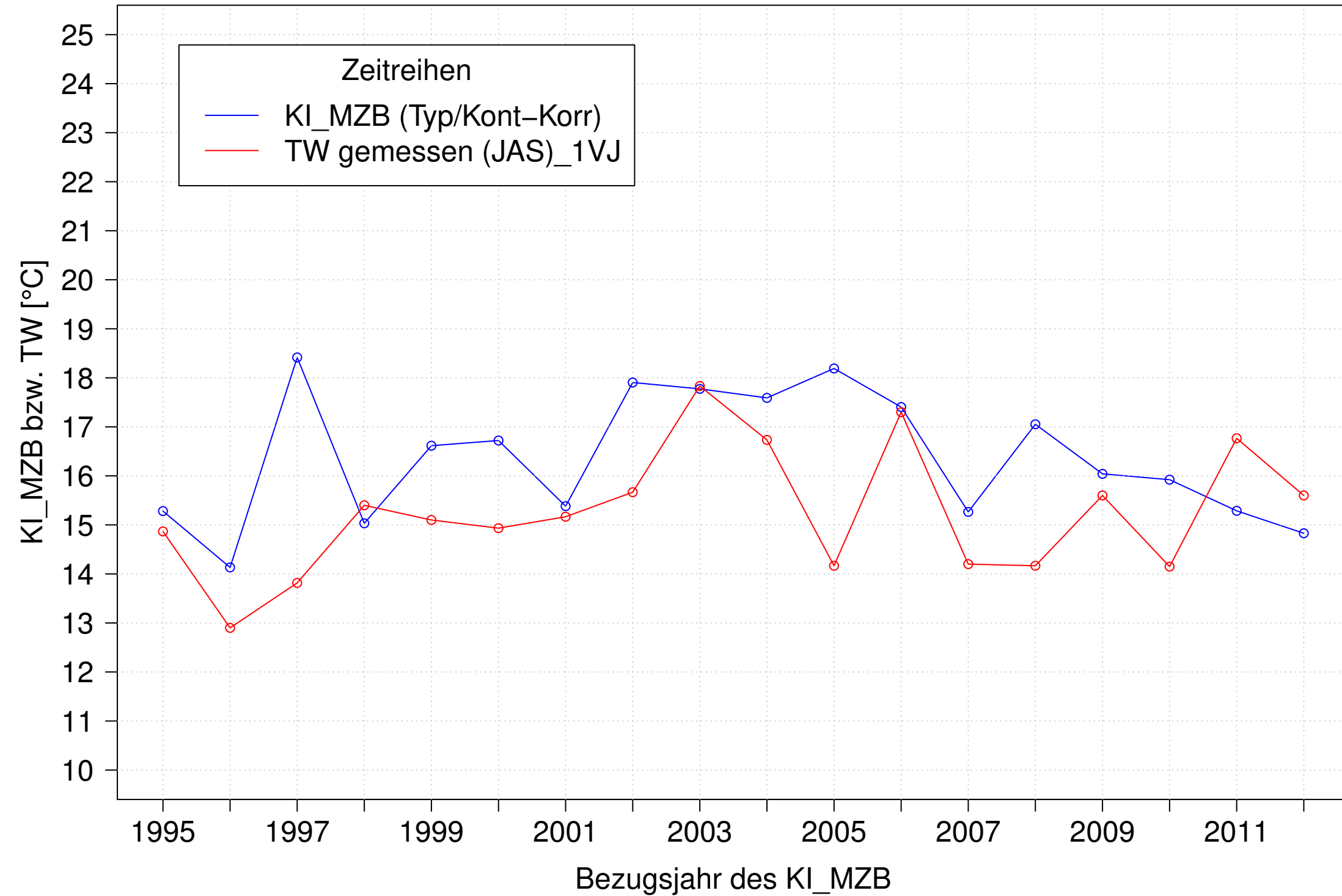
Brigach_Marbach, Typ 09.1 mit Neozoen, Serie 2
 KI_MZB (Typ/Kont-Korr) und TW gemessen (JAS) des 1. Vorjahres



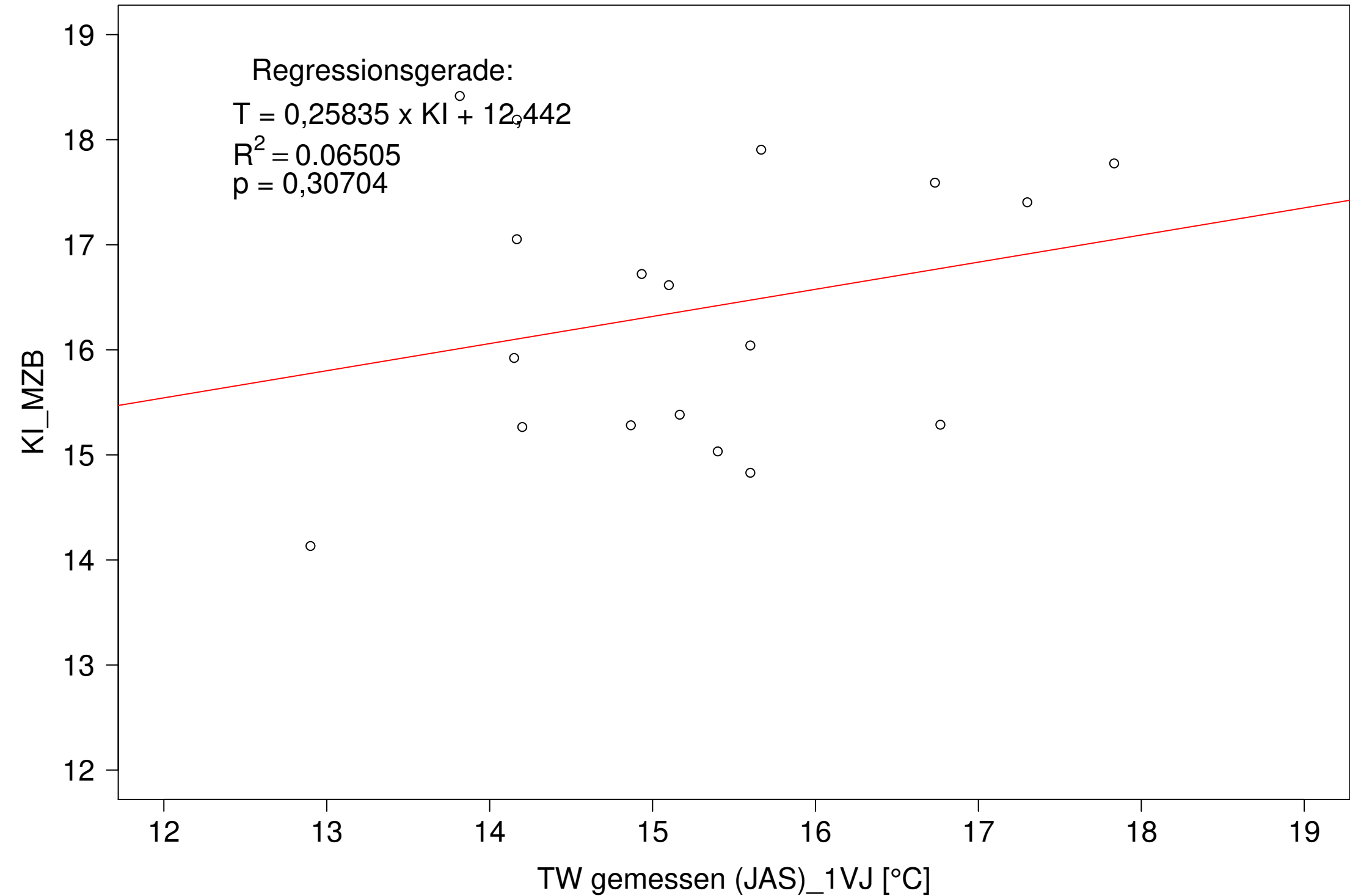
Brigach_Marbach, Typ 09.1 mit Neozoen, Serie 2
 KI_MZB (Typ/Kont-Korr) gegen TW gemessen (JAS) des 1. Vorjahres



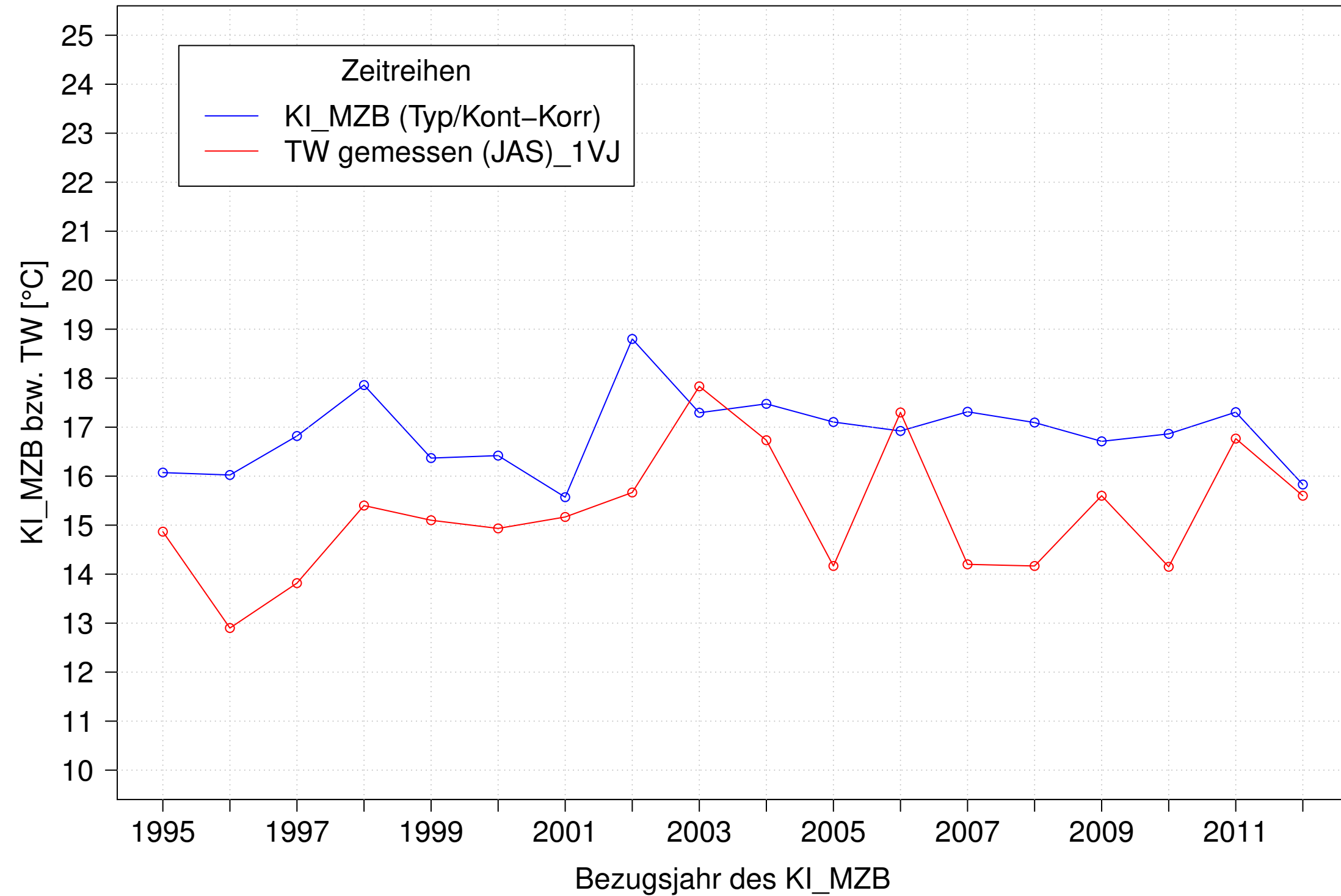
Brigach_Marbach, Typ 09.1 mit Neozoen, Serie 3
 KI_MZB (Typ/Kont-Korr) und TW gemessen (JAS) des 1. Vorjahres



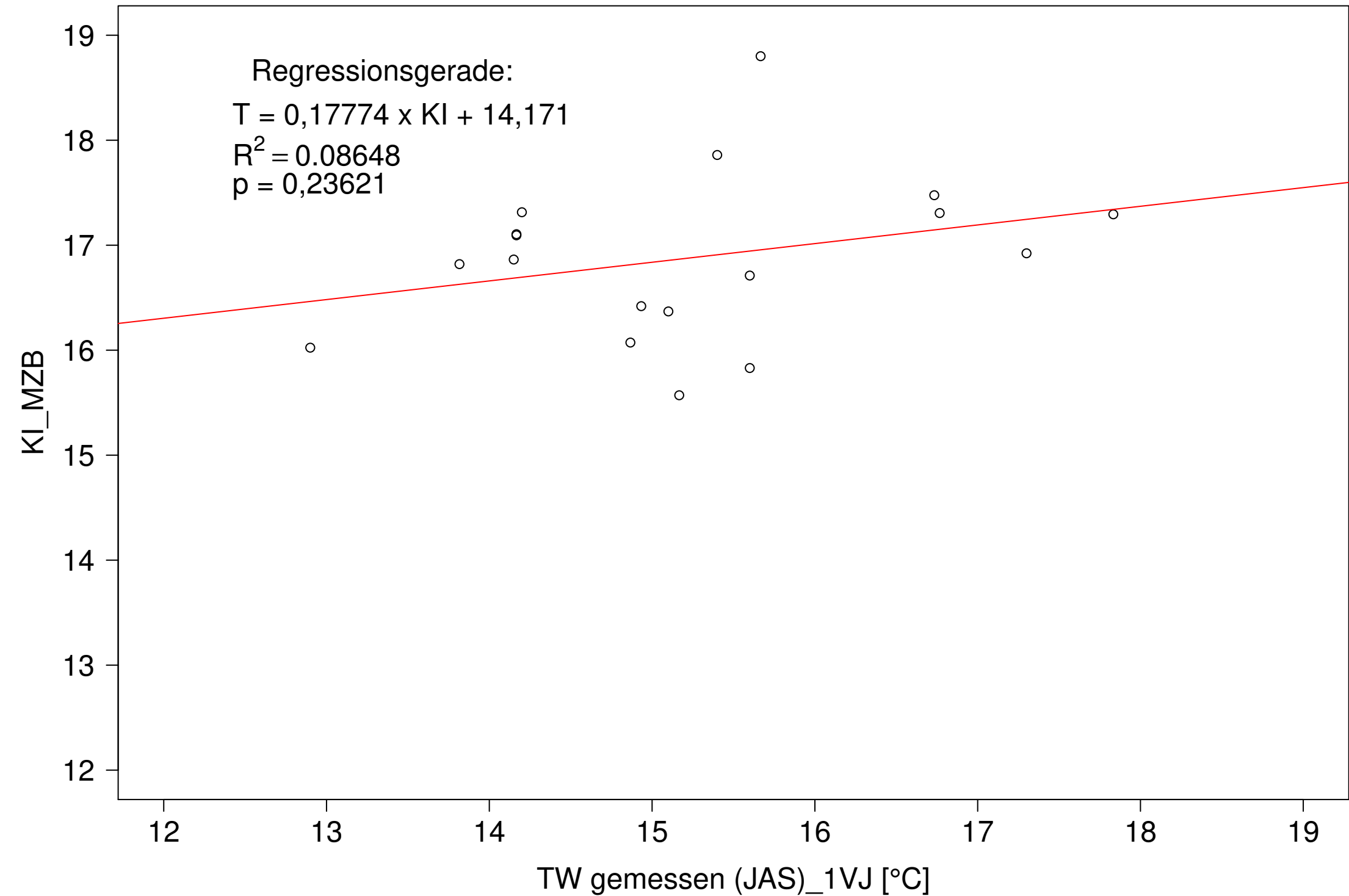
Brigach_Marbach, Typ 09.1 mit Neozoen, Serie 3
 KI_MZB (Typ/Kont-Korr) gegen TW gemessen (JAS) des 1. Vorjahres



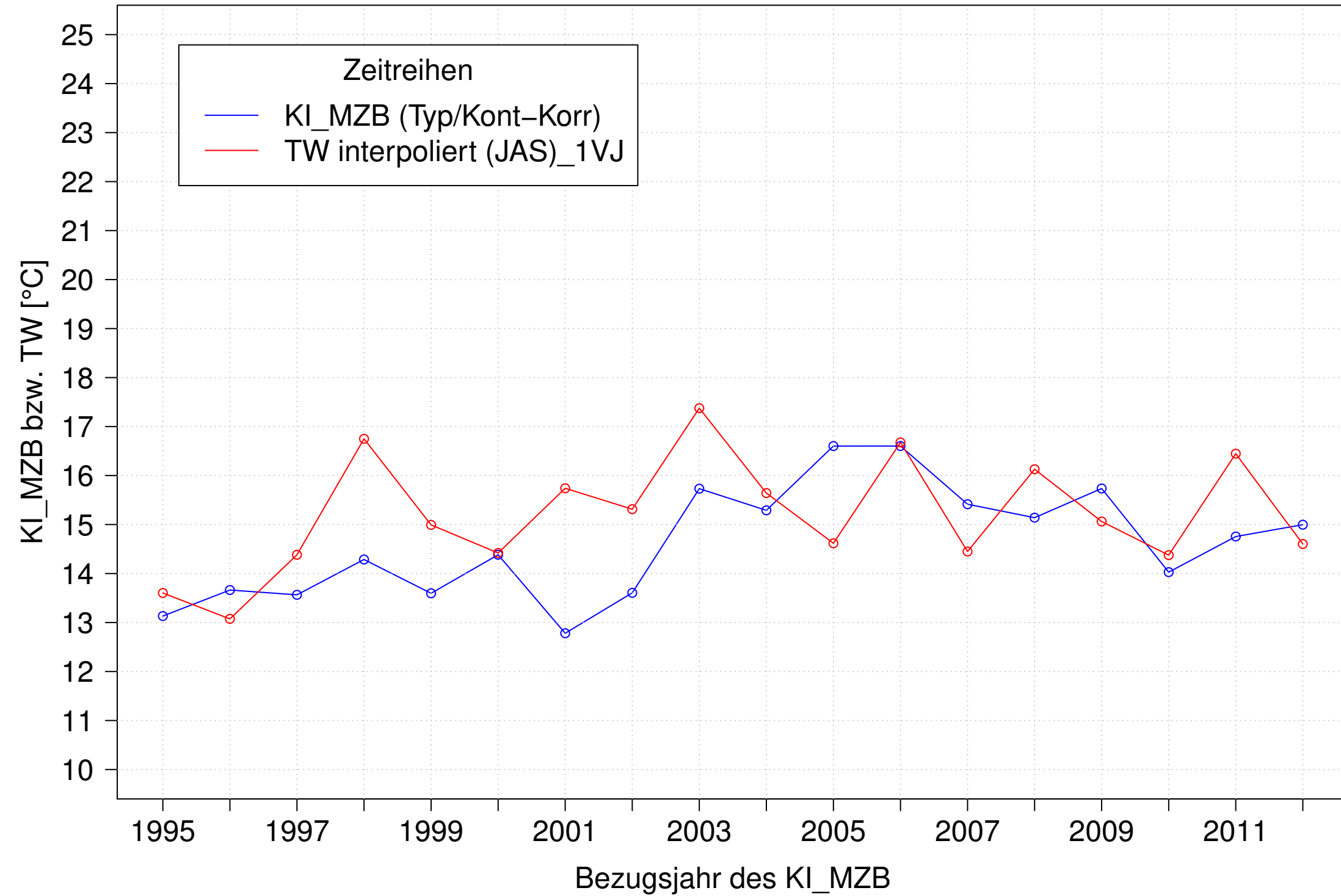
Brigach_Marbach, Typ 09.1 mit Neozoen, Serie 4
KI_MZB (Typ/Kont-Korr) und TW gemessen (JAS) des 1. Vorjahres



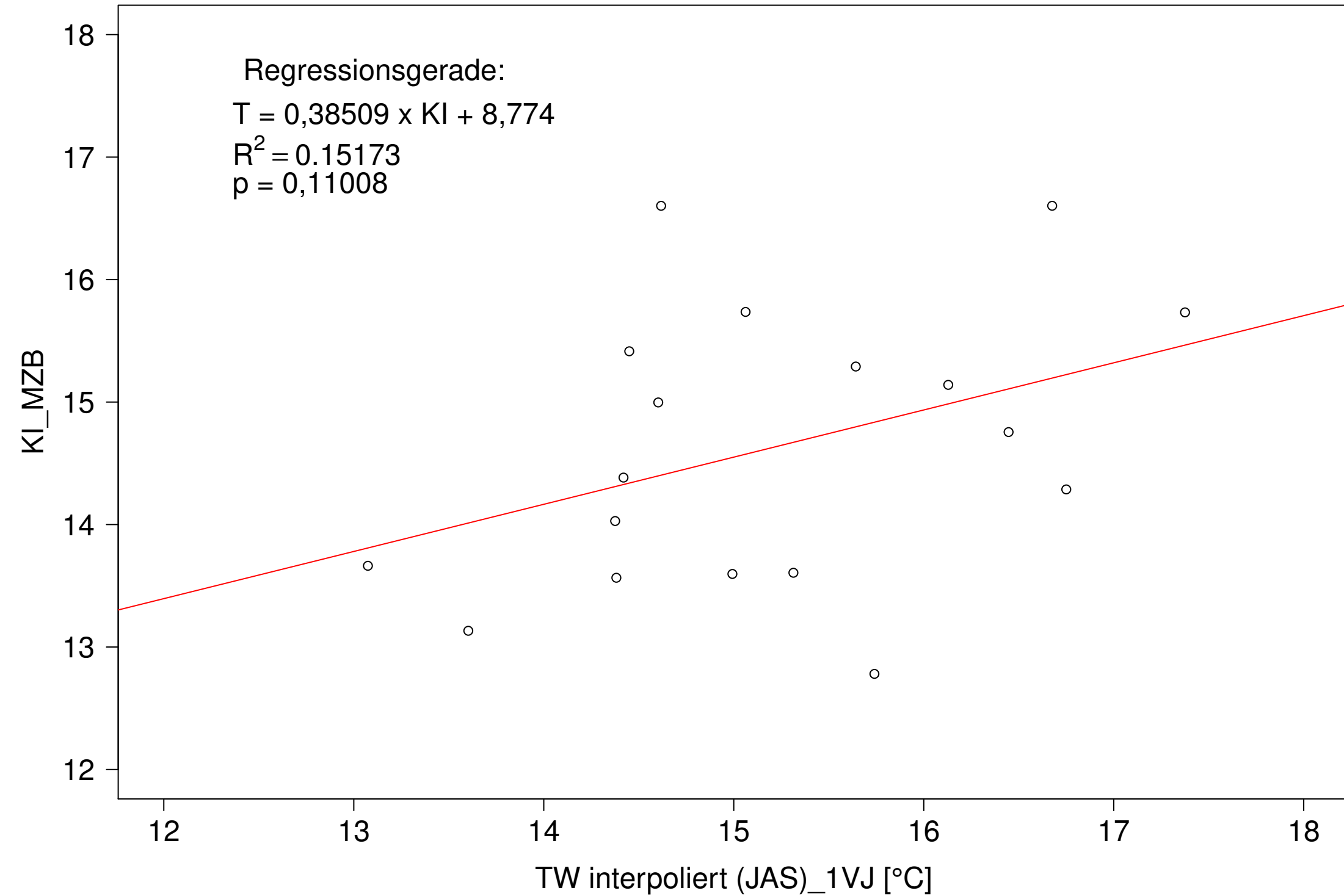
Brigach_Marbach, Typ 09.1 mit Neozoen, Serie 4
KI_MZB (Typ/Kont-Korr) gegen TW gemessen (JAS) des 1. Vorjahres



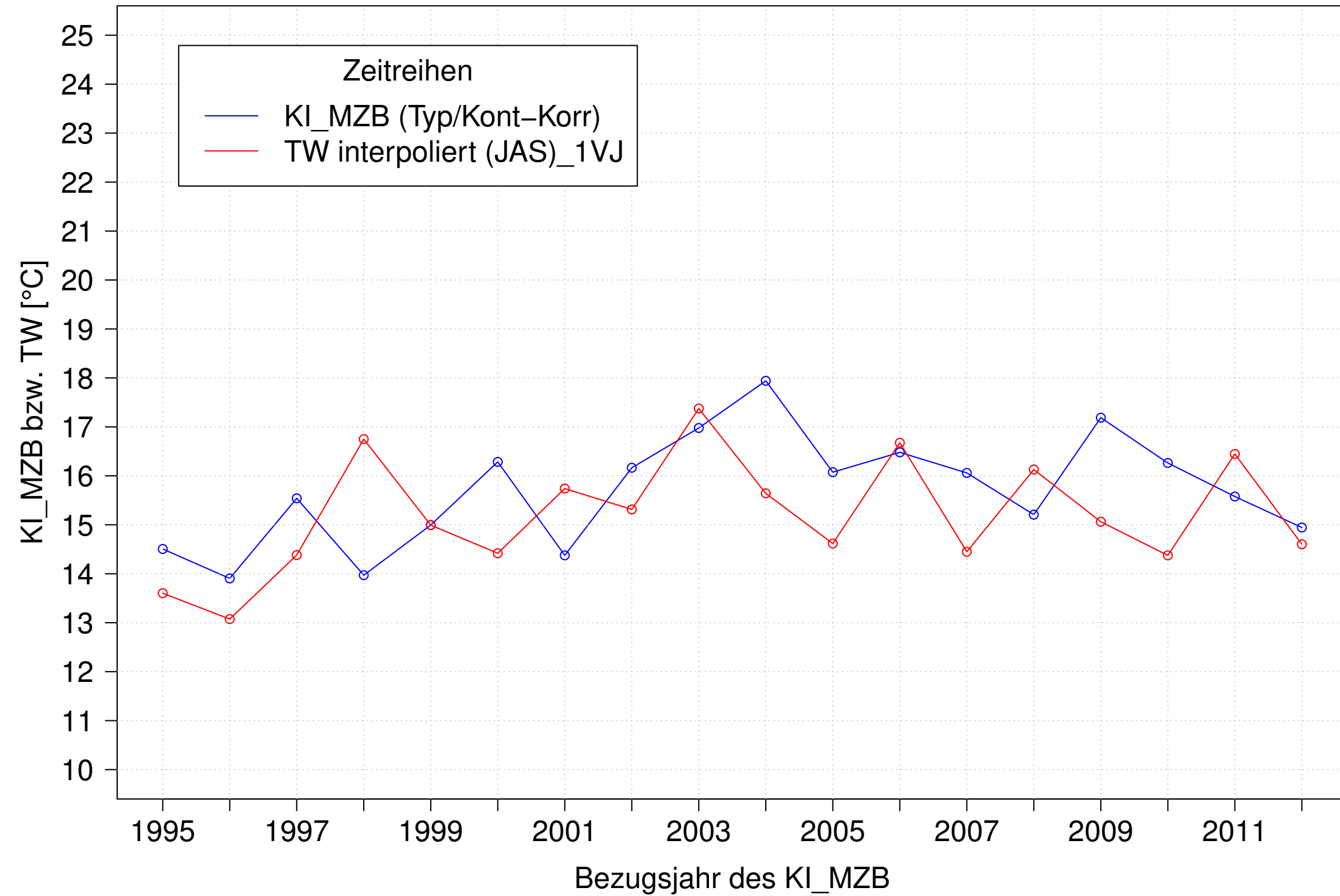
Brigach_Marbach, Typ 09.1 mit Neozoen, Serie 1
 KI_MZB (Typ/Kont-Korr) und TW interpoliert (JAS) des 1. Vorjahres



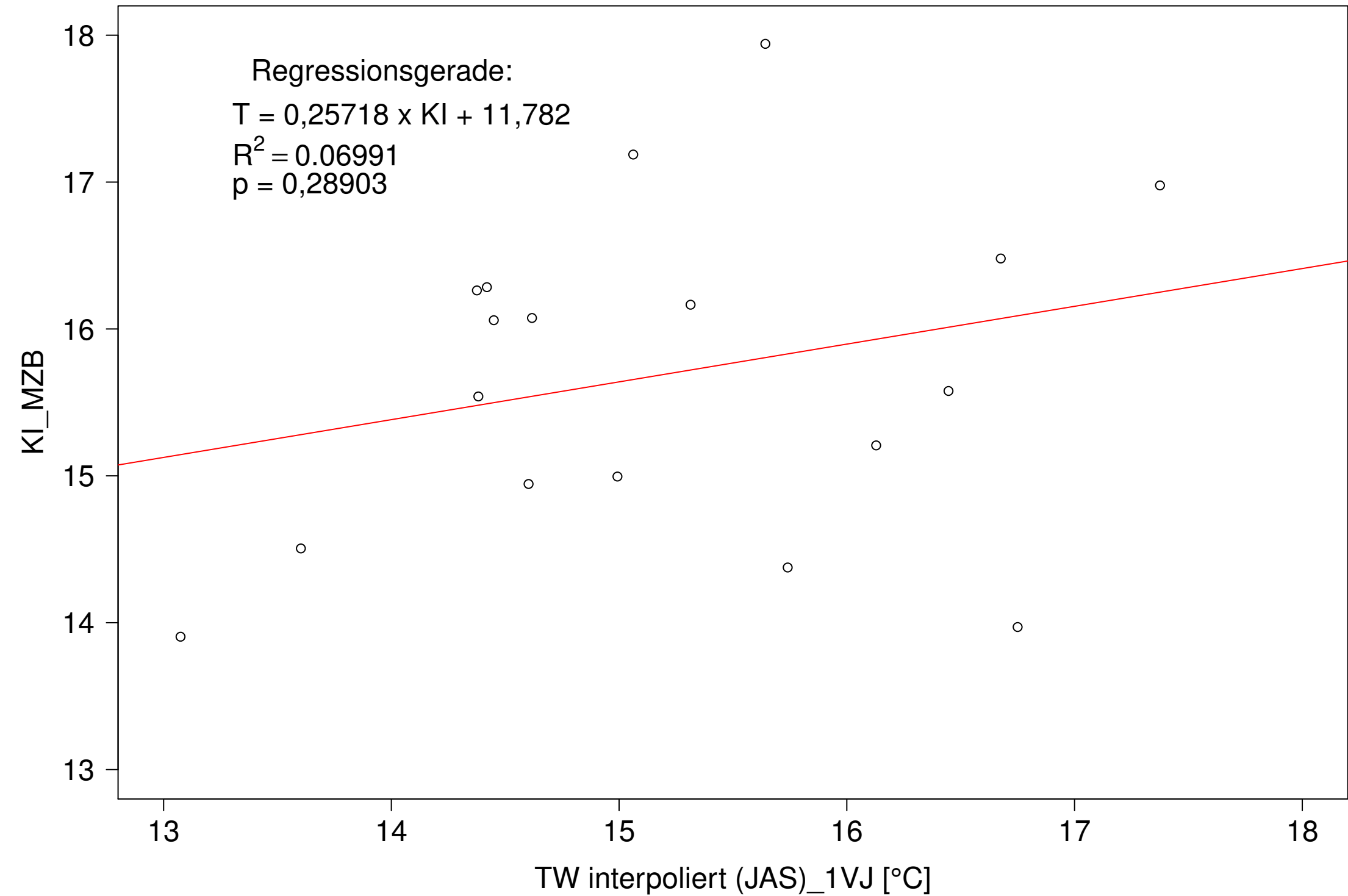
Brigach_Marbach, Typ 09.1 mit Neozoen, Serie 1
 KI_MZB (Typ/Kont-Korr) gegen TW interpoliert (JAS) des 1. Vorjahres



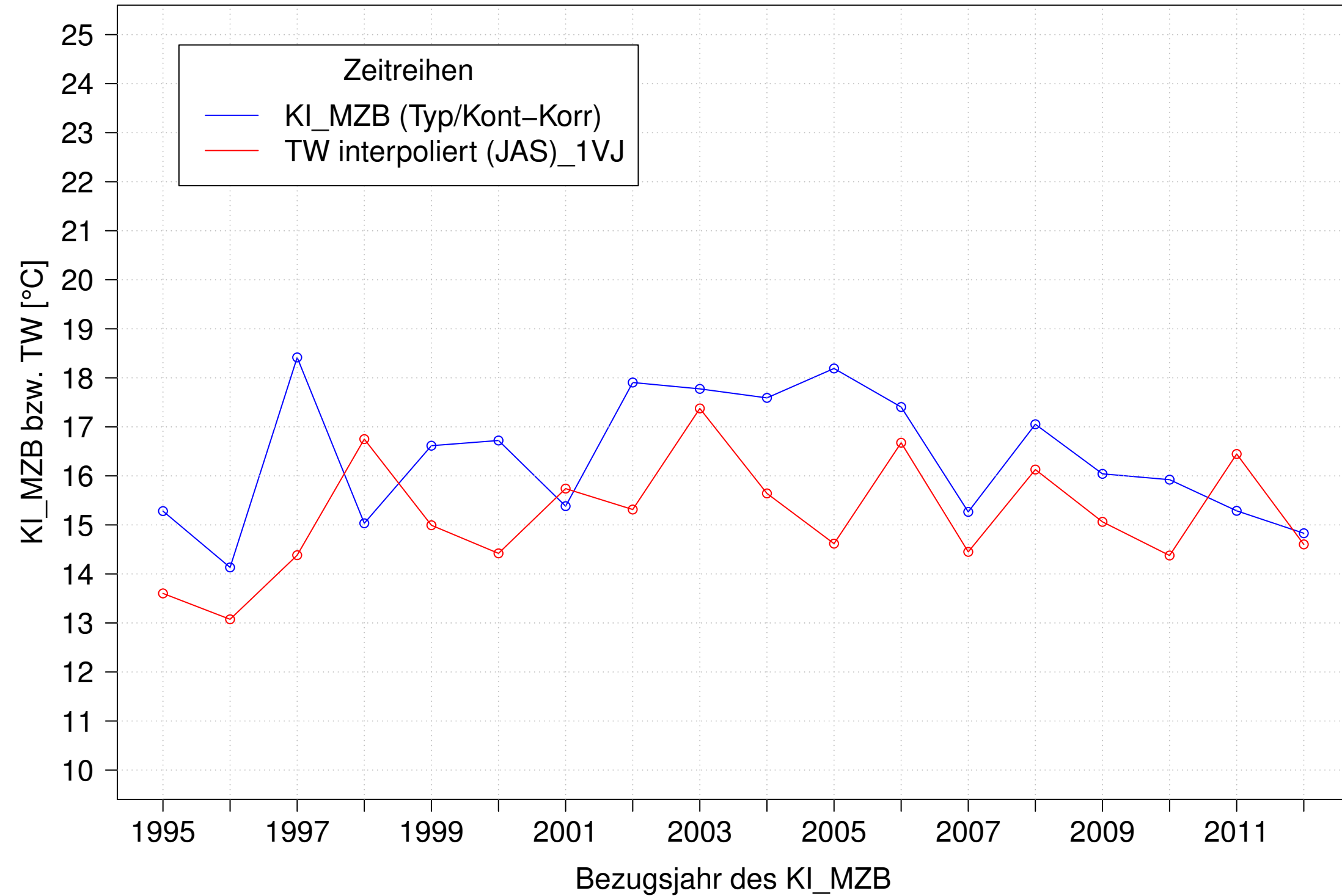
Brigach_Marbach, Typ 09.1 mit Neozoen, Serie 2
KI_MZB (Typ/Kont-Korr) und TW interpoliert (JAS) des 1. Vorjahres



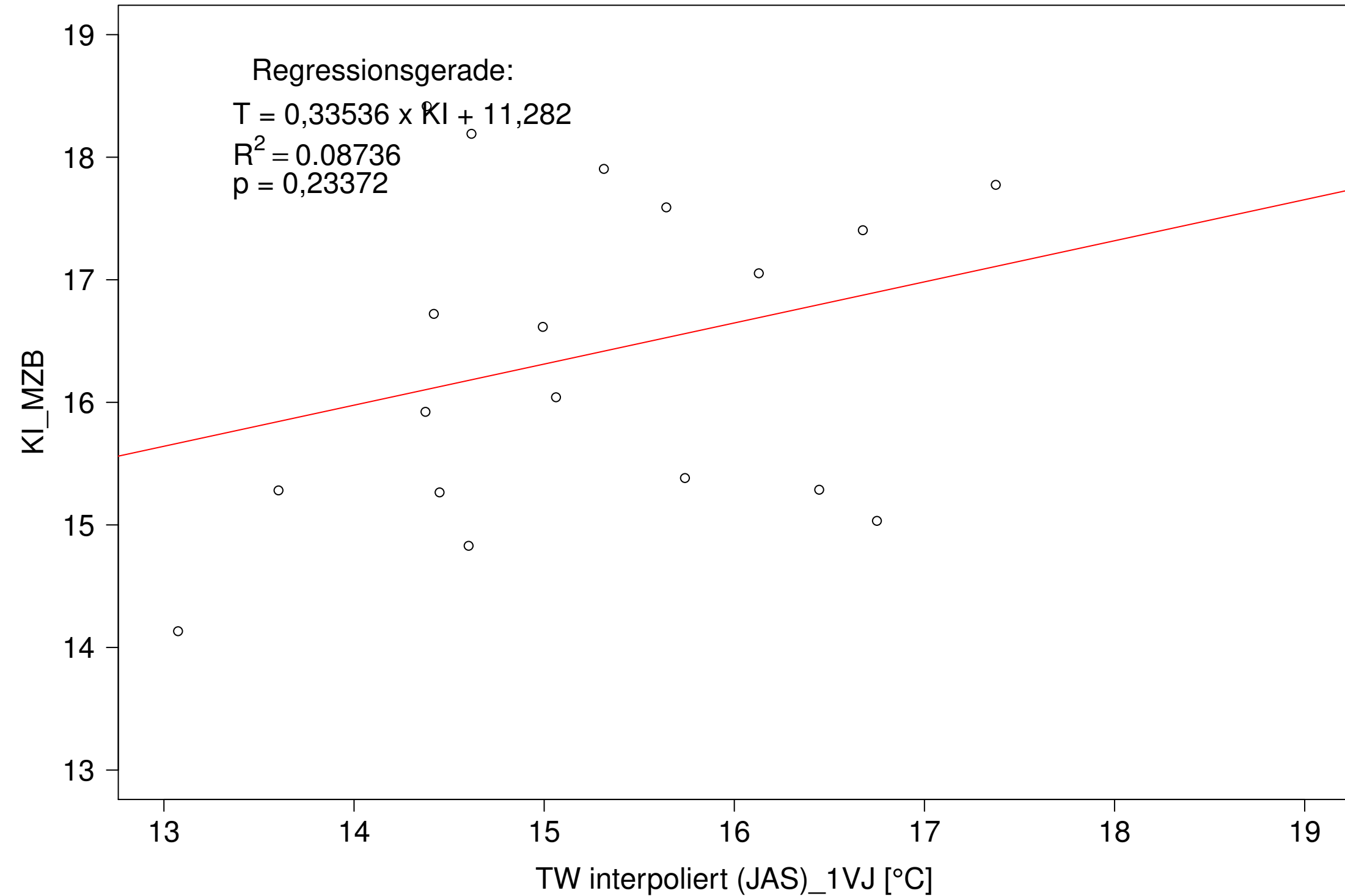
Brigach_Marbach, Typ 09.1 mit Neozoen, Serie 2
KI_MZB (Typ/Kont-Korr) gegen TW interpoliert (JAS) des 1. Vorjahres



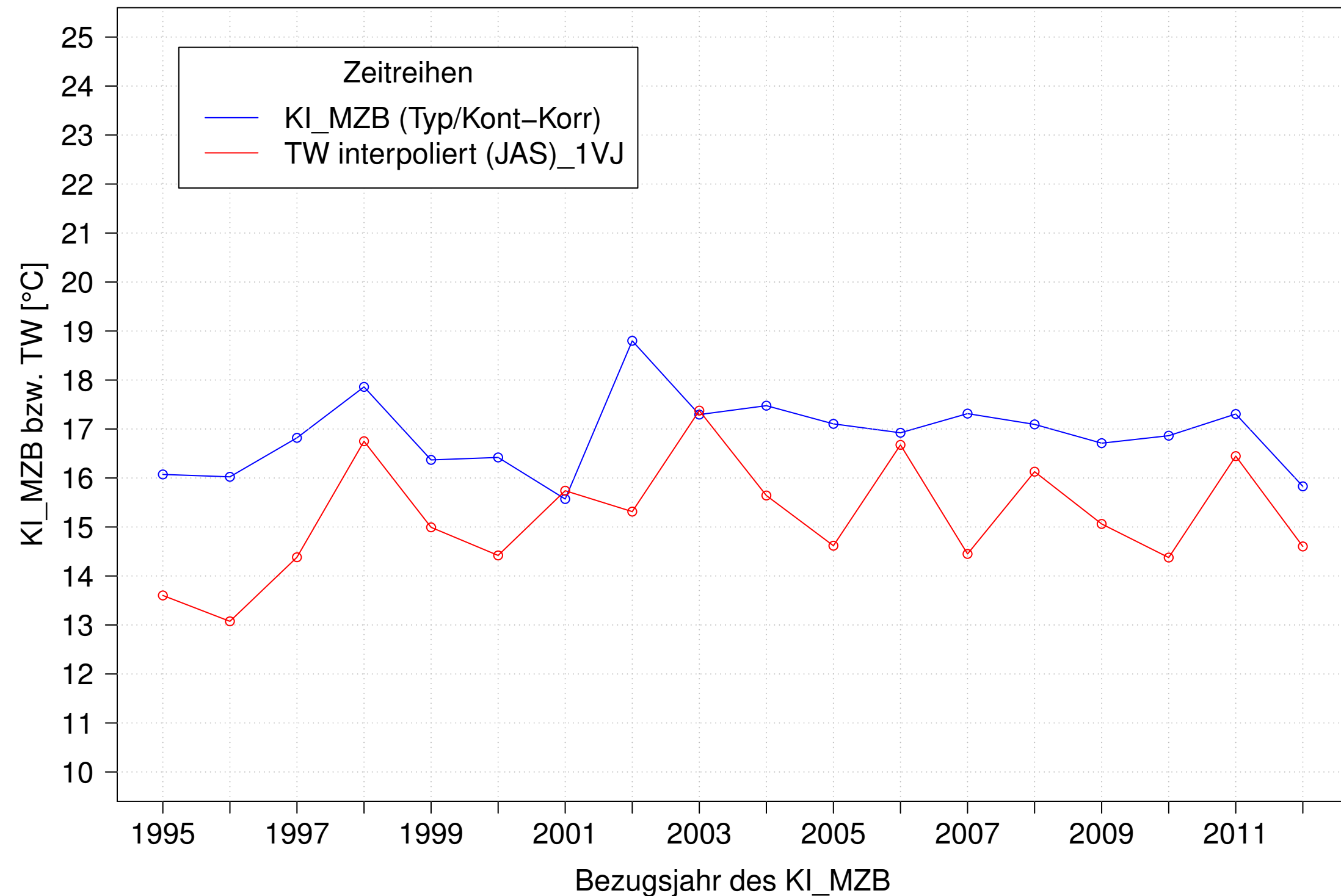
Brigach_Marbach, Typ 09.1 mit Neozoen, Serie 3
KI_MZB (Typ/Kont-Korr) und TW interpoliert (JAS) des 1. Vorjahres



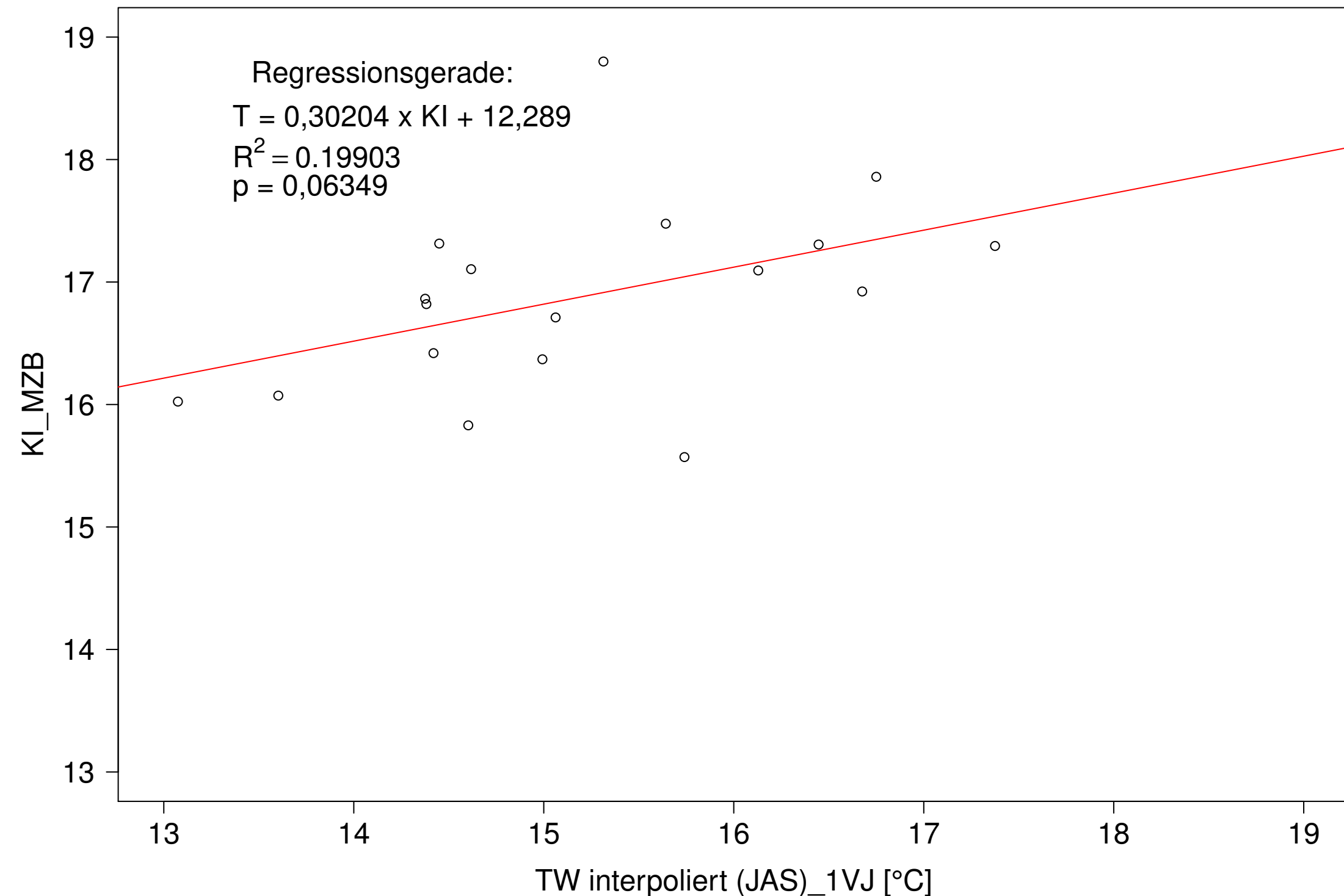
Brigach_Marbach, Typ 09.1 mit Neozoen, Serie 3
KI_MZB (Typ/Kont-Korr) gegen TW interpoliert (JAS) des 1. Vorjahres



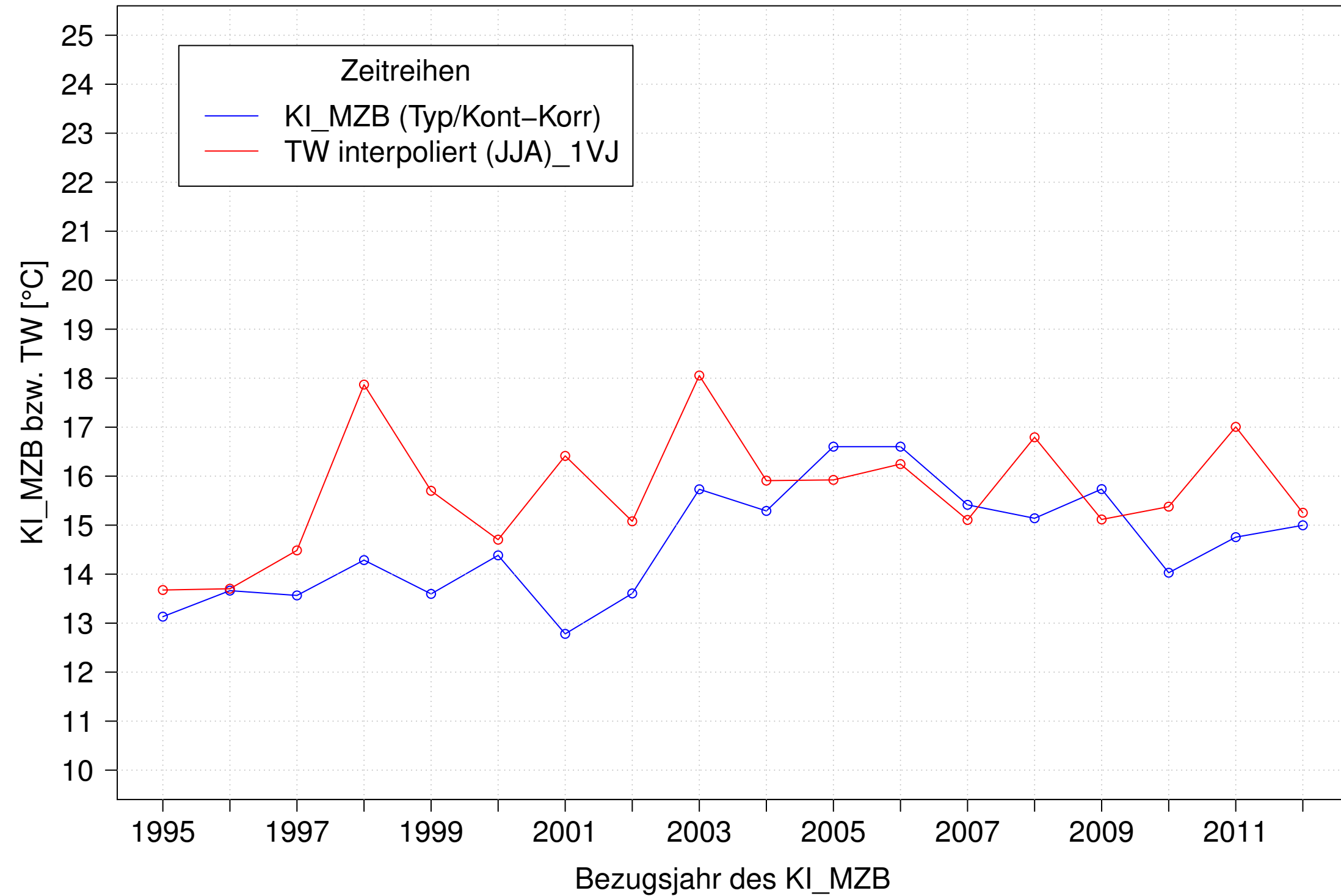
Brigach_Marbach, Typ 09.1 mit Neozoen, Serie 4
KI_MZB (Typ/Kont-Korr) und TW interpoliert (JAS) des 1. Vorjahres



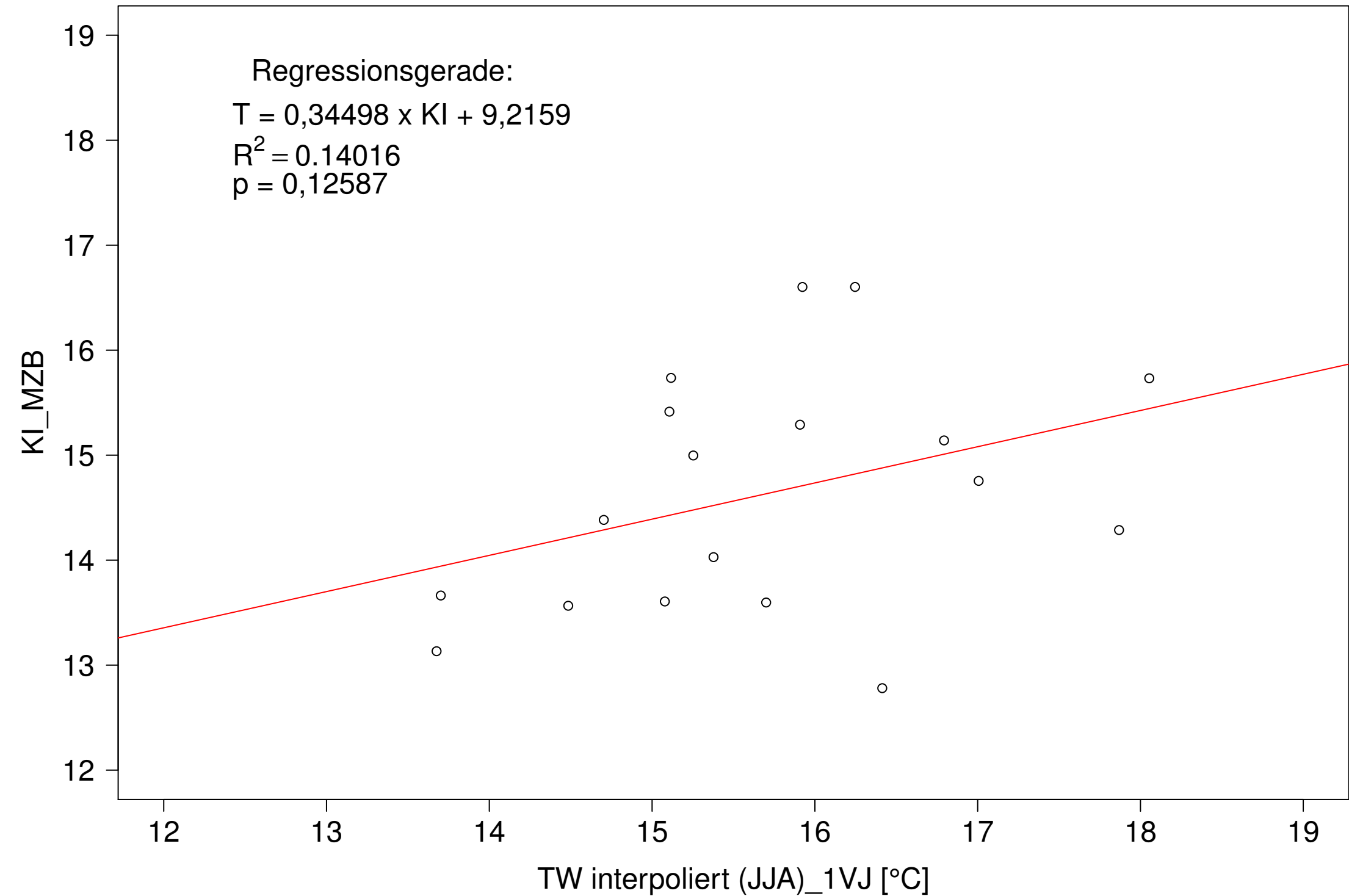
Brigach_Marbach, Typ 09.1 mit Neozoen, Serie 4
KI_MZB (Typ/Kont-Korr) gegen TW interpoliert (JAS) des 1. Vorjahres



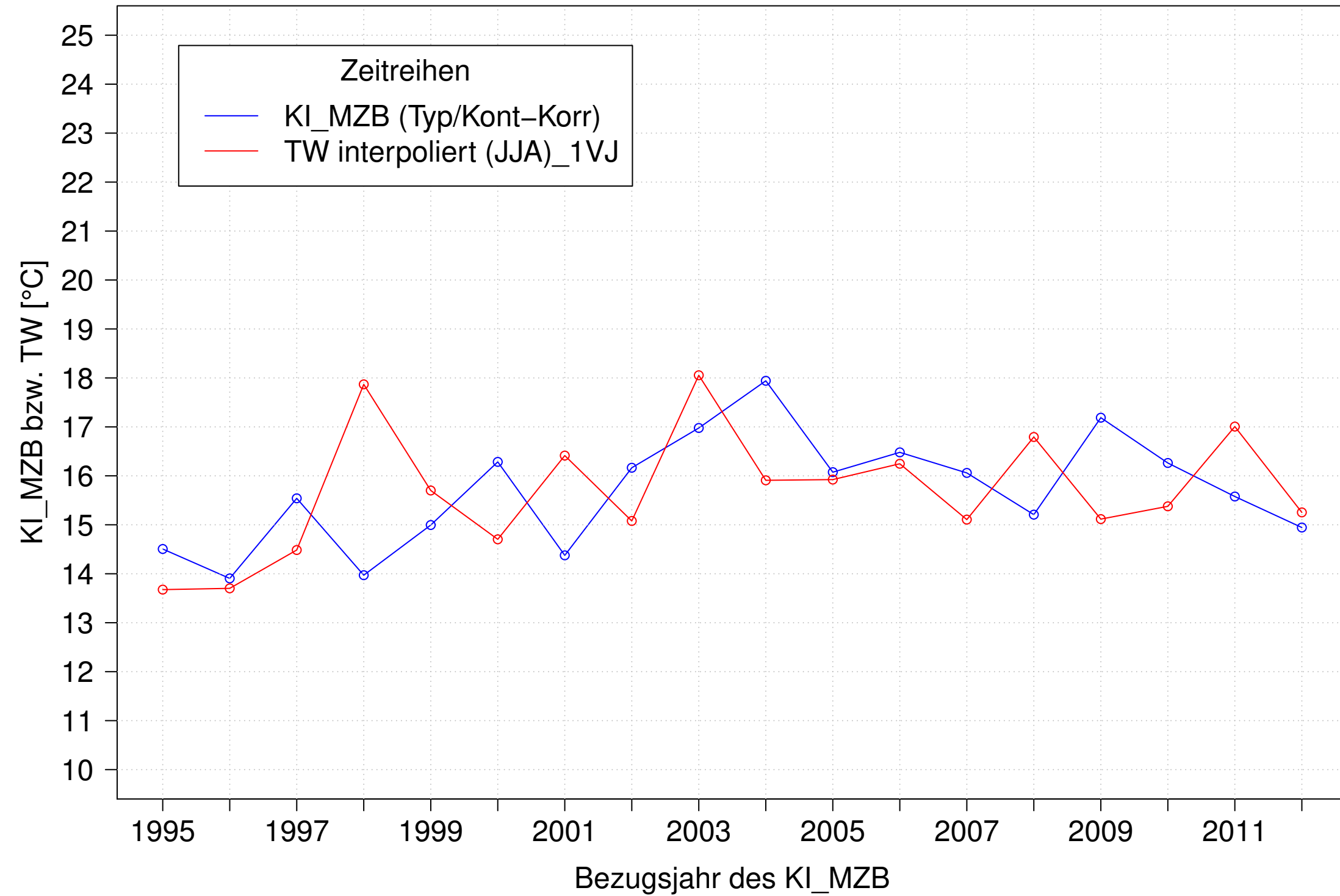
Brigach_Marbach, Typ 09.1 mit Neozoen, Serie 1
KI_MZB (Typ/Kont-Korr) und TW interpoliert (JJA) des 1. Vorjahres



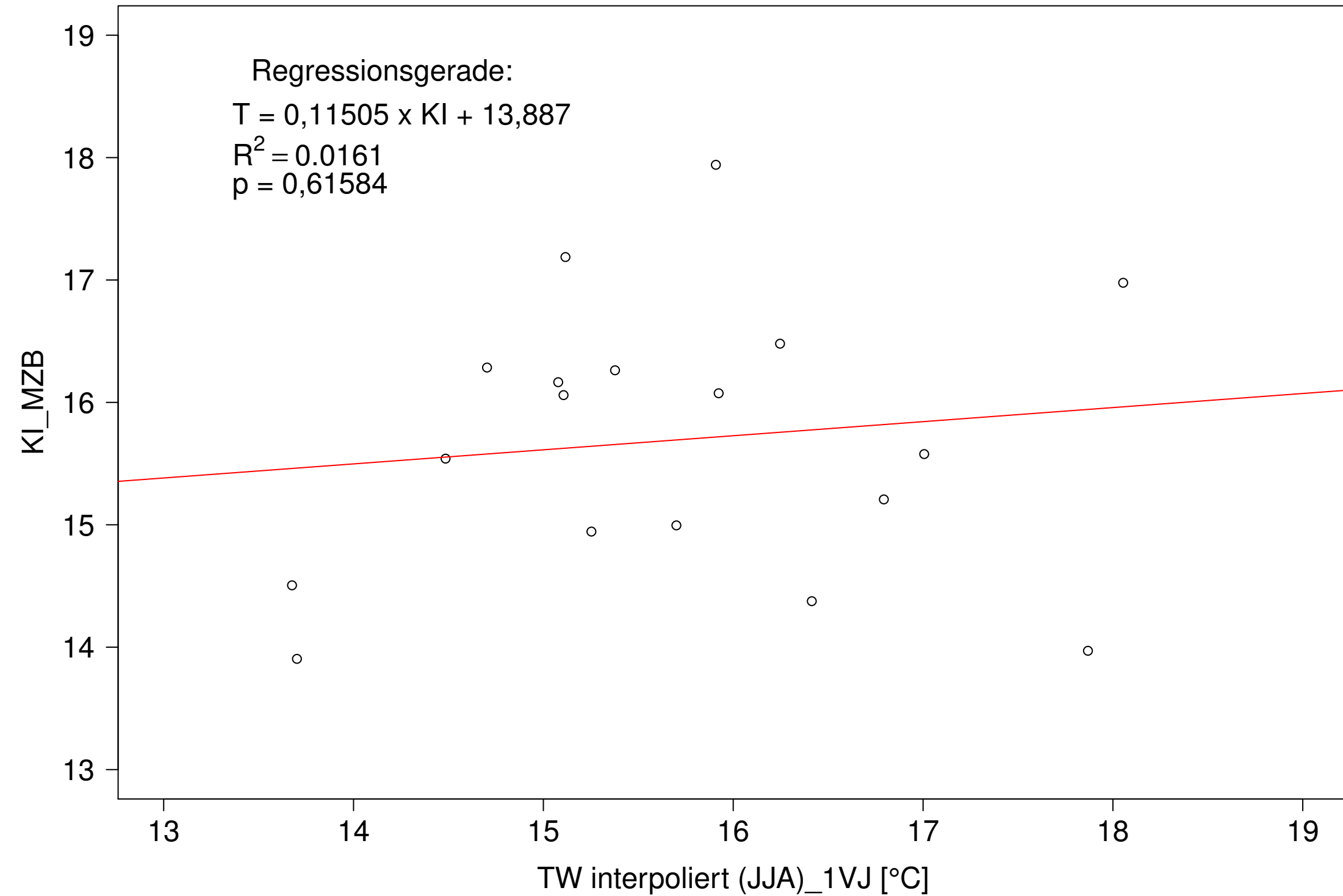
Brigach_Marbach, Typ 09.1 mit Neozoen, Serie 1
KI_MZB (Typ/Kont-Korr) gegen TW interpoliert (JJA) des 1. Vorjahres



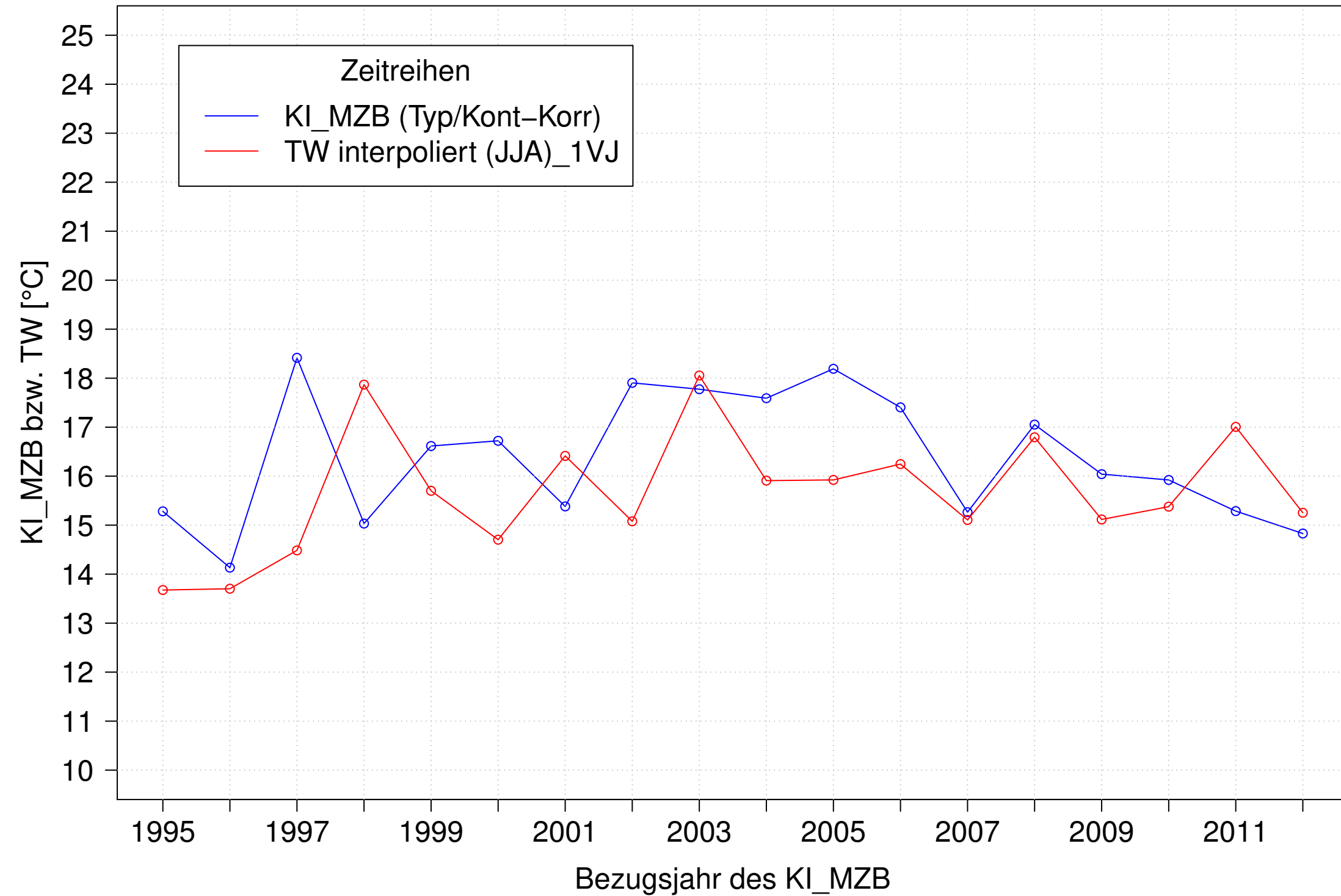
Brigach_Marbach, Typ 09.1 mit Neozoen, Serie 2
KI_MZB (Typ/Kont-Korr) und TW interpoliert (JJA) des 1. Vorjahres



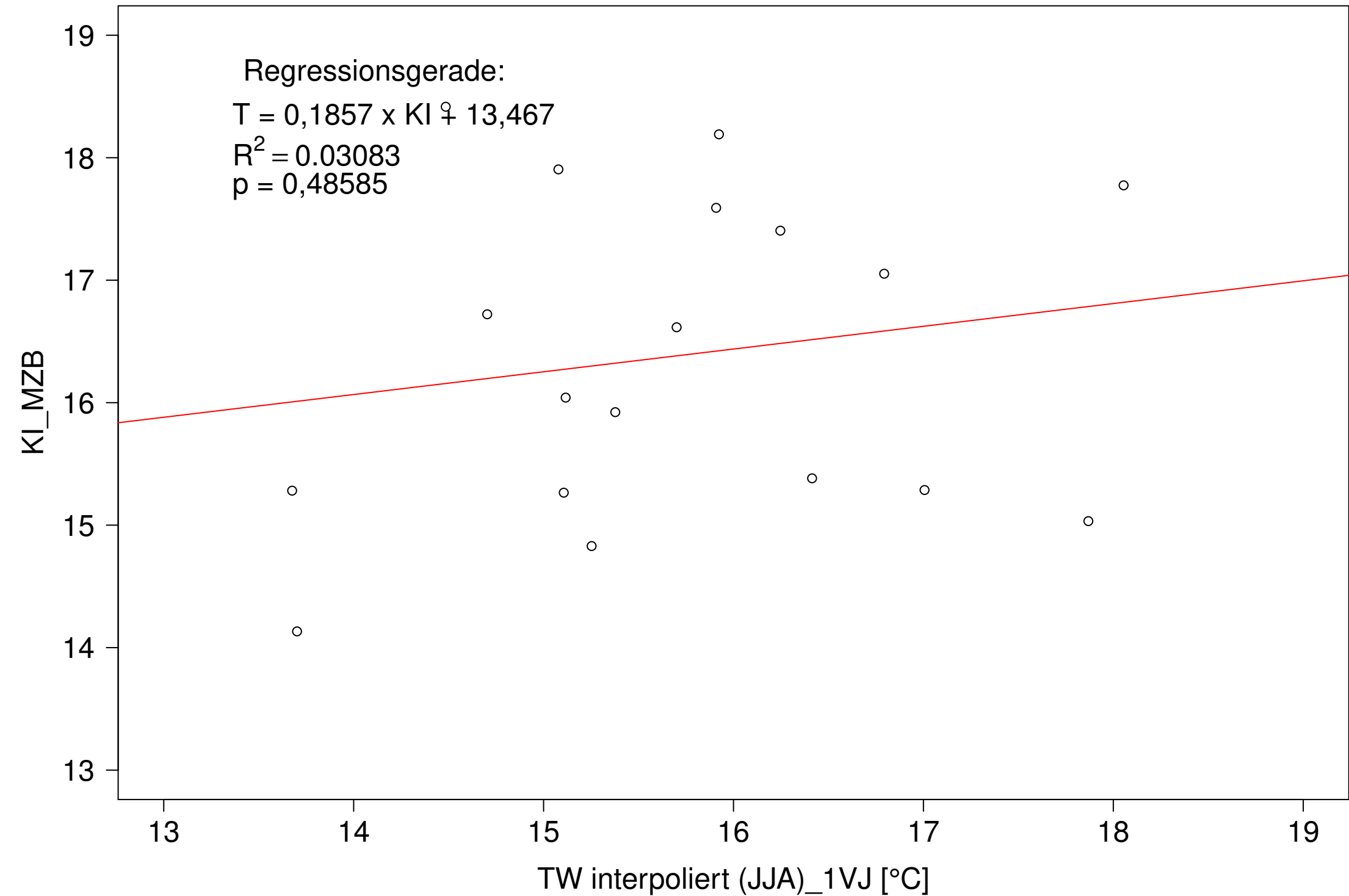
Brigach_Marbach, Typ 09.1 mit Neozoen, Serie 2
KI_MZB (Typ/Kont-Korr) gegen TW interpoliert (JJA) des 1. Vorjahres



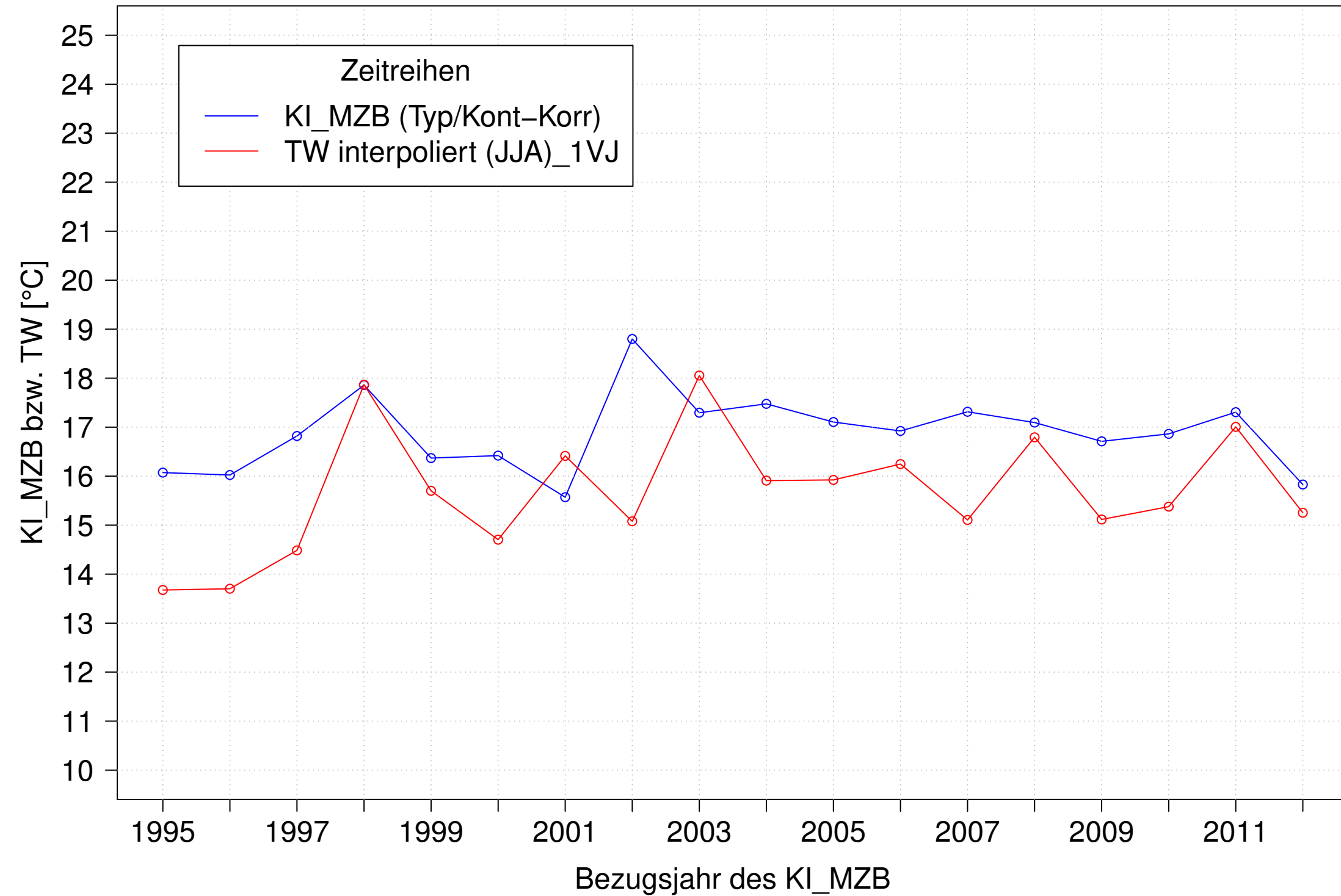
Brigach_Marbach, Typ 09.1 mit Neozoen, Serie 3
KI_MZB (Typ/Kont-Korr) und TW interpoliert (JJA) des 1. Vorjahres



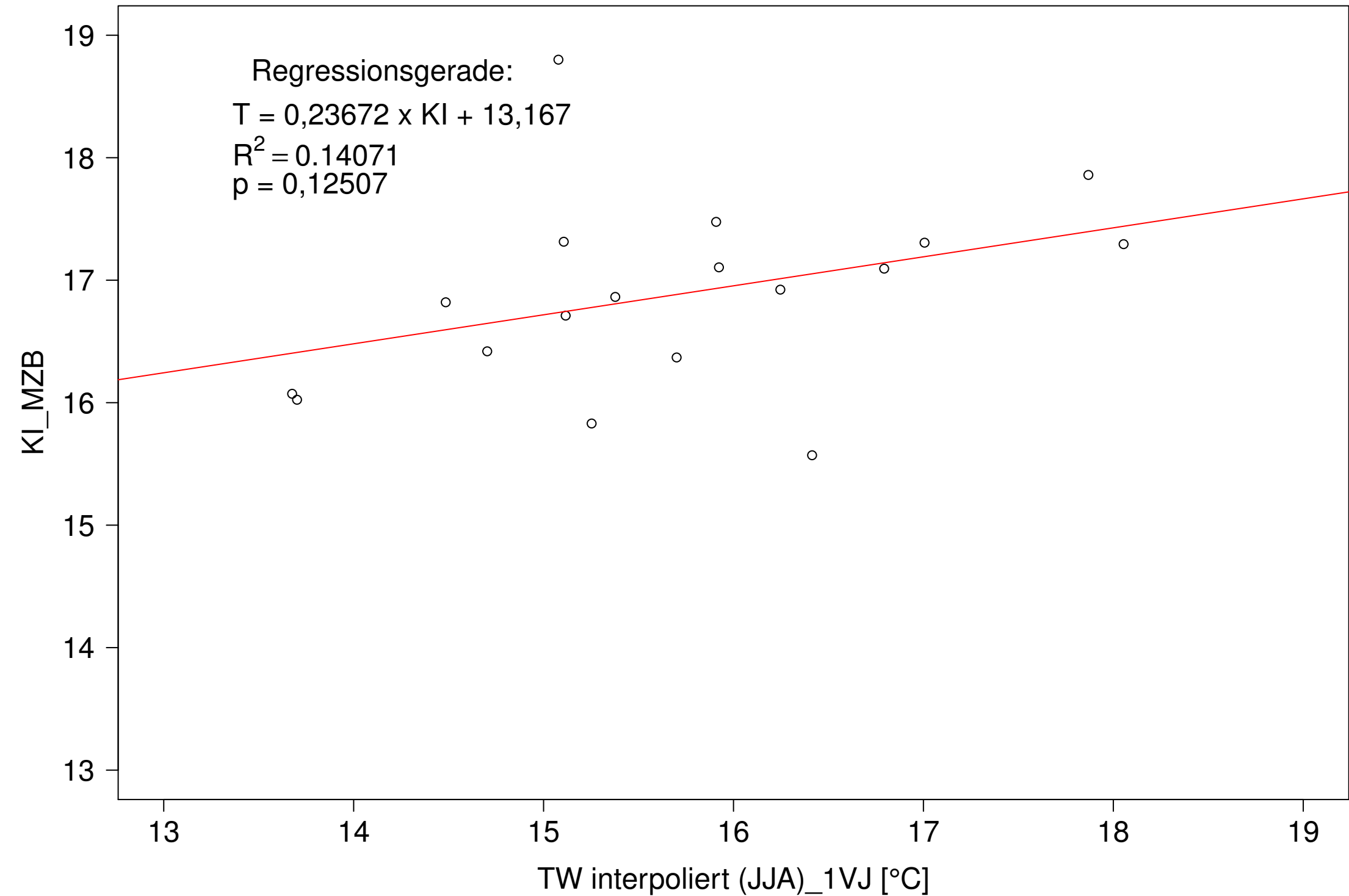
Brigach_Marbach, Typ 09.1 mit Neozoen, Serie 3
KI_MZB (Typ/Kont-Korr) gegen TW interpoliert (JJA) des 1. Vorjahres



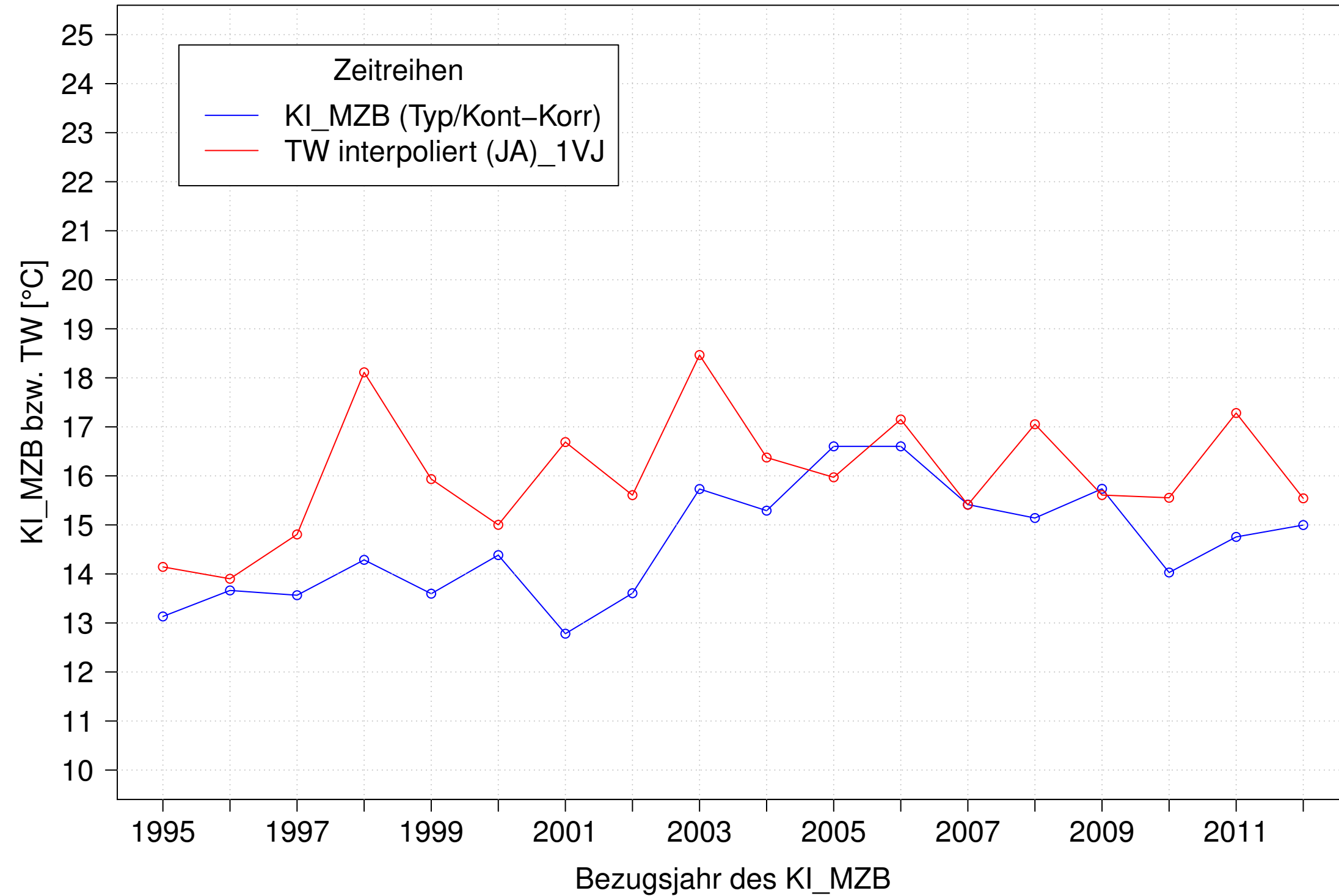
Brigach_Marbach, Typ 09.1 mit Neozoen, Serie 4
KI_MZB (Typ/Kont-Korr) und TW interpoliert (JJA) des 1. Vorjahres



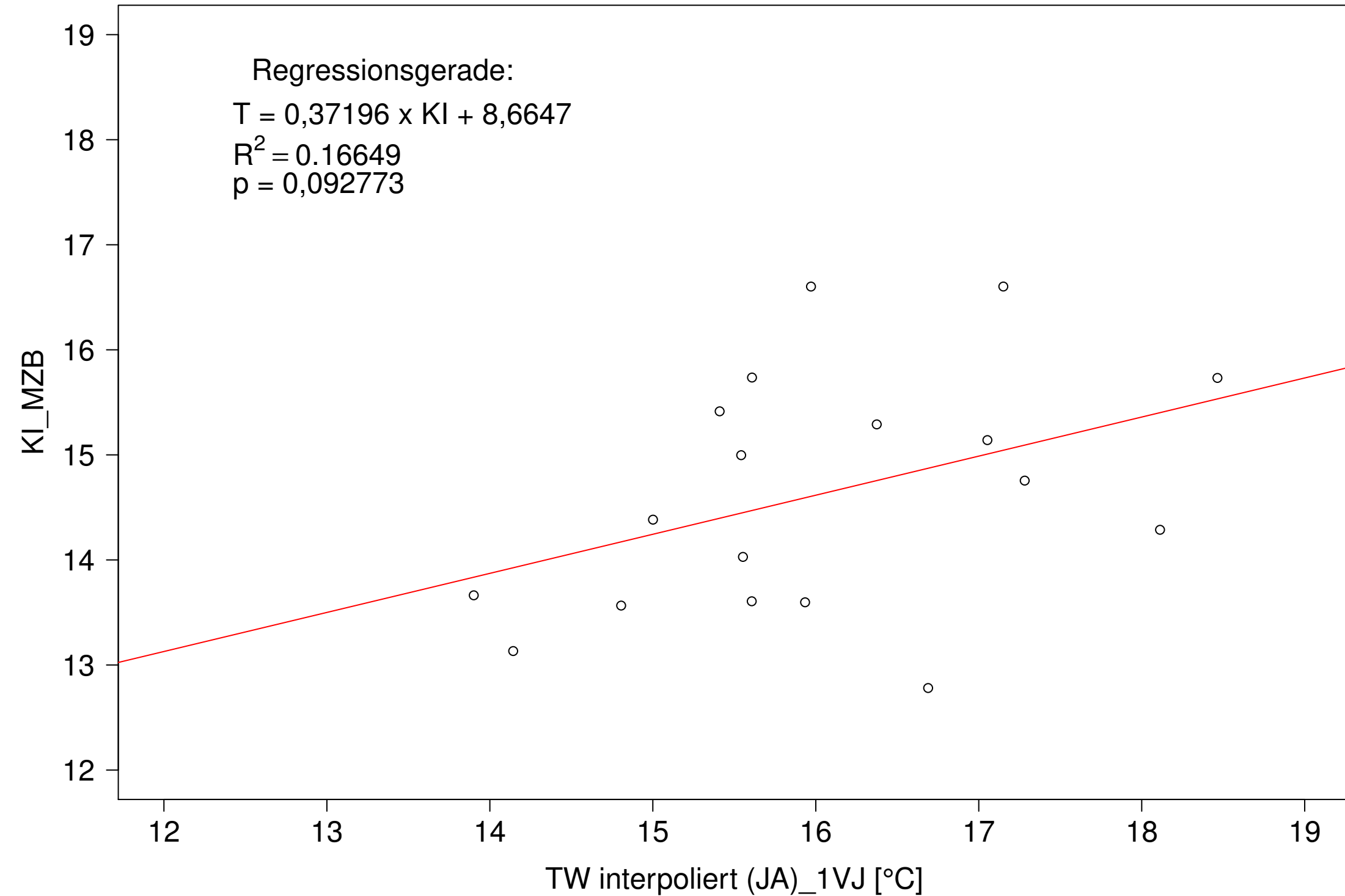
Brigach_Marbach, Typ 09.1 mit Neozoen, Serie 4
KI_MZB (Typ/Kont-Korr) gegen TW interpoliert (JJA) des 1. Vorjahres



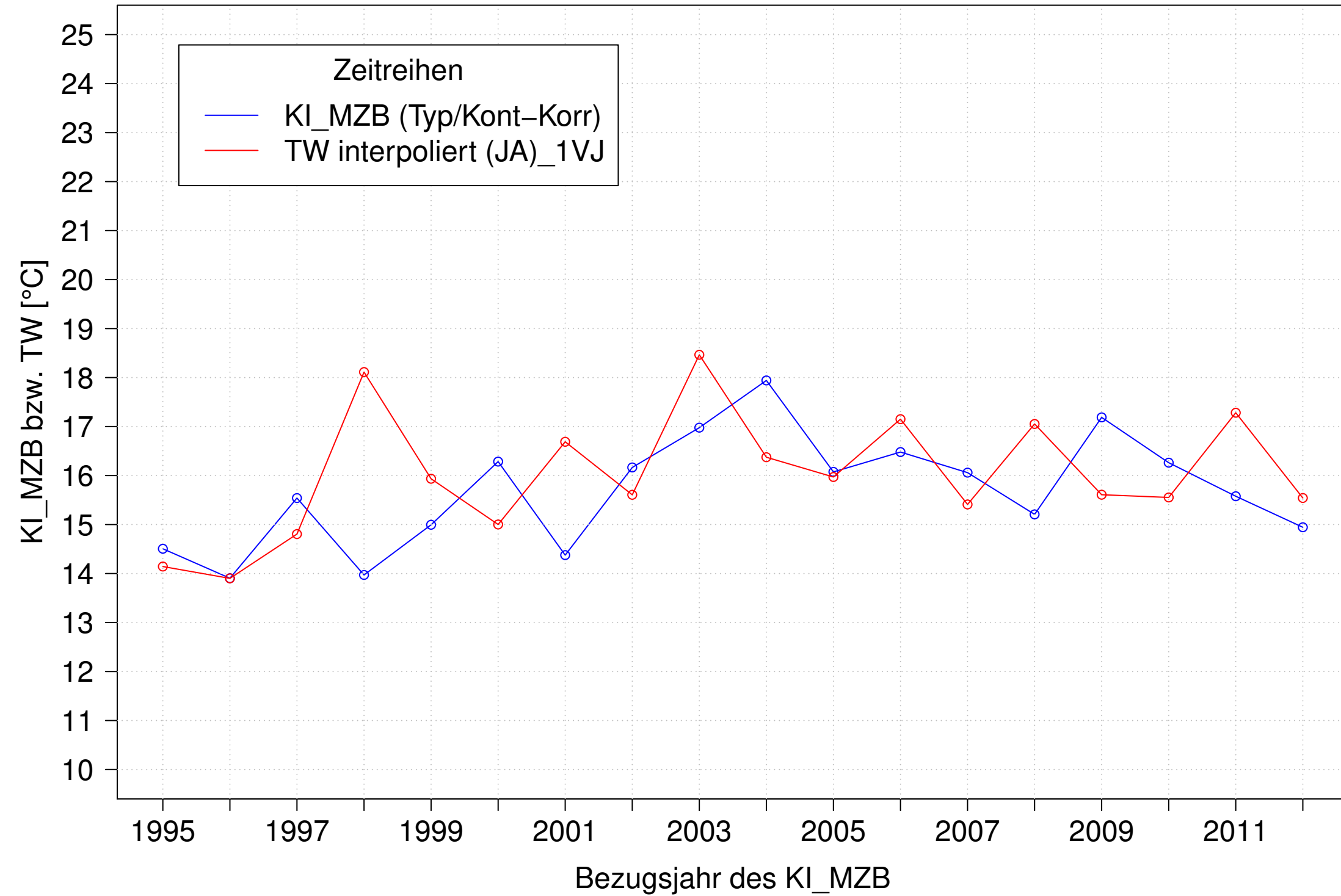
Brigach_Marbach, Typ 09.1 mit Neozoen, Serie 1
 KI_MZB (Typ/Kont-Korr) und TW interpoliert (JA) des 1. Vorjahres



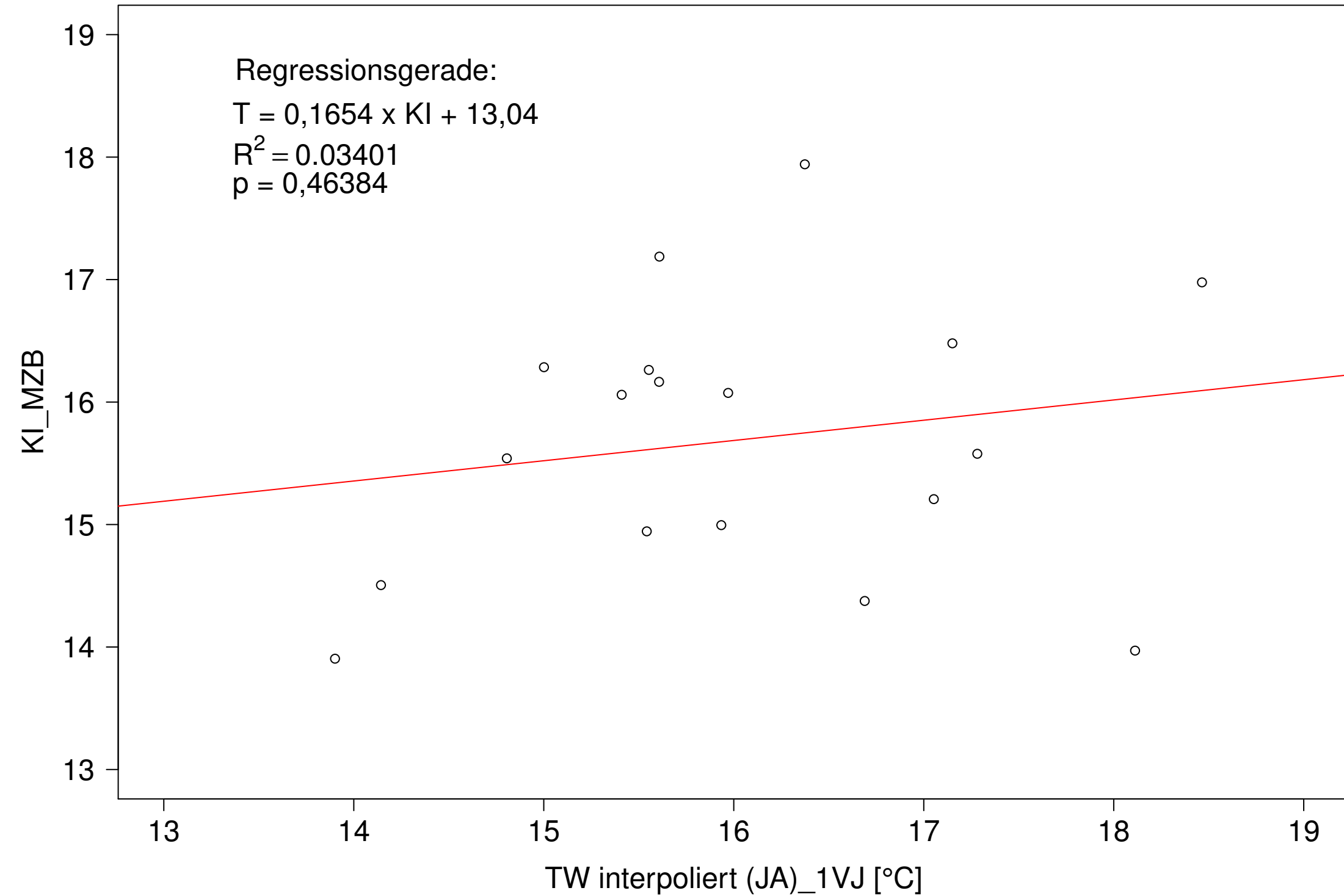
Brigach_Marbach, Typ 09.1 mit Neozoen, Serie 1
 KI_MZB (Typ/Kont-Korr) gegen TW interpoliert (JA) des 1. Vorjahres



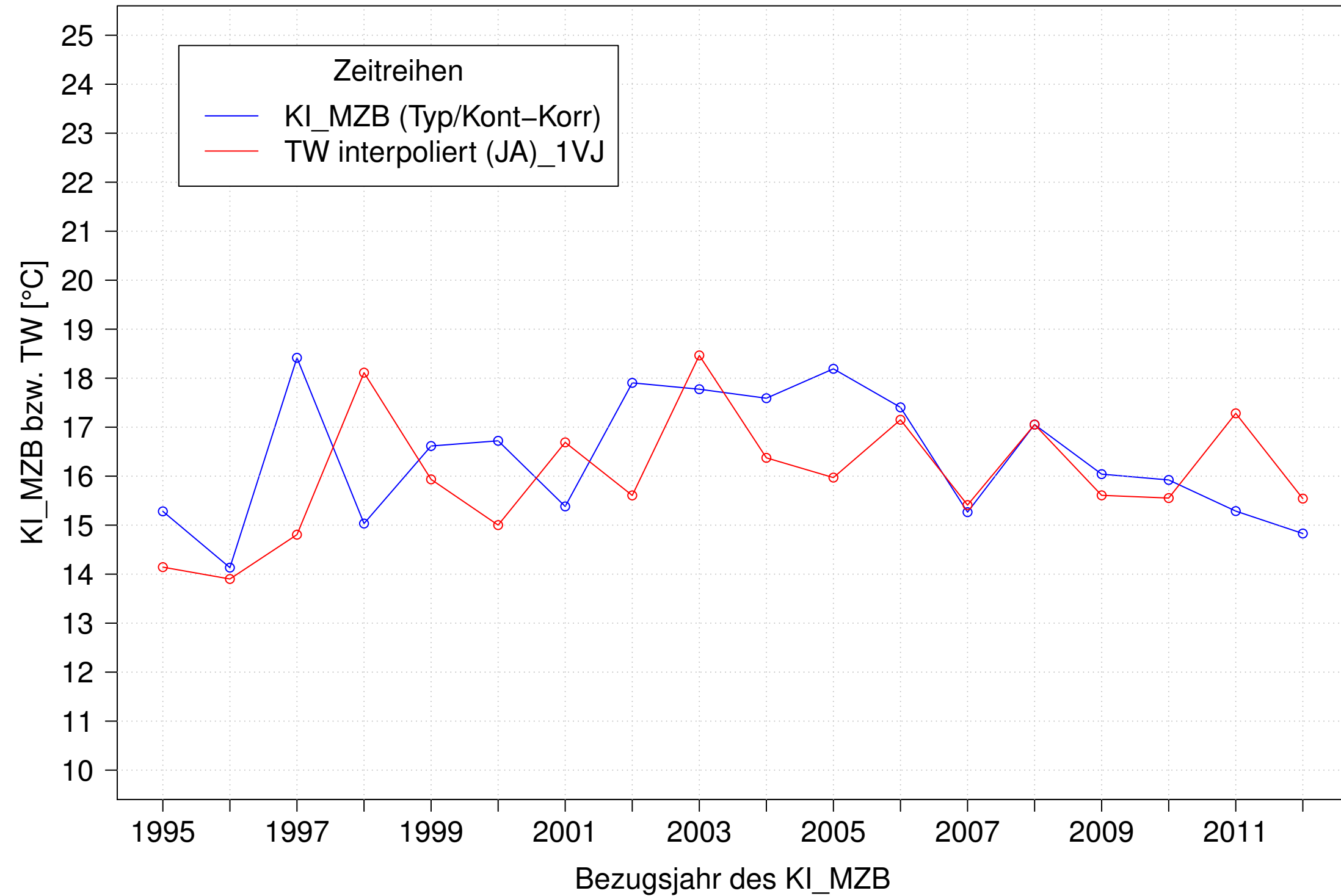
Brigach_Marbach, Typ 09.1 mit Neozoen, Serie 2
 KI_MZB (Typ/Kont-Korr) und TW interpoliert (JA) des 1. Vorjahres



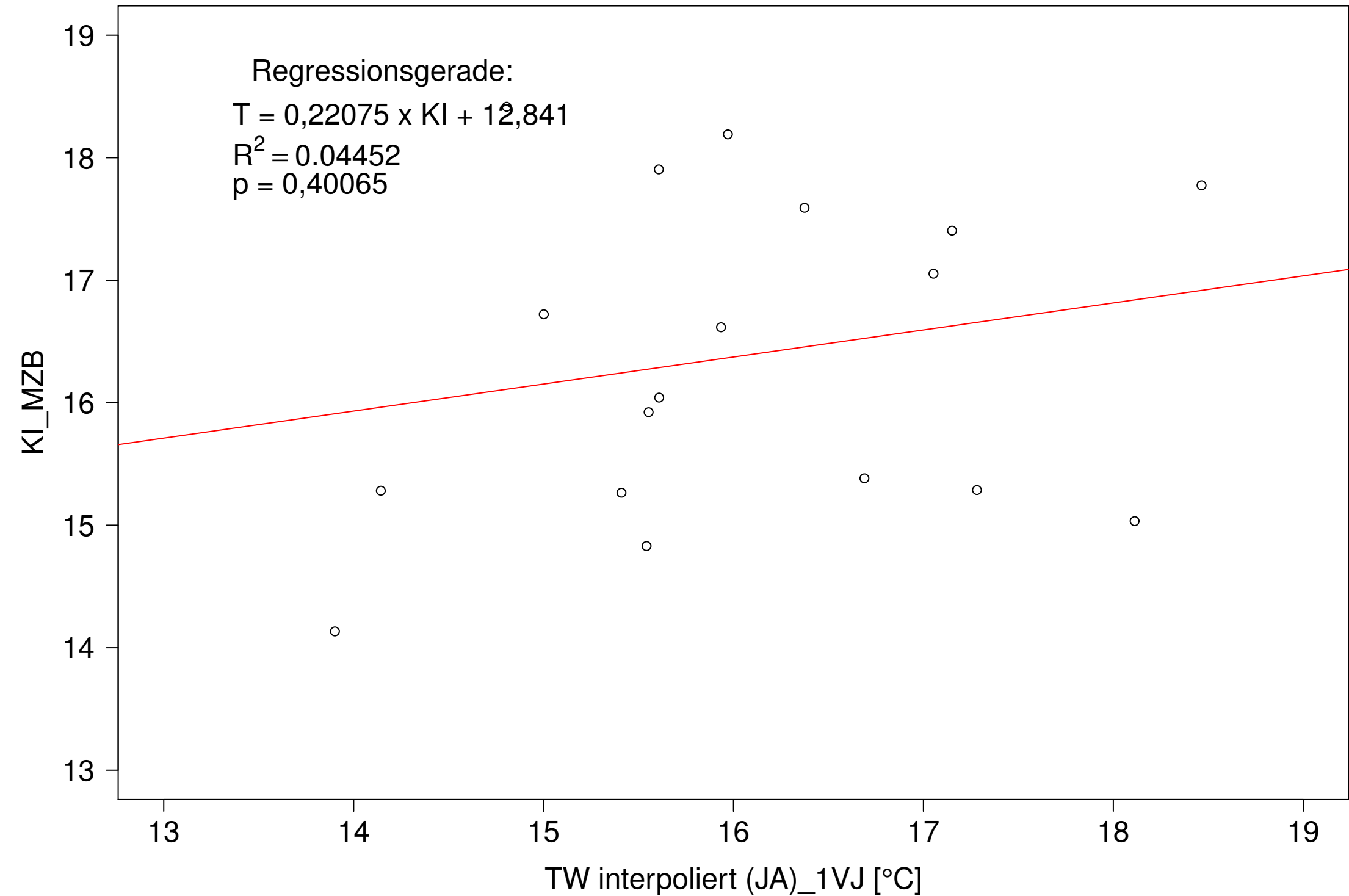
Brigach_Marbach, Typ 09.1 mit Neozoen, Serie 2
 KI_MZB (Typ/Kont-Korr) gegen TW interpoliert (JA) des 1. Vorjahres



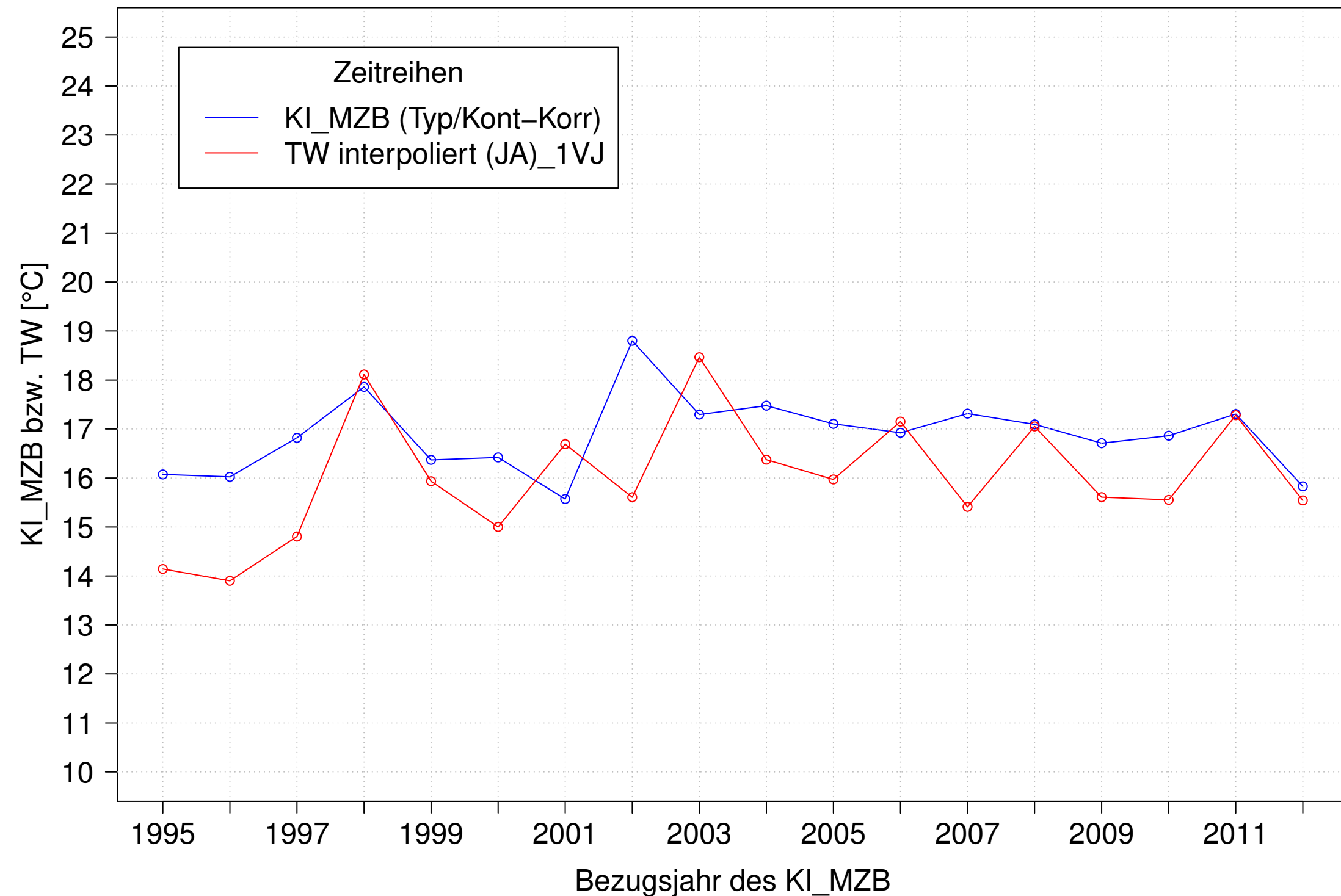
Brigach_Marbach, Typ 09.1 mit Neozoen, Serie 3
KI_MZB (Typ/Kont-Korr) und TW interpoliert (JA) des 1. Vorjahres



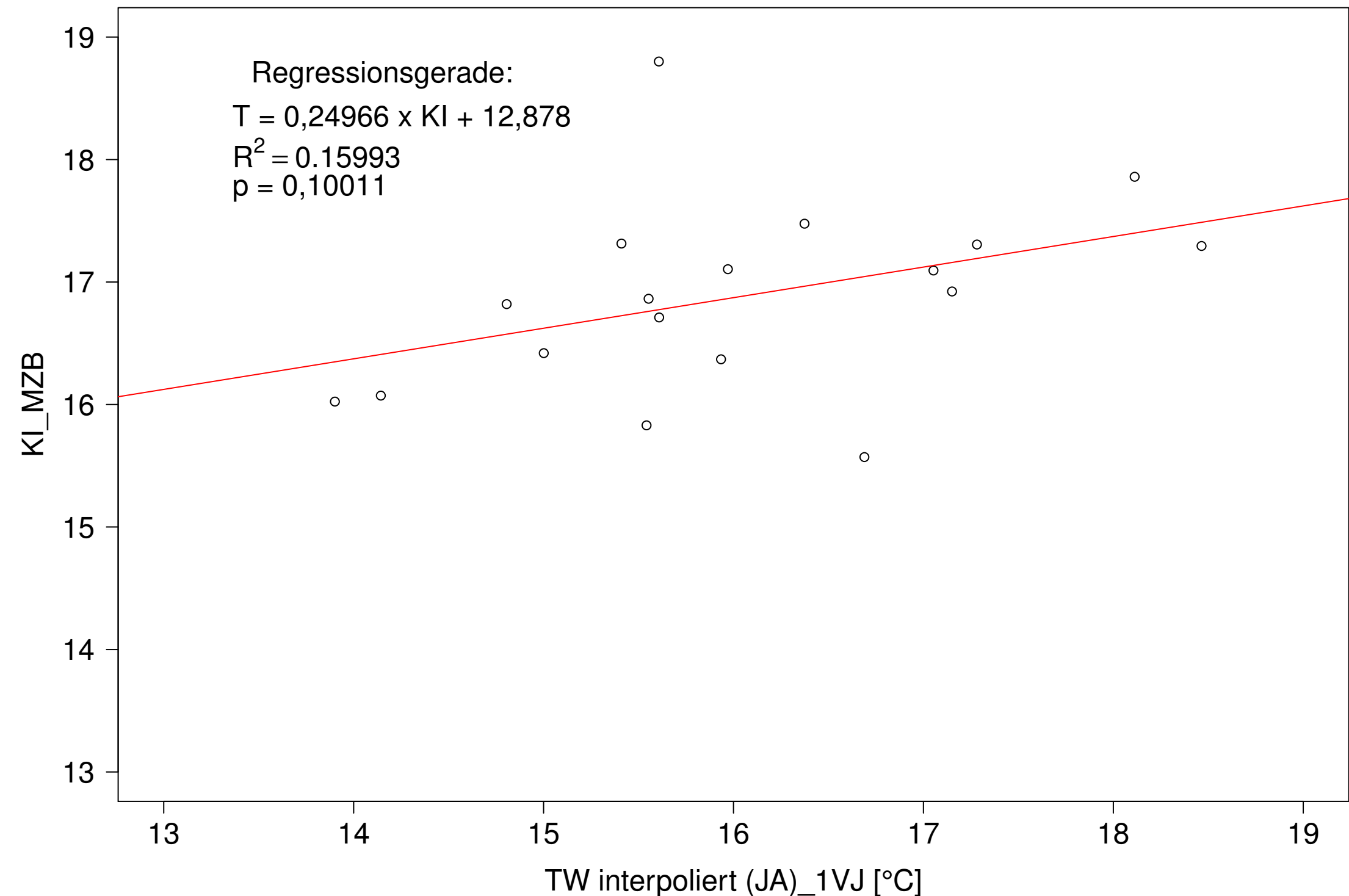
Brigach_Marbach, Typ 09.1 mit Neozoen, Serie 3
KI_MZB (Typ/Kont-Korr) gegen TW interpoliert (JA) des 1. Vorjahres



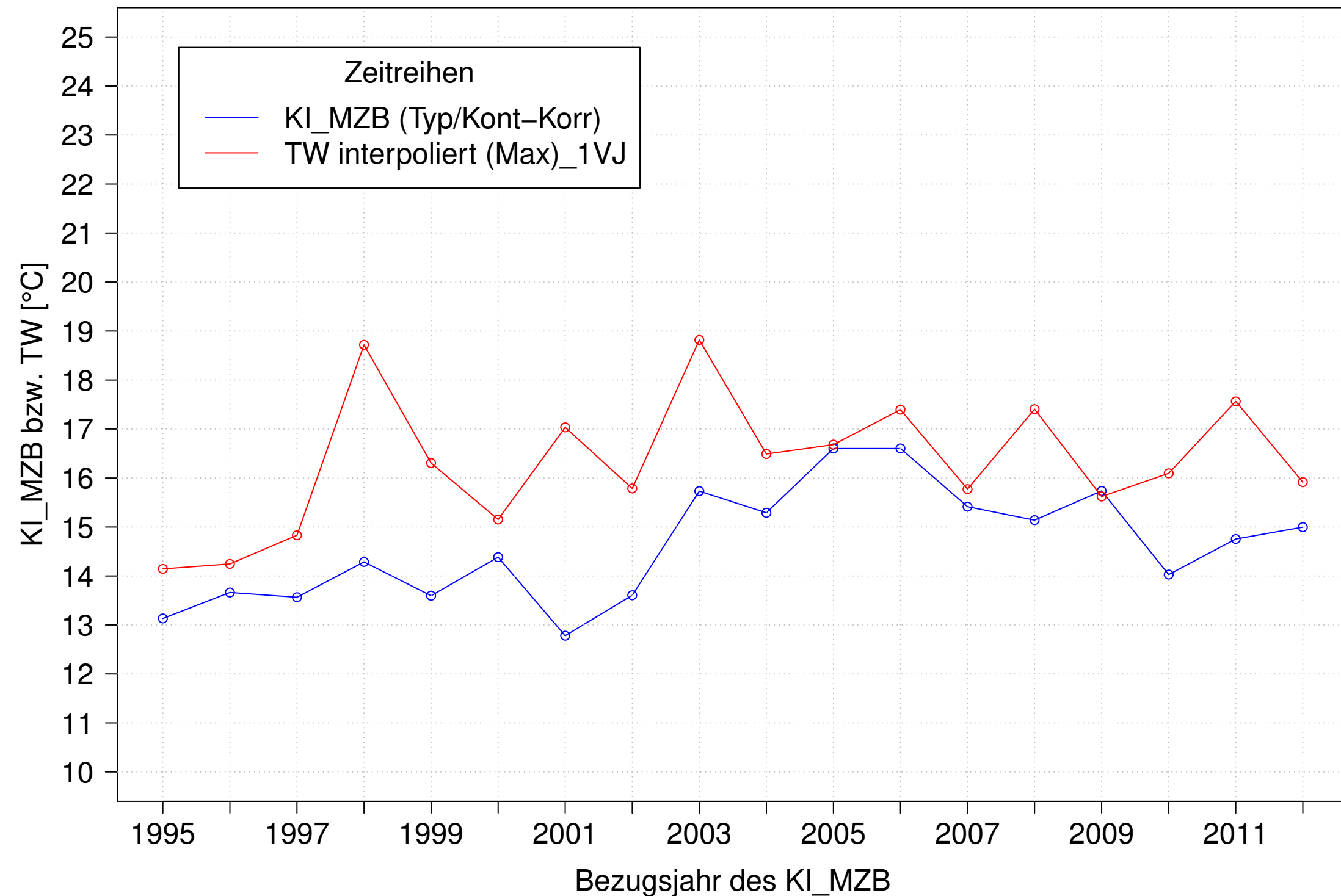
Brigach_Marbach, Typ 09.1 mit Neozoen, Serie 4
KI_MZB (Typ/Kont-Korr) und TW interpoliert (JA) des 1. Vorjahres



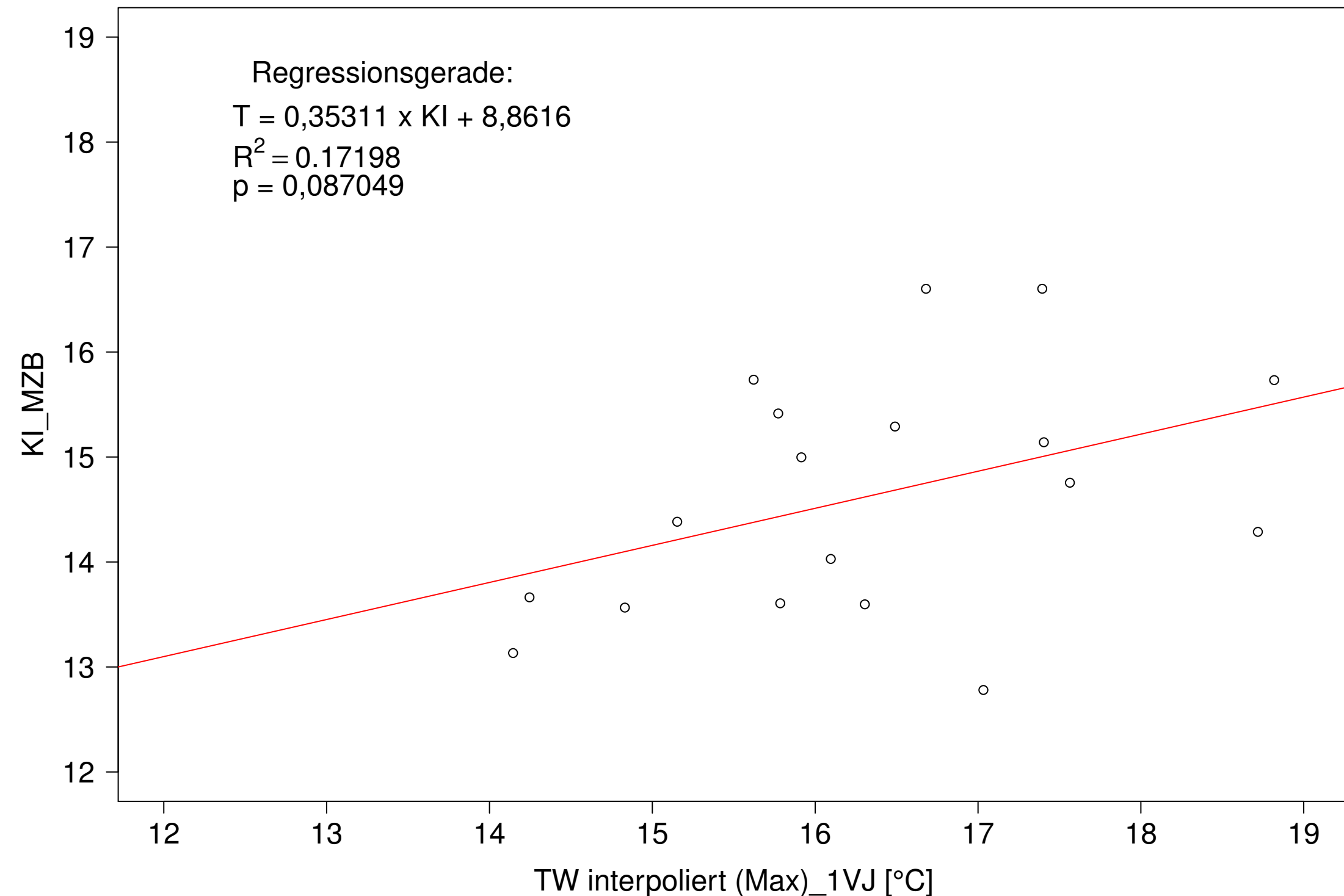
Brigach_Marbach, Typ 09.1 mit Neozoen, Serie 4
KI_MZB (Typ/Kont-Korr) gegen TW interpoliert (JA) des 1. Vorjahres



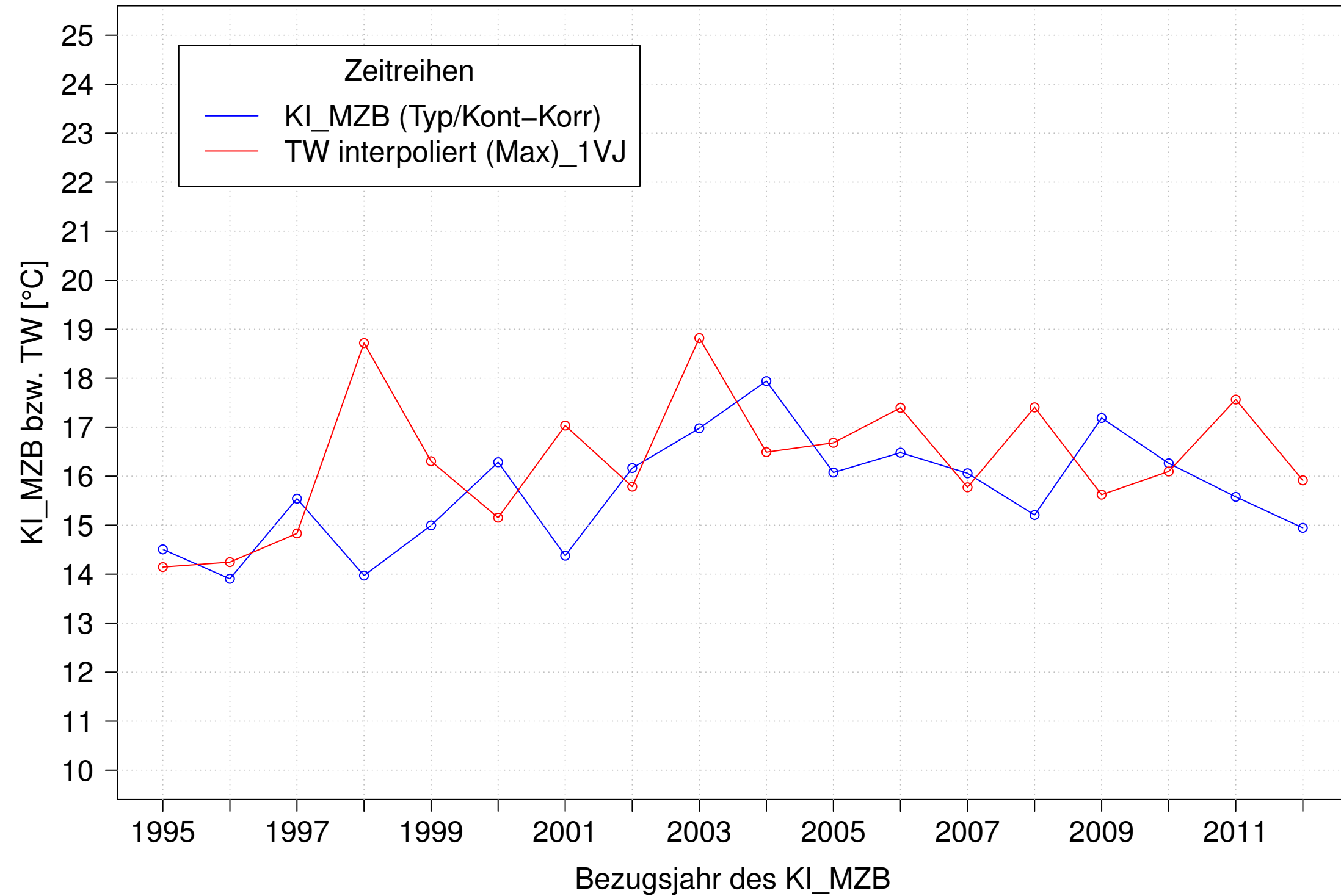
Brigach_Marbach, Typ 09.1 mit Neozoen, Serie 1
KI_MZB (Typ/Kont-Korr) und TW interpoliert (Max) des 1. Vorjahres



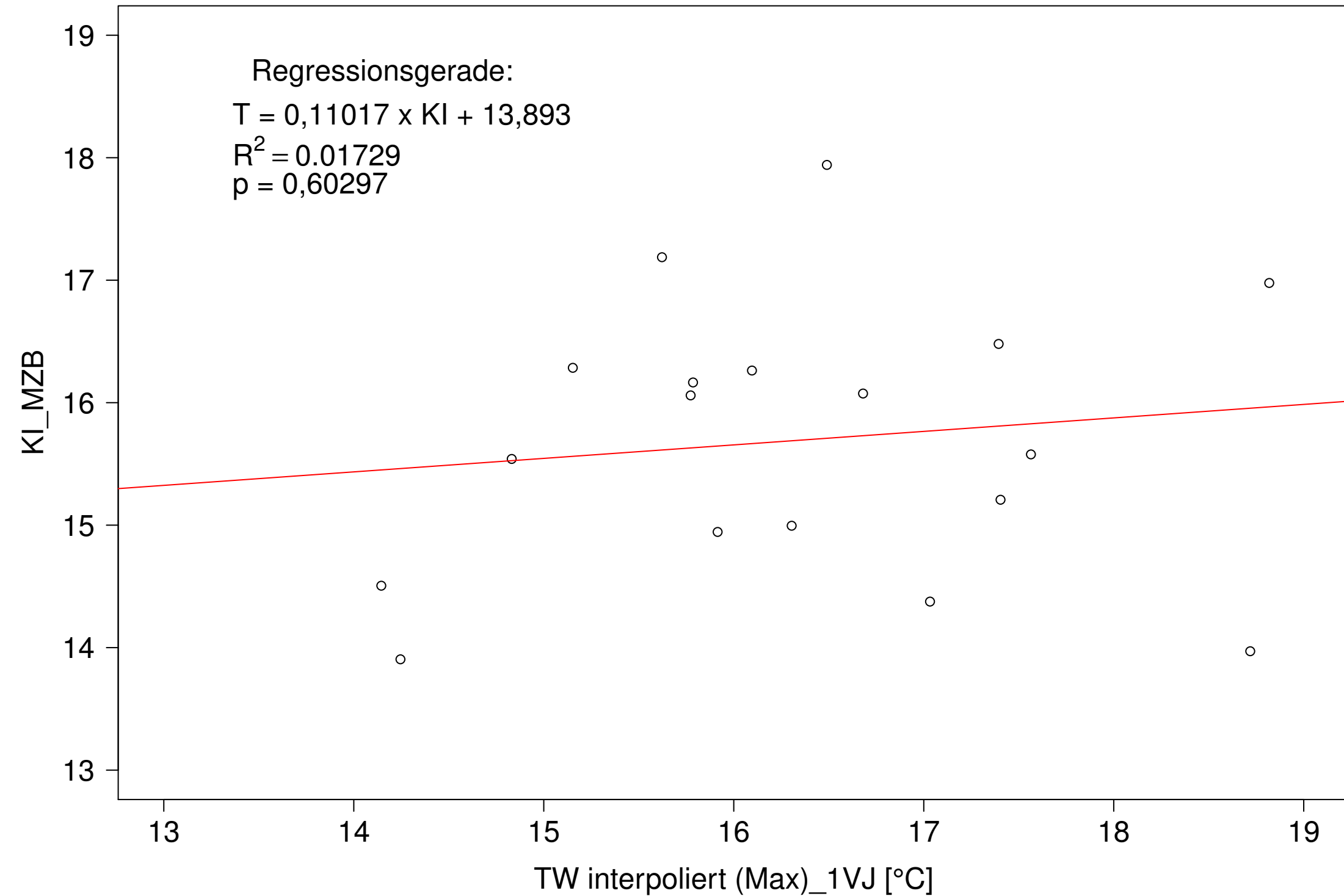
Brigach_Marbach, Typ 09.1 mit Neozoen, Serie 1
KI_MZB (Typ/Kont-Korr) gegen TW interpoliert (Max) des 1. Vorjahres



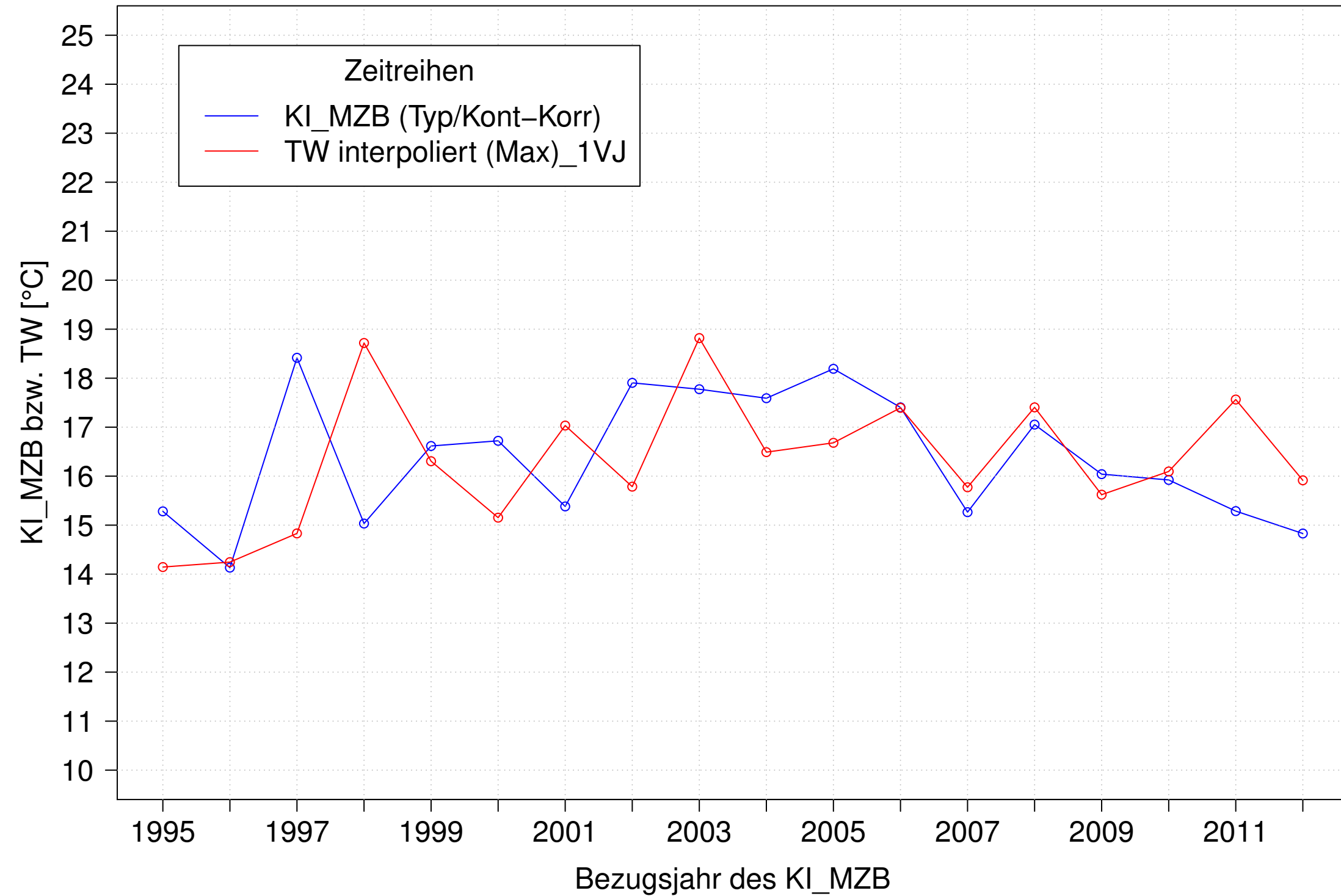
Brigach_Marbach, Typ 09.1 mit Neozoen, Serie 2
 KI_MZB (Typ/Kont-Korr) und TW interpoliert (Max) des 1. Vorjahres



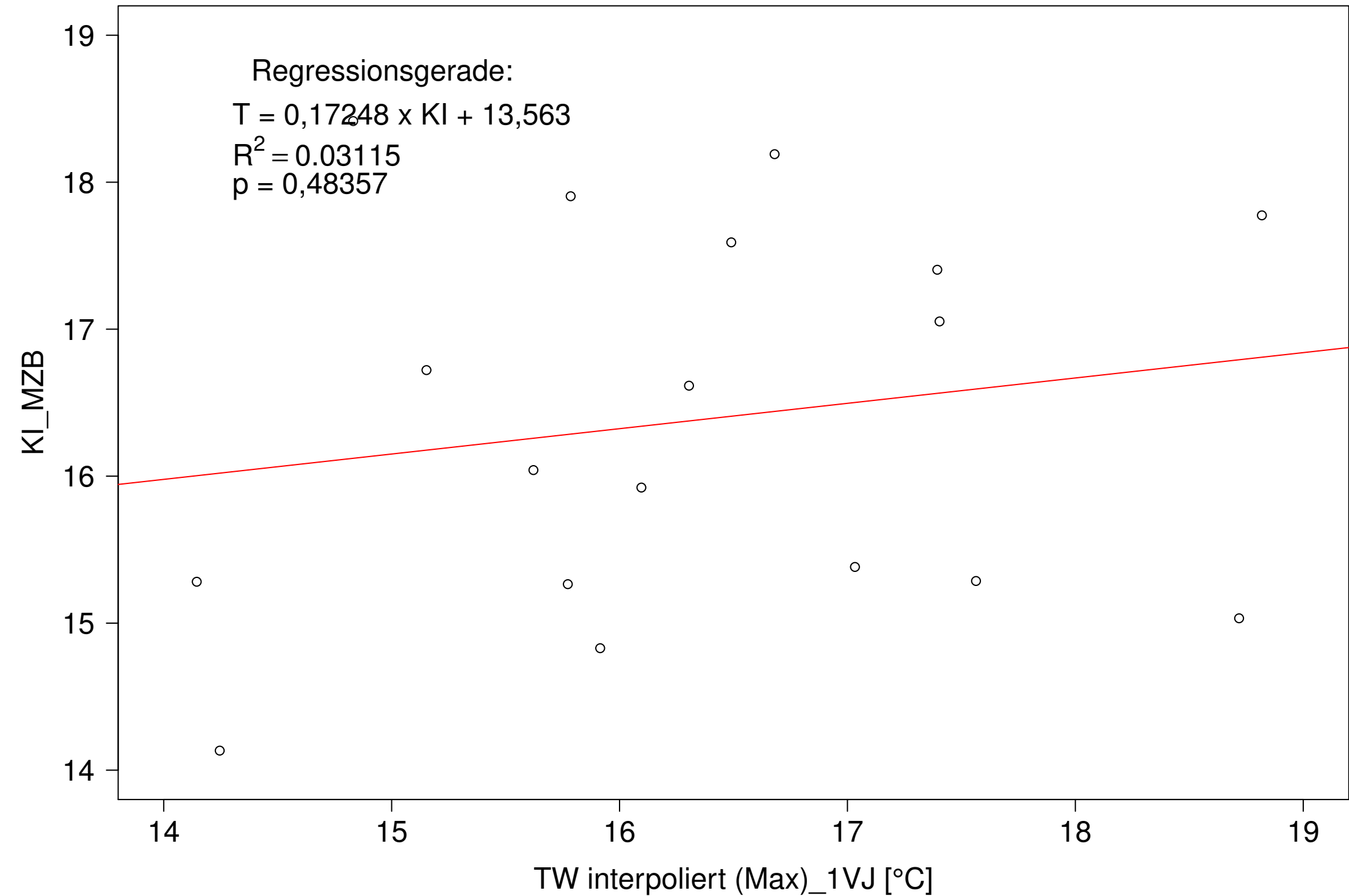
Brigach_Marbach, Typ 09.1 mit Neozoen, Serie 2
 KI_MZB (Typ/Kont-Korr) gegen TW interpoliert (Max) des 1. Vorjahres



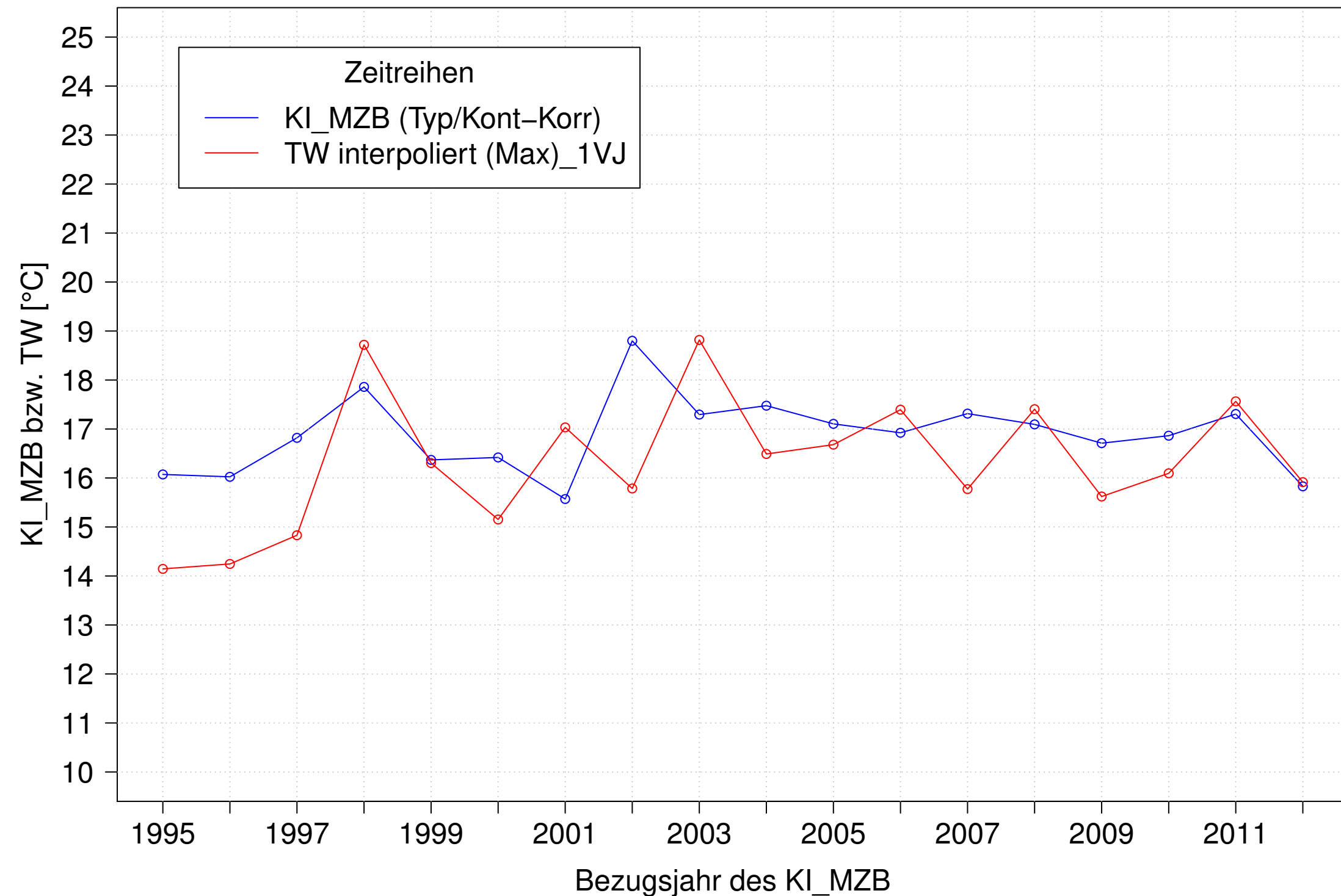
Brigach_Marbach, Typ 09.1 mit Neozoen, Serie 3
KI_MZB (Typ/Kont-Korr) und TW interpoliert (Max) des 1. Vorjahres



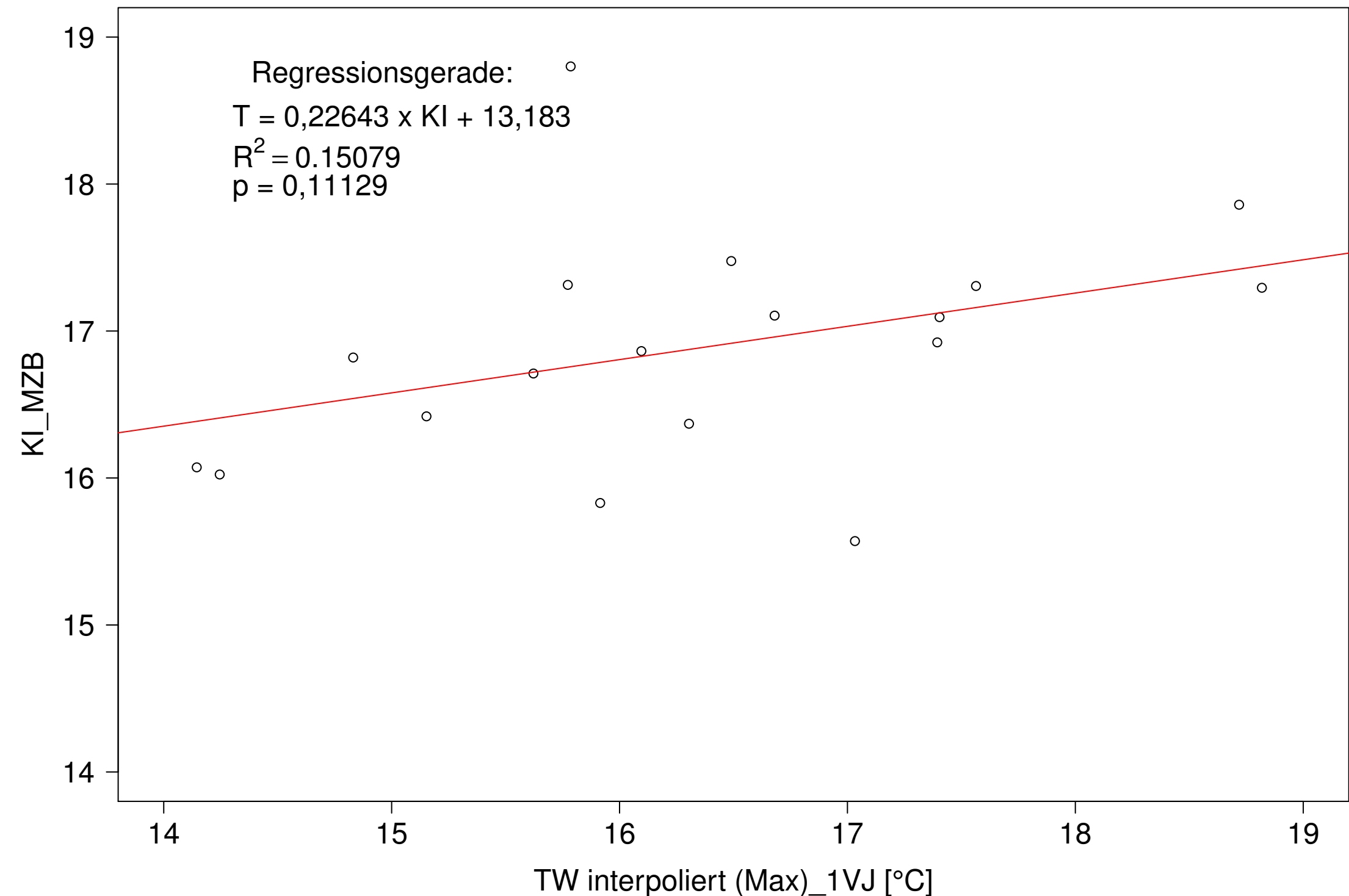
Brigach_Marbach, Typ 09.1 mit Neozoen, Serie 3
KI_MZB (Typ/Kont-Korr) gegen TW interpoliert (Max) des 1. Vorjahres



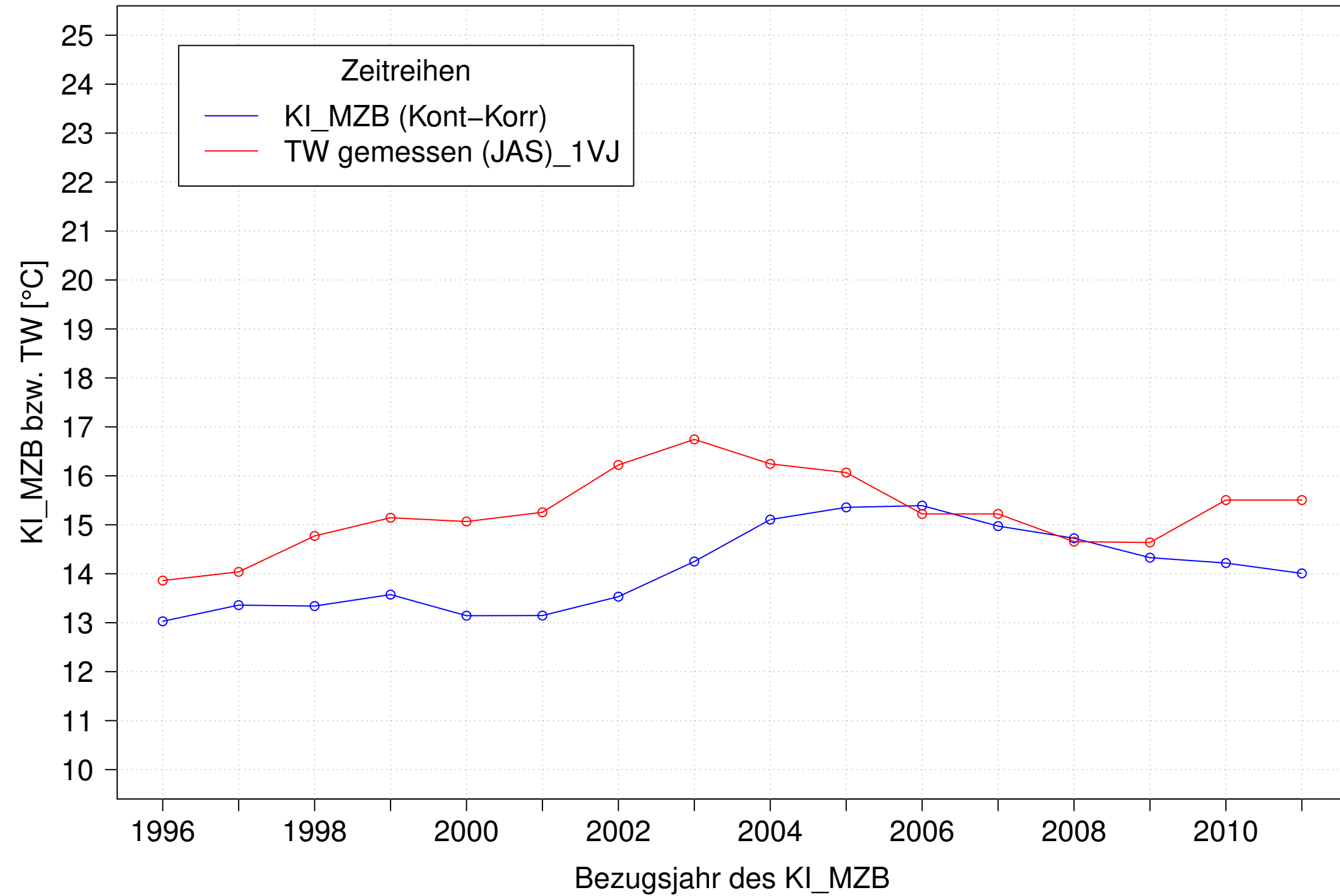
Brigach_Marbach, Typ 09.1 mit Neozoen, Serie 4
 KI_MZB (Typ/Kont-Korr) und TW interpoliert (Max) des 1. Vorjahres



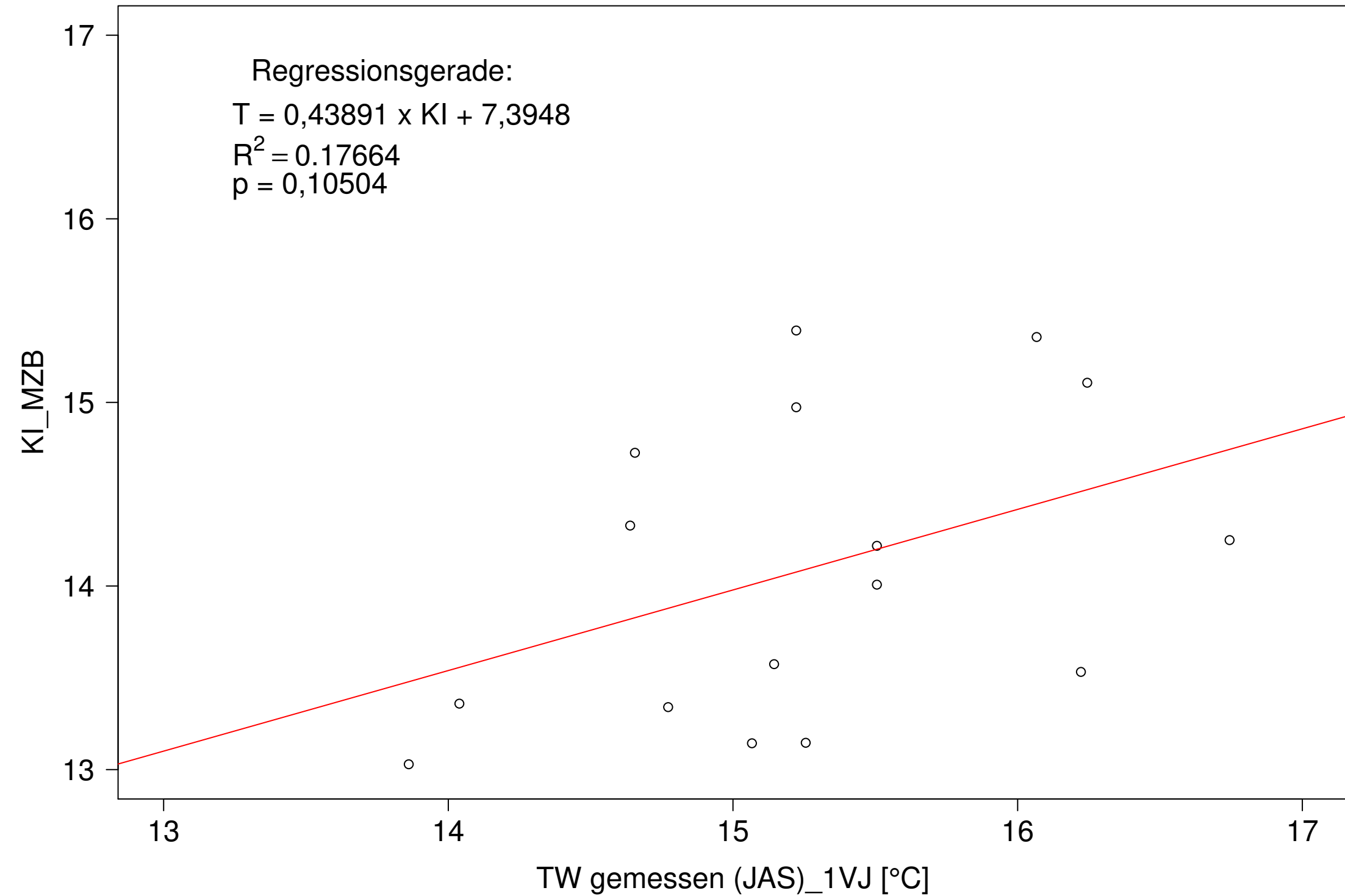
Brigach_Marbach, Typ 09.1 mit Neozoen, Serie 4
 KI_MZB (Typ/Kont-Korr) gegen TW interpoliert (Max) des 1. Vorjahres



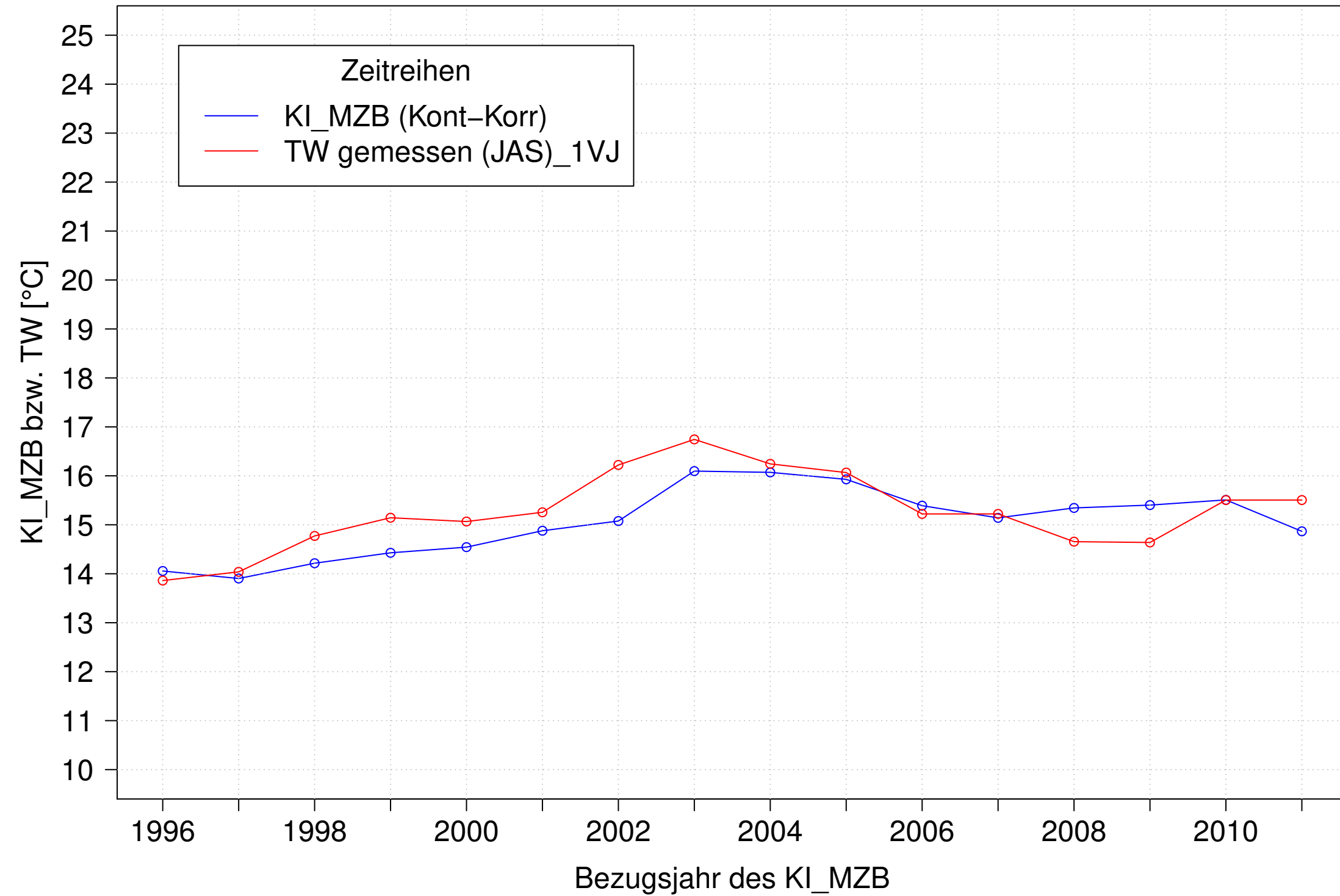
Brigach_Marbach, Typ 09.1 mit Neozoen, Serie 1
3JMW KI_MZB (Kont-Korr) und 3JMW TW gemessen (JAS) des 1. Vorjahres



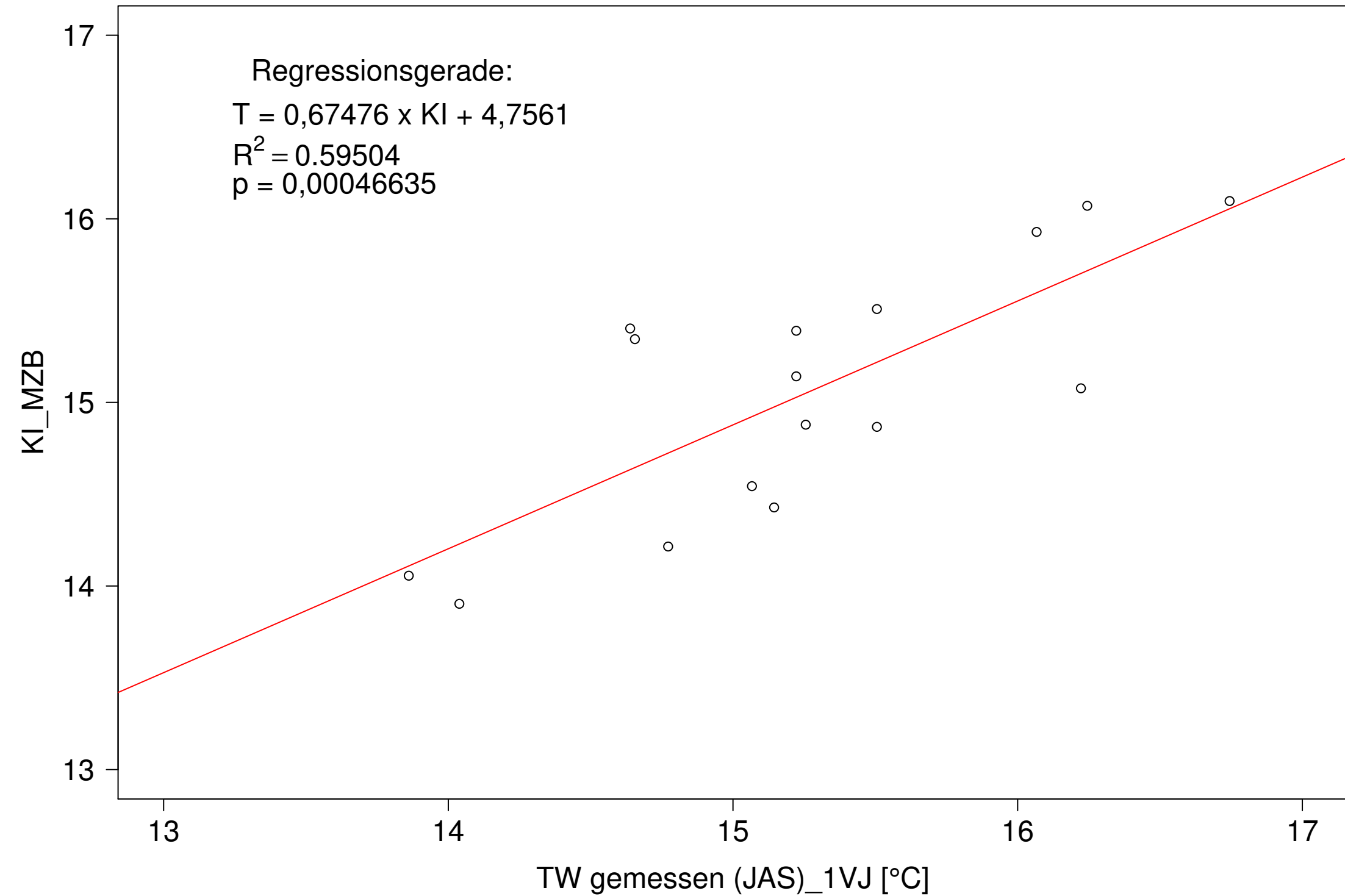
Brigach_Marbach, Typ 09.1 mit Neozoen, Serie 1
3JMW KI_MZB (Kont-Korr) gegen 3JMW TW gemessen (JAS) des 1. Vorjahres



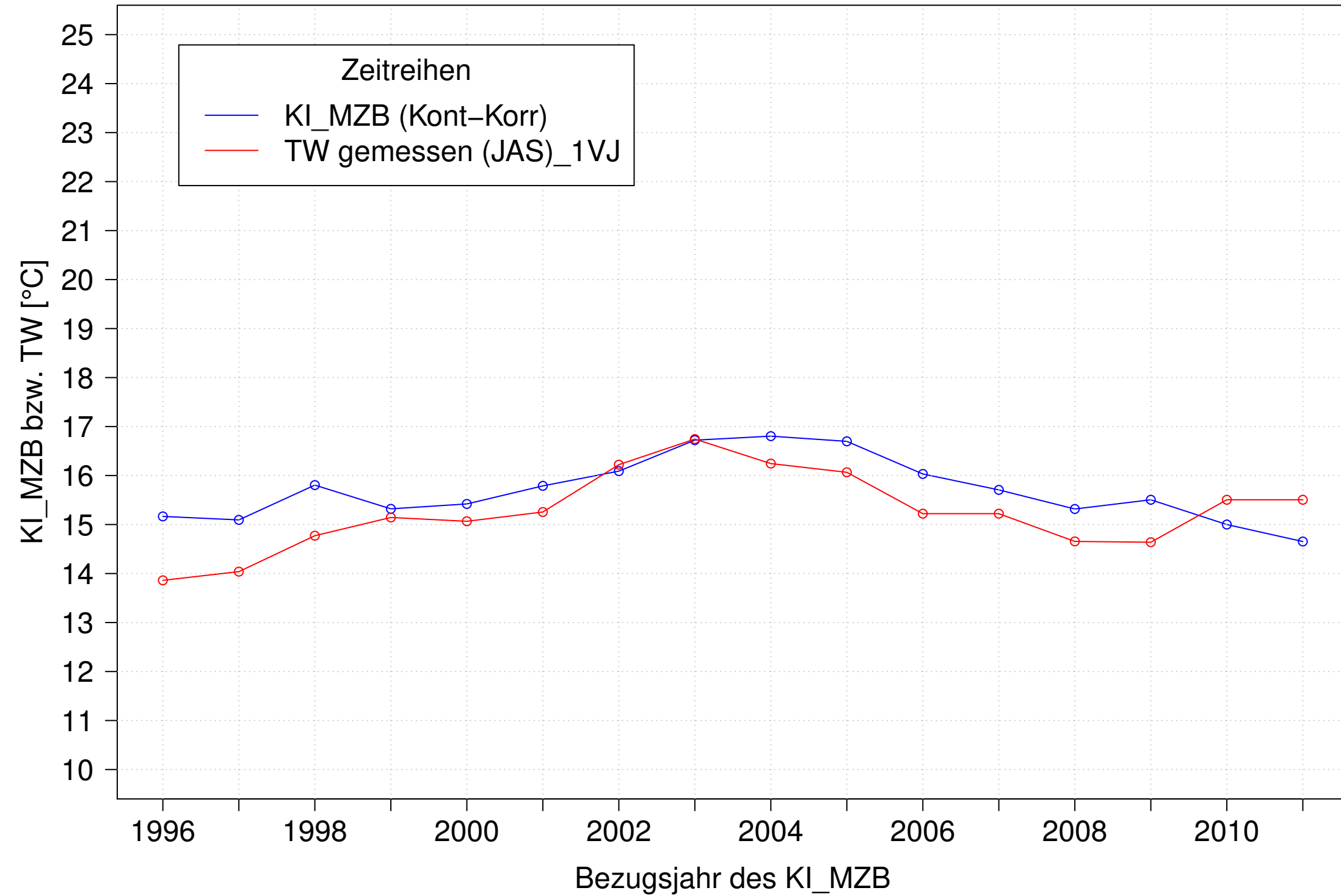
Brigach_Marbach, Typ 09.1 mit Neozoen, Serie 2
3JMW KI_MZB (Kont-Korr) und 3JMW TW gemessen (JAS) des 1. Vorjahres



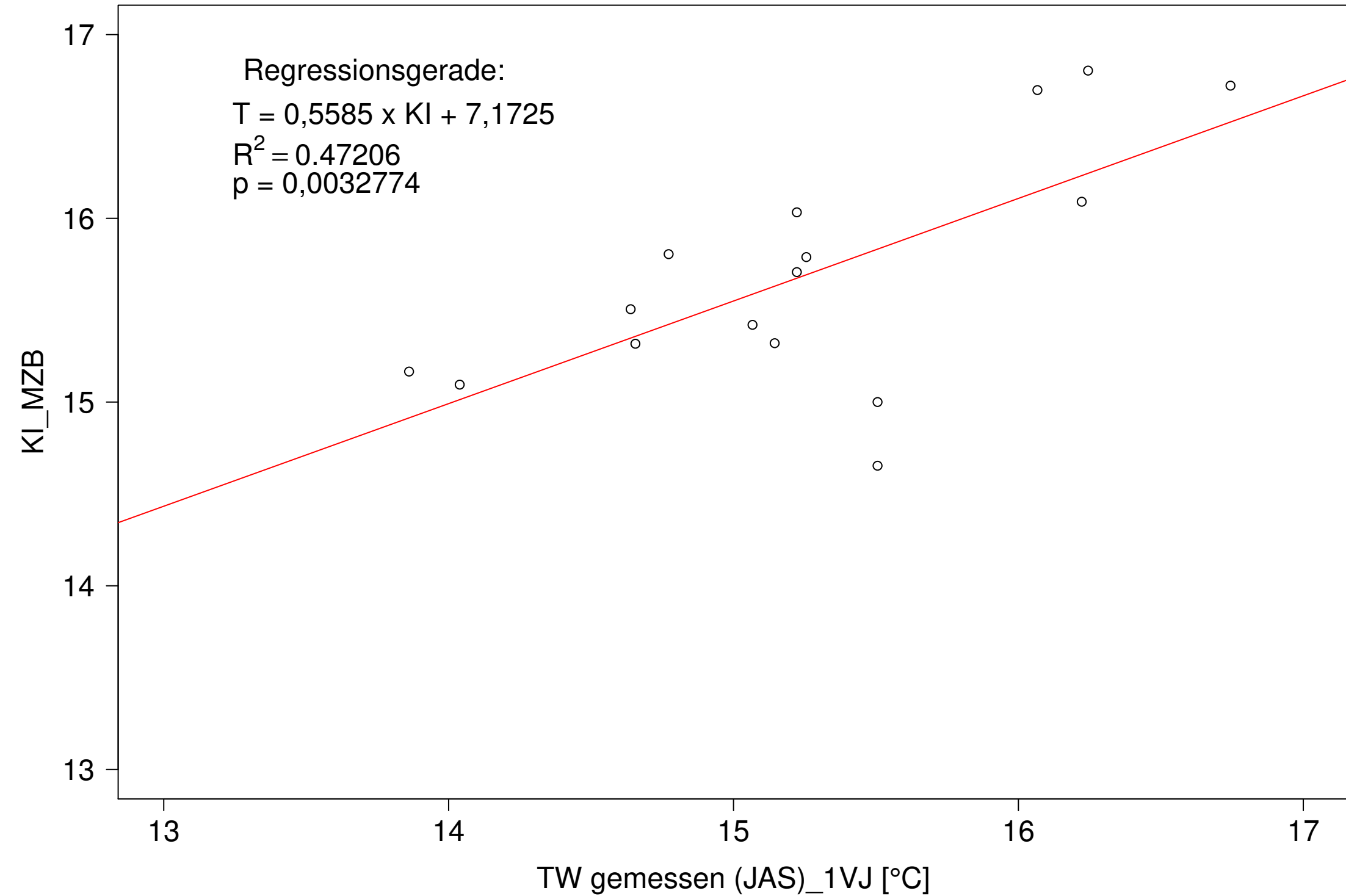
Brigach_Marbach, Typ 09.1 mit Neozoen, Serie 2
3JMW KI_MZB (Kont-Korr) gegen 3JMW TW gemessen (JAS) des 1. Vorjahres



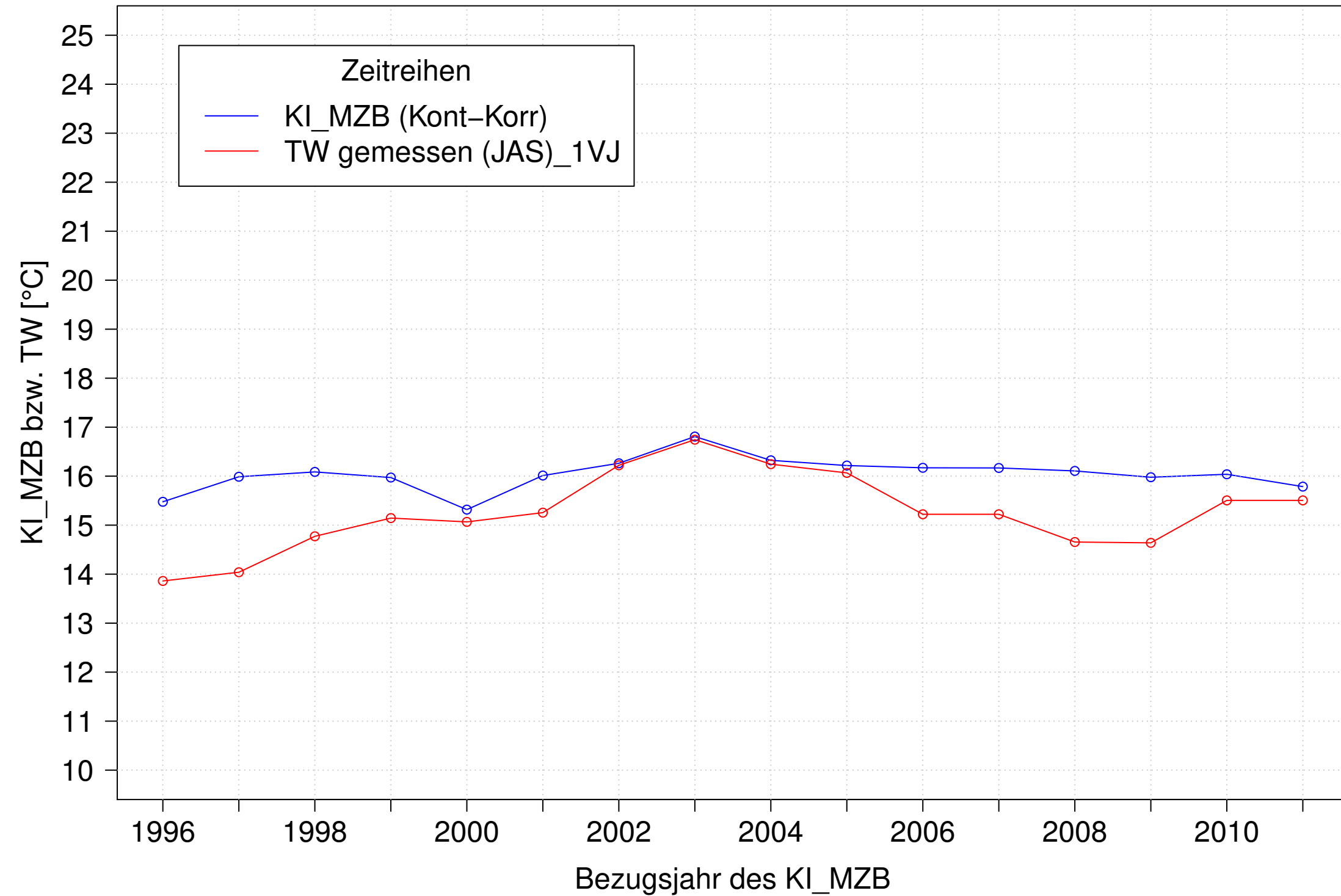
Brigach_Marbach, Typ 09.1 mit Neozoen, Serie 3
3JMW KI_MZB (Kont-Korr) und 3JMW TW gemessen (JAS) des 1. Vorjahres



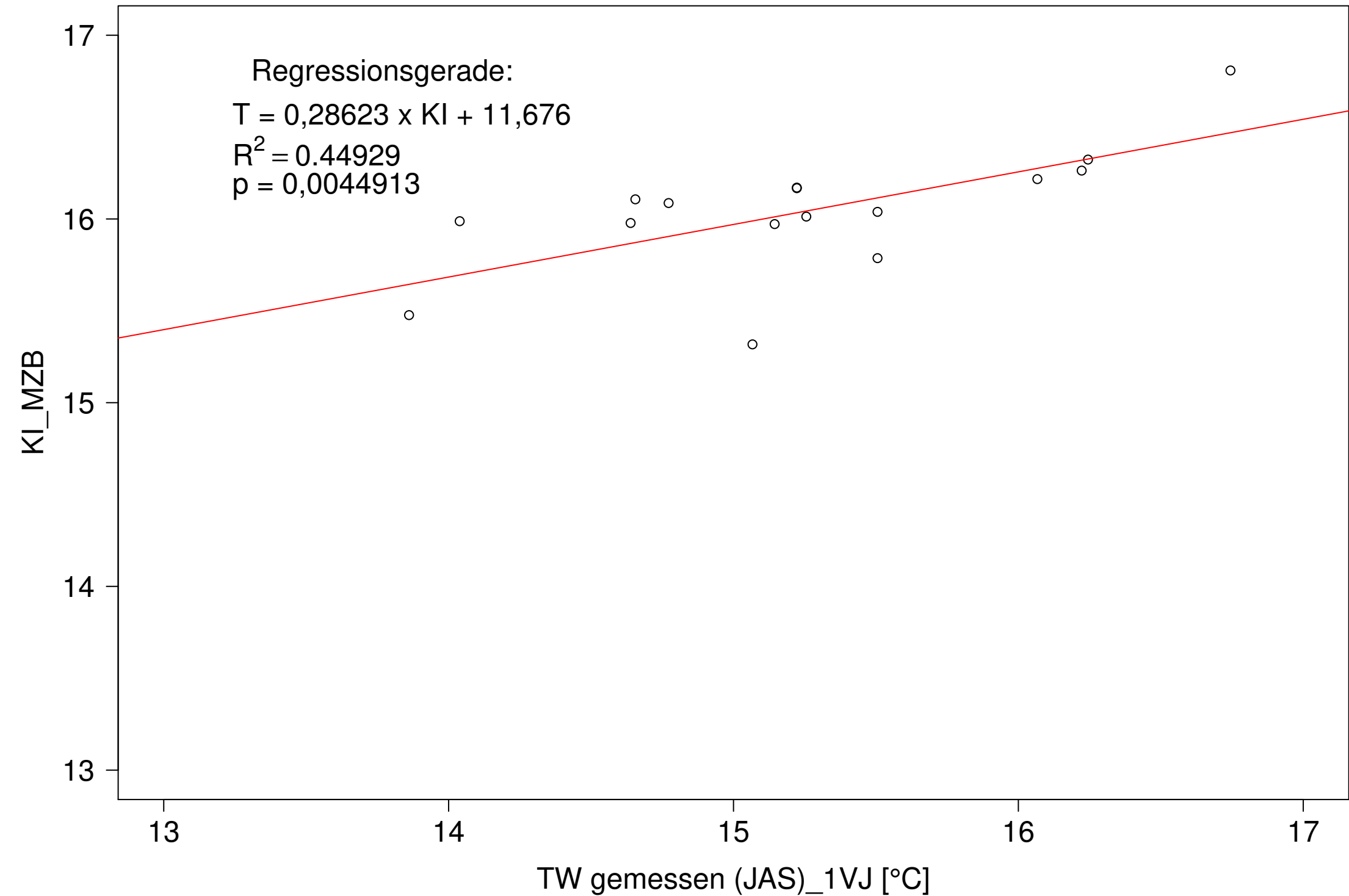
Brigach_Marbach, Typ 09.1 mit Neozoen, Serie 3
3JMW KI_MZB (Kont-Korr) gegen 3JMW TW gemessen (JAS) des 1. Vorjahres



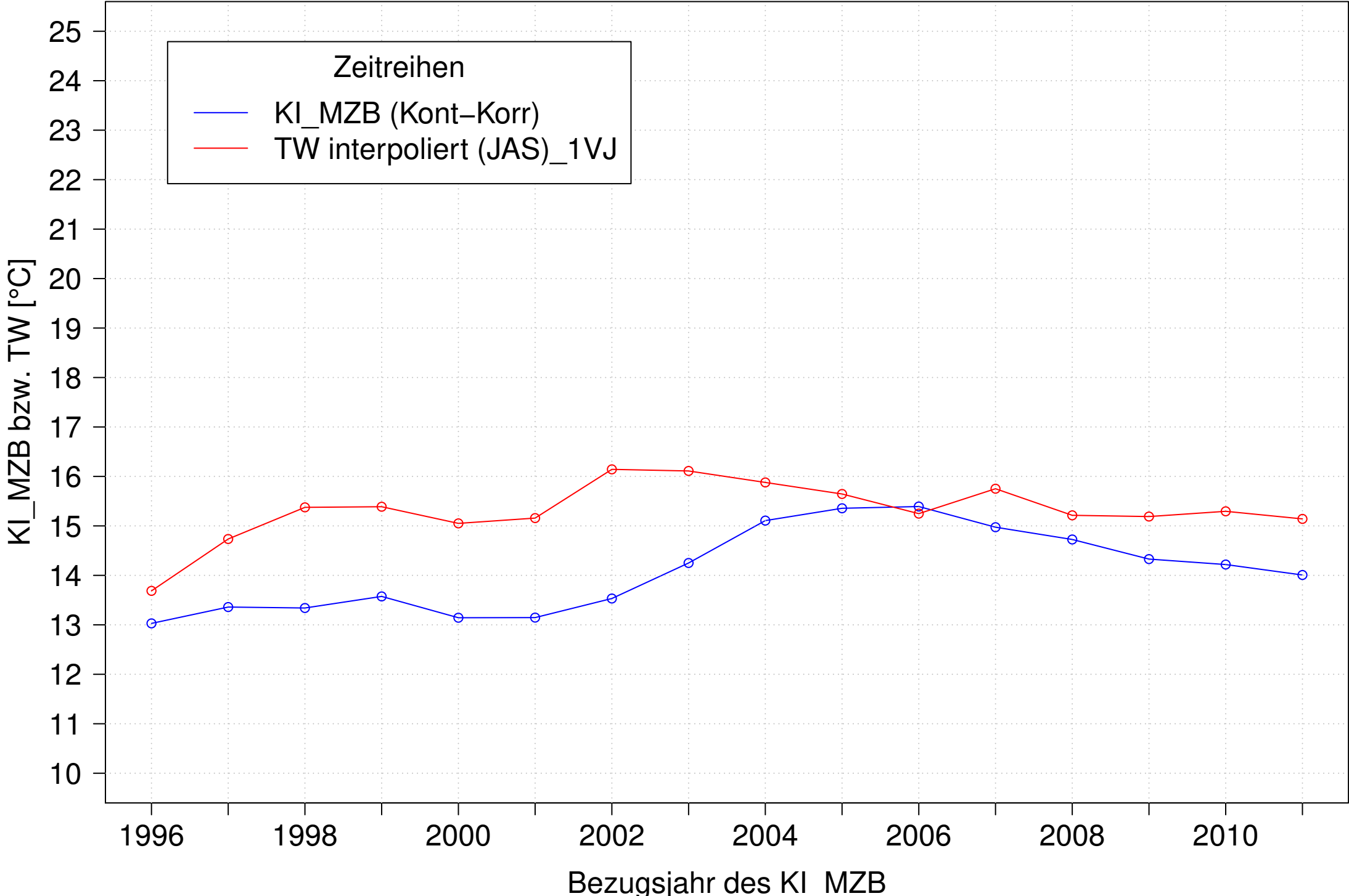
Brigach_Marbach, Typ 09.1 mit Neozoen, Serie 4
3JMW KI_MZB (Kont-Korr) und 3JMW TW gemessen (JAS) des 1. Vorjahres



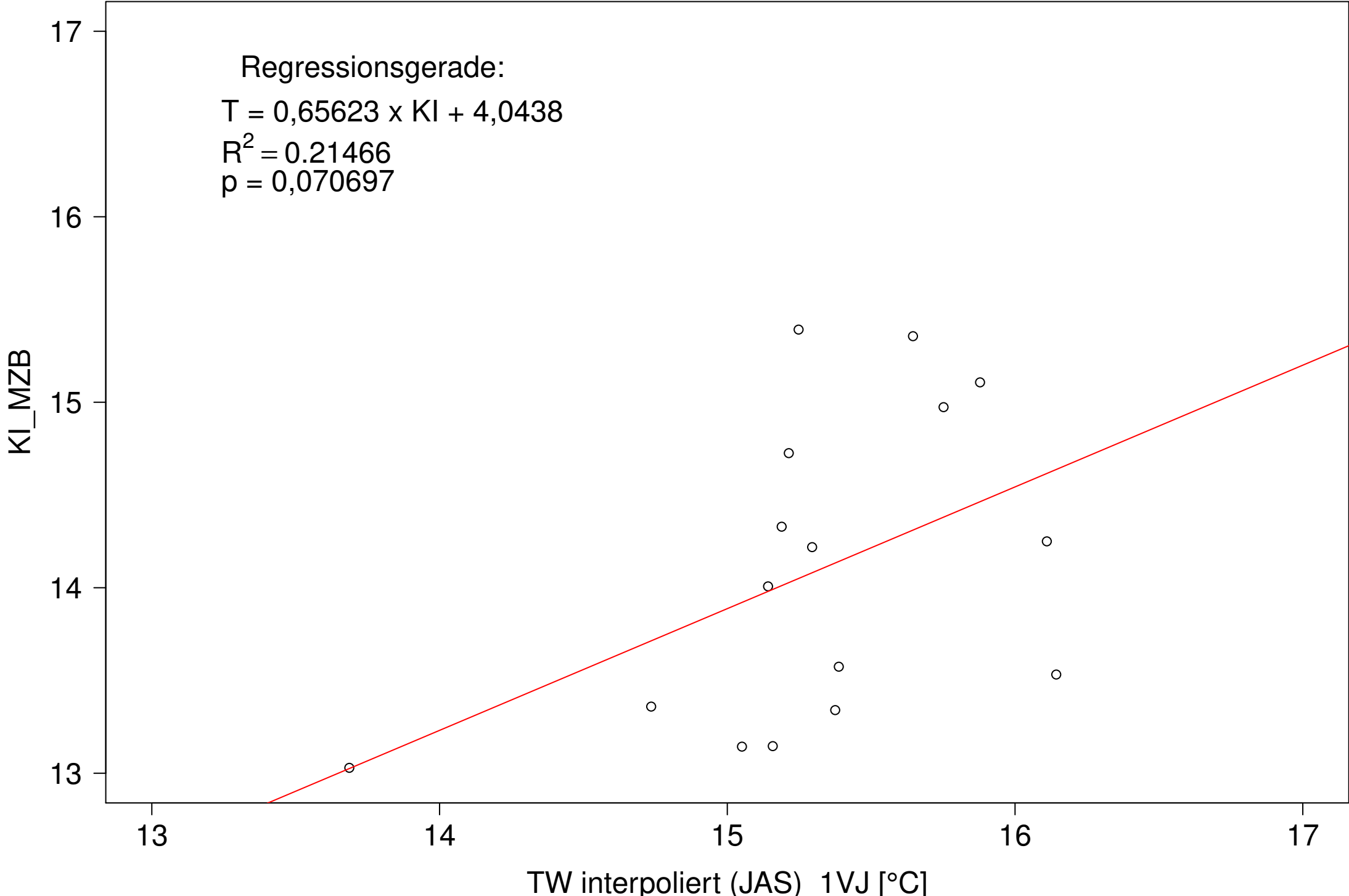
Brigach_Marbach, Typ 09.1 mit Neozoen, Serie 4
3JMW KI_MZB (Kont-Korr) gegen 3JMW TW gemessen (JAS) des 1. Vorjahres



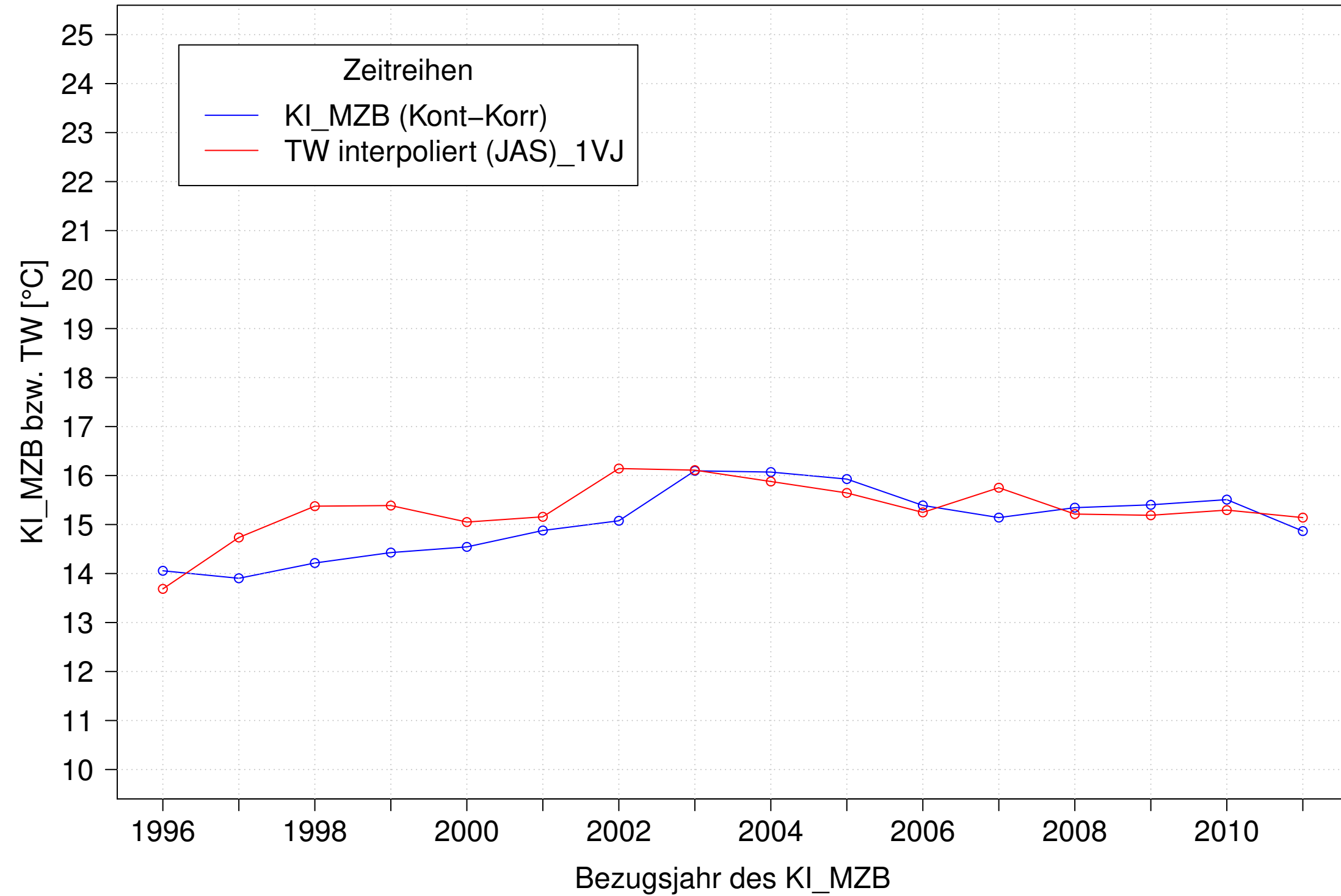
Brigach_Marbach, Typ 09.1 mit Neozoen, Serie 1
3JMW KI_MZB (Kont-Korr) und 3JMW TW interpoliert (JAS) des 1. Vorjahres



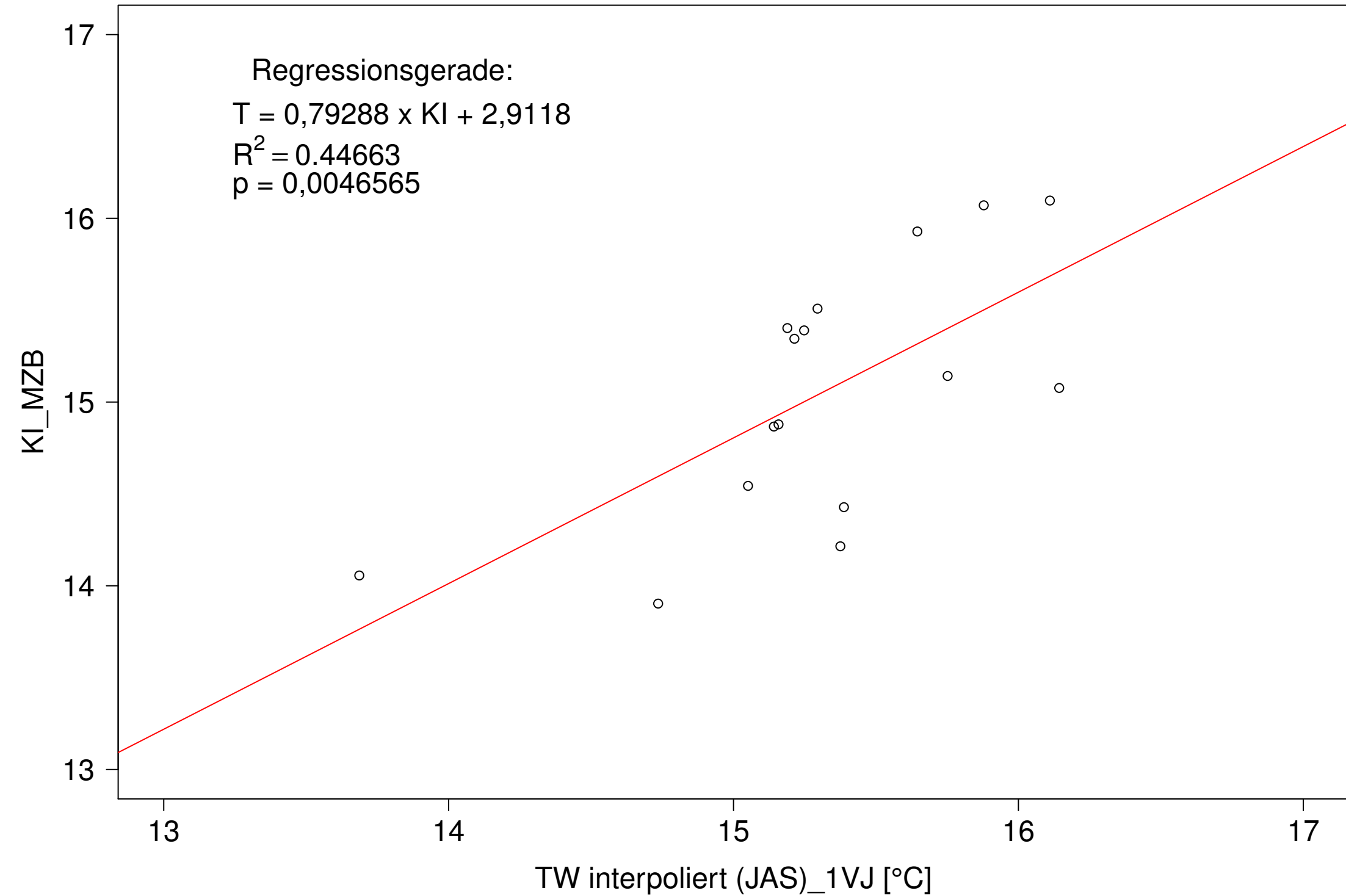
Brigach_Marbach, Typ 09.1 mit Neozoen, Serie 1
3JMW KI_MZB (Kont-Korr) gegen 3JMW TW interpoliert (JAS) des 1. Vorjahres



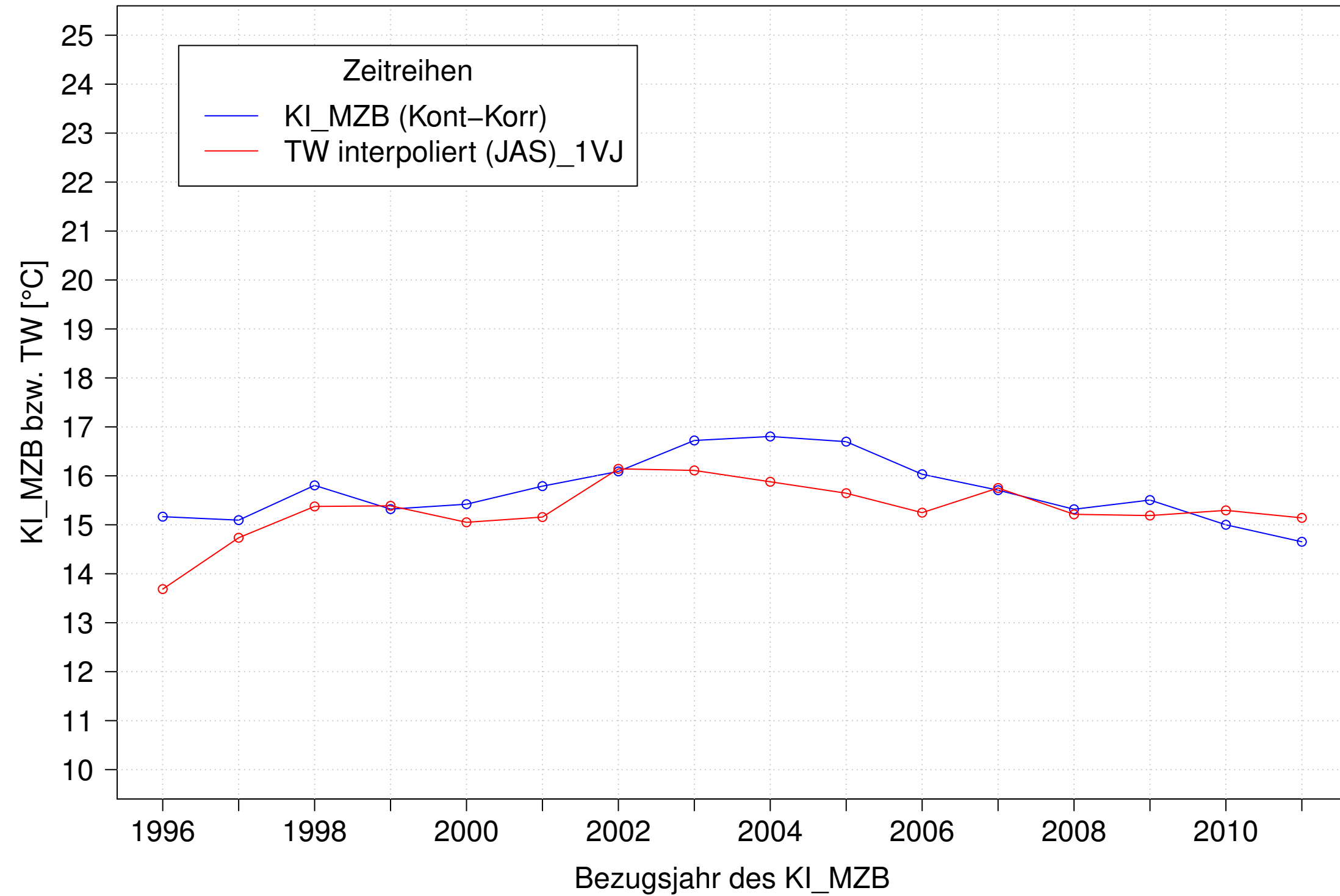
Brigach_Marbach, Typ 09.1 mit Neozoen, Serie 2
3JMW KI_MZB (Kont-Korr) und 3JMW TW interpoliert (JAS) des 1. Vorjahres



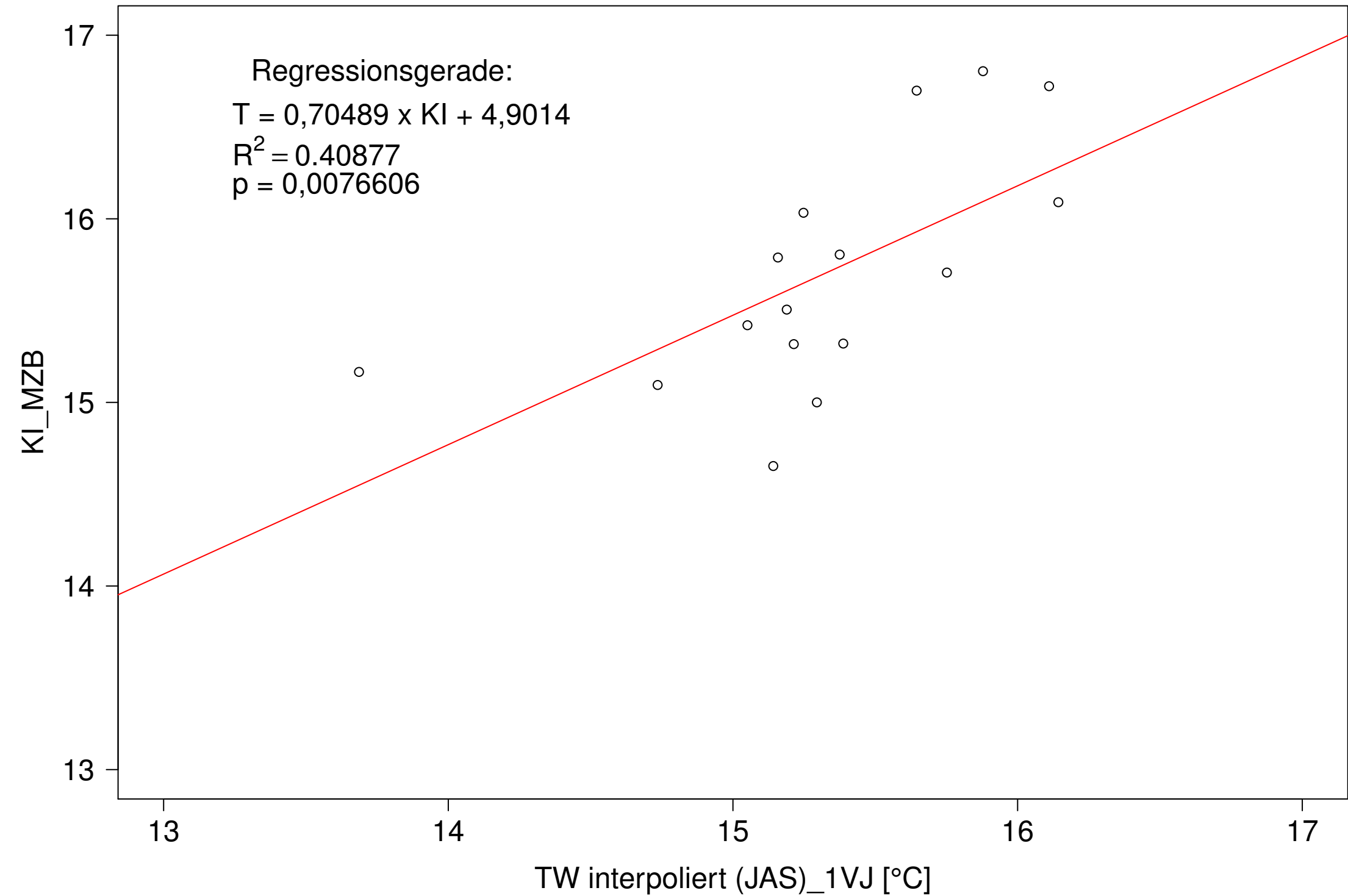
Brigach_Marbach, Typ 09.1 mit Neozoen, Serie 2
3JMW KI_MZB (Kont-Korr) gegen 3JMW TW interpoliert (JAS) des 1. Vorjahres



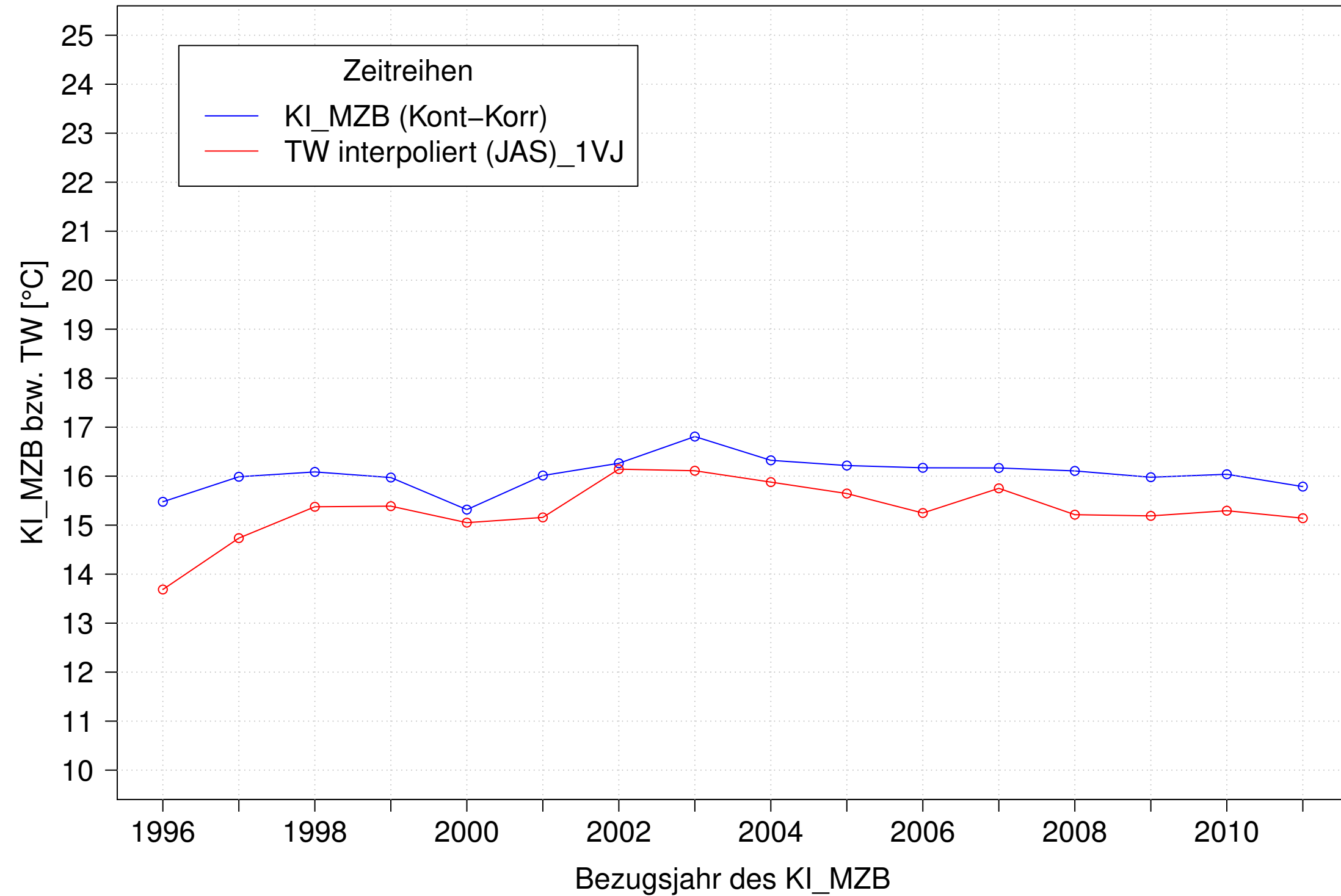
Brigach_Marbach, Typ 09.1 mit Neozoen, Serie 3
3JMW KI_MZB (Kont-Korr) und 3JMW TW interpoliert (JAS) des 1. Vorjahres



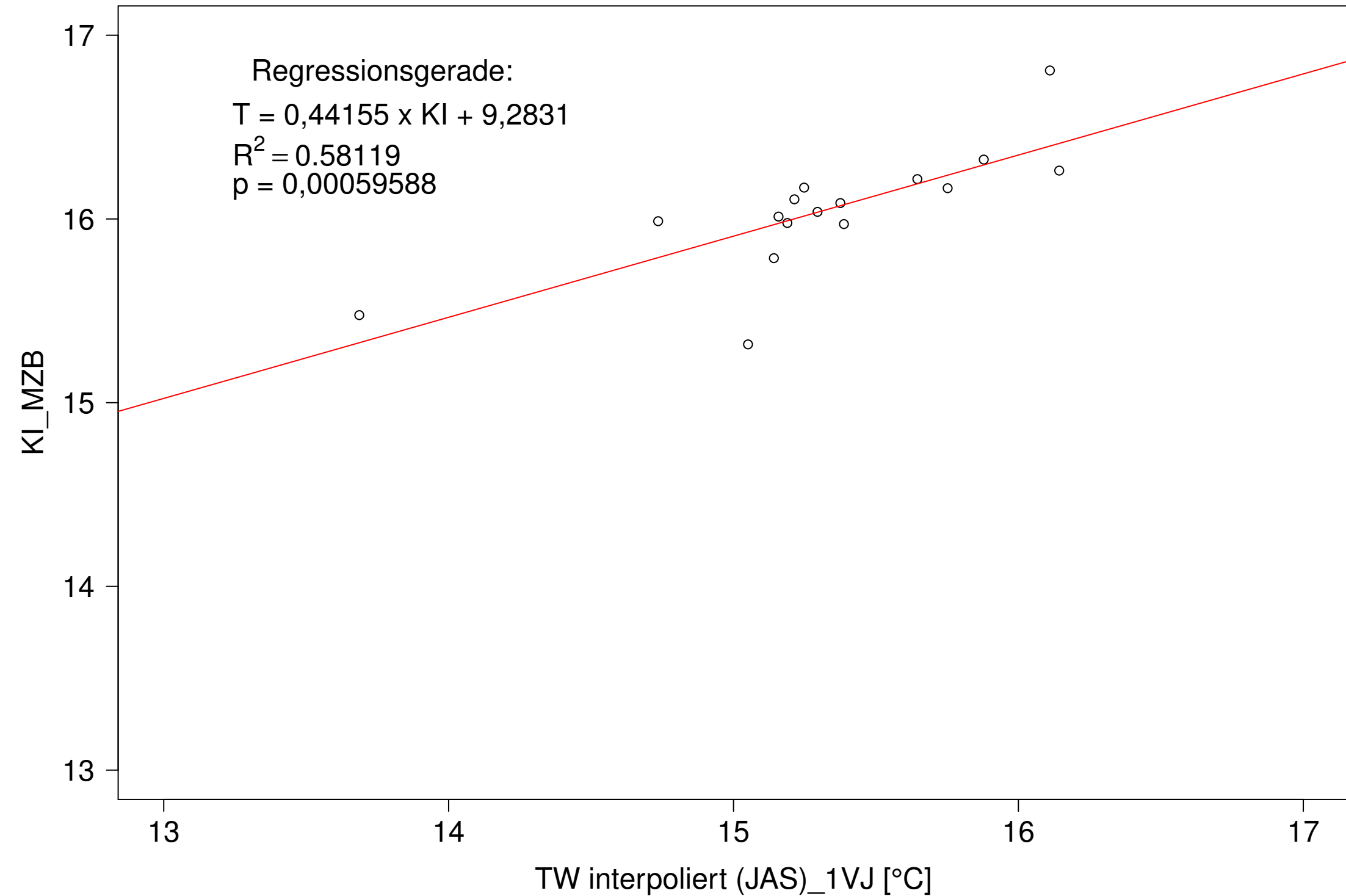
Brigach_Marbach, Typ 09.1 mit Neozoen, Serie 3
3JMW KI_MZB (Kont-Korr) gegen 3JMW TW interpoliert (JAS) des 1. Vorjahres



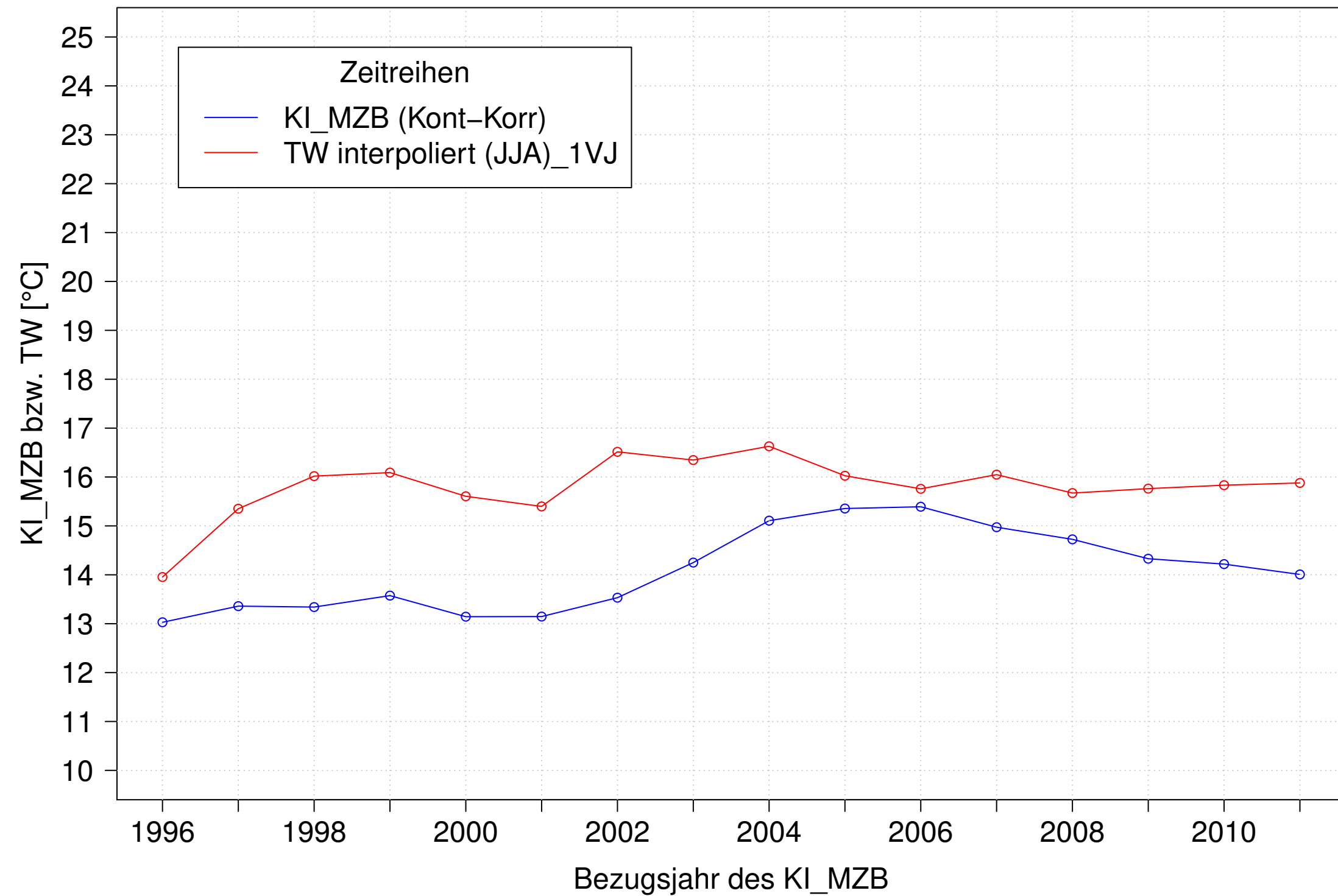
Brigach_Marbach, Typ 09.1 mit Neozoen, Serie 4
3JMW KI_MZB (Kont-Korr) und 3JMW TW interpoliert (JAS) des 1. Vorjahres



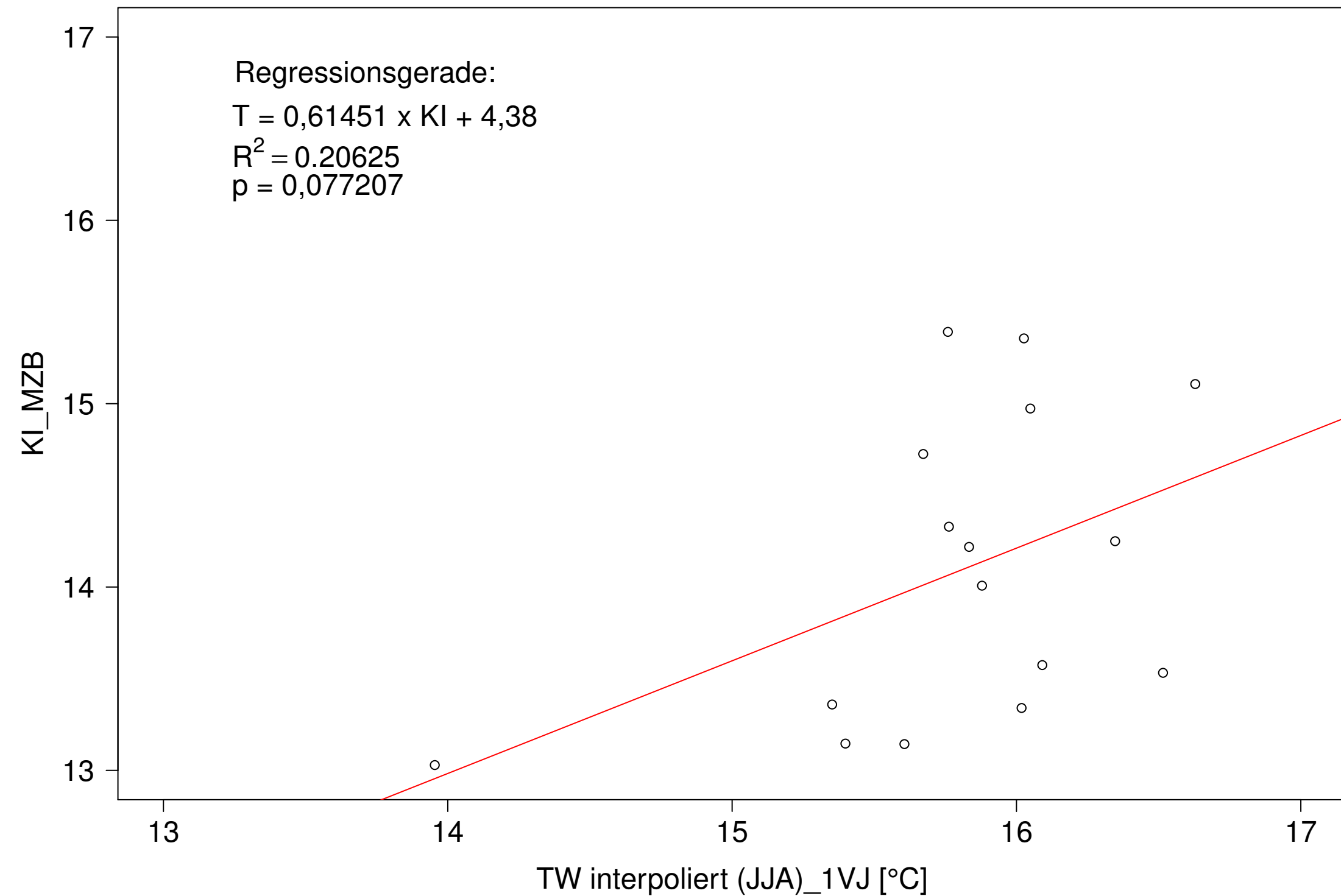
Brigach_Marbach, Typ 09.1 mit Neozoen, Serie 4
3JMW KI_MZB (Kont-Korr) gegen 3JMW TW interpoliert (JAS) des 1. Vorjahres



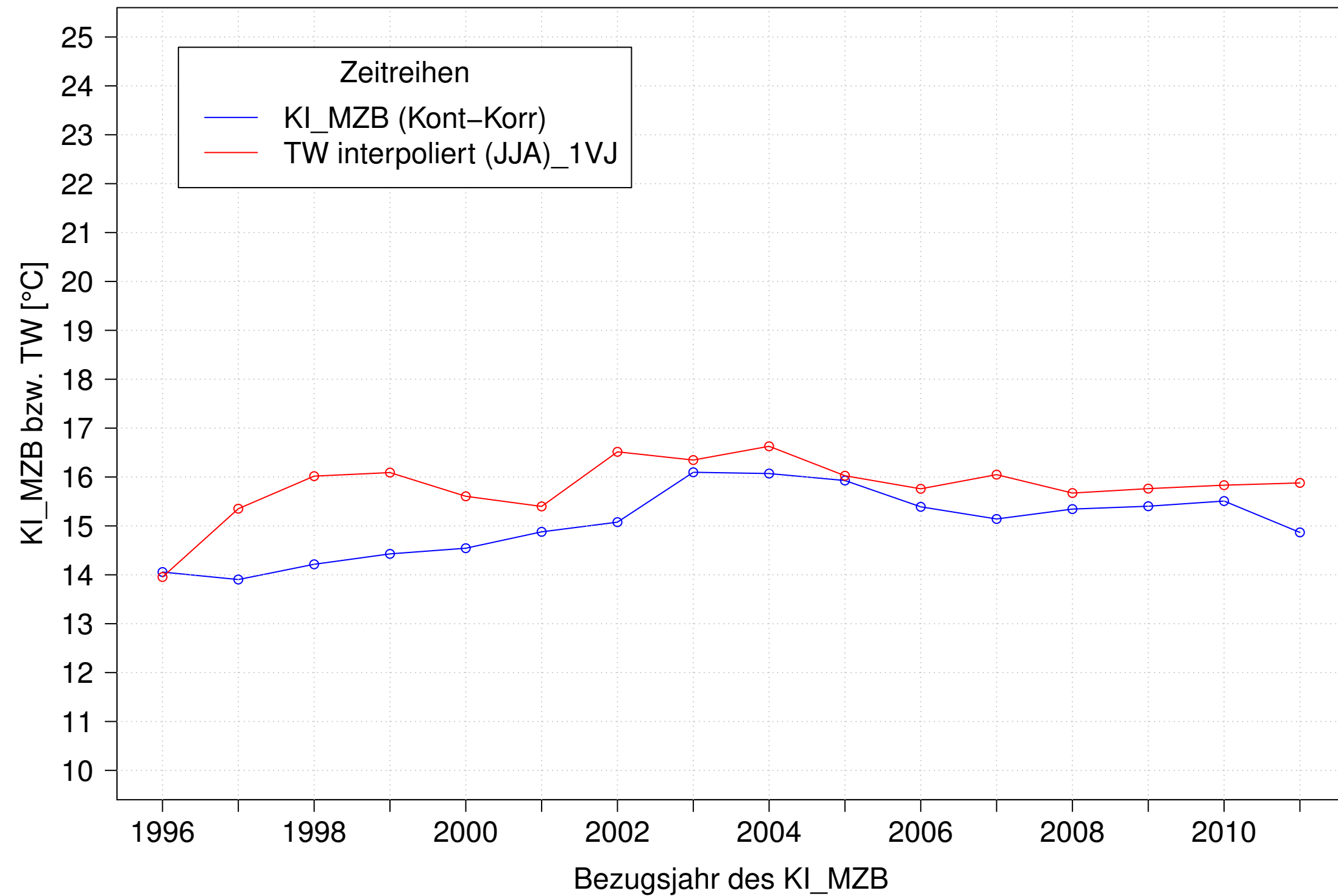
Brigach_Marbach, Typ 09.1 mit Neozoen, Serie 1
3JMW KI_MZB (Kont-Korr) und 3JMW TW interpoliert (JJA) des 1. Vorjahres



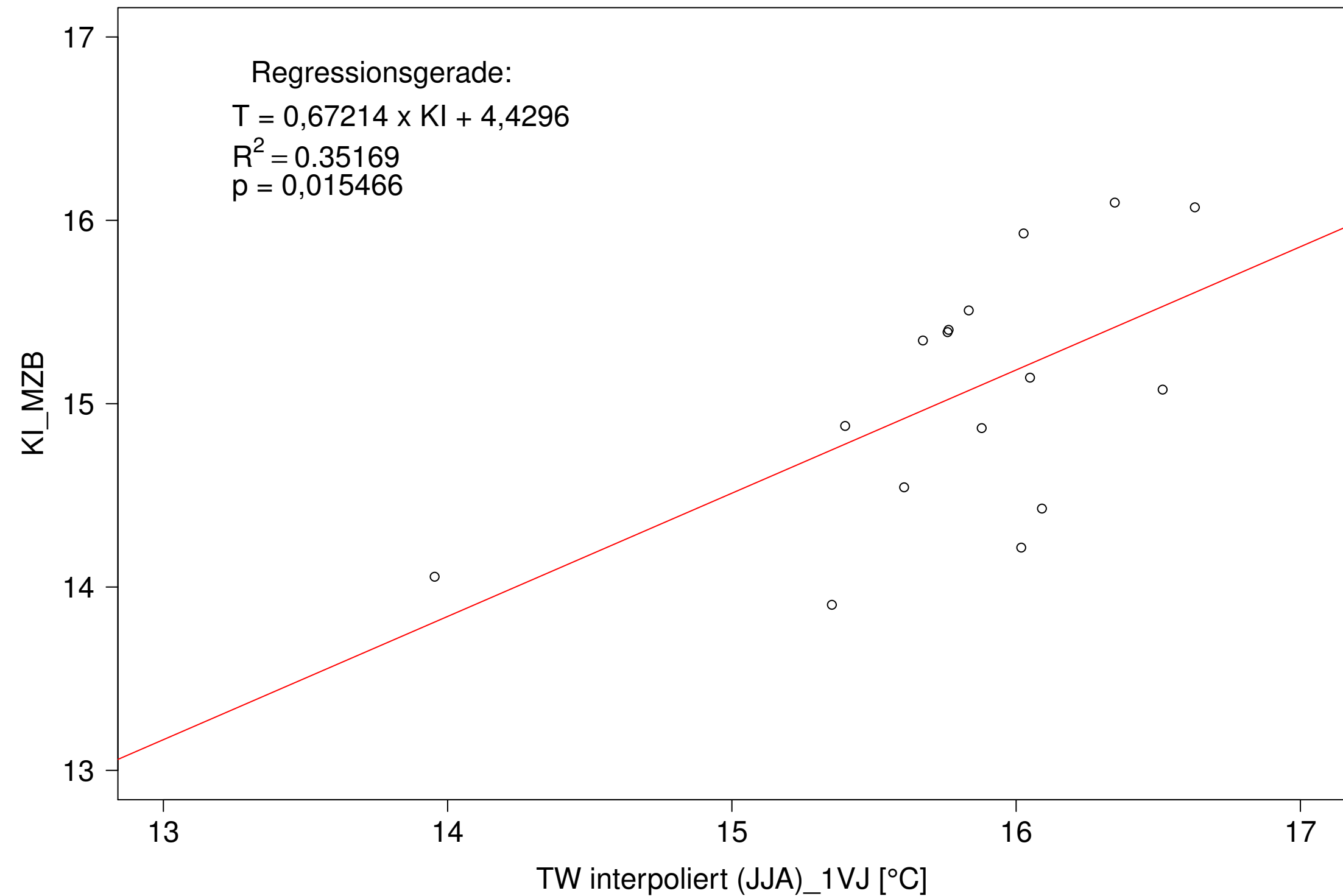
Brigach_Marbach, Typ 09.1 mit Neozoen, Serie 1
3JMW KI_MZB (Kont-Korr) gegen 3JMW TW interpoliert (JJA) des 1. Vorjahres



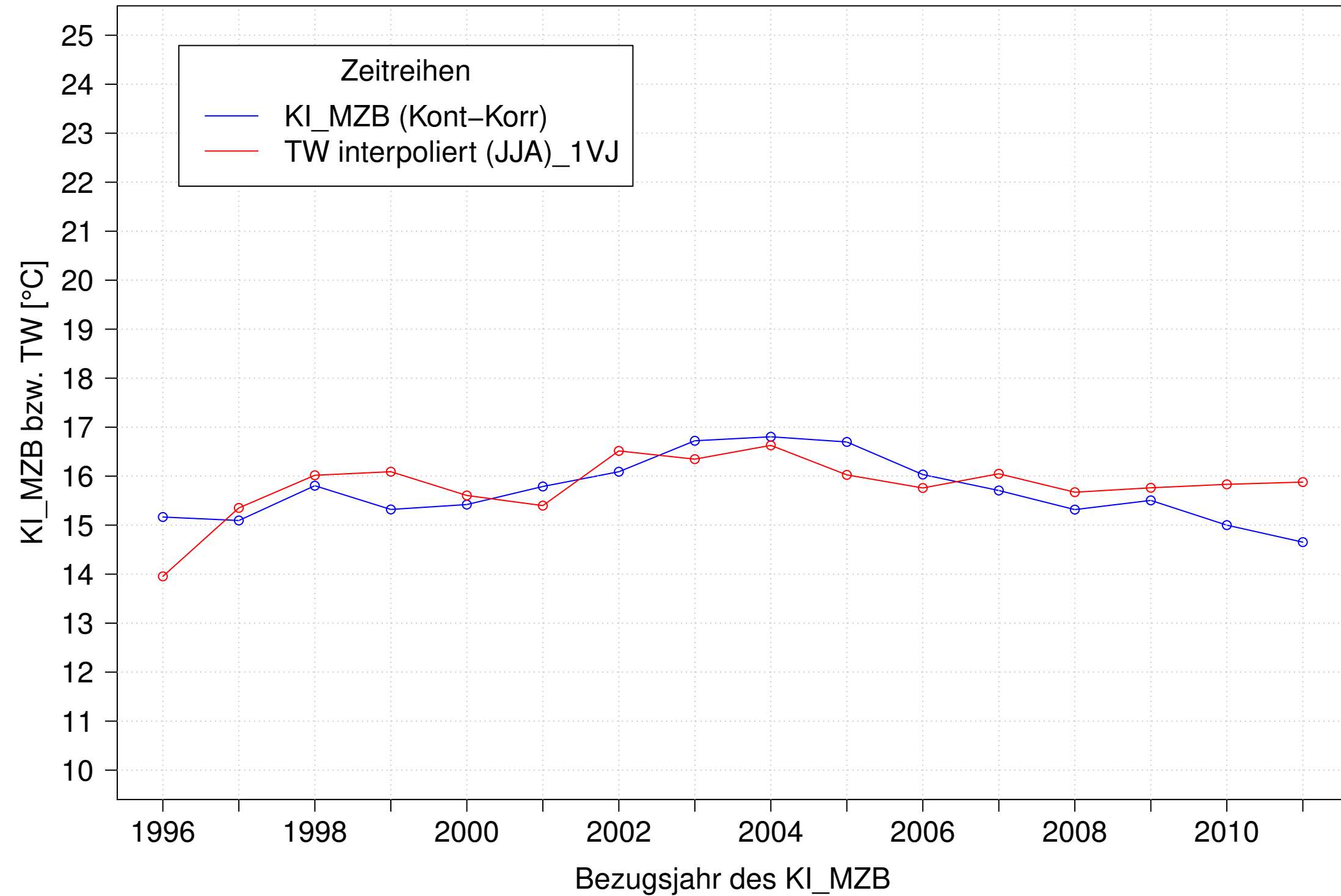
Brigach_Marbach, Typ 09.1 mit Neozoen, Serie 2
3JMW KI_MZB (Kont-Korr) und 3JMW TW interpoliert (JJA) des 1. Vorjahres



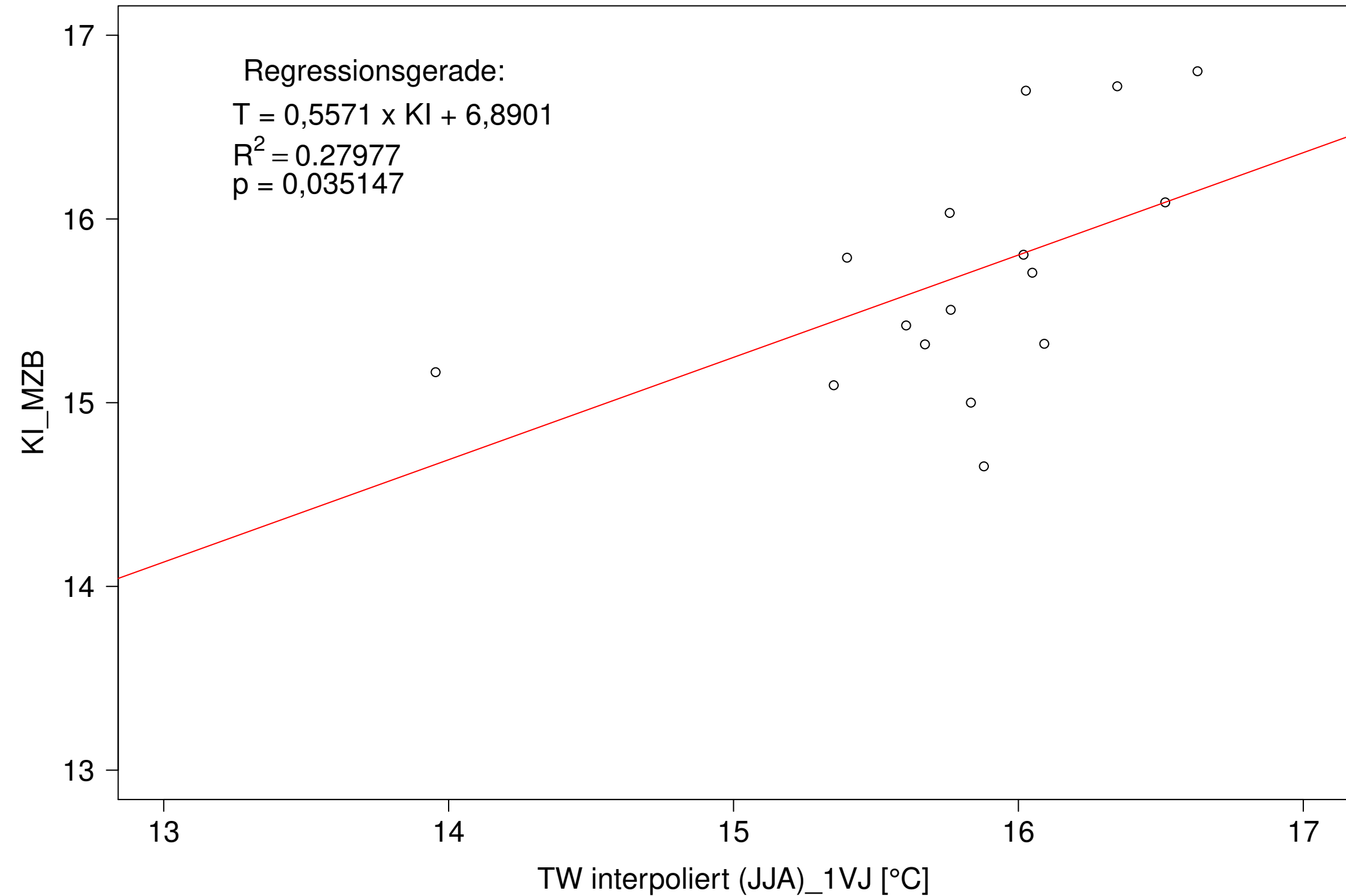
Brigach_Marbach, Typ 09.1 mit Neozoen, Serie 2
3JMW KI_MZB (Kont-Korr) gegen 3JMW TW interpoliert (JJA) des 1. Vorjahres



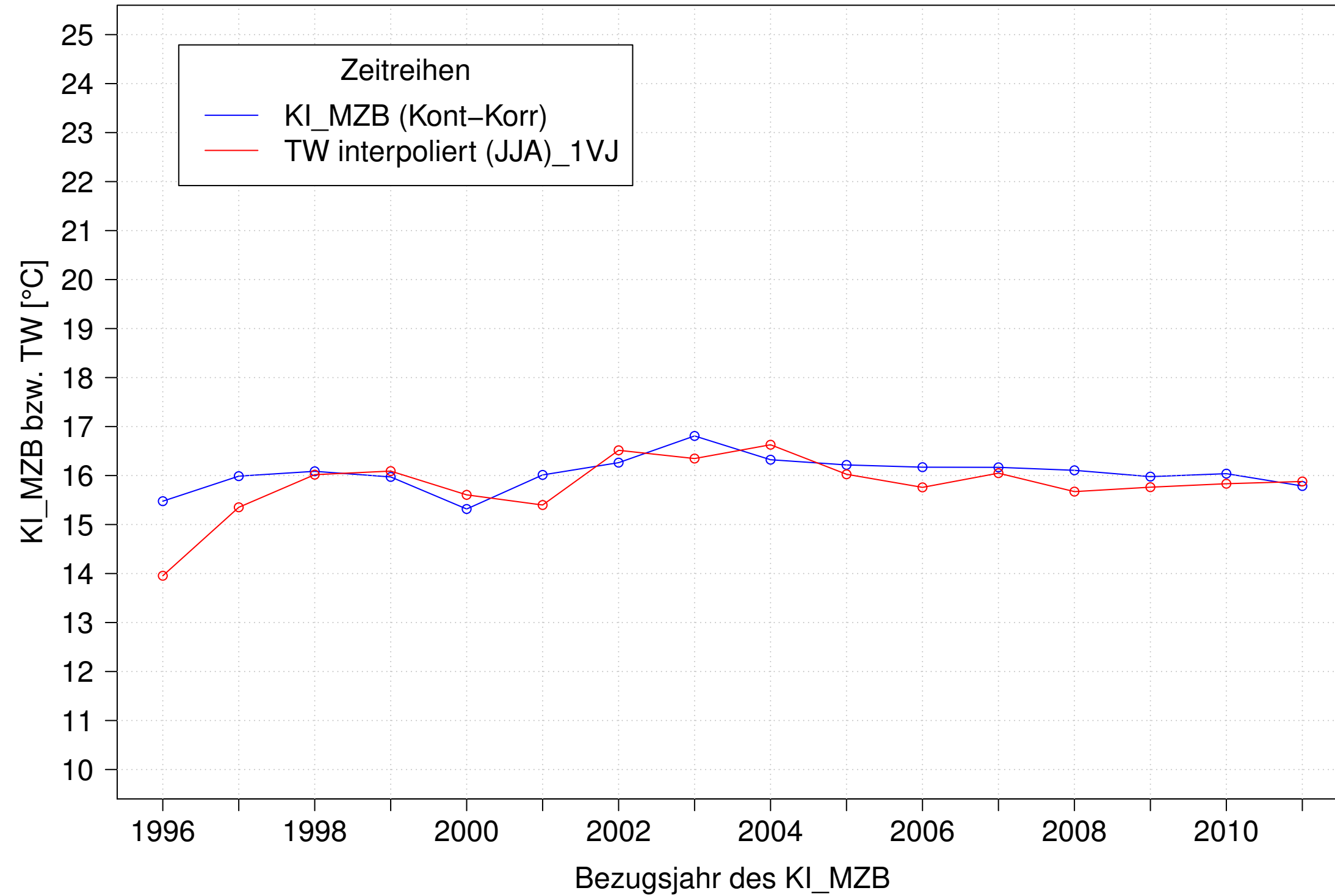
Brigach_Marbach, Typ 09.1 mit Neozoen, Serie 3
3JMW KI_MZB (Kont-Korr) und 3JMW TW interpoliert (JJA) des 1. Vorjahres



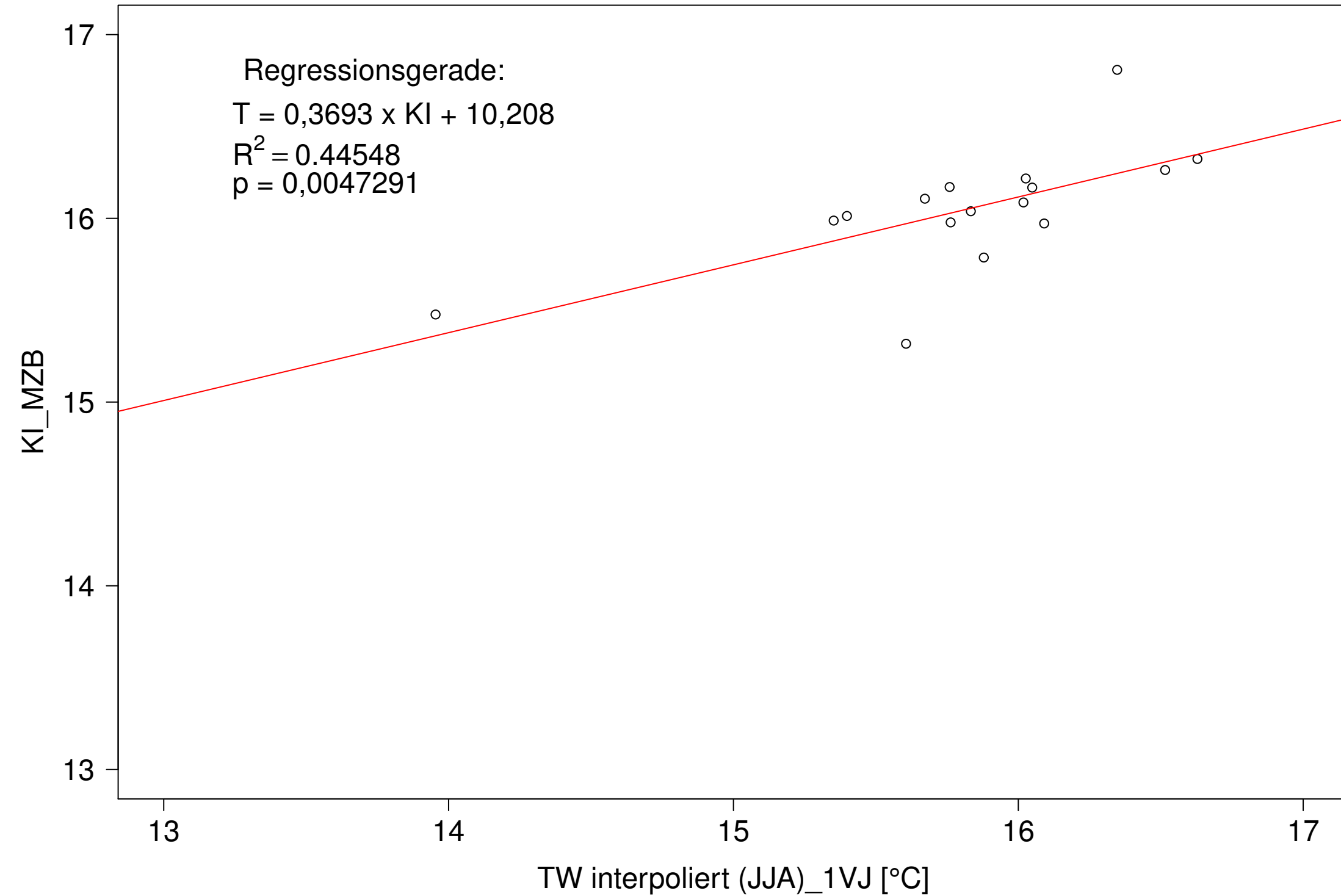
Brigach_Marbach, Typ 09.1 mit Neozoen, Serie 3
3JMW KI_MZB (Kont-Korr) gegen 3JMW TW interpoliert (JJA) des 1. Vorjahres



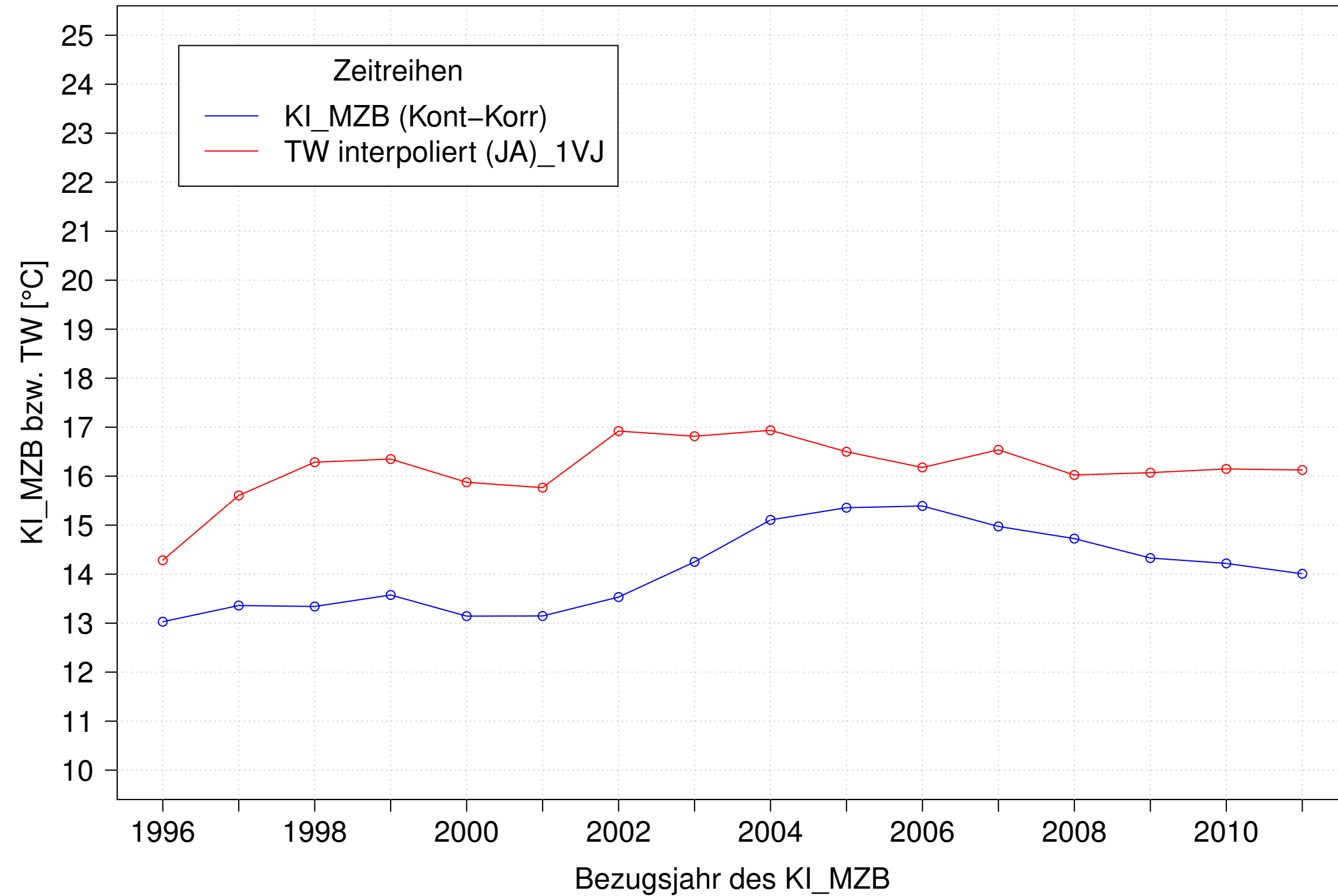
Brigach_Marbach, Typ 09.1 mit Neozoen, Serie 4
3JMW KI_MZB (Kont-Korr) und 3JMW TW interpoliert (JJA) des 1. Vorjahres



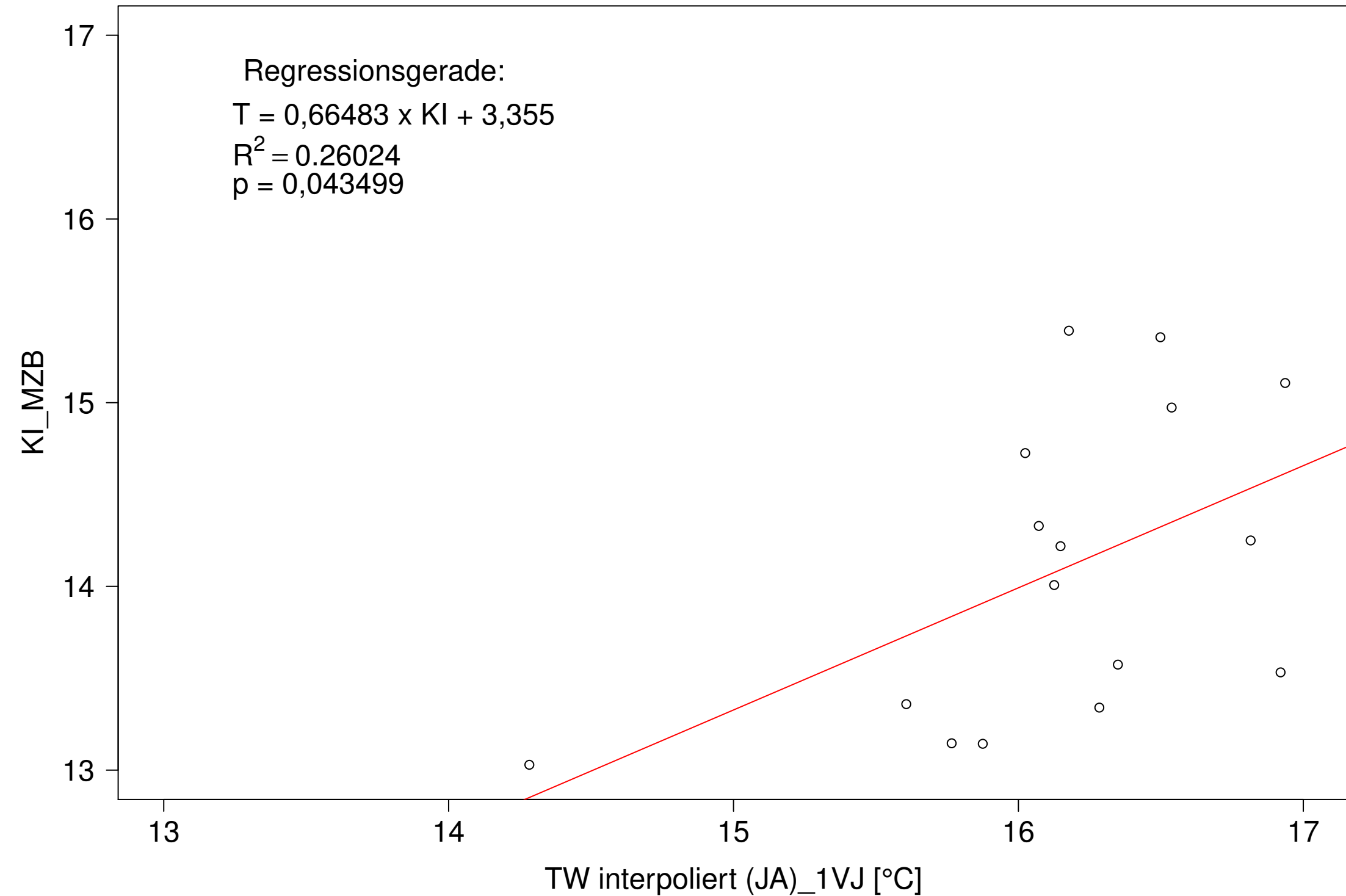
Brigach_Marbach, Typ 09.1 mit Neozoen, Serie 4
3JMW KI_MZB (Kont-Korr) gegen 3JMW TW interpoliert (JJA) des 1. Vorjahres



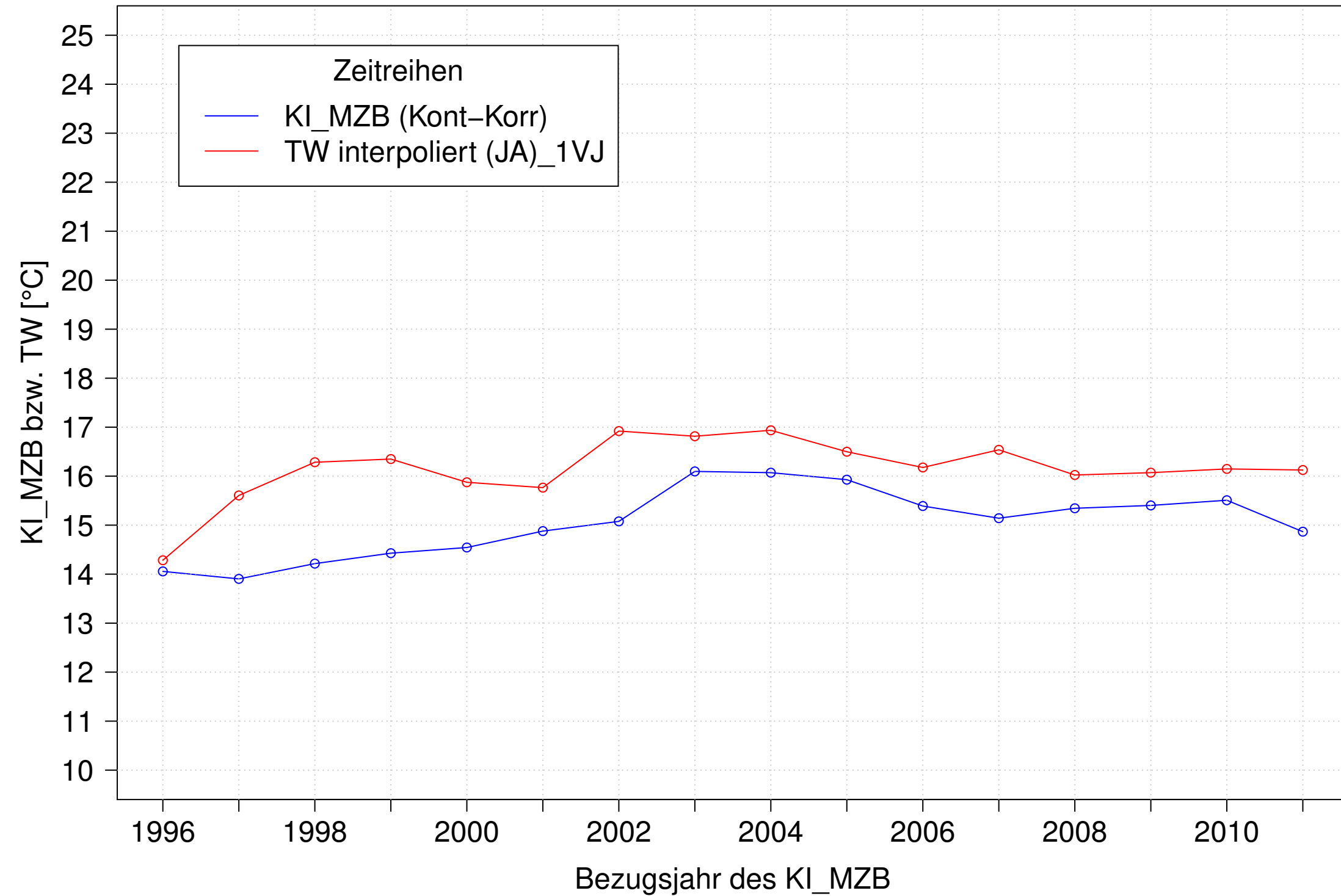
Brigach_Marbach, Typ 09.1 mit Neozoen, Serie 1
3JMW KI_MZB (Kont-Korr) und 3JMW TW interpoliert (JA) des 1. Vorjahres



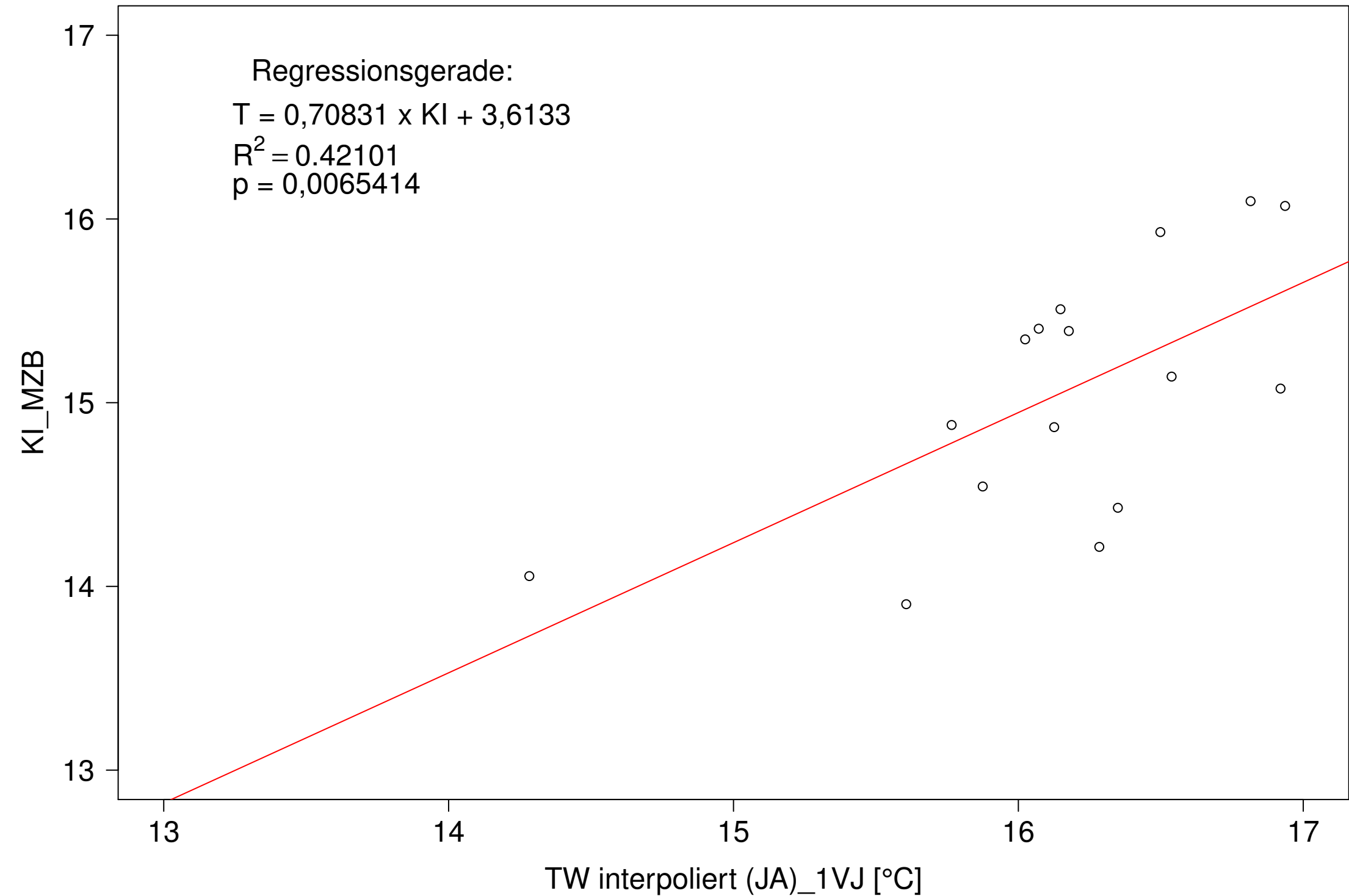
Brigach_Marbach, Typ 09.1 mit Neozoen, Serie 1
3JMW KI_MZB (Kont-Korr) gegen 3JMW TW interpoliert (JA) des 1. Vorjahres



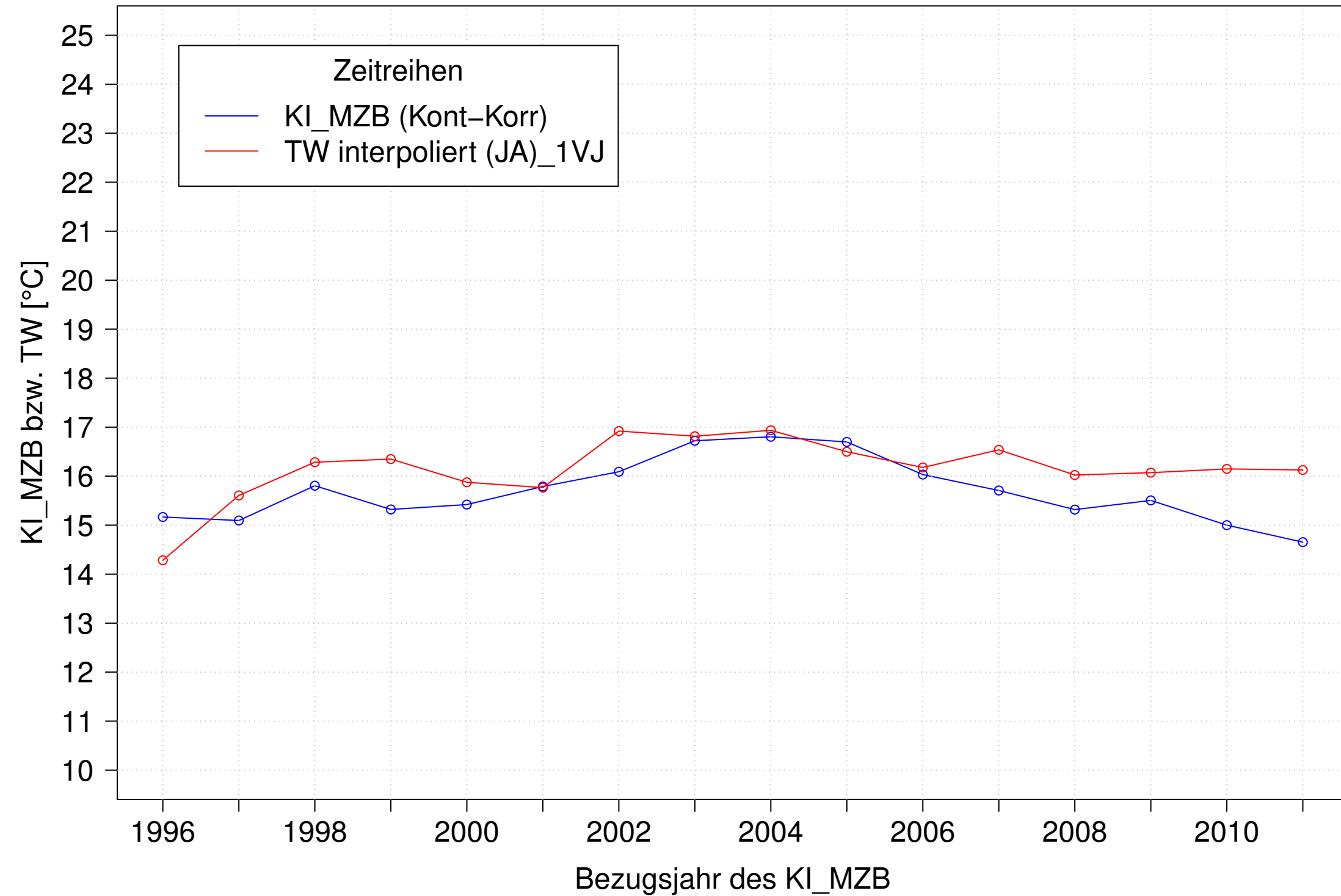
Brigach_Marbach, Typ 09.1 mit Neozoen, Serie 2
3JMW KI_MZB (Kont-Korr) und 3JMW TW interpoliert (JA) des 1. Vorjahres



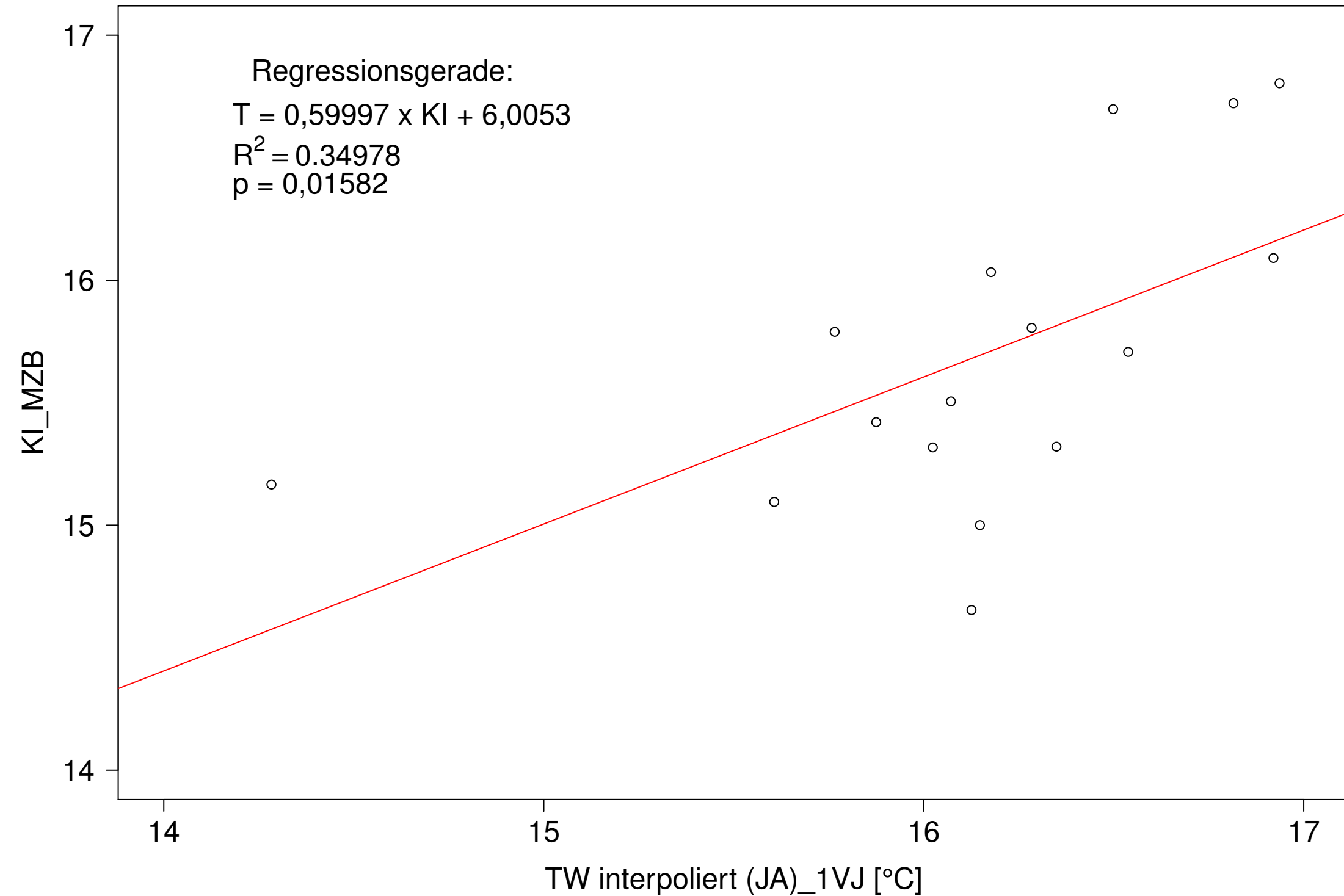
Brigach_Marbach, Typ 09.1 mit Neozoen, Serie 2
3JMW KI_MZB (Kont-Korr) gegen 3JMW TW interpoliert (JA) des 1. Vorjahres



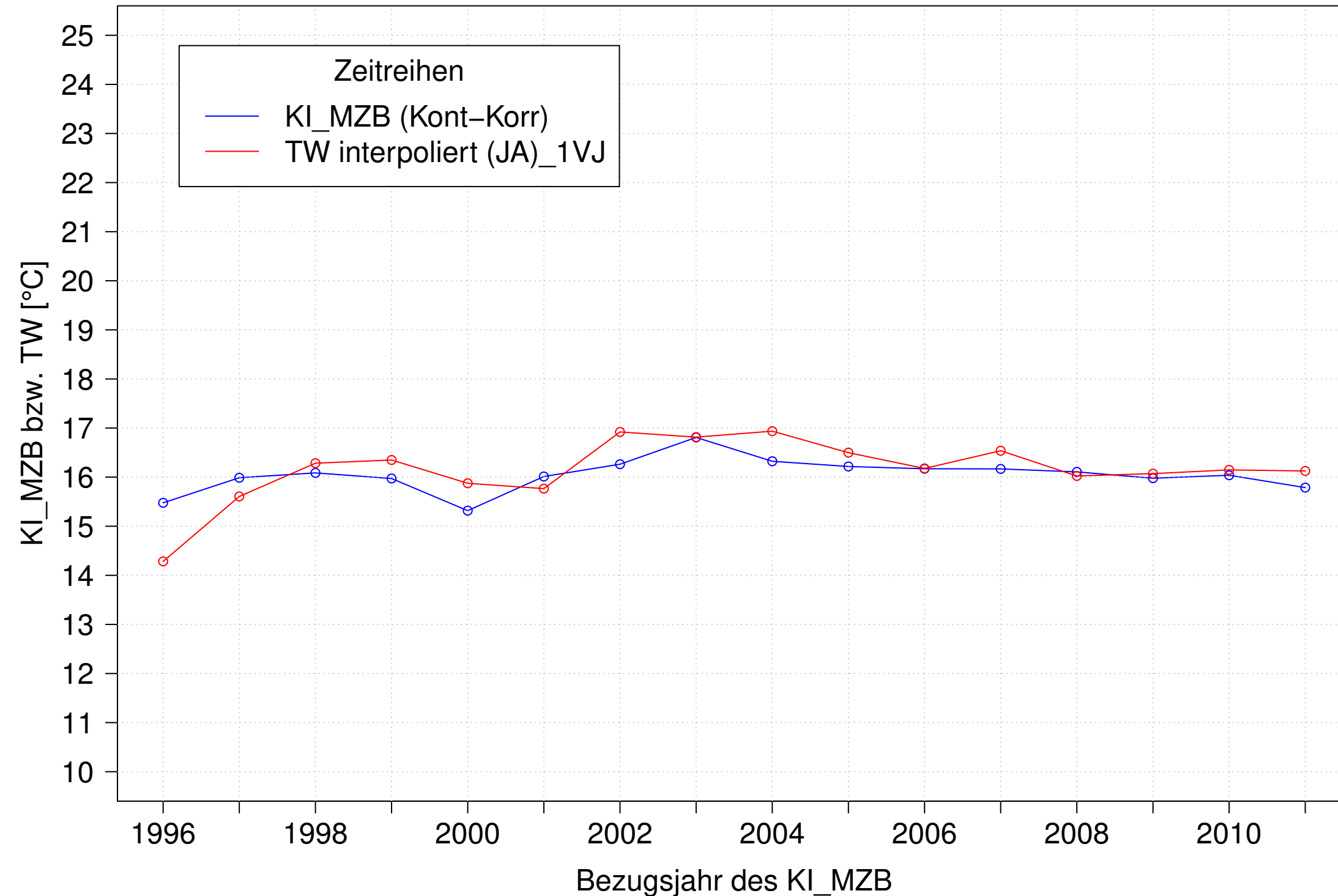
Brigach_Marbach, Typ 09.1 mit Neozoen, Serie 3
3JMW KI_MZB (Kont-Korr) und 3JMW TW interpoliert (JA) des 1. Vorjahres



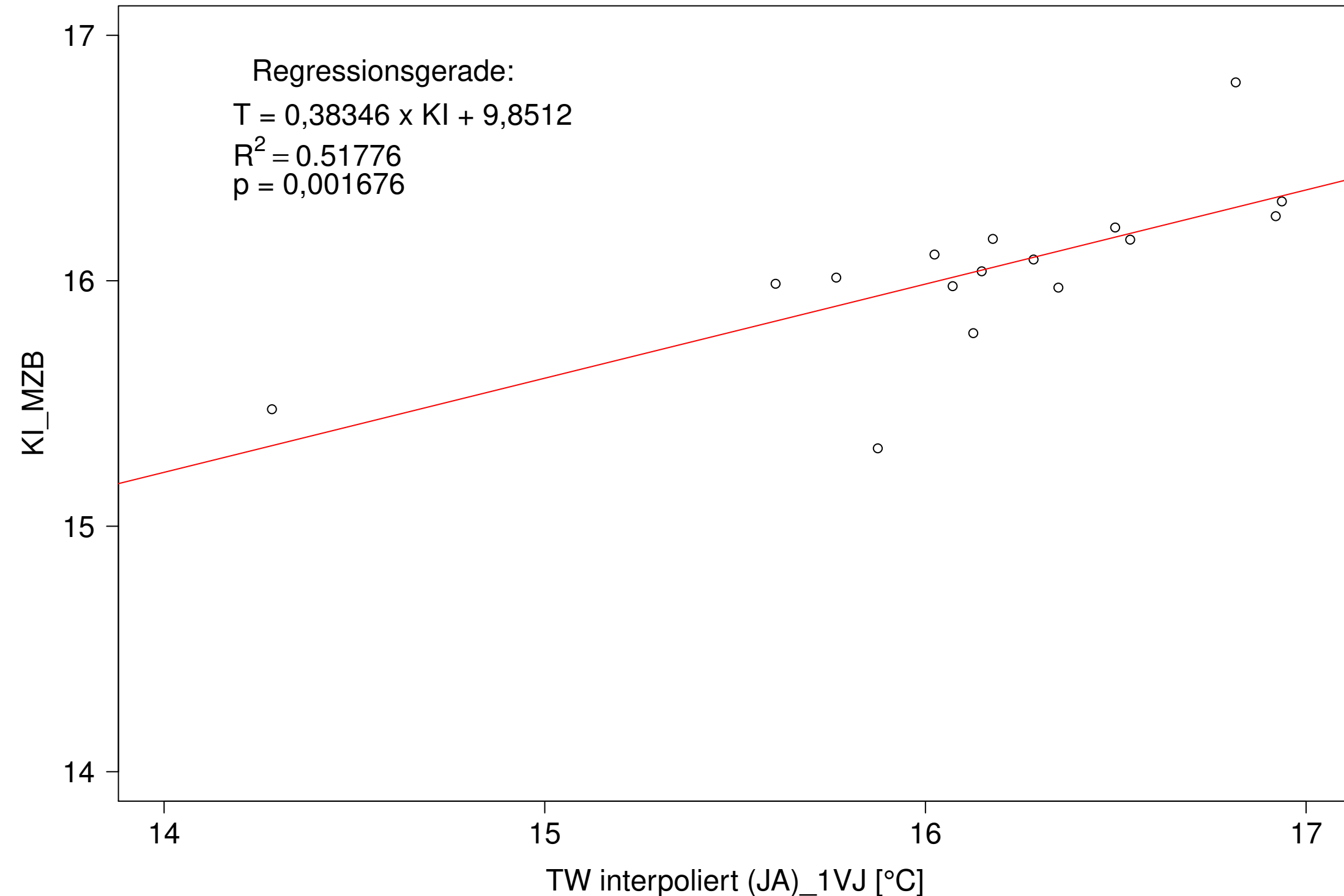
Brigach_Marbach, Typ 09.1 mit Neozoen, Serie 3
3JMW KI_MZB (Kont-Korr) gegen 3JMW TW interpoliert (JA) des 1. Vorjahres



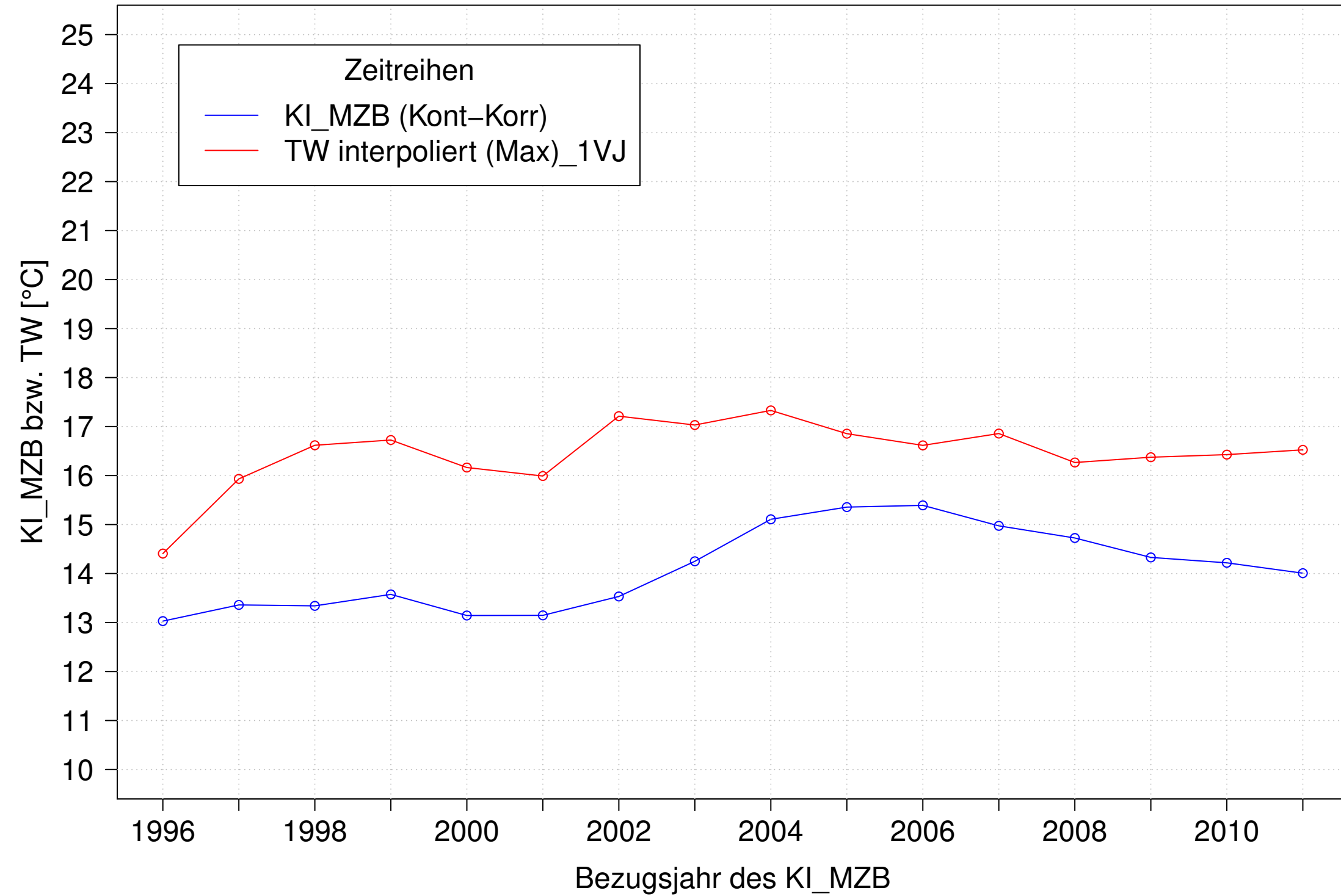
Brigach_Marbach, Typ 09.1 mit Neozoen, Serie 4
3JMW KI_MZB (Kont-Korr) und 3JMW TW interpoliert (JA) des 1. Vorjahres



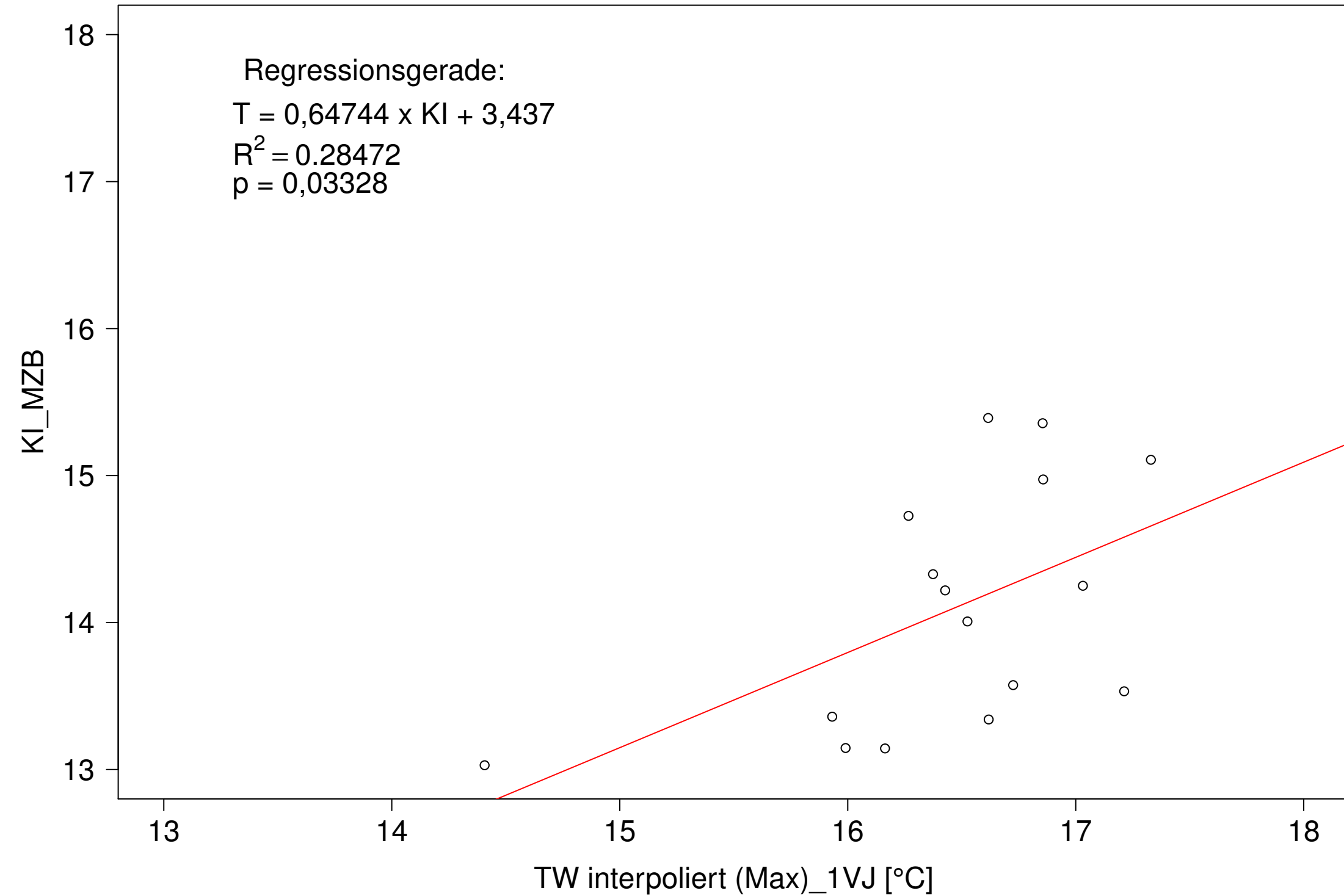
Brigach_Marbach, Typ 09.1 mit Neozoen, Serie 4
3JMW KI_MZB (Kont-Korr) gegen 3JMW TW interpoliert (JA) des 1. Vorjahres



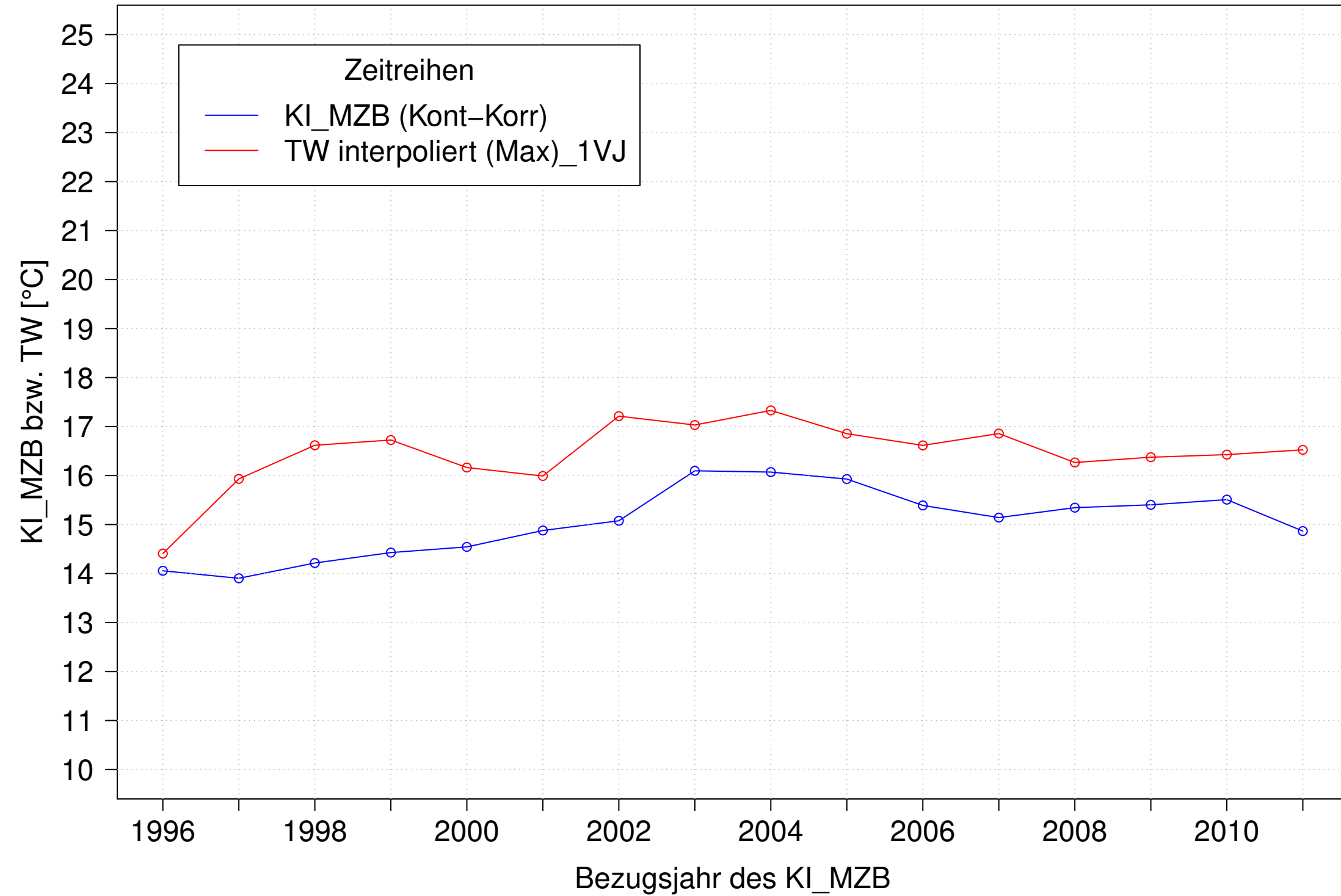
Brigach_Marbach, Typ 09.1 mit Neozoen, Serie 1
3JMW KI_MZB (Kont-Korr) und 3JMW TW interpoliert (Max) des 1. Vorjahres



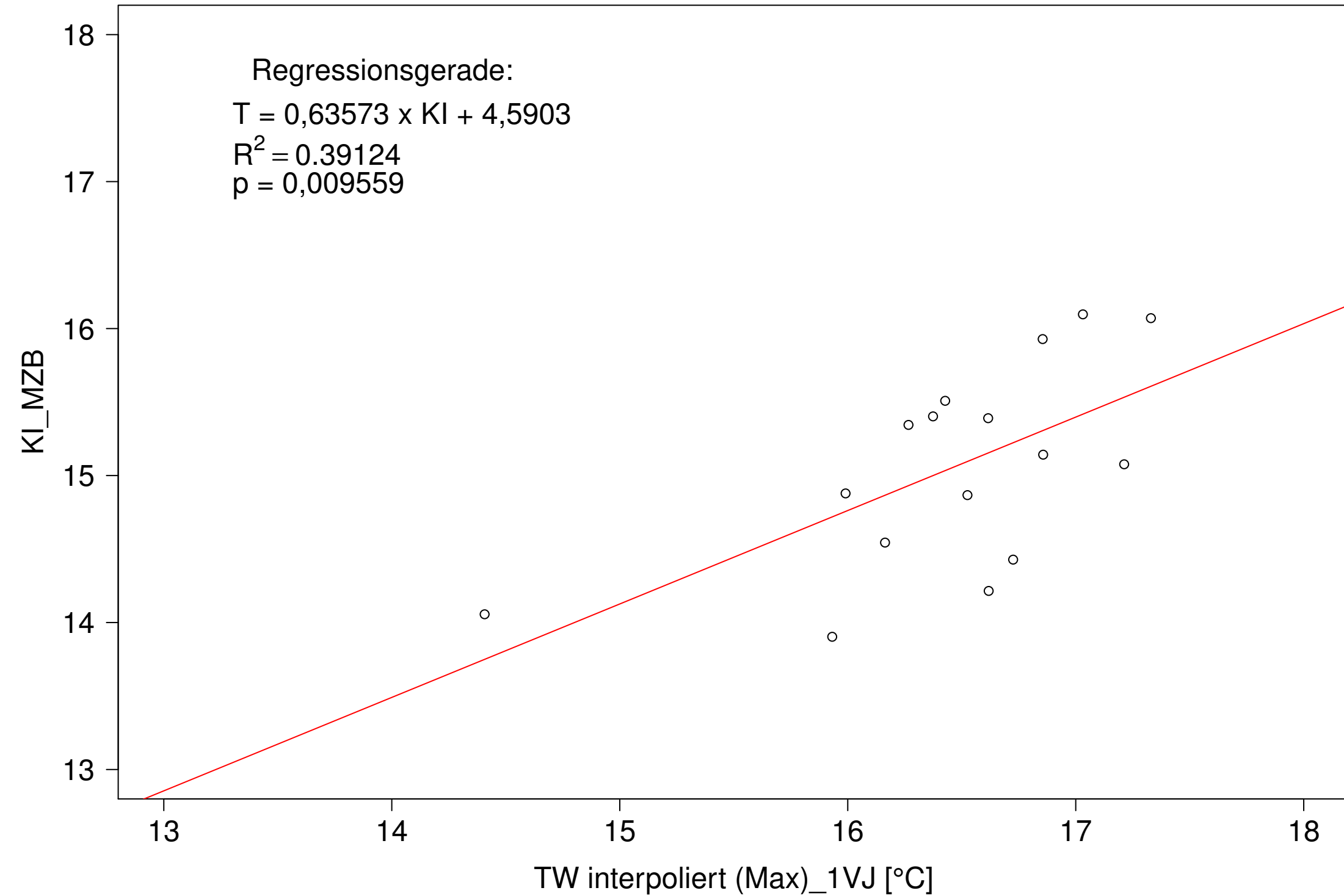
Brigach_Marbach, Typ 09.1 mit Neozoen, Serie 1
3JMW KI_MZB (Kont-Korr) gegen 3JMW TW interpoliert (Max) des 1. Vorjahres



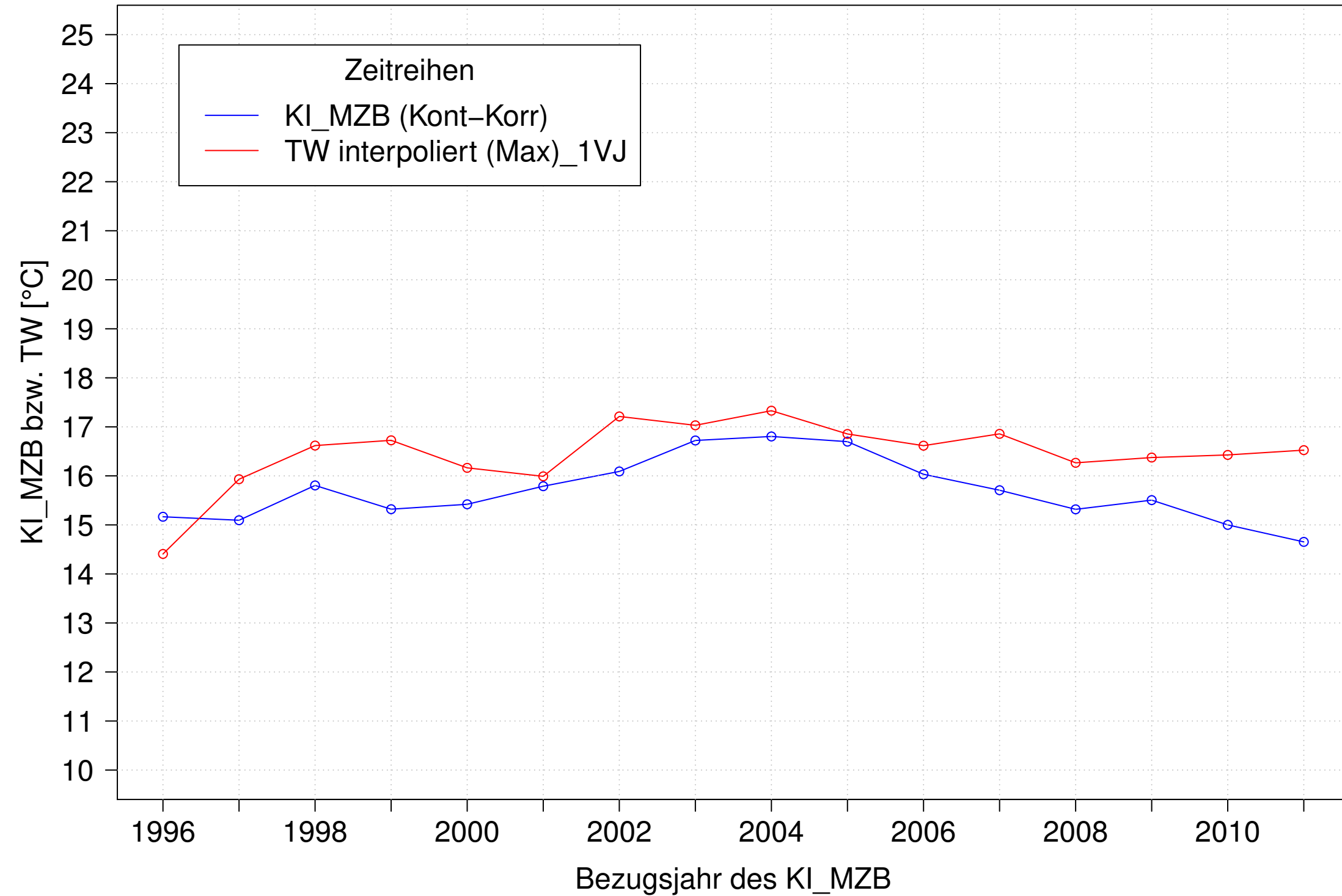
Brigach_Marbach, Typ 09.1 mit Neozoen, Serie 2
3JMW KI_MZB (Kont-Korr) und 3JMW TW interpoliert (Max) des 1. Vorjahres



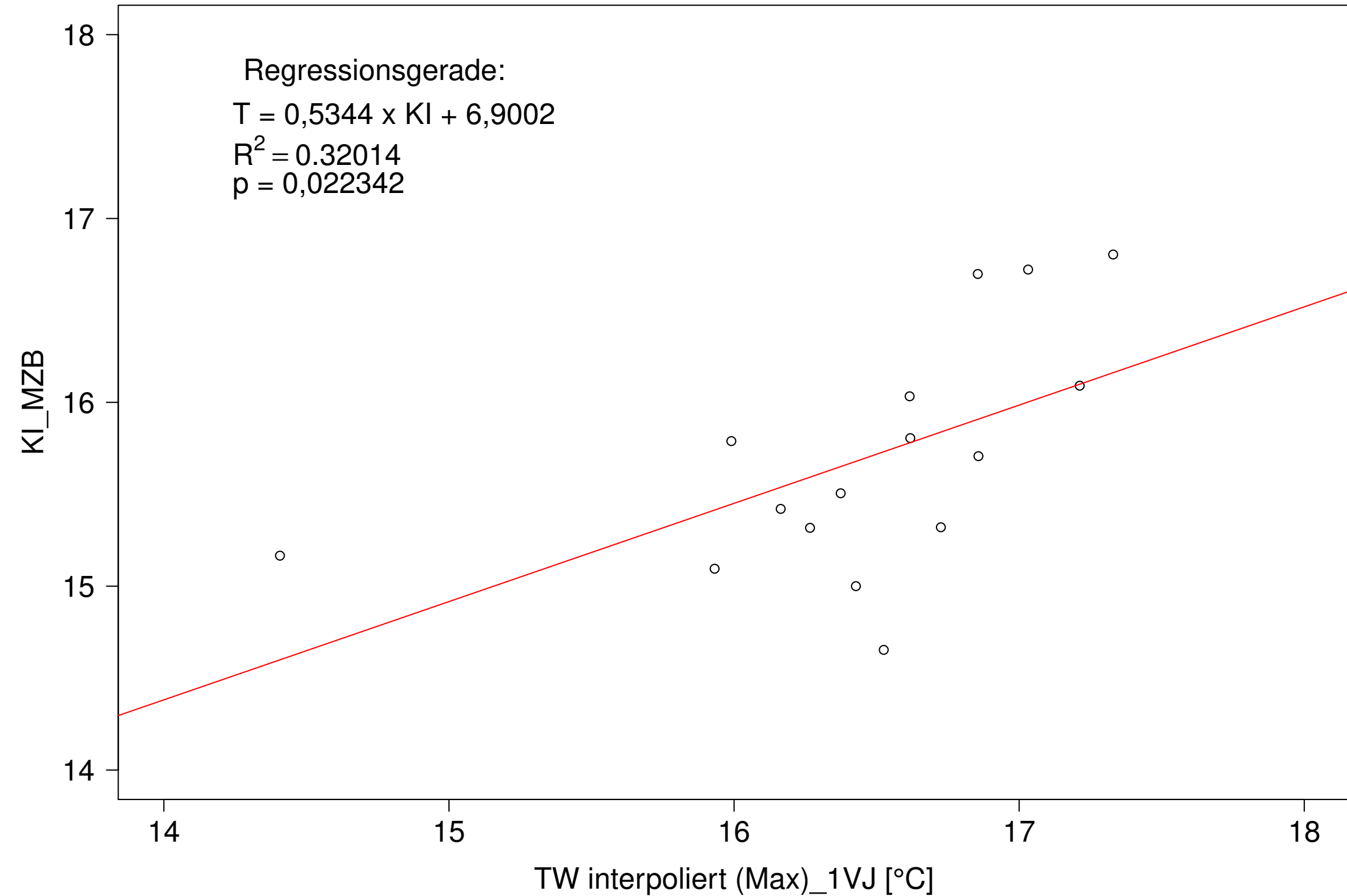
Brigach_Marbach, Typ 09.1 mit Neozoen, Serie 2
3JMW KI_MZB (Kont-Korr) gegen 3JMW TW interpoliert (Max) des 1. Vorjahres



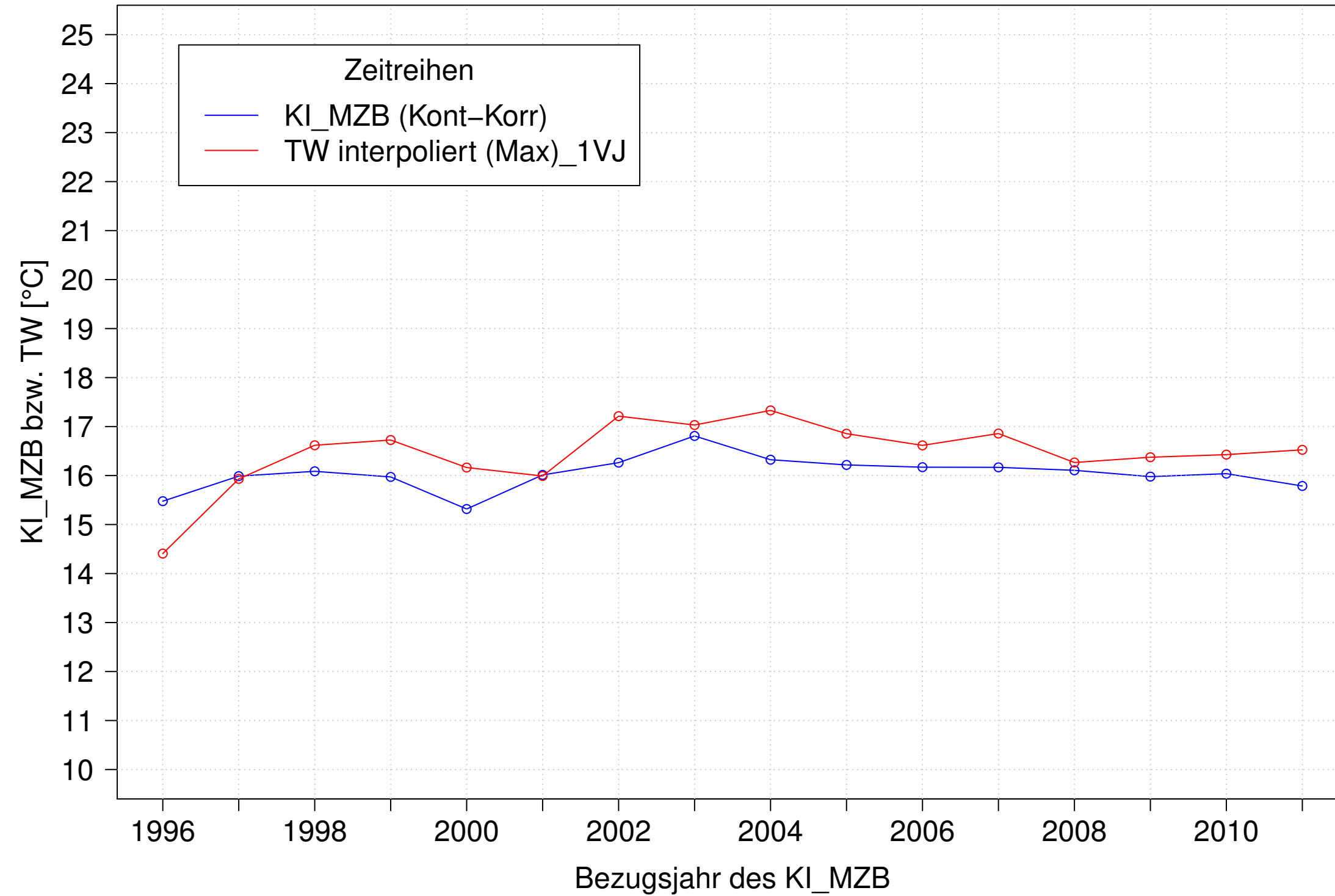
Brigach_Marbach, Typ 09.1 mit Neozoen, Serie 3
3JMW KI_MZB (Kont-Korr) und 3JMW TW interpoliert (Max) des 1. Vorjahres



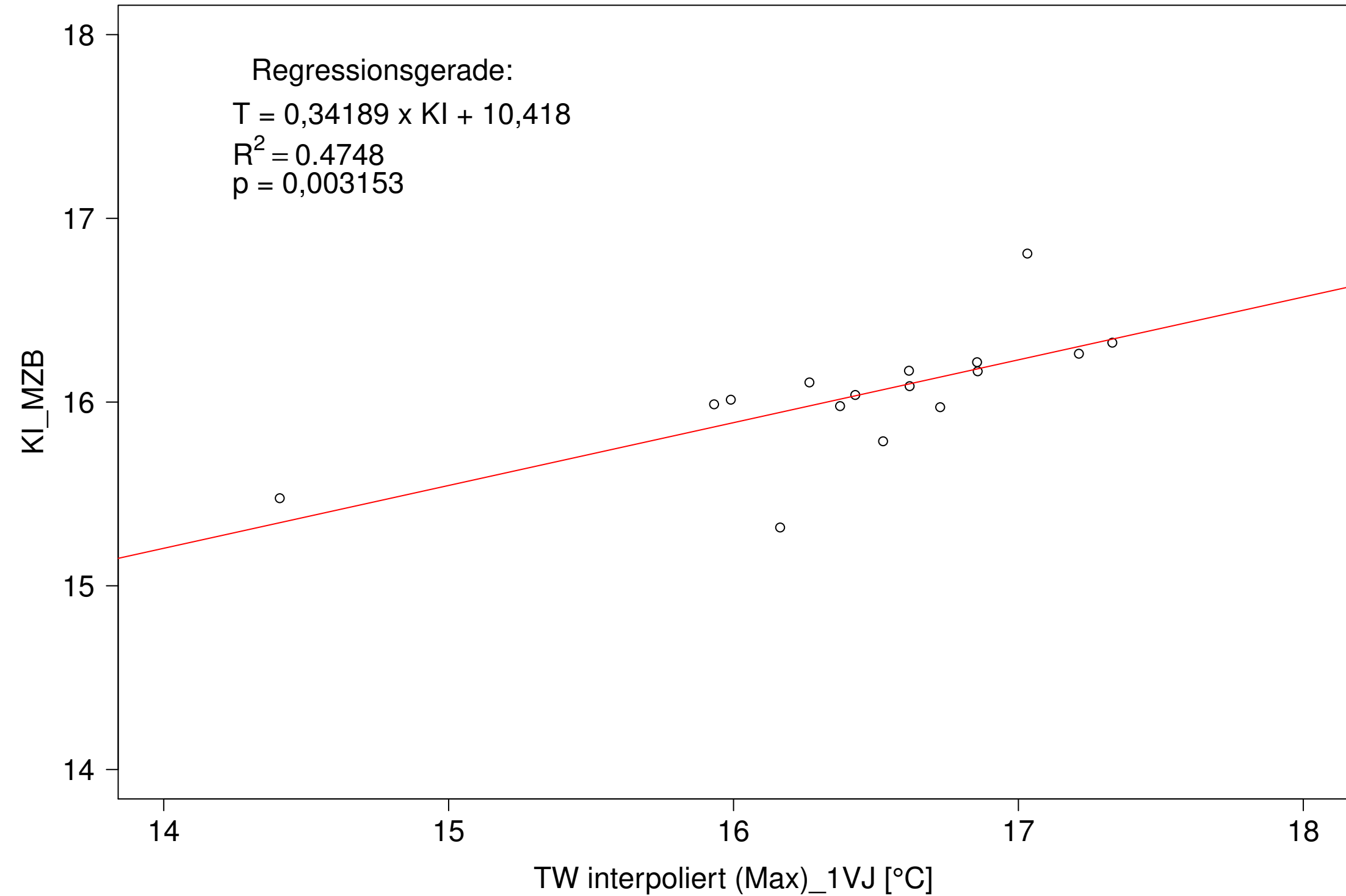
Brigach_Marbach, Typ 09.1 mit Neozoen, Serie 3
3JMW KI_MZB (Kont-Korr) gegen 3JMW TW interpoliert (Max) des 1. Vorjahres



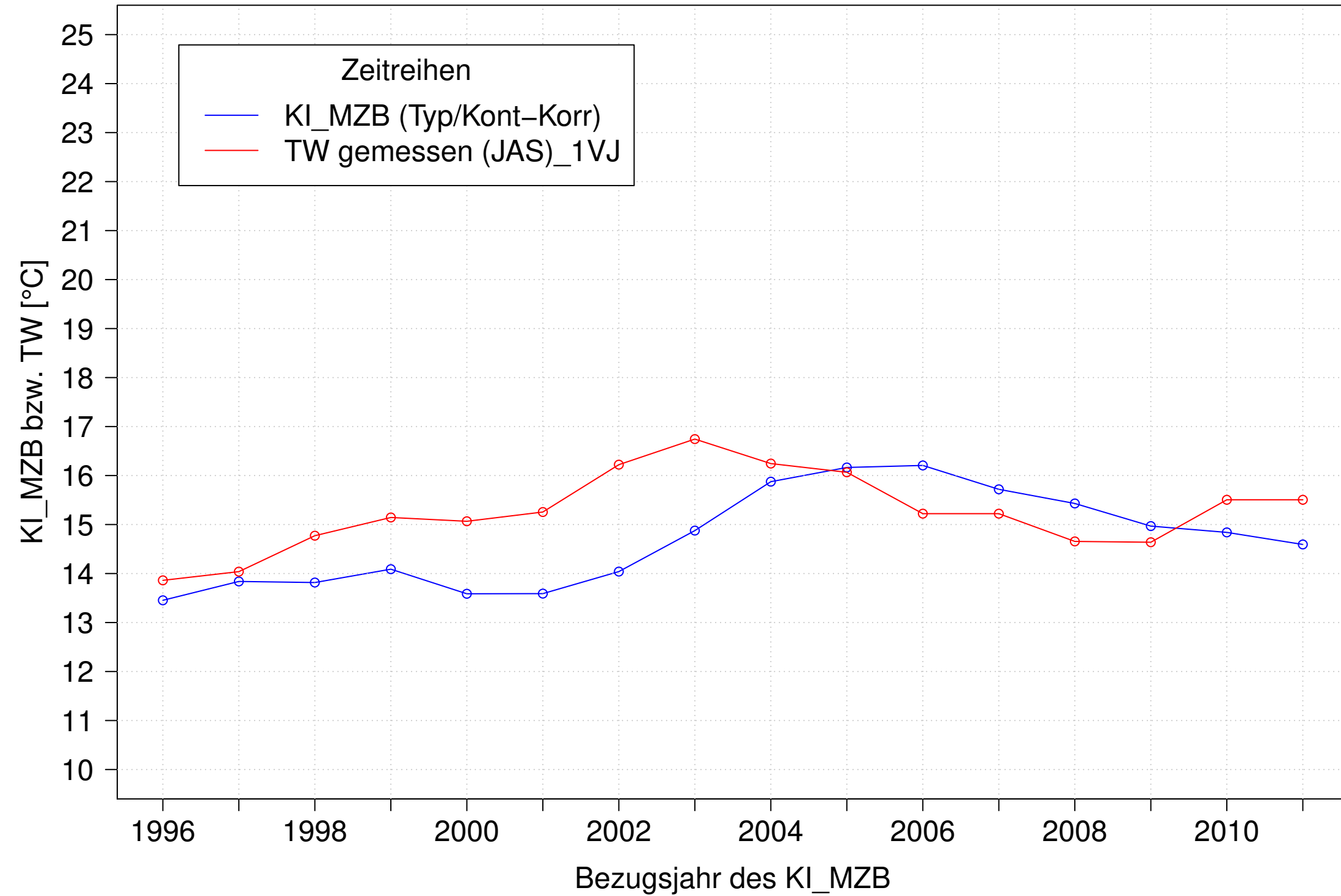
Brigach_Marbach, Typ 09.1 mit Neozoen, Serie 4
3JMW KI_MZB (Kont-Korr) und 3JMW TW interpoliert (Max) des 1. Vorjahres



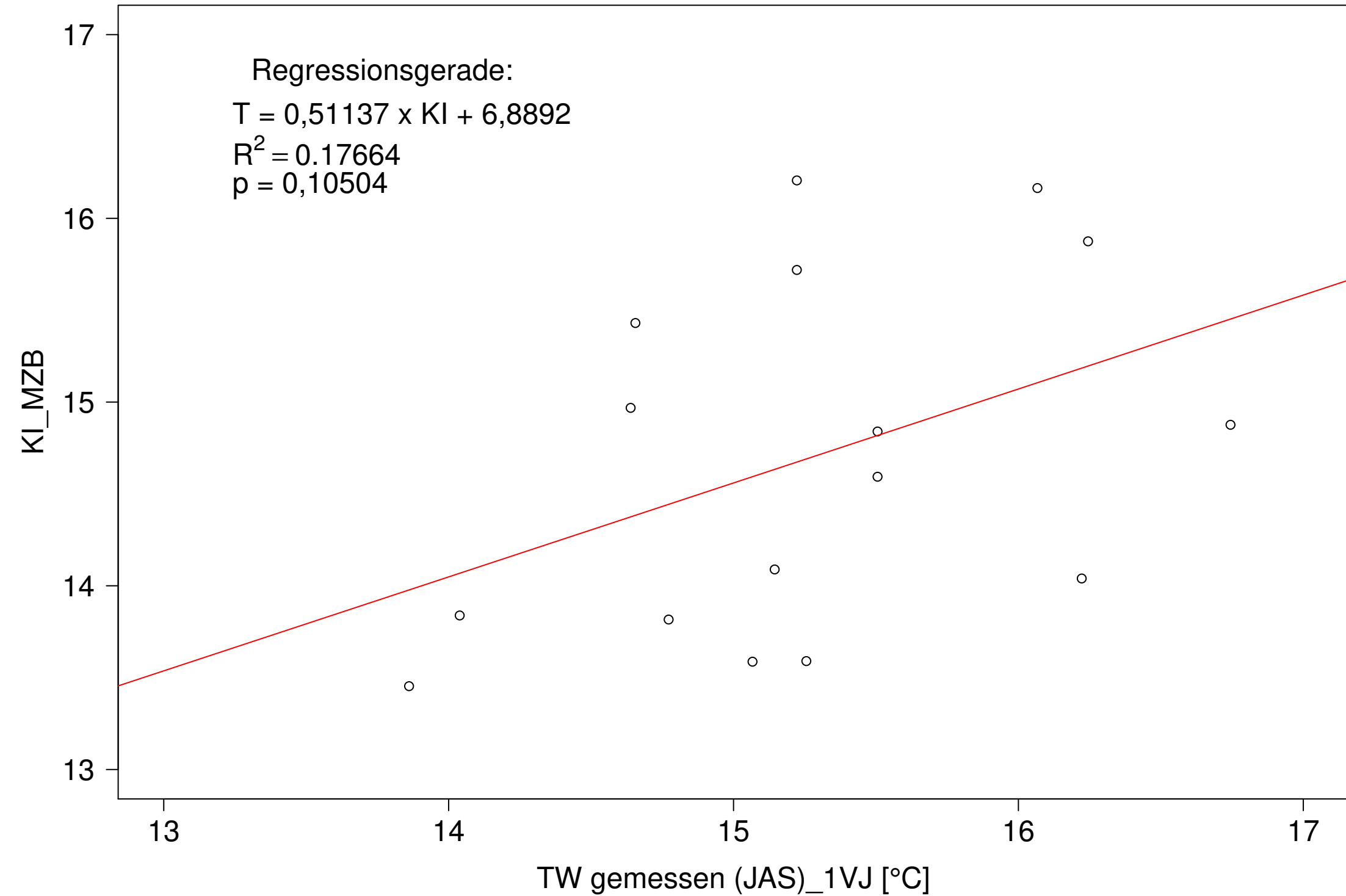
Brigach_Marbach, Typ 09.1 mit Neozoen, Serie 4
3JMW KI_MZB (Kont-Korr) gegen 3JMW TW interpoliert (Max) des 1. Vorjahres



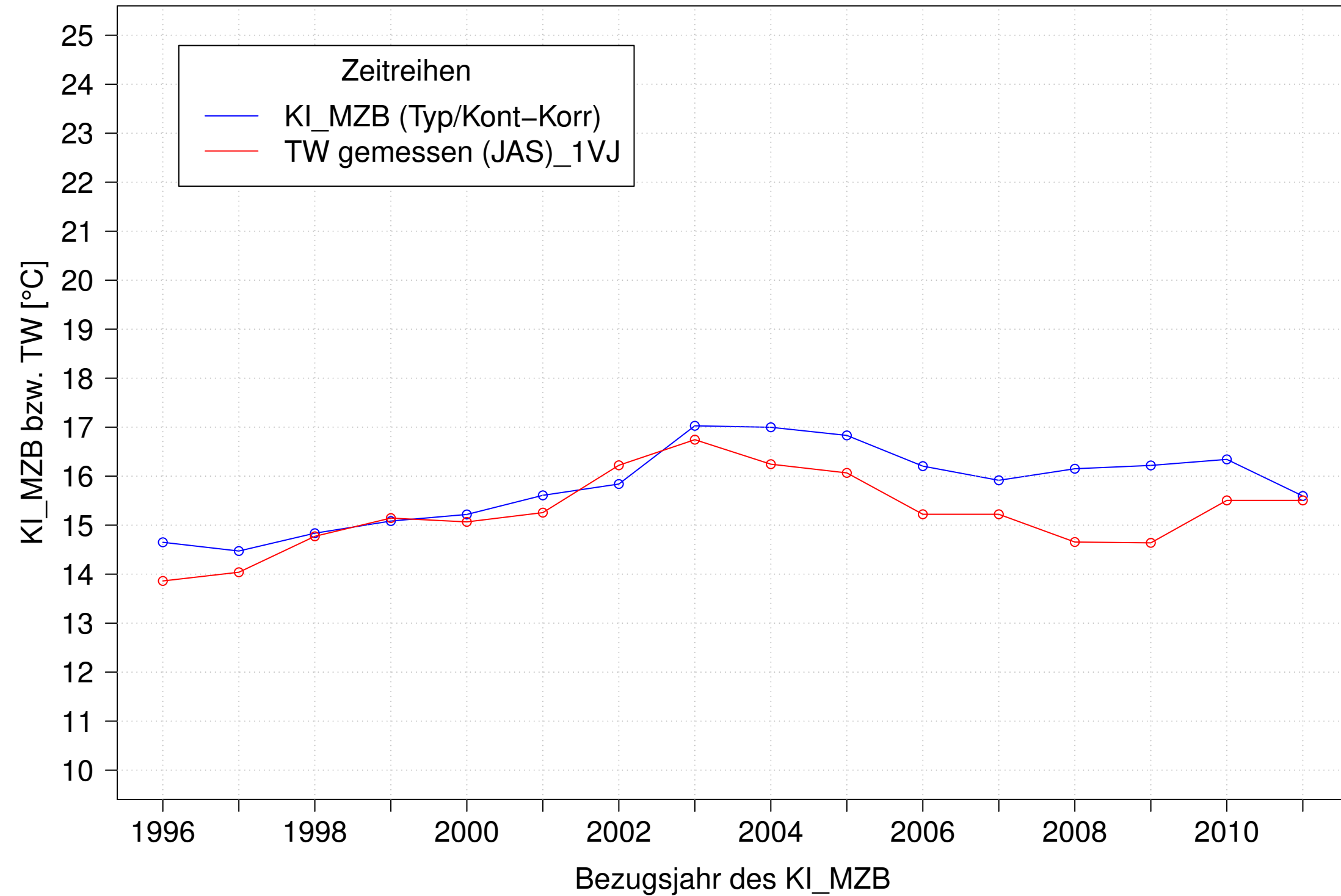
Brigach_Marbach, Typ 09.1 mit Neozoen, Serie 1
3JMW KI_MZB (Typ/Kont-Korr) und 3JMW TW gemessen (JAS) des 1. Vorjahres



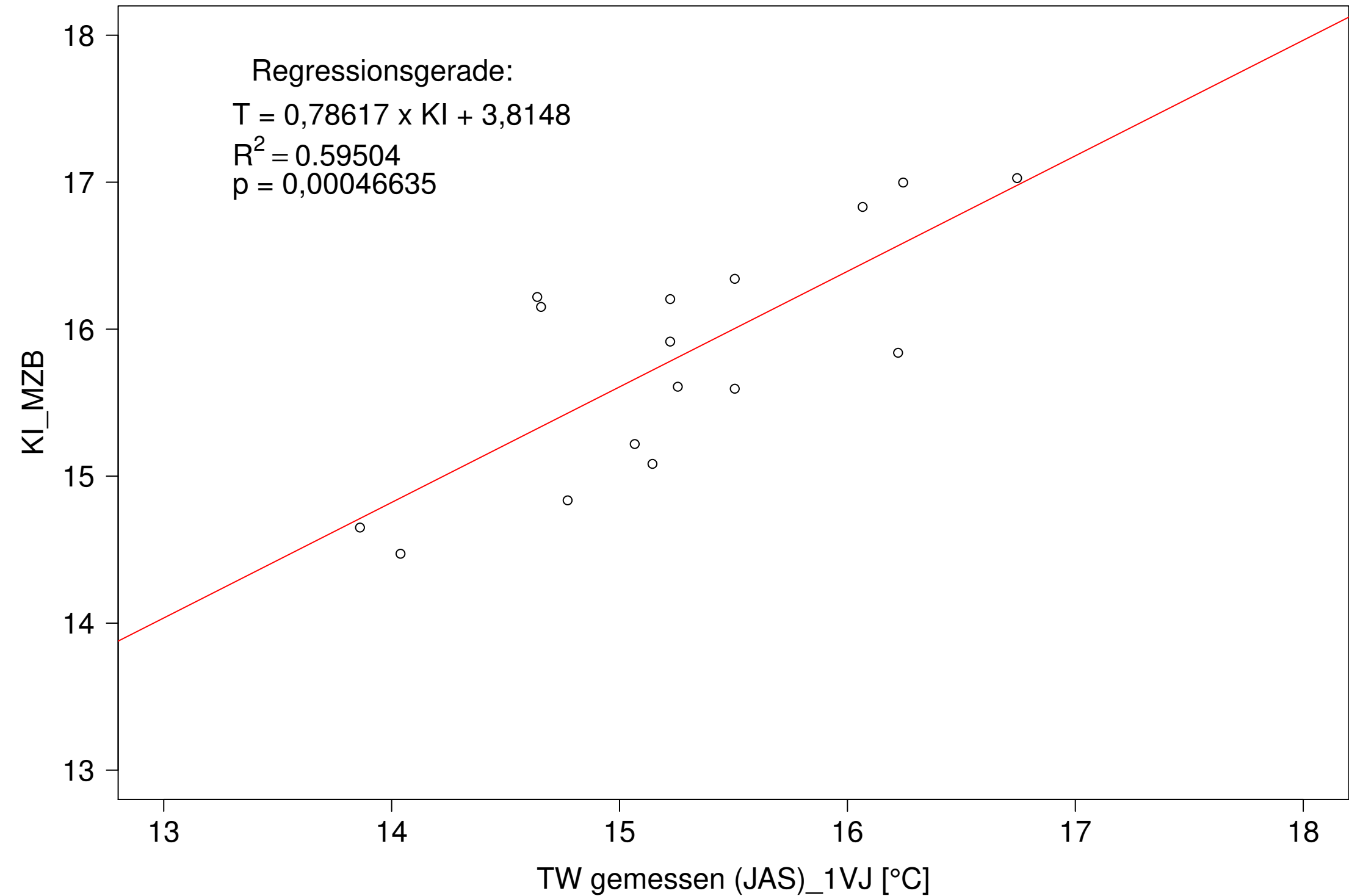
Brigach_Marbach, Typ 09.1 mit Neozoen, Serie 1
3JMW KI_MZB (Typ/Kont-Korr) gegen 3JMW TW gemessen (JAS) des 1. Vorjahres



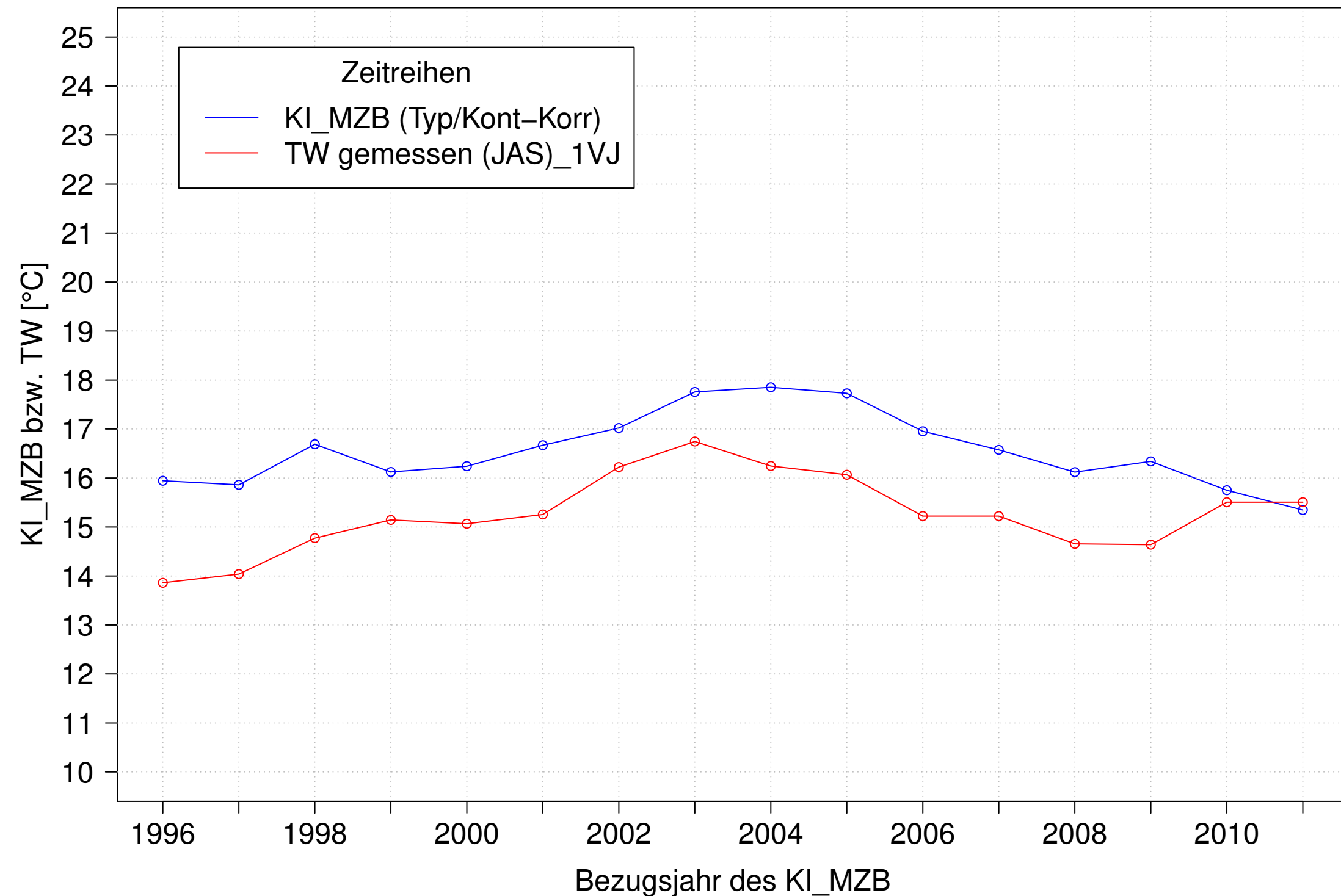
Brigach_Marbach, Typ 09.1 mit Neozoen, Serie 2
3JMW KI_MZB (Typ/Kont-Korr) und 3JMW TW gemessen (JAS) des 1. Vorjahres



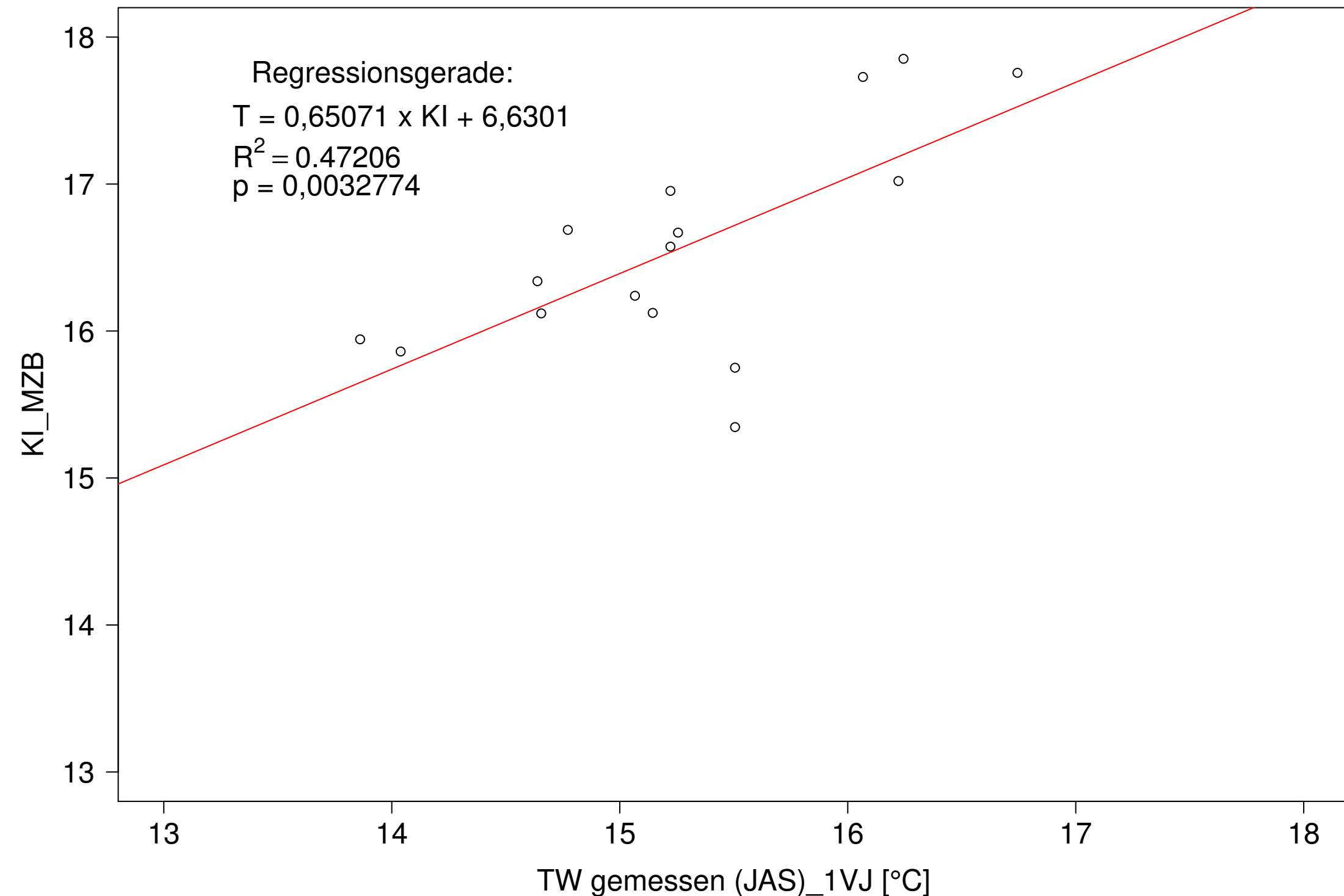
Brigach_Marbach, Typ 09.1 mit Neozoen, Serie 2
3JMW KI_MZB (Typ/Kont-Korr) gegen 3JMW TW gemessen (JAS) des 1. Vorjahres



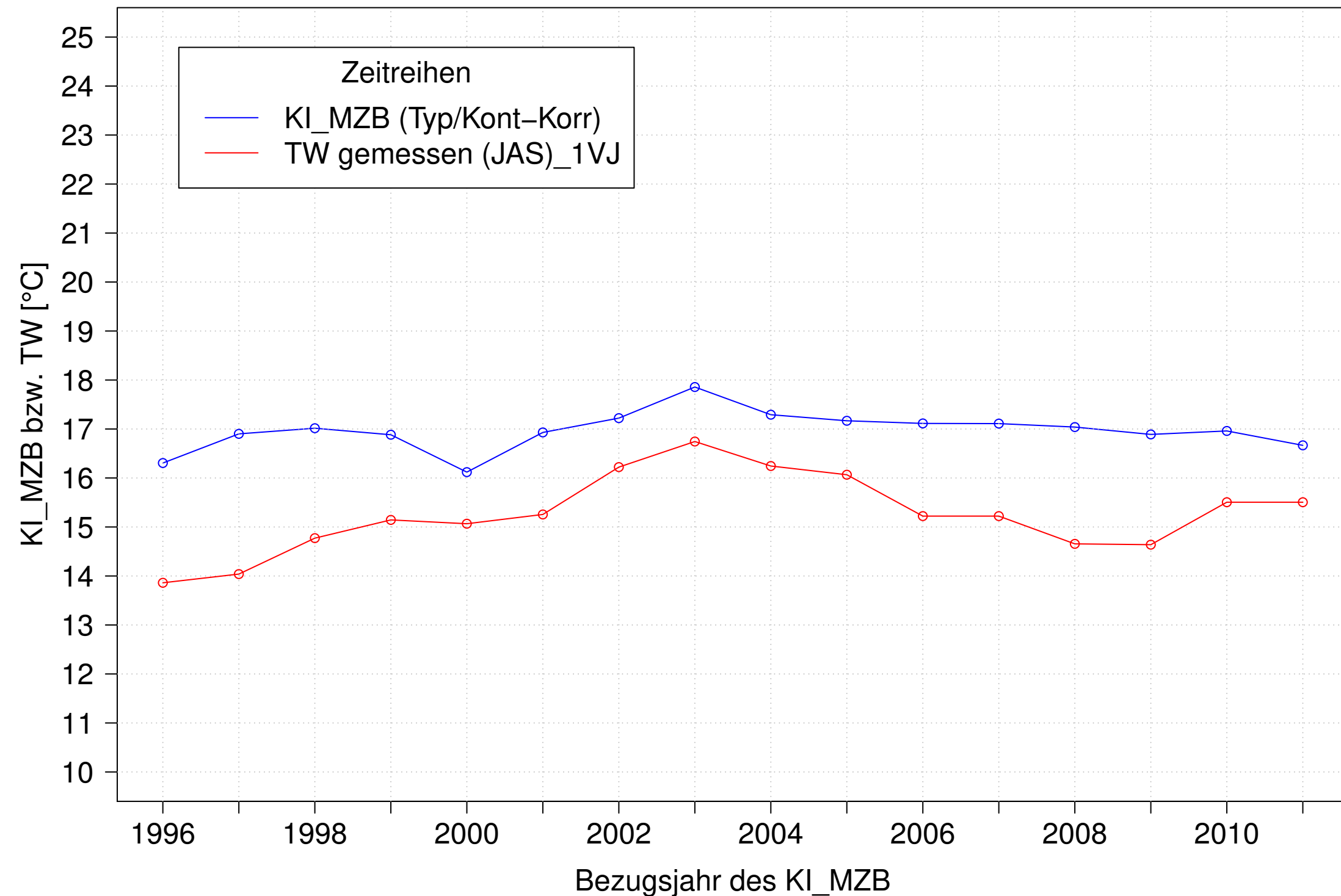
Brigach_Marbach, Typ 09.1 mit Neozoen, Serie 3
3JMW KI_MZB (Typ/Kont-Korr) und 3JMW TW gemessen (JAS) des 1. Vorjahres



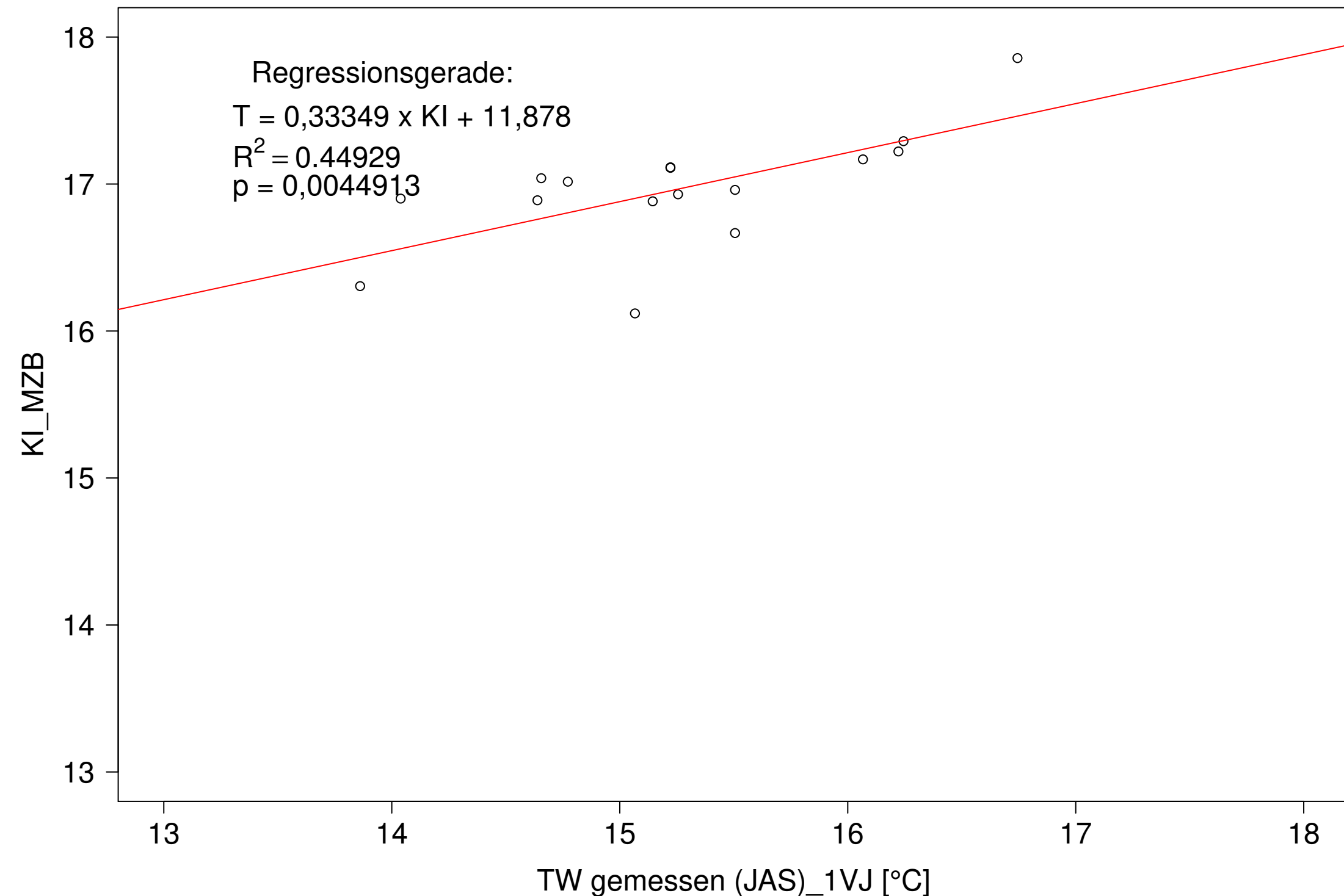
Brigach_Marbach, Typ 09.1 mit Neozoen, Serie 3
3JMW KI_MZB (Typ/Kont-Korr) gegen 3JMW TW gemessen (JAS) des 1. Vorjahres



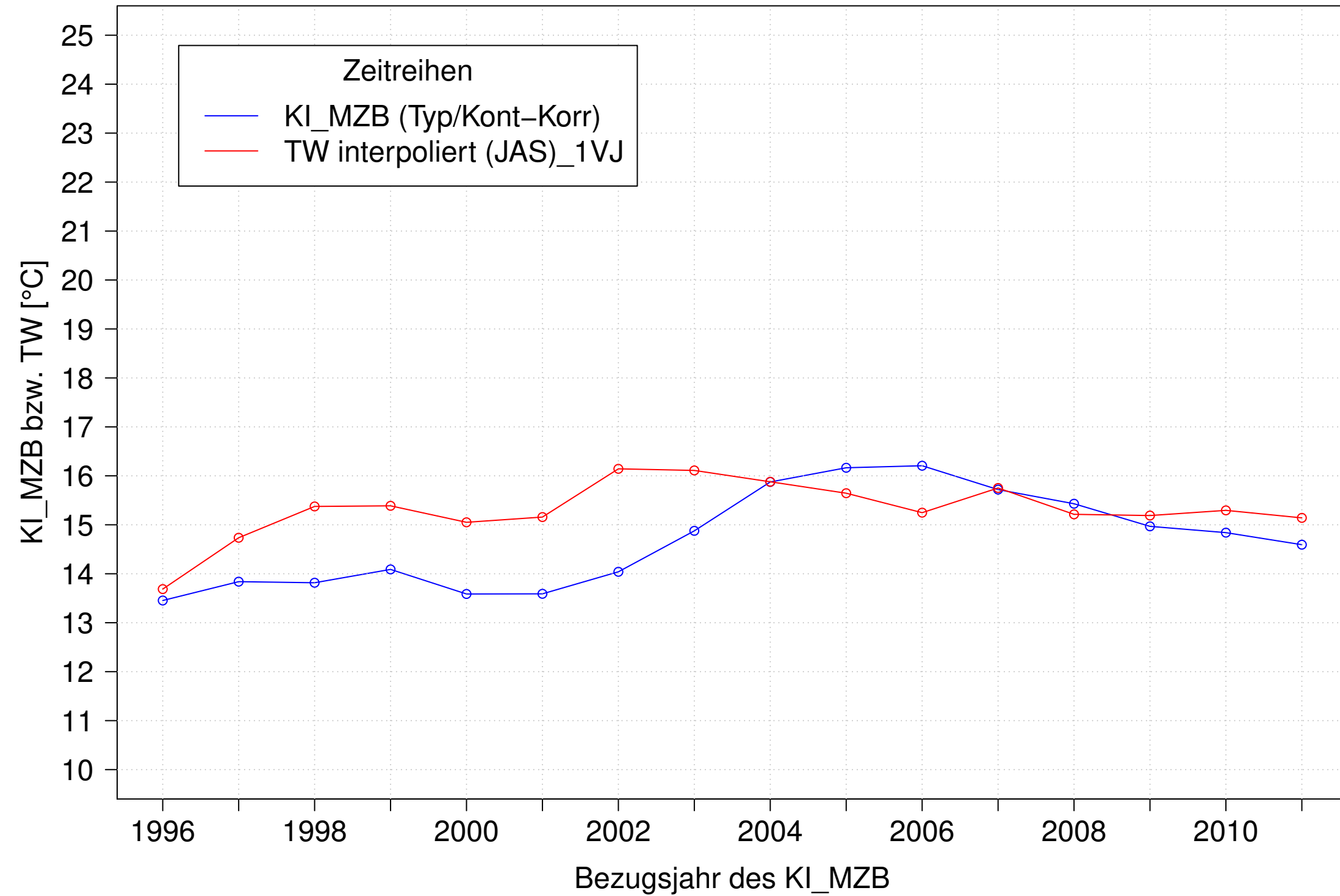
Brigach_Marbach, Typ 09.1 mit Neozoen, Serie 4
3JMW KI_MZB (Typ/Kont-Korr) und 3JMW TW gemessen (JAS) des 1. Vorjahres



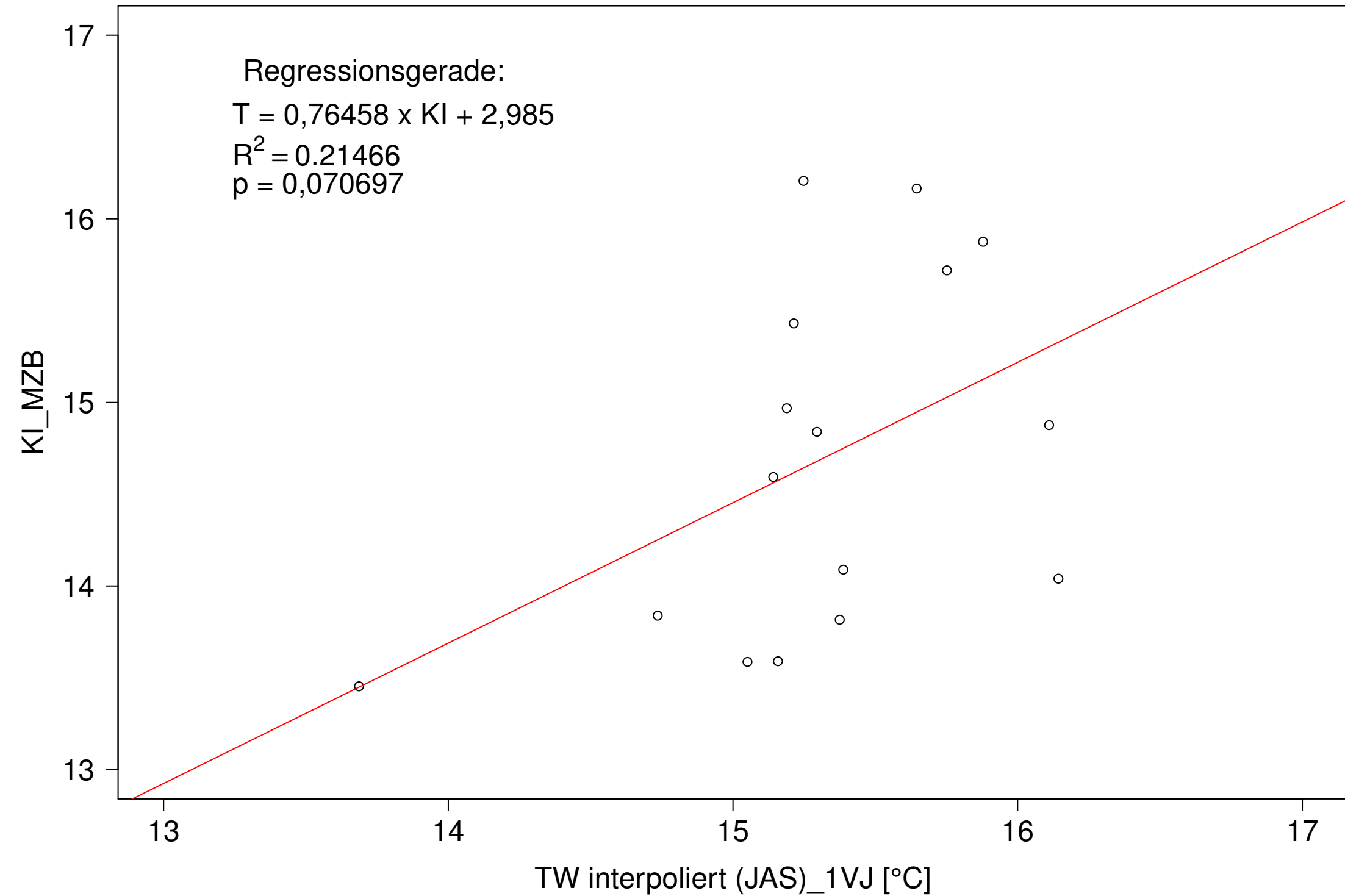
Brigach_Marbach, Typ 09.1 mit Neozoen, Serie 4
3JMW KI_MZB (Typ/Kont-Korr) gegen 3JMW TW gemessen (JAS) des 1. Vorjahres



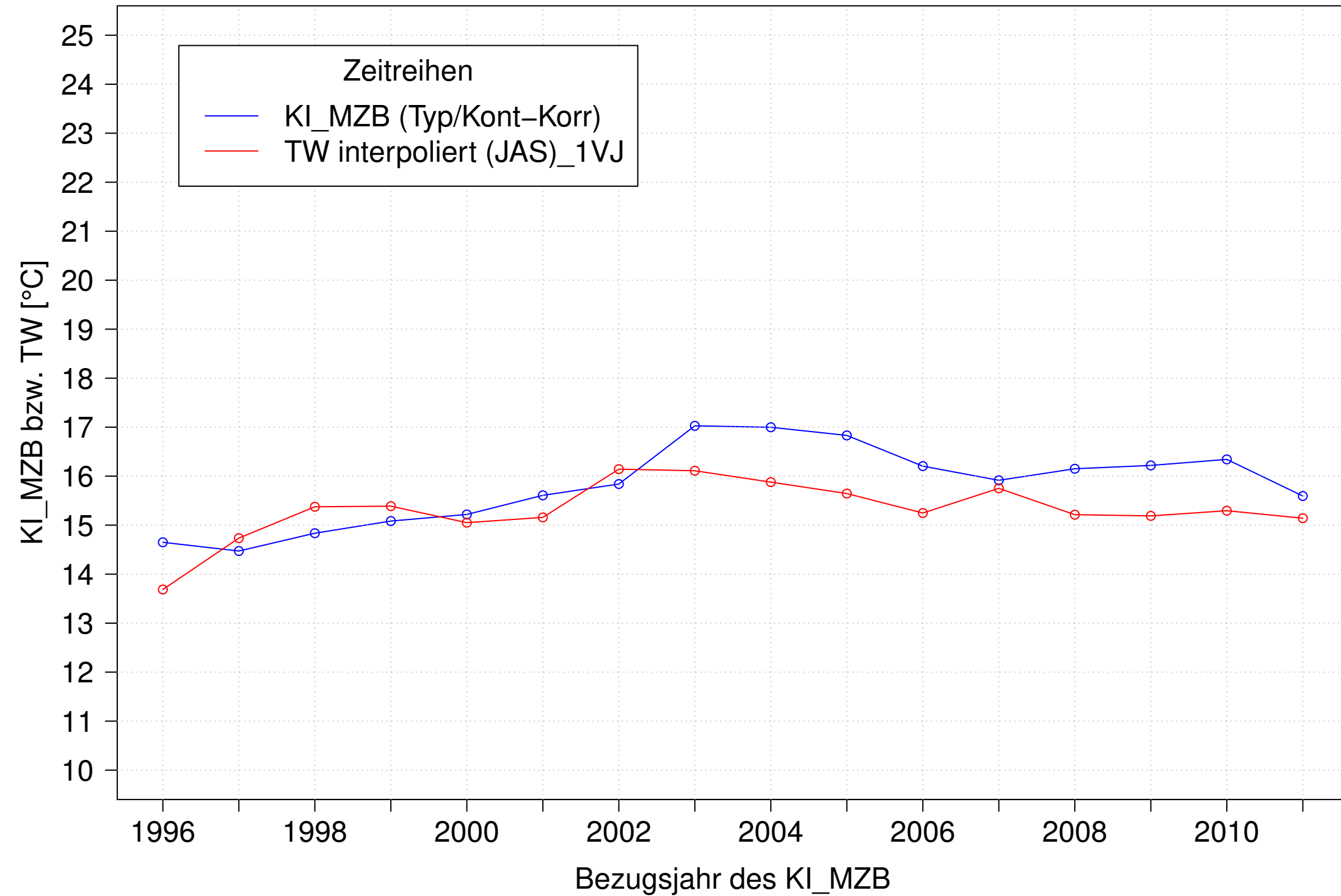
Brigach_Marbach, Typ 09.1 mit Neozoen, Serie 1
3JMW KI_MZB (Typ/Kont-Korr) und 3JMW TW interpoliert (JAS) des 1. Vorjahres



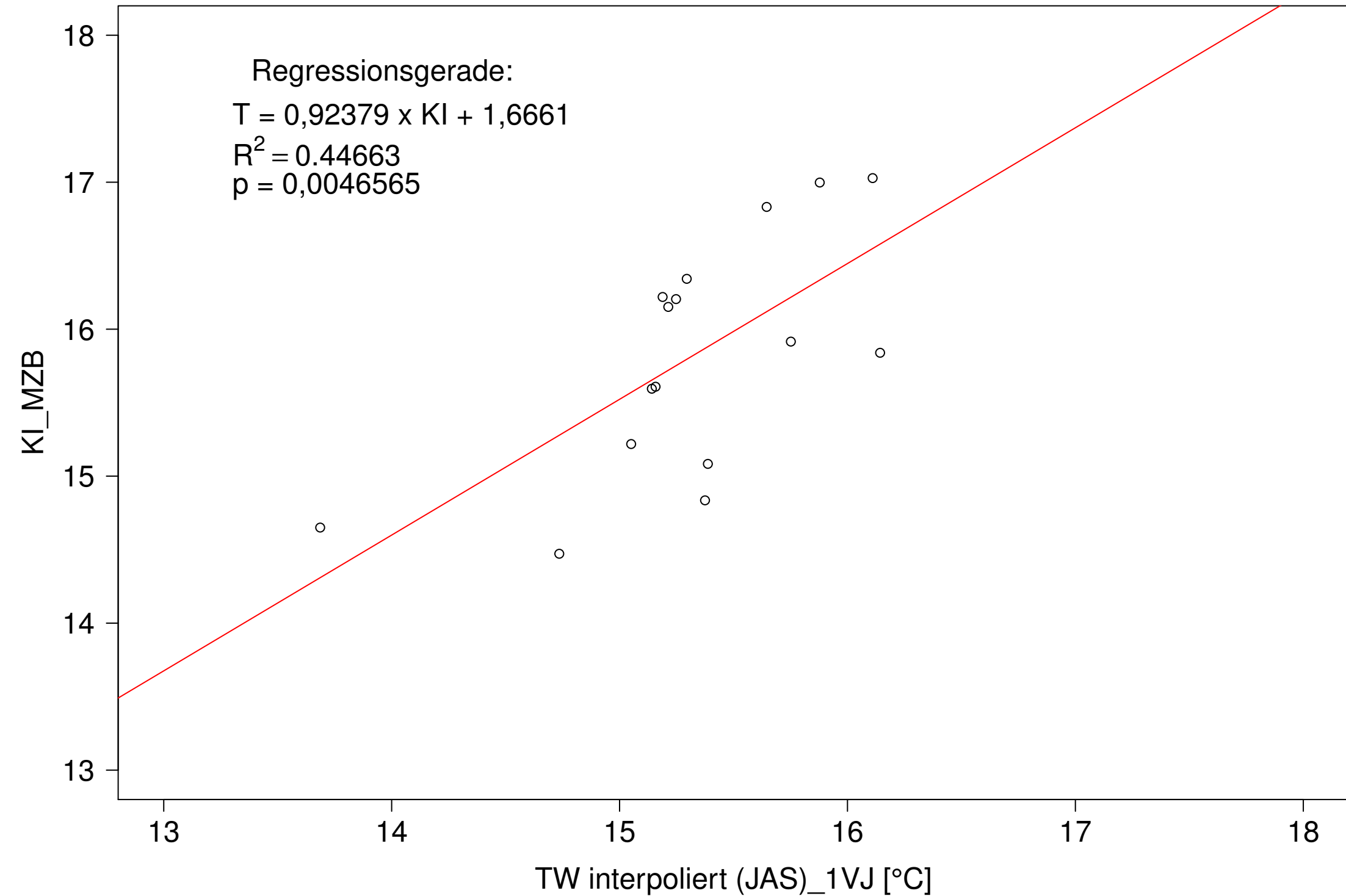
Brigach_Marbach, Typ 09.1 mit Neozoen, Serie 1
3JMW KI_MZB (Typ/Kont-Korr) gegen 3JMW TW interpoliert (JAS) des 1. Vorjahres



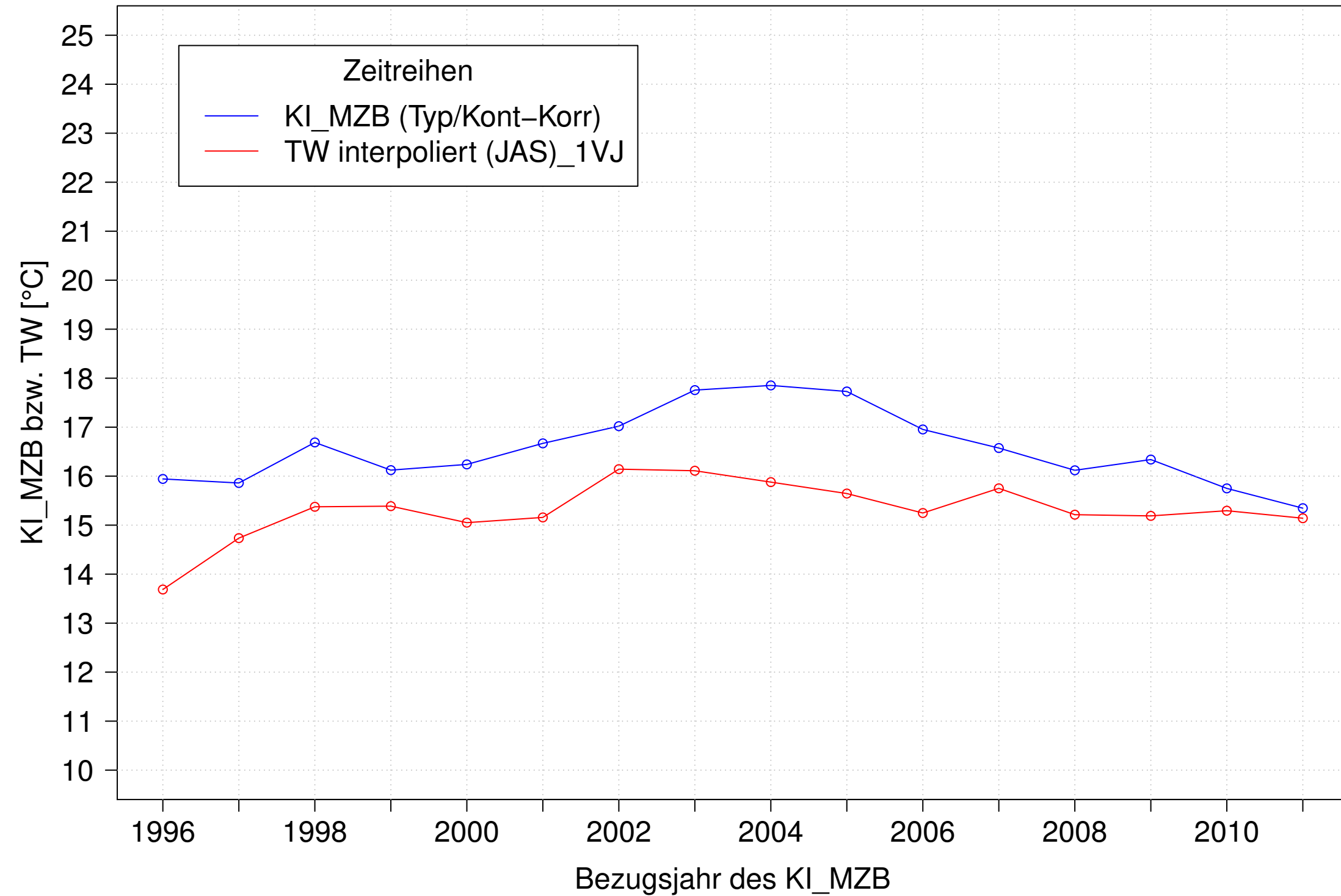
Brigach_Marbach, Typ 09.1 mit Neozoen, Serie 2
3JMW KI_MZB (Typ/Kont-Korr) und 3JMW TW interpoliert (JAS) des 1. Vorjahres



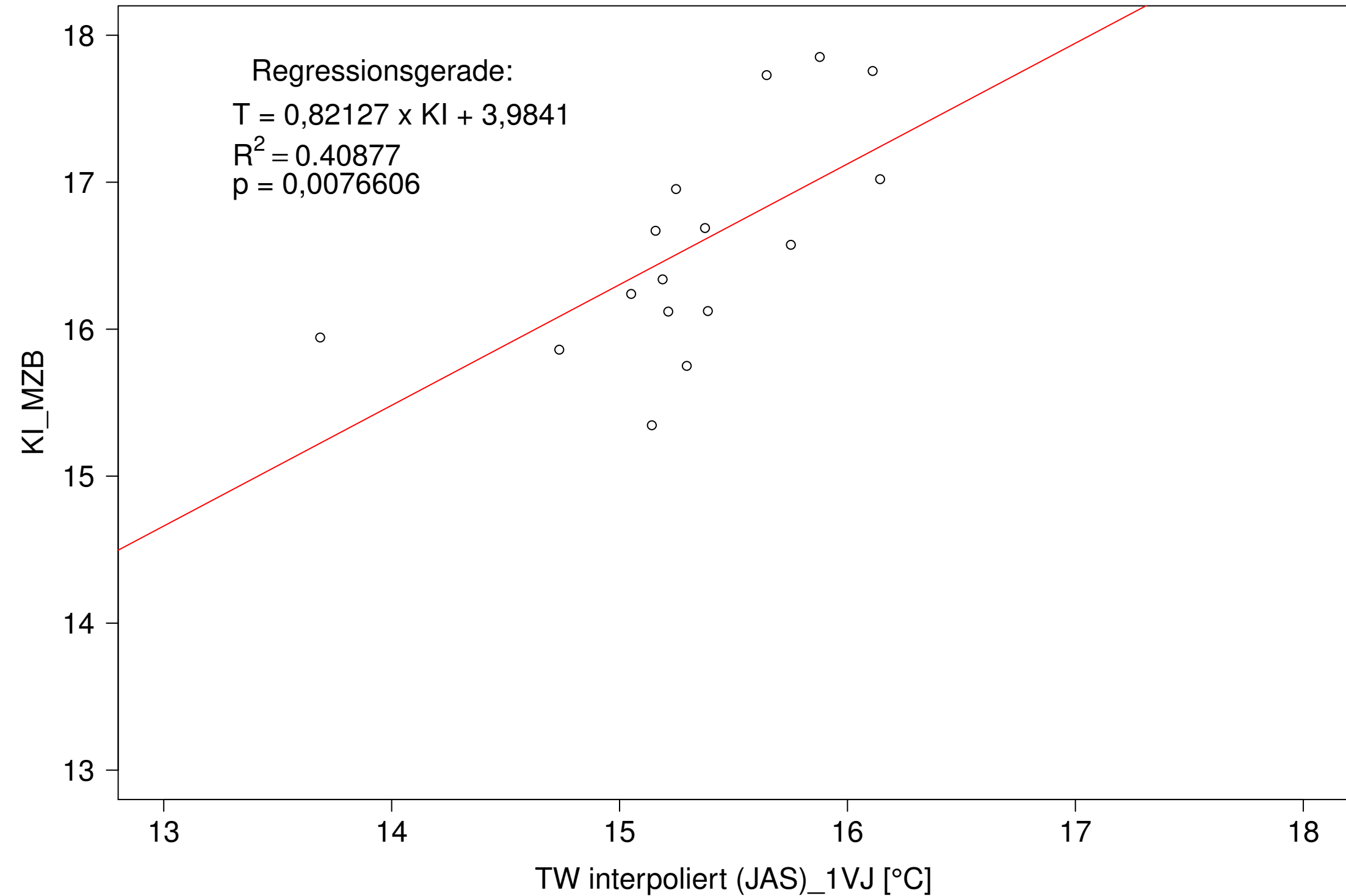
Brigach_Marbach, Typ 09.1 mit Neozoen, Serie 2
3JMW KI_MZB (Typ/Kont-Korr) gegen 3JMW TW interpoliert (JAS) des 1. Vorjahres



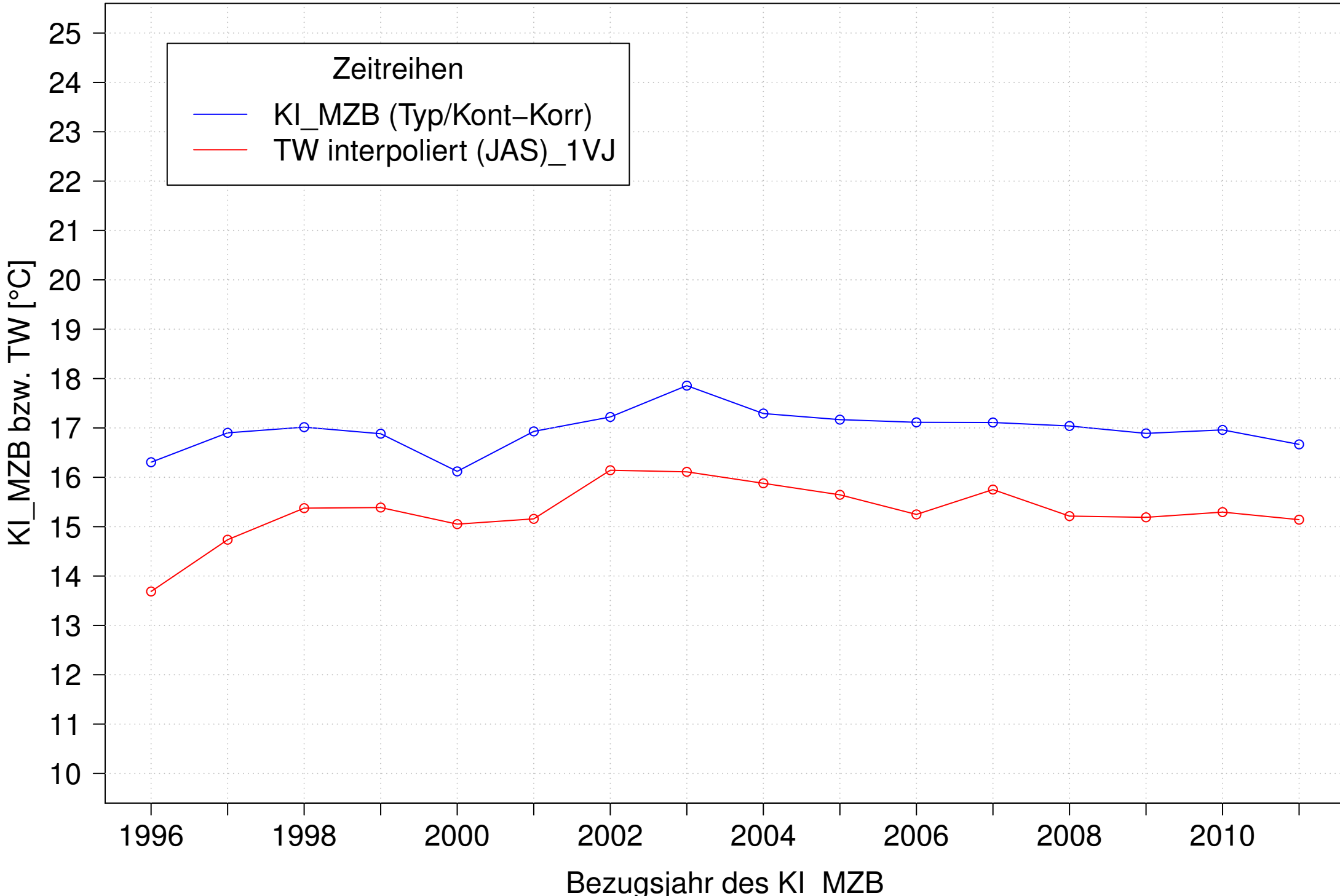
Brigach_Marbach, Typ 09.1 mit Neozoen, Serie 3
3JMW KI_MZB (Typ/Kont-Korr) und 3JMW TW interpoliert (JAS) des 1. Vorjahres



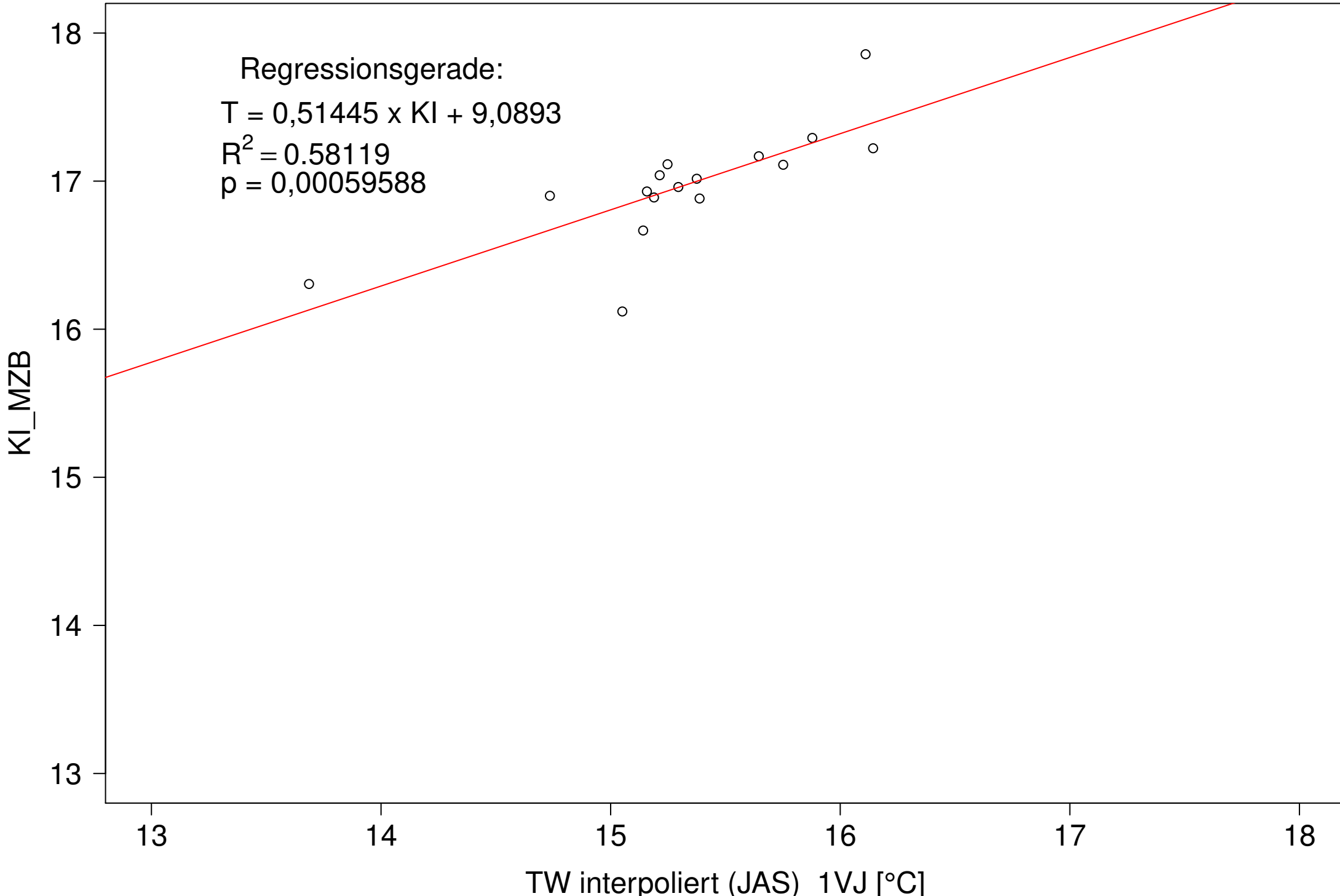
Brigach_Marbach, Typ 09.1 mit Neozoen, Serie 3
3JMW KI_MZB (Typ/Kont-Korr) gegen 3JMW TW interpoliert (JAS) des 1. Vorjahres



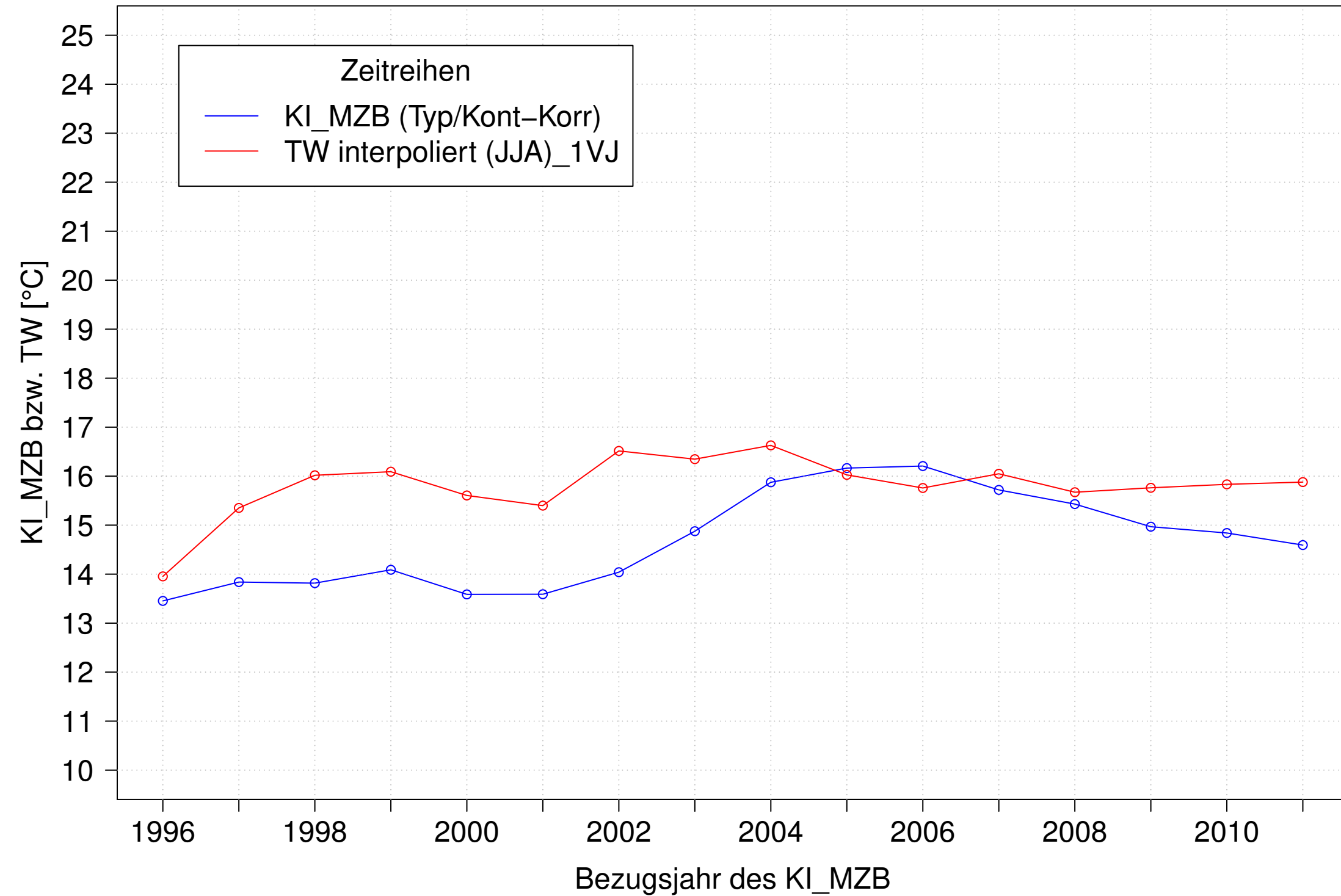
Brigach_Marbach, Typ 09.1 mit Neozoen, Serie 4
3JMW KI_MZB (Typ/Kont-Korr) und 3JMW TW interpoliert (JAS) des 1. Vorjahres



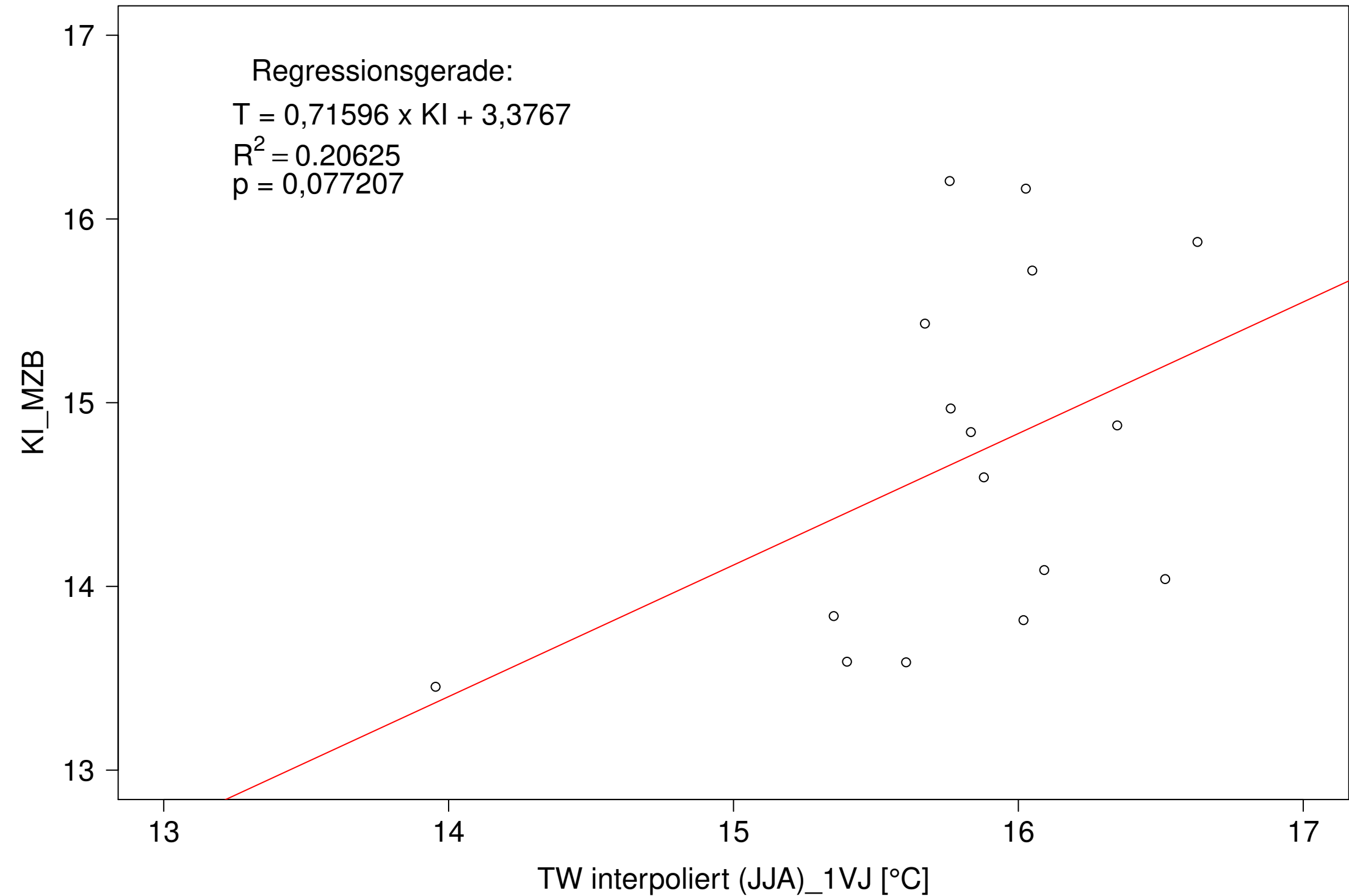
Brigach_Marbach, Typ 09.1 mit Neozoen, Serie 4
3JMW KI_MZB (Typ/Kont-Korr) gegen 3JMW TW interpoliert (JAS) des 1. Vorjahres



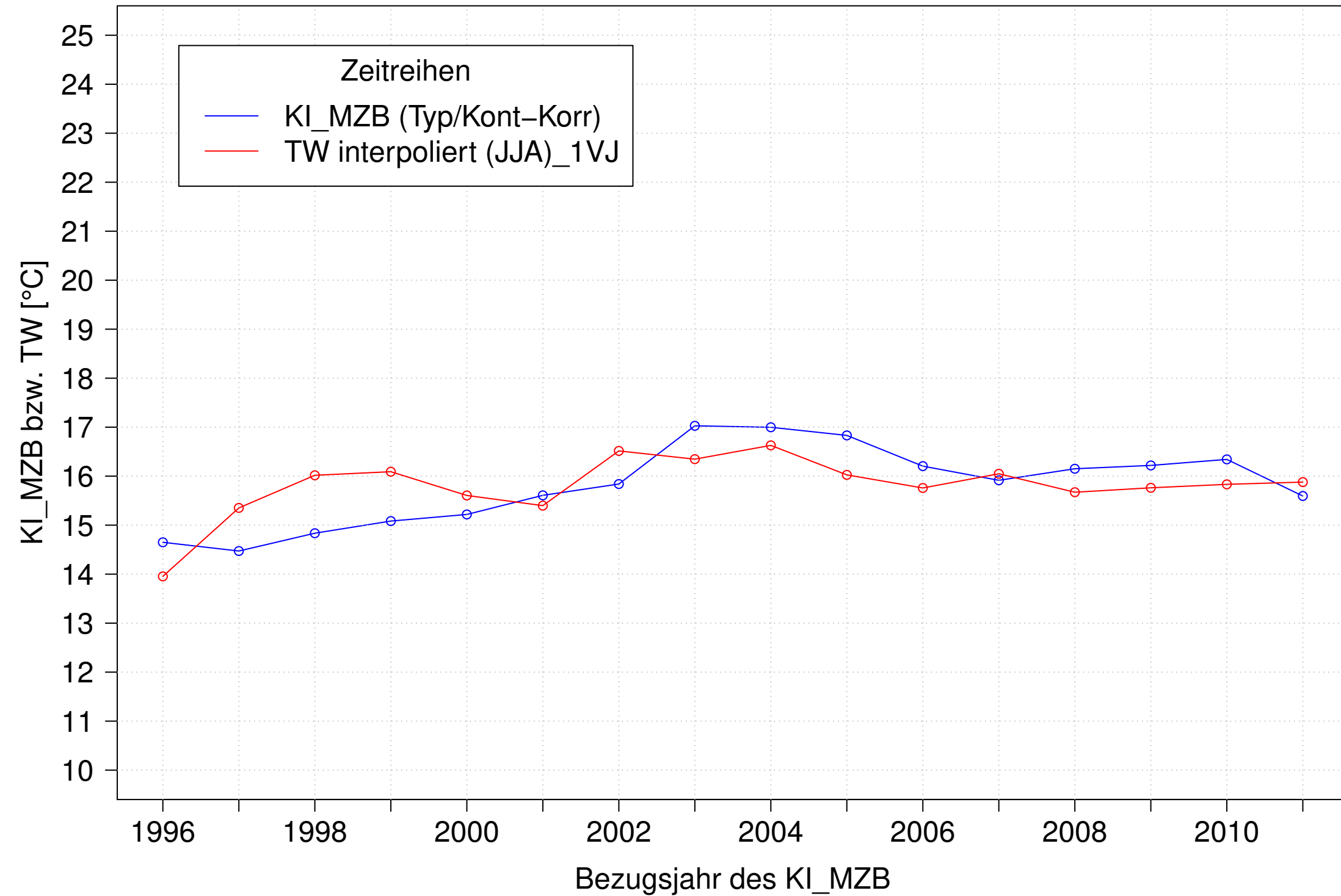
Brigach_Marbach, Typ 09.1 mit Neozoen, Serie 1
3JMW KI_MZB (Typ/Kont-Korr) und 3JMW TW interpoliert (JJA) des 1. Vorjahres



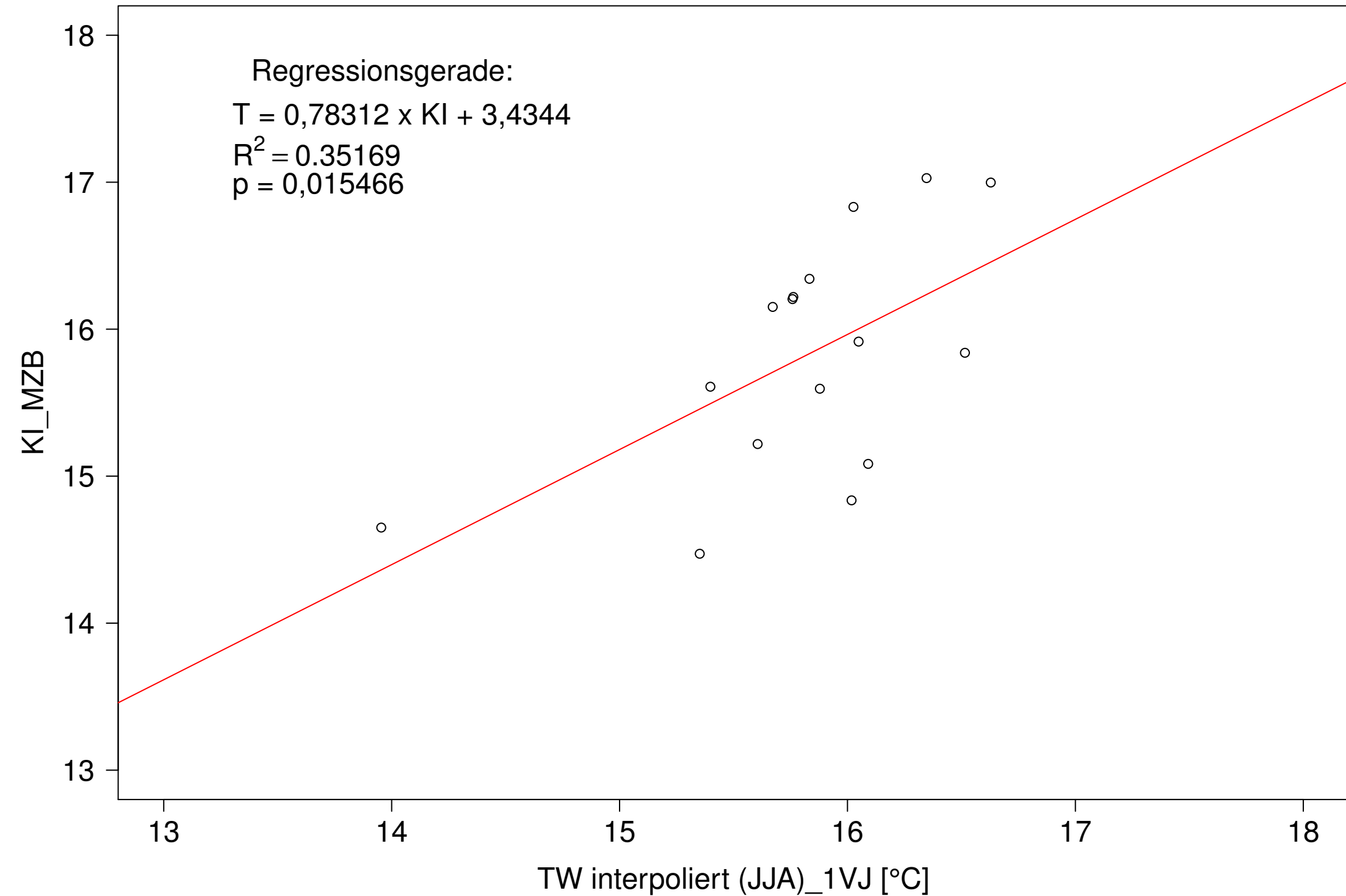
Brigach_Marbach, Typ 09.1 mit Neozoen, Serie 1
3JMW KI_MZB (Typ/Kont-Korr) gegen 3JMW TW interpoliert (JJA) des 1. Vorjahres



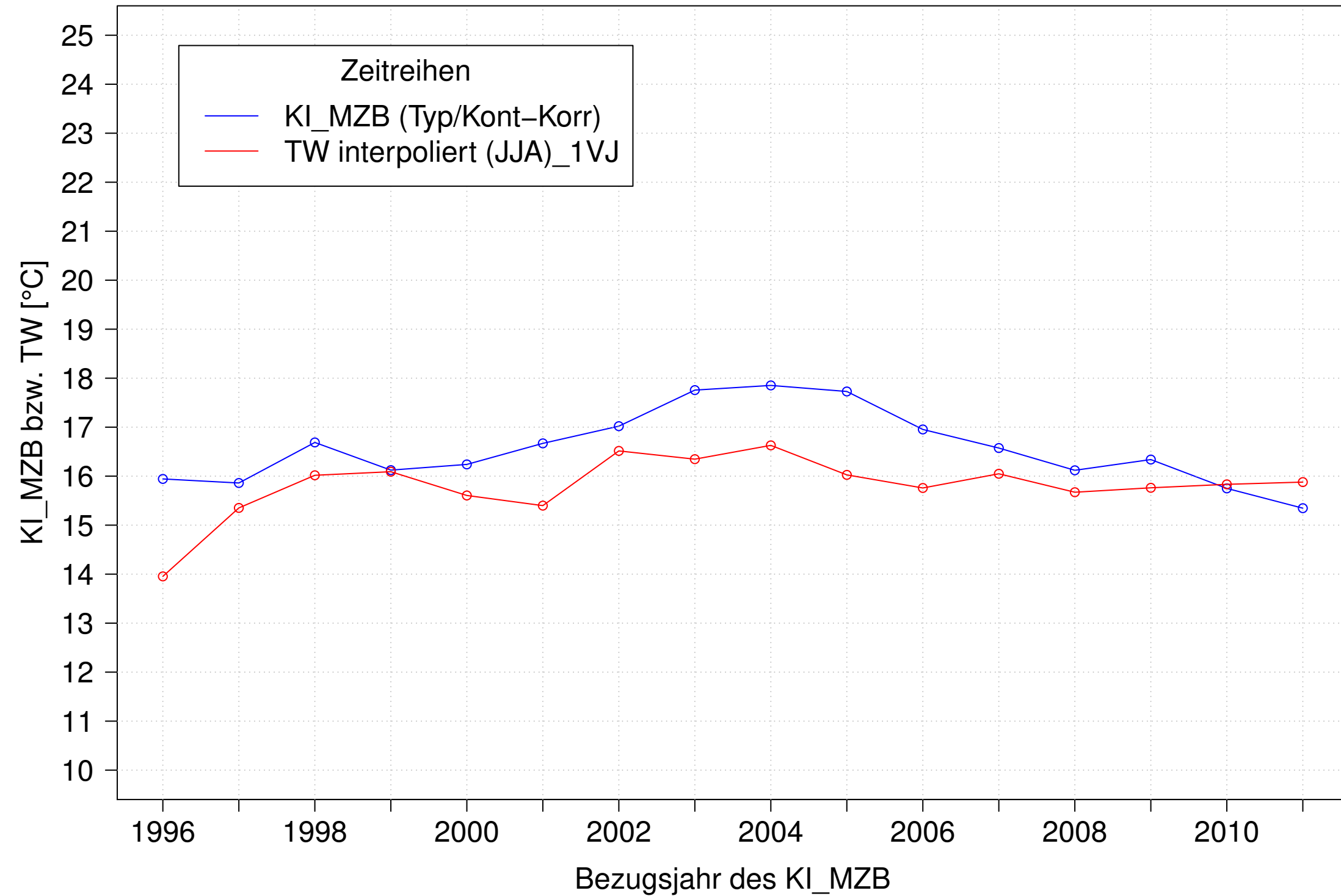
Brigach_Marbach, Typ 09.1 mit Neozoen, Serie 2
3JMW KI_MZB (Typ/Kont-Korr) und 3JMW TW interpoliert (JJA) des 1. Vorjahres



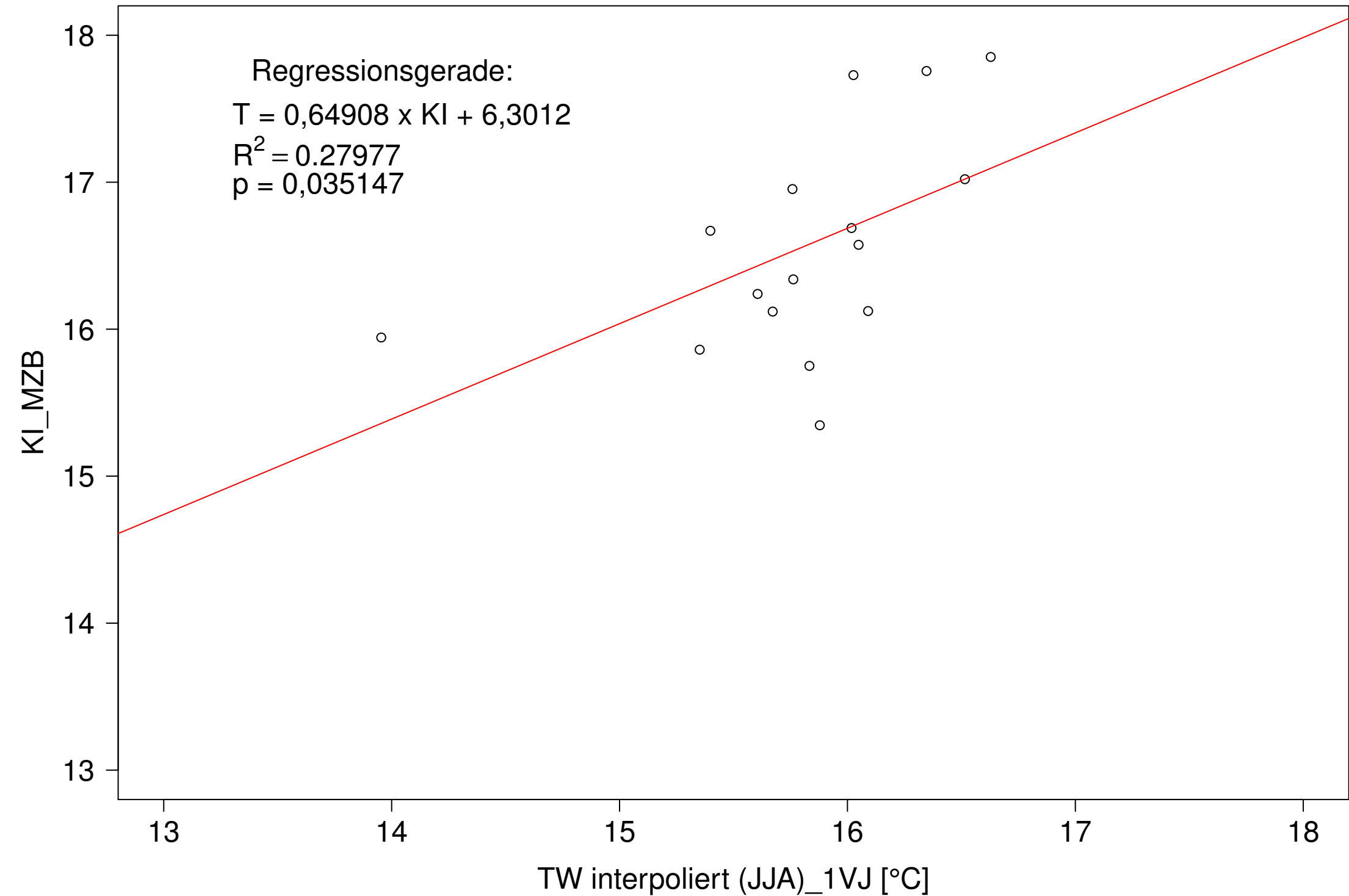
Brigach_Marbach, Typ 09.1 mit Neozoen, Serie 2
3JMW KI_MZB (Typ/Kont-Korr) gegen 3JMW TW interpoliert (JJA) des 1. Vorjahres



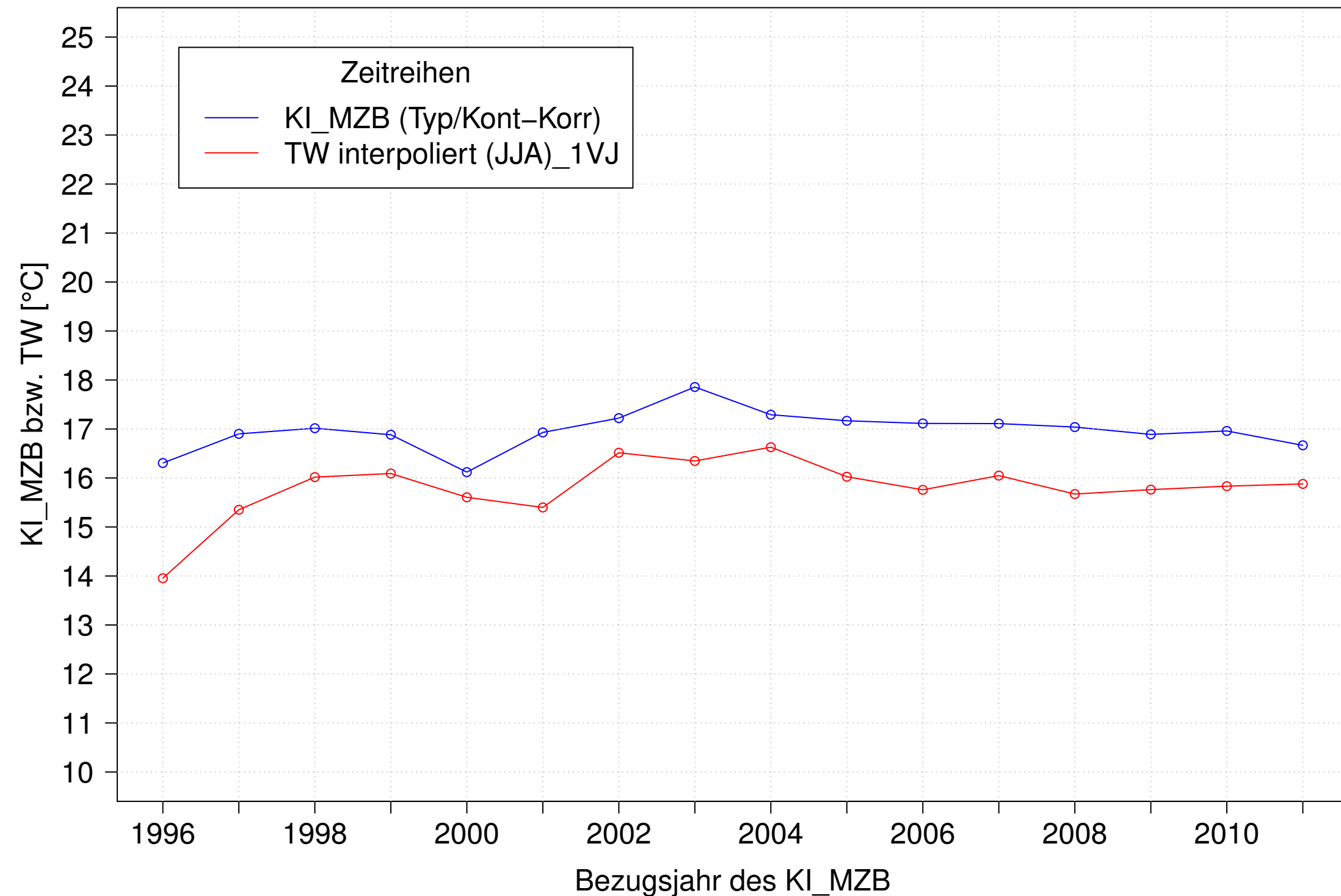
Brigach_Marbach, Typ 09.1 mit Neozoen, Serie 3
3JMW KI_MZB (Typ/Kont-Korr) und 3JMW TW interpoliert (JJA) des 1. Vorjahres



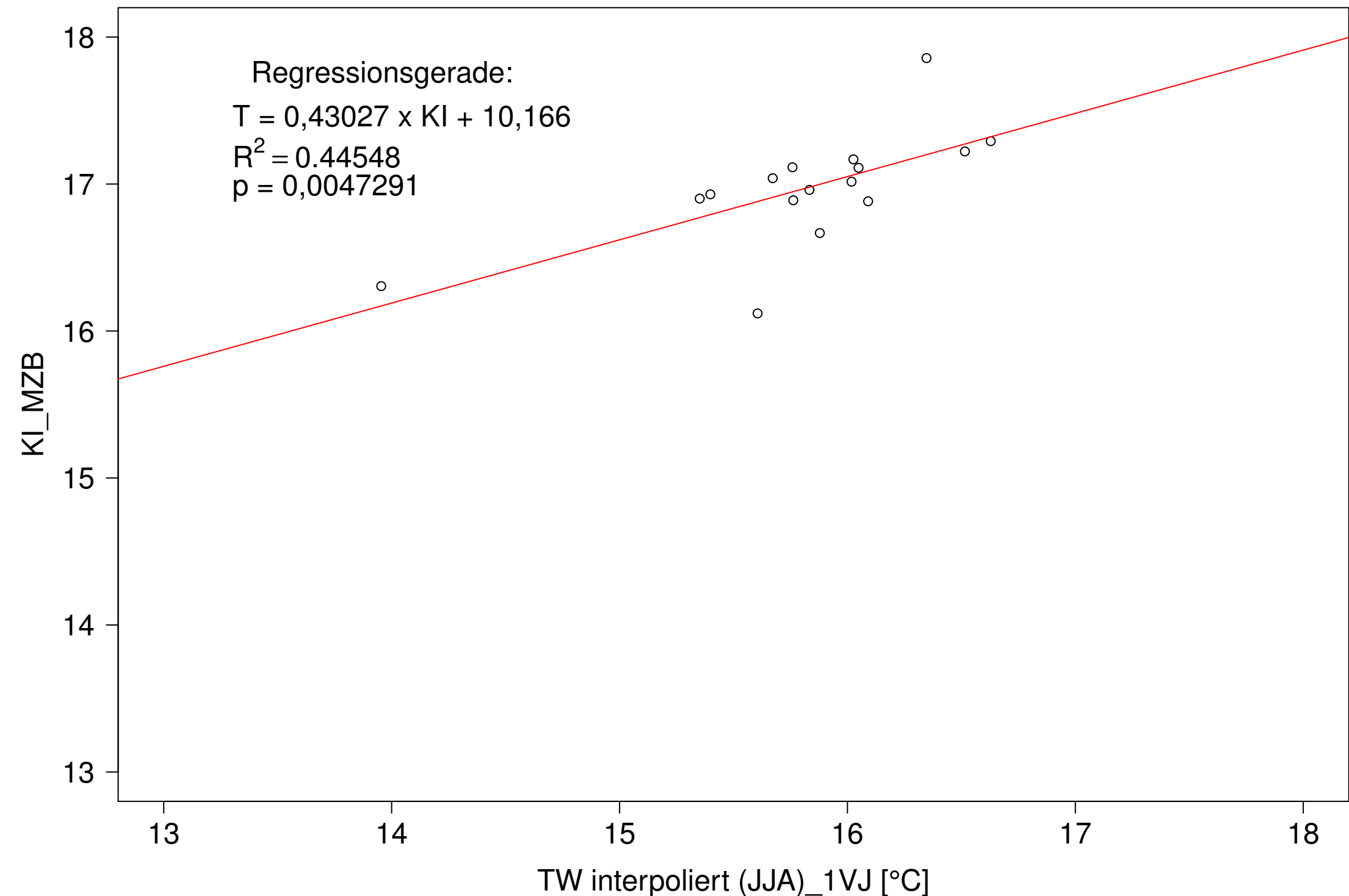
Brigach_Marbach, Typ 09.1 mit Neozoen, Serie 3
3JMW KI_MZB (Typ/Kont-Korr) gegen 3JMW TW interpoliert (JJA) des 1. Vorjahres



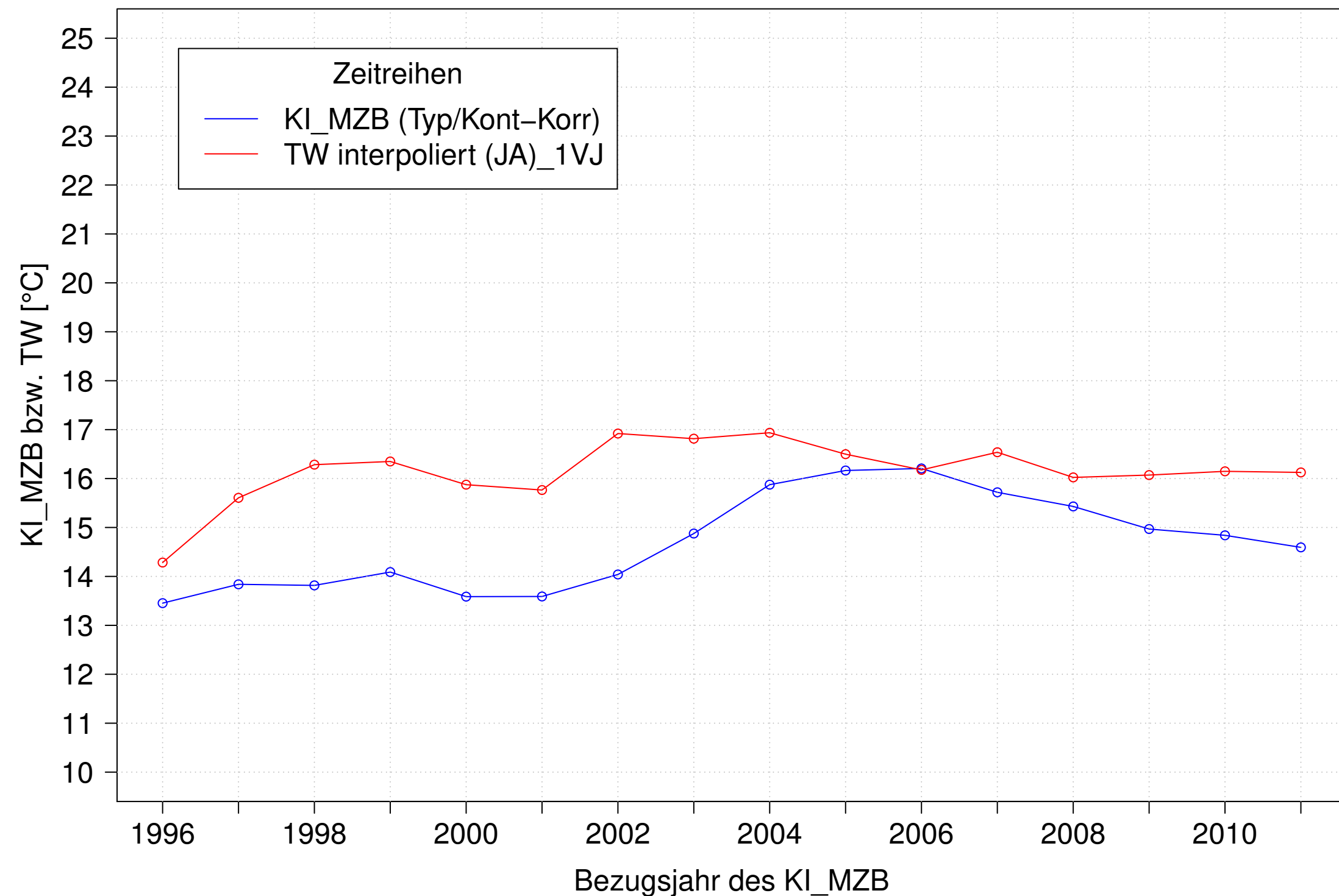
Brigach_Marbach, Typ 09.1 mit Neozoen, Serie 4
3JMW KI_MZB (Typ/Kont-Korr) und 3JMW TW interpoliert (JJA) des 1. Vorjahres



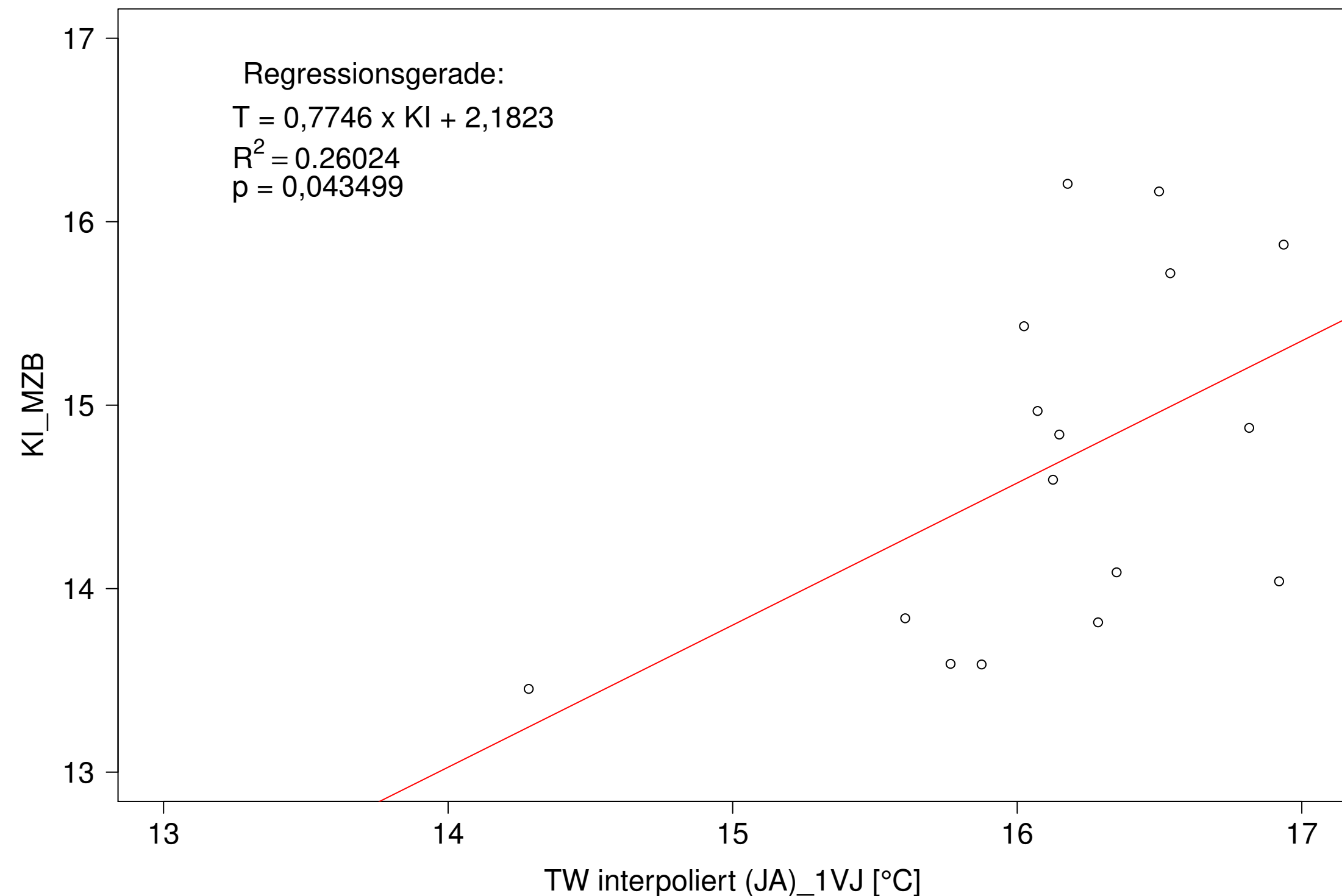
Brigach_Marbach, Typ 09.1 mit Neozoen, Serie 4
3JMW KI_MZB (Typ/Kont-Korr) gegen 3JMW TW interpoliert (JJA) des 1. Vorjahres



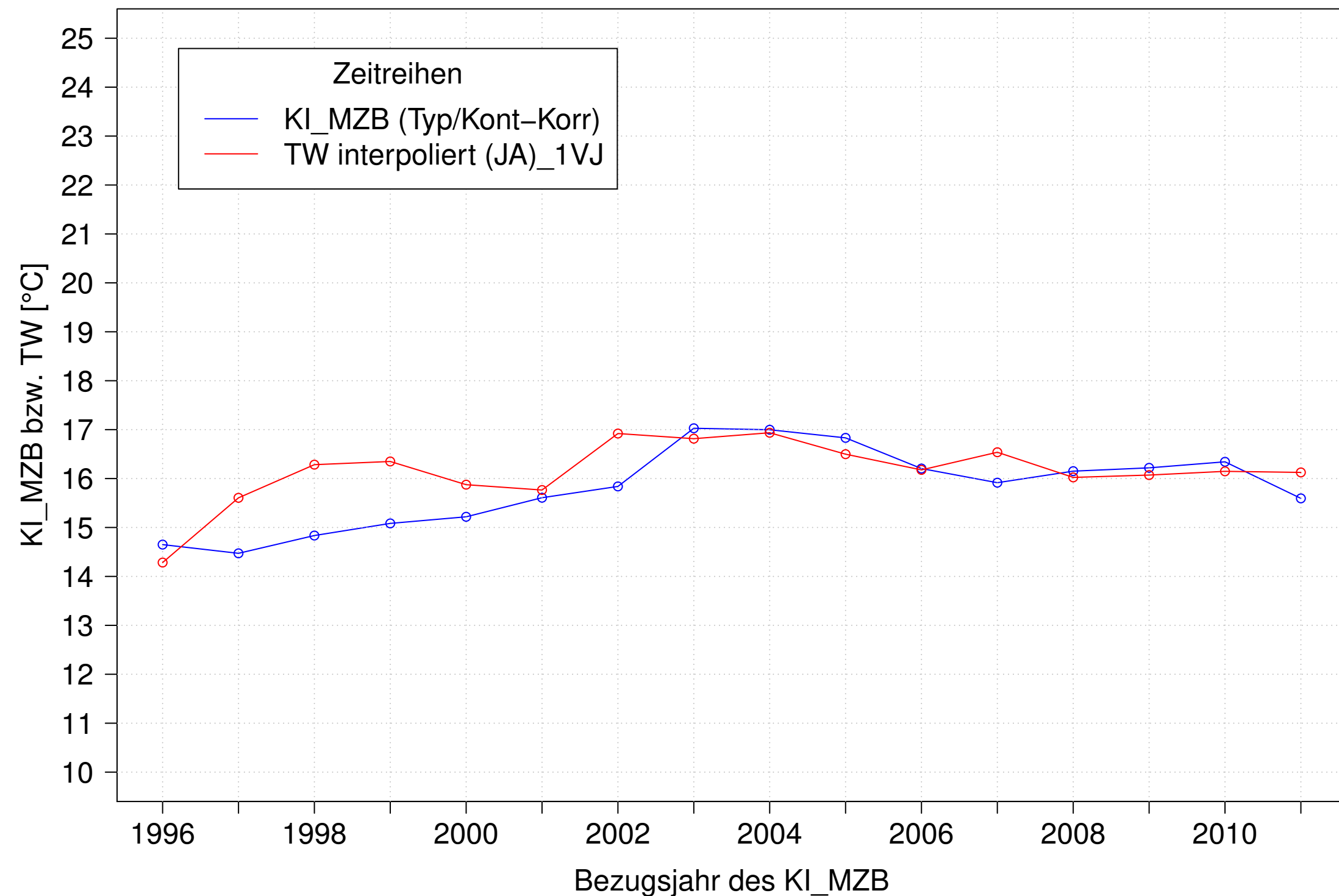
Brigach_Marbach, Typ 09.1 mit Neozoen, Serie 1
3JMW KI_MZB (Typ/Kont-Korr) und 3JMW TW interpoliert (JA) des 1. Vorjahres



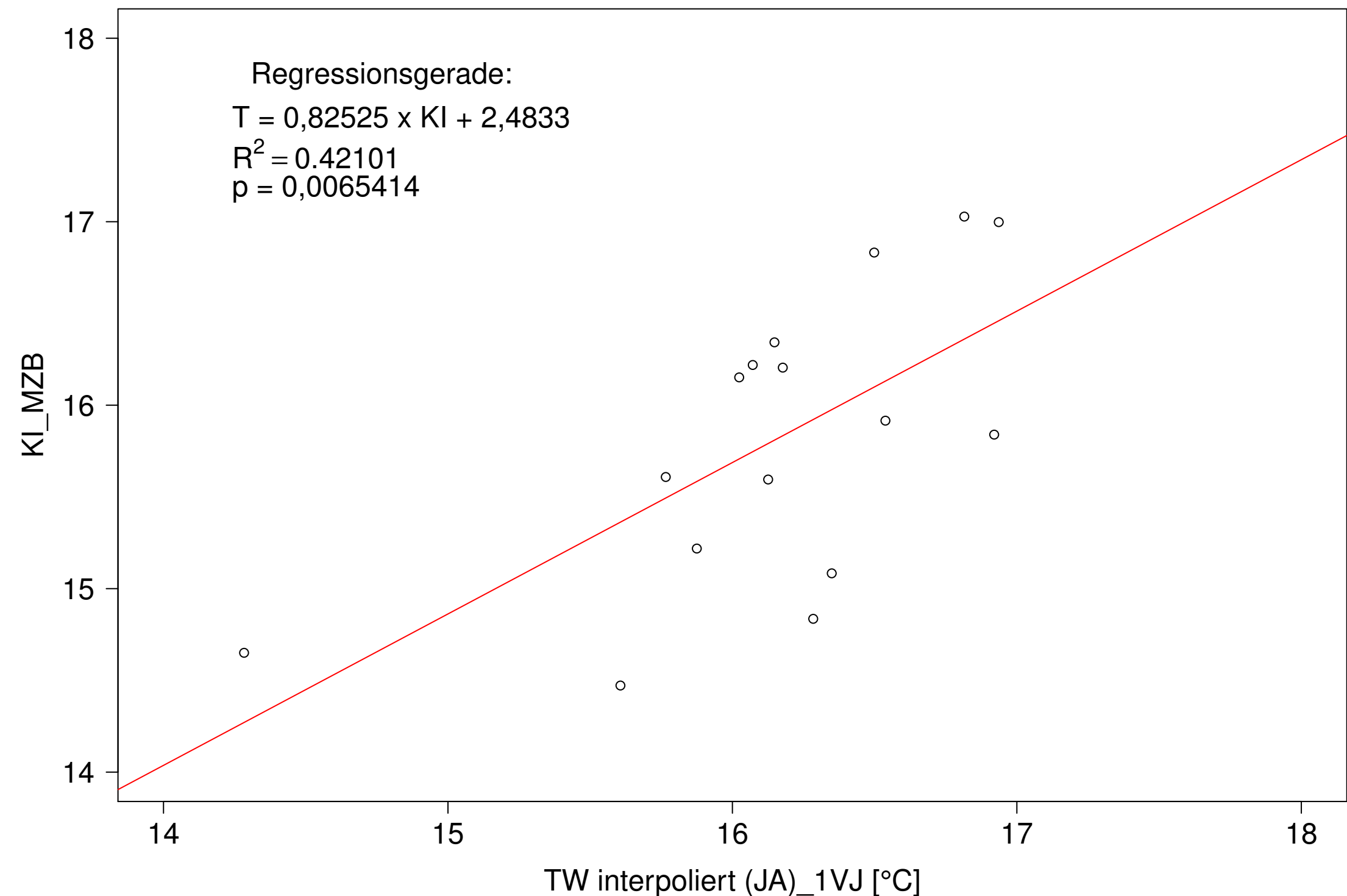
Brigach_Marbach, Typ 09.1 mit Neozoen, Serie 1
3JMW KI_MZB (Typ/Kont-Korr) gegen 3JMW TW interpoliert (JA) des 1. Vorjahres



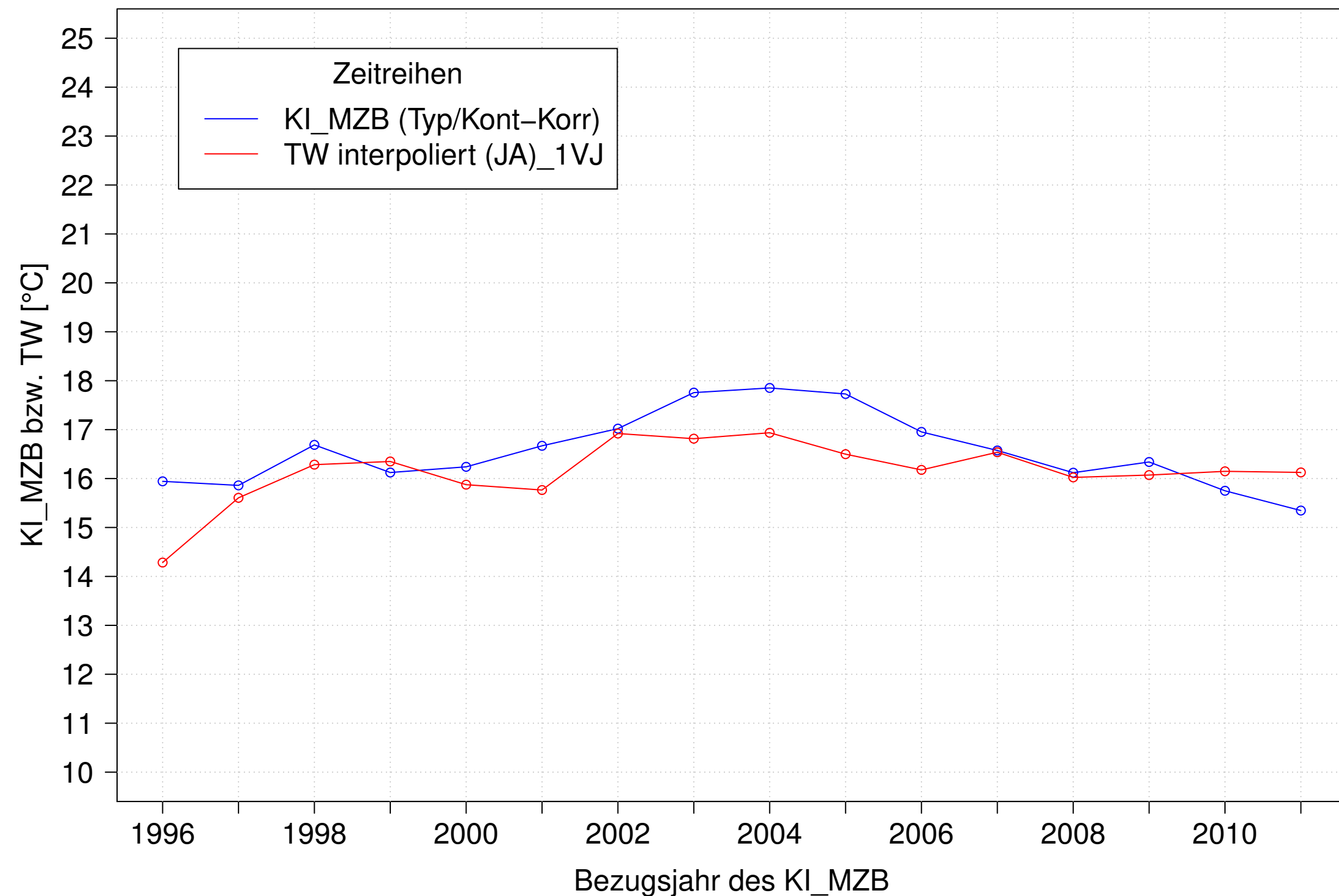
Brigach_Marbach, Typ 09.1 mit Neozoen, Serie 2
3JMW KI_MZB (Typ/Kont-Korr) und 3JMW TW interpoliert (JA) des 1. Vorjahres



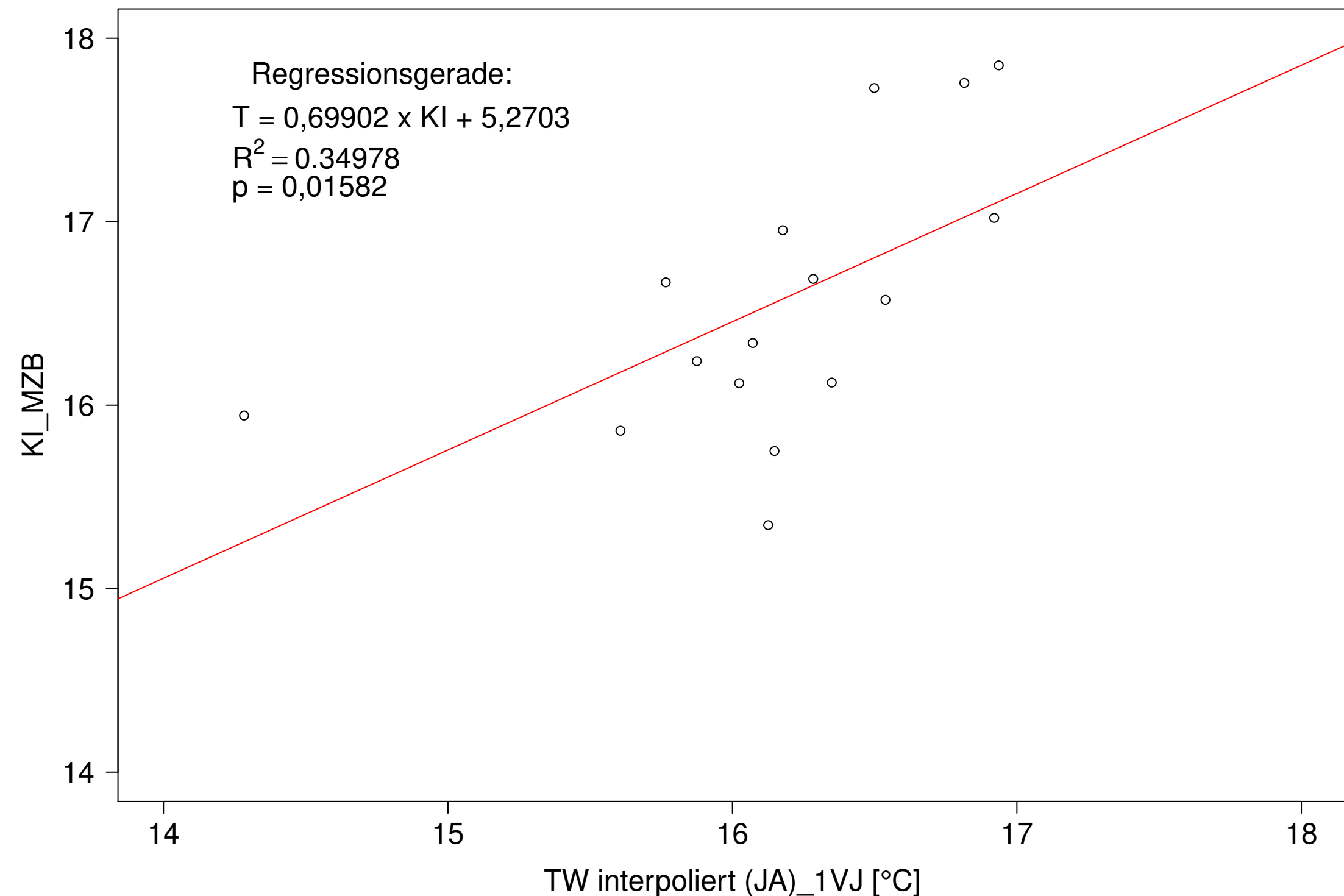
Brigach_Marbach, Typ 09.1 mit Neozoen, Serie 2
3JMW KI_MZB (Typ/Kont-Korr) gegen 3JMW TW interpoliert (JA) des 1. Vorjahres



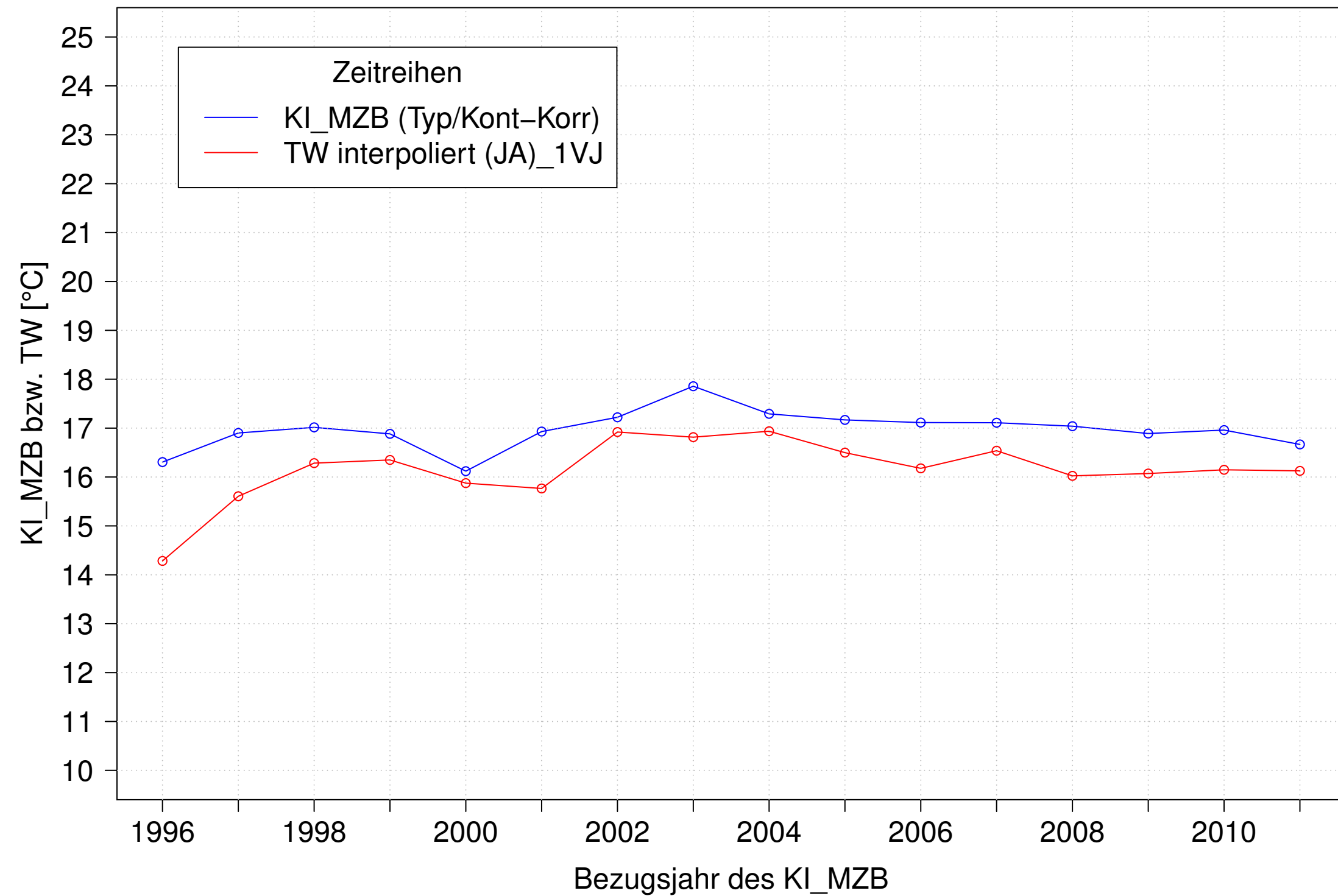
Brigach_Marbach, Typ 09.1 mit Neozoen, Serie 3
3JMW KI_MZB (Typ/Kont-Korr) und 3JMW TW interpoliert (JA) des 1. Vorjahres



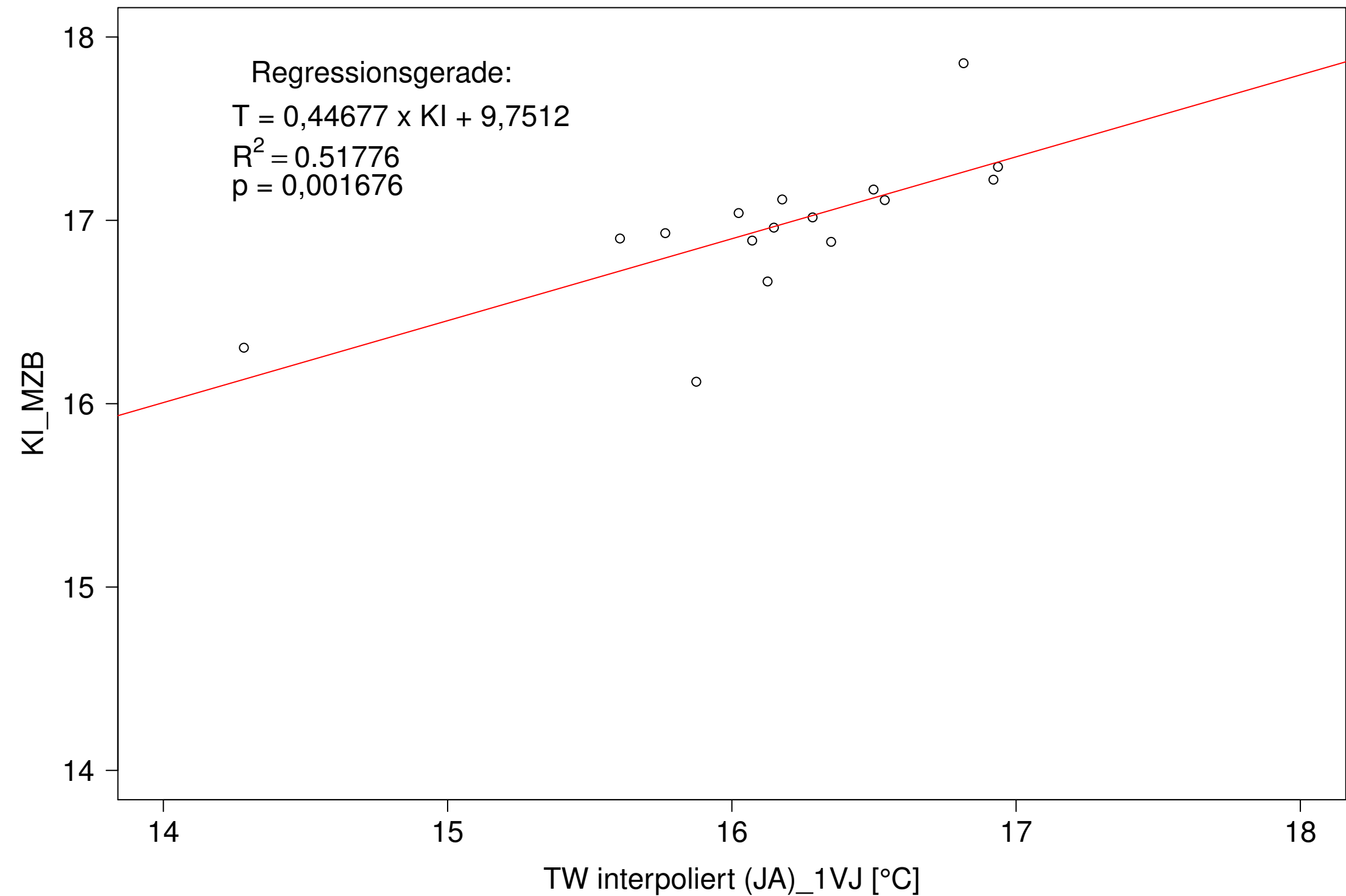
Brigach_Marbach, Typ 09.1 mit Neozoen, Serie 3
3JMW KI_MZB (Typ/Kont-Korr) gegen 3JMW TW interpoliert (JA) des 1. Vorjahres



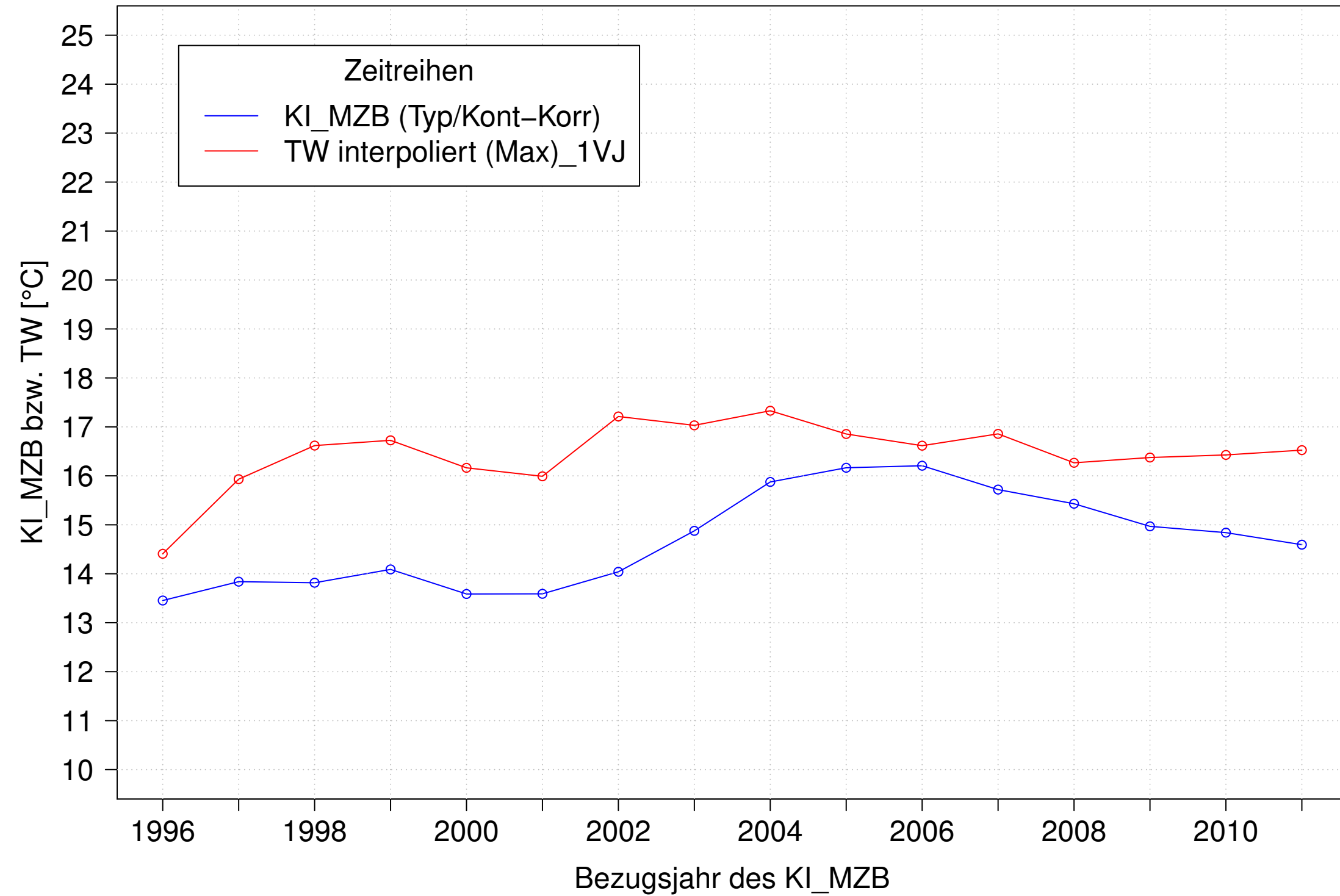
Brigach_Marbach, Typ 09.1 mit Neozoen, Serie 4
3JMW KI_MZB (Typ/Kont-Korr) und 3JMW TW interpoliert (JA) des 1. Vorjahres



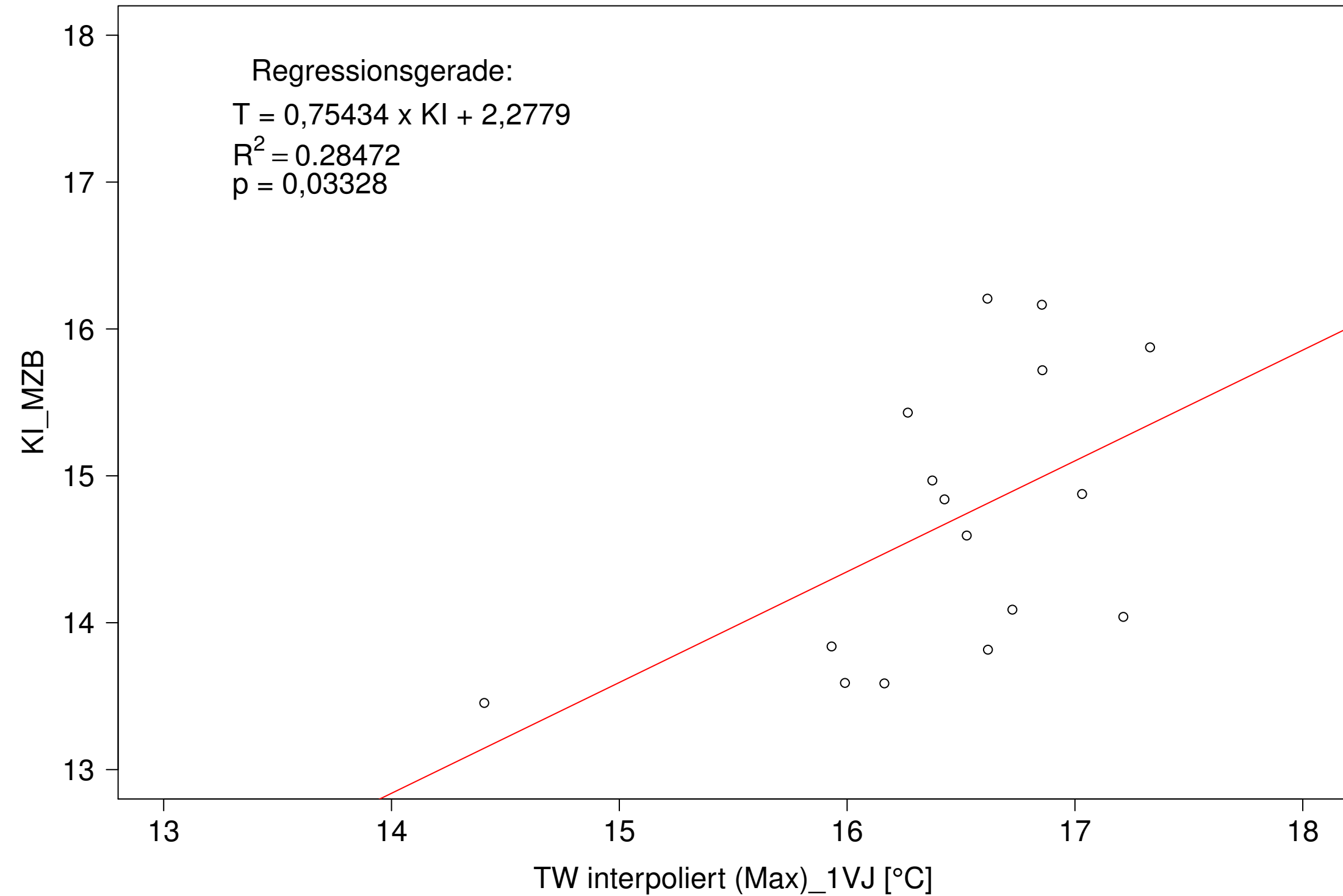
Brigach_Marbach, Typ 09.1 mit Neozoen, Serie 4
3JMW KI_MZB (Typ/Kont-Korr) gegen 3JMW TW interpoliert (JA) des 1. Vorjahres



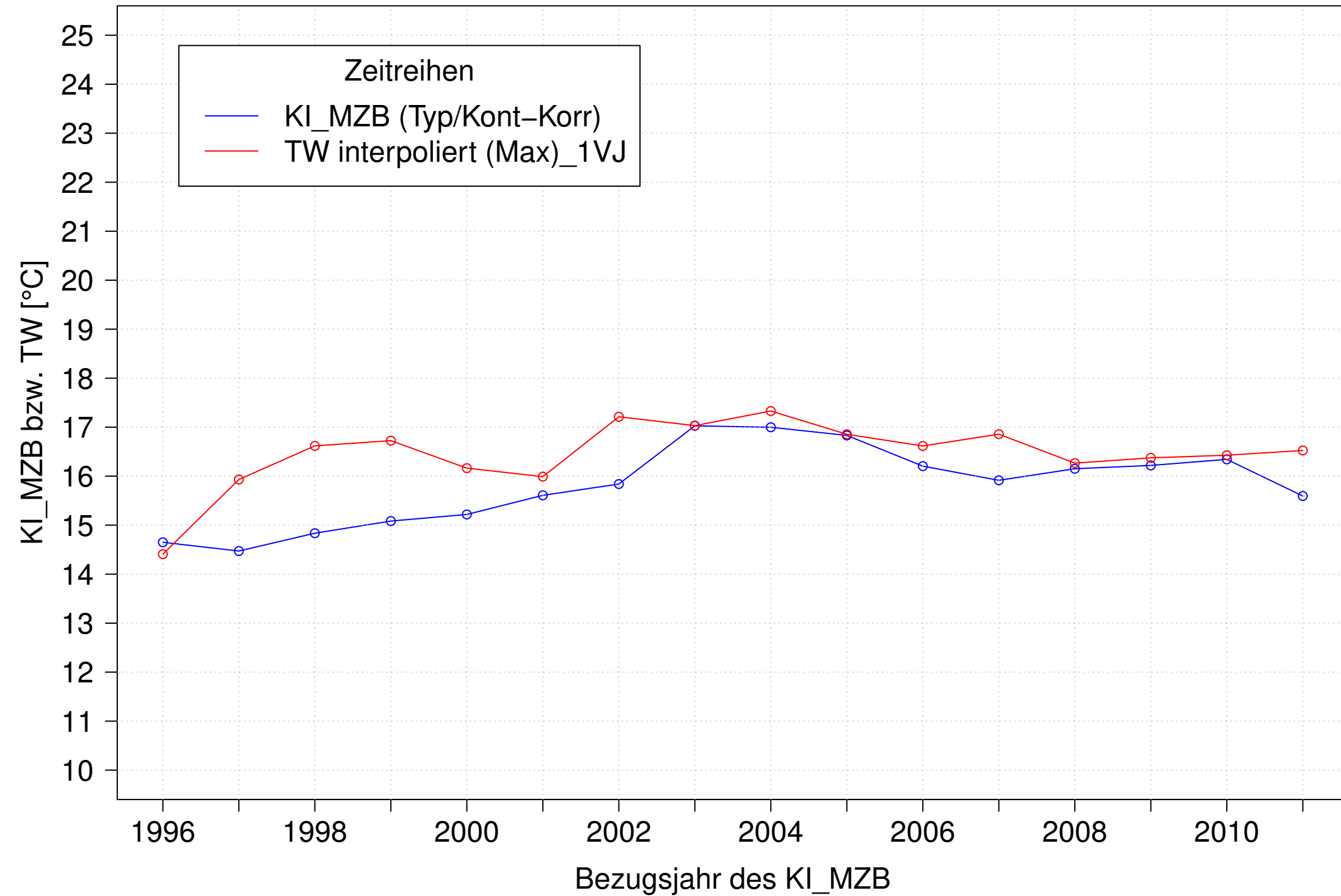
Brigach_Marbach, Typ 09.1 mit Neozoen, Serie 1
3JMW KI_MZB (Typ/Kont-Korr) und 3JMW TW interpoliert (Max) des 1. Vorjahres



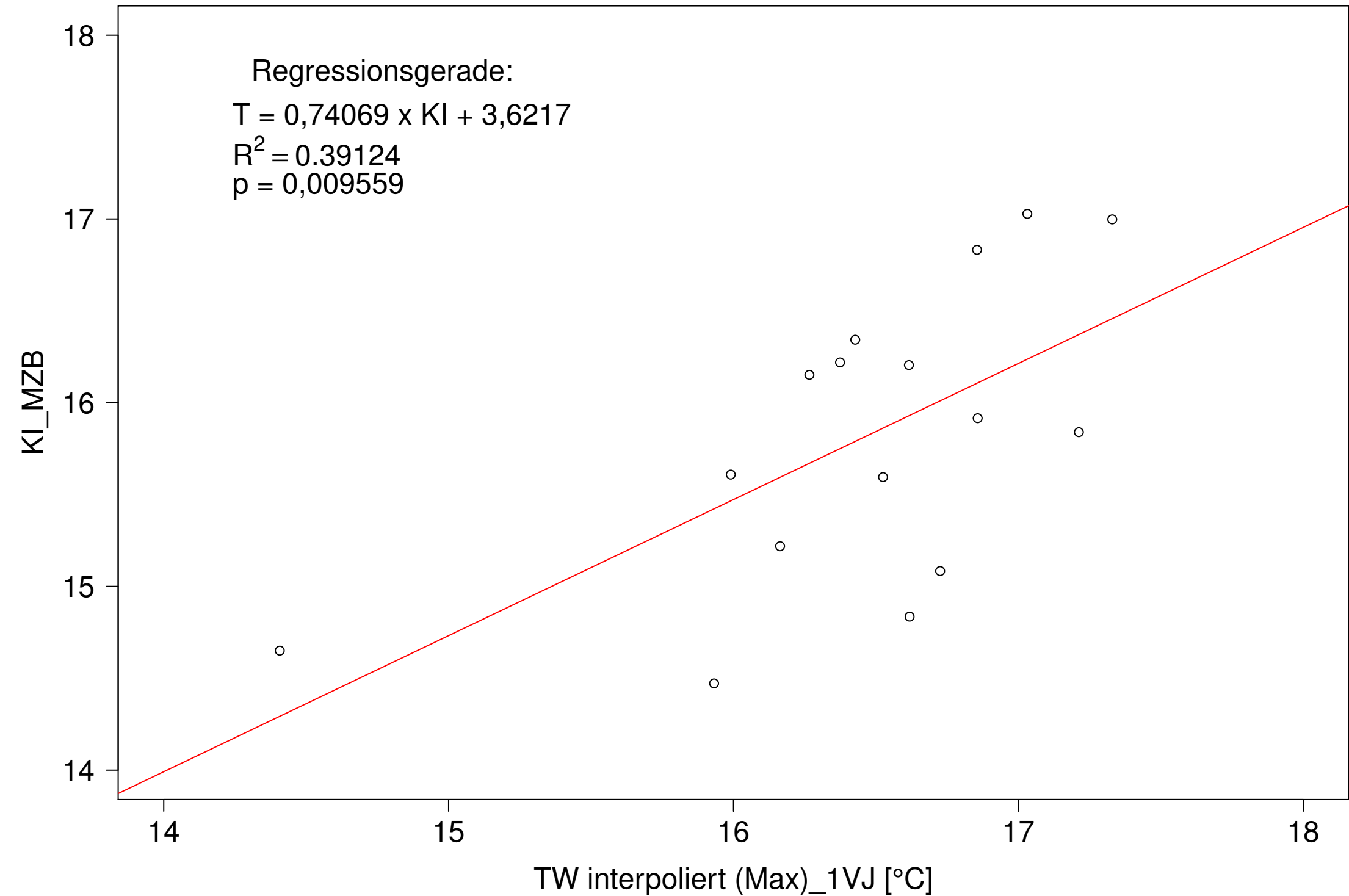
Brigach_Marbach, Typ 09.1 mit Neozoen, Serie 1
3JMW KI_MZB (Typ/Kont-Korr) gegen 3JMW TW interpoliert (Max) des 1. Vorjahres



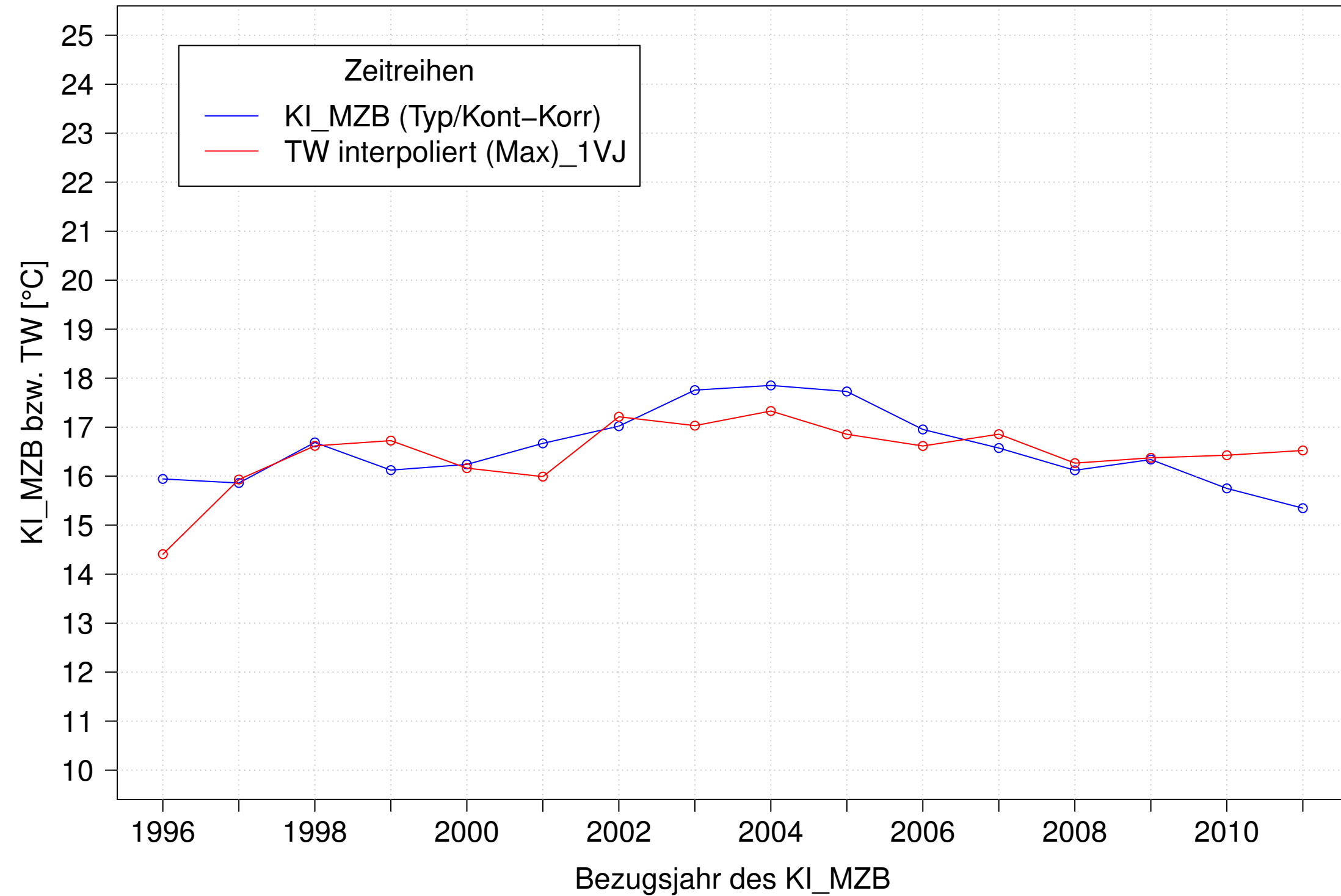
Brigach_Marbach, Typ 09.1 mit Neozoen, Serie 2
3JMW KI_MZB (Typ/Kont-Korr) und 3JMW TW interpoliert (Max) des 1. Vorjahres



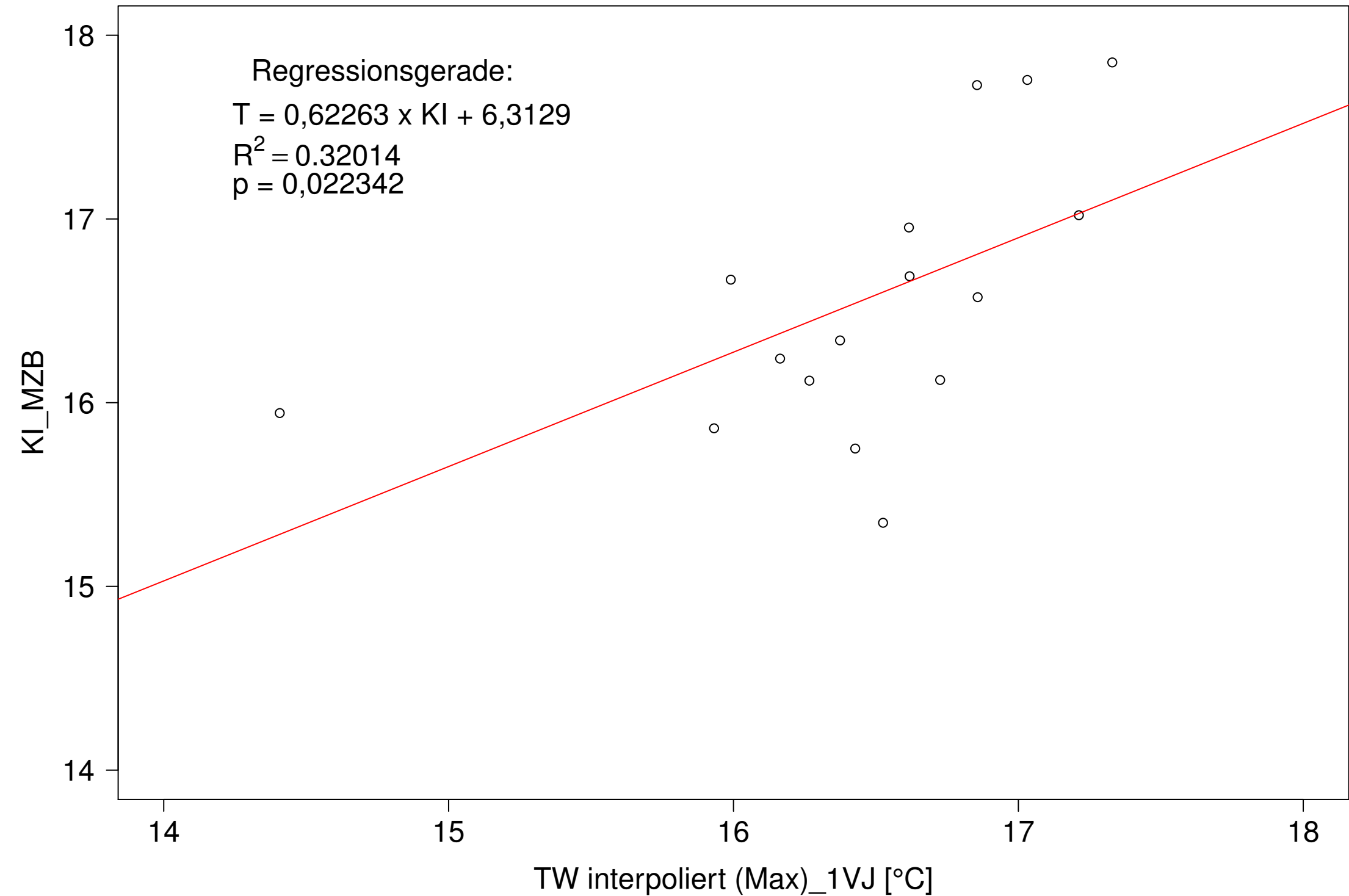
Brigach_Marbach, Typ 09.1 mit Neozoen, Serie 2
3JMW KI_MZB (Typ/Kont-Korr) gegen 3JMW TW interpoliert (Max) des 1. Vorjahres



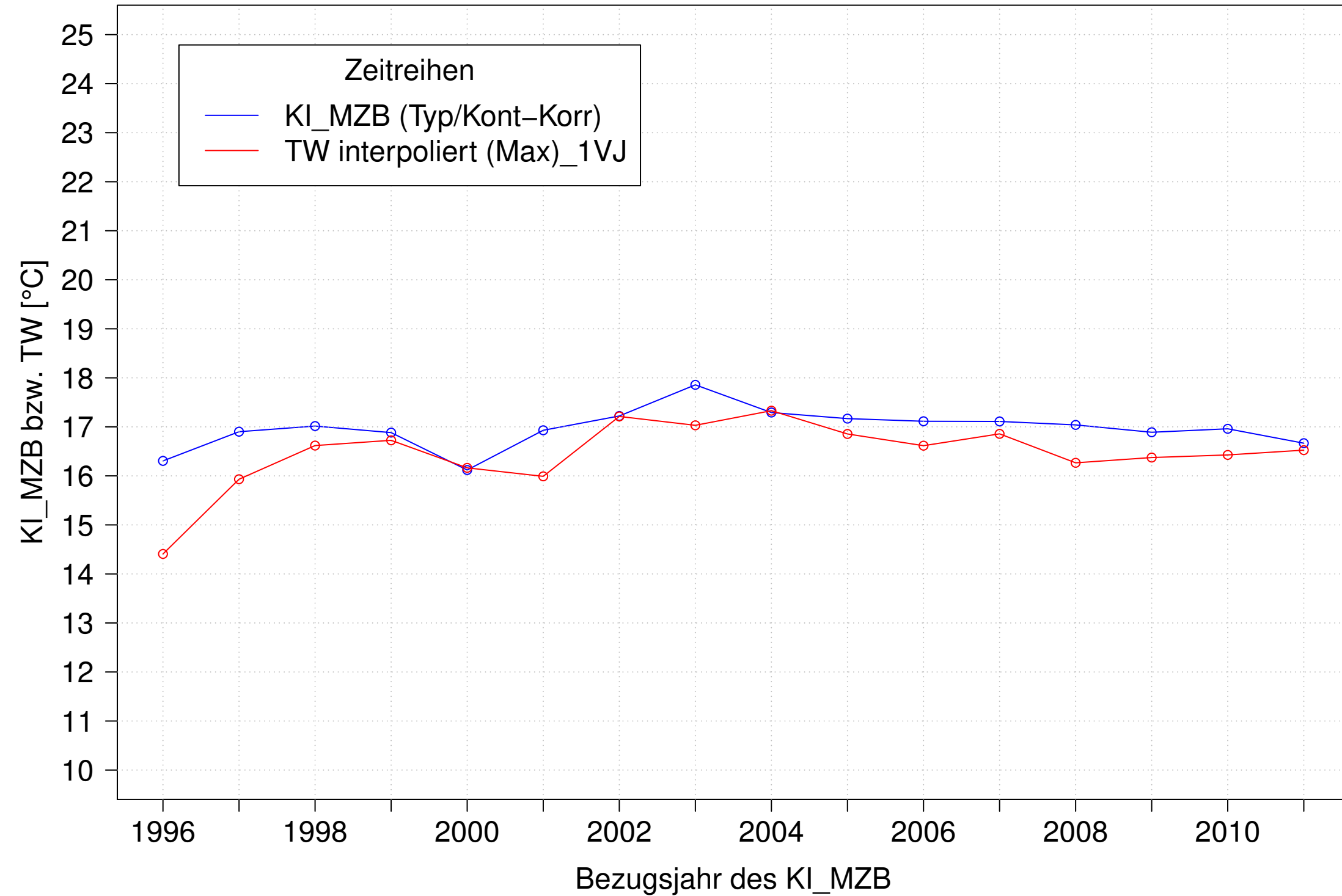
Brigach_Marbach, Typ 09.1 mit Neozoen, Serie 3
3JMW KI_MZB (Typ/Kont-Korr) und 3JMW TW interpoliert (Max) des 1. Vorjahres



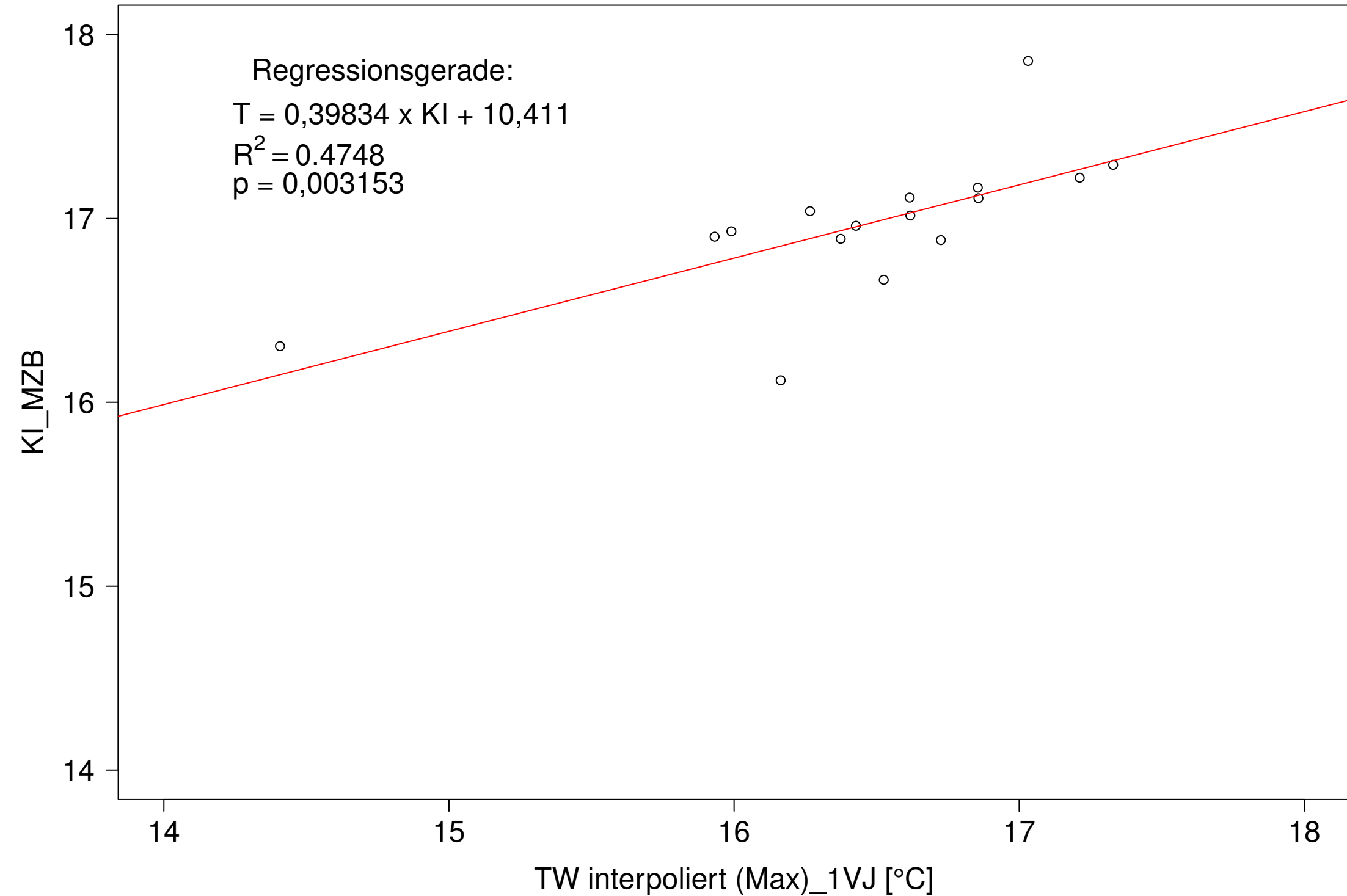
Brigach_Marbach, Typ 09.1 mit Neozoen, Serie 3
3JMW KI_MZB (Typ/Kont-Korr) gegen 3JMW TW interpoliert (Max) des 1. Vorjahres



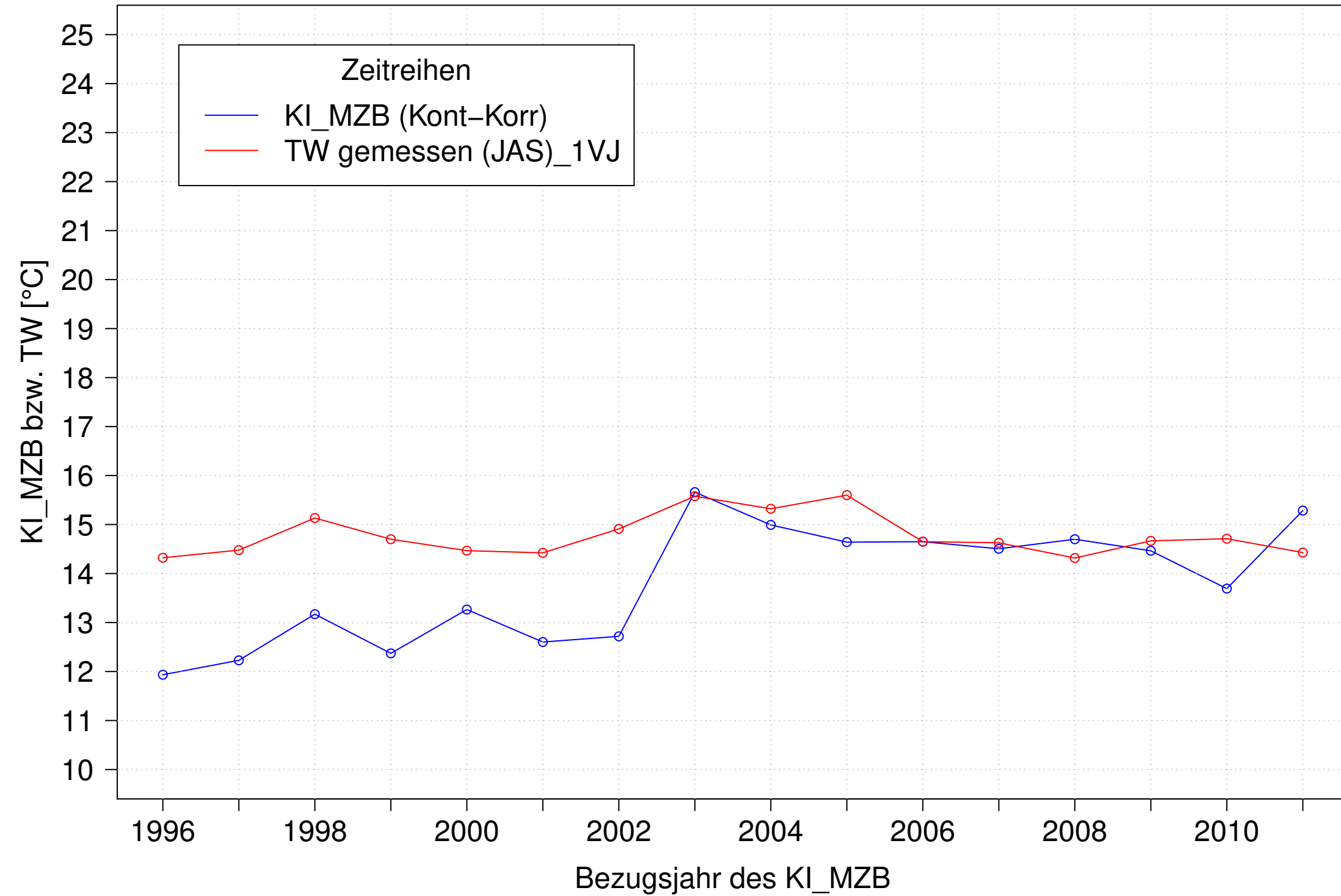
Brigach_Marbach, Typ 09.1 mit Neozoen, Serie 4
3JMW KI_MZB (Typ/Kont-Korr) und 3JMW TW interpoliert (Max) des 1. Vorjahres



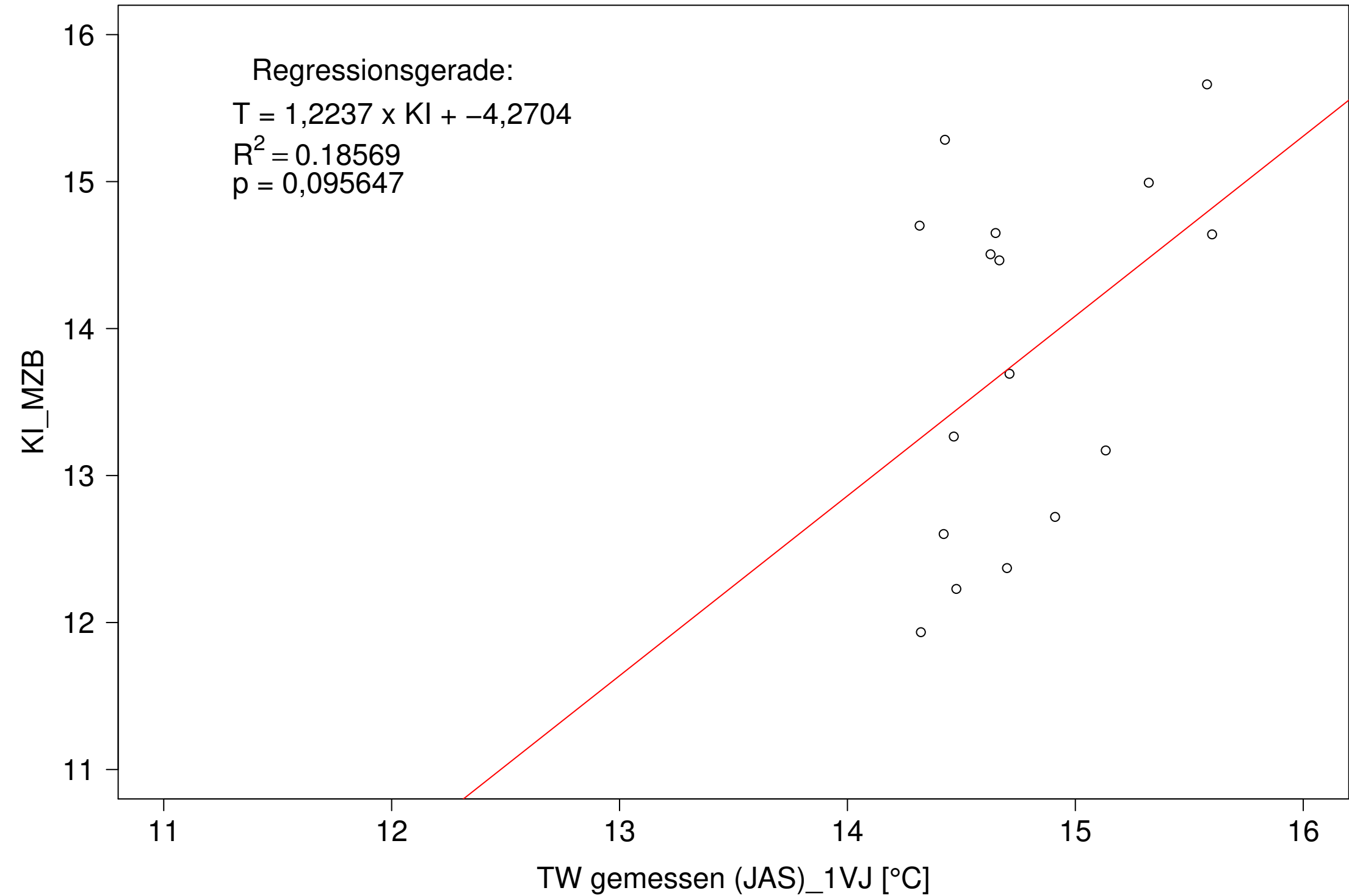
Brigach_Marbach, Typ 09.1 mit Neozoen, Serie 4
3JMW KI_MZB (Typ/Kont-Korr) gegen 3JMW TW interpoliert (Max) des 1. Vorjahres



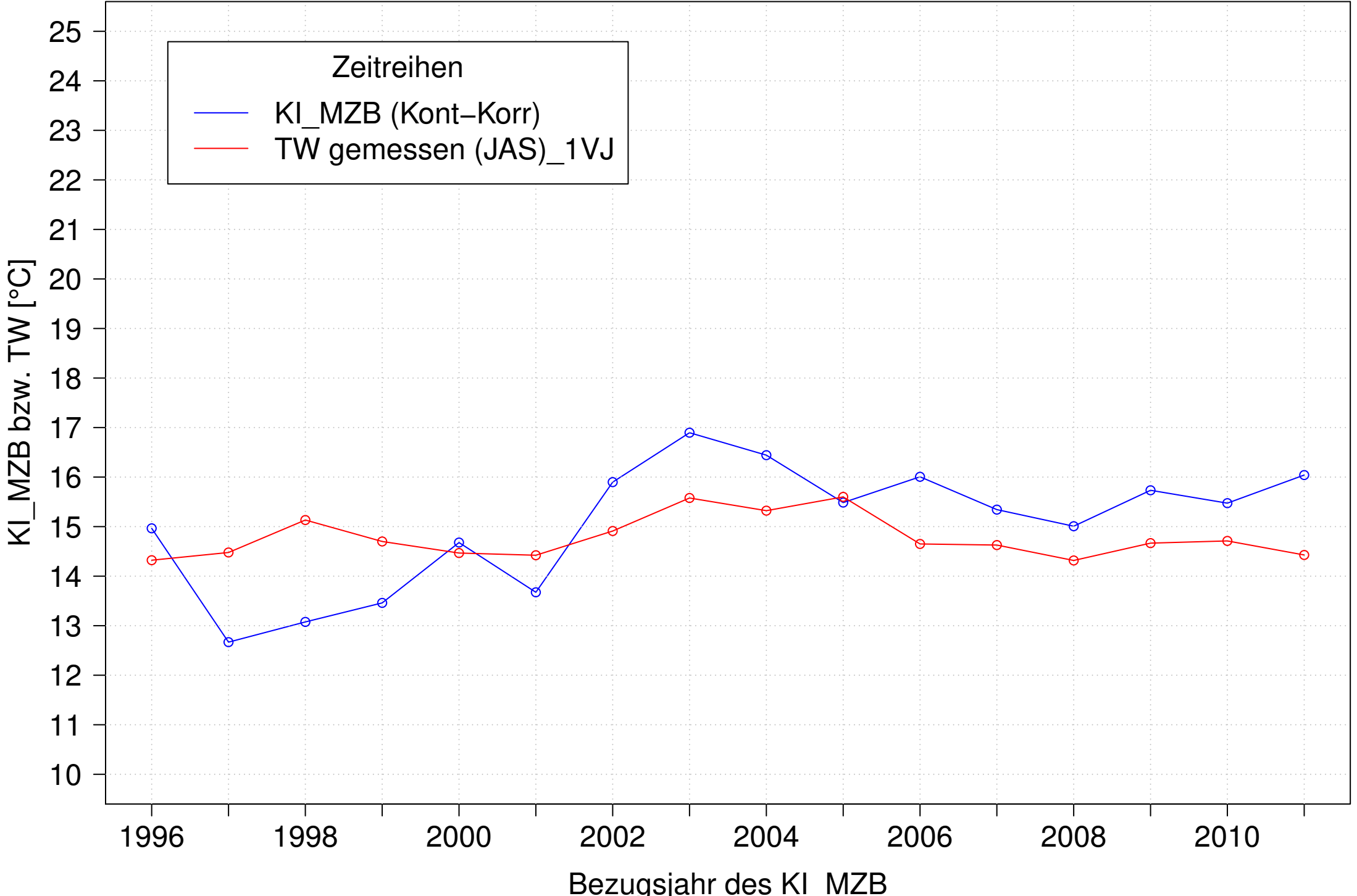
Donau_Pfohren, Typ 09.2 mit Neozoen, Serie 1
KI_MZB (Kont-Korr) und 3JMW TW gemessen (JAS) des 1. Vorjahres



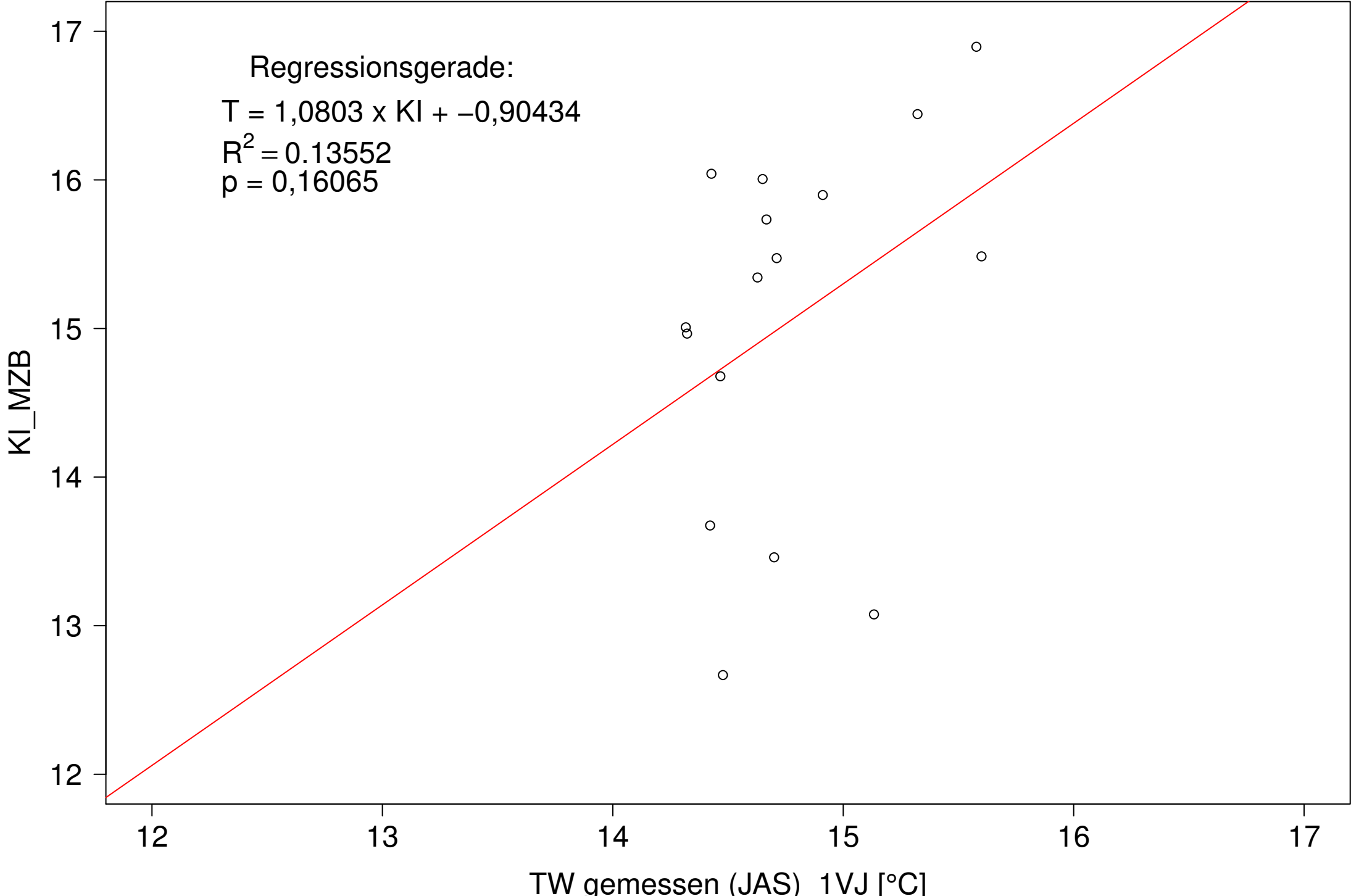
Donau_Pfohren, Typ 09.2 mit Neozoen, Serie 1
KI_MZB (Kont-Korr) gegen 3JMW TW gemessen (JAS) des 1. Vorjahres



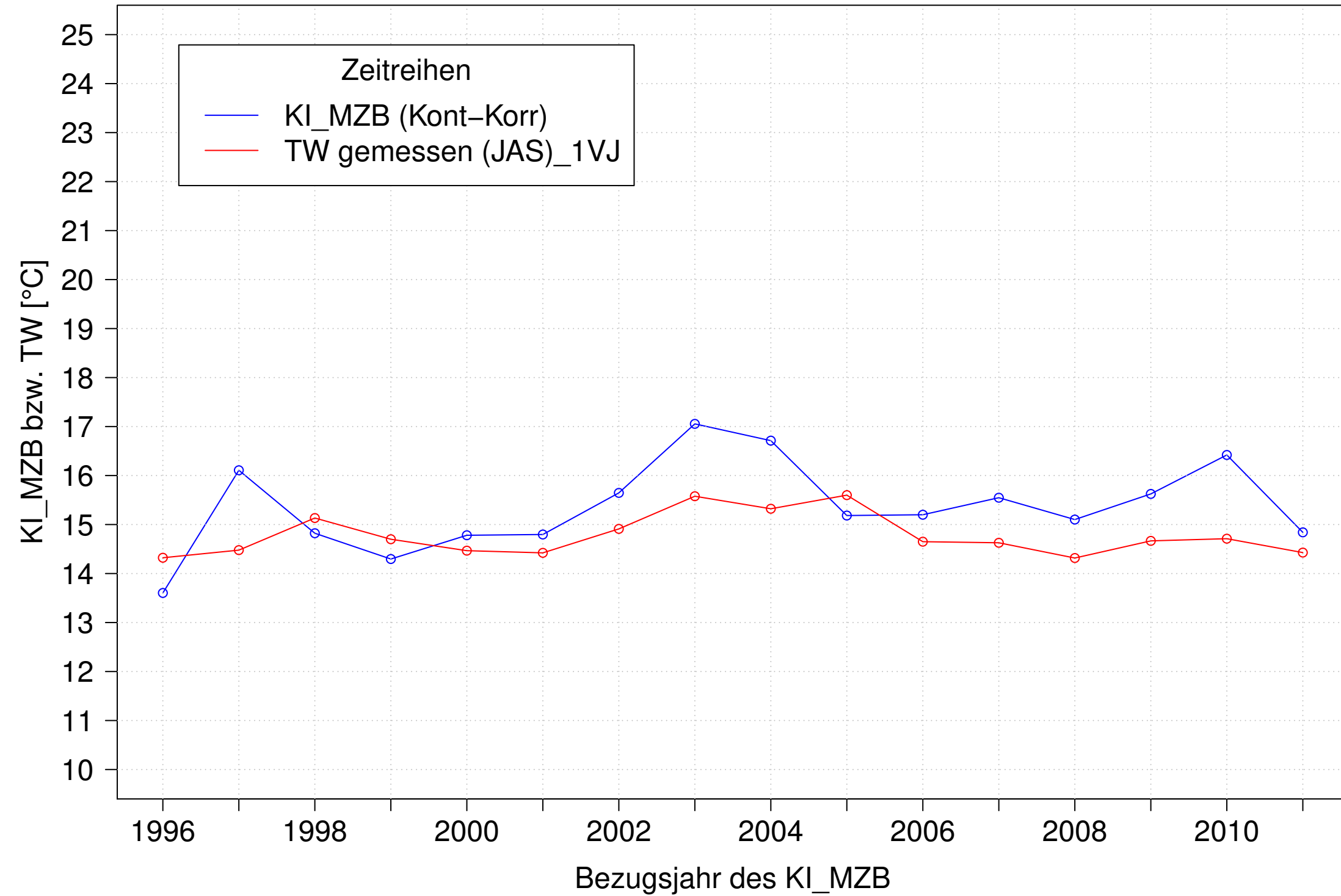
Donau_Pföhren, Typ 09.2 mit Neozoen, Serie 2
KI_MZB (Kont-Korr) und 3JMW TW gemessen (JAS) des 1. Vorjahres



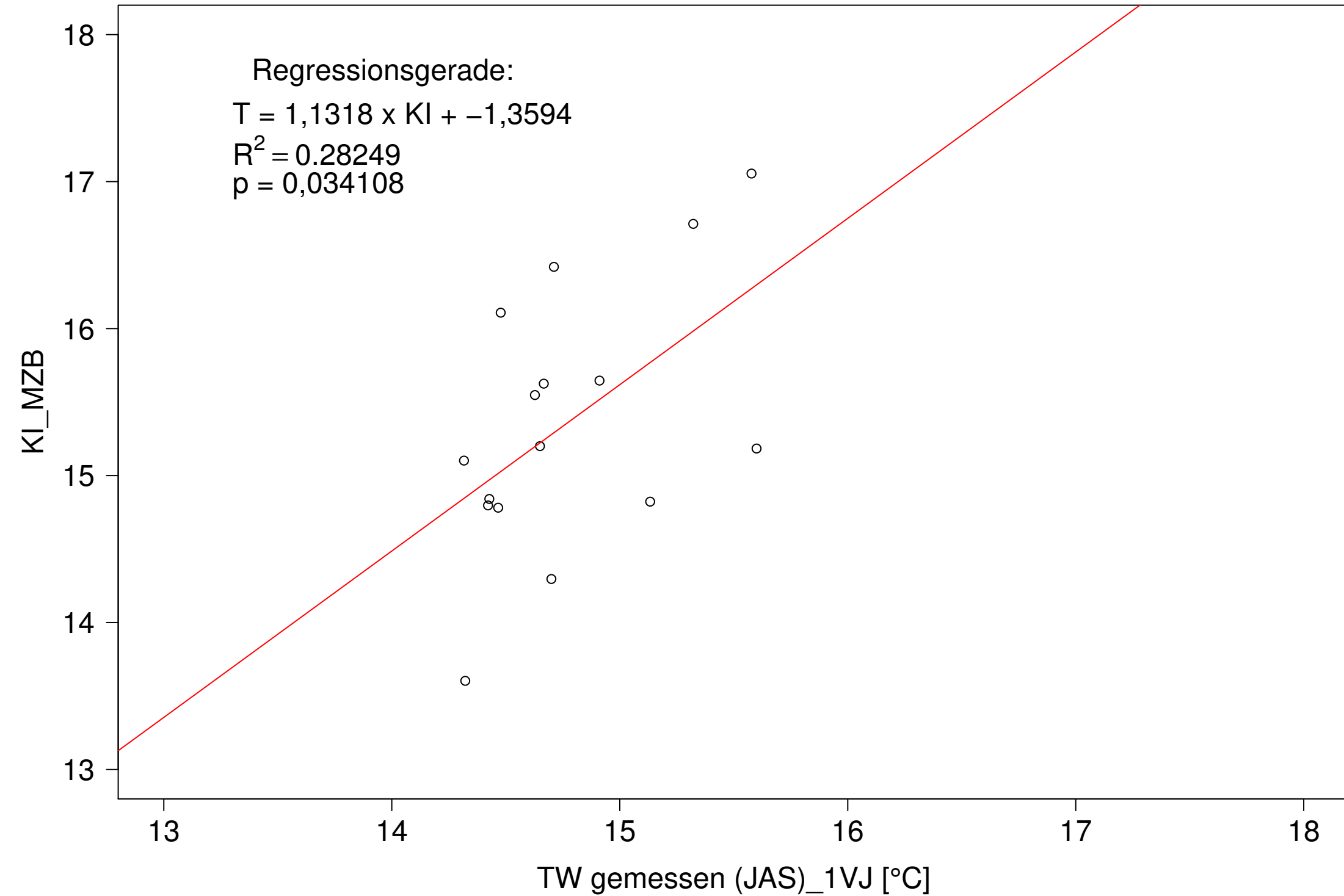
Donau_Pföhen, Typ 09.2 mit Neozoen, Serie 2
KI_MZB (Kont-Korr) gegen 3JMW TW gemessen (JAS) des 1. Vorjahres



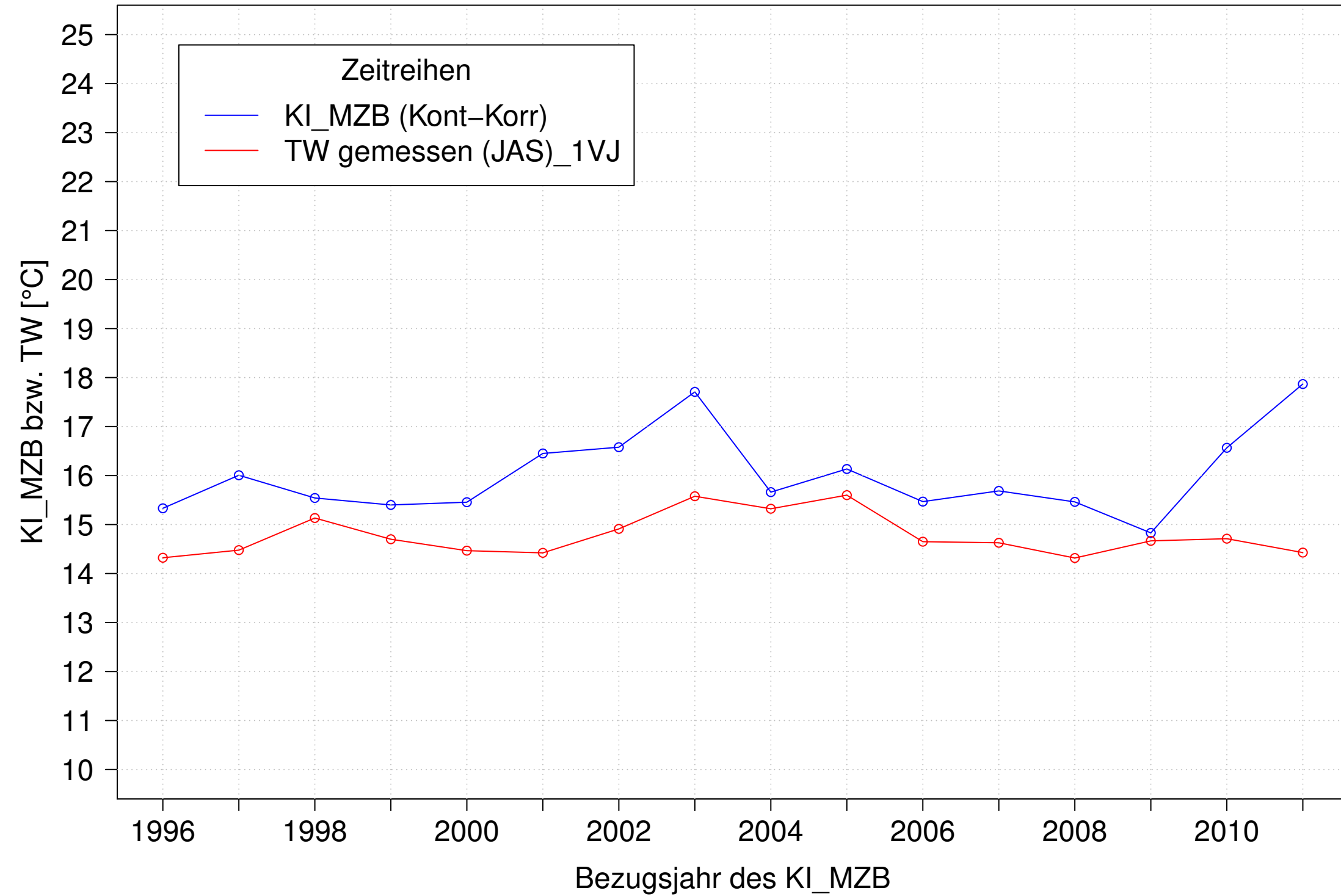
Donau_Pfohren, Typ 09.2 mit Neozoen, Serie 3
KI_MZB (Kont-Korr) und 3JMW TW gemessen (JAS) des 1. Vorjahres



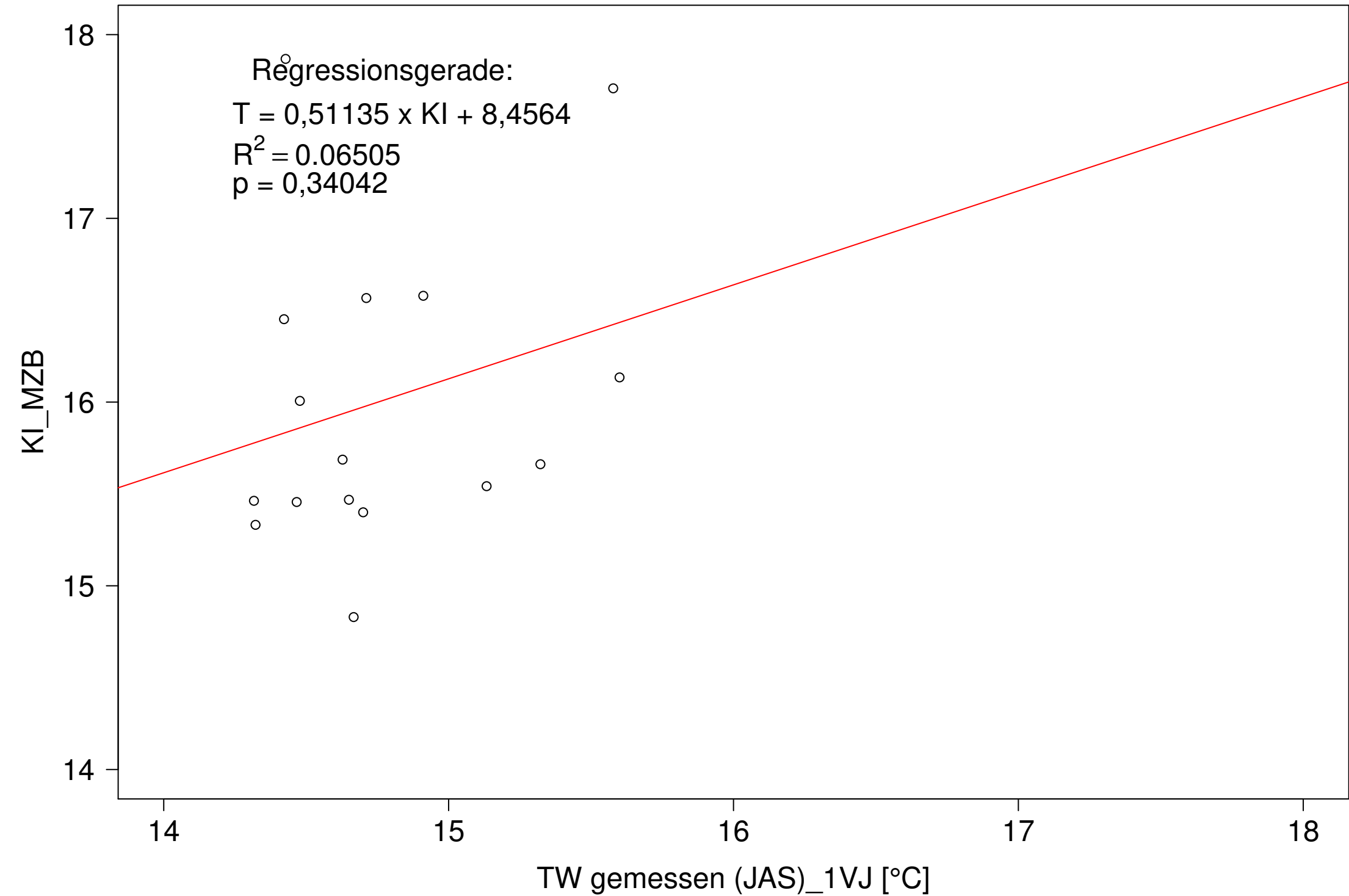
Donau_Pfohren, Typ 09.2 mit Neozoen, Serie 3
KI_MZB (Kont-Korr) gegen 3JMW TW gemessen (JAS) des 1. Vorjahres



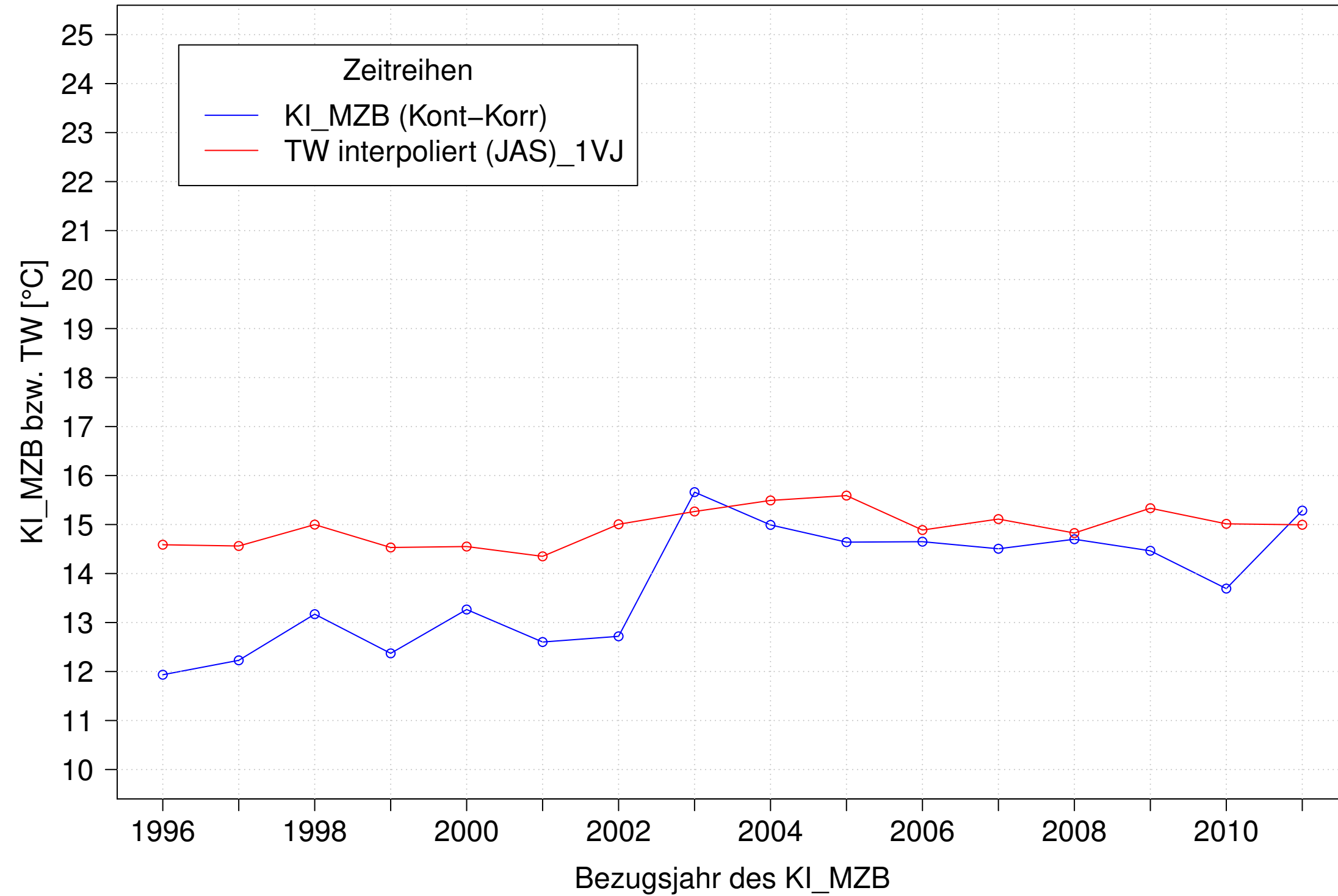
Donau_Pfohren, Typ 09.2 mit Neozoen, Serie 4
 KI_MZB (Kont-Korr) und 3JMW TW gemessen (JAS) des 1. Vorjahres



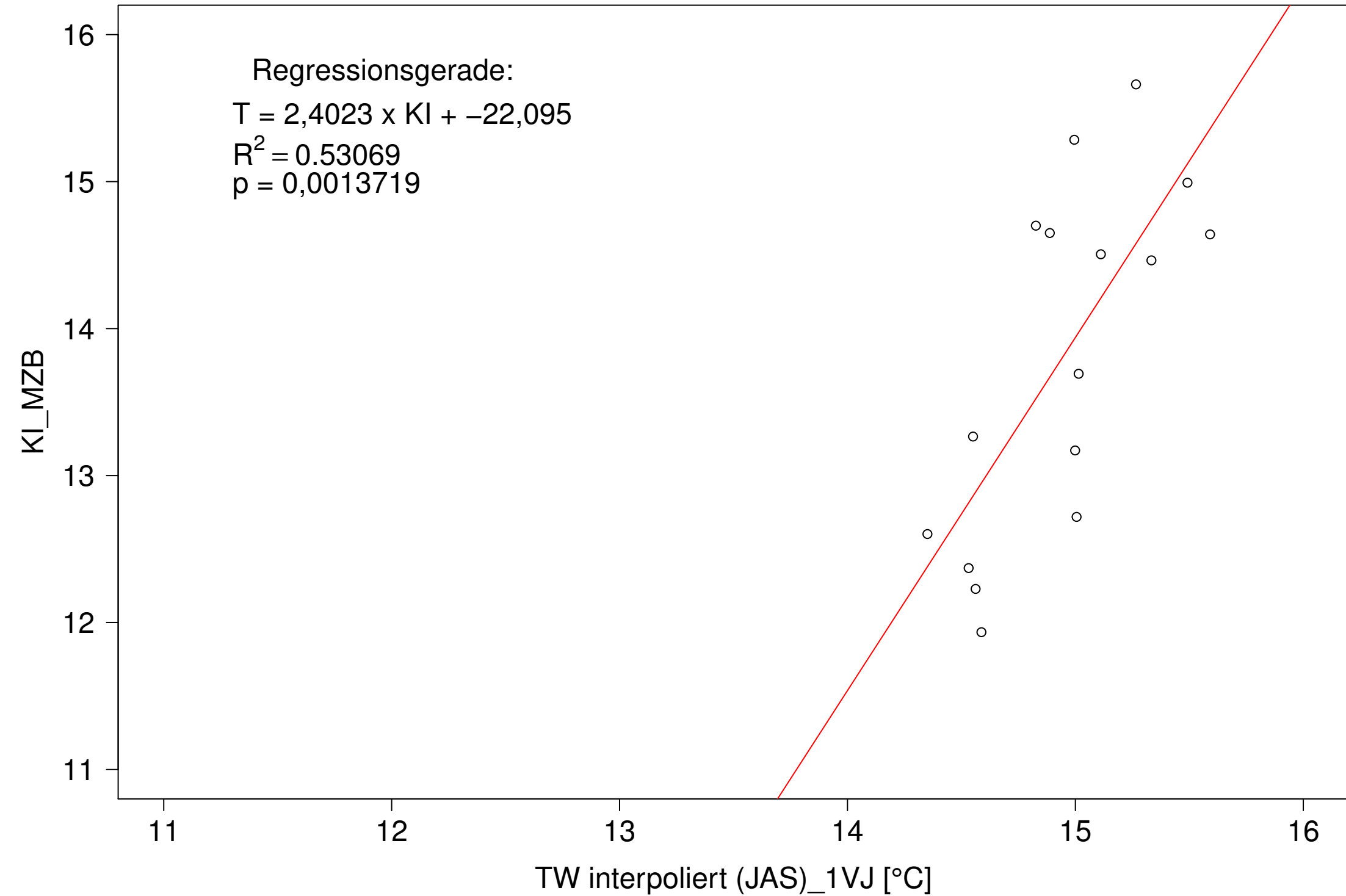
Donau_Pfohren, Typ 09.2 mit Neozoen, Serie 4
 KI_MZB (Kont-Korr) gegen 3JMW TW gemessen (JAS) des 1. Vorjahres



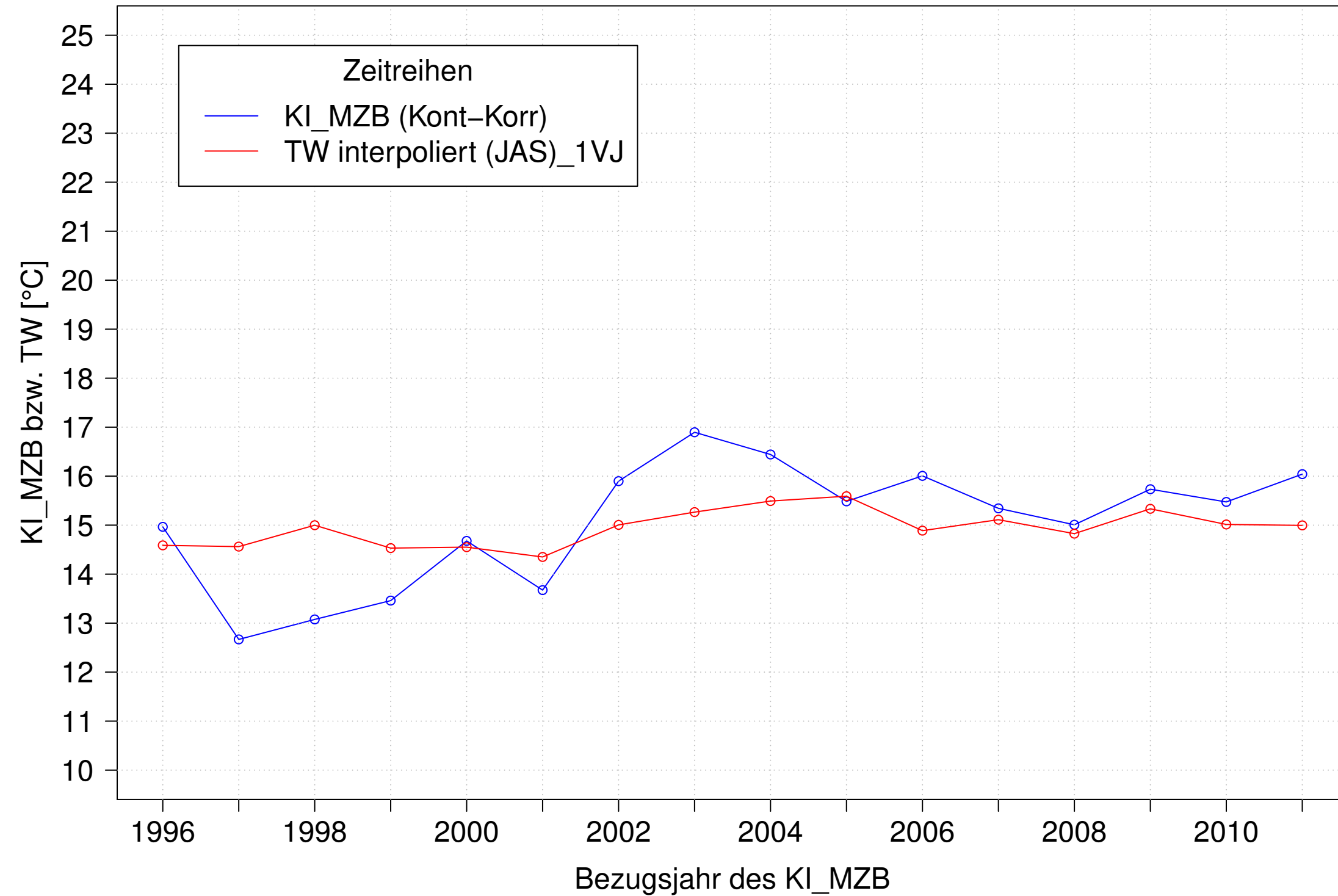
Donau_Pfohren, Typ 09.2 mit Neozoen, Serie 1
KI_MZB (Kont-Korr) und 3JMW TW interpoliert (JAS) des 1. Vorjahres



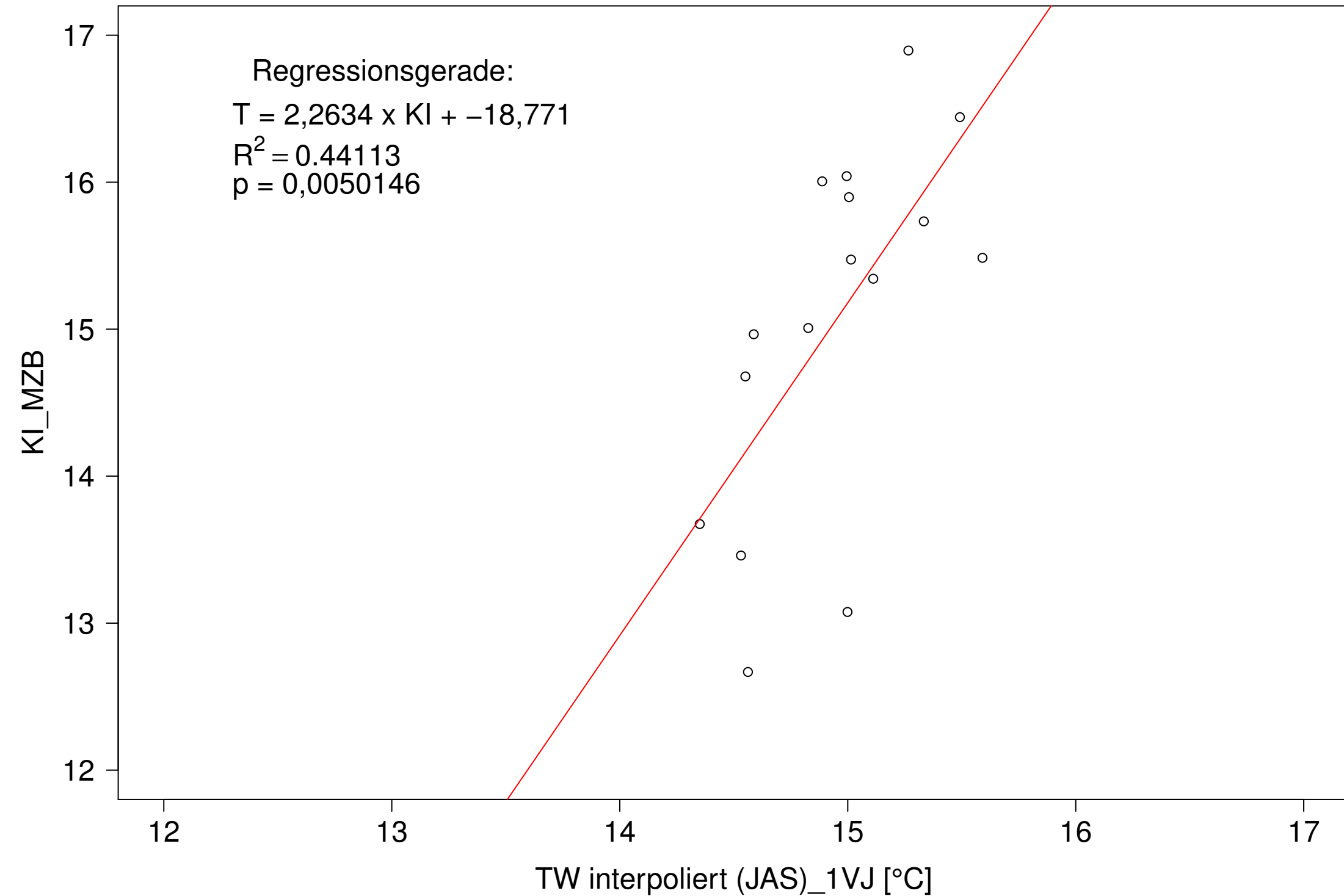
Donau_Pfohren, Typ 09.2 mit Neozoen, Serie 1
KI_MZB (Kont-Korr) gegen 3JMW TW interpoliert (JAS) des 1. Vorjahres



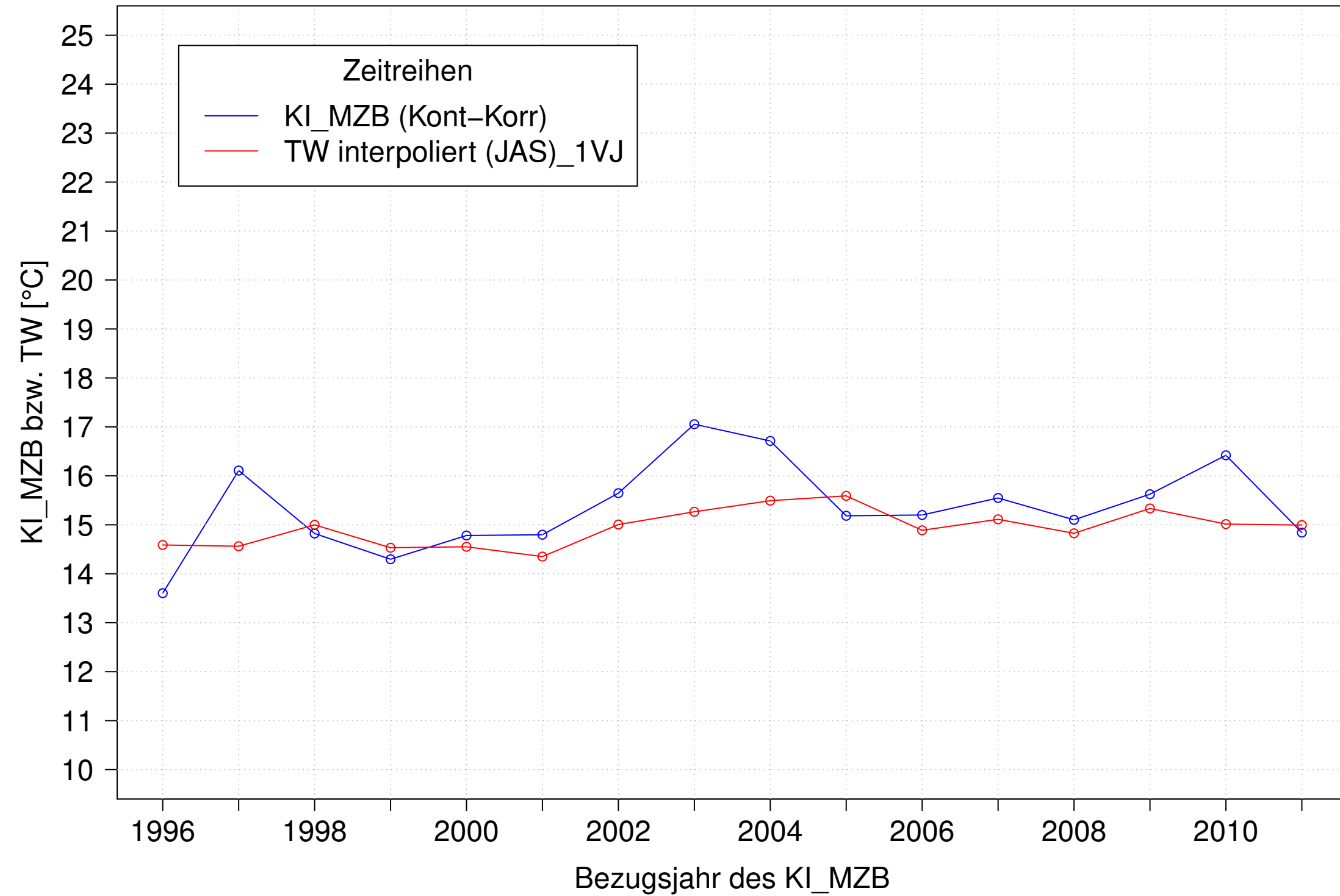
Donau_Pfohren, Typ 09.2 mit Neozoen, Serie 2
KI_MZB (Kont-Korr) und 3JMW TW interpoliert (JAS) des 1. Vorjahres



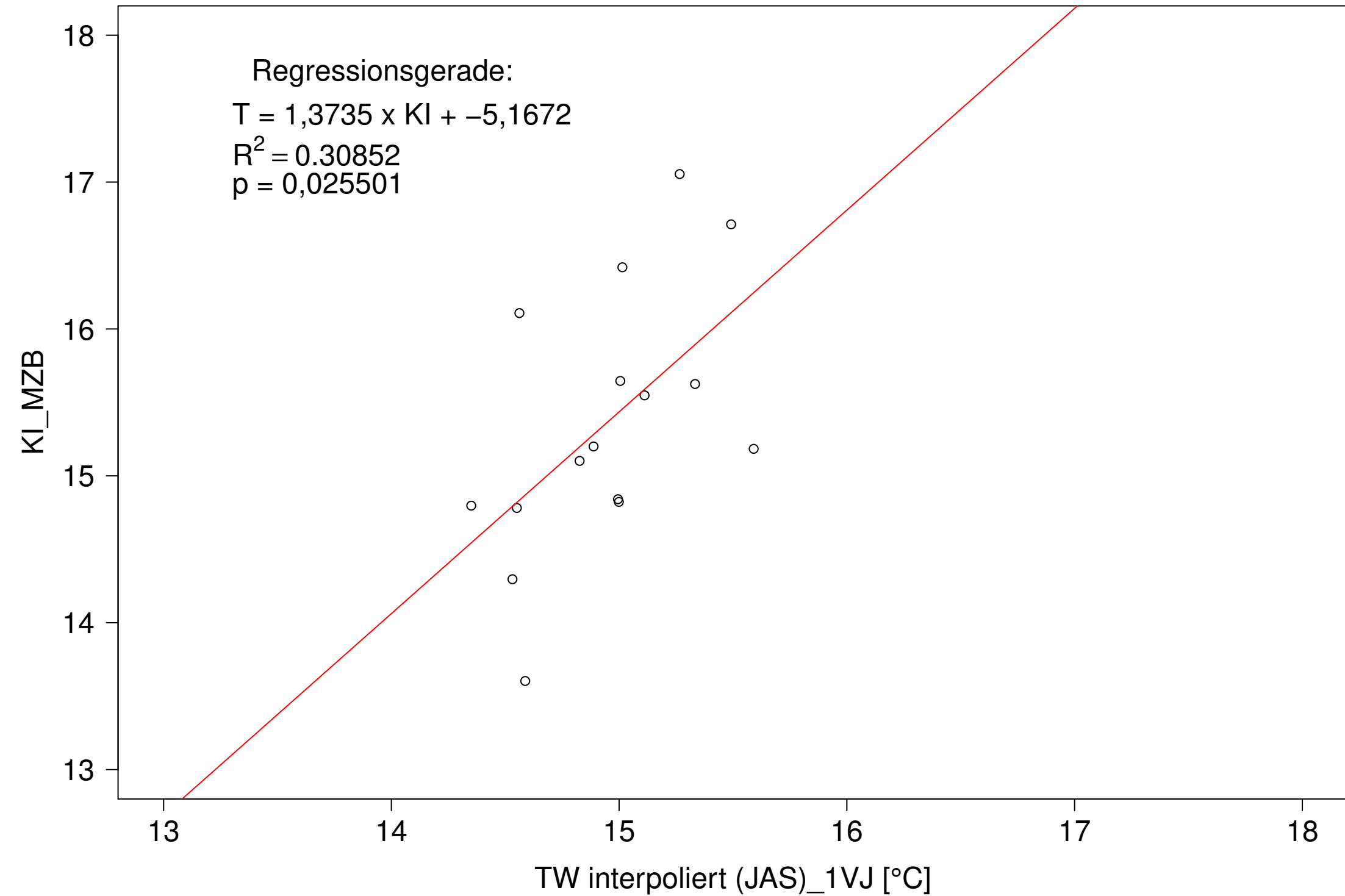
Donau_Pfohren, Typ 09.2 mit Neozoen, Serie 2
KI_MZB (Kont-Korr) gegen 3JMW TW interpoliert (JAS) des 1. Vorjahres



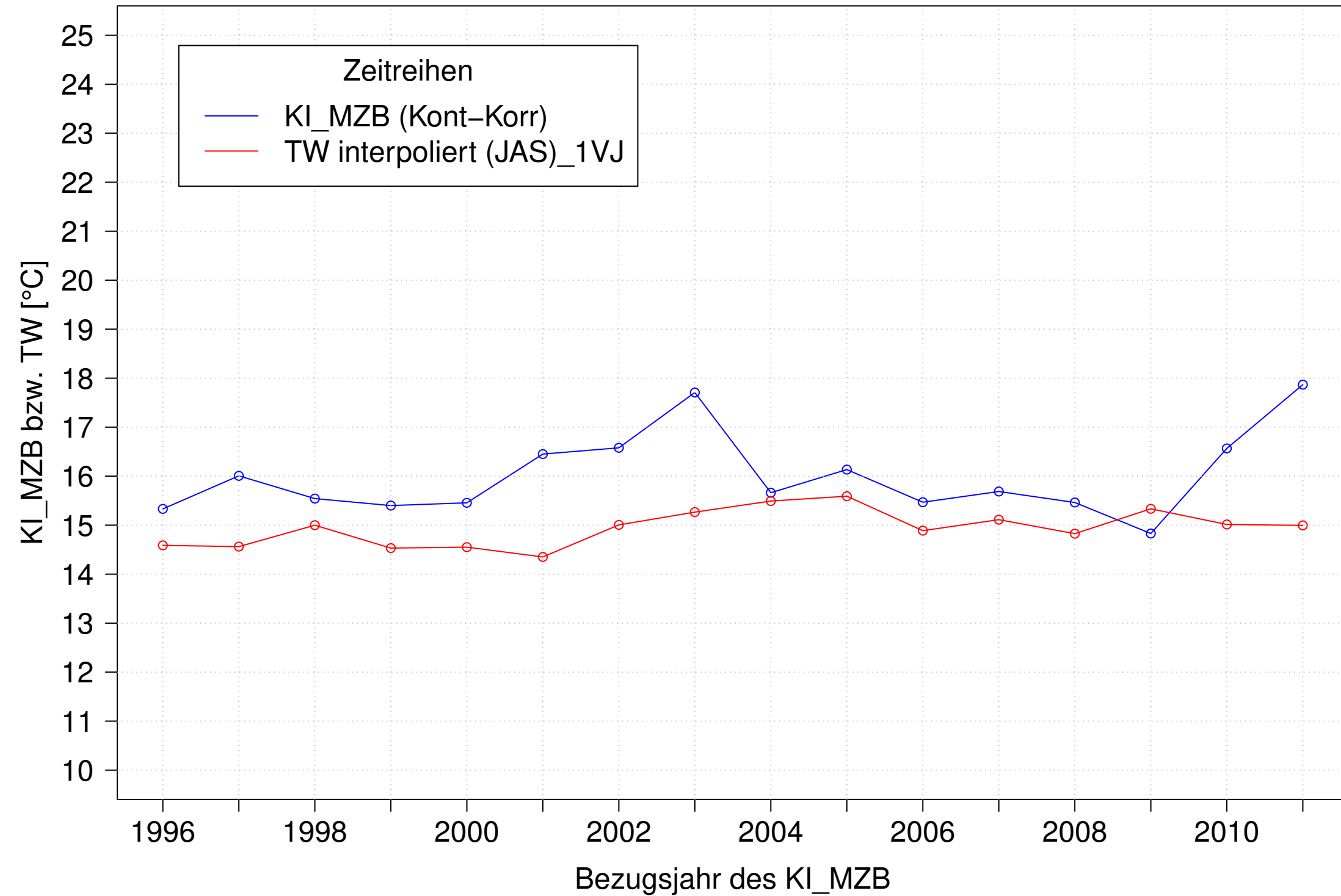
Donau_Pfohren, Typ 09.2 mit Neozoen, Serie 3
KI_MZB (Kont-Korr) und 3JMW TW interpoliert (JAS) des 1. Vorjahres



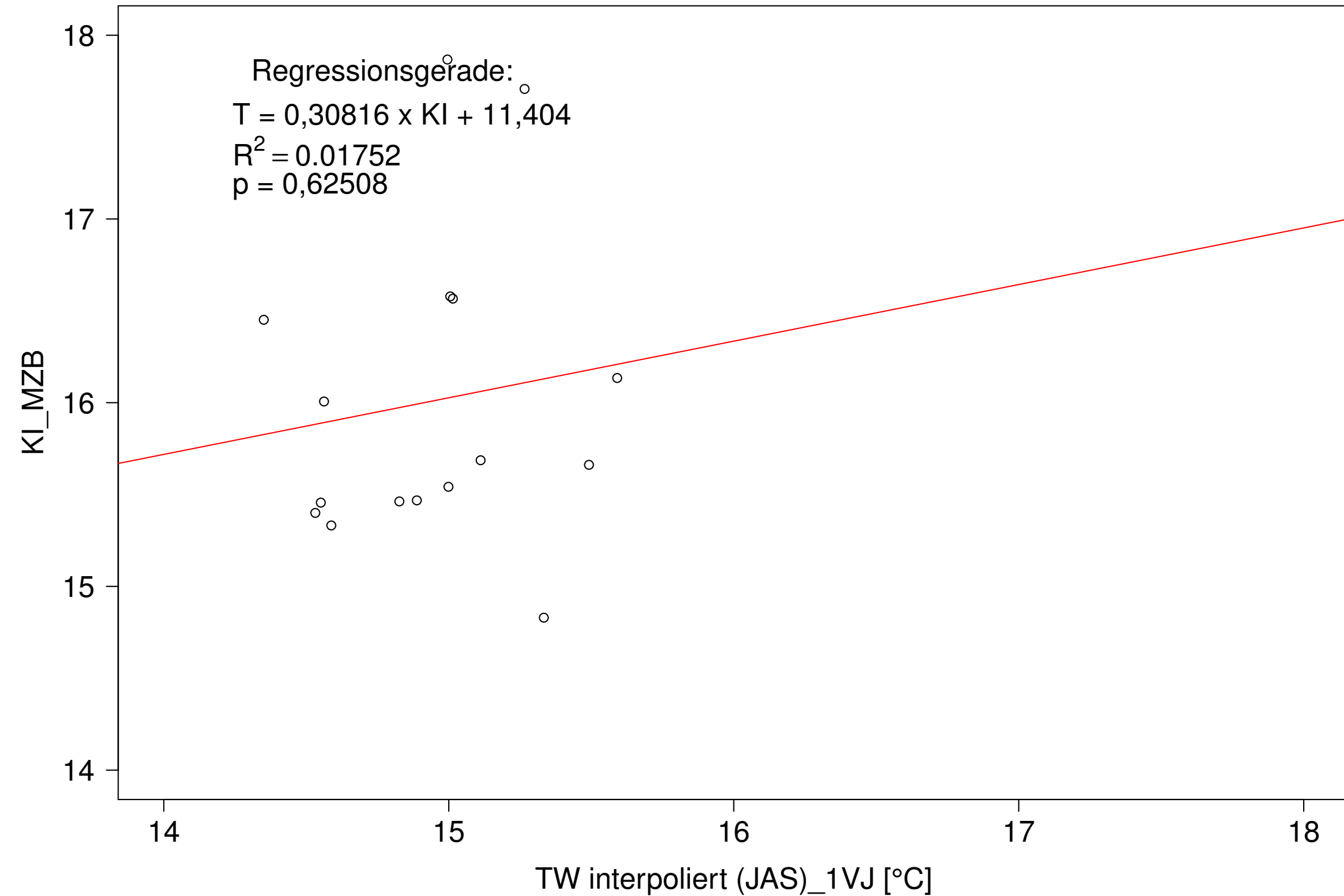
Donau_Pfohren, Typ 09.2 mit Neozoen, Serie 3
KI_MZB (Kont-Korr) gegen 3JMW TW interpoliert (JAS) des 1. Vorjahres



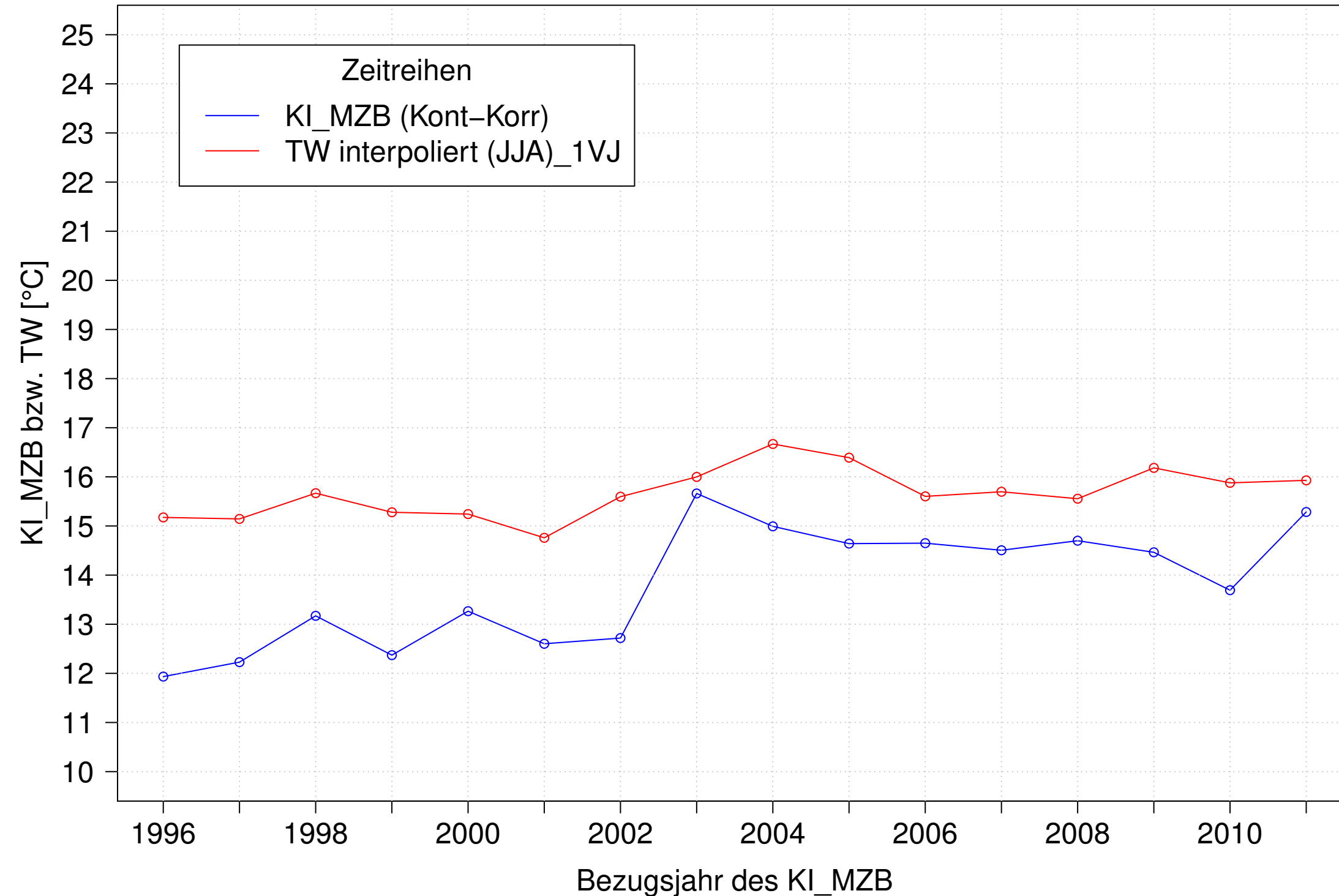
Donau_Pfohren, Typ 09.2 mit Neozoen, Serie 4
KI_MZB (Kont-Korr) und 3JMW TW interpoliert (JAS) des 1. Vorjahres



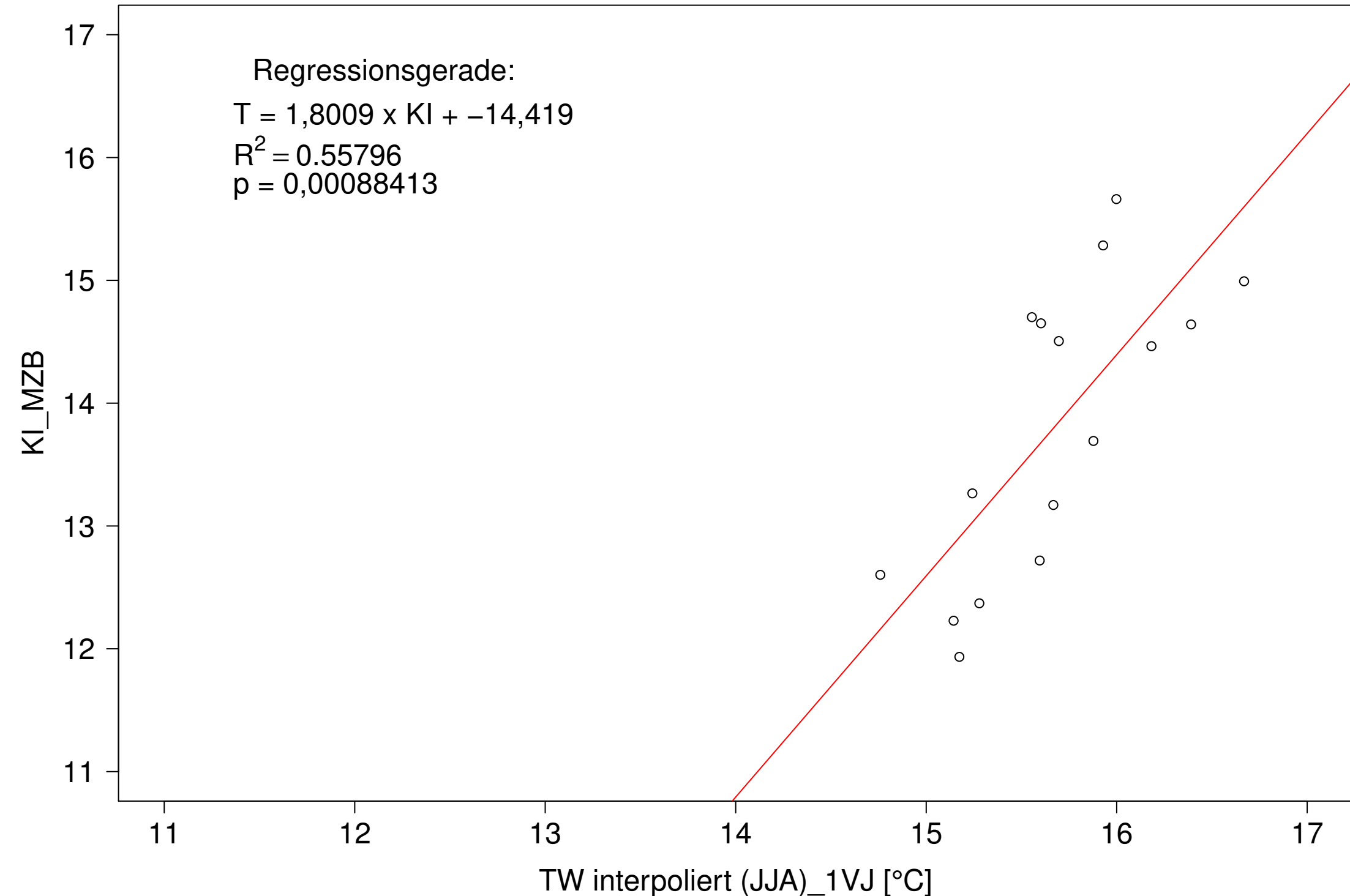
Donau_Pfohren, Typ 09.2 mit Neozoen, Serie 4
KI_MZB (Kont-Korr) gegen 3JMW TW interpoliert (JAS) des 1. Vorjahres



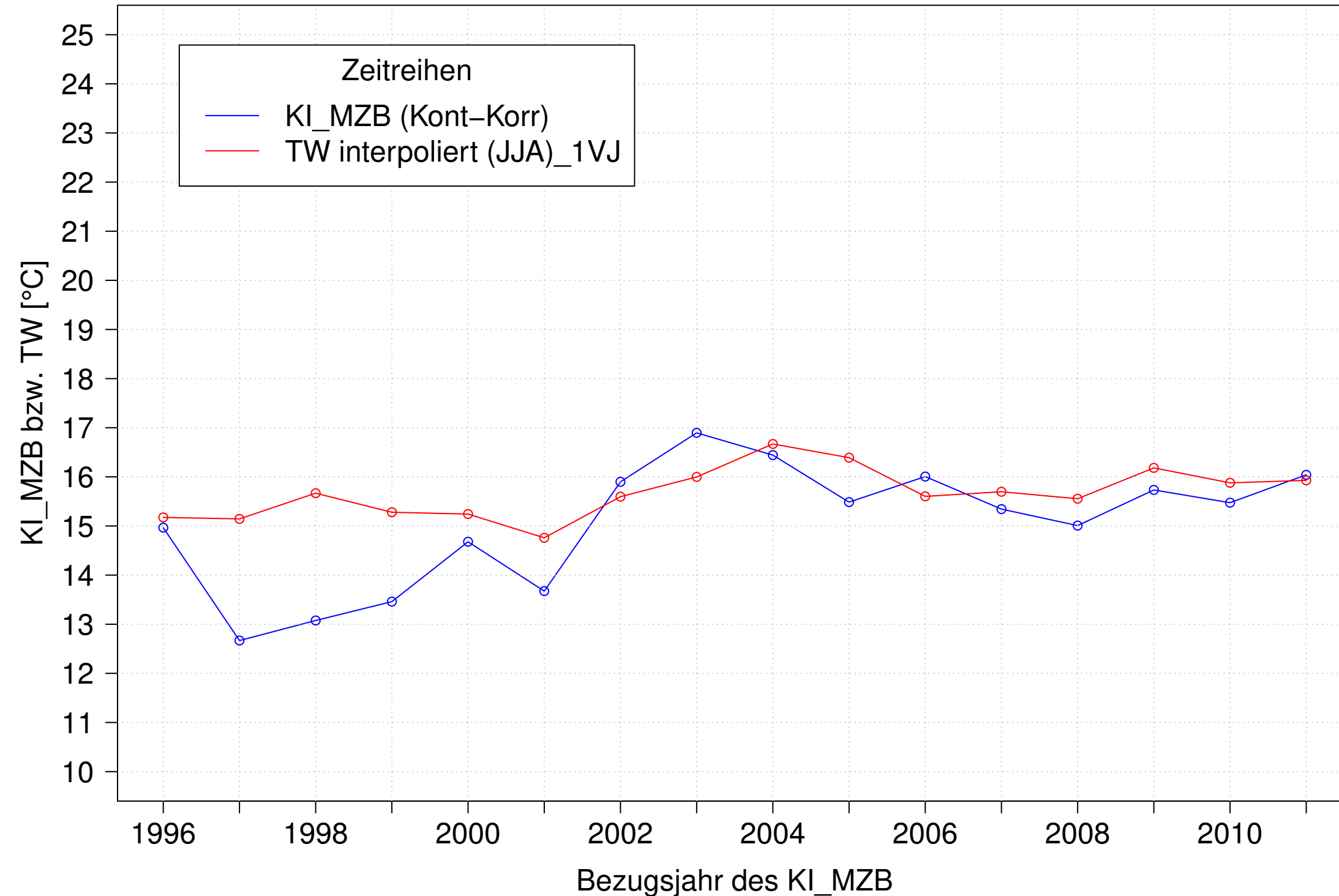
Donau_Pfohren, Typ 09.2 mit Neozoen, Serie 1
 KI_MZB (Kont-Korr) und 3JMW TW interpoliert (JJA) des 1. Vorjahres



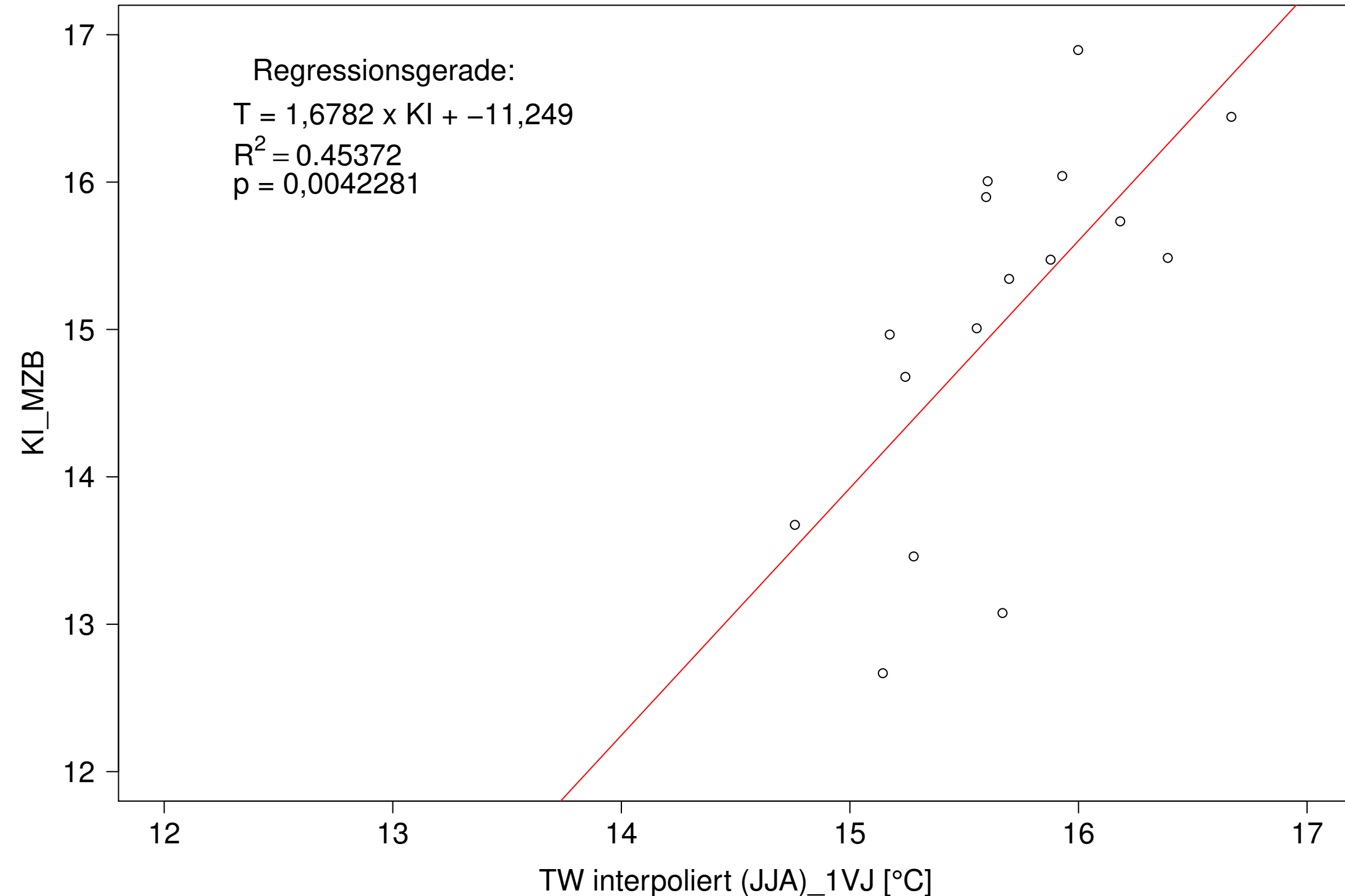
Donau_Pfohren, Typ 09.2 mit Neozoen, Serie 1
 KI_MZB (Kont-Korr) gegen 3JMW TW interpoliert (JJA) des 1. Vorjahres



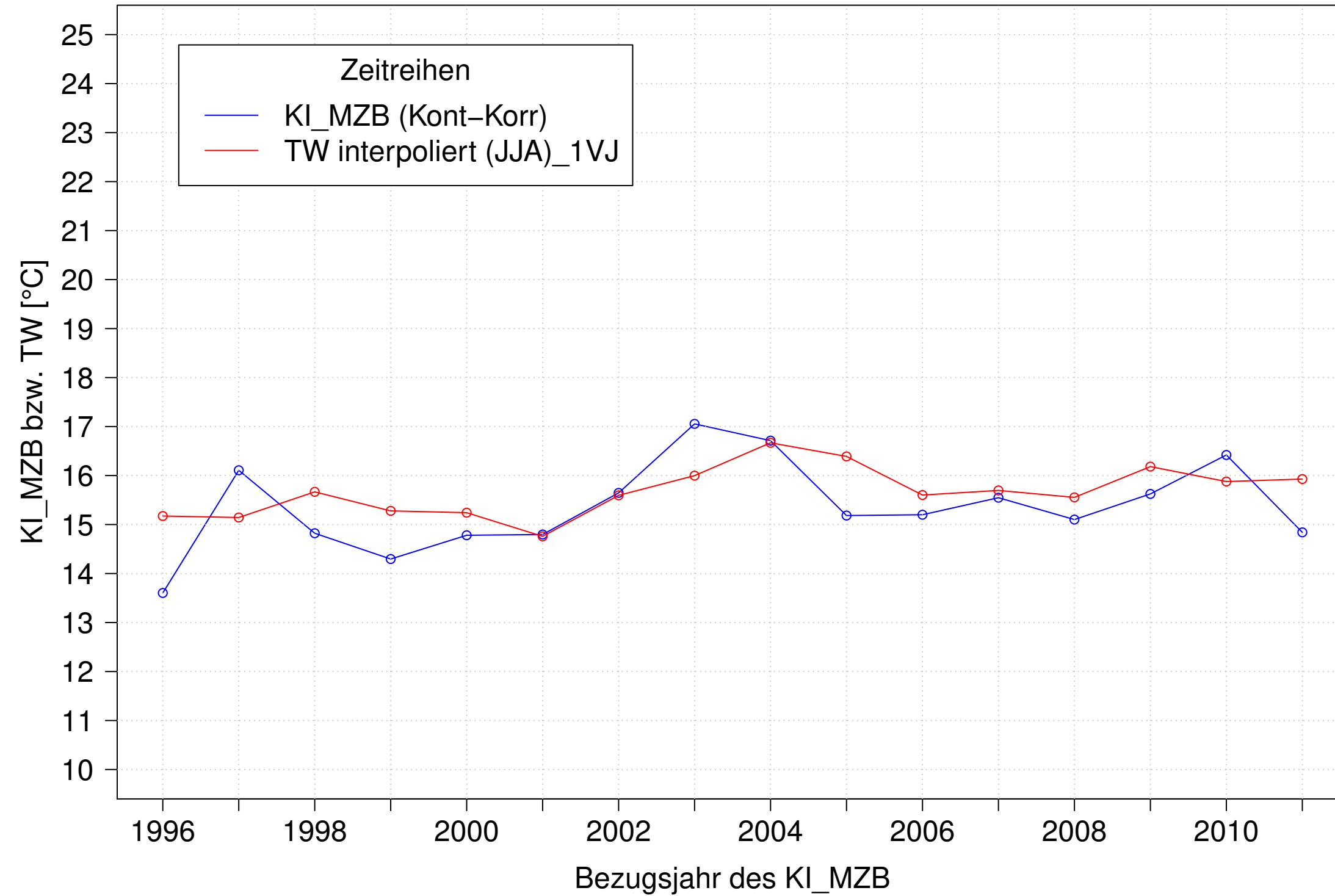
Donau_Pfohren, Typ 09.2 mit Neozoen, Serie 2
 KI_MZB (Kont-Korr) und 3JMW TW interpoliert (JJA) des 1. Vorjahres



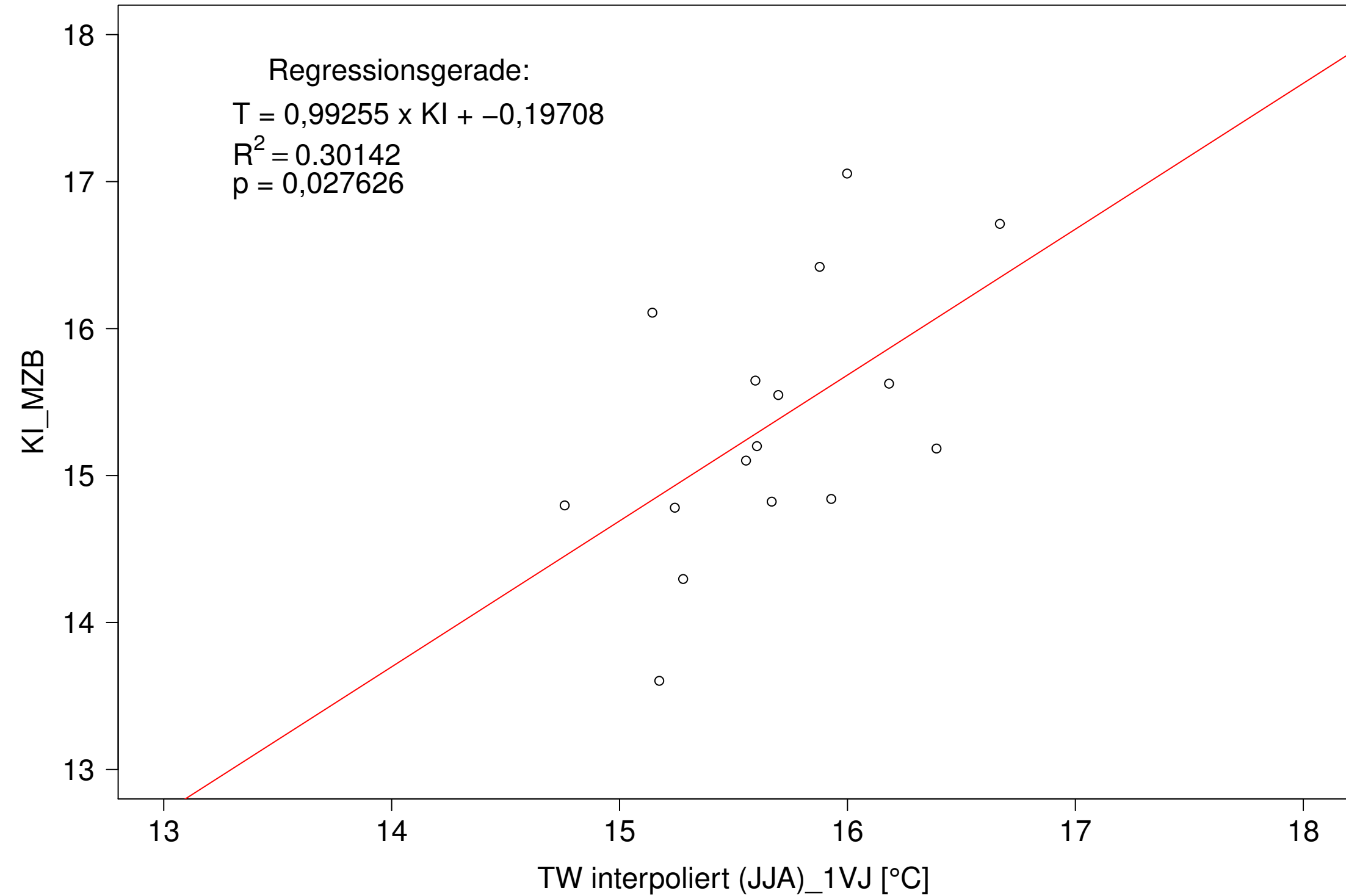
Donau_Pfohren, Typ 09.2 mit Neozoen, Serie 2
 KI_MZB (Kont-Korr) gegen 3JMW TW interpoliert (JJA) des 1. Vorjahres



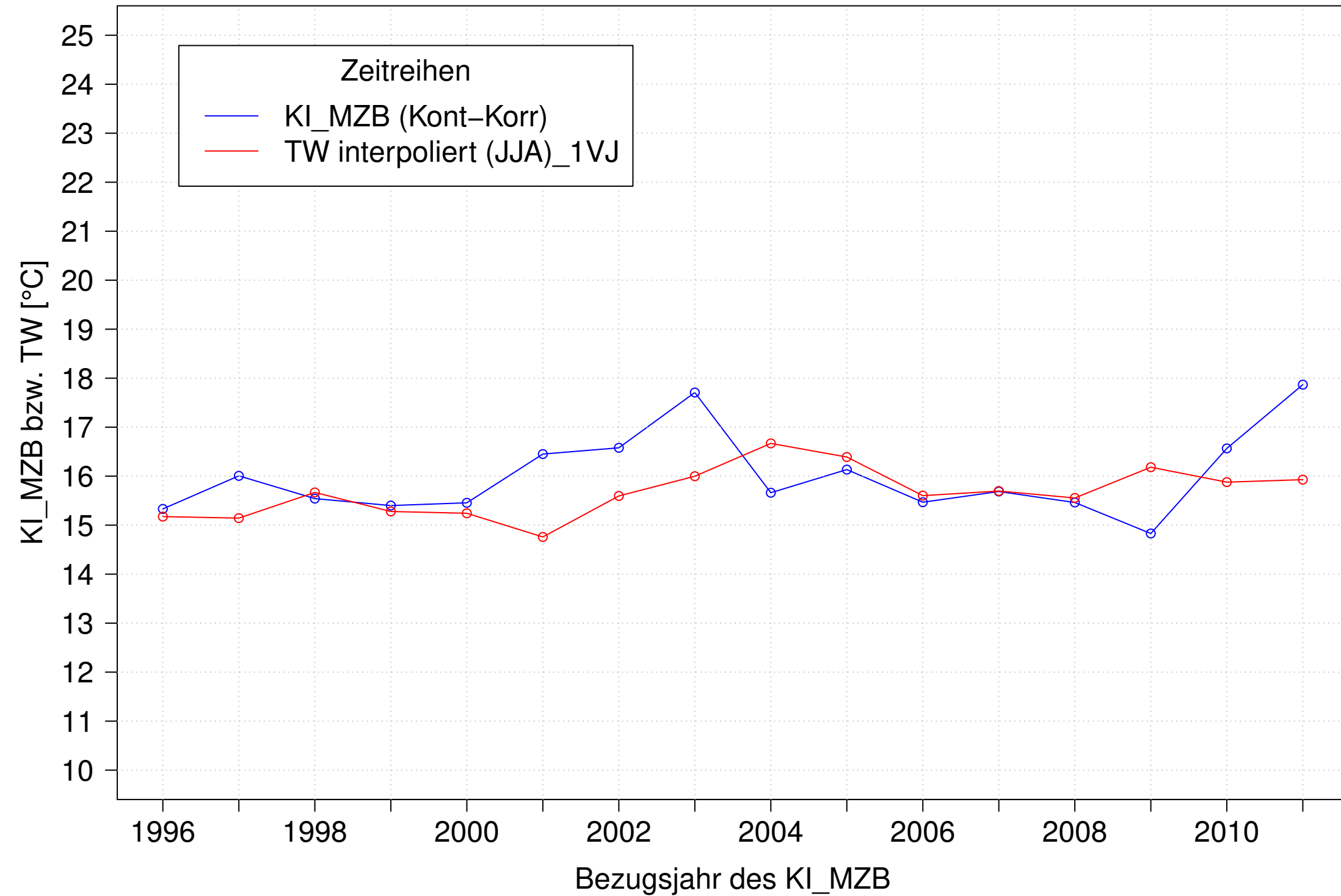
Donau_Pfohren, Typ 09.2 mit Neozoen, Serie 3
KI_MZB (Kont-Korr) und 3JMW TW interpoliert (JJA) des 1. Vorjahres



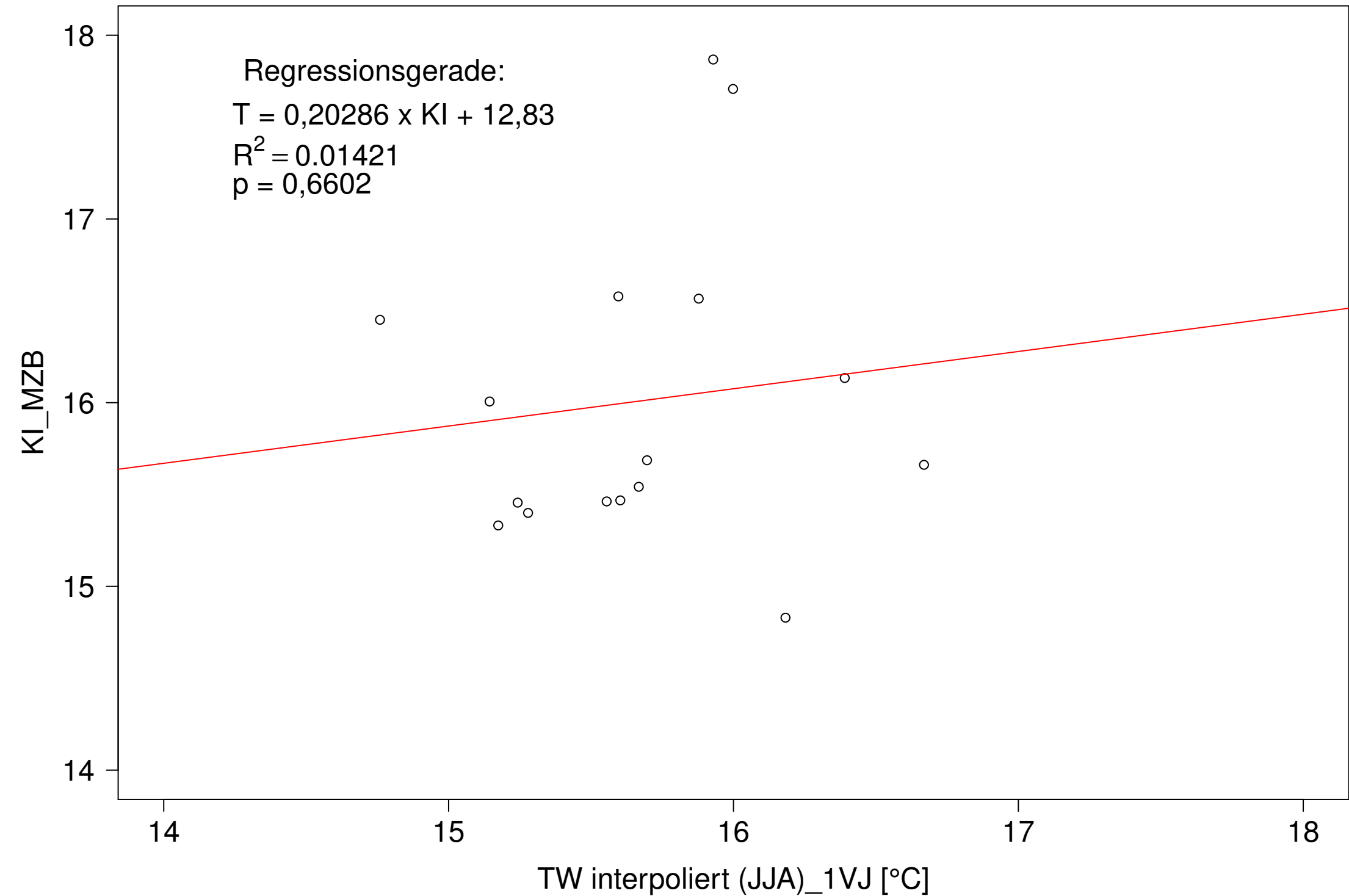
Donau_Pfohren, Typ 09.2 mit Neozoen, Serie 3
KI_MZB (Kont-Korr) gegen 3JMW TW interpoliert (JJA) des 1. Vorjahres



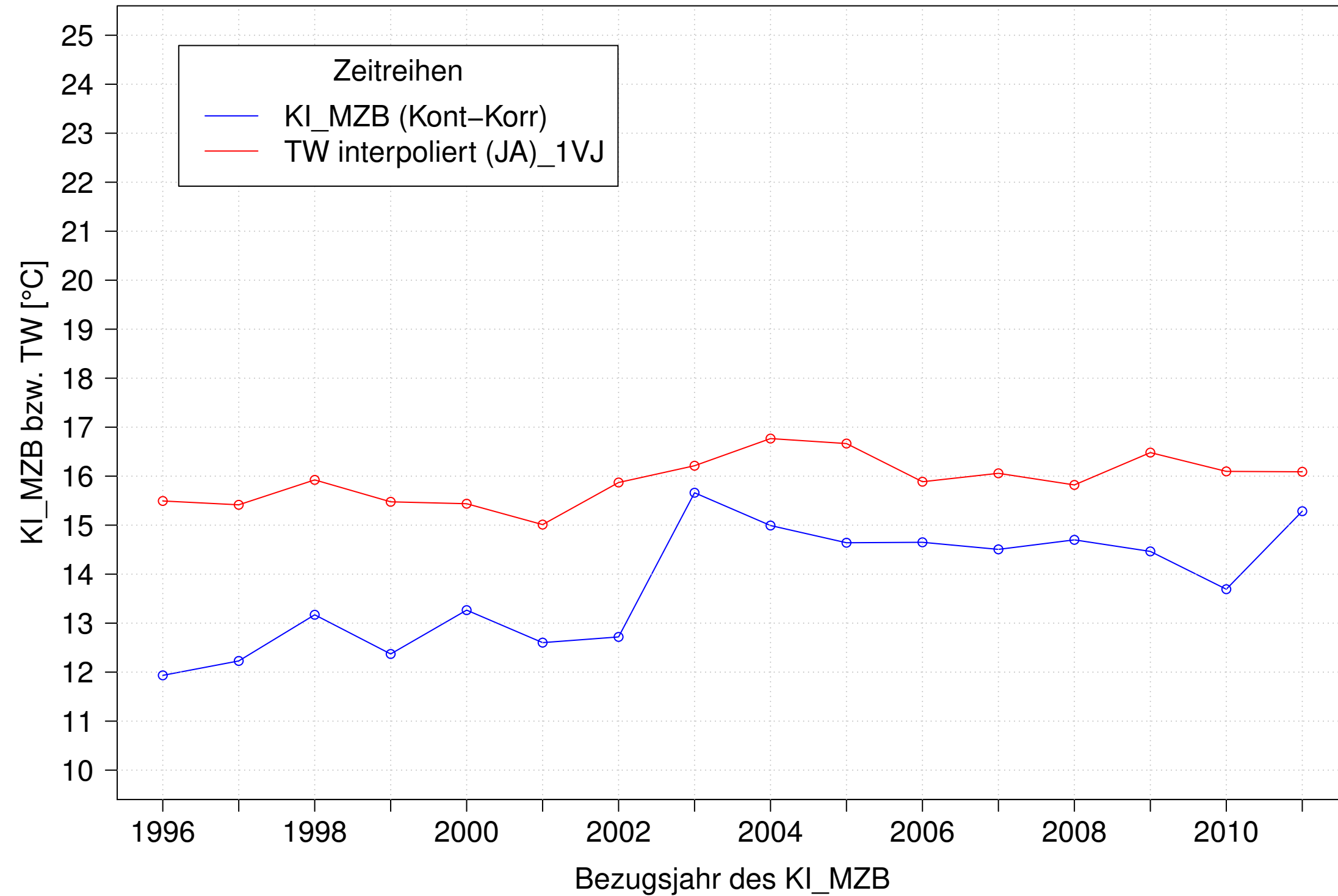
Donau_Pfohren, Typ 09.2 mit Neozoen, Serie 4
 KI_MZB (Kont-Korr) und 3JMW TW interpoliert (JJA) des 1. Vorjahres



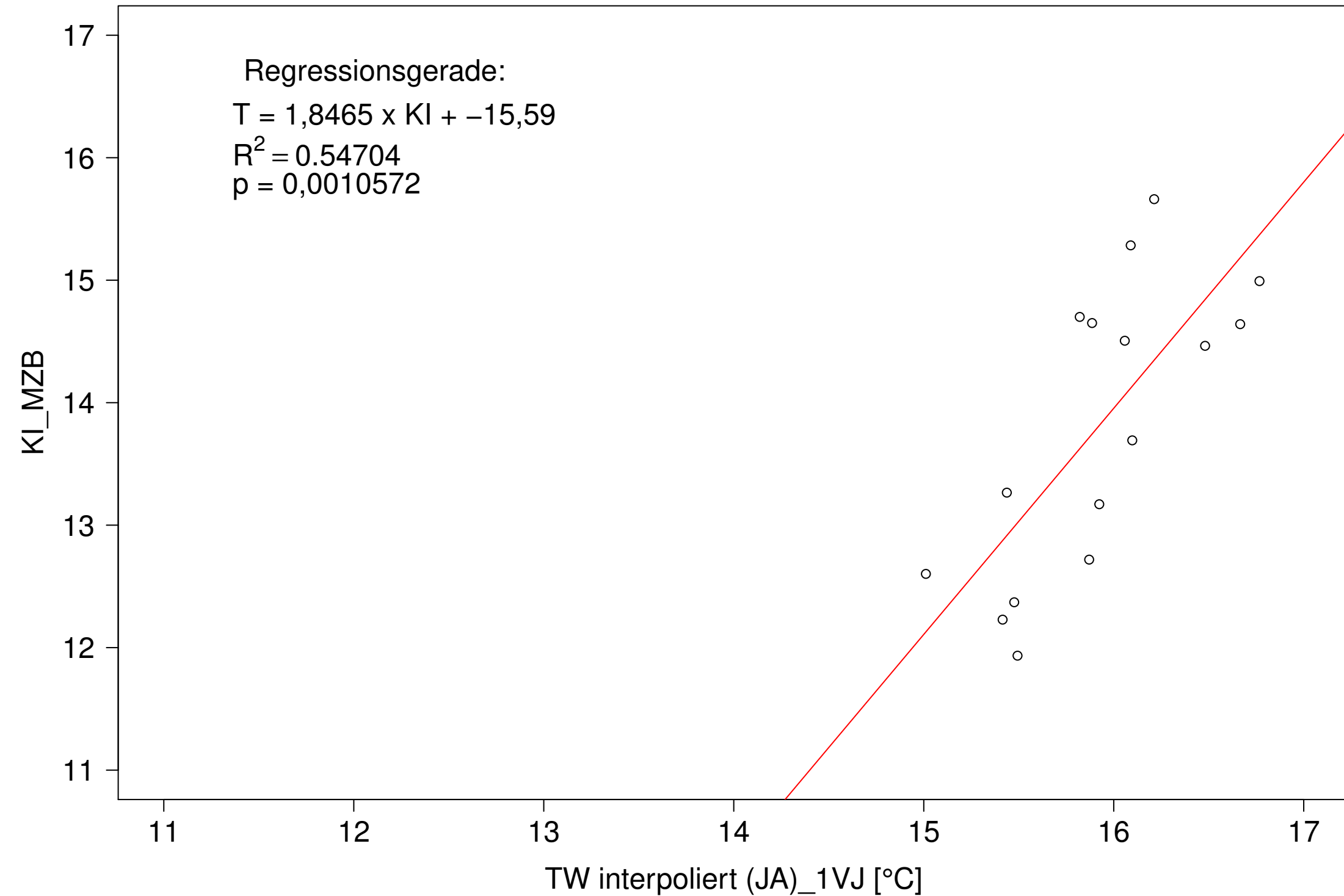
Donau_Pfohren, Typ 09.2 mit Neozoen, Serie 4
 KI_MZB (Kont-Korr) gegen 3JMW TW interpoliert (JJA) des 1. Vorjahres



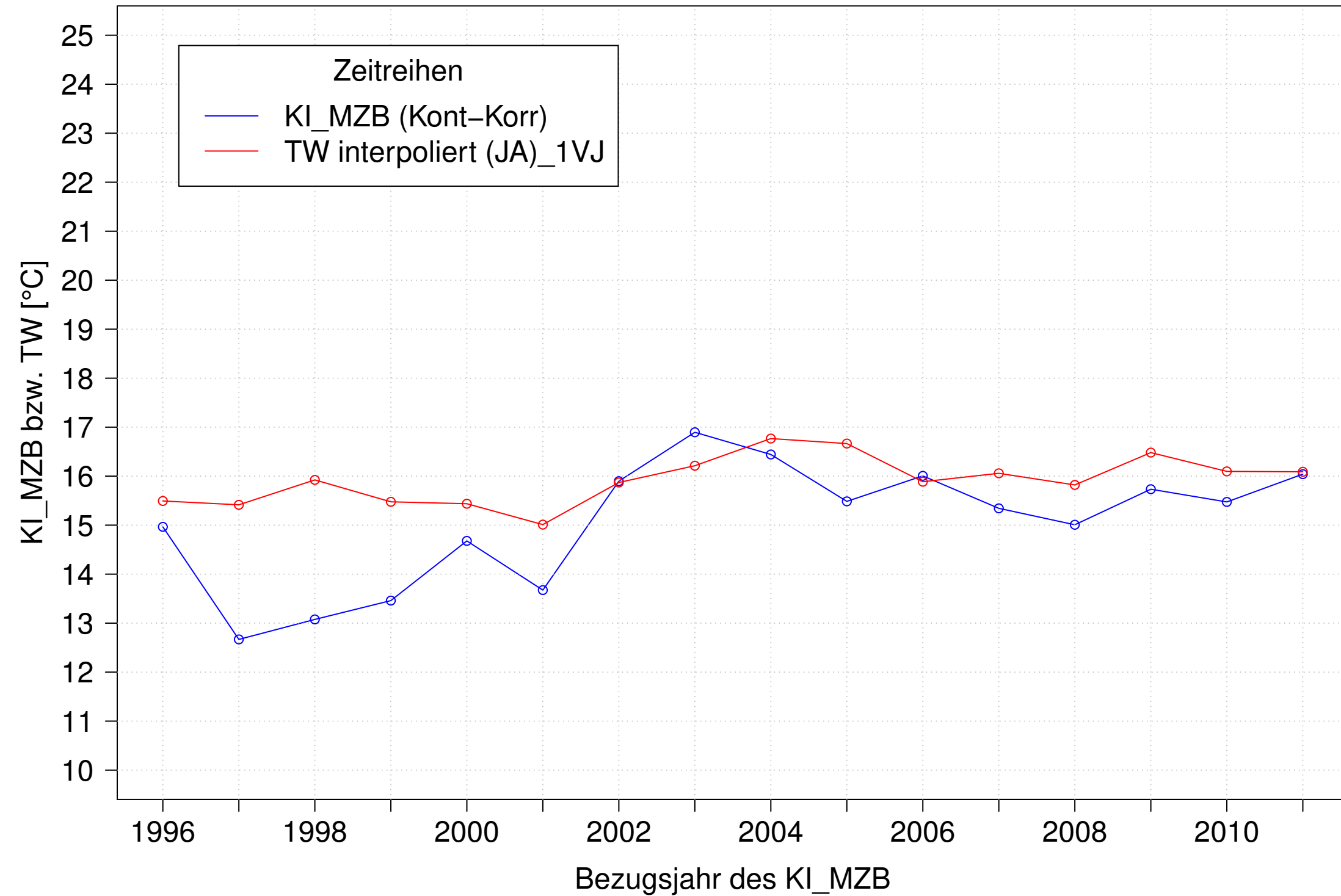
Donau_Pfohren, Typ 09.2 mit Neozoen, Serie 1
KI_MZB (Kont-Korr) und 3JMW TW interpoliert (JA) des 1. Vorjahres



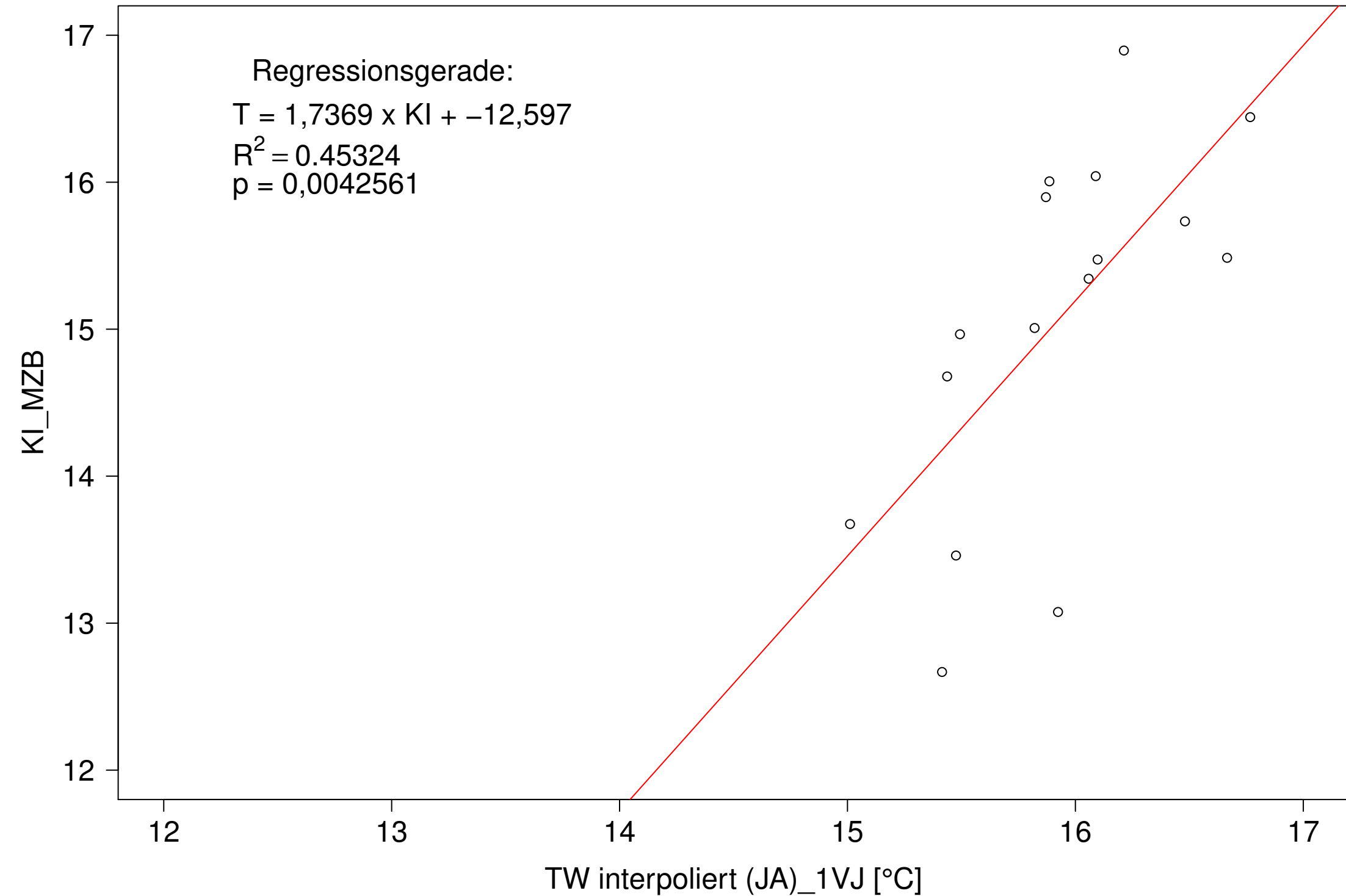
Donau_Pfohren, Typ 09.2 mit Neozoen, Serie 1
KI_MZB (Kont-Korr) gegen 3JMW TW interpoliert (JA) des 1. Vorjahres



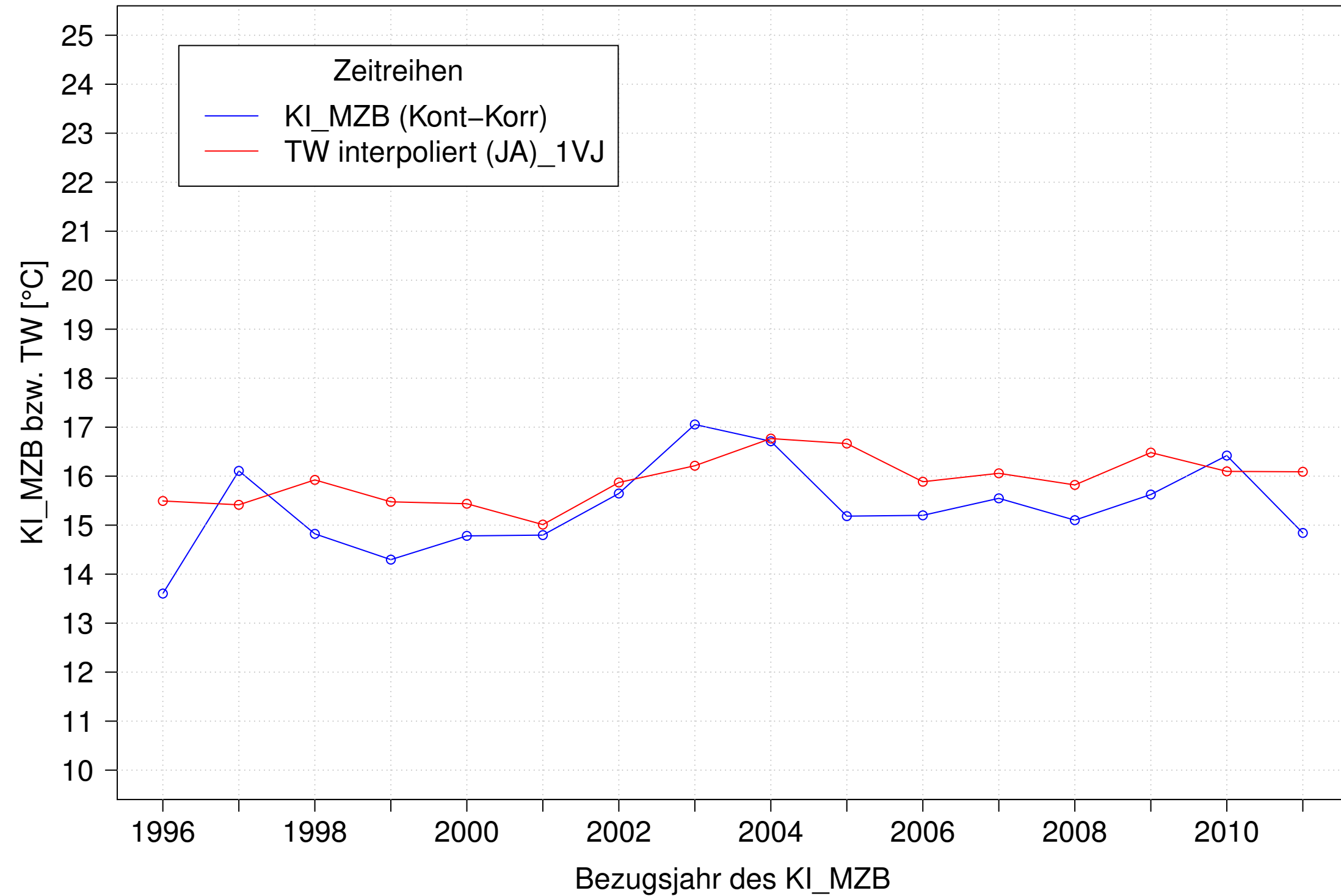
Donau_Pfohren, Typ 09.2 mit Neozoen, Serie 2
KI_MZB (Kont-Korr) und 3JMW TW interpoliert (JA) des 1. Vorjahres



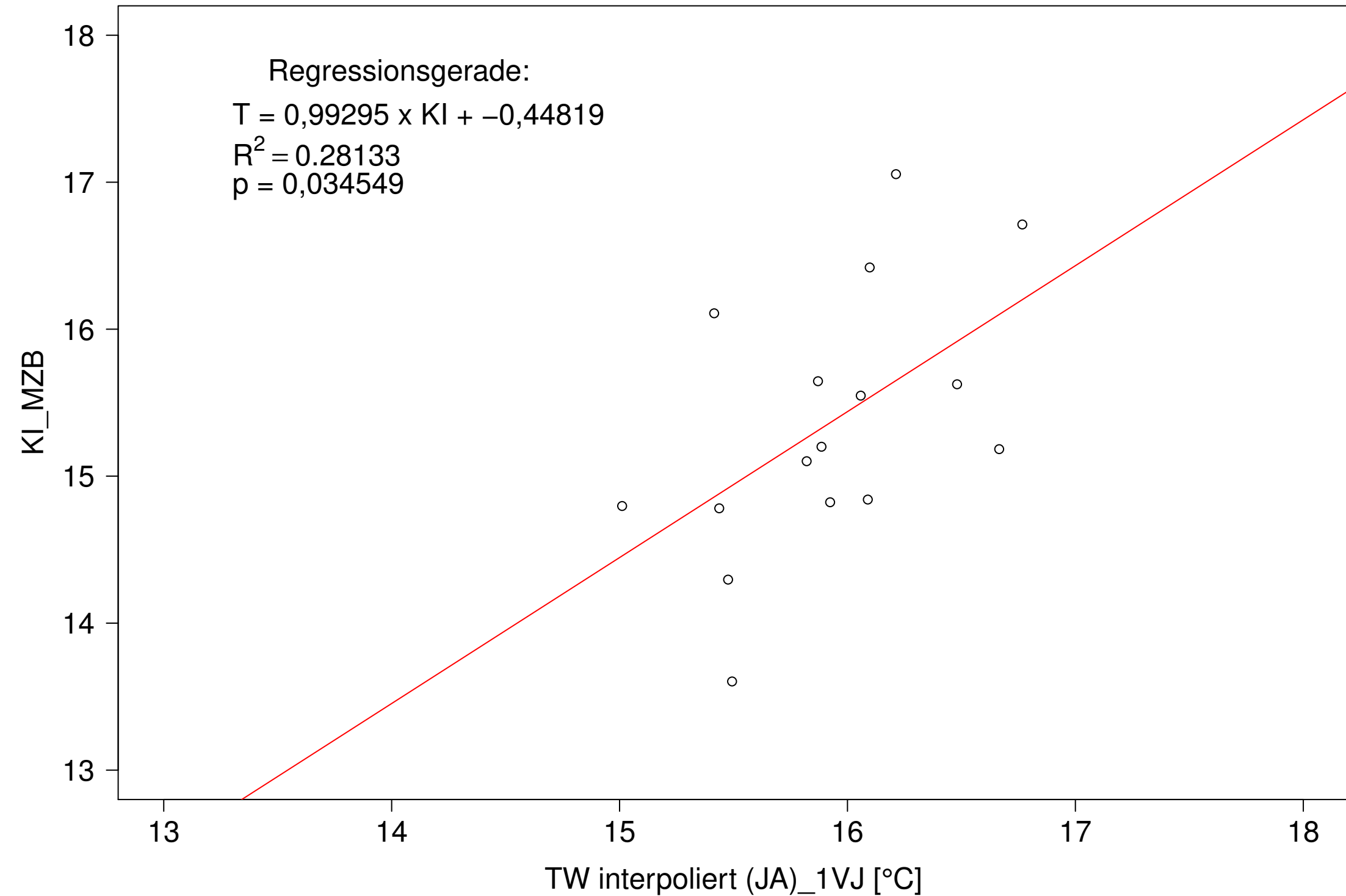
Donau_Pfohren, Typ 09.2 mit Neozoen, Serie 2
KI_MZB (Kont-Korr) gegen 3JMW TW interpoliert (JA) des 1. Vorjahres



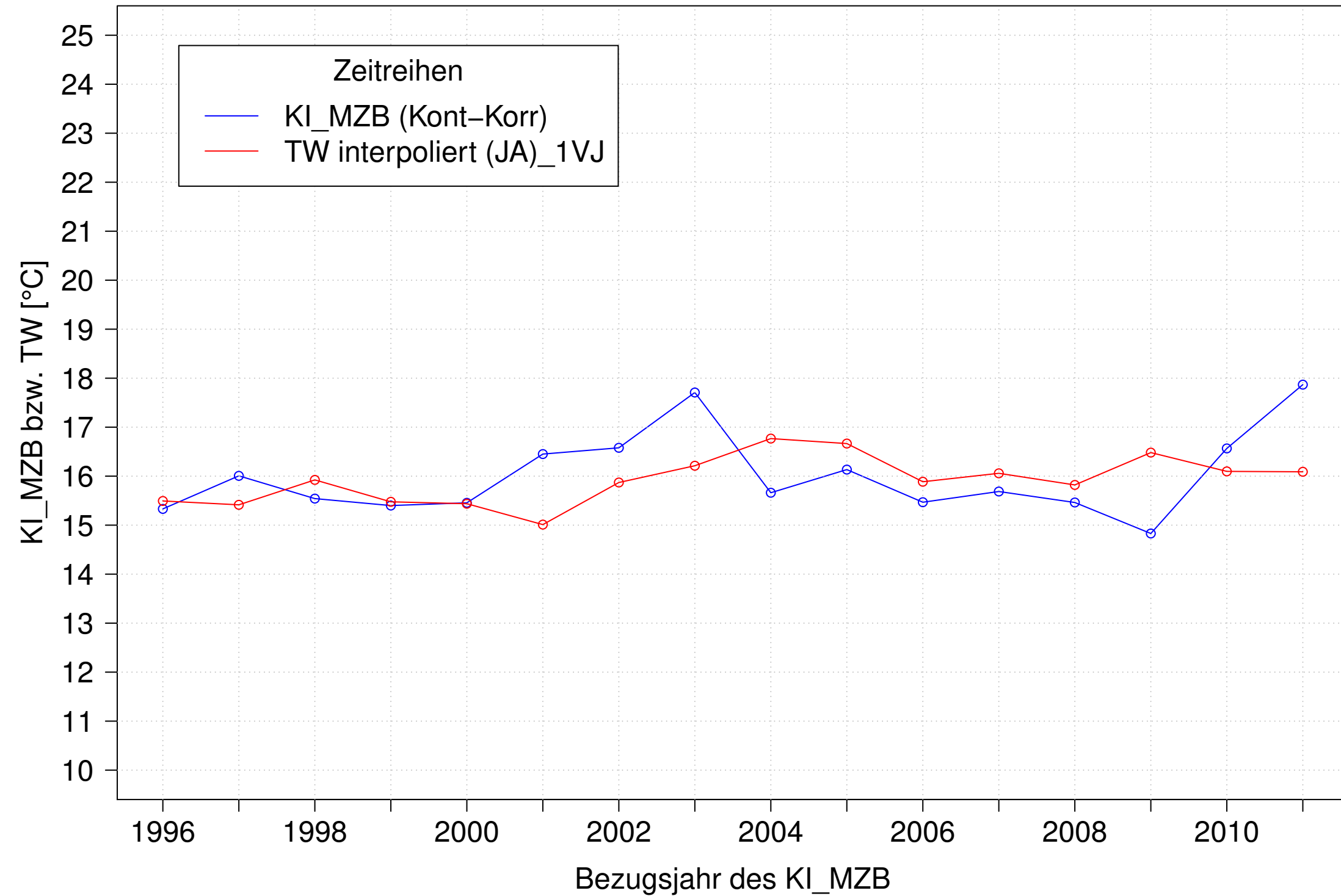
Donau_Pfohren, Typ 09.2 mit Neozoen, Serie 3
KI_MZB (Kont-Korr) und 3JMW TW interpoliert (JA) des 1. Vorjahres



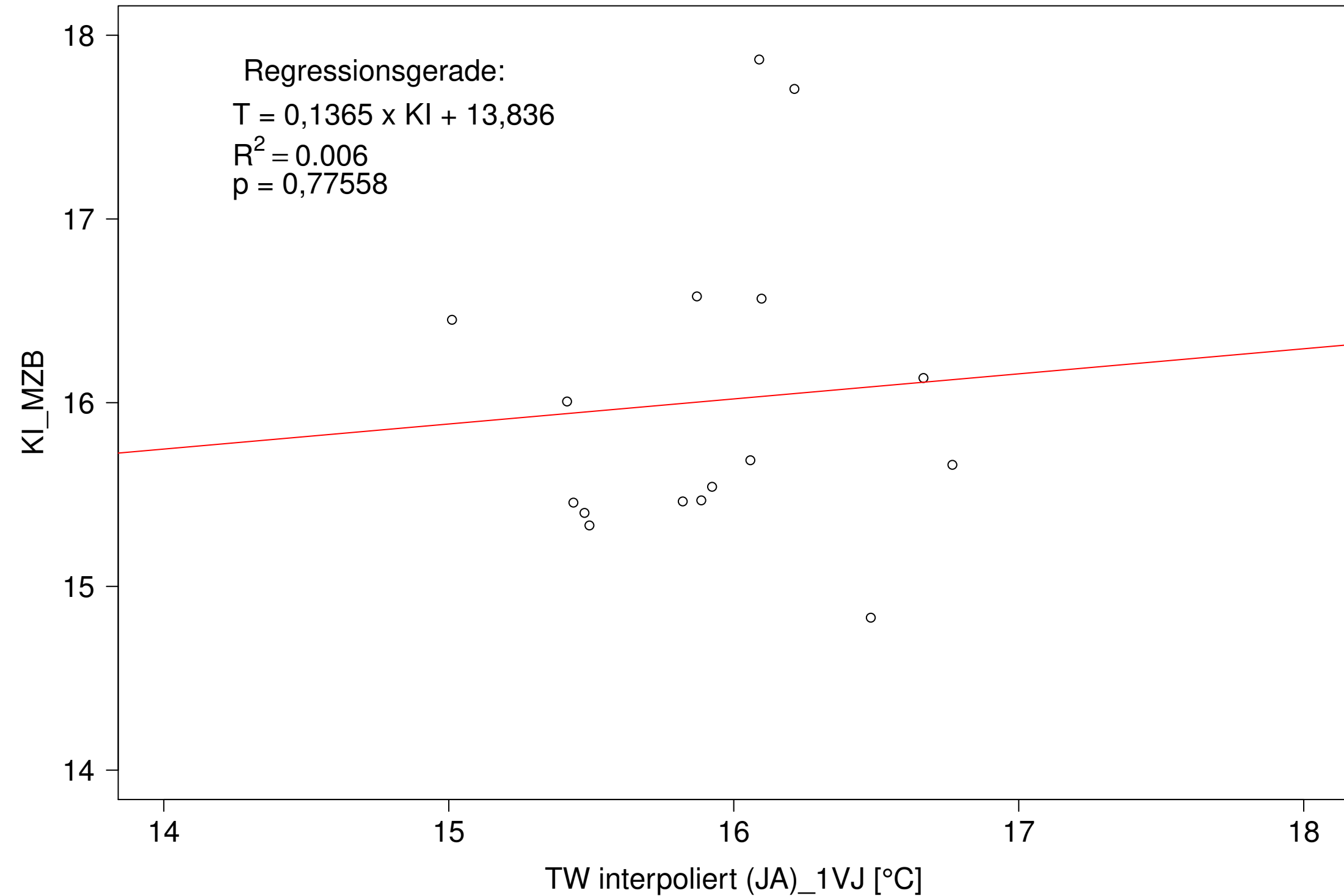
Donau_Pfohren, Typ 09.2 mit Neozoen, Serie 3
KI_MZB (Kont-Korr) gegen 3JMW TW interpoliert (JA) des 1. Vorjahres



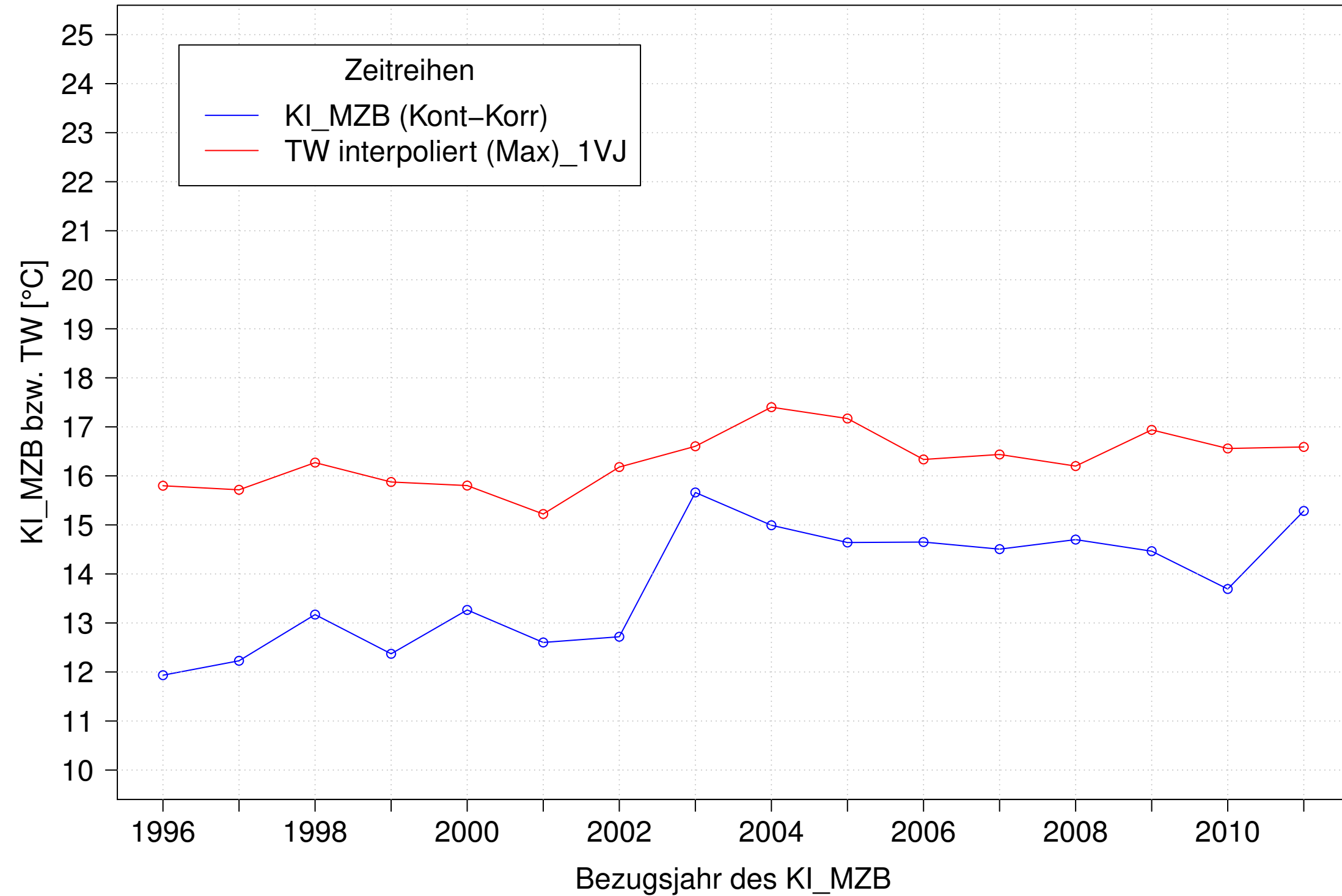
Donau_Pfohren, Typ 09.2 mit Neozoen, Serie 4
KI_MZB (Kont-Korr) und 3JMW TW interpoliert (JA) des 1. Vorjahres



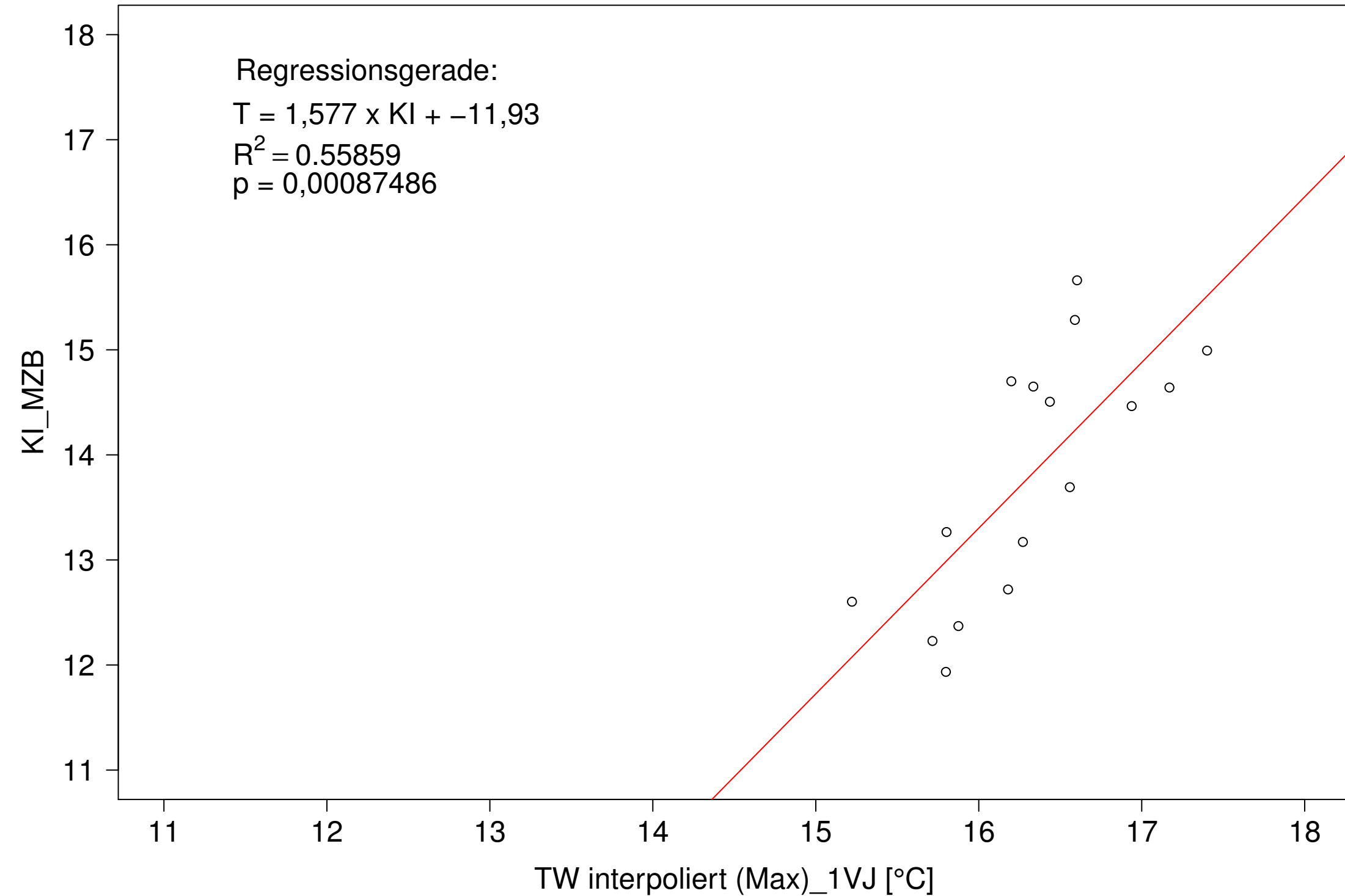
Donau_Pfohren, Typ 09.2 mit Neozoen, Serie 4
KI_MZB (Kont-Korr) gegen 3JMW TW interpoliert (JA) des 1. Vorjahres



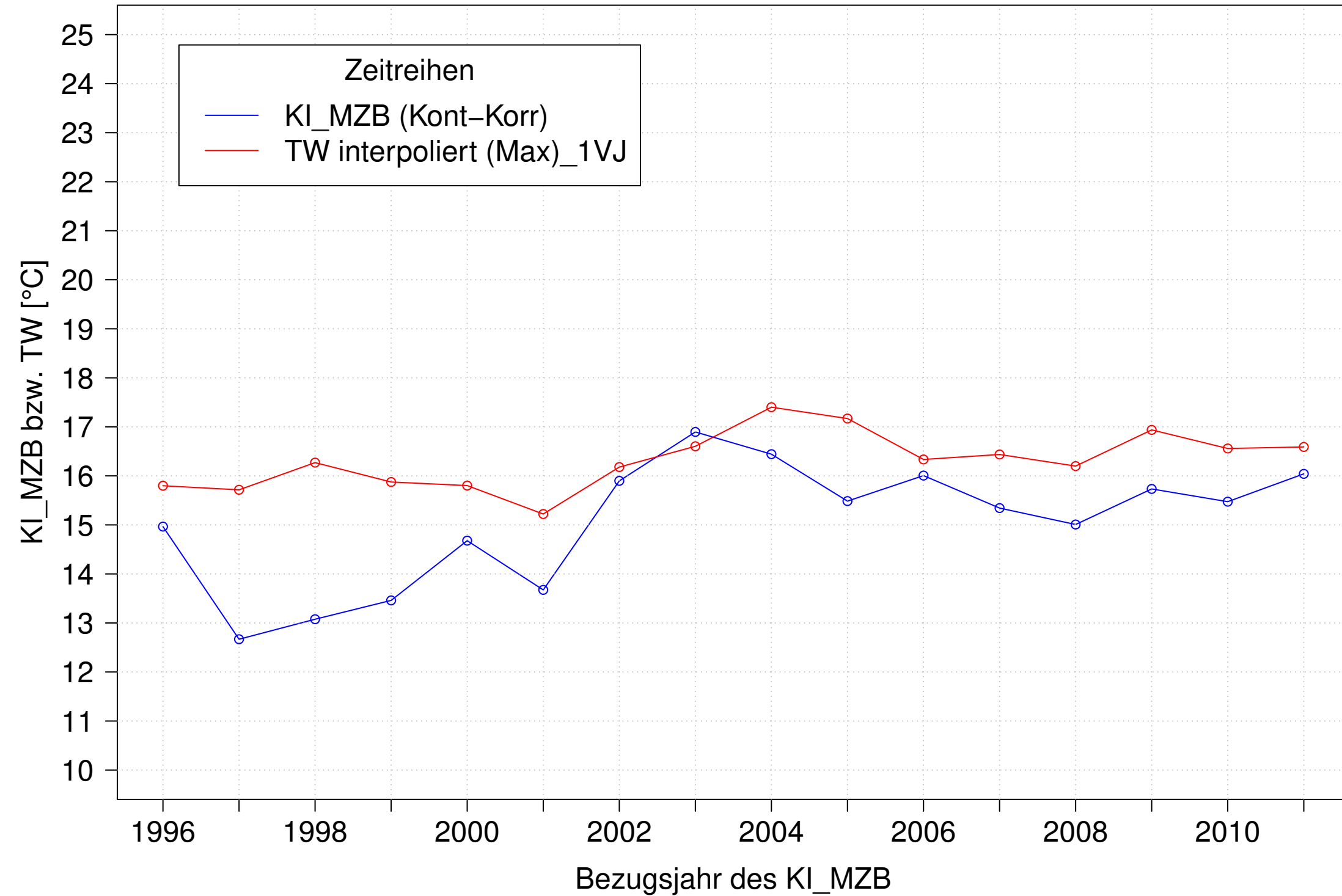
Donau_Pfohren, Typ 09.2 mit Neozoen, Serie 1
 KI_MZB (Kont-Korr) und 3JMW TW interpoliert (Max) des 1. Vorjahres



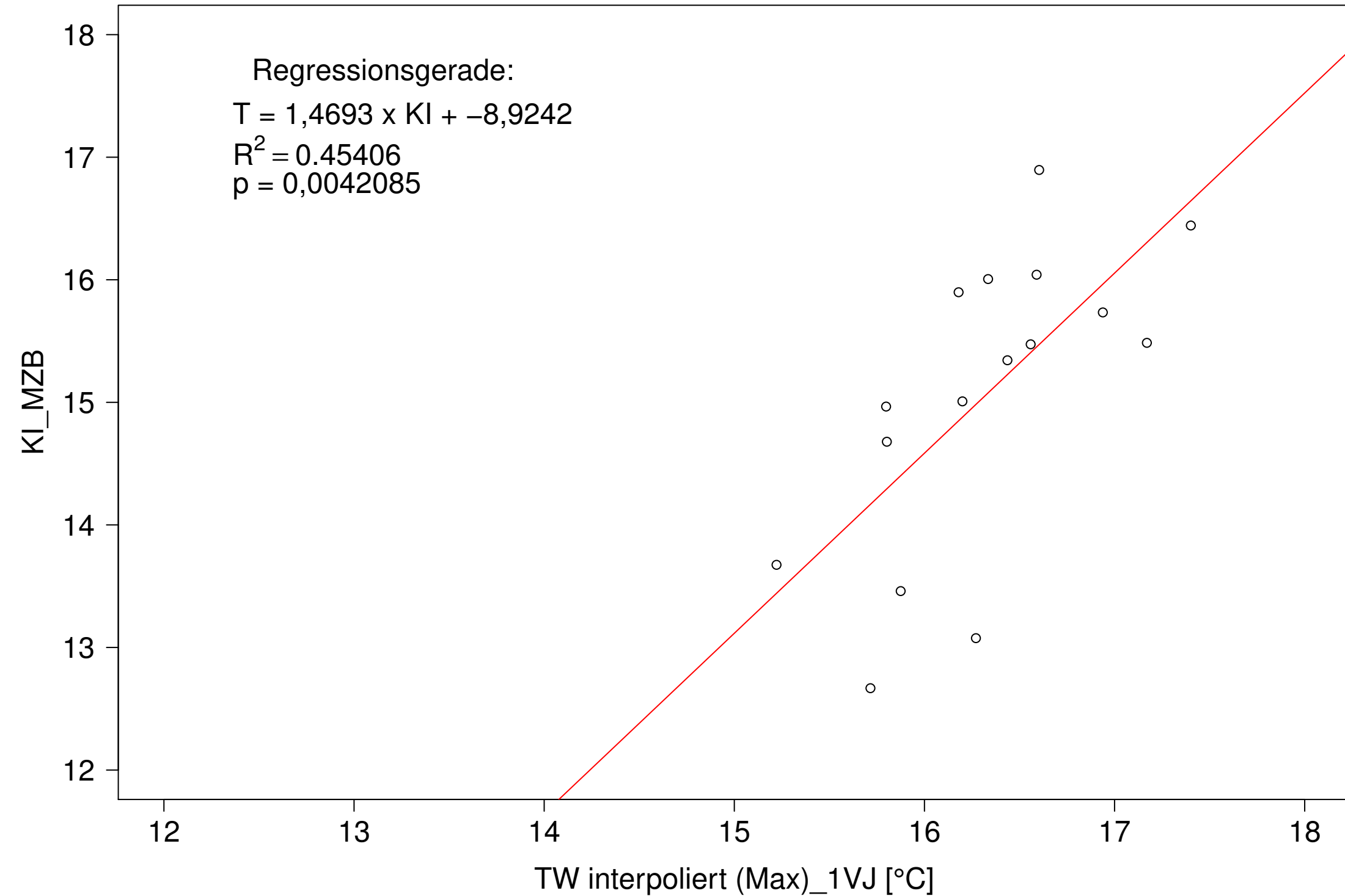
Donau_Pfohren, Typ 09.2 mit Neozoen, Serie 1
 KI_MZB (Kont-Korr) gegen 3JMW TW interpoliert (Max) des 1. Vorjahres



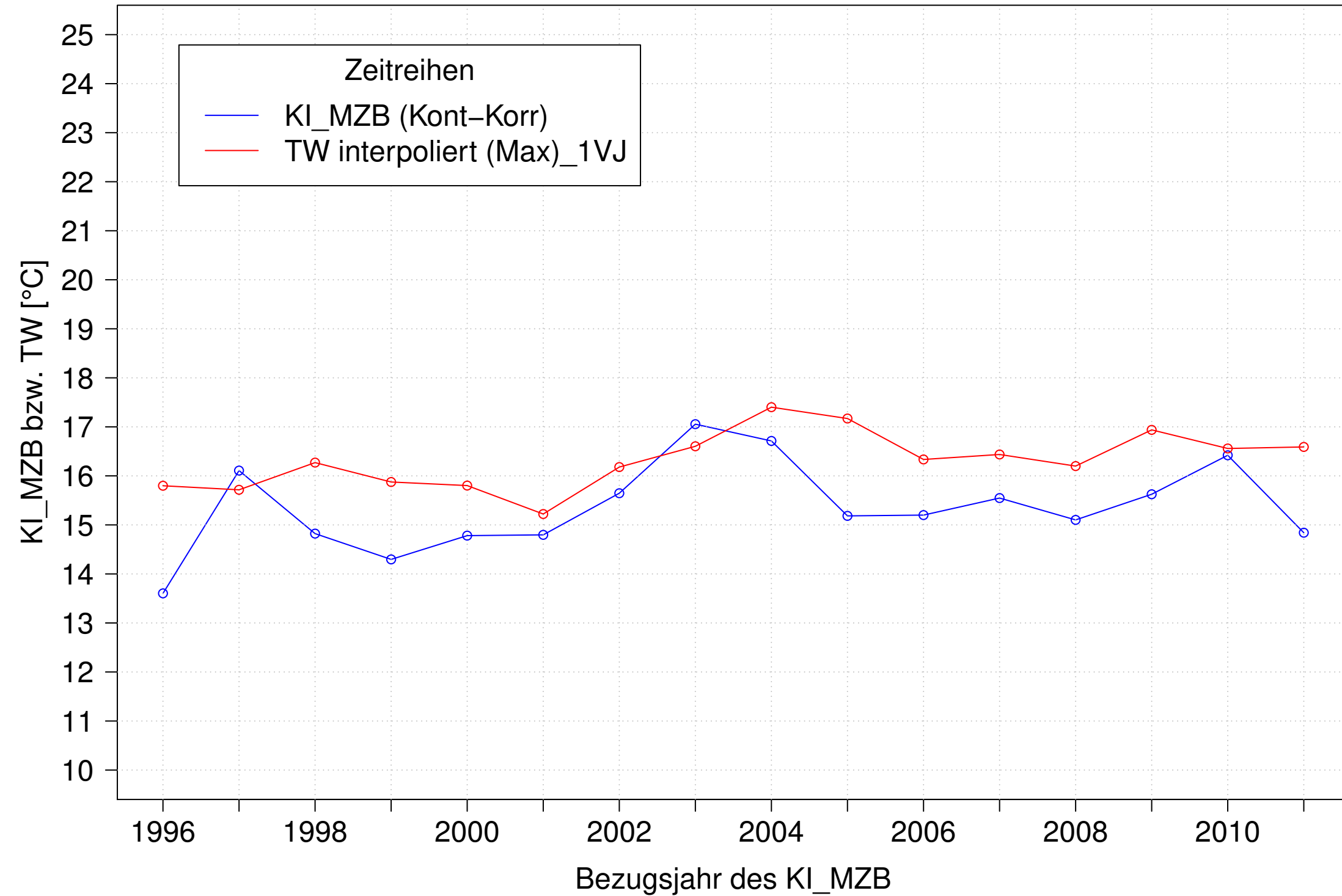
Donau_Pfohren, Typ 09.2 mit Neozoen, Serie 2
KI_MZB (Kont-Korr) und 3JMW TW interpoliert (Max) des 1. Vorjahres



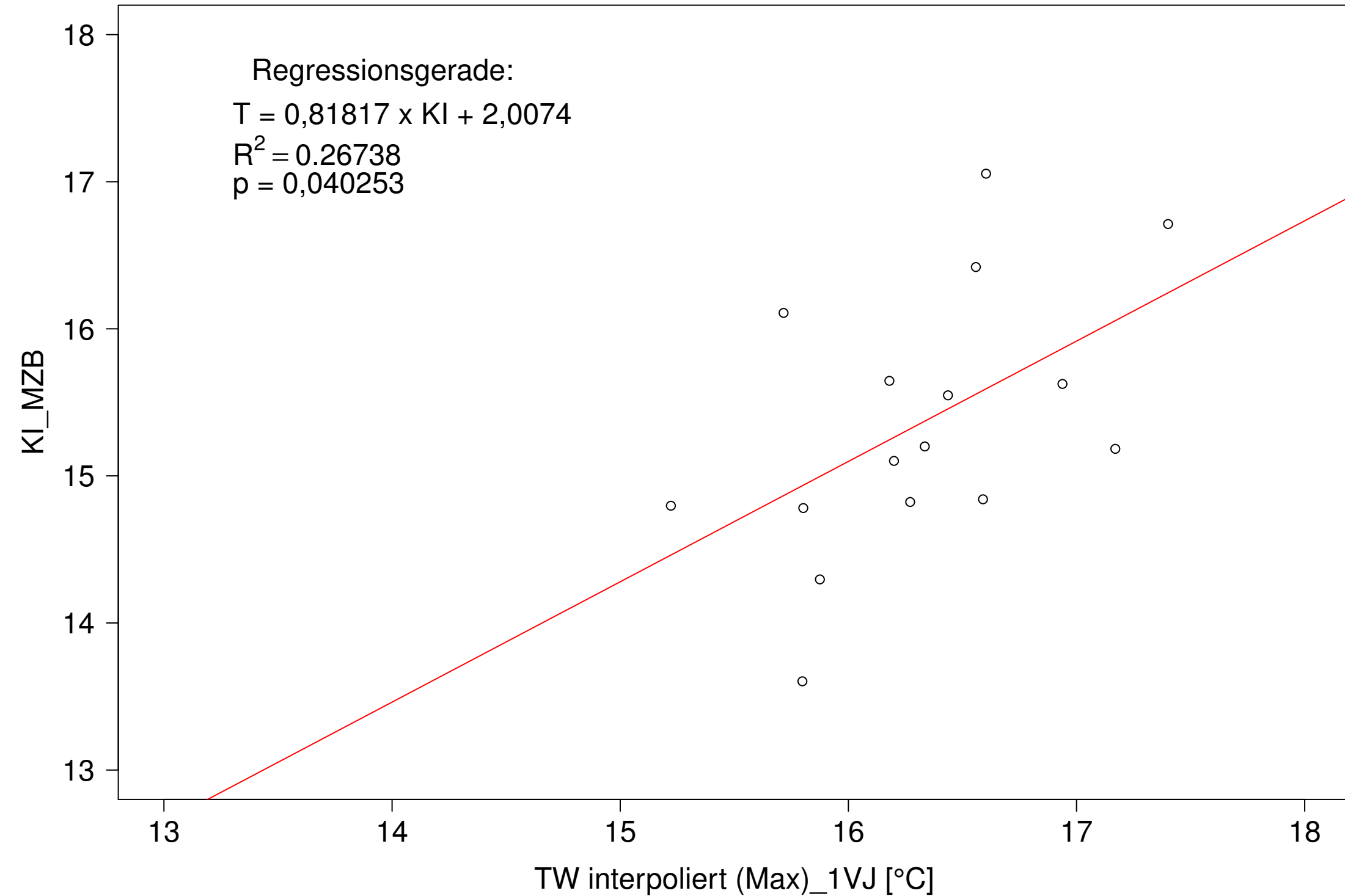
Donau_Pfohren, Typ 09.2 mit Neozoen, Serie 2
KI_MZB (Kont-Korr) gegen 3JMW TW interpoliert (Max) des 1. Vorjahres



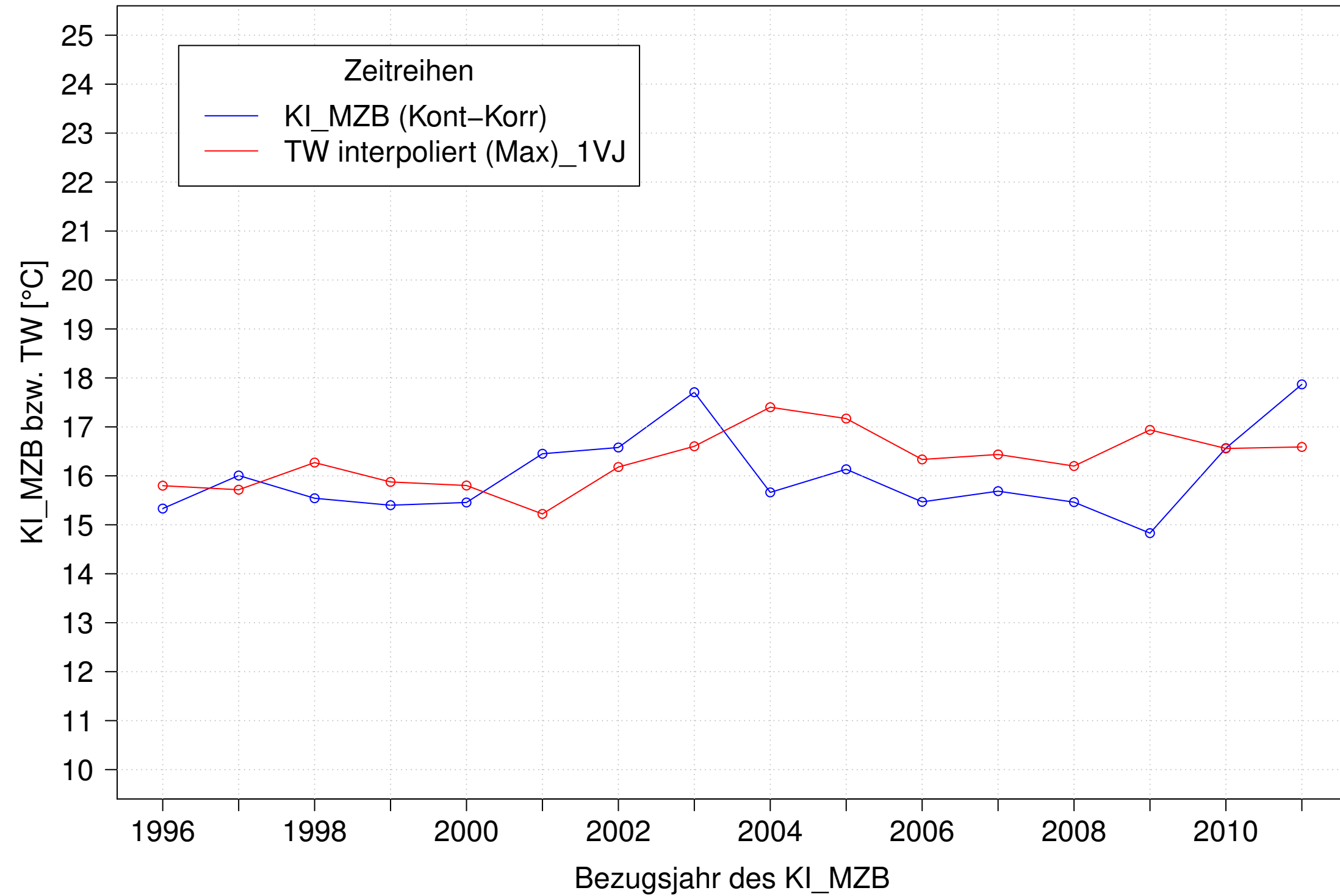
Donau_Pfohren, Typ 09.2 mit Neozoen, Serie 3
 KI_MZB (Kont-Korr) und 3JMW TW interpoliert (Max) des 1. Vorjahres



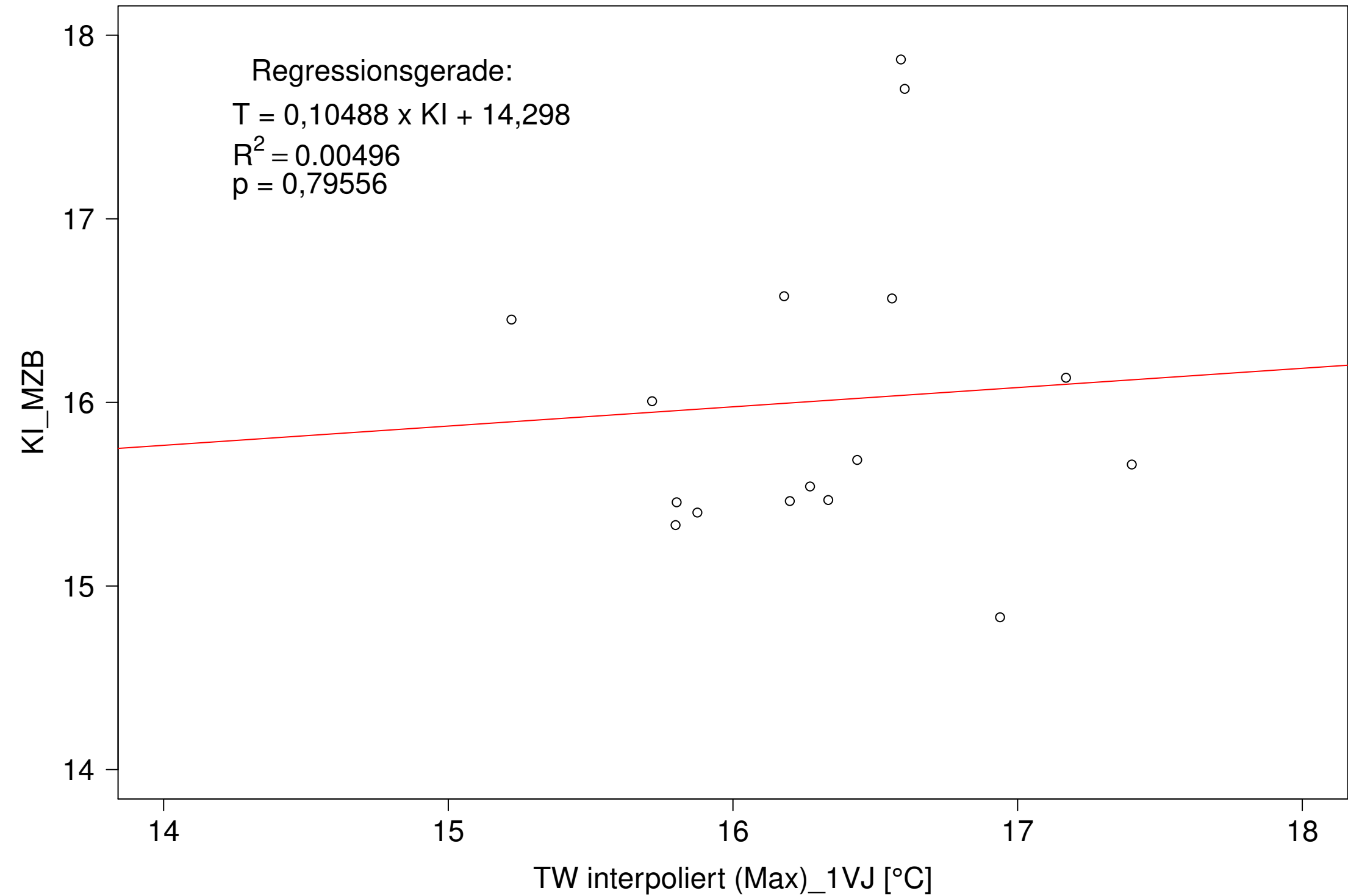
Donau_Pfohren, Typ 09.2 mit Neozoen, Serie 3
 KI_MZB (Kont-Korr) gegen 3JMW TW interpoliert (Max) des 1. Vorjahres



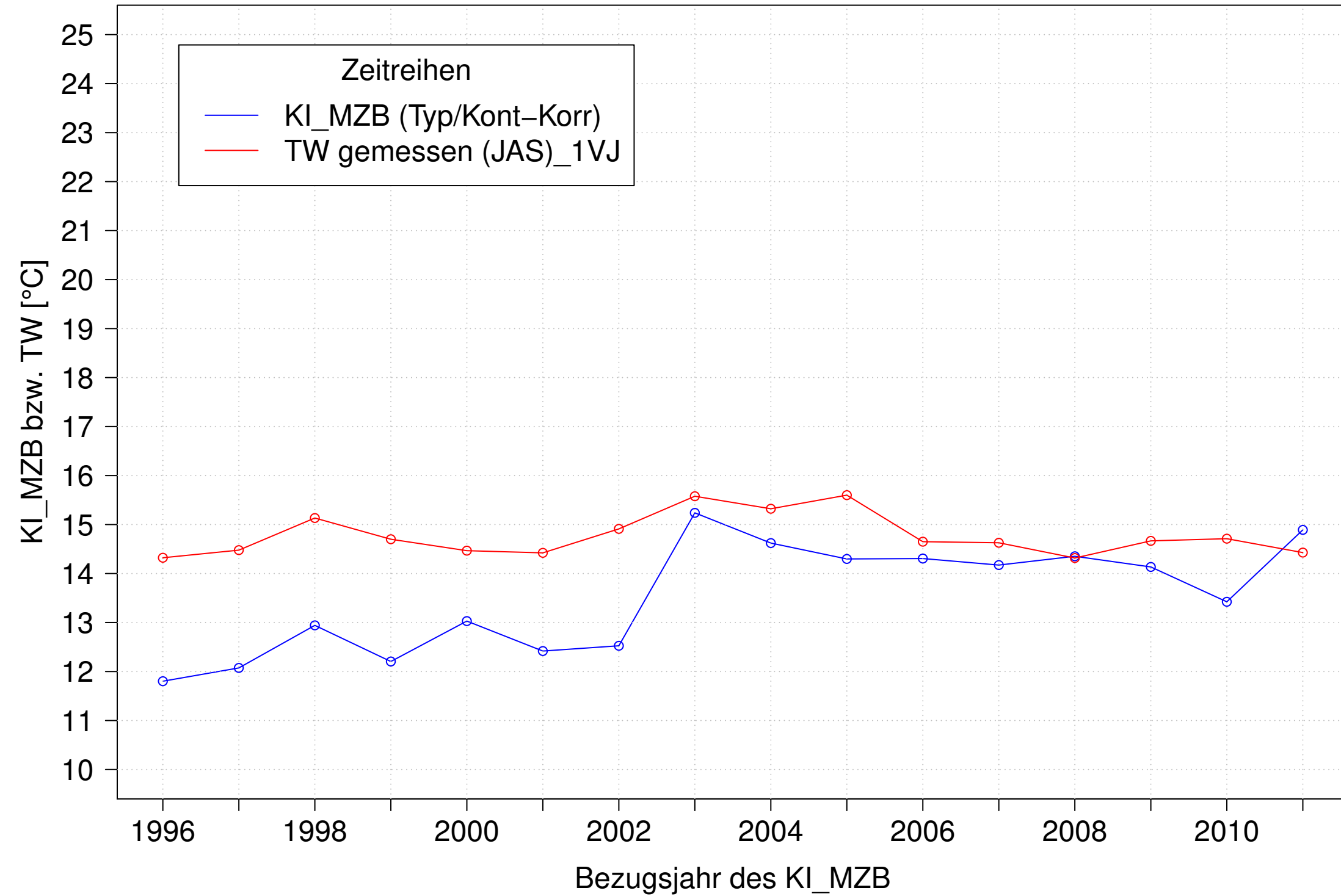
Donau_Pfohren, Typ 09.2 mit Neozoen, Serie 4
KI_MZB (Kont-Korr) und 3JMW TW interpoliert (Max) des 1. Vorjahres



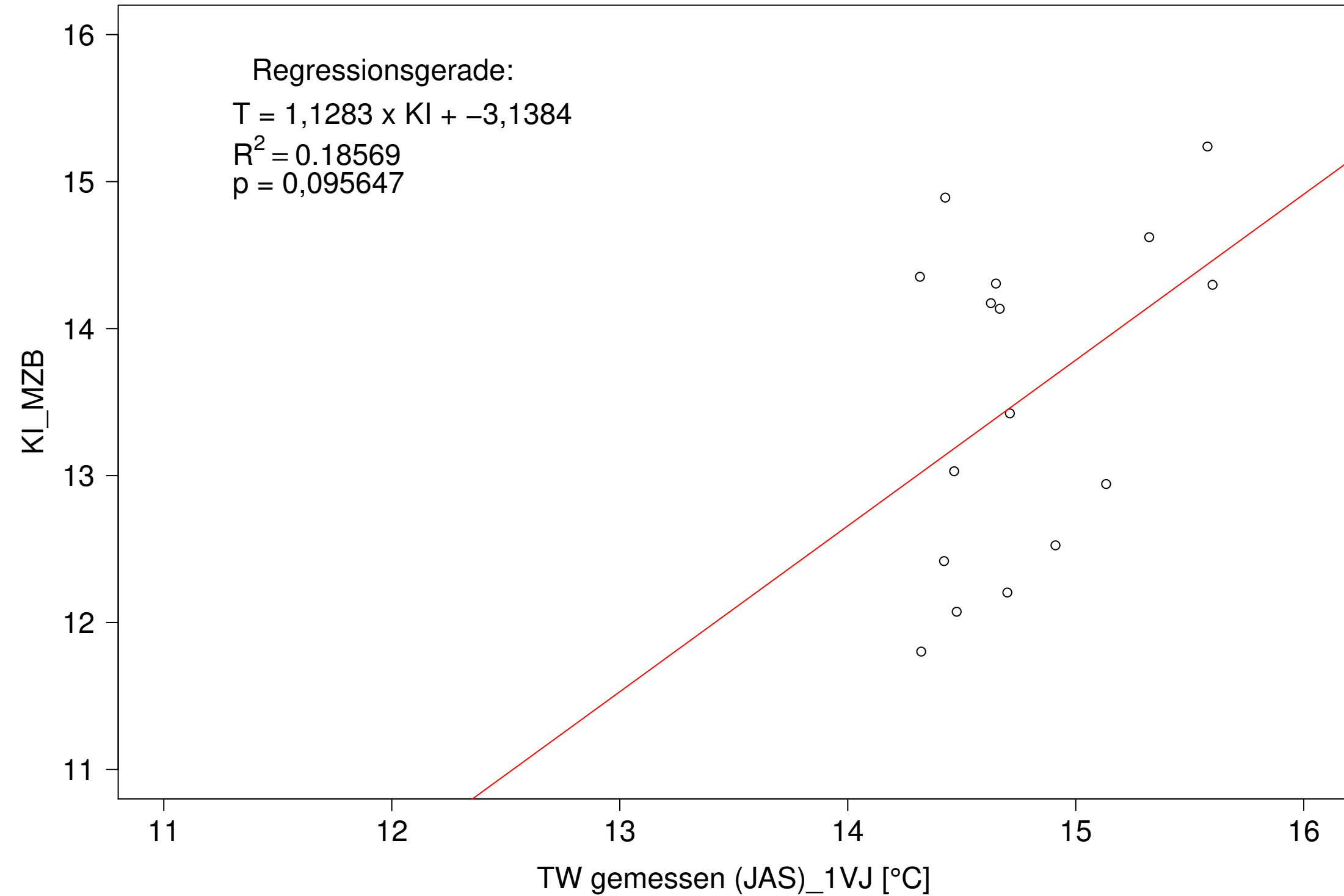
Donau_Pfohren, Typ 09.2 mit Neozoen, Serie 4
KI_MZB (Kont-Korr) gegen 3JMW TW interpoliert (Max) des 1. Vorjahres



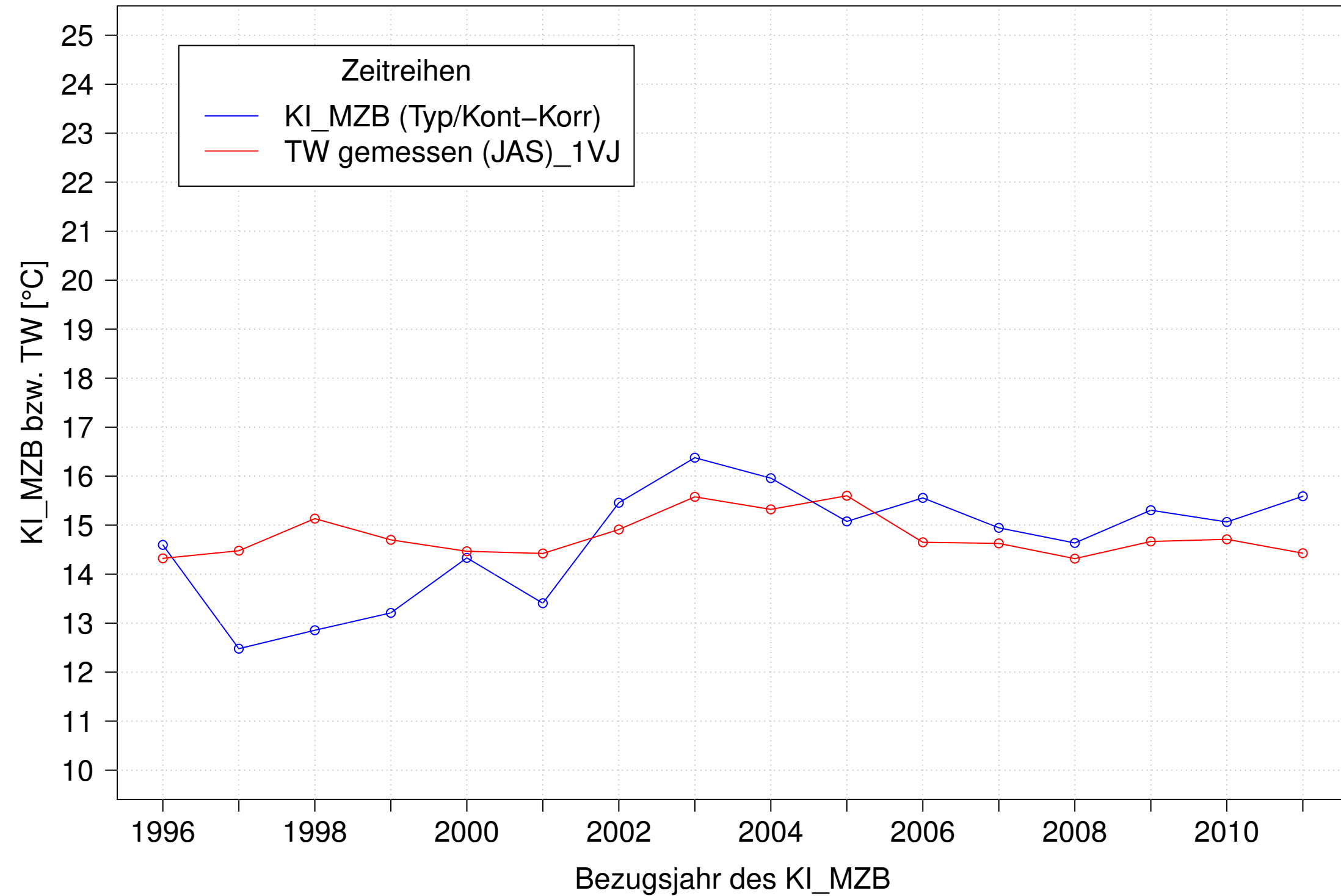
Donau_Pfohren, Typ 09.2 mit Neozoen, Serie 1
 KI_MZB (Typ/Kont-Korr) und 3JMW TW gemessen (JAS) des 1. Vorjahres



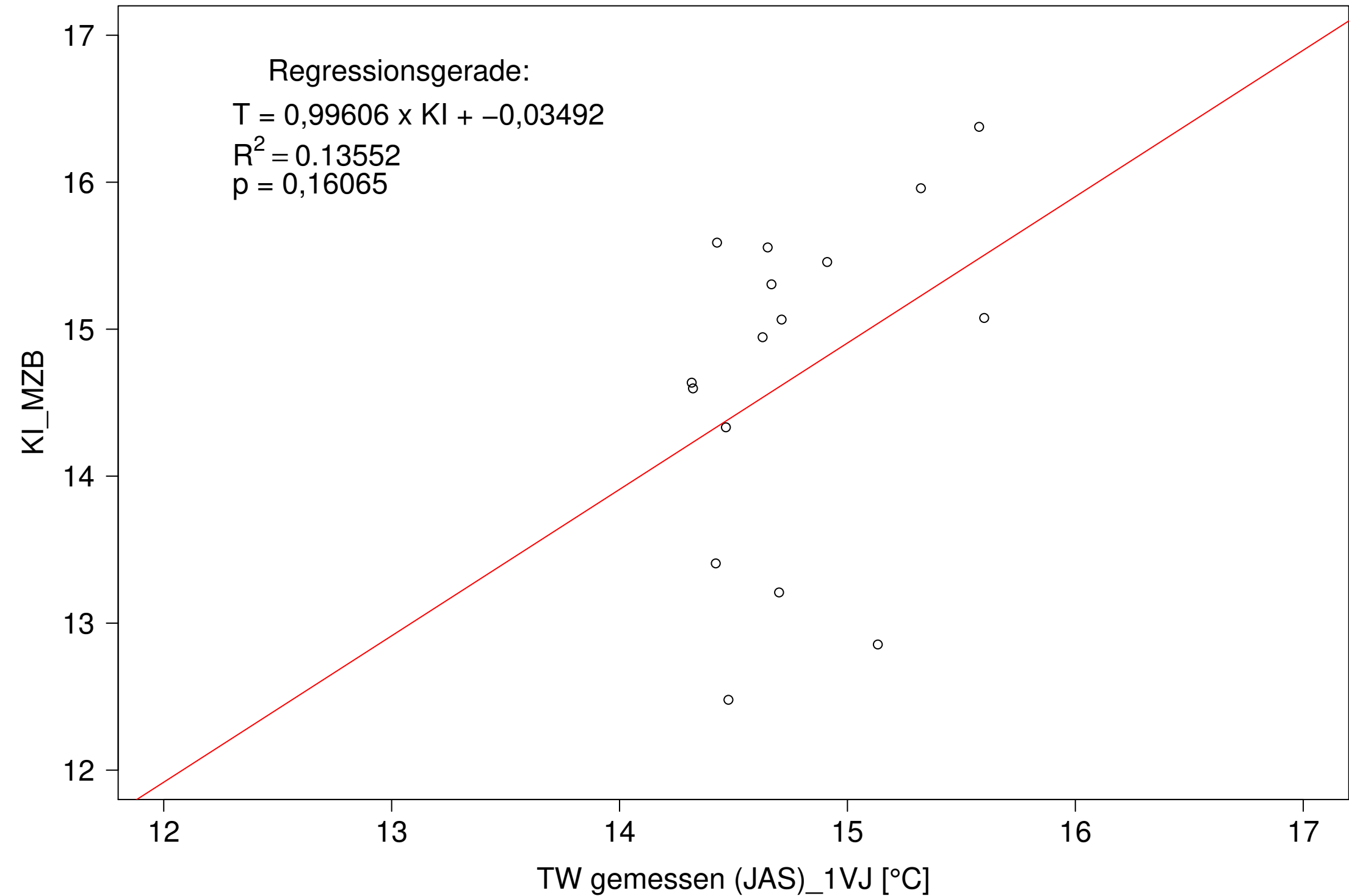
Donau_Pfohren, Typ 09.2 mit Neozoen, Serie 1
 KI_MZB (Typ/Kont-Korr) gegen 3JMW TW gemessen (JAS) des 1. Vorjahres



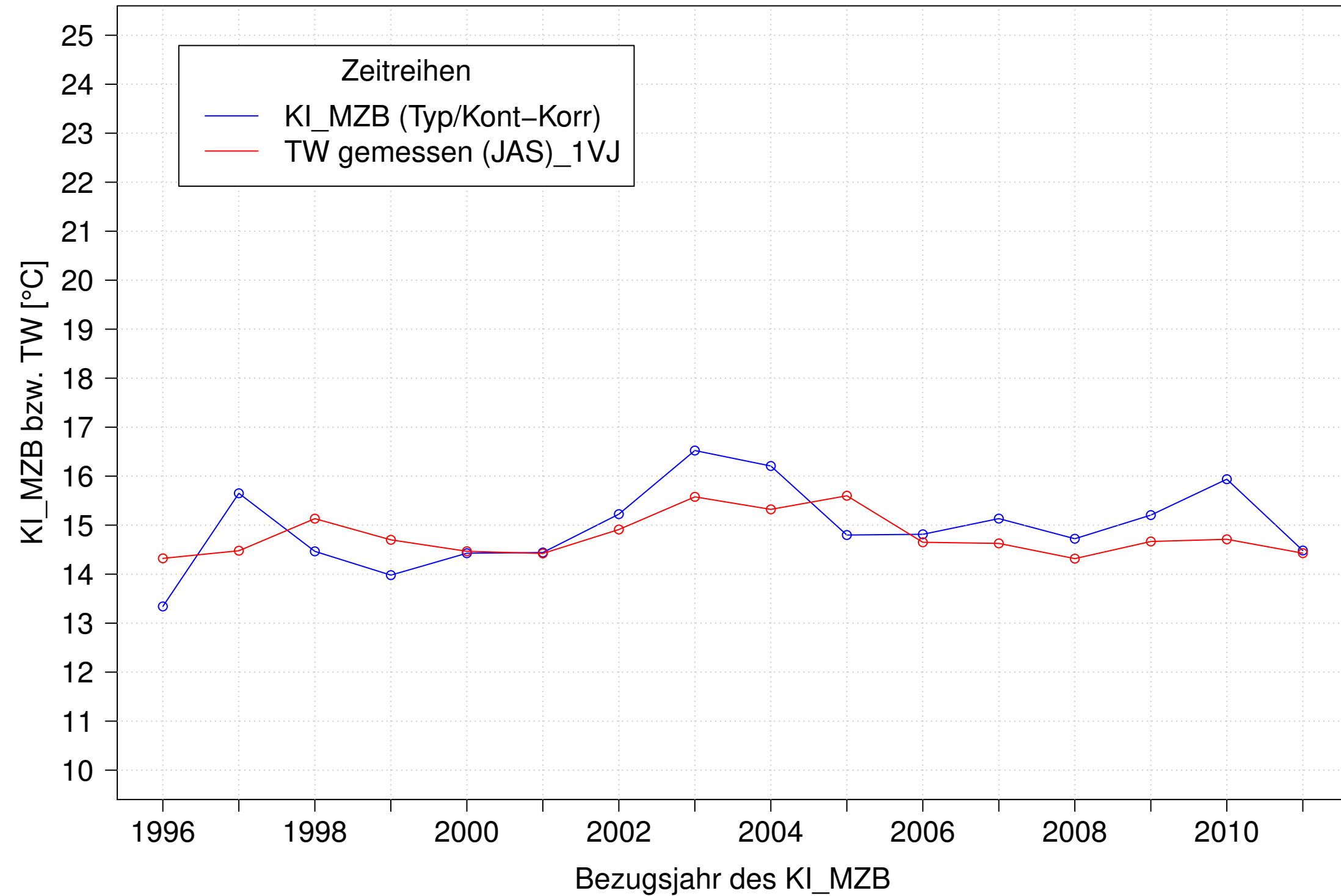
Donau_Pfohren, Typ 09.2 mit Neozoen, Serie 2
KI_MZB (Typ/Kont-Korr) und 3JMW TW gemessen (JAS) des 1. Vorjahres



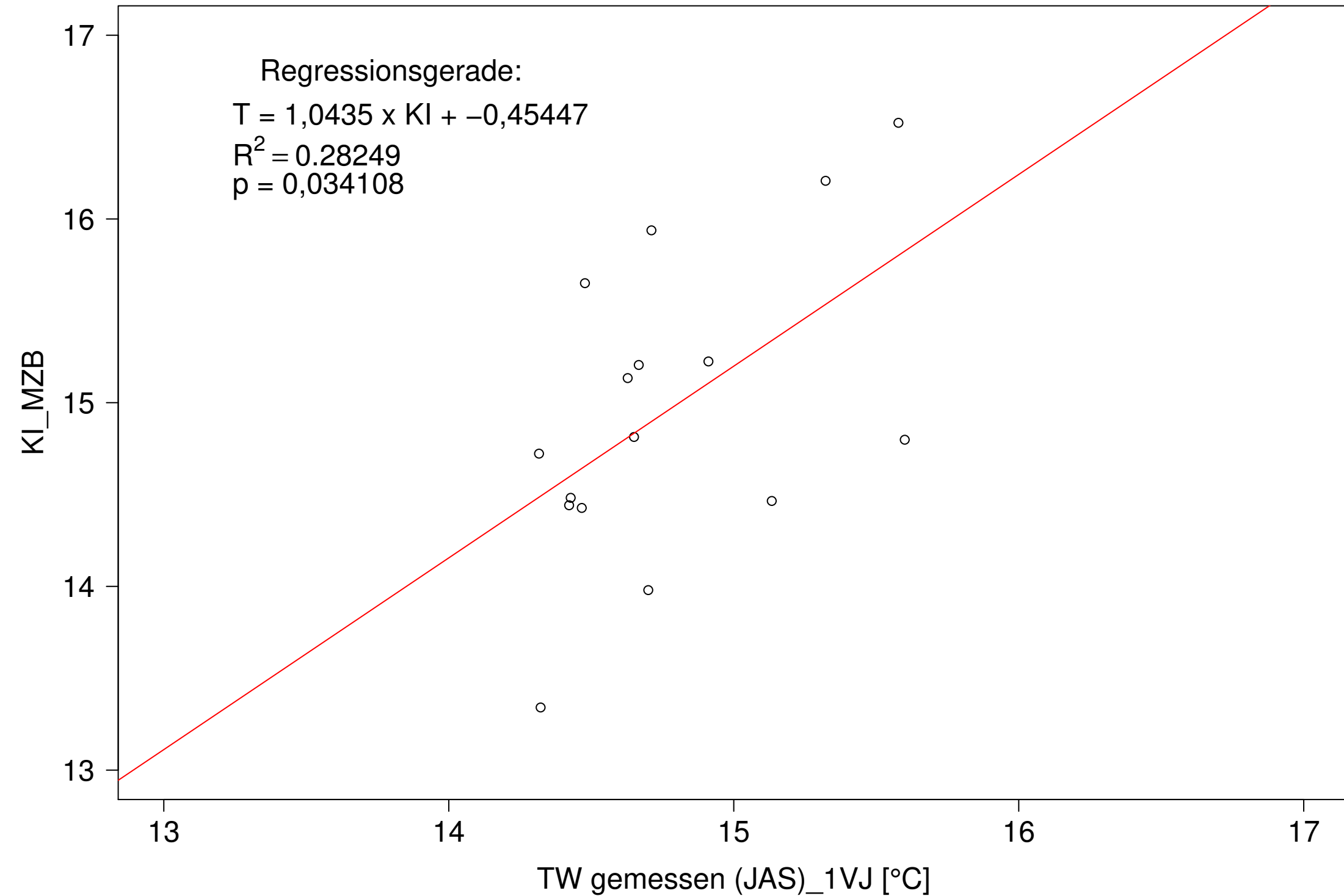
Donau_Pfohren, Typ 09.2 mit Neozoen, Serie 2
KI_MZB (Typ/Kont-Korr) gegen 3JMW TW gemessen (JAS) des 1. Vorjahres



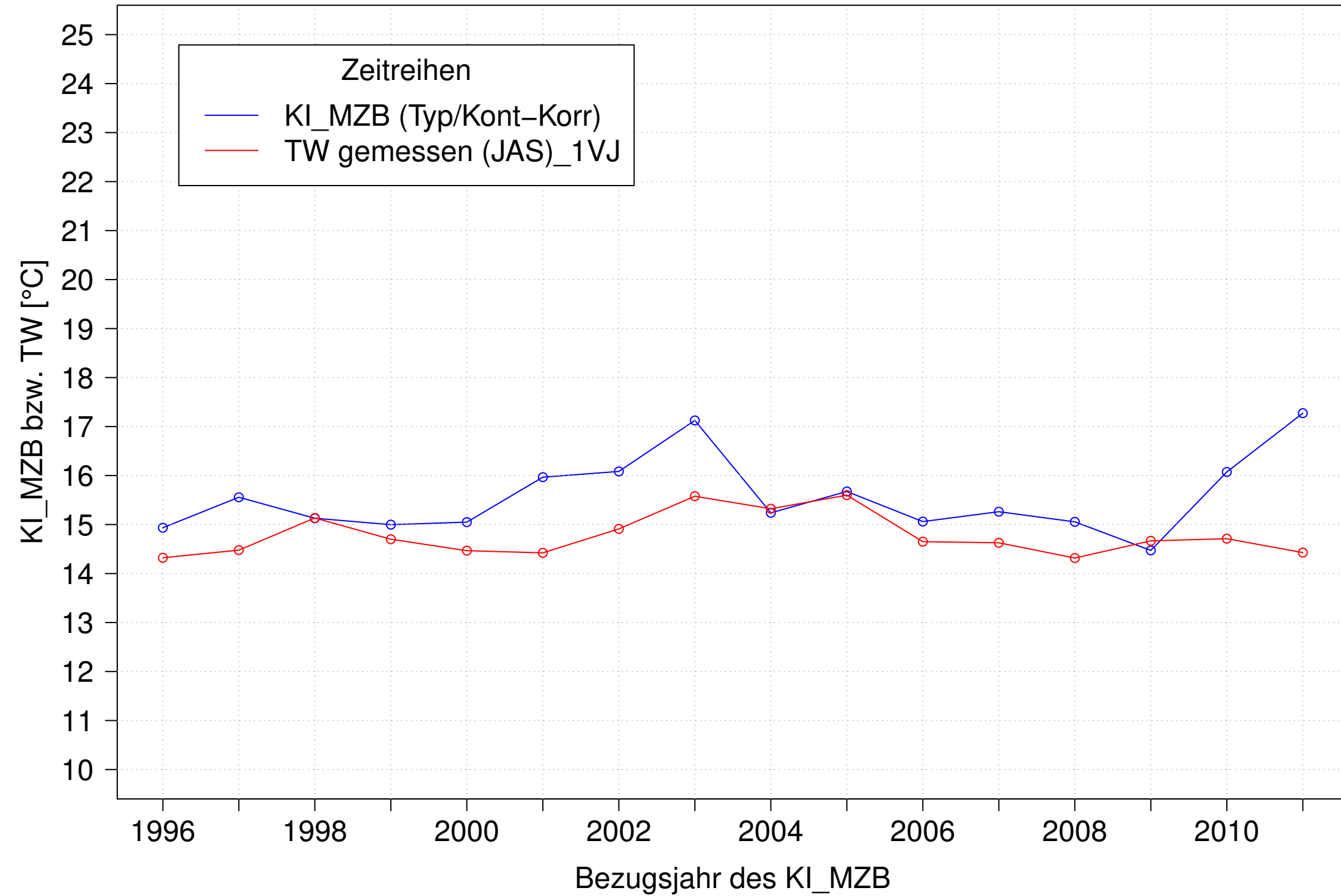
Donau_Pföhen, Typ 09.2 mit Neozoen, Serie 3
 KI_MZB (Typ/Kont-Korr) und 3JMW TW gemessen (JAS) des 1. Vorjahres



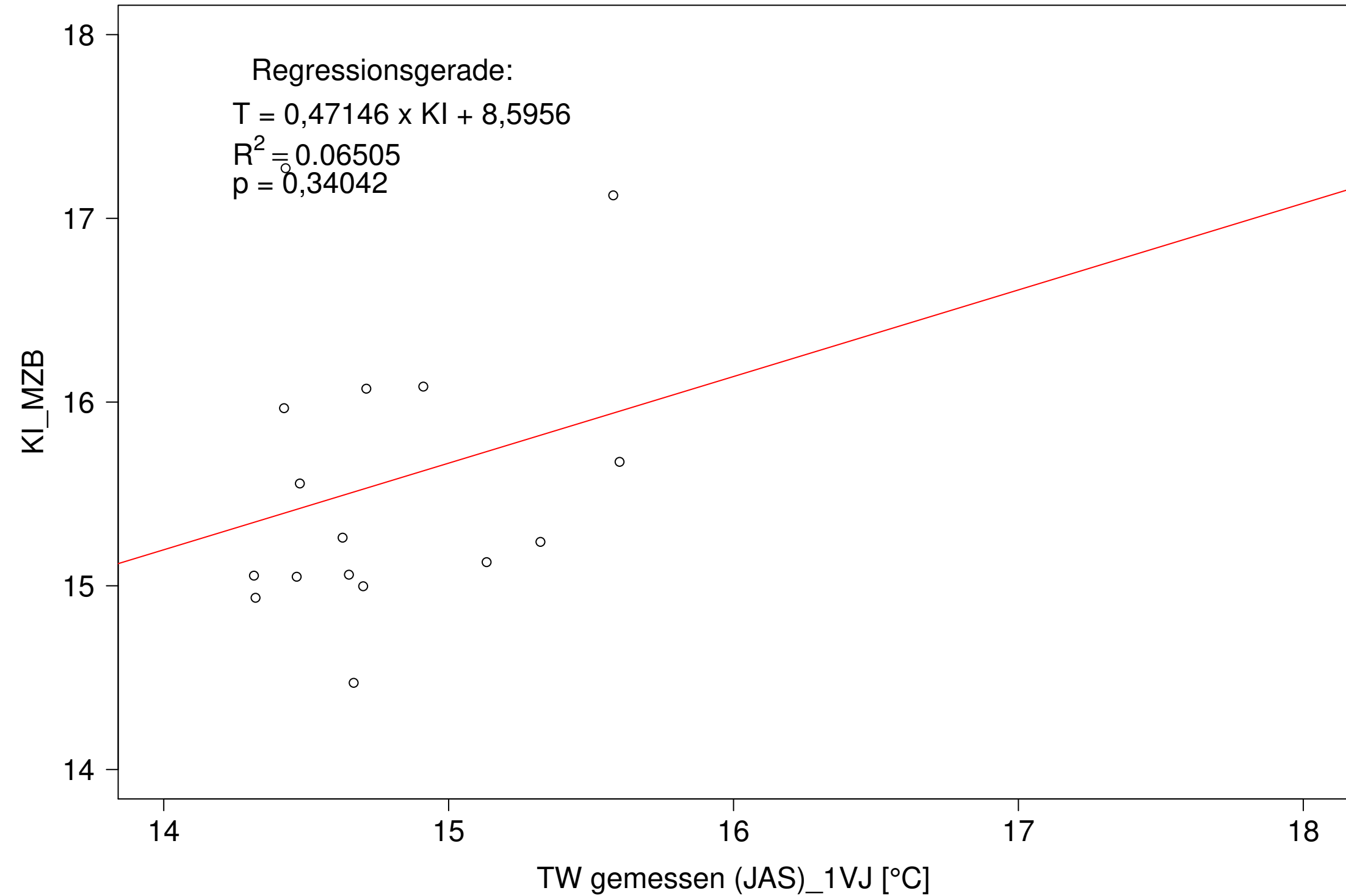
Donau_Pföhen, Typ 09.2 mit Neozoen, Serie 3
 KI_MZB (Typ/Kont-Korr) gegen 3JMW TW gemessen (JAS) des 1. Vorjahres



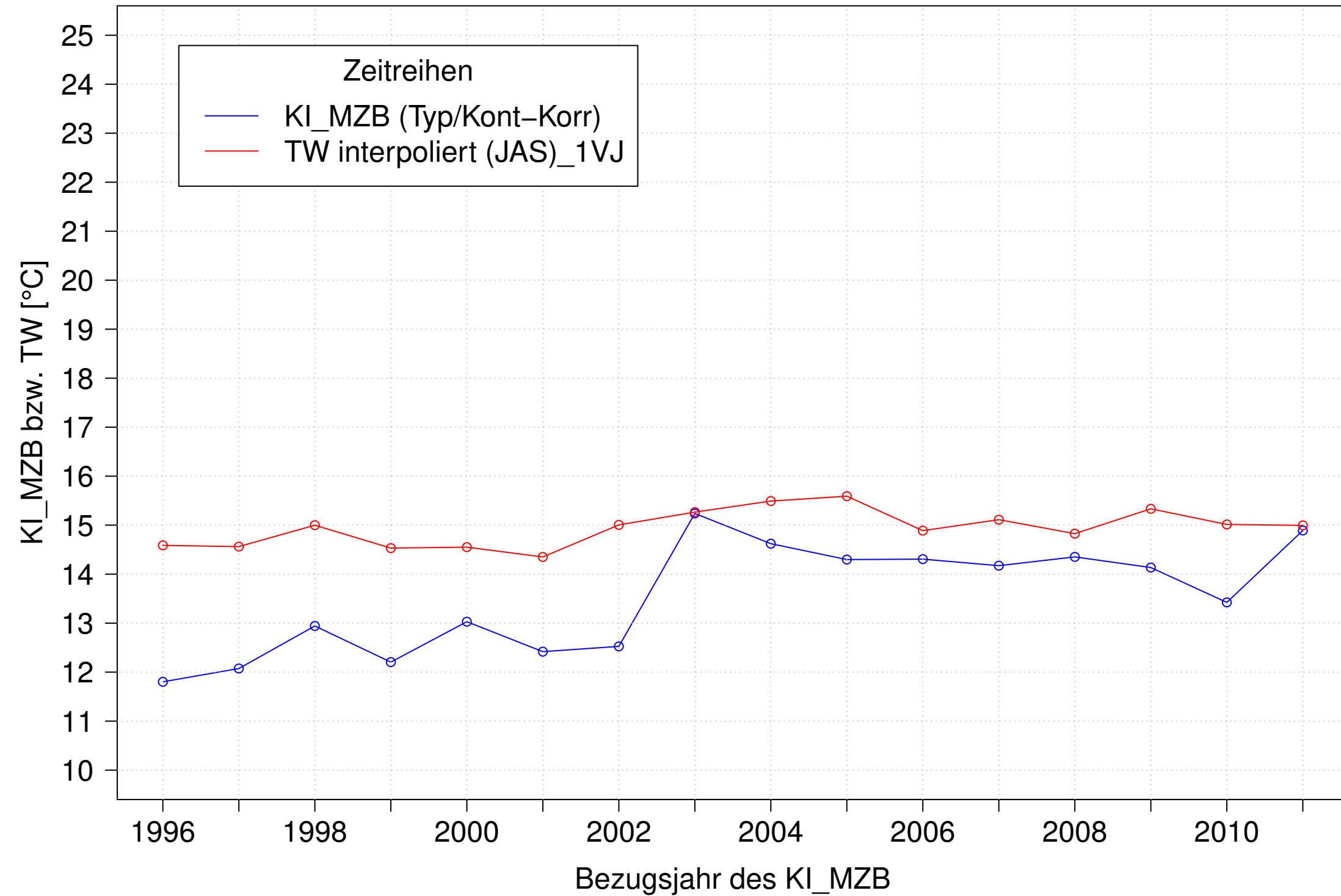
Donau_Pfohren, Typ 09.2 mit Neozoen, Serie 4
 KI_MZB (Typ/Kont-Korr) und 3JMW TW gemessen (JAS) des 1. Vorjahres



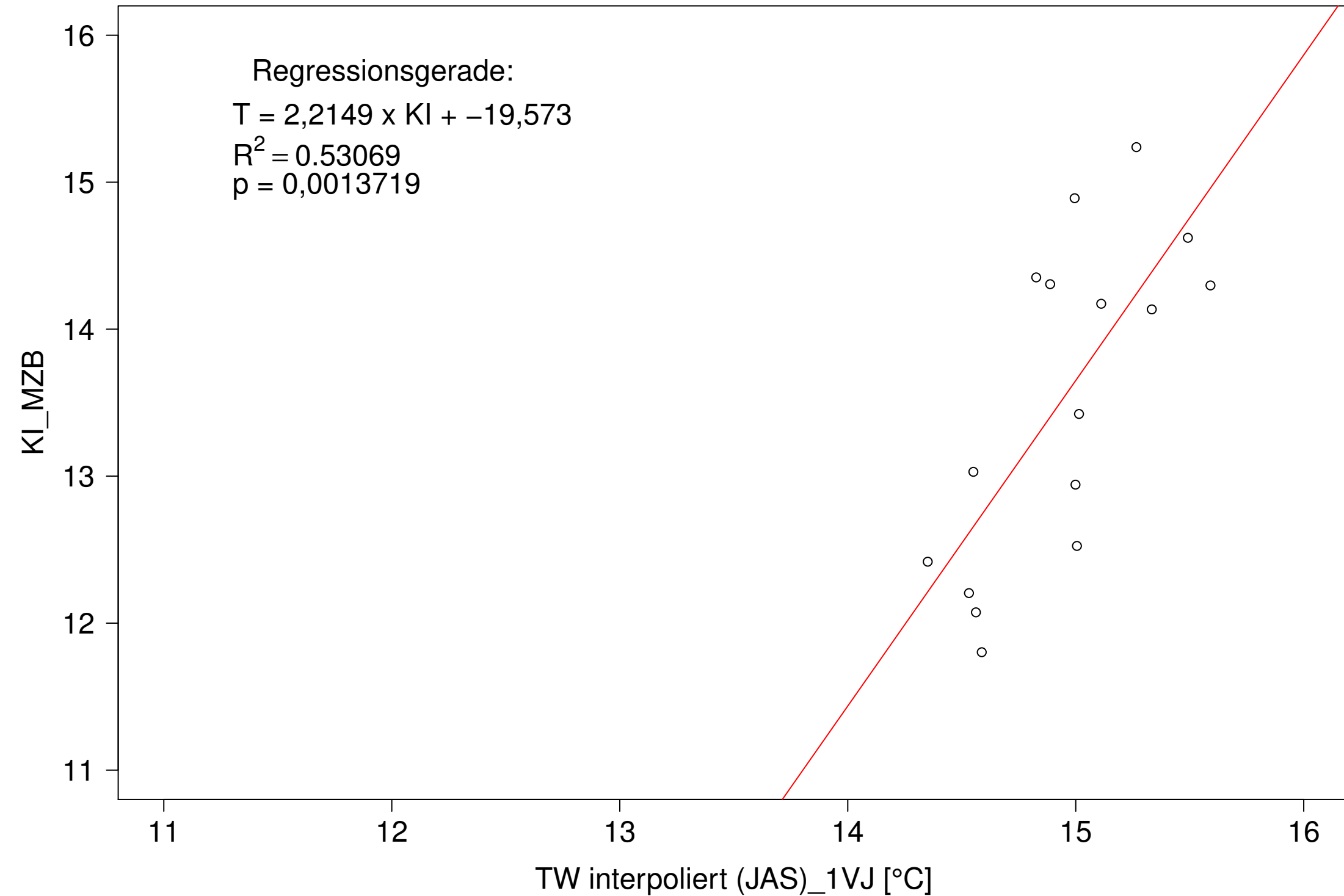
Donau_Pfohren, Typ 09.2 mit Neozoen, Serie 4
 KI_MZB (Typ/Kont-Korr) gegen 3JMW TW gemessen (JAS) des 1. Vorjahres



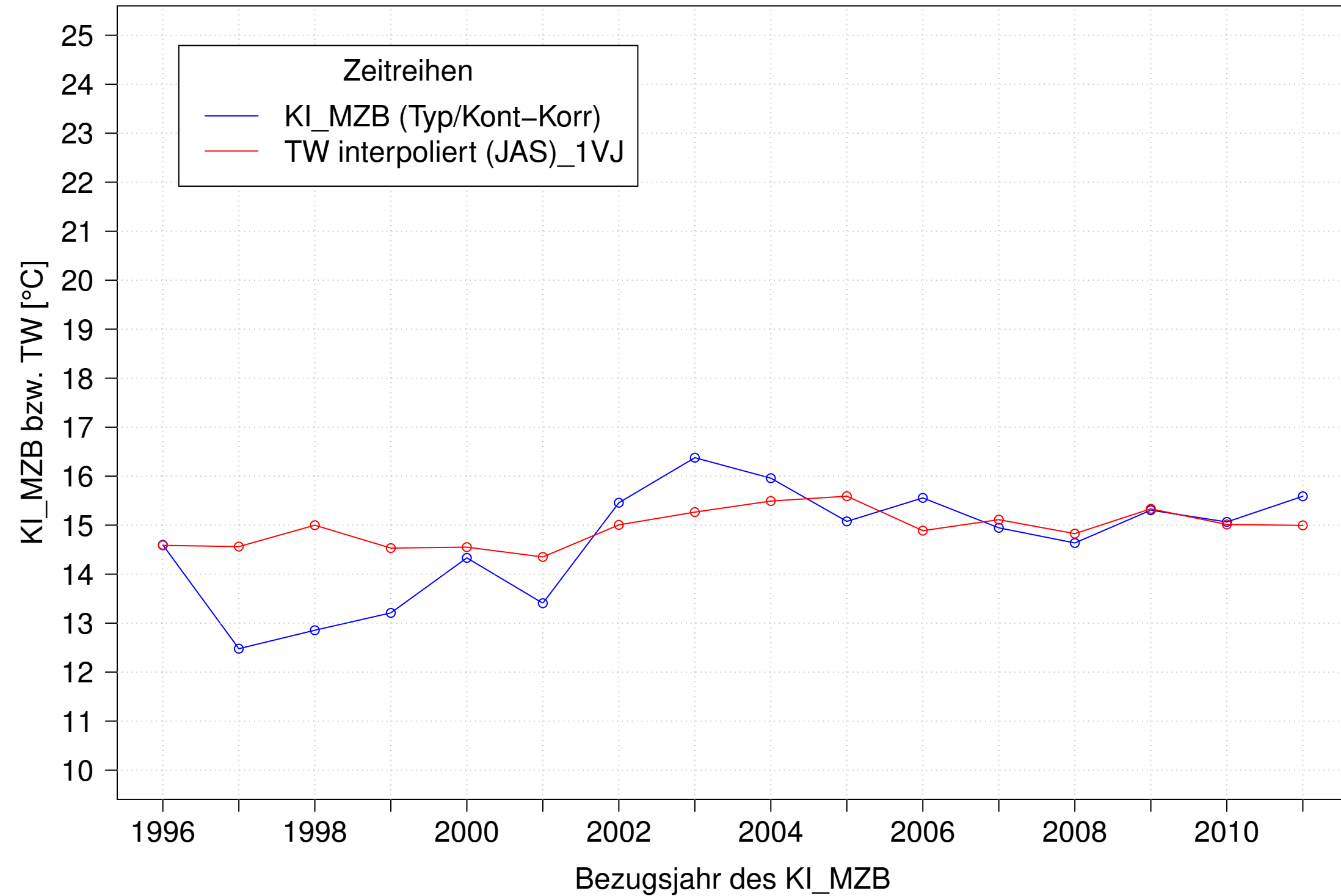
Donau_Pfohren, Typ 09.2 mit Neozoen, Serie 1
 KI_MZB (Typ/Kont-Korr) und 3JMW TW interpoliert (JAS) des 1. Vorjahres



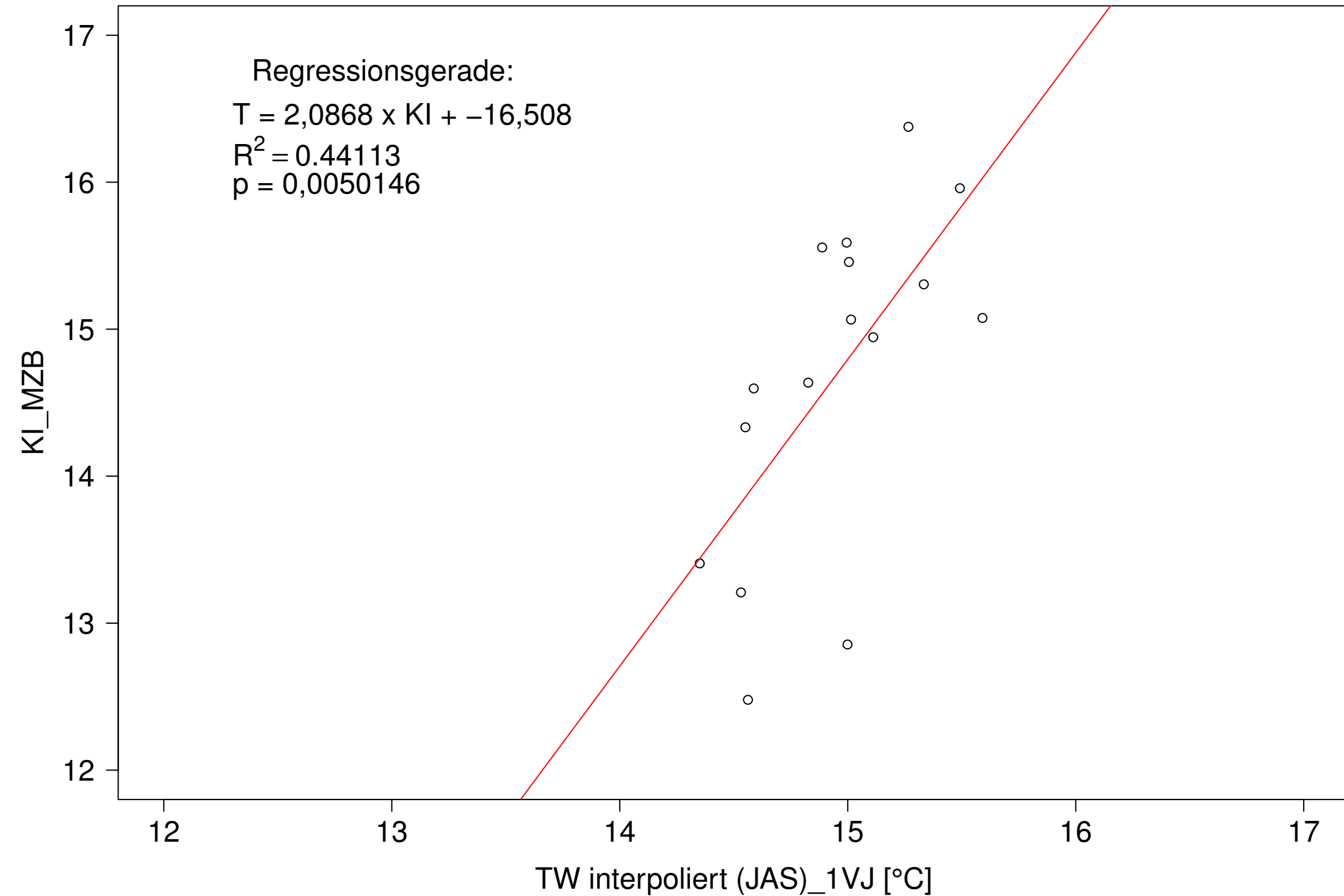
Donau_Pfohren, Typ 09.2 mit Neozoen, Serie 1
 KI_MZB (Typ/Kont-Korr) gegen 3JMW TW interpoliert (JAS) des 1. Vorjahres



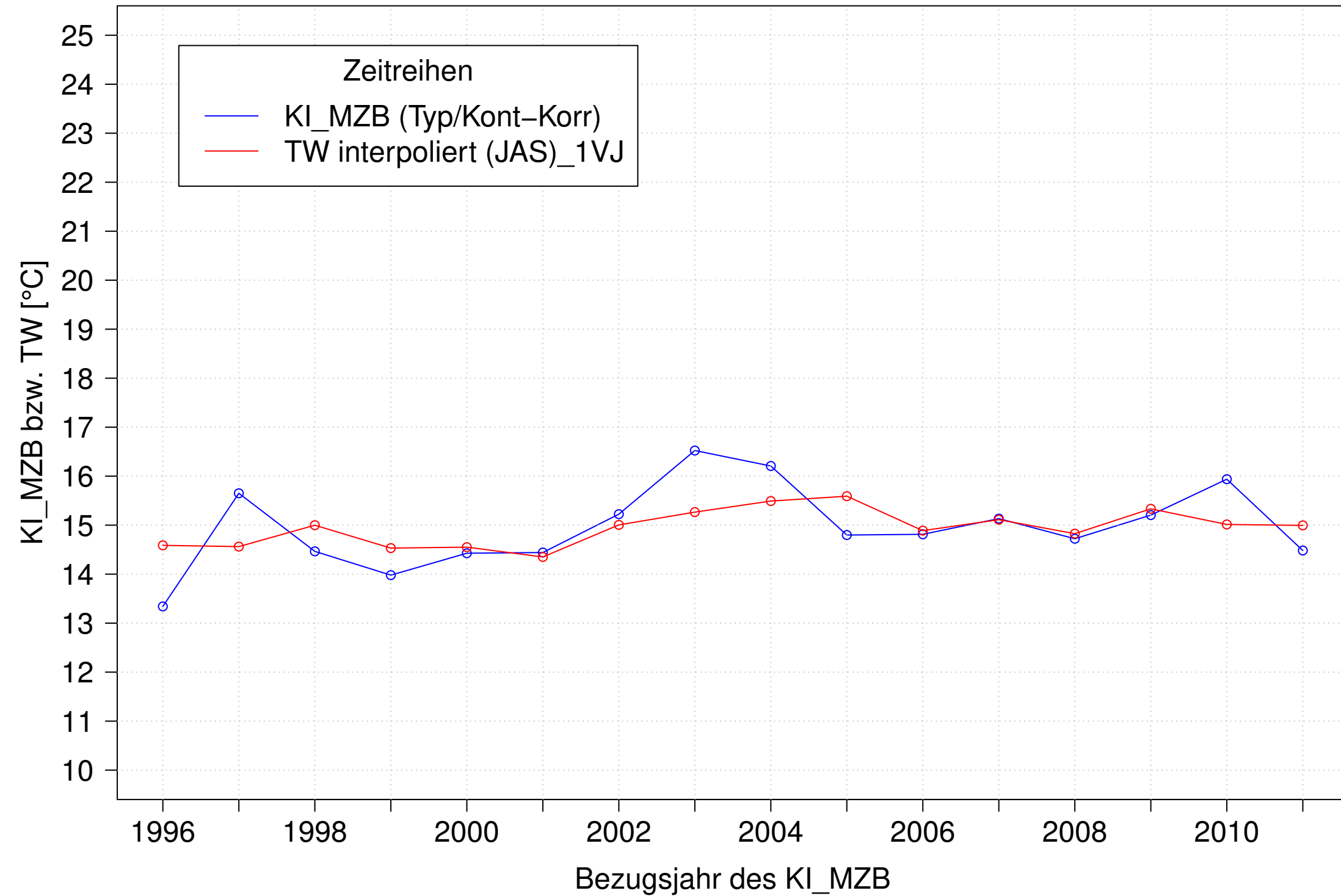
Donau_Pfohren, Typ 09.2 mit Neozoen, Serie 2
 KI_MZB (Typ/Kont-Korr) und 3JMW TW interpoliert (JAS) des 1. Vorjahres



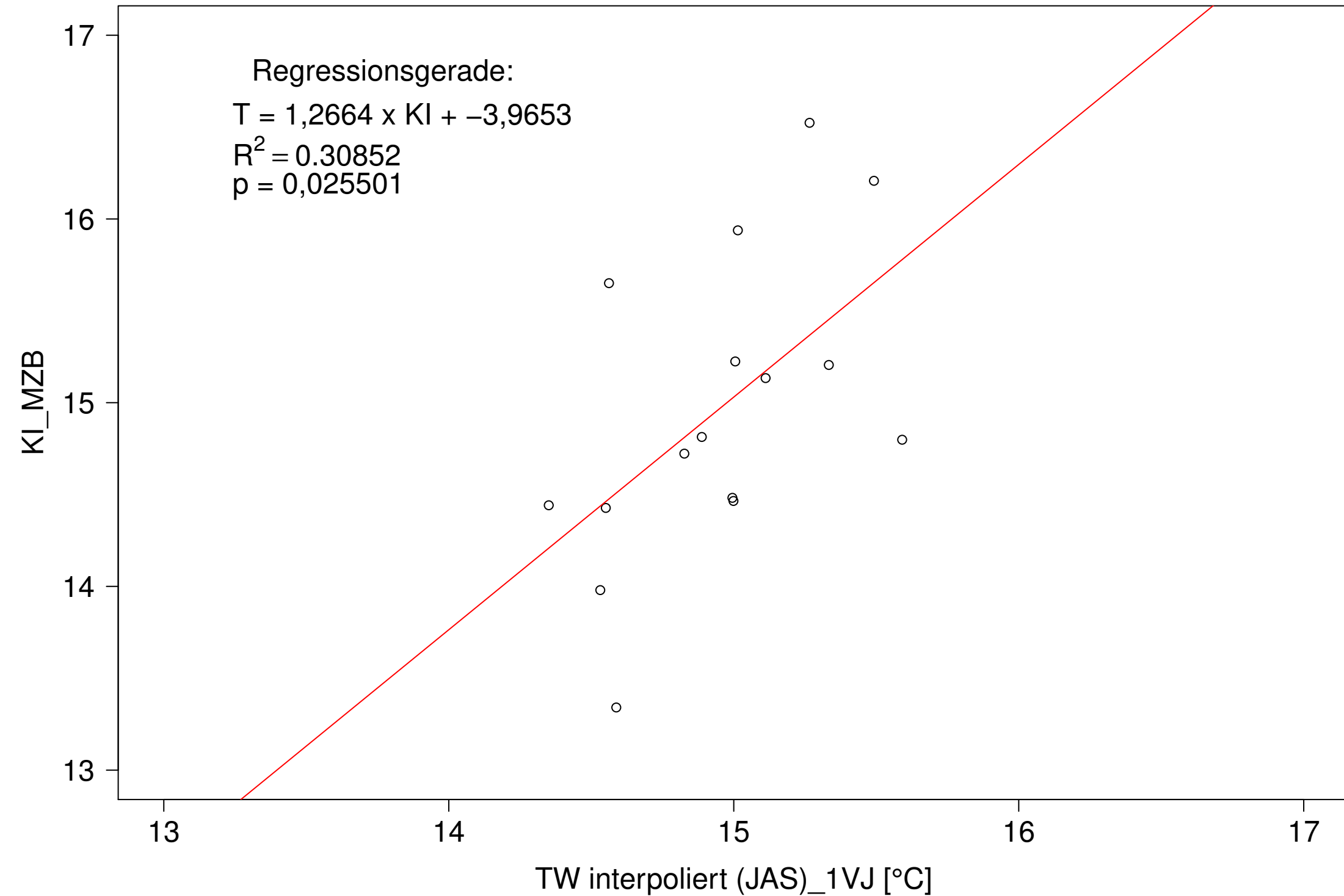
Donau_Pfohren, Typ 09.2 mit Neozoen, Serie 2
 KI_MZB (Typ/Kont-Korr) gegen 3JMW TW interpoliert (JAS) des 1. Vorjahres



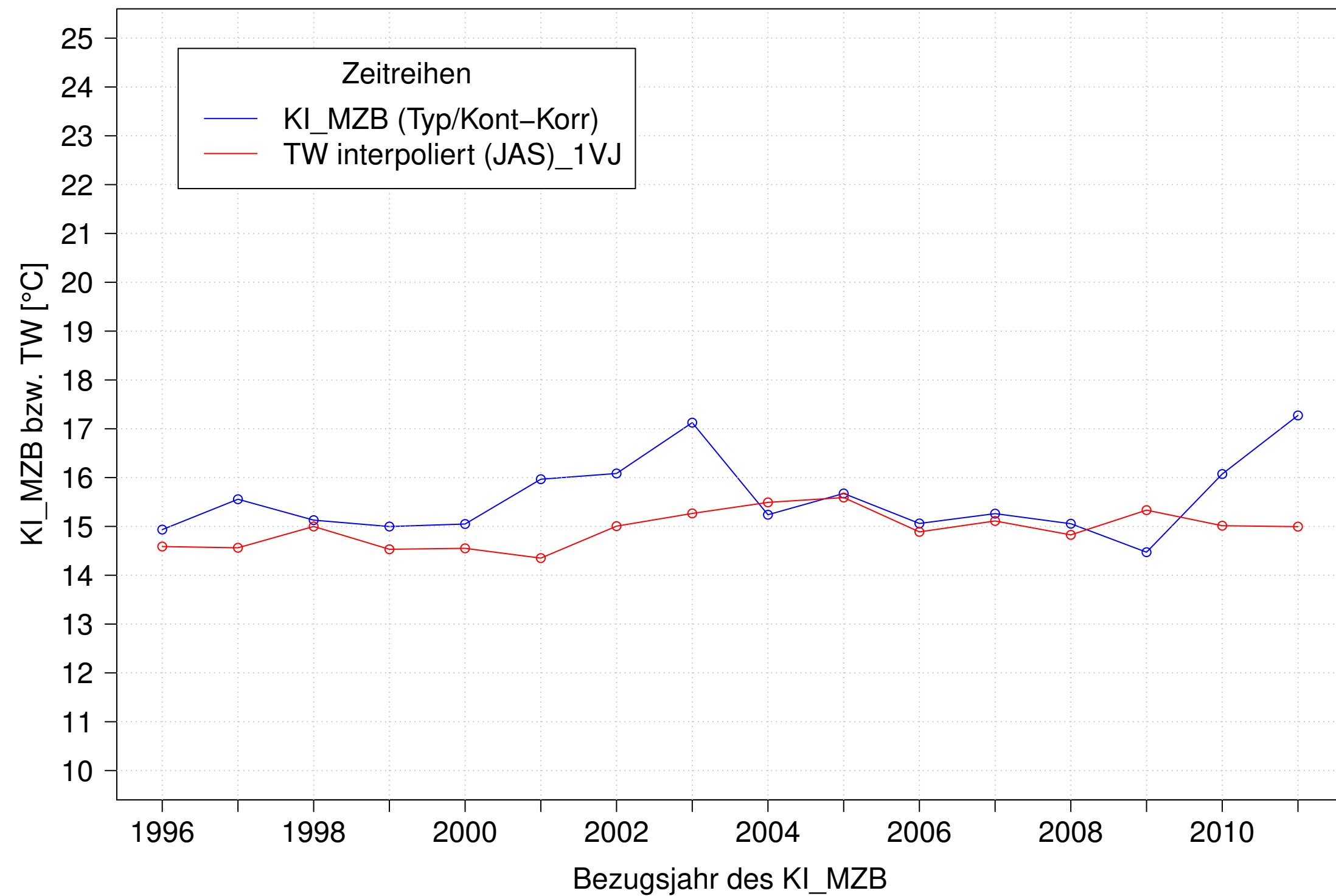
Donau_Pfohren, Typ 09.2 mit Neozoen, Serie 3
 KI_MZB (Typ/Kont-Korr) und 3JMW TW interpoliert (JAS) des 1. Vorjahres



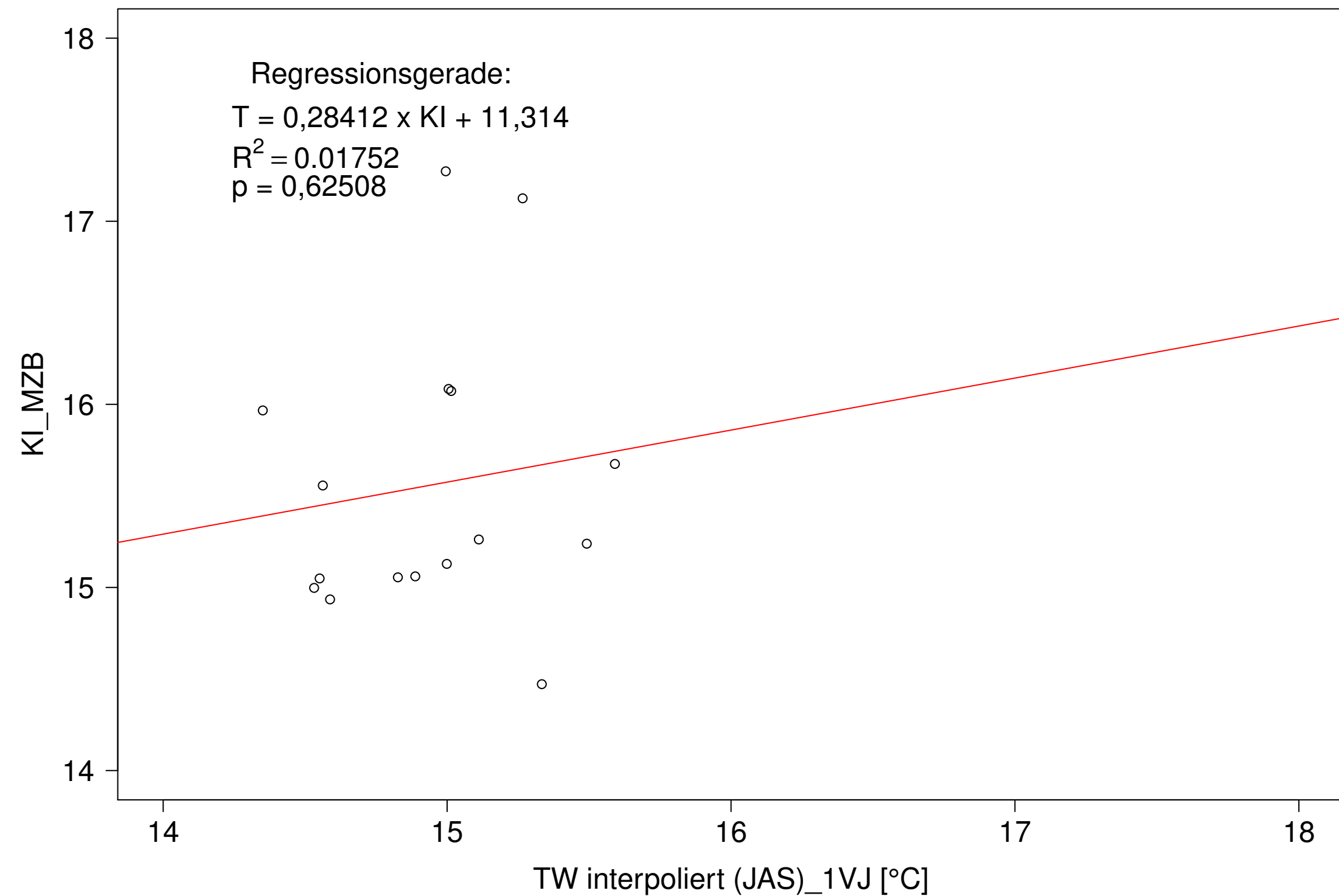
Donau_Pfohren, Typ 09.2 mit Neozoen, Serie 3
 KI_MZB (Typ/Kont-Korr) gegen 3JMW TW interpoliert (JAS) des 1. Vorjahres



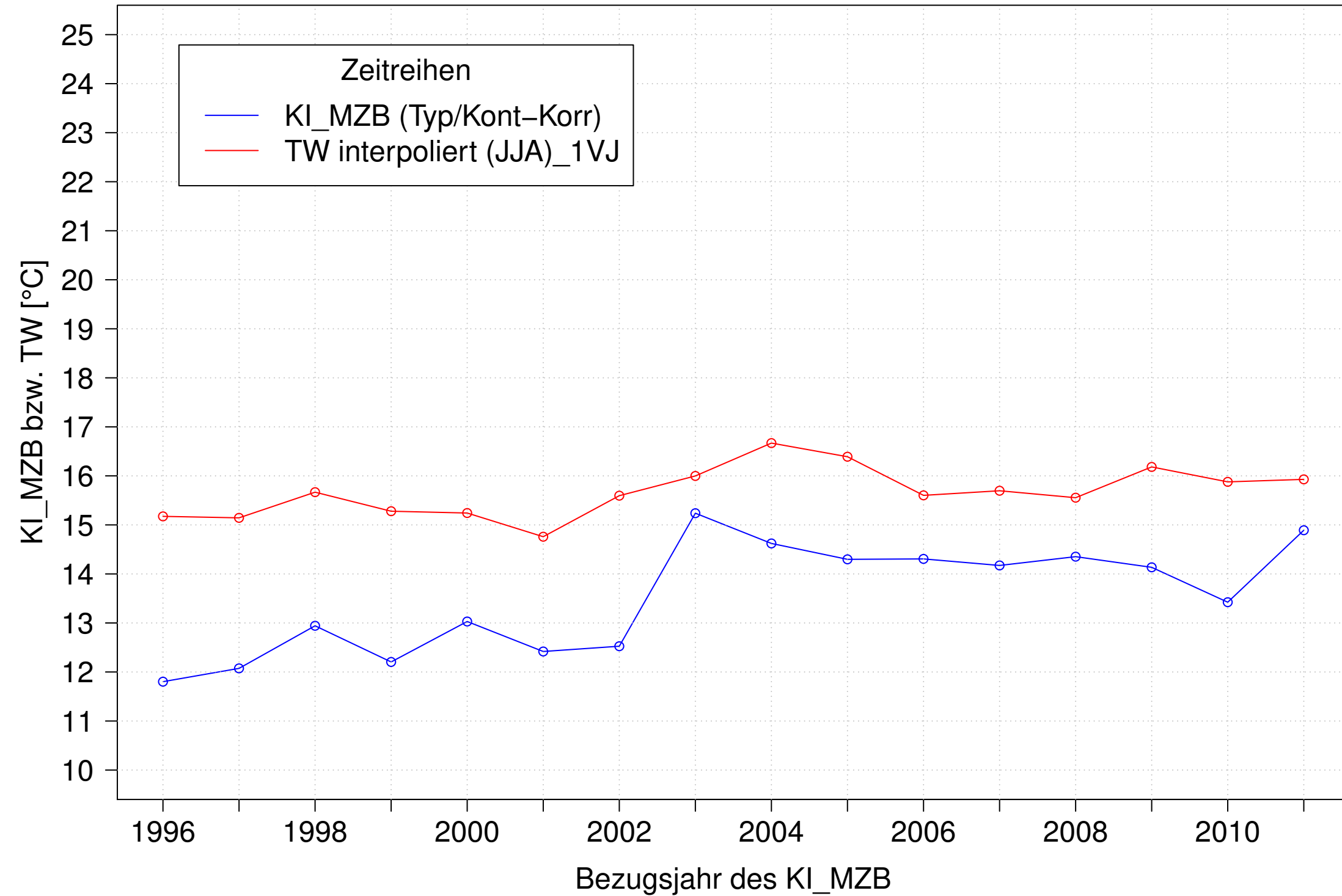
Donau_Pfohren, Typ 09.2 mit Neozoen, Serie 4
 KI_MZB (Typ/Kont-Korr) und 3JMW TW interpoliert (JAS) des 1. Vorjahres



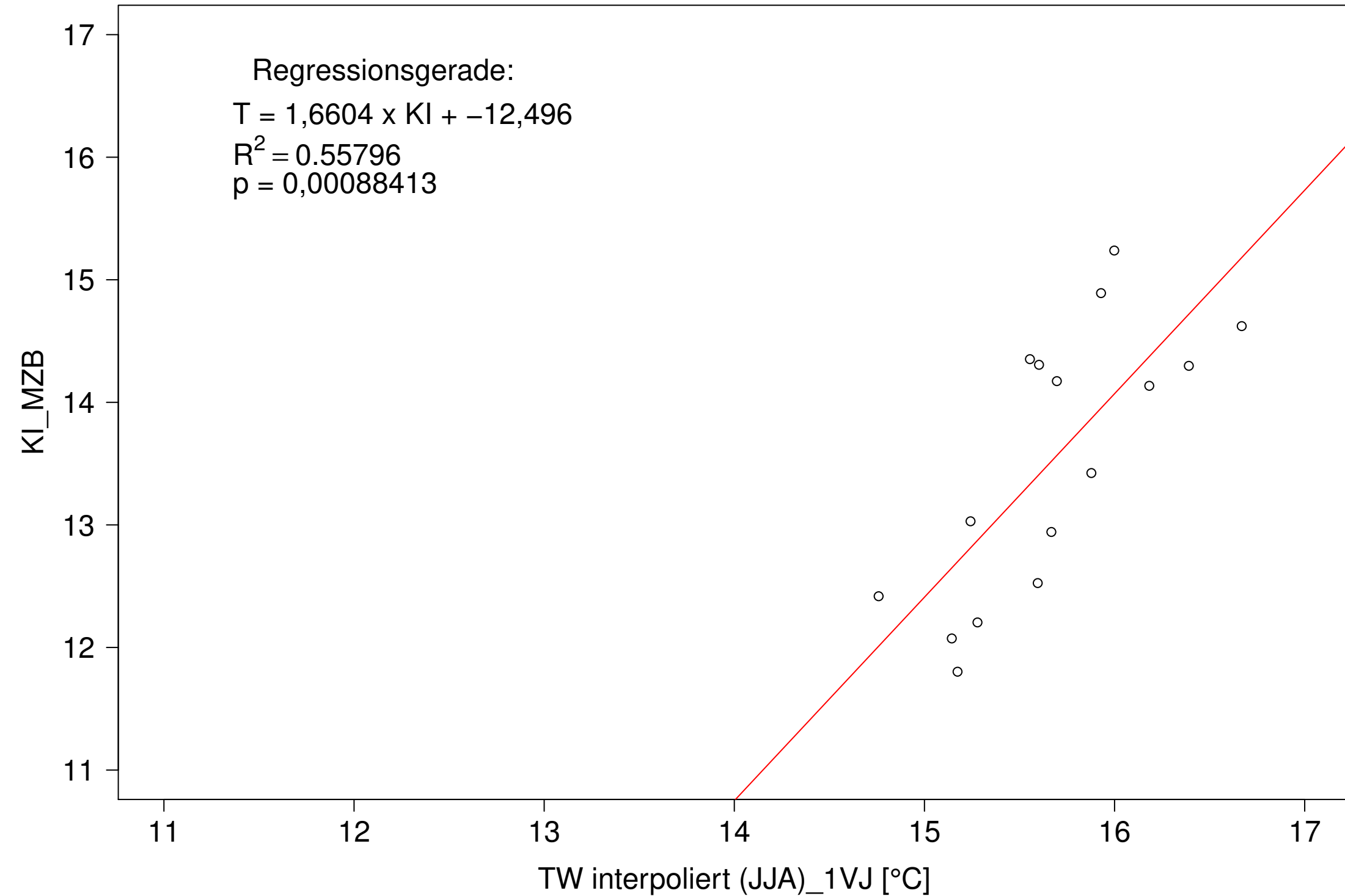
Donau_Pfohren, Typ 09.2 mit Neozoen, Serie 4
 KI_MZB (Typ/Kont-Korr) gegen 3JMW TW interpoliert (JAS) des 1. Vorjahres



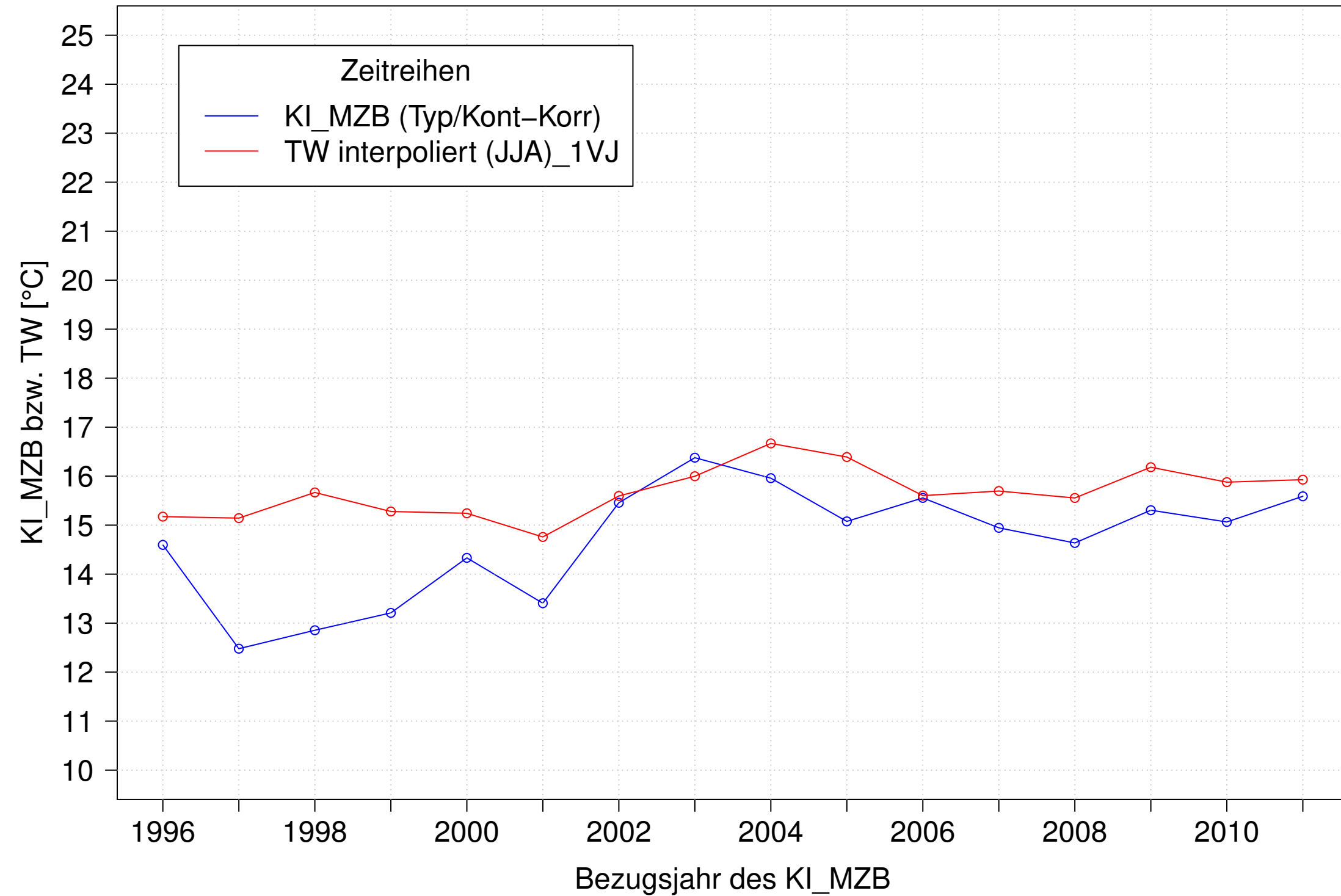
Donau_Pfohren, Typ 09.2 mit Neozoen, Serie 1
 KI_MZB (Typ/Kont-Korr) und 3JMW TW interpoliert (JJA) des 1. Vorjahres



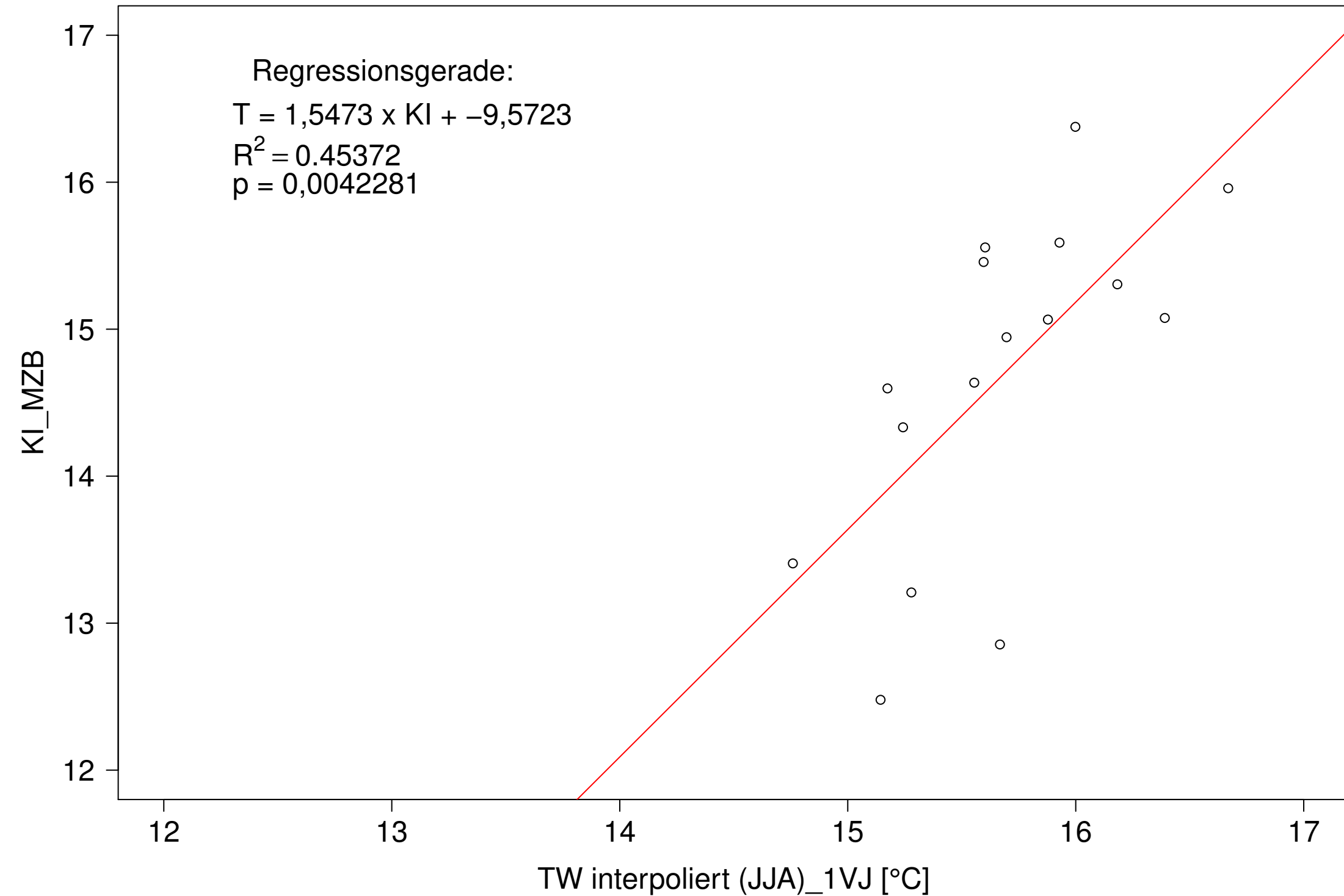
Donau_Pfohren, Typ 09.2 mit Neozoen, Serie 1
 KI_MZB (Typ/Kont-Korr) gegen 3JMW TW interpoliert (JJA) des 1. Vorjahres



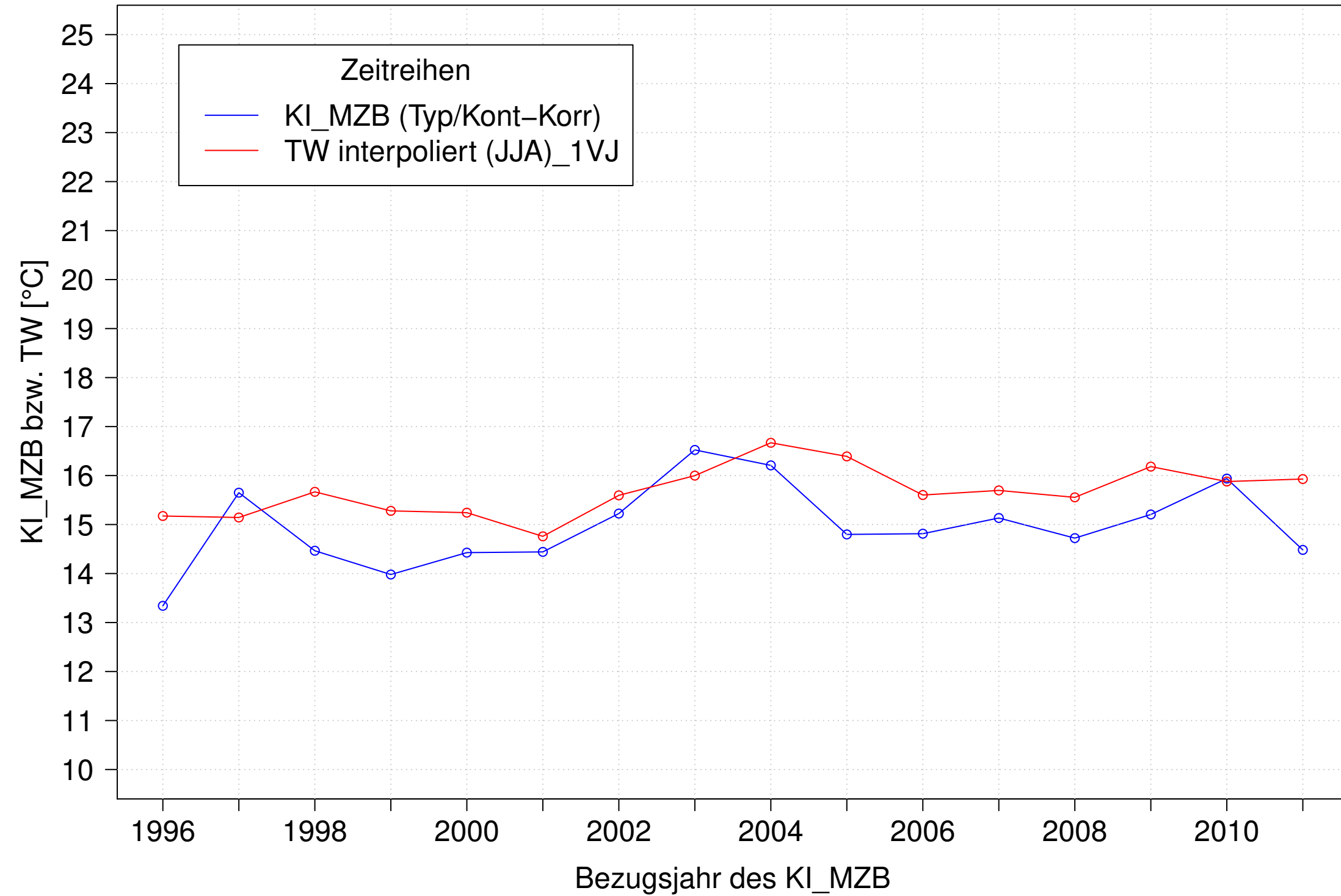
Donau_Pfohren, Typ 09.2 mit Neozoen, Serie 2
 KI_MZB (Typ/Kont-Korr) und 3JMW TW interpoliert (JJA) des 1. Vorjahres



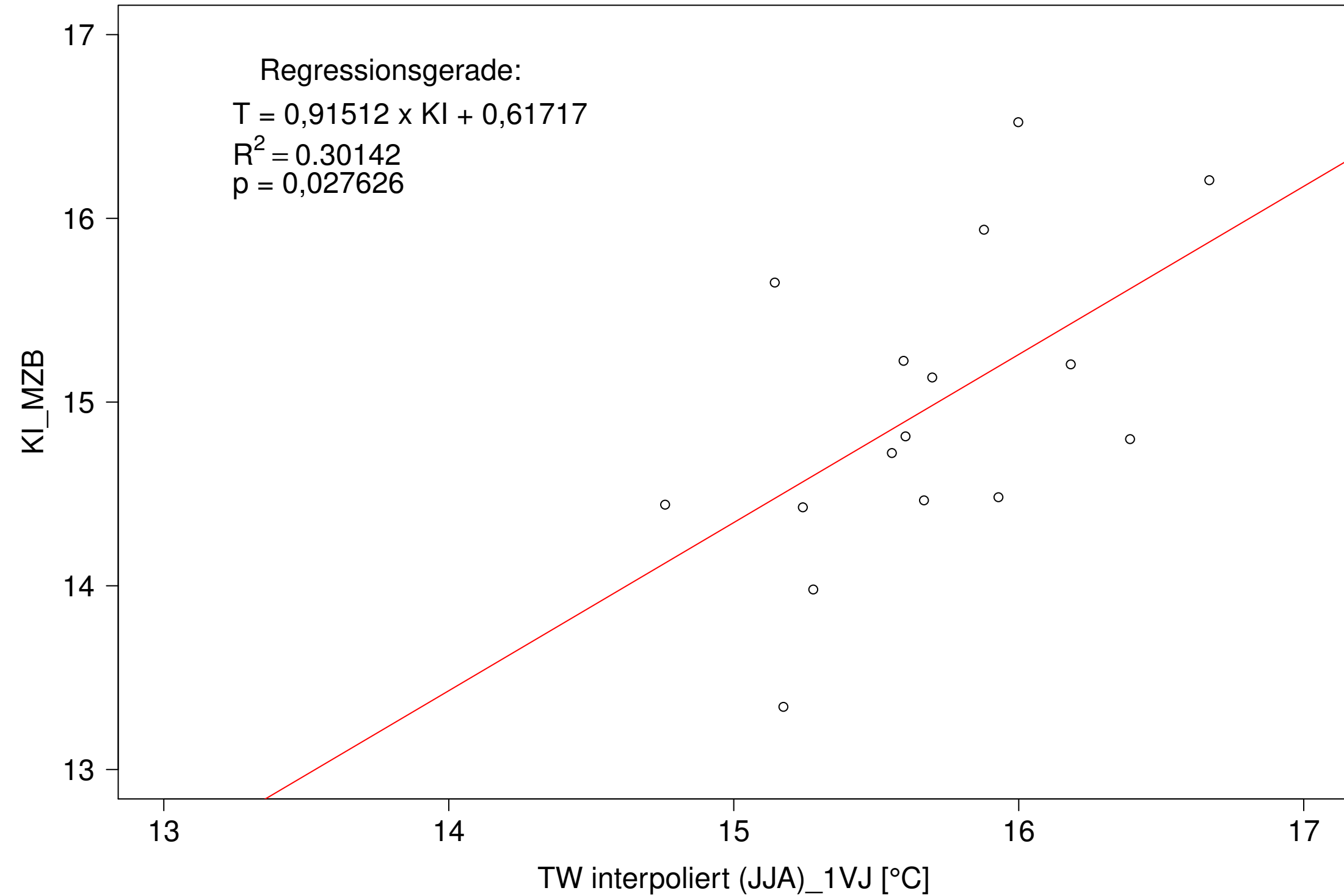
Donau_Pfohren, Typ 09.2 mit Neozoen, Serie 2
 KI_MZB (Typ/Kont-Korr) gegen 3JMW TW interpoliert (JJA) des 1. Vorjahres



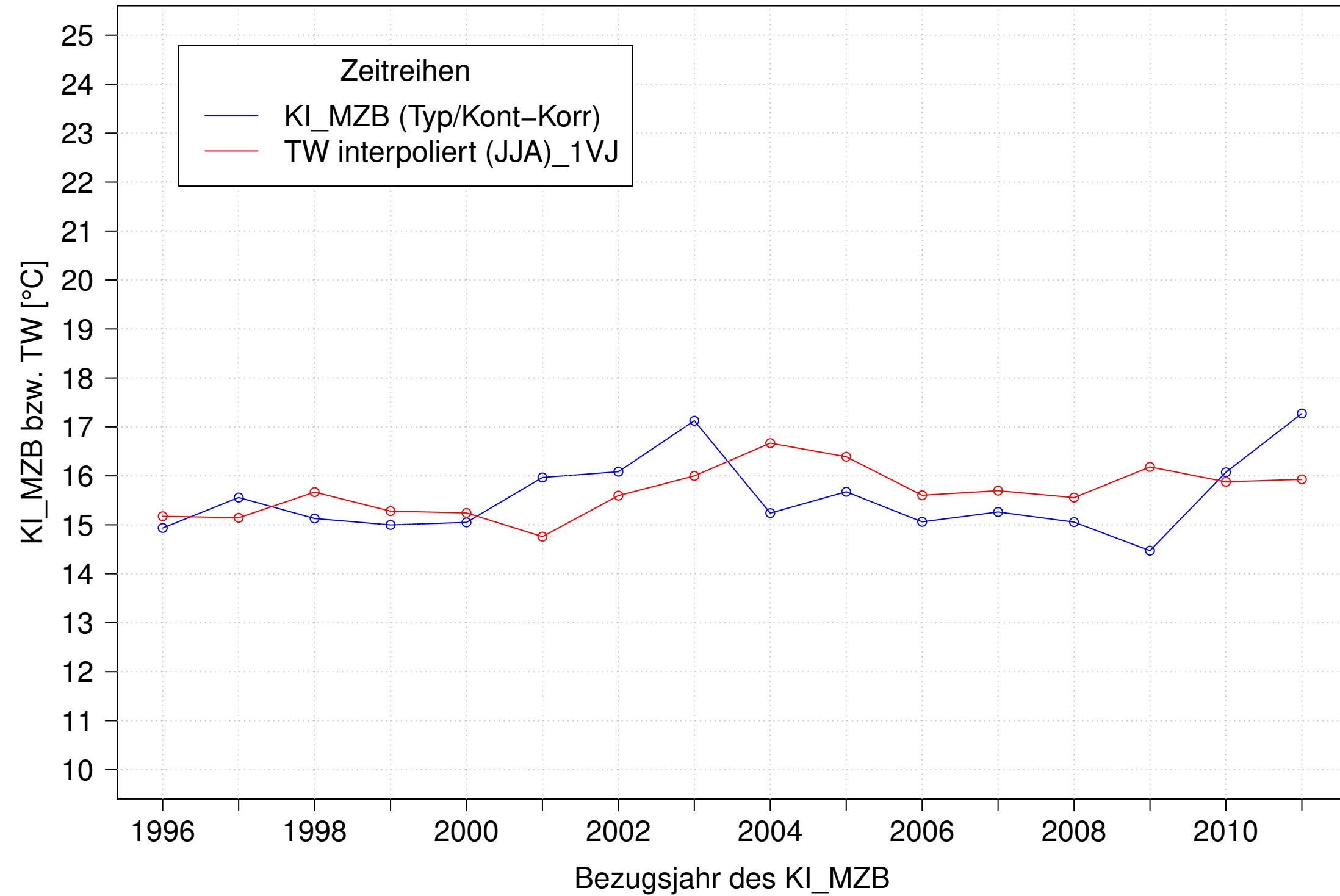
Donau_Pfohren, Typ 09.2 mit Neozoen, Serie 3
 KI_MZB (Typ/Kont-Korr) und 3JMW TW interpoliert (JJA) des 1. Vorjahres



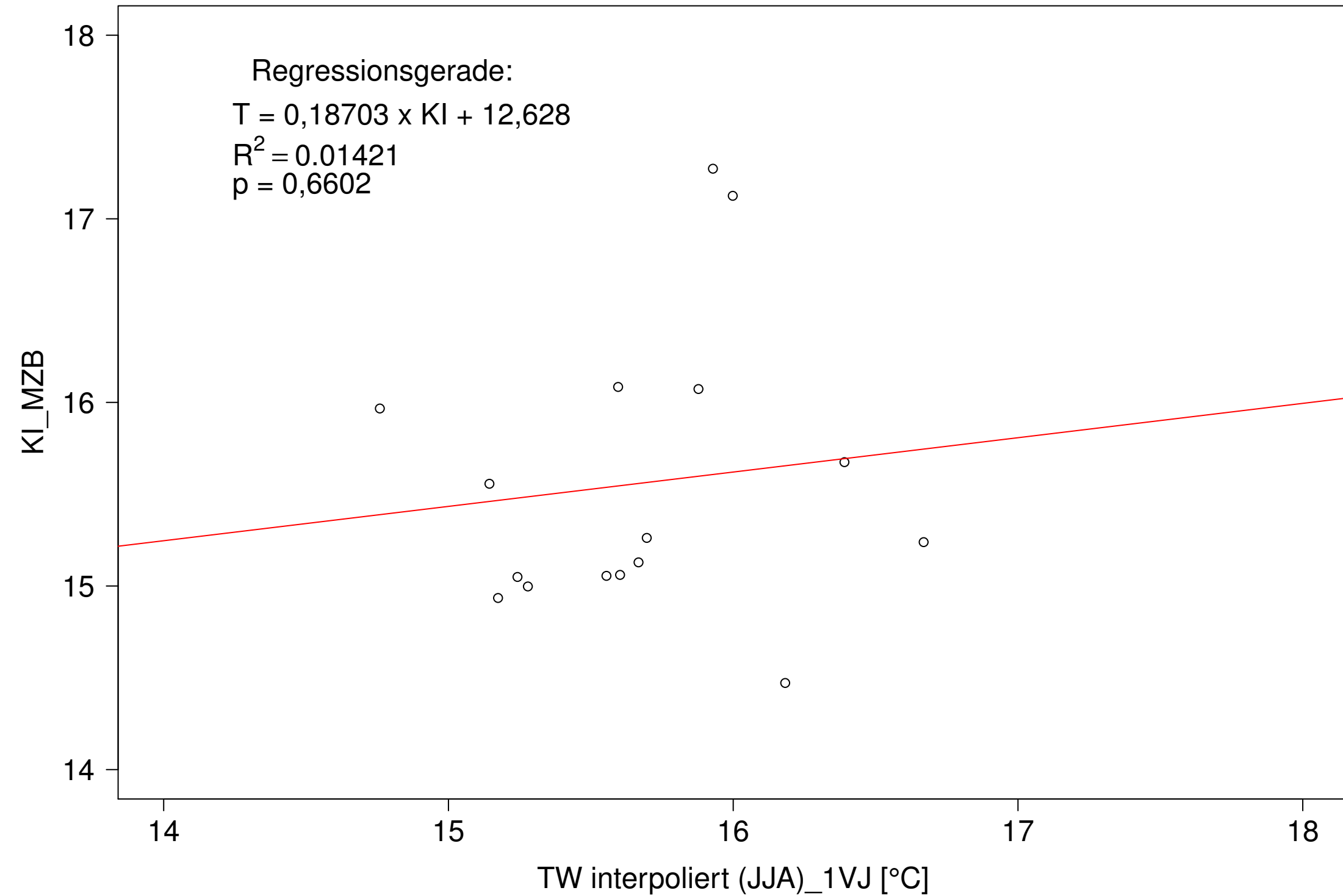
Donau_Pfohren, Typ 09.2 mit Neozoen, Serie 3
 KI_MZB (Typ/Kont-Korr) gegen 3JMW TW interpoliert (JJA) des 1. Vorjahres



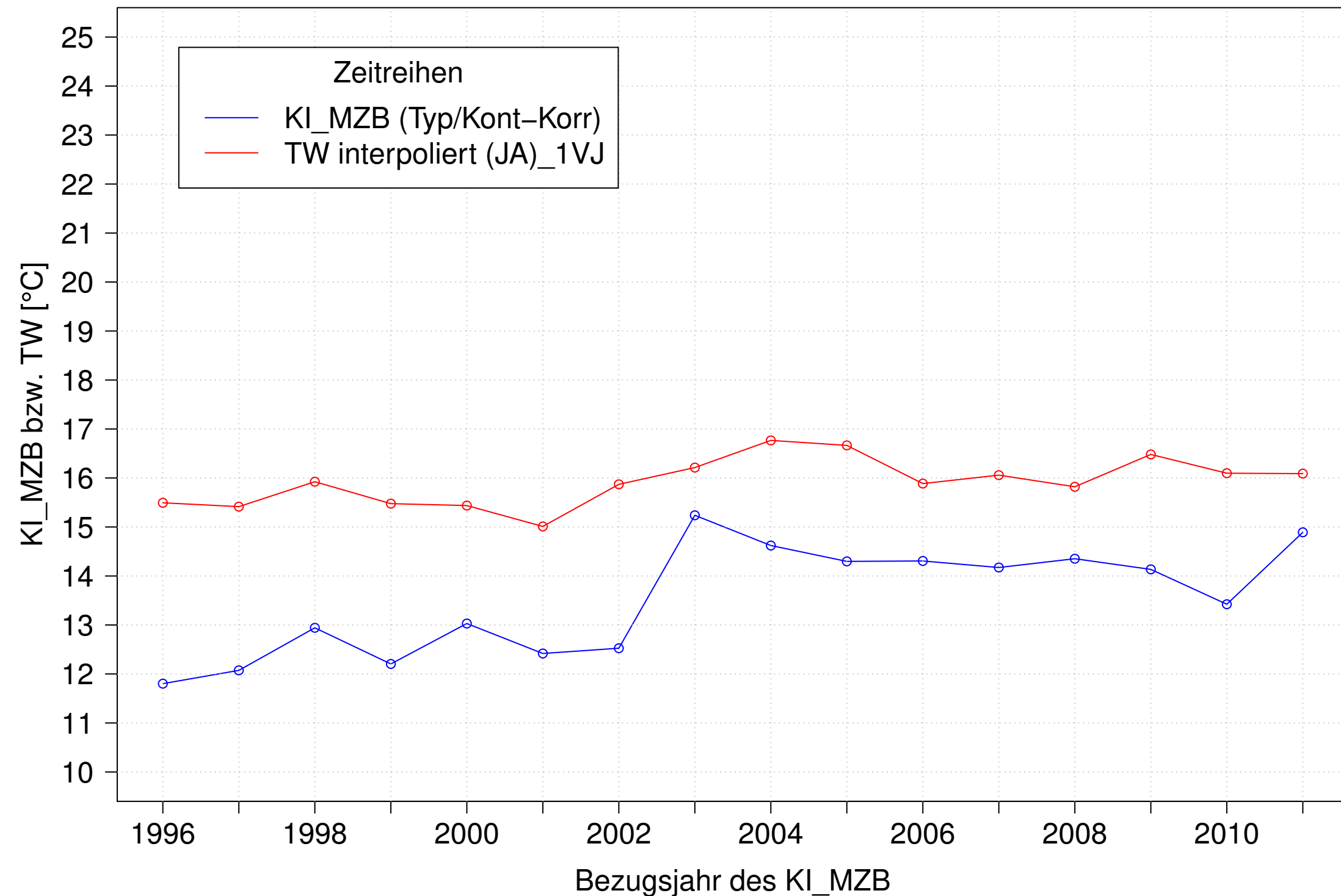
Donau_Pfohren, Typ 09.2 mit Neozoen, Serie 4
 KI_MZB (Typ/Kont-Korr) und 3JMW TW interpoliert (JJA) des 1. Vorjahres



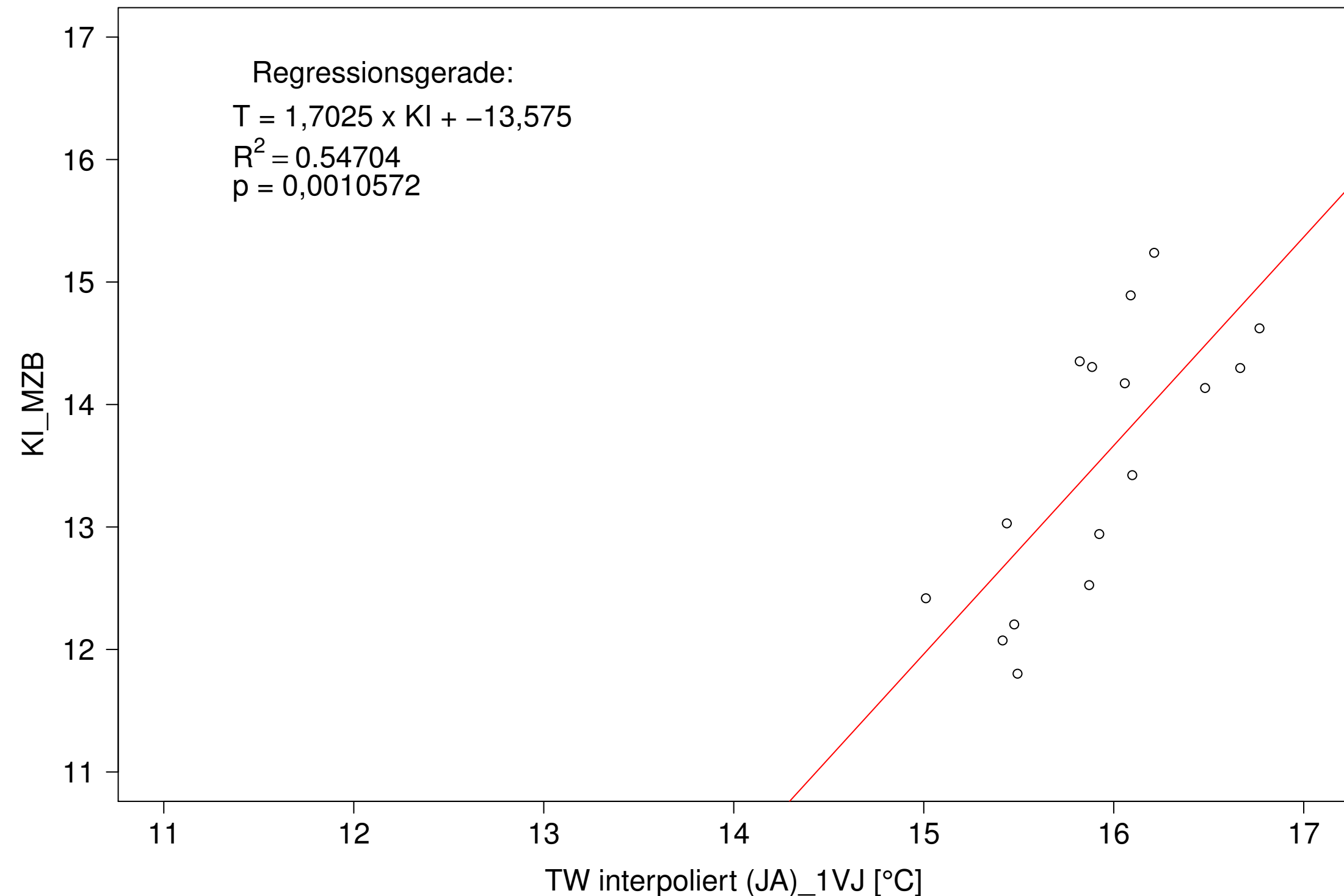
Donau_Pfohren, Typ 09.2 mit Neozoen, Serie 4
 KI_MZB (Typ/Kont-Korr) gegen 3JMW TW interpoliert (JJA) des 1. Vorjahres



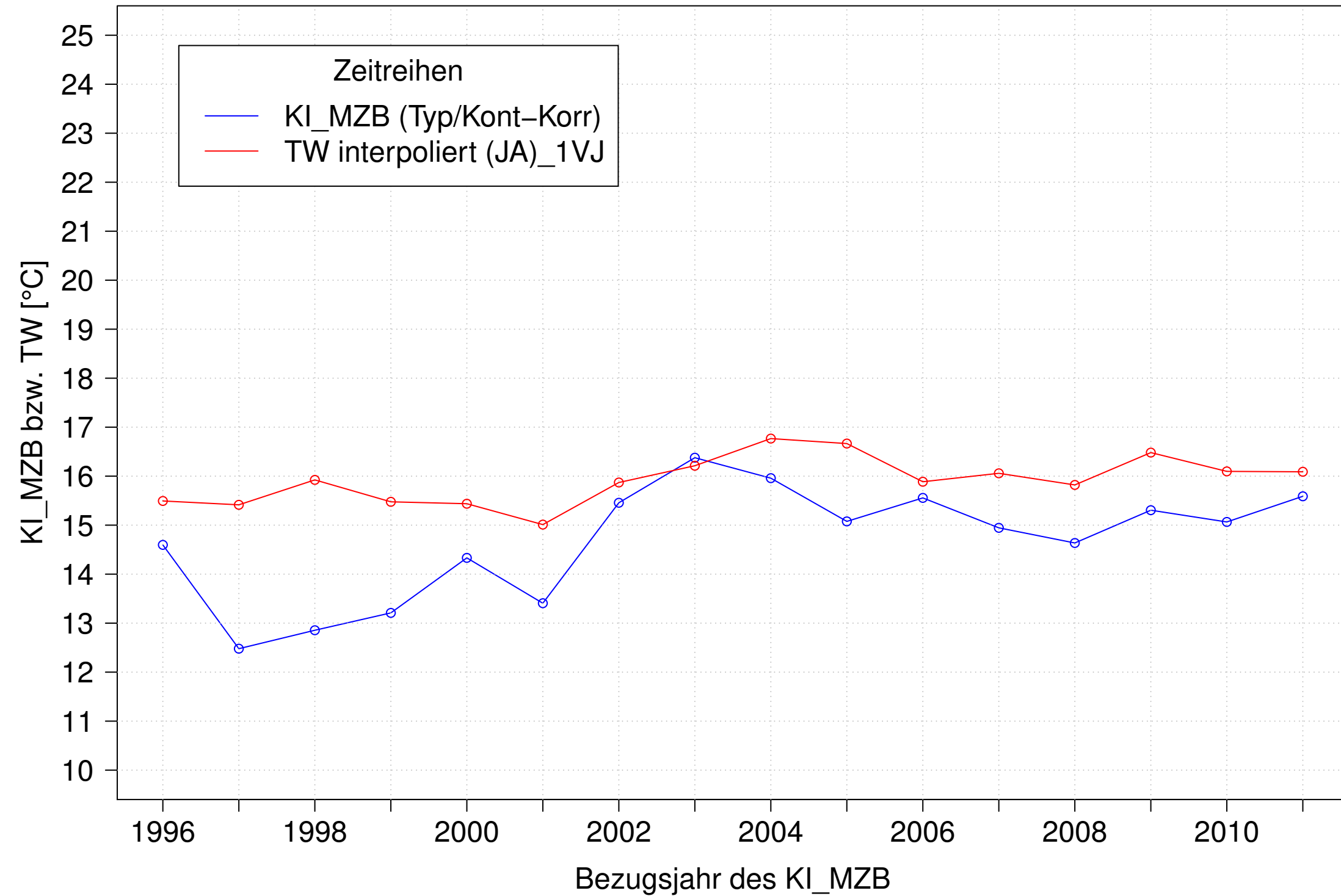
Donau_Pfohren, Typ 09.2 mit Neozoen, Serie 1
KI_MZB (Typ/Kont-Korr) und 3JMW TW interpoliert (JA) des 1. Vorjahres



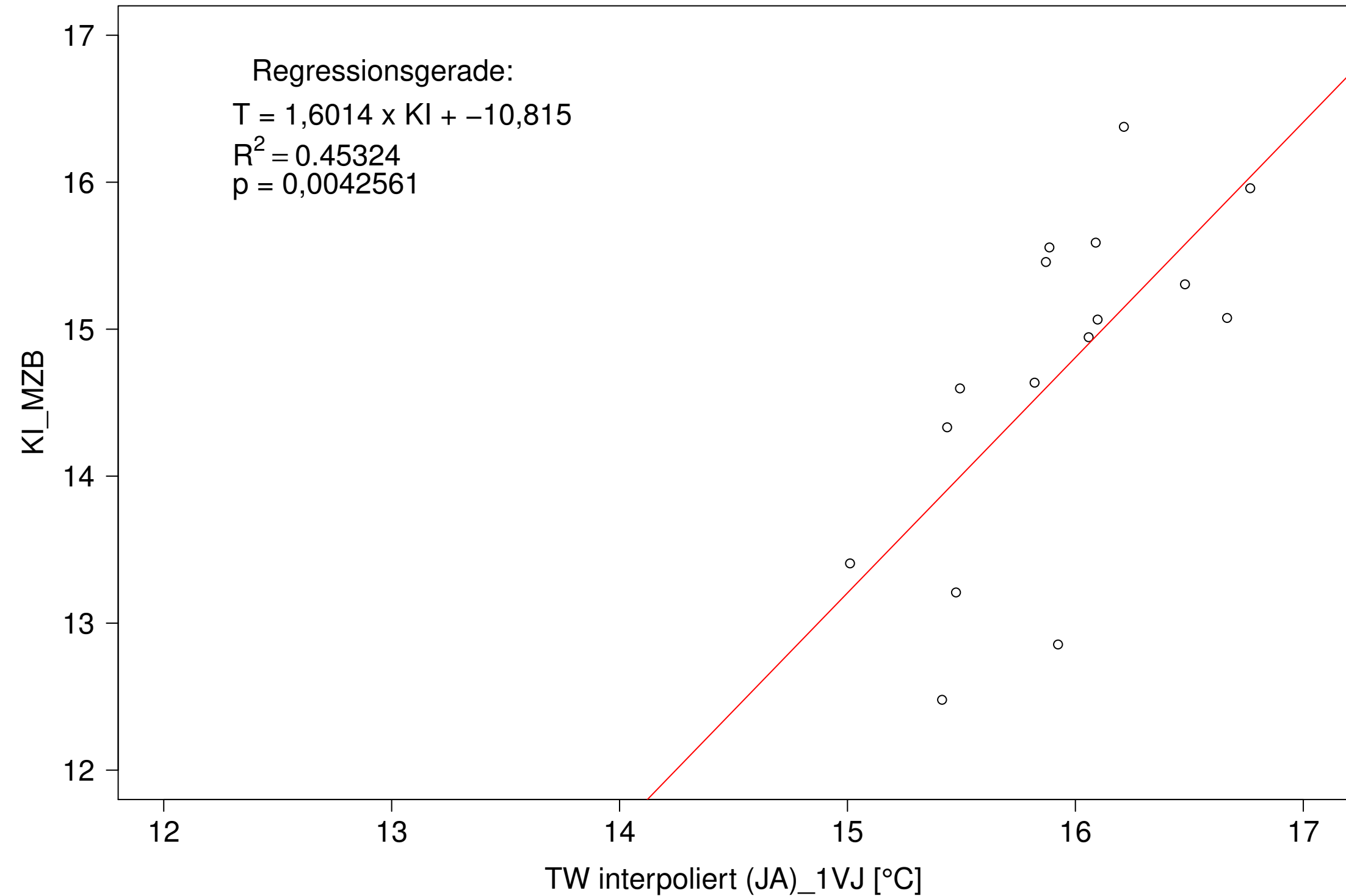
Donau_Pfohren, Typ 09.2 mit Neozoen, Serie 1
KI_MZB (Typ/Kont-Korr) gegen 3JMW TW interpoliert (JA) des 1. Vorjahres



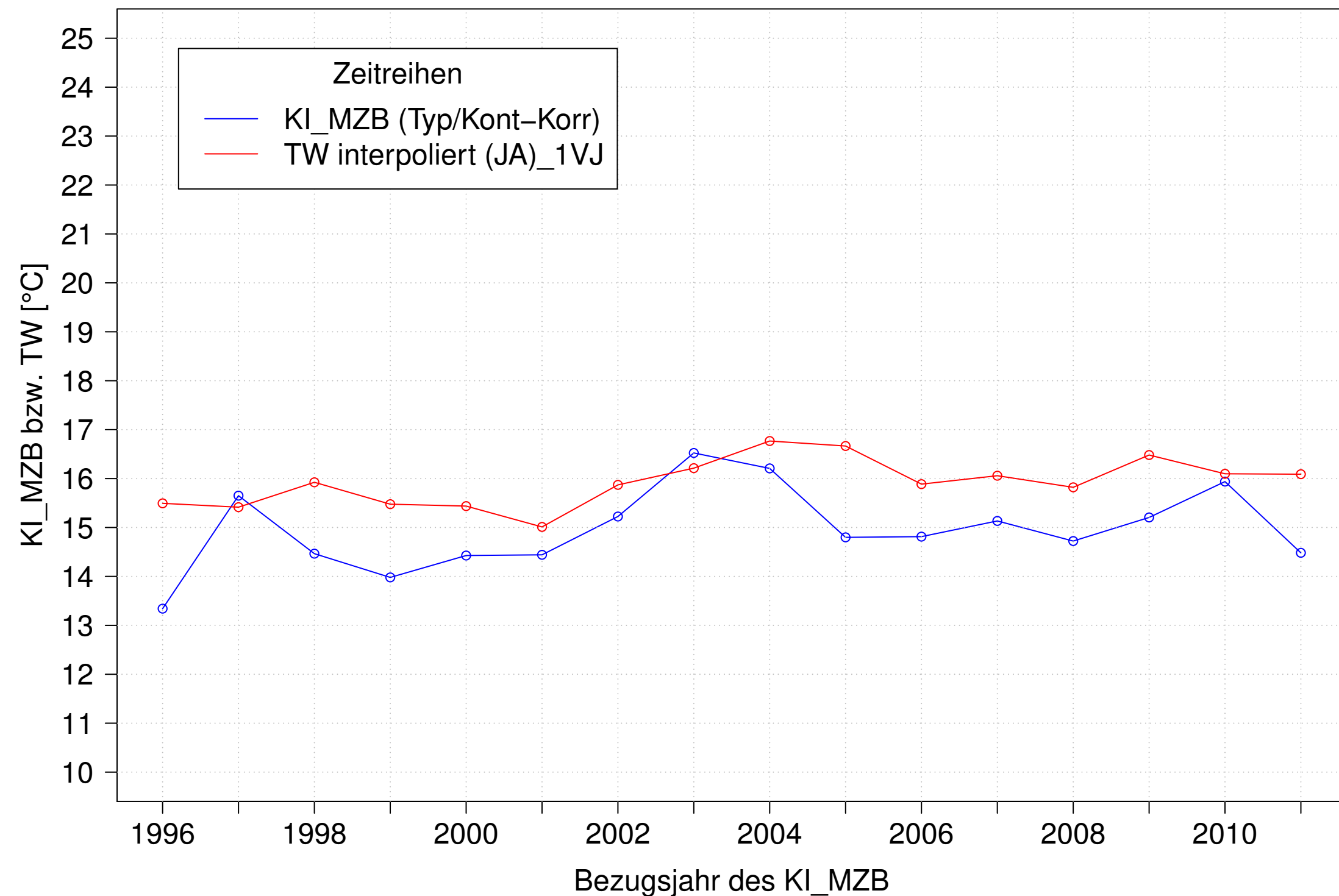
Donau_Pfohren, Typ 09.2 mit Neozoen, Serie 2
KI_MZB (Typ/Kont-Korr) und 3JMW TW interpoliert (JA) des 1. Vorjahres



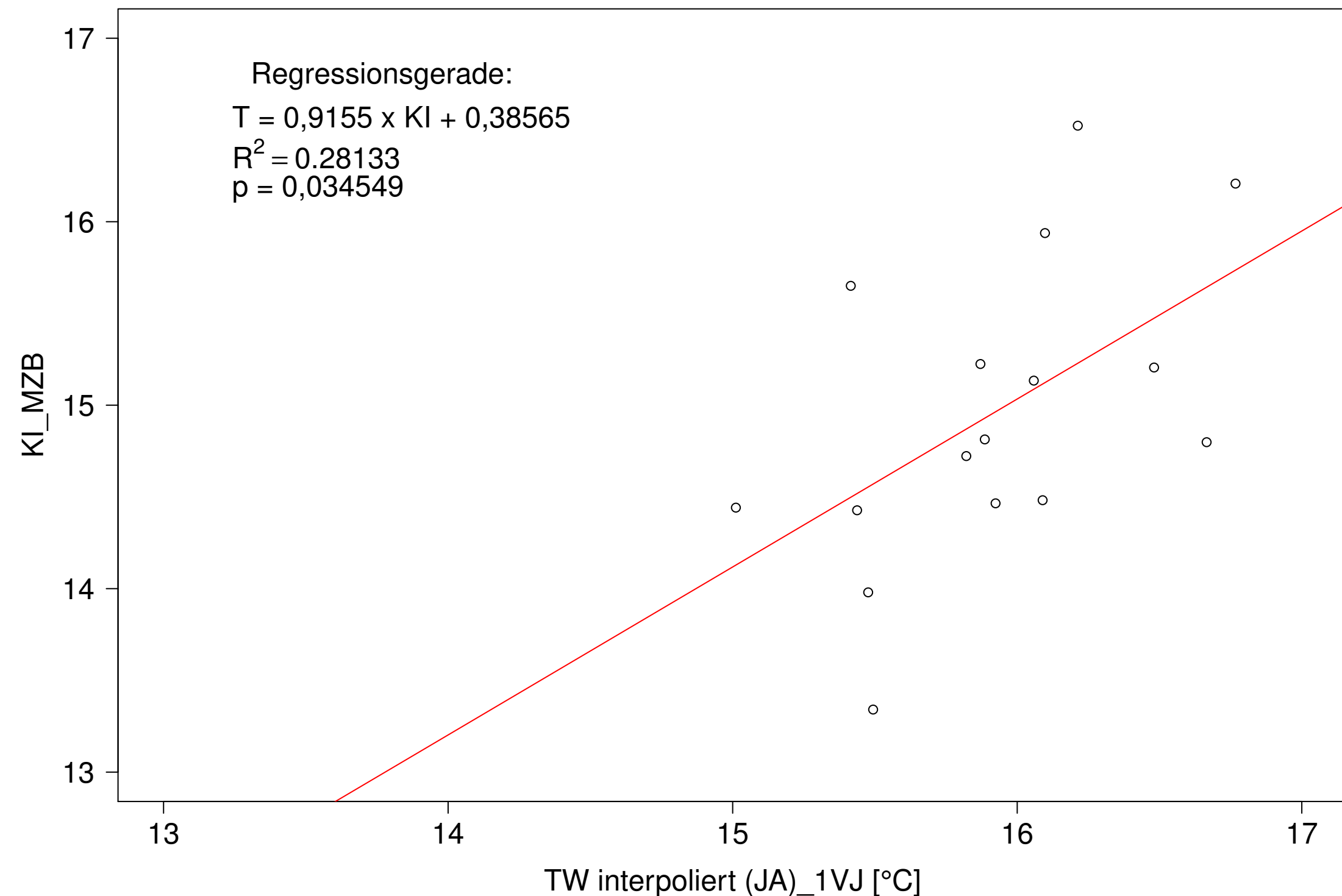
Donau_Pfohren, Typ 09.2 mit Neozoen, Serie 2
KI_MZB (Typ/Kont-Korr) gegen 3JMW TW interpoliert (JA) des 1. Vorjahres



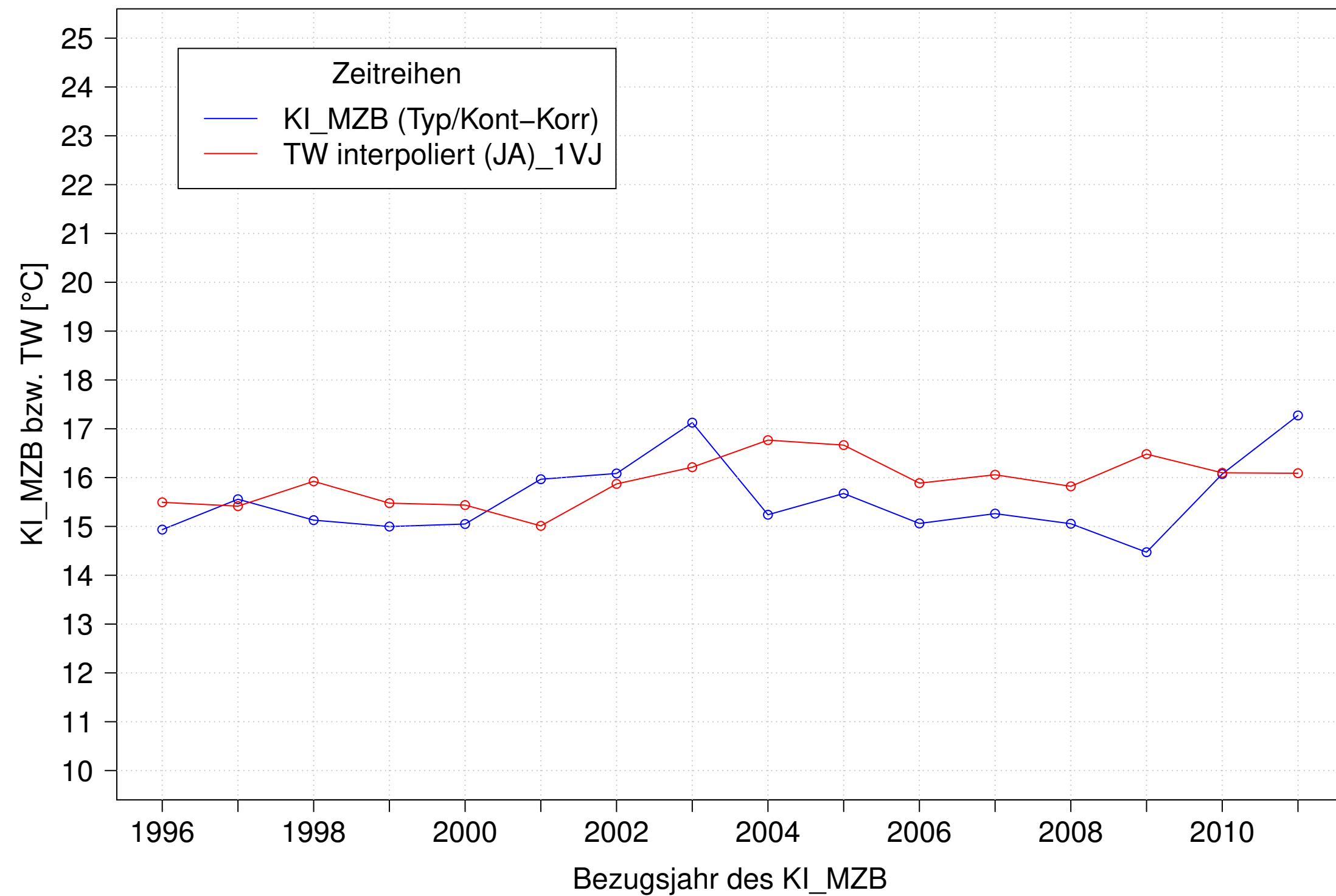
Donau_Pfohren, Typ 09.2 mit Neozoen, Serie 3
 KI_MZB (Typ/Kont-Korr) und 3JMW TW interpoliert (JA) des 1. Vorjahres



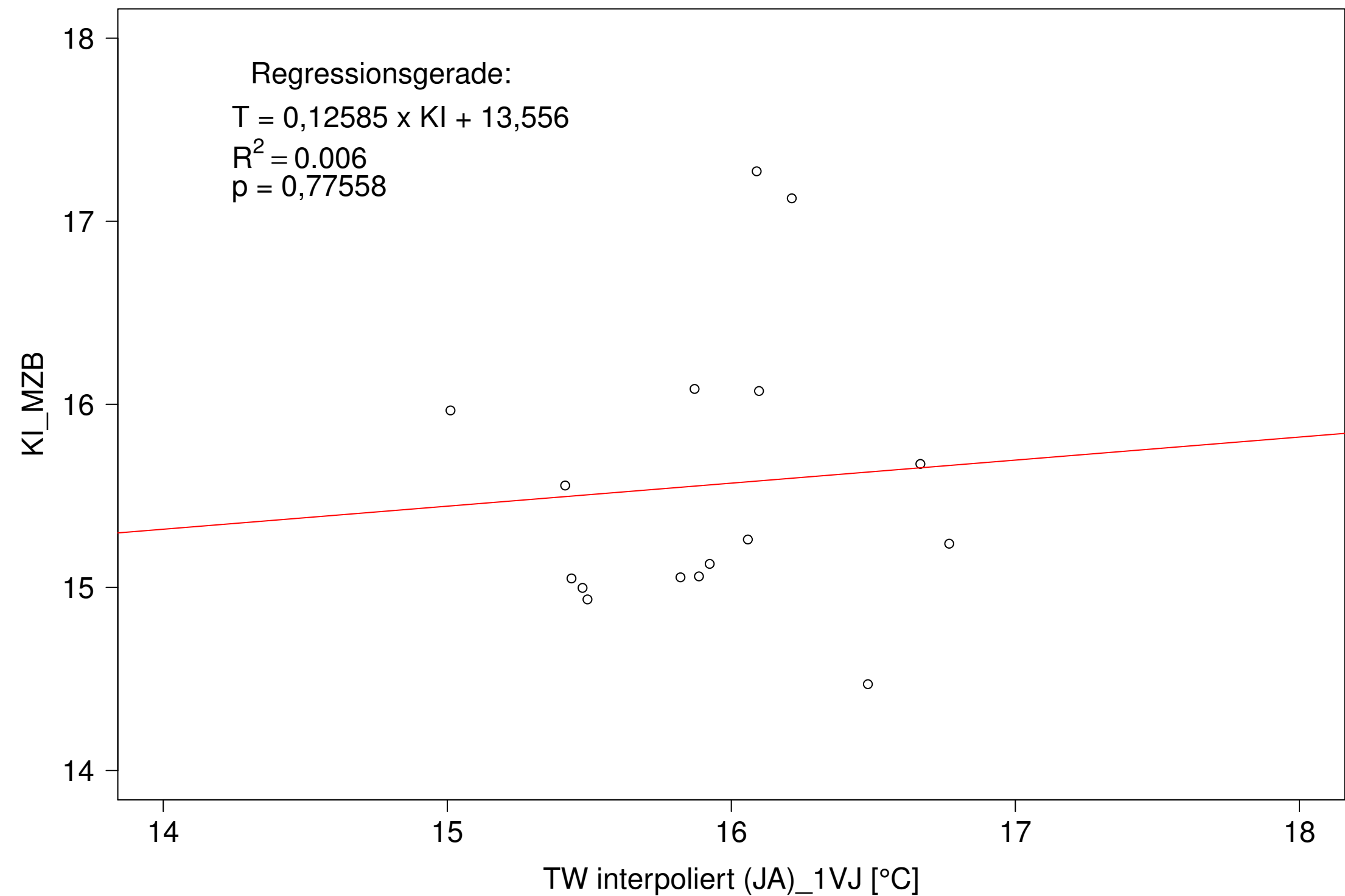
Donau_Pfohren, Typ 09.2 mit Neozoen, Serie 3
 KI_MZB (Typ/Kont-Korr) gegen 3JMW TW interpoliert (JA) des 1. Vorjahres



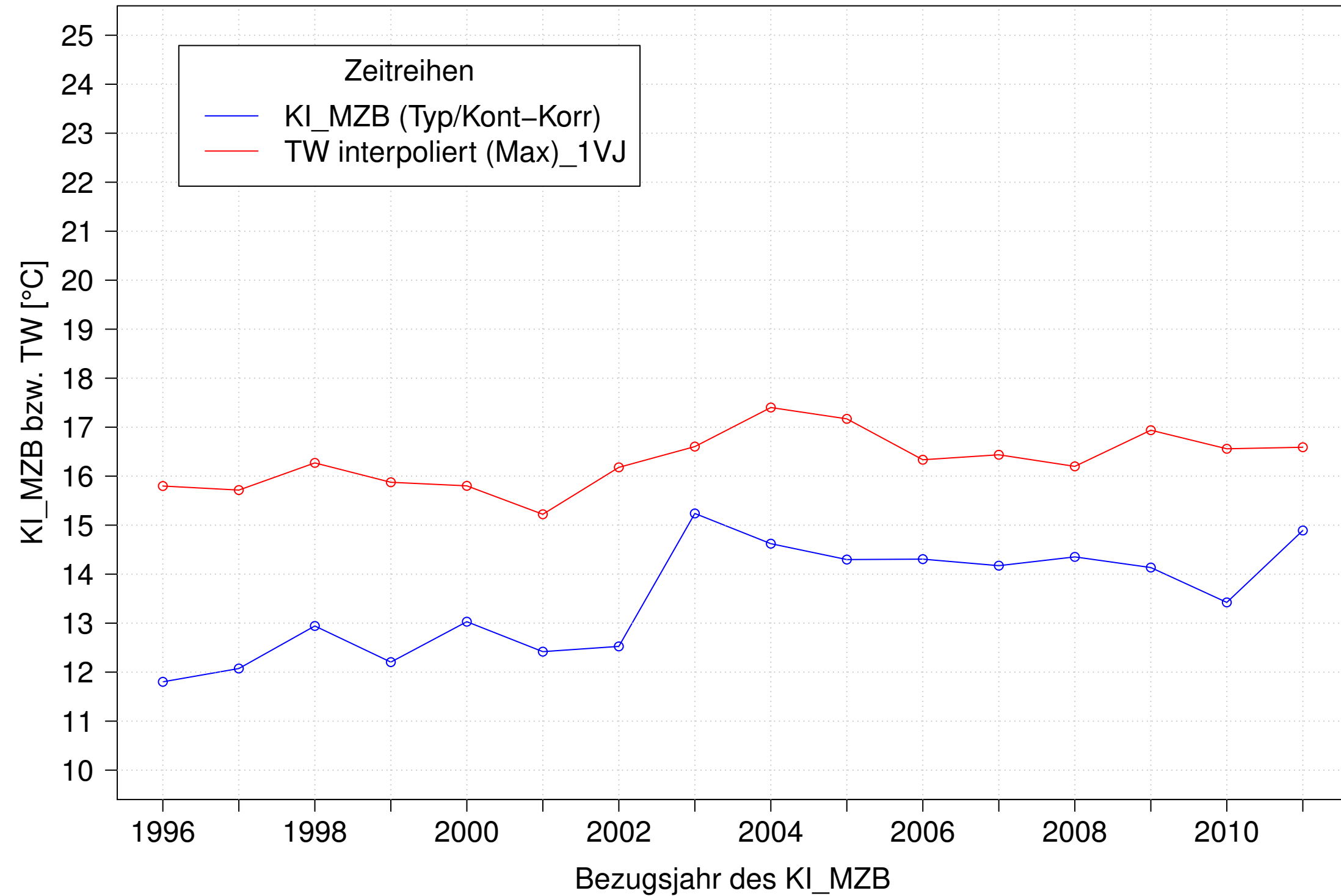
Donau_Pfohren, Typ 09.2 mit Neozoen, Serie 4
KI_MZB (Typ/Kont-Korr) und 3JMW TW interpoliert (JA) des 1. Vorjahres



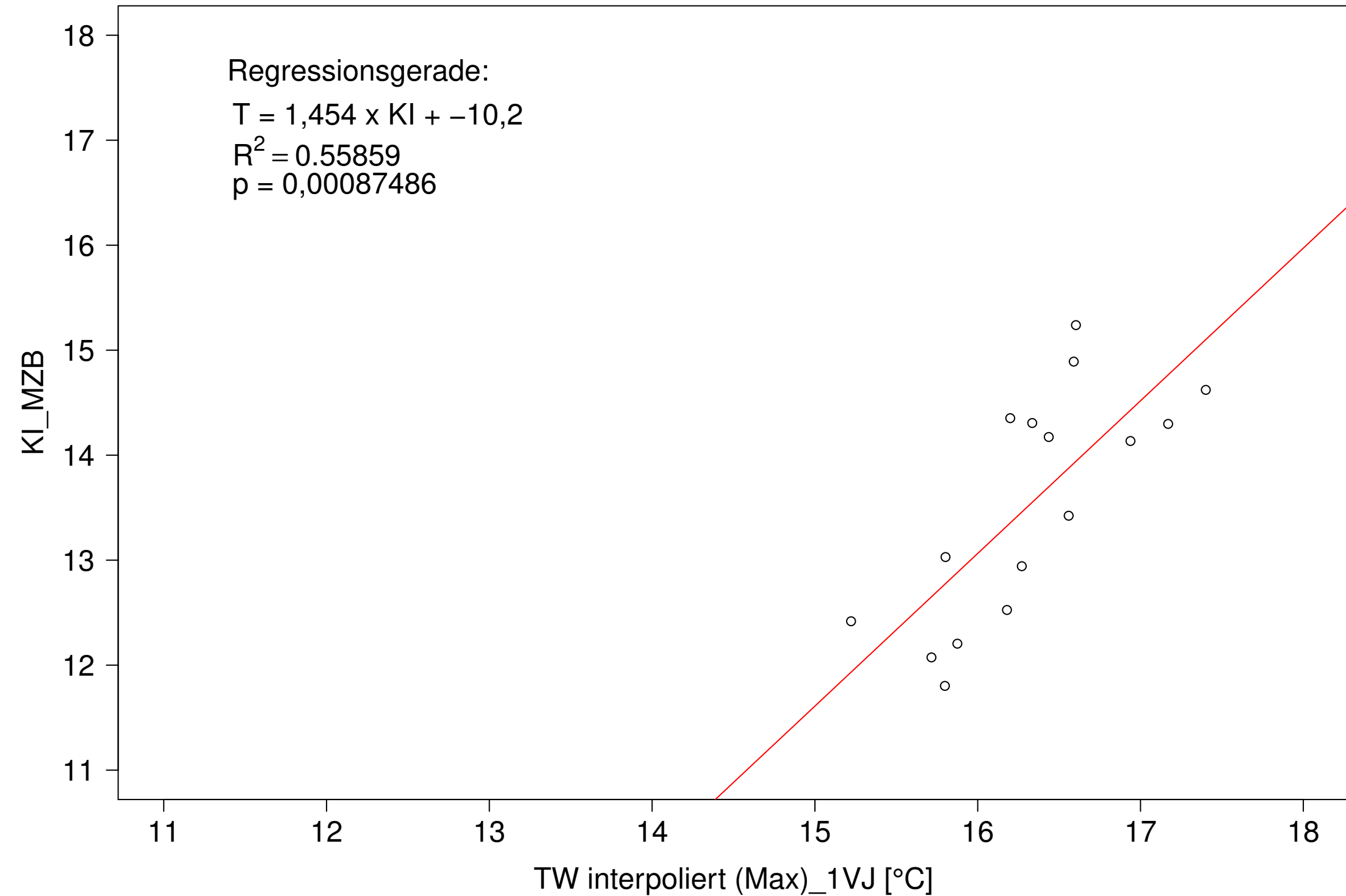
Donau_Pfohren, Typ 09.2 mit Neozoen, Serie 4
KI_MZB (Typ/Kont-Korr) gegen 3JMW TW interpoliert (JA) des 1. Vorjahres



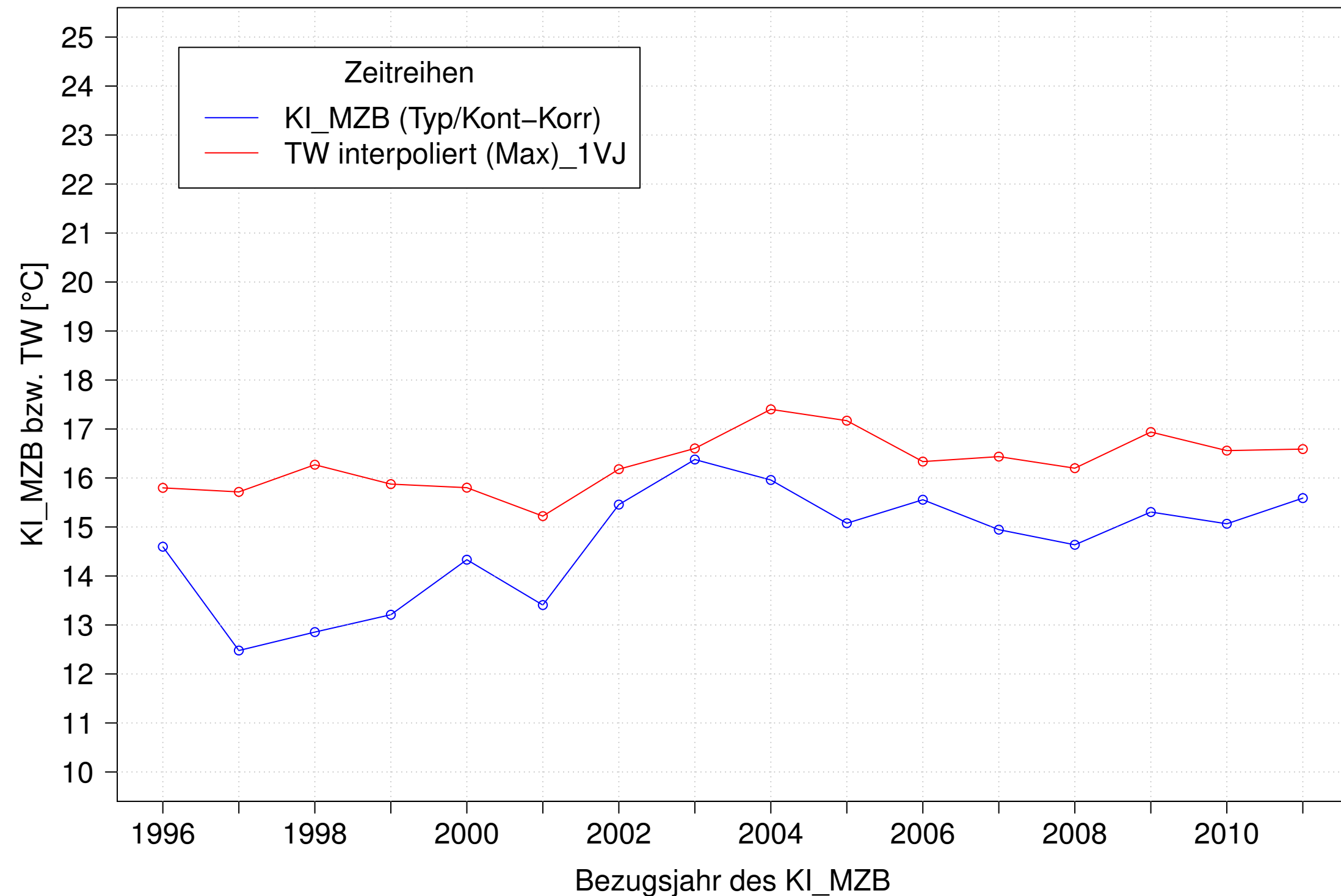
Donau_Pfohren, Typ 09.2 mit Neozoen, Serie 1
 KI_MZB (Typ/Kont-Korr) und 3JMW TW interpoliert (Max) des 1. Vorjahres



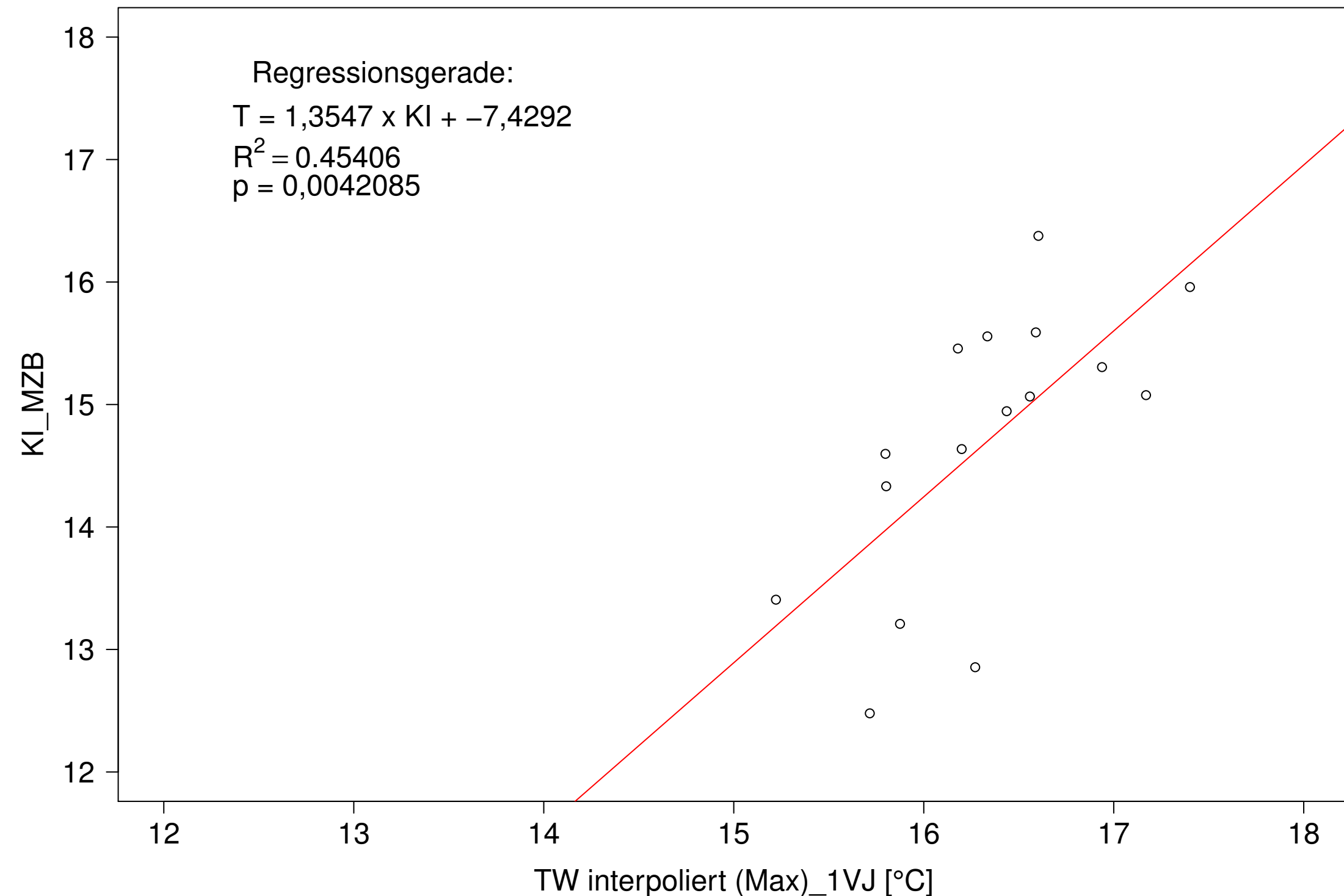
Donau_Pfohren, Typ 09.2 mit Neozoen, Serie 1
 KI_MZB (Typ/Kont-Korr) gegen 3JMW TW interpoliert (Max) des 1. Vorjahres



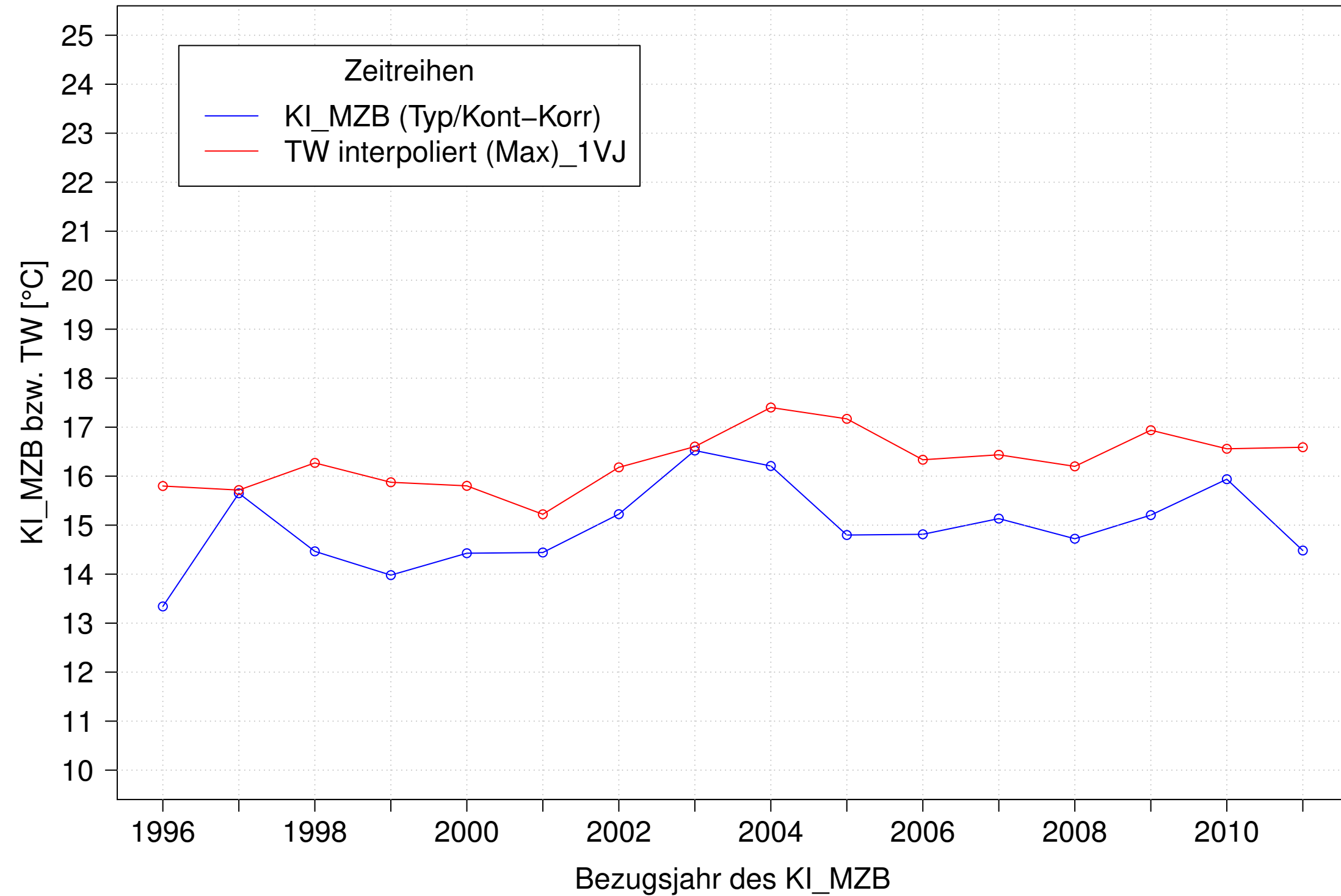
Donau_Pfohren, Typ 09.2 mit Neozoen, Serie 2
 KI_MZB (Typ/Kont-Korr) und 3JMW TW interpoliert (Max) des 1. Vorjahres



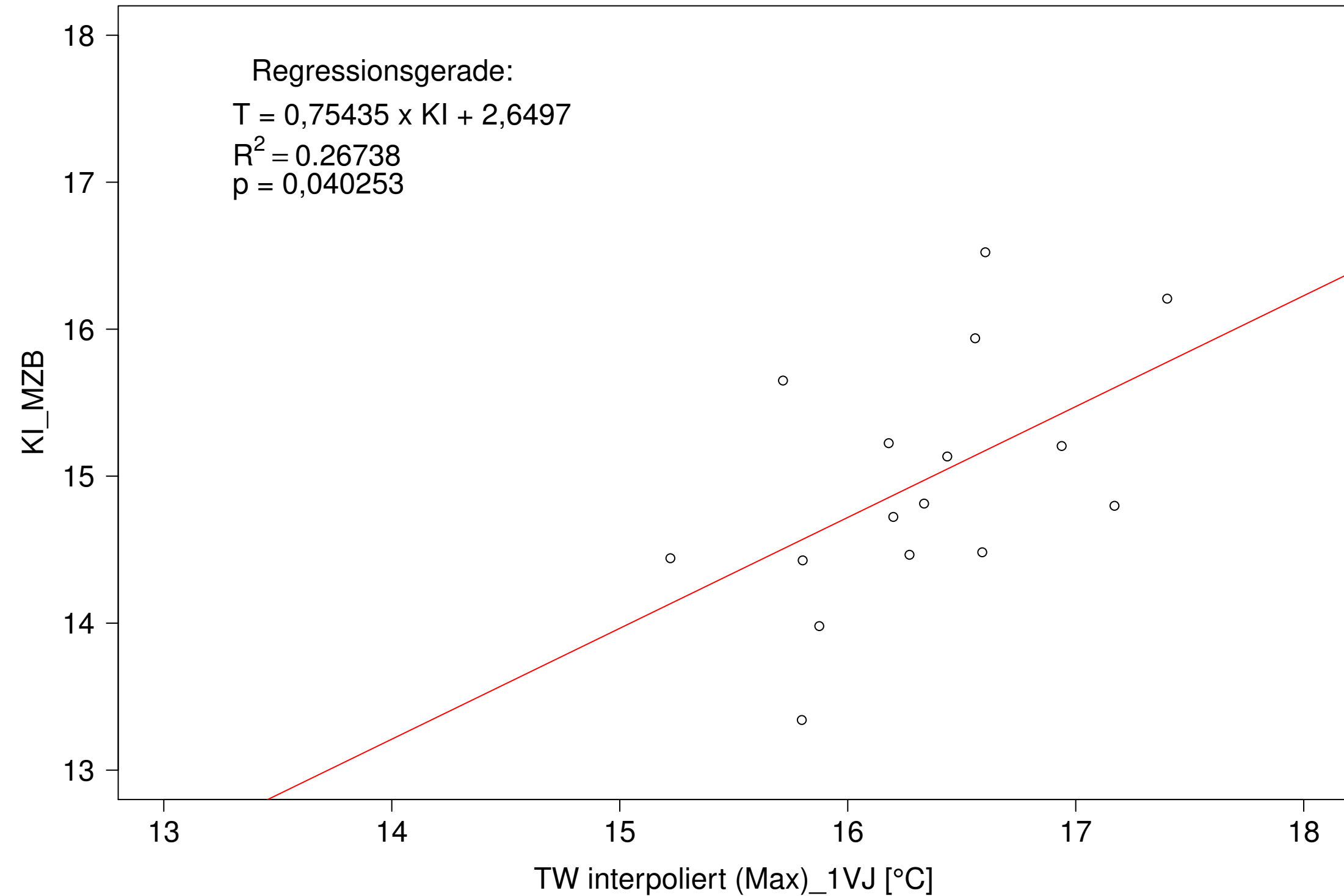
Donau_Pfohren, Typ 09.2 mit Neozoen, Serie 2
 KI_MZB (Typ/Kont-Korr) gegen 3JMW TW interpoliert (Max) des 1. Vorjahres



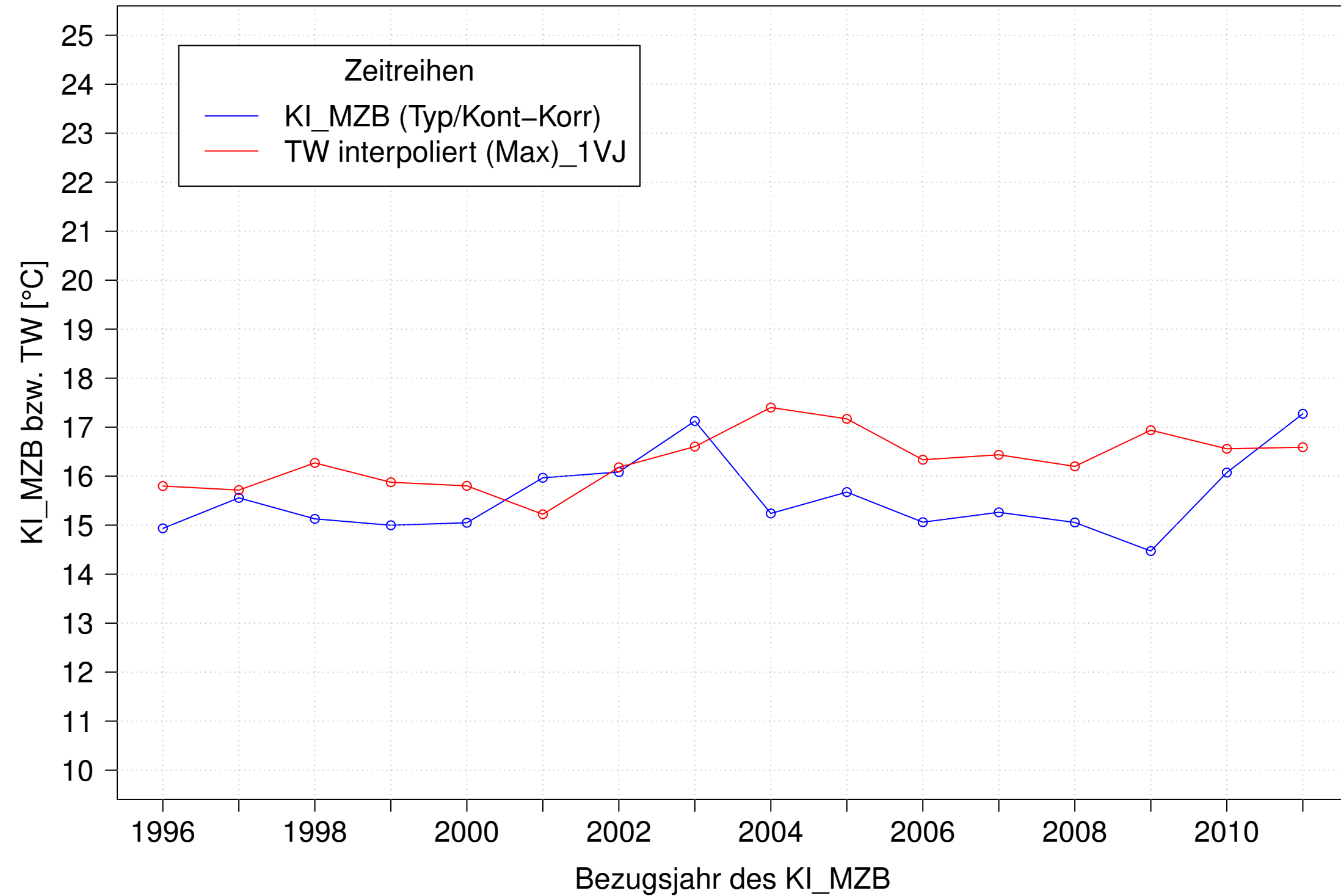
Donau_Pfohren, Typ 09.2 mit Neozoen, Serie 3
 KI_MZB (Typ/Kont-Korr) und 3JMW TW interpoliert (Max) des 1. Vorjahres



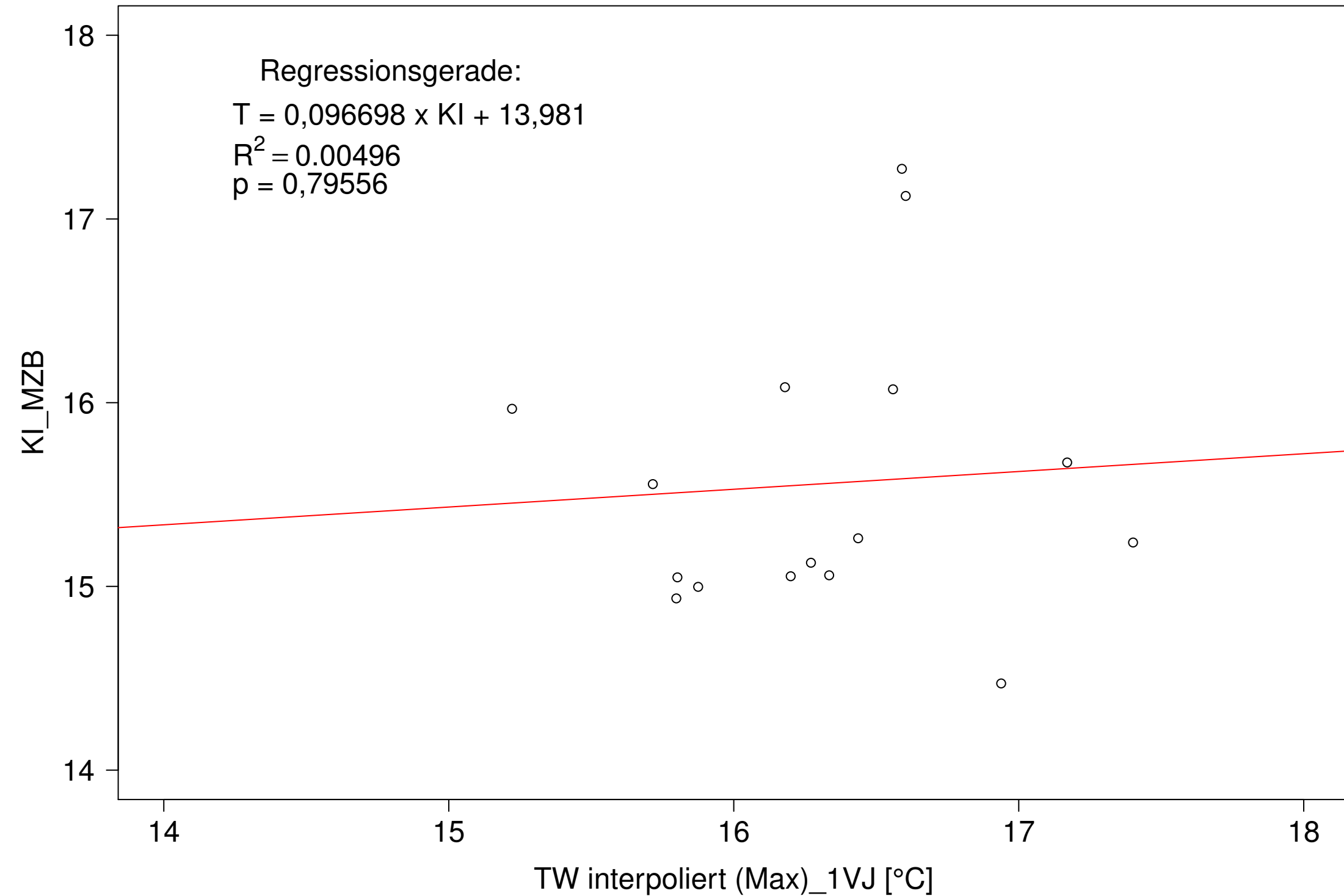
Donau_Pfohren, Typ 09.2 mit Neozoen, Serie 3
 KI_MZB (Typ/Kont-Korr) gegen 3JMW TW interpoliert (Max) des 1. Vorjahres



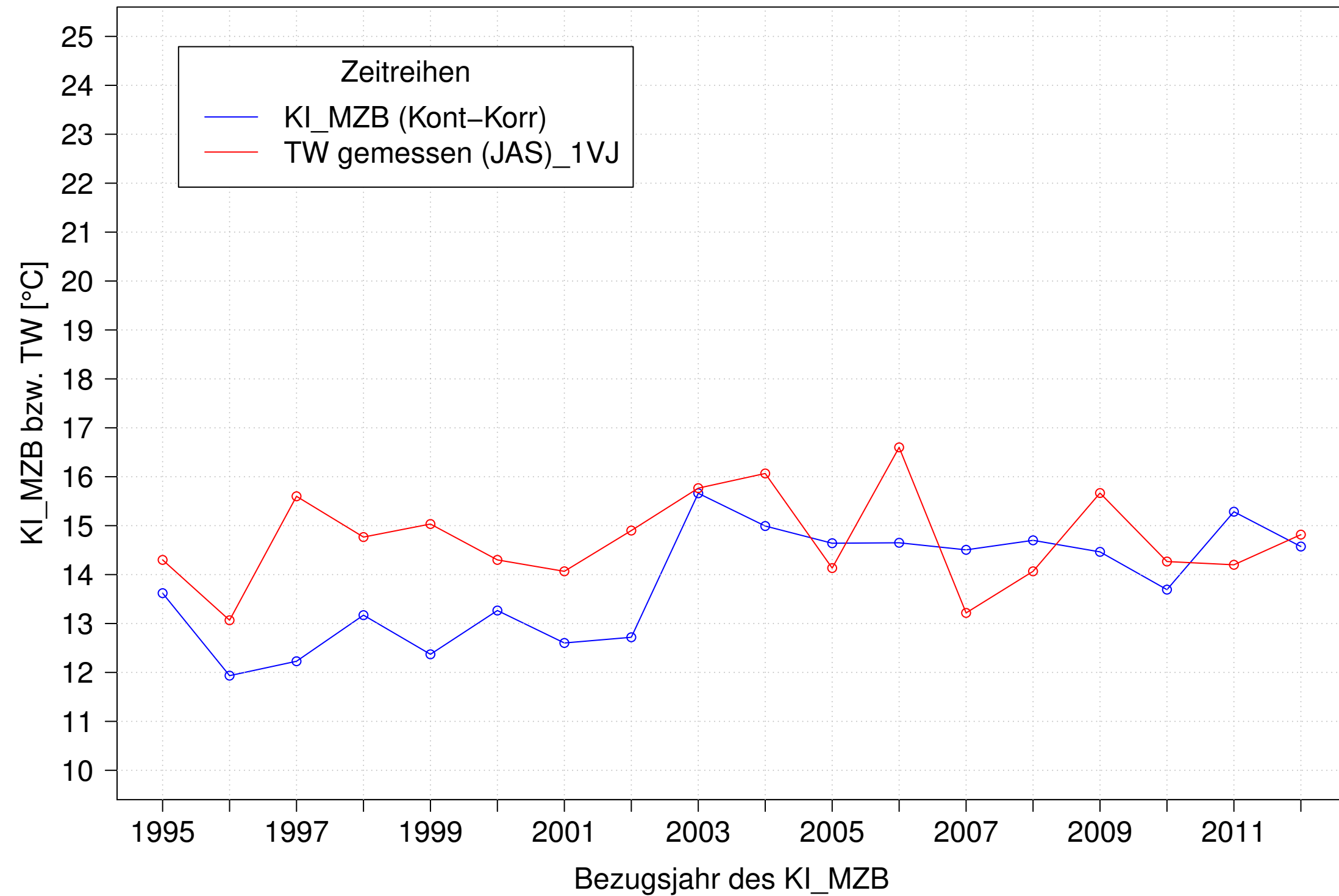
Donau_Pfohren, Typ 09.2 mit Neozoen, Serie 4
 KI_MZB (Typ/Kont-Korr) und 3JMW TW interpoliert (Max) des 1. Vorjahres



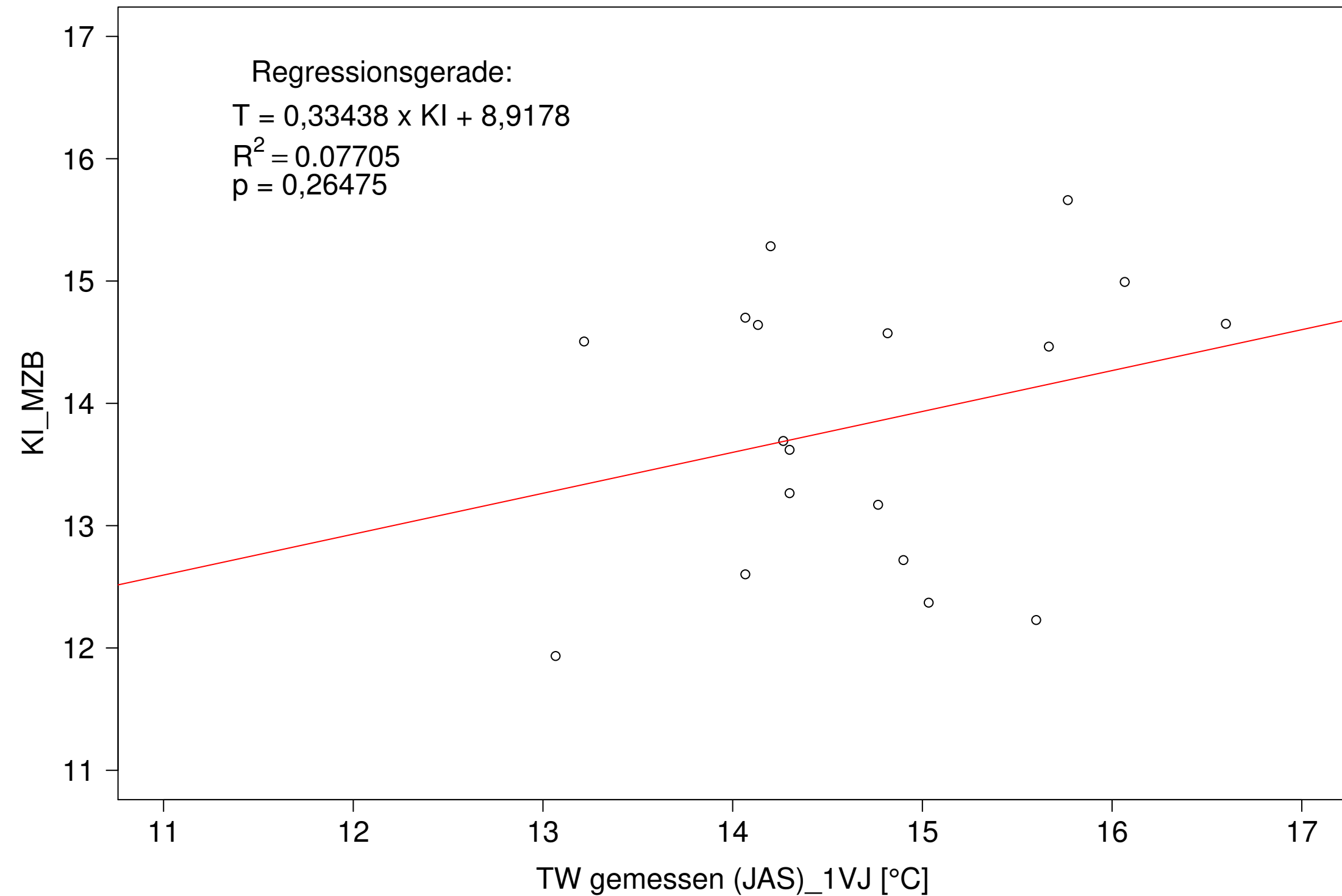
Donau_Pfohren, Typ 09.2 mit Neozoen, Serie 4
 KI_MZB (Typ/Kont-Korr) gegen 3JMW TW interpoliert (Max) des 1. Vorjahres



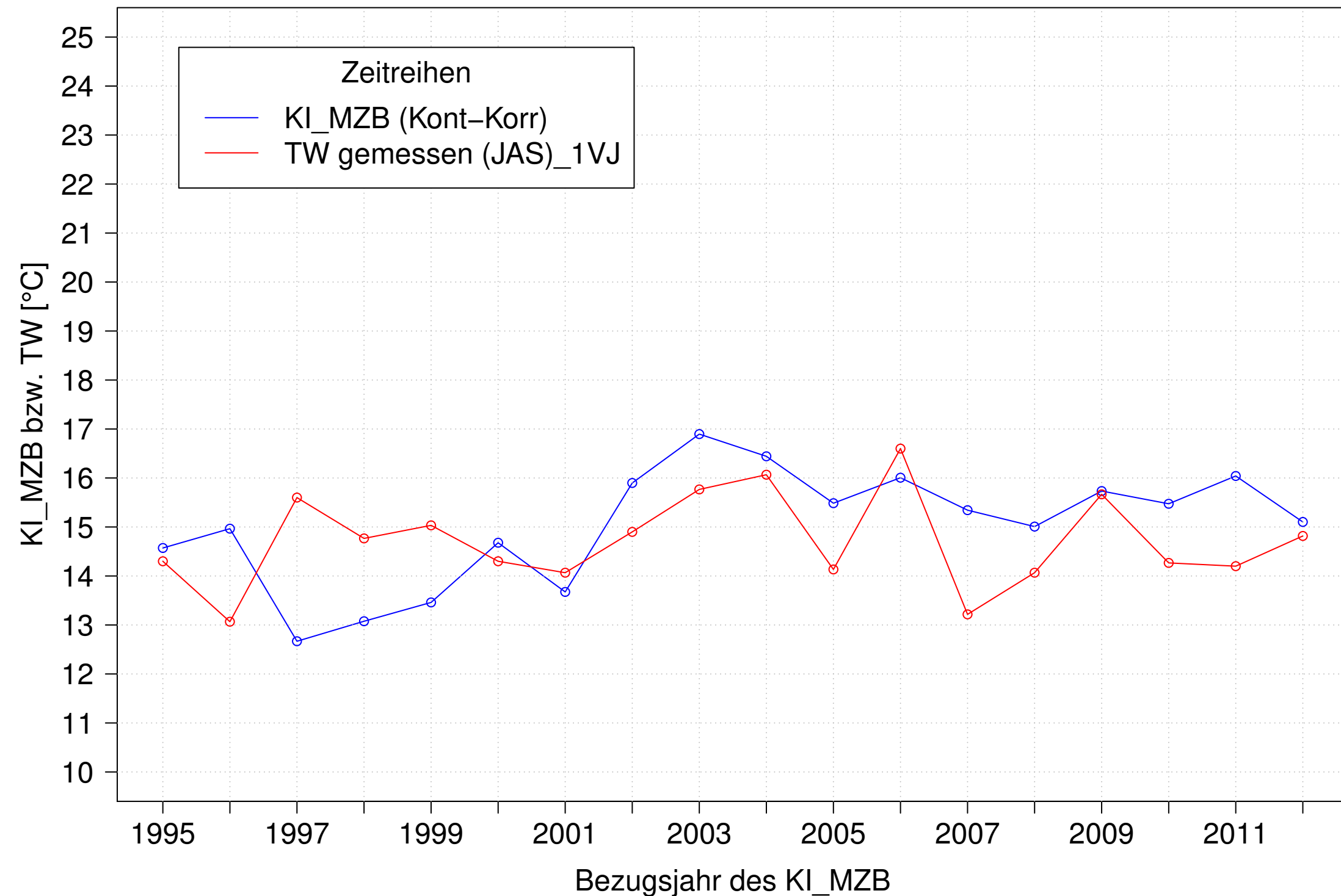
Donau_Pfohren, Typ 09.2 mit Neozoen, Serie 1
KI_MZB (Kont-Korr) und TW gemessen (JAS) des 1. Vorjahres



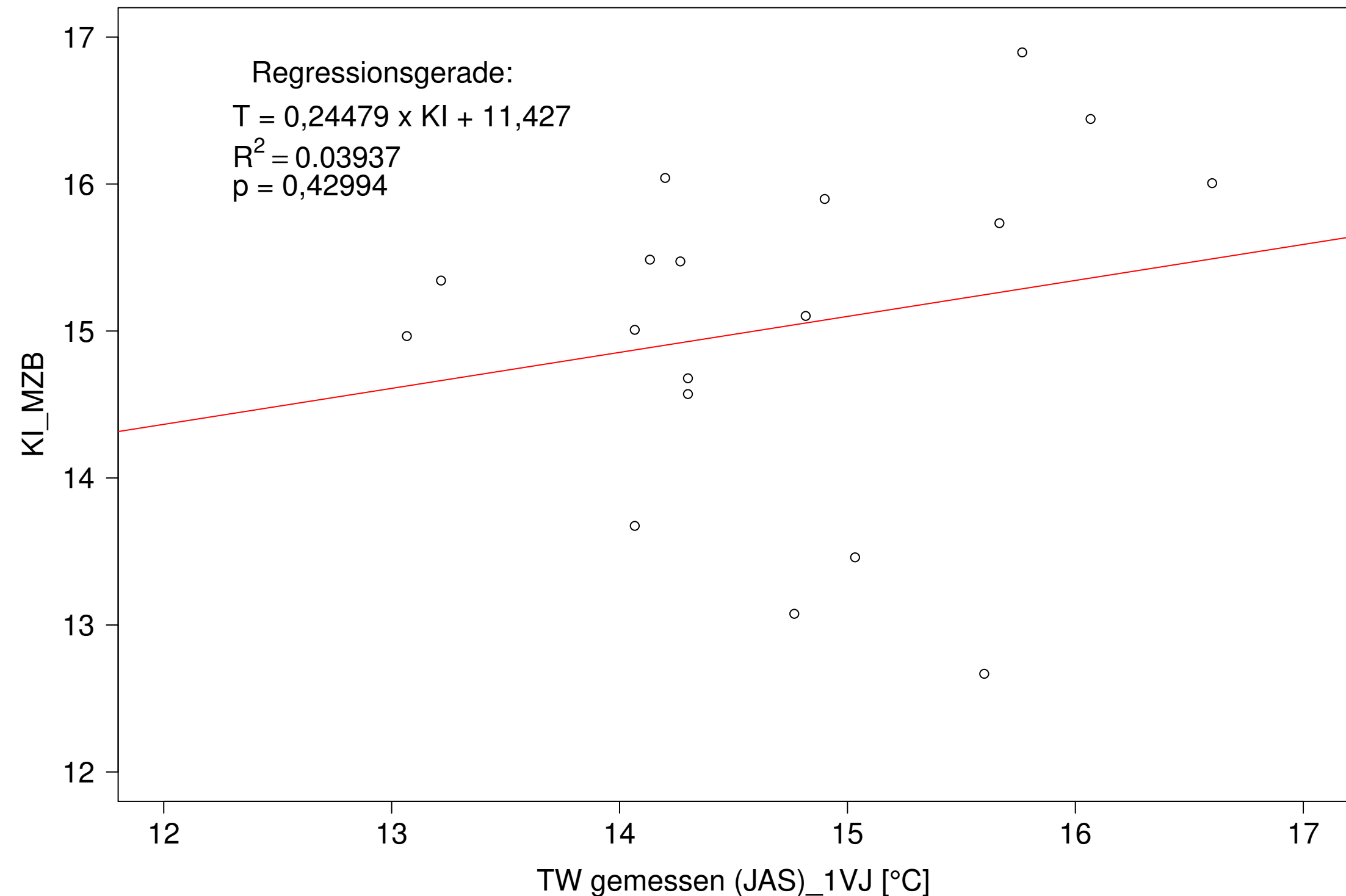
Donau_Pfohren, Typ 09.2 mit Neozoen, Serie 1
KI_MZB (Kont-Korr) gegen TW gemessen (JAS) des 1. Vorjahres



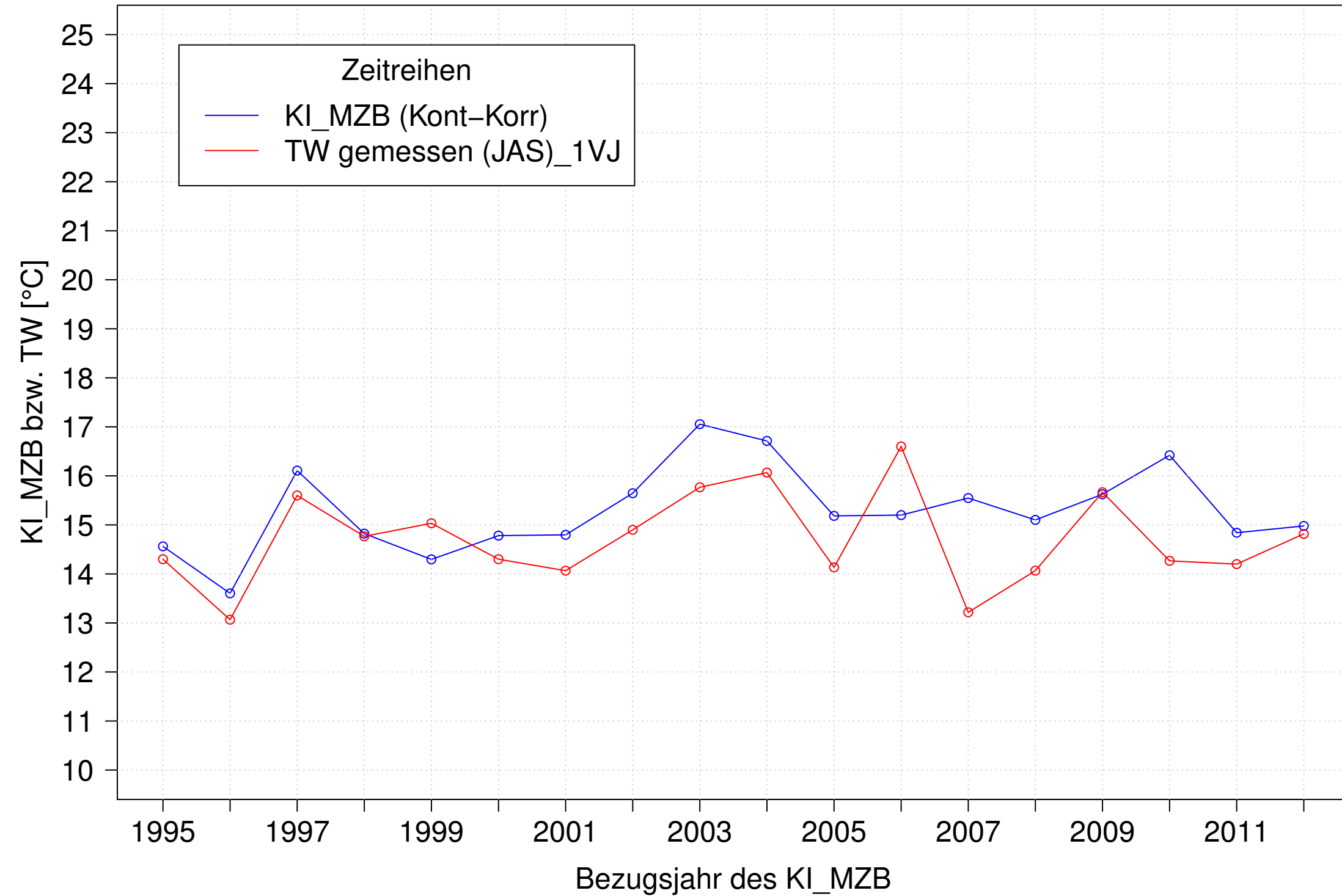
Donau_Pfohren, Typ 09.2 mit Neozoen, Serie 2
KI_MZB (Kont-Korr) und TW gemessen (JAS) des 1. Vorjahres



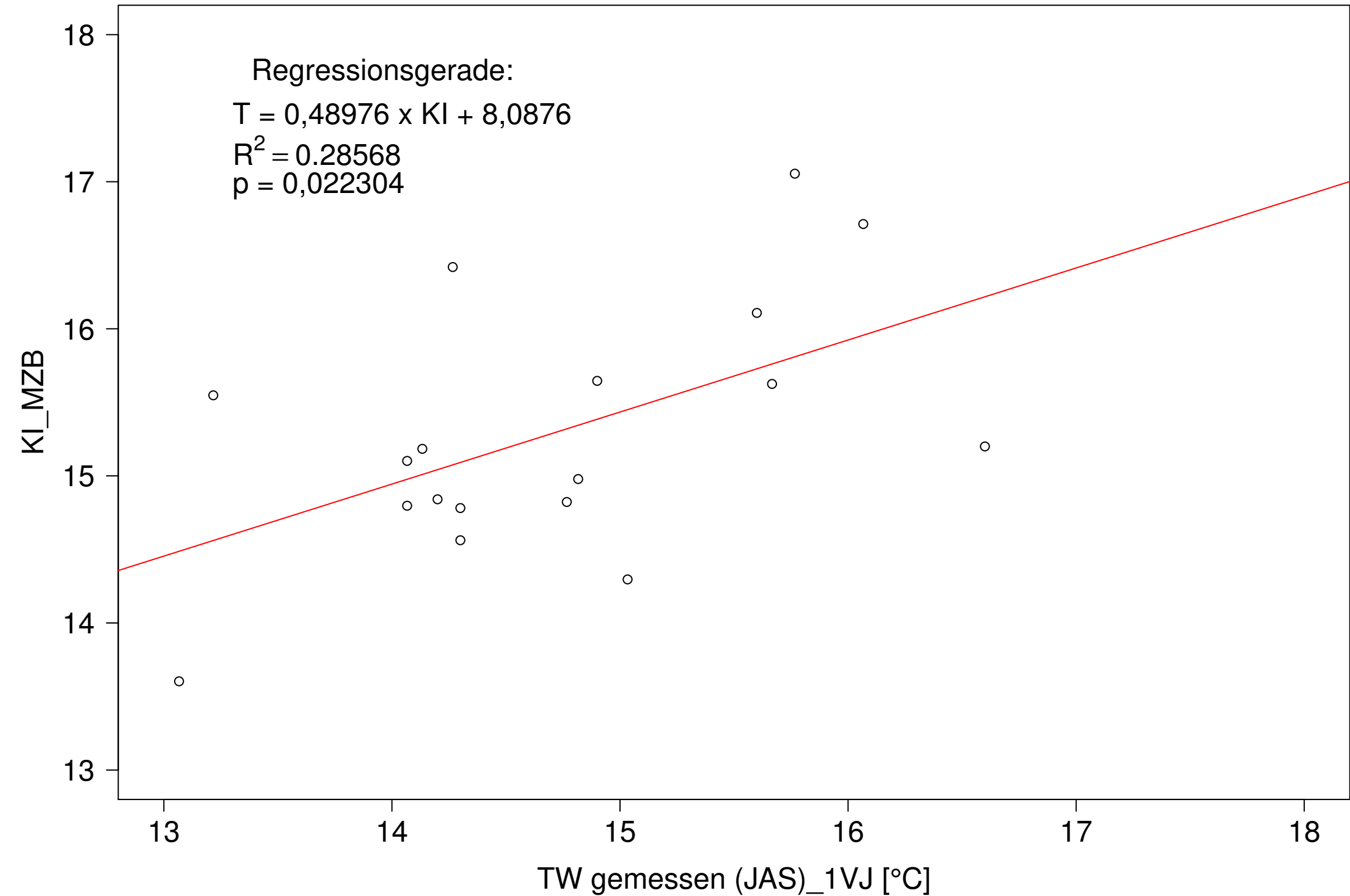
Donau_Pfohren, Typ 09.2 mit Neozoen, Serie 2
KI_MZB (Kont-Korr) gegen TW gemessen (JAS) des 1. Vorjahres



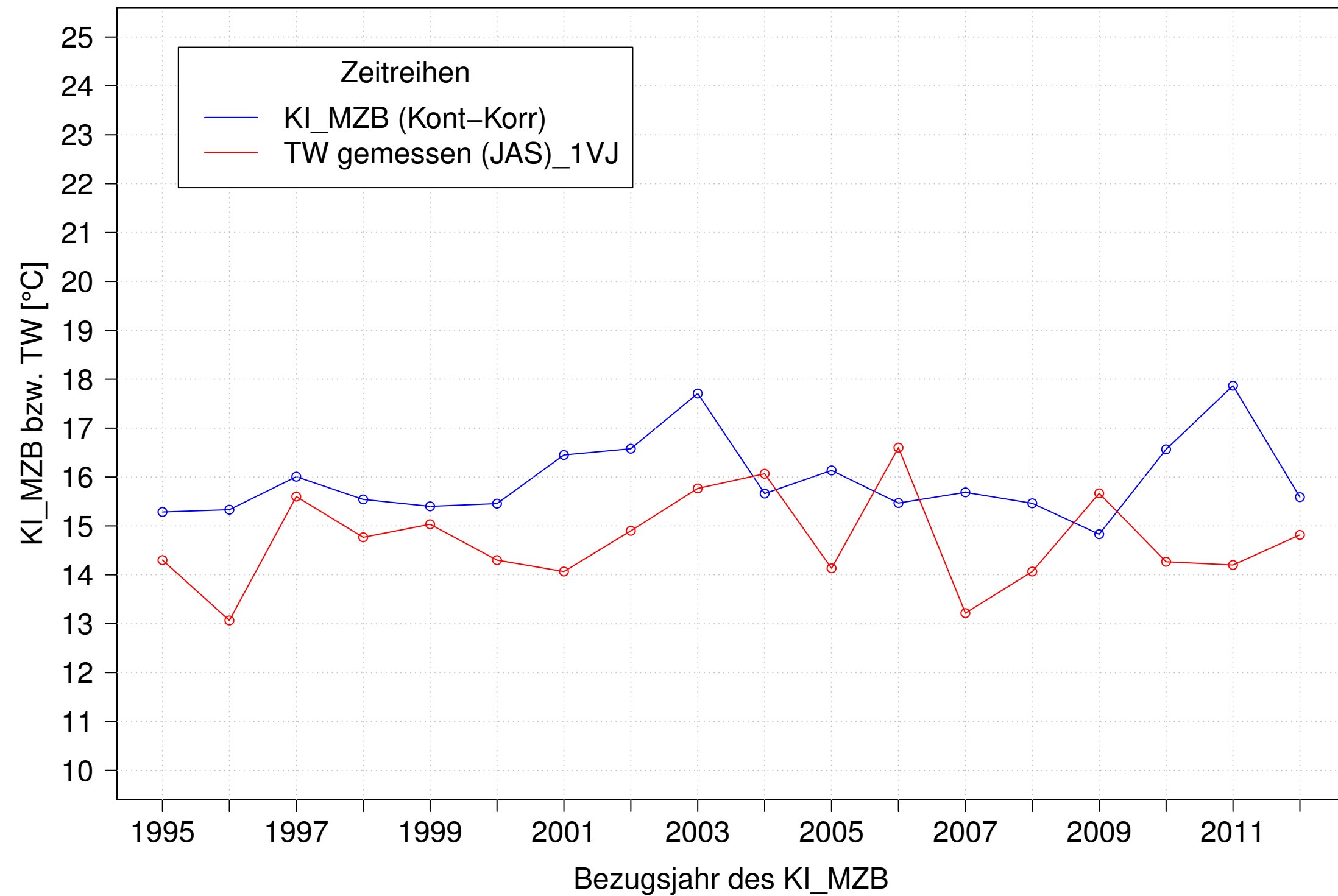
Donau_Pfohren, Typ 09.2 mit Neozoen, Serie 3
KI_MZB (Kont-Korr) und TW gemessen (JAS) des 1. Vorjahres



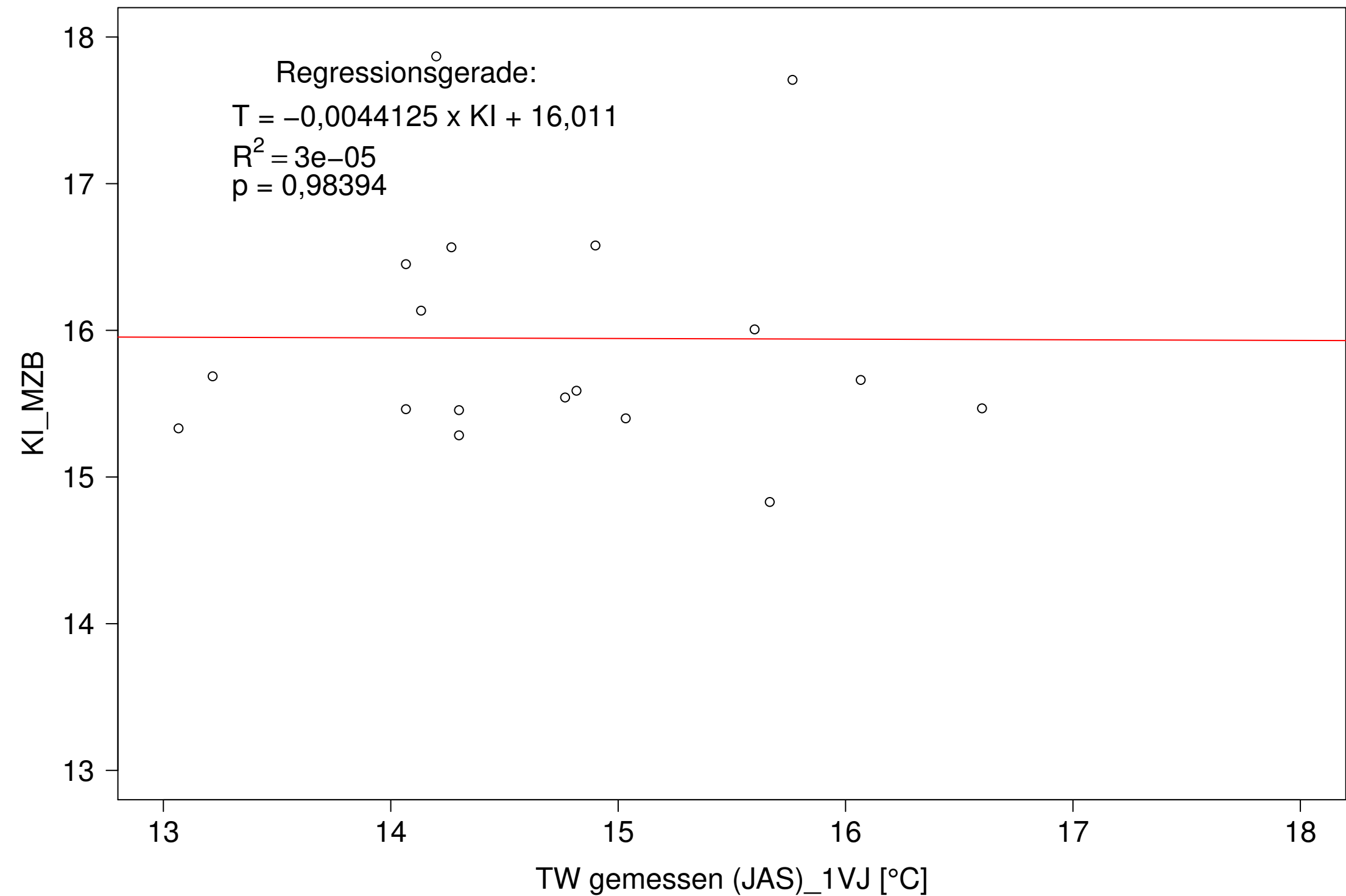
Donau_Pfohren, Typ 09.2 mit Neozoen, Serie 3
KI_MZB (Kont-Korr) gegen TW gemessen (JAS) des 1. Vorjahres



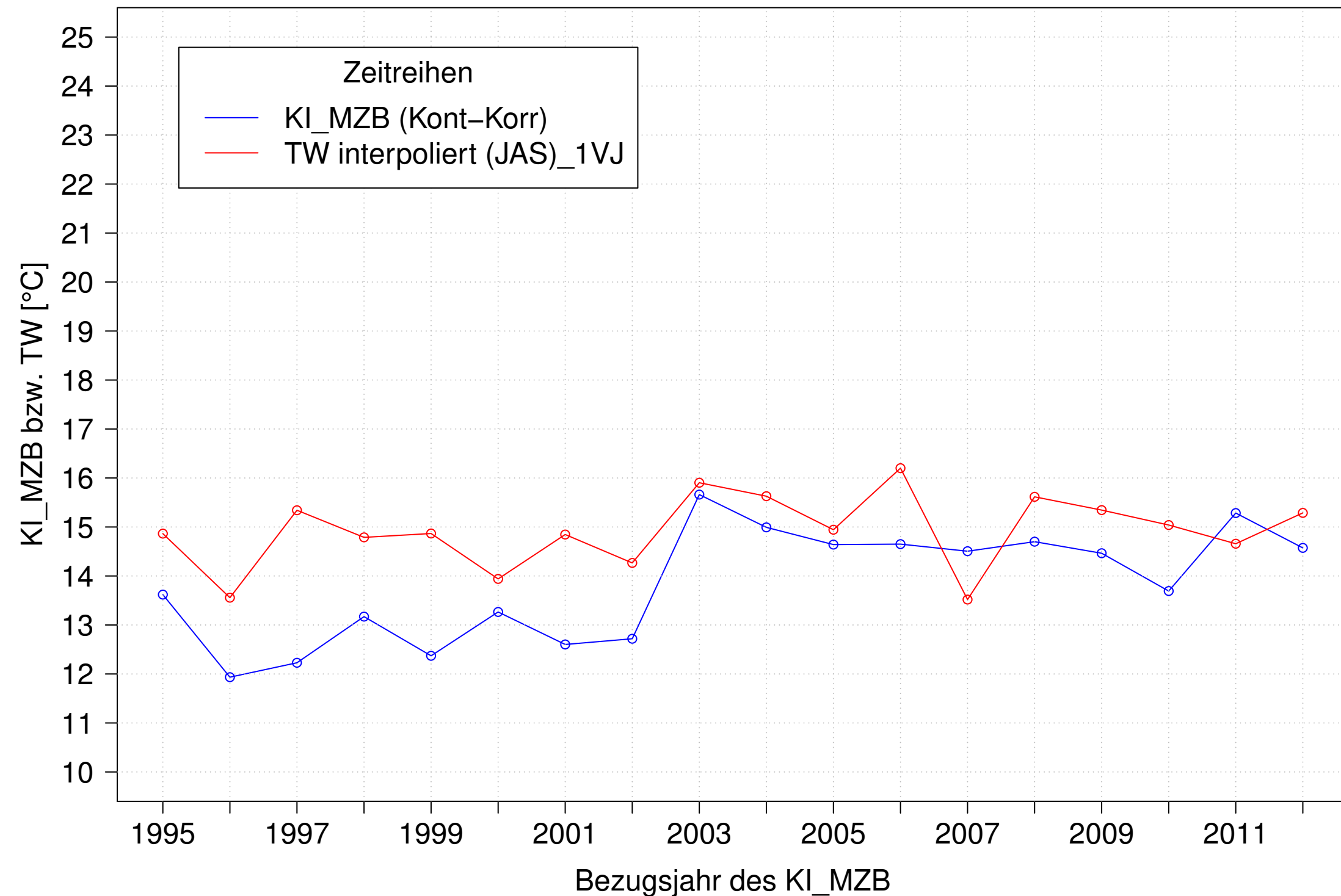
Donau_Pfohren, Typ 09.2 mit Neozoen, Serie 4
KI_MZB (Kont-Korr) und TW gemessen (JAS) des 1. Vorjahres



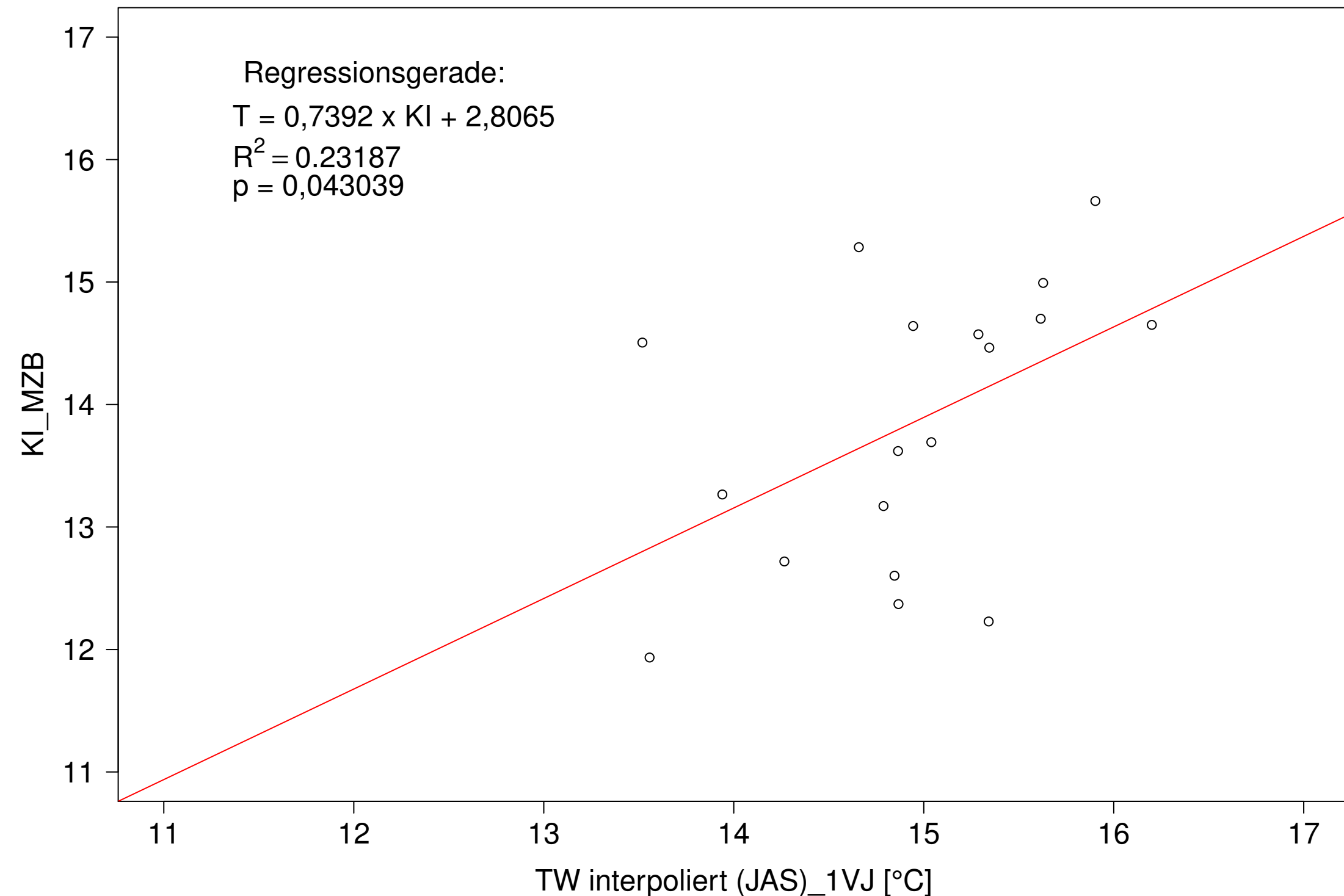
Donau_Pfohren, Typ 09.2 mit Neozoen, Serie 4
KI_MZB (Kont-Korr) gegen TW gemessen (JAS) des 1. Vorjahres



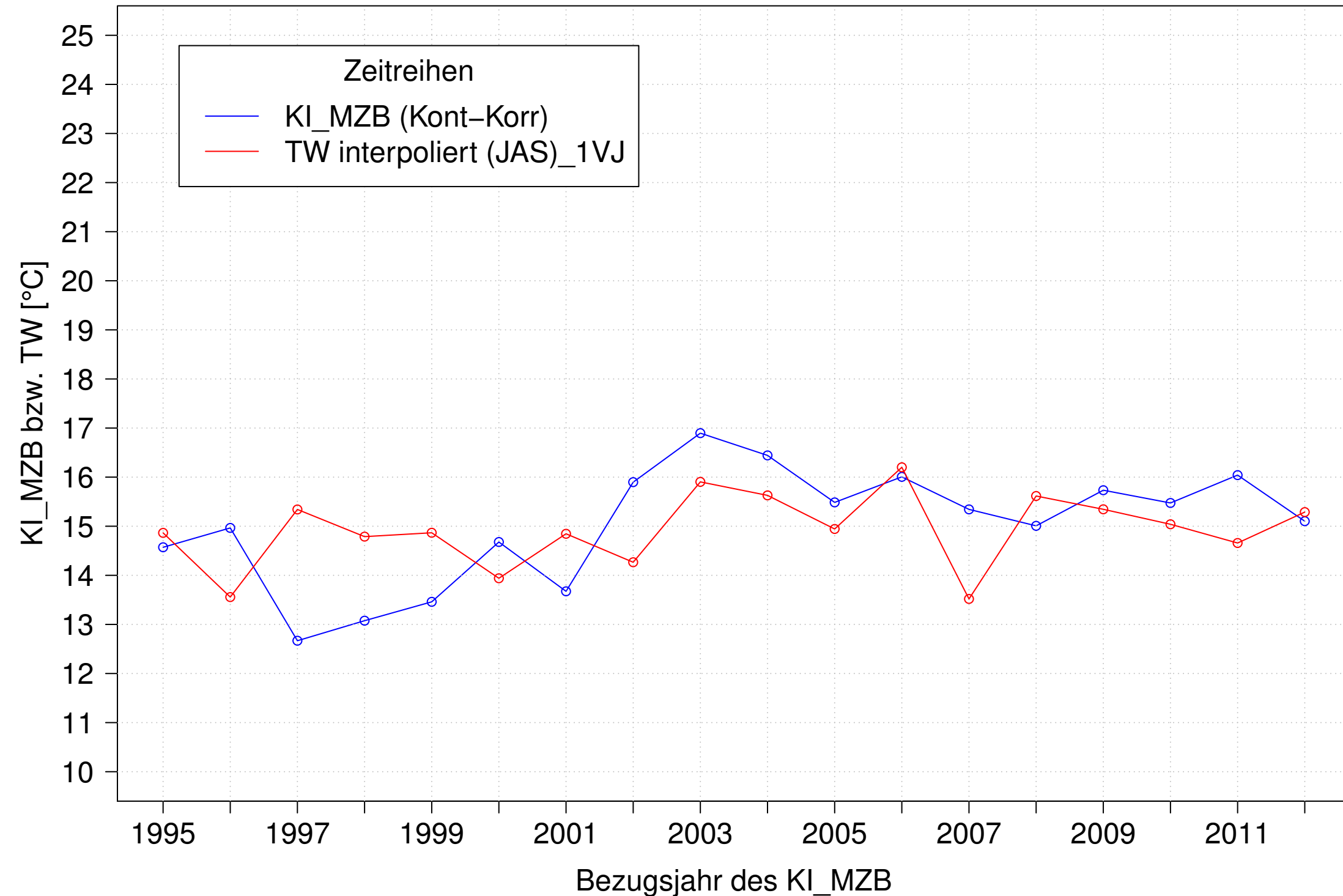
Donau_Pfohren, Typ 09.2 mit Neozoen, Serie 1
KI_MZB (Kont-Korr) und TW interpoliert (JAS) des 1. Vorjahres



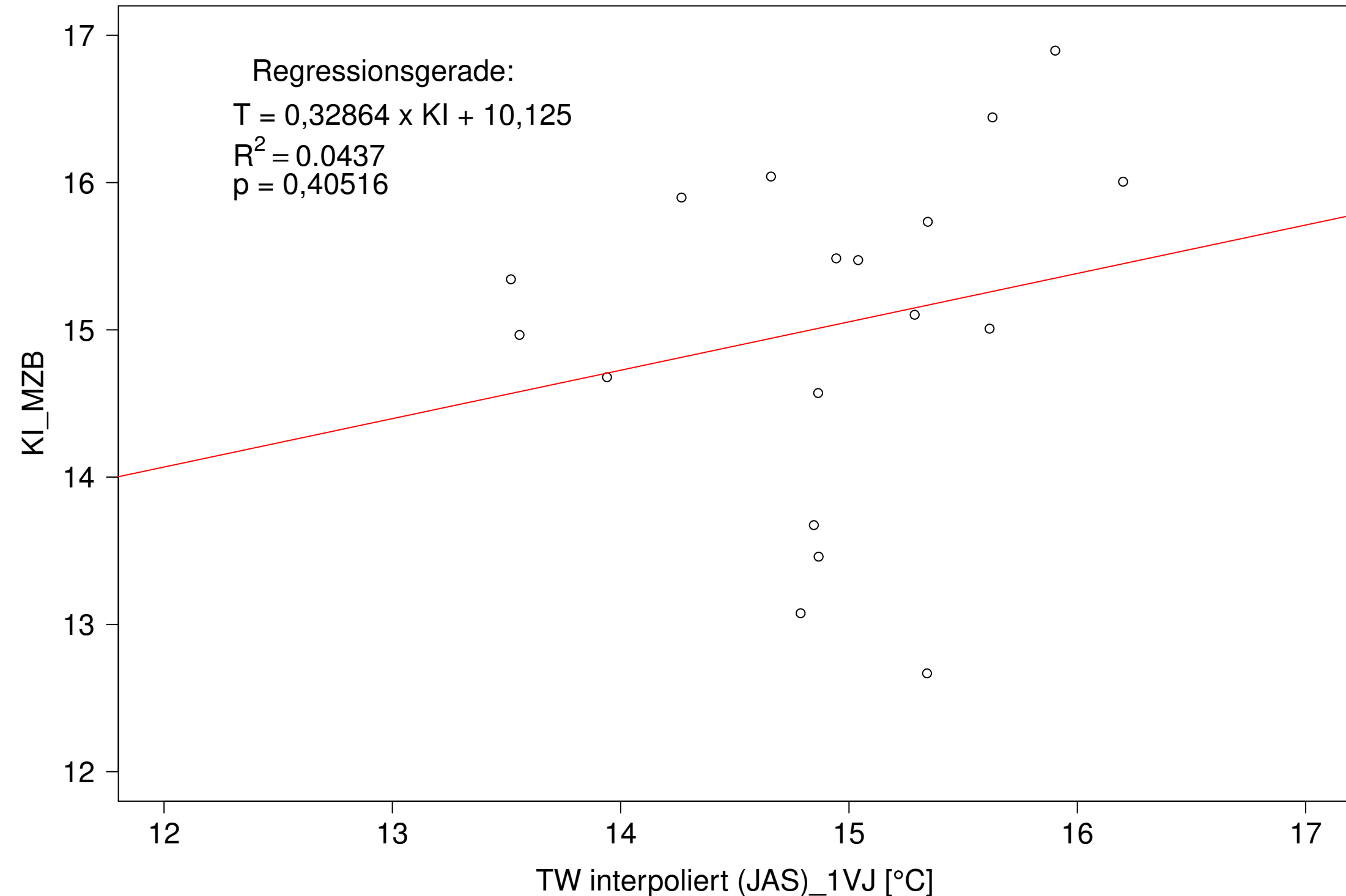
Donau_Pfohren, Typ 09.2 mit Neozoen, Serie 1
KI_MZB (Kont-Korr) gegen TW interpoliert (JAS) des 1. Vorjahres



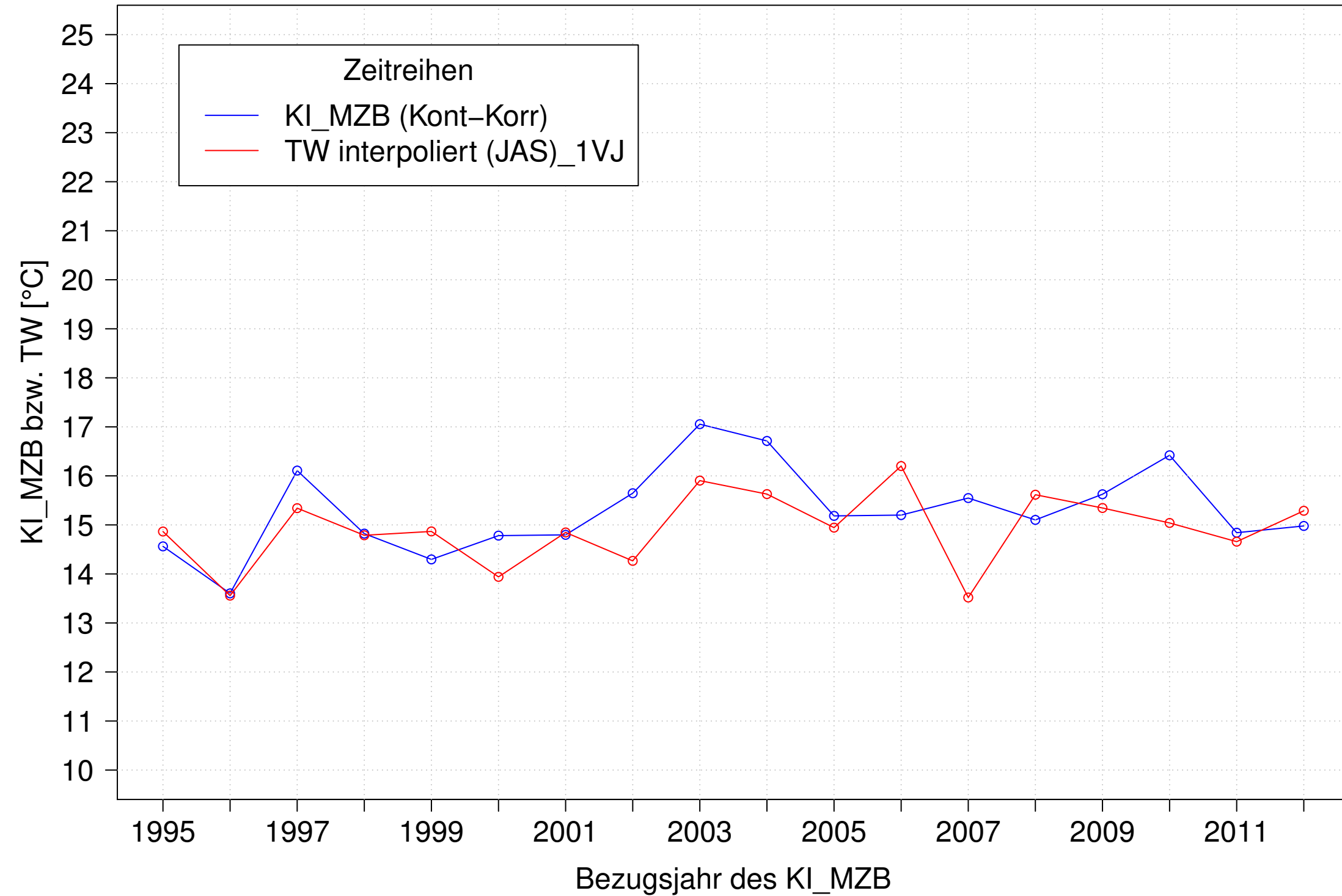
Donau_Pfohren, Typ 09.2 mit Neozoen, Serie 2
KI_MZB (Kont-Korr) und TW interpoliert (JAS) des 1. Vorjahres



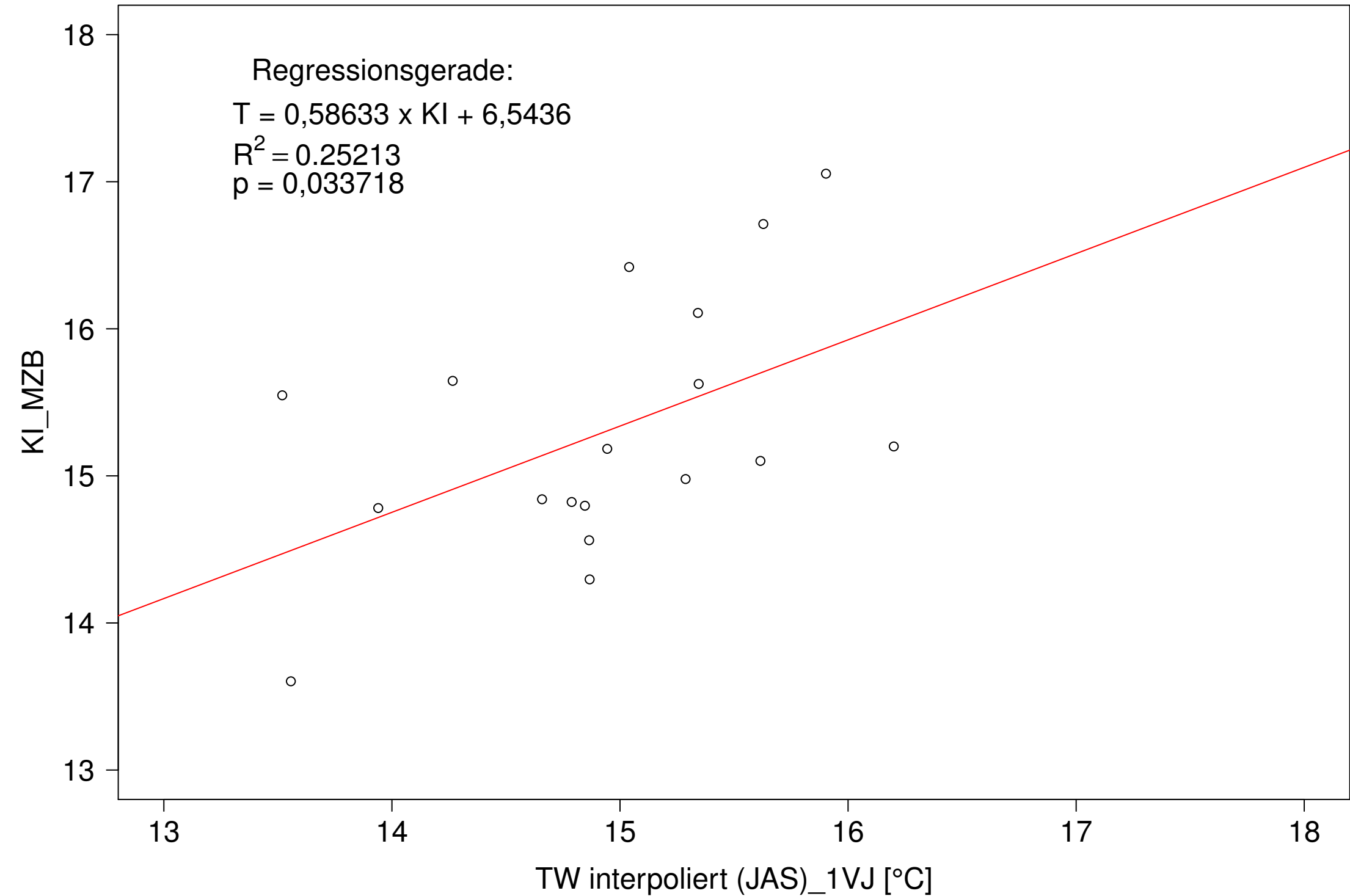
Donau_Pfohren, Typ 09.2 mit Neozoen, Serie 2
KI_MZB (Kont-Korr) gegen TW interpoliert (JAS) des 1. Vorjahres



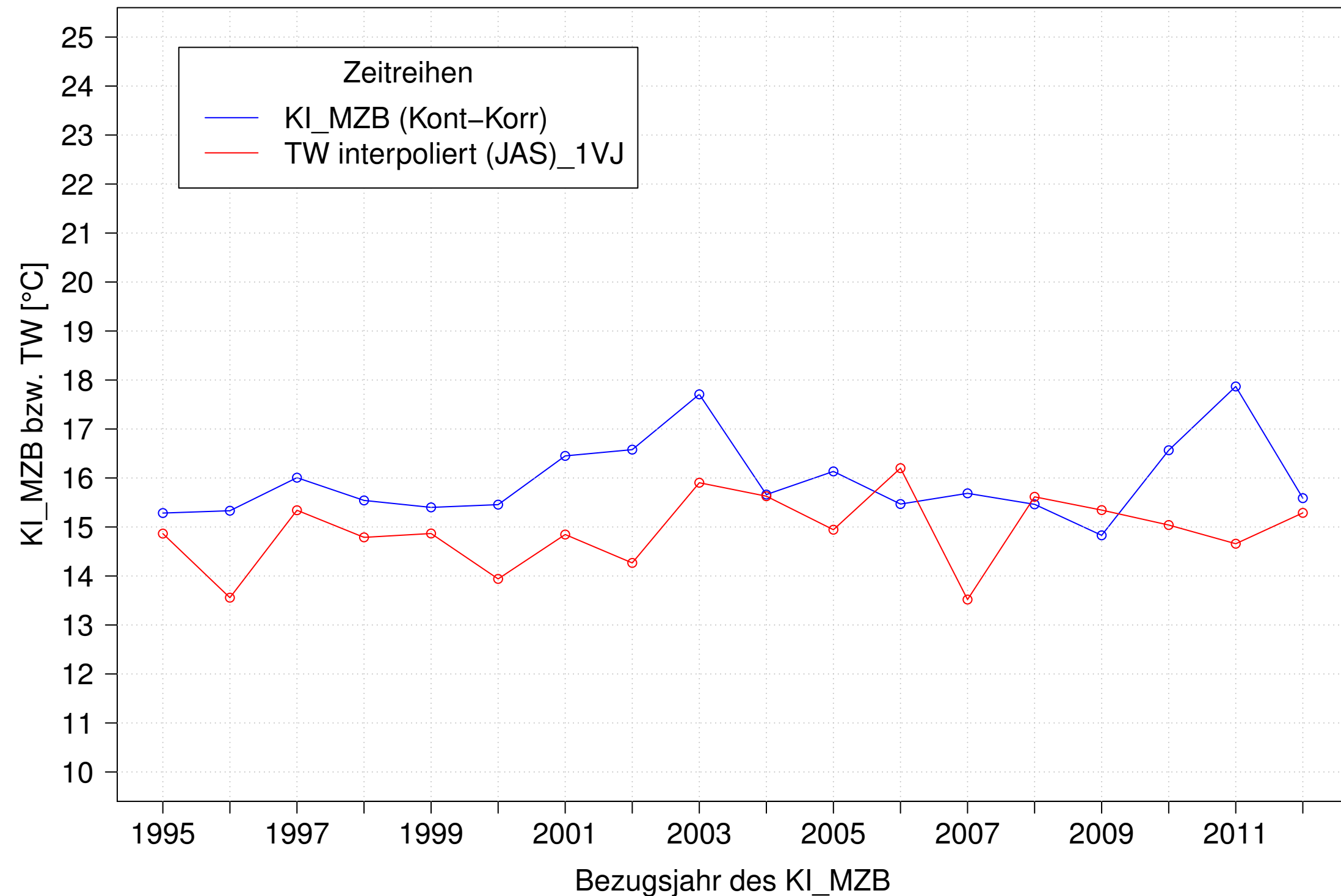
Donau_Pfohren, Typ 09.2 mit Neozoen, Serie 3
KI_MZB (Kont-Korr) und TW interpoliert (JAS) des 1. Vorjahres



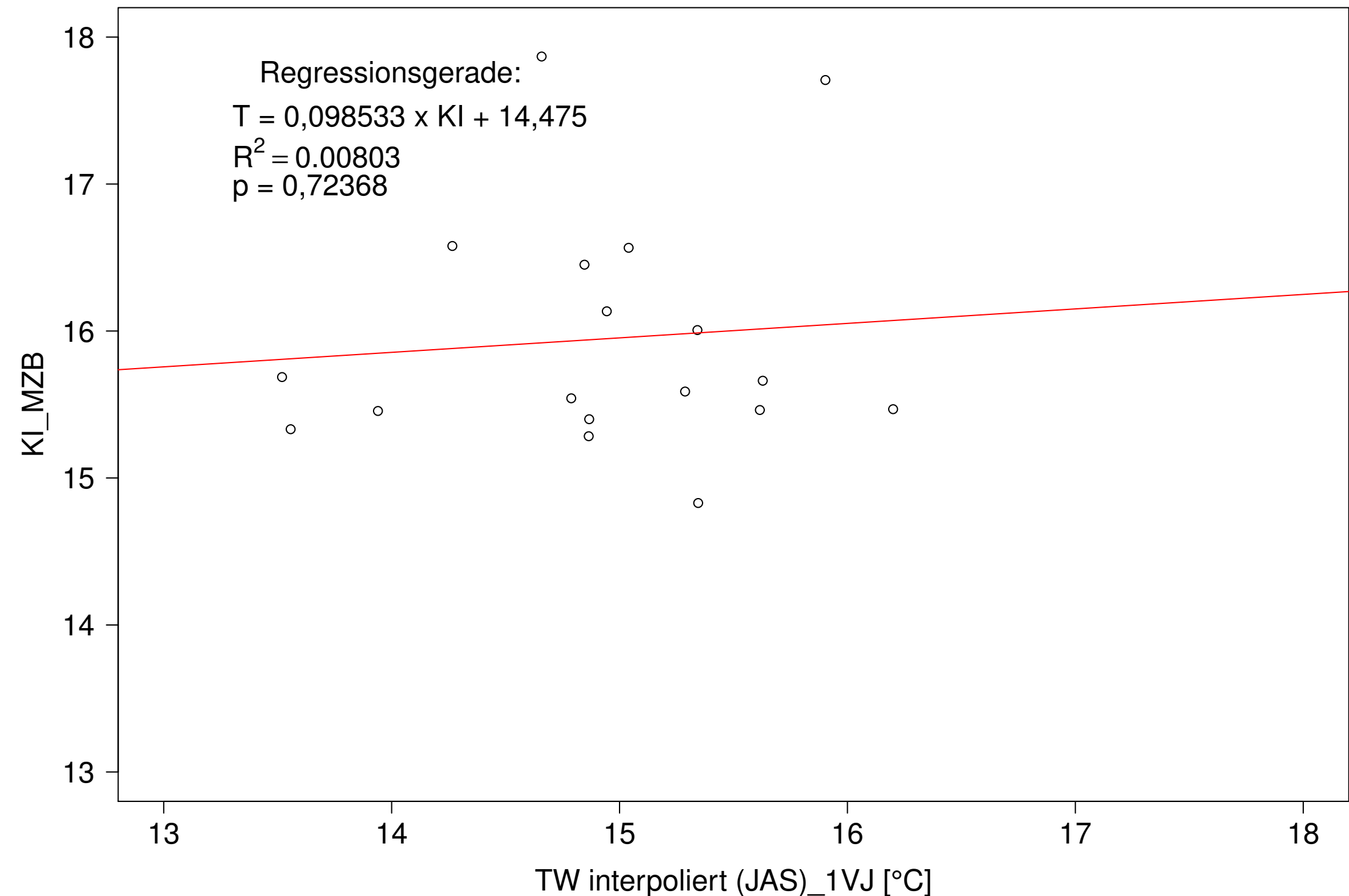
Donau_Pfohren, Typ 09.2 mit Neozoen, Serie 3
KI_MZB (Kont-Korr) gegen TW interpoliert (JAS) des 1. Vorjahres



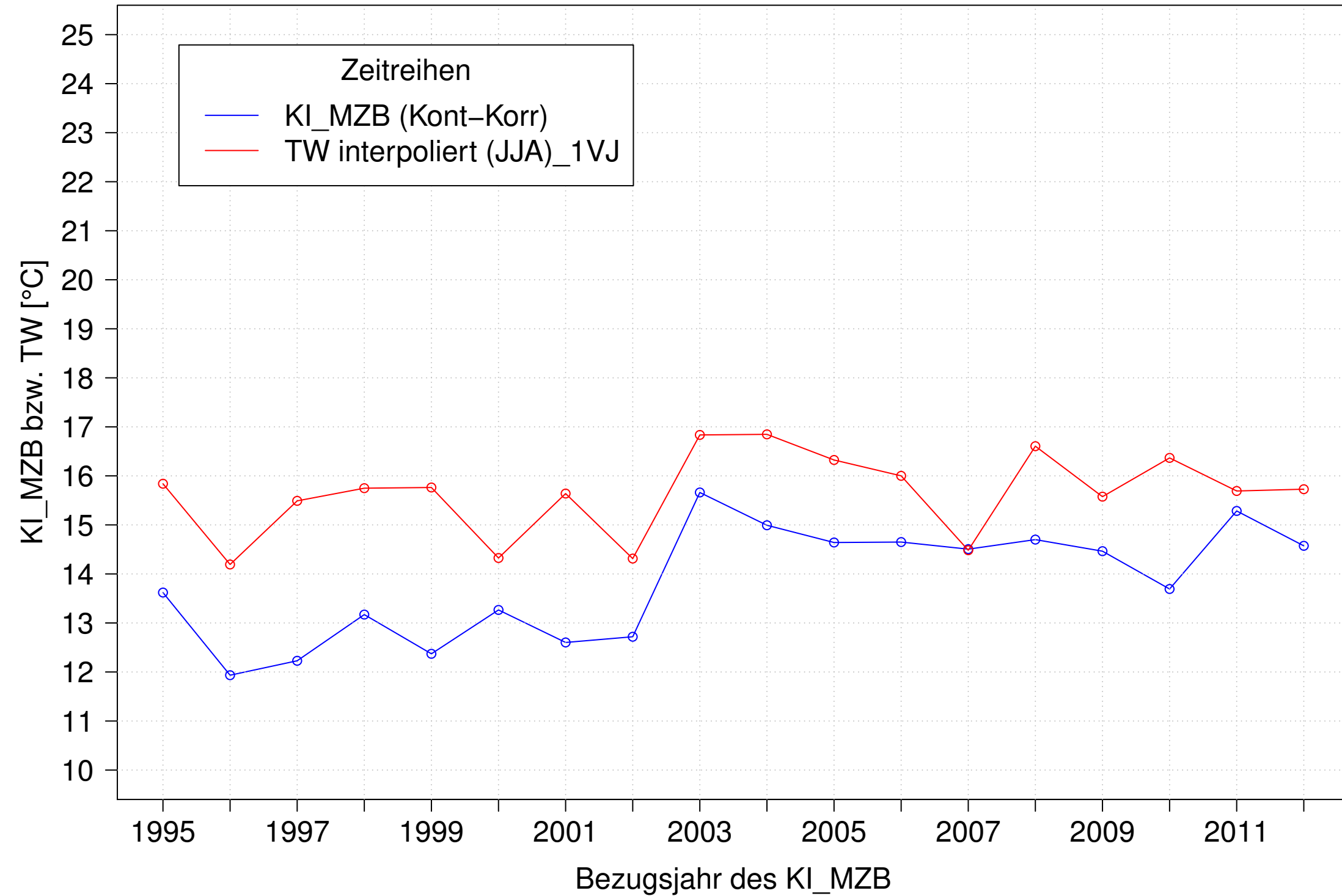
Donau_Pfohren, Typ 09.2 mit Neozoen, Serie 4
KI_MZB (Kont-Korr) und TW interpoliert (JAS) des 1. Vorjahres



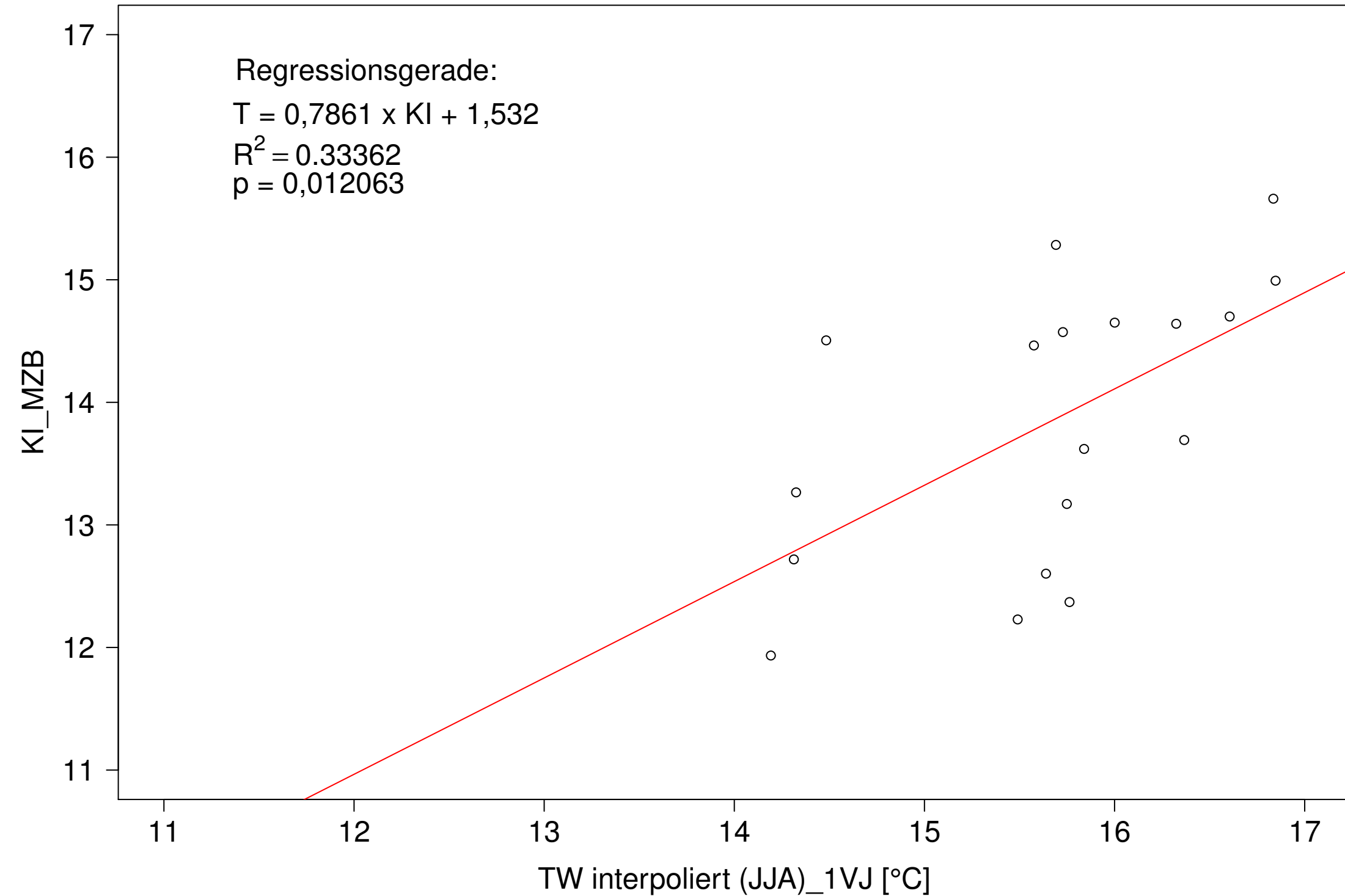
Donau_Pfohren, Typ 09.2 mit Neozoen, Serie 4
KI_MZB (Kont-Korr) gegen TW interpoliert (JAS) des 1. Vorjahres



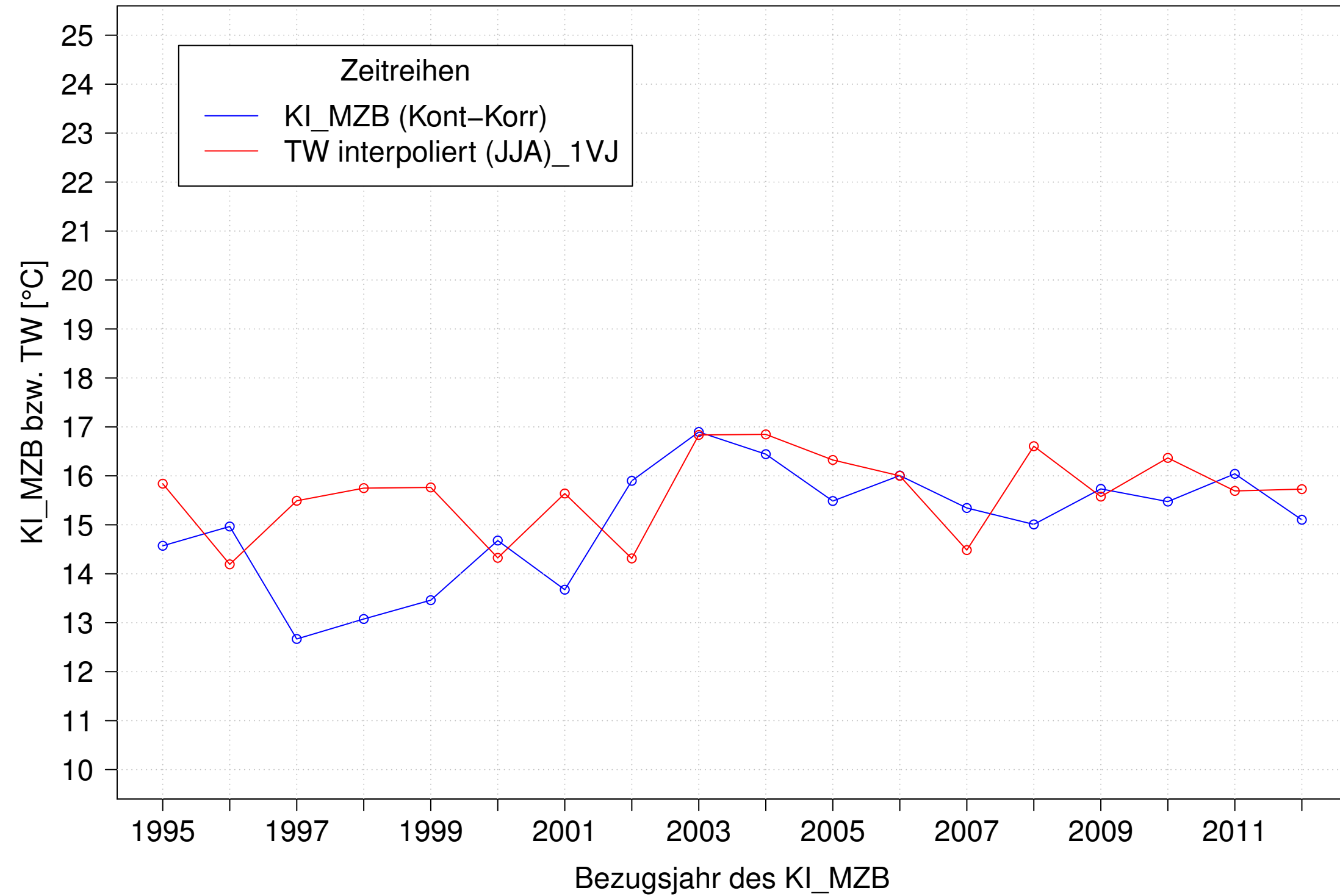
Donau_Pfohren, Typ 09.2 mit Neozoen, Serie 1
KI_MZB (Kont-Korr) und TW interpoliert (JJA) des 1. Vorjahres



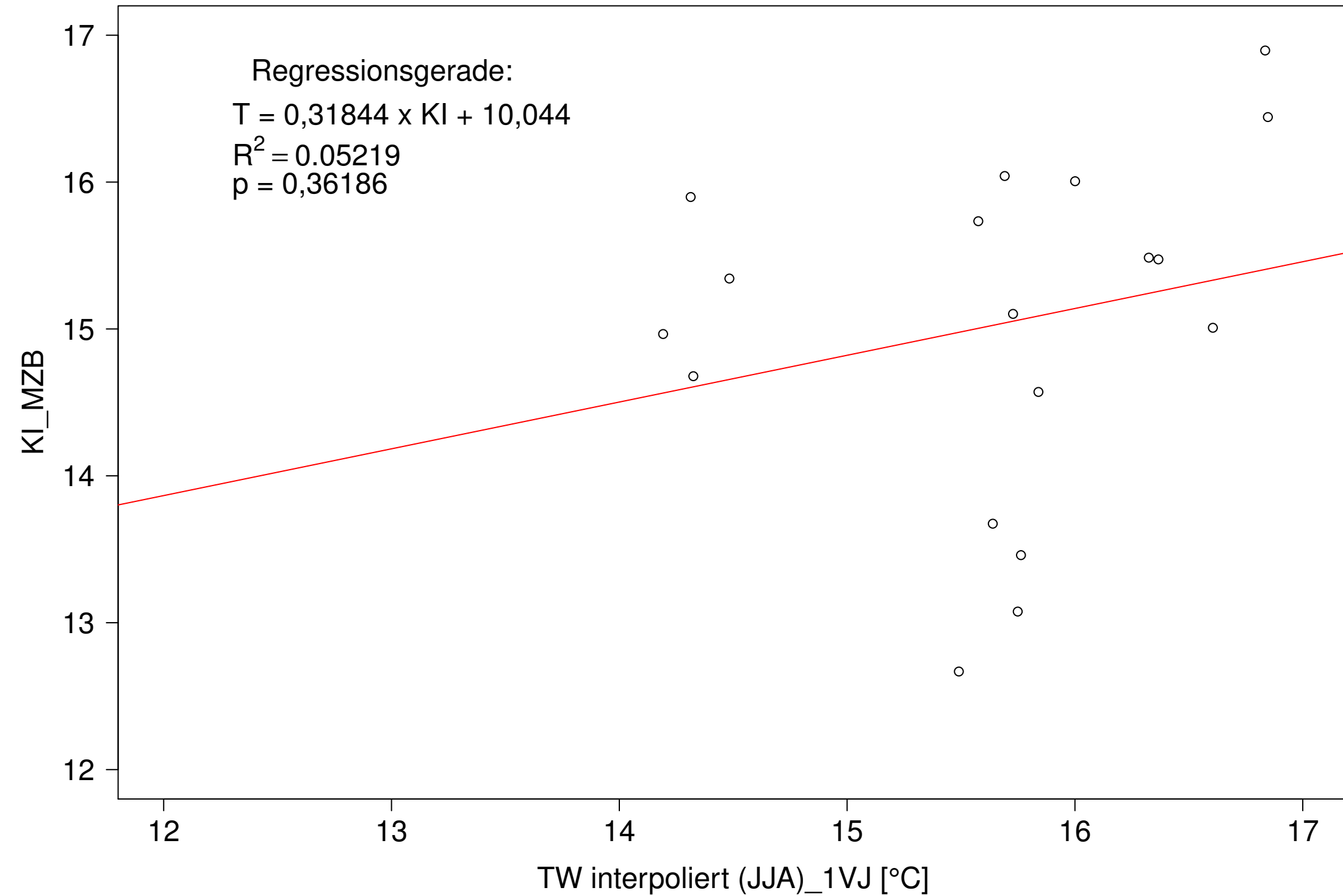
Donau_Pfohren, Typ 09.2 mit Neozoen, Serie 1
KI_MZB (Kont-Korr) gegen TW interpoliert (JJA) des 1. Vorjahres



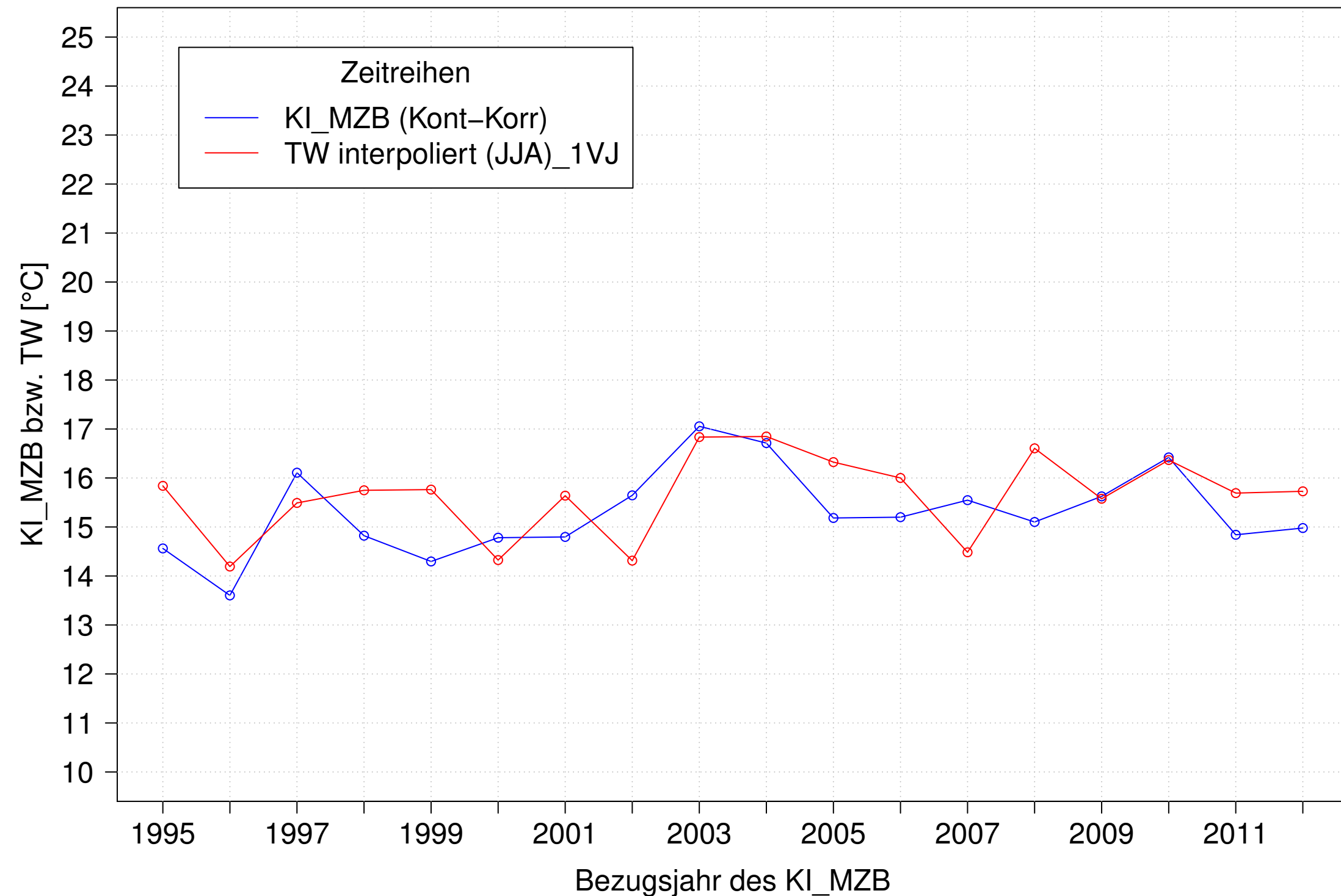
Donau_Pfohren, Typ 09.2 mit Neozoen, Serie 2
KI_MZB (Kont-Korr) und TW interpoliert (JJA) des 1. Vorjahres



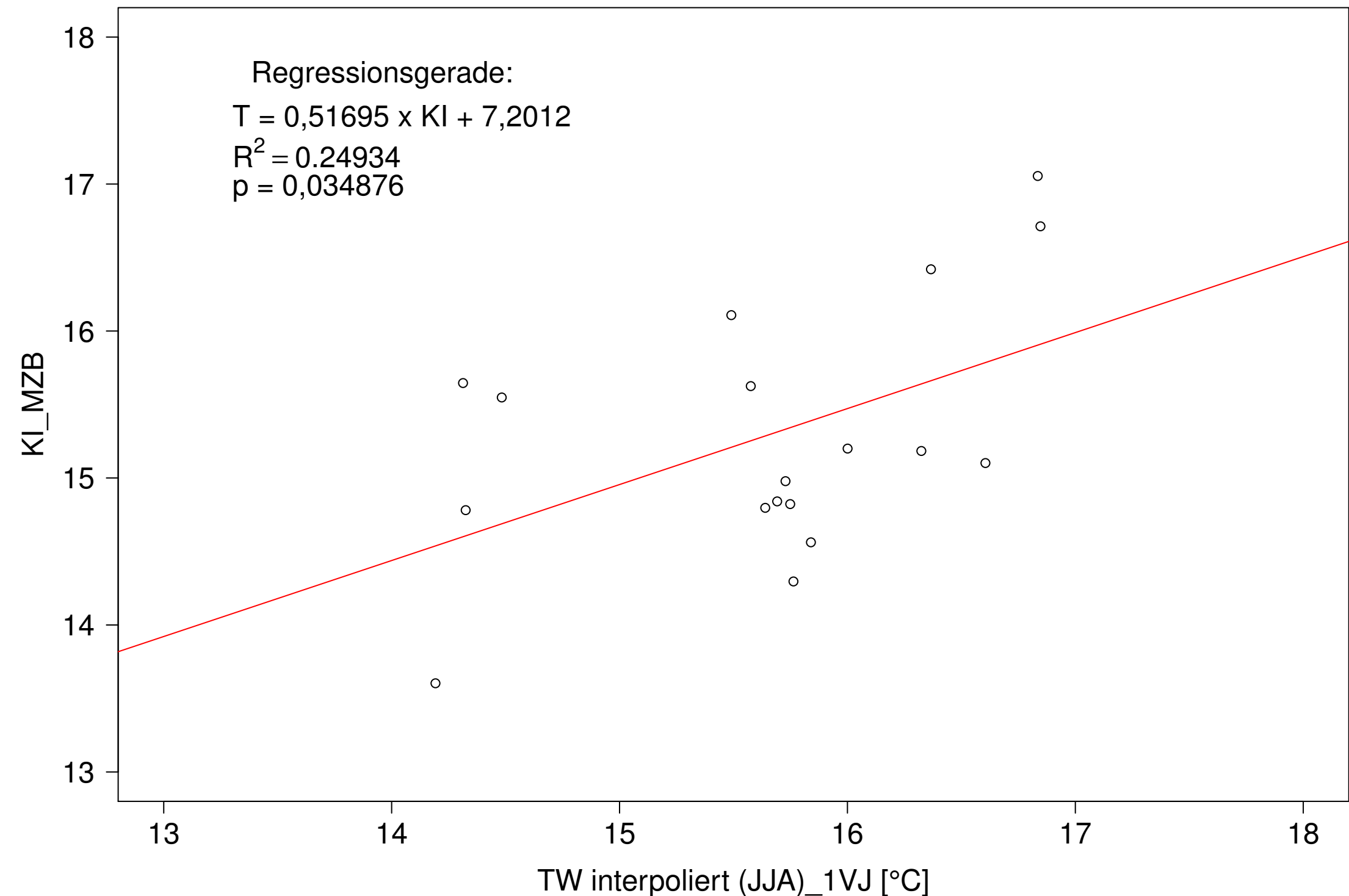
Donau_Pfohren, Typ 09.2 mit Neozoen, Serie 2
KI_MZB (Kont-Korr) gegen TW interpoliert (JJA) des 1. Vorjahres



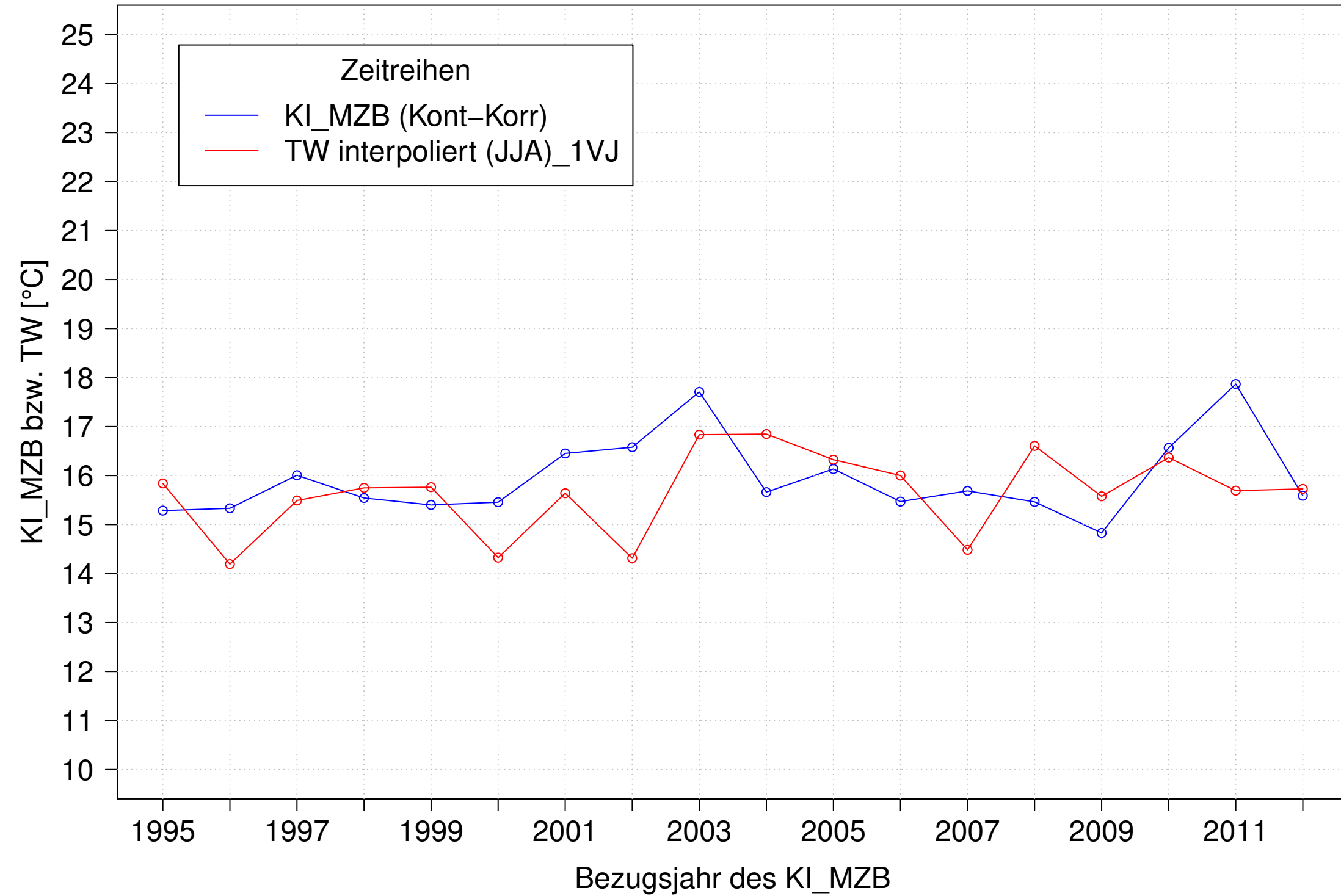
Donau_Pfohren, Typ 09.2 mit Neozoen, Serie 3
KI_MZB (Kont-Korr) und TW interpoliert (JJA) des 1. Vorjahres



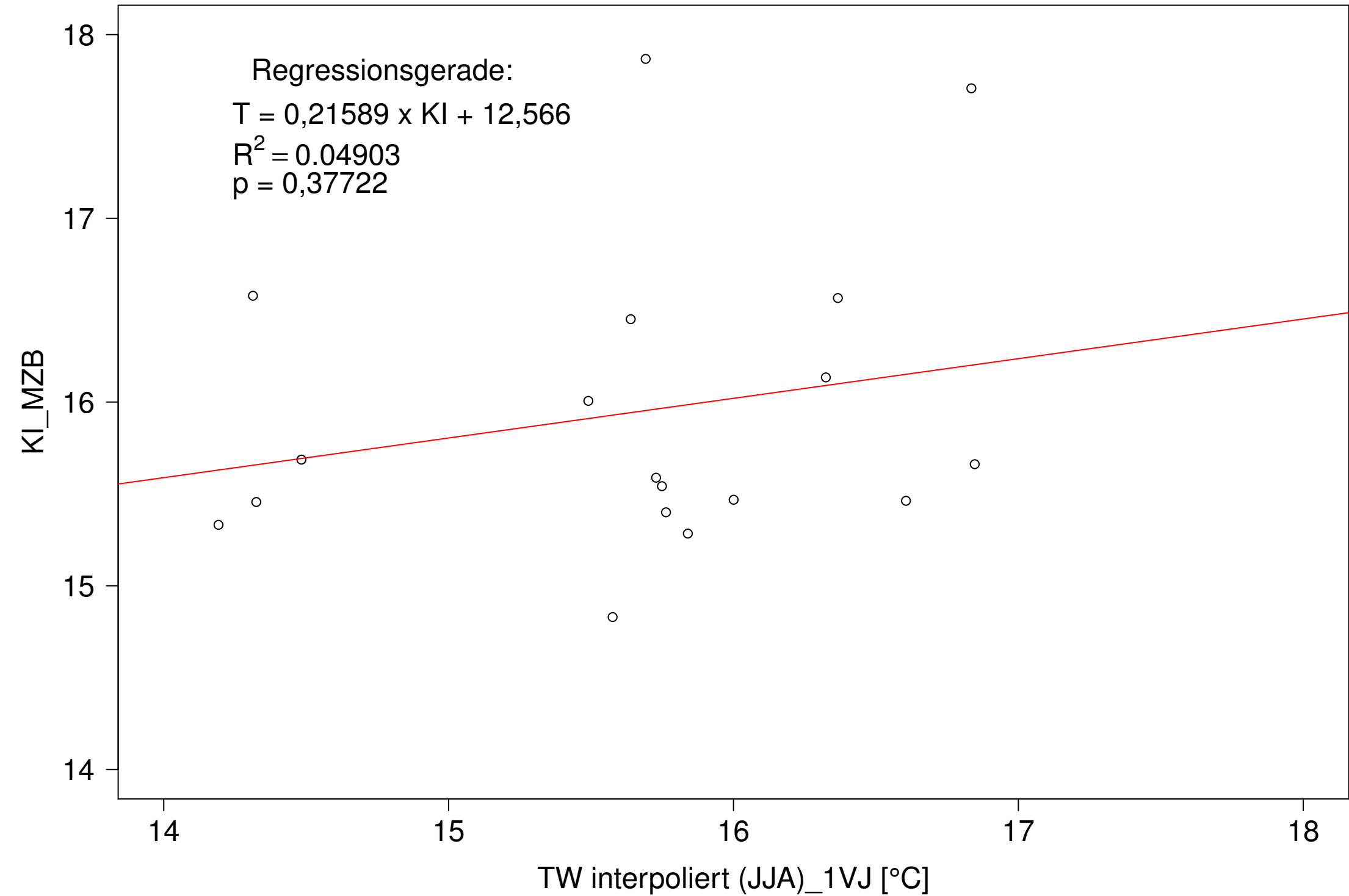
Donau_Pfohren, Typ 09.2 mit Neozoen, Serie 3
KI_MZB (Kont-Korr) gegen TW interpoliert (JJA) des 1. Vorjahres



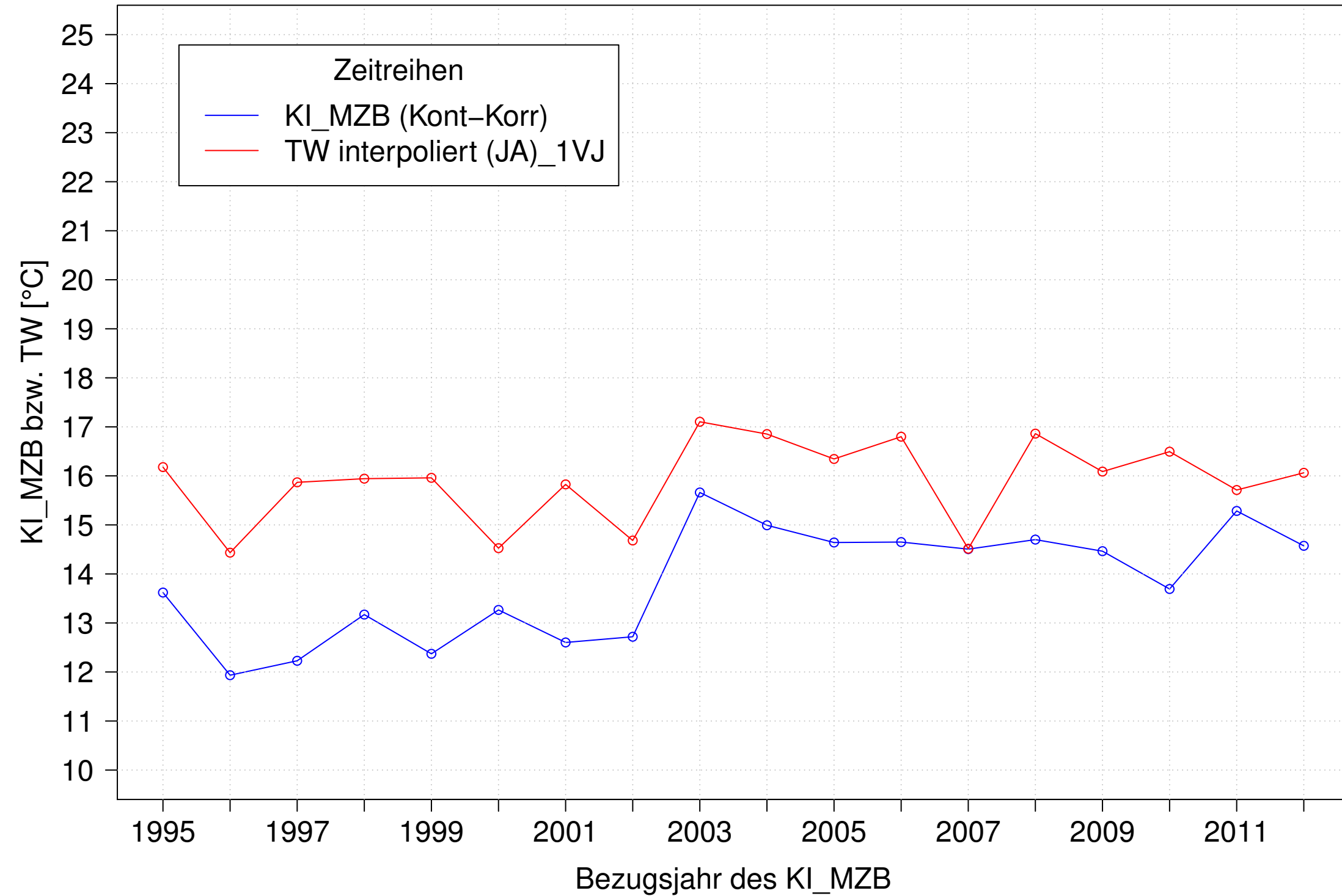
Donau_Pfohren, Typ 09.2 mit Neozoen, Serie 4
KI_MZB (Kont-Korr) und TW interpoliert (JJA) des 1. Vorjahres



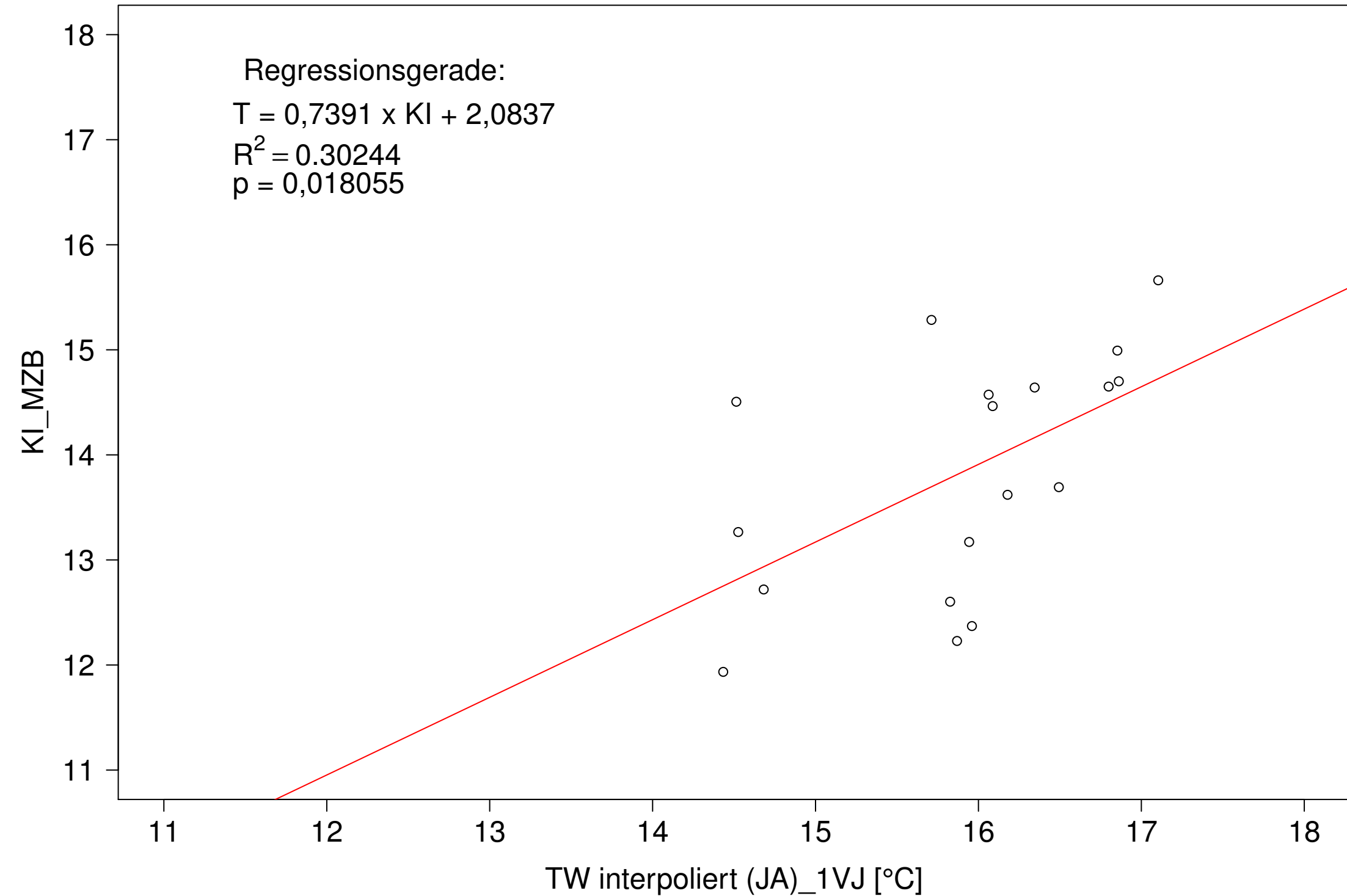
Donau_Pfohren, Typ 09.2 mit Neozoen, Serie 4
KI_MZB (Kont-Korr) gegen TW interpoliert (JJA) des 1. Vorjahres



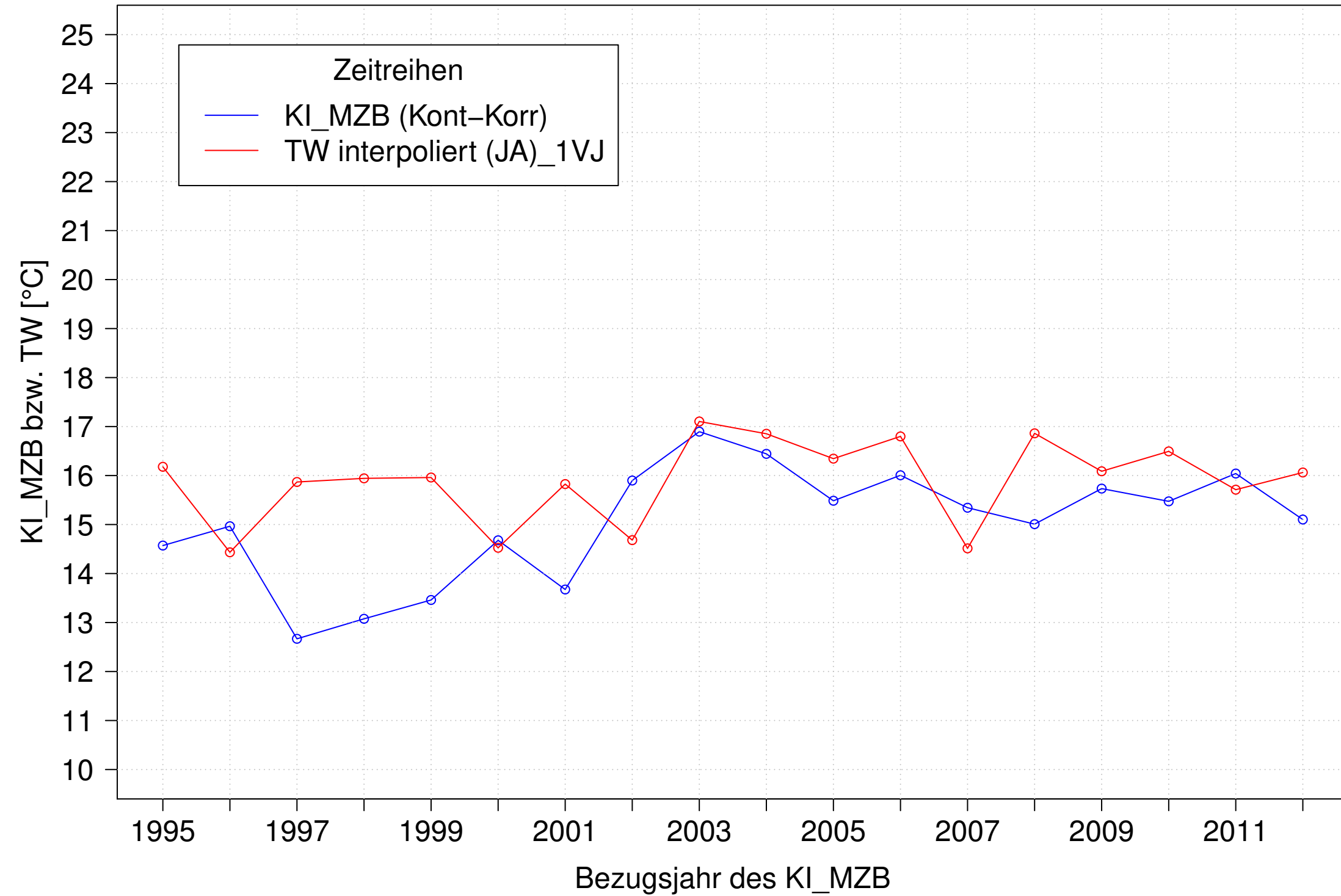
Donau_Pfohren, Typ 09.2 mit Neozoen, Serie 1
KI_MZB (Kont-Korr) und TW interpoliert (JA) des 1. Vorjahres



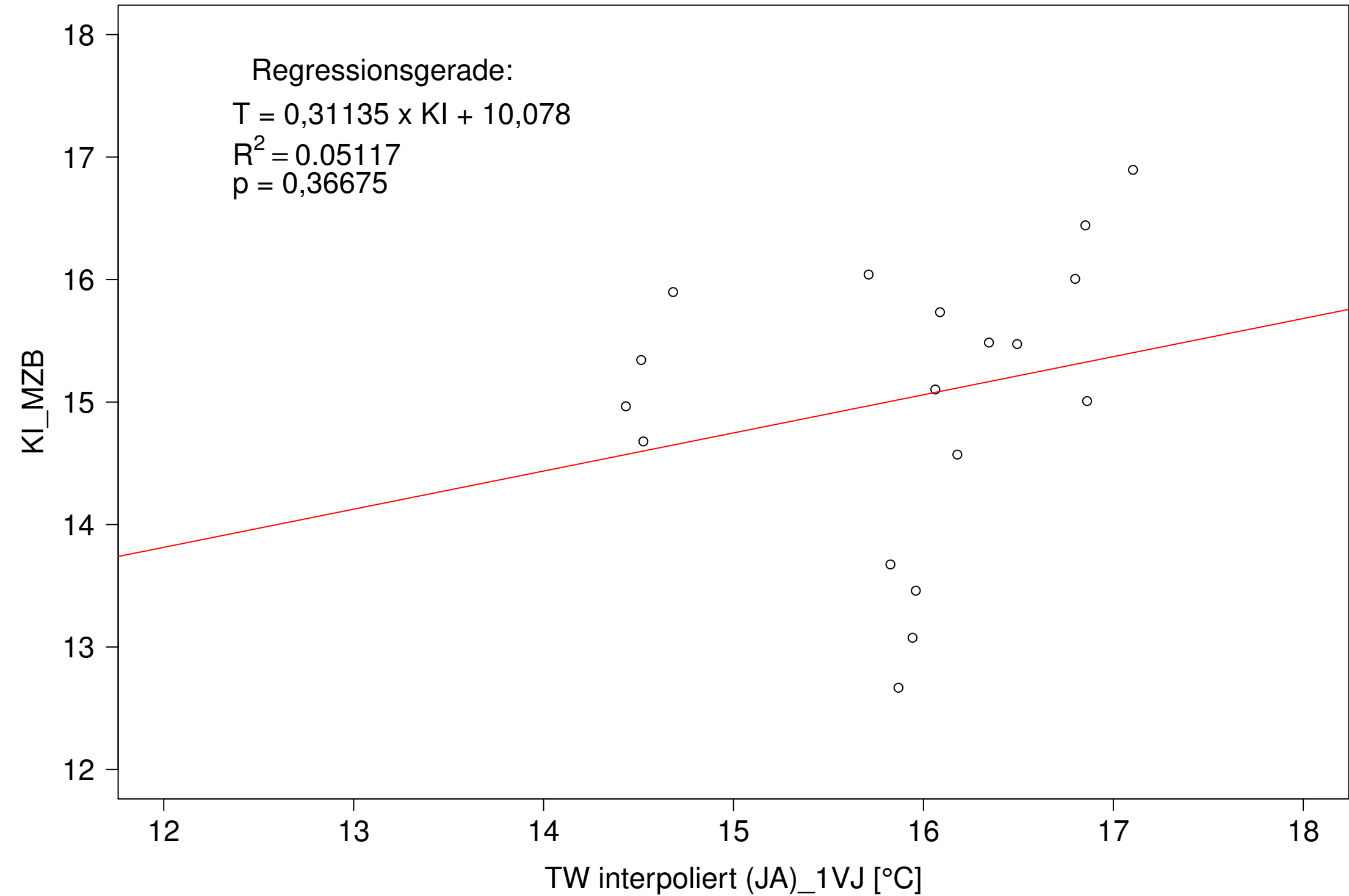
Donau_Pfohren, Typ 09.2 mit Neozoen, Serie 1
KI_MZB (Kont-Korr) gegen TW interpoliert (JA) des 1. Vorjahres



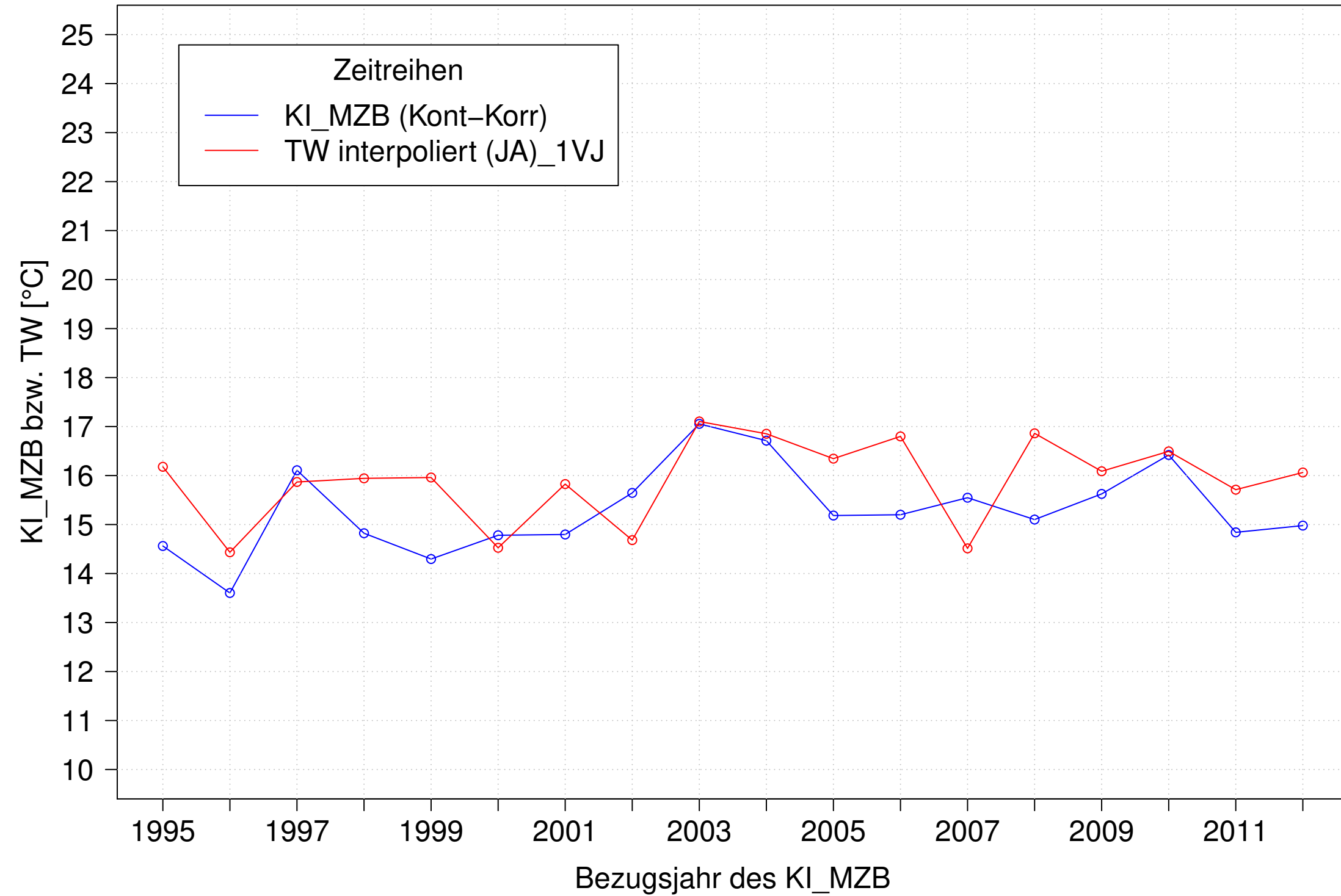
Donau_Pfohren, Typ 09.2 mit Neozoen, Serie 2
KI_MZB (Kont-Korr) und TW interpoliert (JA) des 1. Vorjahres



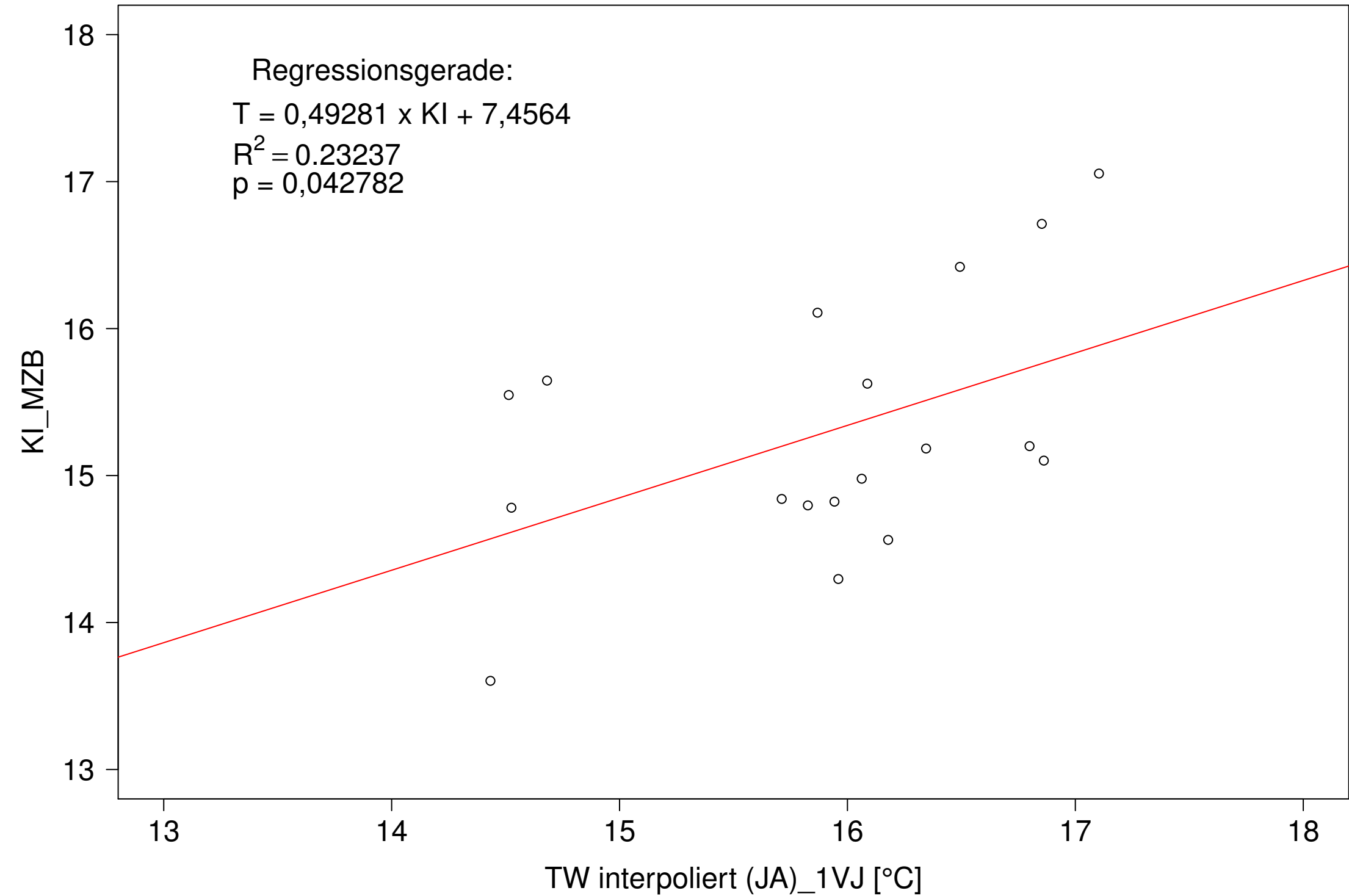
Donau_Pfohren, Typ 09.2 mit Neozoen, Serie 2
KI_MZB (Kont-Korr) gegen TW interpoliert (JA) des 1. Vorjahres



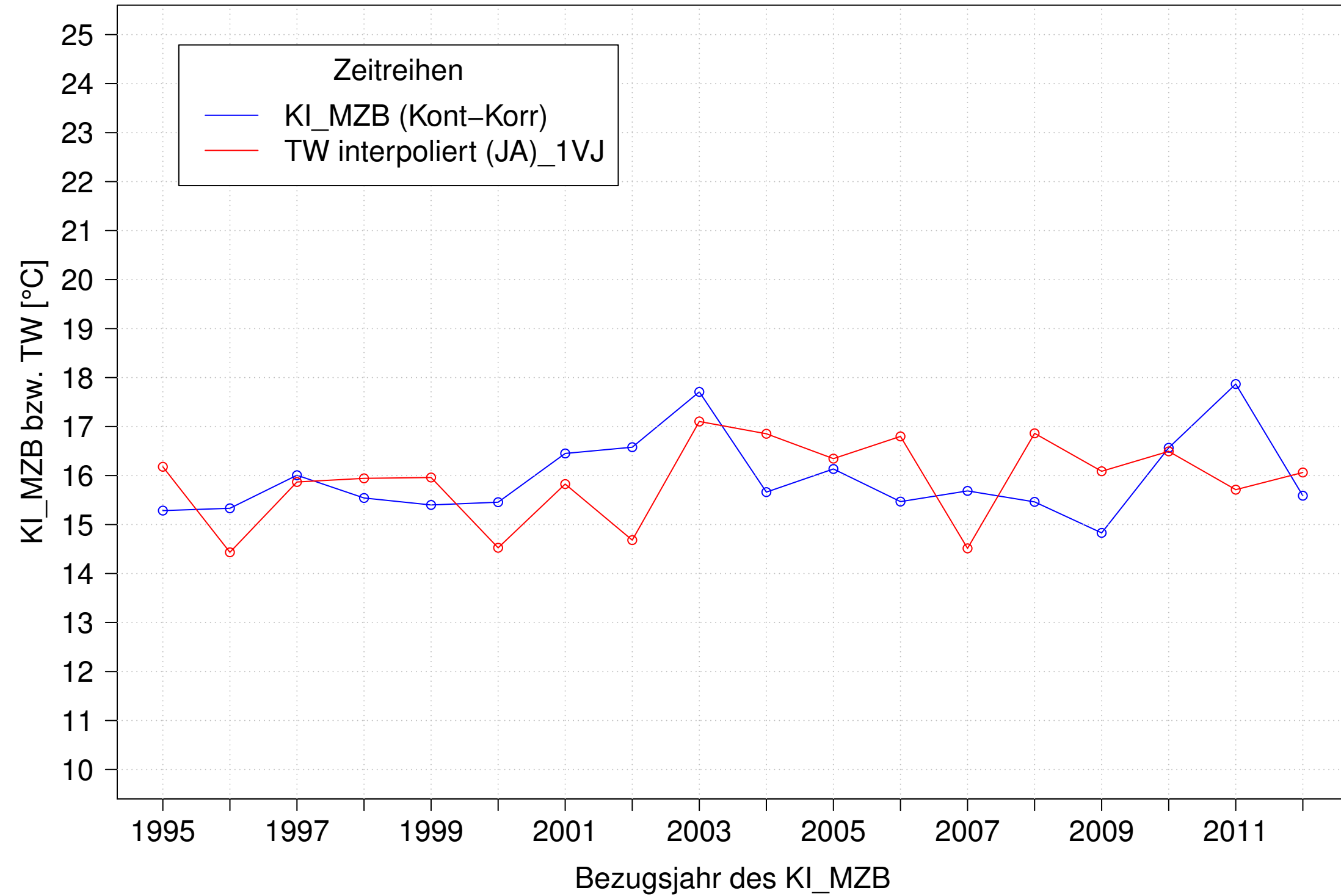
Donau_Pfohren, Typ 09.2 mit Neozoen, Serie 3
KI_MZB (Kont-Korr) und TW interpoliert (JA) des 1. Vorjahres



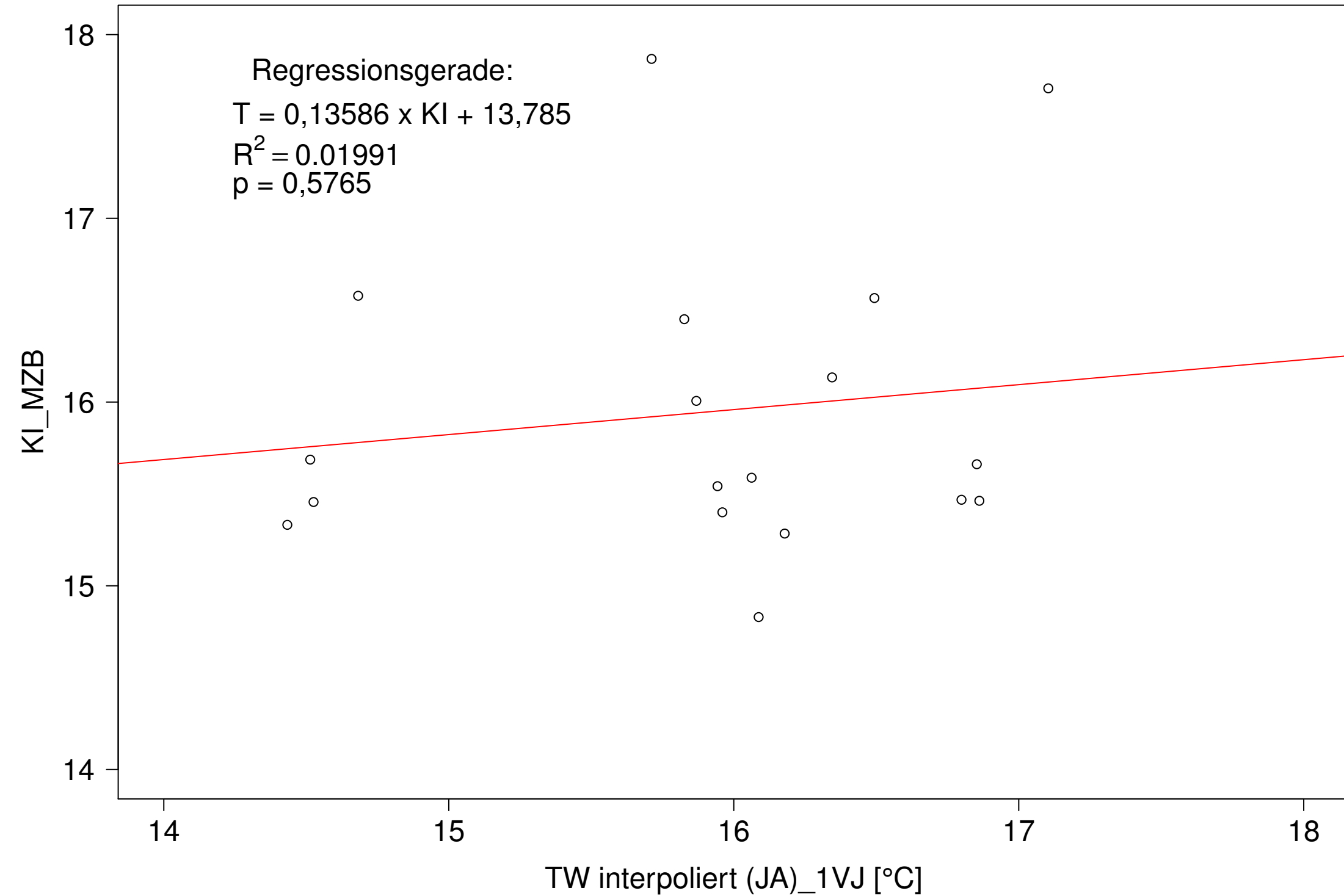
Donau_Pfohren, Typ 09.2 mit Neozoen, Serie 3
KI_MZB (Kont-Korr) gegen TW interpoliert (JA) des 1. Vorjahres



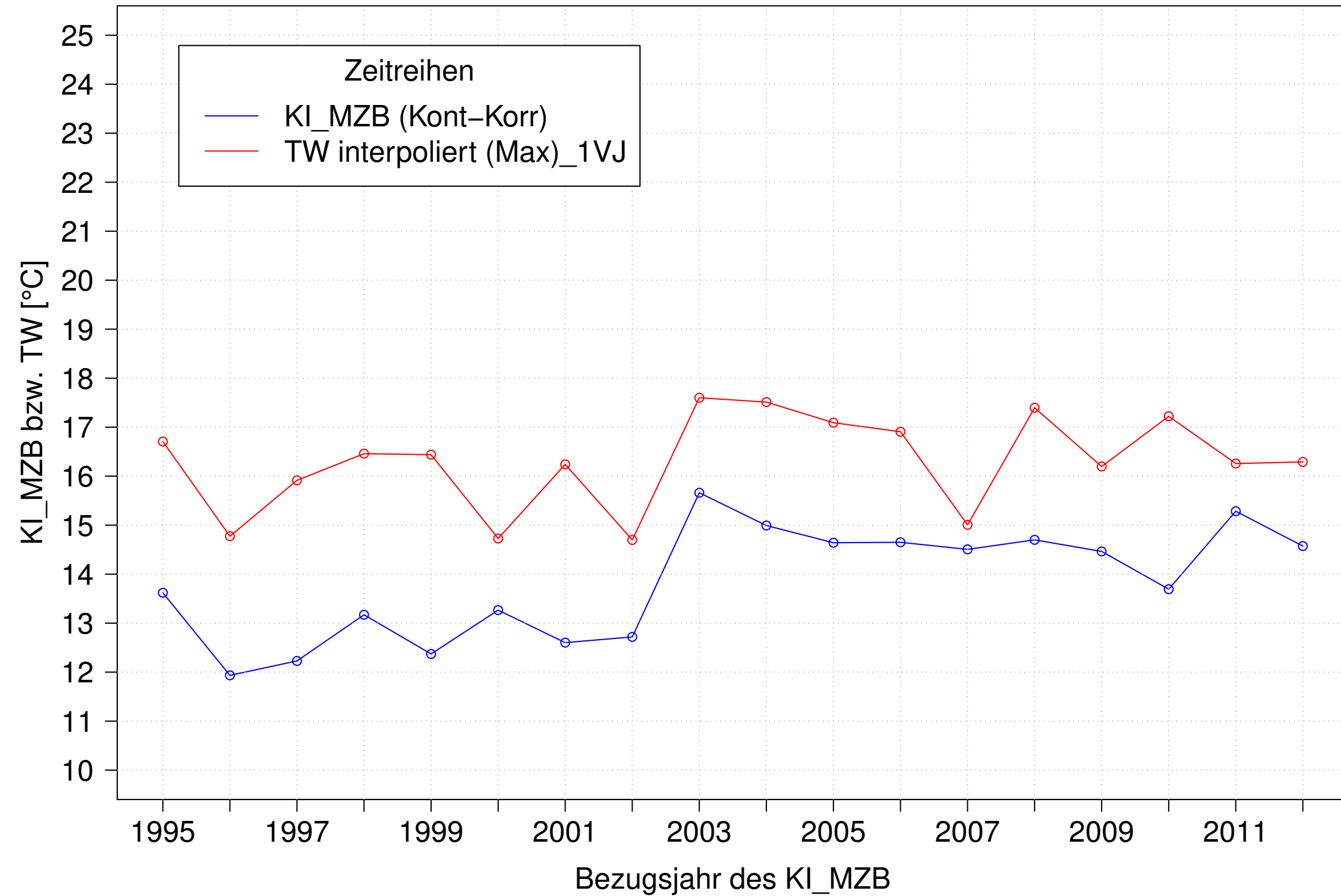
Donau_Pfohren, Typ 09.2 mit Neozoen, Serie 4
KI_MZB (Kont-Korr) und TW interpoliert (JA) des 1. Vorjahres



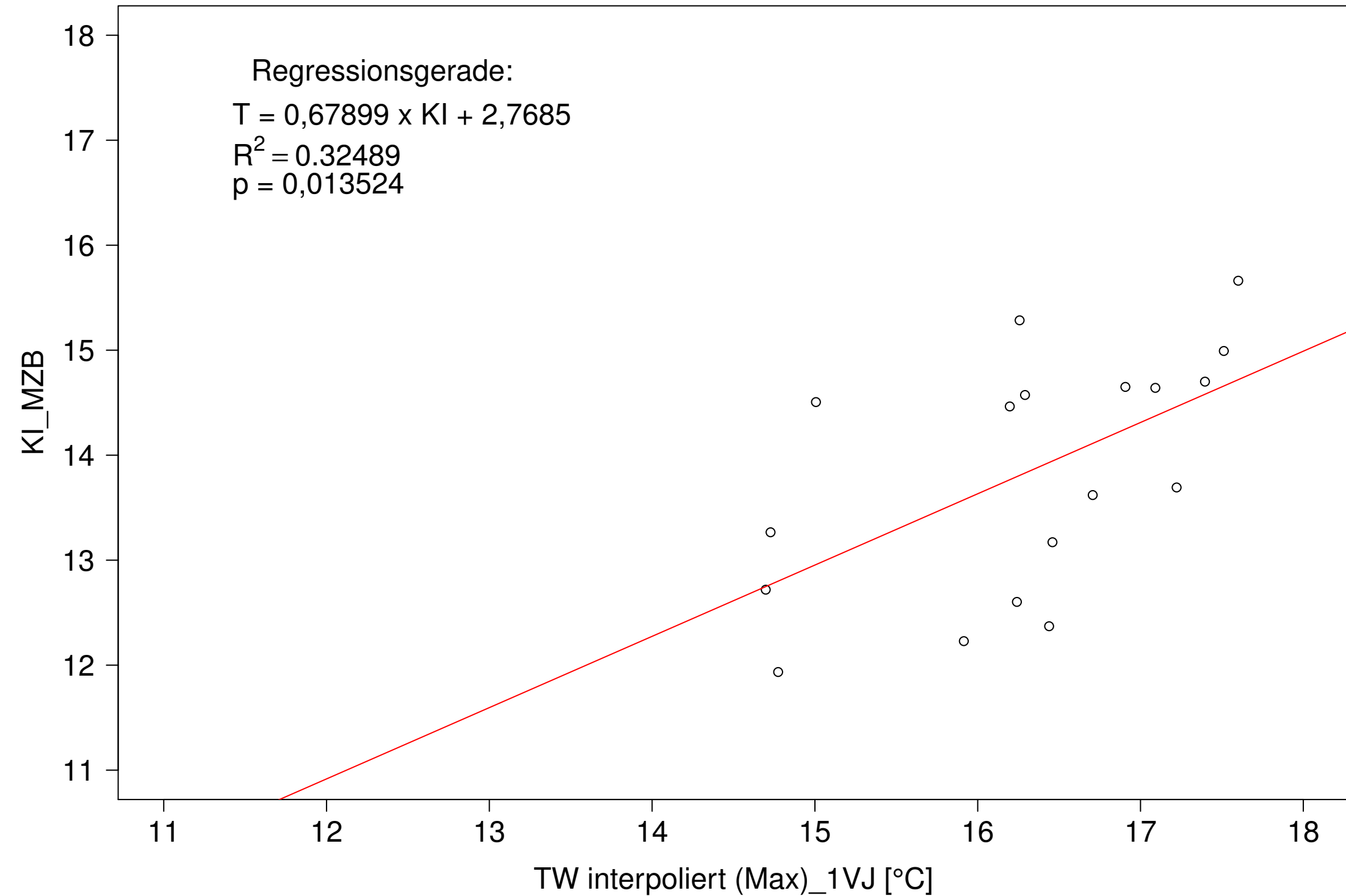
Donau_Pfohren, Typ 09.2 mit Neozoen, Serie 4
KI_MZB (Kont-Korr) gegen TW interpoliert (JA) des 1. Vorjahres



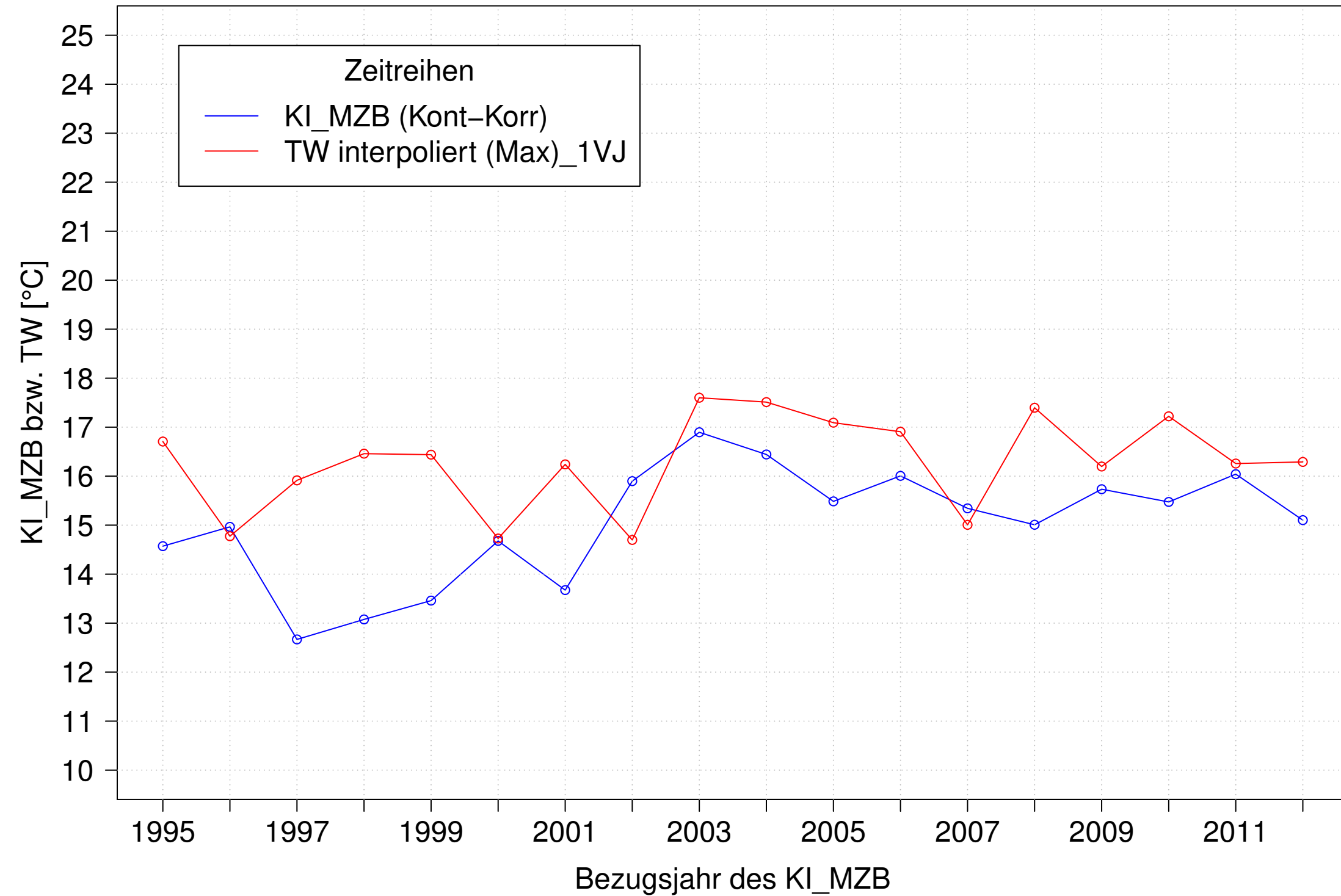
Donau_Pfohren, Typ 09.2 mit Neozoen, Serie 1
KI_MZB (Kont-Korr) und TW interpoliert (Max) des 1. Vorjahres



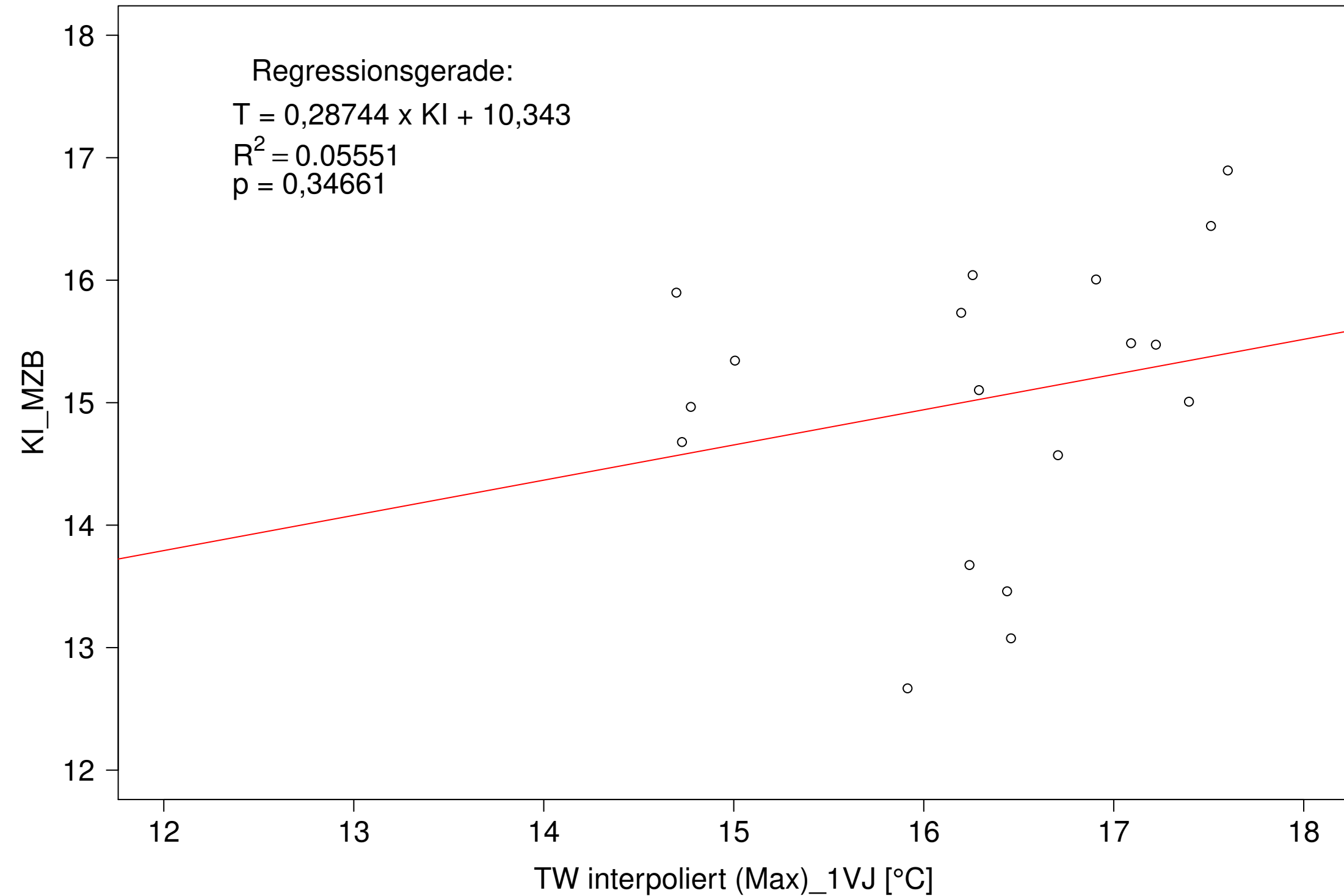
Donau_Pfohren, Typ 09.2 mit Neozoen, Serie 1
KI_MZB (Kont-Korr) gegen TW interpoliert (Max) des 1. Vorjahres



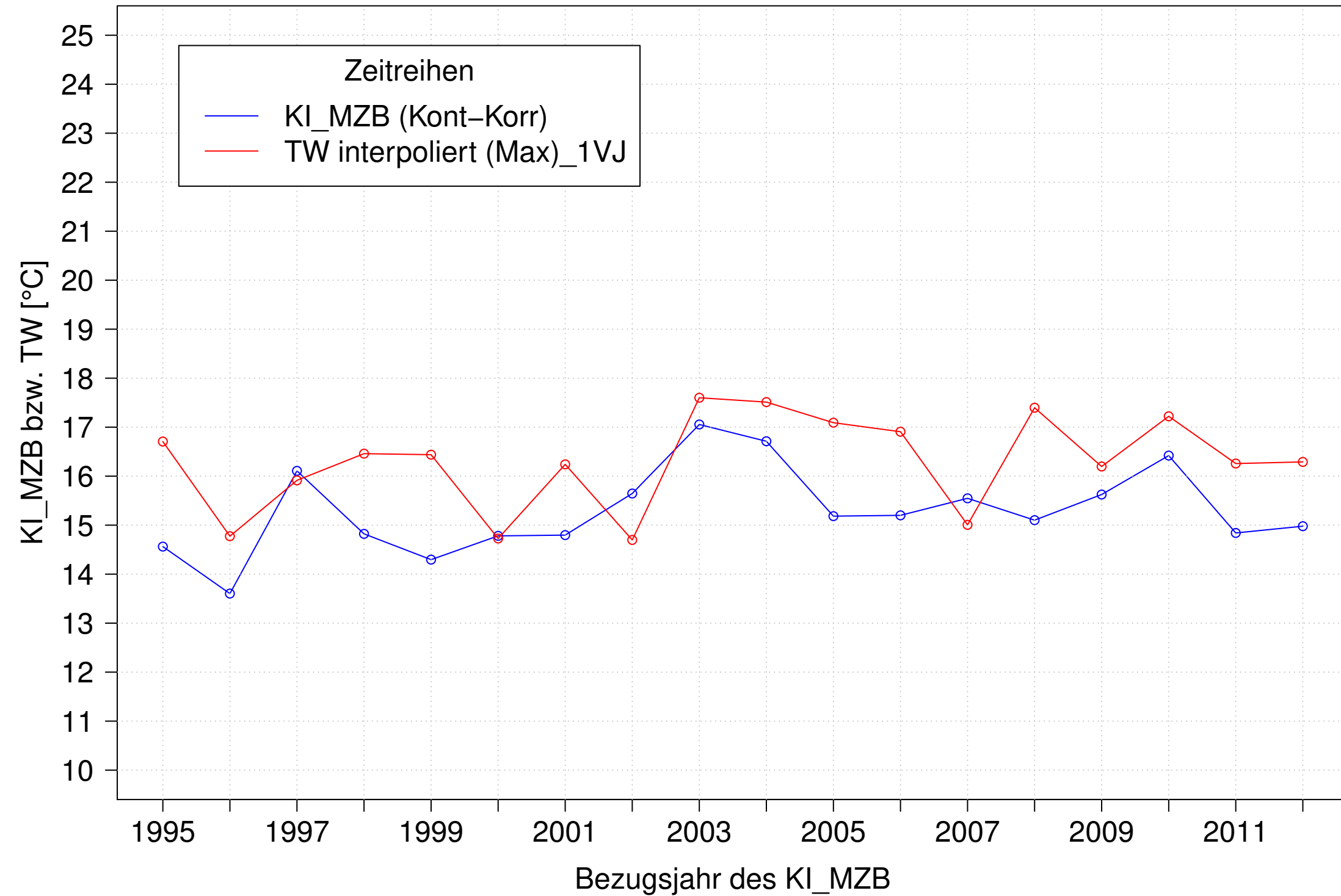
Donau_Pfohren, Typ 09.2 mit Neozoen, Serie 2
KI_MZB (Kont-Korr) und TW interpoliert (Max) des 1. Vorjahres



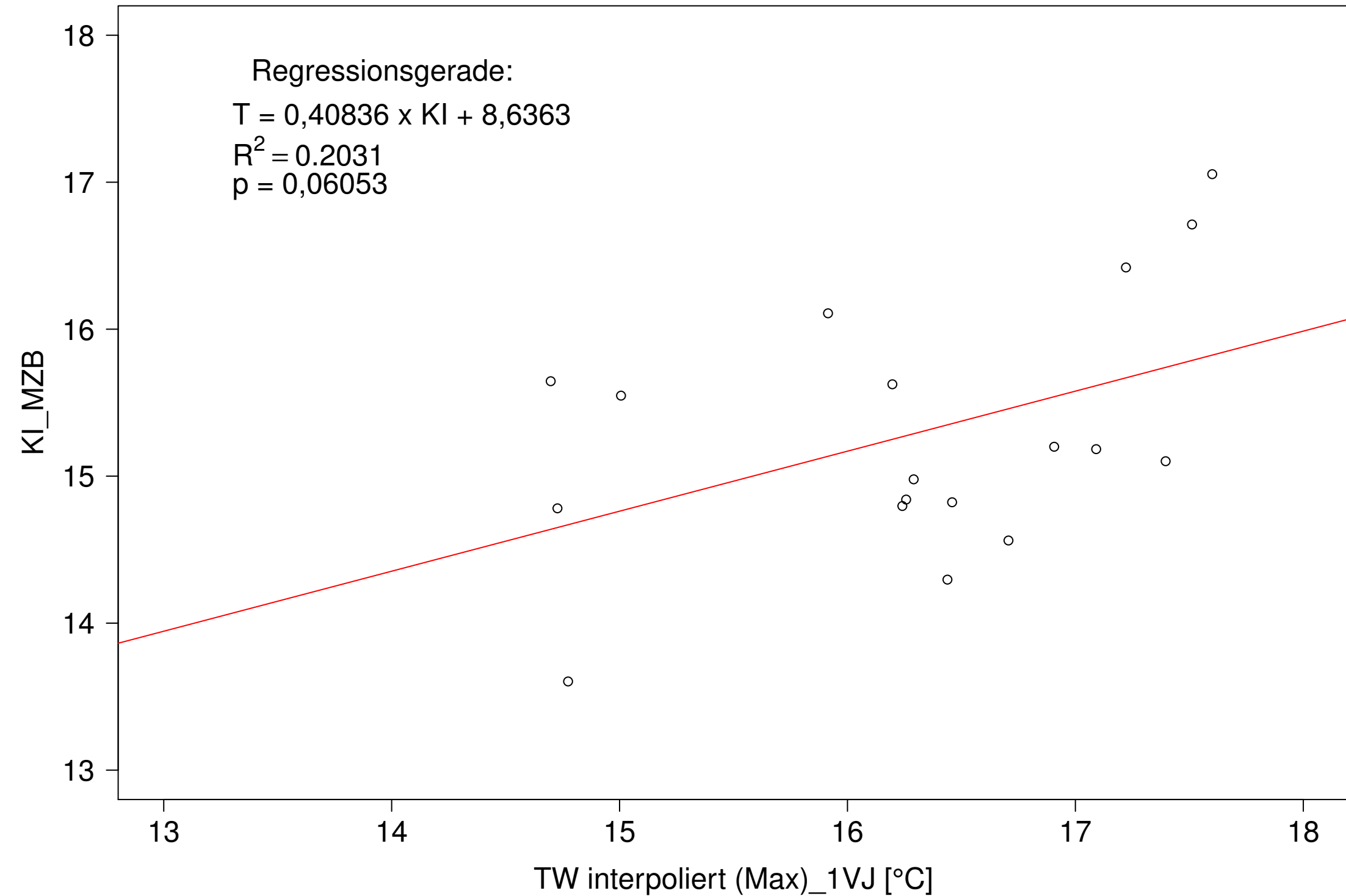
Donau_Pfohren, Typ 09.2 mit Neozoen, Serie 2
KI_MZB (Kont-Korr) gegen TW interpoliert (Max) des 1. Vorjahres



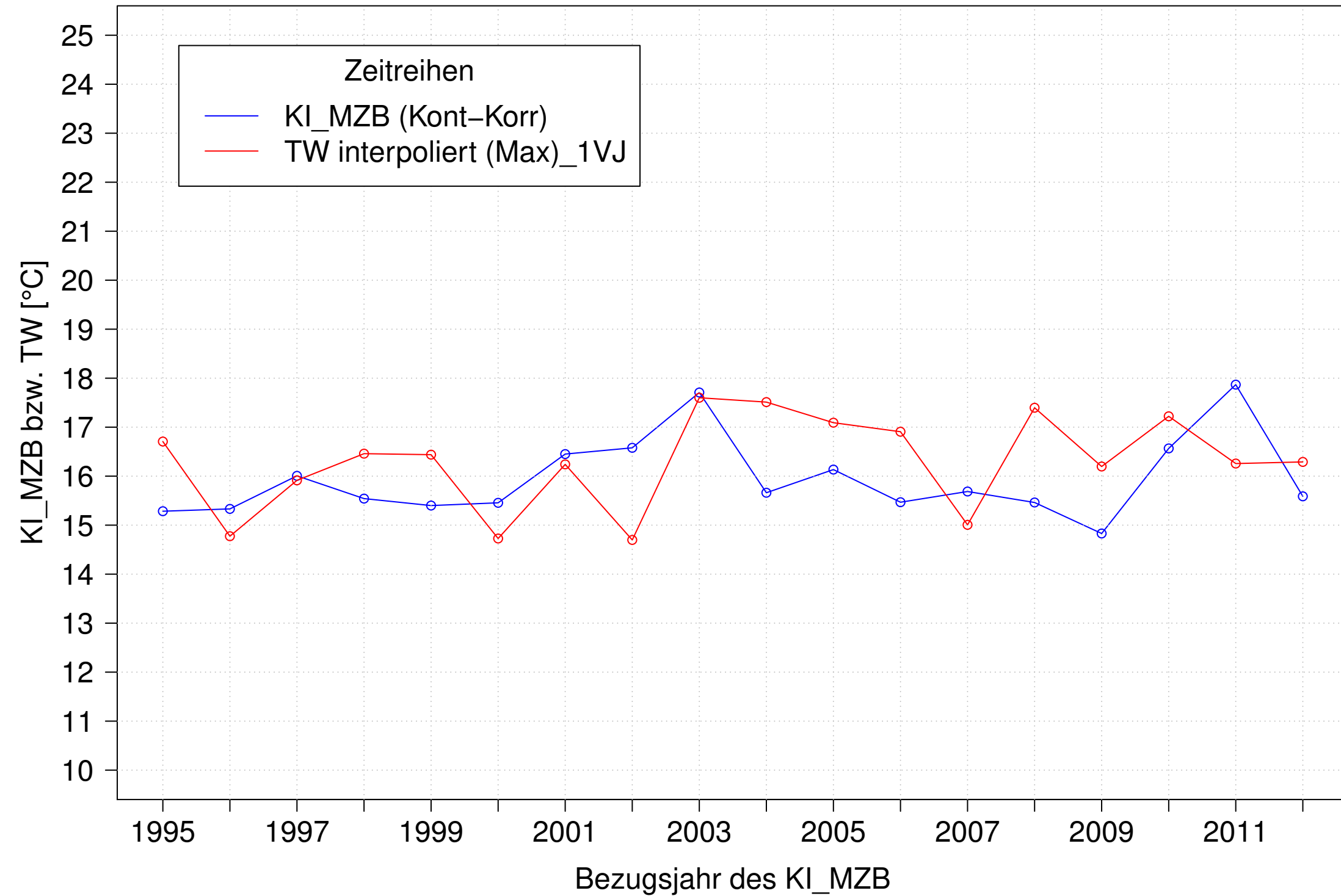
Donau_Pfohren, Typ 09.2 mit Neozoen, Serie 3
KI_MZB (Kont-Korr) und TW interpoliert (Max) des 1. Vorjahres



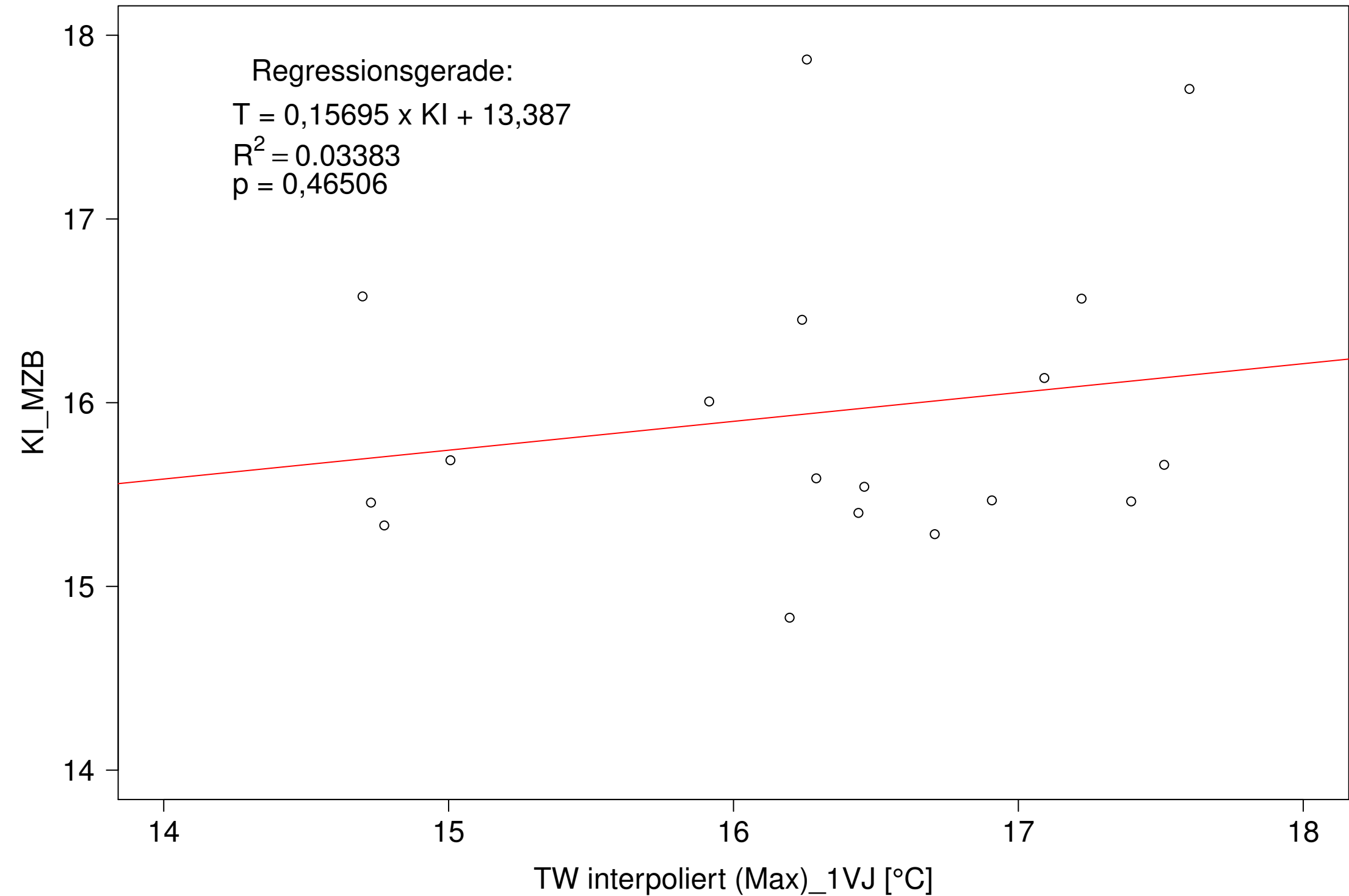
Donau_Pfohren, Typ 09.2 mit Neozoen, Serie 3
KI_MZB (Kont-Korr) gegen TW interpoliert (Max) des 1. Vorjahres



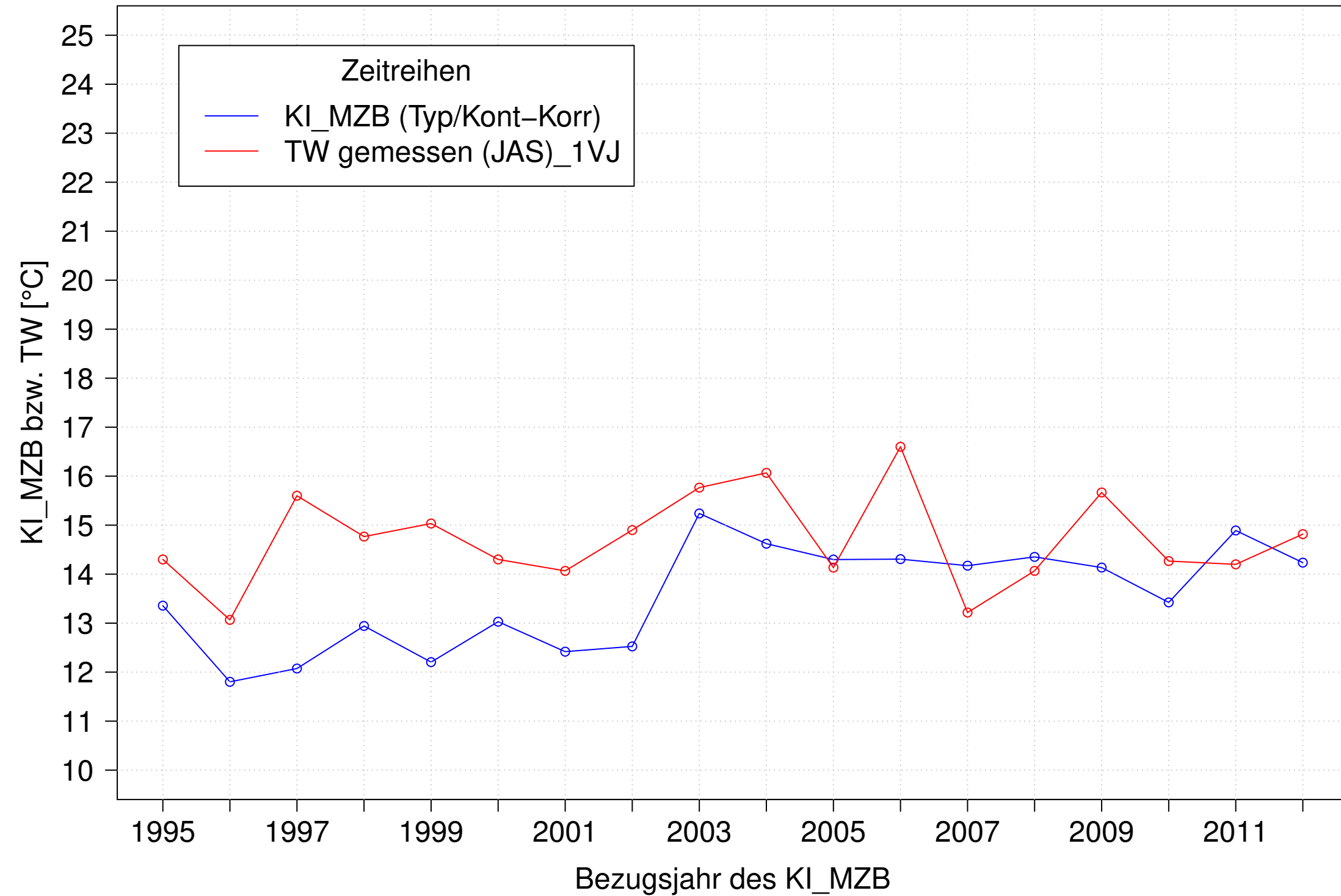
Donau_Pfohren, Typ 09.2 mit Neozoen, Serie 4
KI_MZB (Kont-Korr) und TW interpoliert (Max) des 1. Vorjahres



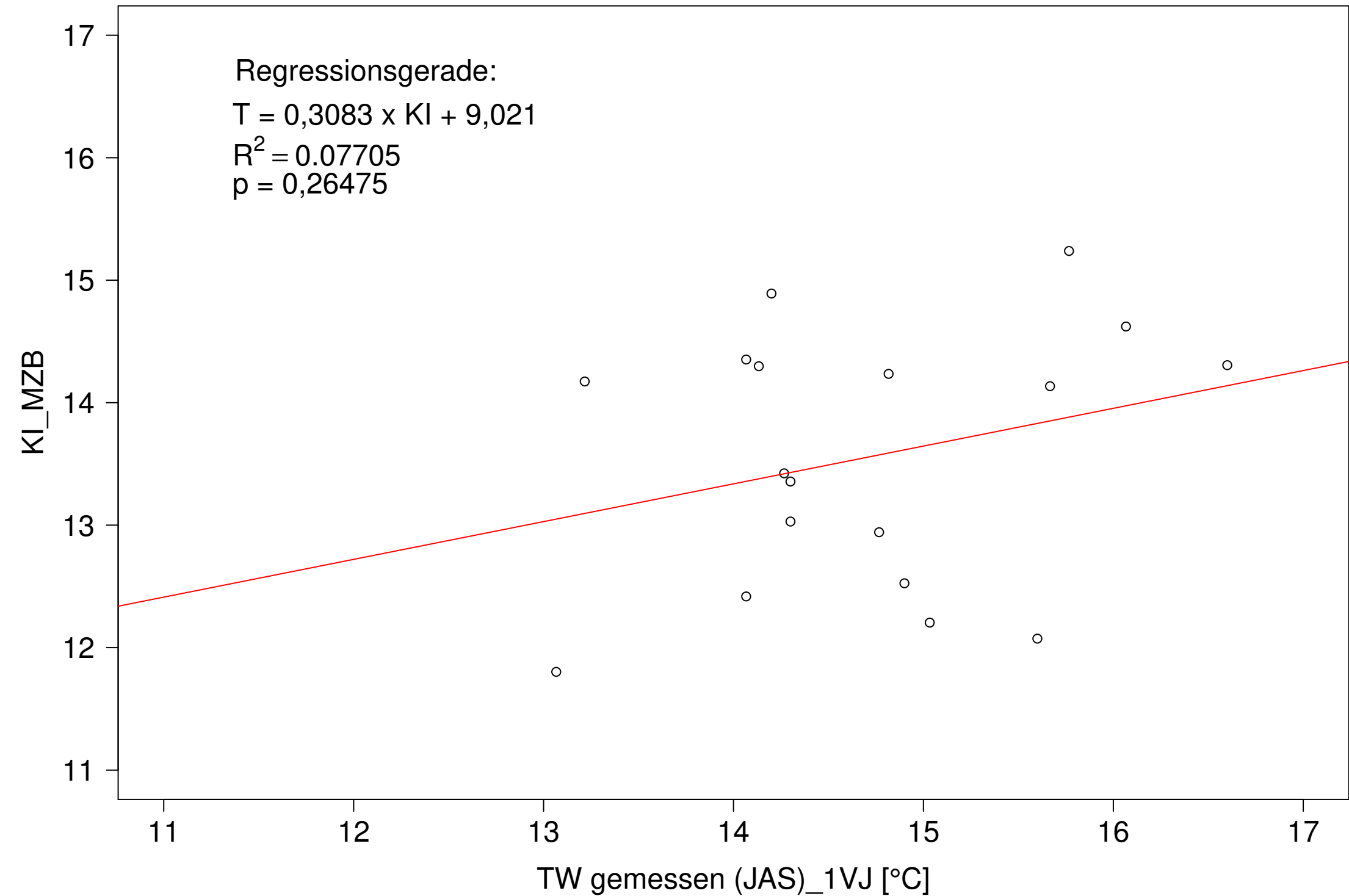
Donau_Pfohren, Typ 09.2 mit Neozoen, Serie 4
KI_MZB (Kont-Korr) gegen TW interpoliert (Max) des 1. Vorjahres



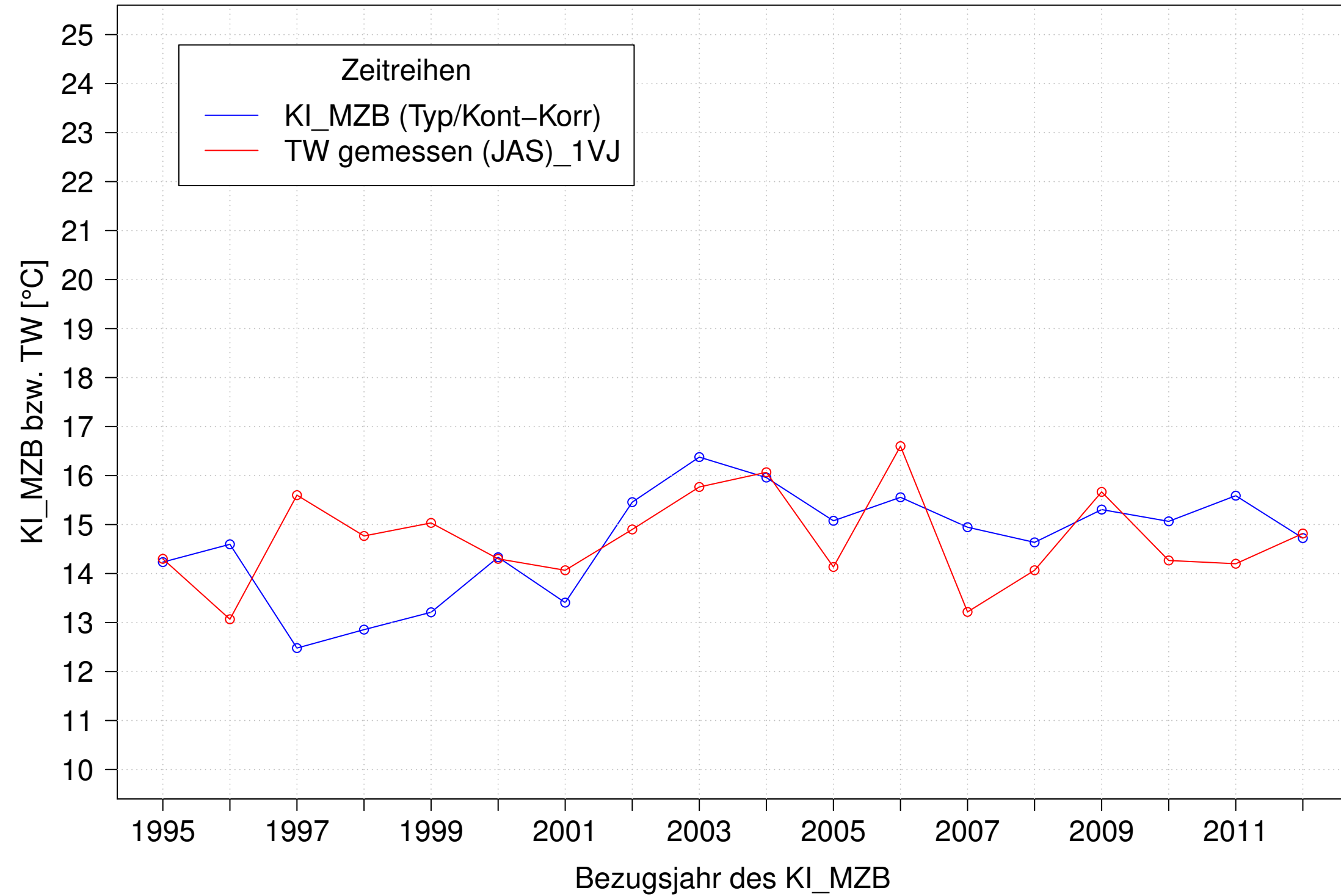
Donau_Pfohren, Typ 09.2 mit Neozoen, Serie 1
KI_MZB (Typ/Kont-Korr) und TW gemessen (JAS) des 1. Vorjahres



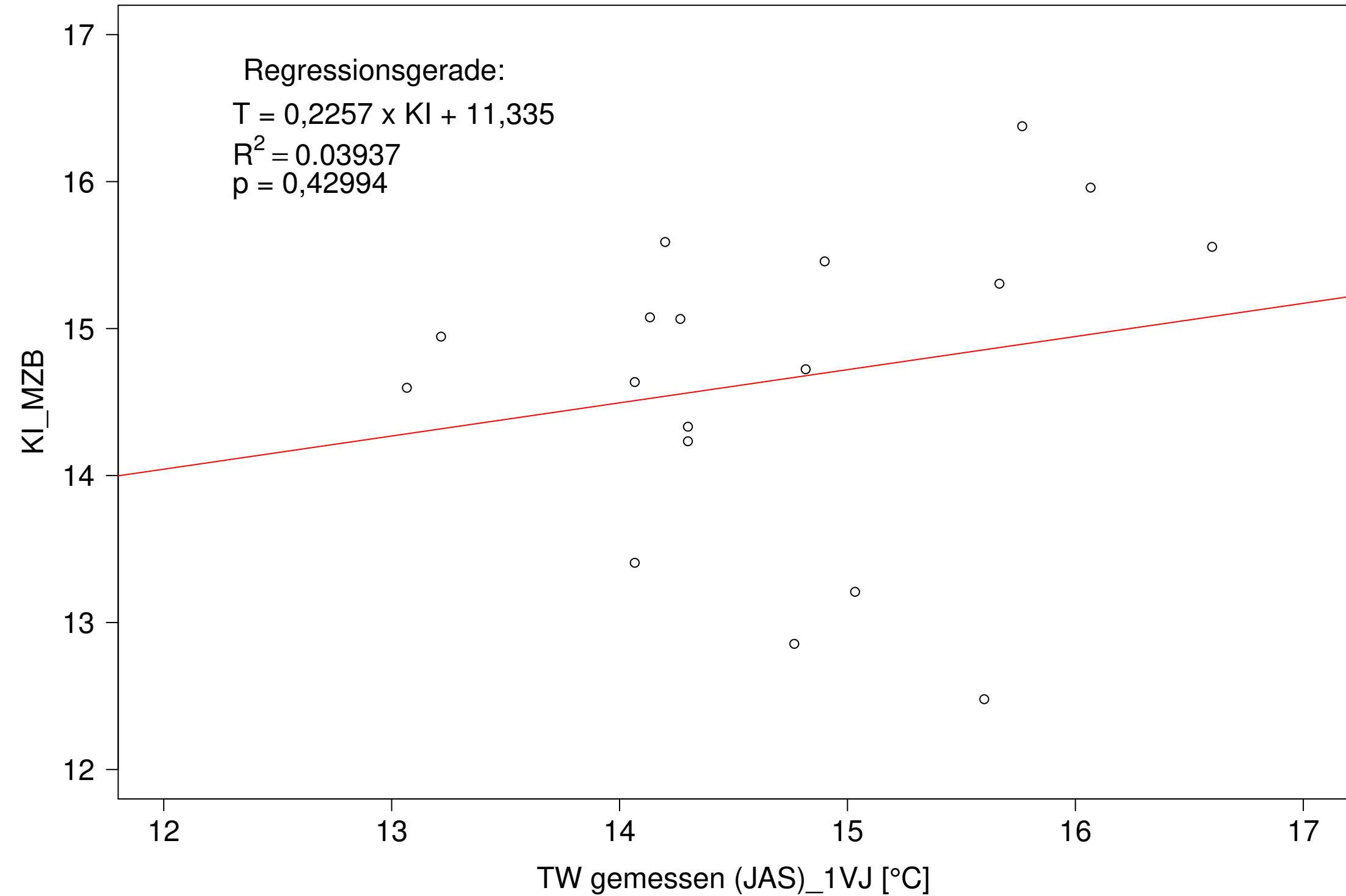
Donau_Pfohren, Typ 09.2 mit Neozoen, Serie 1
KI_MZB (Typ/Kont-Korr) gegen TW gemessen (JAS) des 1. Vorjahres



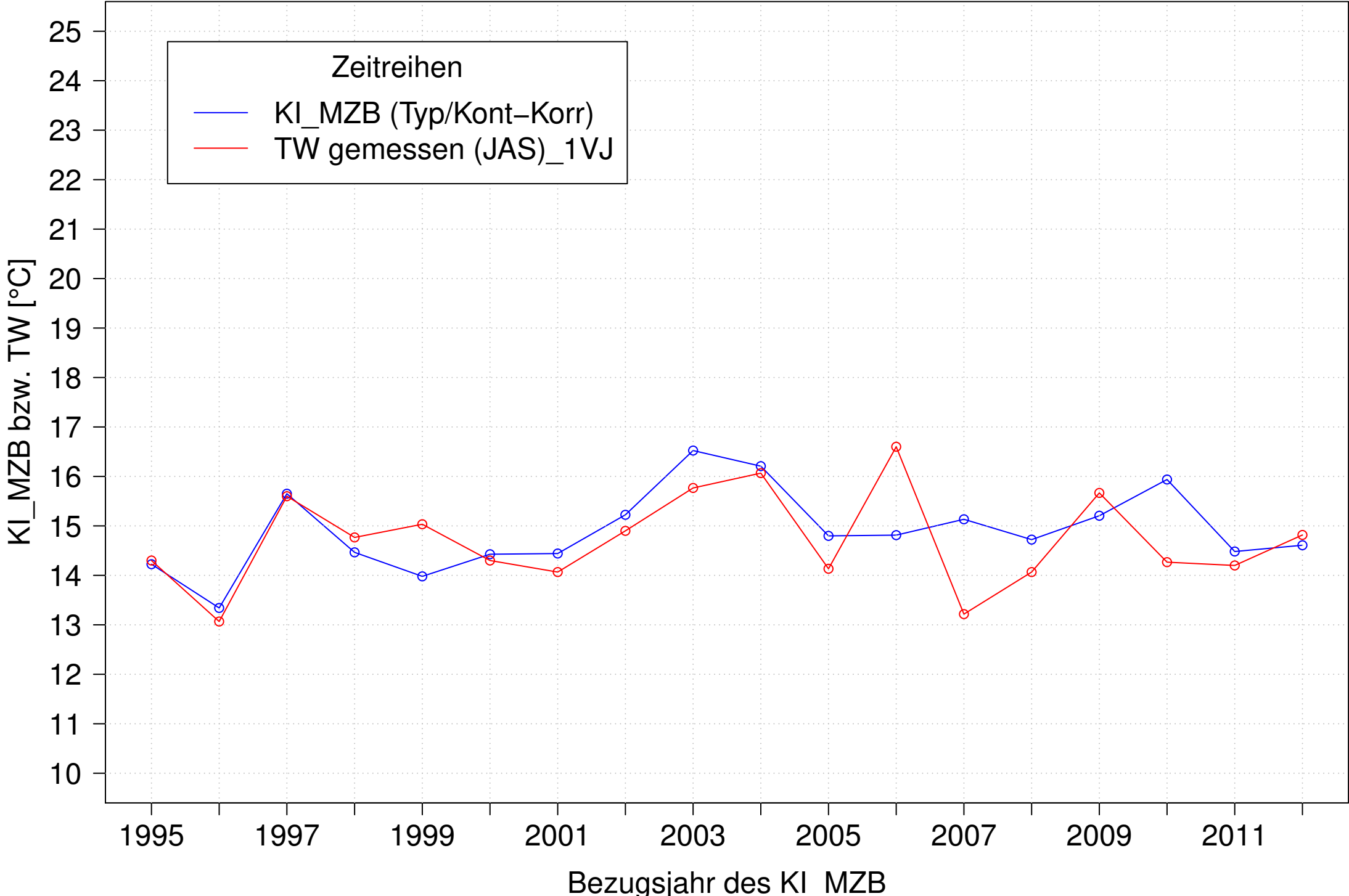
Donau_Pföhren, Typ 09.2 mit Neozoen, Serie 2
 KI_MZB (Typ/Kont-Korr) und TW gemessen (JAS) des 1. Vorjahres



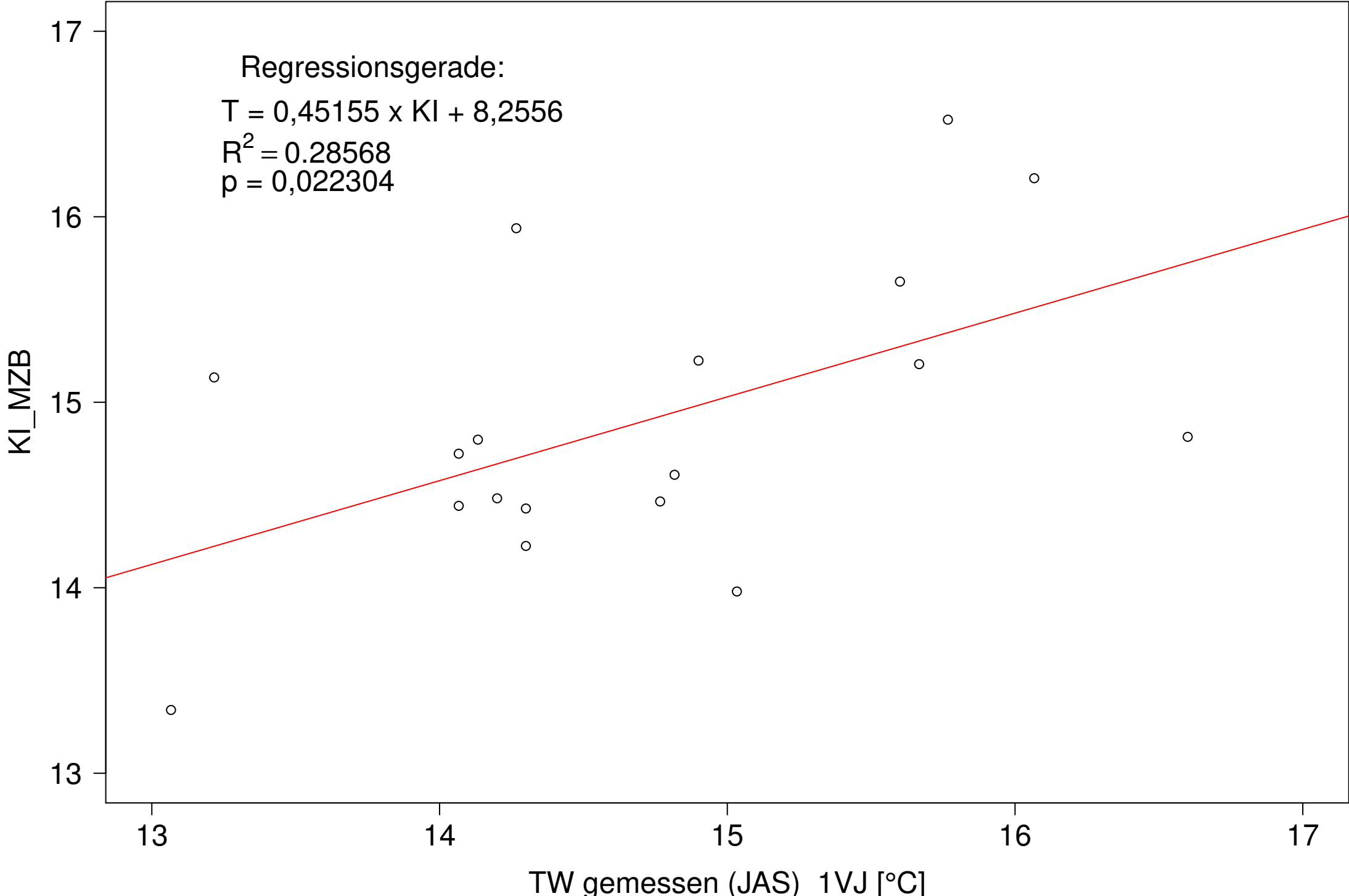
Donau_Pföhren, Typ 09.2 mit Neozoen, Serie 2
 KI_MZB (Typ/Kont-Korr) gegen TW gemessen (JAS) des 1. Vorjahres



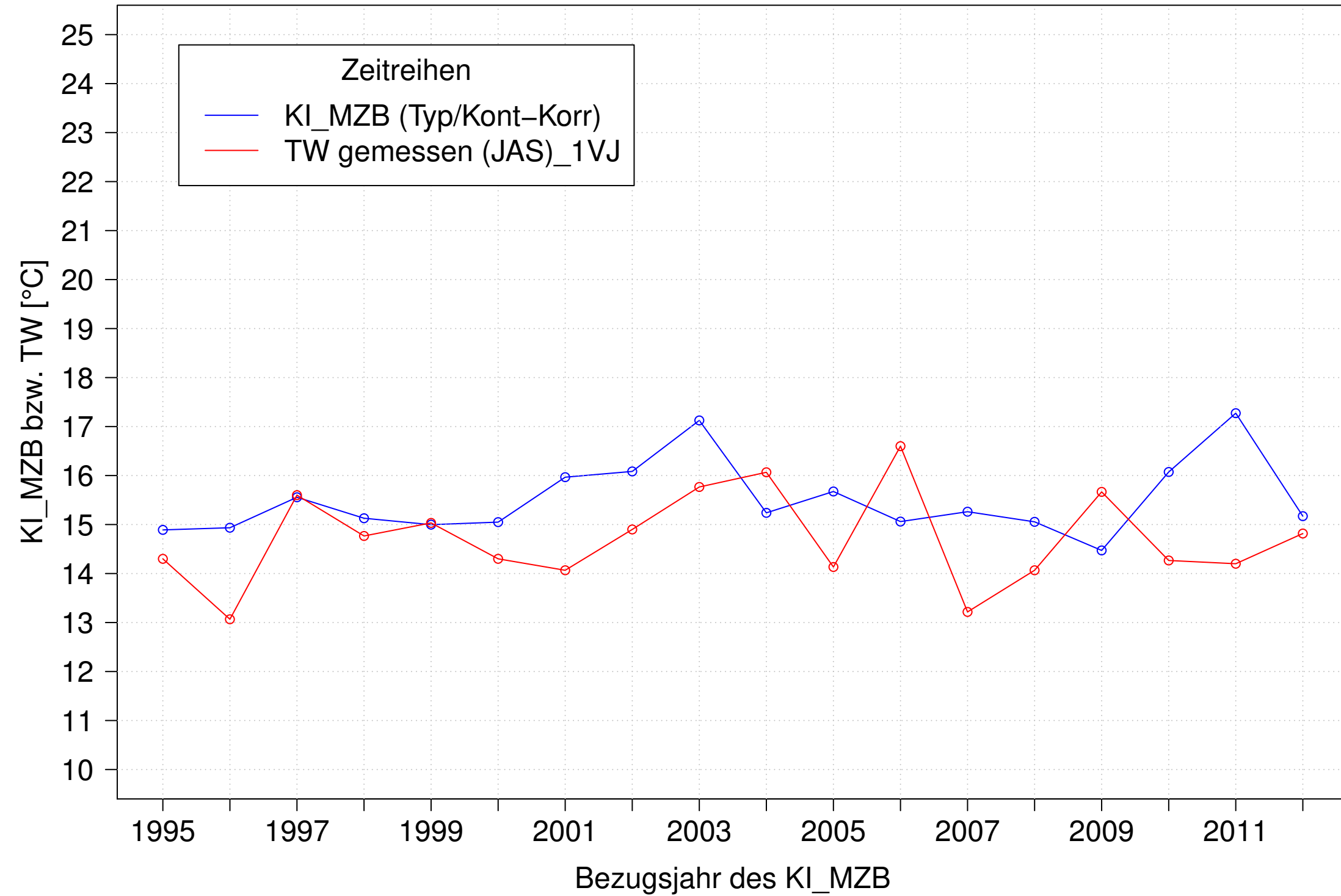
Donau_Pföhen, Typ 09.2 mit Neozoen, Serie 3
KI_MZB (Typ/Kont-Korr) und TW gemessen (JAS) des 1. Vorjahres



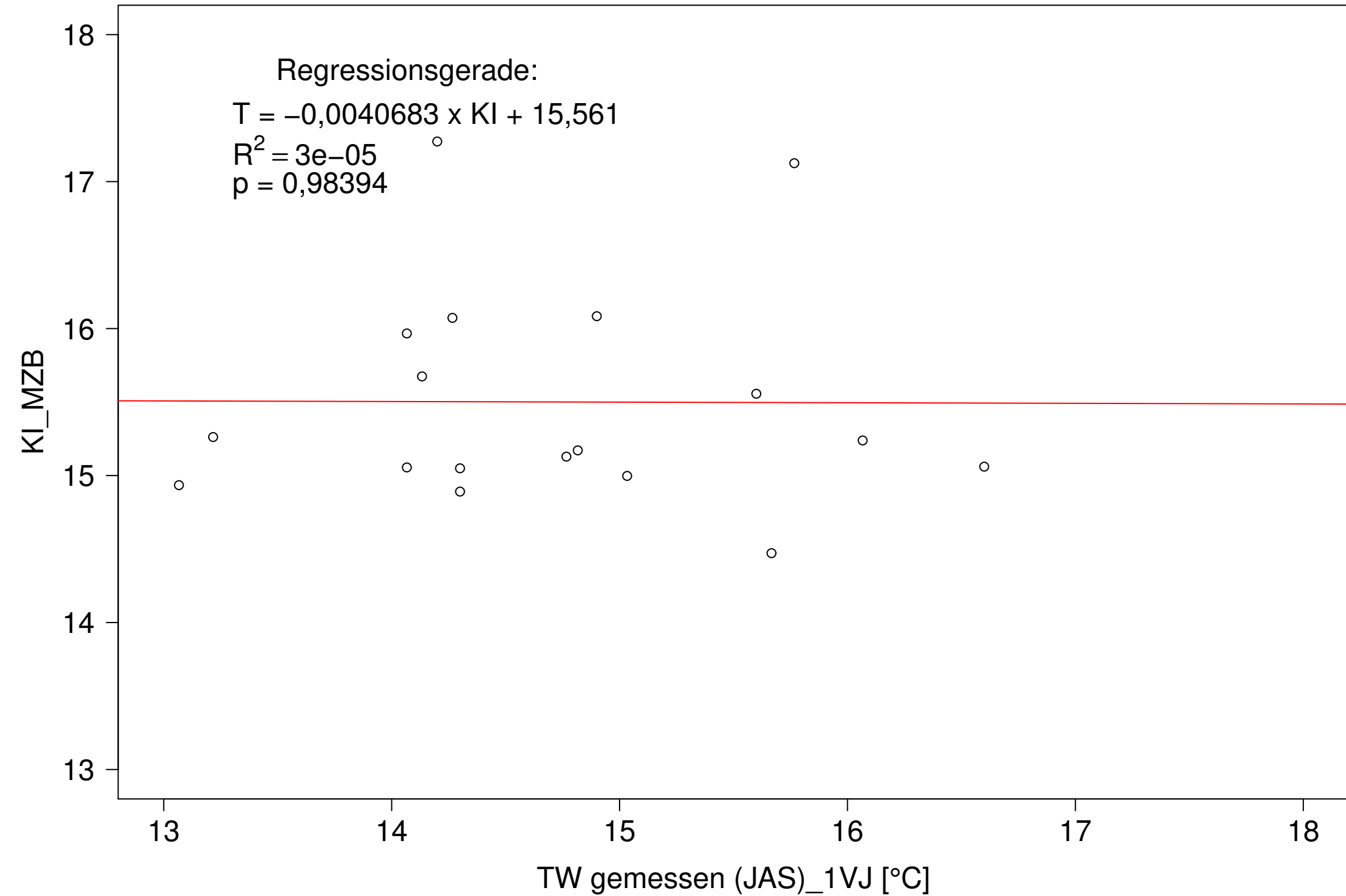
Donau_Pföhren, Typ 09.2 mit Neozoen, Serie 3
KI_MZB (Typ/Kont-Korr) gegen TW gemessen (JAS) des 1. Vorjahres



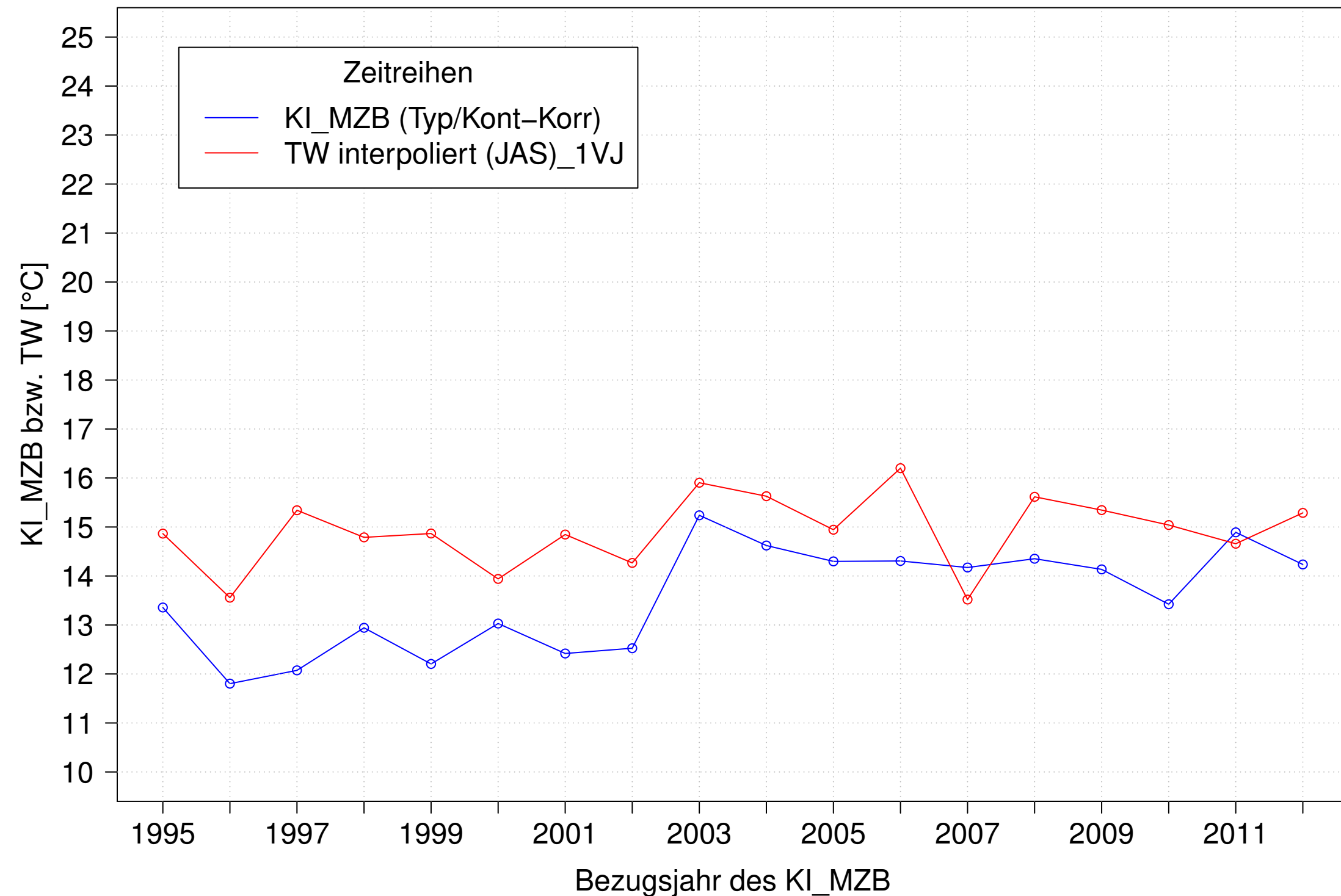
Donau_Pfohren, Typ 09.2 mit Neozoen, Serie 4
KI_MZB (Typ/Kont-Korr) und TW gemessen (JAS) des 1. Vorjahres



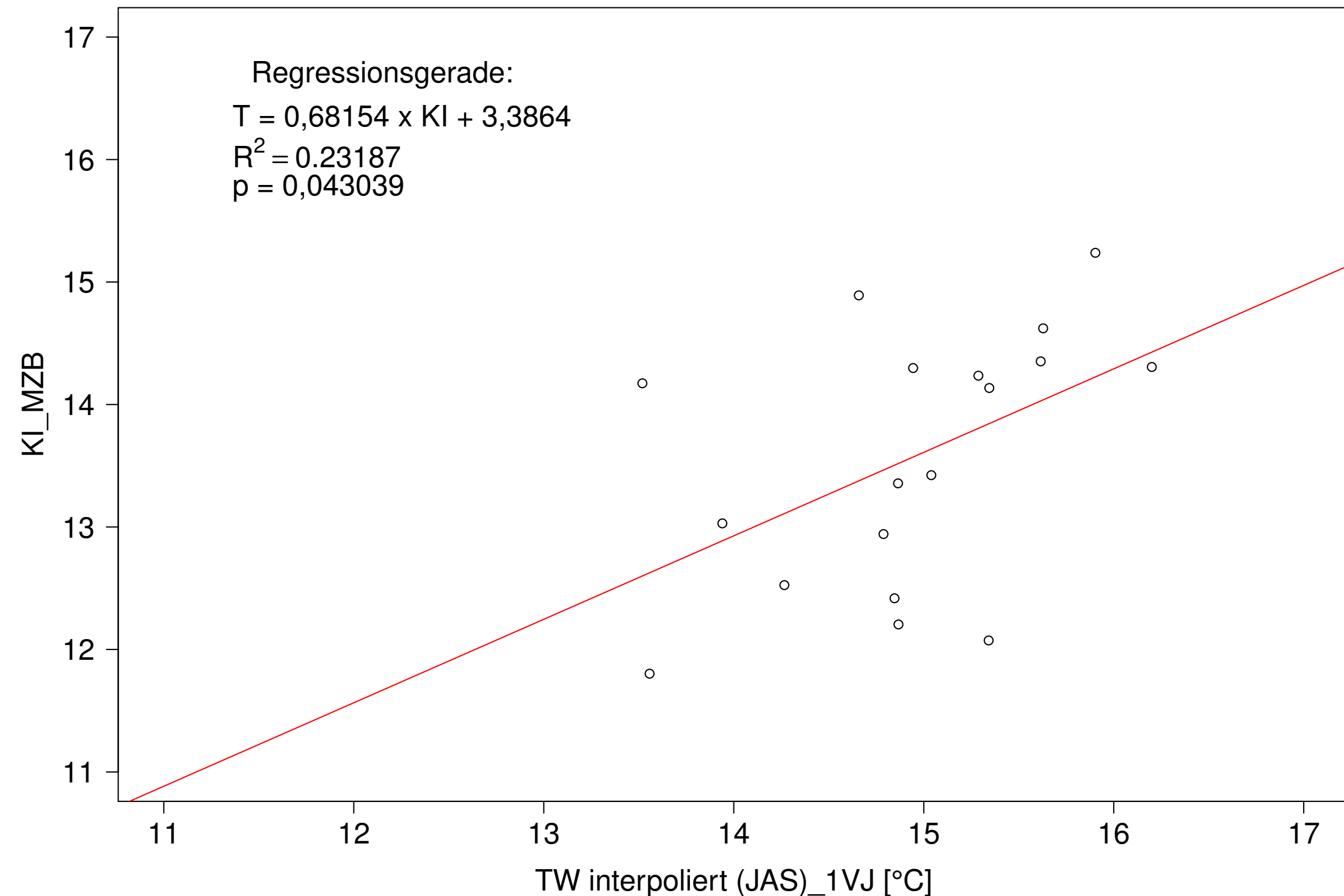
Donau_Pfohren, Typ 09.2 mit Neozoen, Serie 4
KI_MZB (Typ/Kont-Korr) gegen TW gemessen (JAS) des 1. Vorjahres



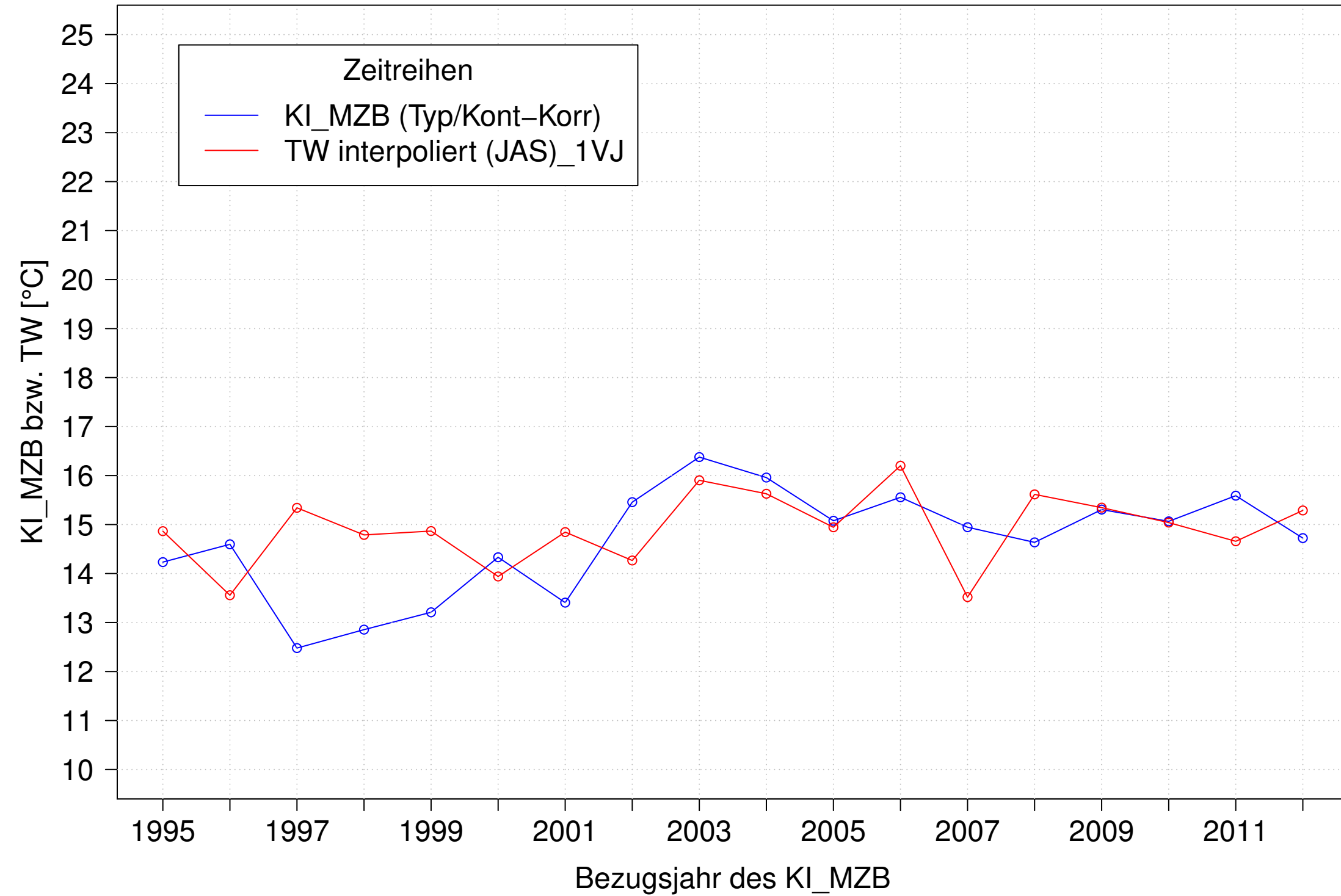
Donau_Pfohren, Typ 09.2 mit Neozoen, Serie 1
KI_MZB (Typ/Kont-Korr) und TW interpoliert (JAS) des 1. Vorjahres



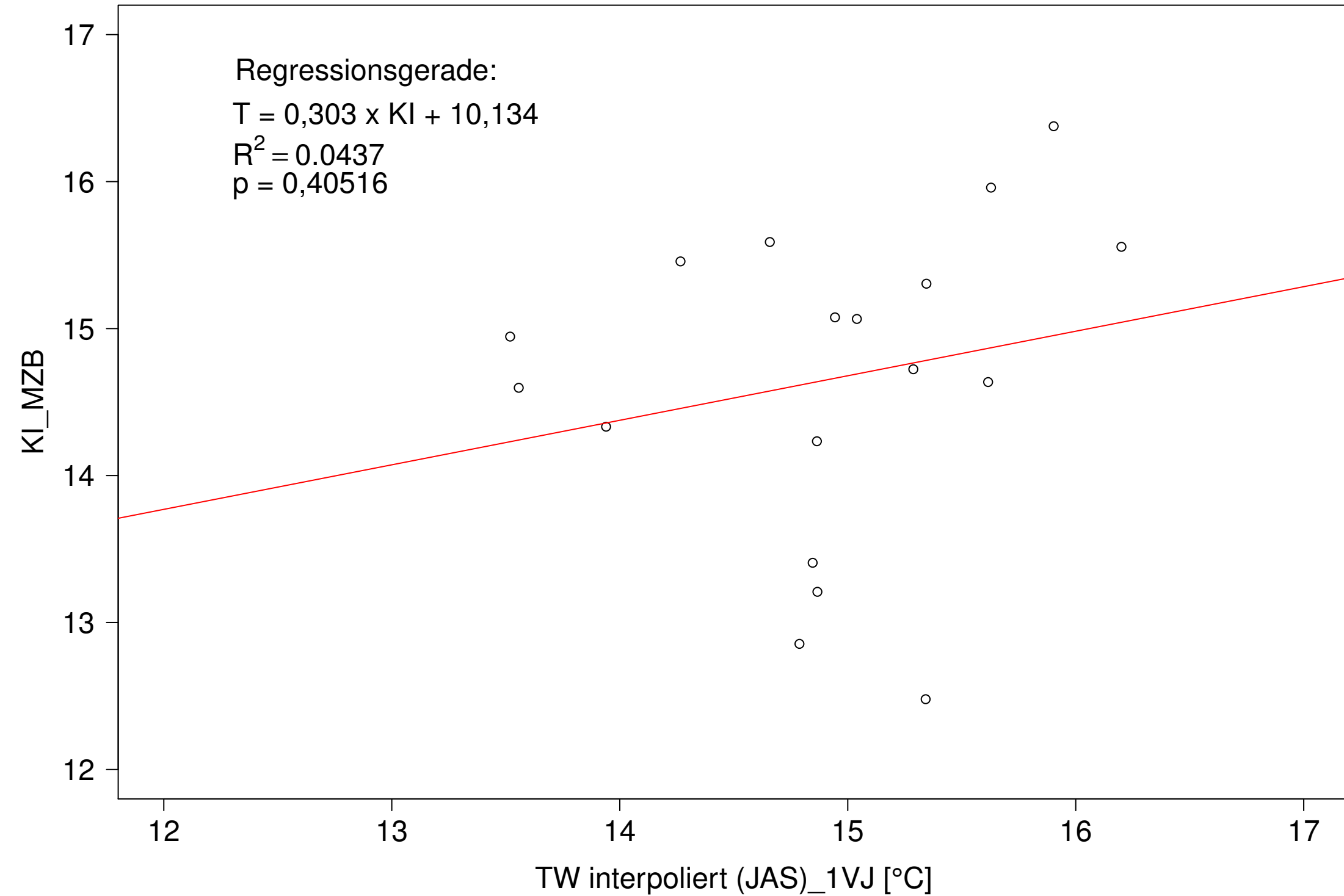
Donau_Pfohren, Typ 09.2 mit Neozoen, Serie 1
KI_MZB (Typ/Kont-Korr) gegen TW interpoliert (JAS) des 1. Vorjahres



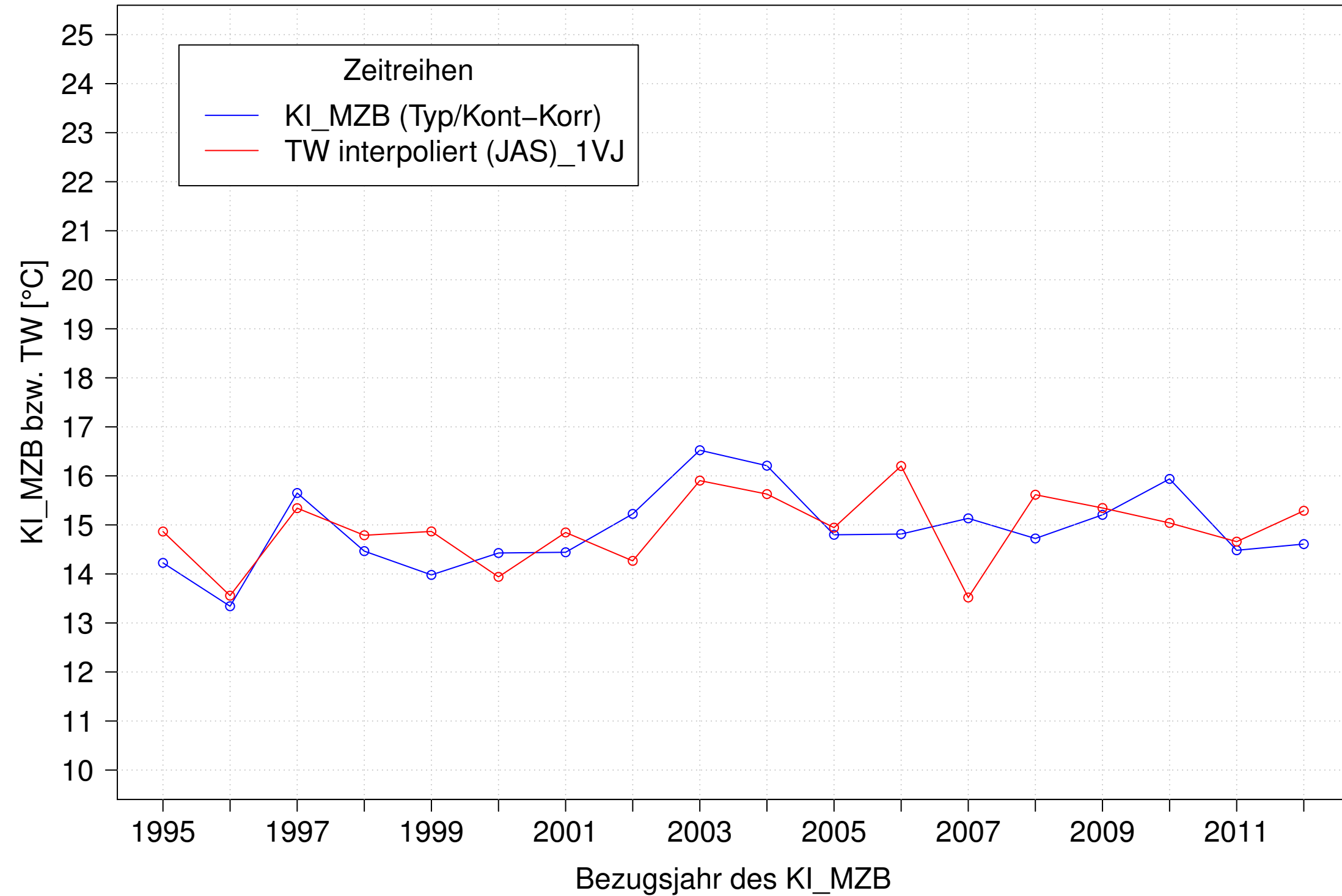
Donau_Pfohren, Typ 09.2 mit Neozoen, Serie 2
KI_MZB (Typ/Kont-Korr) und TW interpoliert (JAS) des 1. Vorjahres



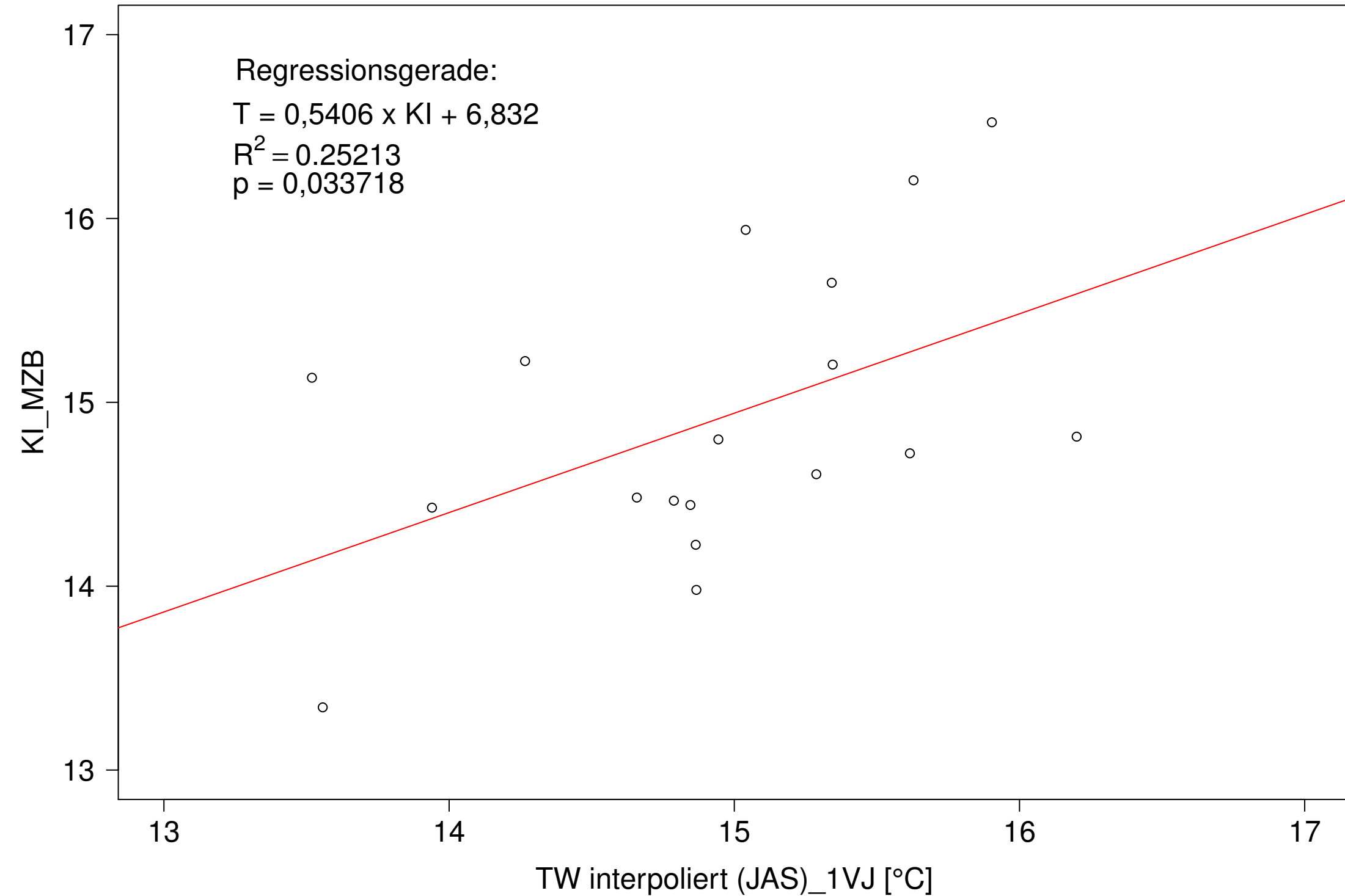
Donau_Pfohren, Typ 09.2 mit Neozoen, Serie 2
KI_MZB (Typ/Kont-Korr) gegen TW interpoliert (JAS) des 1. Vorjahres



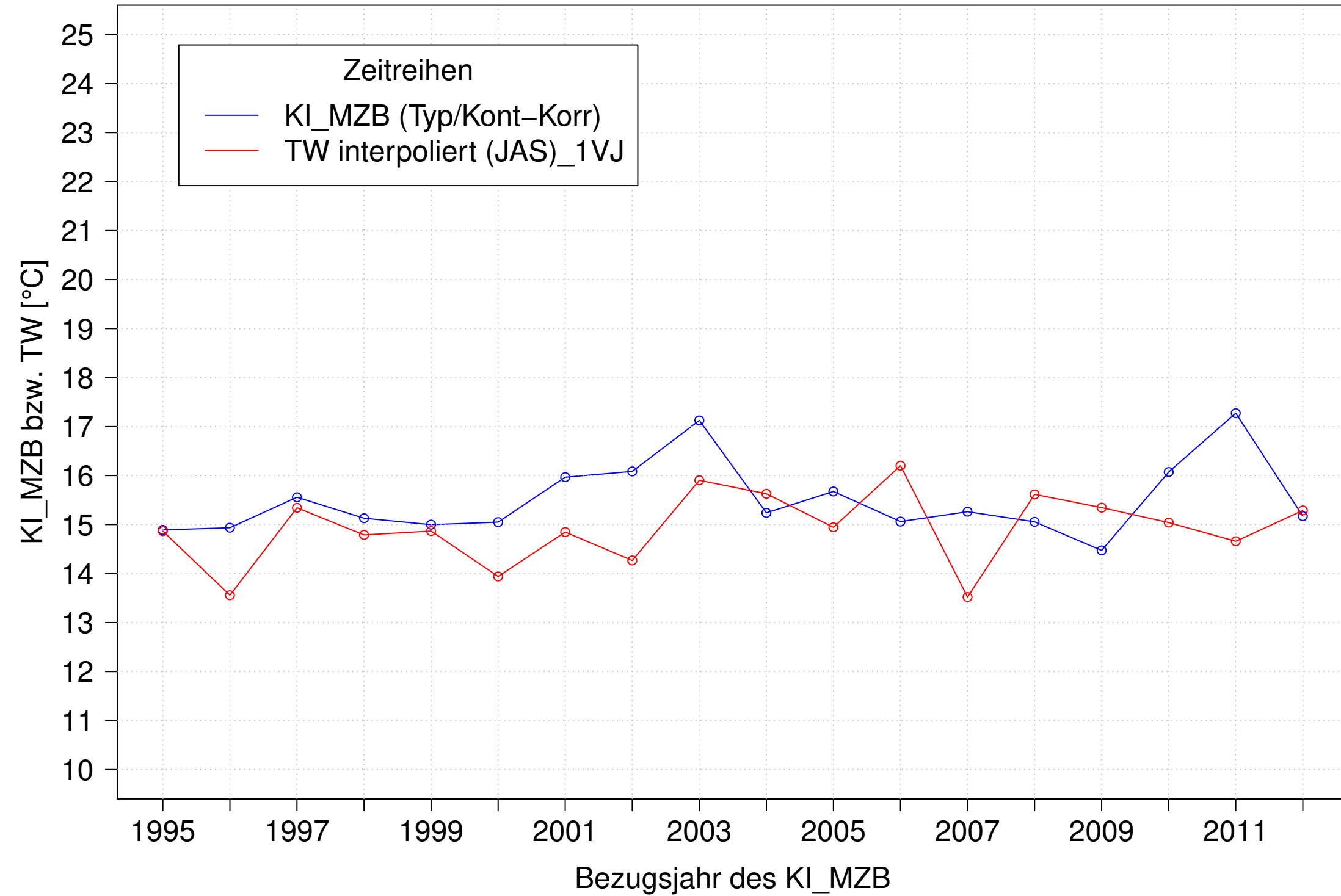
Donau_Pfohren, Typ 09.2 mit Neozoen, Serie 3
 KI_MZB (Typ/Kont-Korr) und TW interpoliert (JAS) des 1. Vorjahres



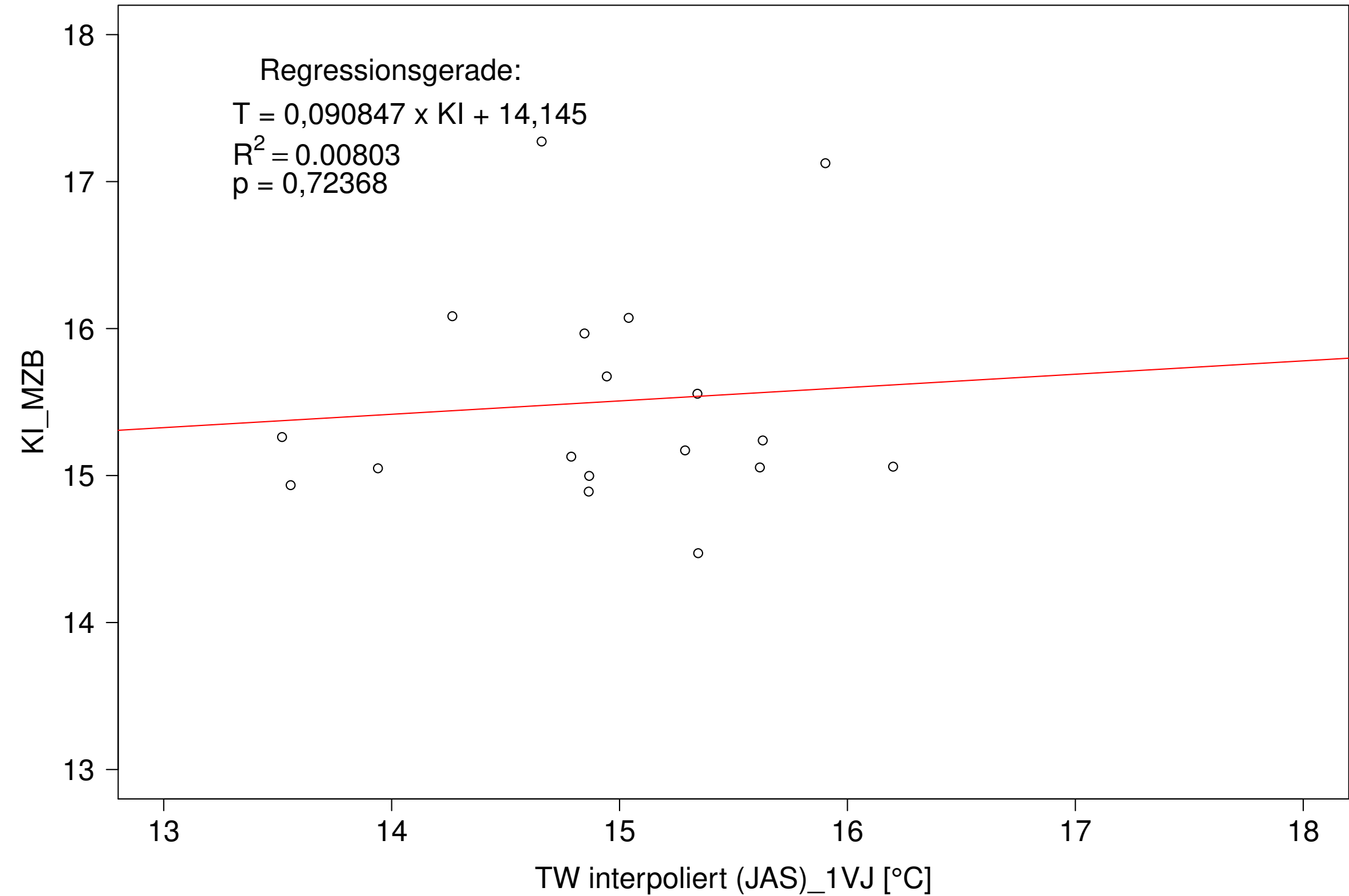
Donau_Pfohren, Typ 09.2 mit Neozoen, Serie 3
 KI_MZB (Typ/Kont-Korr) gegen TW interpoliert (JAS) des 1. Vorjahres



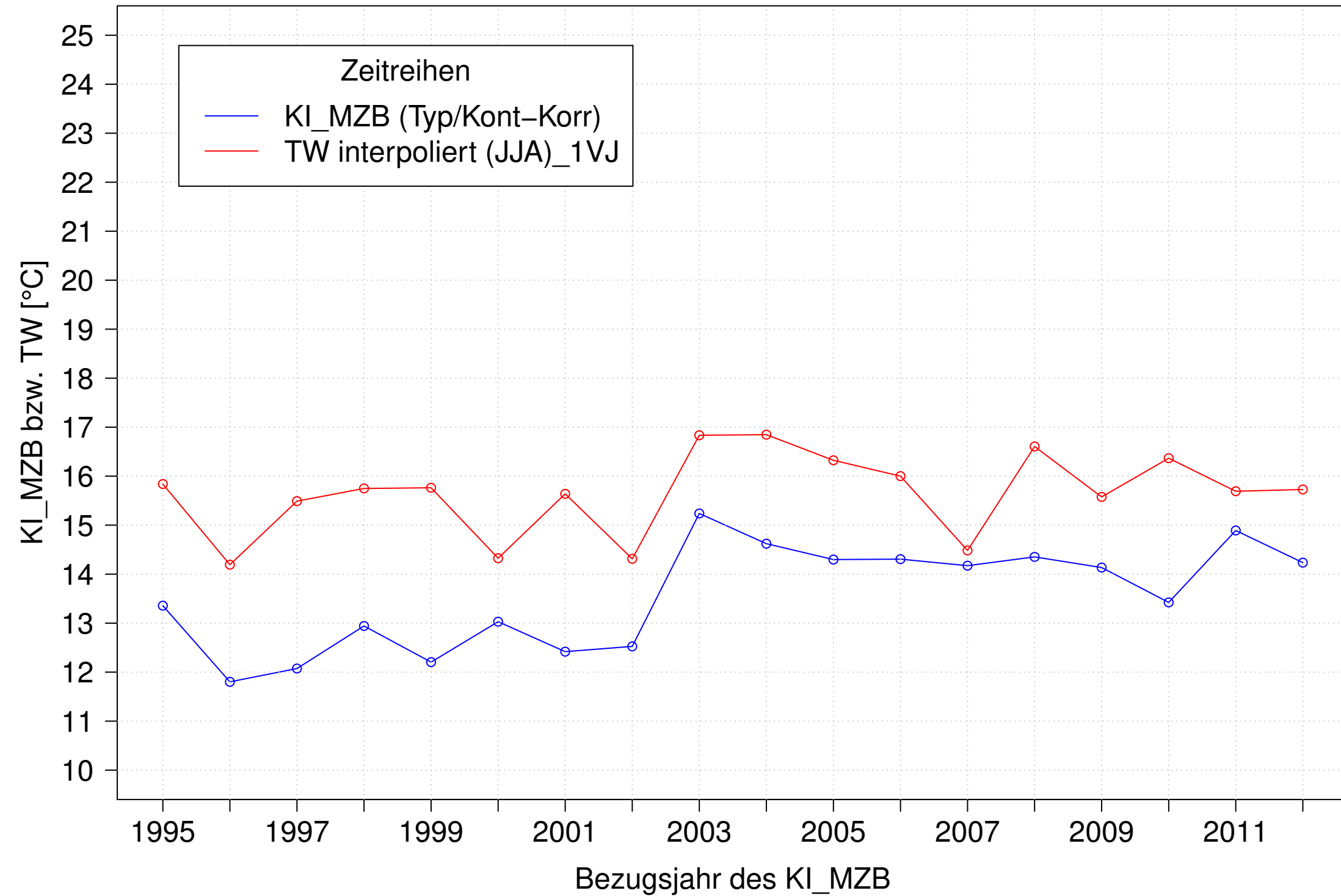
Donau_Pfohren, Typ 09.2 mit Neozoen, Serie 4
KI_MZB (Typ/Kont-Korr) und TW interpoliert (JAS) des 1. Vorjahres



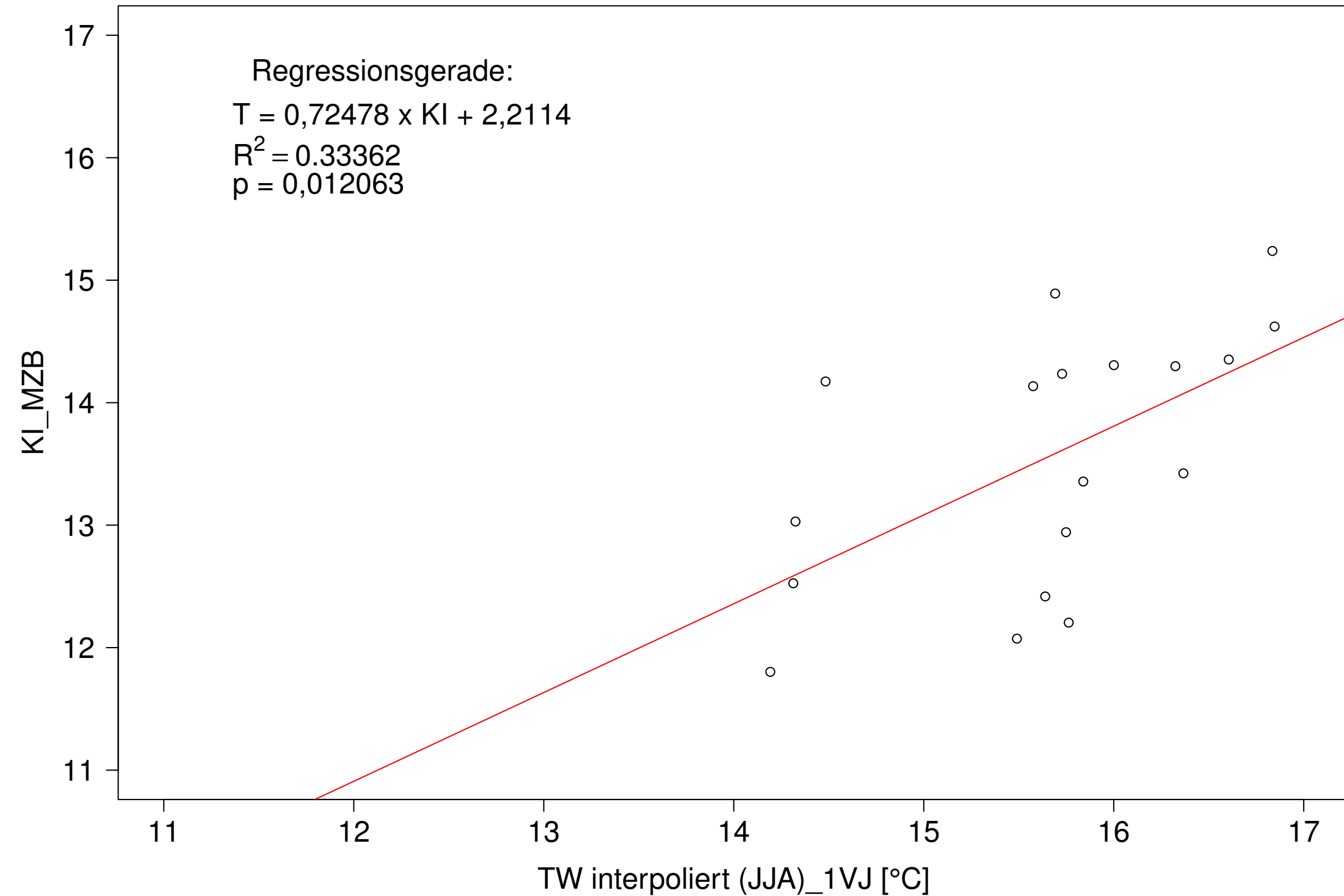
Donau_Pfohren, Typ 09.2 mit Neozoen, Serie 4
KI_MZB (Typ/Kont-Korr) gegen TW interpoliert (JAS) des 1. Vorjahres



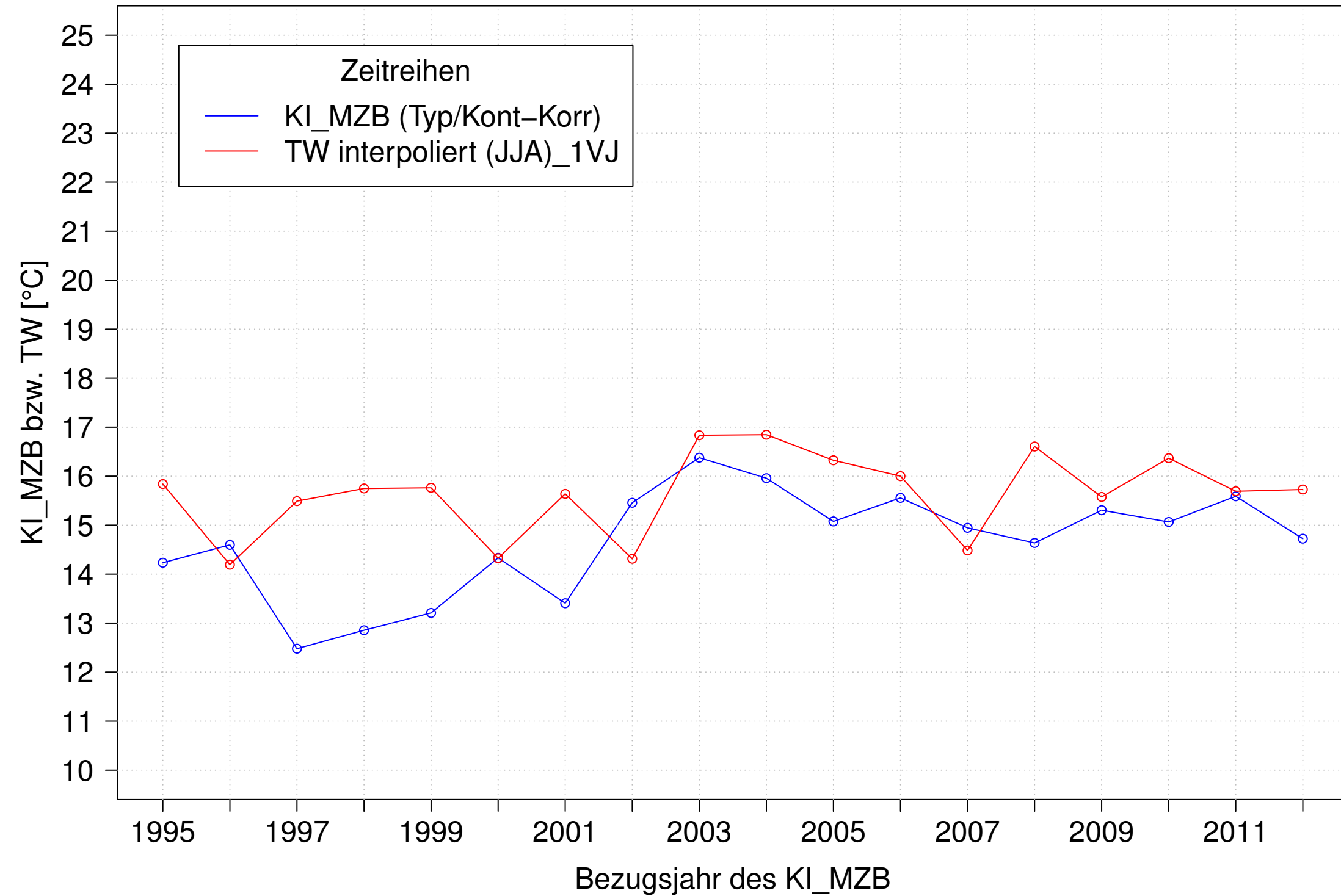
Donau_Pfohren, Typ 09.2 mit Neozoen, Serie 1
KI_MZB (Typ/Kont-Korr) und TW interpoliert (JJA) des 1. Vorjahres



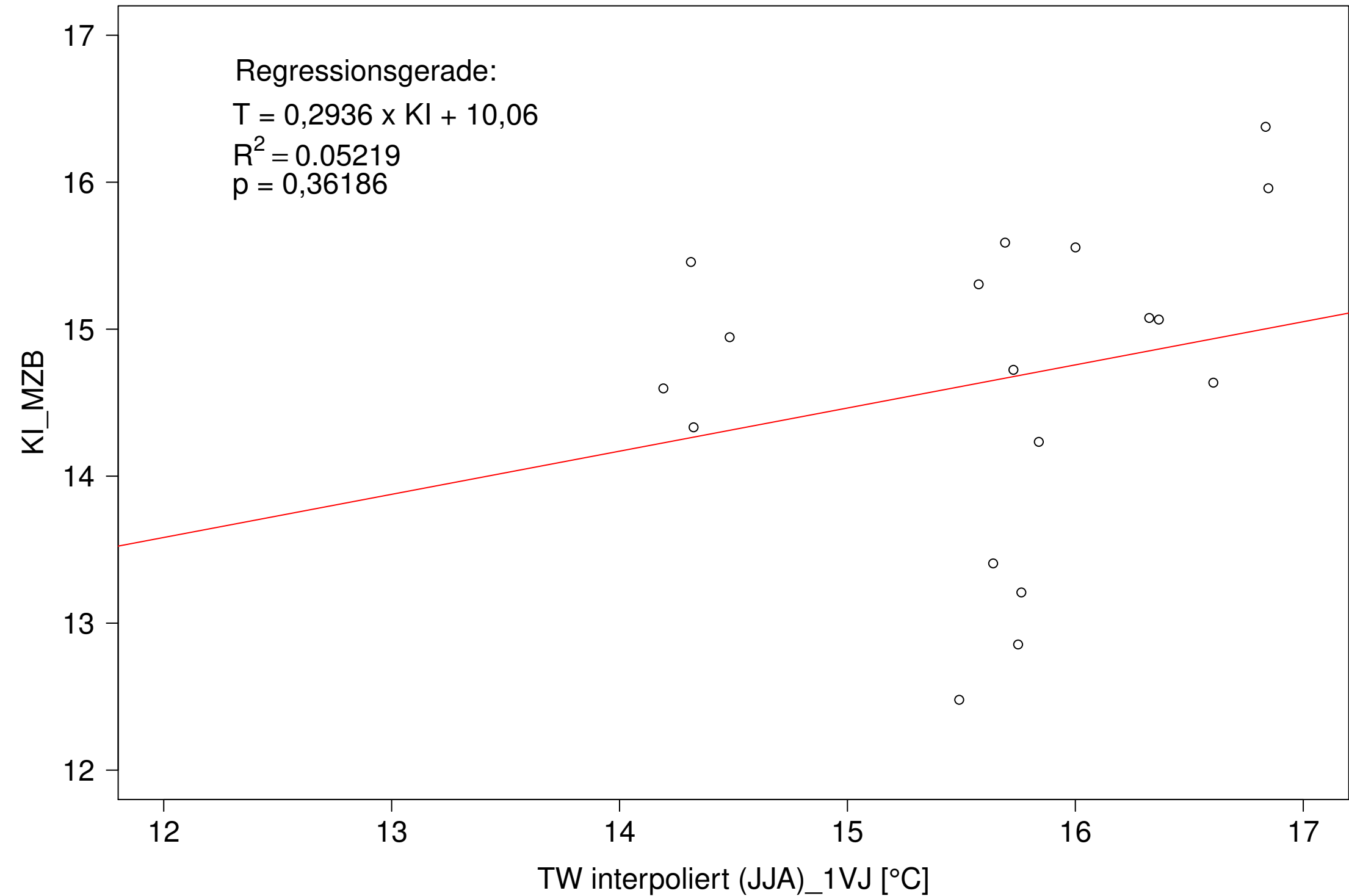
Donau_Pfohren, Typ 09.2 mit Neozoen, Serie 1
KI_MZB (Typ/Kont-Korr) gegen TW interpoliert (JJA) des 1. Vorjahres



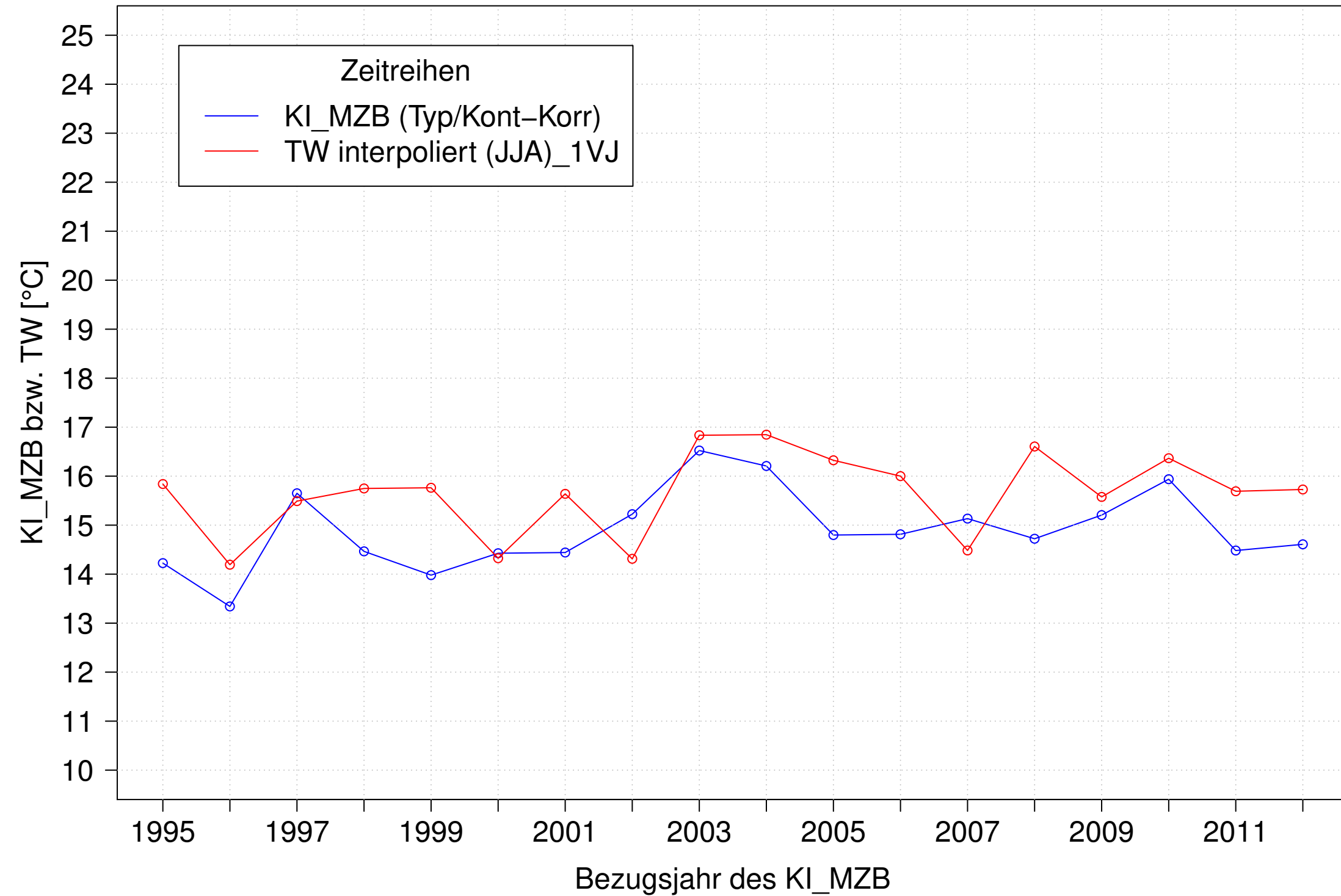
Donau_Pfohren, Typ 09.2 mit Neozoen, Serie 2
KI_MZB (Typ/Kont-Korr) und TW interpoliert (JJA) des 1. Vorjahres



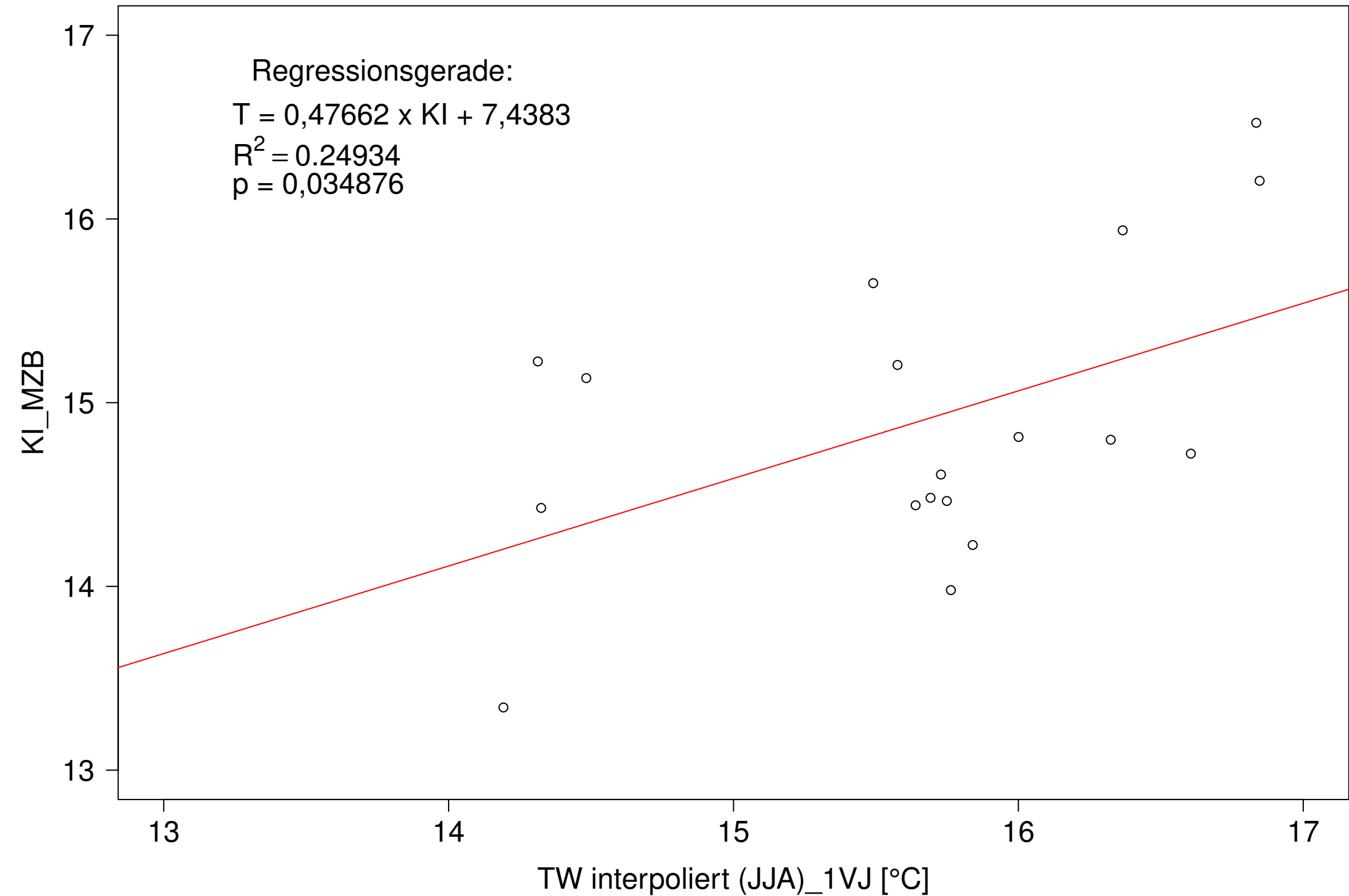
Donau_Pfohren, Typ 09.2 mit Neozoen, Serie 2
KI_MZB (Typ/Kont-Korr) gegen TW interpoliert (JJA) des 1. Vorjahres



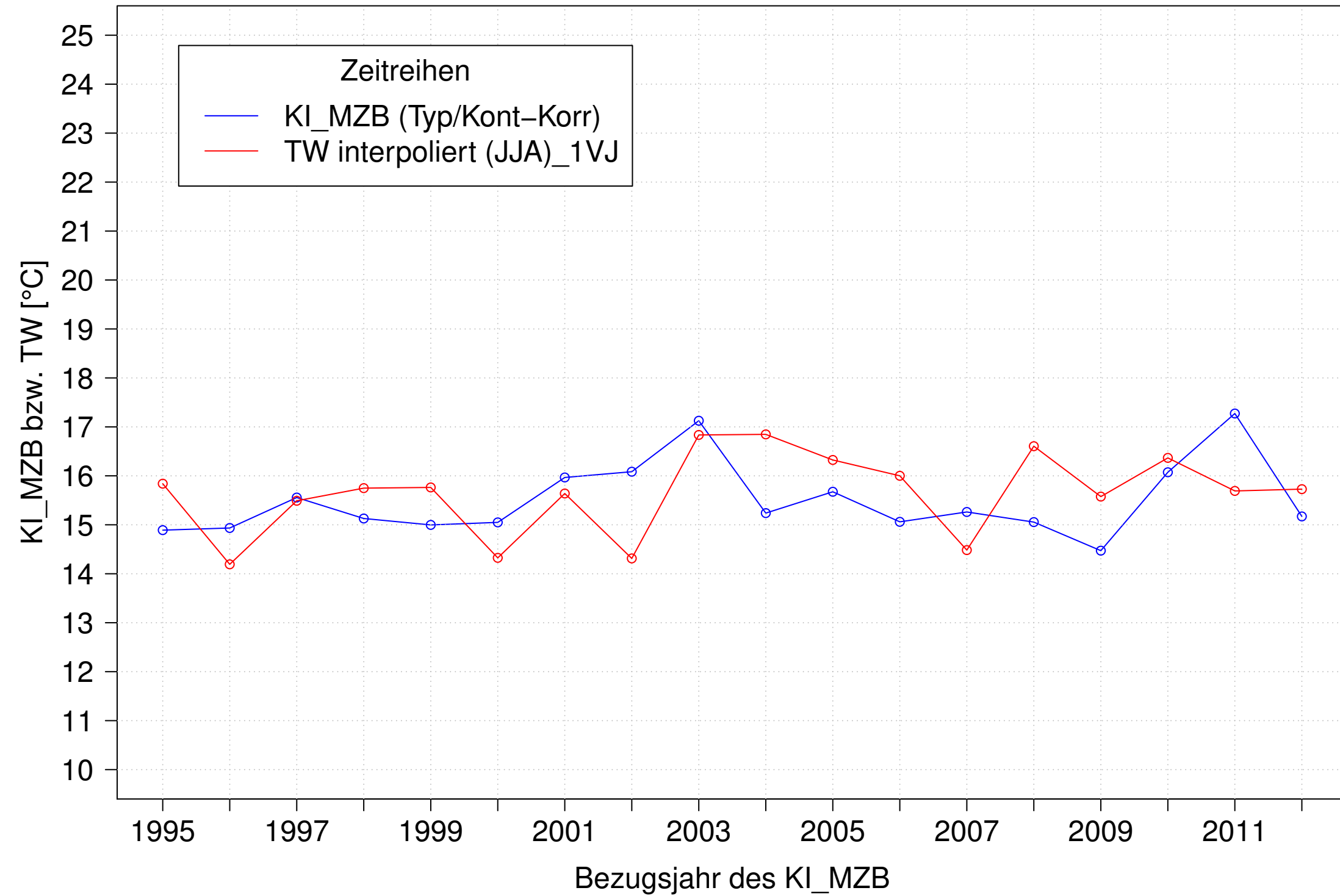
Donau_Pfohren, Typ 09.2 mit Neozoen, Serie 3
KI_MZB (Typ/Kont-Korr) und TW interpoliert (JJA) des 1. Vorjahres



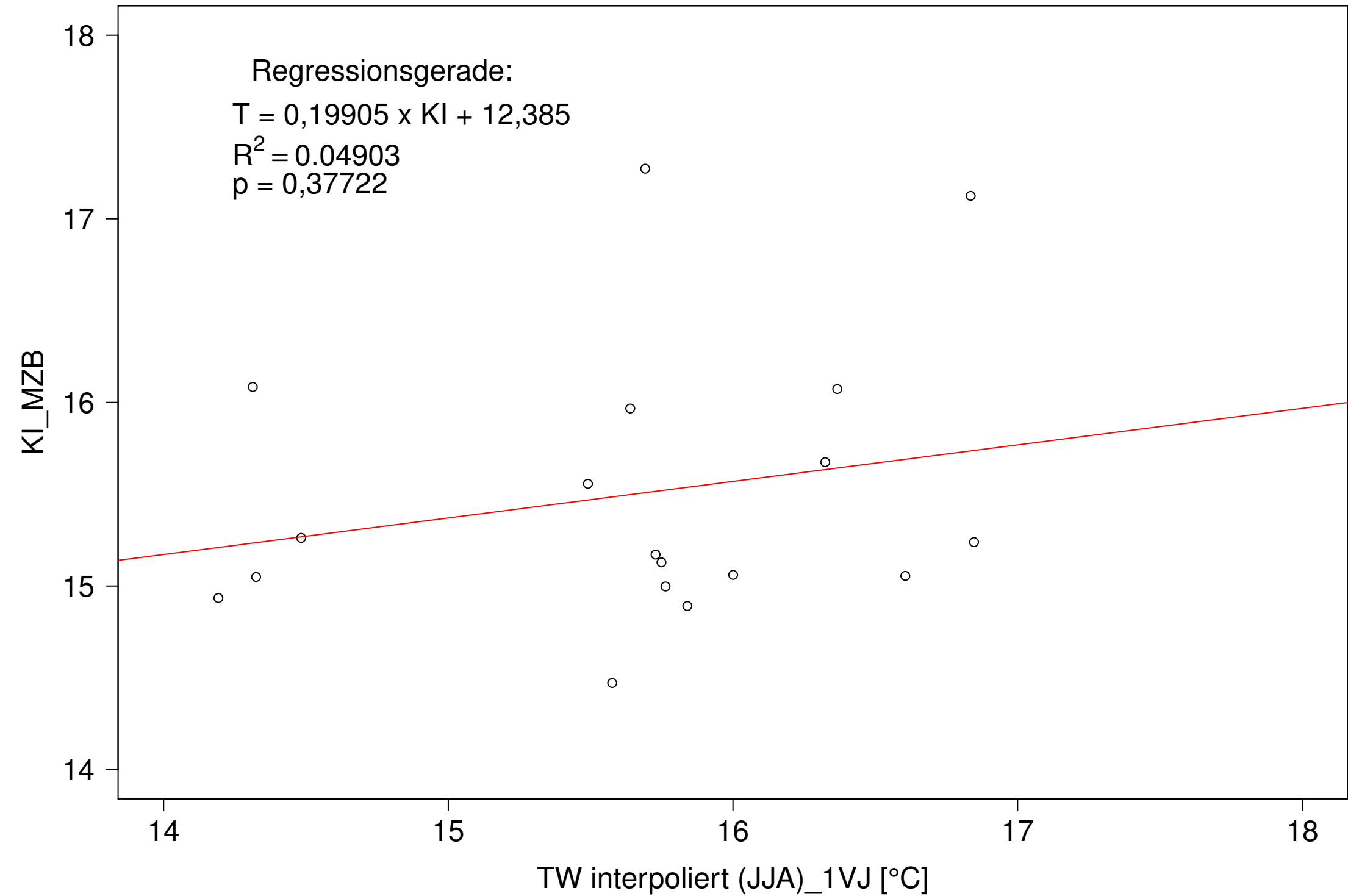
Donau_Pfohren, Typ 09.2 mit Neozoen, Serie 3
KI_MZB (Typ/Kont-Korr) gegen TW interpoliert (JJA) des 1. Vorjahres



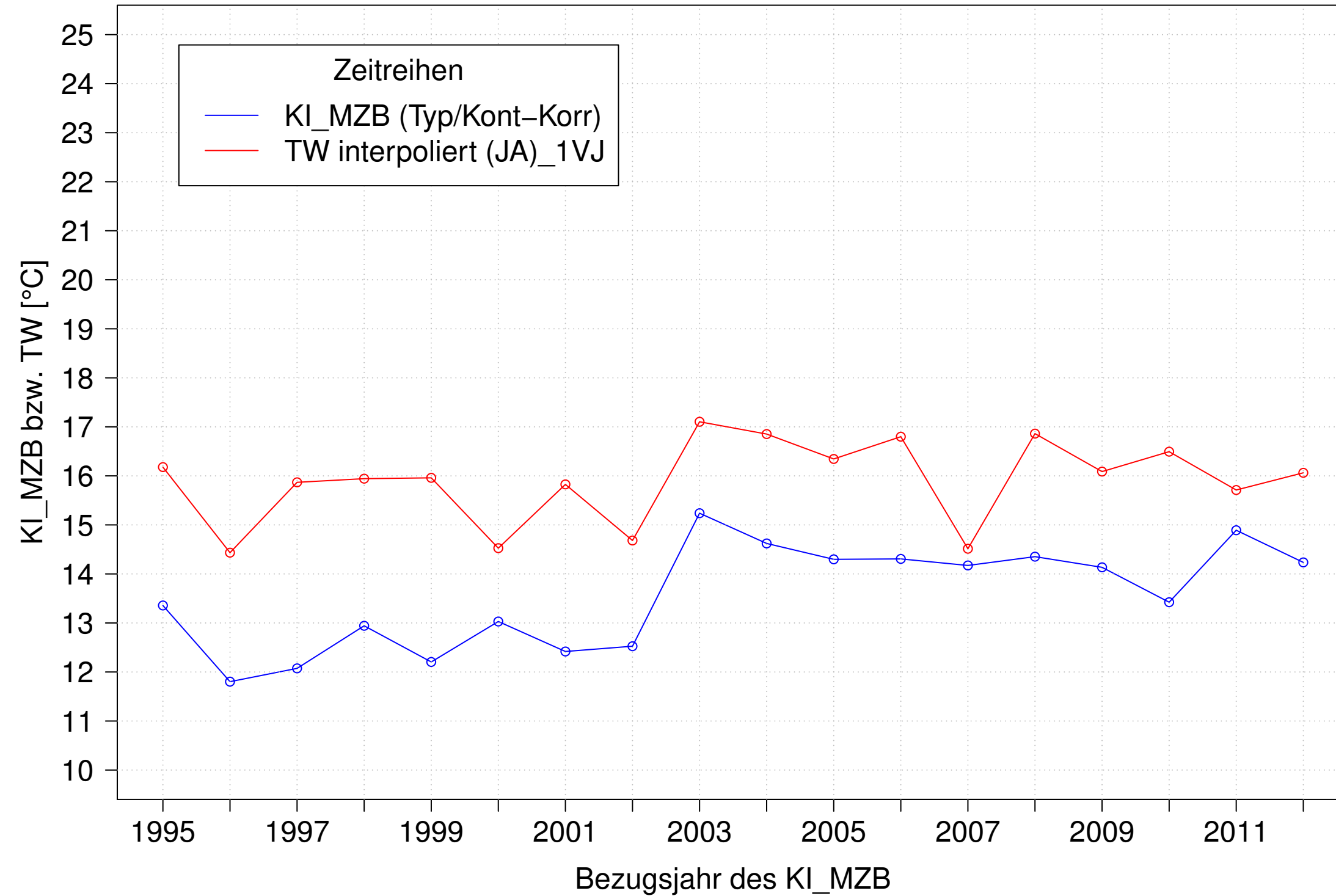
Donau_Pfohren, Typ 09.2 mit Neozoen, Serie 4
KI_MZB (Typ/Kont-Korr) und TW interpoliert (JJA) des 1. Vorjahres



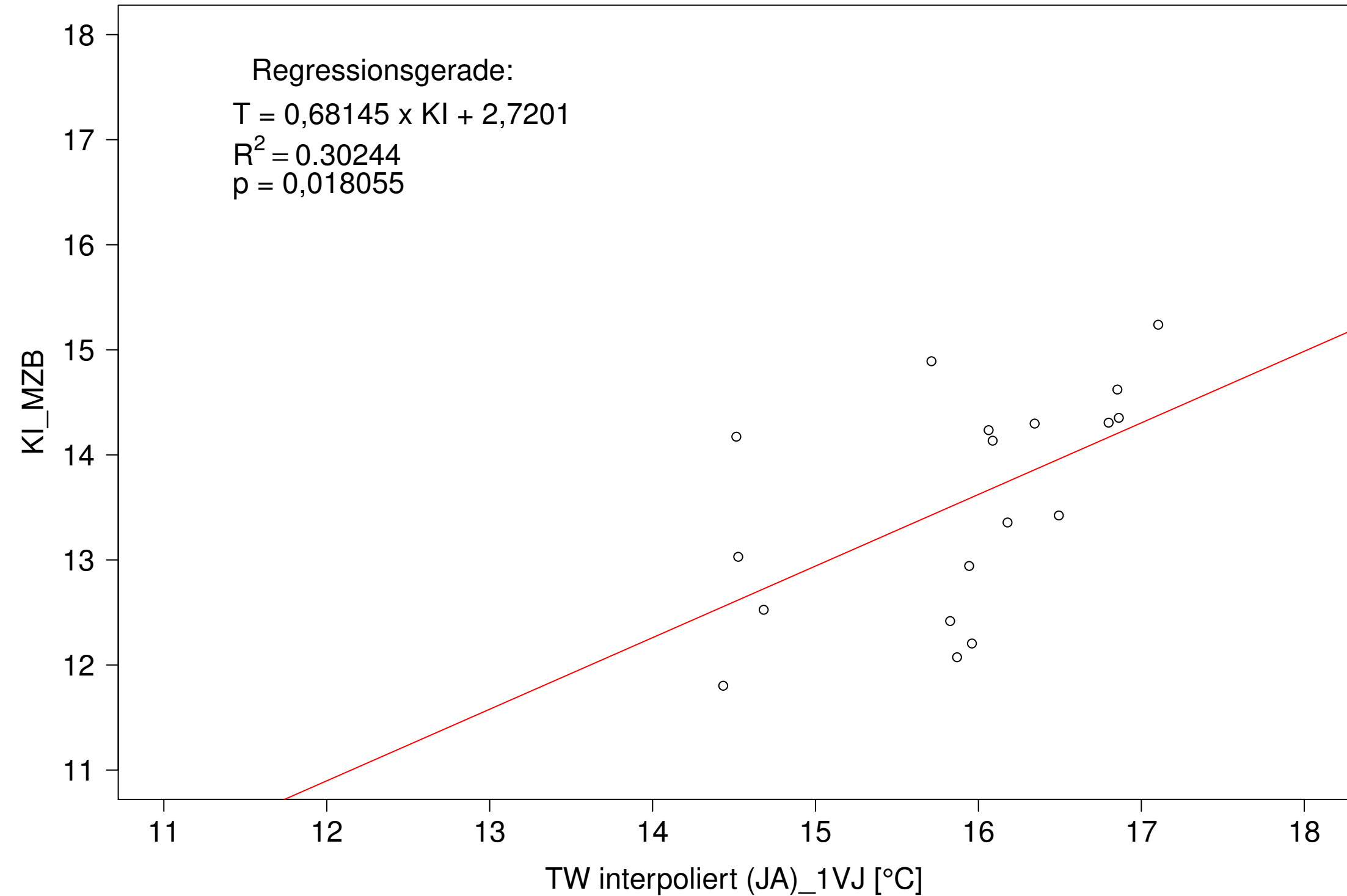
Donau_Pfohren, Typ 09.2 mit Neozoen, Serie 4
KI_MZB (Typ/Kont-Korr) gegen TW interpoliert (JJA) des 1. Vorjahres



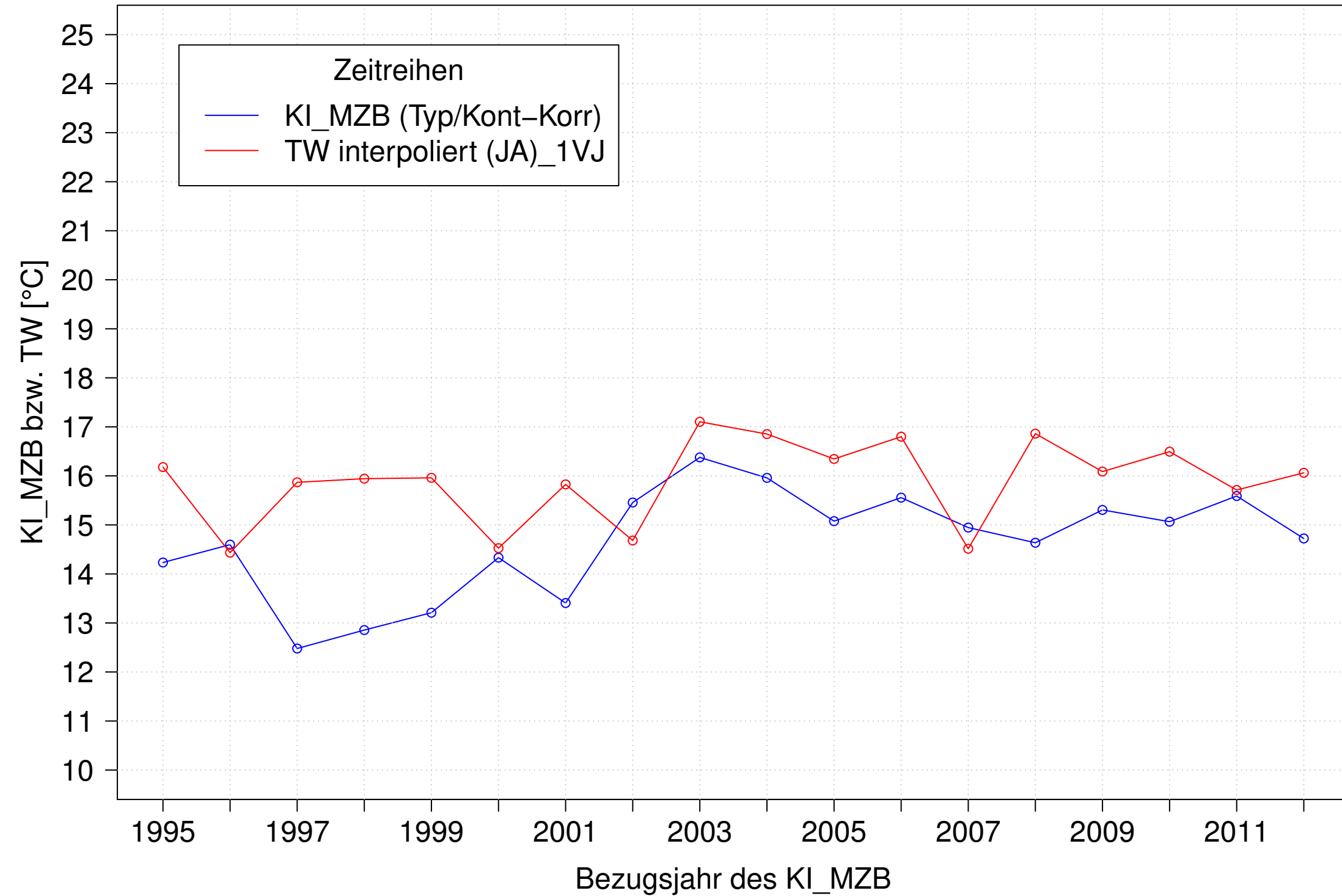
Donau_Pfohren, Typ 09.2 mit Neozoen, Serie 1
KI_MZB (Typ/Kont-Korr) und TW interpoliert (JA) des 1. Vorjahres



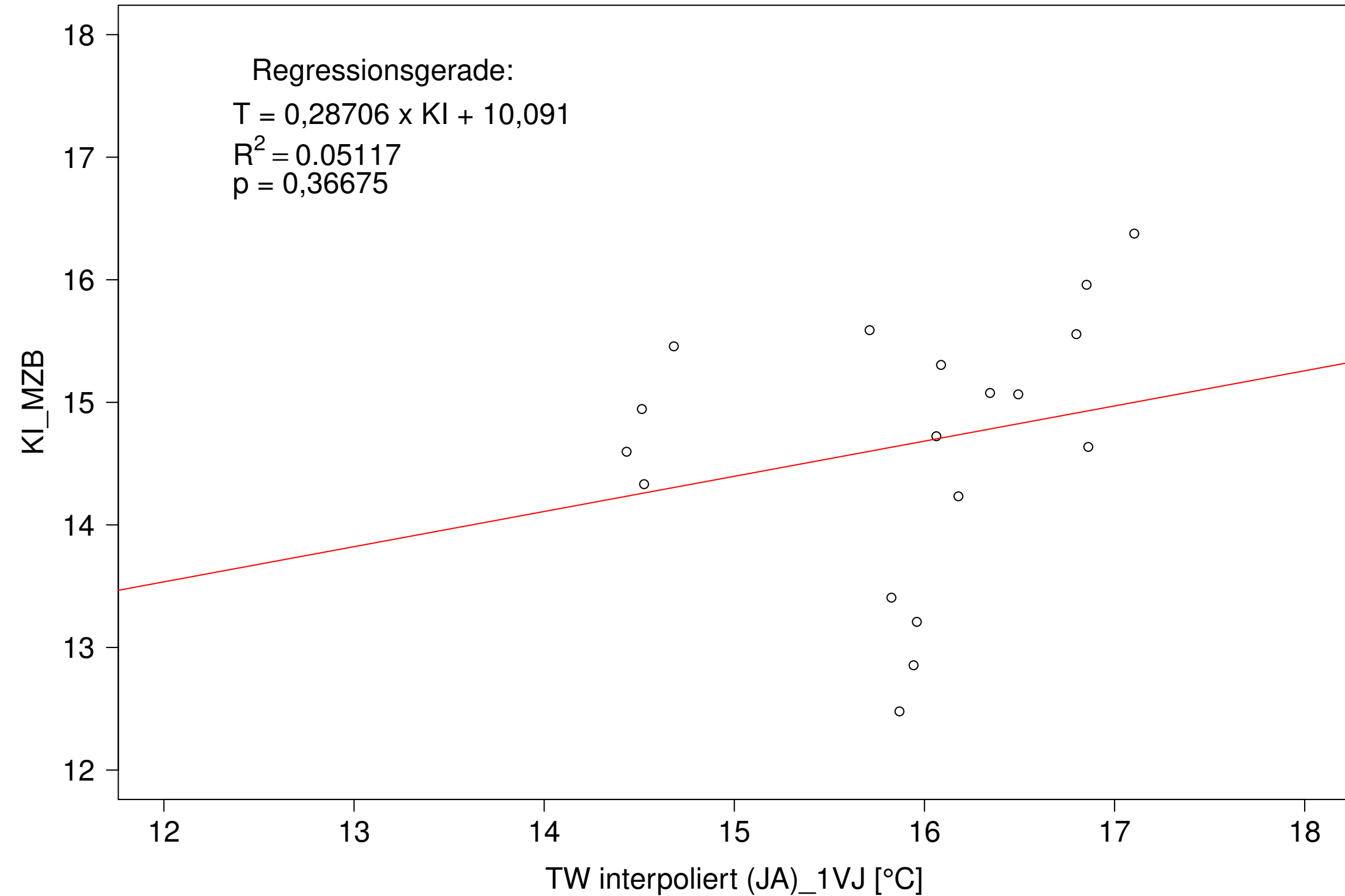
Donau_Pfohren, Typ 09.2 mit Neozoen, Serie 1
KI_MZB (Typ/Kont-Korr) gegen TW interpoliert (JA) des 1. Vorjahres



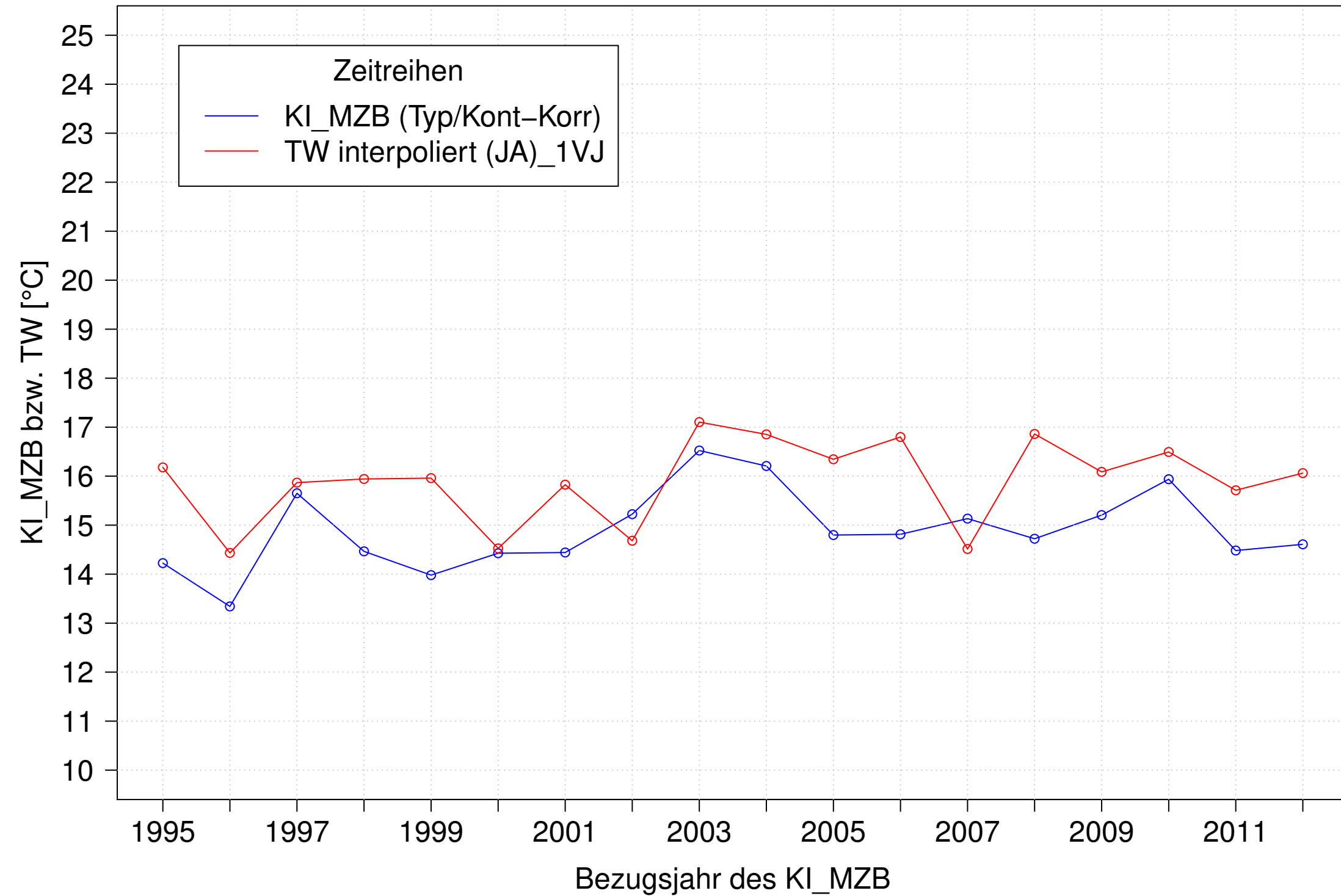
Donau_Pfohren, Typ 09.2 mit Neozoen, Serie 2
 KI_MZB (Typ/Kont-Korr) und TW interpoliert (JA) des 1. Vorjahres



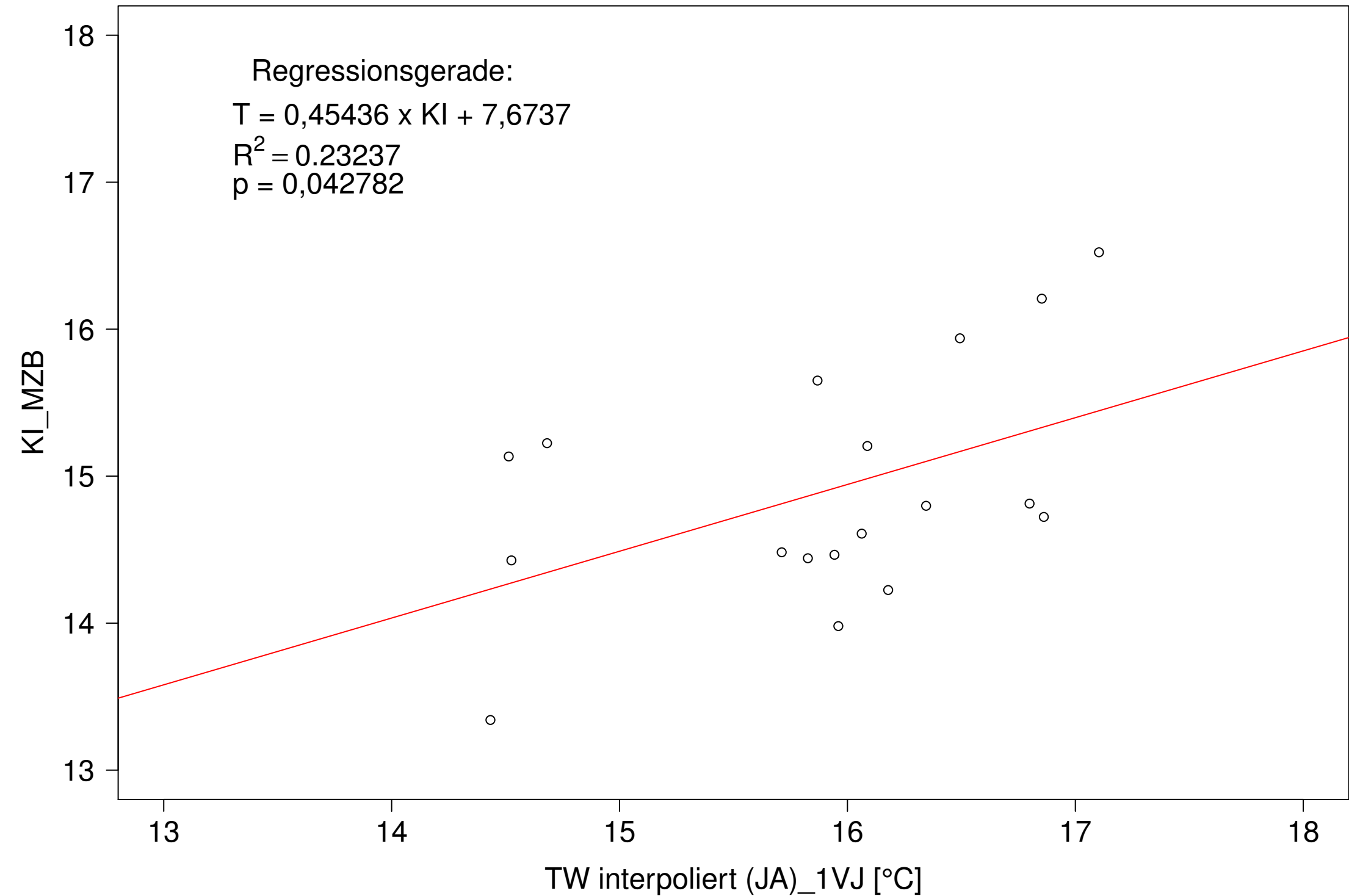
Donau_Pfohren, Typ 09.2 mit Neozoen, Serie 2
 KI_MZB (Typ/Kont-Korr) gegen TW interpoliert (JA) des 1. Vorjahres



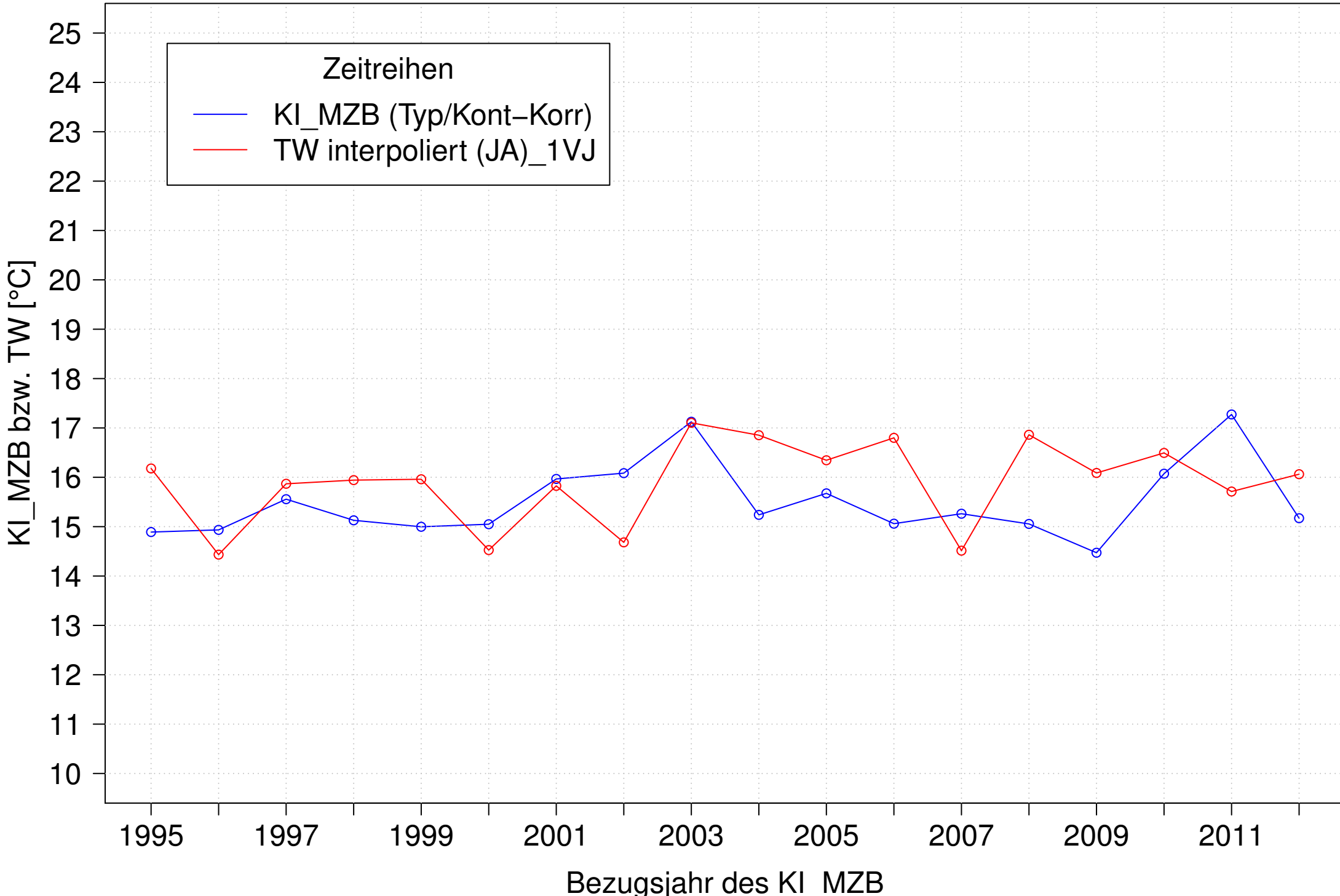
Donau_Pfohren, Typ 09.2 mit Neozoen, Serie 3
KI_MZB (Typ/Kont-Korr) und TW interpoliert (JA) des 1. Vorjahres



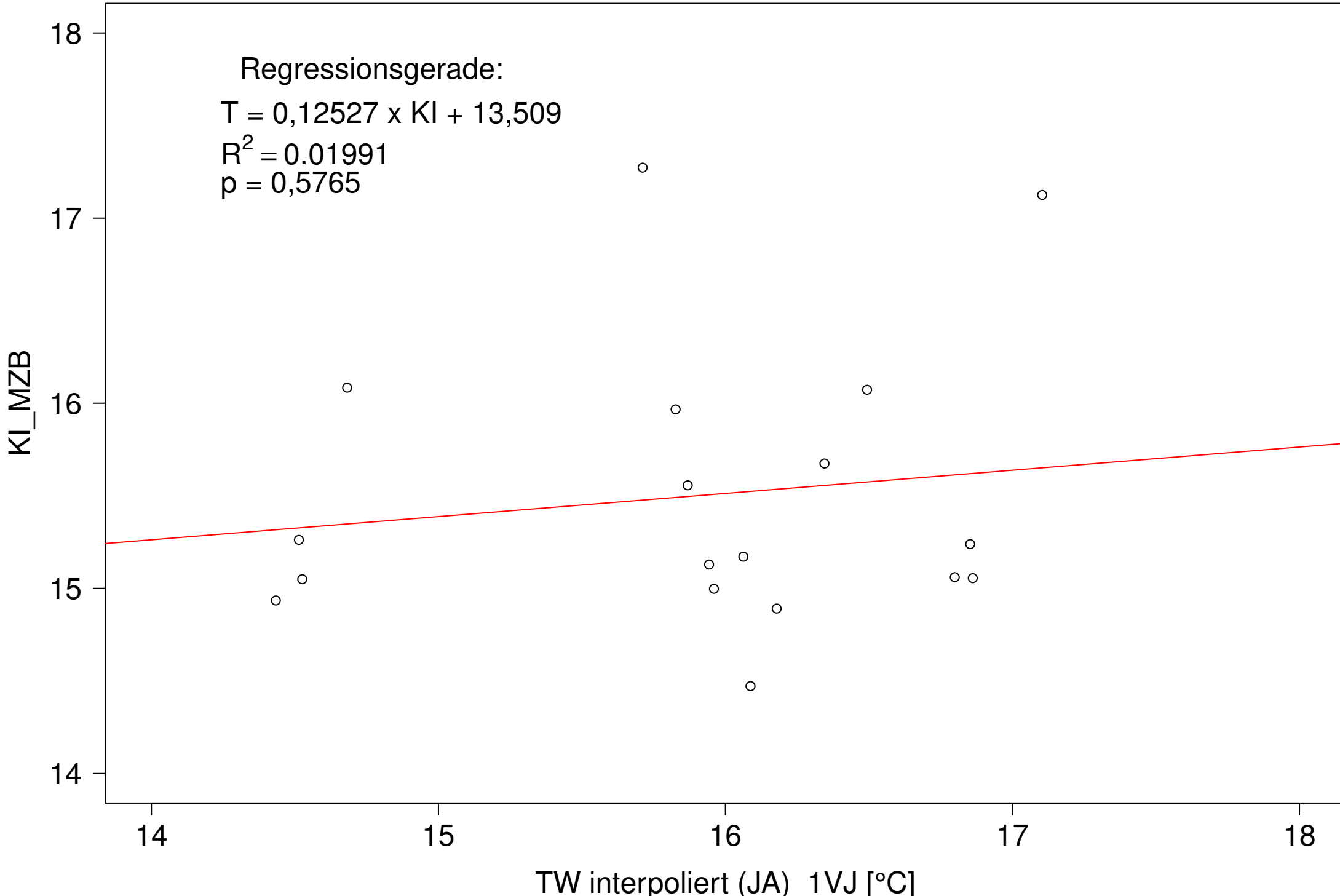
Donau_Pfohren, Typ 09.2 mit Neozoen, Serie 3
KI_MZB (Typ/Kont-Korr) gegen TW interpoliert (JA) des 1. Vorjahres



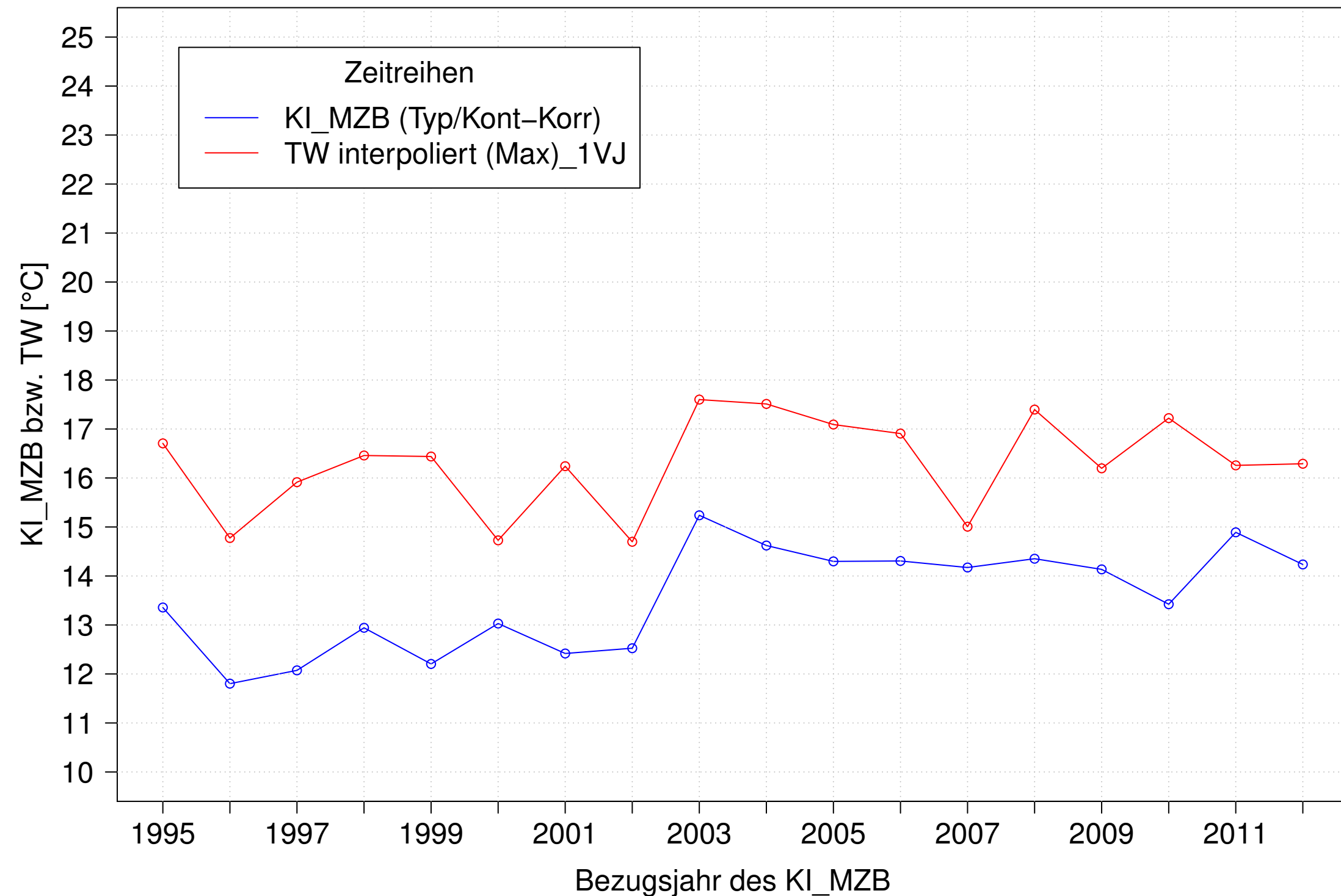
Donau_Pföhren, Typ 09.2 mit Neozoen, Serie 4
KI_MZB (Typ/Kont-Korr) und TW interpoliert (JA) des 1. Vorjahres



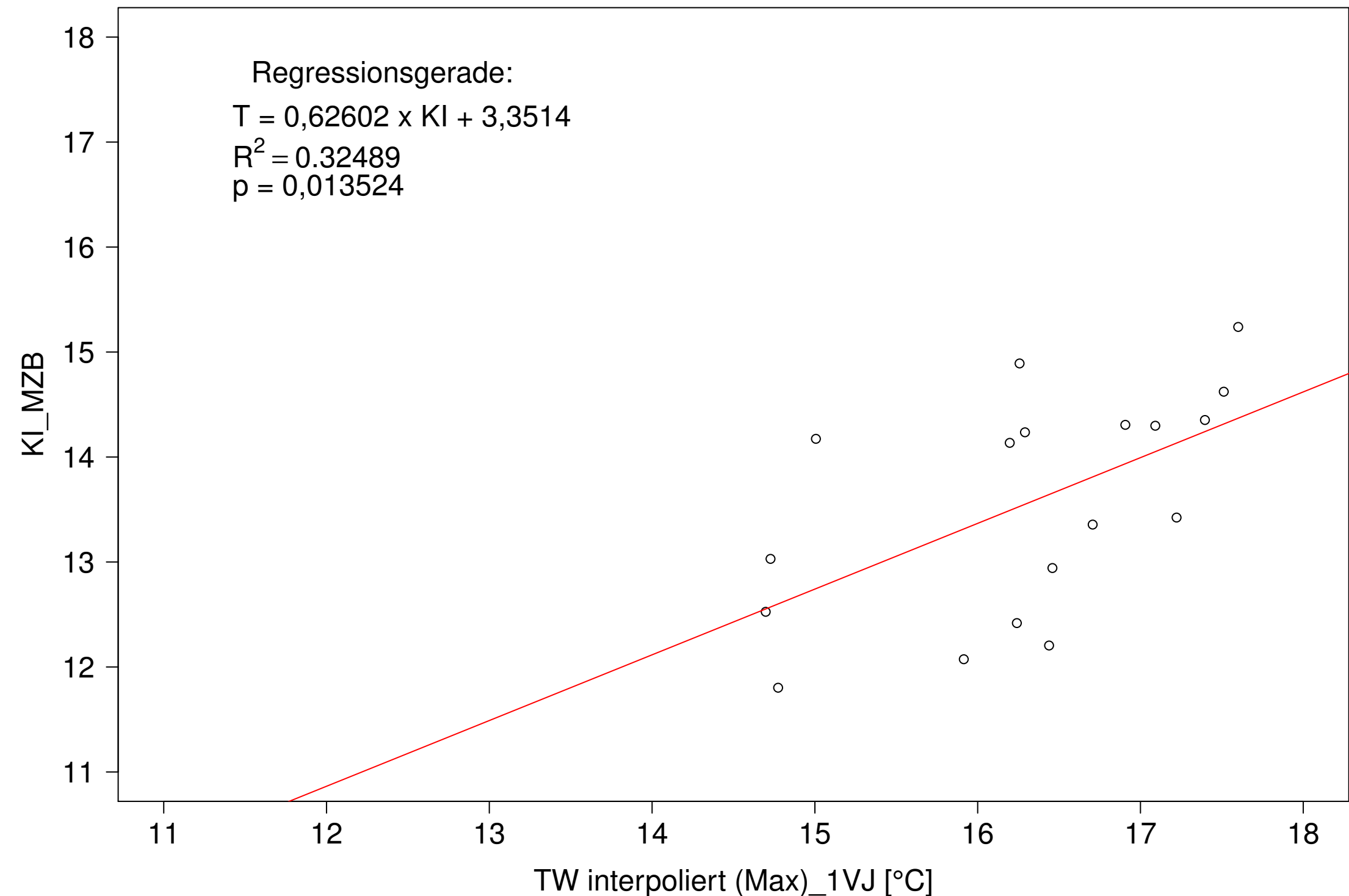
Donau_Pföhen, Typ 09.2 mit Neozoen, Serie 4
KI_MZB (Typ/Kont-Korr) gegen TW interpoliert (JA) des 1. Vorjahres



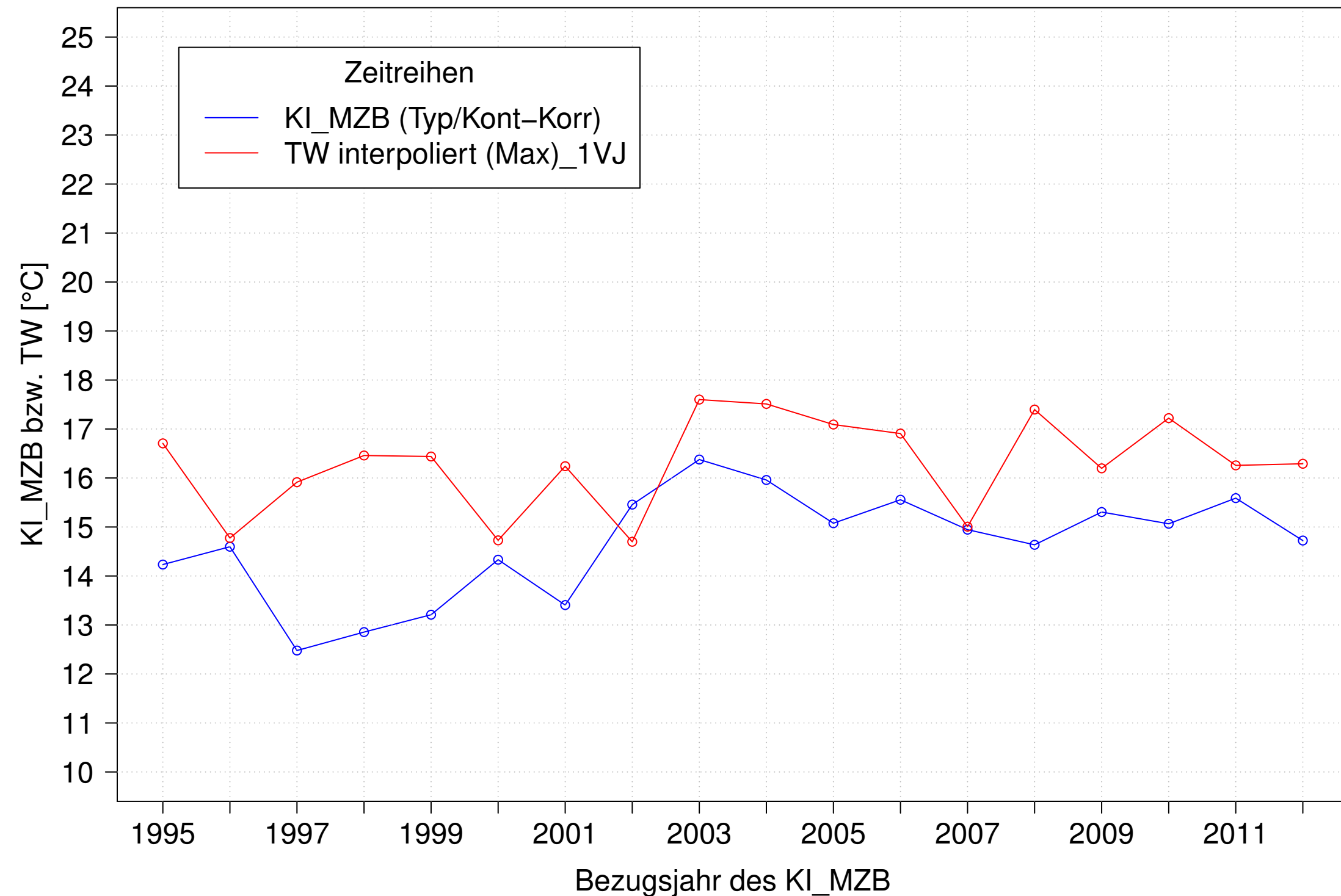
Donau_Pfohren, Typ 09.2 mit Neozoen, Serie 1
KI_MZB (Typ/Kont-Korr) und TW interpoliert (Max) des 1. Vorjahres



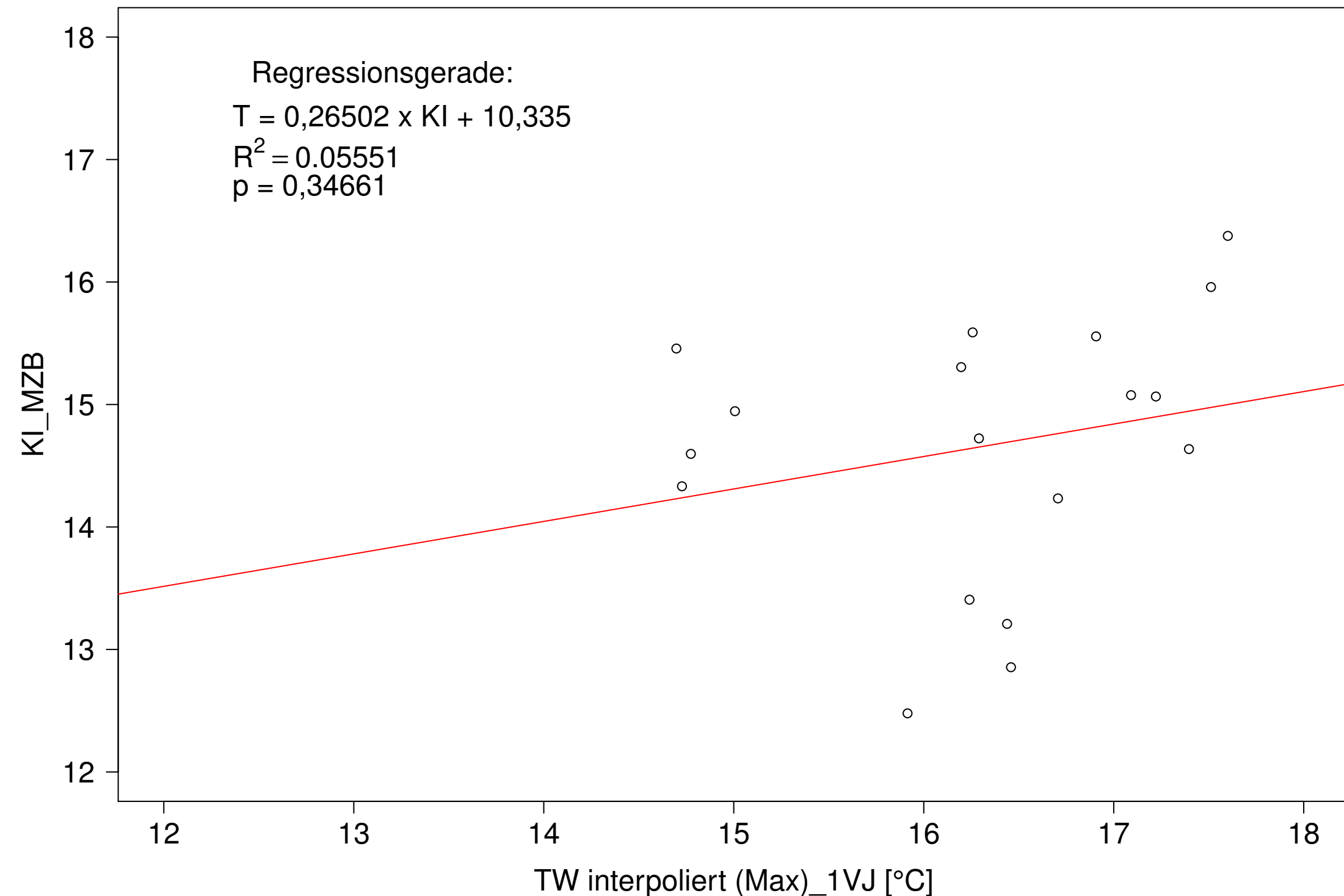
Donau_Pfohren, Typ 09.2 mit Neozoen, Serie 1
KI_MZB (Typ/Kont-Korr) gegen TW interpoliert (Max) des 1. Vorjahres



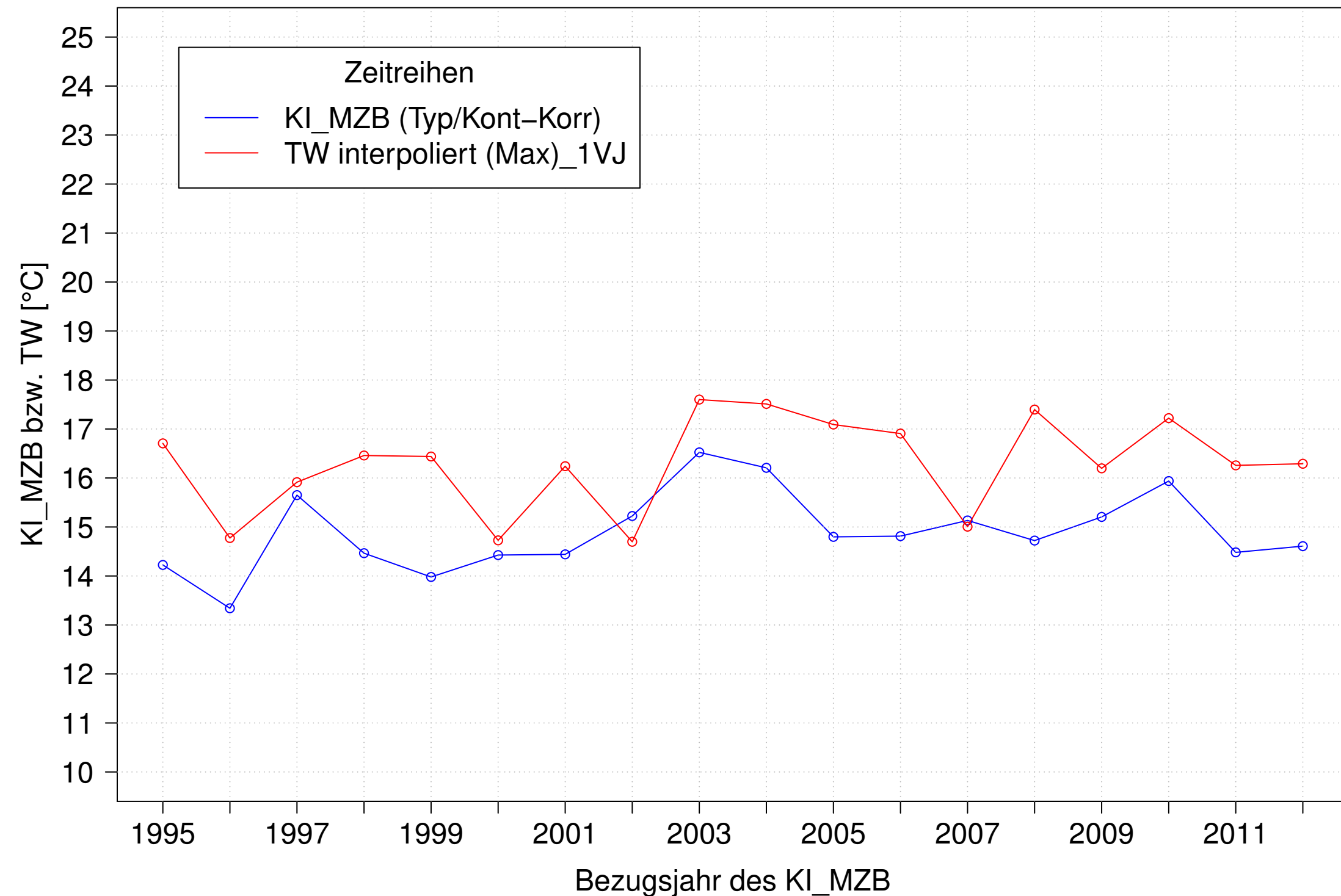
Donau_Pfohren, Typ 09.2 mit Neozoen, Serie 2
KI_MZB (Typ/Kont-Korr) und TW interpoliert (Max) des 1. Vorjahres



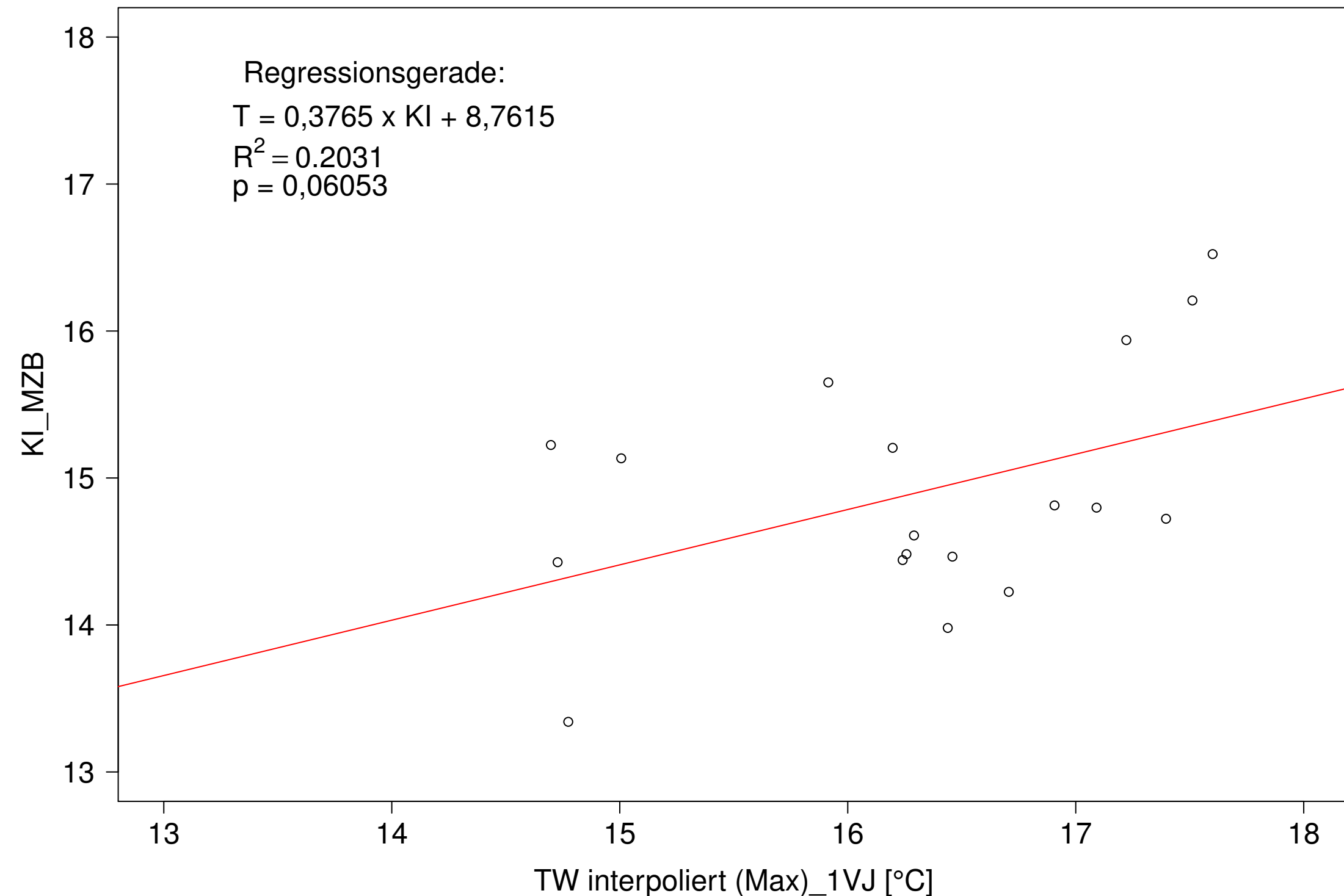
Donau_Pfohren, Typ 09.2 mit Neozoen, Serie 2
KI_MZB (Typ/Kont-Korr) gegen TW interpoliert (Max) des 1. Vorjahres



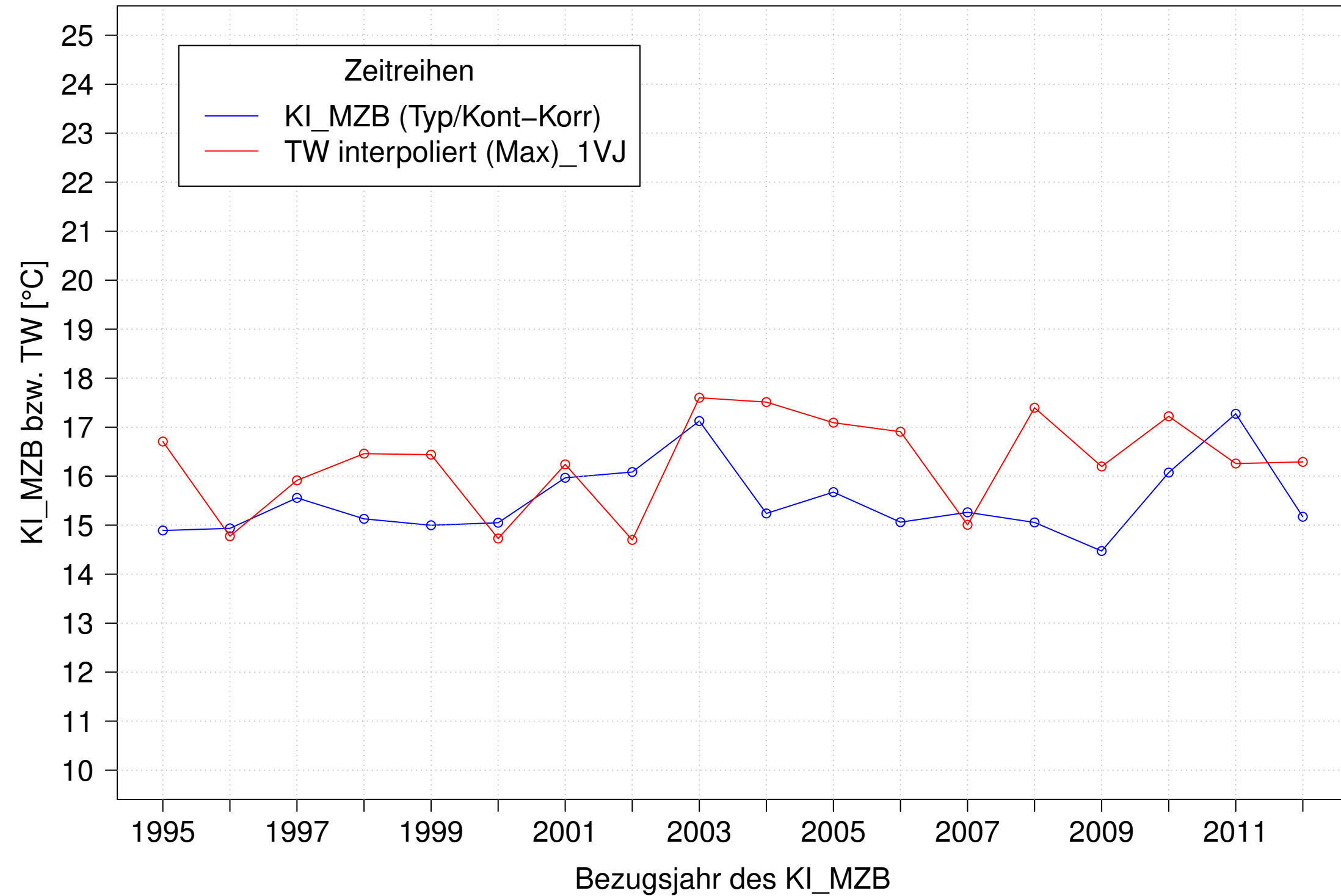
Donau_Pfohren, Typ 09.2 mit Neozoen, Serie 3
 KI_MZB (Typ/Kont-Korr) und TW interpoliert (Max) des 1. Vorjahres



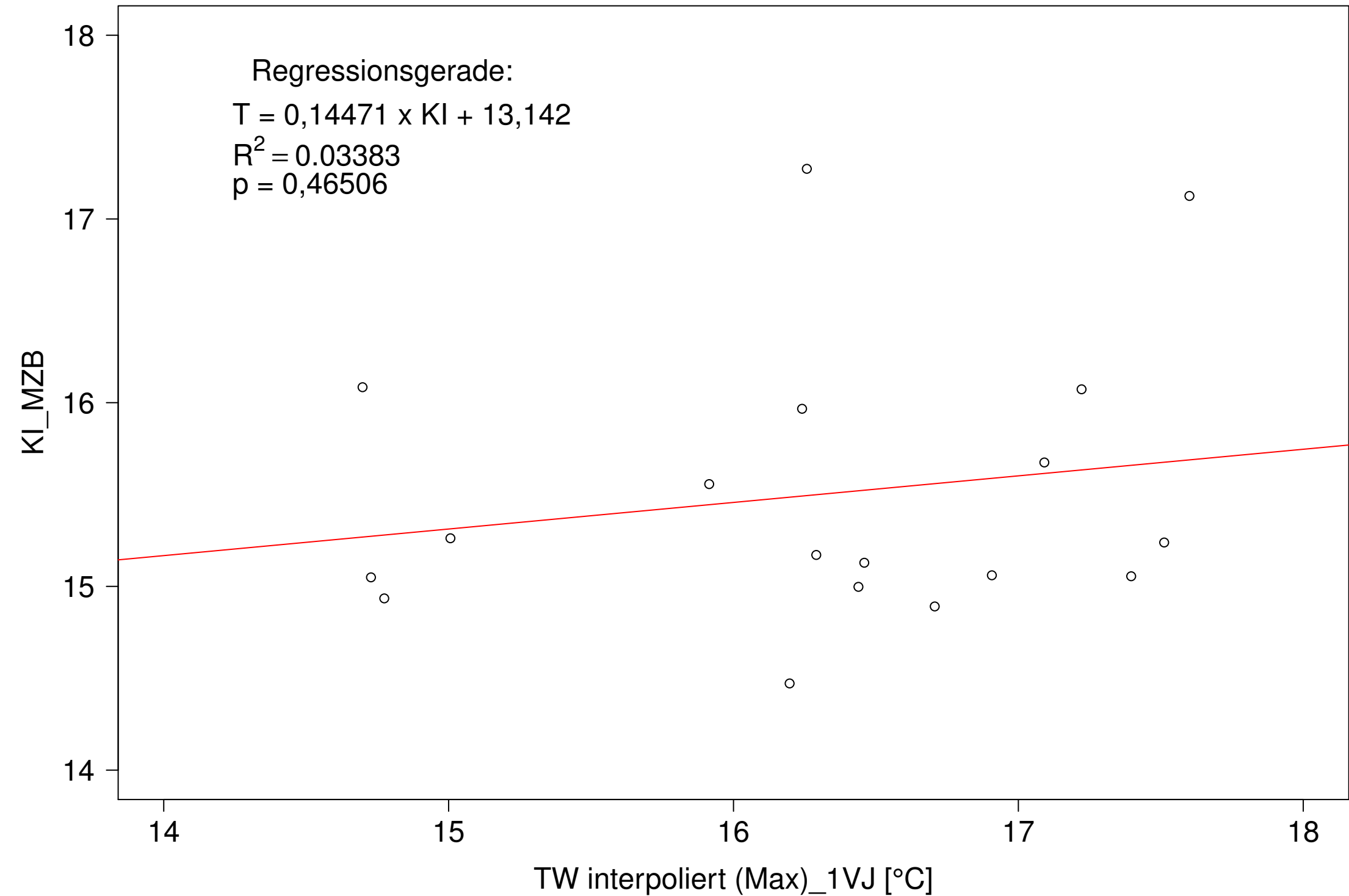
Donau_Pfohren, Typ 09.2 mit Neozoen, Serie 3
 KI_MZB (Typ/Kont-Korr) gegen TW interpoliert (Max) des 1. Vorjahres



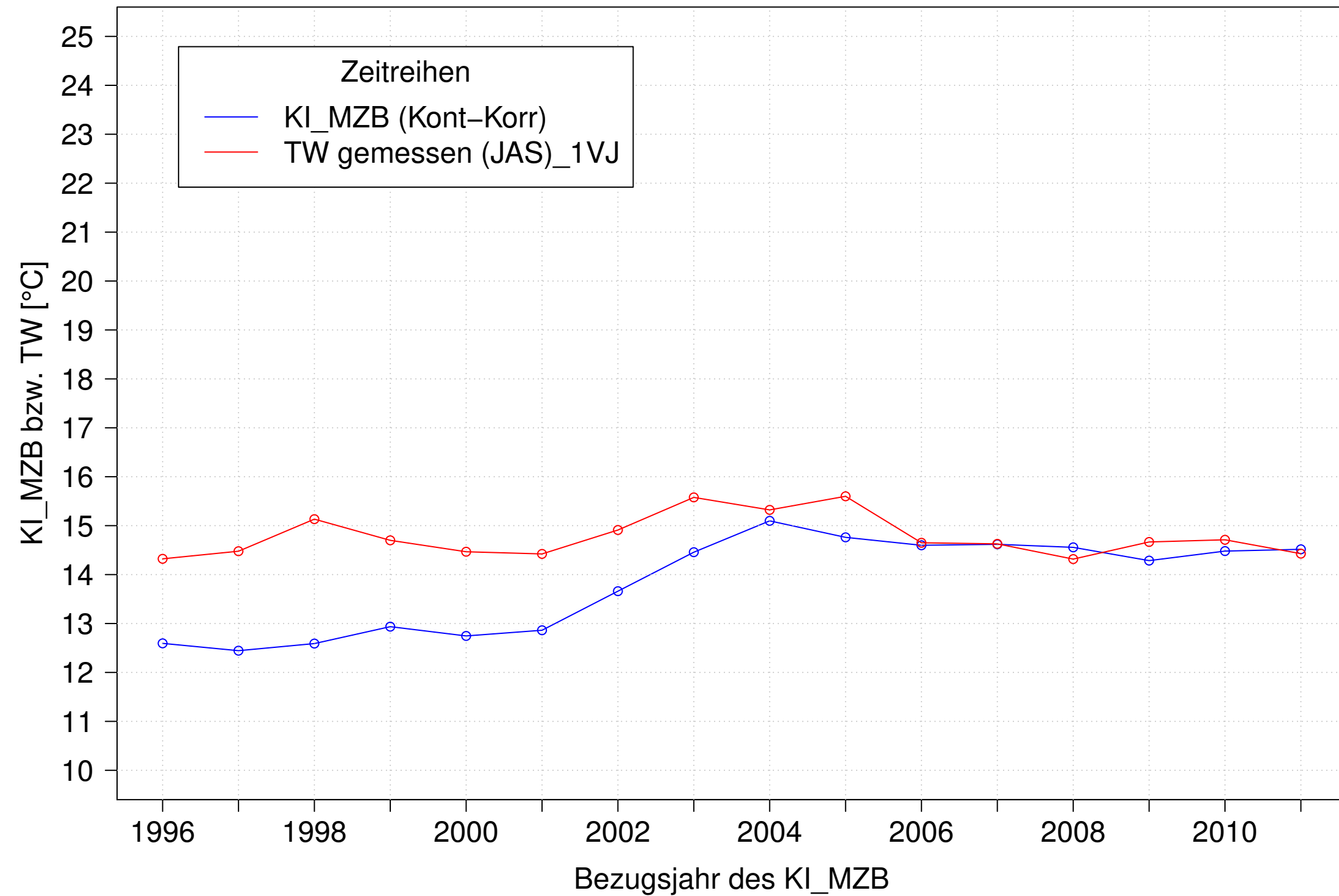
Donau_Pfohren, Typ 09.2 mit Neozoen, Serie 4
 KI_MZB (Typ/Kont-Korr) und TW interpoliert (Max) des 1. Vorjahres



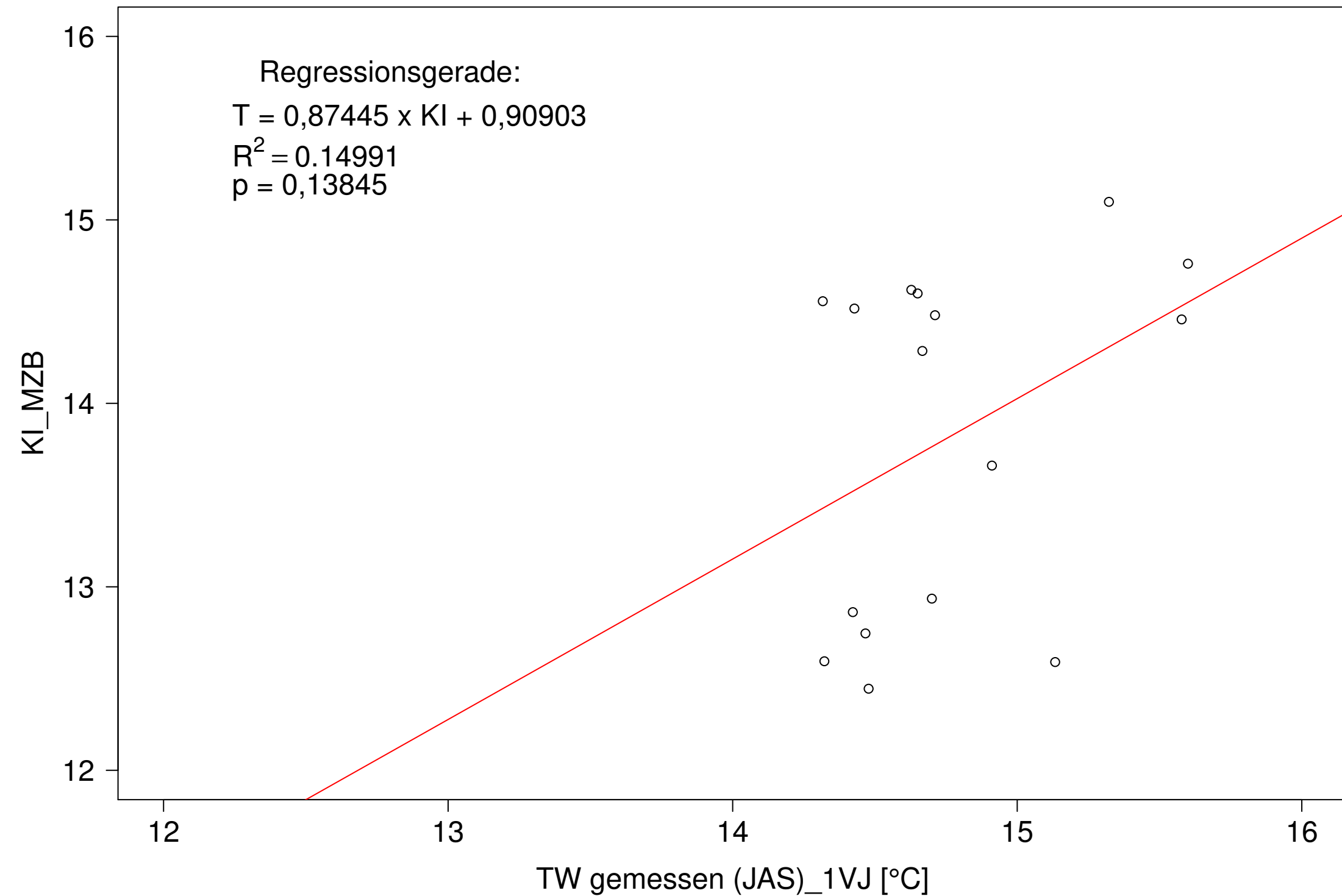
Donau_Pfohren, Typ 09.2 mit Neozoen, Serie 4
 KI_MZB (Typ/Kont-Korr) gegen TW interpoliert (Max) des 1. Vorjahres



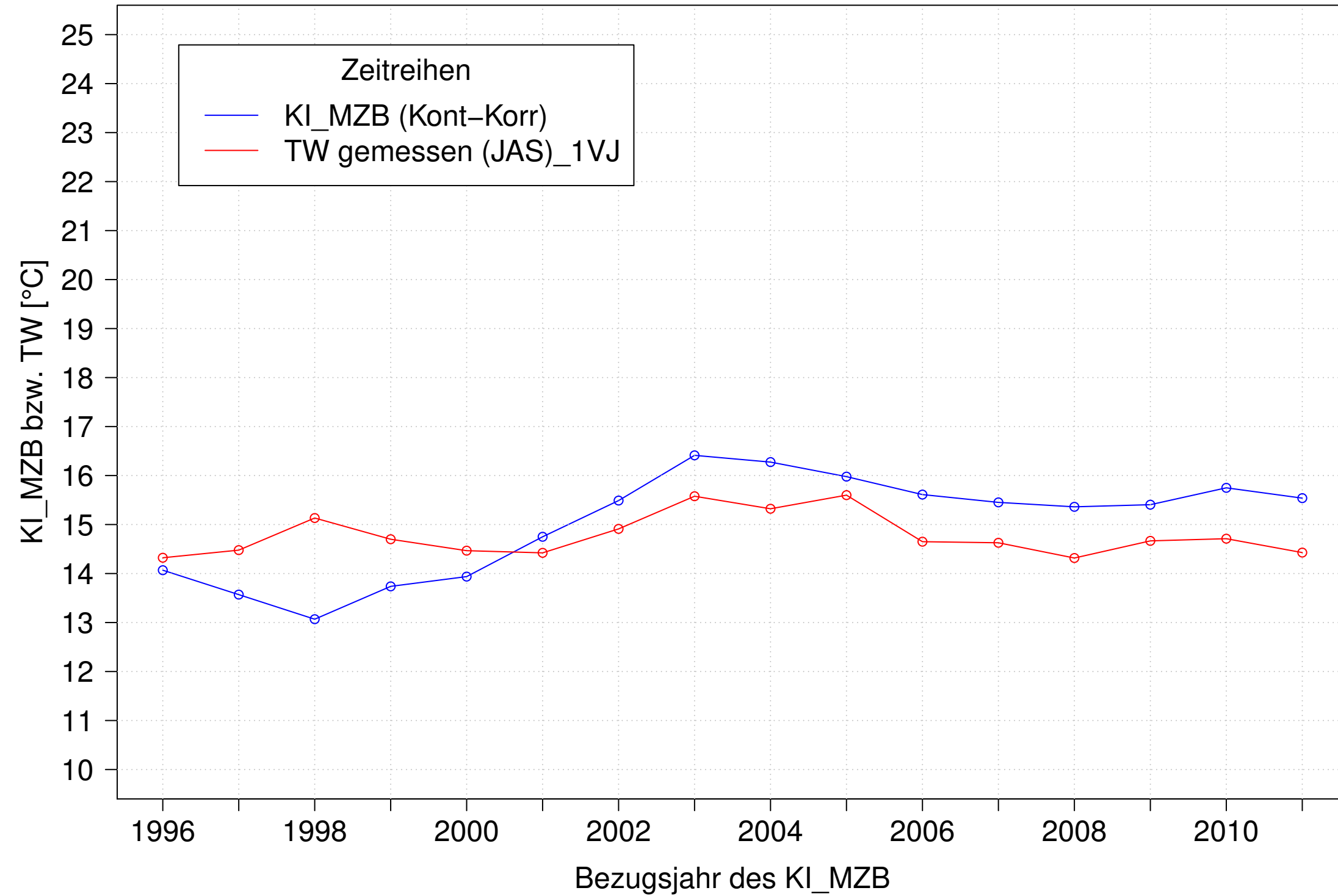
Donau_Pfohren, Typ 09.2 mit Neozoen, Serie 1
3JMW KI_MZB (Kont-Korr) und 3JMW TW gemessen (JAS) des 1. Vorjahres



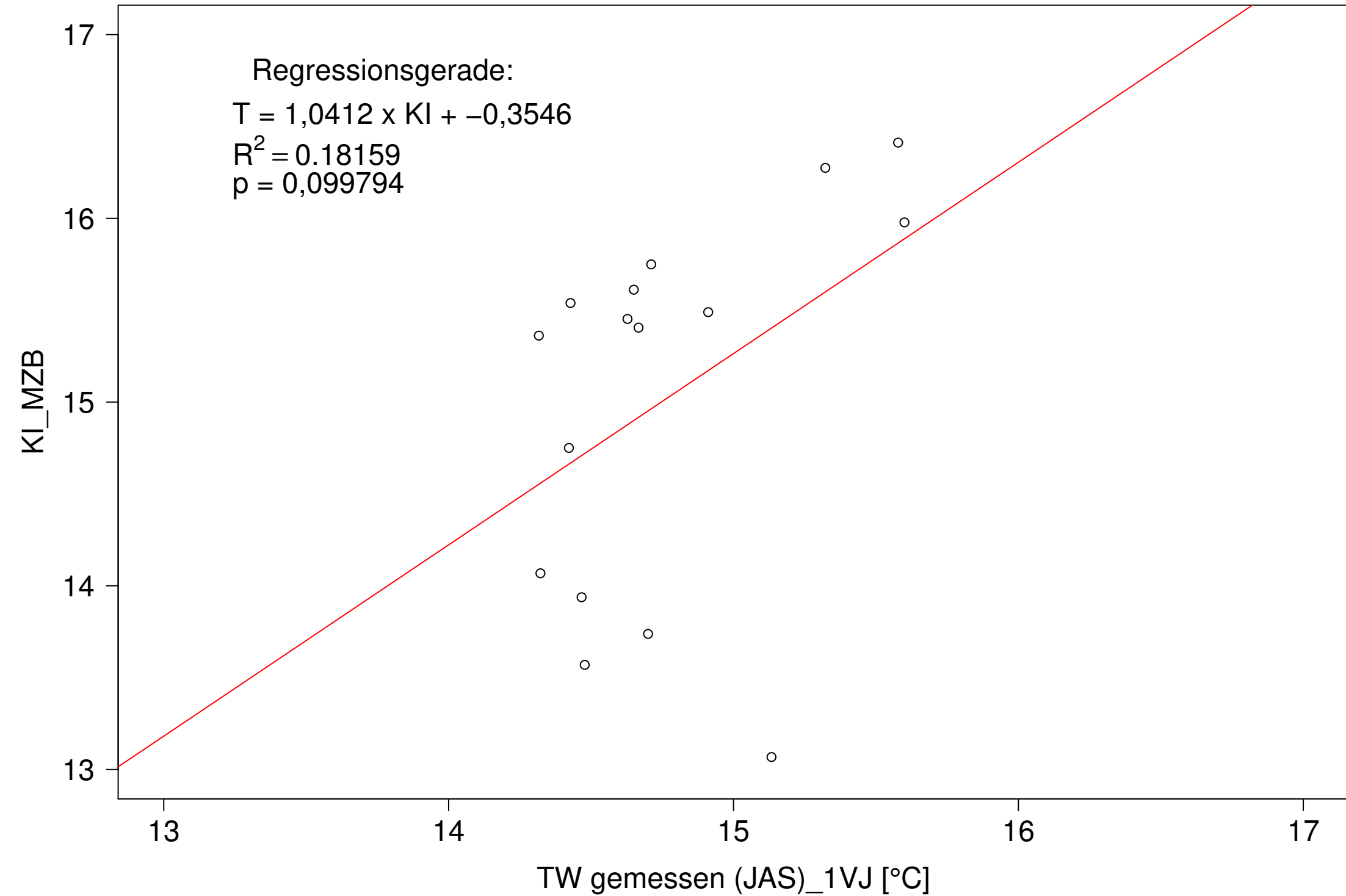
Donau_Pfohren, Typ 09.2 mit Neozoen, Serie 1
3JMW KI_MZB (Kont-Korr) gegen 3JMW TW gemessen (JAS) des 1. Vorjahres



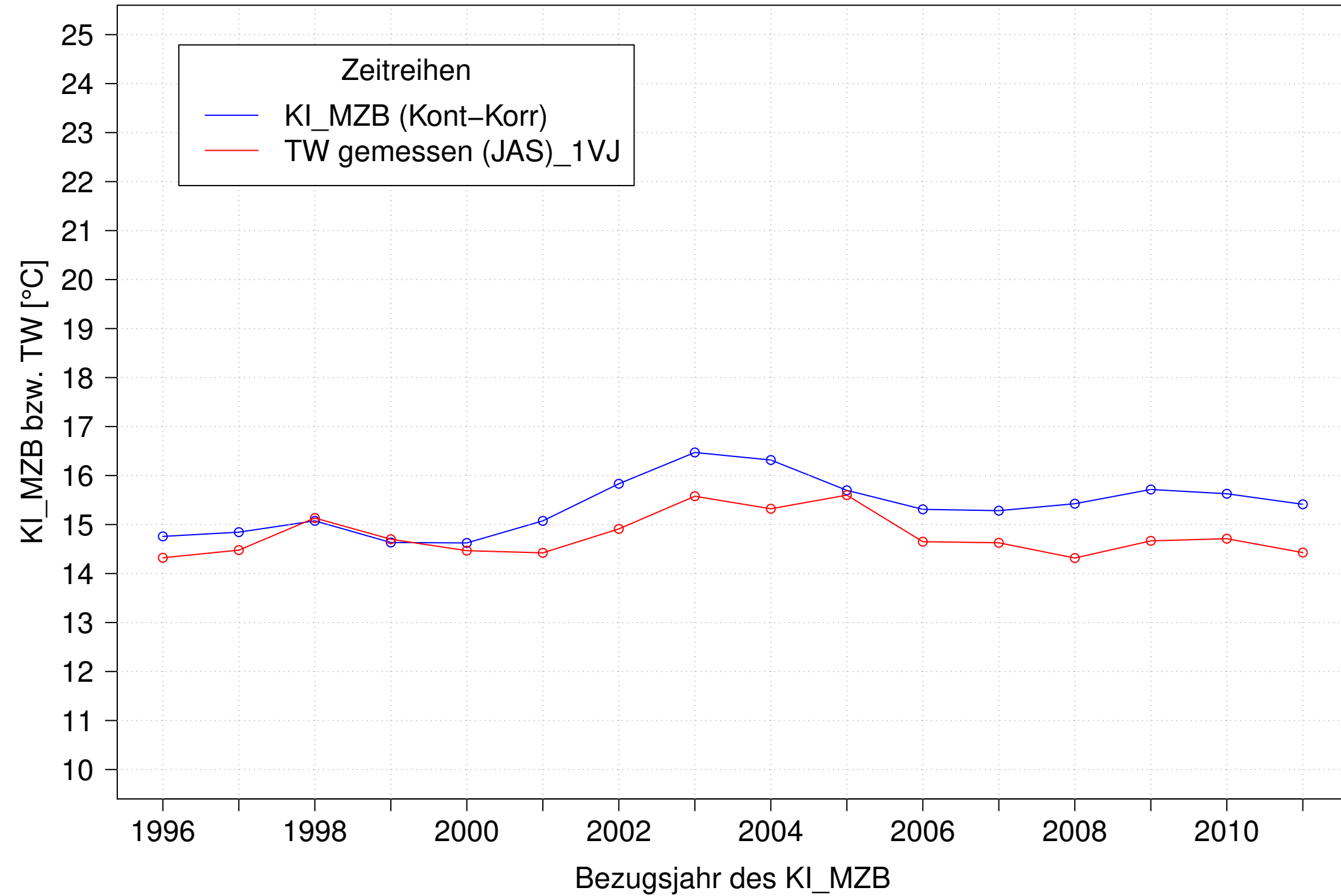
Donau_Pfohren, Typ 09.2 mit Neozoen, Serie 2
3JMW KI_MZB (Kont-Korr) und 3JMW TW gemessen (JAS) des 1. Vorjahres



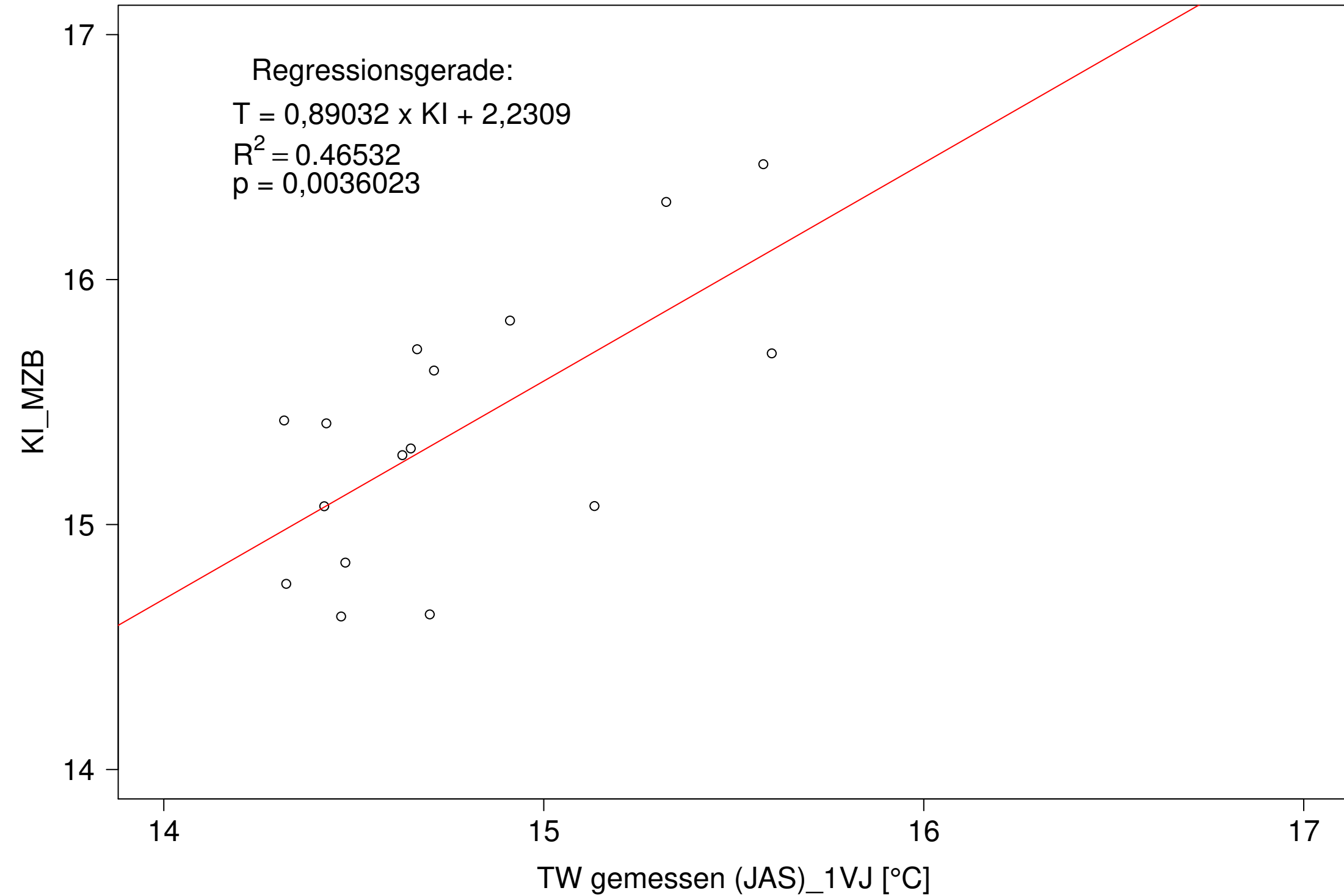
Donau_Pfohren, Typ 09.2 mit Neozoen, Serie 2
3JMW KI_MZB (Kont-Korr) gegen 3JMW TW gemessen (JAS) des 1. Vorjahres



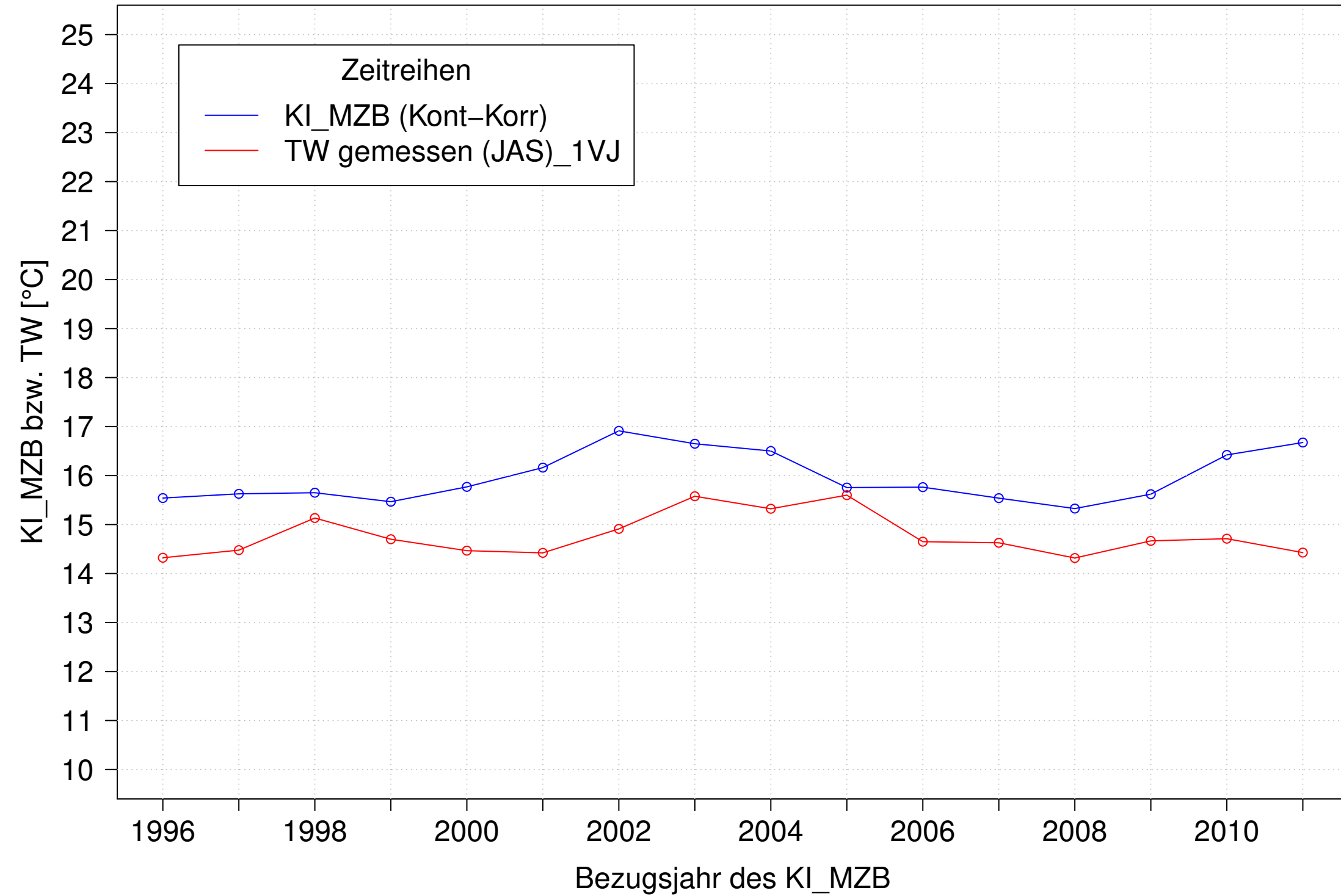
Donau_Pfohren, Typ 09.2 mit Neozoen, Serie 3
3JMW KI_MZB (Kont-Korr) und 3JMW TW gemessen (JAS) des 1. Vorjahres



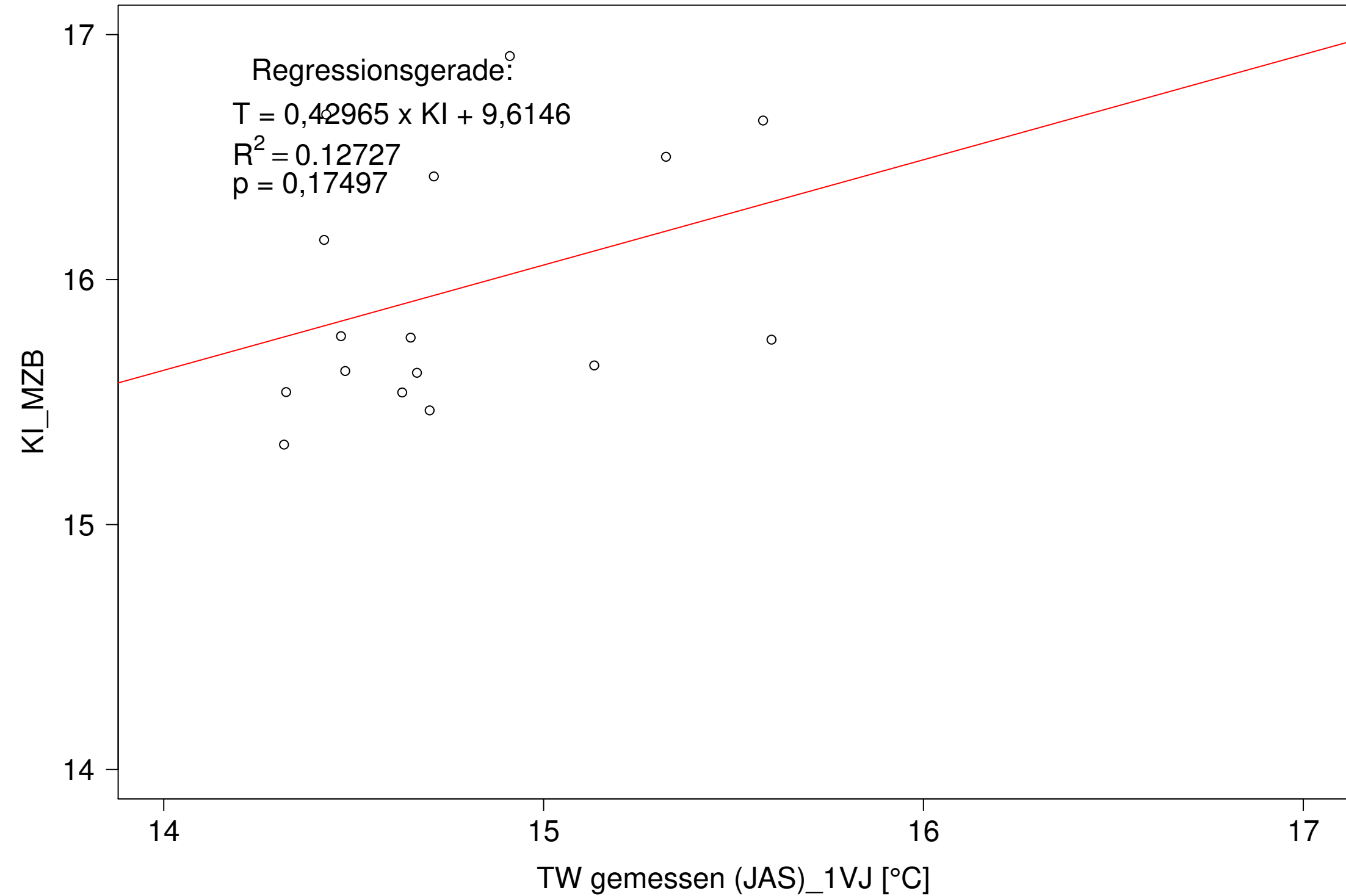
Donau_Pfohren, Typ 09.2 mit Neozoen, Serie 3
3JMW KI_MZB (Kont-Korr) gegen 3JMW TW gemessen (JAS) des 1. Vorjahres



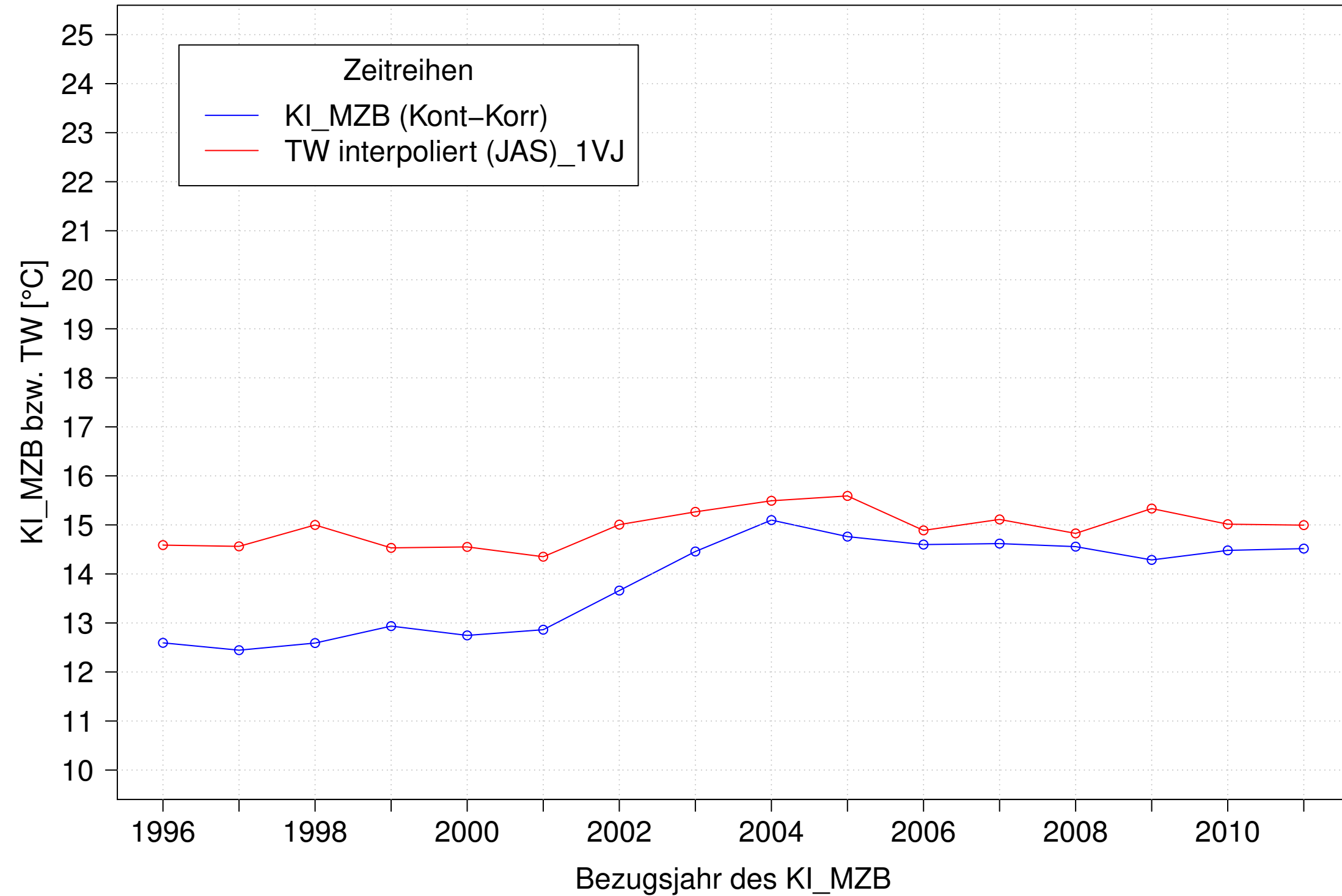
Donau_Pfohren, Typ 09.2 mit Neozoen, Serie 4
3JMW KI_MZB (Kont-Korr) und 3JMW TW gemessen (JAS) des 1. Vorjahres



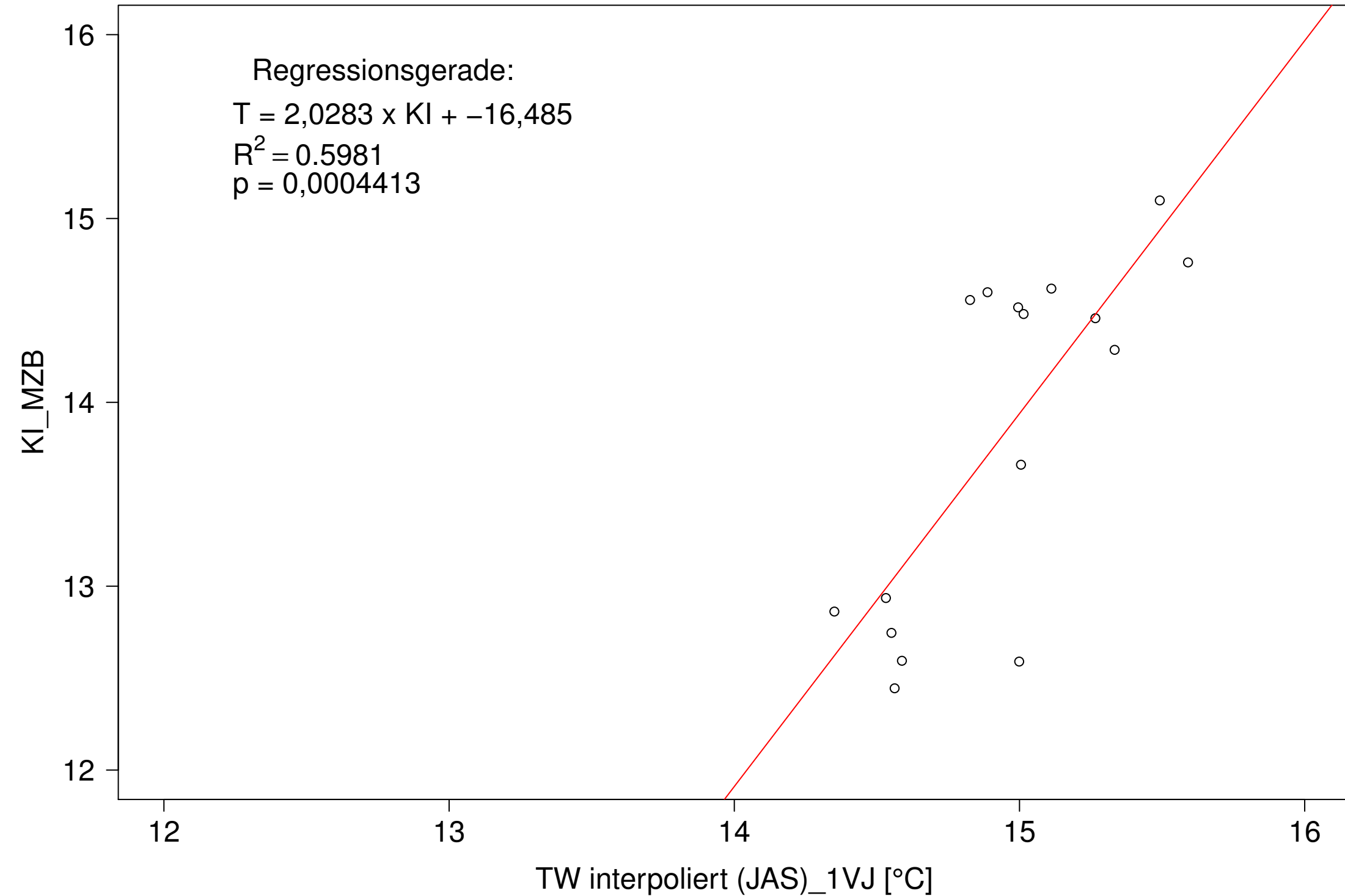
Donau_Pfohren, Typ 09.2 mit Neozoen, Serie 4
3JMW KI_MZB (Kont-Korr) gegen 3JMW TW gemessen (JAS) des 1. Vorjahres



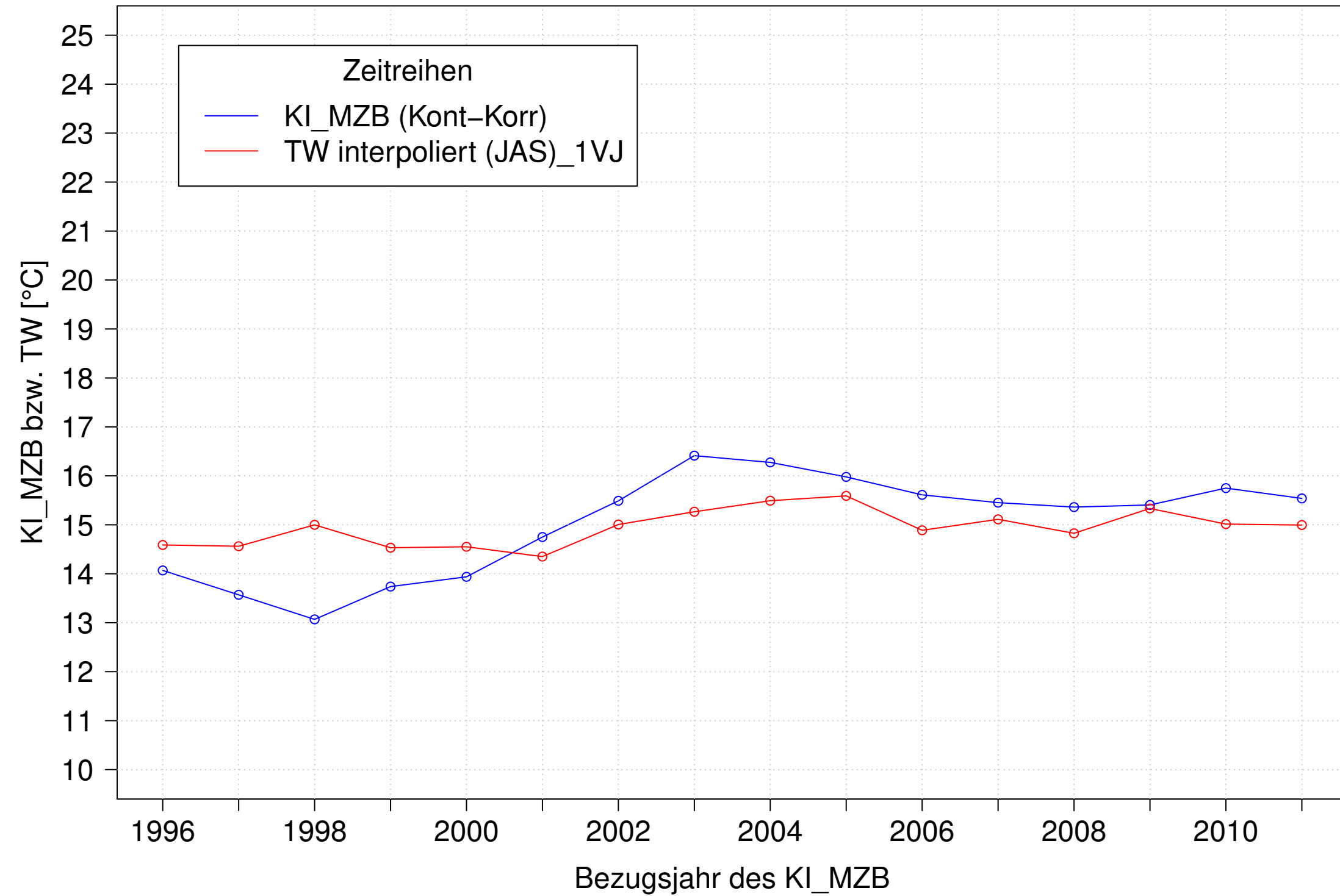
Donau_Pfohren, Typ 09.2 mit Neozoen, Serie 1
3JMW KI_MZB (Kont-Korr) und 3JMW TW interpoliert (JAS) des 1. Vorjahres



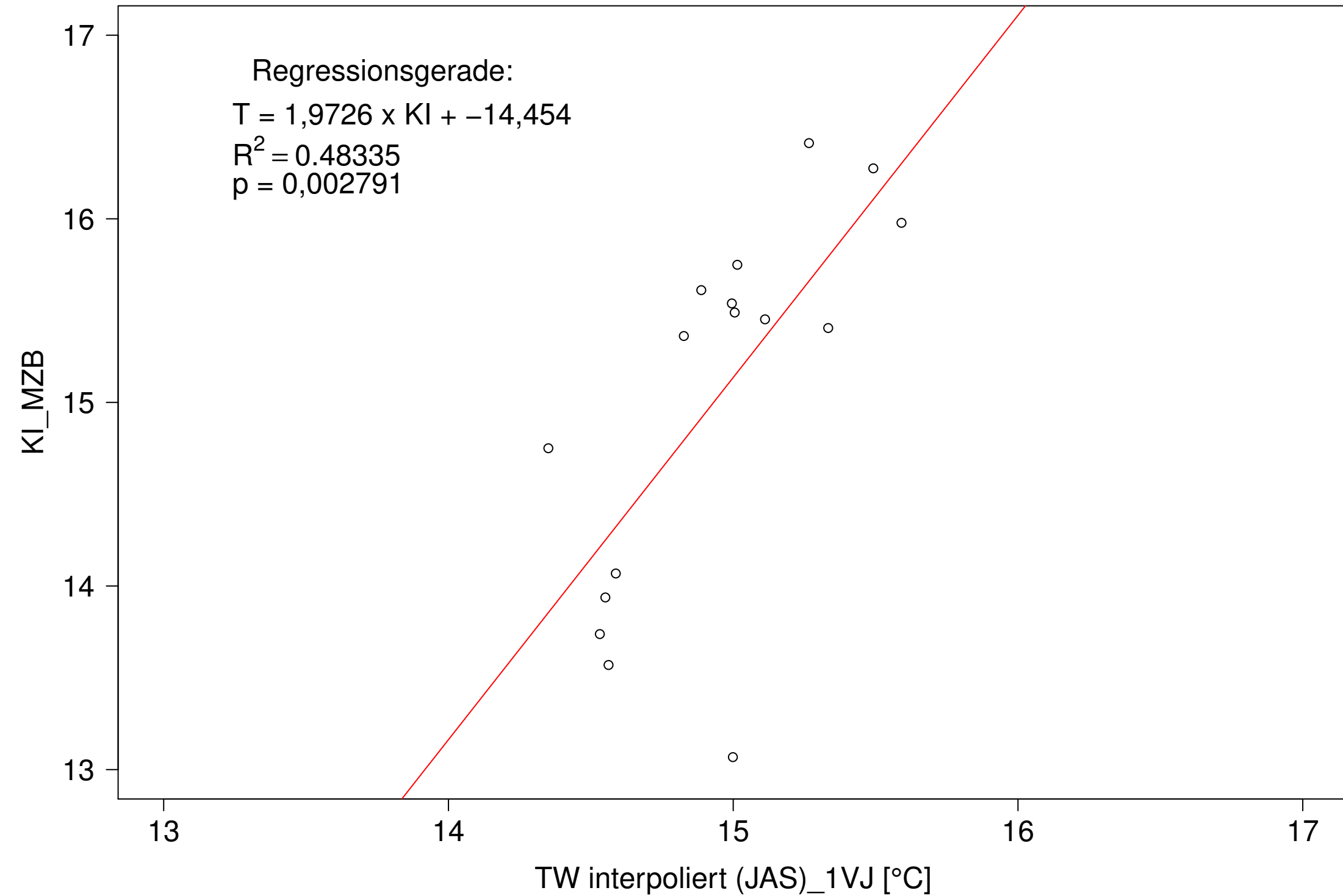
Donau_Pfohren, Typ 09.2 mit Neozoen, Serie 1
3JMW KI_MZB (Kont-Korr) gegen 3JMW TW interpoliert (JAS) des 1. Vorjahres



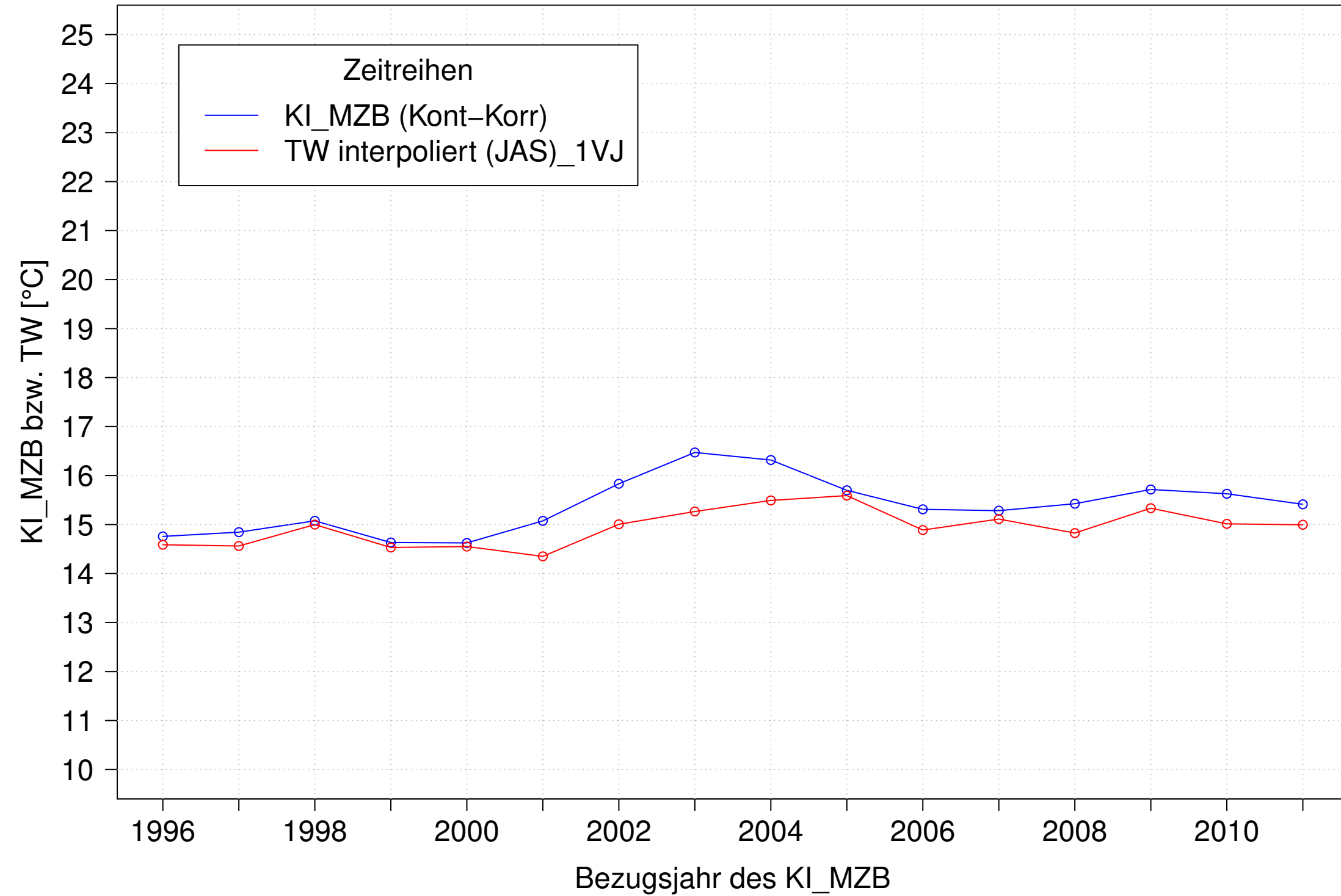
Donau_Pfohren, Typ 09.2 mit Neozoen, Serie 2
3JMW KI_MZB (Kont-Korr) und 3JMW TW interpoliert (JAS) des 1. Vorjahres



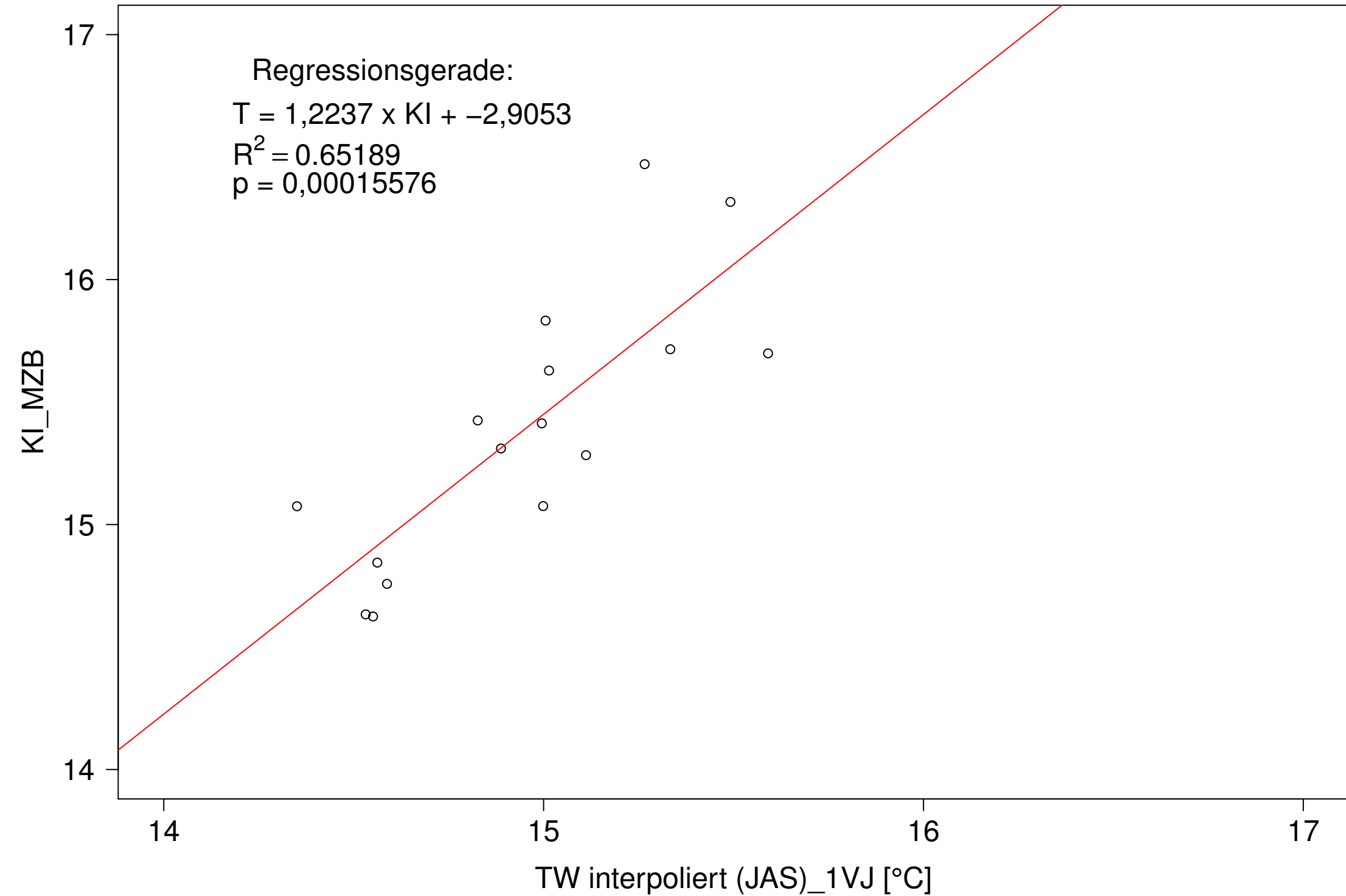
Donau_Pfohren, Typ 09.2 mit Neozoen, Serie 2
3JMW KI_MZB (Kont-Korr) gegen 3JMW TW interpoliert (JAS) des 1. Vorjahres



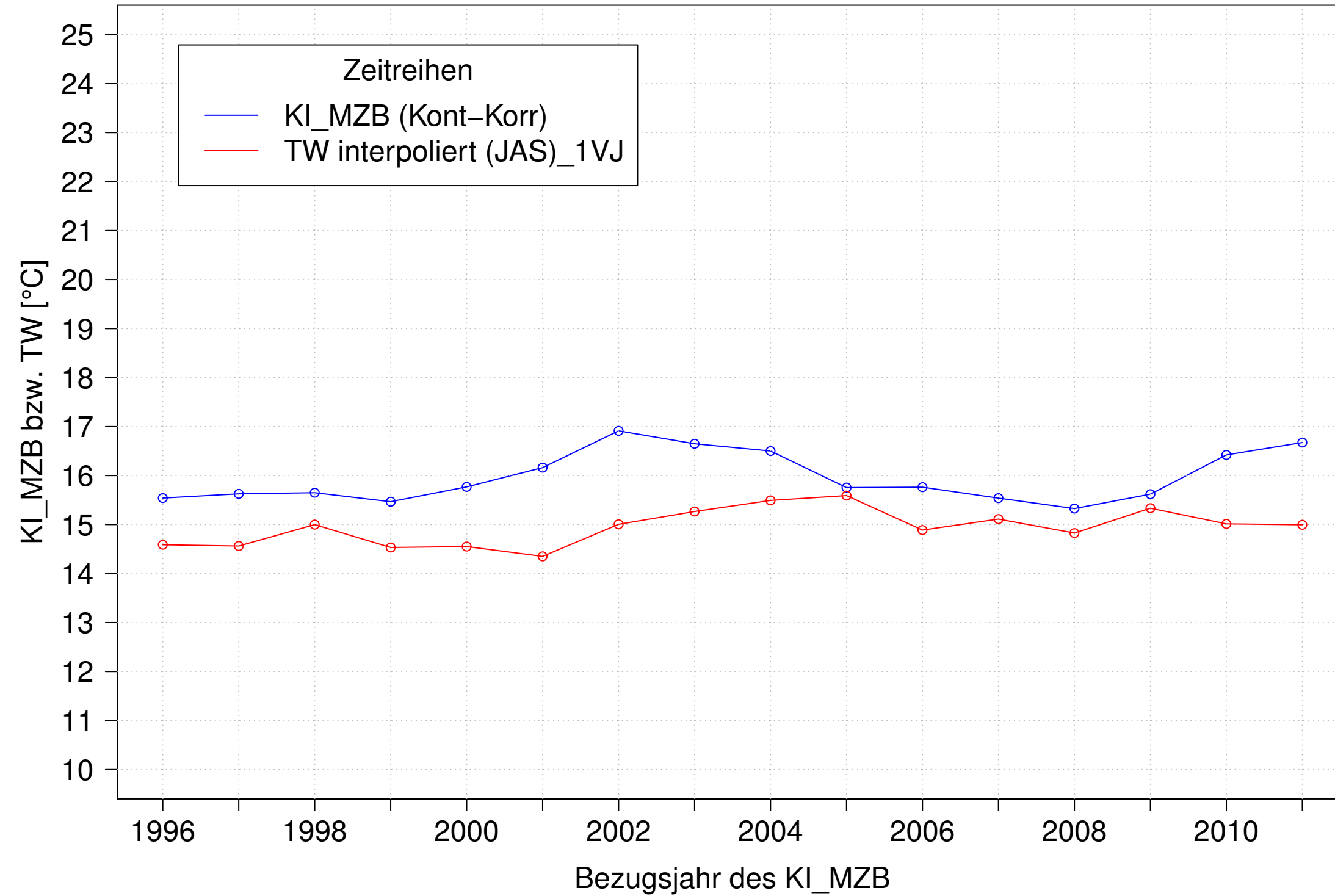
Donau_Pfohren, Typ 09.2 mit Neozoen, Serie 3
3JMW KI_MZB (Kont-Korr) und 3JMW TW interpoliert (JAS) des 1. Vorjahres



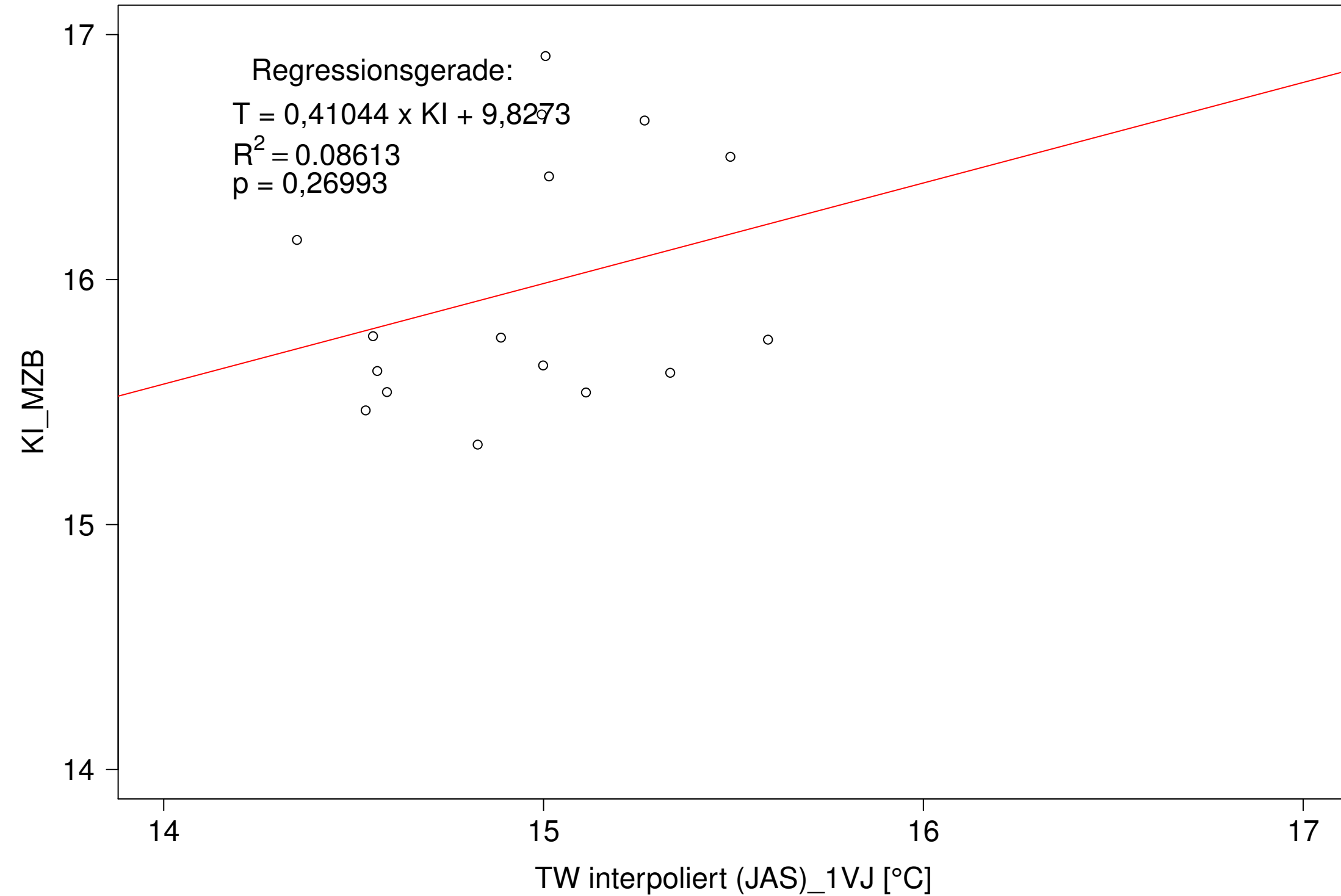
Donau_Pfohren, Typ 09.2 mit Neozoen, Serie 3
3JMW KI_MZB (Kont-Korr) gegen 3JMW TW interpoliert (JAS) des 1. Vorjahres



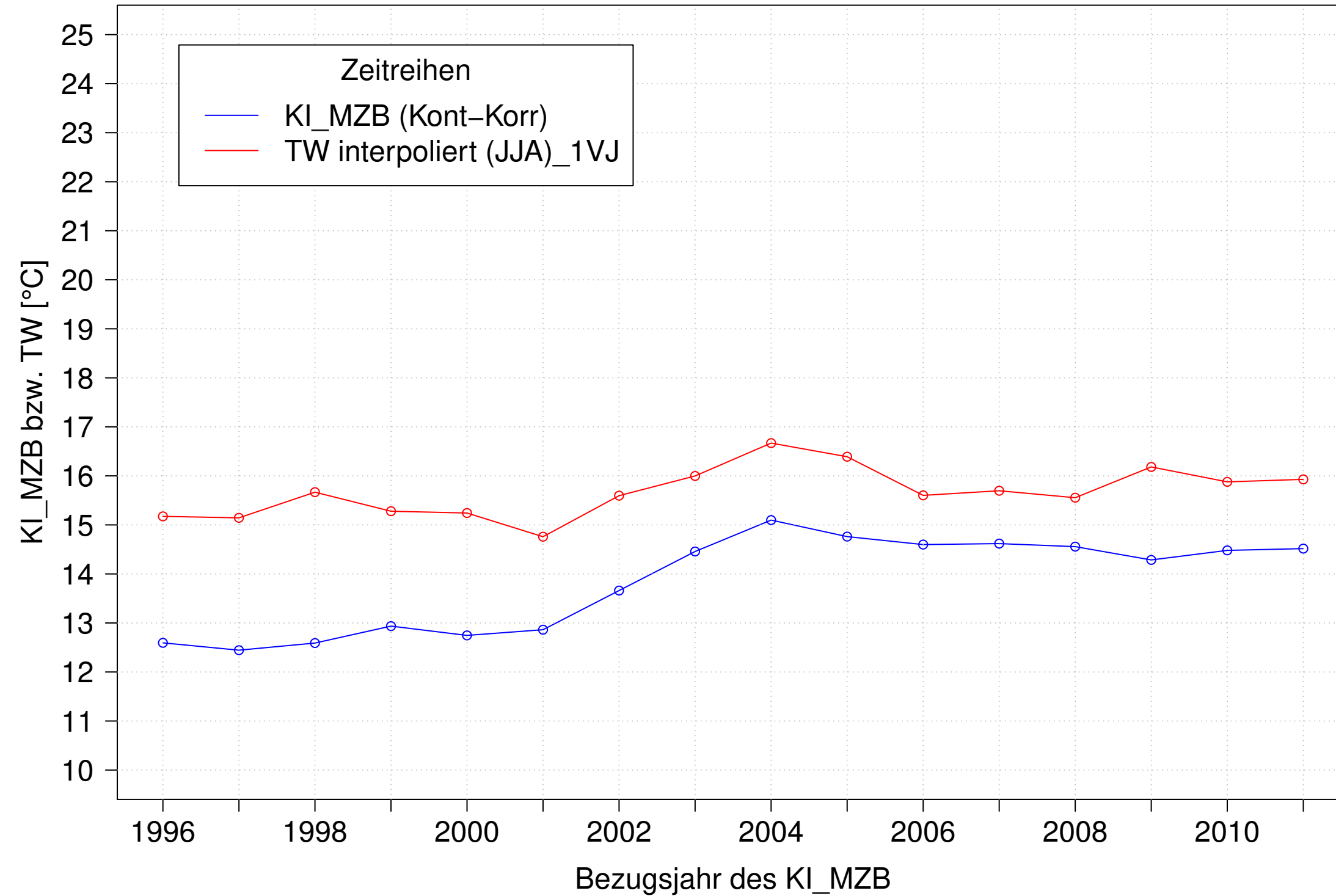
Donau_Pfohren, Typ 09.2 mit Neozoen, Serie 4
3JMW KI_MZB (Kont-Korr) und 3JMW TW interpoliert (JAS) des 1. Vorjahres



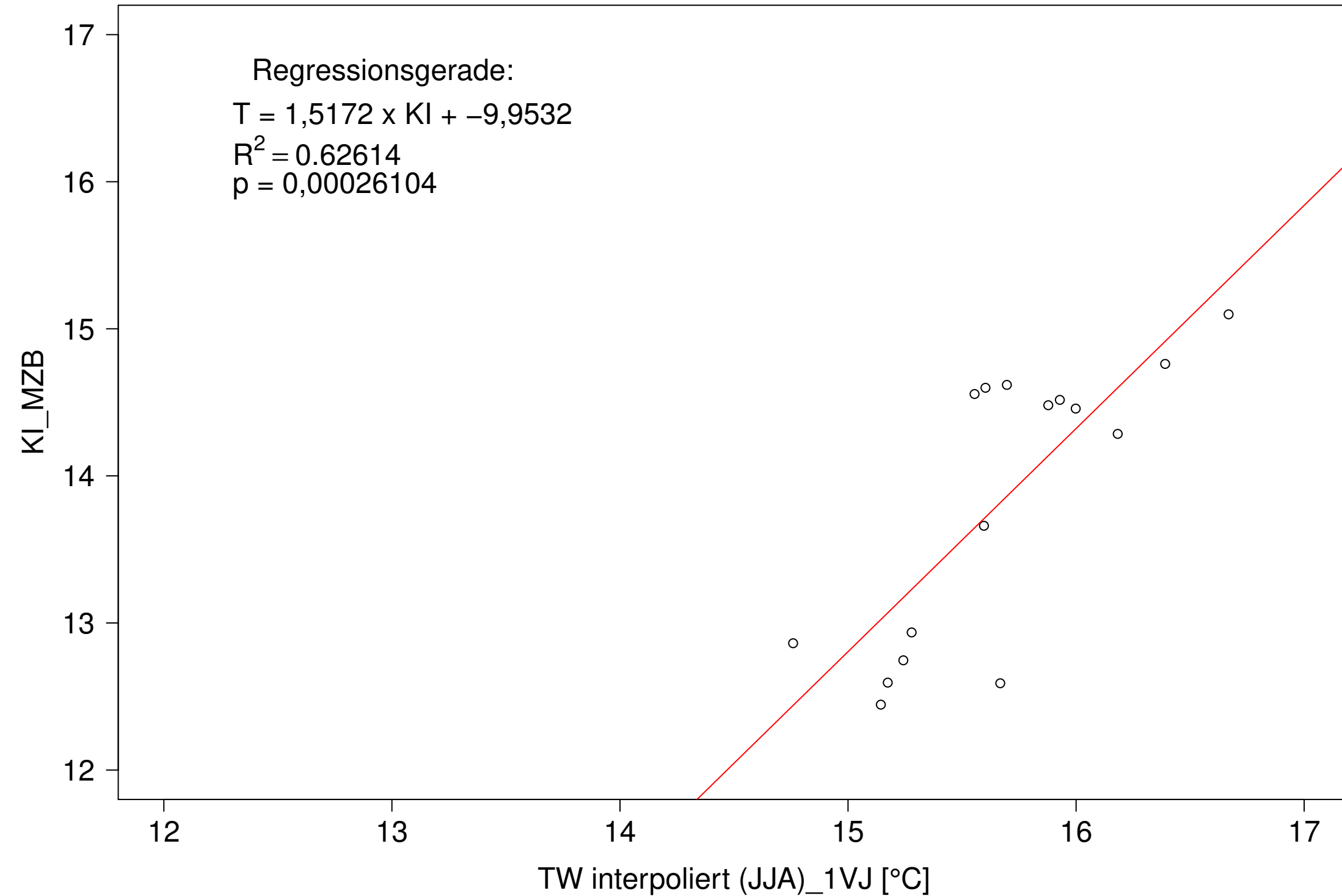
Donau_Pfohren, Typ 09.2 mit Neozoen, Serie 4
3JMW KI_MZB (Kont-Korr) gegen 3JMW TW interpoliert (JAS) des 1. Vorjahres



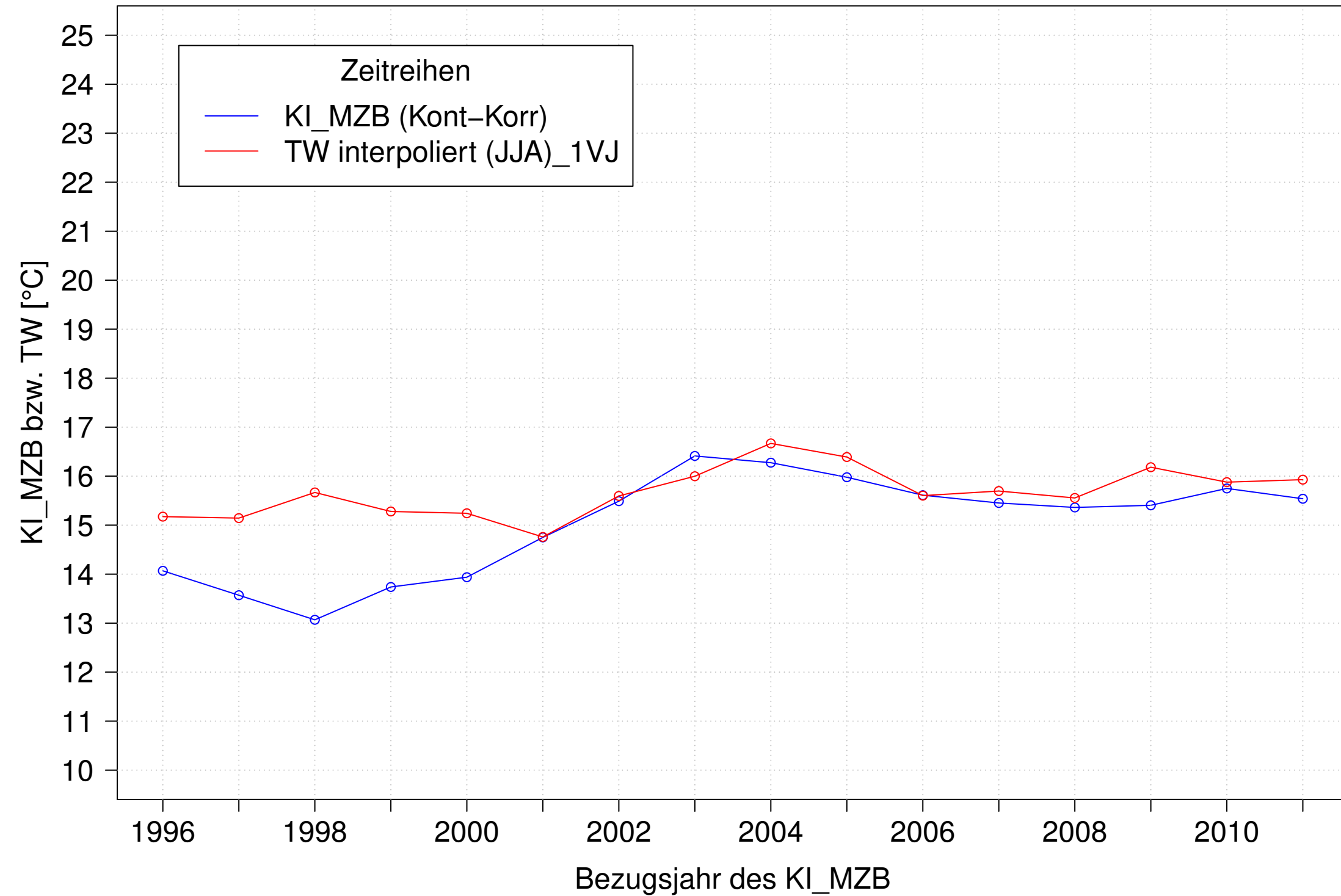
Donau_Pfohren, Typ 09.2 mit Neozoen, Serie 1
3JMW KI_MZB (Kont-Korr) und 3JMW TW interpoliert (JJA) des 1. Vorjahres



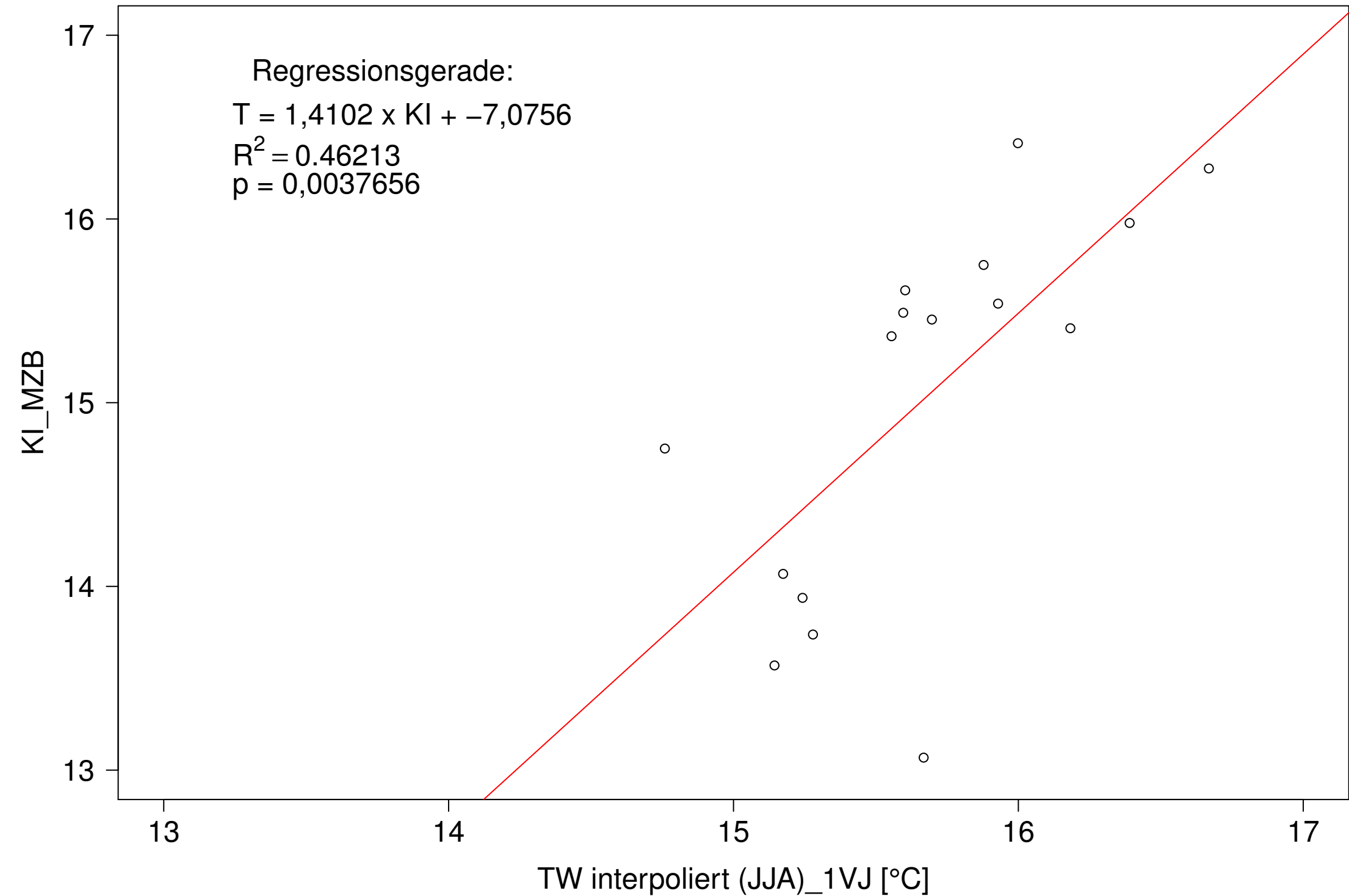
Donau_Pfohren, Typ 09.2 mit Neozoen, Serie 1
3JMW KI_MZB (Kont-Korr) gegen 3JMW TW interpoliert (JJA) des 1. Vorjahres



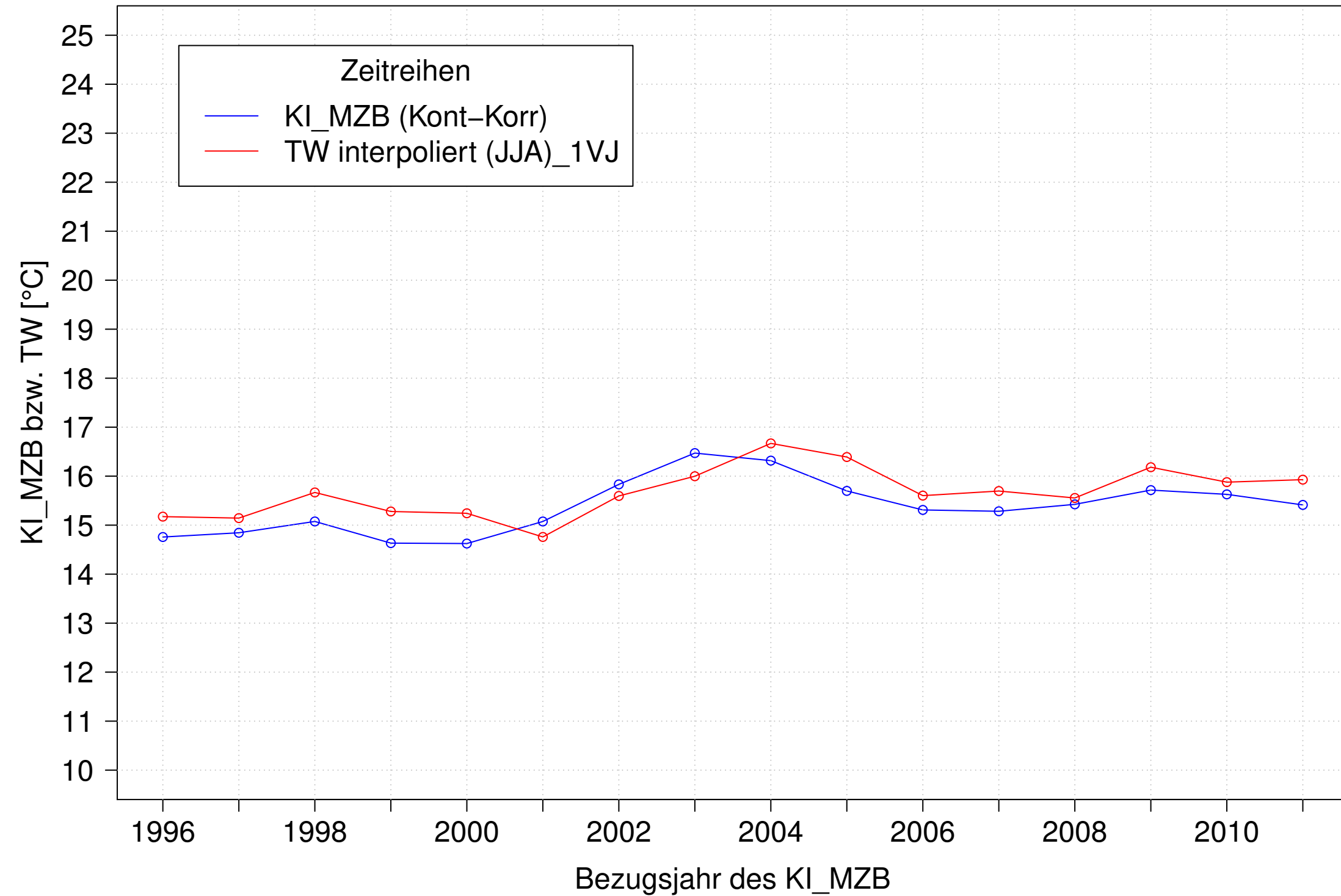
Donau_Pfohren, Typ 09.2 mit Neozoen, Serie 2
3JMW KI_MZB (Kont-Korr) und 3JMW TW interpoliert (JJA) des 1. Vorjahres



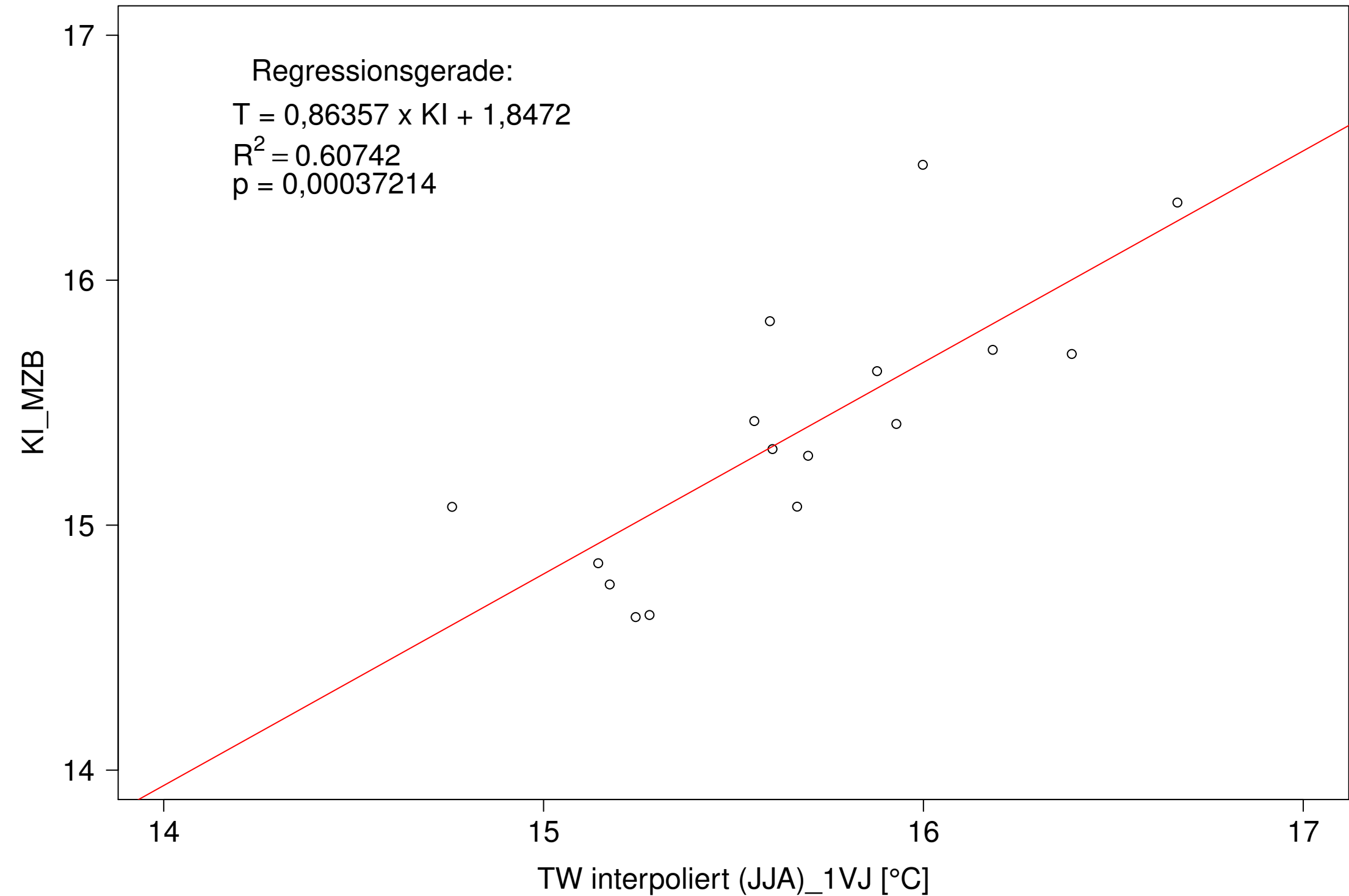
Donau_Pfohren, Typ 09.2 mit Neozoen, Serie 2
3JMW KI_MZB (Kont-Korr) gegen 3JMW TW interpoliert (JJA) des 1. Vorjahres



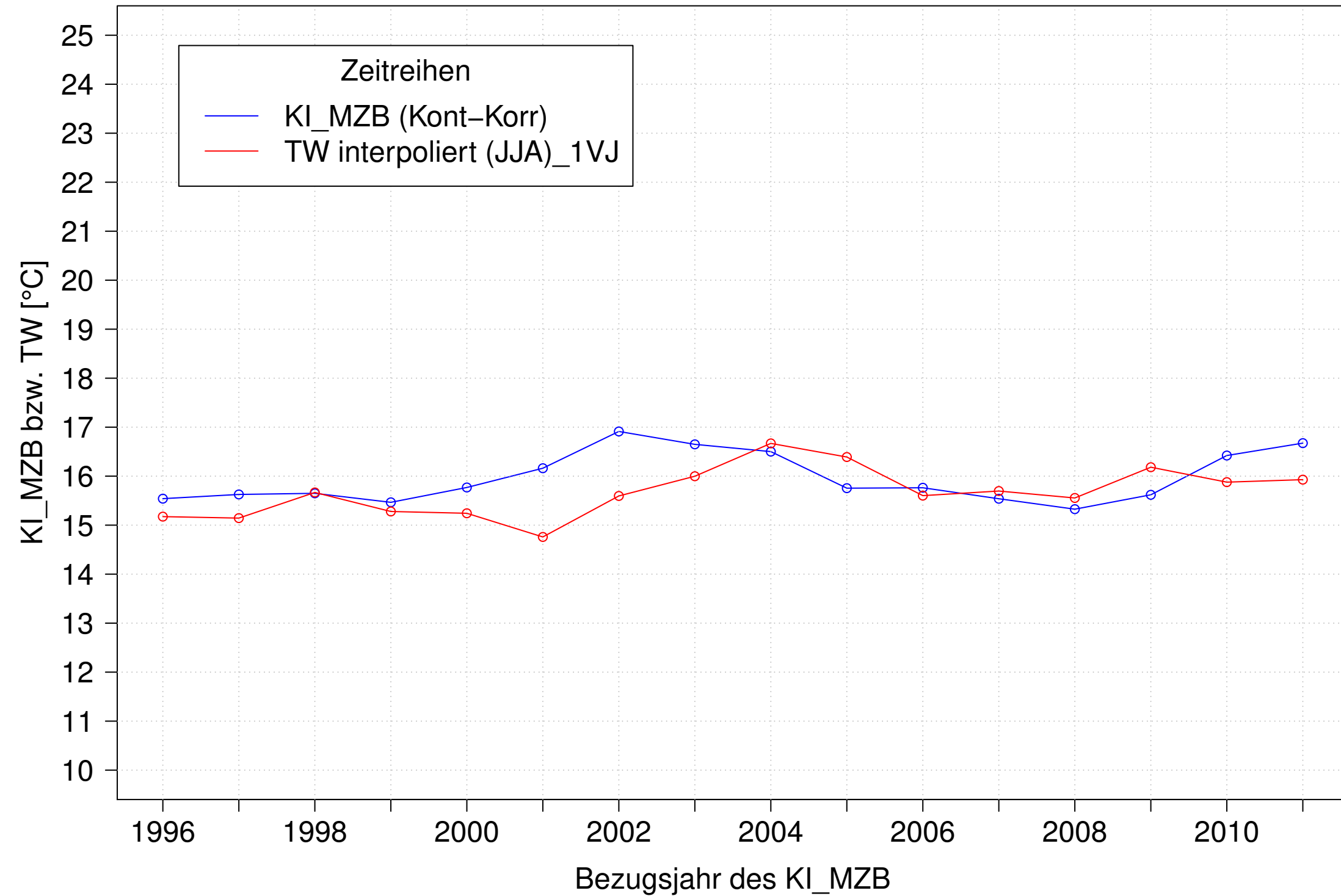
Donau_Pfohren, Typ 09.2 mit Neozoen, Serie 3
3JMW KI_MZB (Kont-Korr) und 3JMW TW interpoliert (JJA) des 1. Vorjahres



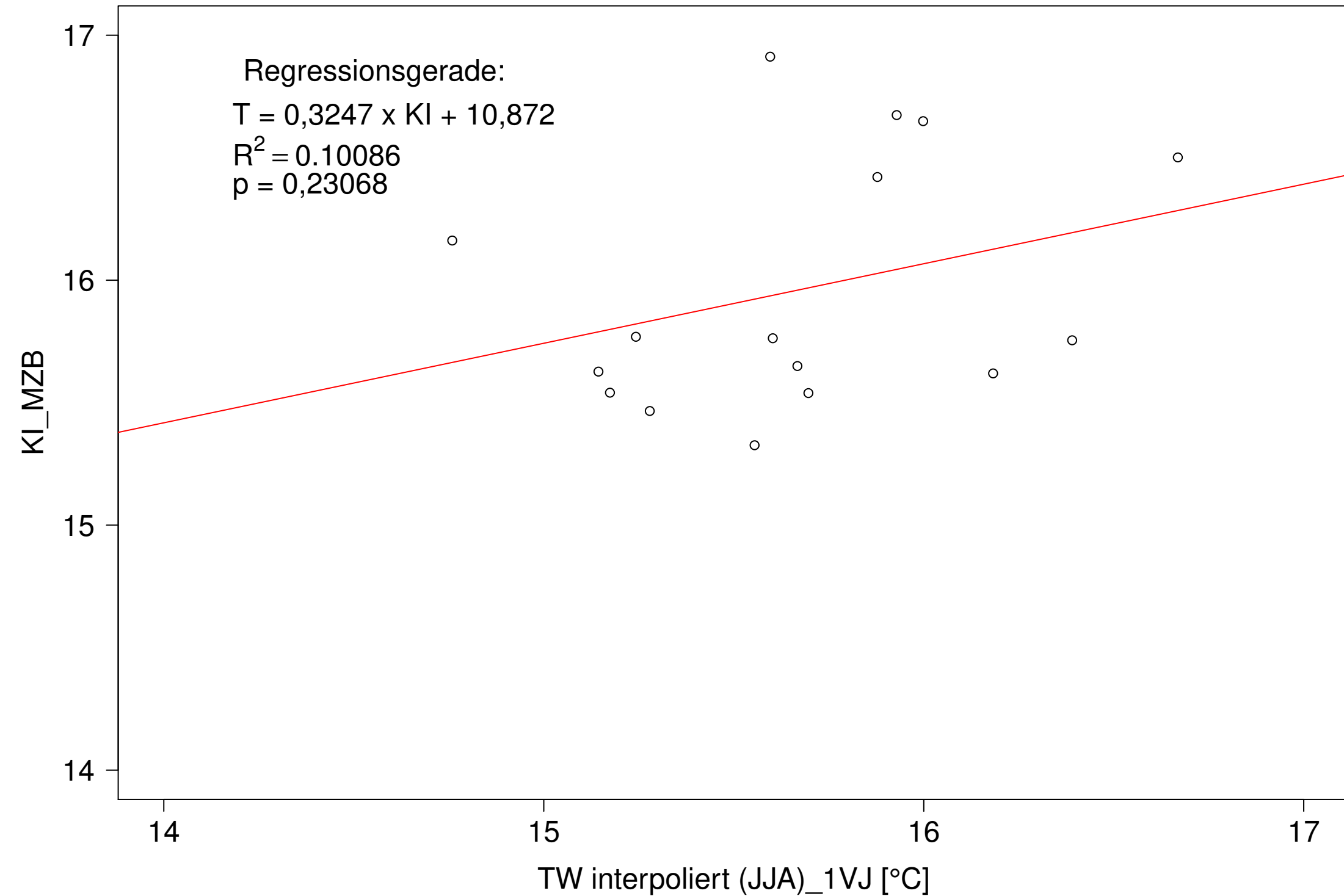
Donau_Pfohren, Typ 09.2 mit Neozoen, Serie 3
3JMW KI_MZB (Kont-Korr) gegen 3JMW TW interpoliert (JJA) des 1. Vorjahres



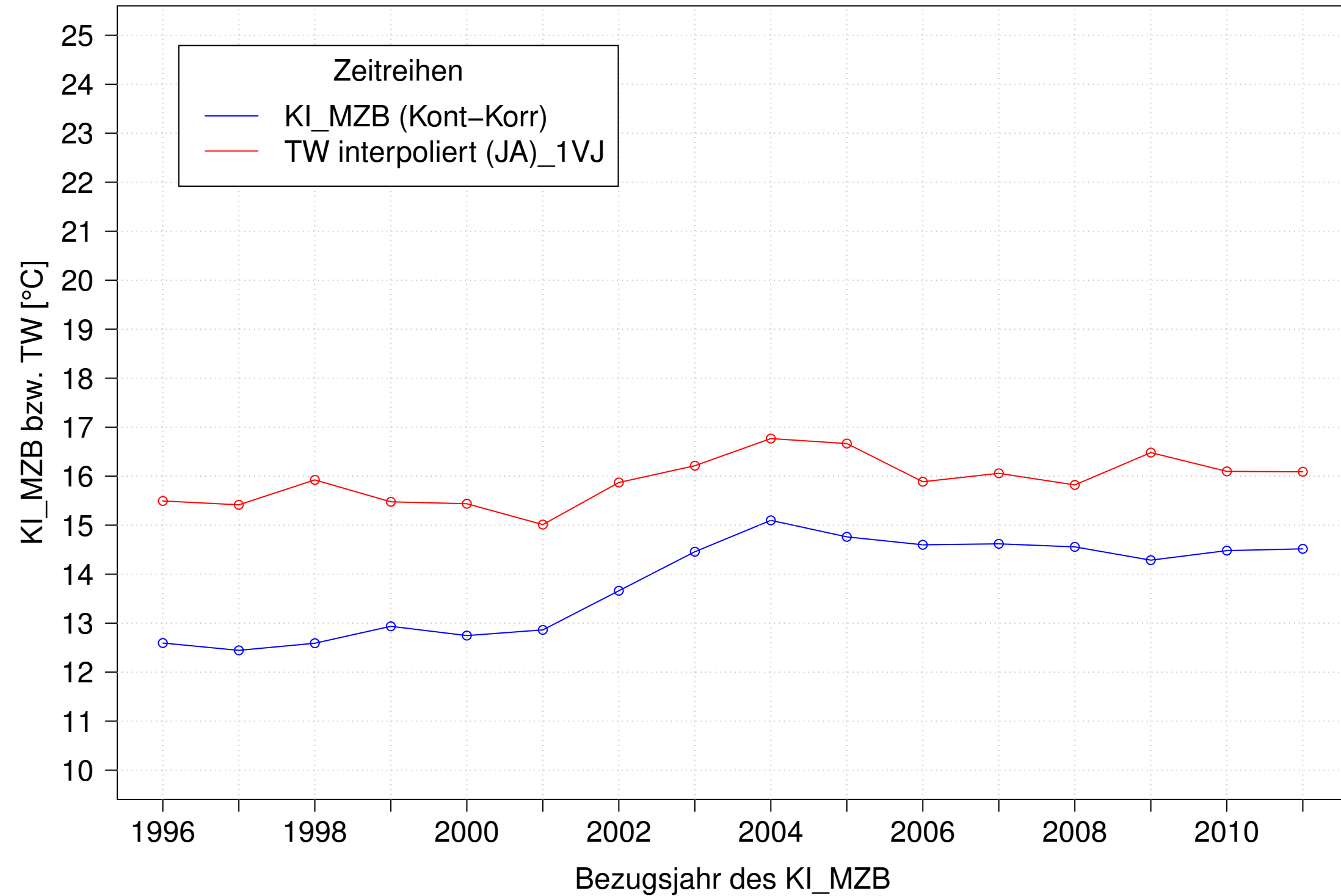
Donau_Pfohren, Typ 09.2 mit Neozoen, Serie 4
3JMW KI_MZB (Kont-Korr) und 3JMW TW interpoliert (JJA) des 1. Vorjahres



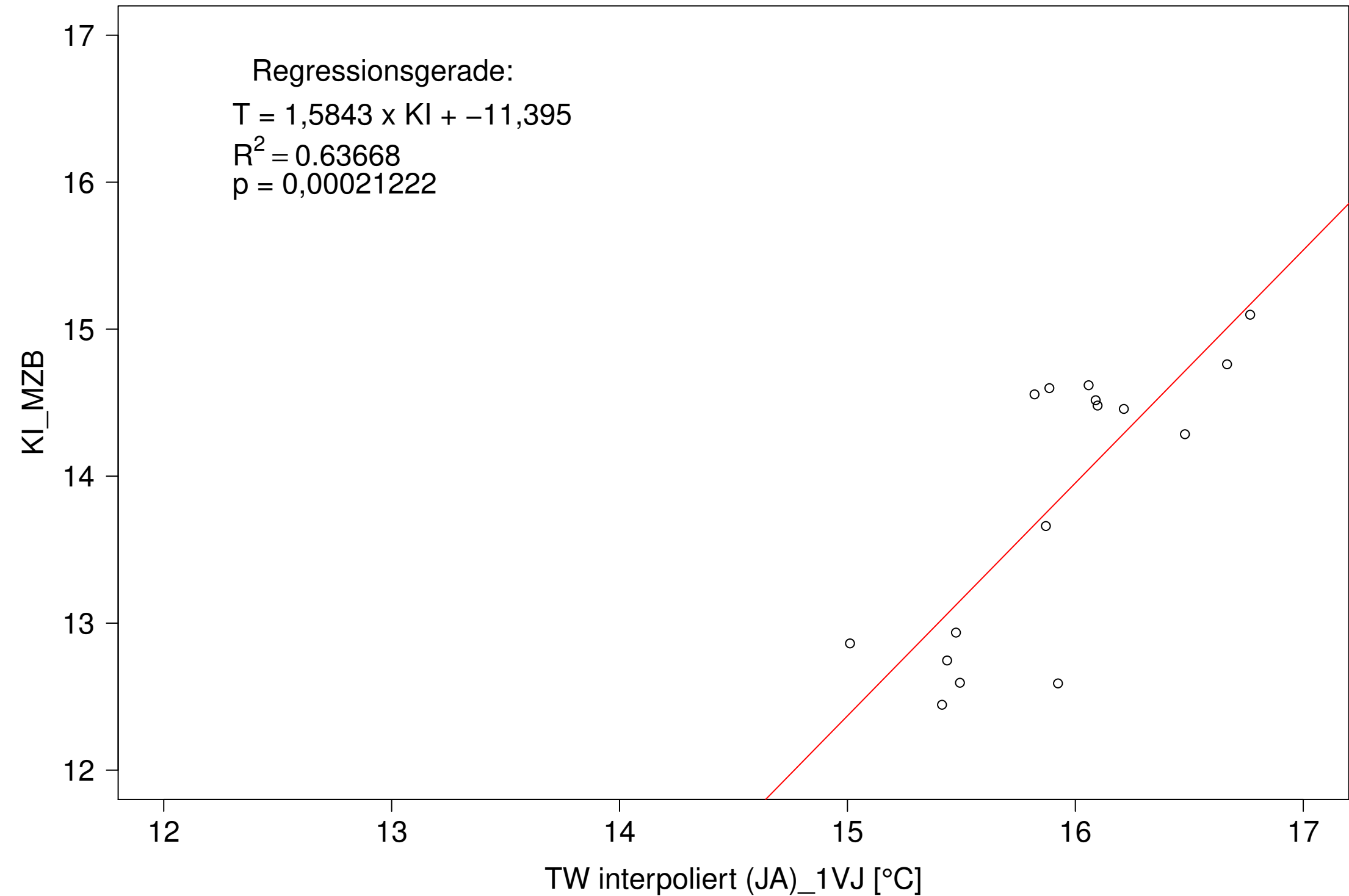
Donau_Pfohren, Typ 09.2 mit Neozoen, Serie 4
3JMW KI_MZB (Kont-Korr) gegen 3JMW TW interpoliert (JJA) des 1. Vorjahres



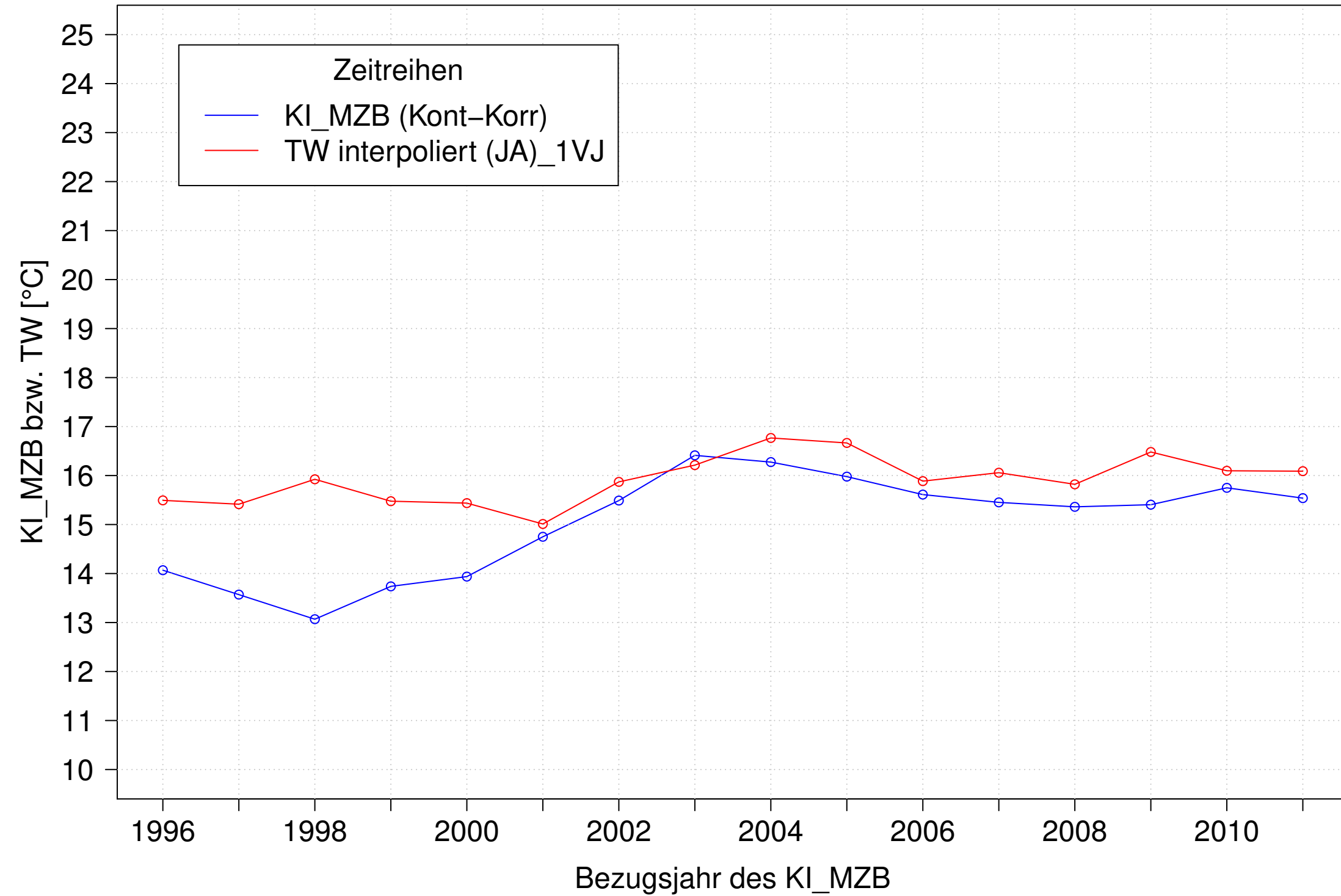
Donau_Pfohren, Typ 09.2 mit Neozoen, Serie 1
3JMW KI_MZB (Kont-Korr) und 3JMW TW interpoliert (JA) des 1. Vorjahres



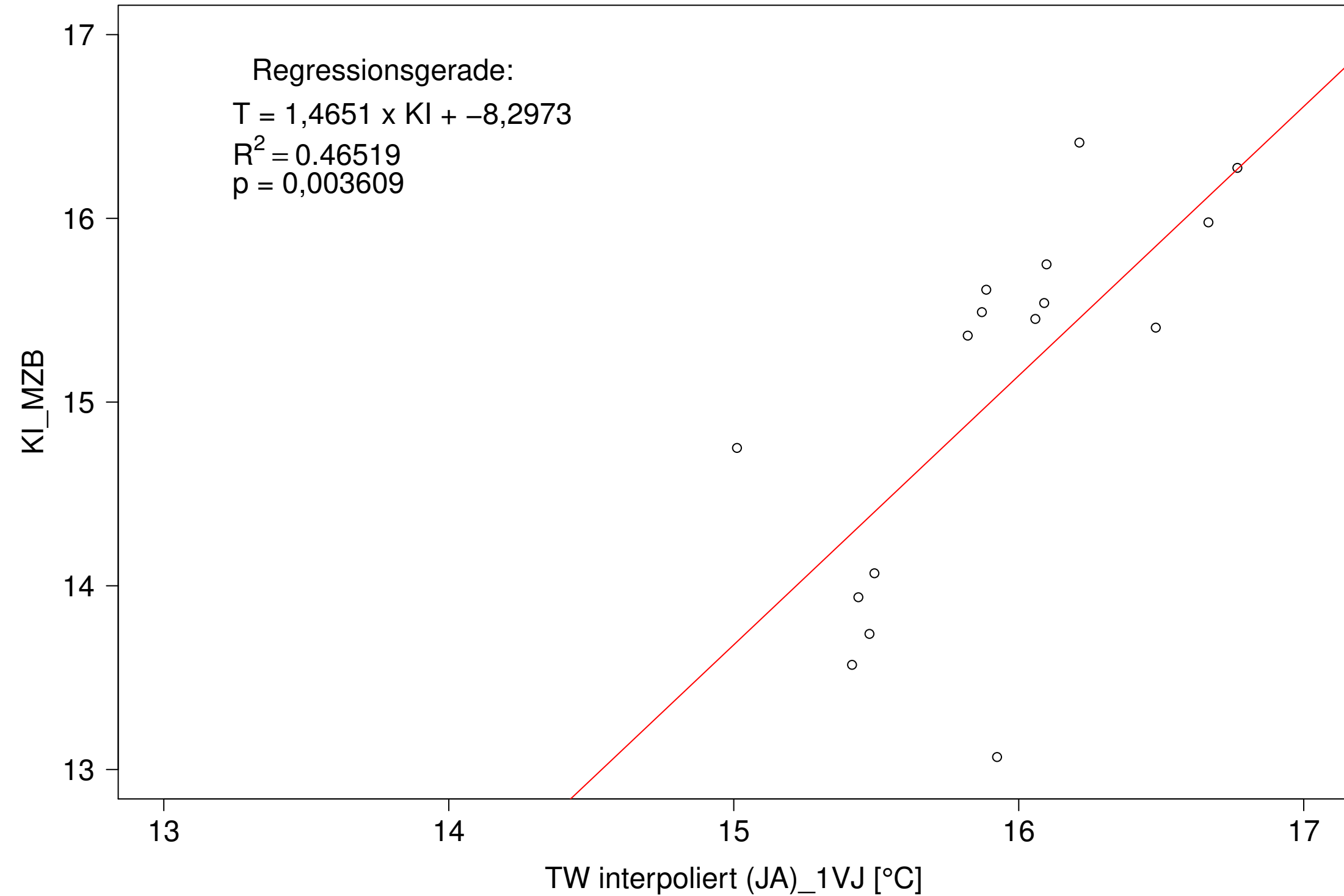
Donau_Pfohren, Typ 09.2 mit Neozoen, Serie 1
3JMW KI_MZB (Kont-Korr) gegen 3JMW TW interpoliert (JA) des 1. Vorjahres



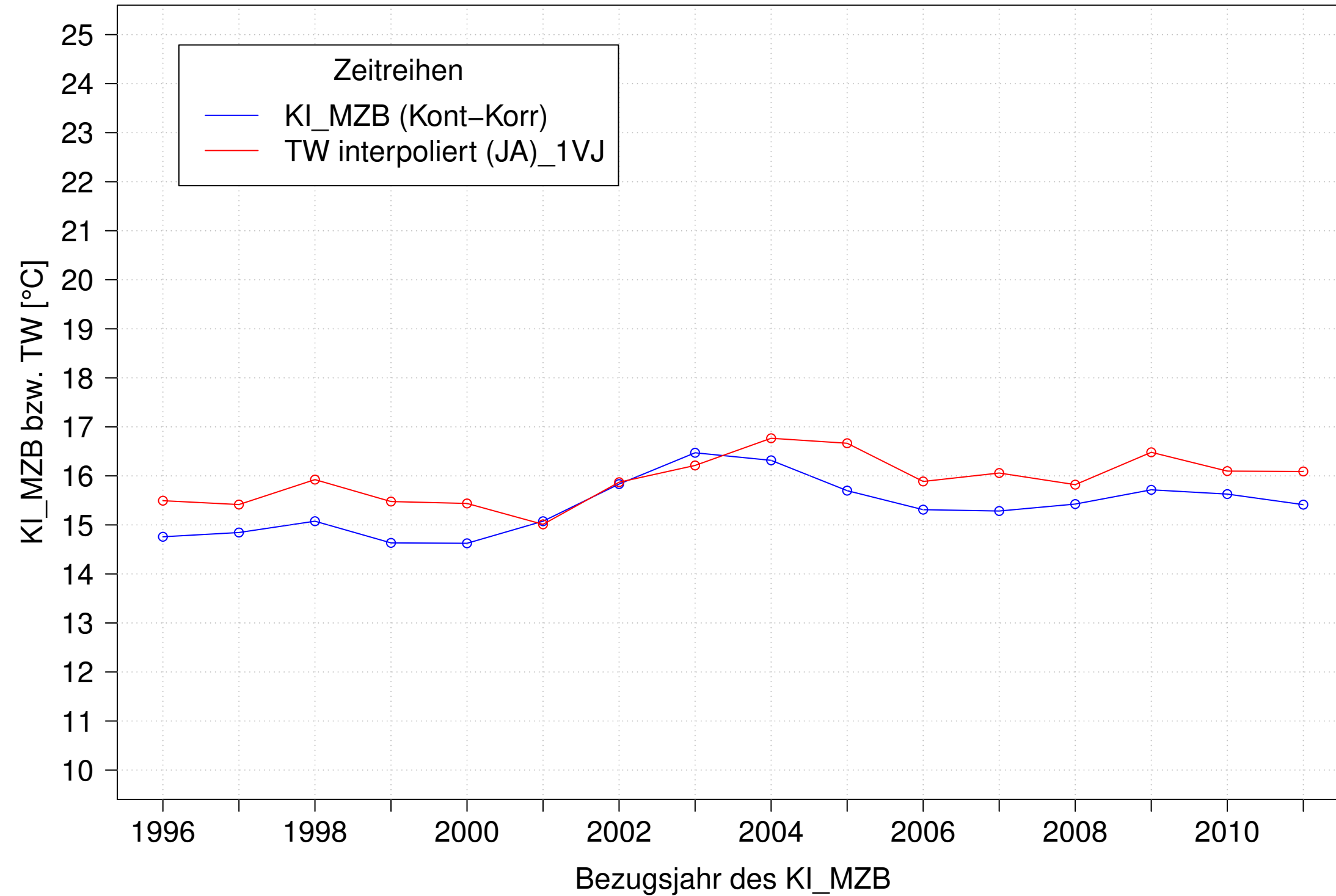
Donau_Pfohren, Typ 09.2 mit Neozoen, Serie 2
3JMW KI_MZB (Kont-Korr) und 3JMW TW interpoliert (JA) des 1. Vorjahres



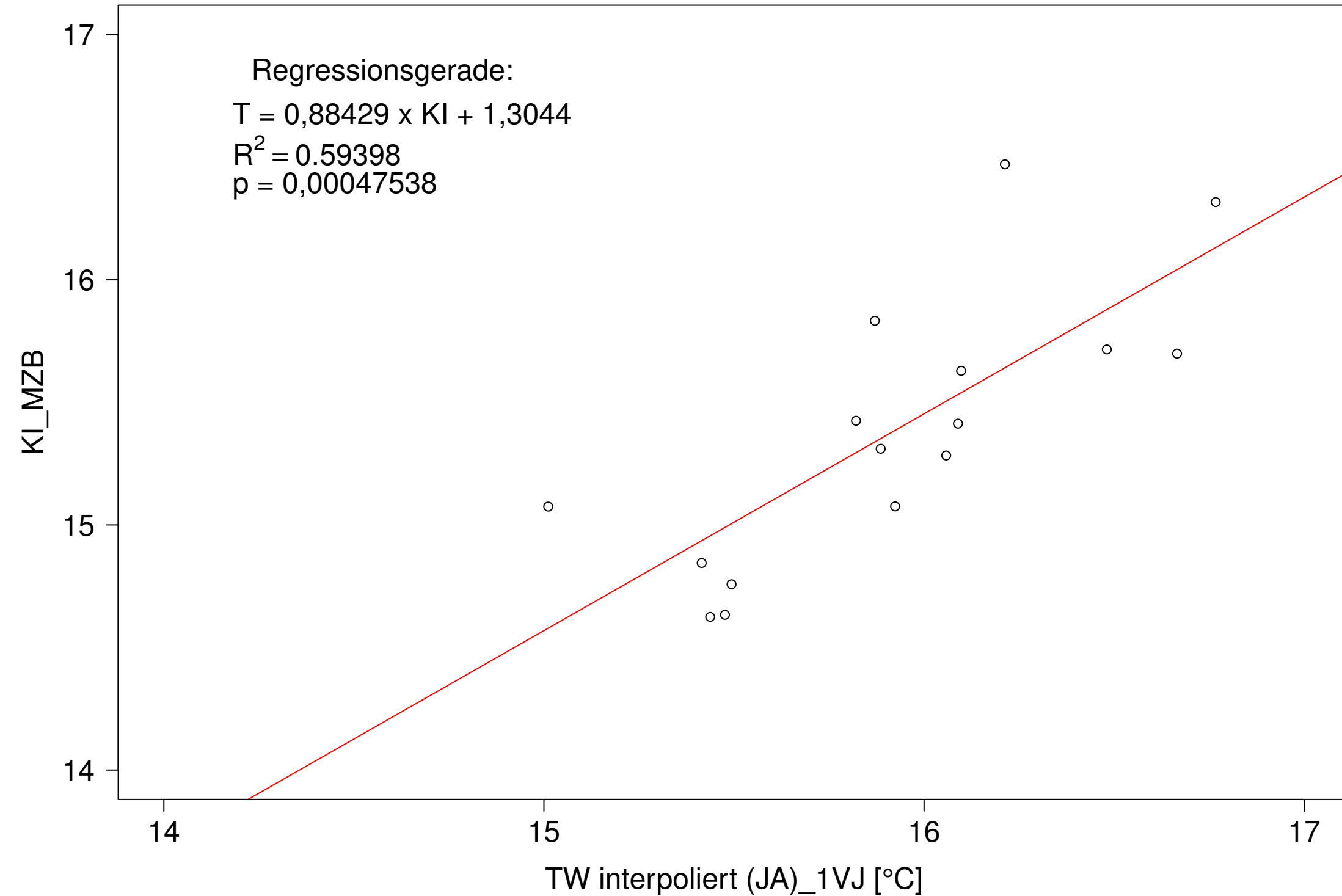
Donau_Pfohren, Typ 09.2 mit Neozoen, Serie 2
3JMW KI_MZB (Kont-Korr) gegen 3JMW TW interpoliert (JA) des 1. Vorjahres



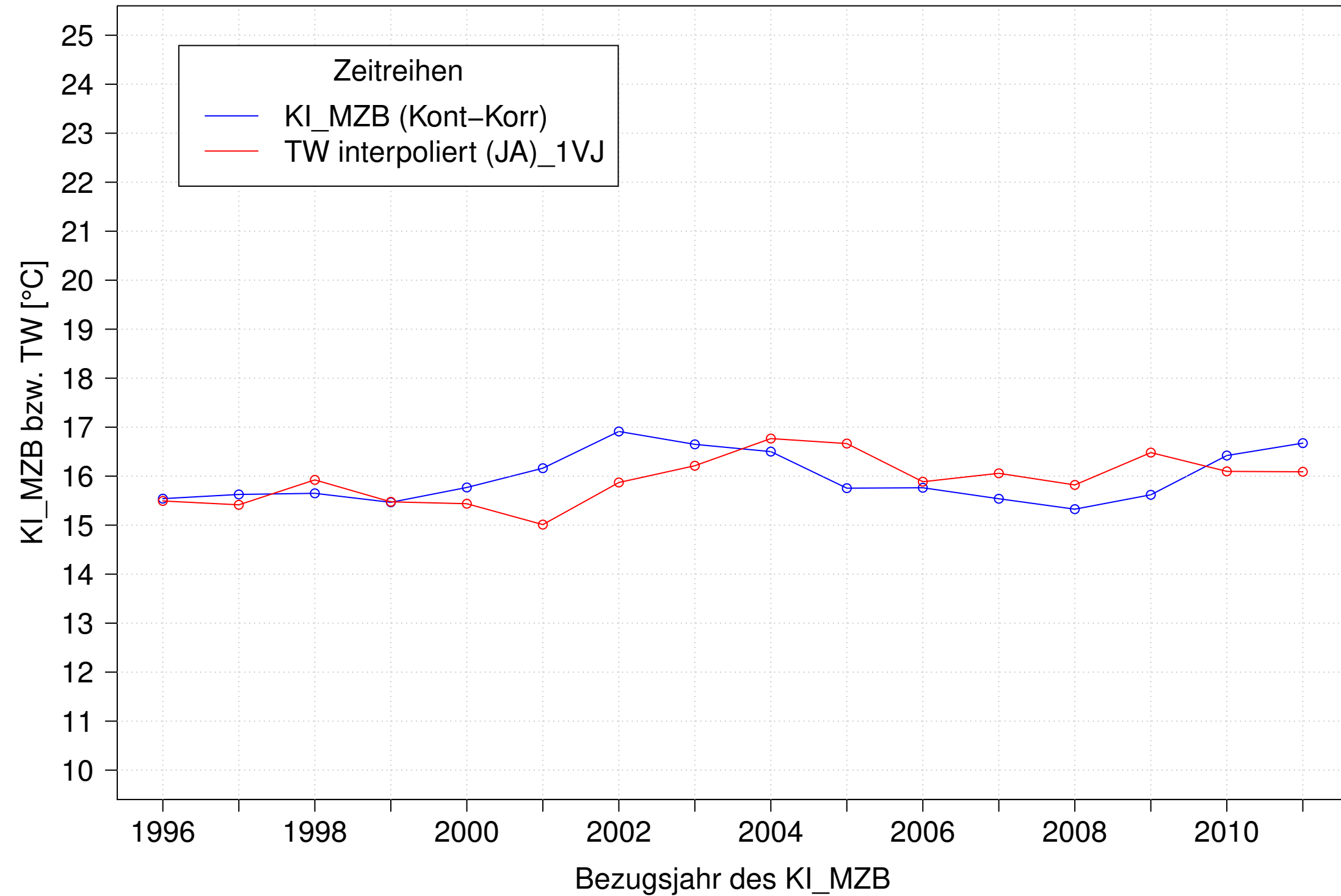
Donau_Pfohren, Typ 09.2 mit Neozoen, Serie 3
3JMW KI_MZB (Kont-Korr) und 3JMW TW interpoliert (JA) des 1. Vorjahres



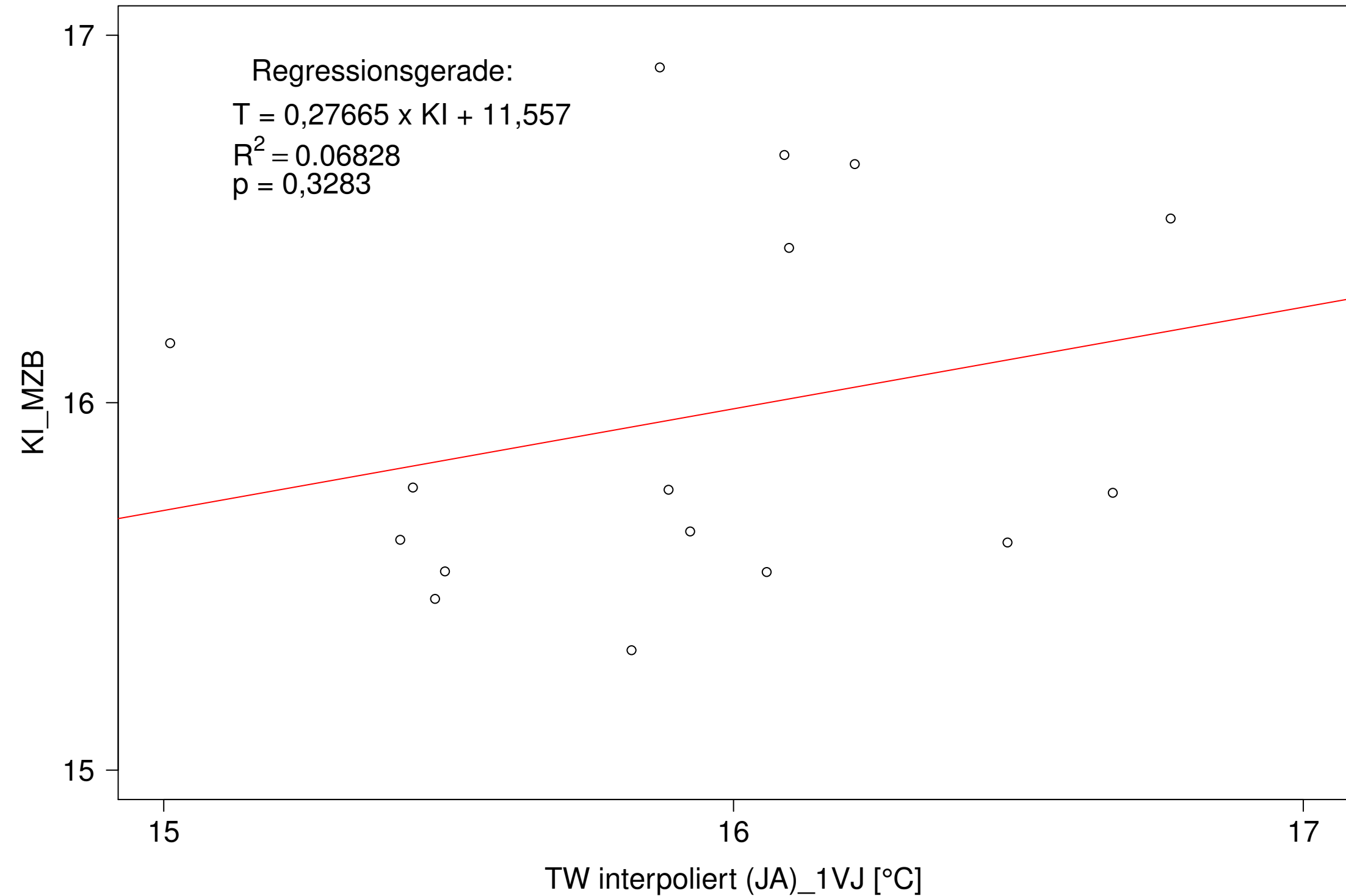
Donau_Pfohren, Typ 09.2 mit Neozoen, Serie 3
3JMW KI_MZB (Kont-Korr) gegen 3JMW TW interpoliert (JA) des 1. Vorjahres



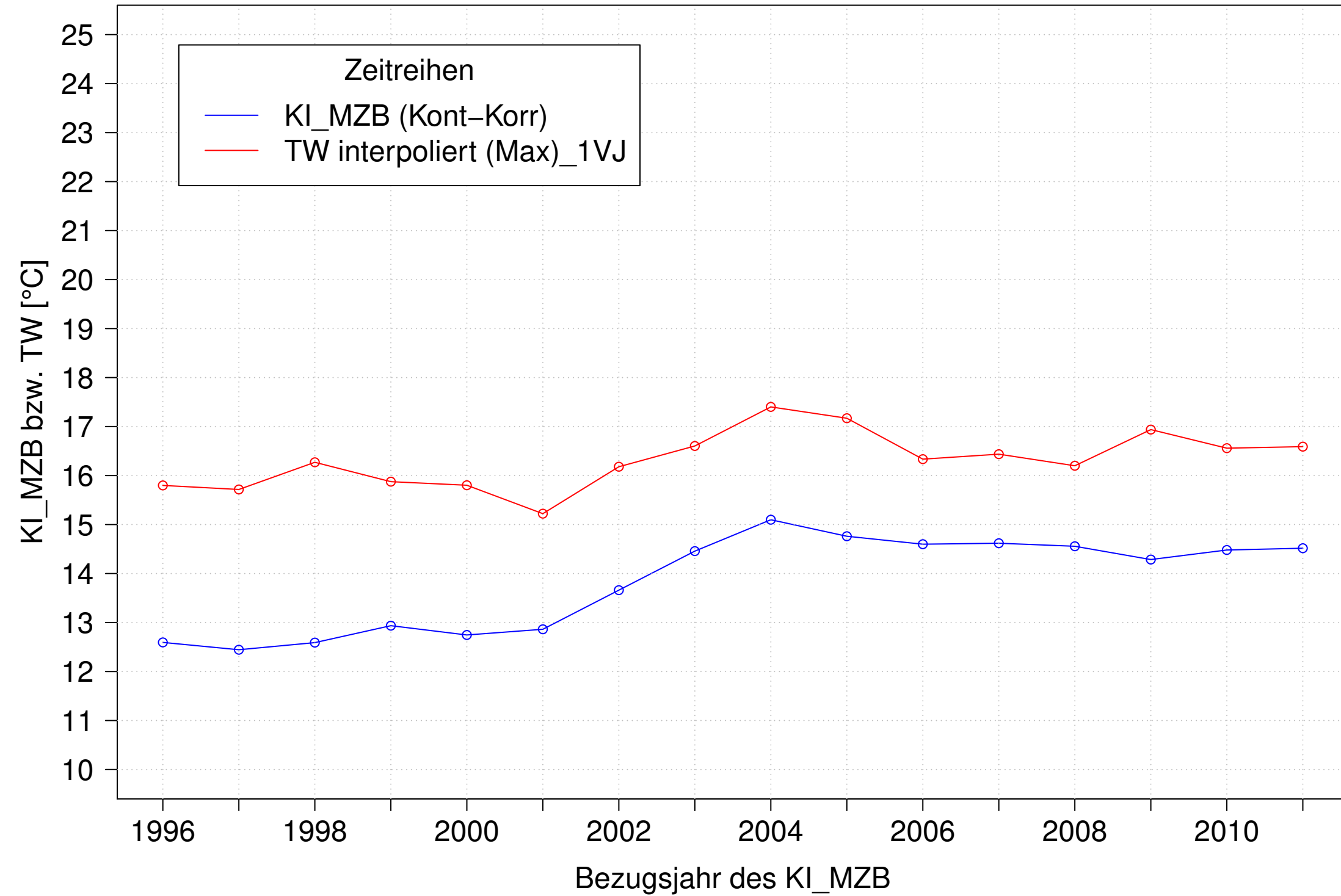
Donau_Pfohren, Typ 09.2 mit Neozoen, Serie 4
3JMW KI_MZB (Kont-Korr) und 3JMW TW interpoliert (JA) des 1. Vorjahres



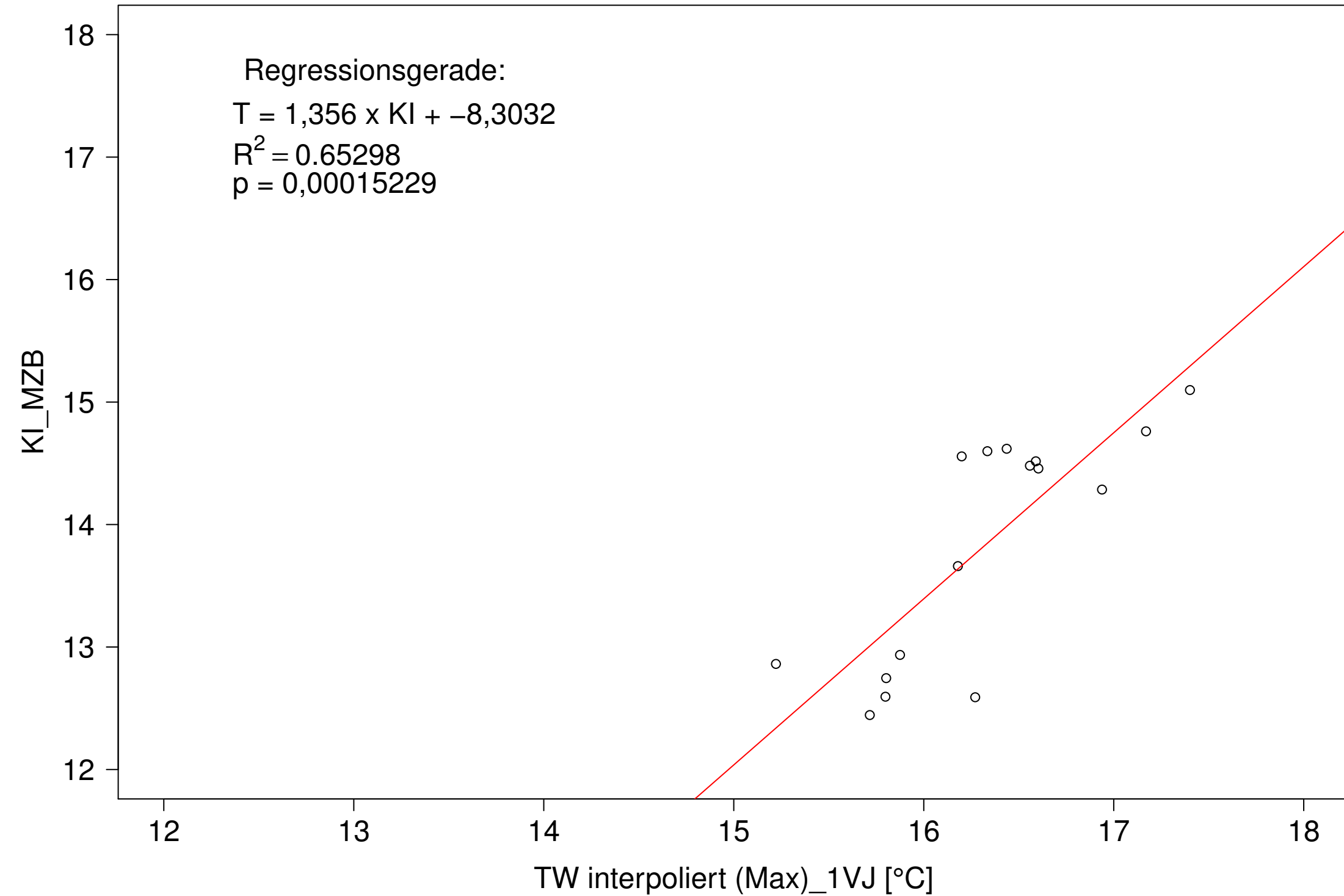
Donau_Pfohren, Typ 09.2 mit Neozoen, Serie 4
3JMW KI_MZB (Kont-Korr) gegen 3JMW TW interpoliert (JA) des 1. Vorjahres



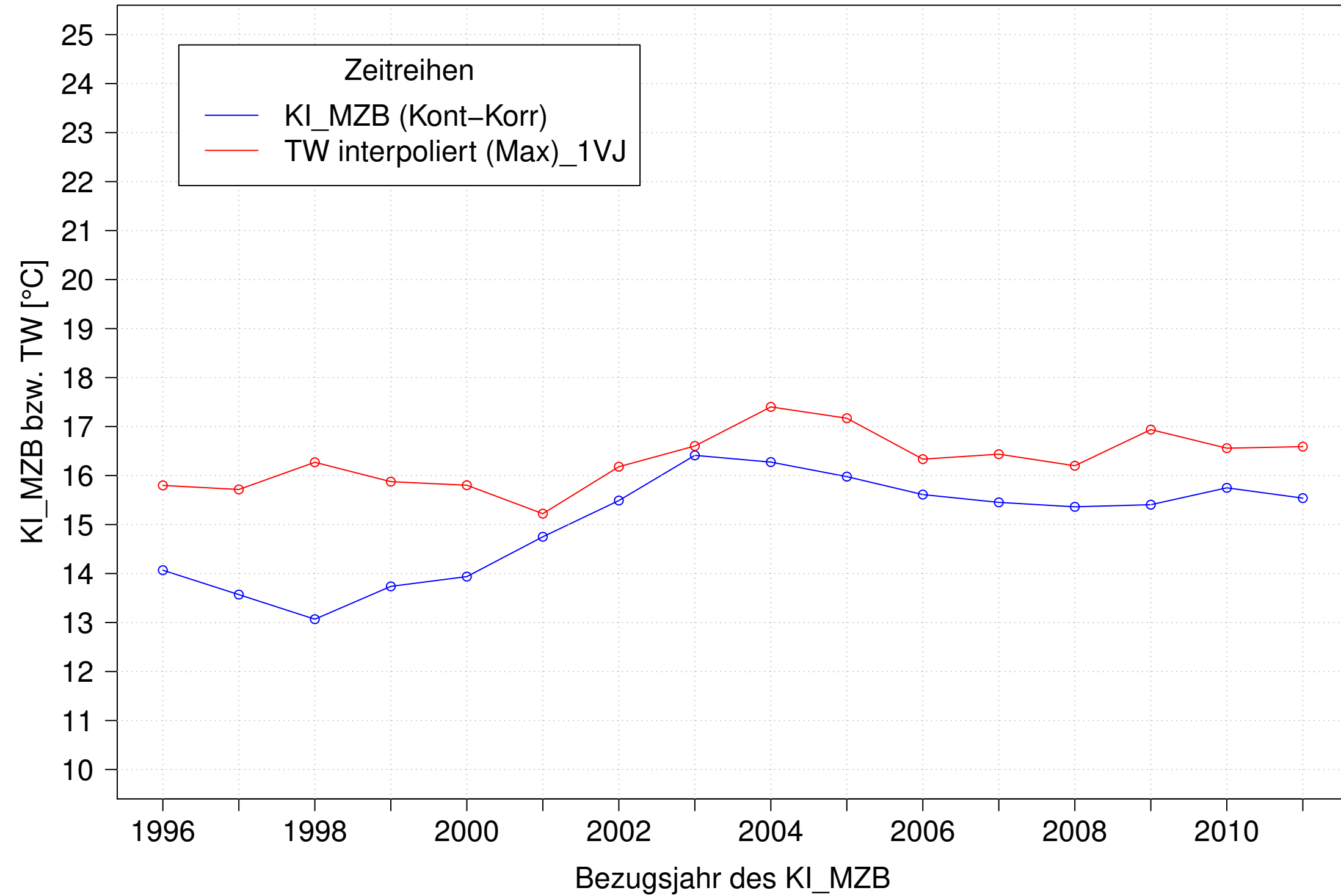
Donau_Pfohren, Typ 09.2 mit Neozoen, Serie 1
3JMW KI_MZB (Kont-Korr) und 3JMW TW interpoliert (Max) des 1. Vorjahres



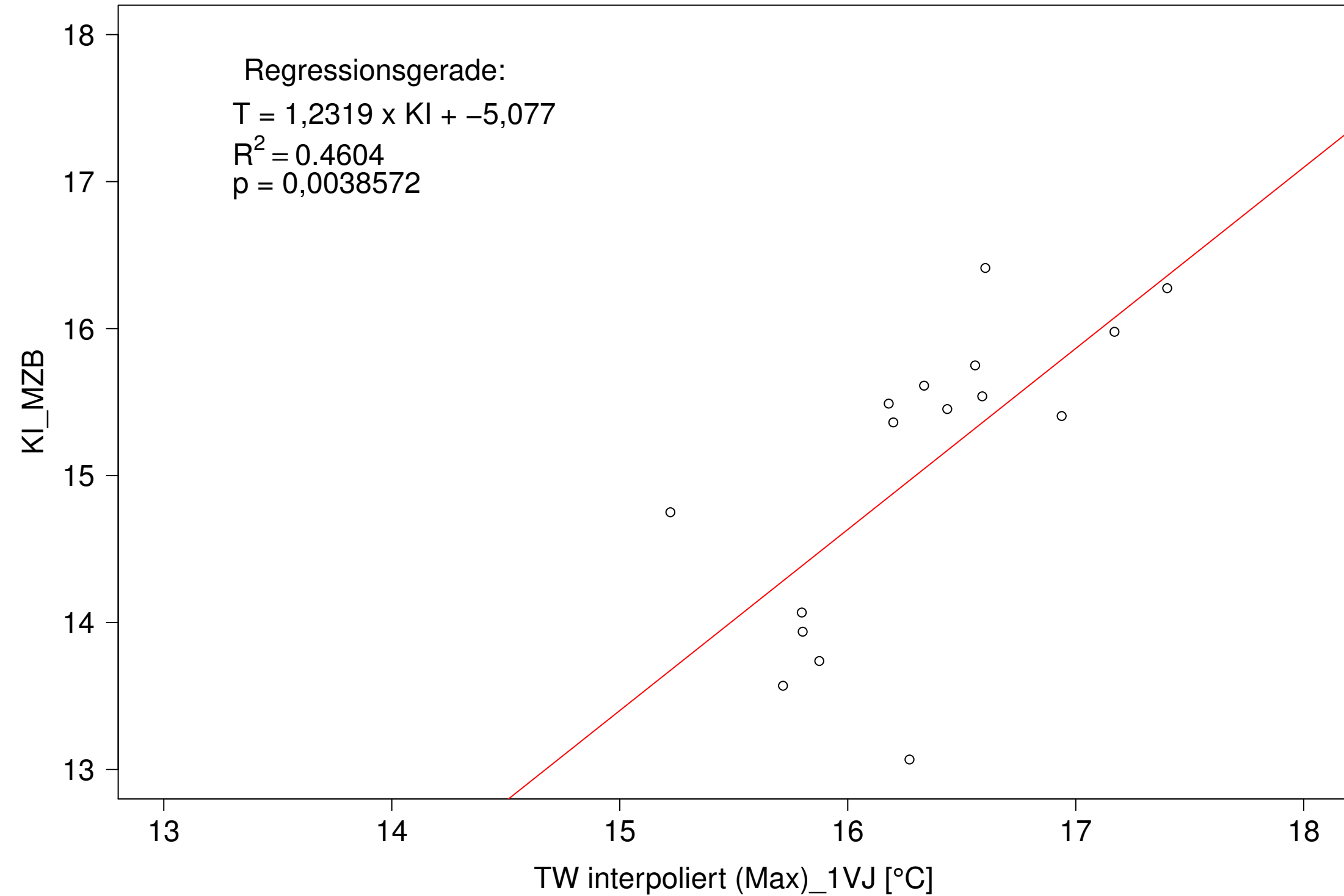
Donau_Pfohren, Typ 09.2 mit Neozoen, Serie 1
3JMW KI_MZB (Kont-Korr) gegen 3JMW TW interpoliert (Max) des 1. Vorjahres



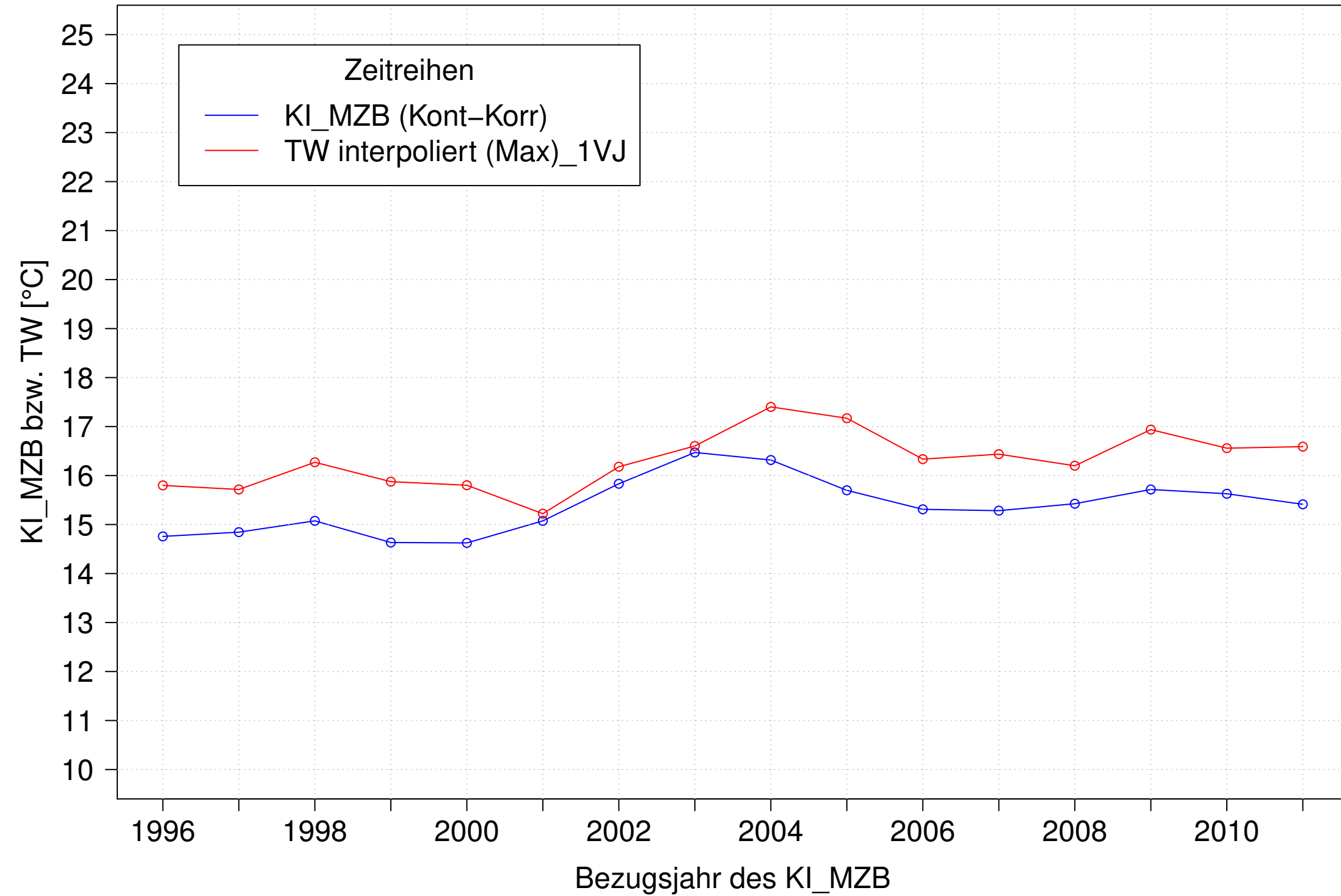
Donau_Pfohren, Typ 09.2 mit Neozoen, Serie 2
3JMW KI_MZB (Kont-Korr) und 3JMW TW interpoliert (Max) des 1. Vorjahres



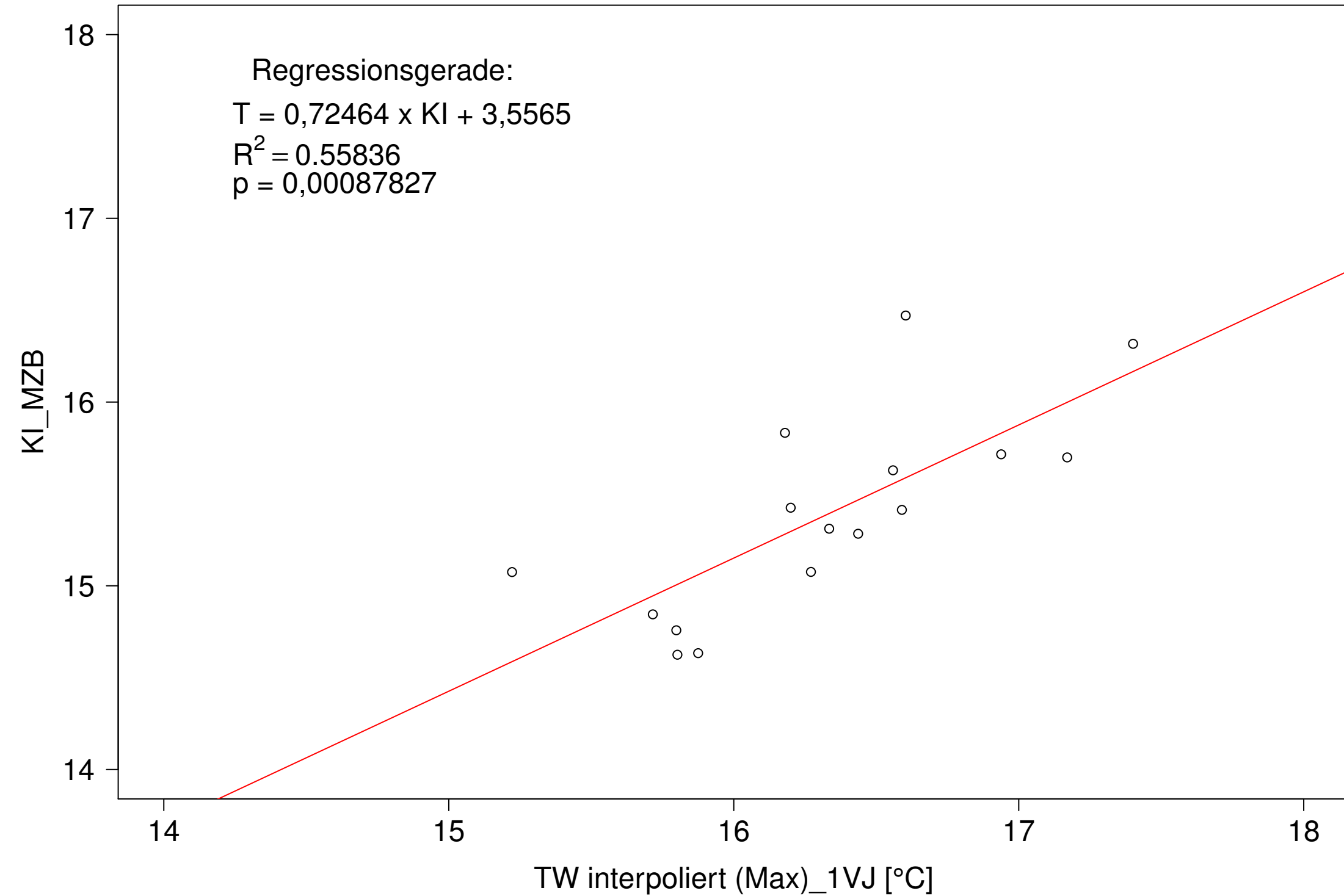
Donau_Pfohren, Typ 09.2 mit Neozoen, Serie 2
3JMW KI_MZB (Kont-Korr) gegen 3JMW TW interpoliert (Max) des 1. Vorjahres



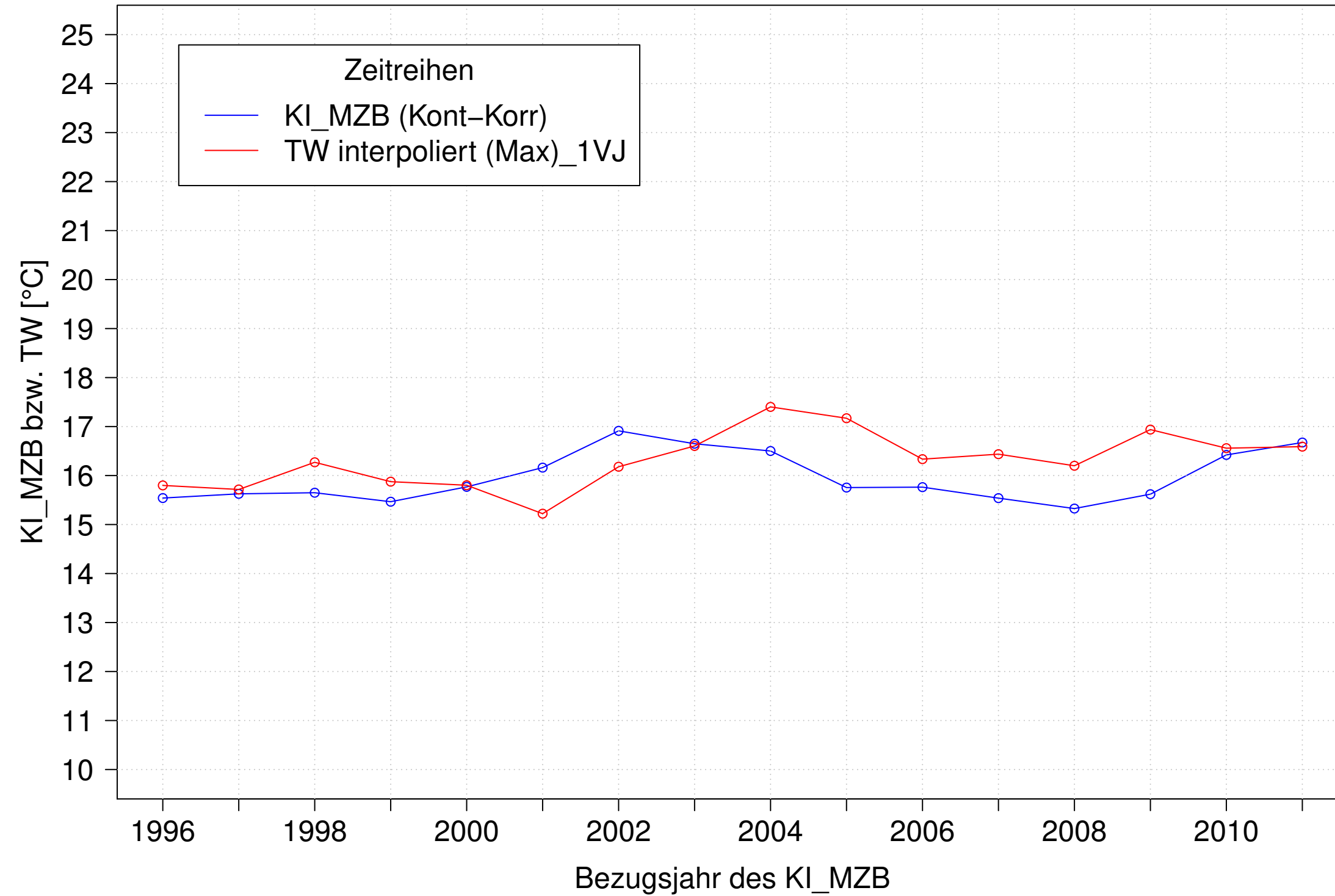
Donau_Pfohren, Typ 09.2 mit Neozoen, Serie 3
3JMW KI_MZB (Kont-Korr) und 3JMW TW interpoliert (Max) des 1. Vorjahres



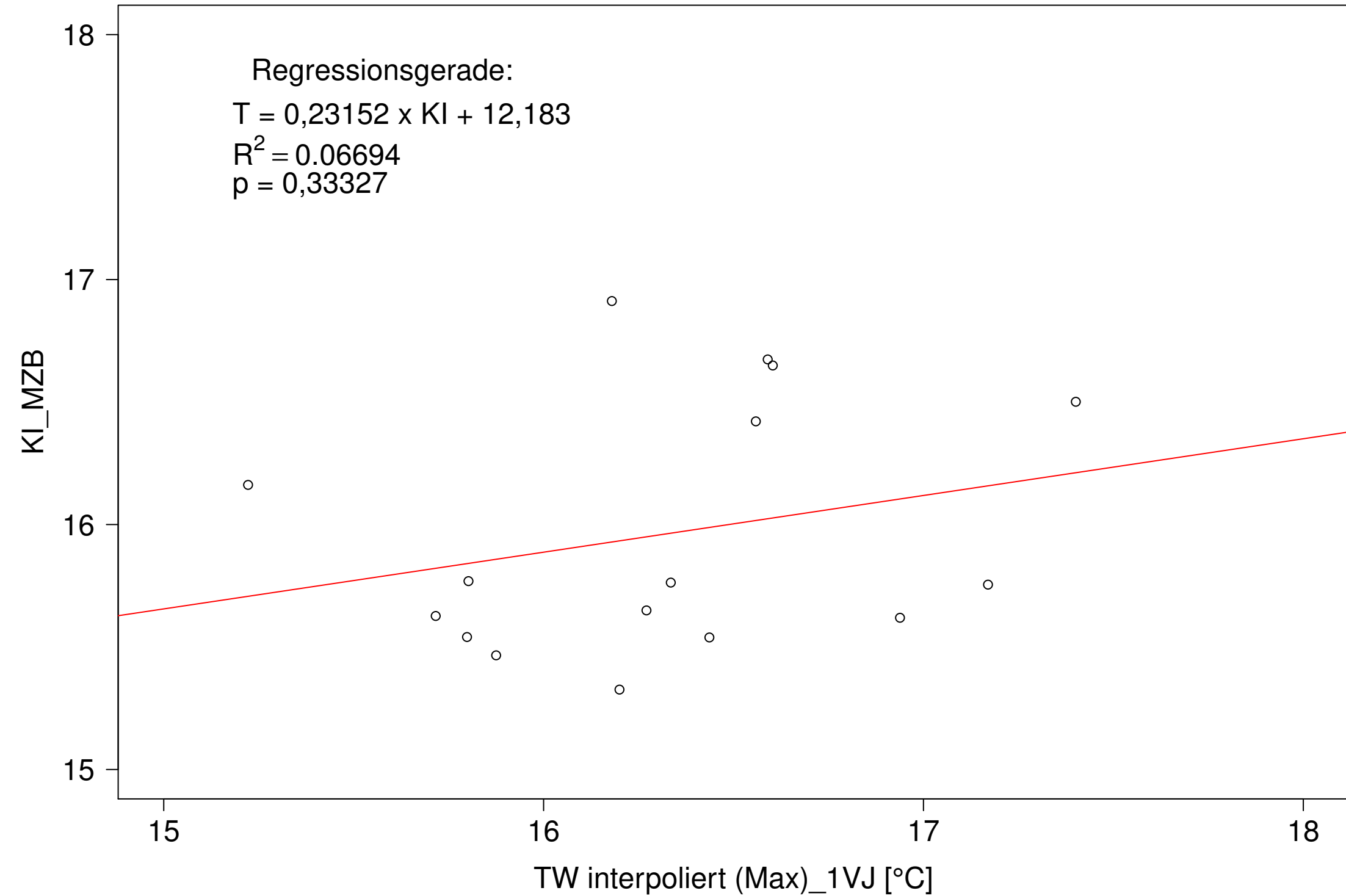
Donau_Pfohren, Typ 09.2 mit Neozoen, Serie 3
3JMW KI_MZB (Kont-Korr) gegen 3JMW TW interpoliert (Max) des 1. Vorjahres



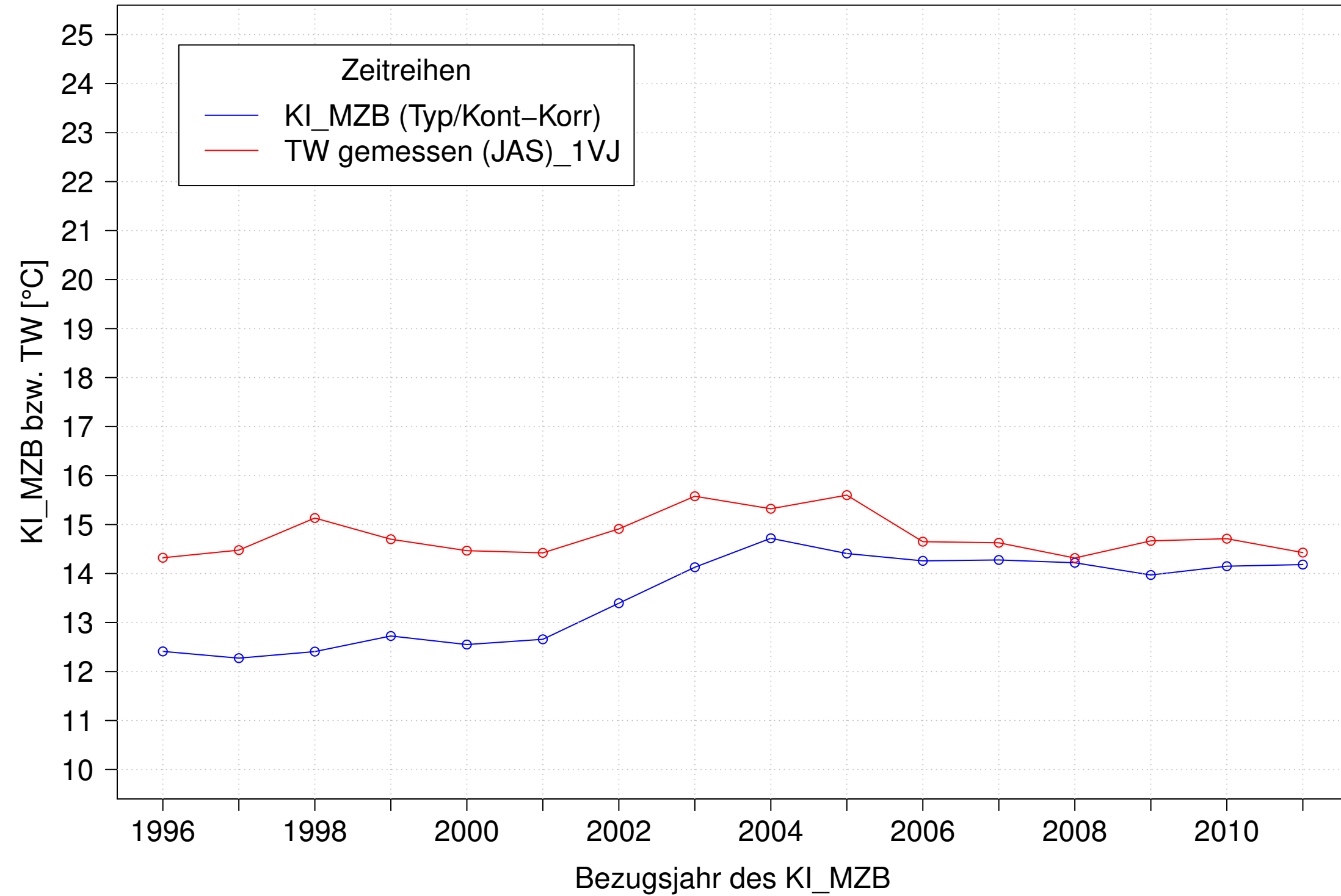
Donau_Pfohren, Typ 09.2 mit Neozoen, Serie 4
3JMW KI_MZB (Kont-Korr) und 3JMW TW interpoliert (Max) des 1. Vorjahres



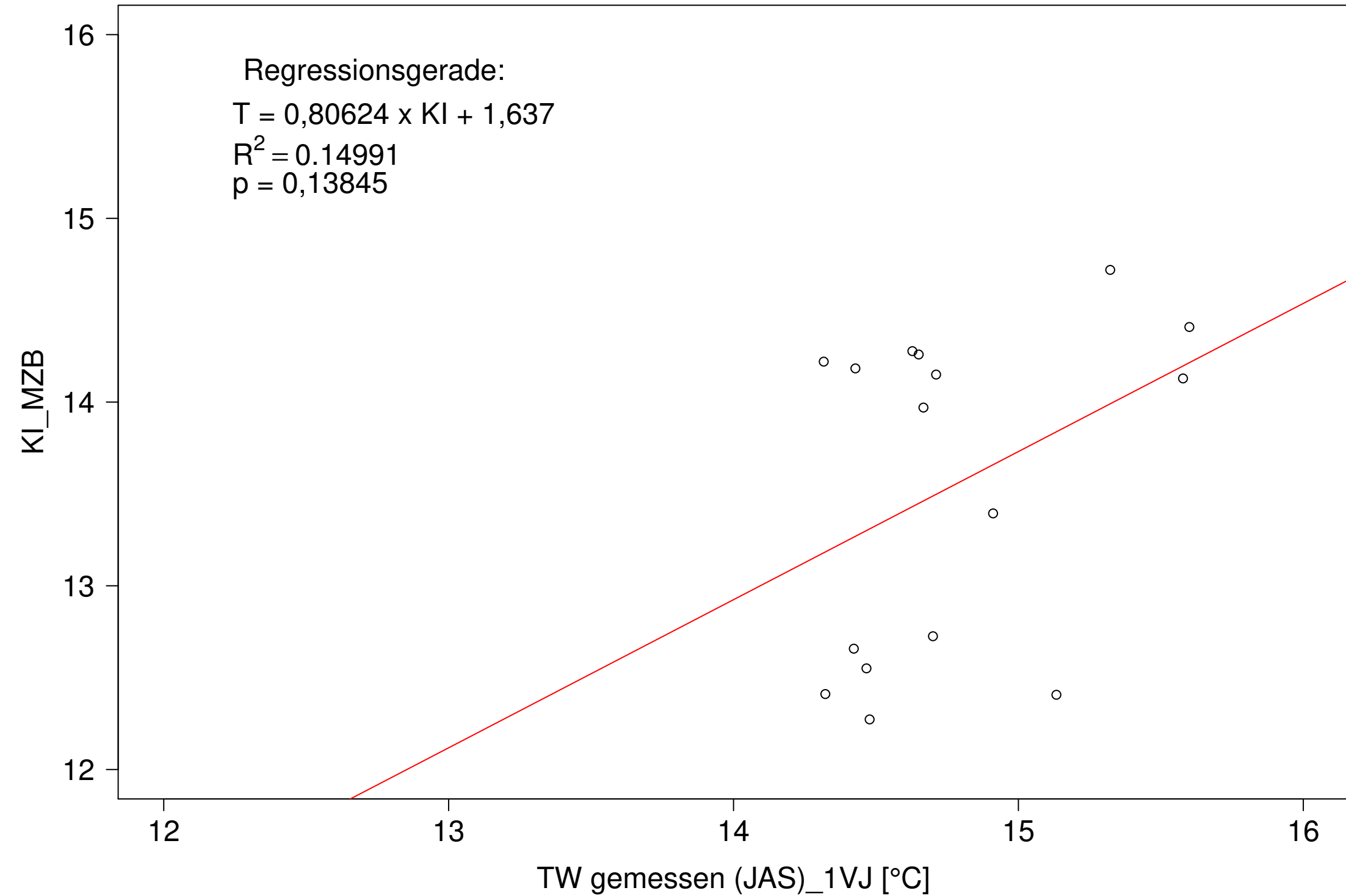
Donau_Pfohren, Typ 09.2 mit Neozoen, Serie 4
3JMW KI_MZB (Kont-Korr) gegen 3JMW TW interpoliert (Max) des 1. Vorjahres



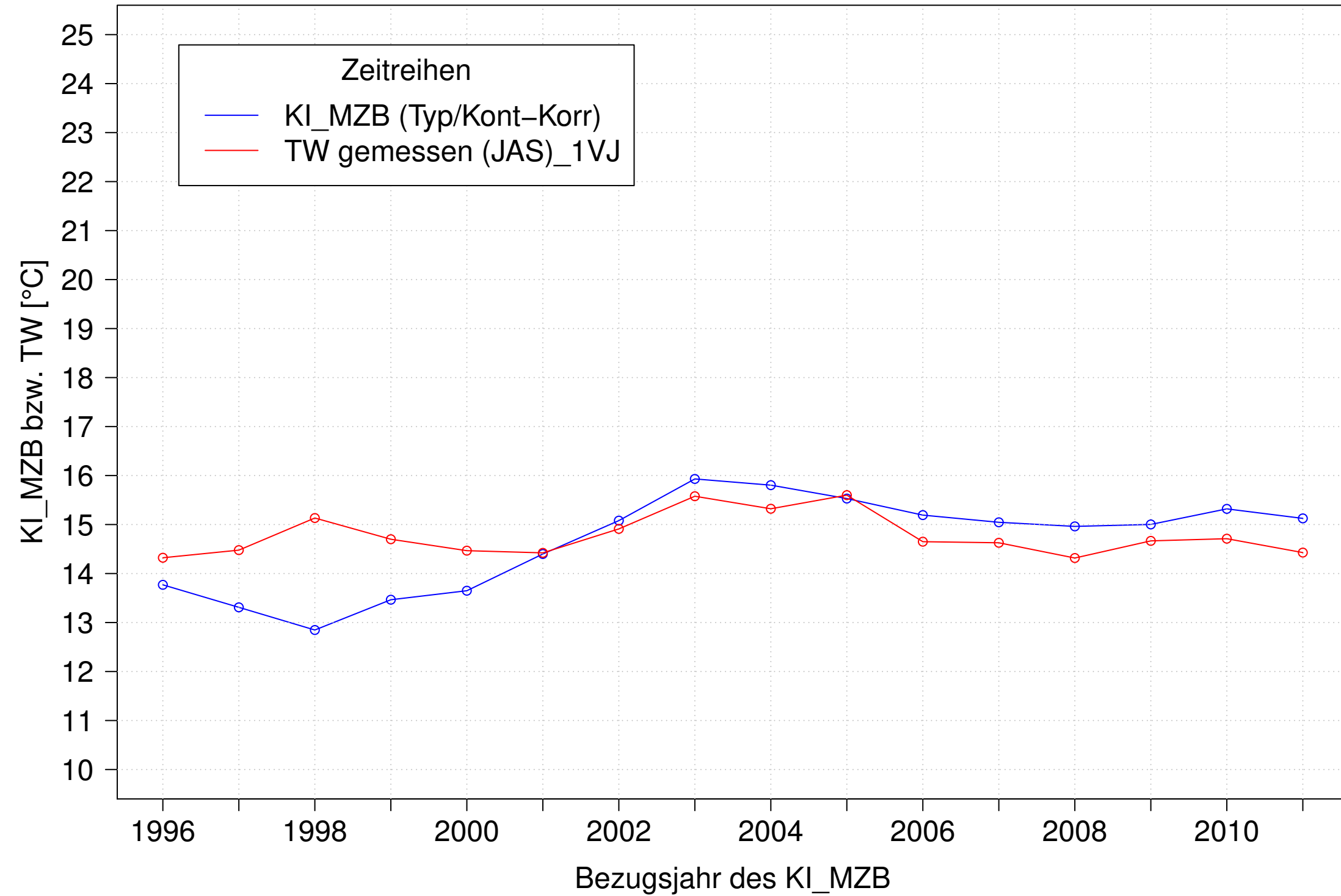
Donau_Pfohren, Typ 09.2 mit Neozoen, Serie 1
3JMW KI_MZB (Typ/Kont-Korr) und 3JMW TW gemessen (JAS) des 1. Vorjahres



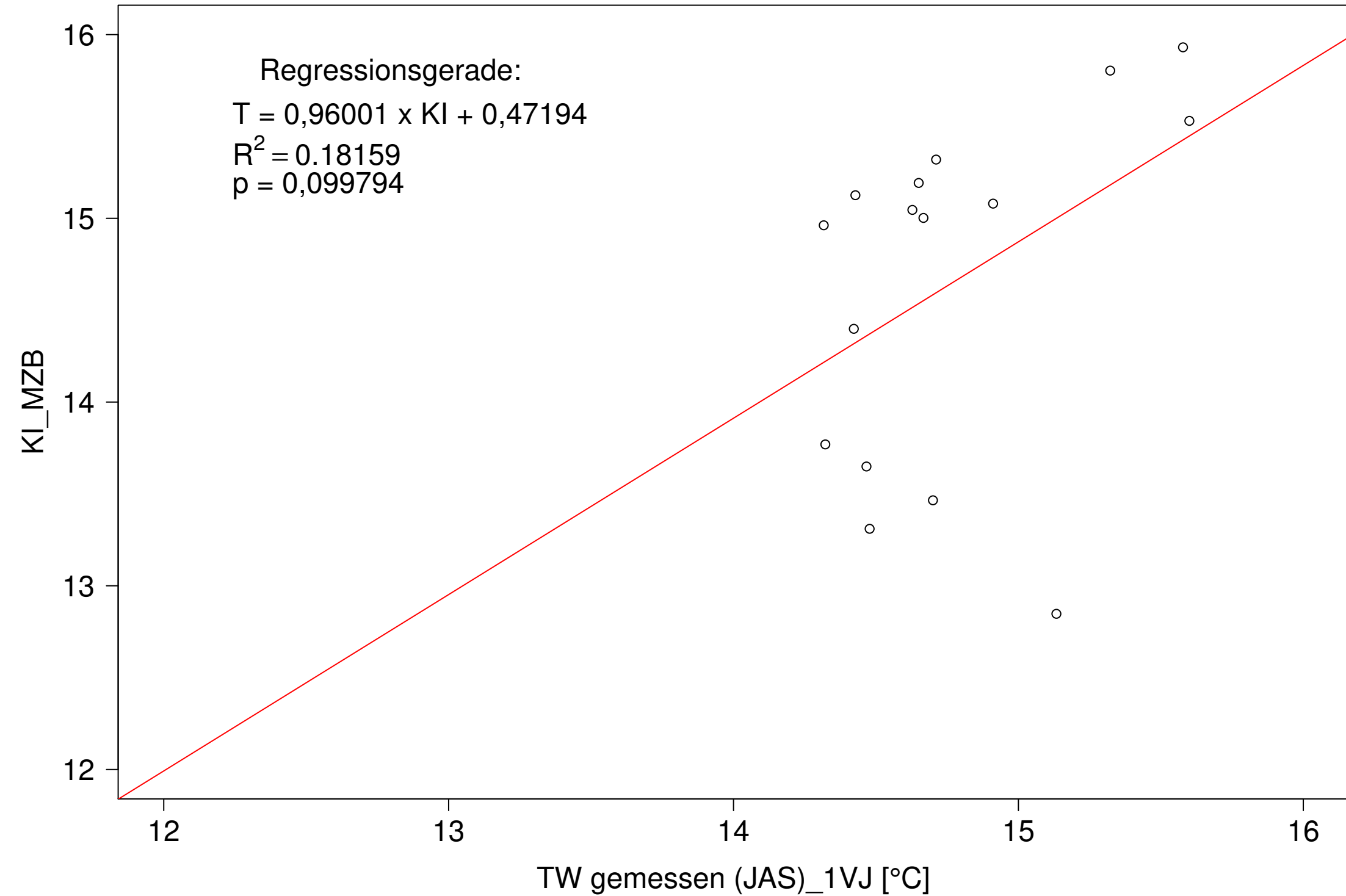
Donau_Pfohren, Typ 09.2 mit Neozoen, Serie 1
3JMW KI_MZB (Typ/Kont-Korr) gegen 3JMW TW gemessen (JAS) des 1. Vorjahres



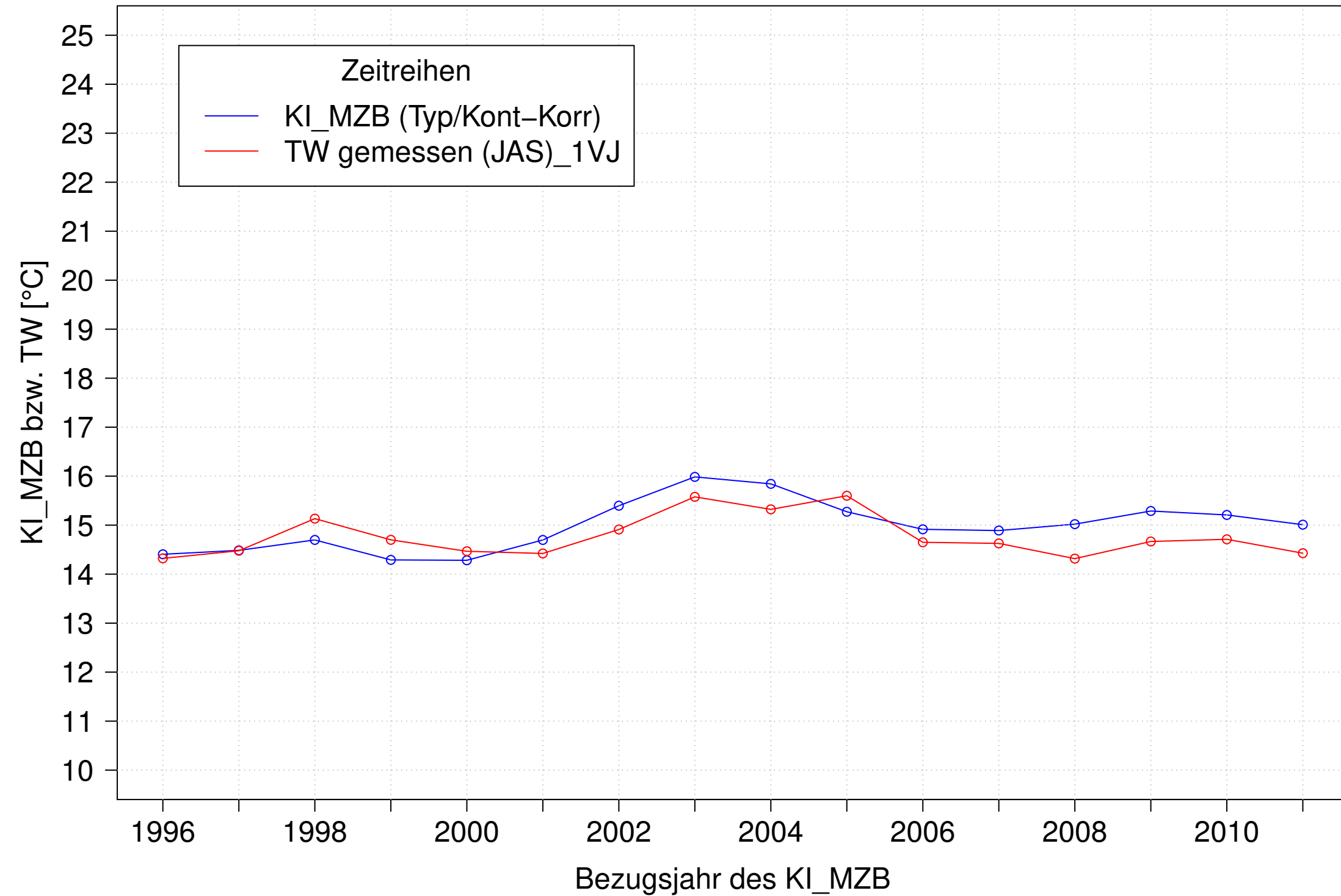
Donau_Pfohren, Typ 09.2 mit Neozoen, Serie 2
3JMW KI_MZB (Typ/Kont-Korr) und 3JMW TW gemessen (JAS) des 1. Vorjahres



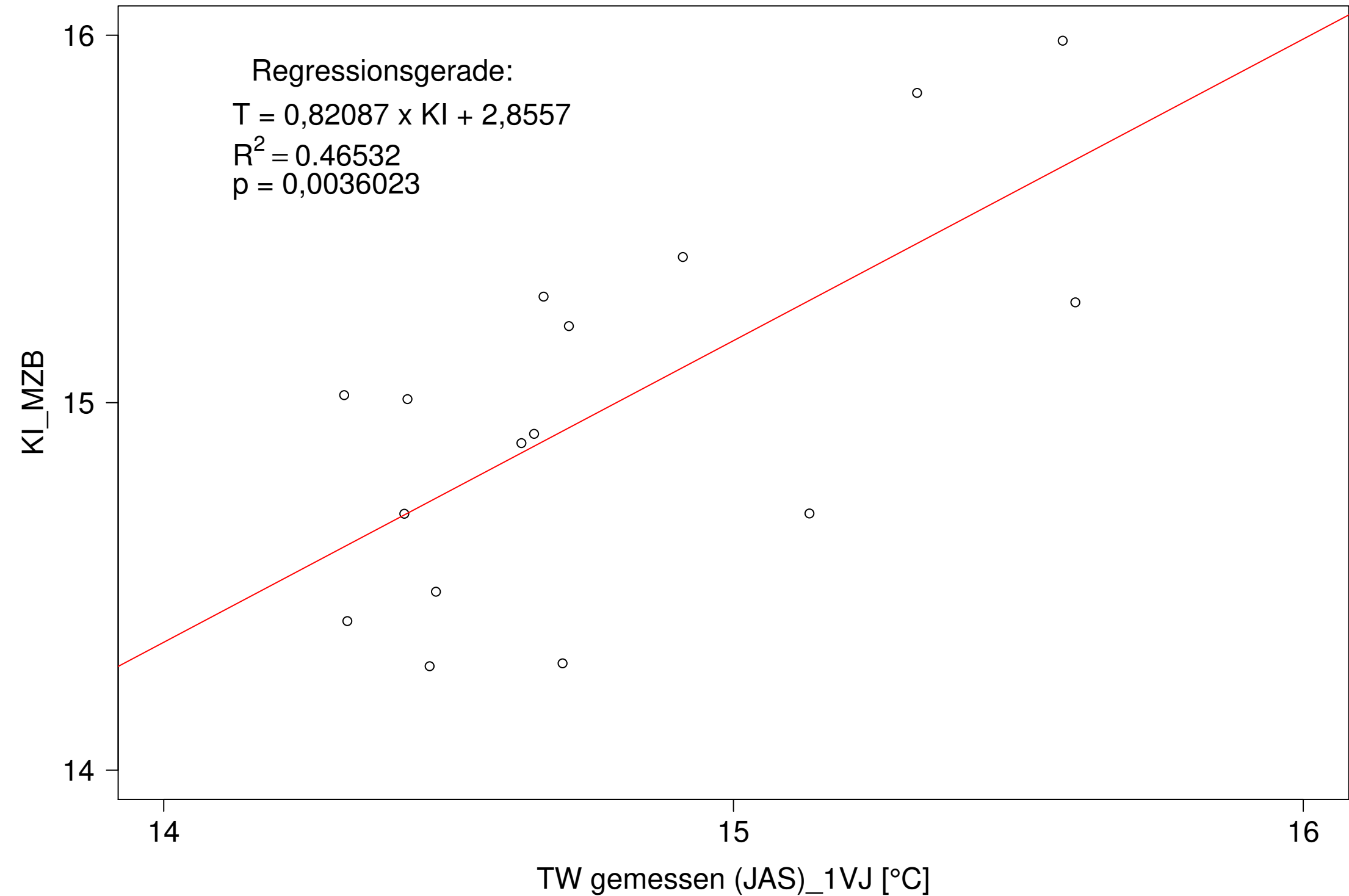
Donau_Pfohren, Typ 09.2 mit Neozoen, Serie 2
3JMW KI_MZB (Typ/Kont-Korr) gegen 3JMW TW gemessen (JAS) des 1. Vorjahres



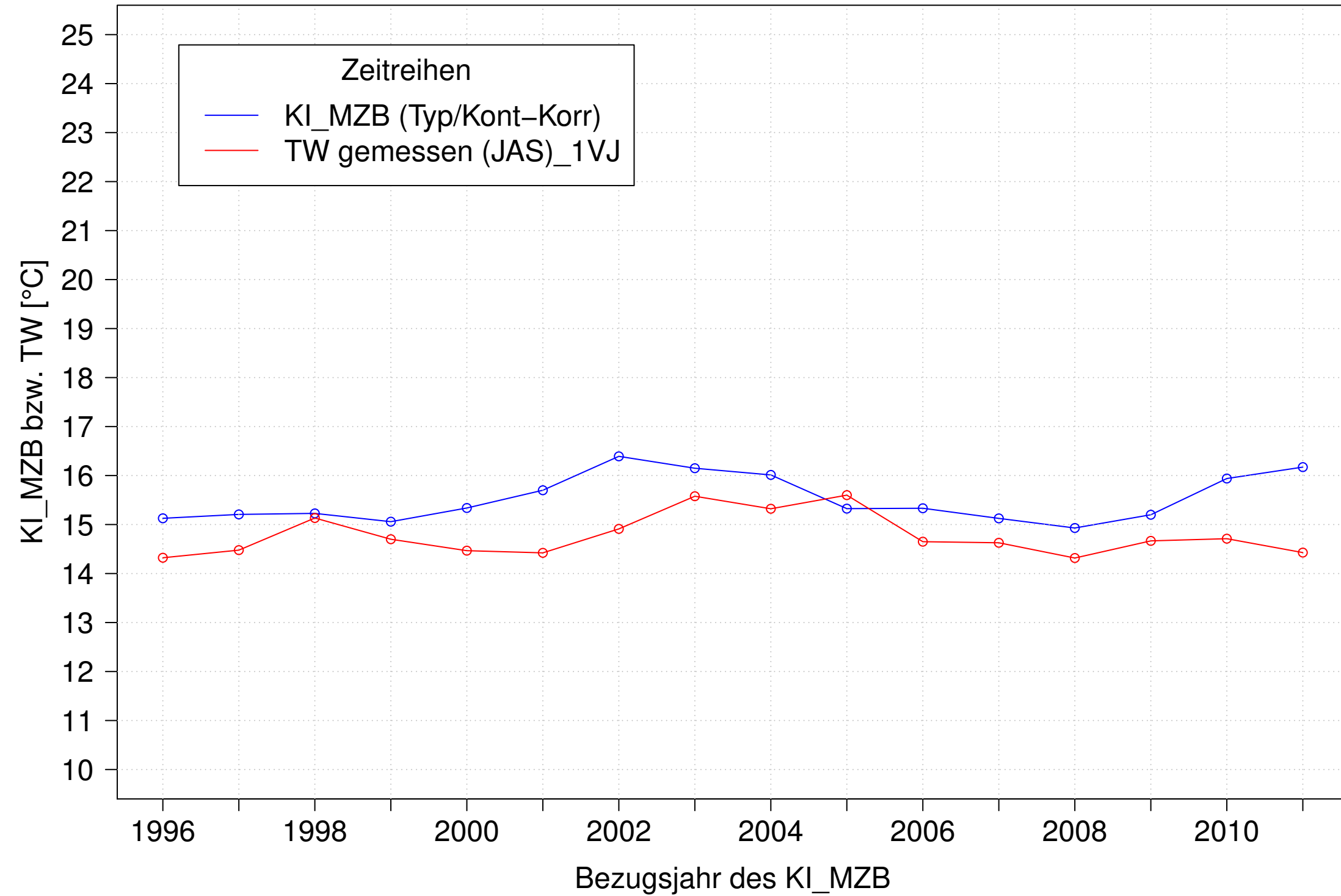
Donau_Pfohren, Typ 09.2 mit Neozoen, Serie 3
3JMW KI_MZB (Typ/Kont-Korr) und 3JMW TW gemessen (JAS) des 1. Vorjahres



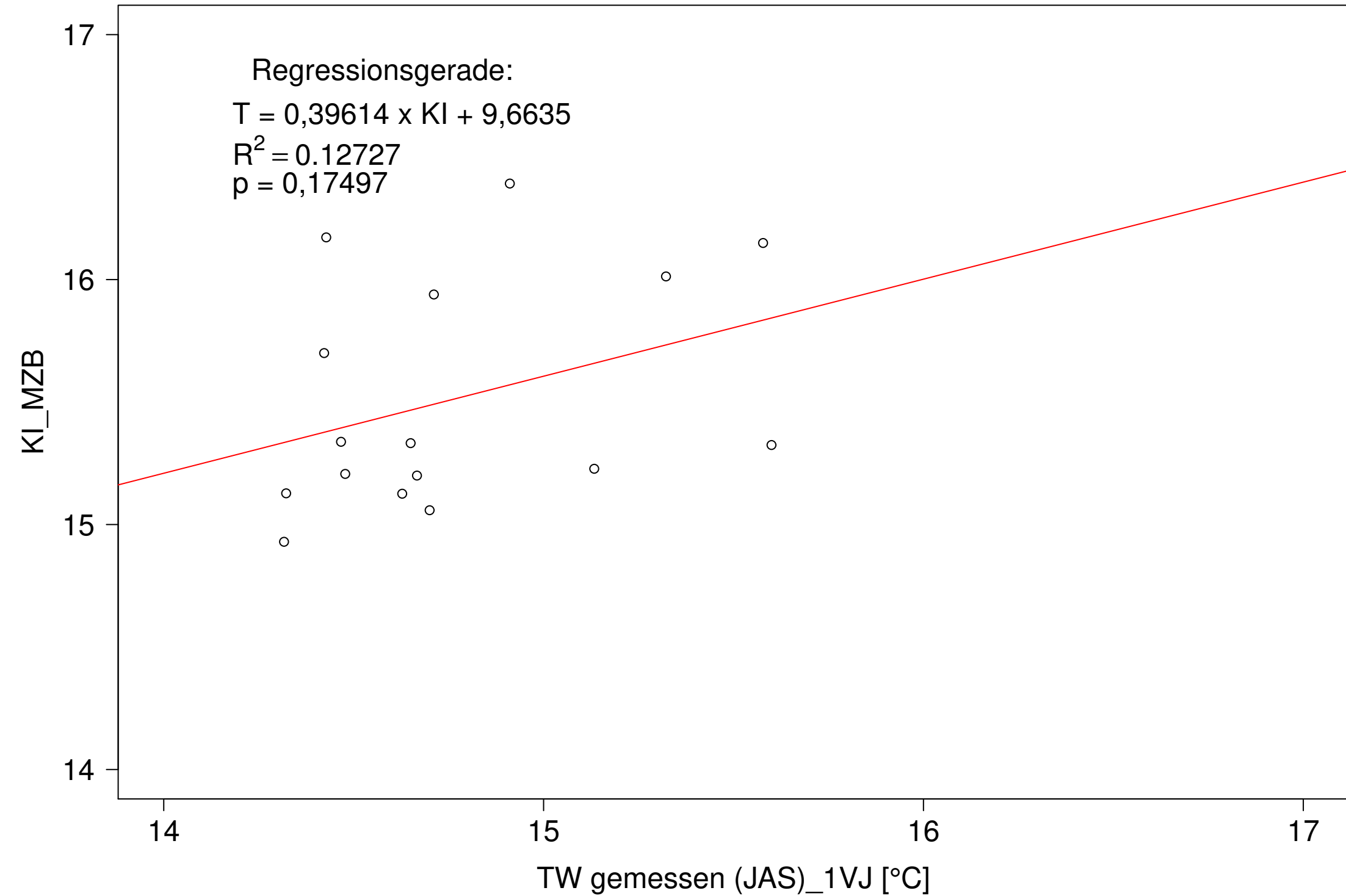
Donau_Pfohren, Typ 09.2 mit Neozoen, Serie 3
3JMW KI_MZB (Typ/Kont-Korr) gegen 3JMW TW gemessen (JAS) des 1. Vorjahres



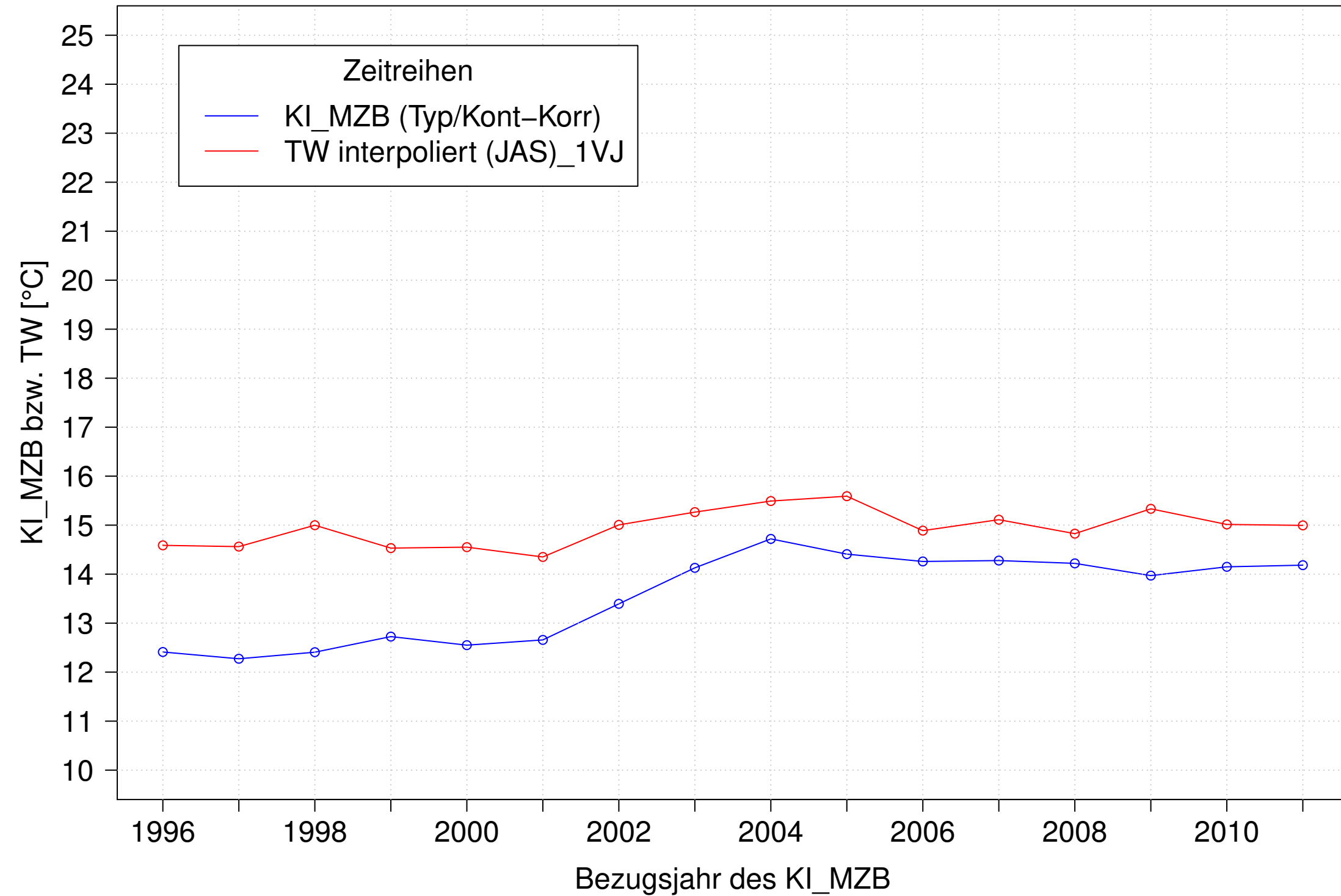
Donau_Pfohren, Typ 09.2 mit Neozoen, Serie 4
3JMW KI_MZB (Typ/Kont-Korr) und 3JMW TW gemessen (JAS) des 1. Vorjahres



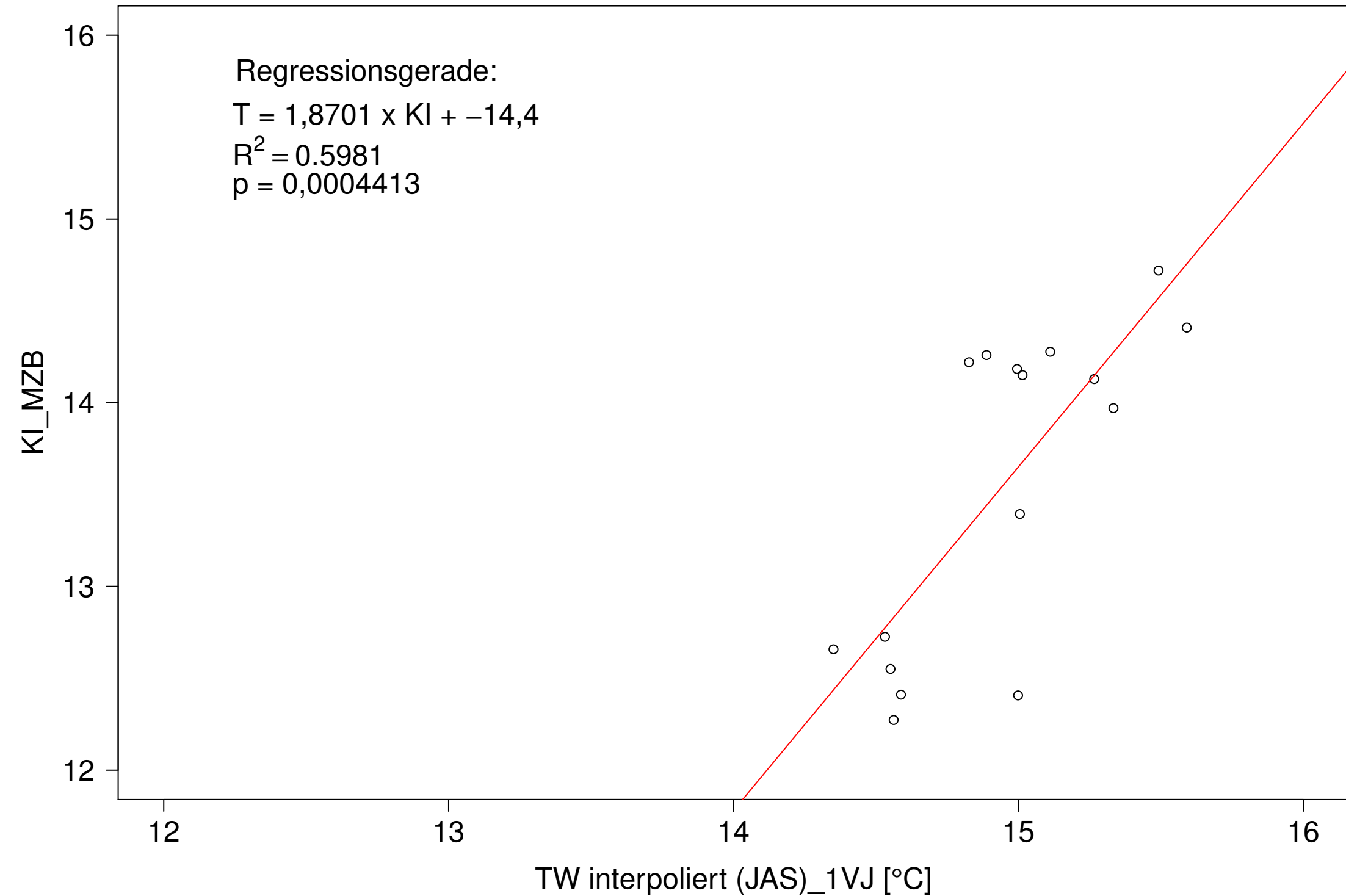
Donau_Pfohren, Typ 09.2 mit Neozoen, Serie 4
3JMW KI_MZB (Typ/Kont-Korr) gegen 3JMW TW gemessen (JAS) des 1. Vorjahres



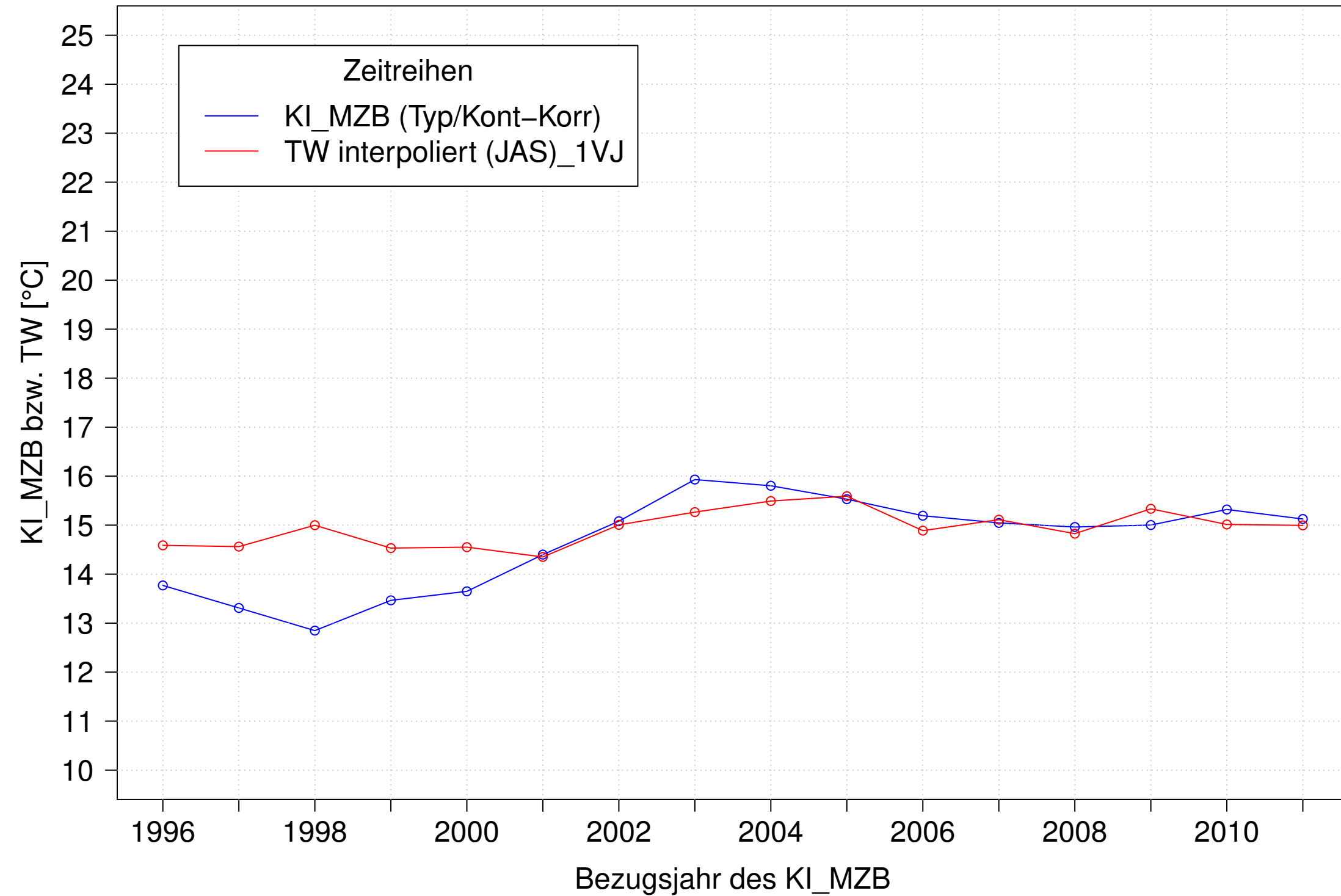
Donau_Pfohren, Typ 09.2 mit Neozoen, Serie 1
3JMW KI_MZB (Typ/Kont-Korr) und 3JMW TW interpoliert (JAS) des 1. Vorjahres



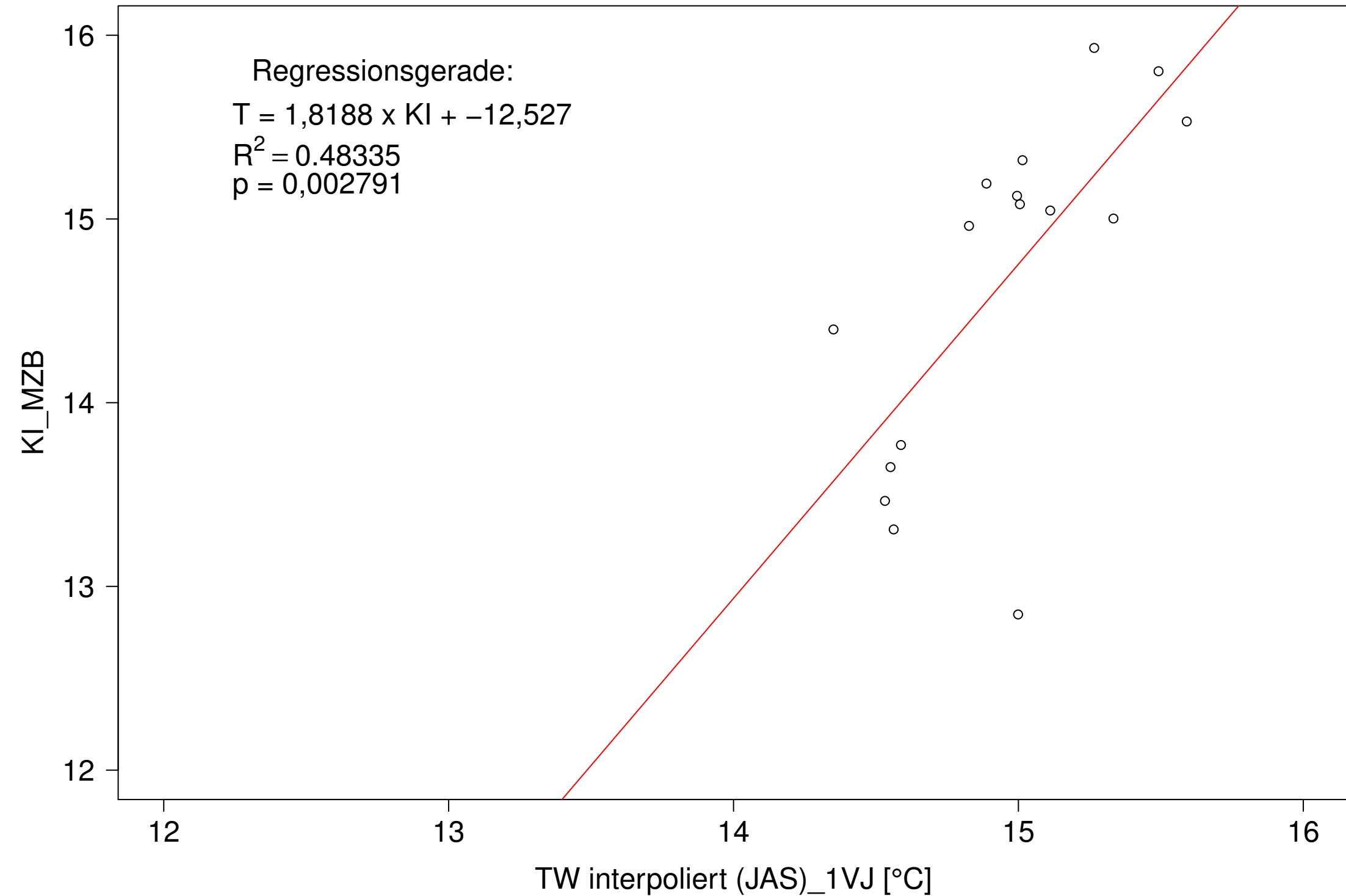
Donau_Pfohren, Typ 09.2 mit Neozoen, Serie 1
3JMW KI_MZB (Typ/Kont-Korr) gegen 3JMW TW interpoliert (JAS) des 1. Vorjahres



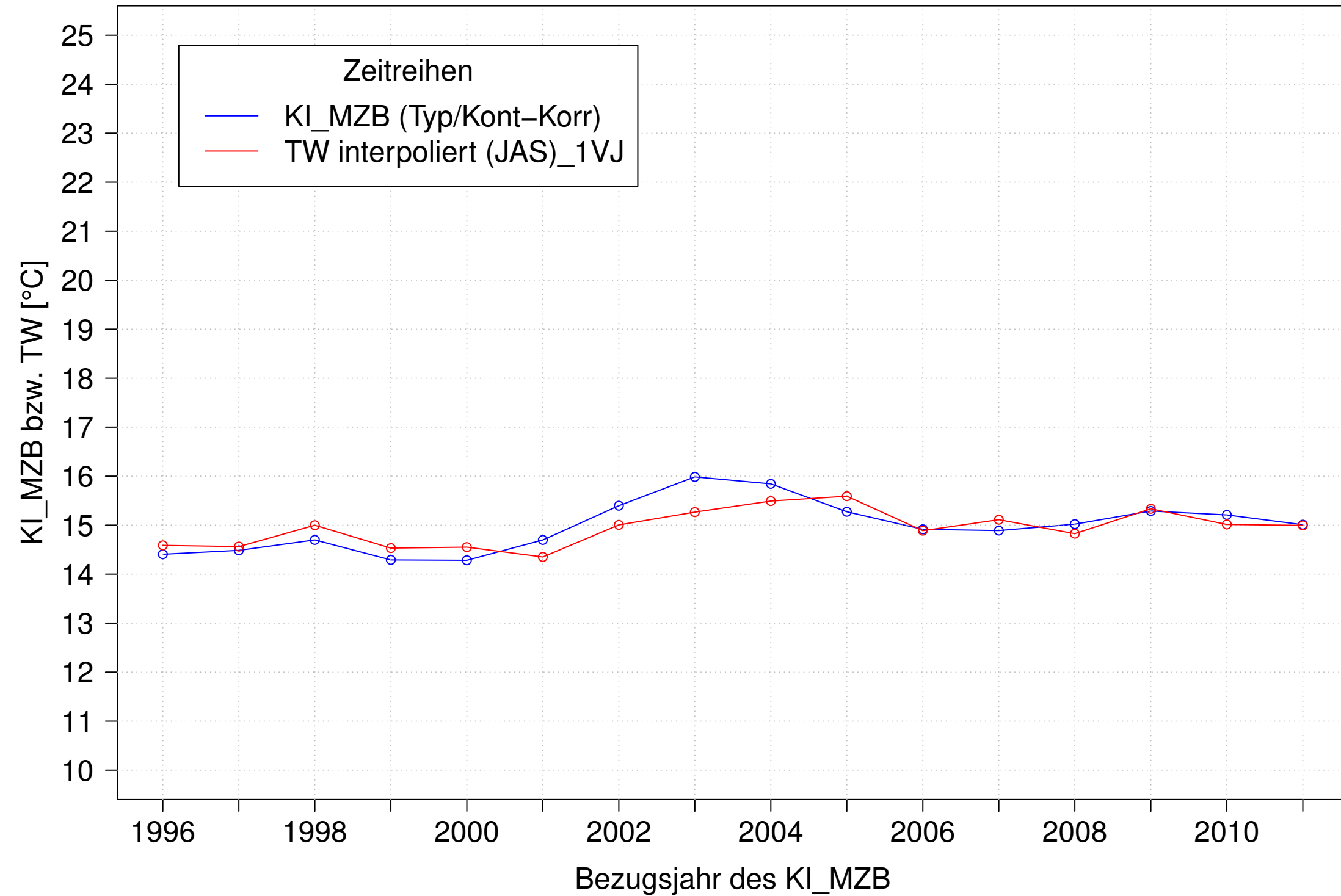
Donau_Pfohren, Typ 09.2 mit Neozoen, Serie 2
3JMW KI_MZB (Typ/Kont-Korr) und 3JMW TW interpoliert (JAS) des 1. Vorjahres



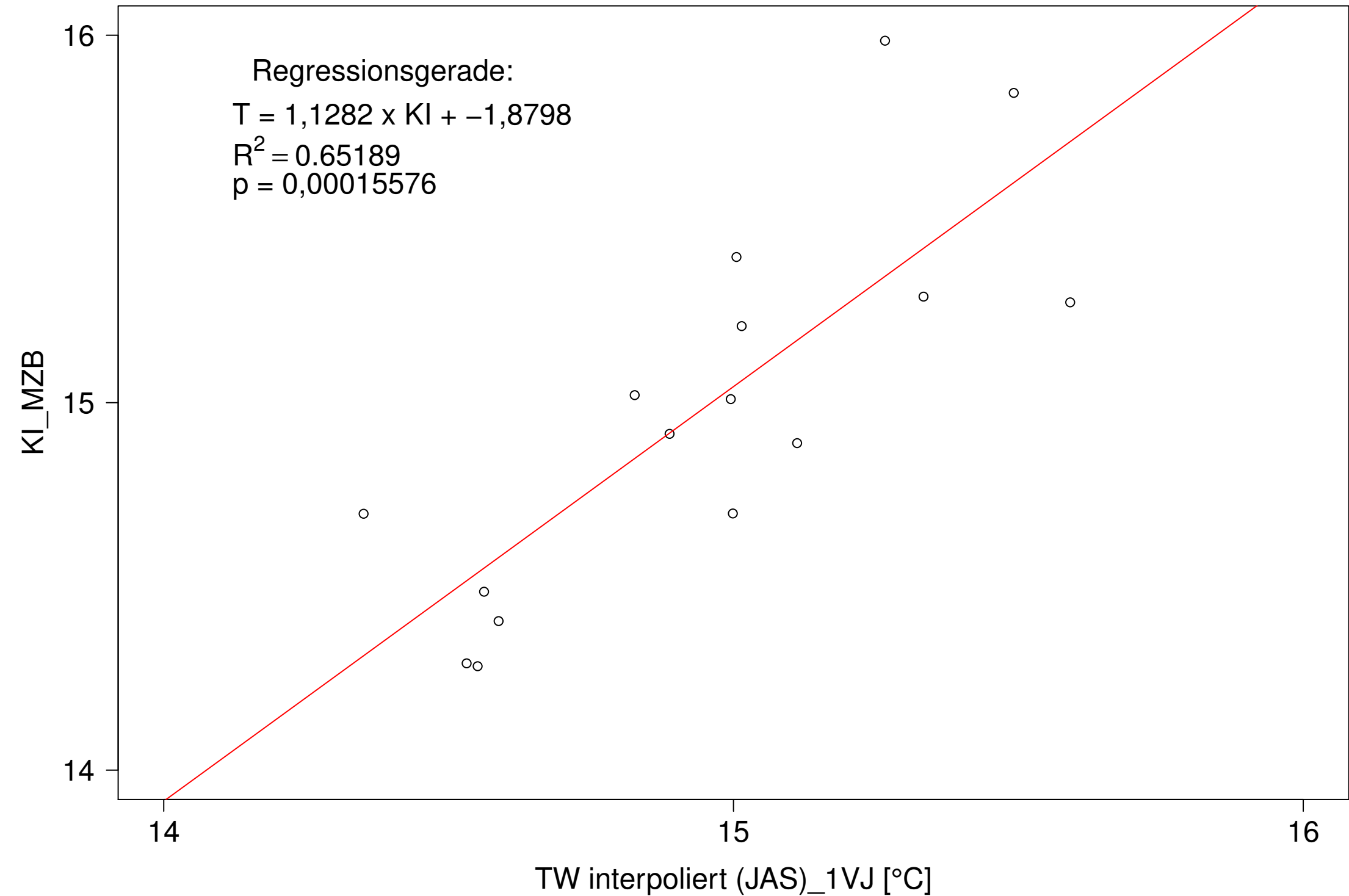
Donau_Pfohren, Typ 09.2 mit Neozoen, Serie 2
3JMW KI_MZB (Typ/Kont-Korr) gegen 3JMW TW interpoliert (JAS) des 1. Vorjahres



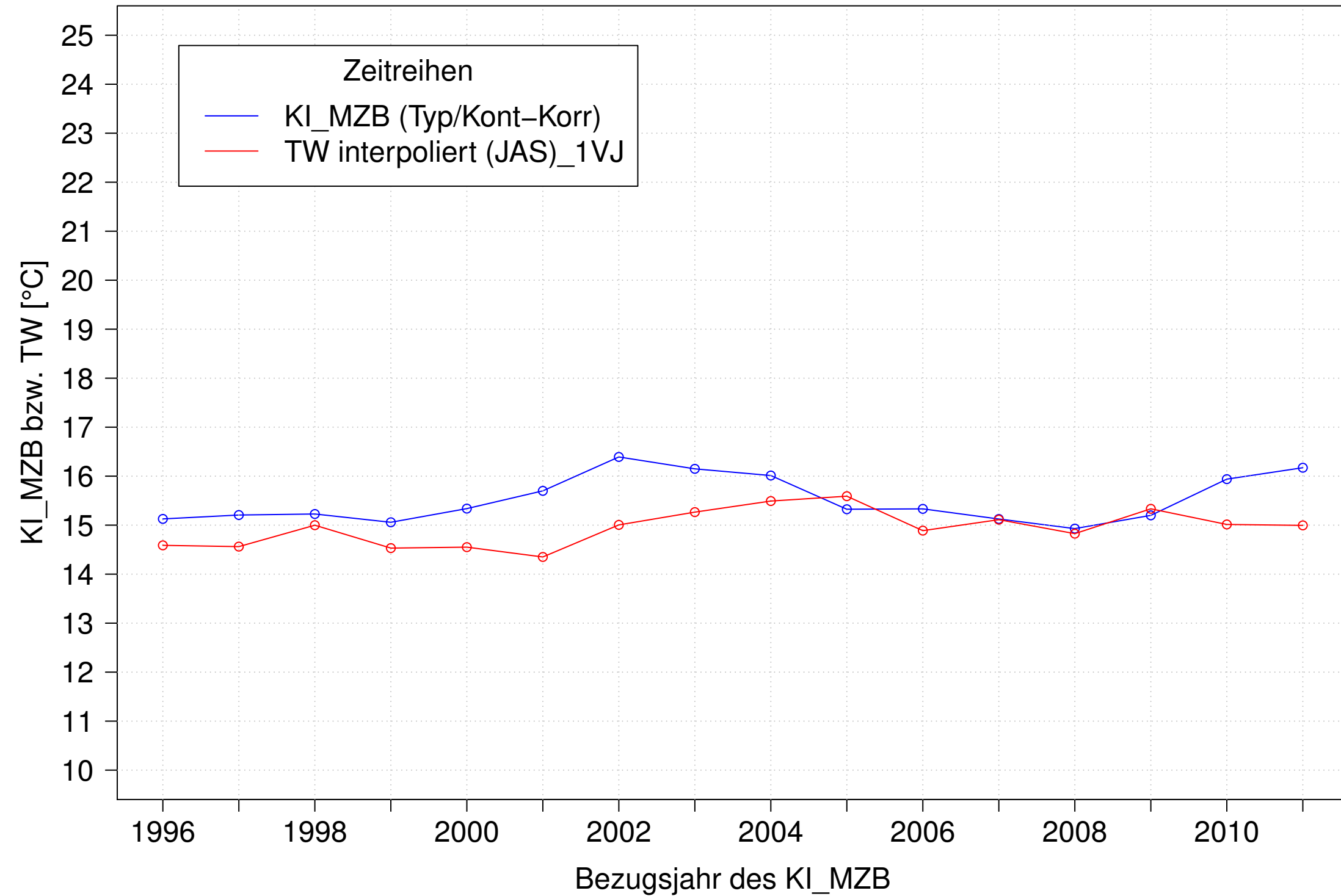
Donau_Pfohren, Typ 09.2 mit Neozoen, Serie 3
3JMW KI_MZB (Typ/Kont-Korr) und 3JMW TW interpoliert (JAS) des 1. Vorjahres



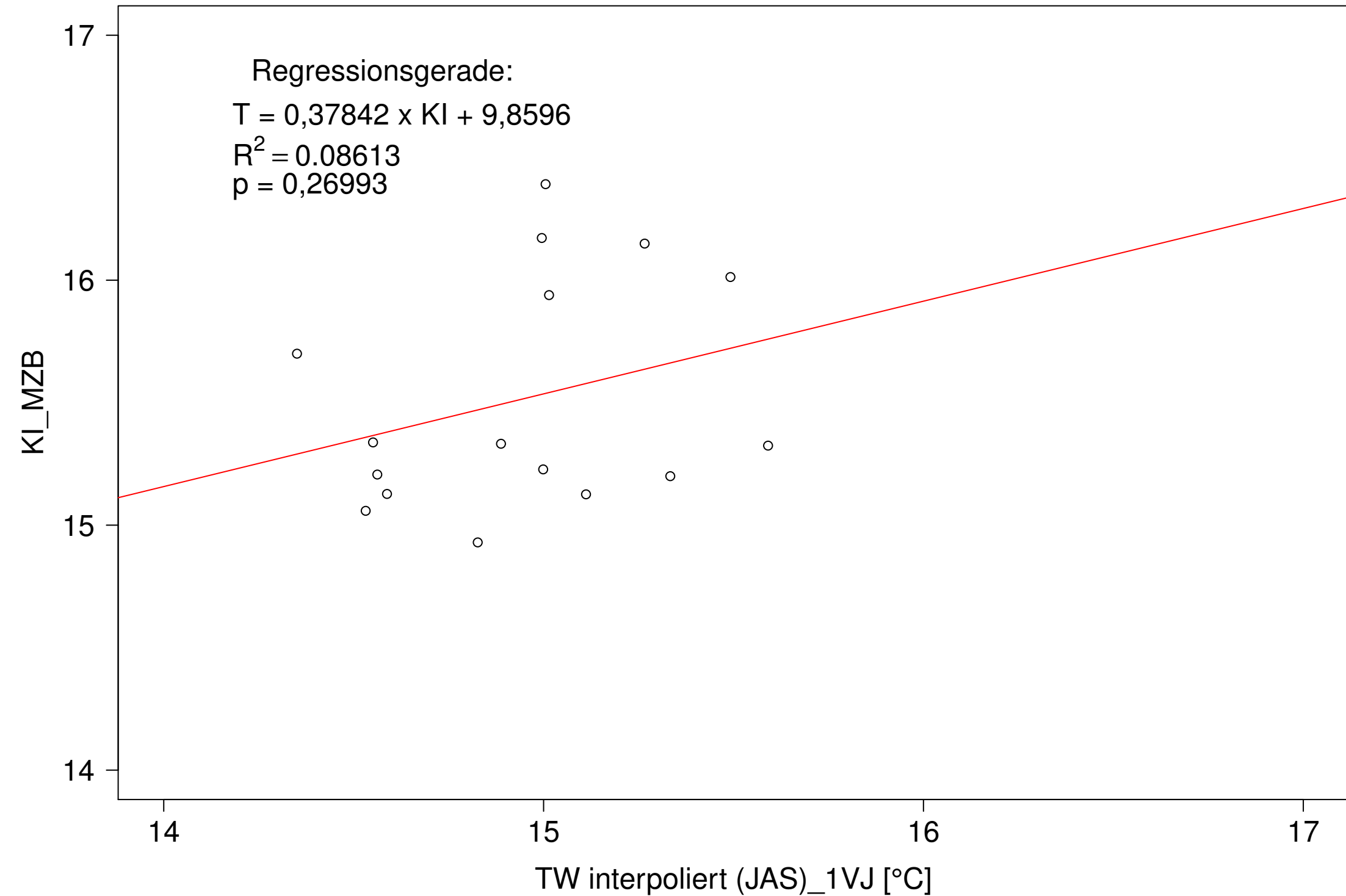
Donau_Pfohren, Typ 09.2 mit Neozoen, Serie 3
3JMW KI_MZB (Typ/Kont-Korr) gegen 3JMW TW interpoliert (JAS) des 1. Vorjahres



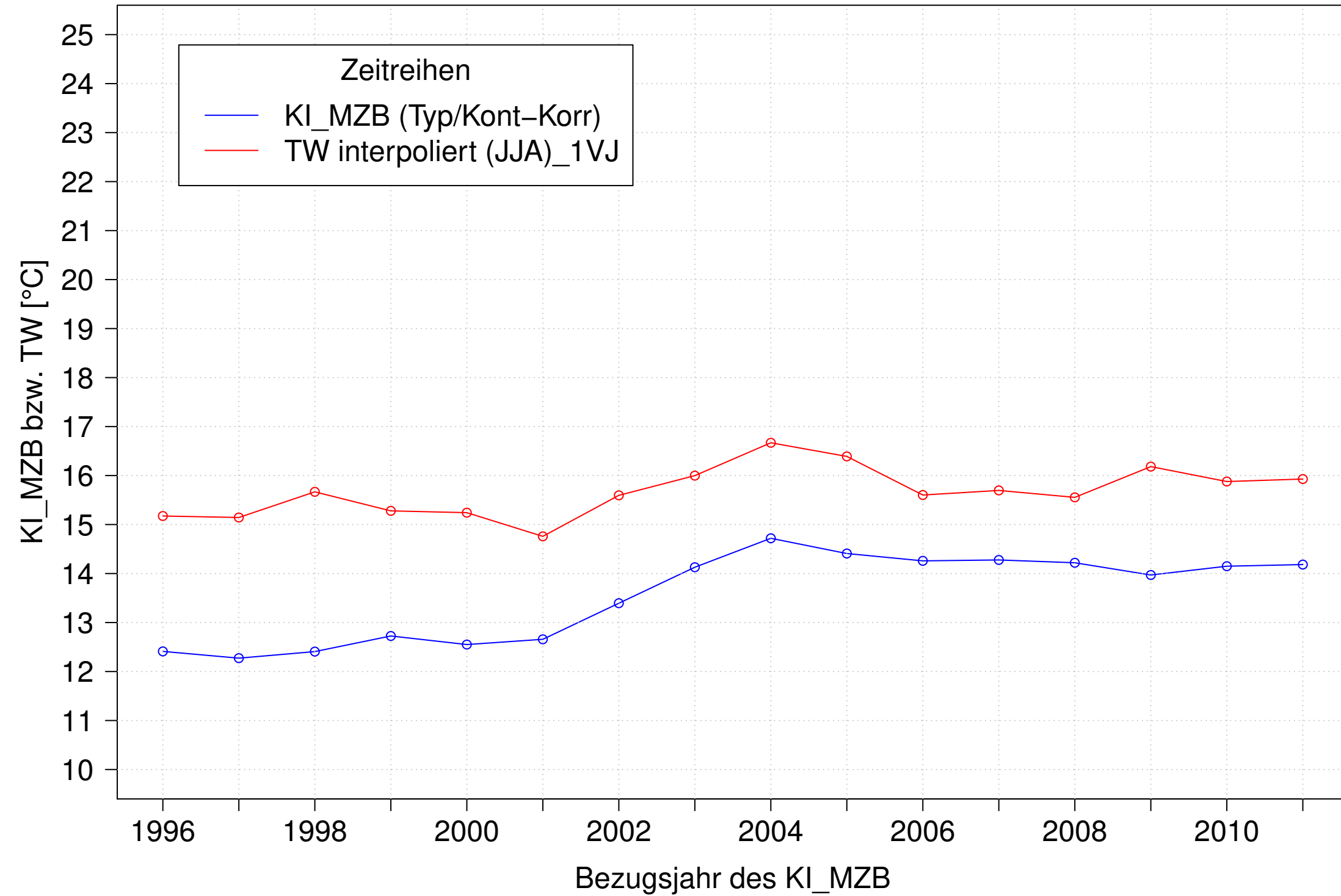
Donau_Pfohren, Typ 09.2 mit Neozoen, Serie 4
3JMW KI_MZB (Typ/Kont-Korr) und 3JMW TW interpoliert (JAS) des 1. Vorjahres



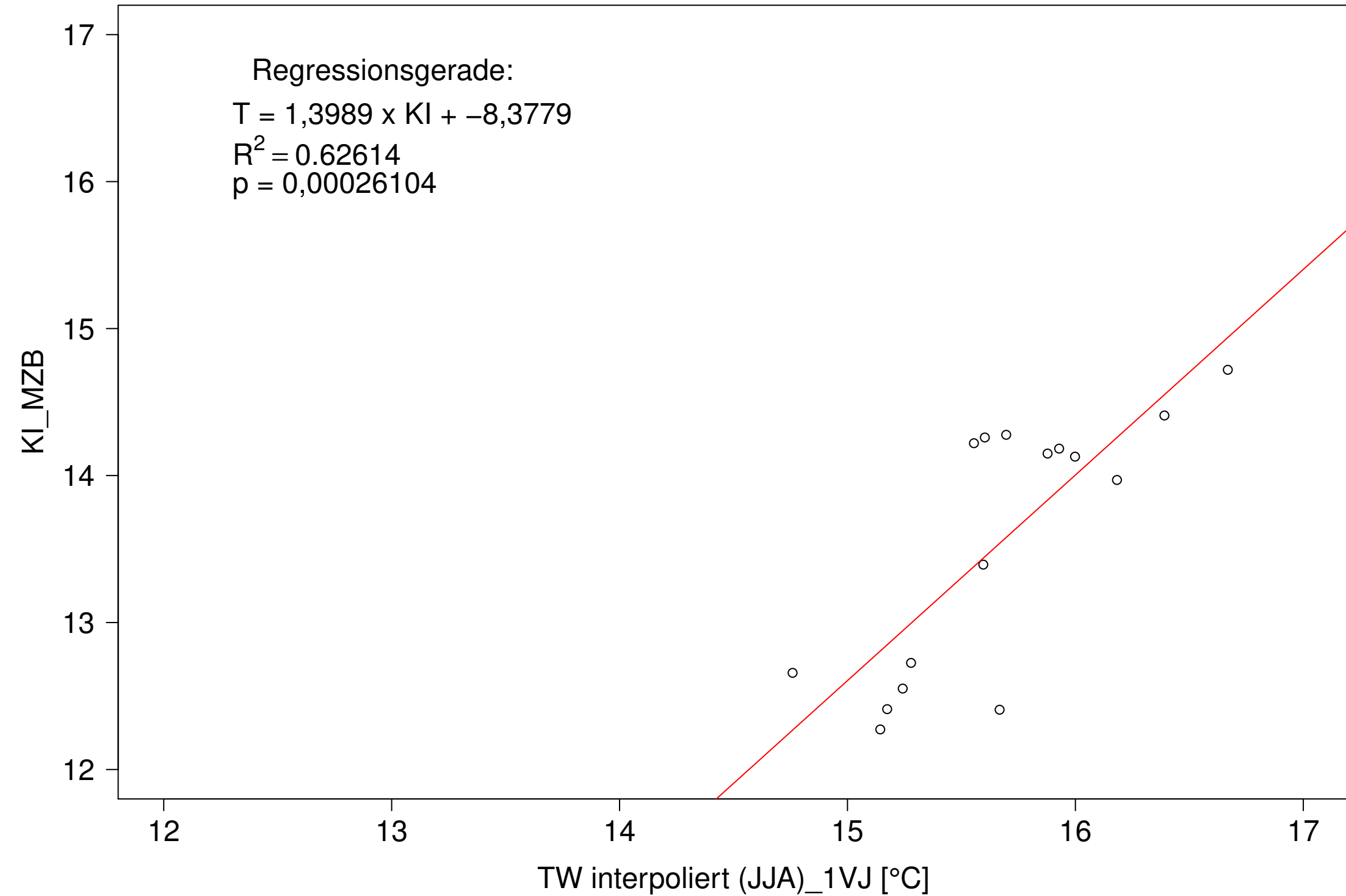
Donau_Pfohren, Typ 09.2 mit Neozoen, Serie 4
3JMW KI_MZB (Typ/Kont-Korr) gegen 3JMW TW interpoliert (JAS) des 1. Vorjahres



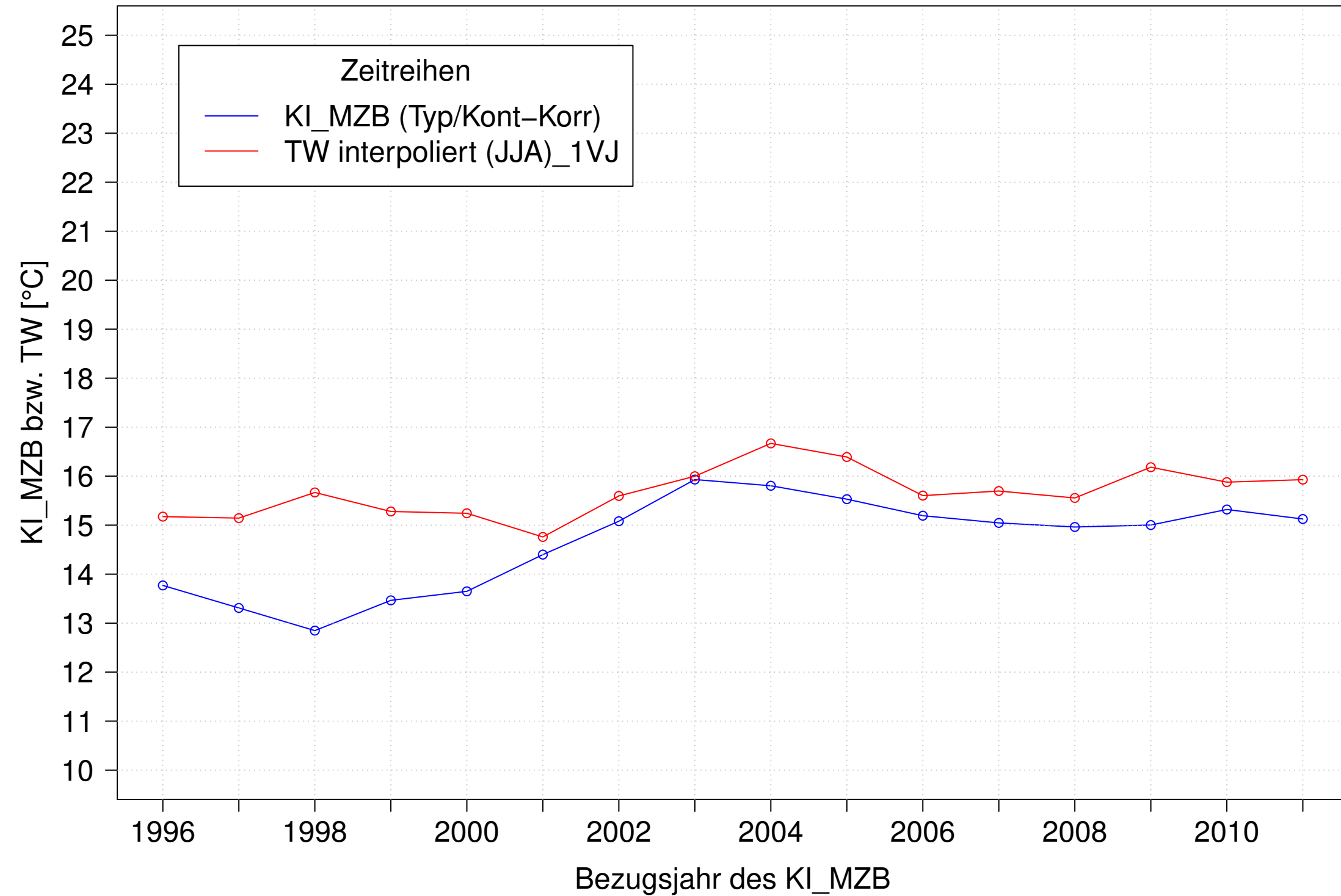
Donau_Pfohren, Typ 09.2 mit Neozoen, Serie 1
3JMW KI_MZB (Typ/Kont-Korr) und 3JMW TW interpoliert (JJA) des 1. Vorjahres



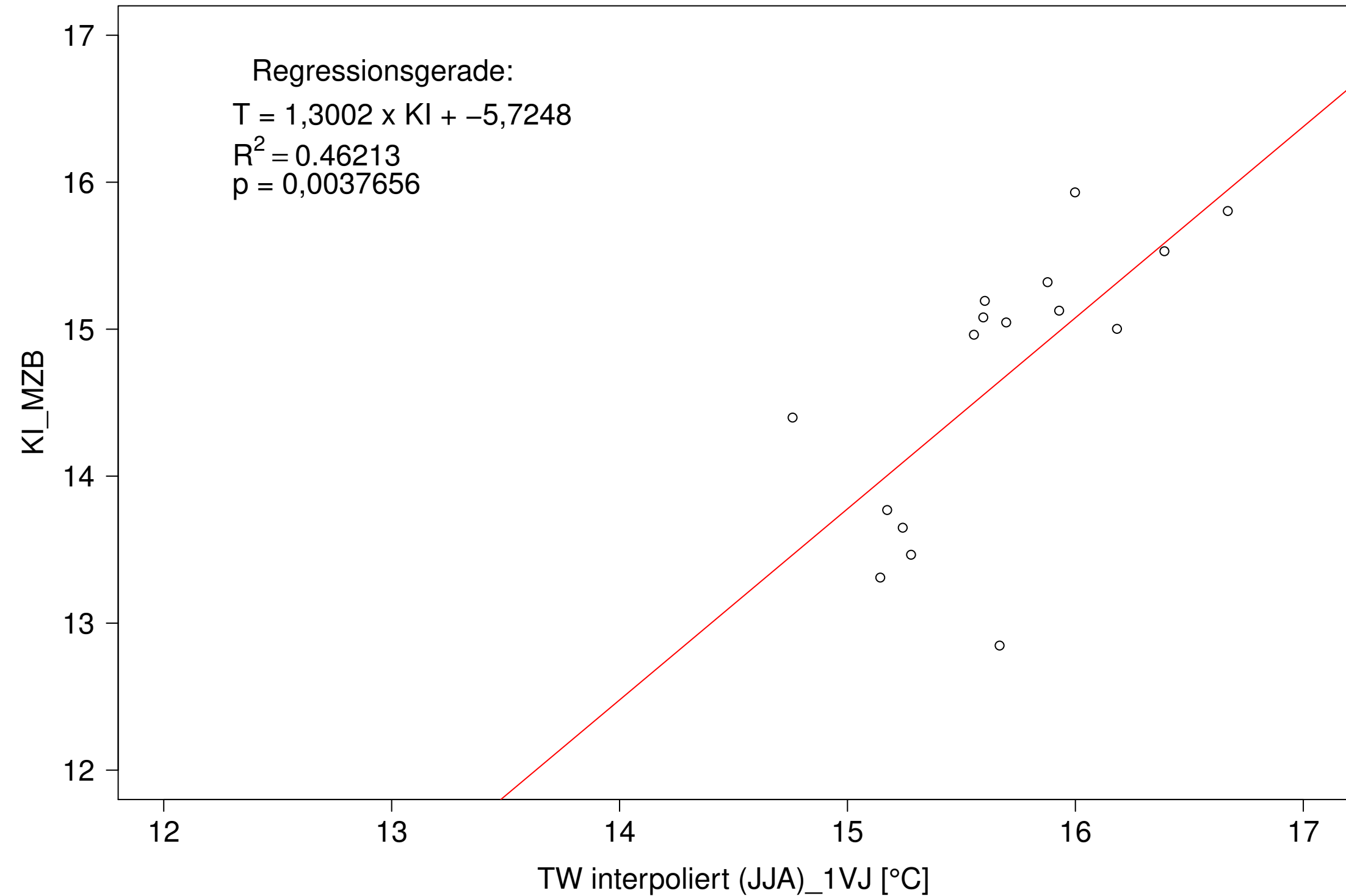
Donau_Pfohren, Typ 09.2 mit Neozoen, Serie 1
3JMW KI_MZB (Typ/Kont-Korr) gegen 3JMW TW interpoliert (JJA) des 1. Vorjahres



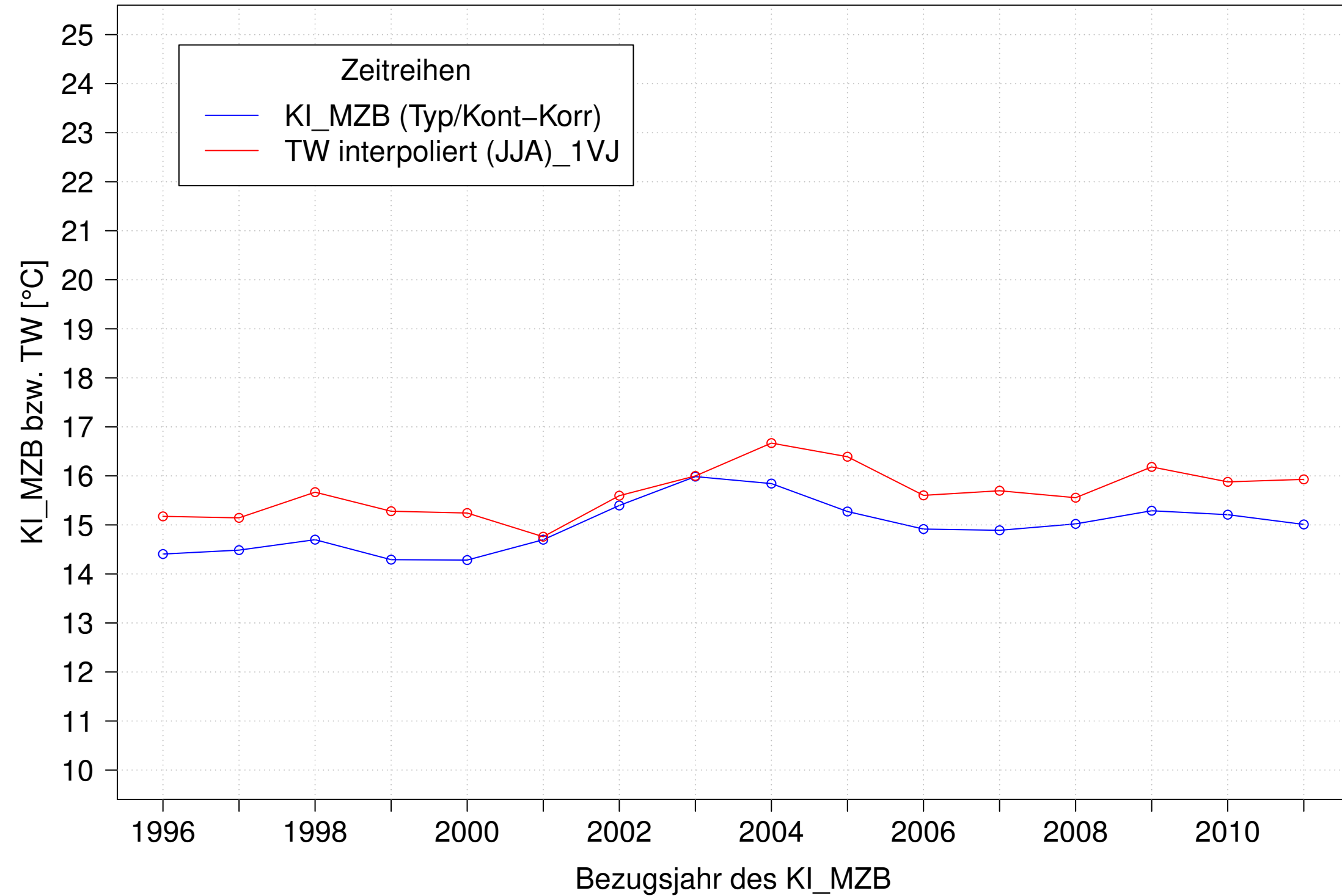
Donau_Pfohren, Typ 09.2 mit Neozoen, Serie 2
3JMW KI_MZB (Typ/Kont-Korr) und 3JMW TW interpoliert (JJA) des 1. Vorjahres



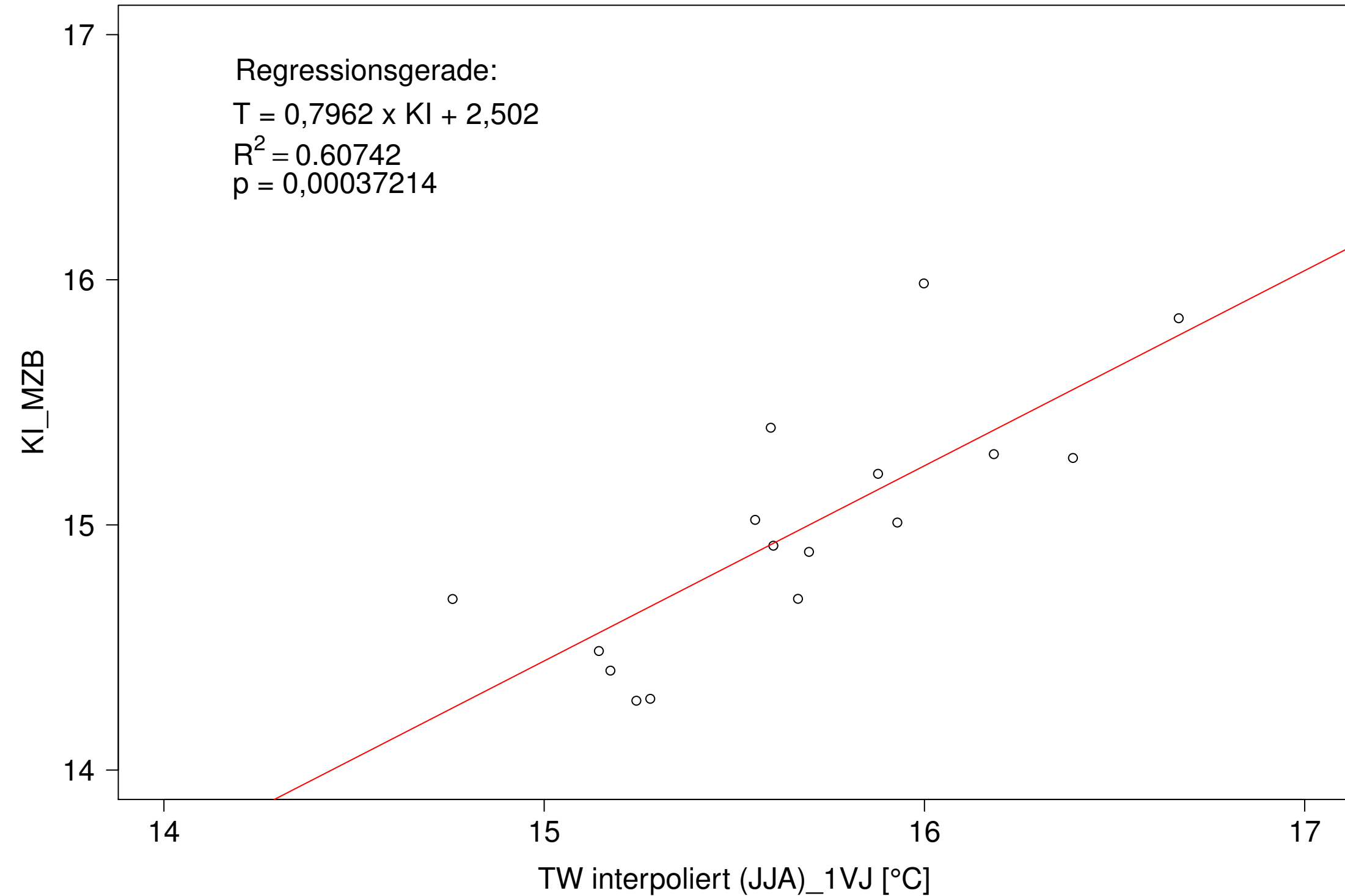
Donau_Pfohren, Typ 09.2 mit Neozoen, Serie 2
3JMW KI_MZB (Typ/Kont-Korr) gegen 3JMW TW interpoliert (JJA) des 1. Vorjahres



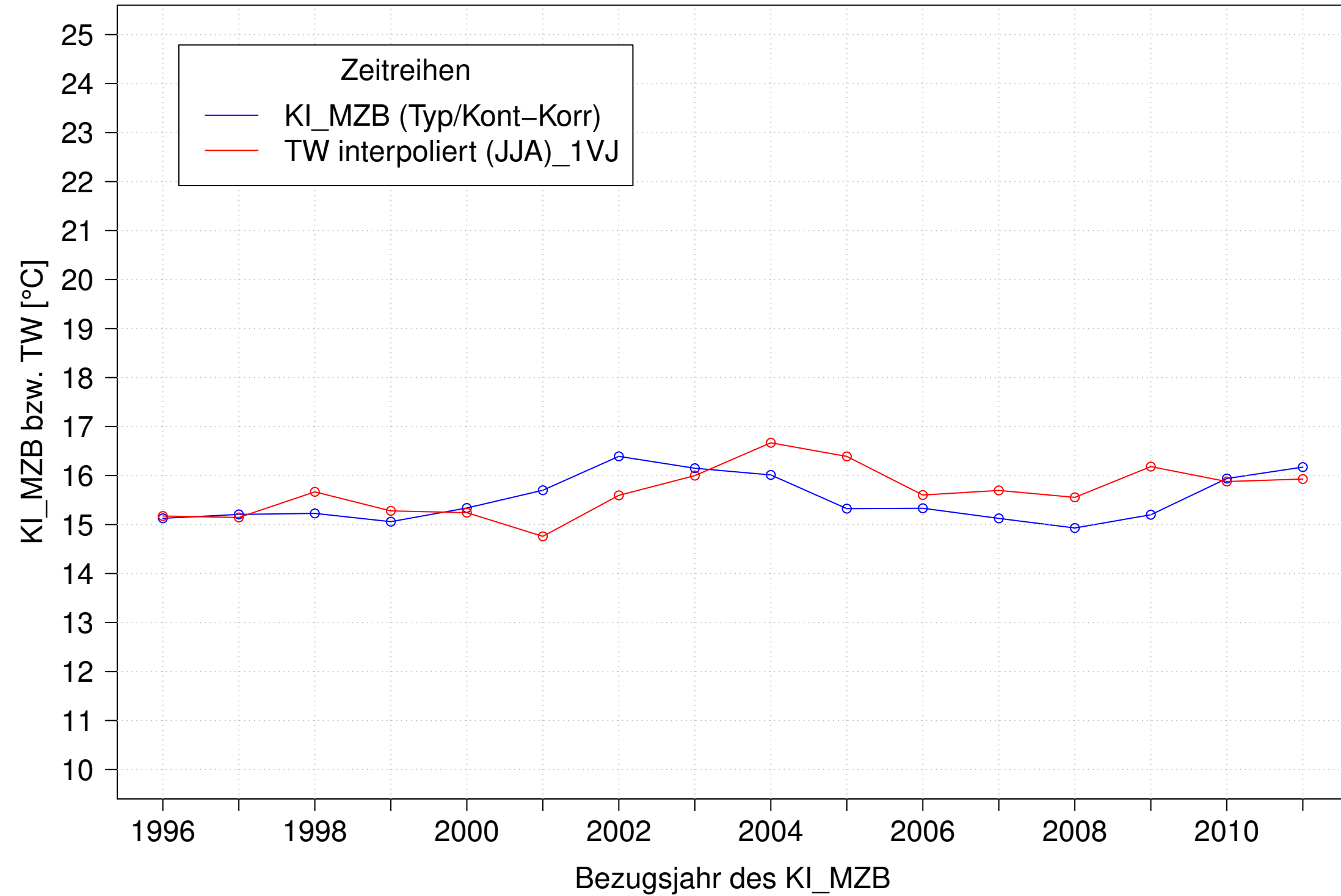
Donau_Pfohren, Typ 09.2 mit Neozoen, Serie 3
3JMW KI_MZB (Typ/Kont-Korr) und 3JMW TW interpoliert (JJA) des 1. Vorjahres



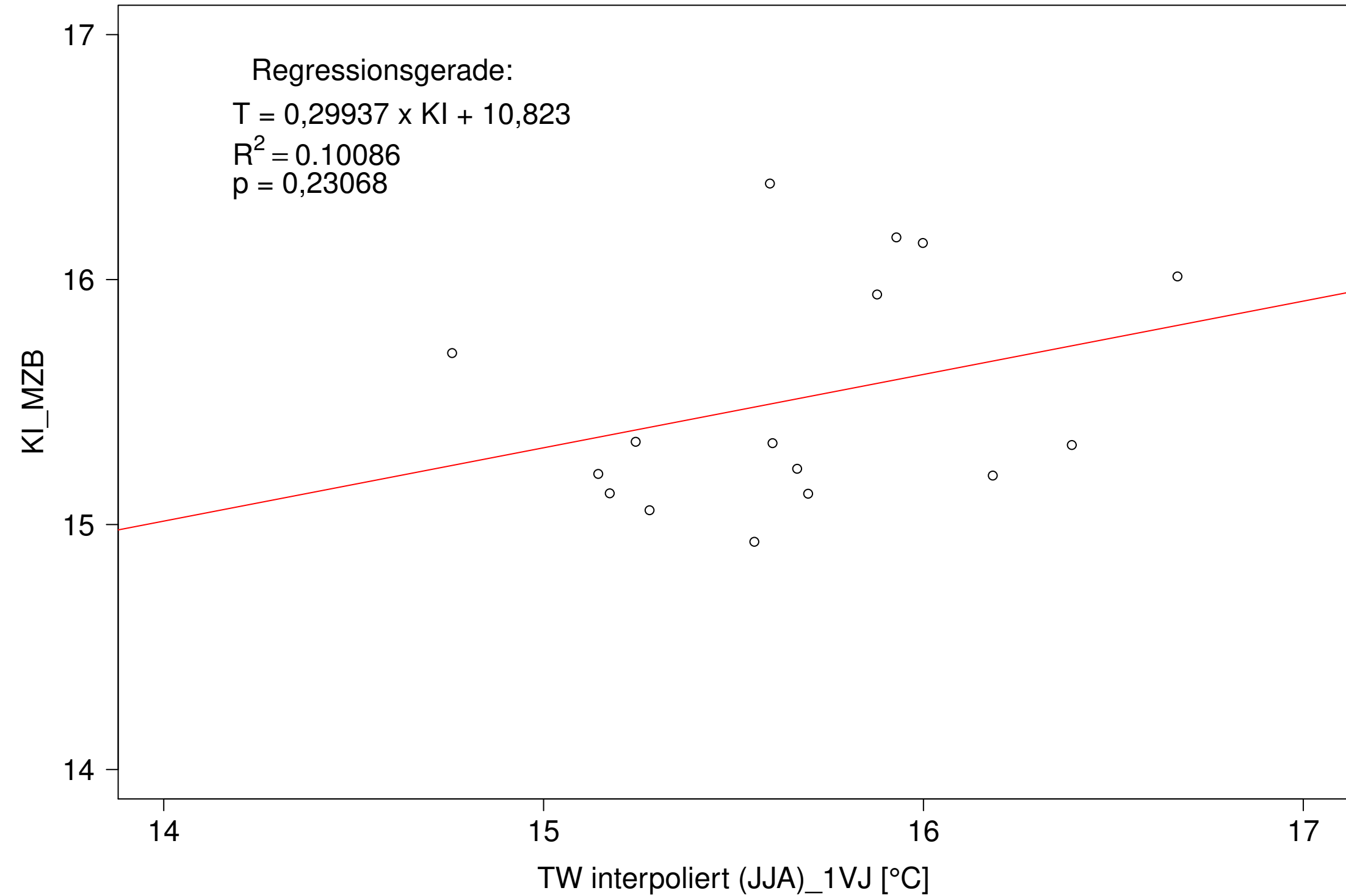
Donau_Pfohren, Typ 09.2 mit Neozoen, Serie 3
3JMW KI_MZB (Typ/Kont-Korr) gegen 3JMW TW interpoliert (JJA) des 1. Vorjahres



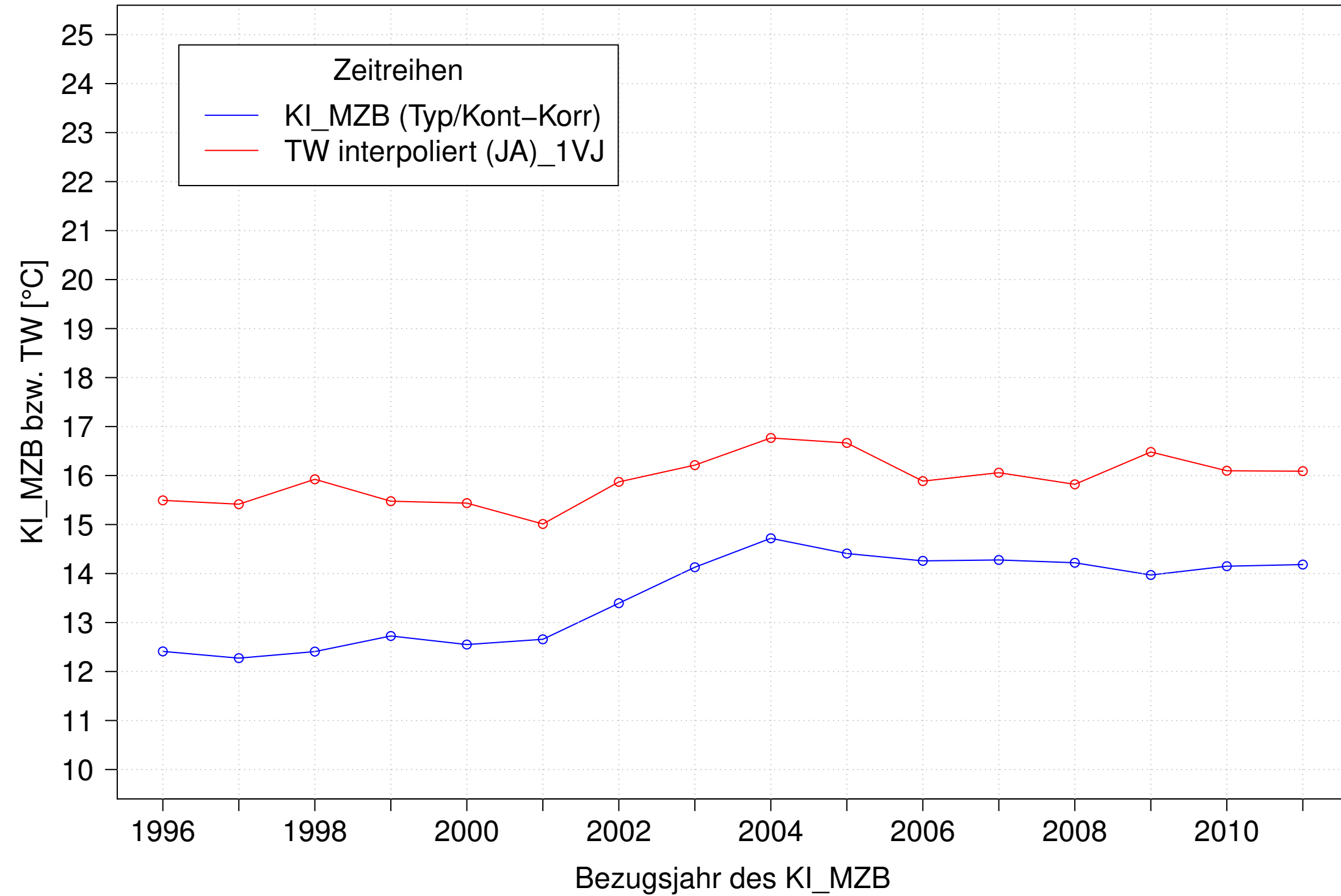
Donau_Pfohren, Typ 09.2 mit Neozoen, Serie 4
3JMW KI_MZB (Typ/Kont-Korr) und 3JMW TW interpoliert (JJA) des 1. Vorjahres



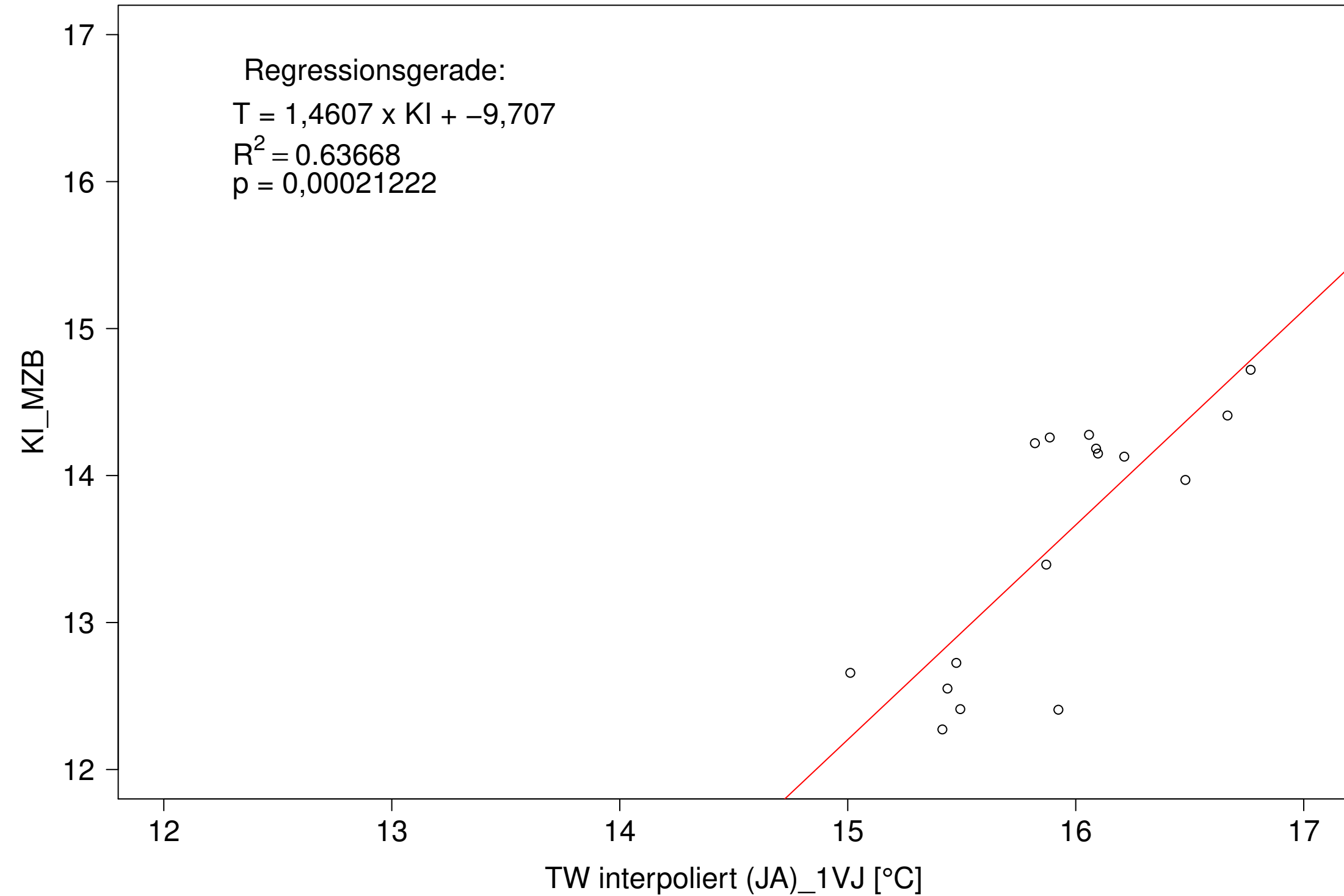
Donau_Pfohren, Typ 09.2 mit Neozoen, Serie 4
3JMW KI_MZB (Typ/Kont-Korr) gegen 3JMW TW interpoliert (JJA) des 1. Vorjahres



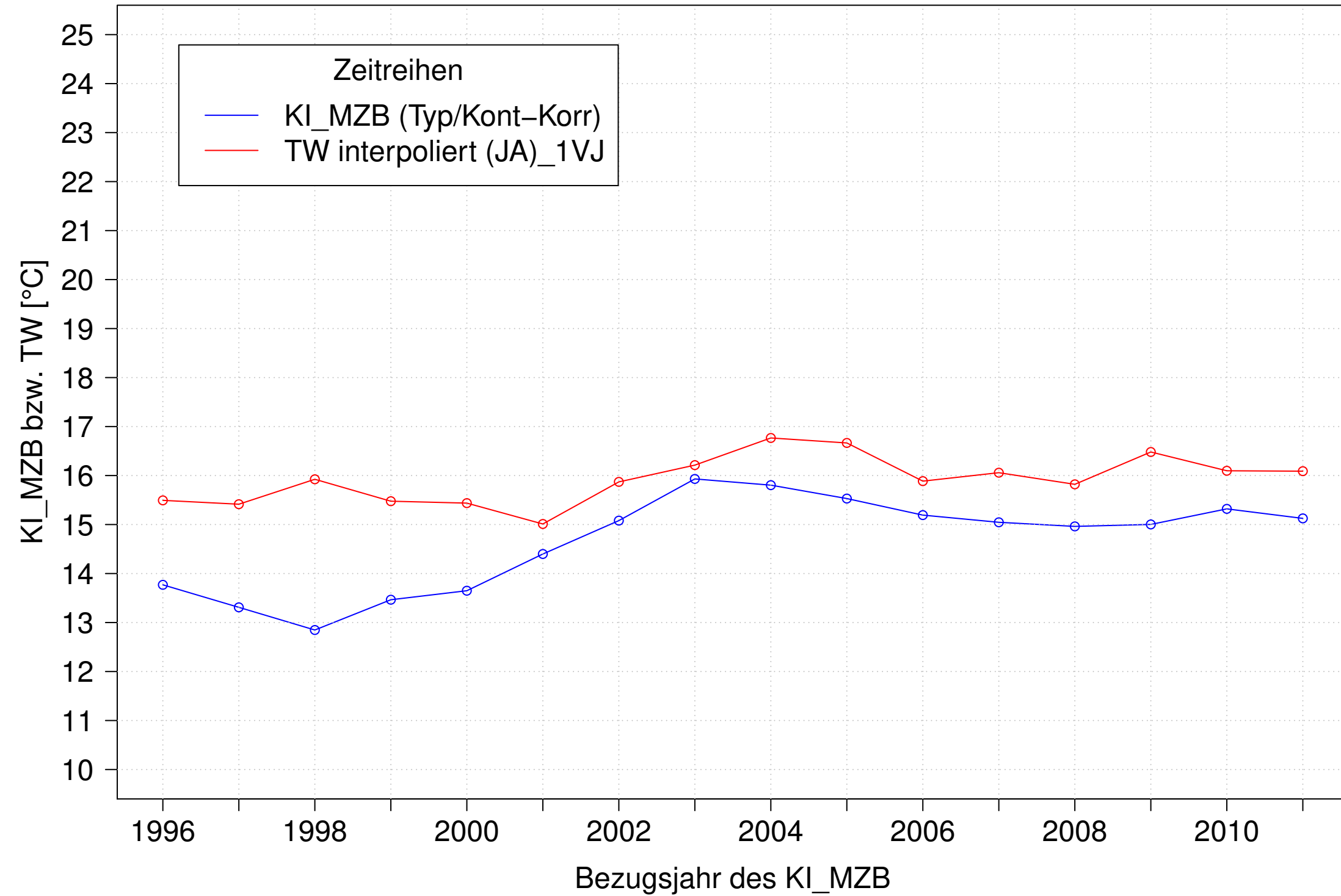
Donau_Pfohren, Typ 09.2 mit Neozoen, Serie 1
3JMW KI_MZB (Typ/Kont-Korr) und 3JMW TW interpoliert (JA) des 1. Vorjahres



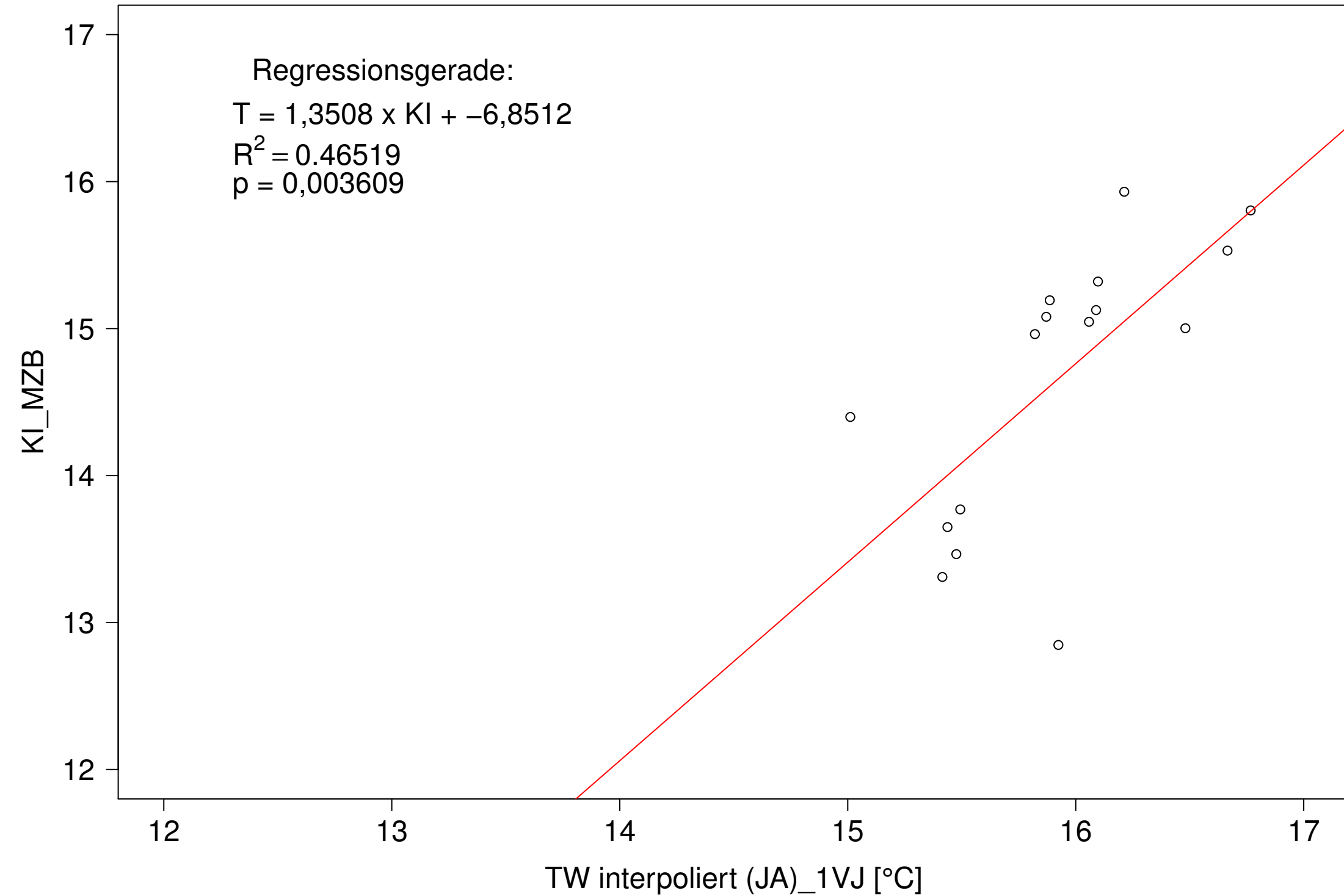
Donau_Pfohren, Typ 09.2 mit Neozoen, Serie 1
3JMW KI_MZB (Typ/Kont-Korr) gegen 3JMW TW interpoliert (JA) des 1. Vorjahres



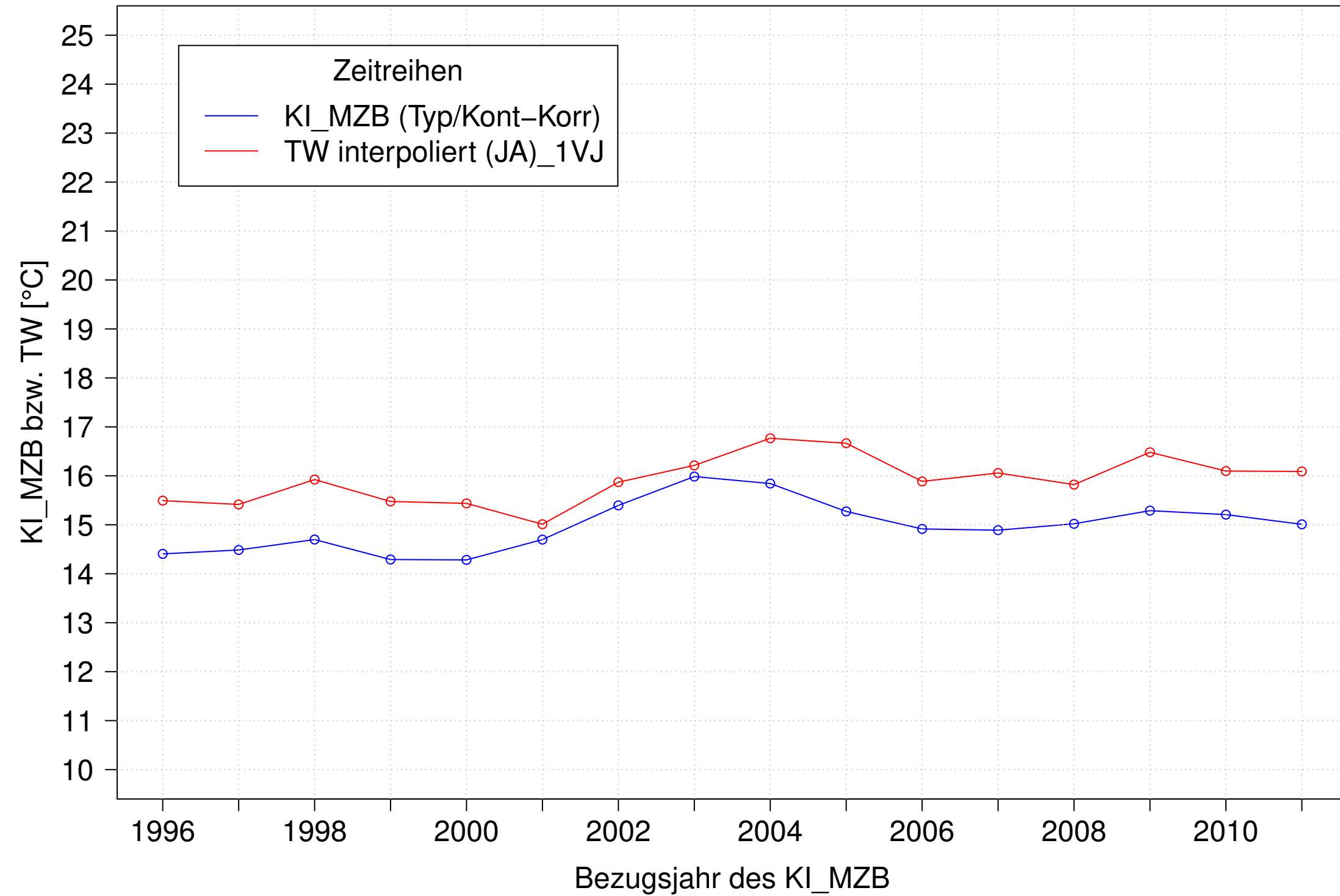
Donau_Pfohren, Typ 09.2 mit Neozoen, Serie 2
3JMW KI_MZB (Typ/Kont-Korr) und 3JMW TW interpoliert (JA) des 1. Vorjahres



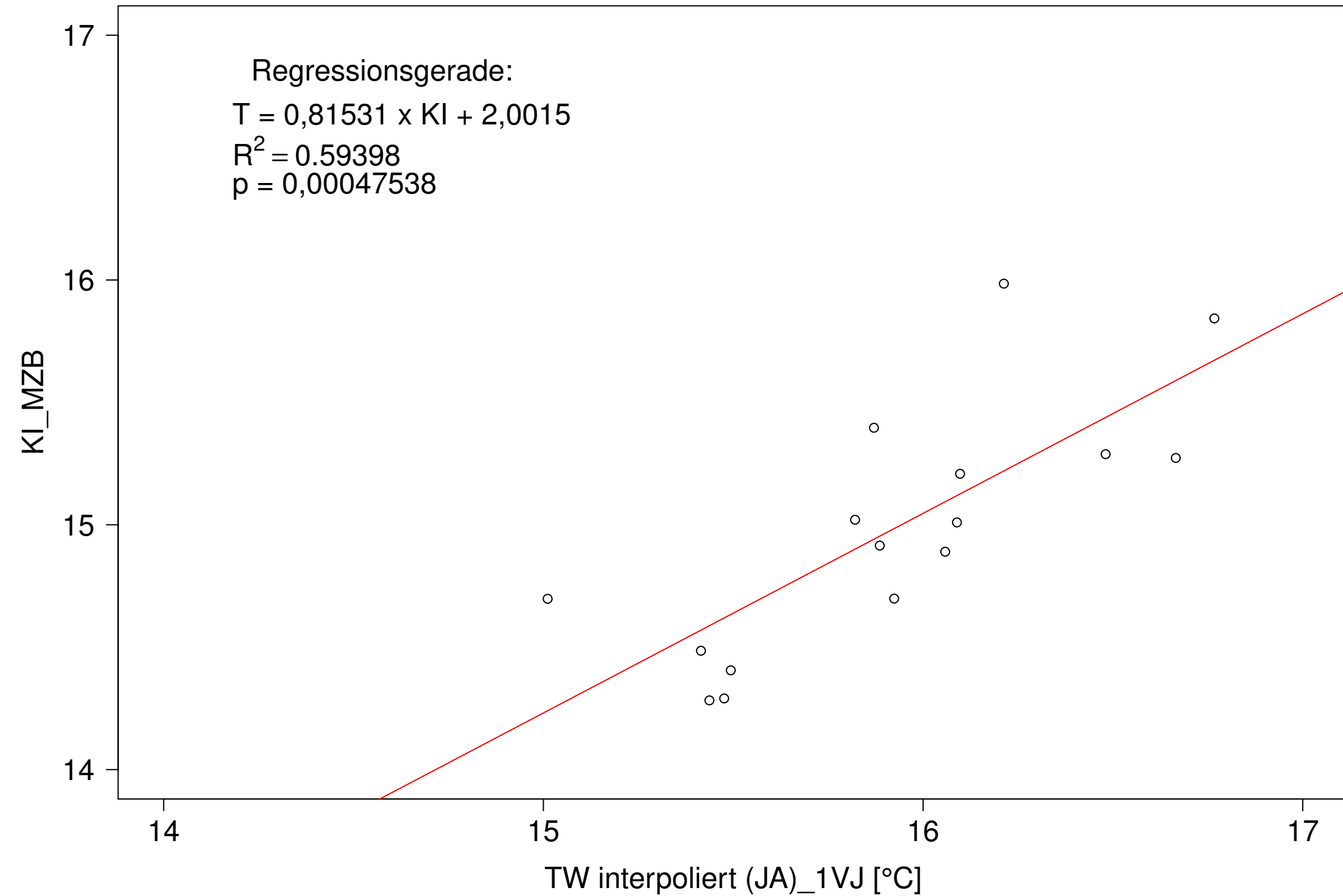
Donau_Pfohren, Typ 09.2 mit Neozoen, Serie 2
3JMW KI_MZB (Typ/Kont-Korr) gegen 3JMW TW interpoliert (JA) des 1. Vorjahres



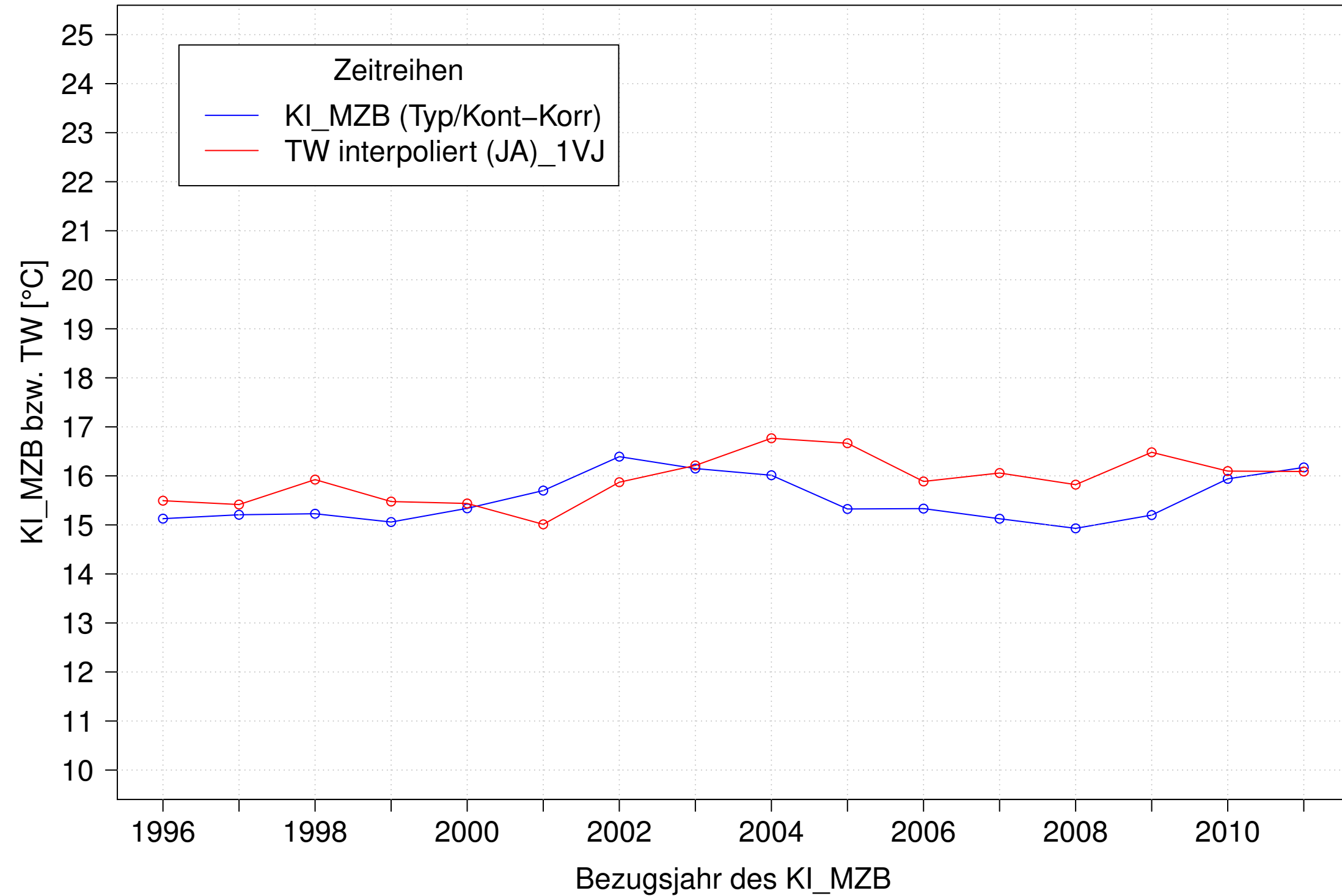
Donau_Pfohren, Typ 09.2 mit Neozoen, Serie 3
3JMW KI_MZB (Typ/Kont-Korr) und 3JMW TW interpoliert (JA) des 1. Vorjahres



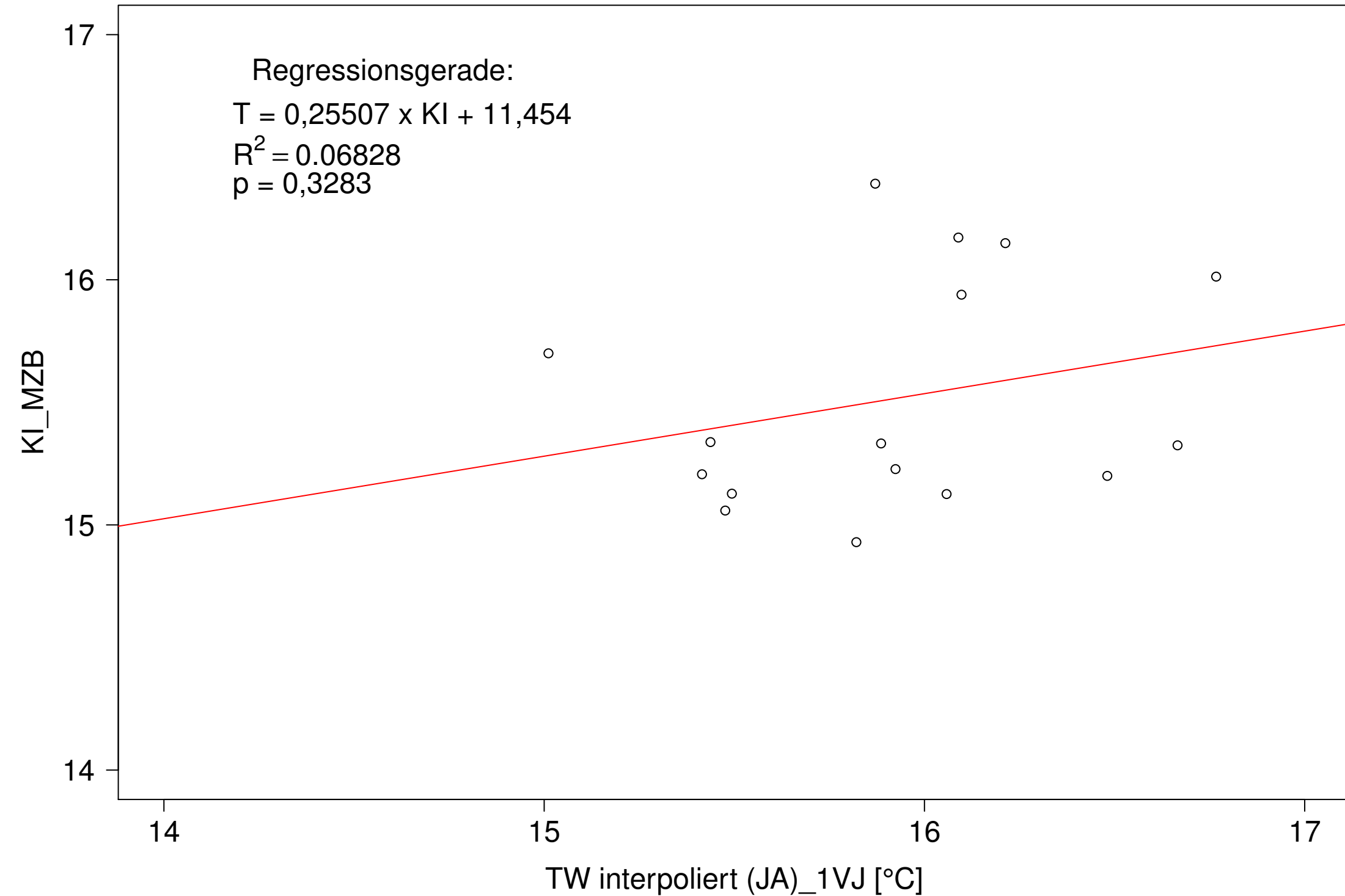
Donau_Pfohren, Typ 09.2 mit Neozoen, Serie 3
3JMW KI_MZB (Typ/Kont-Korr) gegen 3JMW TW interpoliert (JA) des 1. Vorjahres



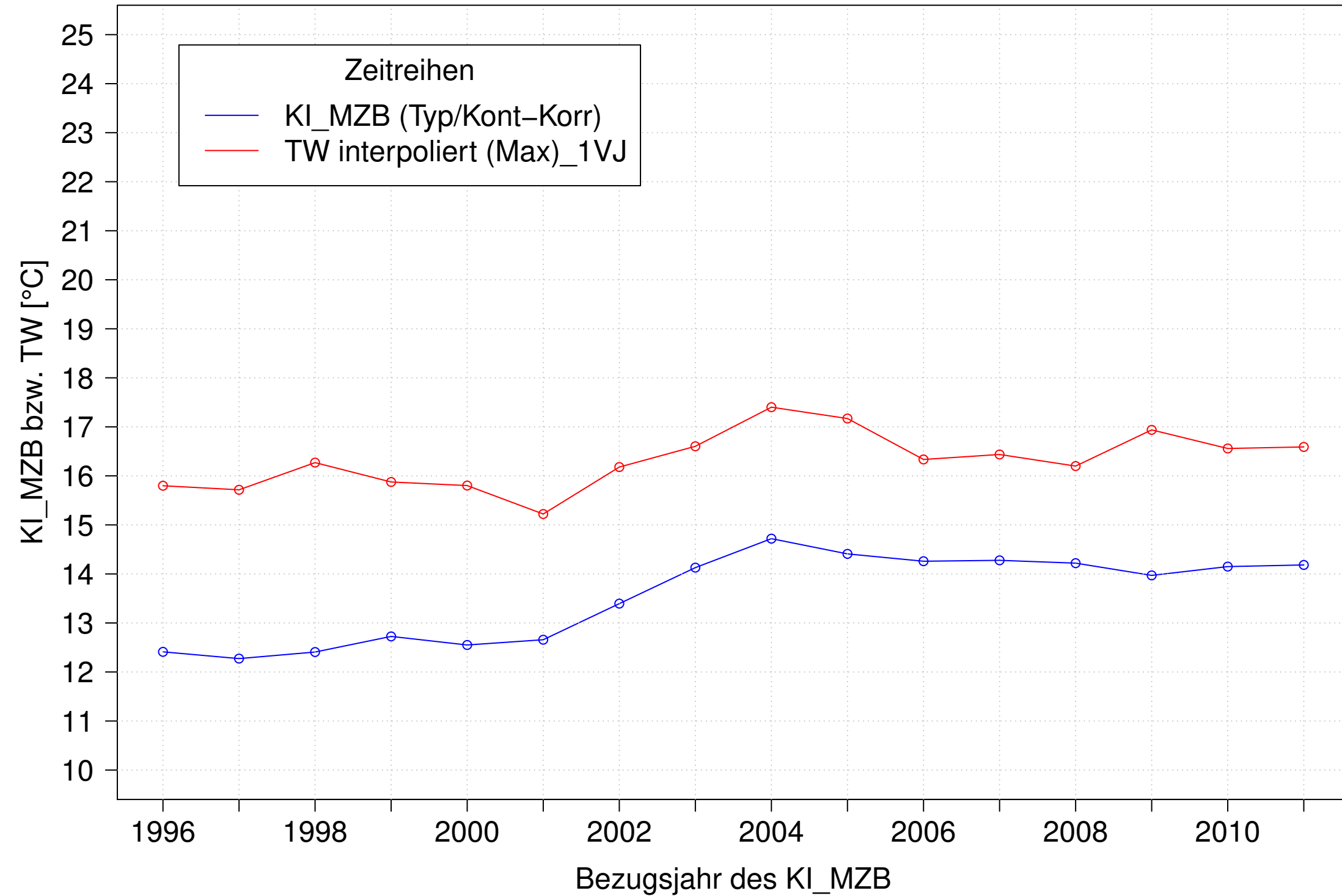
Donau_Pfohren, Typ 09.2 mit Neozoen, Serie 4
3JMW KI_MZB (Typ/Kont-Korr) und 3JMW TW interpoliert (JA) des 1. Vorjahres



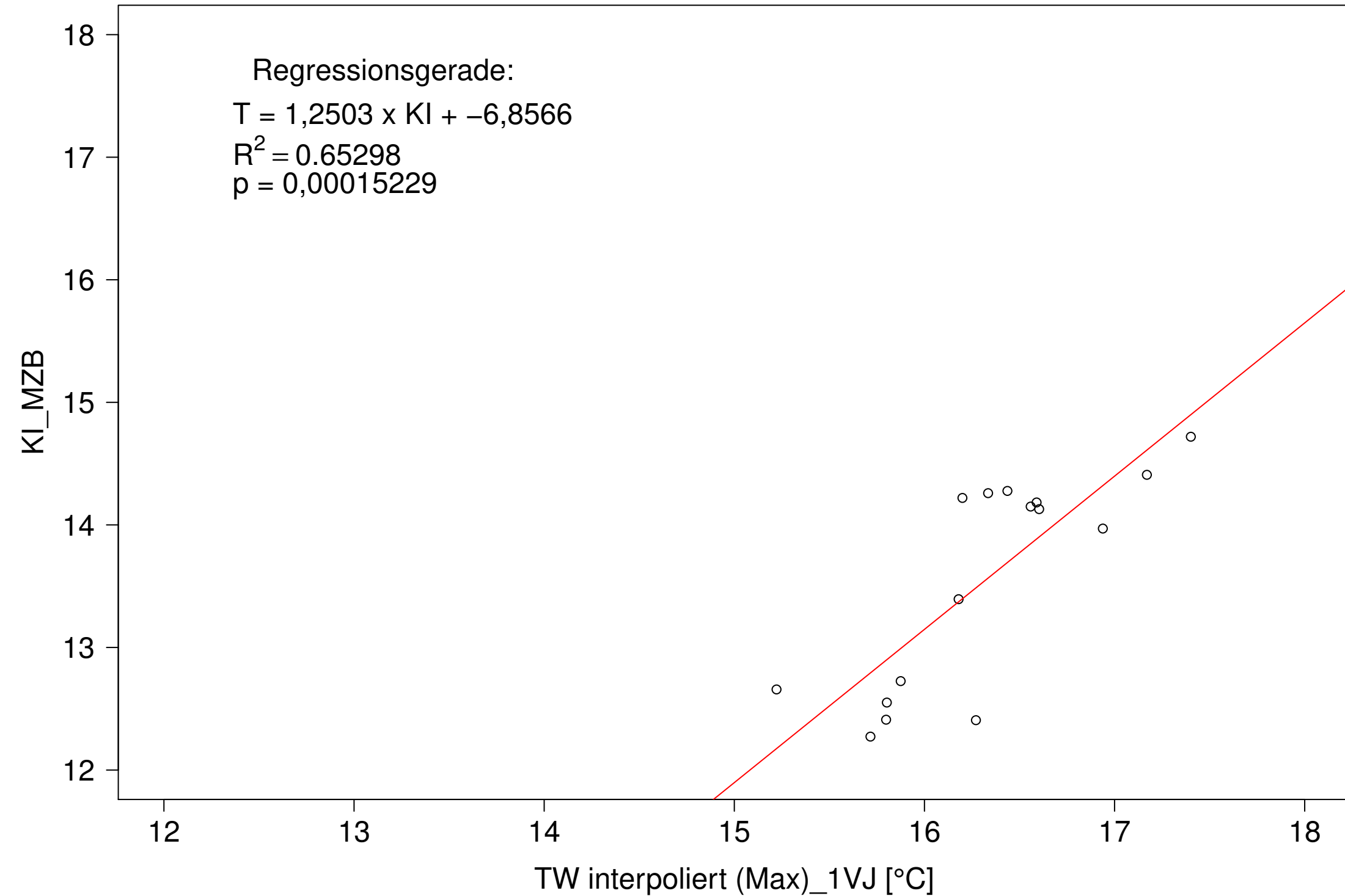
Donau_Pfohren, Typ 09.2 mit Neozoen, Serie 4
3JMW KI_MZB (Typ/Kont-Korr) gegen 3JMW TW interpoliert (JA) des 1. Vorjahres



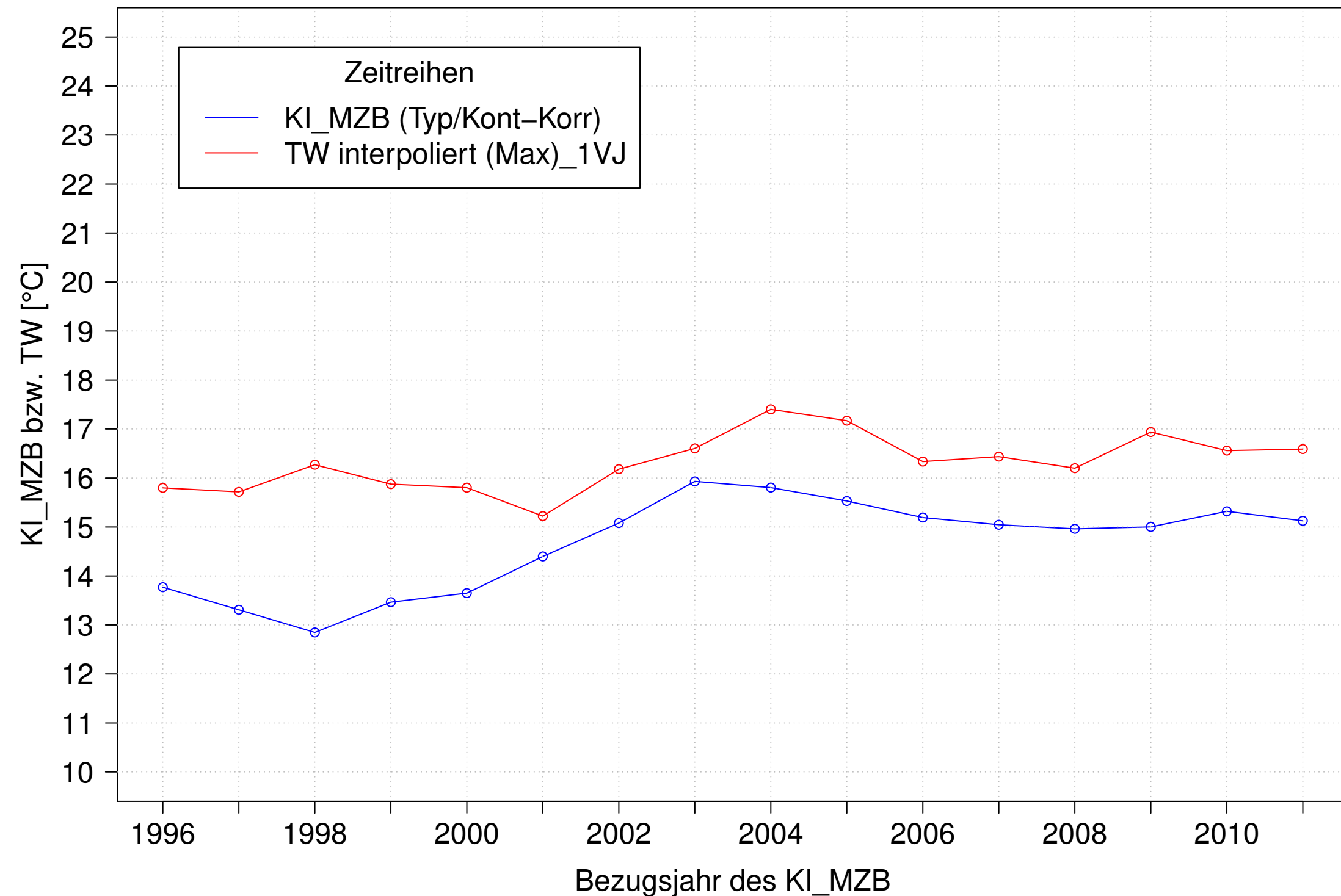
Donau_Pfohren, Typ 09.2 mit Neozoen, Serie 1
3JMW KI_MZB (Typ/Kont-Korr) und 3JMW TW interpoliert (Max) des 1. Vorjahres



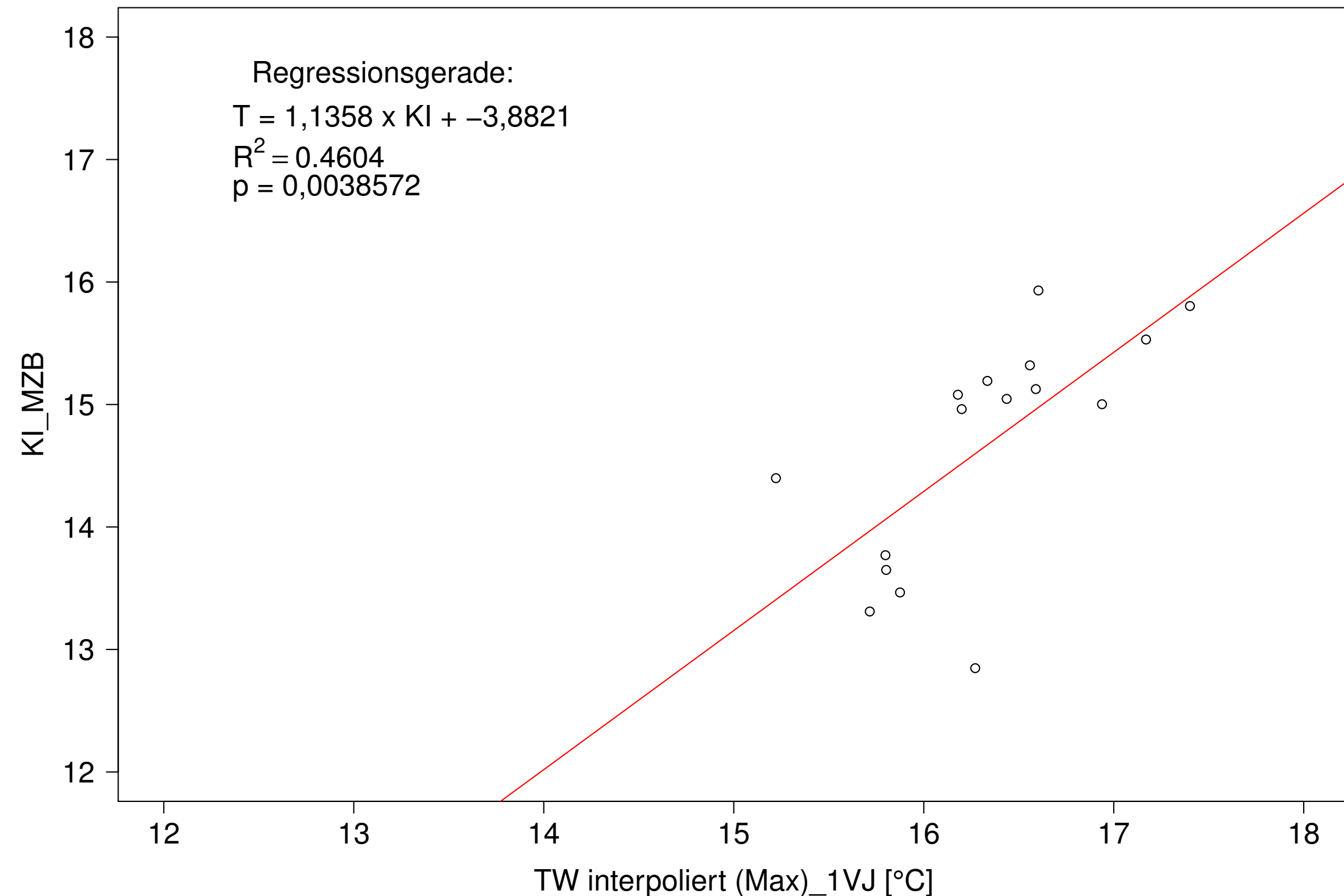
Donau_Pfohren, Typ 09.2 mit Neozoen, Serie 1
3JMW KI_MZB (Typ/Kont-Korr) gegen 3JMW TW interpoliert (Max) des 1. Vorjahres



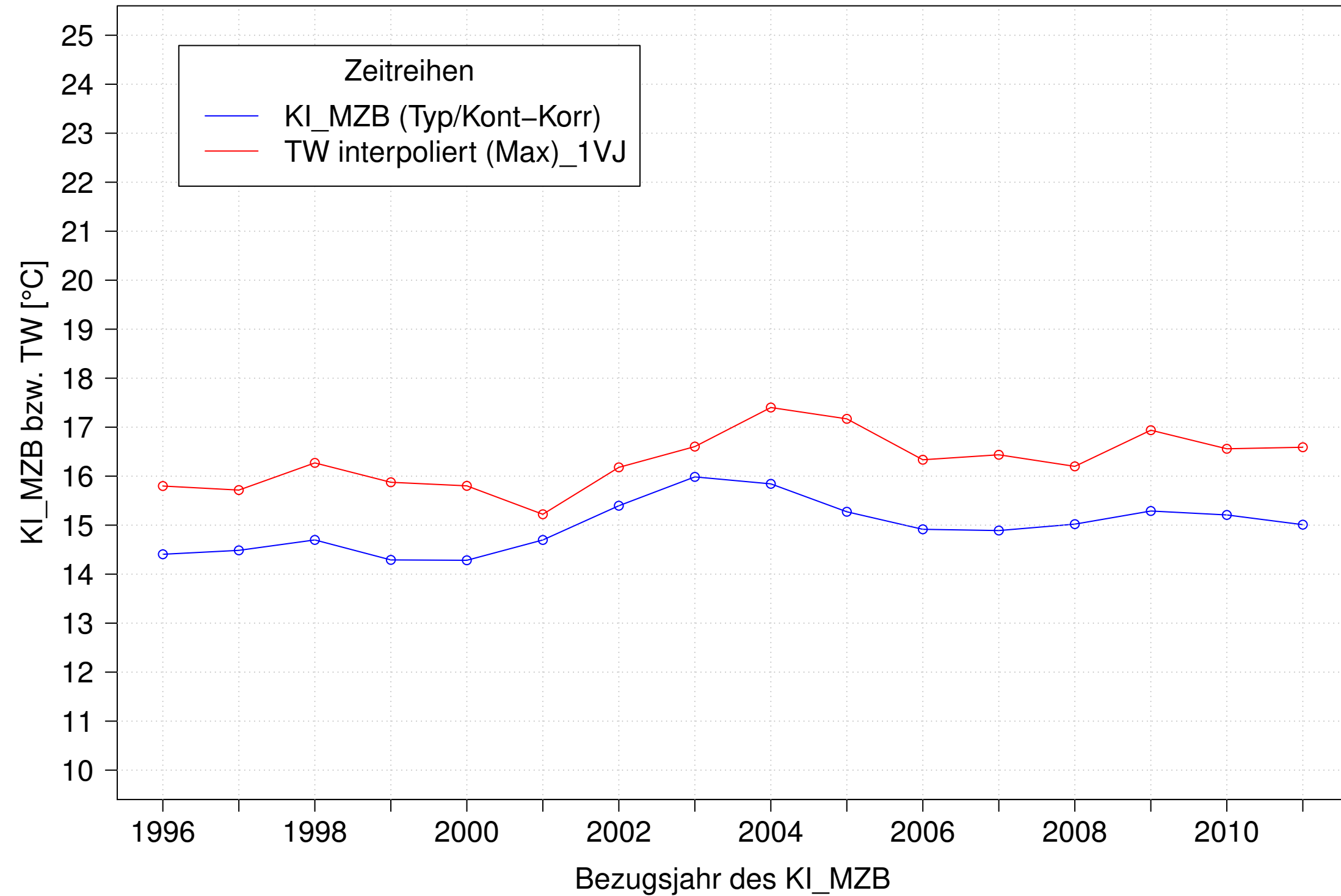
Donau_Pfohren, Typ 09.2 mit Neozoen, Serie 2
3JMW KI_MZB (Typ/Kont-Korr) und 3JMW TW interpoliert (Max) des 1. Vorjahres



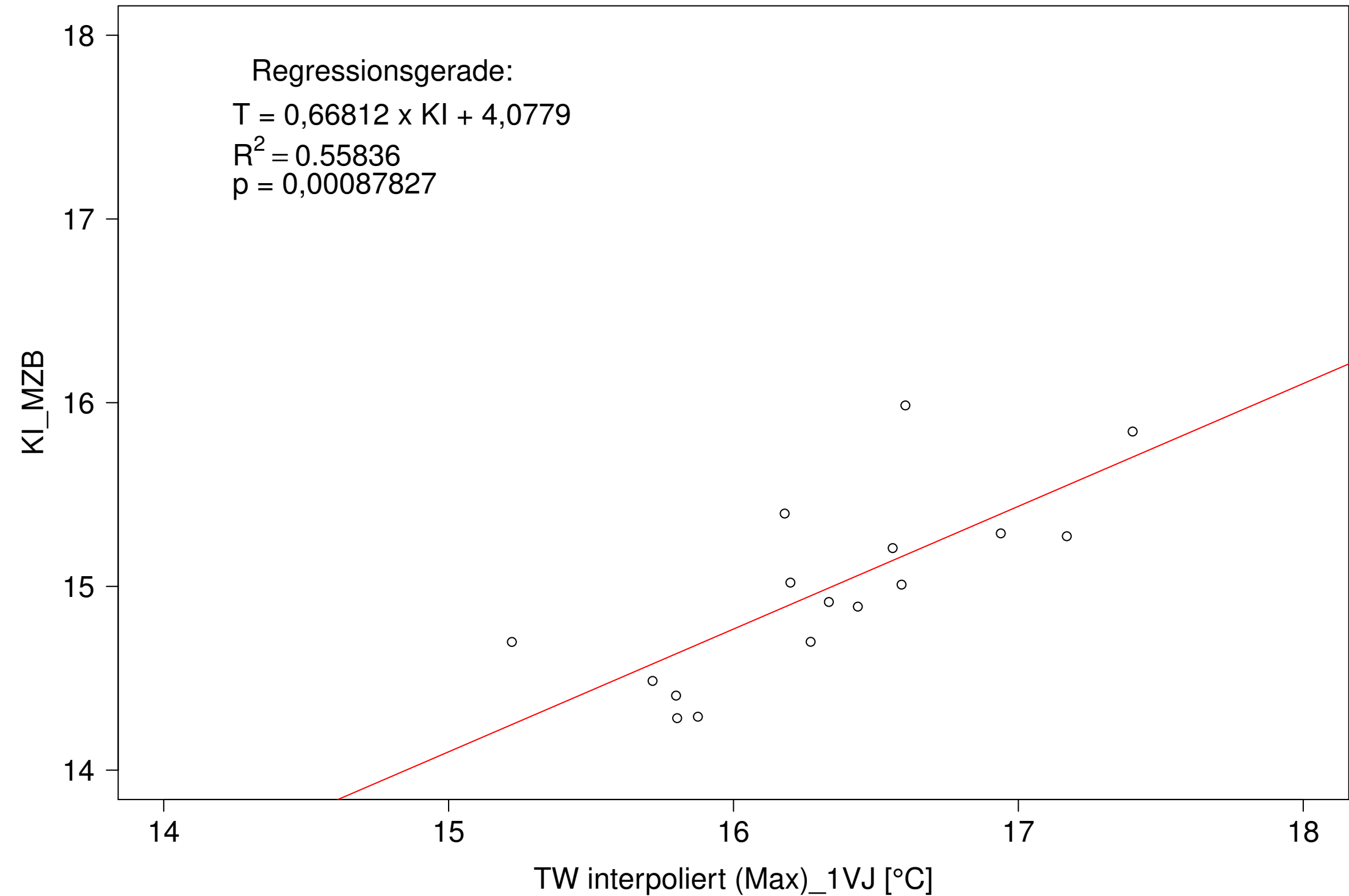
Donau_Pfohren, Typ 09.2 mit Neozoen, Serie 2
3JMW KI_MZB (Typ/Kont-Korr) gegen 3JMW TW interpoliert (Max) des 1. Vorjahres



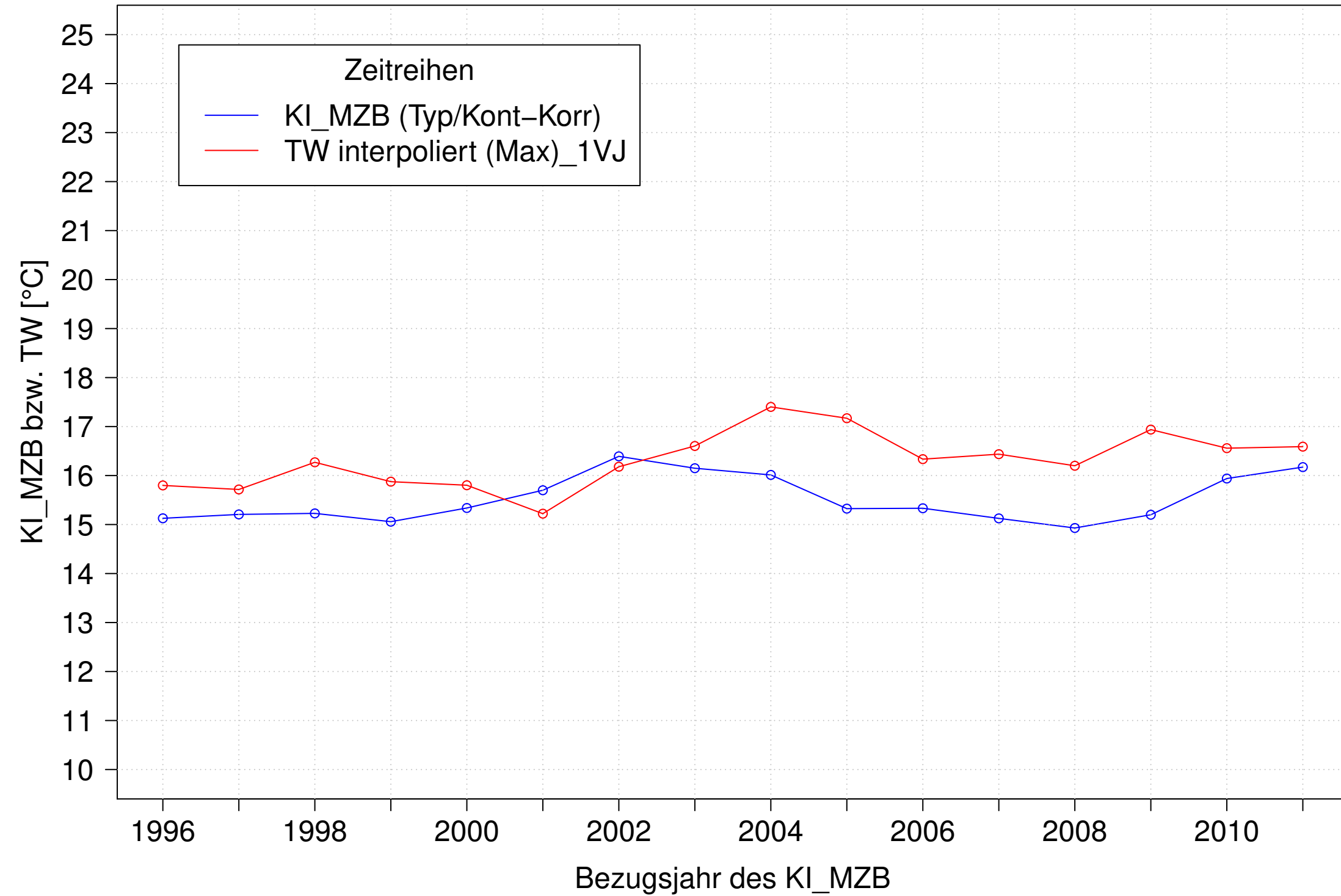
Donau_Pfohren, Typ 09.2 mit Neozoen, Serie 3
3JMW KI_MZB (Typ/Kont-Korr) und 3JMW TW interpoliert (Max) des 1. Vorjahres



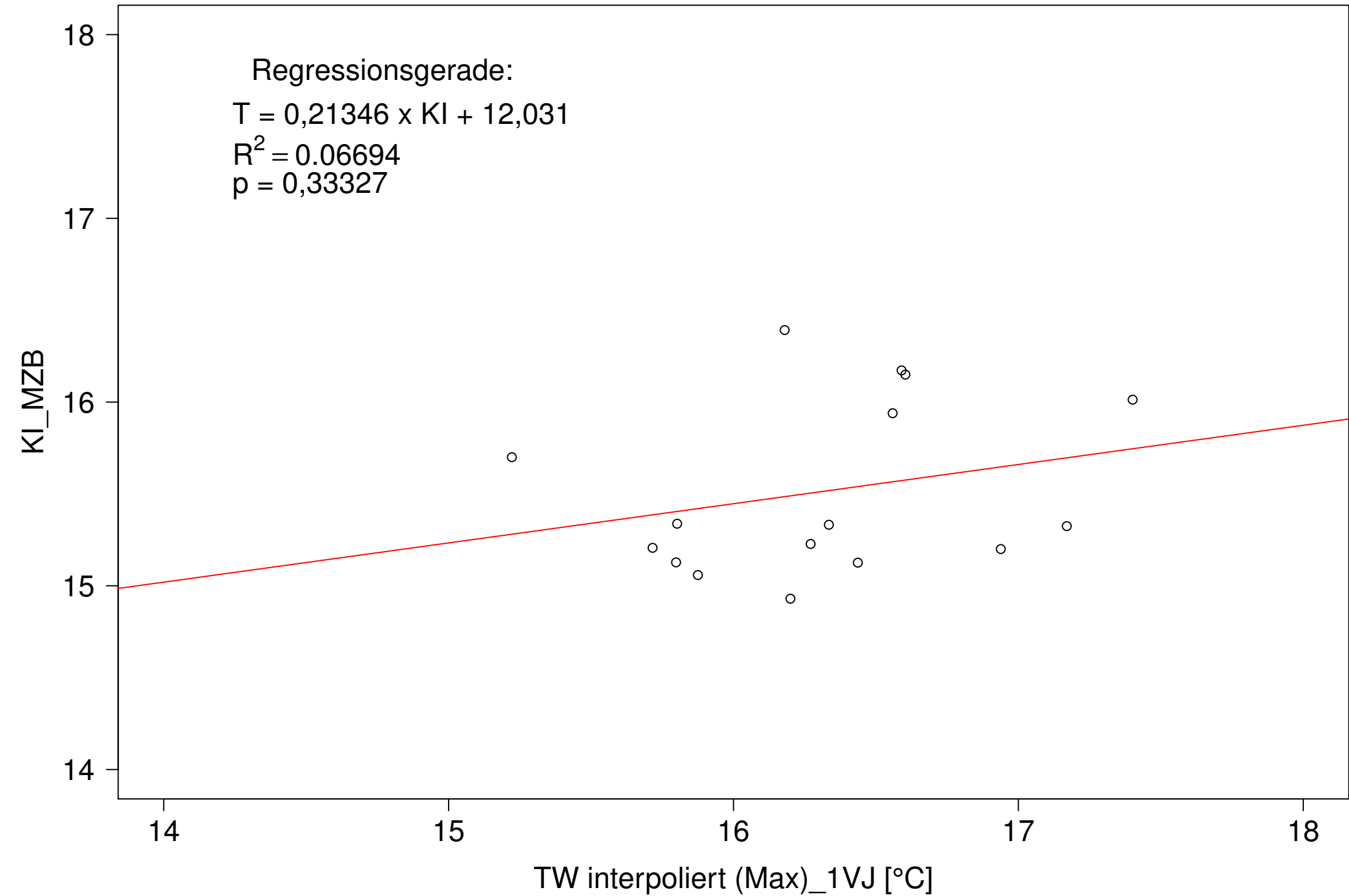
Donau_Pfohren, Typ 09.2 mit Neozoen, Serie 3
3JMW KI_MZB (Typ/Kont-Korr) gegen 3JMW TW interpoliert (Max) des 1. Vorjahres



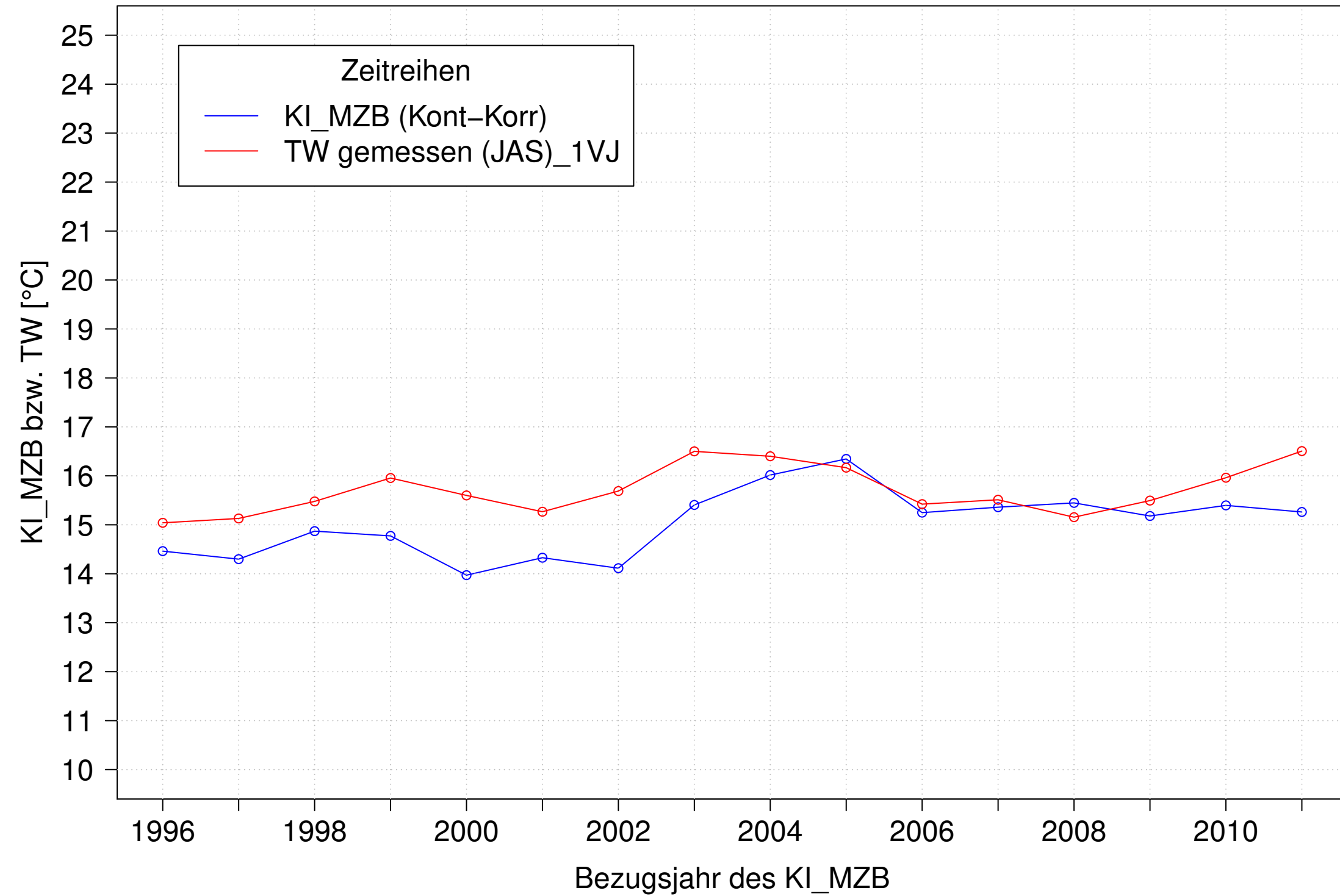
Donau_Pfohren, Typ 09.2 mit Neozoen, Serie 4
3JMW KI_MZB (Typ/Kont-Korr) und 3JMW TW interpoliert (Max) des 1. Vorjahres



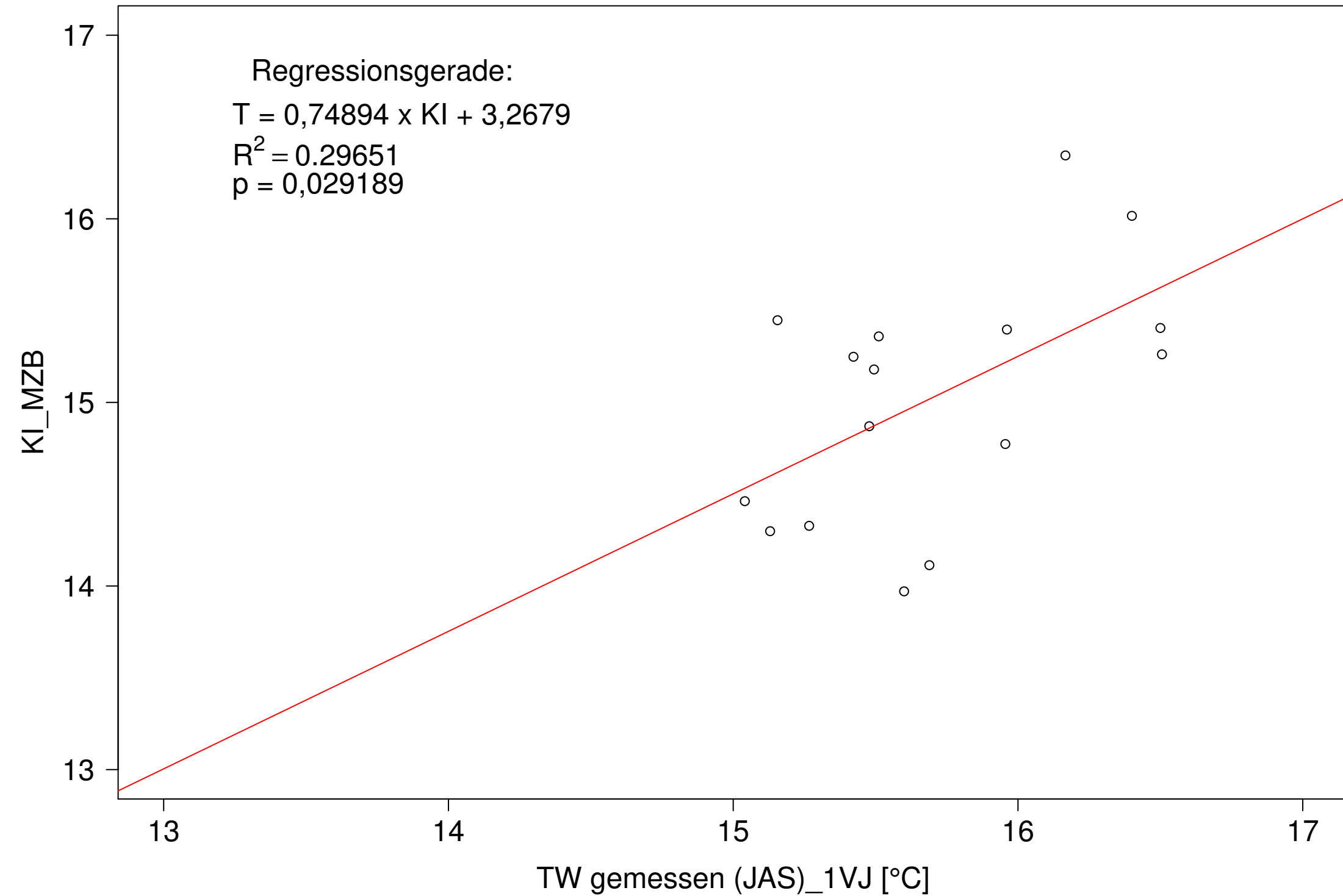
Donau_Pfohren, Typ 09.2 mit Neozoen, Serie 4
3JMW KI_MZB (Typ/Kont-Korr) gegen 3JMW TW interpoliert (Max) des 1. Vorjahres



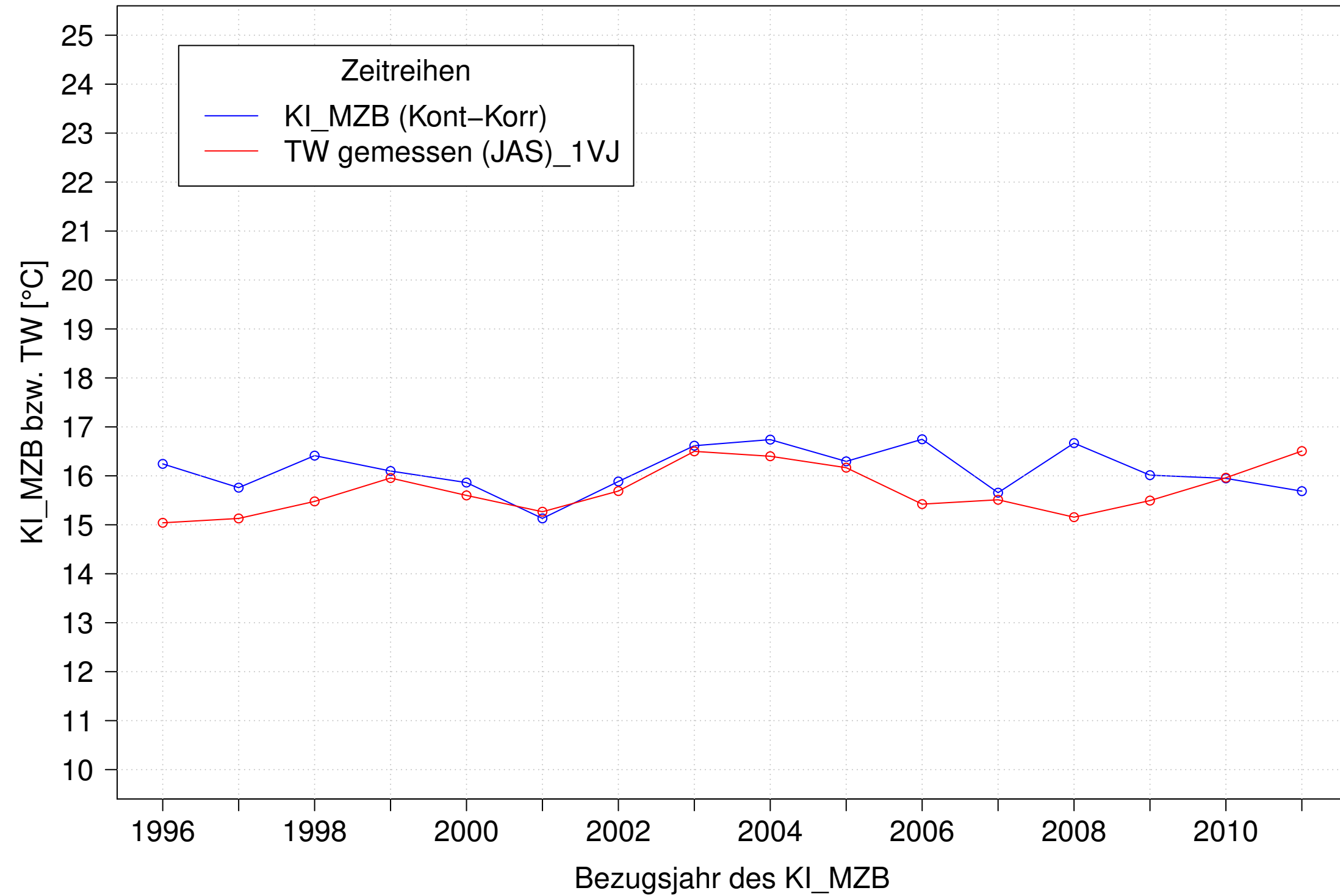
Neckar_Boerstingen, Typ 09.2 mit Neozoen, Serie 1
KI_MZB (Kont-Korr) und 3JMW TW gemessen (JAS) des 1. Vorjahres



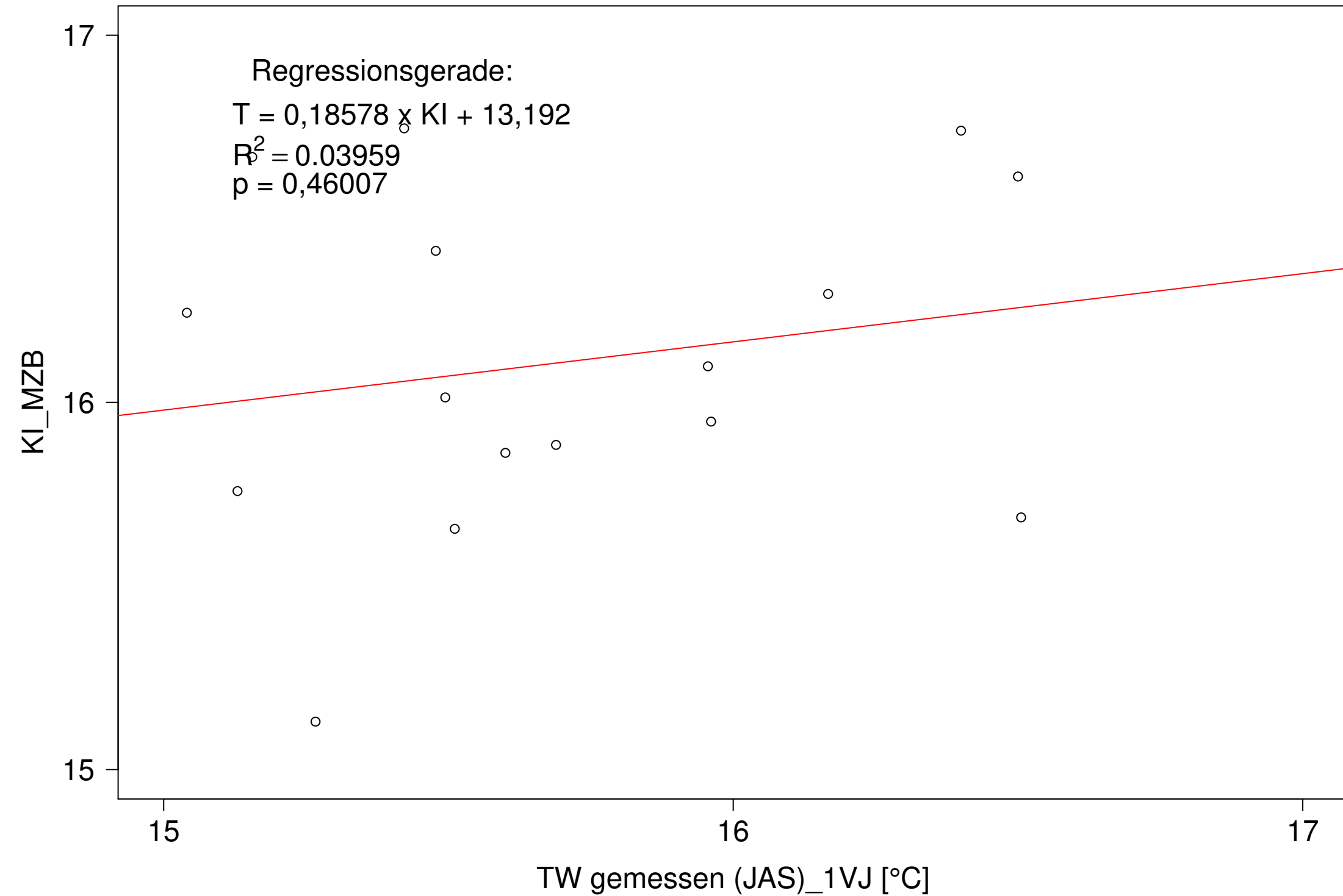
Neckar_Boerstingen, Typ 09.2 mit Neozoen, Serie 1
KI_MZB (Kont-Korr) gegen 3JMW TW gemessen (JAS) des 1. Vorjahres



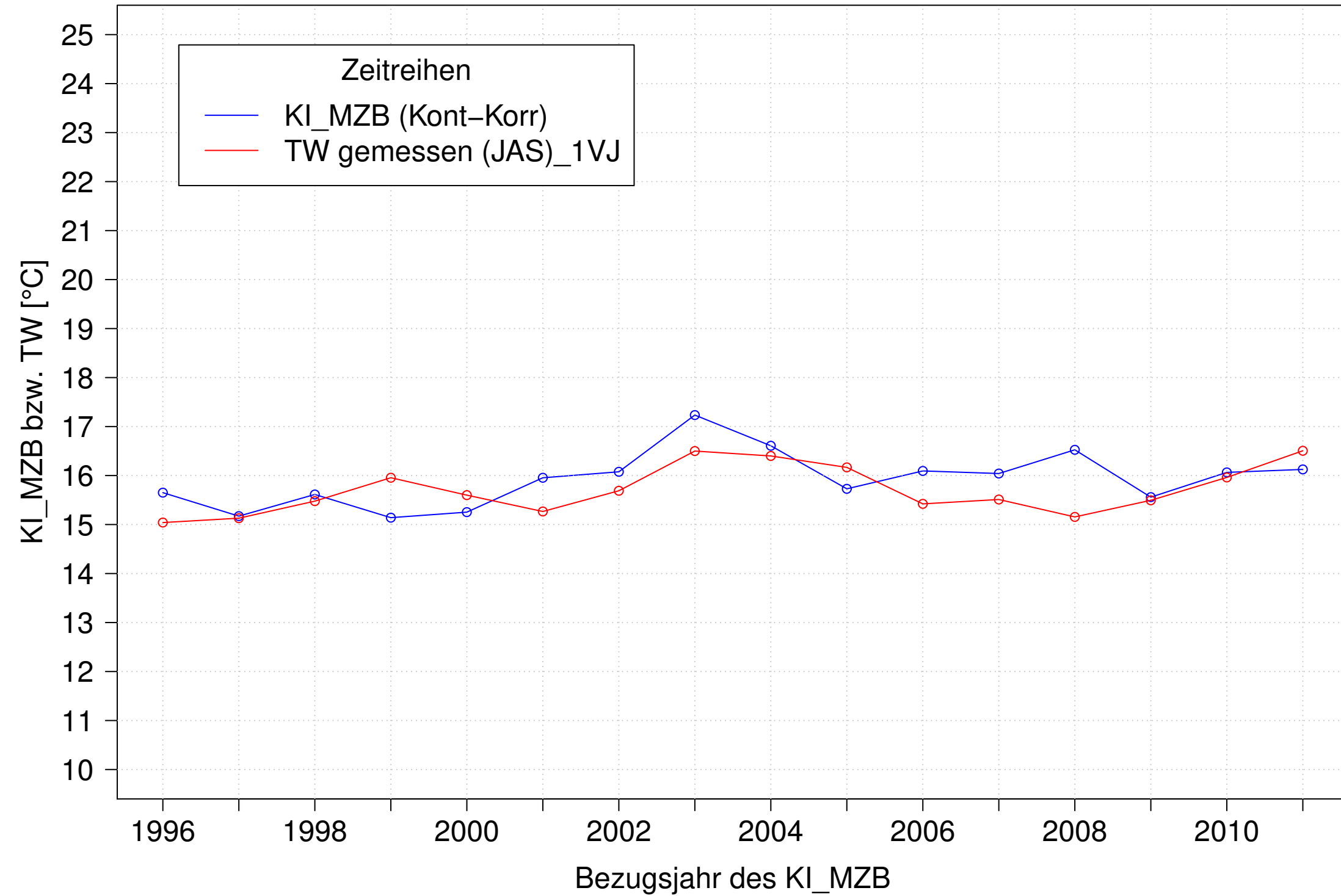
Neckar_Boerstingen, Typ 09.2 mit Neozoen, Serie 2
KI_MZB (Kont-Korr) und 3JMW TW gemessen (JAS) des 1. Vorjahres



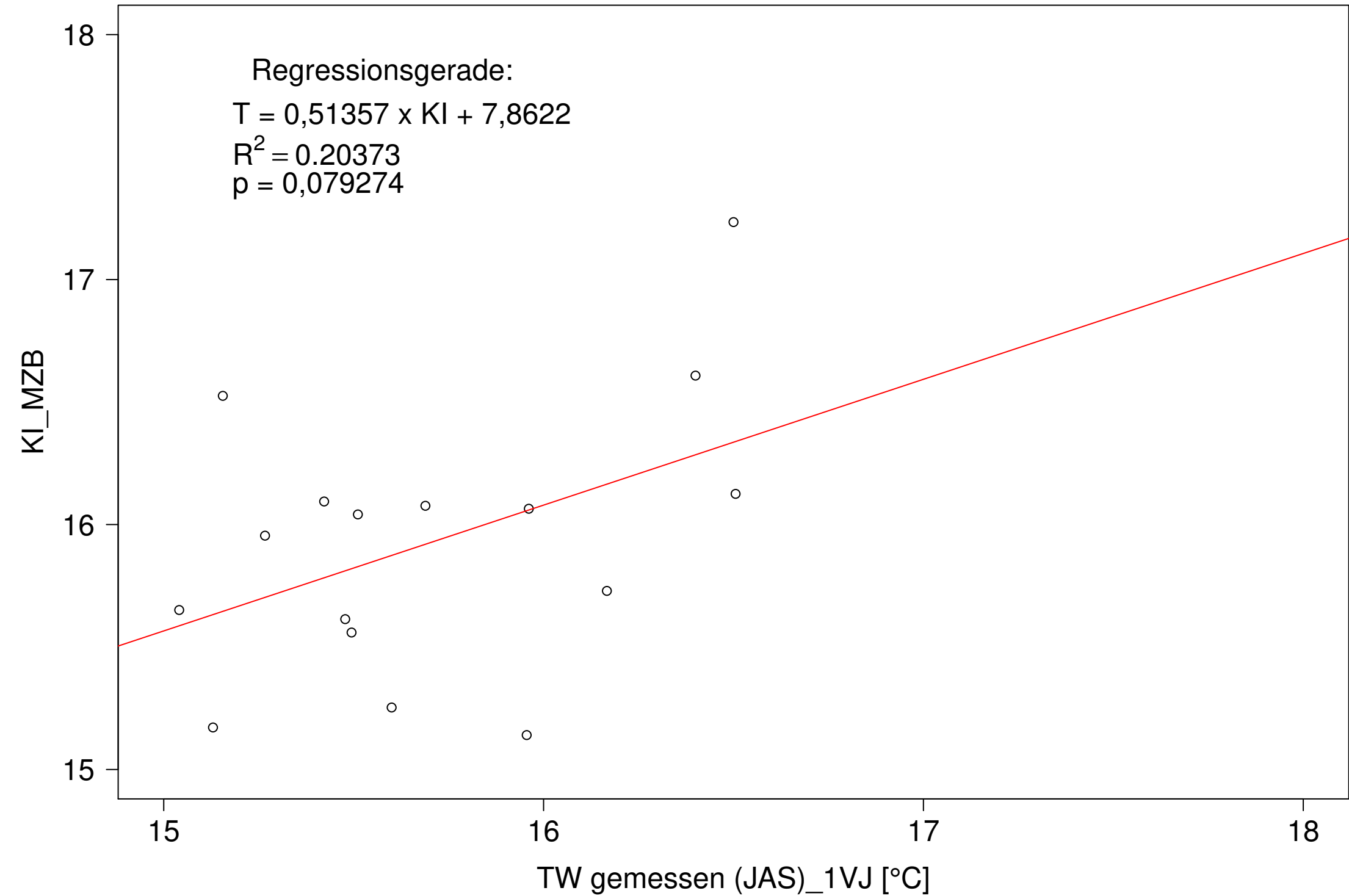
Neckar_Boerstingen, Typ 09.2 mit Neozoen, Serie 2
KI_MZB (Kont-Korr) gegen 3JMW TW gemessen (JAS) des 1. Vorjahres



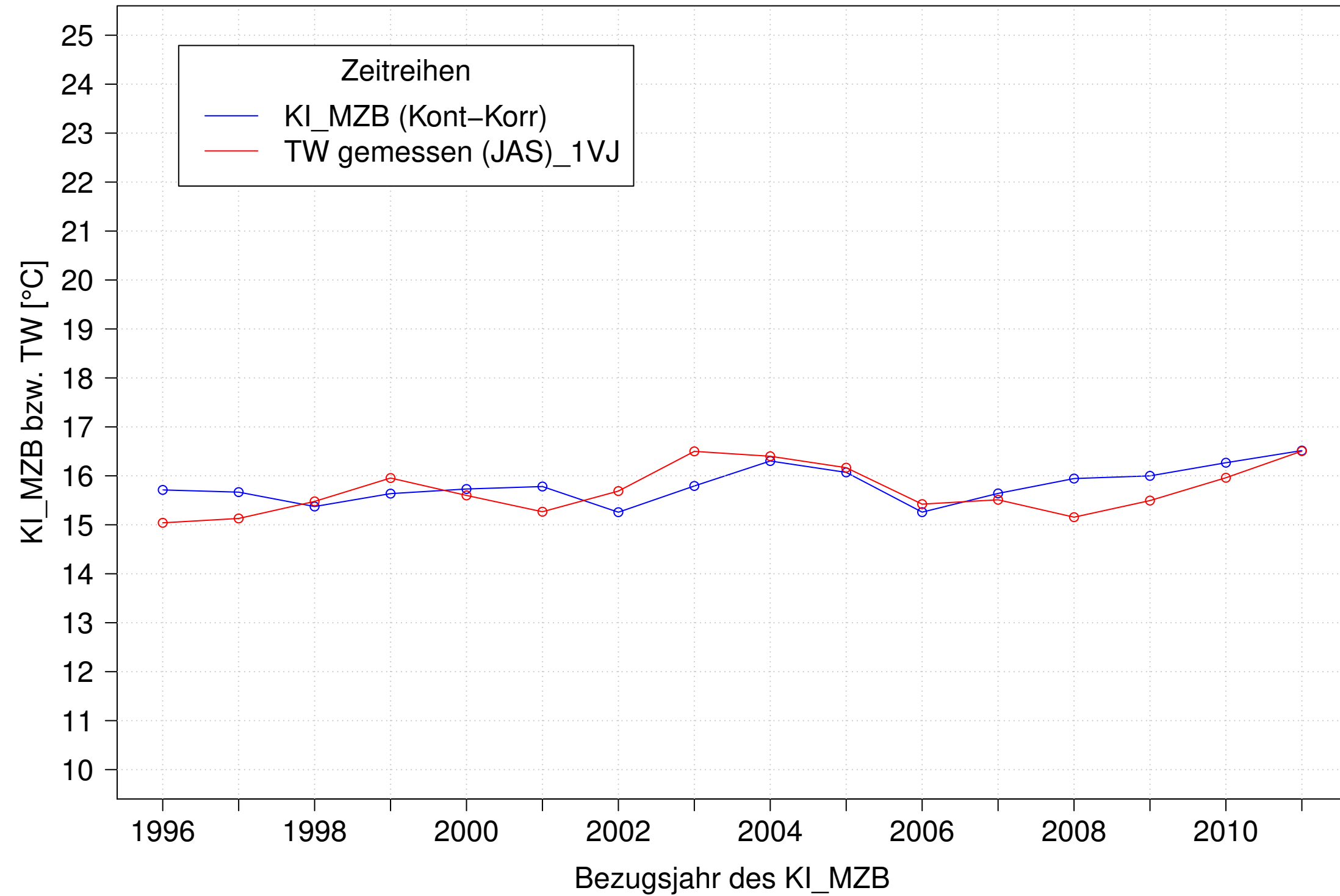
Neckar_Boerstingen, Typ 09.2 mit Neozoen, Serie 3
KI_MZB (Kont-Korr) und 3JMW TW gemessen (JAS) des 1. Vorjahres



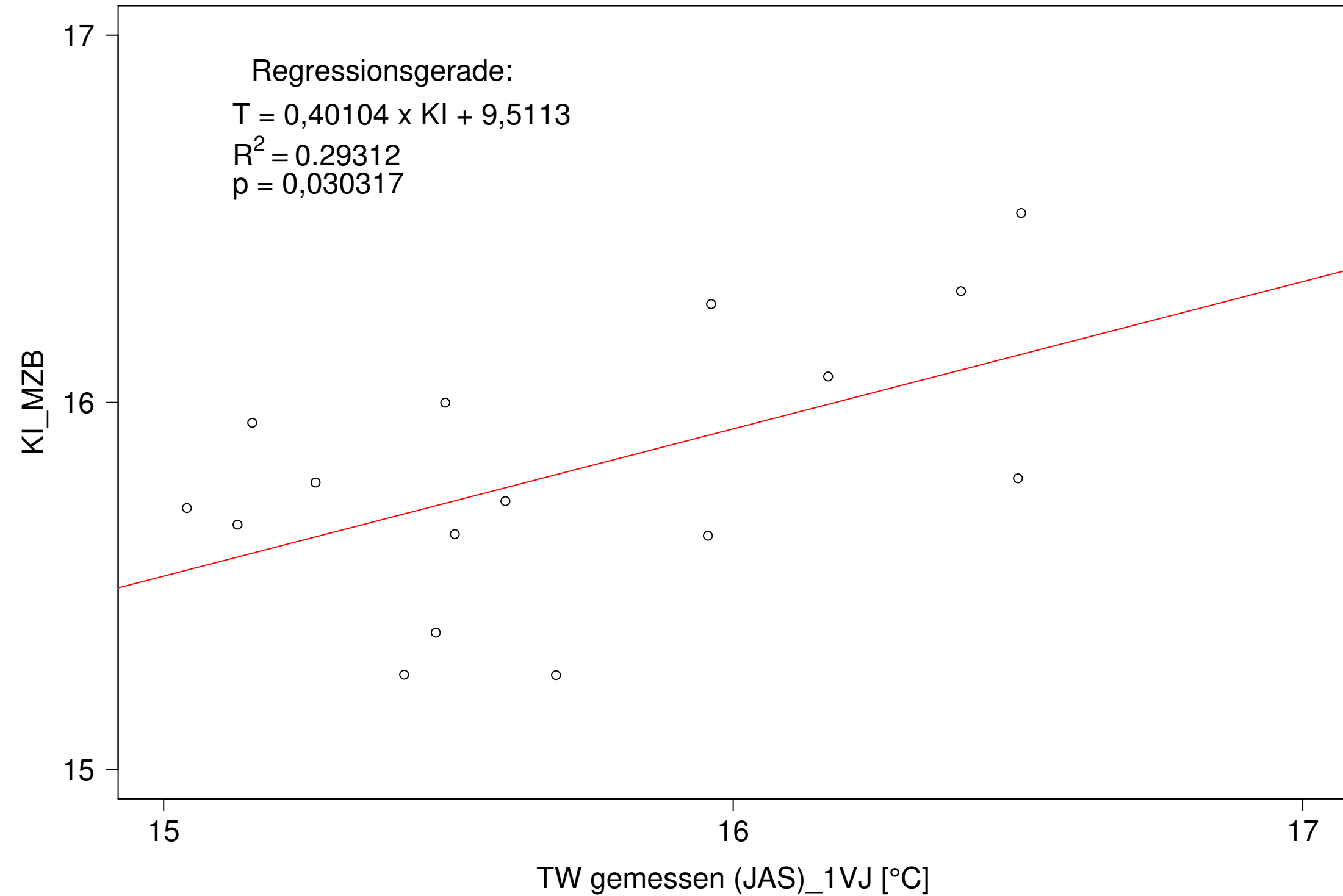
Neckar_Boerstingen, Typ 09.2 mit Neozoen, Serie 3
KI_MZB (Kont-Korr) gegen 3JMW TW gemessen (JAS) des 1. Vorjahres



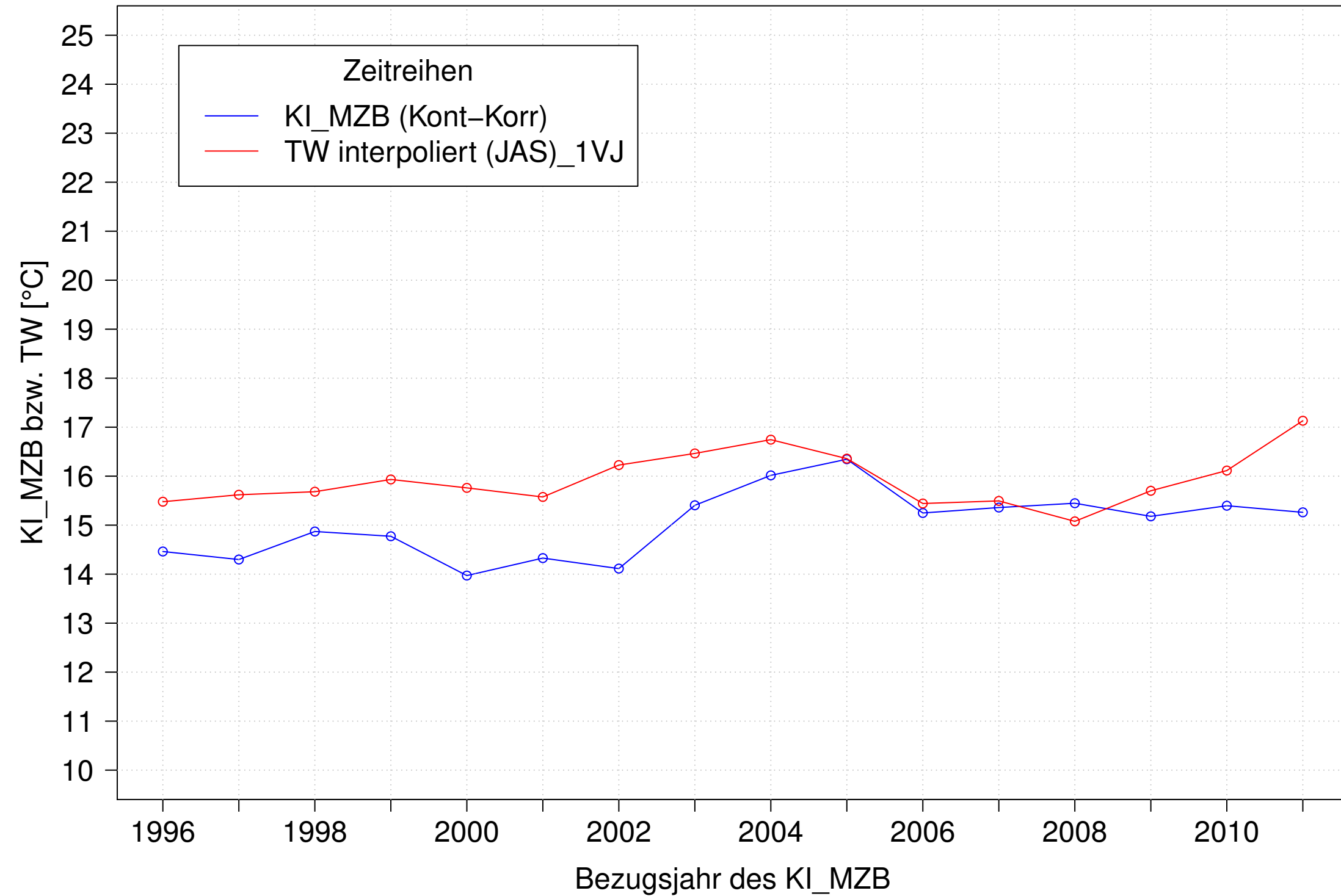
Neckar_Boerstingen, Typ 09.2 mit Neozoen, Serie 4
KI_MZB (Kont-Korr) und 3JMW TW gemessen (JAS) des 1. Vorjahres



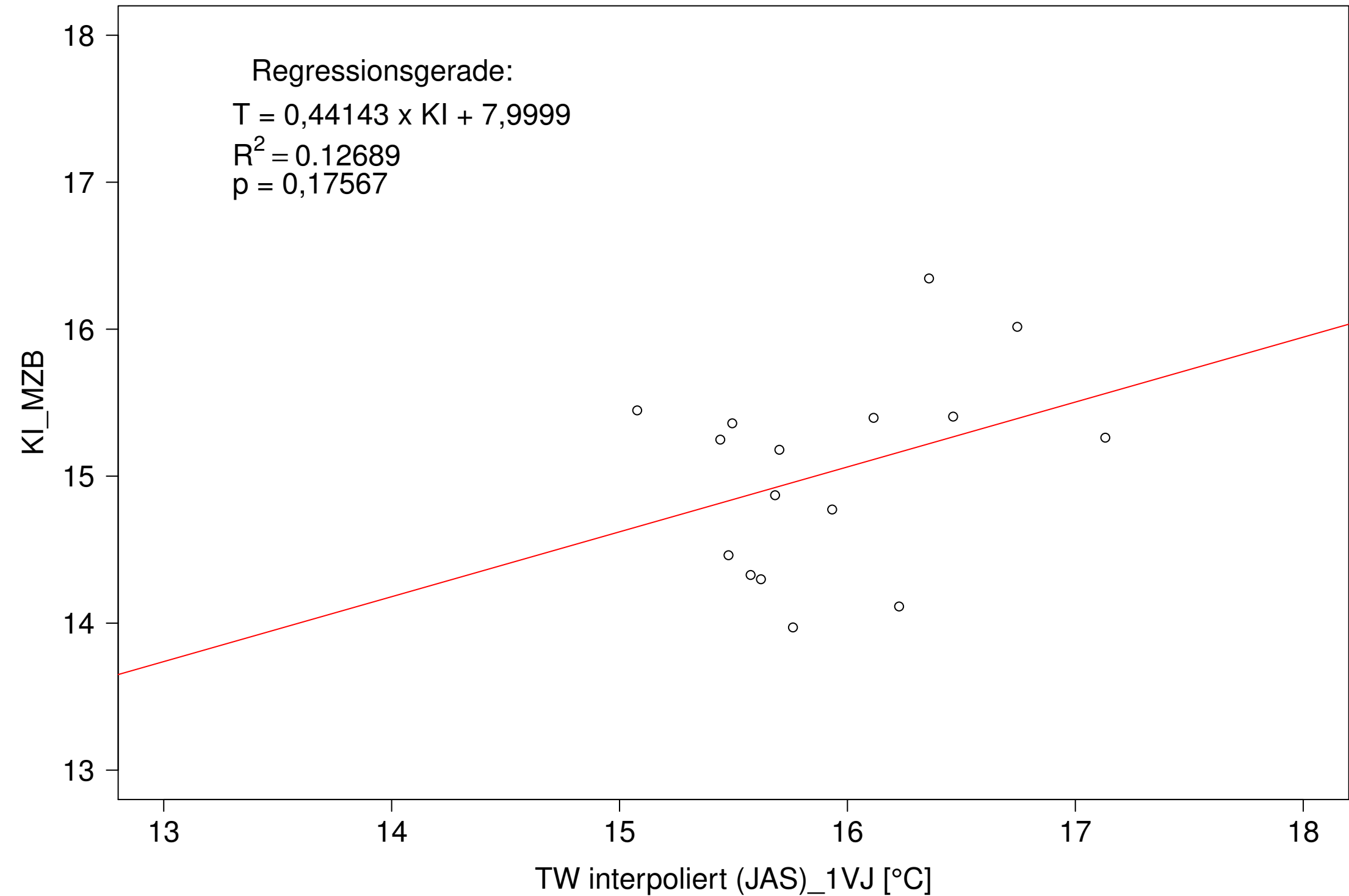
Neckar_Boerstingen, Typ 09.2 mit Neozoen, Serie 4
KI_MZB (Kont-Korr) gegen 3JMW TW gemessen (JAS) des 1. Vorjahres



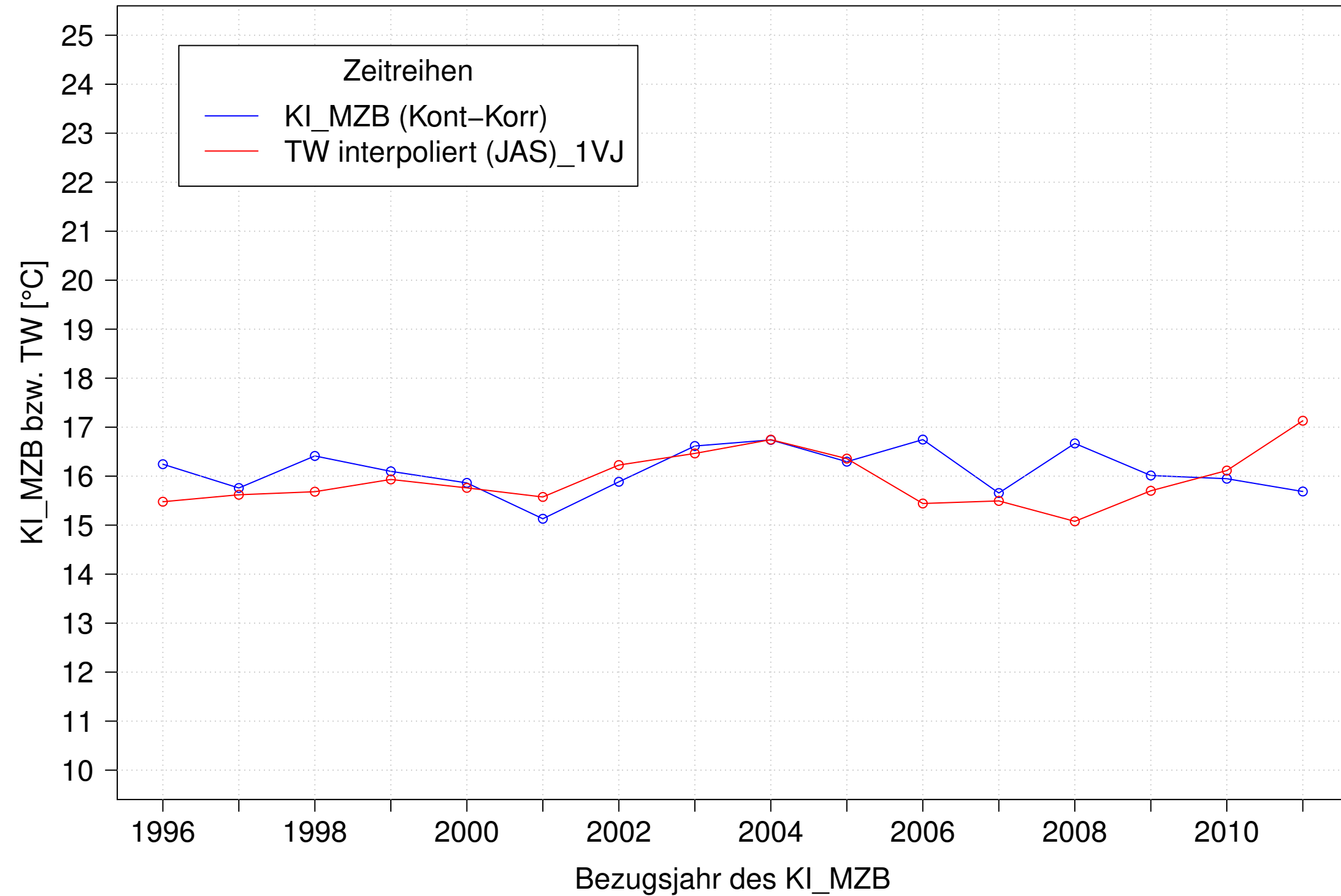
Neckar_Boerstingen, Typ 09.2 mit Neozoen, Serie 1
KI_MZB (Kont-Korr) und 3JMW TW interpoliert (JAS) des 1. Vorjahres



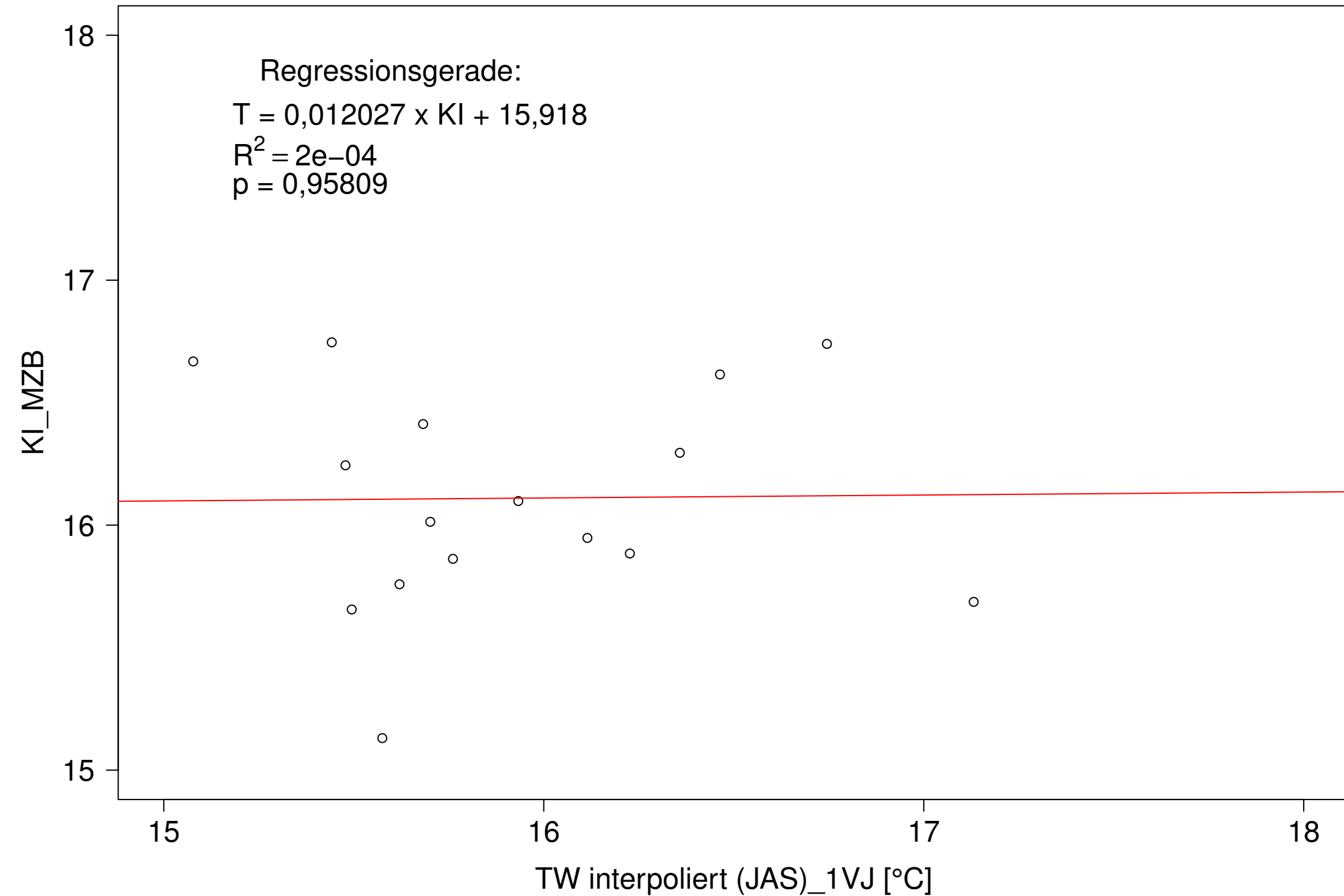
Neckar_Boerstingen, Typ 09.2 mit Neozoen, Serie 1
KI_MZB (Kont-Korr) gegen 3JMW TW interpoliert (JAS) des 1. Vorjahres



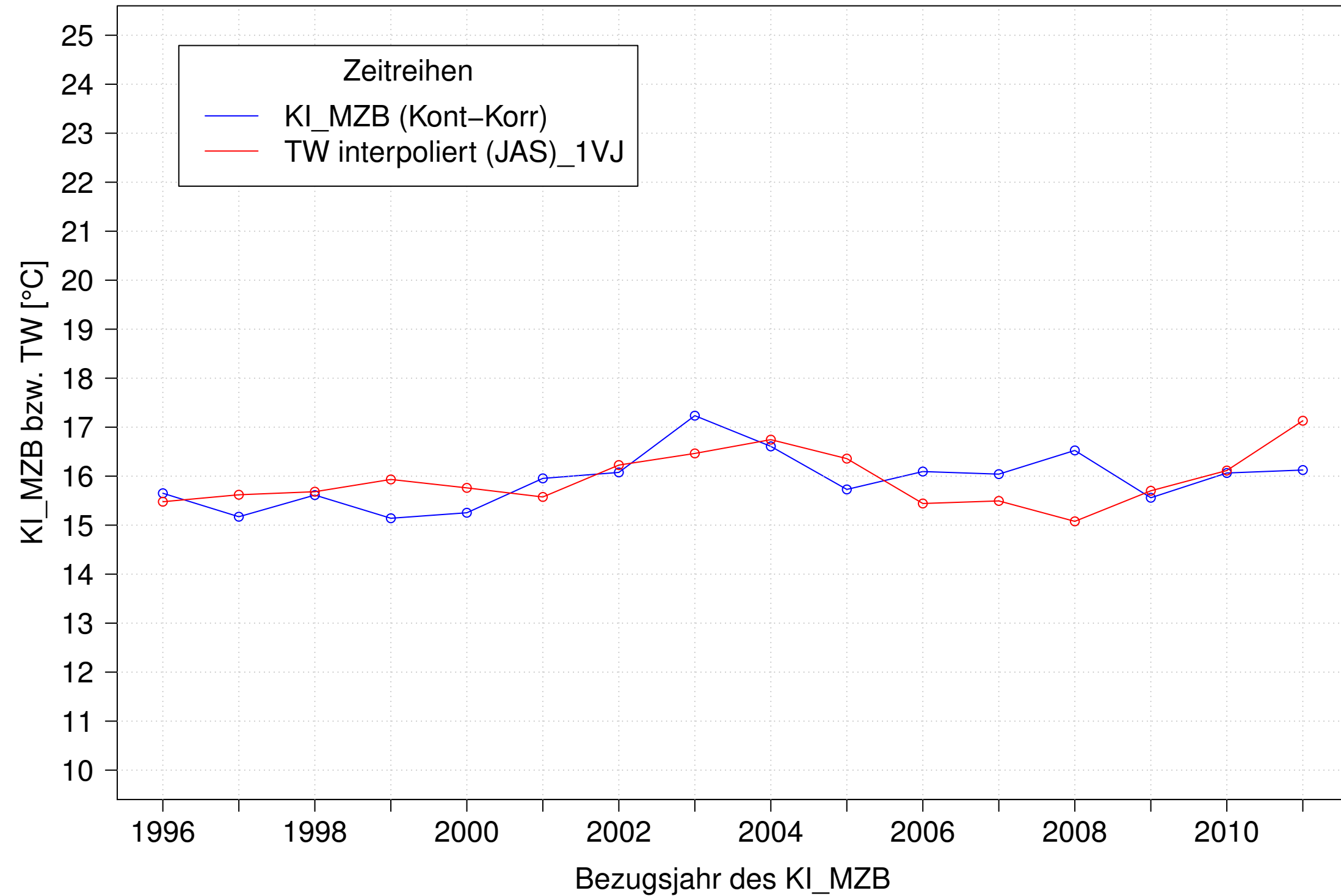
Neckar_Boerstingen, Typ 09.2 mit Neozoen, Serie 2
KI_MZB (Kont-Korr) und 3JMW TW interpoliert (JAS) des 1. Vorjahres



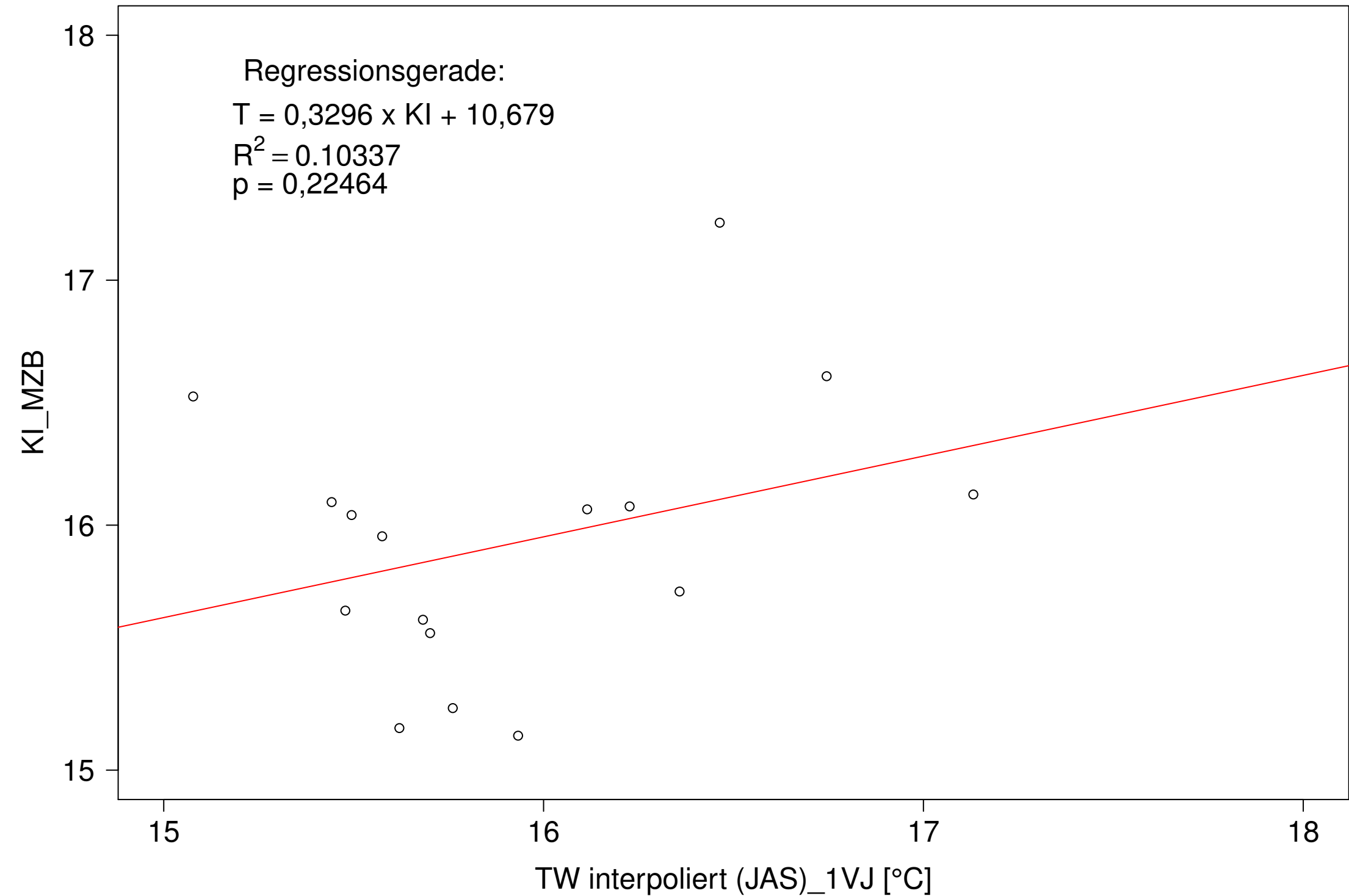
Neckar_Boerstingen, Typ 09.2 mit Neozoen, Serie 2
KI_MZB (Kont-Korr) gegen 3JMW TW interpoliert (JAS) des 1. Vorjahres



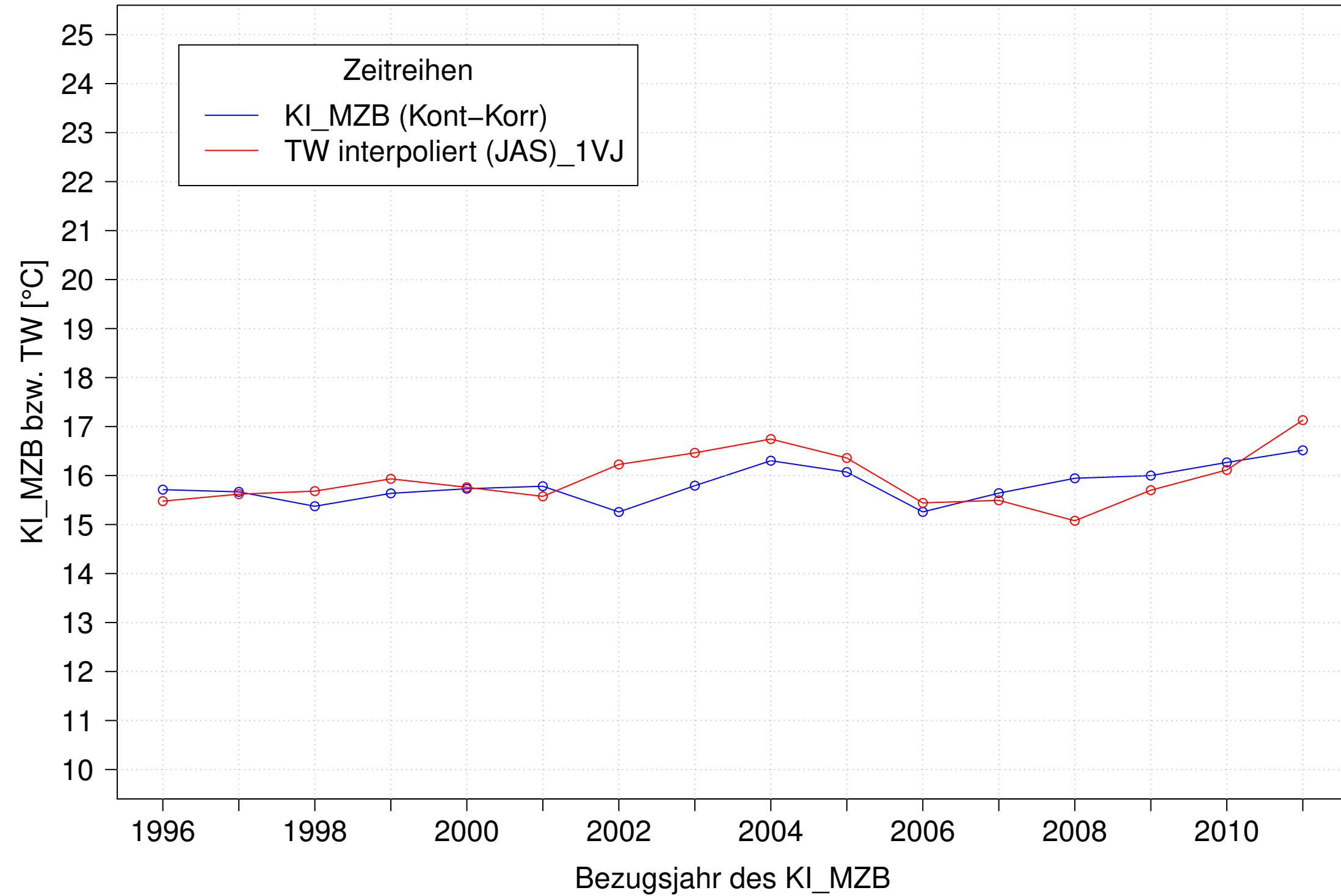
Neckar_Boerstingen, Typ 09.2 mit Neozoen, Serie 3
KI_MZB (Kont-Korr) und 3JMW TW interpoliert (JAS) des 1. Vorjahres



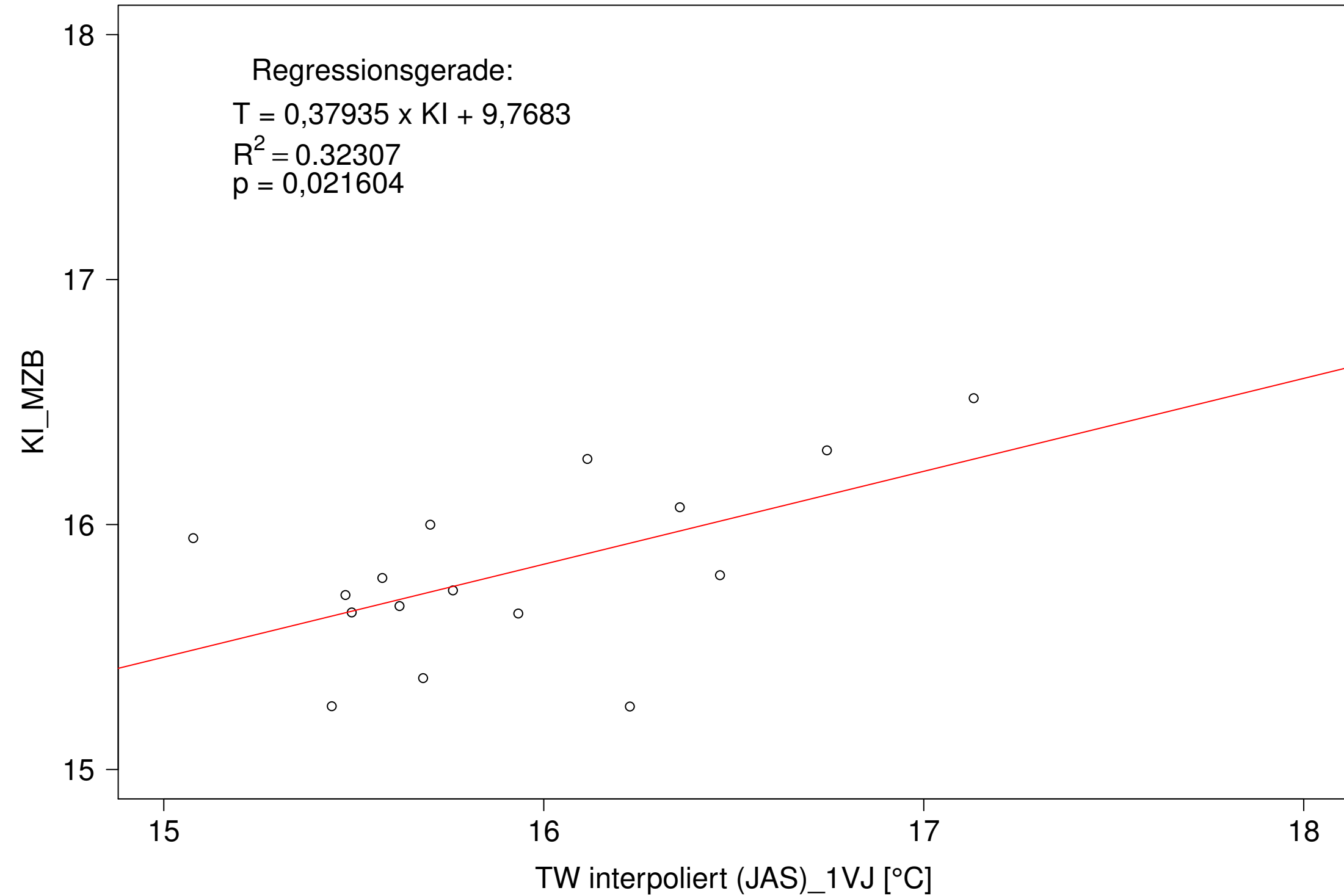
Neckar_Boerstingen, Typ 09.2 mit Neozoen, Serie 3
KI_MZB (Kont-Korr) gegen 3JMW TW interpoliert (JAS) des 1. Vorjahres



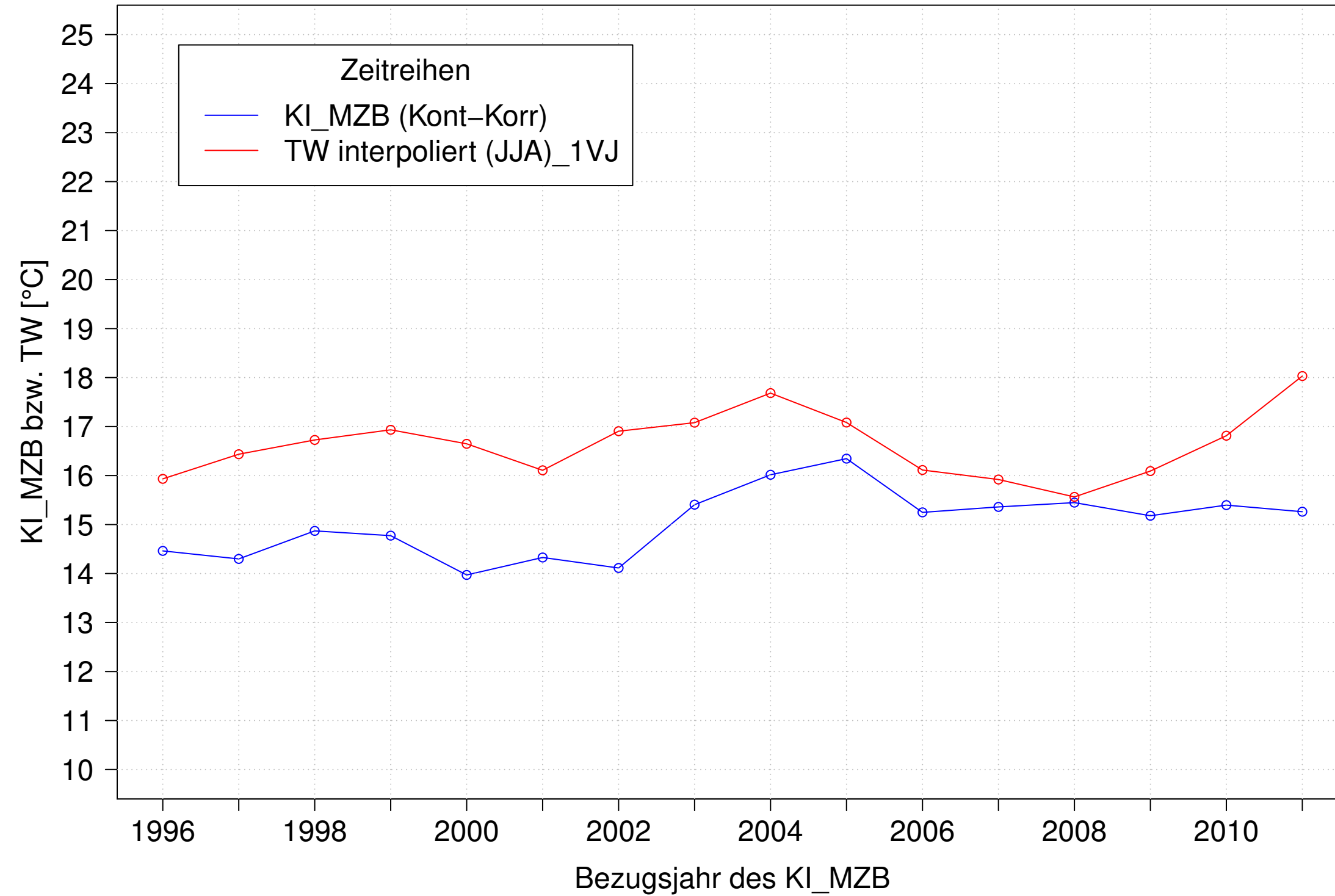
Neckar_Boerstingen, Typ 09.2 mit Neozoen, Serie 4
KI_MZB (Kont-Korr) und 3JMW TW interpoliert (JAS) des 1. Vorjahres



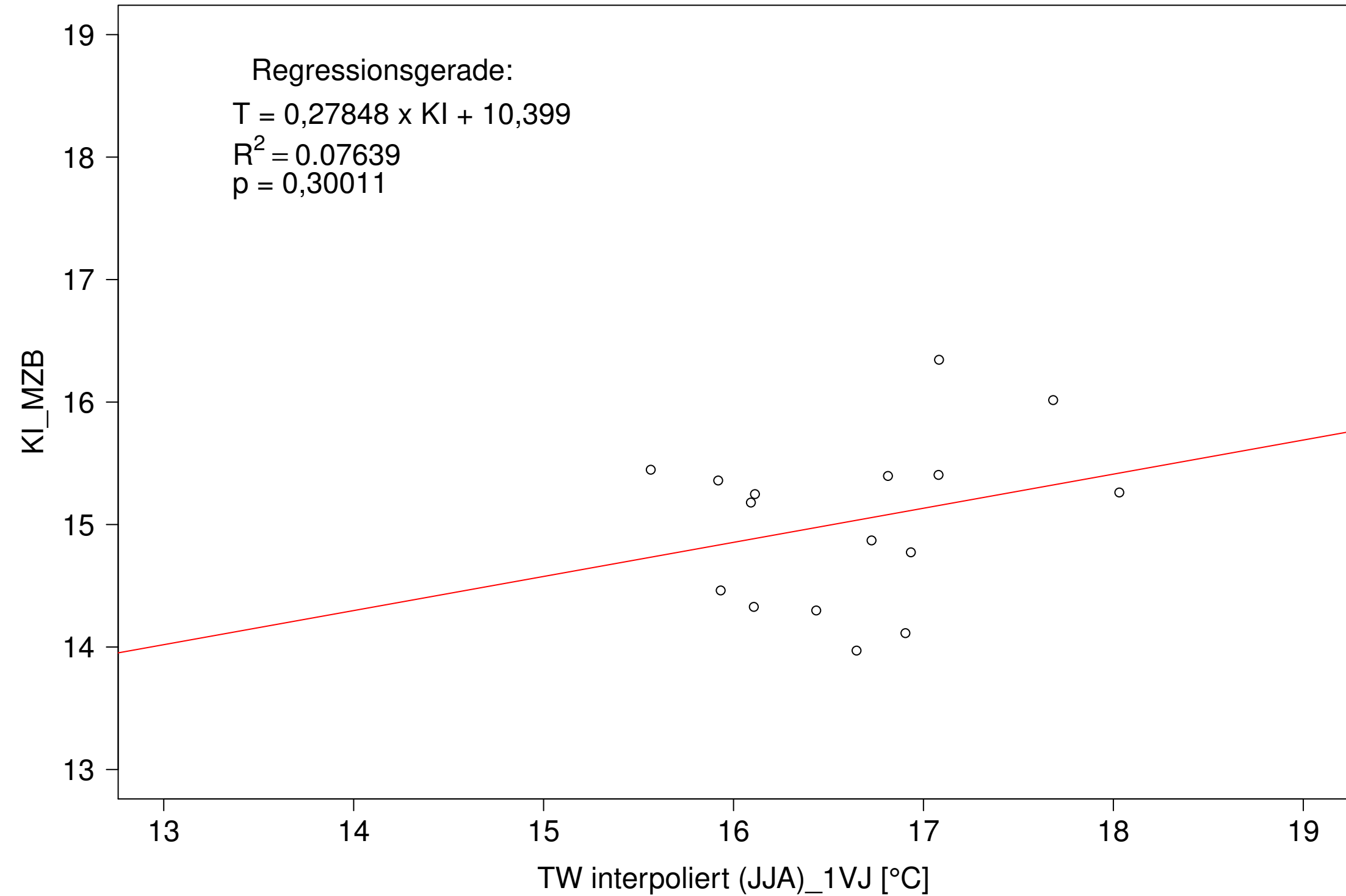
Neckar_Boerstingen, Typ 09.2 mit Neozoen, Serie 4
KI_MZB (Kont-Korr) gegen 3JMW TW interpoliert (JAS) des 1. Vorjahres



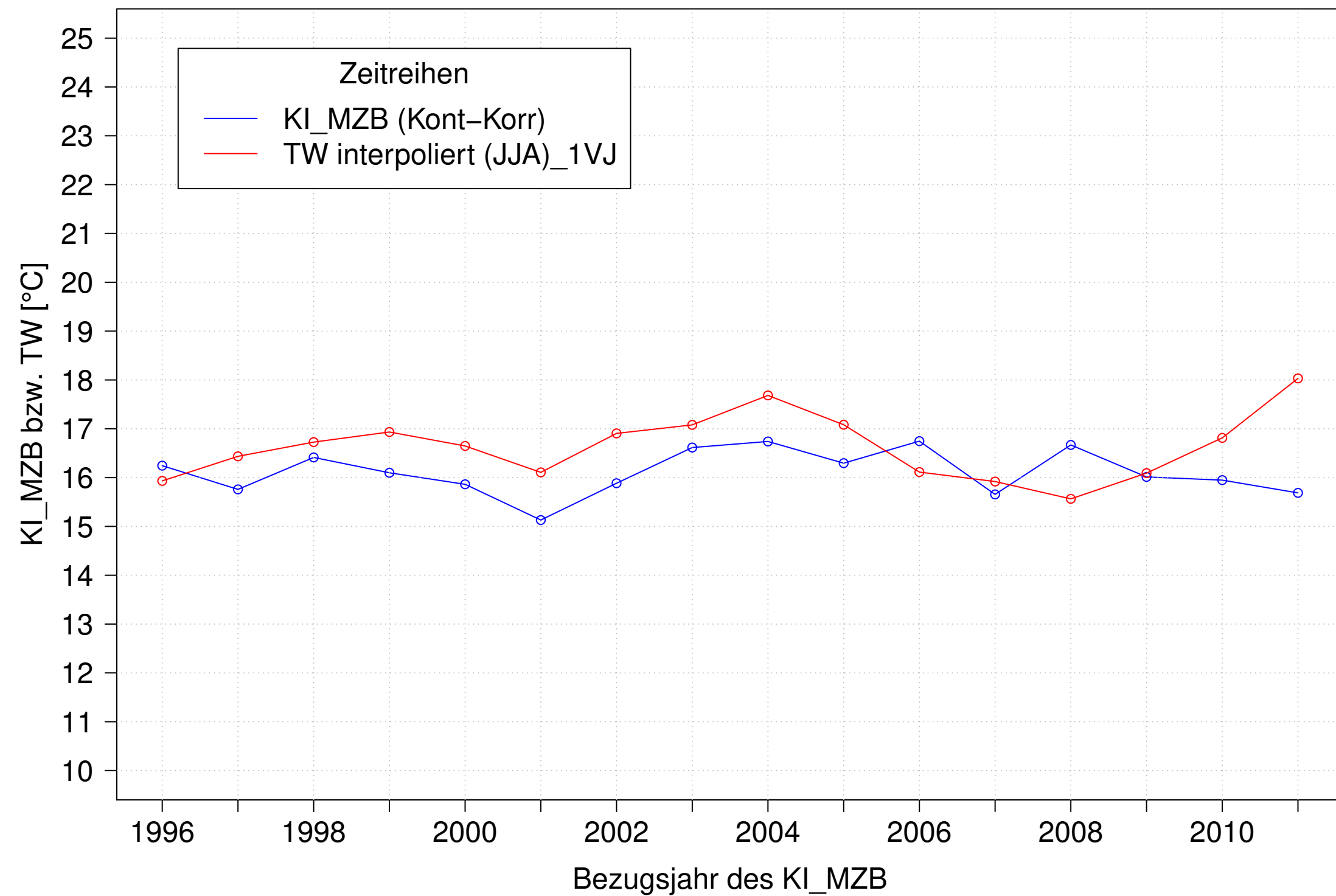
Neckar_Boerstingen, Typ 09.2 mit Neozoen, Serie 1
 KI_MZB (Kont-Korr) und 3JMW TW interpoliert (JJA) des 1. Vorjahres



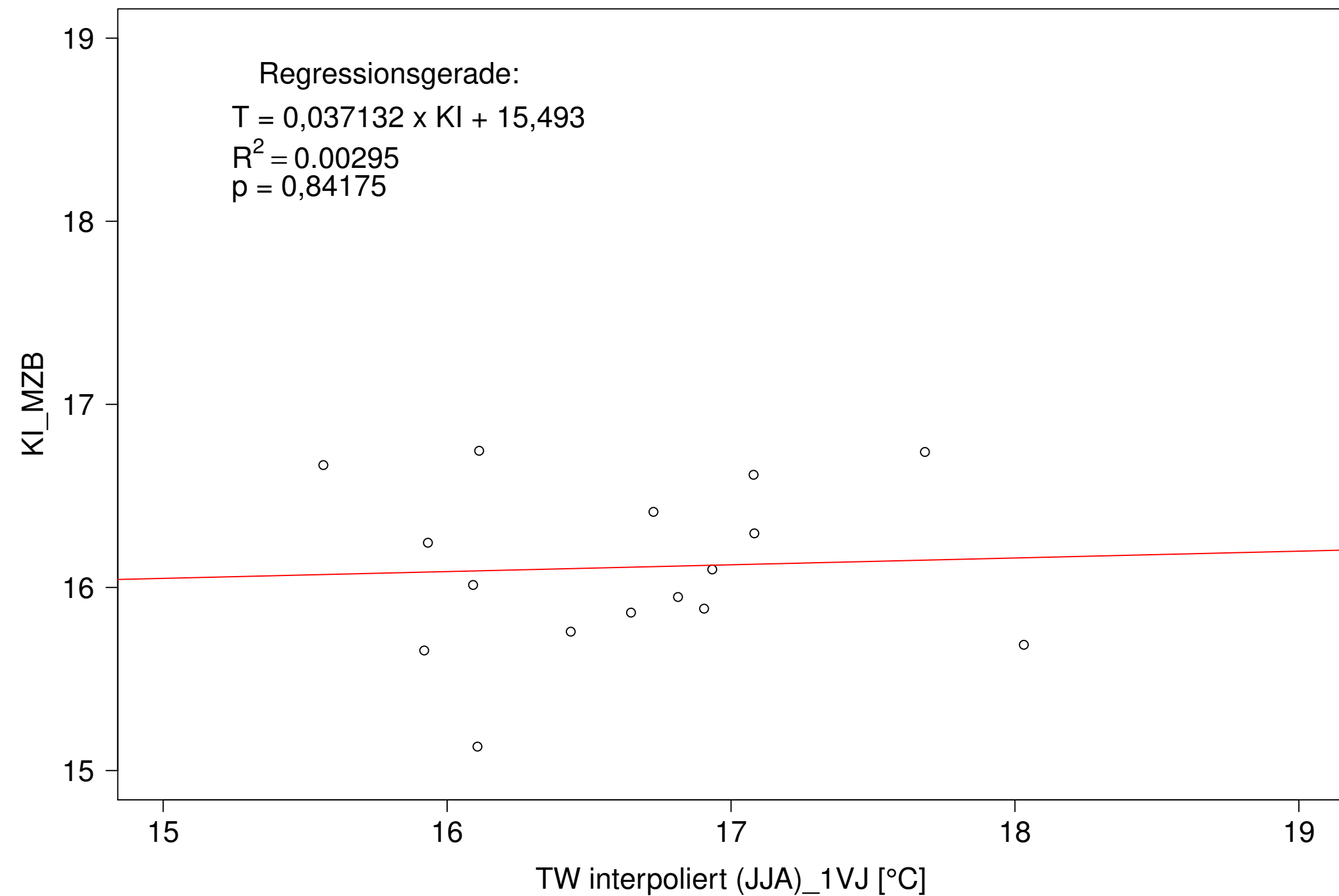
Neckar_Boerstingen, Typ 09.2 mit Neozoen, Serie 1
 KI_MZB (Kont-Korr) gegen 3JMW TW interpoliert (JJA) des 1. Vorjahres



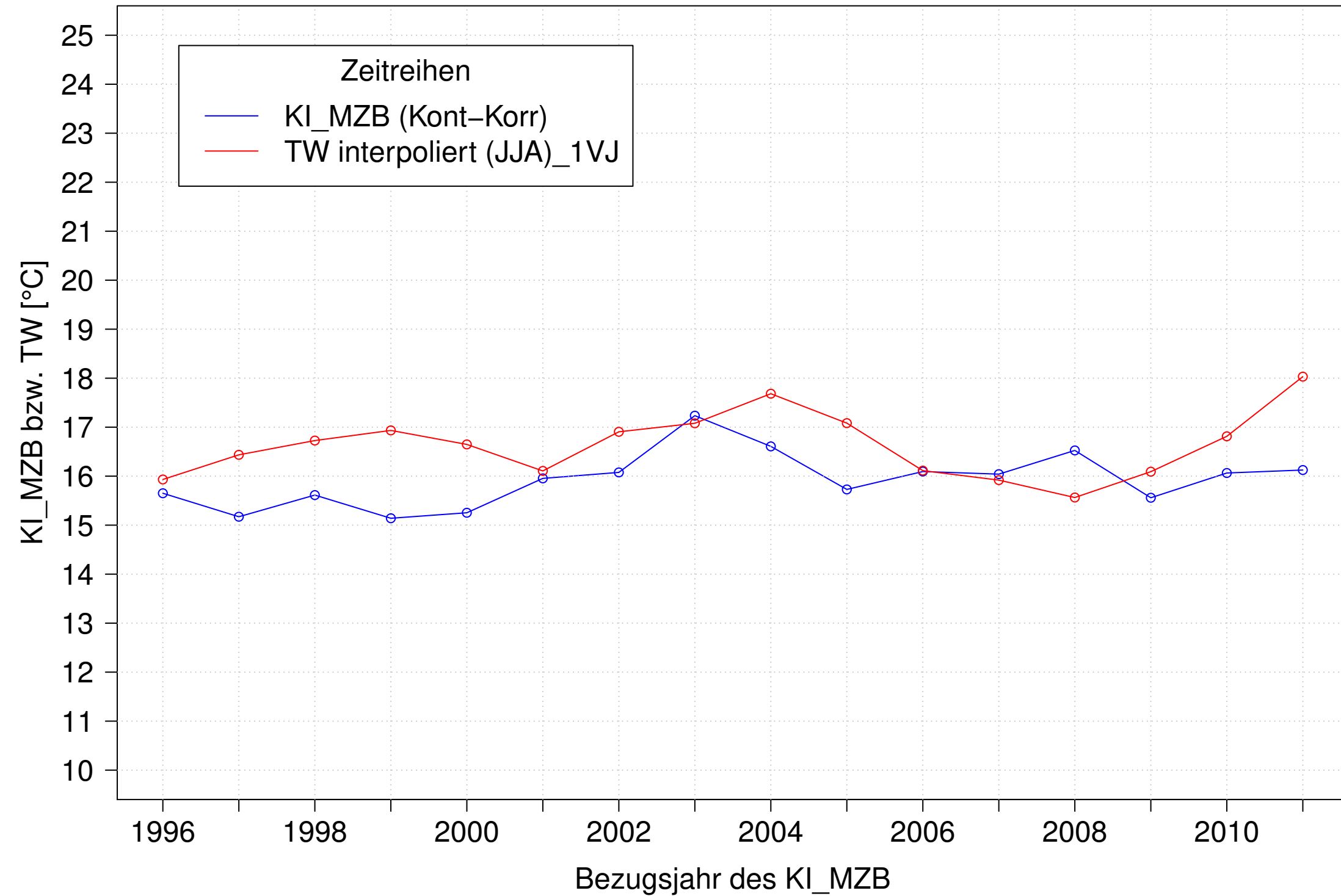
Neckar_Boerstingen, Typ 09.2 mit Neozoen, Serie 2
 KI_MZB (Kont-Korr) und 3JMW TW interpoliert (JJA) des 1. Vorjahres



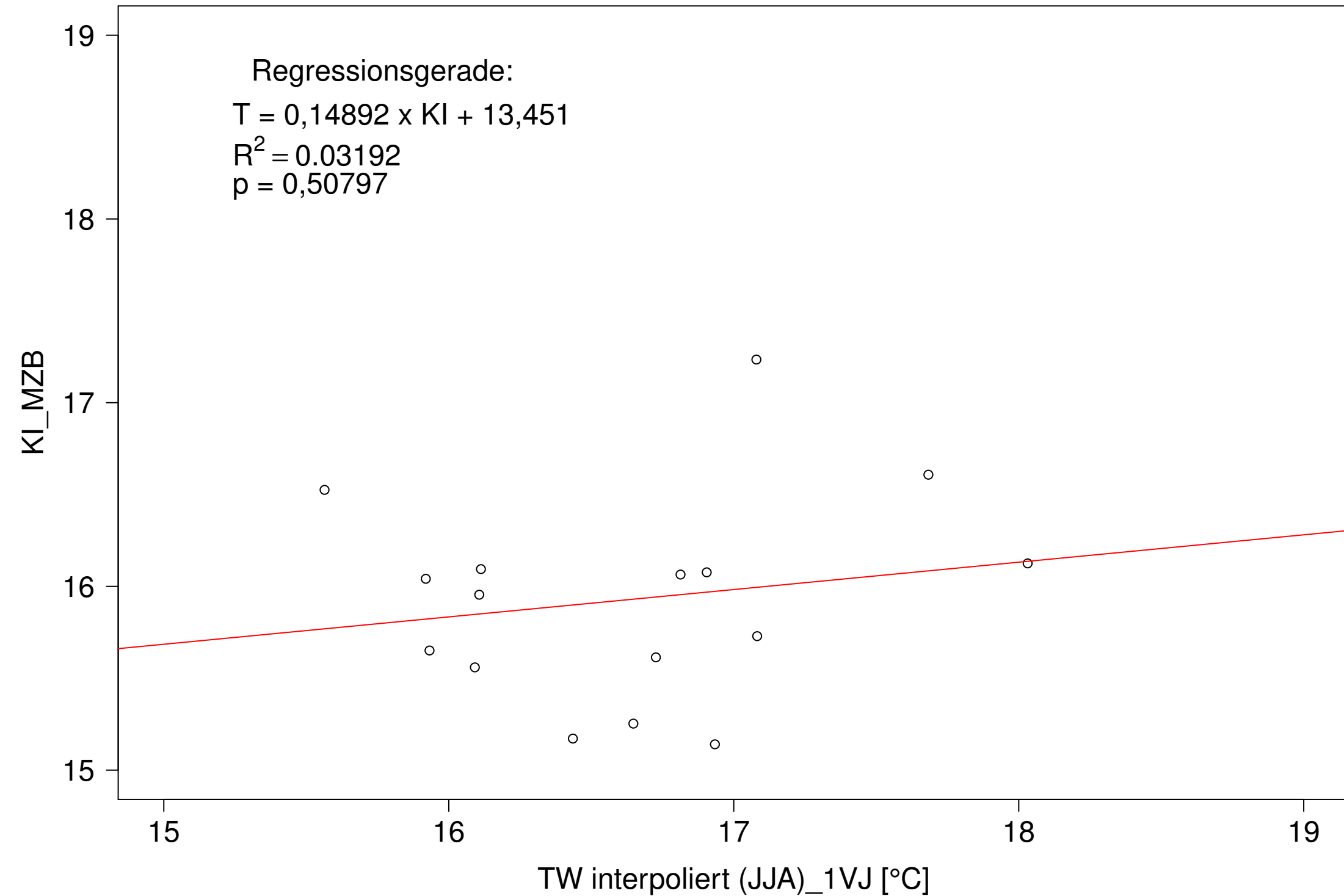
Neckar_Boerstingen, Typ 09.2 mit Neozoen, Serie 2
 KI_MZB (Kont-Korr) gegen 3JMW TW interpoliert (JJA) des 1. Vorjahres



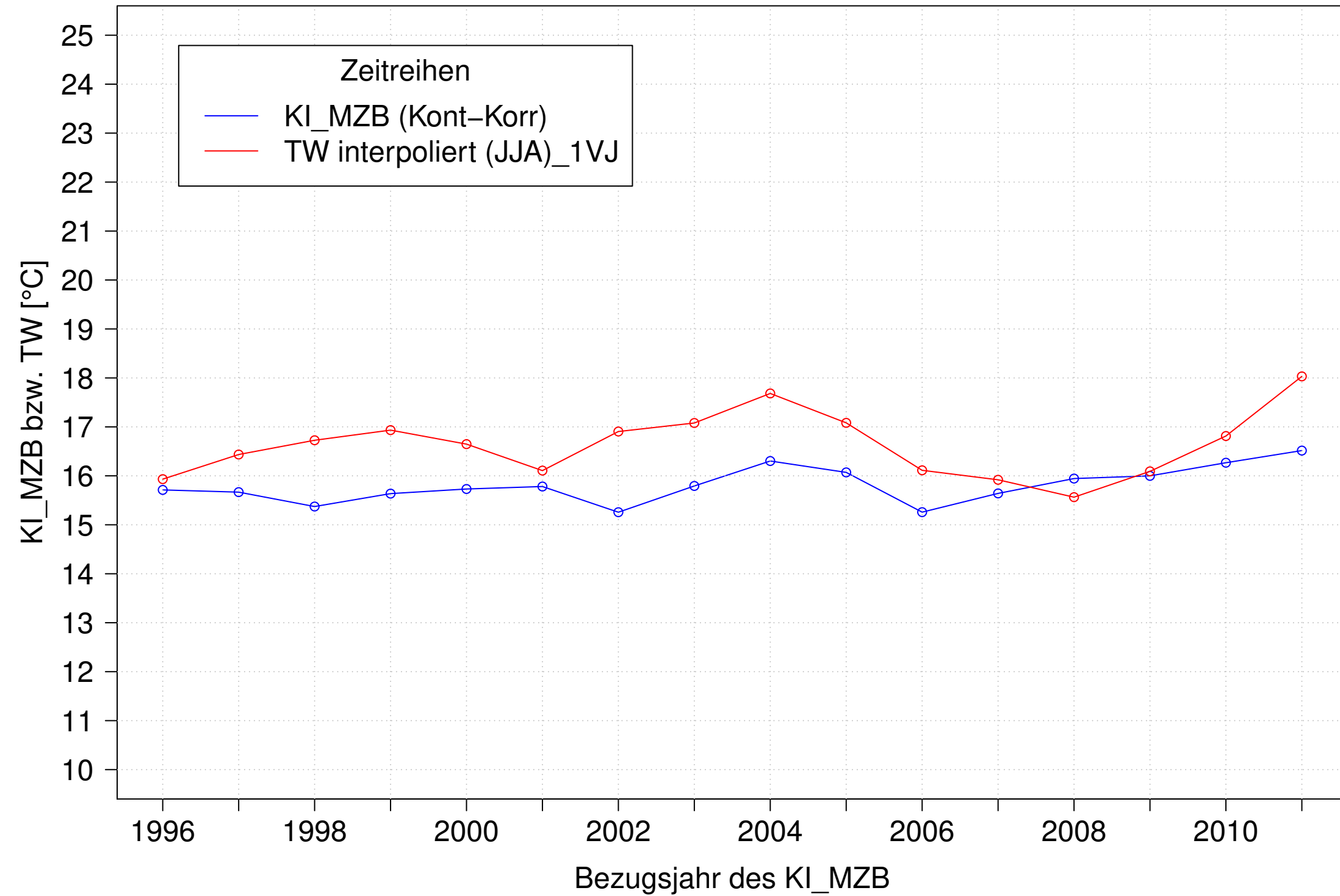
Neckar_Boerstingen, Typ 09.2 mit Neozoen, Serie 3
KI_MZB (Kont-Korr) und 3JMW TW interpoliert (JJA) des 1. Vorjahres



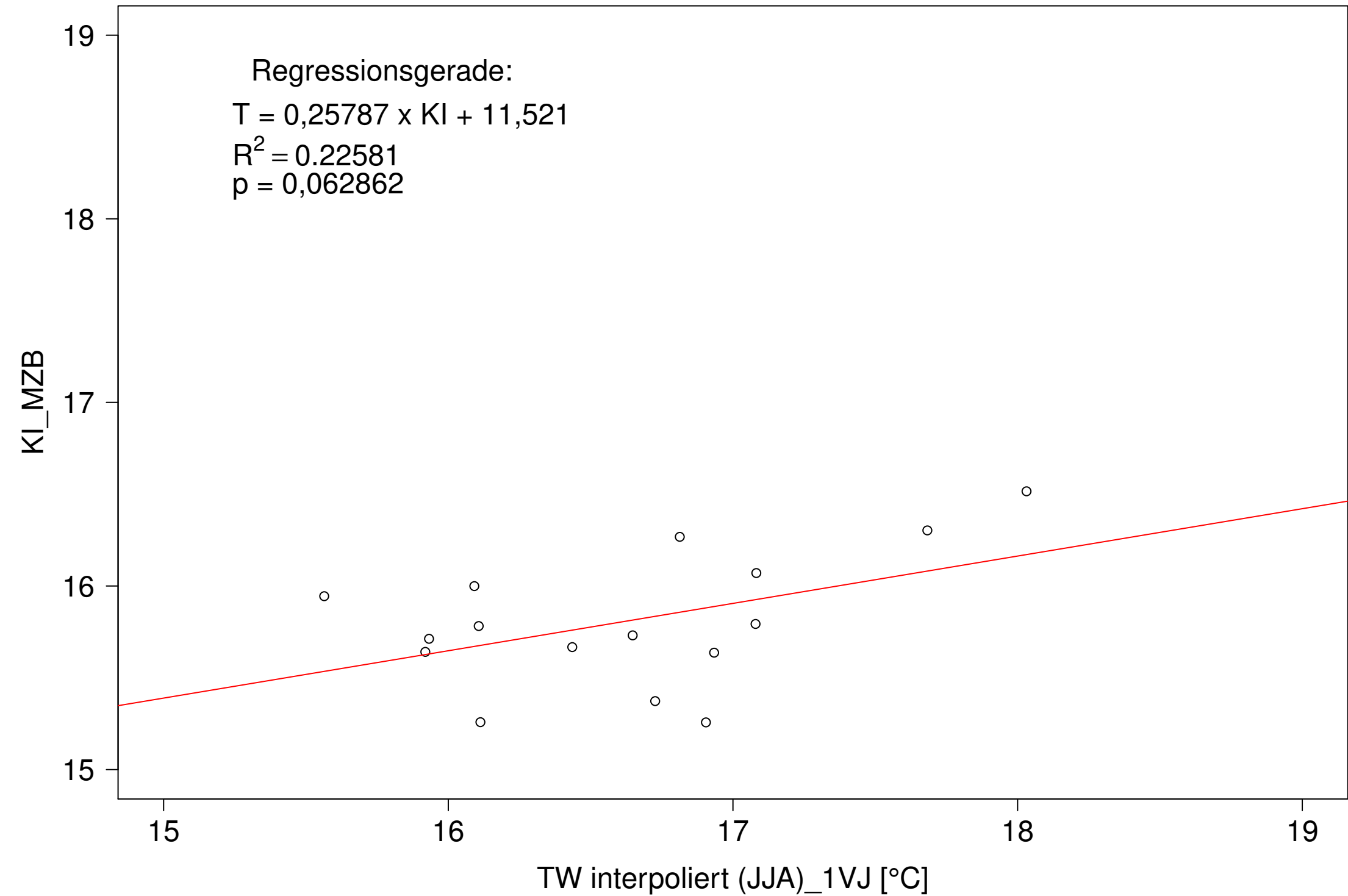
Neckar_Boerstingen, Typ 09.2 mit Neozoen, Serie 3
KI_MZB (Kont-Korr) gegen 3JMW TW interpoliert (JJA) des 1. Vorjahres



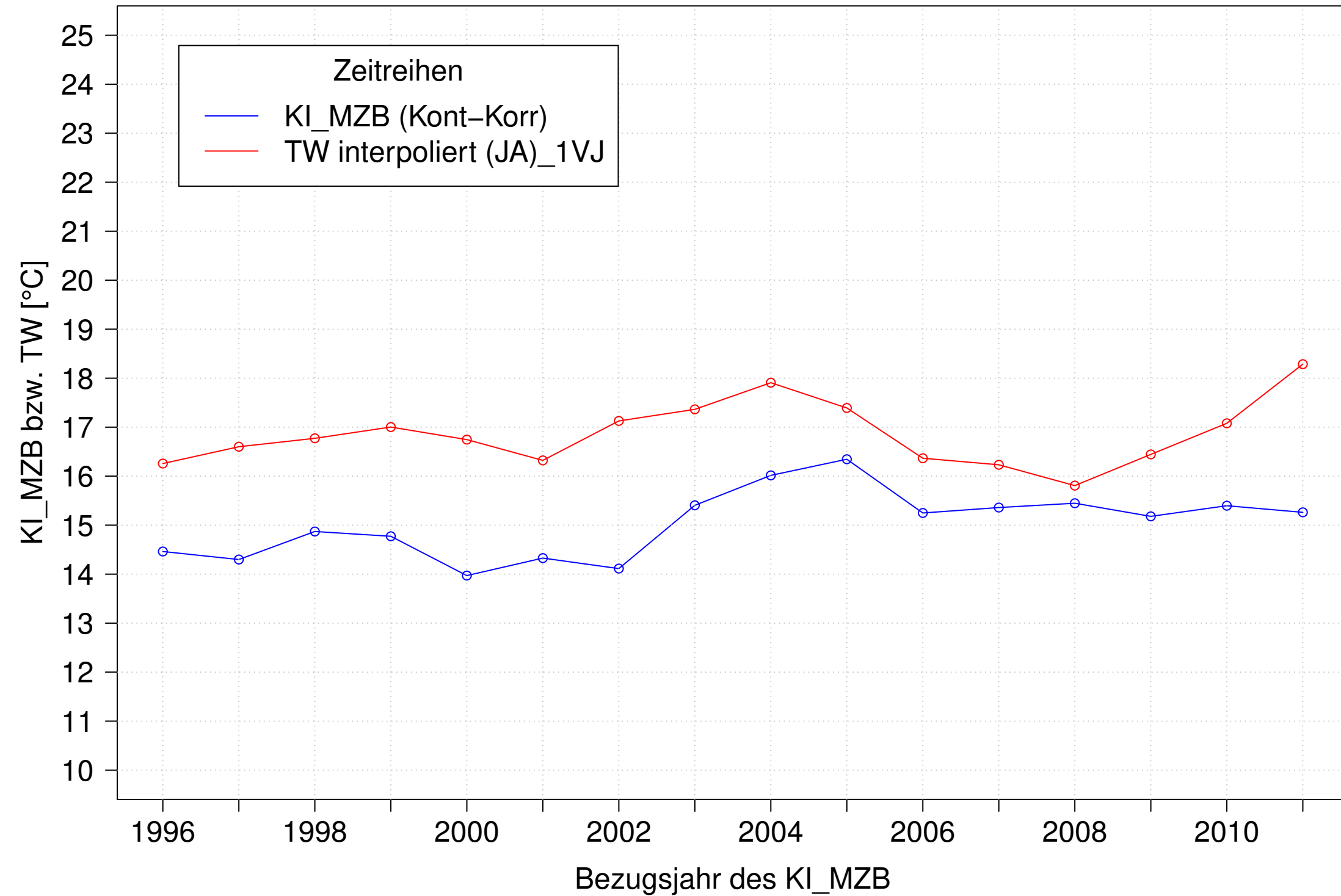
Neckar_Boerstingen, Typ 09.2 mit Neozoen, Serie 4
KI_MZB (Kont-Korr) und 3JMW TW interpoliert (JJA) des 1. Vorjahres



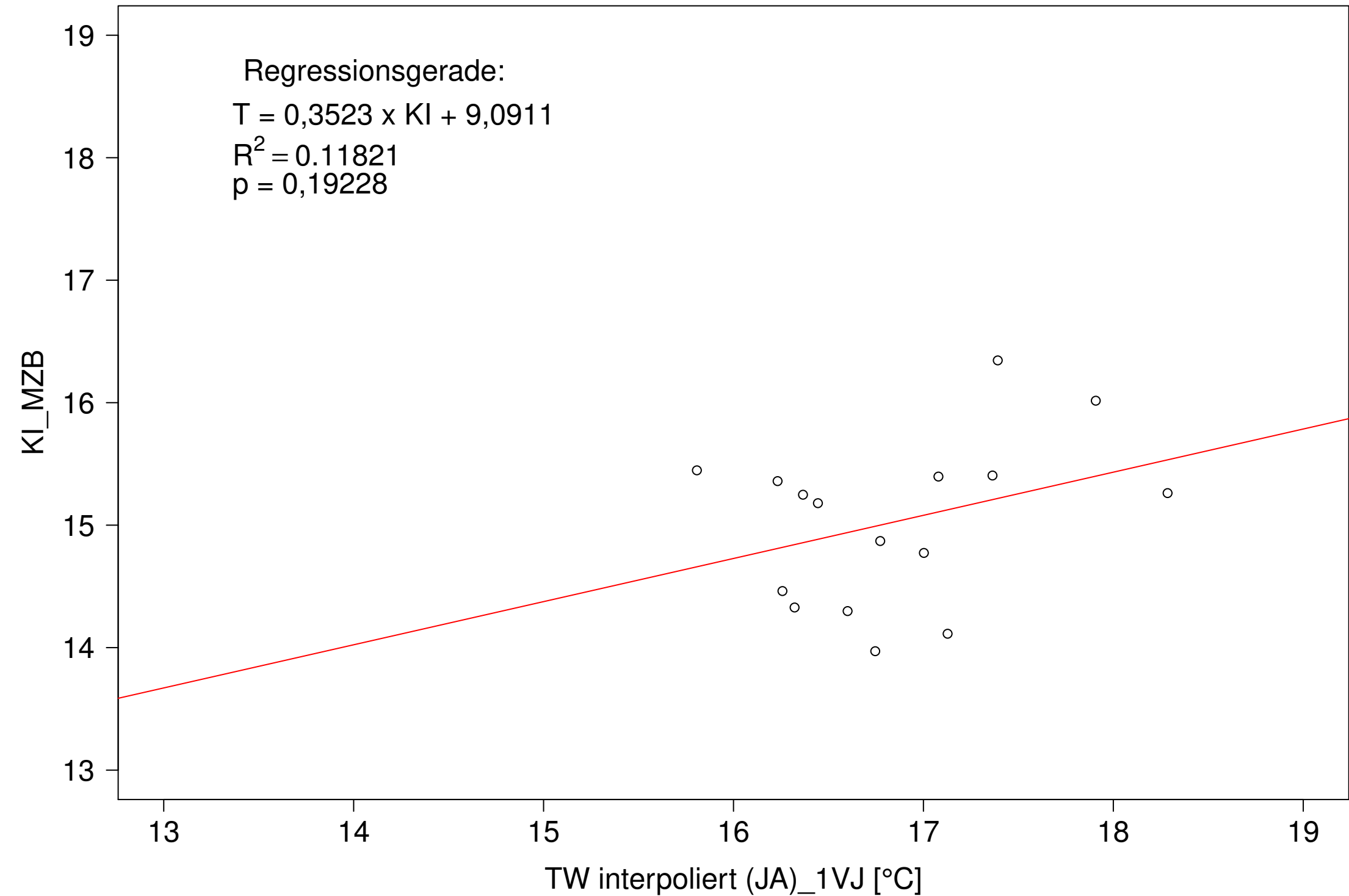
Neckar_Boerstingen, Typ 09.2 mit Neozoen, Serie 4
KI_MZB (Kont-Korr) gegen 3JMW TW interpoliert (JJA) des 1. Vorjahres



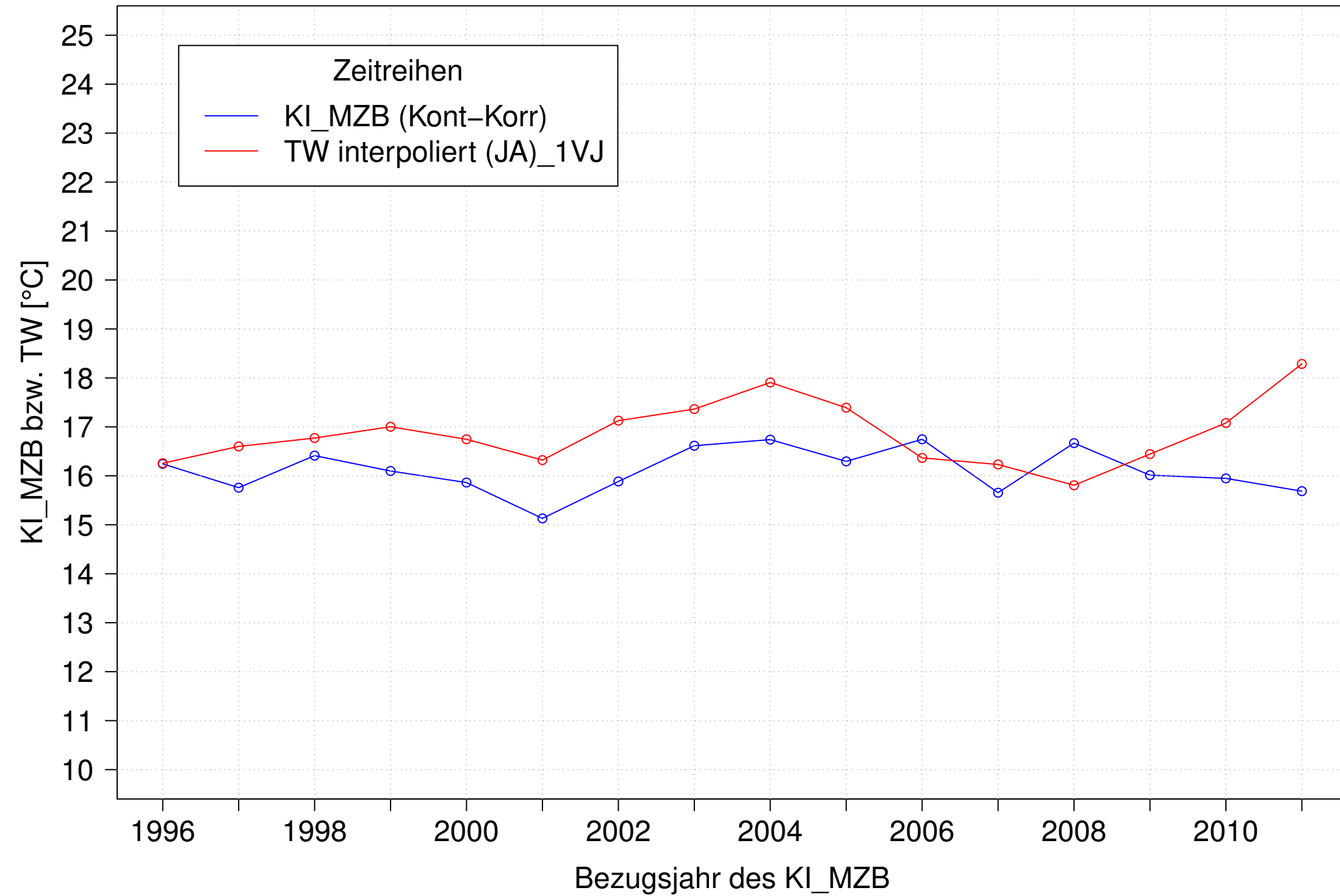
Neckar_Boerstingen, Typ 09.2 mit Neozoen, Serie 1
KI_MZB (Kont-Korr) und 3JMW TW interpoliert (JA) des 1. Vorjahres



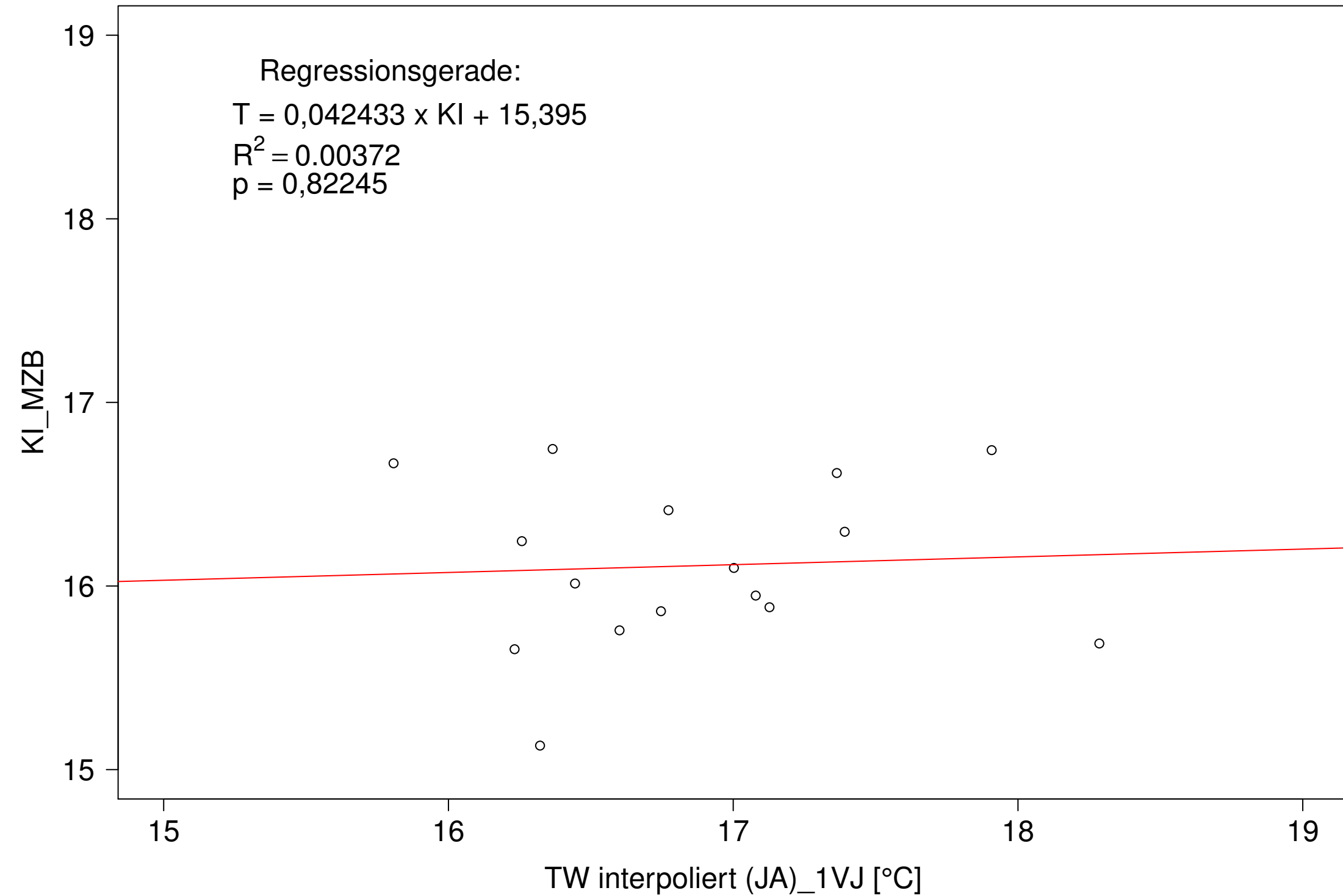
Neckar_Boerstingen, Typ 09.2 mit Neozoen, Serie 1
KI_MZB (Kont-Korr) gegen 3JMW TW interpoliert (JA) des 1. Vorjahres



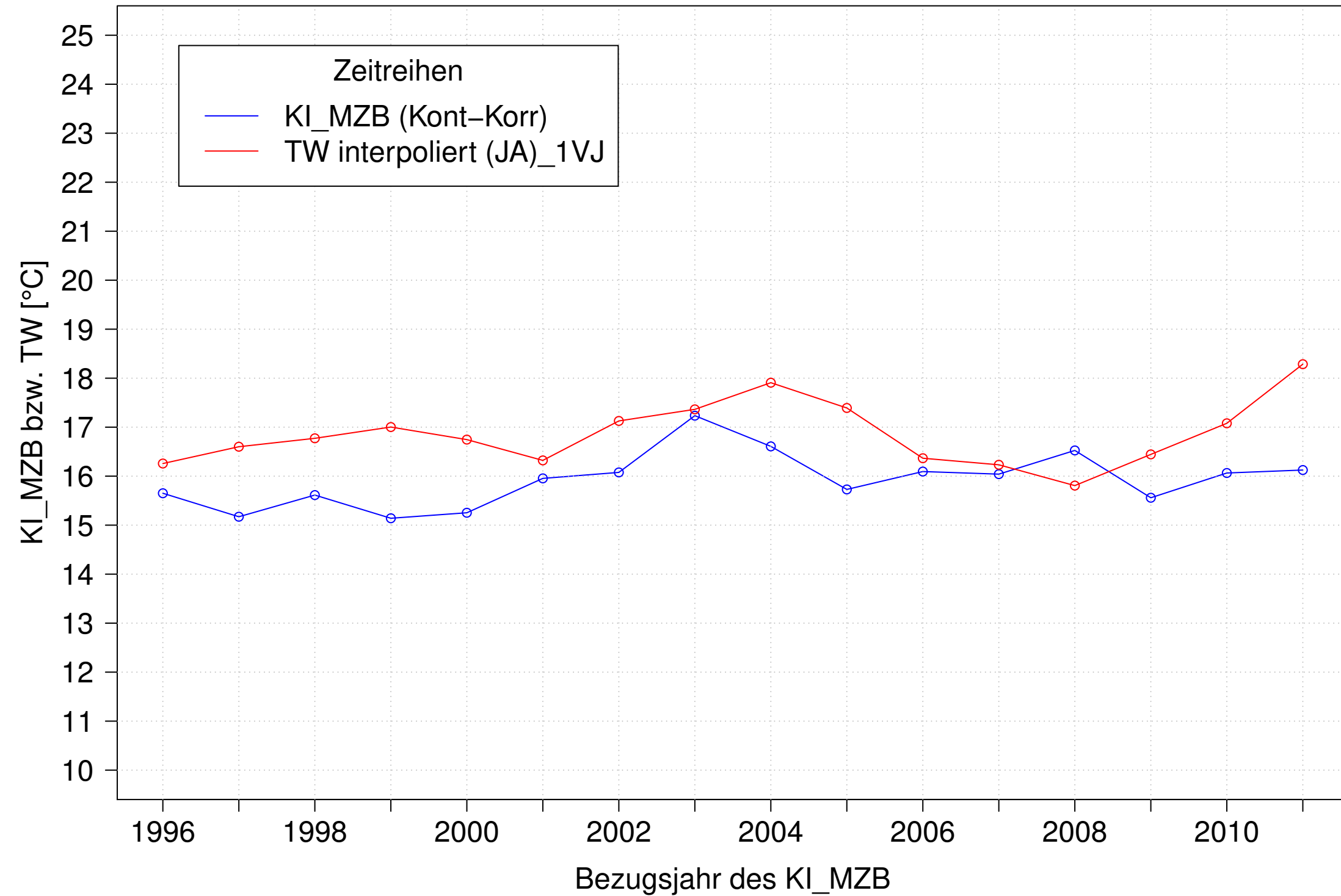
Neckar_Boerstingen, Typ 09.2 mit Neozoen, Serie 2
KI_MZB (Kont-Korr) und 3JMW TW interpoliert (JA) des 1. Vorjahres



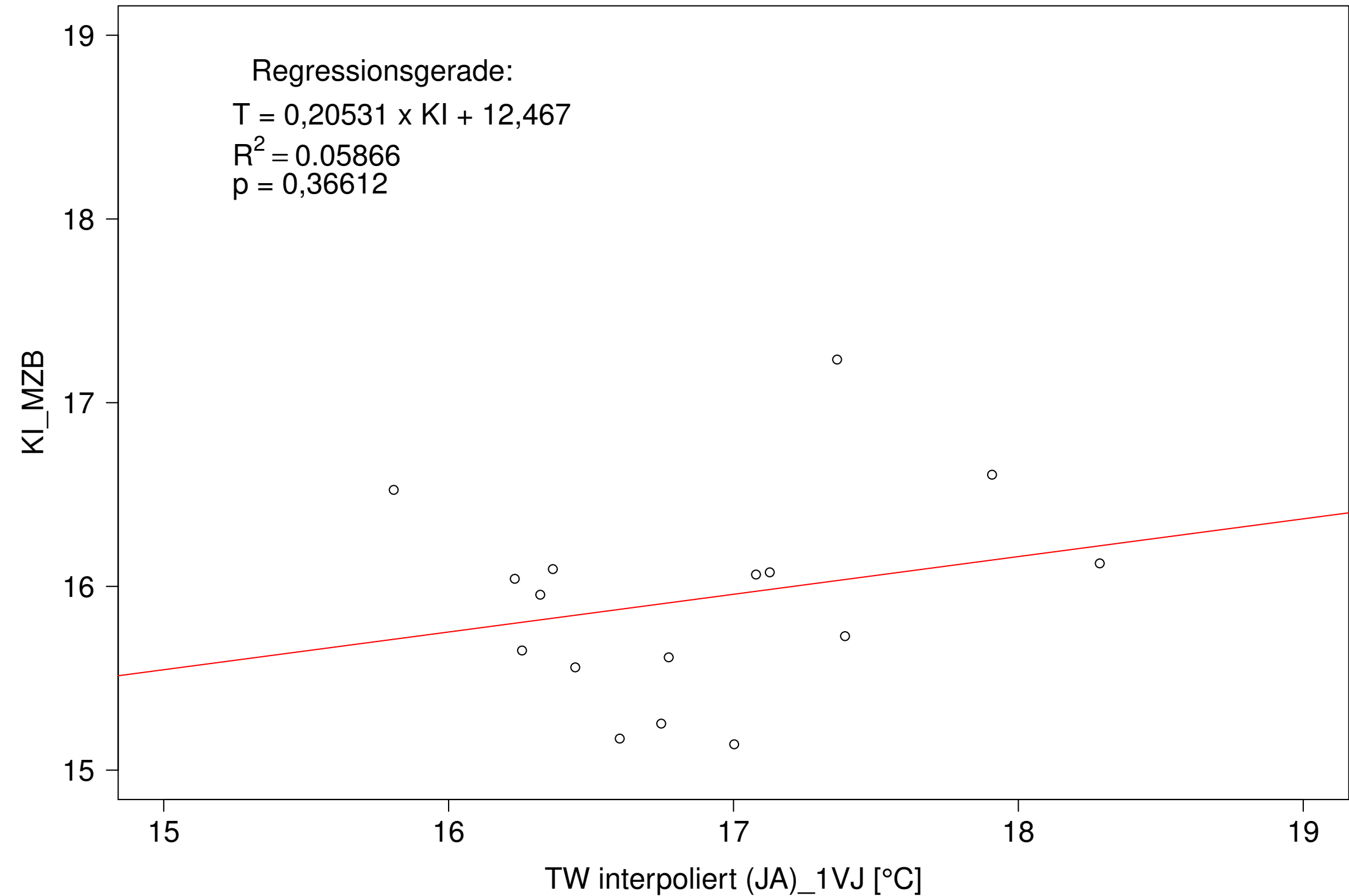
Neckar_Boerstingen, Typ 09.2 mit Neozoen, Serie 2
KI_MZB (Kont-Korr) gegen 3JMW TW interpoliert (JA) des 1. Vorjahres



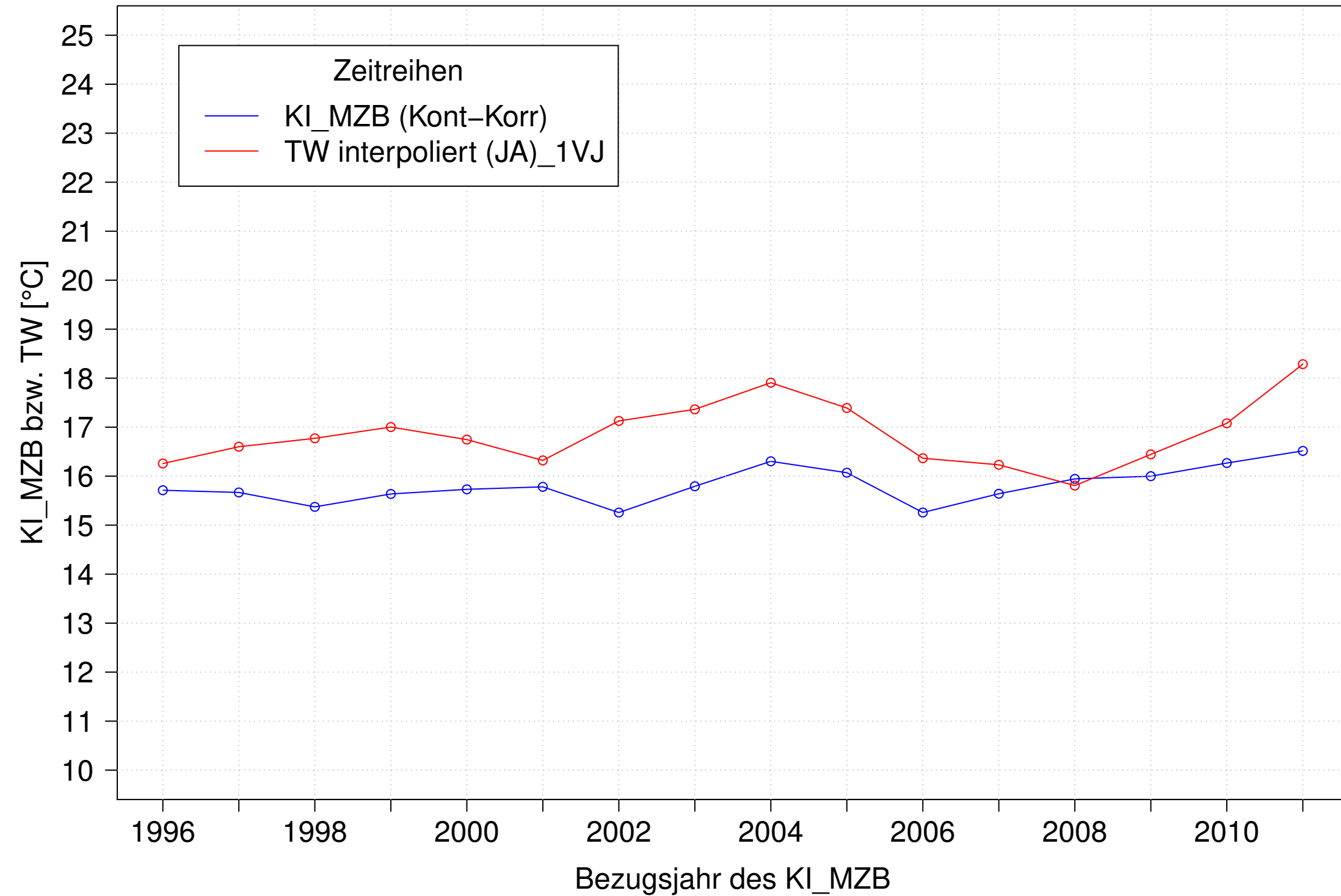
Neckar_Boerstingen, Typ 09.2 mit Neozoen, Serie 3
KI_MZB (Kont-Korr) und 3JMW TW interpoliert (JA) des 1. Vorjahres



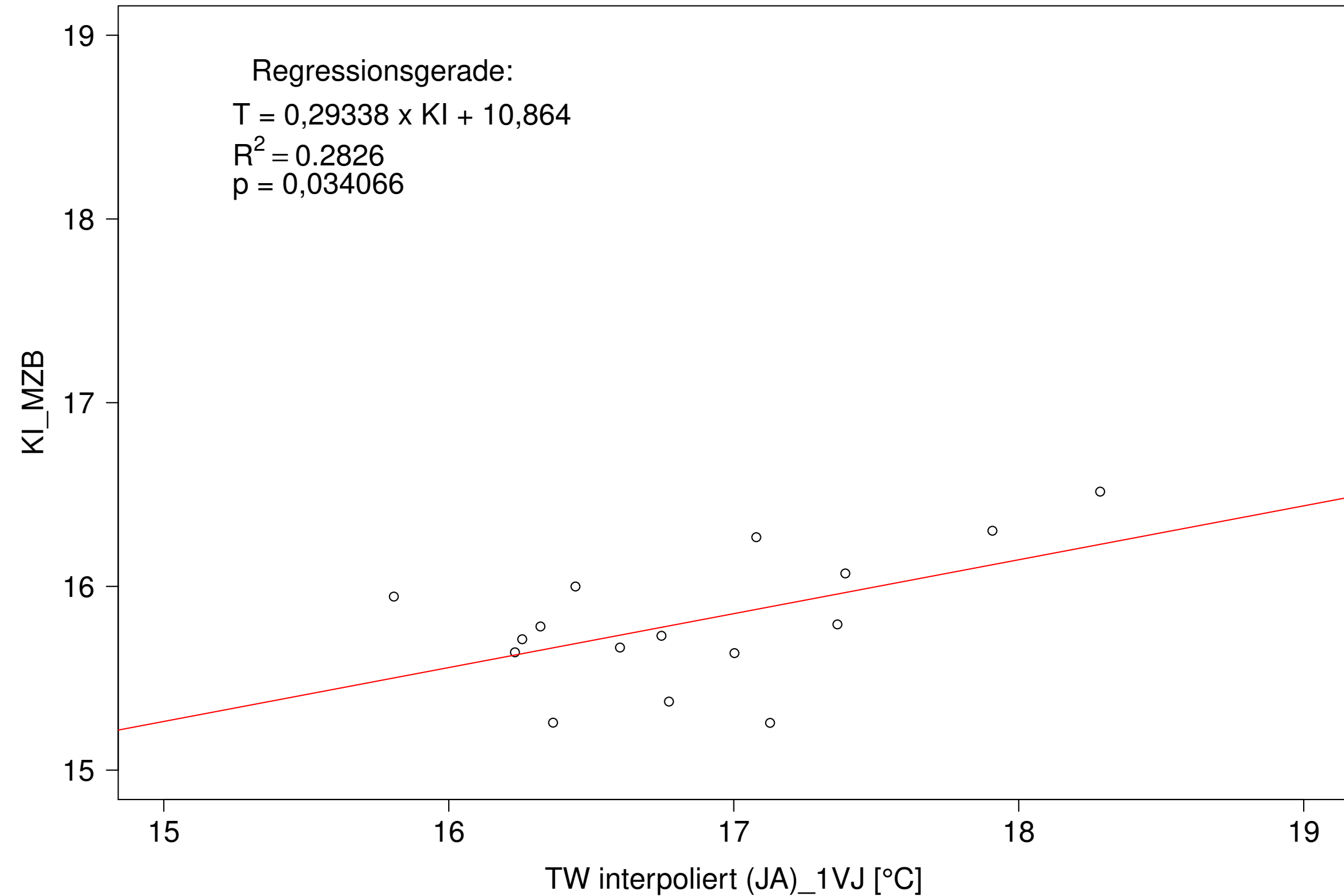
Neckar_Boerstingen, Typ 09.2 mit Neozoen, Serie 3
KI_MZB (Kont-Korr) gegen 3JMW TW interpoliert (JA) des 1. Vorjahres



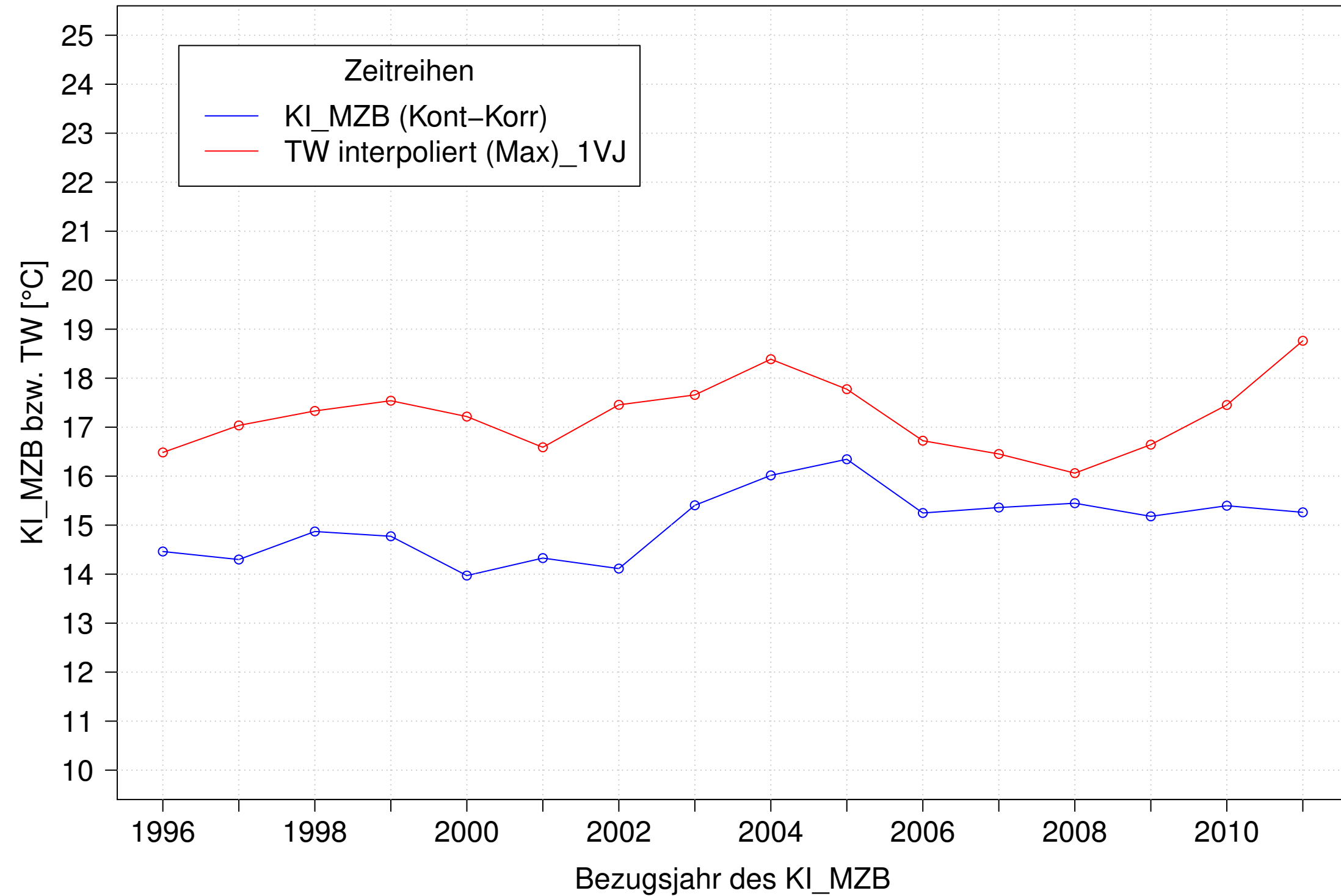
Neckar_Boerstingen, Typ 09.2 mit Neozoen, Serie 4
KI_MZB (Kont-Korr) und 3JMW TW interpoliert (JA) des 1. Vorjahres



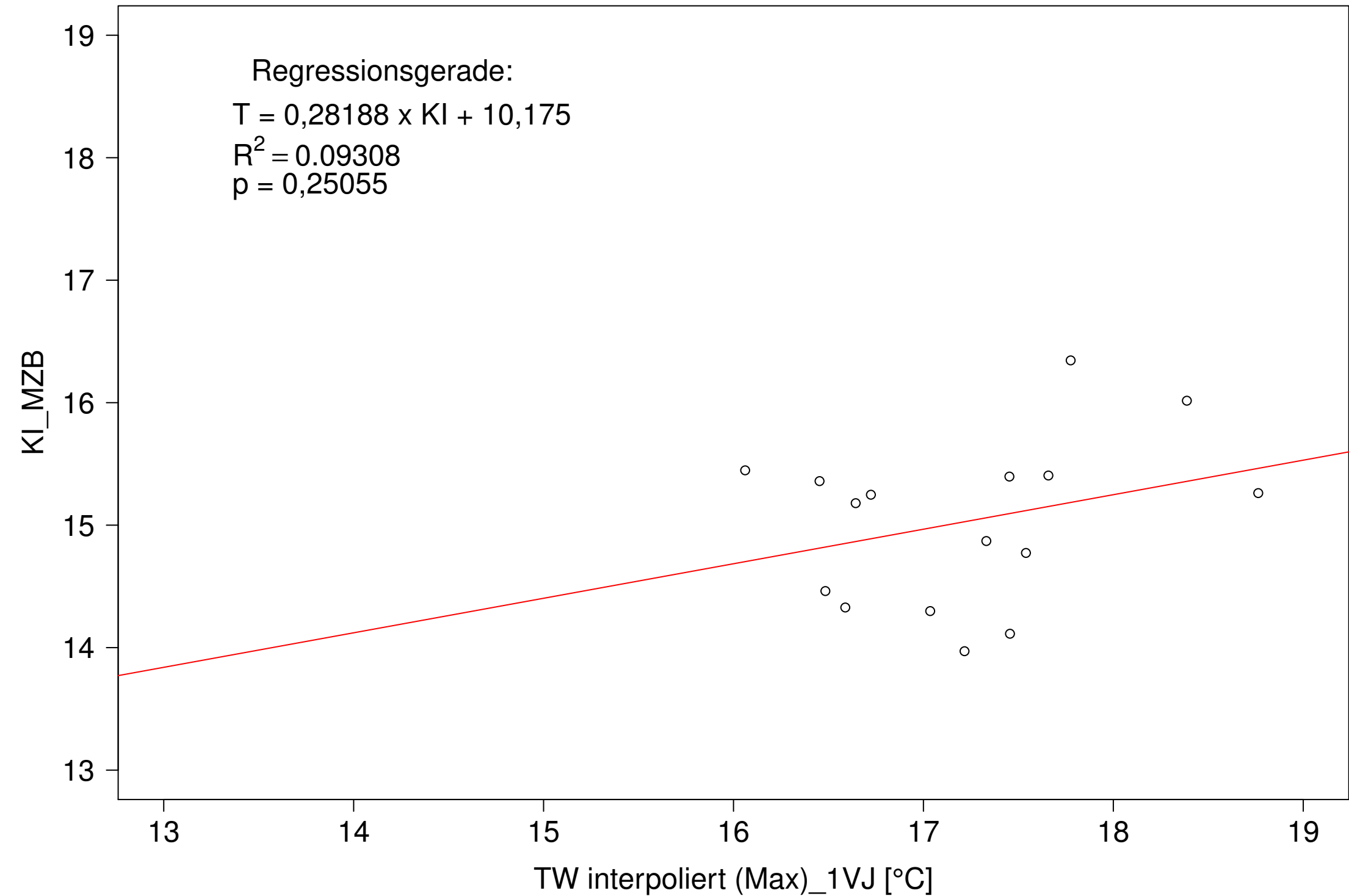
Neckar_Boerstingen, Typ 09.2 mit Neozoen, Serie 4
KI_MZB (Kont-Korr) gegen 3JMW TW interpoliert (JA) des 1. Vorjahres



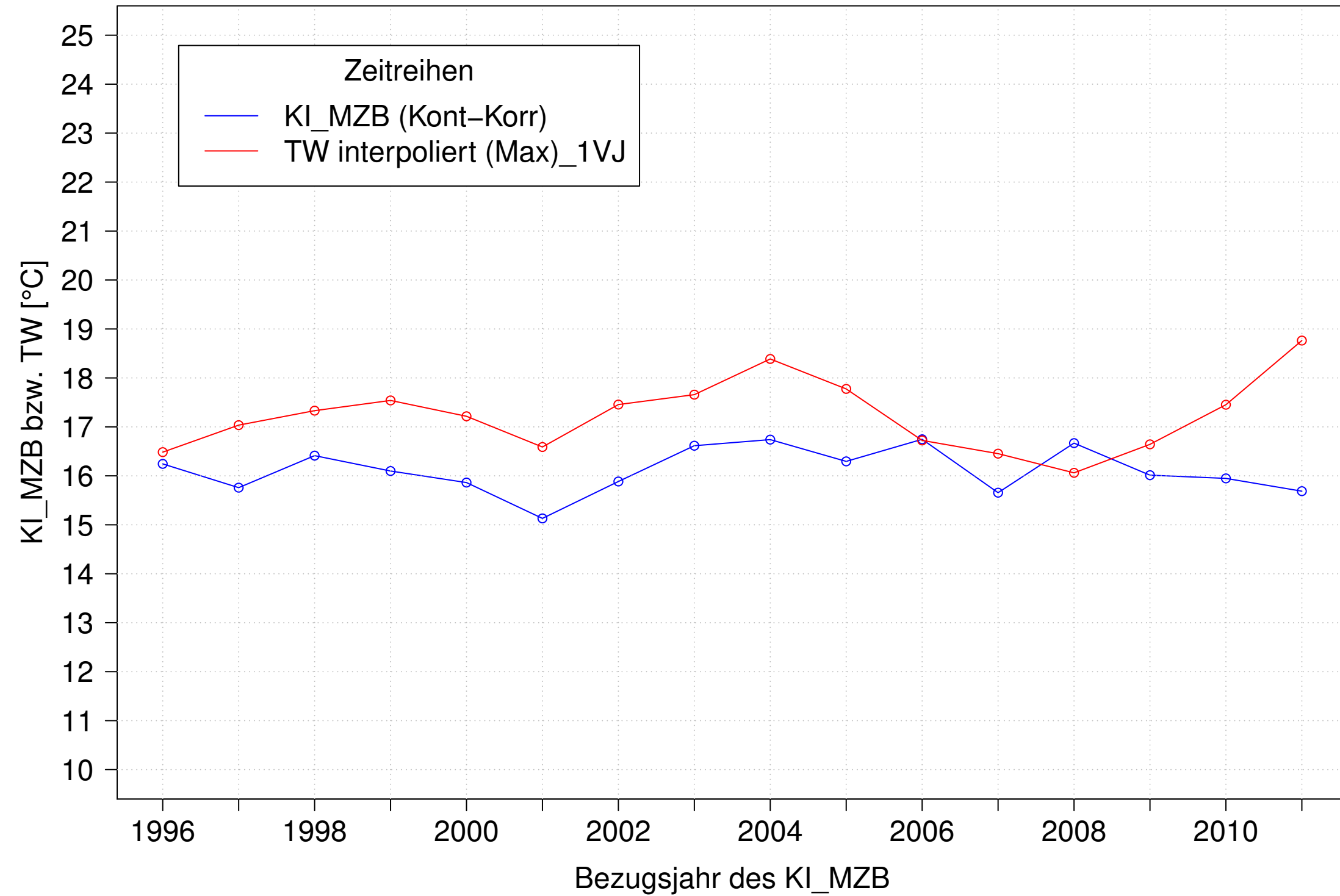
Neckar_Boerstingen, Typ 09.2 mit Neozoen, Serie 1
KI_MZB (Kont-Korr) und 3JMW TW interpoliert (Max) des 1. Vorjahres



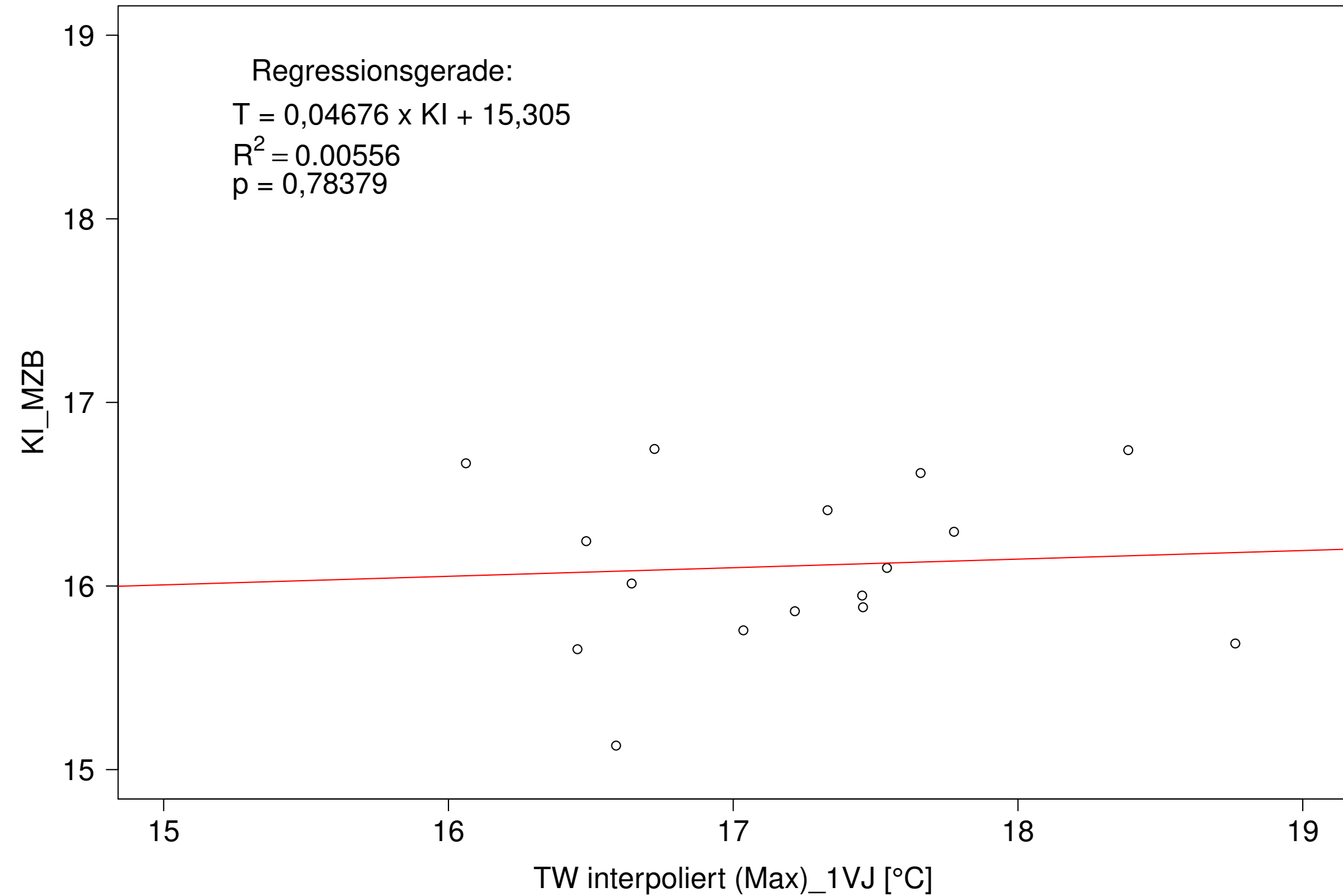
Neckar_Boerstingen, Typ 09.2 mit Neozoen, Serie 1
KI_MZB (Kont-Korr) gegen 3JMW TW interpoliert (Max) des 1. Vorjahres



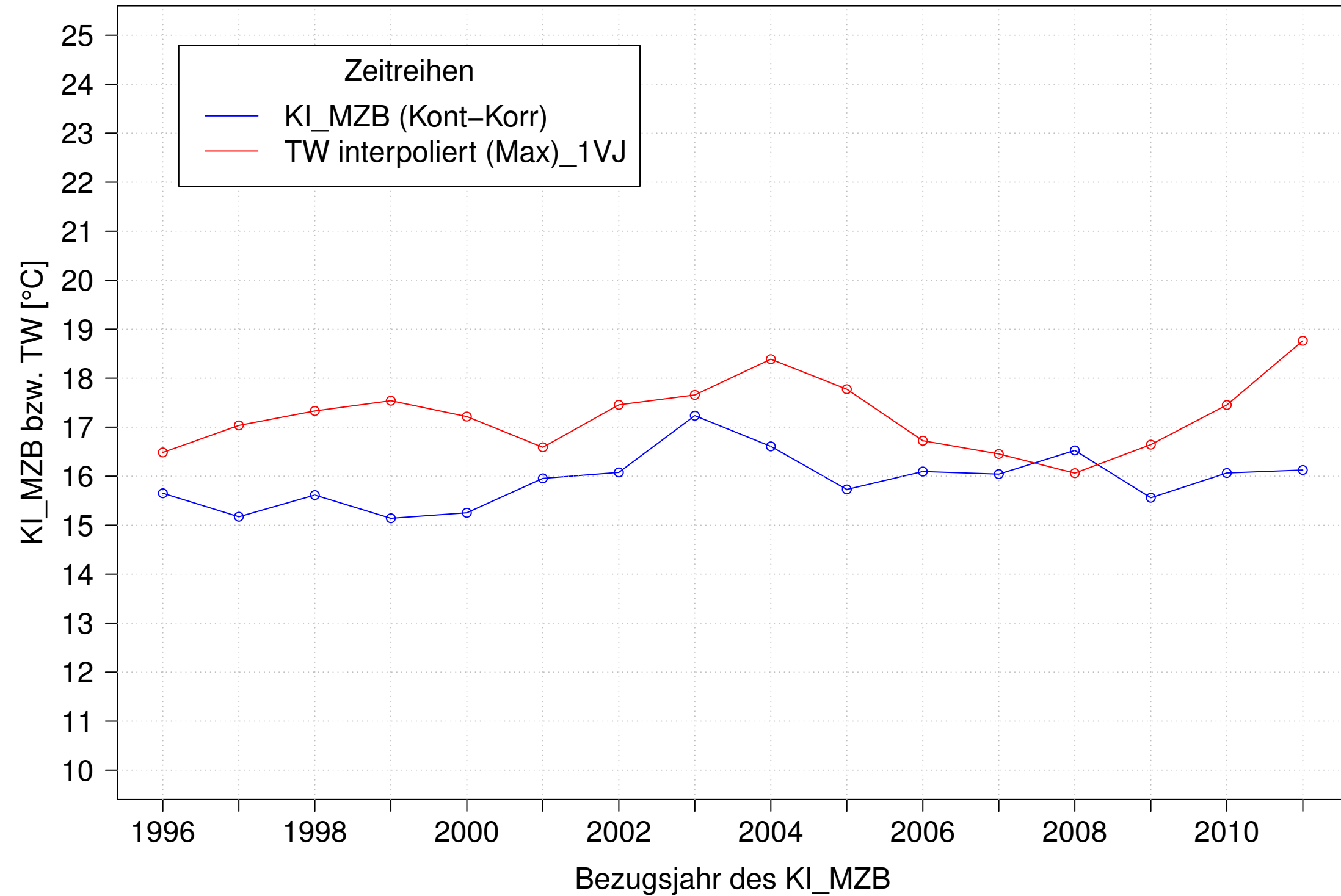
Neckar_Boerstingen, Typ 09.2 mit Neozoen, Serie 2
 KI_MZB (Kont-Korr) und 3JMW TW interpoliert (Max) des 1. Vorjahres



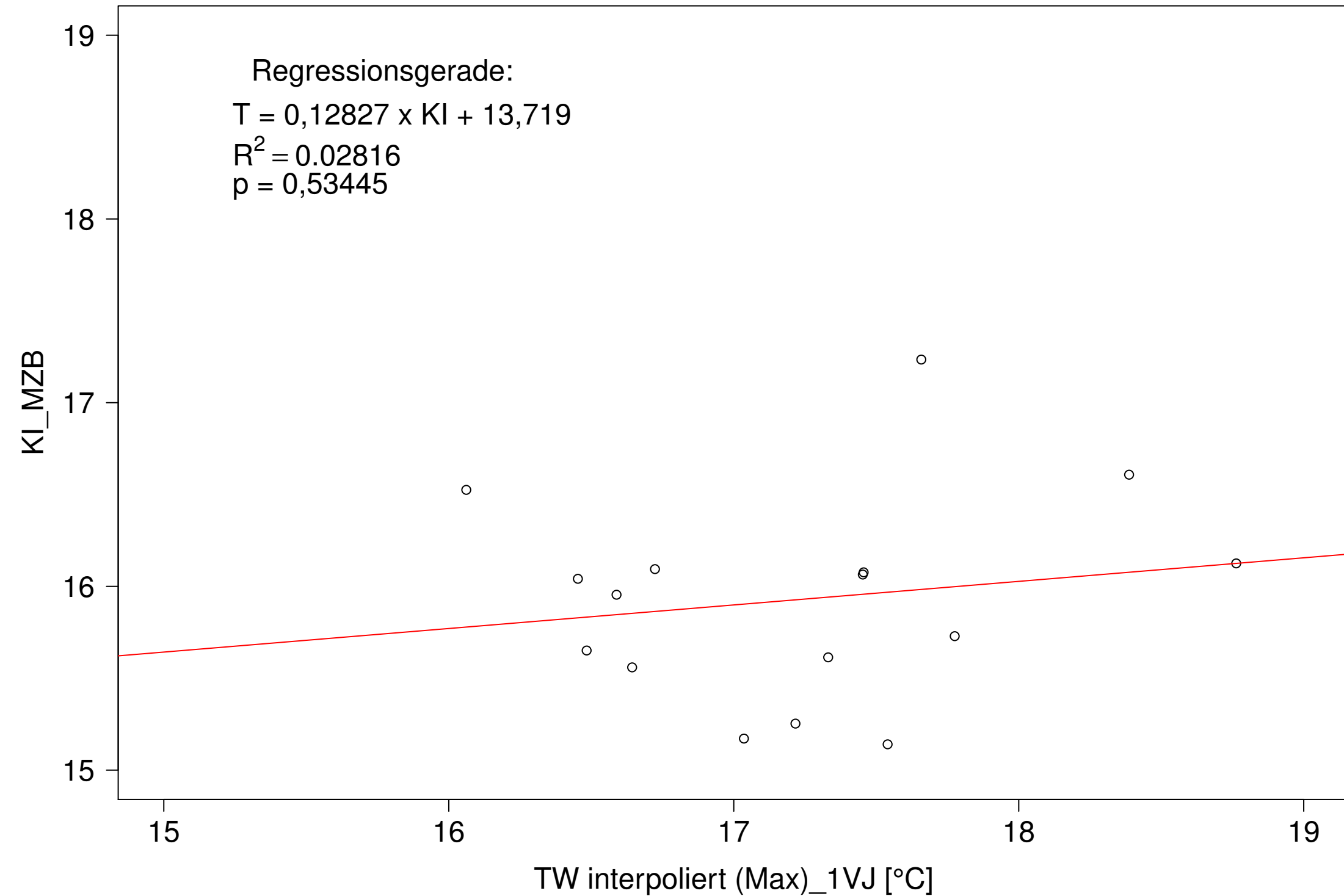
Neckar_Boerstingen, Typ 09.2 mit Neozoen, Serie 2
 KI_MZB (Kont-Korr) gegen 3JMW TW interpoliert (Max) des 1. Vorjahres



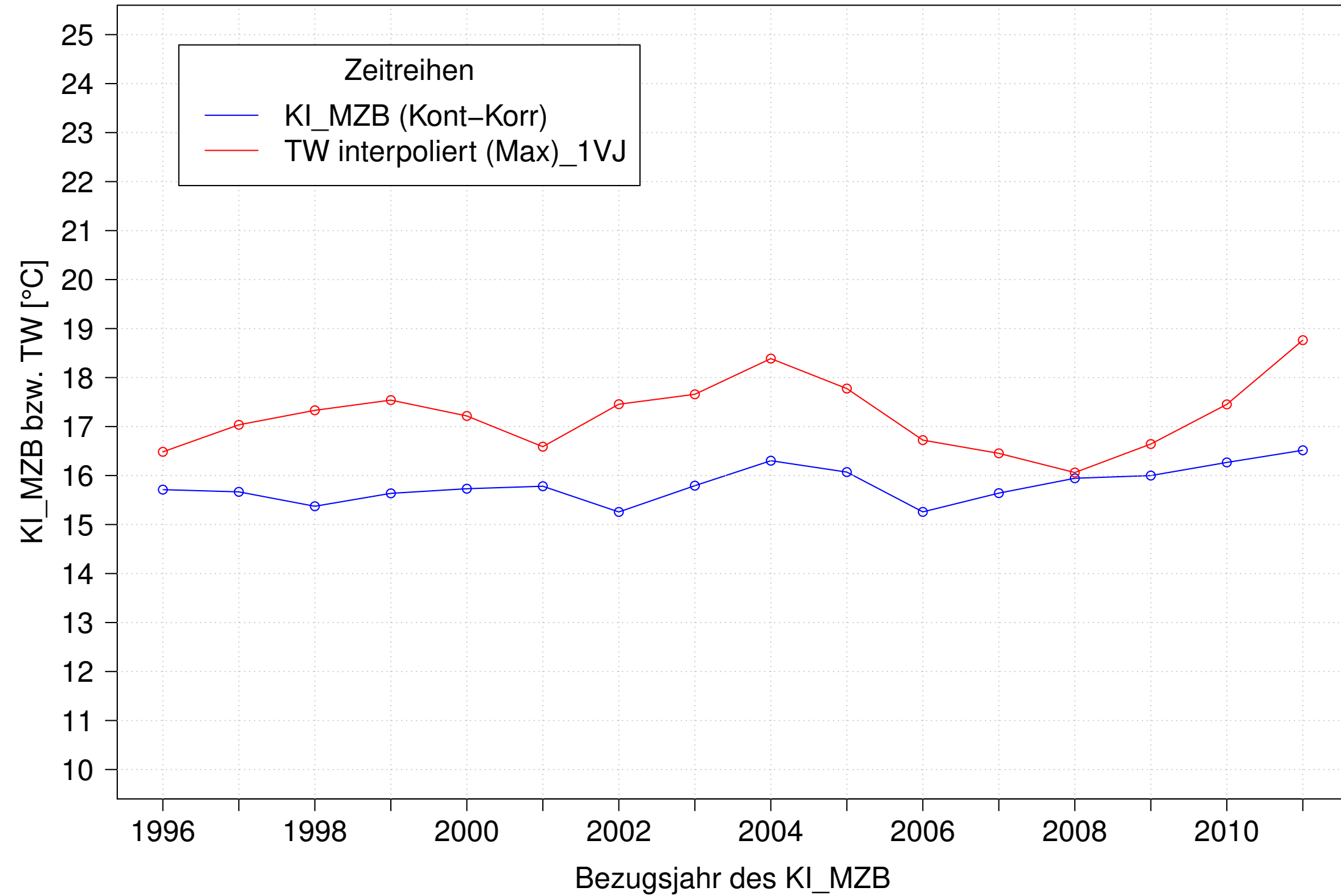
Neckar_Boerstingen, Typ 09.2 mit Neozoen, Serie 3
 KI_MZB (Kont-Korr) und 3JMW TW interpoliert (Max) des 1. Vorjahres



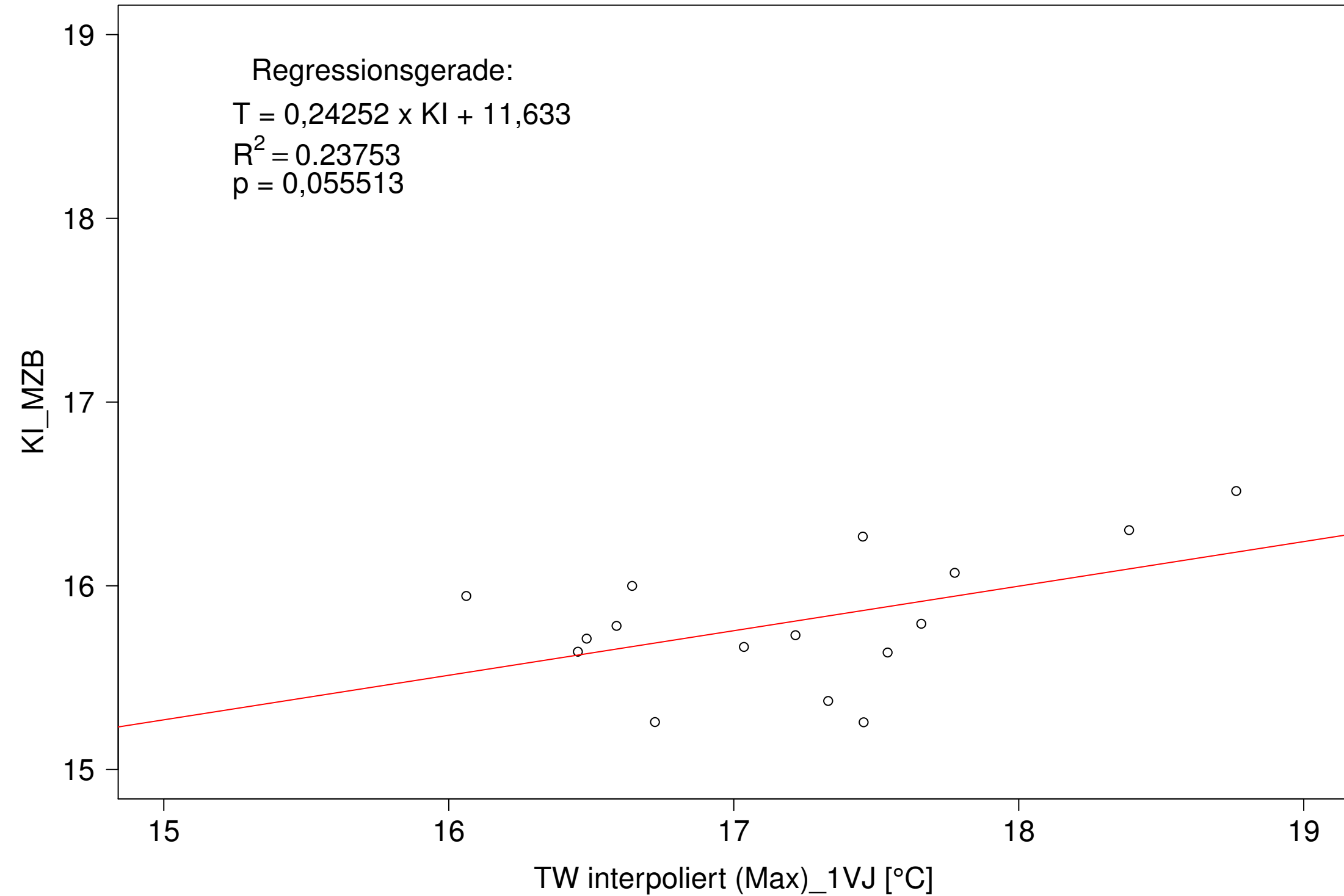
Neckar_Boerstingen, Typ 09.2 mit Neozoen, Serie 3
 KI_MZB (Kont-Korr) gegen 3JMW TW interpoliert (Max) des 1. Vorjahres



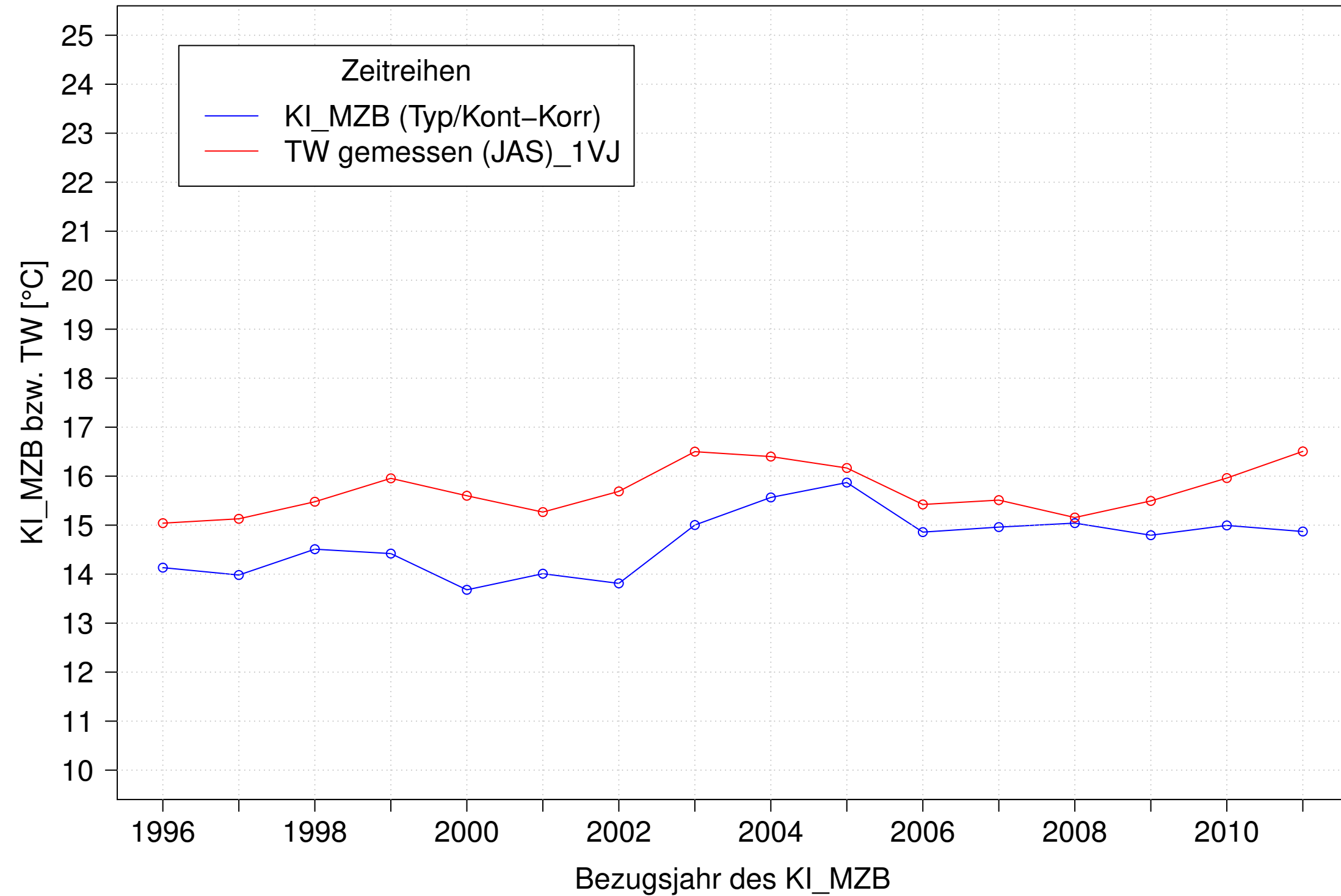
Neckar_Boerstingen, Typ 09.2 mit Neozoen, Serie 4
KI_MZB (Kont-Korr) und 3JMW TW interpoliert (Max) des 1. Vorjahres



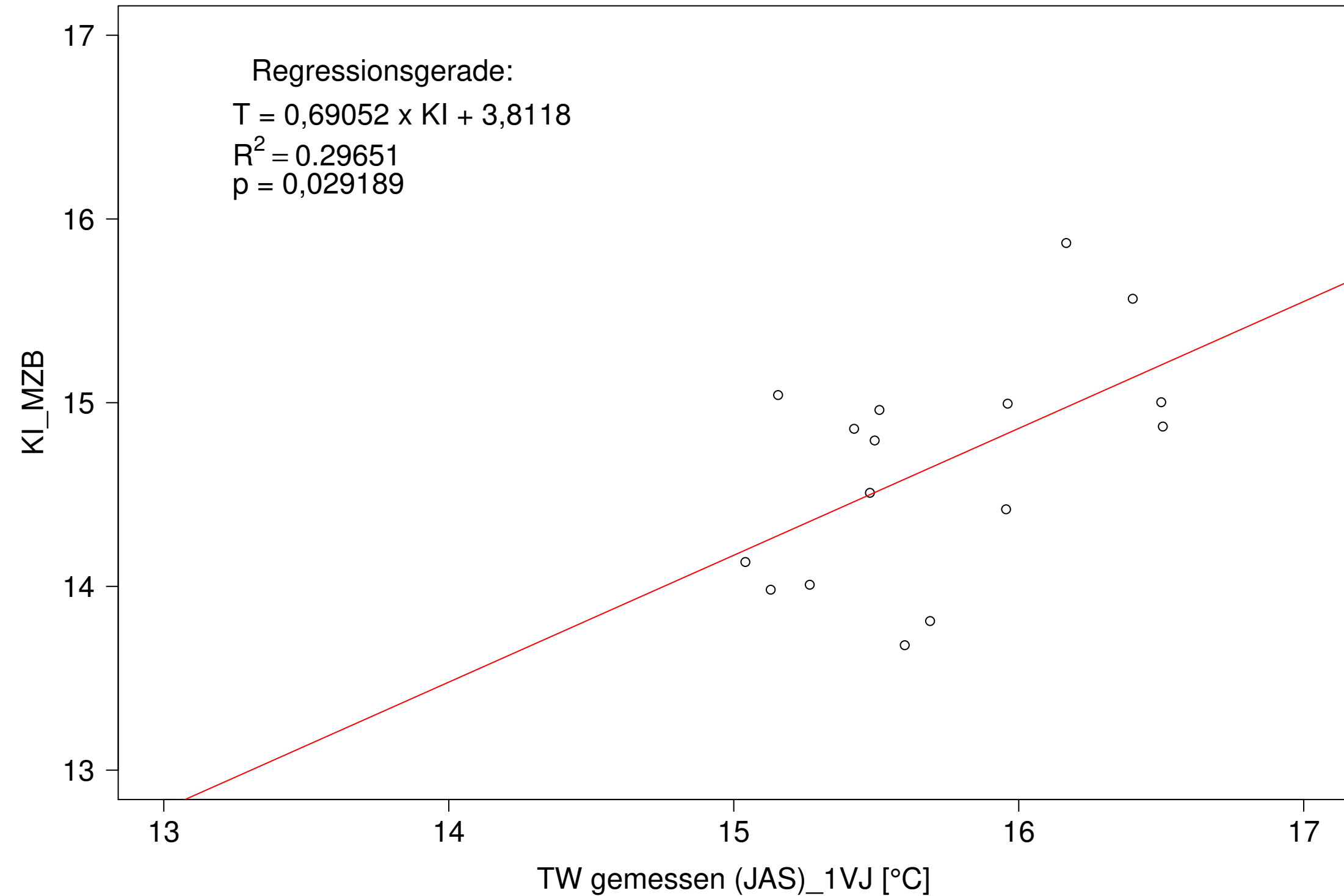
Neckar_Boerstingen, Typ 09.2 mit Neozoen, Serie 4
KI_MZB (Kont-Korr) gegen 3JMW TW interpoliert (Max) des 1. Vorjahres



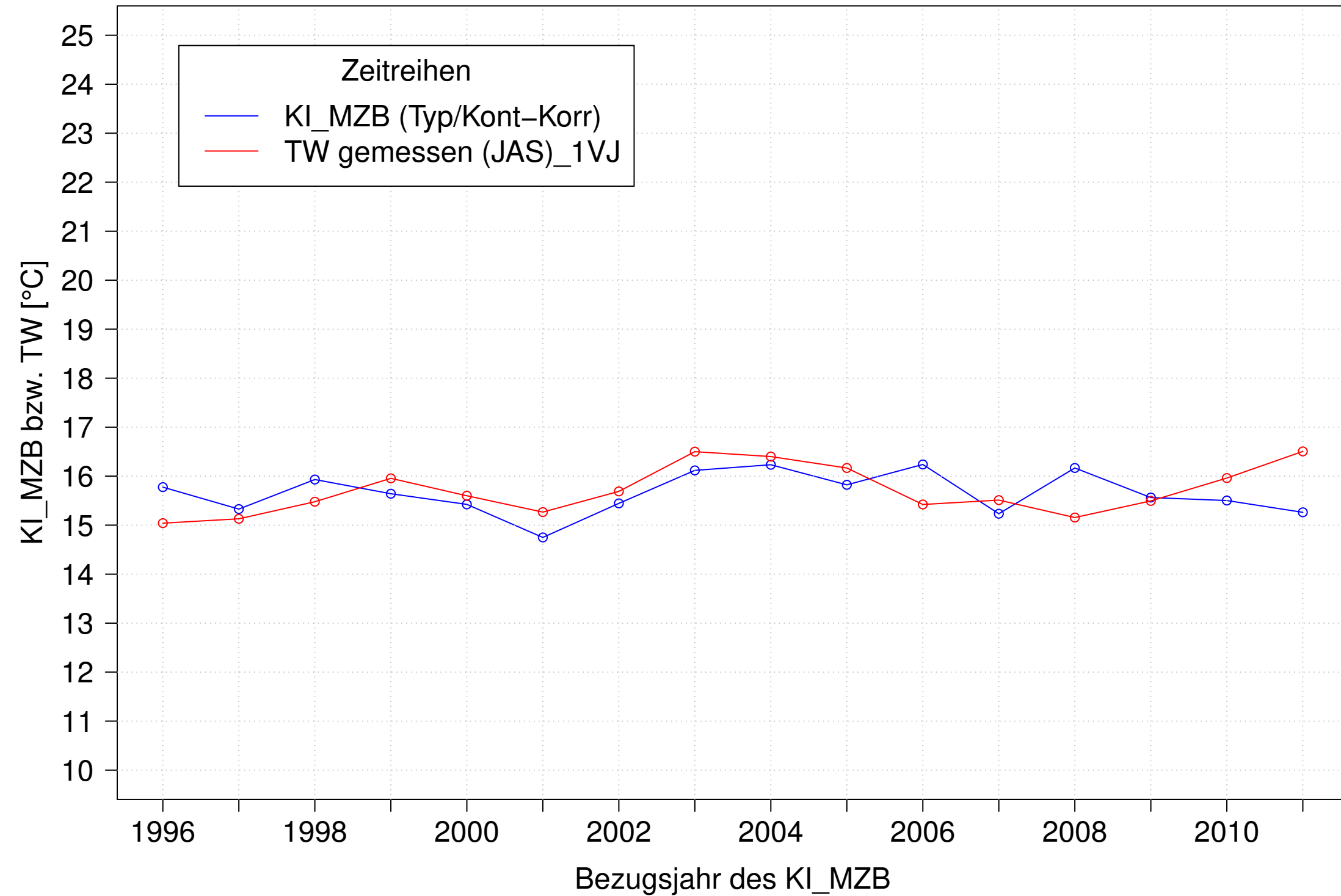
Neckar_Boerstingen, Typ 09.2 mit Neozoen, Serie 1
 KI_MZB (Typ/Kont-Korr) und 3JMW TW gemessen (JAS) des 1. Vorjahres



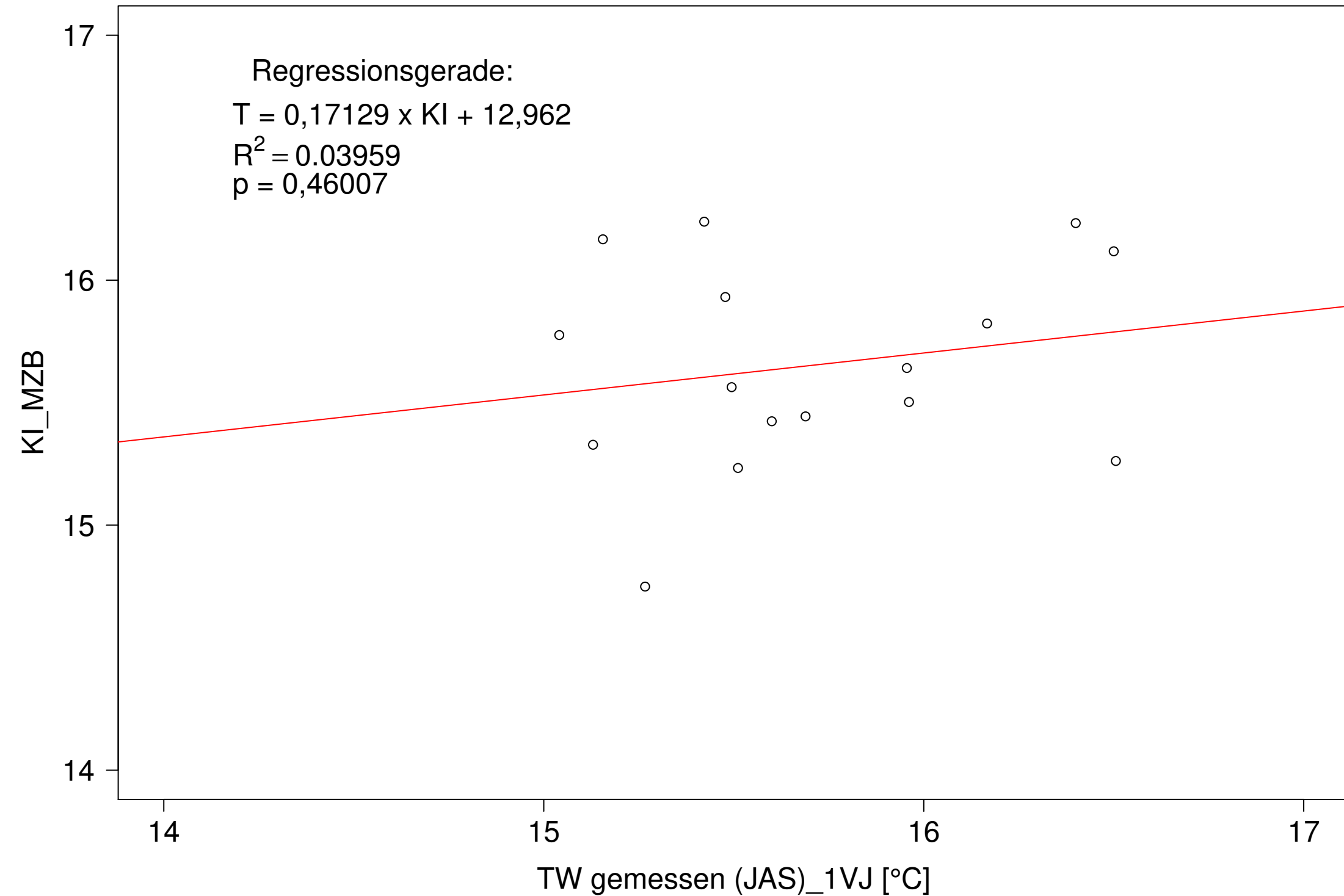
Neckar_Boerstingen, Typ 09.2 mit Neozoen, Serie 1
 KI_MZB (Typ/Kont-Korr) gegen 3JMW TW gemessen (JAS) des 1. Vorjahres



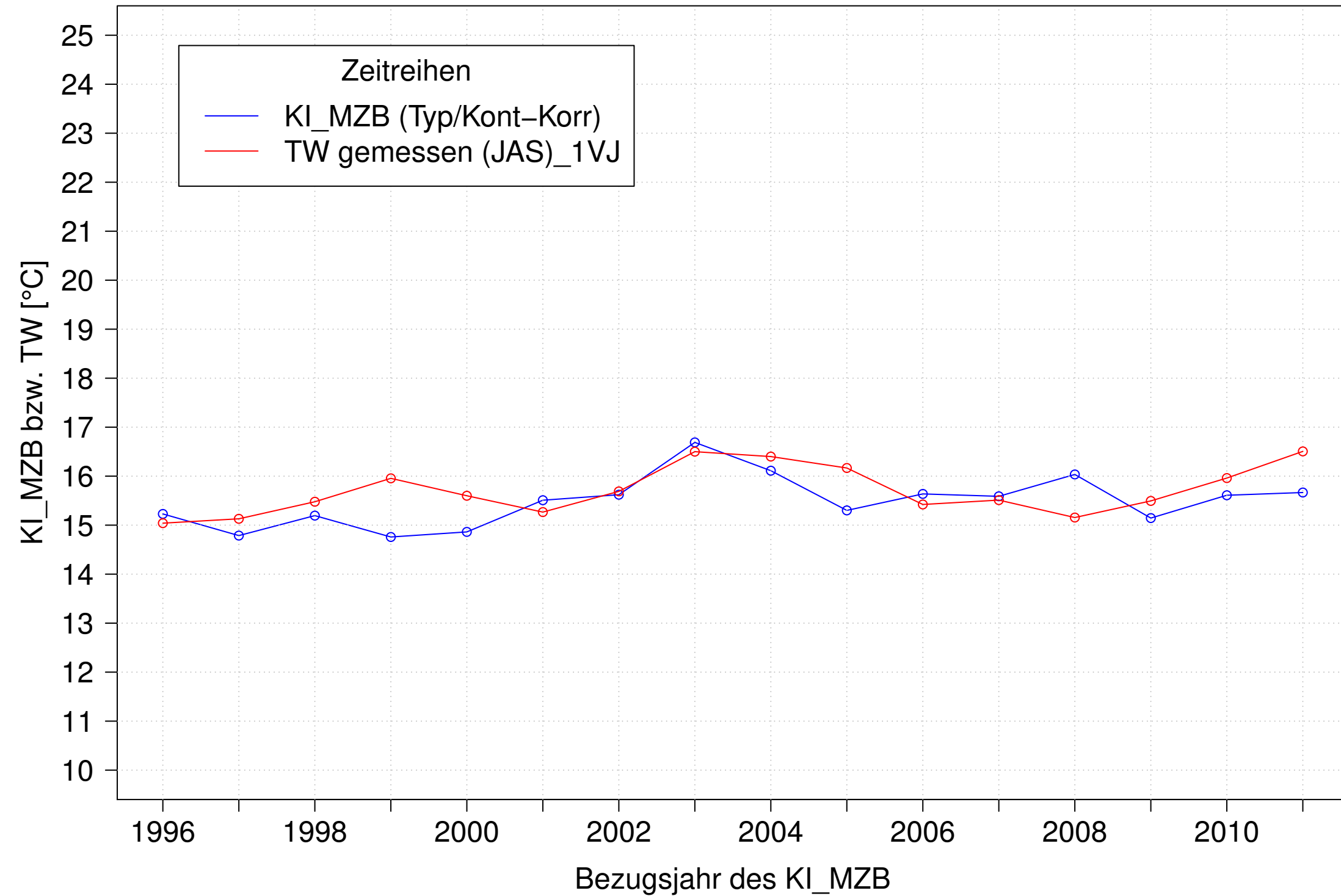
Neckar_Boerstingen, Typ 09.2 mit Neozoen, Serie 2
 KI_MZB (Typ/Kont-Korr) und 3JMW TW gemessen (JAS) des 1. Vorjahres



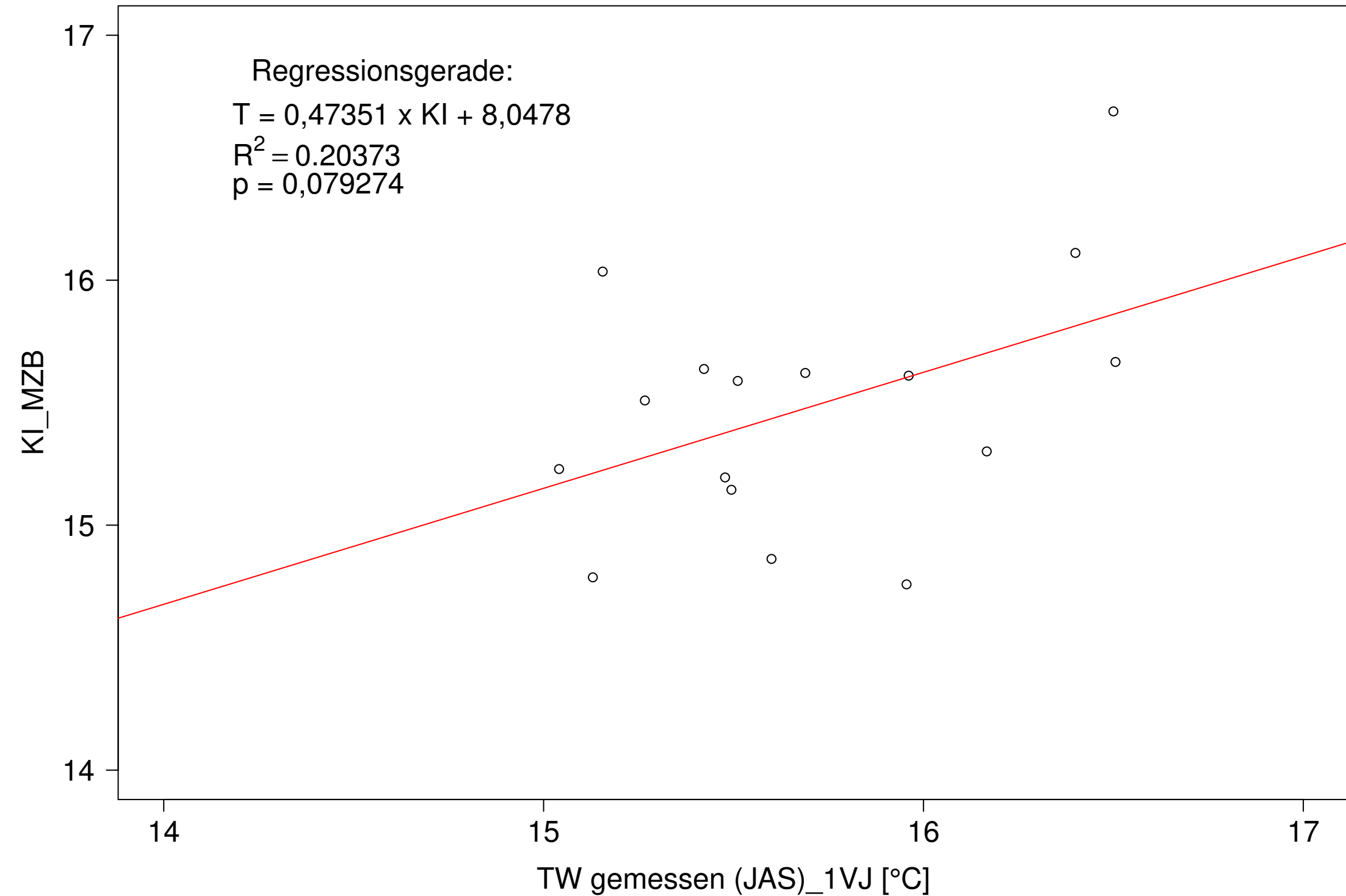
Neckar_Boerstingen, Typ 09.2 mit Neozoen, Serie 2
 KI_MZB (Typ/Kont-Korr) gegen 3JMW TW gemessen (JAS) des 1. Vorjahres



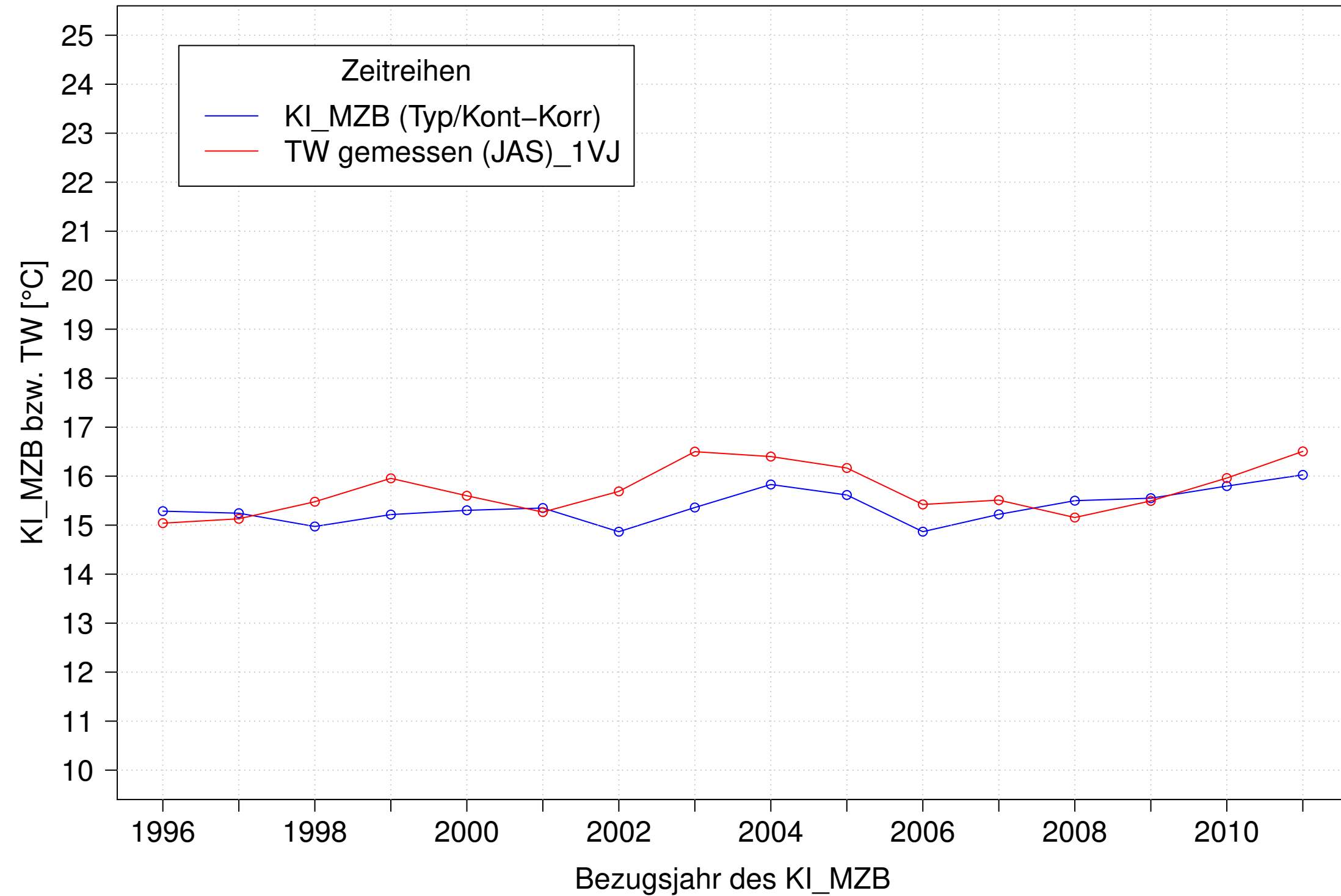
Neckar_Boerstingen, Typ 09.2 mit Neozoen, Serie 3
KI_MZB (Typ/Kont-Korr) und 3JMW TW gemessen (JAS) des 1. Vorjahres



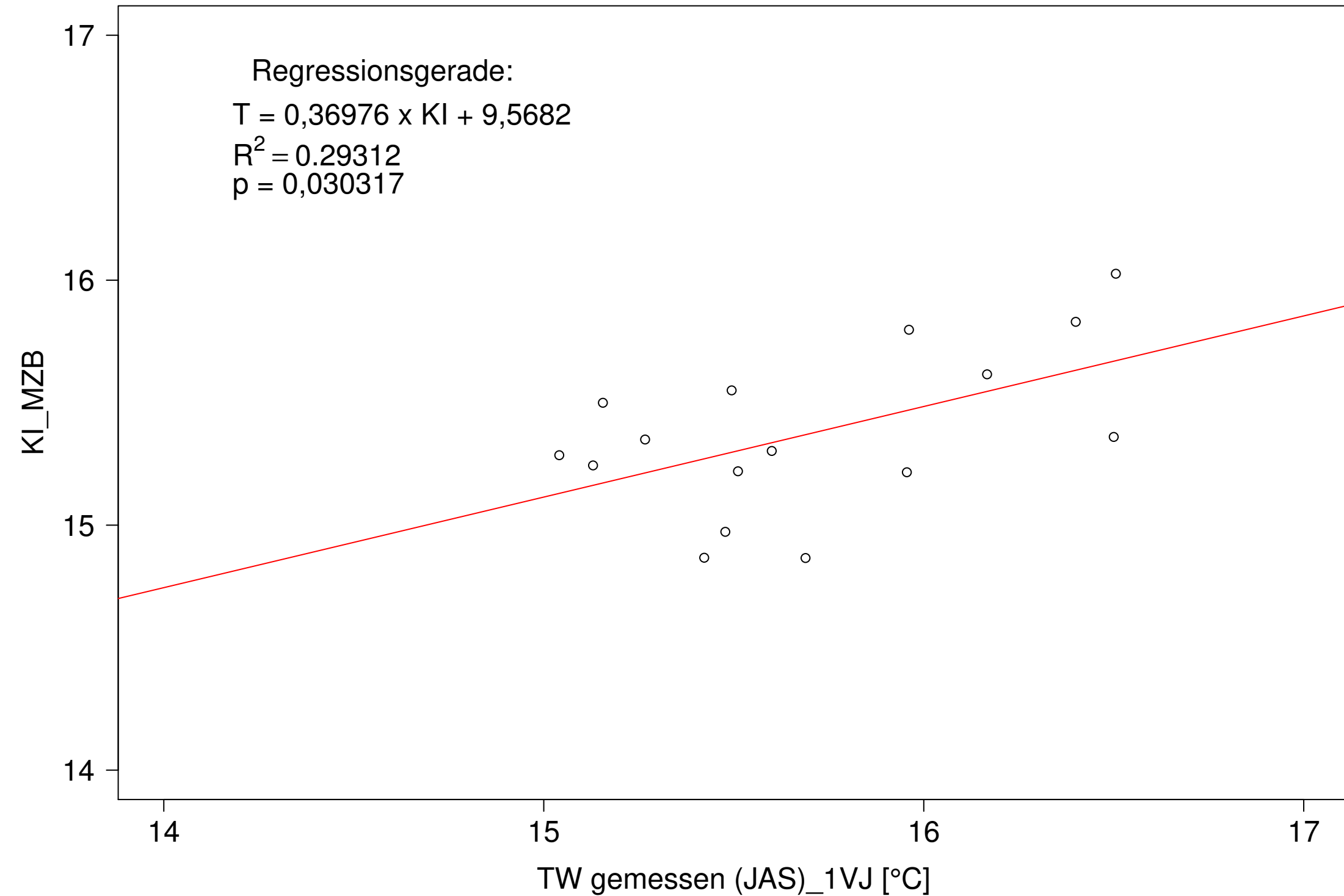
Neckar_Boerstingen, Typ 09.2 mit Neozoen, Serie 3
KI_MZB (Typ/Kont-Korr) gegen 3JMW TW gemessen (JAS) des 1. Vorjahres



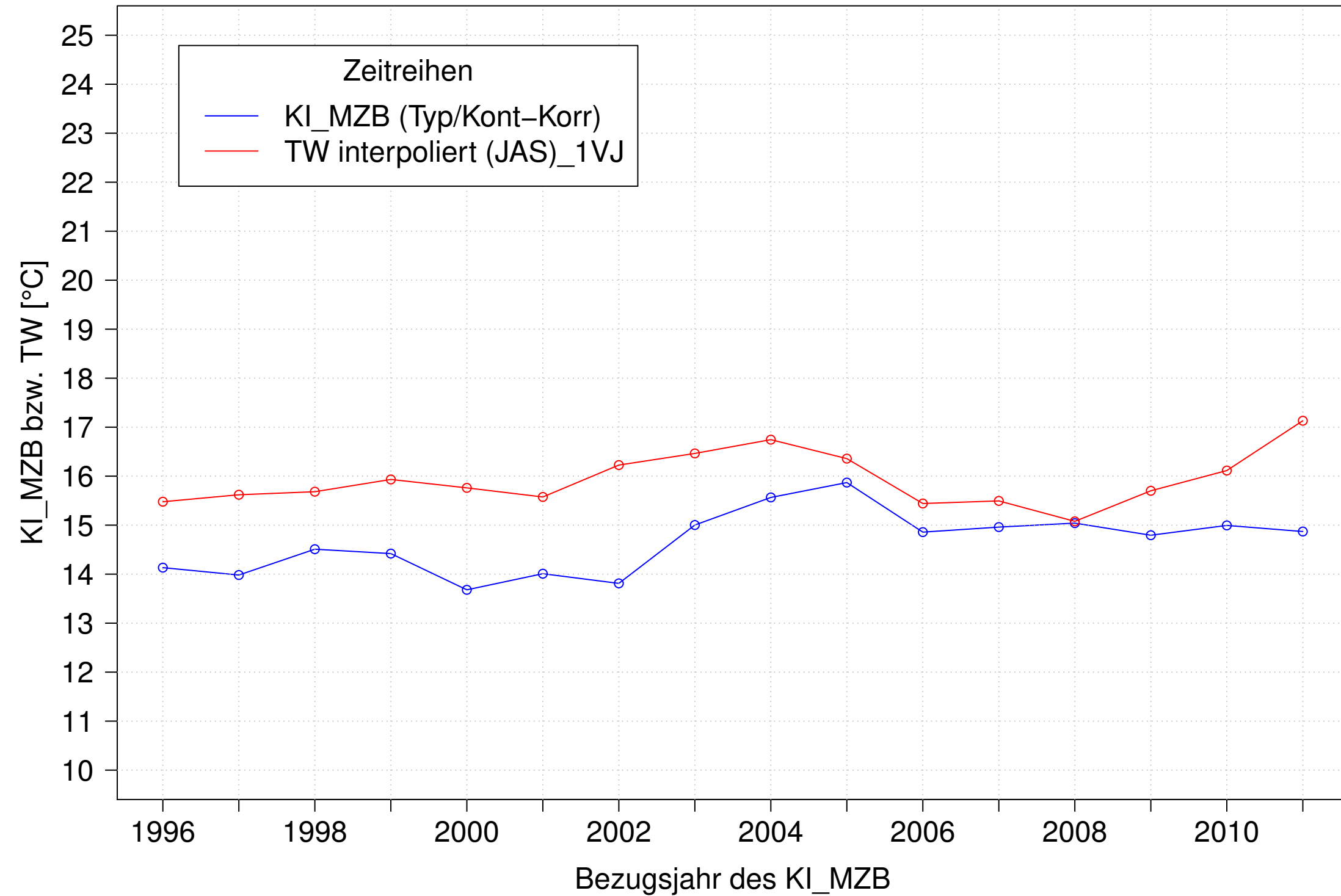
Neckar_Boerstingen, Typ 09.2 mit Neozoen, Serie 4
 KI_MZB (Typ/Kont-Korr) und 3JMW TW gemessen (JAS) des 1. Vorjahres



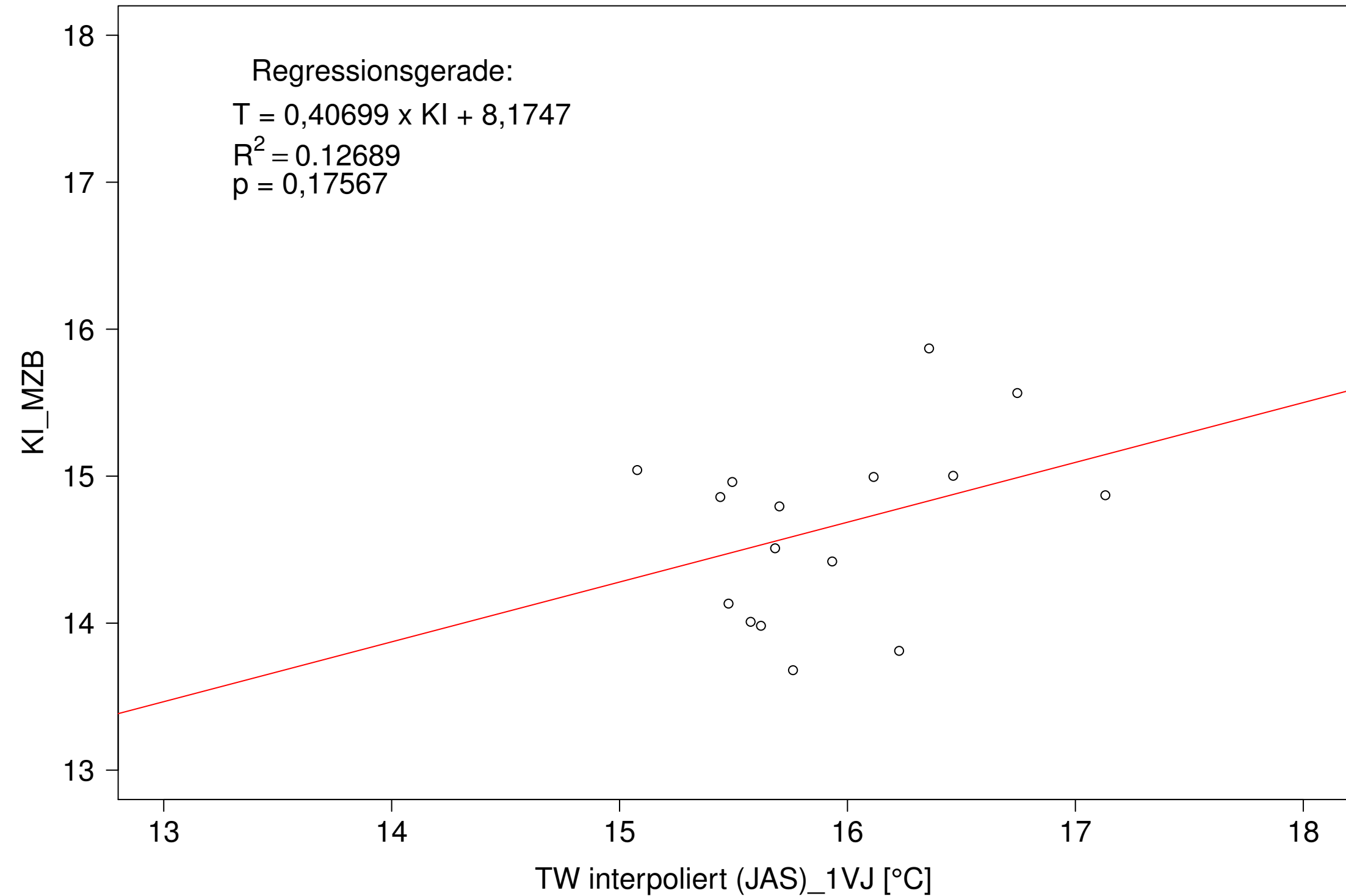
Neckar_Boerstingen, Typ 09.2 mit Neozoen, Serie 4
 KI_MZB (Typ/Kont-Korr) gegen 3JMW TW gemessen (JAS) des 1. Vorjahres



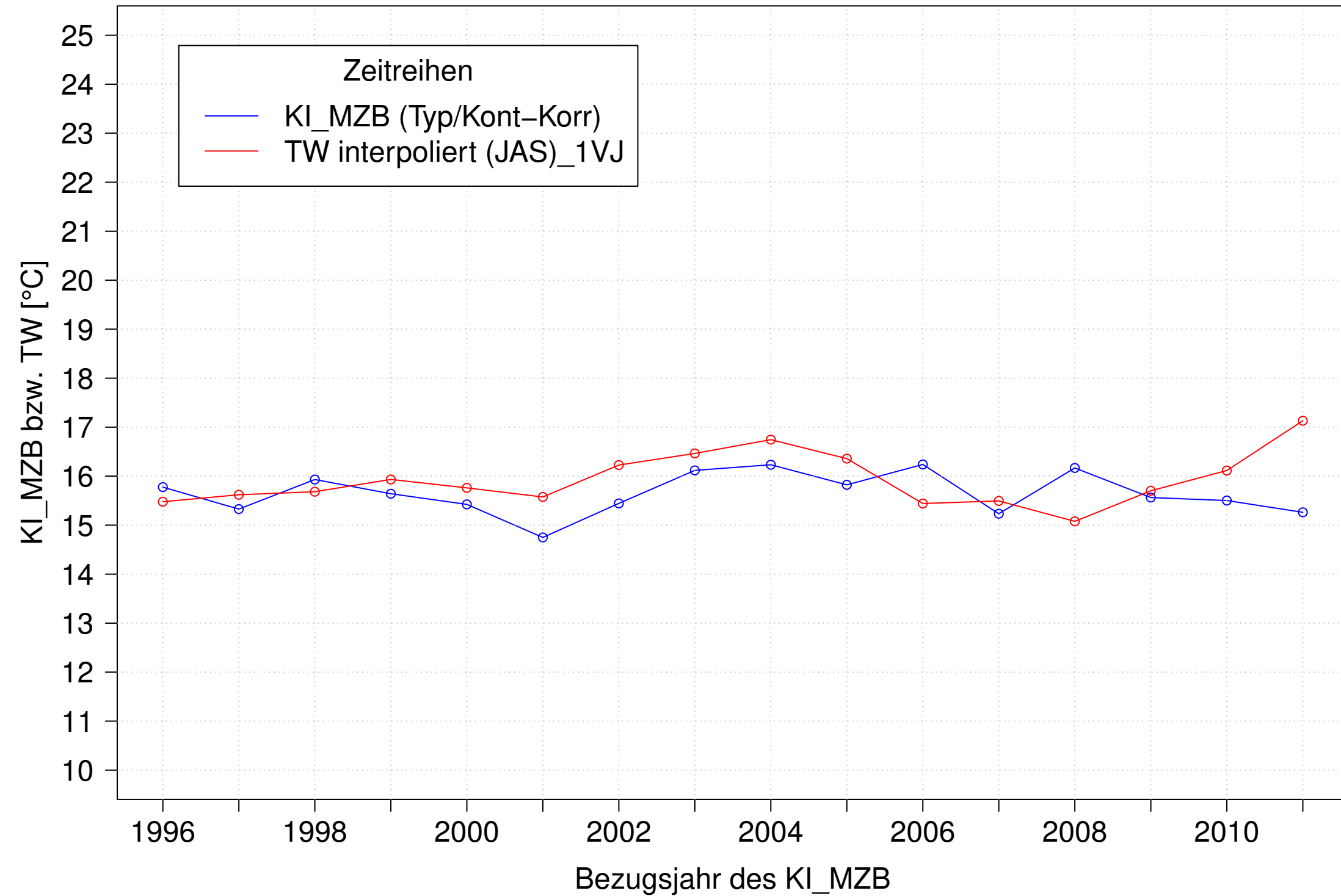
Neckar_Boerstingen, Typ 09.2 mit Neozoen, Serie 1
KI_MZB (Typ/Kont-Korr) und 3JMW TW interpoliert (JAS) des 1. Vorjahres



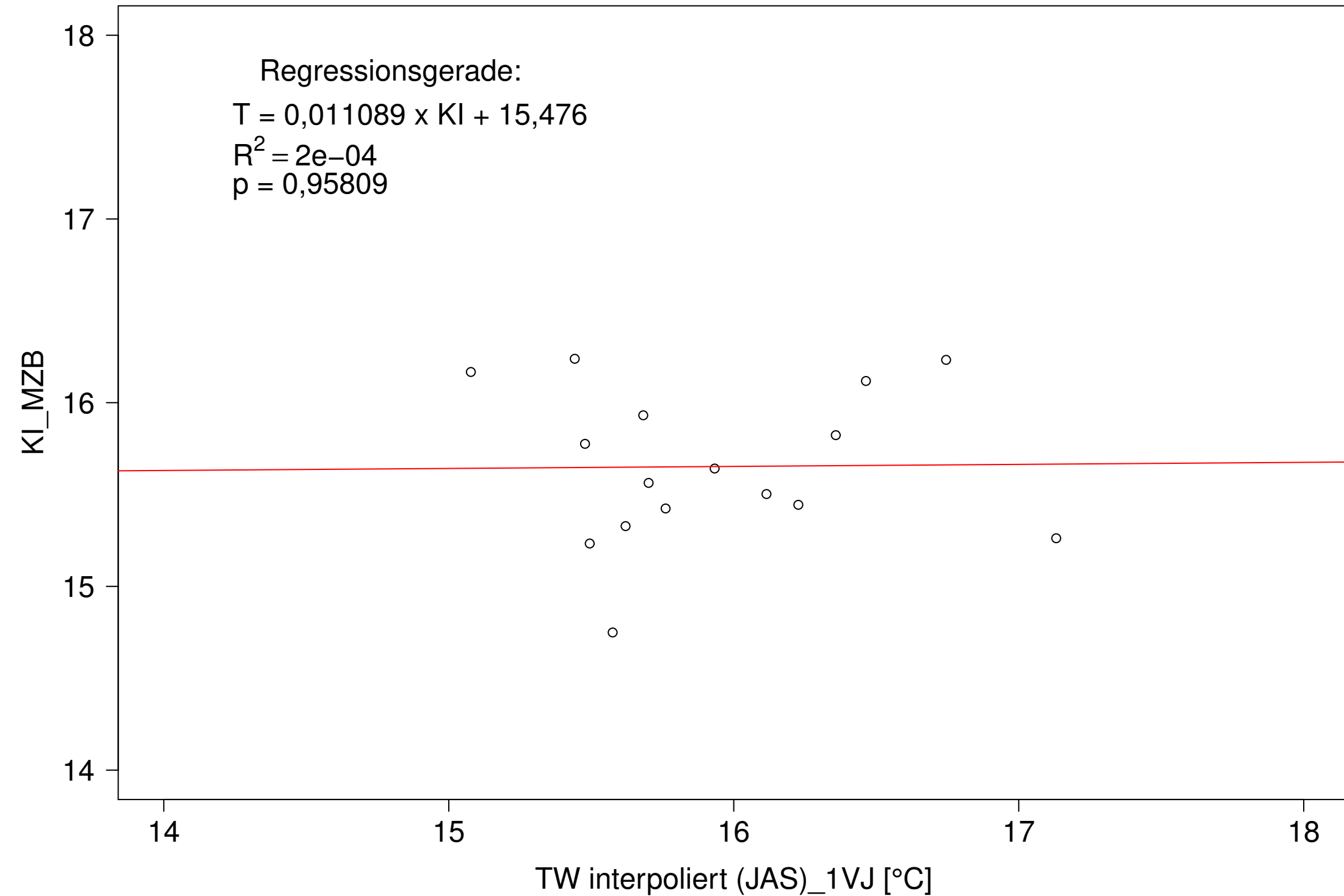
Neckar_Boerstingen, Typ 09.2 mit Neozoen, Serie 1
KI_MZB (Typ/Kont-Korr) gegen 3JMW TW interpoliert (JAS) des 1. Vorjahres



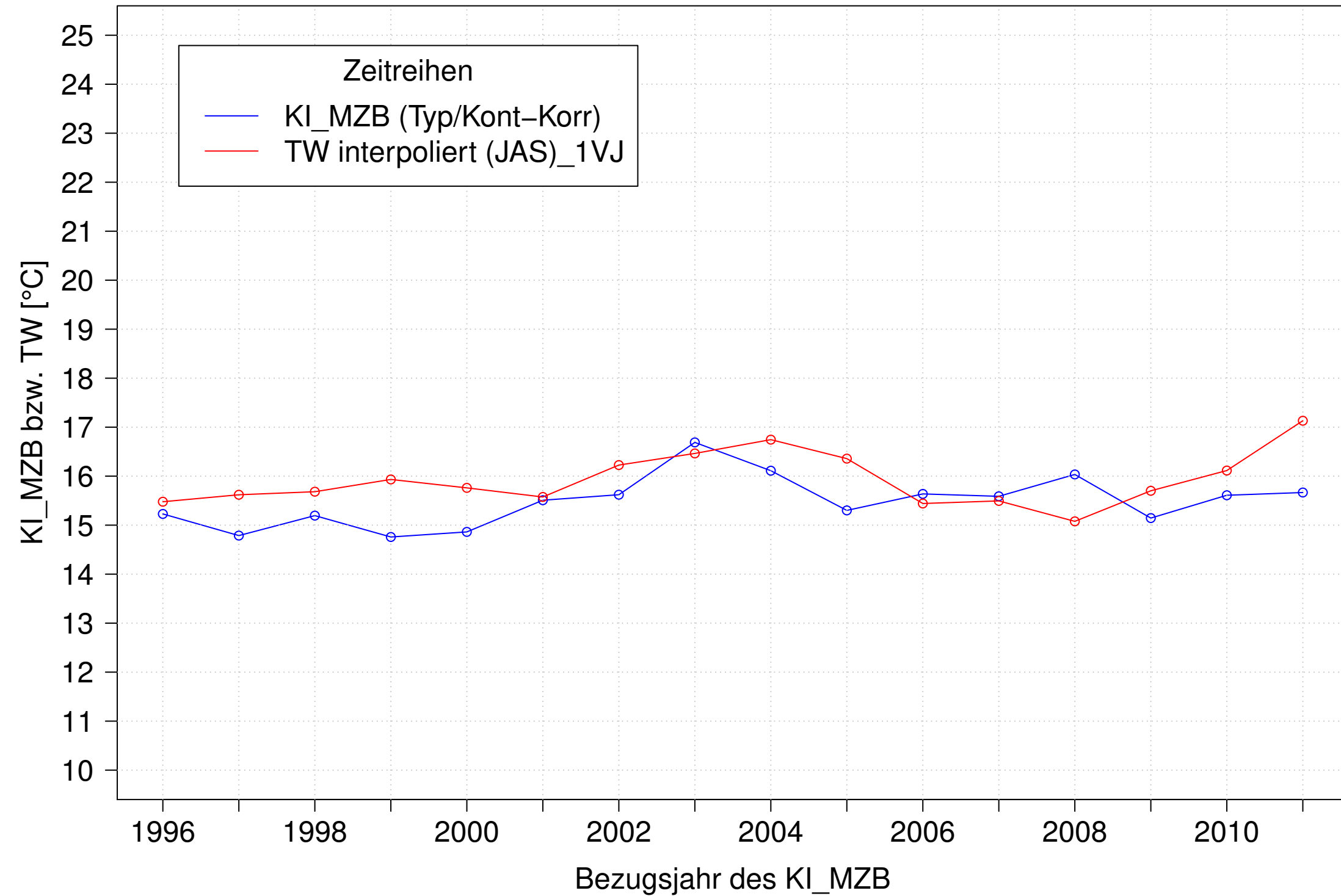
Neckar_Boerstingen, Typ 09.2 mit Neozoen, Serie 2
 KI_MZB (Typ/Kont-Korr) und 3JMW TW interpoliert (JAS) des 1. Vorjahres



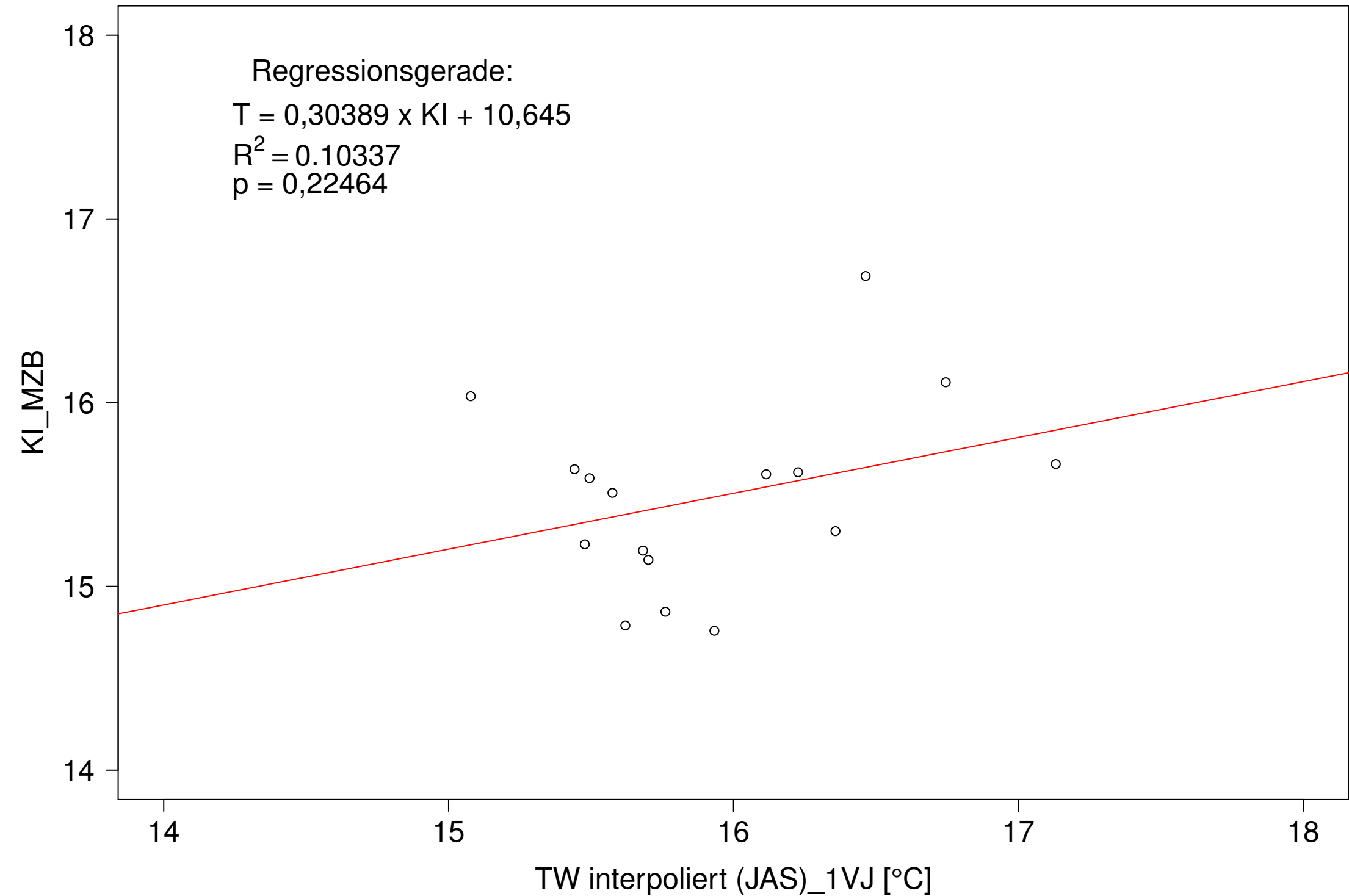
Neckar_Boerstingen, Typ 09.2 mit Neozoen, Serie 2
 KI_MZB (Typ/Kont-Korr) gegen 3JMW TW interpoliert (JAS) des 1. Vorjahres



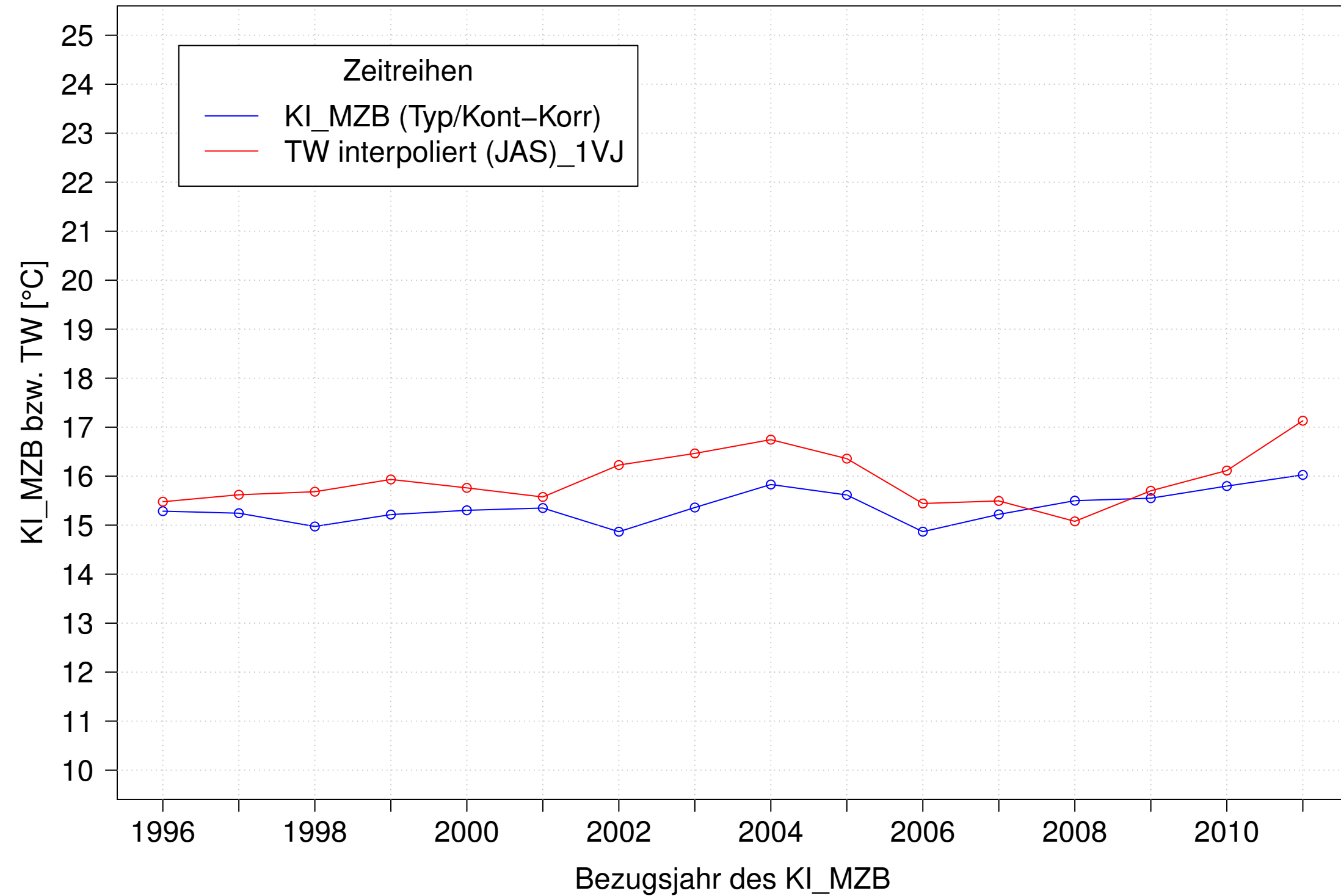
Neckar_Boerstingen, Typ 09.2 mit Neozoen, Serie 3
KI_MZB (Typ/Kont-Korr) und 3JMW TW interpoliert (JAS) des 1. Vorjahres



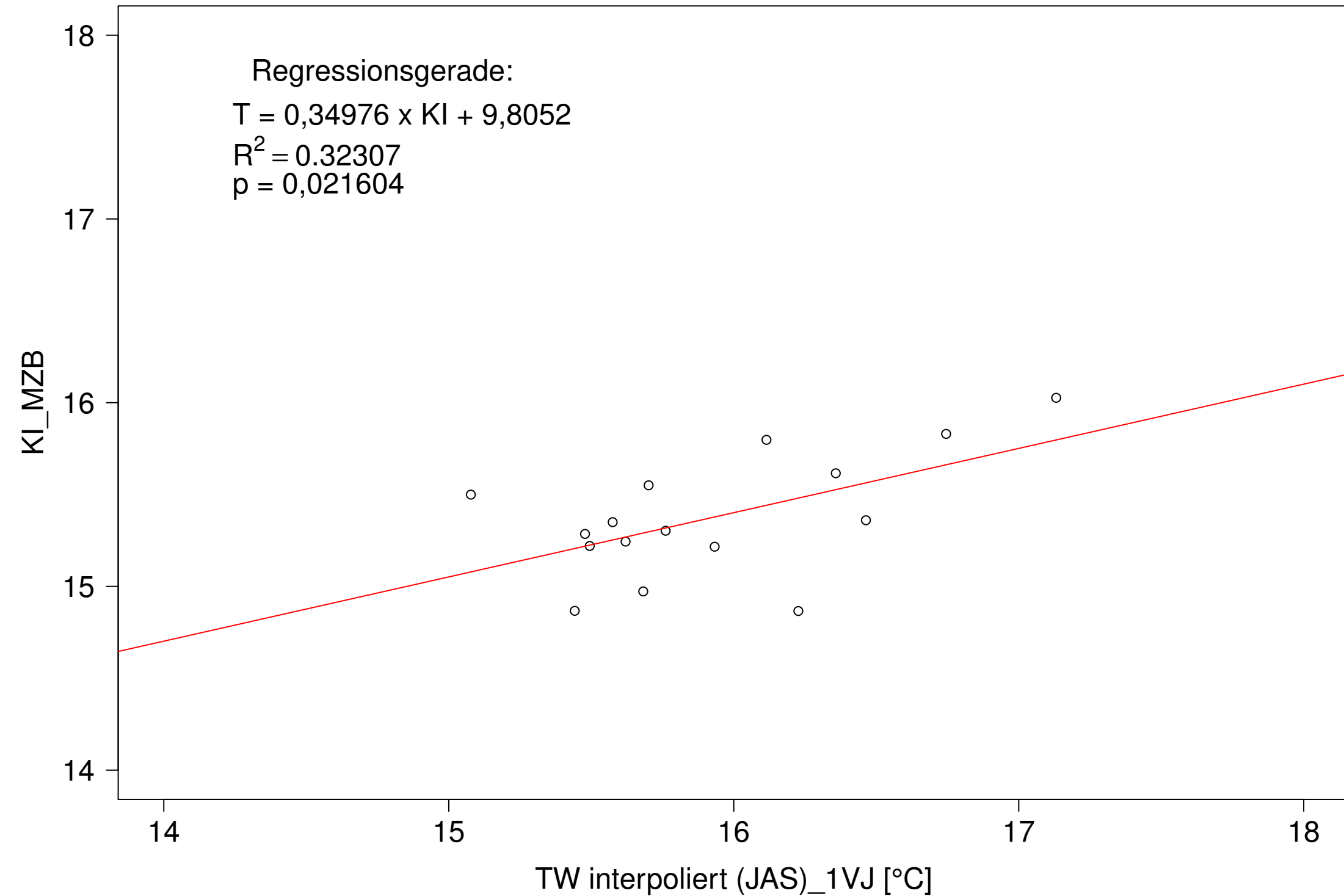
Neckar_Boerstingen, Typ 09.2 mit Neozoen, Serie 3
KI_MZB (Typ/Kont-Korr) gegen 3JMW TW interpoliert (JAS) des 1. Vorjahres



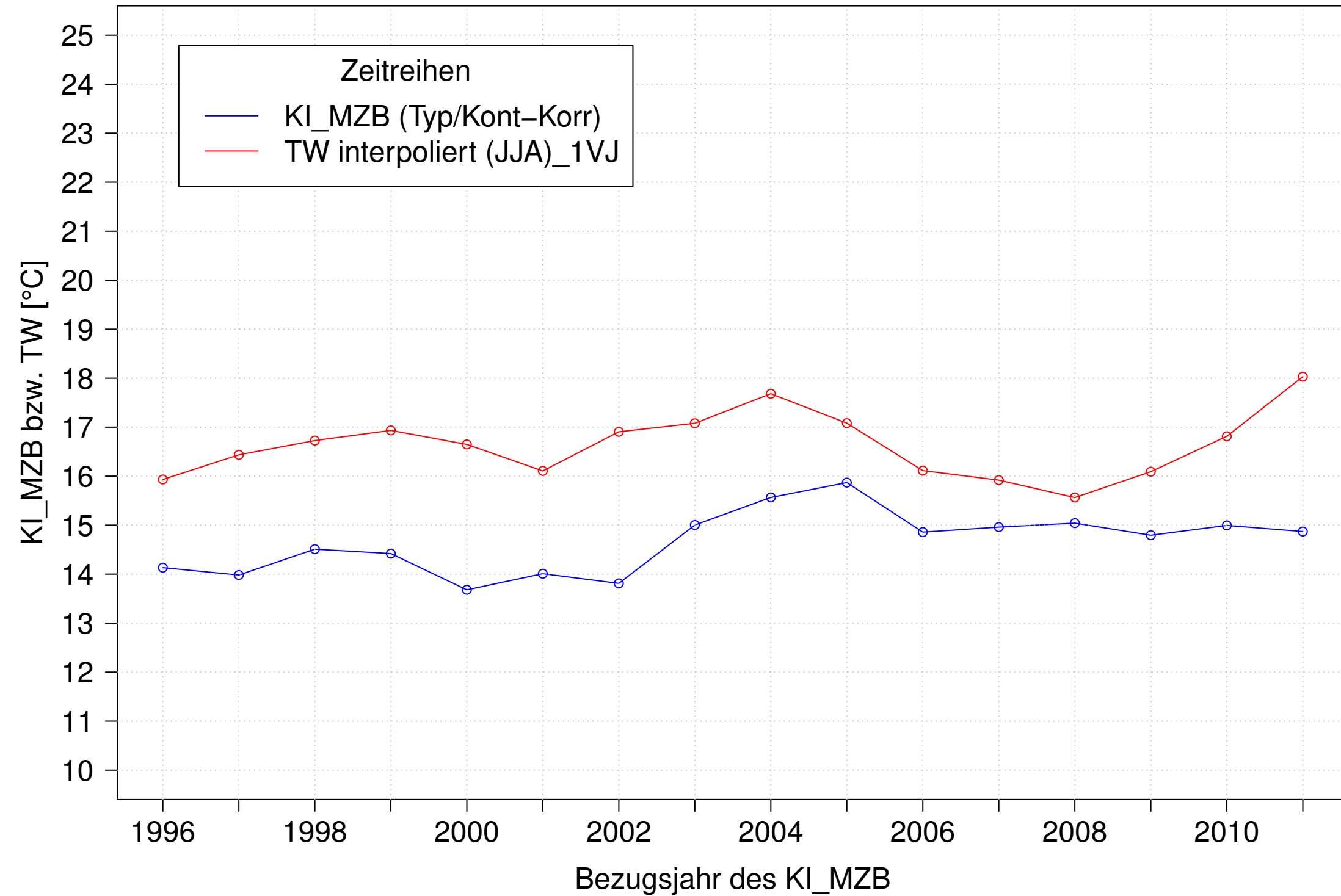
Neckar_Boerstingen, Typ 09.2 mit Neozoen, Serie 4
 KI_MZB (Typ/Kont-Korr) und 3JMW TW interpoliert (JAS) des 1. Vorjahres



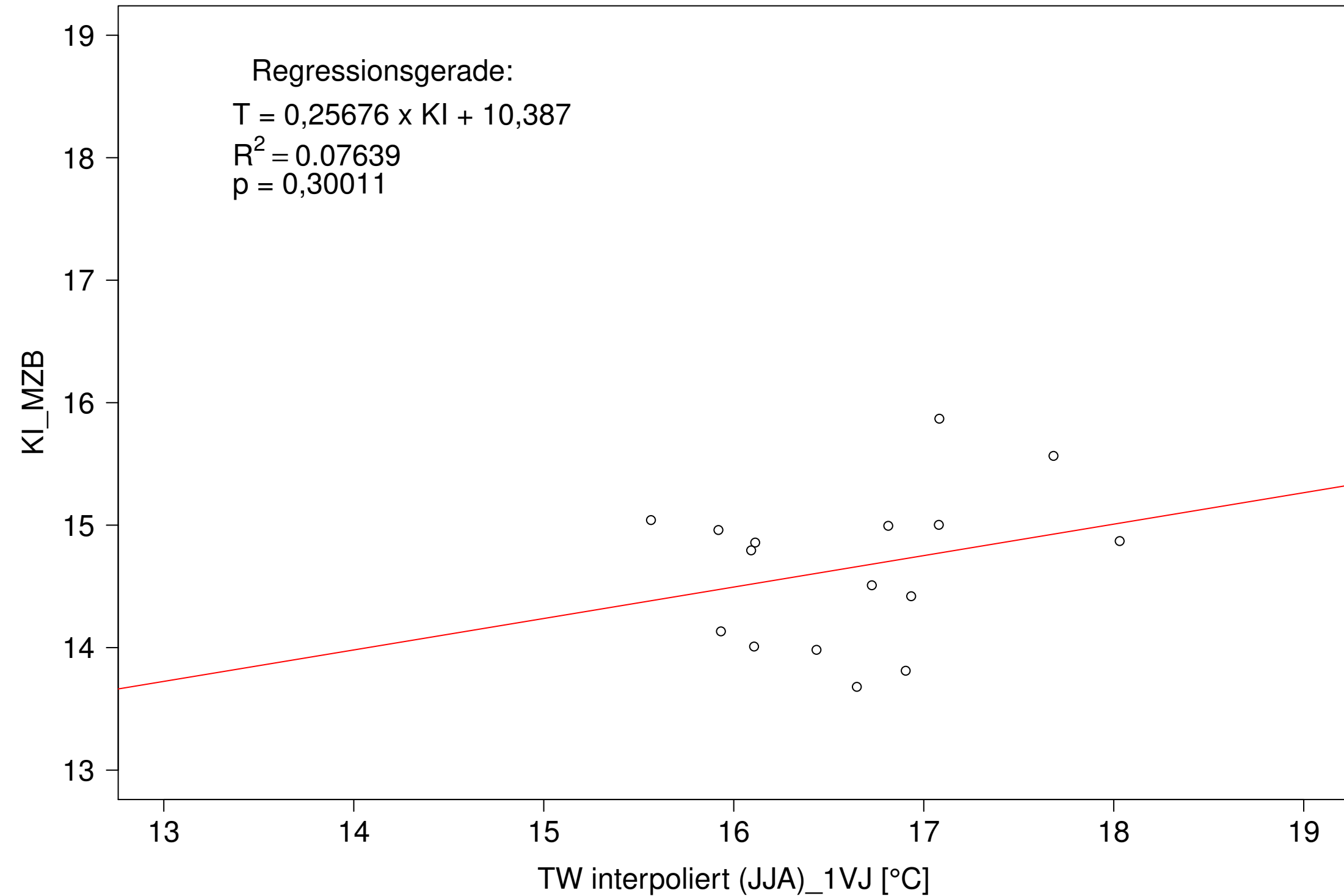
Neckar_Boerstingen, Typ 09.2 mit Neozoen, Serie 4
 KI_MZB (Typ/Kont-Korr) gegen 3JMW TW interpoliert (JAS) des 1. Vorjahres



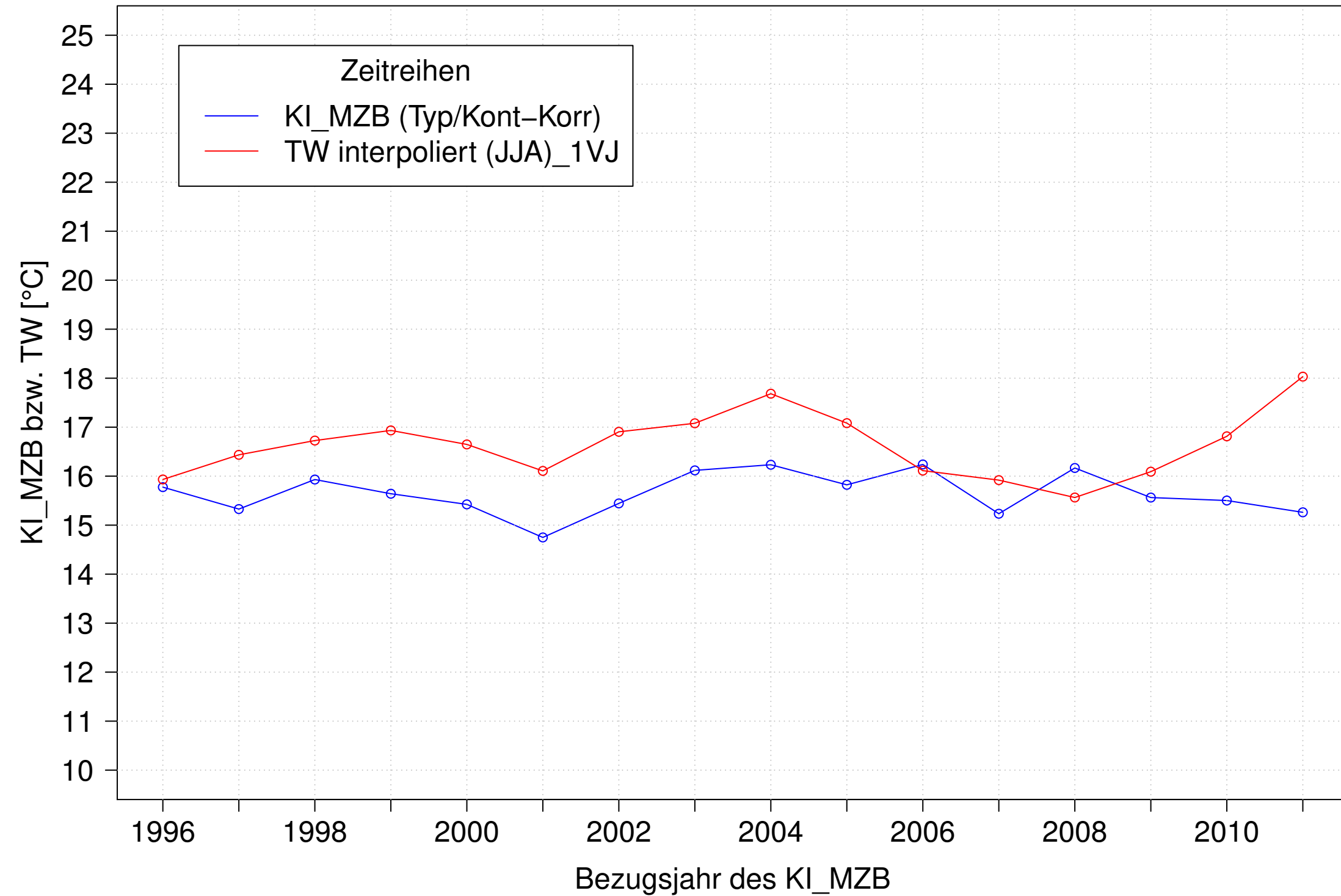
**Neckar_Boerstingen, Typ 09.2 mit Neozoen, Serie 1
KI_MZB (Typ/Kont-Korr) und 3JMW TW interpoliert (JJA) des 1. Vorjahres**



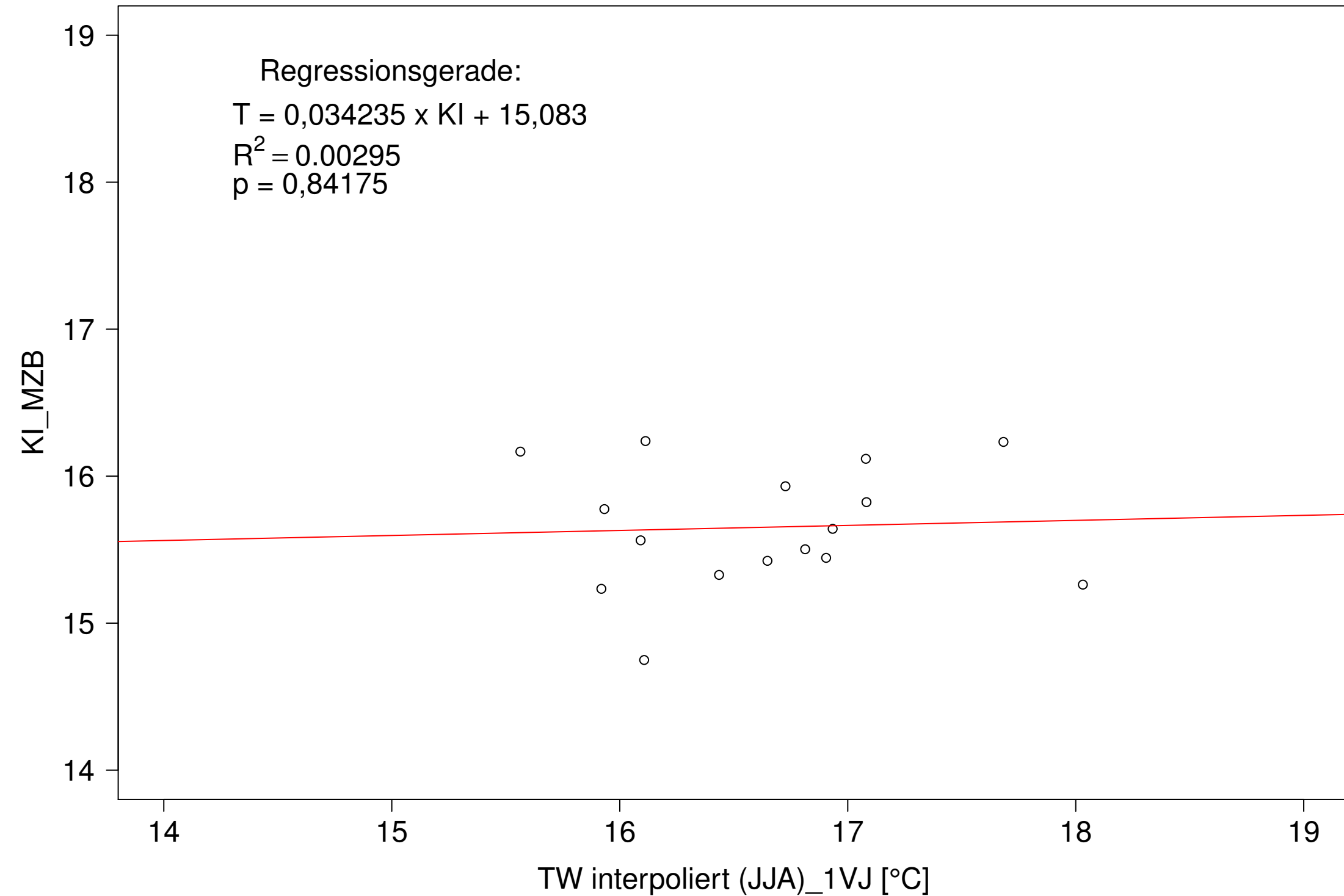
Neckar_Boerstingen, Typ 09.2 mit Neozoen, Serie 1
KI_MZB (Typ/Kont-Korr) gegen 3JMW TW interpoliert (JJA) des 1. Vorjahres



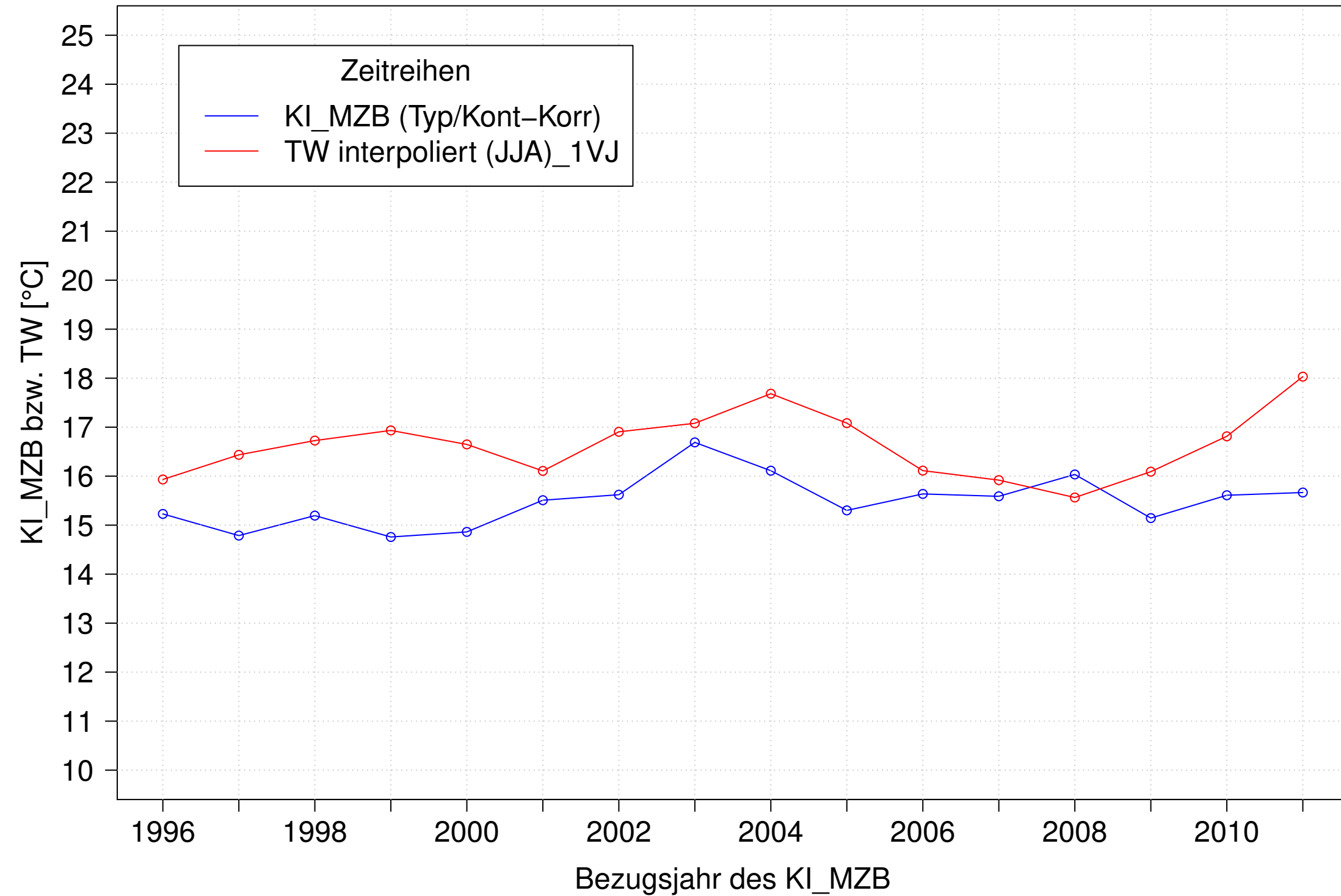
Neckar_Boerstingen, Typ 09.2 mit Neozoen, Serie 2
KI_MZB (Typ/Kont-Korr) und 3JMW TW interpoliert (JJA) des 1. Vorjahres



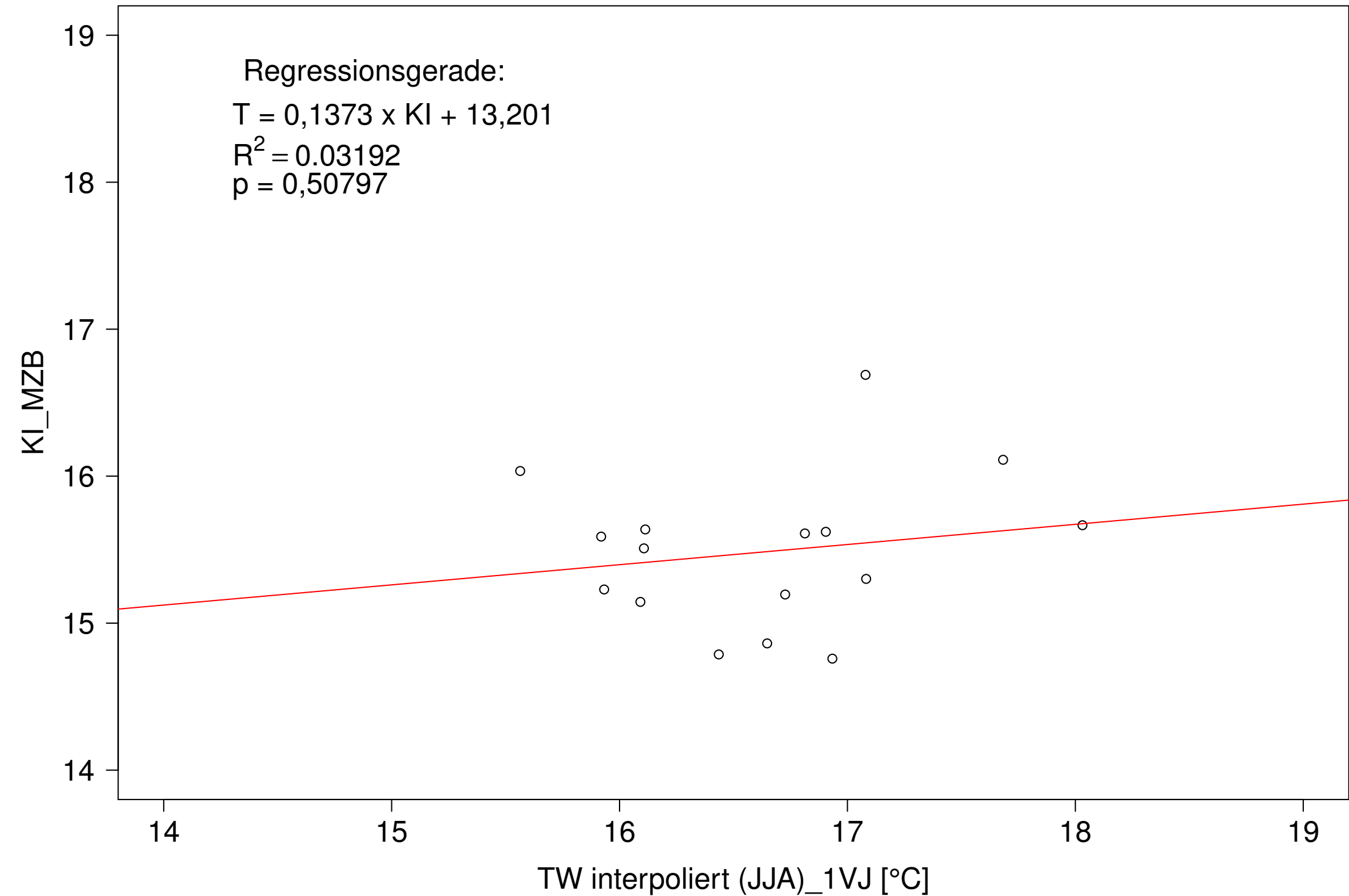
Neckar_Boerstingen, Typ 09.2 mit Neozoen, Serie 2
KI_MZB (Typ/Kont-Korr) gegen 3JMW TW interpoliert (JJA) des 1. Vorjahres



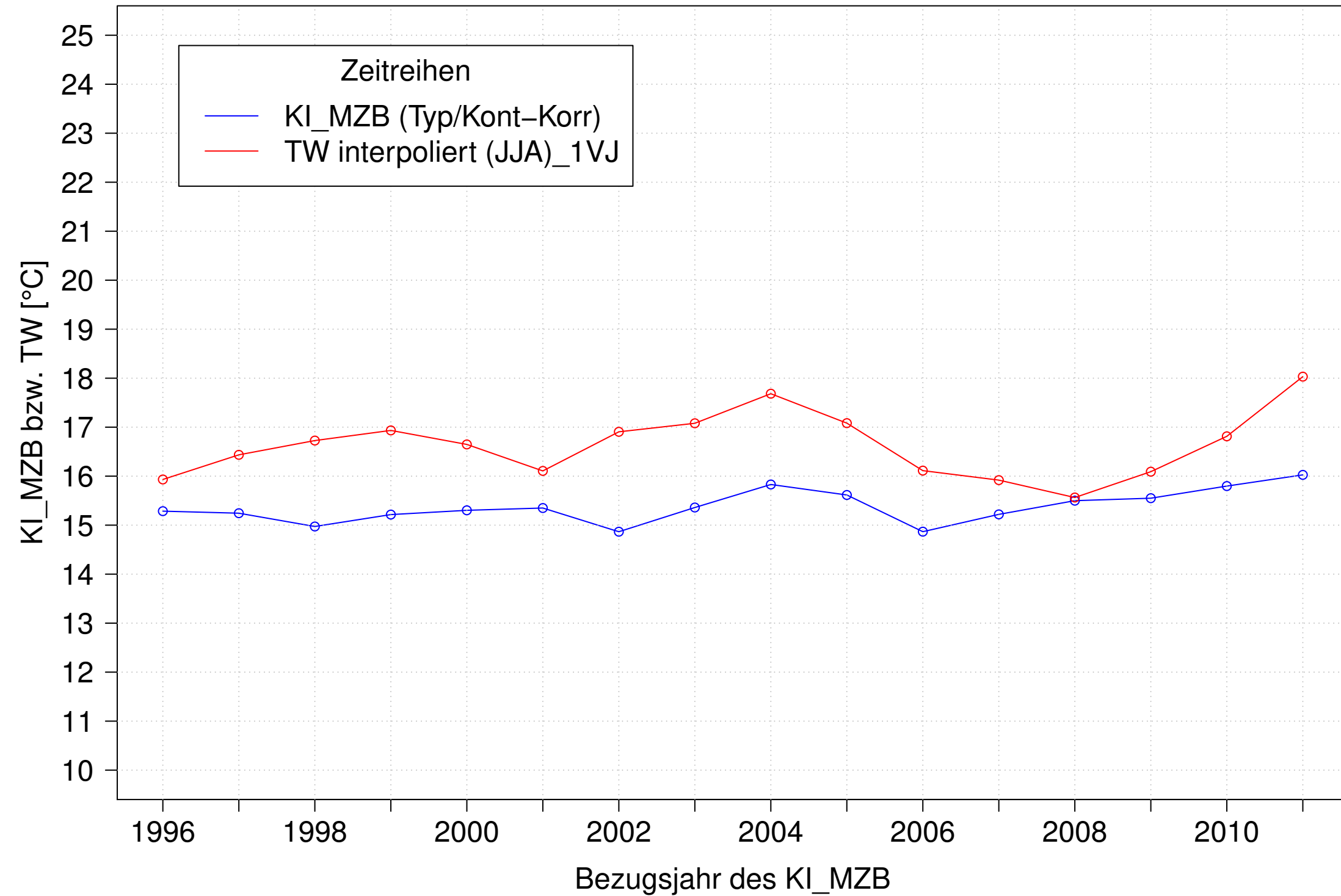
Neckar_Boerstingen, Typ 09.2 mit Neozoen, Serie 3
KI_MZB (Typ/Kont-Korr) und 3JMW TW interpoliert (JJA) des 1. Vorjahres



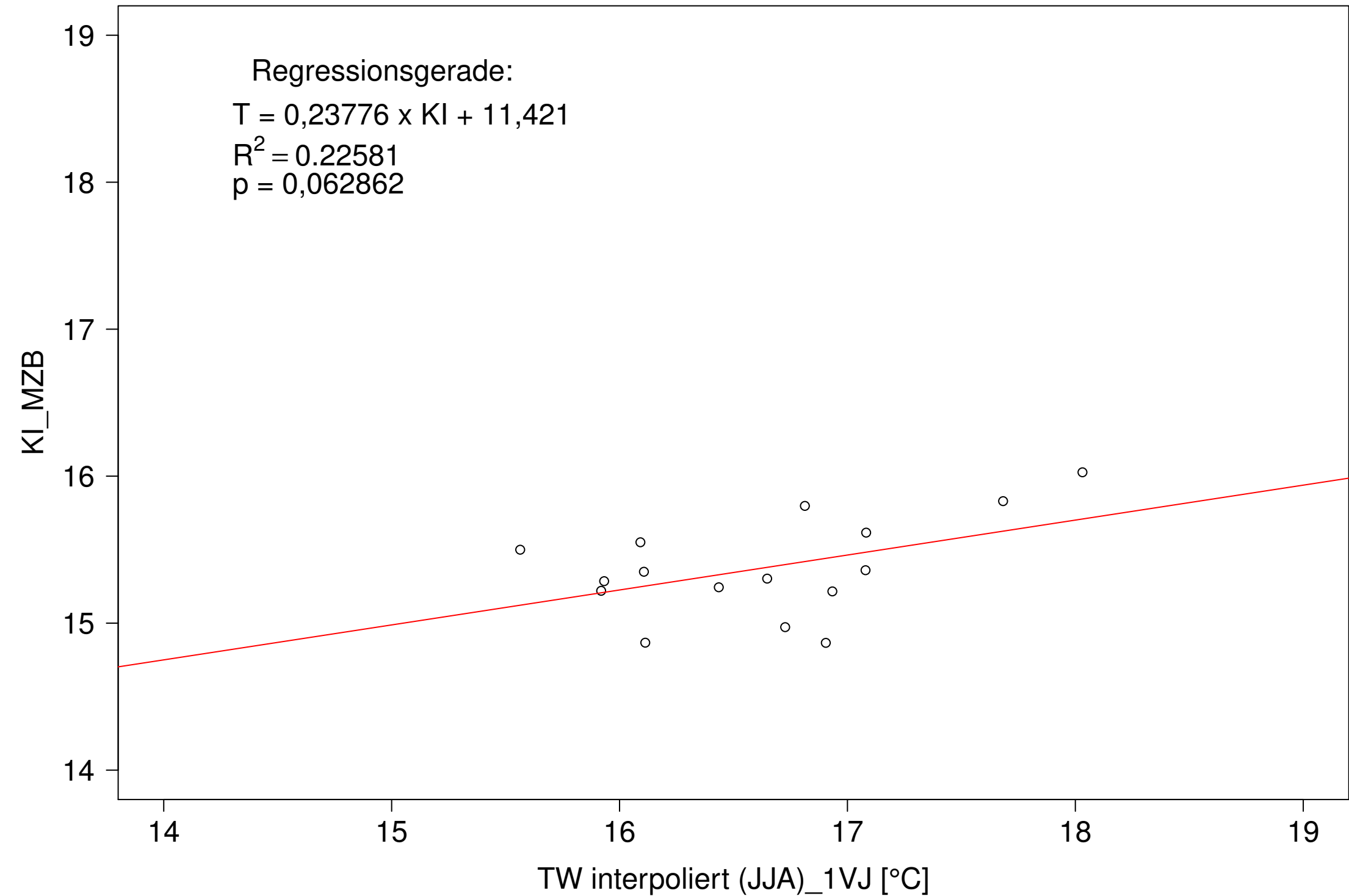
Neckar_Boerstingen, Typ 09.2 mit Neozoen, Serie 3
KI_MZB (Typ/Kont-Korr) gegen 3JMW TW interpoliert (JJA) des 1. Vorjahres



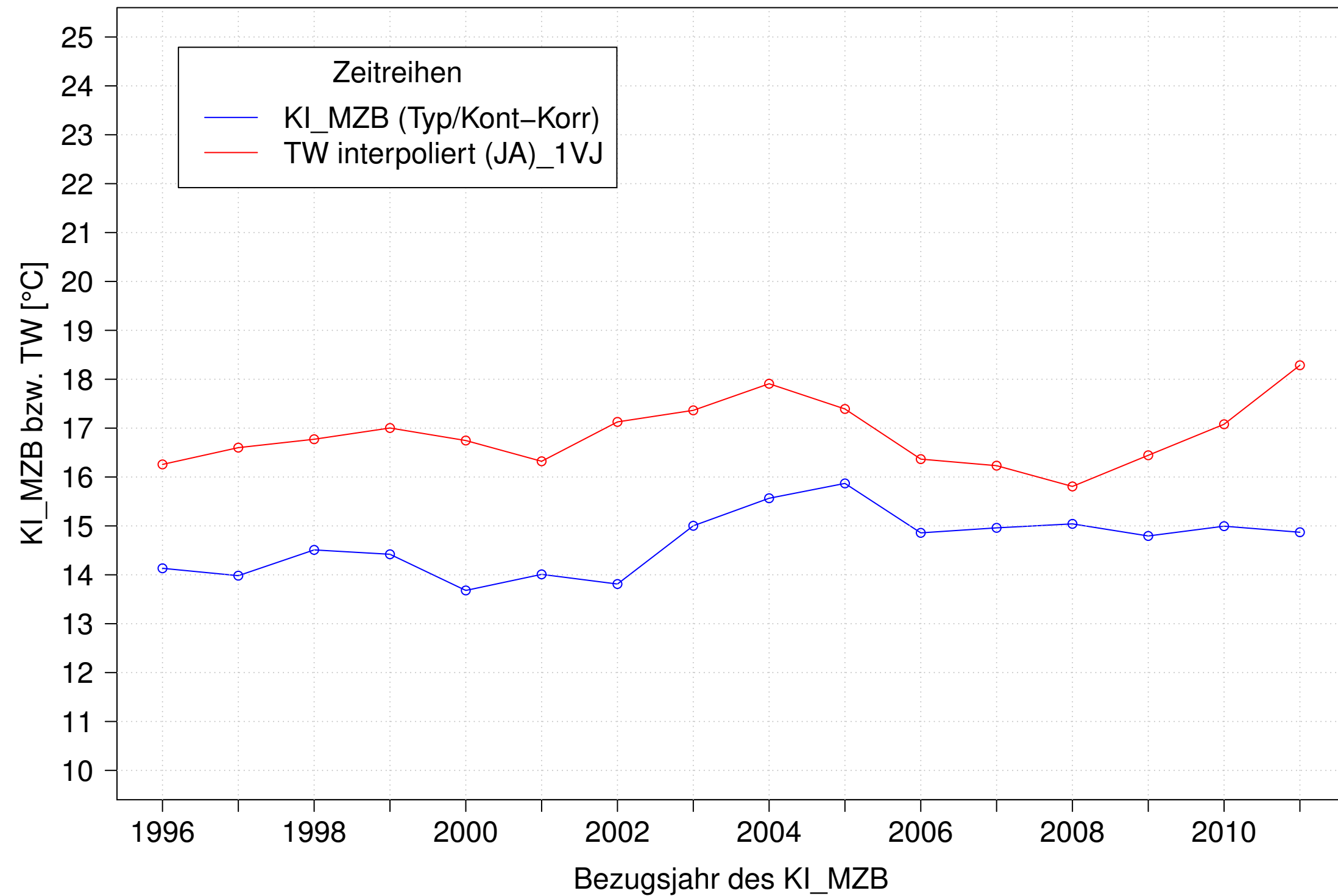
Neckar_Boerstingen, Typ 09.2 mit Neozoen, Serie 4
KI_MZB (Typ/Kont-Korr) und 3JMW TW interpoliert (JJA) des 1. Vorjahres



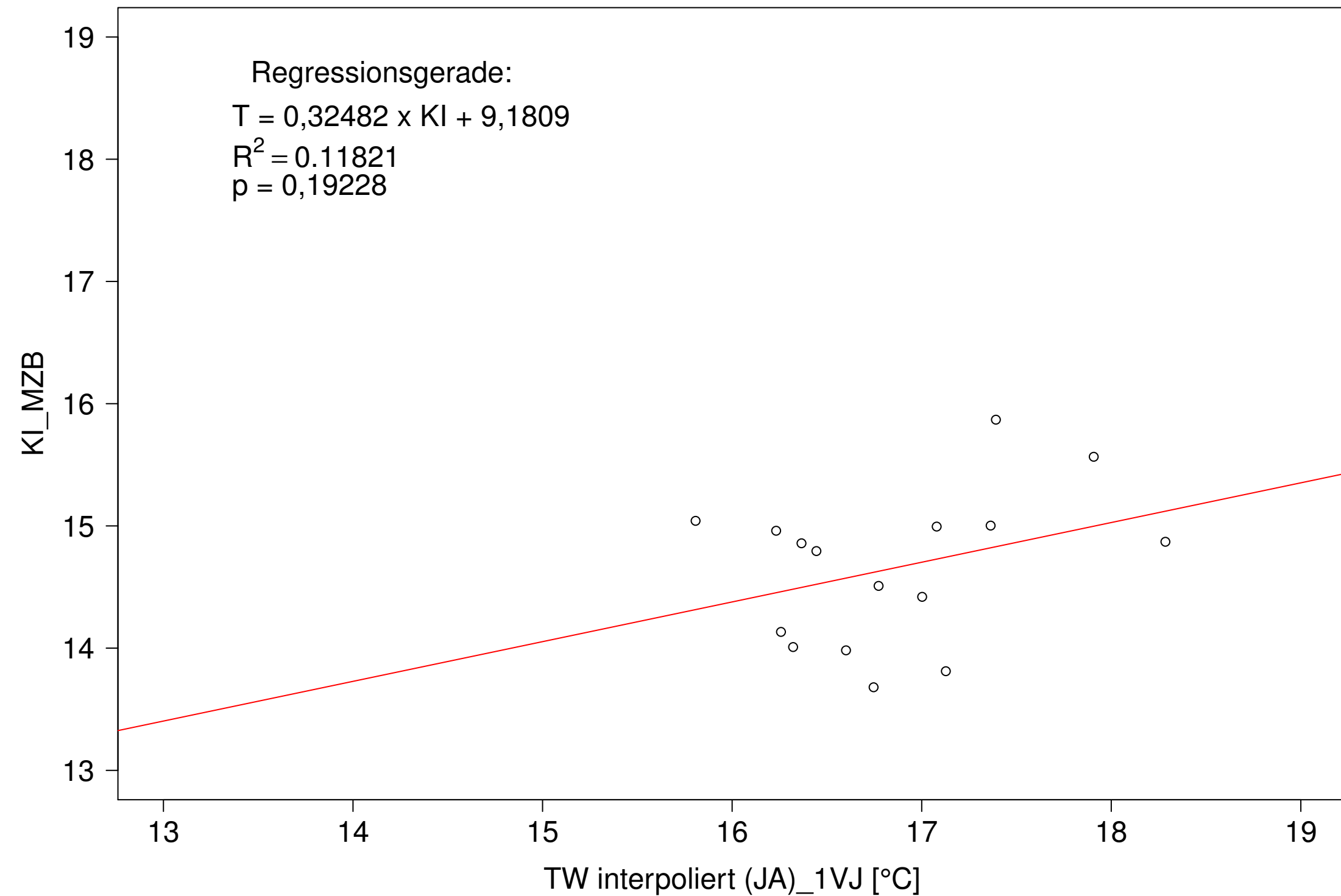
Neckar_Boerstingen, Typ 09.2 mit Neozoen, Serie 4
KI_MZB (Typ/Kont-Korr) gegen 3JMW TW interpoliert (JJA) des 1. Vorjahres



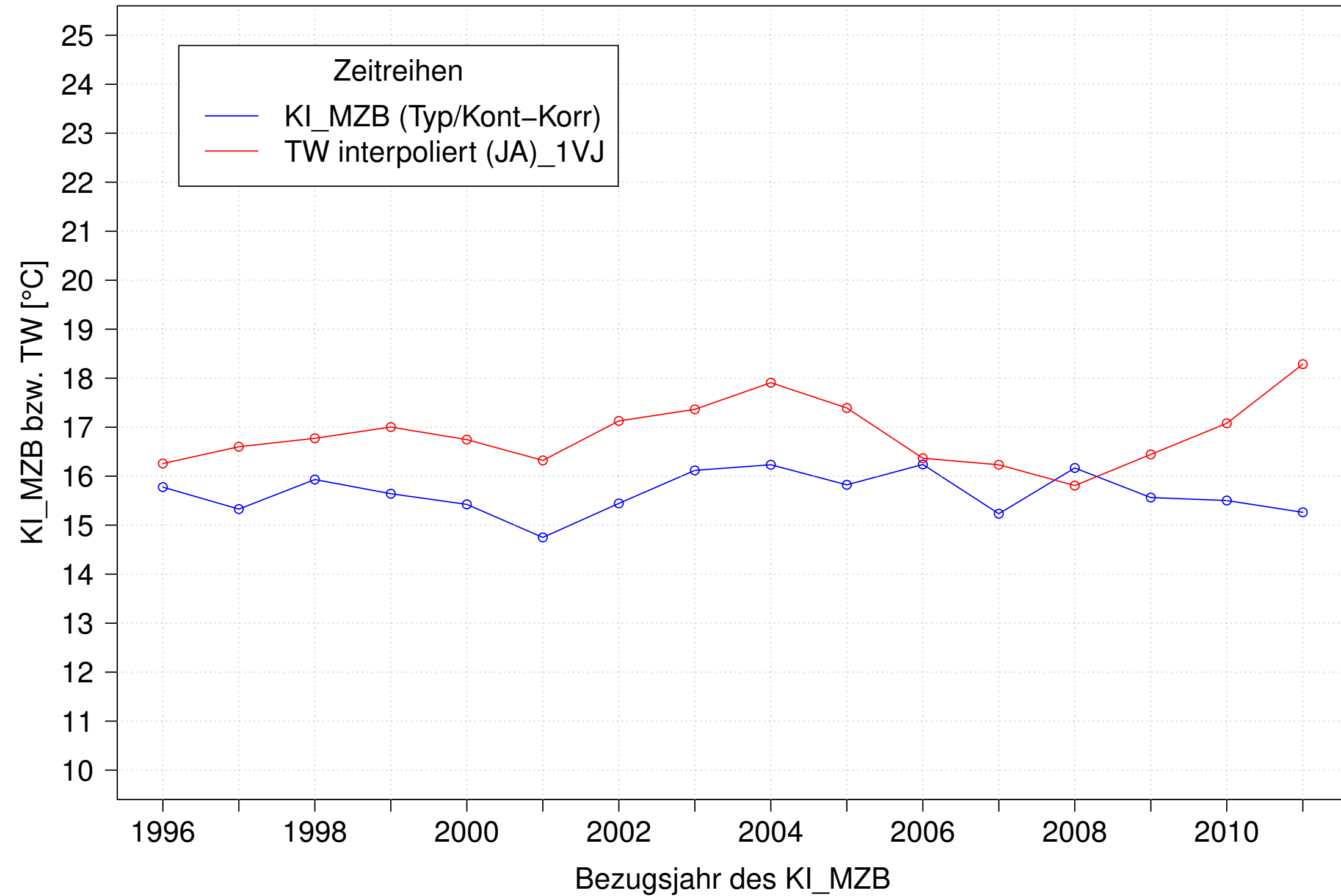
Neckar_Boerstingen, Typ 09.2 mit Neozoen, Serie 1
KI_MZB (Typ/Kont-Korr) und 3JMW TW interpoliert (JA) des 1. Vorjahres



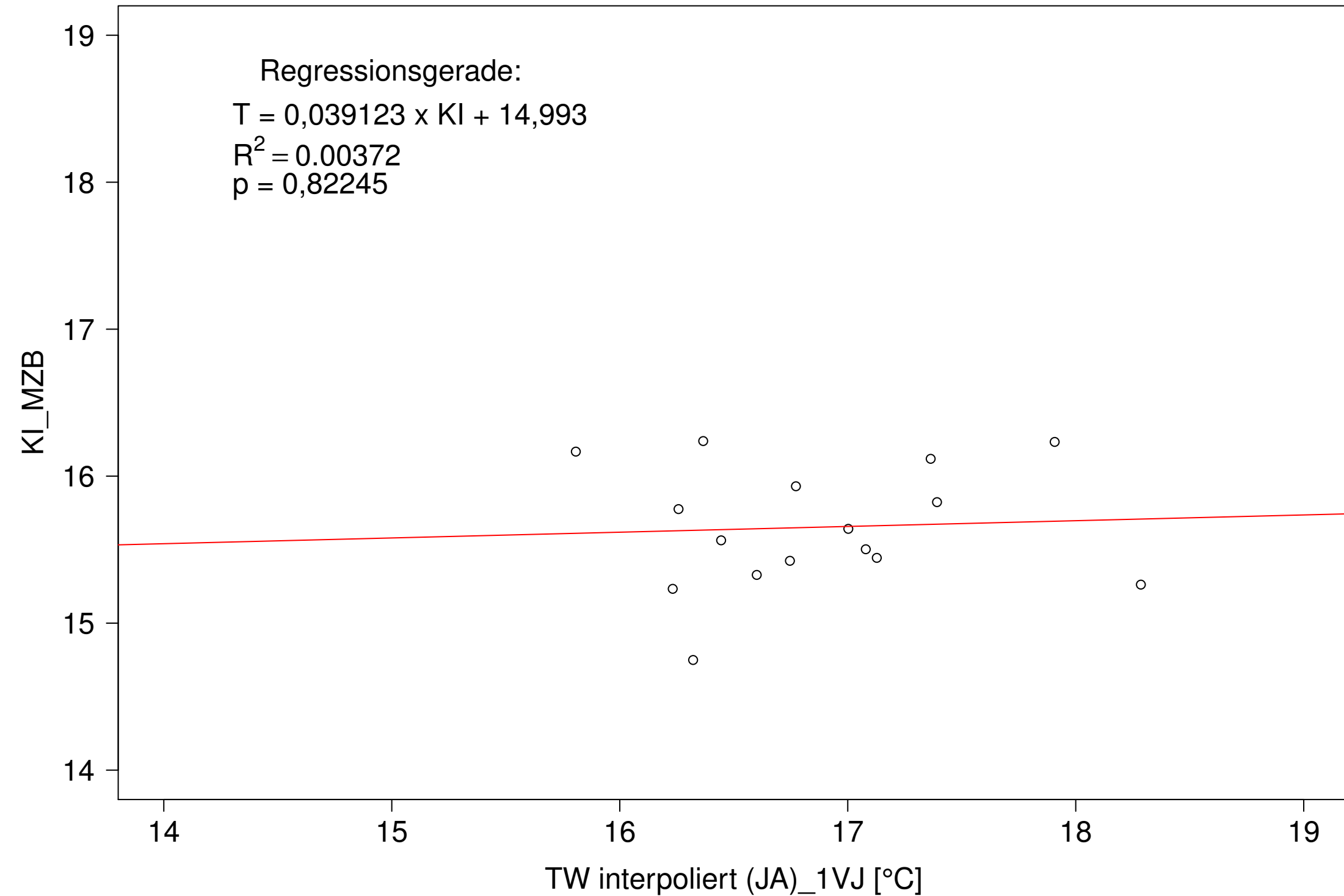
Neckar_Boerstingen, Typ 09.2 mit Neozoen, Serie 1
KI_MZB (Typ/Kont-Korr) gegen 3JMW TW interpoliert (JA) des 1. Vorjahres



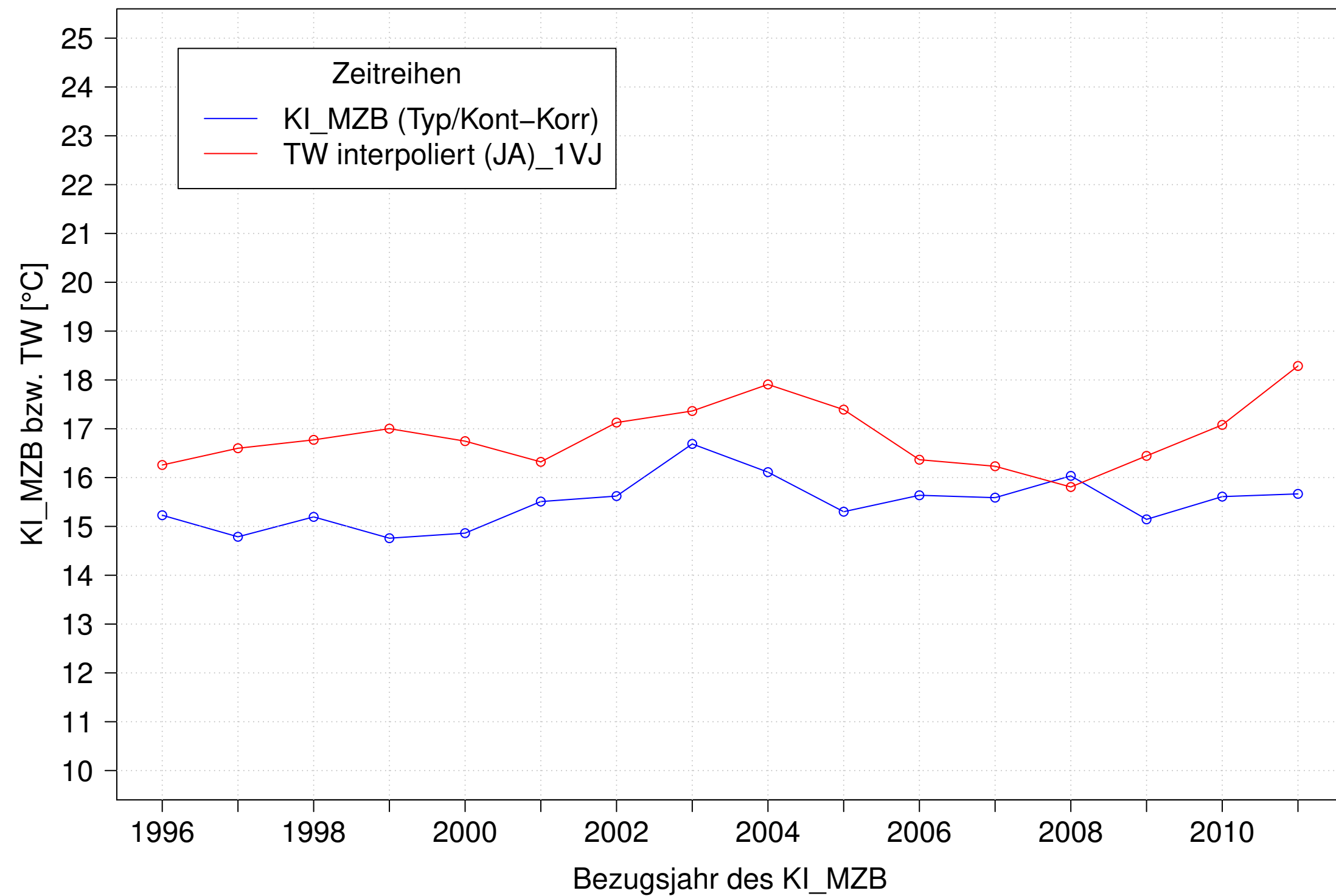
Neckar_Boerstingen, Typ 09.2 mit Neozoen, Serie 2
KI_MZB (Typ/Kont-Korr) und 3JMW TW interpoliert (JA) des 1. Vorjahres



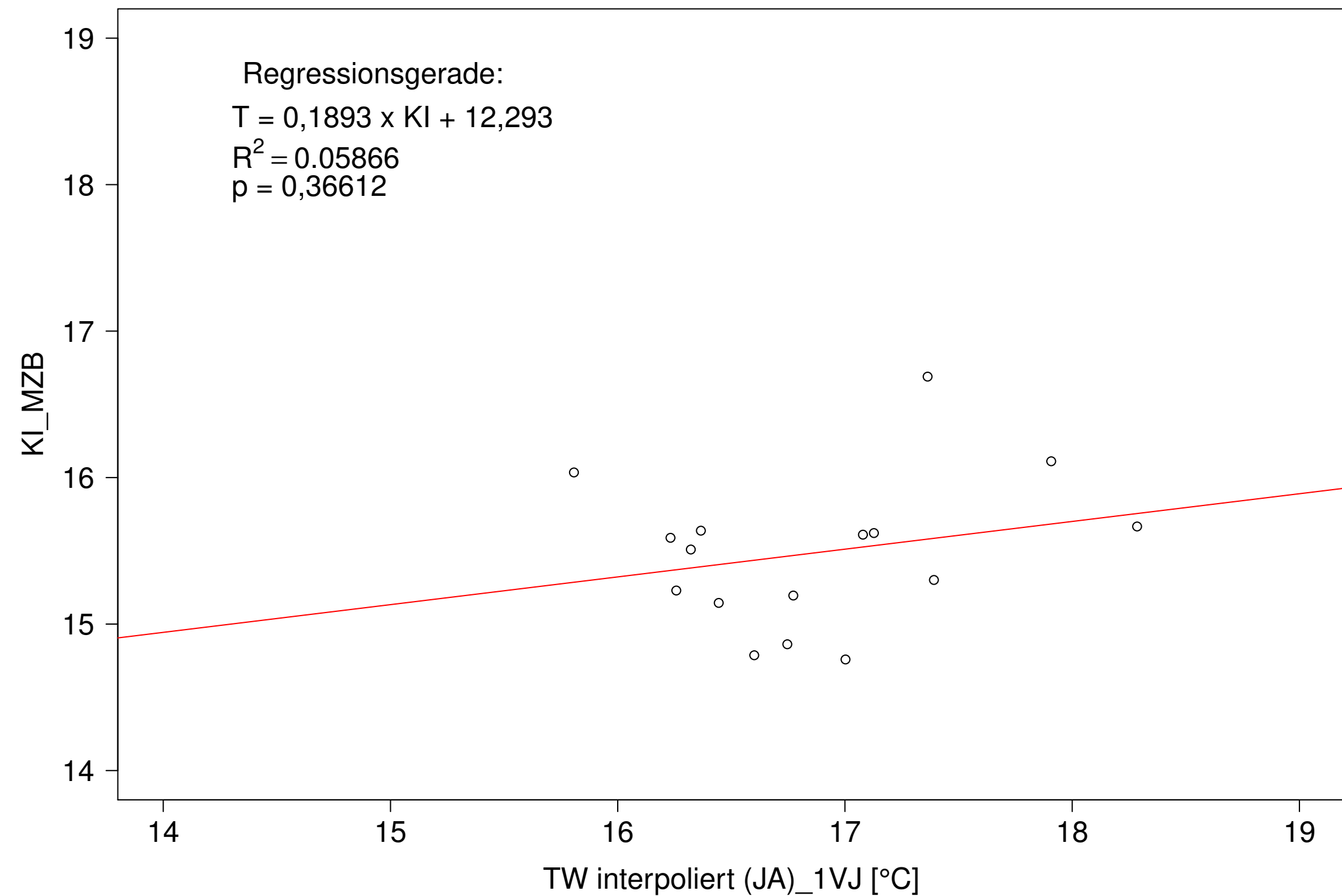
Neckar_Boerstingen, Typ 09.2 mit Neozoen, Serie 2
KI_MZB (Typ/Kont-Korr) gegen 3JMW TW interpoliert (JA) des 1. Vorjahres



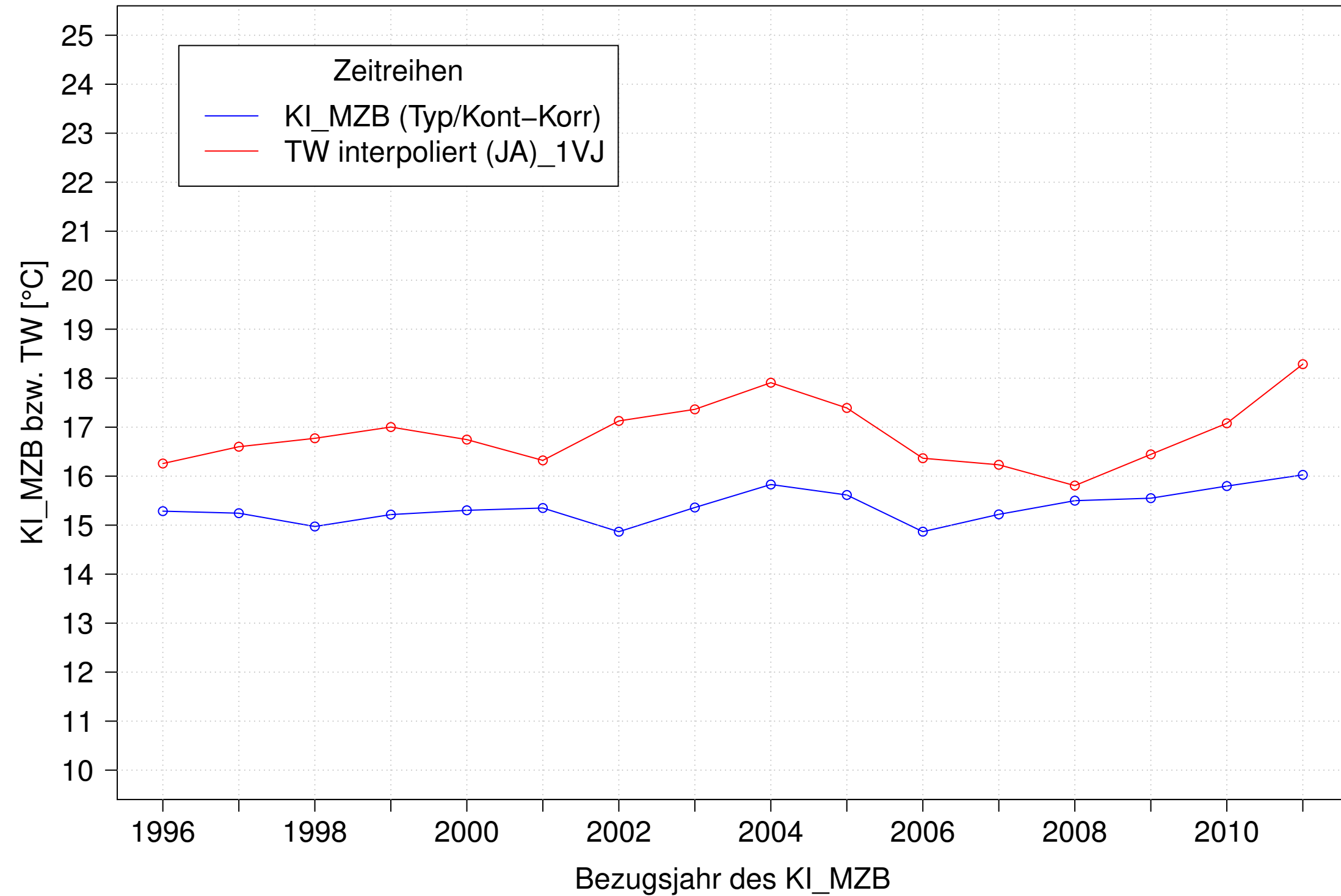
Neckar_Boerstingen, Typ 09.2 mit Neozoen, Serie 3
KI_MZB (Typ/Kont-Korr) und 3JMW TW interpoliert (JA) des 1. Vorjahres



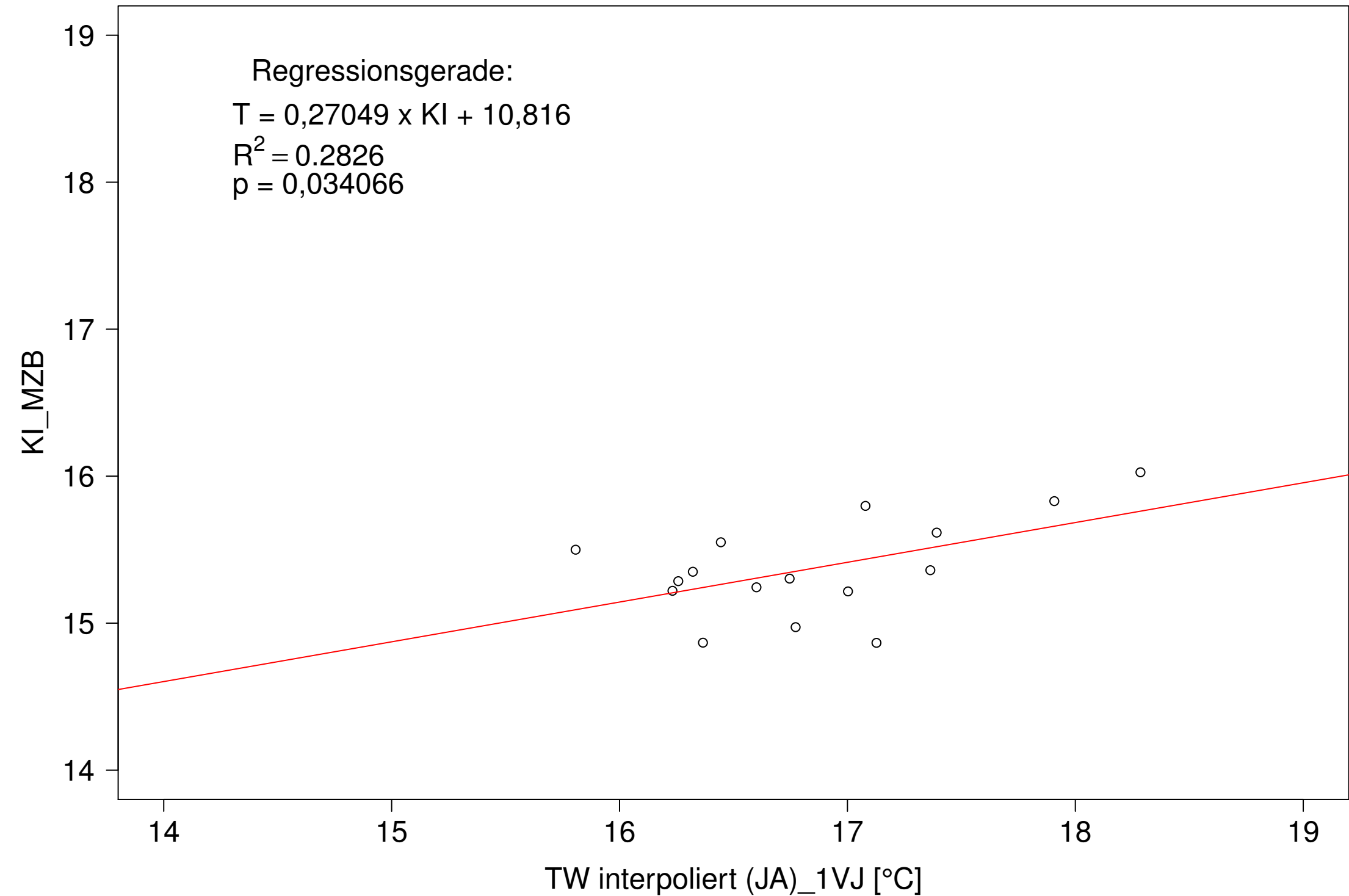
Neckar_Boerstingen, Typ 09.2 mit Neozoen, Serie 3
KI_MZB (Typ/Kont-Korr) gegen 3JMW TW interpoliert (JA) des 1. Vorjahres



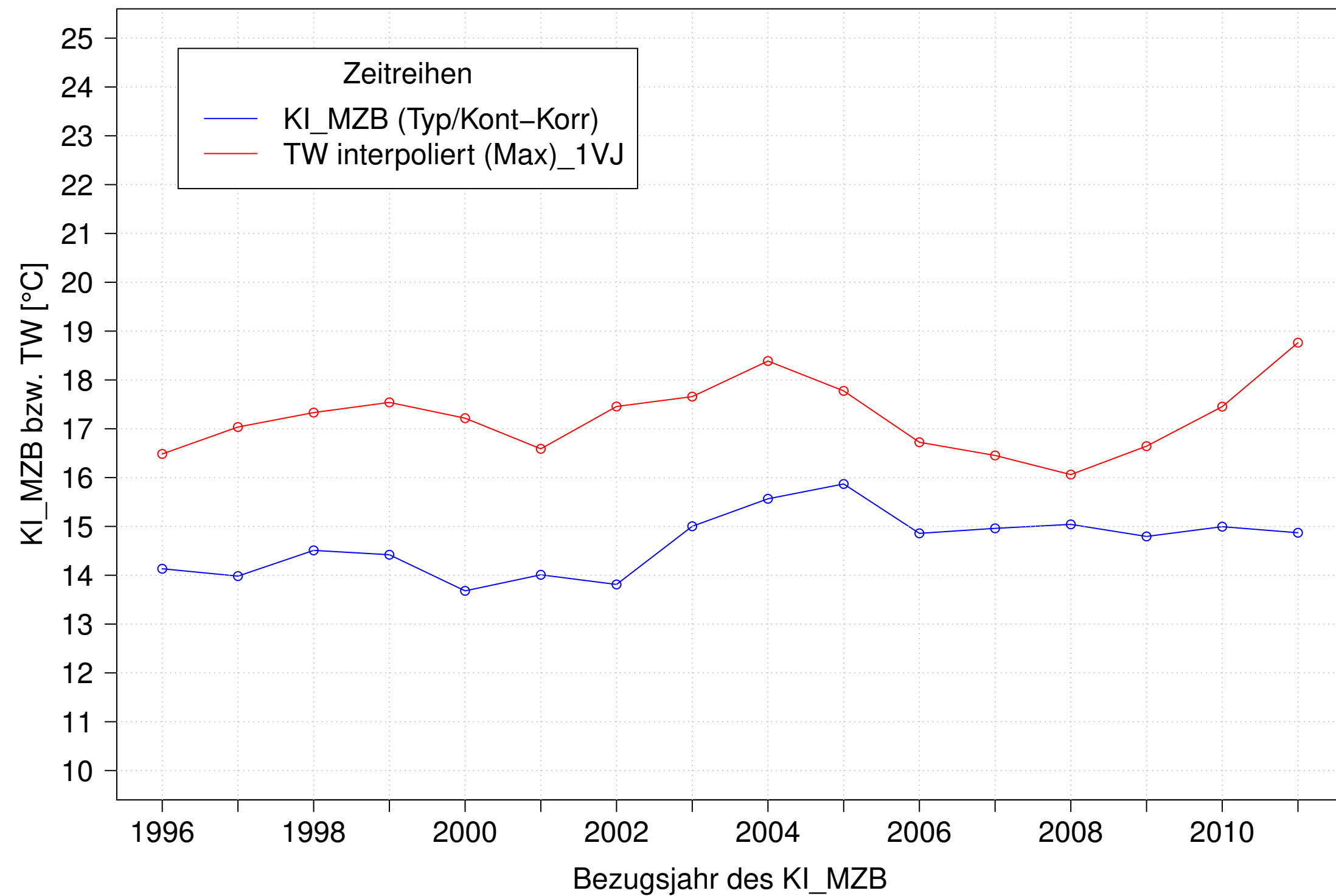
Neckar_Boerstingen, Typ 09.2 mit Neozoen, Serie 4
KI_MZB (Typ/Kont-Korr) und 3JMW TW interpoliert (JA) des 1. Vorjahres



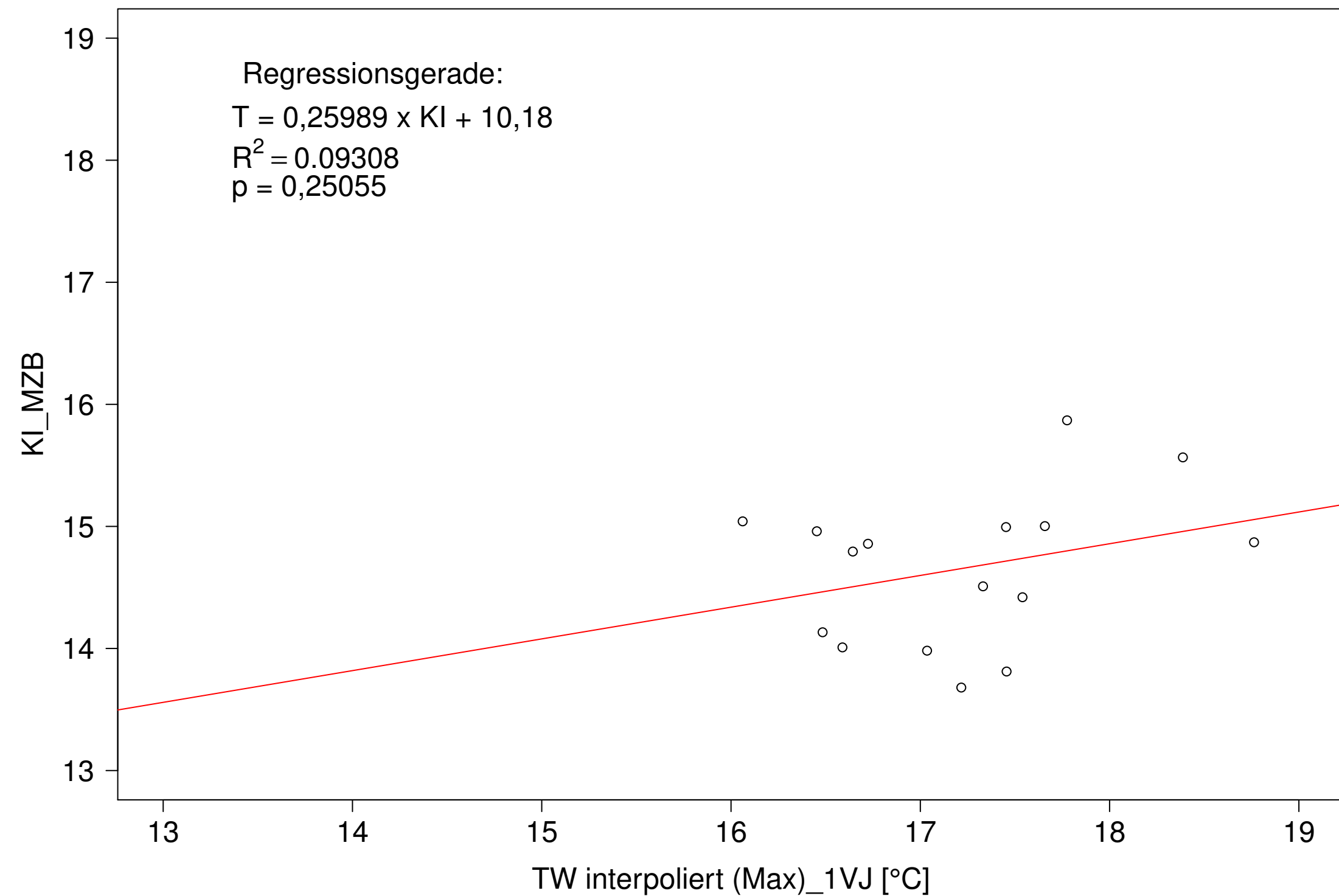
Neckar_Boerstingen, Typ 09.2 mit Neozoen, Serie 4
KI_MZB (Typ/Kont-Korr) gegen 3JMW TW interpoliert (JA) des 1. Vorjahres



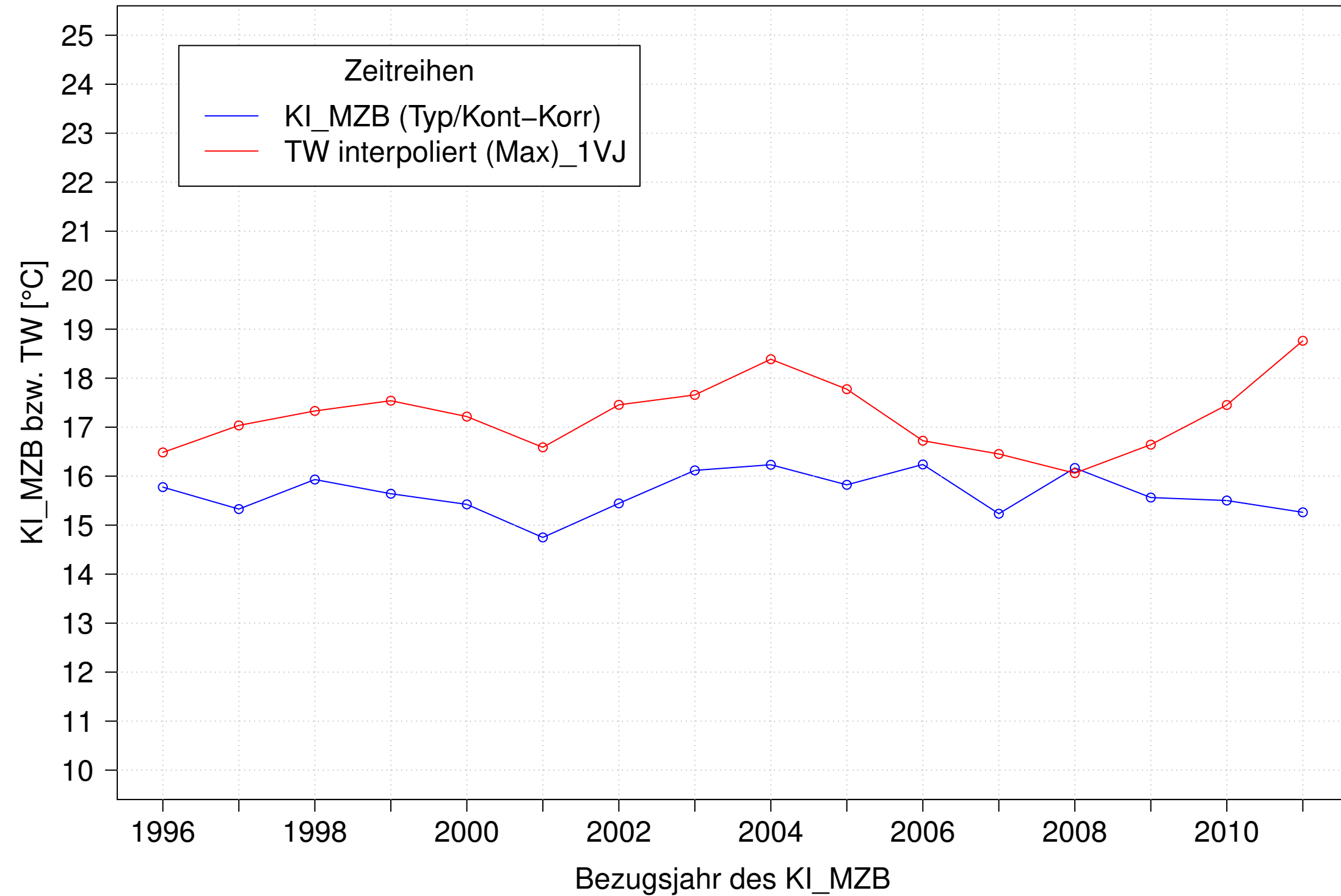
Neckar_Boerstingen, Typ 09.2 mit Neozoen, Serie 1
 KI_MZB (Typ/Kont-Korr) und 3JMW TW interpoliert (Max) des 1. Vorjahres



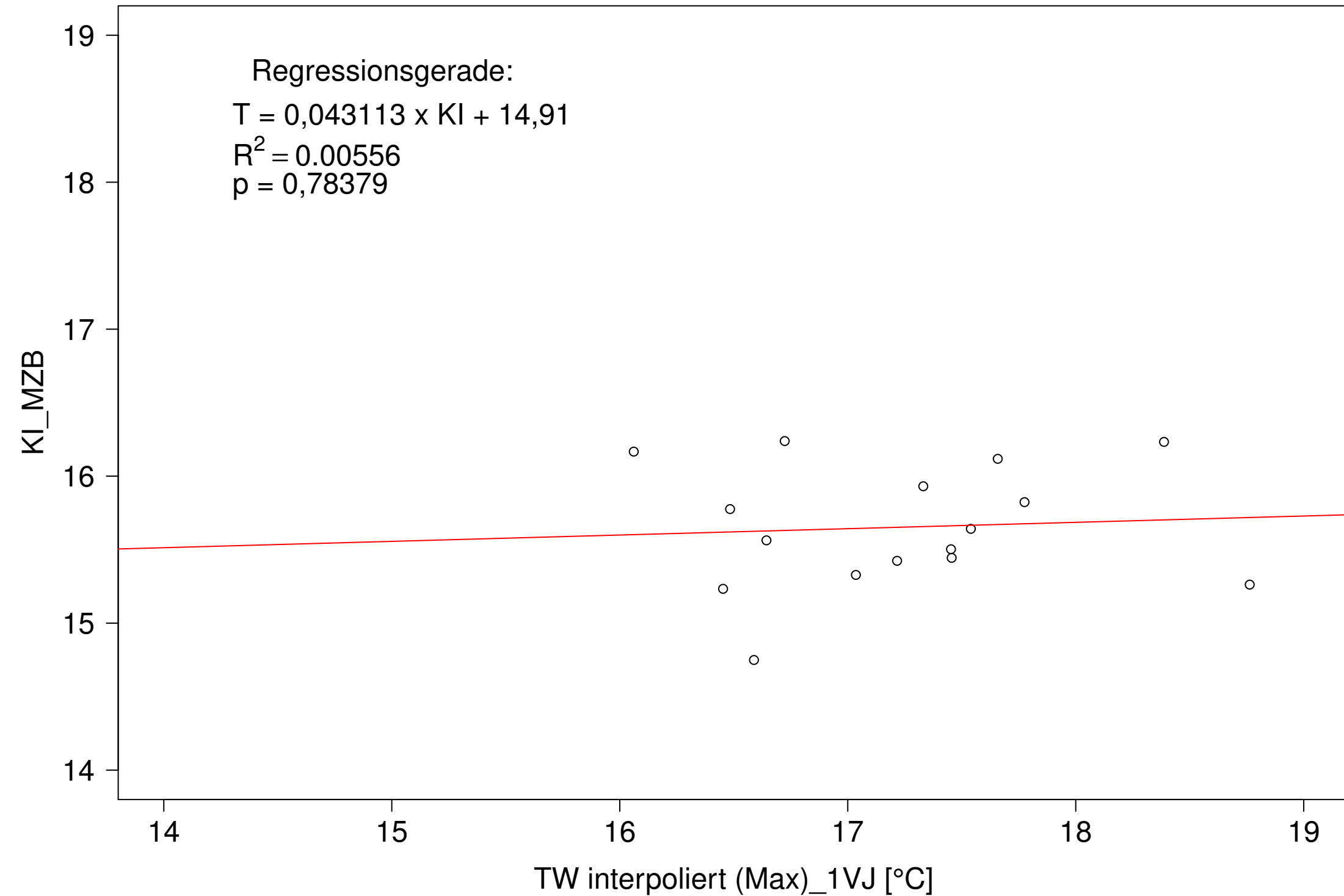
Neckar_Boerstingen, Typ 09.2 mit Neozoen, Serie 1
 KI_MZB (Typ/Kont-Korr) gegen 3JMW TW interpoliert (Max) des 1. Vorjahres



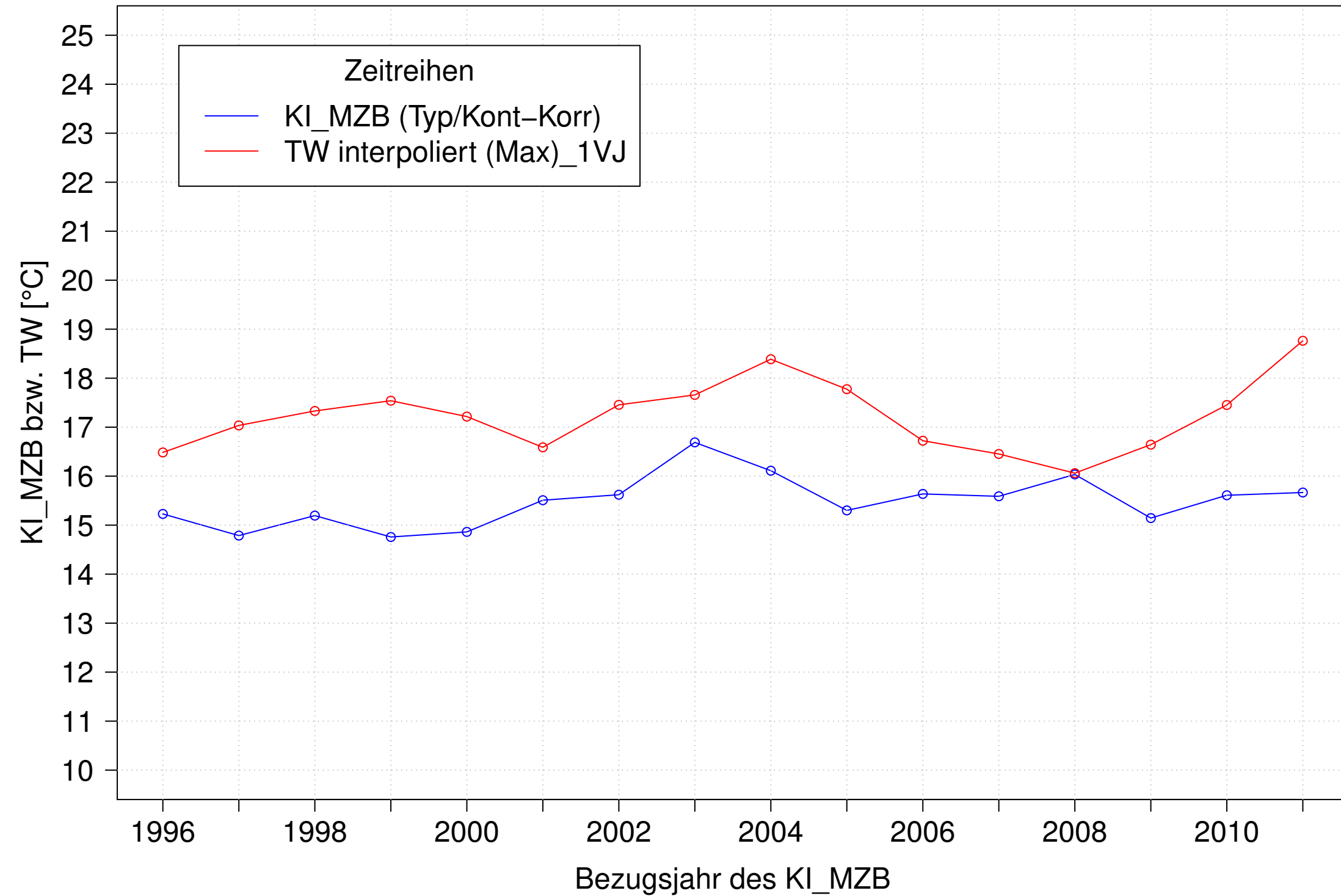
Neckar_Boerstingen, Typ 09.2 mit Neozoen, Serie 2
 KI_MZB (Typ/Kont-Korr) und 3JMW TW interpoliert (Max) des 1. Vorjahres



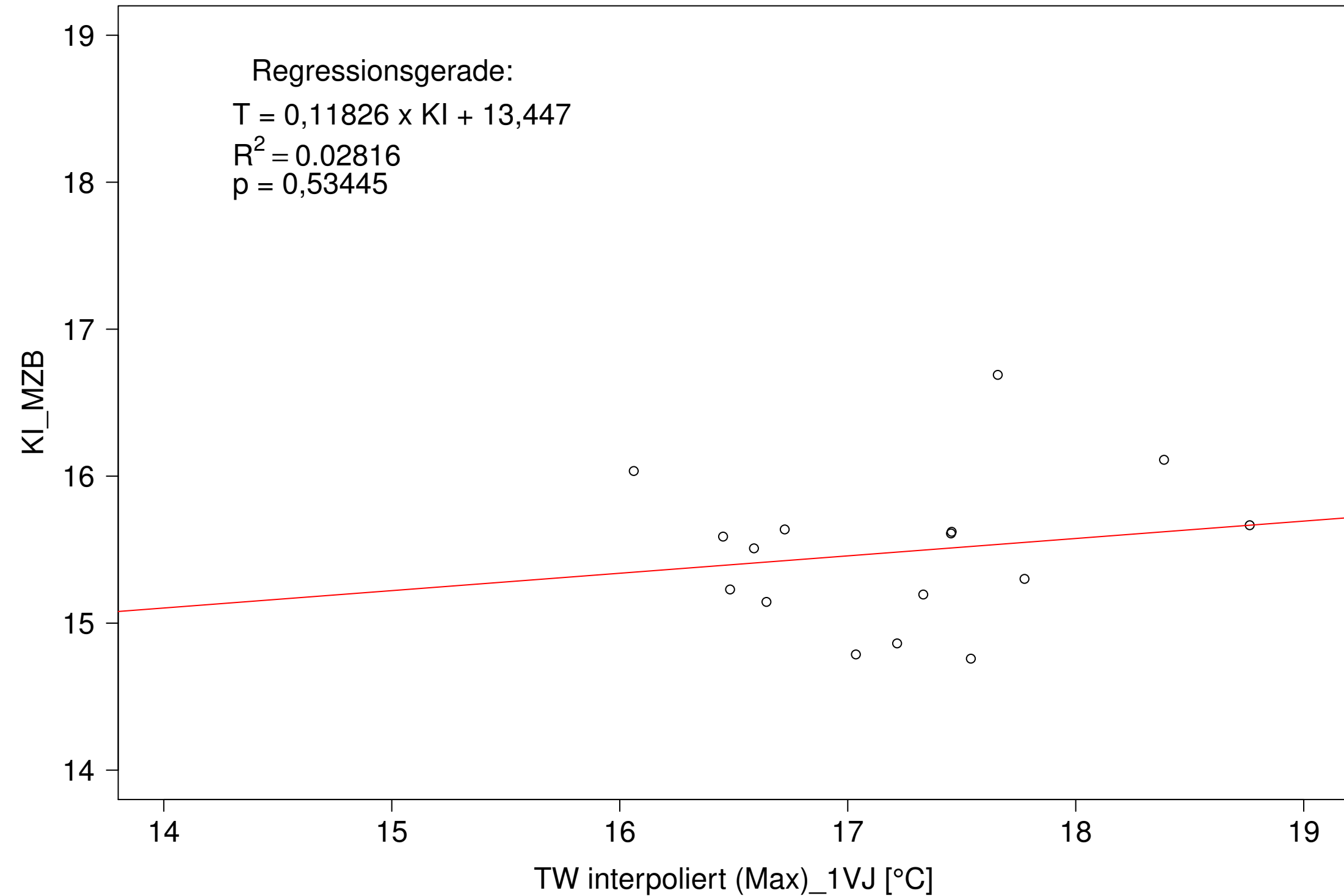
Neckar_Boerstingen, Typ 09.2 mit Neozoen, Serie 2
 KI_MZB (Typ/Kont-Korr) gegen 3JMW TW interpoliert (Max) des 1. Vorjahres



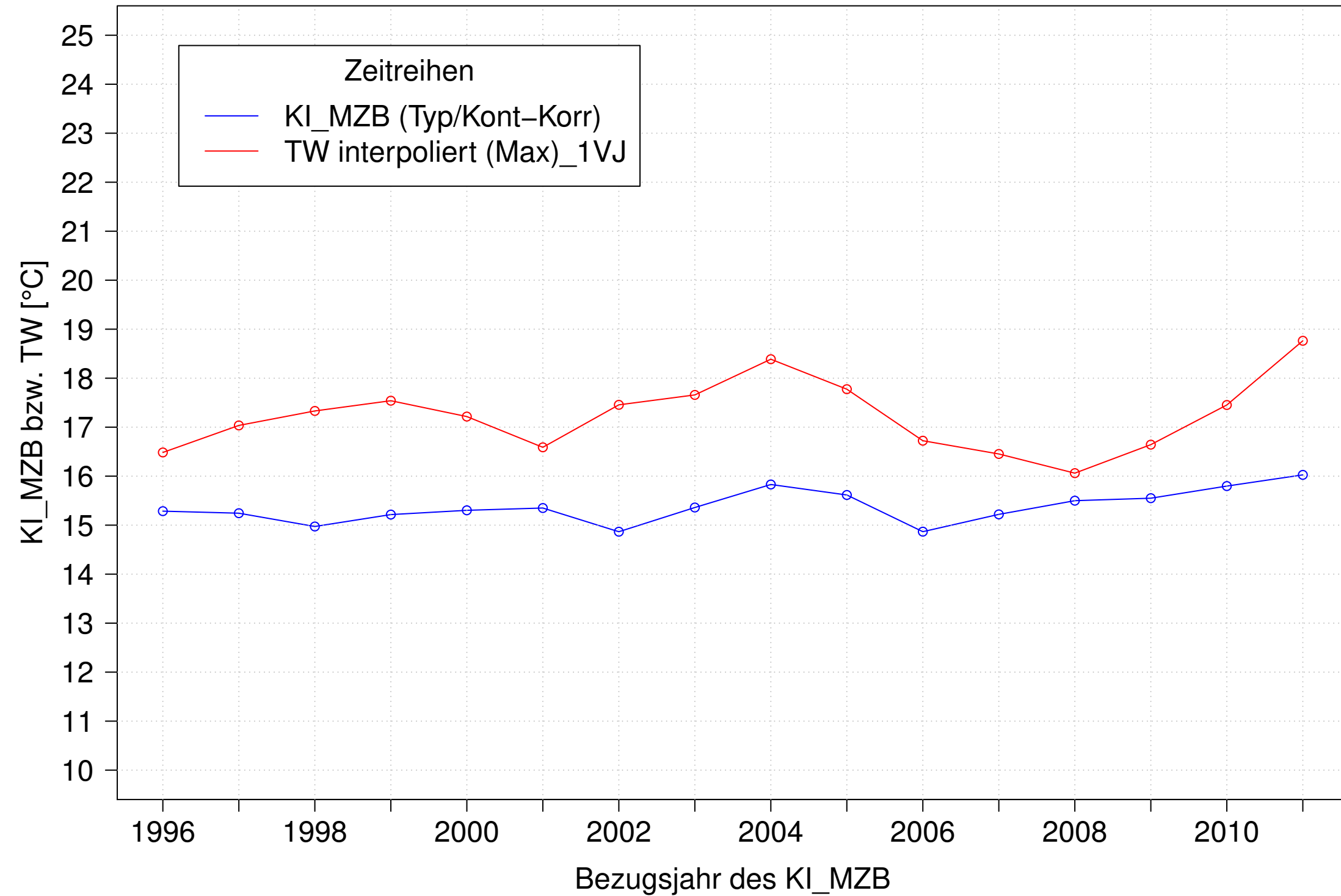
Neckar_Boerstingen, Typ 09.2 mit Neozoen, Serie 3
 KI_MZB (Typ/Kont-Korr) und 3JMW TW interpoliert (Max) des 1. Vorjahres



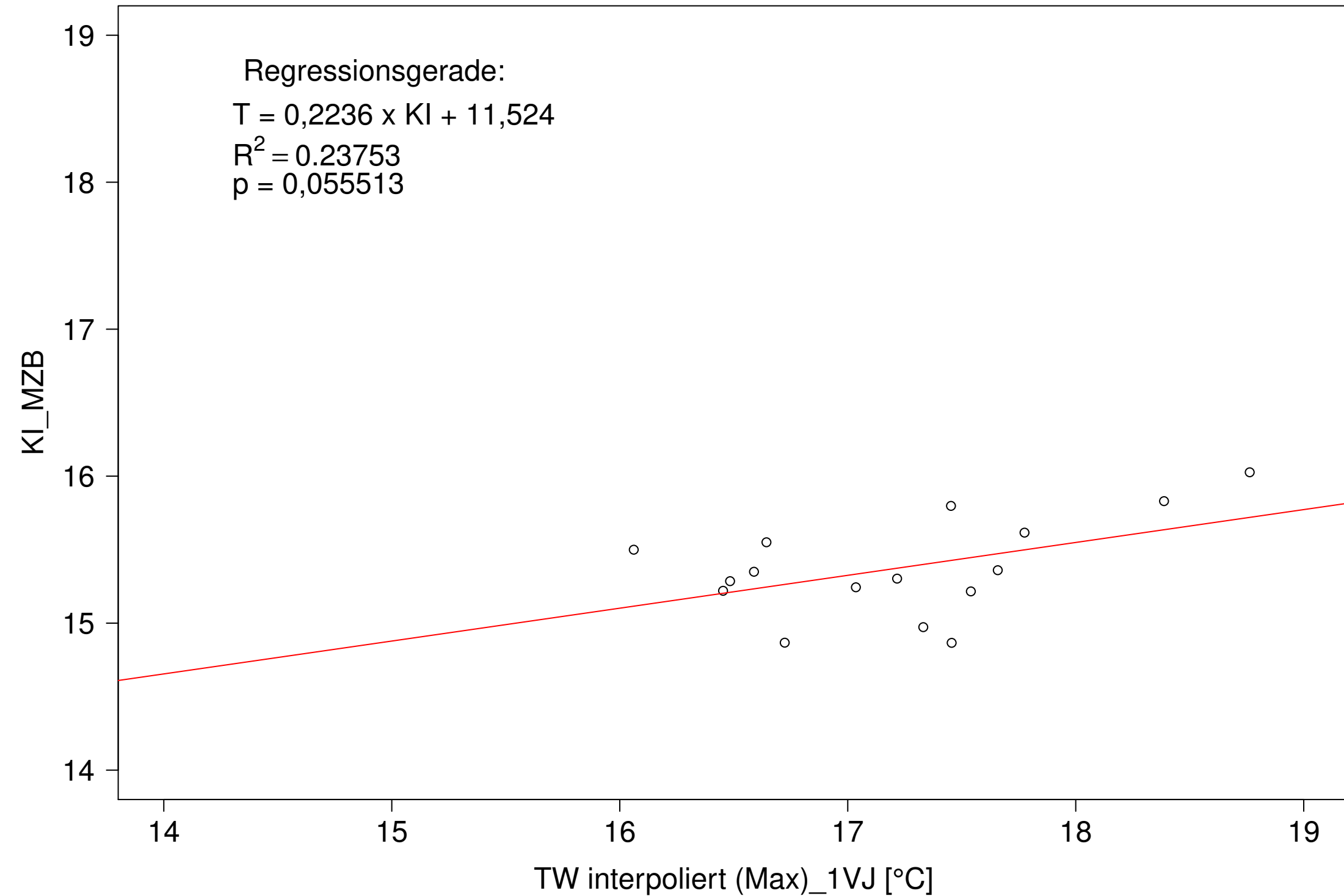
Neckar_Boerstingen, Typ 09.2 mit Neozoen, Serie 3
 KI_MZB (Typ/Kont-Korr) gegen 3JMW TW interpoliert (Max) des 1. Vorjahres



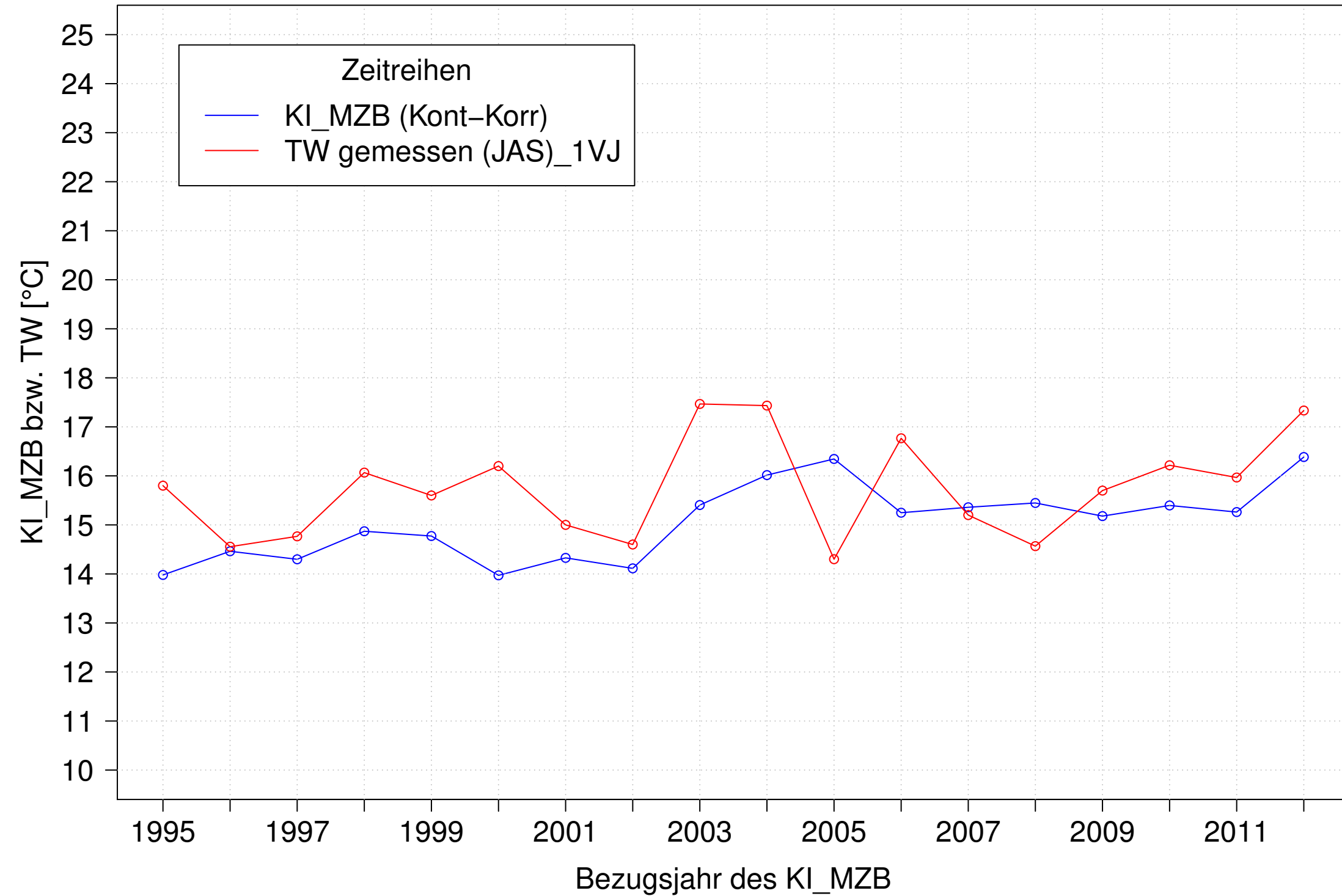
Neckar_Boerstingen, Typ 09.2 mit Neozoen, Serie 4
 KI_MZB (Typ/Kont-Korr) und 3JMW TW interpoliert (Max) des 1. Vorjahres



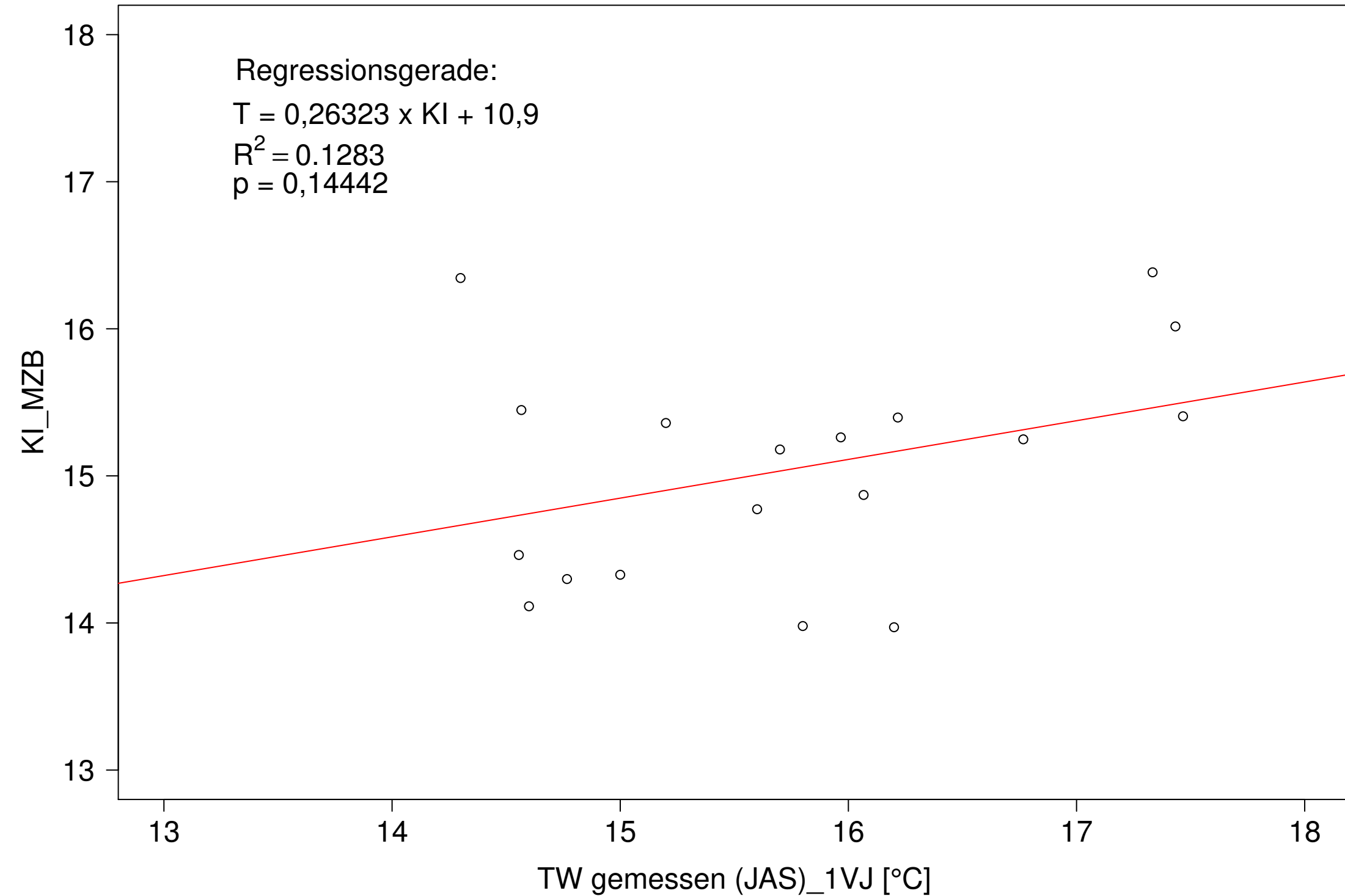
Neckar_Boerstingen, Typ 09.2 mit Neozoen, Serie 4
 KI_MZB (Typ/Kont-Korr) gegen 3JMW TW interpoliert (Max) des 1. Vorjahres



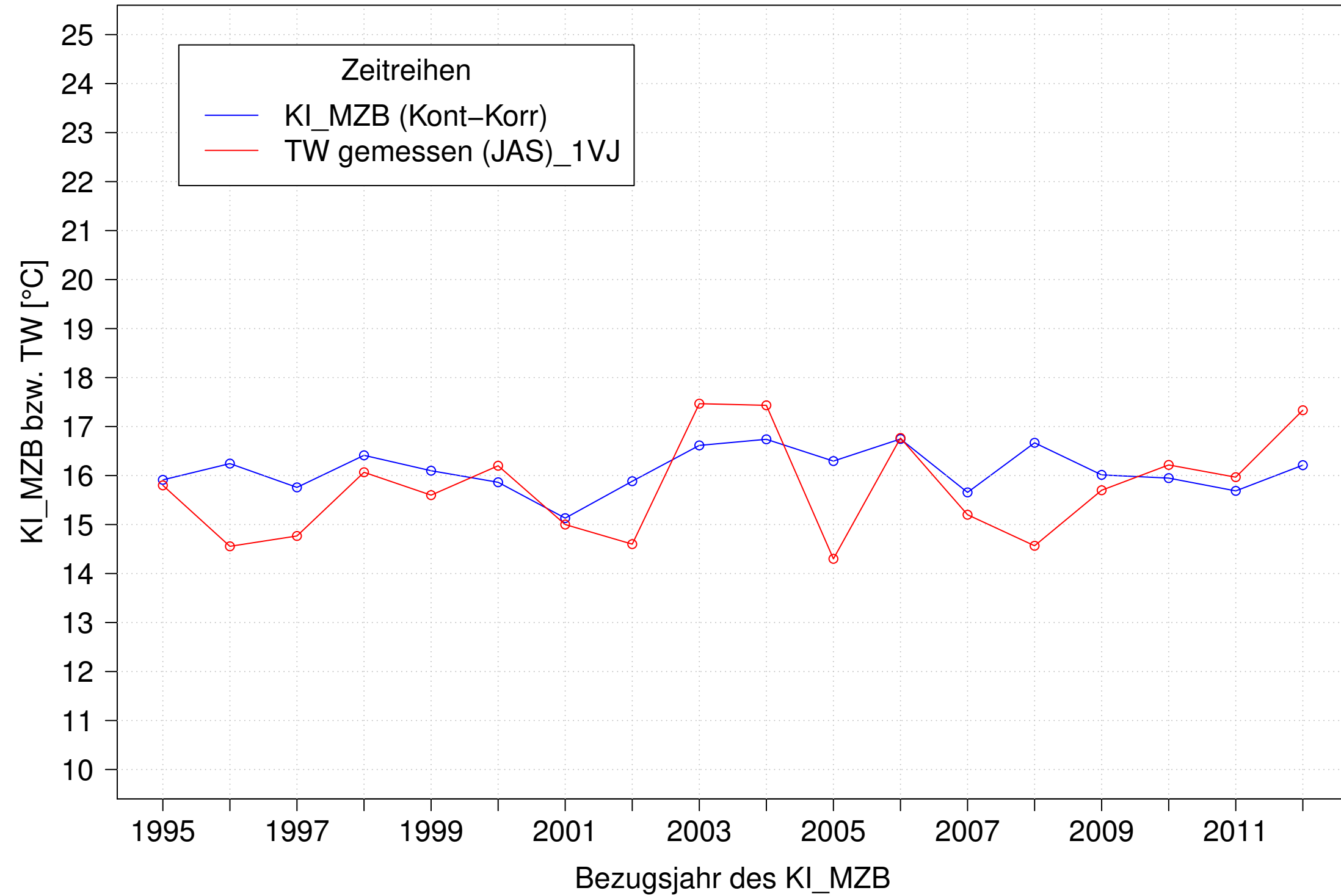
Neckar_Boerstingen, Typ 09.2 mit Neozoen, Serie 1
KI_MZB (Kont-Korr) und TW gemessen (JAS) des 1. Vorjahres



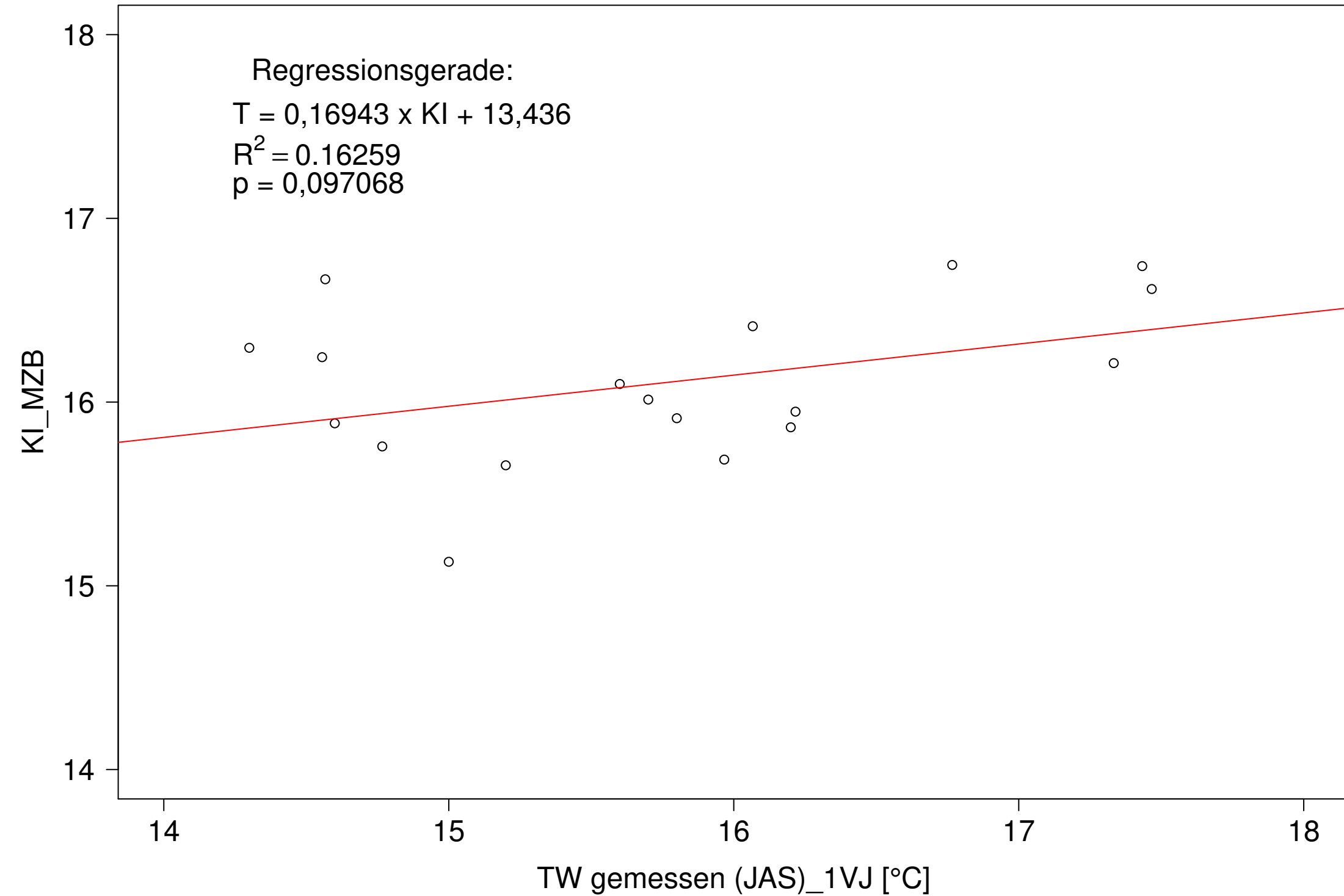
Neckar_Boerstingen, Typ 09.2 mit Neozoen, Serie 1
KI_MZB (Kont-Korr) gegen TW gemessen (JAS) des 1. Vorjahres



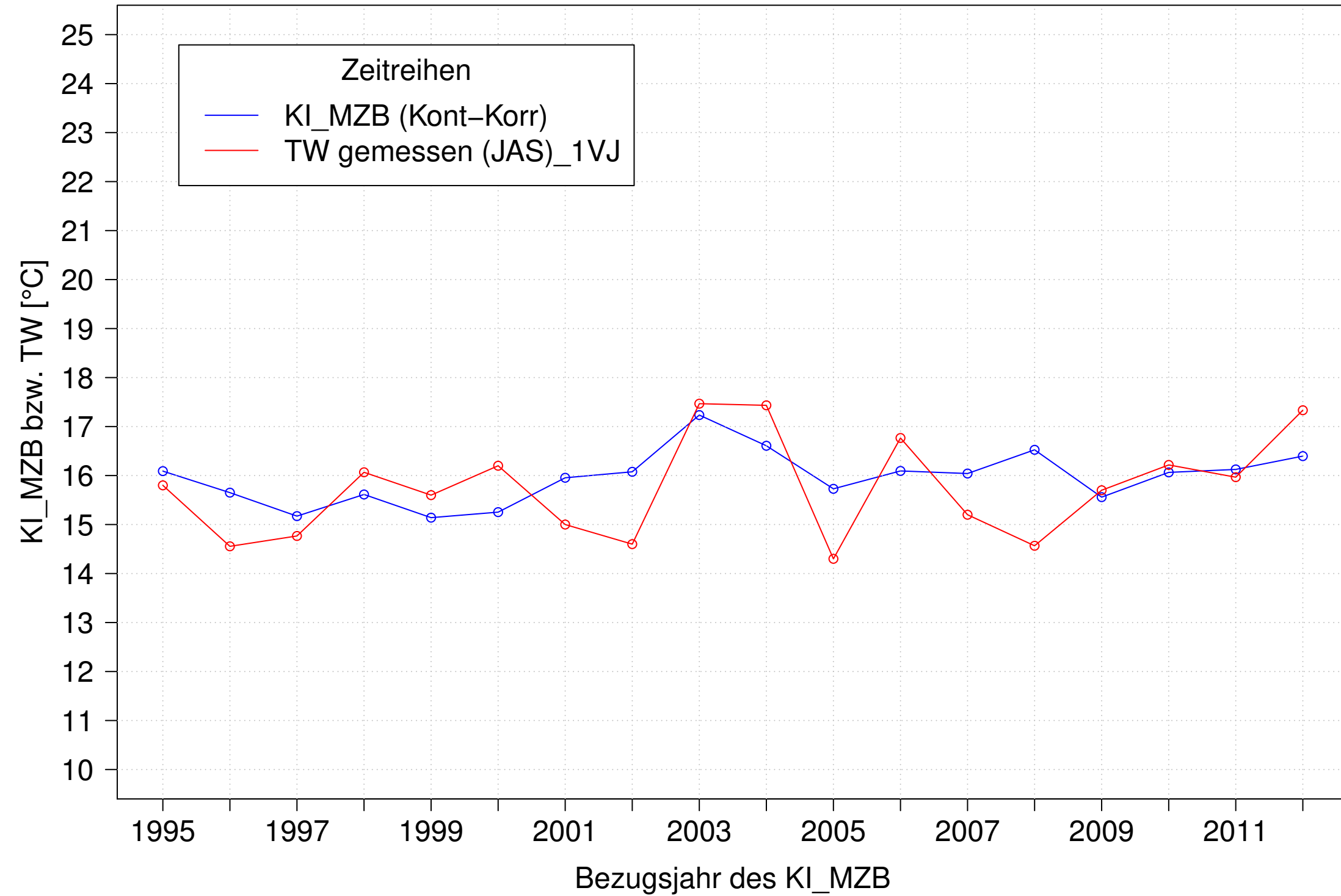
Neckar_Boerstingen, Typ 09.2 mit Neozoen, Serie 2
KI_MZB (Kont-Korr) und TW gemessen (JAS) des 1. Vorjahres



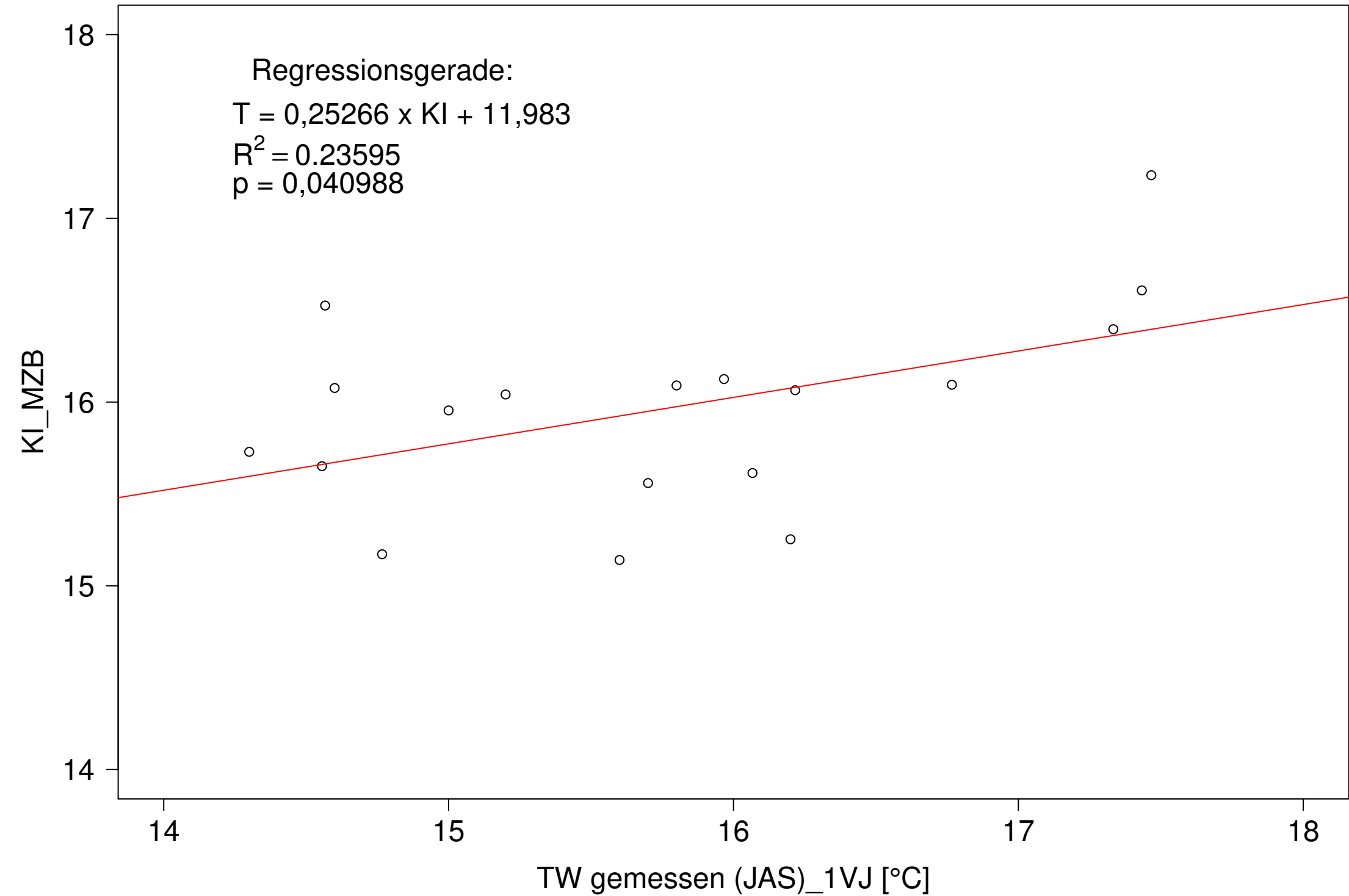
Neckar_Boerstingen, Typ 09.2 mit Neozoen, Serie 2
KI_MZB (Kont-Korr) gegen TW gemessen (JAS) des 1. Vorjahres



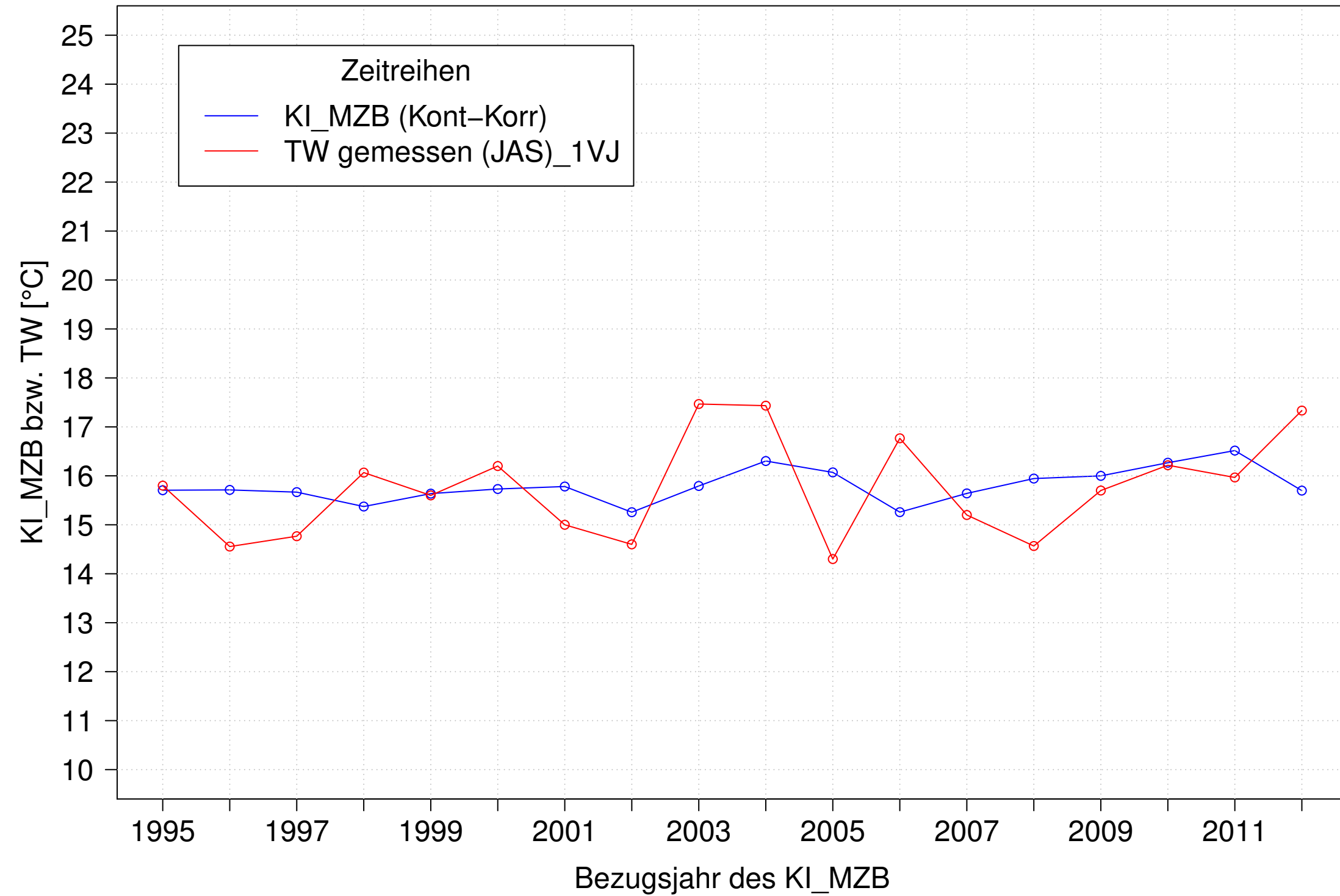
Neckar_Boerstingen, Typ 09.2 mit Neozoen, Serie 3
KI_MZB (Kont-Korr) und TW gemessen (JAS) des 1. Vorjahres



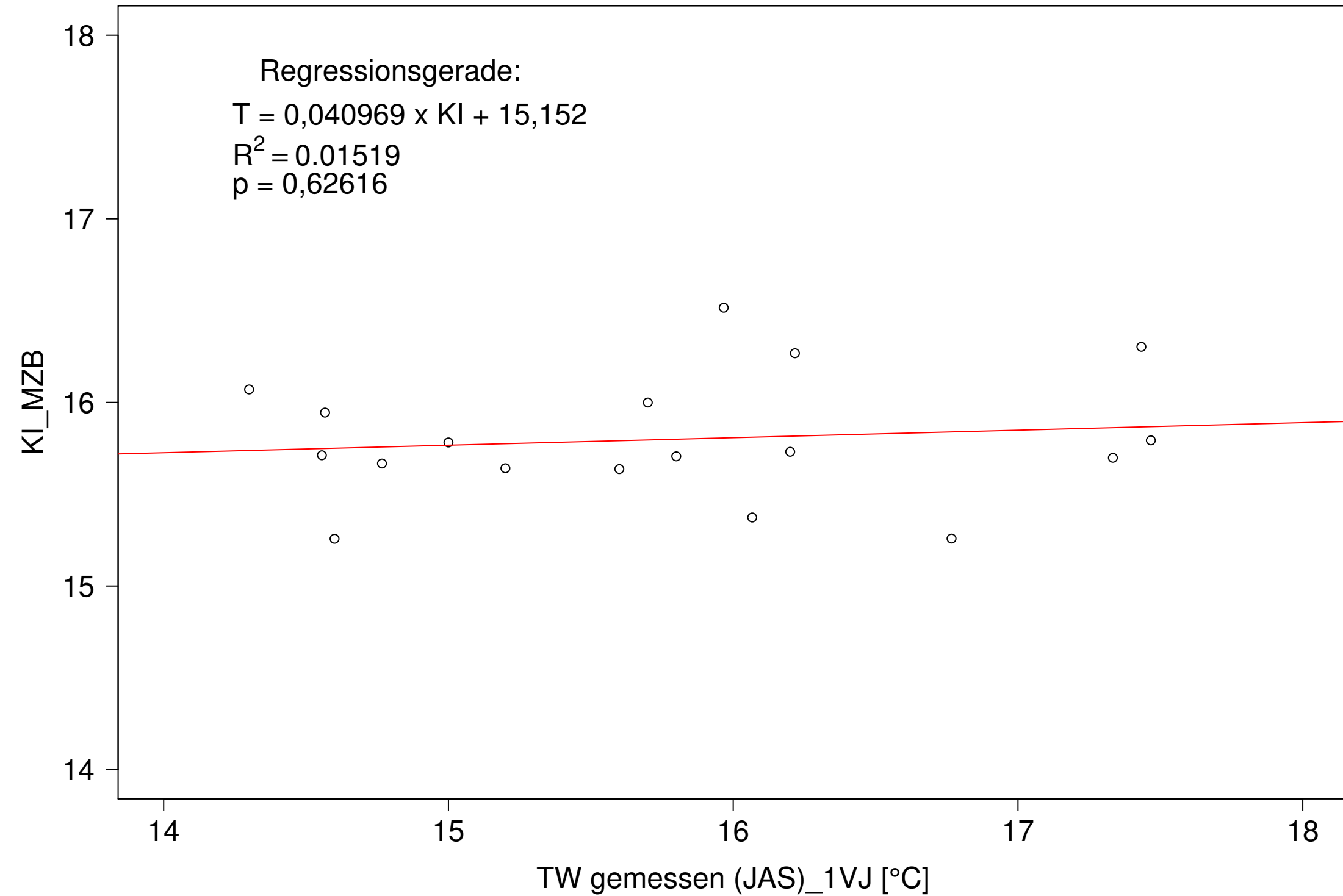
Neckar_Boerstingen, Typ 09.2 mit Neozoen, Serie 3
KI_MZB (Kont-Korr) gegen TW gemessen (JAS) des 1. Vorjahres



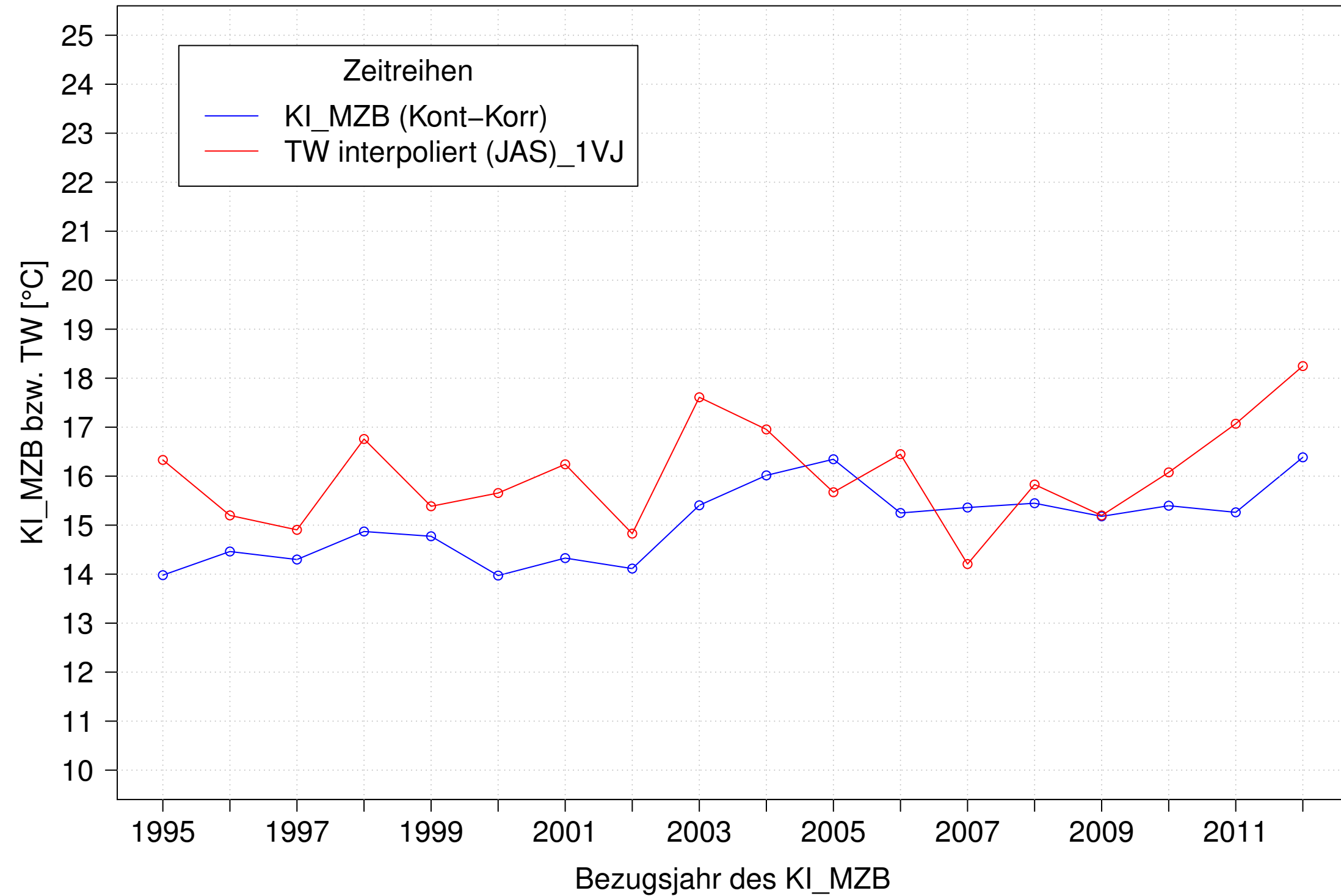
Neckar_Boerstingen, Typ 09.2 mit Neozoen, Serie 4
KI_MZB (Kont-Korr) und TW gemessen (JAS) des 1. Vorjahres



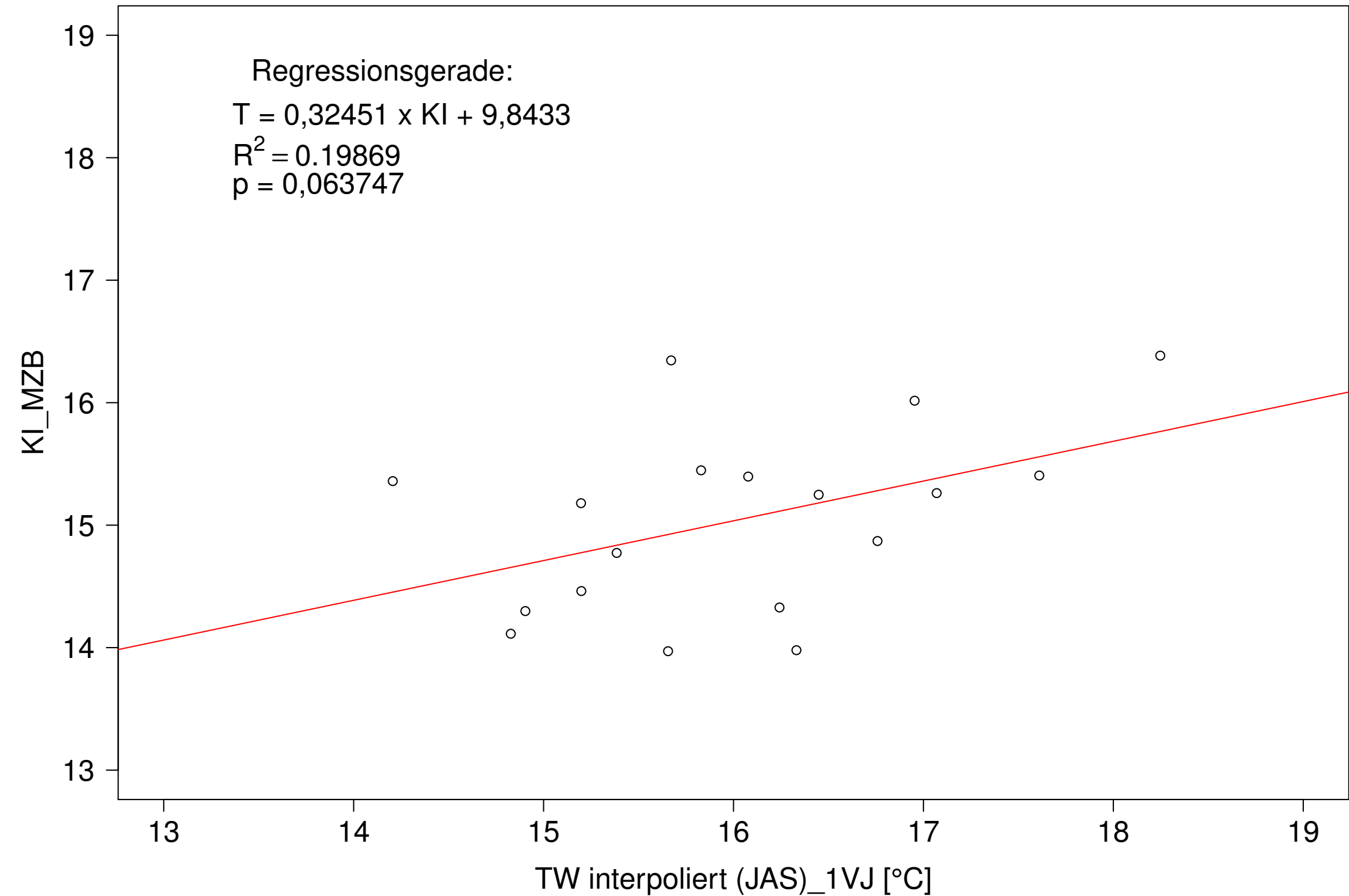
Neckar_Boerstingen, Typ 09.2 mit Neozoen, Serie 4
KI_MZB (Kont-Korr) gegen TW gemessen (JAS) des 1. Vorjahres



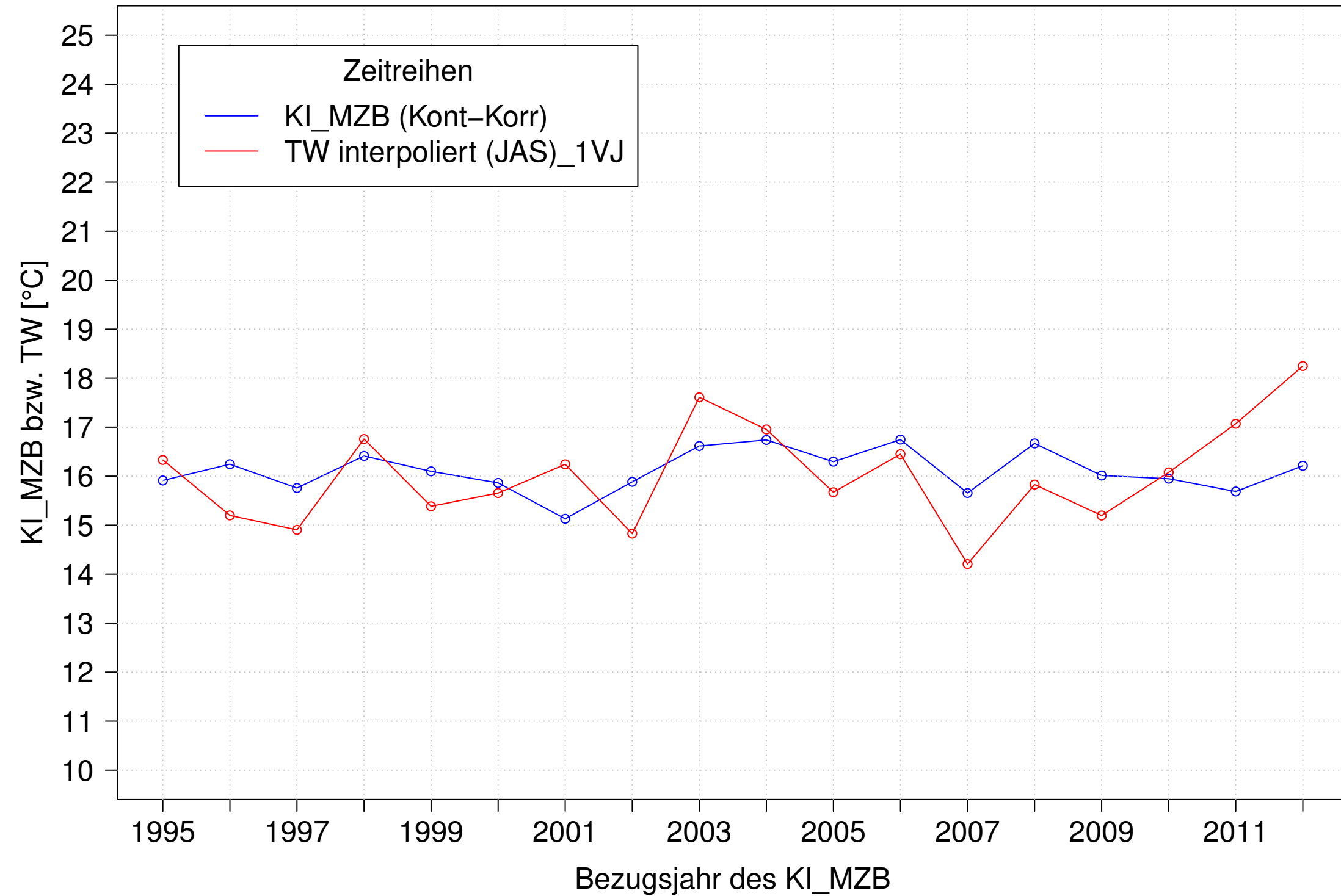
Neckar_Boerstingen, Typ 09.2 mit Neozoen, Serie 1
KI_MZB (Kont-Korr) und TW interpoliert (JAS) des 1. Vorjahres



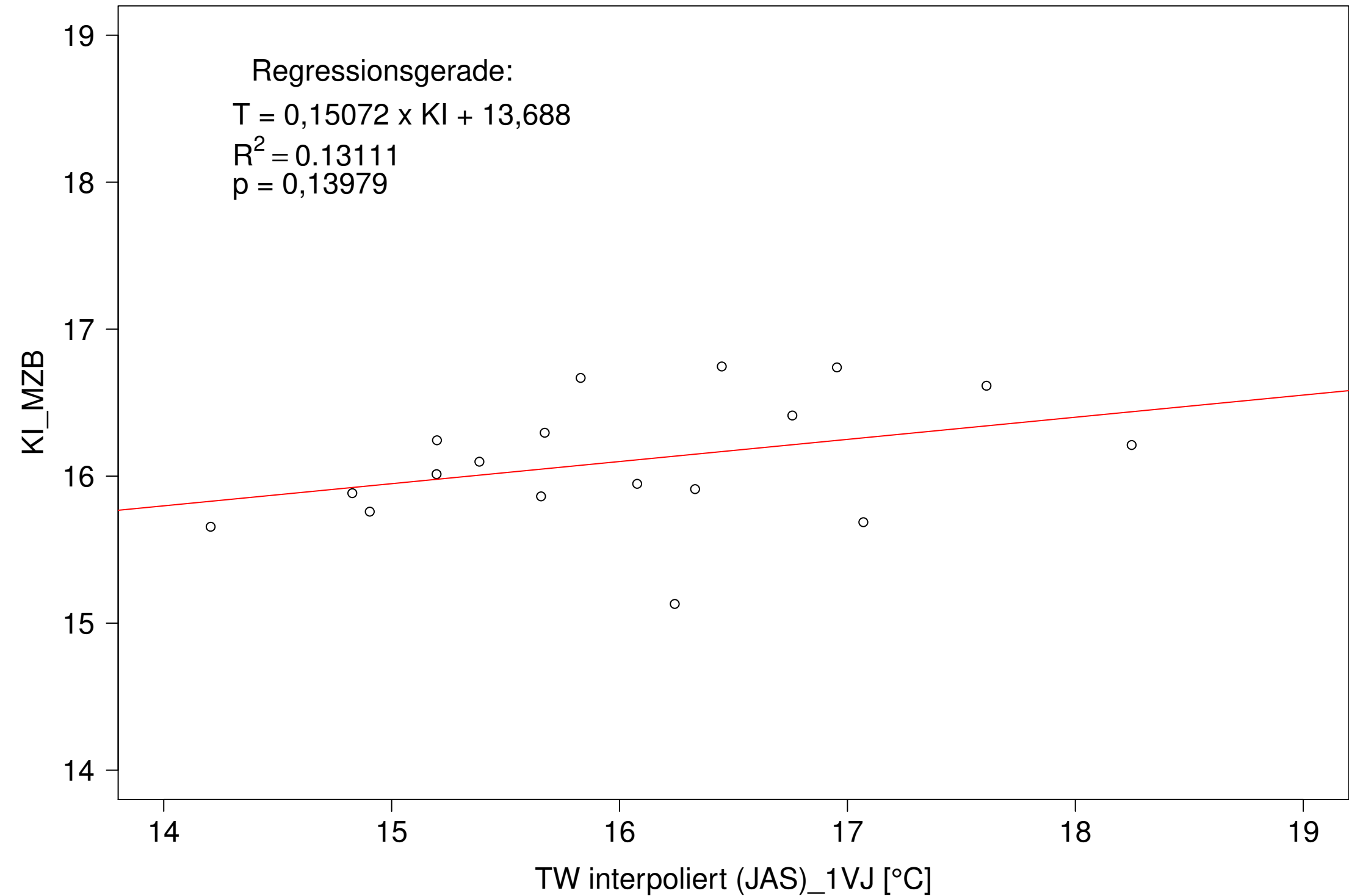
Neckar_Boerstingen, Typ 09.2 mit Neozoen, Serie 1
KI_MZB (Kont-Korr) gegen TW interpoliert (JAS) des 1. Vorjahres



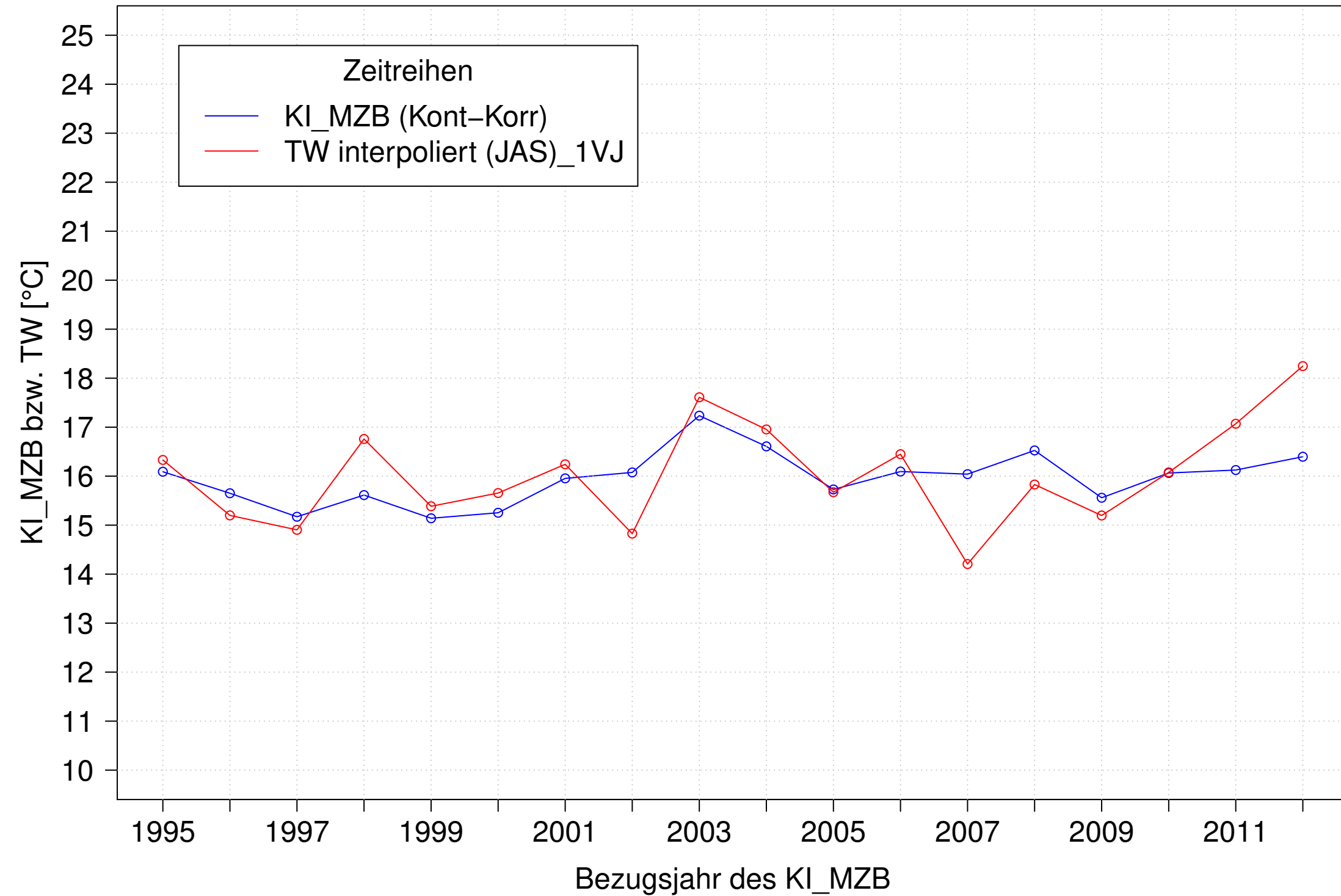
Neckar_Boerstingen, Typ 09.2 mit Neozoen, Serie 2
KI_MZB (Kont-Korr) und TW interpoliert (JAS) des 1. Vorjahres



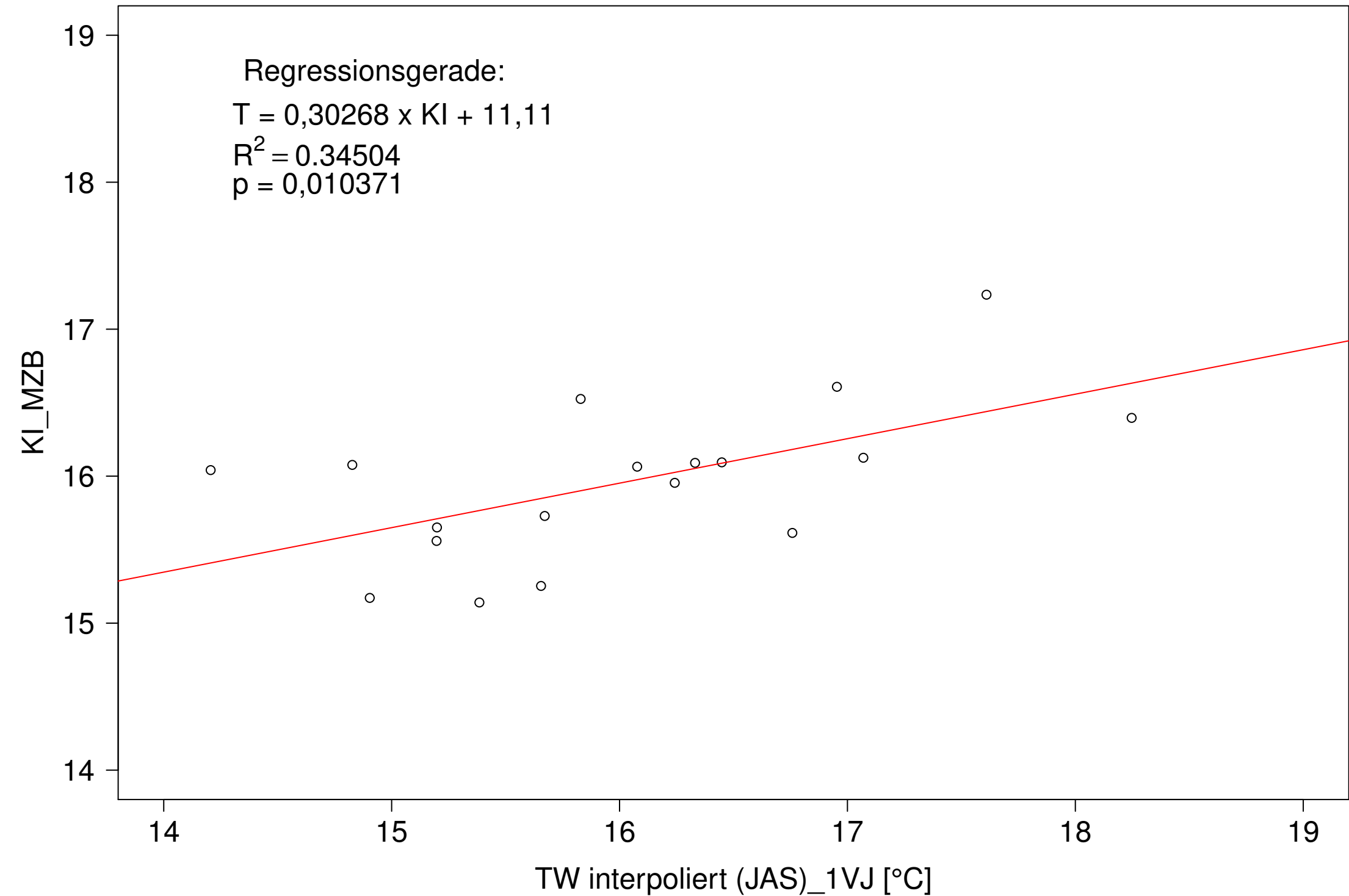
Neckar_Boerstingen, Typ 09.2 mit Neozoen, Serie 2
KI_MZB (Kont-Korr) gegen TW interpoliert (JAS) des 1. Vorjahres



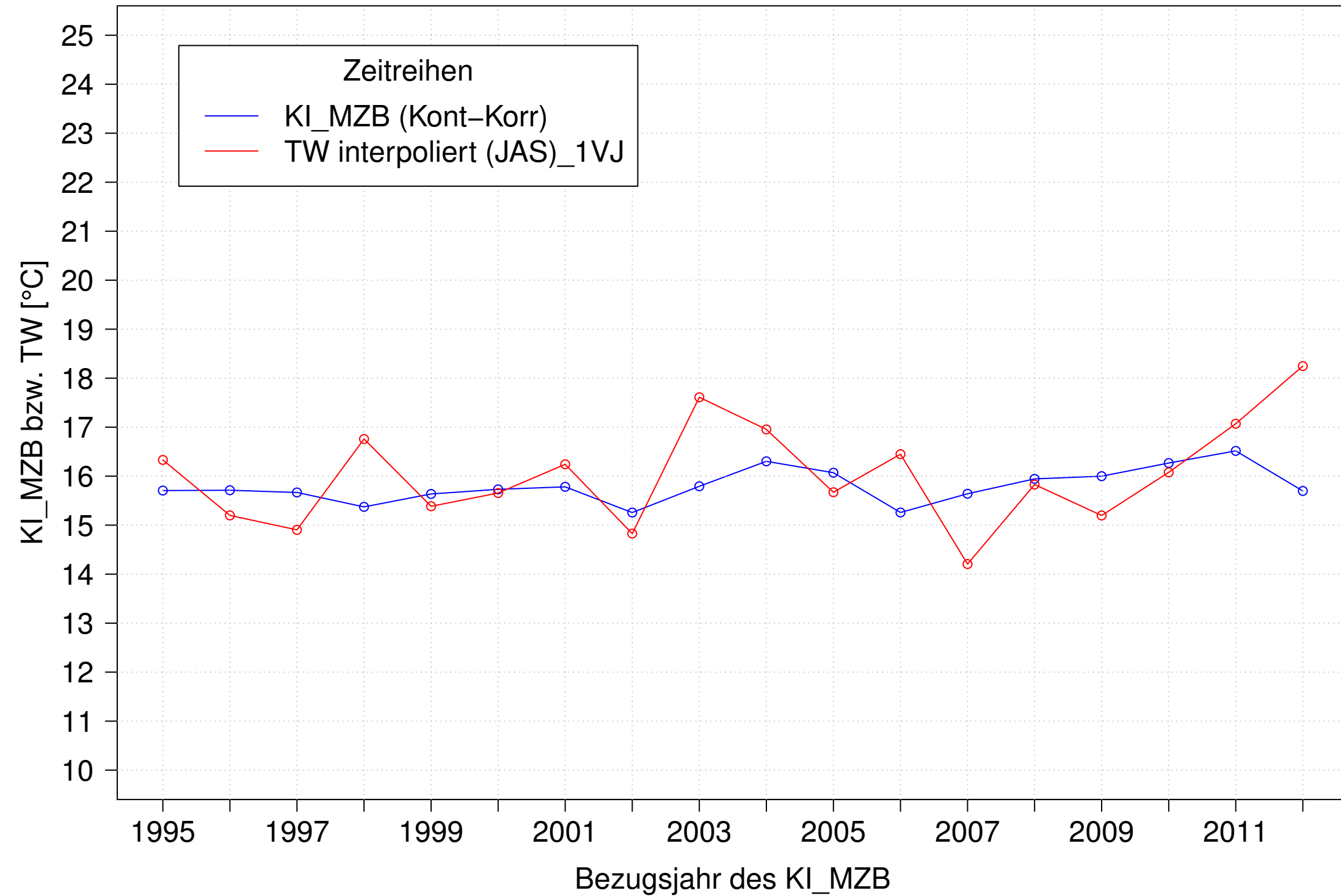
Neckar_Boerstingen, Typ 09.2 mit Neozoen, Serie 3
KI_MZB (Kont-Korr) und TW interpoliert (JAS) des 1. Vorjahres



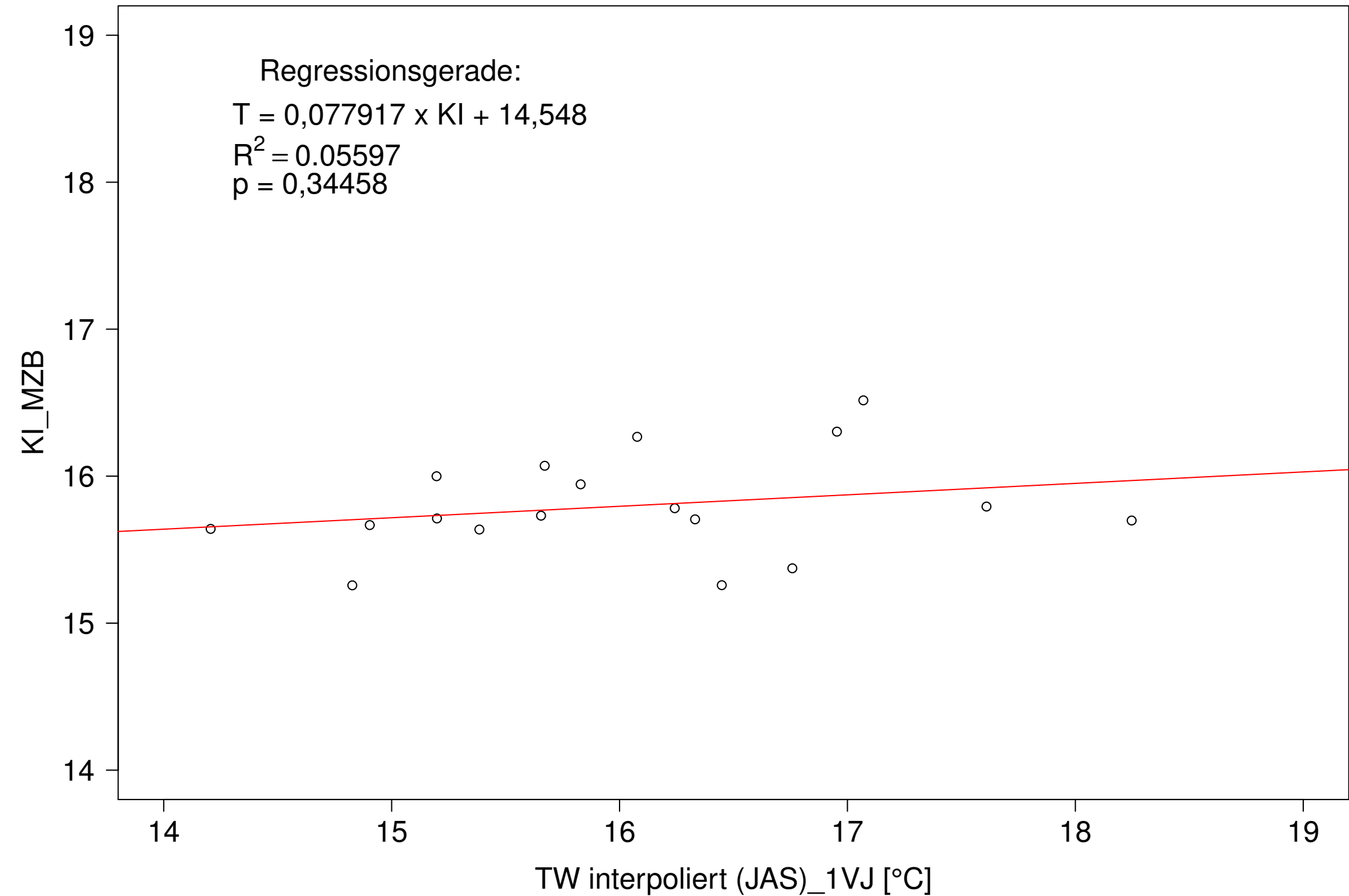
Neckar_Boerstingen, Typ 09.2 mit Neozoen, Serie 3
KI_MZB (Kont-Korr) gegen TW interpoliert (JAS) des 1. Vorjahres



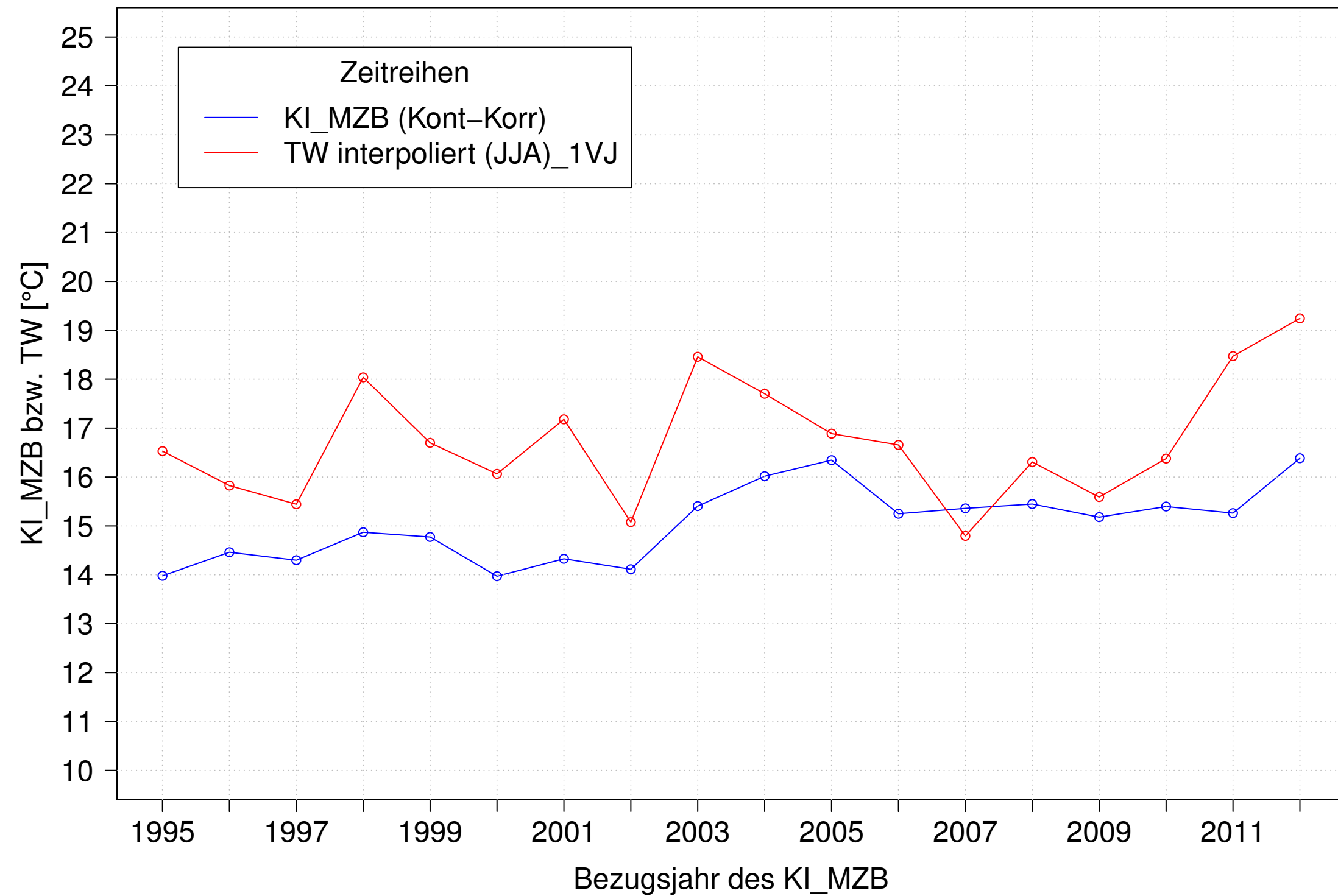
Neckar_Boerstingen, Typ 09.2 mit Neozoen, Serie 4
KI_MZB (Kont-Korr) und TW interpoliert (JAS) des 1. Vorjahres



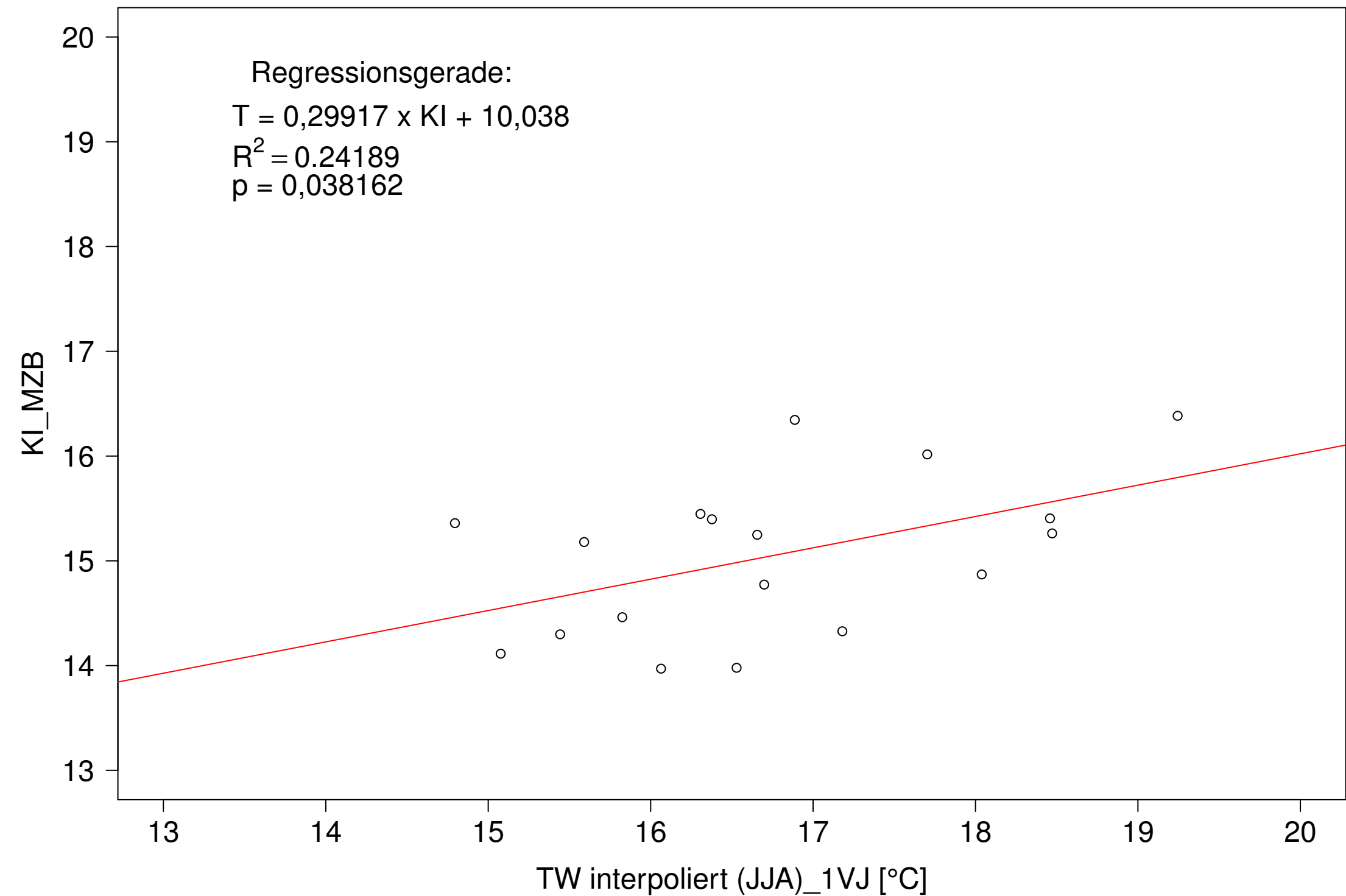
Neckar_Boerstingen, Typ 09.2 mit Neozoen, Serie 4
KI_MZB (Kont-Korr) gegen TW interpoliert (JAS) des 1. Vorjahres



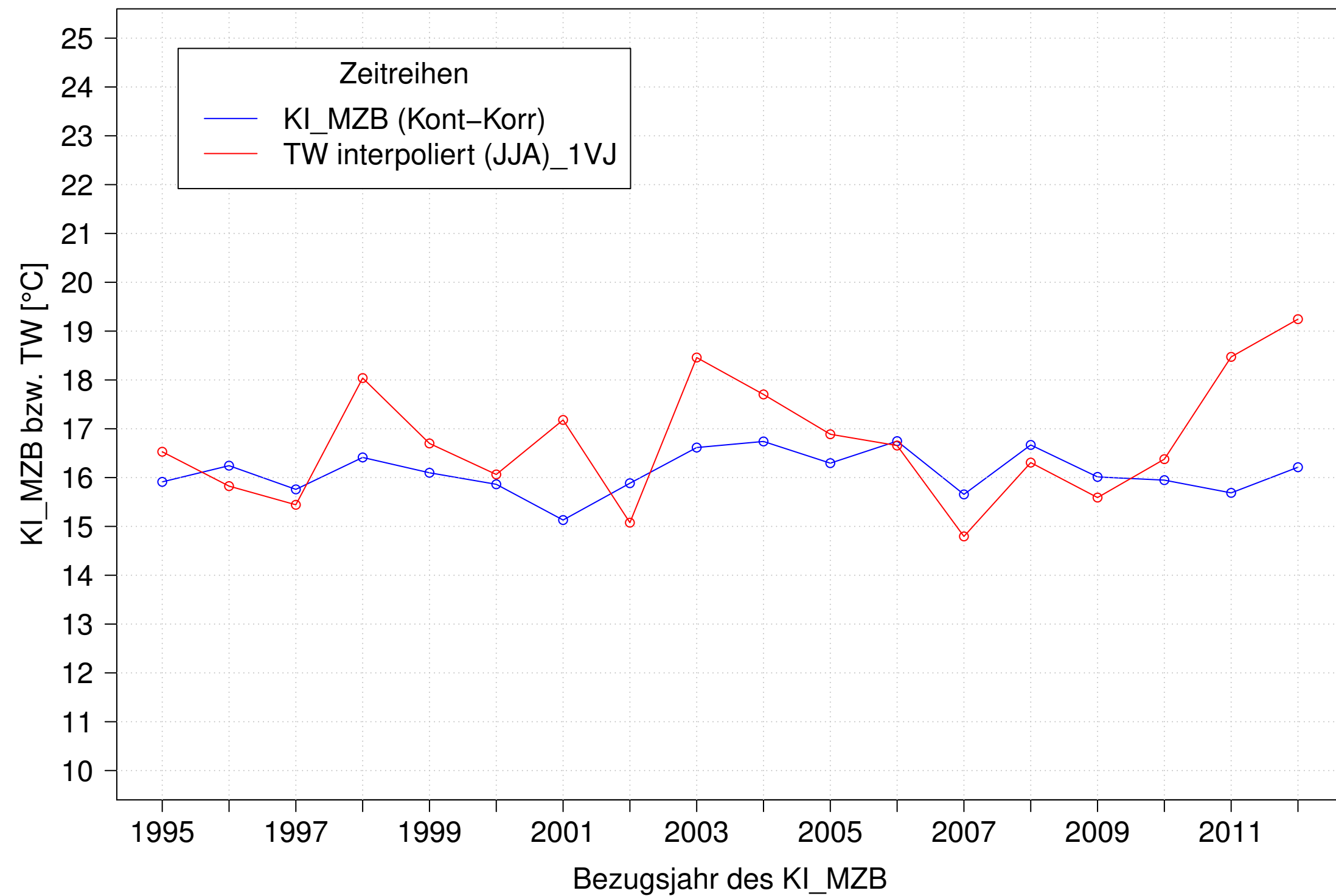
Neckar_Boerstingen, Typ 09.2 mit Neozoen, Serie 1
KI_MZB (Kont-Korr) und TW interpoliert (JJA) des 1. Vorjahres



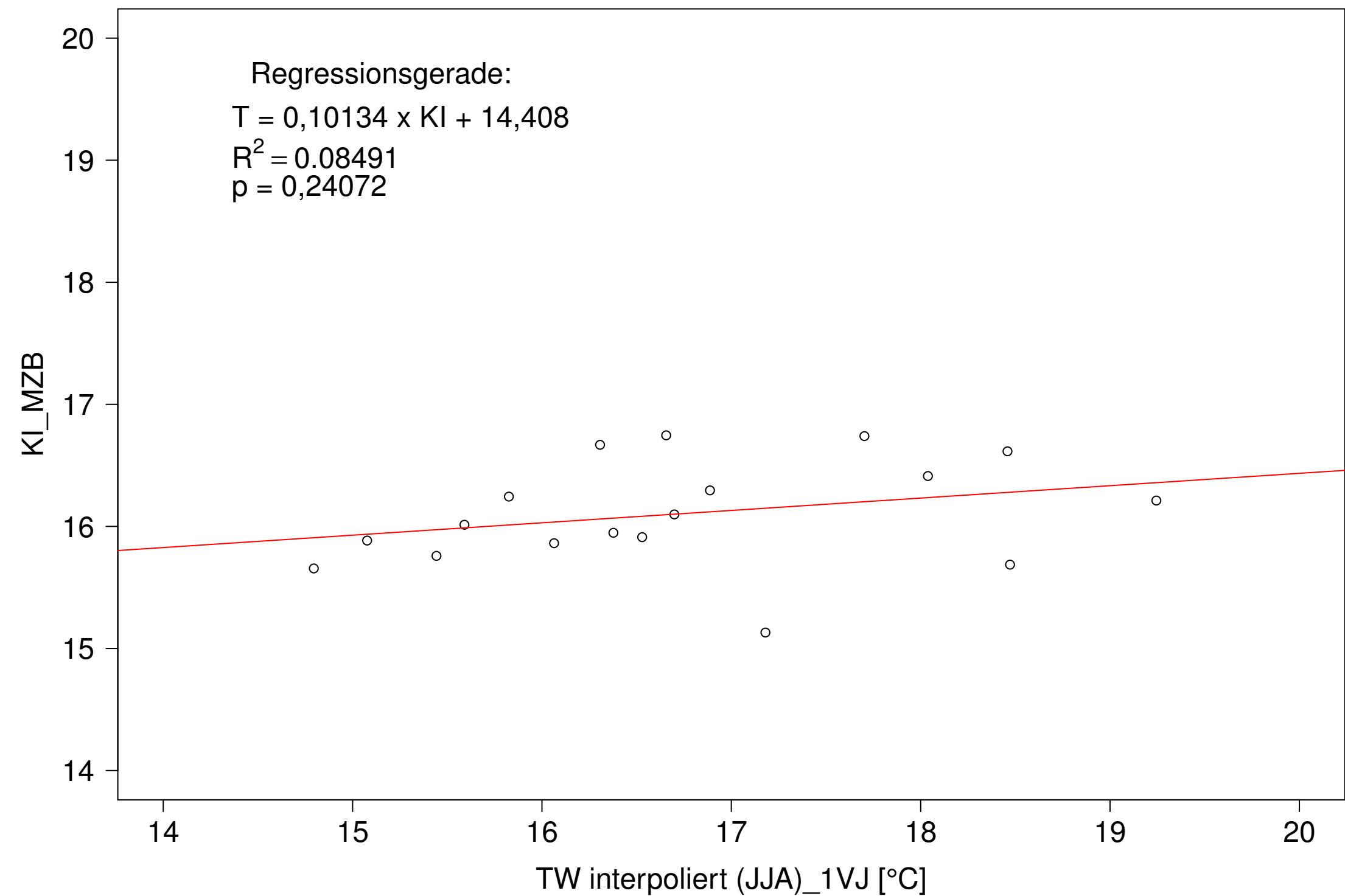
Neckar_Boerstingen, Typ 09.2 mit Neozoen, Serie 1
KI_MZB (Kont-Korr) gegen TW interpoliert (JJA) des 1. Vorjahres



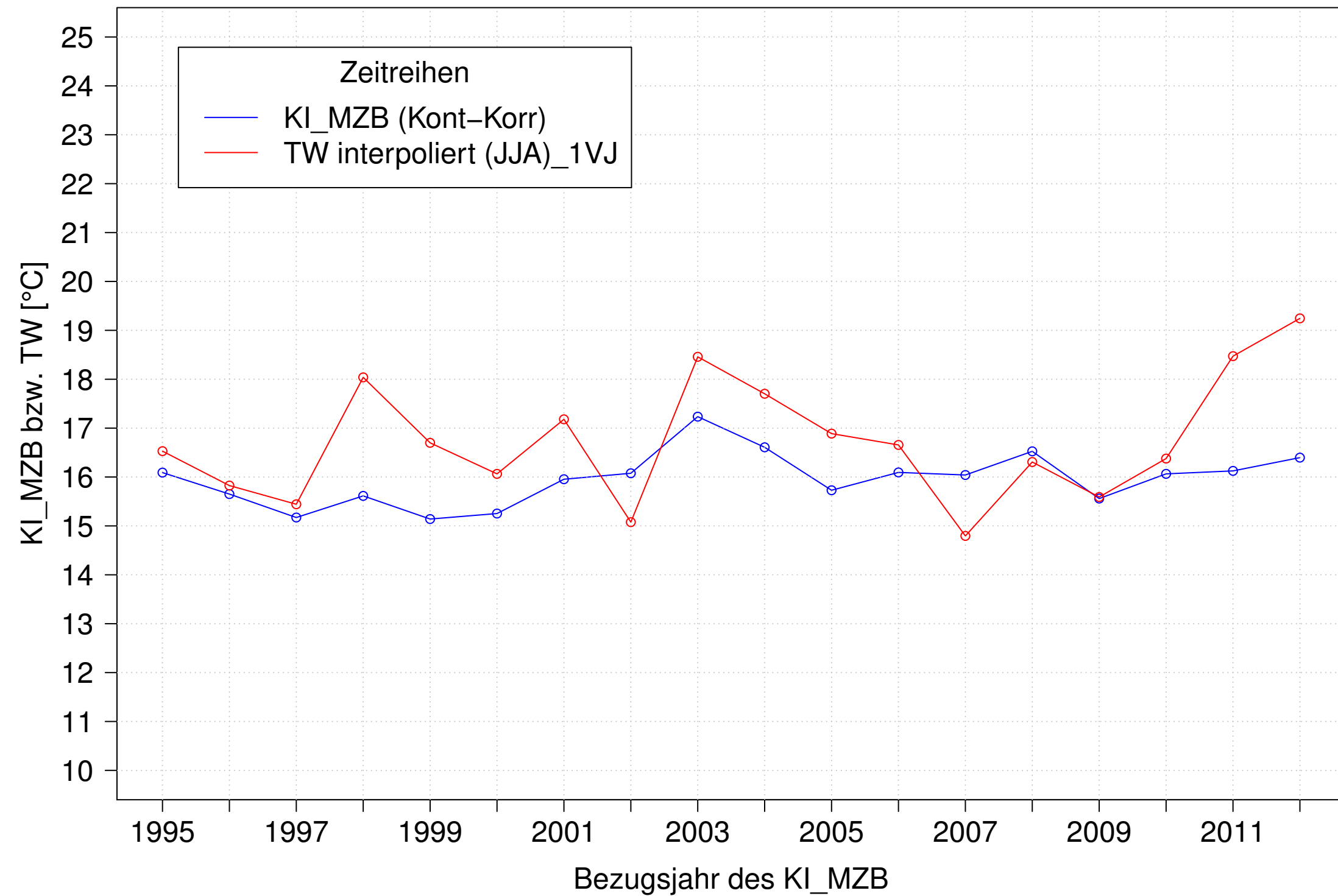
Neckar_Boerstingen, Typ 09.2 mit Neozoen, Serie 2
KI_MZB (Kont-Korr) und TW interpoliert (JJA) des 1. Vorjahres



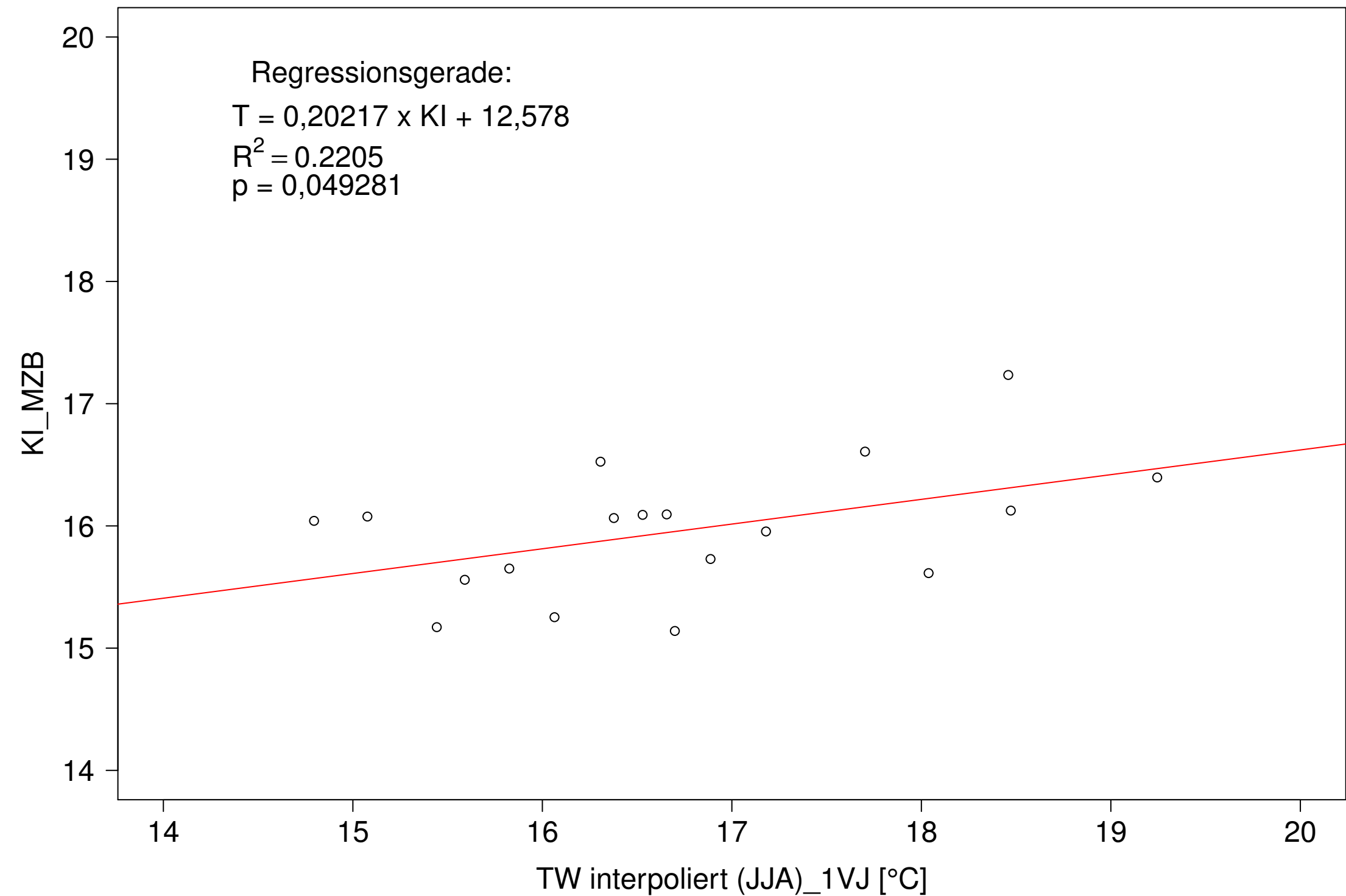
Neckar_Boerstingen, Typ 09.2 mit Neozoen, Serie 2
KI_MZB (Kont-Korr) gegen TW interpoliert (JJA) des 1. Vorjahres



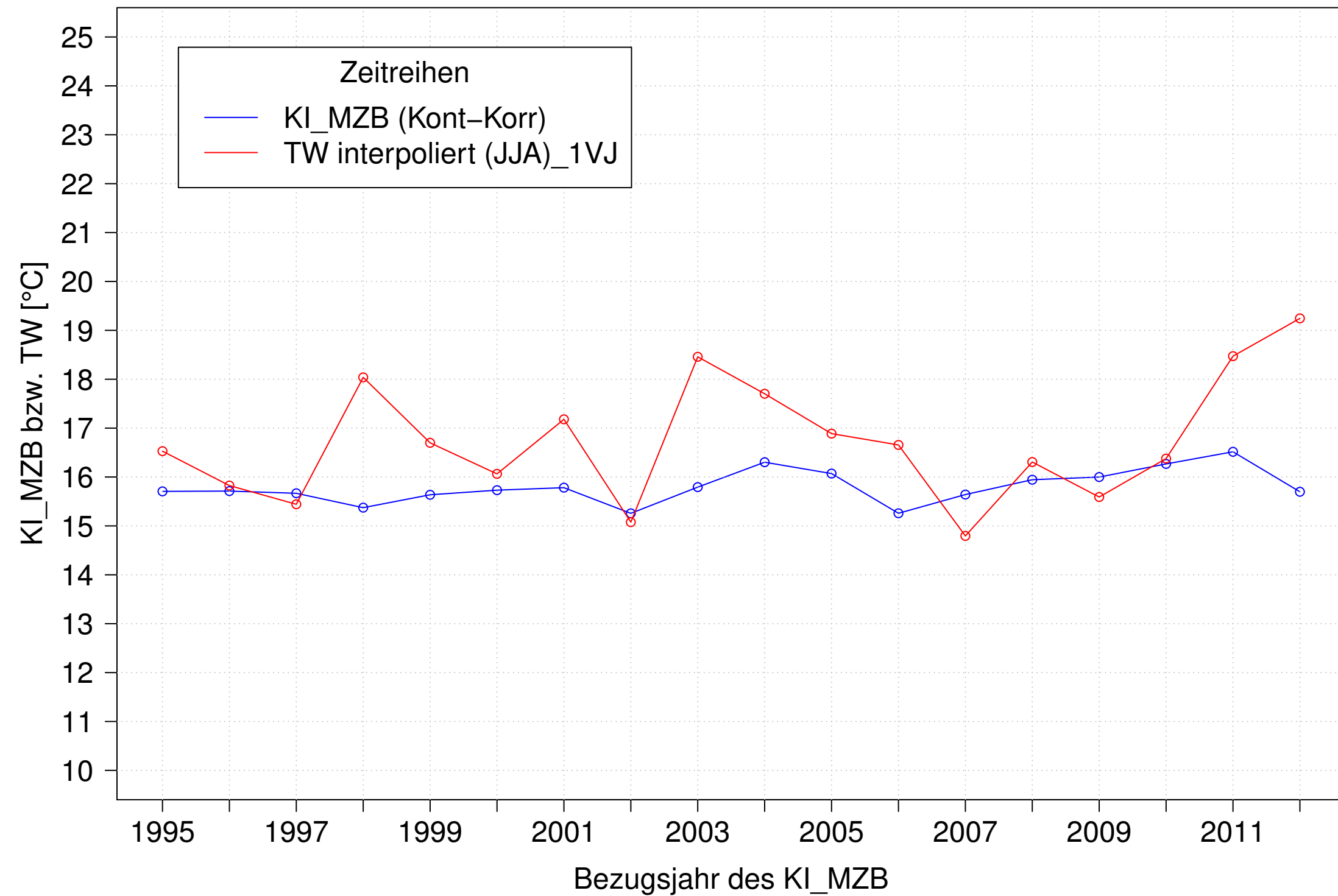
Neckar_Boerstingen, Typ 09.2 mit Neozoen, Serie 3
KI_MZB (Kont-Korr) und TW interpoliert (JJA) des 1. Vorjahres



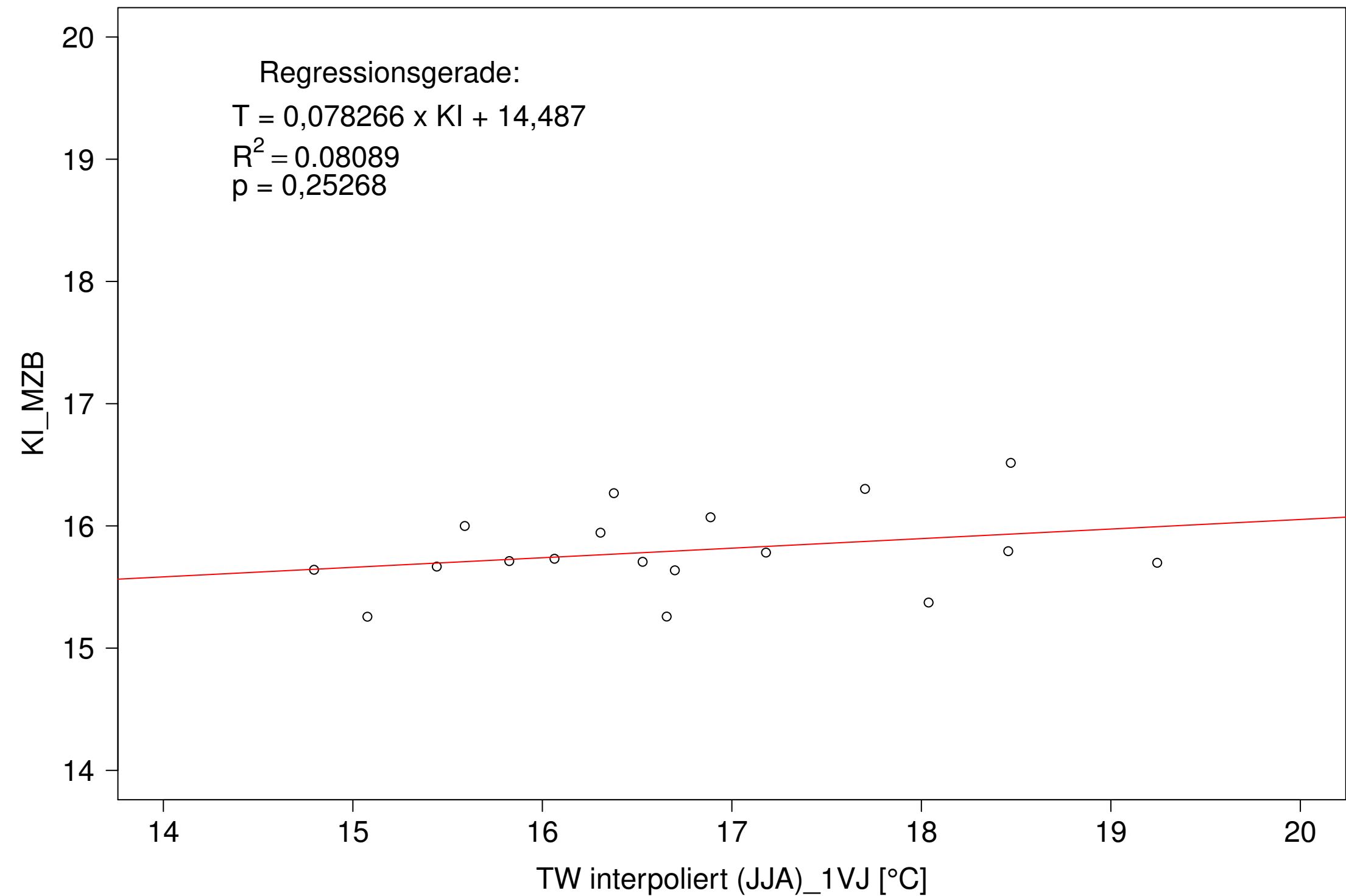
Neckar_Boerstingen, Typ 09.2 mit Neozoen, Serie 3
KI_MZB (Kont-Korr) gegen TW interpoliert (JJA) des 1. Vorjahres



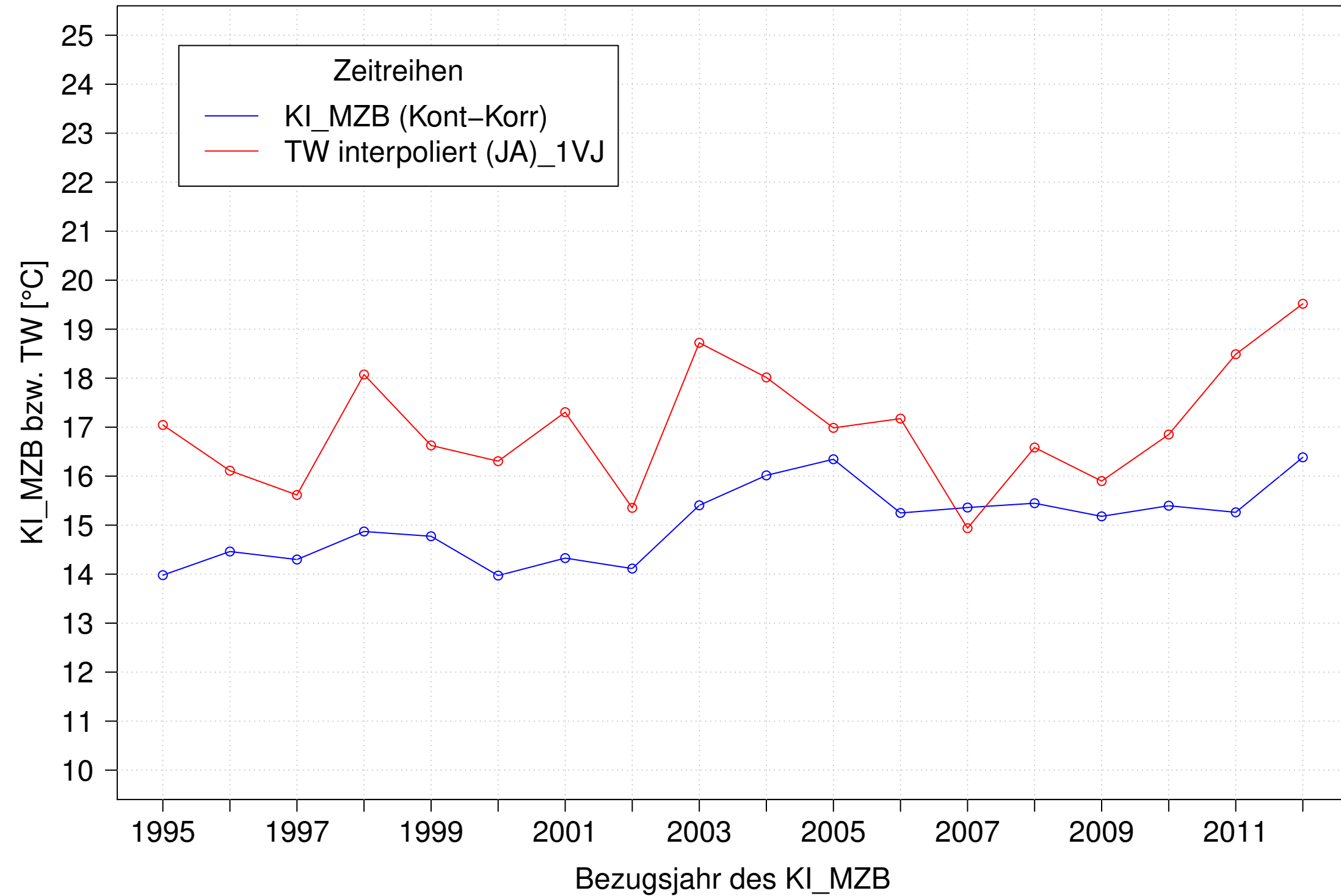
Neckar_Boerstingen, Typ 09.2 mit Neozoen, Serie 4
KI_MZB (Kont-Korr) und TW interpoliert (JJA) des 1. Vorjahres



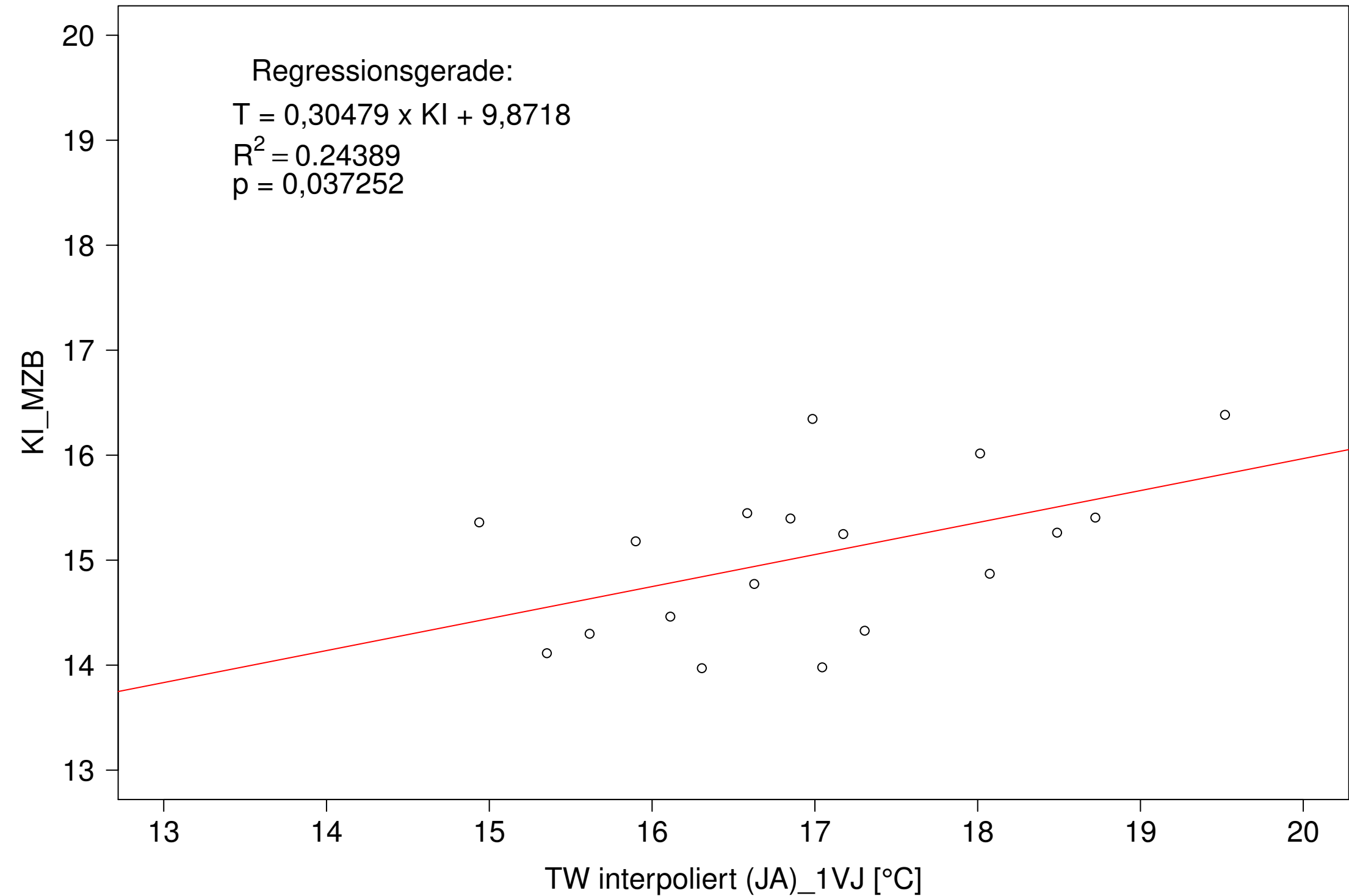
Neckar_Boerstingen, Typ 09.2 mit Neozoen, Serie 4
KI_MZB (Kont-Korr) gegen TW interpoliert (JJA) des 1. Vorjahres



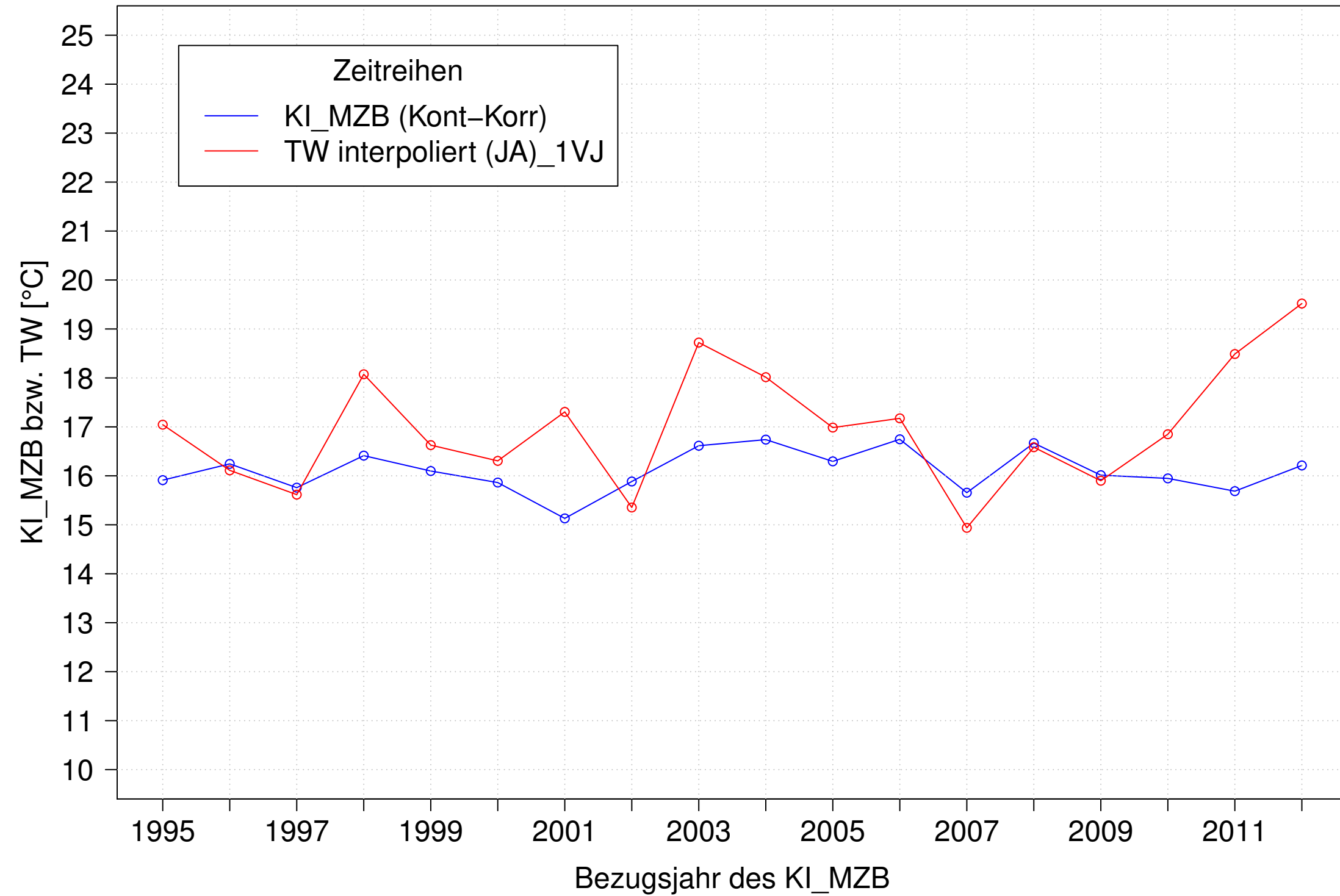
Neckar_Boerstingen, Typ 09.2 mit Neozoen, Serie 1
KI_MZB (Kont-Korr) und TW interpoliert (JA) des 1. Vorjahres



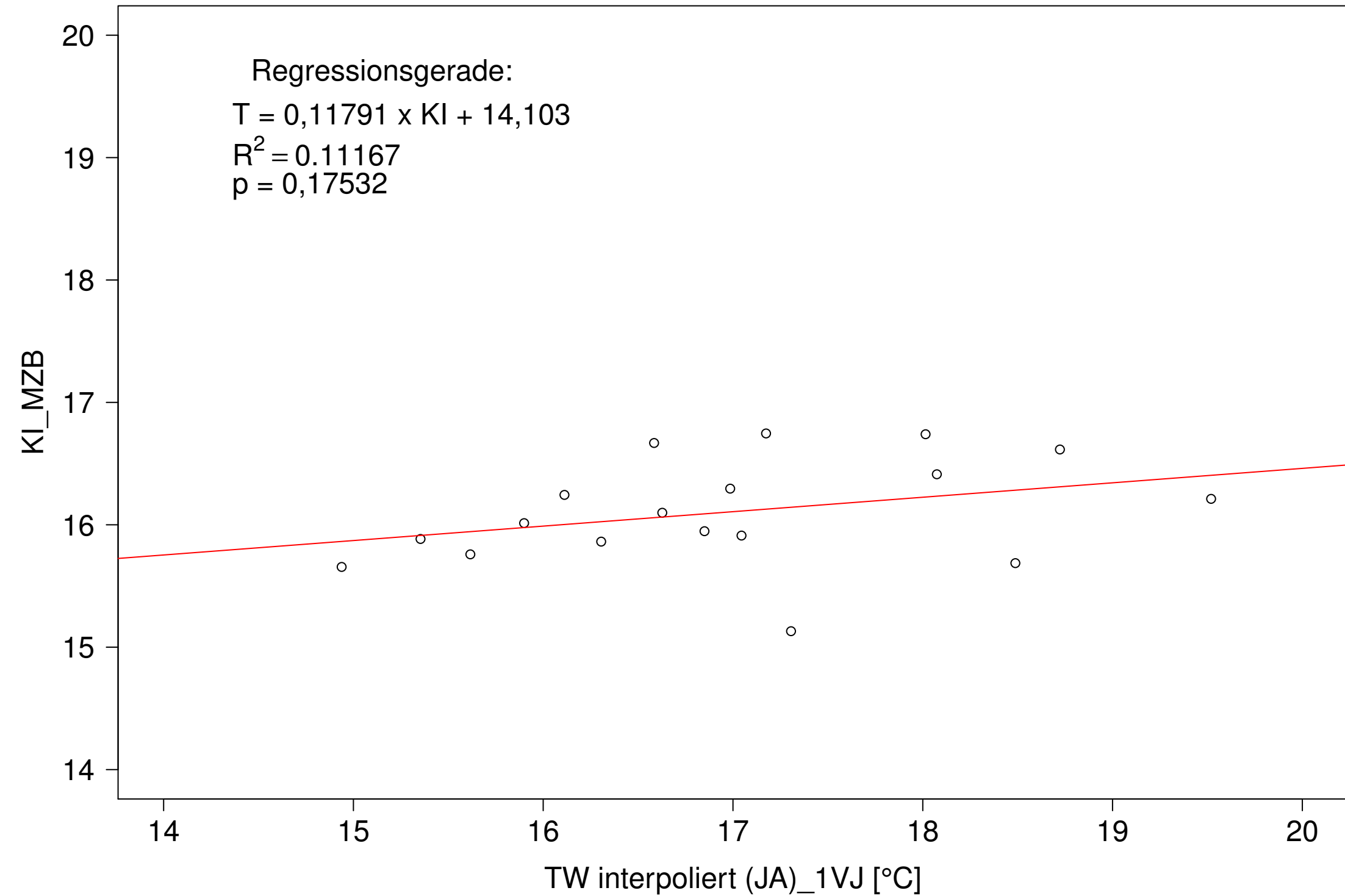
Neckar_Boerstingen, Typ 09.2 mit Neozoen, Serie 1
KI_MZB (Kont-Korr) gegen TW interpoliert (JA) des 1. Vorjahres



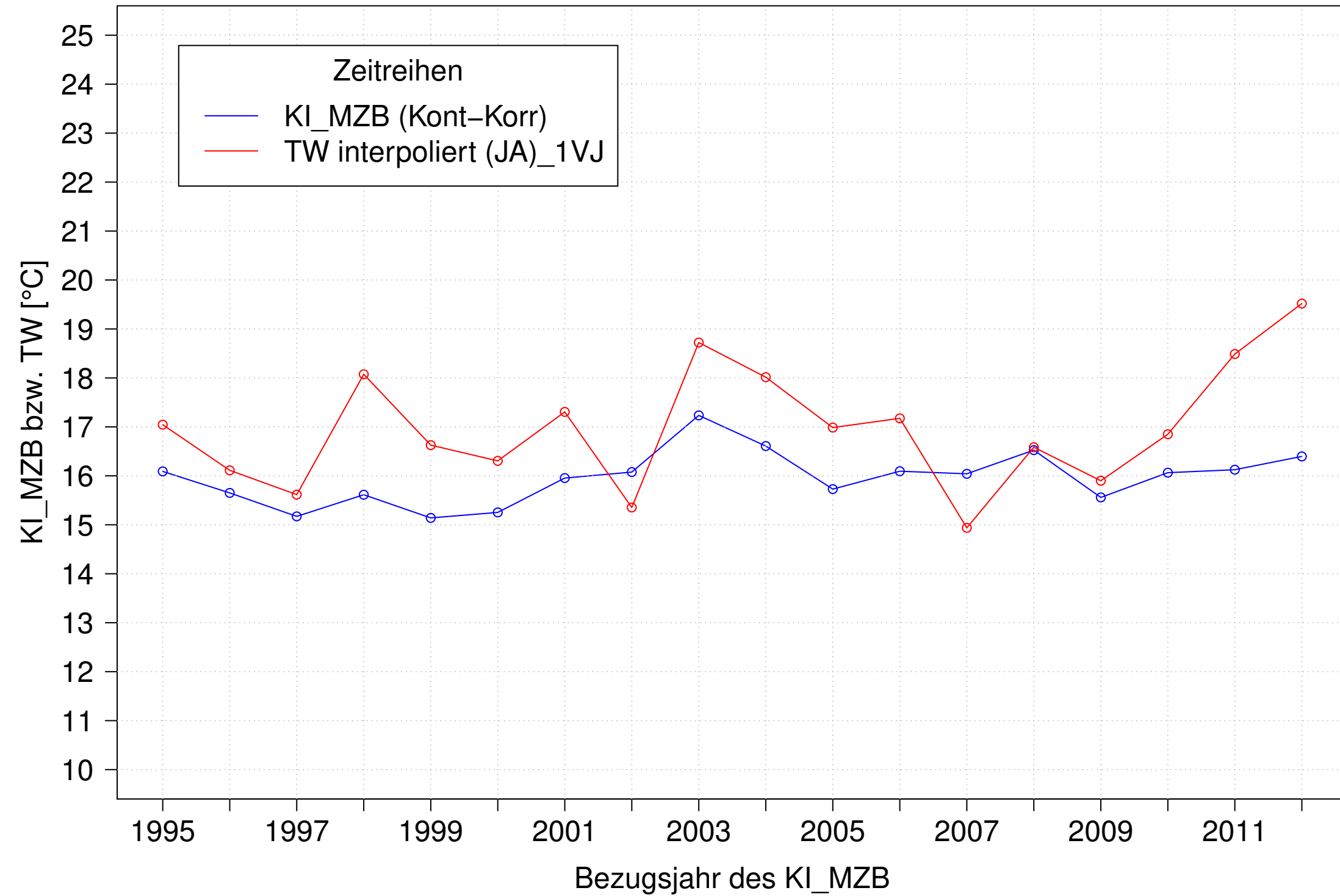
Neckar_Boerstingen, Typ 09.2 mit Neozoen, Serie 2
KI_MZB (Kont-Korr) und TW interpoliert (JA) des 1. Vorjahres



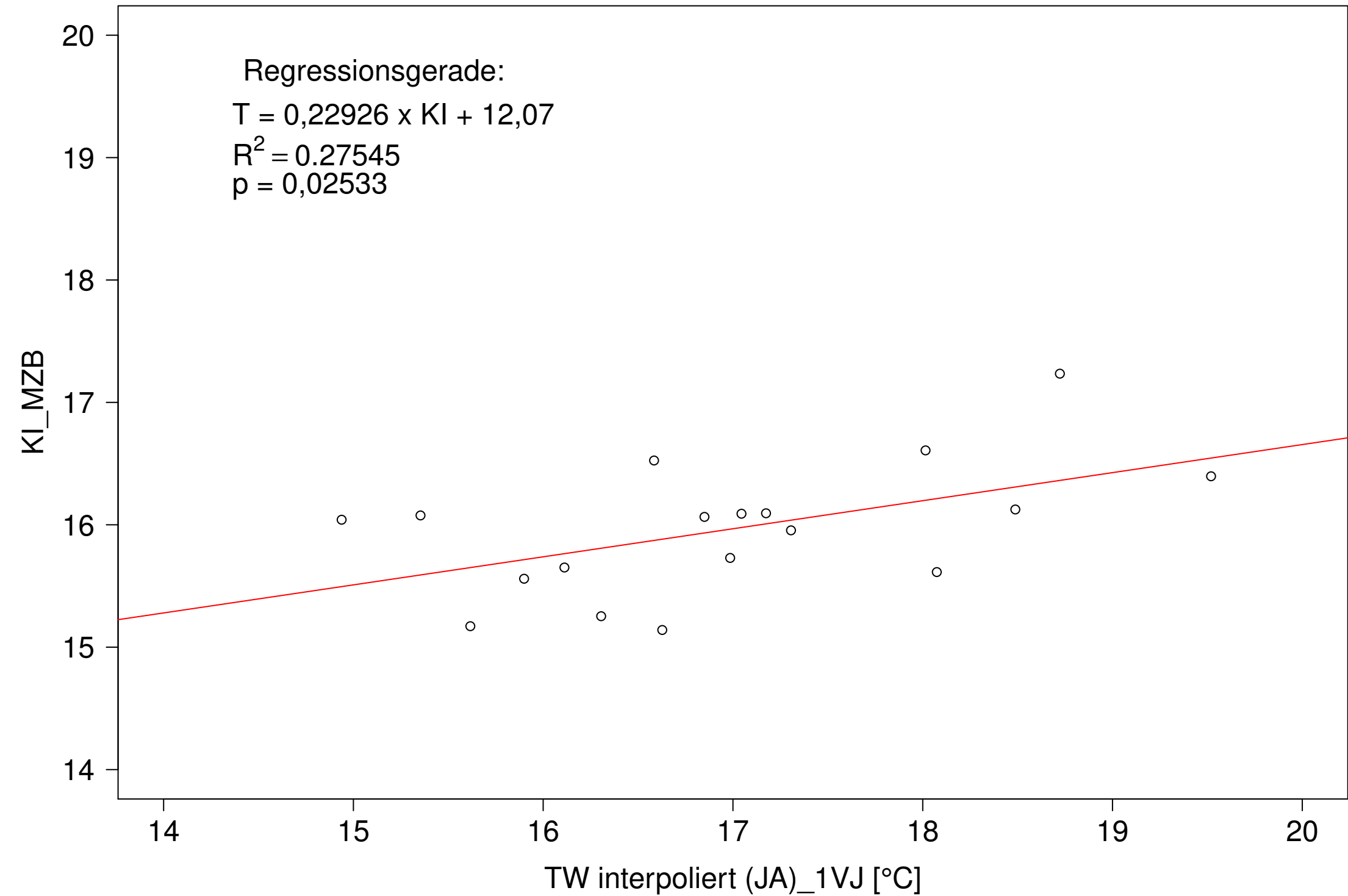
Neckar_Boerstingen, Typ 09.2 mit Neozoen, Serie 2
KI_MZB (Kont-Korr) gegen TW interpoliert (JA) des 1. Vorjahres



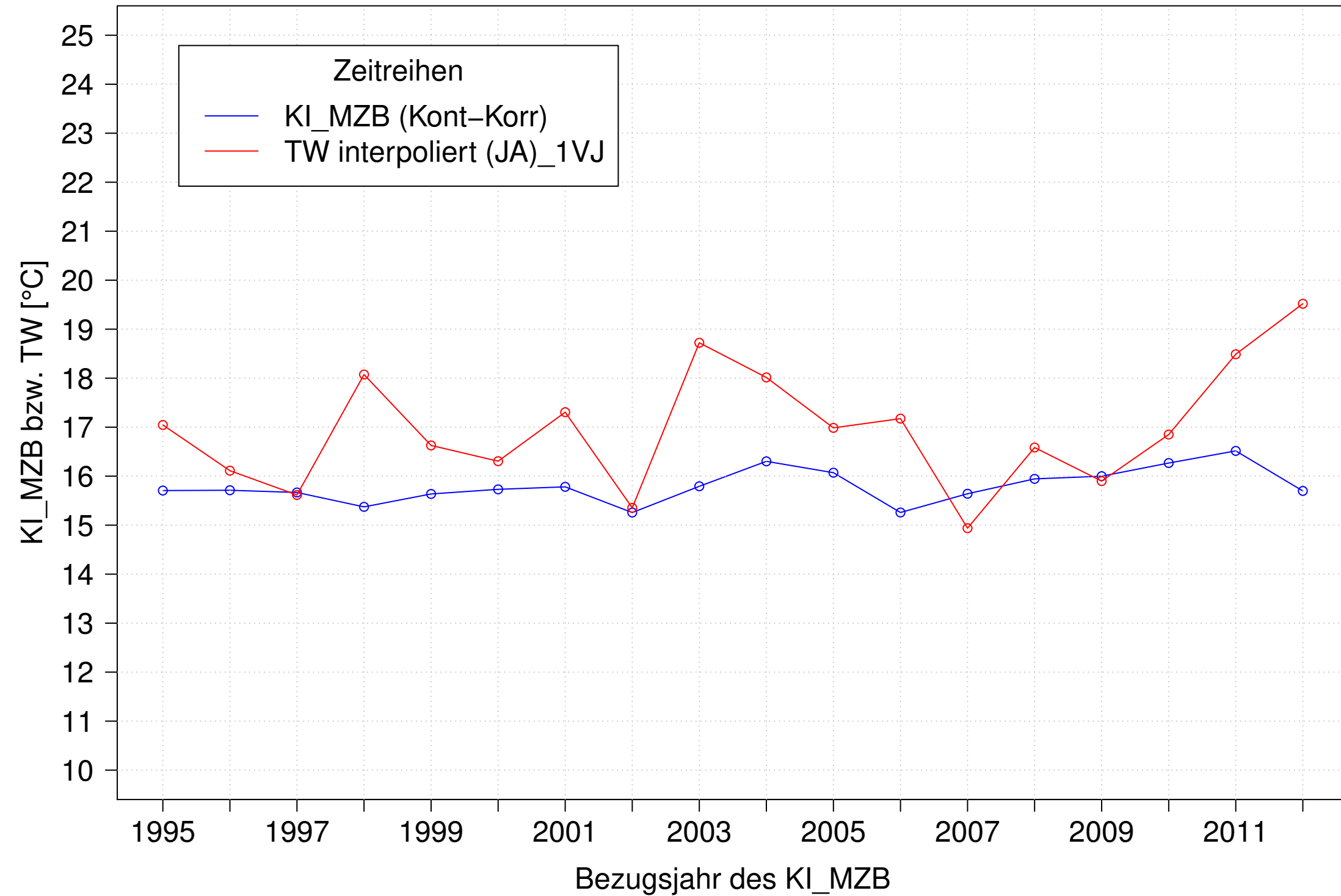
Neckar_Boerstingen, Typ 09.2 mit Neozoen, Serie 3
KI_MZB (Kont-Korr) und TW interpoliert (JA) des 1. Vorjahres



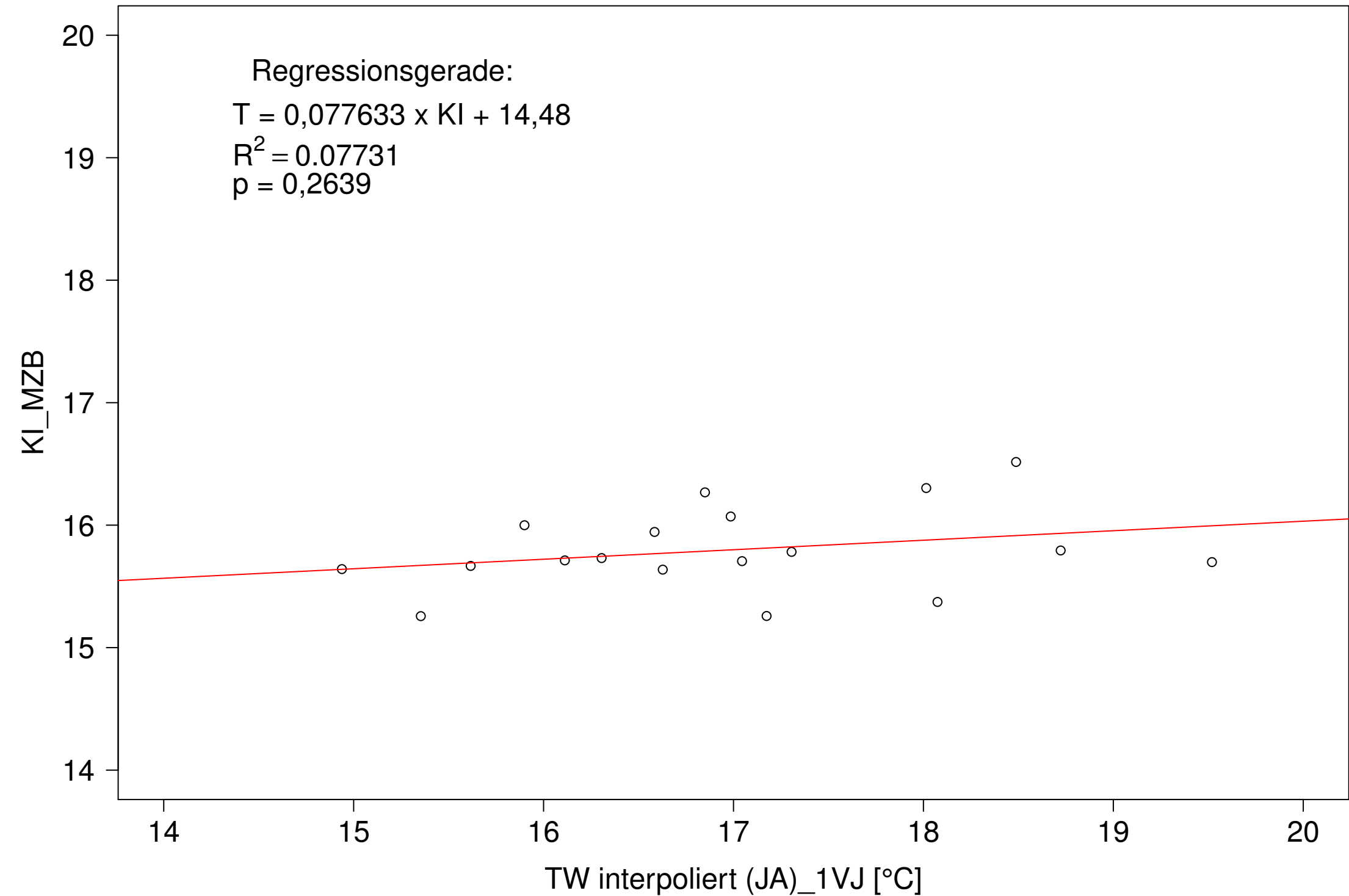
Neckar_Boerstingen, Typ 09.2 mit Neozoen, Serie 3
KI_MZB (Kont-Korr) gegen TW interpoliert (JA) des 1. Vorjahres



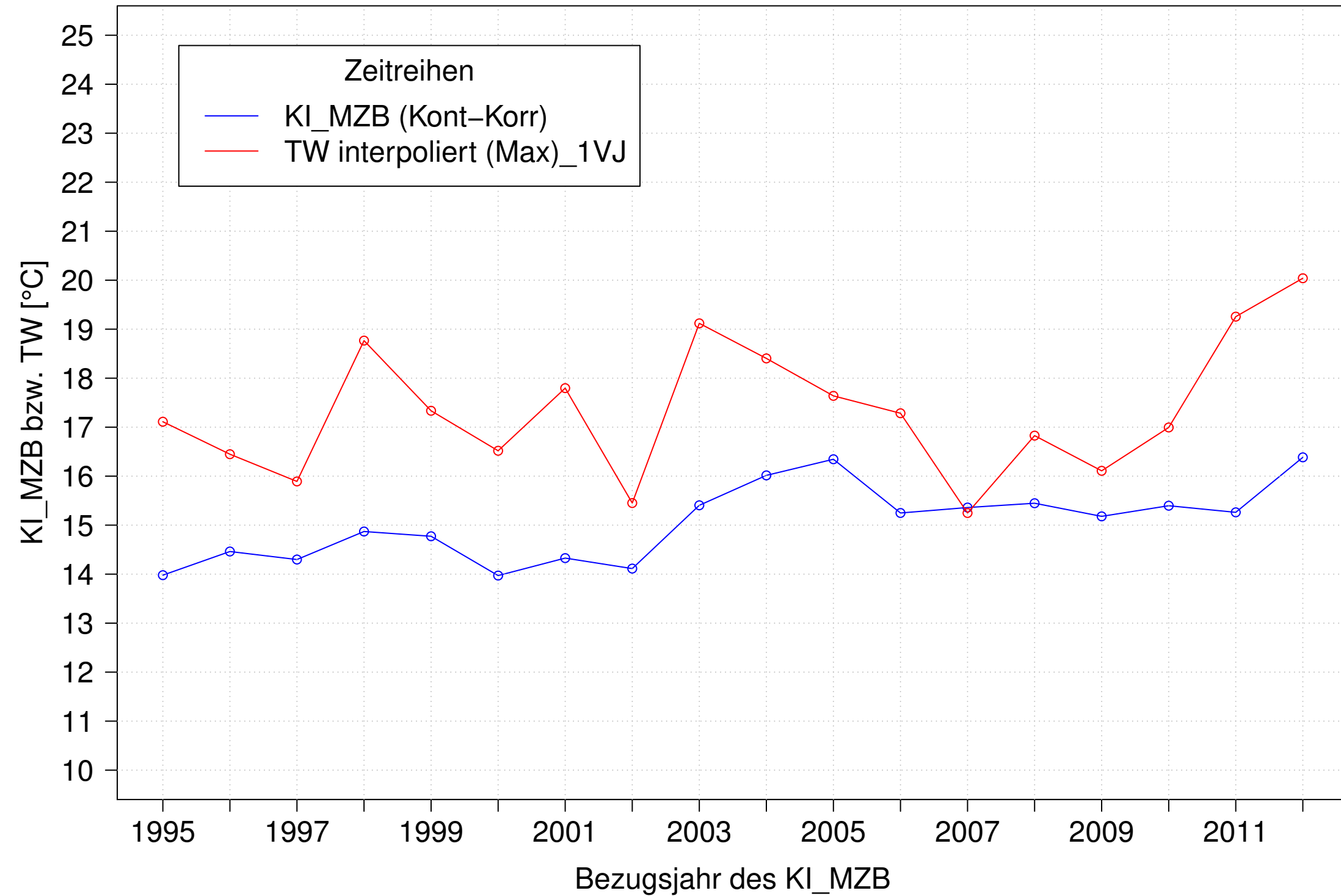
Neckar_Boerstingen, Typ 09.2 mit Neozoen, Serie 4
KI_MZB (Kont-Korr) und TW interpoliert (JA) des 1. Vorjahres



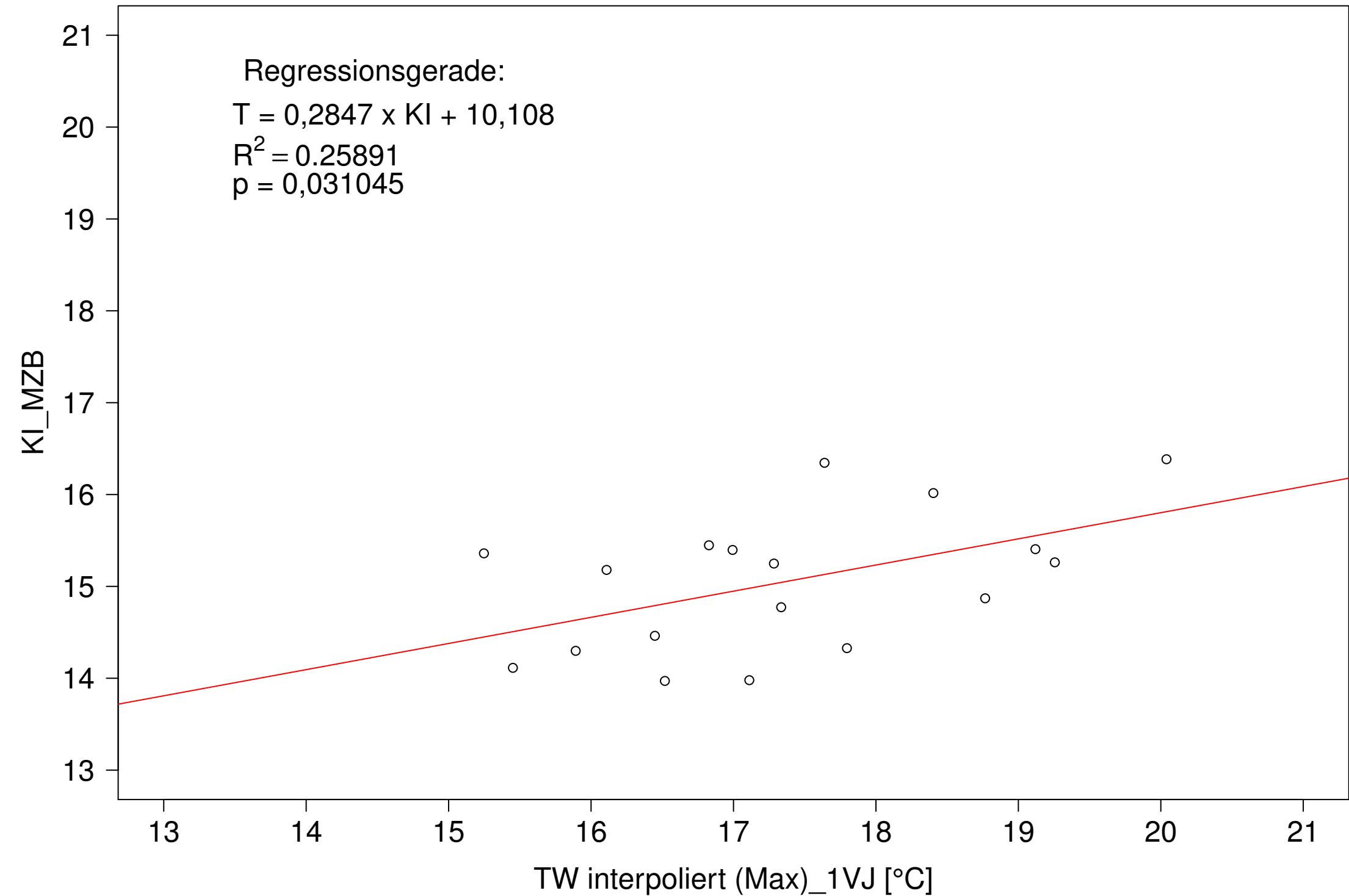
Neckar_Boerstingen, Typ 09.2 mit Neozoen, Serie 4
KI_MZB (Kont-Korr) gegen TW interpoliert (JA) des 1. Vorjahres



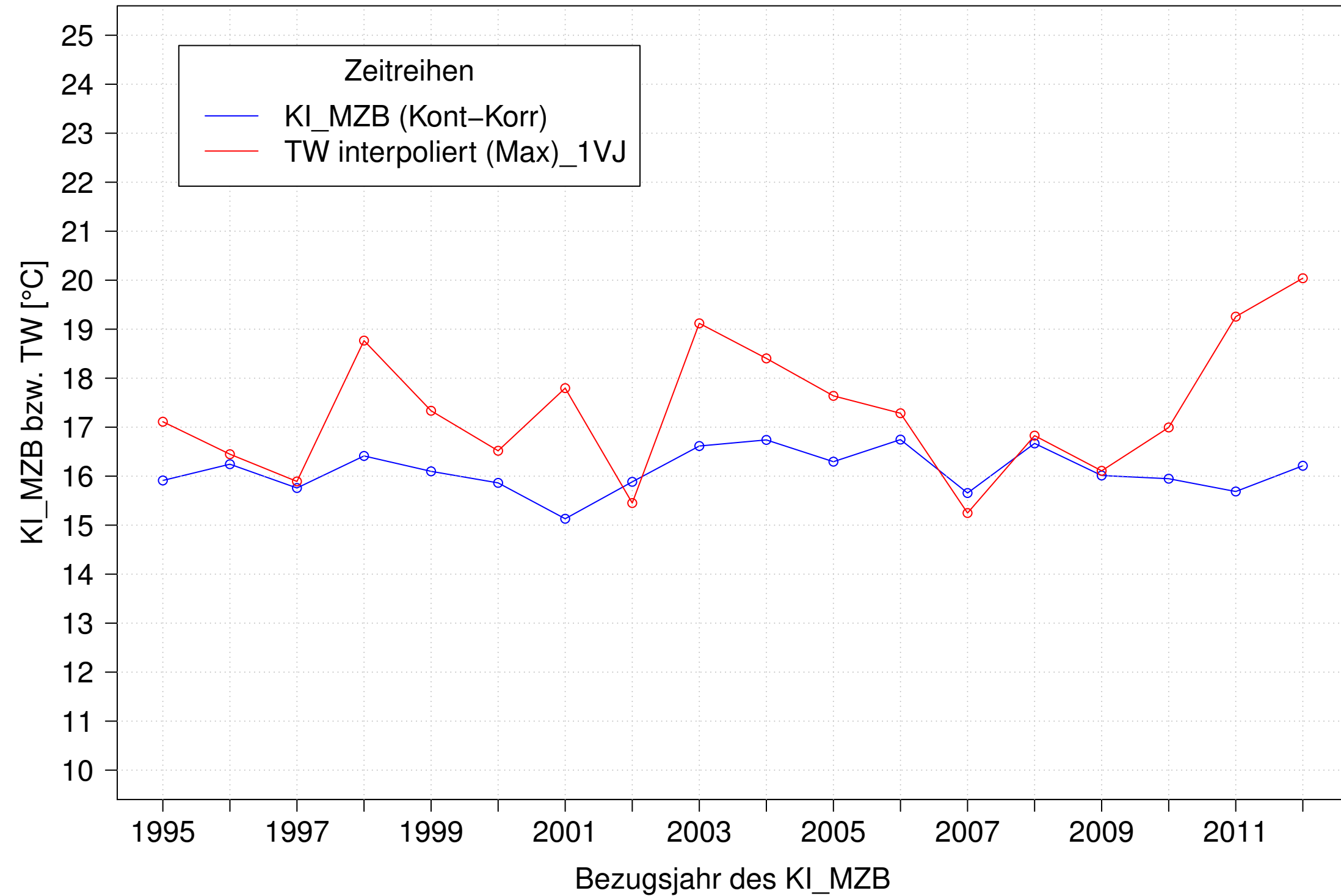
Neckar_Boerstingen, Typ 09.2 mit Neozoen, Serie 1
KI_MZB (Kont-Korr) und TW interpoliert (Max) des 1. Vorjahres



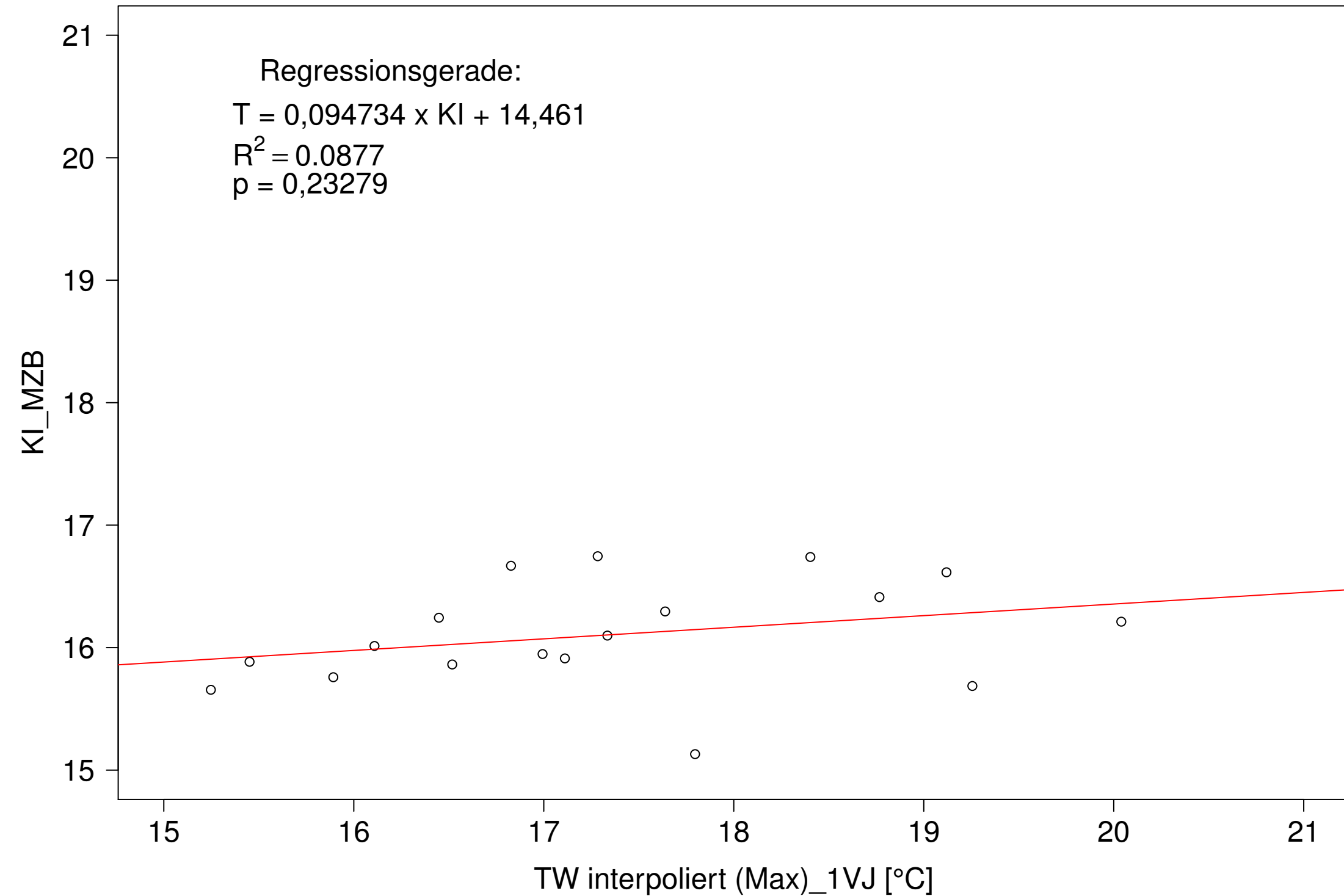
Neckar_Boerstingen, Typ 09.2 mit Neozoen, Serie 1
KI_MZB (Kont-Korr) gegen TW interpoliert (Max) des 1. Vorjahres



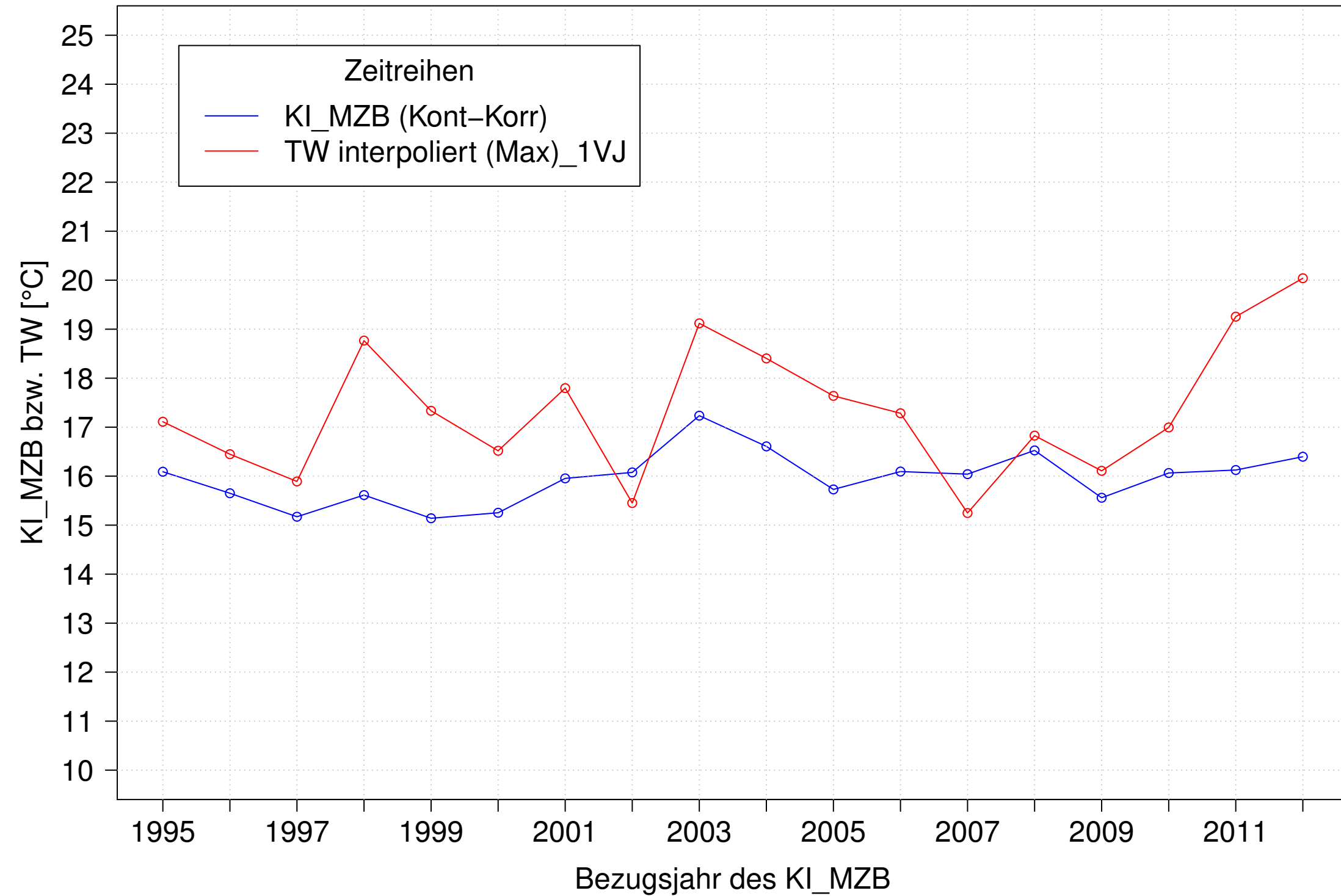
Neckar_Boerstingen, Typ 09.2 mit Neozoen, Serie 2
KI_MZB (Kont-Korr) und TW interpoliert (Max) des 1. Vorjahres



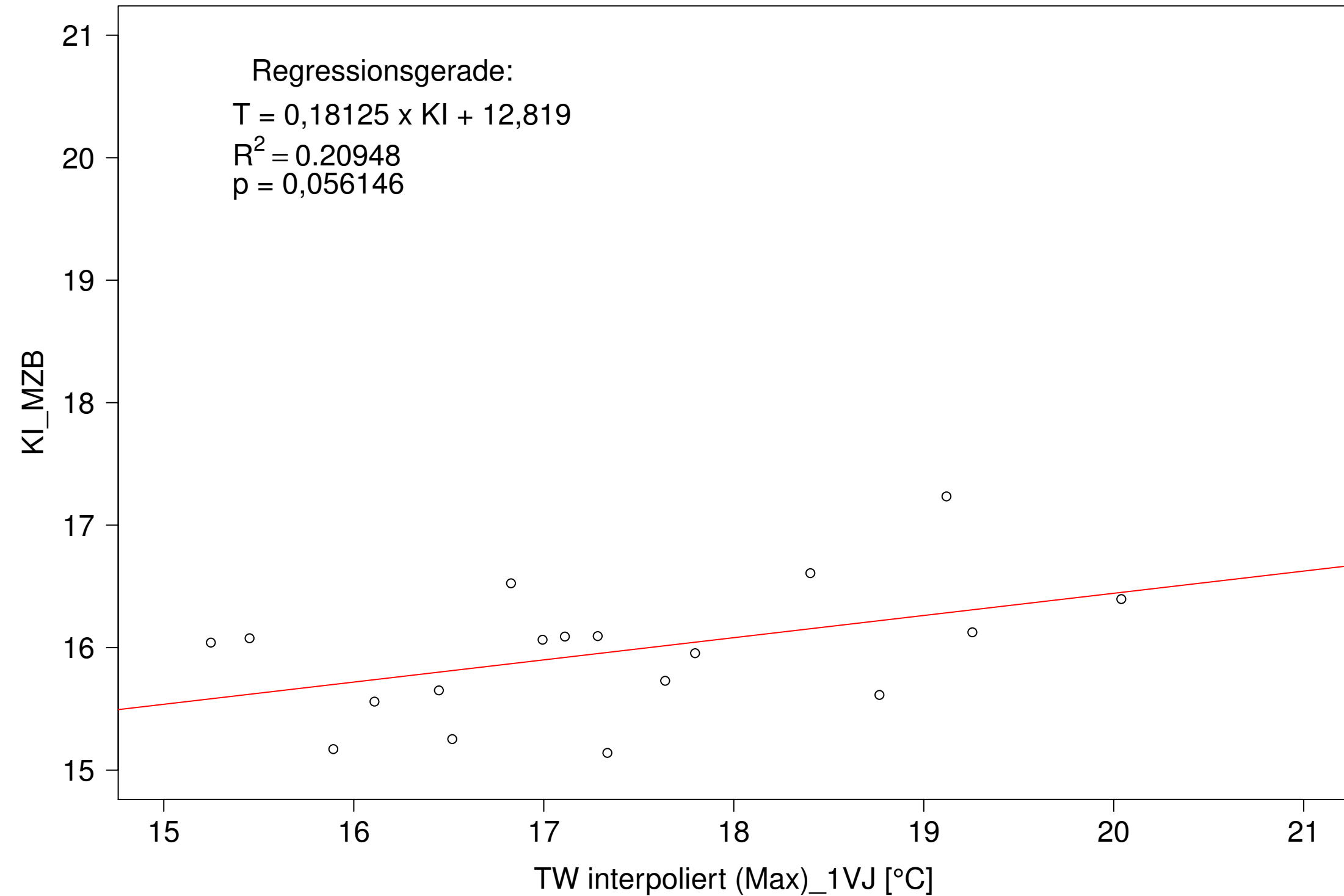
Neckar_Boerstingen, Typ 09.2 mit Neozoen, Serie 2
KI_MZB (Kont-Korr) gegen TW interpoliert (Max) des 1. Vorjahres



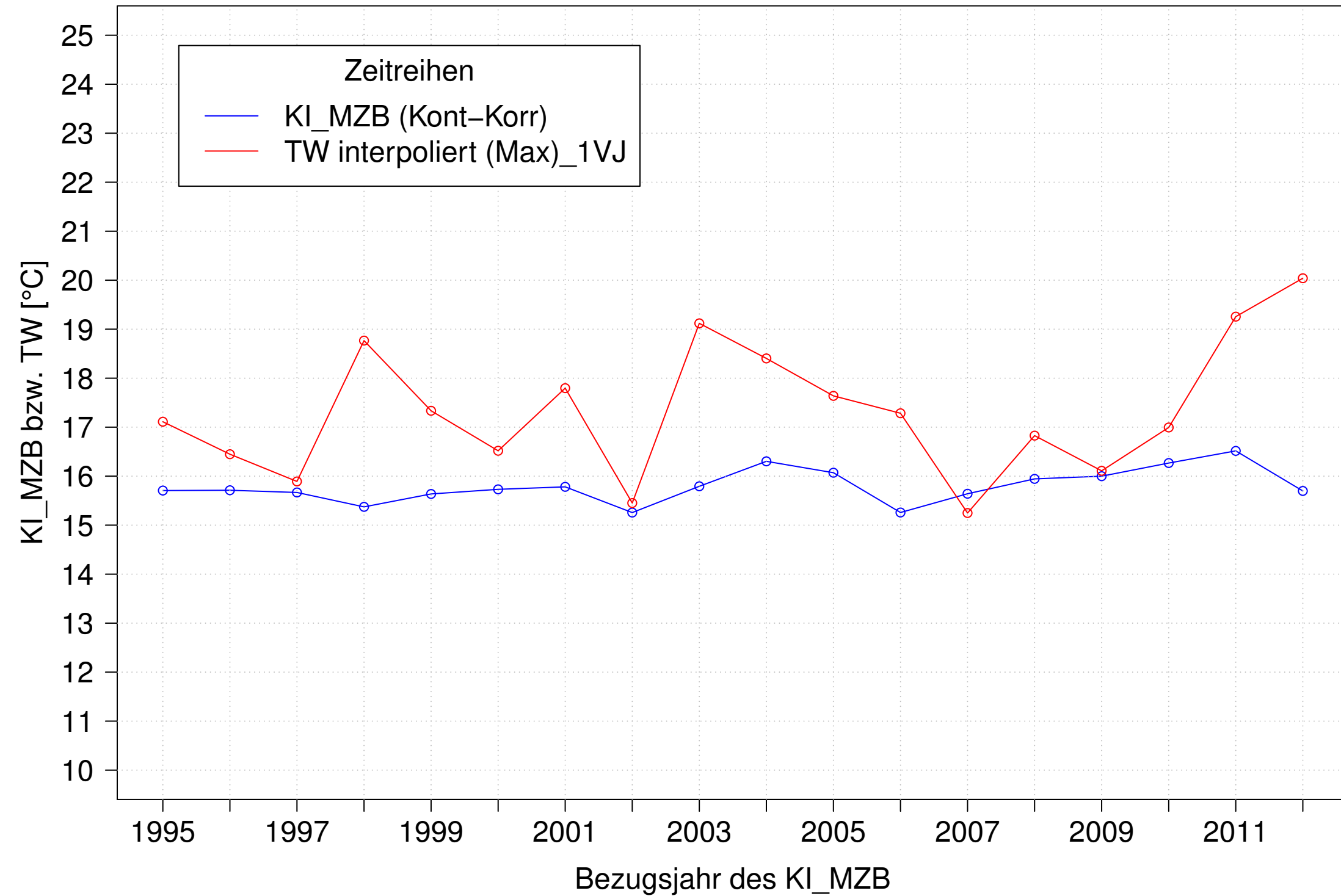
Neckar_Boerstingen, Typ 09.2 mit Neozoen, Serie 3
KI_MZB (Kont-Korr) und TW interpoliert (Max) des 1. Vorjahres



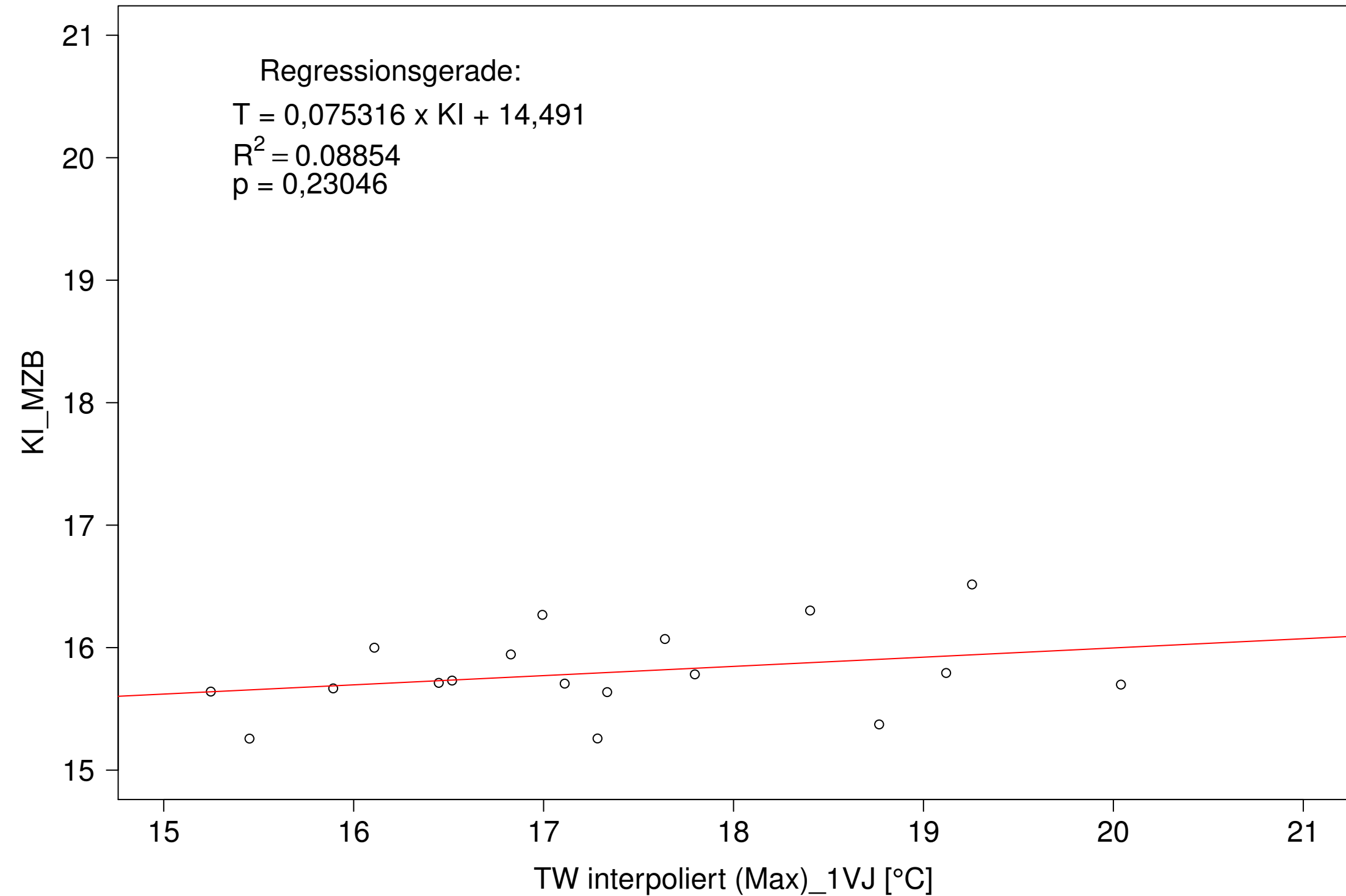
Neckar_Boerstingen, Typ 09.2 mit Neozoen, Serie 3
KI_MZB (Kont-Korr) gegen TW interpoliert (Max) des 1. Vorjahres



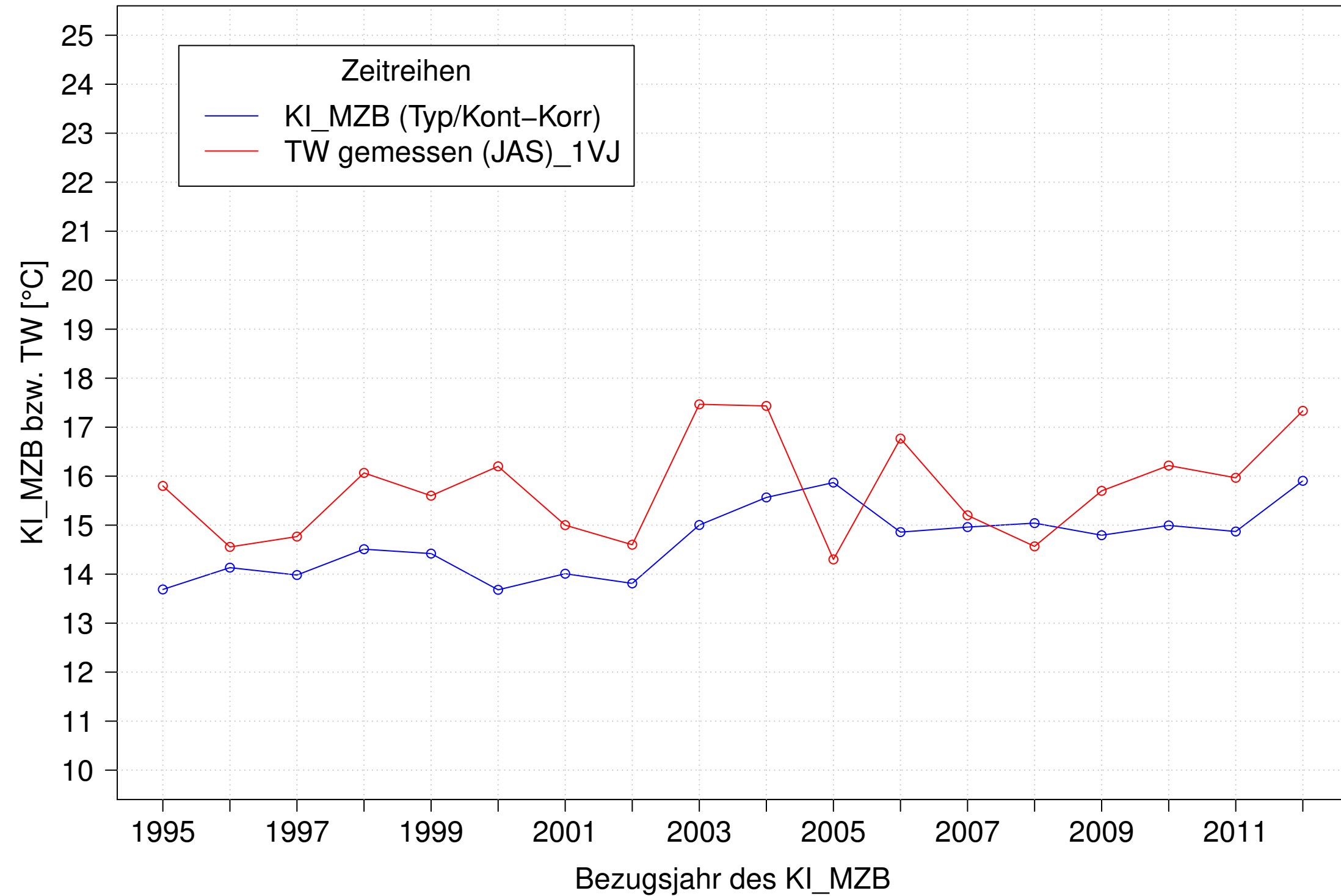
Neckar_Boerstingen, Typ 09.2 mit Neozoen, Serie 4
KI_MZB (Kont-Korr) und TW interpoliert (Max) des 1. Vorjahres



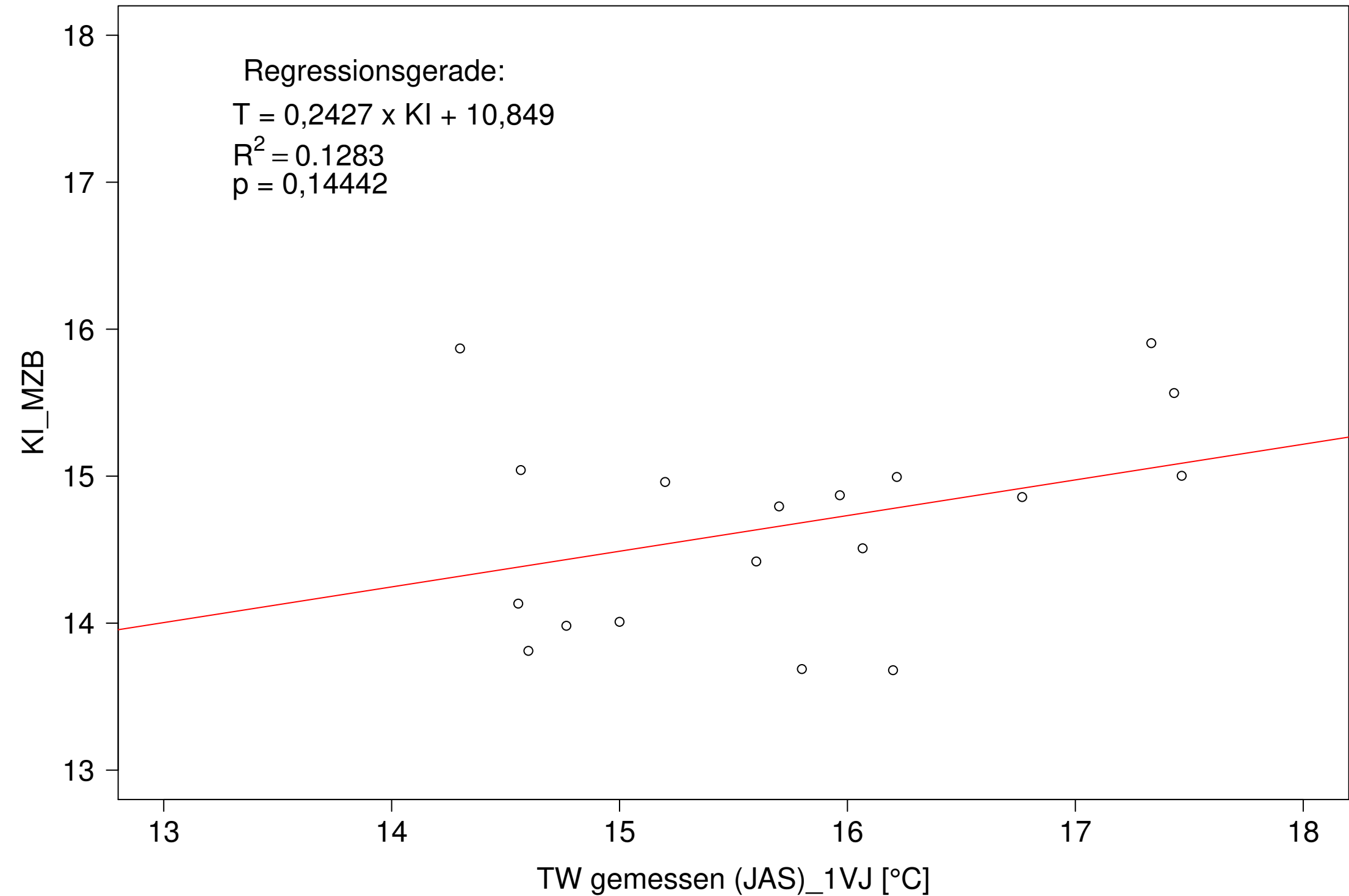
Neckar_Boerstingen, Typ 09.2 mit Neozoen, Serie 4
KI_MZB (Kont-Korr) gegen TW interpoliert (Max) des 1. Vorjahres



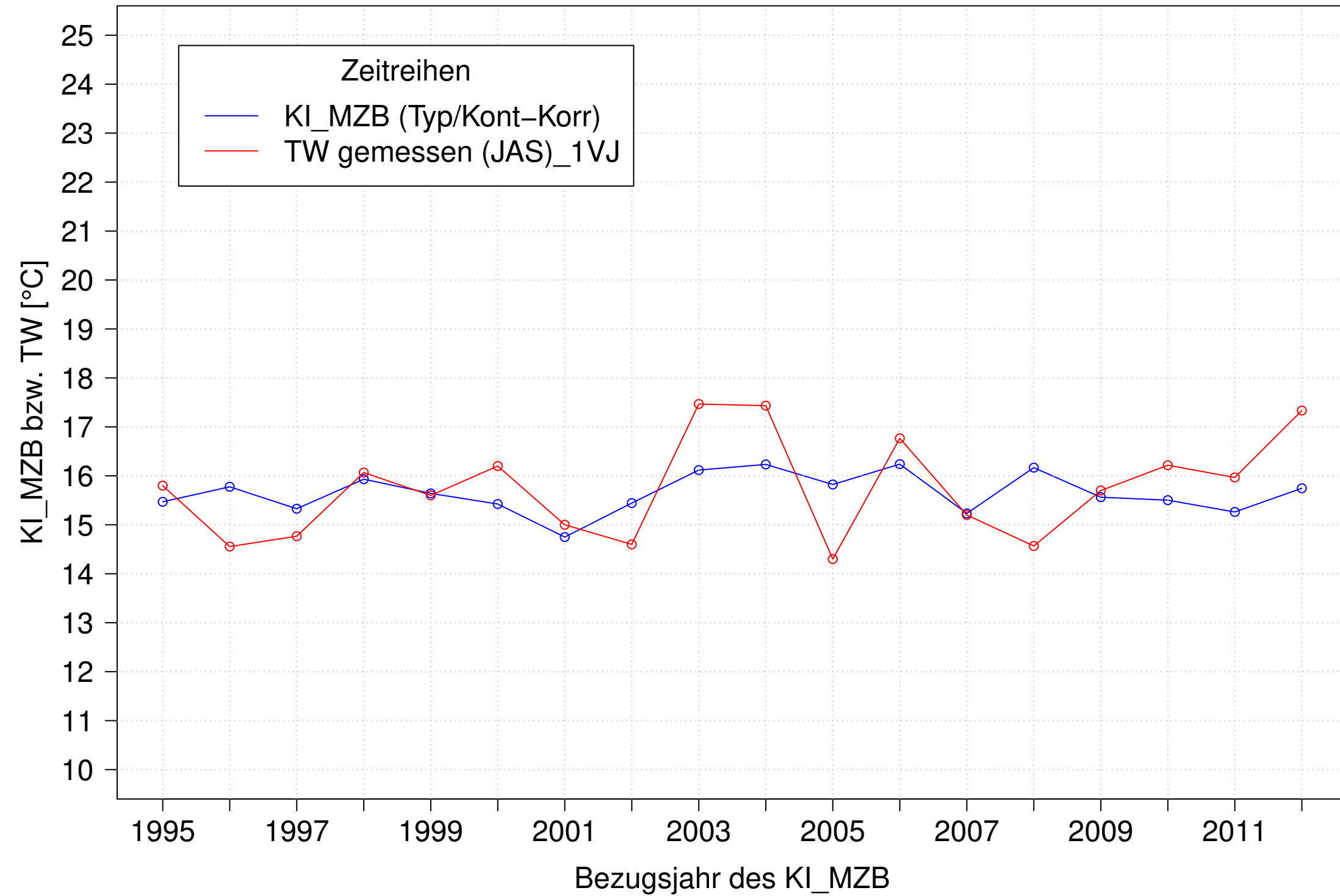
Neckar_Boerstingen, Typ 09.2 mit Neozoen, Serie 1
KI_MZB (Typ/Kont-Korr) und TW gemessen (JAS) des 1. Vorjahres



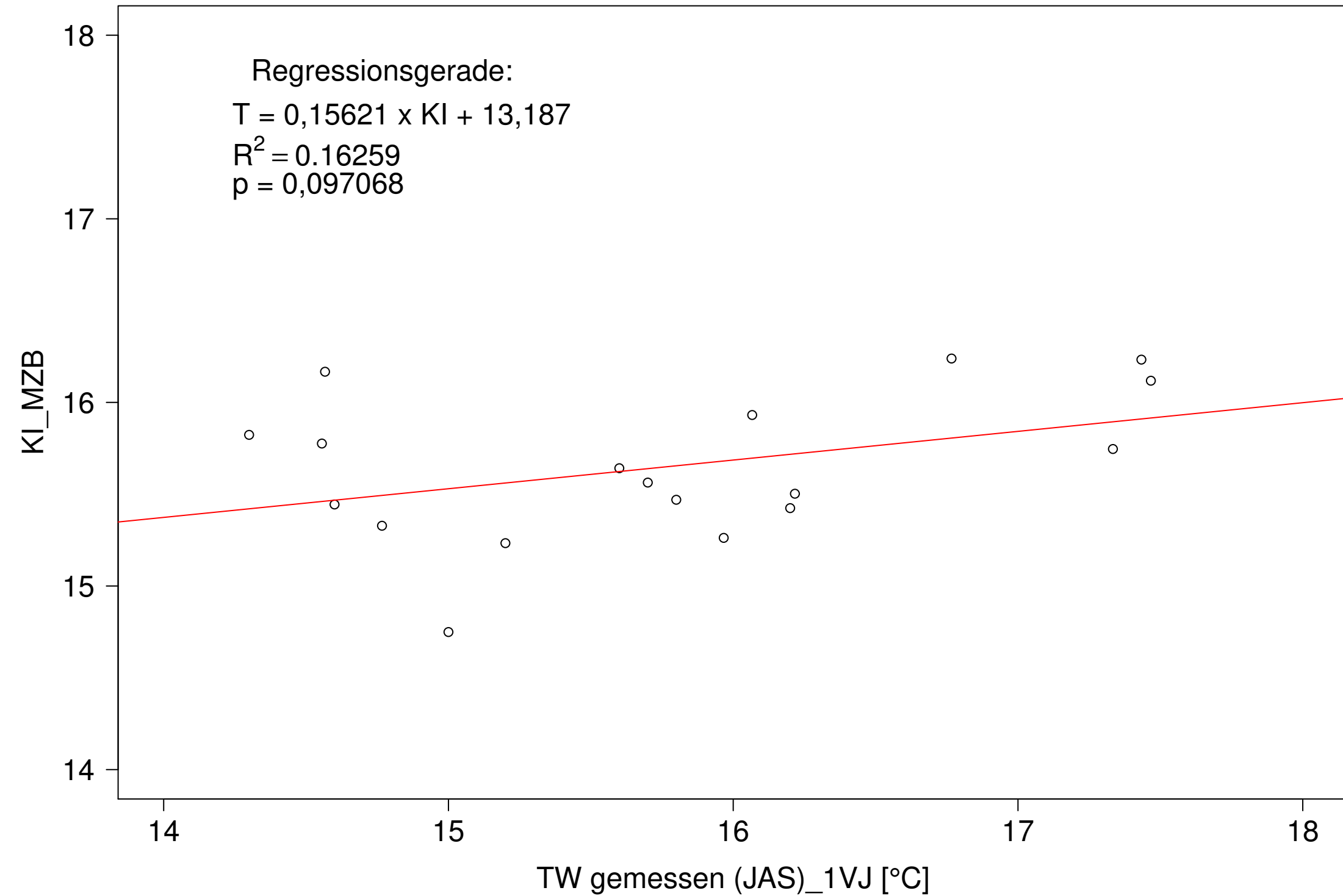
Neckar_Boerstingen, Typ 09.2 mit Neozoen, Serie 1
KI_MZB (Typ/Kont-Korr) gegen TW gemessen (JAS) des 1. Vorjahres



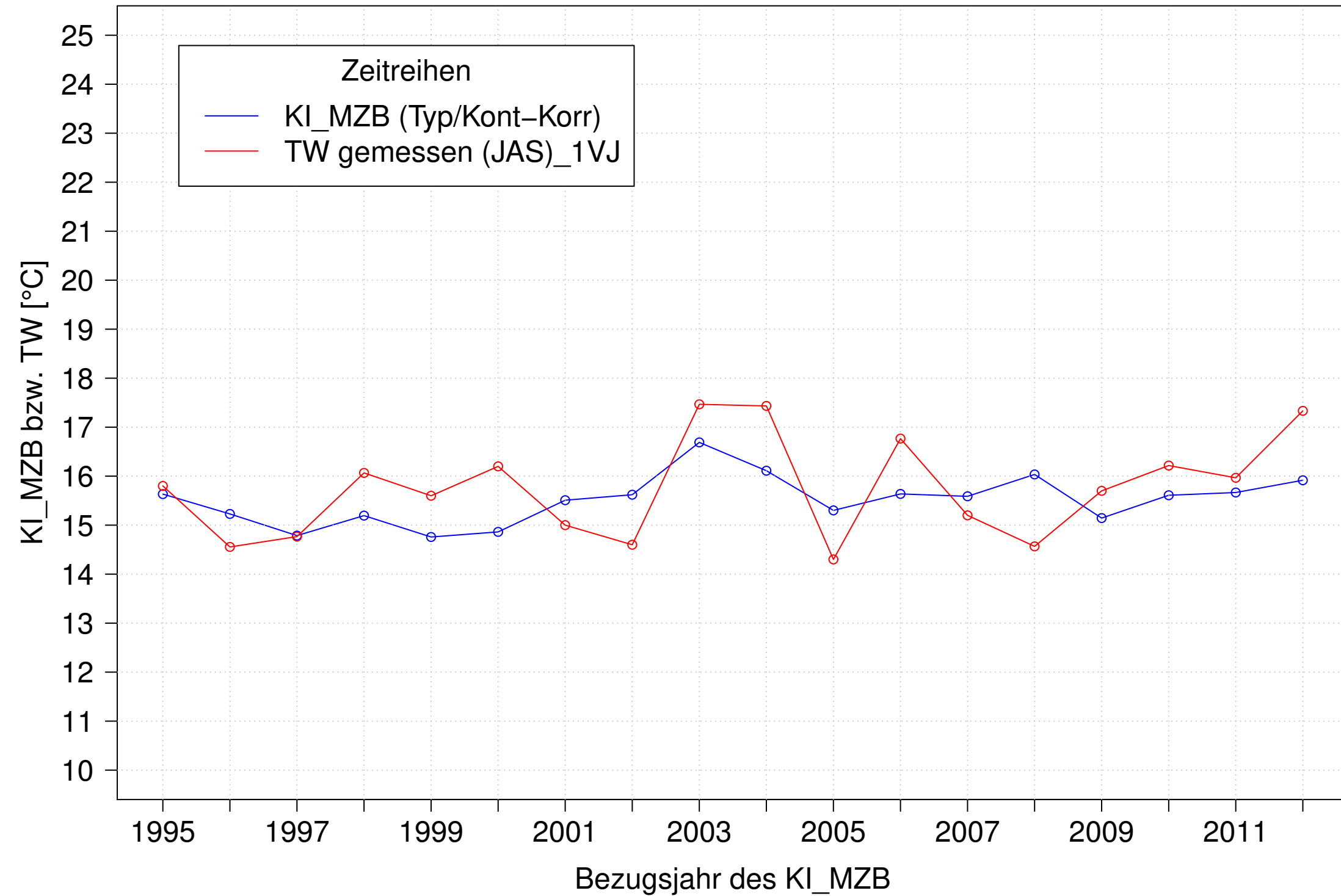
Neckar_Boerstingen, Typ 09.2 mit Neozoen, Serie 2
KI_MZB (Typ/Kont-Korr) und TW gemessen (JAS) des 1. Vorjahres



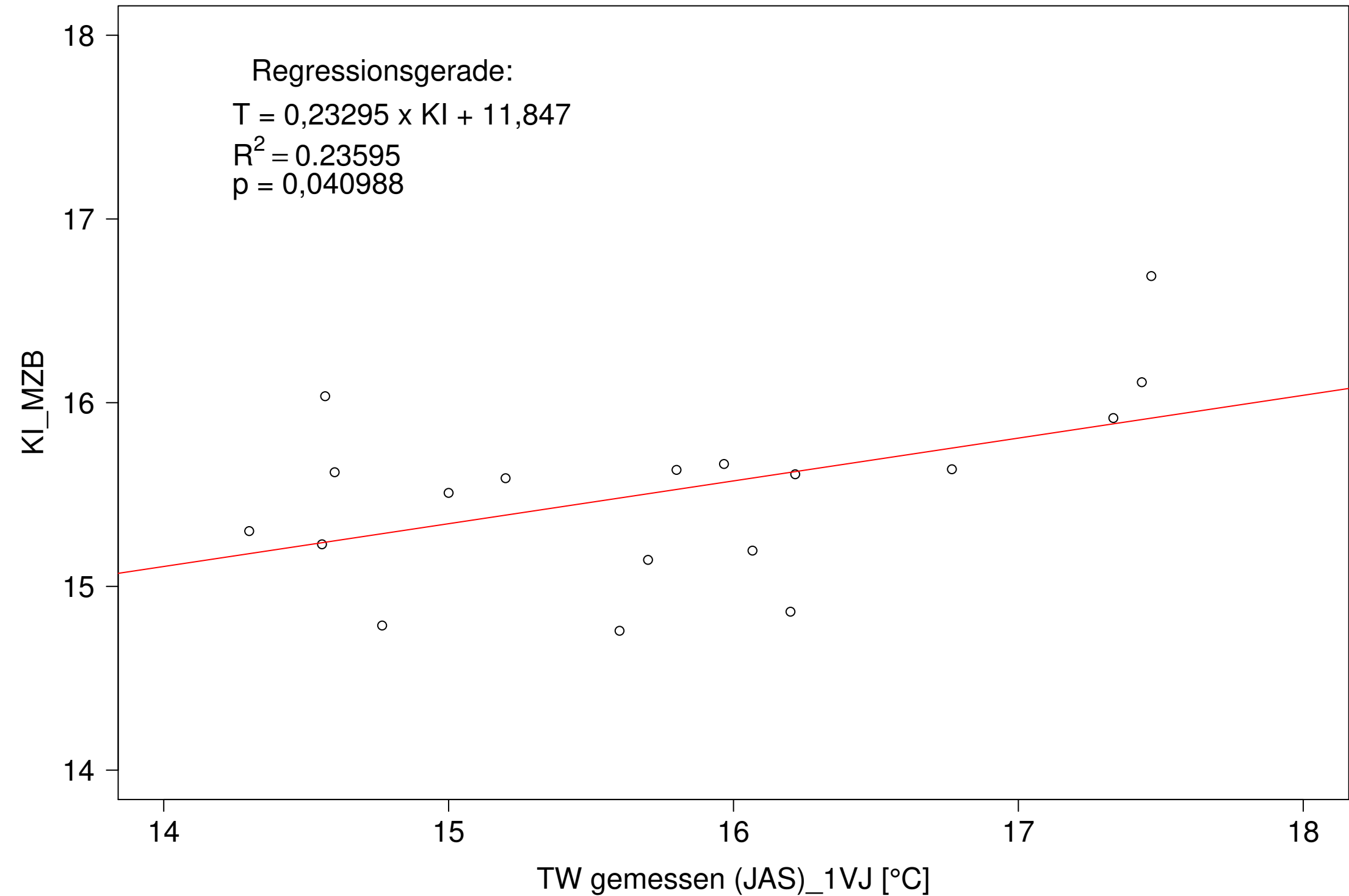
Neckar_Boerstingen, Typ 09.2 mit Neozoen, Serie 2
KI_MZB (Typ/Kont-Korr) gegen TW gemessen (JAS) des 1. Vorjahres



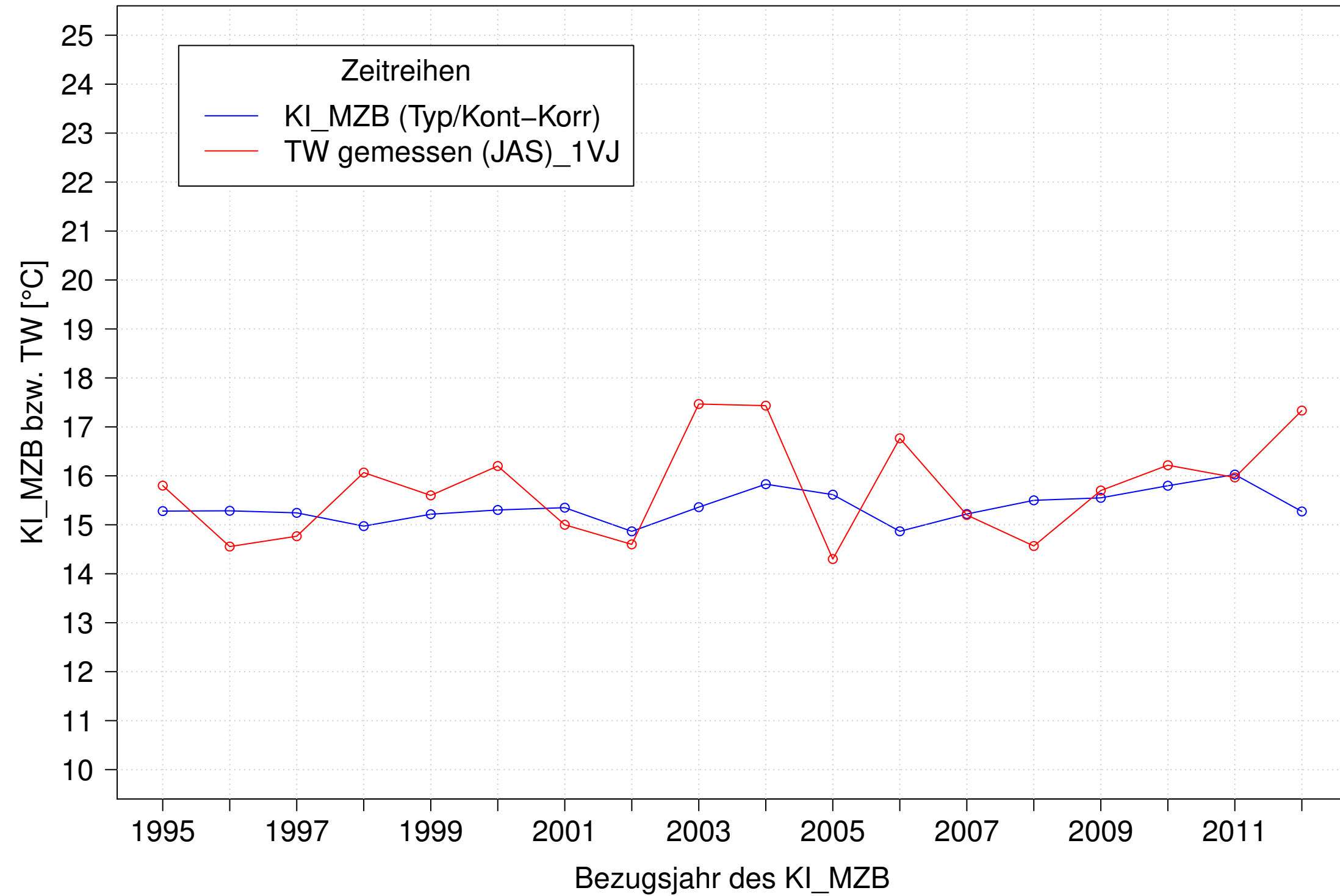
Neckar_Boerstingen, Typ 09.2 mit Neozoen, Serie 3
KI_MZB (Typ/Kont-Korr) und TW gemessen (JAS) des 1. Vorjahres



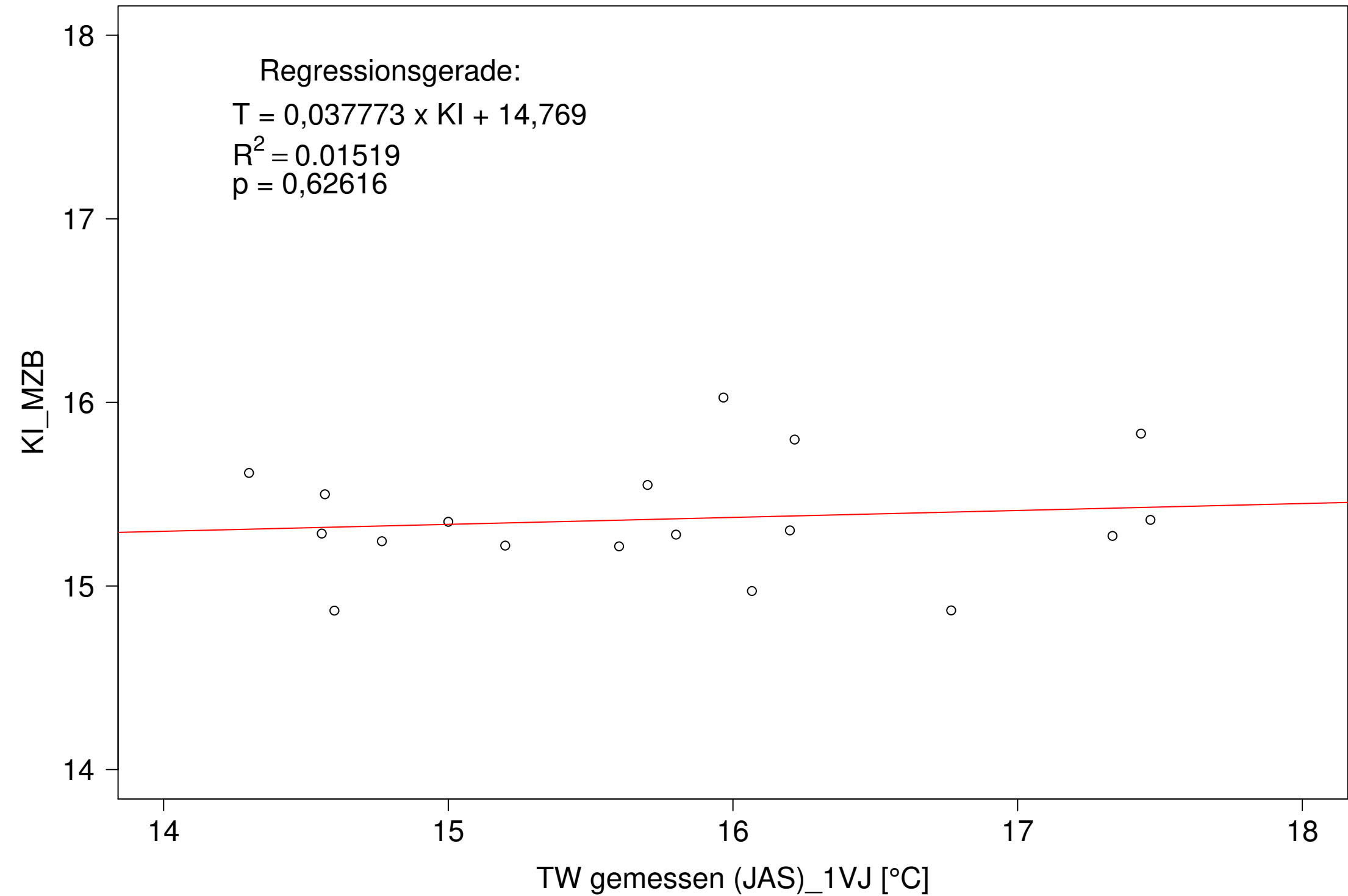
Neckar_Boerstingen, Typ 09.2 mit Neozoen, Serie 3
KI_MZB (Typ/Kont-Korr) gegen TW gemessen (JAS) des 1. Vorjahres



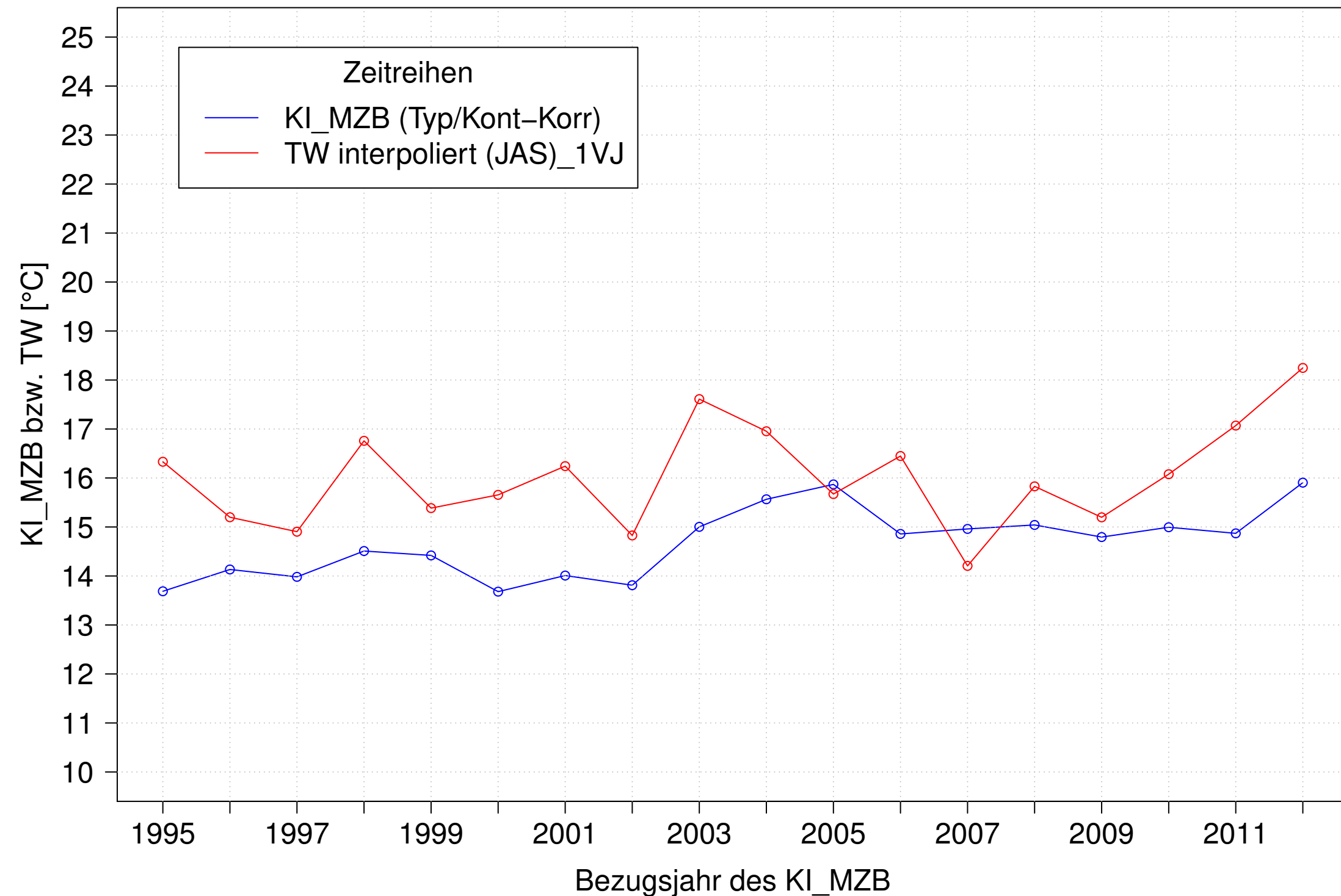
Neckar_Boerstingen, Typ 09.2 mit Neozoen, Serie 4
KI_MZB (Typ/Kont-Korr) und TW gemessen (JAS) des 1. Vorjahres



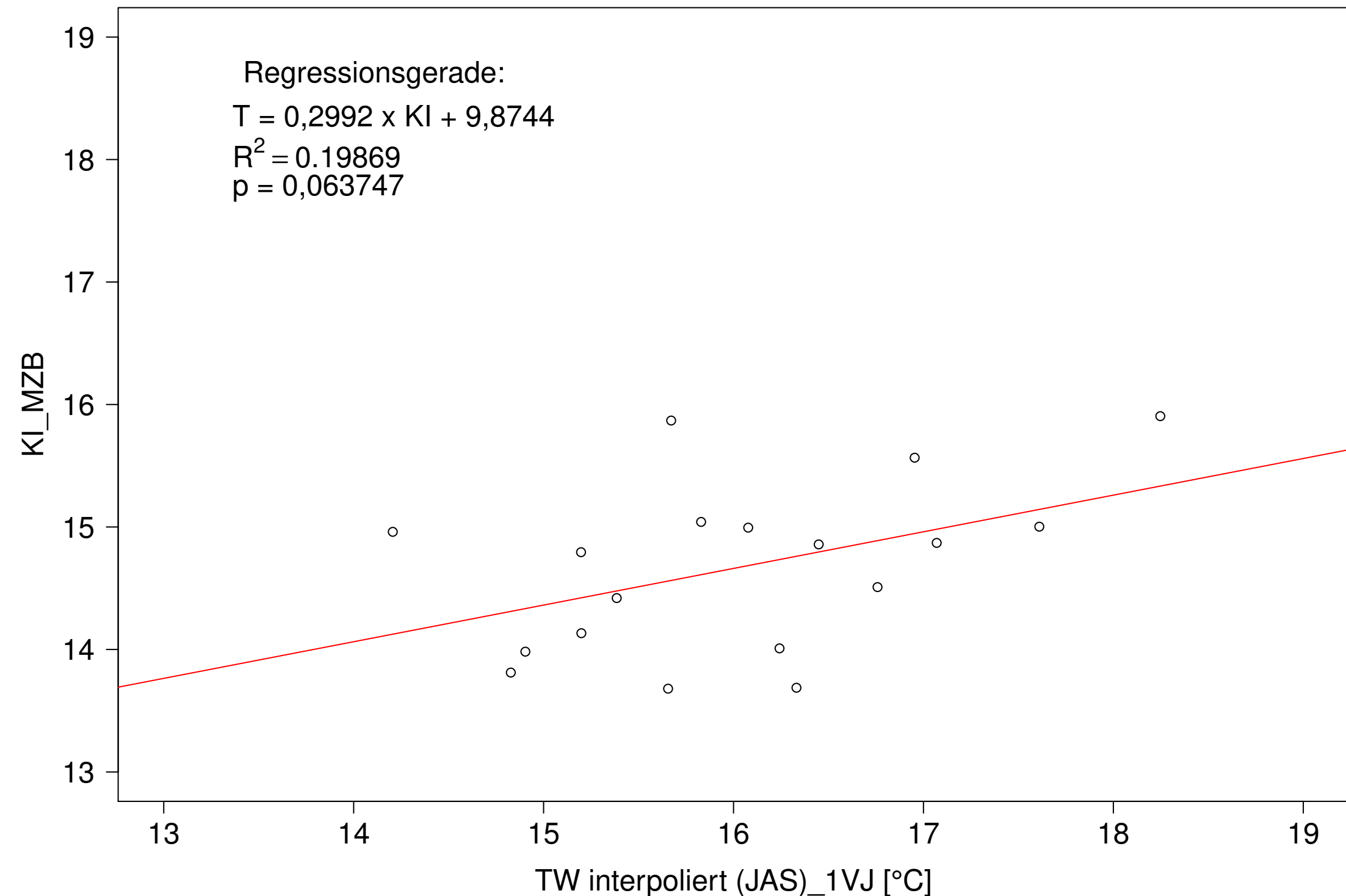
Neckar_Boerstingen, Typ 09.2 mit Neozoen, Serie 4
KI_MZB (Typ/Kont-Korr) gegen TW gemessen (JAS) des 1. Vorjahres



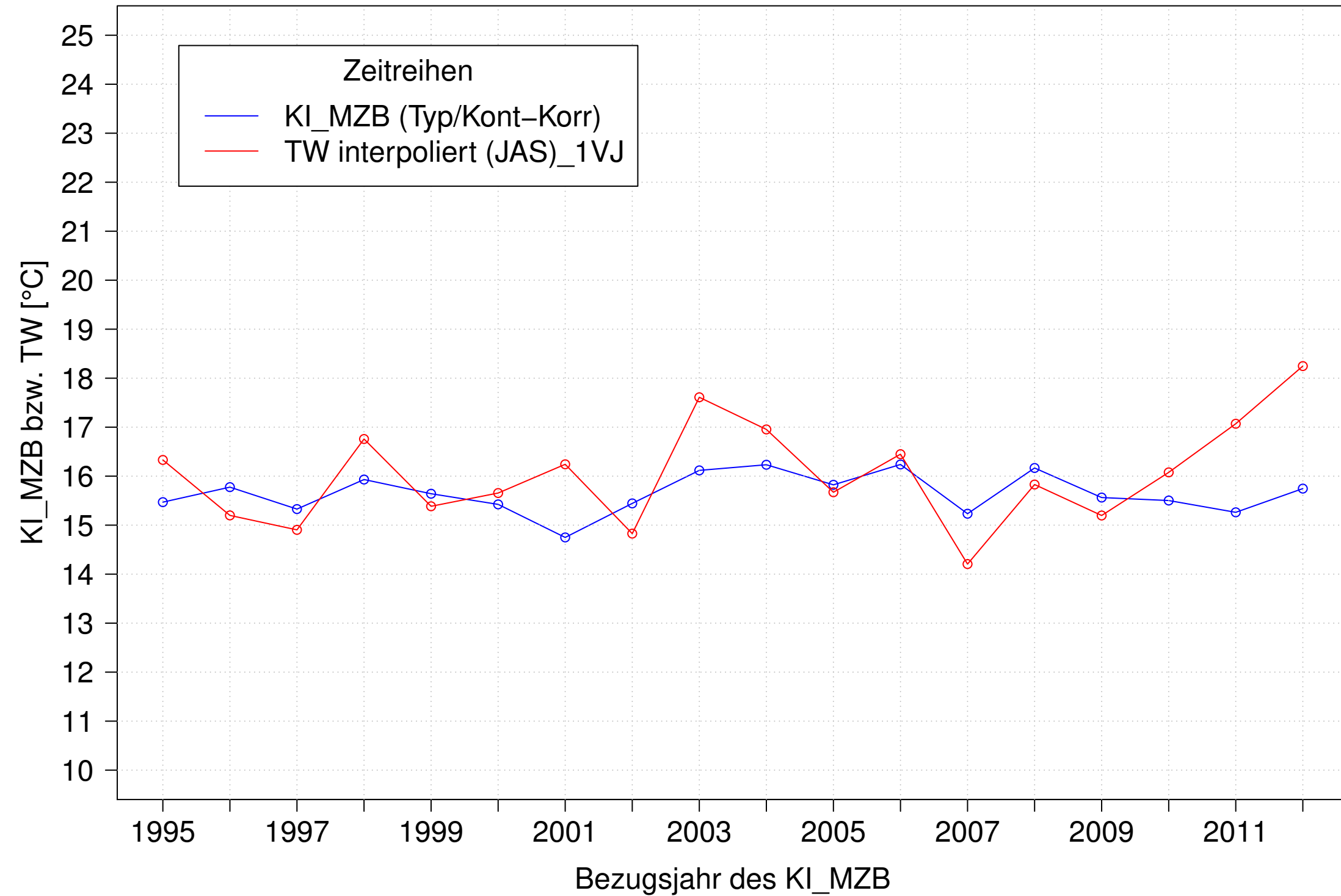
Neckar_Boerstingen, Typ 09.2 mit Neozoen, Serie 1
KI_MZB (Typ/Kont-Korr) und TW interpoliert (JAS) des 1. Vorjahres



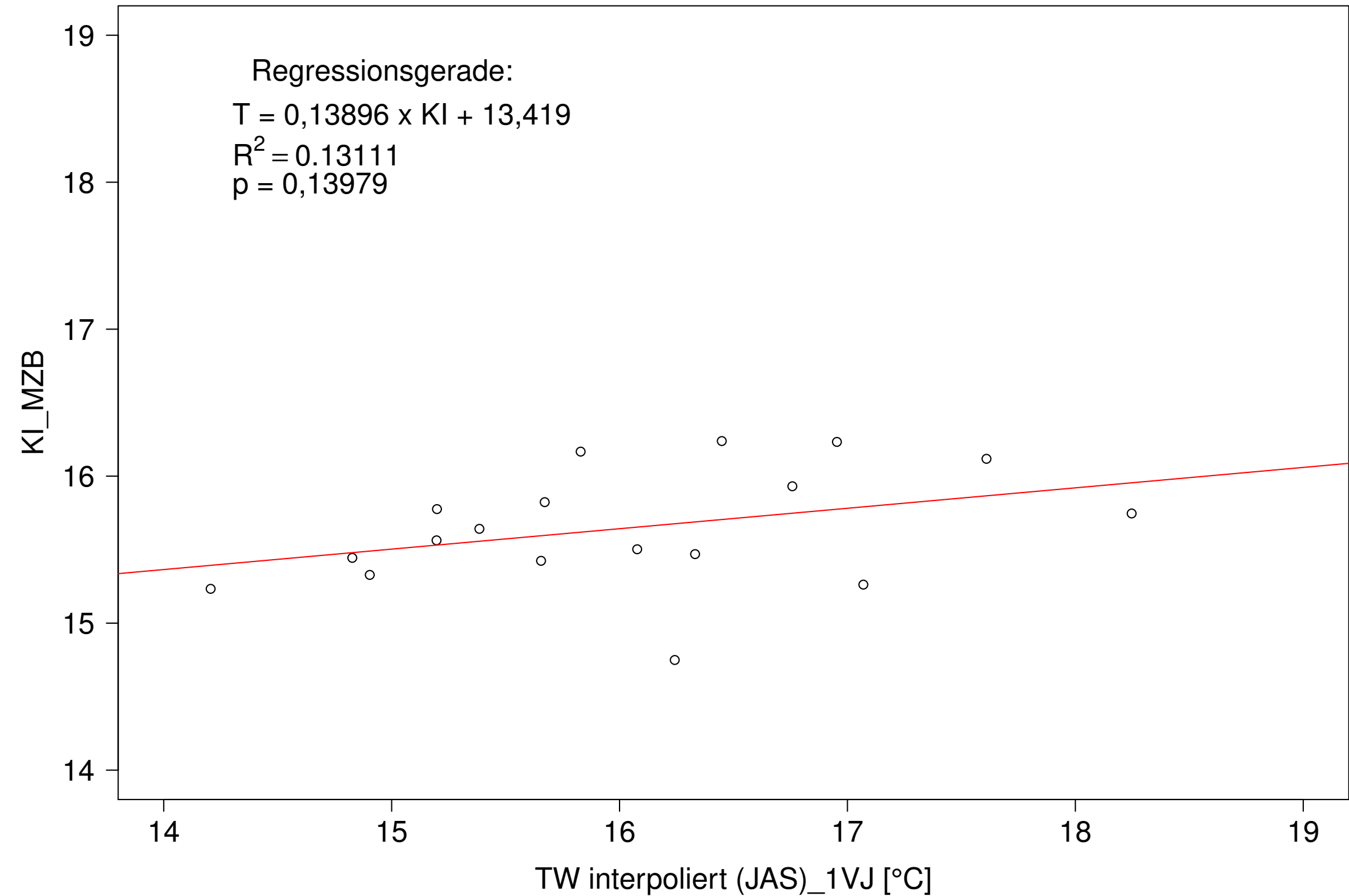
Neckar_Boerstingen, Typ 09.2 mit Neozoen, Serie 1
KI_MZB (Typ/Kont-Korr) gegen TW interpoliert (JAS) des 1. Vorjahres



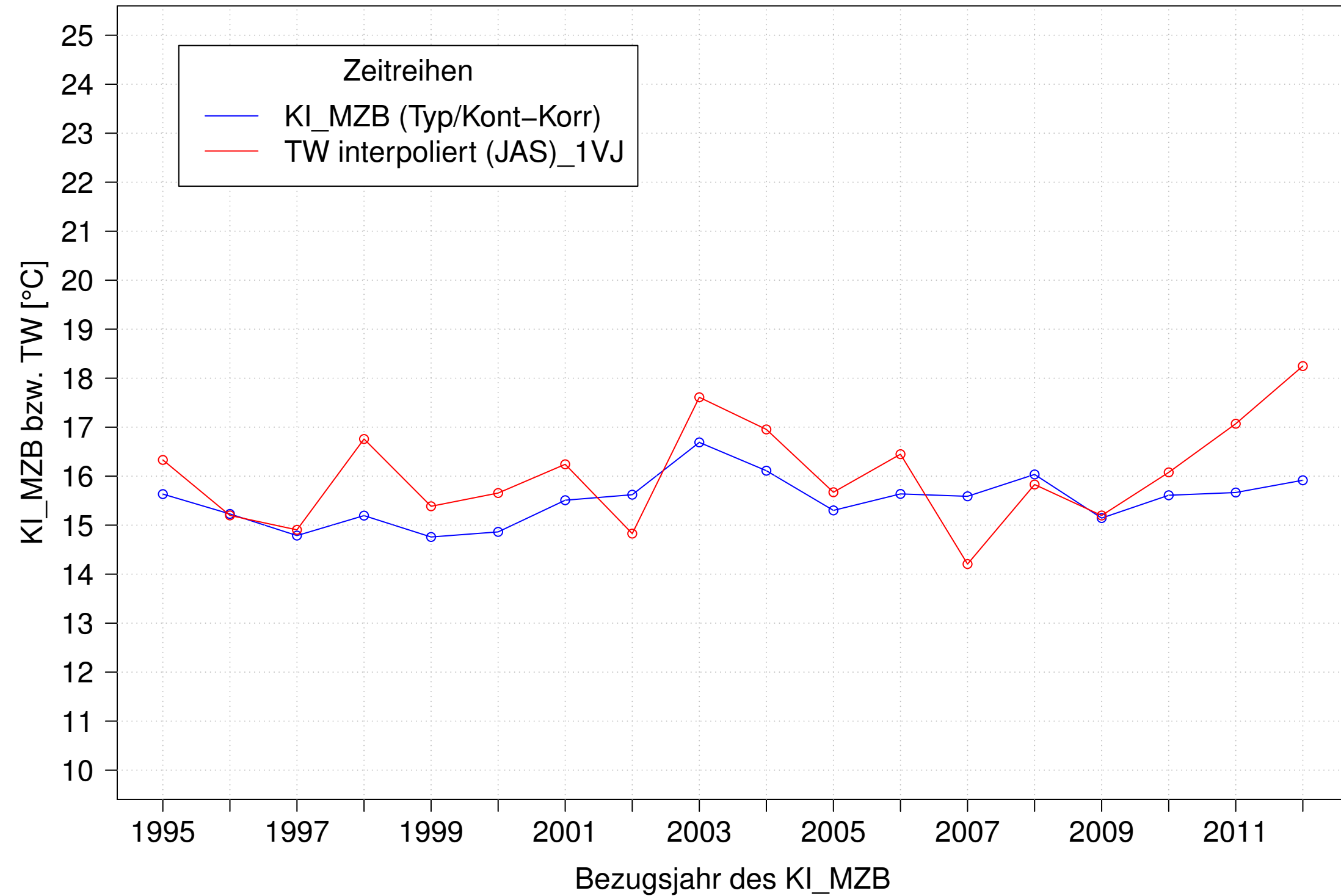
Neckar_Boerstingen, Typ 09.2 mit Neozoen, Serie 2
KI_MZB (Typ/Kont-Korr) und TW interpoliert (JAS) des 1. Vorjahres



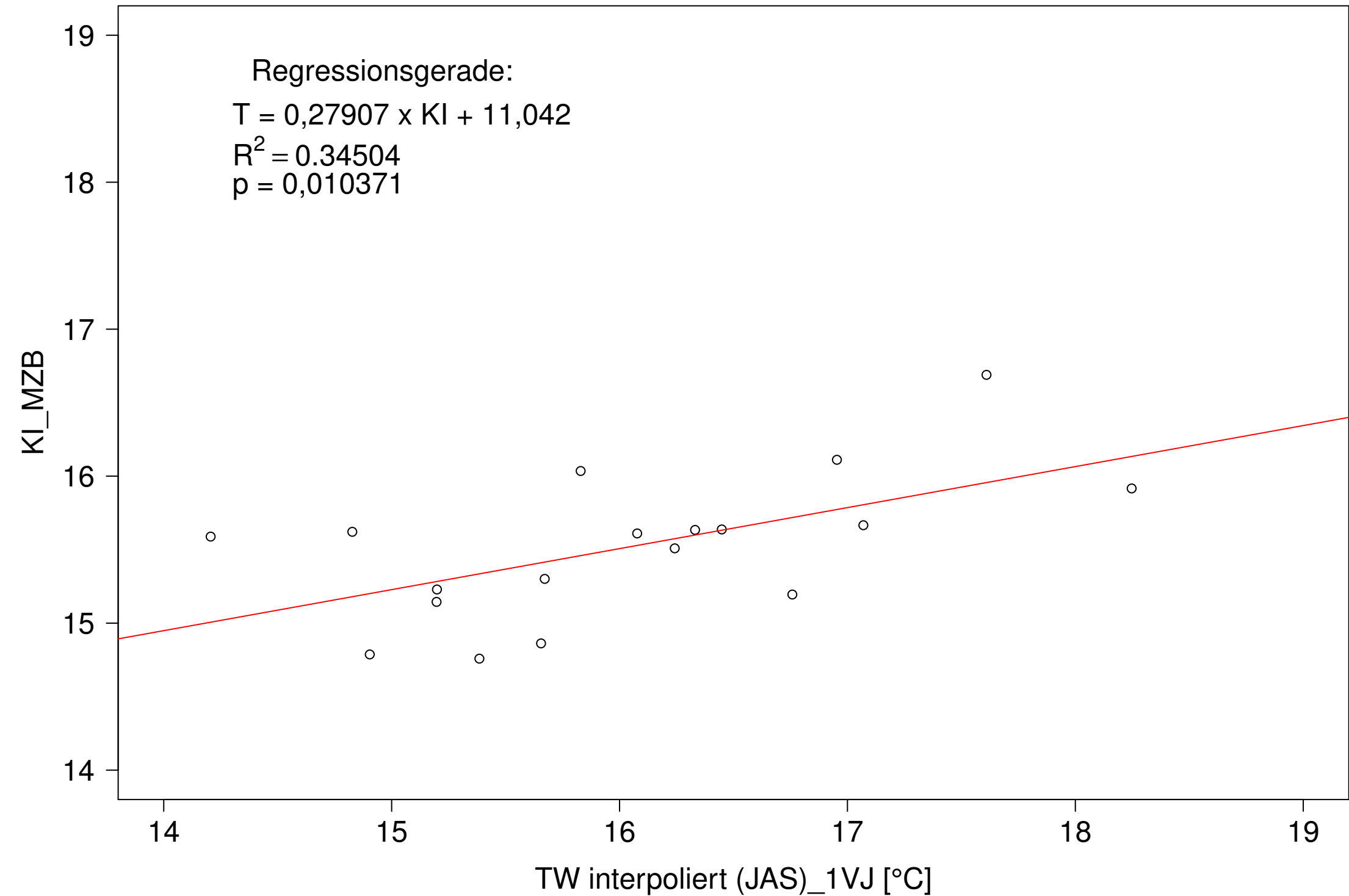
Neckar_Boerstingen, Typ 09.2 mit Neozoen, Serie 2
KI_MZB (Typ/Kont-Korr) gegen TW interpoliert (JAS) des 1. Vorjahres



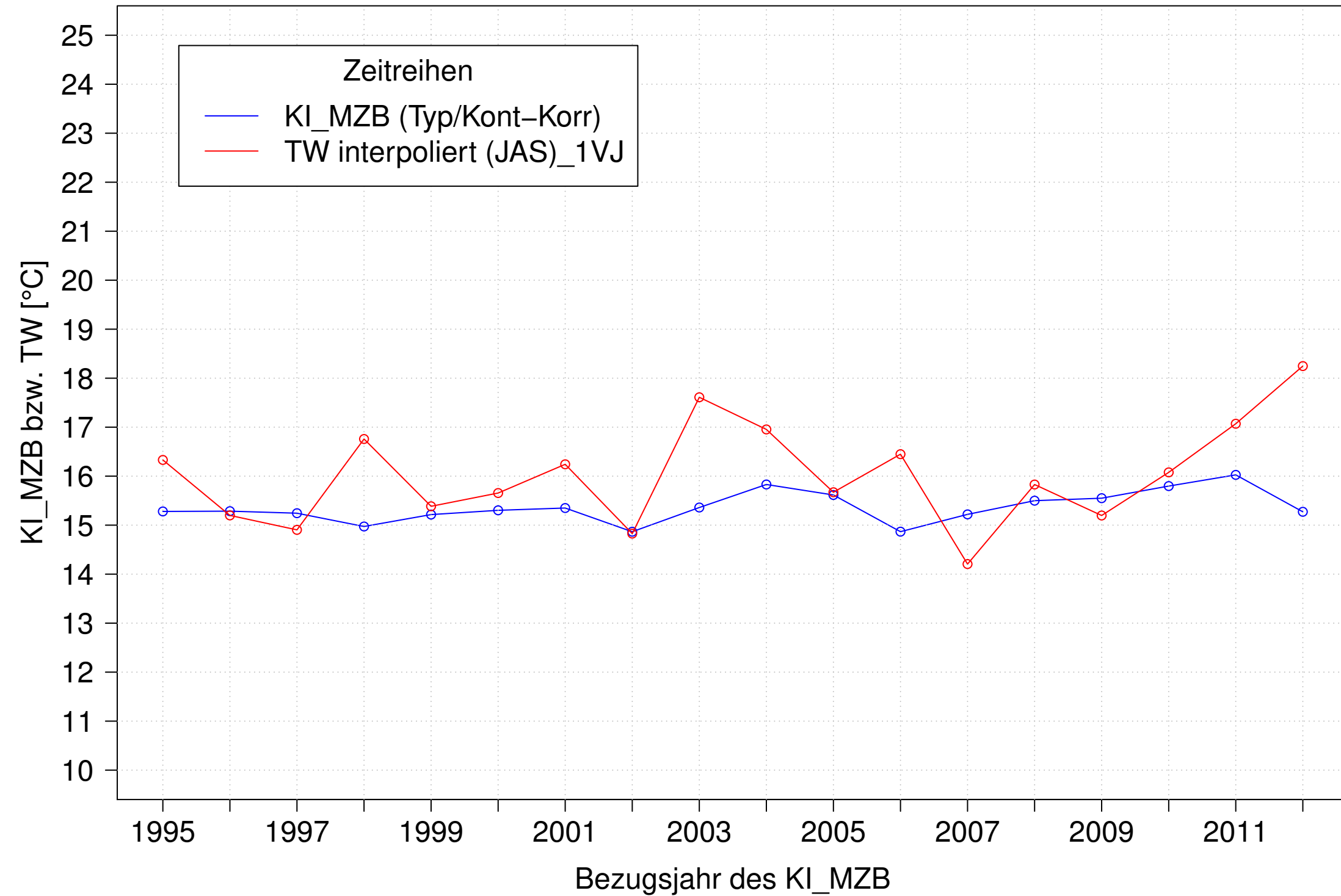
Neckar_Boerstingen, Typ 09.2 mit Neozoen, Serie 3
KI_MZB (Typ/Kont-Korr) und TW interpoliert (JAS) des 1. Vorjahres



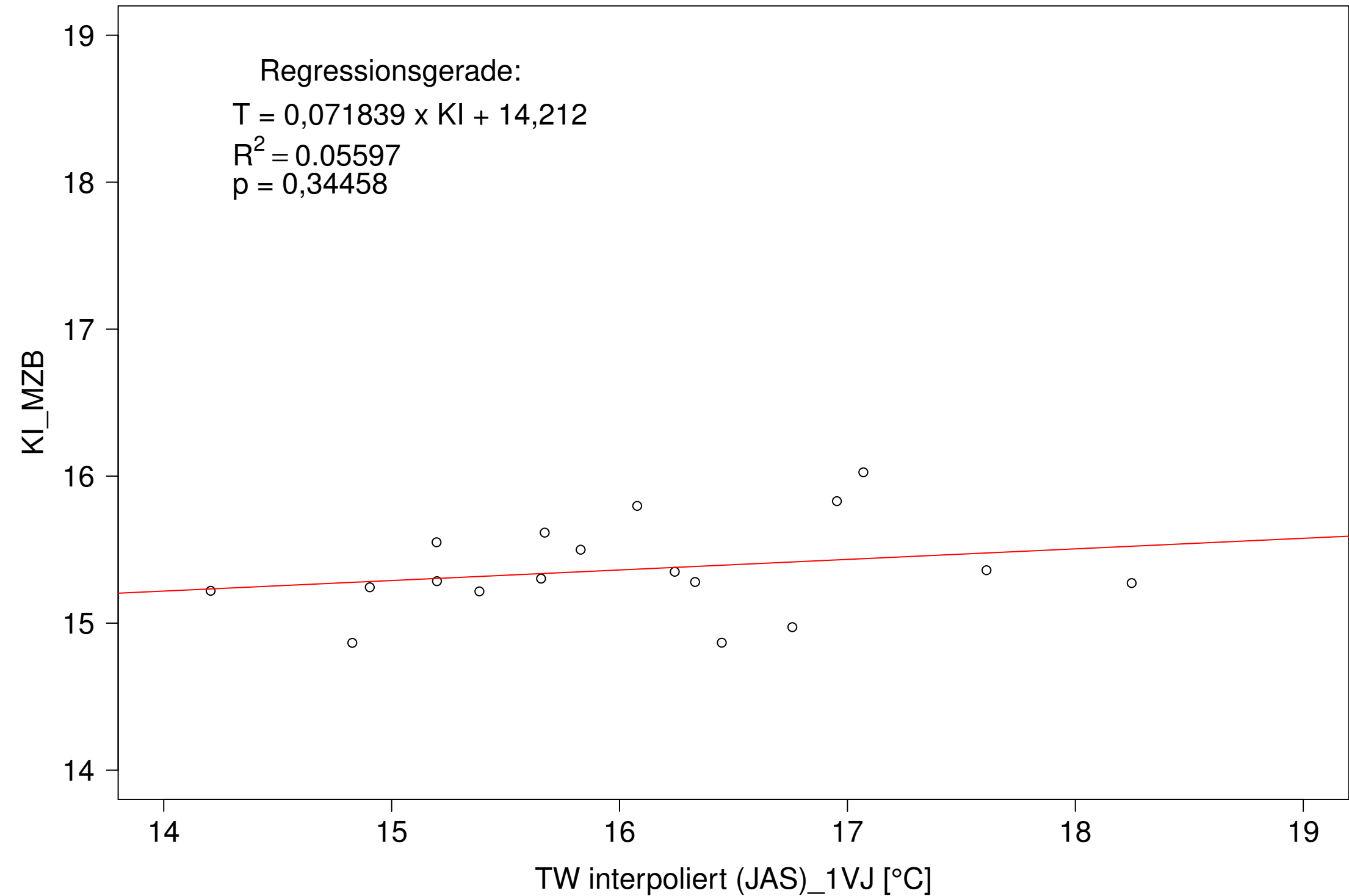
Neckar_Boerstingen, Typ 09.2 mit Neozoen, Serie 3
KI_MZB (Typ/Kont-Korr) gegen TW interpoliert (JAS) des 1. Vorjahres



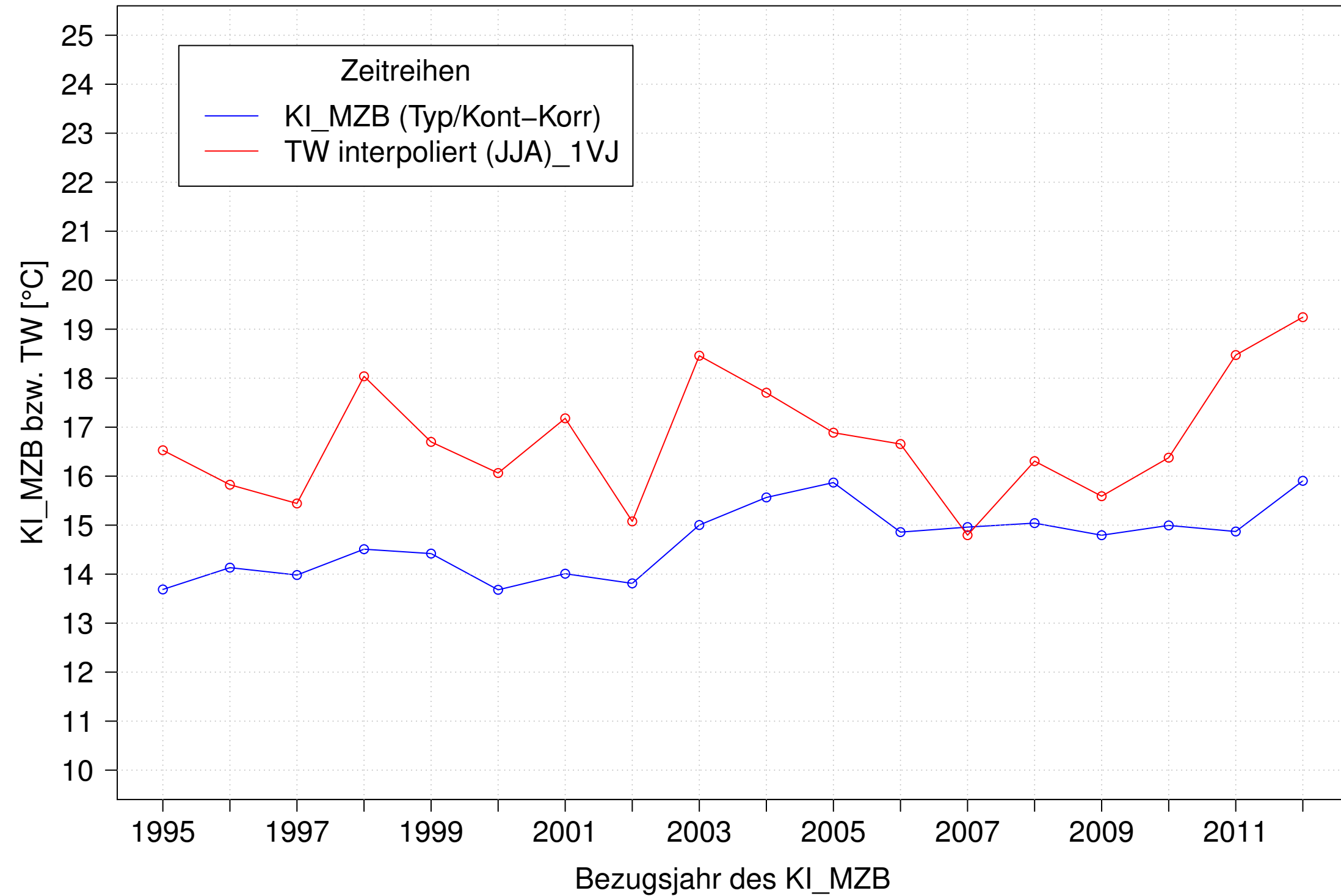
Neckar_Boerstingen, Typ 09.2 mit Neozoen, Serie 4
KI_MZB (Typ/Kont-Korr) und TW interpoliert (JAS) des 1. Vorjahres



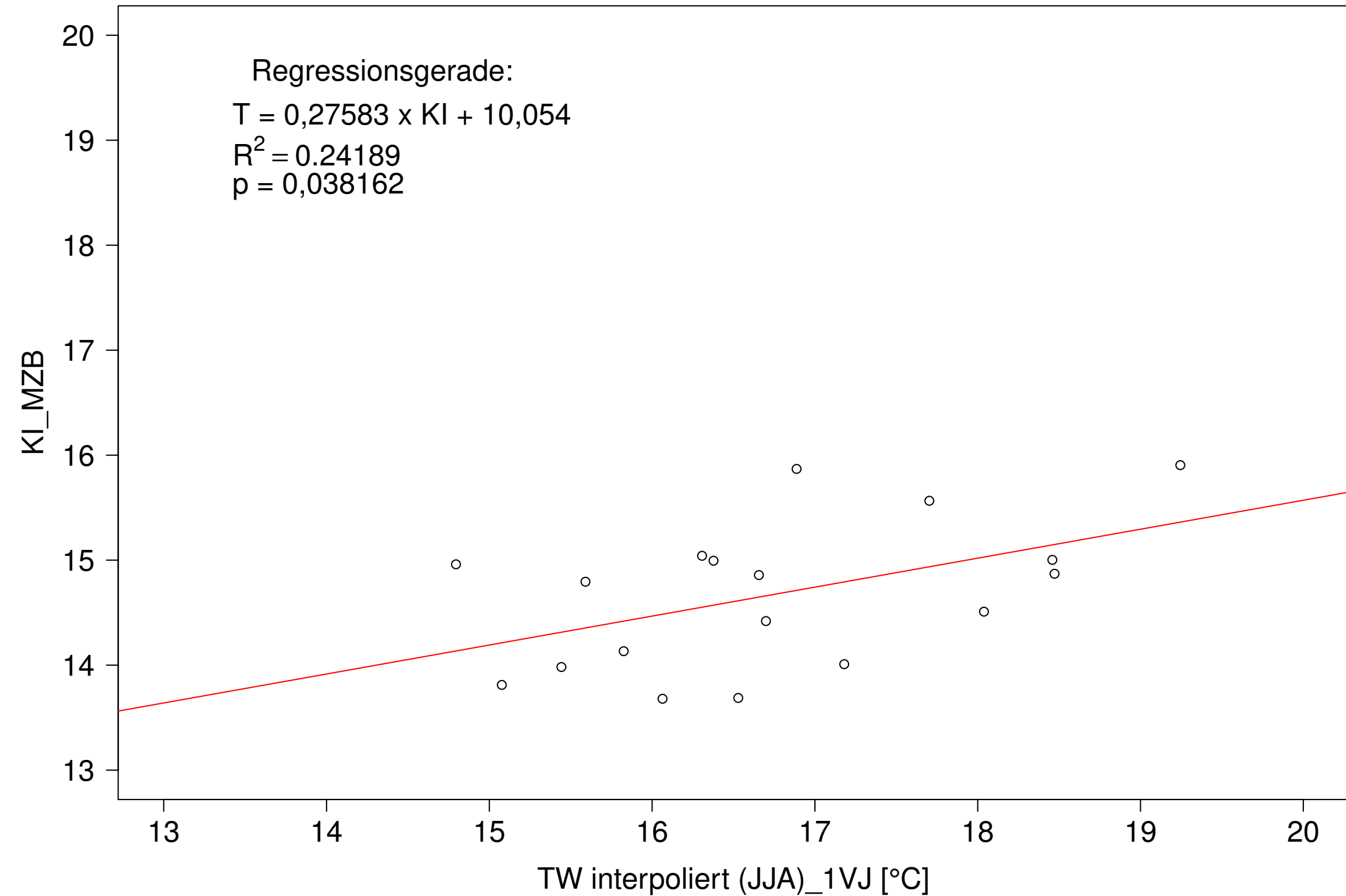
Neckar_Boerstingen, Typ 09.2 mit Neozoen, Serie 4
KI_MZB (Typ/Kont-Korr) gegen TW interpoliert (JAS) des 1. Vorjahres



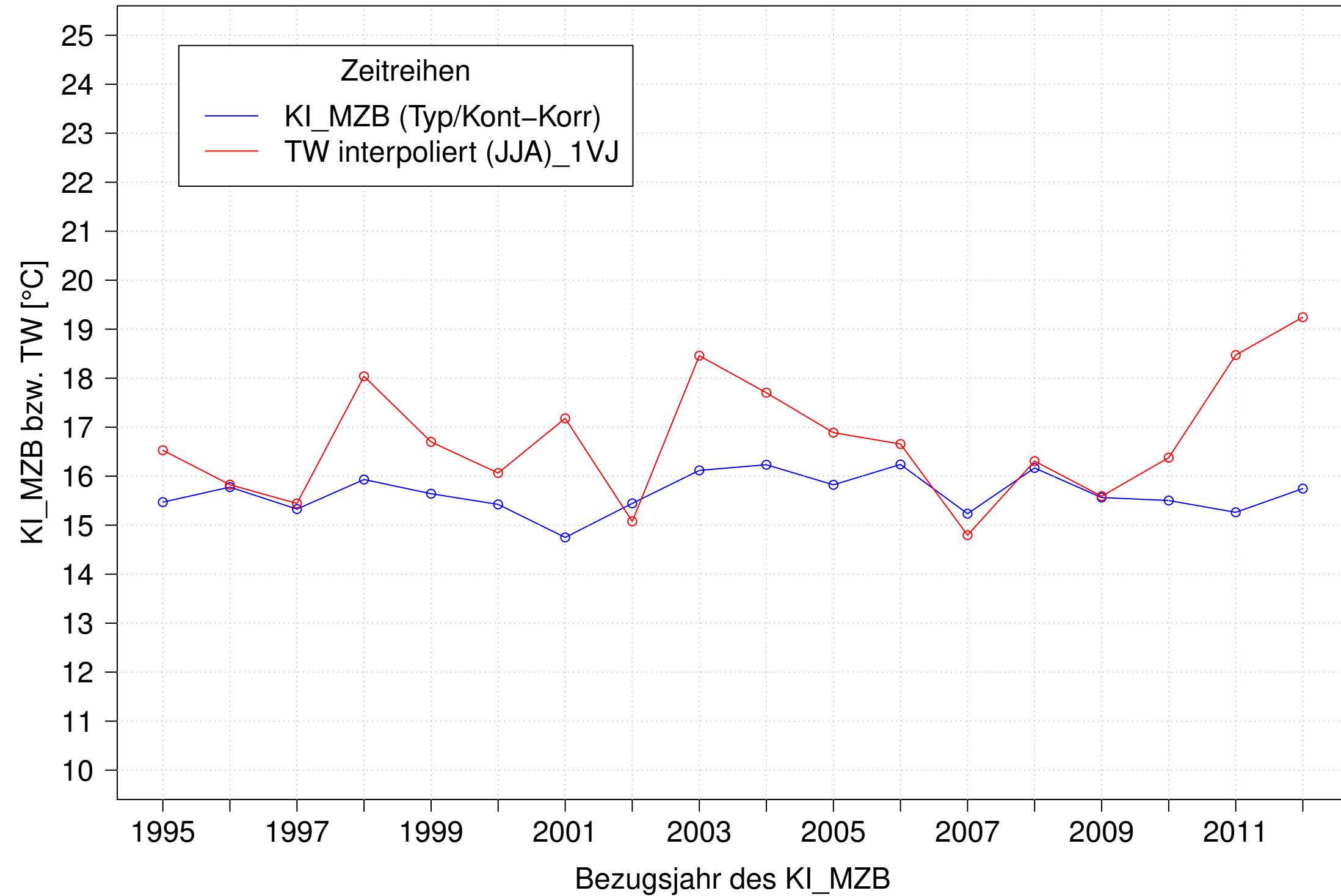
Neckar_Boerstingen, Typ 09.2 mit Neozoen, Serie 1
KI_MZB (Typ/Kont-Korr) und TW interpoliert (JJA) des 1. Vorjahres



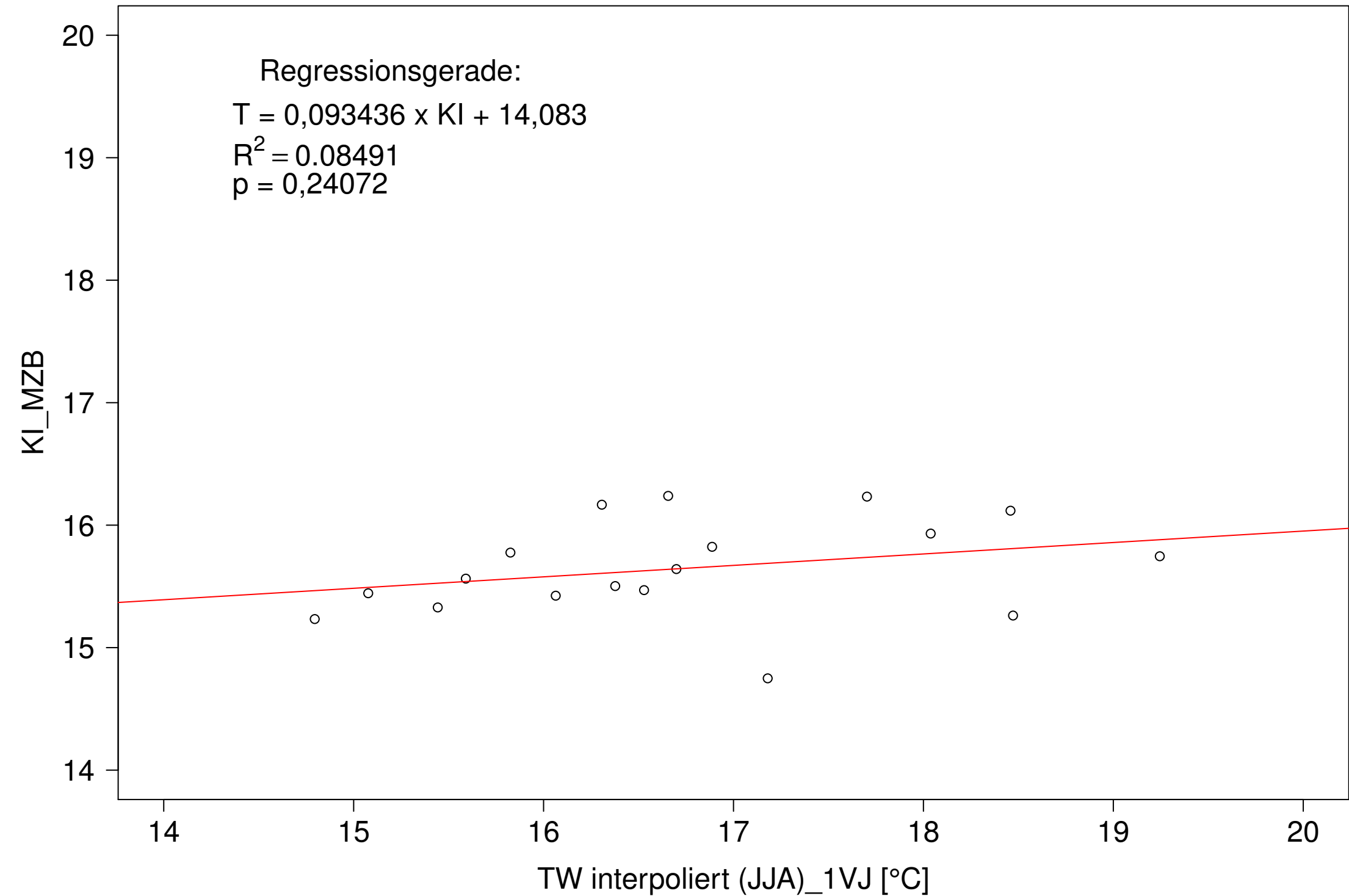
Neckar_Boerstingen, Typ 09.2 mit Neozoen, Serie 1
KI_MZB (Typ/Kont-Korr) gegen TW interpoliert (JJA) des 1. Vorjahres



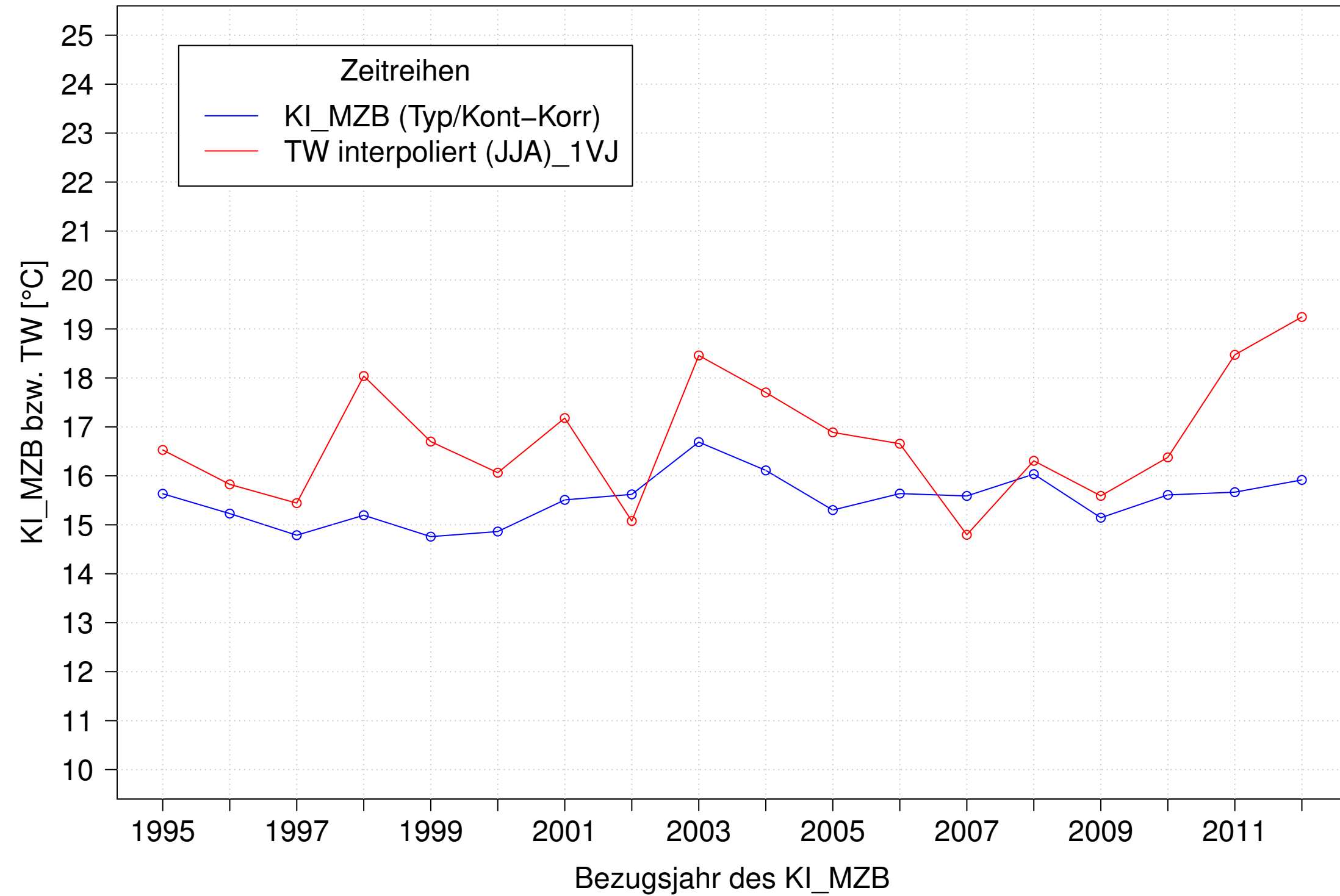
Neckar_Boerstingen, Typ 09.2 mit Neozoen, Serie 2
KI_MZB (Typ/Kont-Korr) und TW interpoliert (JJA) des 1. Vorjahres



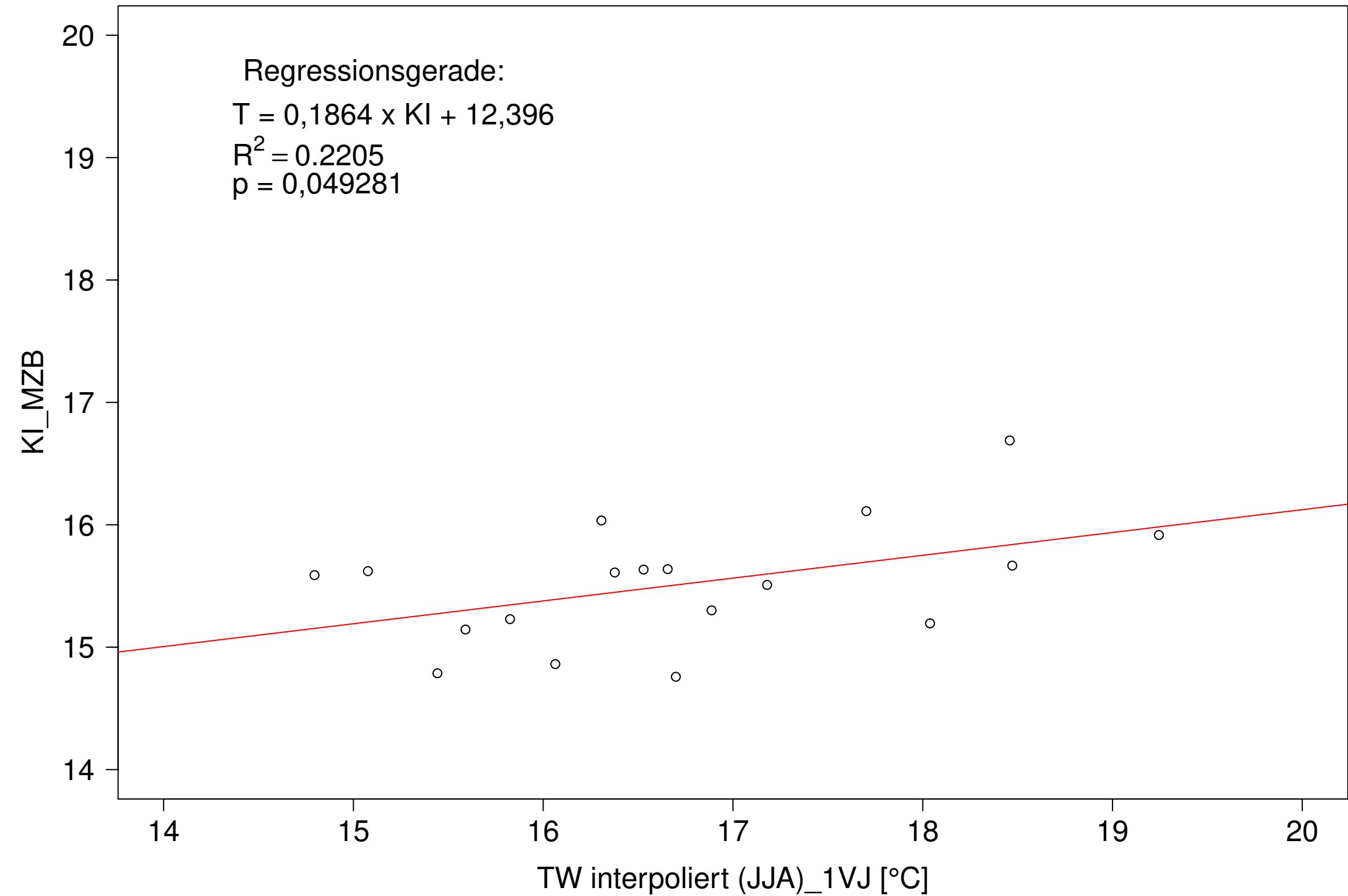
Neckar_Boerstingen, Typ 09.2 mit Neozoen, Serie 2
KI_MZB (Typ/Kont-Korr) gegen TW interpoliert (JJA) des 1. Vorjahres



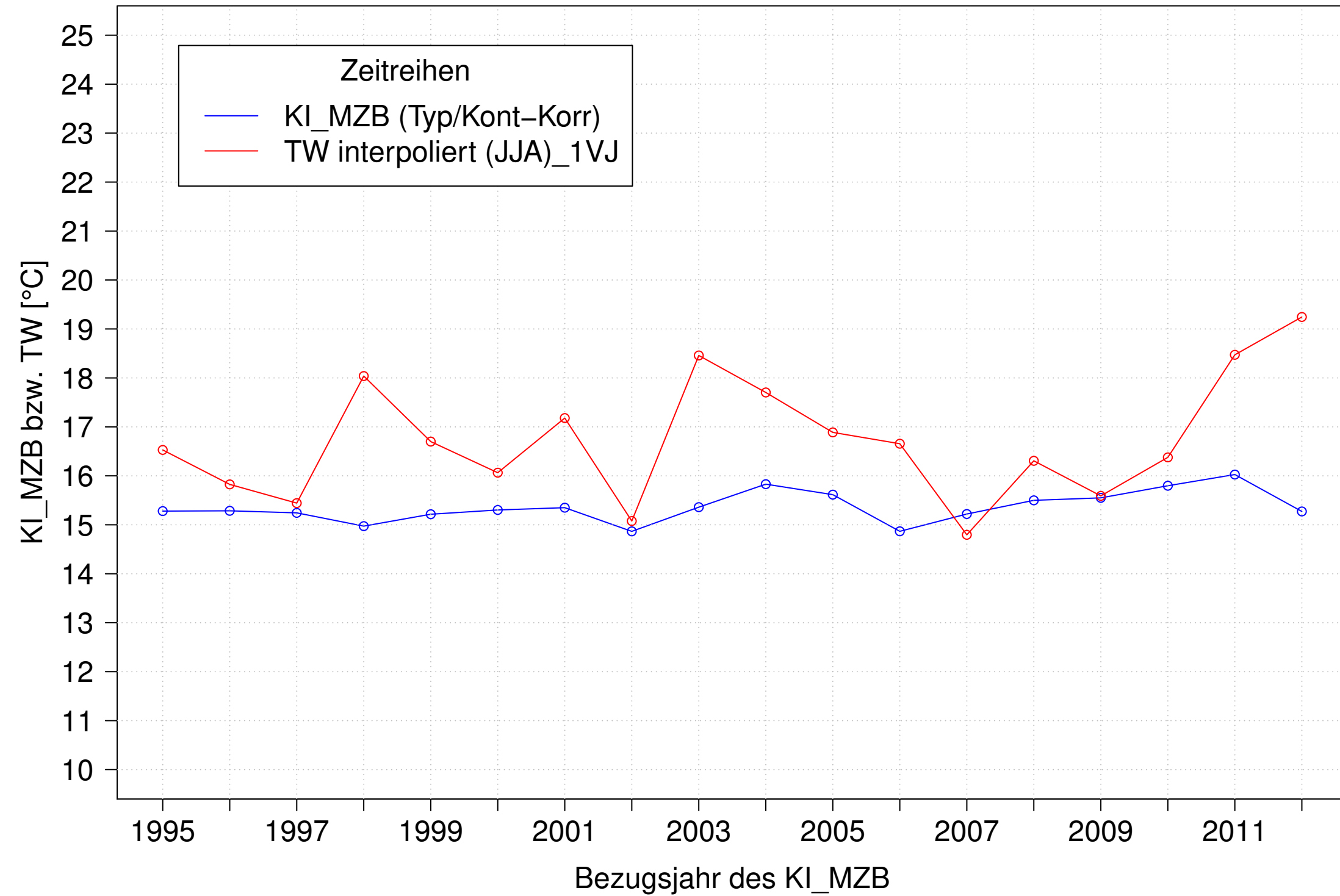
Neckar_Boerstingen, Typ 09.2 mit Neozoen, Serie 3
KI_MZB (Typ/Kont-Korr) und TW interpoliert (JJA) des 1. Vorjahres



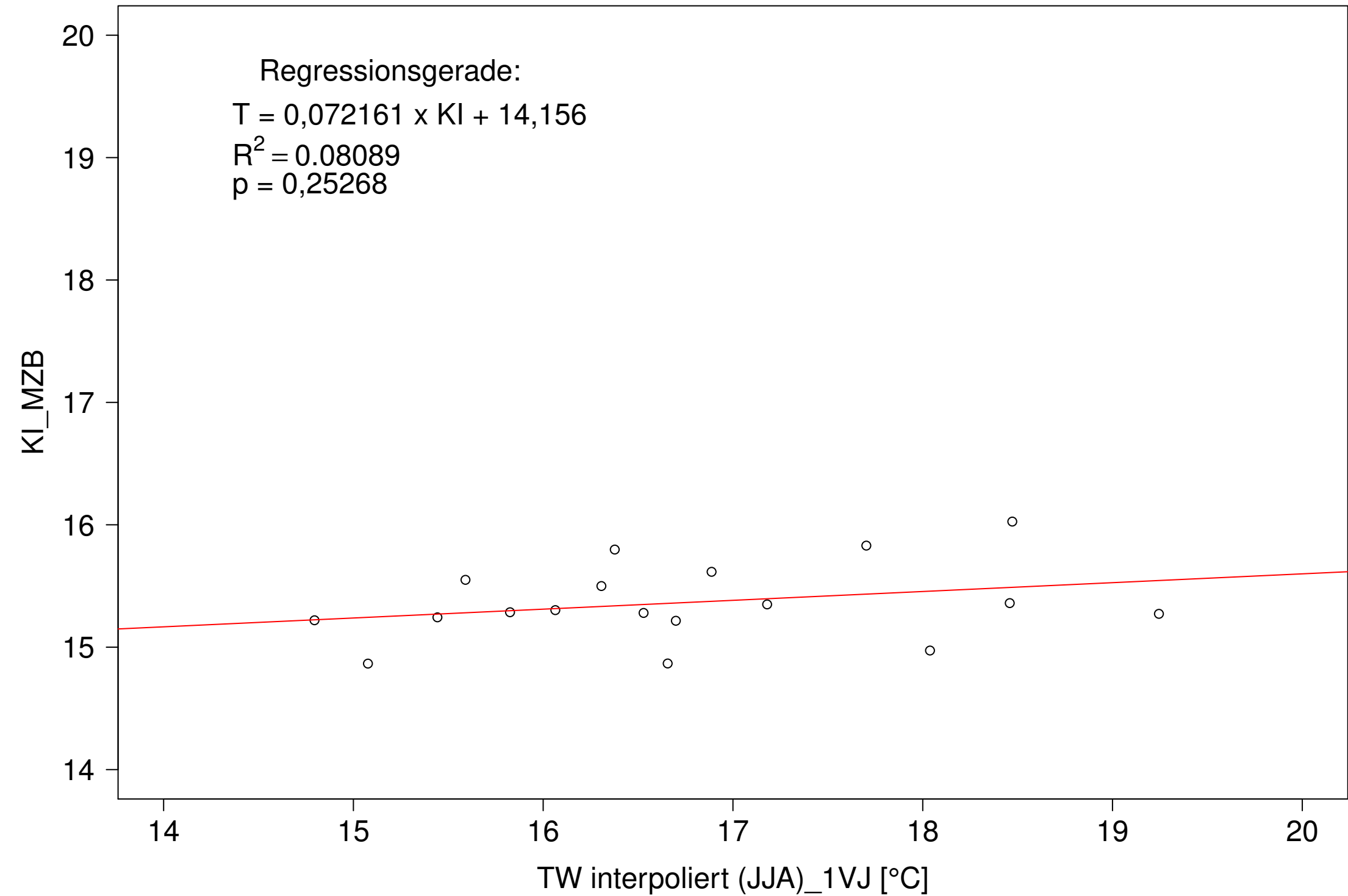
Neckar_Boerstingen, Typ 09.2 mit Neozoen, Serie 3
KI_MZB (Typ/Kont-Korr) gegen TW interpoliert (JJA) des 1. Vorjahres



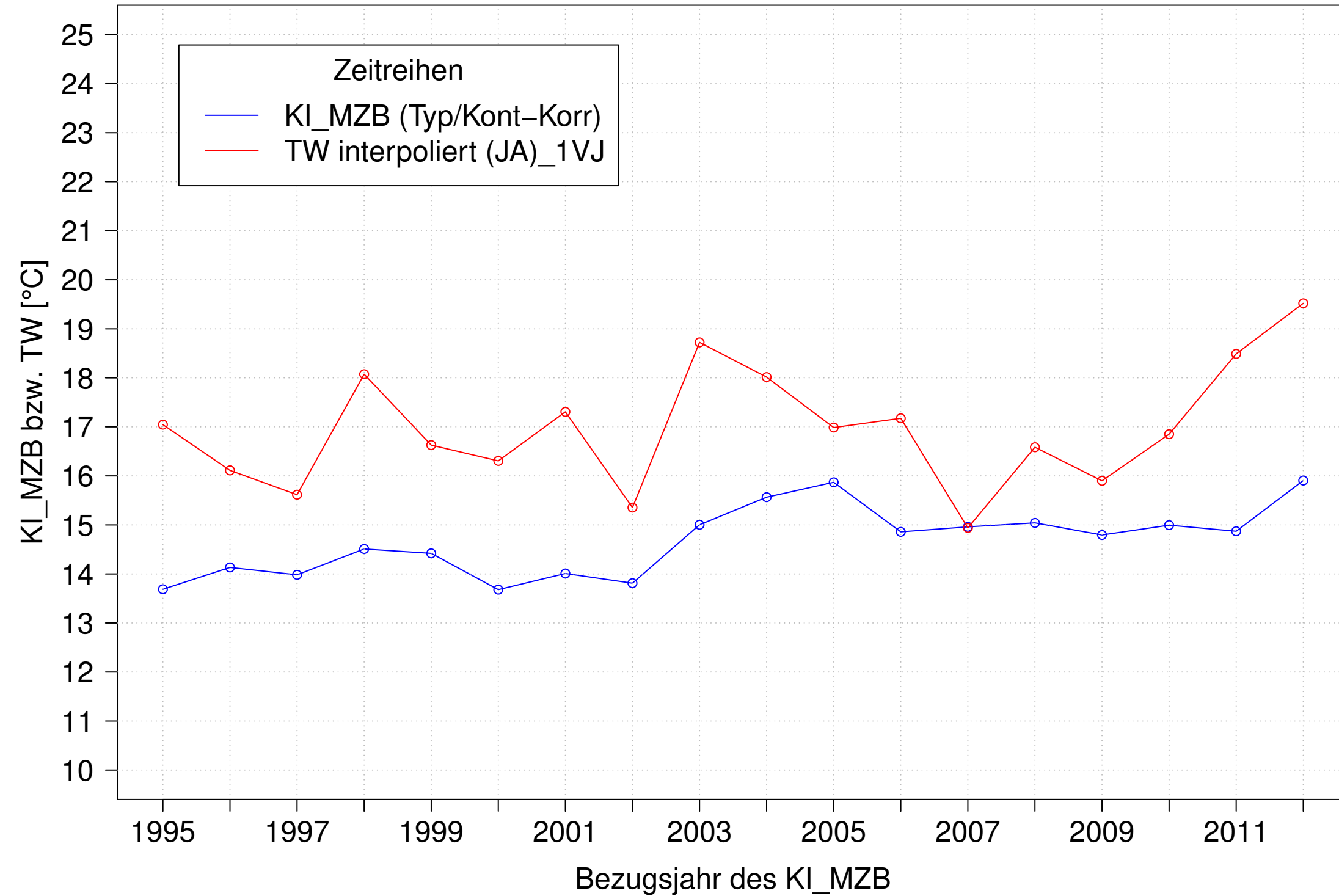
Neckar_Boerstingen, Typ 09.2 mit Neozoen, Serie 4
KI_MZB (Typ/Kont-Korr) und TW interpoliert (JJA) des 1. Vorjahres



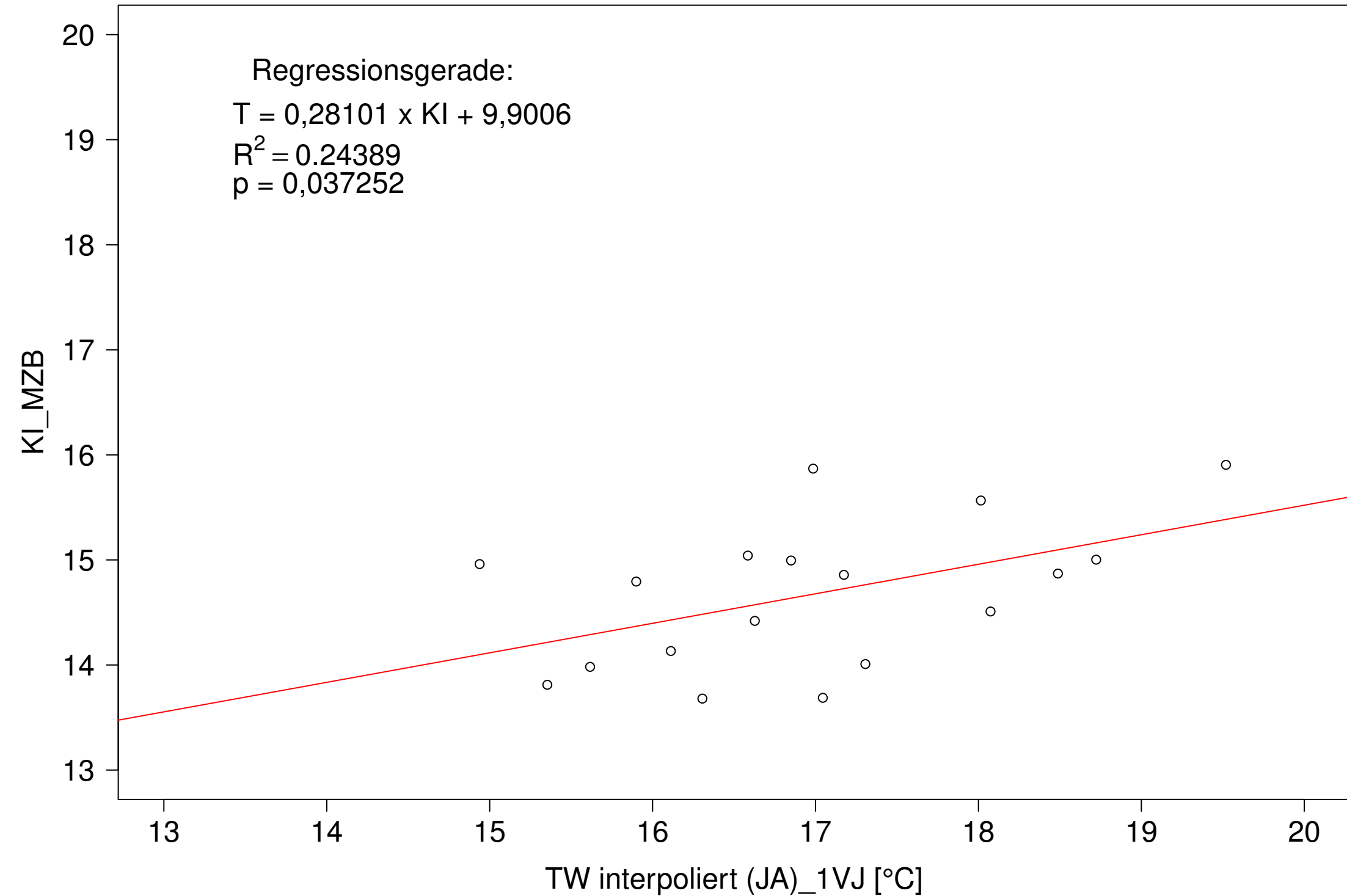
Neckar_Boerstingen, Typ 09.2 mit Neozoen, Serie 4
KI_MZB (Typ/Kont-Korr) gegen TW interpoliert (JJA) des 1. Vorjahres



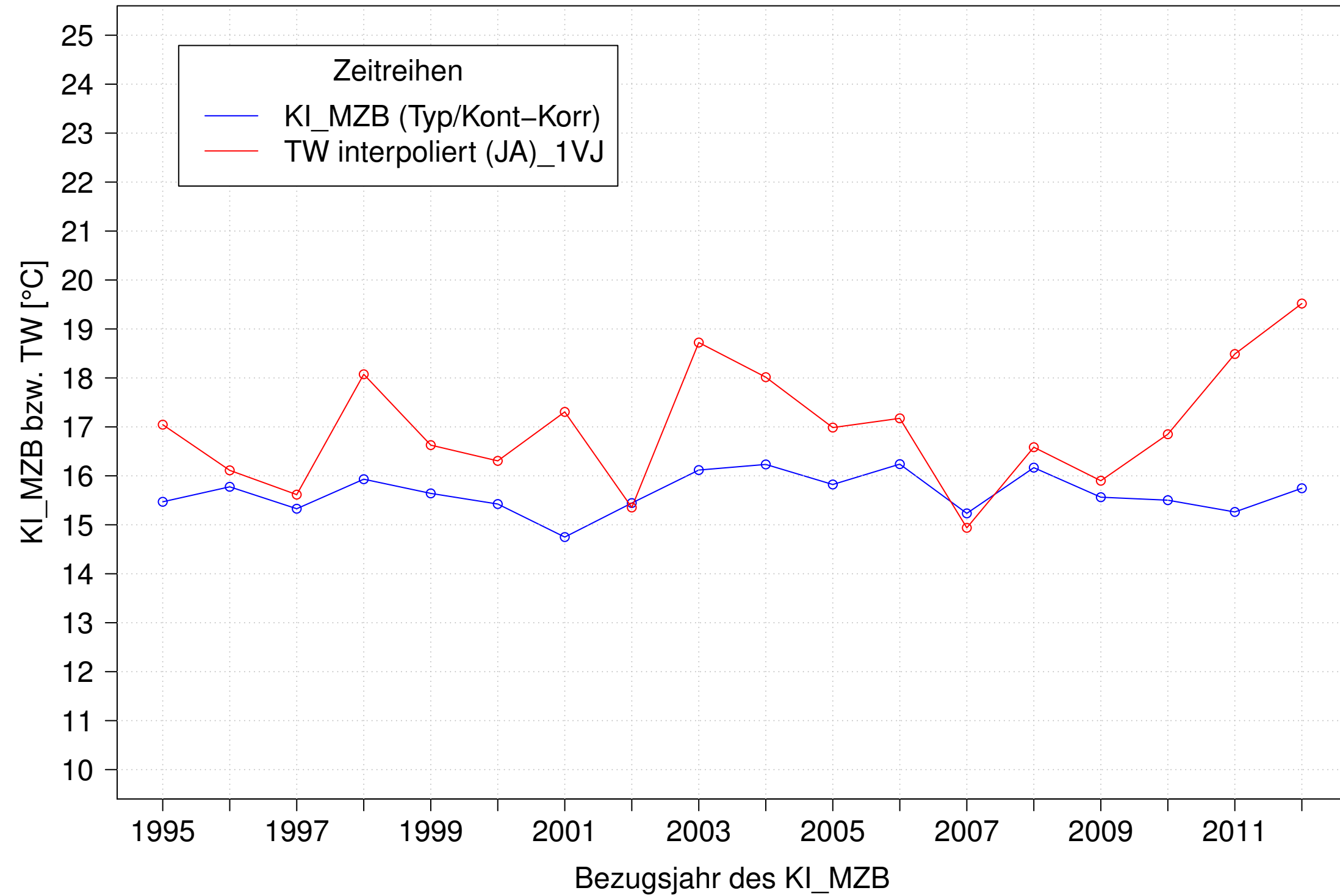
Neckar_Boerstingen, Typ 09.2 mit Neozoen, Serie 1
KI_MZB (Typ/Kont-Korr) und TW interpoliert (JA) des 1. Vorjahres



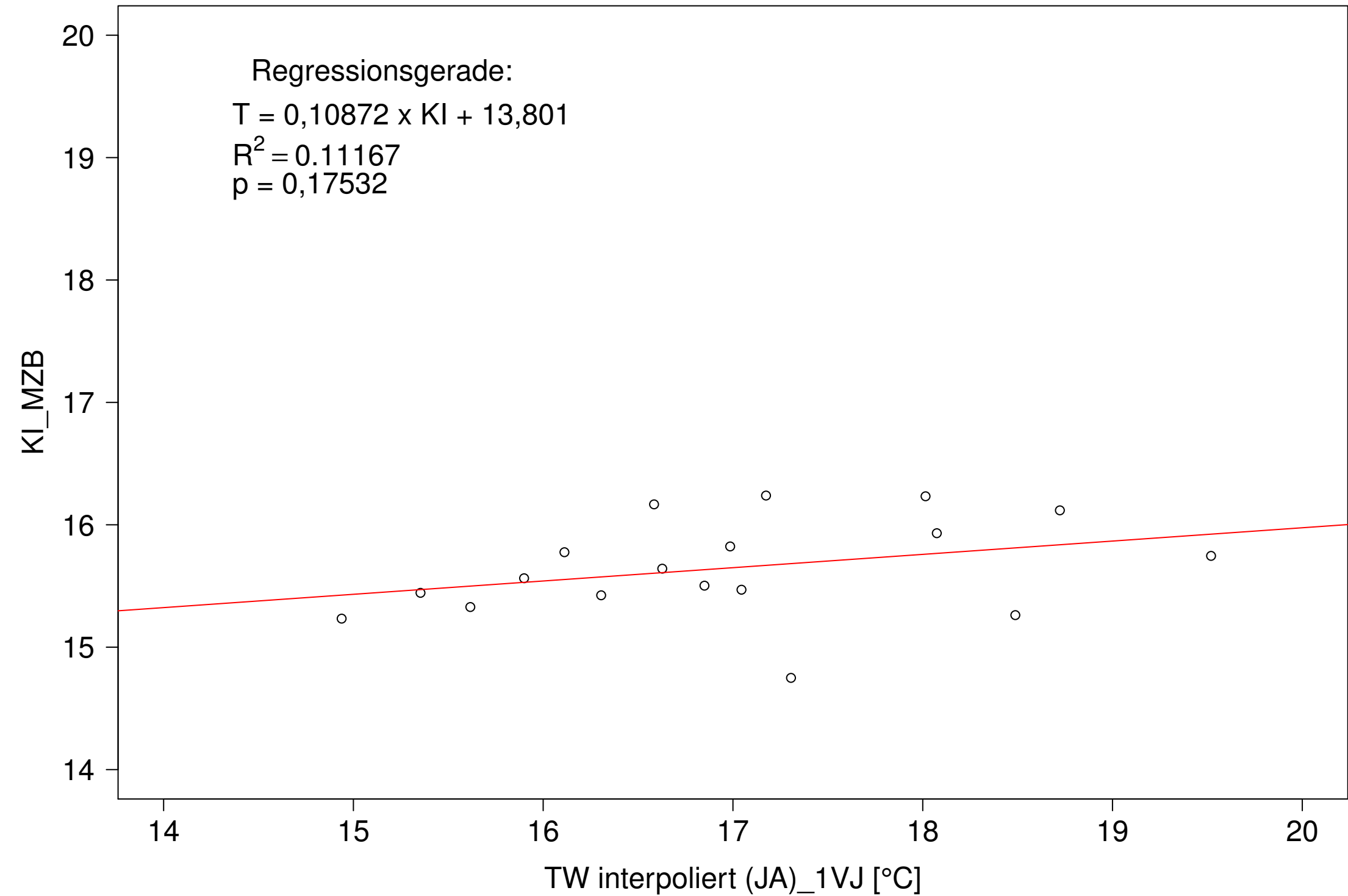
Neckar_Boerstingen, Typ 09.2 mit Neozoen, Serie 1
KI_MZB (Typ/Kont-Korr) gegen TW interpoliert (JA) des 1. Vorjahres



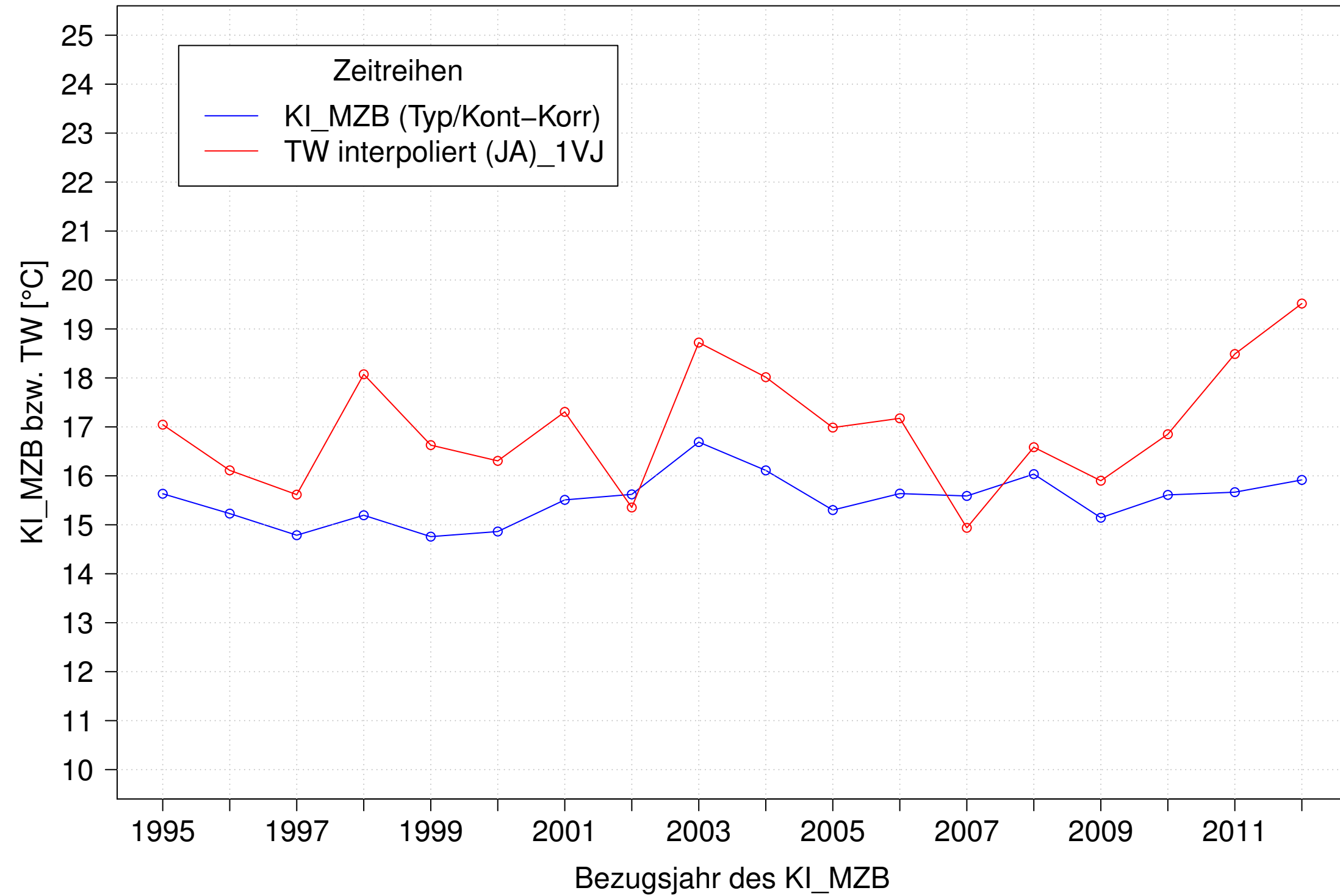
Neckar_Boerstingen, Typ 09.2 mit Neozoen, Serie 2
KI_MZB (Typ/Kont-Korr) und TW interpoliert (JA) des 1. Vorjahres



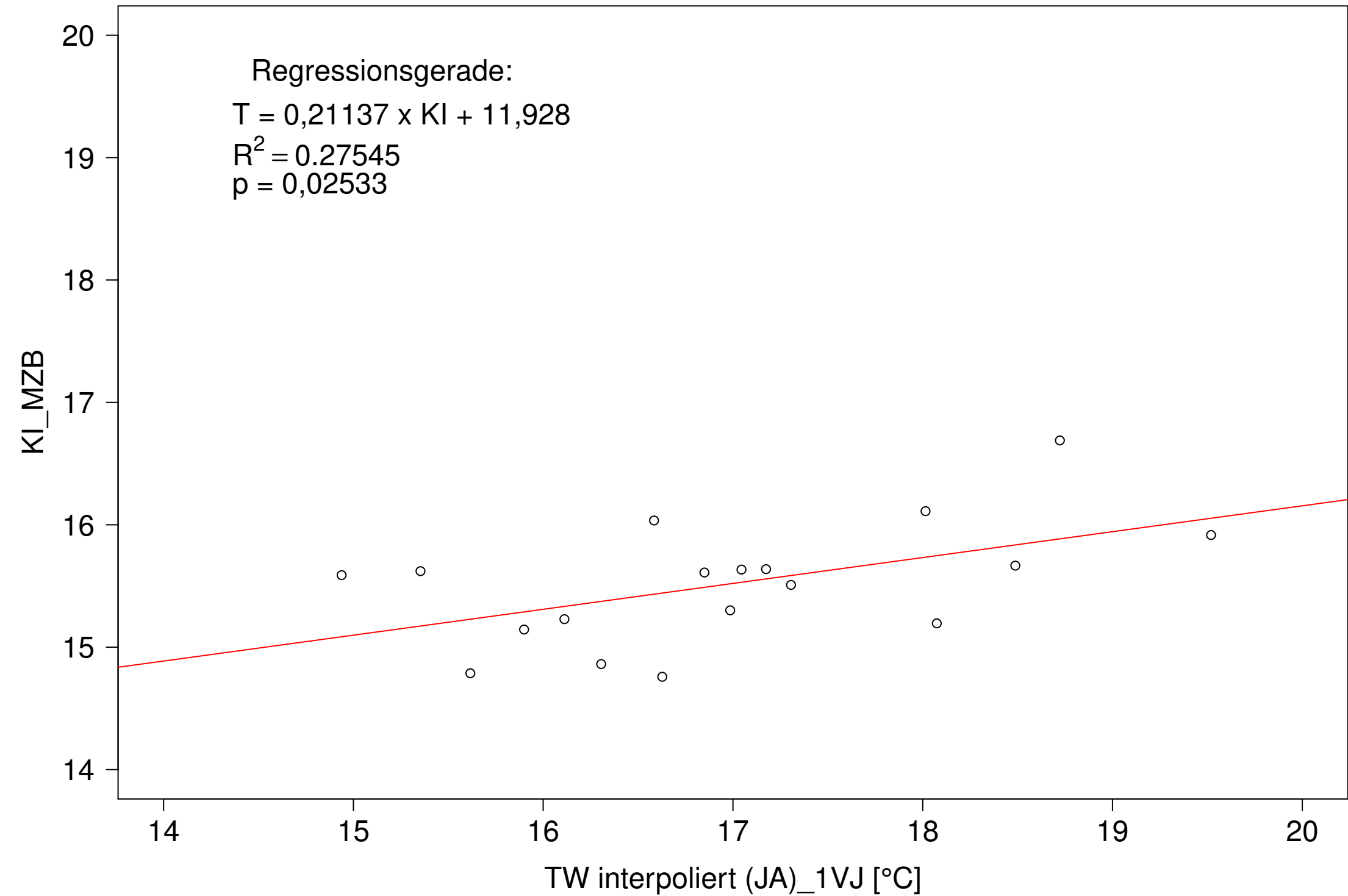
Neckar_Boerstingen, Typ 09.2 mit Neozoen, Serie 2
KI_MZB (Typ/Kont-Korr) gegen TW interpoliert (JA) des 1. Vorjahres



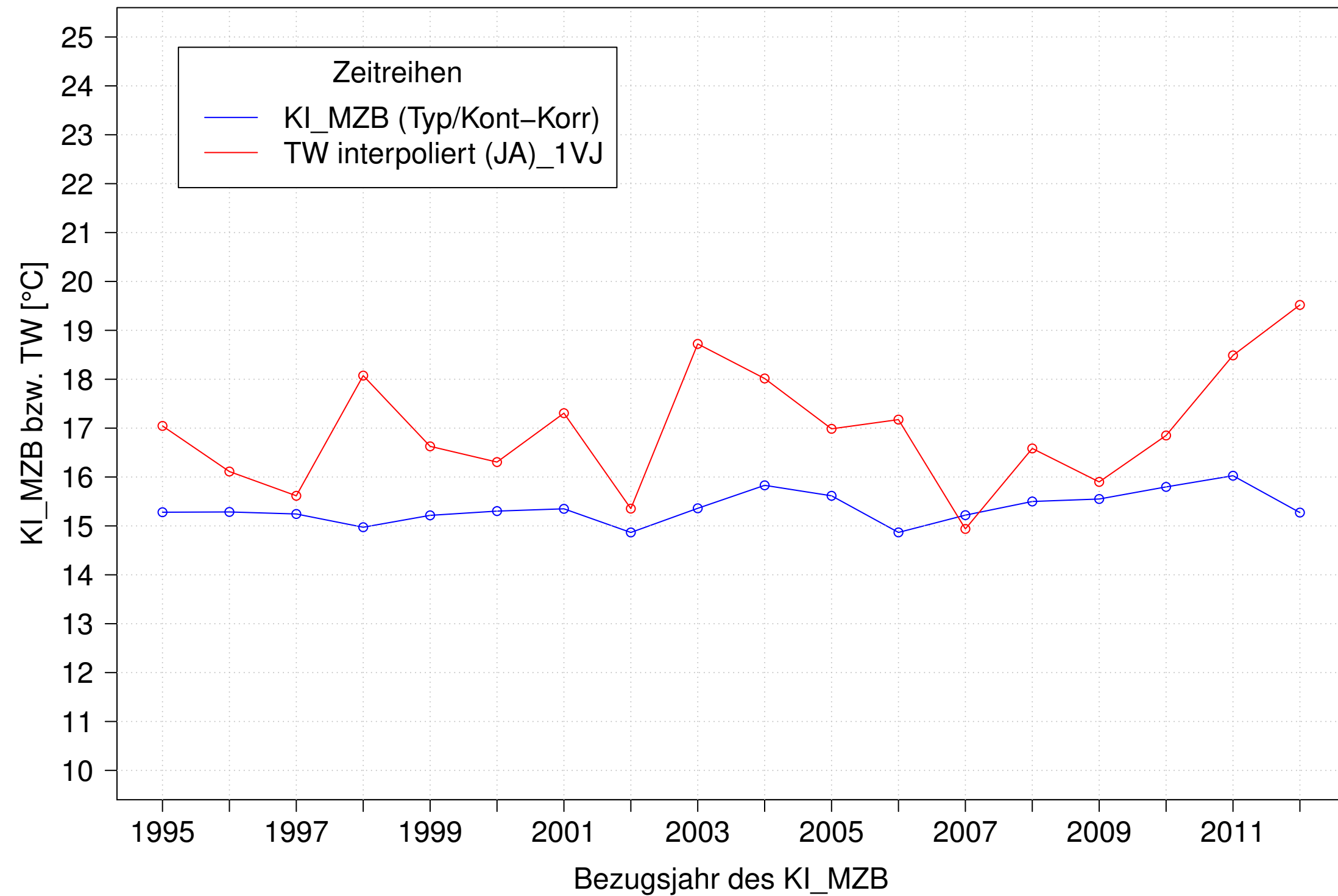
Neckar_Boerstingen, Typ 09.2 mit Neozoen, Serie 3
KI_MZB (Typ/Kont-Korr) und TW interpoliert (JA) des 1. Vorjahres



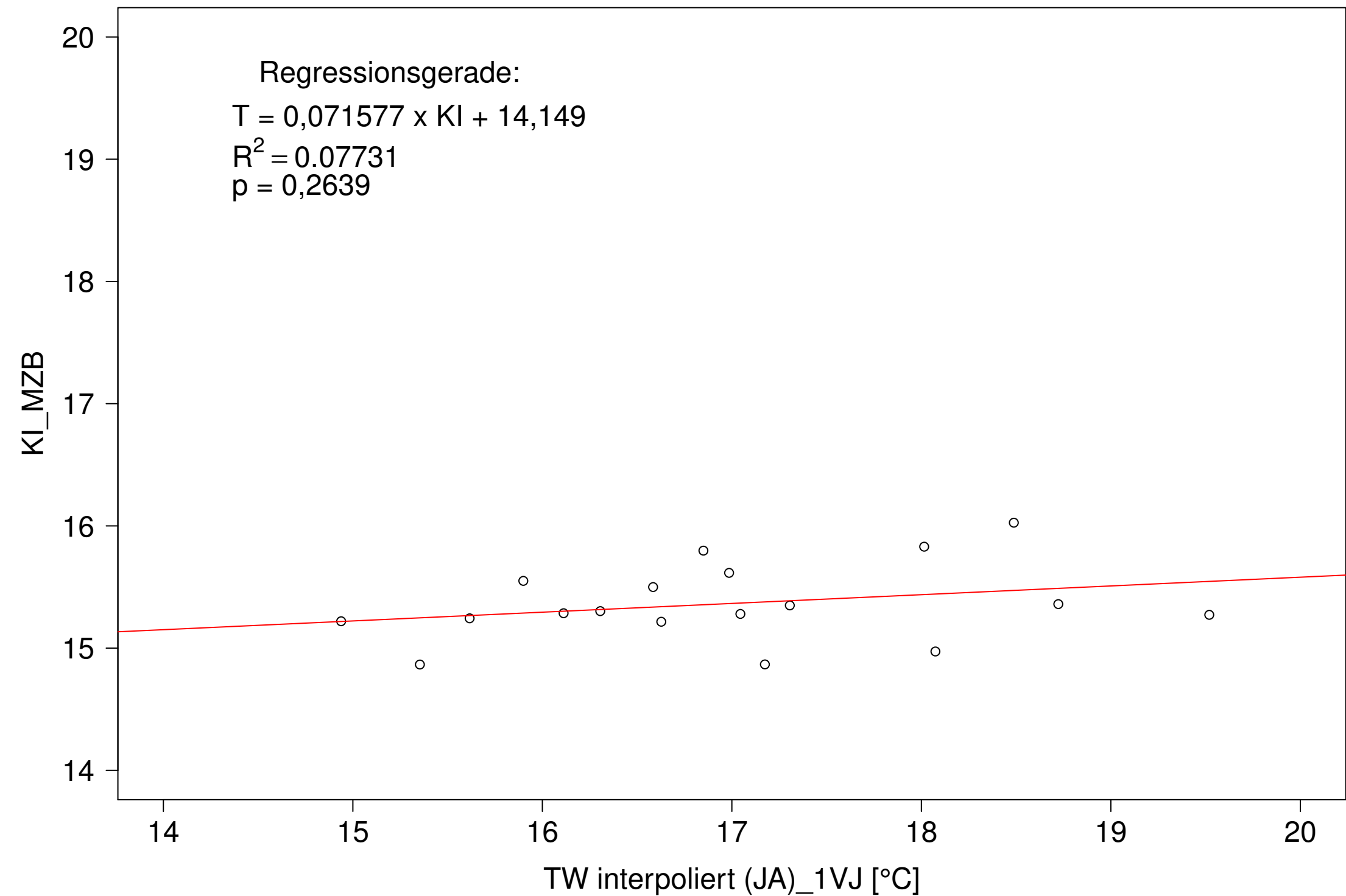
Neckar_Boerstingen, Typ 09.2 mit Neozoen, Serie 3
KI_MZB (Typ/Kont-Korr) gegen TW interpoliert (JA) des 1. Vorjahres



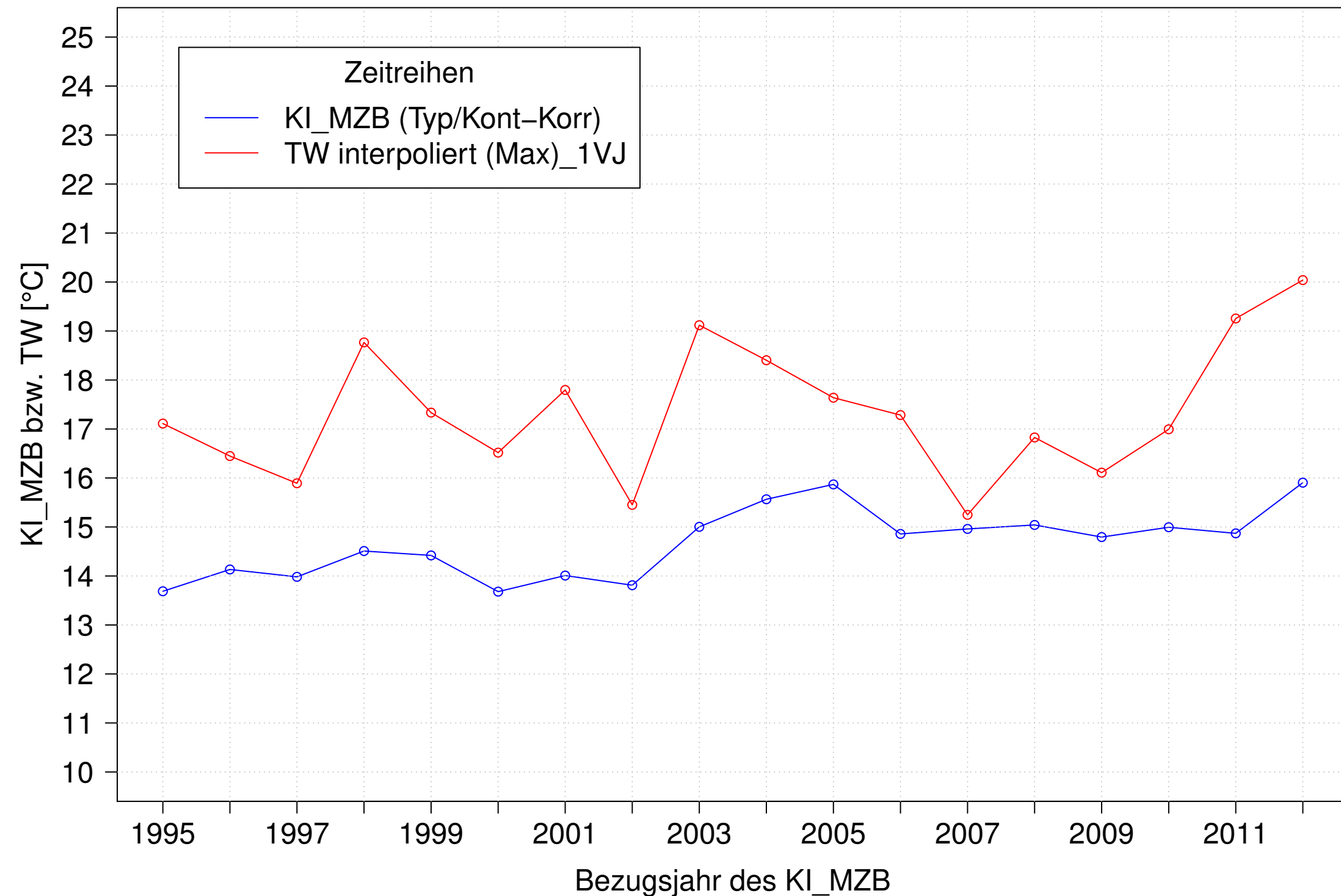
Neckar_Boerstingen, Typ 09.2 mit Neozoen, Serie 4
KI_MZB (Typ/Kont-Korr) und TW interpoliert (JA) des 1. Vorjahres



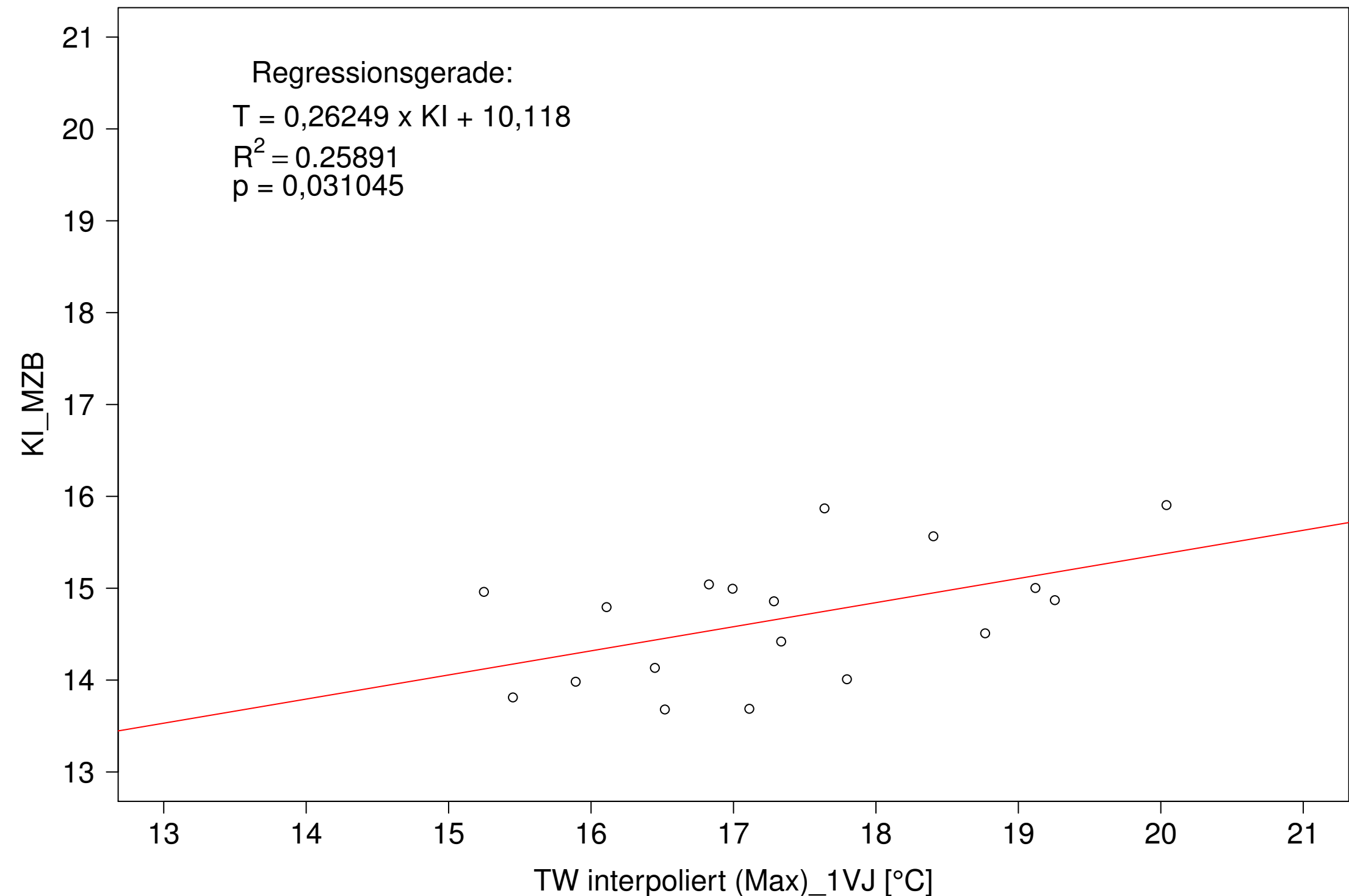
Neckar_Boerstingen, Typ 09.2 mit Neozoen, Serie 4
KI_MZB (Typ/Kont-Korr) gegen TW interpoliert (JA) des 1. Vorjahres



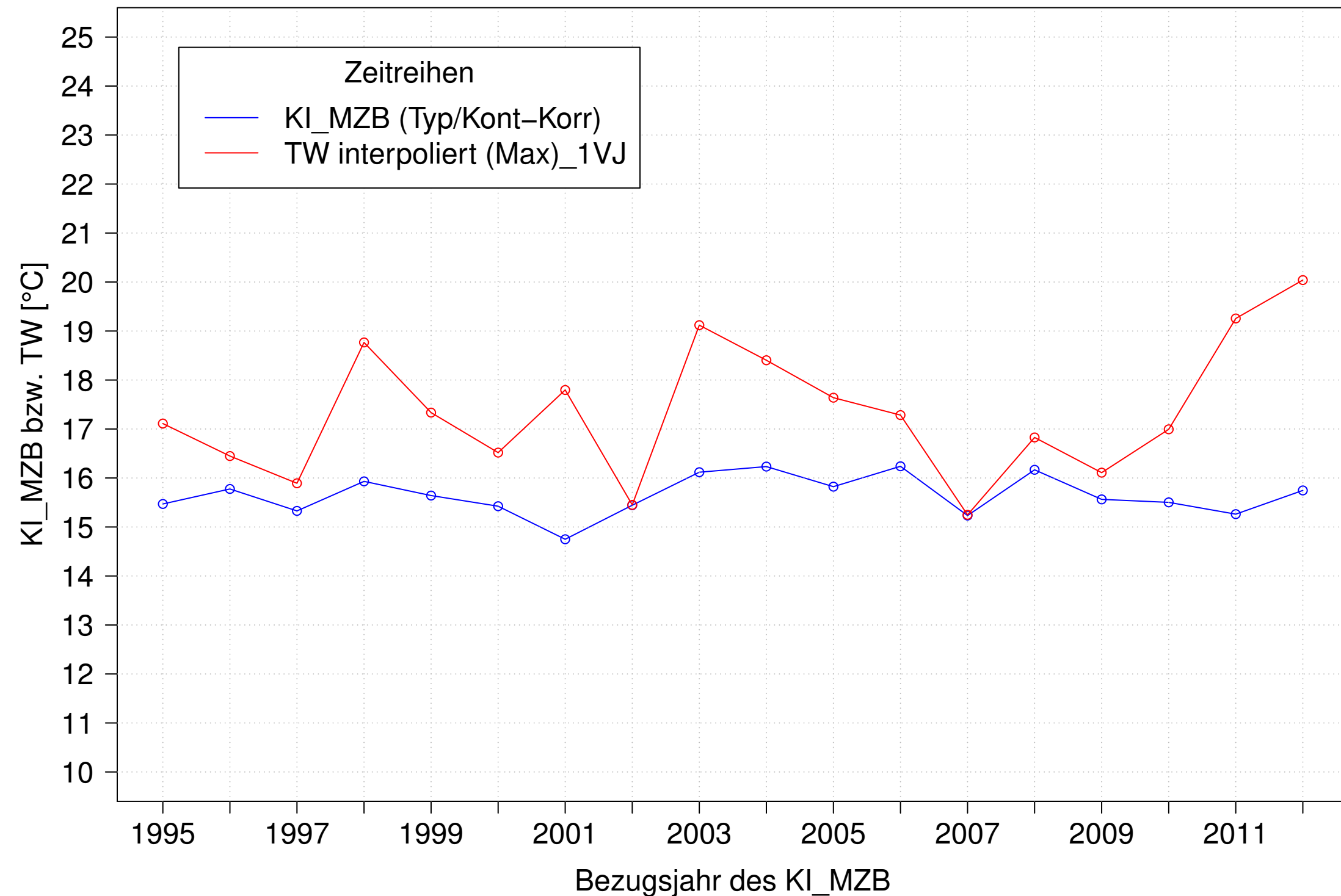
Neckar_Boerstingen, Typ 09.2 mit Neozoen, Serie 1
KI_MZB (Typ/Kont-Korr) und TW interpoliert (Max) des 1. Vorjahres



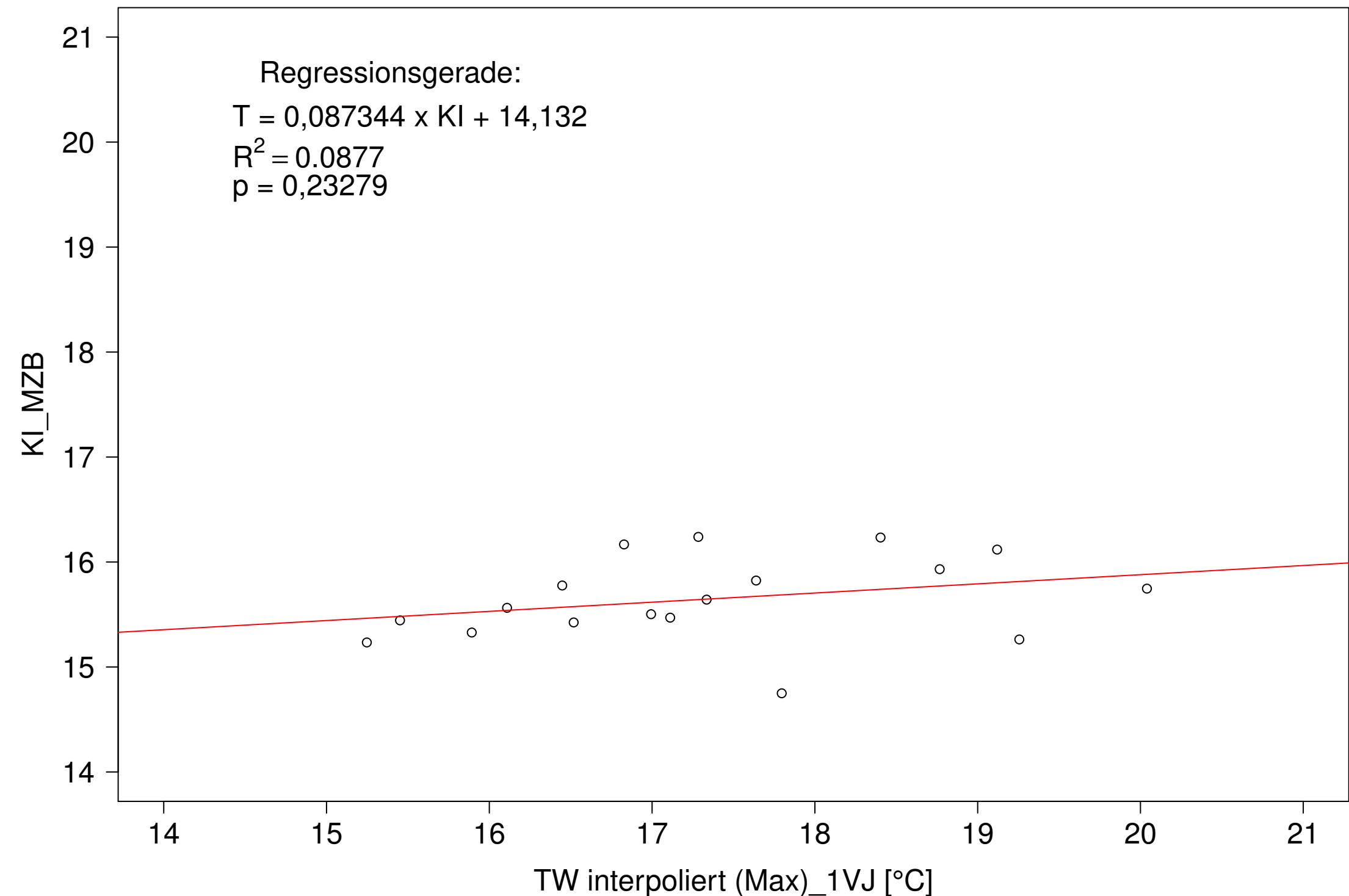
Neckar_Boerstingen, Typ 09.2 mit Neozoen, Serie 1
KI_MZB (Typ/Kont-Korr) gegen TW interpoliert (Max) des 1. Vorjahres



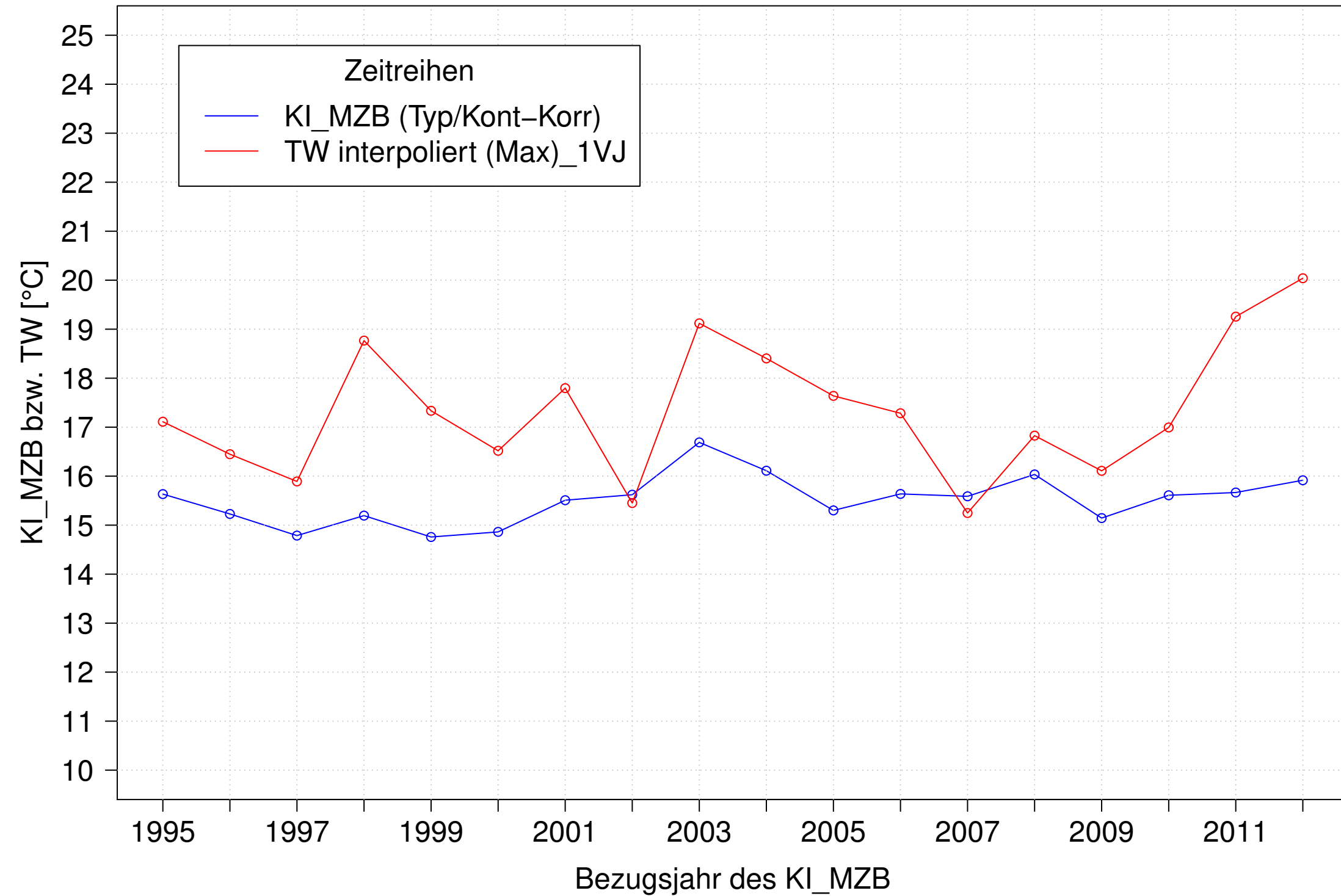
Neckar_Boerstingen, Typ 09.2 mit Neozoen, Serie 2
KI_MZB (Typ/Kont-Korr) und TW interpoliert (Max) des 1. Vorjahres



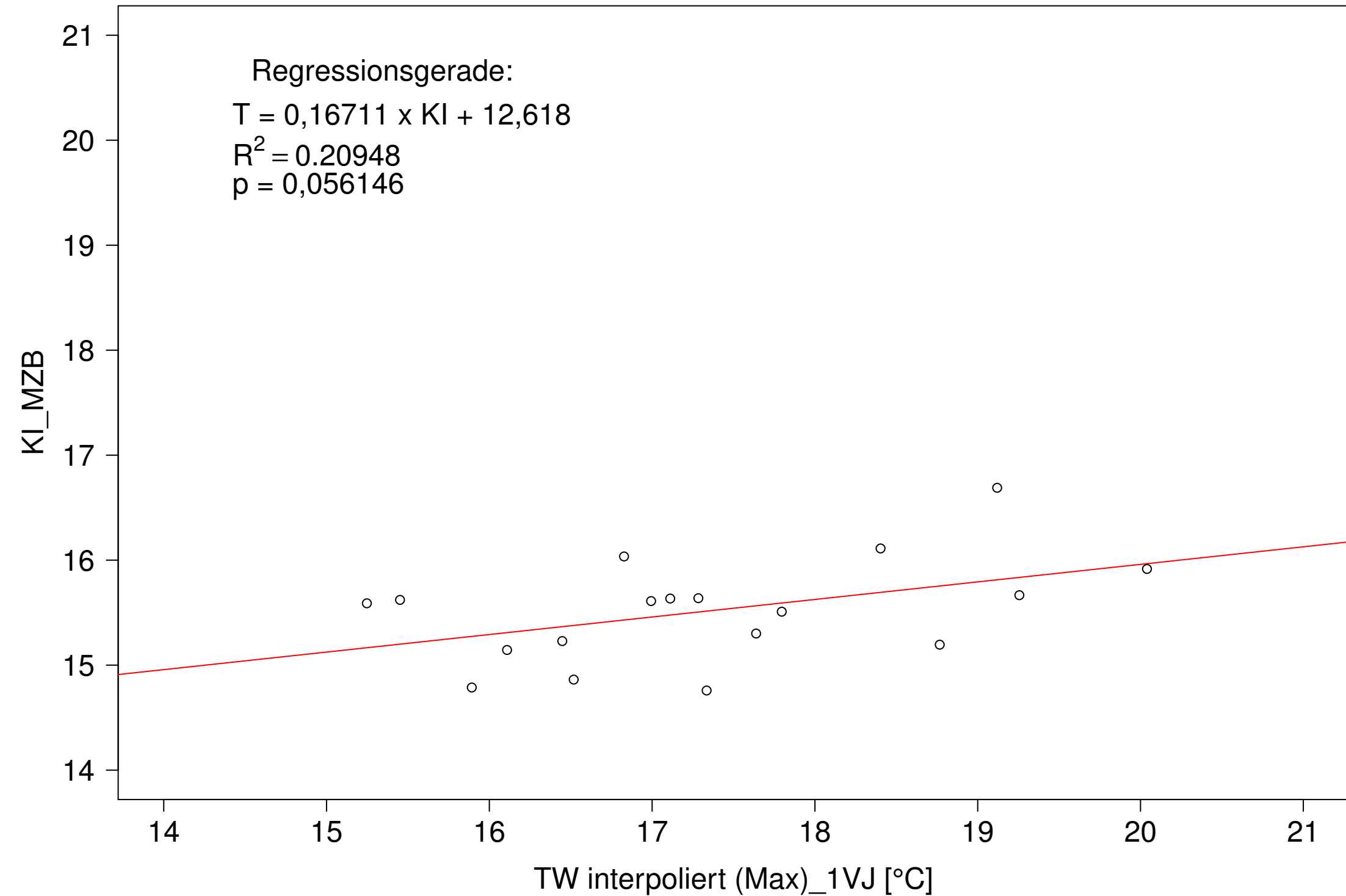
Neckar_Boerstingen, Typ 09.2 mit Neozoen, Serie 2
KI_MZB (Typ/Kont-Korr) gegen TW interpoliert (Max) des 1. Vorjahres



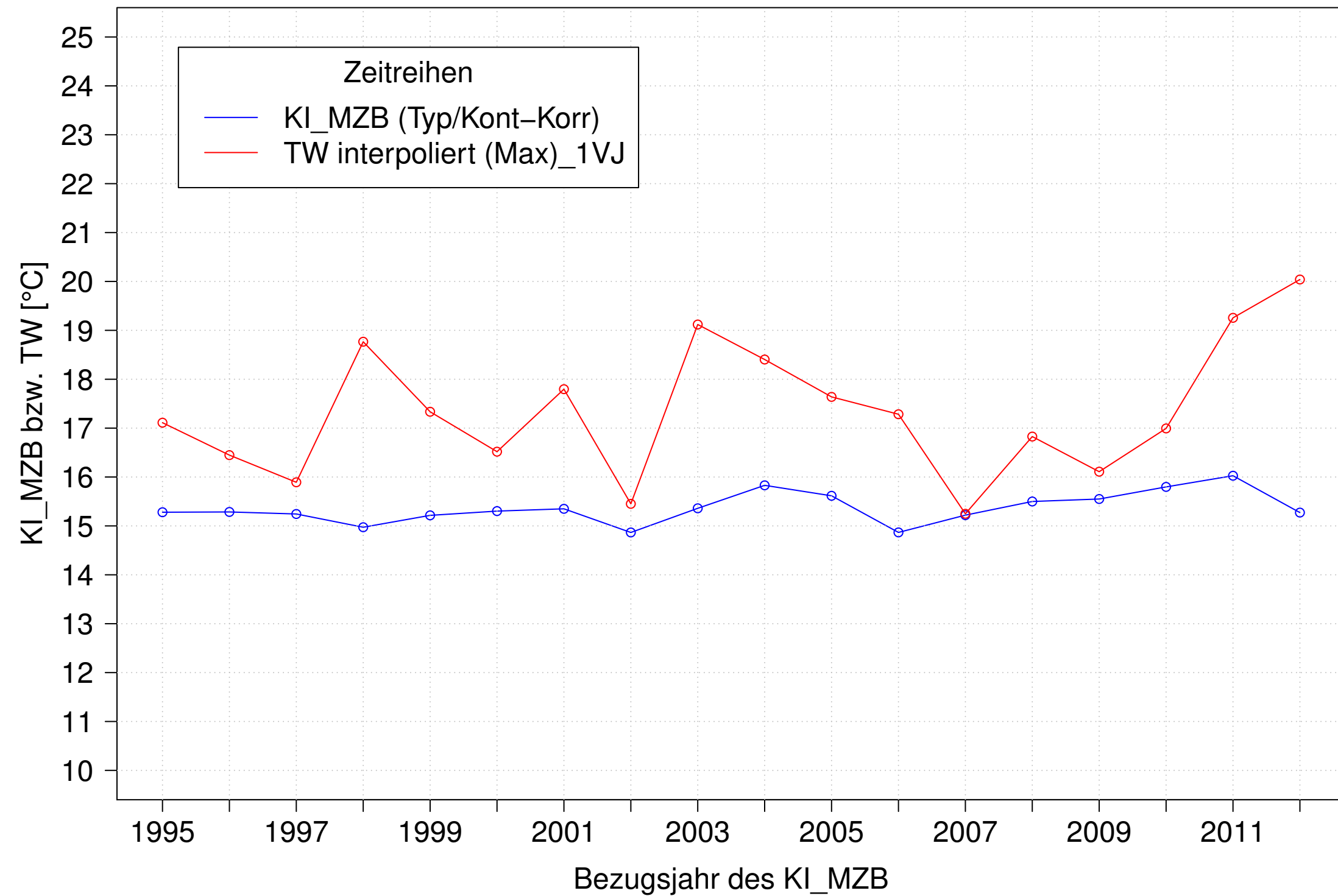
Neckar_Boerstingen, Typ 09.2 mit Neozoen, Serie 3
KI_MZB (Typ/Kont-Korr) und TW interpoliert (Max) des 1. Vorjahres



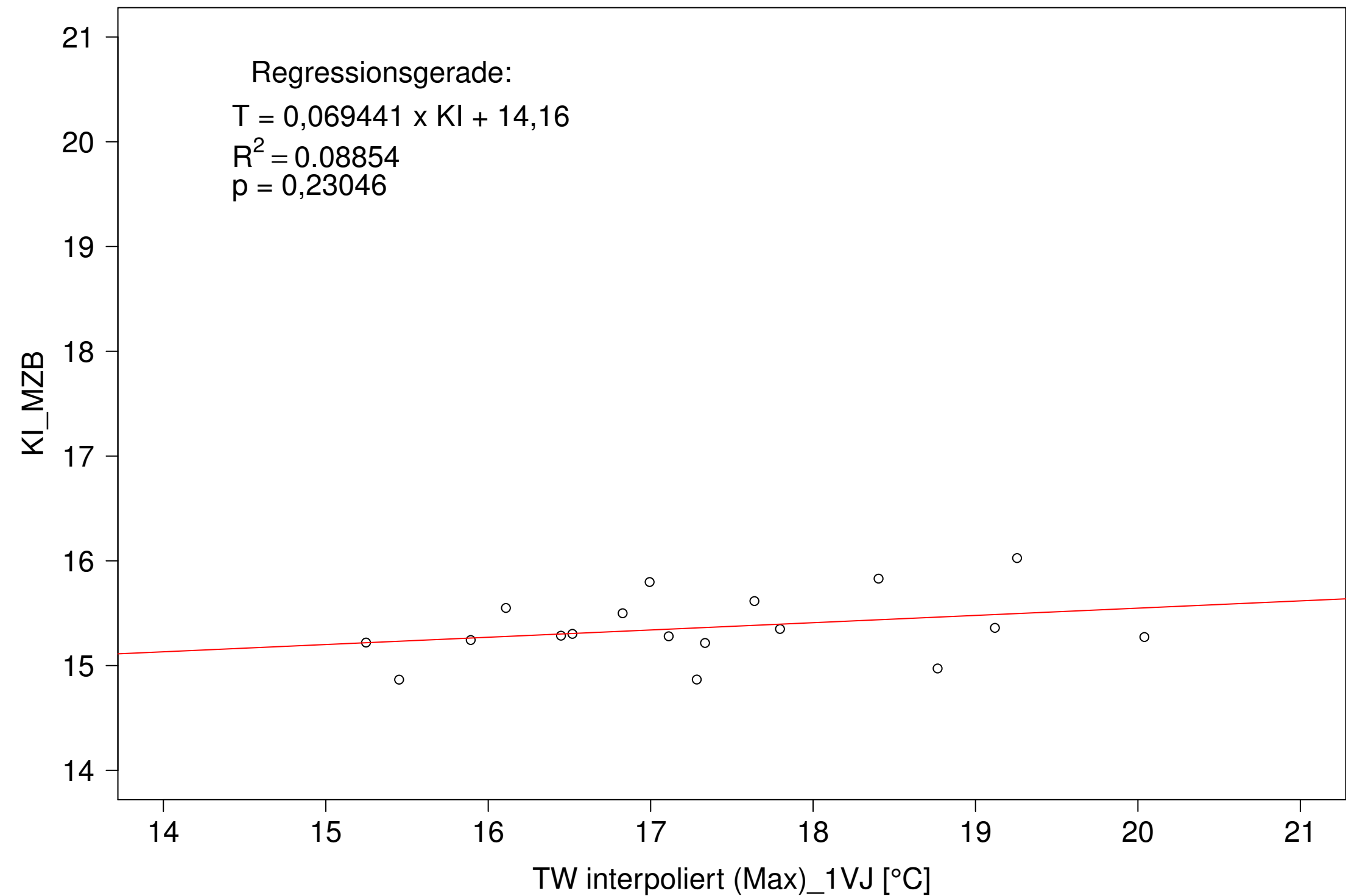
Neckar_Boerstingen, Typ 09.2 mit Neozoen, Serie 3
KI_MZB (Typ/Kont-Korr) gegen TW interpoliert (Max) des 1. Vorjahres



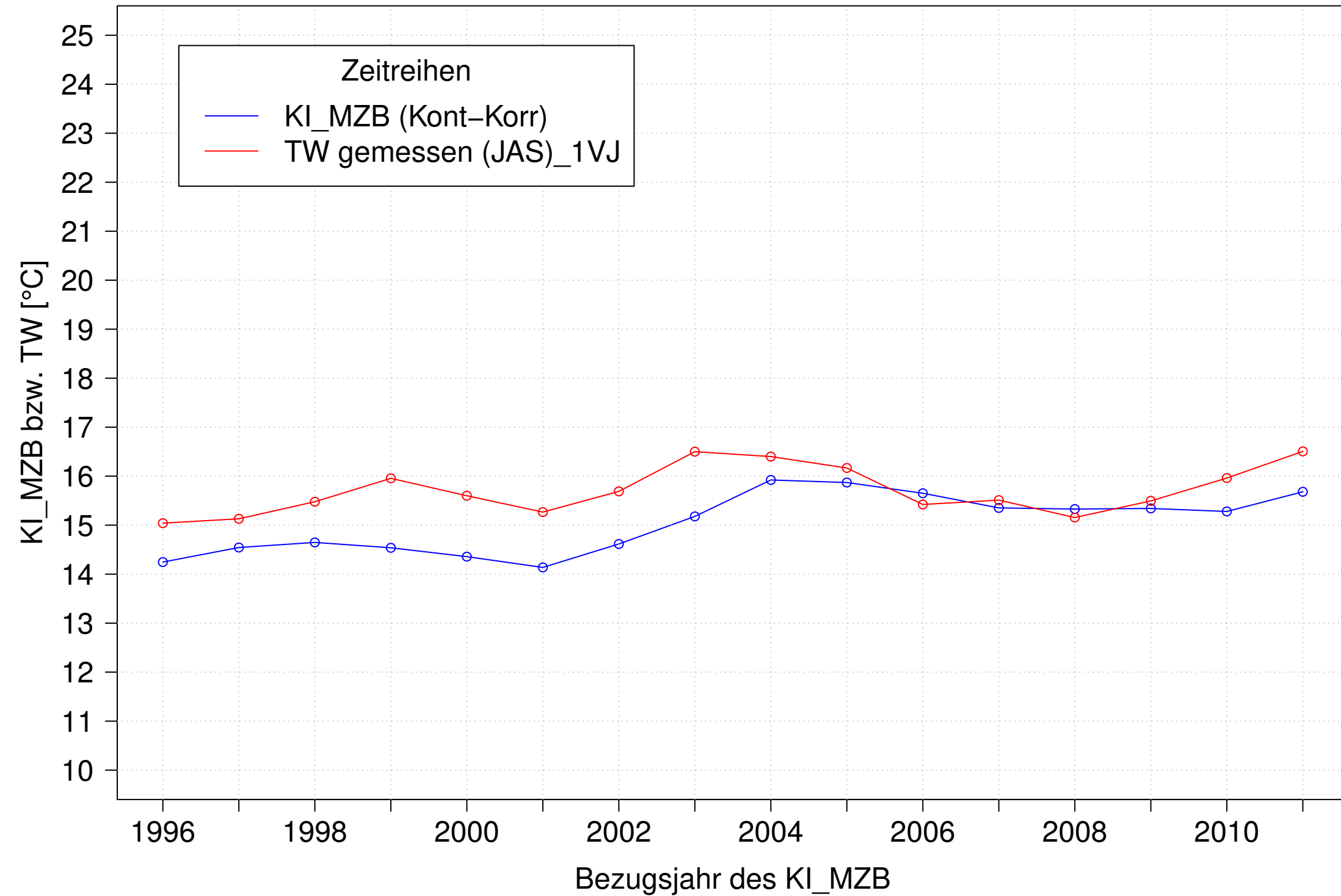
Neckar_Boerstingen, Typ 09.2 mit Neozoen, Serie 4
KI_MZB (Typ/Kont-Korr) und TW interpoliert (Max) des 1. Vorjahres



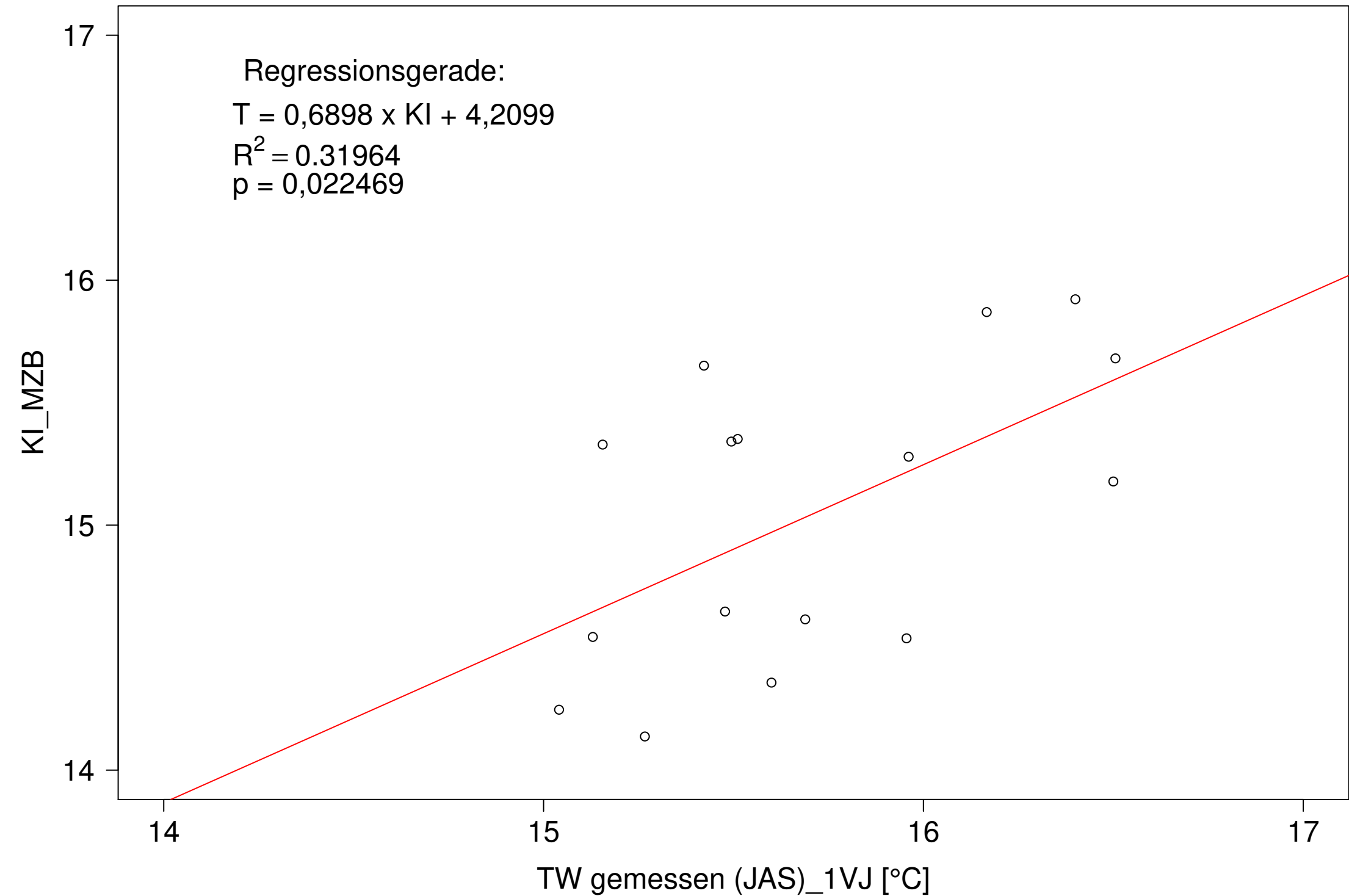
Neckar_Boerstingen, Typ 09.2 mit Neozoen, Serie 4
KI_MZB (Typ/Kont-Korr) gegen TW interpoliert (Max) des 1. Vorjahres



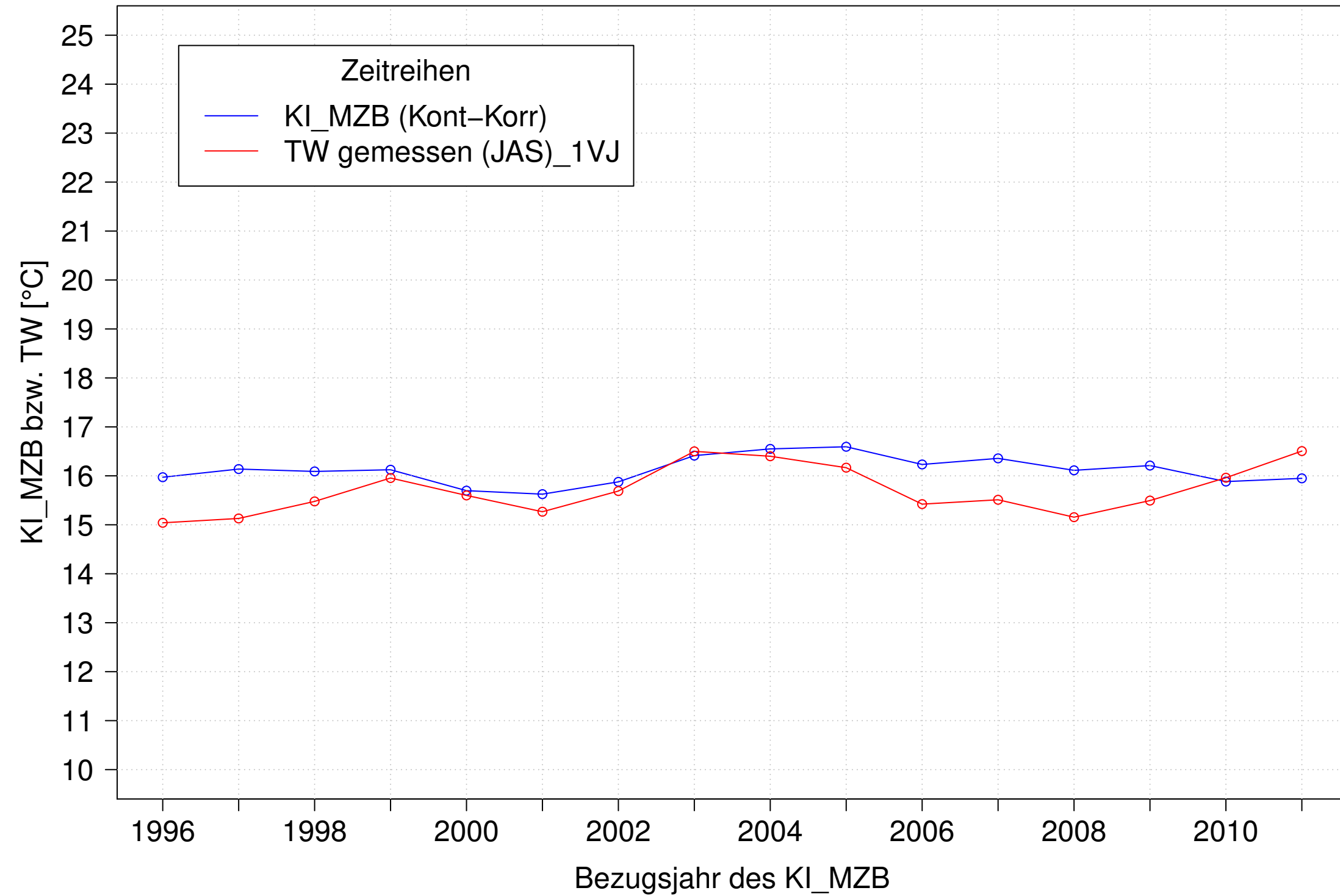
Neckar_Boerstingen, Typ 09.2 mit Neozoen, Serie 1
3JMW KI_MZB (Kont-Korr) und 3JMW TW gemessen (JAS) des 1. Vorjahres



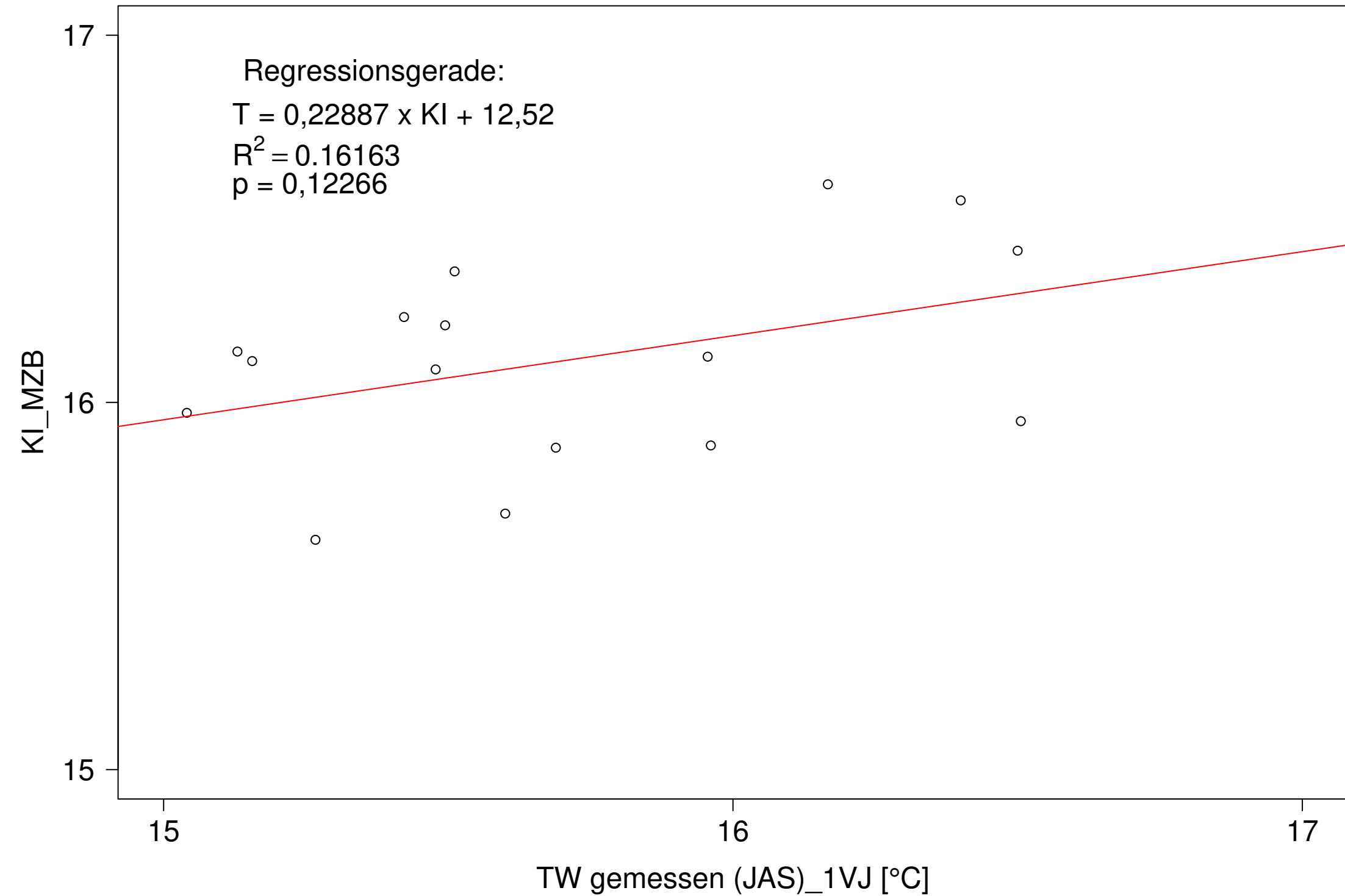
Neckar_Boerstingen, Typ 09.2 mit Neozoen, Serie 1
3JMW KI_MZB (Kont-Korr) gegen 3JMW TW gemessen (JAS) des 1. Vorjahres



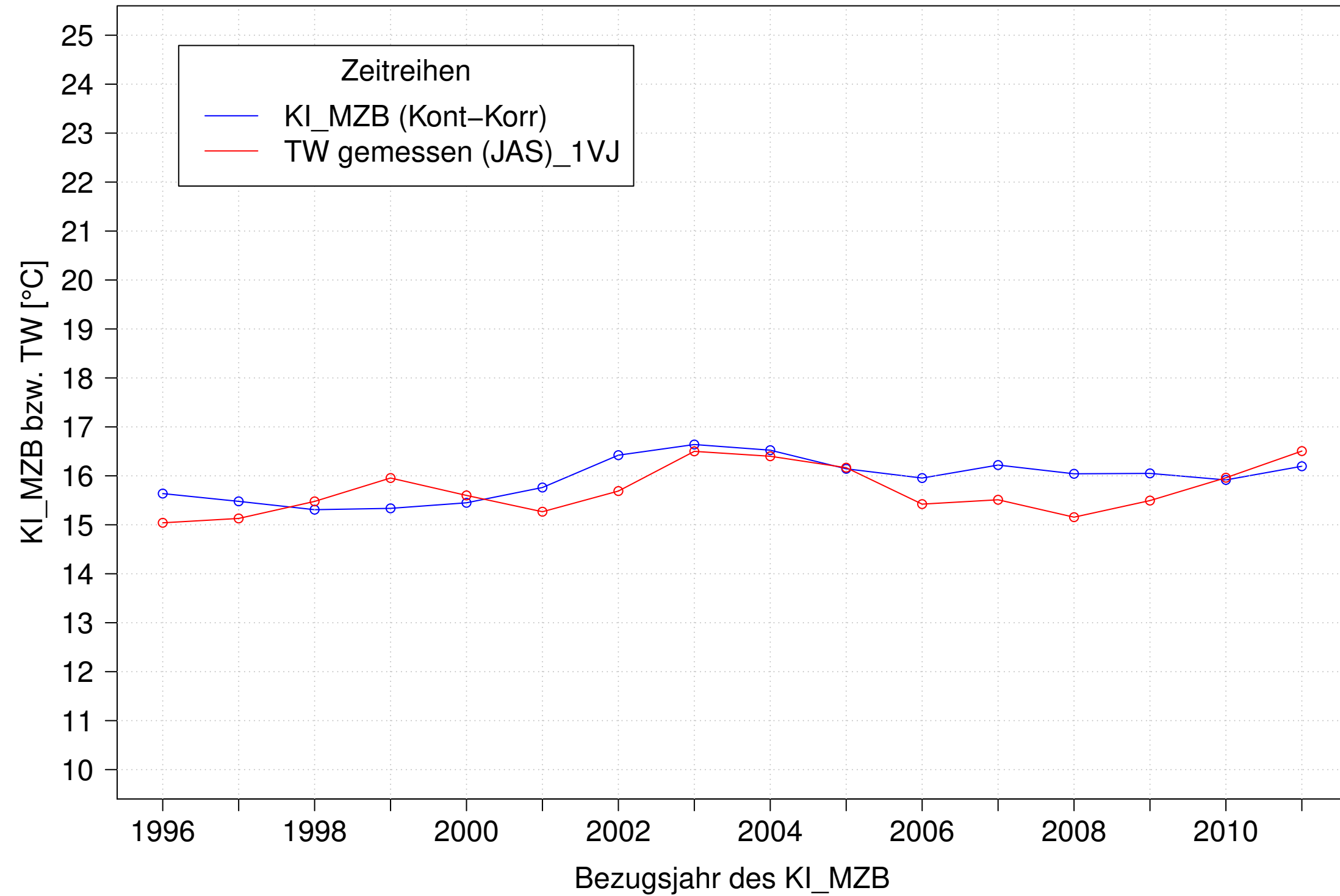
Neckar_Boerstingen, Typ 09.2 mit Neozoen, Serie 2
3JMW KI_MZB (Kont-Korr) und 3JMW TW gemessen (JAS) des 1. Vorjahres



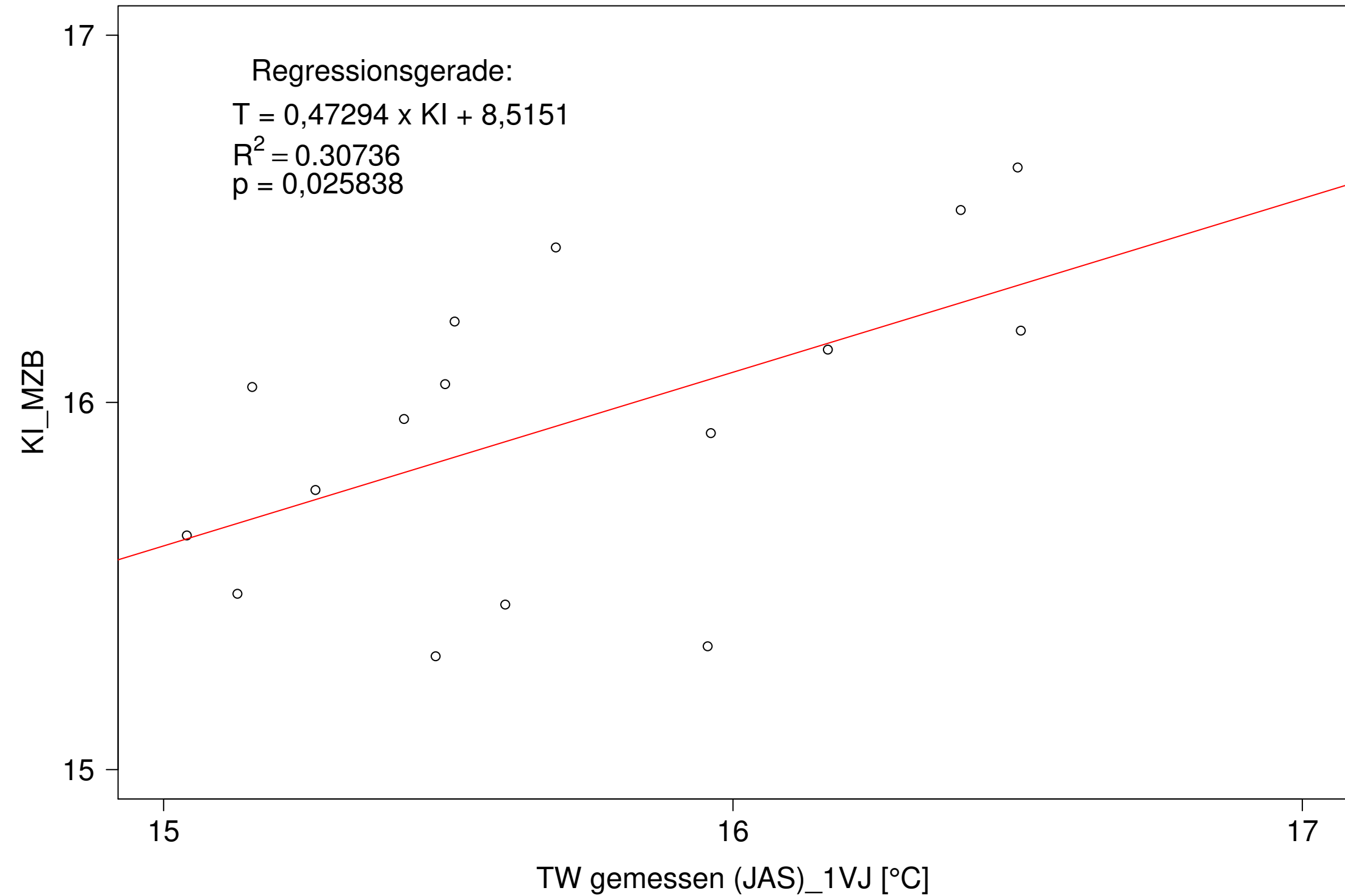
Neckar_Boerstingen, Typ 09.2 mit Neozoen, Serie 2
3JMW KI_MZB (Kont-Korr) gegen 3JMW TW gemessen (JAS) des 1. Vorjahres



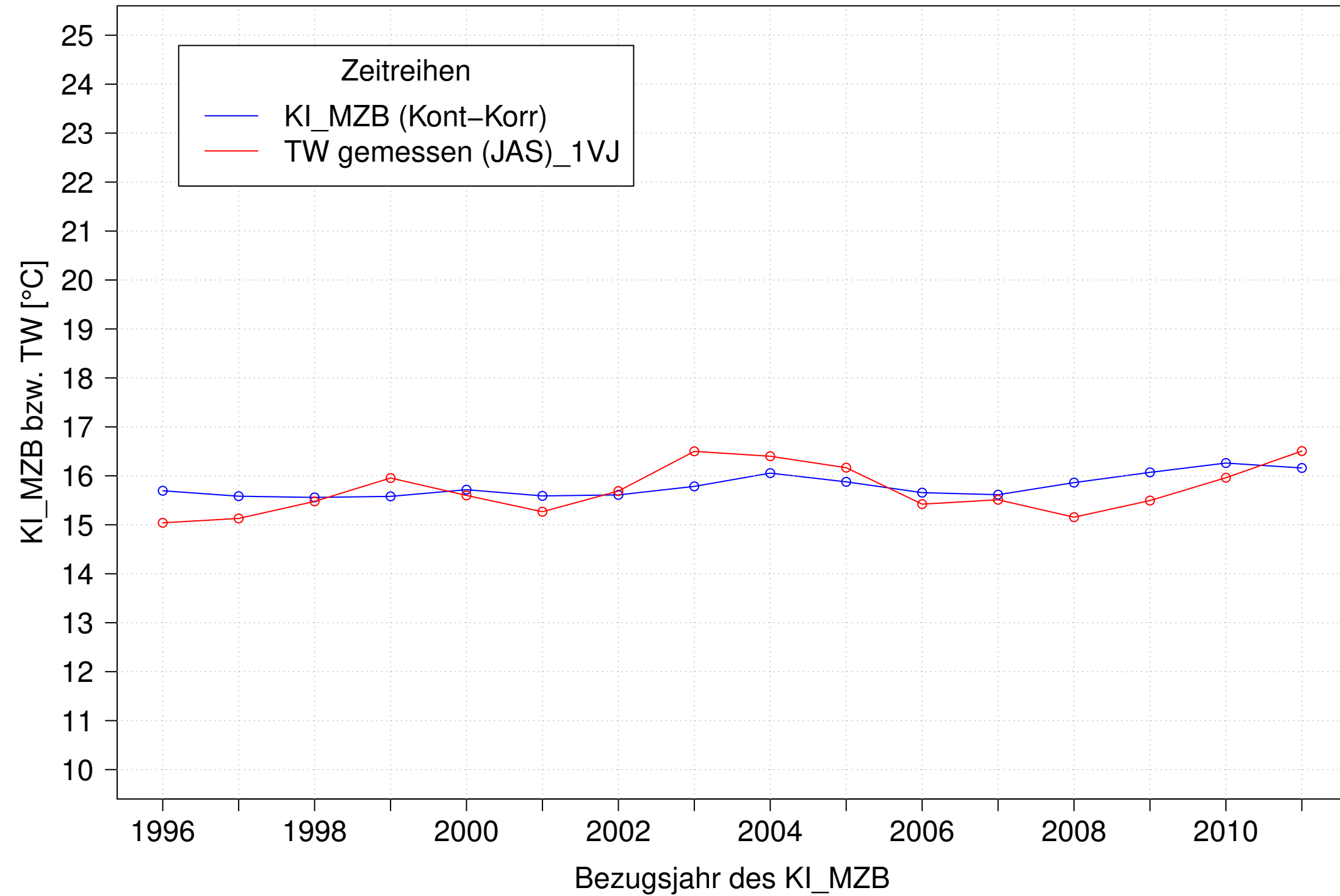
Neckar_Boerstingen, Typ 09.2 mit Neozoen, Serie 3
3JMW KI_MZB (Kont-Korr) und 3JMW TW gemessen (JAS) des 1. Vorjahres



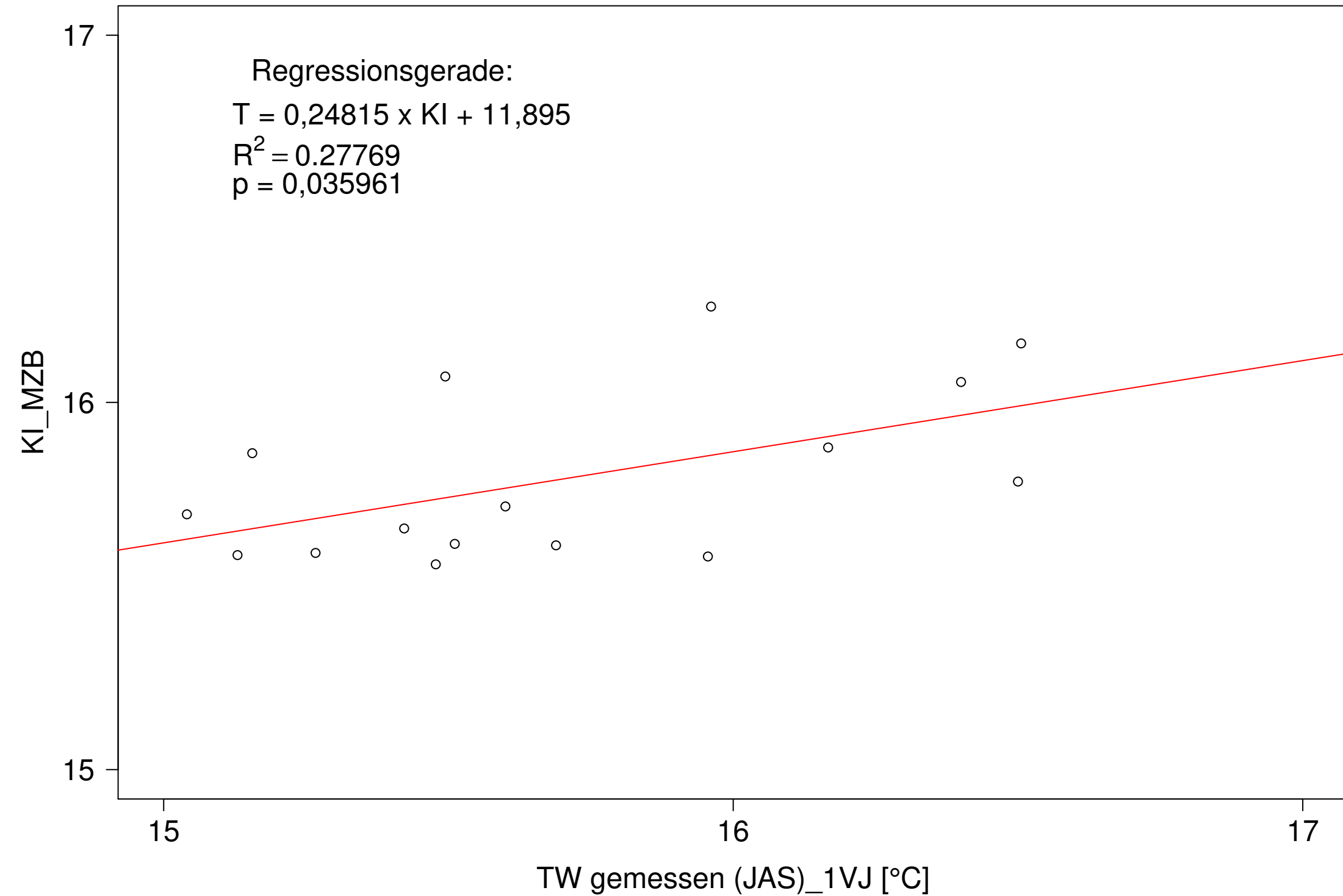
Neckar_Boerstingen, Typ 09.2 mit Neozoen, Serie 3
3JMW KI_MZB (Kont-Korr) gegen 3JMW TW gemessen (JAS) des 1. Vorjahres



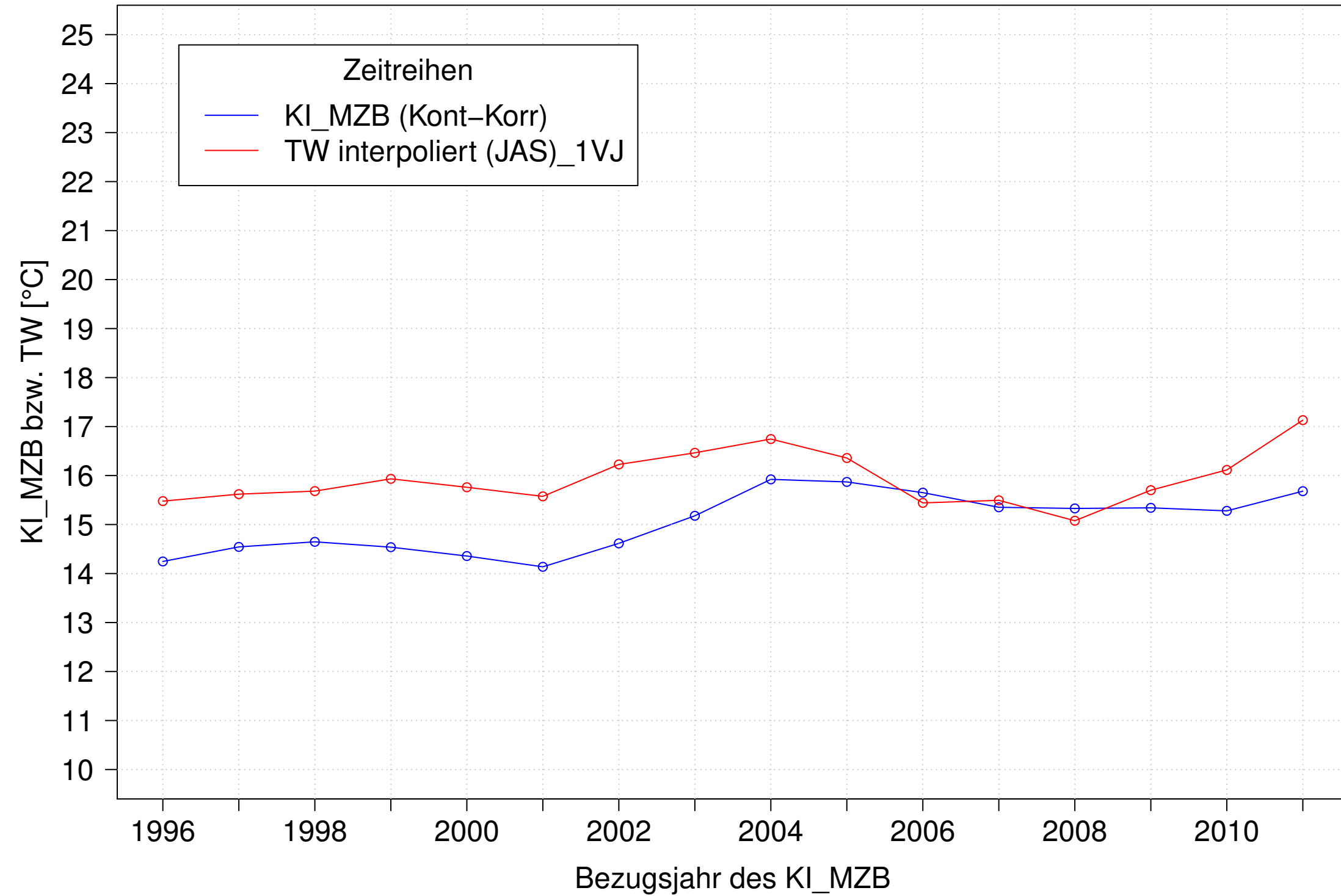
Neckar_Boerstingen, Typ 09.2 mit Neozoen, Serie 4
3JMW KI_MZB (Kont-Korr) und 3JMW TW gemessen (JAS) des 1. Vorjahres



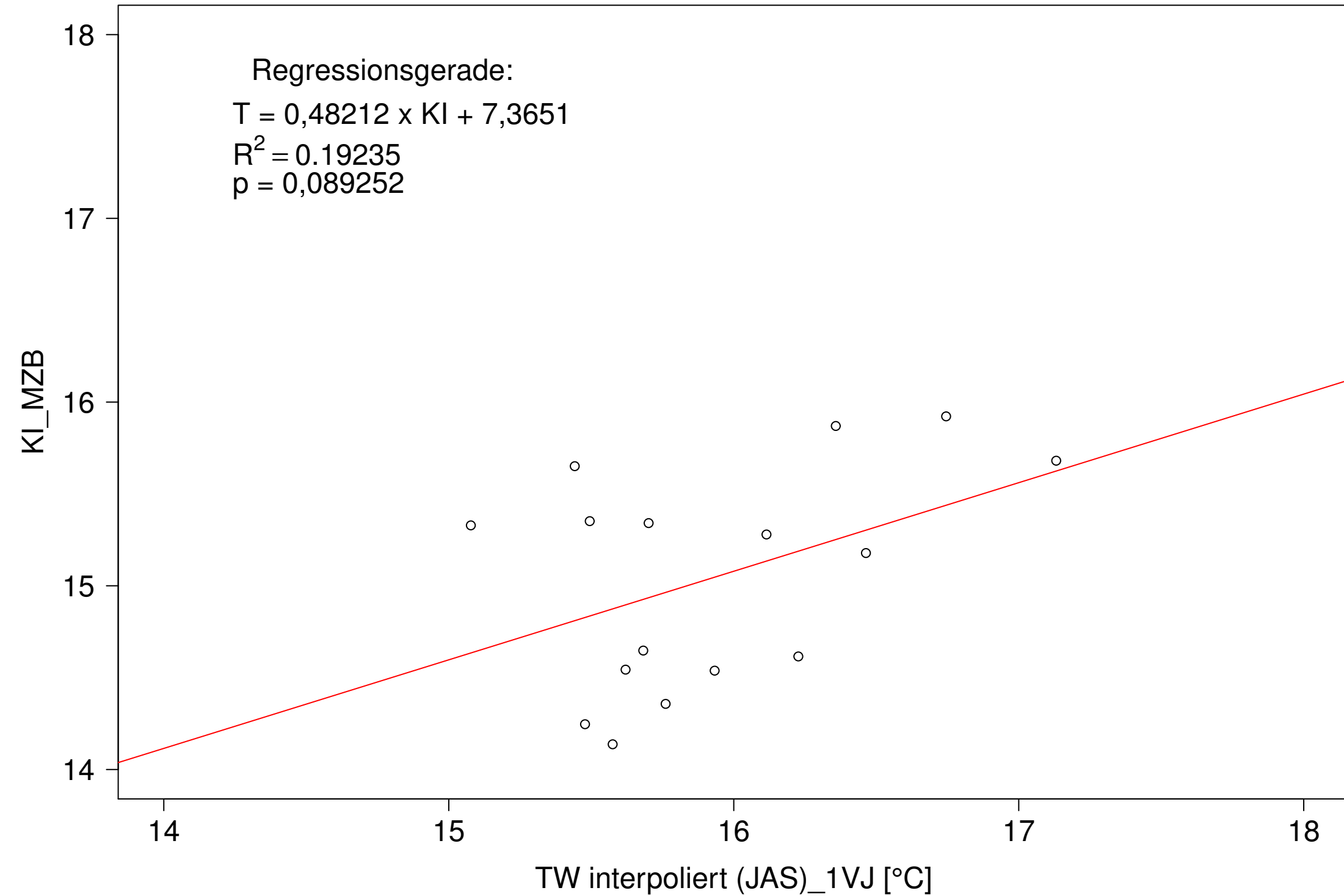
Neckar_Boerstingen, Typ 09.2 mit Neozoen, Serie 4
3JMW KI_MZB (Kont-Korr) gegen 3JMW TW gemessen (JAS) des 1. Vorjahres



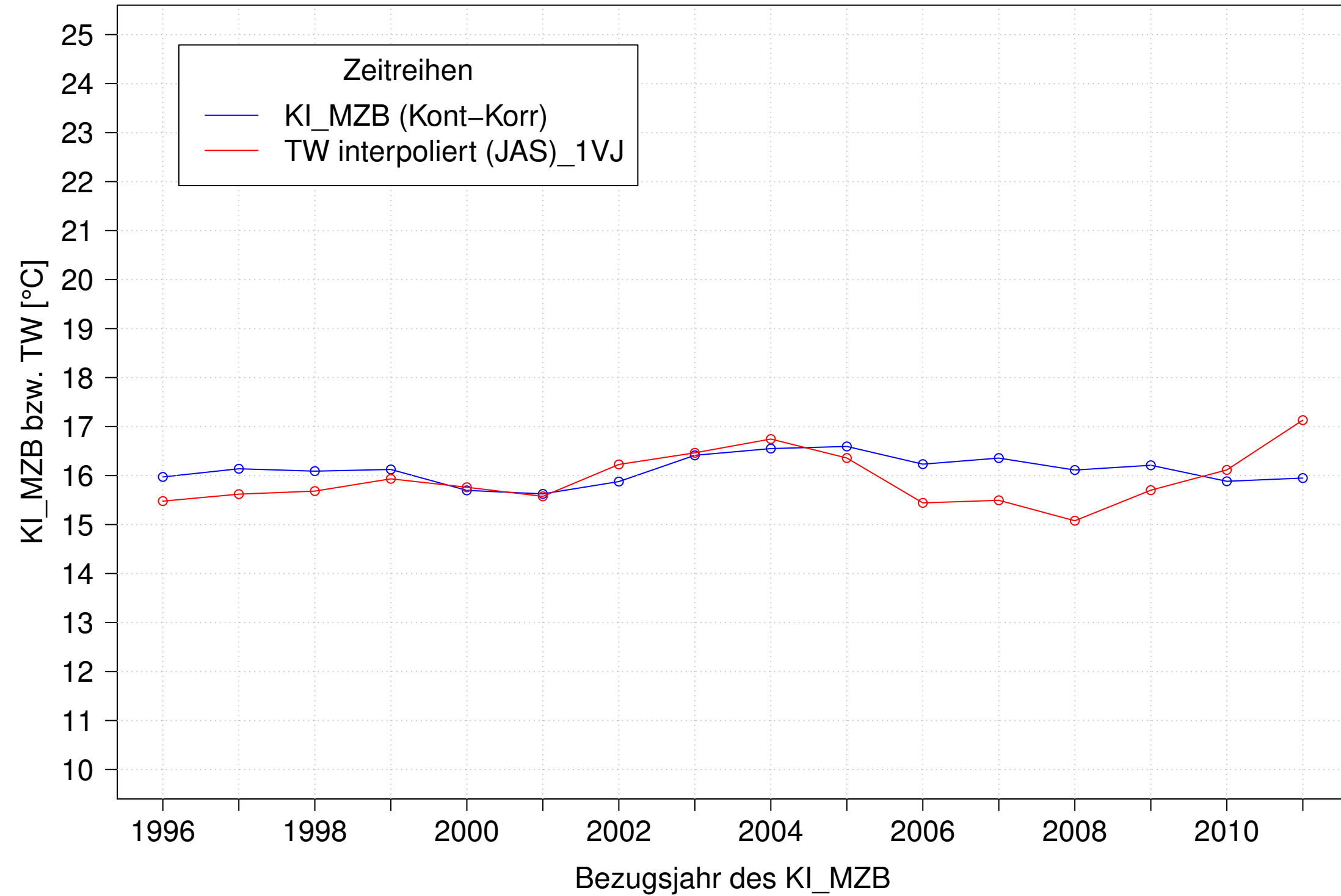
Neckar_Boerstingen, Typ 09.2 mit Neozoen, Serie 1
3JMW KI_MZB (Kont-Korr) und 3JMW TW interpoliert (JAS) des 1. Vorjahres



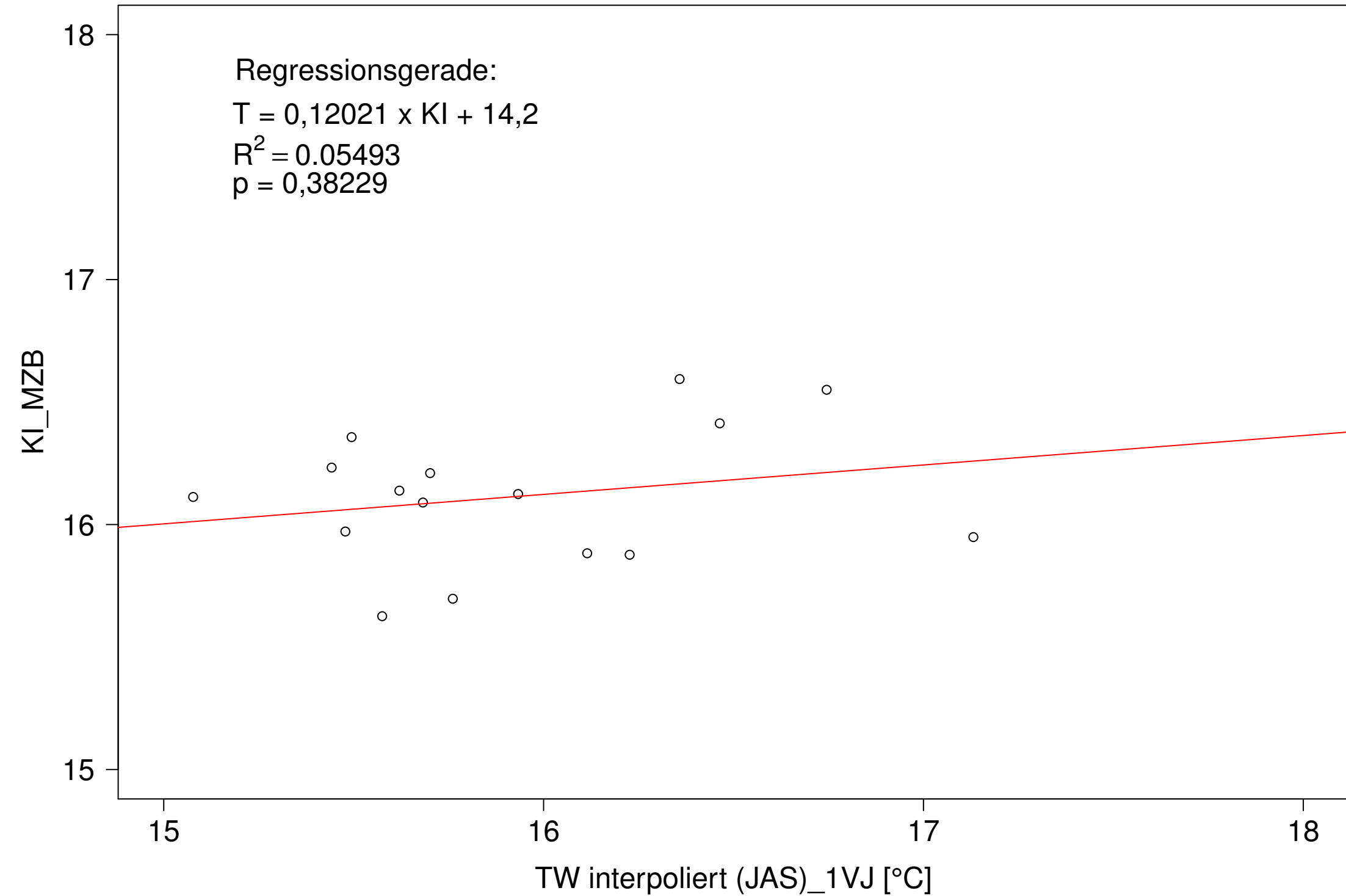
Neckar_Boerstingen, Typ 09.2 mit Neozoen, Serie 1
3JMW KI_MZB (Kont-Korr) gegen 3JMW TW interpoliert (JAS) des 1. Vorjahres



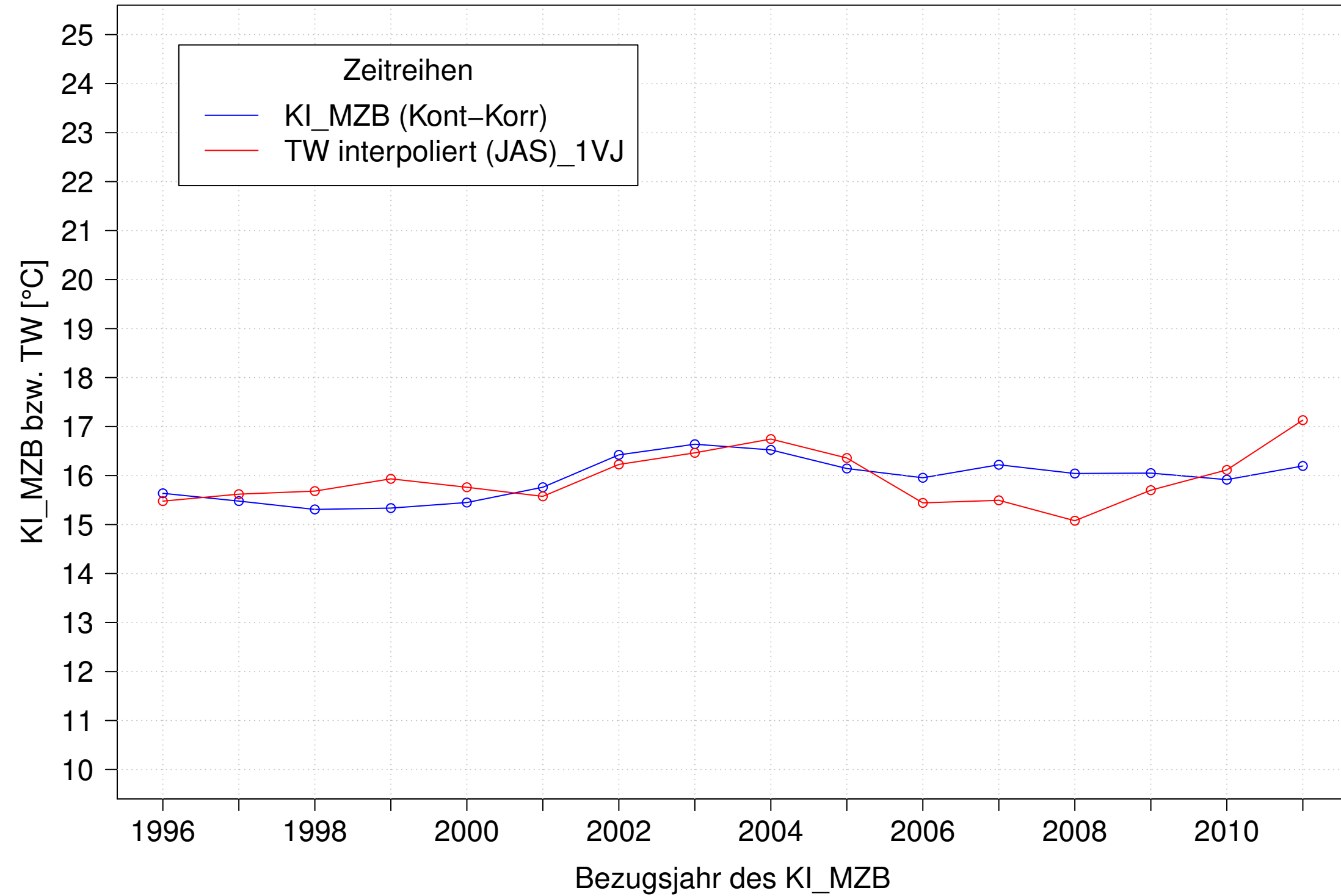
Neckar_Boerstingen, Typ 09.2 mit Neozoen, Serie 2
3JMW KI_MZB (Kont-Korr) und 3JMW TW interpoliert (JAS) des 1. Vorjahres



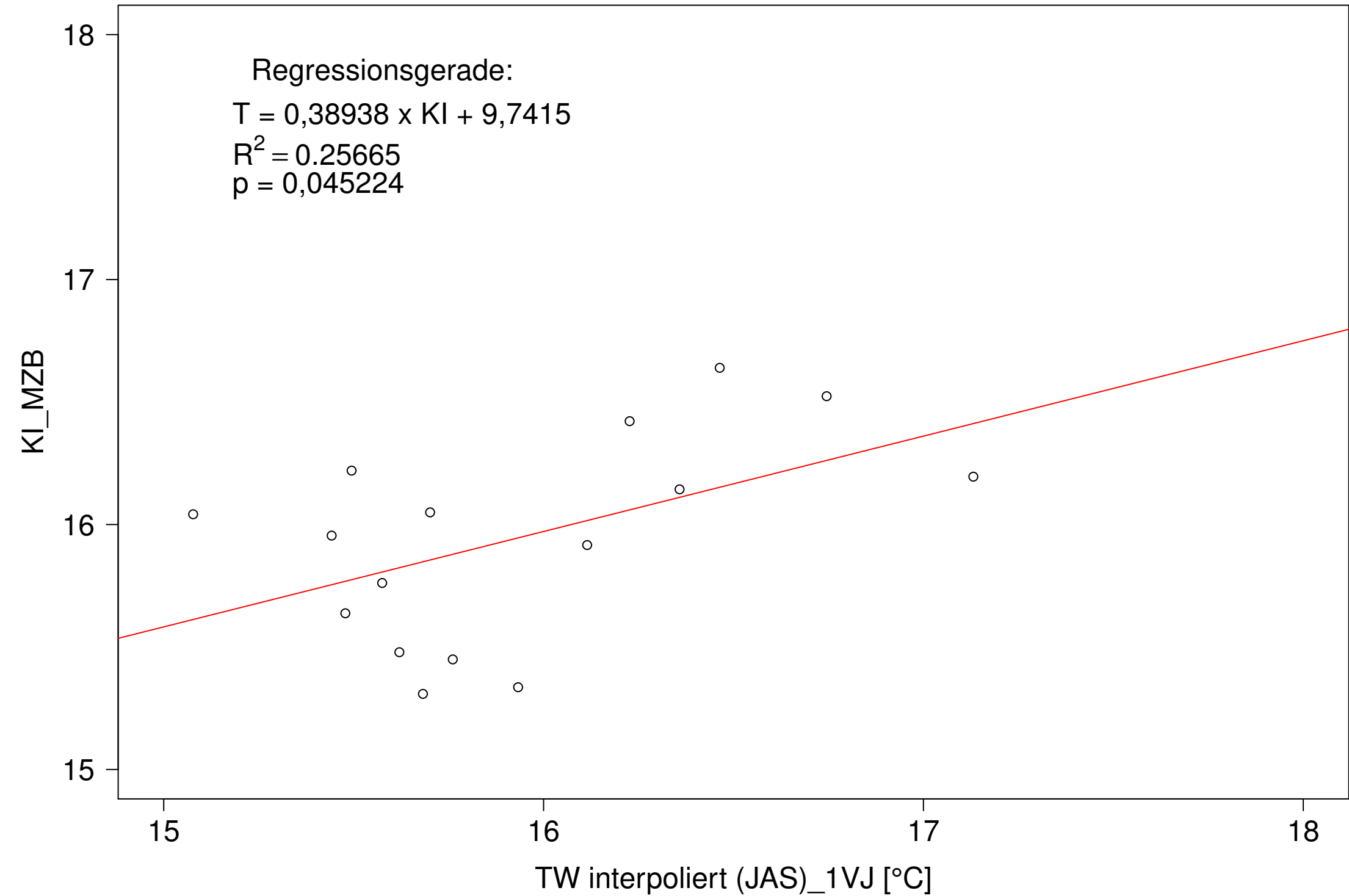
Neckar_Boerstingen, Typ 09.2 mit Neozoen, Serie 2
3JMW KI_MZB (Kont-Korr) gegen 3JMW TW interpoliert (JAS) des 1. Vorjahres



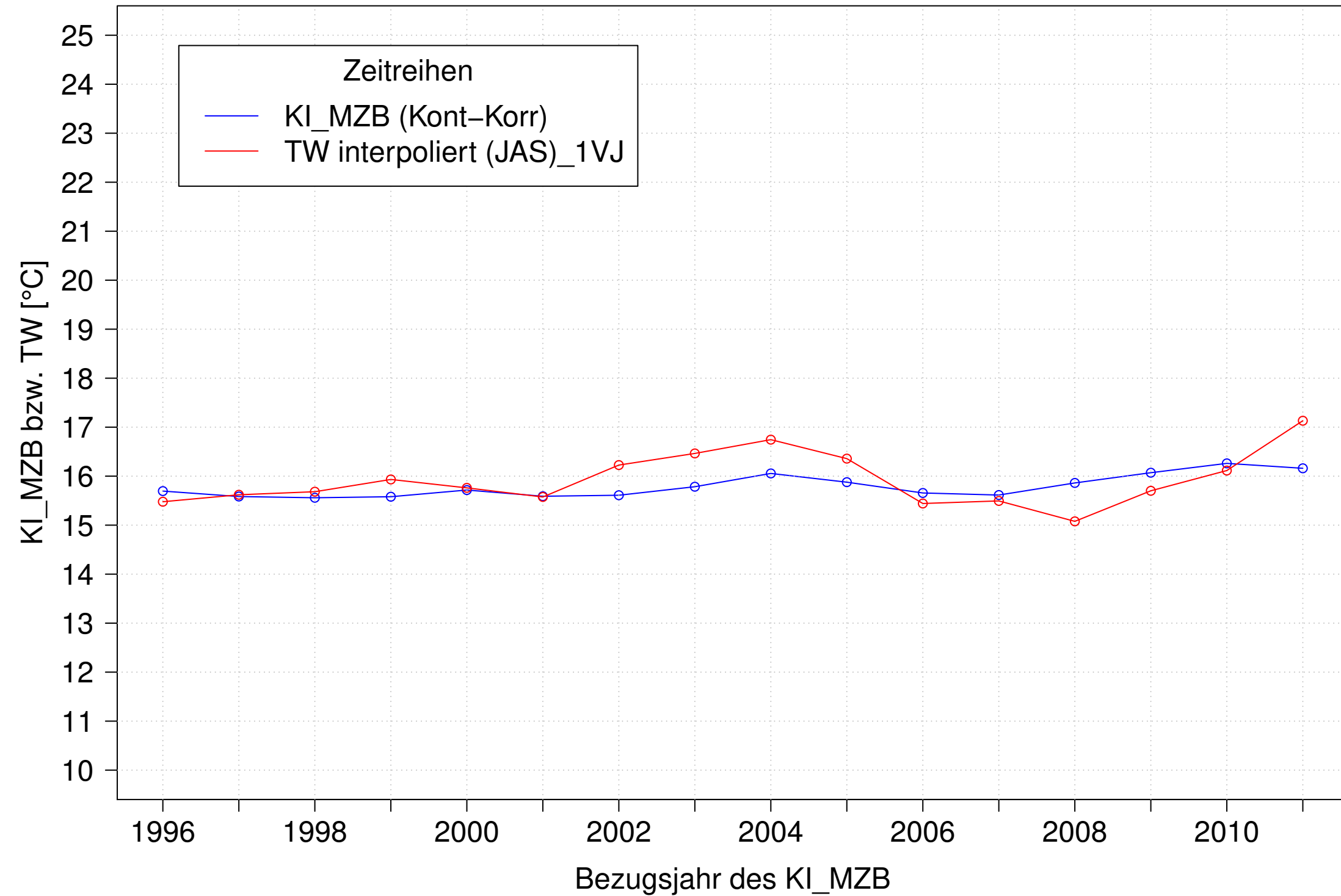
Neckar_Boerstingen, Typ 09.2 mit Neozoen, Serie 3
3JMW KI_MZB (Kont-Korr) und 3JMW TW interpoliert (JAS) des 1. Vorjahres



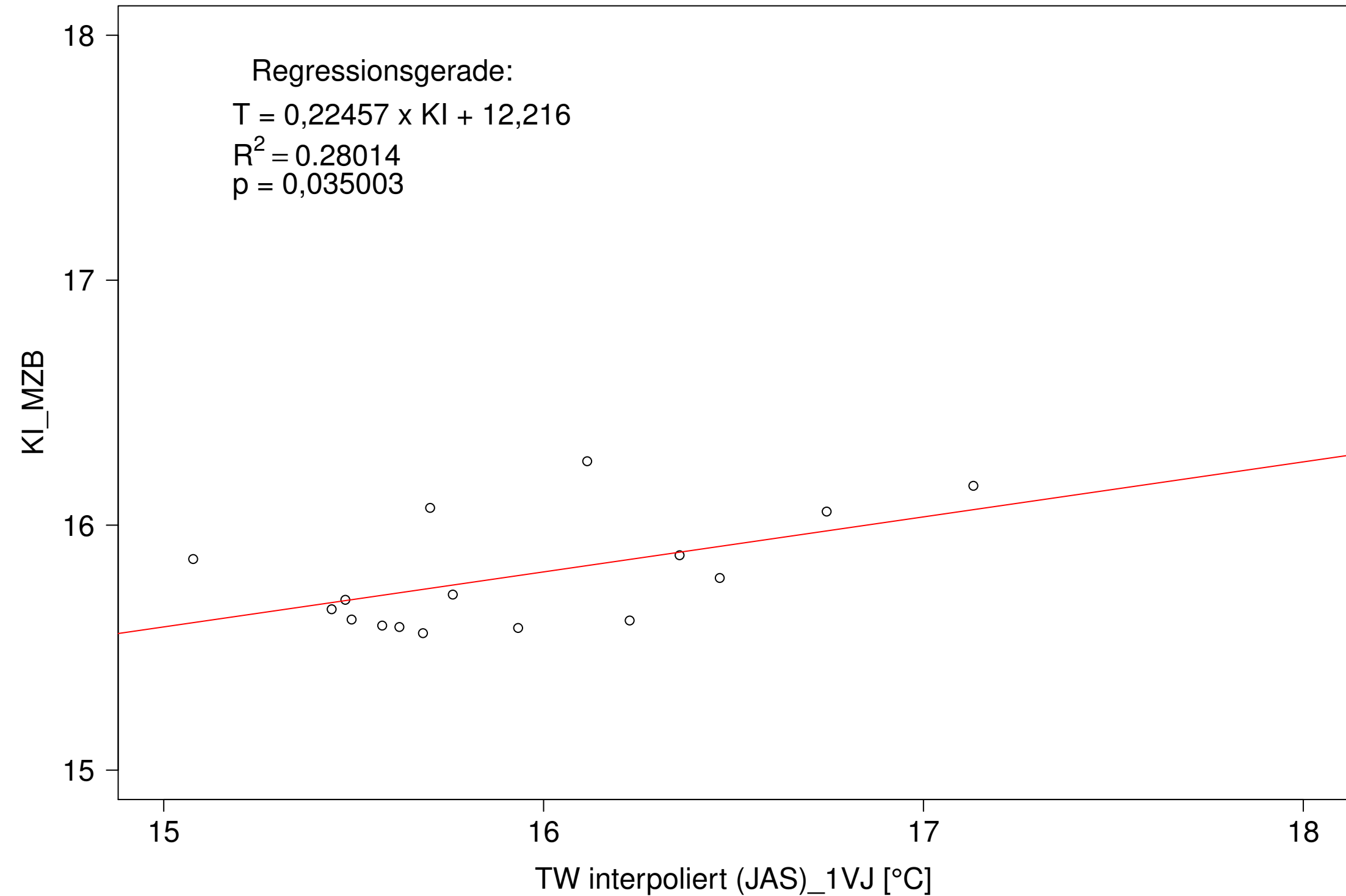
Neckar_Boerstingen, Typ 09.2 mit Neozoen, Serie 3
3JMW KI_MZB (Kont-Korr) gegen 3JMW TW interpoliert (JAS) des 1. Vorjahres



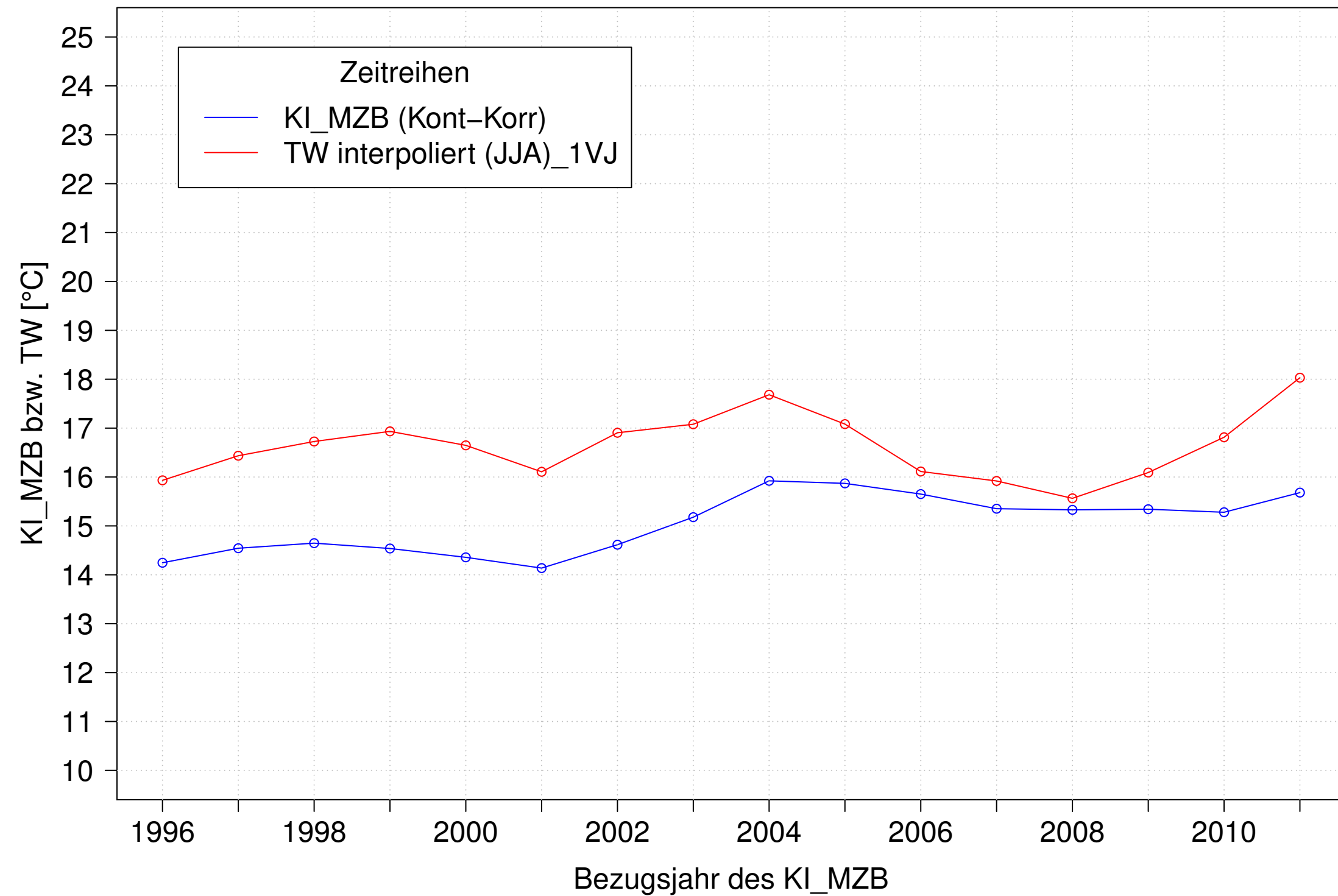
Neckar_Boerstingen, Typ 09.2 mit Neozoen, Serie 4
3JMW KI_MZB (Kont-Korr) und 3JMW TW interpoliert (JAS) des 1. Vorjahres



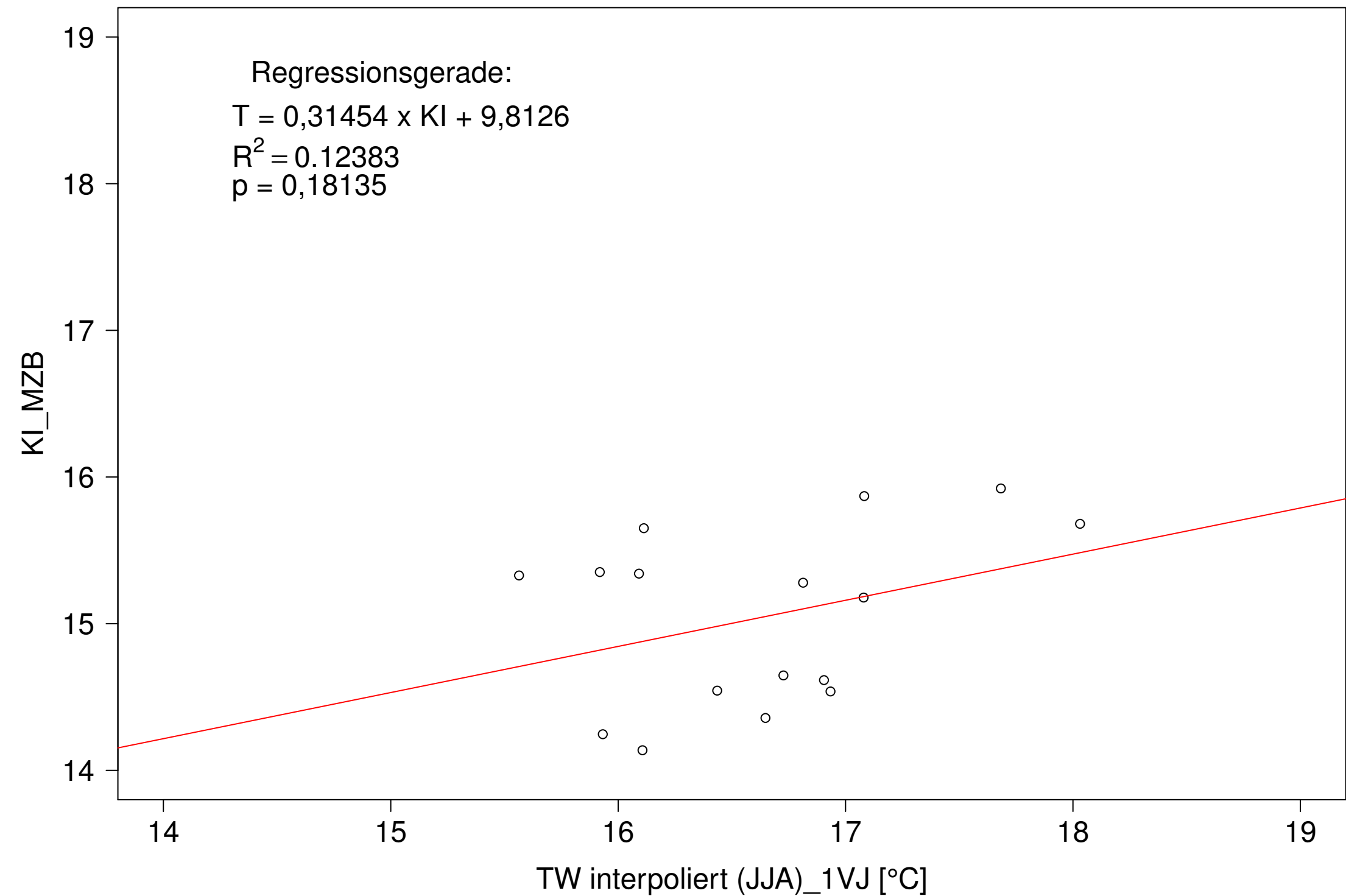
Neckar_Boerstingen, Typ 09.2 mit Neozoen, Serie 4
3JMW KI_MZB (Kont-Korr) gegen 3JMW TW interpoliert (JAS) des 1. Vorjahres



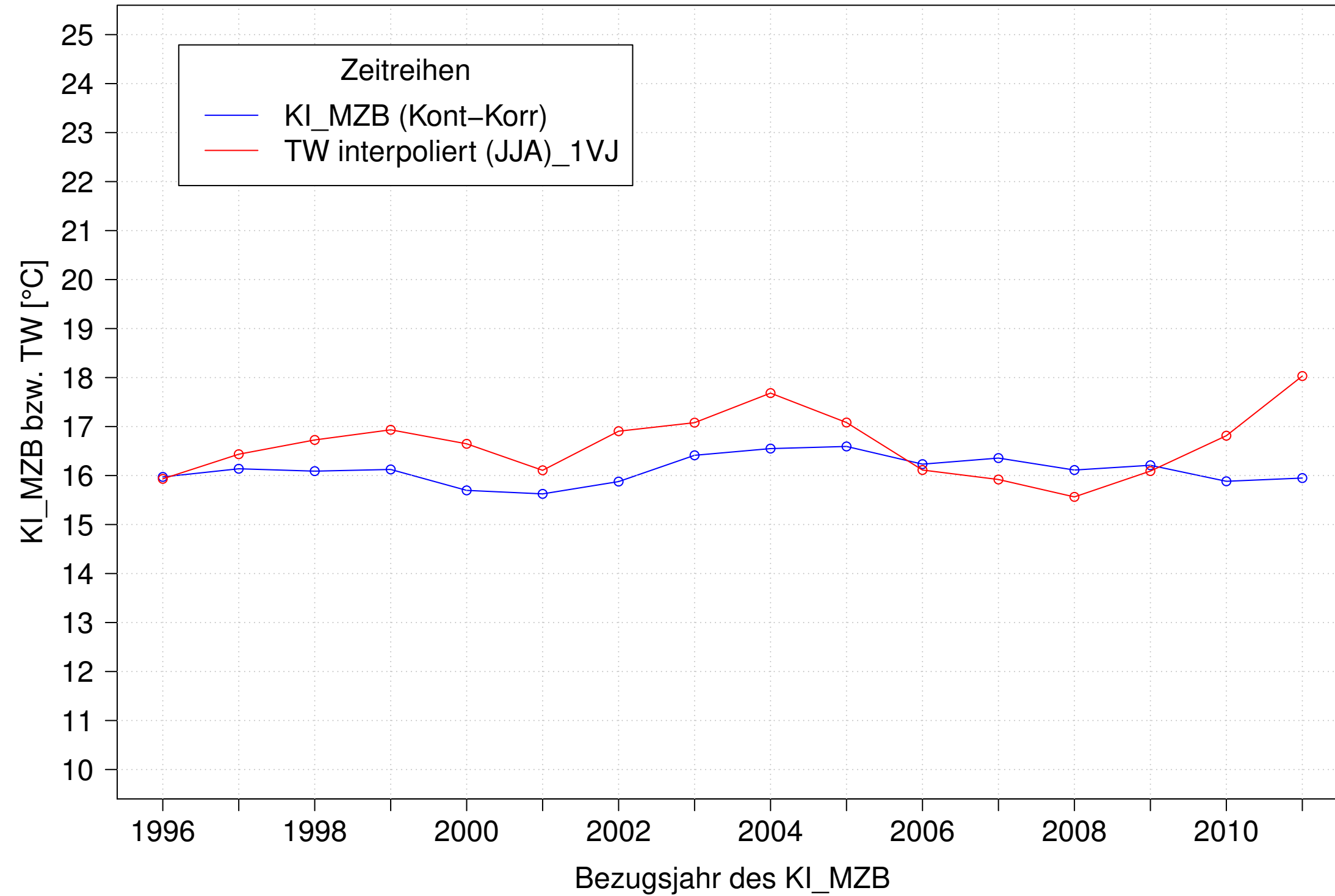
Neckar_Boerstingen, Typ 09.2 mit Neozoen, Serie 1
3JMW KI_MZB (Kont-Korr) und 3JMW TW interpoliert (JJA) des 1. Vorjahres



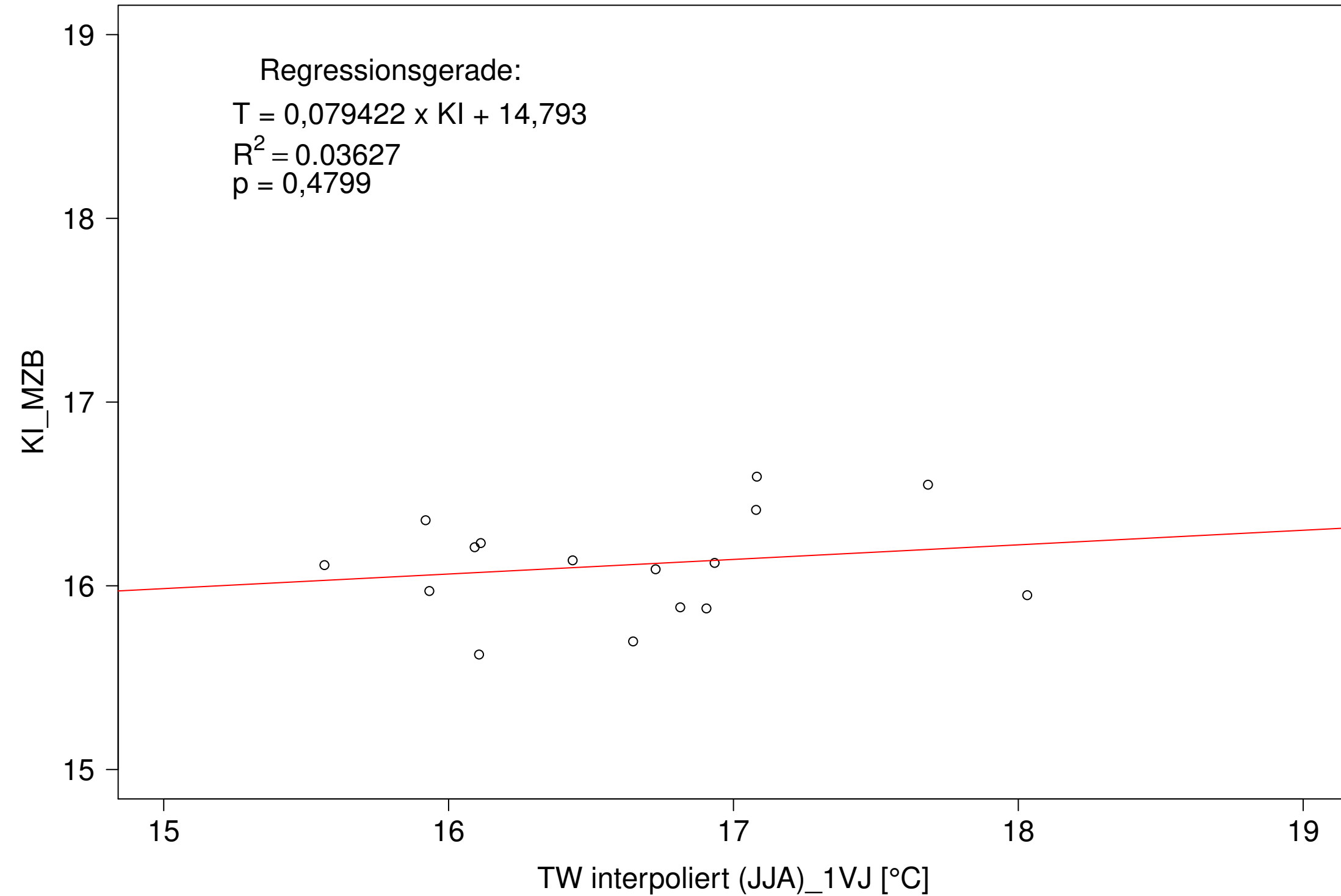
Neckar_Boerstingen, Typ 09.2 mit Neozoen, Serie 1
3JMW KI_MZB (Kont-Korr) gegen 3JMW TW interpoliert (JJA) des 1. Vorjahres



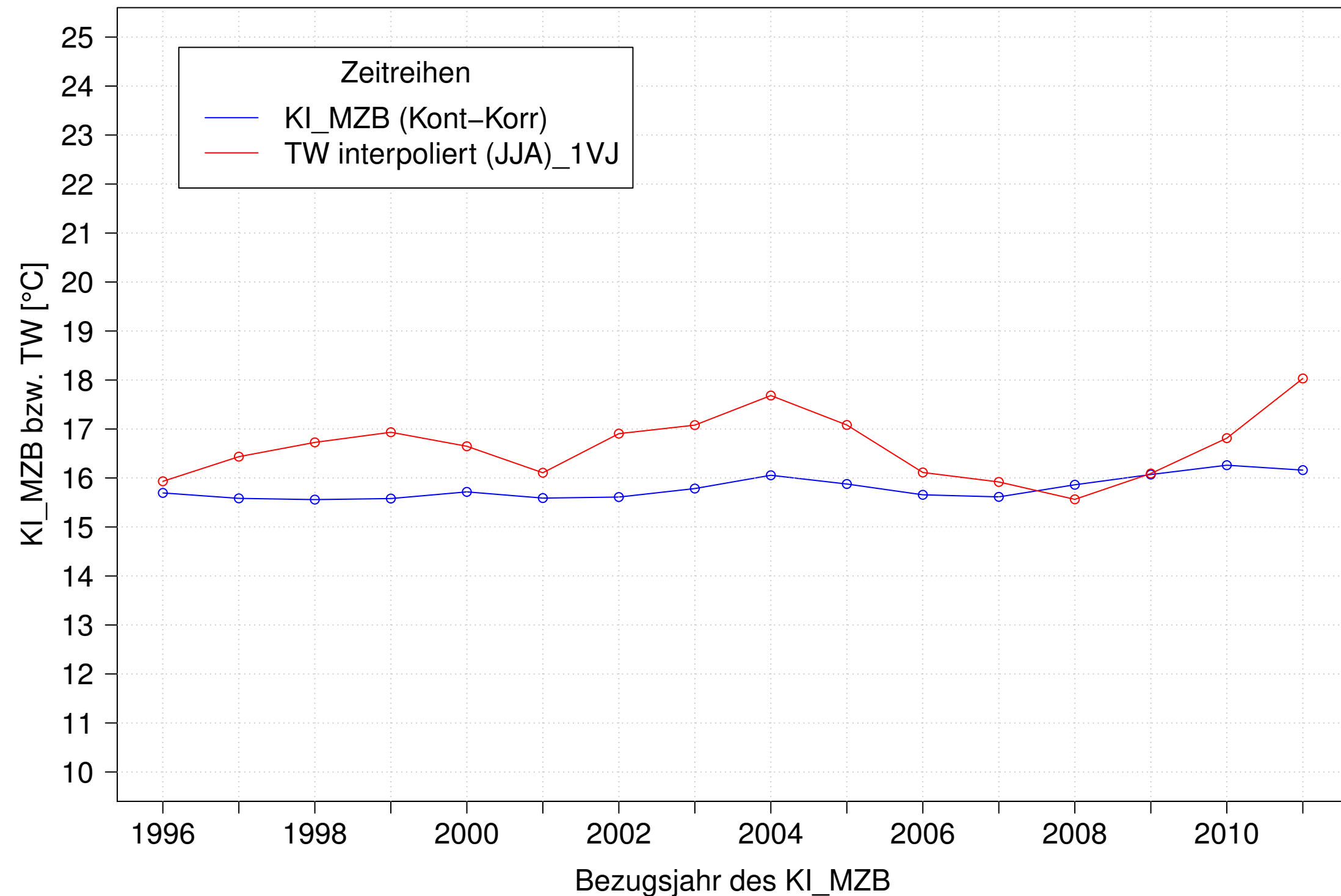
Neckar_Boerstingen, Typ 09.2 mit Neozoen, Serie 2
3JMW KI_MZB (Kont-Korr) und 3JMW TW interpoliert (JJA) des 1. Vorjahres



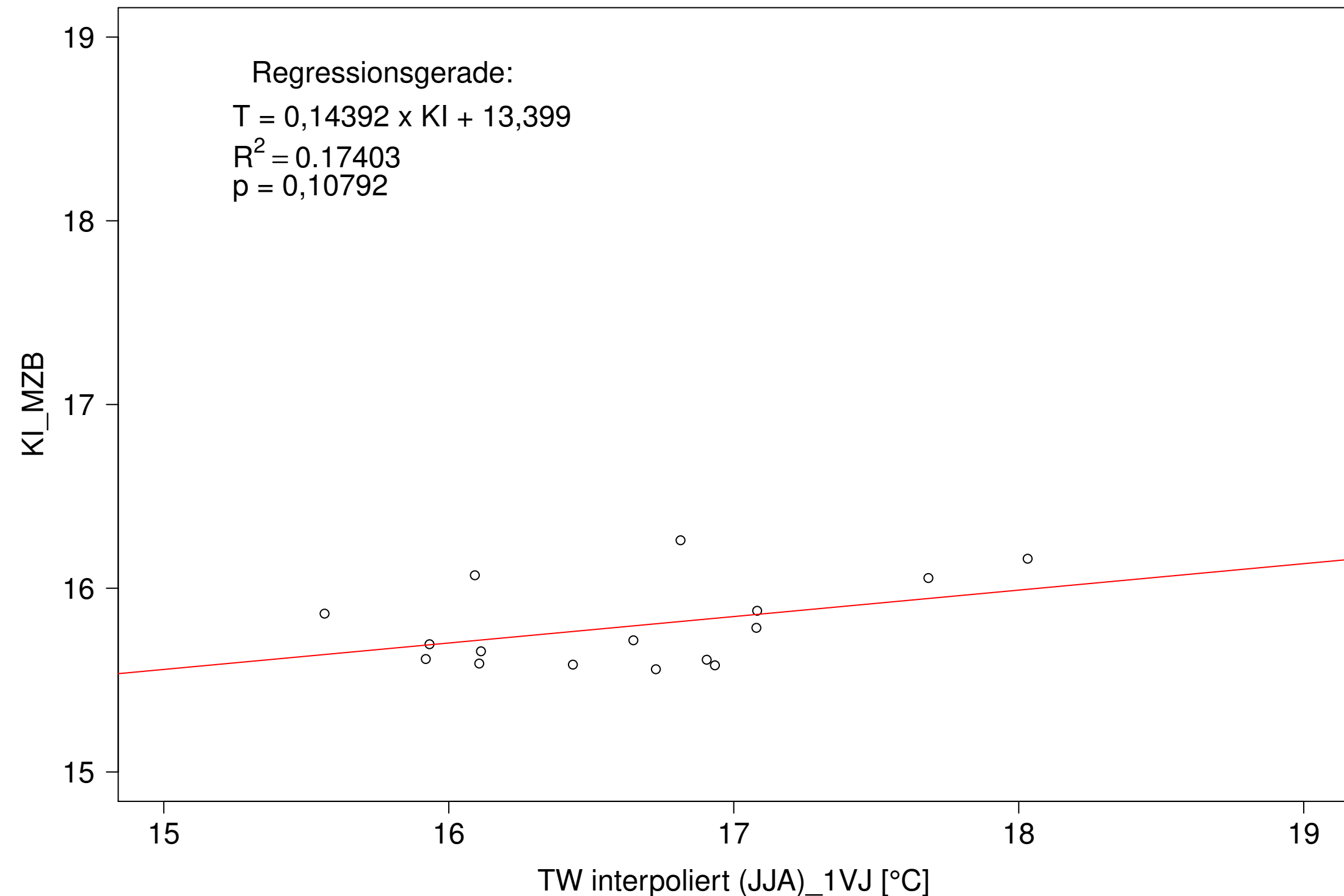
Neckar_Boerstingen, Typ 09.2 mit Neozoen, Serie 2
3JMW KI_MZB (Kont-Korr) gegen 3JMW TW interpoliert (JJA) des 1. Vorjahres



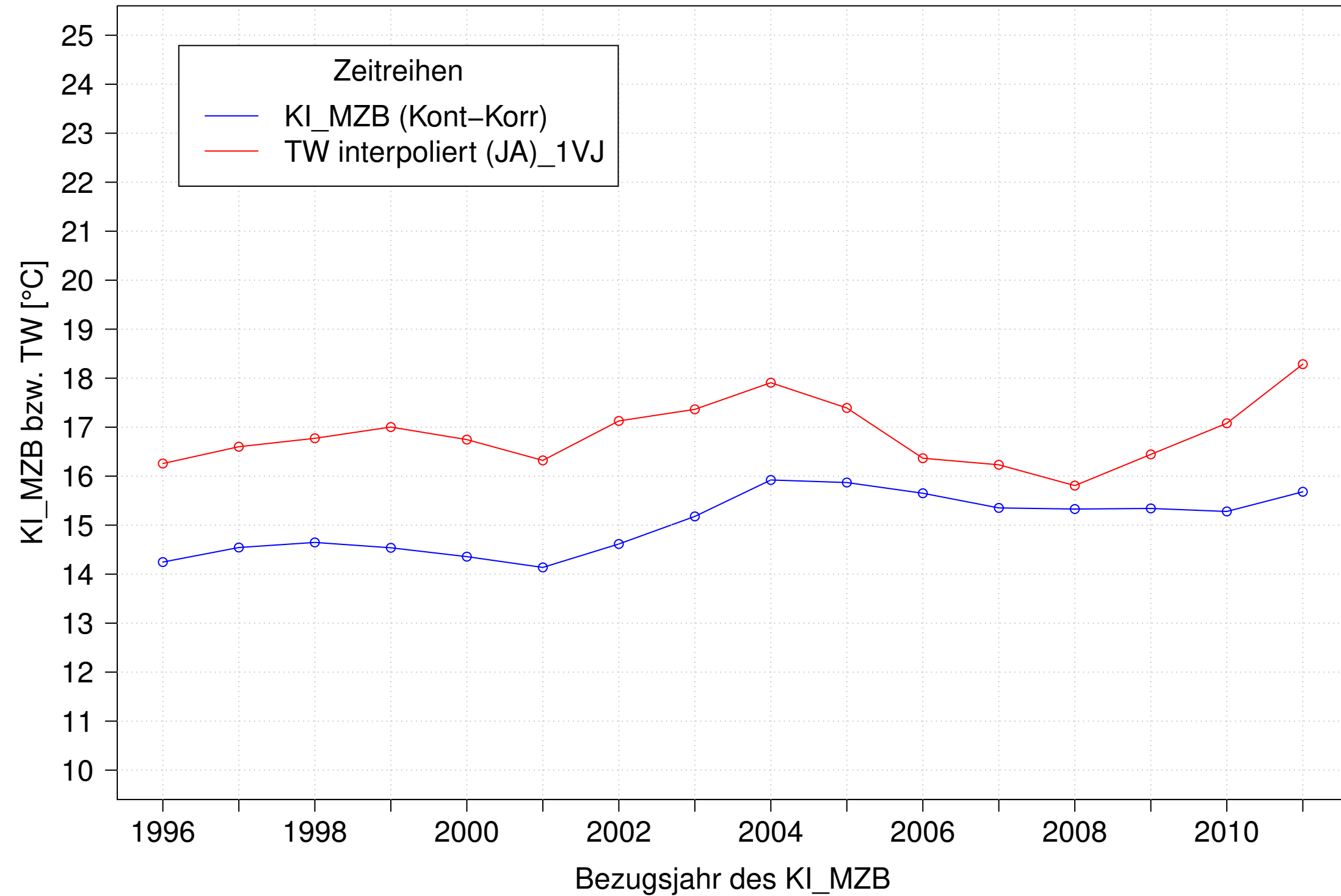
Neckar_Boerstingen, Typ 09.2 mit Neozoen, Serie 4
3JMW KI_MZB (Kont-Korr) und 3JMW TW interpoliert (JJA) des 1. Vorjahres



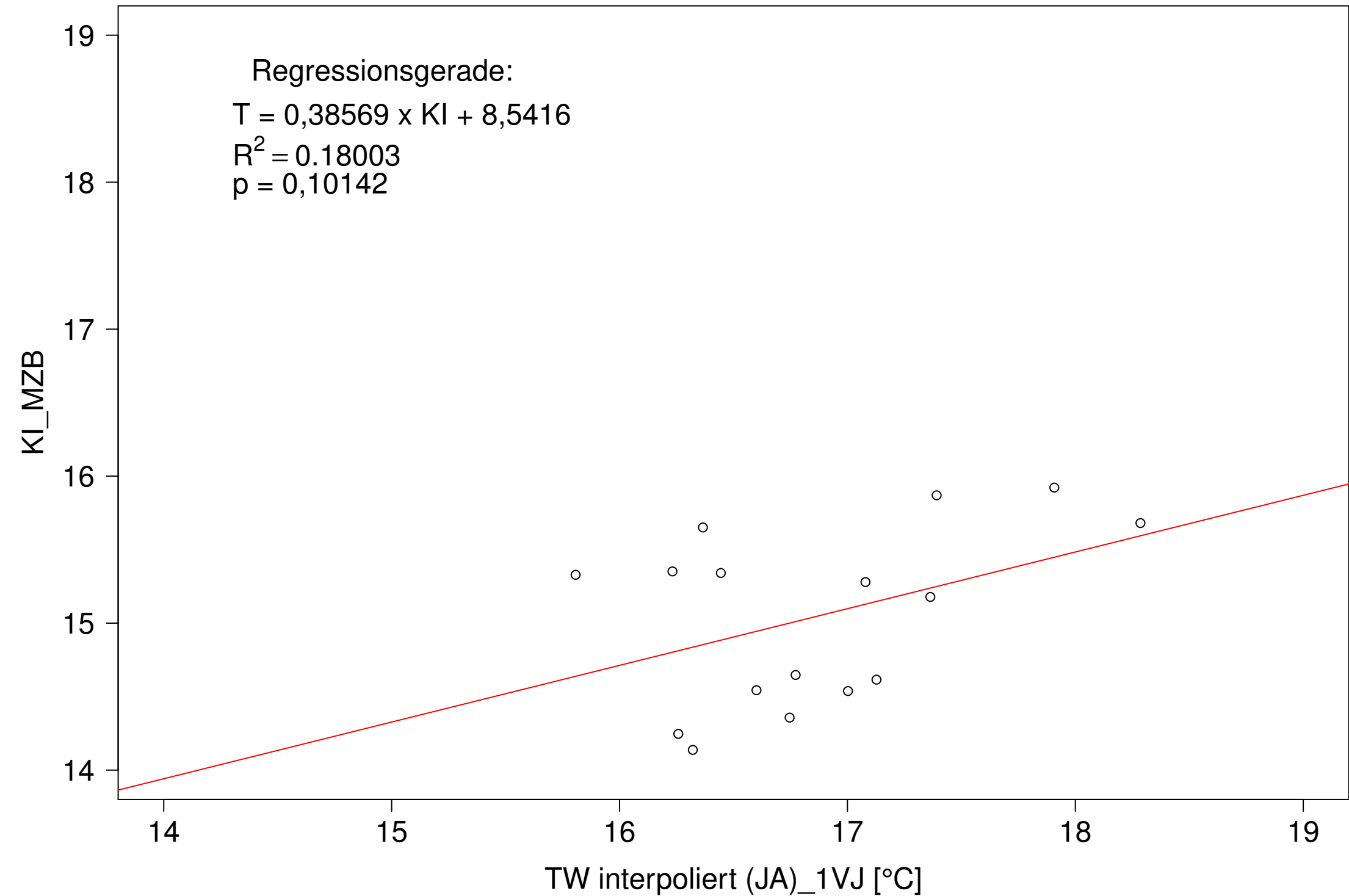
Neckar_Boerstingen, Typ 09.2 mit Neozoen, Serie 4
3JMW KI_MZB (Kont-Korr) gegen 3JMW TW interpoliert (JJA) des 1. Vorjahres



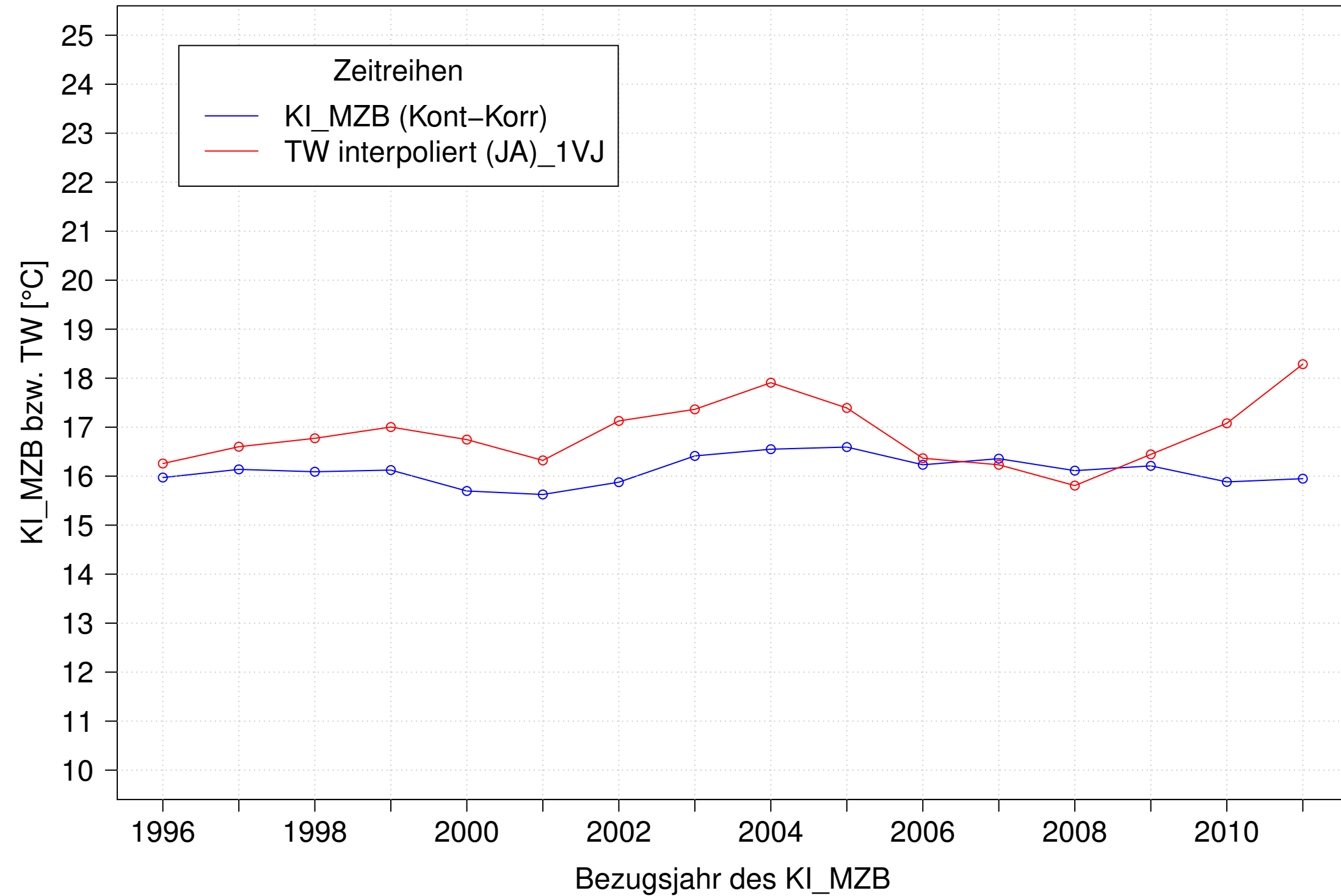
Neckar_Boerstingen, Typ 09.2 mit Neozoen, Serie 1
3JMW KI_MZB (Kont-Korr) und 3JMW TW interpoliert (JA) des 1. Vorjahres



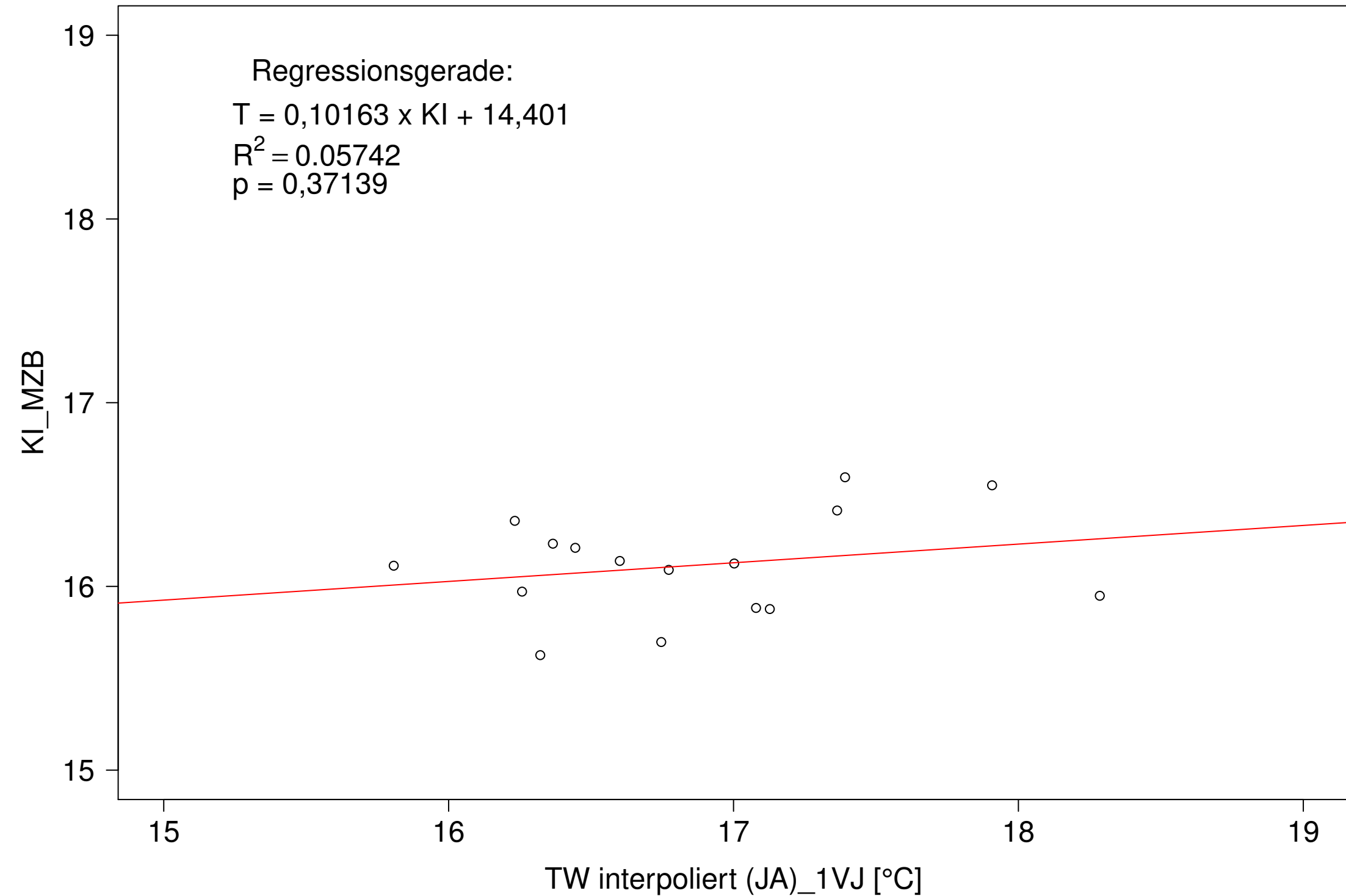
Neckar_Boerstingen, Typ 09.2 mit Neozoen, Serie 1
3JMW KI_MZB (Kont-Korr) gegen 3JMW TW interpoliert (JA) des 1. Vorjahres



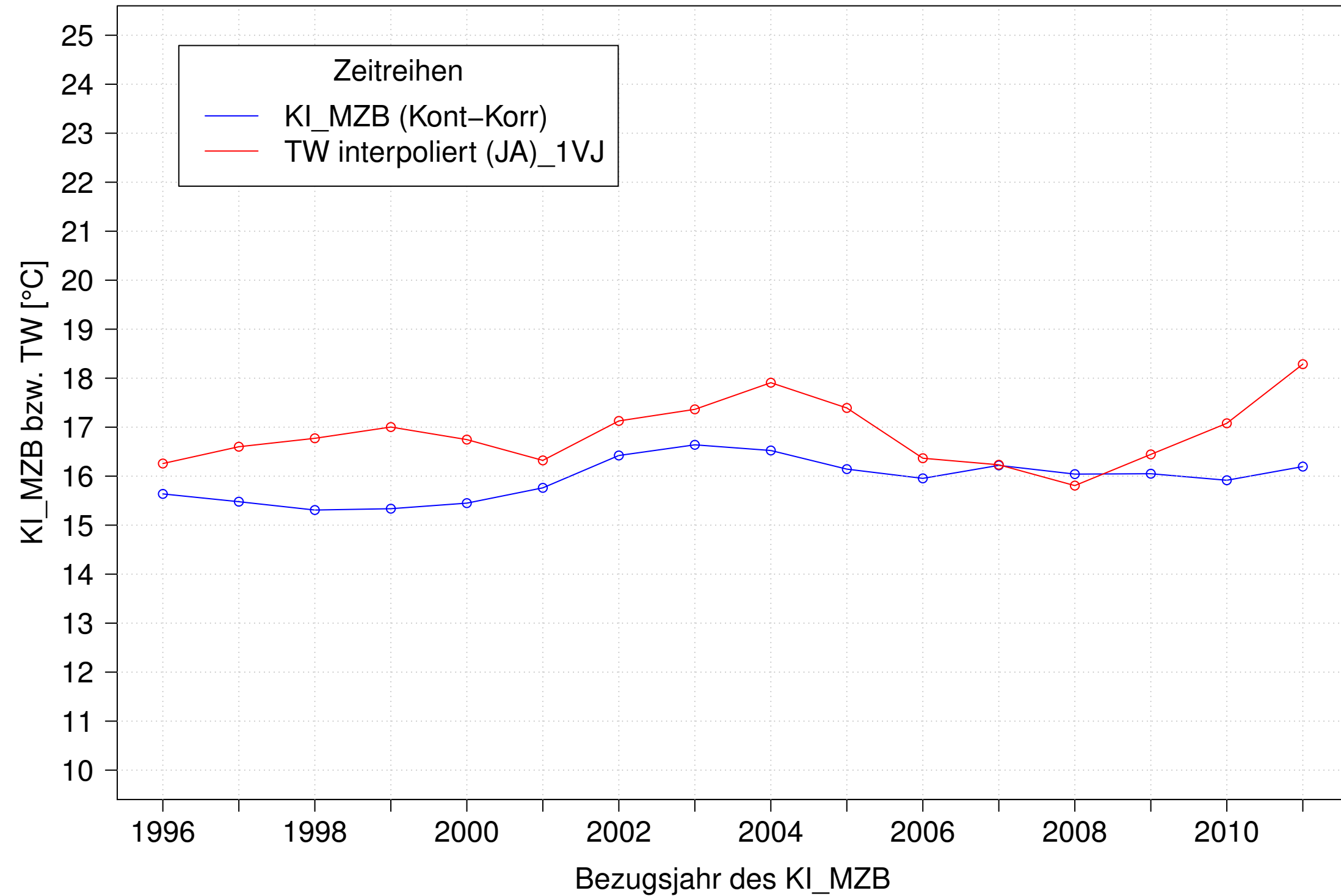
Neckar_Boerstingen, Typ 09.2 mit Neozoen, Serie 2
3JMW KI_MZB (Kont-Korr) und 3JMW TW interpoliert (JA) des 1. Vorjahres



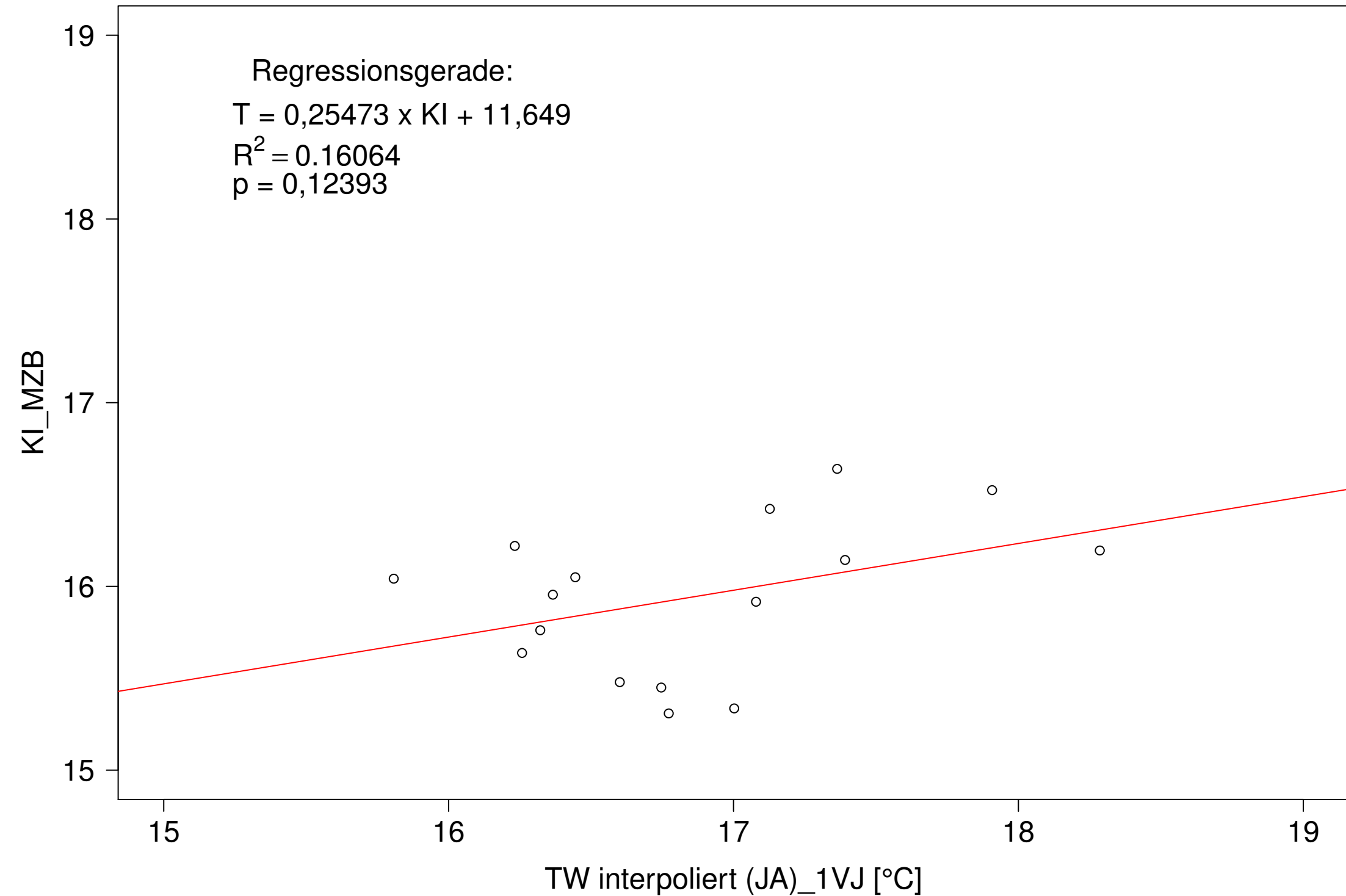
Neckar_Boerstingen, Typ 09.2 mit Neozoen, Serie 2
3JMW KI_MZB (Kont-Korr) gegen 3JMW TW interpoliert (JA) des 1. Vorjahres



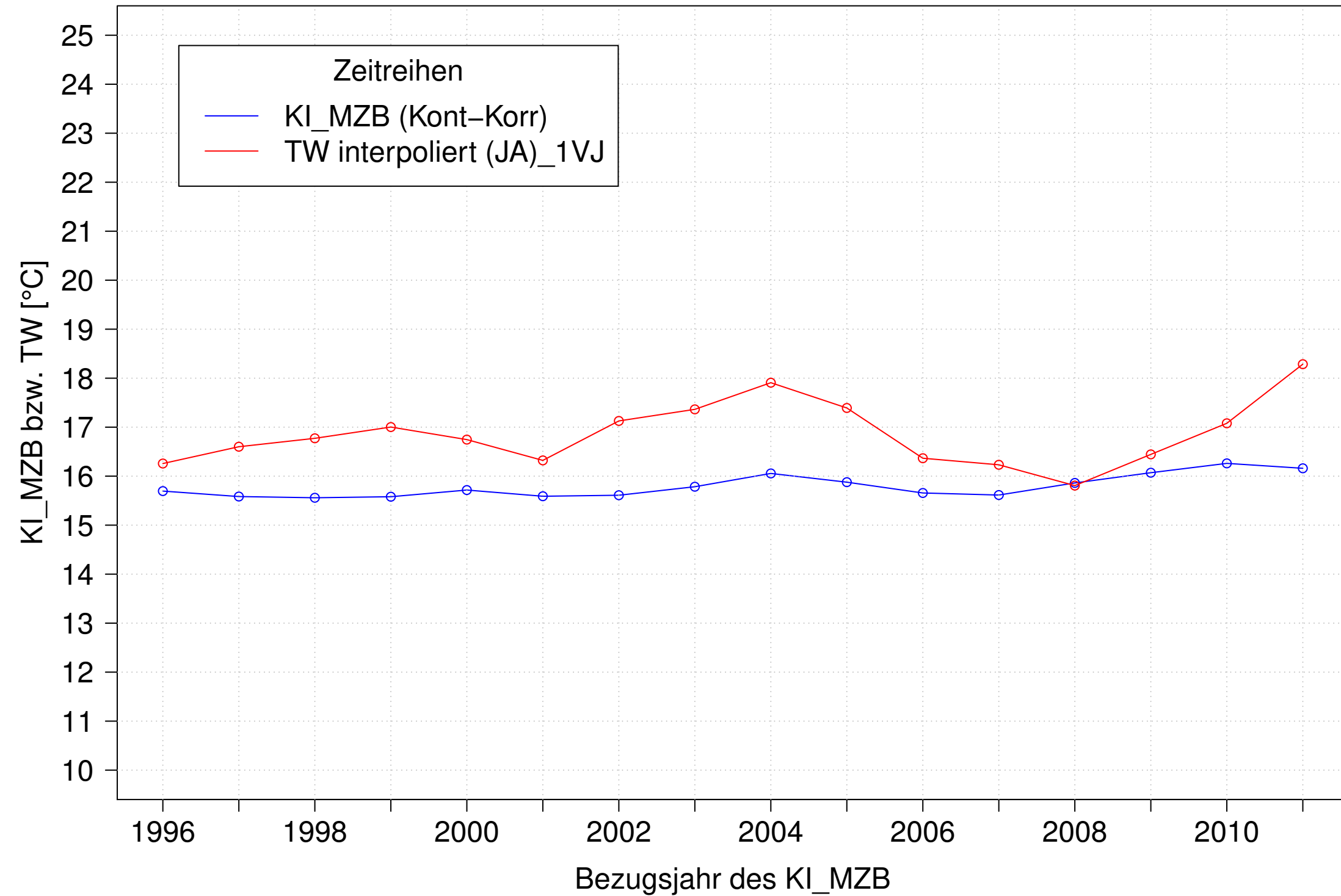
Neckar_Boerstingen, Typ 09.2 mit Neozoen, Serie 3
3JMW KI_MZB (Kont-Korr) und 3JMW TW interpoliert (JA) des 1. Vorjahres



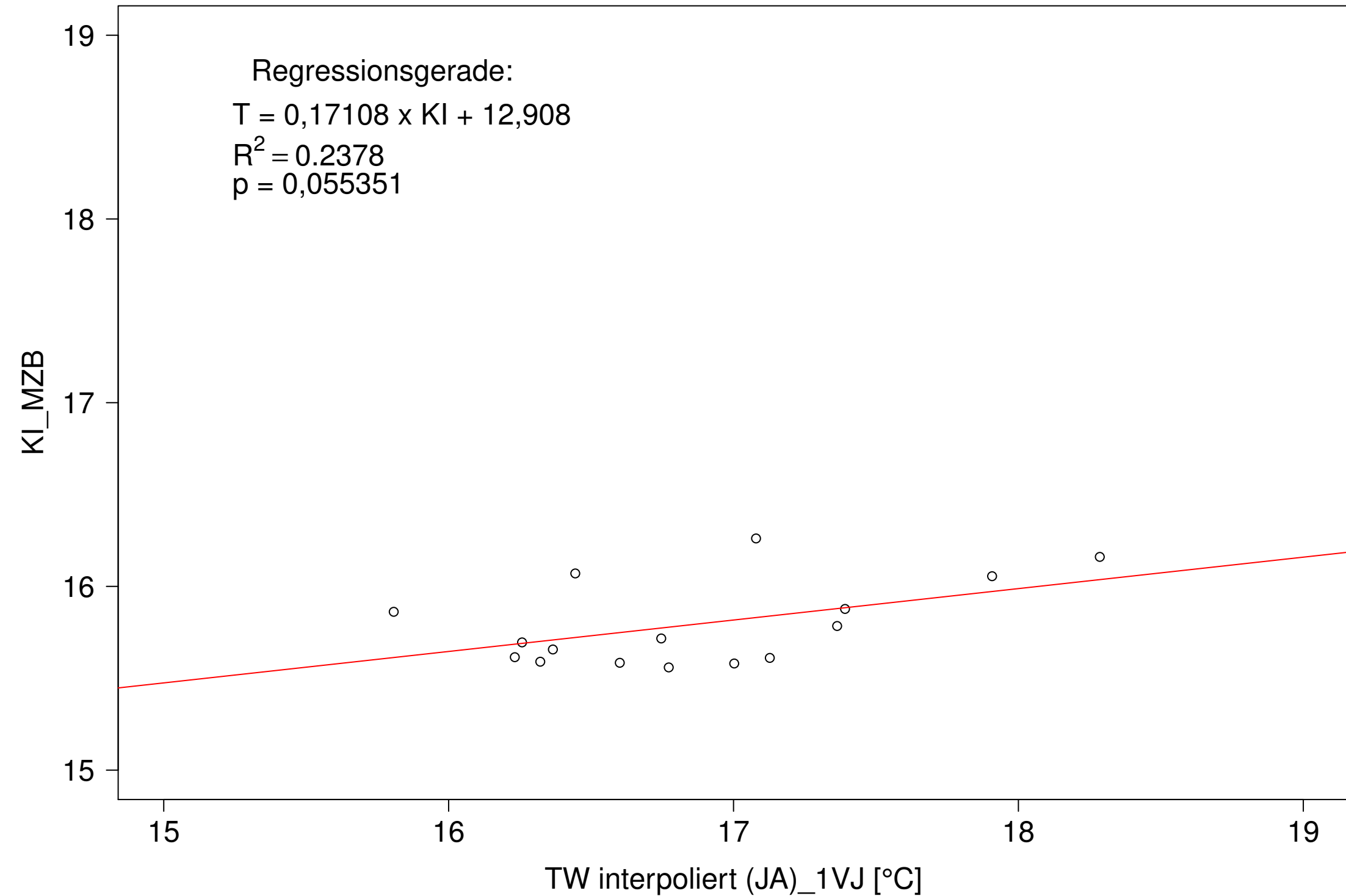
Neckar_Boerstingen, Typ 09.2 mit Neozoen, Serie 3
3JMW KI_MZB (Kont-Korr) gegen 3JMW TW interpoliert (JA) des 1. Vorjahres



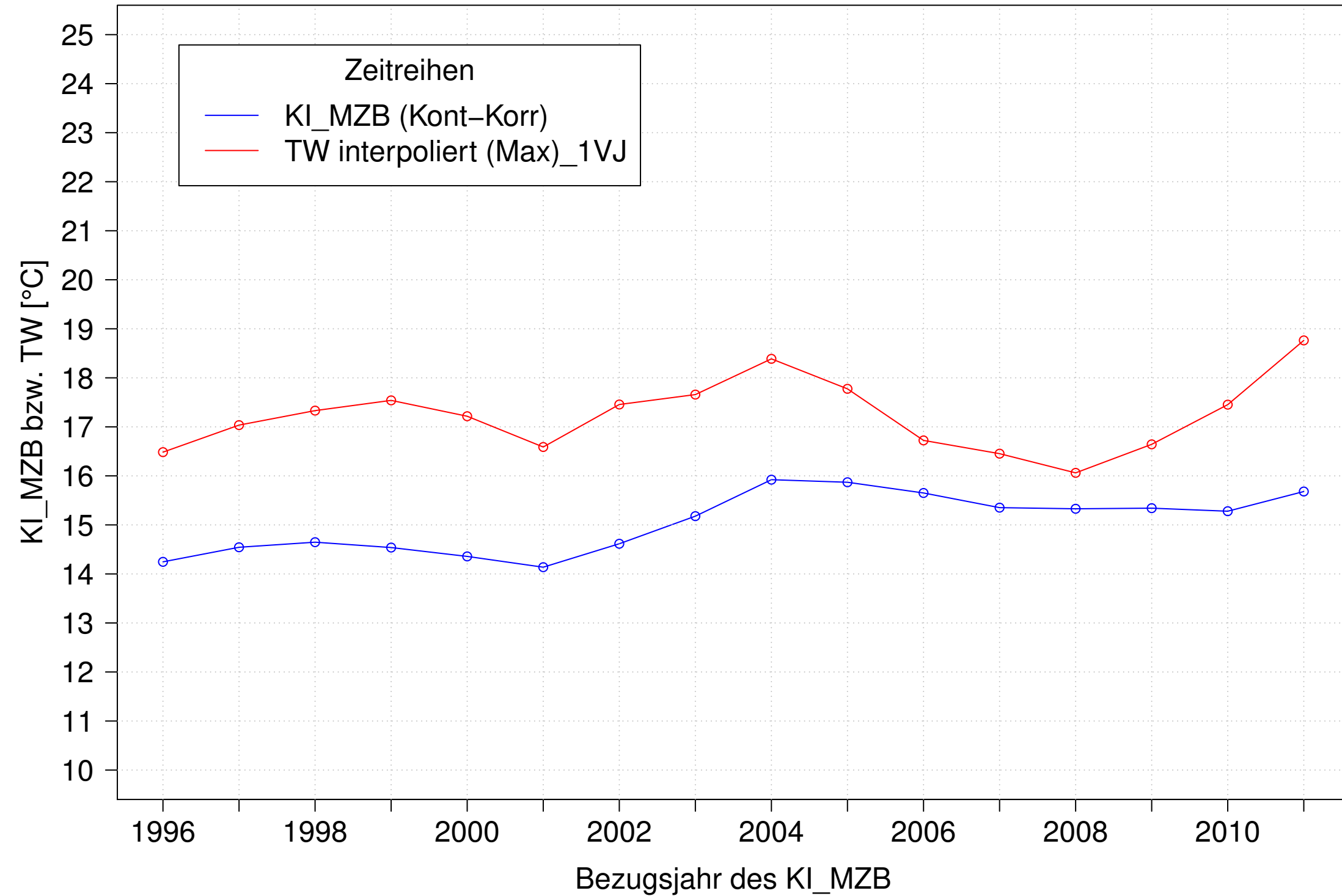
Neckar_Boerstingen, Typ 09.2 mit Neozoen, Serie 4
3JMW KI_MZB (Kont-Korr) und 3JMW TW interpoliert (JA) des 1. Vorjahres



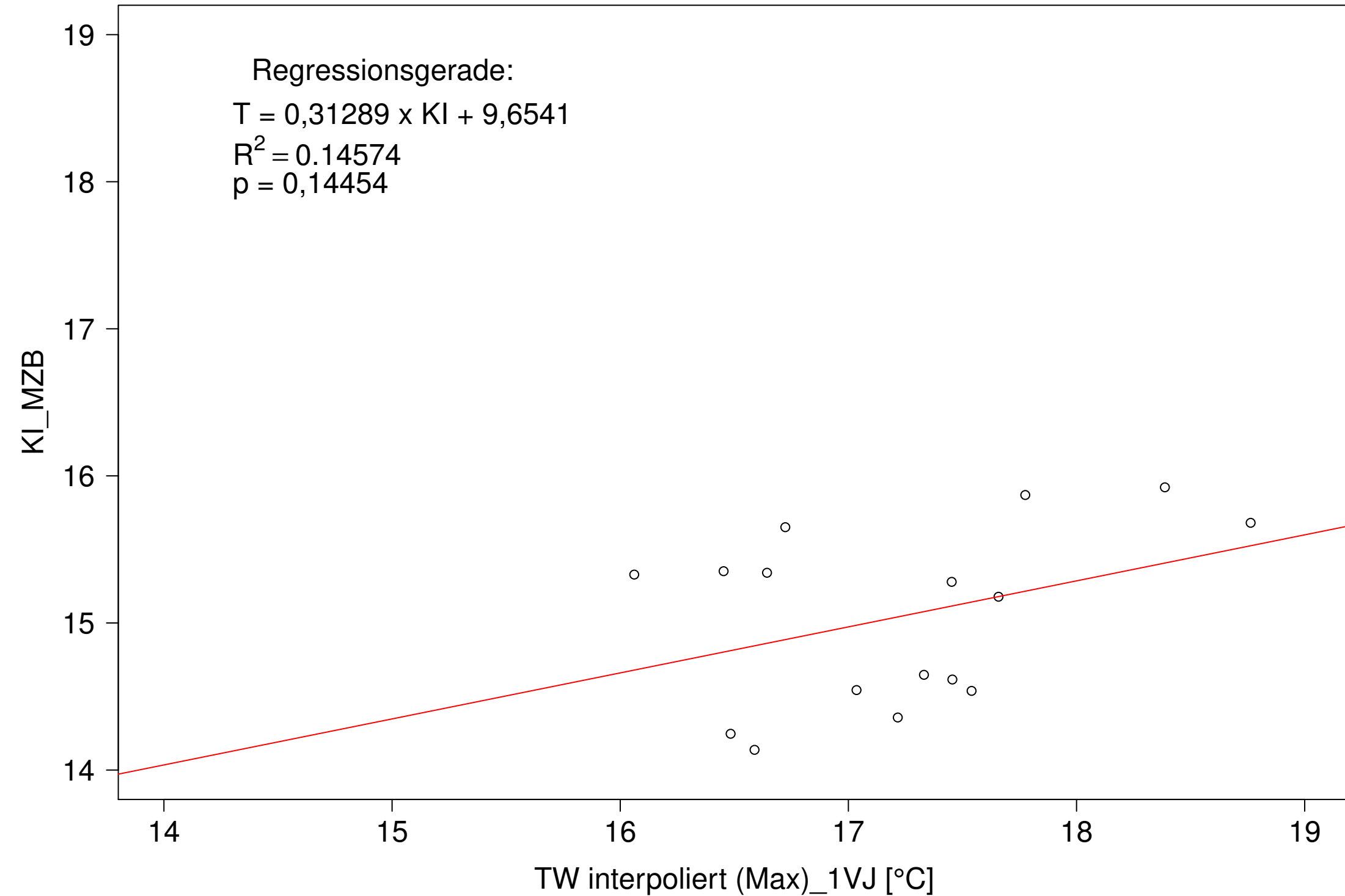
Neckar_Boerstingen, Typ 09.2 mit Neozoen, Serie 4
3JMW KI_MZB (Kont-Korr) gegen 3JMW TW interpoliert (JA) des 1. Vorjahres



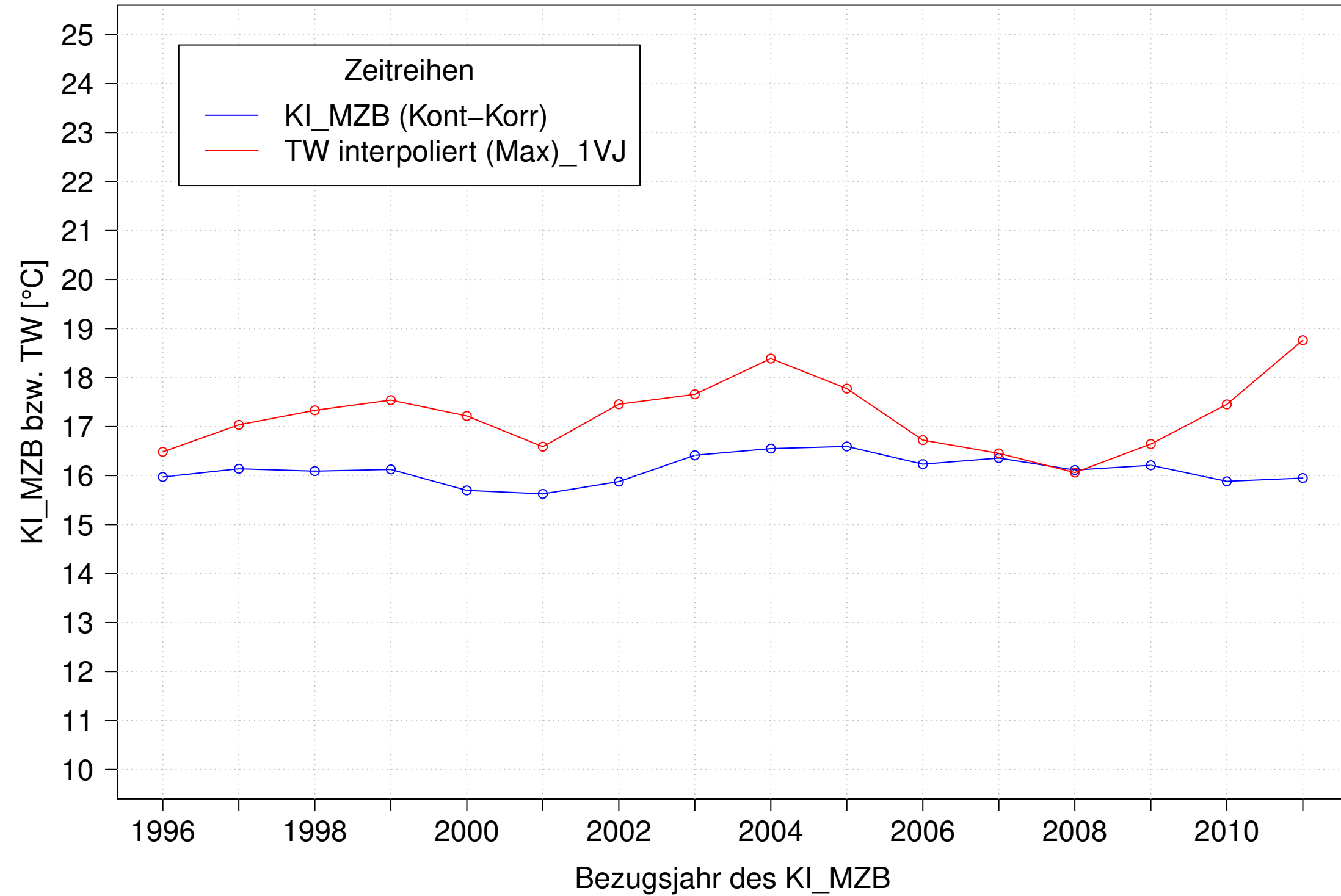
Neckar_Boerstingen, Typ 09.2 mit Neozoen, Serie 1
3JMW KI_MZB (Kont-Korr) und 3JMW TW interpoliert (Max) des 1. Vorjahres



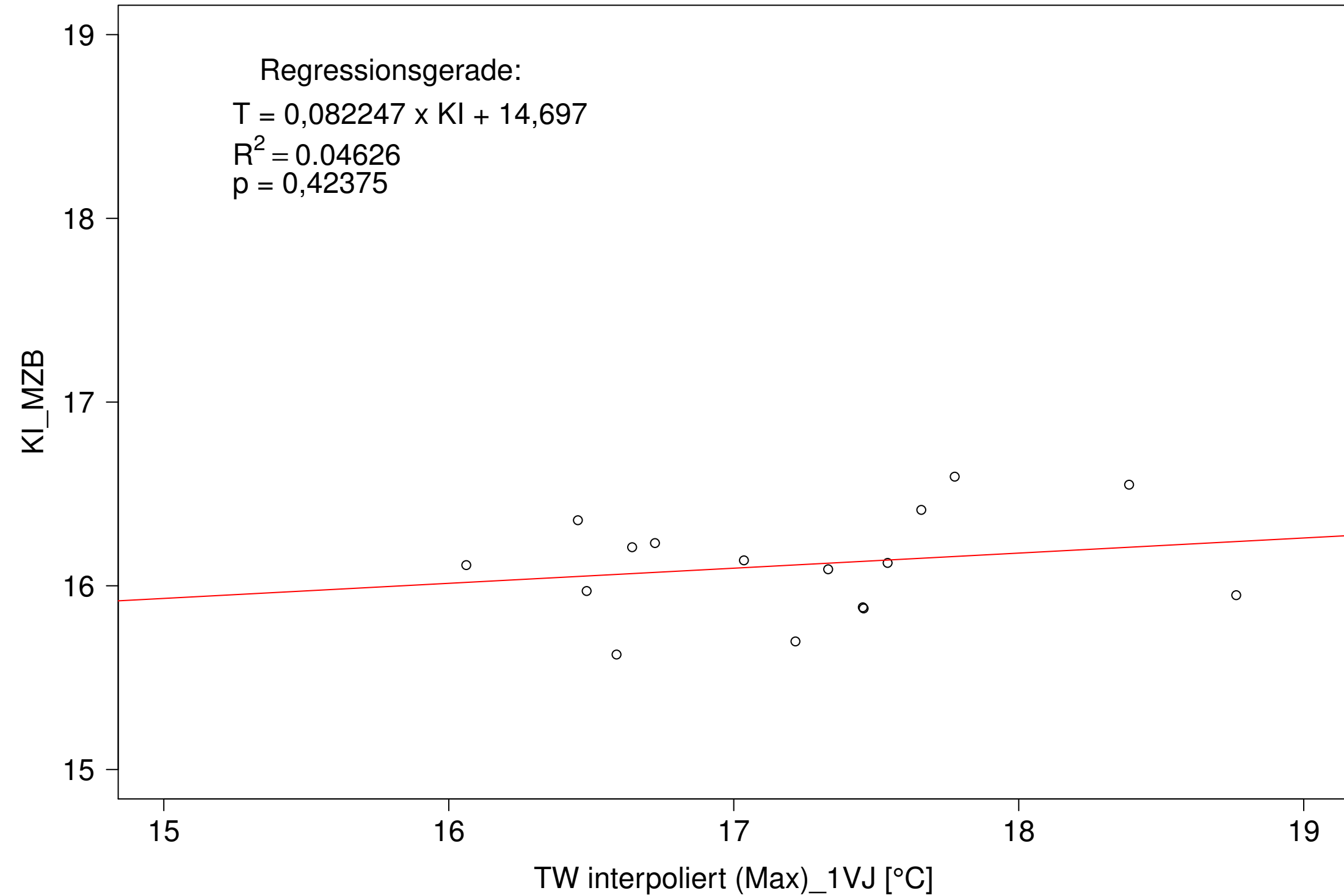
Neckar_Boerstingen, Typ 09.2 mit Neozoen, Serie 1
3JMW KI_MZB (Kont-Korr) gegen 3JMW TW interpoliert (Max) des 1. Vorjahres



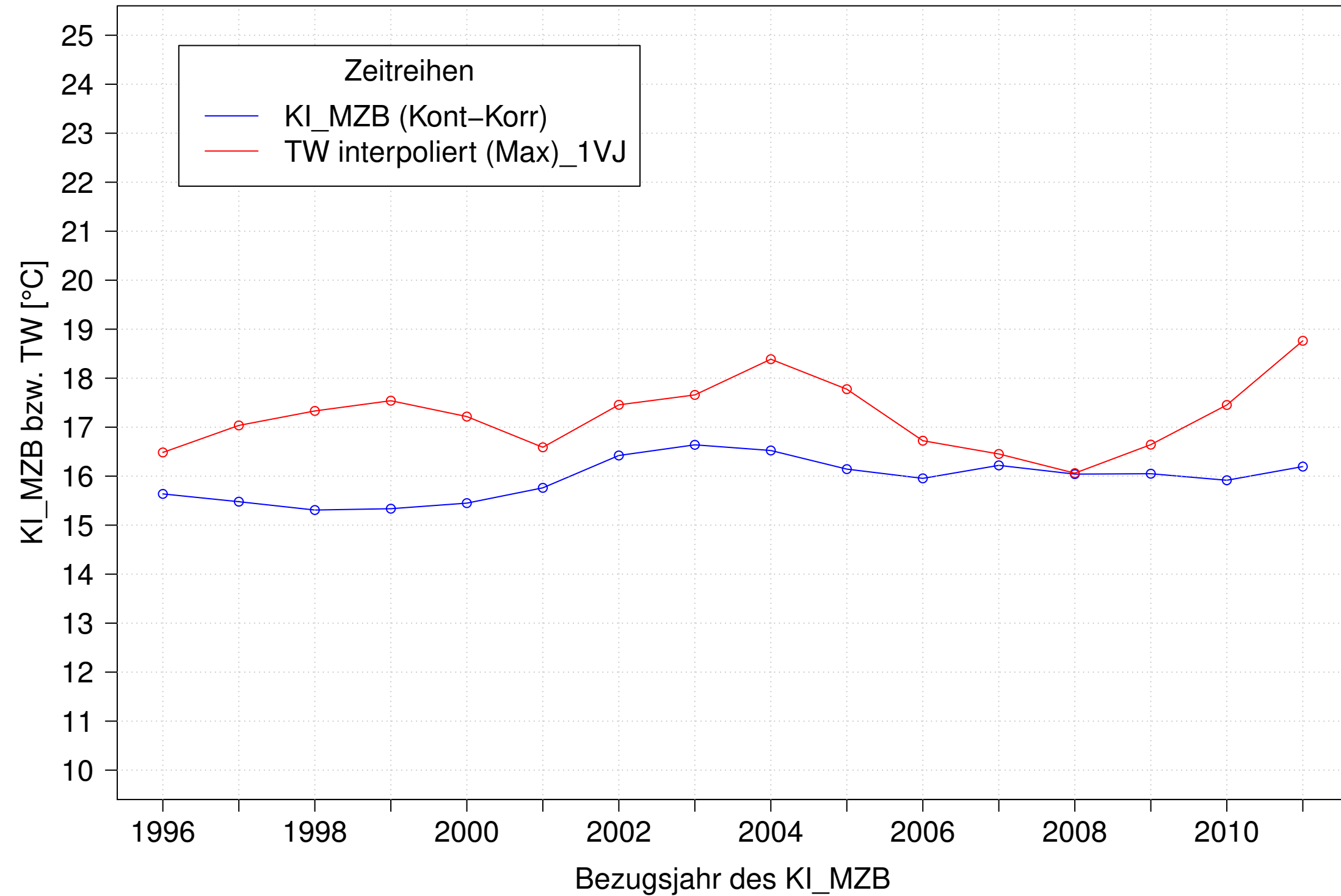
Neckar_Boerstingen, Typ 09.2 mit Neozoen, Serie 2
3JMW KI_MZB (Kont-Korr) und 3JMW TW interpoliert (Max) des 1. Vorjahres



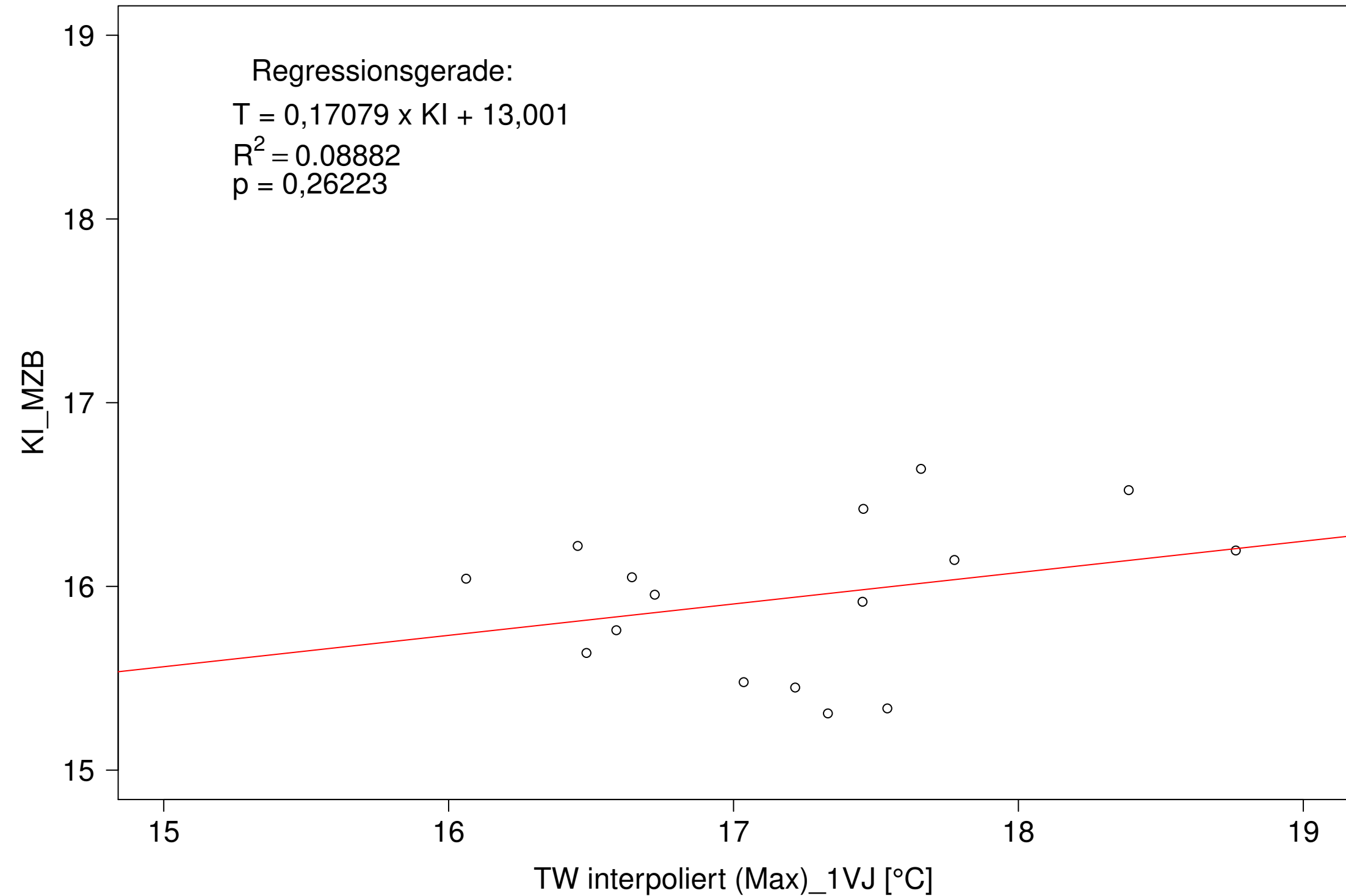
Neckar_Boerstingen, Typ 09.2 mit Neozoen, Serie 2
3JMW KI_MZB (Kont-Korr) gegen 3JMW TW interpoliert (Max) des 1. Vorjahres



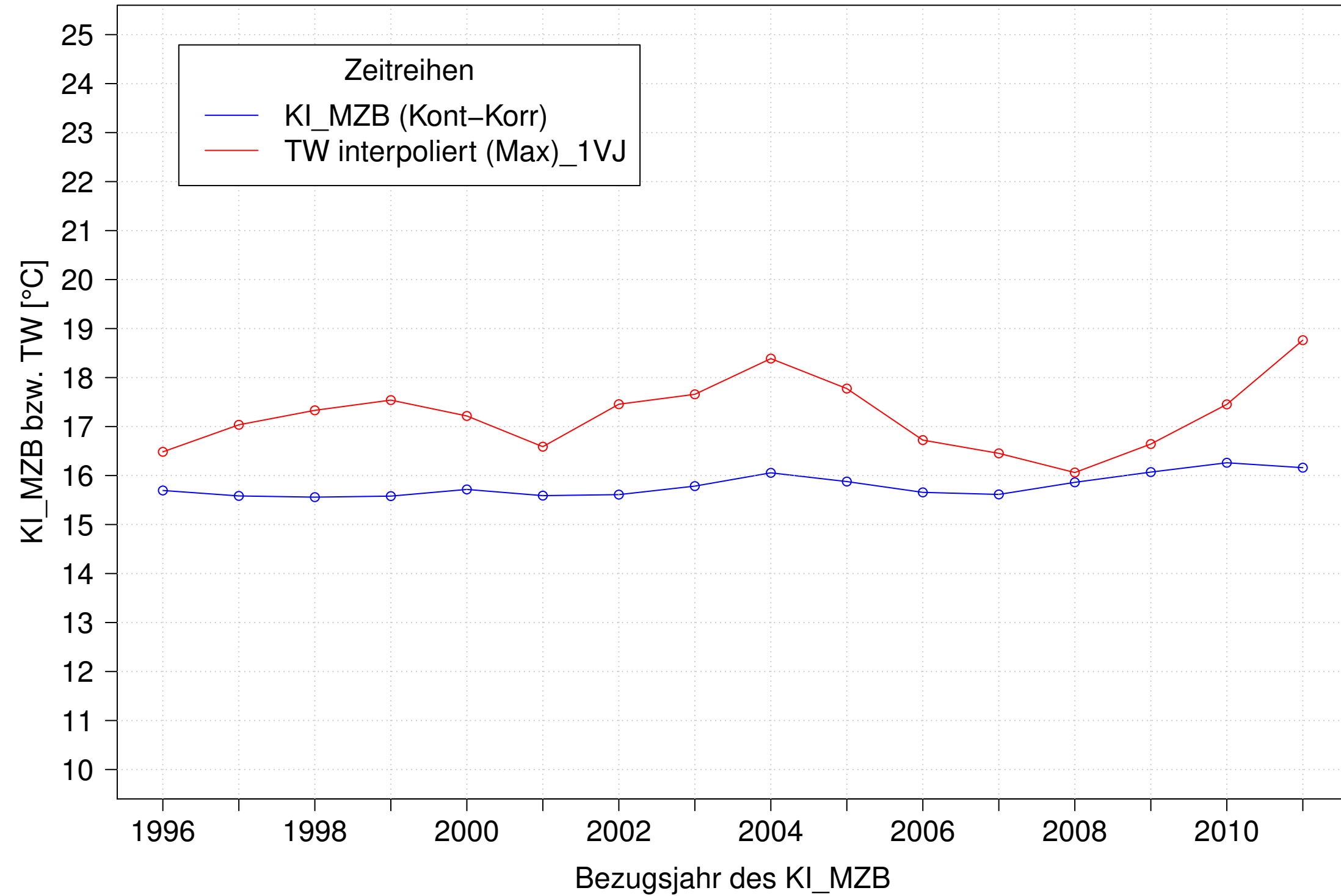
Neckar_Boerstingen, Typ 09.2 mit Neozoen, Serie 3
3JMW KI_MZB (Kont-Korr) und 3JMW TW interpoliert (Max) des 1. Vorjahres



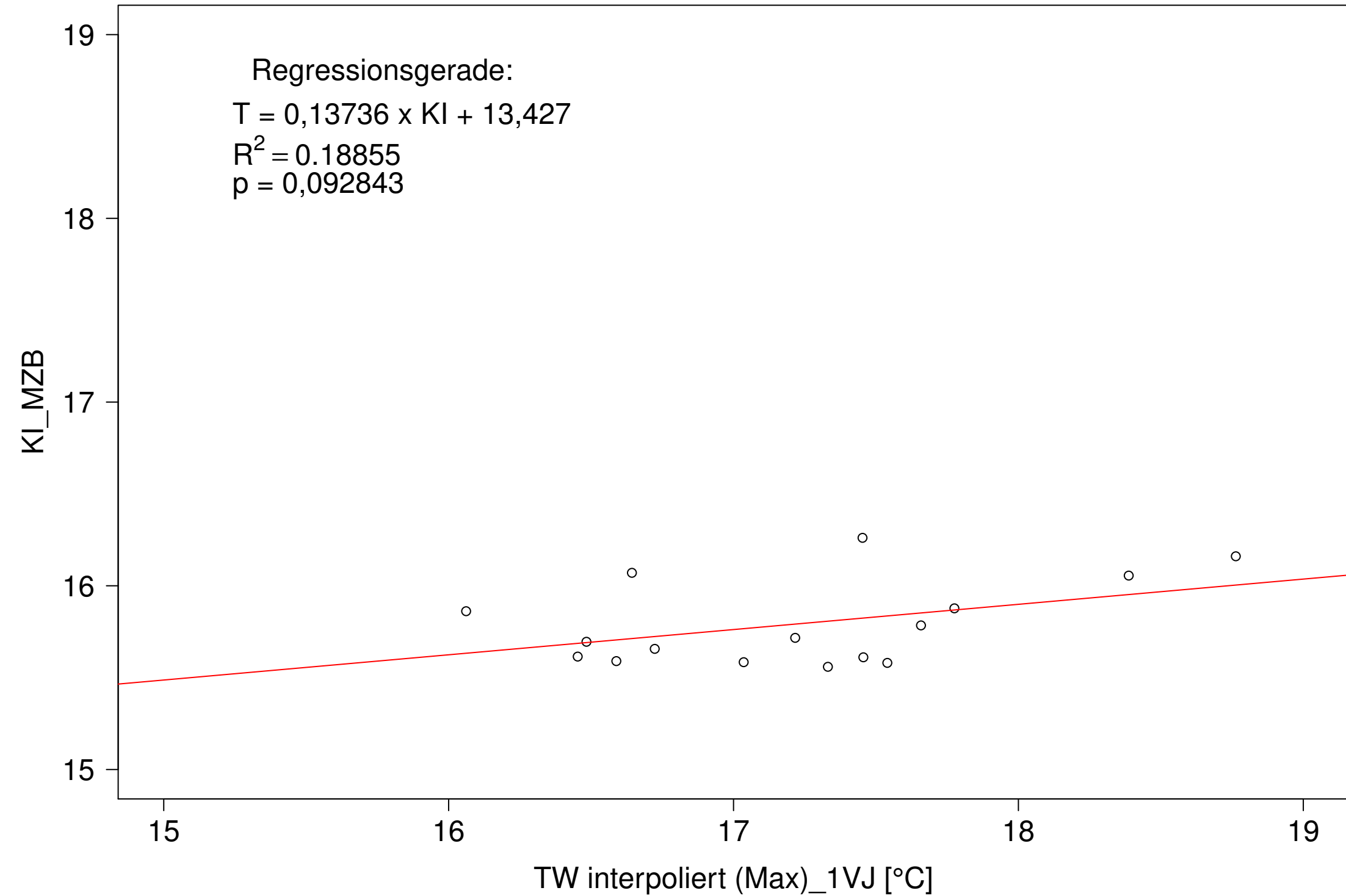
Neckar_Boerstingen, Typ 09.2 mit Neozoen, Serie 3
3JMW KI_MZB (Kont-Korr) gegen 3JMW TW interpoliert (Max) des 1. Vorjahres



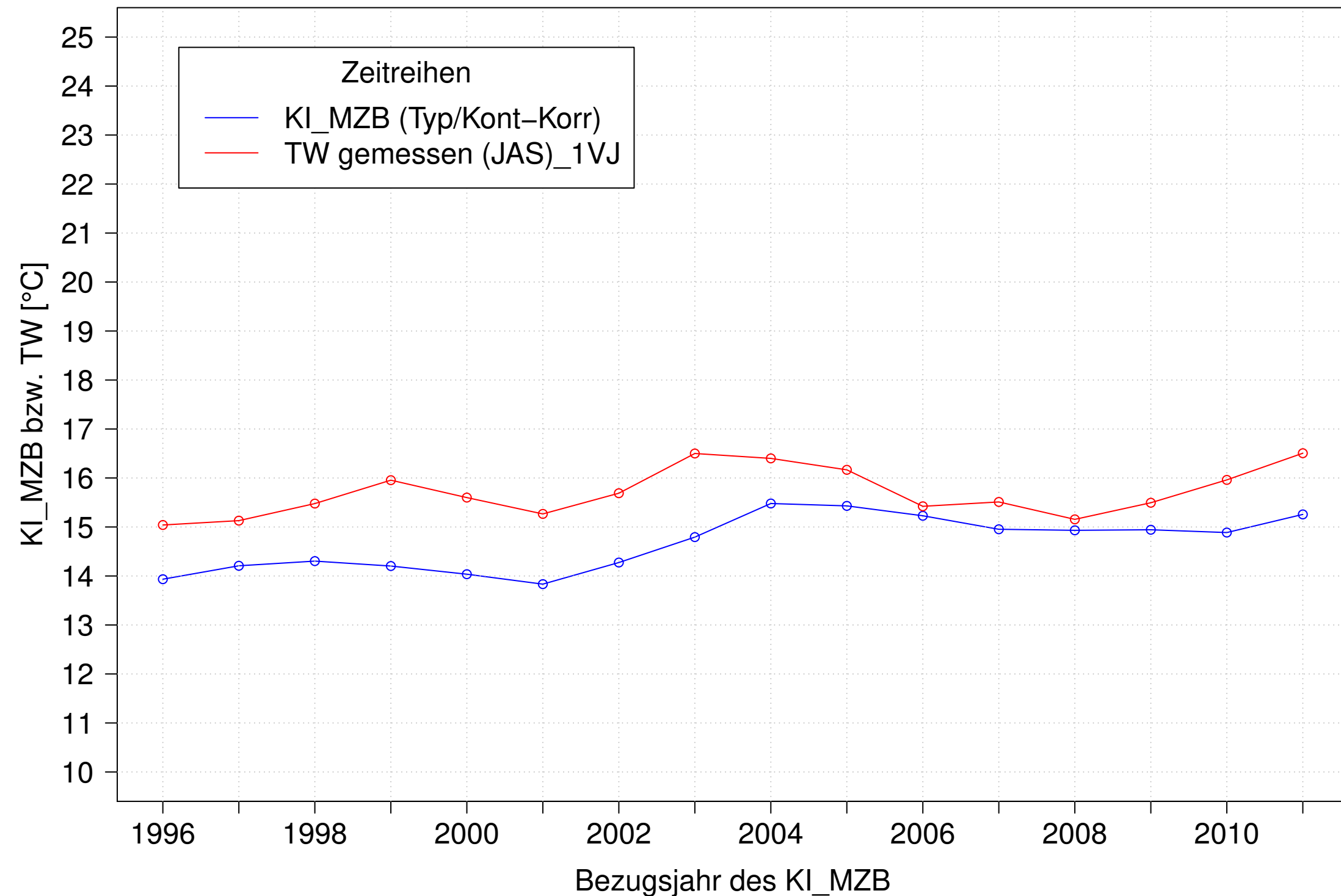
Neckar_Boerstingen, Typ 09.2 mit Neozoen, Serie 4
3JMW KI_MZB (Kont-Korr) und 3JMW TW interpoliert (Max) des 1. Vorjahres



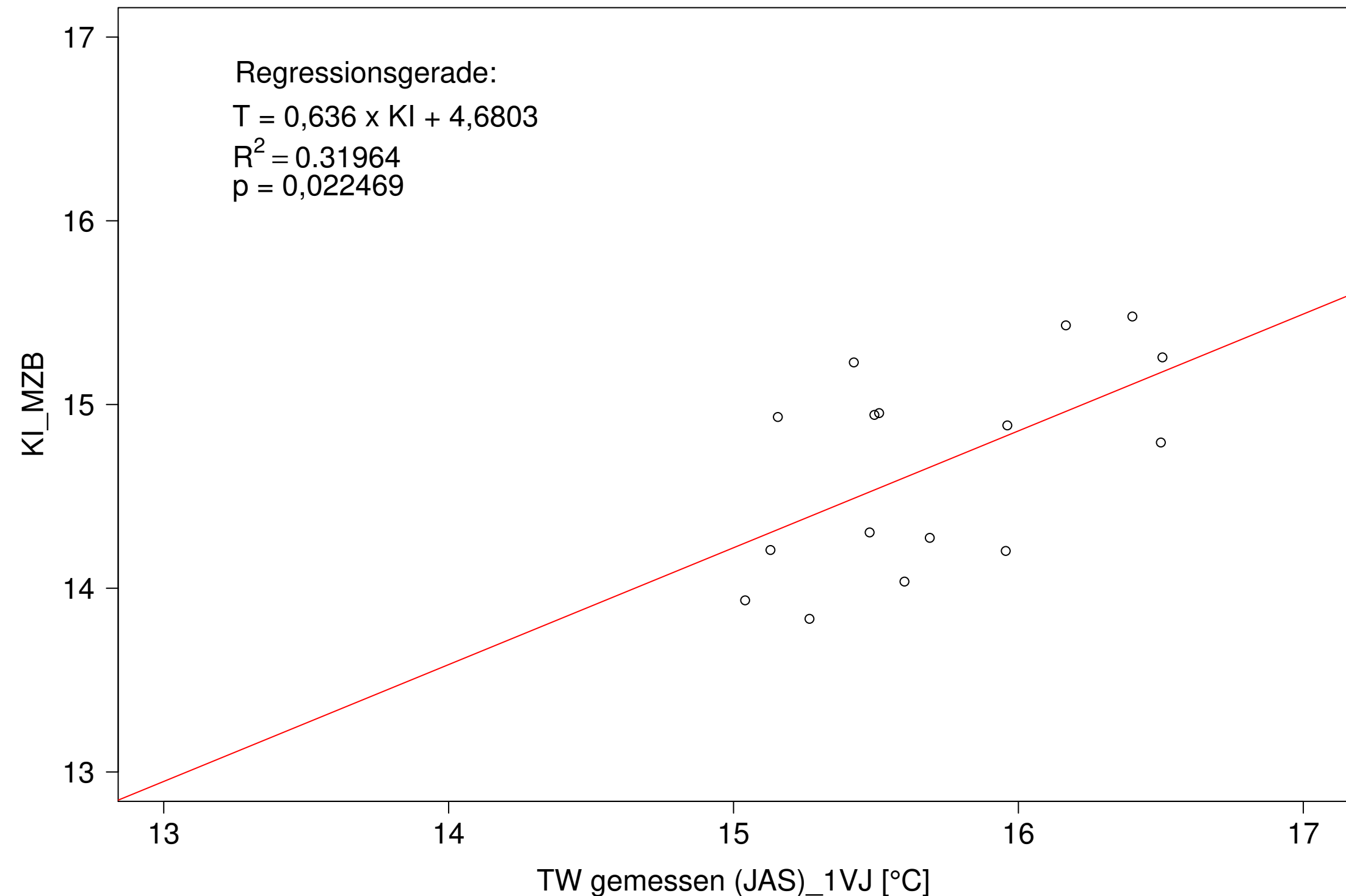
Neckar_Boerstingen, Typ 09.2 mit Neozoen, Serie 4
3JMW KI_MZB (Kont-Korr) gegen 3JMW TW interpoliert (Max) des 1. Vorjahres



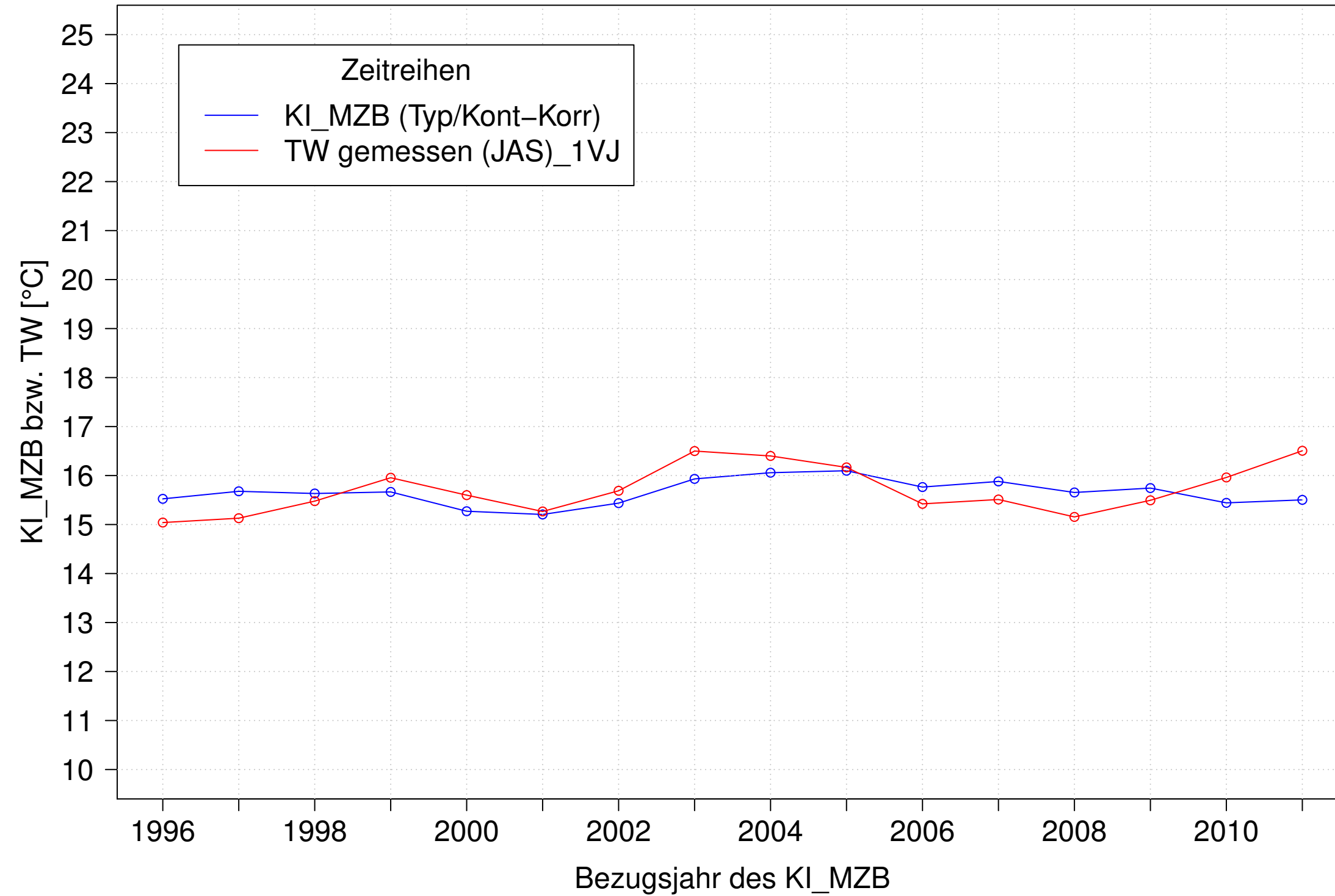
Neckar_Boerstingen, Typ 09.2 mit Neozoen, Serie 1
3JMW KI_MZB (Typ/Kont-Korr) und 3JMW TW gemessen (JAS) des 1. Vorjahres



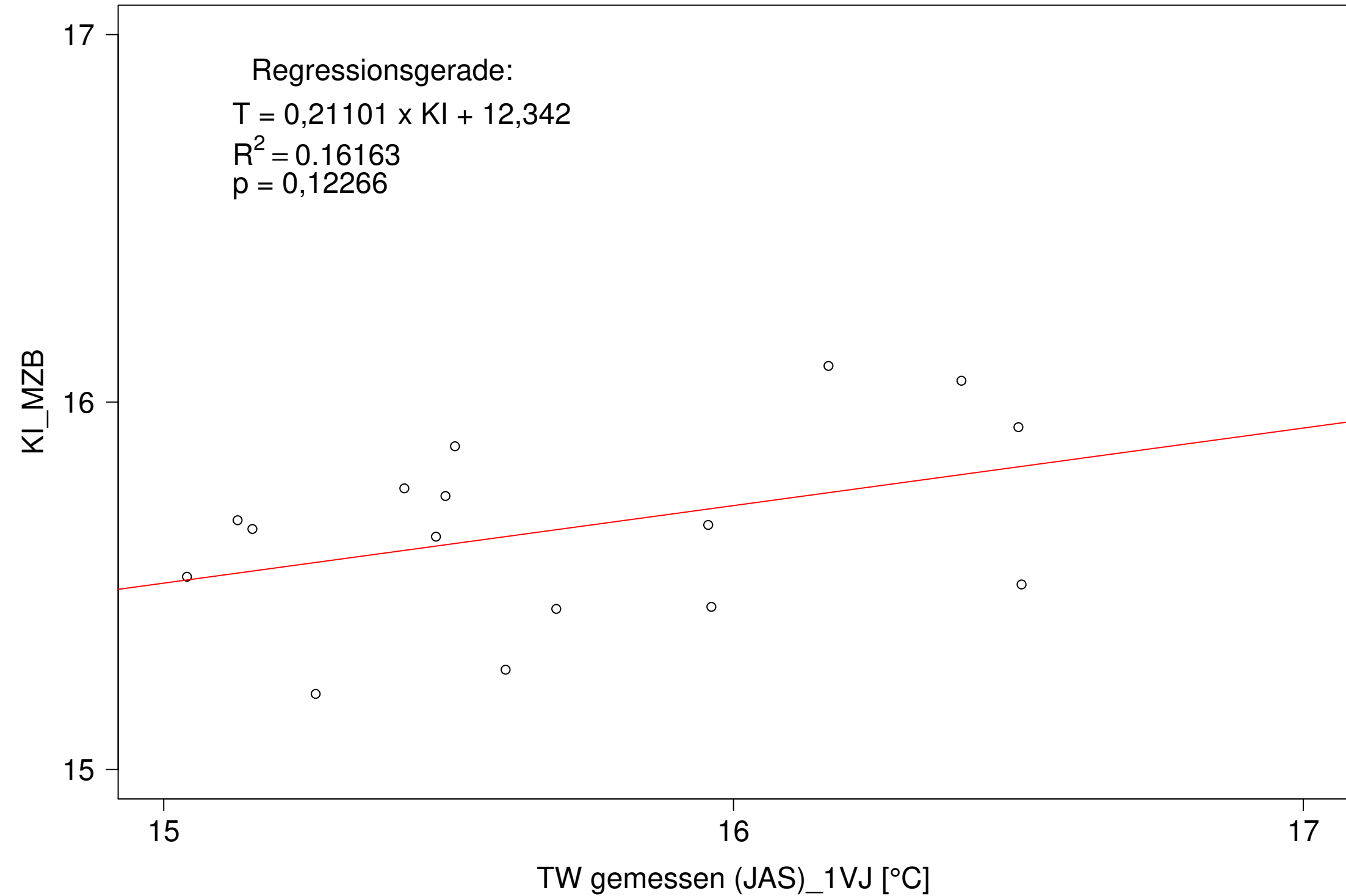
Neckar_Boerstingen, Typ 09.2 mit Neozoen, Serie 1
3JMW KI_MZB (Typ/Kont-Korr) gegen 3JMW TW gemessen (JAS) des 1. Vorjahres



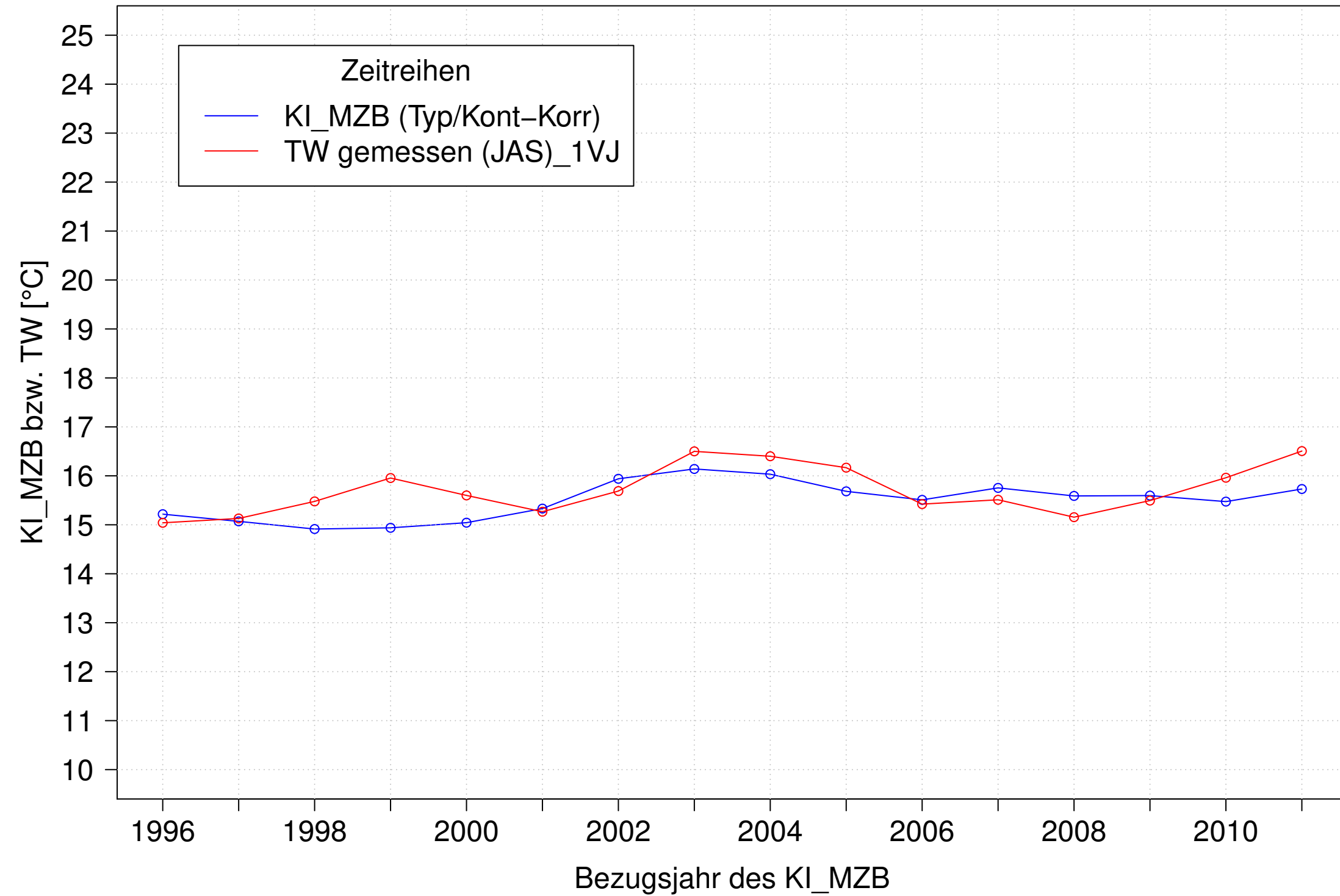
Neckar_Boerstingen, Typ 09.2 mit Neozoen, Serie 2
3JMW KI_MZB (Typ/Kont-Korr) und 3JMW TW gemessen (JAS) des 1. Vorjahres



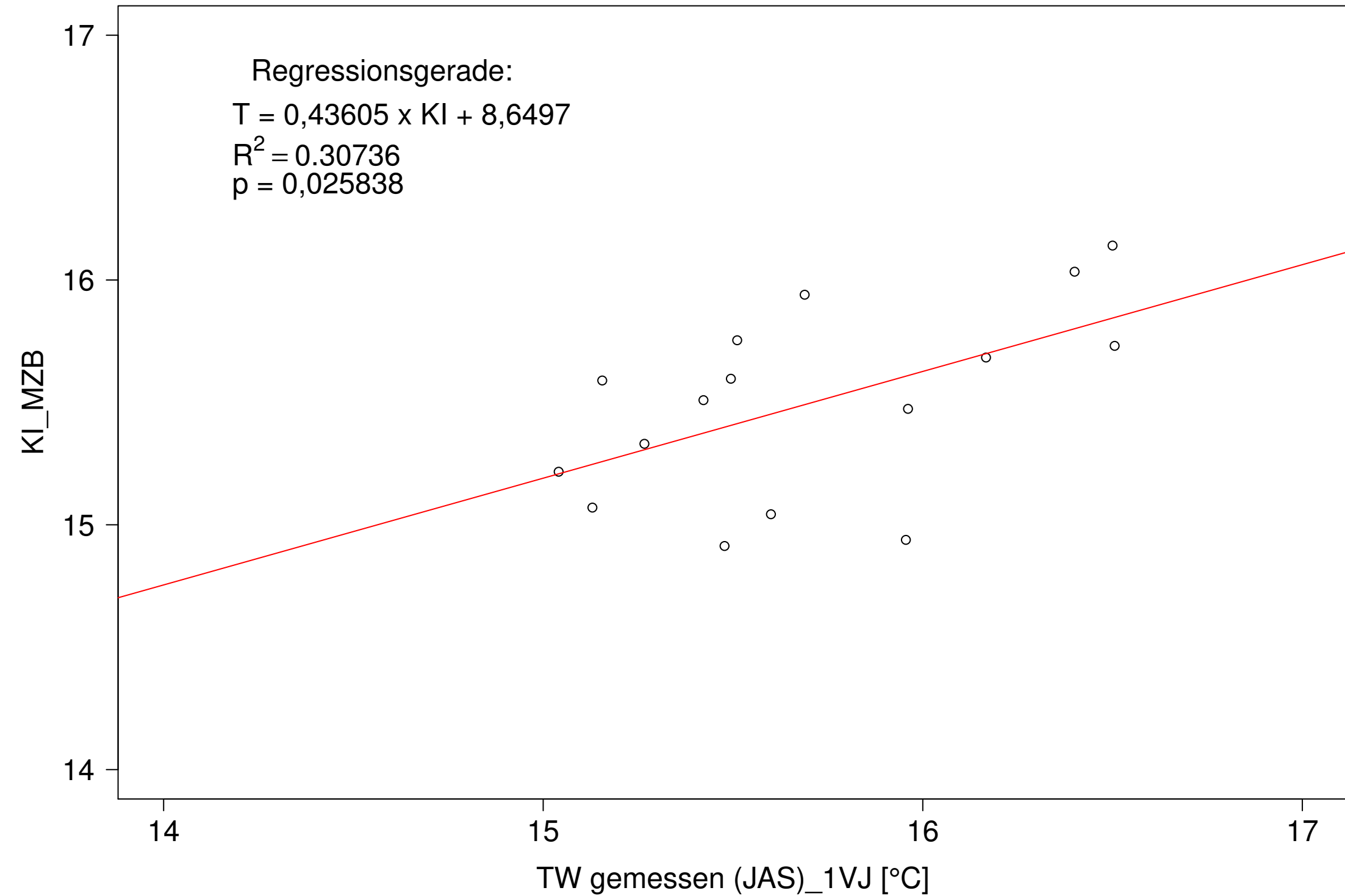
Neckar_Boerstingen, Typ 09.2 mit Neozoen, Serie 2
3JMW KI_MZB (Typ/Kont-Korr) gegen 3JMW TW gemessen (JAS) des 1. Vorjahres



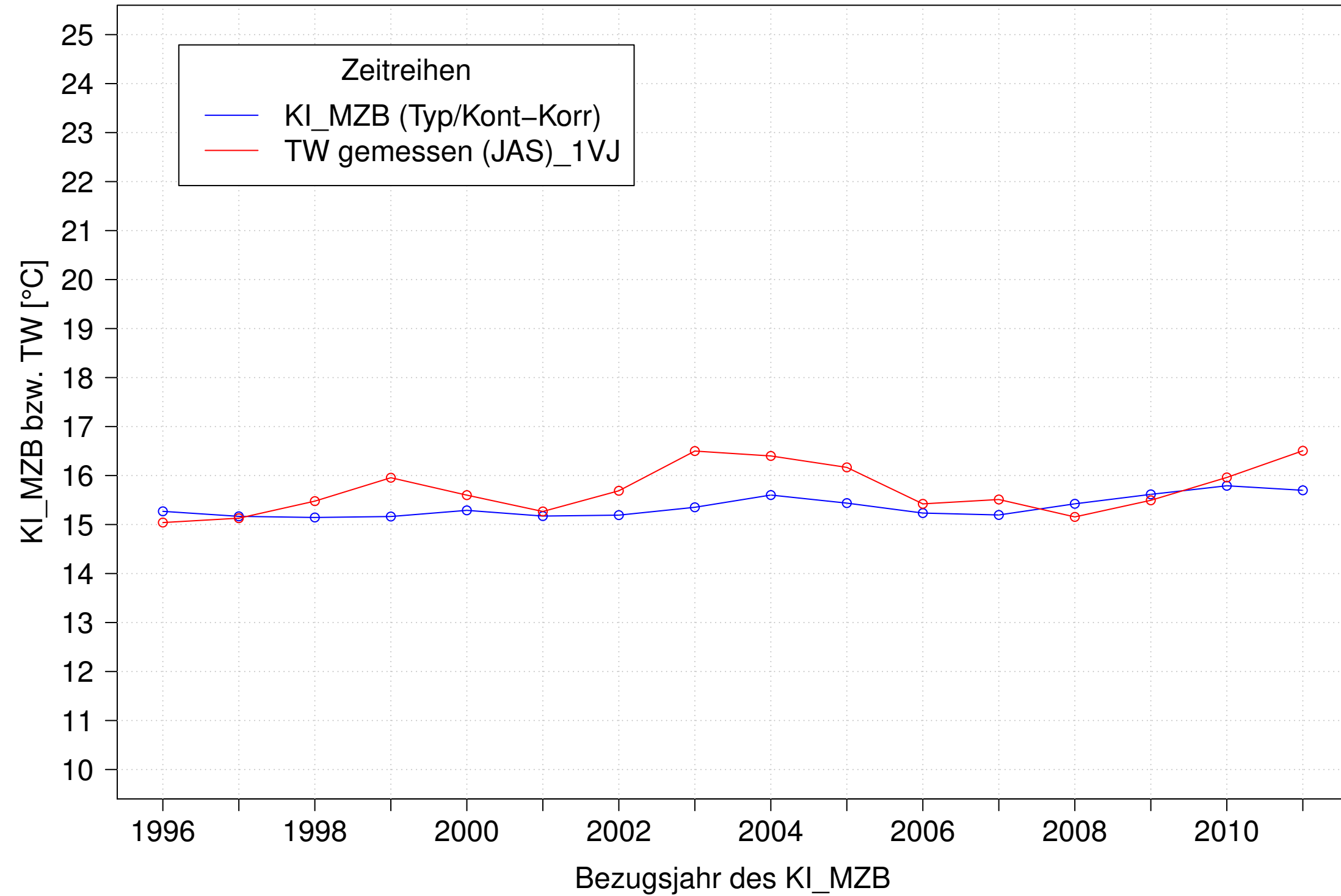
Neckar_Boerstingen, Typ 09.2 mit Neozoen, Serie 3
3JMW KI_MZB (Typ/Kont-Korr) und 3JMW TW gemessen (JAS) des 1. Vorjahres



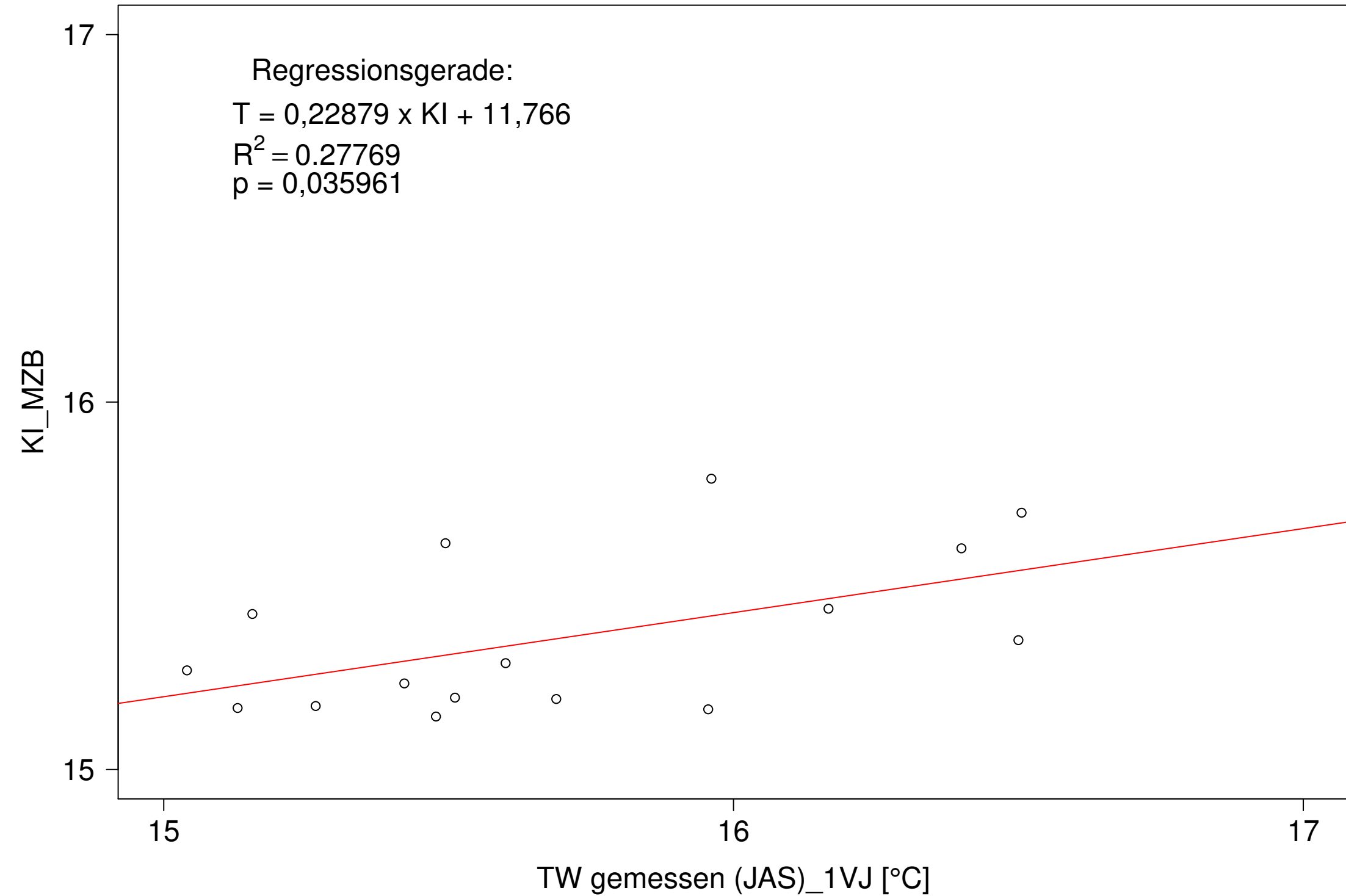
Neckar_Boerstingen, Typ 09.2 mit Neozoen, Serie 3
3JMW KI_MZB (Typ/Kont-Korr) gegen 3JMW TW gemessen (JAS) des 1. Vorjahres



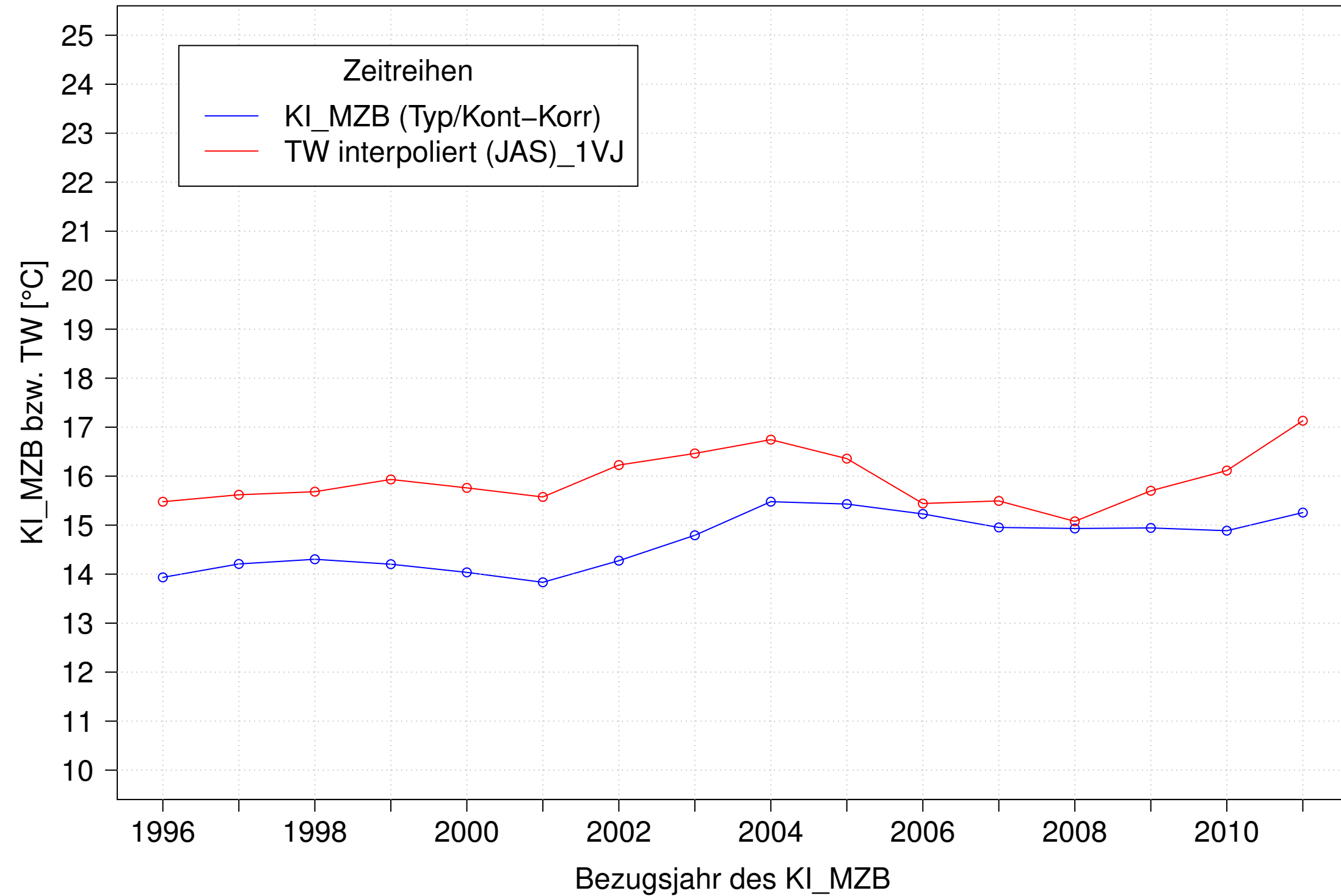
Neckar_Boerstingen, Typ 09.2 mit Neozoen, Serie 4
3JMW KI_MZB (Typ/Kont-Korr) und 3JMW TW gemessen (JAS) des 1. Vorjahres



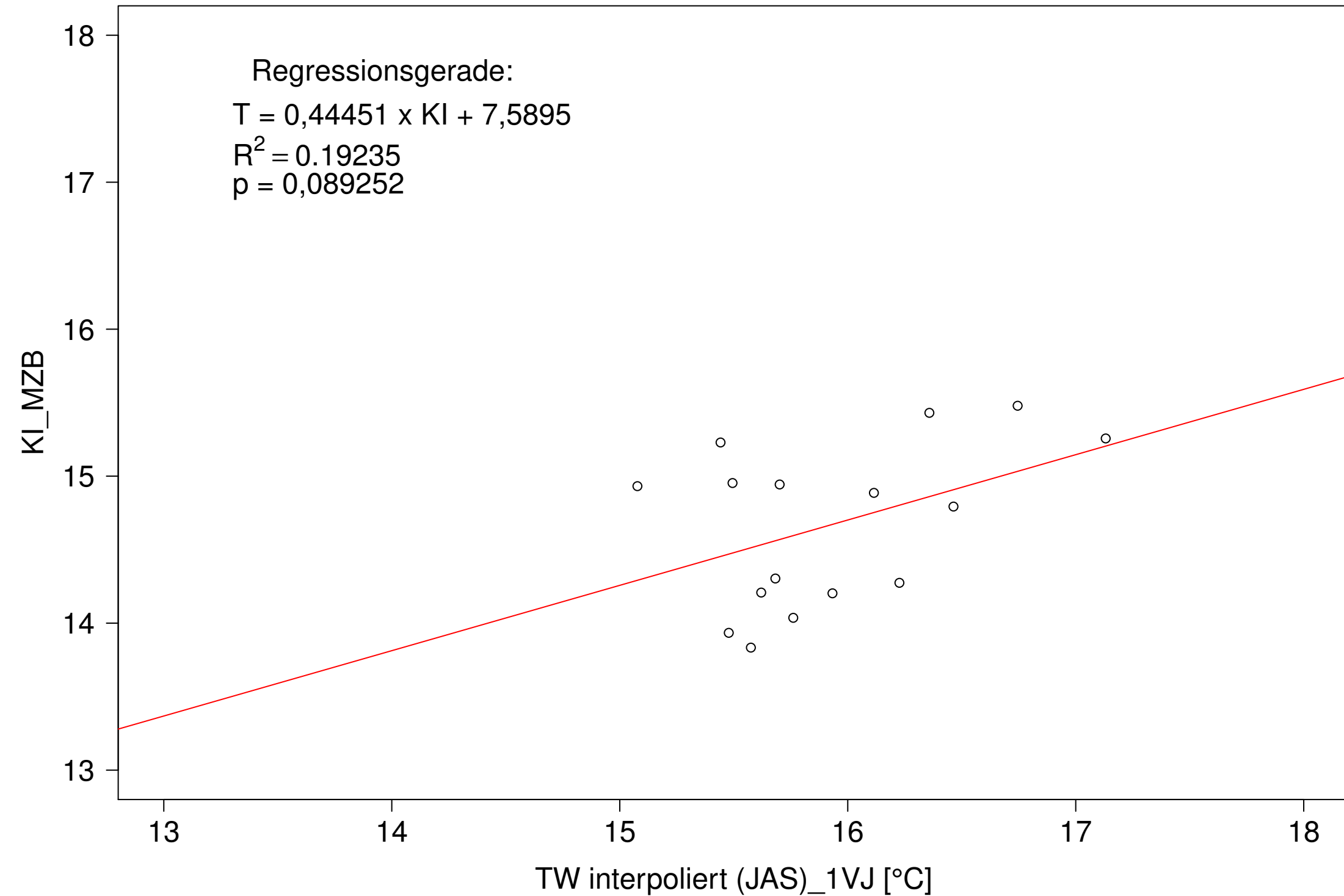
Neckar_Boerstingen, Typ 09.2 mit Neozoen, Serie 4
3JMW KI_MZB (Typ/Kont-Korr) gegen 3JMW TW gemessen (JAS) des 1. Vorjahres



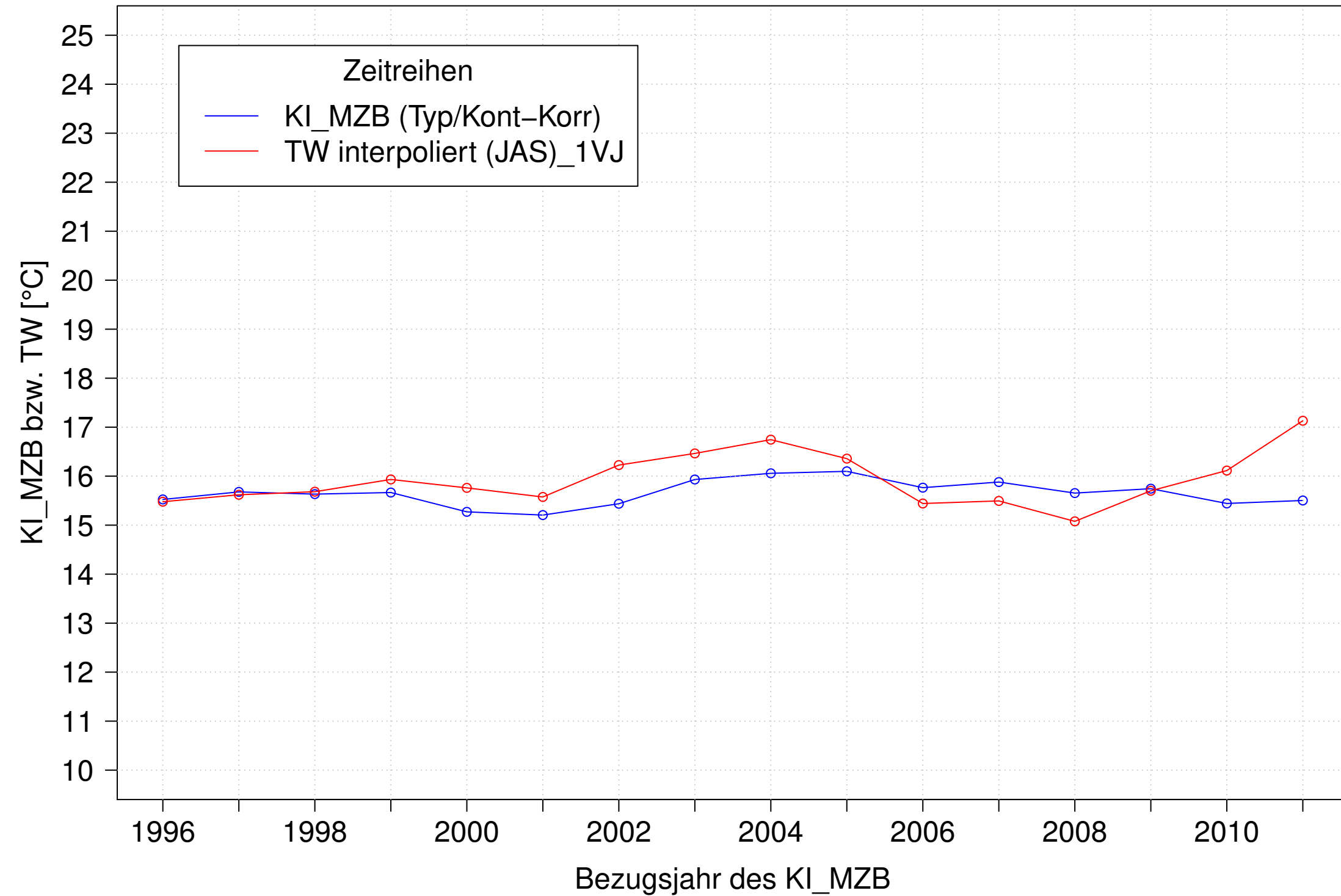
Neckar_Boerstingen, Typ 09.2 mit Neozoen, Serie 1
3JMW KI_MZB (Typ/Kont-Korr) und 3JMW TW interpoliert (JAS) des 1. Vorjahres



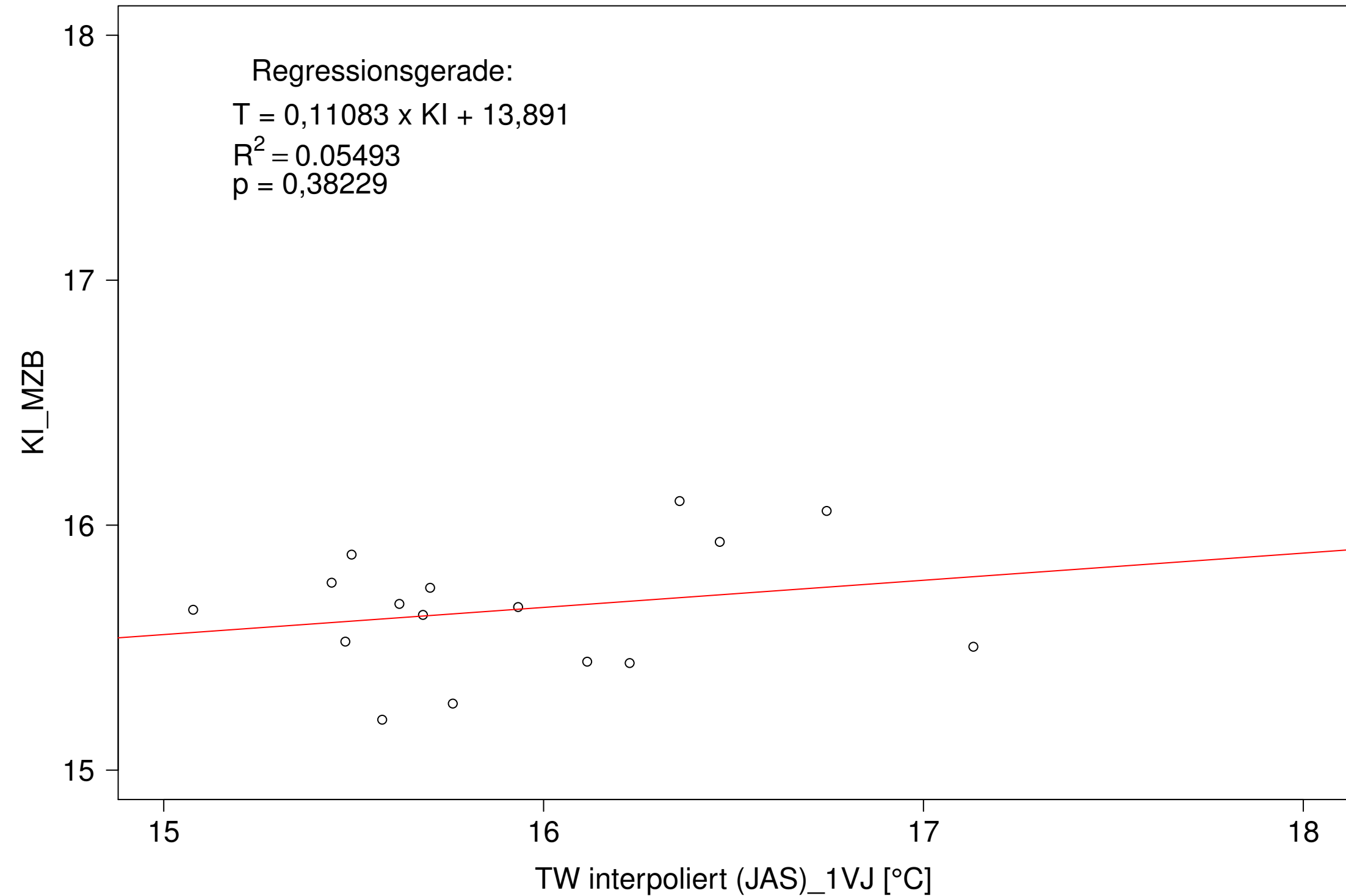
Neckar_Boerstingen, Typ 09.2 mit Neozoen, Serie 1
3JMW KI_MZB (Typ/Kont-Korr) gegen 3JMW TW interpoliert (JAS) des 1. Vorjahres



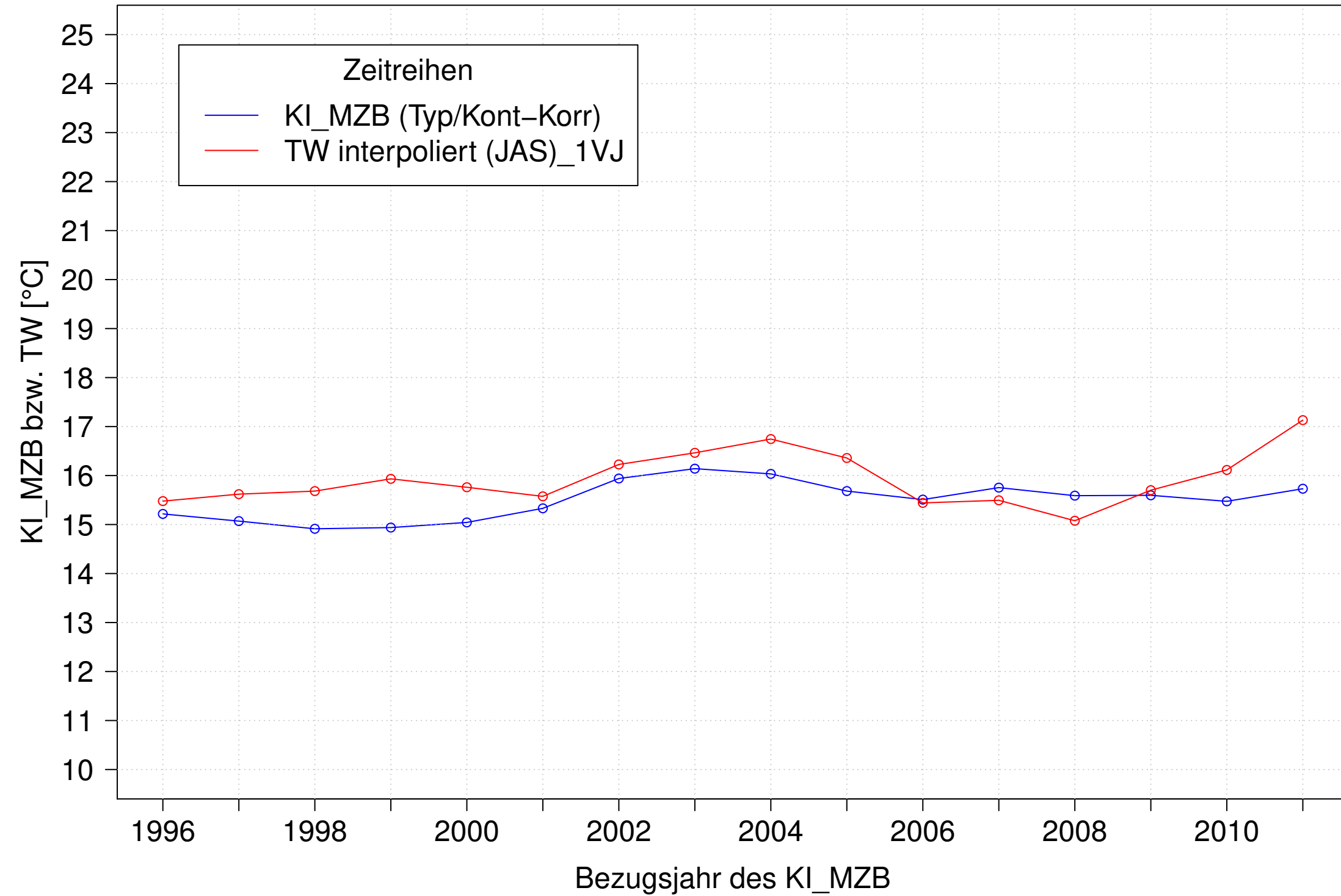
Neckar_Boerstingen, Typ 09.2 mit Neozoen, Serie 2
3JMW KI_MZB (Typ/Kont-Korr) und 3JMW TW interpoliert (JAS) des 1. Vorjahres



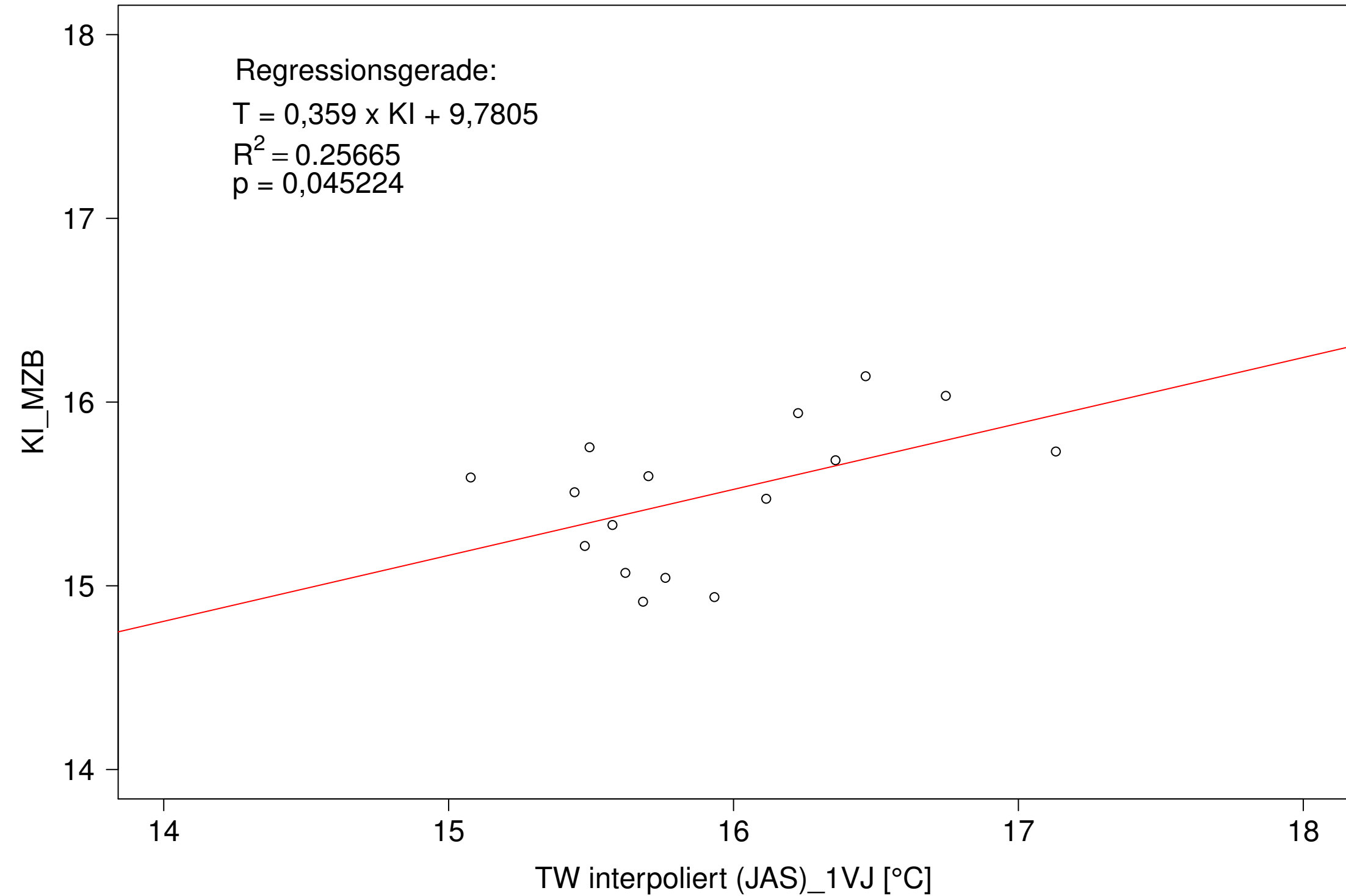
Neckar_Boerstingen, Typ 09.2 mit Neozoen, Serie 2
3JMW KI_MZB (Typ/Kont-Korr) gegen 3JMW TW interpoliert (JAS) des 1. Vorjahres



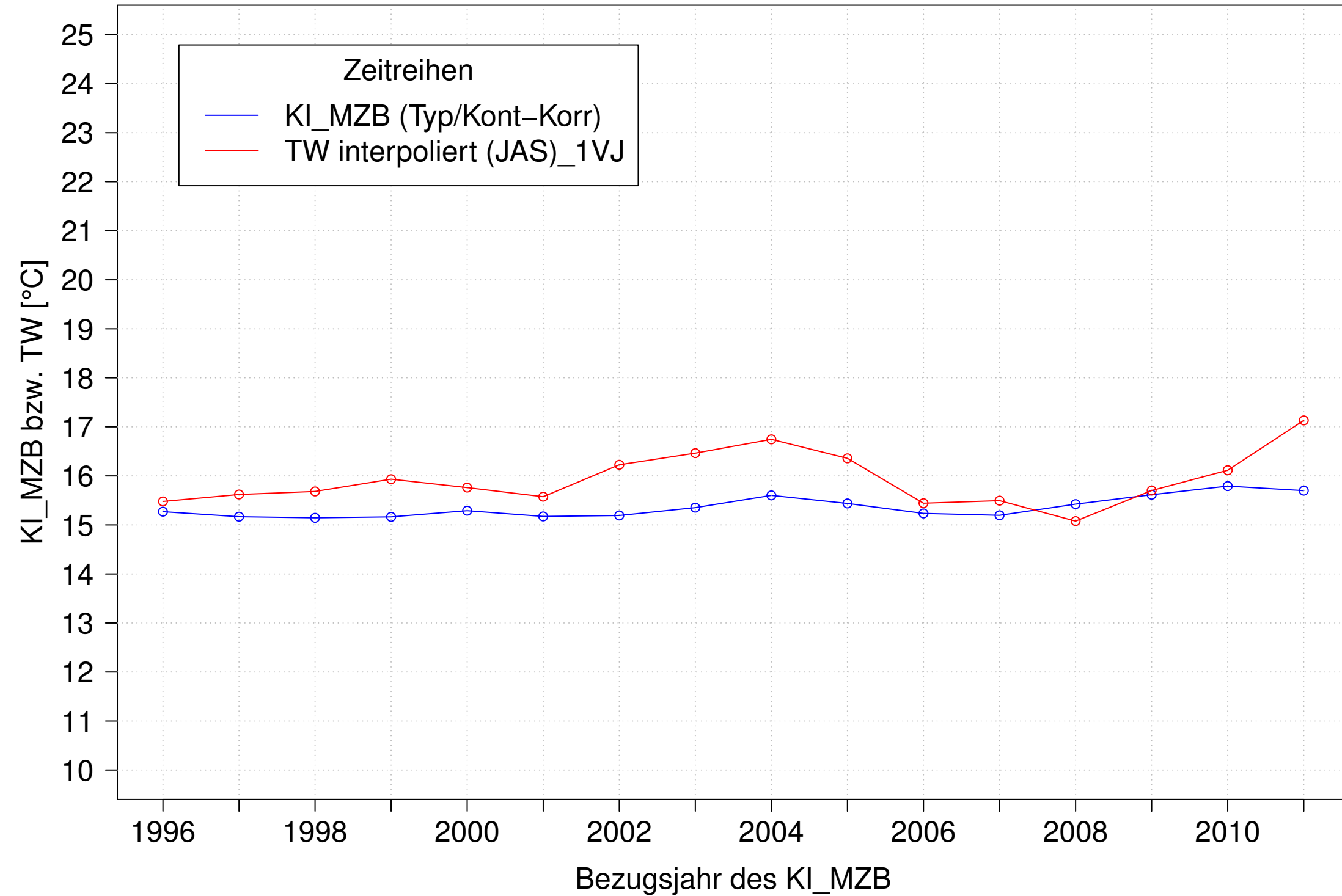
Neckar_Boerstingen, Typ 09.2 mit Neozoen, Serie 3
3JMW KI_MZB (Typ/Kont-Korr) und 3JMW TW interpoliert (JAS) des 1. Vorjahres



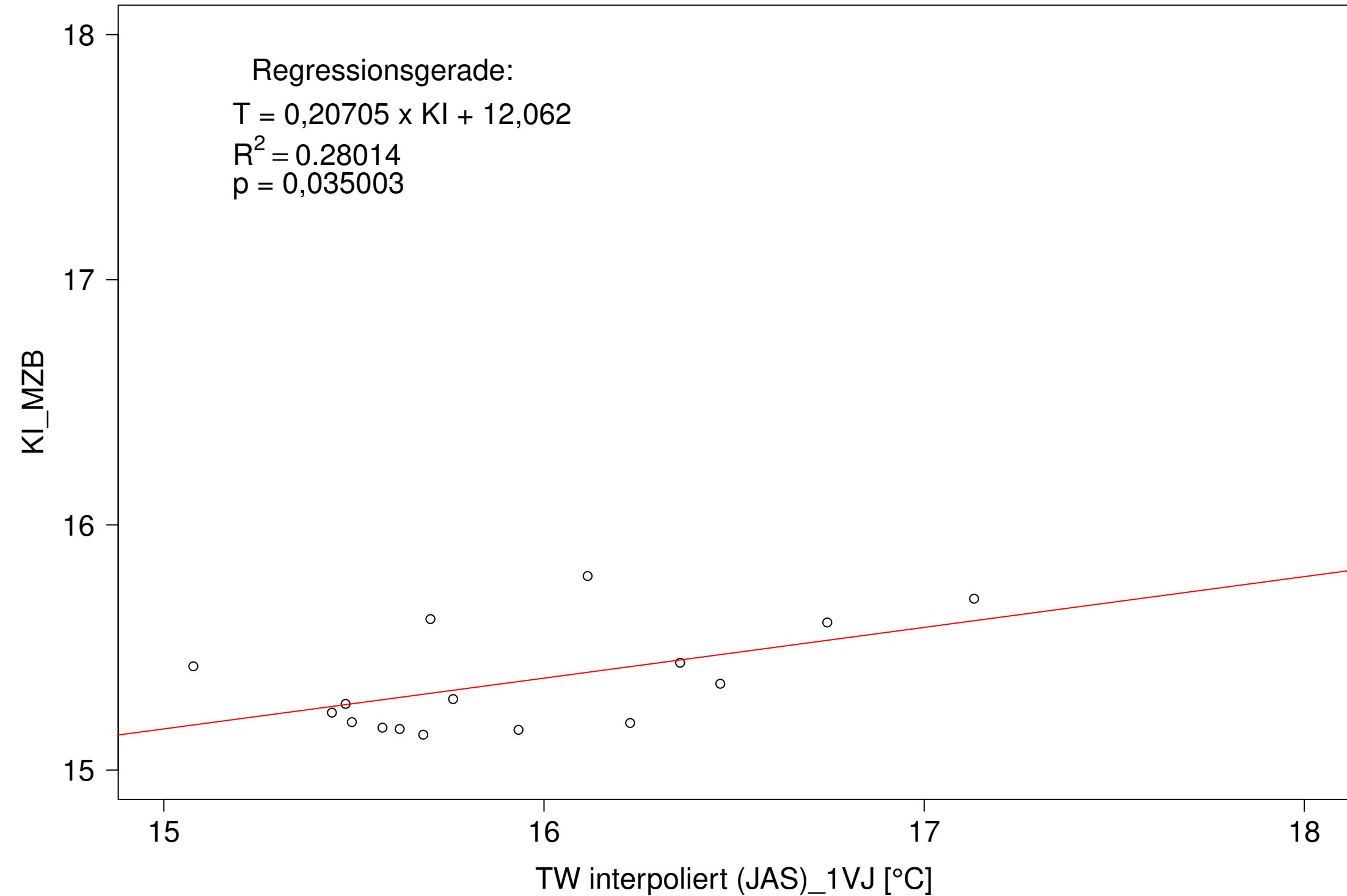
Neckar_Boerstingen, Typ 09.2 mit Neozoen, Serie 3
3JMW KI_MZB (Typ/Kont-Korr) gegen 3JMW TW interpoliert (JAS) des 1. Vorjahres



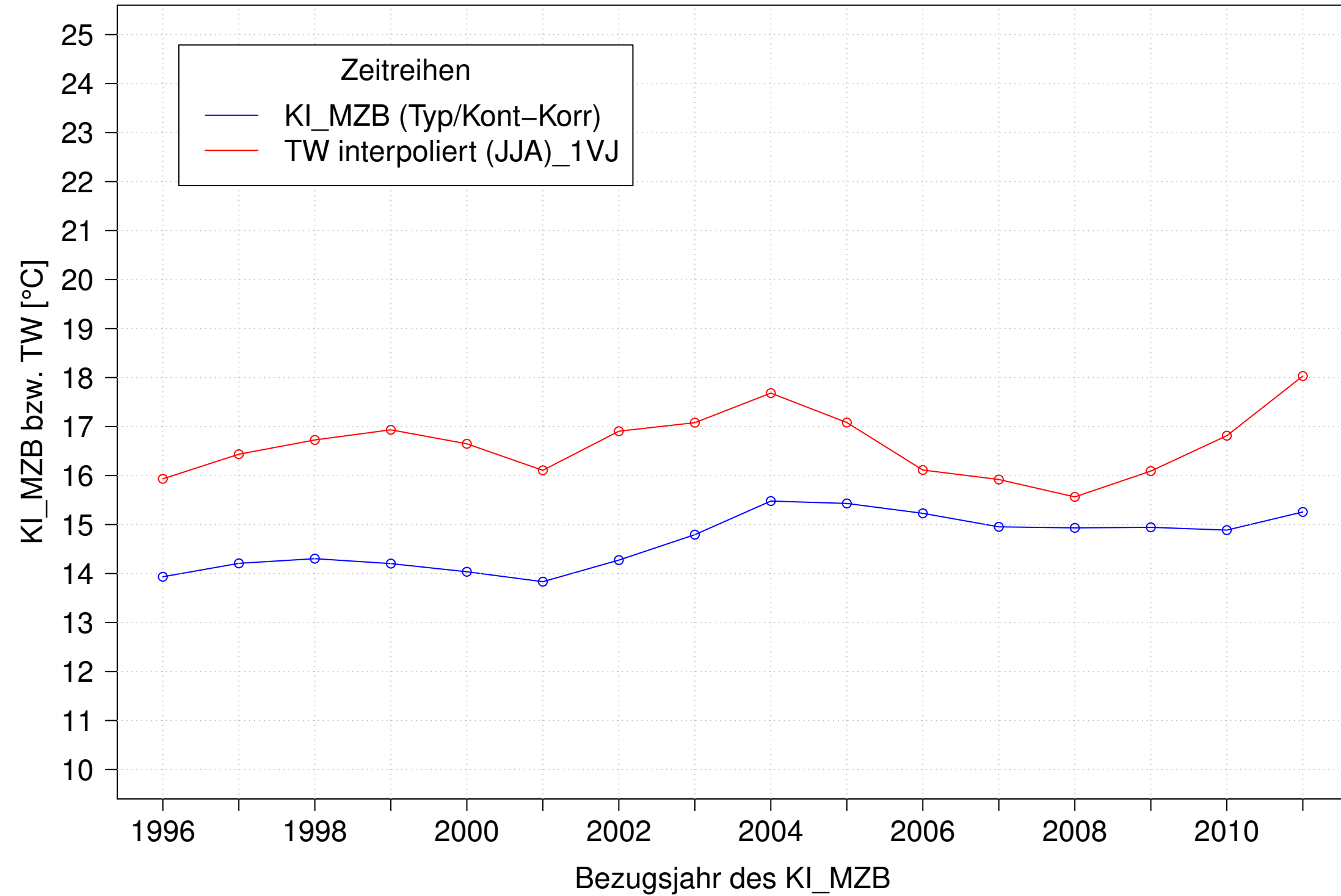
Neckar_Boerstingen, Typ 09.2 mit Neozoen, Serie 4
3JMW KI_MZB (Typ/Kont-Korr) und 3JMW TW interpoliert (JAS) des 1. Vorjahres



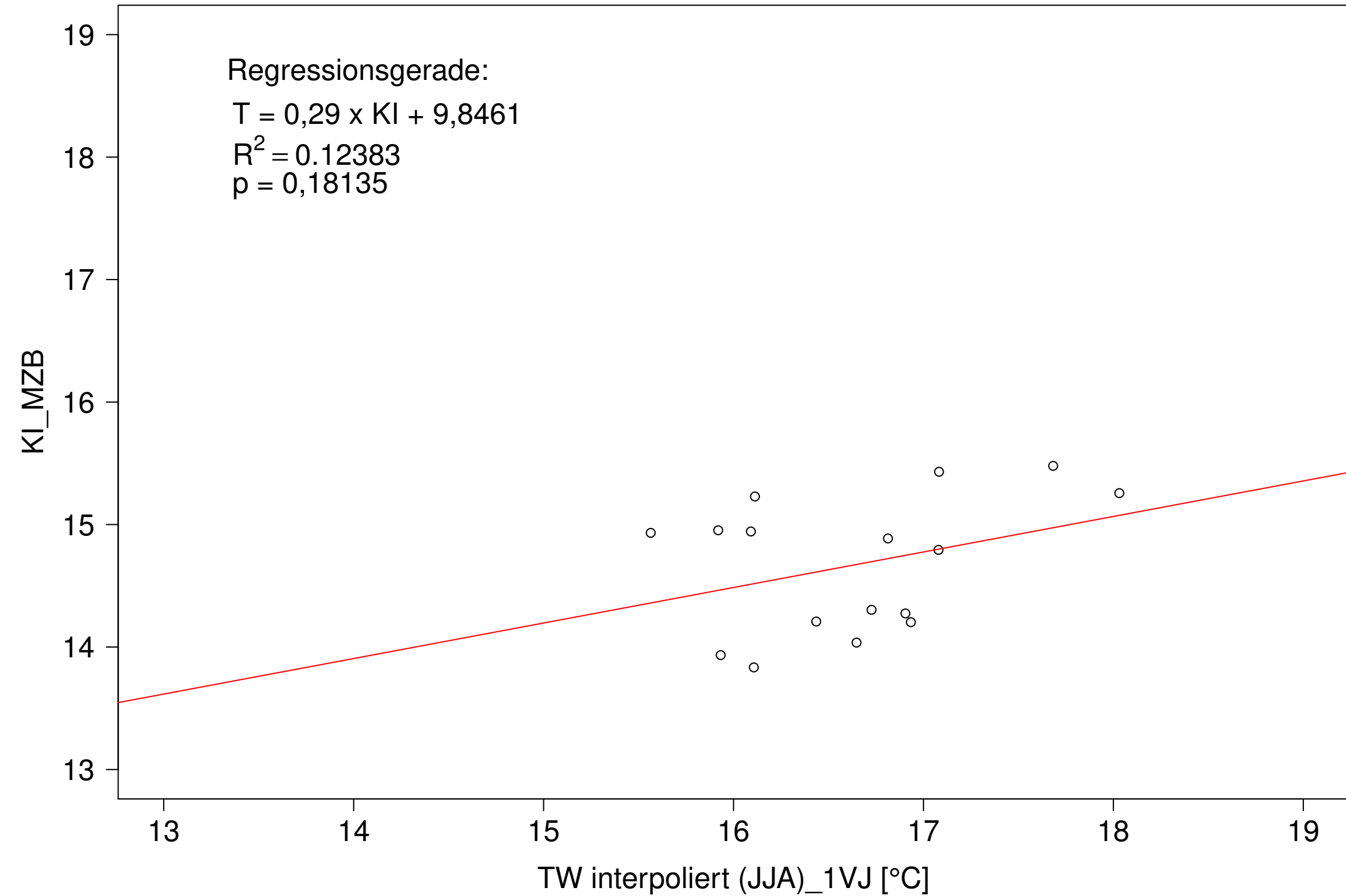
Neckar_Boerstingen, Typ 09.2 mit Neozoen, Serie 4
3JMW KI_MZB (Typ/Kont-Korr) gegen 3JMW TW interpoliert (JAS) des 1. Vorjahres



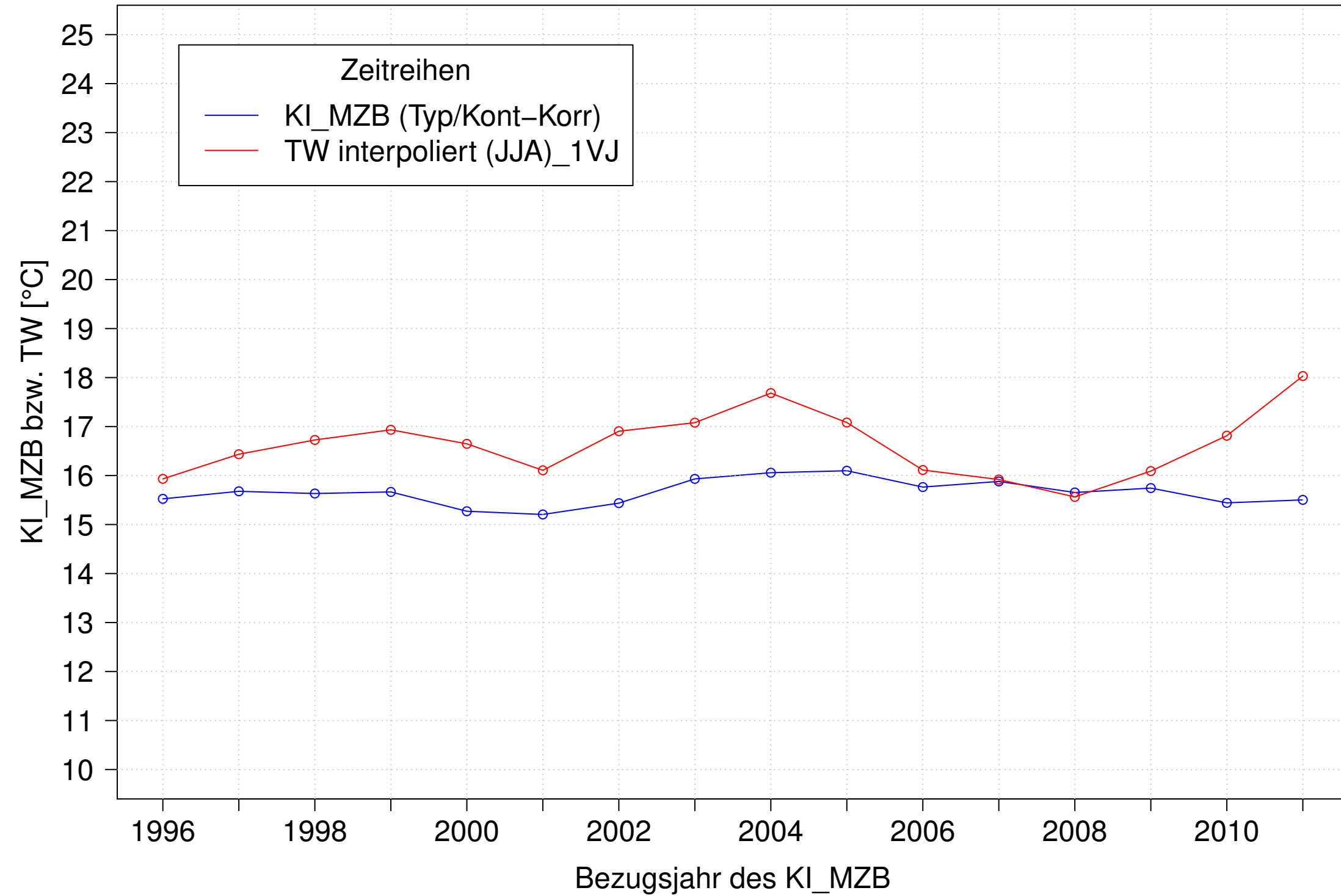
Neckar_Boerstingen, Typ 09.2 mit Neozoen, Serie 1
3JMW KI_MZB (Typ/Kont-Korr) und 3JMW TW interpoliert (JJA) des 1. Vorjahres



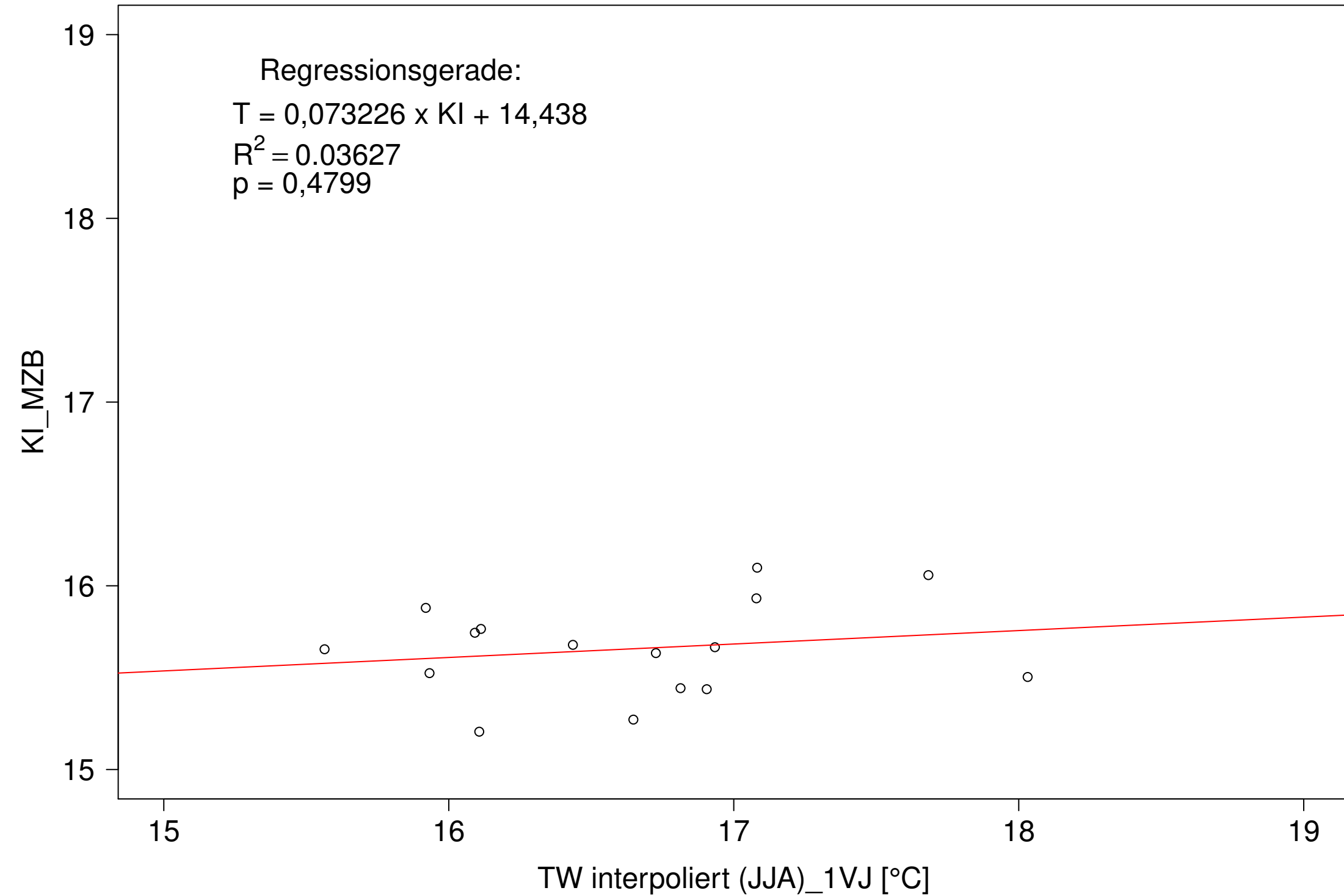
Neckar_Boerstingen, Typ 09.2 mit Neozoen, Serie 1
3JMW KI_MZB (Typ/Kont-Korr) gegen 3JMW TW interpoliert (JJA) des 1. Vorjahres



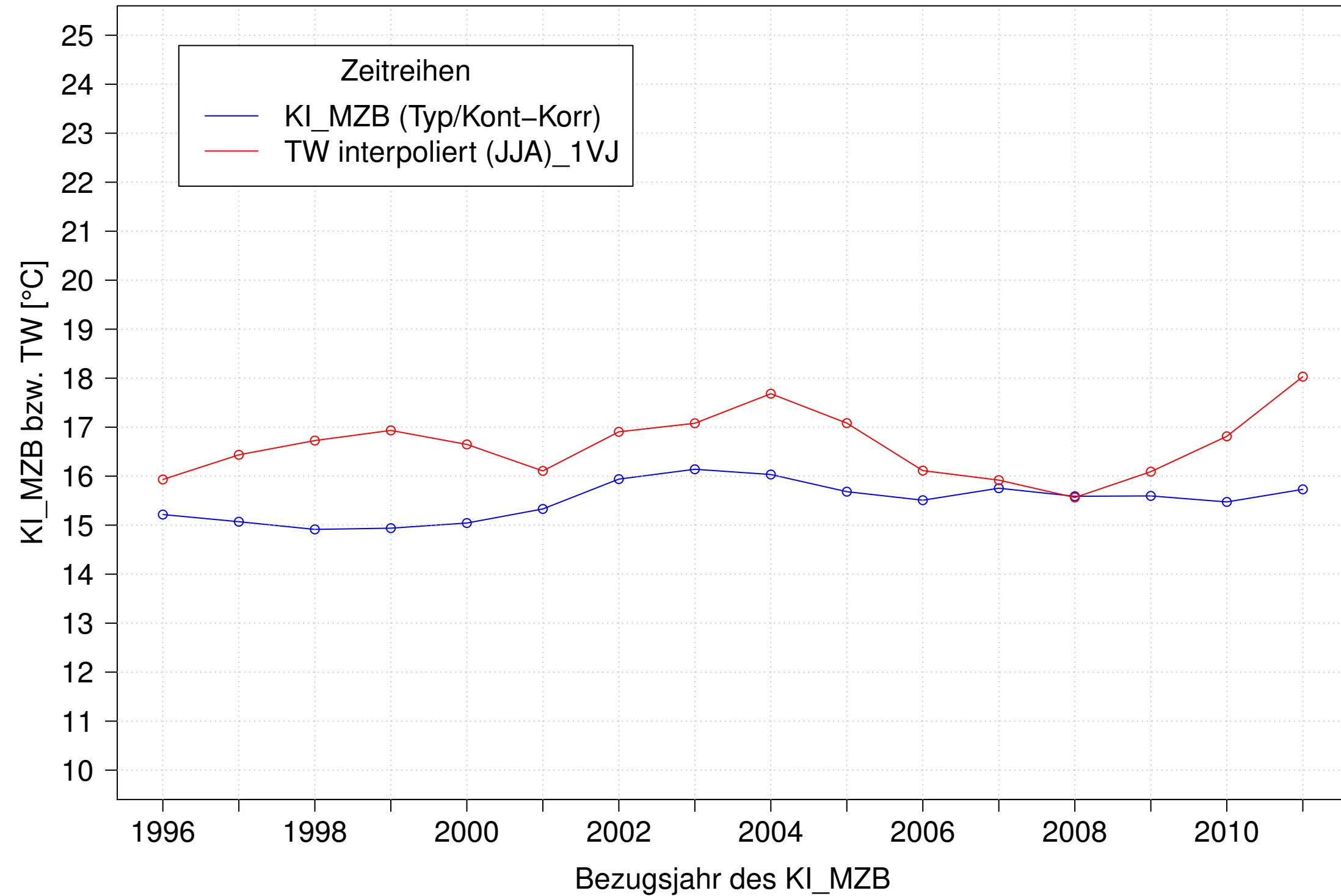
Neckar_Boerstingen, Typ 09.2 mit Neozoen, Serie 2
3JMW KI_MZB (Typ/Kont-Korr) und 3JMW TW interpoliert (JJA) des 1. Vorjahres



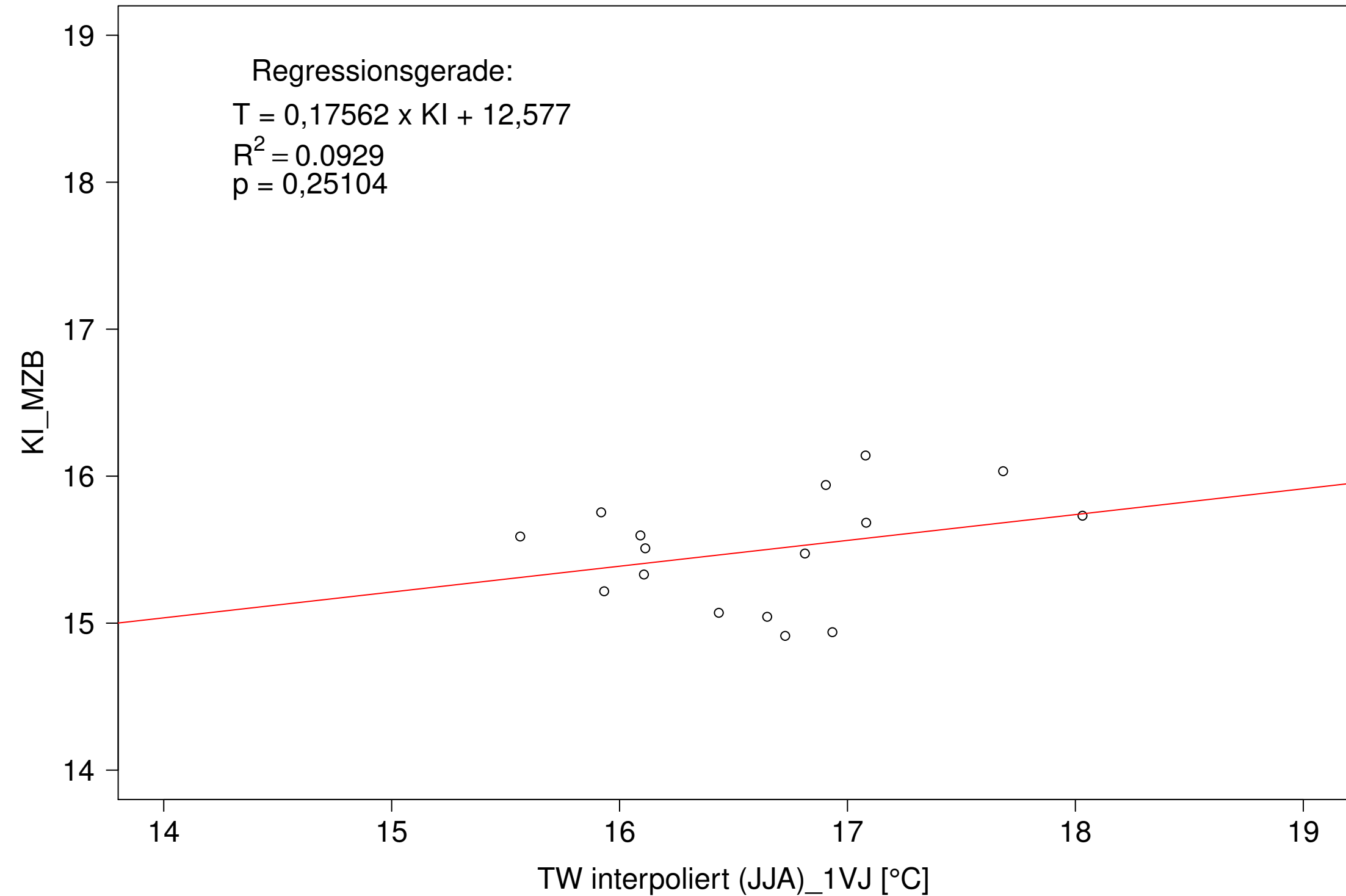
Neckar_Boerstingen, Typ 09.2 mit Neozoen, Serie 2
3JMW KI_MZB (Typ/Kont-Korr) gegen 3JMW TW interpoliert (JJA) des 1. Vorjahres



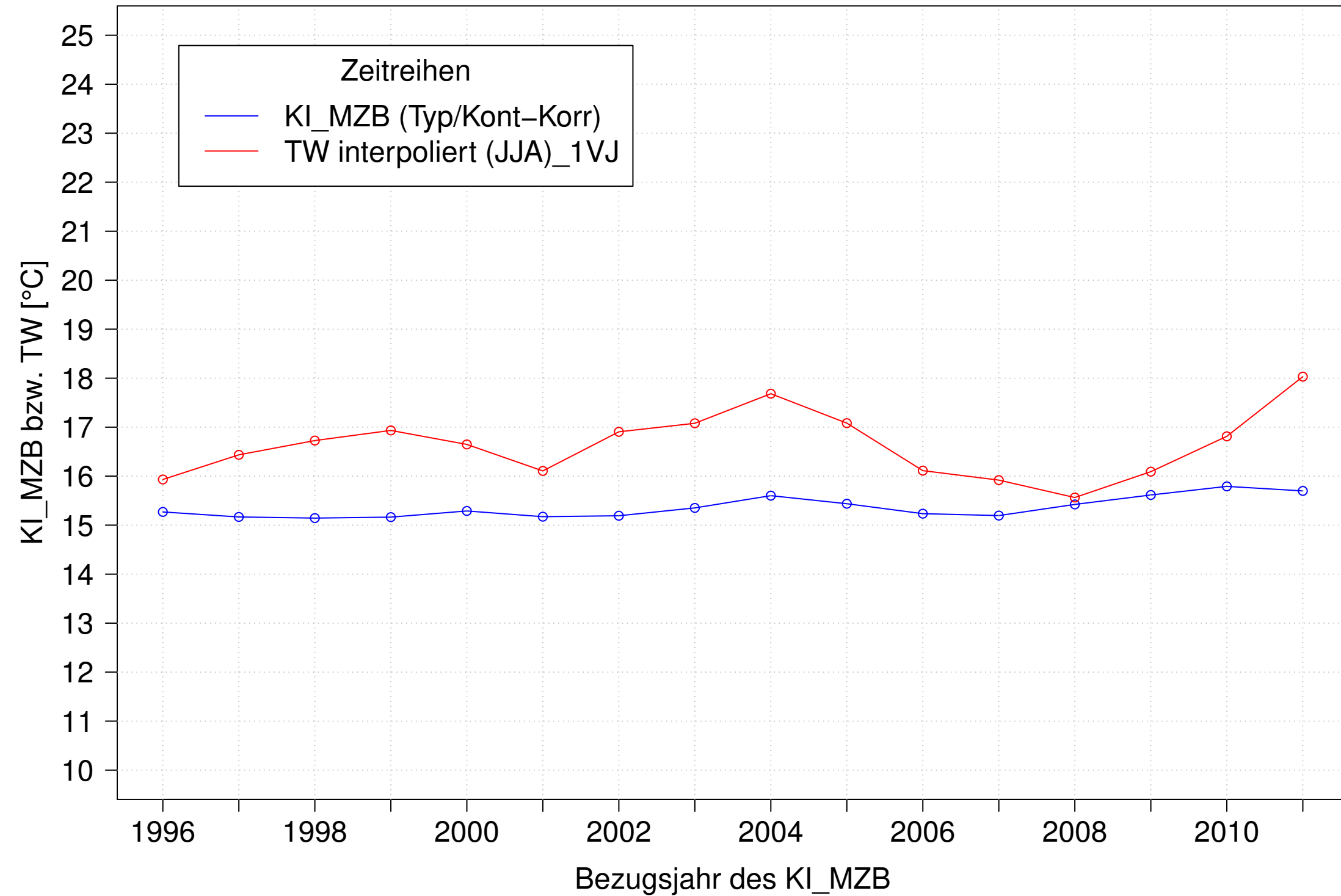
Neckar_Boerstingen, Typ 09.2 mit Neozoen, Serie 3
3JMW KI_MZB (Typ/Kont-Korr) und 3JMW TW interpoliert (JJA) des 1. Vorjahres



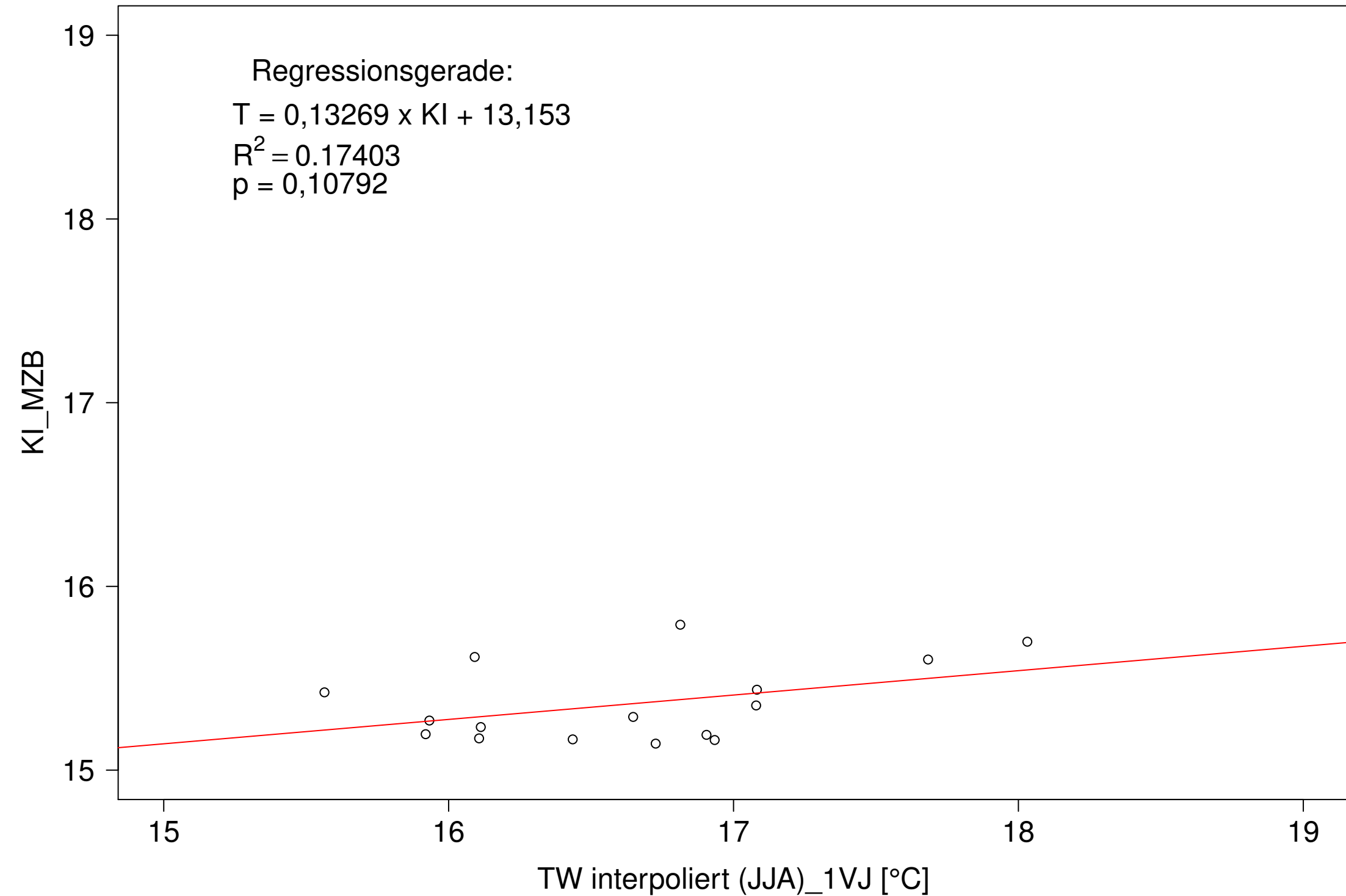
Neckar_Boerstingen, Typ 09.2 mit Neozoen, Serie 3
3JMW KI_MZB (Typ/Kont-Korr) gegen 3JMW TW interpoliert (JJA) des 1. Vorjahres



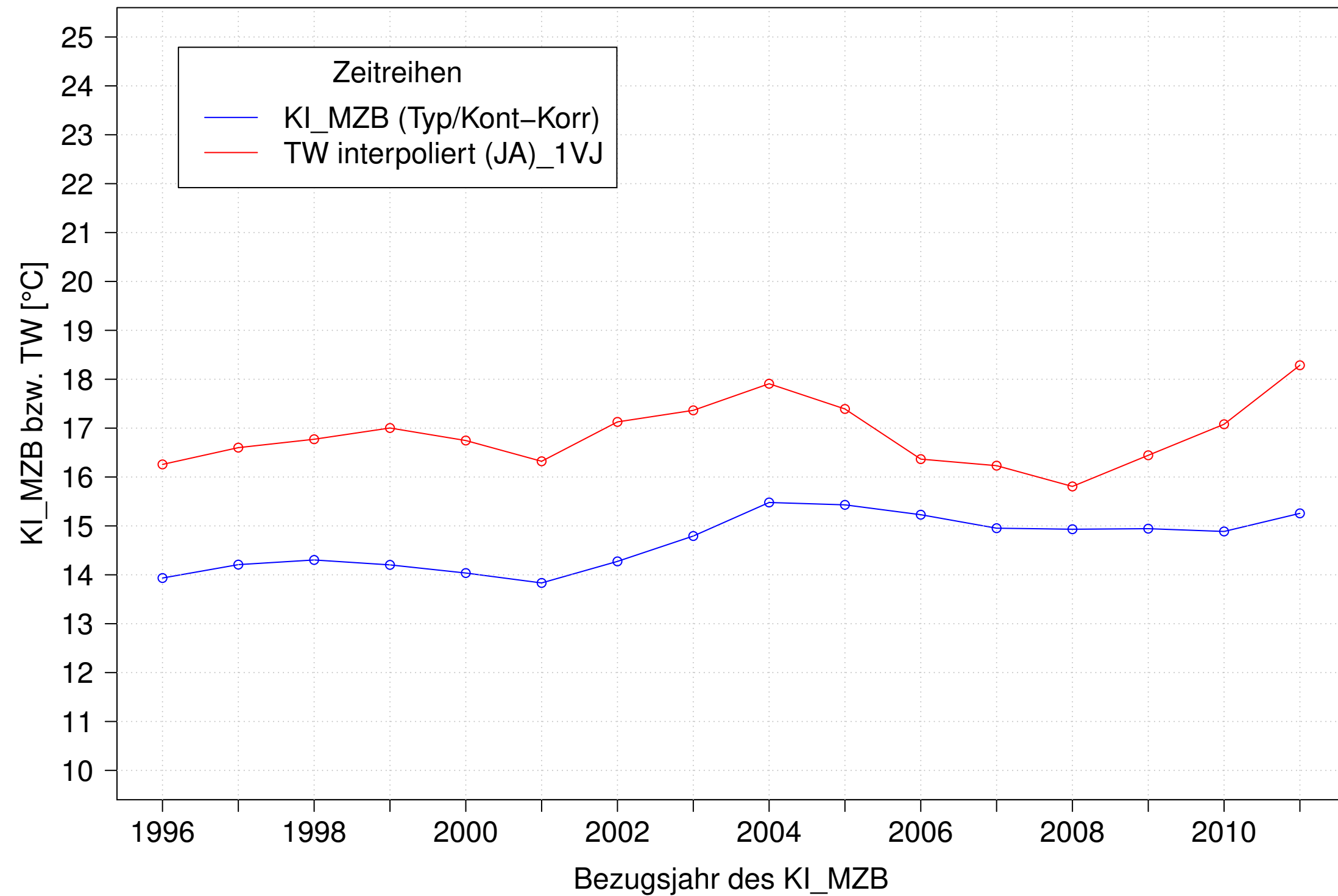
Neckar_Boerstingen, Typ 09.2 mit Neozoen, Serie 4
3JMW KI_MZB (Typ/Kont-Korr) und 3JMW TW interpoliert (JJA) des 1. Vorjahres



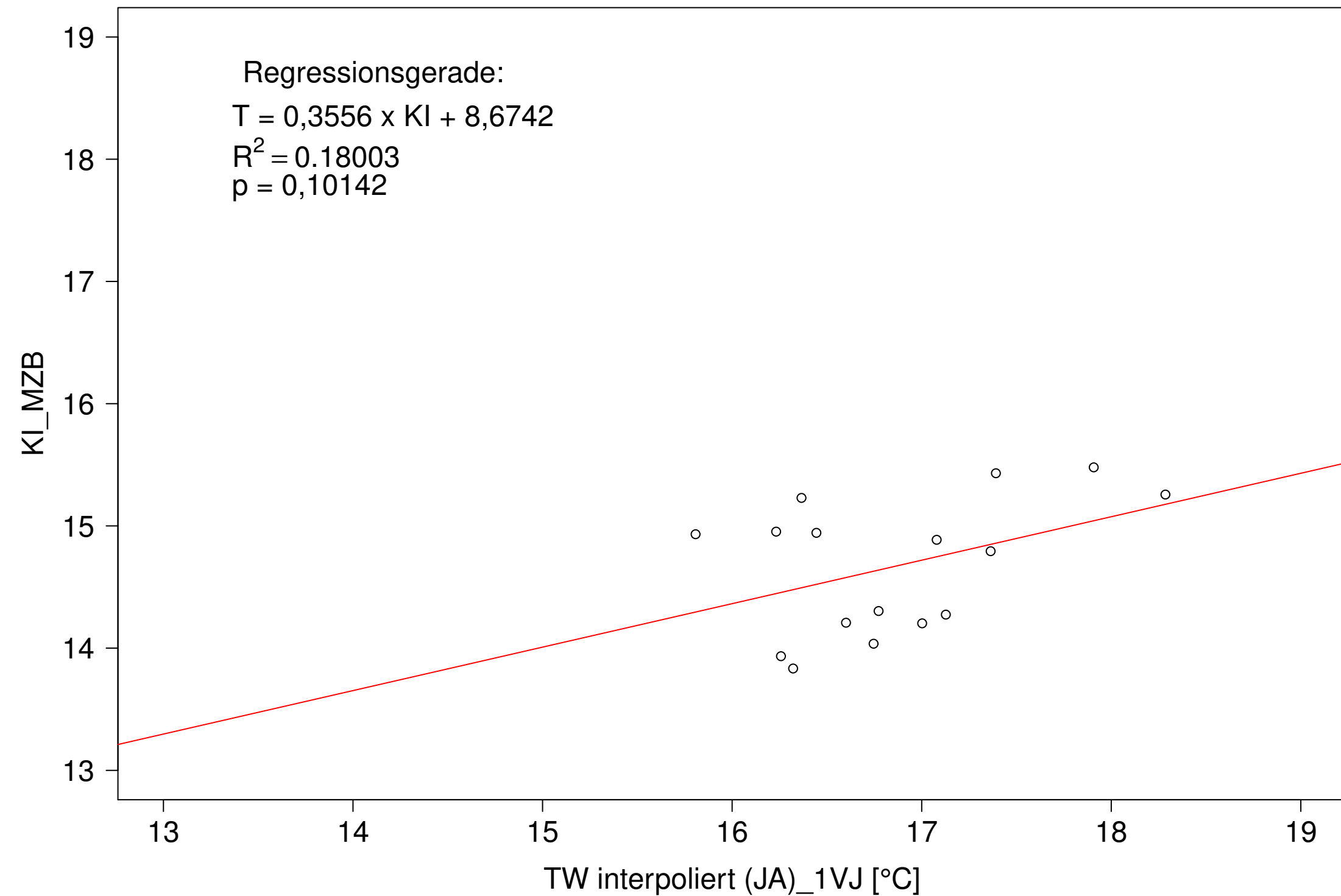
Neckar_Boerstingen, Typ 09.2 mit Neozoen, Serie 4
3JMW KI_MZB (Typ/Kont-Korr) gegen 3JMW TW interpoliert (JJA) des 1. Vorjahres



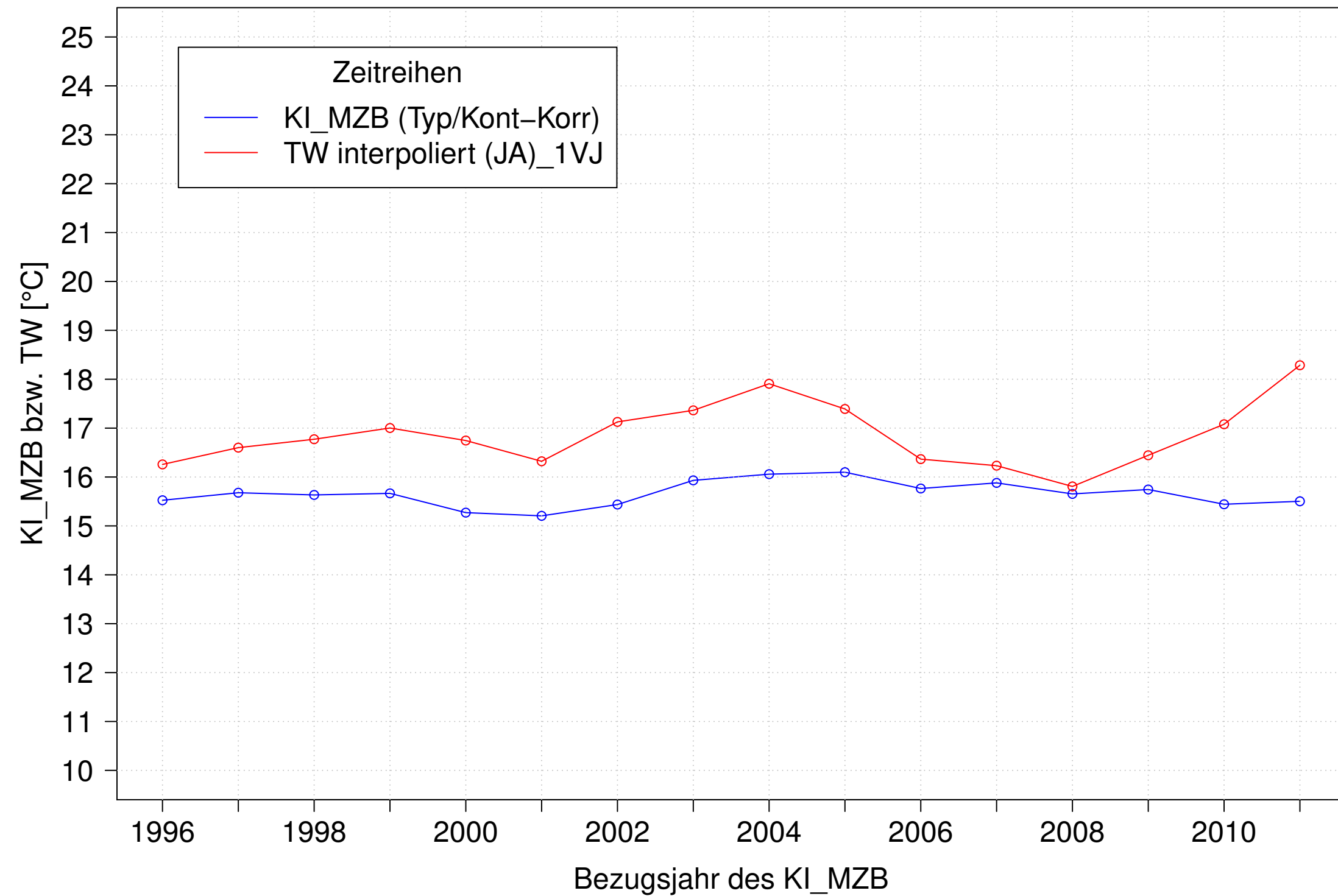
Neckar_Boerstingen, Typ 09.2 mit Neozoen, Serie 1
3JMW KI_MZB (Typ/Kont-Korr) und 3JMW TW interpoliert (JA) des 1. Vorjahres



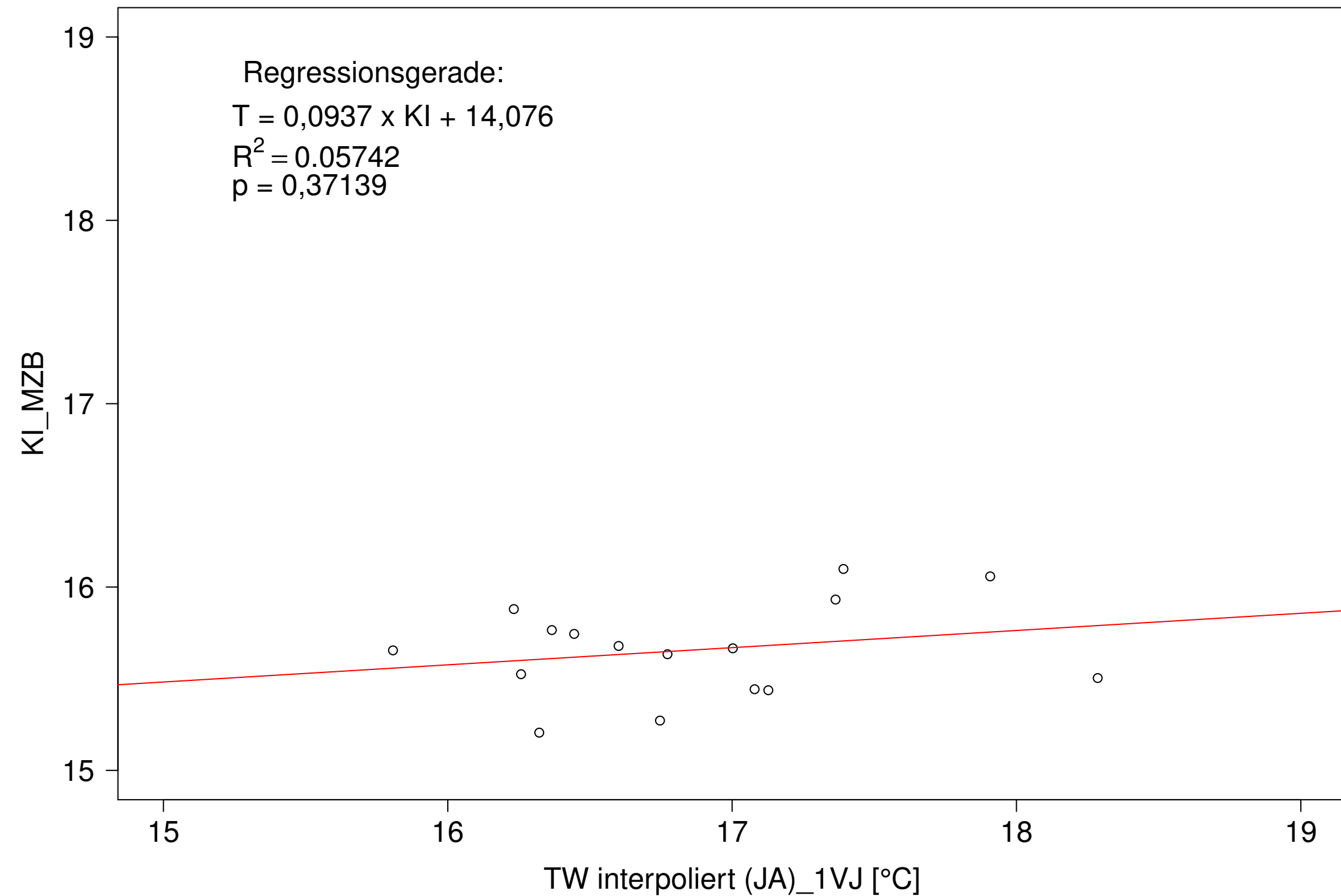
Neckar_Boerstingen, Typ 09.2 mit Neozoen, Serie 1
3JMW KI_MZB (Typ/Kont-Korr) gegen 3JMW TW interpoliert (JA) des 1. Vorjahres



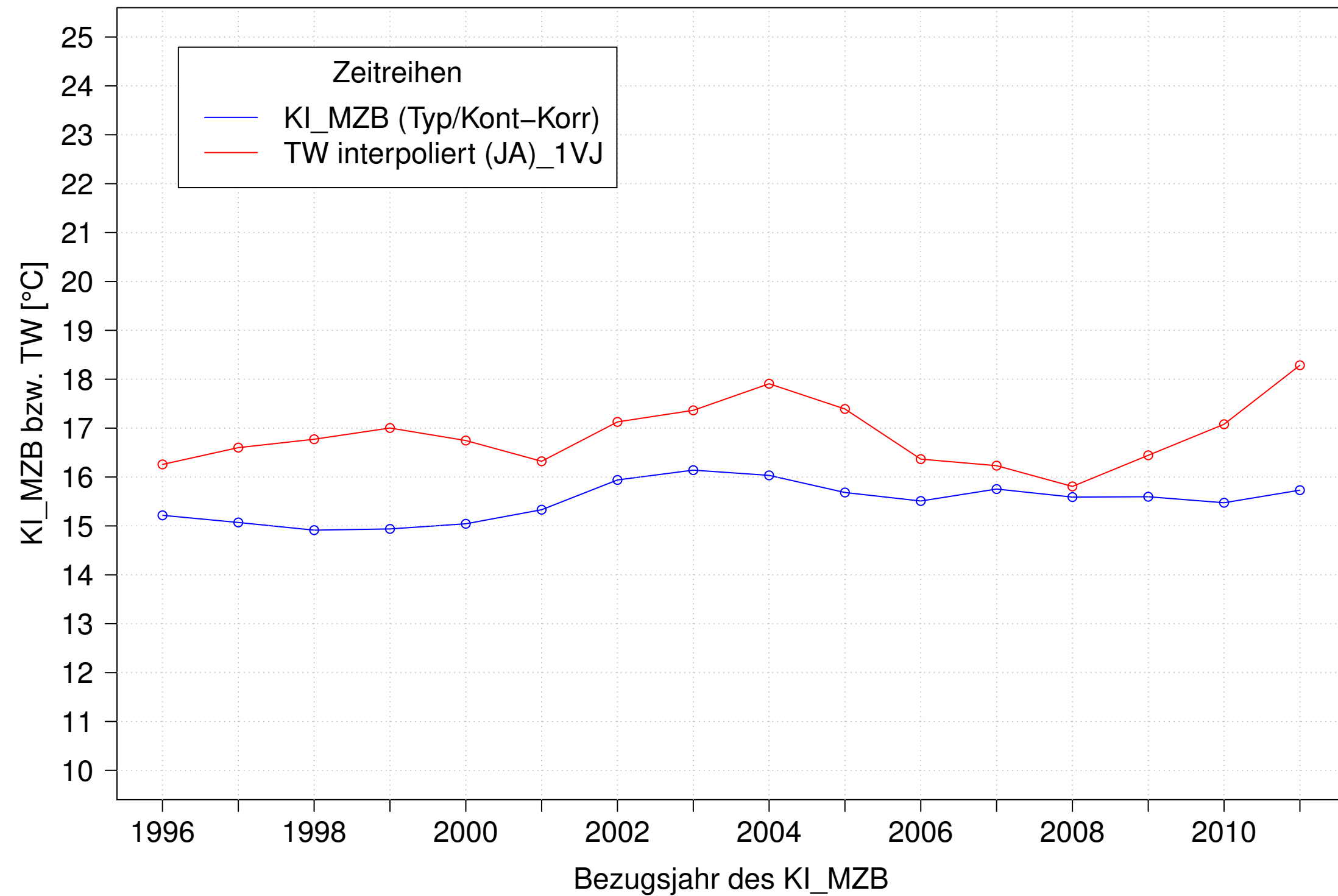
Neckar_Boerstingen, Typ 09.2 mit Neozoen, Serie 2
3JMW KI_MZB (Typ/Kont-Korr) und 3JMW TW interpoliert (JA) des 1. Vorjahres



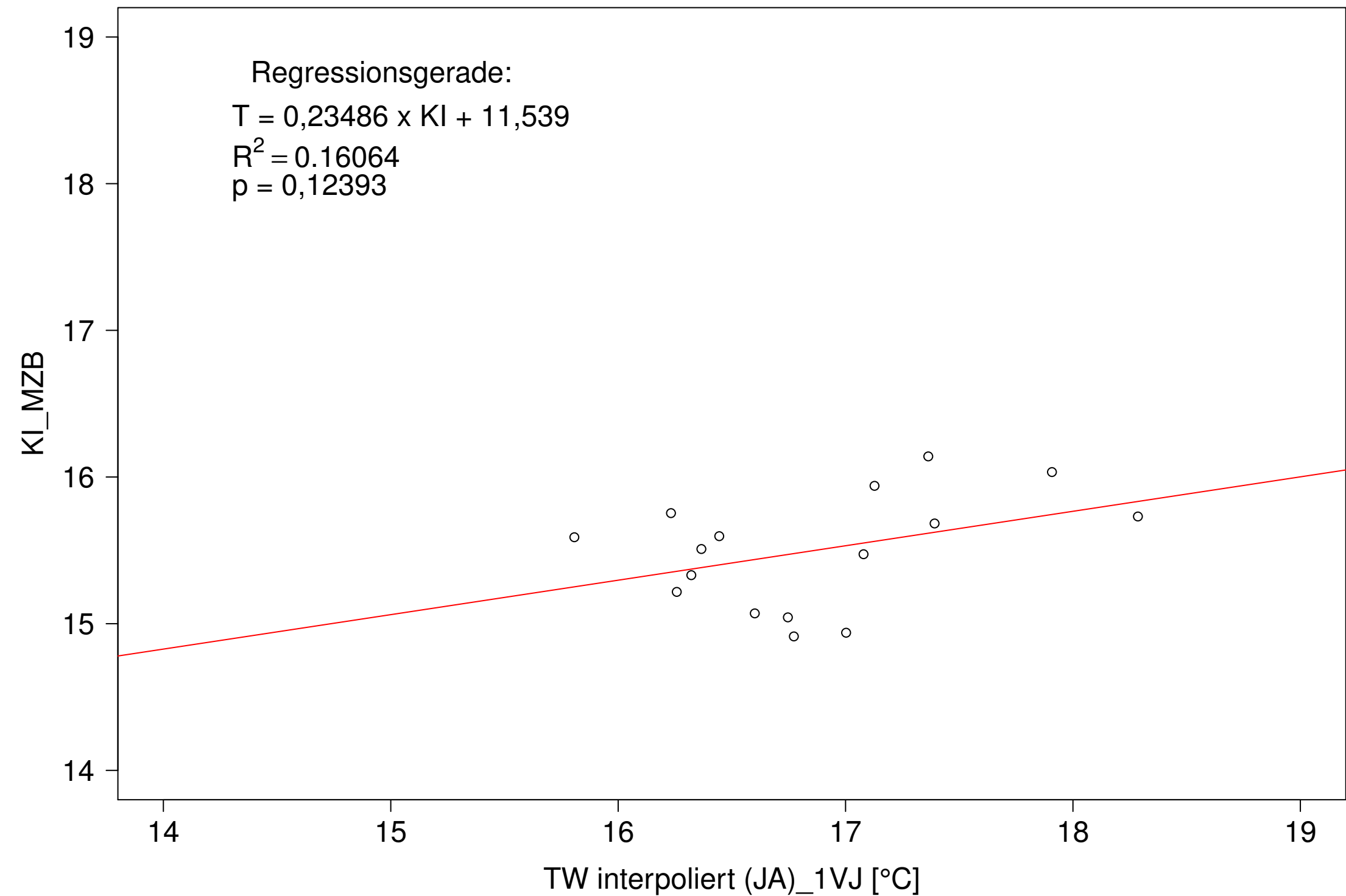
Neckar_Boerstingen, Typ 09.2 mit Neozoen, Serie 2
3JMW KI_MZB (Typ/Kont-Korr) gegen 3JMW TW interpoliert (JA) des 1. Vorjahres



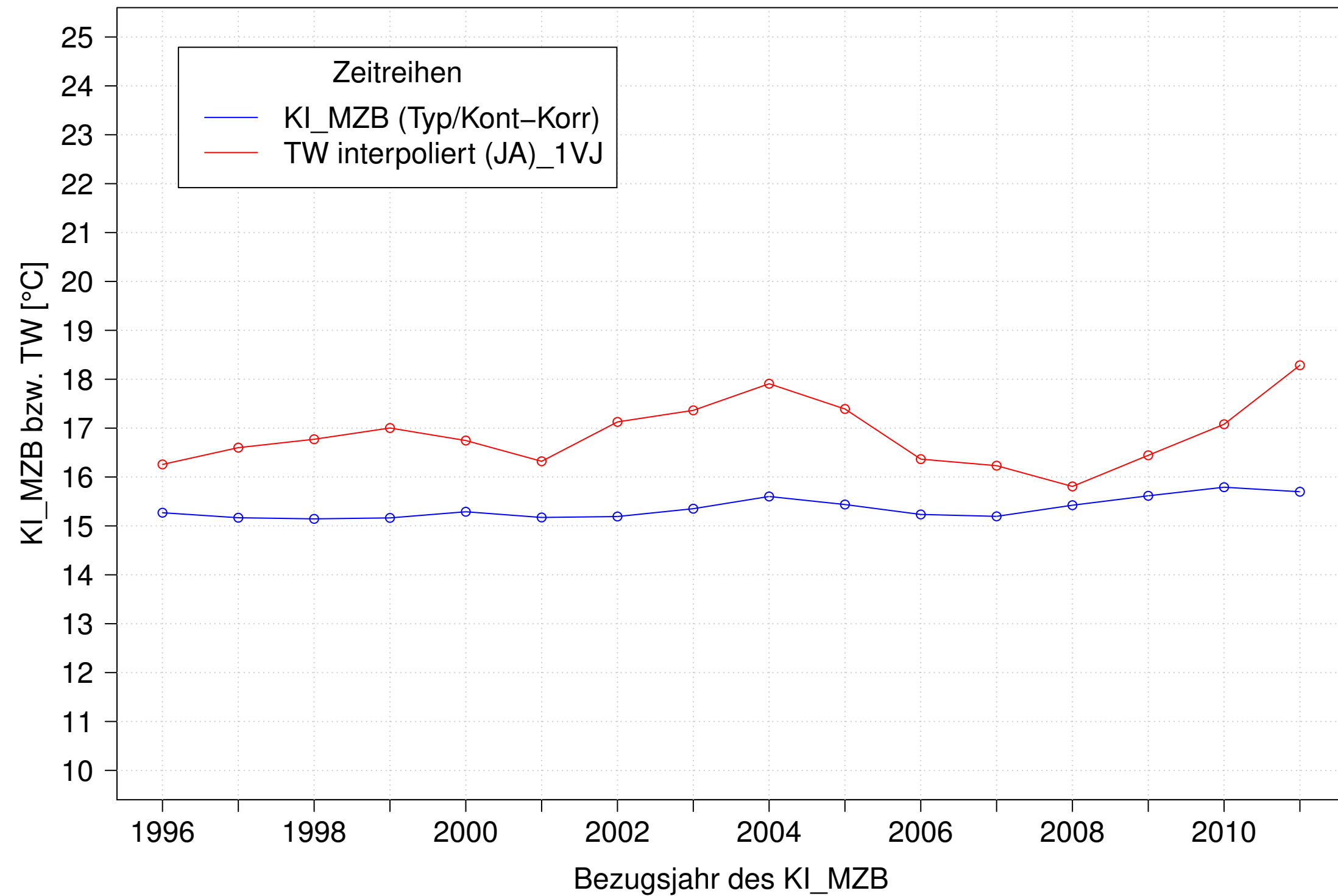
Neckar_Boerstingen, Typ 09.2 mit Neozoen, Serie 3
3JMW KI_MZB (Typ/Kont-Korr) und 3JMW TW interpoliert (JA) des 1. Vorjahres



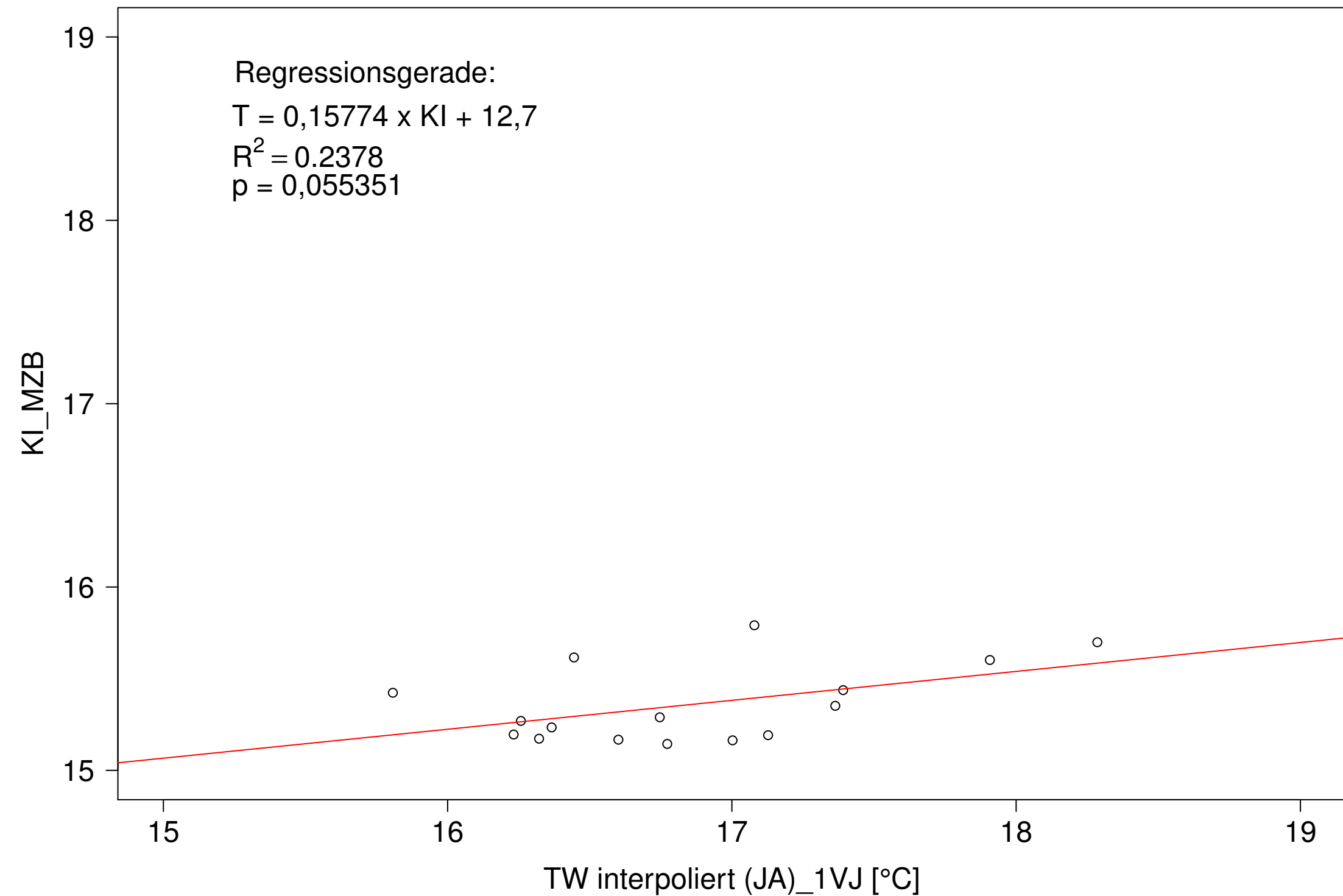
Neckar_Boerstingen, Typ 09.2 mit Neozoen, Serie 3
3JMW KI_MZB (Typ/Kont-Korr) gegen 3JMW TW interpoliert (JA) des 1. Vorjahres



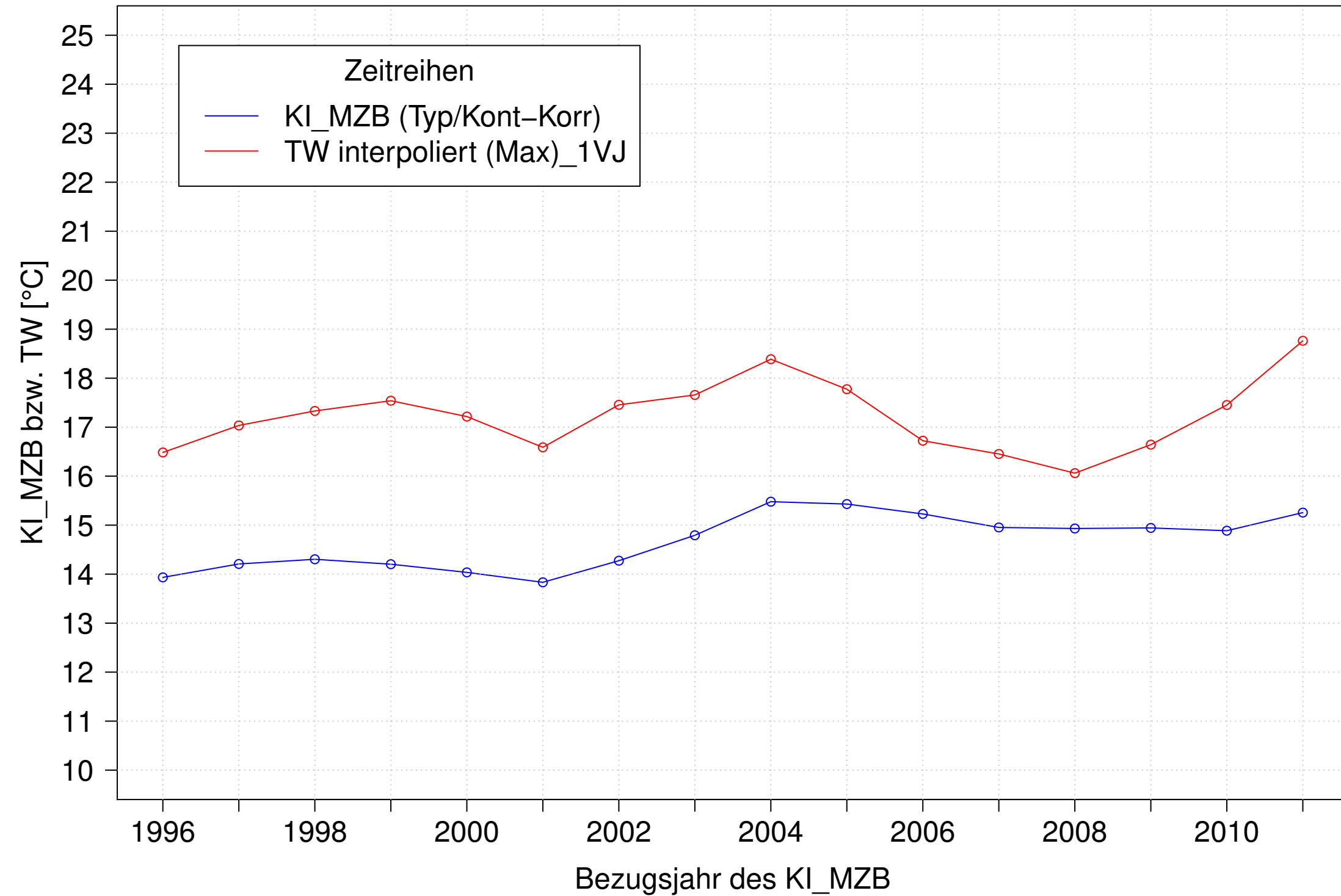
Neckar_Boerstingen, Typ 09.2 mit Neozoen, Serie 4
3JMW KI_MZB (Typ/Kont-Korr) und 3JMW TW interpoliert (JA) des 1. Vorjahres



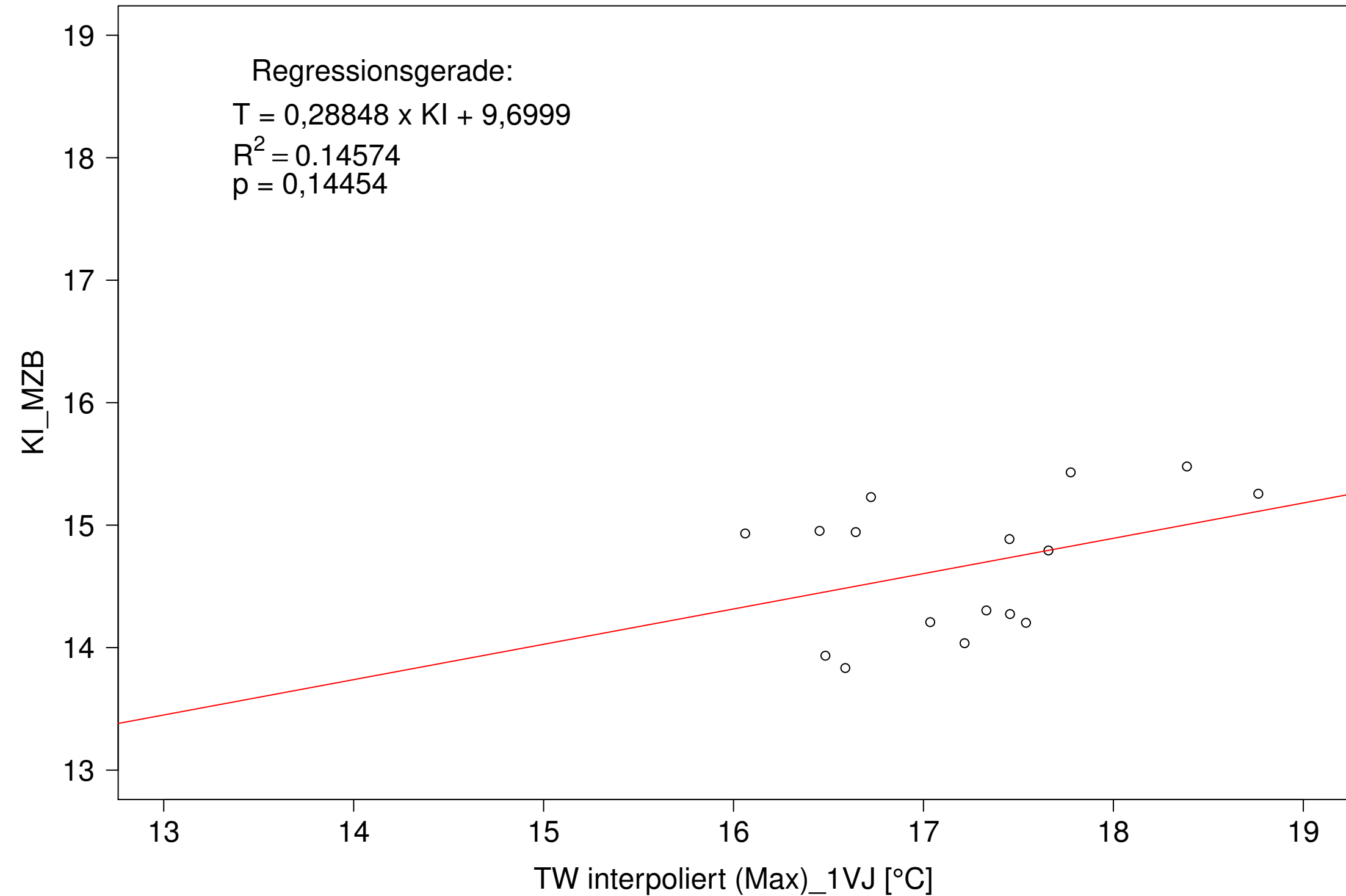
Neckar_Boerstingen, Typ 09.2 mit Neozoen, Serie 4
3JMW KI_MZB (Typ/Kont-Korr) gegen 3JMW TW interpoliert (JA) des 1. Vorjahres



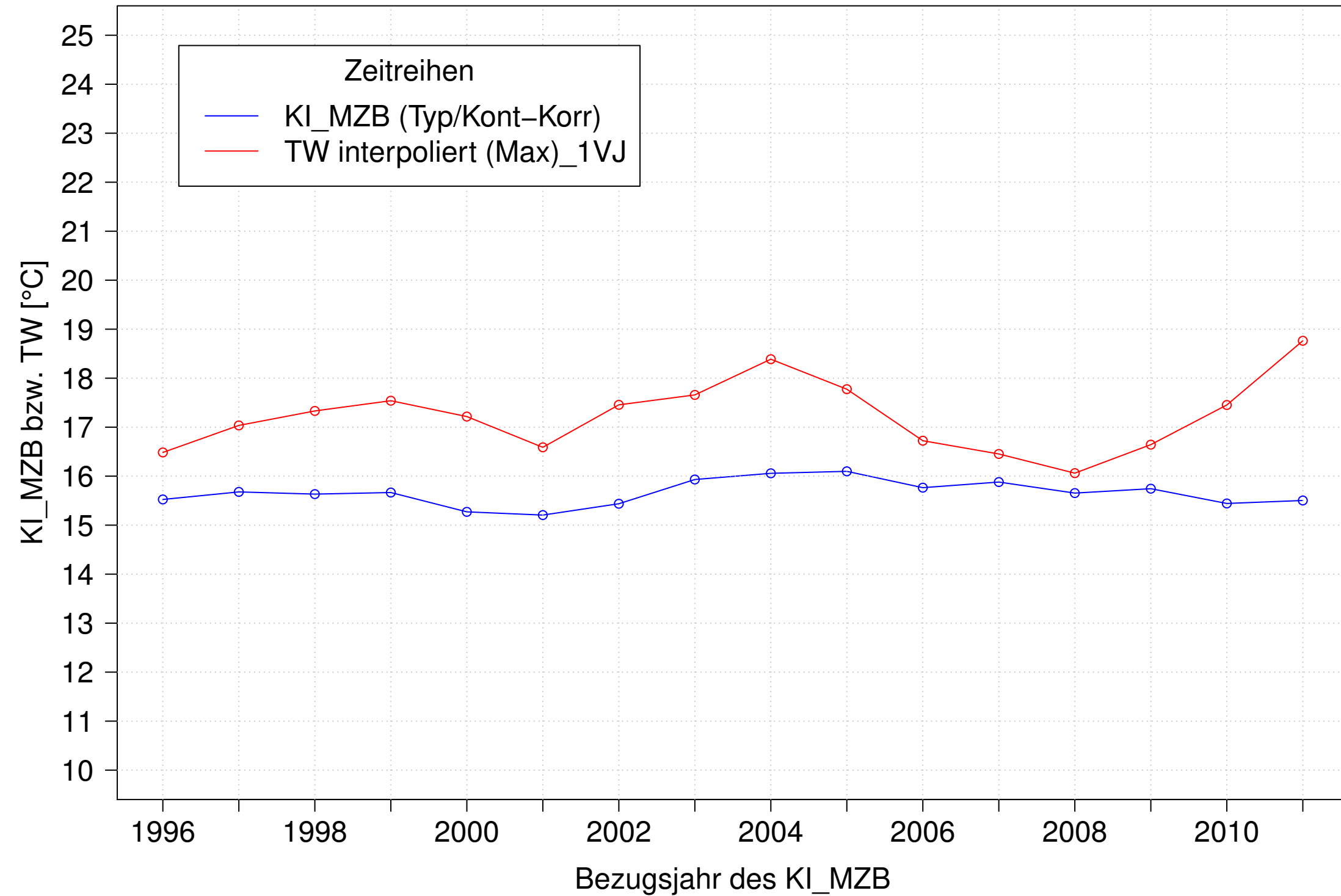
Neckar_Boerstingen, Typ 09.2 mit Neozoen, Serie 1
3JMW KI_MZB (Typ/Kont-Korr) und 3JMW TW interpoliert (Max) des 1. Vorjahres



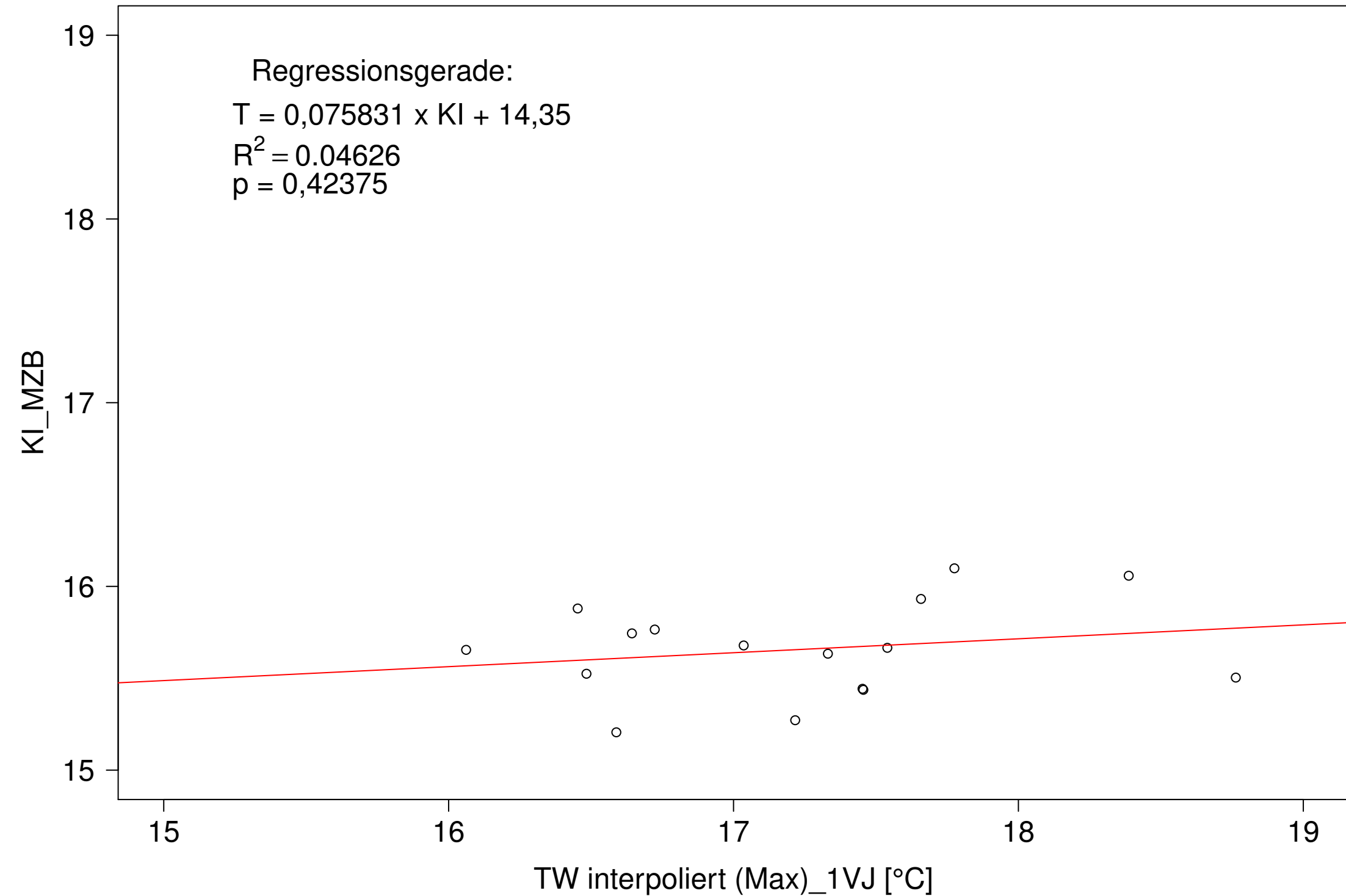
Neckar_Boerstingen, Typ 09.2 mit Neozoen, Serie 1
3JMW KI_MZB (Typ/Kont-Korr) gegen 3JMW TW interpoliert (Max) des 1. Vorjahres



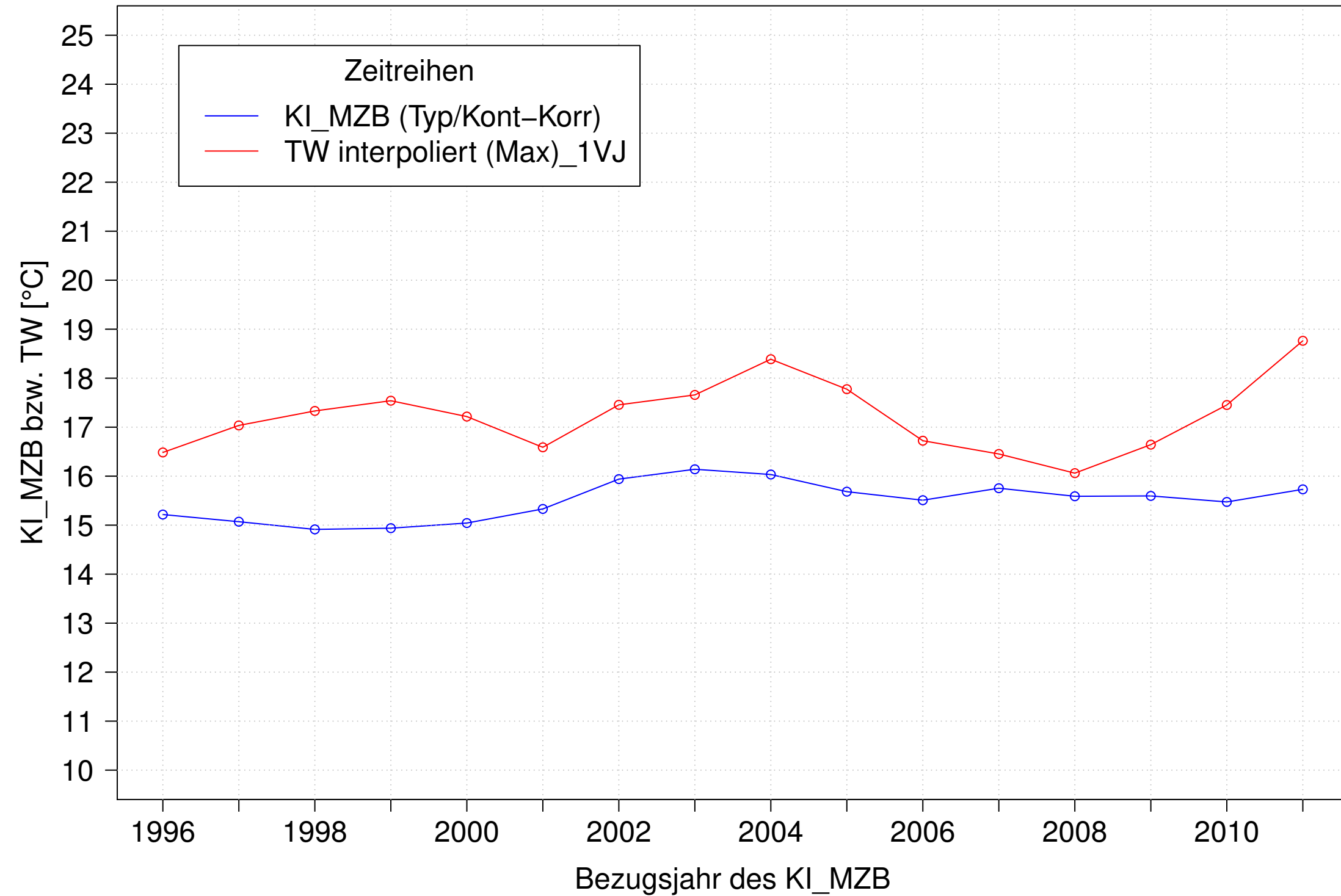
Neckar_Boerstingen, Typ 09.2 mit Neozoen, Serie 2
3JMW KI_MZB (Typ/Kont-Korr) und 3JMW TW interpoliert (Max) des 1. Vorjahres



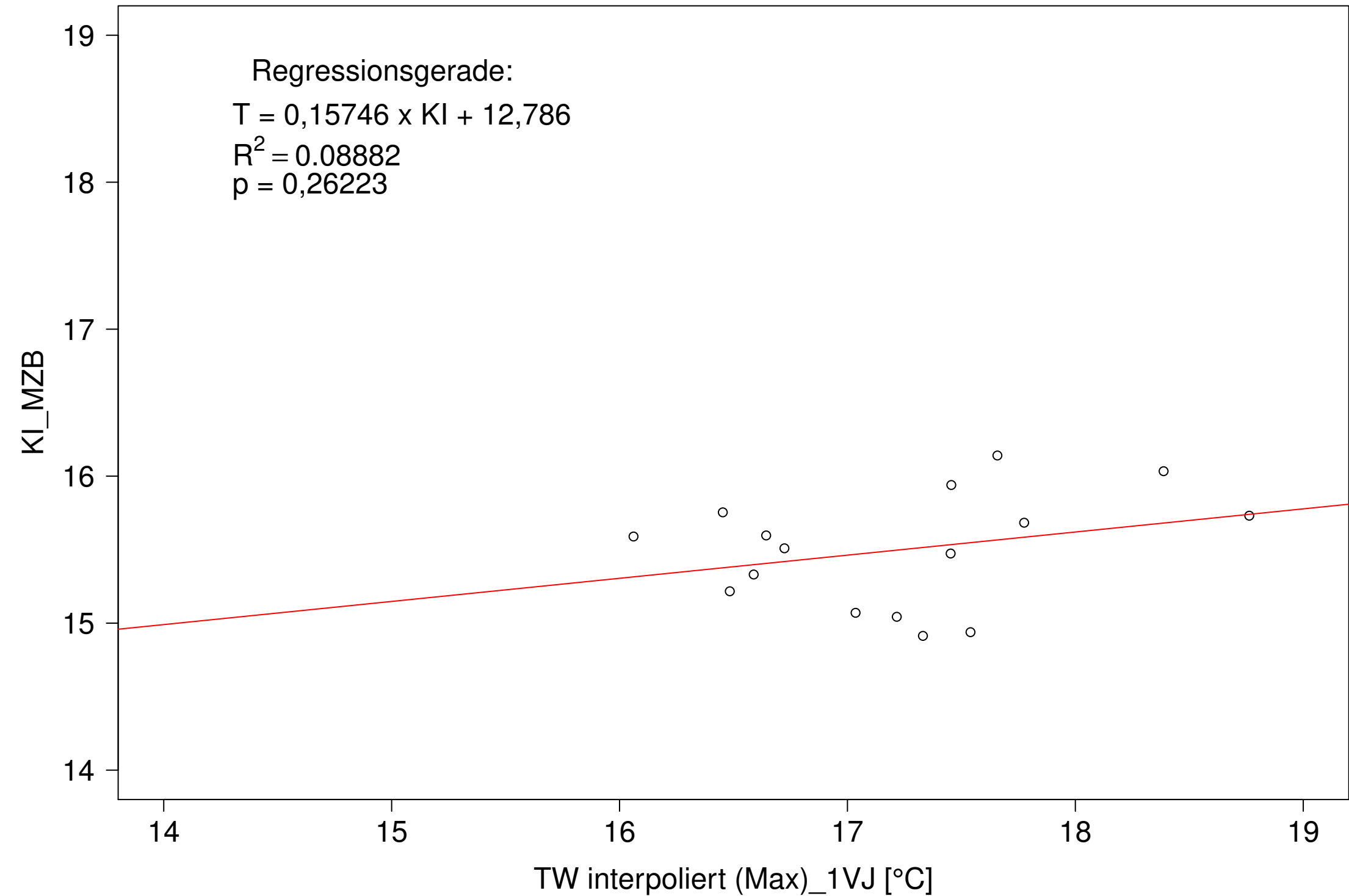
Neckar_Boerstingen, Typ 09.2 mit Neozoen, Serie 2
3JMW KI_MZB (Typ/Kont-Korr) gegen 3JMW TW interpoliert (Max) des 1. Vorjahres



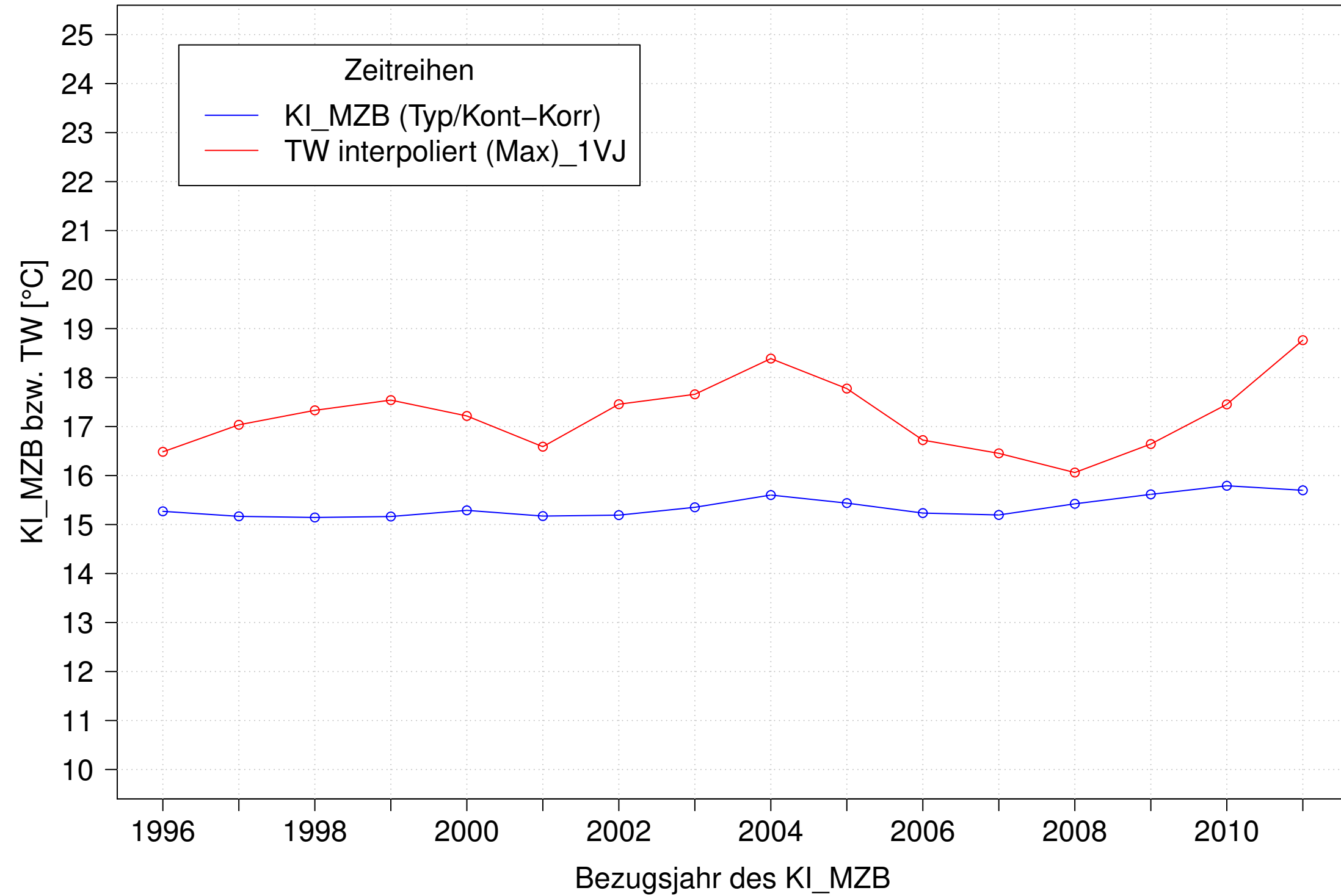
Neckar_Boerstingen, Typ 09.2 mit Neozoen, Serie 3
3JMW KI_MZB (Typ/Kont-Korr) und 3JMW TW interpoliert (Max) des 1. Vorjahres



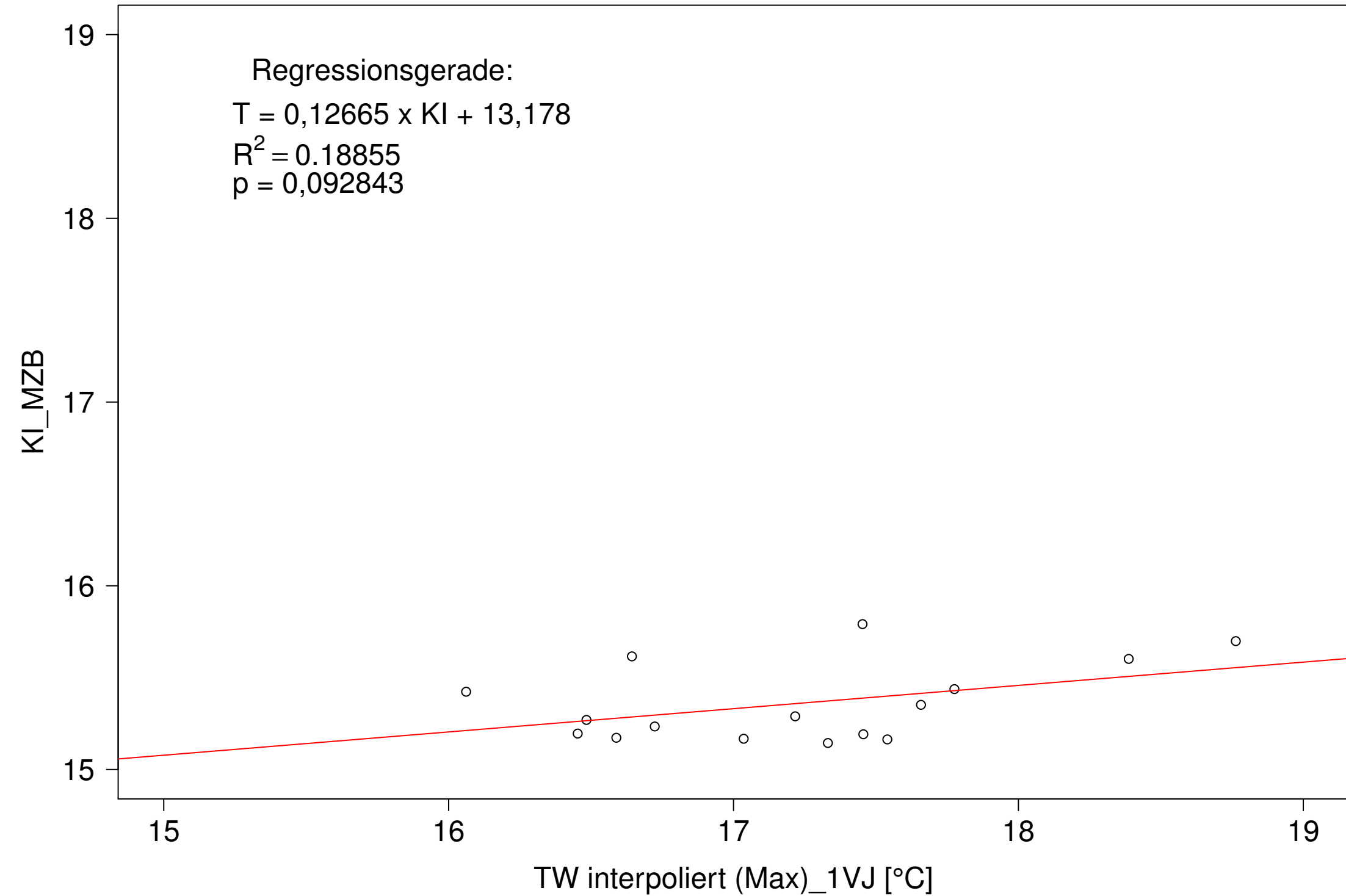
Neckar_Boerstingen, Typ 09.2 mit Neozoen, Serie 3
3JMW KI_MZB (Typ/Kont-Korr) gegen 3JMW TW interpoliert (Max) des 1. Vorjahres



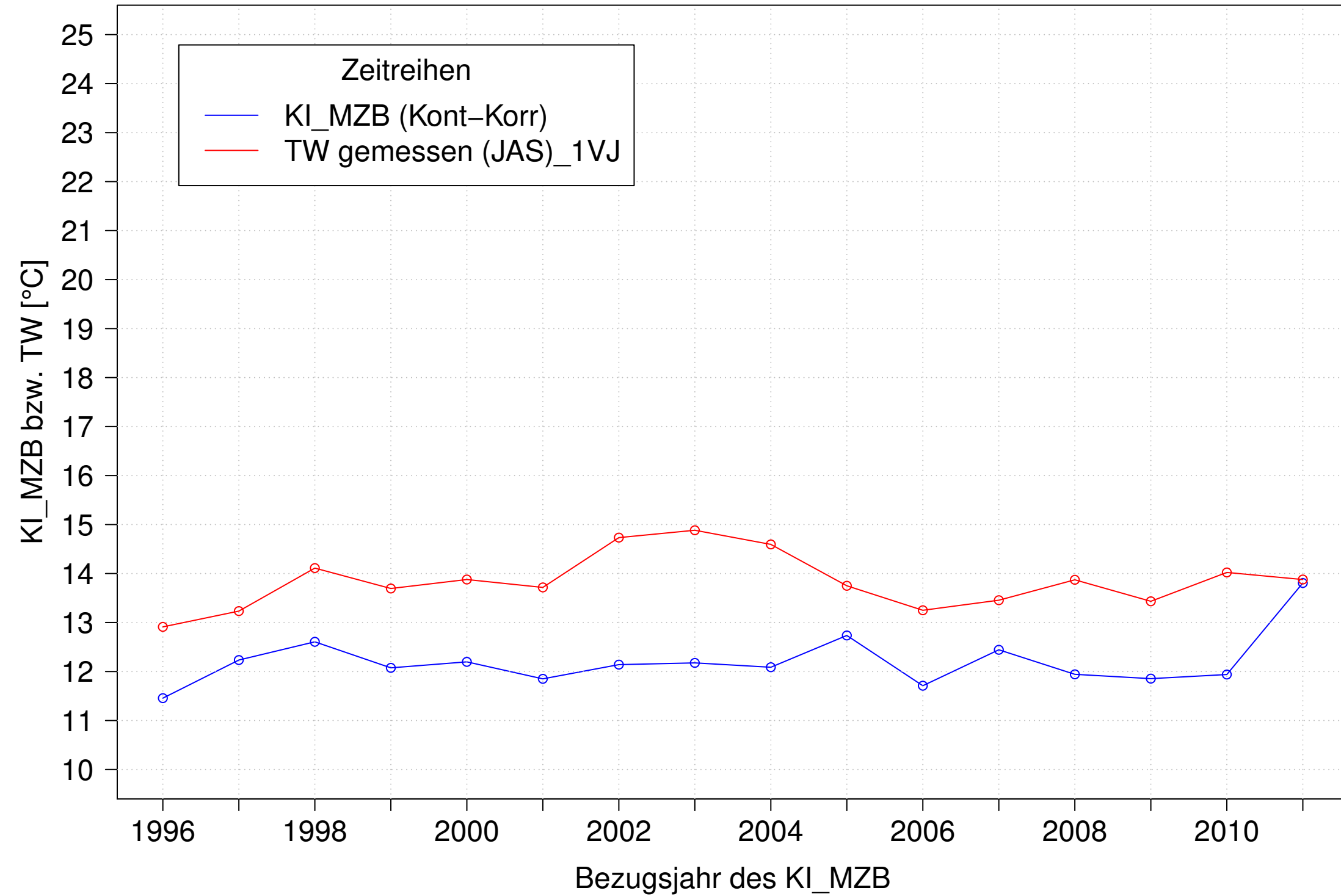
Neckar_Boerstingen, Typ 09.2 mit Neozoen, Serie 4
3JMW KI_MZB (Typ/Kont-Korr) und 3JMW TW interpoliert (Max) des 1. Vorjahres



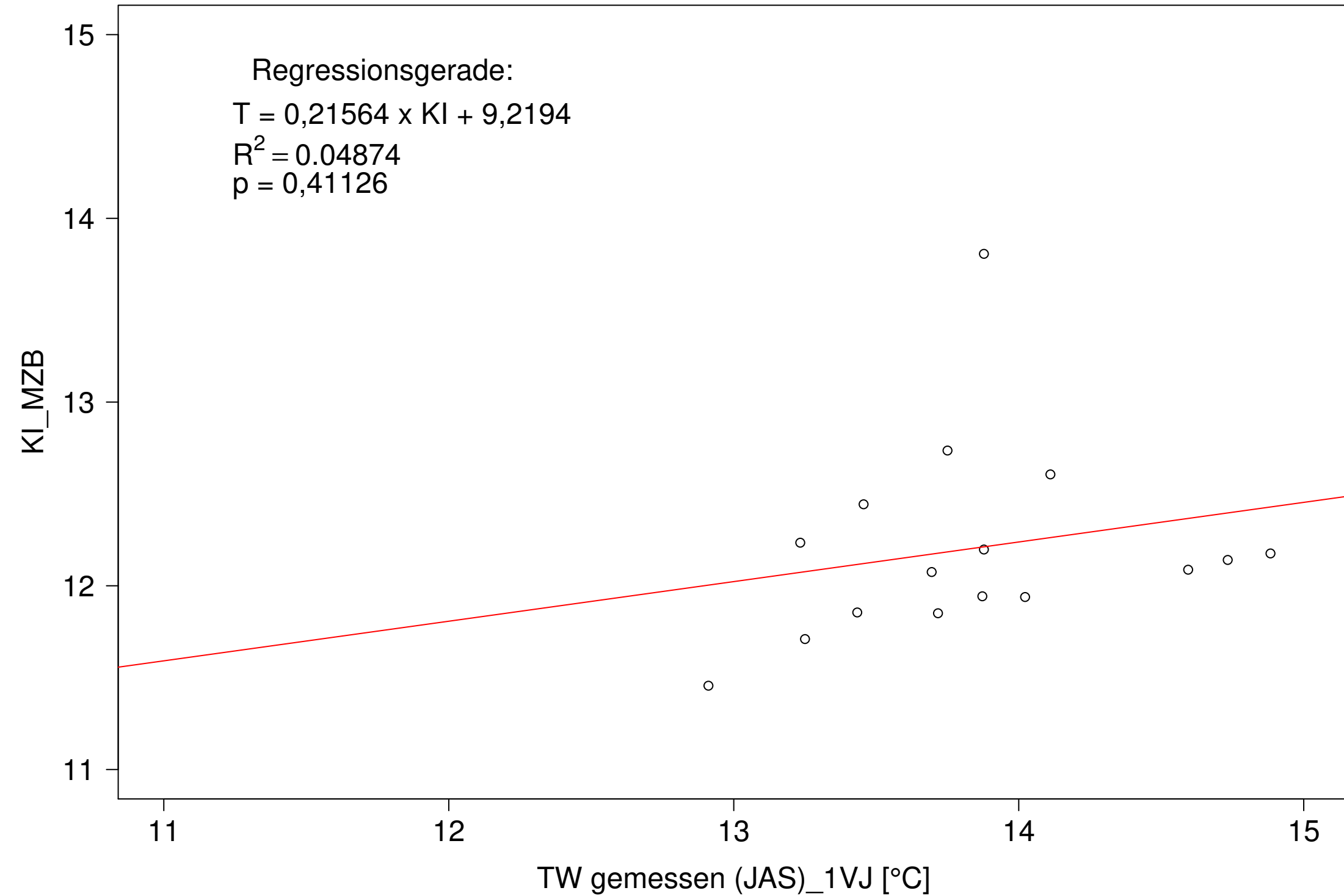
Neckar_Boerstingen, Typ 09.2 mit Neozoen, Serie 4
3JMW KI_MZB (Typ/Kont-Korr) gegen 3JMW TW interpoliert (Max) des 1. Vorjahres



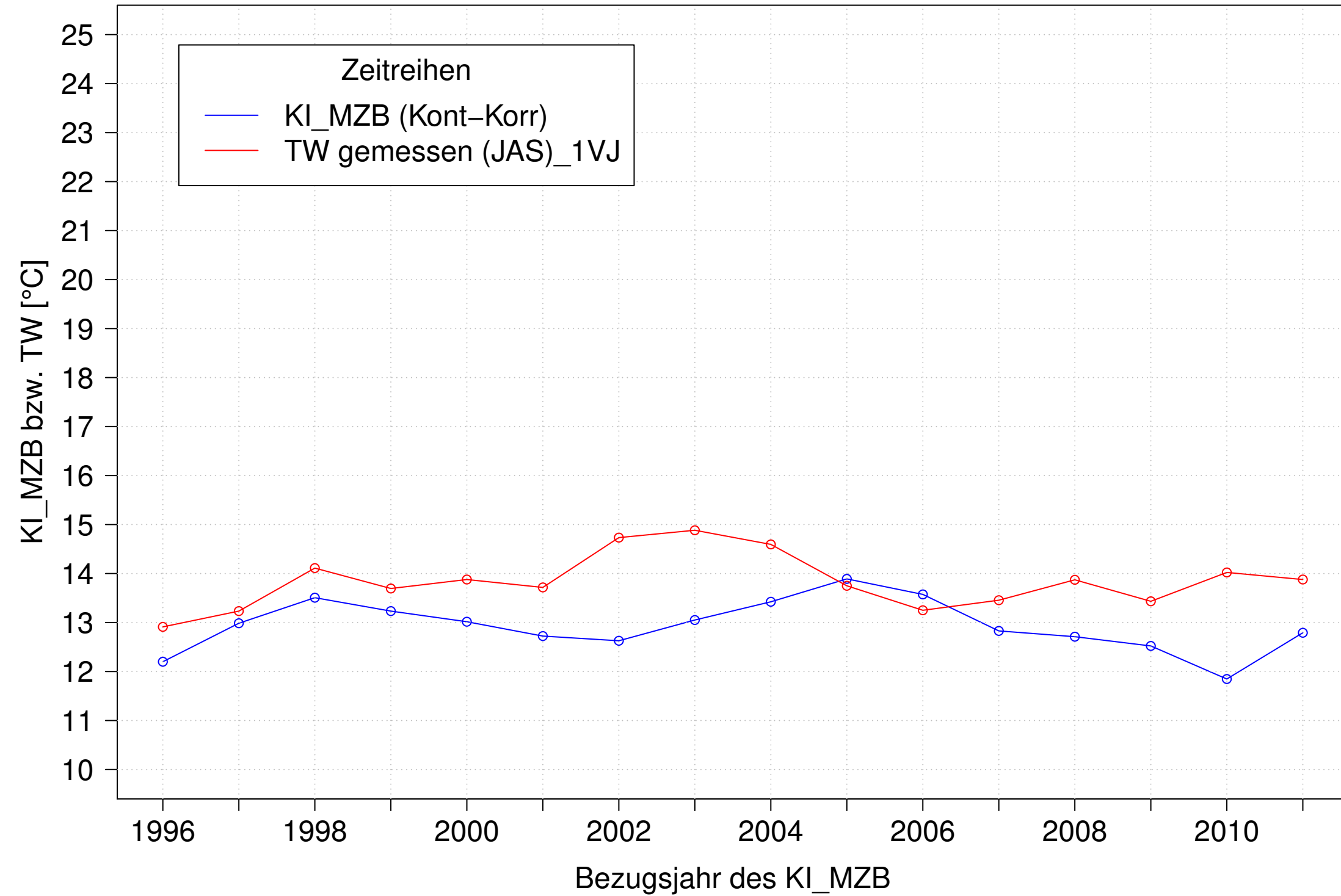
Gr. Lauter_Lauterach, Typ 09.1 mit Neozoen, Serie 1
KI_MZB (Kont-Korr) und 3JMW TW gemessen (JAS) des 1. Vorjahres



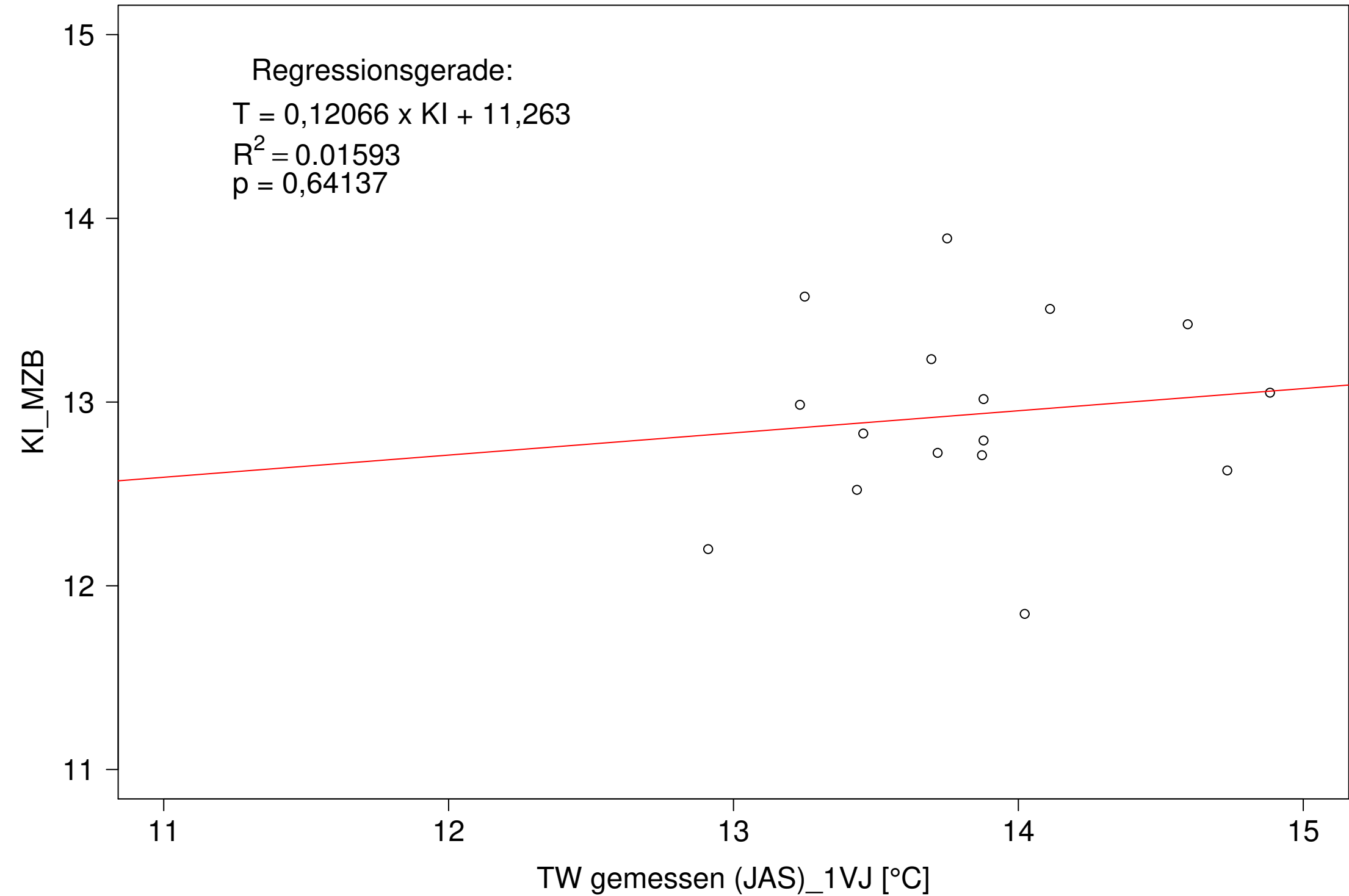
Gr. Lauter_Lauterach, Typ 09.1 mit Neozoen, Serie 1
KI_MZB (Kont-Korr) gegen 3JMW TW gemessen (JAS) des 1. Vorjahres



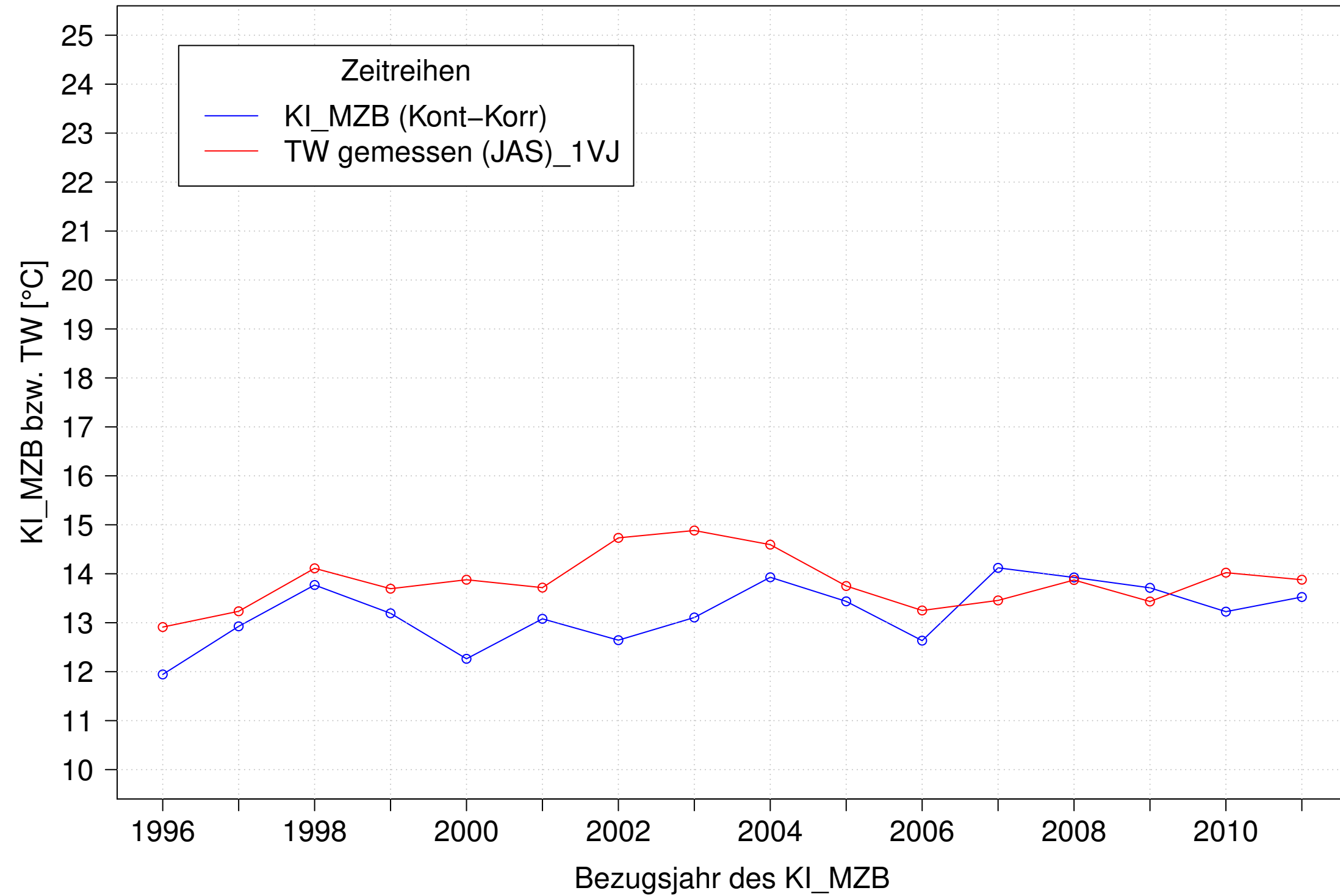
Gr. Lauter_Lauterach, Typ 09.1 mit Neozoen, Serie 2
KI_MZB (Kont-Korr) und 3JMW TW gemessen (JAS) des 1. Vorjahres



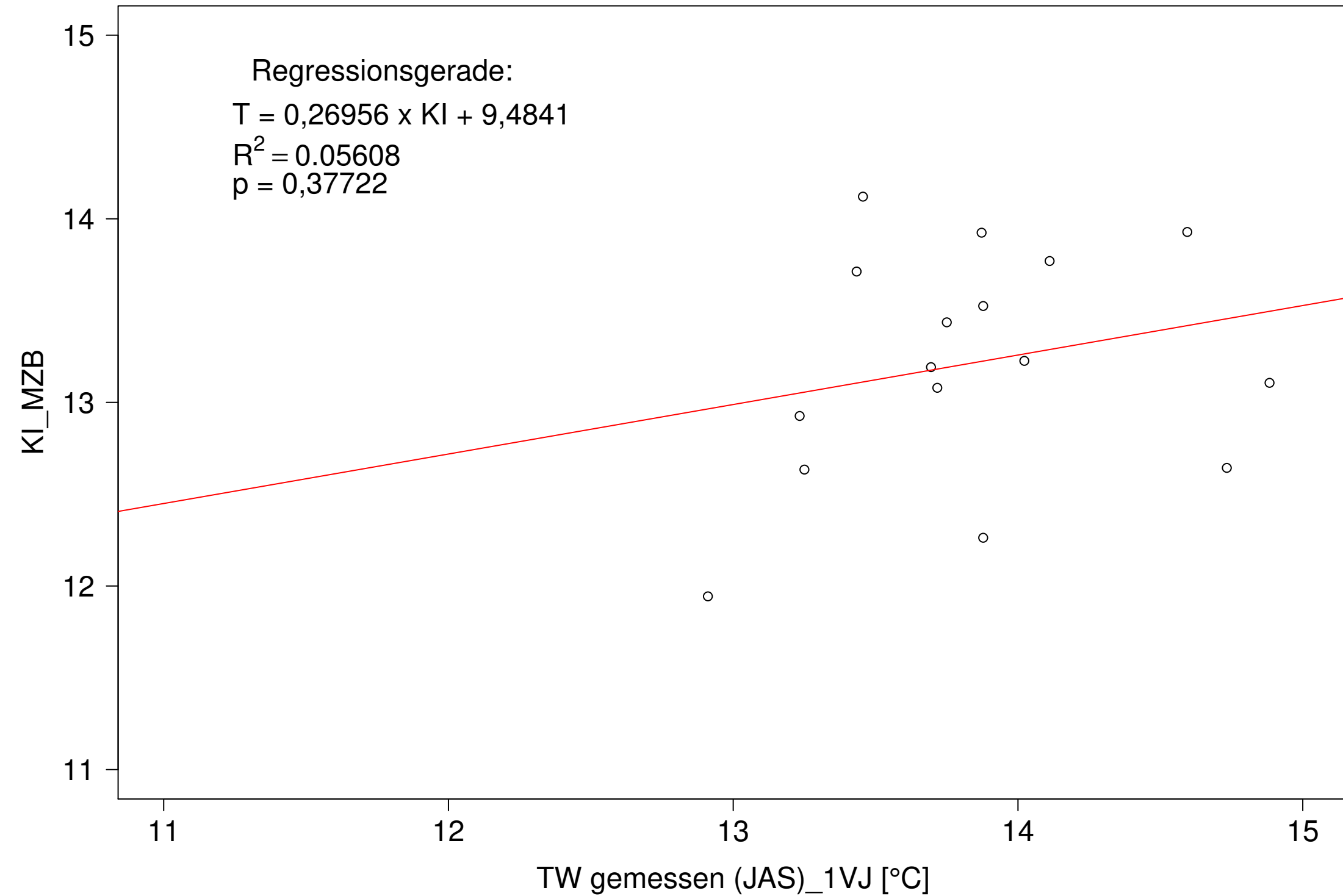
Gr. Lauter_Lauterach, Typ 09.1 mit Neozoen, Serie 2
KI_MZB (Kont-Korr) gegen 3JMW TW gemessen (JAS) des 1. Vorjahres



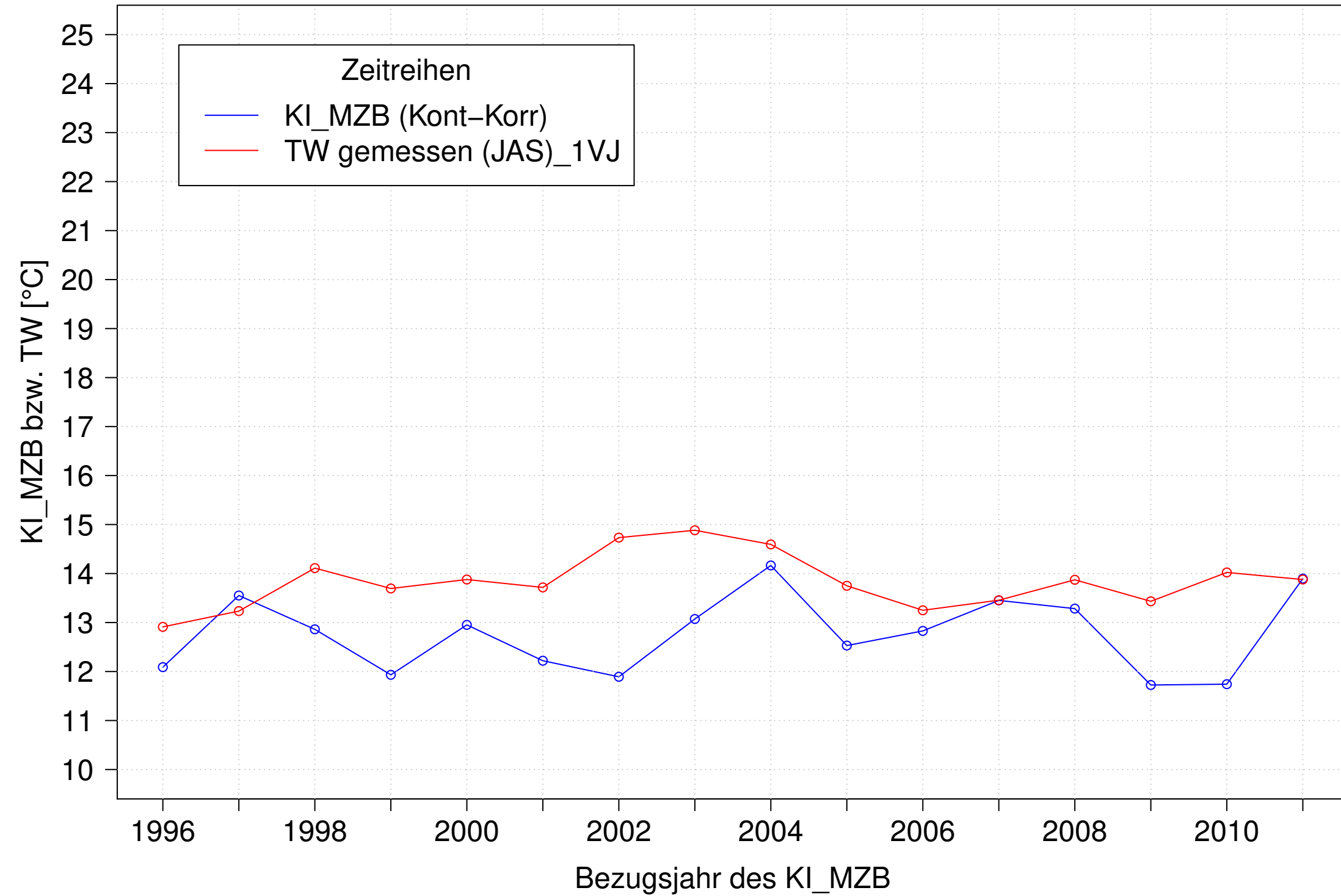
Gr. Lauter_Lauterach, Typ 09.1 mit Neozoen, Serie 3
KI_MZB (Kont-Korr) und 3JMW TW gemessen (JAS) des 1. Vorjahres



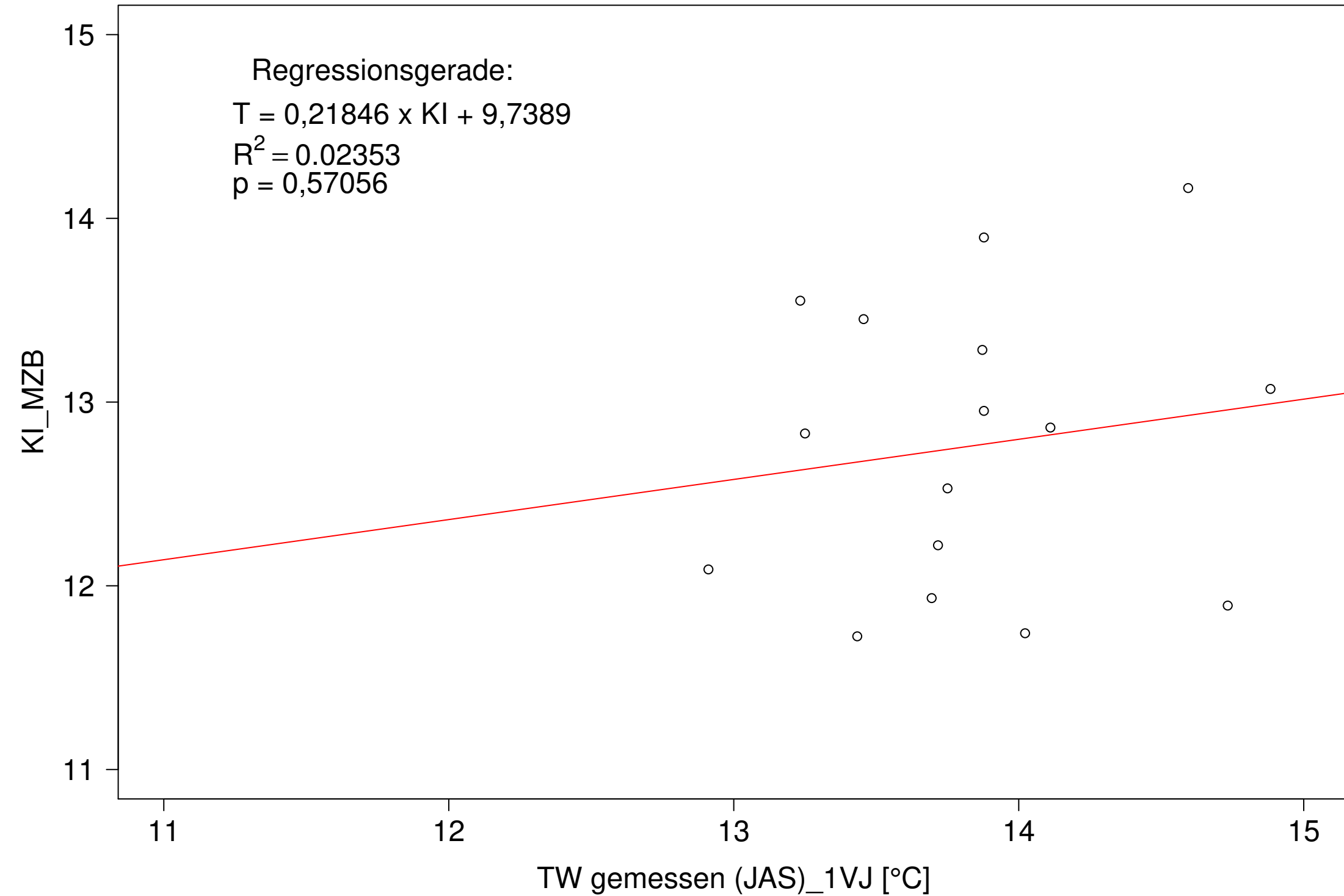
Gr. Lauter_Lauterach, Typ 09.1 mit Neozoen, Serie 3
KI_MZB (Kont-Korr) gegen 3JMW TW gemessen (JAS) des 1. Vorjahres



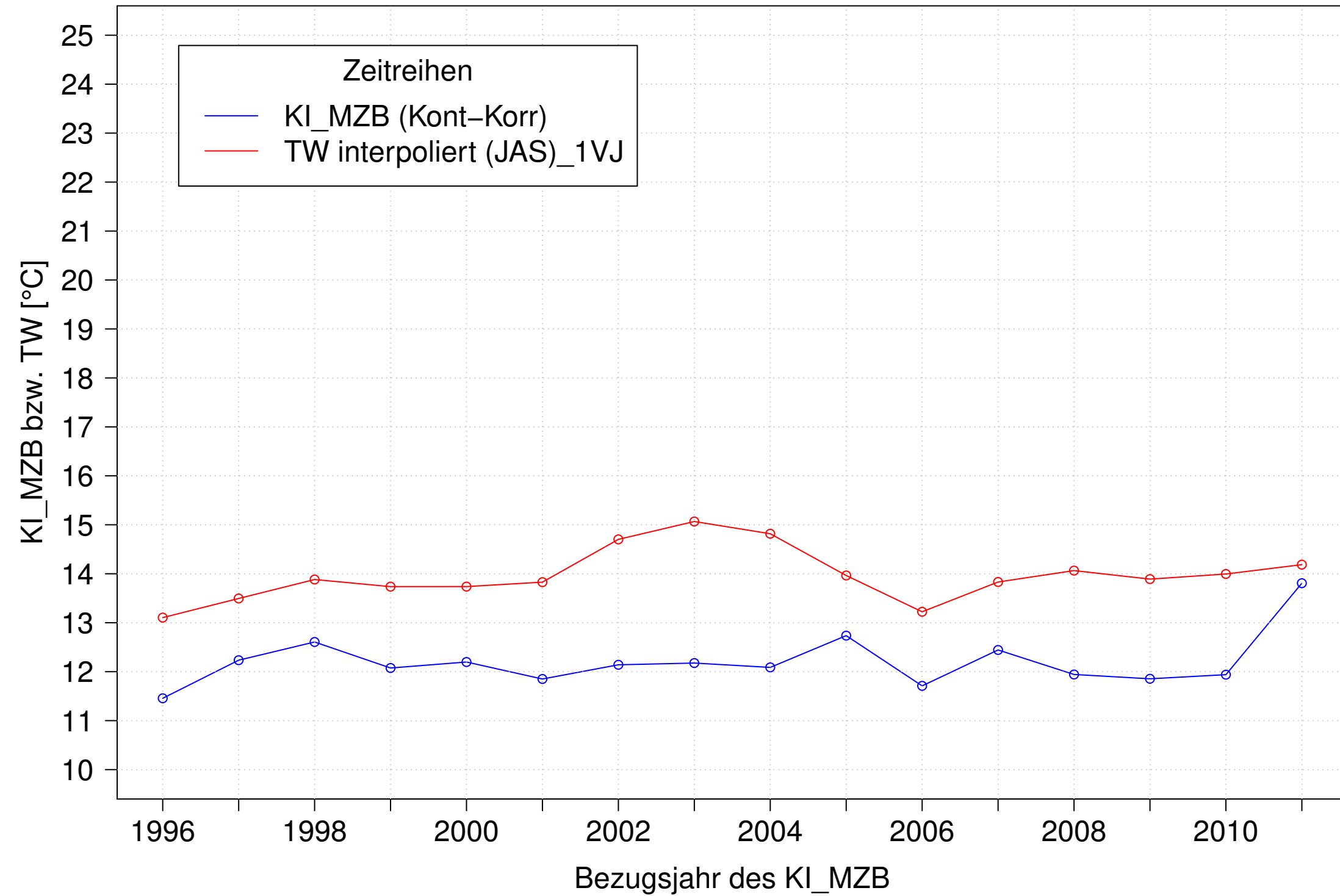
Gr. Lauter_Lauterach, Typ 09.1 mit Neozoen, Serie 4
KI_MZB (Kont-Korr) und 3JMW TW gemessen (JAS) des 1. Vorjahres



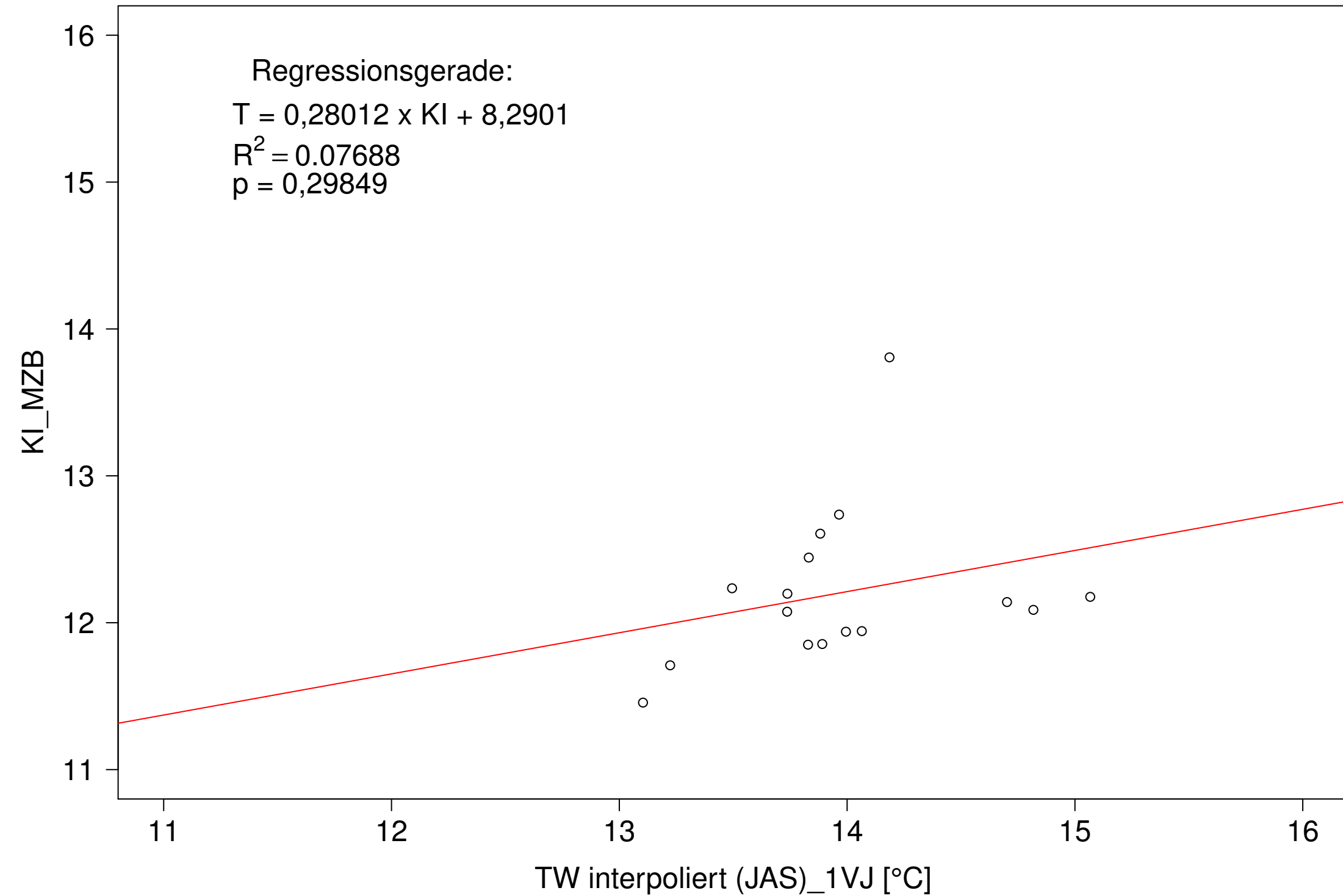
Gr. Lauter_Lauterach, Typ 09.1 mit Neozoen, Serie 4
KI_MZB (Kont-Korr) gegen 3JMW TW gemessen (JAS) des 1. Vorjahres



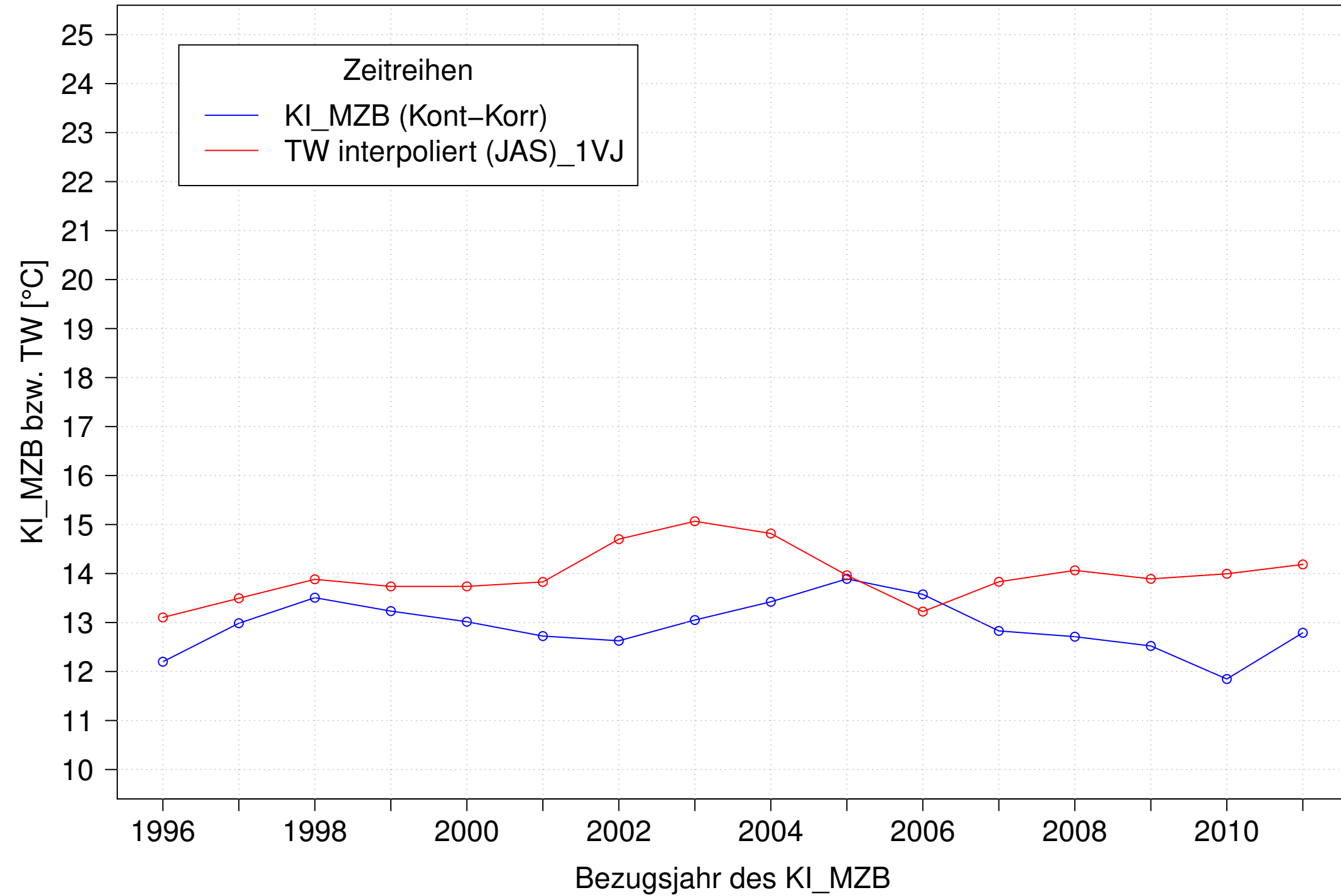
Gr. Lauter_Lauterach, Typ 09.1 mit Neozoen, Serie 1
KI_MZB (Kont-Korr) und 3JMW TW interpoliert (JAS) des 1. Vorjahres



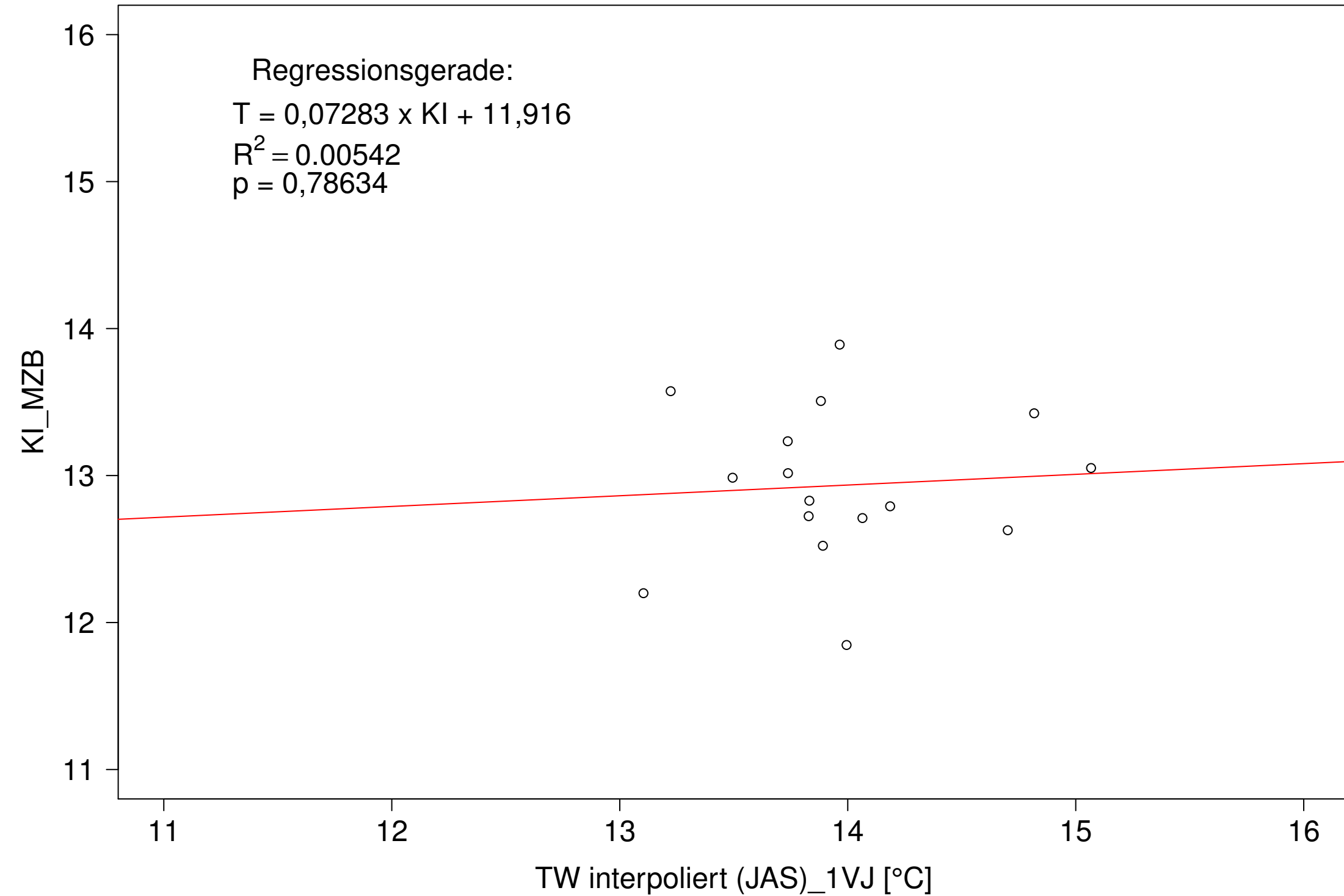
Gr. Lauter_Lauterach, Typ 09.1 mit Neozoen, Serie 1
KI_MZB (Kont-Korr) gegen 3JMW TW interpoliert (JAS) des 1. Vorjahres



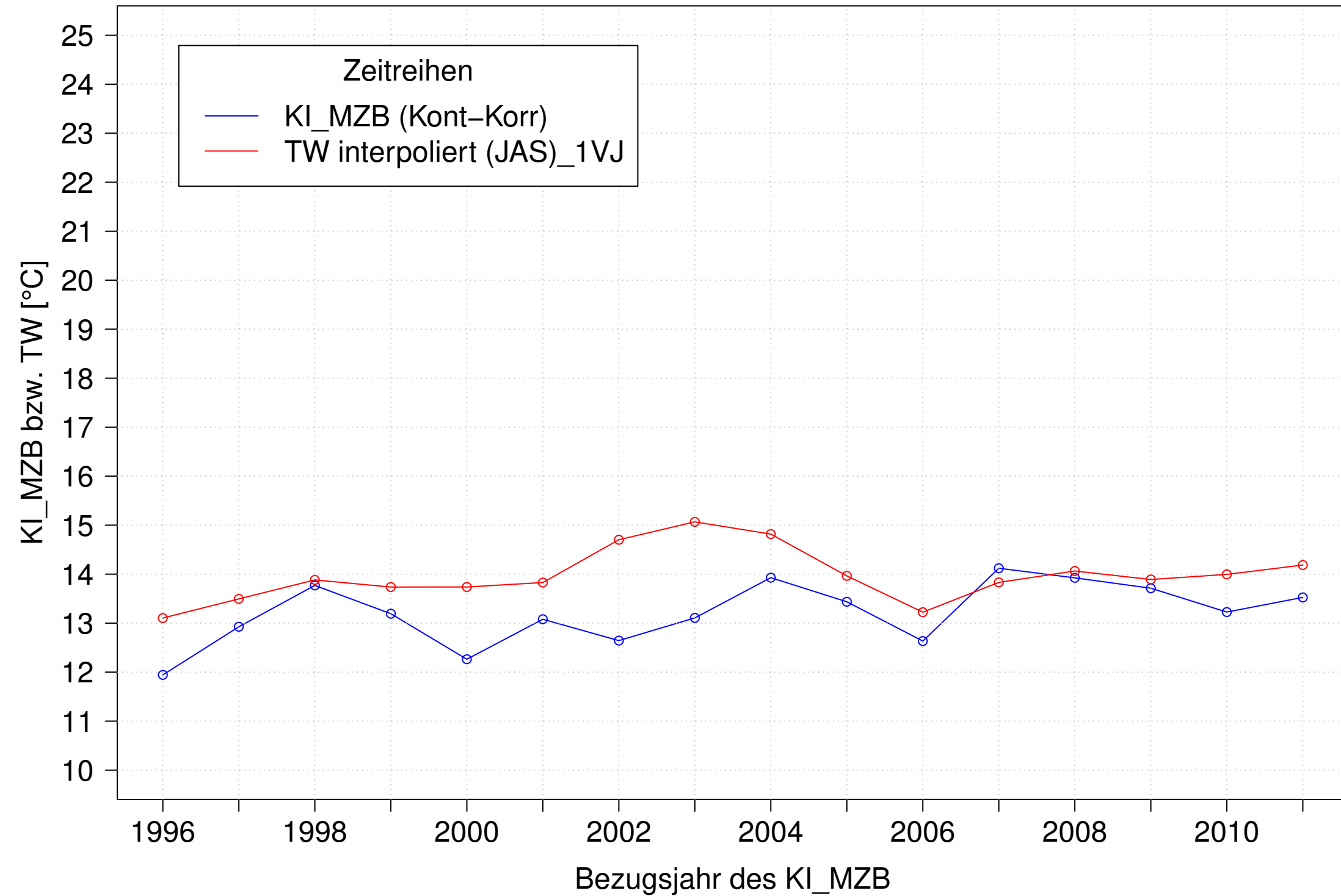
Gr. Lauter_Lauterach, Typ 09.1 mit Neozoen, Serie 2
KI_MZB (Kont-Korr) und 3JMW TW interpoliert (JAS) des 1. Vorjahres



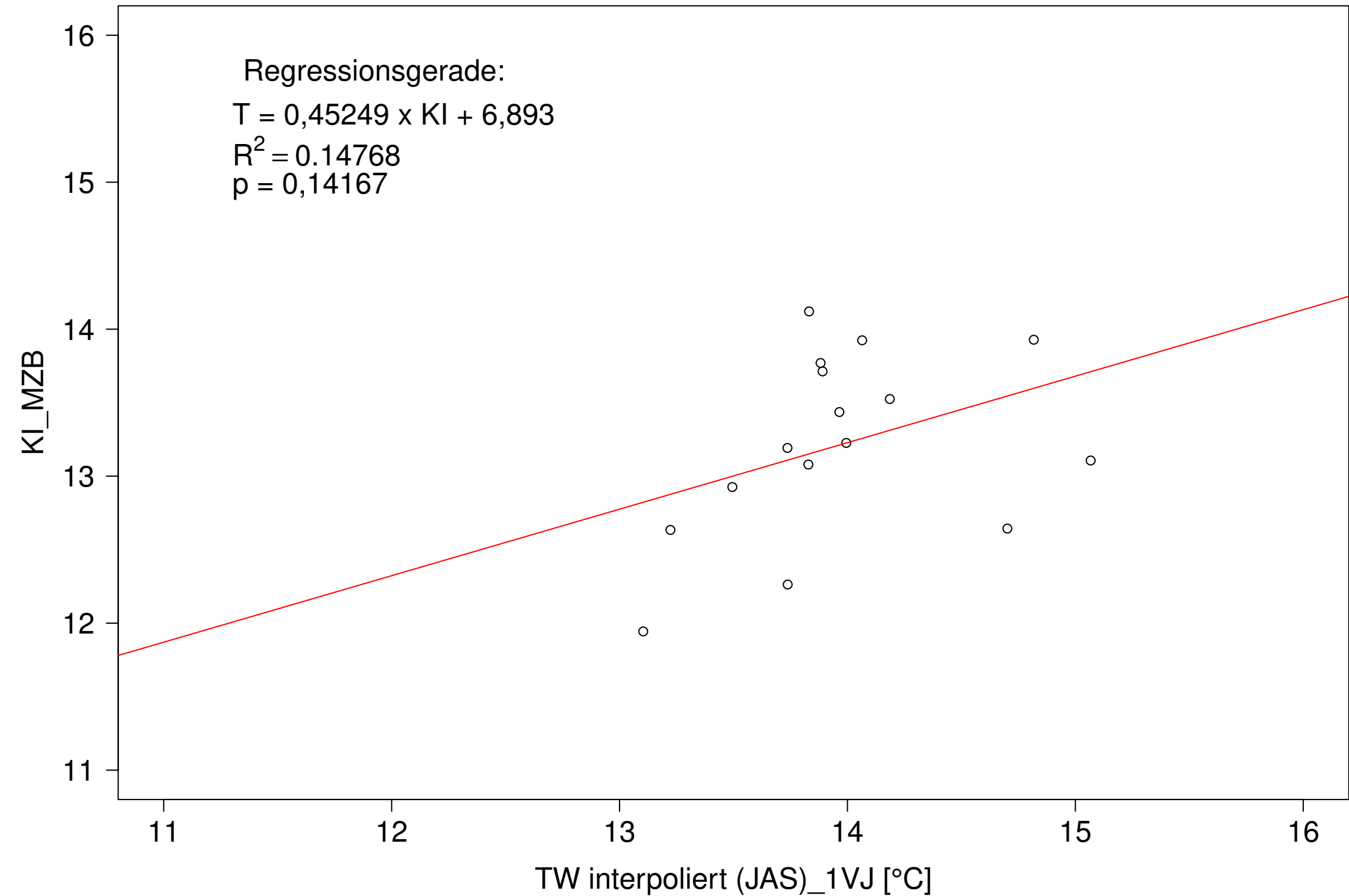
Gr. Lauter_Lauterach, Typ 09.1 mit Neozoen, Serie 2
KI_MZB (Kont-Korr) gegen 3JMW TW interpoliert (JAS) des 1. Vorjahres



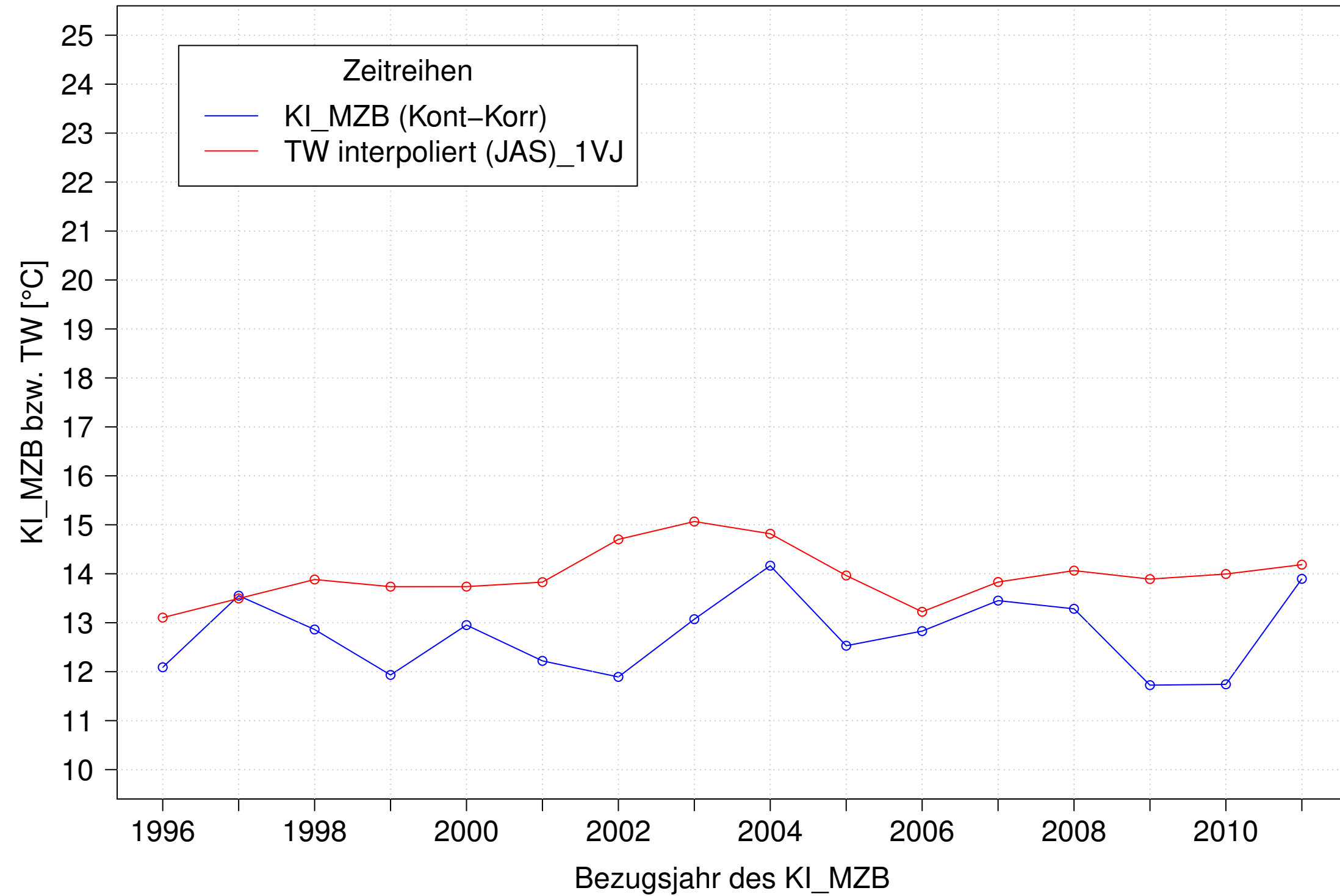
Gr. Lauter_Lauterach, Typ 09.1 mit Neozoen, Serie 3
KI_MZB (Kont-Korr) und 3JMW TW interpoliert (JAS) des 1. Vorjahres



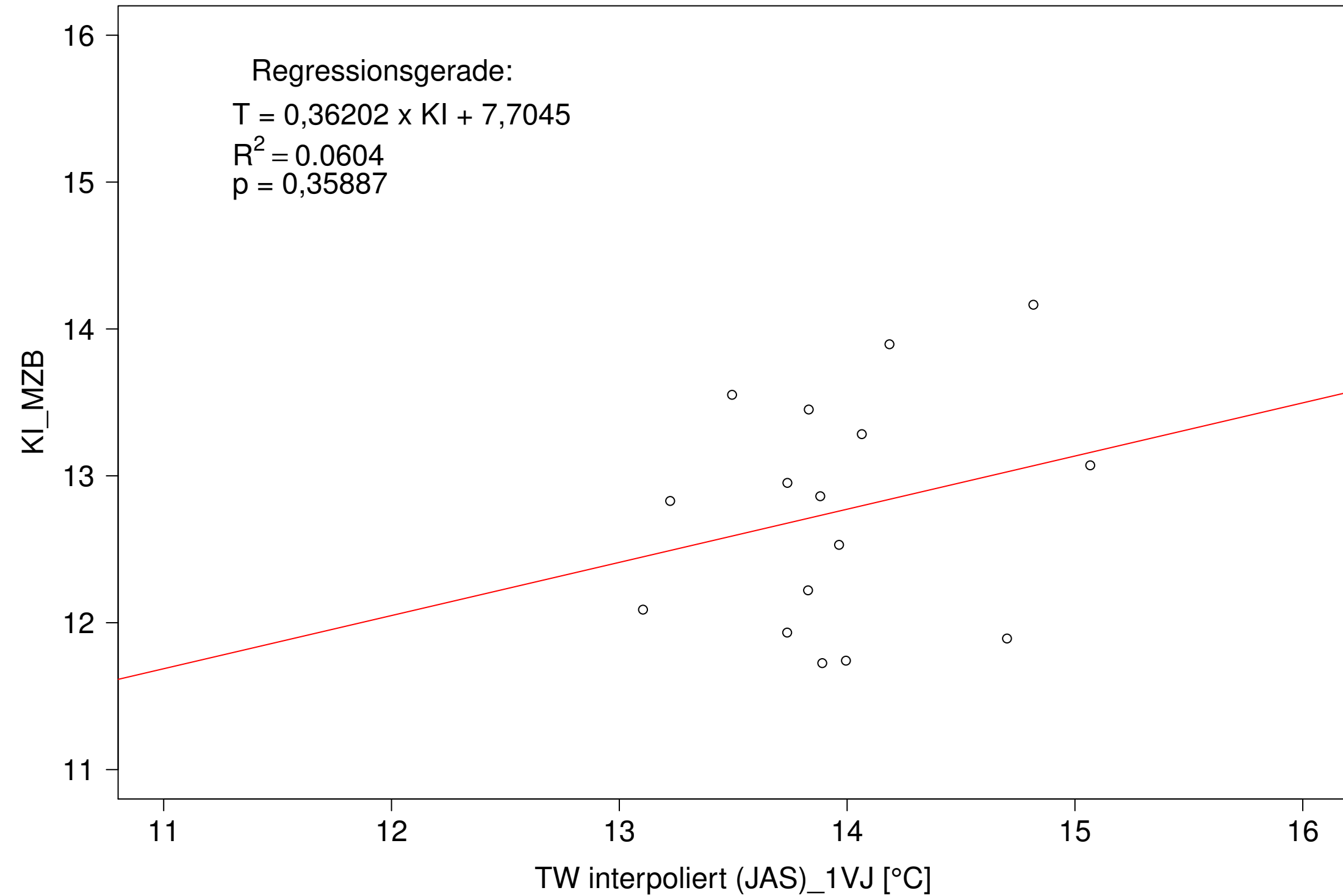
Gr. Lauter_Lauterach, Typ 09.1 mit Neozoen, Serie 3
KI_MZB (Kont-Korr) gegen 3JMW TW interpoliert (JAS) des 1. Vorjahres



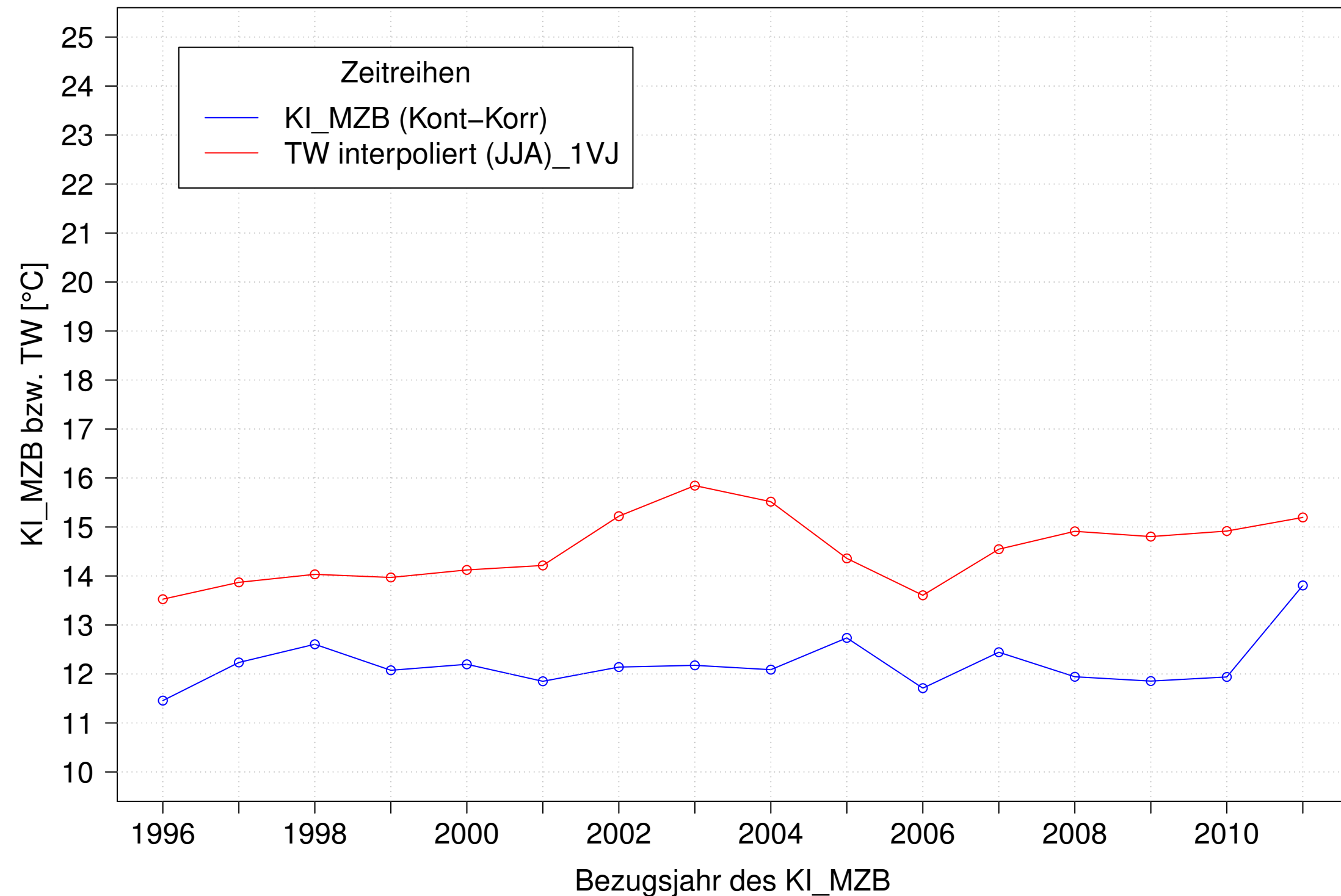
Gr. Lauter_Lauterach, Typ 09.1 mit Neozoen, Serie 4
KI_MZB (Kont-Korr) und 3JMW TW interpoliert (JAS) des 1. Vorjahres



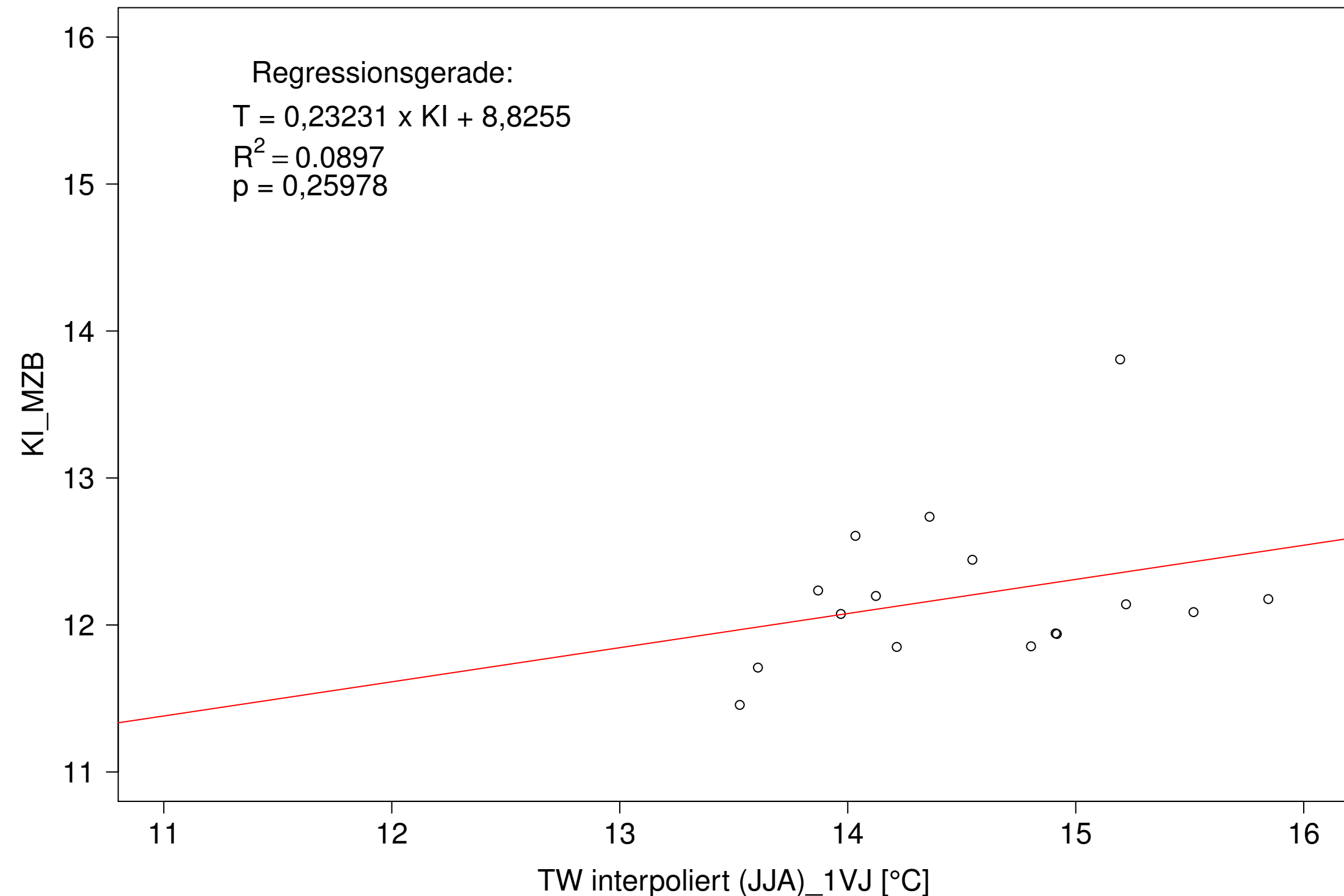
Gr. Lauter_Lauterach, Typ 09.1 mit Neozoen, Serie 4
KI_MZB (Kont-Korr) gegen 3JMW TW interpoliert (JAS) des 1. Vorjahres



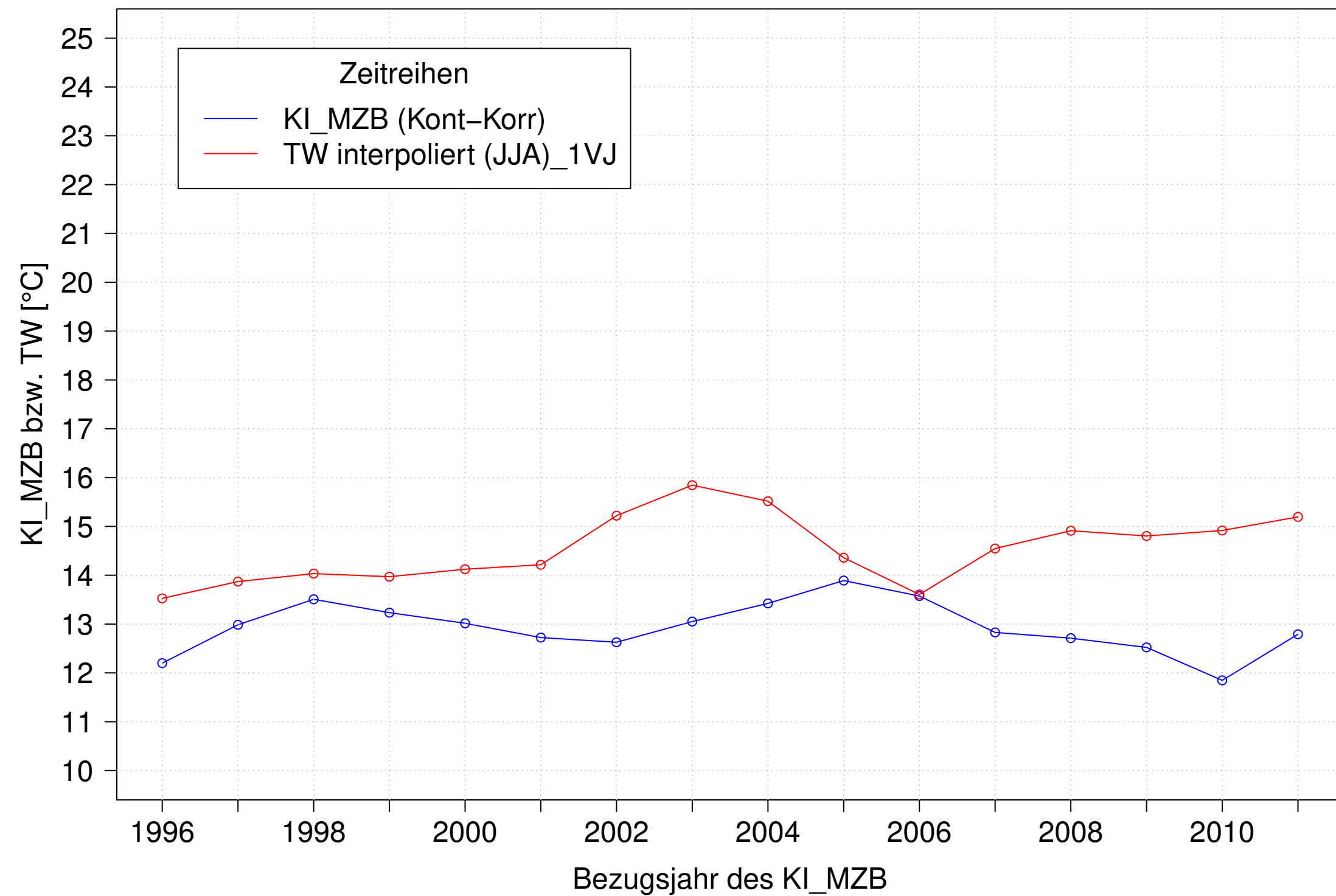
Gr. Lauter_Lauterach, Typ 09.1 mit Neozoen, Serie 1
 KI_MZB (Kont-Korr) und 3JMW TW interpoliert (JJA) des 1. Vorjahres



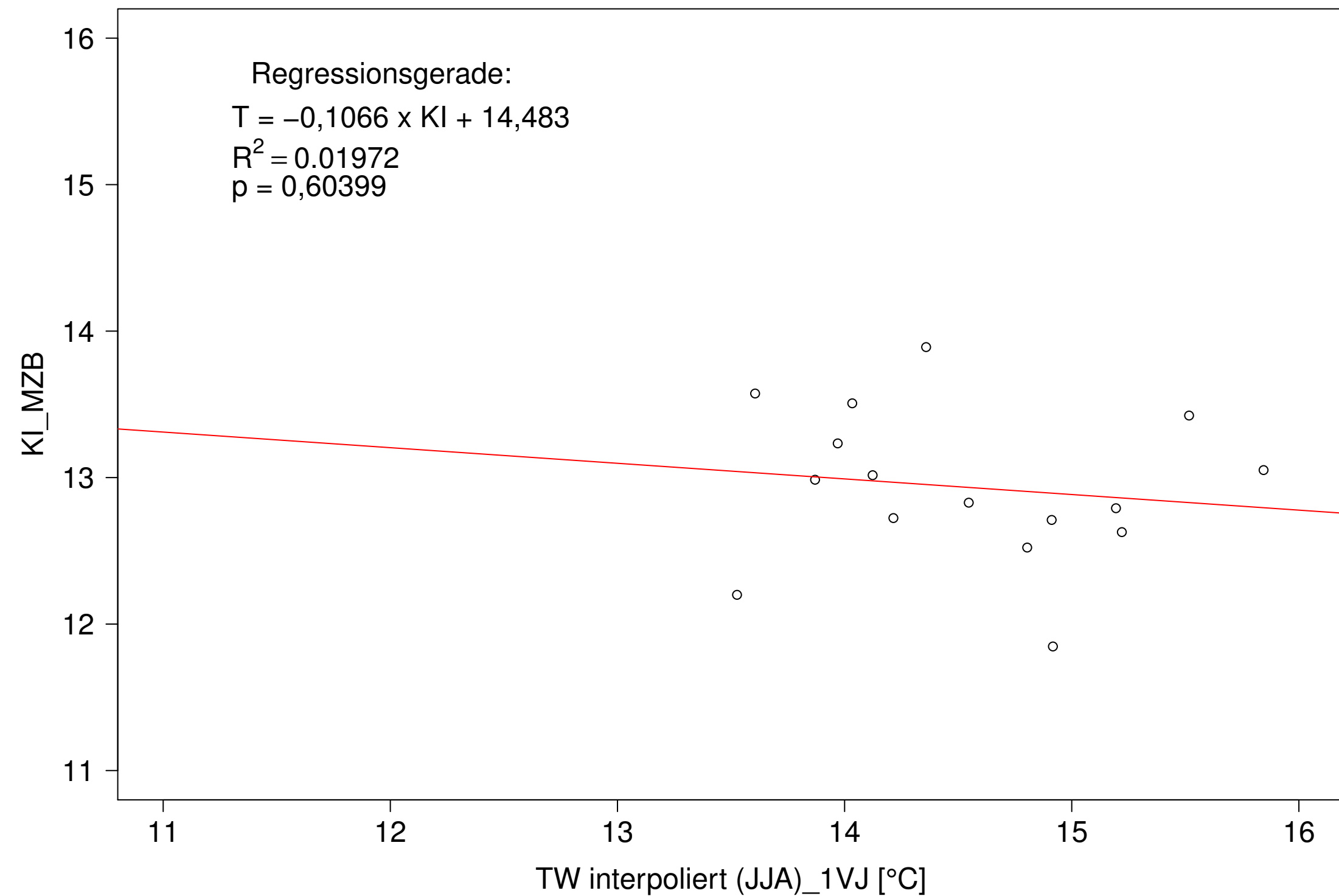
Gr. Lauter_Lauterach, Typ 09.1 mit Neozoen, Serie 1
 KI_MZB (Kont-Korr) gegen 3JMW TW interpoliert (JJA) des 1. Vorjahres



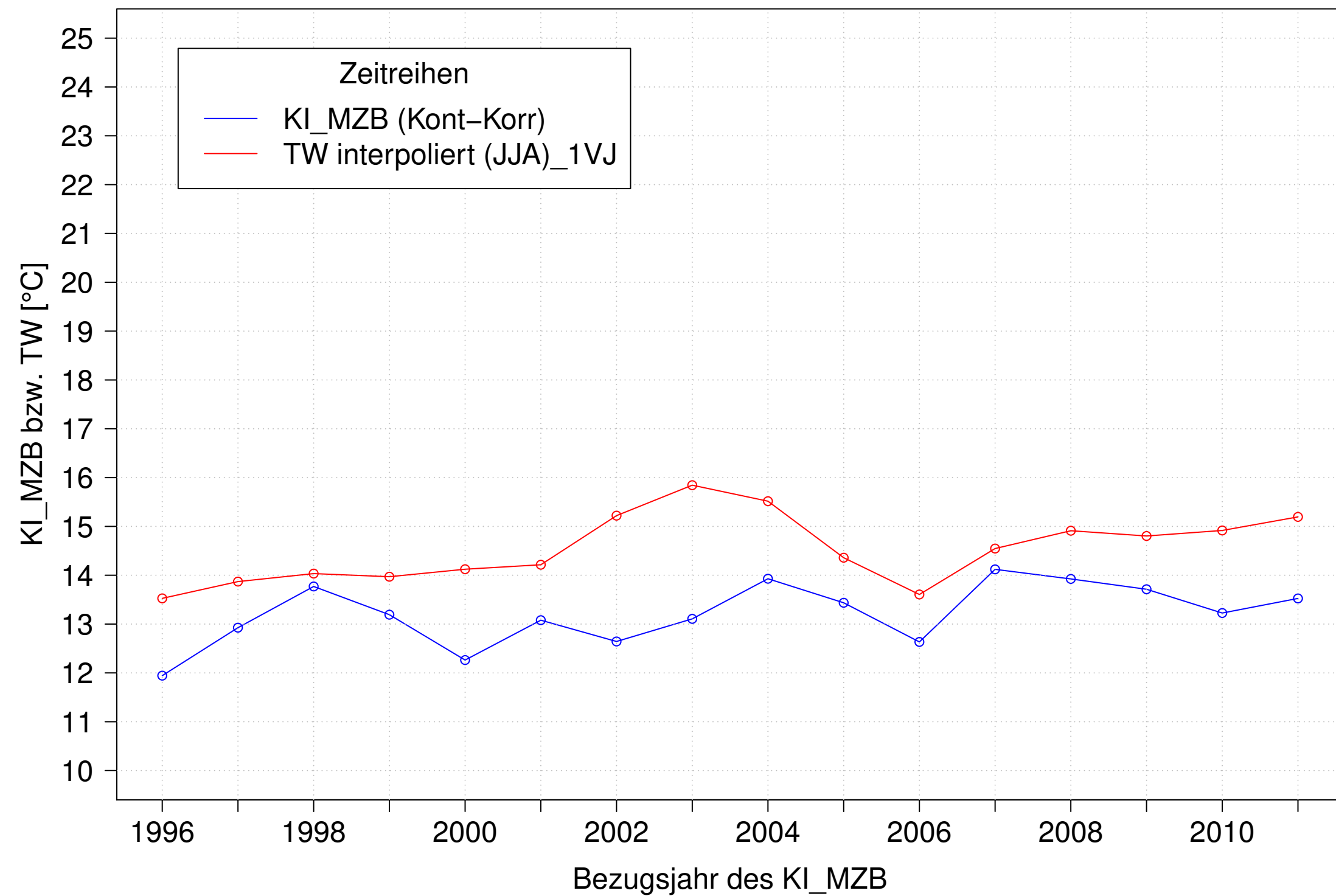
Gr. Lauter_Lauterach, Typ 09.1 mit Neozoen, Serie 2
 KI_MZB (Kont-Korr) und 3JMW TW interpoliert (JJA) des 1. Vorjahres



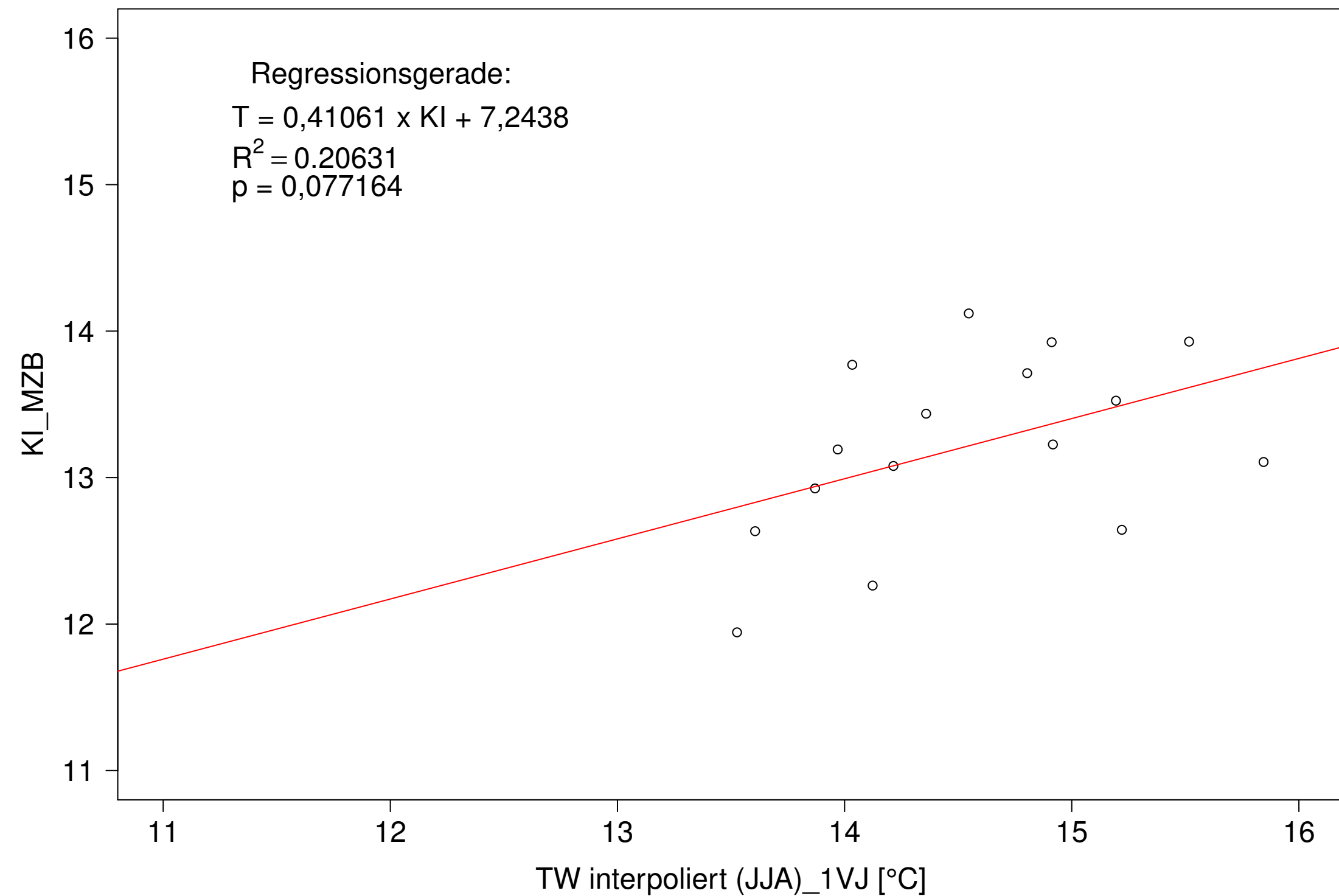
Gr. Lauter_Lauterach, Typ 09.1 mit Neozoen, Serie 2
 KI_MZB (Kont-Korr) gegen 3JMW TW interpoliert (JJA) des 1. Vorjahres



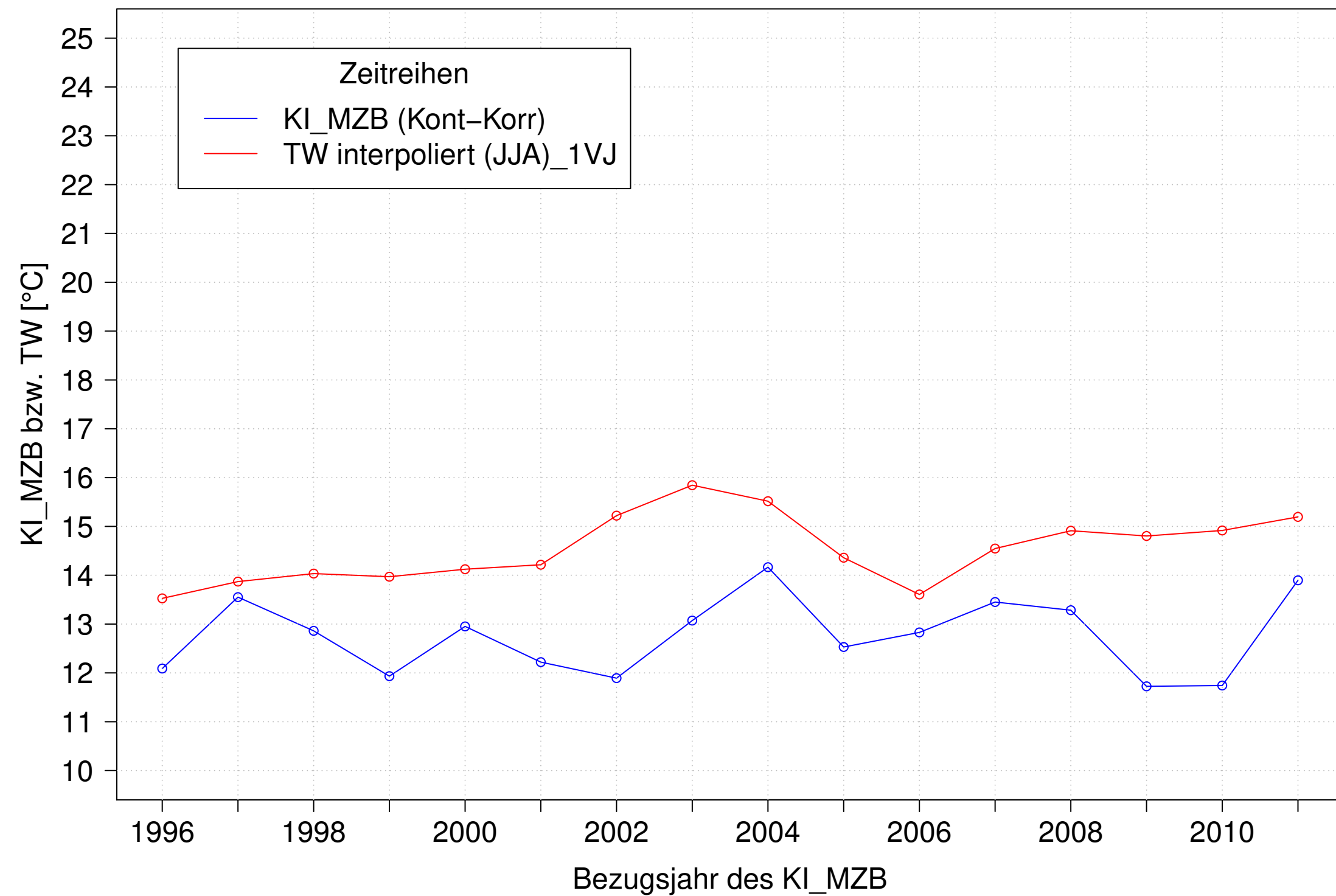
Gr. Lauter_Lauterach, Typ 09.1 mit Neozoen, Serie 3
 KI_MZB (Kont-Korr) und 3JMW TW interpoliert (JJA) des 1. Vorjahres



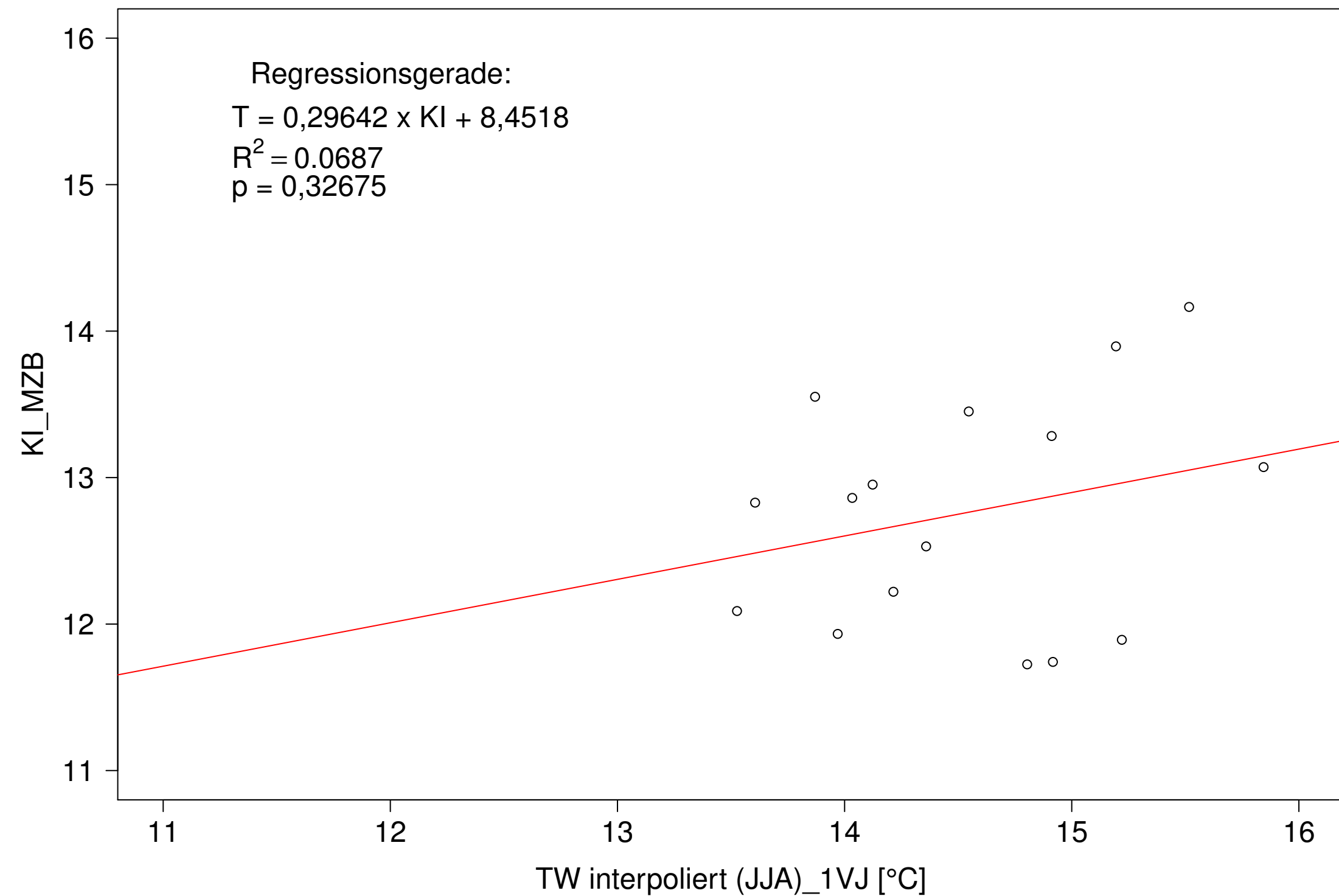
Gr. Lauter_Lauterach, Typ 09.1 mit Neozoen, Serie 3
 KI_MZB (Kont-Korr) gegen 3JMW TW interpoliert (JJA) des 1. Vorjahres



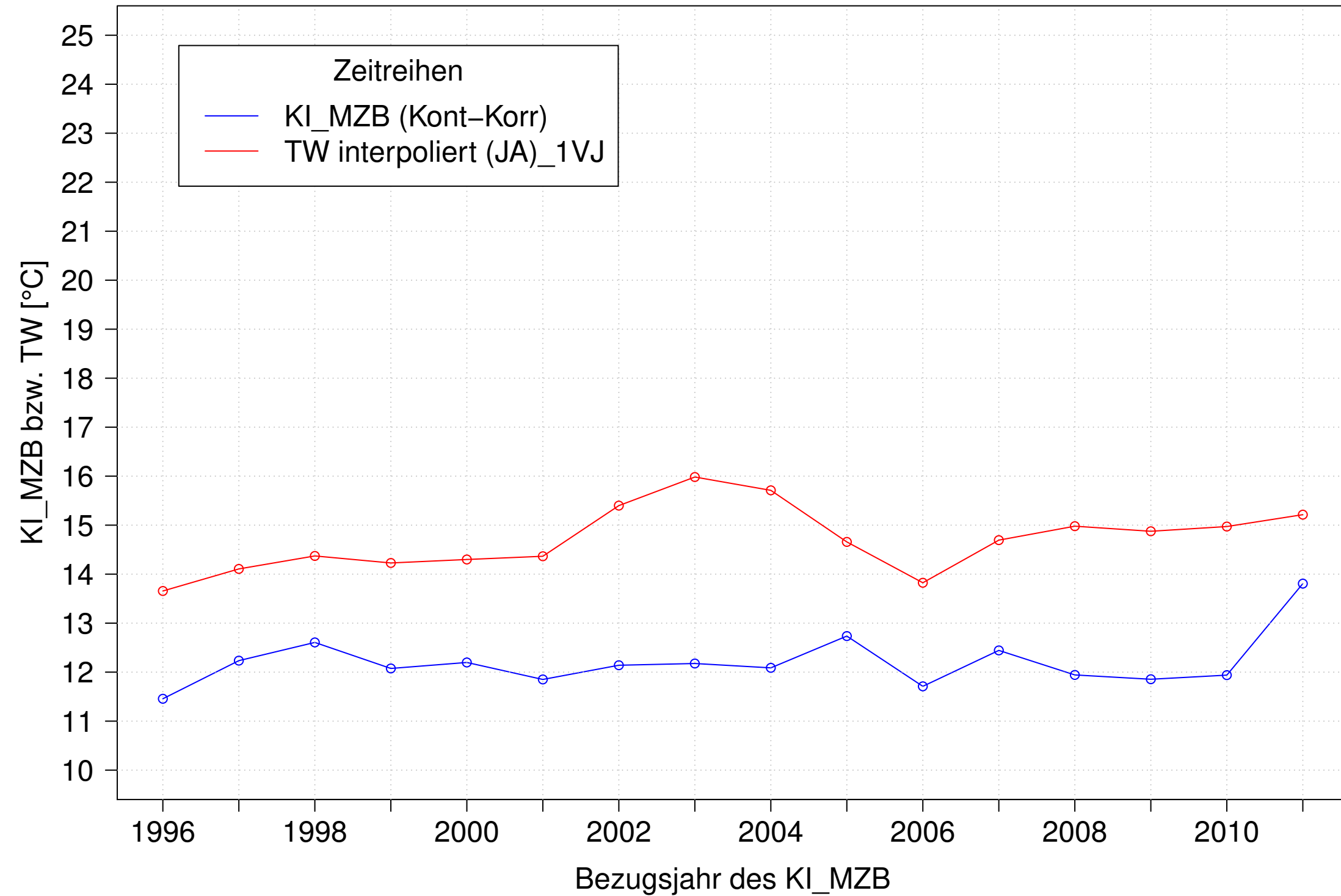
Gr. Lauter_Lauterach, Typ 09.1 mit Neozoen, Serie 4
 KI_MZB (Kont-Korr) und 3JMW TW interpoliert (JJA) des 1. Vorjahres



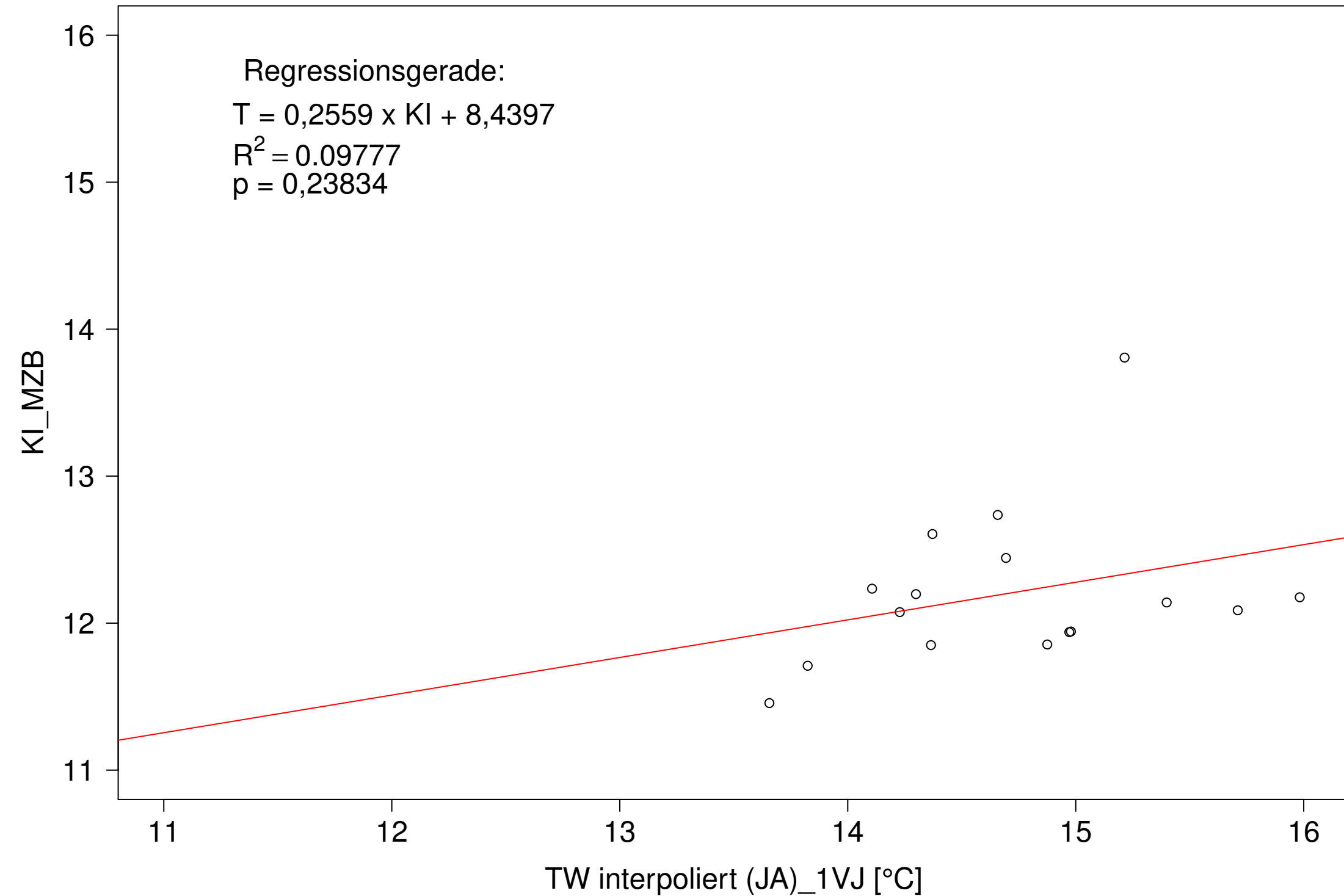
Gr. Lauter_Lauterach, Typ 09.1 mit Neozoen, Serie 4
 KI_MZB (Kont-Korr) gegen 3JMW TW interpoliert (JJA) des 1. Vorjahres



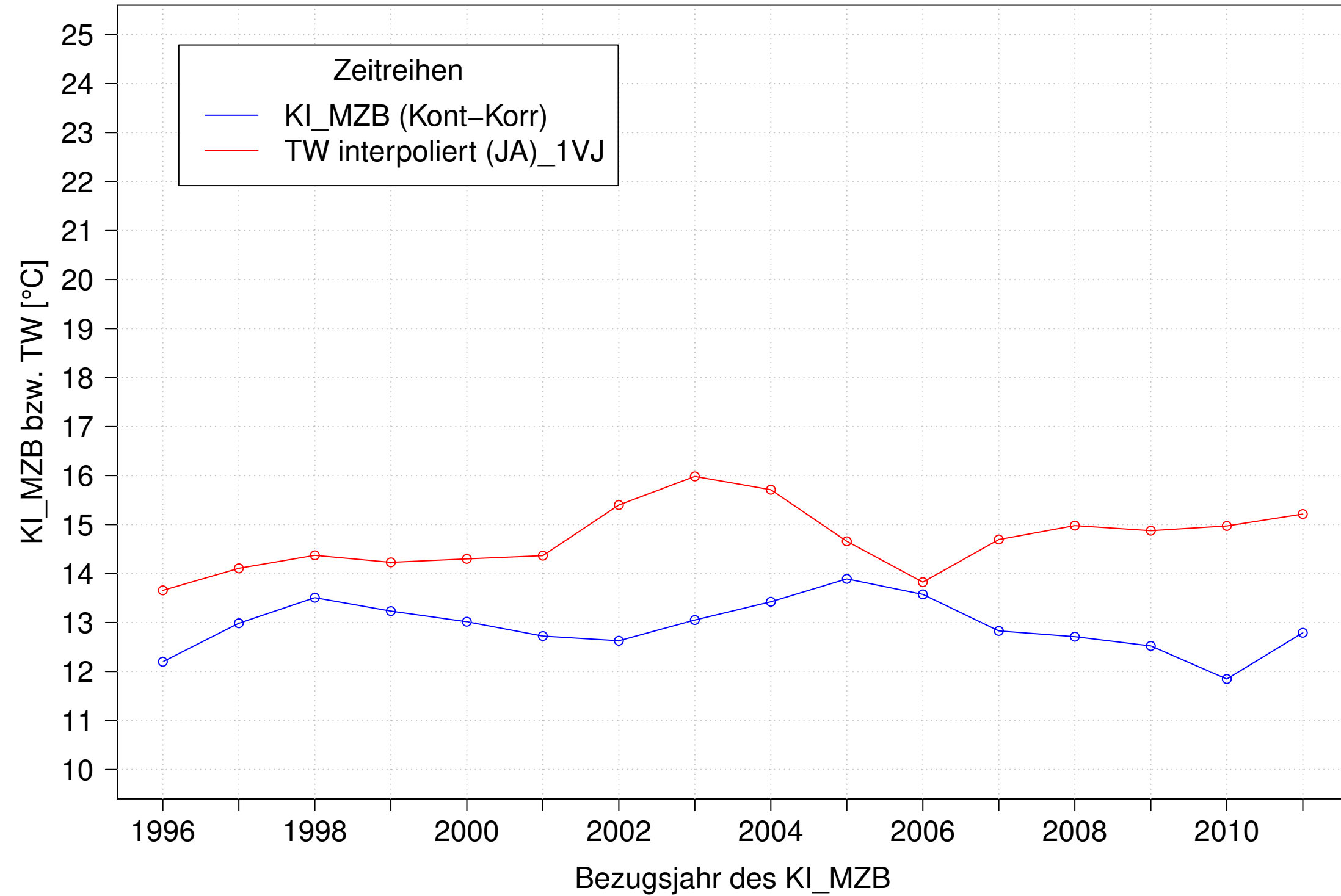
Gr. Lauter_Lauterach, Typ 09.1 mit Neozoen, Serie 1
KI_MZB (Kont-Korr) und 3JMW TW interpoliert (JA) des 1. Vorjahres



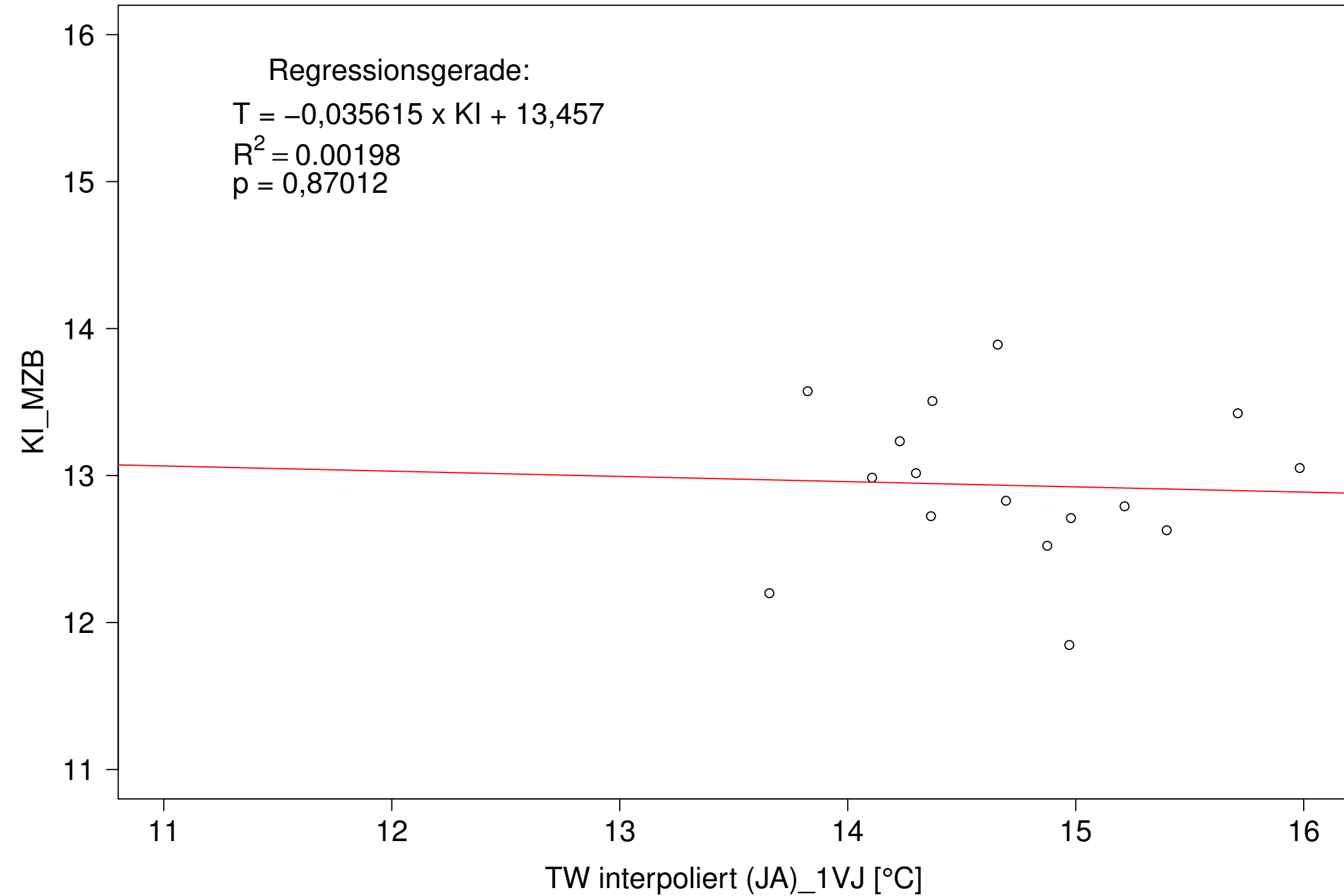
Gr. Lauter_Lauterach, Typ 09.1 mit Neozoen, Serie 1
KI_MZB (Kont-Korr) gegen 3JMW TW interpoliert (JA) des 1. Vorjahres



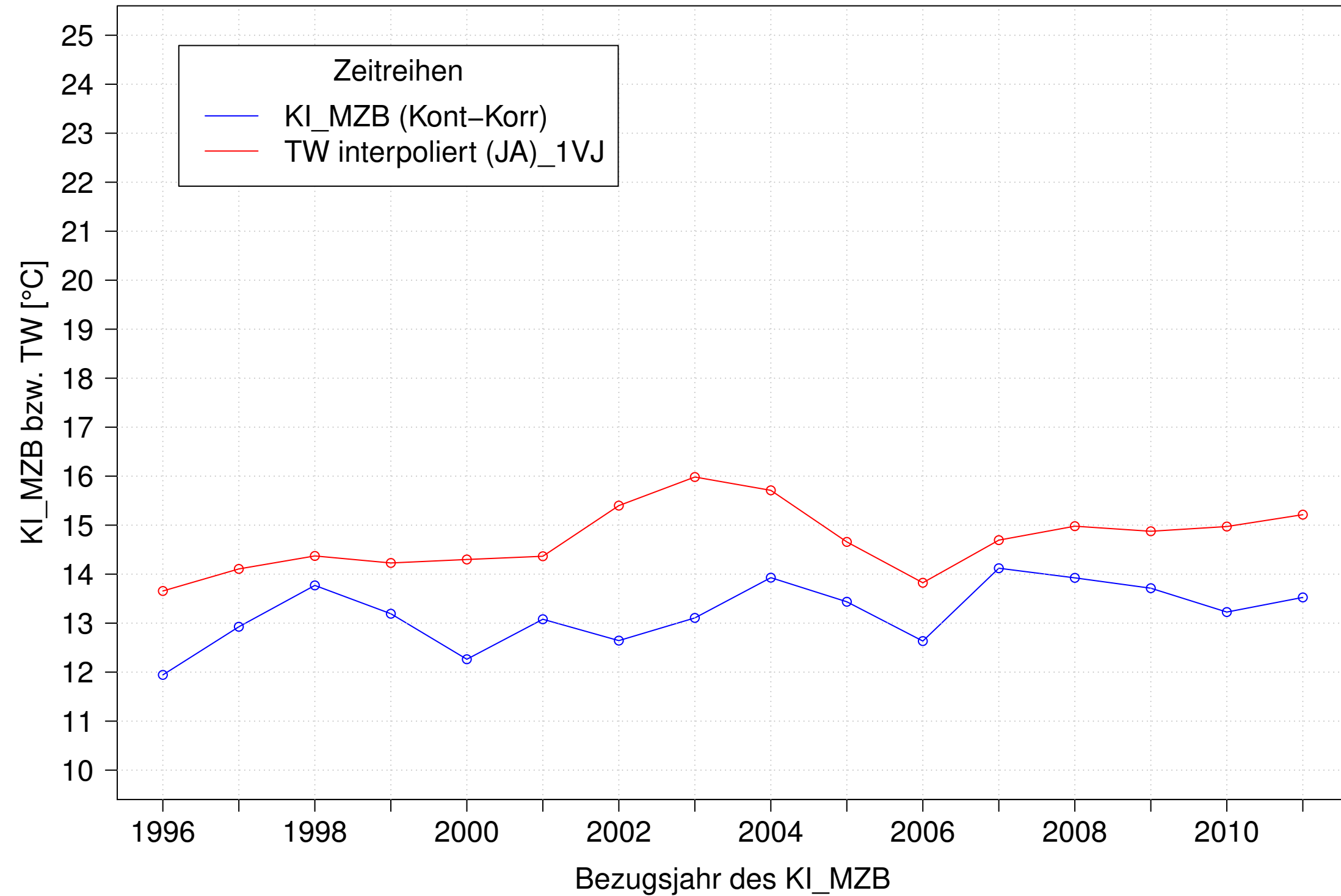
Gr. Lauter_Lauterach, Typ 09.1 mit Neozoen, Serie 2
KI_MZB (Kont-Korr) und 3JMW TW interpoliert (JA) des 1. Vorjahres



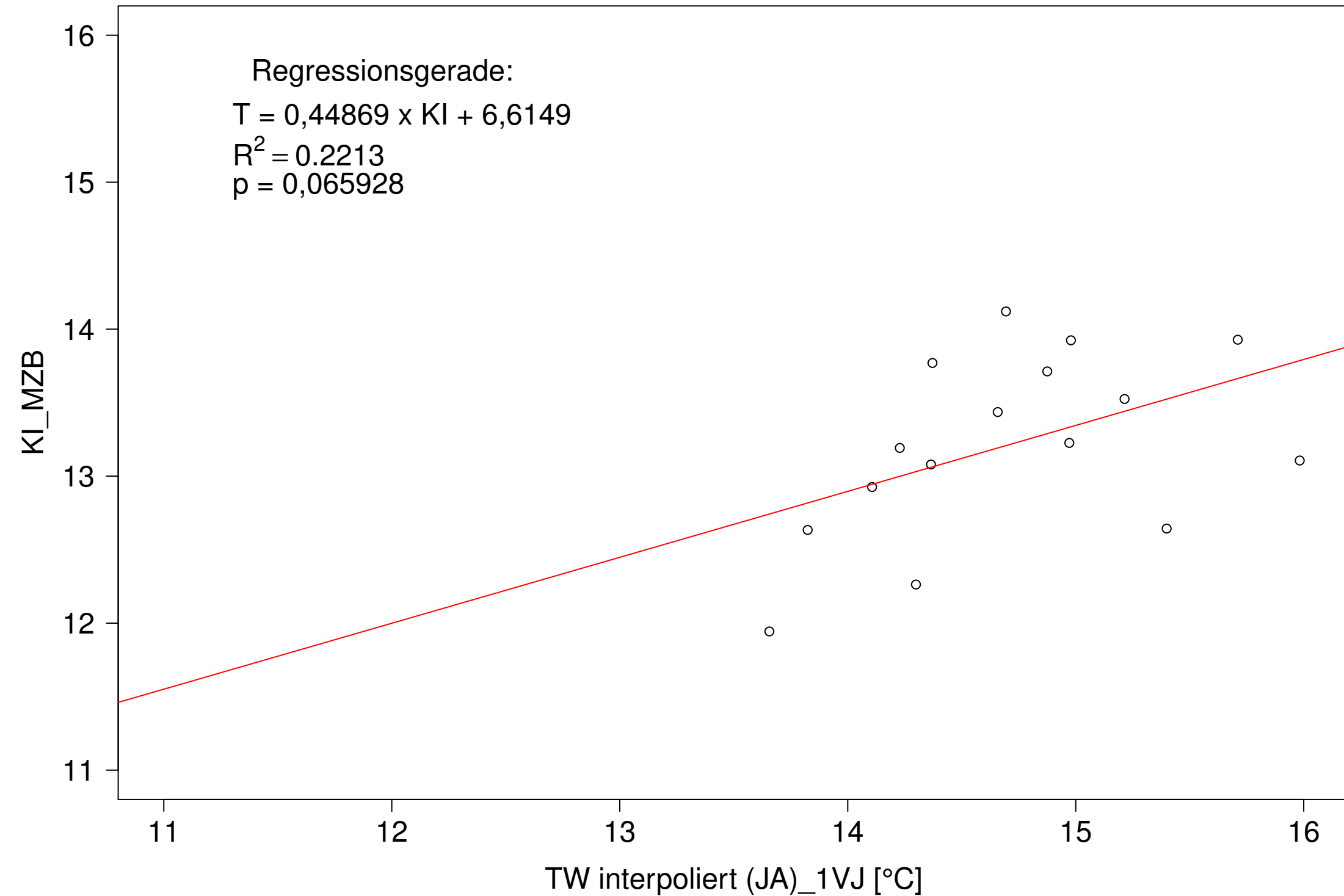
Gr. Lauter_Lauterach, Typ 09.1 mit Neozoen, Serie 2
KI_MZB (Kont-Korr) gegen 3JMW TW interpoliert (JA) des 1. Vorjahres



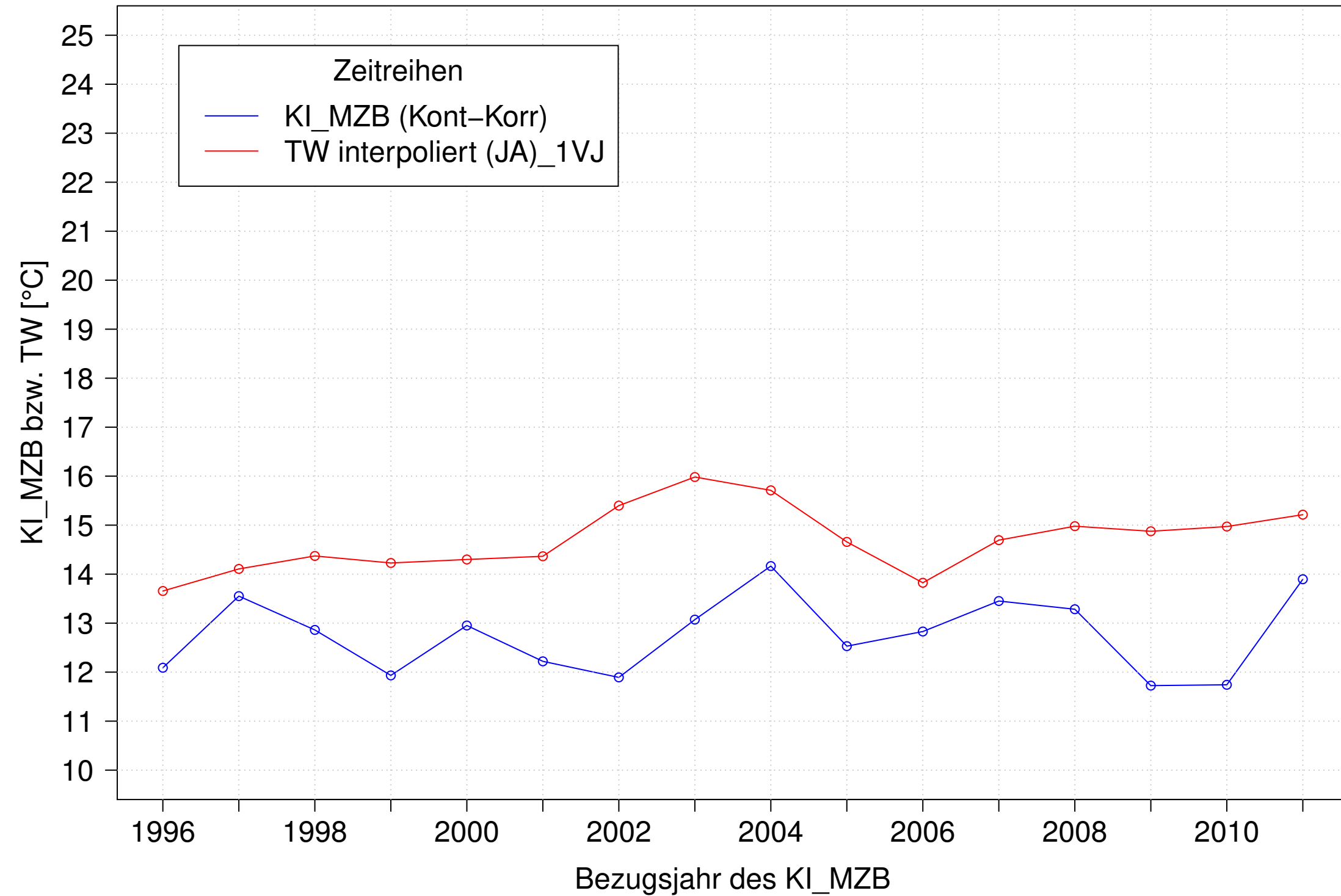
Gr. Lauter_Lauterach, Typ 09.1 mit Neozoen, Serie 3
 KI_MZB (Kont-Korr) und 3JMW TW interpoliert (JA) des 1. Vorjahres



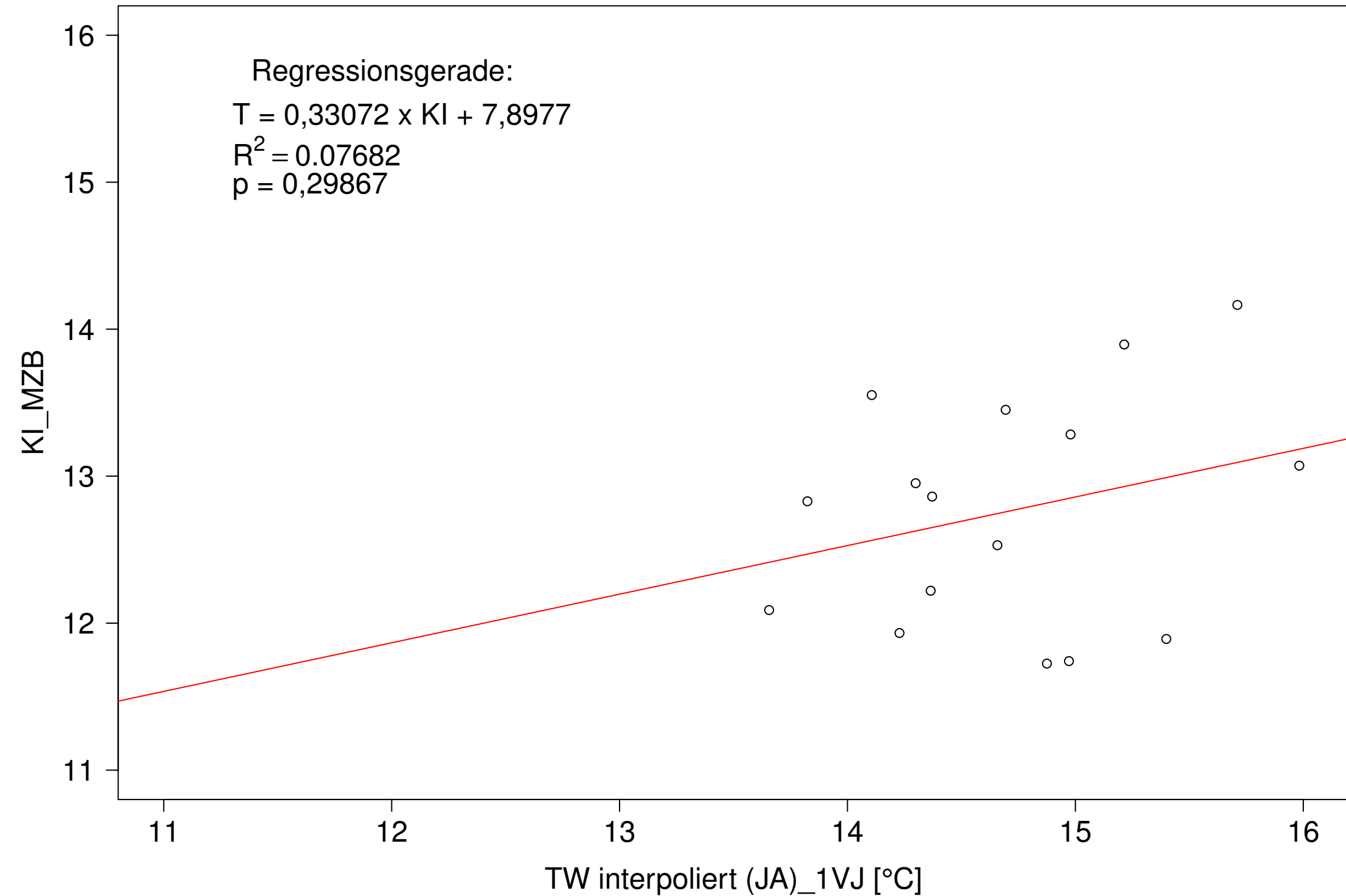
Gr. Lauter_Lauterach, Typ 09.1 mit Neozoen, Serie 3
 KI_MZB (Kont-Korr) gegen 3JMW TW interpoliert (JA) des 1. Vorjahres



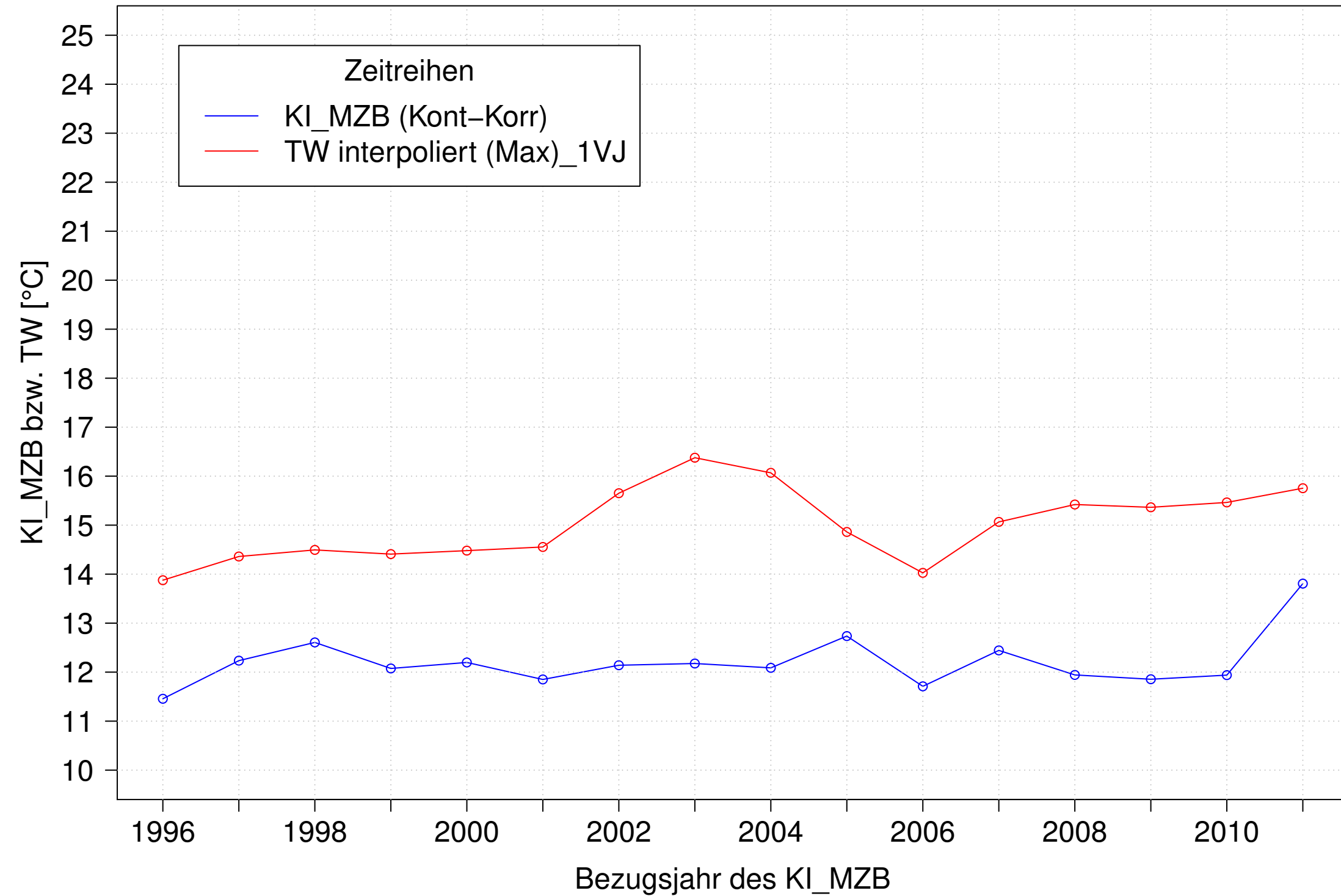
Gr. Lauter_Lauterach, Typ 09.1 mit Neozoen, Serie 4
KI_MZB (Kont-Korr) und 3JMW TW interpoliert (JA) des 1. Vorjahres



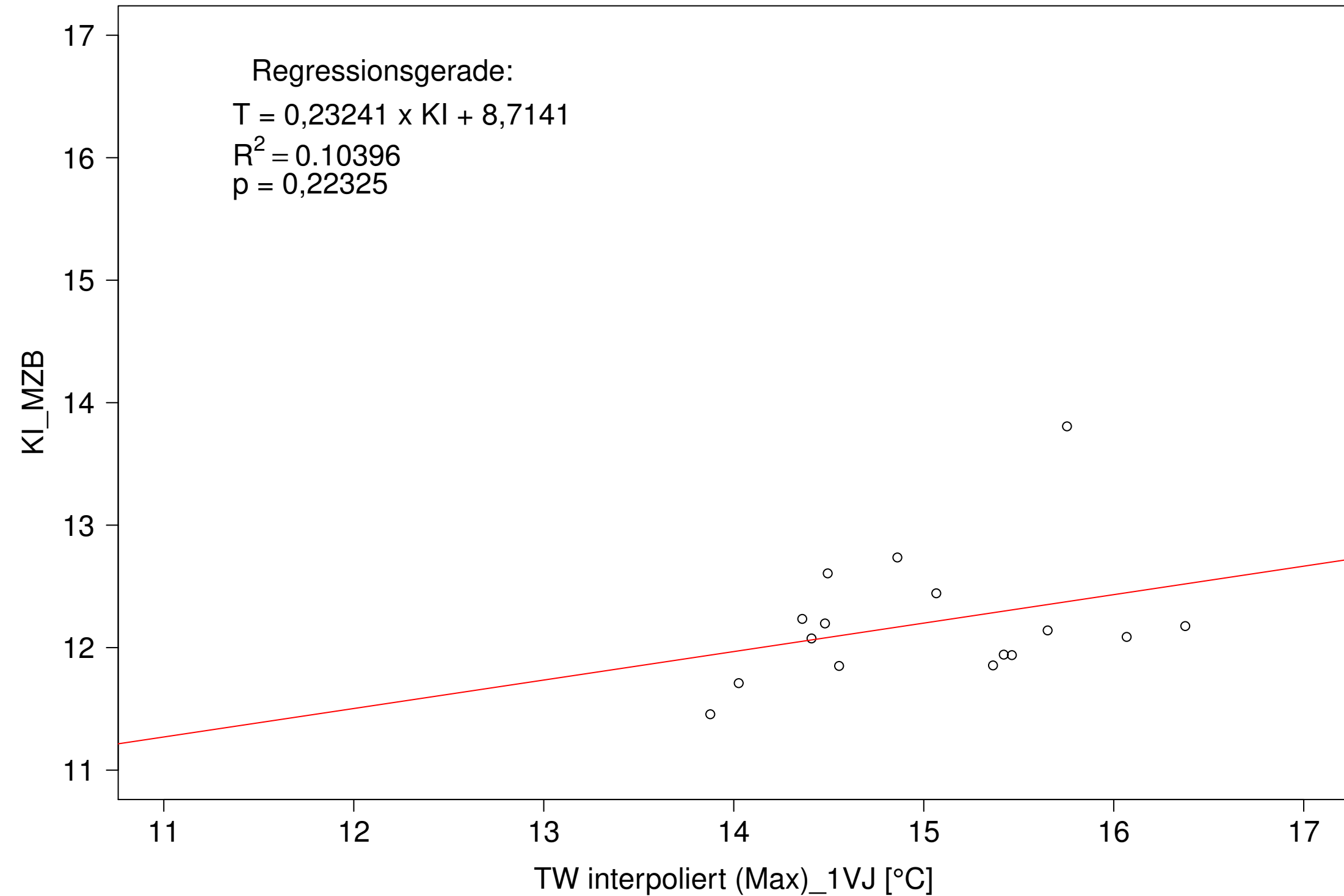
Gr. Lauter_Lauterach, Typ 09.1 mit Neozoen, Serie 4
KI_MZB (Kont-Korr) gegen 3JMW TW interpoliert (JA) des 1. Vorjahres



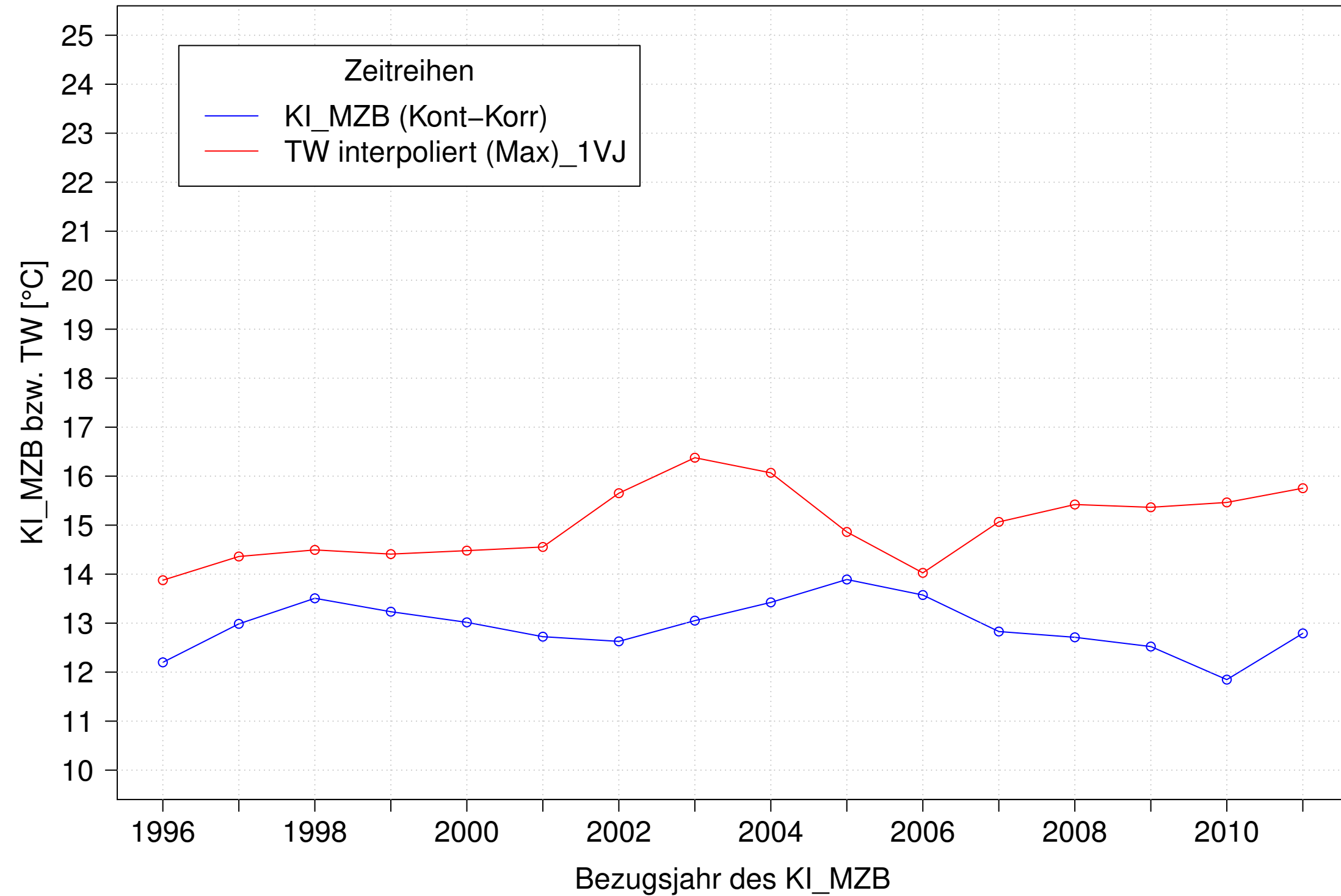
Gr. Lauter_Lauterach, Typ 09.1 mit Neozoen, Serie 1
KI_MZB (Kont-Korr) und 3JMW TW interpoliert (Max) des 1. Vorjahres



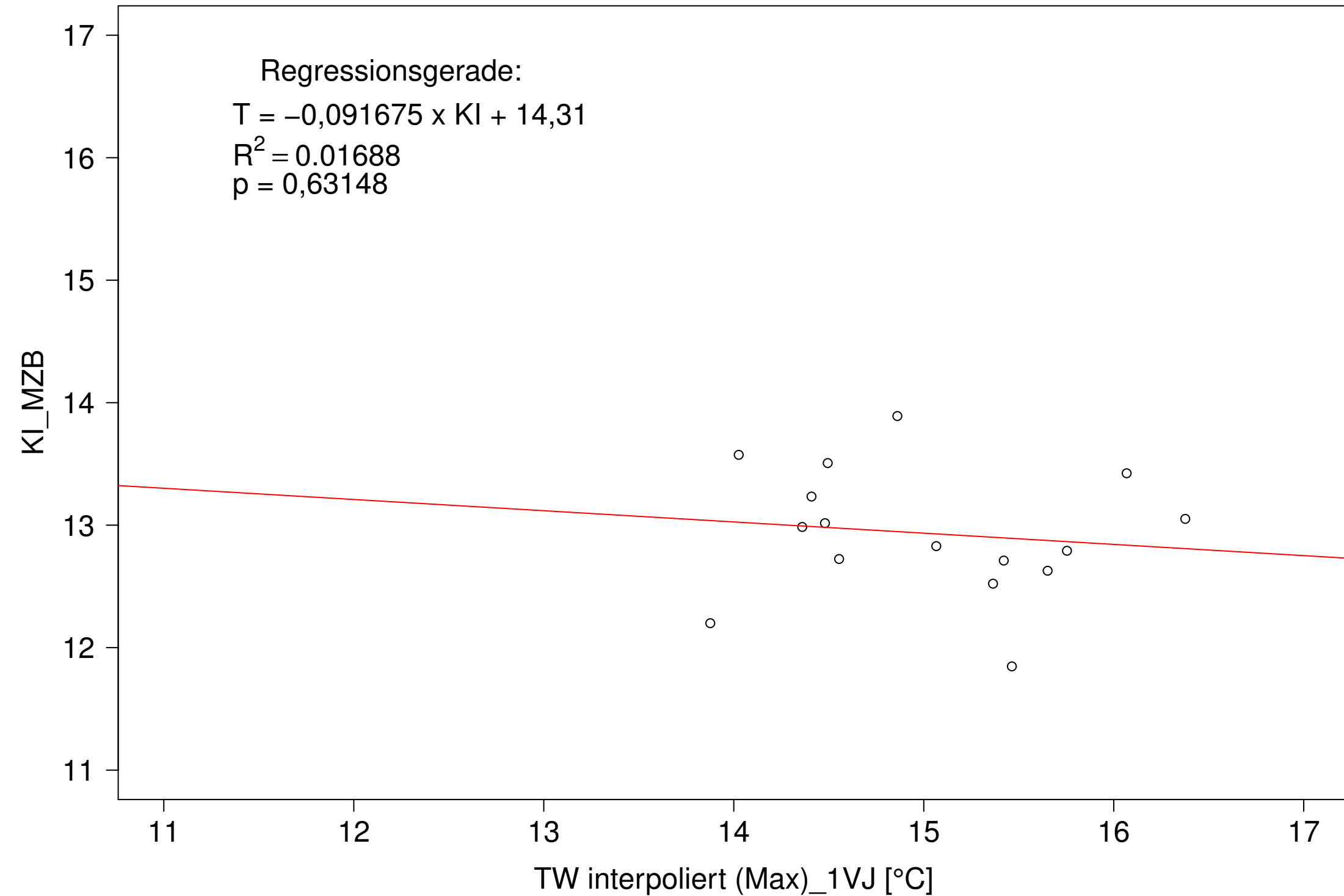
Gr. Lauter_Lauterach, Typ 09.1 mit Neozoen, Serie 1
KI_MZB (Kont-Korr) gegen 3JMW TW interpoliert (Max) des 1. Vorjahres



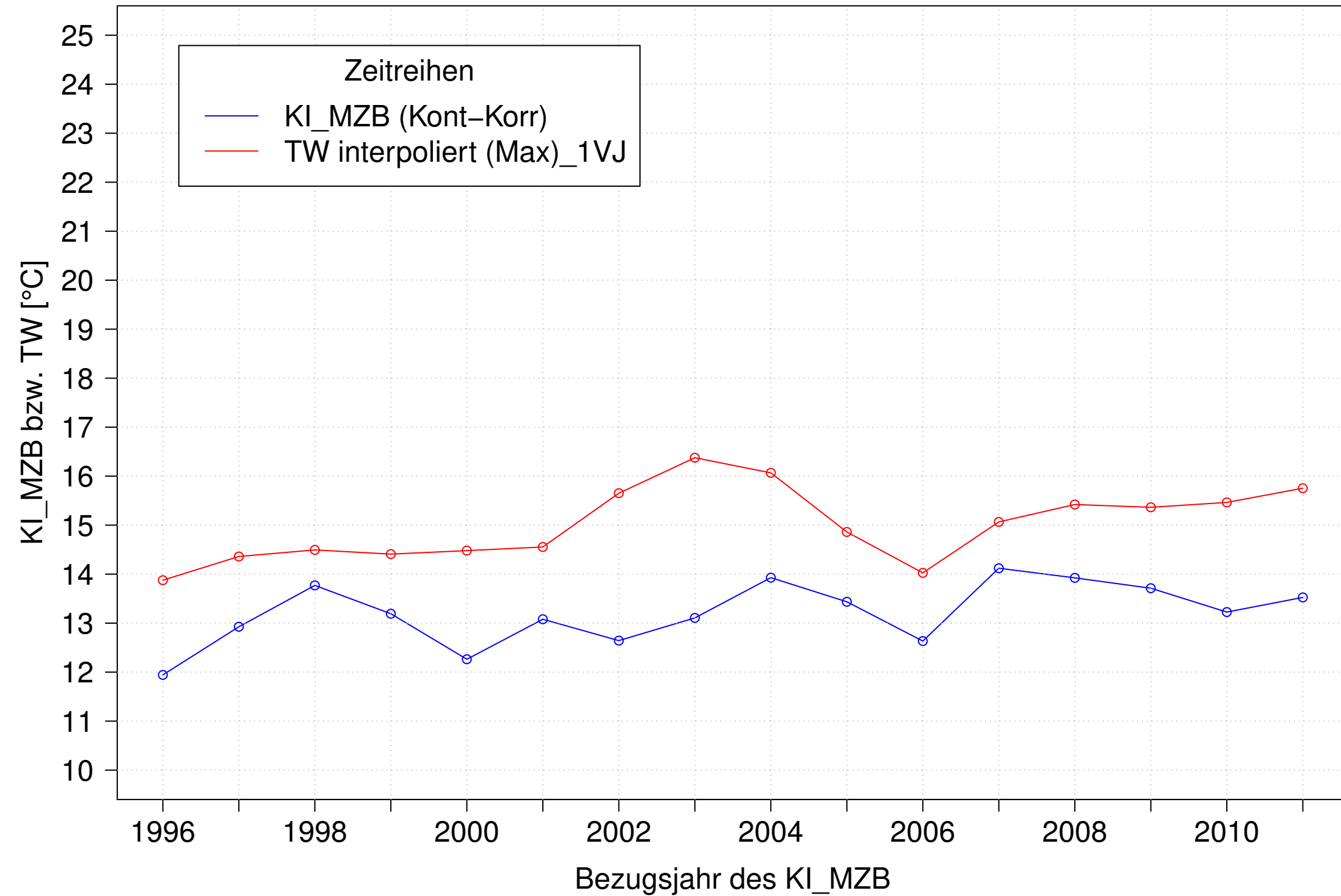
Gr. Lauter_Lauterach, Typ 09.1 mit Neozoen, Serie 2
KI_MZB (Kont-Korr) und 3JMW TW interpoliert (Max) des 1. Vorjahres



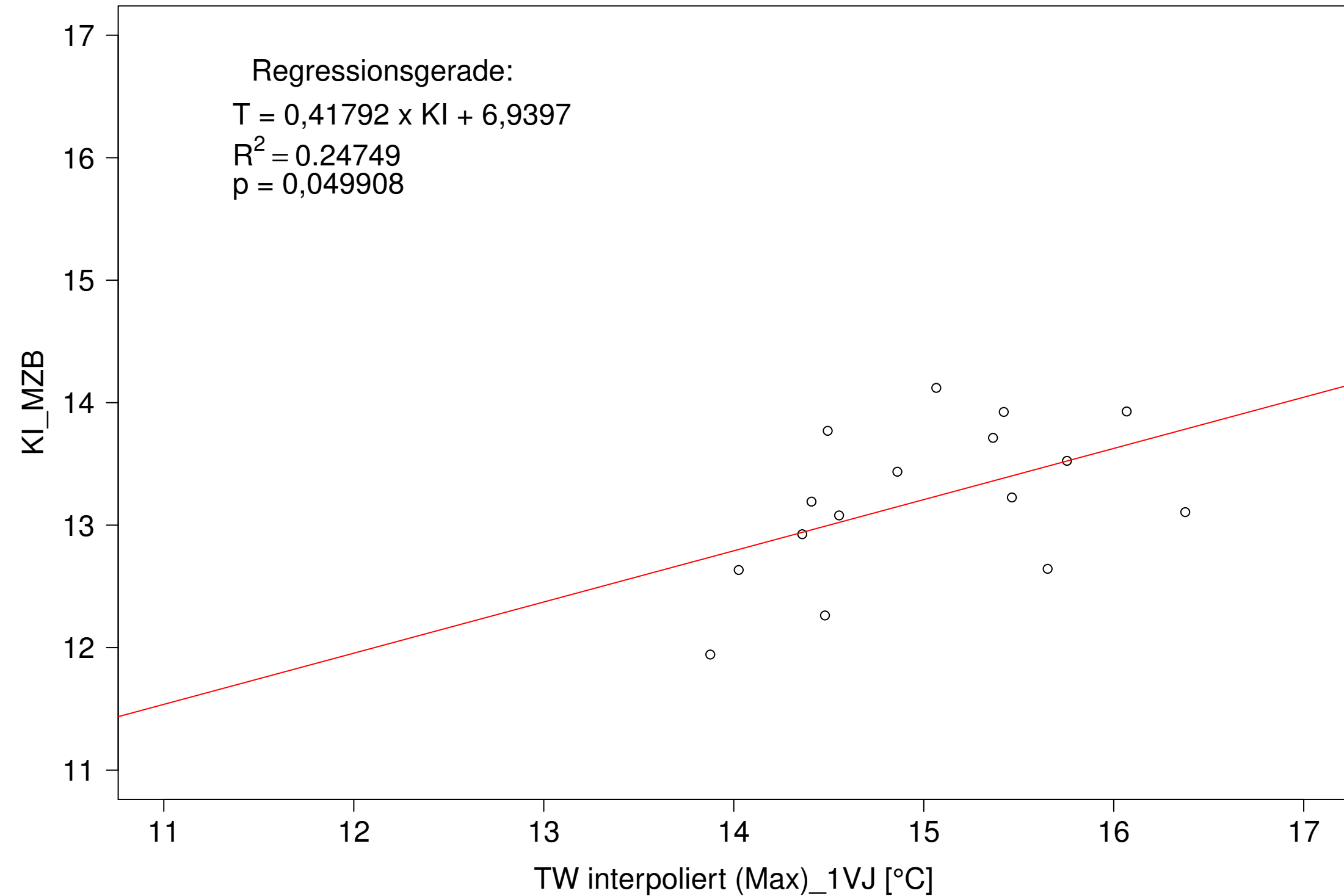
Gr. Lauter_Lauterach, Typ 09.1 mit Neozoen, Serie 2
KI_MZB (Kont-Korr) gegen 3JMW TW interpoliert (Max) des 1. Vorjahres



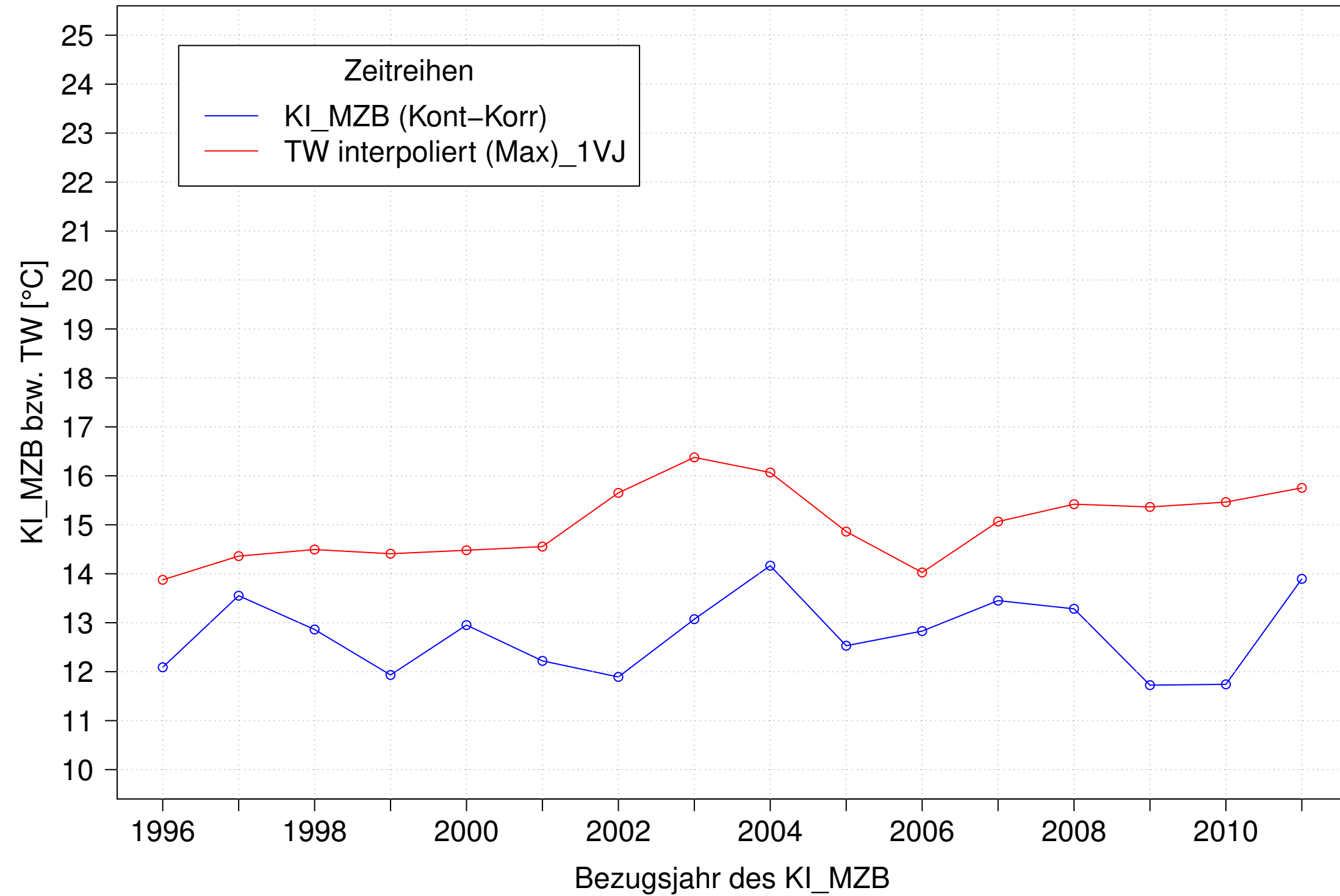
Gr. Lauter_Lauterach, Typ 09.1 mit Neozoen, Serie 3
KI_MZB (Kont-Korr) und 3JMW TW interpoliert (Max) des 1. Vorjahres



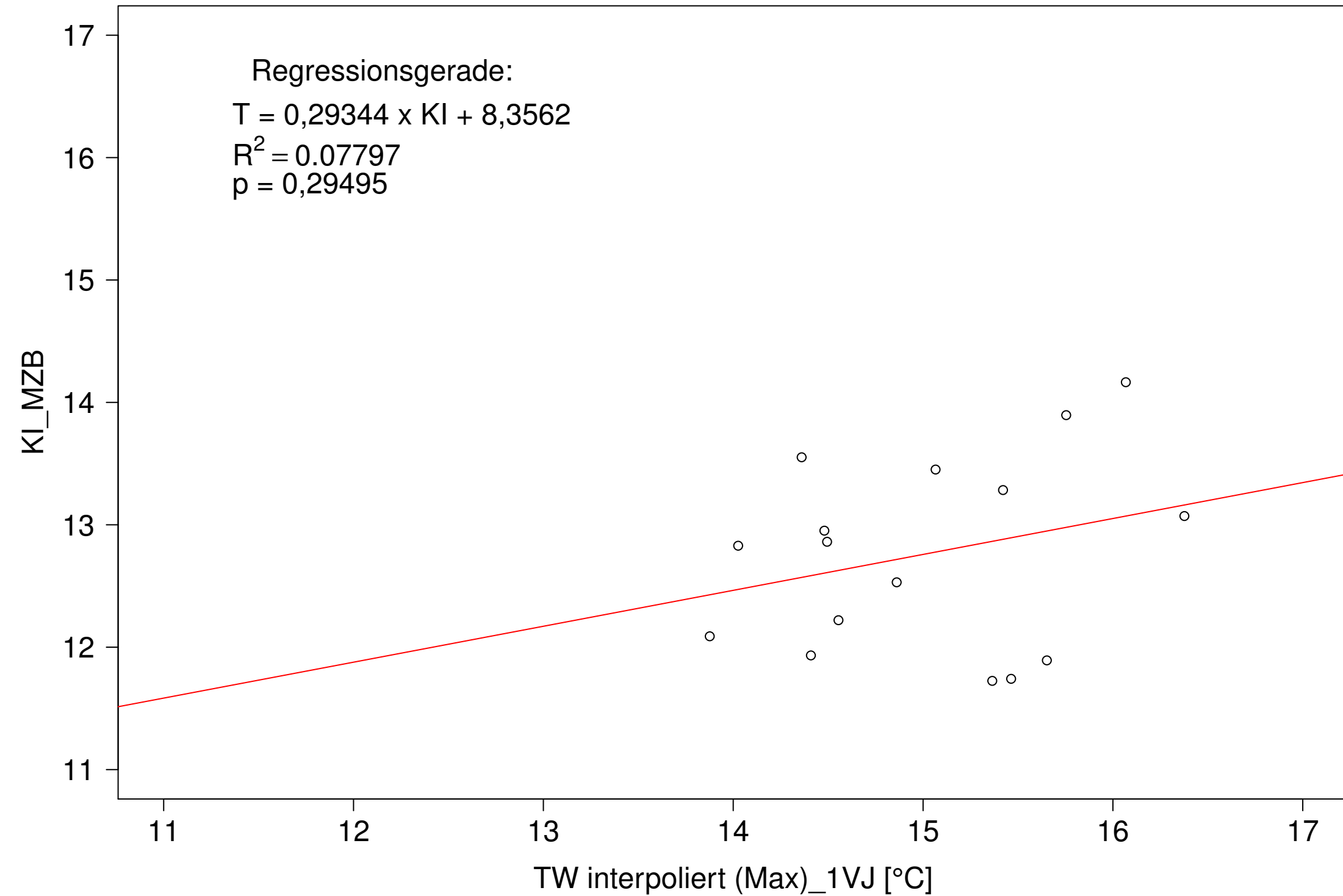
Gr. Lauter_Lauterach, Typ 09.1 mit Neozoen, Serie 3
KI_MZB (Kont-Korr) gegen 3JMW TW interpoliert (Max) des 1. Vorjahres



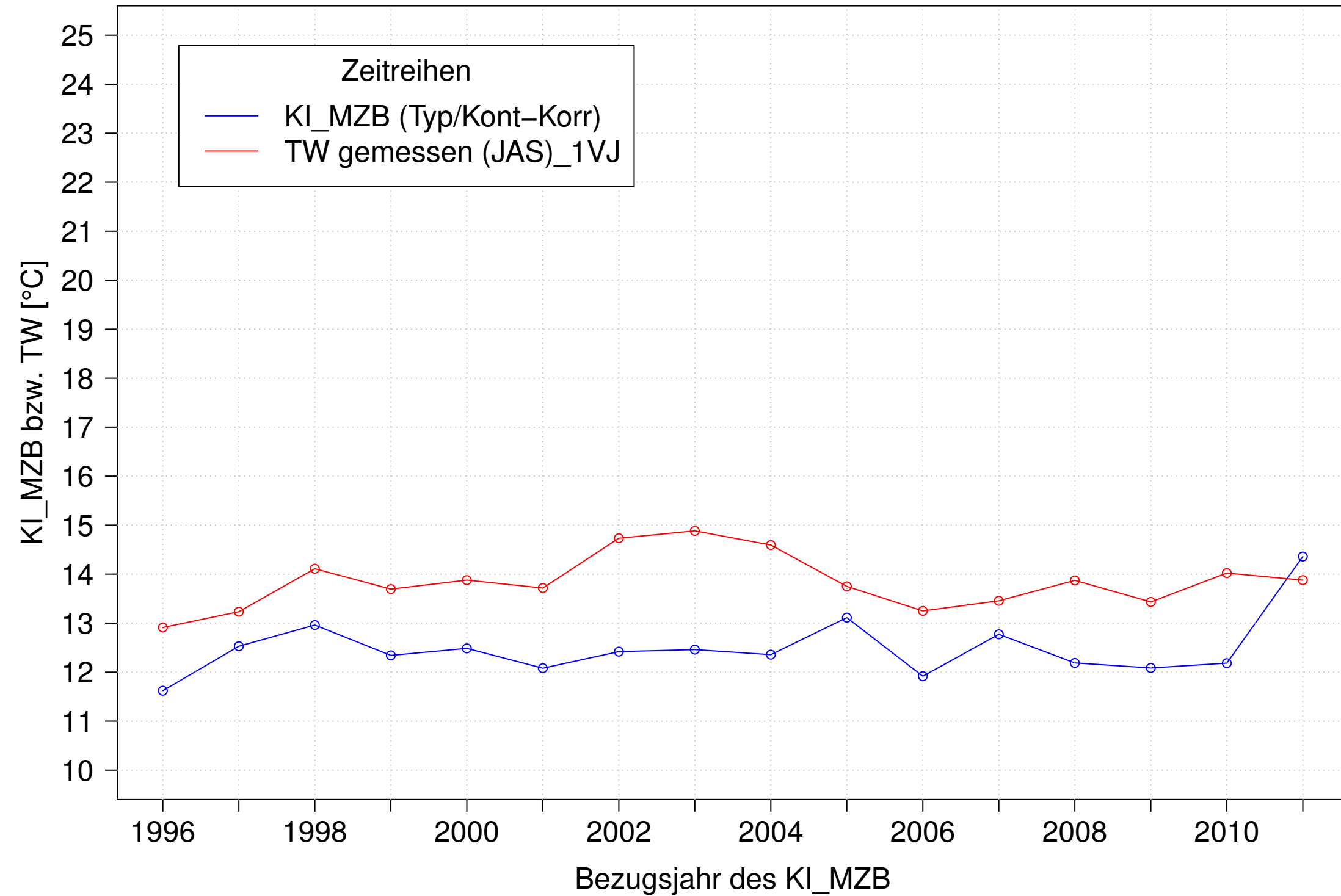
Gr. Lauter_Lauterach, Typ 09.1 mit Neozoen, Serie 4
KI_MZB (Kont-Korr) und 3JMW TW interpoliert (Max) des 1. Vorjahres



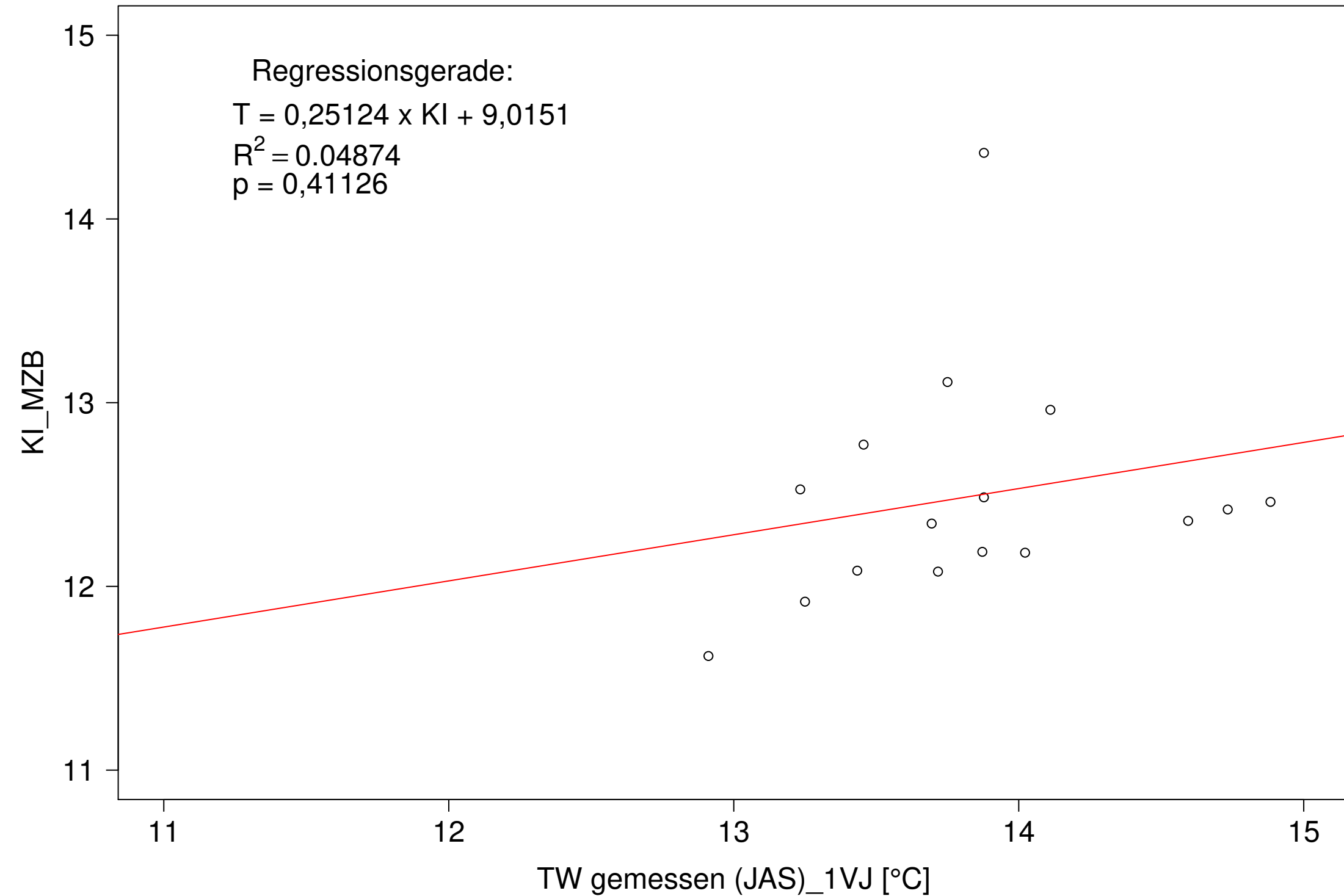
Gr. Lauter_Lauterach, Typ 09.1 mit Neozoen, Serie 4
KI_MZB (Kont-Korr) gegen 3JMW TW interpoliert (Max) des 1. Vorjahres



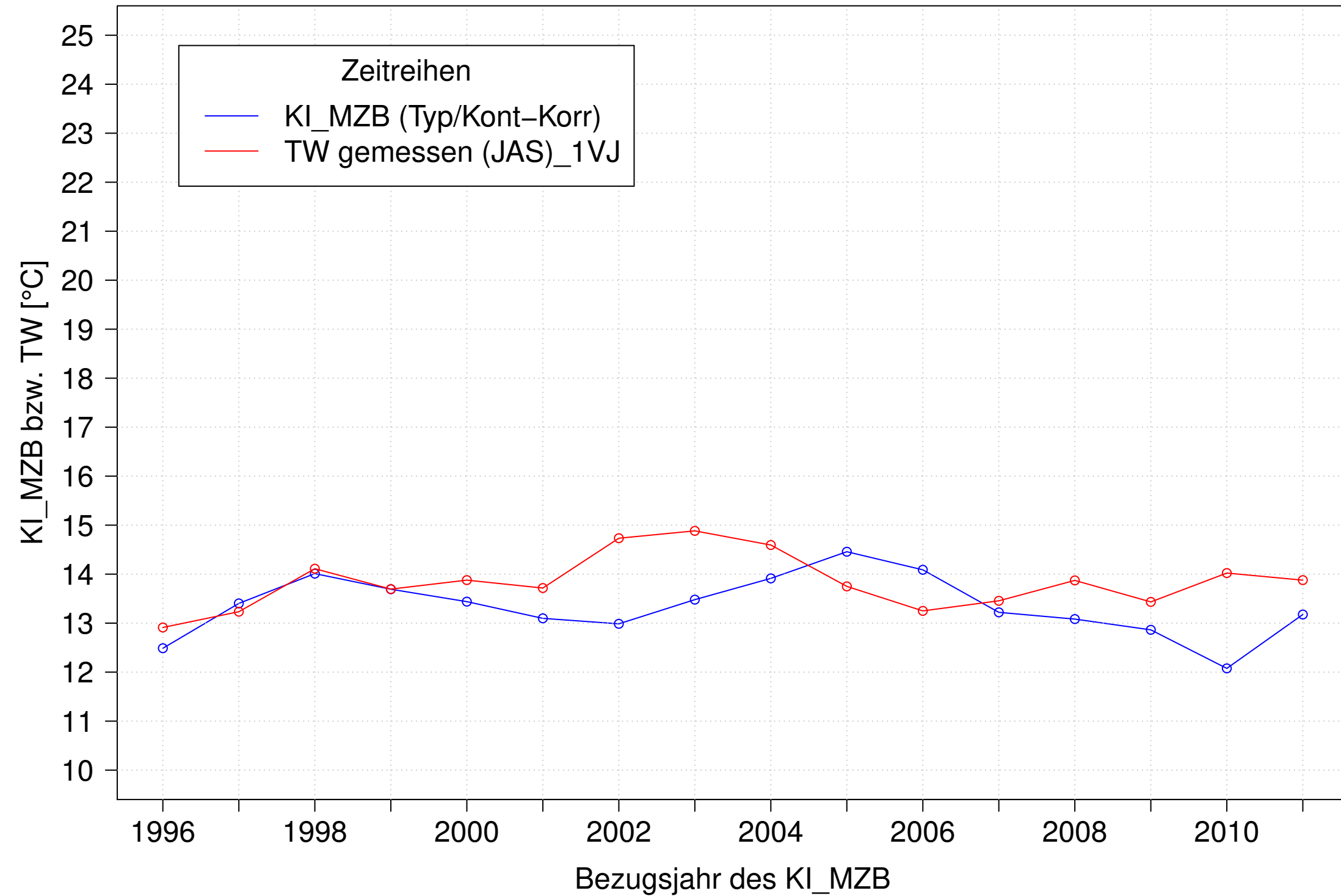
Gr. Lauter_Lauterach, Typ 09.1 mit Neozoen, Serie 1
 KI_MZB (Typ/Kont-Korr) und 3JMW TW gemessen (JAS) des 1. Vorjahres



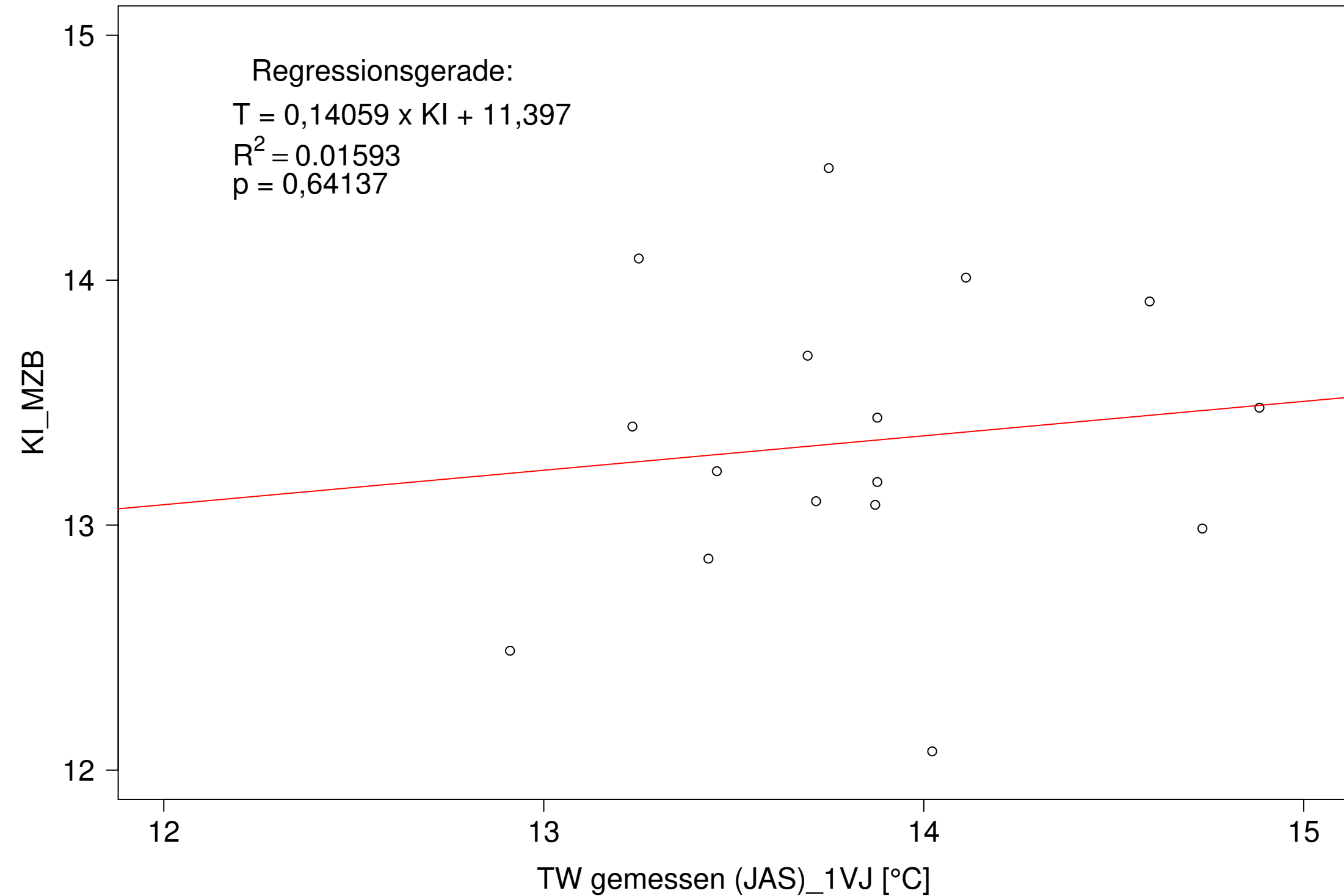
Gr. Lauter_Lauterach, Typ 09.1 mit Neozoen, Serie 1
 KI_MZB (Typ/Kont-Korr) gegen 3JMW TW gemessen (JAS) des 1. Vorjahres



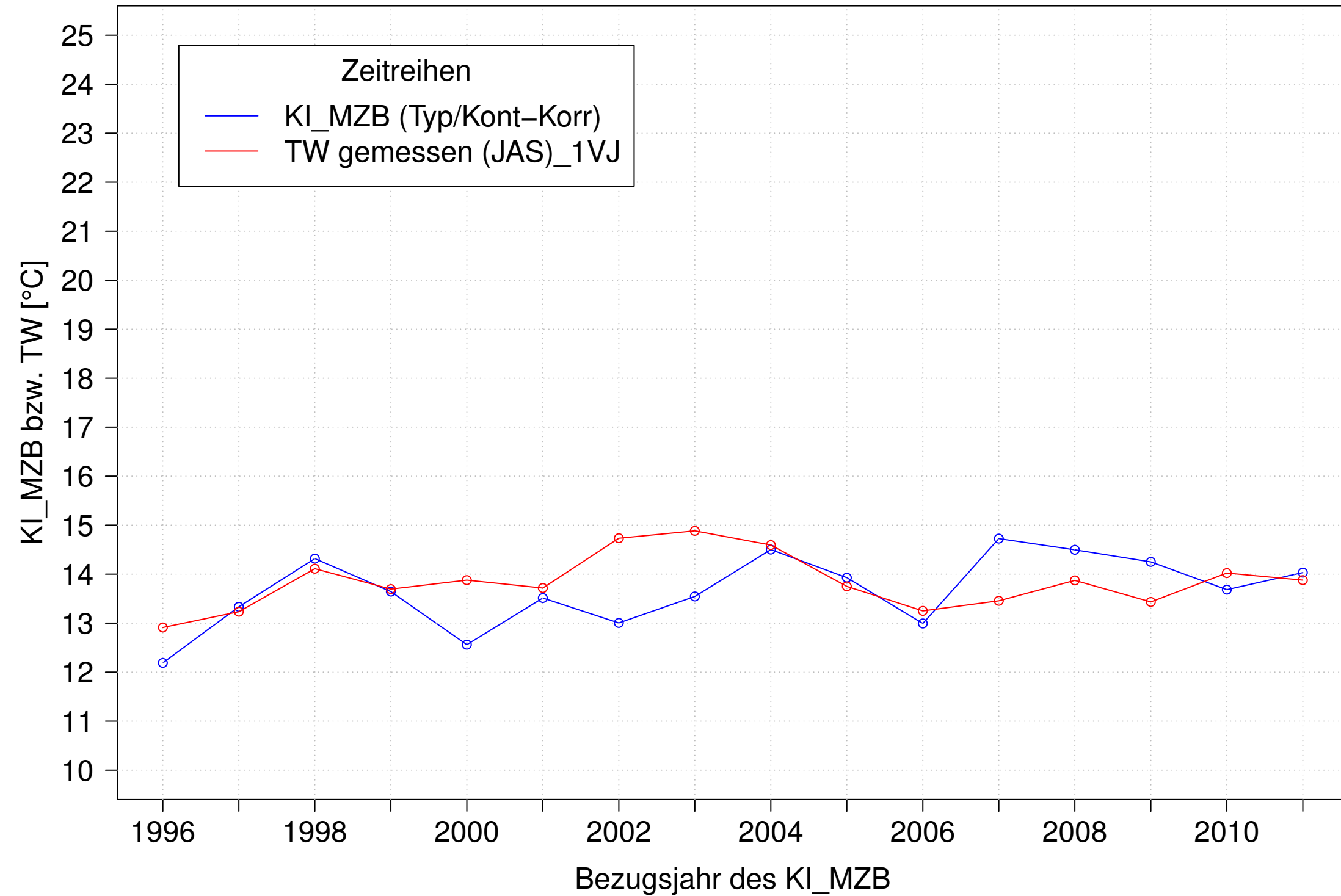
Gr. Lauter_Lauterach, Typ 09.1 mit Neozoen, Serie 2
 KI_MZB (Typ/Kont-Korr) und 3JMW TW gemessen (JAS) des 1. Vorjahres



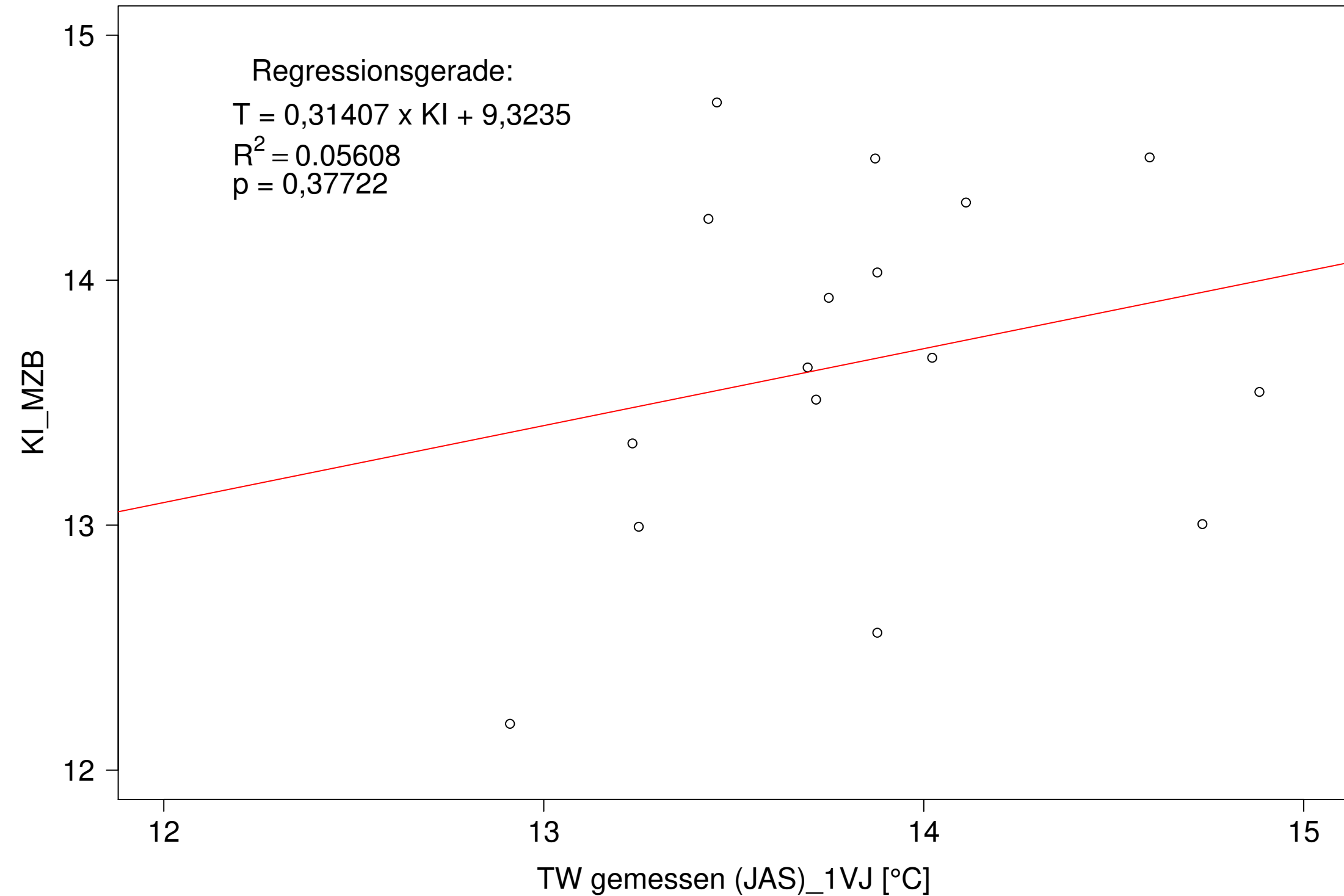
Gr. Lauter_Lauterach, Typ 09.1 mit Neozoen, Serie 2
 KI_MZB (Typ/Kont-Korr) gegen 3JMW TW gemessen (JAS) des 1. Vorjahres



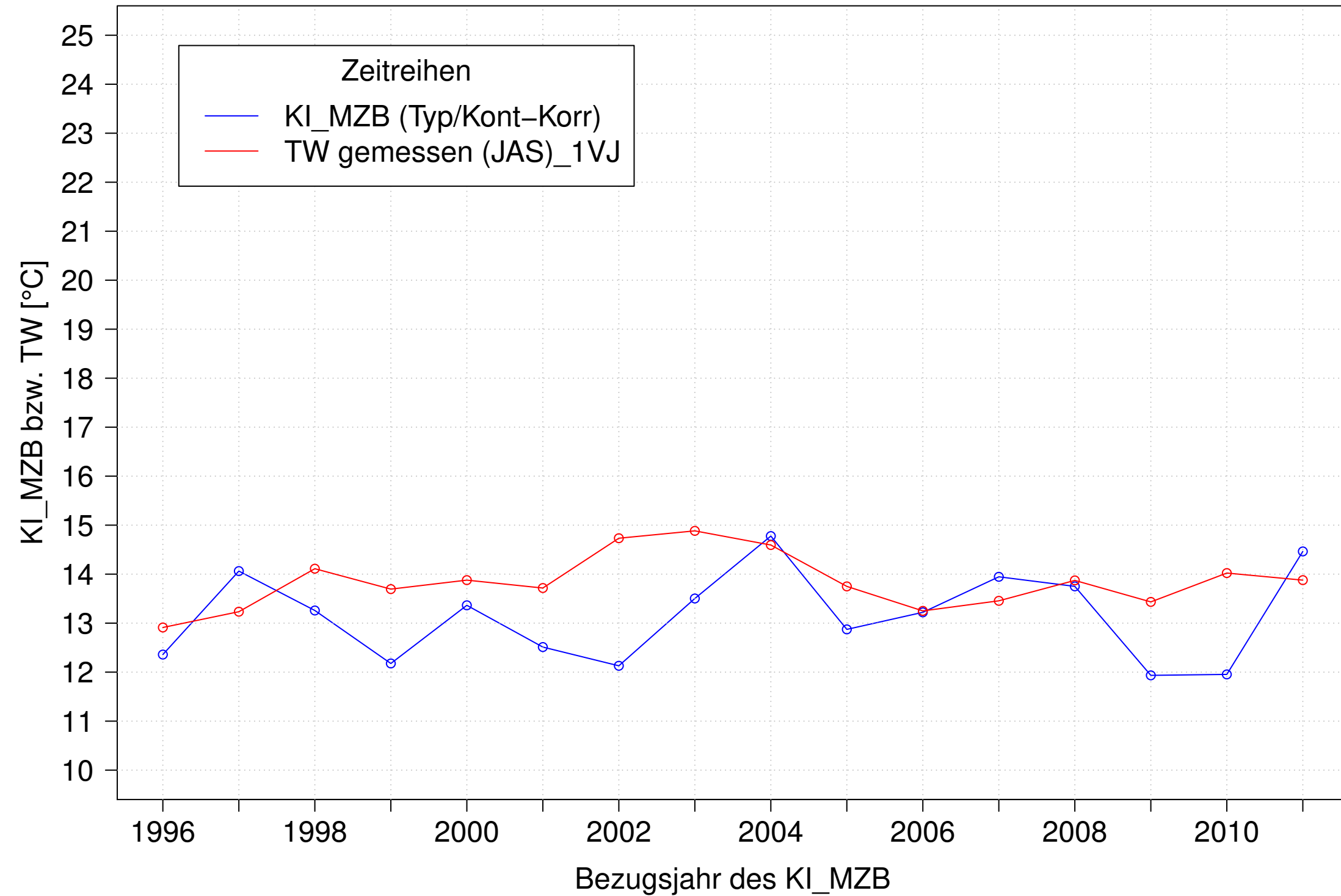
Gr. Lauter_Lauterach, Typ 09.1 mit Neozoen, Serie 3
 KI_MZB (Typ/Kont-Korr) und 3JMW TW gemessen (JAS) des 1. Vorjahres



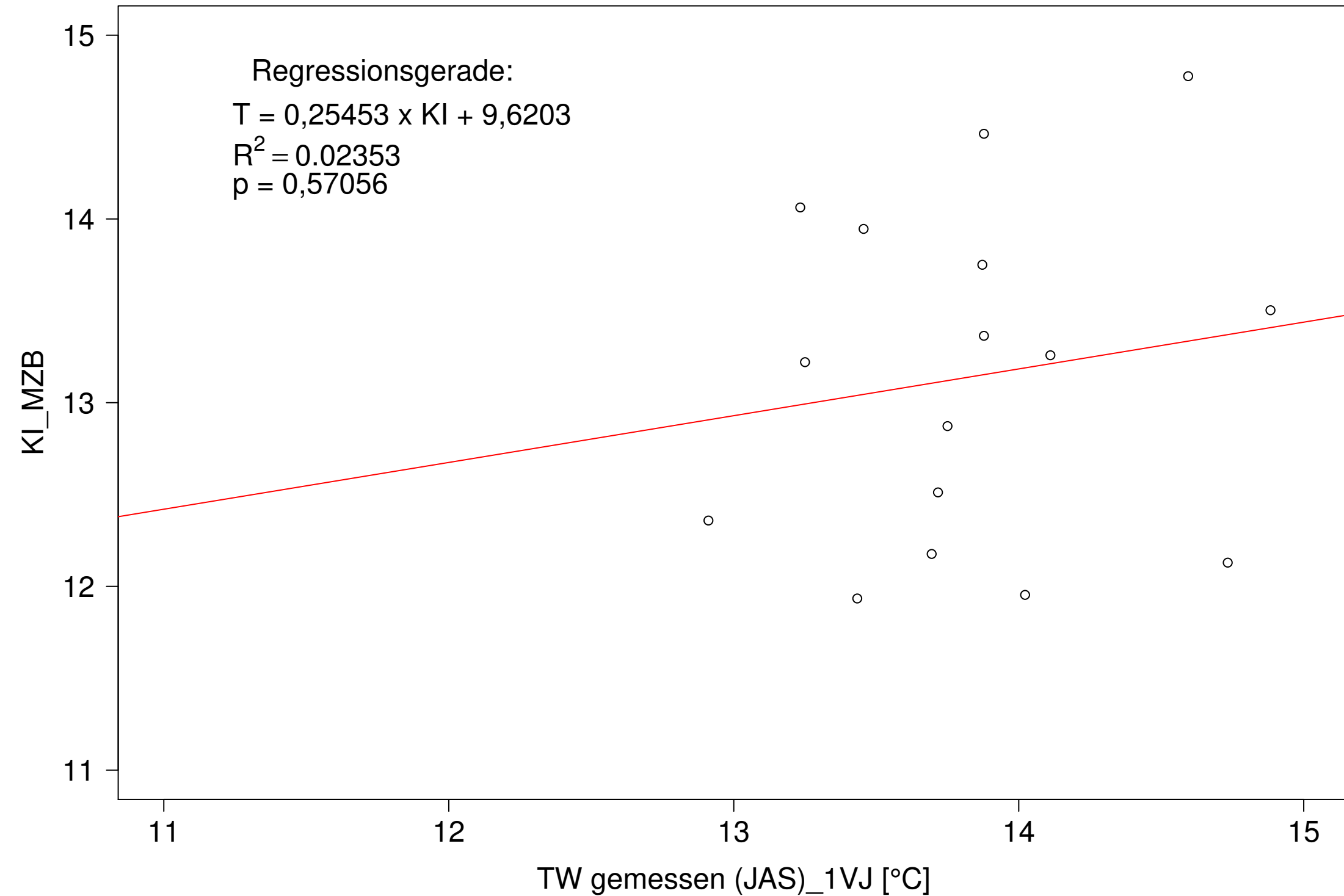
Gr. Lauter_Lauterach, Typ 09.1 mit Neozoen, Serie 3
 KI_MZB (Typ/Kont-Korr) gegen 3JMW TW gemessen (JAS) des 1. Vorjahres



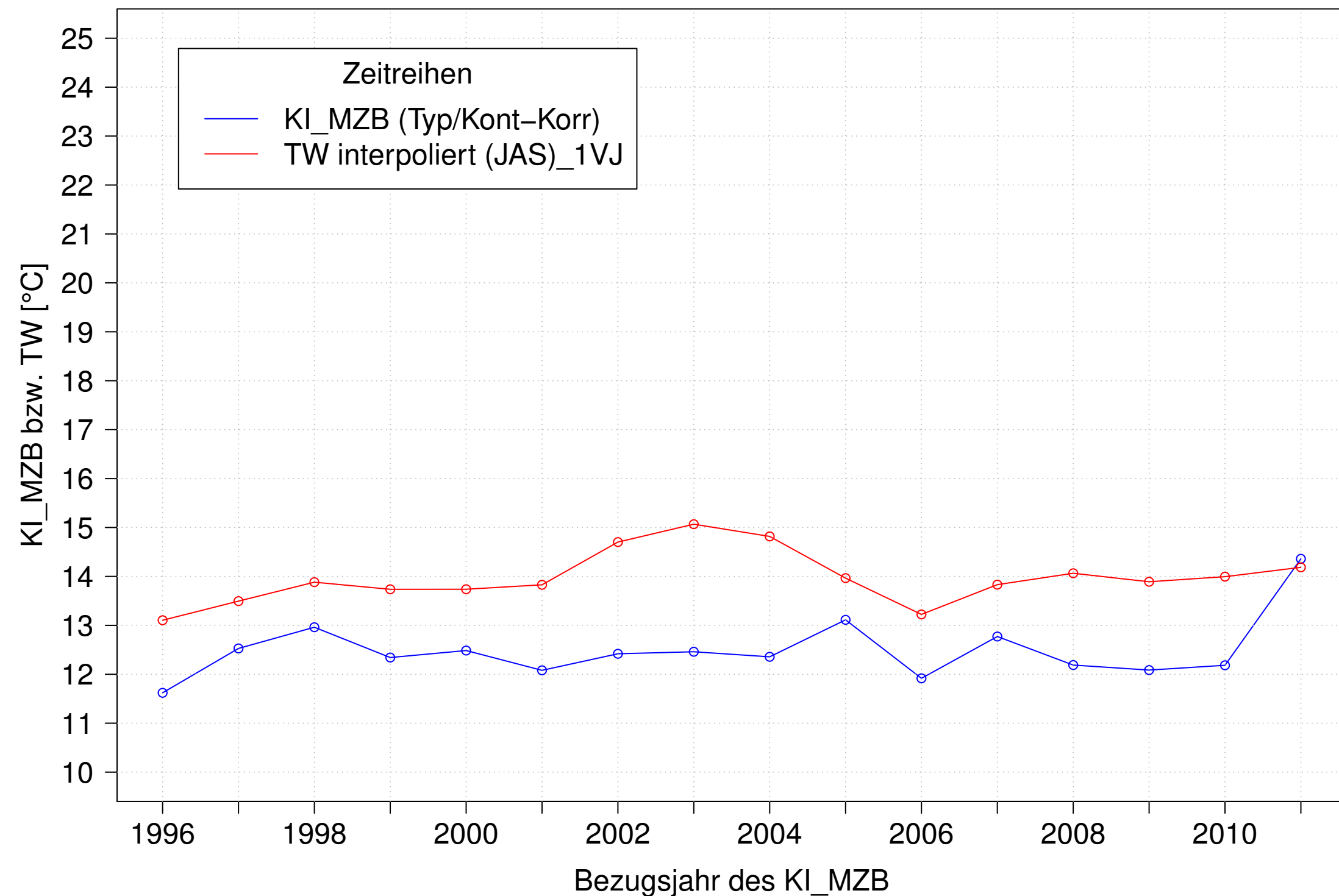
Gr. Lauter_Lauterach, Typ 09.1 mit Neozoen, Serie 4
KI_MZB (Typ/Kont-Korr) und 3JMW TW gemessen (JAS) des 1. Vorjahres



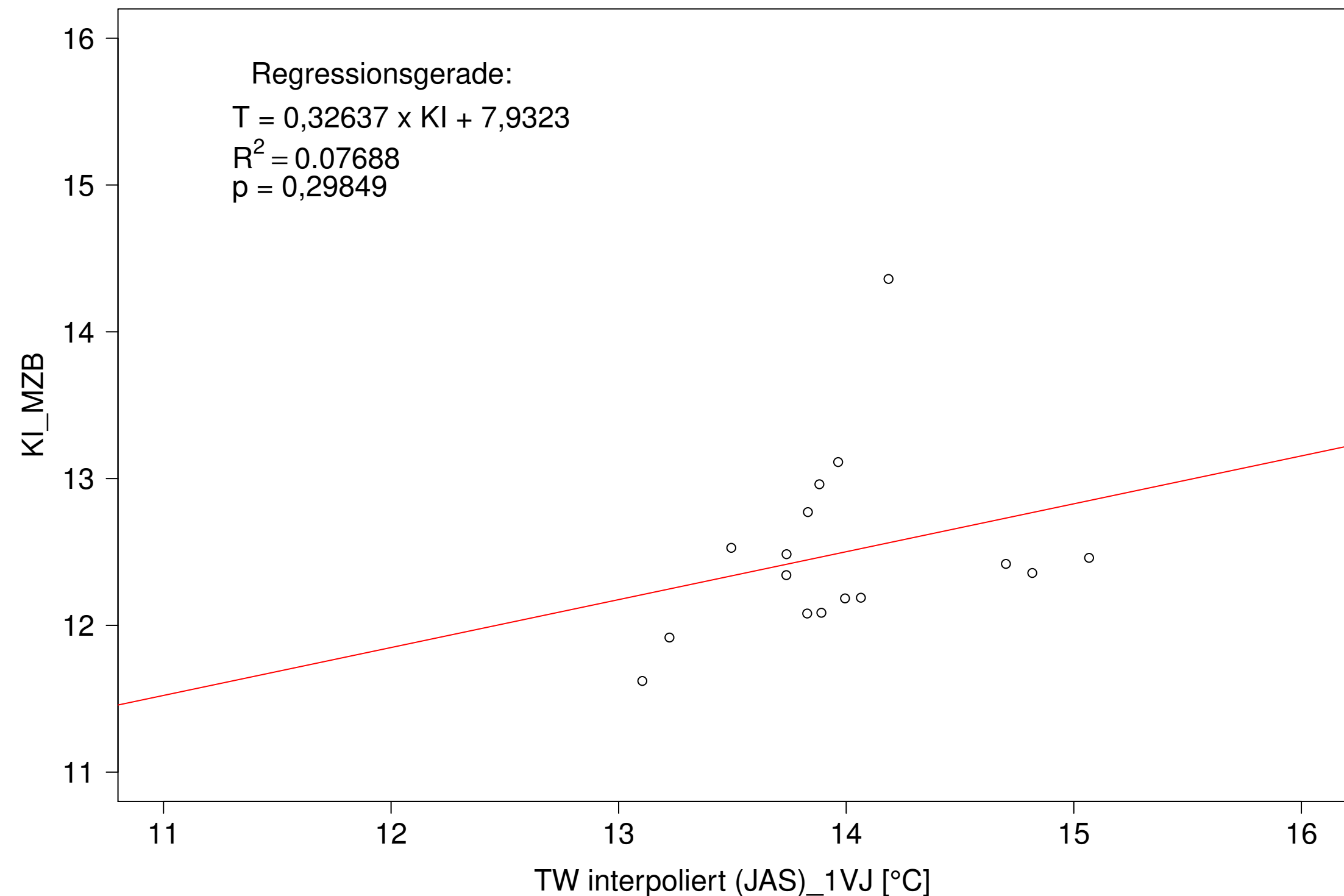
Gr. Lauter_Lauterach, Typ 09.1 mit Neozoen, Serie 4
KI_MZB (Typ/Kont-Korr) gegen 3JMW TW gemessen (JAS) des 1. Vorjahres



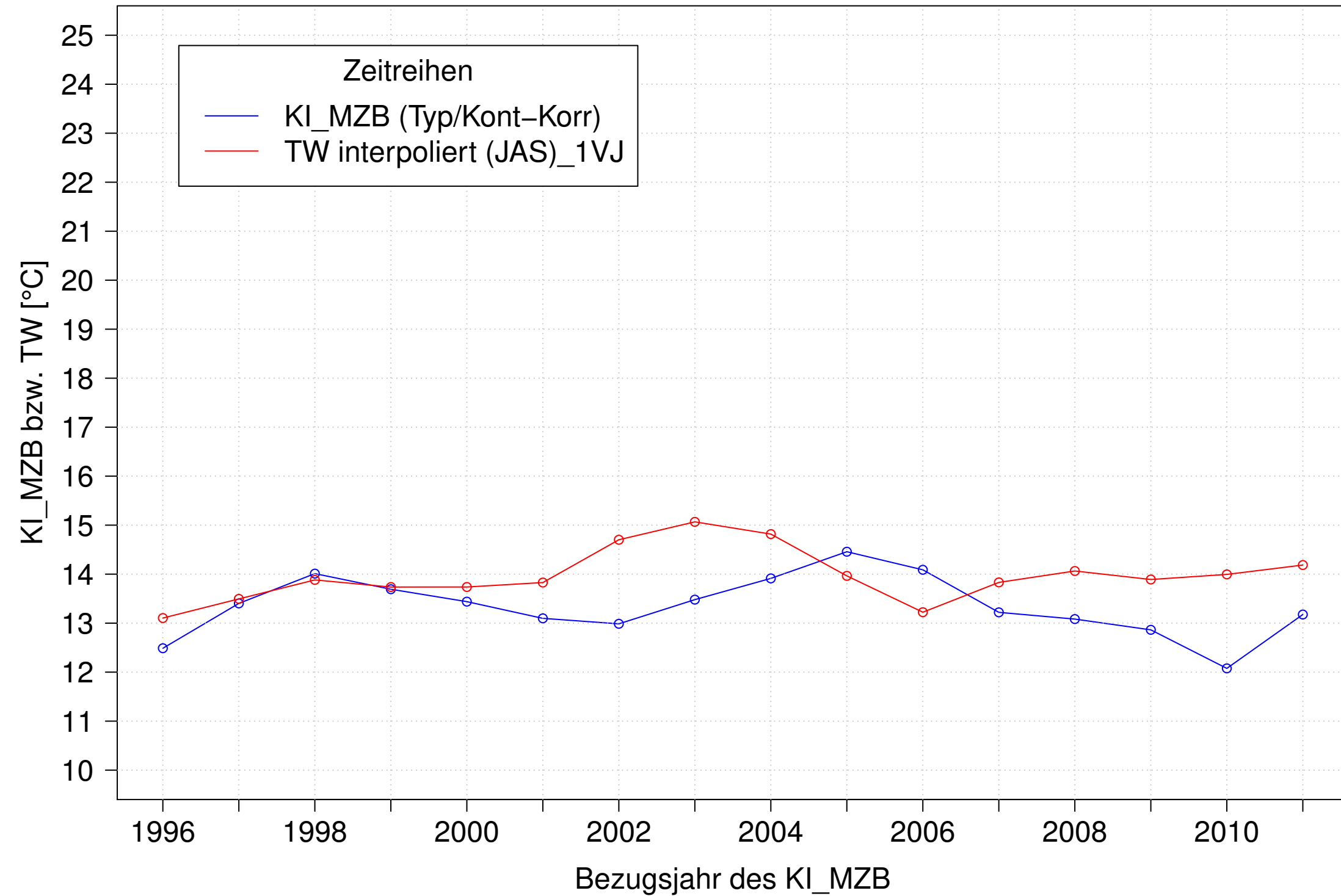
Gr. Lauter_Lauterach, Typ 09.1 mit Neozoen, Serie 1
KI_MZB (Typ/Kont-Korr) und 3JMW TW interpoliert (JAS) des 1. Vorjahres



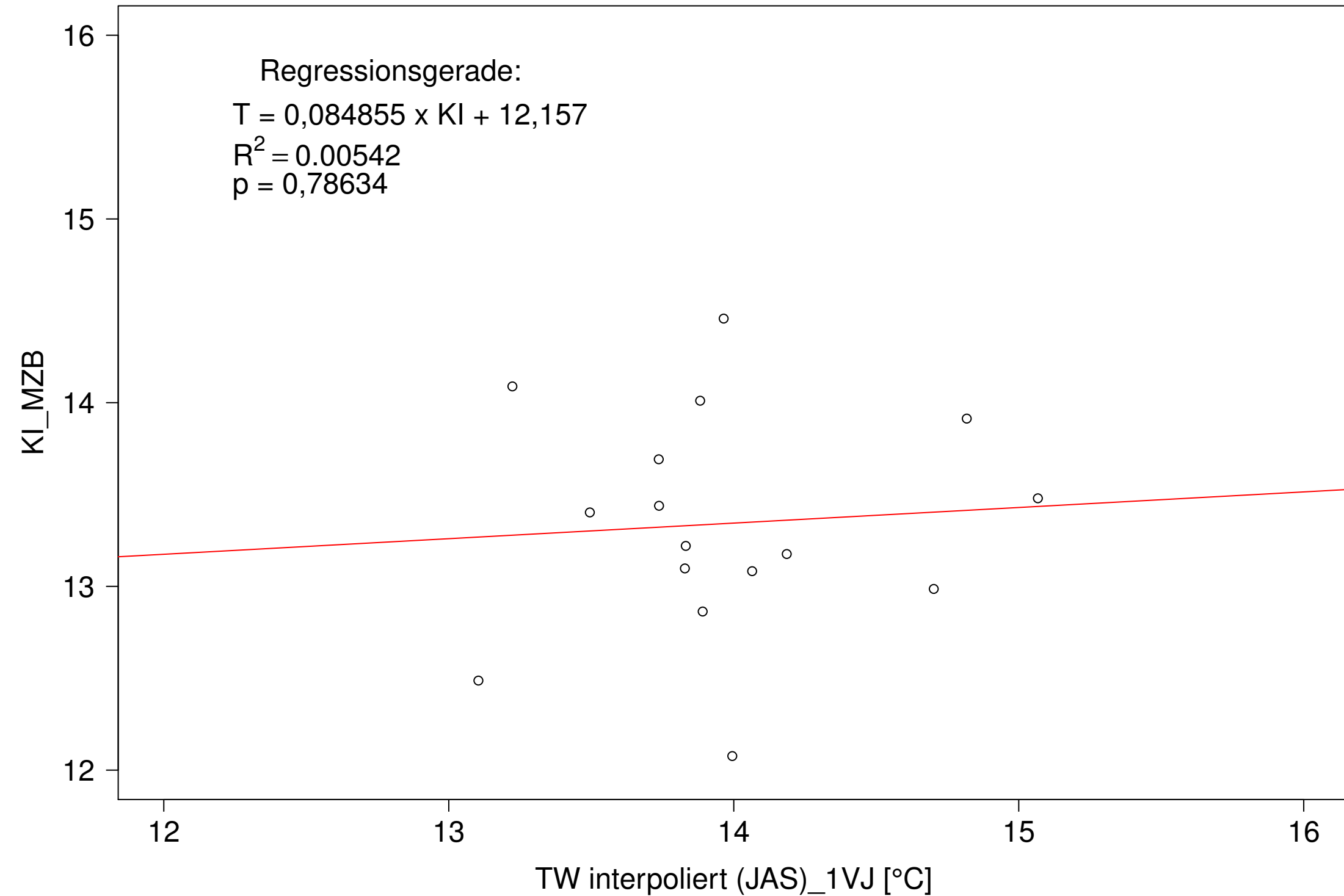
Gr. Lauter_Lauterach, Typ 09.1 mit Neozoen, Serie 1
KI_MZB (Typ/Kont-Korr) gegen 3JMW TW interpoliert (JAS) des 1. Vorjahres



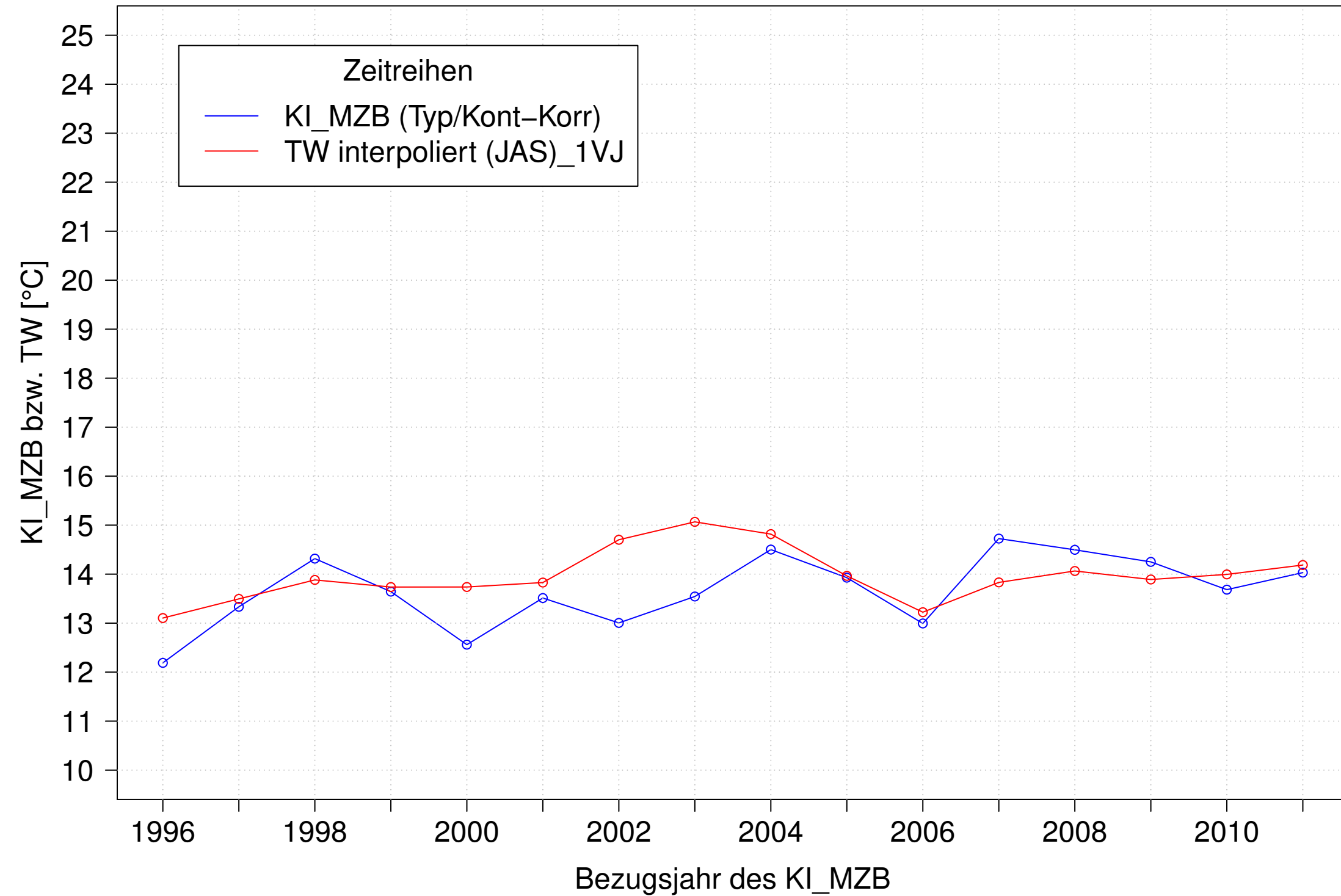
Gr. Lauter_Lauterach, Typ 09.1 mit Neozoen, Serie 2
KI_MZB (Typ/Kont-Korr) und 3JMW TW interpoliert (JAS) des 1. Vorjahres



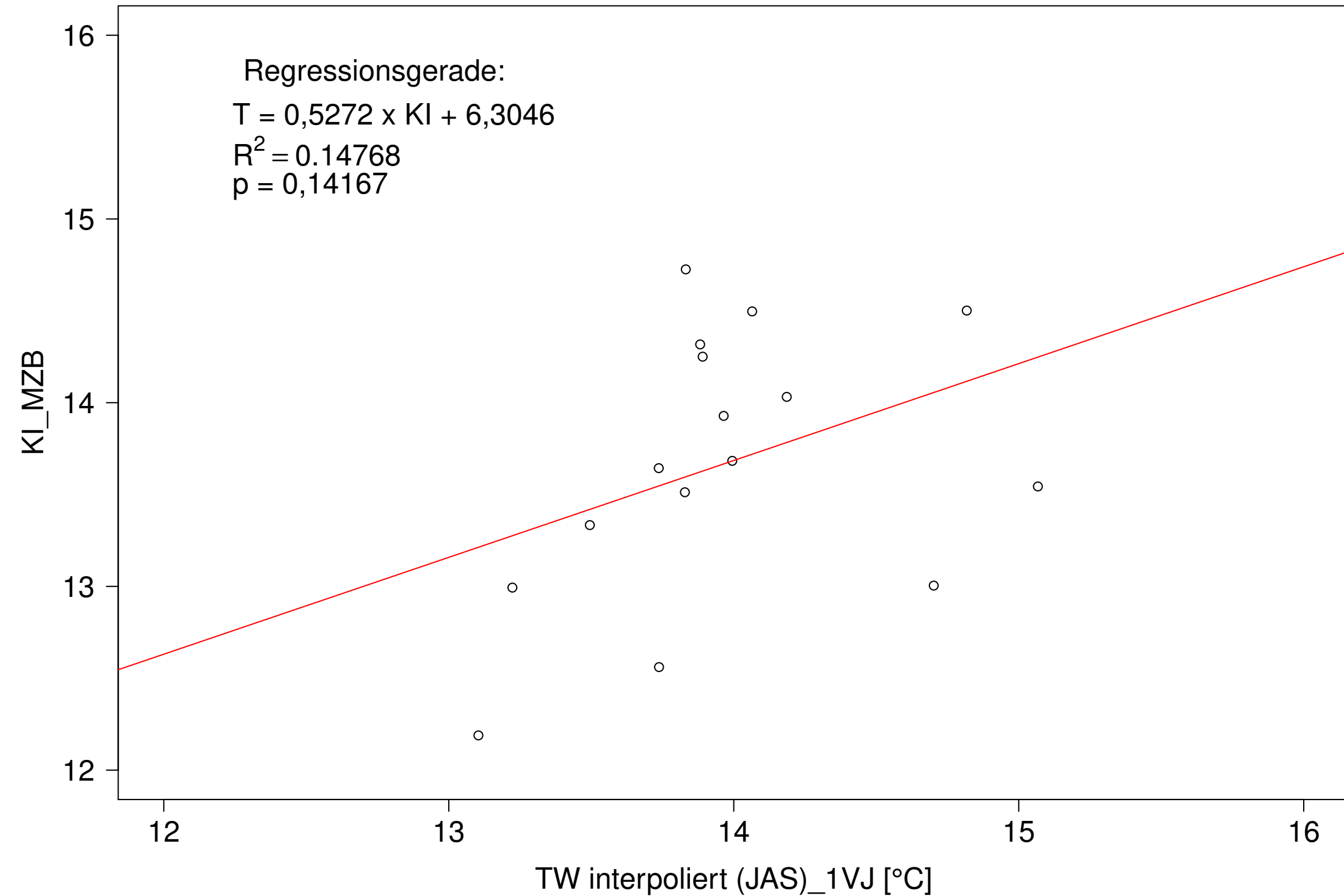
Gr. Lauter_Lauterach, Typ 09.1 mit Neozoen, Serie 2
KI_MZB (Typ/Kont-Korr) gegen 3JMW TW interpoliert (JAS) des 1. Vorjahres



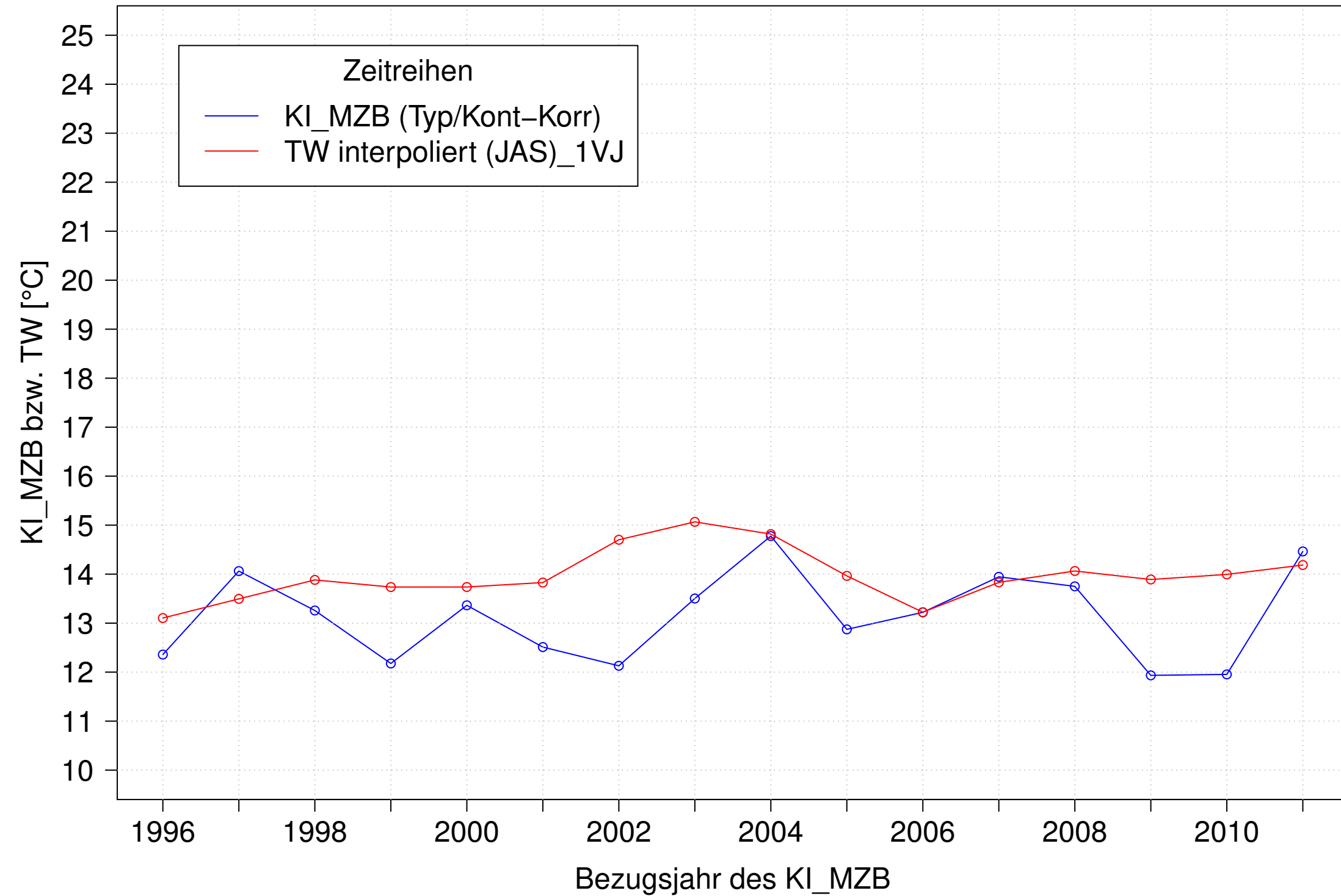
Gr. Lauter_Lauterach, Typ 09.1 mit Neozoen, Serie 3
 KI_MZB (Typ/Kont-Korr) und 3JMW TW interpoliert (JAS) des 1. Vorjahres



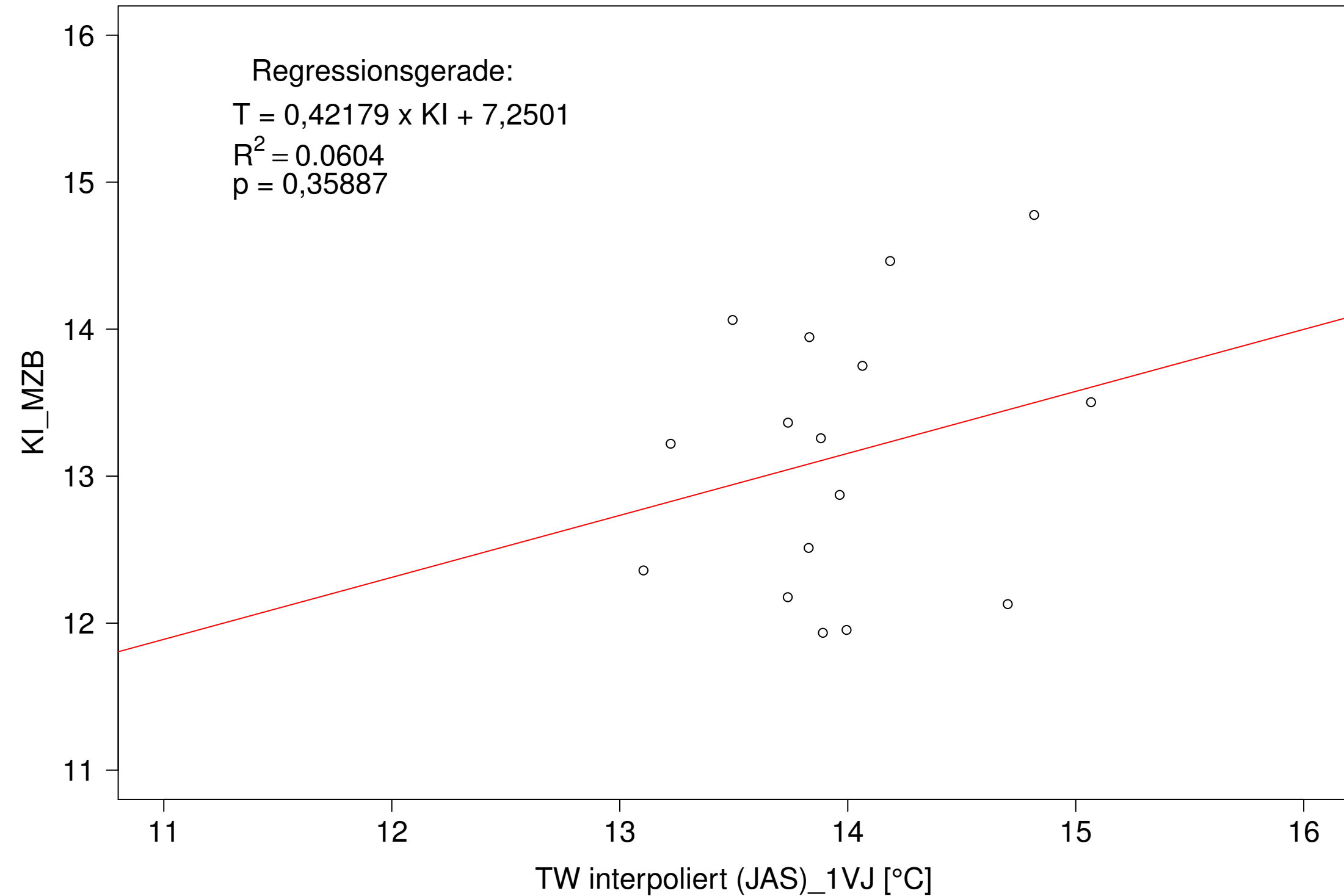
Gr. Lauter_Lauterach, Typ 09.1 mit Neozoen, Serie 3
 KI_MZB (Typ/Kont-Korr) gegen 3JMW TW interpoliert (JAS) des 1. Vorjahres



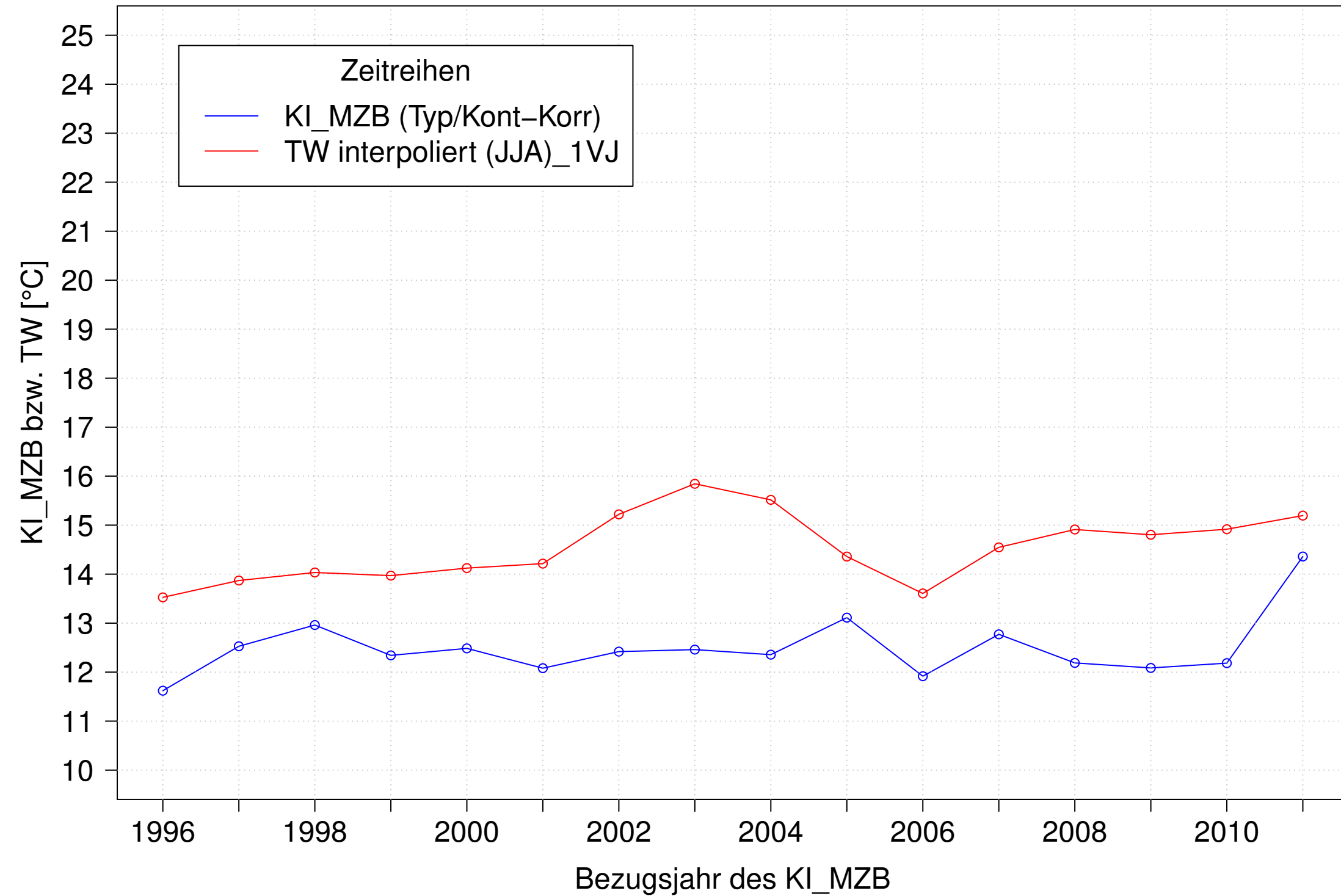
Gr. Lauter_Lauterach, Typ 09.1 mit Neozoen, Serie 4
 KI_MZB (Typ/Kont-Korr) und 3JMW TW interpoliert (JAS) des 1. Vorjahres



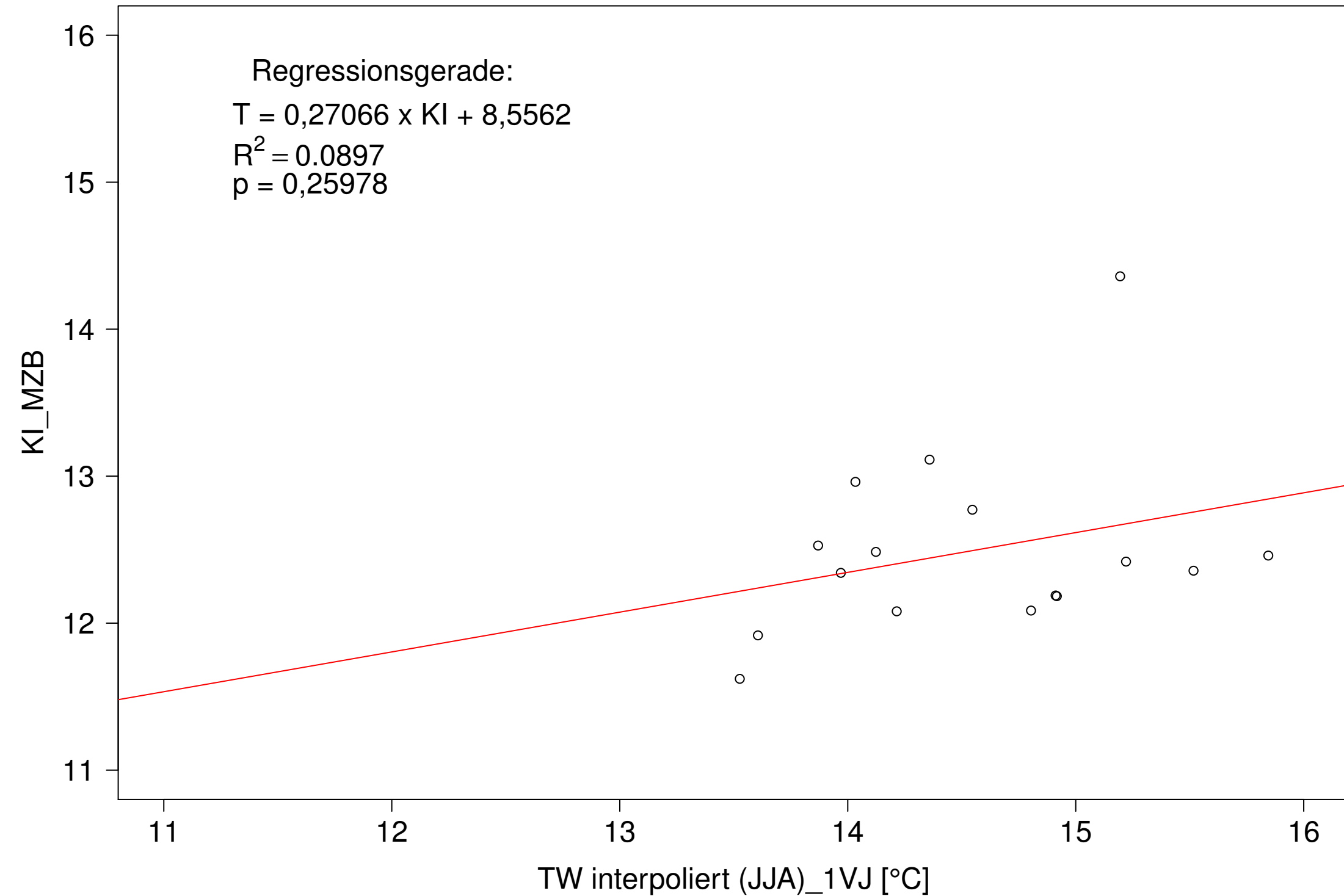
Gr. Lauter_Lauterach, Typ 09.1 mit Neozoen, Serie 4
 KI_MZB (Typ/Kont-Korr) gegen 3JMW TW interpoliert (JAS) des 1. Vorjahres



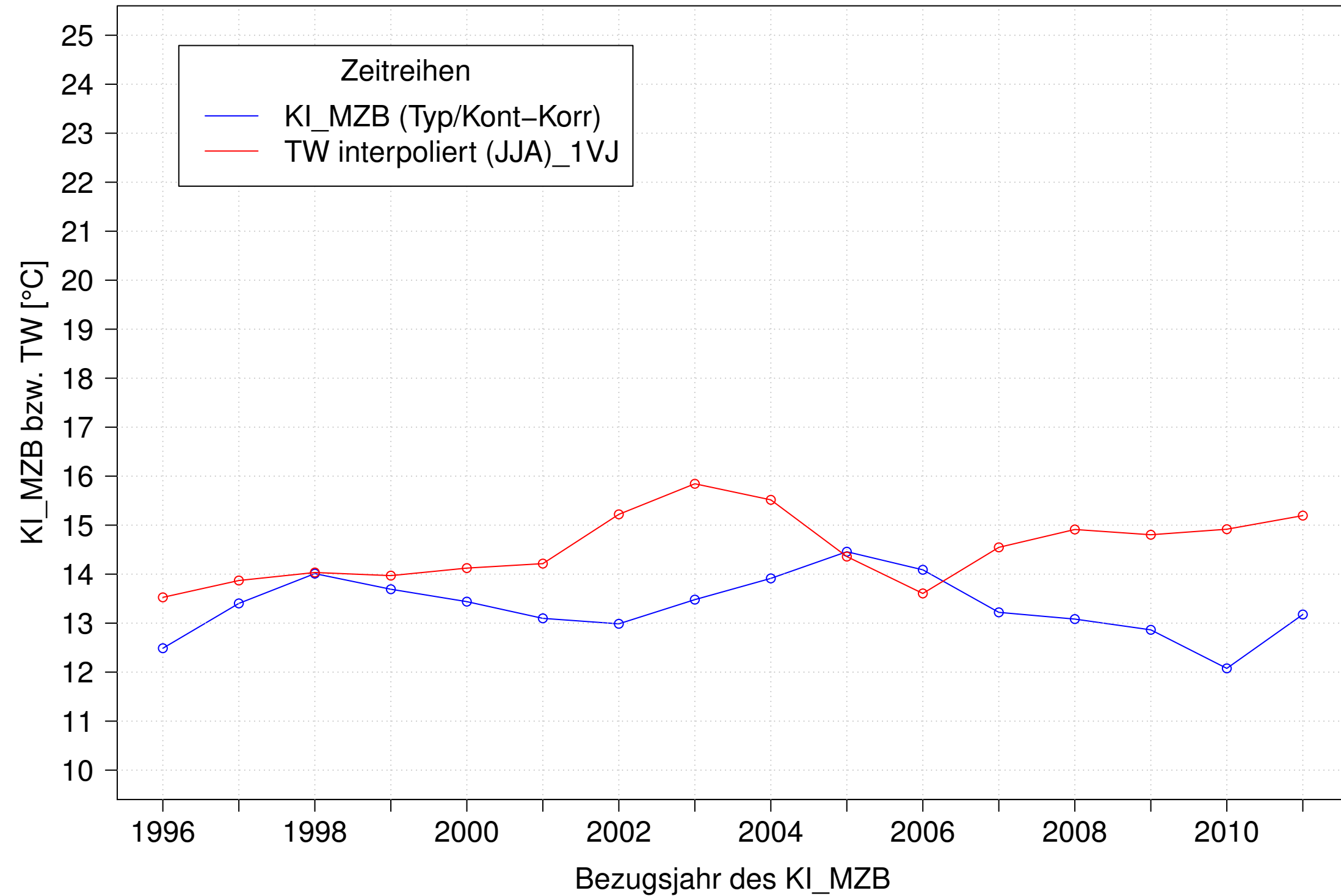
Gr. Lauter_Lauterach, Typ 09.1 mit Neozoen, Serie 1
 KI_MZB (Typ/Kont-Korr) und 3JMW TW interpoliert (JJA) des 1. Vorjahres



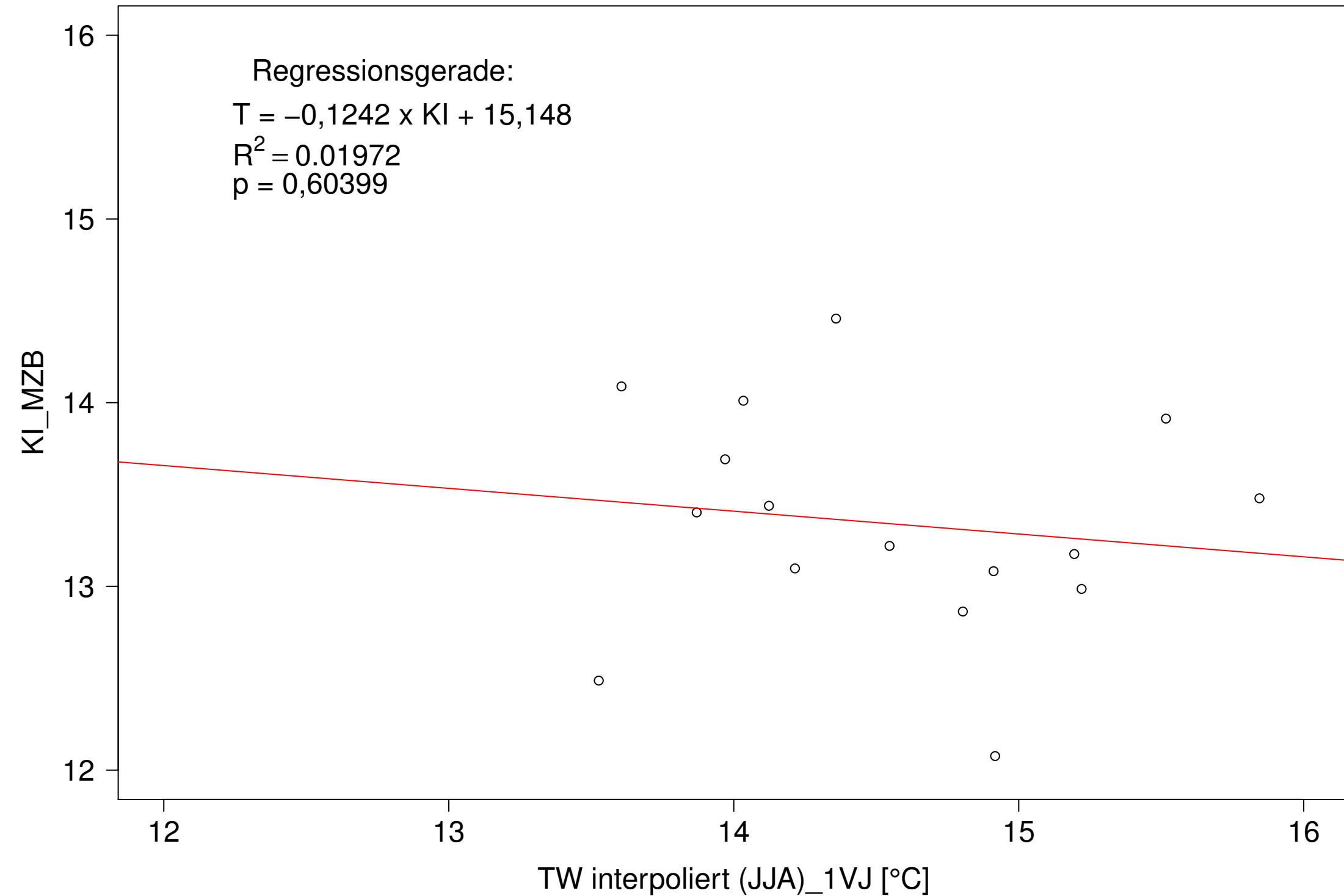
Gr. Lauter_Lauterach, Typ 09.1 mit Neozoen, Serie 1
 KI_MZB (Typ/Kont-Korr) gegen 3JMW TW interpoliert (JJA) des 1. Vorjahres



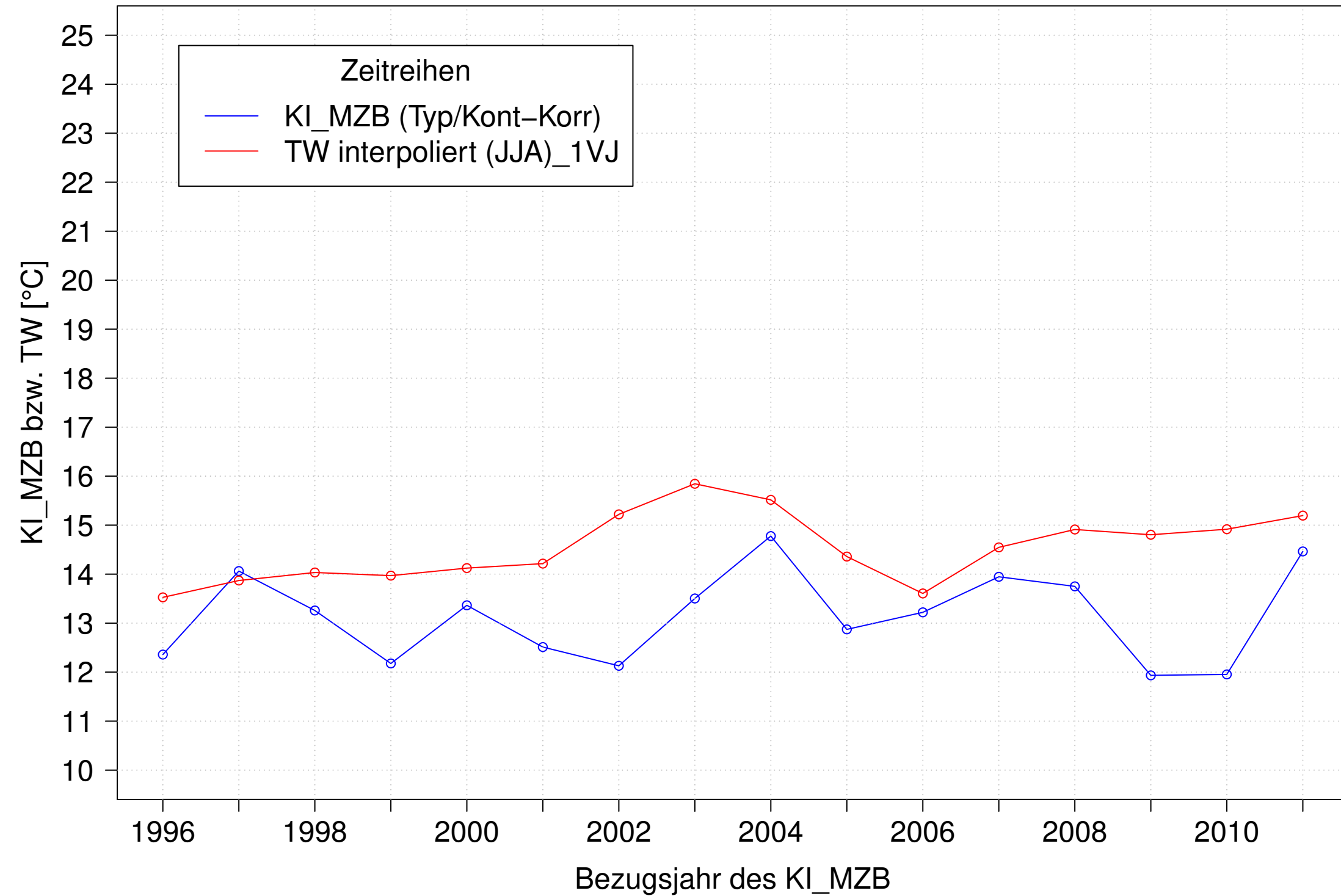
Gr. Lauter_Lauterach, Typ 09.1 mit Neozoen, Serie 2
 KI_MZB (Typ/Kont-Korr) und 3JMW TW interpoliert (JJA) des 1. Vorjahres



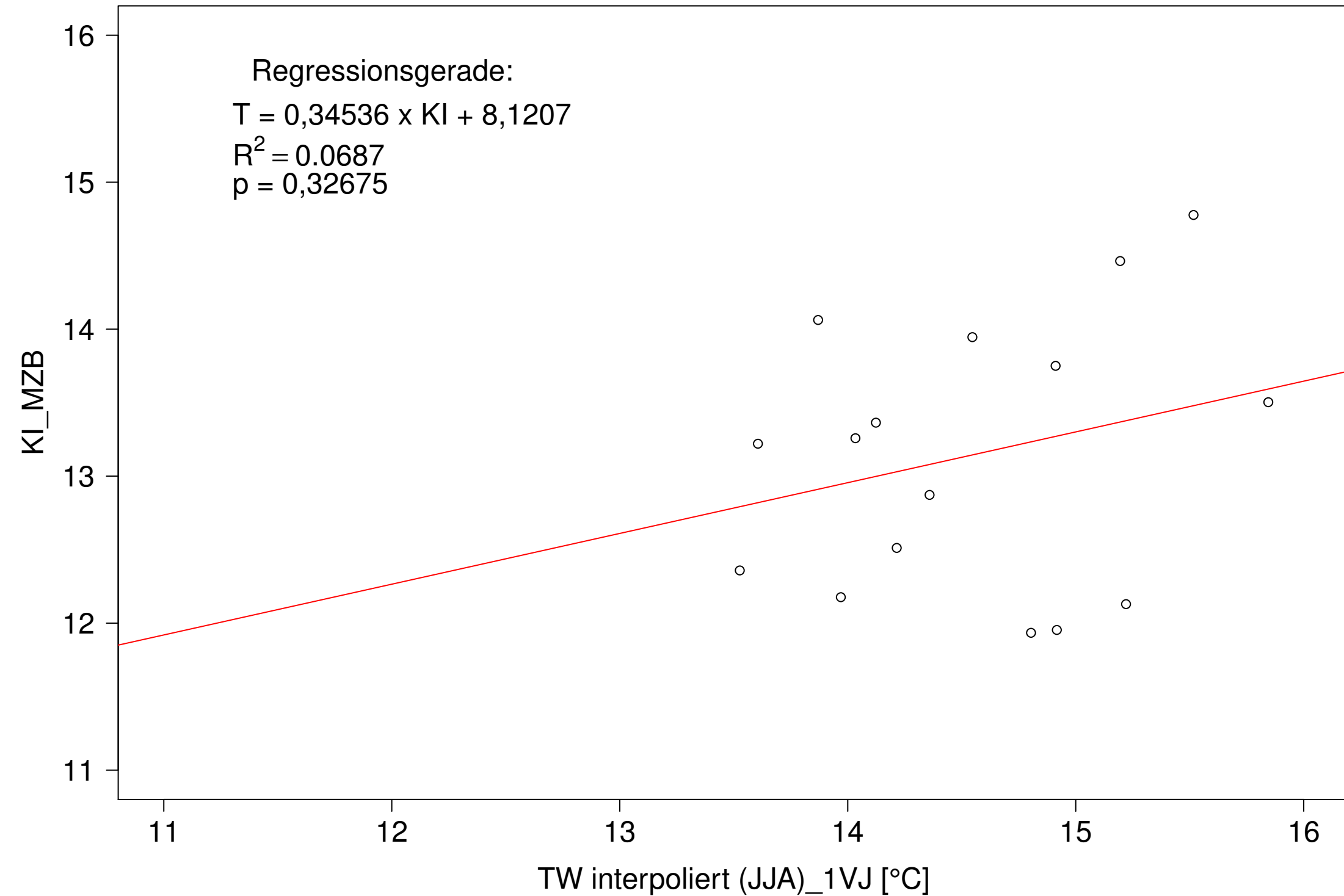
Gr. Lauter_Lauterach, Typ 09.1 mit Neozoen, Serie 2
 KI_MZB (Typ/Kont-Korr) gegen 3JMW TW interpoliert (JJA) des 1. Vorjahres



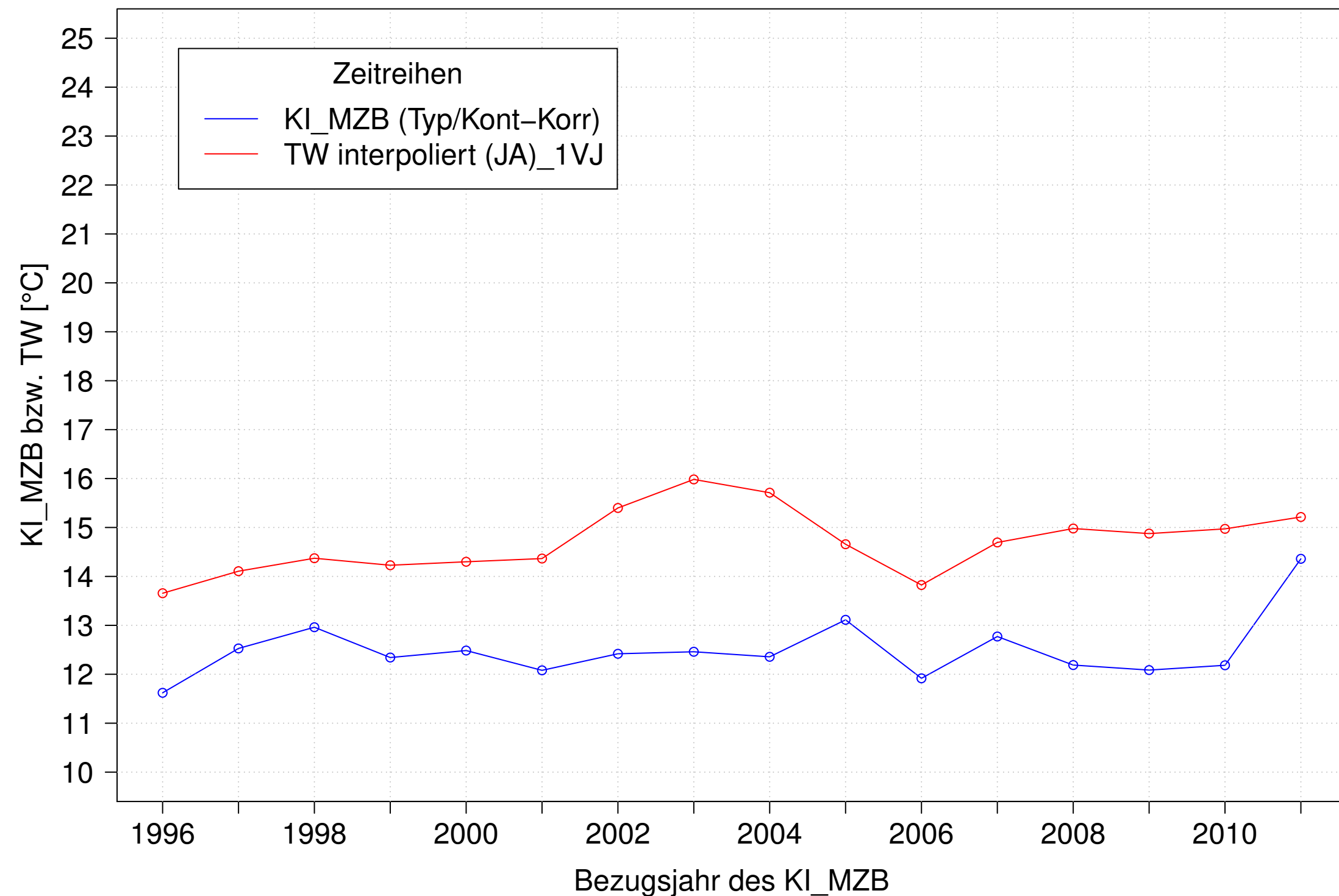
Gr. Lauter_Lauterach, Typ 09.1 mit Neozoen, Serie 4
KI_MZB (Typ/Kont-Korr) und 3JMW TW interpoliert (JJA) des 1. Vorjahres



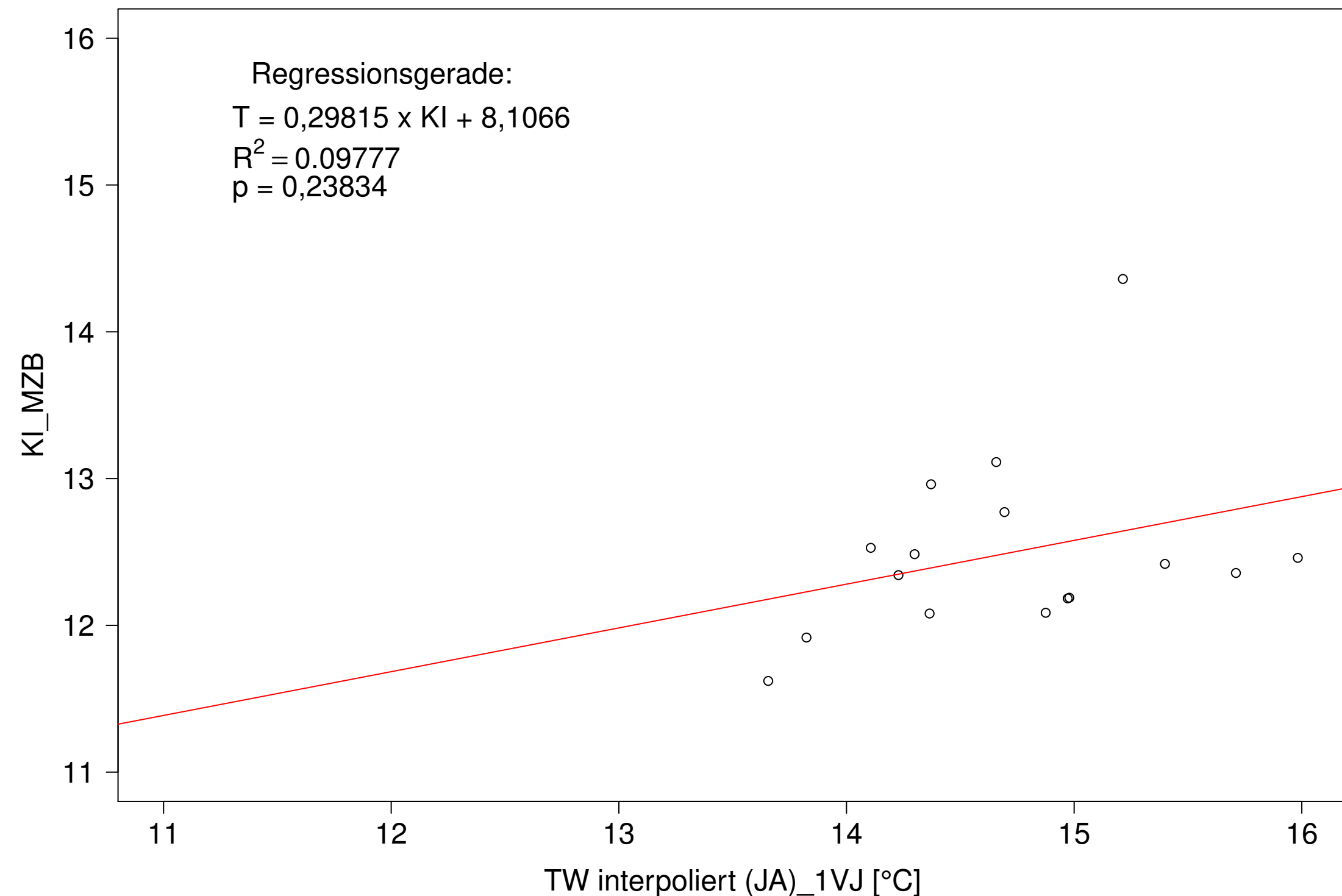
Gr. Lauter_Lauterach, Typ 09.1 mit Neozoen, Serie 4
KI_MZB (Typ/Kont-Korr) gegen 3JMW TW interpoliert (JJA) des 1. Vorjahres



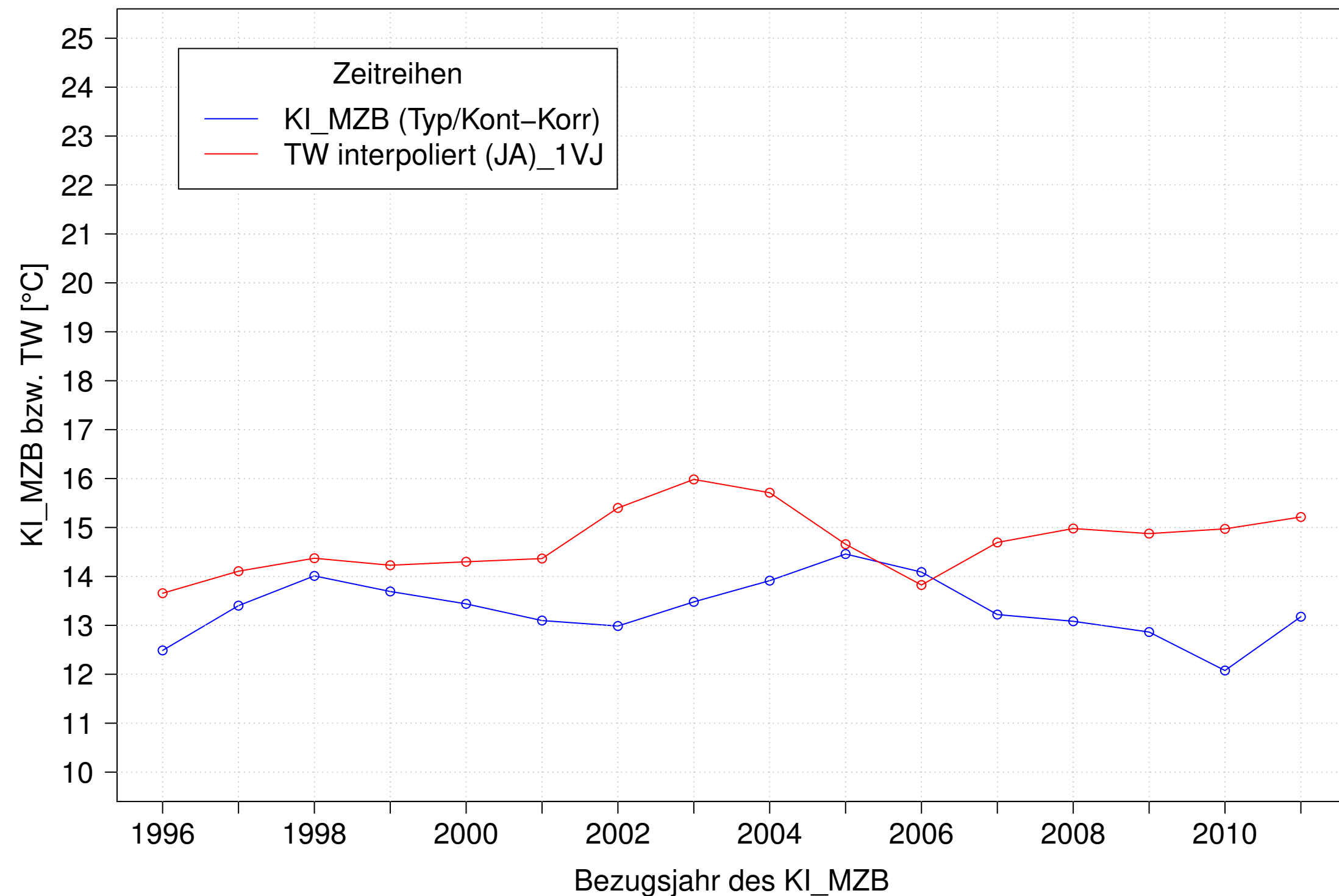
Gr. Lauter_Lauterach, Typ 09.1 mit Neozoen, Serie 1
KI_MZB (Typ/Kont-Korr) und 3JMW TW interpoliert (JA) des 1. Vorjahres



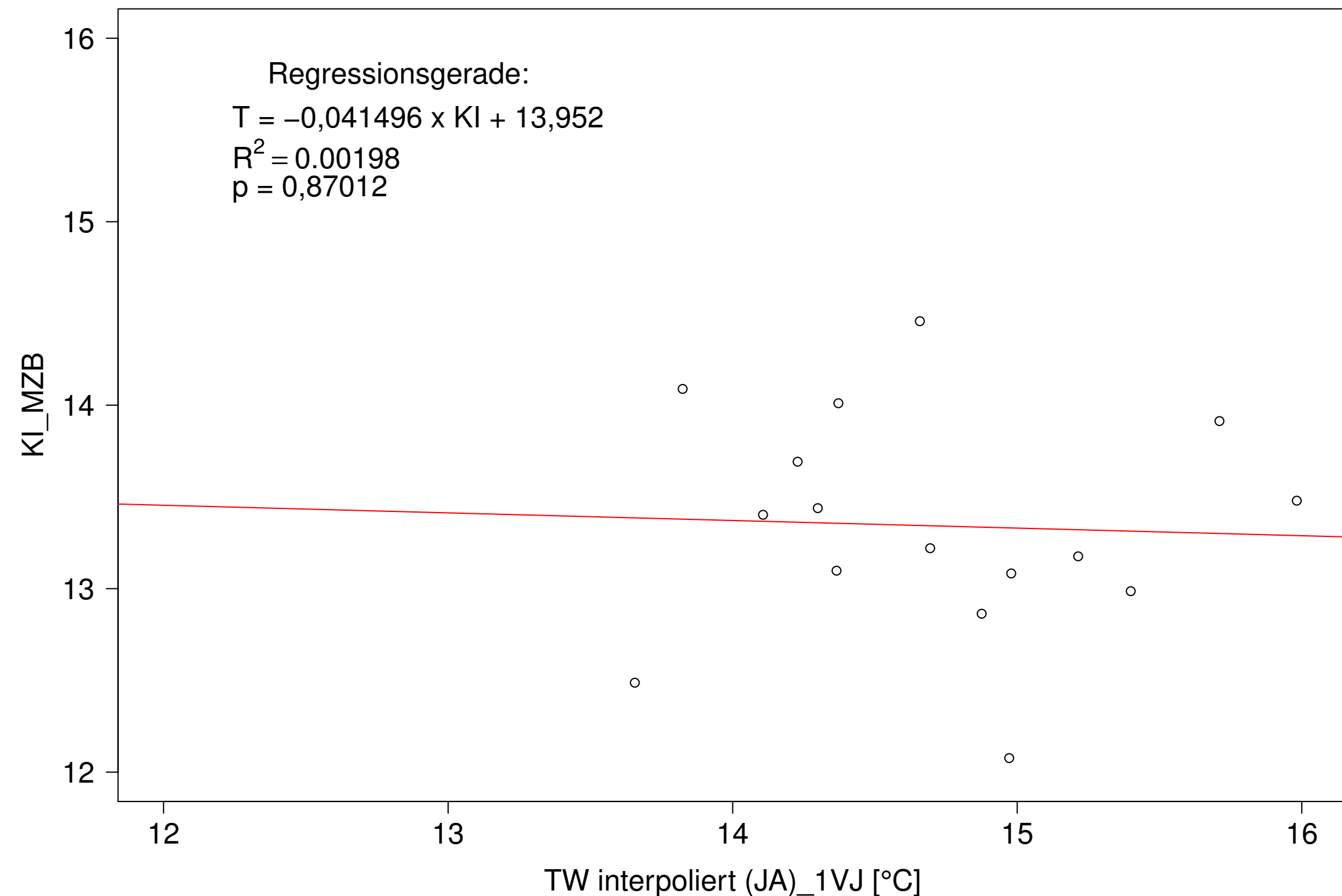
Gr. Lauter_Lauterach, Typ 09.1 mit Neozoen, Serie 1
KI_MZB (Typ/Kont-Korr) gegen 3JMW TW interpoliert (JA) des 1. Vorjahres



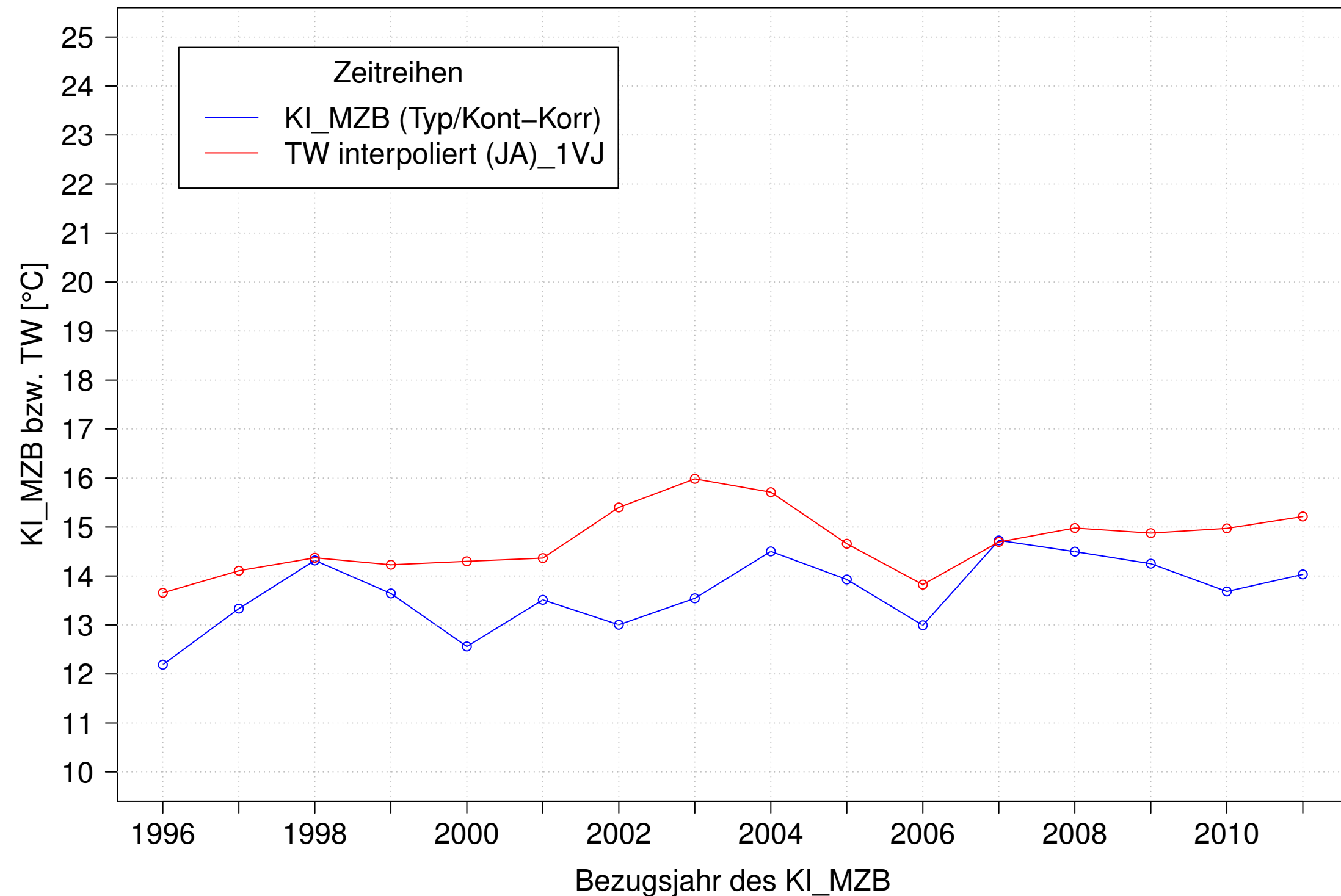
Gr. Lauter_Lauterach, Typ 09.1 mit Neozoen, Serie 2
KI_MZB (Typ/Kont-Korr) und 3JMW TW interpoliert (JA) des 1. Vorjahres



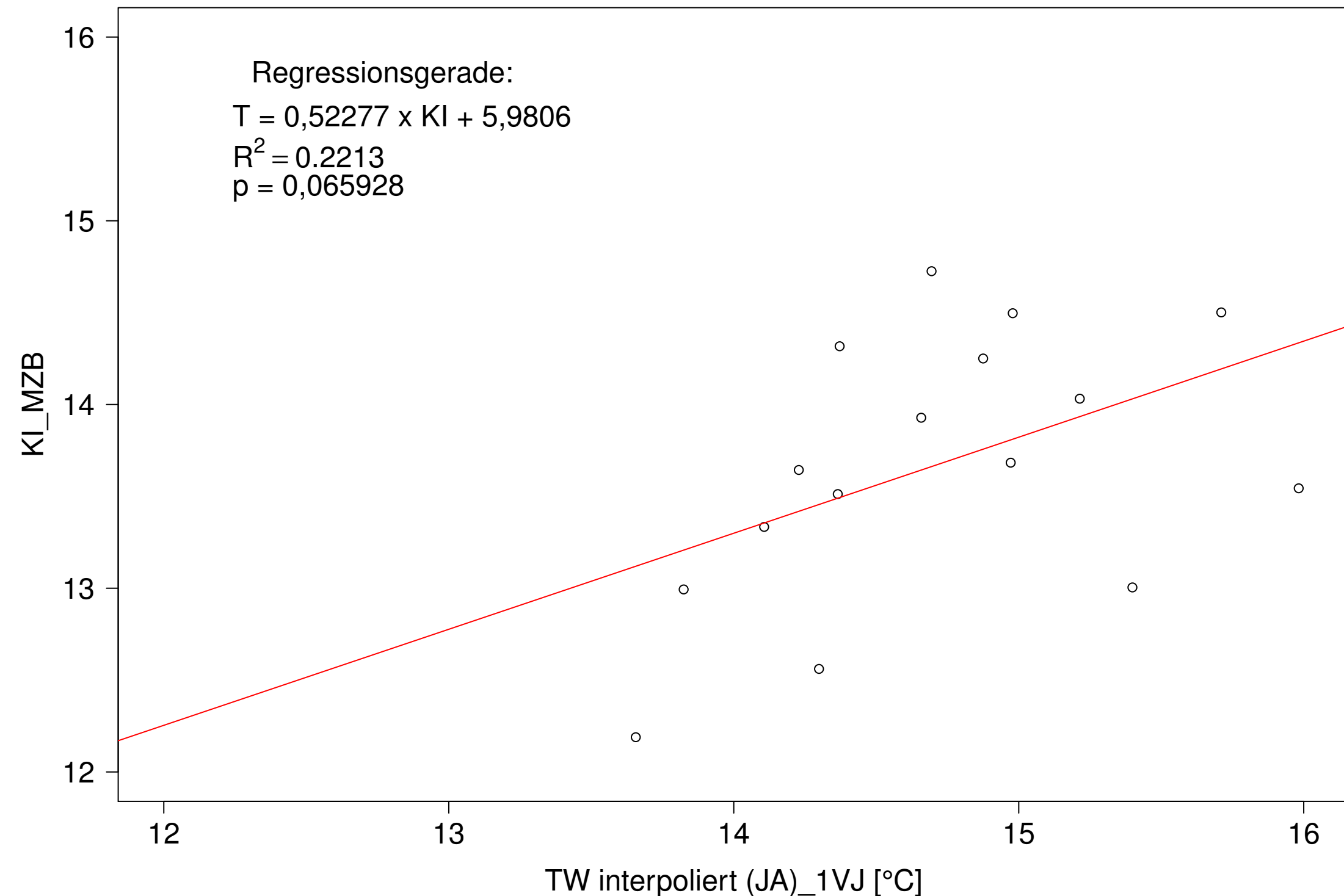
Gr. Lauter_Lauterach, Typ 09.1 mit Neozoen, Serie 2
KI_MZB (Typ/Kont-Korr) gegen 3JMW TW interpoliert (JA) des 1. Vorjahres



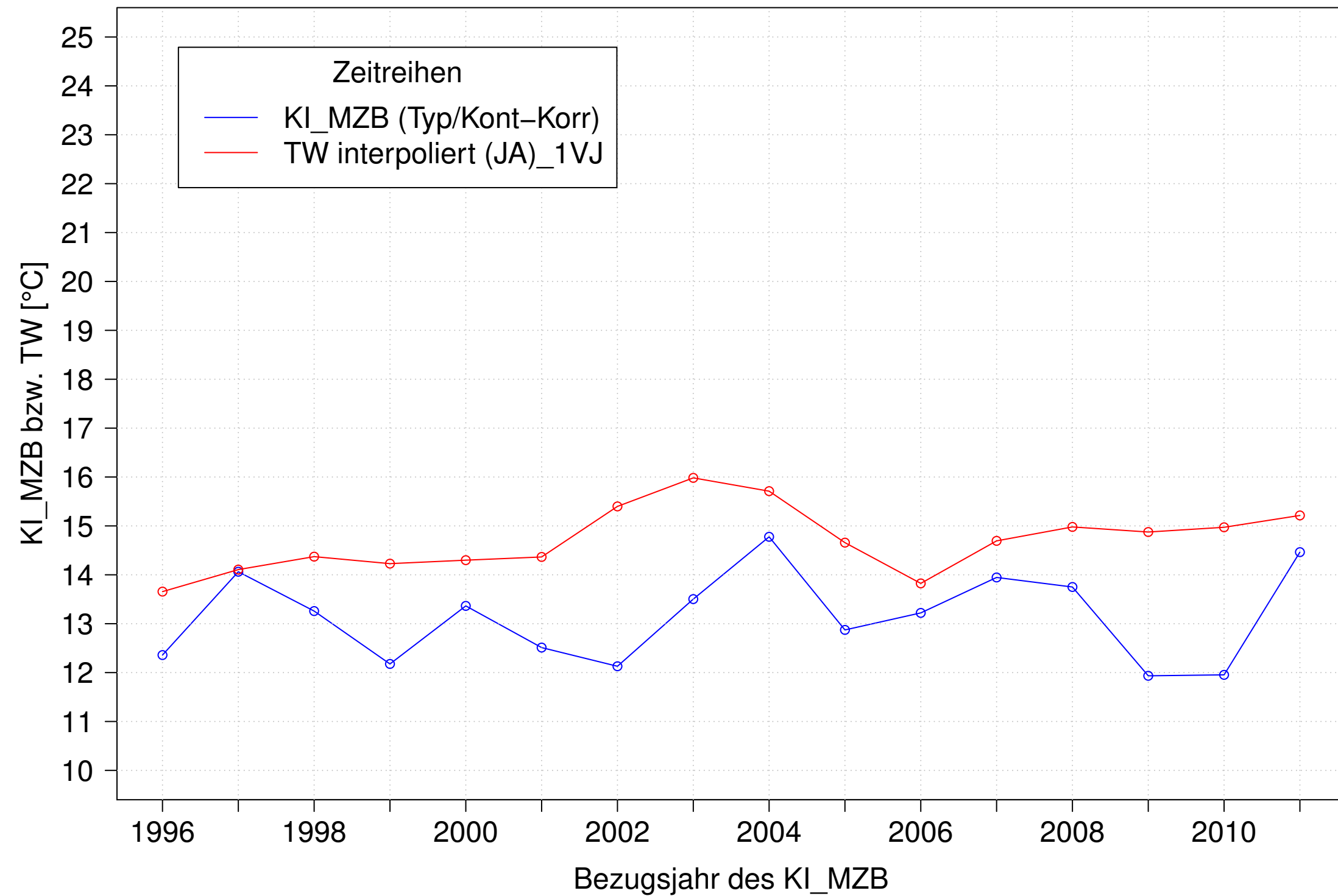
Gr. Lauter_Lauterach, Typ 09.1 mit Neozoen, Serie 3
KI_MZB (Typ/Kont-Korr) und 3JMW TW interpoliert (JA) des 1. Vorjahres



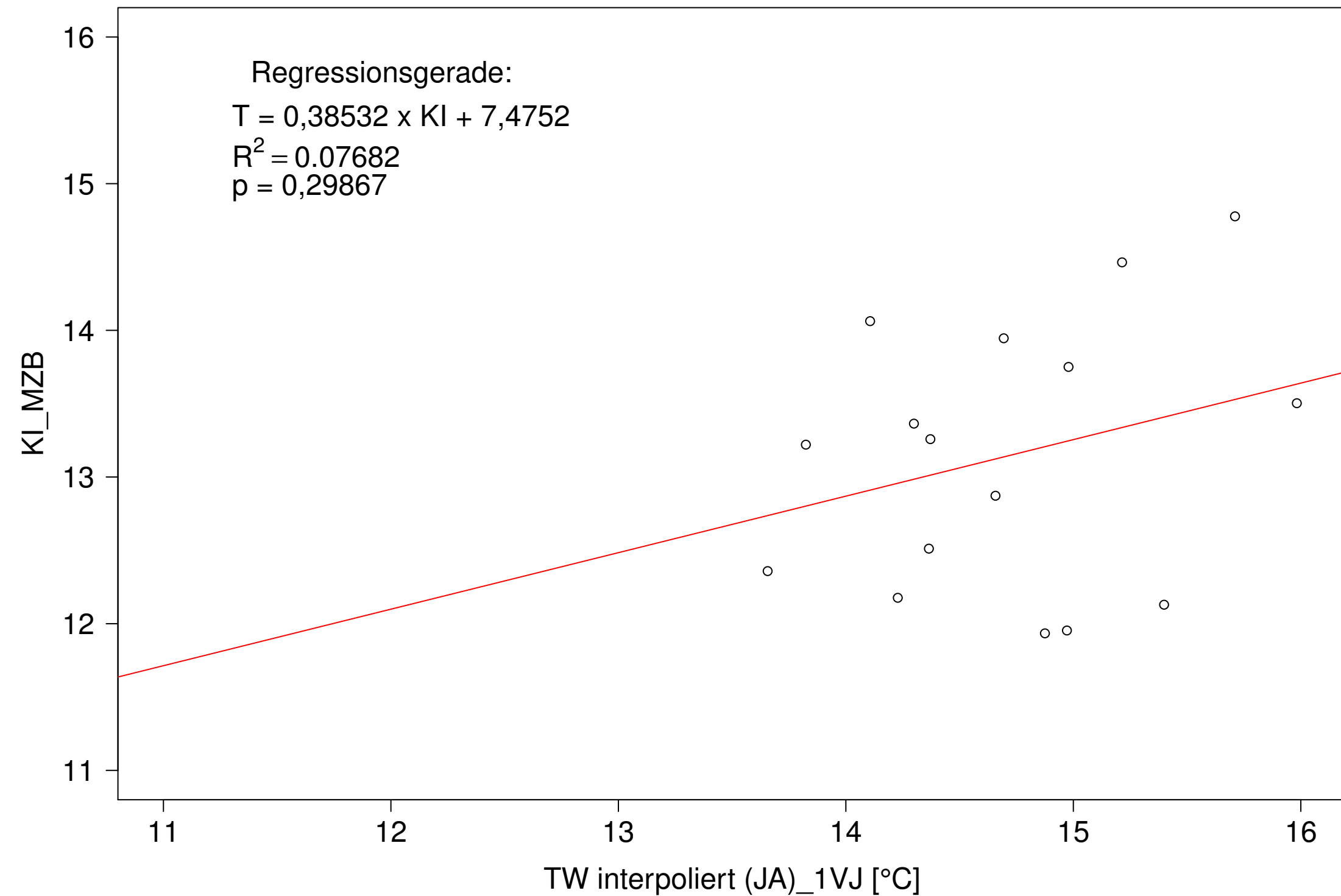
Gr. Lauter_Lauterach, Typ 09.1 mit Neozoen, Serie 3
KI_MZB (Typ/Kont-Korr) gegen 3JMW TW interpoliert (JA) des 1. Vorjahres



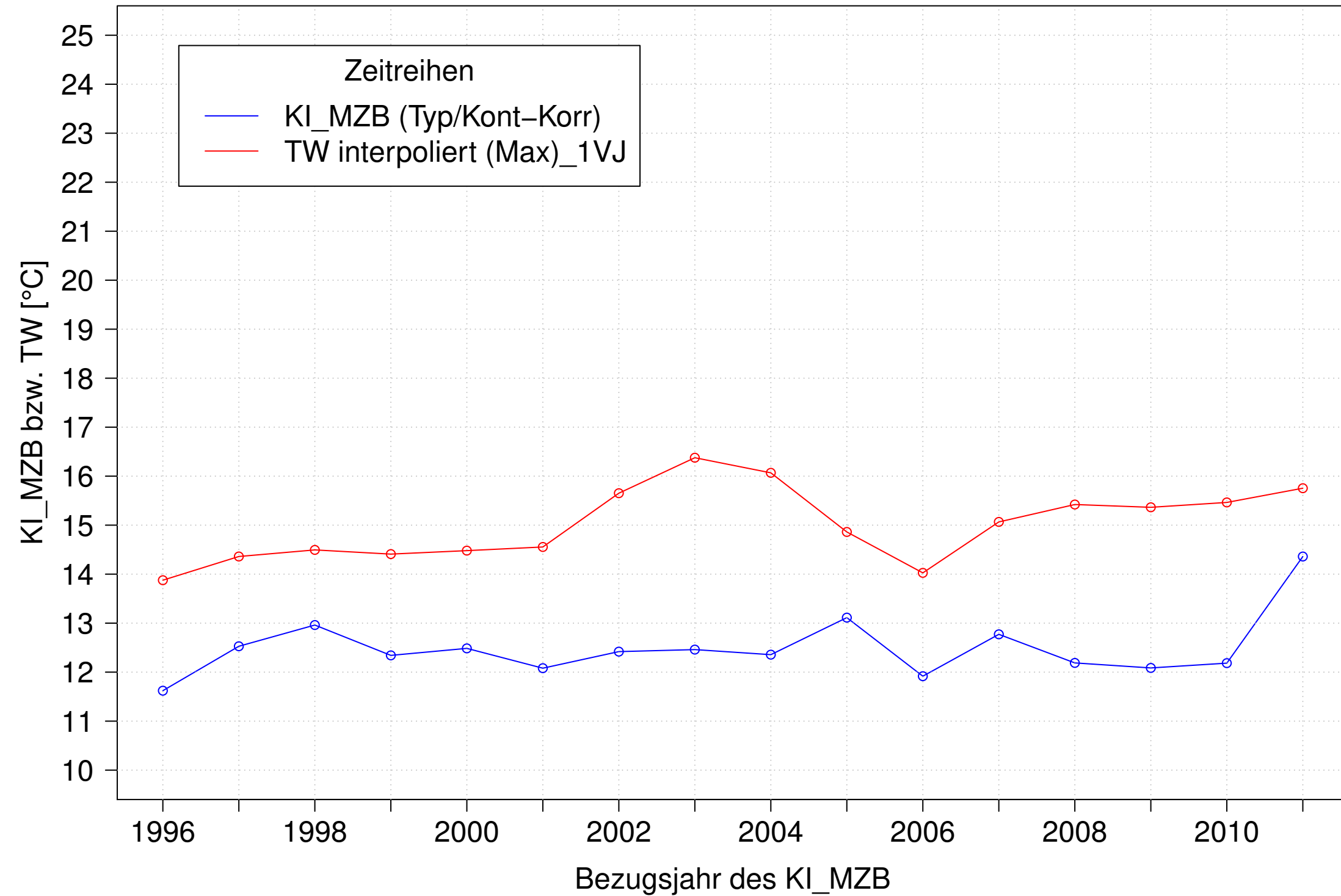
Gr. Lauter_Lauterach, Typ 09.1 mit Neozoen, Serie 4
KI_MZB (Typ/Kont-Korr) und 3JMW TW interpoliert (JA) des 1. Vorjahres



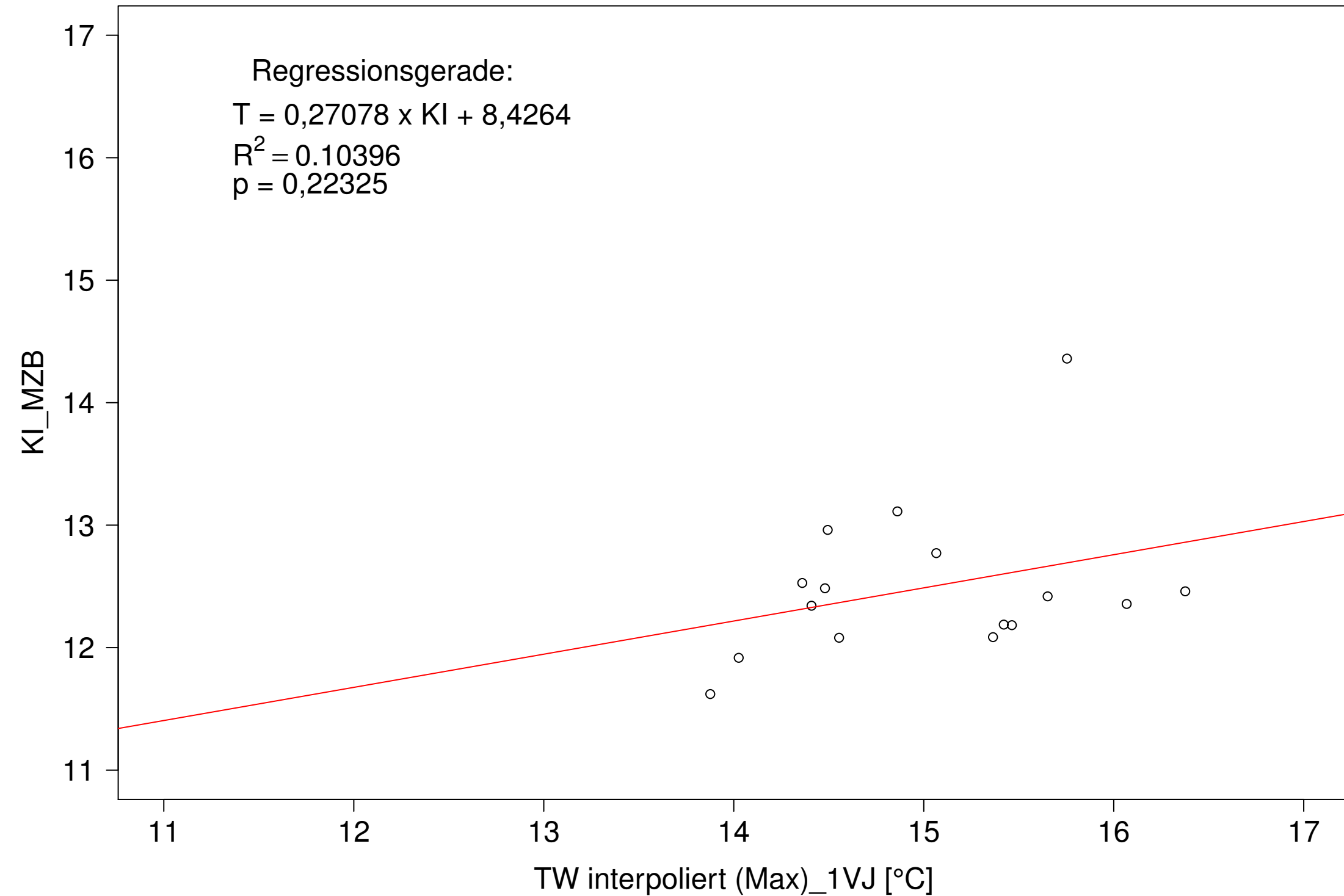
Gr. Lauter_Lauterach, Typ 09.1 mit Neozoen, Serie 4
KI_MZB (Typ/Kont-Korr) gegen 3JMW TW interpoliert (JA) des 1. Vorjahres



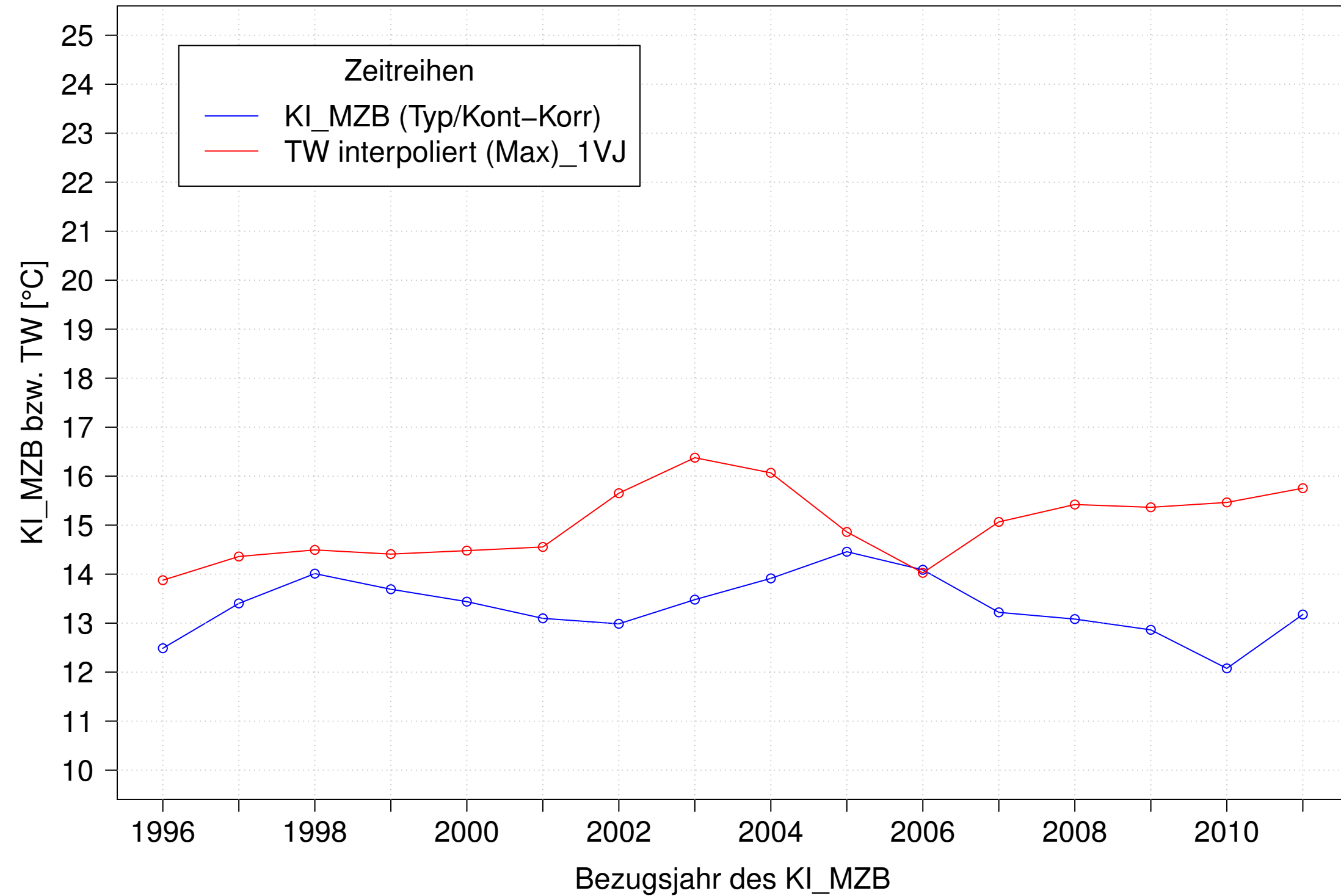
Gr. Lauter_Lauterach, Typ 09.1 mit Neozoen, Serie 1
KI_MZB (Typ/Kont-Korr) und 3JMW TW interpoliert (Max) des 1. Vorjahres



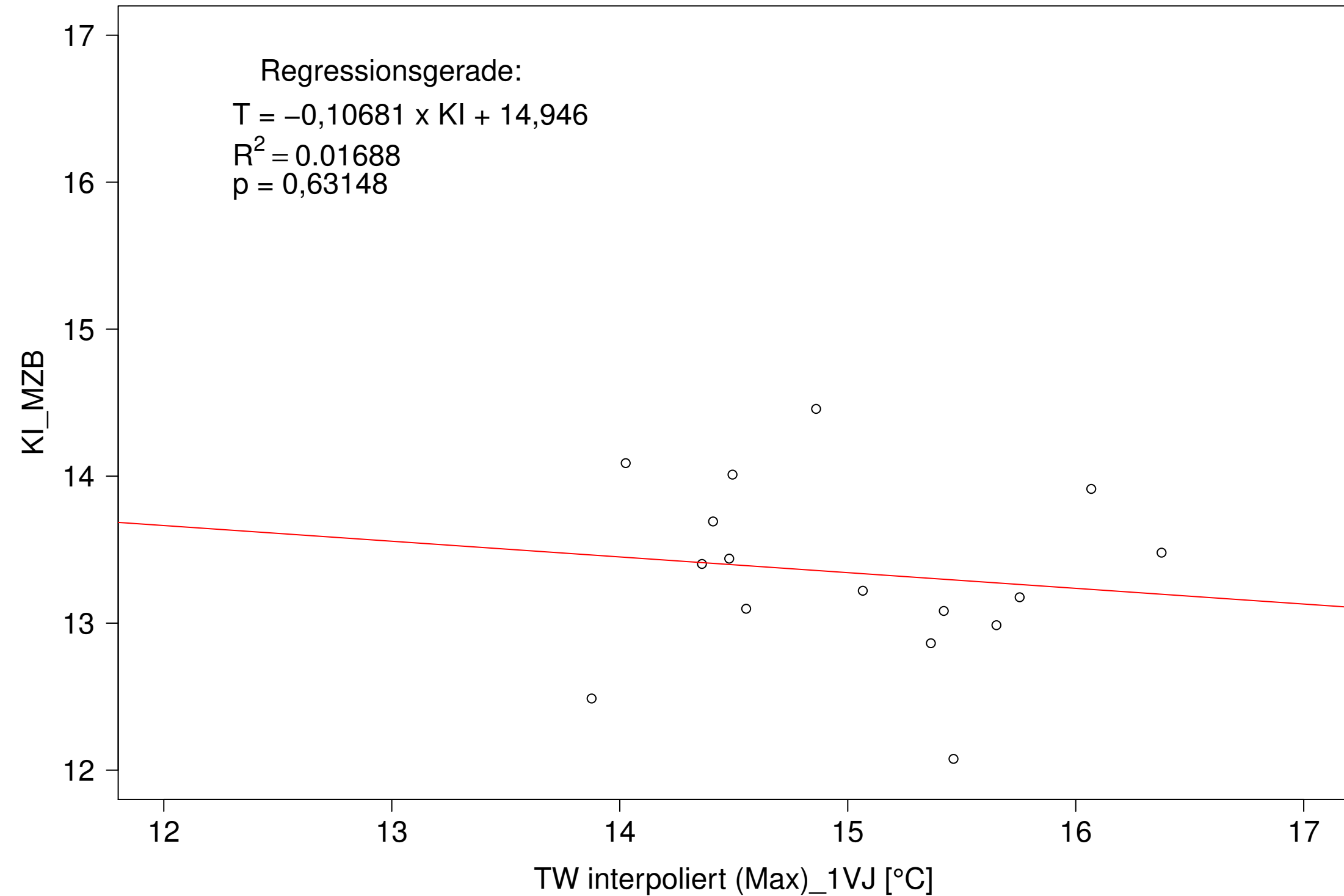
Gr. Lauter_Lauterach, Typ 09.1 mit Neozoen, Serie 1
KI_MZB (Typ/Kont-Korr) gegen 3JMW TW interpoliert (Max) des 1. Vorjahres



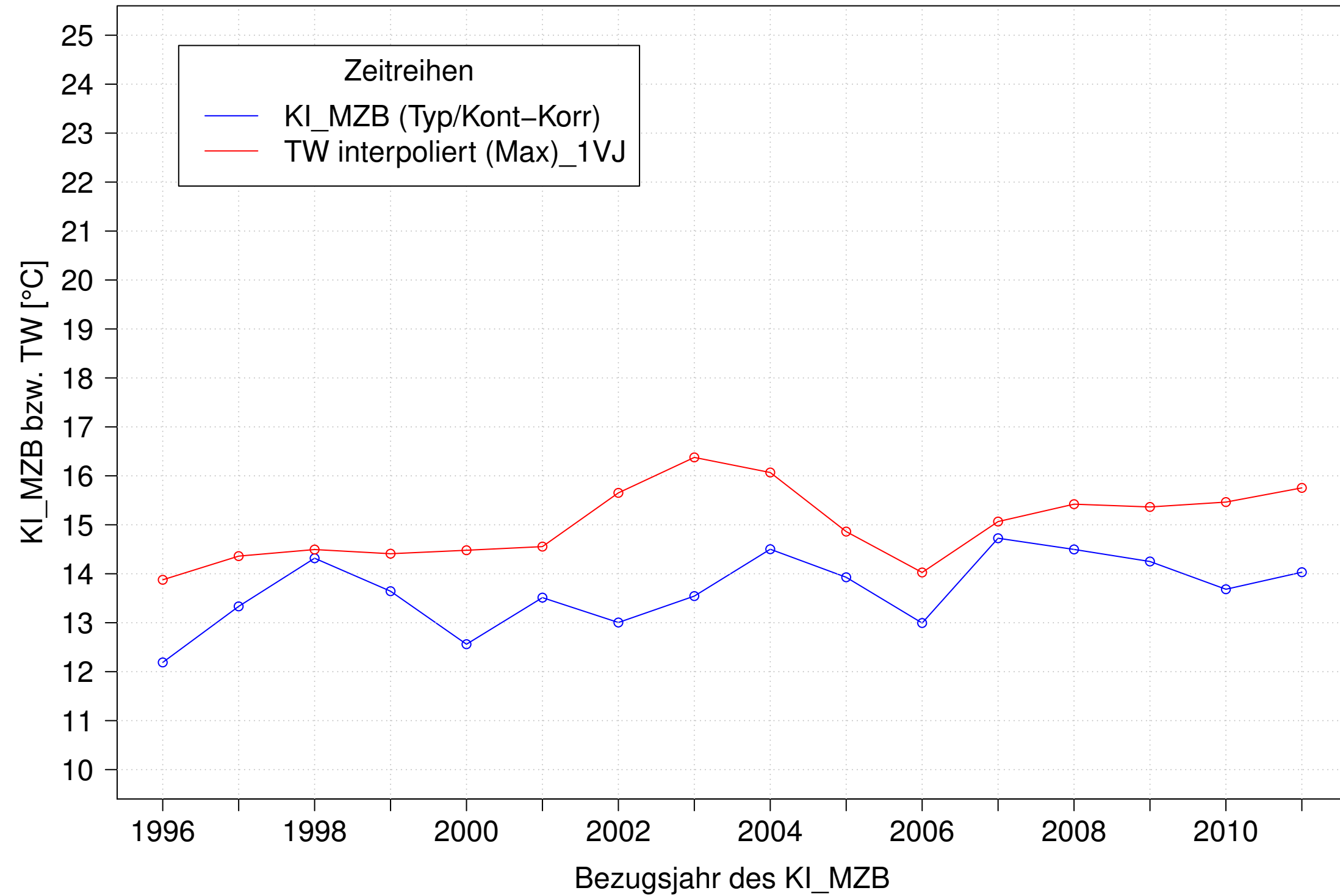
Gr. Lauter_Lauterach, Typ 09.1 mit Neozoen, Serie 2
 KI_MZB (Typ/Kont-Korr) und 3JMW TW interpoliert (Max) des 1. Vorjahres



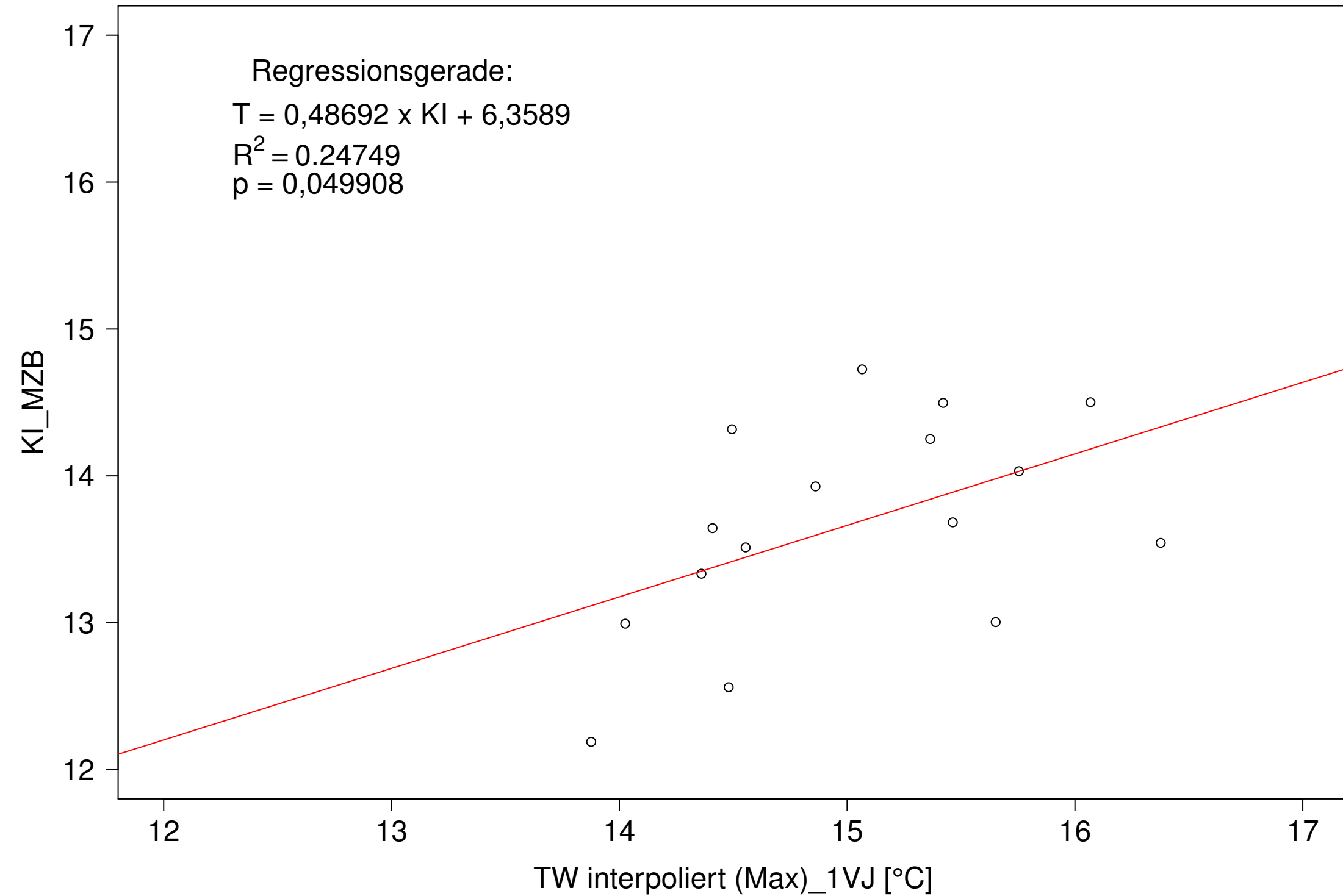
Gr. Lauter_Lauterach, Typ 09.1 mit Neozoen, Serie 2
 KI_MZB (Typ/Kont-Korr) gegen 3JMW TW interpoliert (Max) des 1. Vorjahres



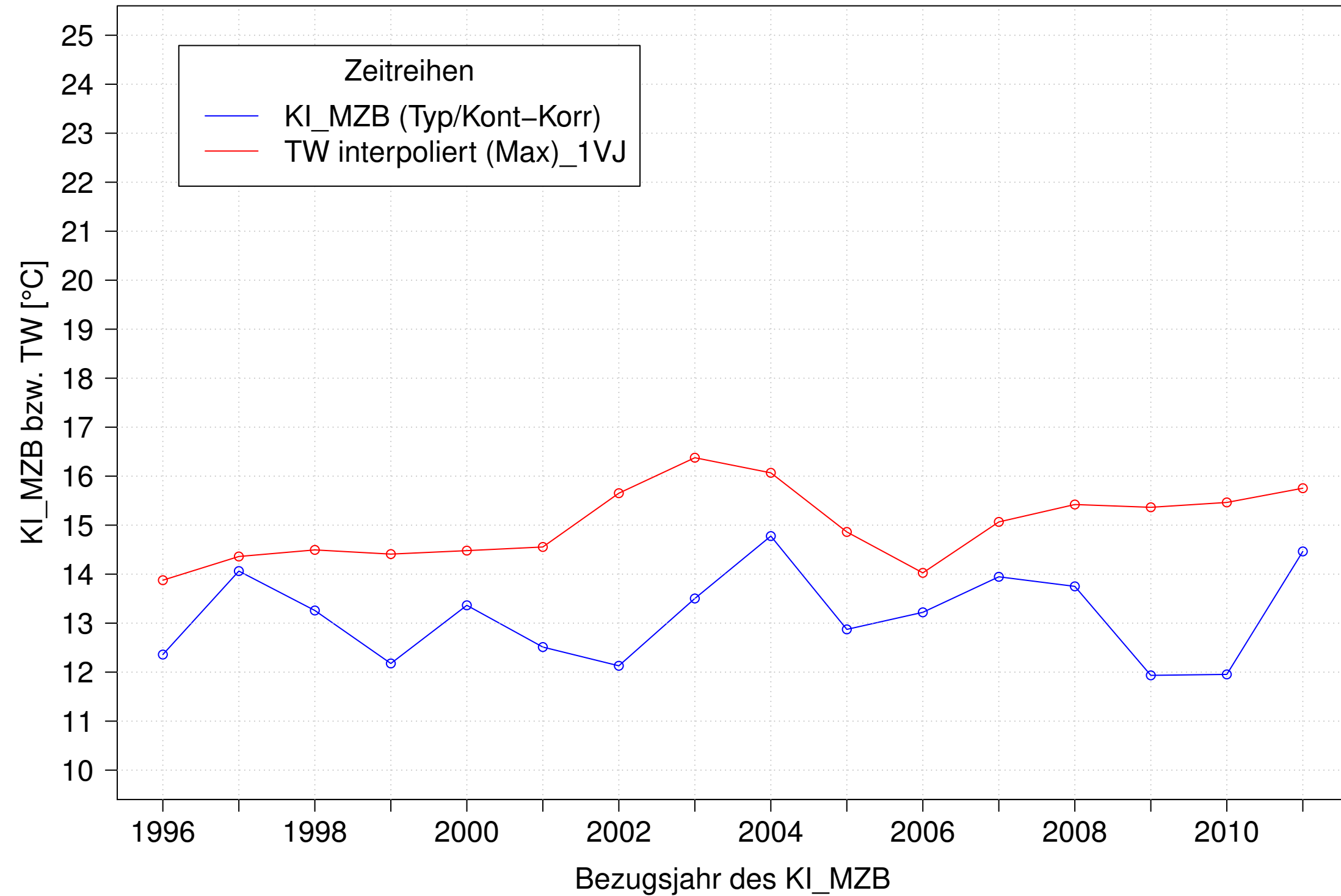
Gr. Lauter_Lauterach, Typ 09.1 mit Neozoen, Serie 3
KI_MZB (Typ/Kont-Korr) und 3JMW TW interpoliert (Max) des 1. Vorjahres



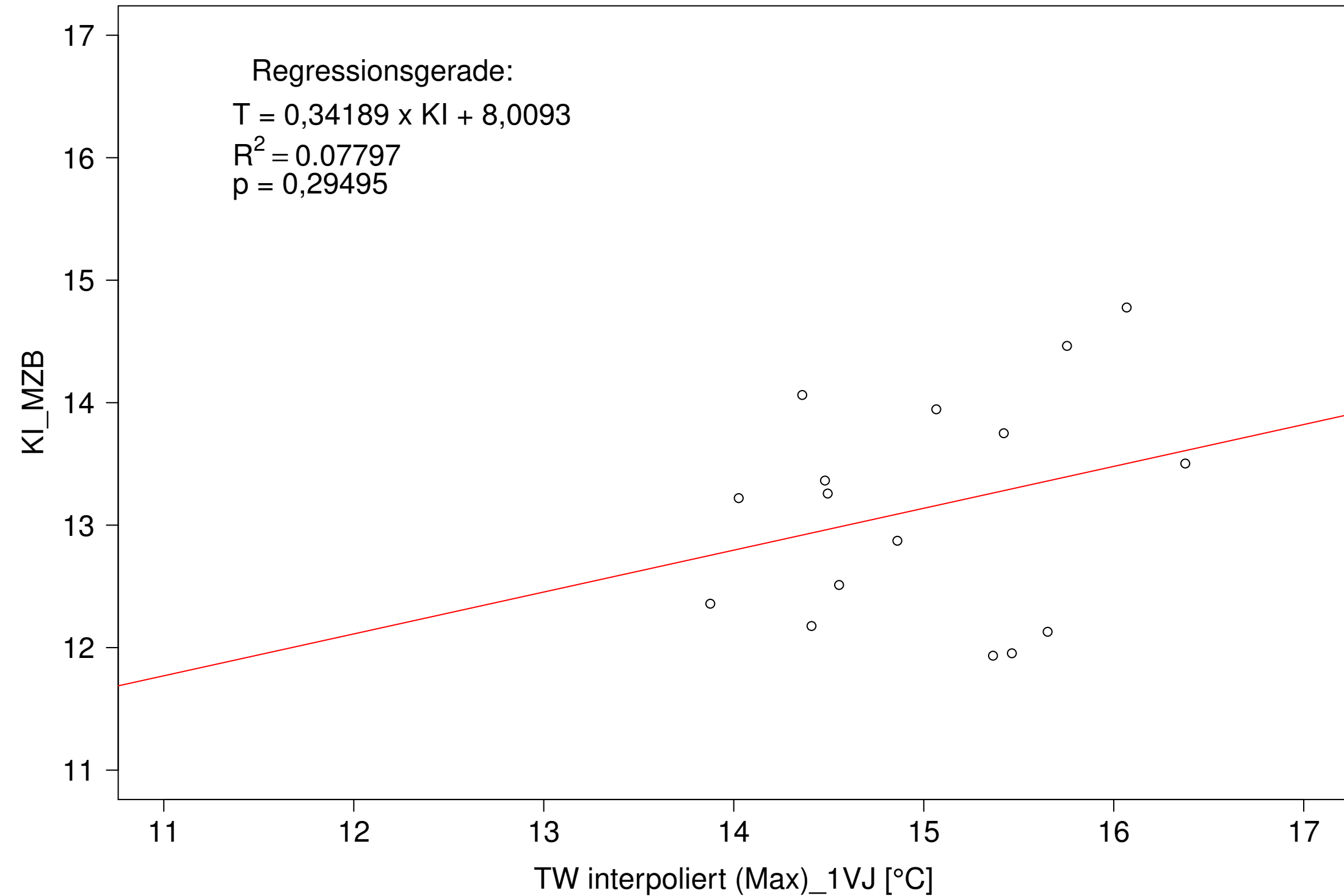
Gr. Lauter_Lauterach, Typ 09.1 mit Neozoen, Serie 3
KI_MZB (Typ/Kont-Korr) gegen 3JMW TW interpoliert (Max) des 1. Vorjahres



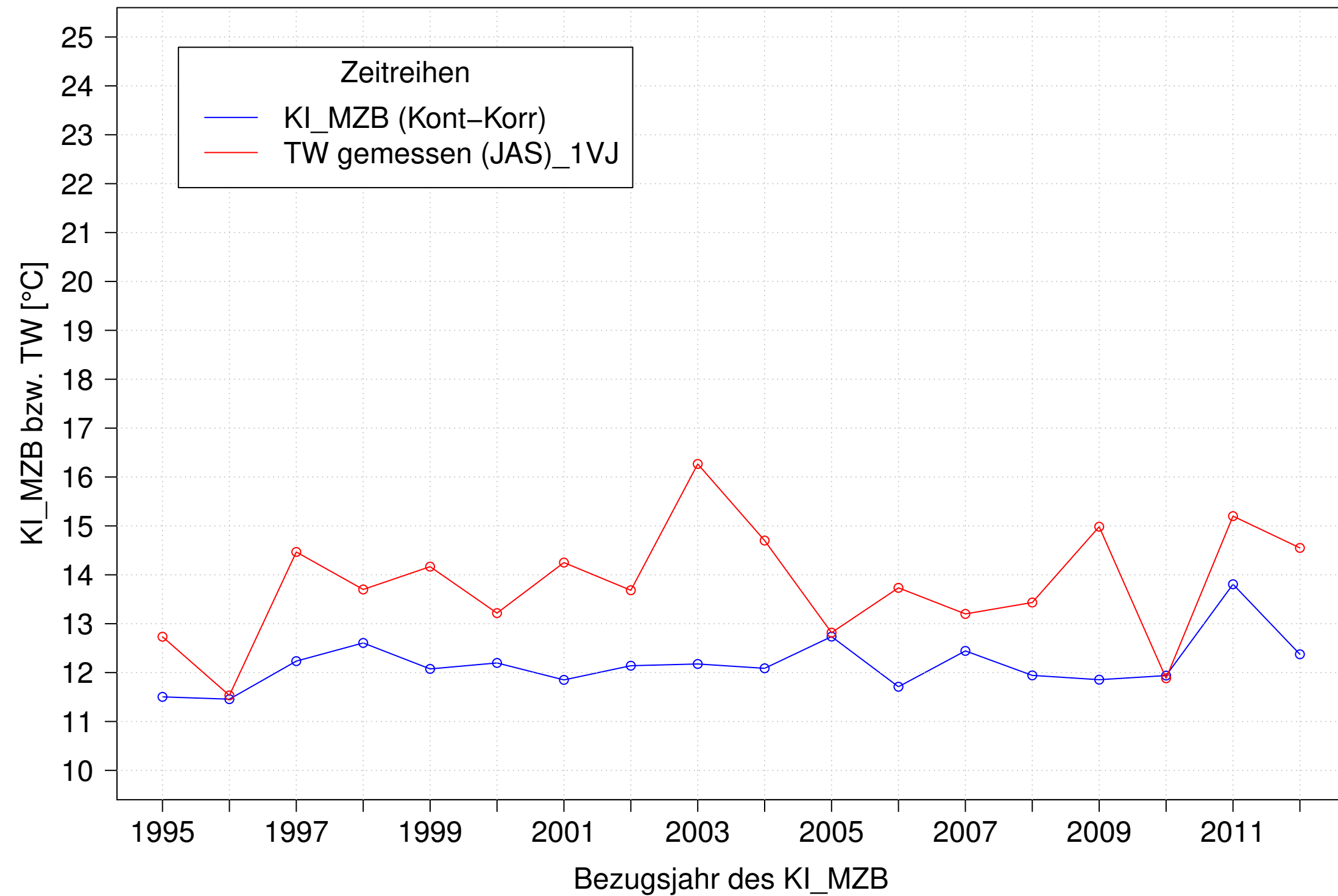
Gr. Lauter_Lauterach, Typ 09.1 mit Neozoen, Serie 4
 KI_MZB (Typ/Kont-Korr) und 3JMW TW interpoliert (Max) des 1. Vorjahres



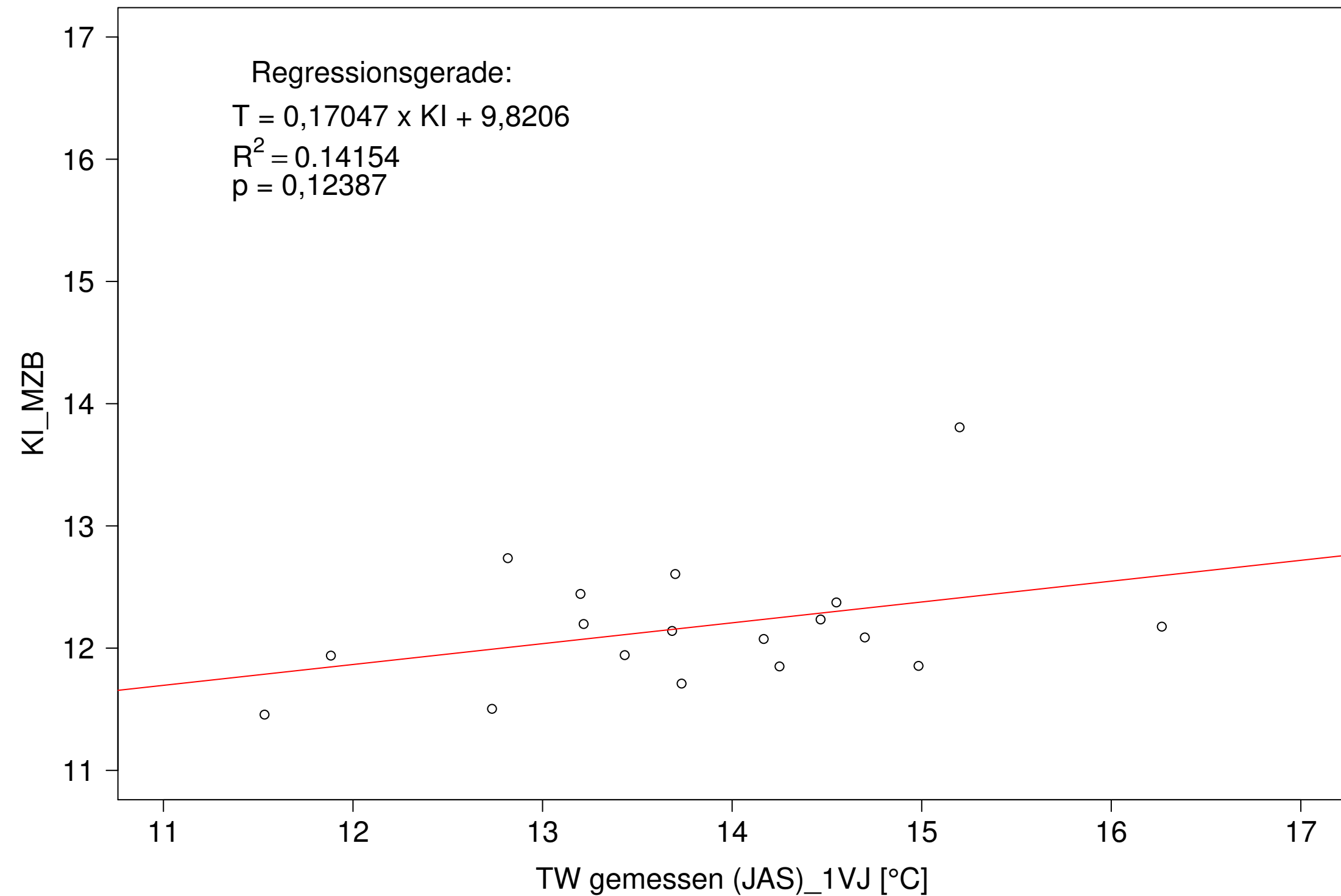
Gr. Lauter_Lauterach, Typ 09.1 mit Neozoen, Serie 4
 KI_MZB (Typ/Kont-Korr) gegen 3JMW TW interpoliert (Max) des 1. Vorjahres



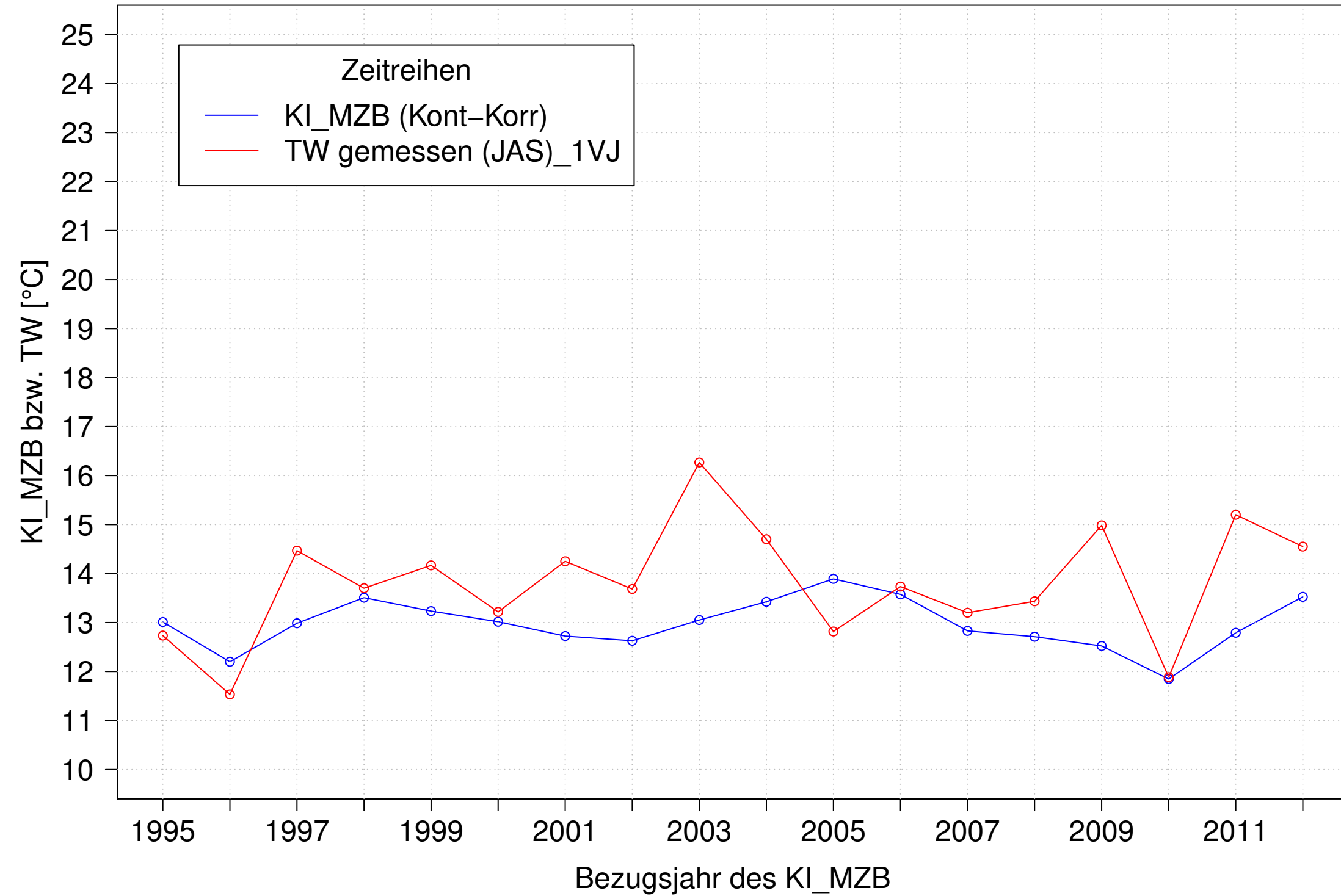
Gr. Lauter_Lauterach, Typ 09.1 mit Neozoen, Serie 1
KI_MZB (Kont-Korr) und TW gemessen (JAS) des 1. Vorjahres



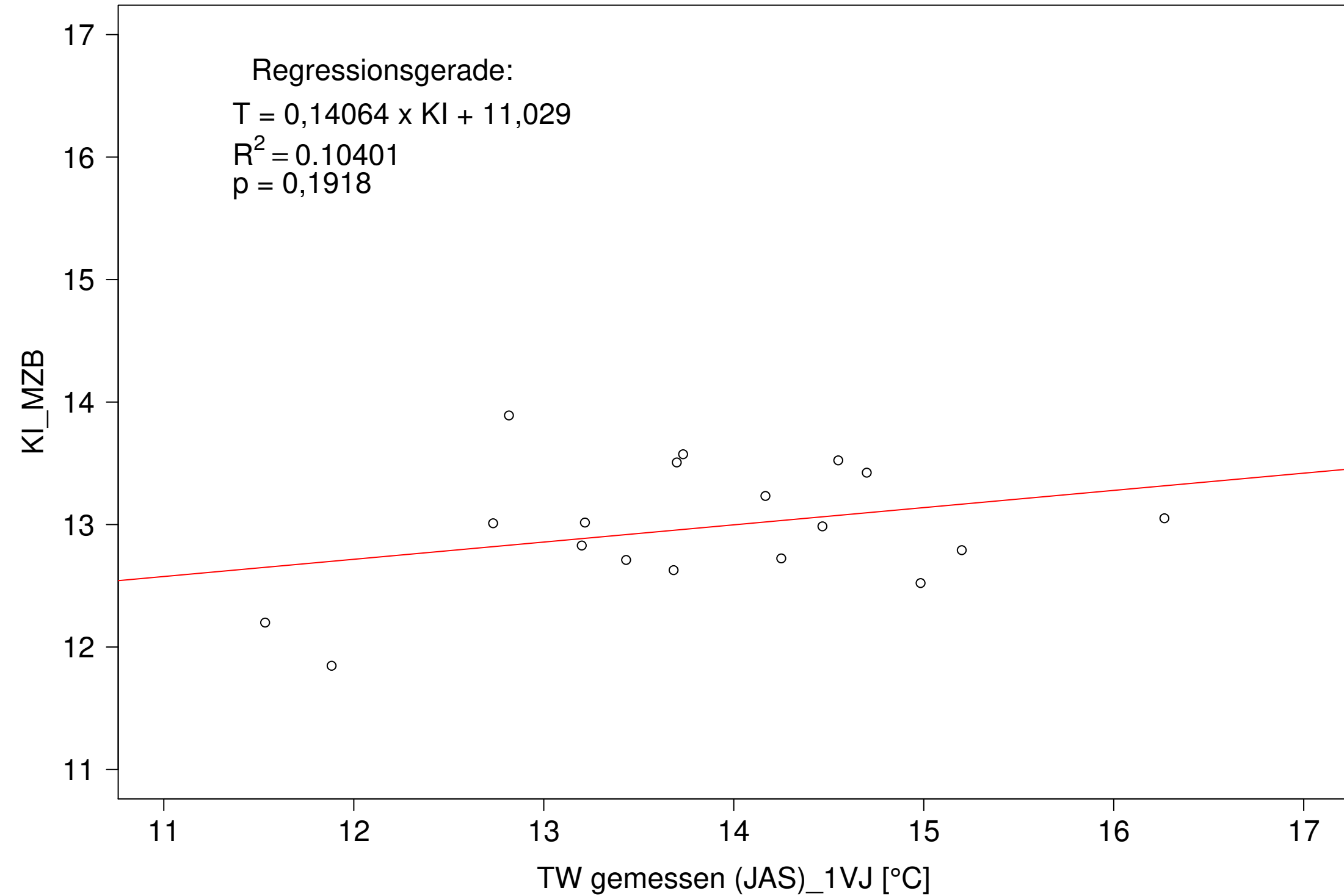
Gr. Lauter_Lauterach, Typ 09.1 mit Neozoen, Serie 1
KI_MZB (Kont-Korr) gegen TW gemessen (JAS) des 1. Vorjahres



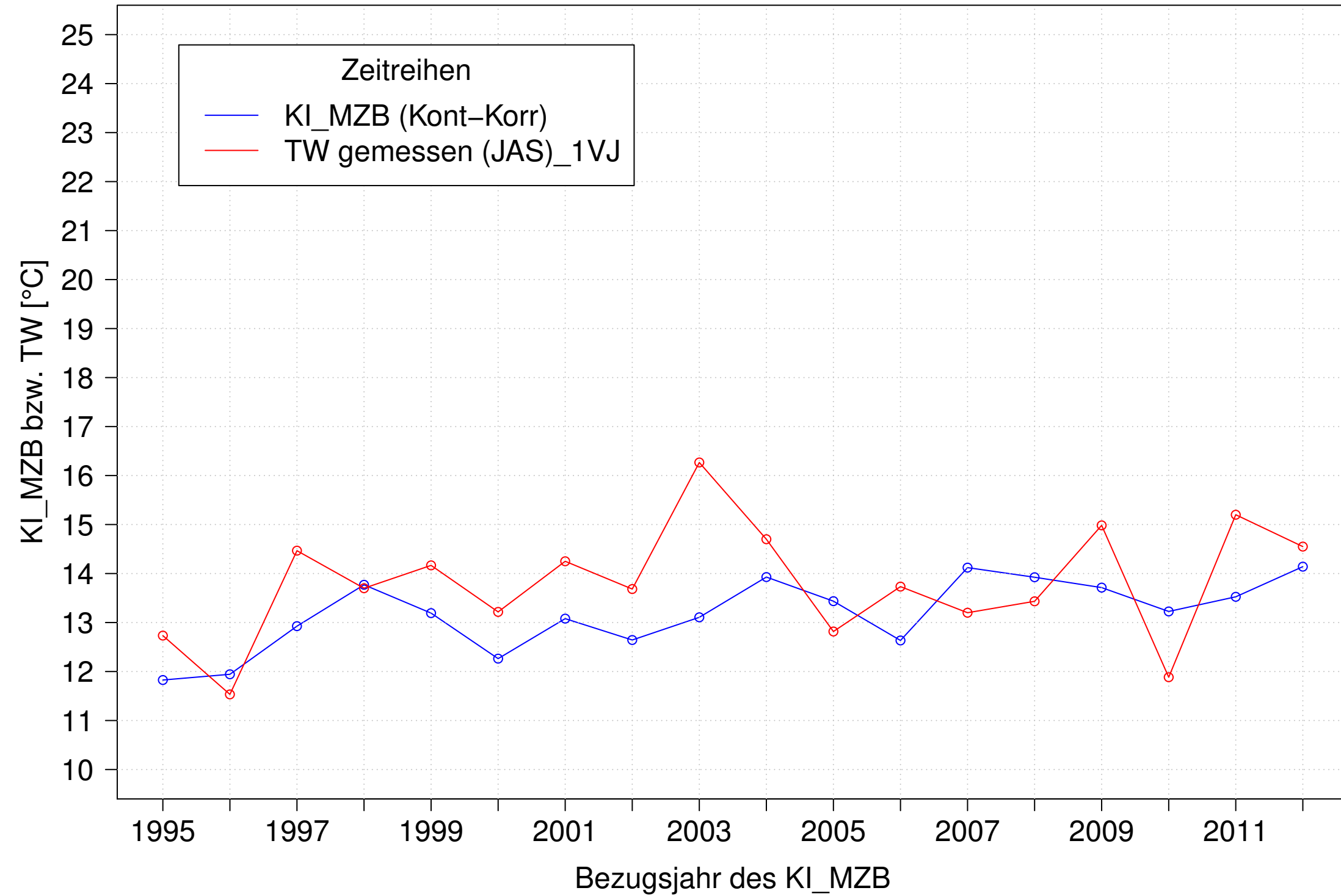
Gr. Lauter_Lauterach, Typ 09.1 mit Neozoen, Serie 2
KI_MZB (Kont-Korr) und TW gemessen (JAS) des 1. Vorjahres



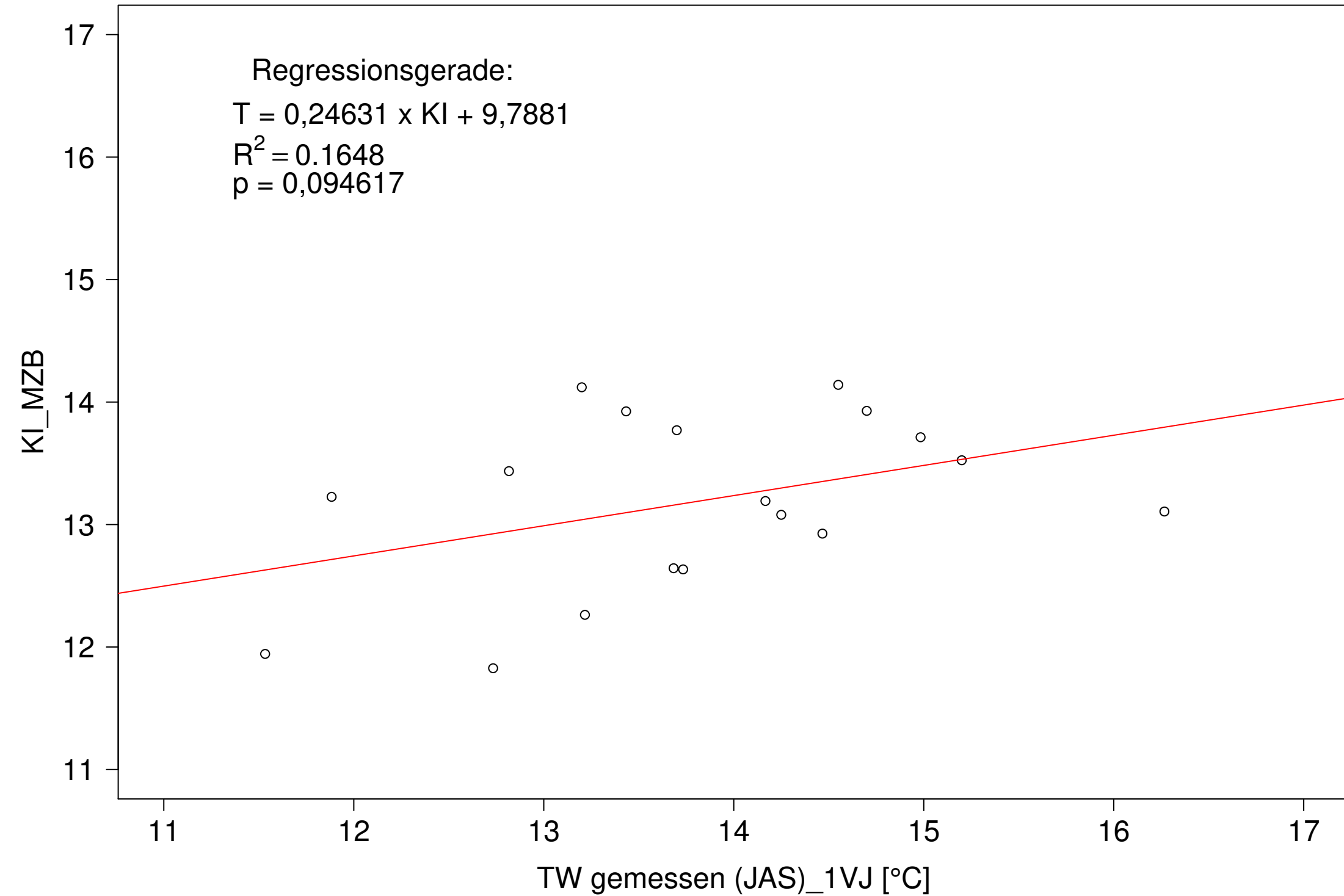
Gr. Lauter_Lauterach, Typ 09.1 mit Neozoen, Serie 2
KI_MZB (Kont-Korr) gegen TW gemessen (JAS) des 1. Vorjahres



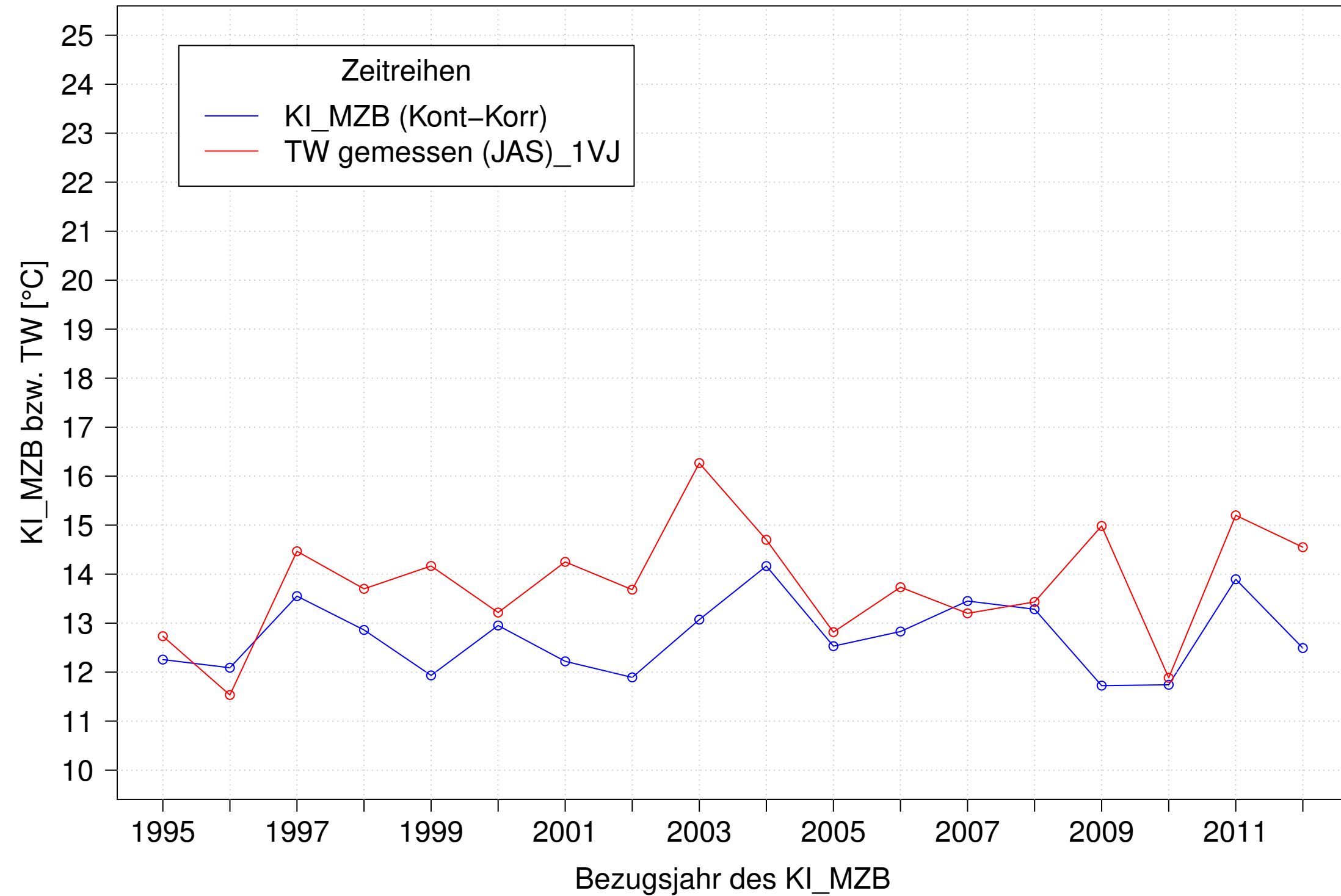
Gr. Lauter_Lauterach, Typ 09.1 mit Neozoen, Serie 3
KI_MZB (Kont-Korr) und TW gemessen (JAS) des 1. Vorjahres



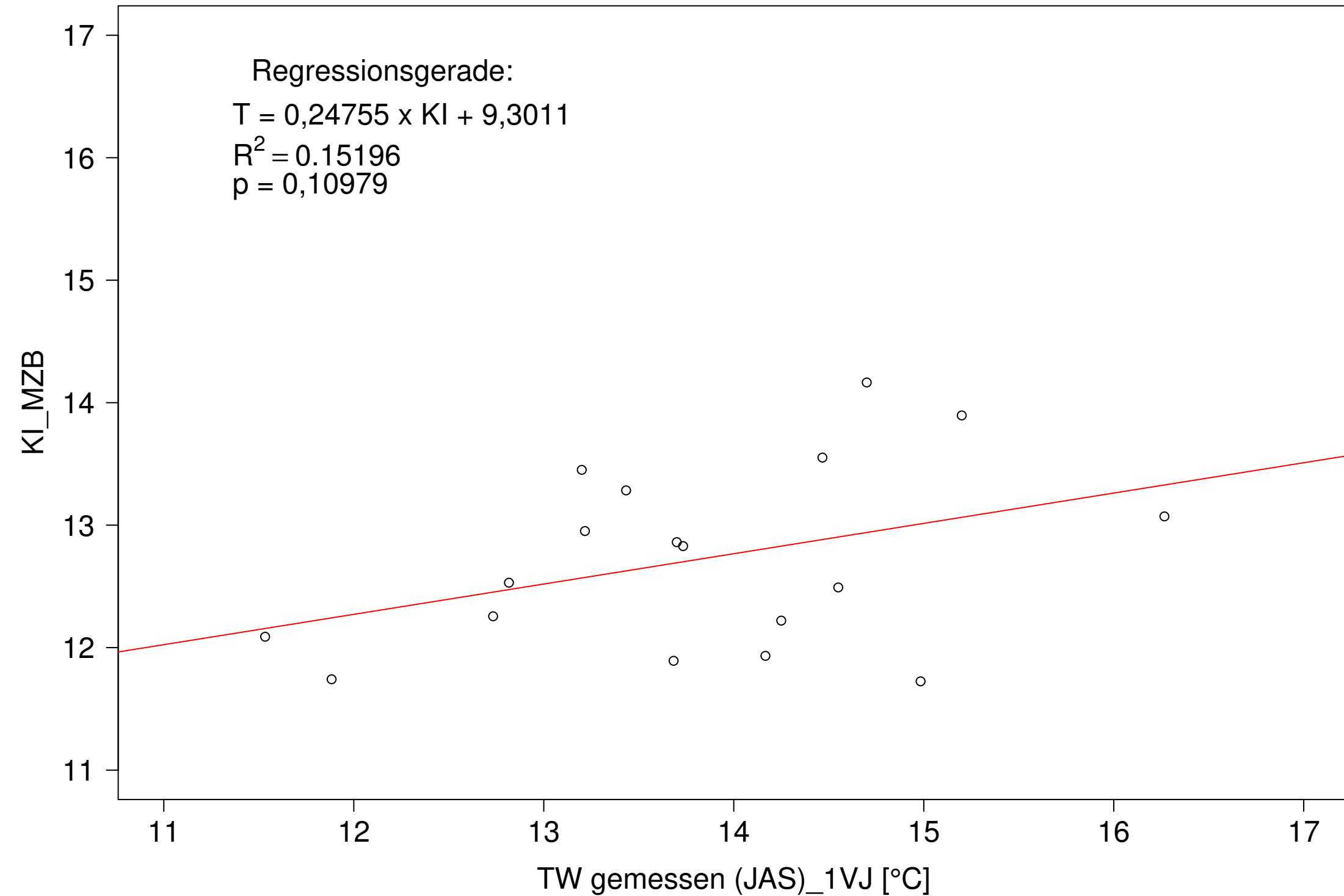
Gr. Lauter_Lauterach, Typ 09.1 mit Neozoen, Serie 3
KI_MZB (Kont-Korr) gegen TW gemessen (JAS) des 1. Vorjahres



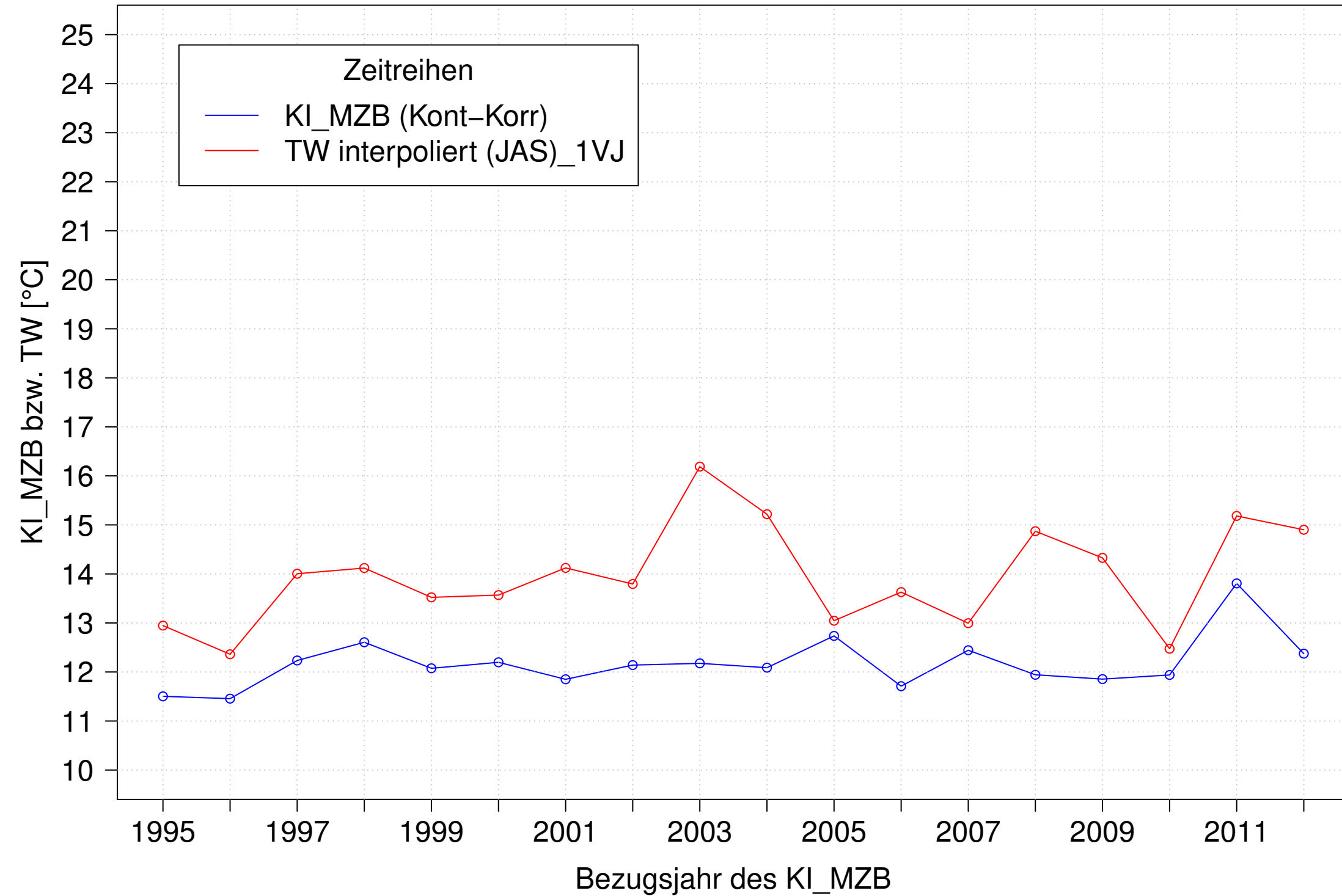
Gr. Lauter_Lauterach, Typ 09.1 mit Neozoen, Serie 4
KI_MZB (Kont-Korr) und TW gemessen (JAS) des 1. Vorjahres



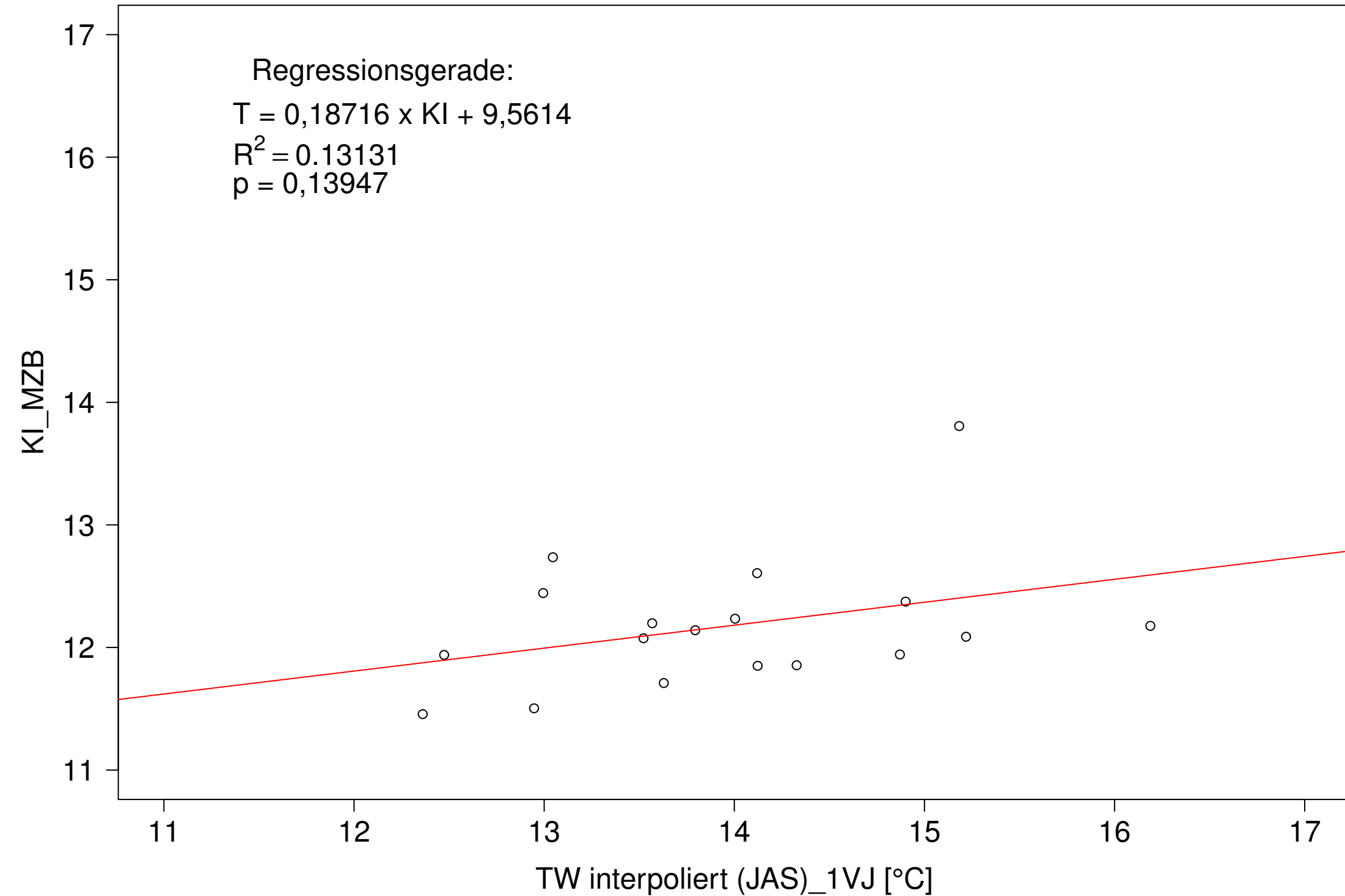
Gr. Lauter_Lauterach, Typ 09.1 mit Neozoen, Serie 4
KI_MZB (Kont-Korr) gegen TW gemessen (JAS) des 1. Vorjahres



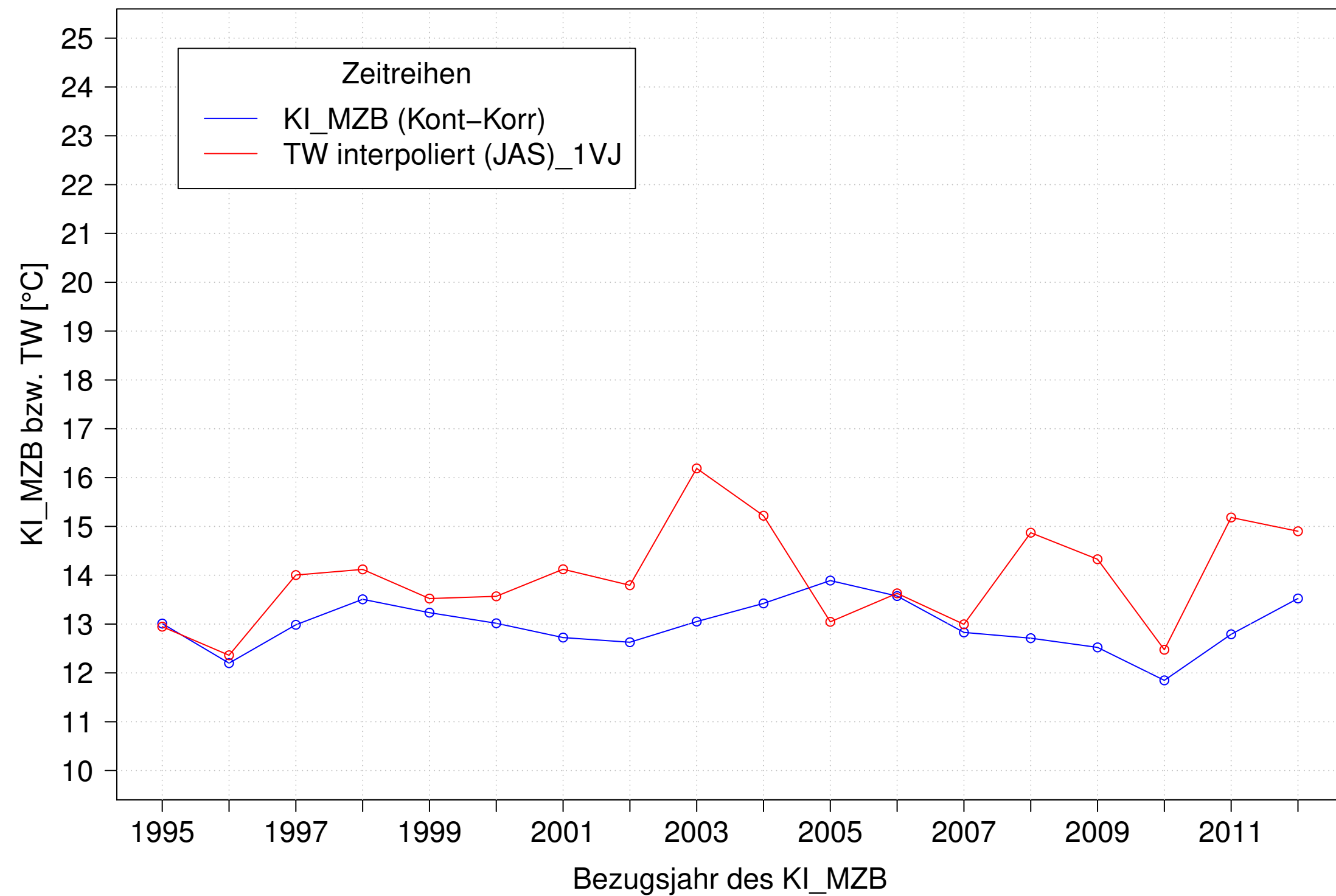
Gr. Lauter_Lauterach, Typ 09.1 mit Neozoen, Serie 1
KI_MZB (Kont-Korr) und TW interpoliert (JAS) des 1. Vorjahres



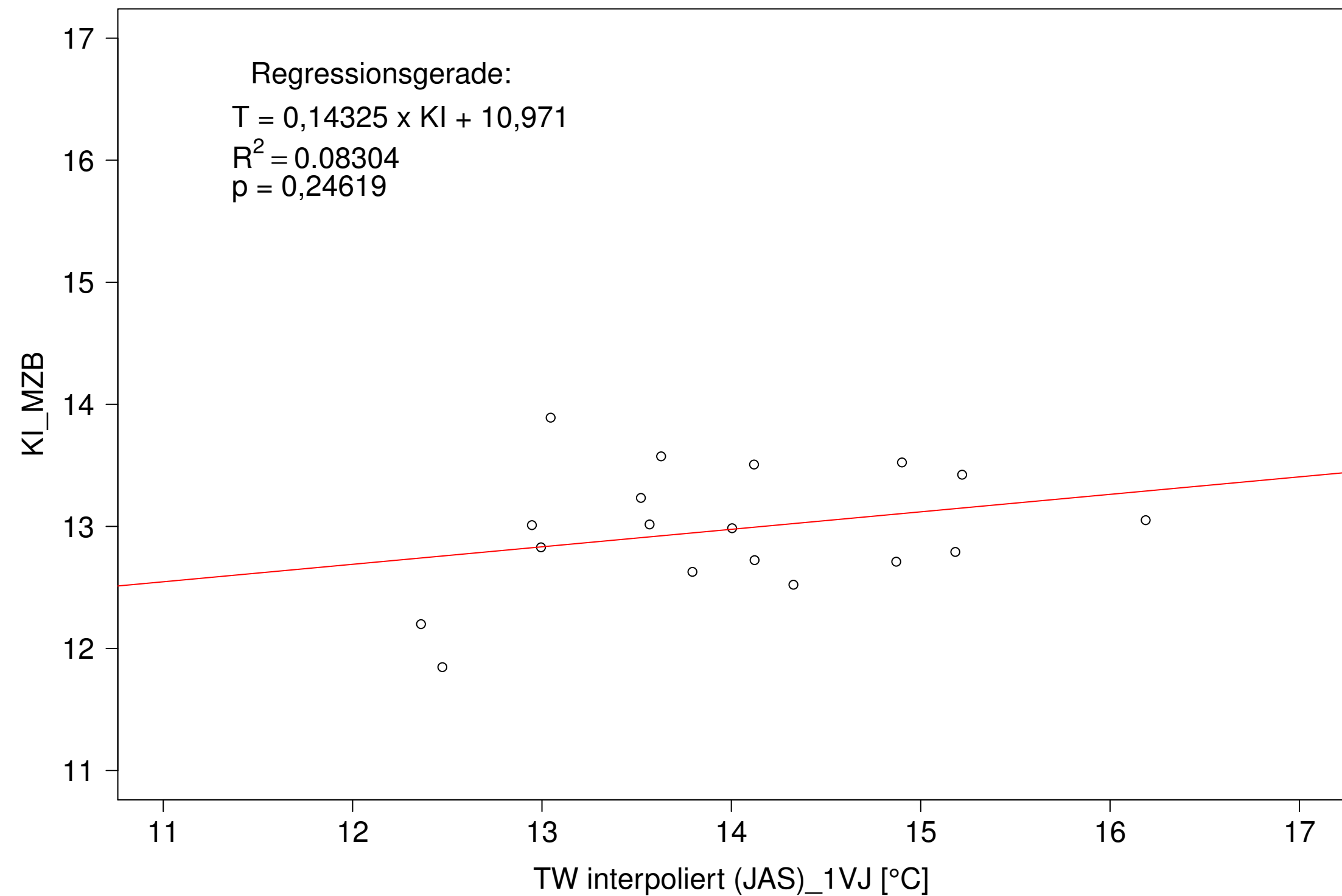
Gr. Lauter_Lauterach, Typ 09.1 mit Neozoen, Serie 1
KI_MZB (Kont-Korr) gegen TW interpoliert (JAS) des 1. Vorjahres



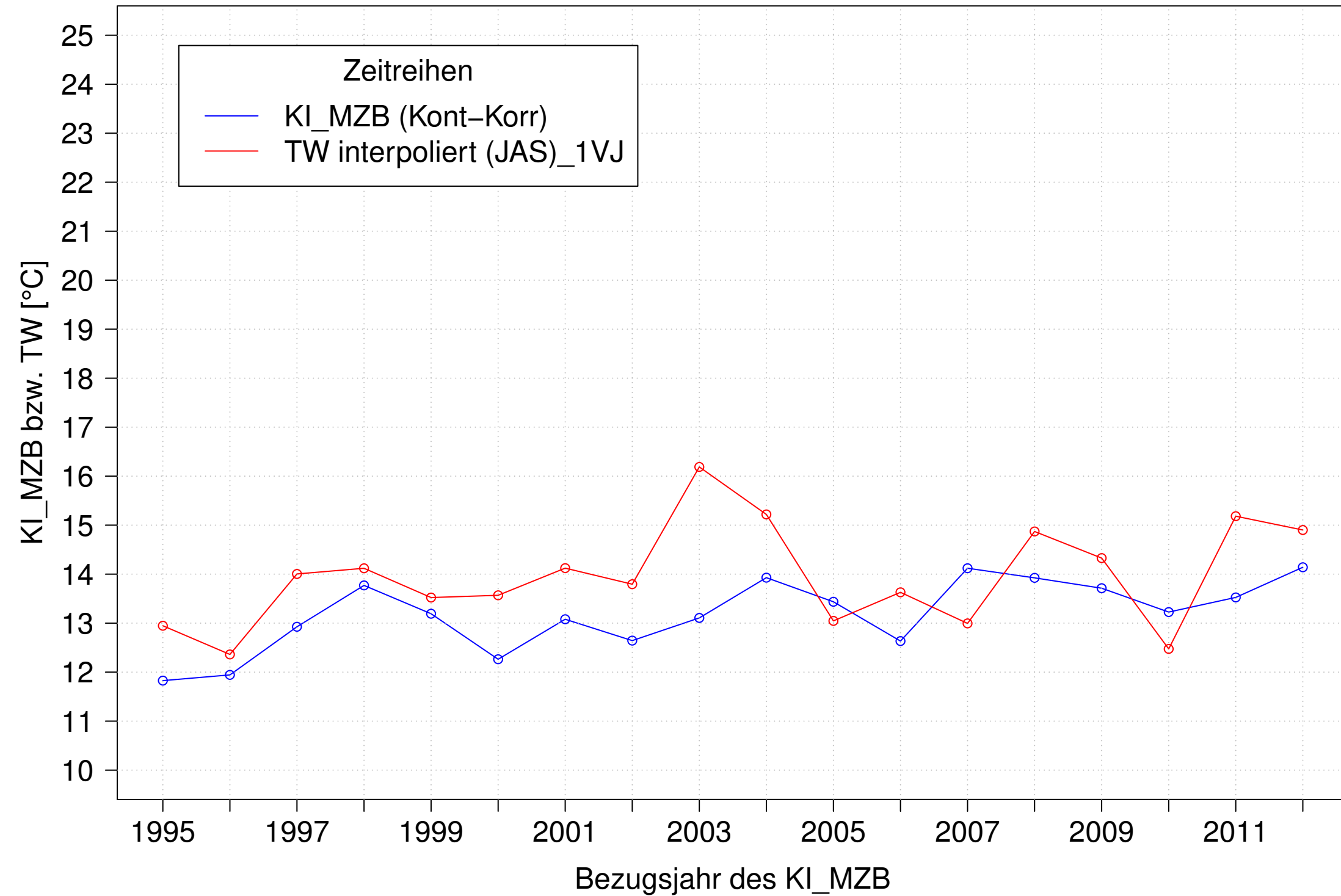
Gr. Lauter_Lauterach, Typ 09.1 mit Neozoen, Serie 2
KI_MZB (Kont-Korr) und TW interpoliert (JAS) des 1. Vorjahres



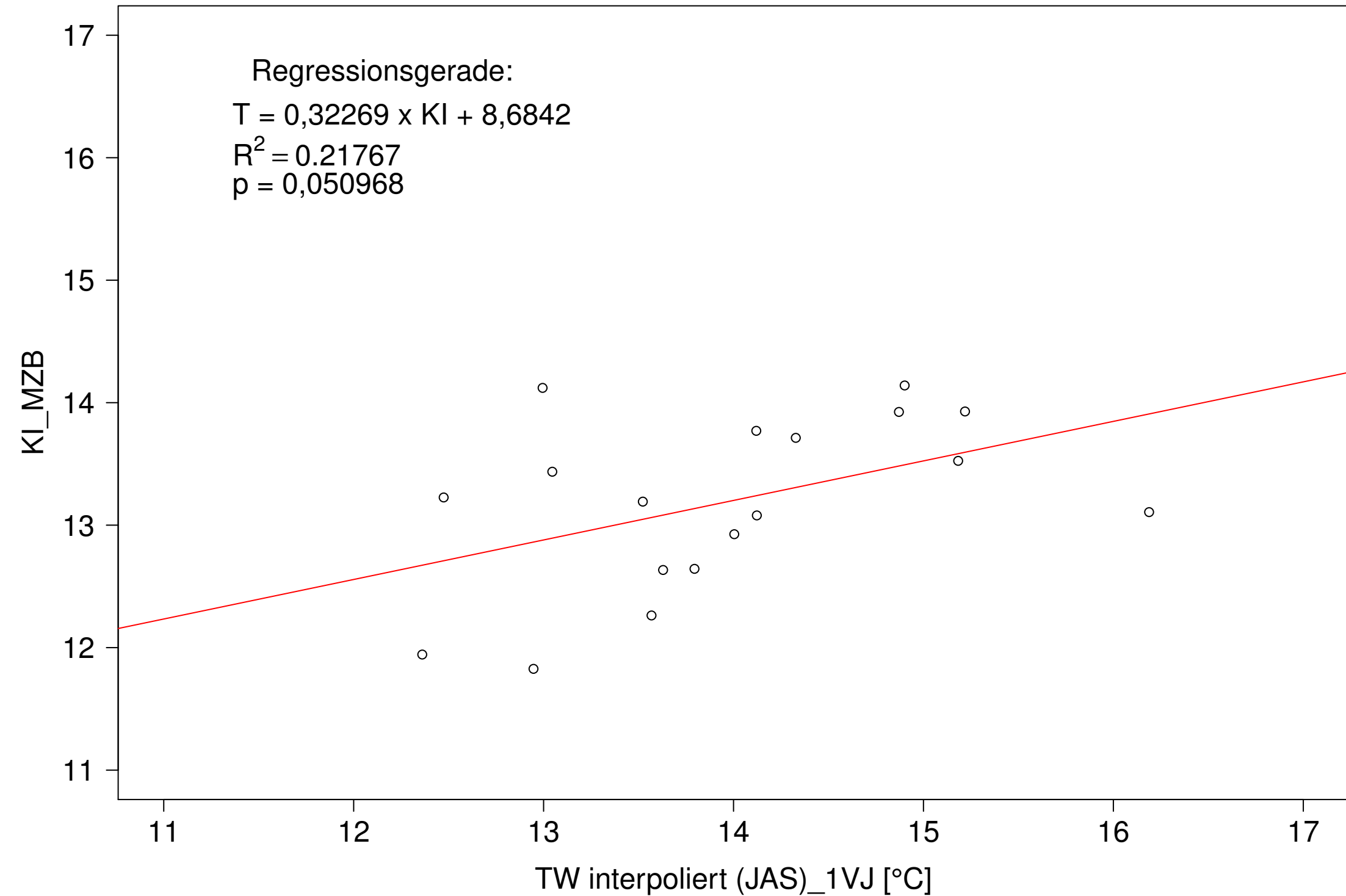
Gr. Lauter_Lauterach, Typ 09.1 mit Neozoen, Serie 2
KI_MZB (Kont-Korr) gegen TW interpoliert (JAS) des 1. Vorjahres



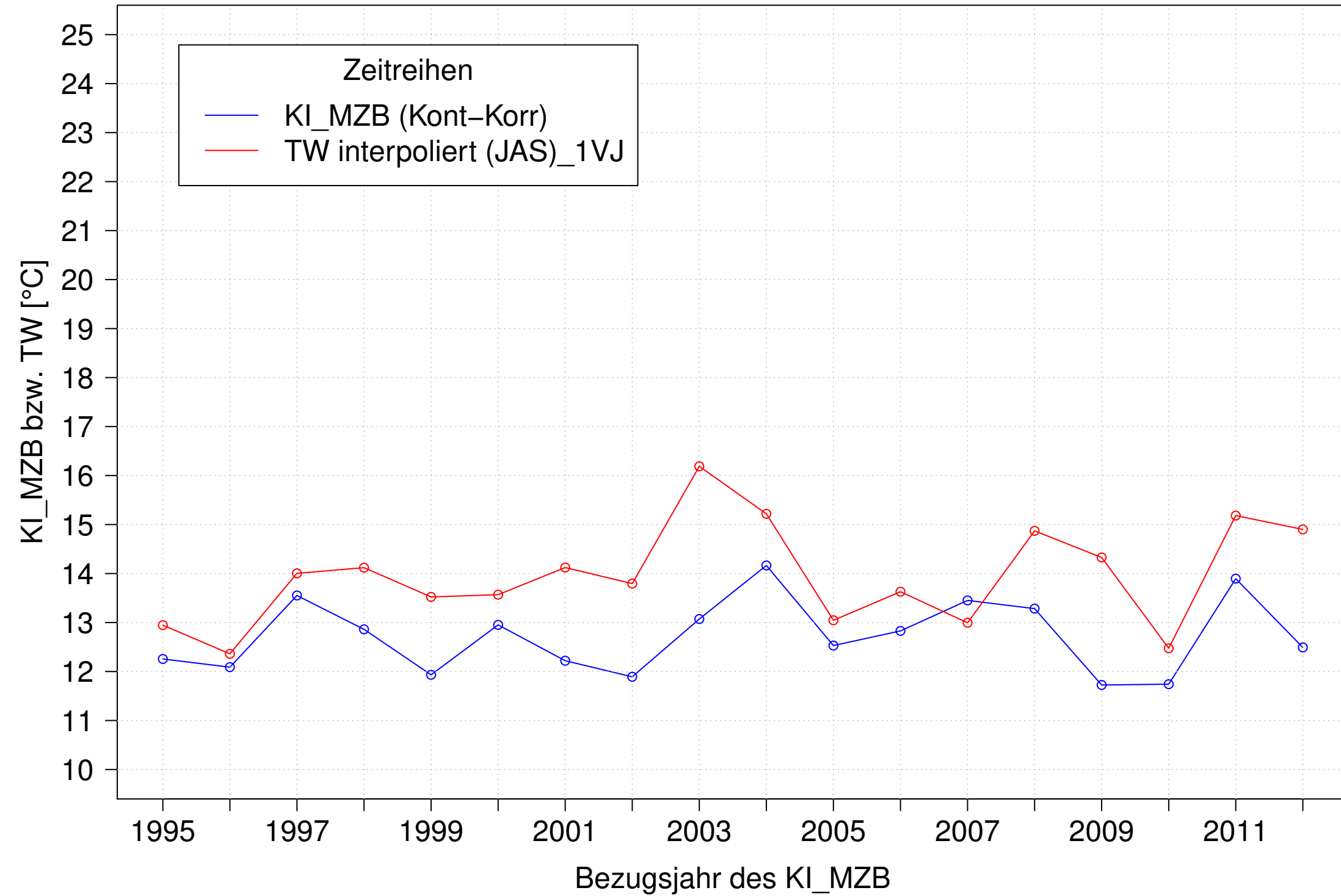
Gr. Lauter_Lauterach, Typ 09.1 mit Neozoen, Serie 3
KI_MZB (Kont-Korr) und TW interpoliert (JAS) des 1. Vorjahres



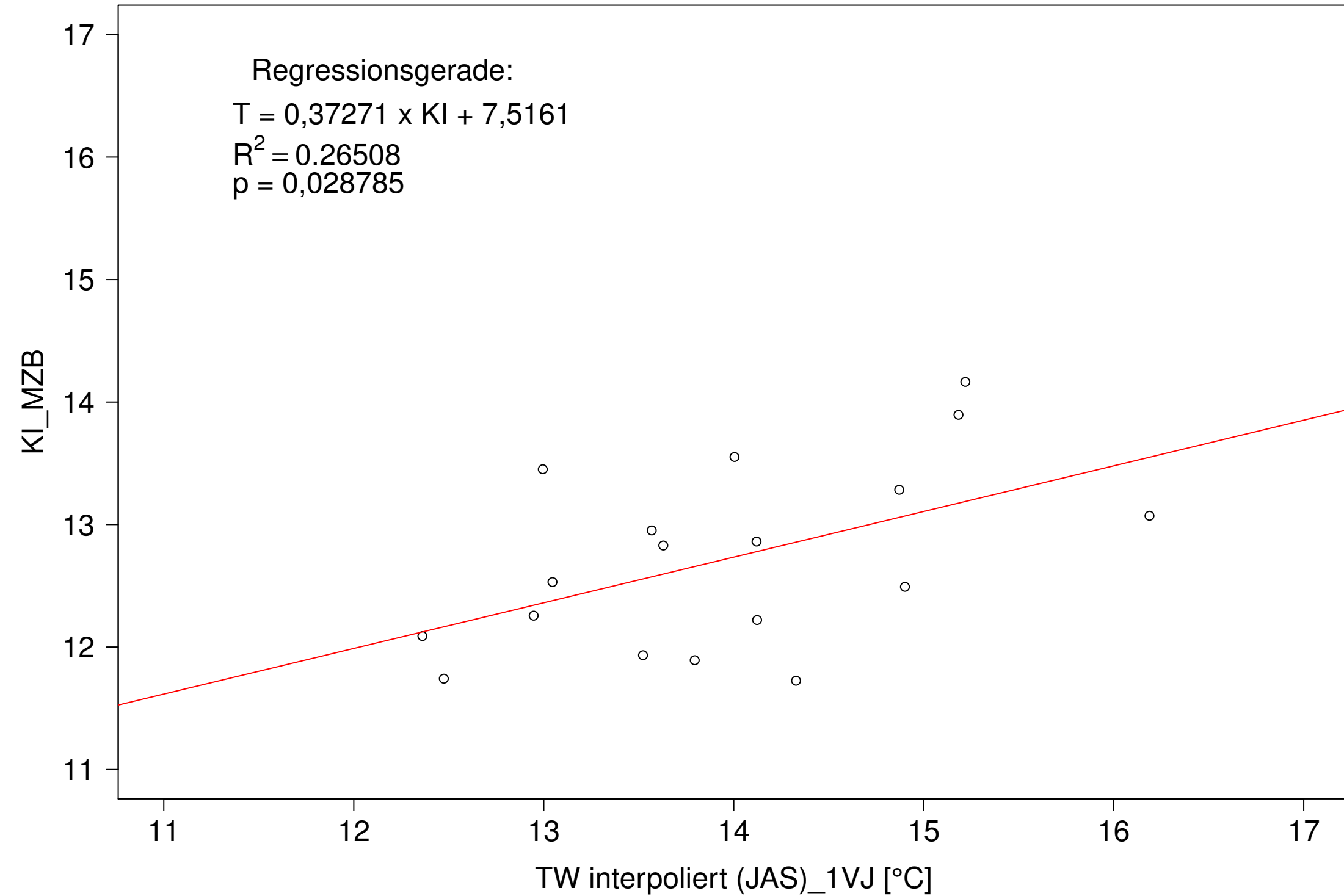
Gr. Lauter_Lauterach, Typ 09.1 mit Neozoen, Serie 3
KI_MZB (Kont-Korr) gegen TW interpoliert (JAS) des 1. Vorjahres



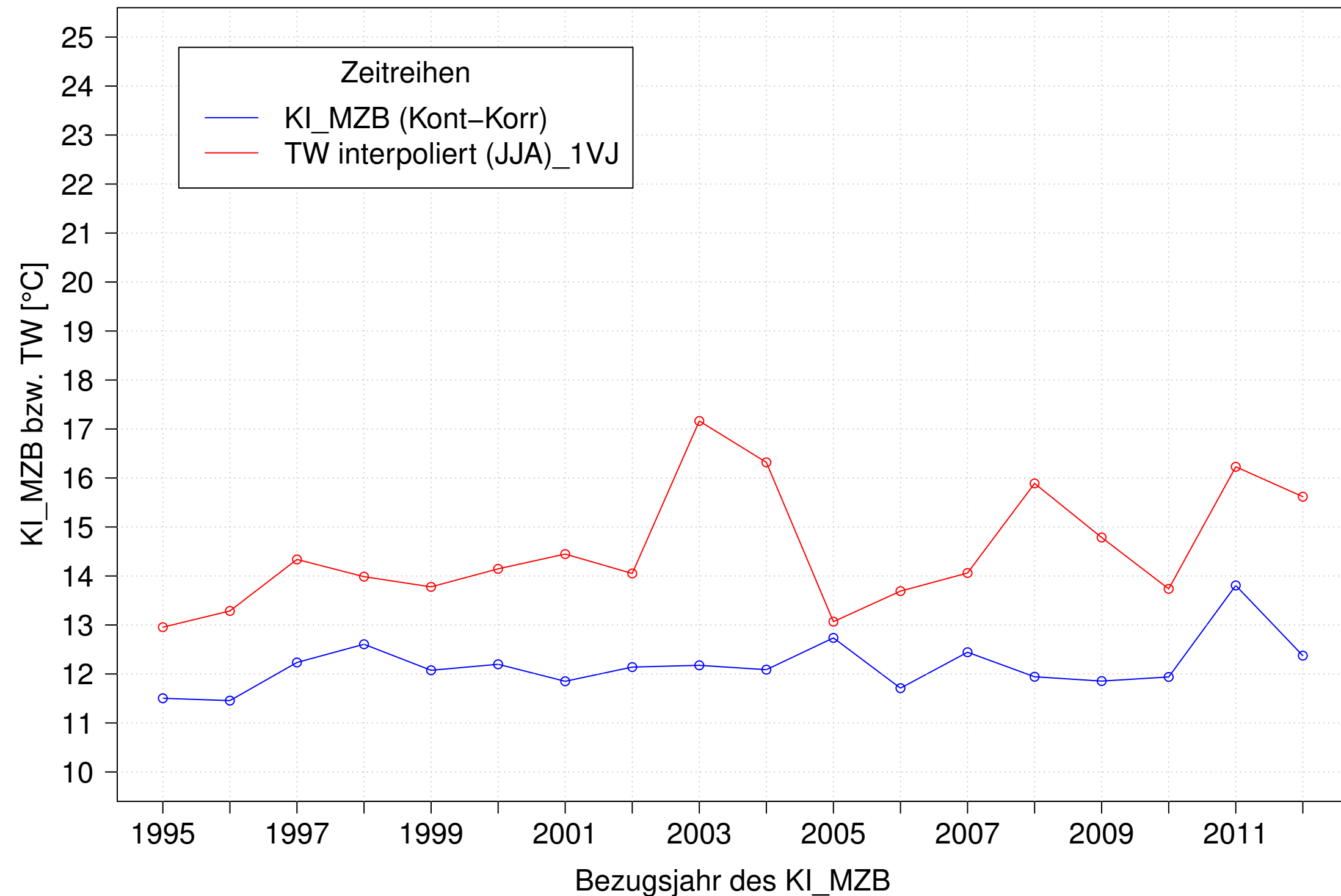
Gr. Lauter_Lauterach, Typ 09.1 mit Neozoen, Serie 4
KI_MZB (Kont-Korr) und TW interpoliert (JAS) des 1. Vorjahres



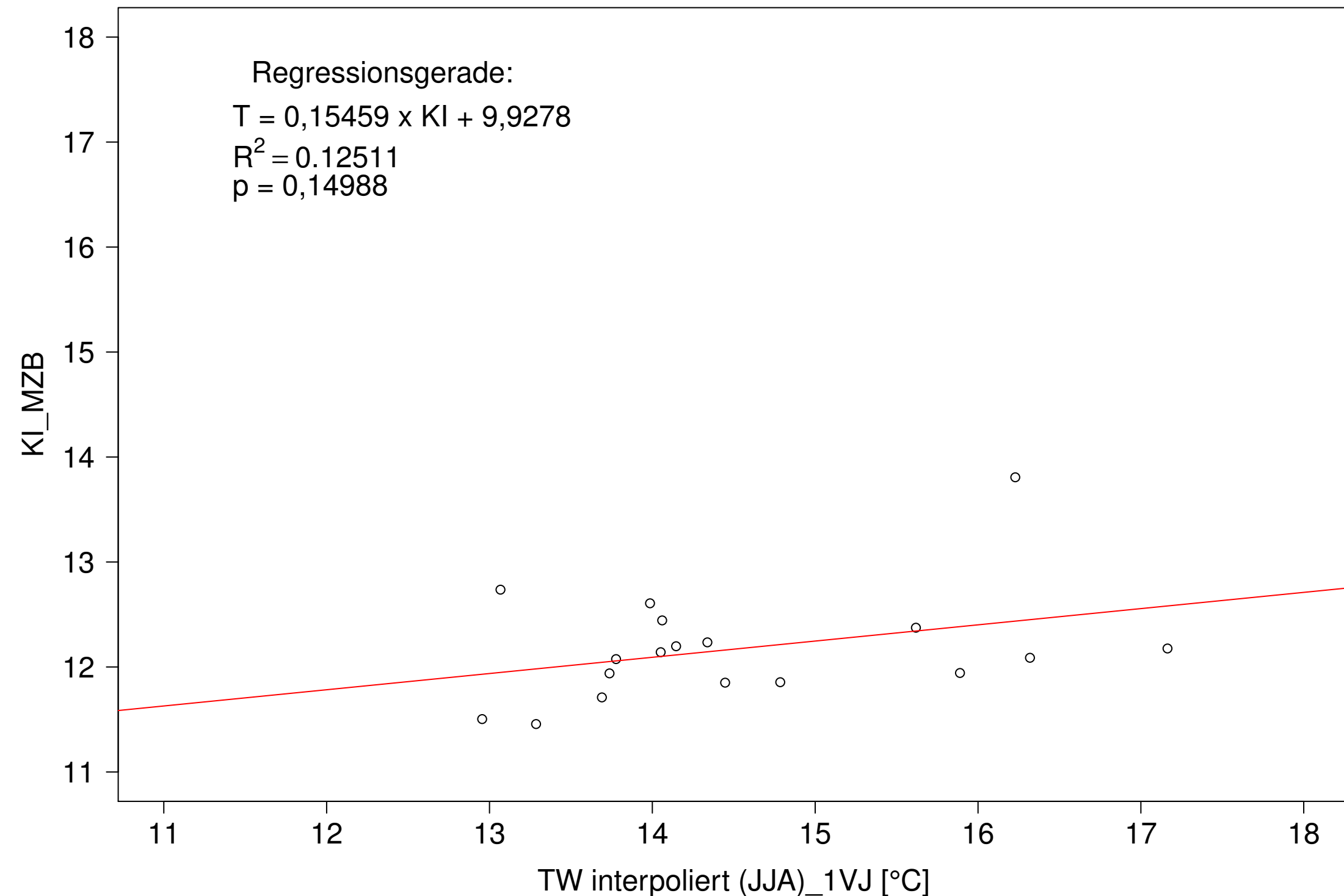
Gr. Lauter_Lauterach, Typ 09.1 mit Neozoen, Serie 4
KI_MZB (Kont-Korr) gegen TW interpoliert (JAS) des 1. Vorjahres



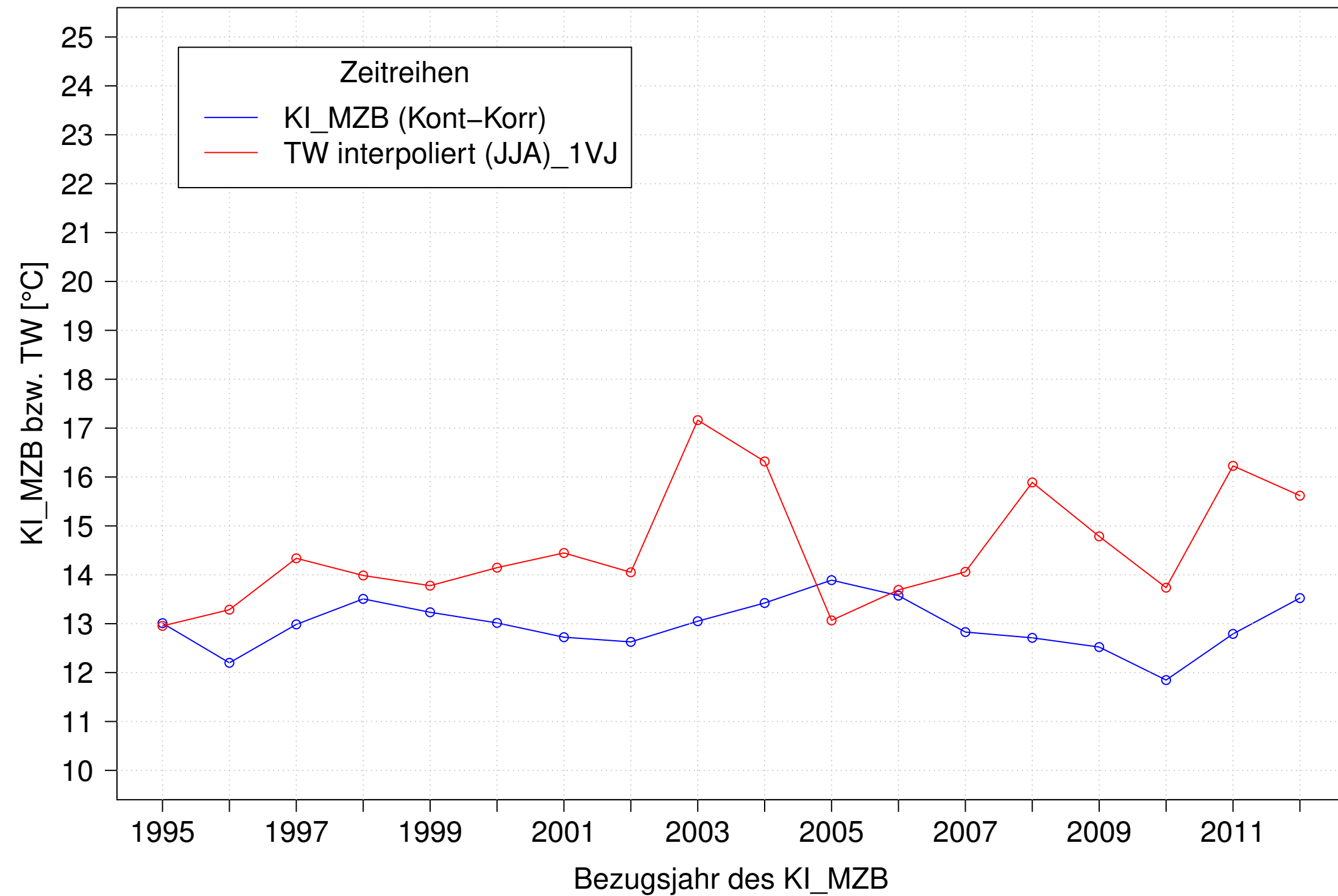
Gr. Lauter_Lauterach, Typ 09.1 mit Neozoen, Serie 1
KI_MZB (Kont-Korr) und TW interpoliert (JJA) des 1. Vorjahres



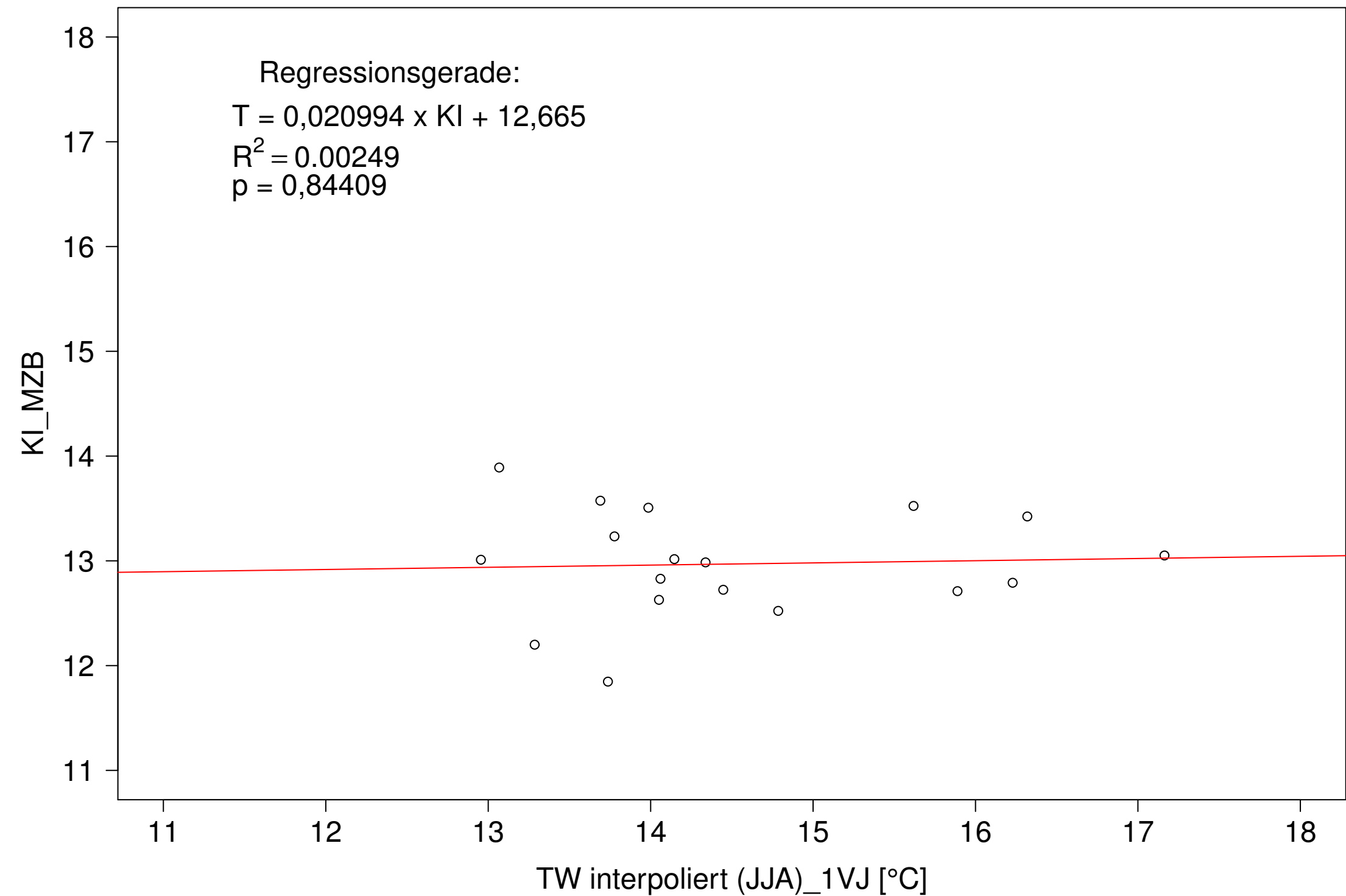
Gr. Lauter_Lauterach, Typ 09.1 mit Neozoen, Serie 1
KI_MZB (Kont-Korr) gegen TW interpoliert (JJA) des 1. Vorjahres



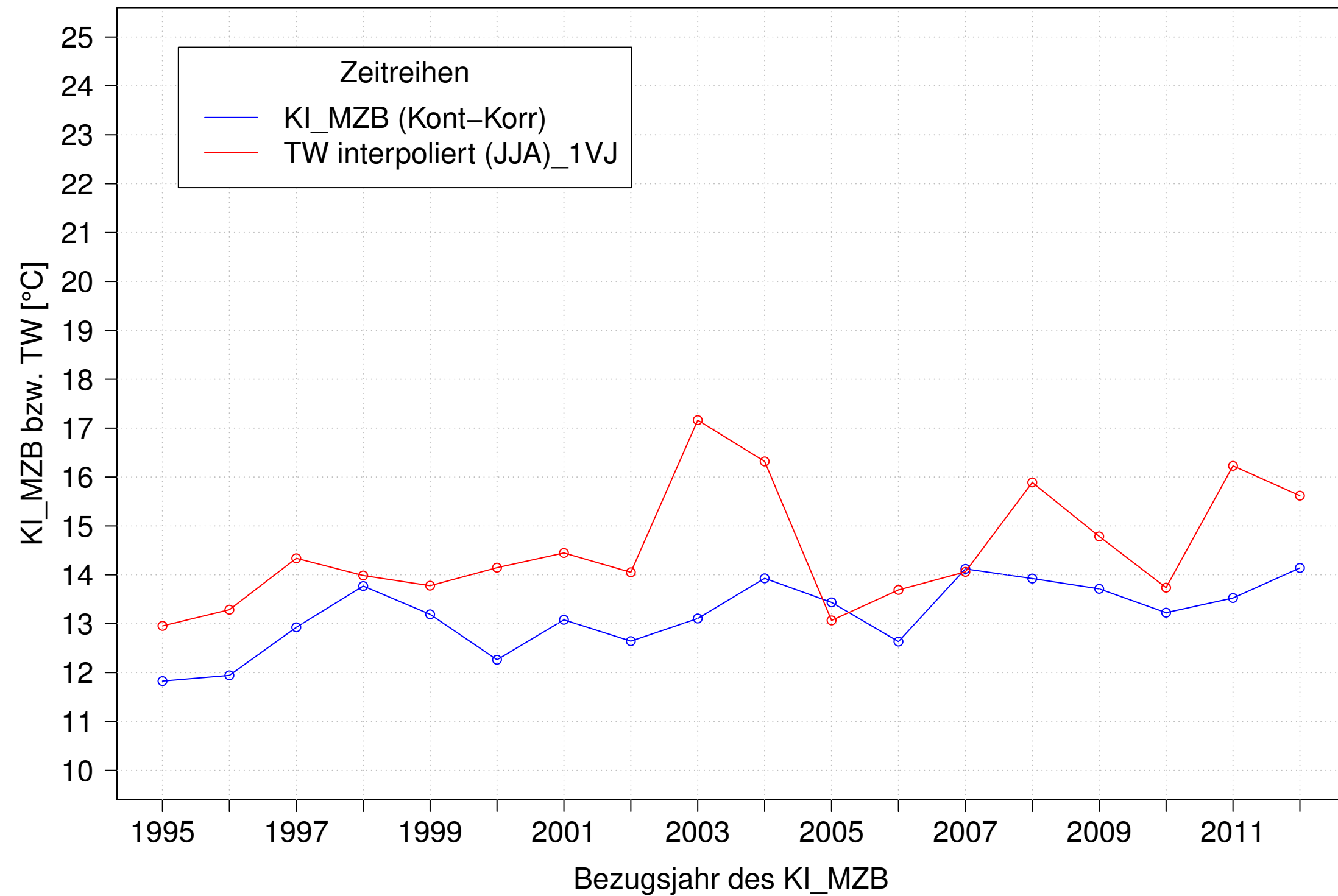
Gr. Lauter_Lauterach, Typ 09.1 mit Neozoen, Serie 2
KI_MZB (Kont-Korr) und TW interpoliert (JJA) des 1. Vorjahres



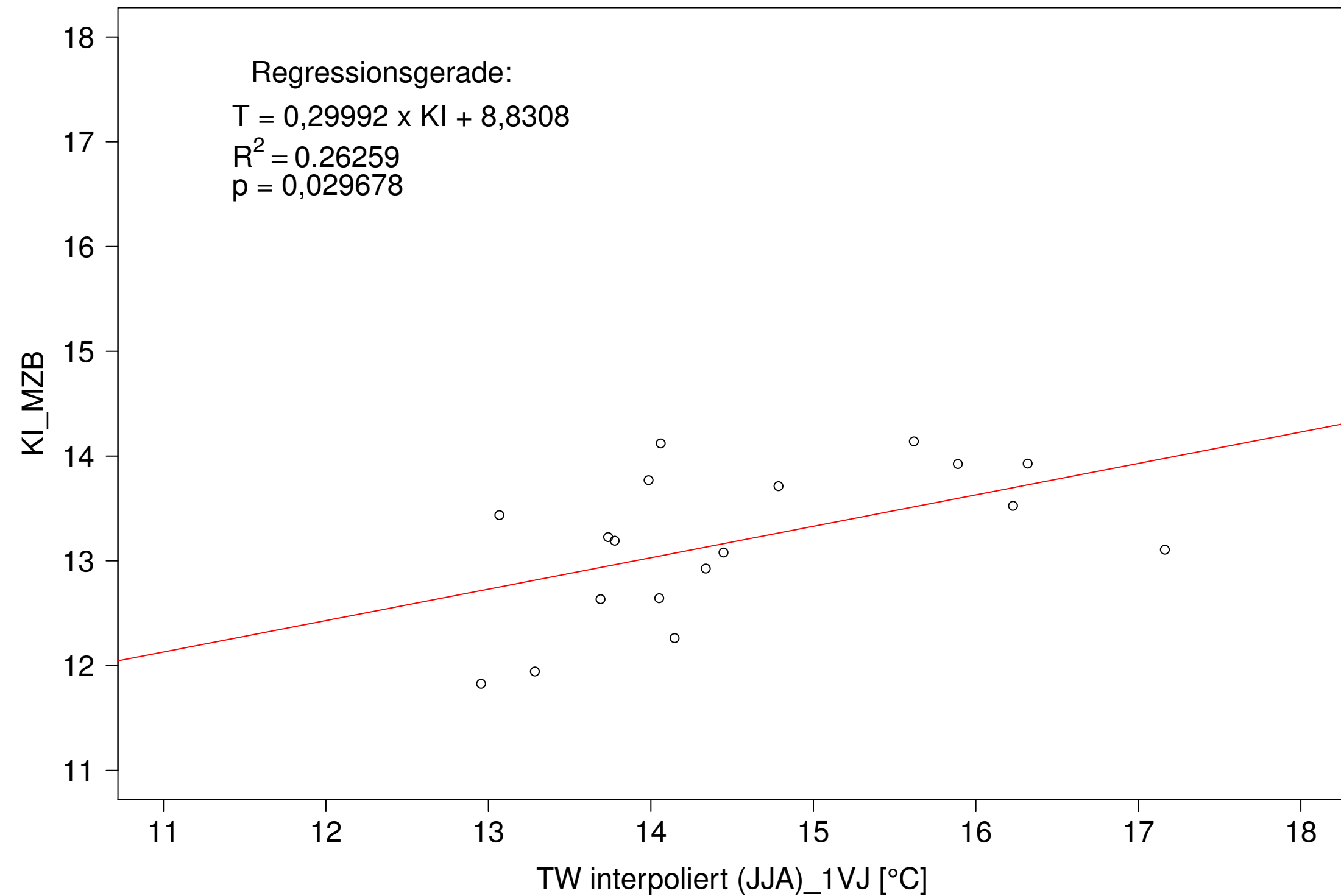
Gr. Lauter_Lauterach, Typ 09.1 mit Neozoen, Serie 2
KI_MZB (Kont-Korr) gegen TW interpoliert (JJA) des 1. Vorjahres



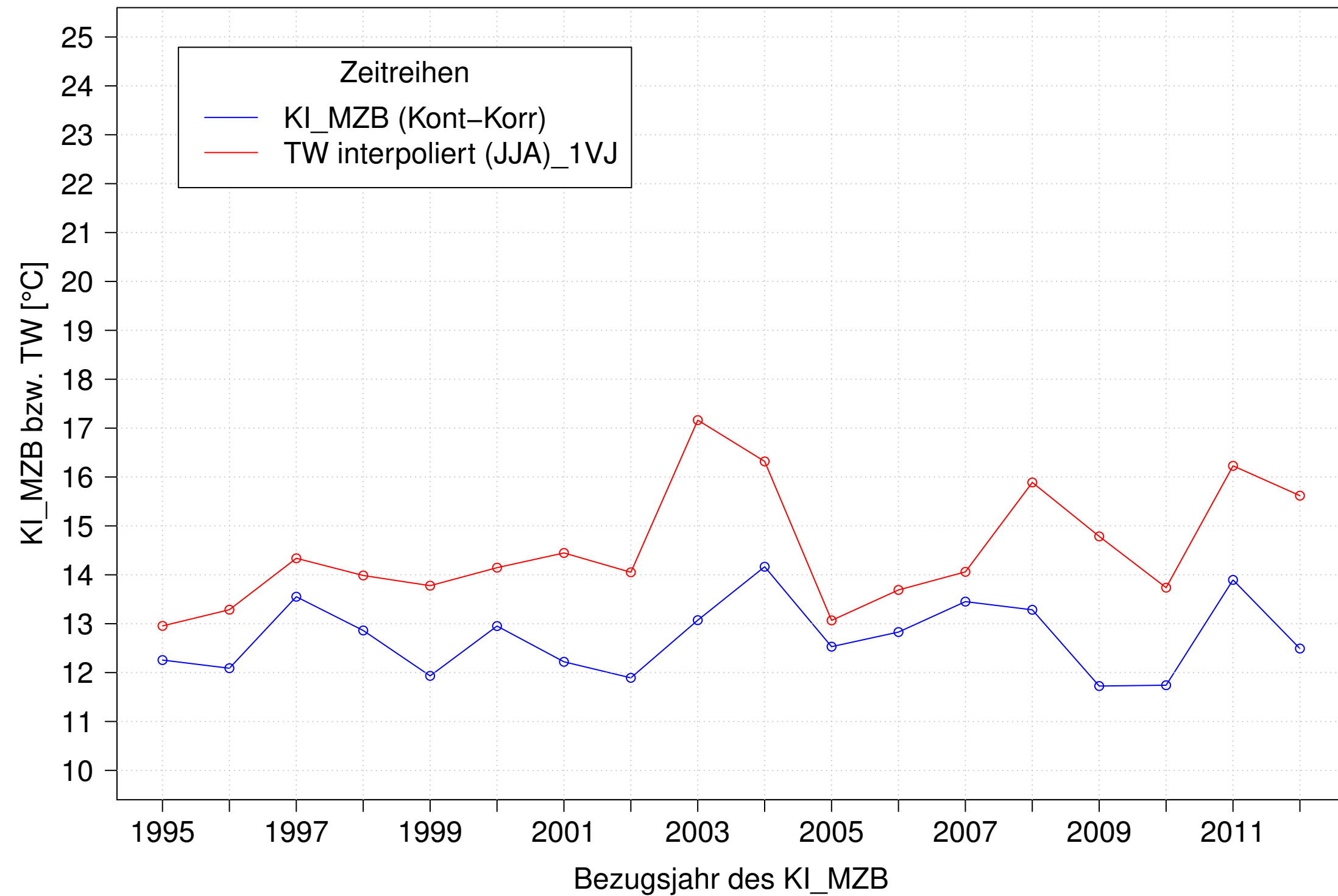
Gr. Lauter_Lauterach, Typ 09.1 mit Neozoen, Serie 3
KI_MZB (Kont-Korr) und TW interpoliert (JJA) des 1. Vorjahres



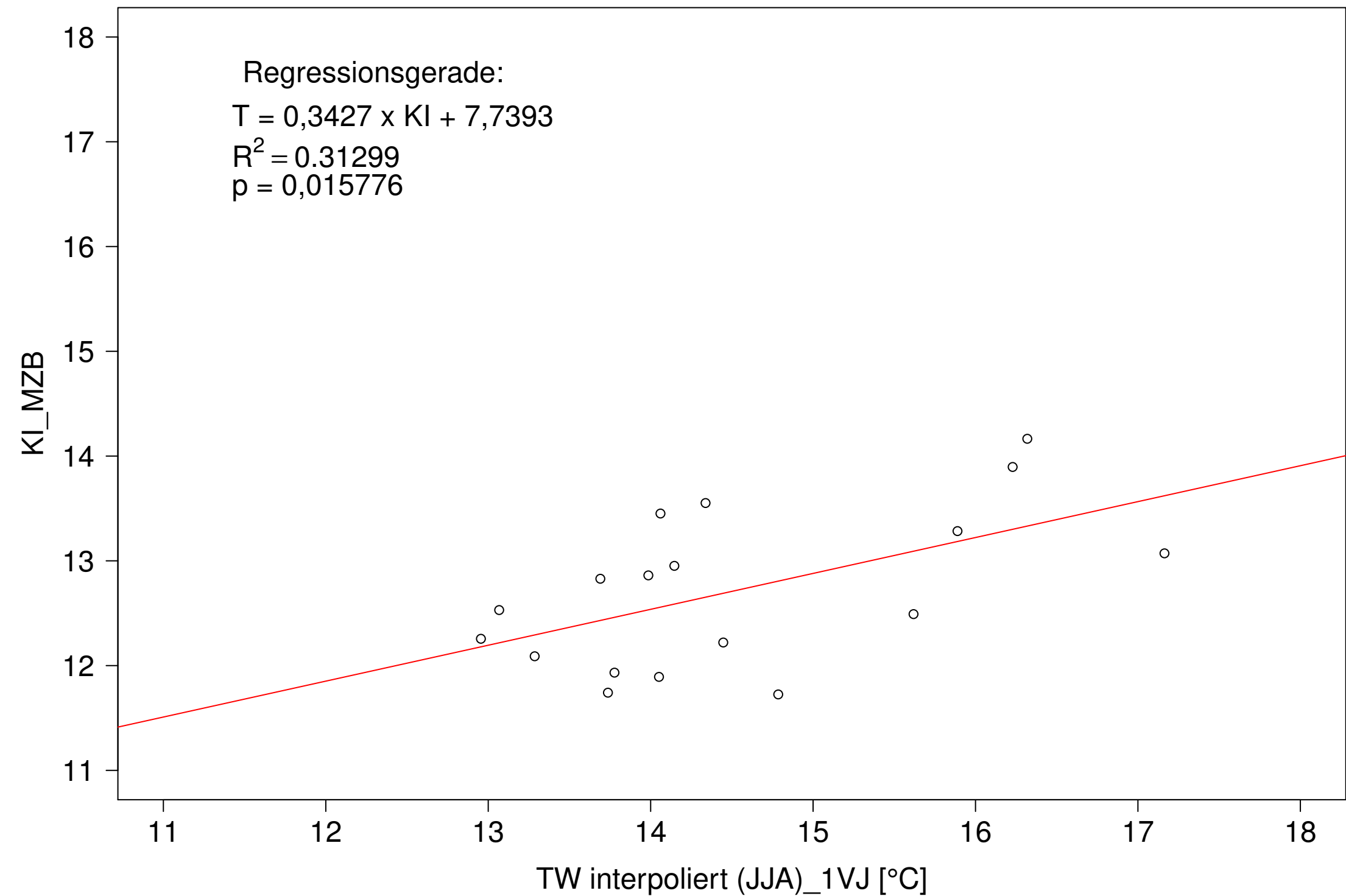
Gr. Lauter_Lauterach, Typ 09.1 mit Neozoen, Serie 3
KI_MZB (Kont-Korr) gegen TW interpoliert (JJA) des 1. Vorjahres



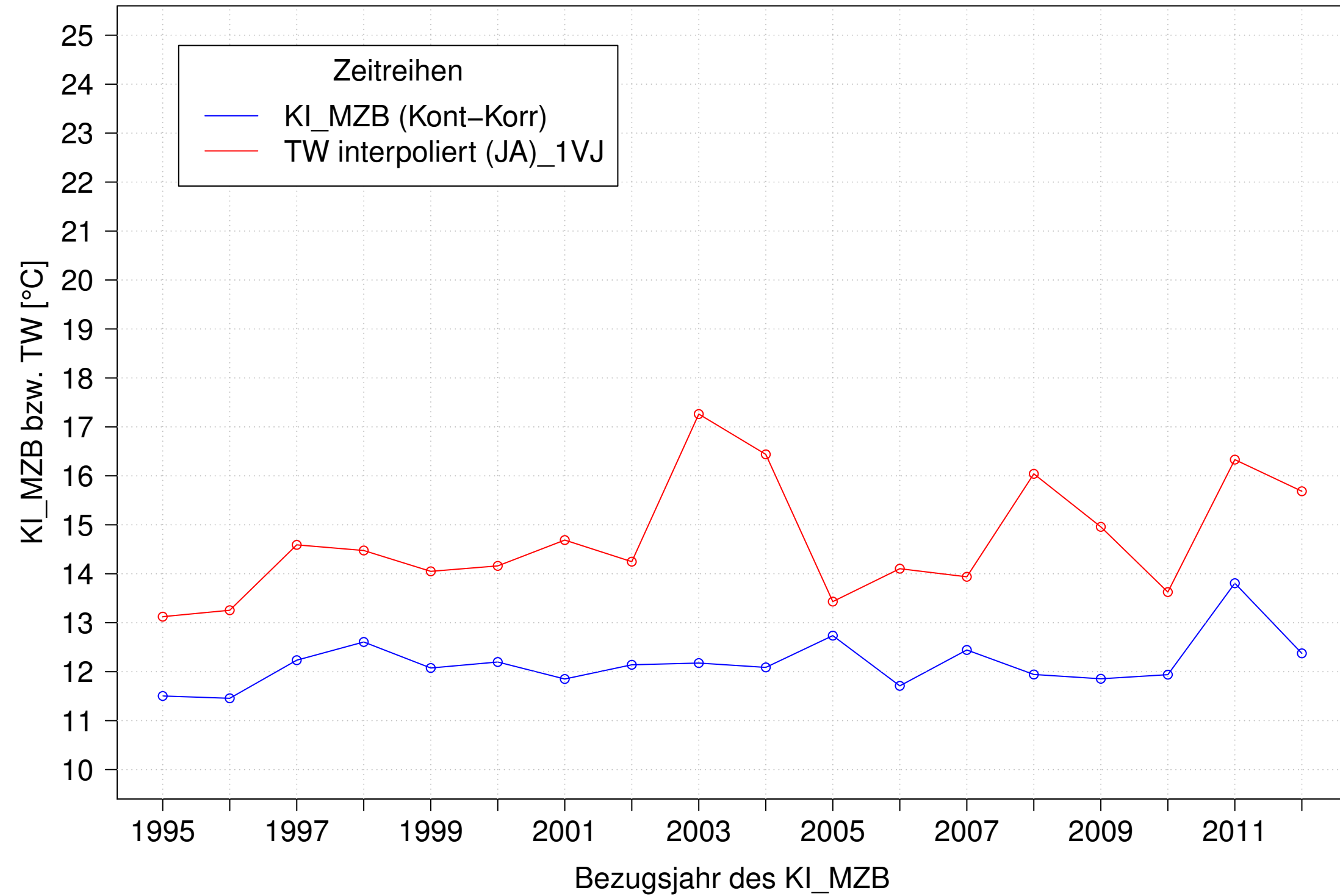
Gr. Lauter_Lauterach, Typ 09.1 mit Neozoen, Serie 4
KI_MZB (Kont-Korr) und TW interpoliert (JJA) des 1. Vorjahres



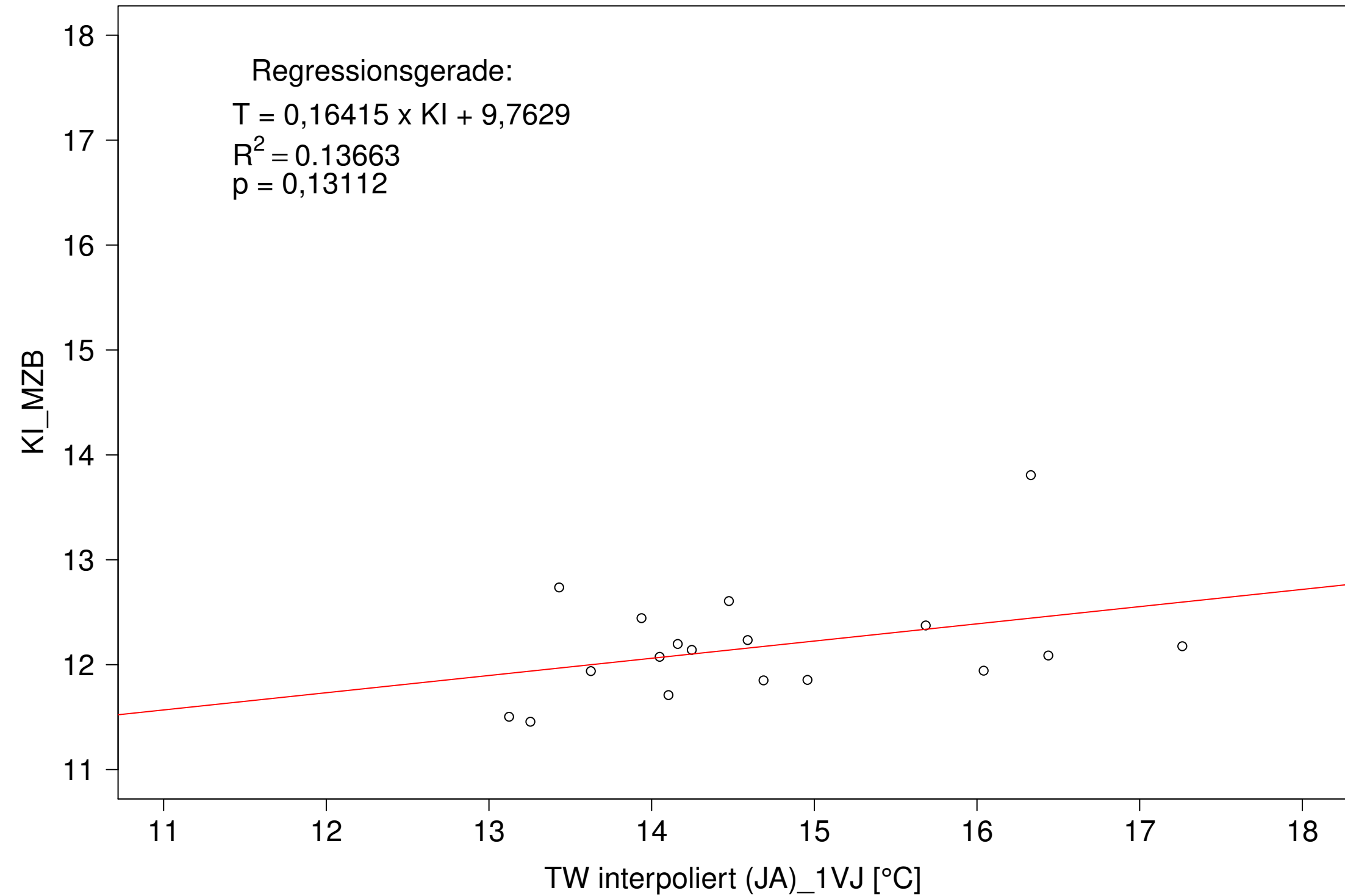
Gr. Lauter_Lauterach, Typ 09.1 mit Neozoen, Serie 4
KI_MZB (Kont-Korr) gegen TW interpoliert (JJA) des 1. Vorjahres



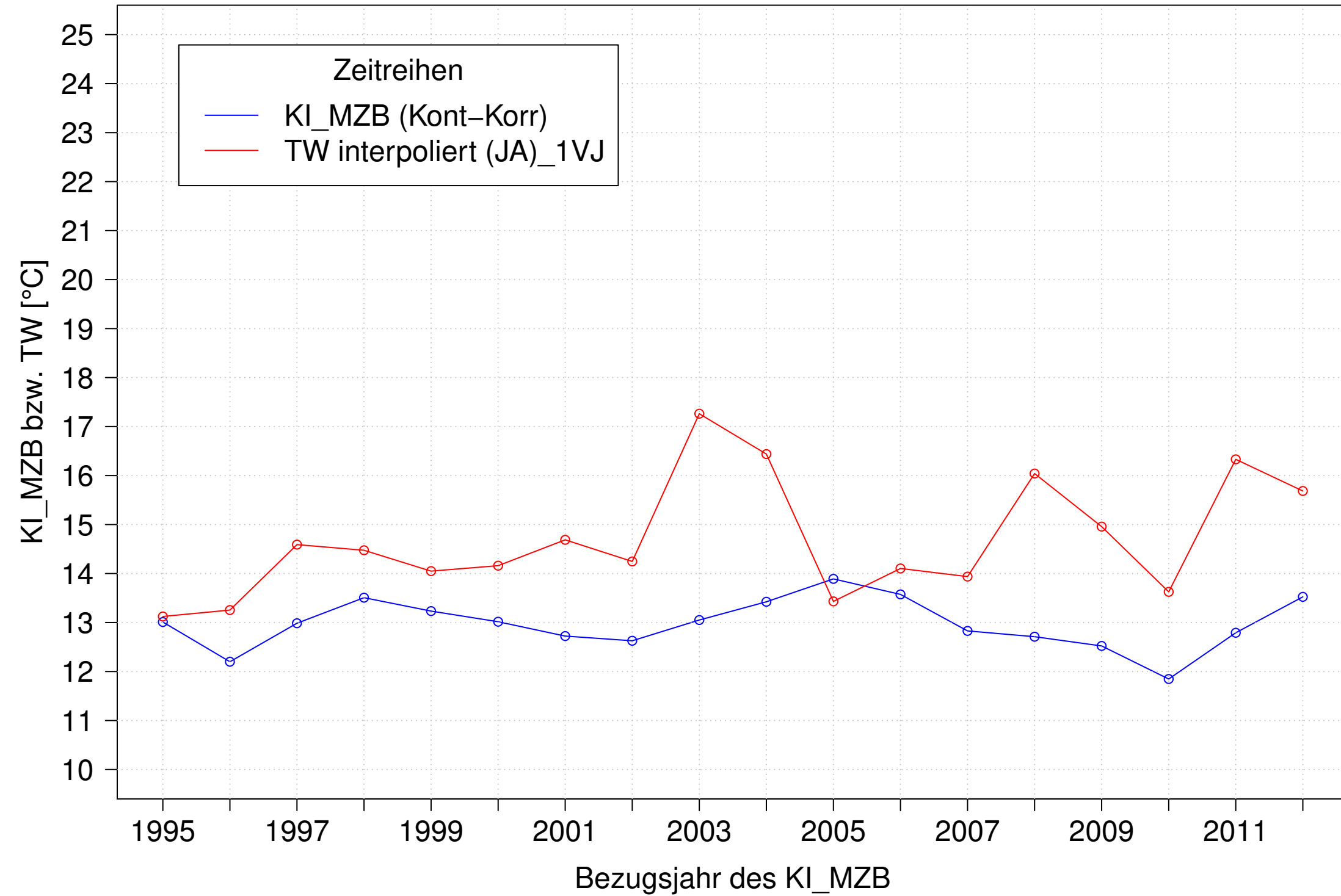
Gr. Lauter_Lauterach, Typ 09.1 mit Neozoen, Serie 1
KI_MZB (Kont-Korr) und TW interpoliert (JA) des 1. Vorjahres



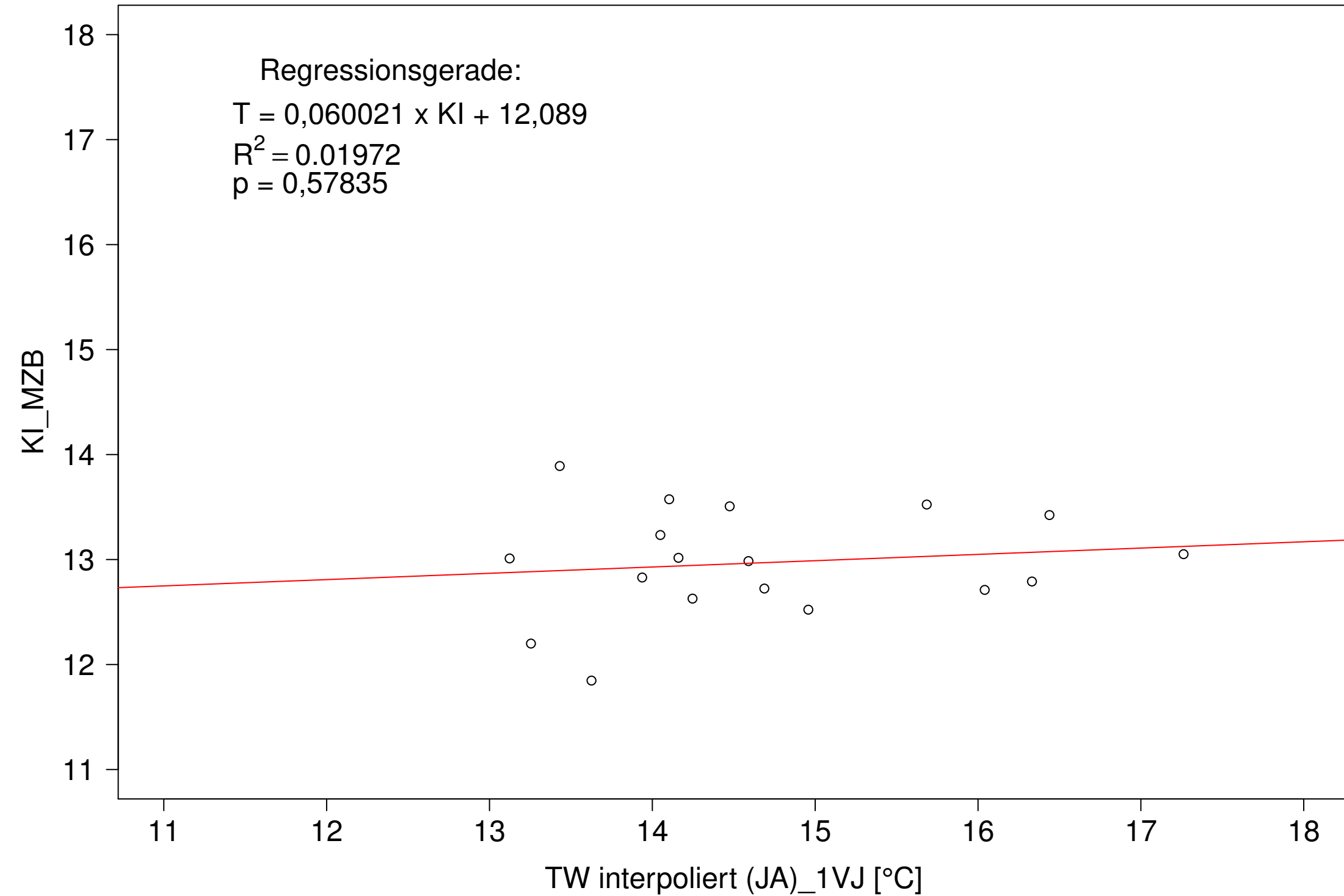
Gr. Lauter_Lauterach, Typ 09.1 mit Neozoen, Serie 1
KI_MZB (Kont-Korr) gegen TW interpoliert (JA) des 1. Vorjahres



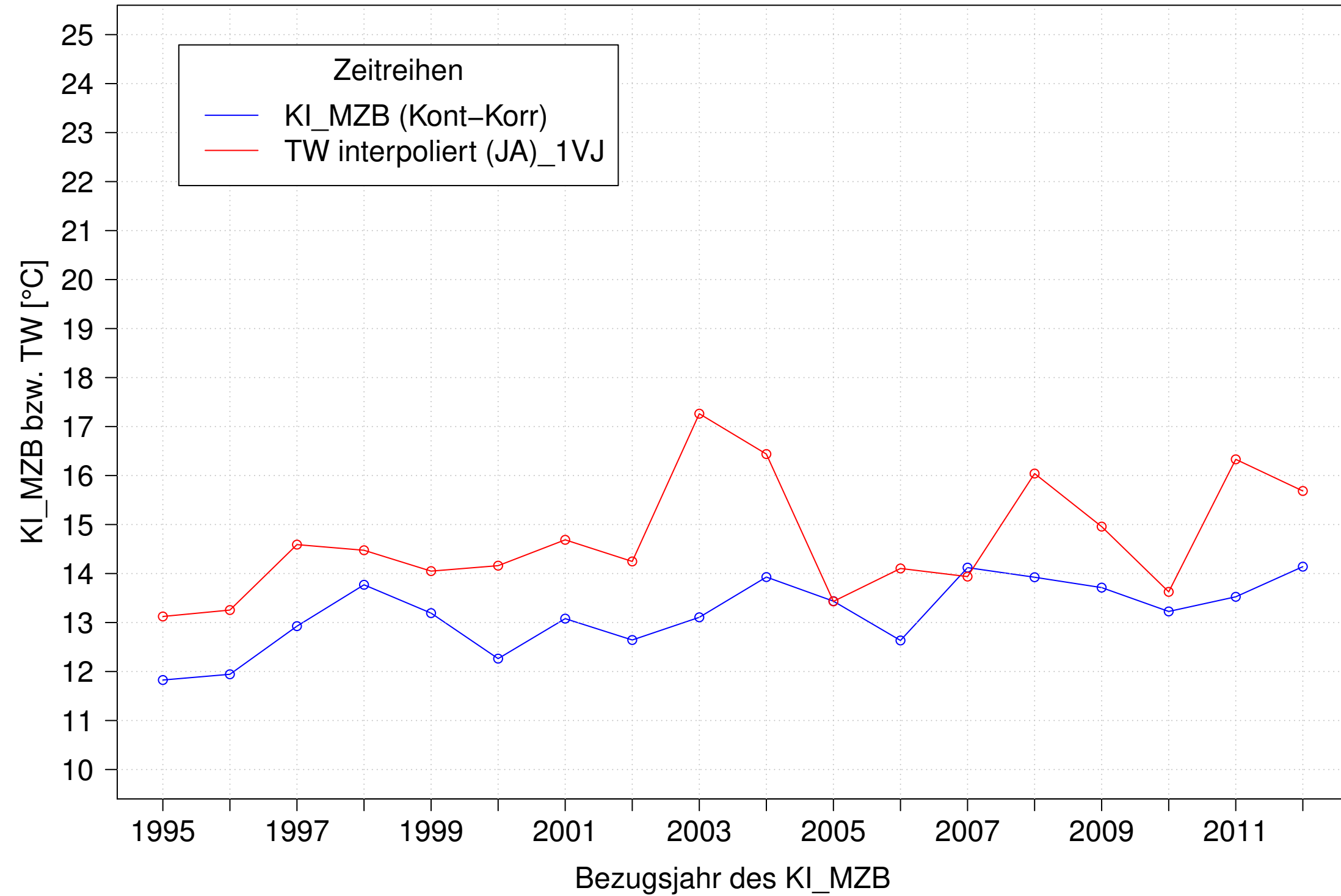
Gr. Lauter_Lauterach, Typ 09.1 mit Neozoen, Serie 2
KI_MZB (Kont-Korr) und TW interpoliert (JA) des 1. Vorjahres



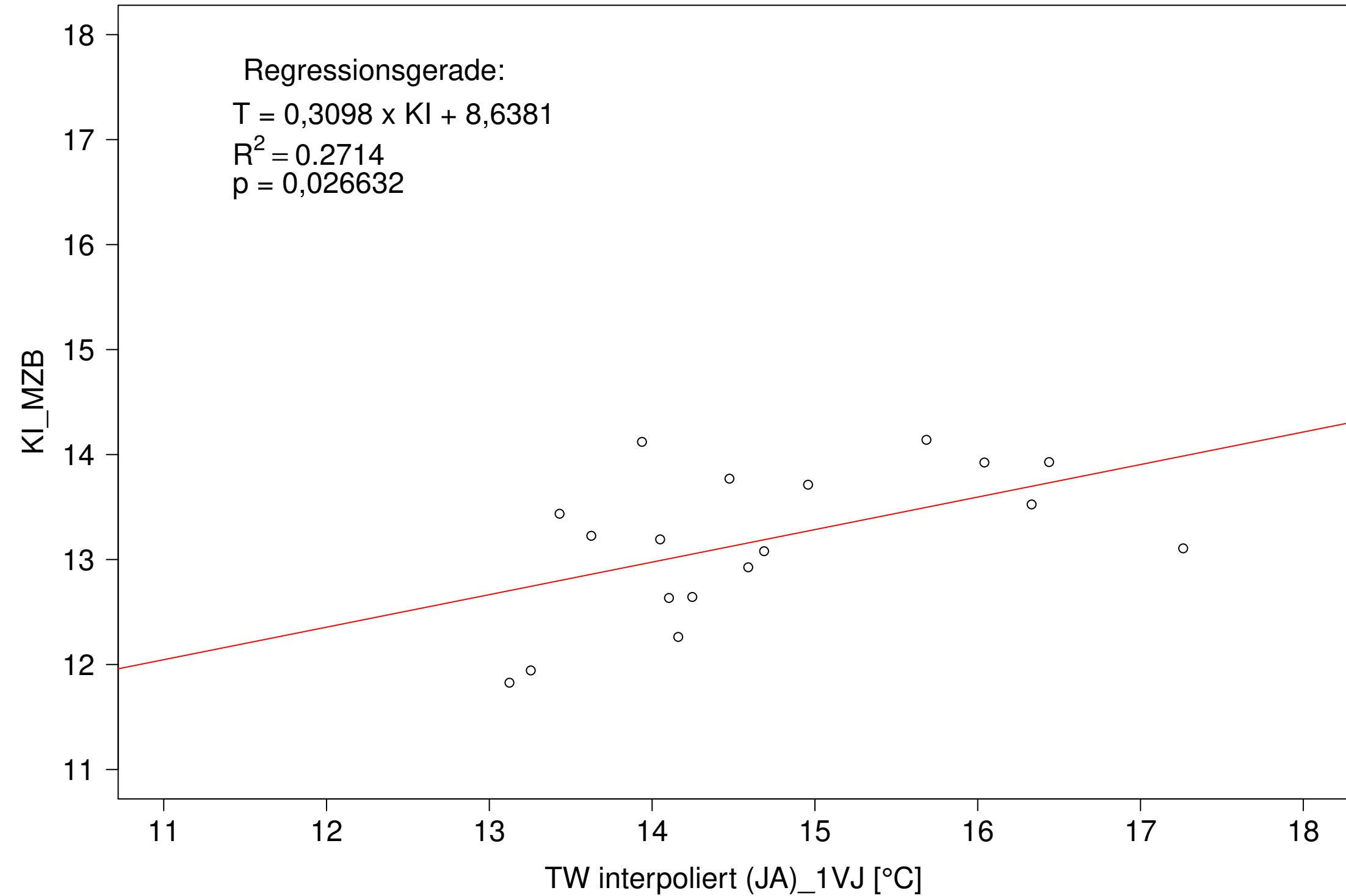
Gr. Lauter_Lauterach, Typ 09.1 mit Neozoen, Serie 2
KI_MZB (Kont-Korr) gegen TW interpoliert (JA) des 1. Vorjahres



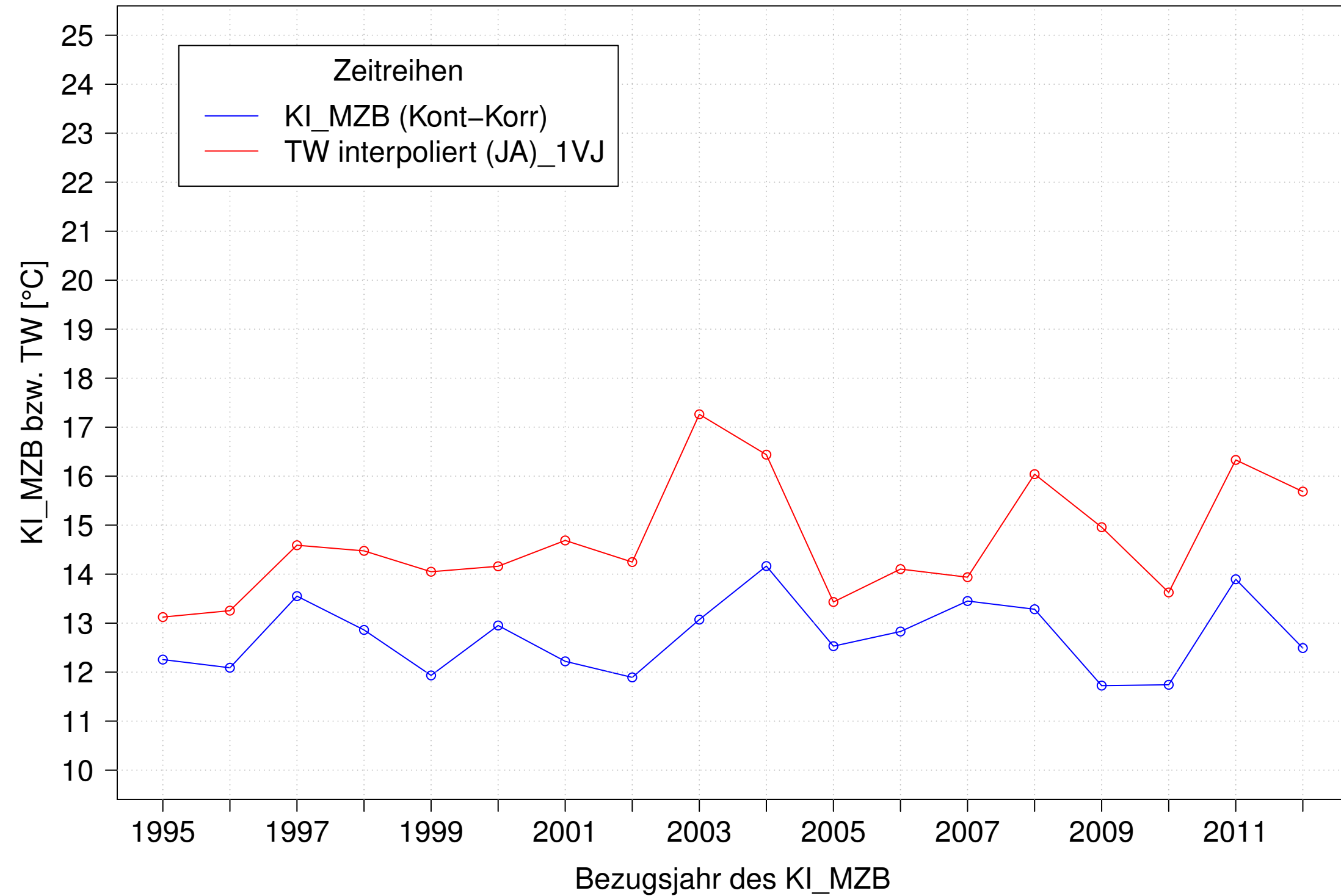
Gr. Lauter_Lauterach, Typ 09.1 mit Neozoen, Serie 3
KI_MZB (Kont-Korr) und TW interpoliert (JA) des 1. Vorjahres



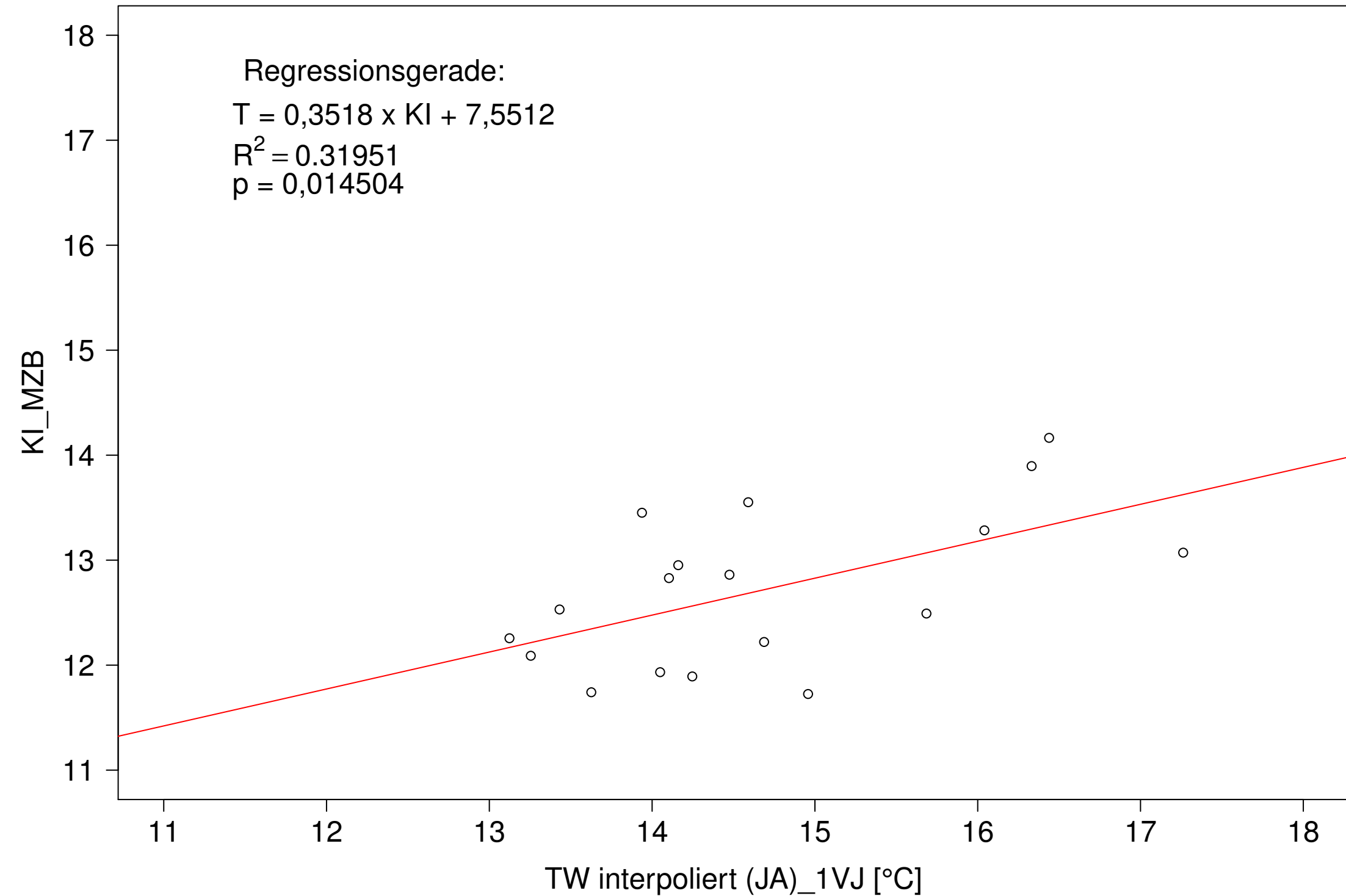
Gr. Lauter_Lauterach, Typ 09.1 mit Neozoen, Serie 3
KI_MZB (Kont-Korr) gegen TW interpoliert (JA) des 1. Vorjahres



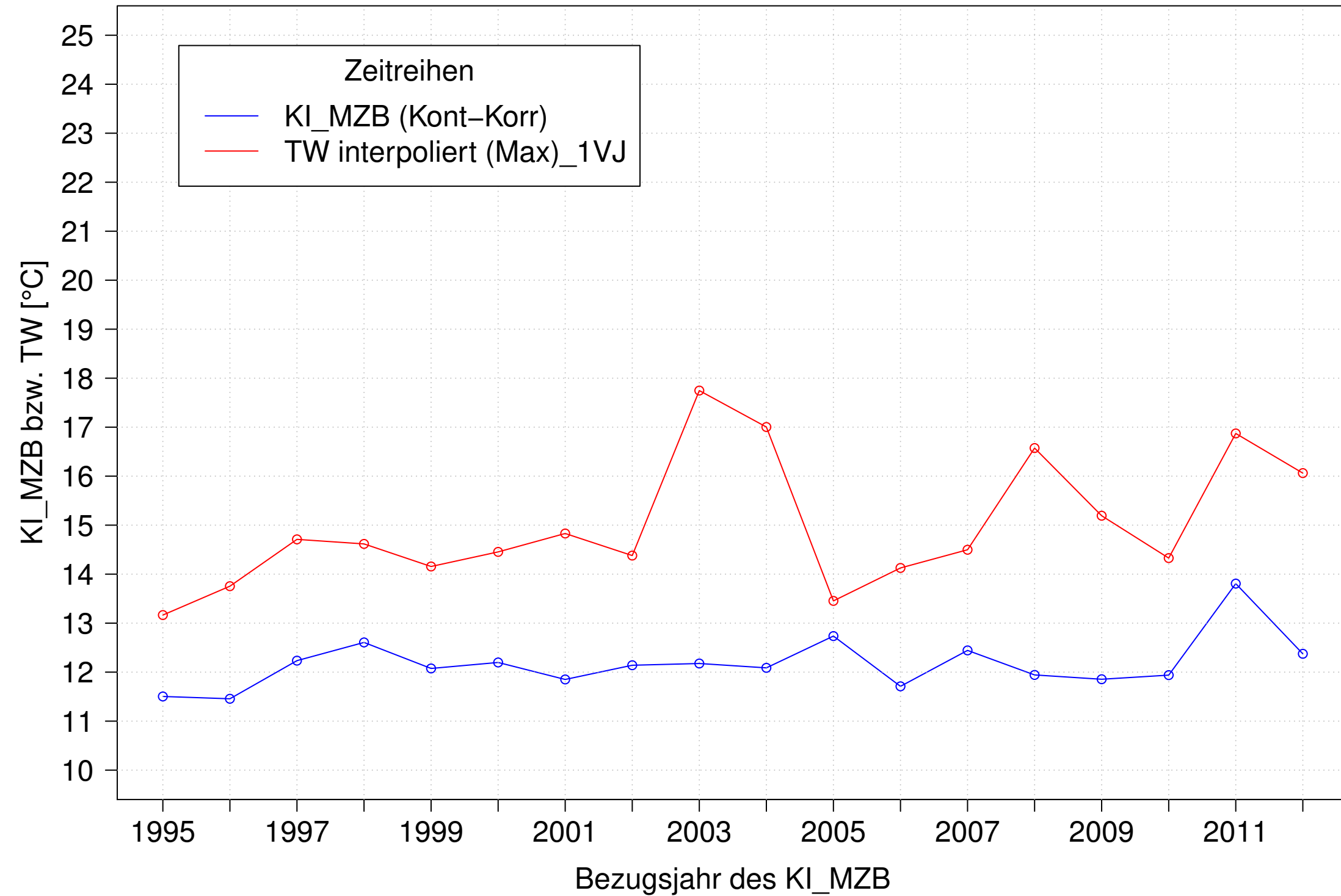
Gr. Lauter_Lauterach, Typ 09.1 mit Neozoen, Serie 4
KI_MZB (Kont-Korr) und TW interpoliert (JA) des 1. Vorjahres



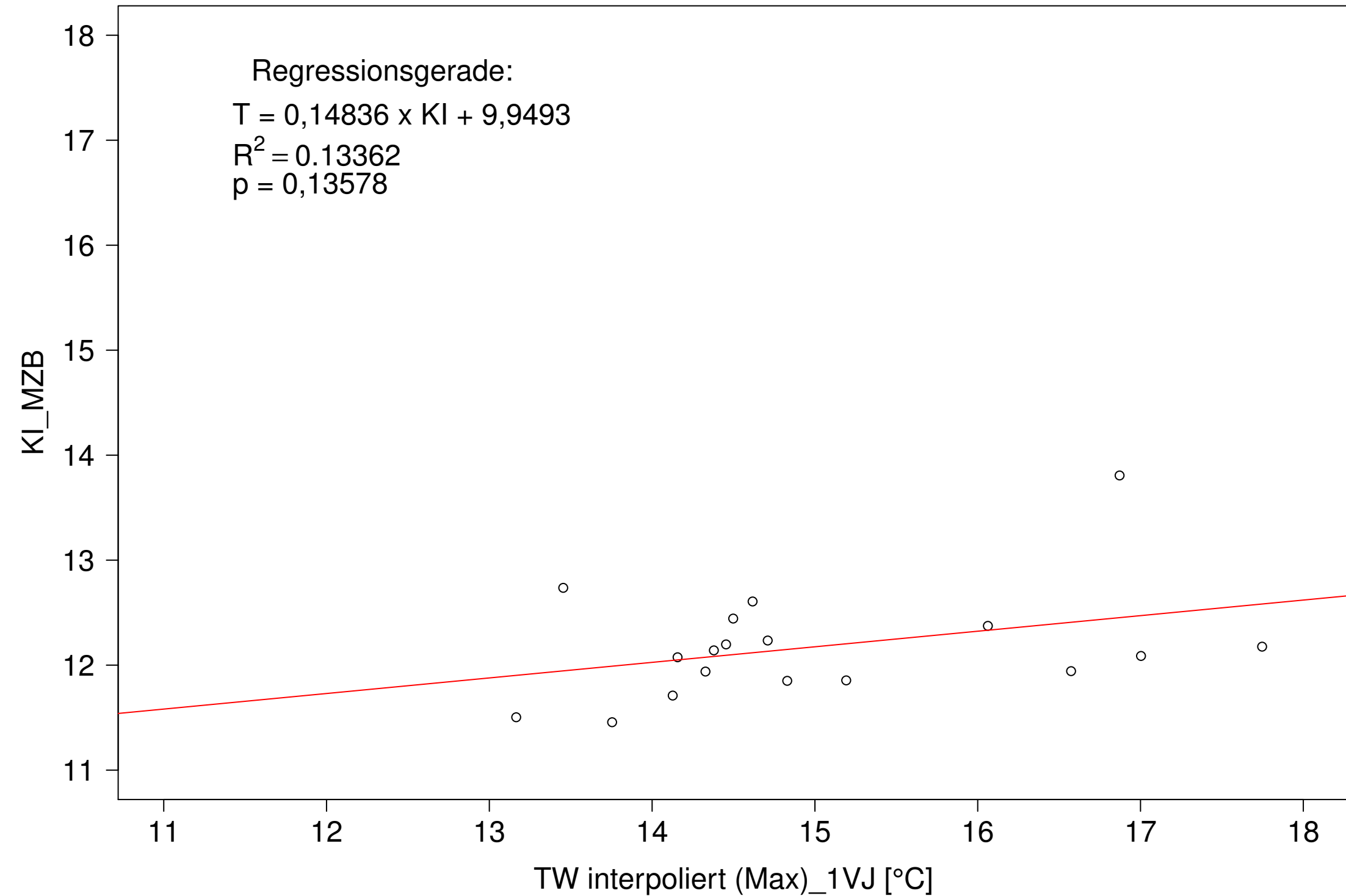
Gr. Lauter_Lauterach, Typ 09.1 mit Neozoen, Serie 4
KI_MZB (Kont-Korr) gegen TW interpoliert (JA) des 1. Vorjahres



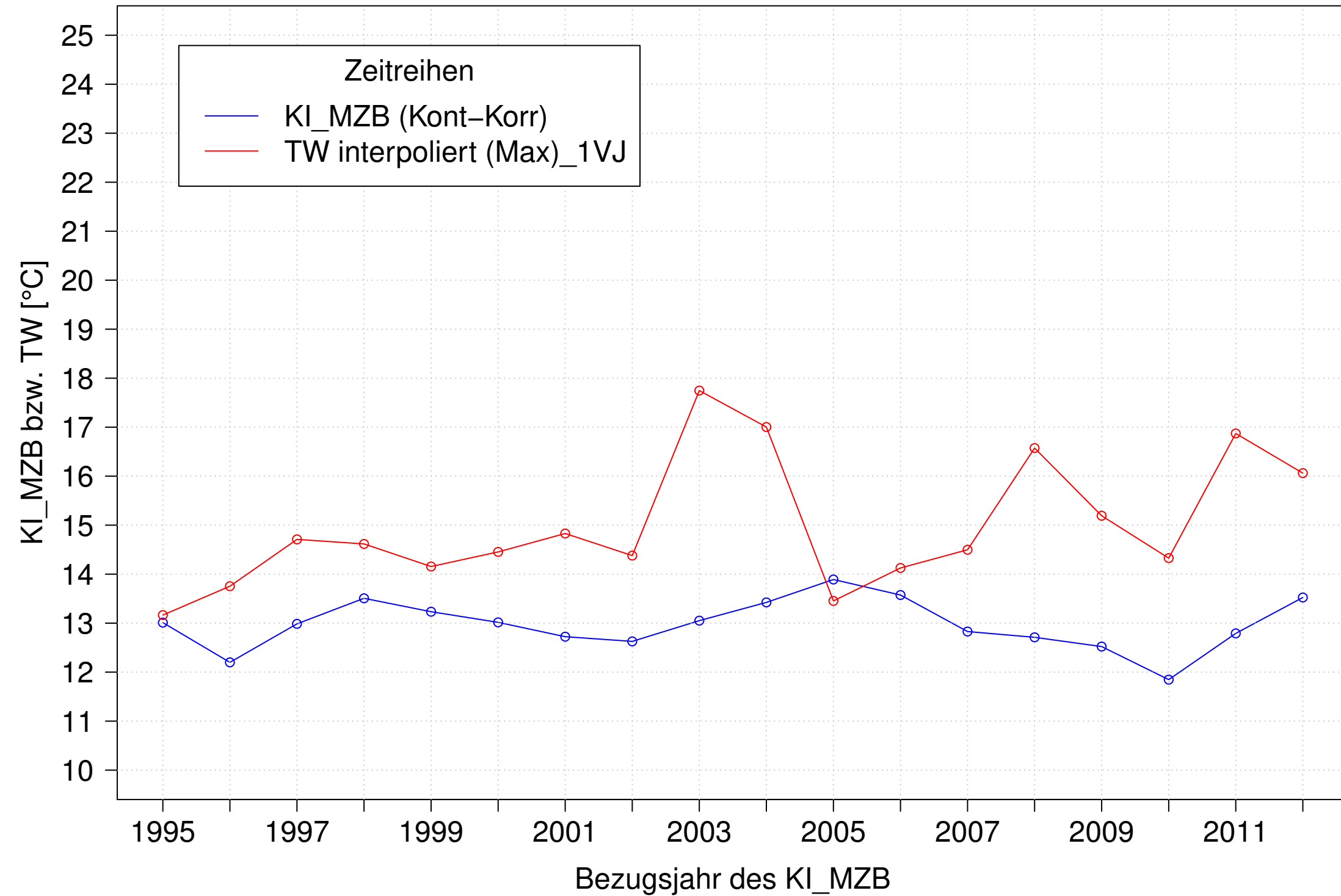
Gr. Lauter_Lauterach, Typ 09.1 mit Neozoen, Serie 1
KI_MZB (Kont-Korr) und TW interpoliert (Max) des 1. Vorjahres



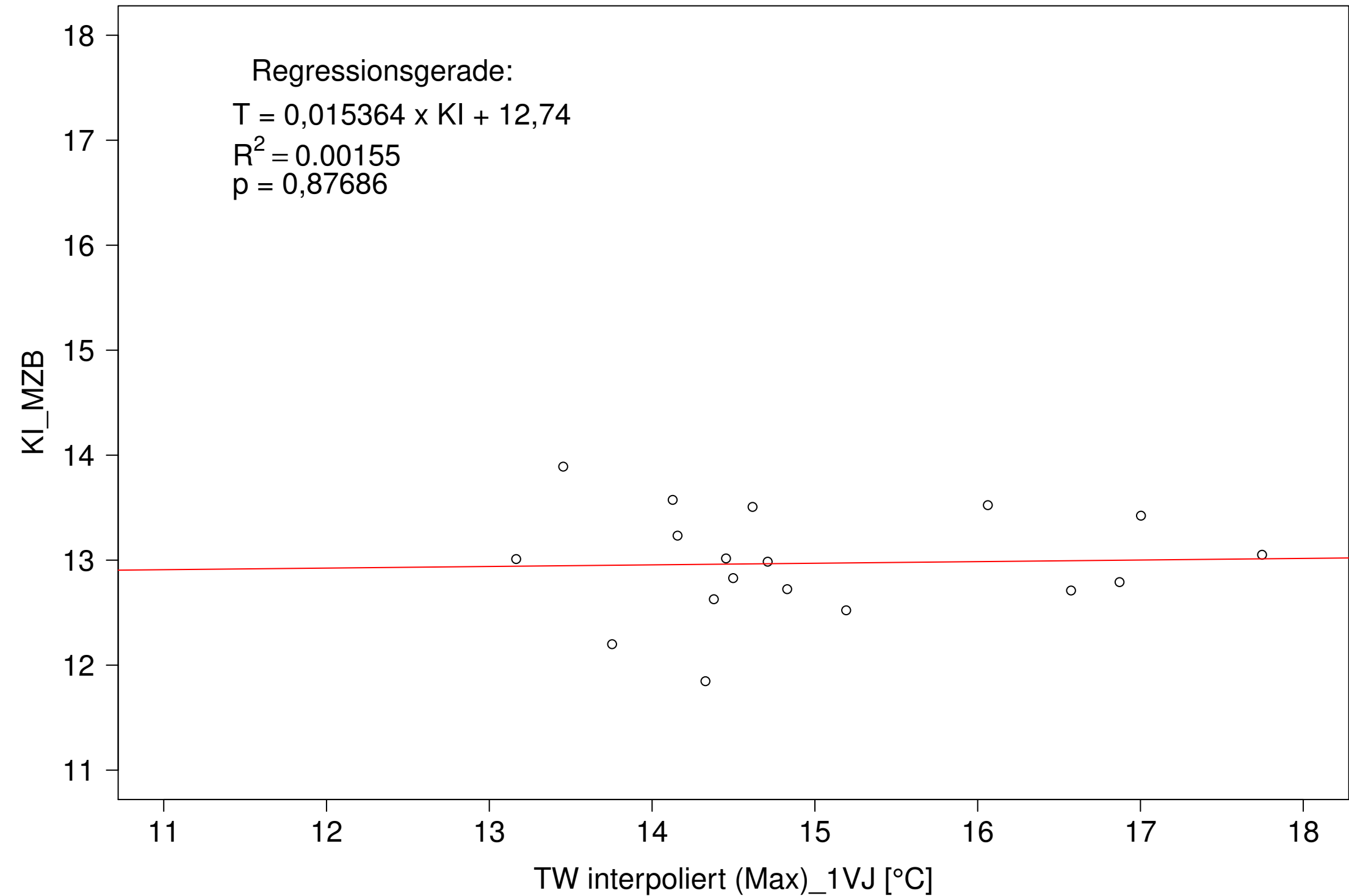
Gr. Lauter_Lauterach, Typ 09.1 mit Neozoen, Serie 1
KI_MZB (Kont-Korr) gegen TW interpoliert (Max) des 1. Vorjahres



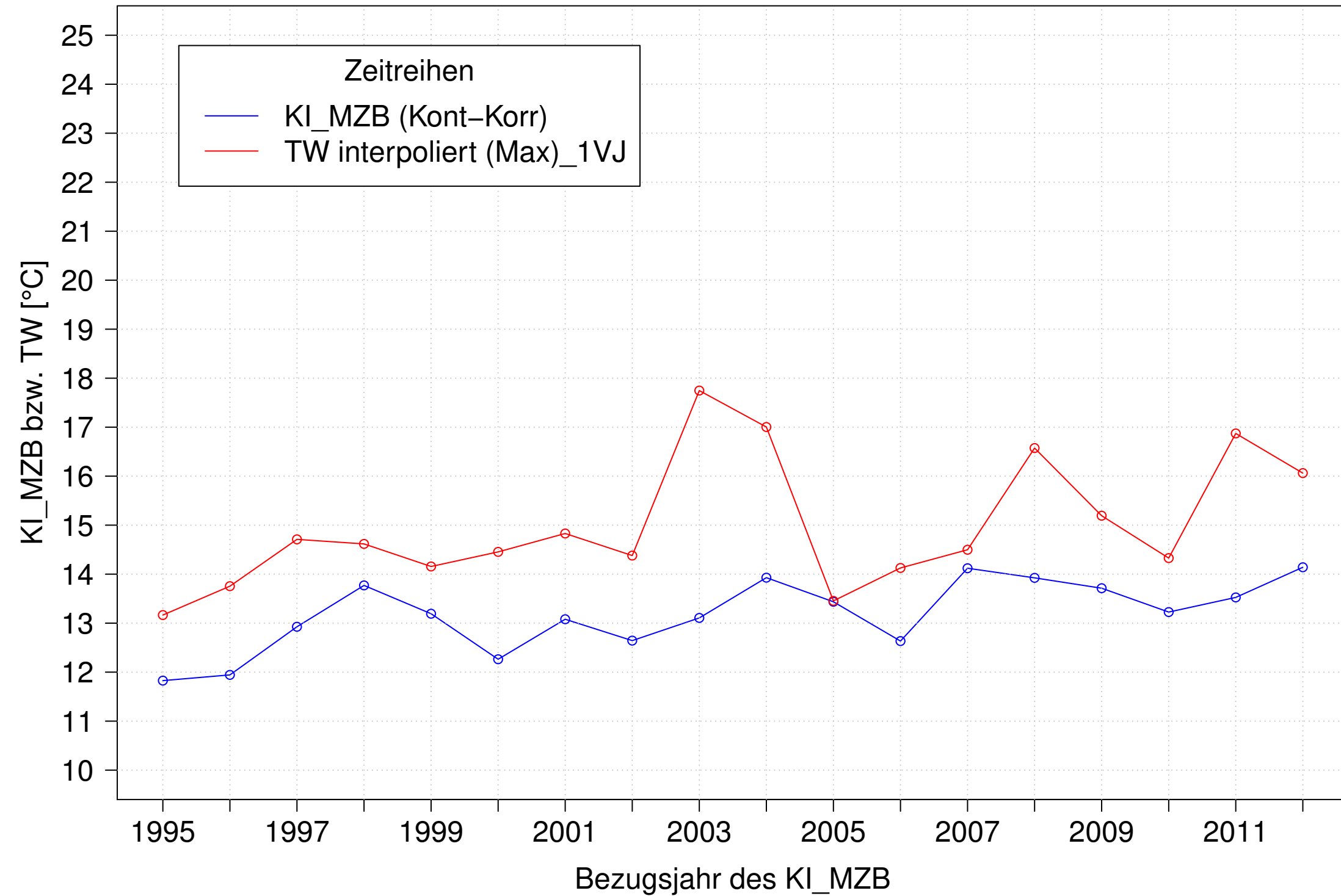
Gr. Lauter_Lauterach, Typ 09.1 mit Neozoen, Serie 2
KI_MZB (Kont-Korr) und TW interpoliert (Max) des 1. Vorjahres



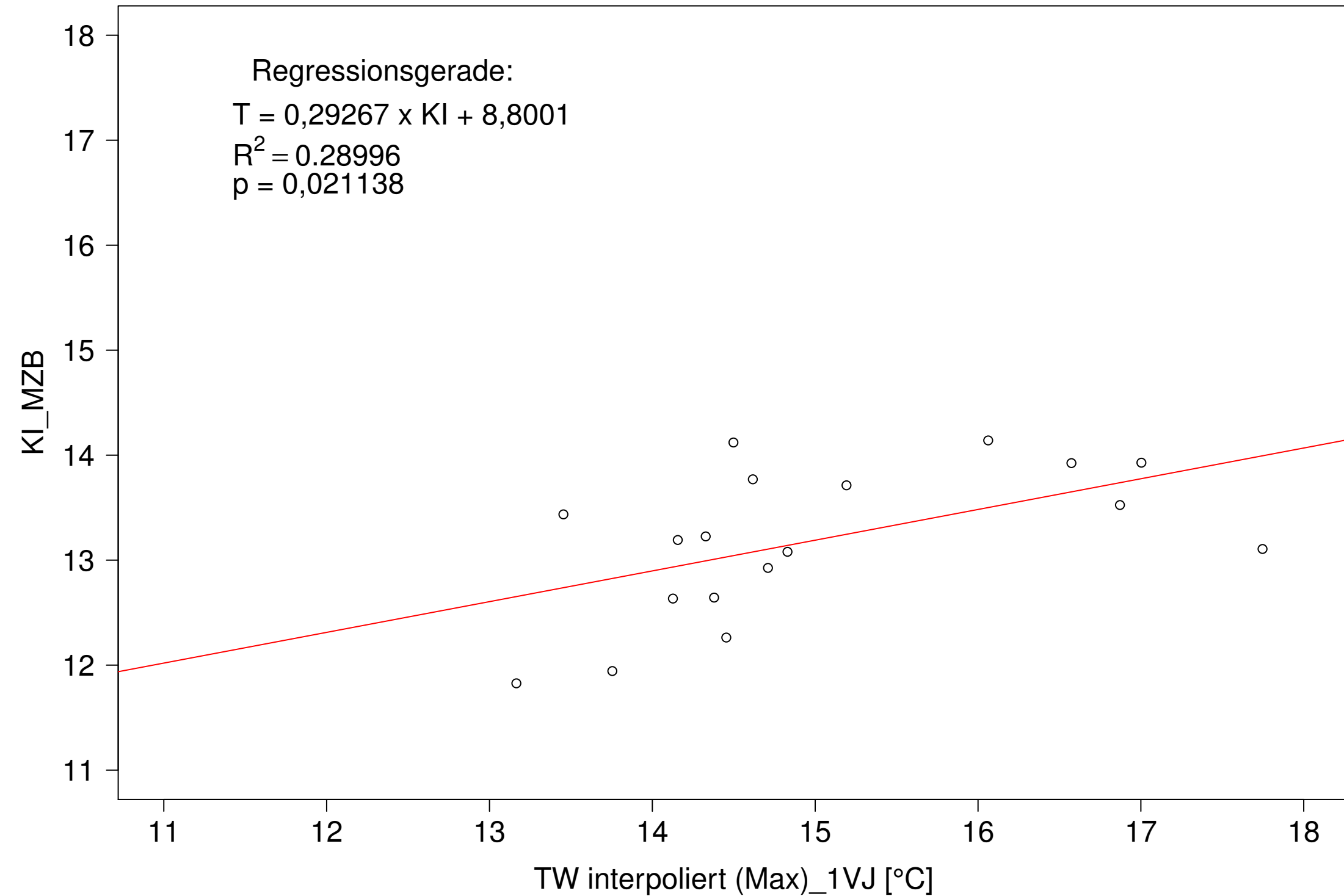
Gr. Lauter_Lauterach, Typ 09.1 mit Neozoen, Serie 2
KI_MZB (Kont-Korr) gegen TW interpoliert (Max) des 1. Vorjahres



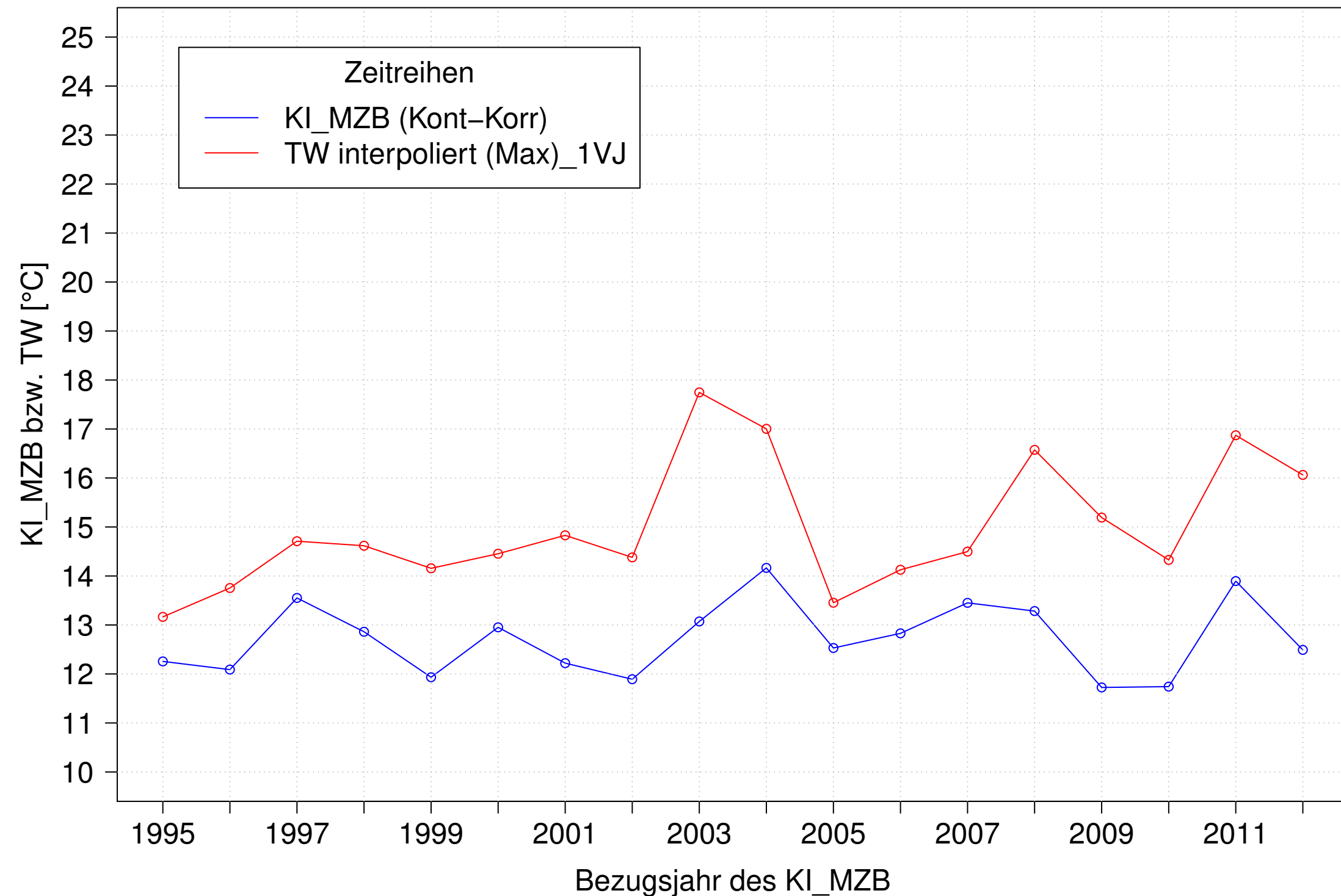
Gr. Lauter_Lauterach, Typ 09.1 mit Neozoen, Serie 3
KI_MZB (Kont-Korr) und TW interpoliert (Max) des 1. Vorjahres



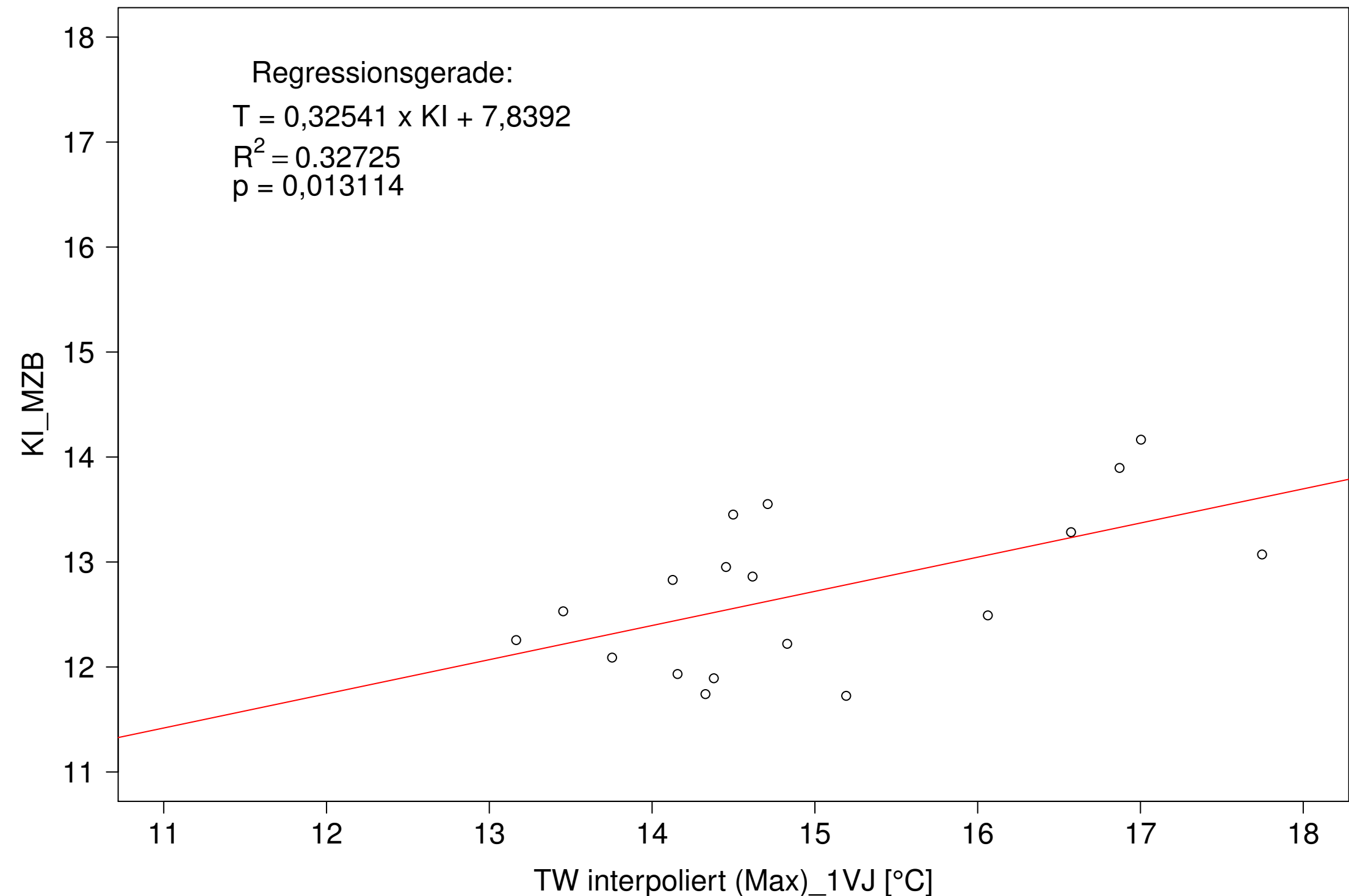
Gr. Lauter_Lauterach, Typ 09.1 mit Neozoen, Serie 3
KI_MZB (Kont-Korr) gegen TW interpoliert (Max) des 1. Vorjahres



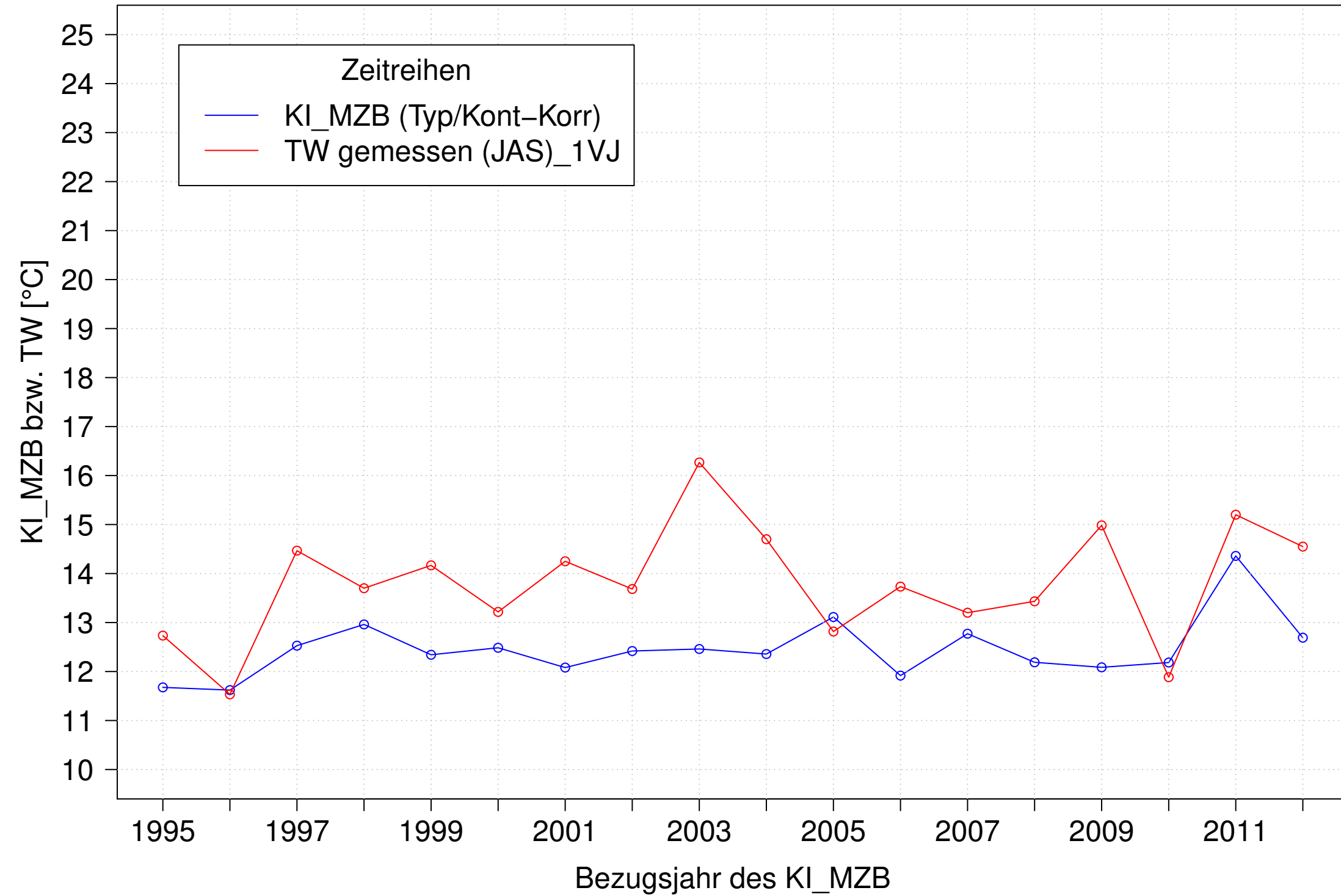
Gr. Lauter_Lauterach, Typ 09.1 mit Neozoen, Serie 4
KI_MZB (Kont-Korr) und TW interpoliert (Max) des 1. Vorjahres



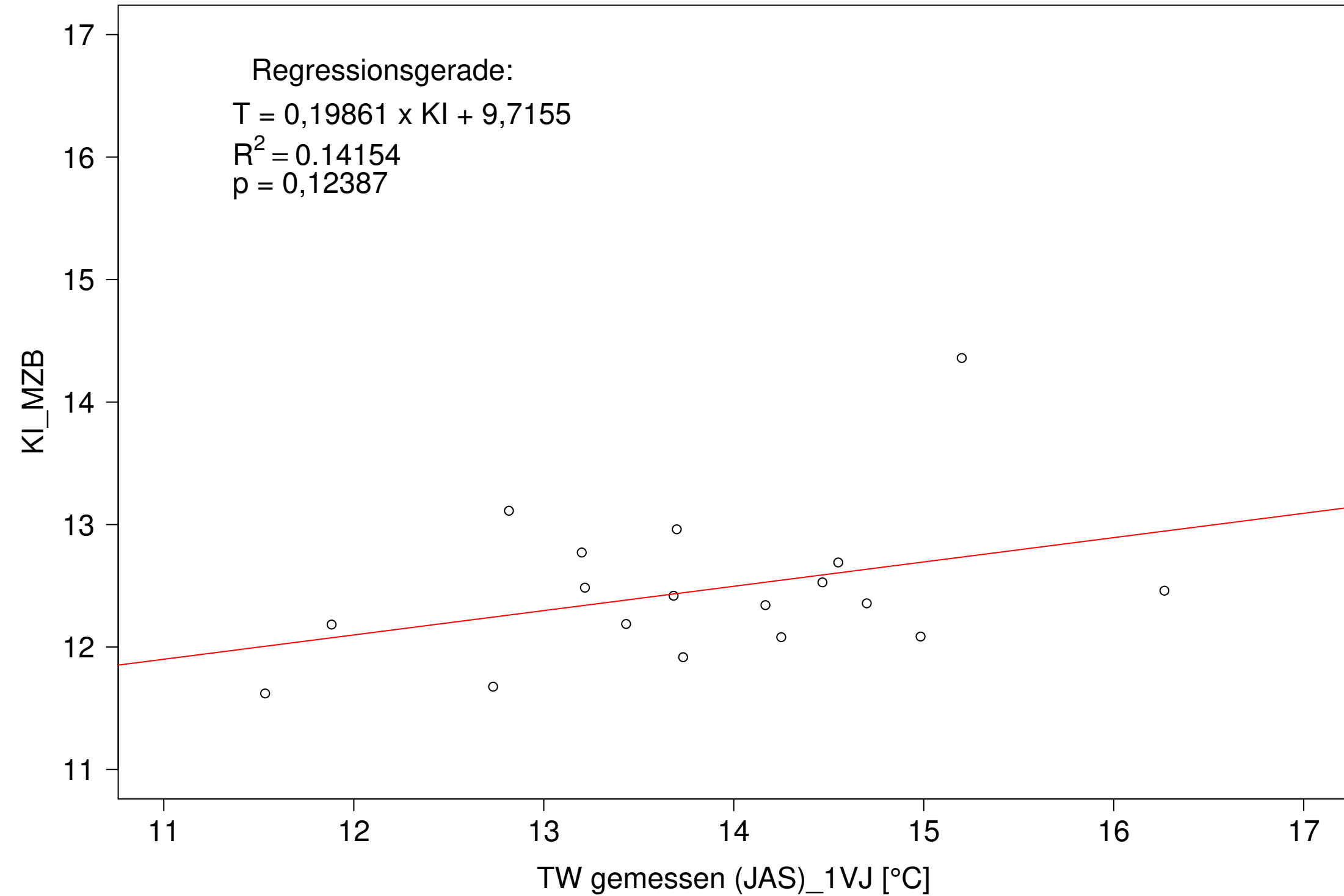
Gr. Lauter_Lauterach, Typ 09.1 mit Neozoen, Serie 4
KI_MZB (Kont-Korr) gegen TW interpoliert (Max) des 1. Vorjahres



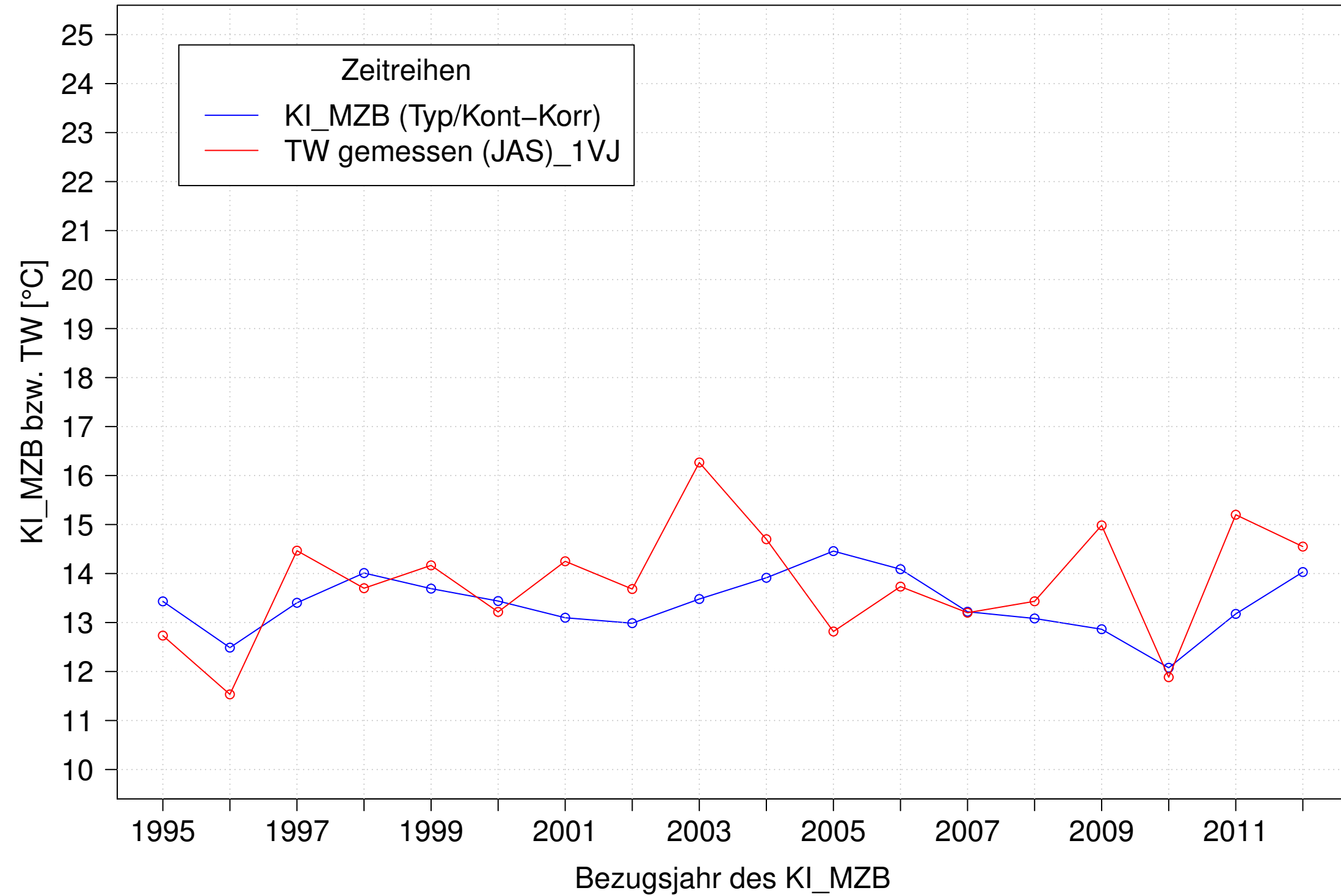
Gr. Lauter_Lauterach, Typ 09.1 mit Neozoen, Serie 1
KI_MZB (Typ/Kont-Korr) und TW gemessen (JAS) des 1. Vorjahres



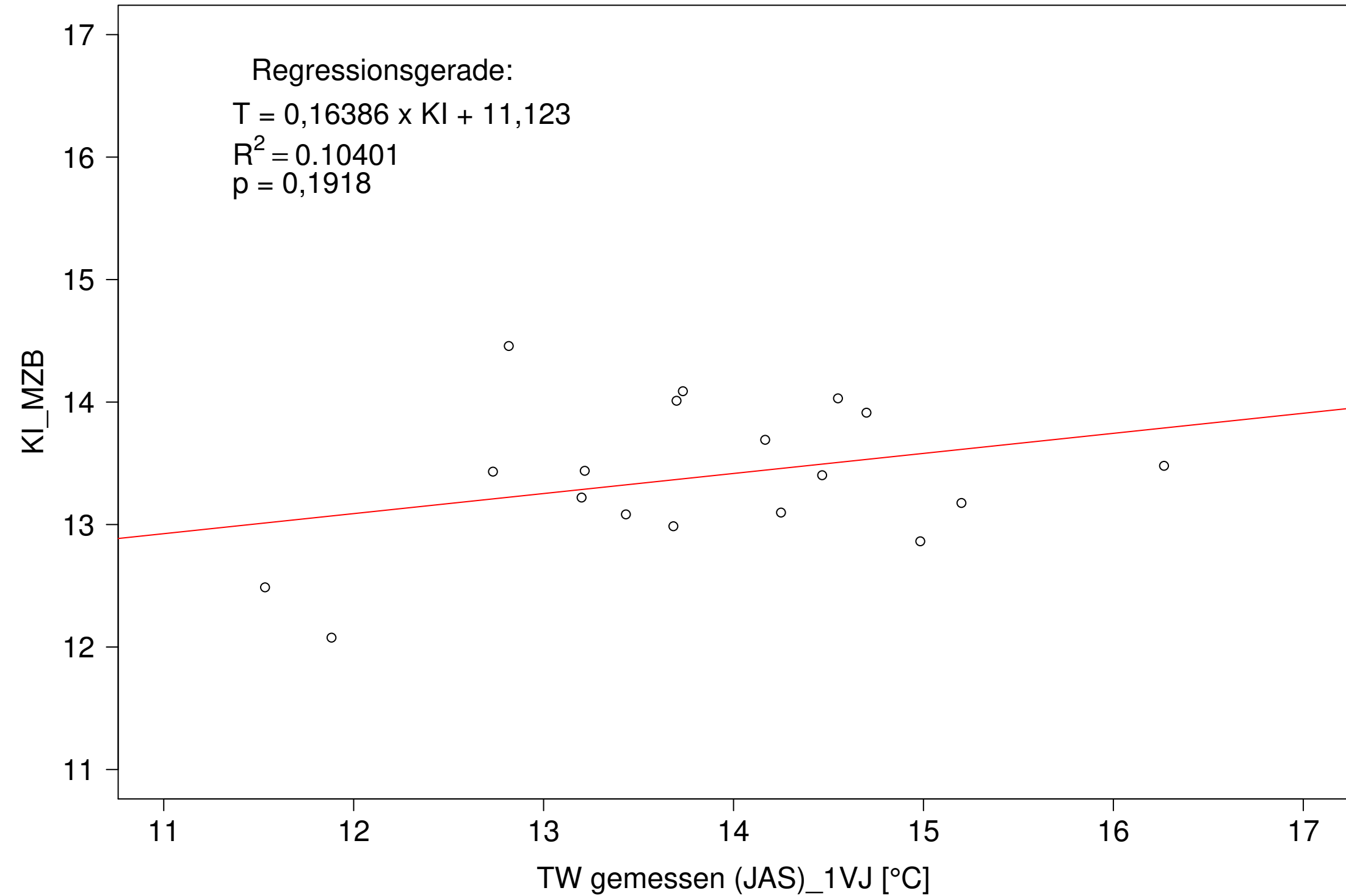
Gr. Lauter_Lauterach, Typ 09.1 mit Neozoen, Serie 1
KI_MZB (Typ/Kont-Korr) gegen TW gemessen (JAS) des 1. Vorjahres



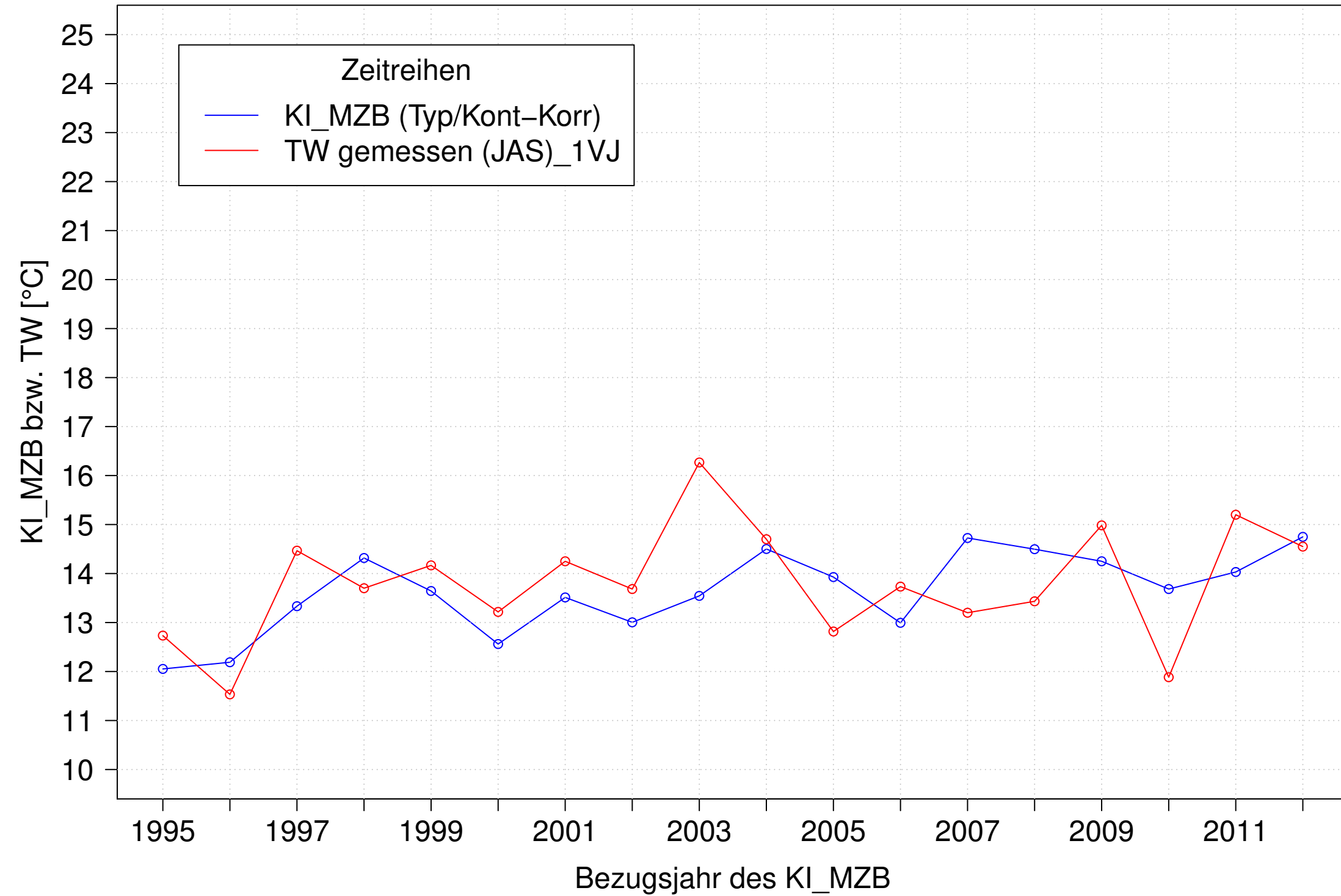
Gr. Lauter_Lauterach, Typ 09.1 mit Neozoen, Serie 2
KI_MZB (Typ/Kont-Korr) und TW gemessen (JAS) des 1. Vorjahres



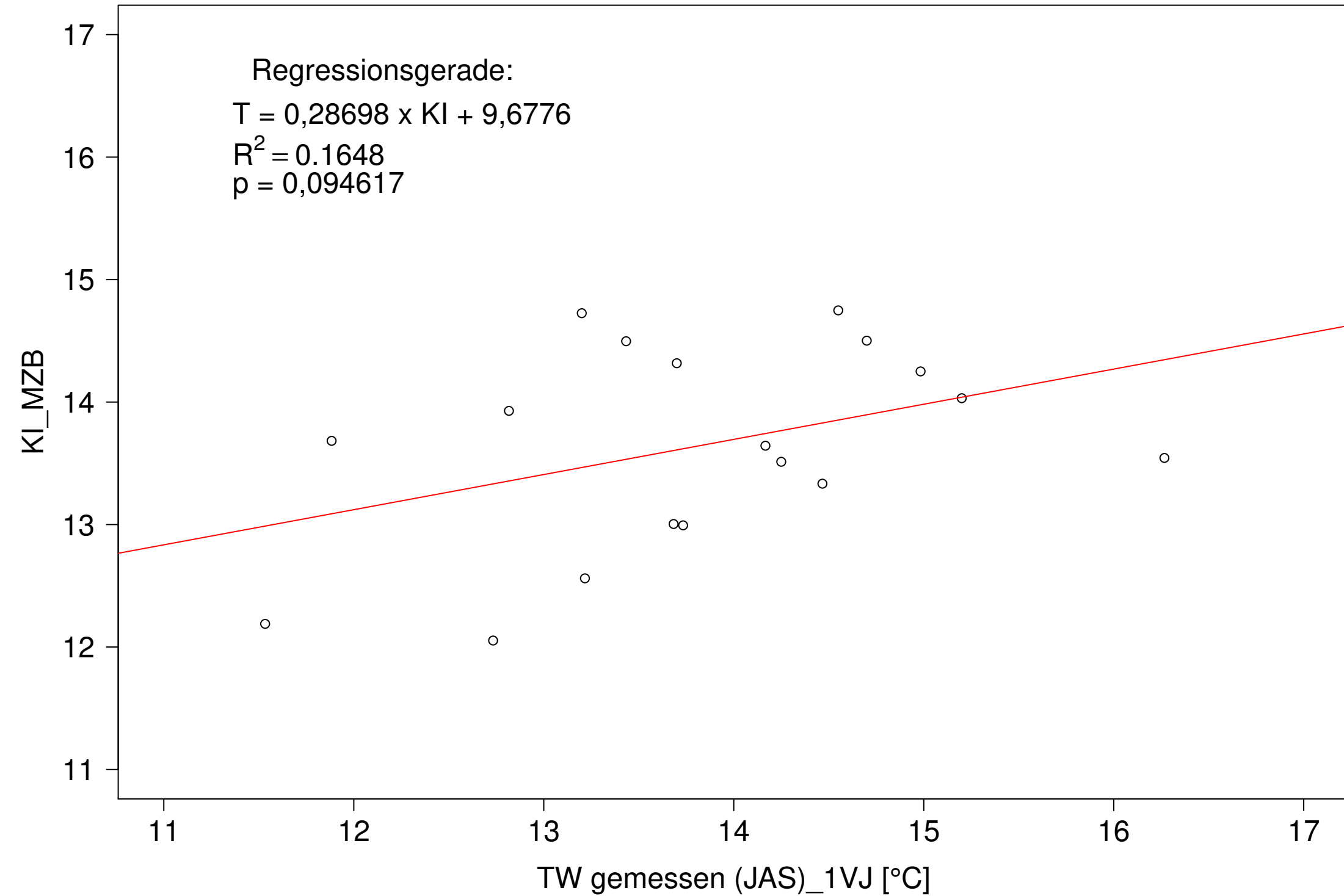
Gr. Lauter_Lauterach, Typ 09.1 mit Neozoen, Serie 2
KI_MZB (Typ/Kont-Korr) gegen TW gemessen (JAS) des 1. Vorjahres



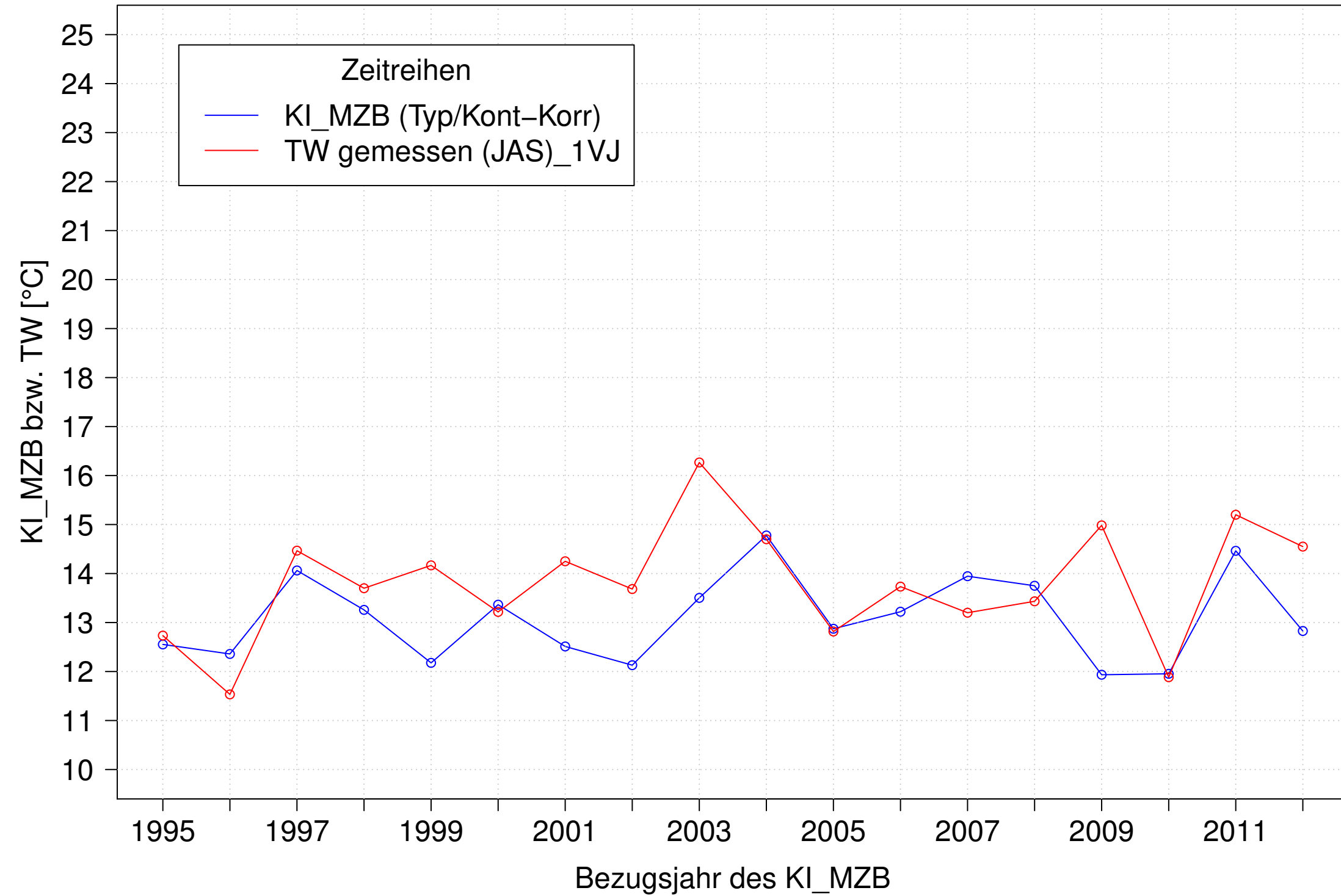
Gr. Lauter_Lauterach, Typ 09.1 mit Neozoen, Serie 3
KI_MZB (Typ/Kont-Korr) und TW gemessen (JAS) des 1. Vorjahres



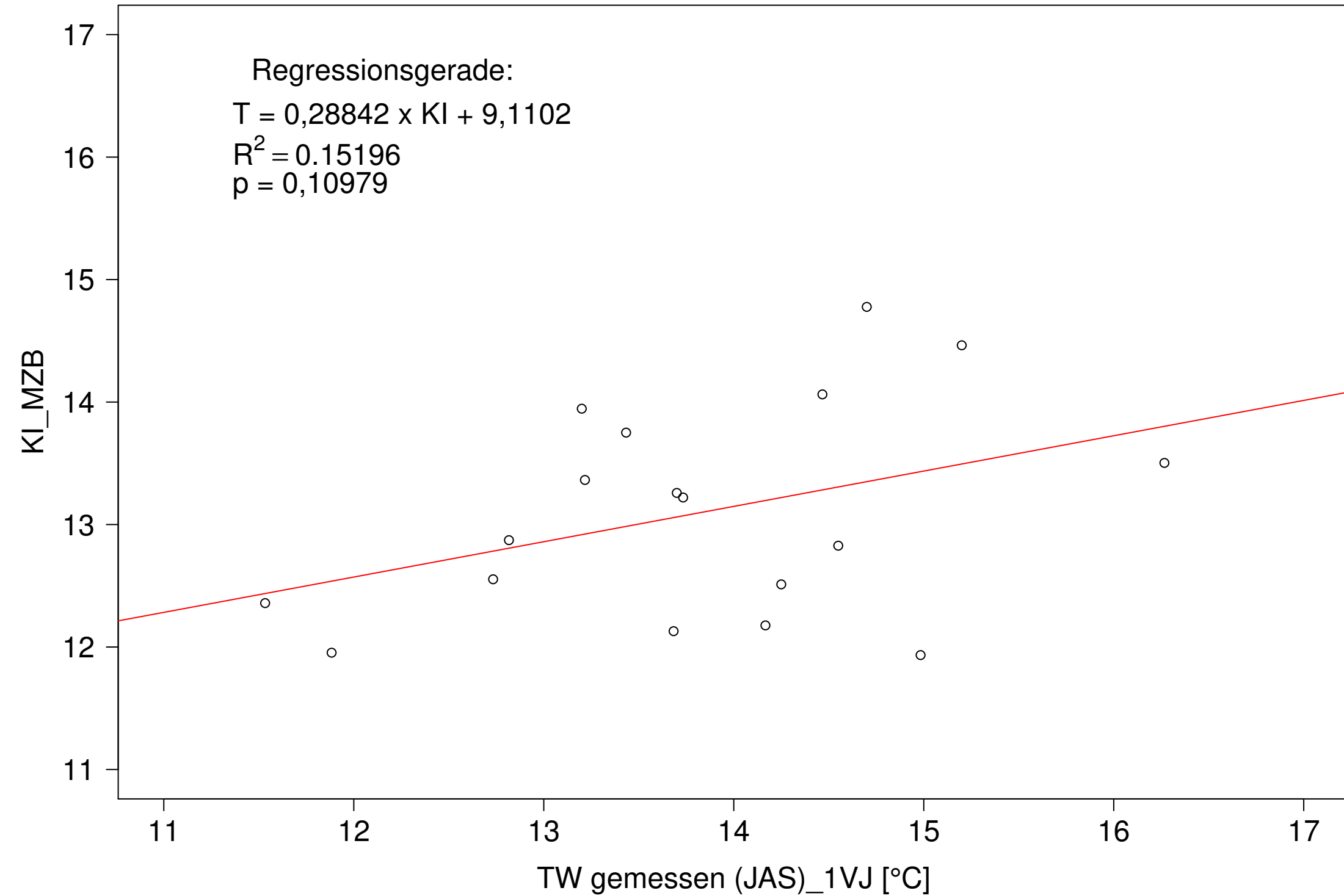
Gr. Lauter_Lauterach, Typ 09.1 mit Neozoen, Serie 3
KI_MZB (Typ/Kont-Korr) gegen TW gemessen (JAS) des 1. Vorjahres



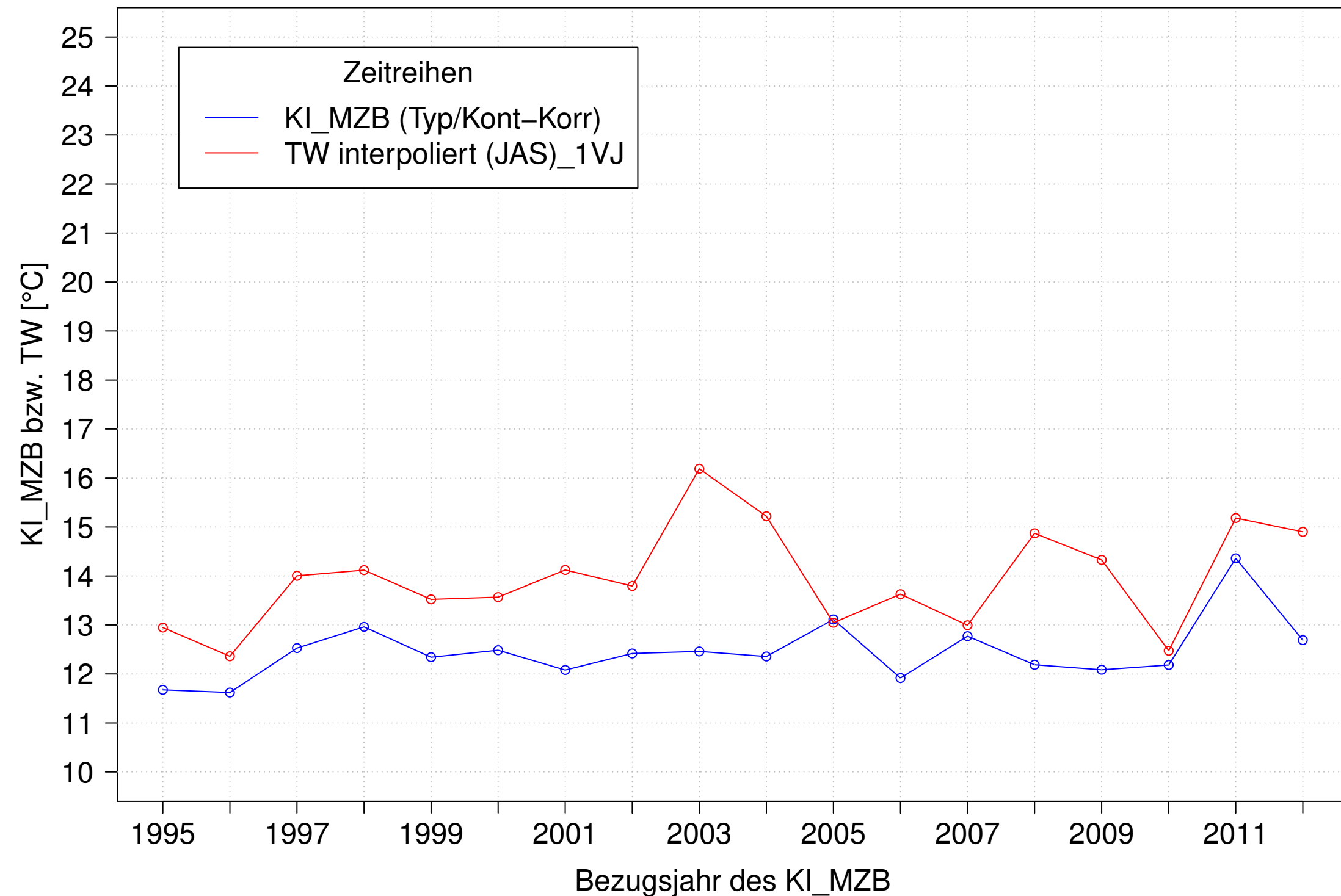
Gr. Lauter_Lauterach, Typ 09.1 mit Neozoen, Serie 4
KI_MZB (Typ/Kont-Korr) und TW gemessen (JAS) des 1. Vorjahres



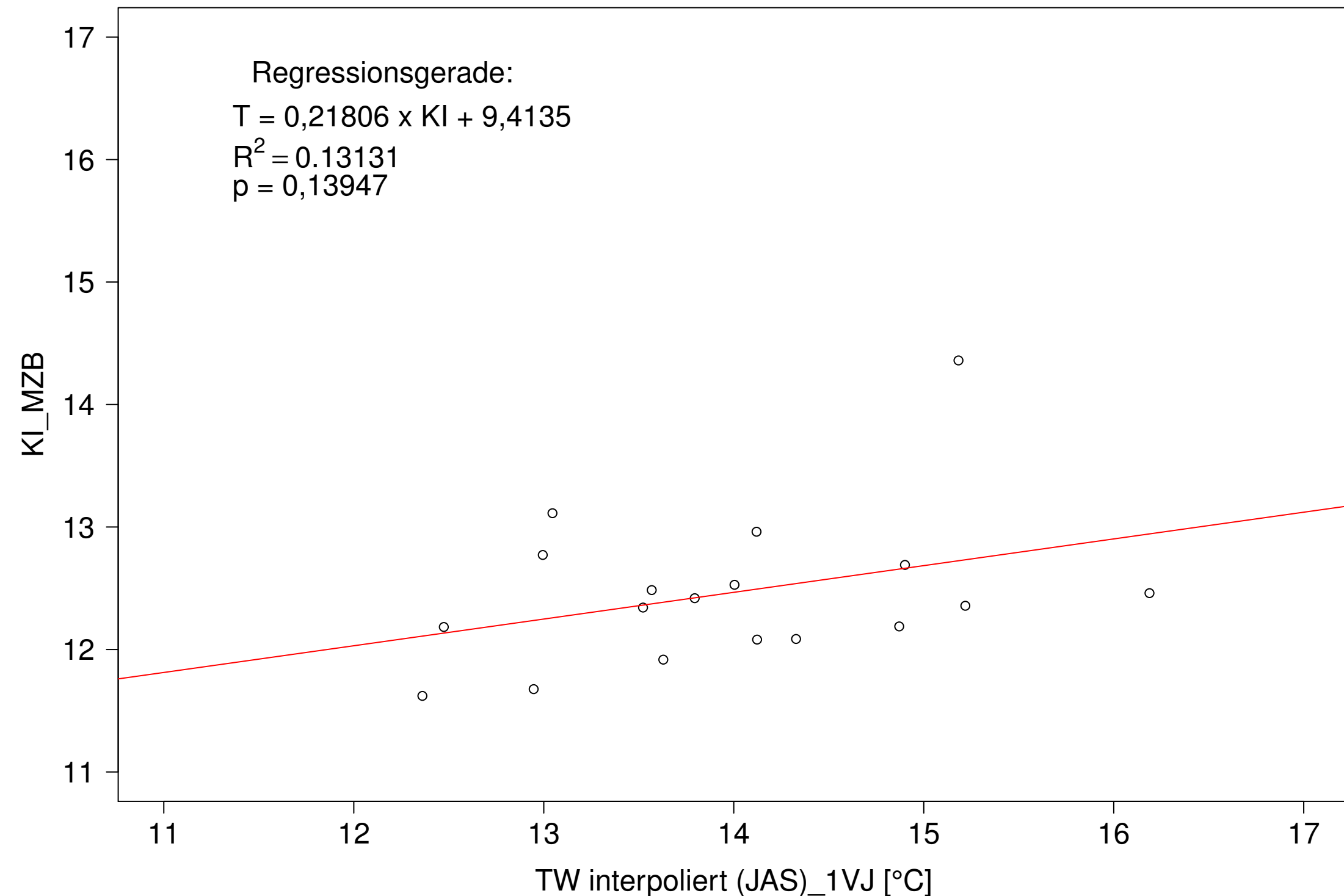
Gr. Lauter_Lauterach, Typ 09.1 mit Neozoen, Serie 4
KI_MZB (Typ/Kont-Korr) gegen TW gemessen (JAS) des 1. Vorjahres



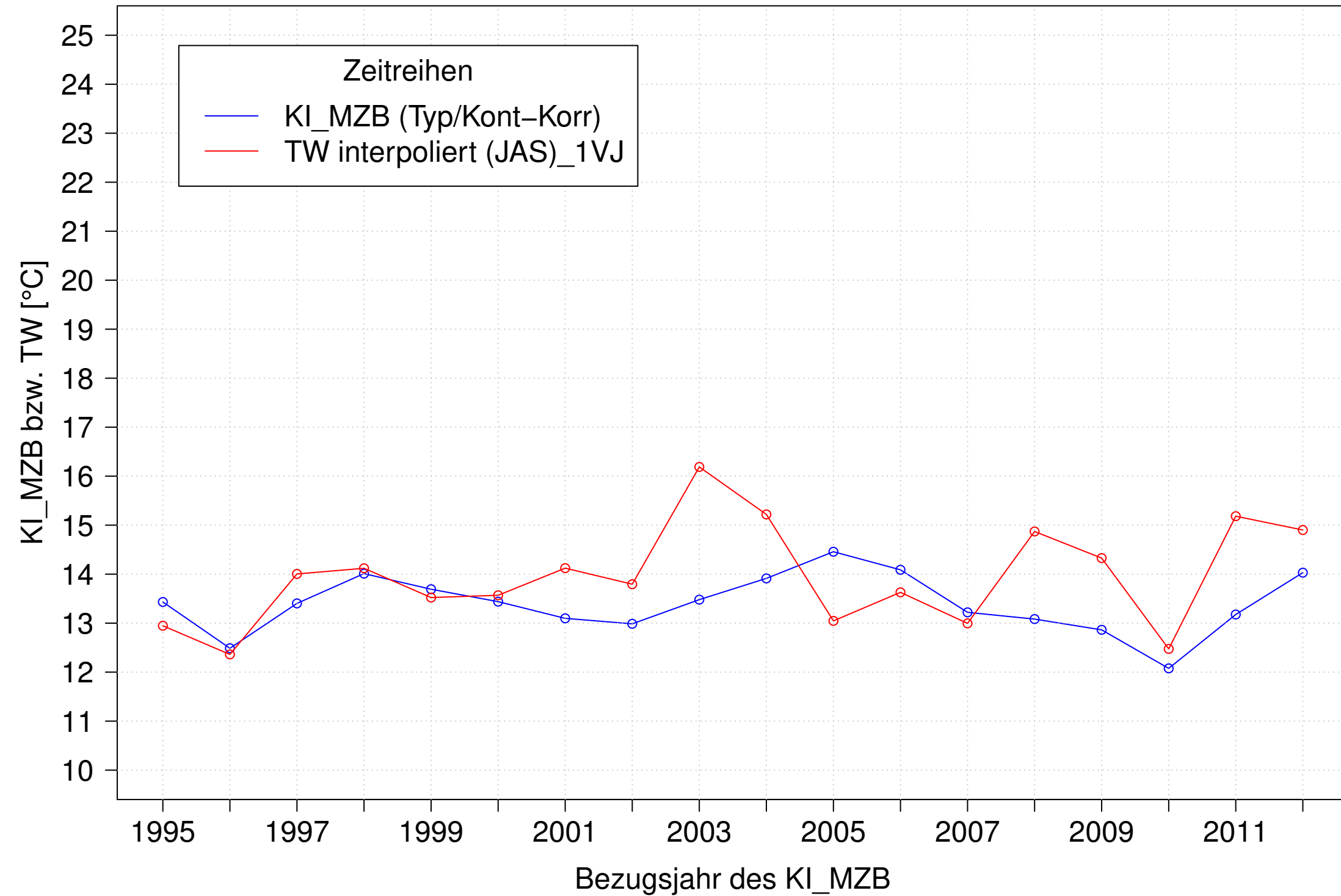
Gr. Lauter_Lauterach, Typ 09.1 mit Neozoen, Serie 1
KI_MZB (Typ/Kont-Korr) und TW interpoliert (JAS) des 1. Vorjahres



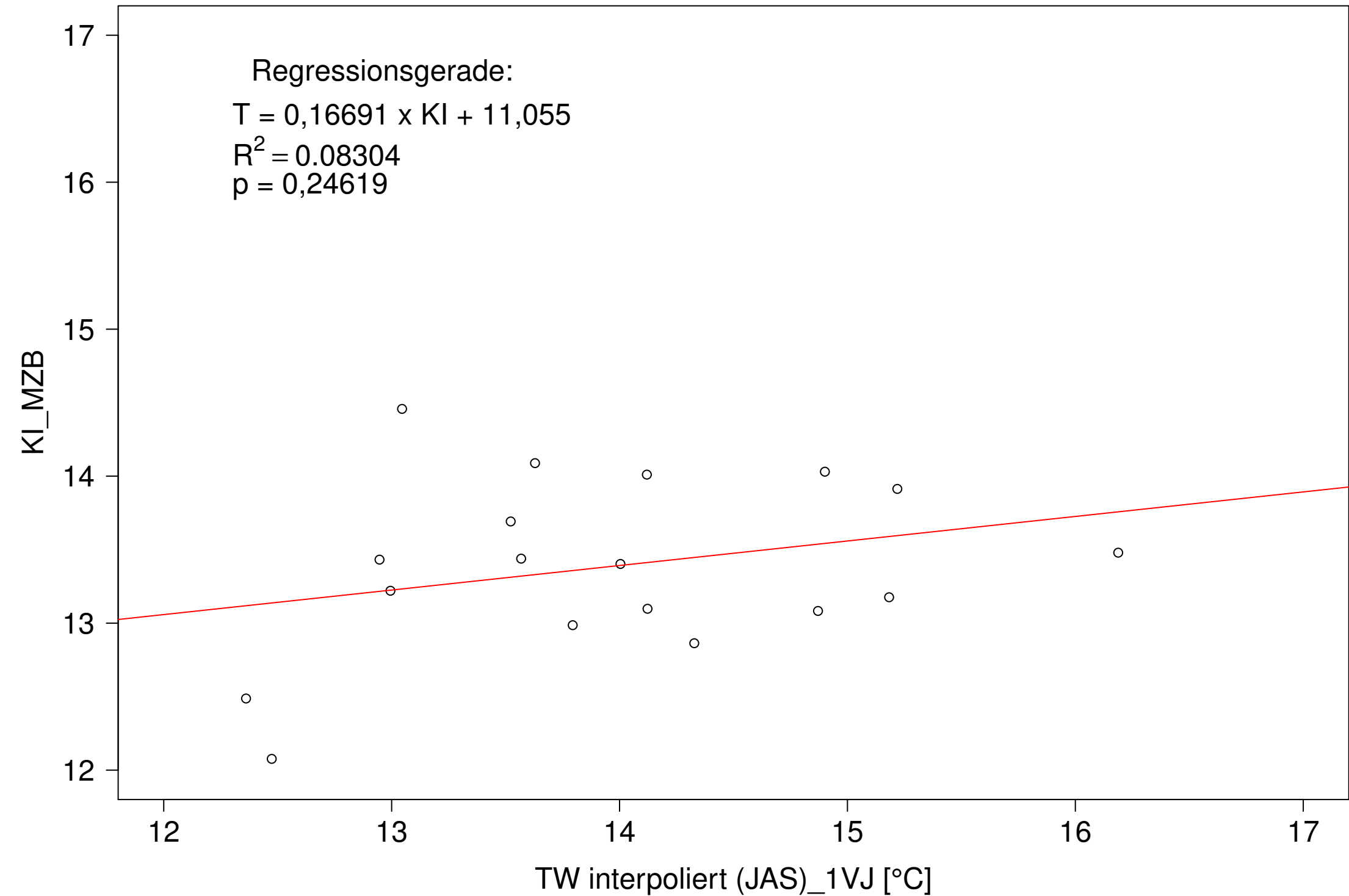
Gr. Lauter_Lauterach, Typ 09.1 mit Neozoen, Serie 1
KI_MZB (Typ/Kont-Korr) gegen TW interpoliert (JAS) des 1. Vorjahres



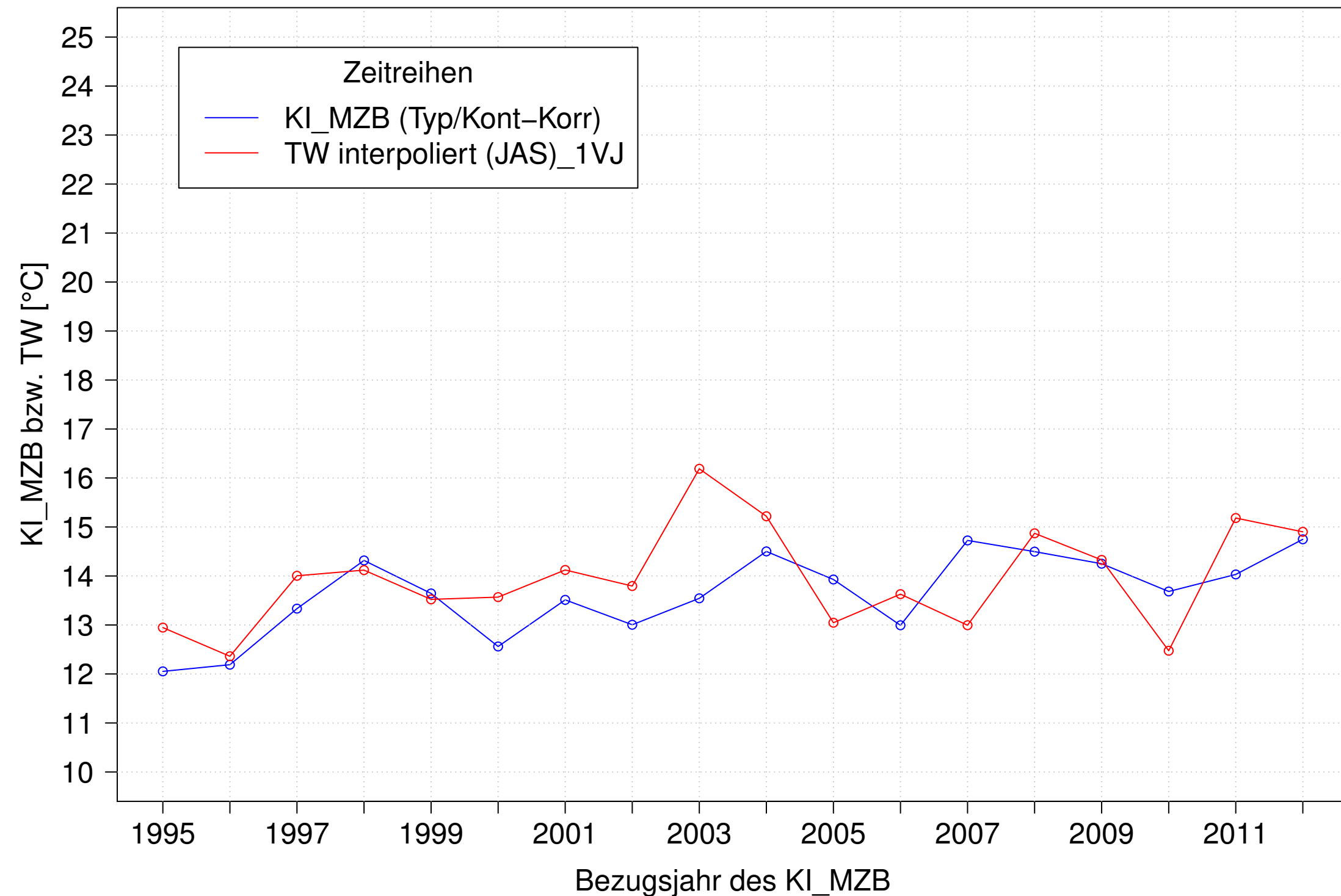
Gr. Lauter_Lauterach, Typ 09.1 mit Neozoen, Serie 2
KI_MZB (Typ/Kont-Korr) und TW interpoliert (JAS) des 1. Vorjahres



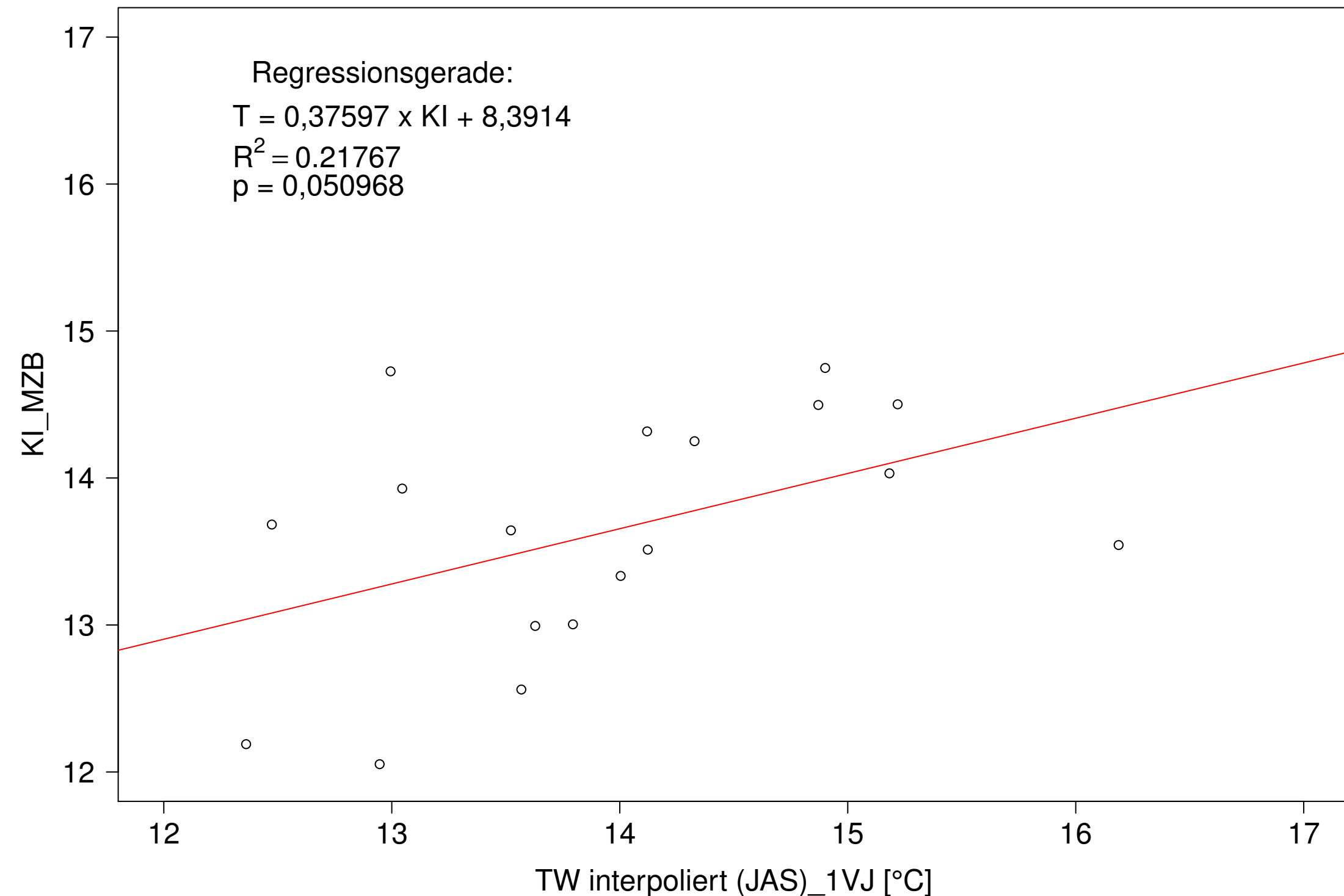
Gr. Lauter_Lauterach, Typ 09.1 mit Neozoen, Serie 2
KI_MZB (Typ/Kont-Korr) gegen TW interpoliert (JAS) des 1. Vorjahres



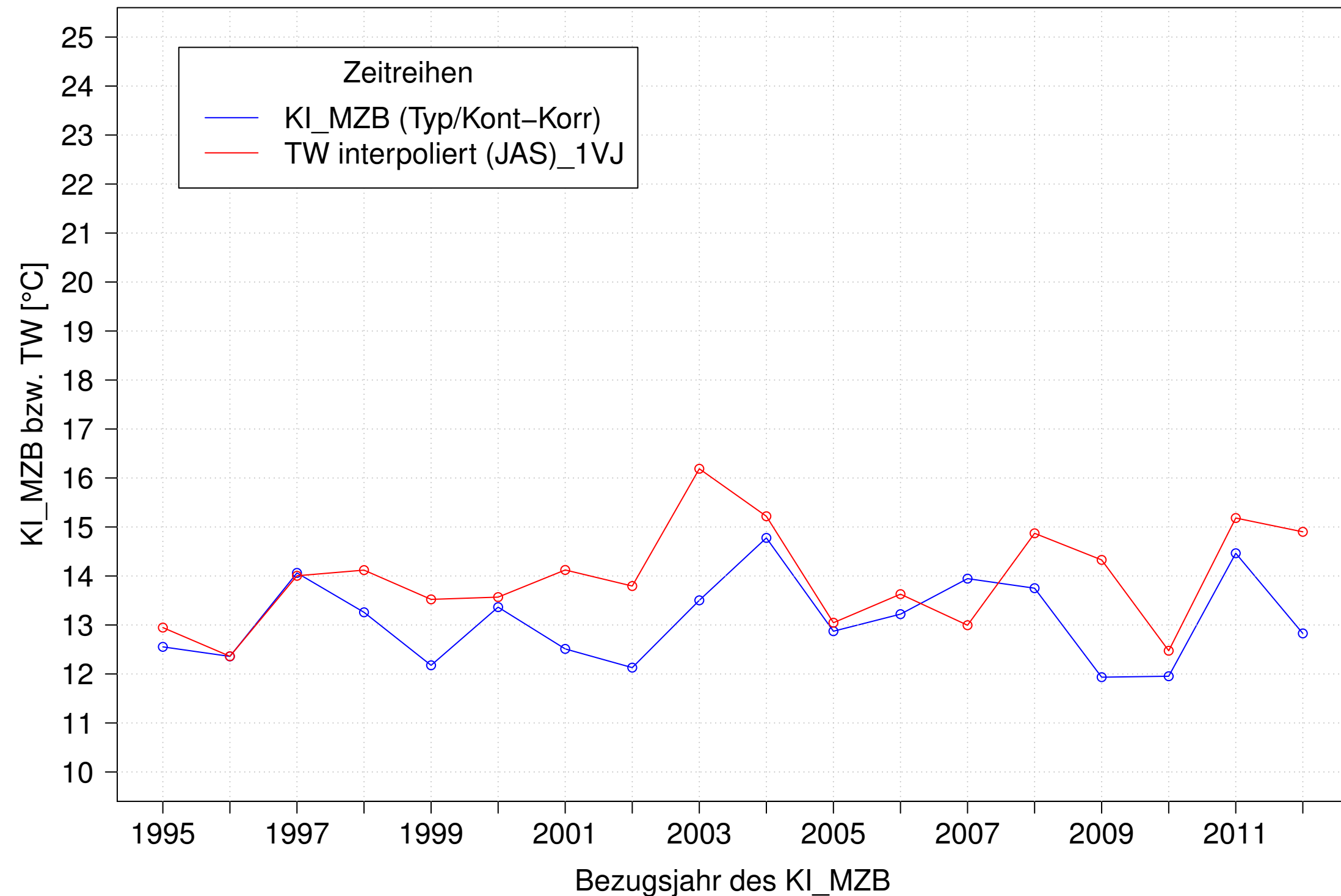
Gr. Lauter_Lauterach, Typ 09.1 mit Neozoen, Serie 3
KI_MZB (Typ/Kont-Korr) und TW interpoliert (JAS) des 1. Vorjahres



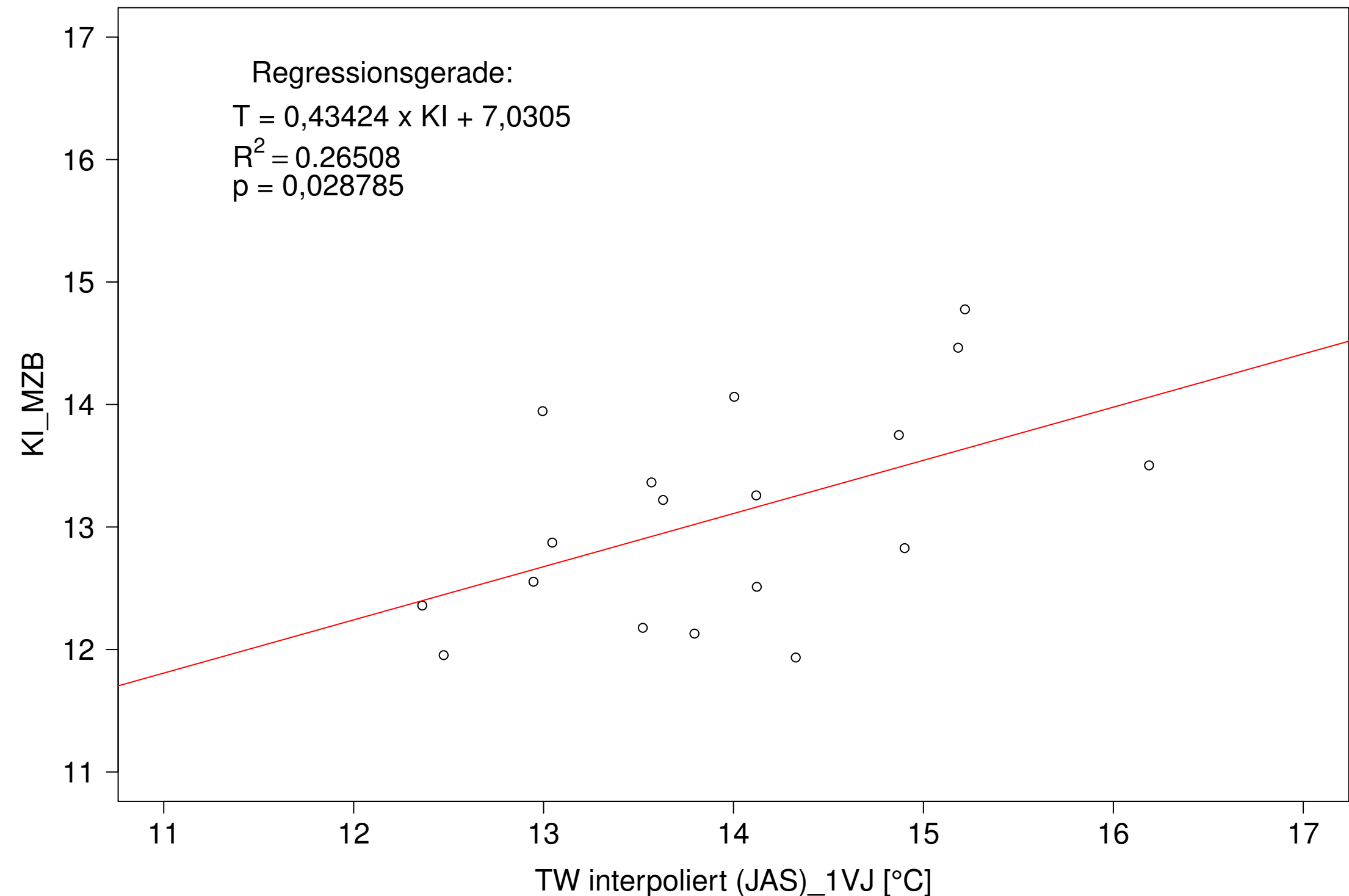
Gr. Lauter_Lauterach, Typ 09.1 mit Neozoen, Serie 3
KI_MZB (Typ/Kont-Korr) gegen TW interpoliert (JAS) des 1. Vorjahres



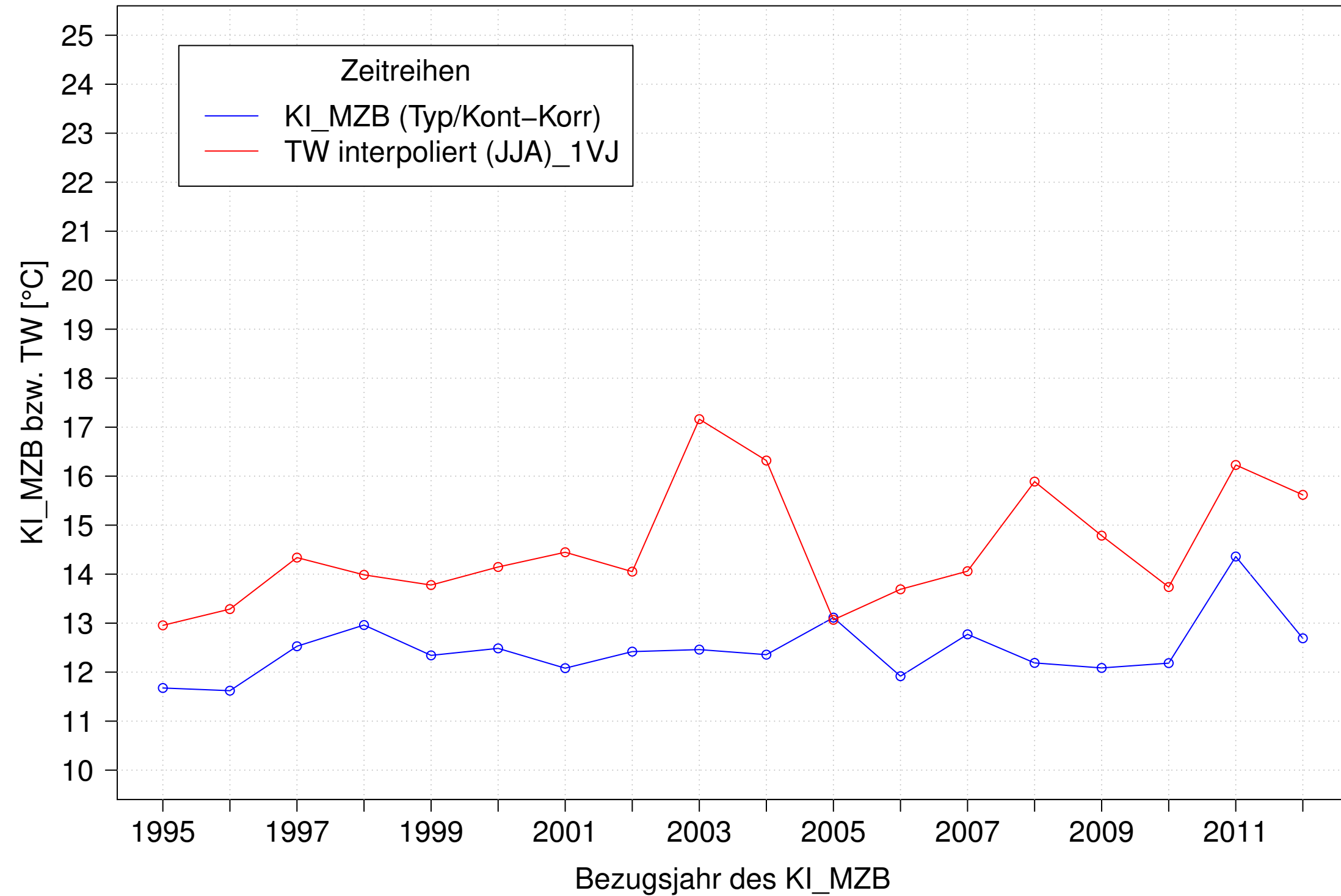
Gr. Lauter_Lauterach, Typ 09.1 mit Neozoen, Serie 4
KI_MZB (Typ/Kont-Korr) und TW interpoliert (JAS) des 1. Vorjahres



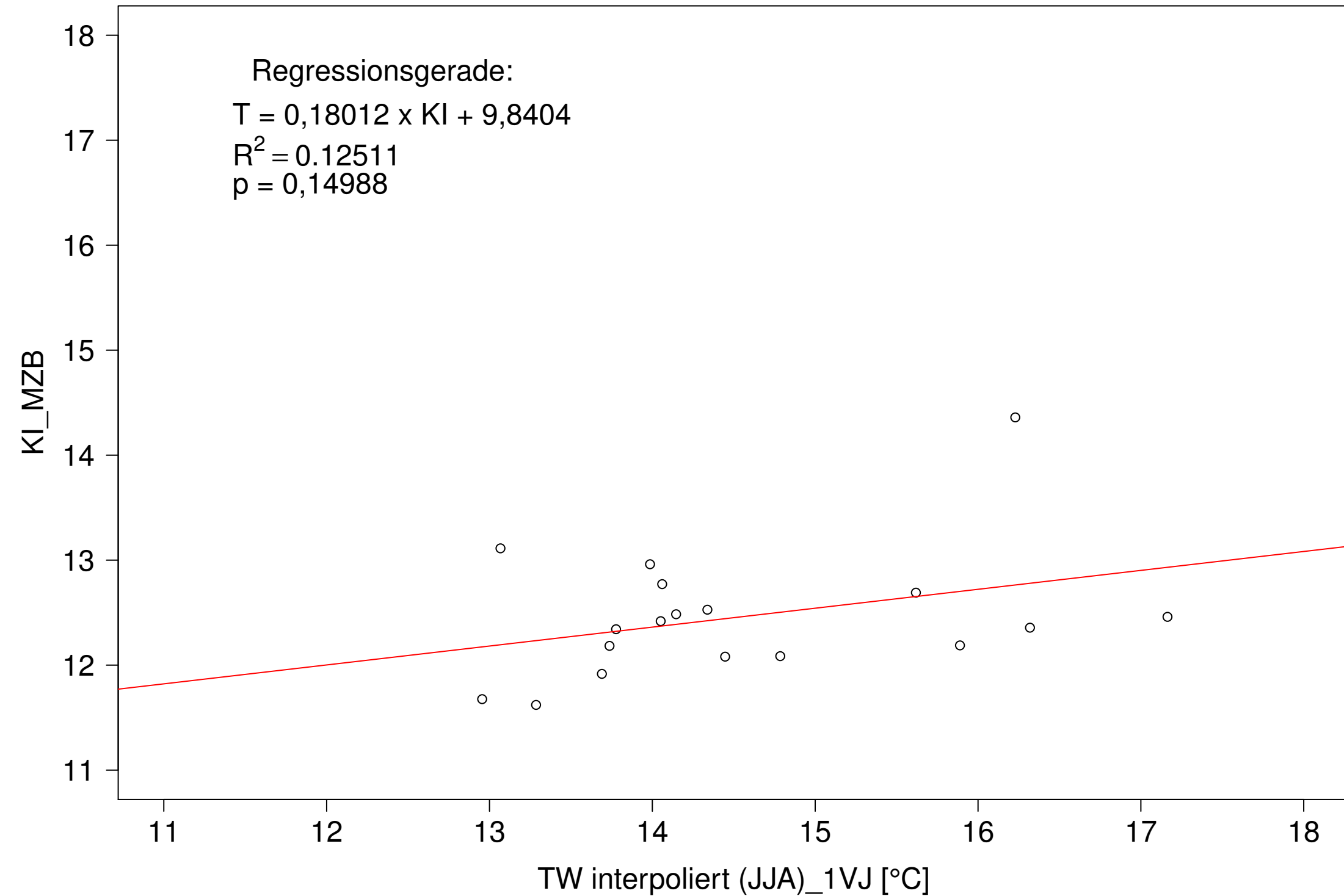
Gr. Lauter_Lauterach, Typ 09.1 mit Neozoen, Serie 4
KI_MZB (Typ/Kont-Korr) gegen TW interpoliert (JAS) des 1. Vorjahres



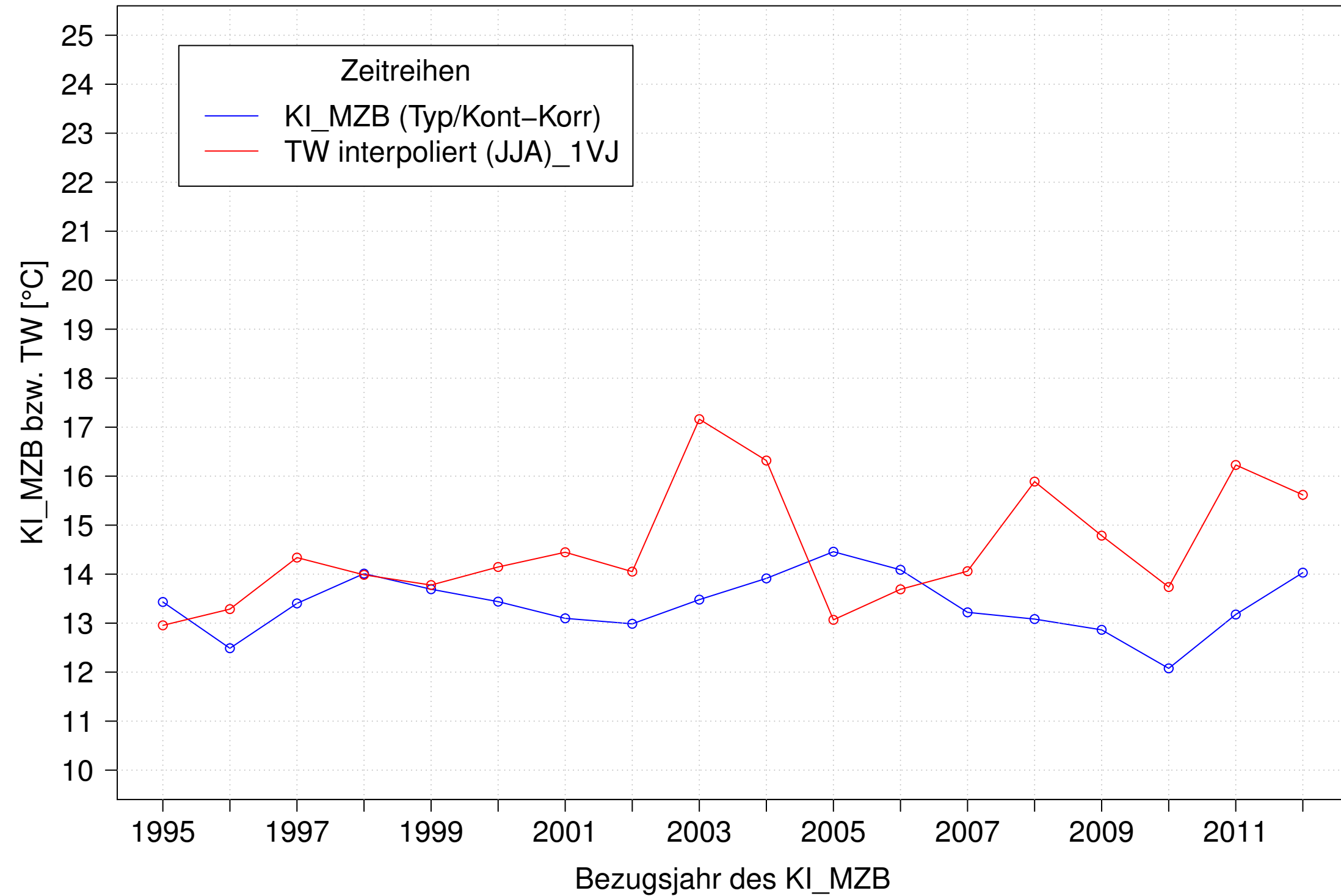
Gr. Lauter_Lauterach, Typ 09.1 mit Neozoen, Serie 1
KI_MZB (Typ/Kont-Korr) und TW interpoliert (JJA) des 1. Vorjahres



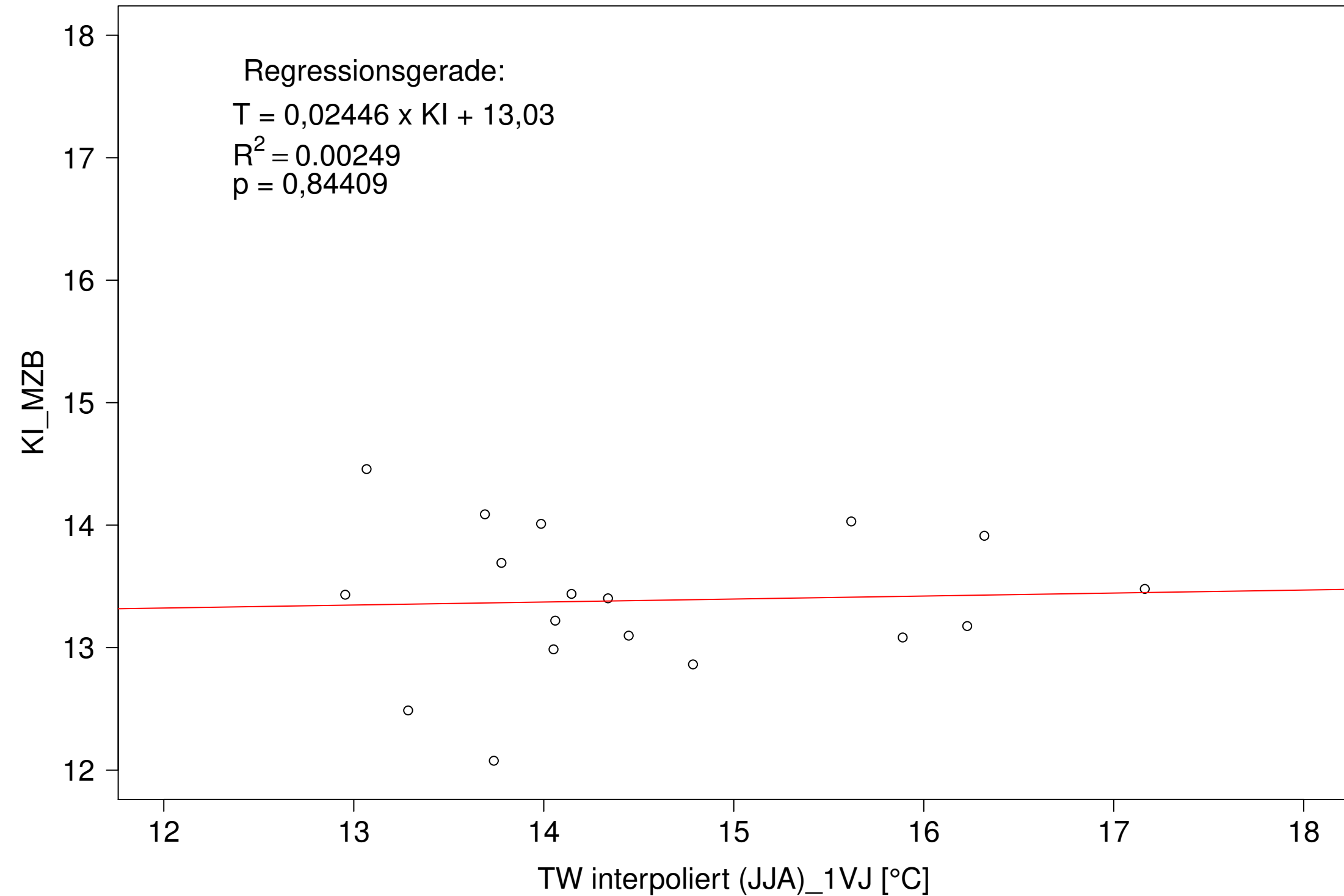
Gr. Lauter_Lauterach, Typ 09.1 mit Neozoen, Serie 1
KI_MZB (Typ/Kont-Korr) gegen TW interpoliert (JJA) des 1. Vorjahres



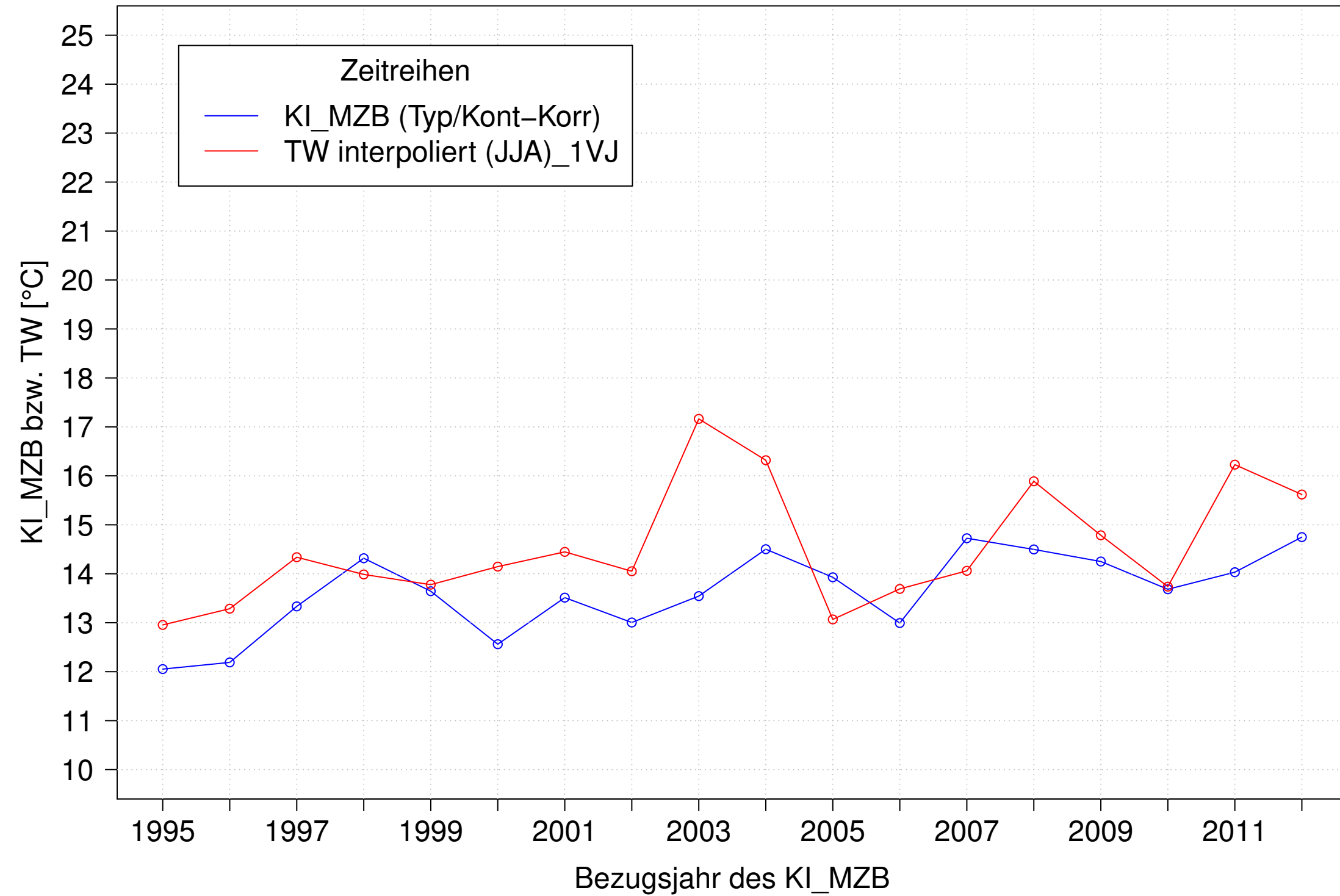
Gr. Lauter_Lauterach, Typ 09.1 mit Neozoen, Serie 2
KI_MZB (Typ/Kont-Korr) und TW interpoliert (JJA) des 1. Vorjahres



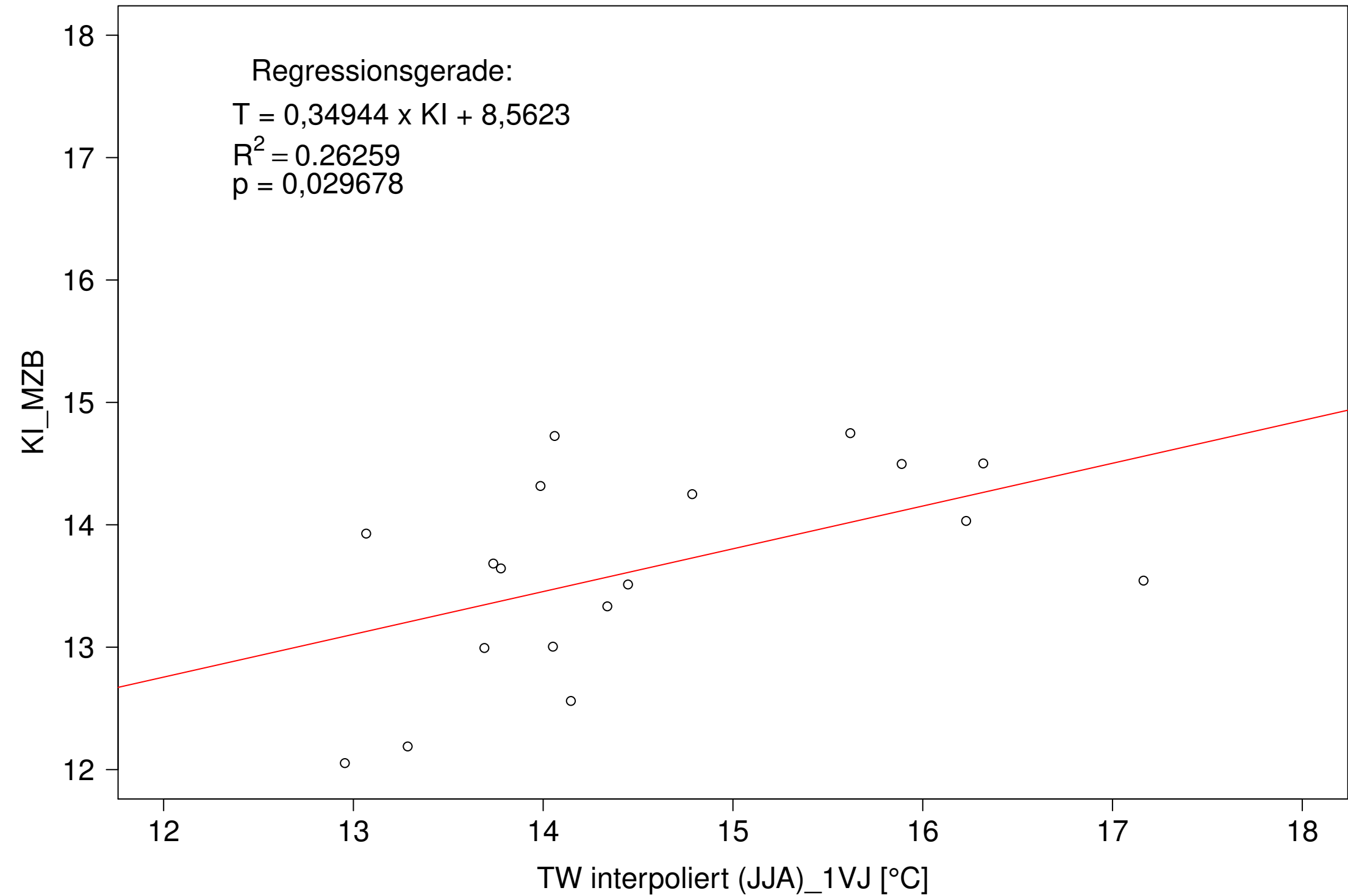
Gr. Lauter_Lauterach, Typ 09.1 mit Neozoen, Serie 2
KI_MZB (Typ/Kont-Korr) gegen TW interpoliert (JJA) des 1. Vorjahres



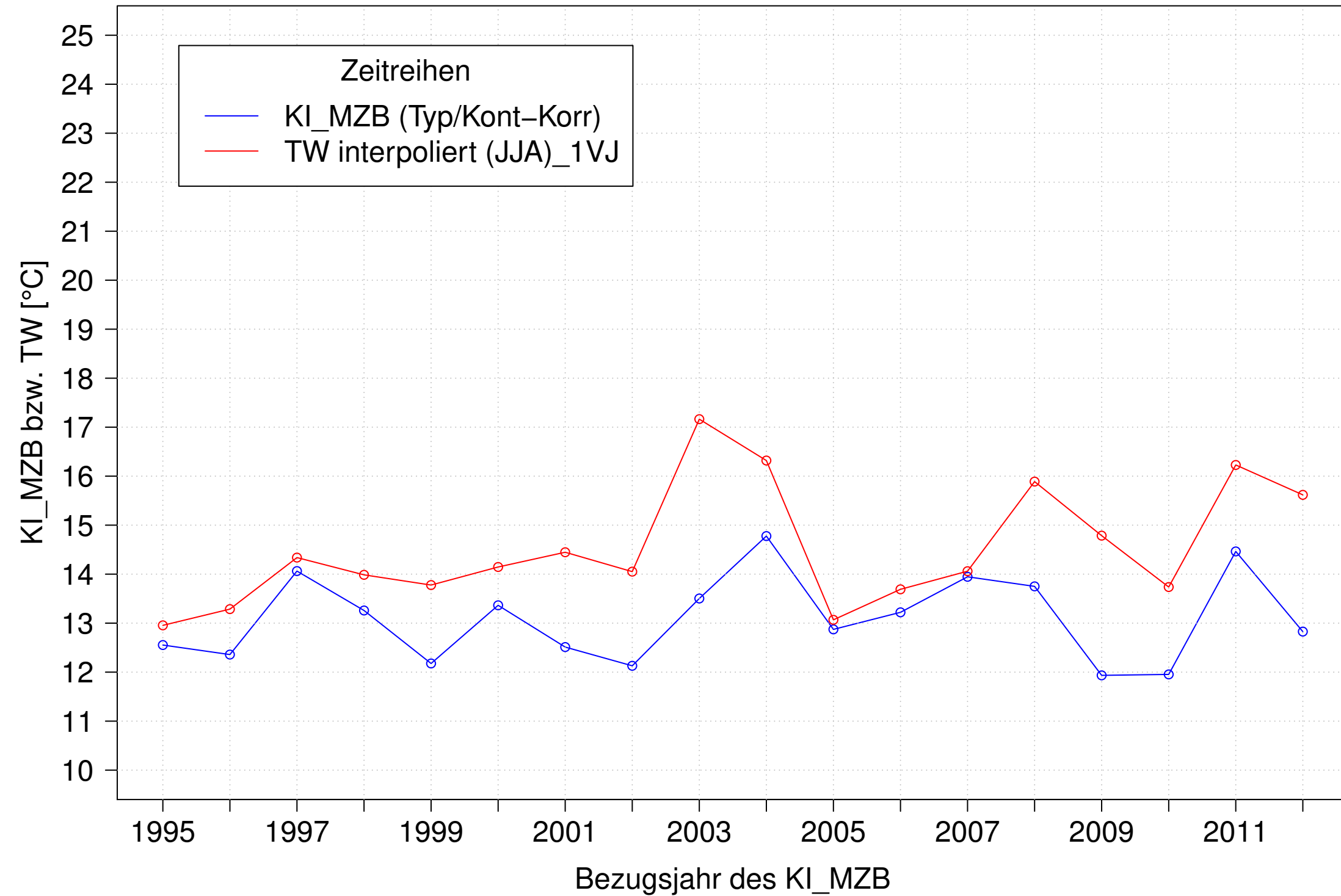
Gr. Lauter_Lauterach, Typ 09.1 mit Neozoen, Serie 3
KI_MZB (Typ/Kont-Korr) und TW interpoliert (JJA) des 1. Vorjahres



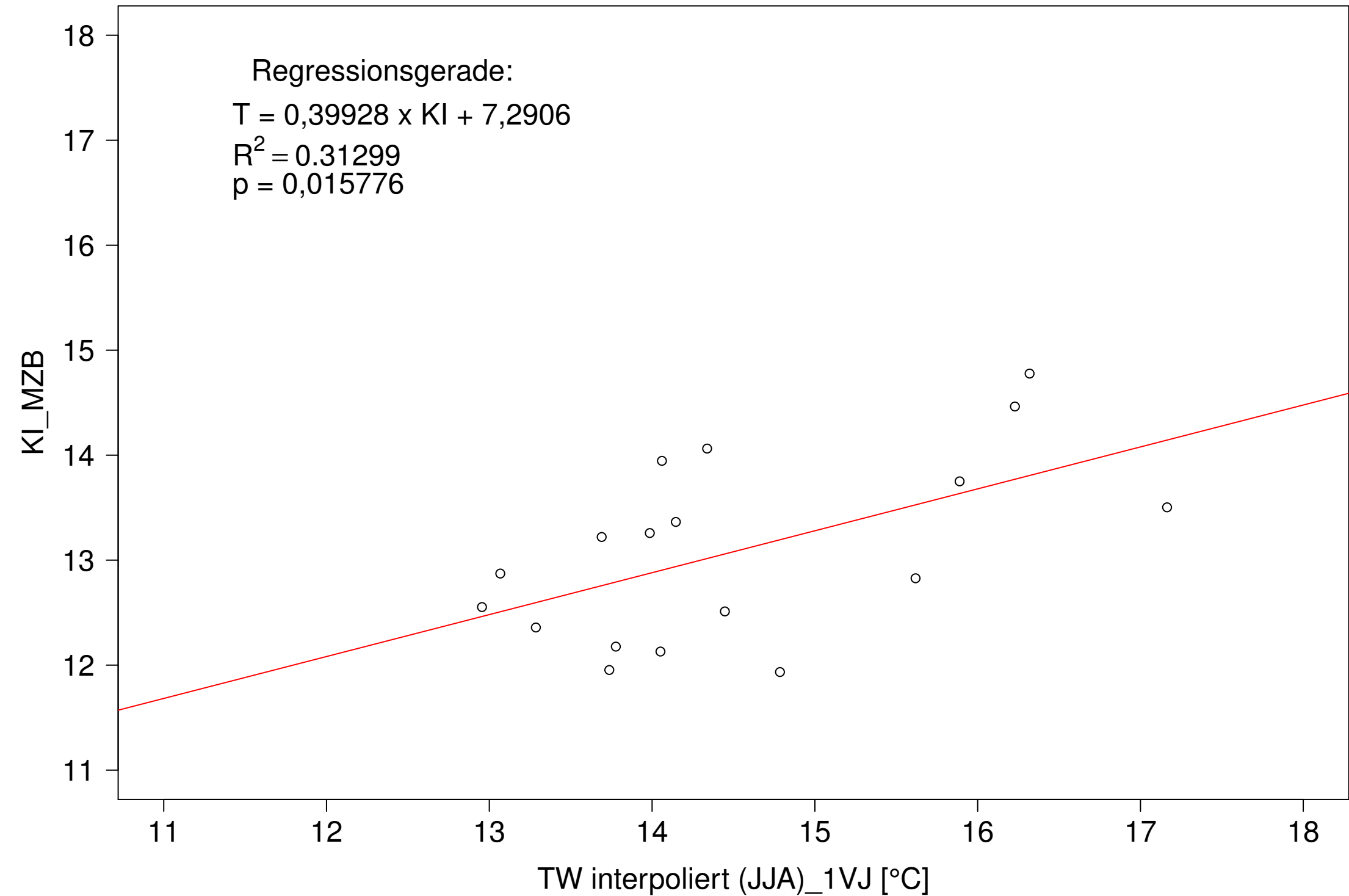
Gr. Lauter_Lauterach, Typ 09.1 mit Neozoen, Serie 3
KI_MZB (Typ/Kont-Korr) gegen TW interpoliert (JJA) des 1. Vorjahres



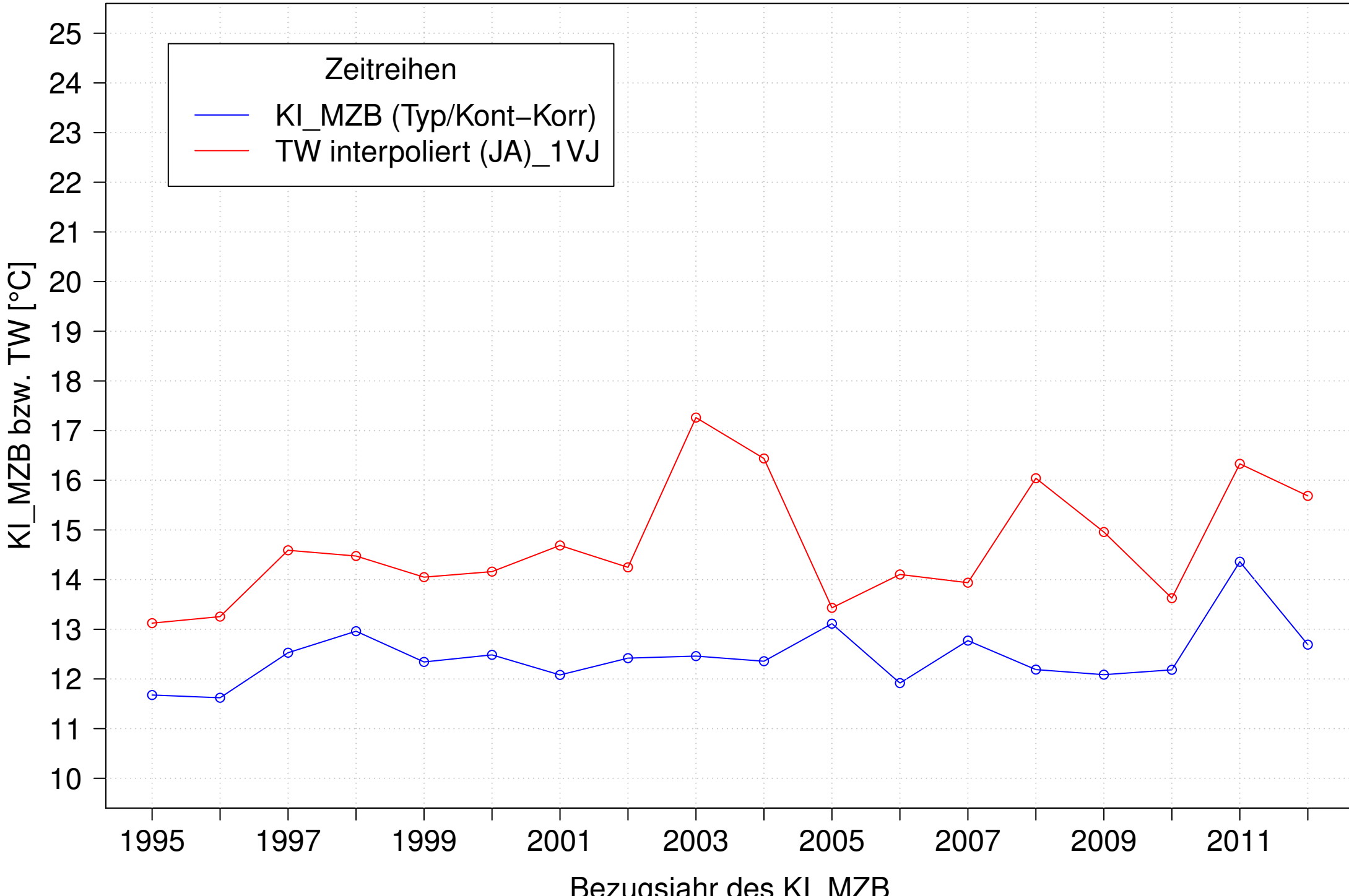
Gr. Lauter_Lauterach, Typ 09.1 mit Neozoen, Serie 4
KI_MZB (Typ/Kont-Korr) und TW interpoliert (JJA) des 1. Vorjahres



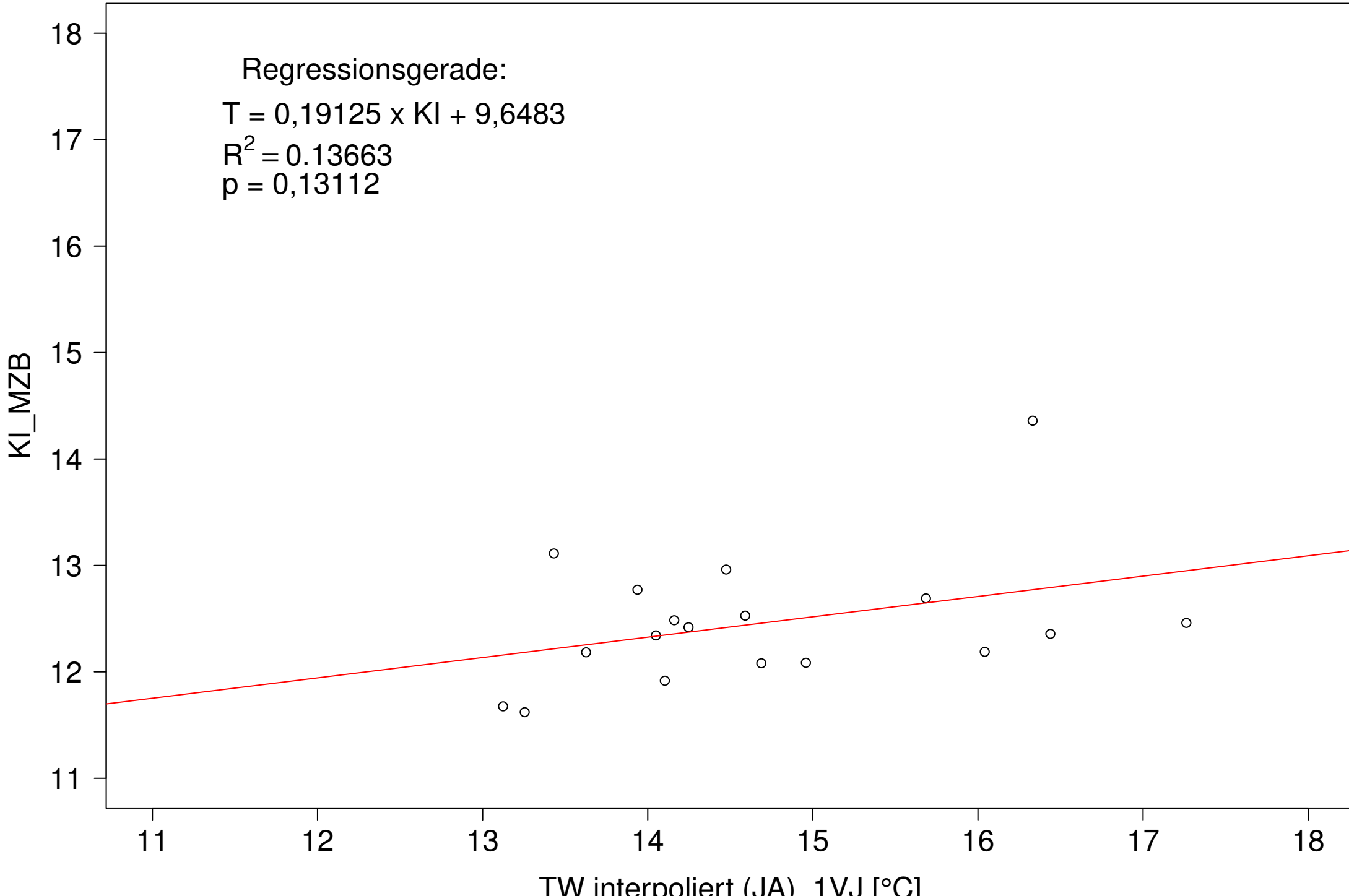
Gr. Lauter_Lauterach, Typ 09.1 mit Neozoen, Serie 4
KI_MZB (Typ/Kont-Korr) gegen TW interpoliert (JJA) des 1. Vorjahres



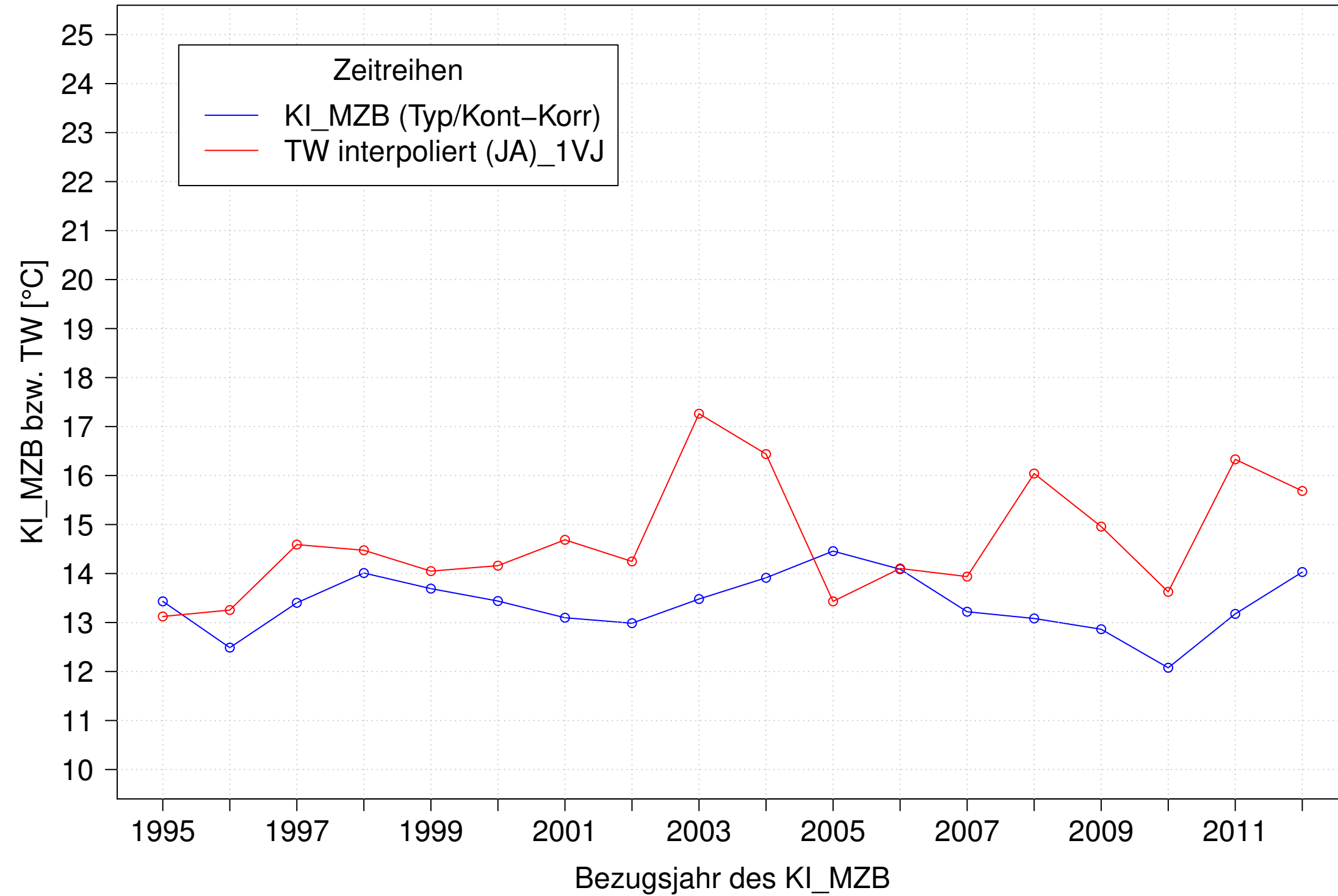
**Gr. Lauter_Lauterach, Typ 09.1 mit Neozoen, Serie 1
KI MZB (Typ/Kont-Korr) und TW interpoliert (JA) des 1. Vorjahres**



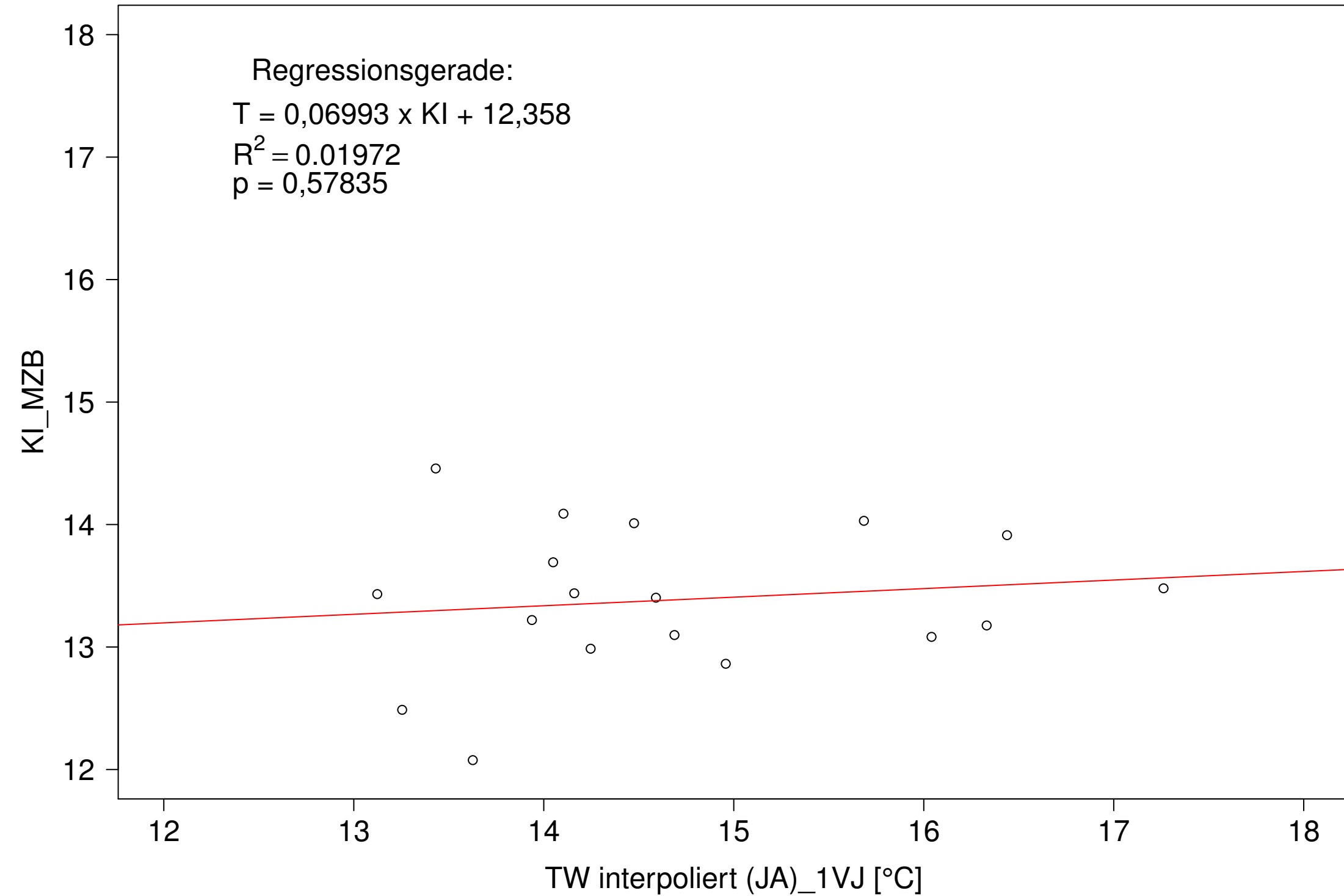
Gr. Lauter_Lauterach, Typ 09.1 mit Neozoen, Serie 1
KI MZB (Typ/Kont-Korr) gegen TW interpoliert (JA) des 1. Vorjahres



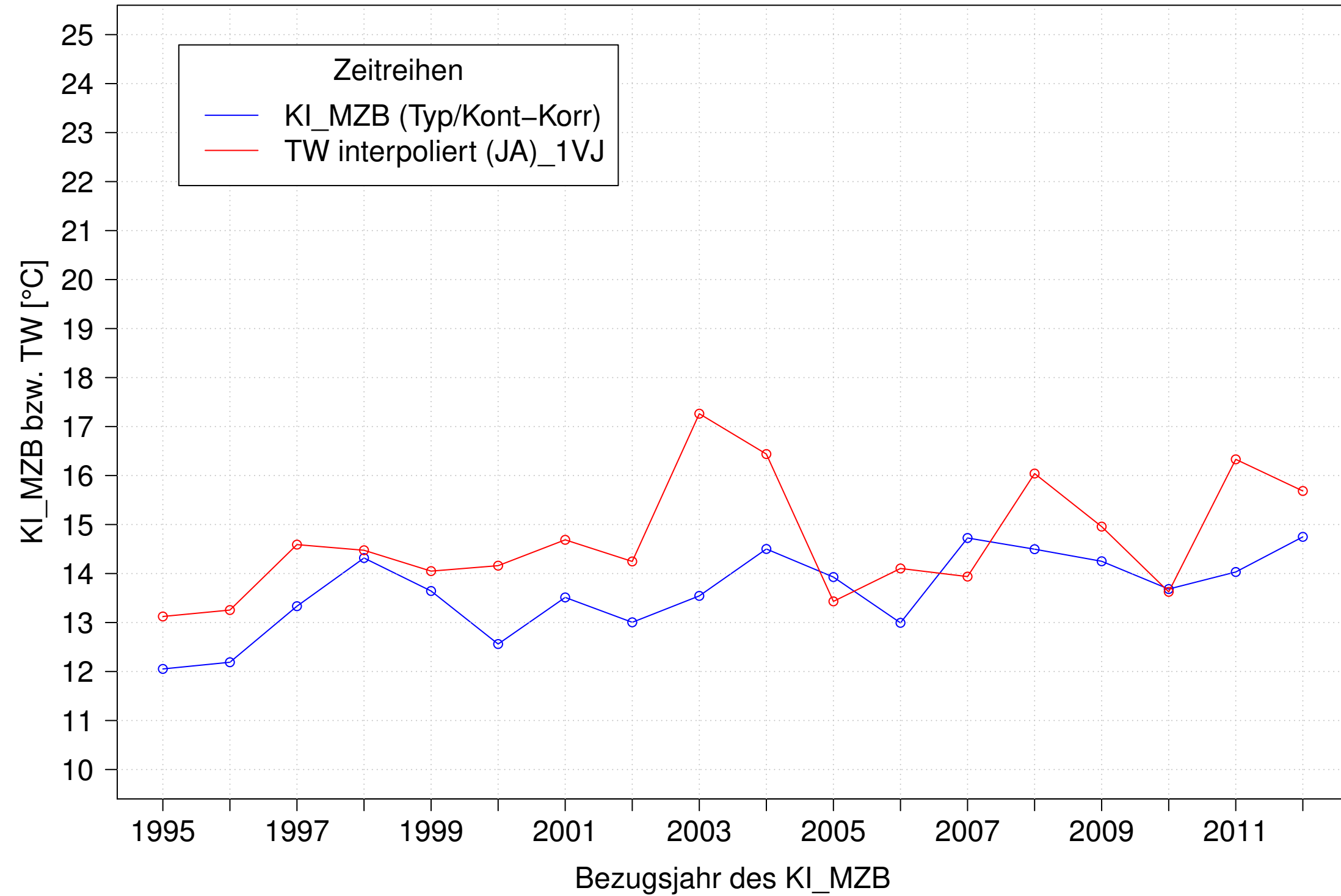
Gr. Lauter_Lauterach, Typ 09.1 mit Neozoen, Serie 2
 KI_MZB (Typ/Kont-Korr) und TW interpoliert (JA) des 1. Vorjahres



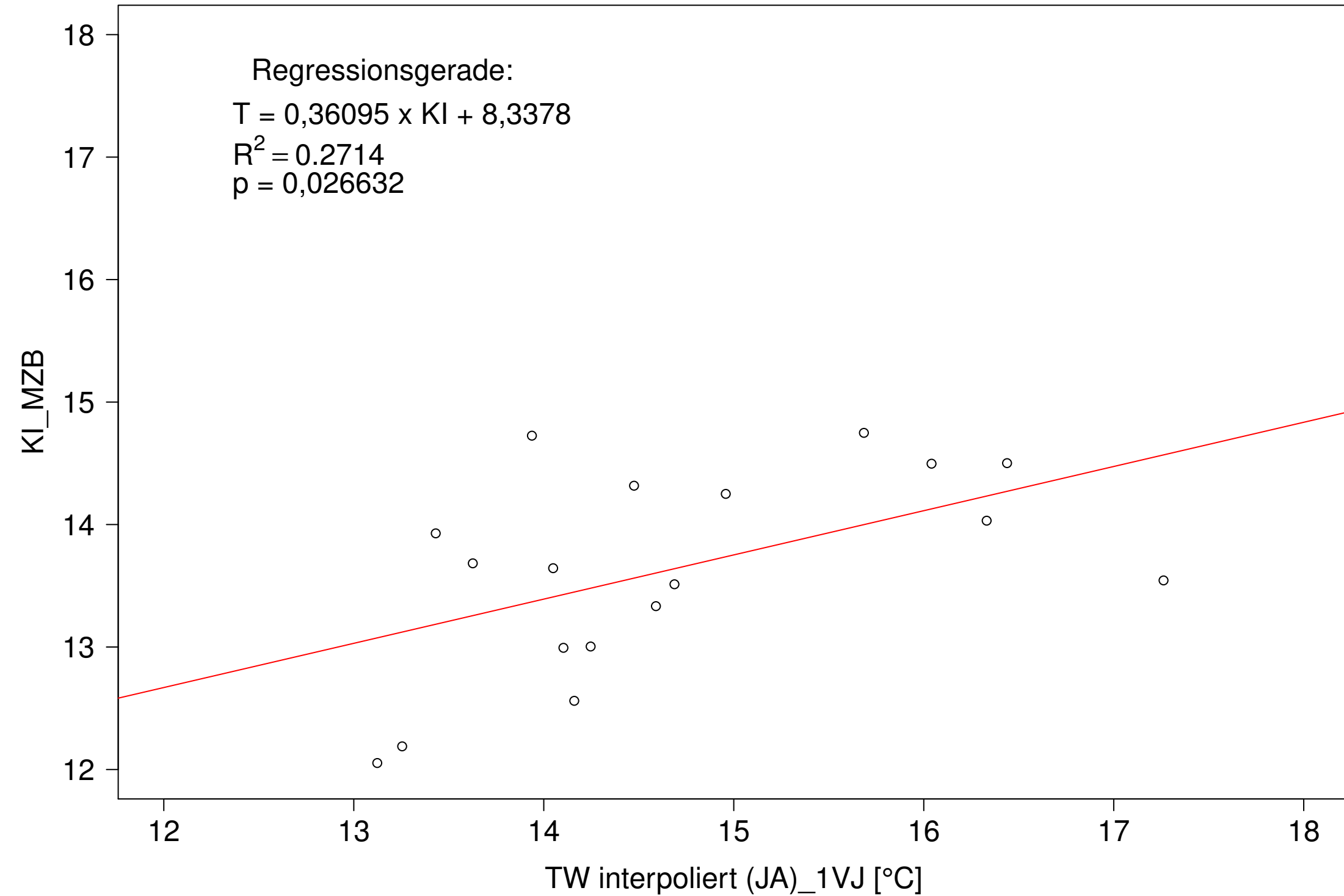
Gr. Lauter_Lauterach, Typ 09.1 mit Neozoen, Serie 2
 KI_MZB (Typ/Kont-Korr) gegen TW interpoliert (JA) des 1. Vorjahres



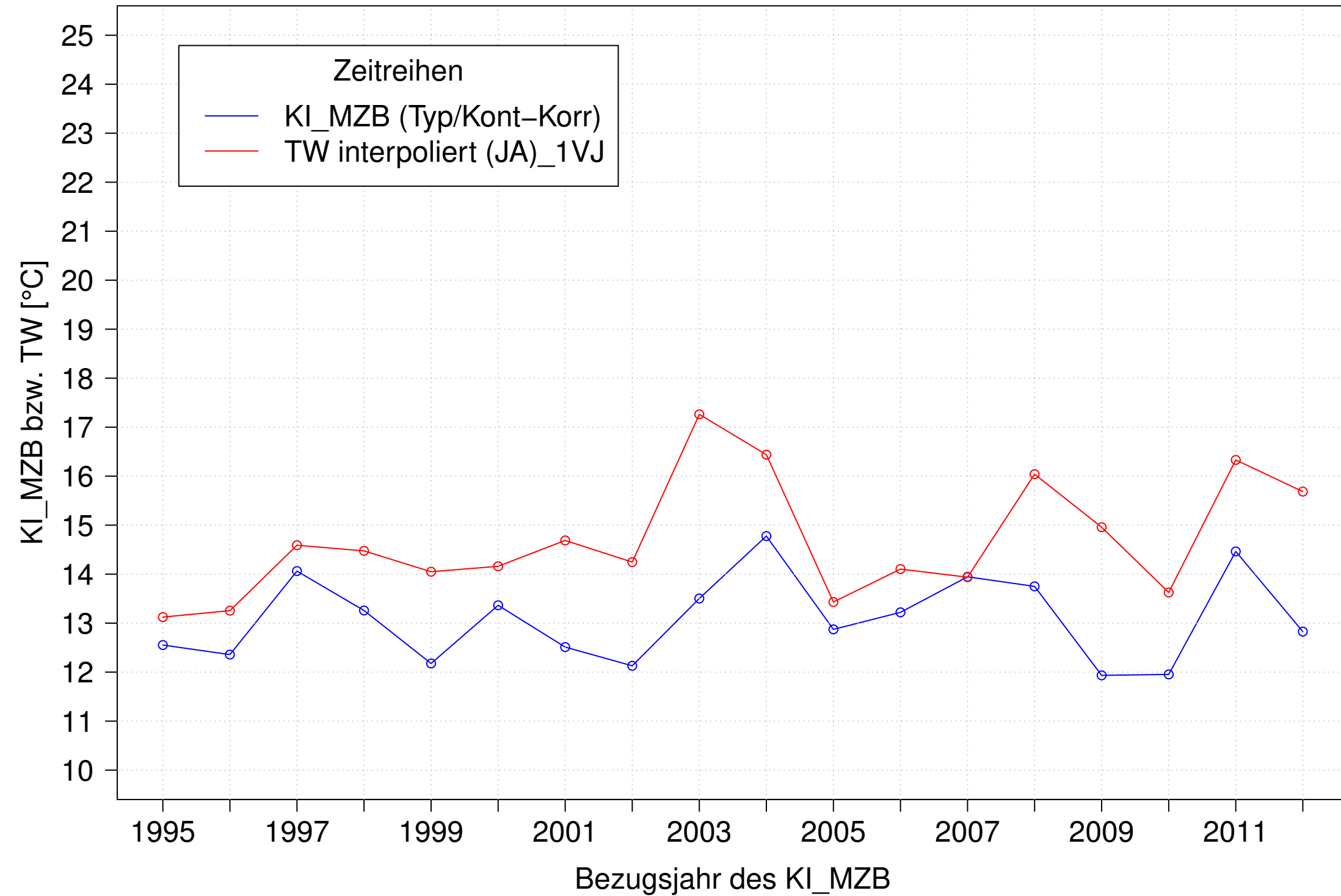
Gr. Lauter_Lauterach, Typ 09.1 mit Neozoen, Serie 3
KI_MZB (Typ/Kont-Korr) und TW interpoliert (JA) des 1. Vorjahres



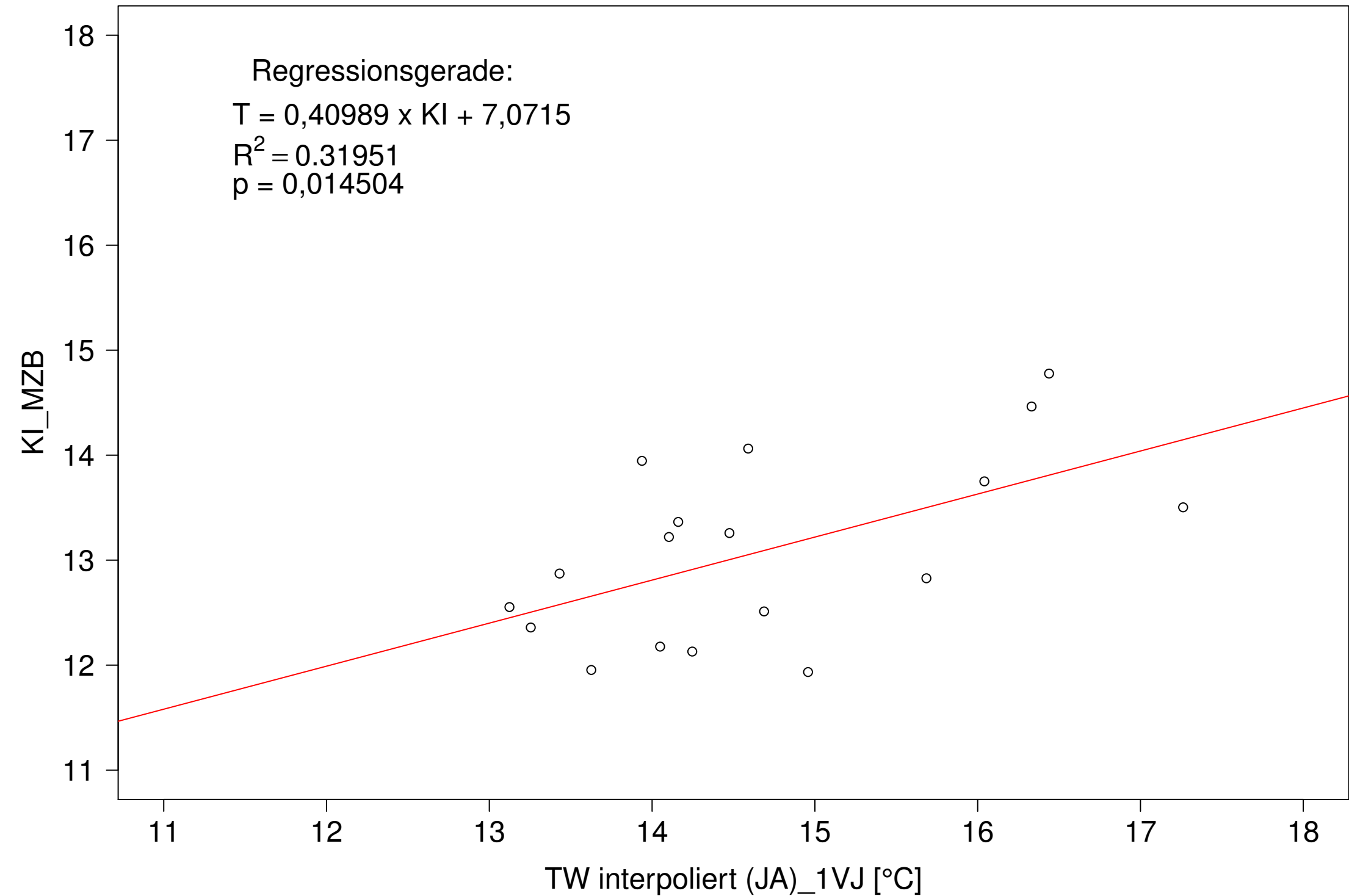
Gr. Lauter_Lauterach, Typ 09.1 mit Neozoen, Serie 3
KI_MZB (Typ/Kont-Korr) gegen TW interpoliert (JA) des 1. Vorjahres



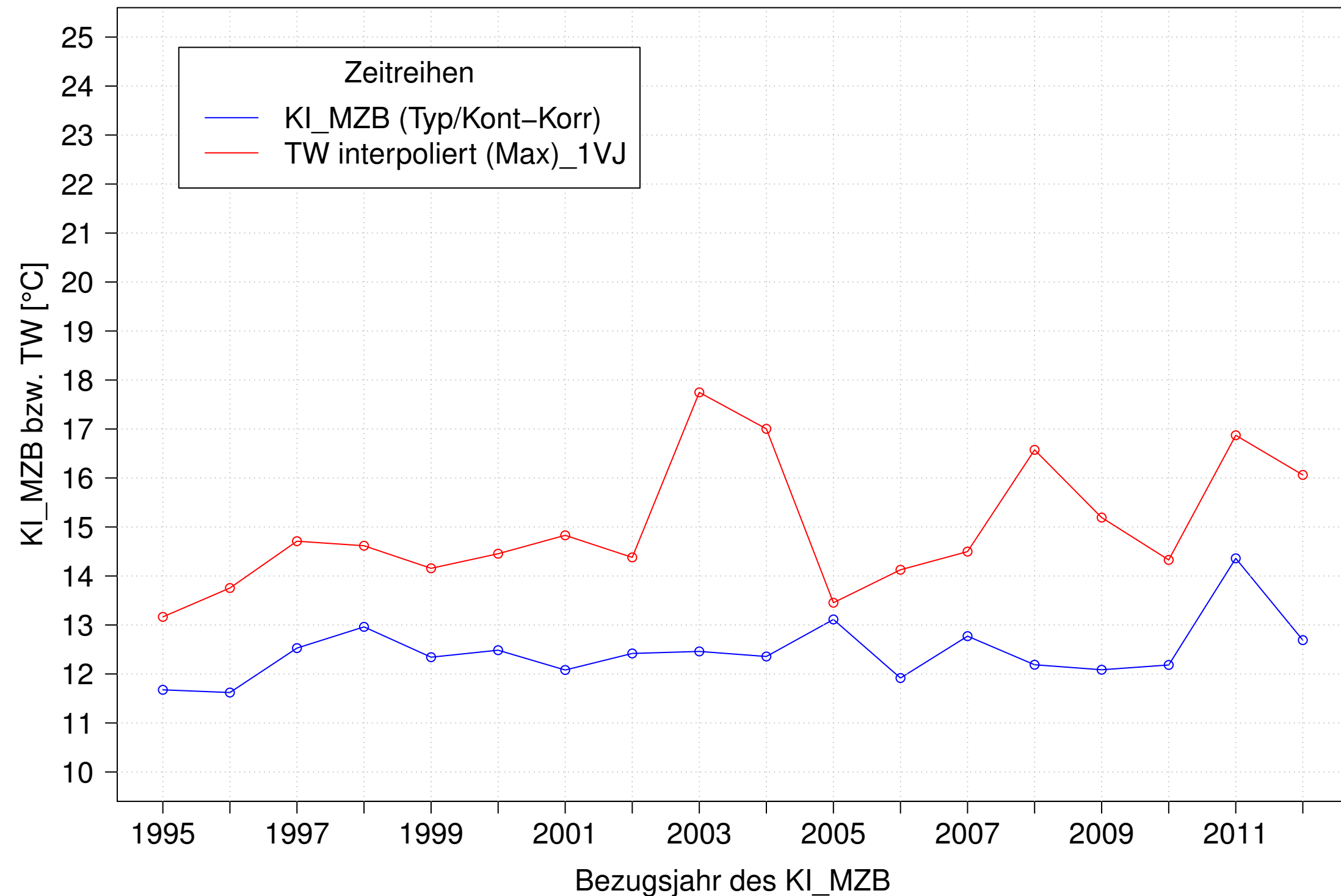
Gr. Lauter_Lauterach, Typ 09.1 mit Neozoen, Serie 4
KI_MZB (Typ/Kont-Korr) und TW interpoliert (JA) des 1. Vorjahres



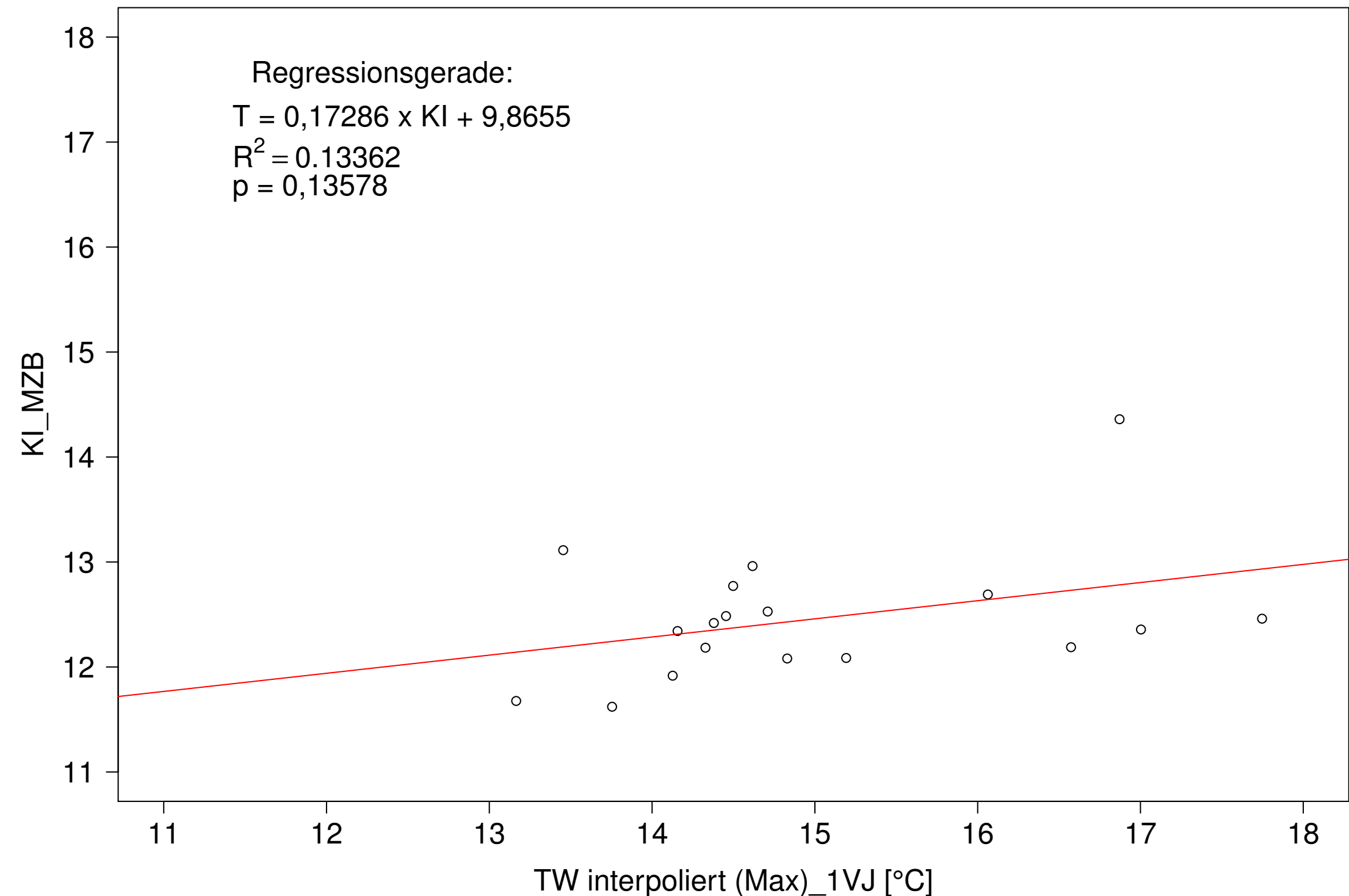
Gr. Lauter_Lauterach, Typ 09.1 mit Neozoen, Serie 4
KI_MZB (Typ/Kont-Korr) gegen TW interpoliert (JA) des 1. Vorjahres



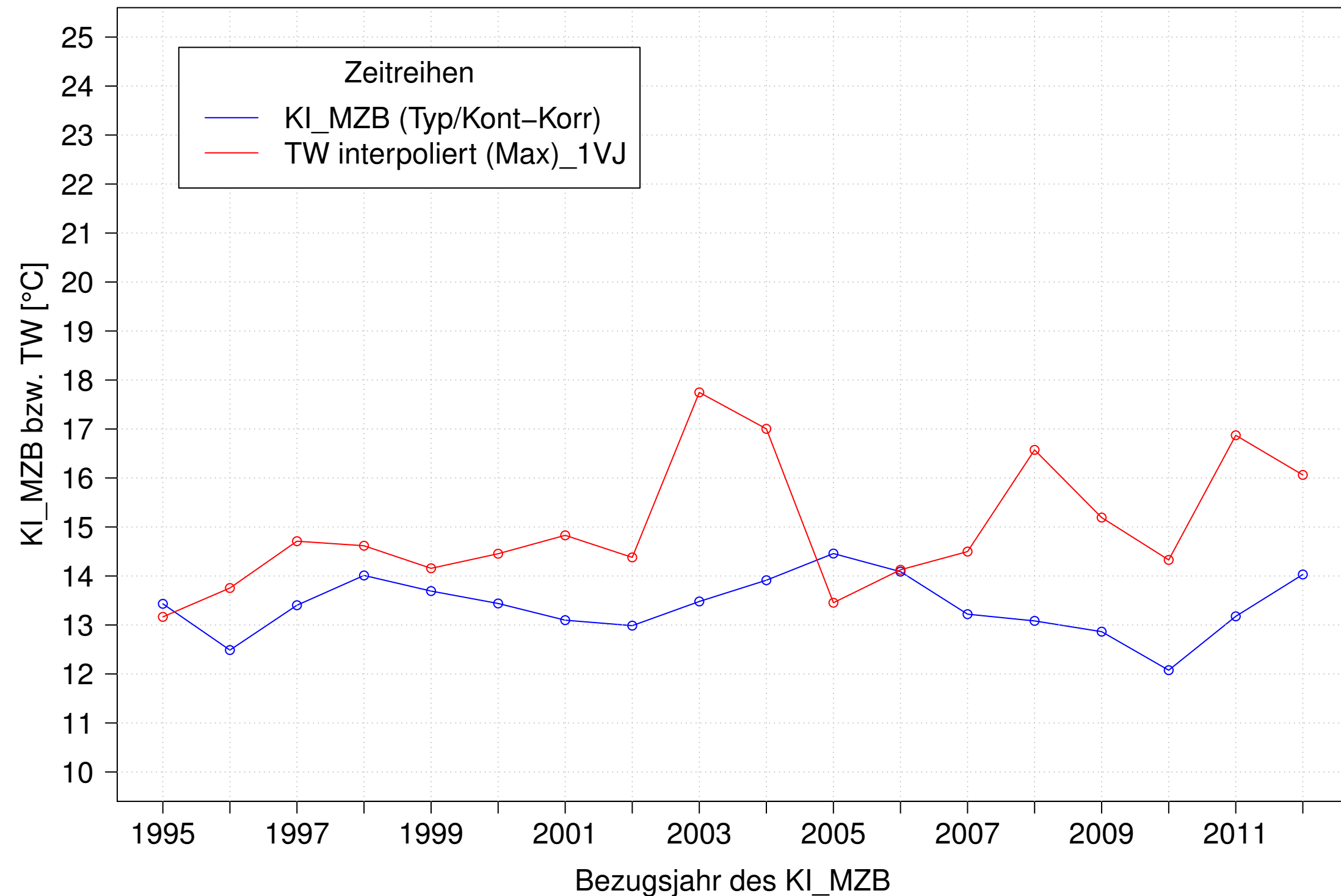
Gr. Lauter_Lauterach, Typ 09.1 mit Neozoen, Serie 1
KI_MZB (Typ/Kont-Korr) und TW interpoliert (Max) des 1. Vorjahres



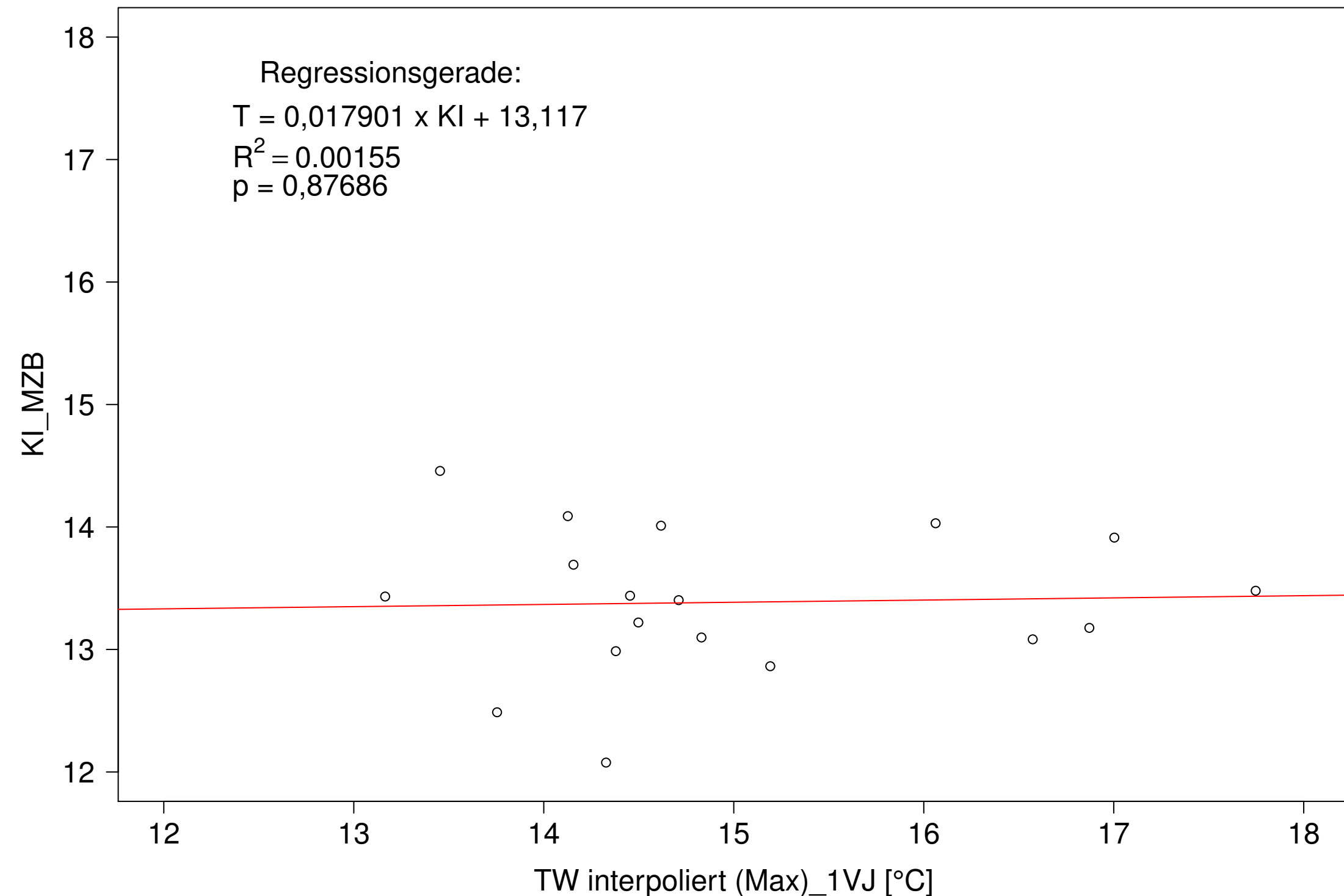
Gr. Lauter_Lauterach, Typ 09.1 mit Neozoen, Serie 1
KI_MZB (Typ/Kont-Korr) gegen TW interpoliert (Max) des 1. Vorjahres



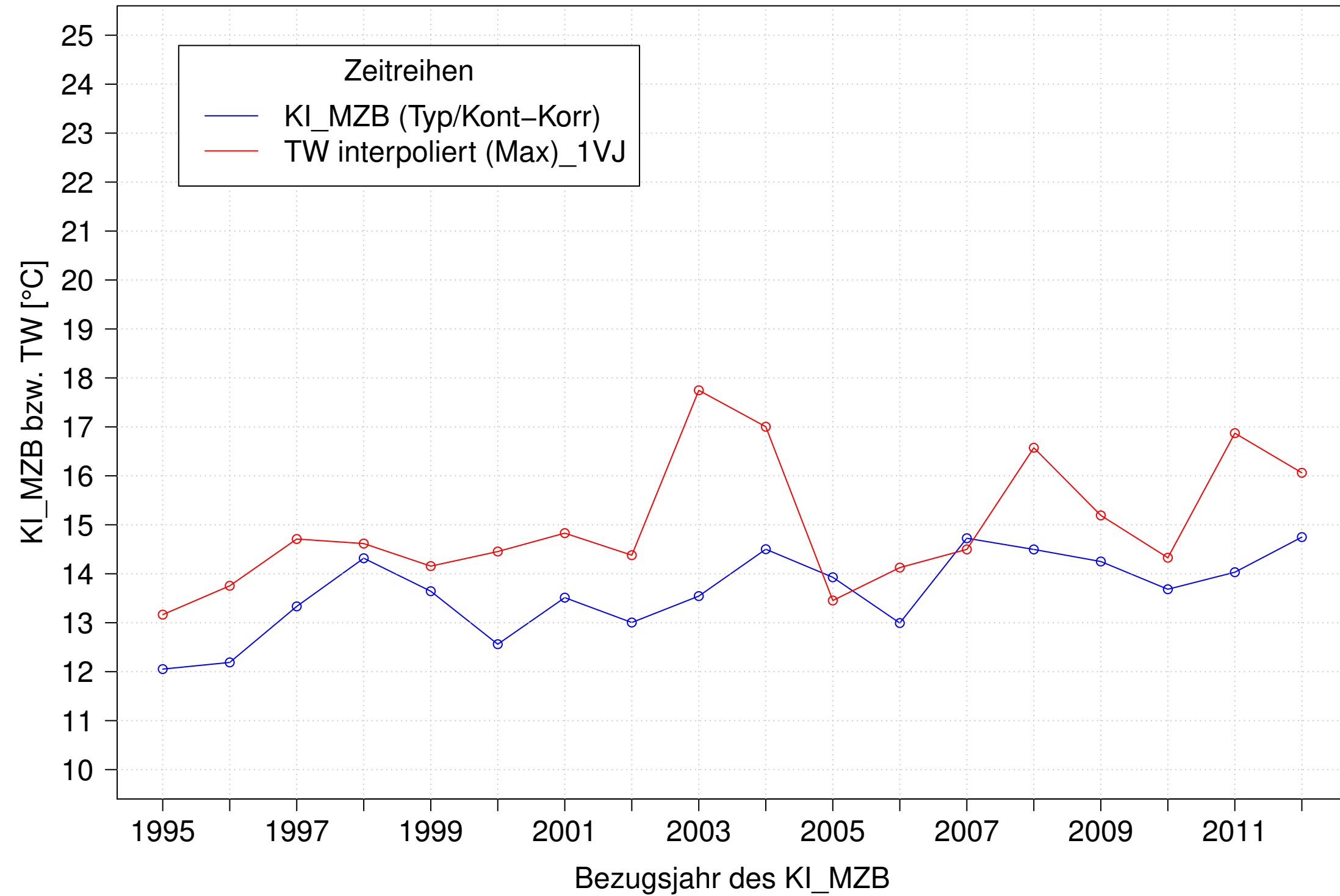
Gr. Lauter_Lauterach, Typ 09.1 mit Neozoen, Serie 2
 KI_MZB (Typ/Kont-Korr) und TW interpoliert (Max) des 1. Vorjahres



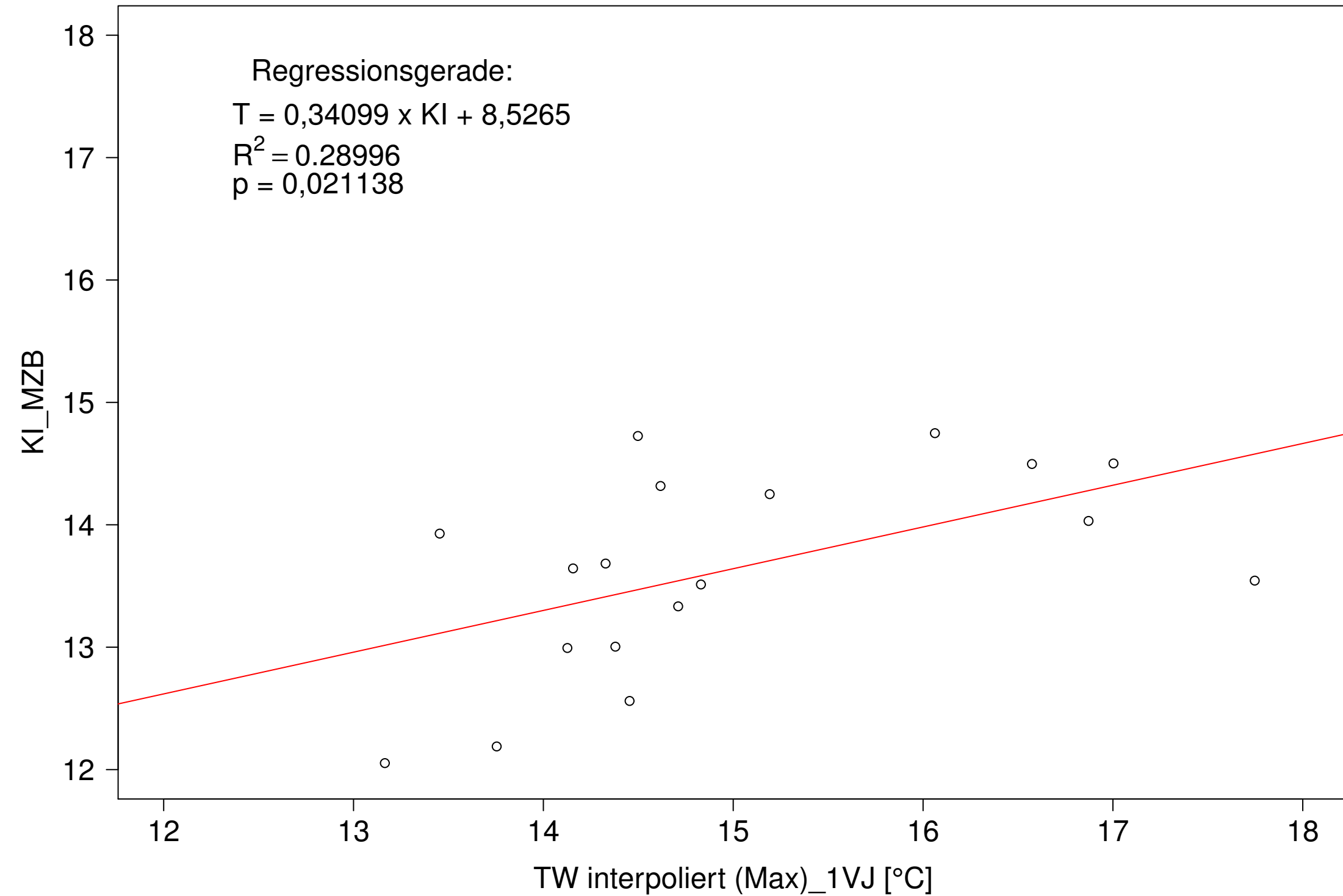
Gr. Lauter_Lauterach, Typ 09.1 mit Neozoen, Serie 2
 KI_MZB (Typ/Kont-Korr) gegen TW interpoliert (Max) des 1. Vorjahres



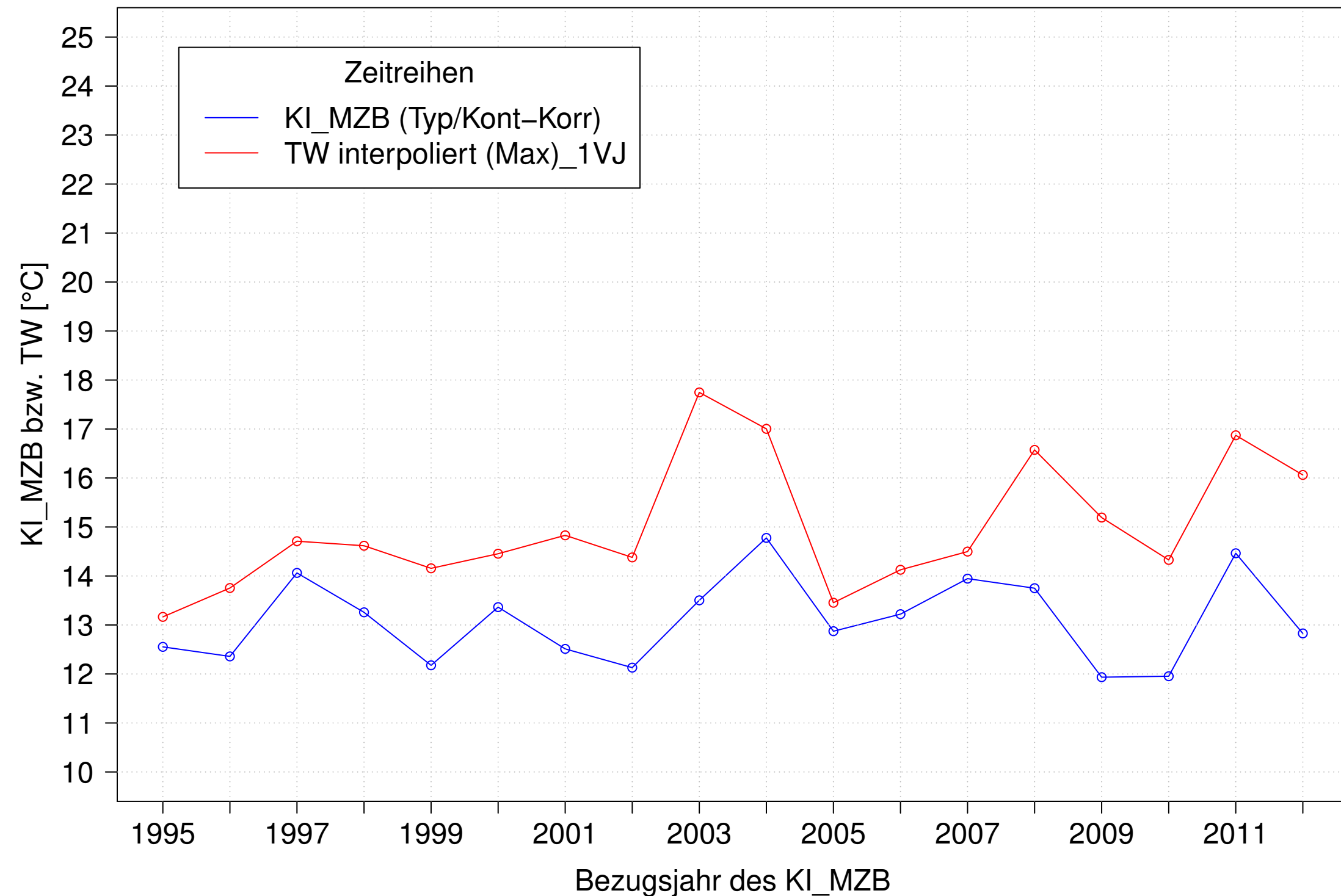
Gr. Lauter_Lauterach, Typ 09.1 mit Neozoen, Serie 3
KI_MZB (Typ/Kont-Korr) und TW interpoliert (Max) des 1. Vorjahres



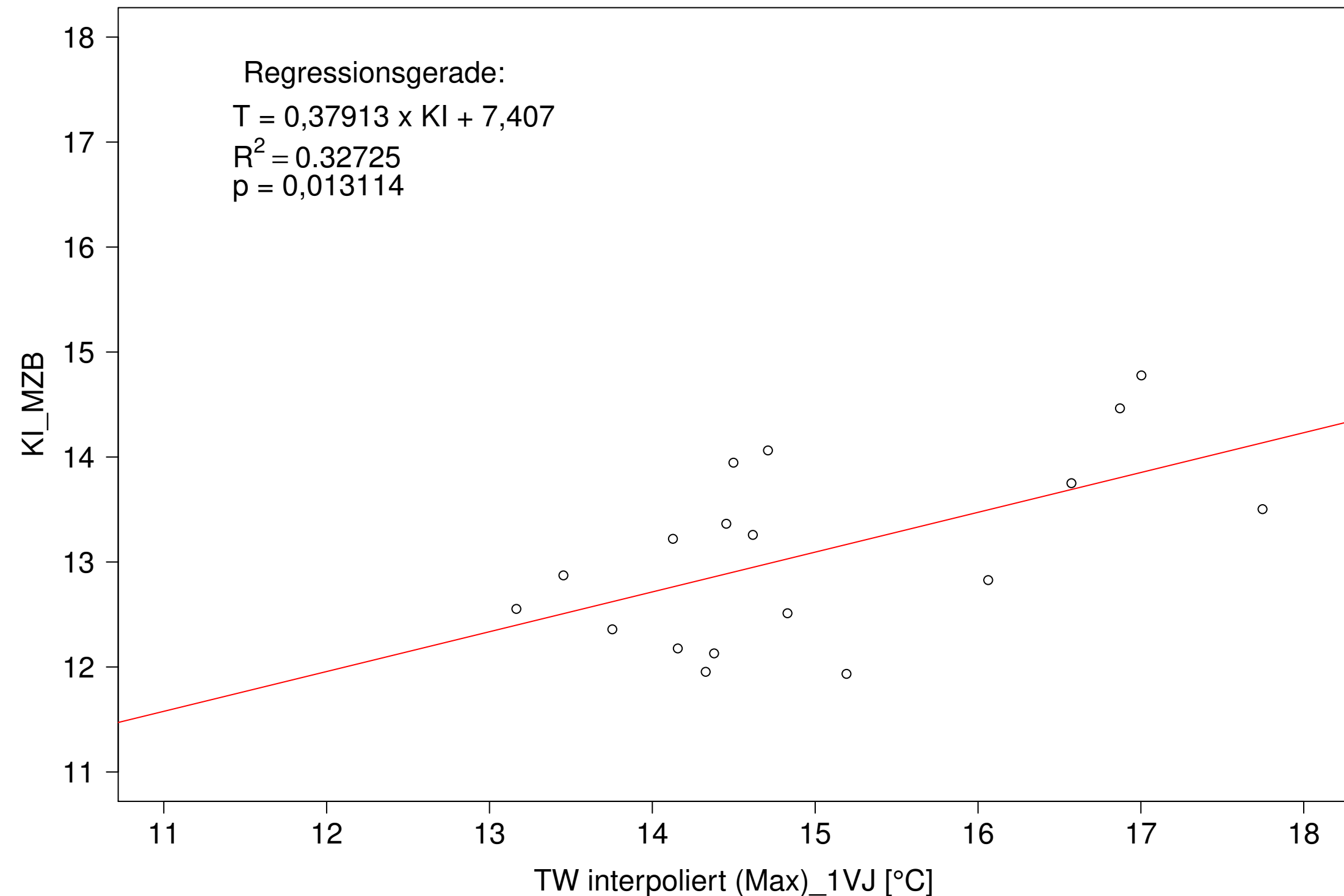
Gr. Lauter_Lauterach, Typ 09.1 mit Neozoen, Serie 3
KI_MZB (Typ/Kont-Korr) gegen TW interpoliert (Max) des 1. Vorjahres



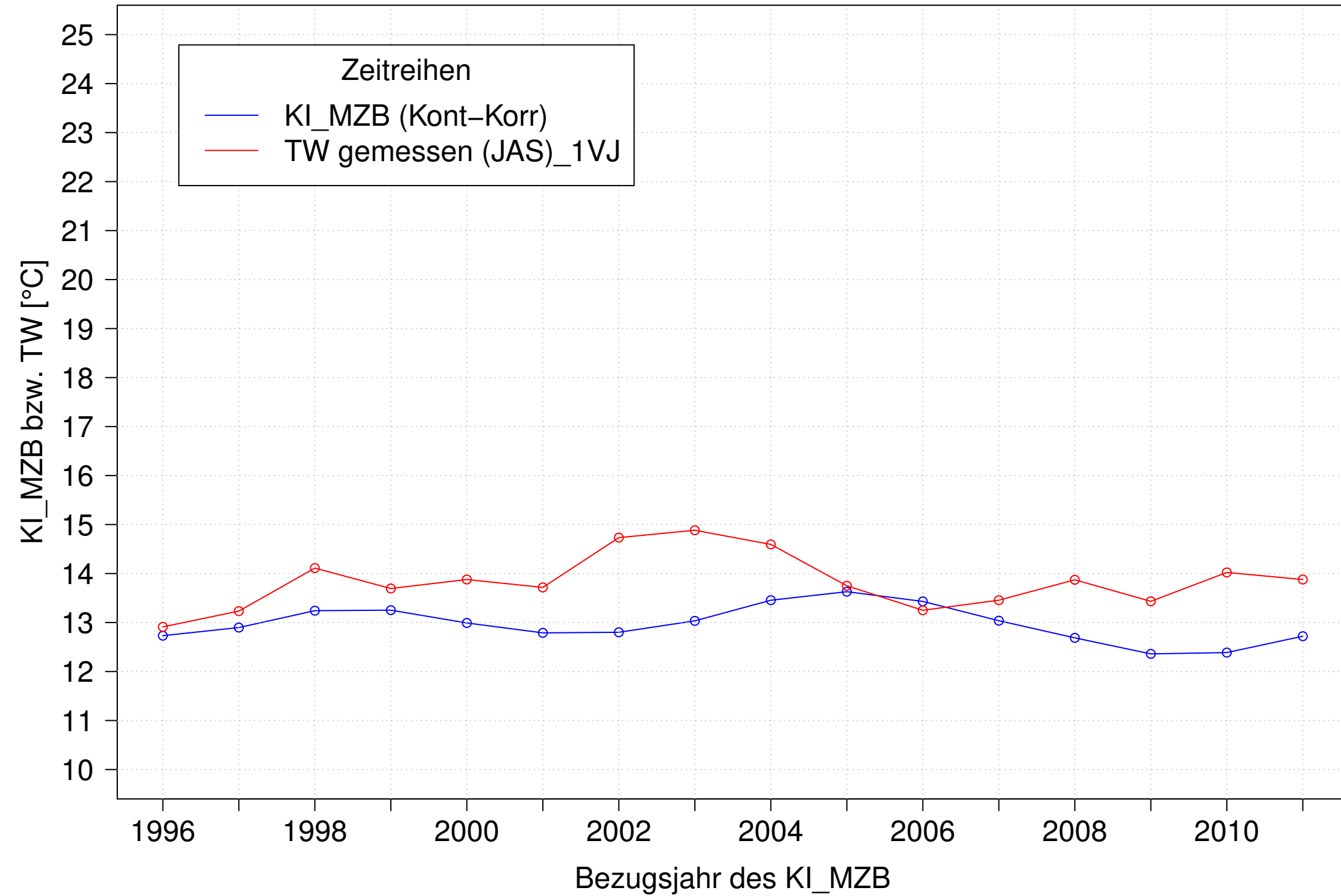
Gr. Lauter_Lauterach, Typ 09.1 mit Neozoen, Serie 4
KI_MZB (Typ/Kont-Korr) und TW interpoliert (Max) des 1. Vorjahres



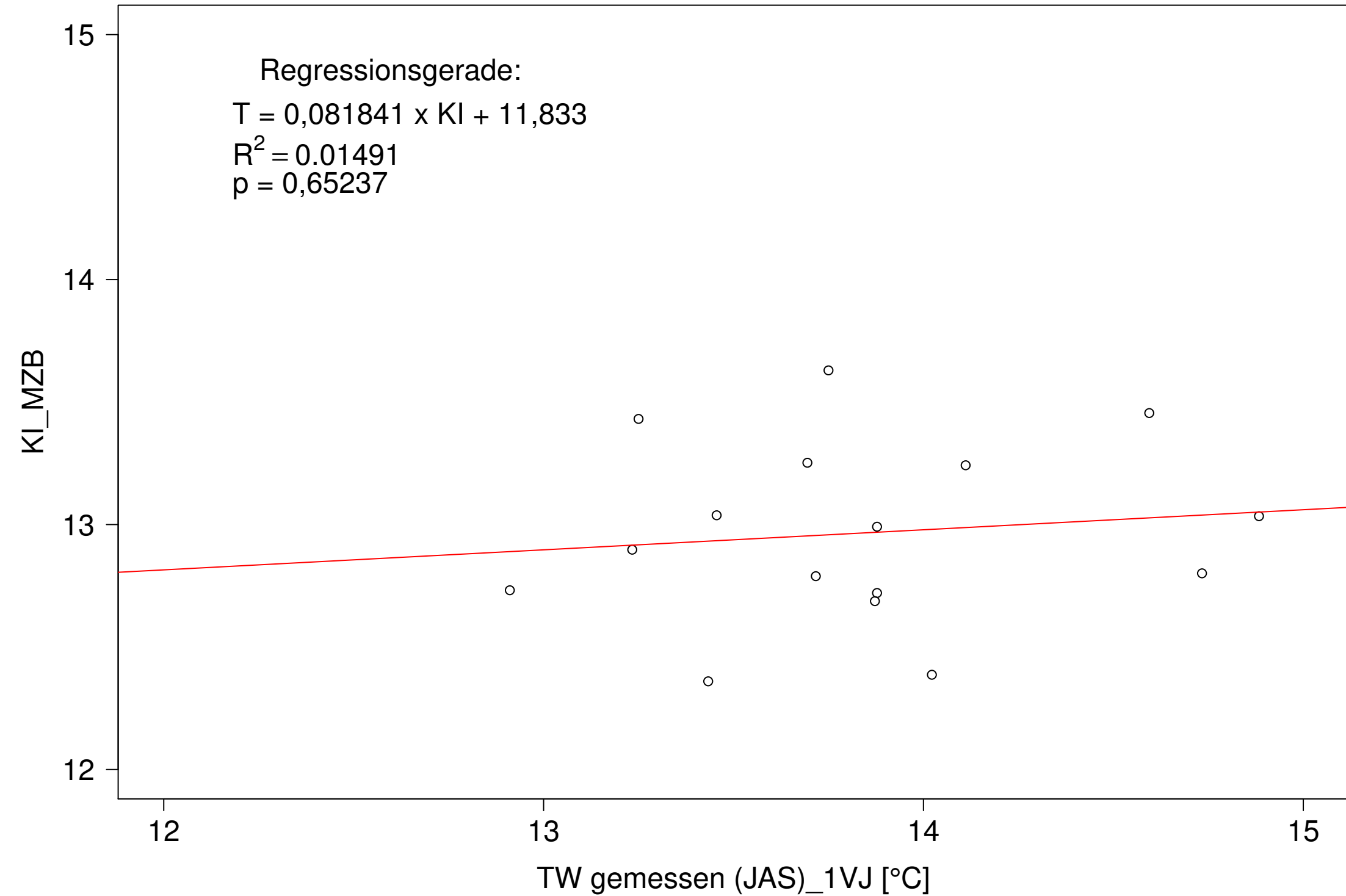
Gr. Lauter_Lauterach, Typ 09.1 mit Neozoen, Serie 4
KI_MZB (Typ/Kont-Korr) gegen TW interpoliert (Max) des 1. Vorjahres



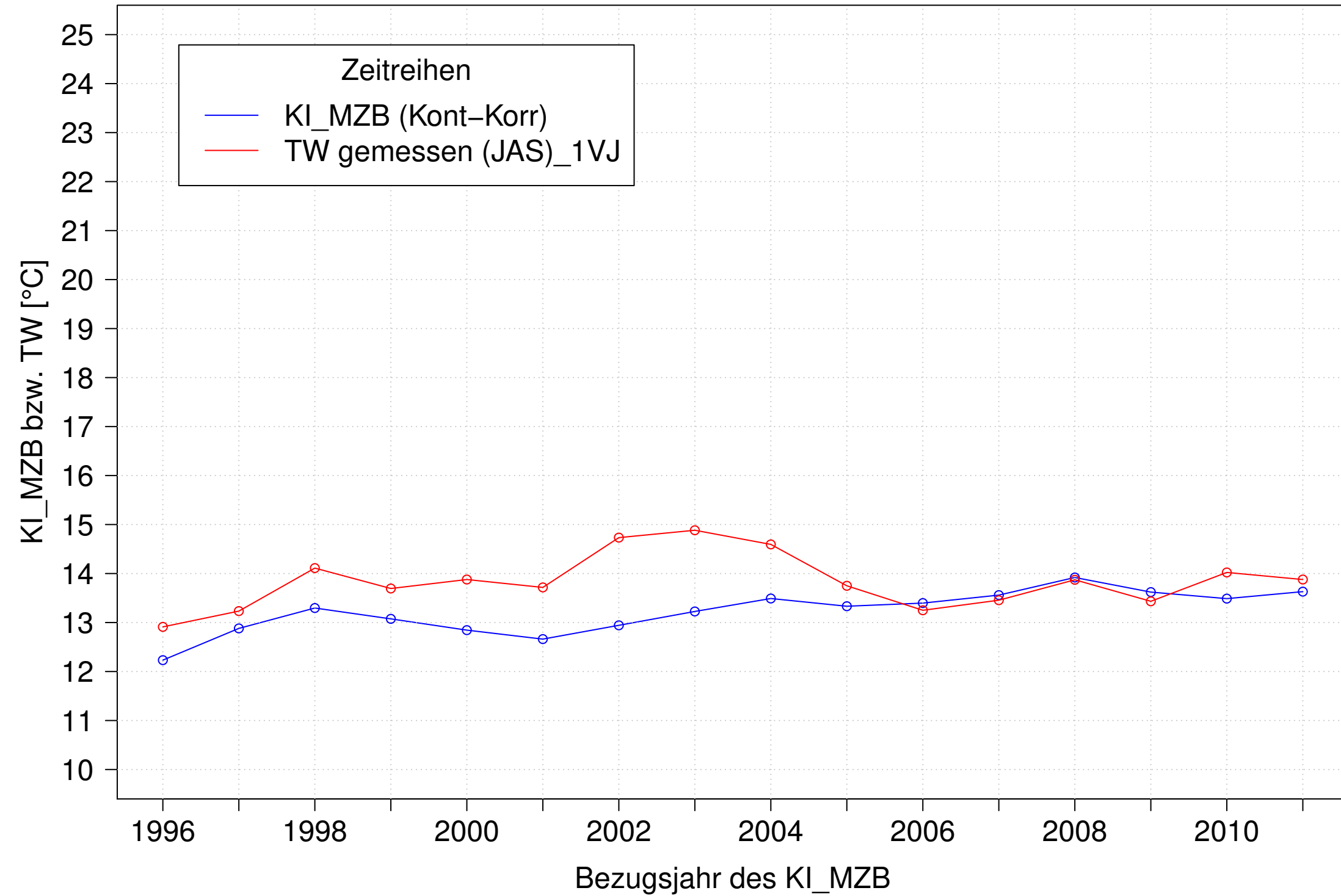
Gr. Lauter_Lauterach, Typ 09.1 mit Neozoen, Serie 2
3JMW KI_MZB (Kont-Korr) und 3JMW TW gemessen (JAS) des 1. Vorjahres



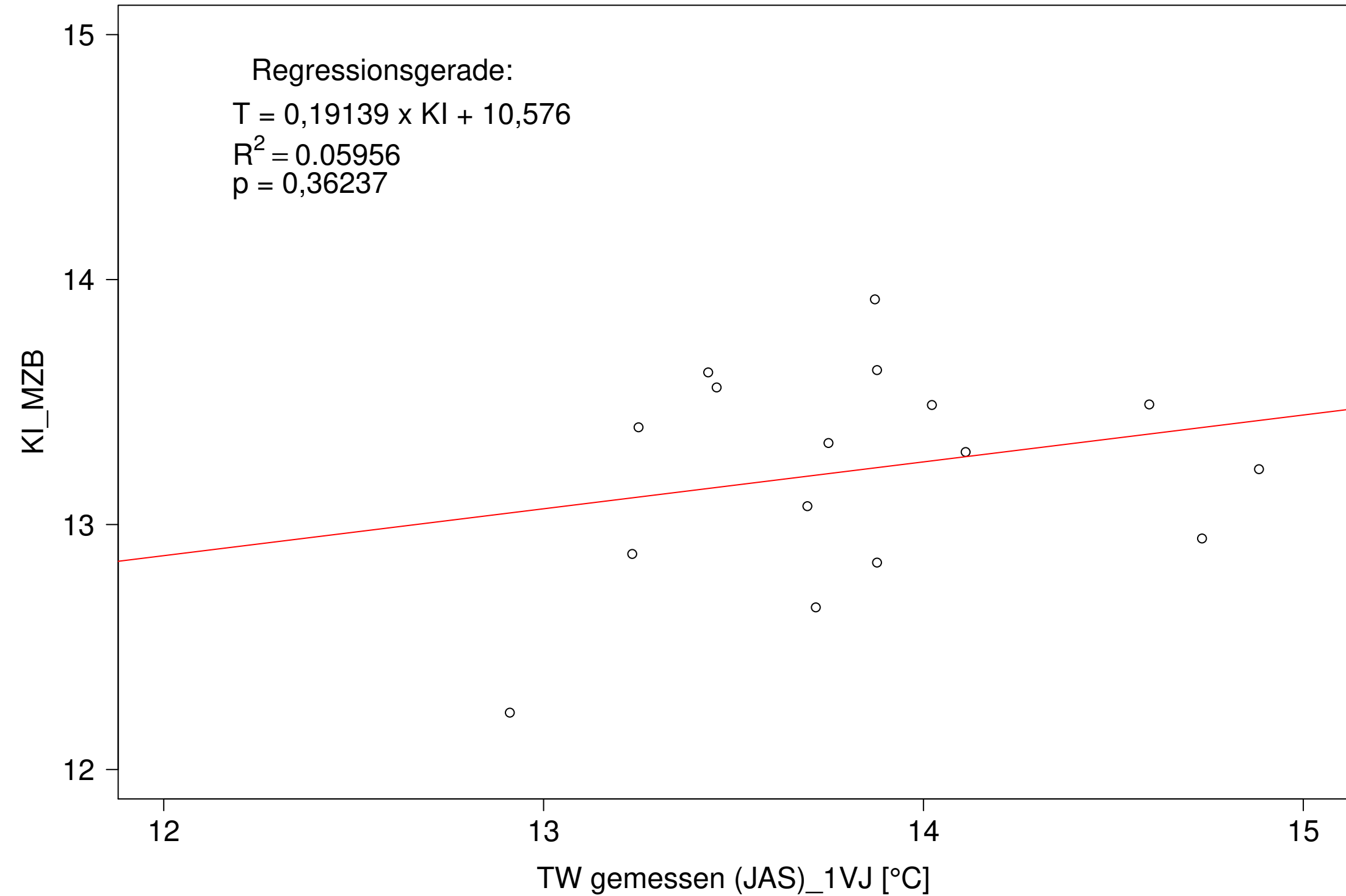
Gr. Lauter_Lauterach, Typ 09.1 mit Neozoen, Serie 2
3JMW KI_MZB (Kont-Korr) gegen 3JMW TW gemessen (JAS) des 1. Vorjahres



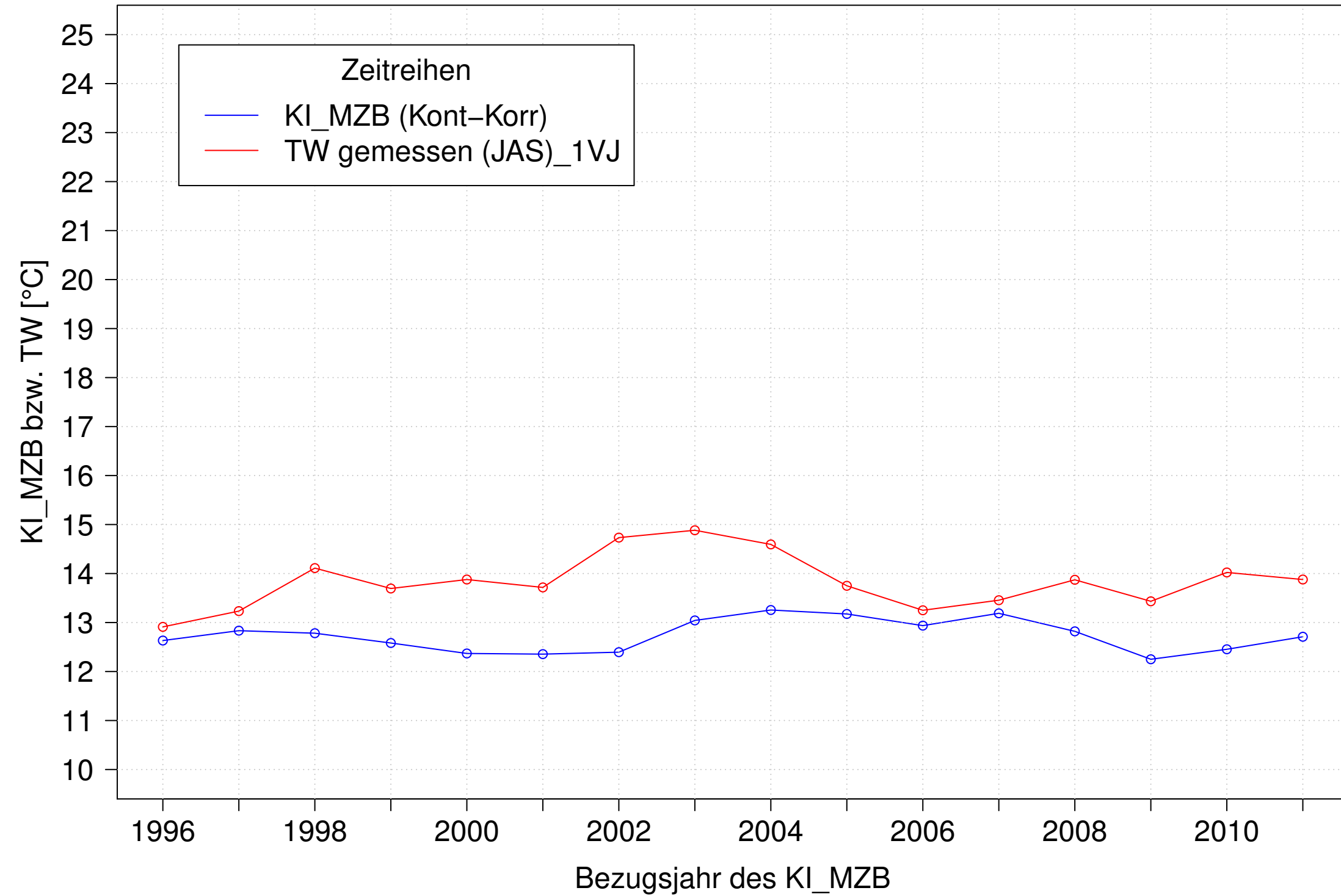
Gr. Lauter_Lauterach, Typ 09.1 mit Neozoen, Serie 3
3JMW KI_MZB (Kont-Korr) und 3JMW TW gemessen (JAS) des 1. Vorjahres



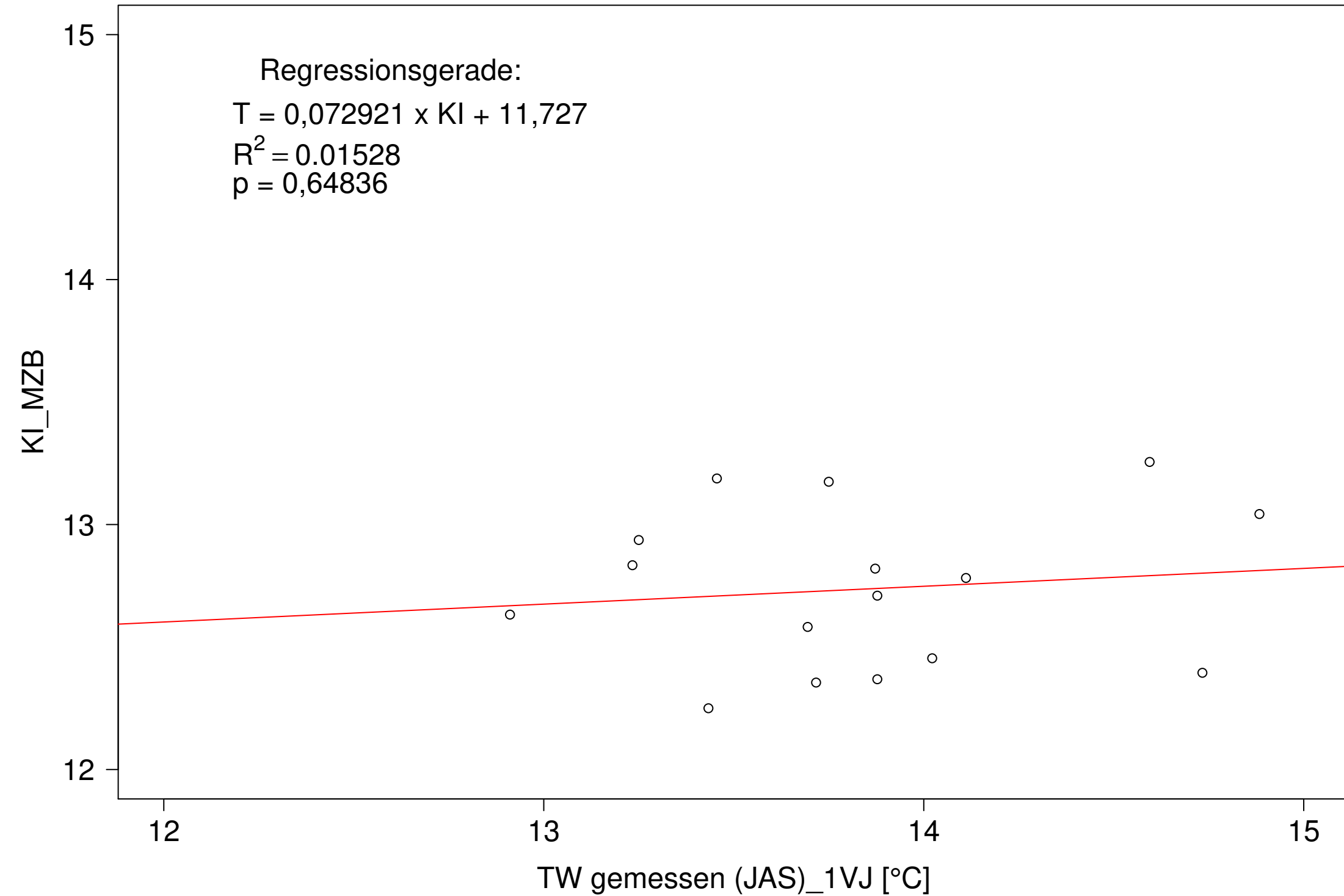
Gr. Lauter_Lauterach, Typ 09.1 mit Neozoen, Serie 3
3JMW KI_MZB (Kont-Korr) gegen 3JMW TW gemessen (JAS) des 1. Vorjahres



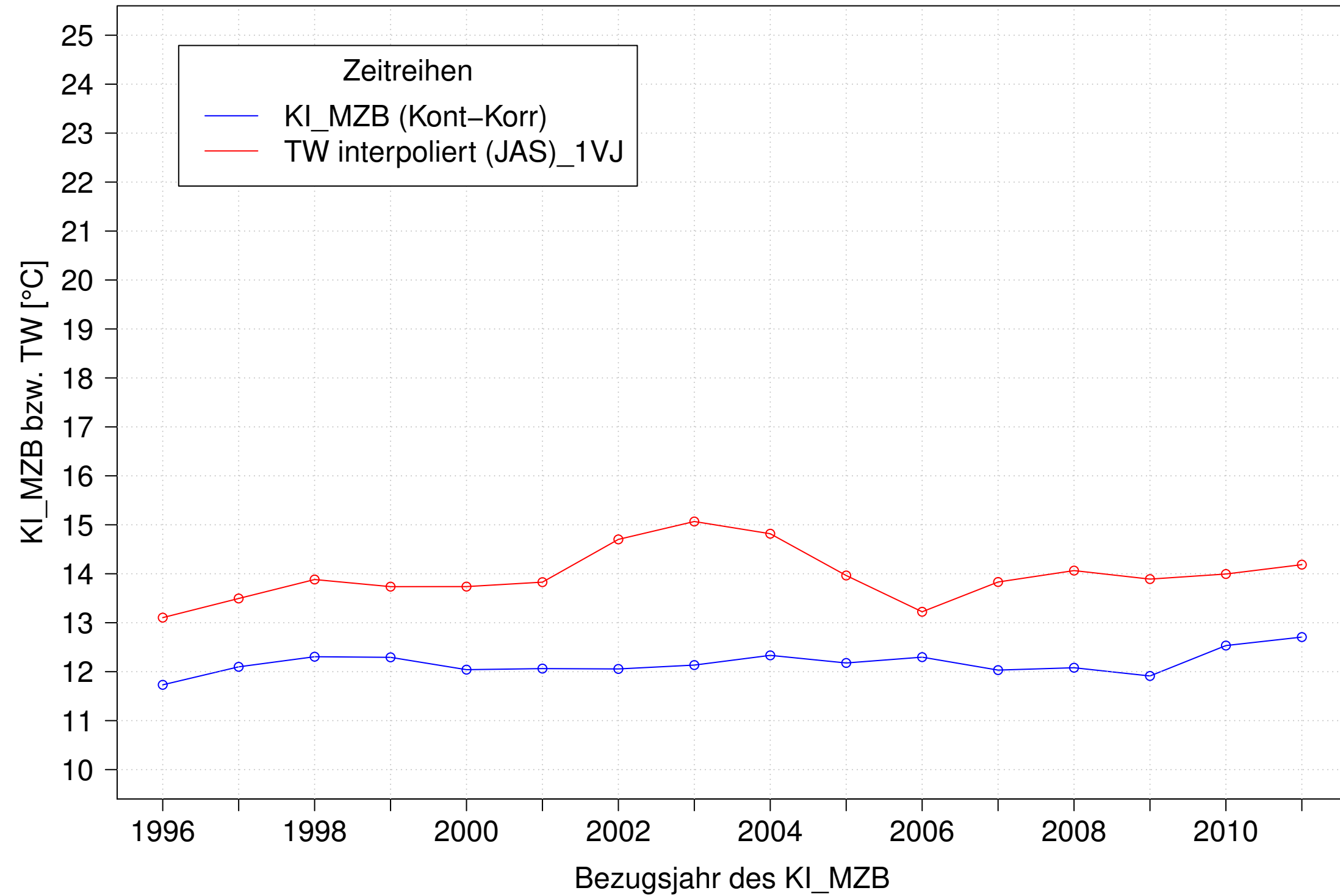
Gr. Lauter_Lauterach, Typ 09.1 mit Neozoen, Serie 4
3JMW KI_MZB (Kont-Korr) und 3JMW TW gemessen (JAS) des 1. Vorjahres



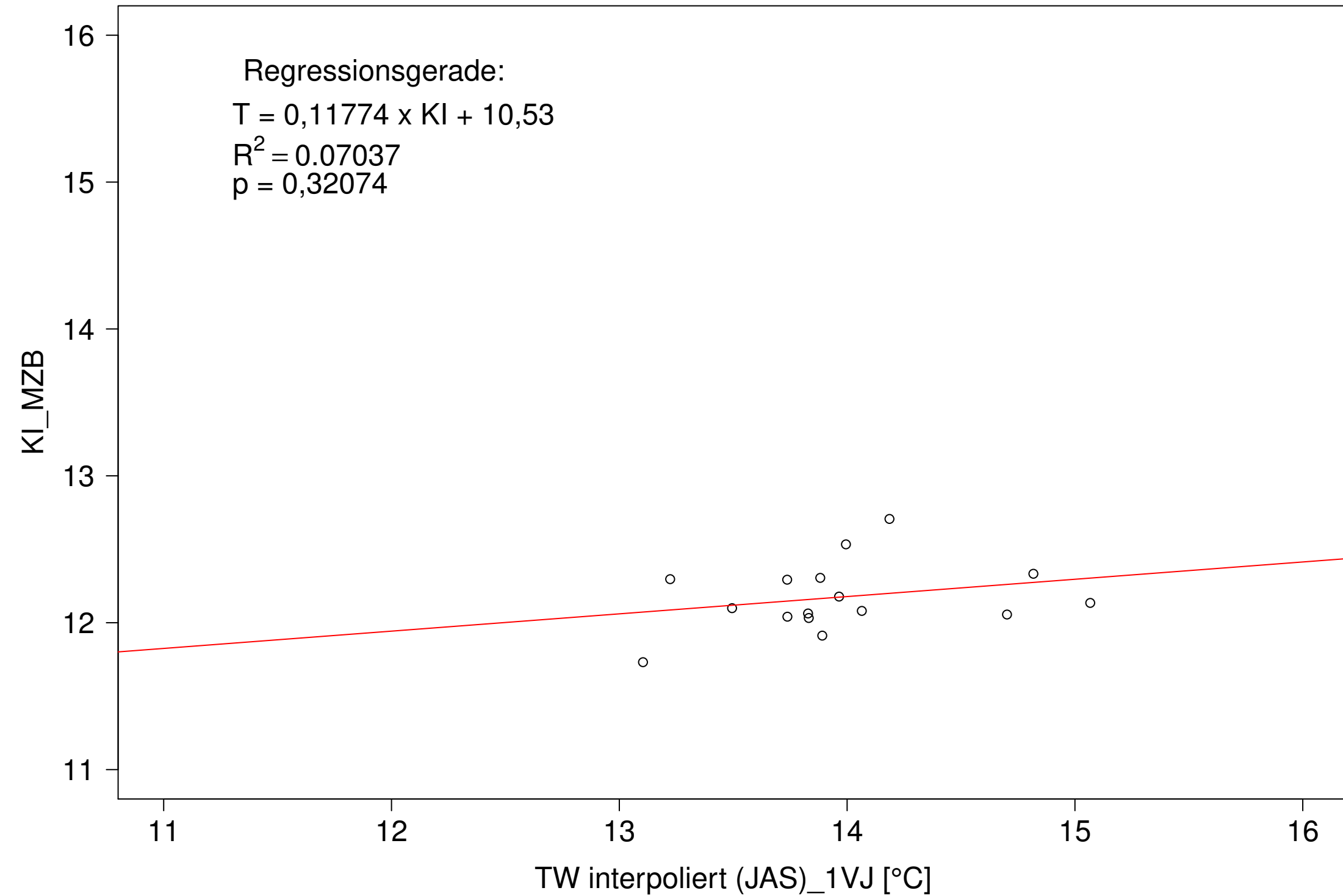
Gr. Lauter_Lauterach, Typ 09.1 mit Neozoen, Serie 4
3JMW KI_MZB (Kont-Korr) gegen 3JMW TW gemessen (JAS) des 1. Vorjahres



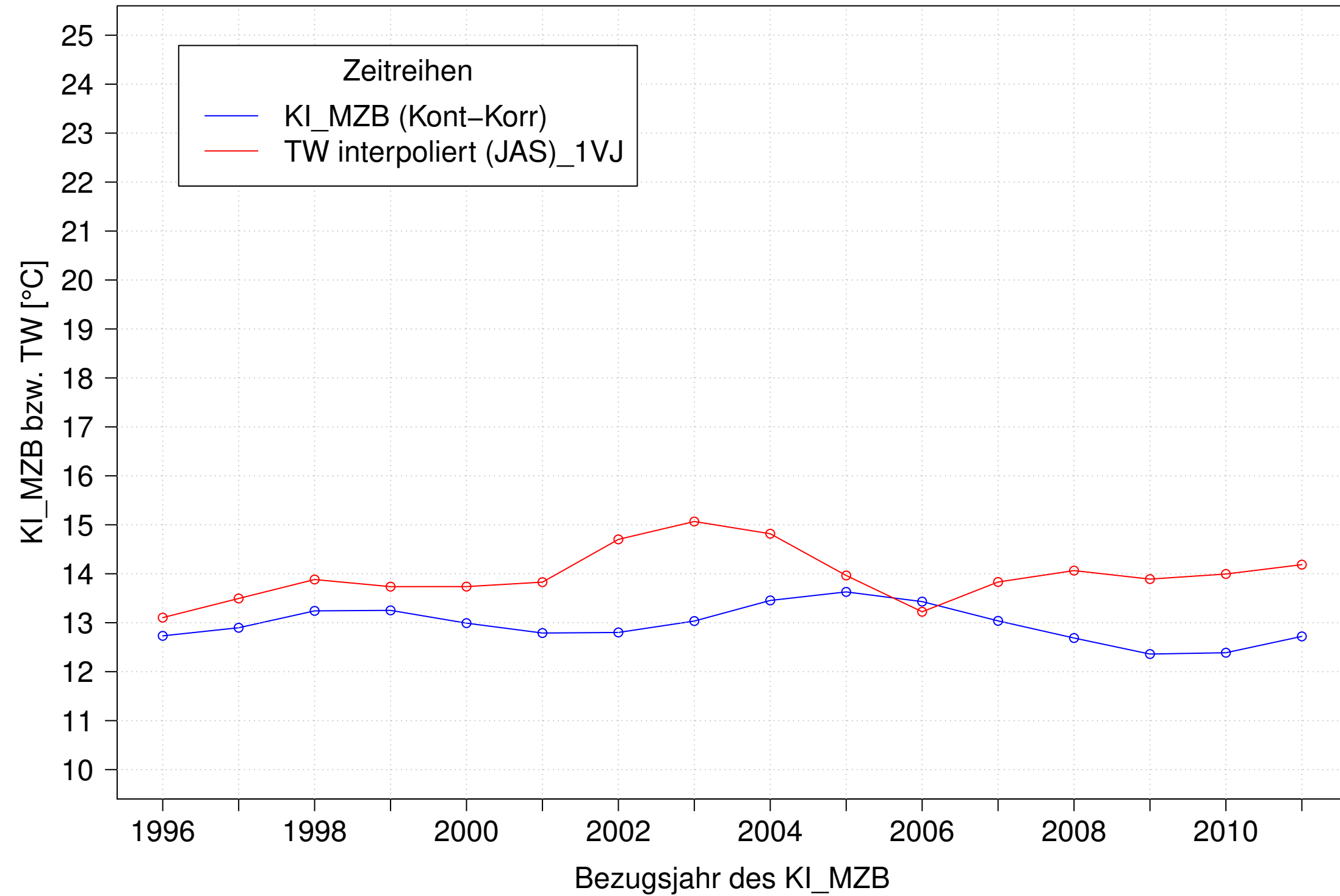
Gr. Lauter_Lauterach, Typ 09.1 mit Neozoen, Serie 1
3JMW KI_MZB (Kont-Korr) und 3JMW TW interpoliert (JAS) des 1. Vorjahres



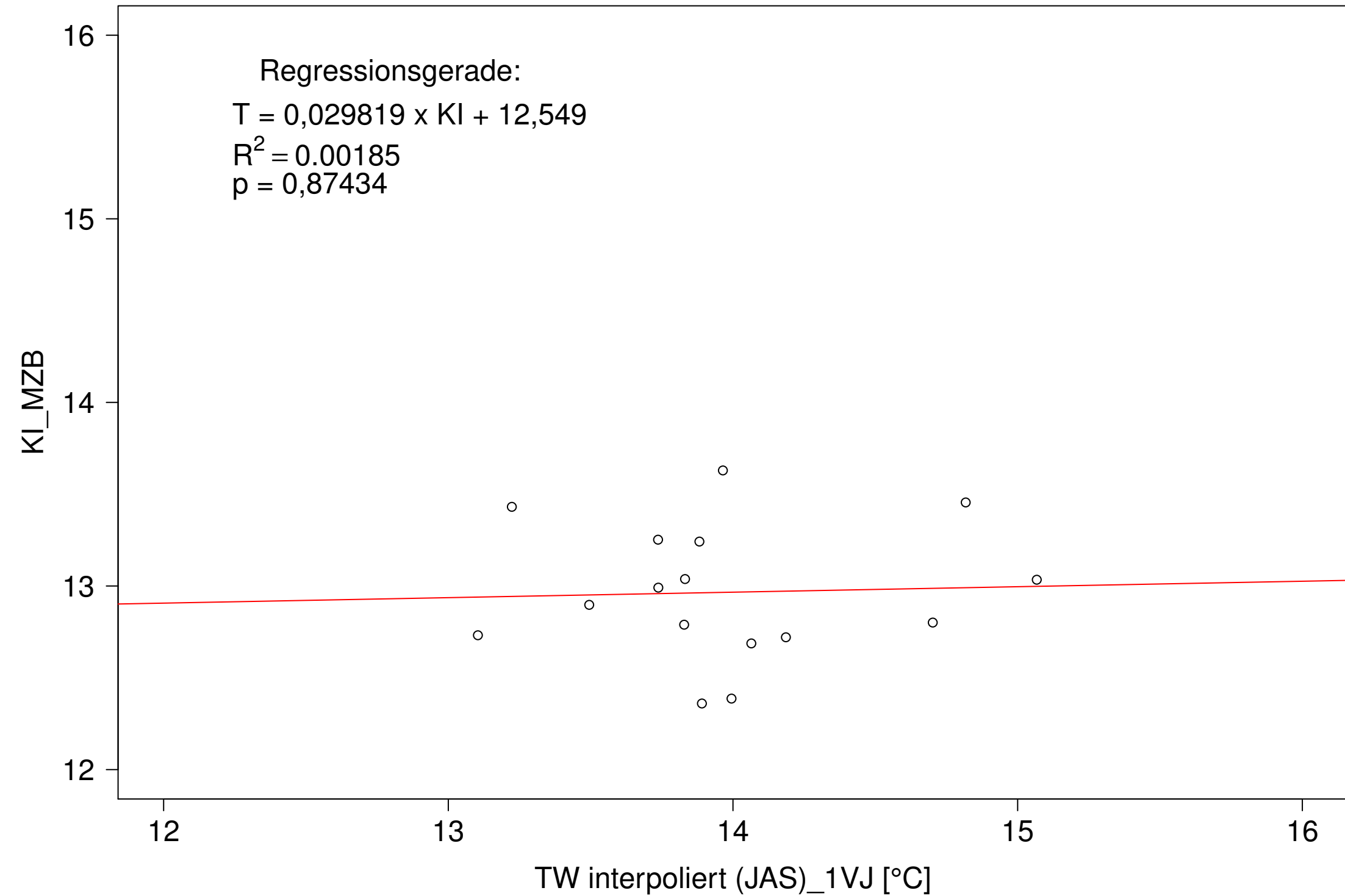
Gr. Lauter_Lauterach, Typ 09.1 mit Neozoen, Serie 1
3JMW KI_MZB (Kont-Korr) gegen 3JMW TW interpoliert (JAS) des 1. Vorjahres



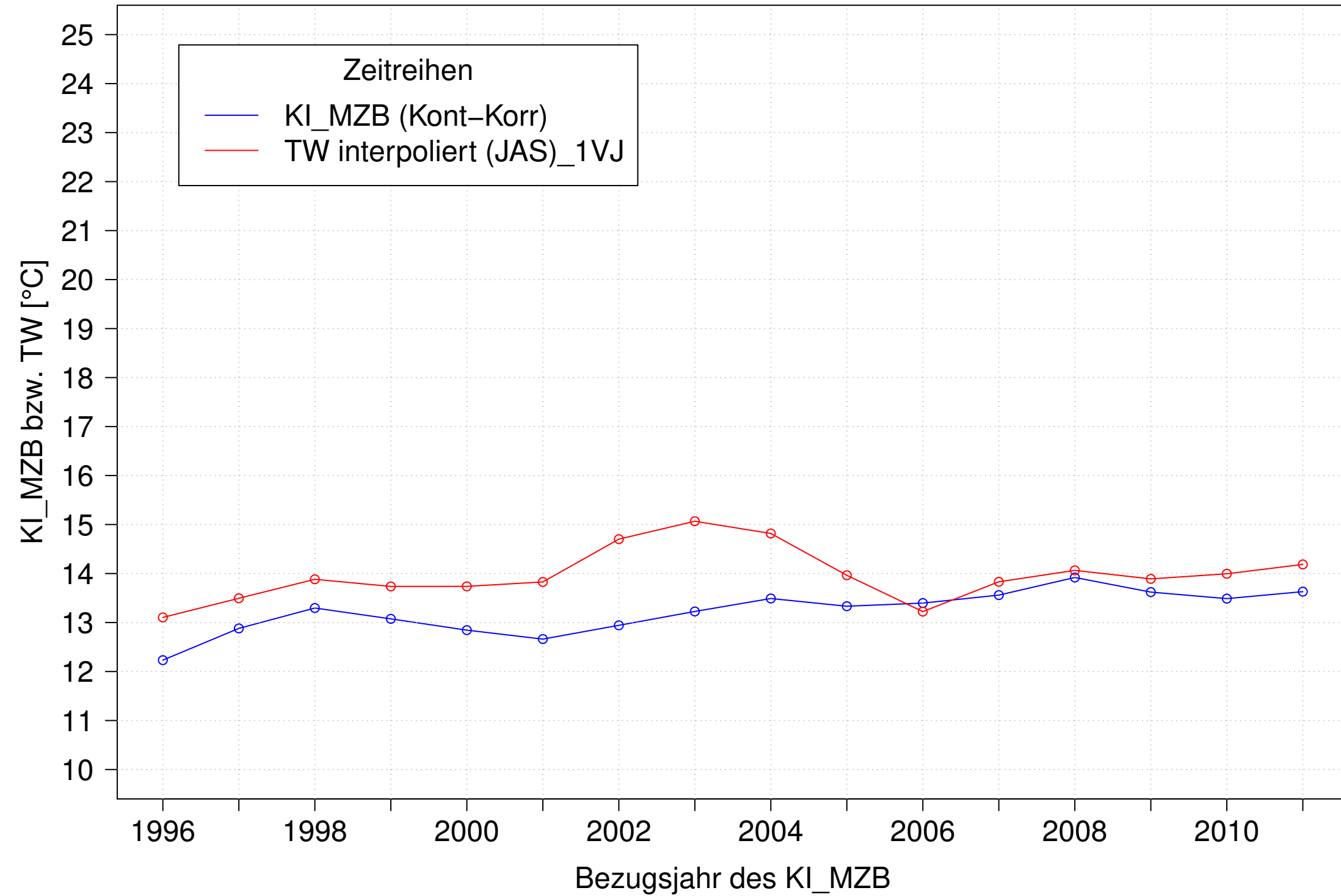
Gr. Lauter_Lauterach, Typ 09.1 mit Neozoen, Serie 2
3JMW KI_MZB (Kont-Korr) und 3JMW TW interpoliert (JAS) des 1. Vorjahres



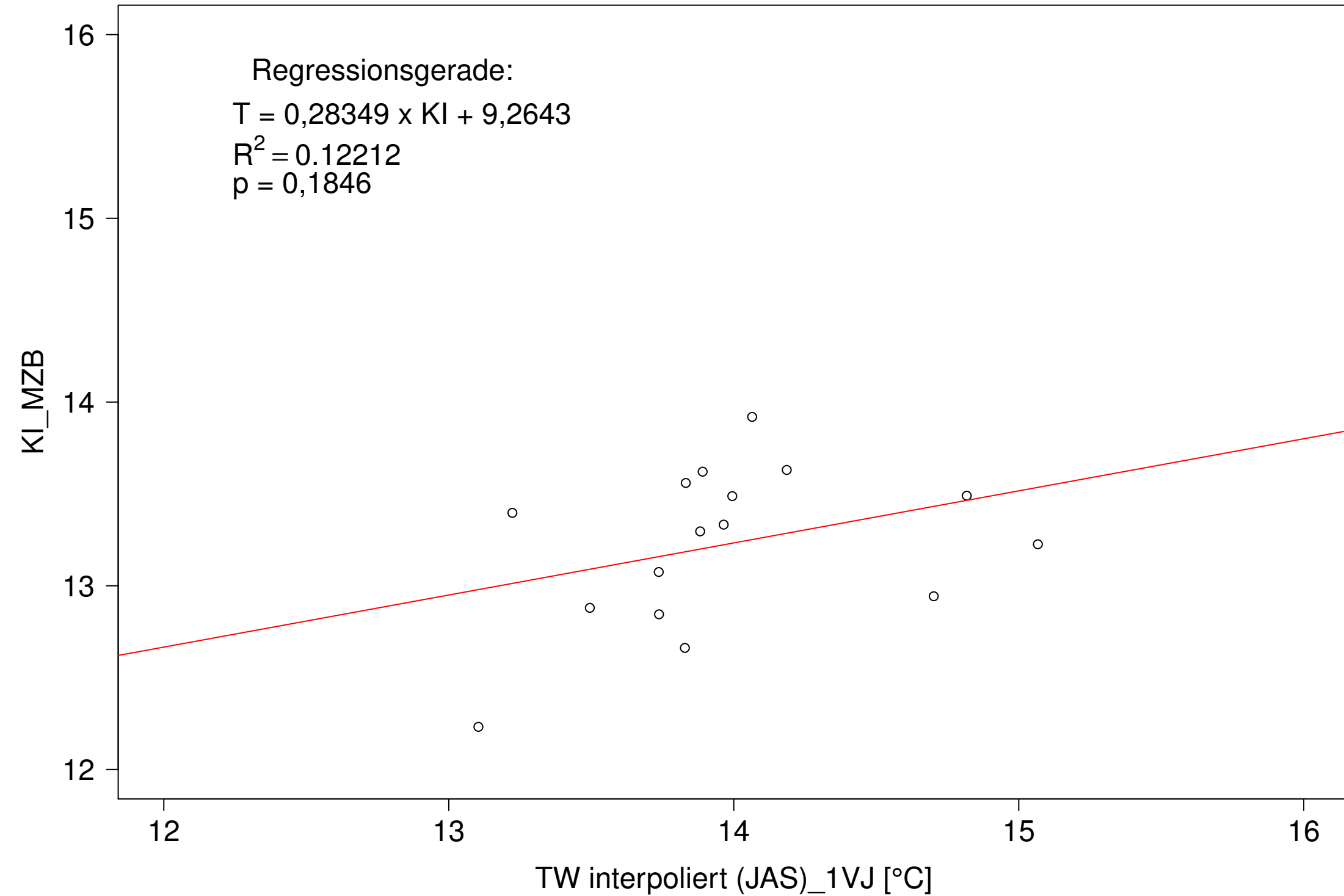
Gr. Lauter_Lauterach, Typ 09.1 mit Neozoen, Serie 2
3JMW KI_MZB (Kont-Korr) gegen 3JMW TW interpoliert (JAS) des 1. Vorjahres



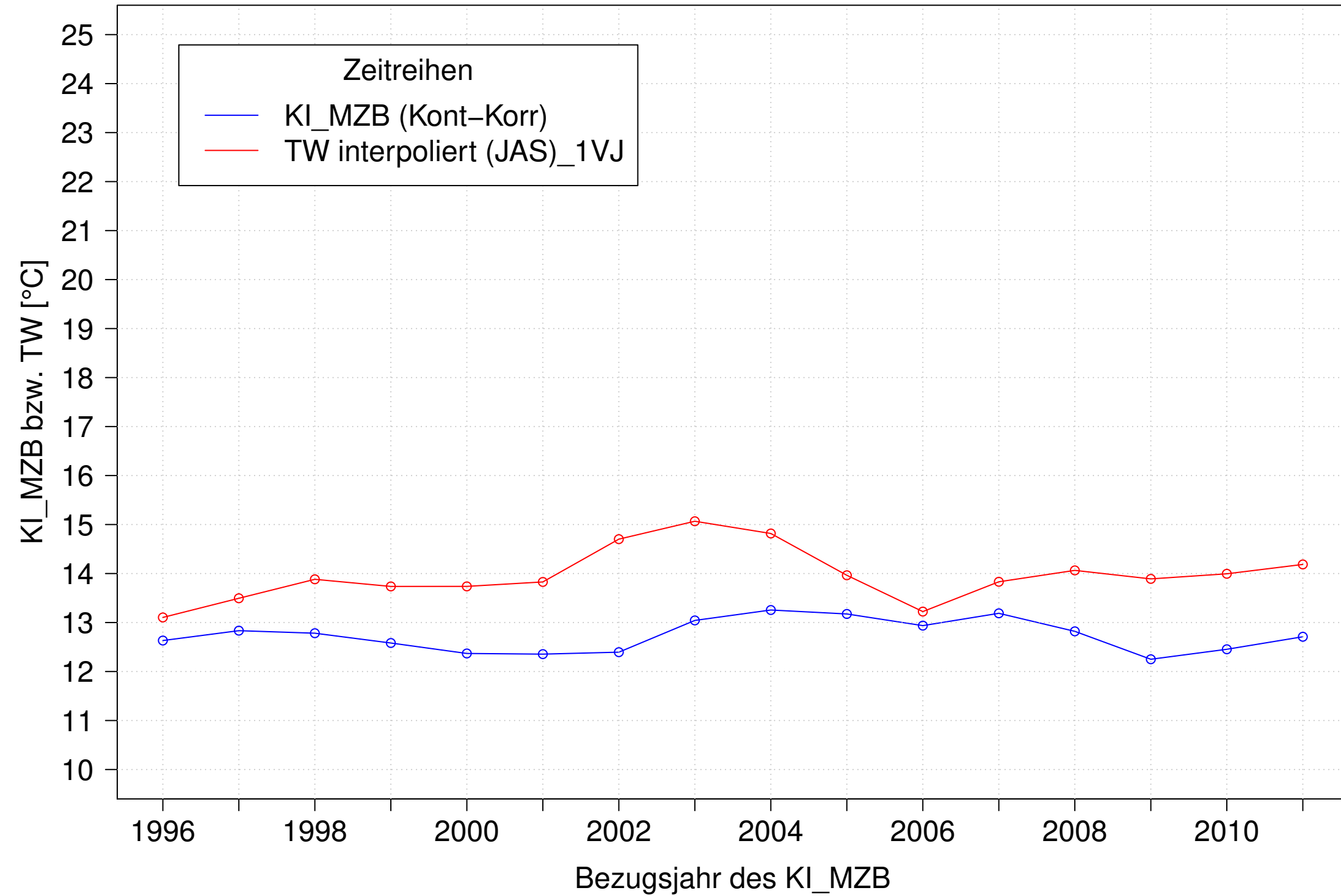
Gr. Lauter_Lauterach, Typ 09.1 mit Neozoen, Serie 3
3JMW KI_MZB (Kont-Korr) und 3JMW TW interpoliert (JAS) des 1. Vorjahres



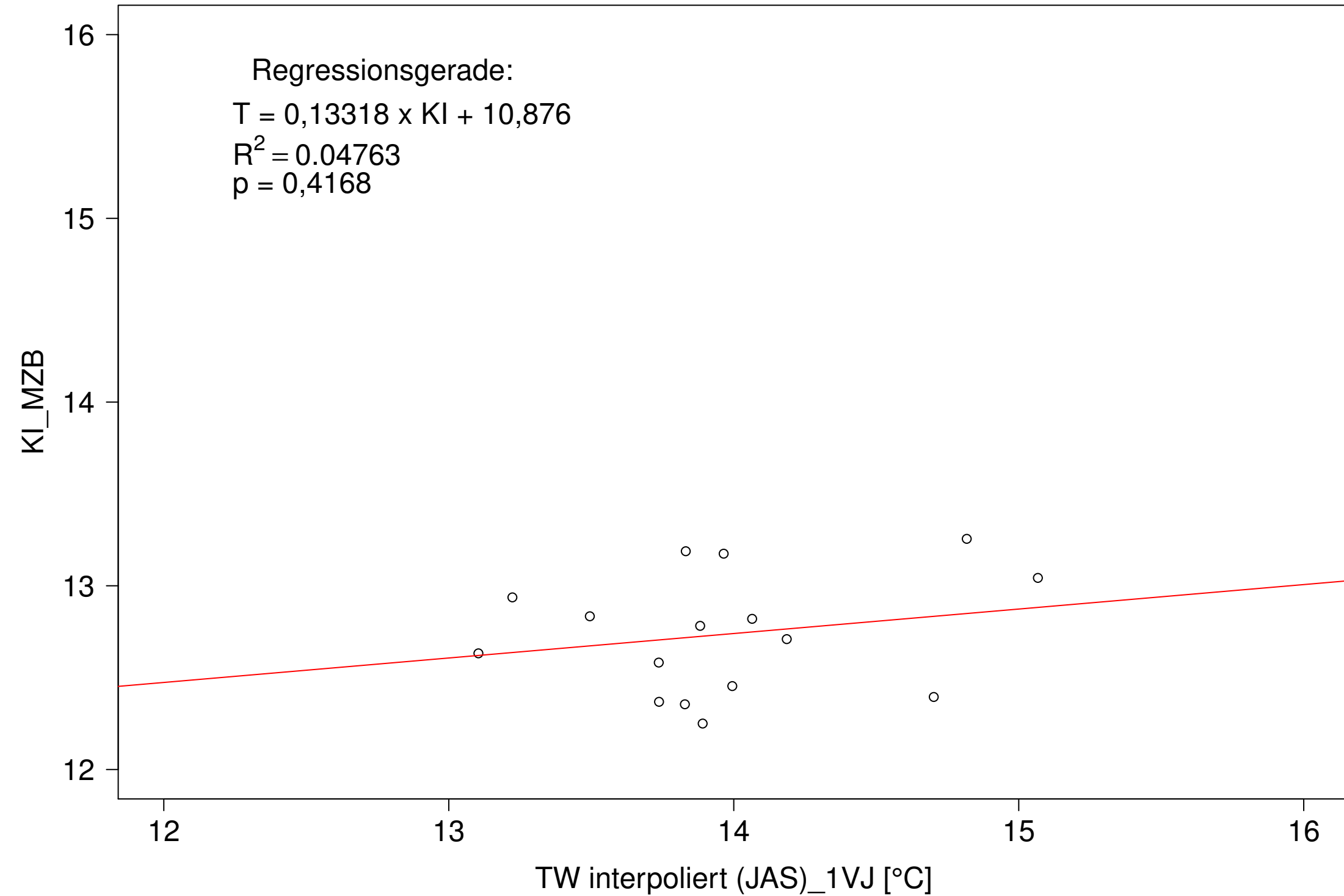
Gr. Lauter_Lauterach, Typ 09.1 mit Neozoen, Serie 3
3JMW KI_MZB (Kont-Korr) gegen 3JMW TW interpoliert (JAS) des 1. Vorjahres



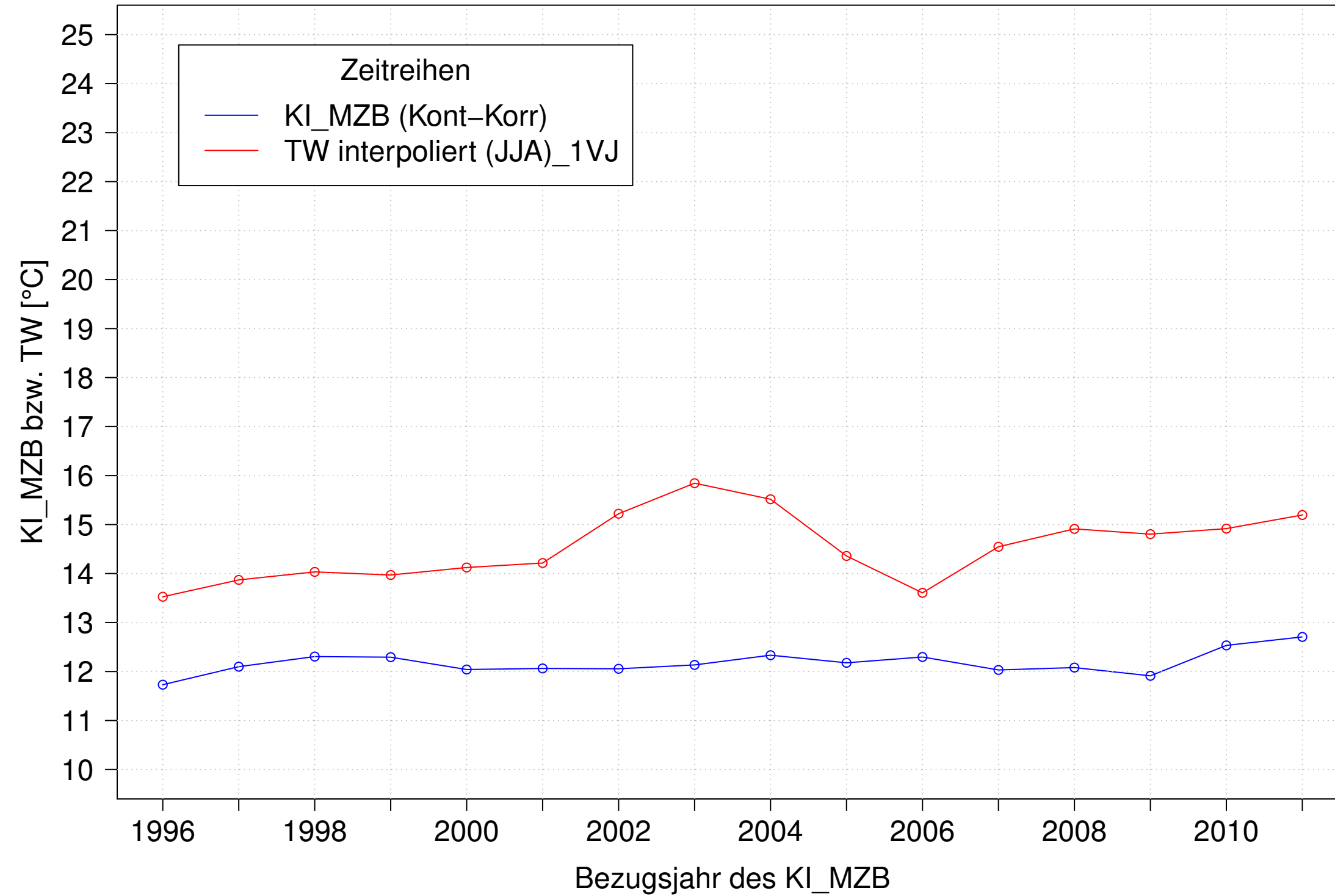
Gr. Lauter_Lauterach, Typ 09.1 mit Neozoen, Serie 4
3JMW KI_MZB (Kont-Korr) und 3JMW TW interpoliert (JAS) des 1. Vorjahres



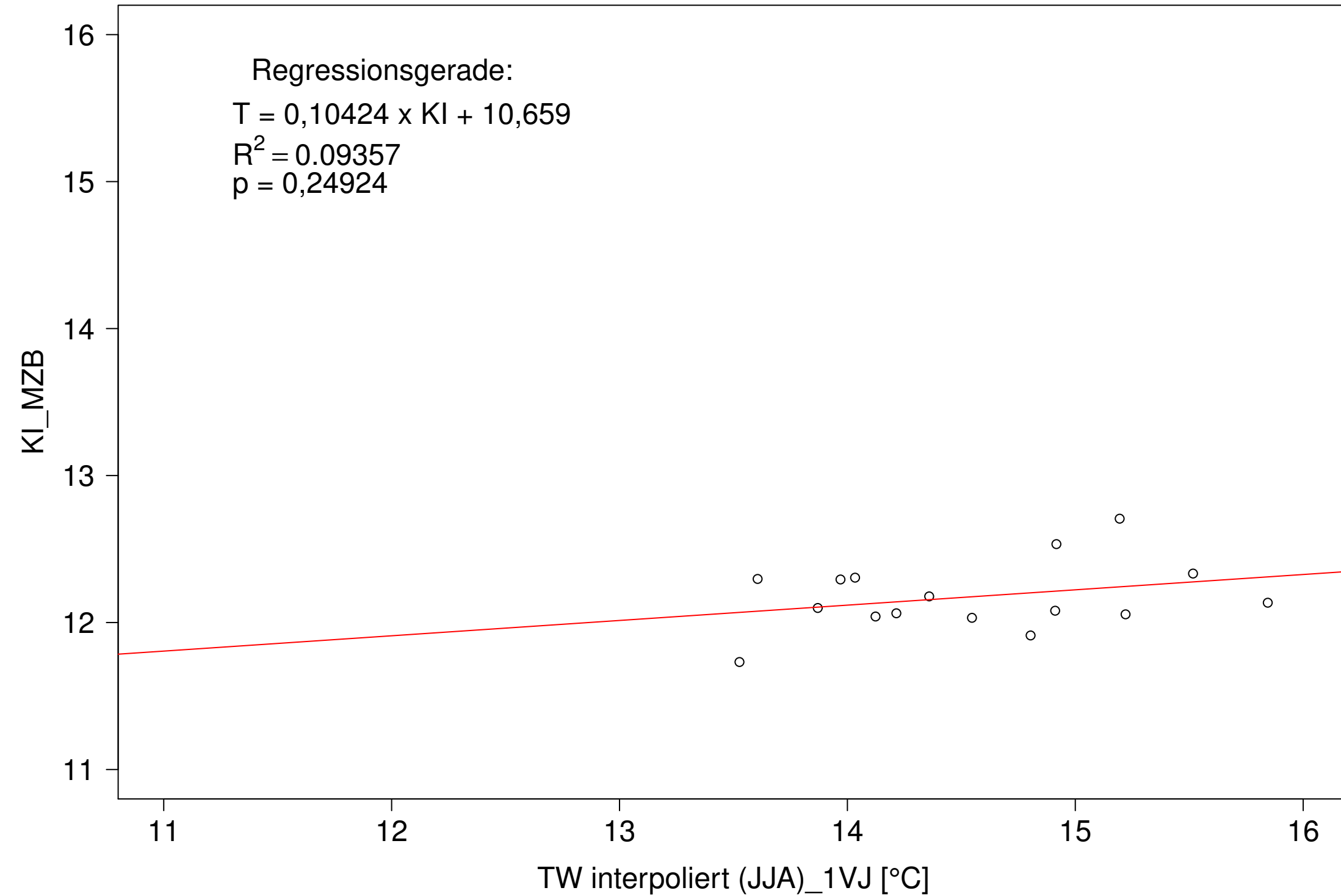
Gr. Lauter_Lauterach, Typ 09.1 mit Neozoen, Serie 4
3JMW KI_MZB (Kont-Korr) gegen 3JMW TW interpoliert (JAS) des 1. Vorjahres



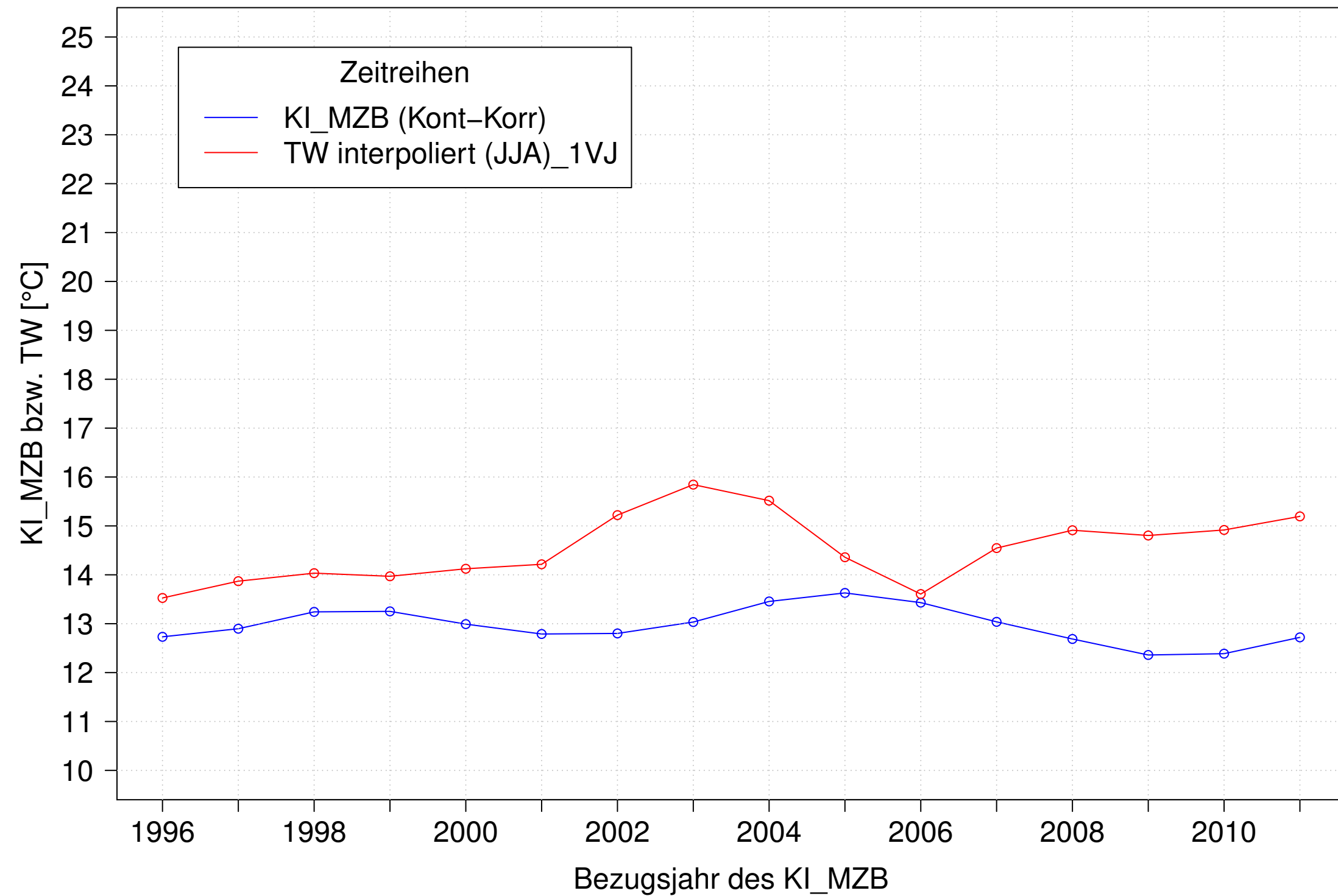
Gr. Lauter_Lauterach, Typ 09.1 mit Neozoen, Serie 1
3JMW KI_MZB (Kont-Korr) und 3JMW TW interpoliert (JJA) des 1. Vorjahres



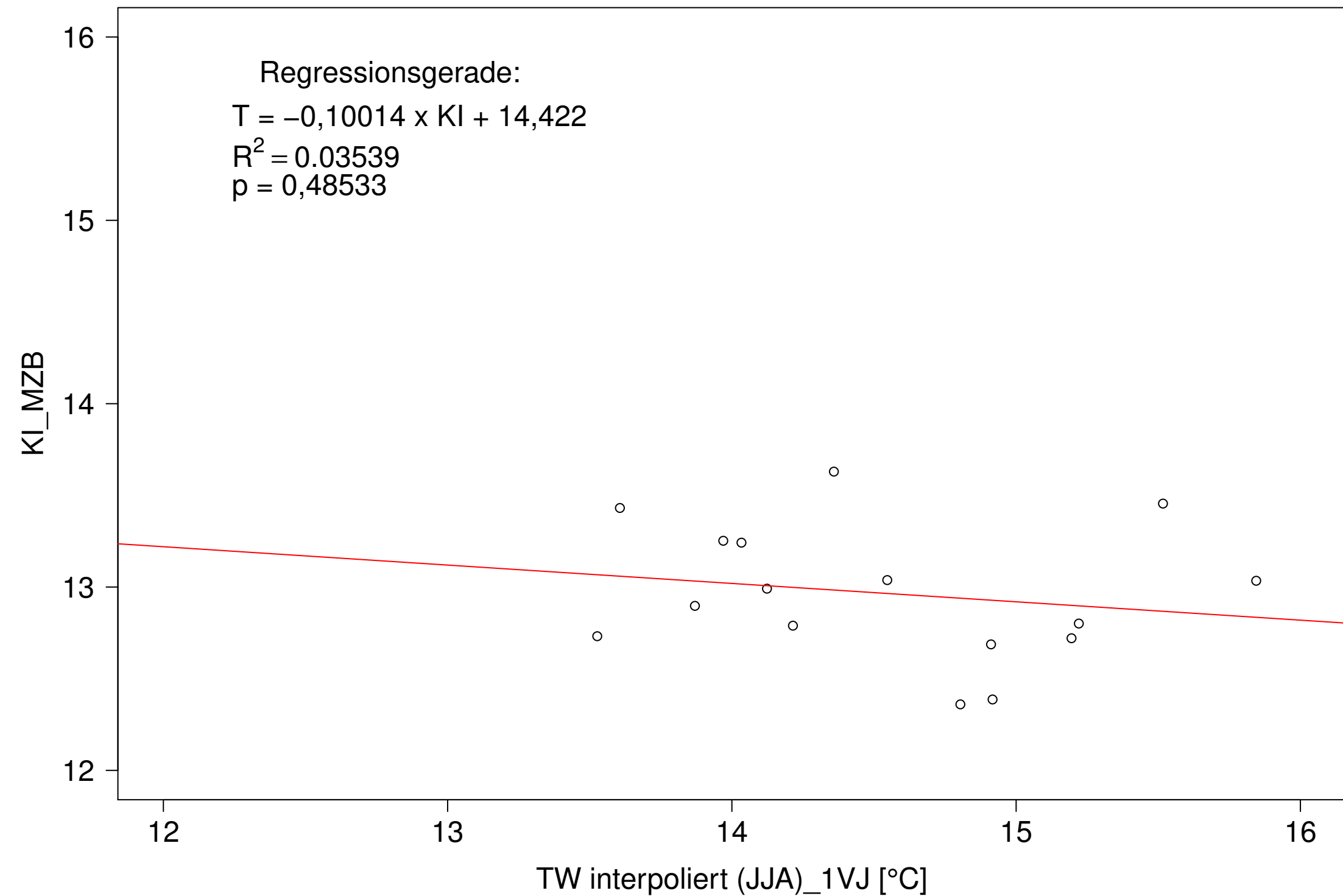
Gr. Lauter_Lauterach, Typ 09.1 mit Neozoen, Serie 1
3JMW KI_MZB (Kont-Korr) gegen 3JMW TW interpoliert (JJA) des 1. Vorjahres



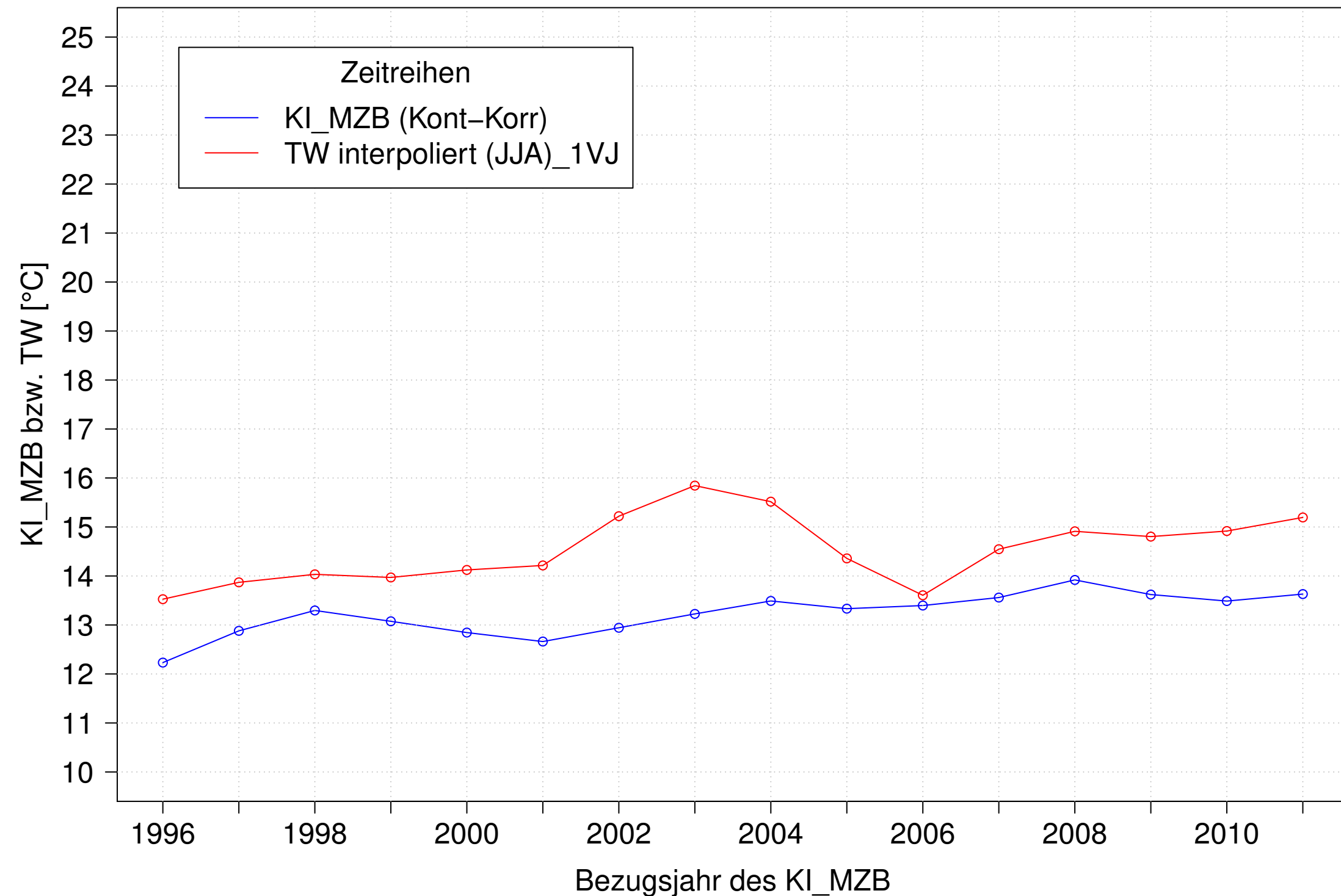
Gr. Lauter_Lauterach, Typ 09.1 mit Neozoen, Serie 2
3JMW KI_MZB (Kont-Korr) und 3JMW TW interpoliert (JJA) des 1. Vorjahres



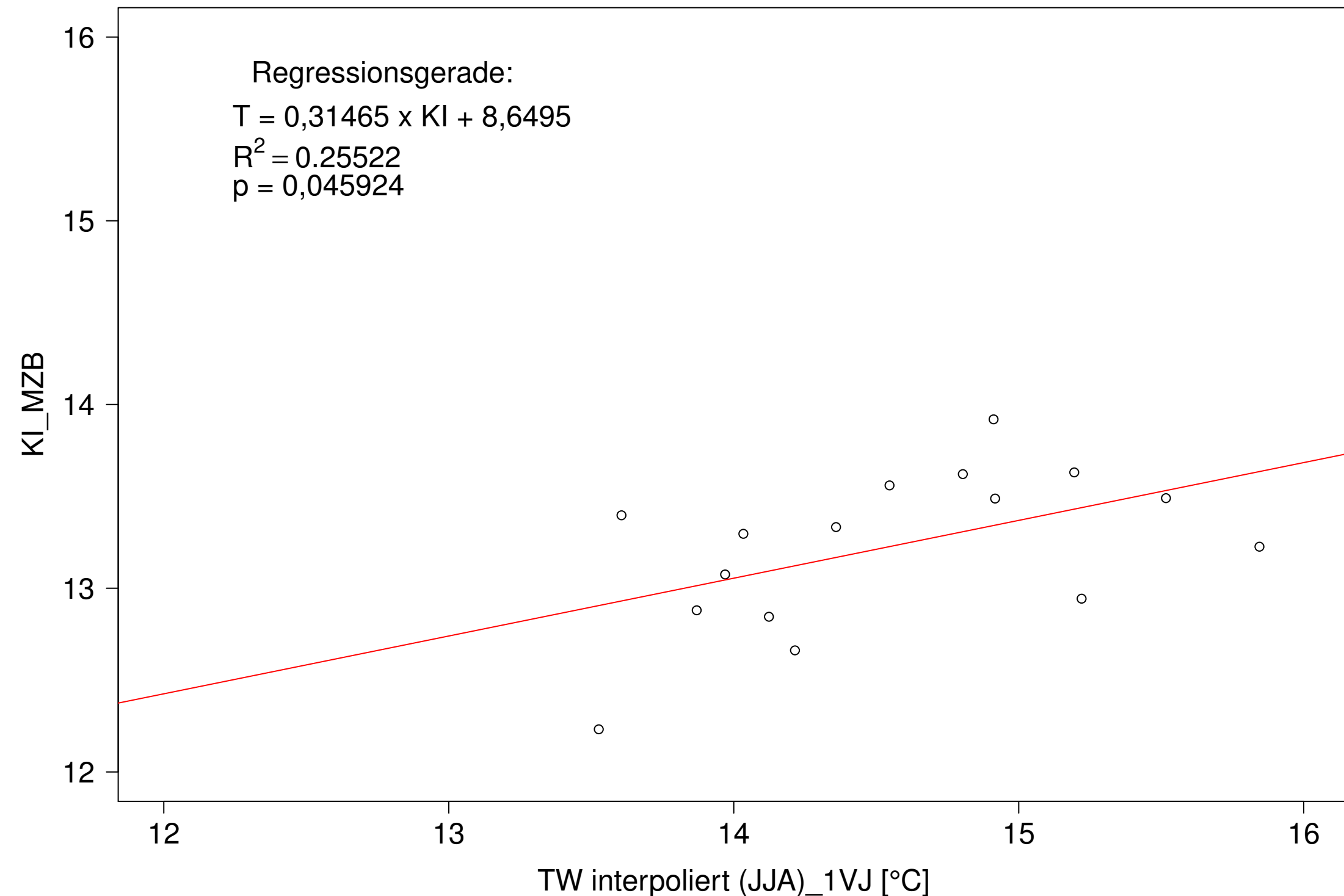
Gr. Lauter_Lauterach, Typ 09.1 mit Neozoen, Serie 2
3JMW KI_MZB (Kont-Korr) gegen 3JMW TW interpoliert (JJA) des 1. Vorjahres



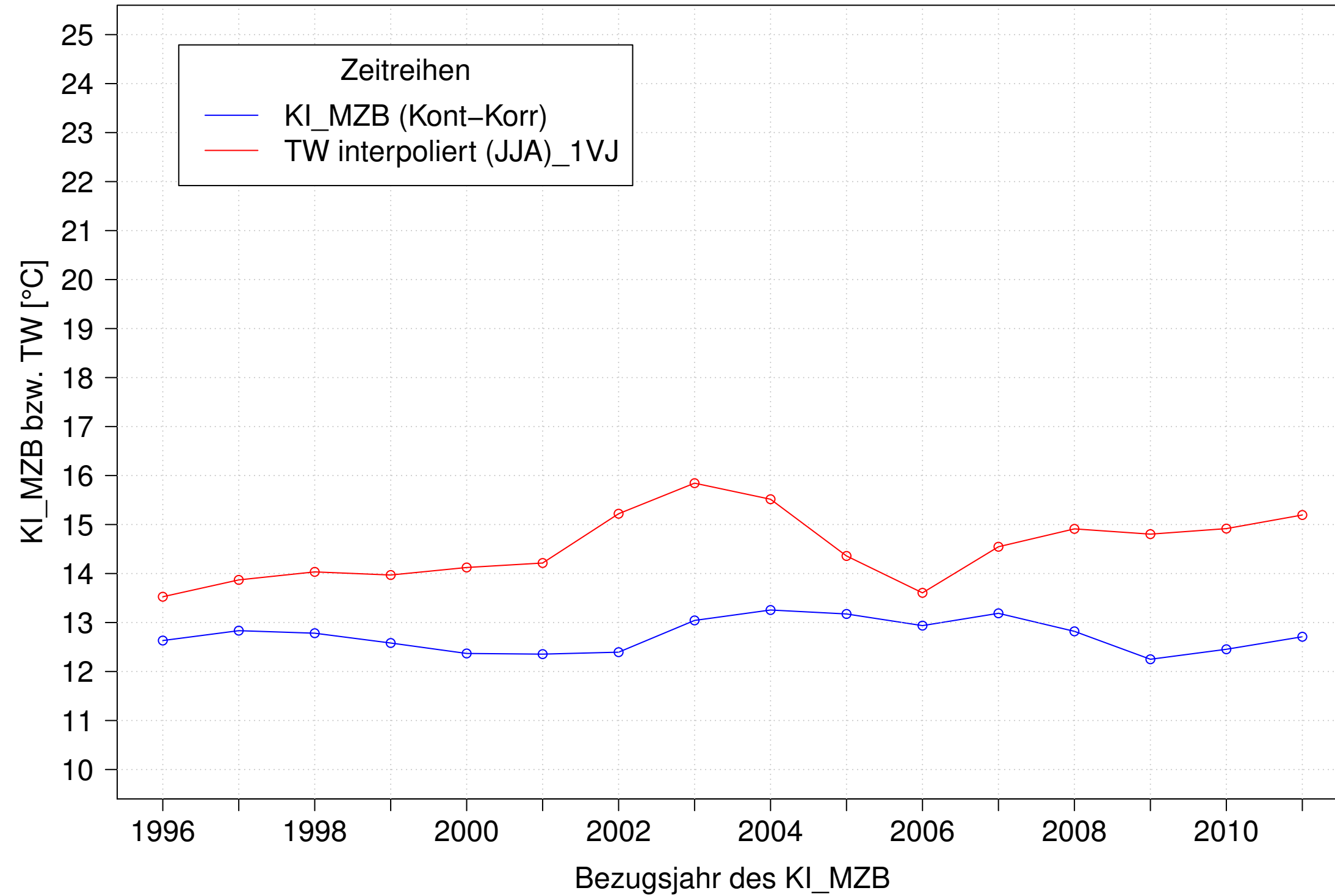
Gr. Lauter_Lauterach, Typ 09.1 mit Neozoen, Serie 3
3JMW KI_MZB (Kont-Korr) und 3JMW TW interpoliert (JJA) des 1. Vorjahres



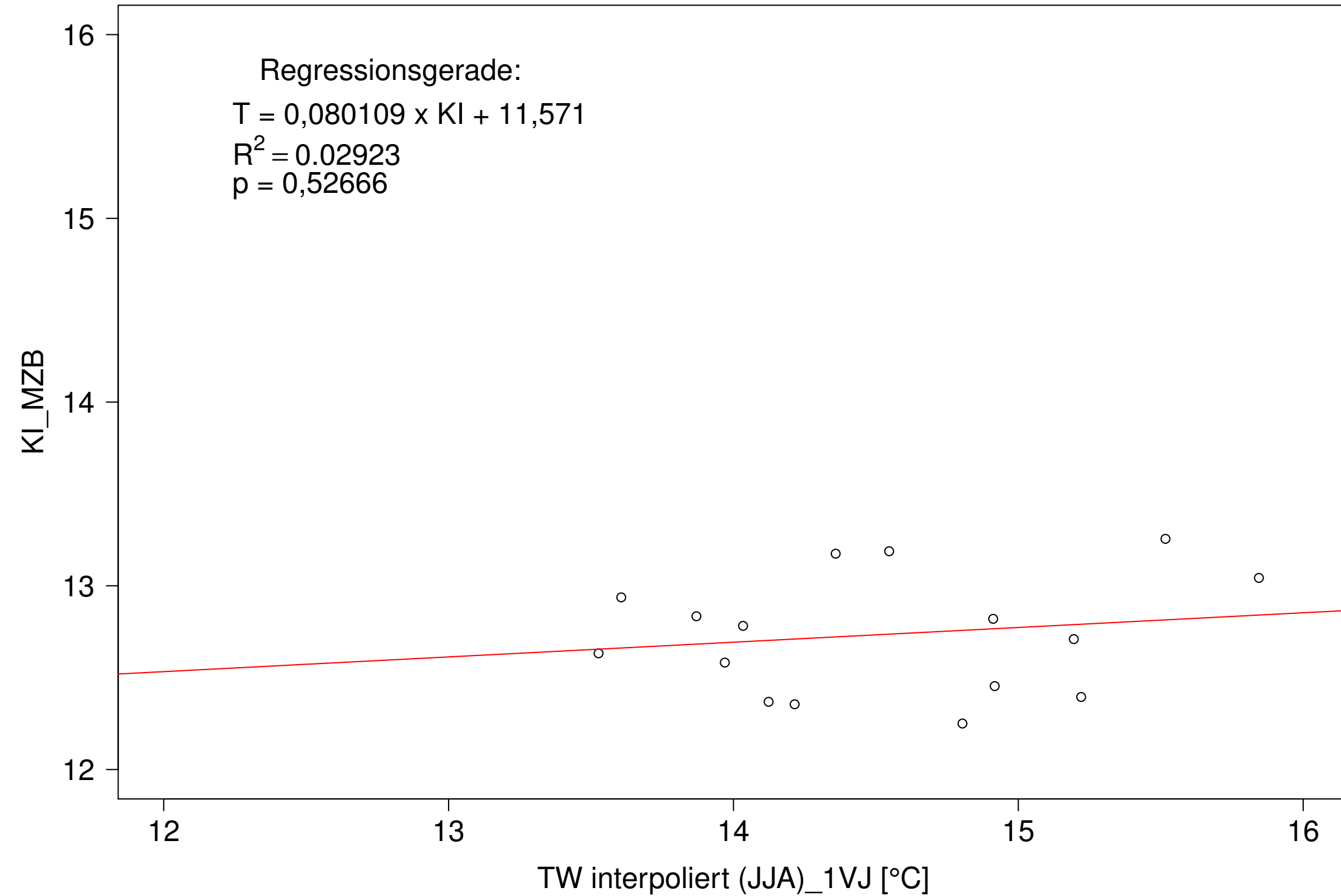
Gr. Lauter_Lauterach, Typ 09.1 mit Neozoen, Serie 3
3JMW KI_MZB (Kont-Korr) gegen 3JMW TW interpoliert (JJA) des 1. Vorjahres



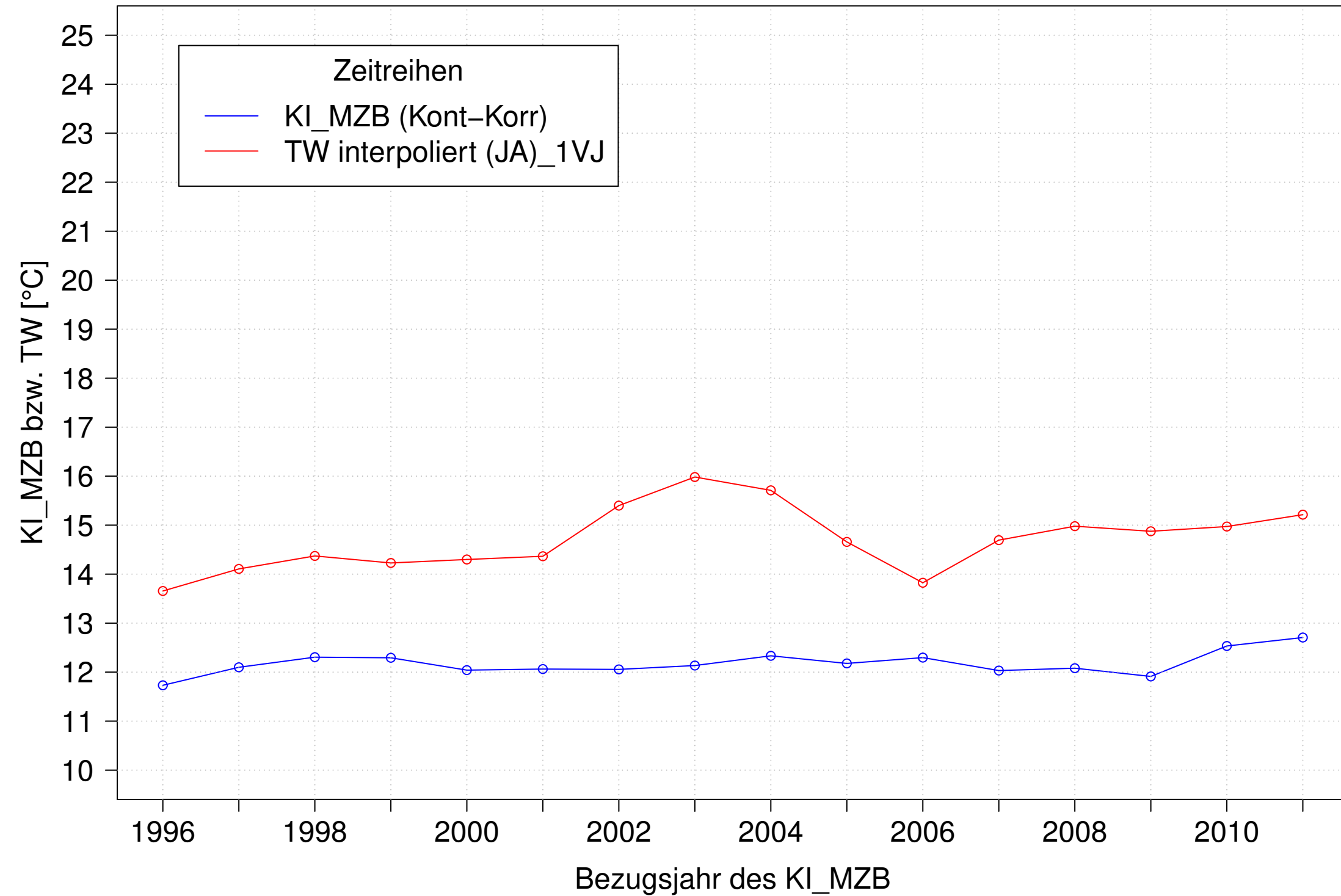
Gr. Lauter_Lauterach, Typ 09.1 mit Neozoen, Serie 4
3JMW KI_MZB (Kont-Korr) und 3JMW TW interpoliert (JJA) des 1. Vorjahres



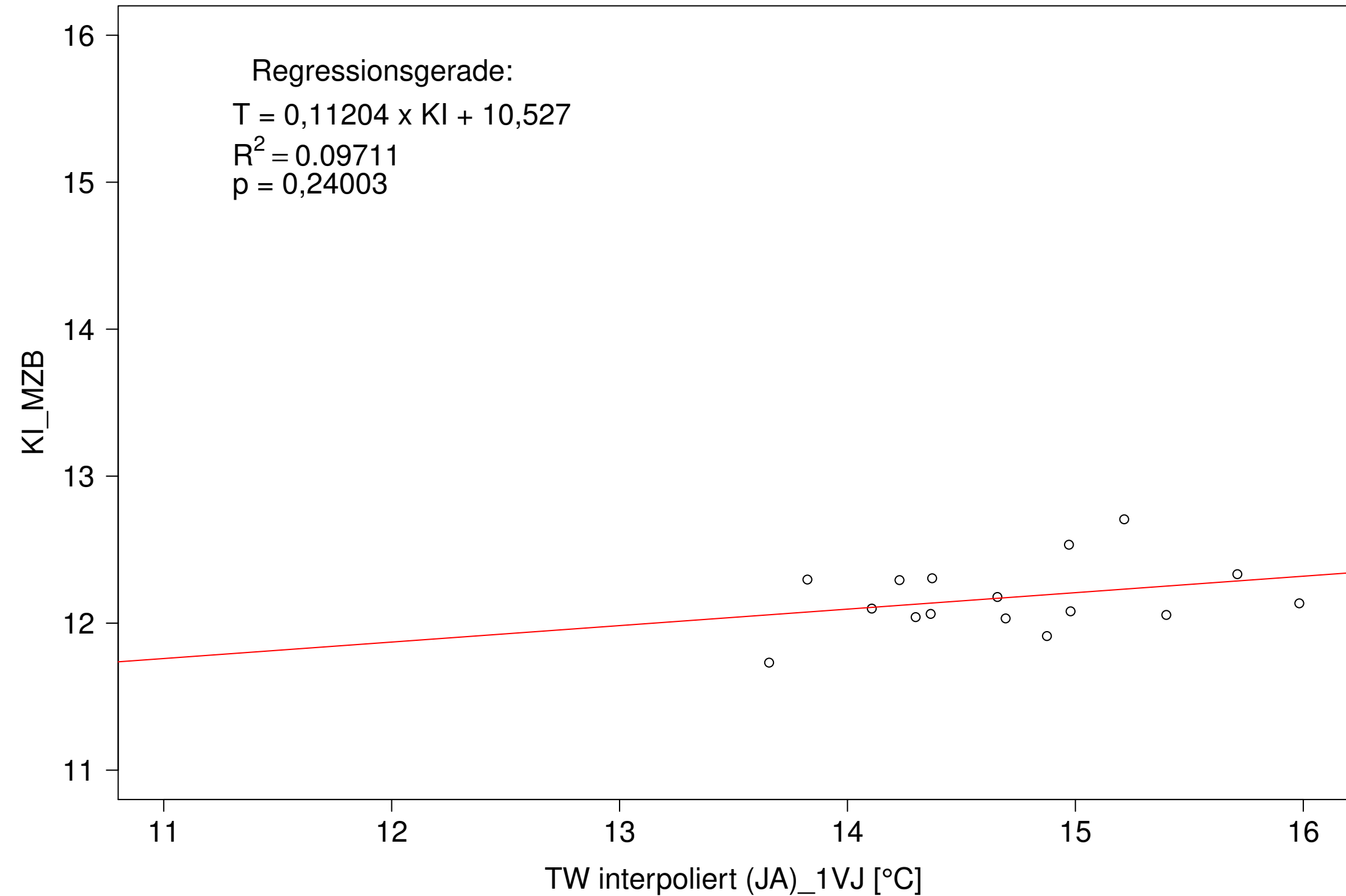
Gr. Lauter_Lauterach, Typ 09.1 mit Neozoen, Serie 4
3JMW KI_MZB (Kont-Korr) gegen 3JMW TW interpoliert (JJA) des 1. Vorjahres



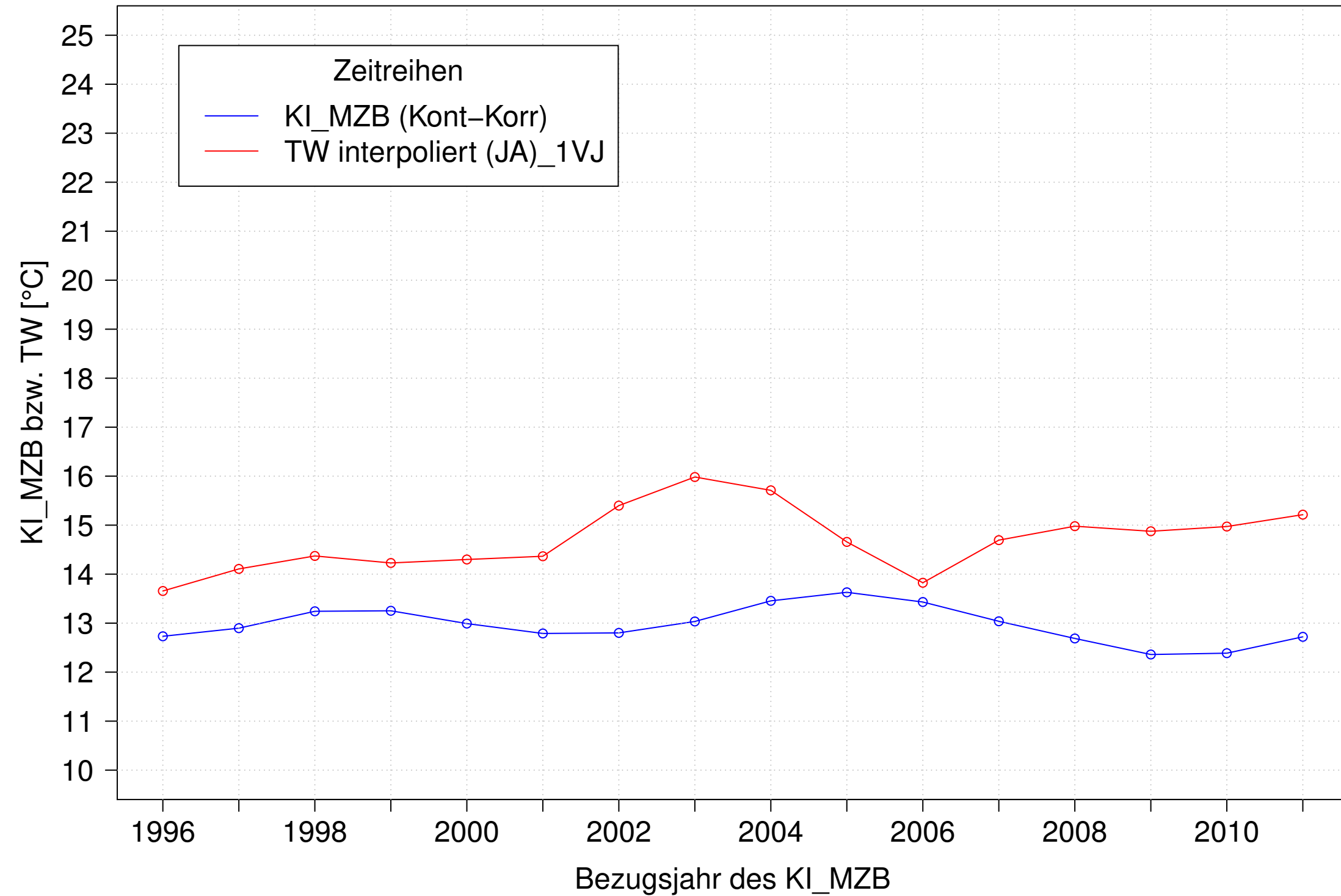
Gr. Lauter_Lauterach, Typ 09.1 mit Neozoen, Serie 1
3JMW KI_MZB (Kont-Korr) und 3JMW TW interpoliert (JA) des 1. Vorjahres



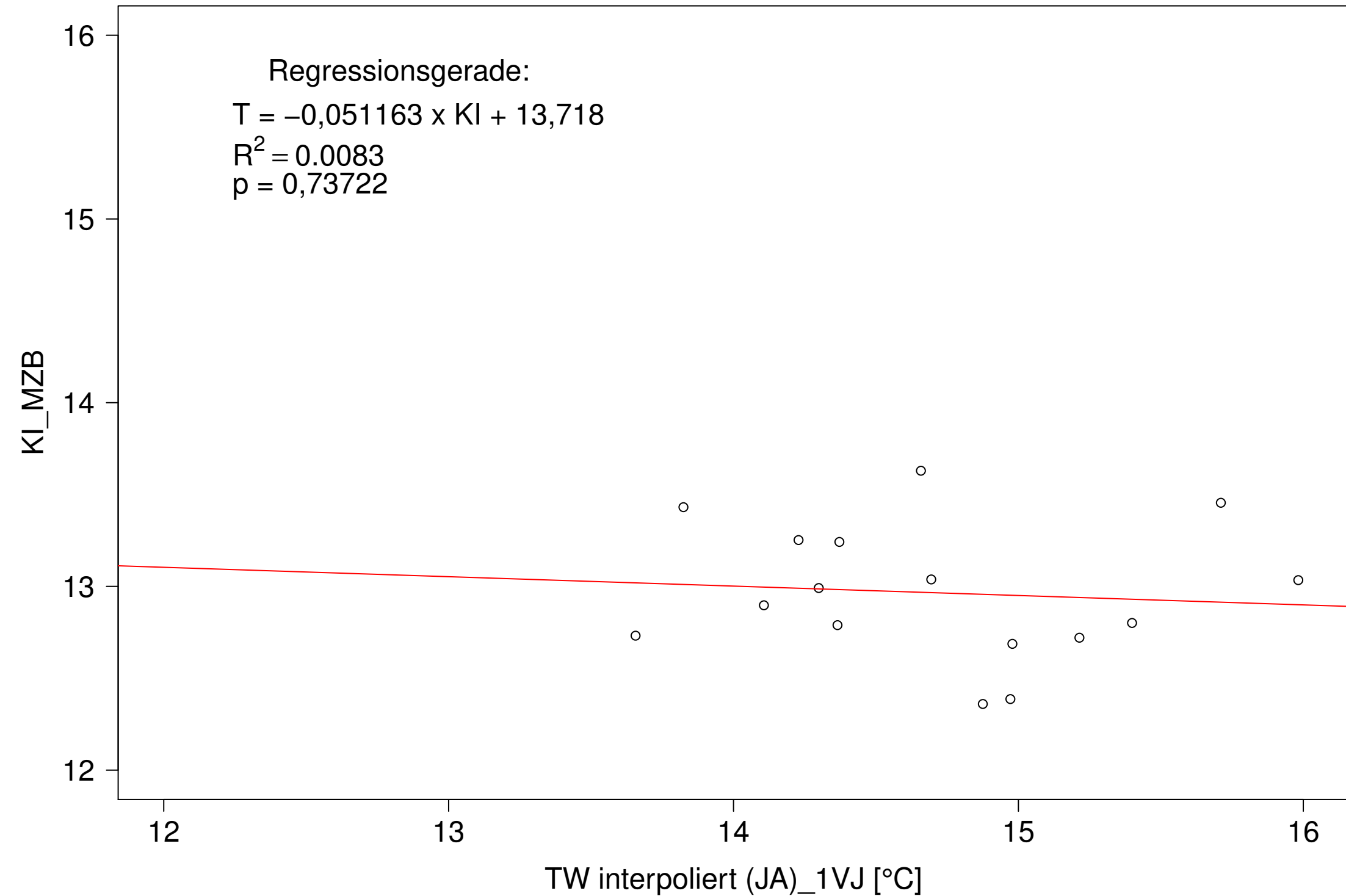
Gr. Lauter_Lauterach, Typ 09.1 mit Neozoen, Serie 1
3JMW KI_MZB (Kont-Korr) gegen 3JMW TW interpoliert (JA) des 1. Vorjahres



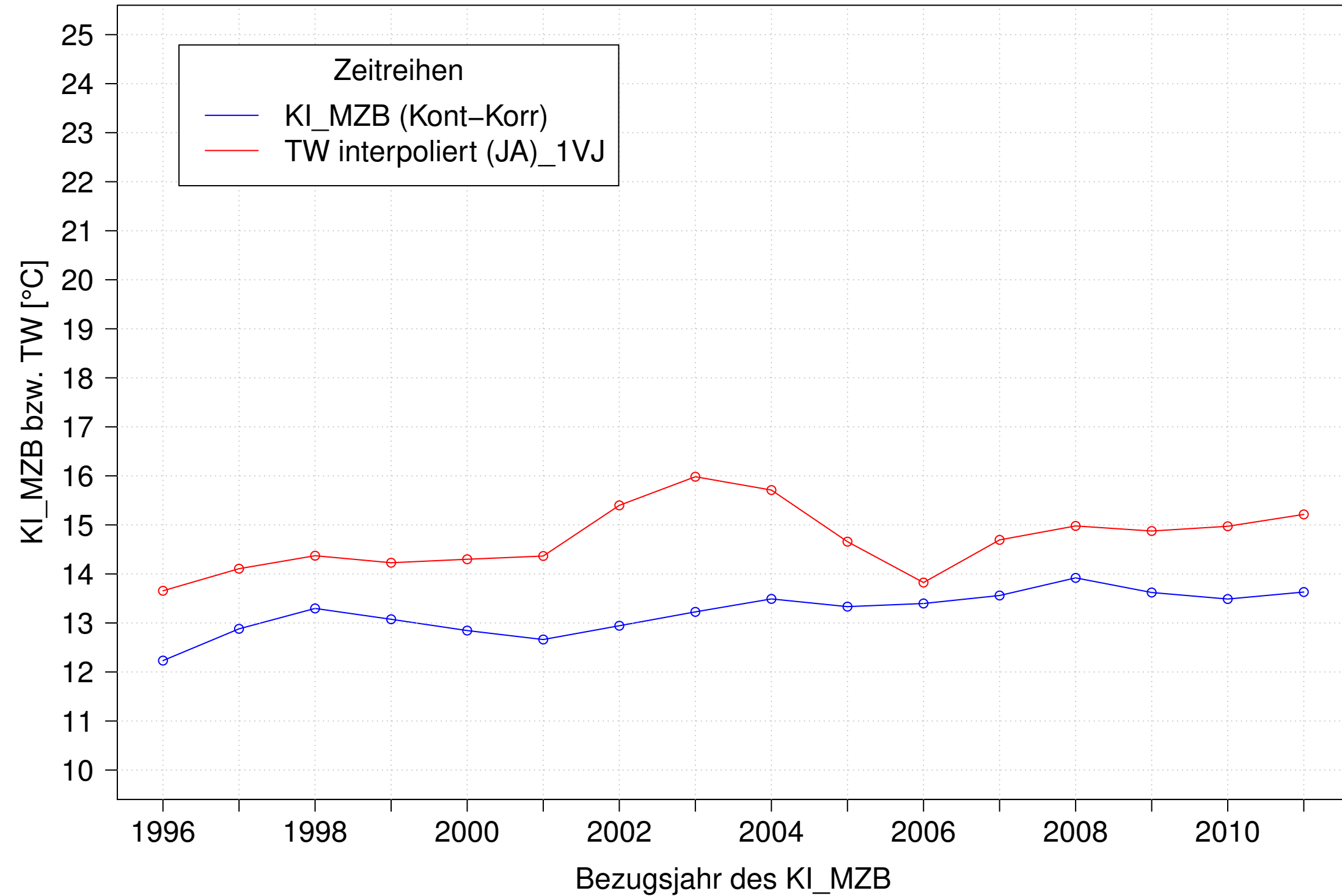
Gr. Lauter_Lauterach, Typ 09.1 mit Neozoen, Serie 2
3JMW KI_MZB (Kont-Korr) und 3JMW TW interpoliert (JA) des 1. Vorjahres



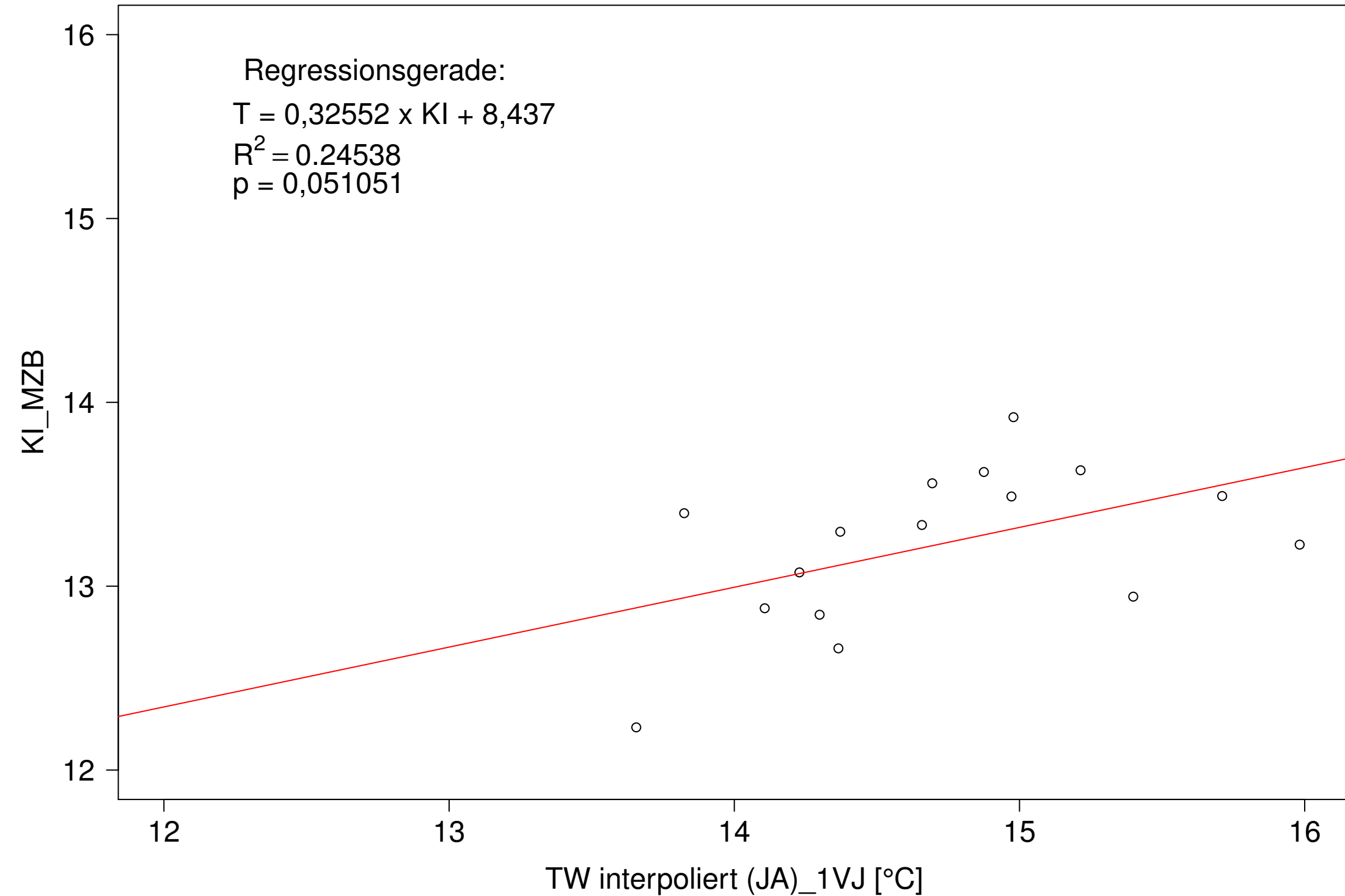
Gr. Lauter_Lauterach, Typ 09.1 mit Neozoen, Serie 2
3JMW KI_MZB (Kont-Korr) gegen 3JMW TW interpoliert (JA) des 1. Vorjahres



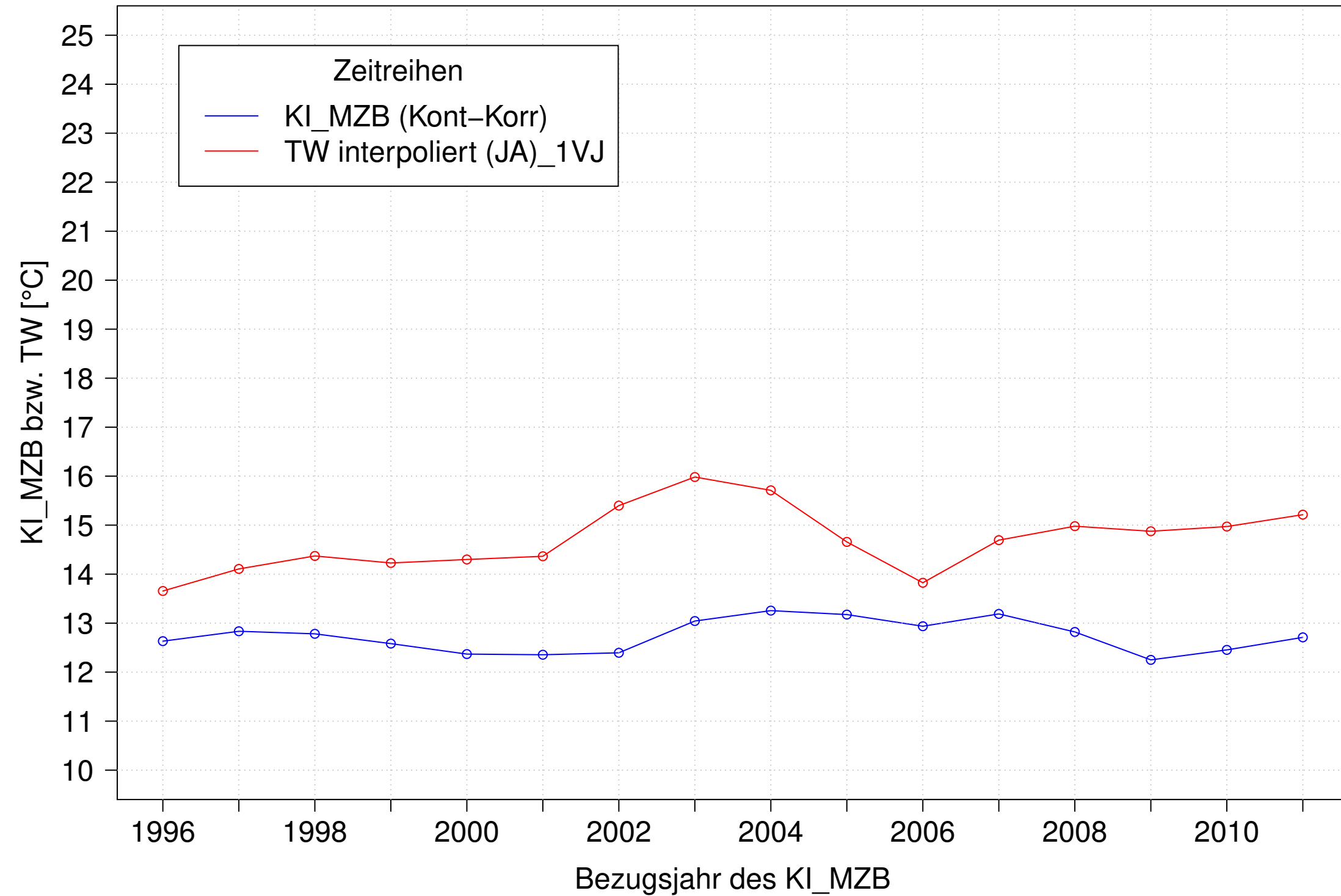
Gr. Lauter_Lauterach, Typ 09.1 mit Neozoen, Serie 3
3JMW KI_MZB (Kont-Korr) und 3JMW TW interpoliert (JA) des 1. Vorjahres



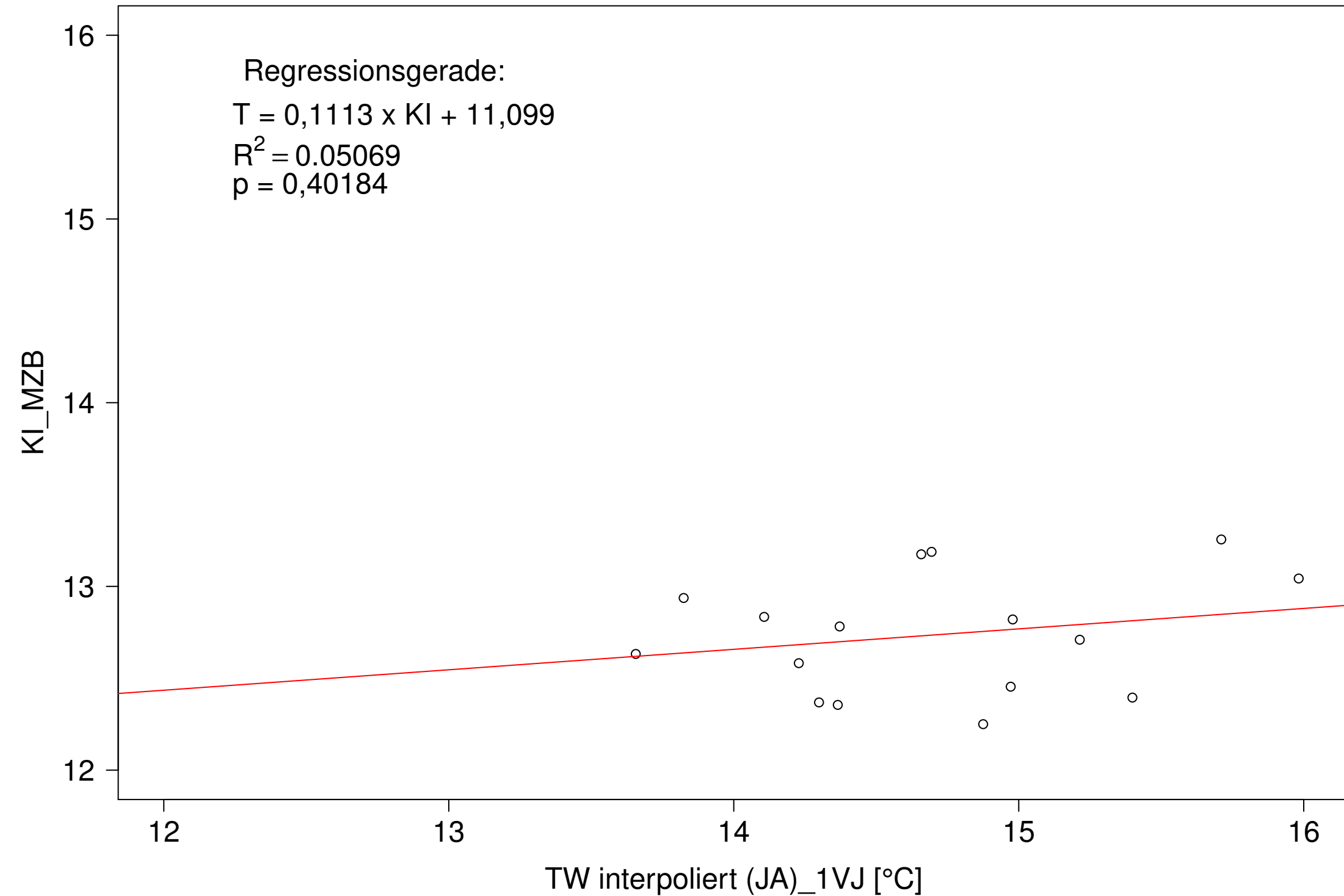
Gr. Lauter_Lauterach, Typ 09.1 mit Neozoen, Serie 3
3JMW KI_MZB (Kont-Korr) gegen 3JMW TW interpoliert (JA) des 1. Vorjahres



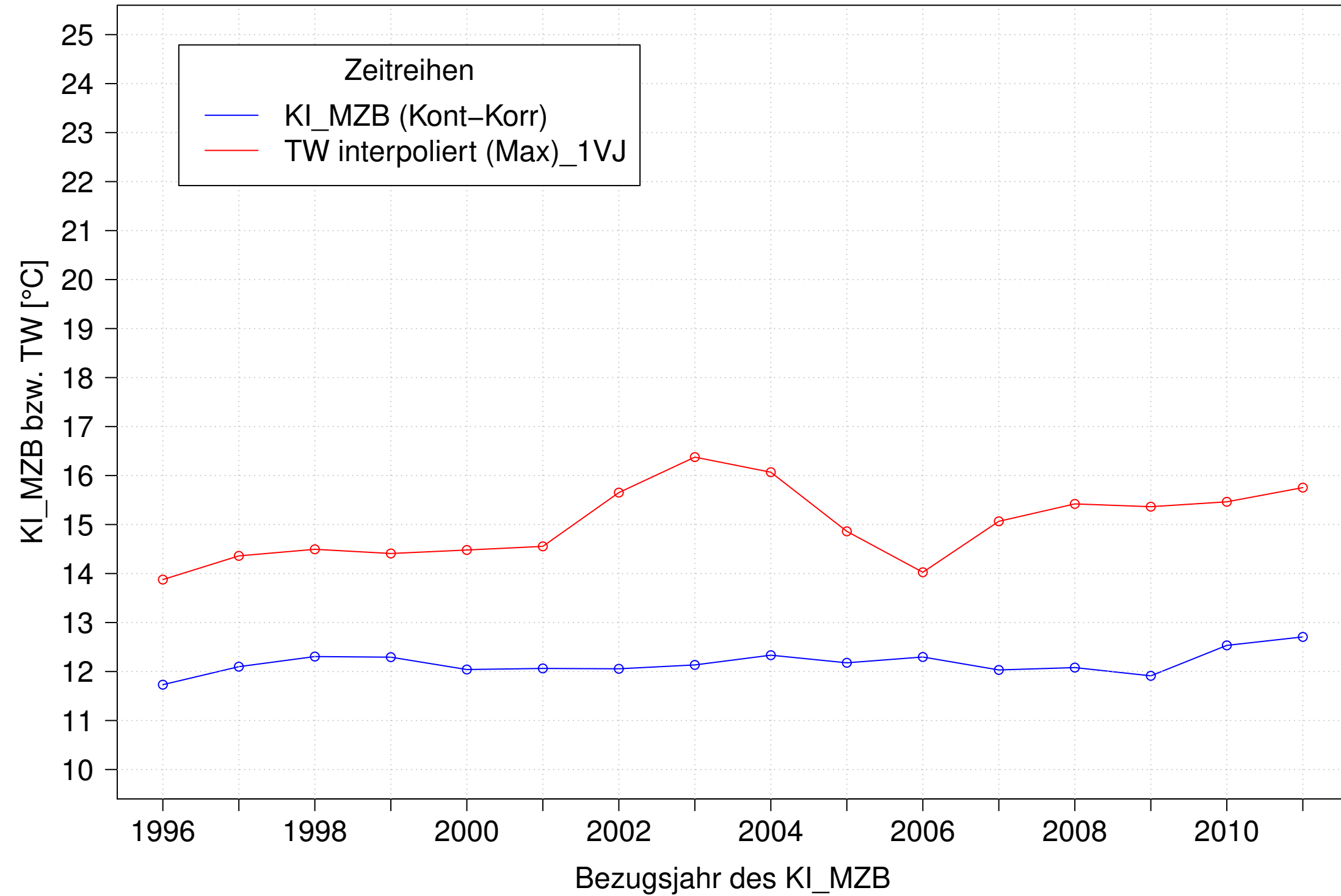
Gr. Lauter_Lauterach, Typ 09.1 mit Neozoen, Serie 4
3JMW KI_MZB (Kont-Korr) und 3JMW TW interpoliert (JA) des 1. Vorjahres



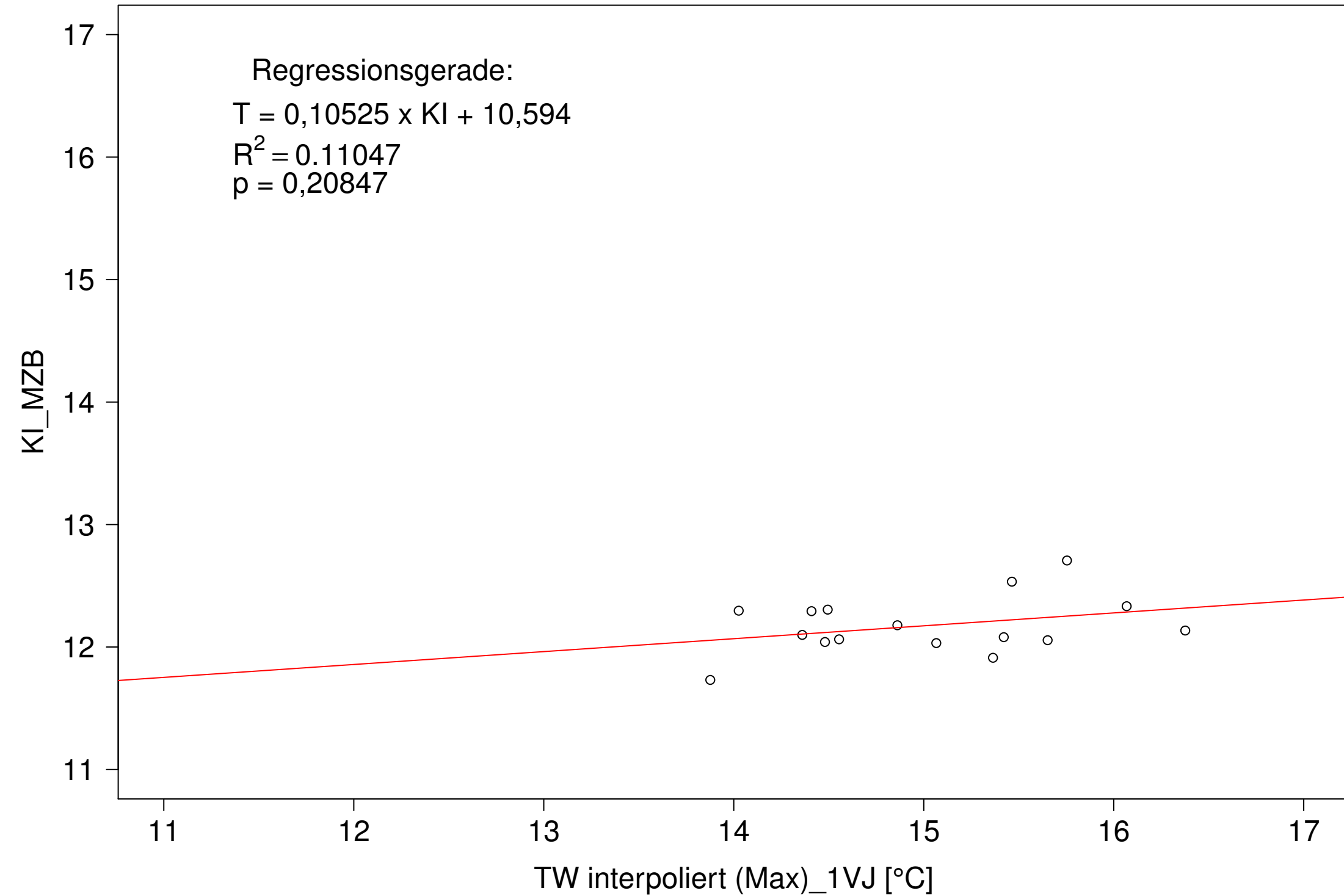
Gr. Lauter_Lauterach, Typ 09.1 mit Neozoen, Serie 4
3JMW KI_MZB (Kont-Korr) gegen 3JMW TW interpoliert (JA) des 1. Vorjahres



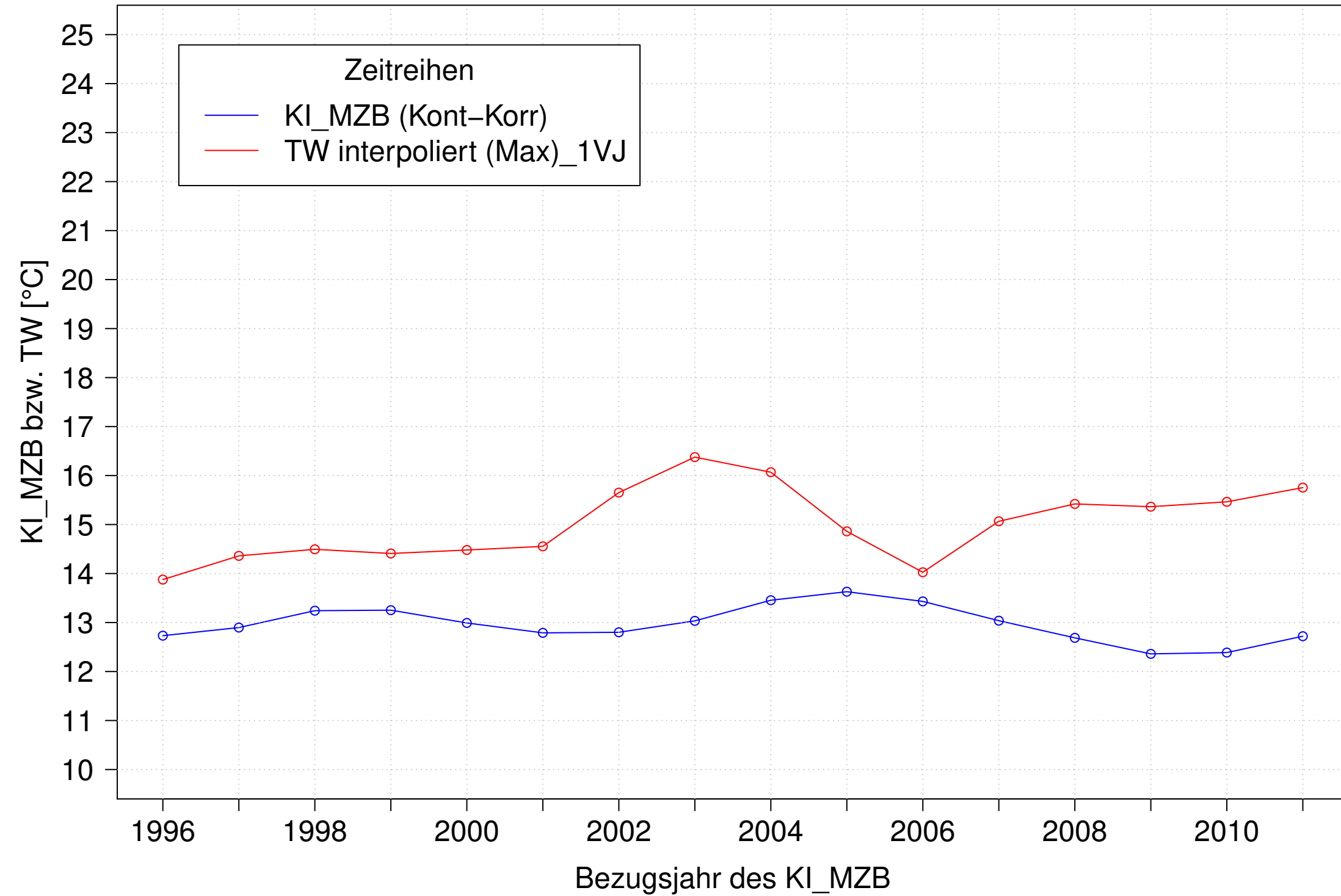
Gr. Lauter_Lauterach, Typ 09.1 mit Neozoen, Serie 1
3JMW KI_MZB (Kont-Korr) und 3JMW TW interpoliert (Max) des 1. Vorjahres



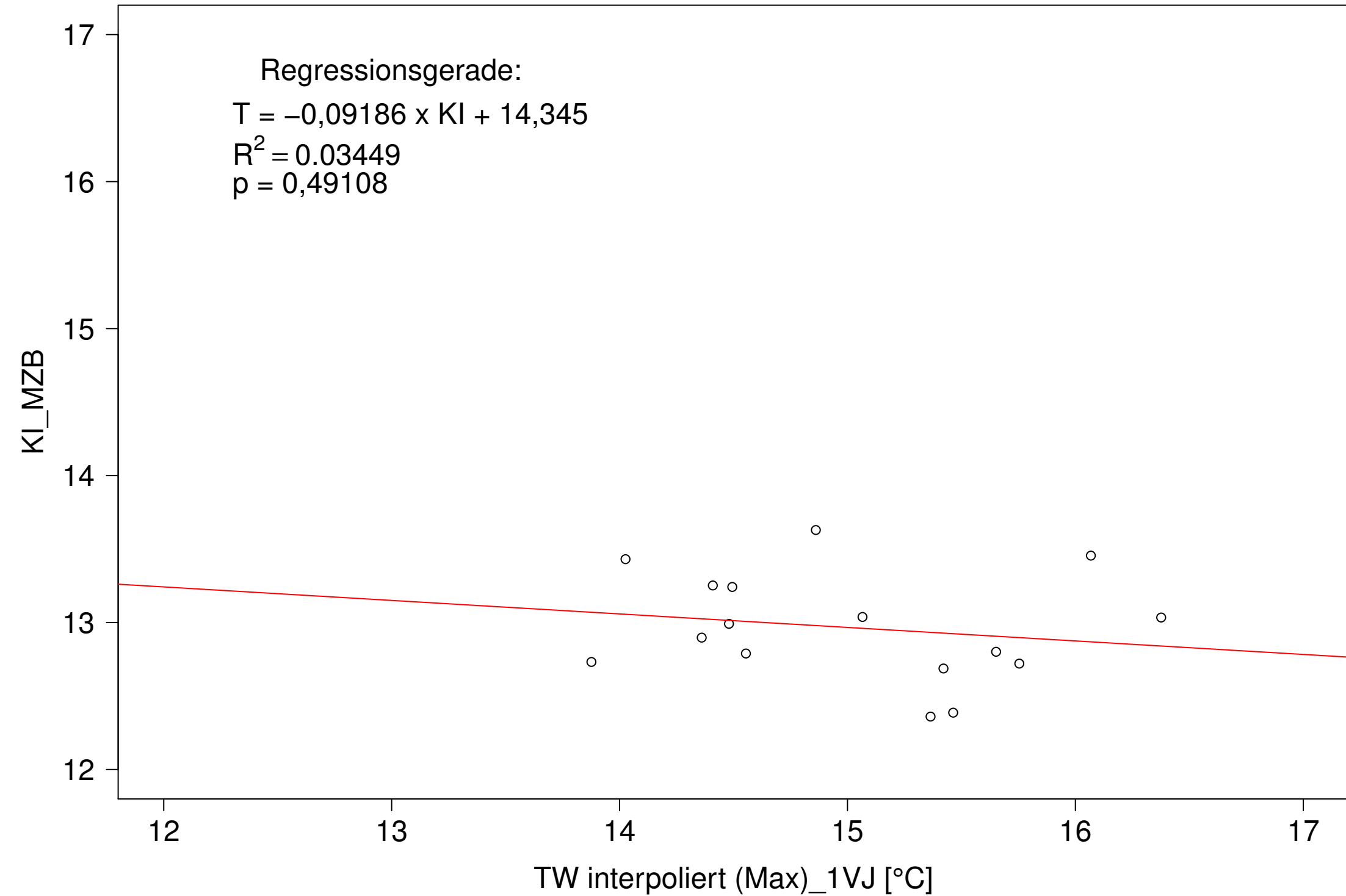
Gr. Lauter_Lauterach, Typ 09.1 mit Neozoen, Serie 1
3JMW KI_MZB (Kont-Korr) gegen 3JMW TW interpoliert (Max) des 1. Vorjahres



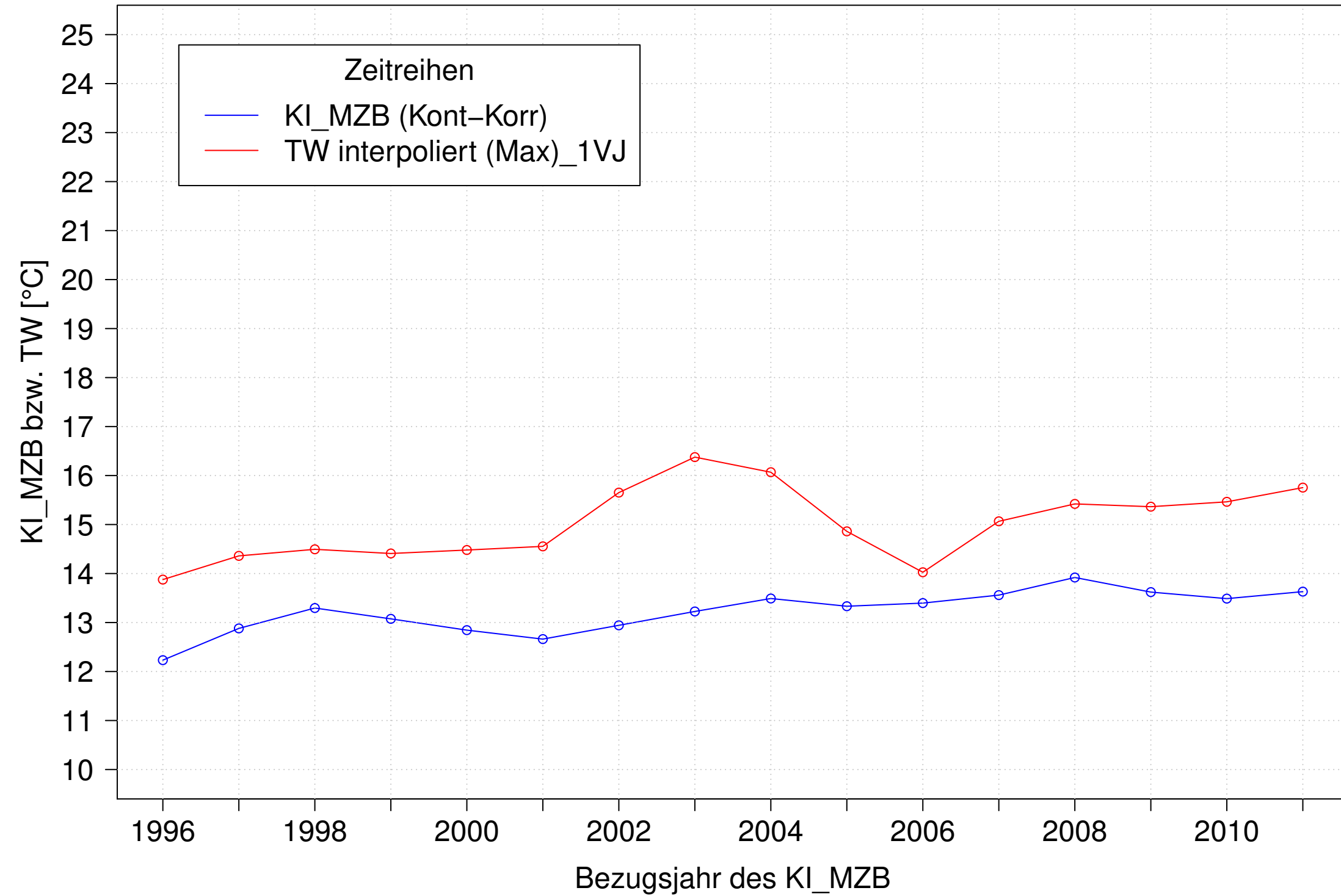
Gr. Lauter_Lauterach, Typ 09.1 mit Neozoen, Serie 2
3JMW KI_MZB (Kont-Korr) und 3JMW TW interpoliert (Max) des 1. Vorjahres



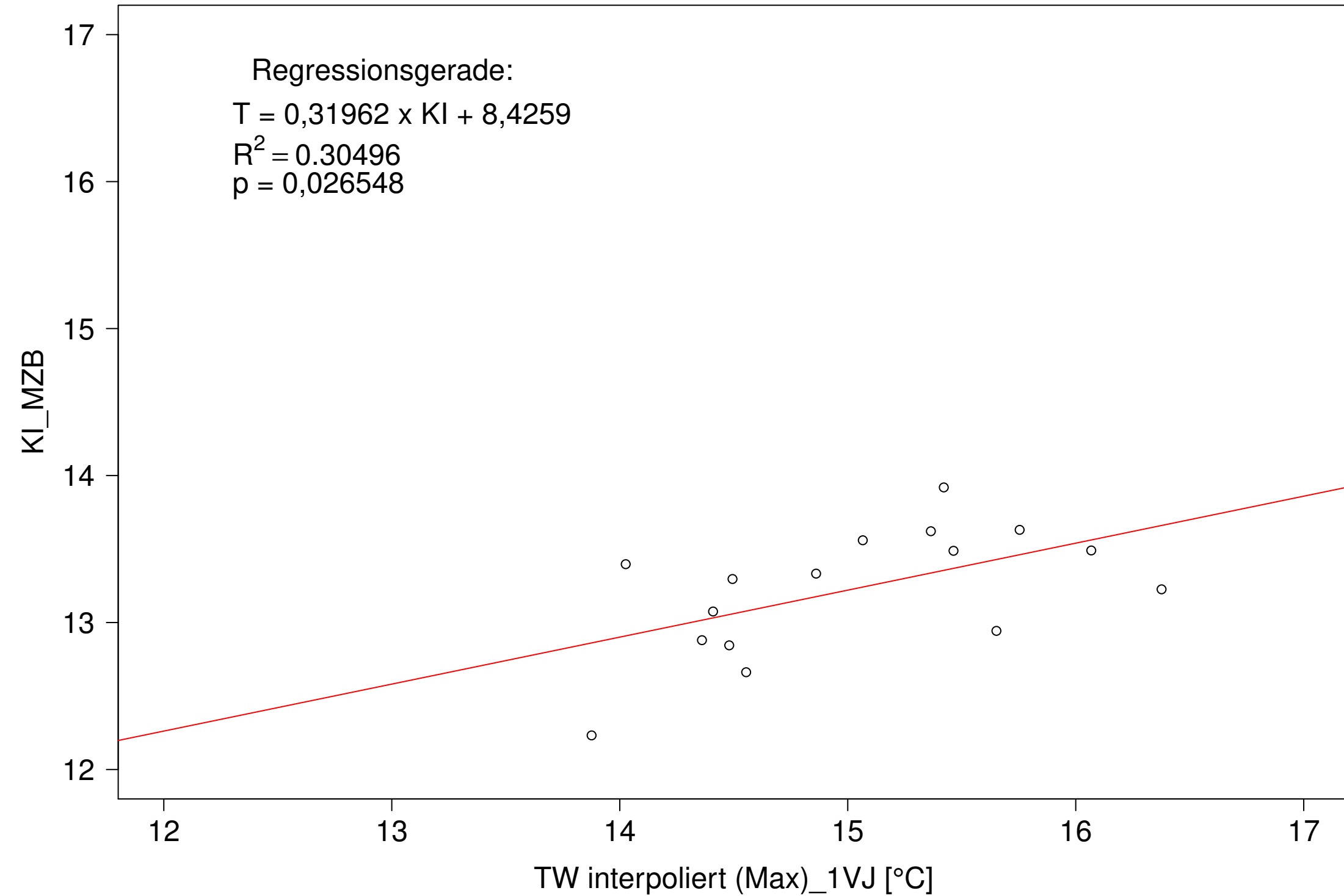
Gr. Lauter_Lauterach, Typ 09.1 mit Neozoen, Serie 2
3JMW KI_MZB (Kont-Korr) gegen 3JMW TW interpoliert (Max) des 1. Vorjahres



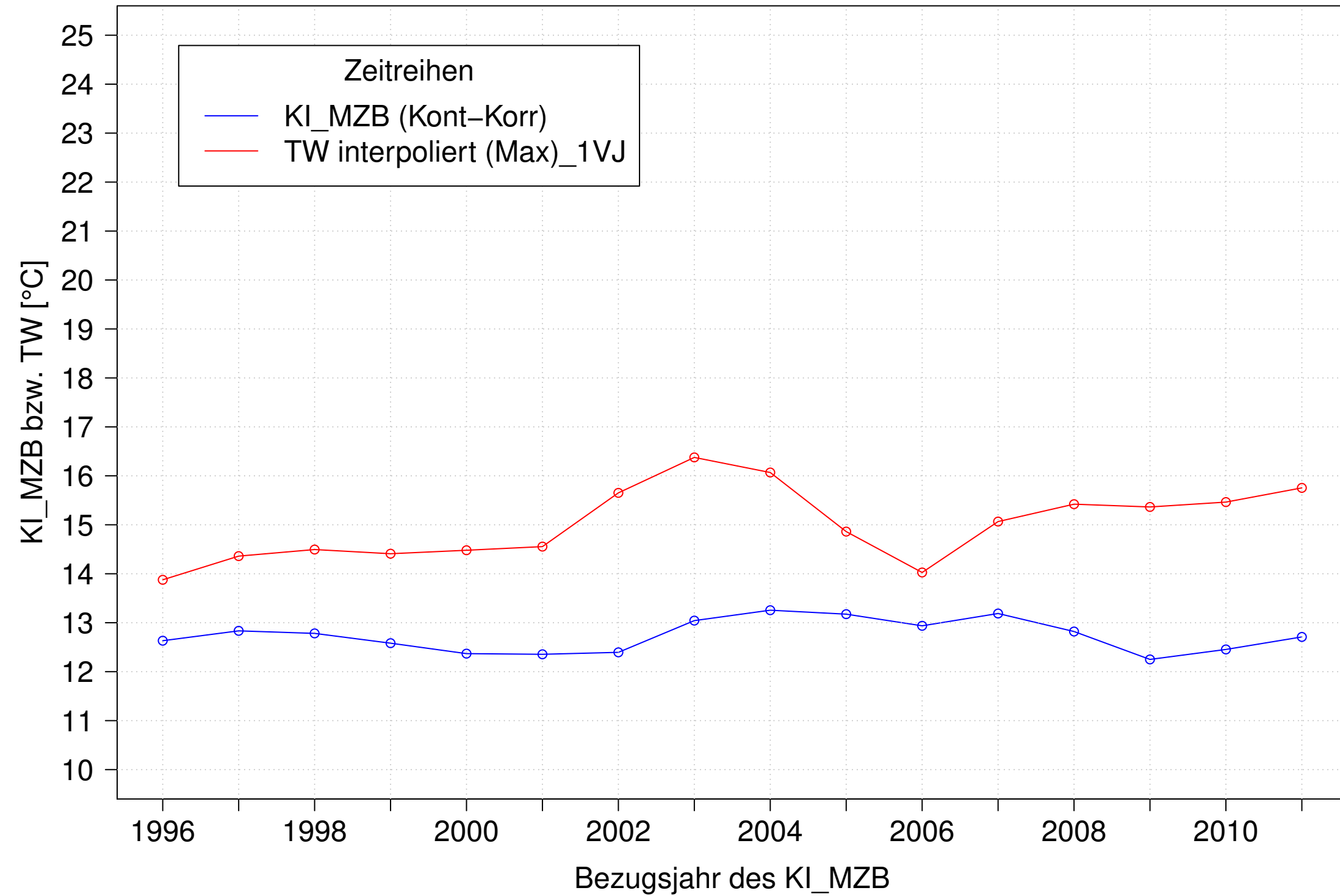
Gr. Lauter_Lauterach, Typ 09.1 mit Neozoen, Serie 3
3JMW KI_MZB (Kont-Korr) und 3JMW TW interpoliert (Max) des 1. Vorjahres



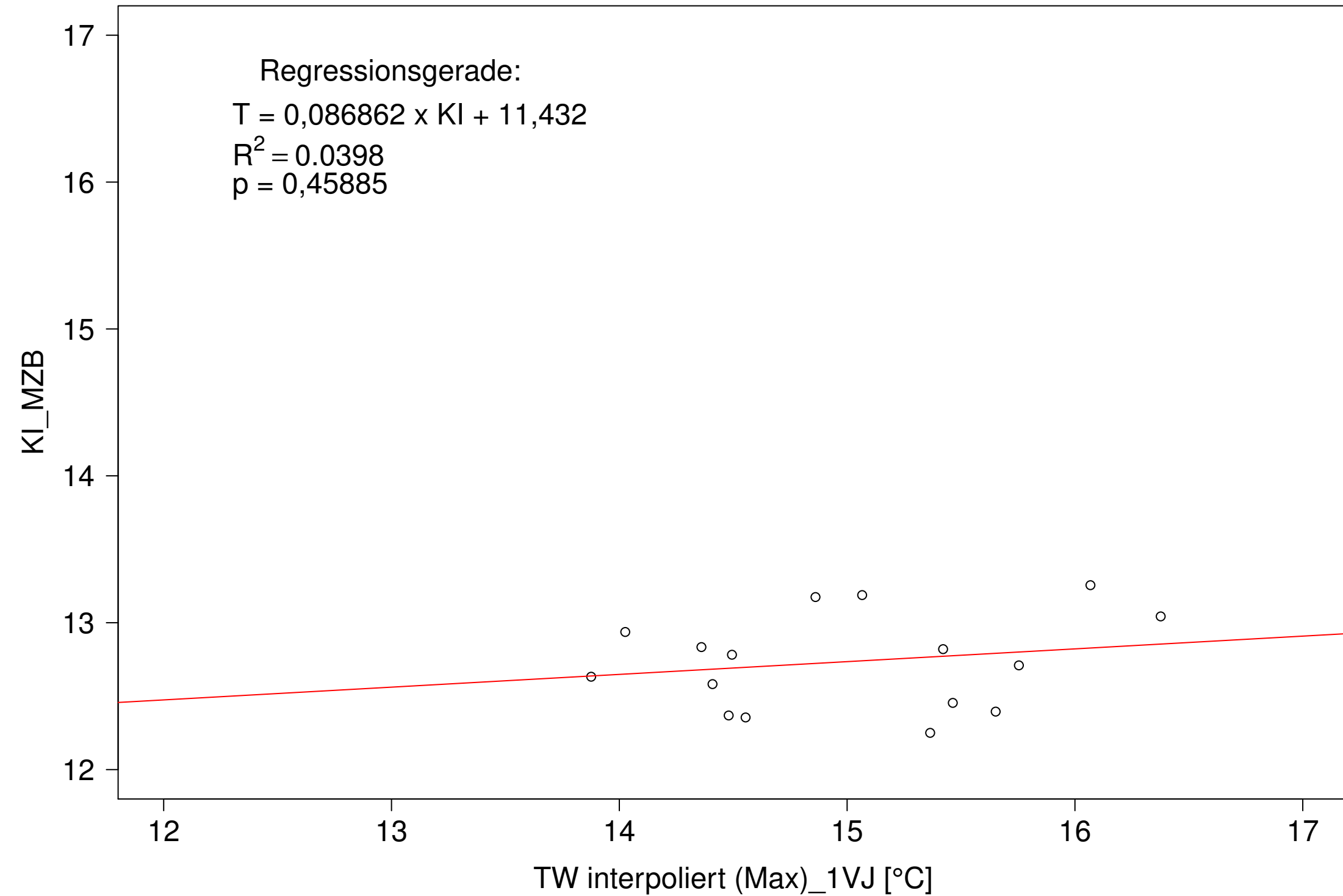
Gr. Lauter_Lauterach, Typ 09.1 mit Neozoen, Serie 3
3JMW KI_MZB (Kont-Korr) gegen 3JMW TW interpoliert (Max) des 1. Vorjahres



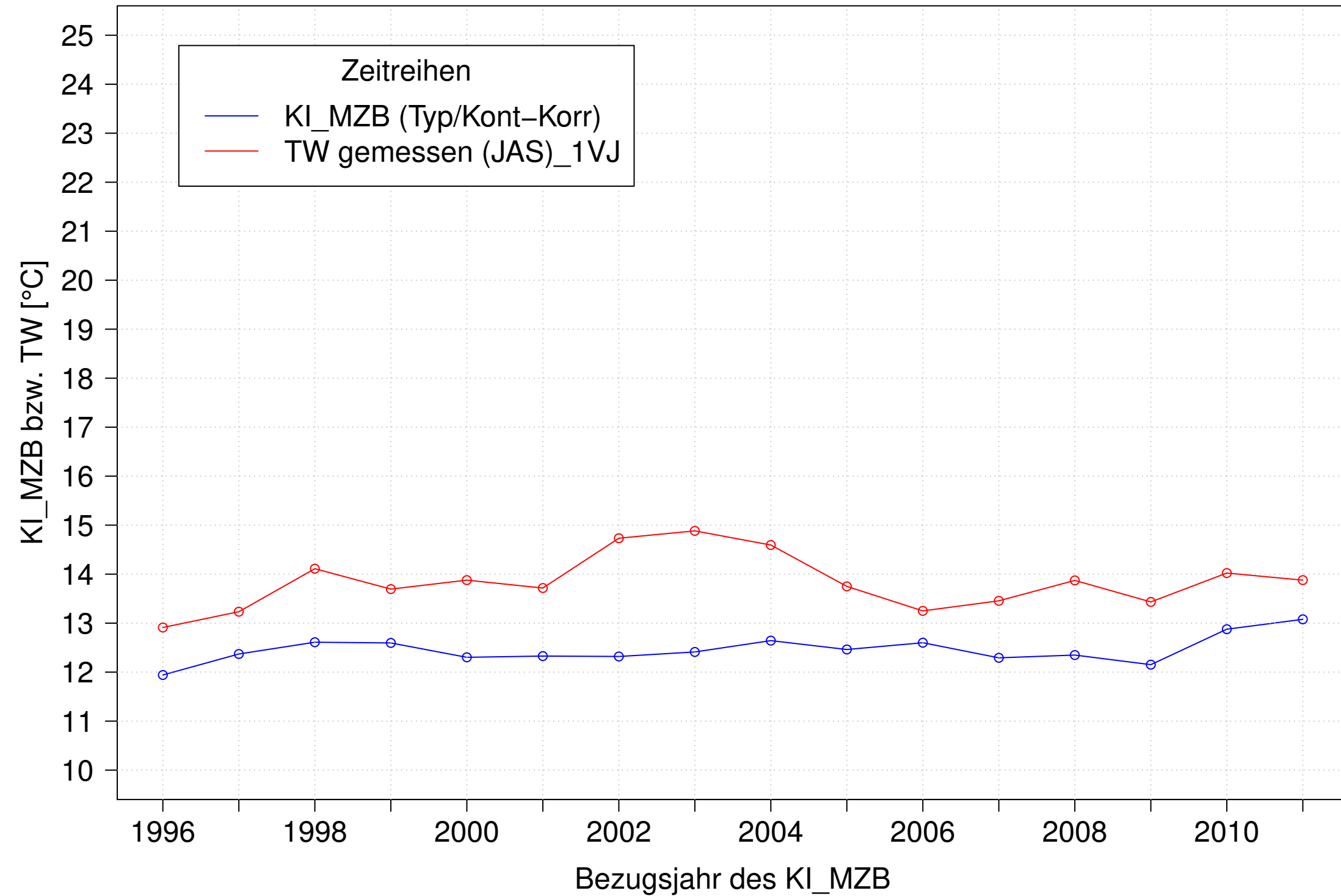
Gr. Lauter_Lauterach, Typ 09.1 mit Neozoen, Serie 4
3JMW KI_MZB (Kont-Korr) und 3JMW TW interpoliert (Max) des 1. Vorjahres



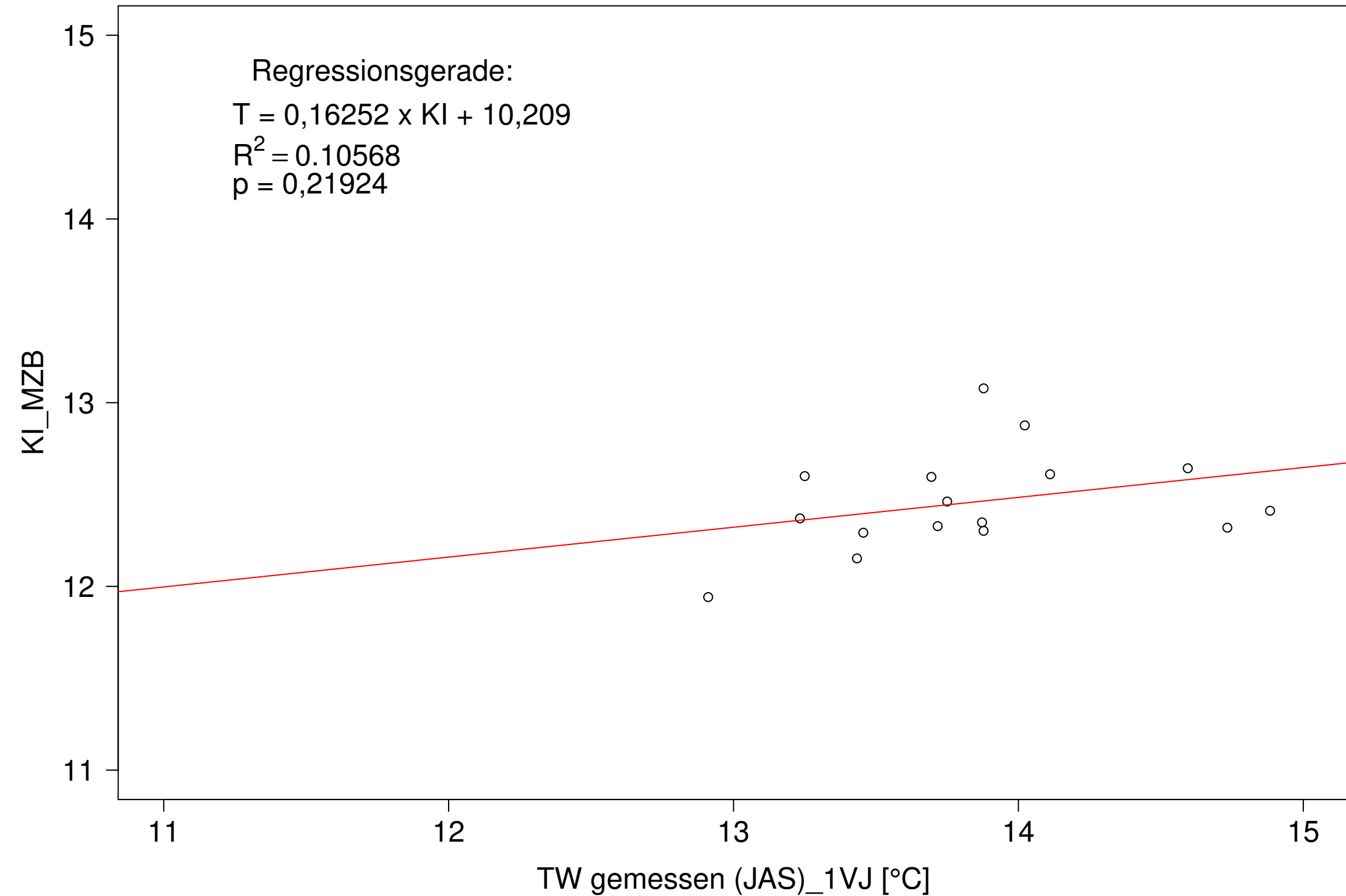
Gr. Lauter_Lauterach, Typ 09.1 mit Neozoen, Serie 4
3JMW KI_MZB (Kont-Korr) gegen 3JMW TW interpoliert (Max) des 1. Vorjahres



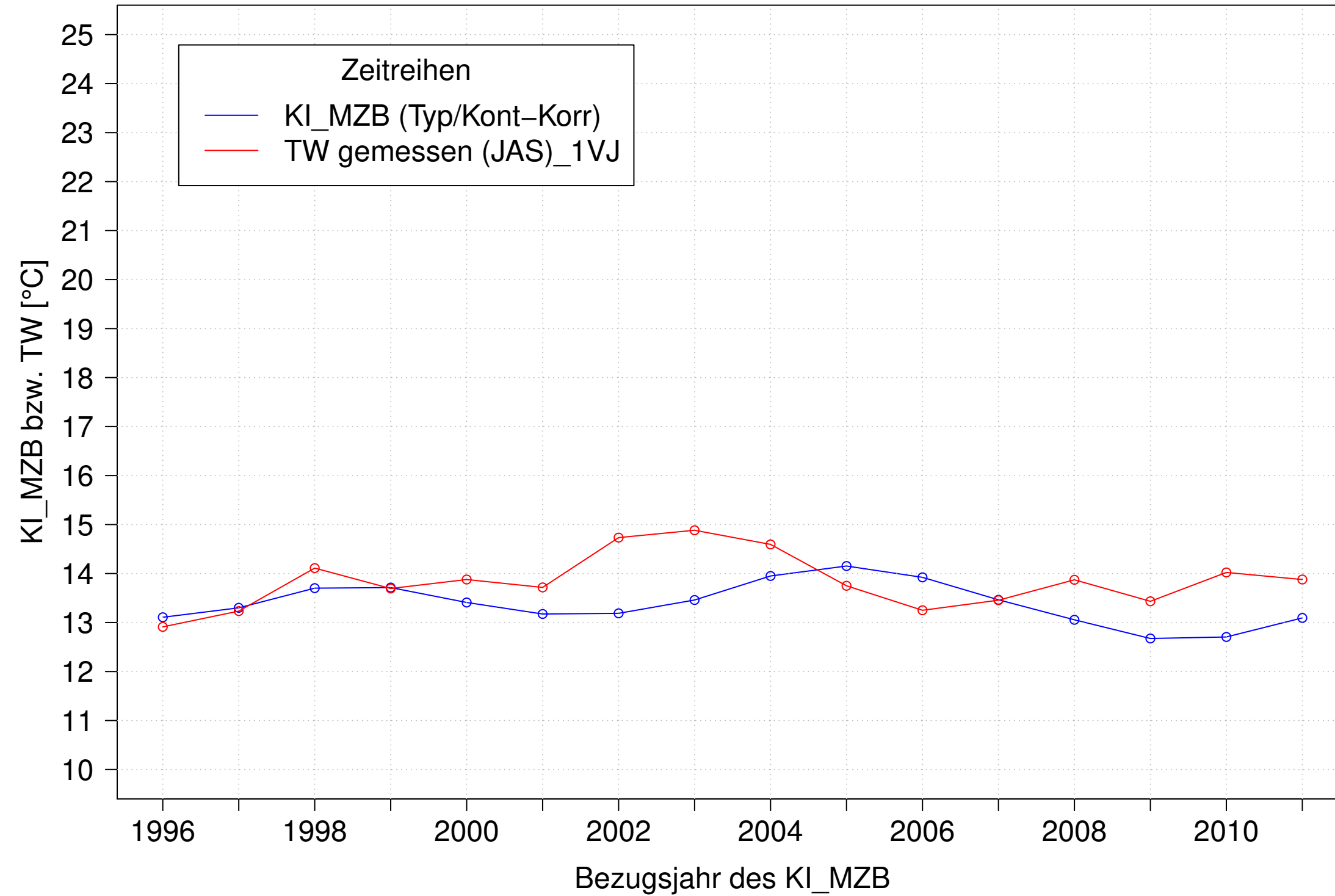
Gr. Lauter_Lauterach, Typ 09.1 mit Neozoen, Serie 1
3JMW KI_MZB (Typ/Kont-Korr) und 3JMW TW gemessen (JAS) des 1. Vorjahres



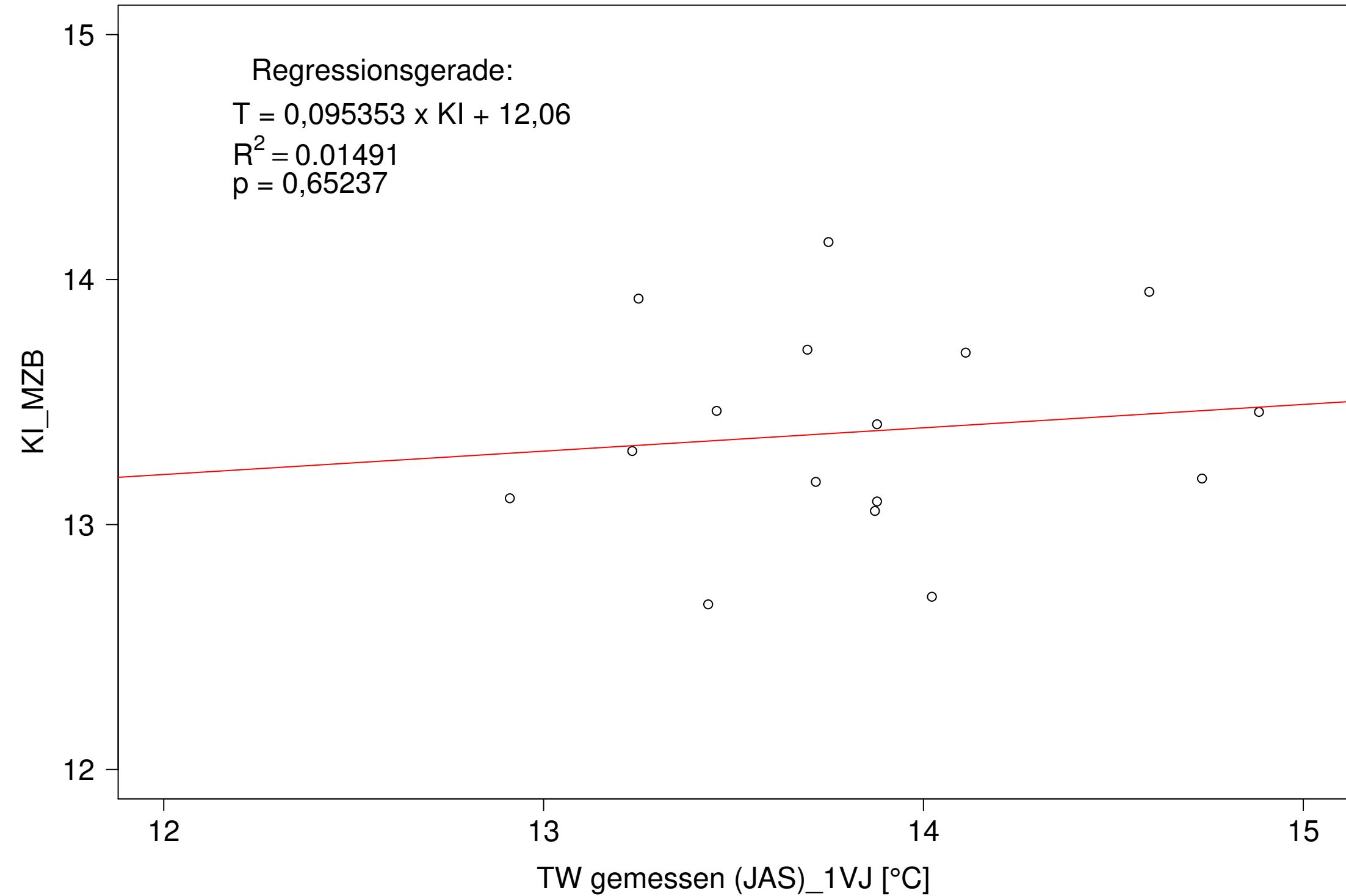
Gr. Lauter_Lauterach, Typ 09.1 mit Neozoen, Serie 1
3JMW KI_MZB (Typ/Kont-Korr) gegen 3JMW TW gemessen (JAS) des 1. Vorjahres



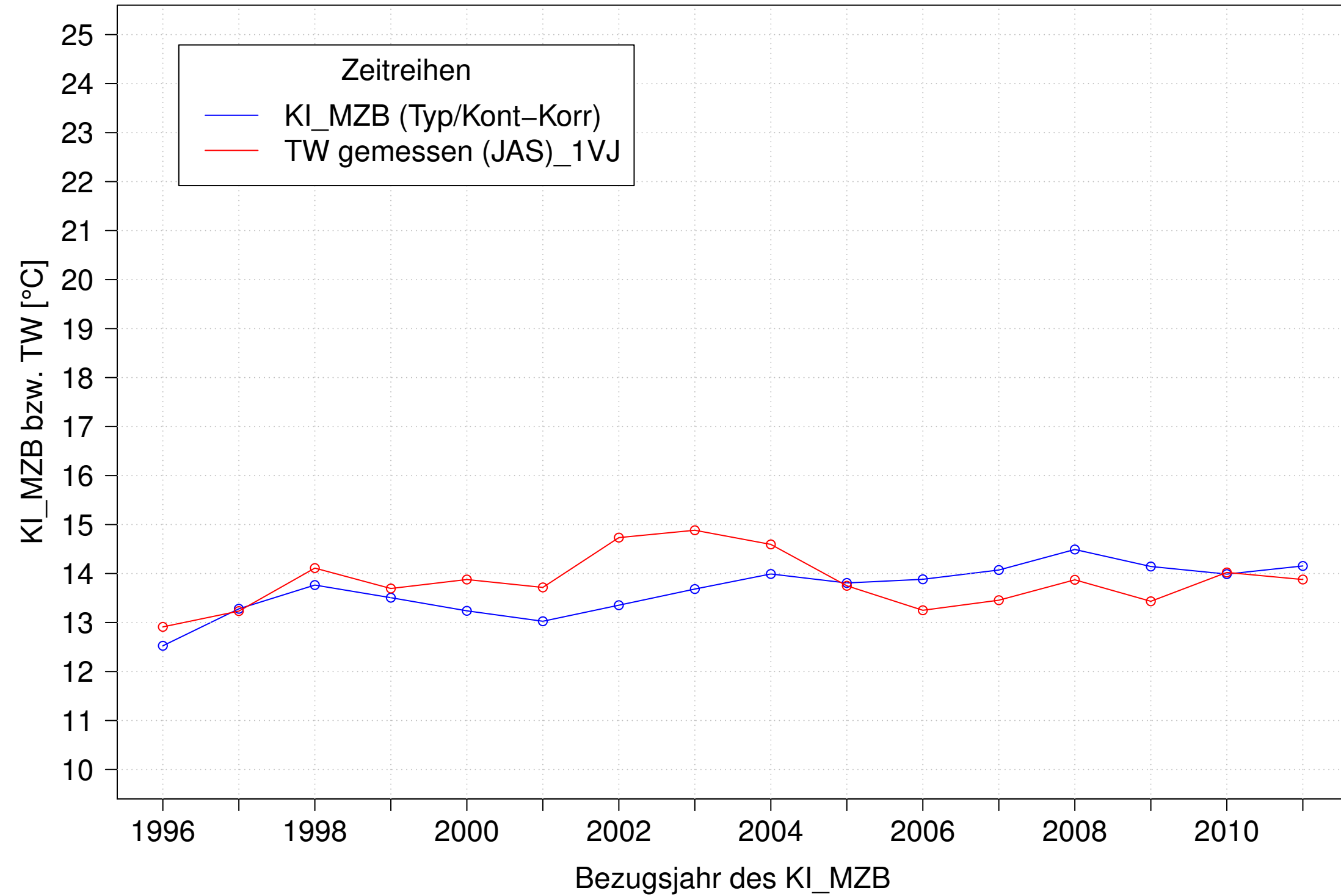
Gr. Lauter_Lauterach, Typ 09.1 mit Neozoen, Serie 2
3JMW KI_MZB (Typ/Kont-Korr) und 3JMW TW gemessen (JAS) des 1. Vorjahres



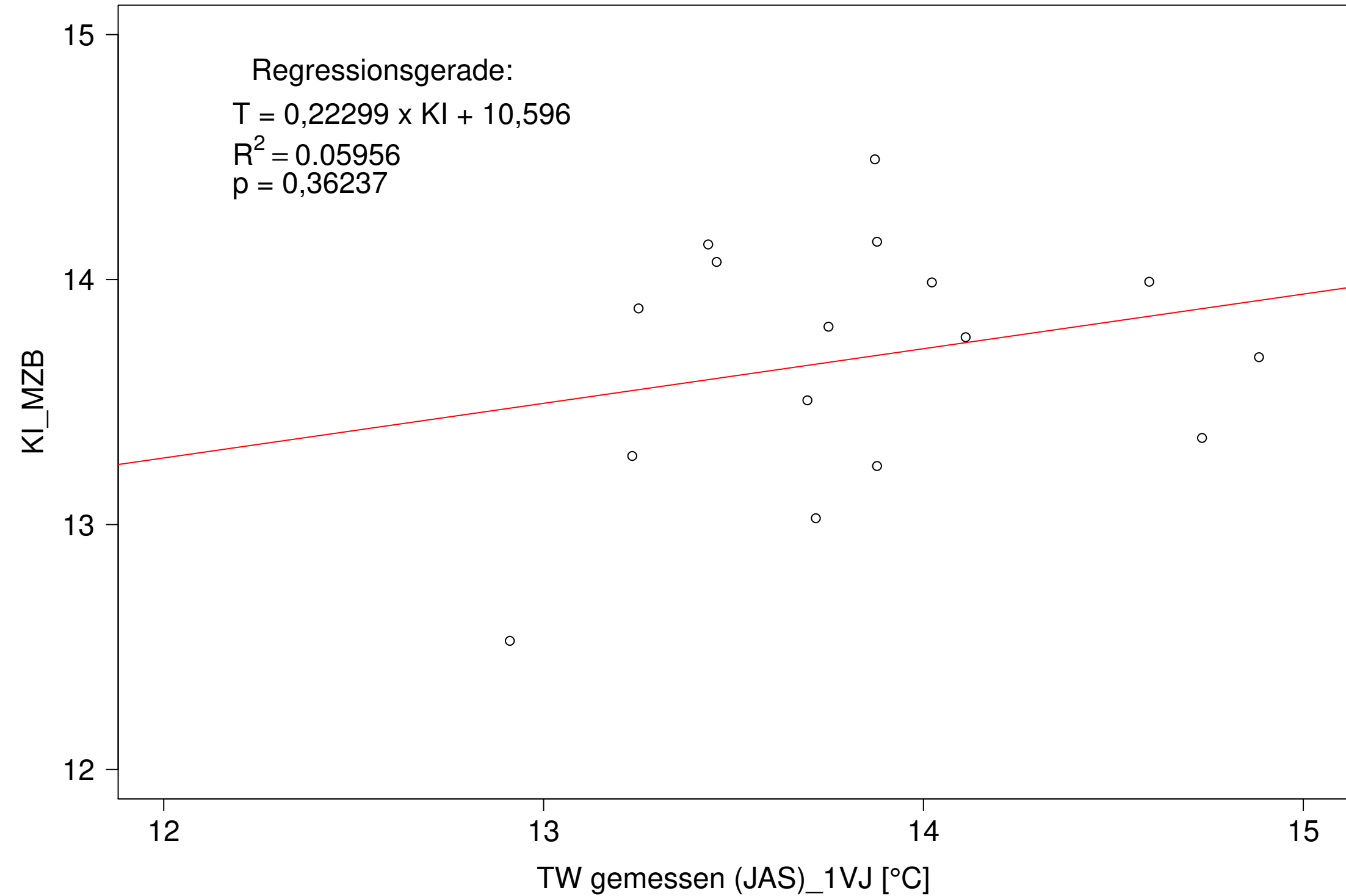
Gr. Lauter_Lauterach, Typ 09.1 mit Neozoen, Serie 2
3JMW KI_MZB (Typ/Kont-Korr) gegen 3JMW TW gemessen (JAS) des 1. Vorjahres



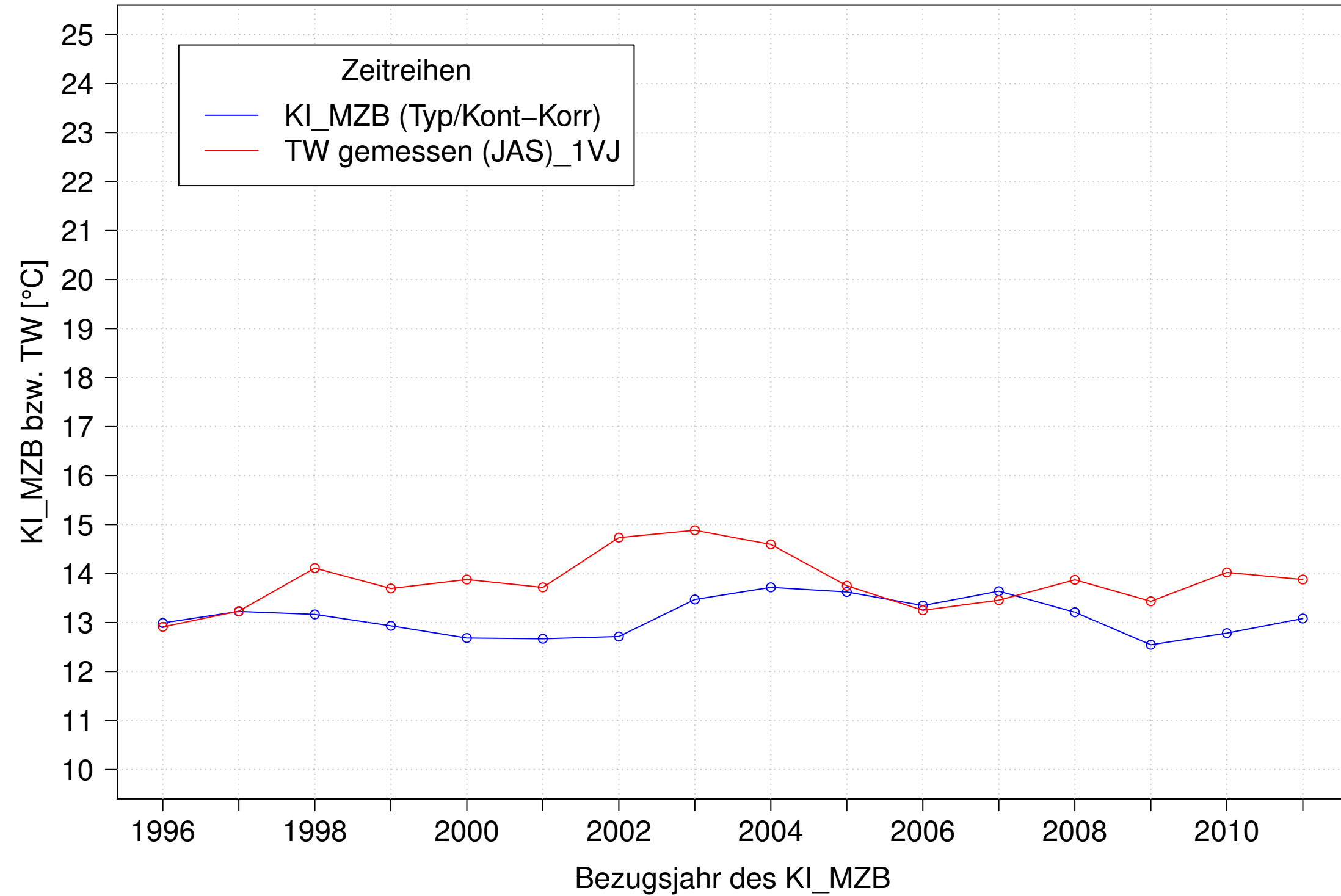
Gr. Lauter_Lauterach, Typ 09.1 mit Neozoen, Serie 3
3JMW KI_MZB (Typ/Kont-Korr) und 3JMW TW gemessen (JAS) des 1. Vorjahres



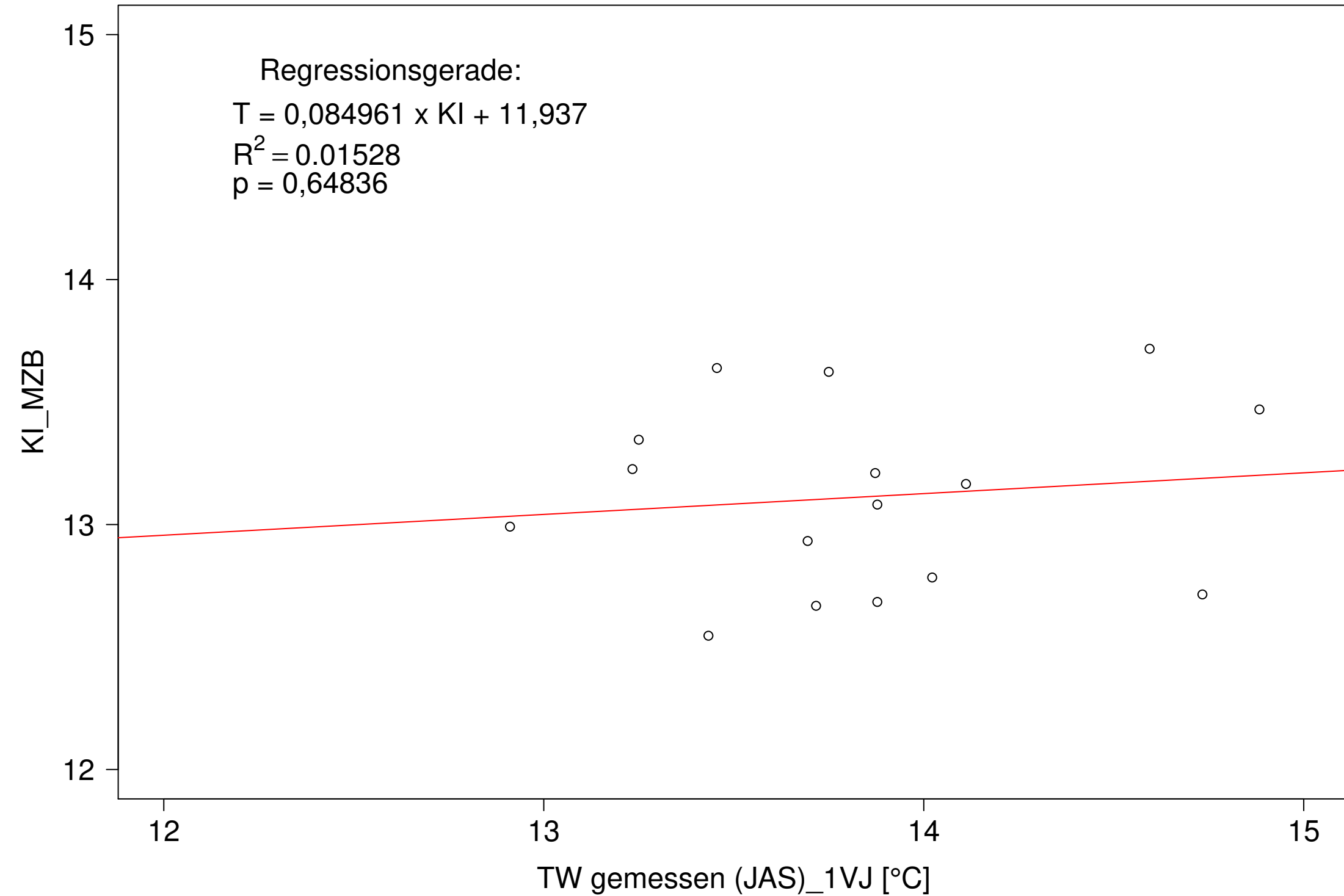
Gr. Lauter_Lauterach, Typ 09.1 mit Neozoen, Serie 3
3JMW KI_MZB (Typ/Kont-Korr) gegen 3JMW TW gemessen (JAS) des 1. Vorjahres



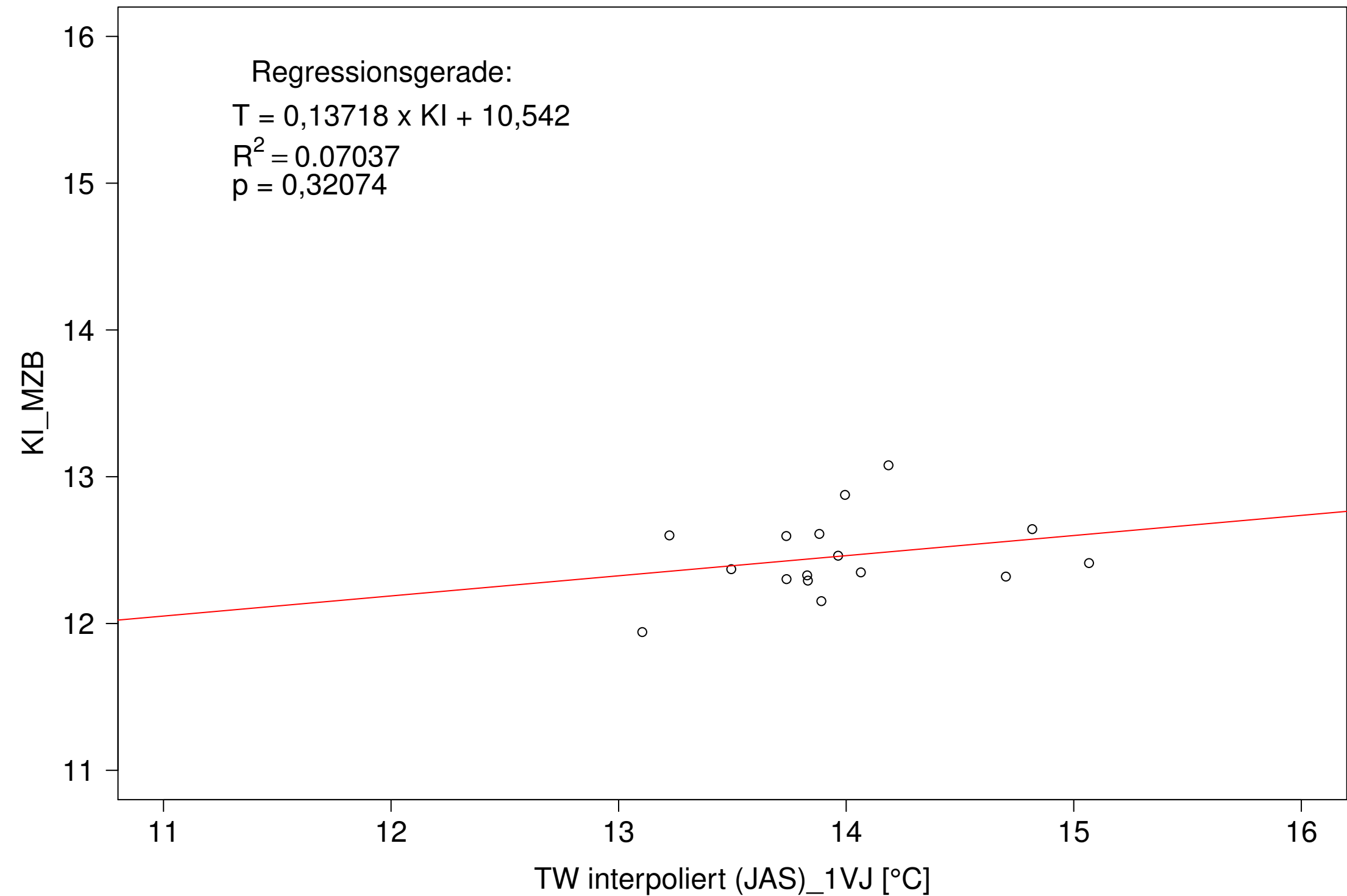
Gr. Lauter_Lauterach, Typ 09.1 mit Neozoen, Serie 4
3JMW KI_MZB (Typ/Kont-Korr) und 3JMW TW gemessen (JAS) des 1. Vorjahres



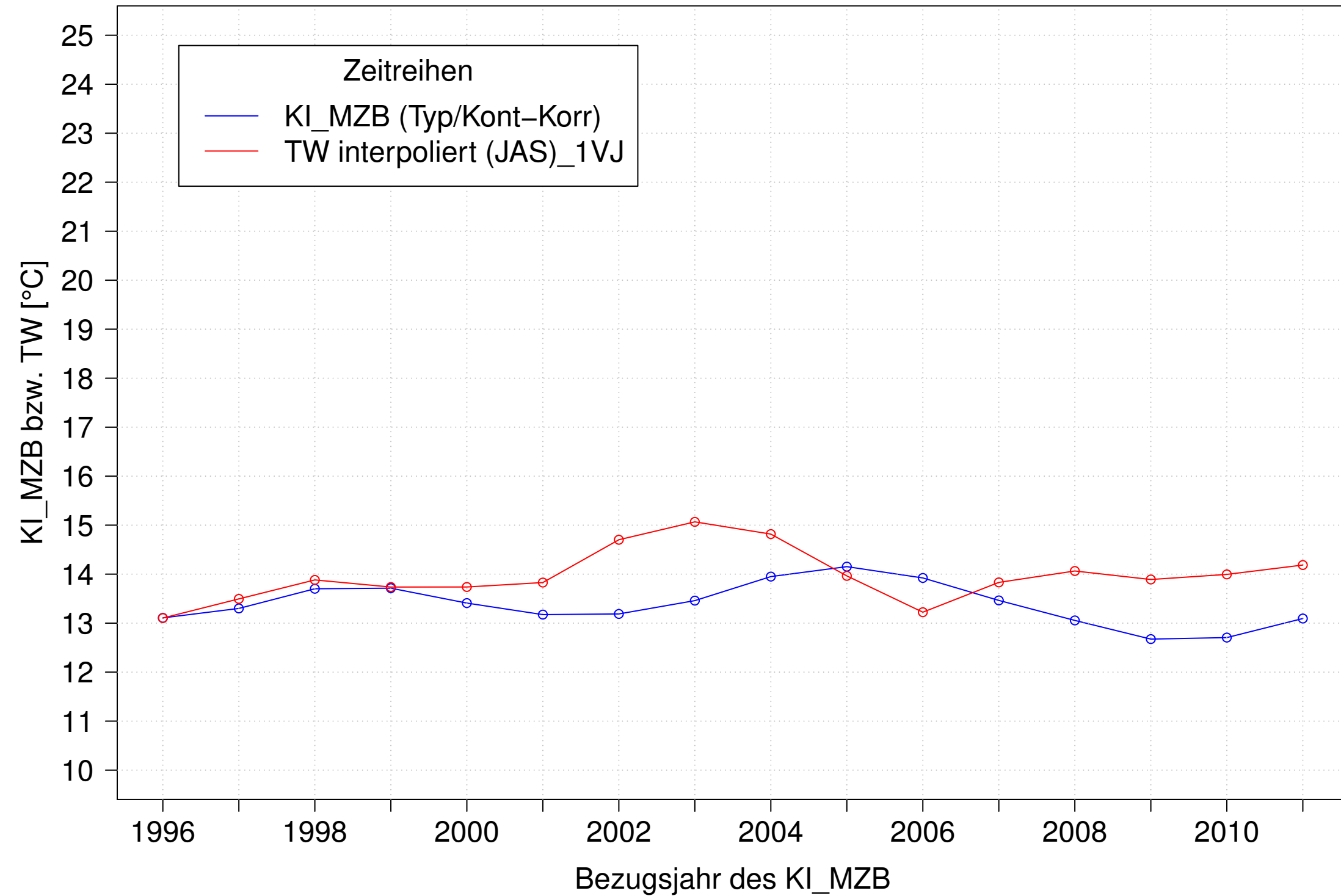
Gr. Lauter_Lauterach, Typ 09.1 mit Neozoen, Serie 4
3JMW KI_MZB (Typ/Kont-Korr) gegen 3JMW TW gemessen (JAS) des 1. Vorjahres



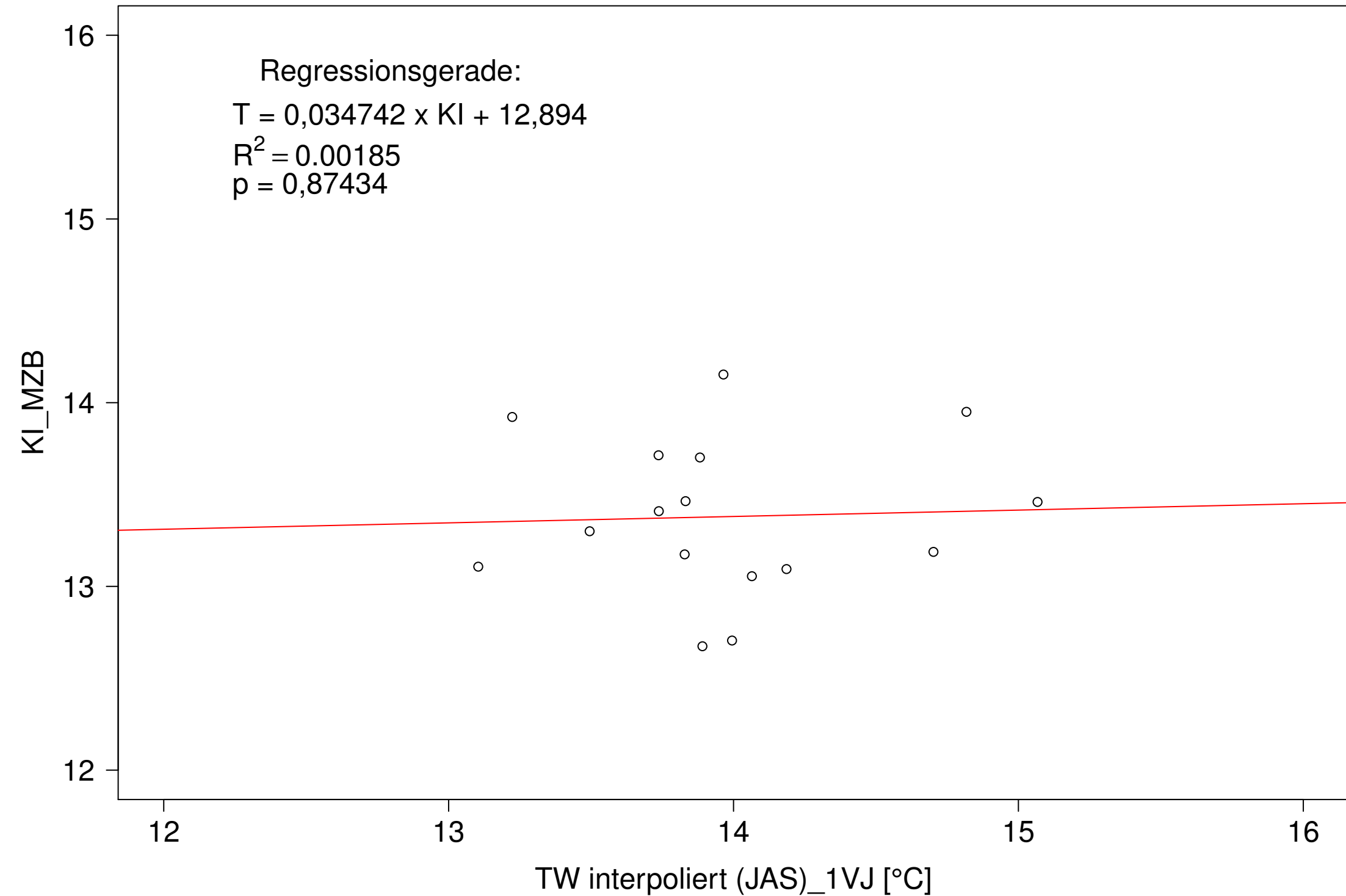
Gr. Lauter_Lauterach, Typ 09.1 mit Neozoen, Serie 1
3JMW KI_MZB (Typ/Kont-Korr) gegen 3JMW TW interpoliert (JAS) des 1. Vorjahres



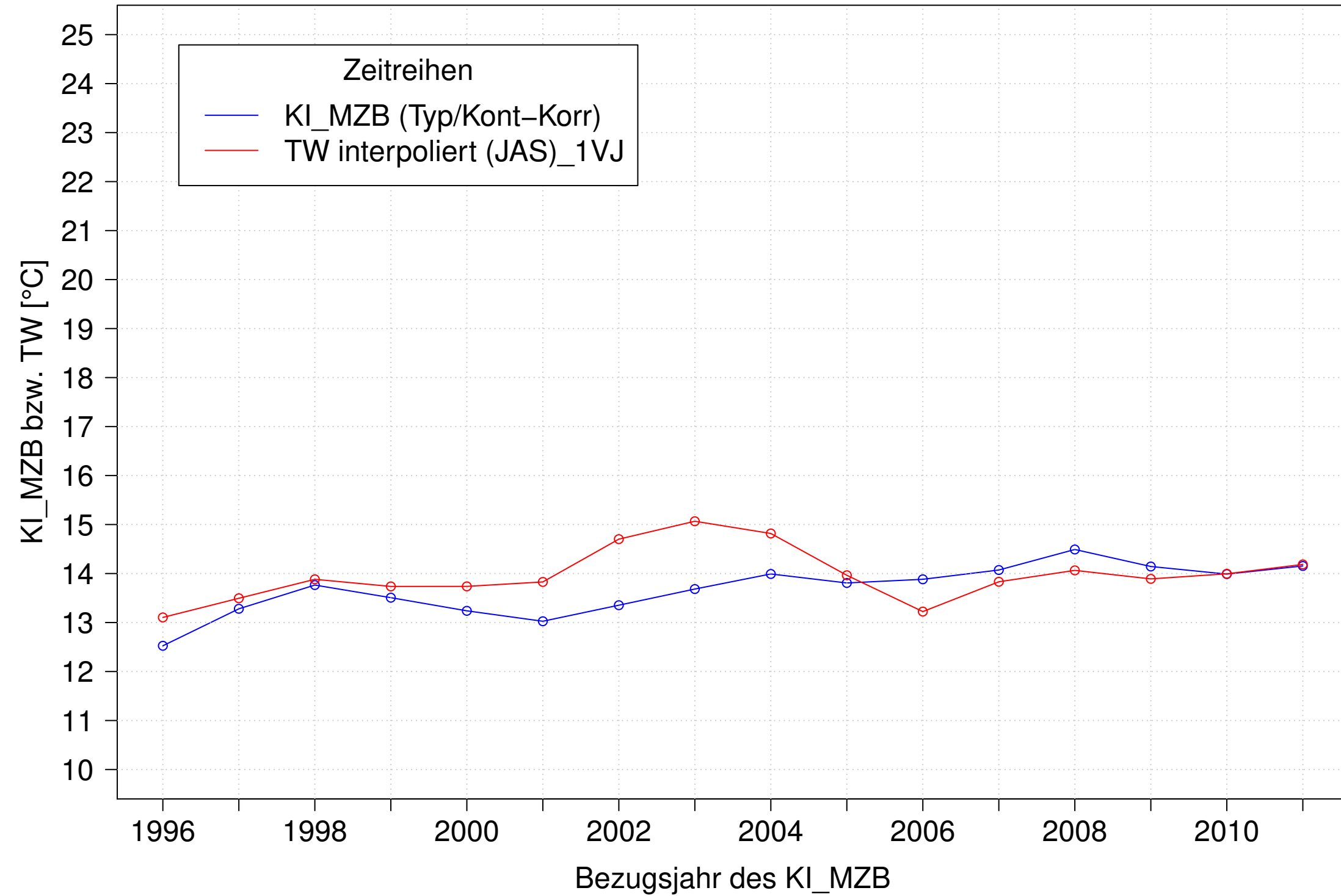
Gr. Lauter_Lauterach, Typ 09.1 mit Neozoen, Serie 2
3JMW KI_MZB (Typ/Kont-Korr) und 3JMW TW interpoliert (JAS) des 1. Vorjahres



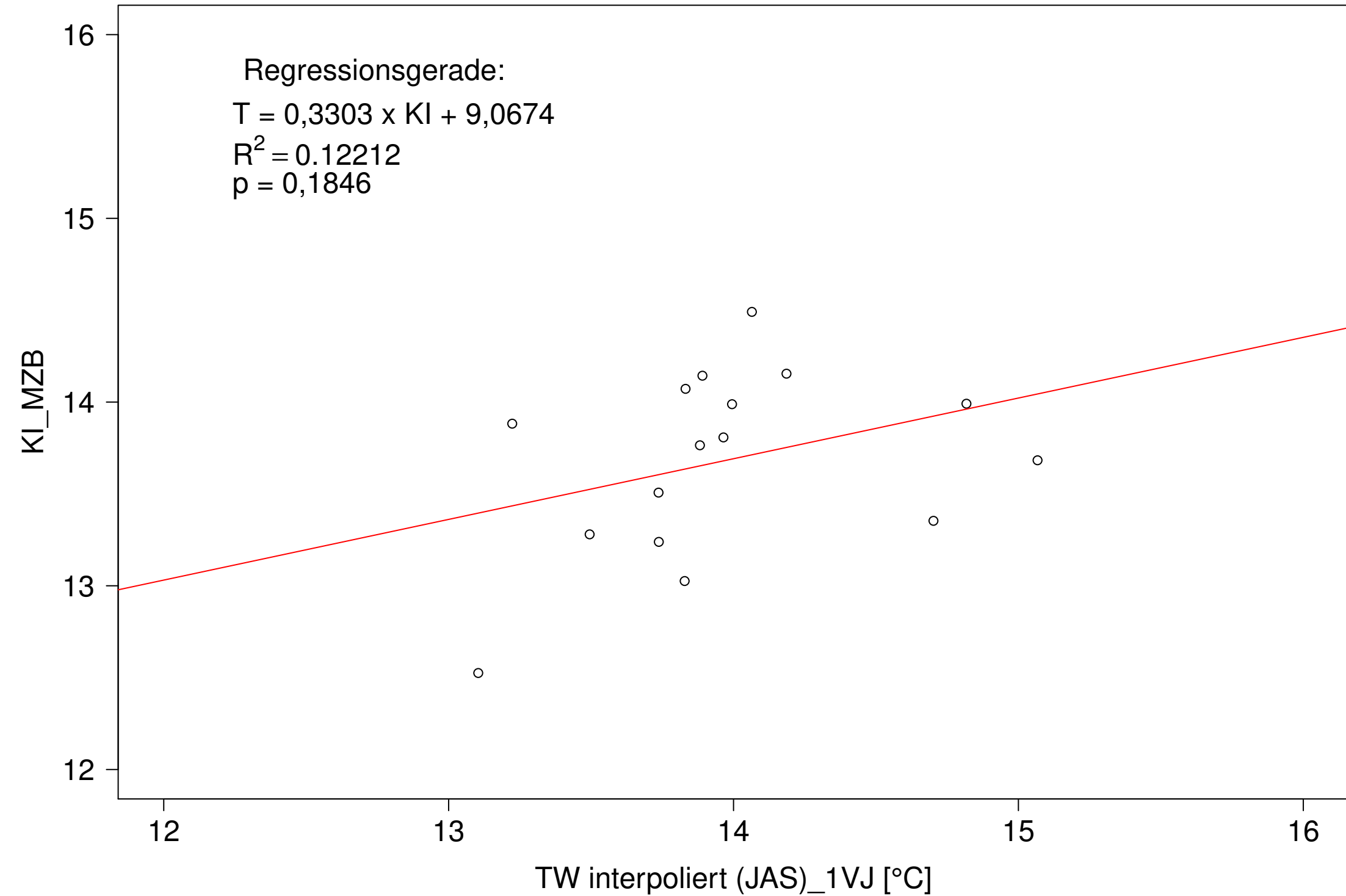
Gr. Lauter_Lauterach, Typ 09.1 mit Neozoen, Serie 2
3JMW KI_MZB (Typ/Kont-Korr) gegen 3JMW TW interpoliert (JAS) des 1. Vorjahres



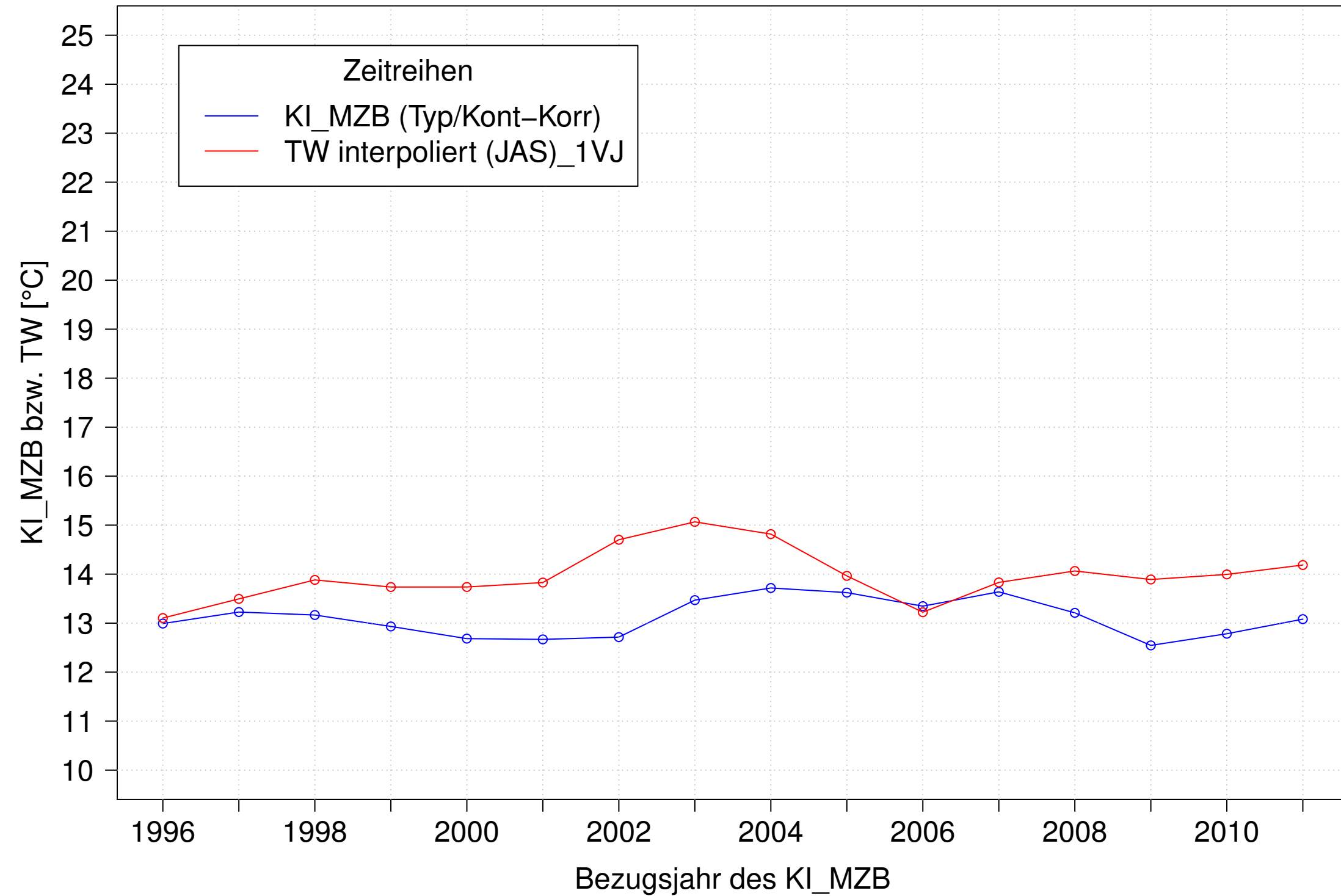
Gr. Lauter_Lauterach, Typ 09.1 mit Neozoen, Serie 3
3JMW KI_MZB (Typ/Kont-Korr) und 3JMW TW interpoliert (JAS) des 1. Vorjahres



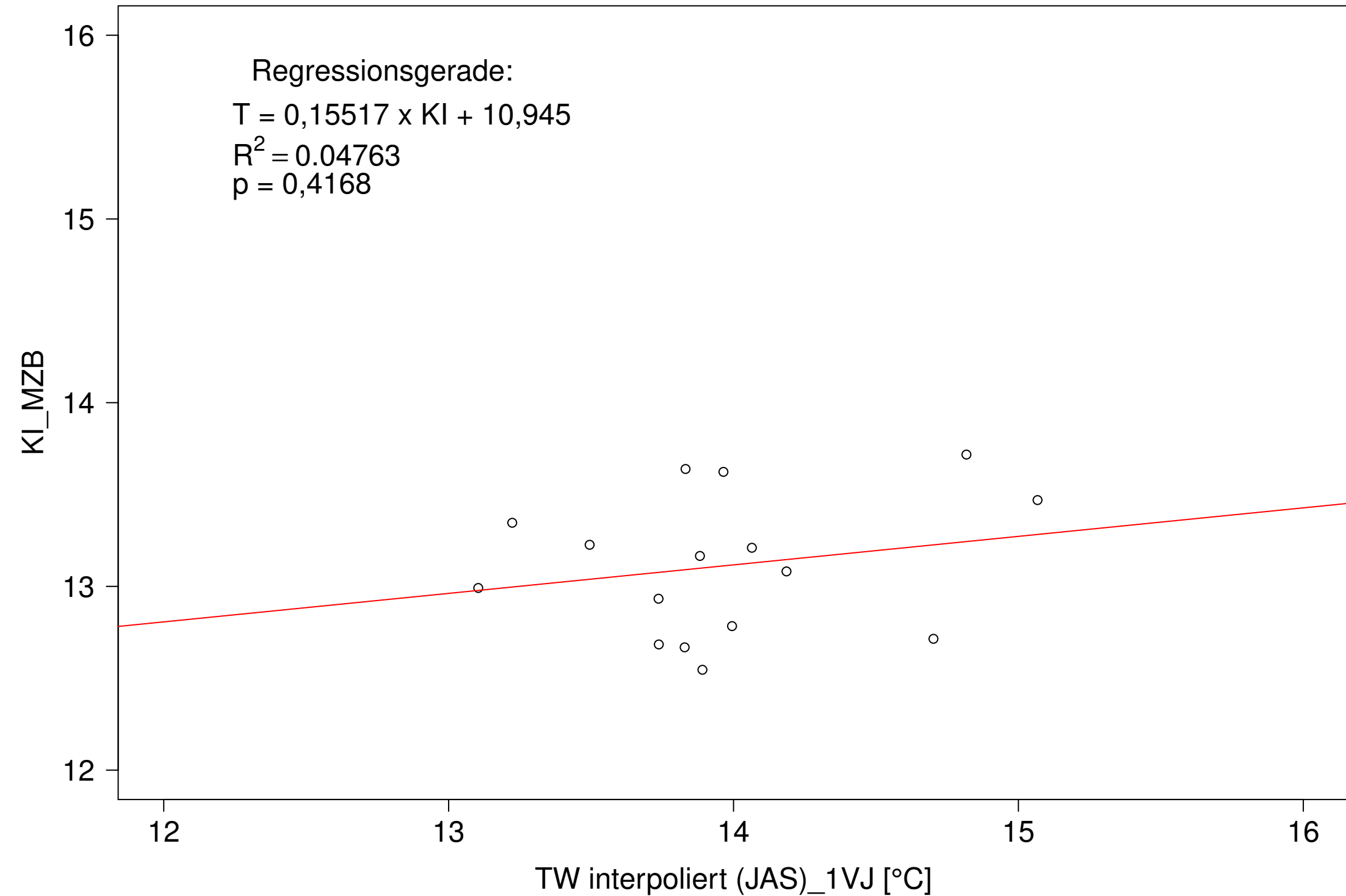
Gr. Lauter_Lauterach, Typ 09.1 mit Neozoen, Serie 3
3JMW KI_MZB (Typ/Kont-Korr) gegen 3JMW TW interpoliert (JAS) des 1. Vorjahres



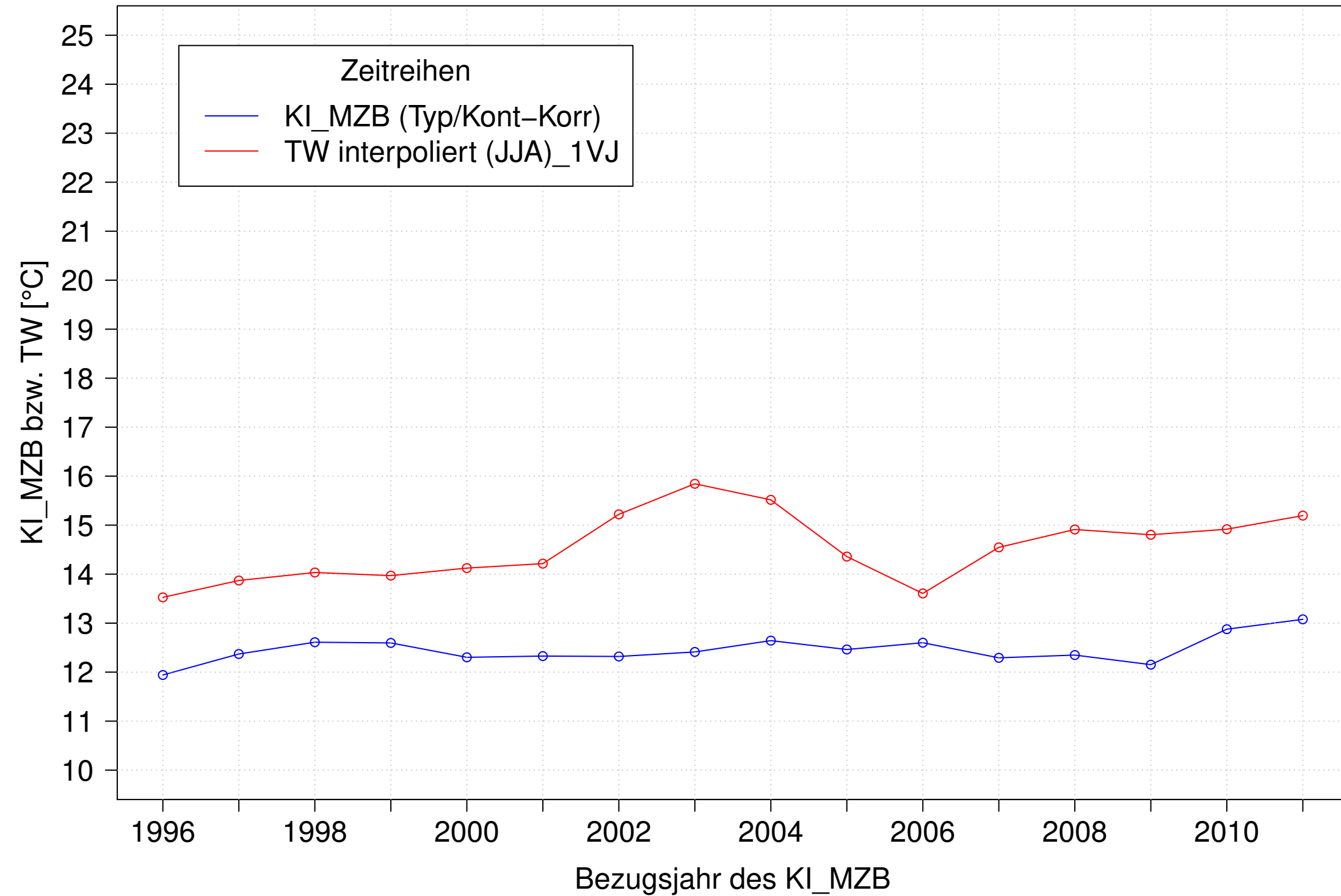
Gr. Lauter_Lauterach, Typ 09.1 mit Neozoen, Serie 4
3JMW KI_MZB (Typ/Kont-Korr) und 3JMW TW interpoliert (JAS) des 1. Vorjahres



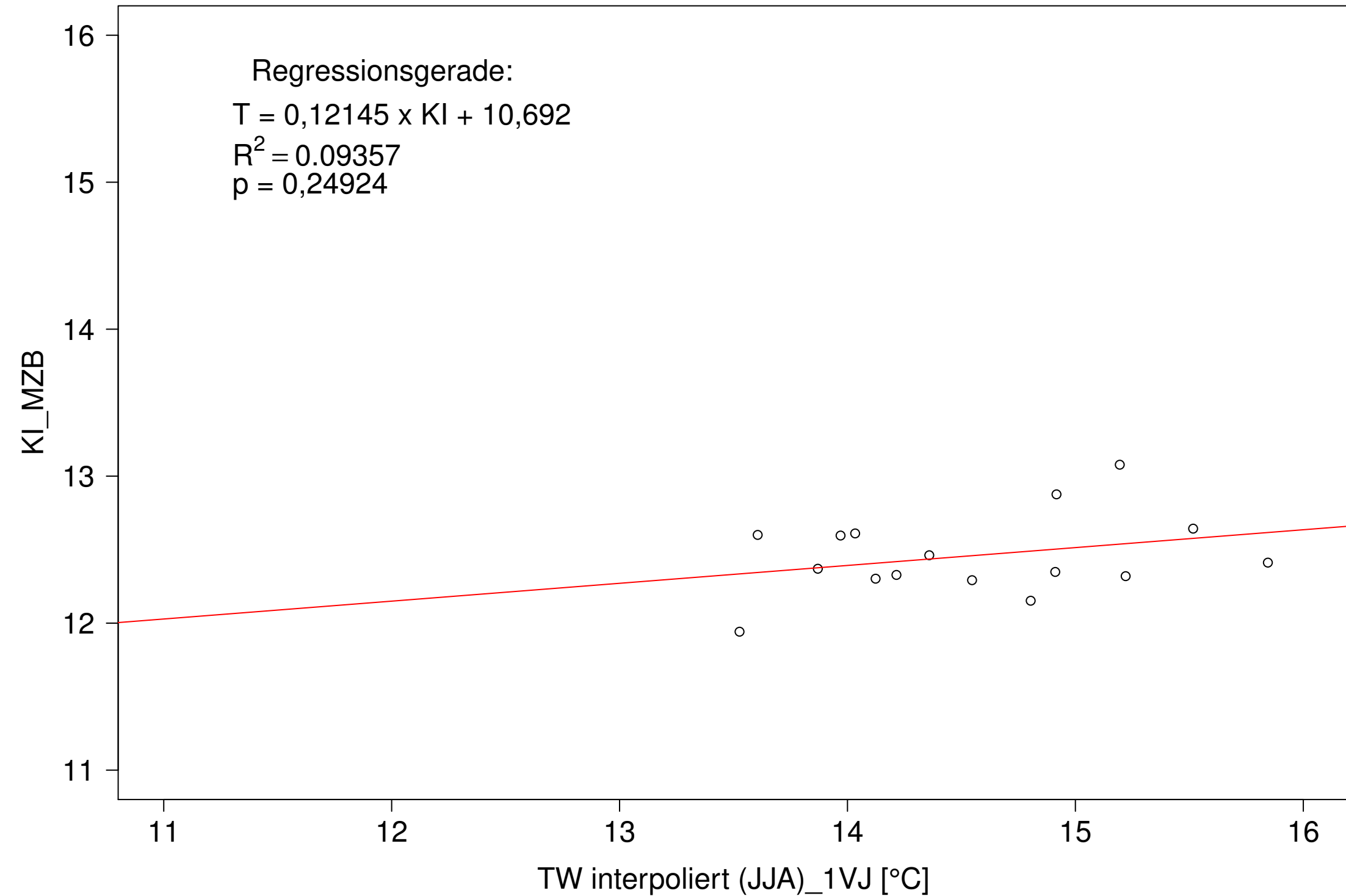
Gr. Lauter_Lauterach, Typ 09.1 mit Neozoen, Serie 4
3JMW KI_MZB (Typ/Kont-Korr) gegen 3JMW TW interpoliert (JAS) des 1. Vorjahres



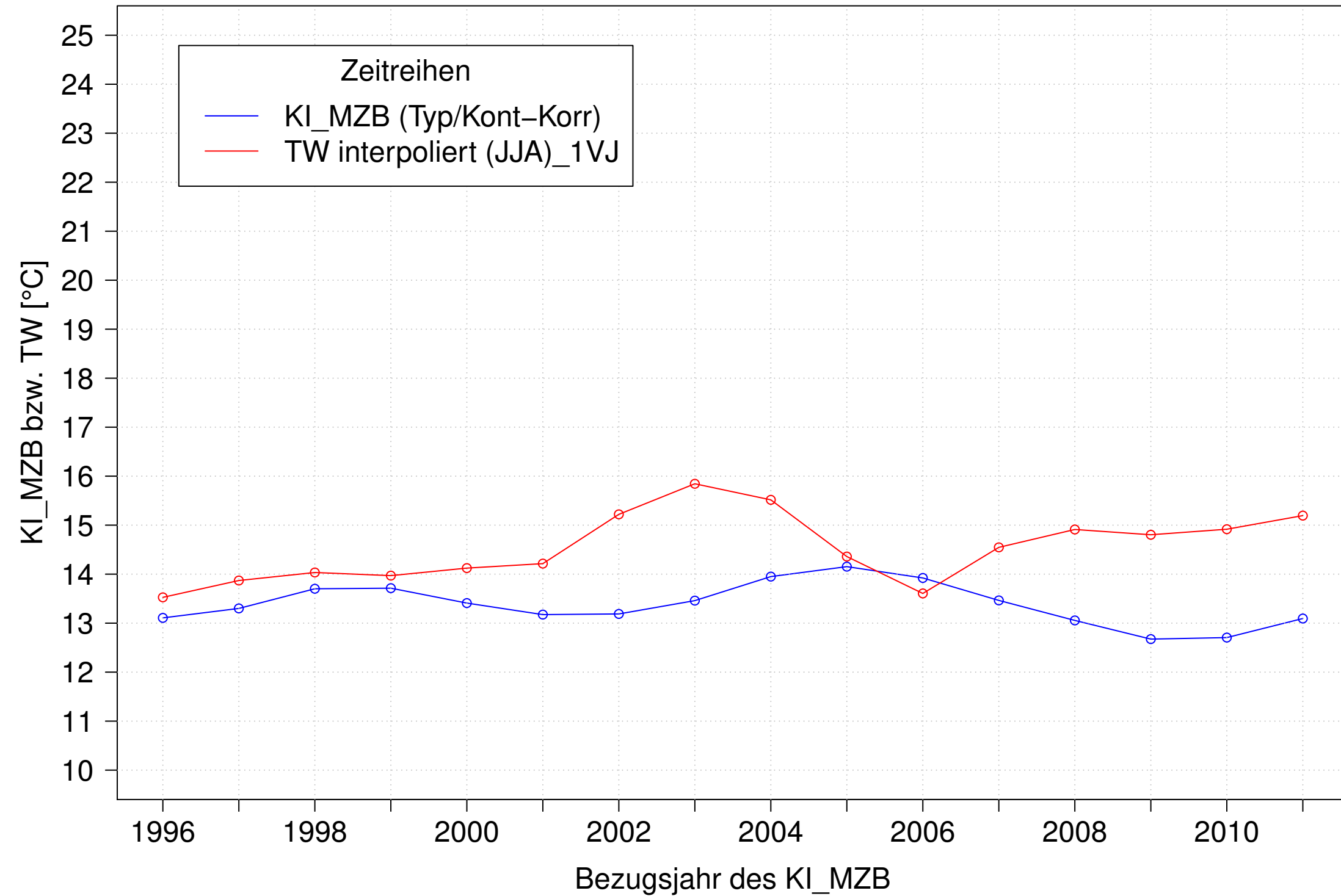
Gr. Lauter_Lauterach, Typ 09.1 mit Neozoen, Serie 1
3JMW KI_MZB (Typ/Kont-Korr) und 3JMW TW interpoliert (JJA) des 1. Vorjahres



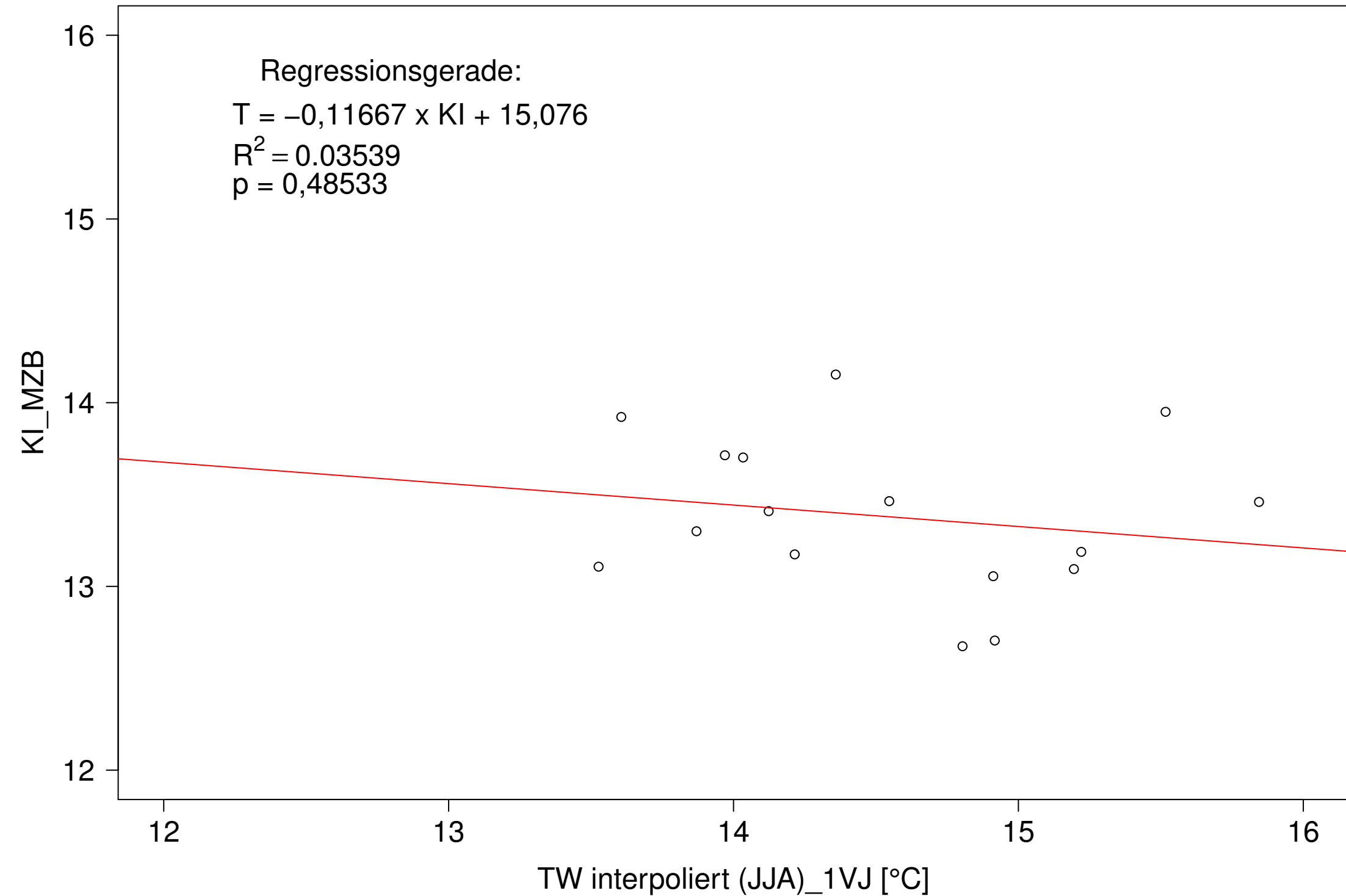
Gr. Lauter_Lauterach, Typ 09.1 mit Neozoen, Serie 1
3JMW KI_MZB (Typ/Kont-Korr) gegen 3JMW TW interpoliert (JJA) des 1. Vorjahres



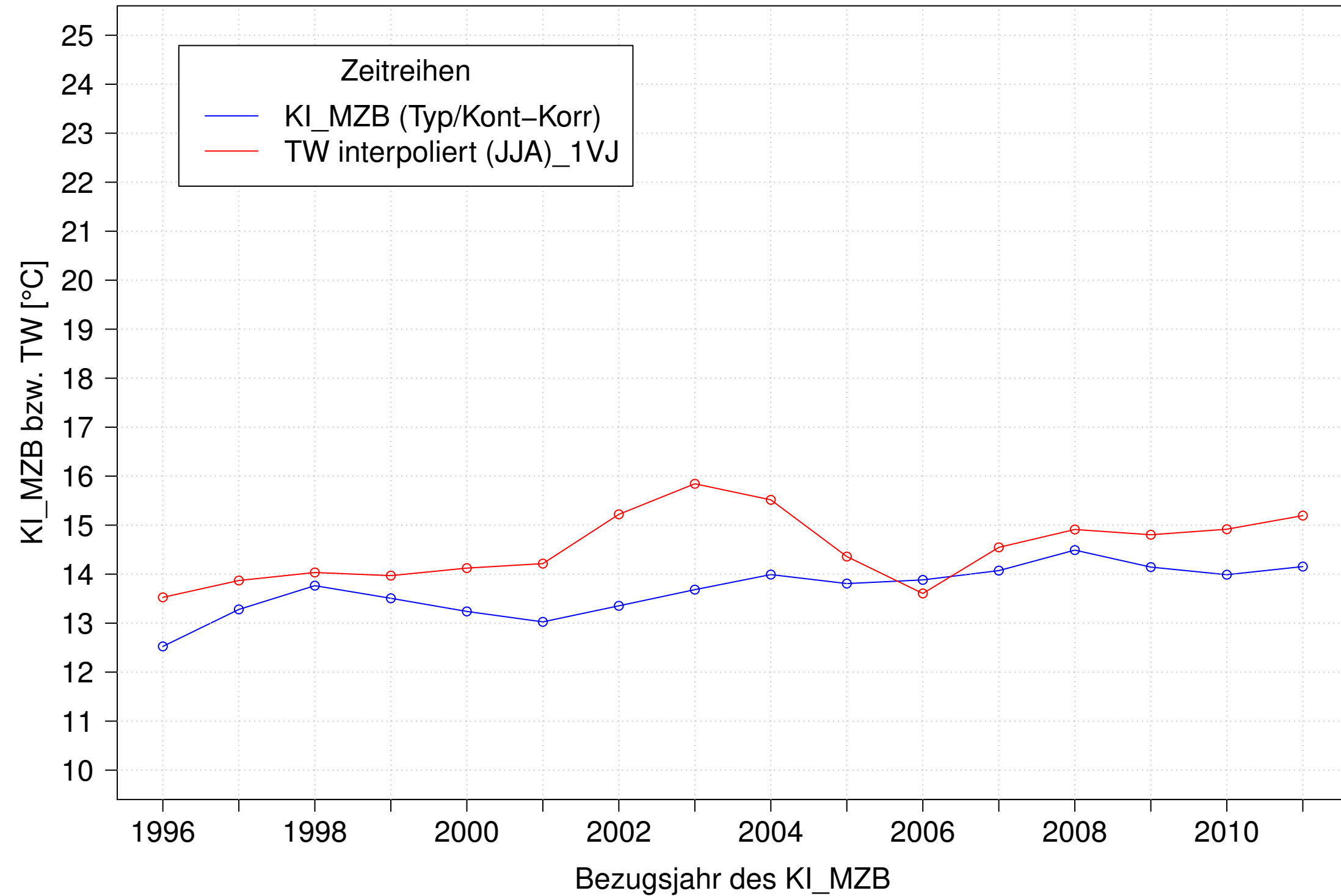
Gr. Lauter_Lauterach, Typ 09.1 mit Neozoen, Serie 2
3JMW KI_MZB (Typ/Kont-Korr) und 3JMW TW interpoliert (JJA) des 1. Vorjahres



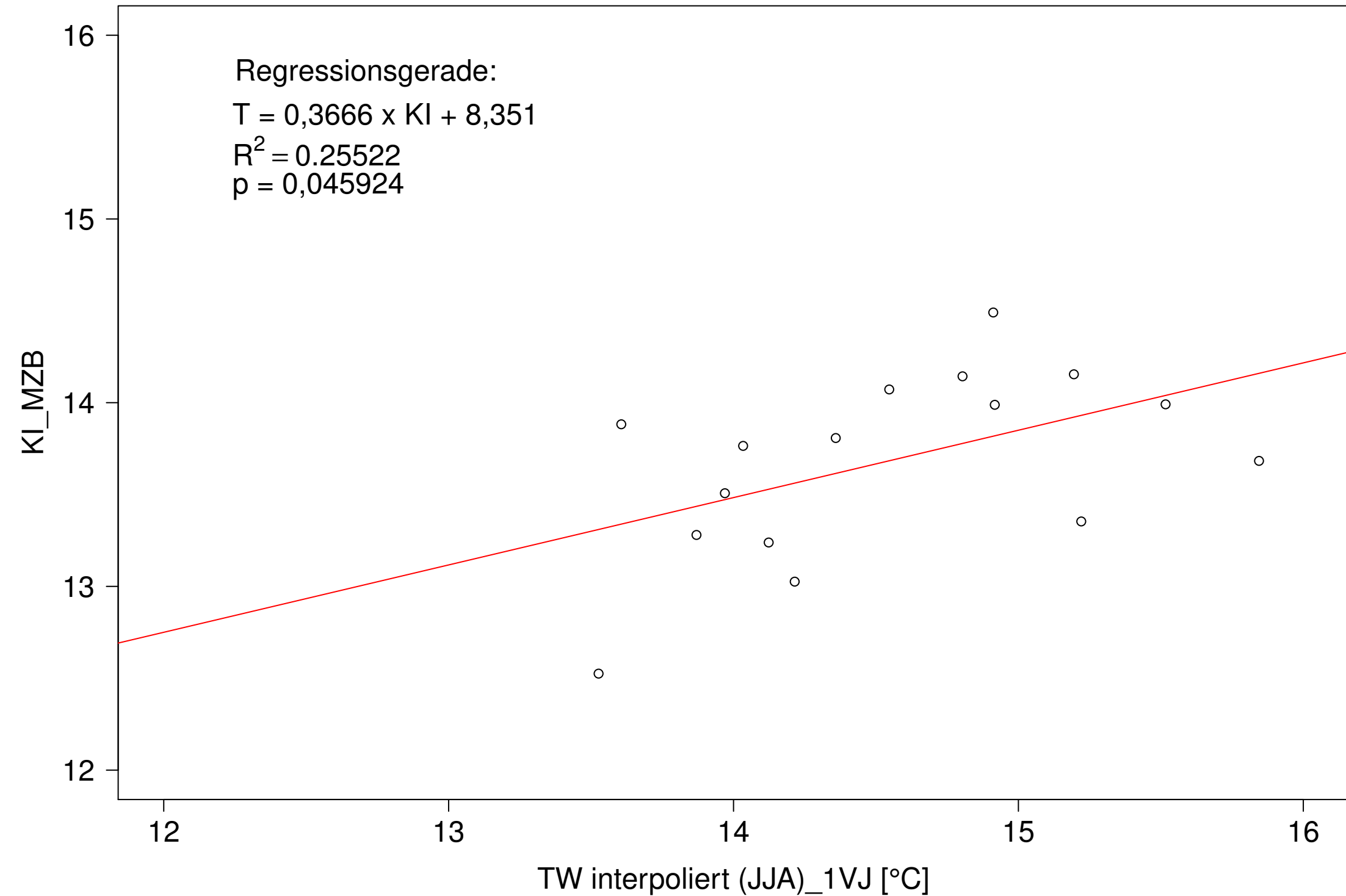
Gr. Lauter_Lauterach, Typ 09.1 mit Neozoen, Serie 2
3JMW KI_MZB (Typ/Kont-Korr) gegen 3JMW TW interpoliert (JJA) des 1. Vorjahres



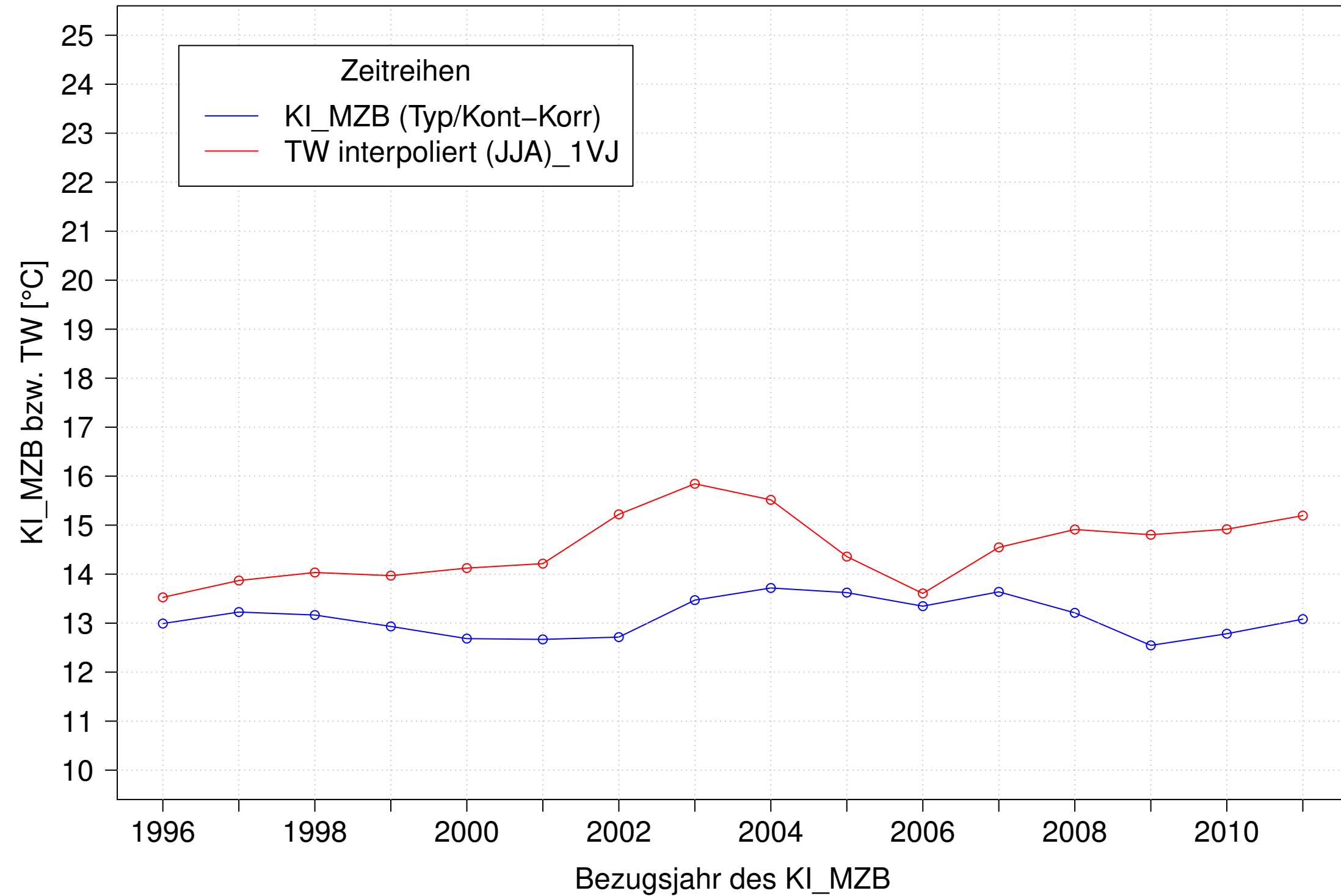
Gr. Lauter_Lauterach, Typ 09.1 mit Neozoen, Serie 3
3JMW KI_MZB (Typ/Kont-Korr) und 3JMW TW interpoliert (JJA) des 1. Vorjahres



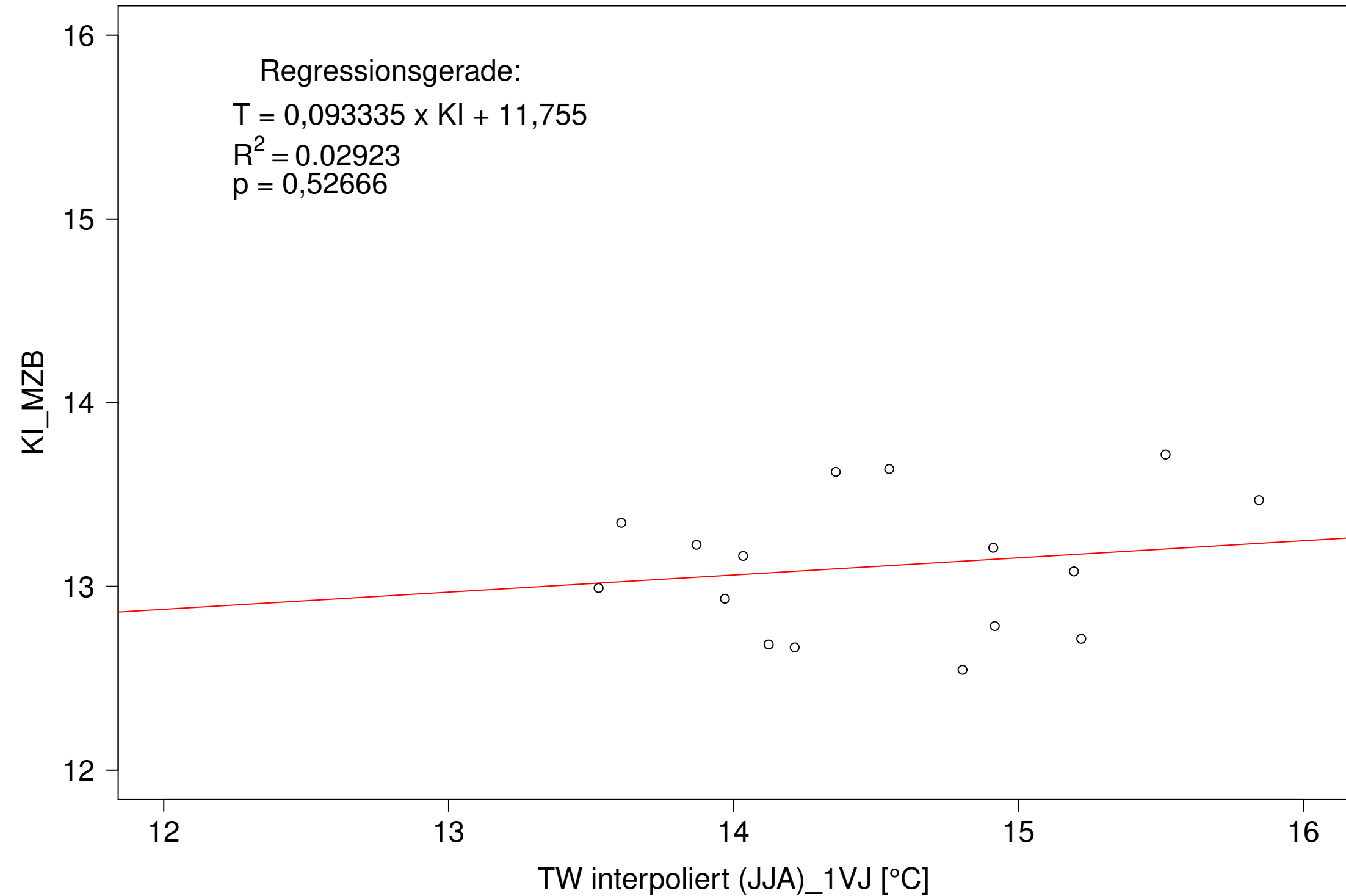
Gr. Lauter_Lauterach, Typ 09.1 mit Neozoen, Serie 3
3JMW KI_MZB (Typ/Kont-Korr) gegen 3JMW TW interpoliert (JJA) des 1. Vorjahres



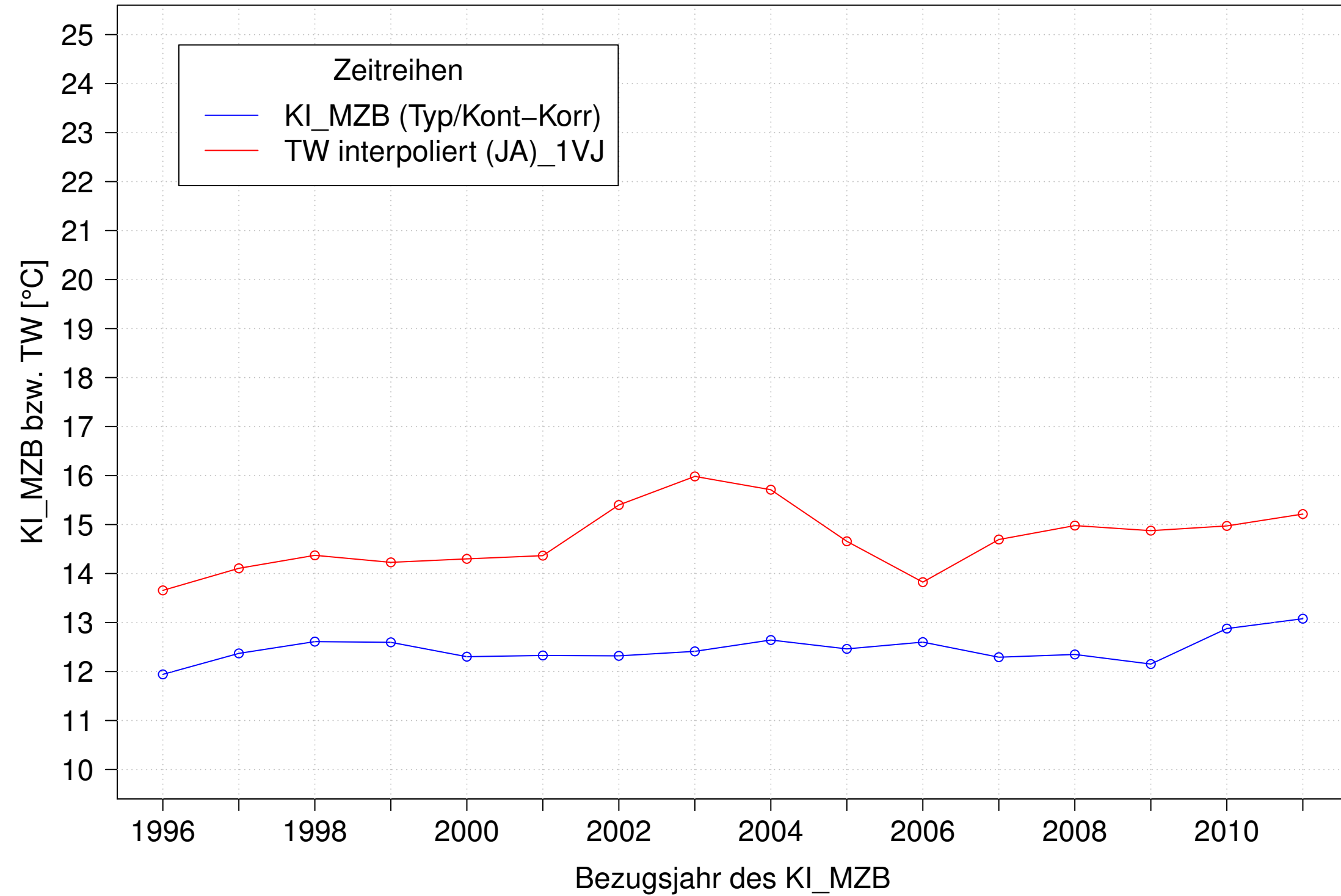
Gr. Lauter_Lauterach, Typ 09.1 mit Neozoen, Serie 4
3JMW KI_MZB (Typ/Kont-Korr) und 3JMW TW interpoliert (JJA) des 1. Vorjahres



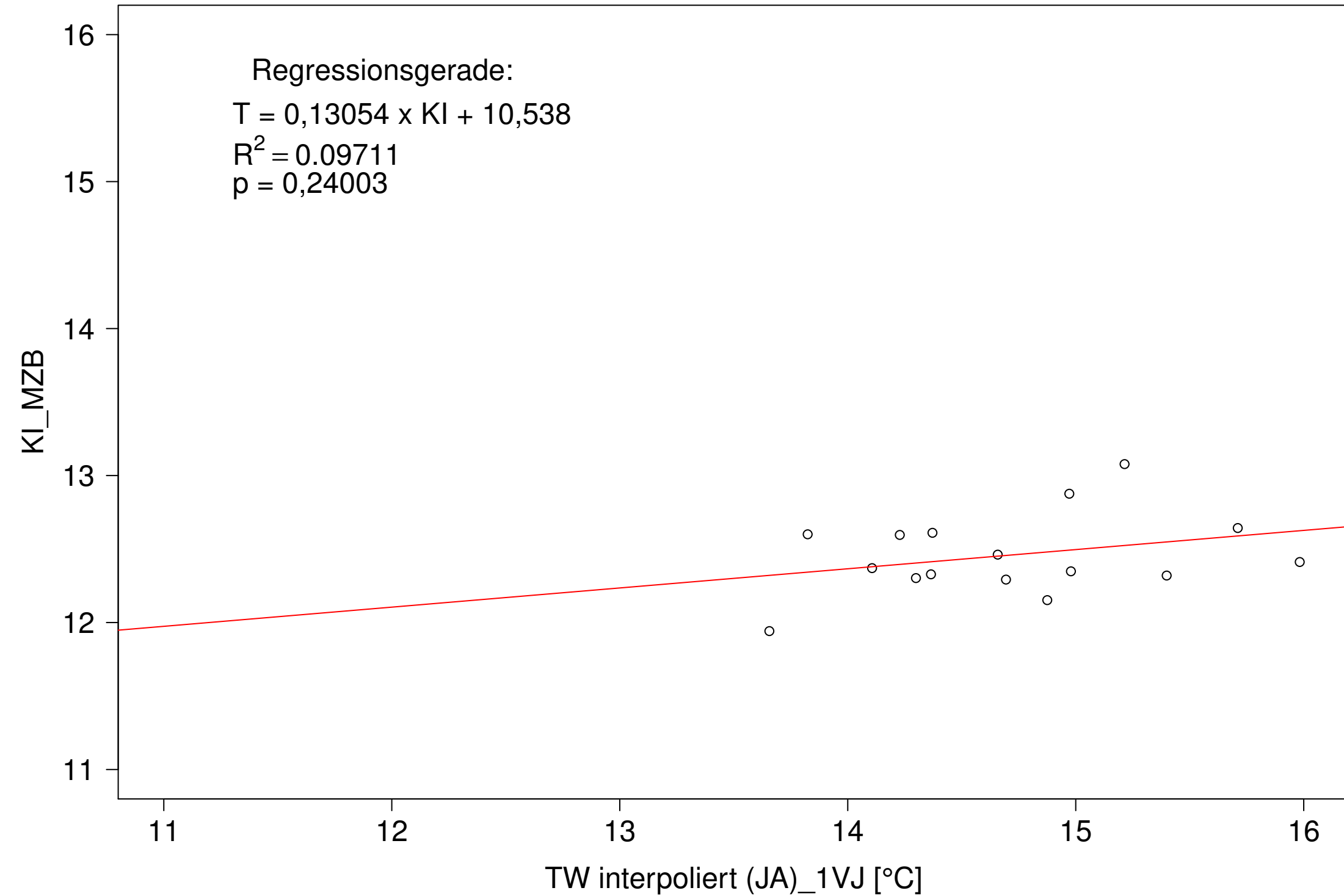
Gr. Lauter_Lauterach, Typ 09.1 mit Neozoen, Serie 4
3JMW KI_MZB (Typ/Kont-Korr) gegen 3JMW TW interpoliert (JJA) des 1. Vorjahres



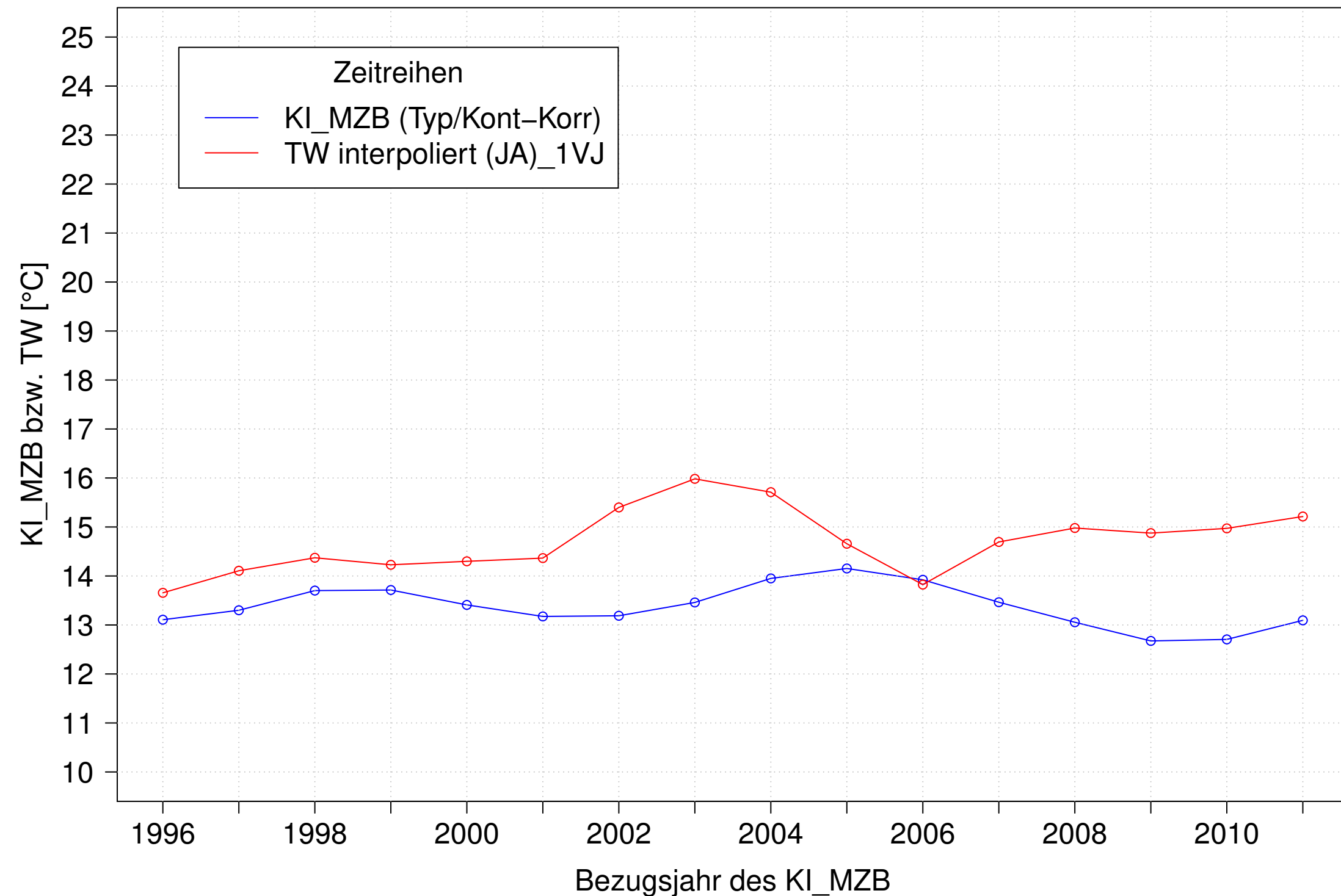
Gr. Lauter_Lauterach, Typ 09.1 mit Neozoen, Serie 1
3JMW KI_MZB (Typ/Kont-Korr) und 3JMW TW interpoliert (JA) des 1. Vorjahres



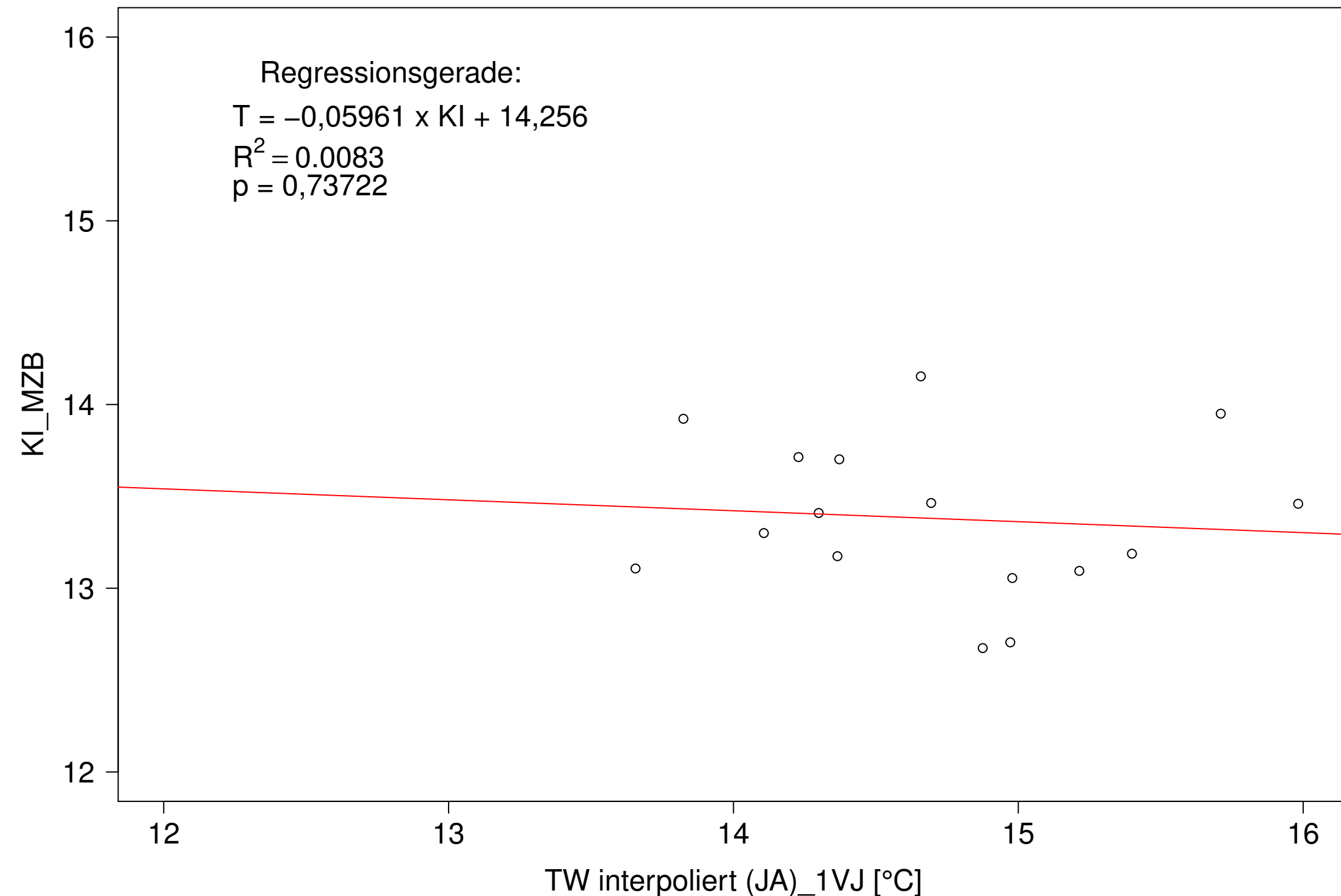
Gr. Lauter_Lauterach, Typ 09.1 mit Neozoen, Serie 1
3JMW KI_MZB (Typ/Kont-Korr) gegen 3JMW TW interpoliert (JA) des 1. Vorjahres



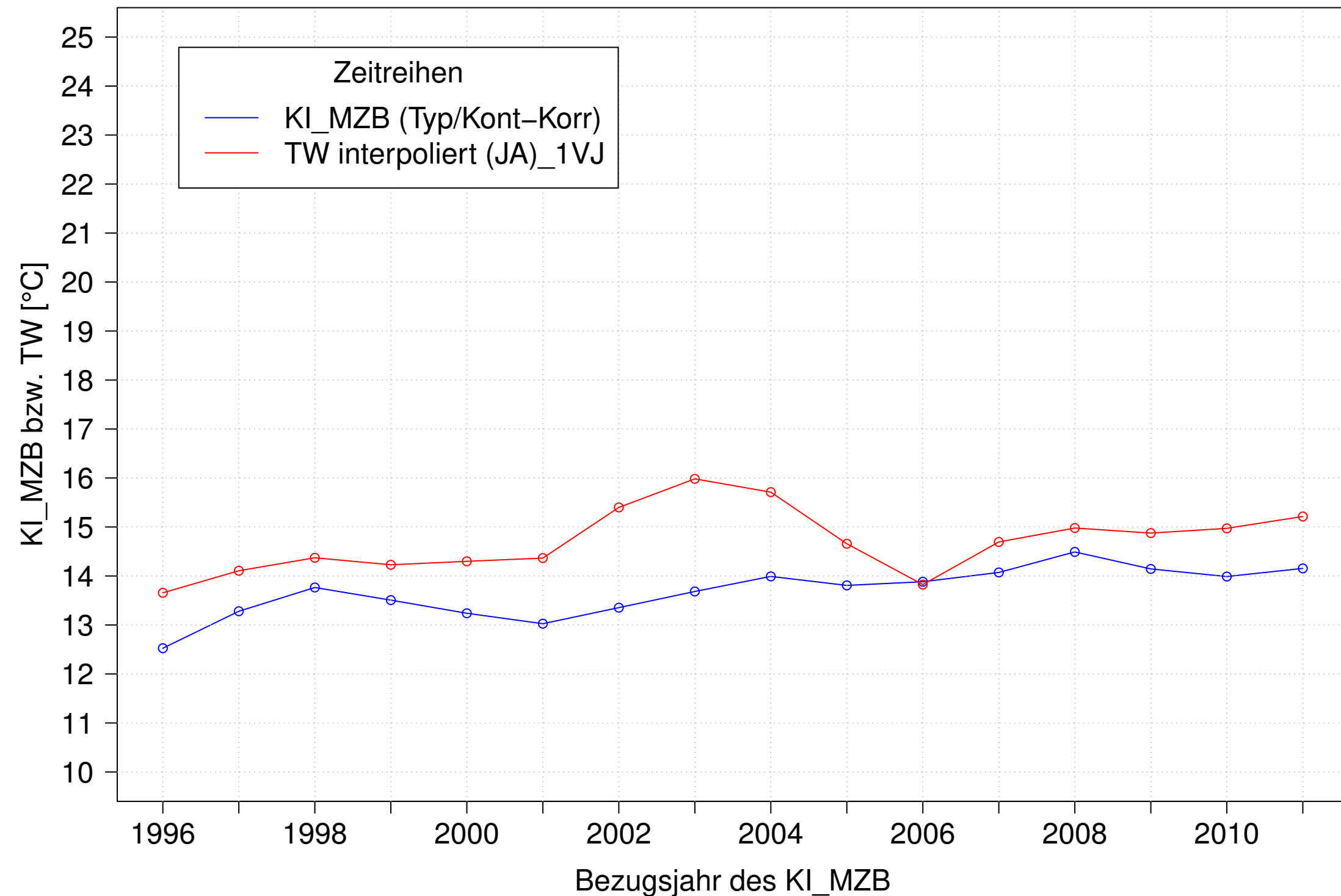
Gr. Lauter_Lauterach, Typ 09.1 mit Neozoen, Serie 2
3JMW KI_MZB (Typ/Kont-Korr) und 3JMW TW interpoliert (JA) des 1. Vorjahres



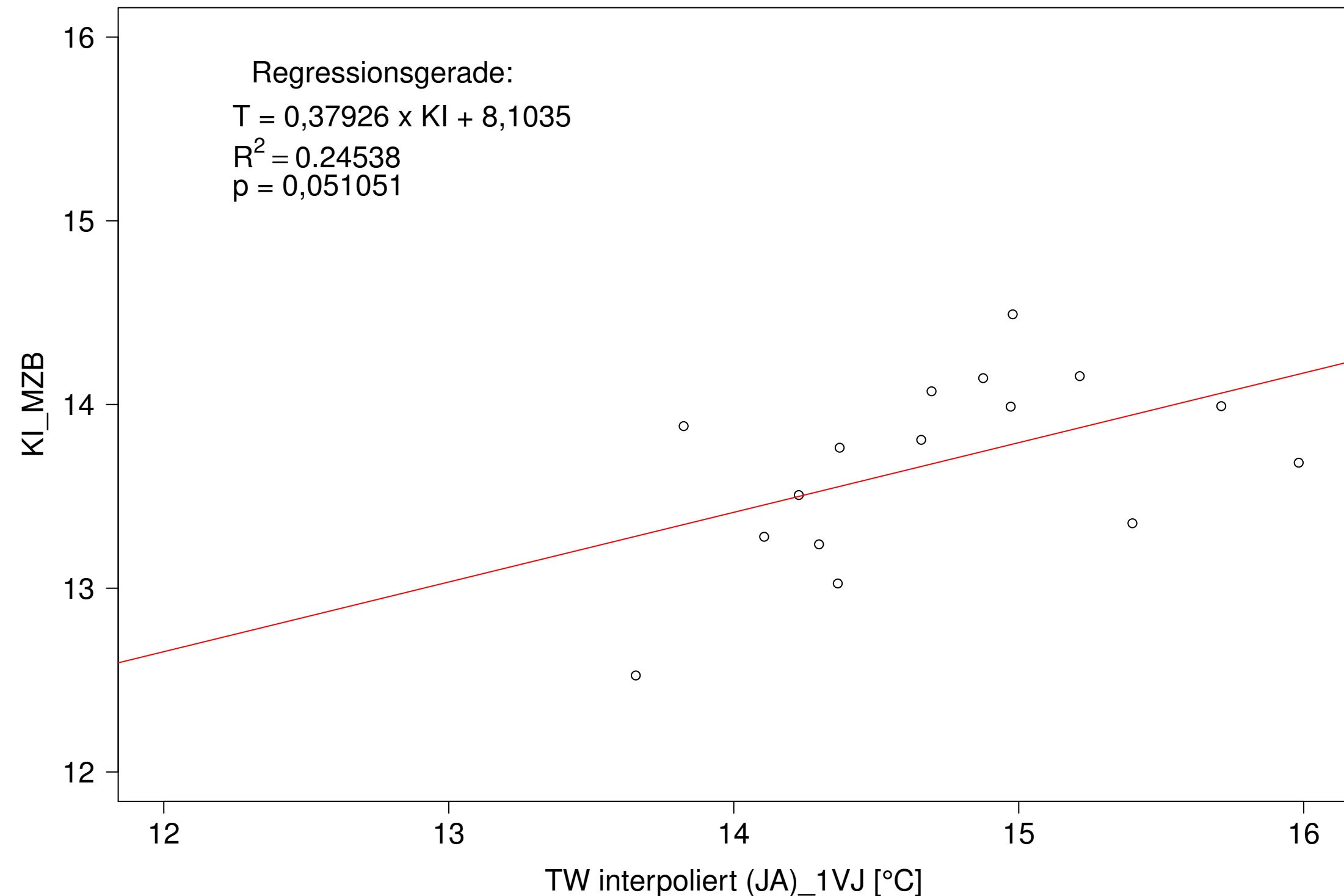
Gr. Lauter_Lauterach, Typ 09.1 mit Neozoen, Serie 2
3JMW KI_MZB (Typ/Kont-Korr) gegen 3JMW TW interpoliert (JA) des 1. Vorjahres



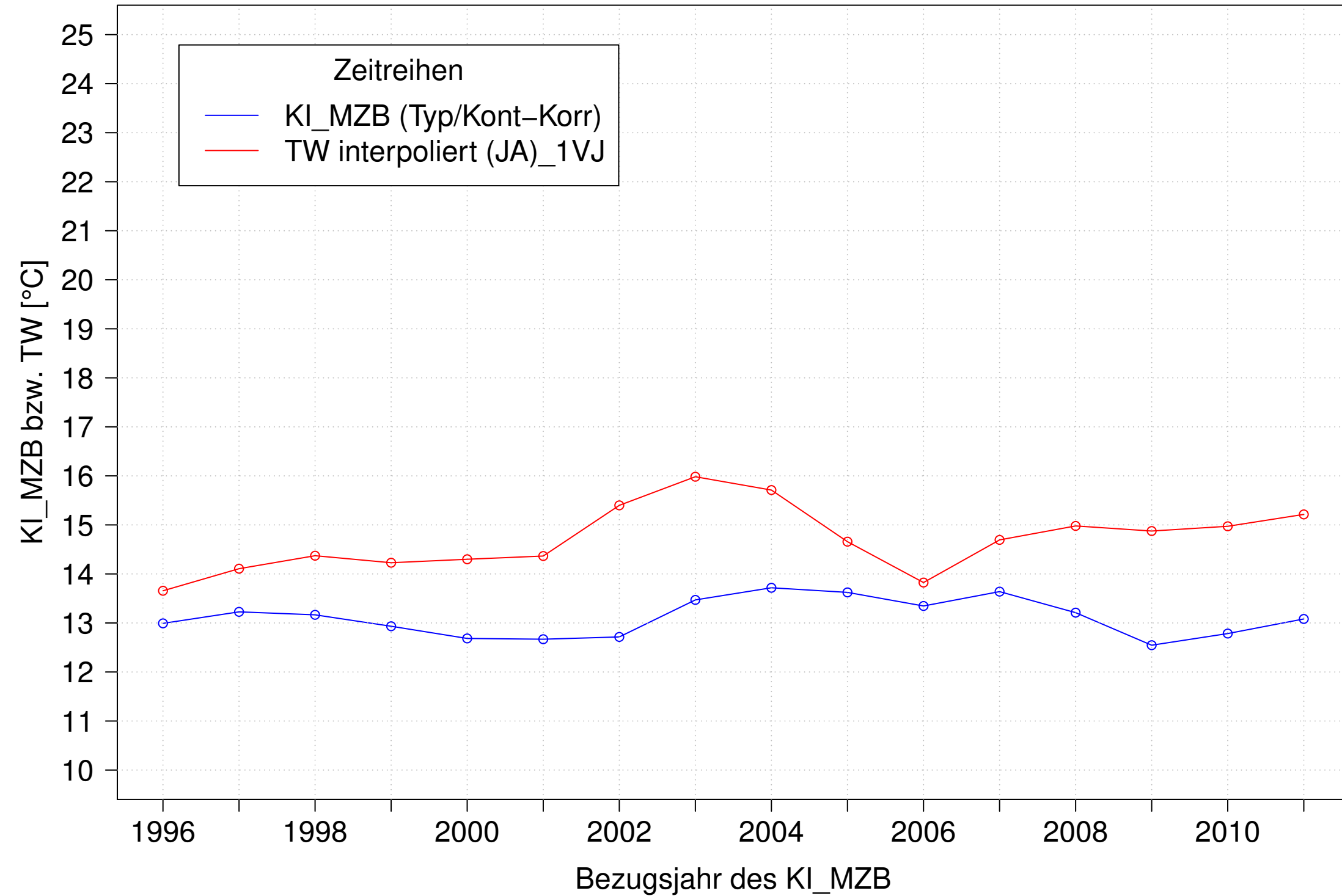
Gr. Lauter_Lauterach, Typ 09.1 mit Neozoen, Serie 3
3JMW KI_MZB (Typ/Kont-Korr) und 3JMW TW interpoliert (JA) des 1. Vorjahres



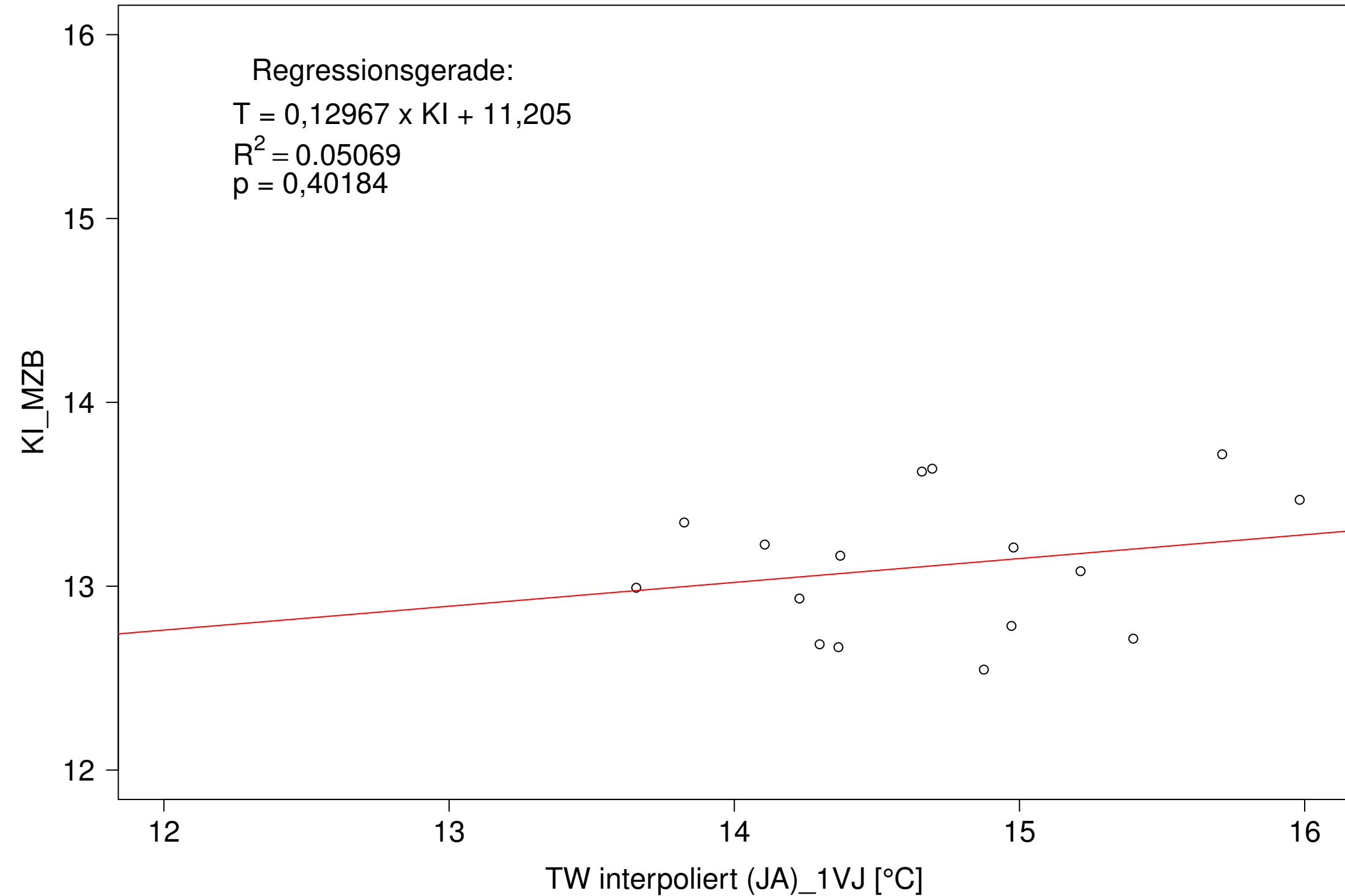
Gr. Lauter_Lauterach, Typ 09.1 mit Neozoen, Serie 3
3JMW KI_MZB (Typ/Kont-Korr) gegen 3JMW TW interpoliert (JA) des 1. Vorjahres



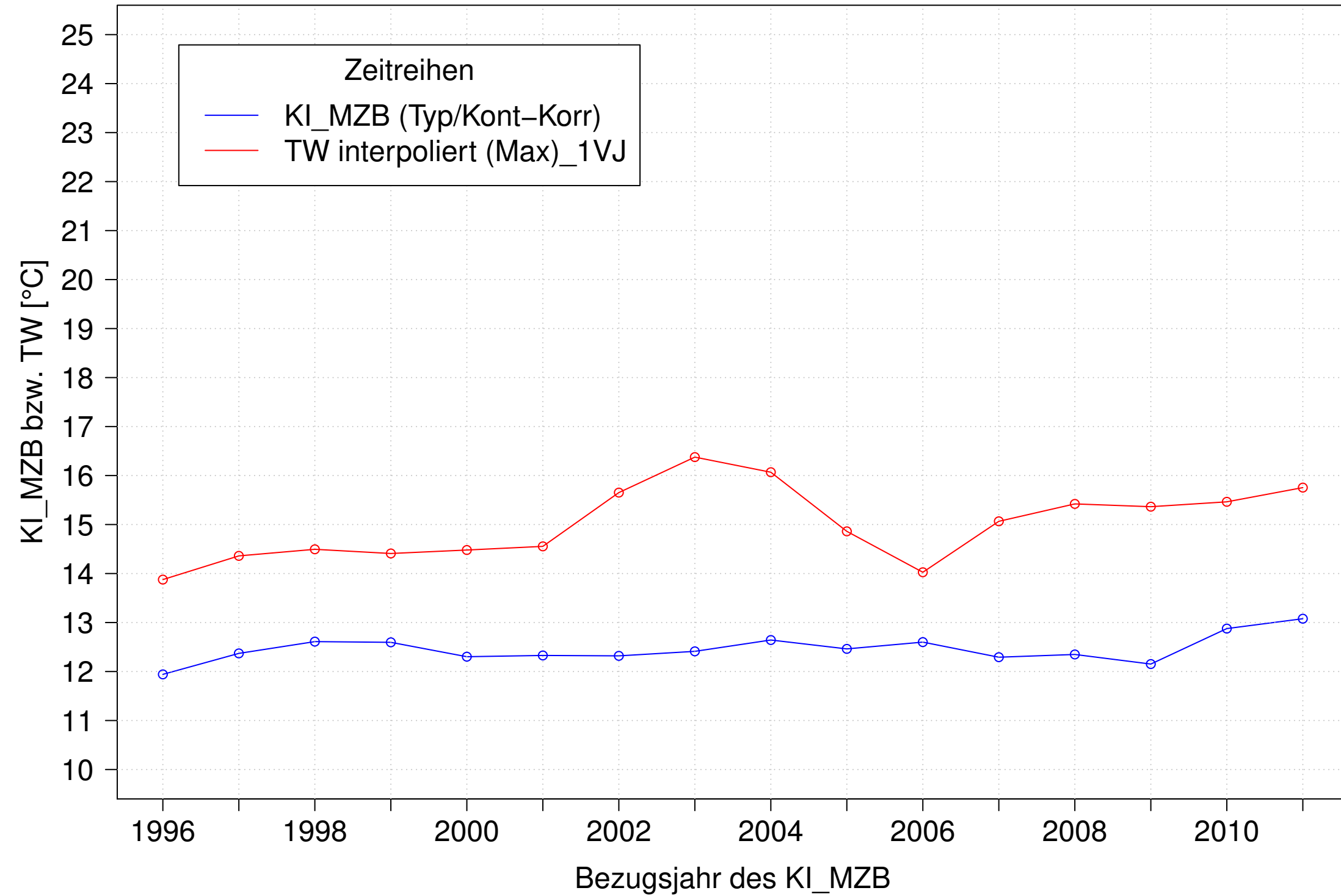
Gr. Lauter_Lauterach, Typ 09.1 mit Neozoen, Serie 4
3JMW KI_MZB (Typ/Kont-Korr) und 3JMW TW interpoliert (JA) des 1. Vorjahres



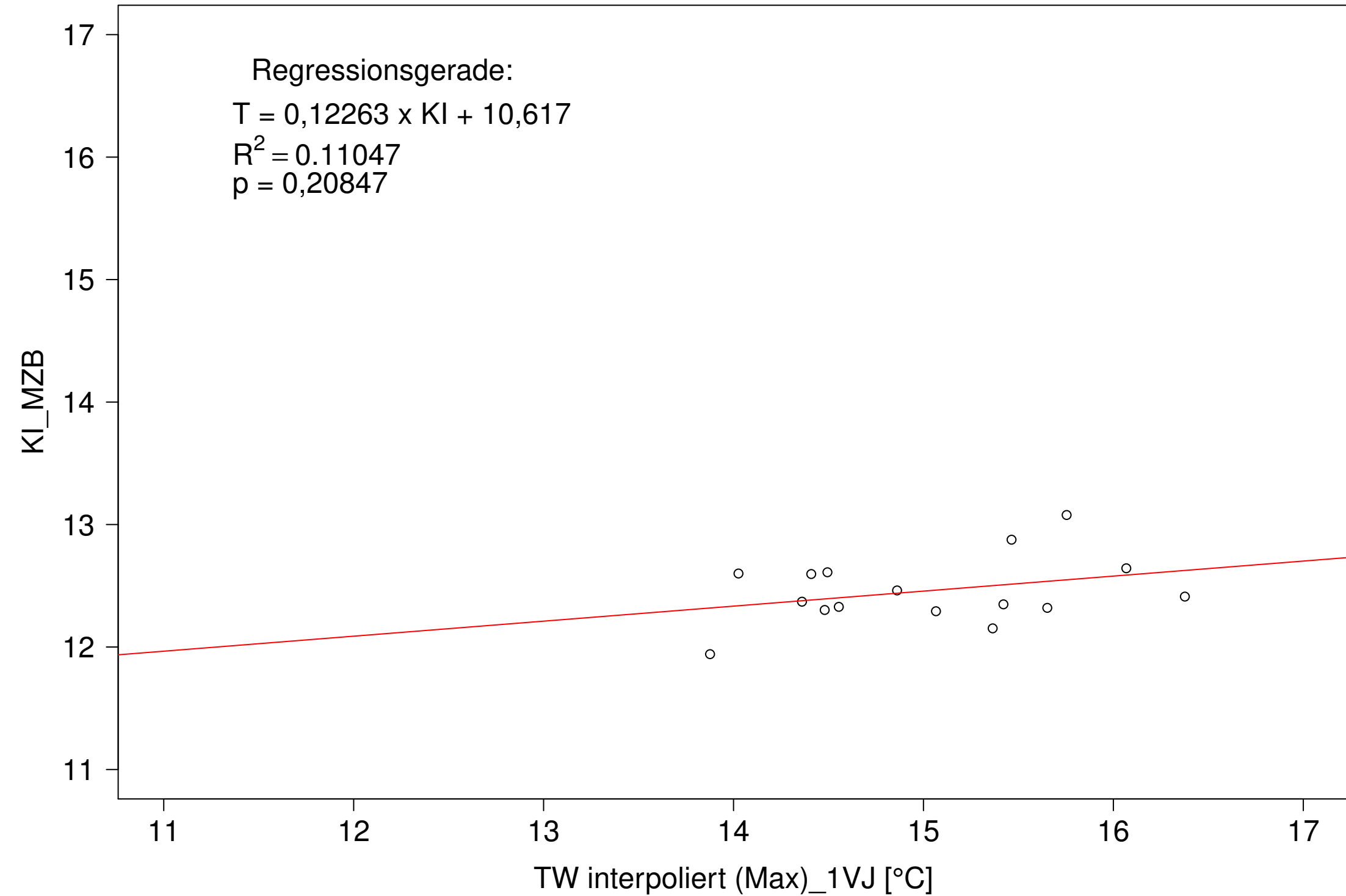
Gr. Lauter_Lauterach, Typ 09.1 mit Neozoen, Serie 4
3JMW KI_MZB (Typ/Kont-Korr) gegen 3JMW TW interpoliert (JA) des 1. Vorjahres



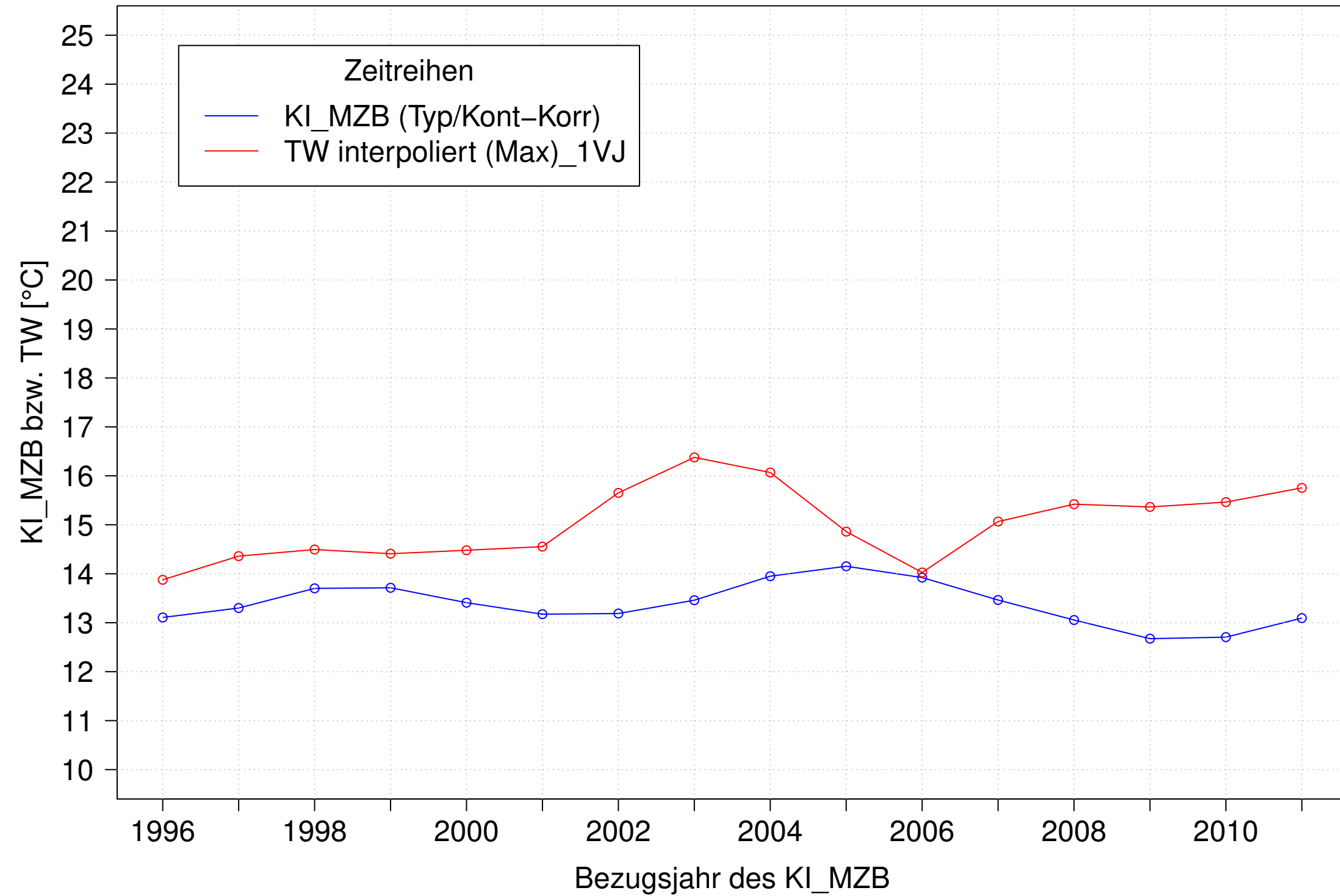
Gr. Lauter_Lauterach, Typ 09.1 mit Neozoen, Serie 1
3JMW KI_MZB (Typ/Kont-Korr) und 3JMW TW interpoliert (Max) des 1. Vorjahres



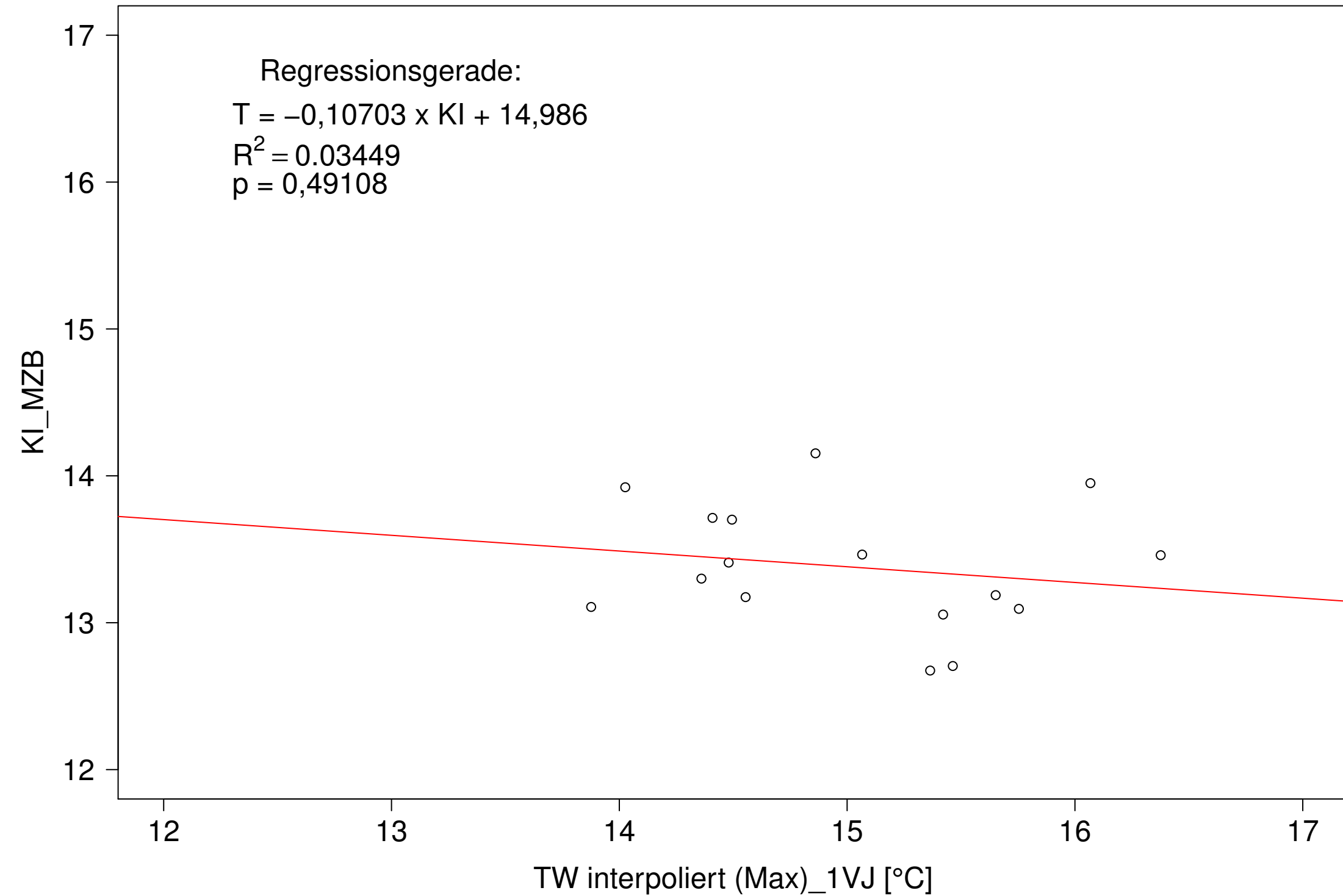
Gr. Lauter_Lauterach, Typ 09.1 mit Neozoen, Serie 1
3JMW KI_MZB (Typ/Kont-Korr) gegen 3JMW TW interpoliert (Max) des 1. Vorjahres



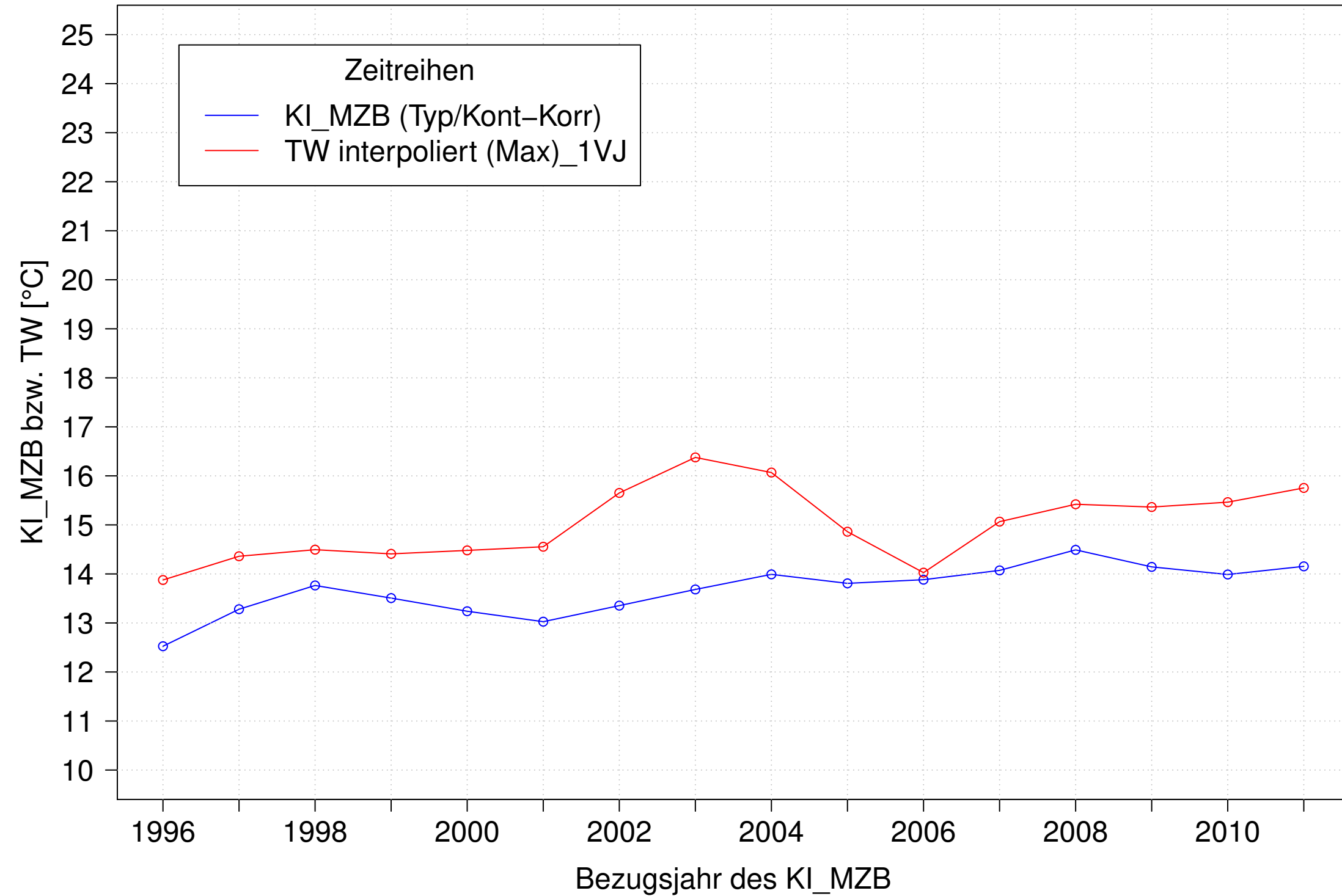
Gr. Lauter_Lauterach, Typ 09.1 mit Neozoen, Serie 2
3JMW KI_MZB (Typ/Kont-Korr) und 3JMW TW interpoliert (Max) des 1. Vorjahres



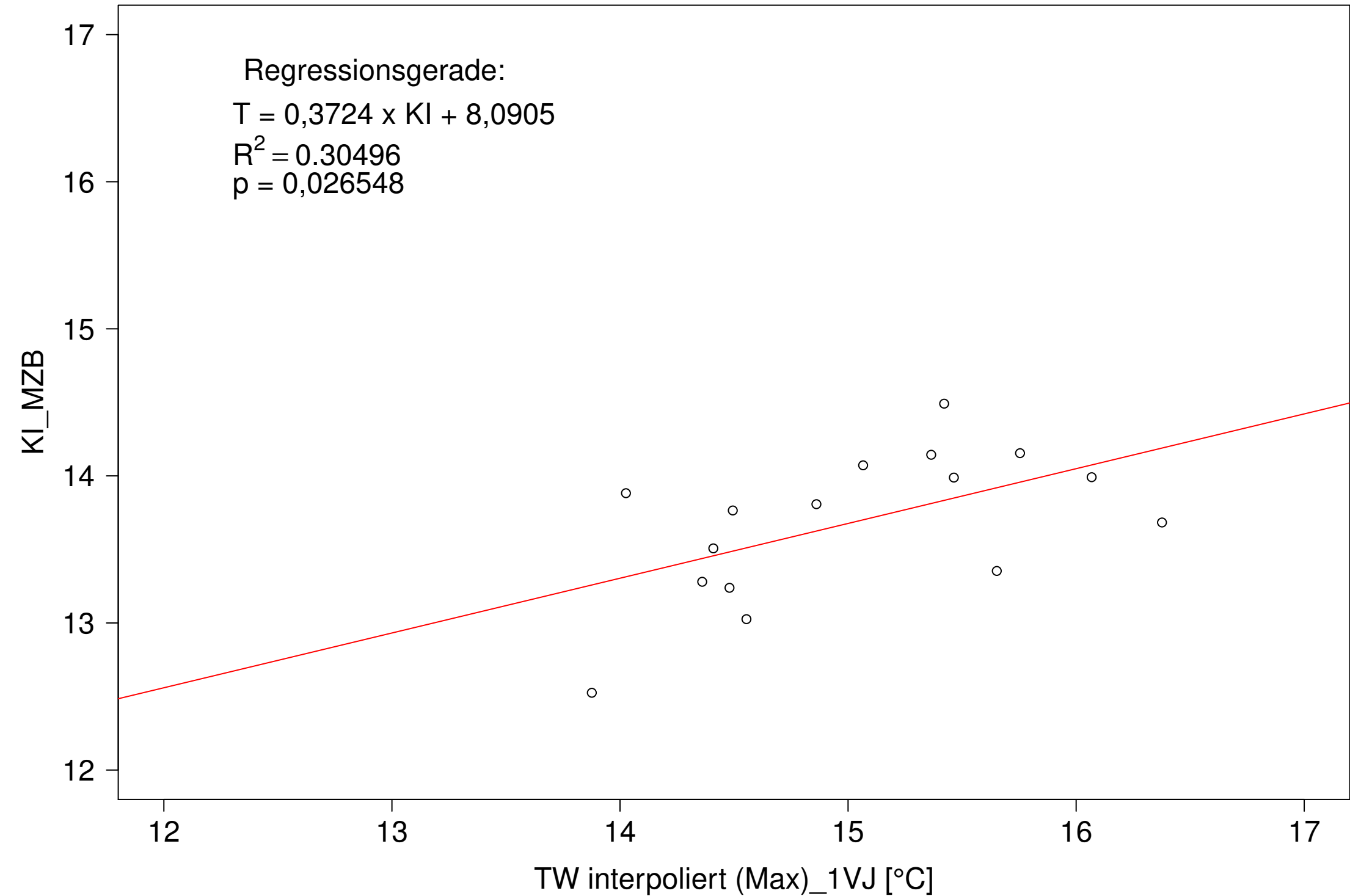
Gr. Lauter_Lauterach, Typ 09.1 mit Neozoen, Serie 2
3JMW KI_MZB (Typ/Kont-Korr) gegen 3JMW TW interpoliert (Max) des 1. Vorjahres



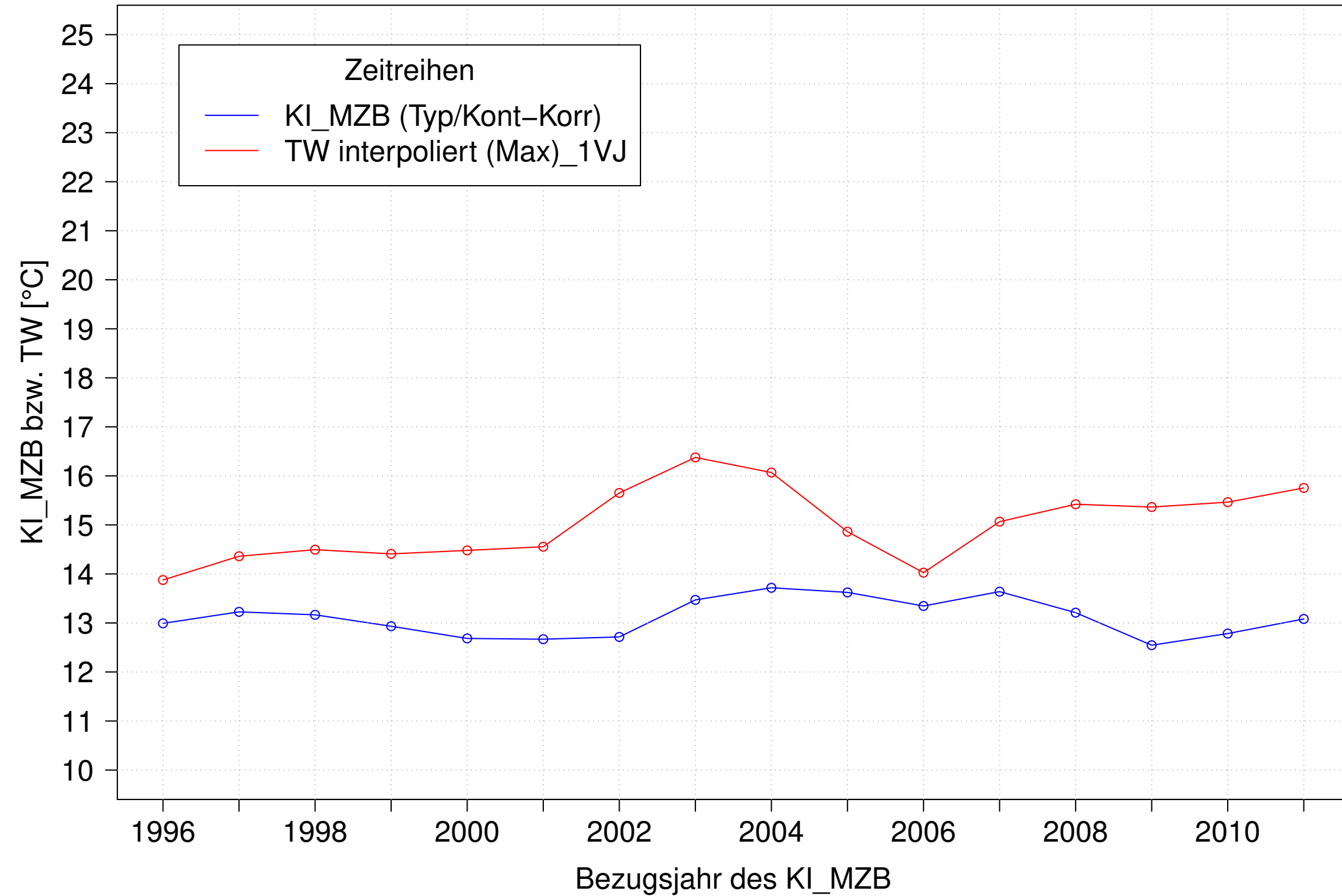
Gr. Lauter_Lauterach, Typ 09.1 mit Neozoen, Serie 3
3JMW KI_MZB (Typ/Kont-Korr) und 3JMW TW interpoliert (Max) des 1. Vorjahres



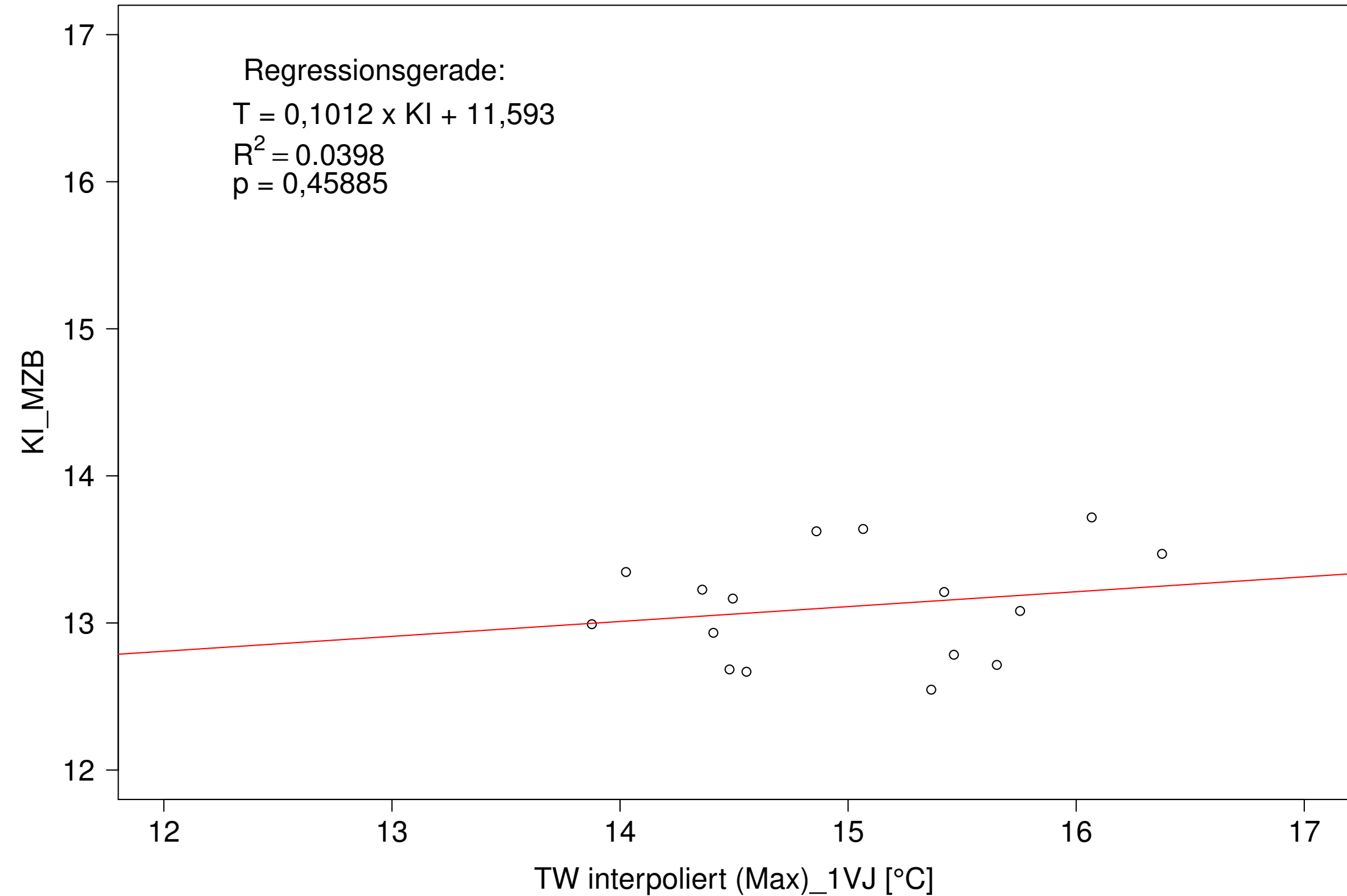
Gr. Lauter_Lauterach, Typ 09.1 mit Neozoen, Serie 3
3JMW KI_MZB (Typ/Kont-Korr) gegen 3JMW TW interpoliert (Max) des 1. Vorjahres



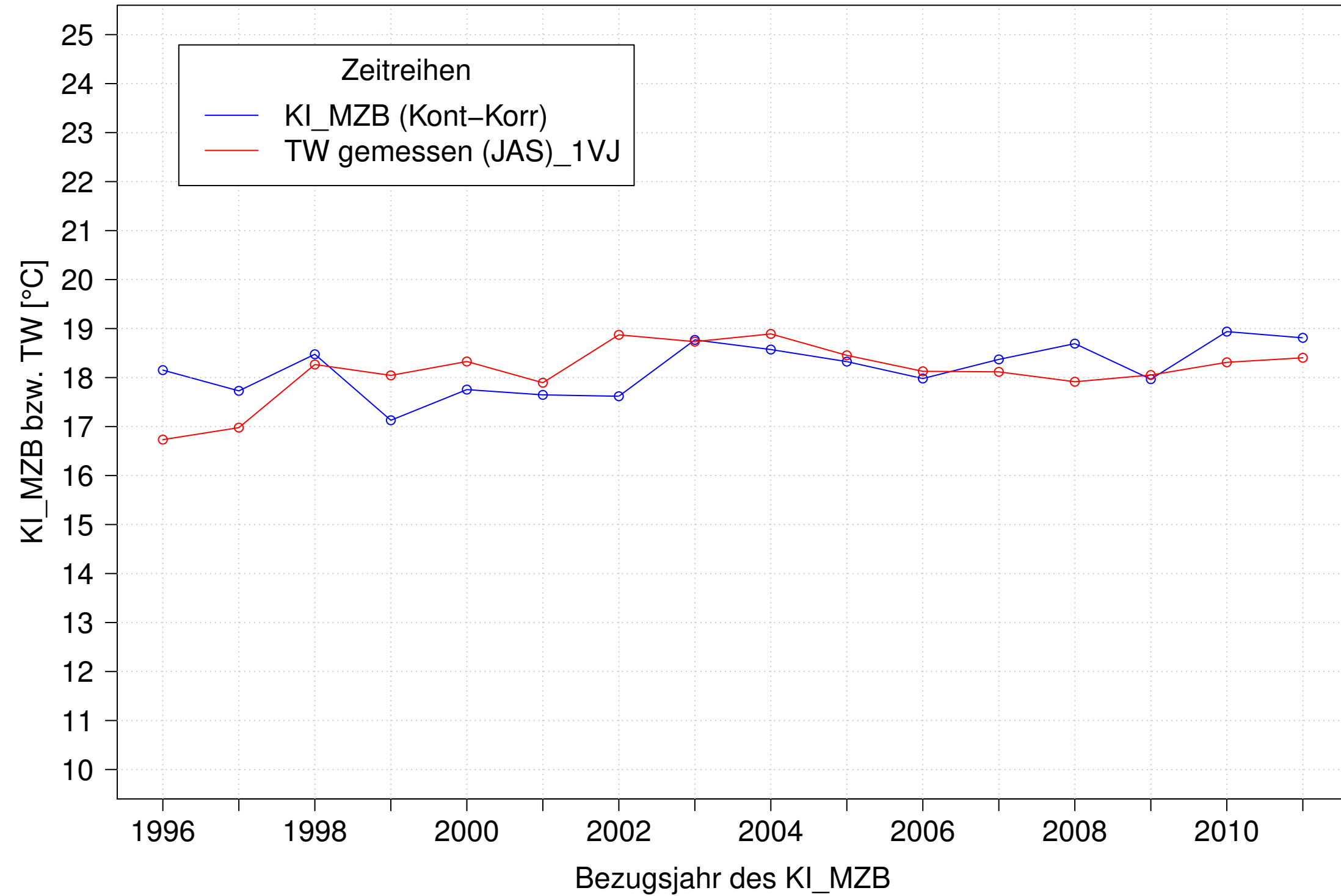
Gr. Lauter_Lauterach, Typ 09.1 mit Neozoen, Serie 4
3JMW KI_MZB (Typ/Kont-Korr) und 3JMW TW interpoliert (Max) des 1. Vorjahres



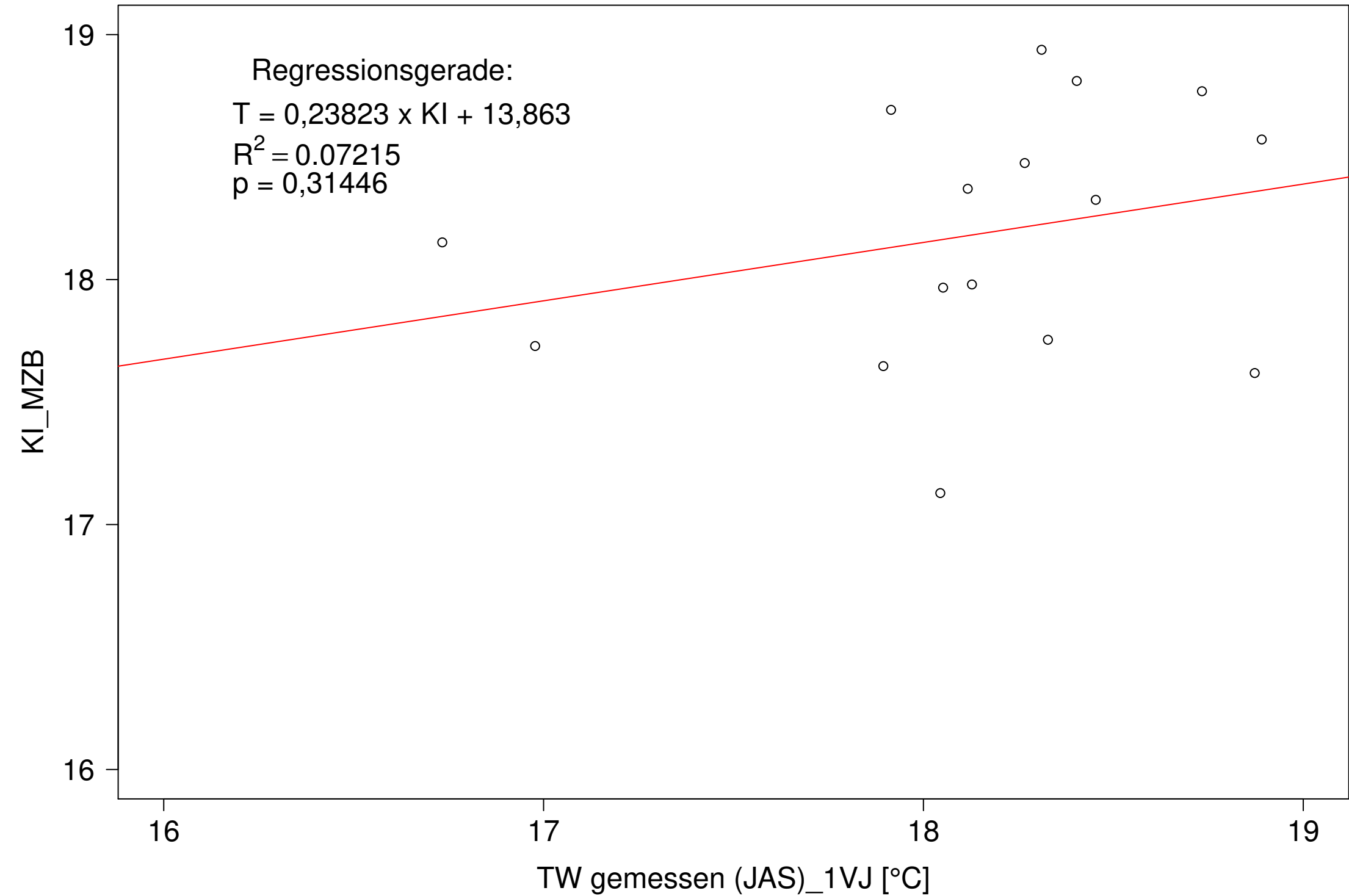
Gr. Lauter_Lauterach, Typ 09.1 mit Neozoen, Serie 4
3JMW KI_MZB (Typ/Kont-Korr) gegen 3JMW TW interpoliert (Max) des 1. Vorjahres



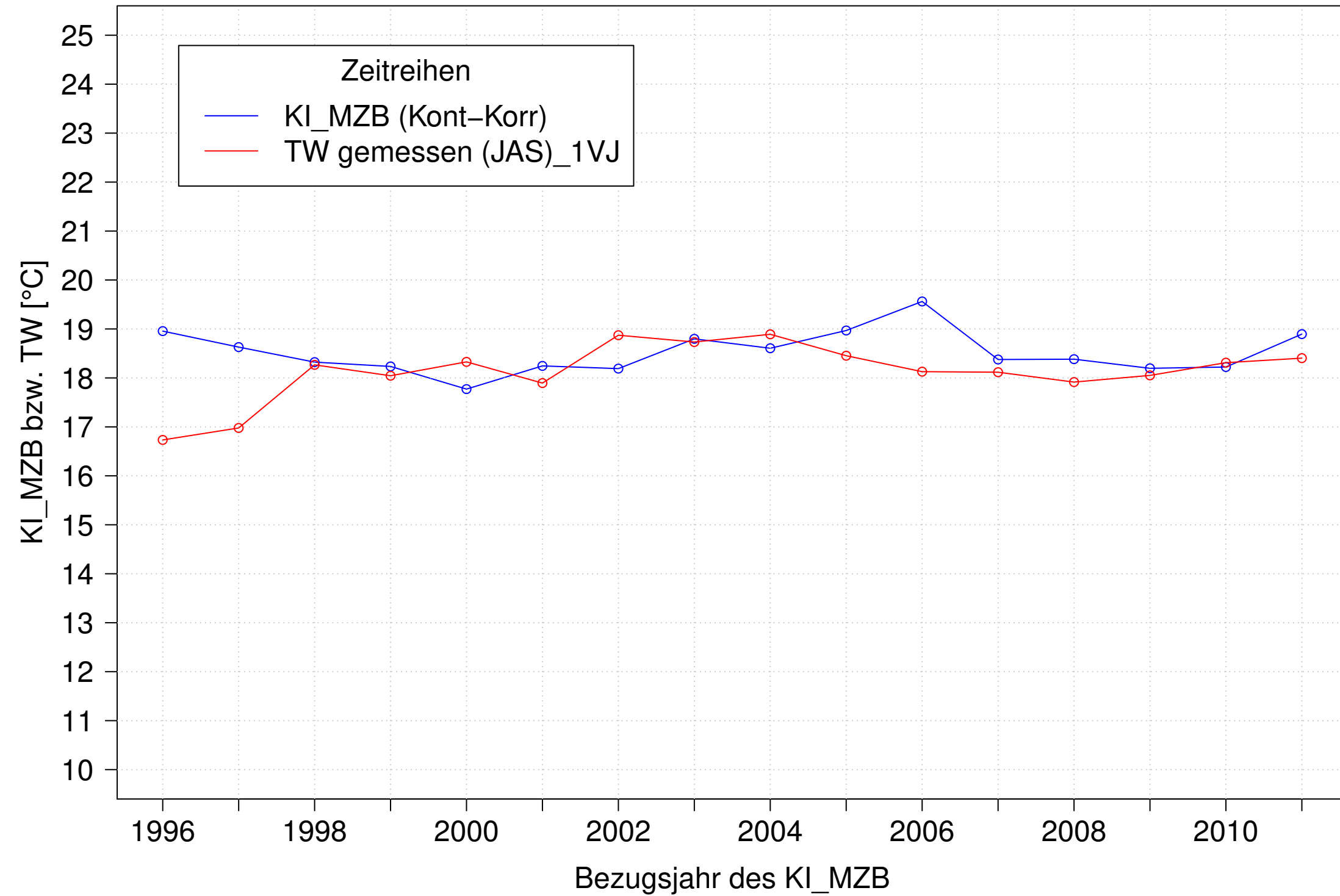
Kocher_Kochendorf, Typ 09.2 mit Neozoen, Serie 1
 KI_MZB (Kont-Korr) und 3JMW TW gemessen (JAS) des 1. Vorjahres



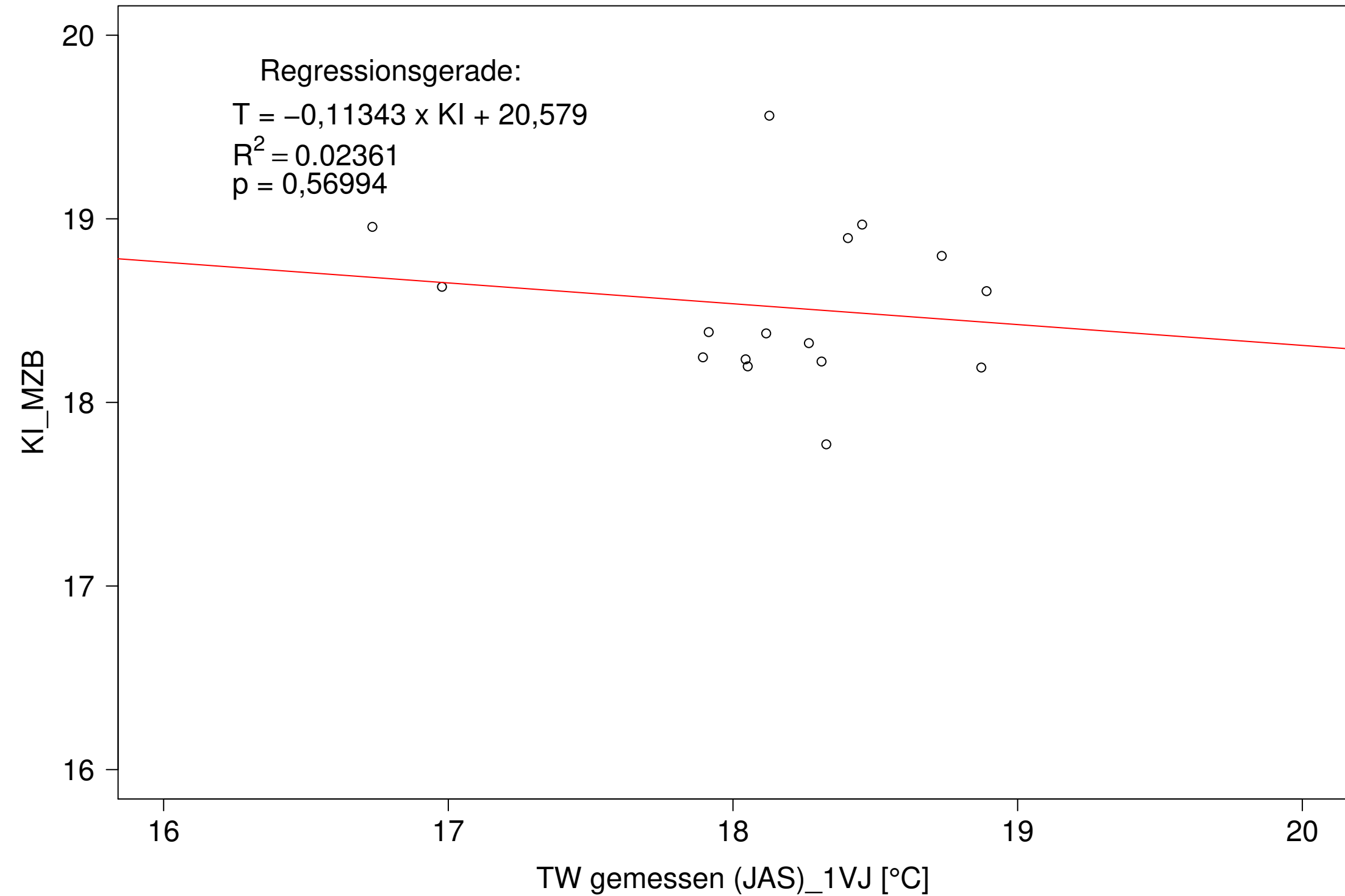
Kocher_Kochendorf, Typ 09.2 mit Neozoen, Serie 1
 KI_MZB (Kont-Korr) gegen 3JMW TW gemessen (JAS) des 1. Vorjahres



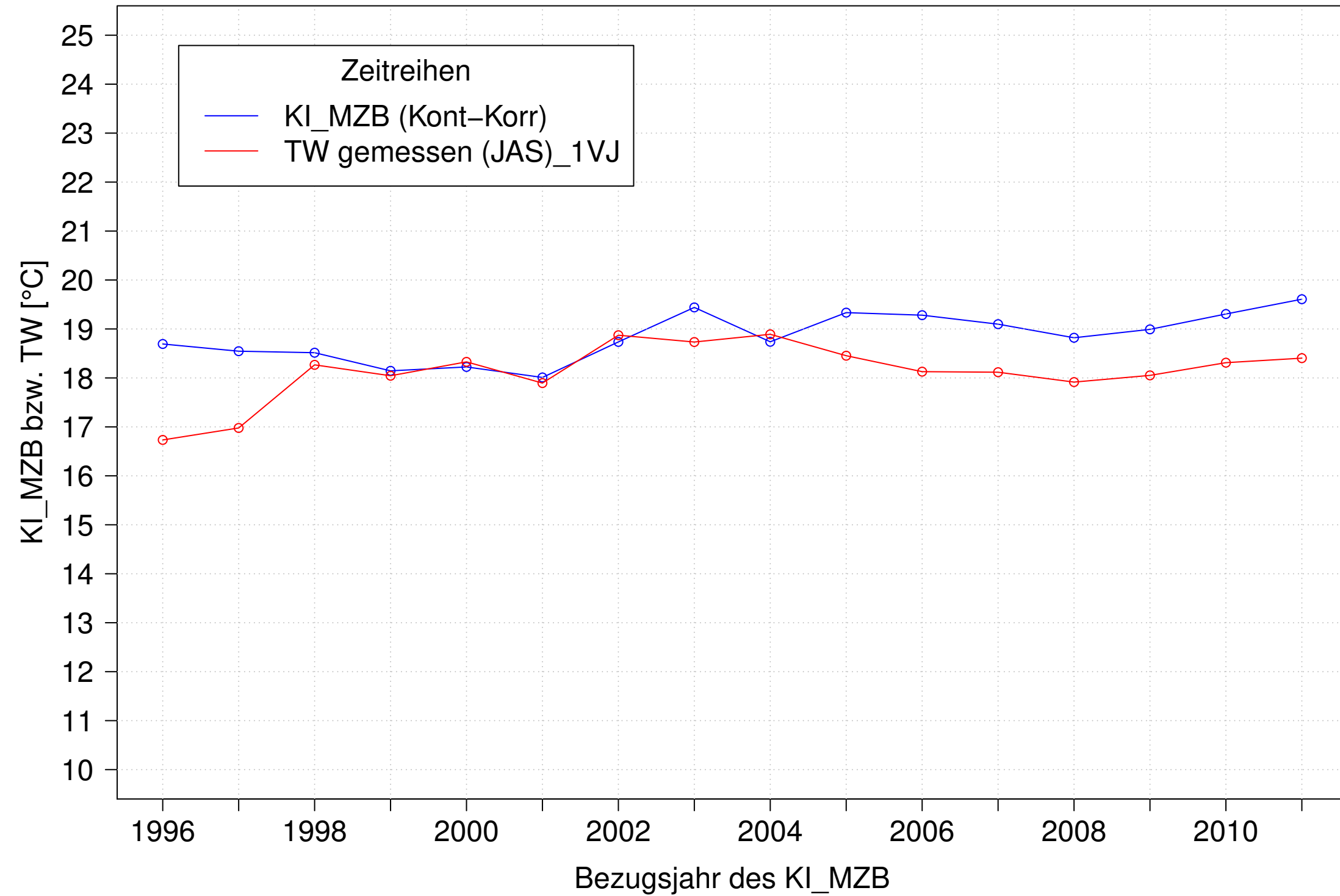
Kocher_Kochendorf, Typ 09.2 mit Neozoen, Serie 2
 KI_MZB (Kont-Korr) und 3JMW TW gemessen (JAS) des 1. Vorjahres



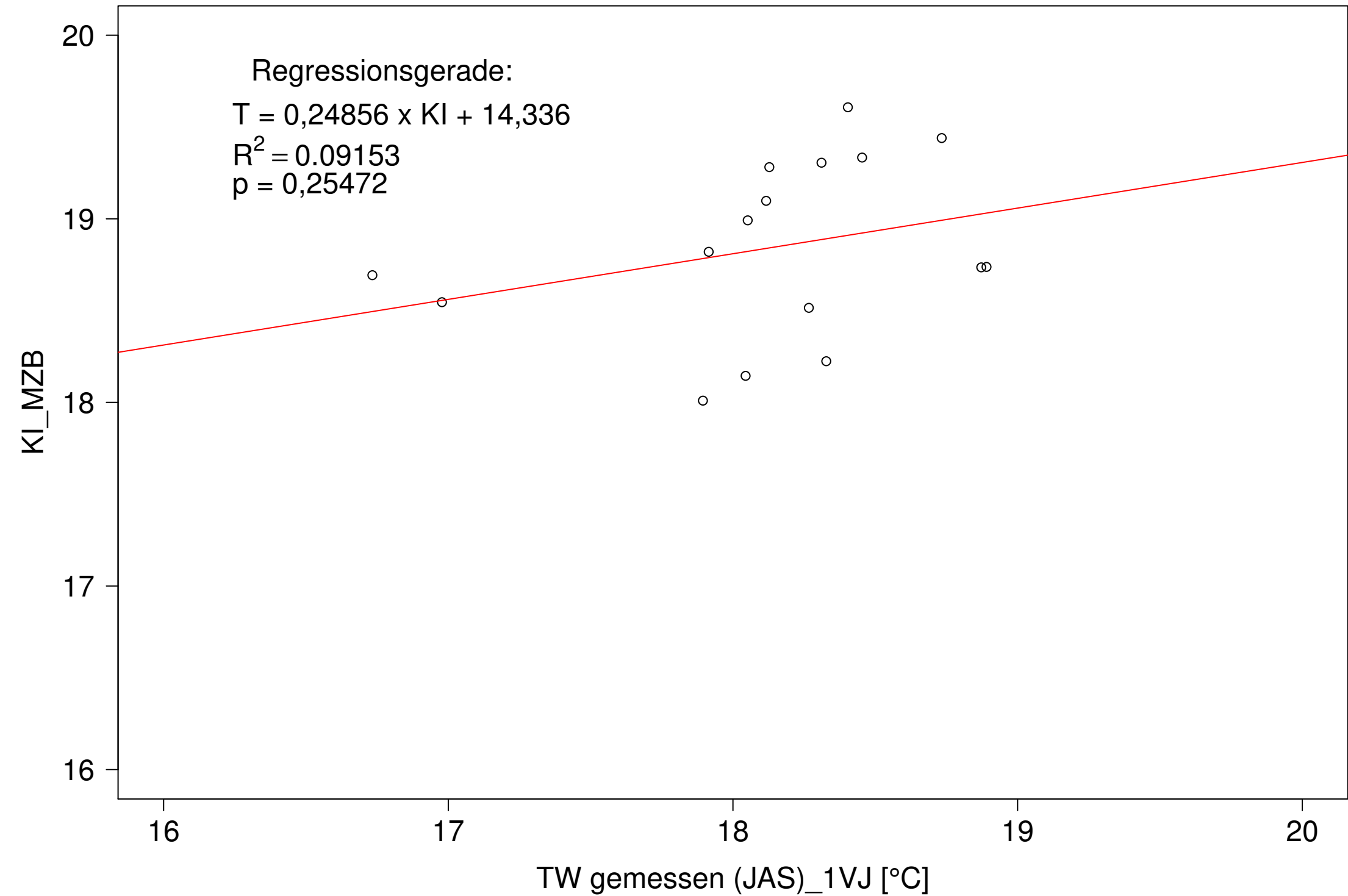
Kocher_Kochendorf, Typ 09.2 mit Neozoen, Serie 2
 KI_MZB (Kont-Korr) gegen 3JMW TW gemessen (JAS) des 1. Vorjahres



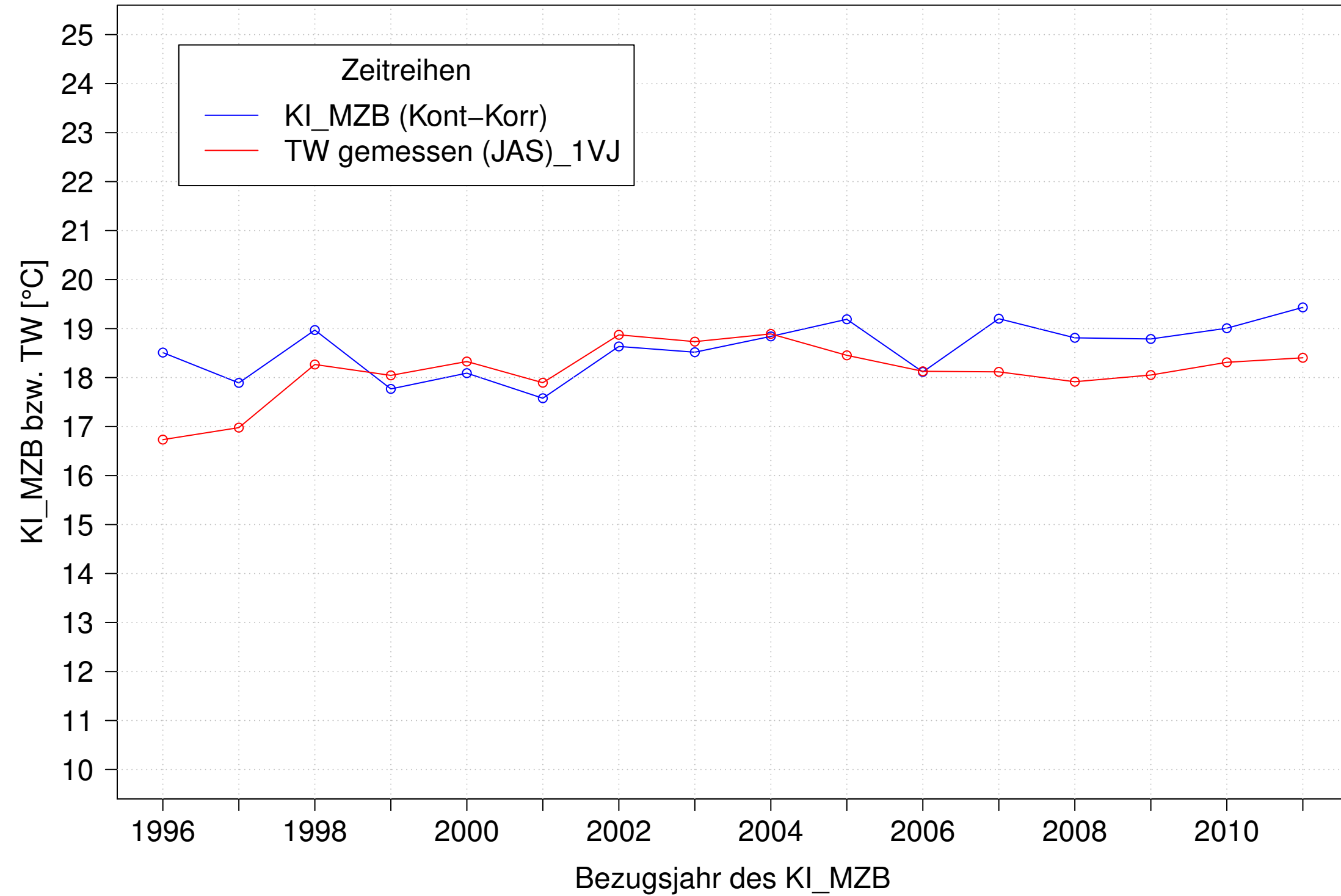
Kocher_Kochendorf, Typ 09.2 mit Neozoen, Serie 3
KI_MZB (Kont-Korr) und 3JMW TW gemessen (JAS) des 1. Vorjahres



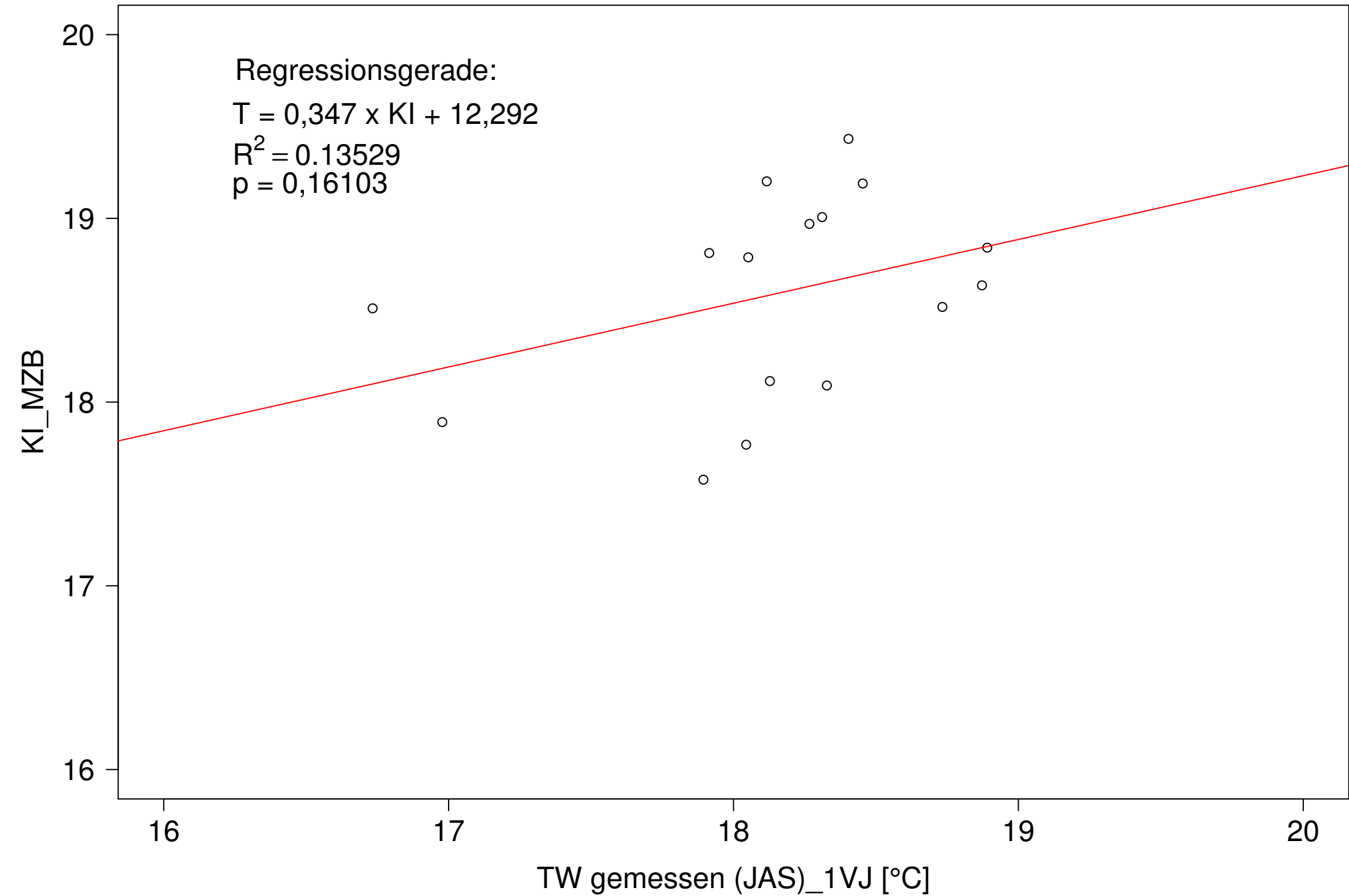
Kocher_Kochendorf, Typ 09.2 mit Neozoen, Serie 3
KI_MZB (Kont-Korr) gegen 3JMW TW gemessen (JAS) des 1. Vorjahres



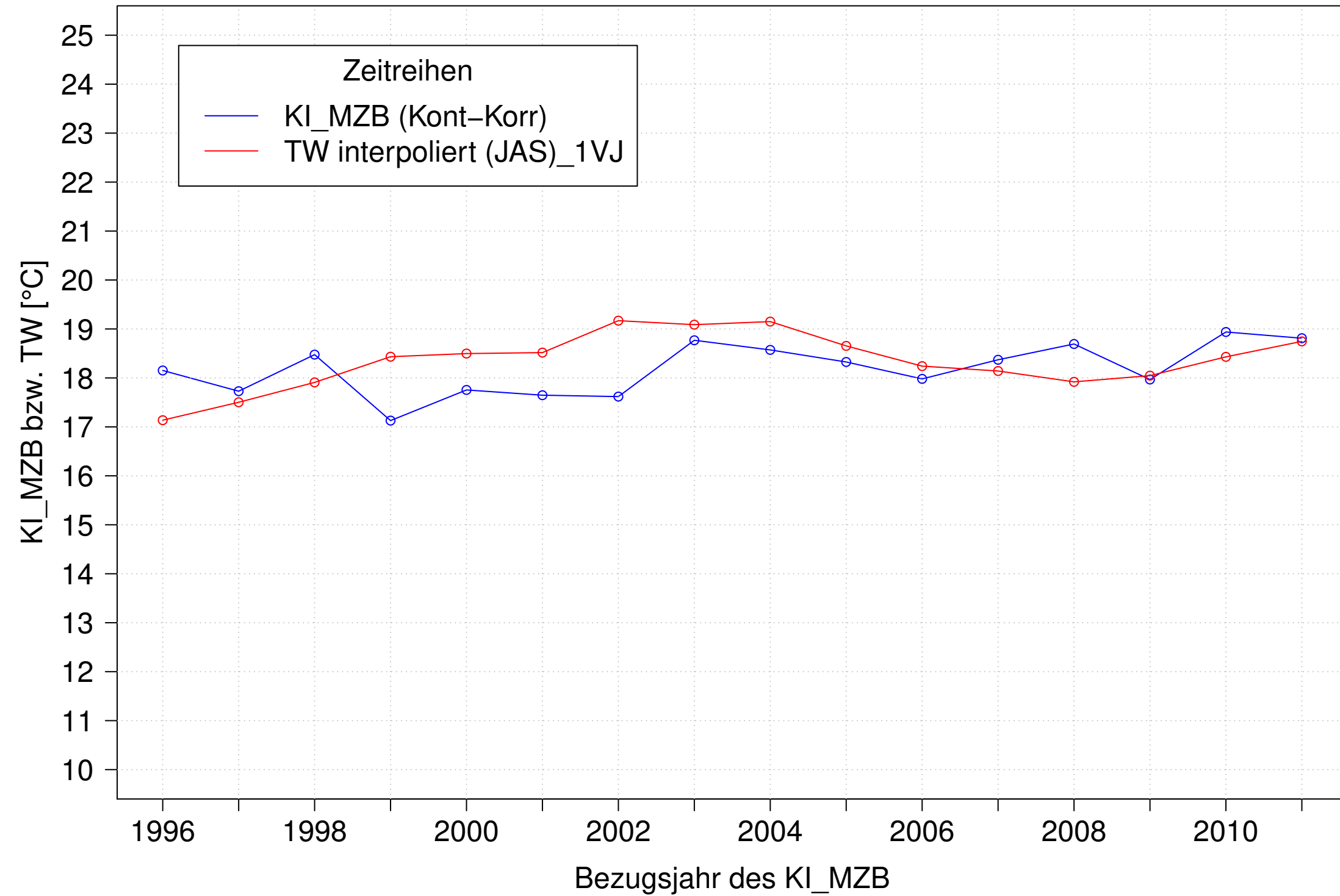
Kocher_Kochendorf, Typ 09.2 mit Neozoen, Serie 4
KI_MZB (Kont-Korr) und 3JMW TW gemessen (JAS) des 1. Vorjahres



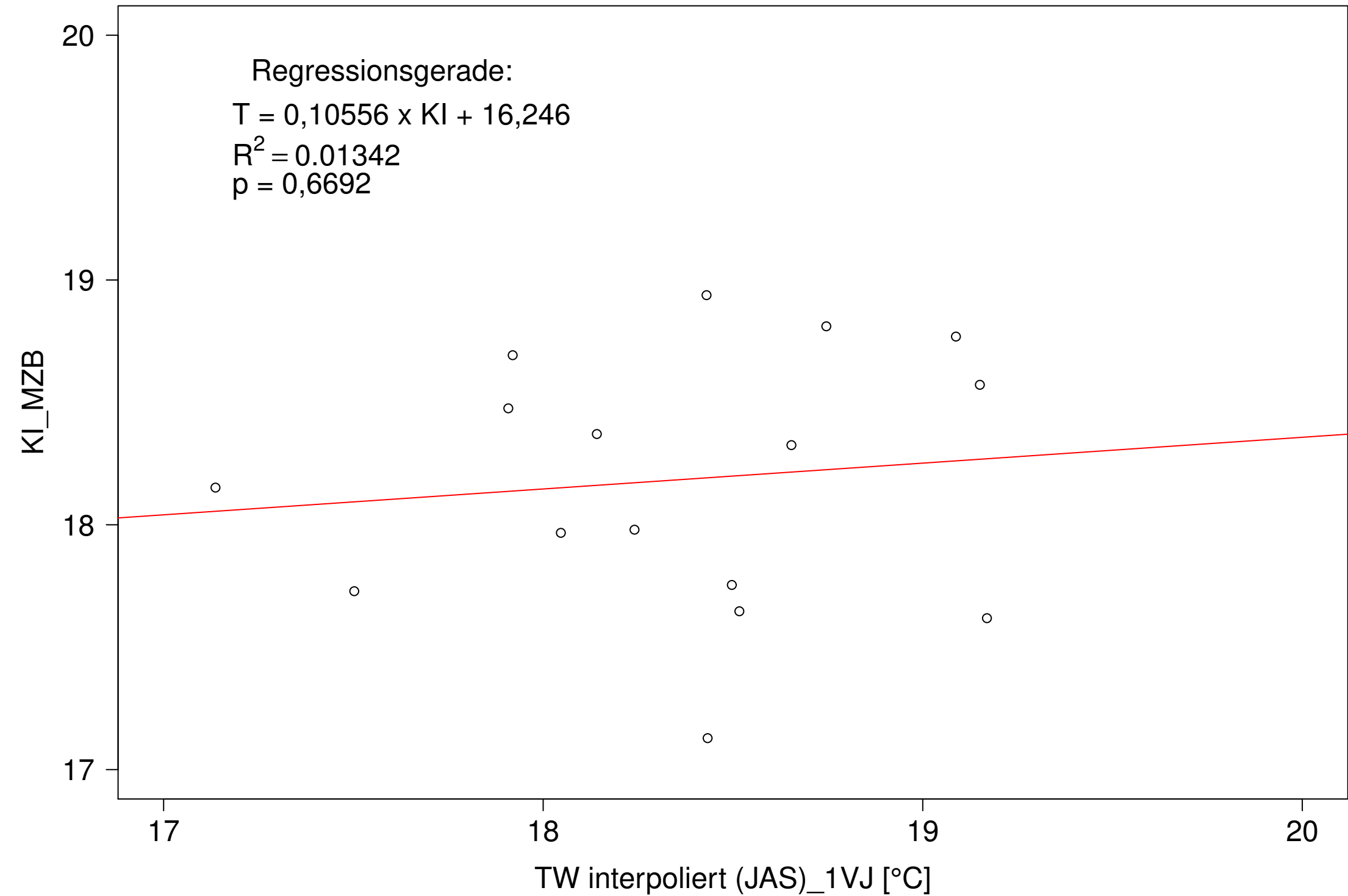
Kocher_Kochendorf, Typ 09.2 mit Neozoen, Serie 4
KI_MZB (Kont-Korr) gegen 3JMW TW gemessen (JAS) des 1. Vorjahres



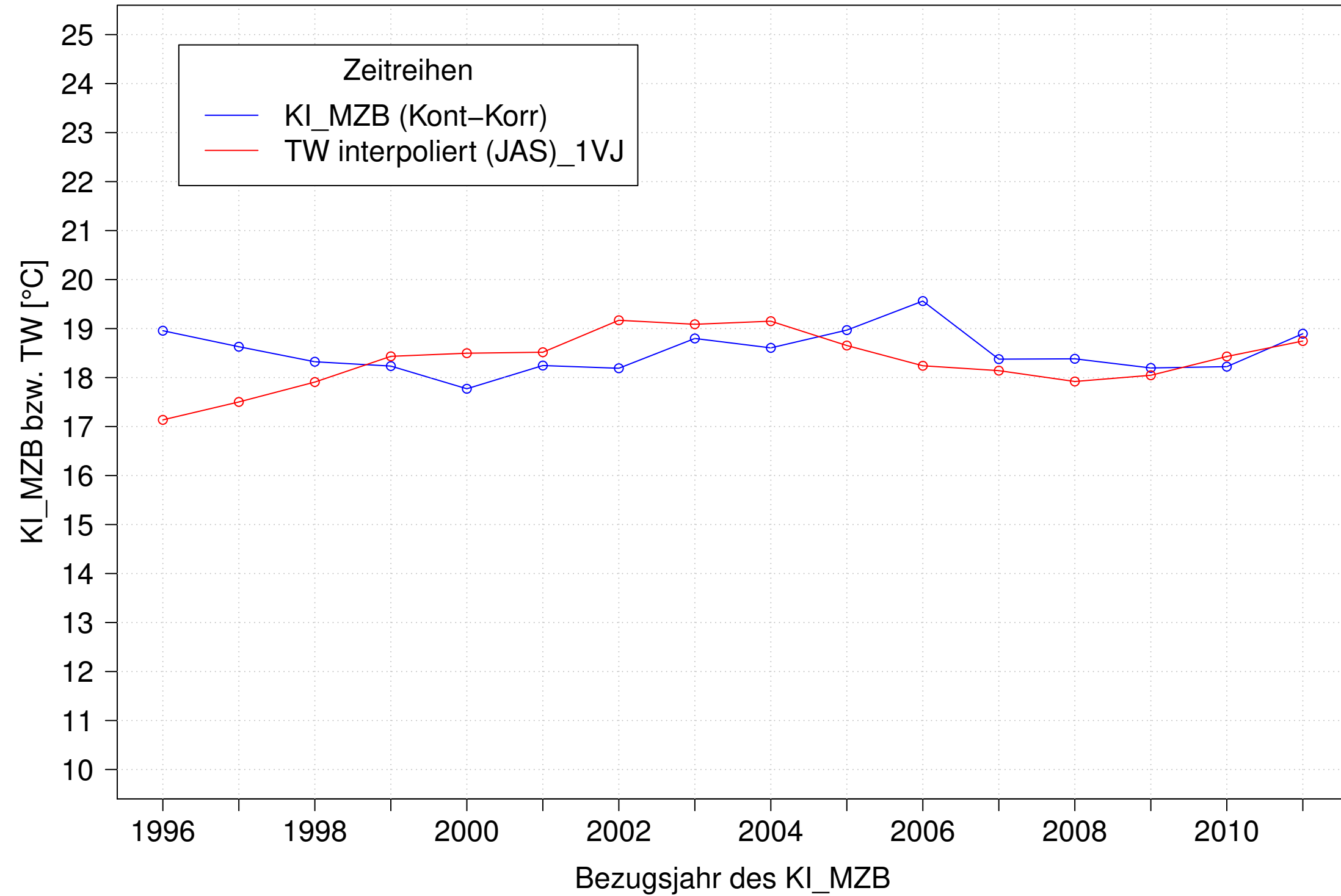
Kocher_Kochendorf, Typ 09.2 mit Neozoen, Serie 1
 KI_MZB (Kont-Korr) und 3JMW TW interpoliert (JAS) des 1. Vorjahres



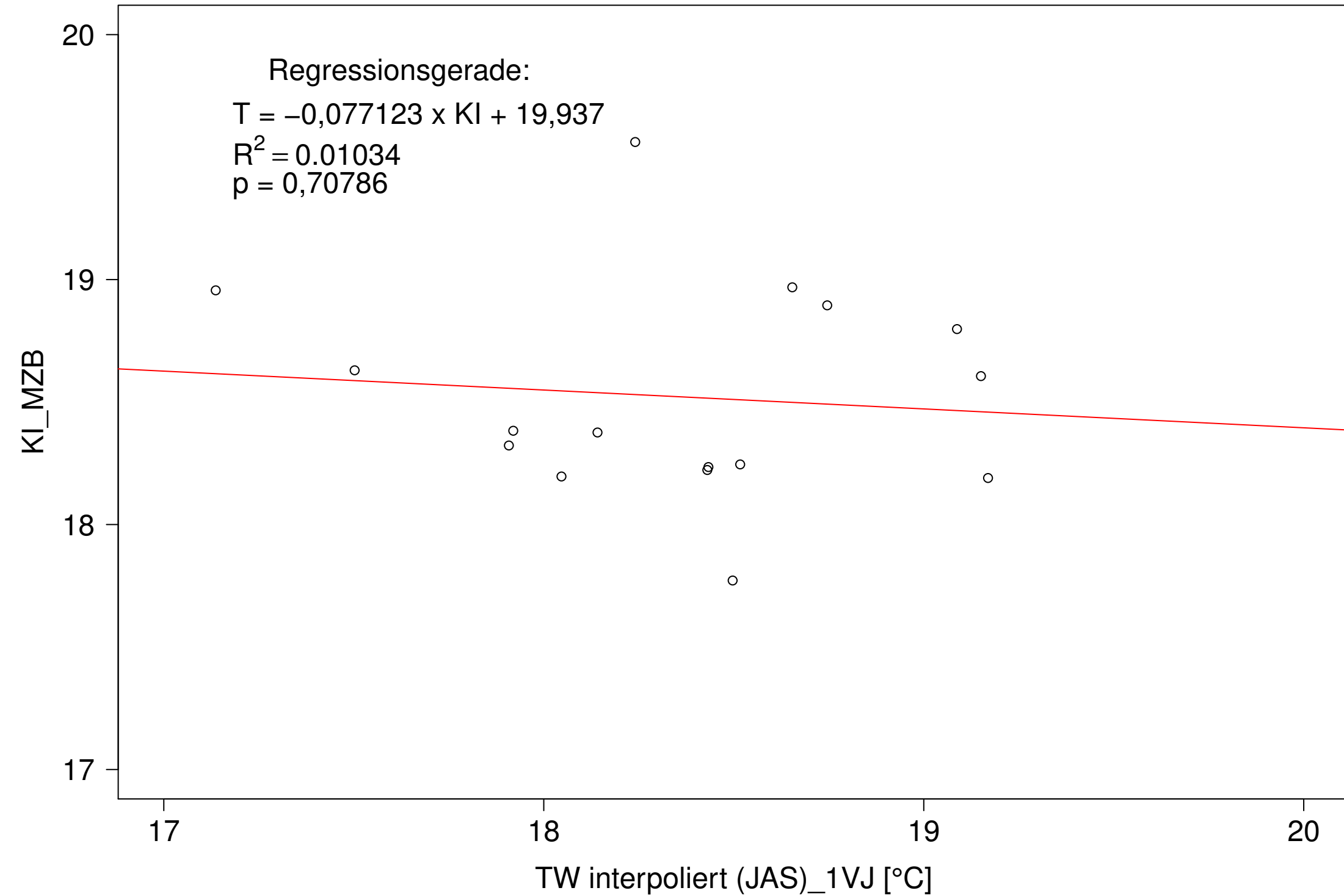
Kocher_Kochendorf, Typ 09.2 mit Neozoen, Serie 1
 KI_MZB (Kont-Korr) gegen 3JMW TW interpoliert (JAS) des 1. Vorjahres



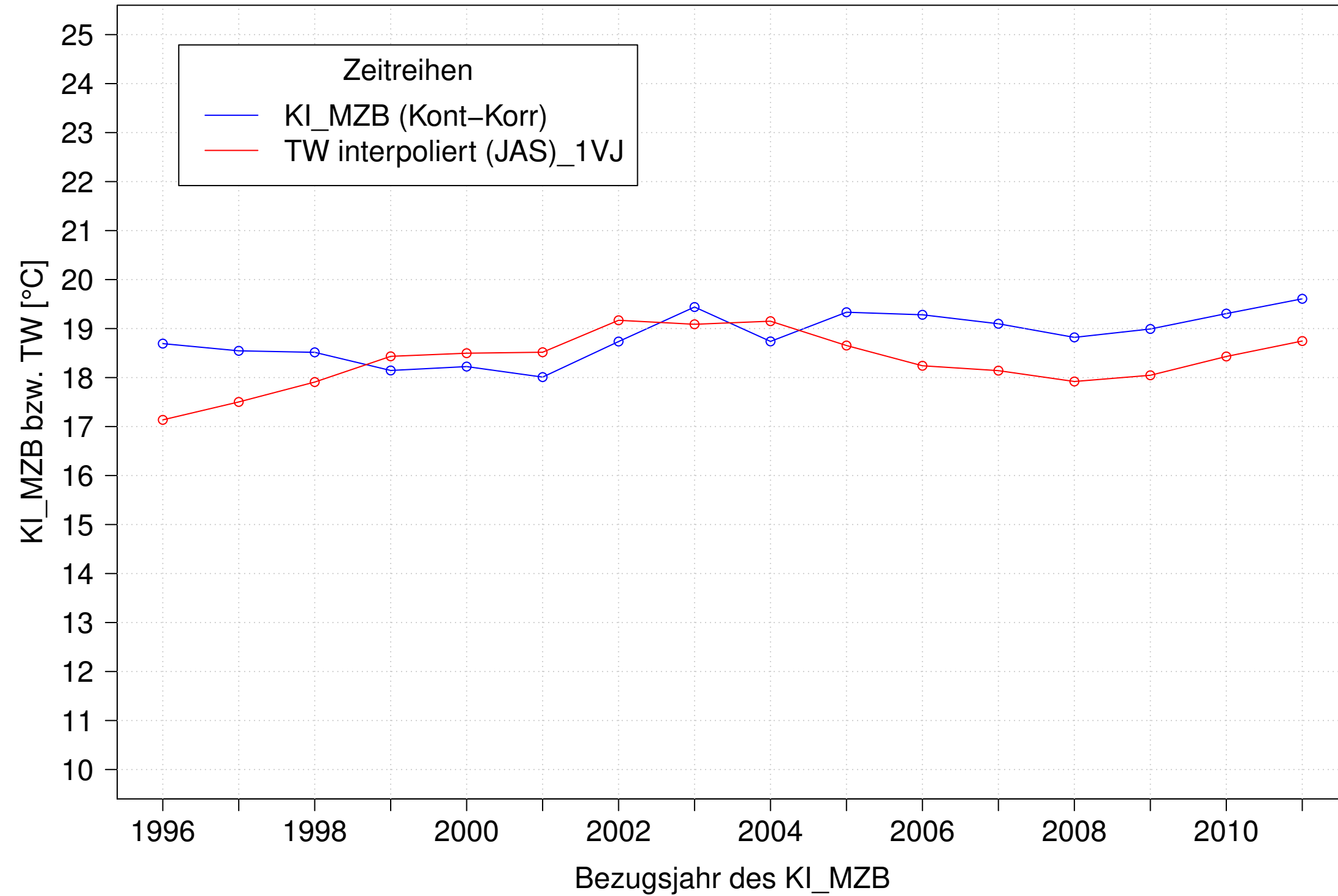
Kocher_Kochendorf, Typ 09.2 mit Neozoen, Serie 2
 KI_MZB (Kont-Korr) und 3JMW TW interpoliert (JAS) des 1. Vorjahres



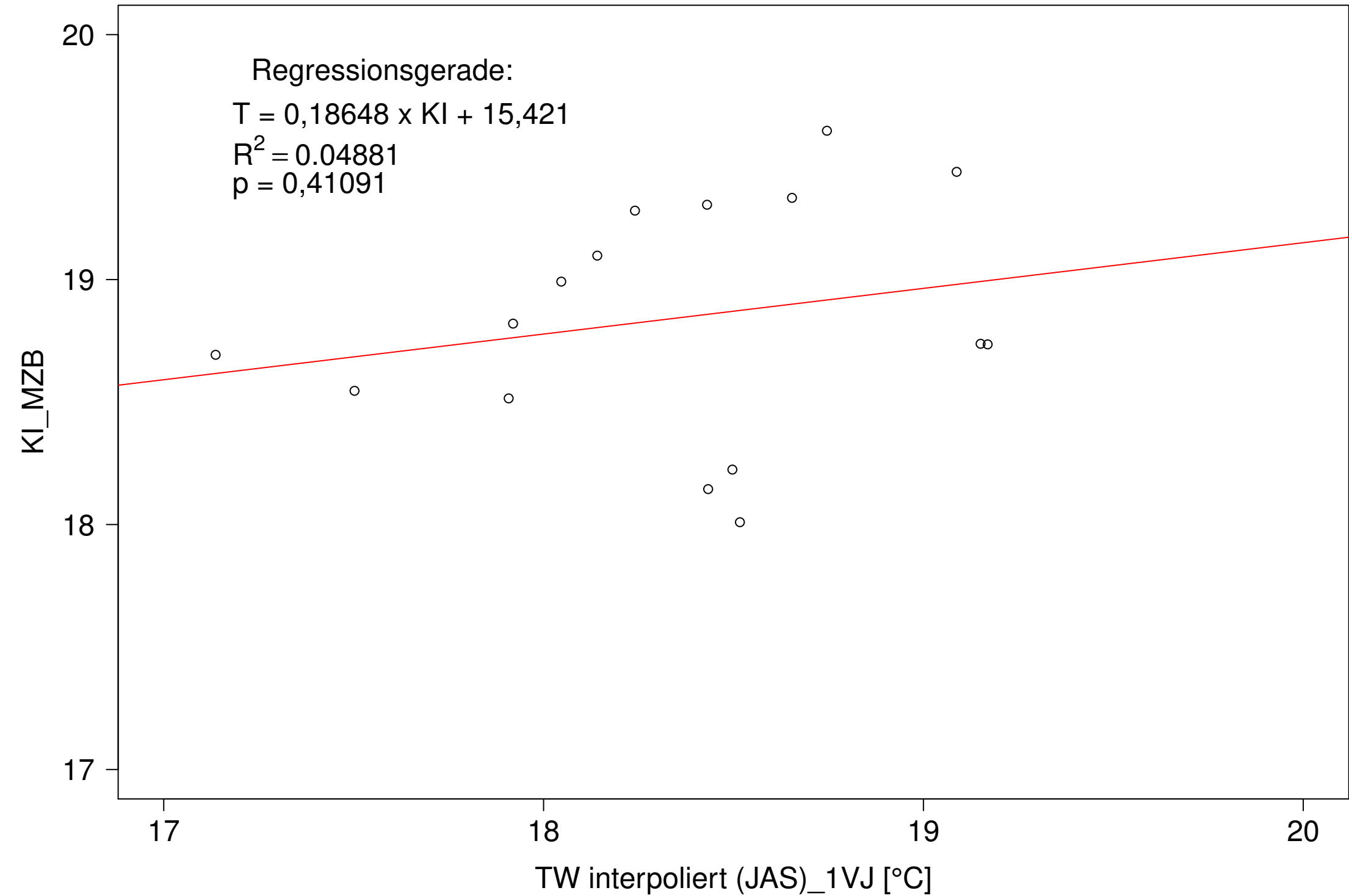
Kocher_Kochendorf, Typ 09.2 mit Neozoen, Serie 2
 KI_MZB (Kont-Korr) gegen 3JMW TW interpoliert (JAS) des 1. Vorjahres



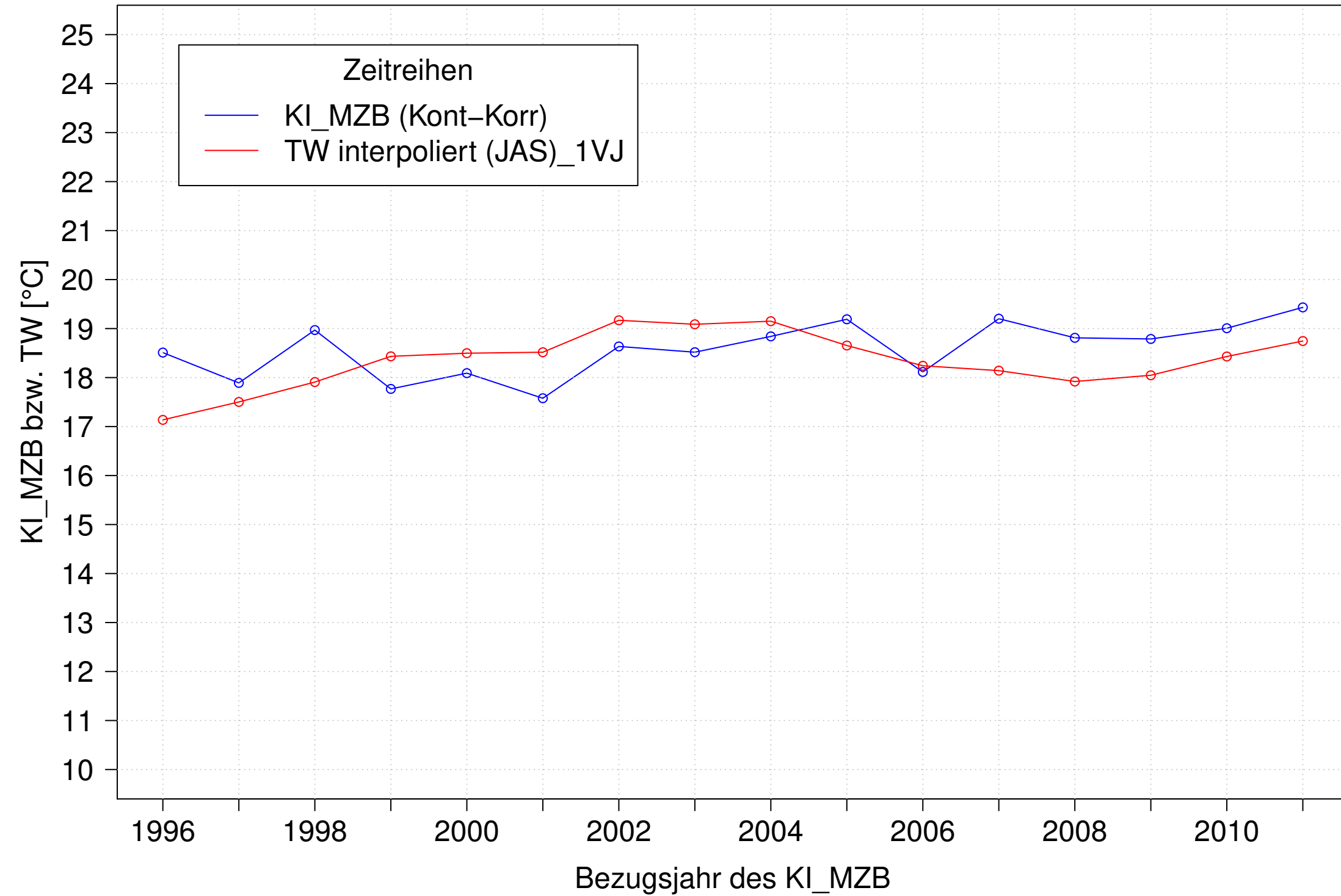
Kocher_Kochendorf, Typ 09.2 mit Neozoen, Serie 3
 KI_MZB (Kont-Korr) und 3JMW TW interpoliert (JAS) des 1. Vorjahres



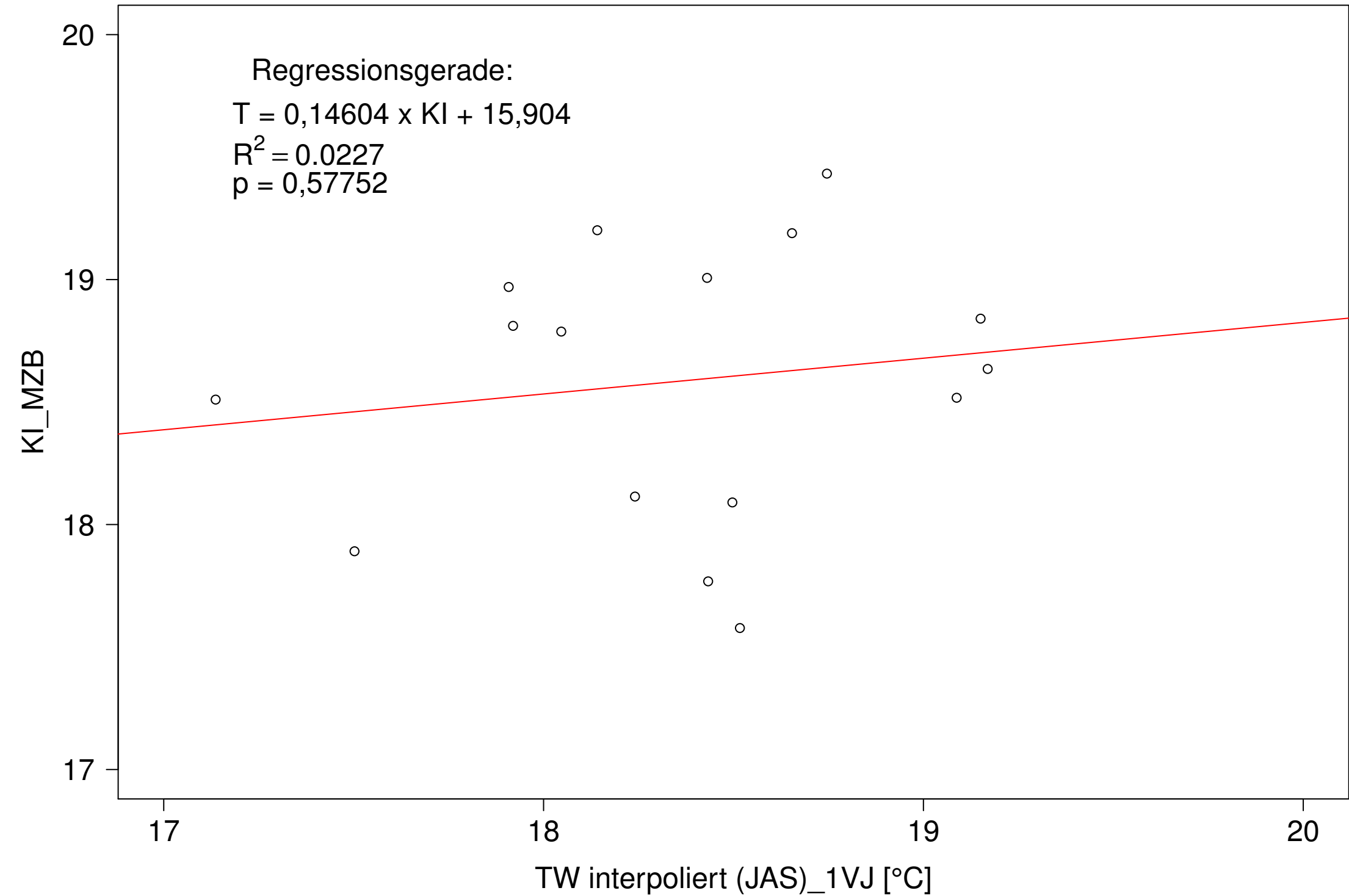
Kocher_Kochendorf, Typ 09.2 mit Neozoen, Serie 3
 KI_MZB (Kont-Korr) gegen 3JMW TW interpoliert (JAS) des 1. Vorjahres



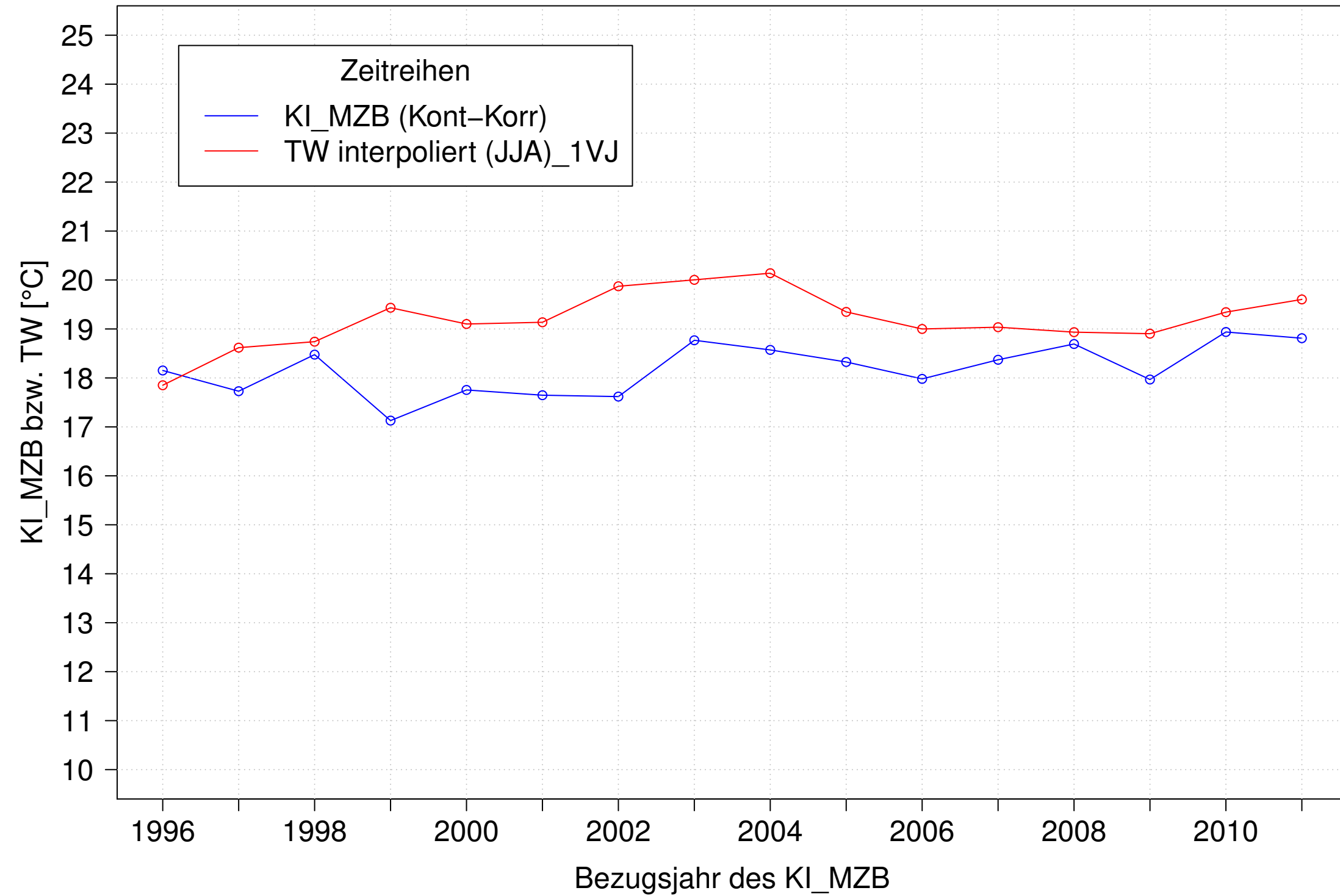
Kocher_Kochendorf, Typ 09.2 mit Neozoen, Serie 4
 KI_MZB (Kont-Korr) und 3JMW TW interpoliert (JAS) des 1. Vorjahres



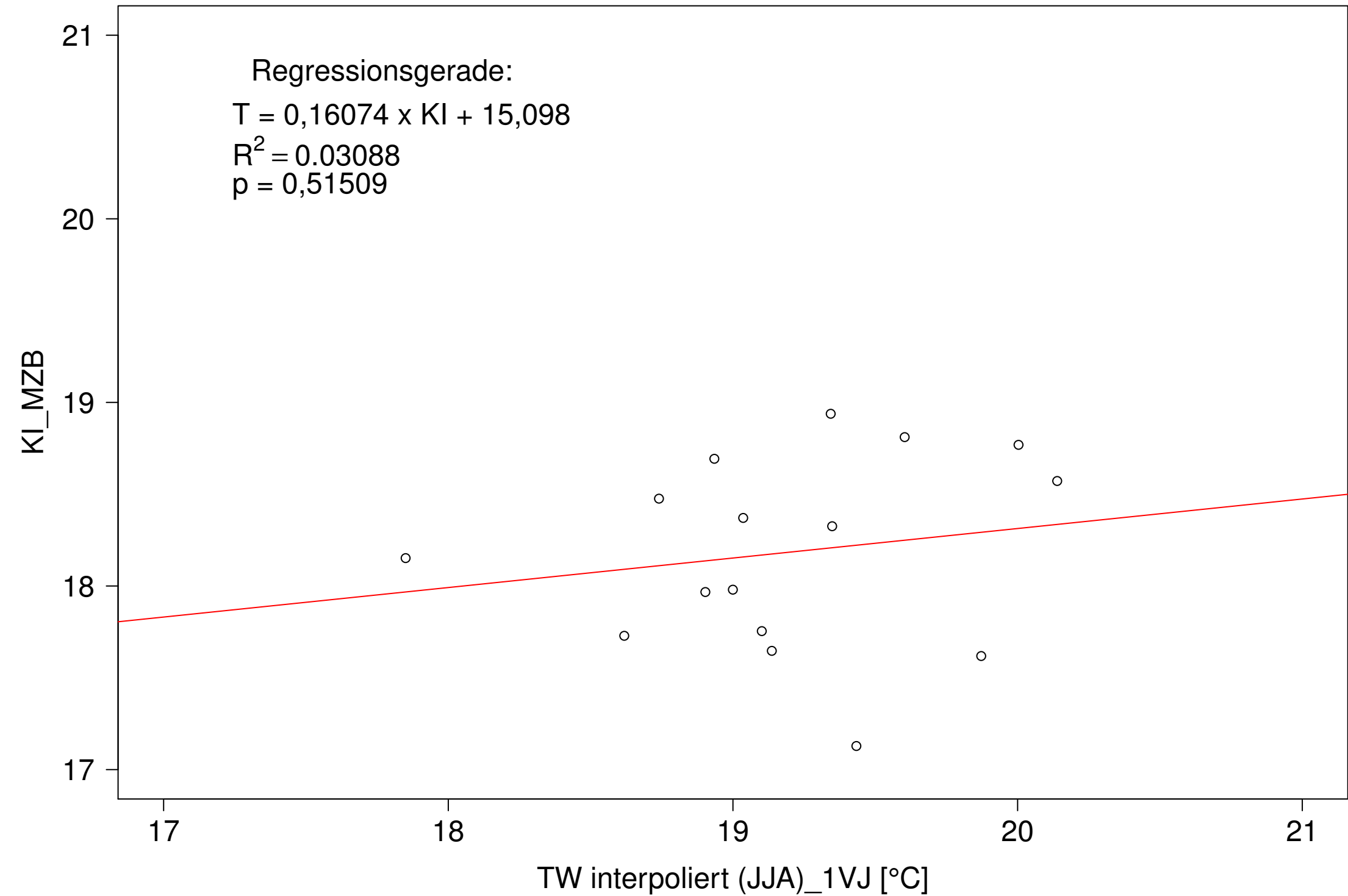
Kocher_Kochendorf, Typ 09.2 mit Neozoen, Serie 4
 KI_MZB (Kont-Korr) gegen 3JMW TW interpoliert (JAS) des 1. Vorjahres



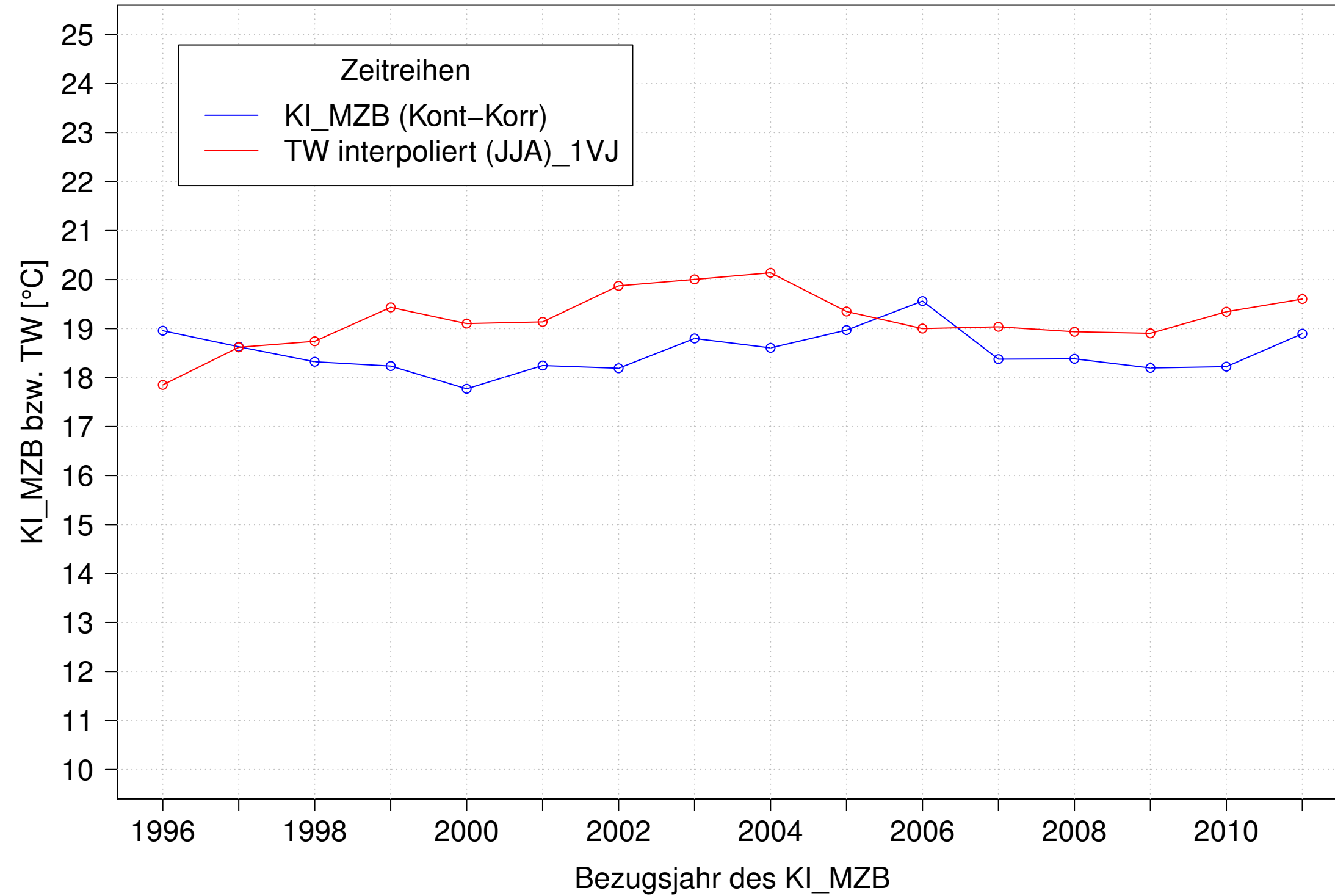
Kocher_Kochendorf, Typ 09.2 mit Neozoen, Serie 1
 KI_MZB (Kont-Korr) und 3JMW TW interpoliert (JJA) des 1. Vorjahres



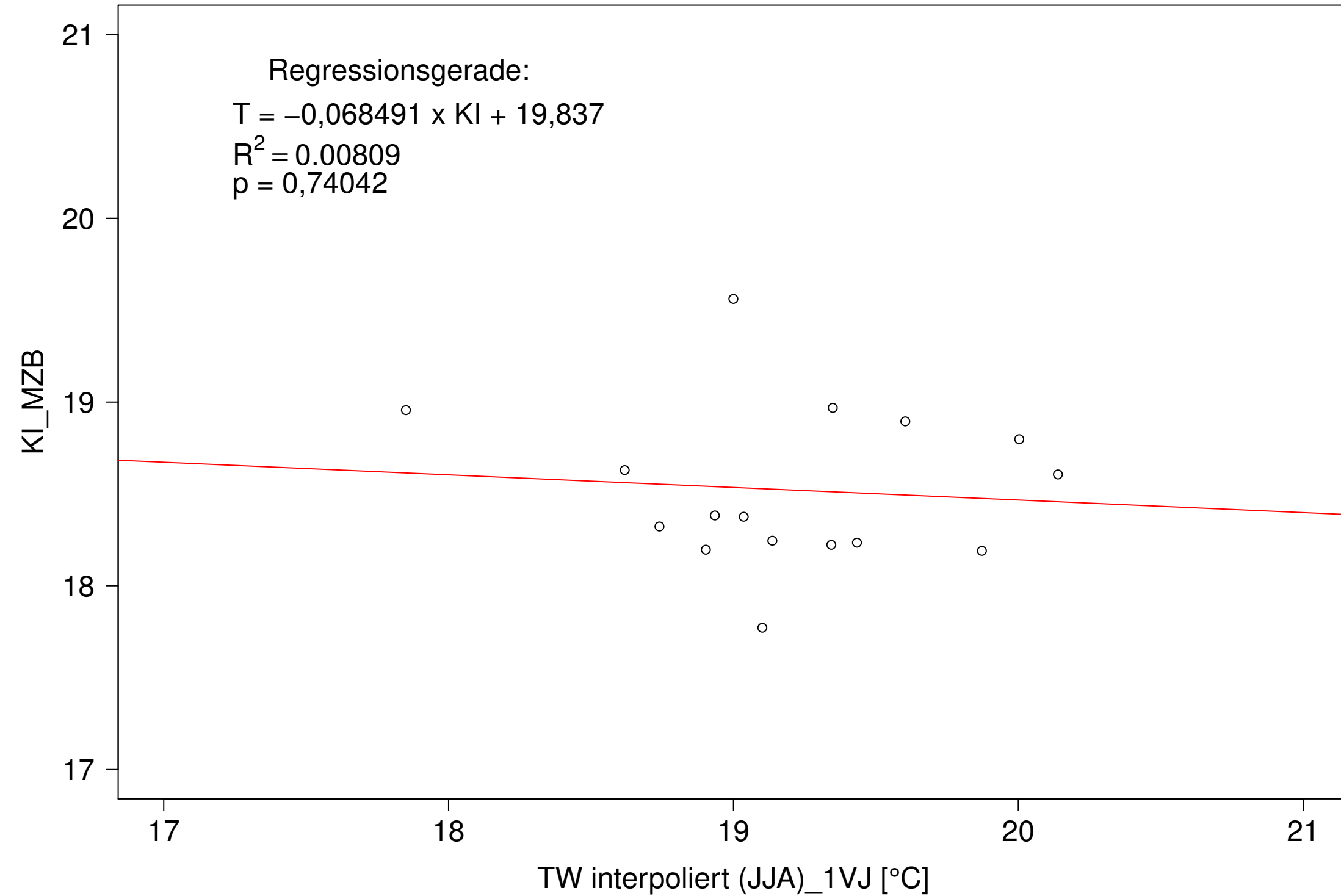
Kocher_Kochendorf, Typ 09.2 mit Neozoen, Serie 1
 KI_MZB (Kont-Korr) gegen 3JMW TW interpoliert (JJA) des 1. Vorjahres



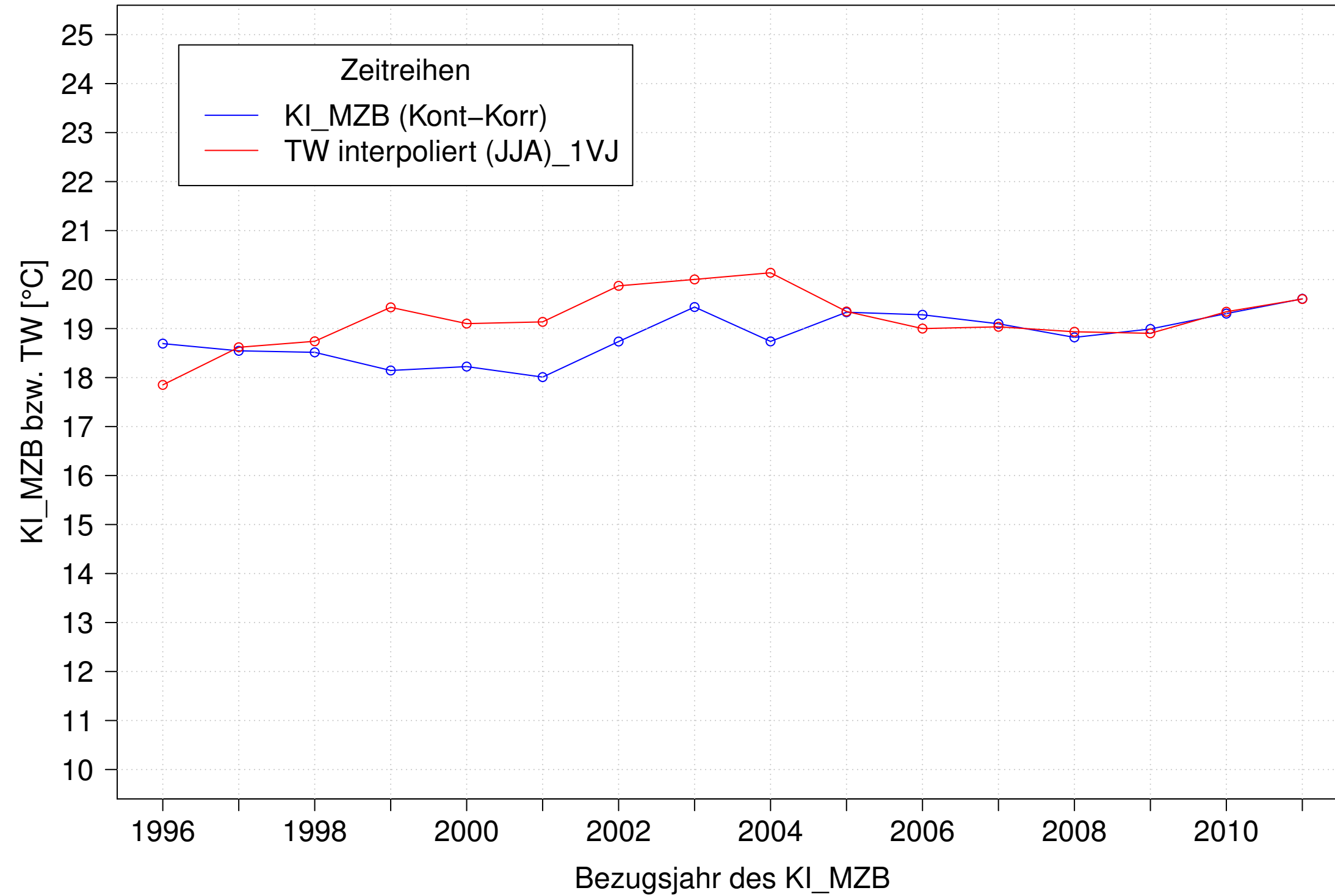
Kocher_Kochendorf, Typ 09.2 mit Neozoen, Serie 2
 KI_MZB (Kont-Korr) und 3JMW TW interpoliert (JJA) des 1. Vorjahres



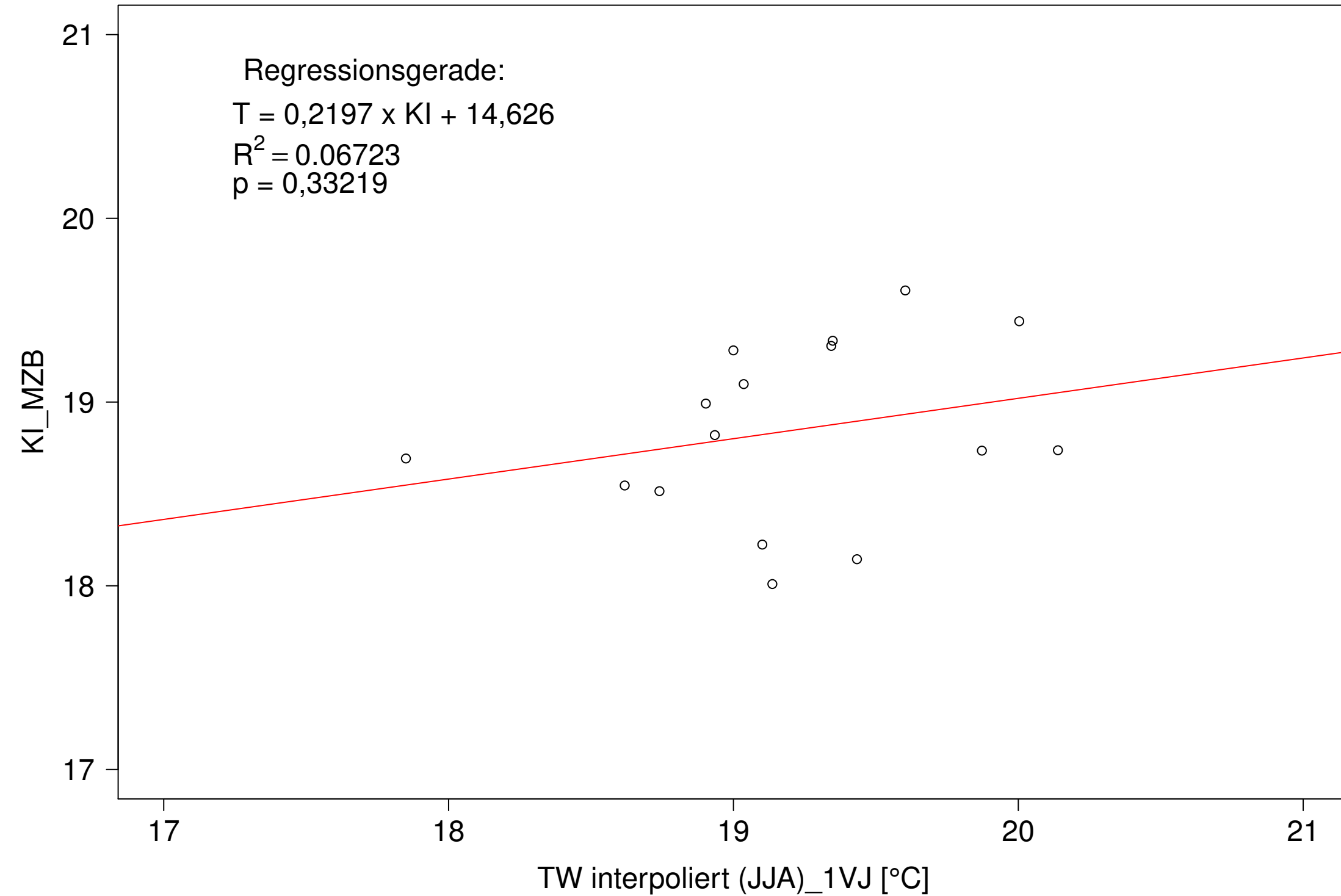
Kocher_Kochendorf, Typ 09.2 mit Neozoen, Serie 2
 KI_MZB (Kont-Korr) gegen 3JMW TW interpoliert (JJA) des 1. Vorjahres



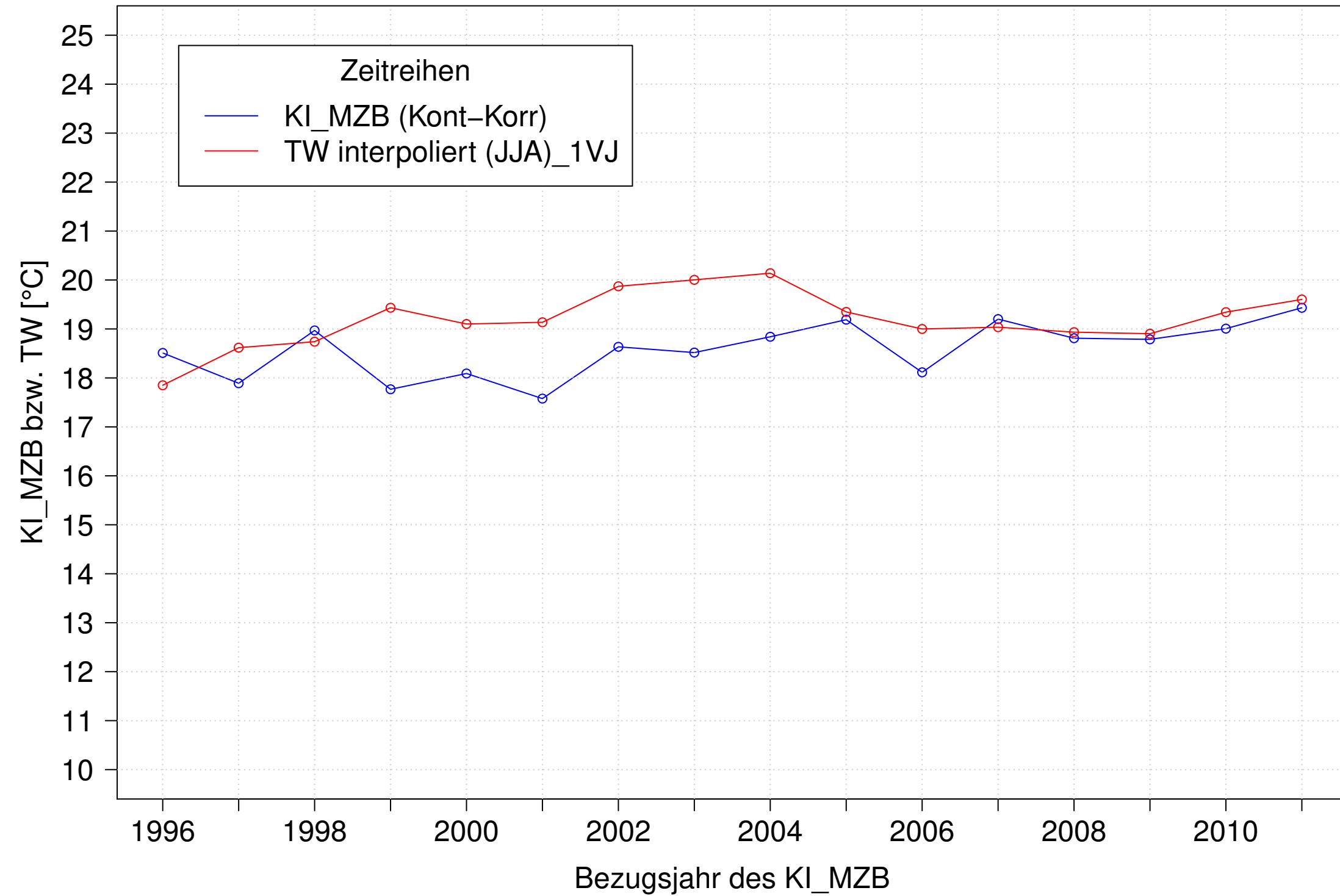
Kocher_Kochendorf, Typ 09.2 mit Neozoen, Serie 3
 KI_MZB (Kont-Korr) und 3JMW TW interpoliert (JJA) des 1. Vorjahres



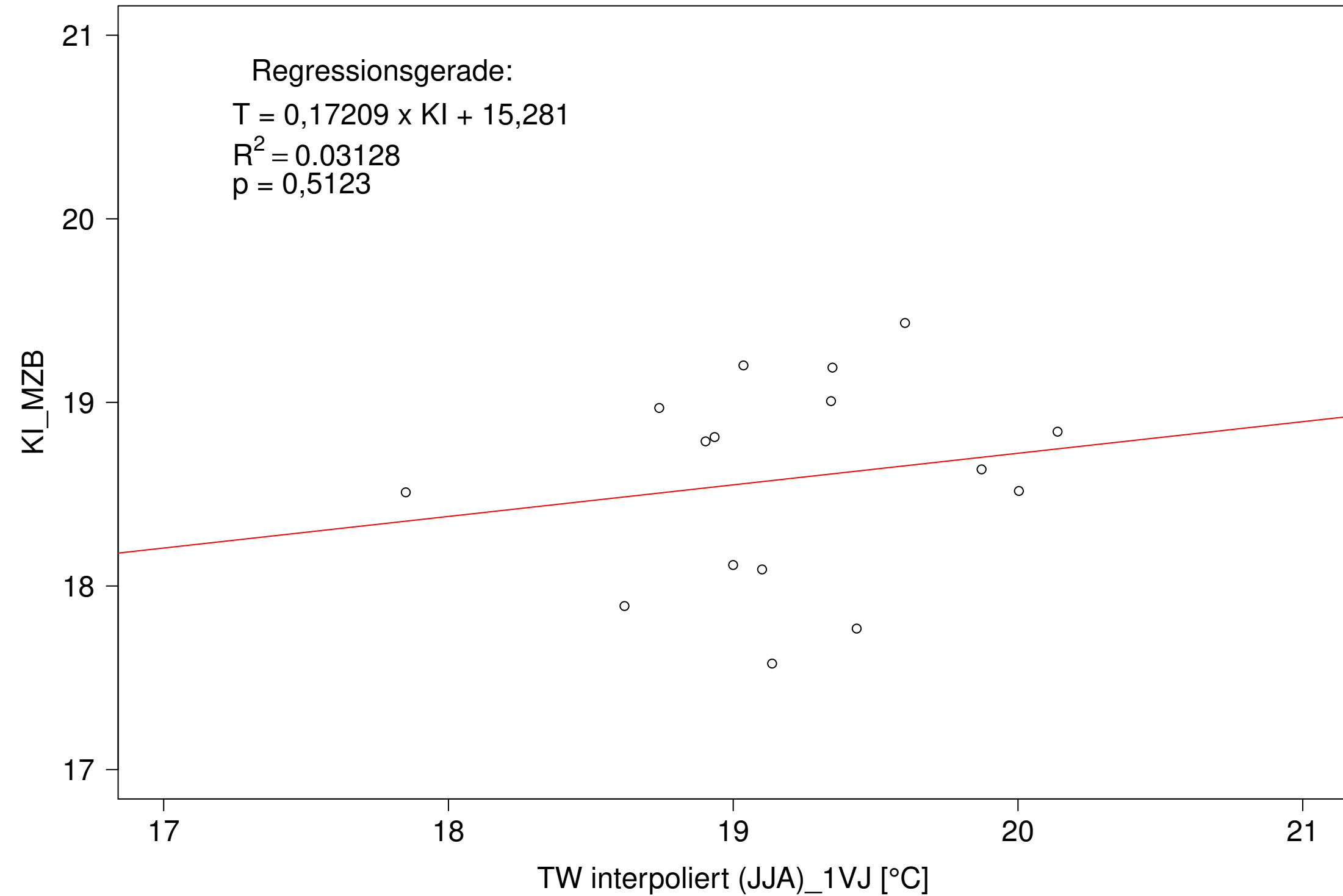
Kocher_Kochendorf, Typ 09.2 mit Neozoen, Serie 3
 KI_MZB (Kont-Korr) gegen 3JMW TW interpoliert (JJA) des 1. Vorjahres



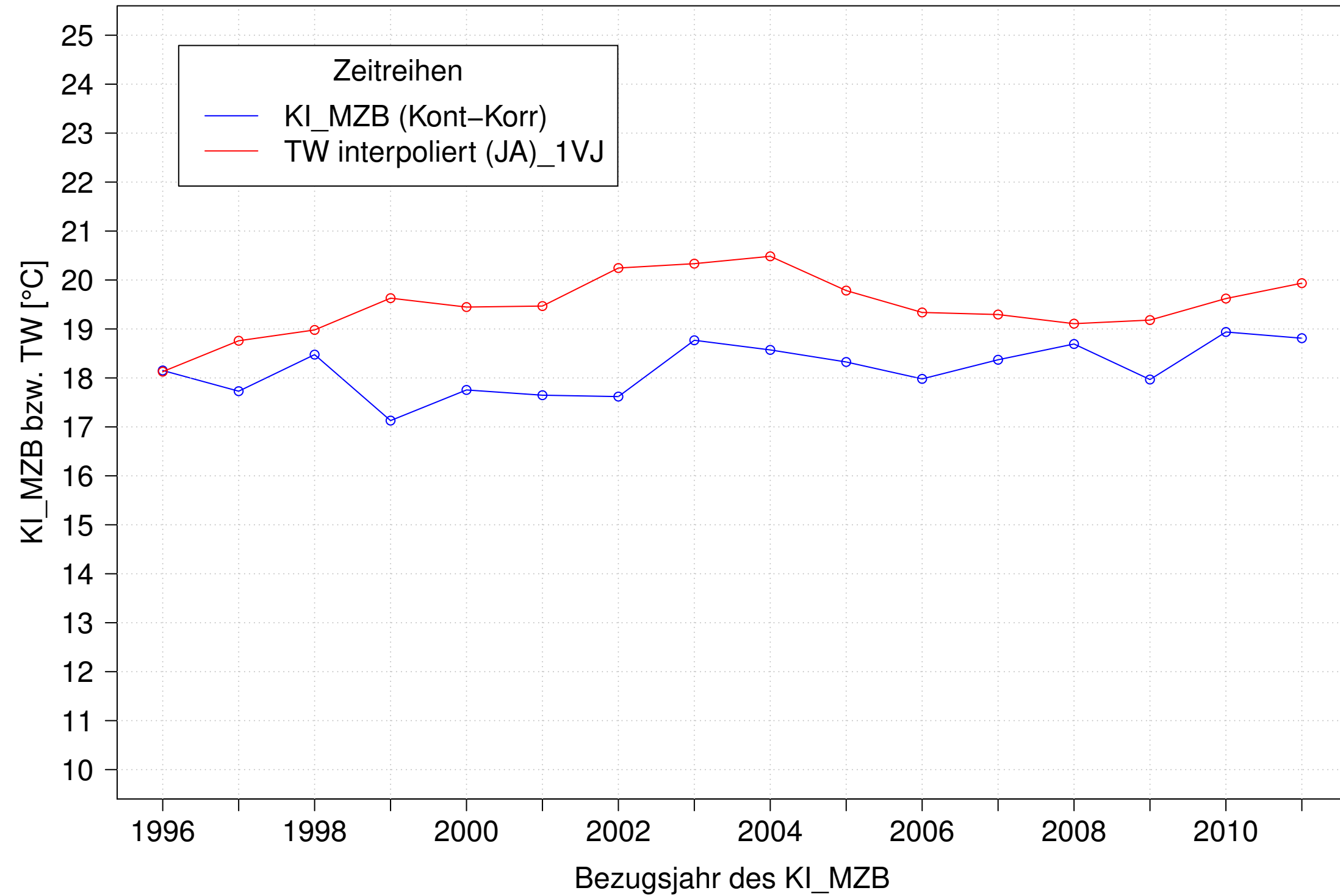
Kocher_Kochendorf, Typ 09.2 mit Neozoen, Serie 4
 KI_MZB (Kont-Korr) und 3JMW TW interpoliert (JJA) des 1. Vorjahres



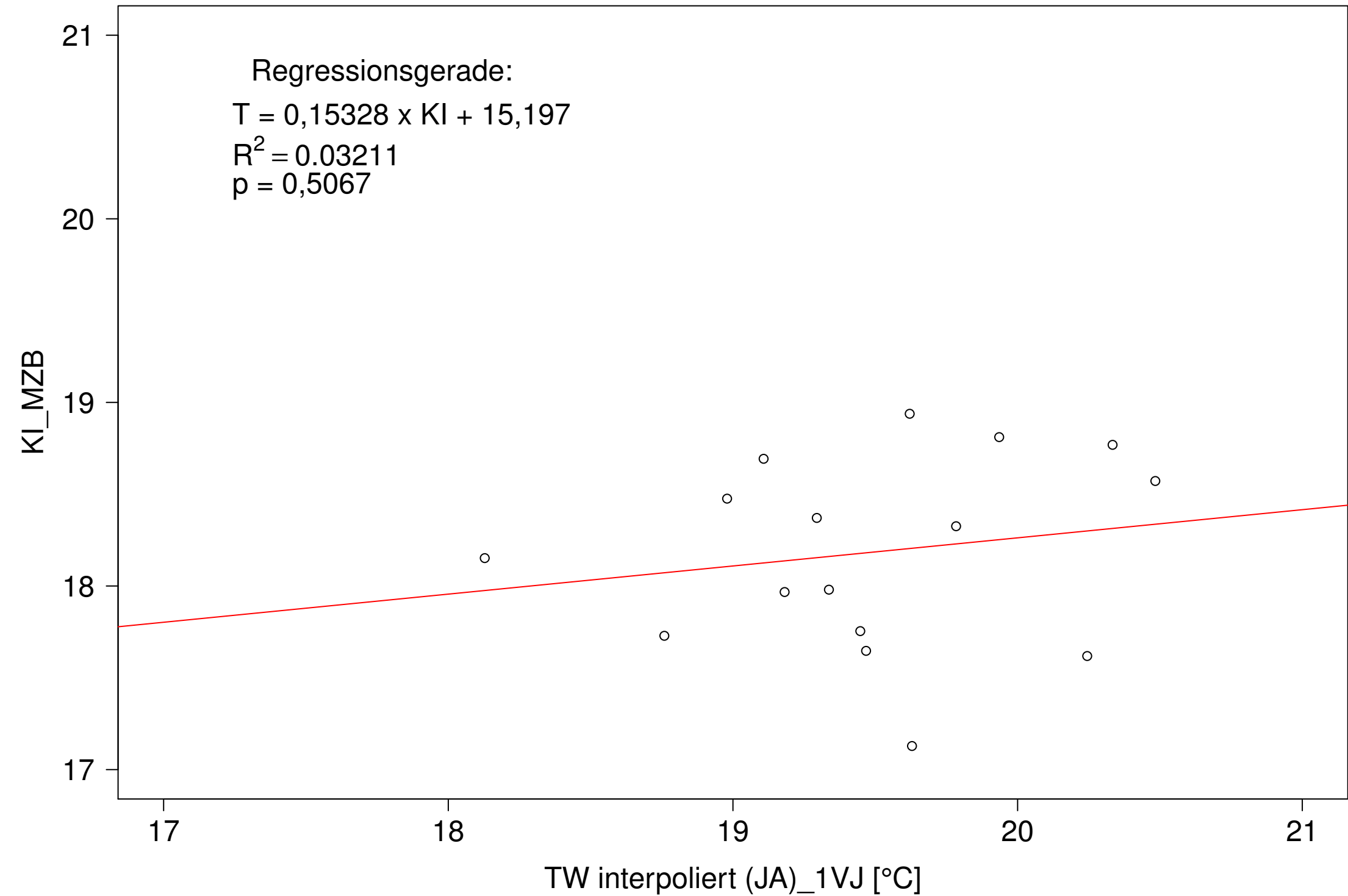
Kocher_Kochendorf, Typ 09.2 mit Neozoen, Serie 4
 KI_MZB (Kont-Korr) gegen 3JMW TW interpoliert (JJA) des 1. Vorjahres



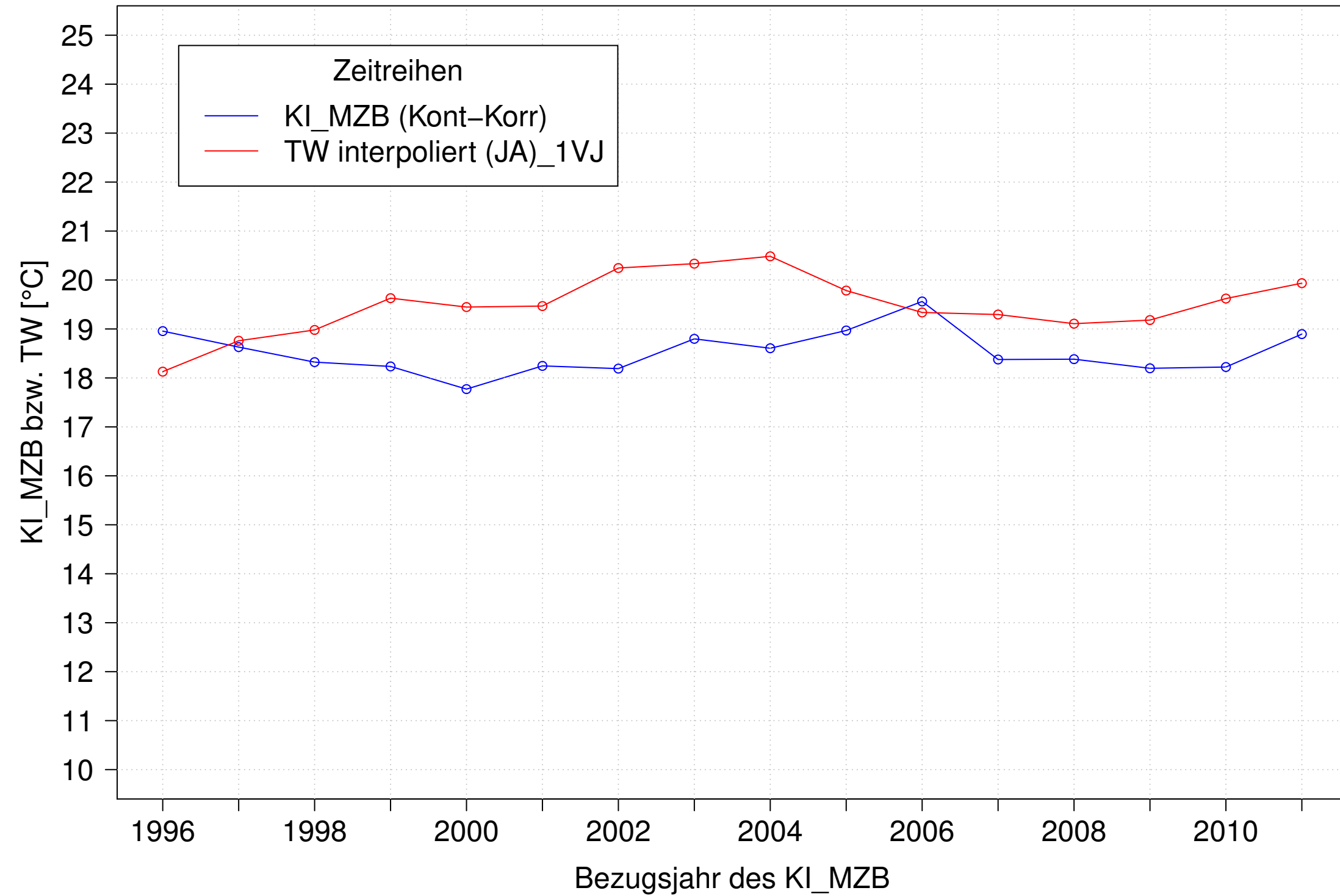
Kocher_Kochendorf, Typ 09.2 mit Neozoen, Serie 1
KI_MZB (Kont-Korr) und 3JMW TW interpoliert (JA) des 1. Vorjahres



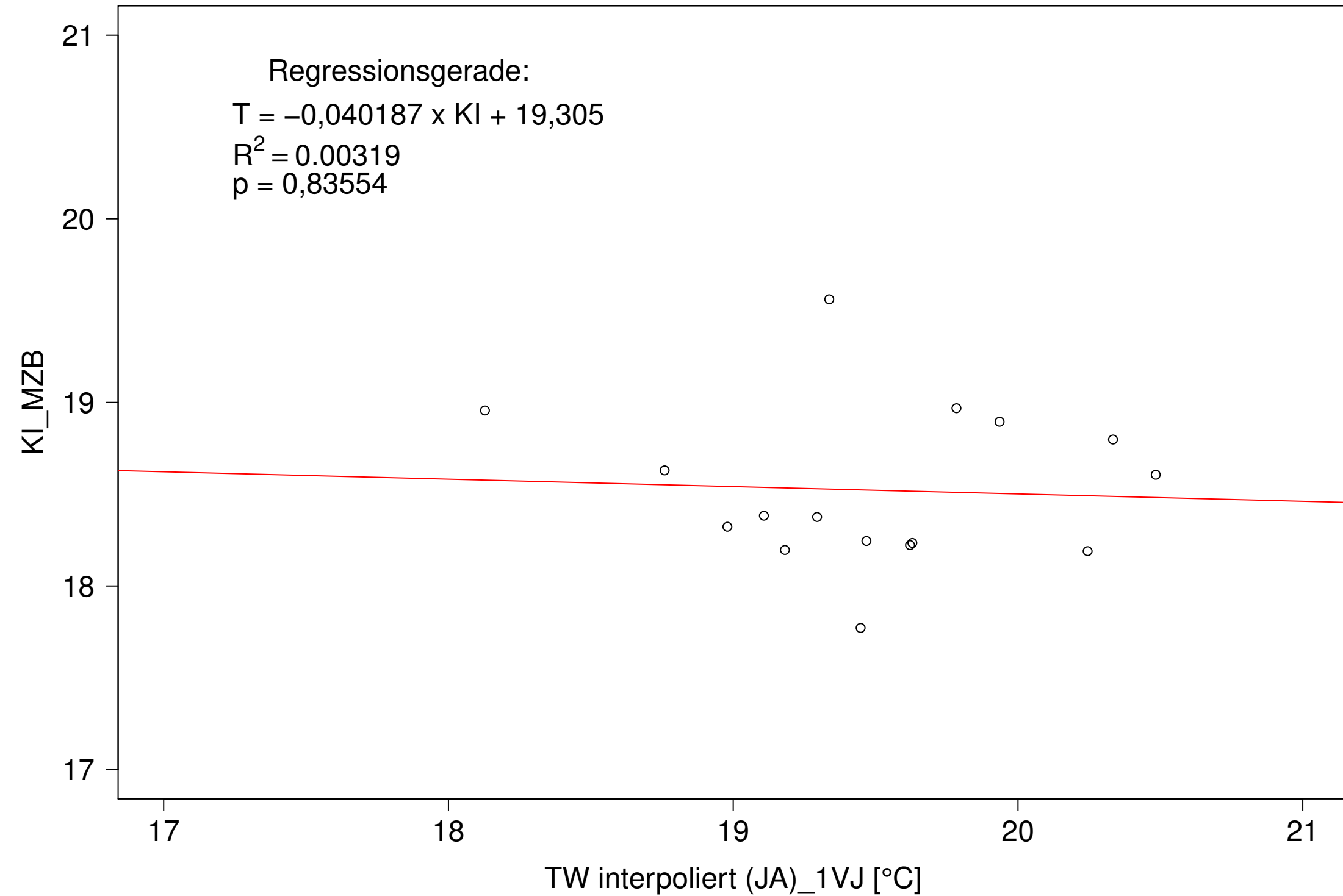
Kocher_Kochendorf, Typ 09.2 mit Neozoen, Serie 1
KI_MZB (Kont-Korr) gegen 3JMW TW interpoliert (JA) des 1. Vorjahres



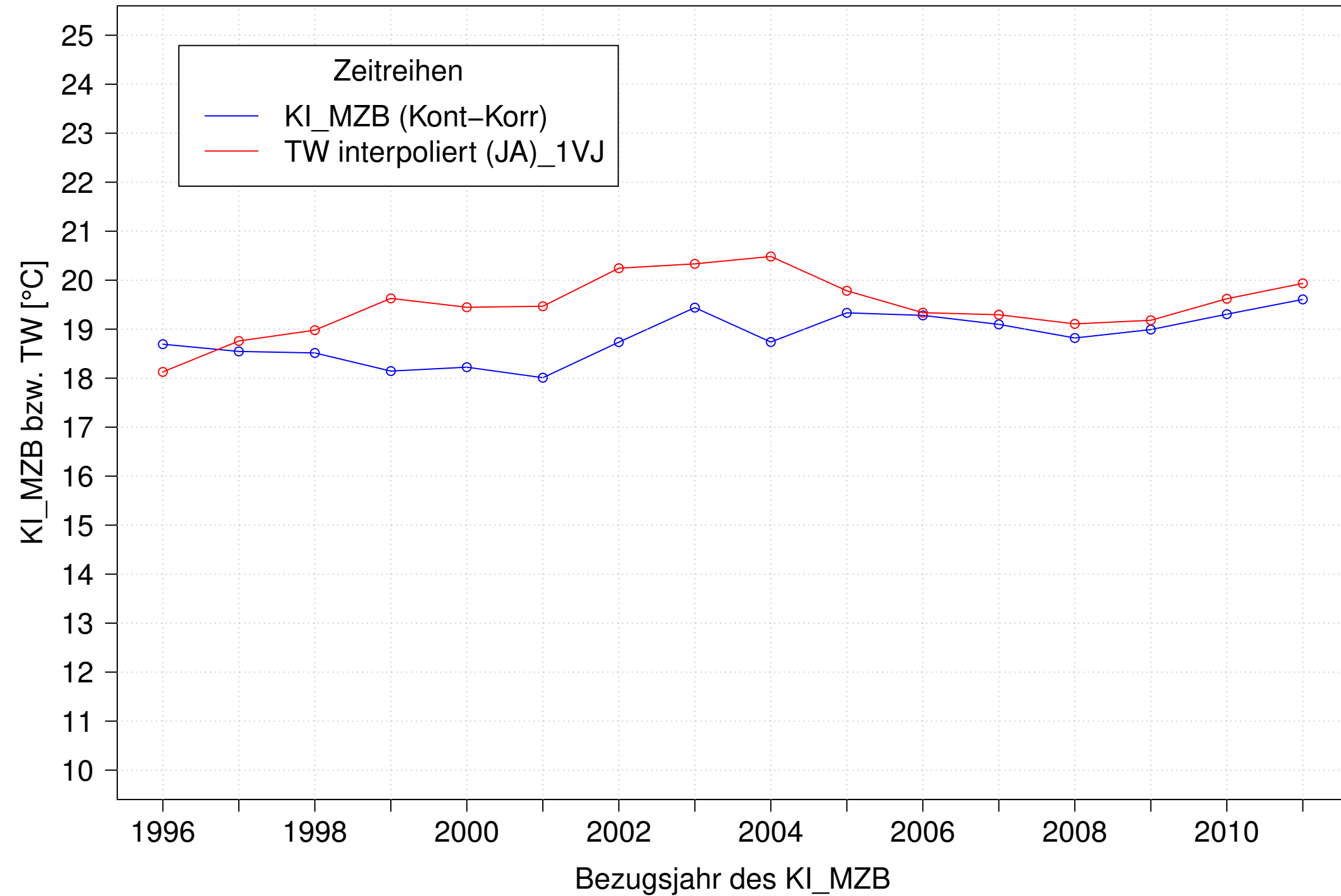
Kocher_Kochendorf, Typ 09.2 mit Neozoen, Serie 2
 KI_MZB (Kont-Korr) und 3JMW TW interpoliert (JA) des 1. Vorjahres



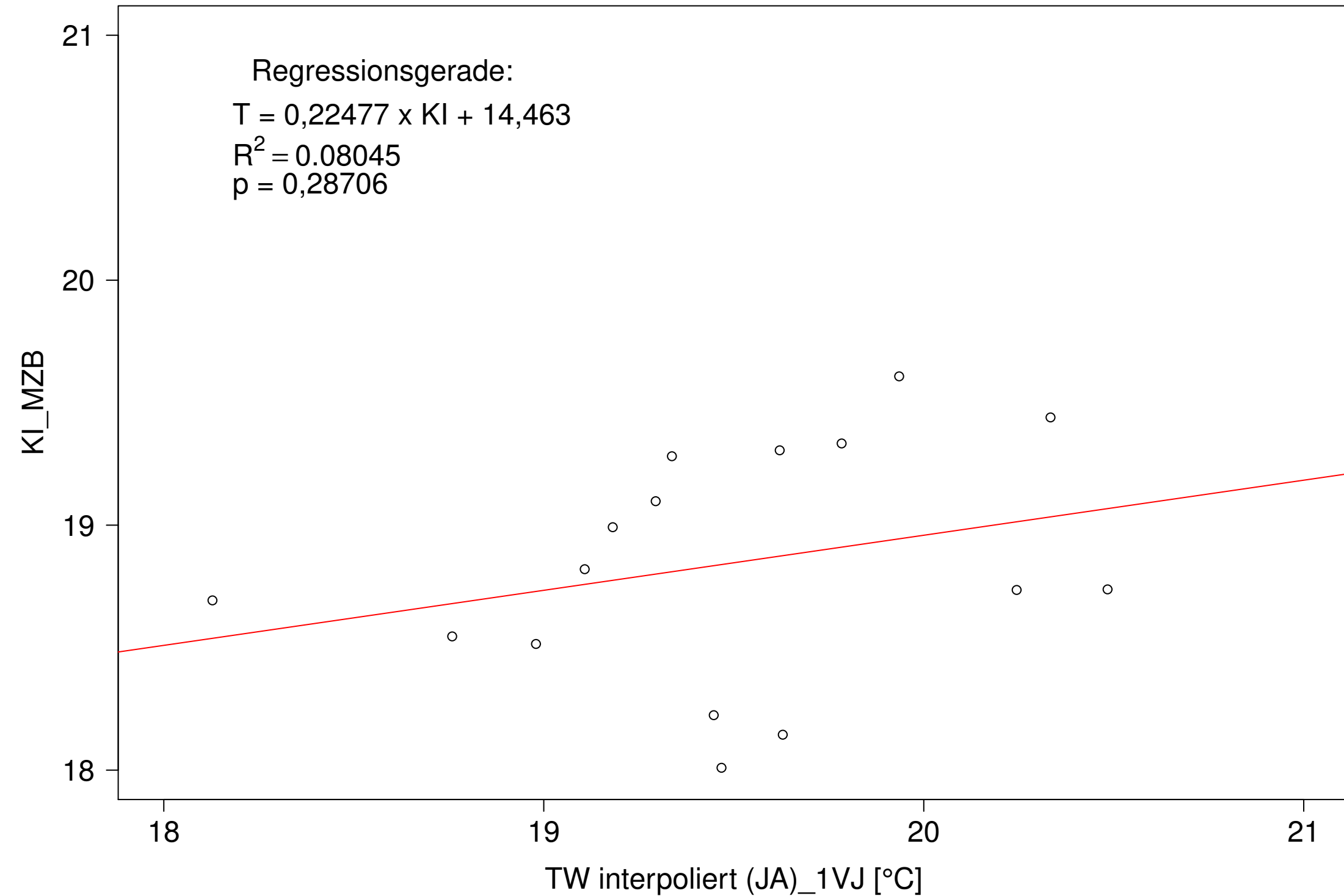
Kocher_Kochendorf, Typ 09.2 mit Neozoen, Serie 2
 KI_MZB (Kont-Korr) gegen 3JMW TW interpoliert (JA) des 1. Vorjahres



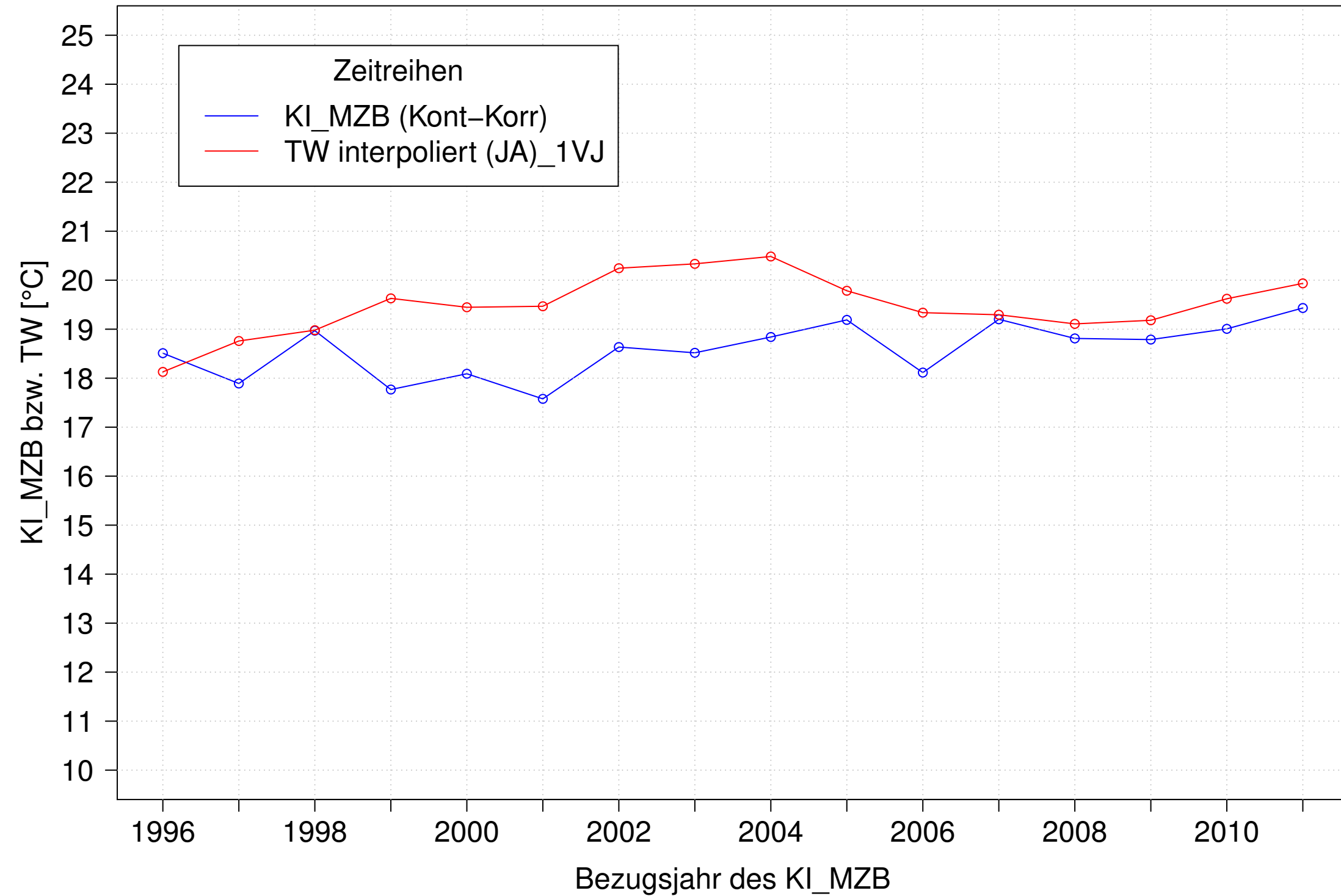
Kocher_Kochendorf, Typ 09.2 mit Neozoen, Serie 3
KI_MZB (Kont-Korr) und 3JMW TW interpoliert (JA) des 1. Vorjahres



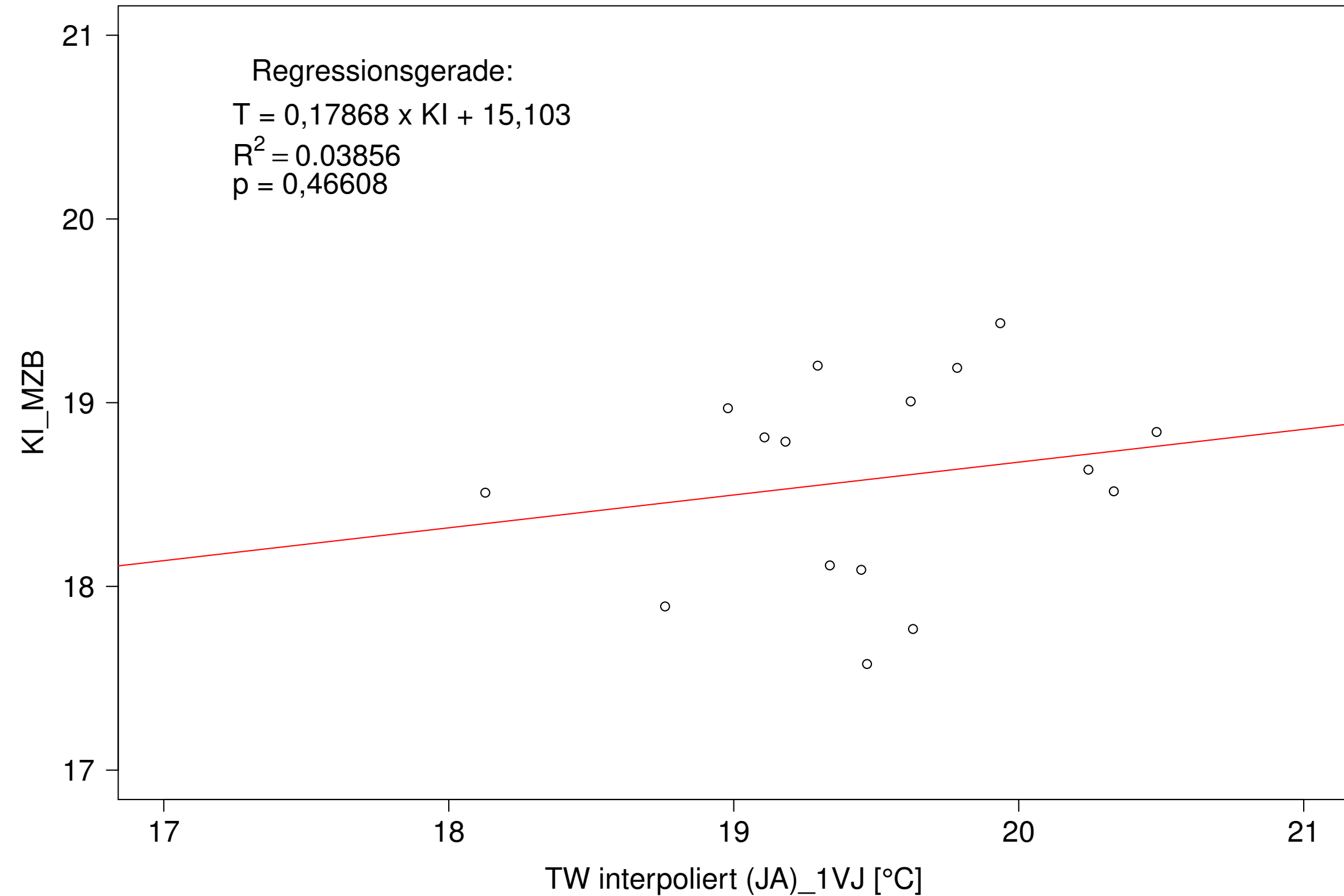
Kocher_Kochendorf, Typ 09.2 mit Neozoen, Serie 3
KI_MZB (Kont-Korr) gegen 3JMW TW interpoliert (JA) des 1. Vorjahres



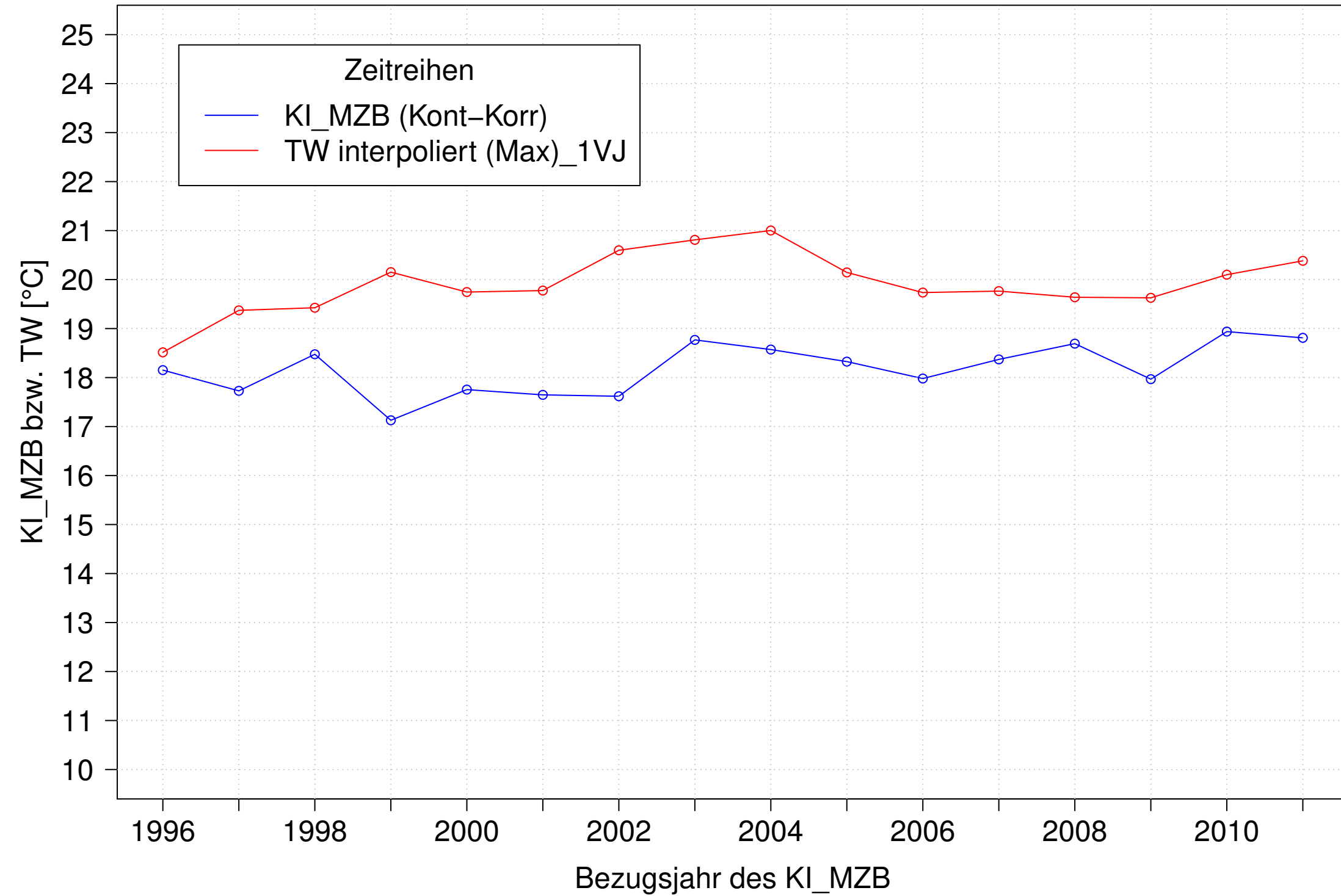
Kocher_Kochendorf, Typ 09.2 mit Neozoen, Serie 4
KI_MZB (Kont-Korr) und 3JMW TW interpoliert (JA) des 1. Vorjahres



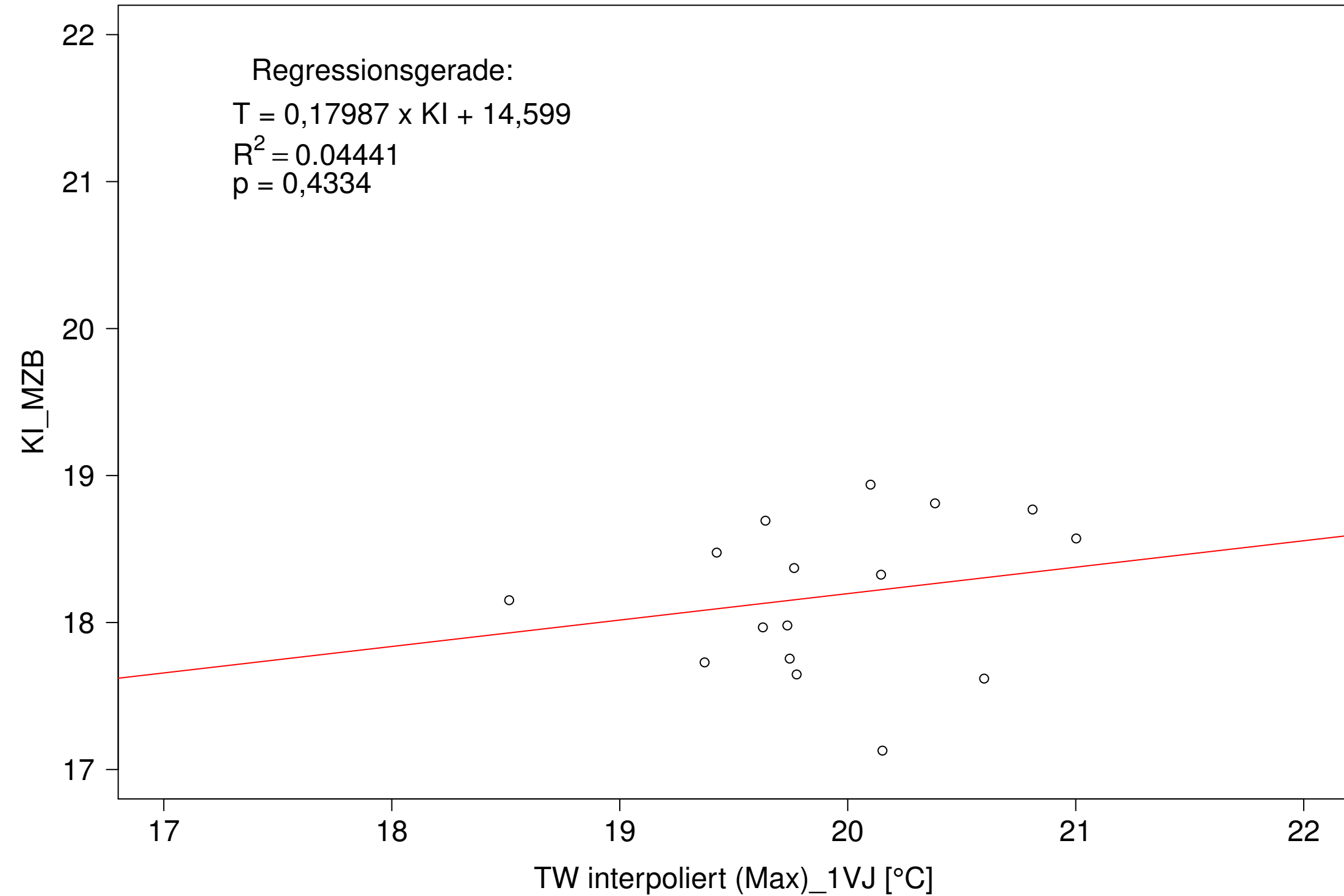
Kocher_Kochendorf, Typ 09.2 mit Neozoen, Serie 4
KI_MZB (Kont-Korr) gegen 3JMW TW interpoliert (JA) des 1. Vorjahres



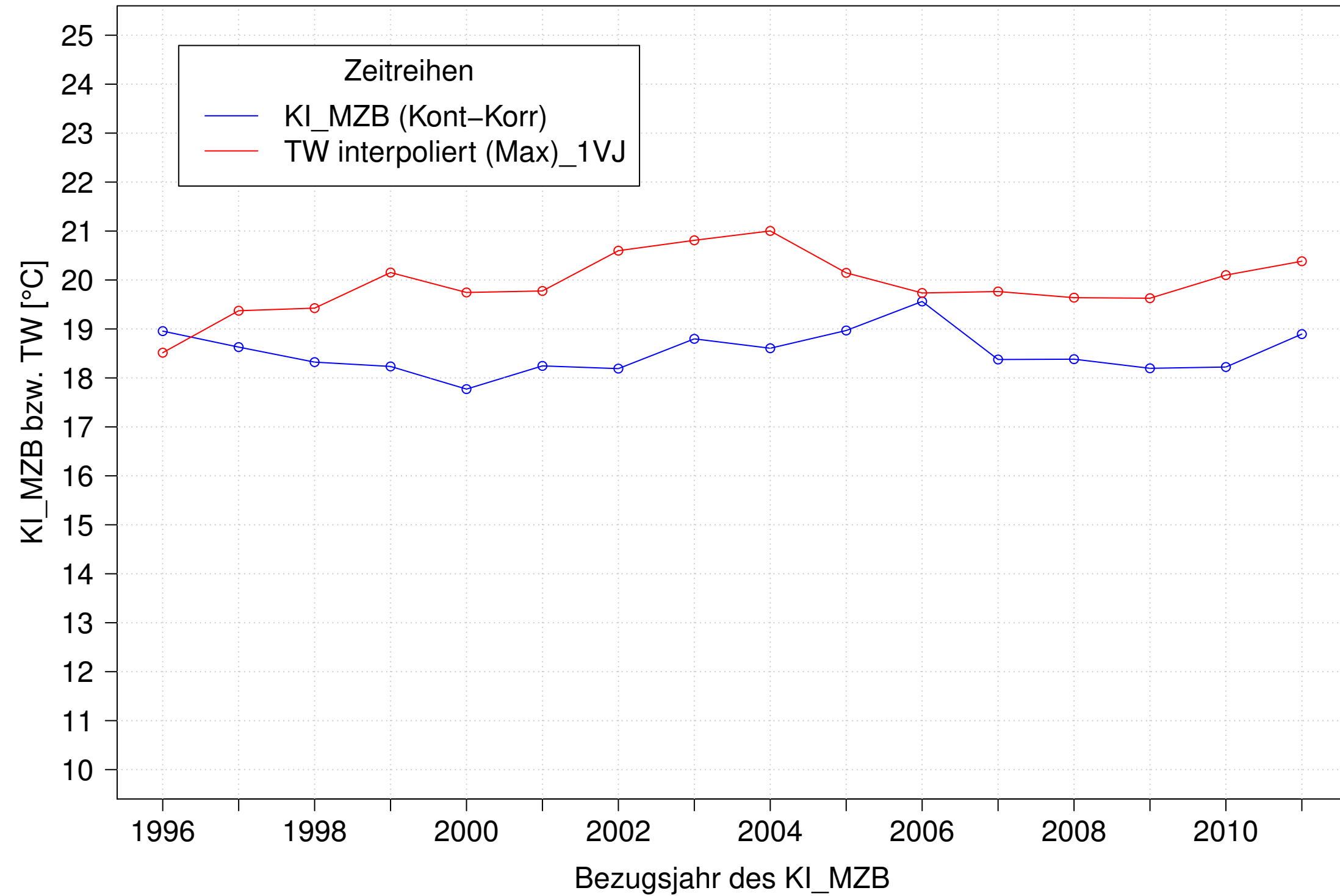
Kocher_Kochendorf, Typ 09.2 mit Neozoen, Serie 1
KI_MZB (Kont-Korr) und 3JMW TW interpoliert (Max) des 1. Vorjahres



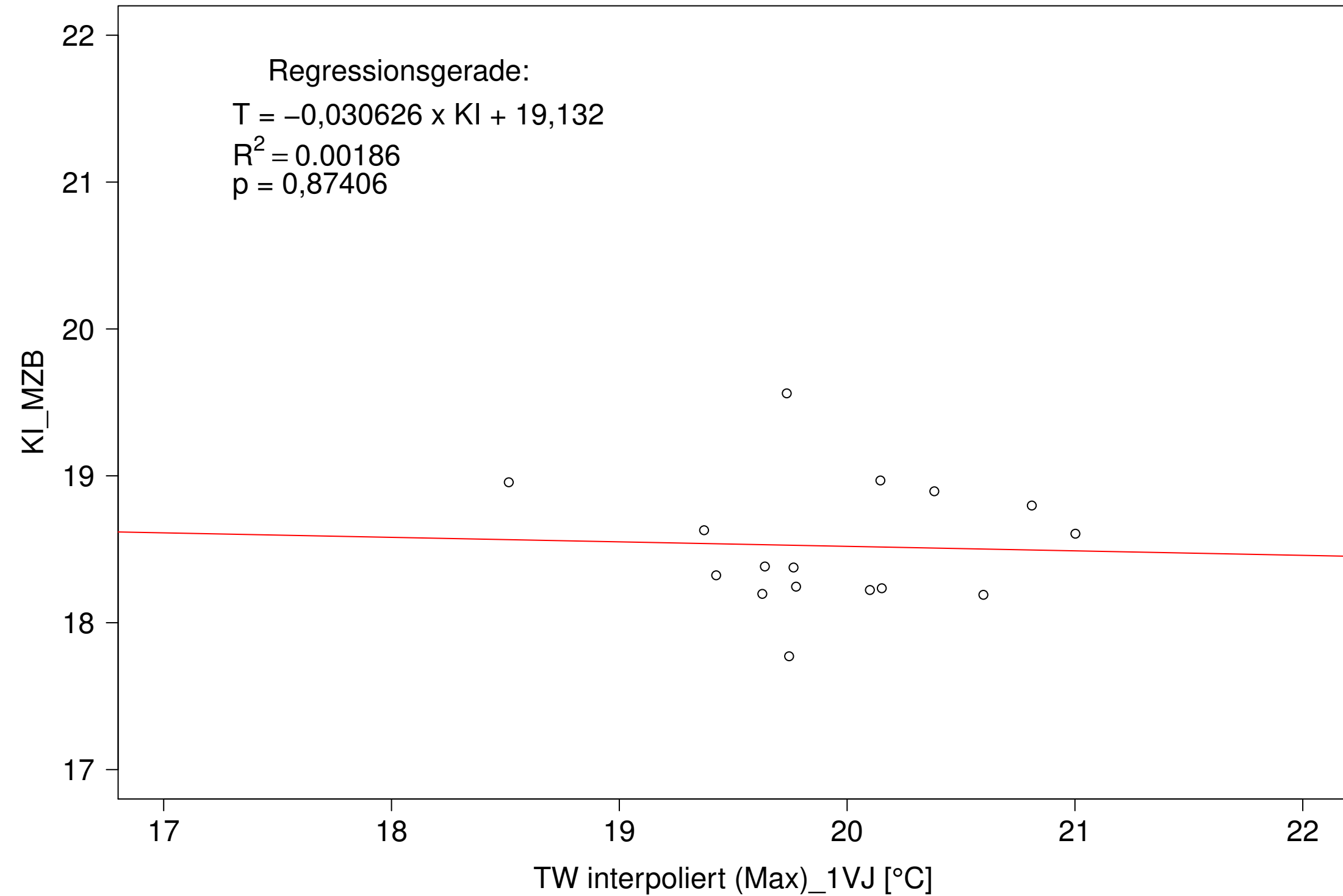
Kocher_Kochendorf, Typ 09.2 mit Neozoen, Serie 1
KI_MZB (Kont-Korr) gegen 3JMW TW interpoliert (Max) des 1. Vorjahres



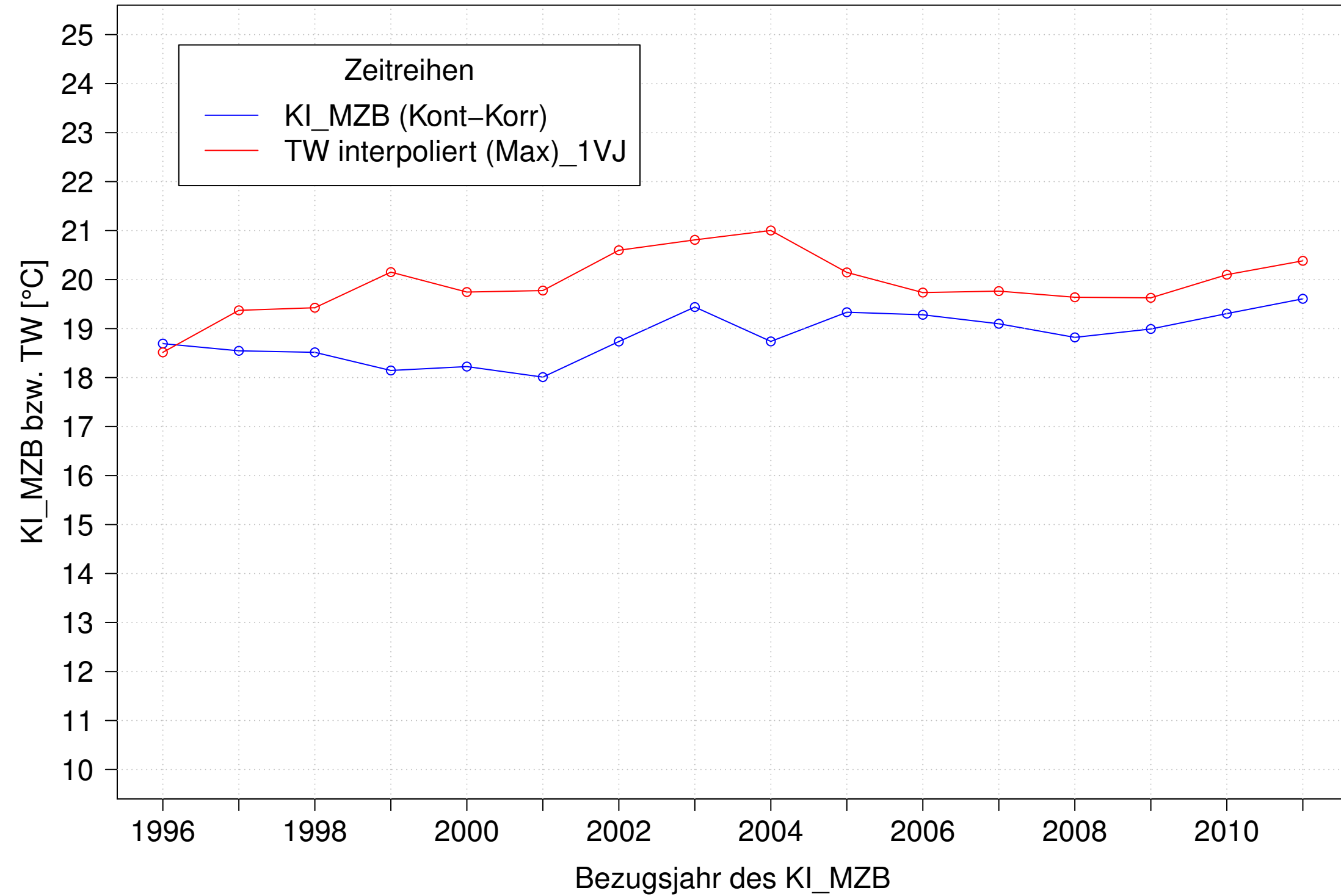
Kocher_Kochendorf, Typ 09.2 mit Neozoen, Serie 2
 KI_MZB (Kont-Korr) und 3JMW TW interpoliert (Max) des 1. Vorjahres



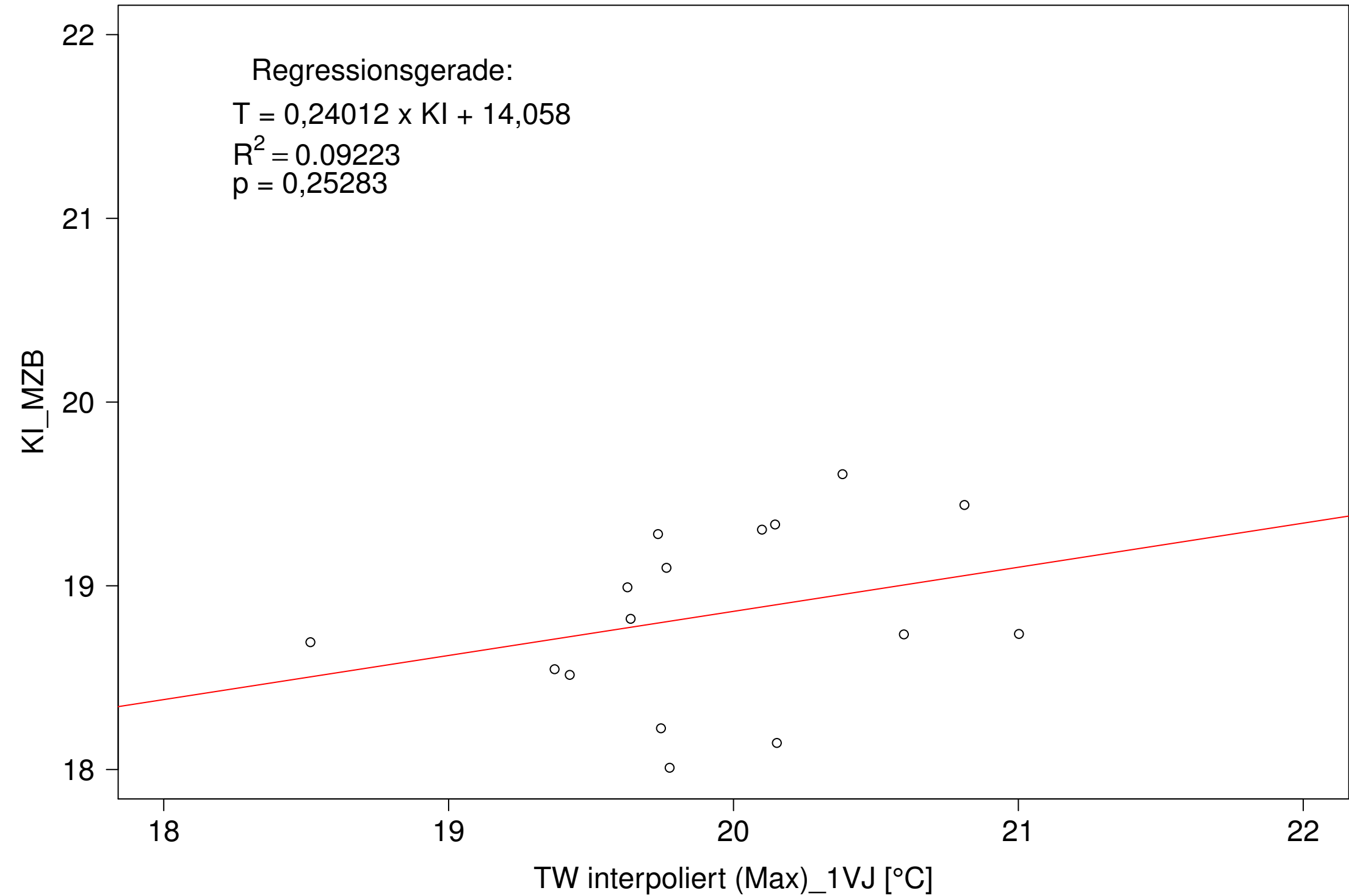
Kocher_Kochendorf, Typ 09.2 mit Neozoen, Serie 2
 KI_MZB (Kont-Korr) gegen 3JMW TW interpoliert (Max) des 1. Vorjahres



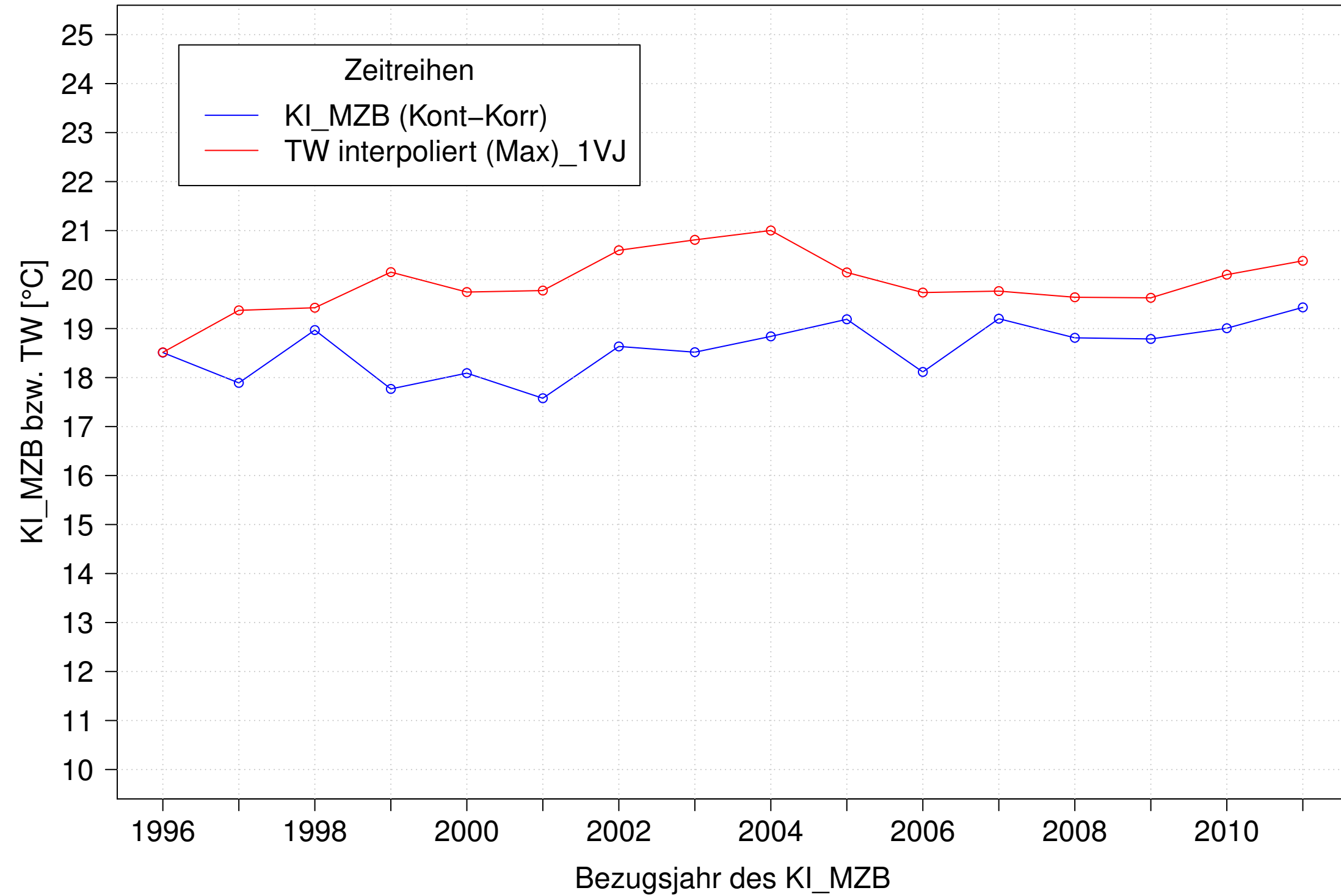
Kocher_Kochendorf, Typ 09.2 mit Neozoen, Serie 3
 KI_MZB (Kont-Korr) und 3JMW TW interpoliert (Max) des 1. Vorjahres



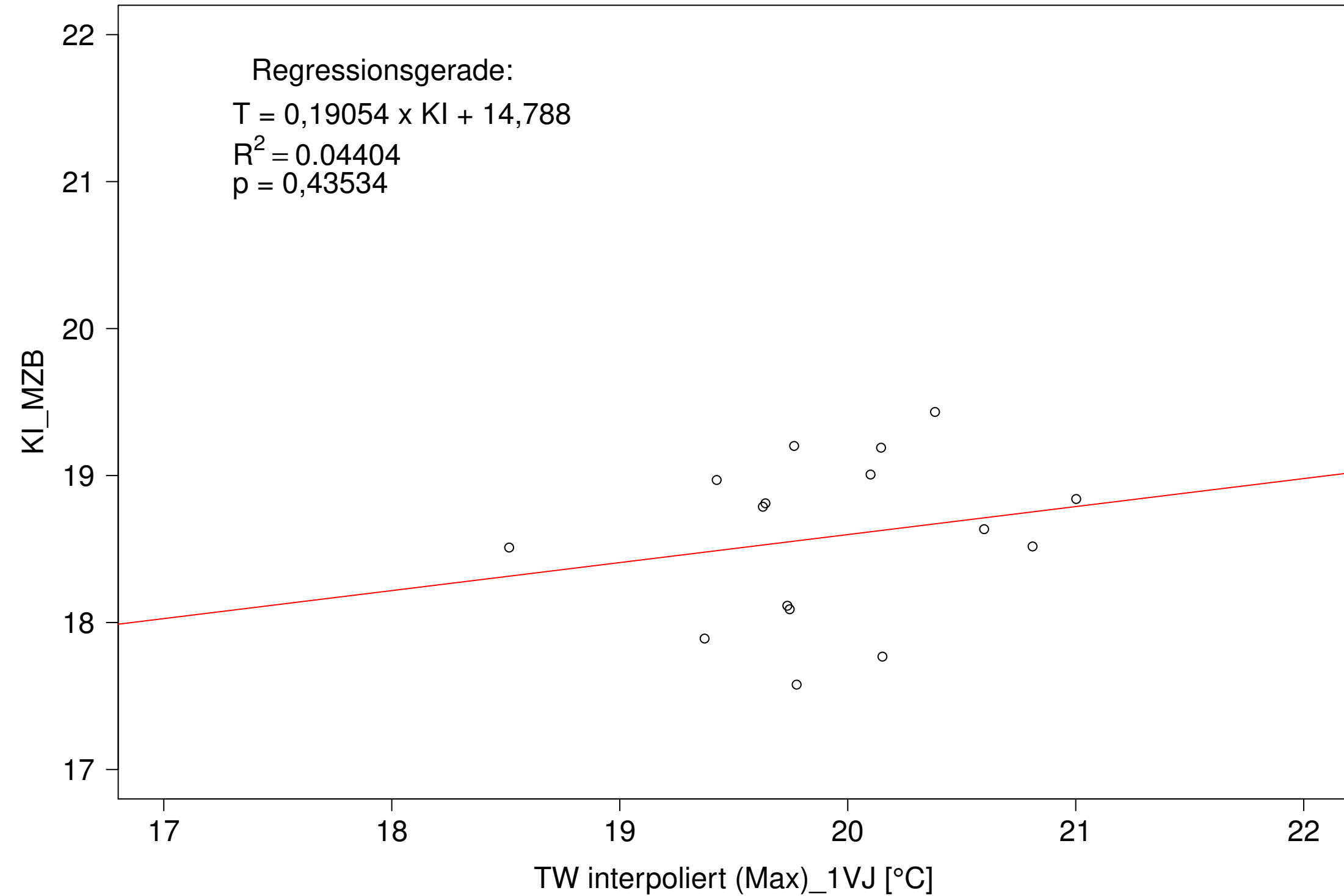
Kocher_Kochendorf, Typ 09.2 mit Neozoen, Serie 3
 KI_MZB (Kont-Korr) gegen 3JMW TW interpoliert (Max) des 1. Vorjahres



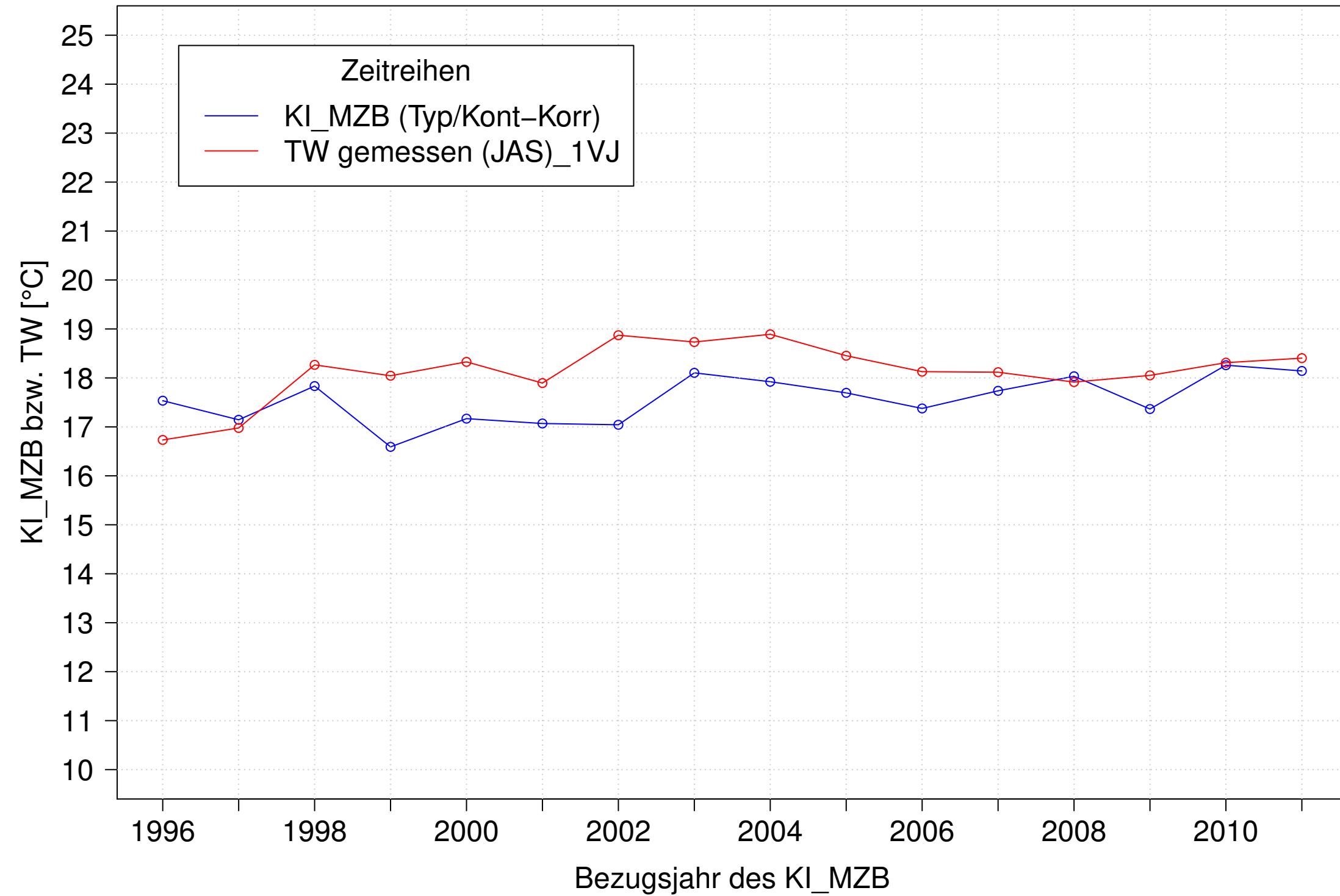
Kocher_Kochendorf, Typ 09.2 mit Neozoen, Serie 4
 KI_MZB (Kont-Korr) und 3JMW TW interpoliert (Max) des 1. Vorjahres



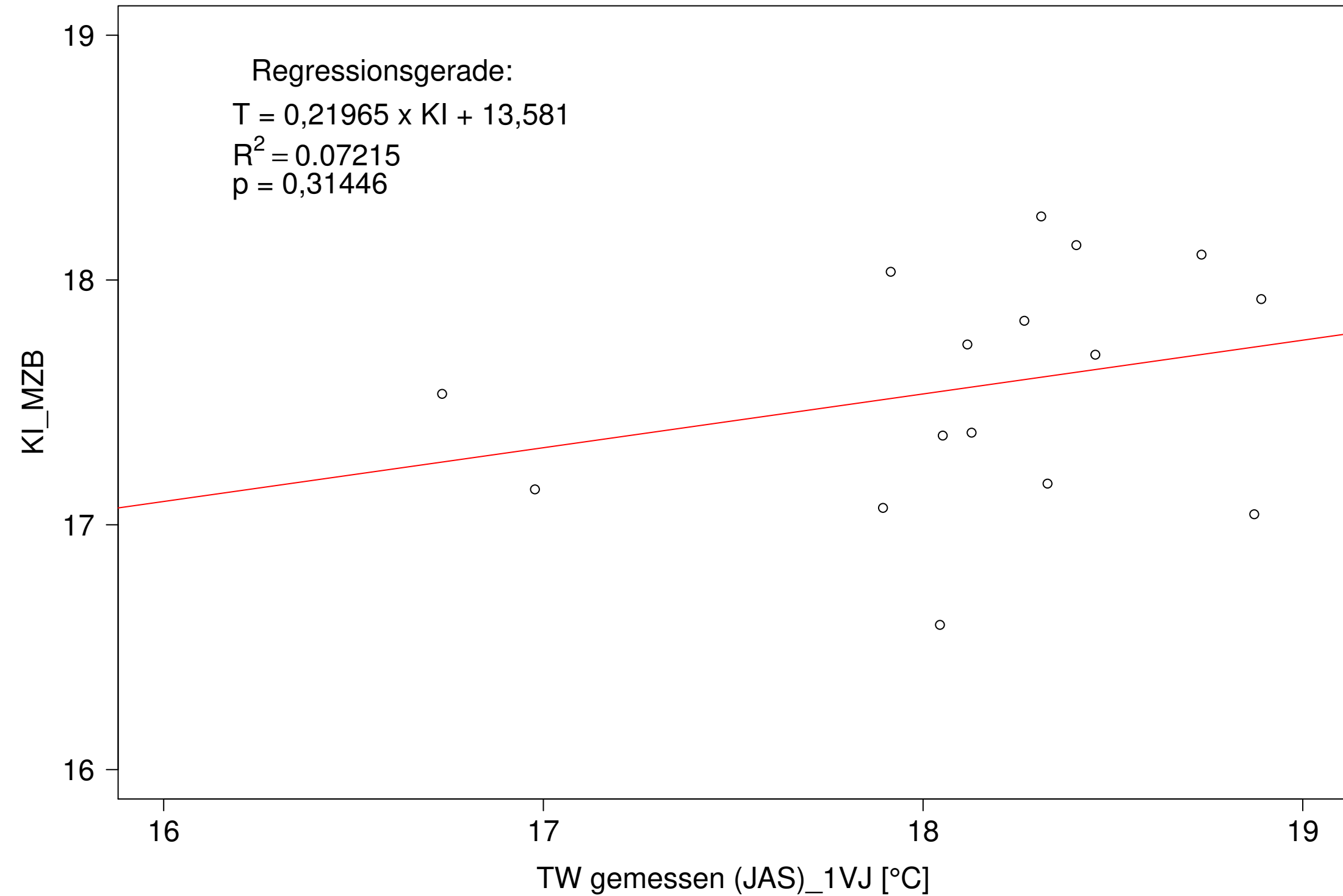
Kocher_Kochendorf, Typ 09.2 mit Neozoen, Serie 4
 KI_MZB (Kont-Korr) gegen 3JMW TW interpoliert (Max) des 1. Vorjahres



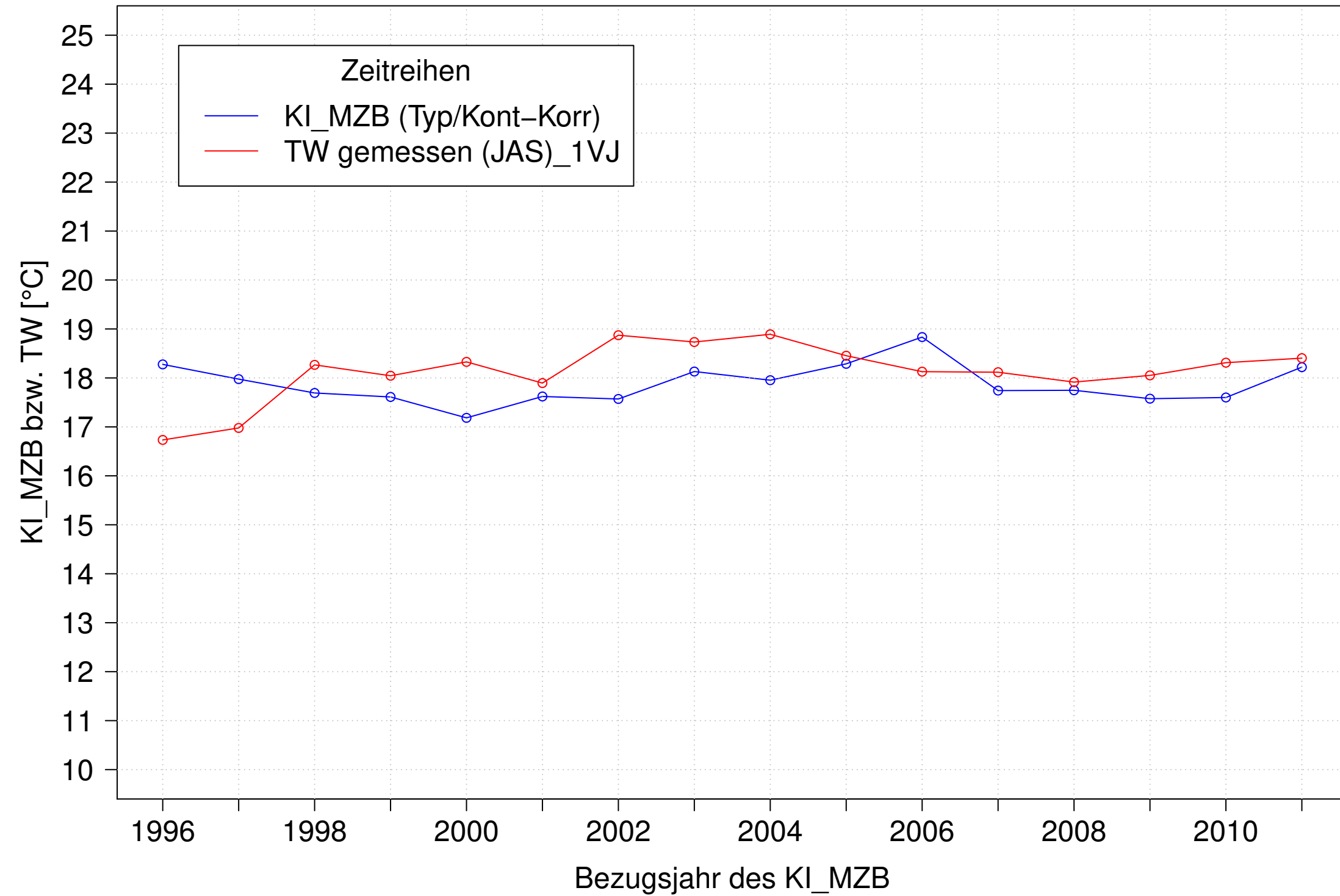
Kocher_Kochendorf, Typ 09.2 mit Neozoen, Serie 1
 KI_MZB (Typ/Kont-Korr) und 3JMW TW gemessen (JAS) des 1. Vorjahres



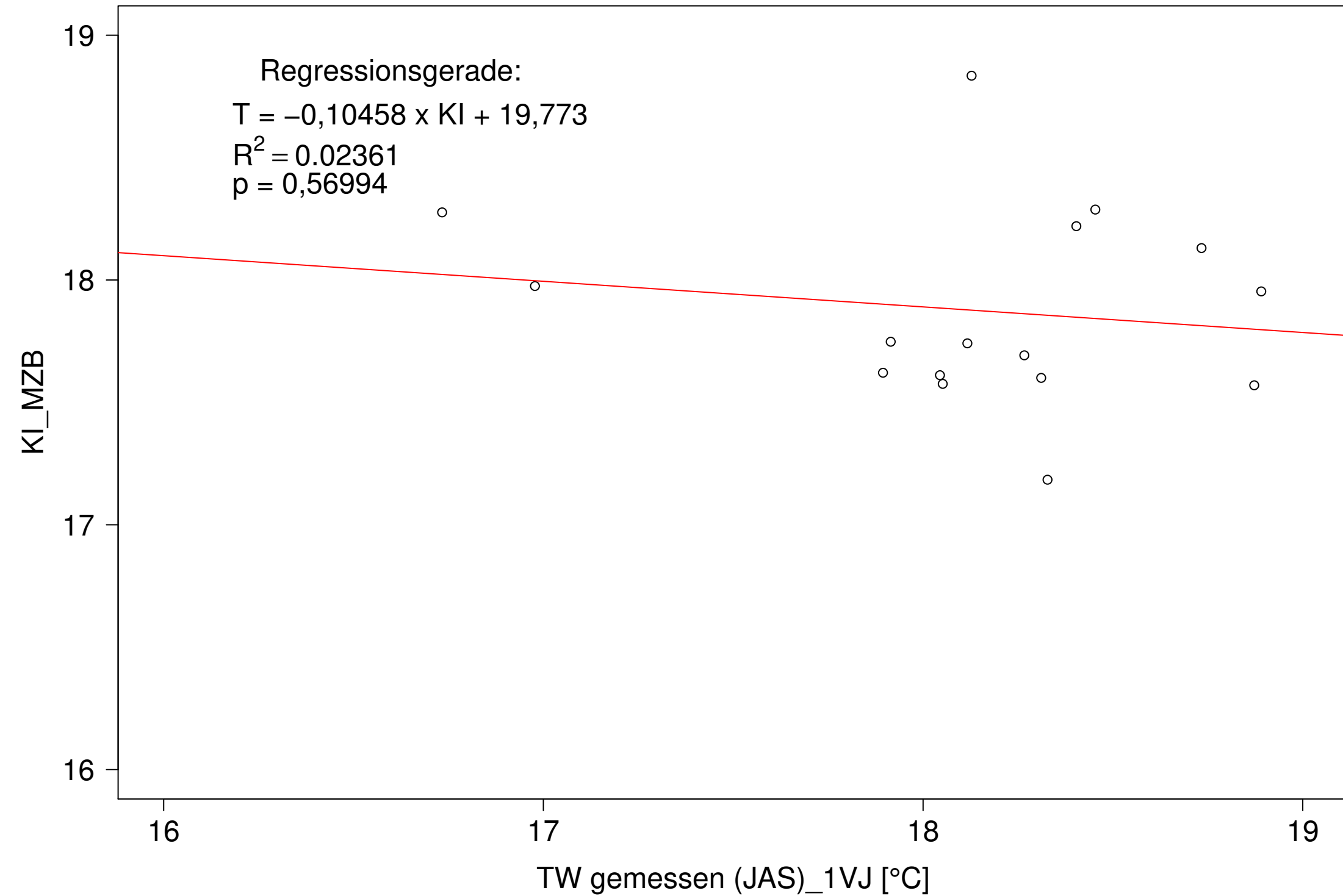
Kocher_Kochendorf, Typ 09.2 mit Neozoen, Serie 1
 KI_MZB (Typ/Kont-Korr) gegen 3JMW TW gemessen (JAS) des 1. Vorjahres



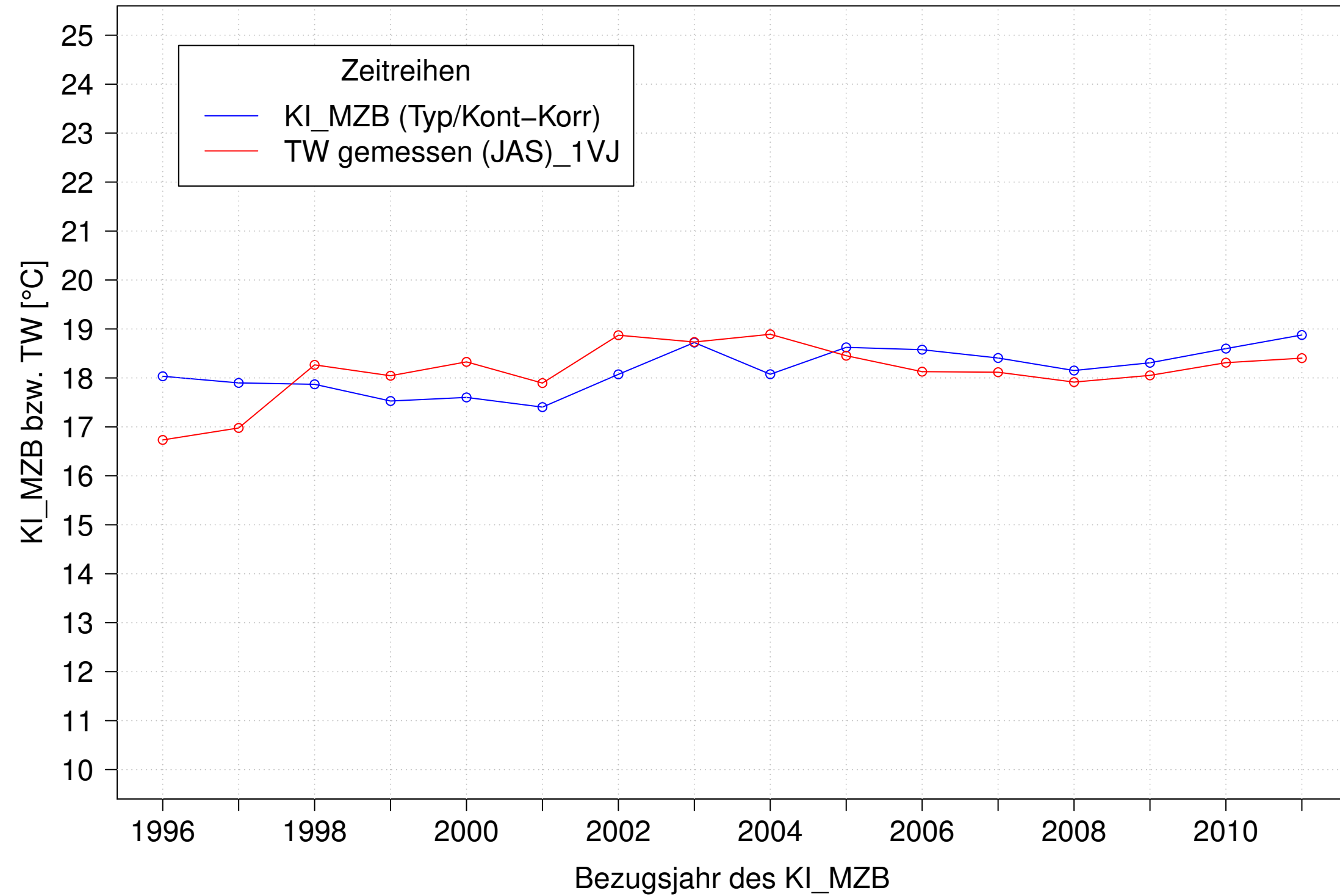
Kocher_Kochendorf, Typ 09.2 mit Neozoen, Serie 2
 KI_MZB (Typ/Kont-Korr) und 3JMW TW gemessen (JAS) des 1. Vorjahres



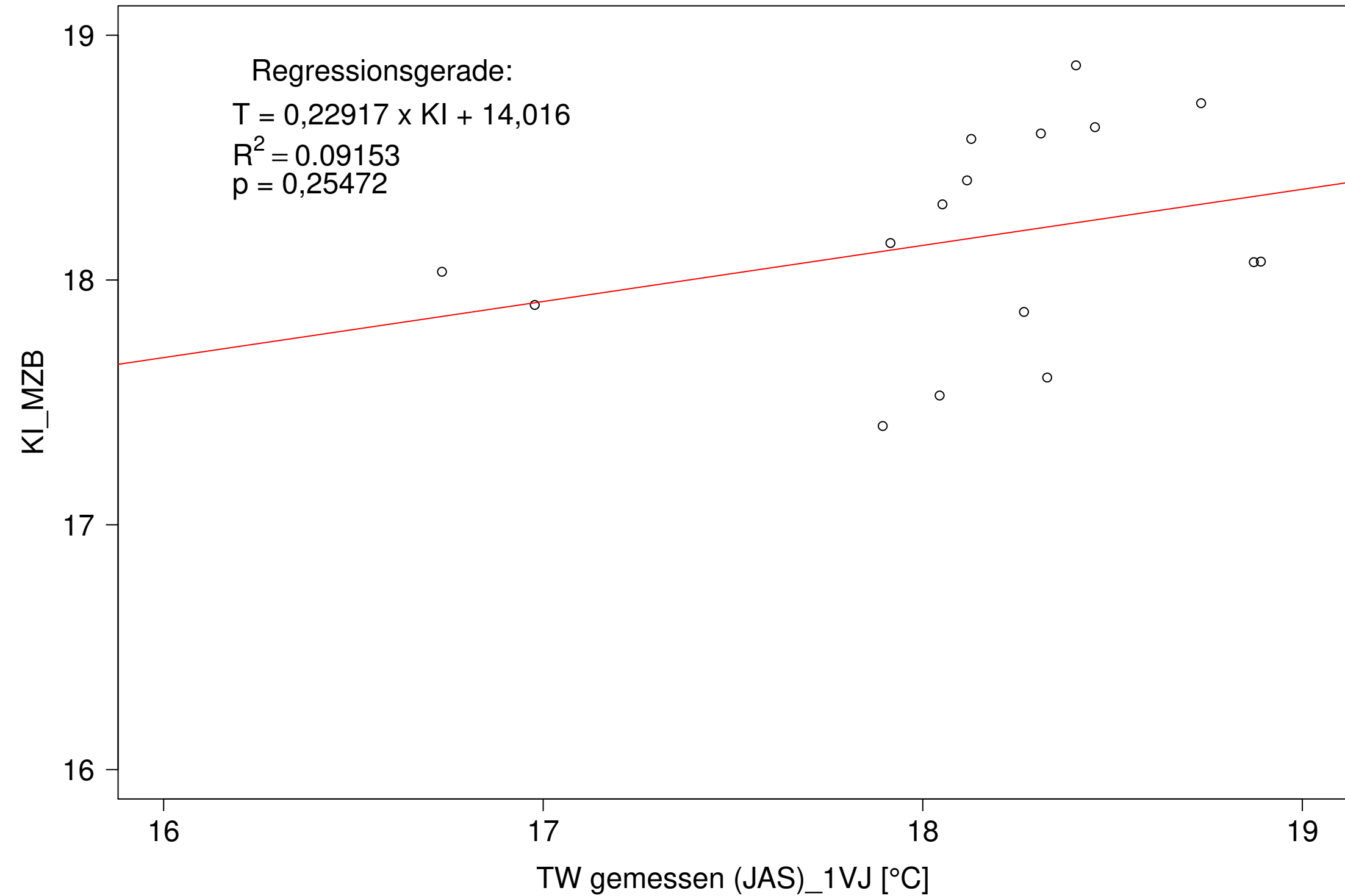
Kocher_Kochendorf, Typ 09.2 mit Neozoen, Serie 2
 KI_MZB (Typ/Kont-Korr) gegen 3JMW TW gemessen (JAS) des 1. Vorjahres



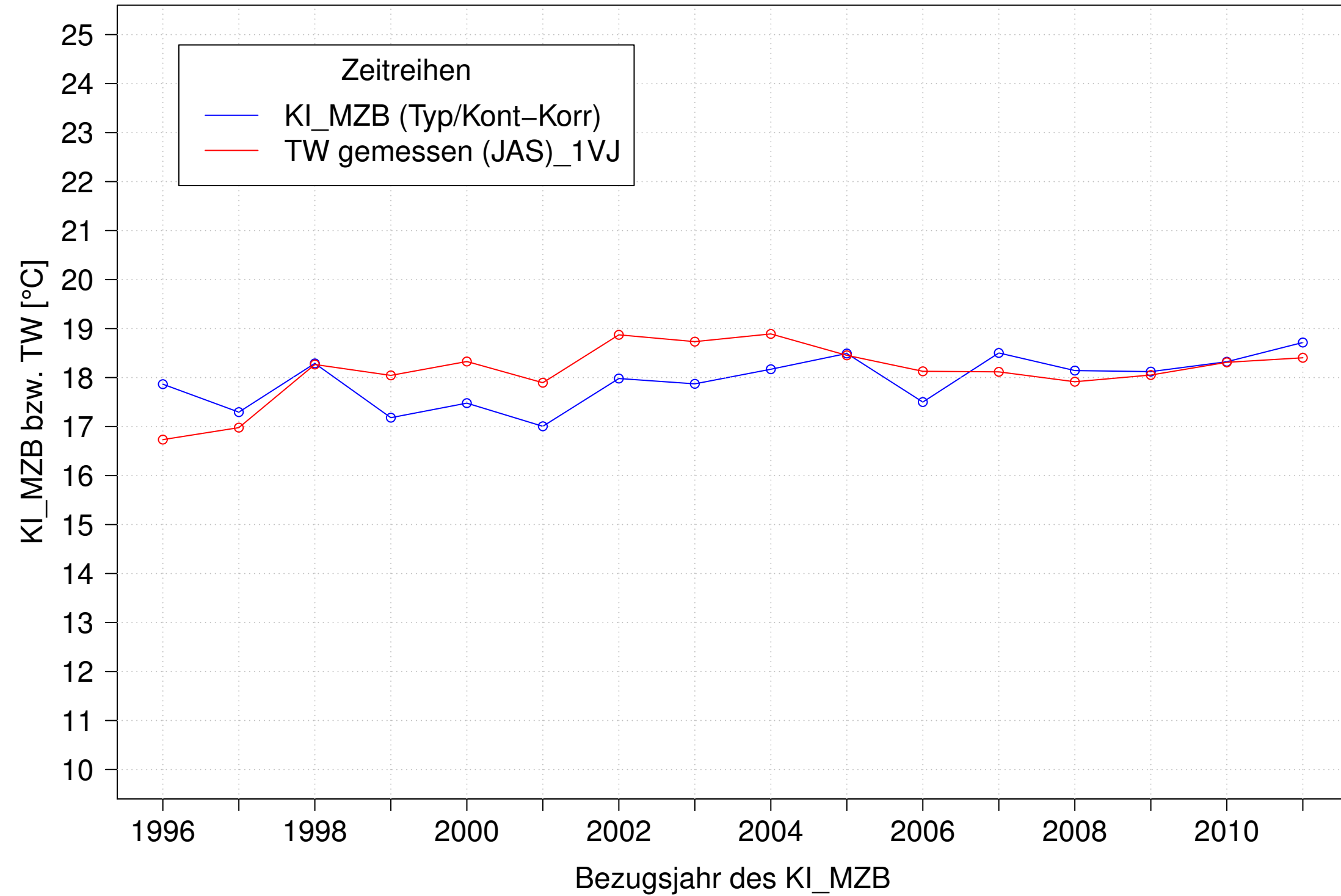
Kocher_Kochendorf, Typ 09.2 mit Neozoen, Serie 3
 KI_MZB (Typ/Kont-Korr) und 3JMW TW gemessen (JAS) des 1. Vorjahres



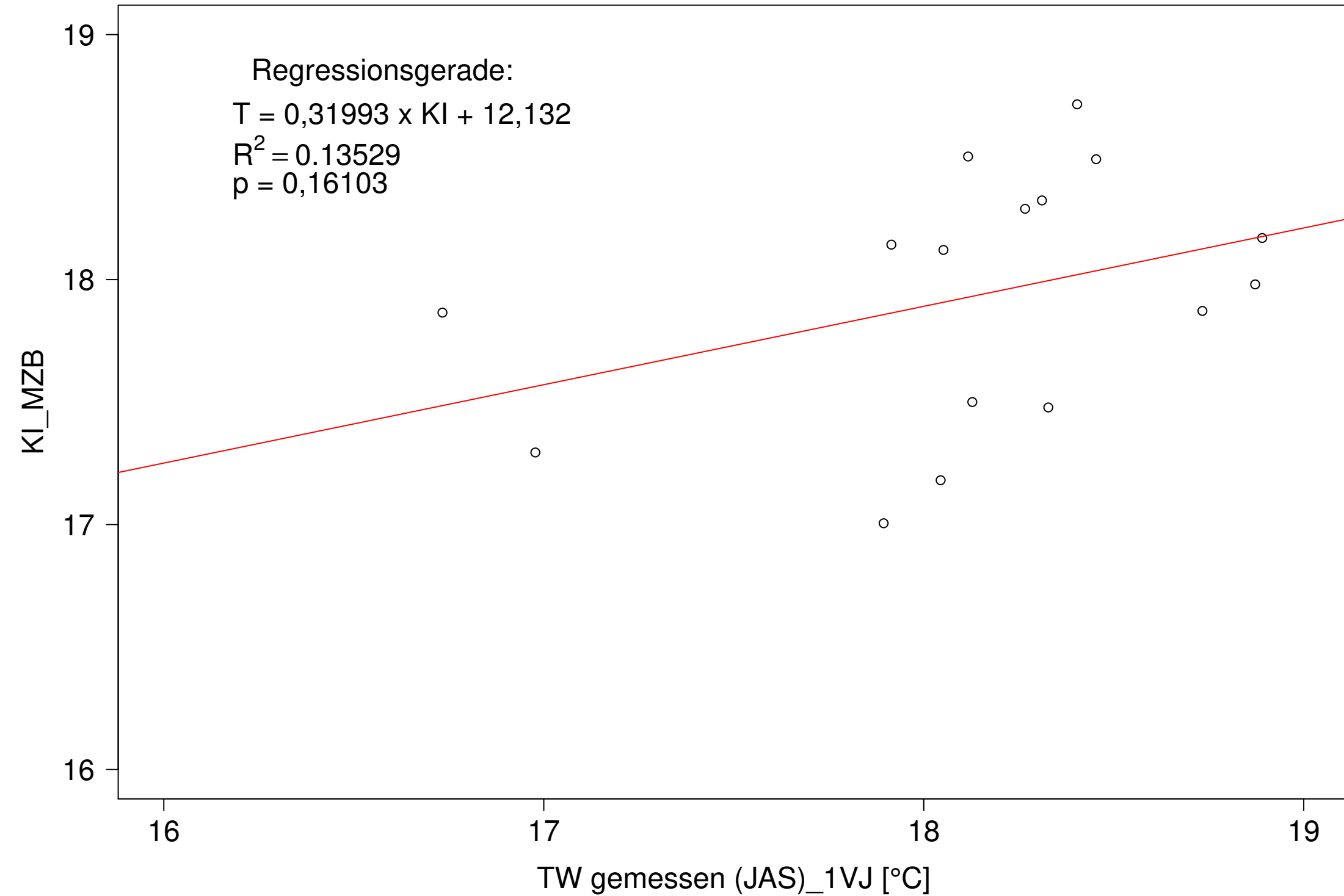
Kocher_Kochendorf, Typ 09.2 mit Neozoen, Serie 3
 KI_MZB (Typ/Kont-Korr) gegen 3JMW TW gemessen (JAS) des 1. Vorjahres



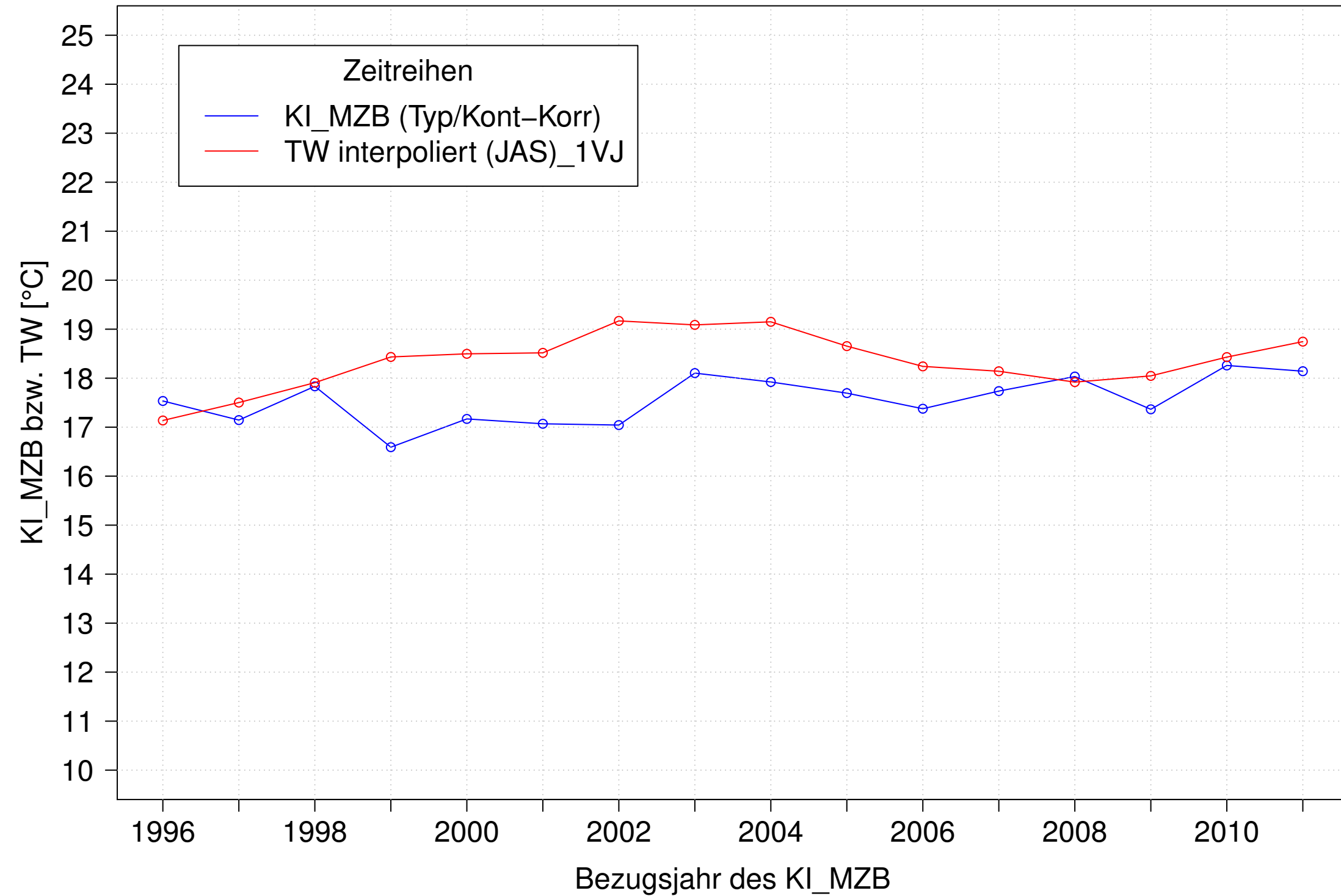
Kocher_Kochendorf, Typ 09.2 mit Neozoen, Serie 4
 KI_MZB (Typ/Kont-Korr) und 3JMW TW gemessen (JAS) des 1. Vorjahres



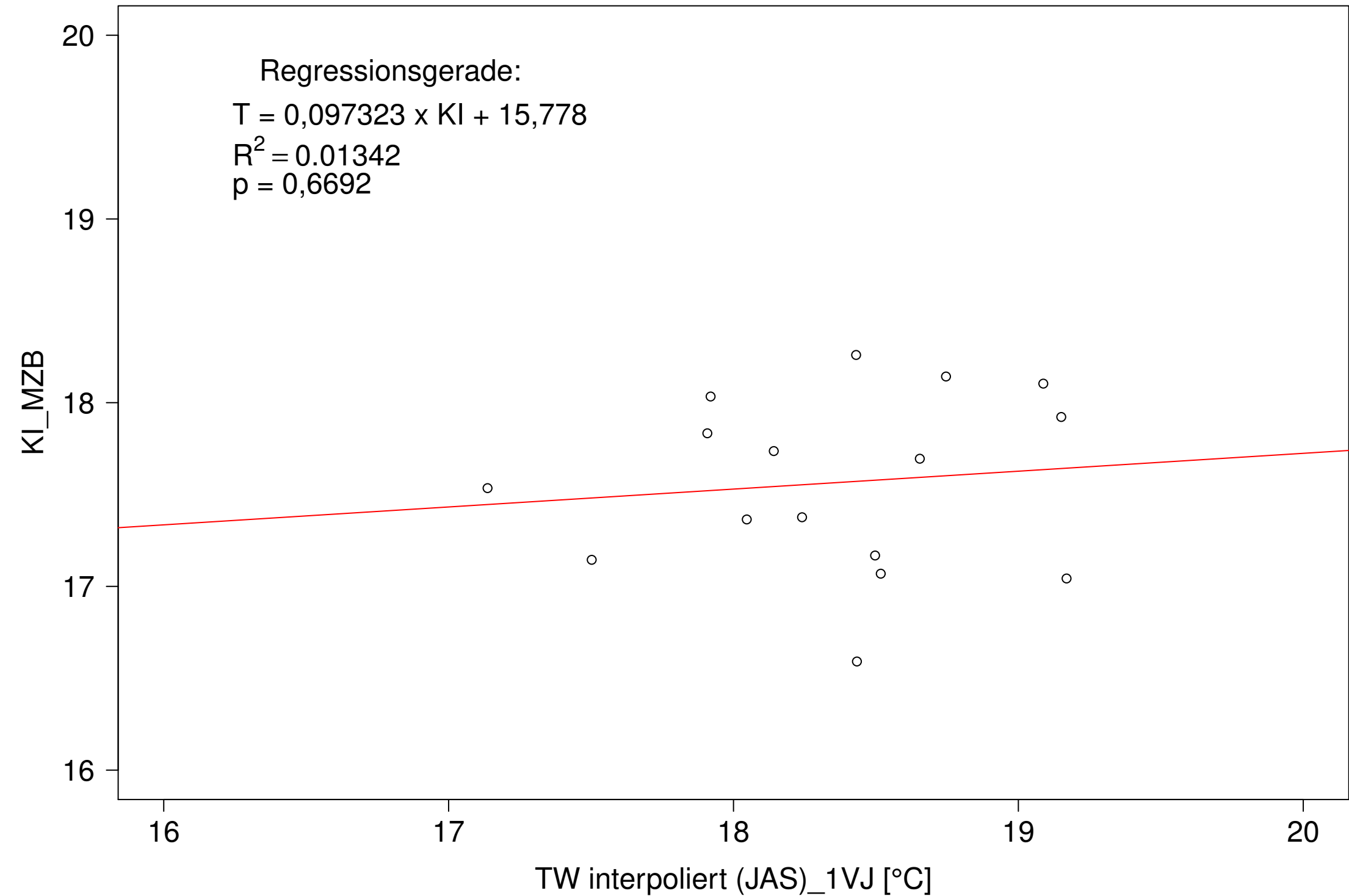
Kocher_Kochendorf, Typ 09.2 mit Neozoen, Serie 4
 KI_MZB (Typ/Kont-Korr) gegen 3JMW TW gemessen (JAS) des 1. Vorjahres



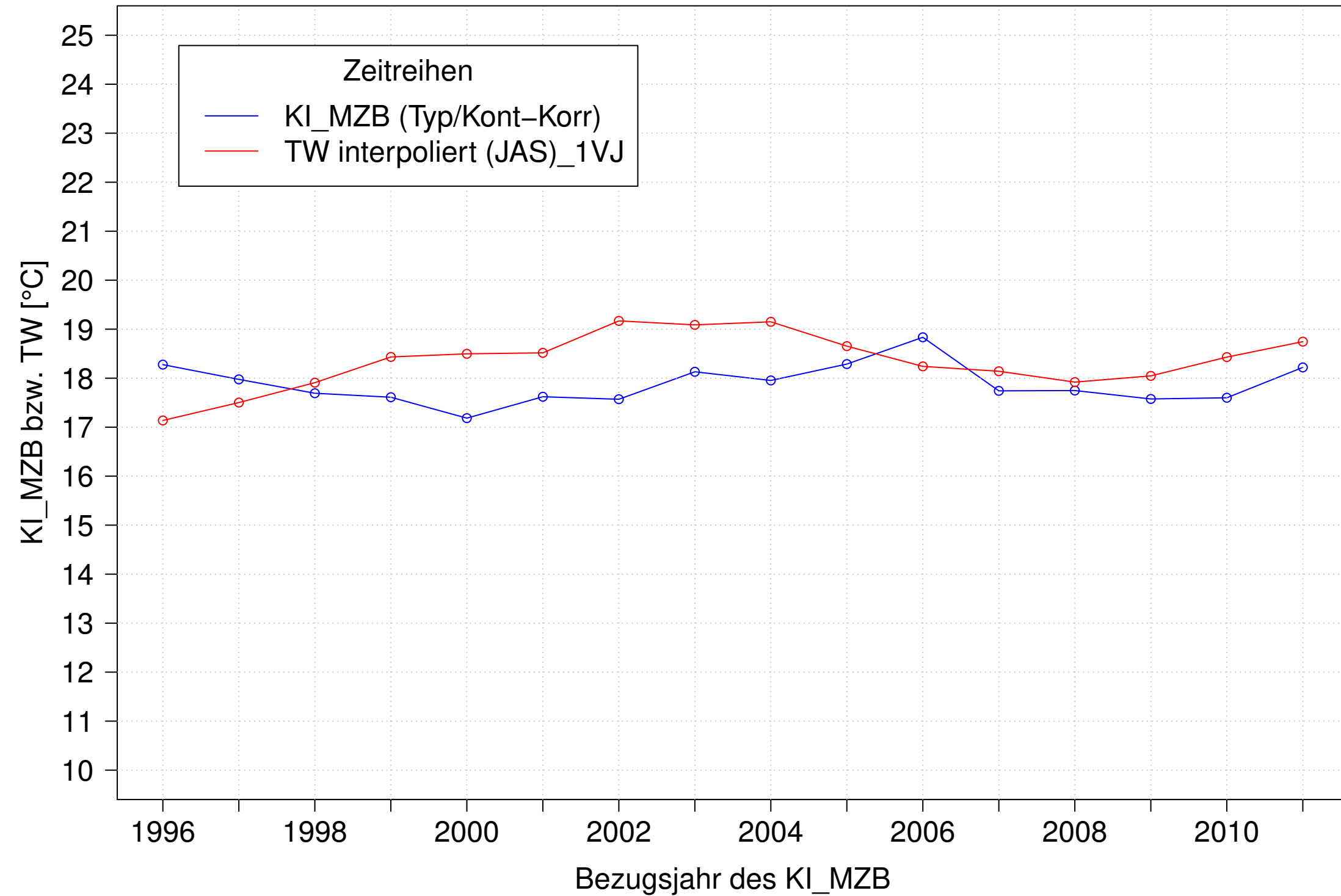
Kocher_Kochendorf, Typ 09.2 mit Neozoen, Serie 1
 KI_MZB (Typ/Kont-Korr) und 3JMW TW interpoliert (JAS) des 1. Vorjahres



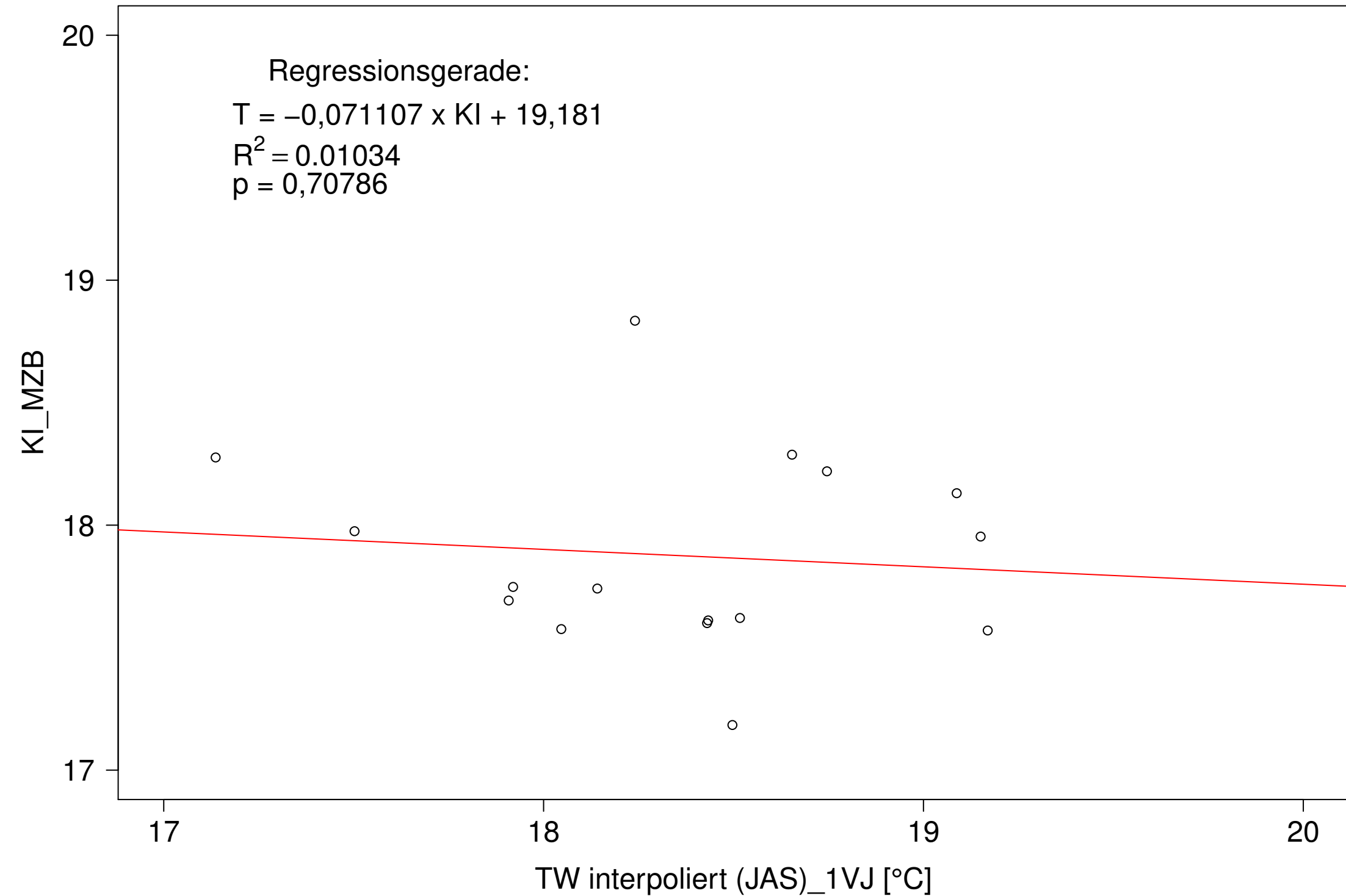
Kocher_Kochendorf, Typ 09.2 mit Neozoen, Serie 1
 KI_MZB (Typ/Kont-Korr) gegen 3JMW TW interpoliert (JAS) des 1. Vorjahres



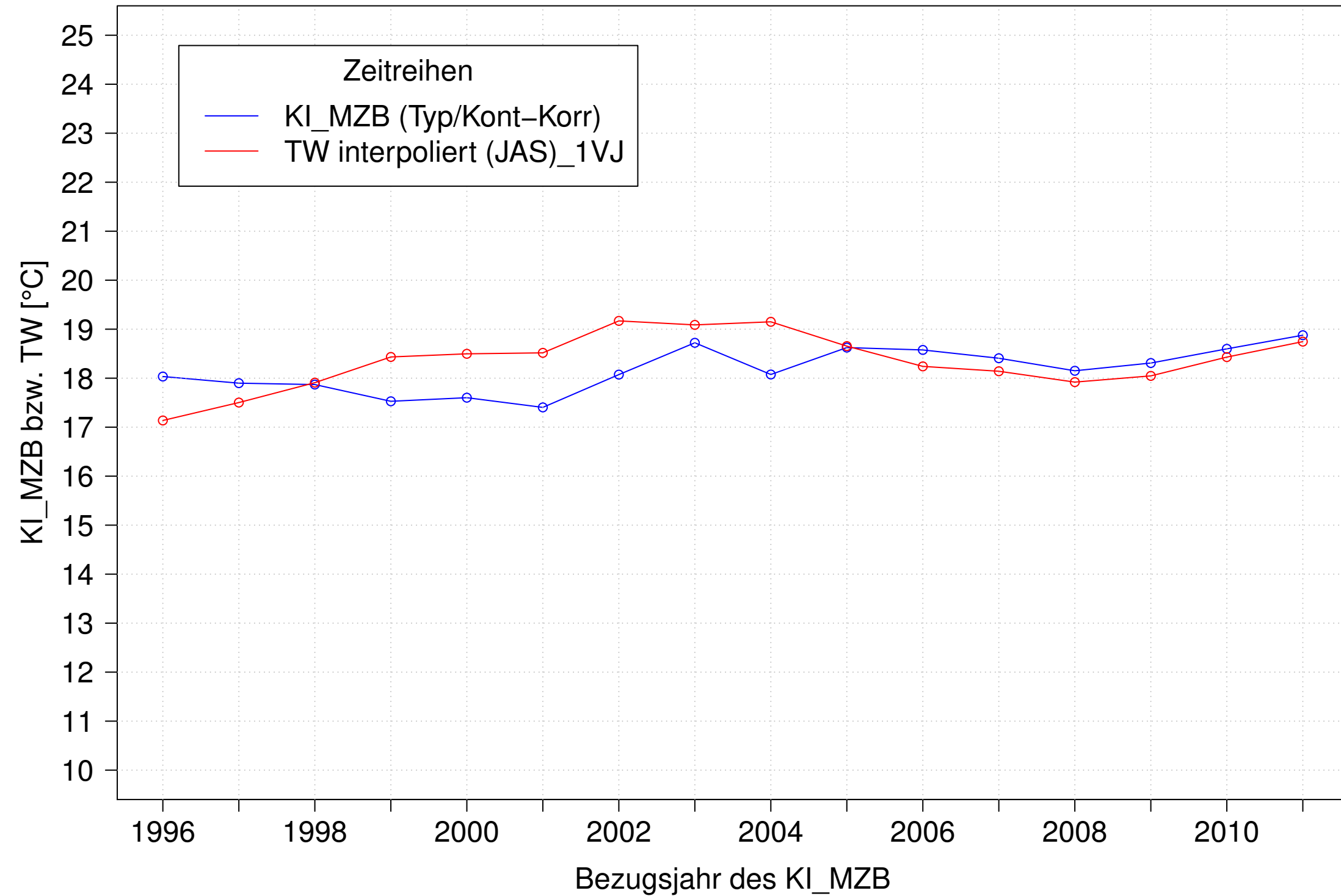
Kocher_Kochendorf, Typ 09.2 mit Neozoen, Serie 2
 KI_MZB (Typ/Kont-Korr) und 3JMW TW interpoliert (JAS) des 1. Vorjahres



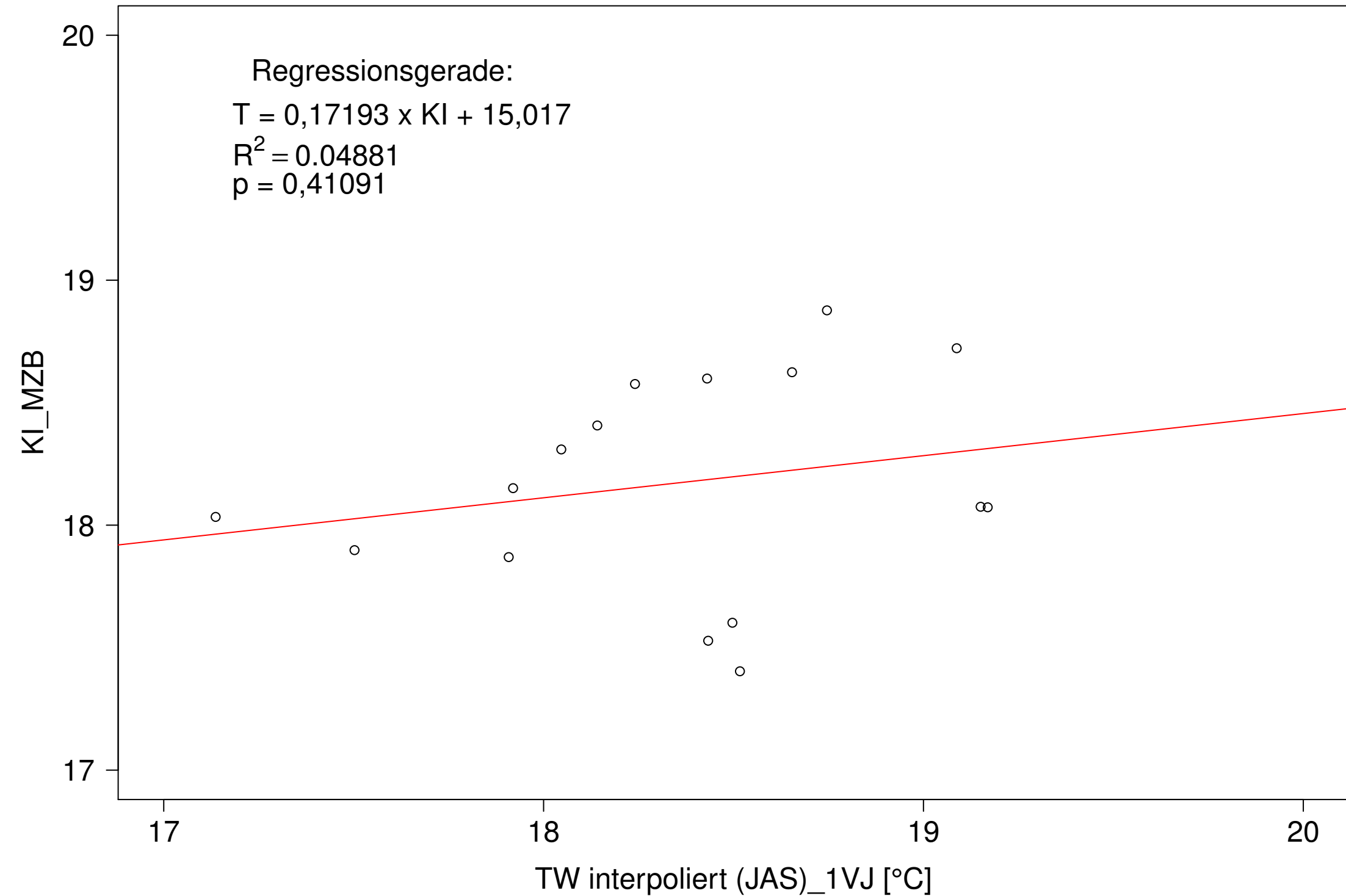
Kocher_Kochendorf, Typ 09.2 mit Neozoen, Serie 2
 KI_MZB (Typ/Kont-Korr) gegen 3JMW TW interpoliert (JAS) des 1. Vorjahres



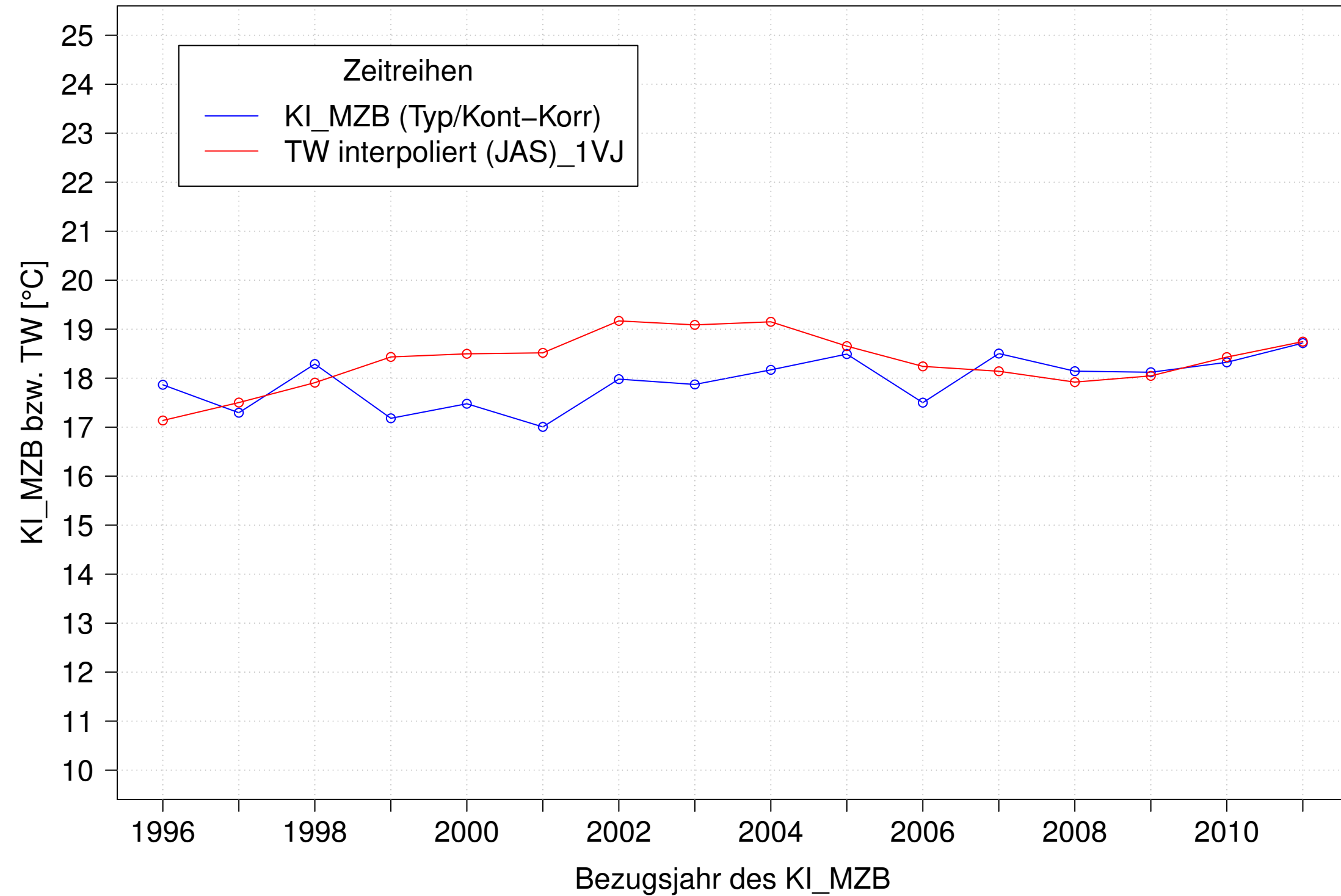
Kocher_Kochendorf, Typ 09.2 mit Neozoen, Serie 3
 KI_MZB (Typ/Kont-Korr) und 3JMW TW interpoliert (JAS) des 1. Vorjahres



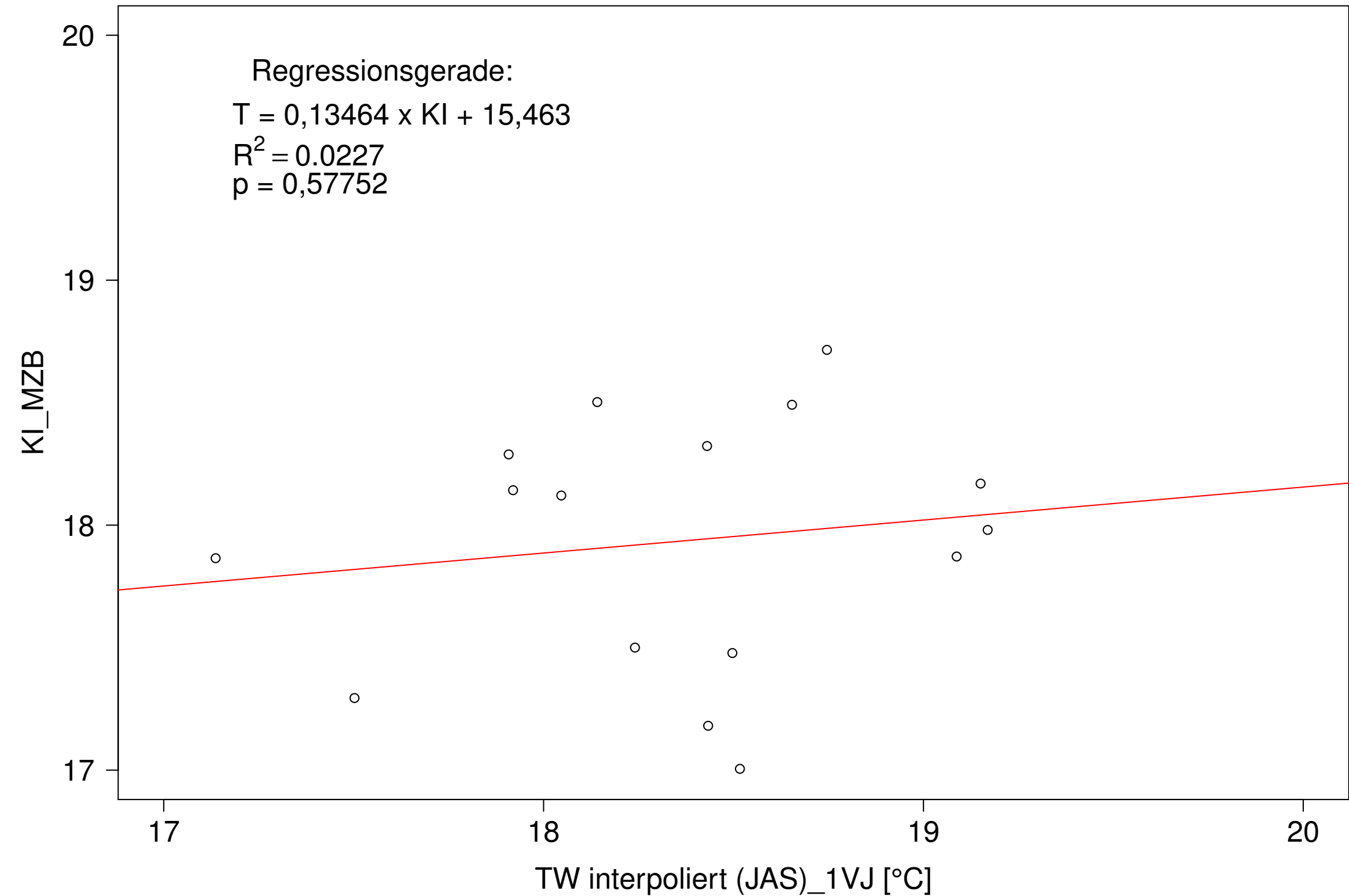
Kocher_Kochendorf, Typ 09.2 mit Neozoen, Serie 3
 KI_MZB (Typ/Kont-Korr) gegen 3JMW TW interpoliert (JAS) des 1. Vorjahres



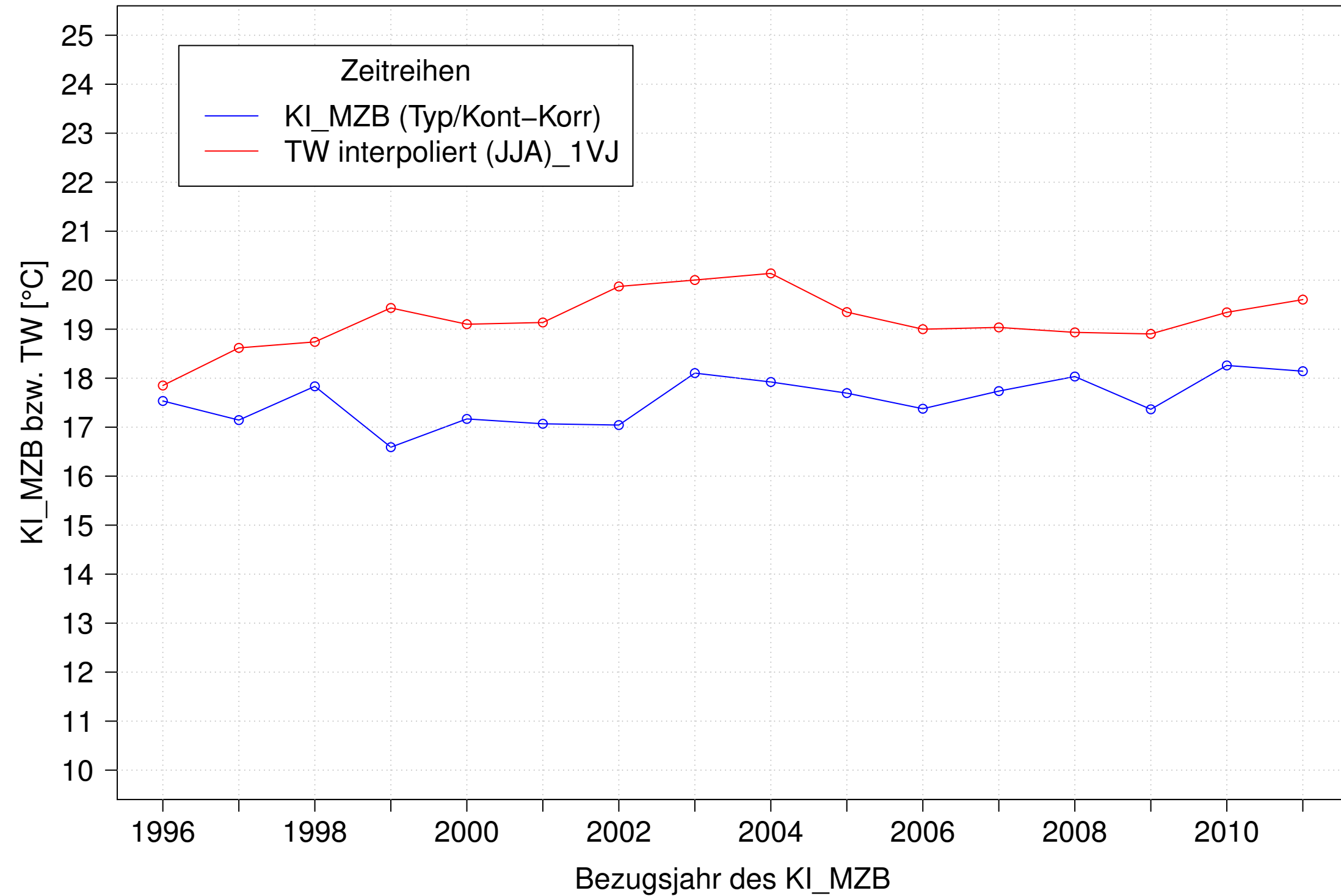
Kocher_Kochendorf, Typ 09.2 mit Neozoen, Serie 4
 KI_MZB (Typ/Kont-Korr) und 3JMW TW interpoliert (JAS) des 1. Vorjahres



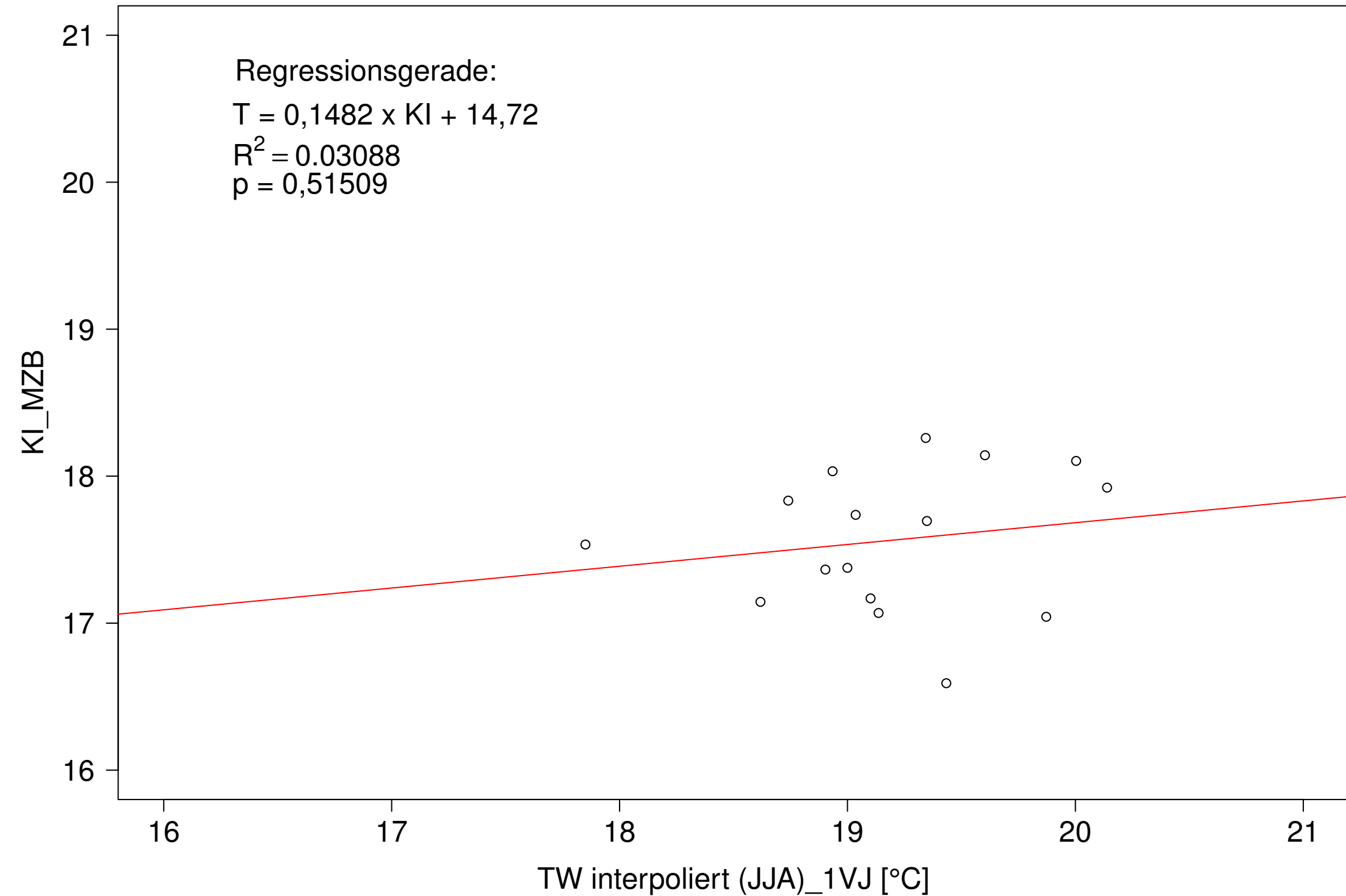
Kocher_Kochendorf, Typ 09.2 mit Neozoen, Serie 4
 KI_MZB (Typ/Kont-Korr) gegen 3JMW TW interpoliert (JAS) des 1. Vorjahres



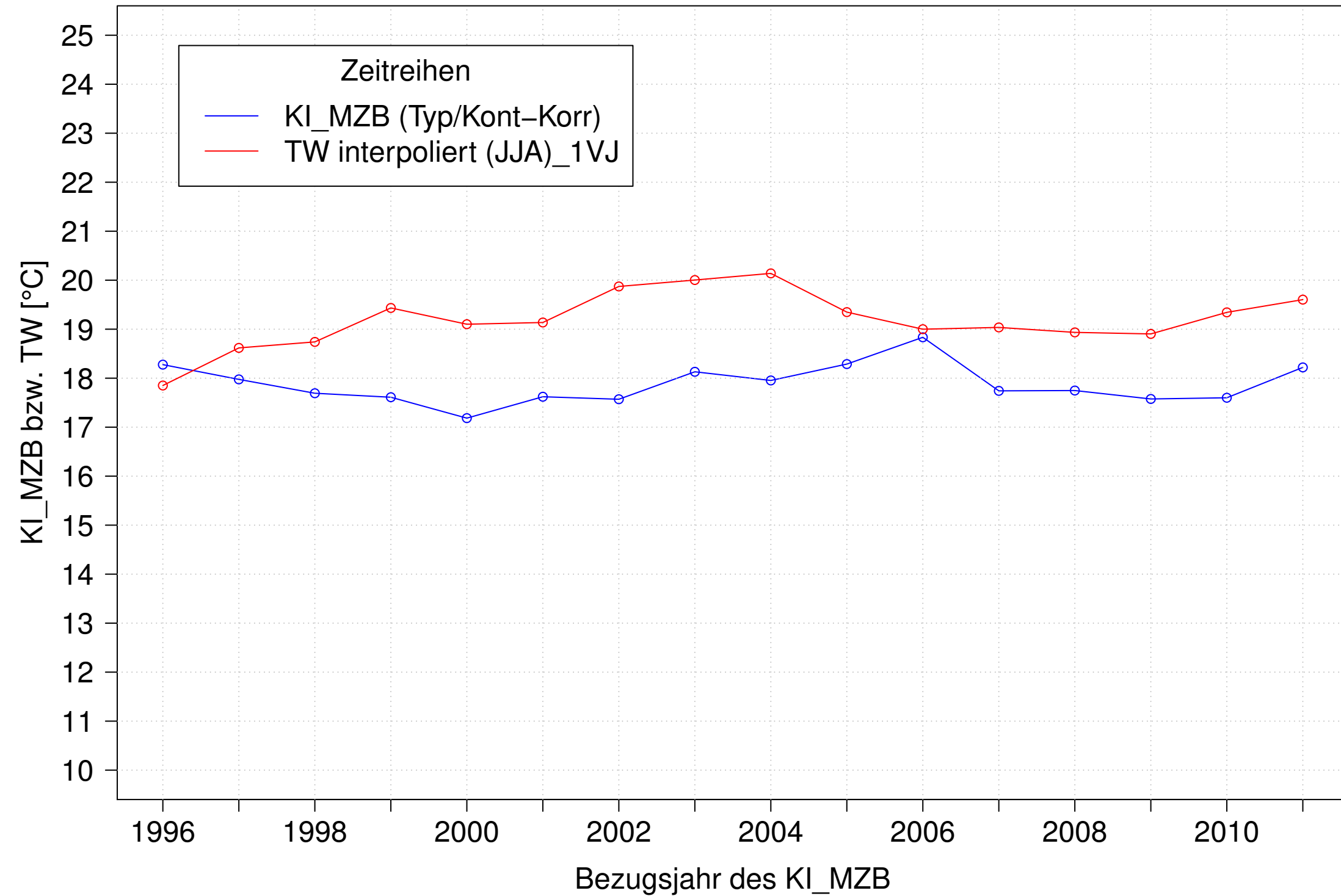
Kocher_Kochendorf, Typ 09.2 mit Neozoen, Serie 1
 KI_MZB (Typ/Kont-Korr) und 3JMW TW interpoliert (JJA) des 1. Vorjahres



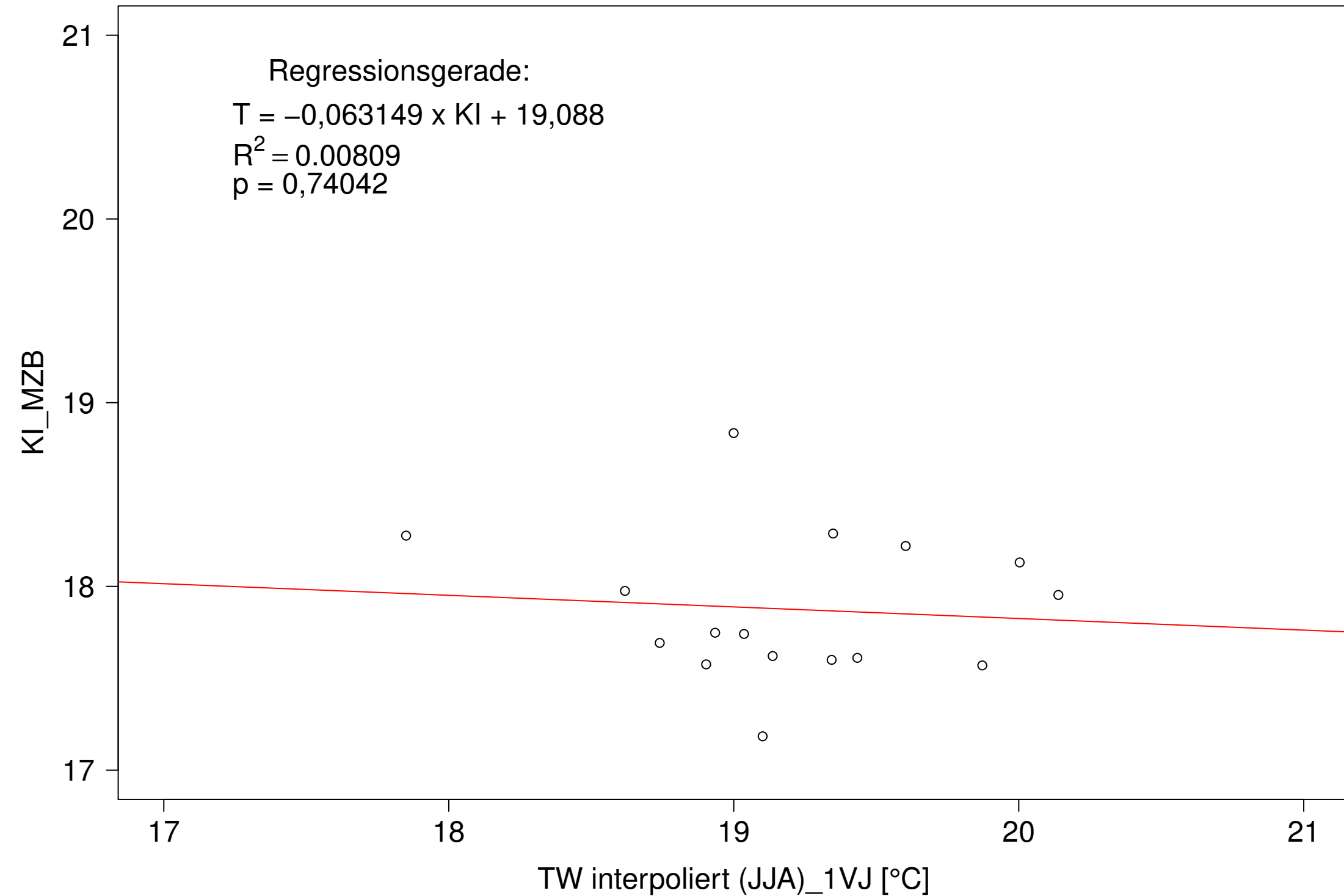
Kocher_Kochendorf, Typ 09.2 mit Neozoen, Serie 1
 KI_MZB (Typ/Kont-Korr) gegen 3JMW TW interpoliert (JJA) des 1. Vorjahres



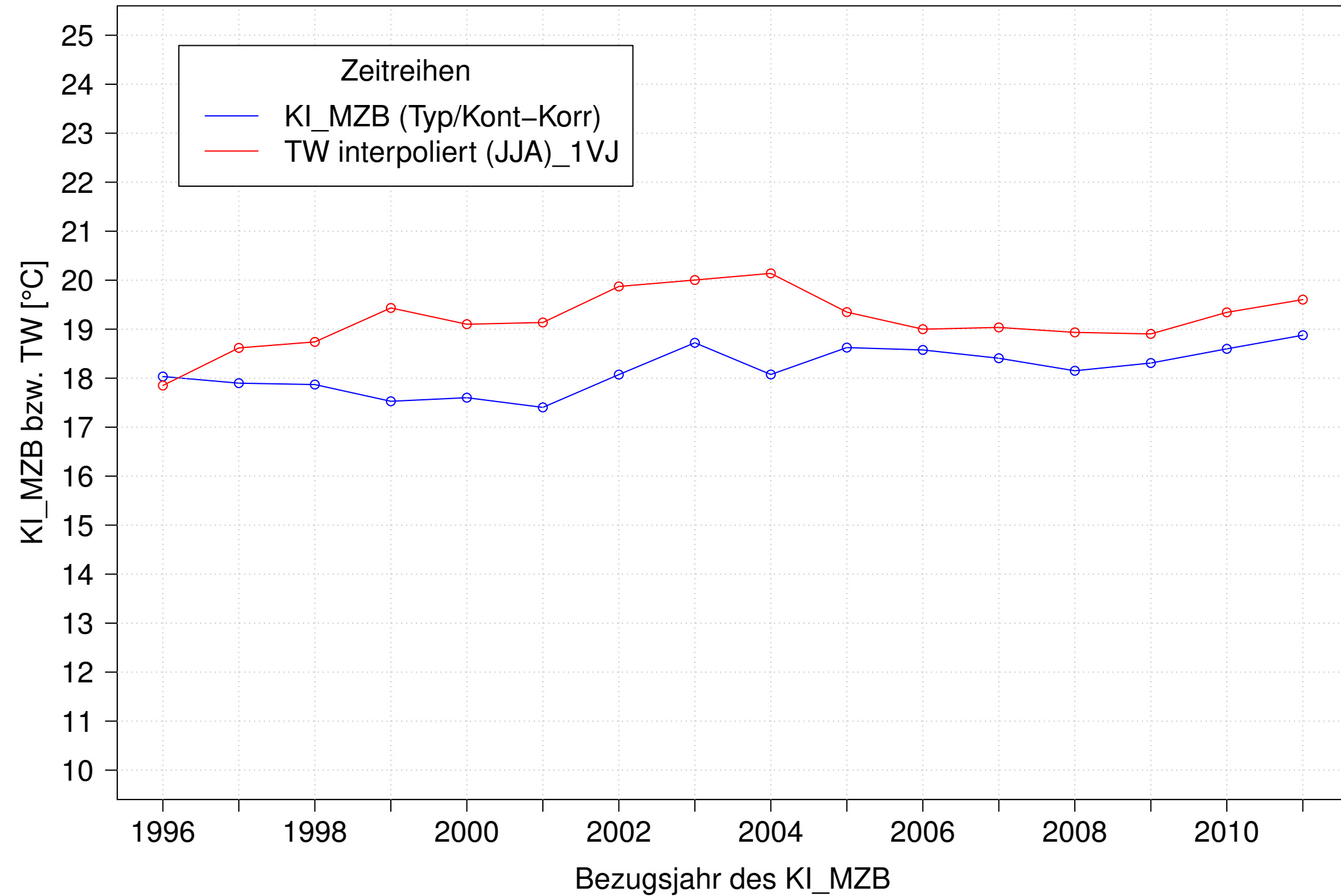
Kocher_Kochendorf, Typ 09.2 mit Neozoen, Serie 2
 KI_MZB (Typ/Kont-Korr) und 3JMW TW interpoliert (JJA) des 1. Vorjahres



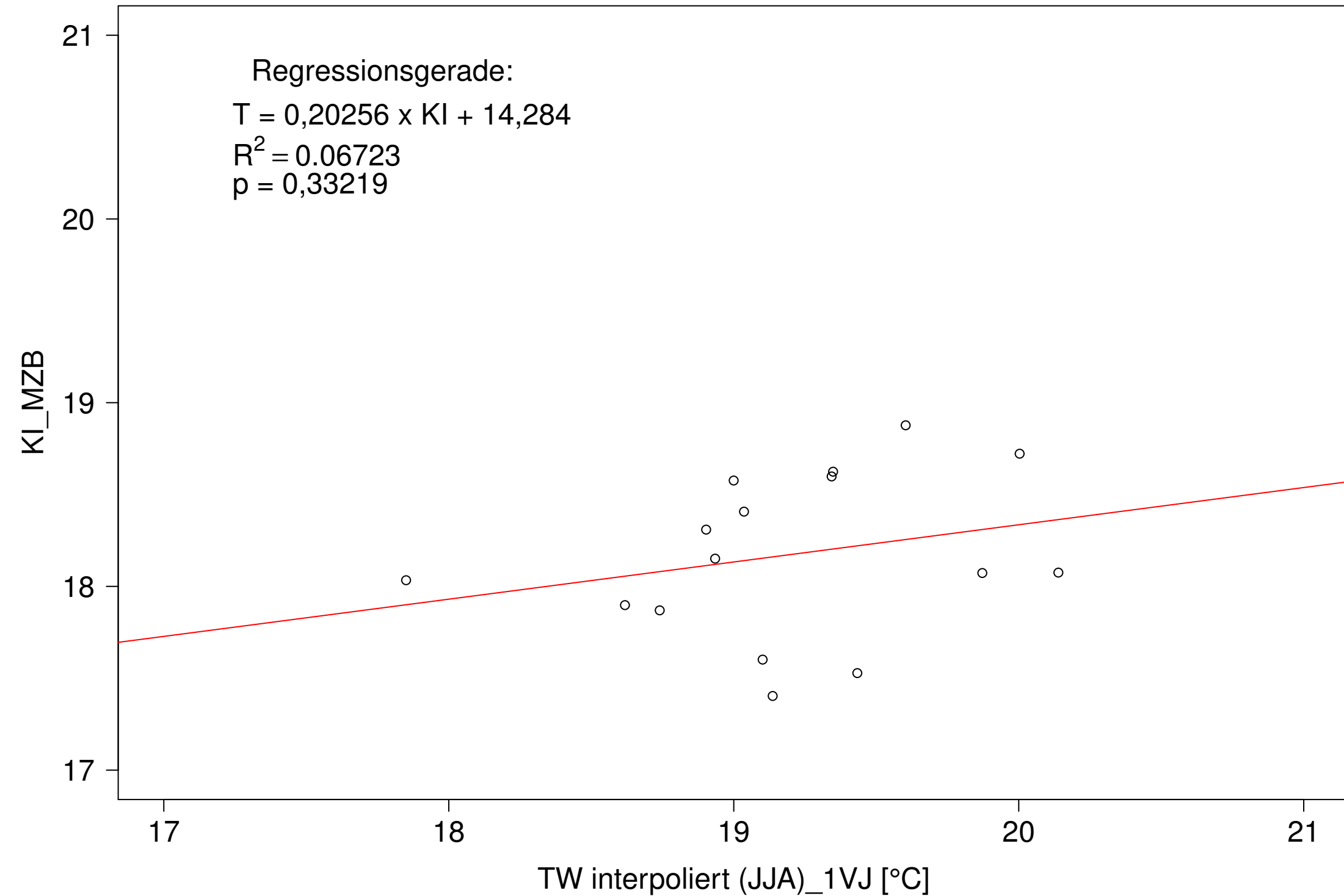
Kocher_Kochendorf, Typ 09.2 mit Neozoen, Serie 2
 KI_MZB (Typ/Kont-Korr) gegen 3JMW TW interpoliert (JJA) des 1. Vorjahres



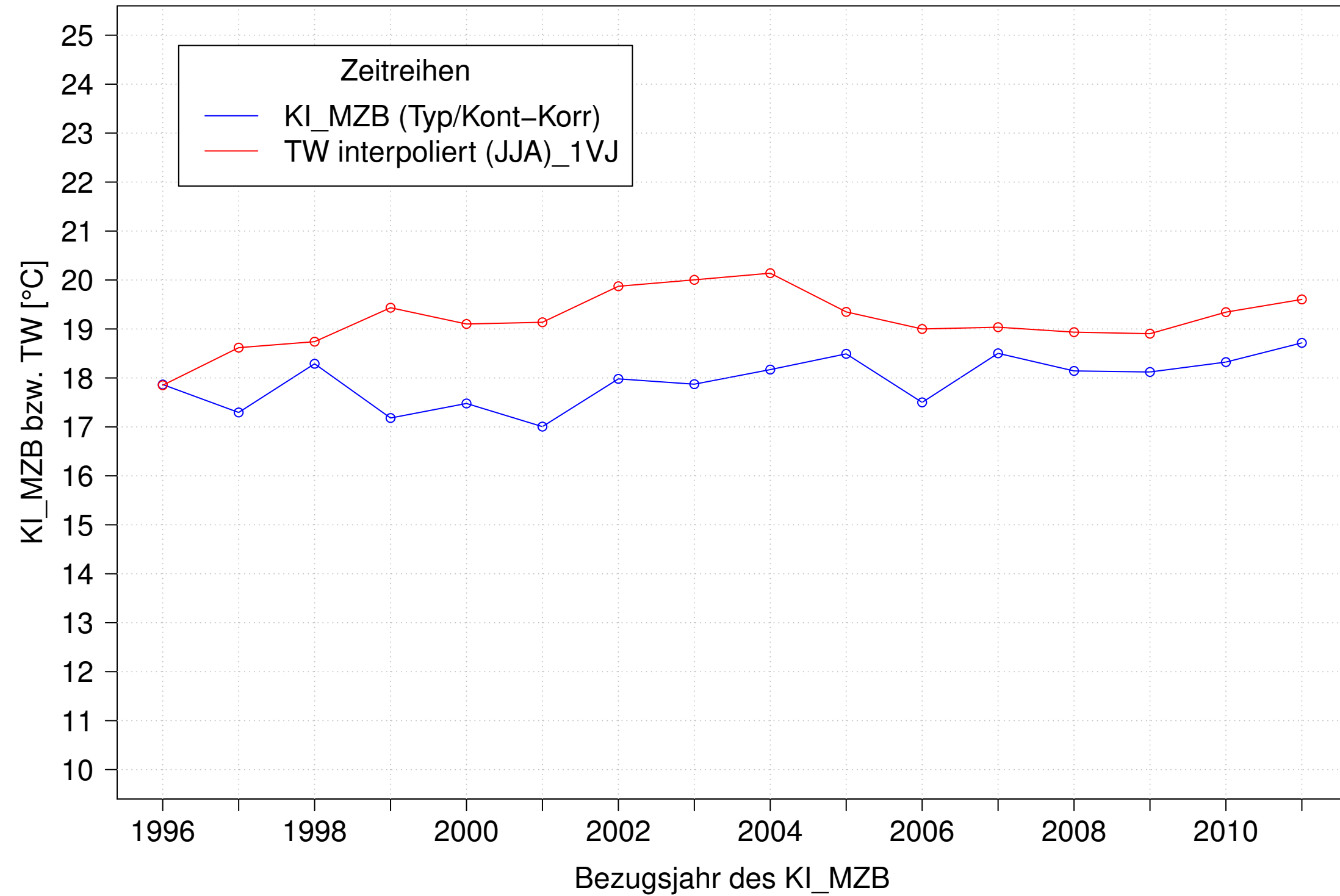
Kocher_Kochendorf, Typ 09.2 mit Neozoen, Serie 3
 KI_MZB (Typ/Kont-Korr) und 3JMW TW interpoliert (JJA) des 1. Vorjahres



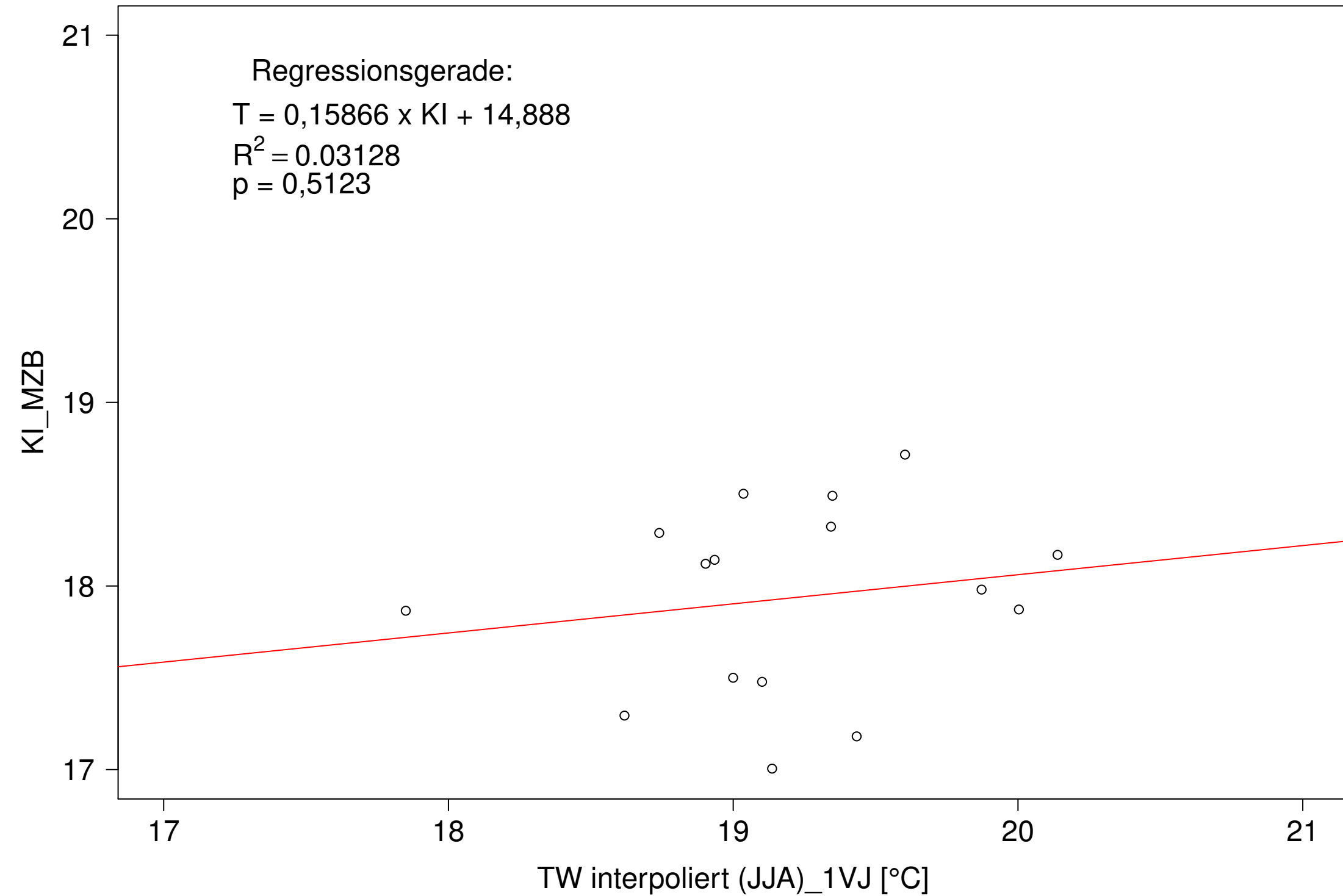
Kocher_Kochendorf, Typ 09.2 mit Neozoen, Serie 3
 KI_MZB (Typ/Kont-Korr) gegen 3JMW TW interpoliert (JJA) des 1. Vorjahres



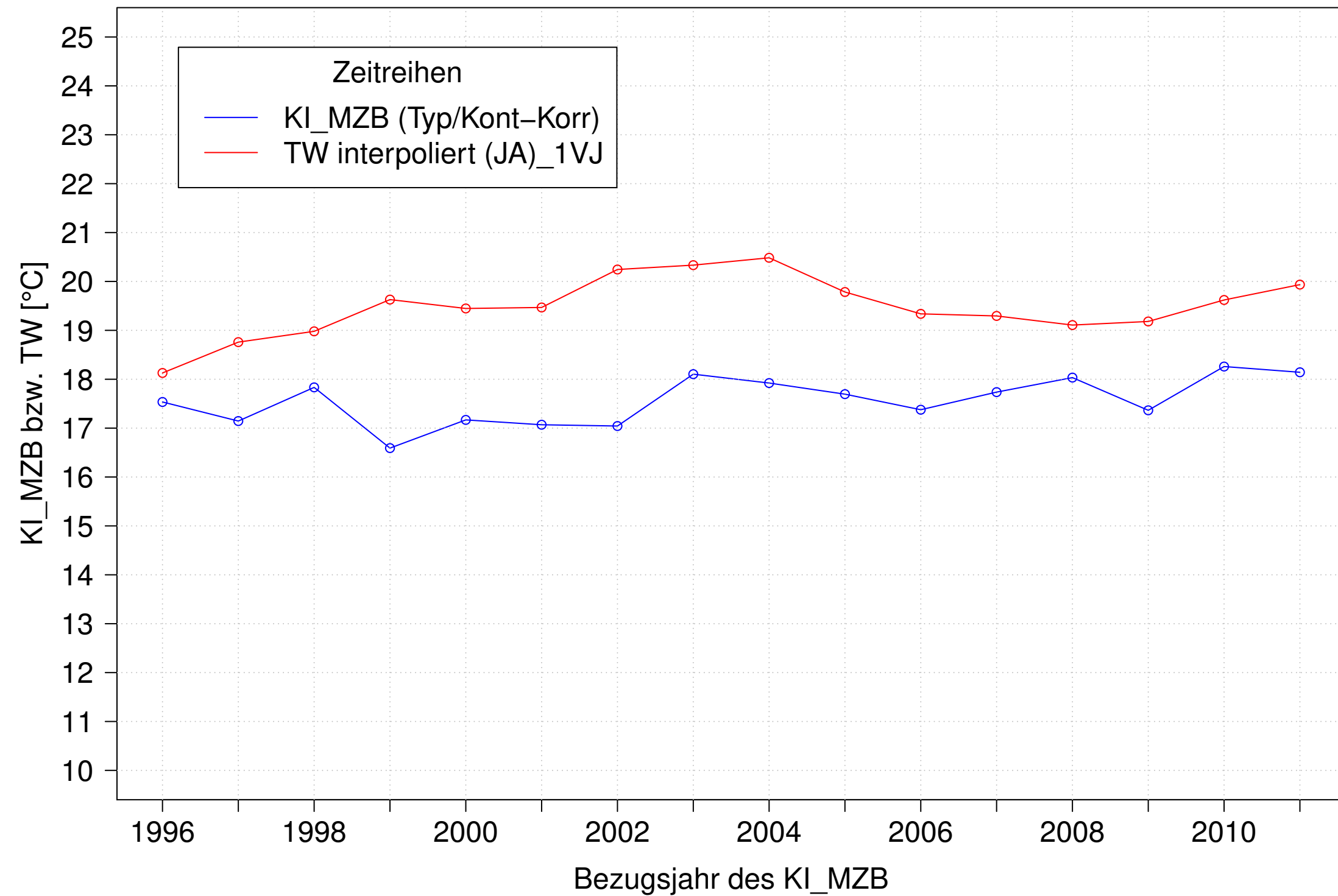
Kocher_Kochendorf, Typ 09.2 mit Neozoen, Serie 4
 KI_MZB (Typ/Kont-Korr) und 3JMW TW interpoliert (JJA) des 1. Vorjahres



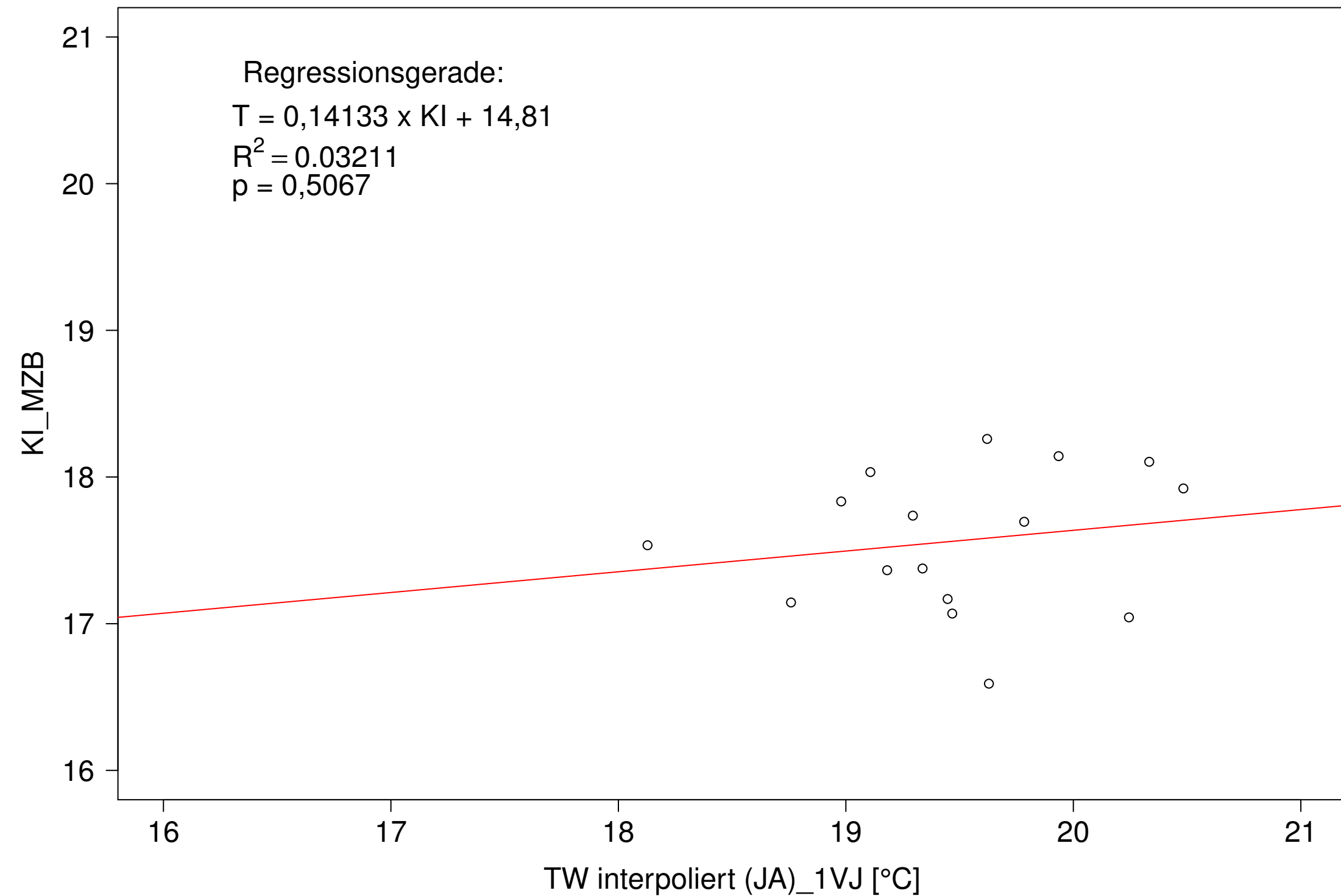
Kocher_Kochendorf, Typ 09.2 mit Neozoen, Serie 4
 KI_MZB (Typ/Kont-Korr) gegen 3JMW TW interpoliert (JJA) des 1. Vorjahres



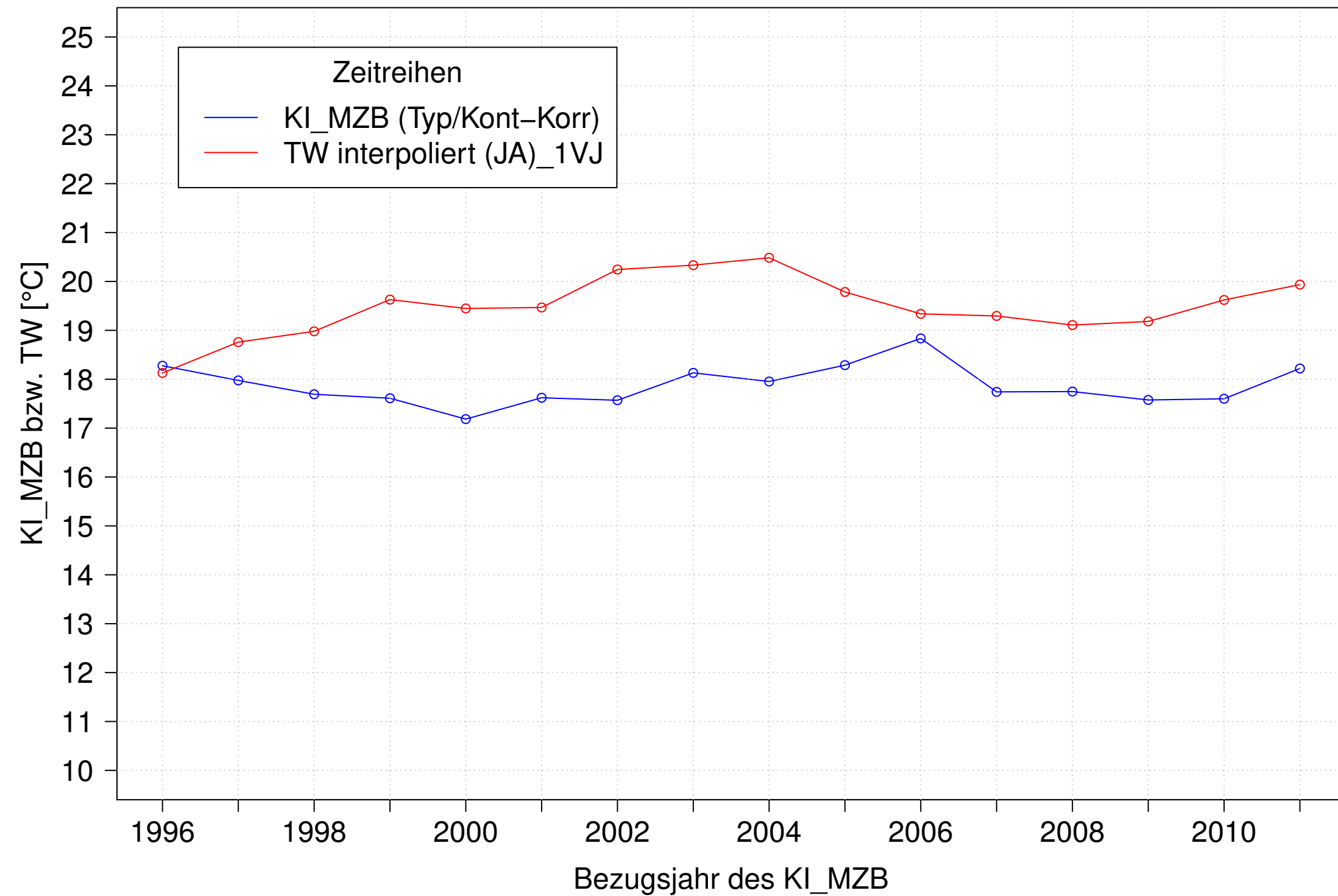
Kocher_Kochendorf, Typ 09.2 mit Neozoen, Serie 1
 KI_MZB (Typ/Kont-Korr) und 3JMW TW interpoliert (JA) des 1. Vorjahres



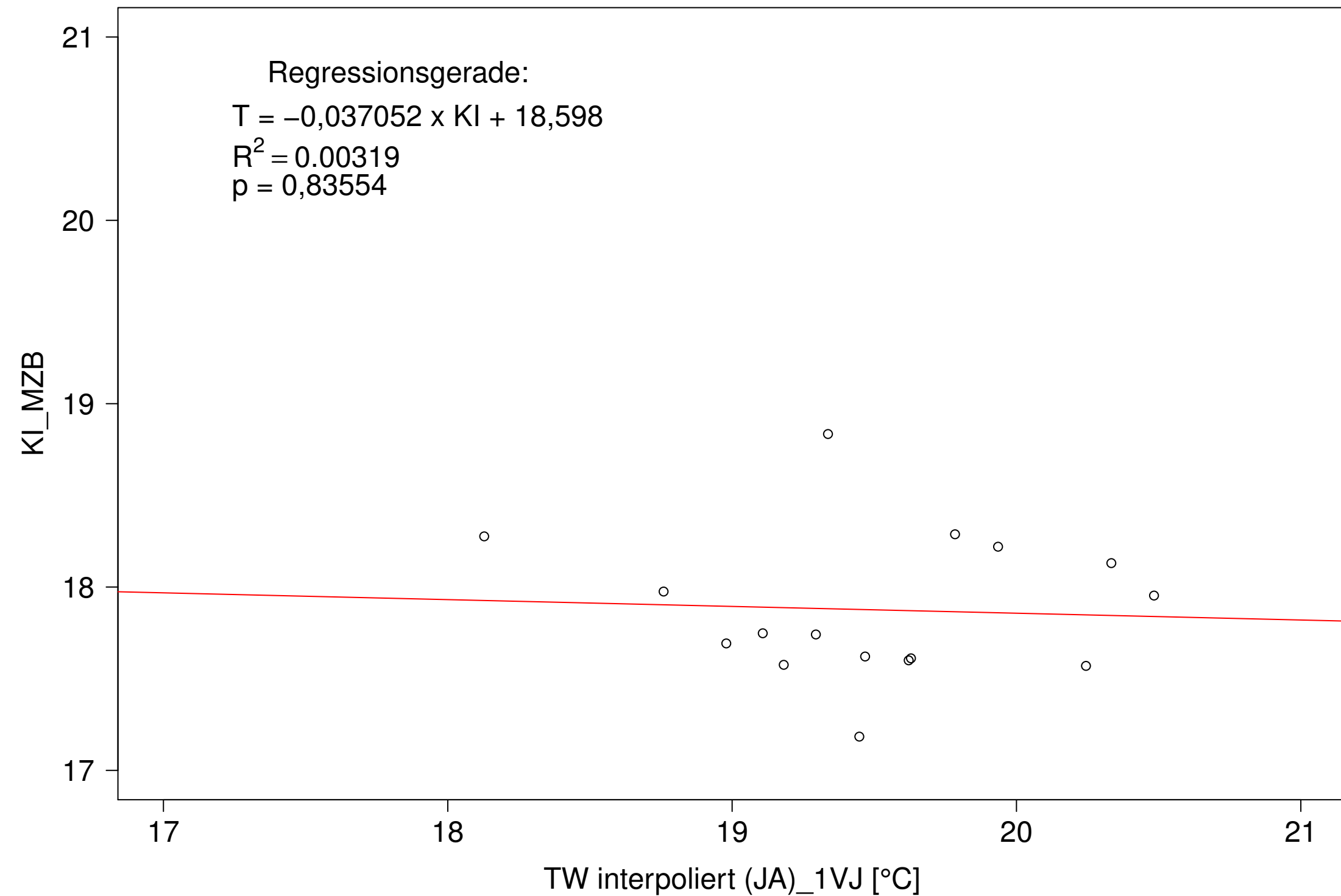
Kocher_Kochendorf, Typ 09.2 mit Neozoen, Serie 1
 KI_MZB (Typ/Kont-Korr) gegen 3JMW TW interpoliert (JA) des 1. Vorjahres



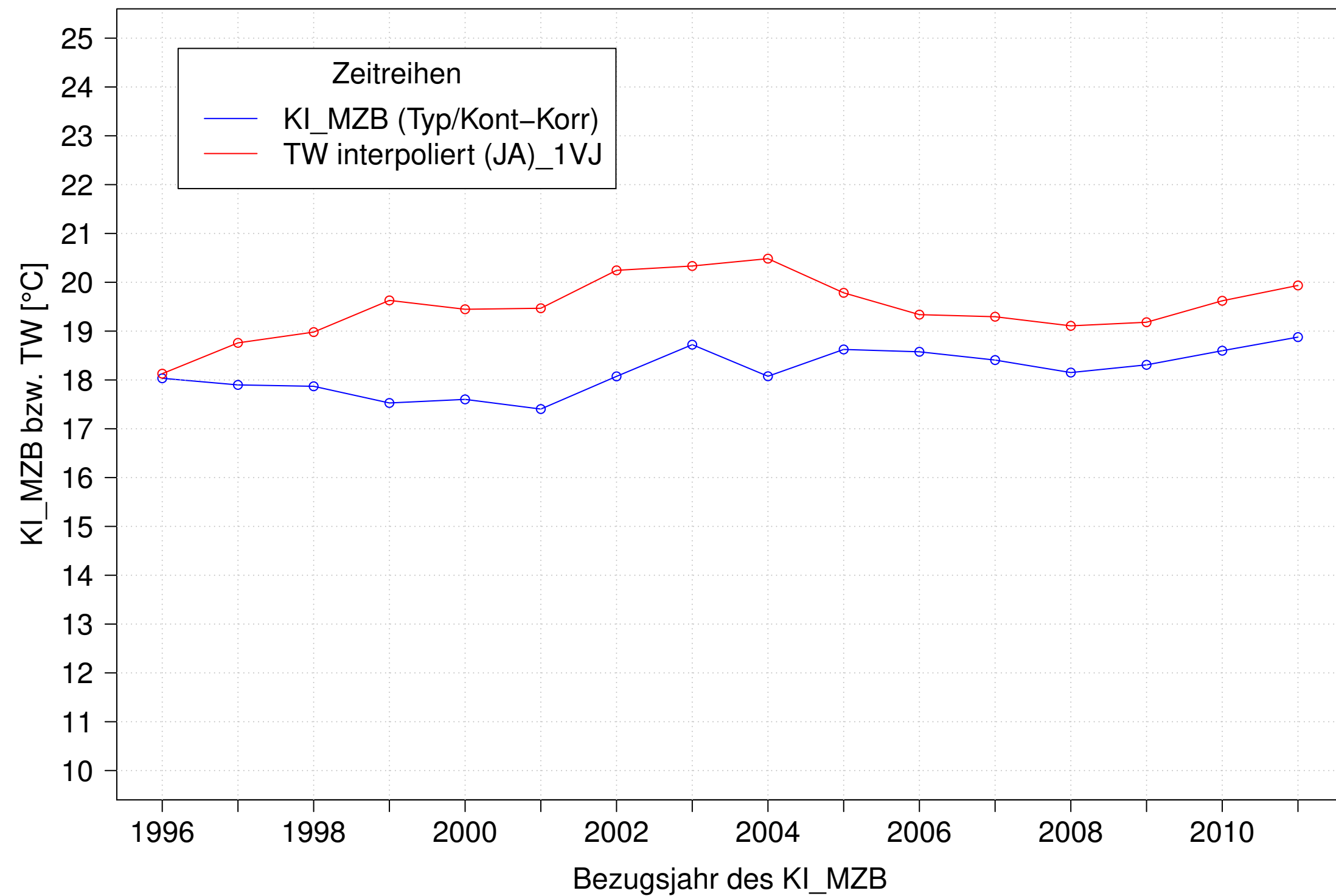
Kocher_Kochendorf, Typ 09.2 mit Neozoen, Serie 2
 KI_MZB (Typ/Kont-Korr) und 3JMW TW interpoliert (JA) des 1. Vorjahres



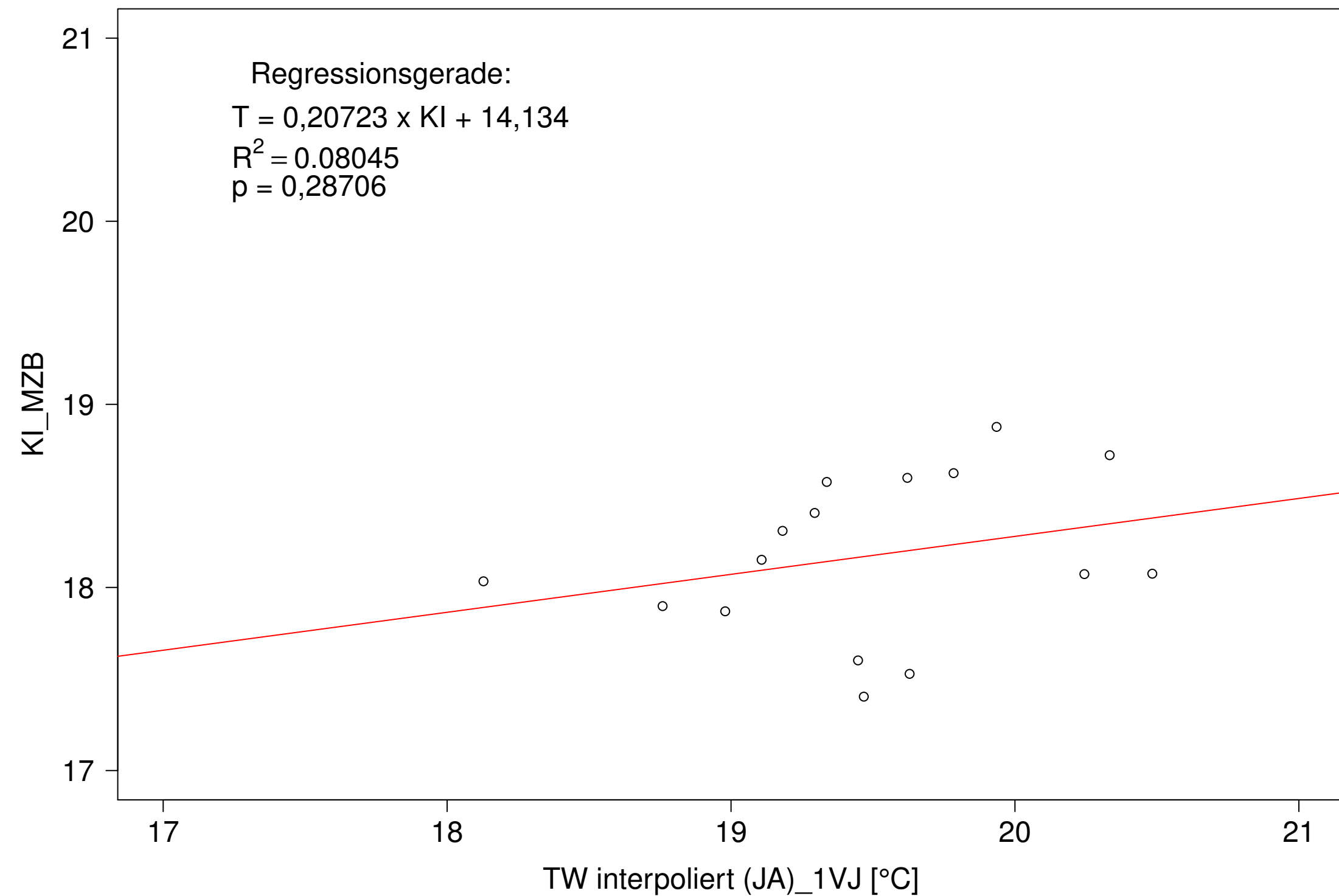
Kocher_Kochendorf, Typ 09.2 mit Neozoen, Serie 2
 KI_MZB (Typ/Kont-Korr) gegen 3JMW TW interpoliert (JA) des 1. Vorjahres



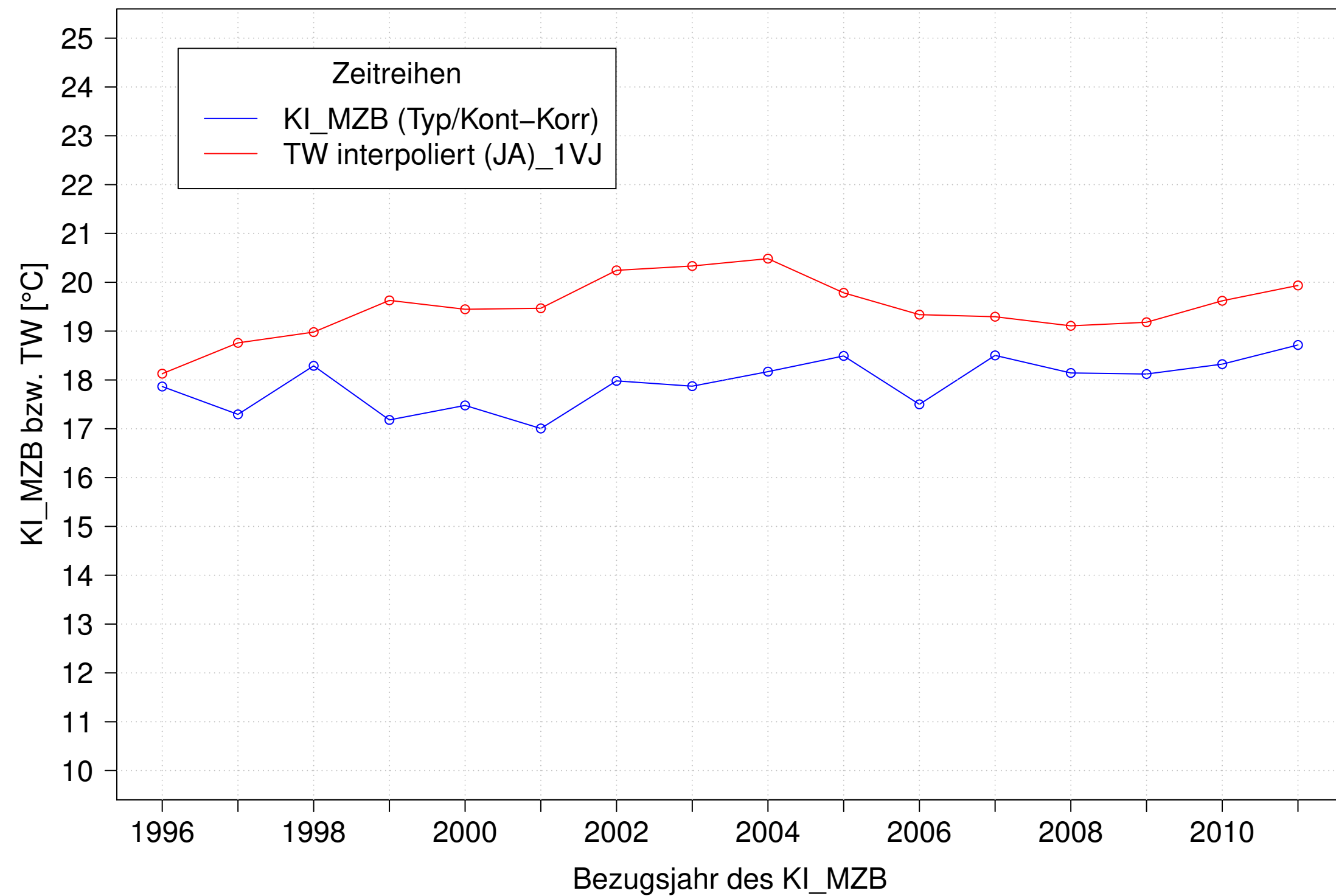
Kocher_Kochendorf, Typ 09.2 mit Neozoen, Serie 3
 KI_MZB (Typ/Kont-Korr) und 3JMW TW interpoliert (JA) des 1. Vorjahres



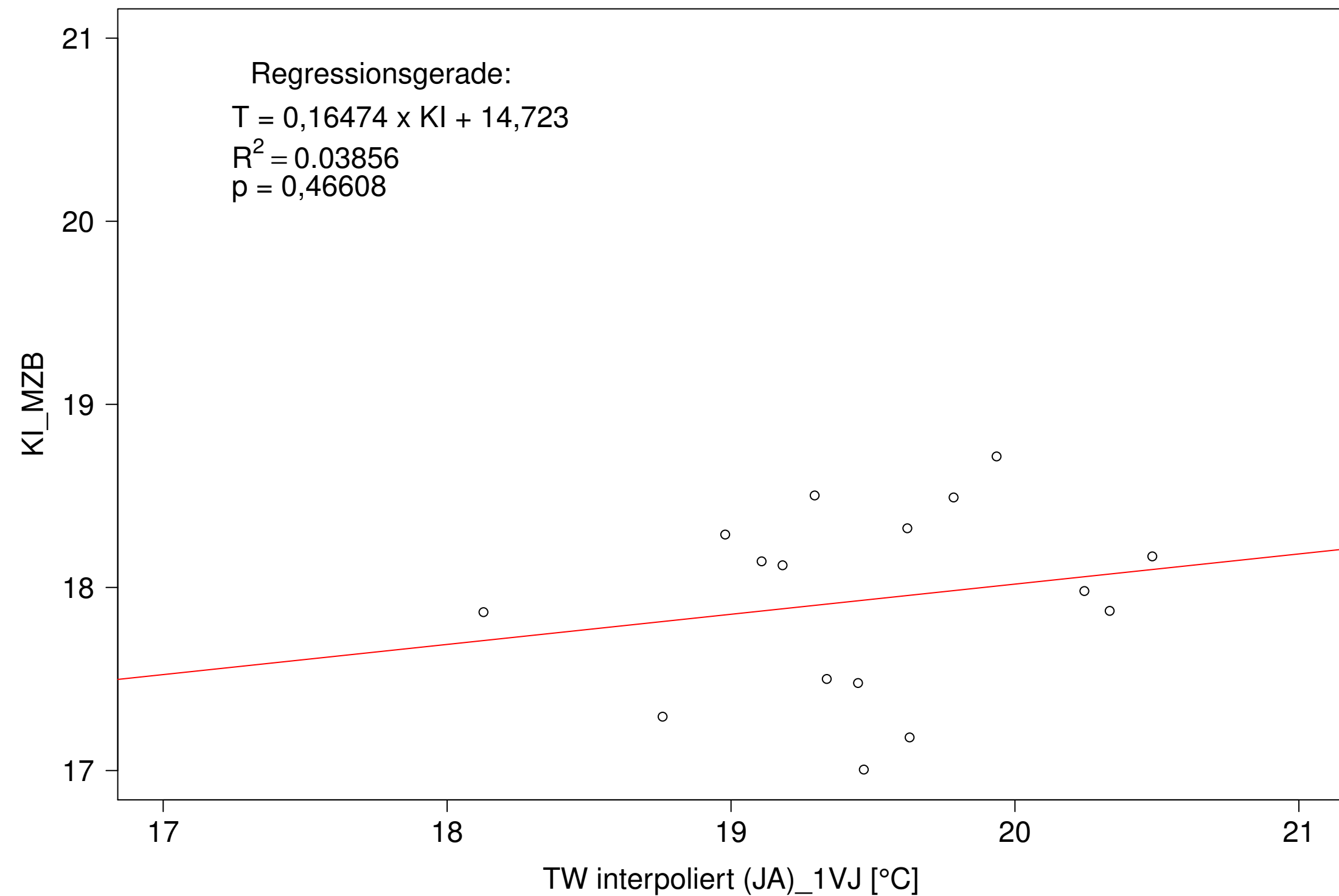
Kocher_Kochendorf, Typ 09.2 mit Neozoen, Serie 3
 KI_MZB (Typ/Kont-Korr) gegen 3JMW TW interpoliert (JA) des 1. Vorjahres



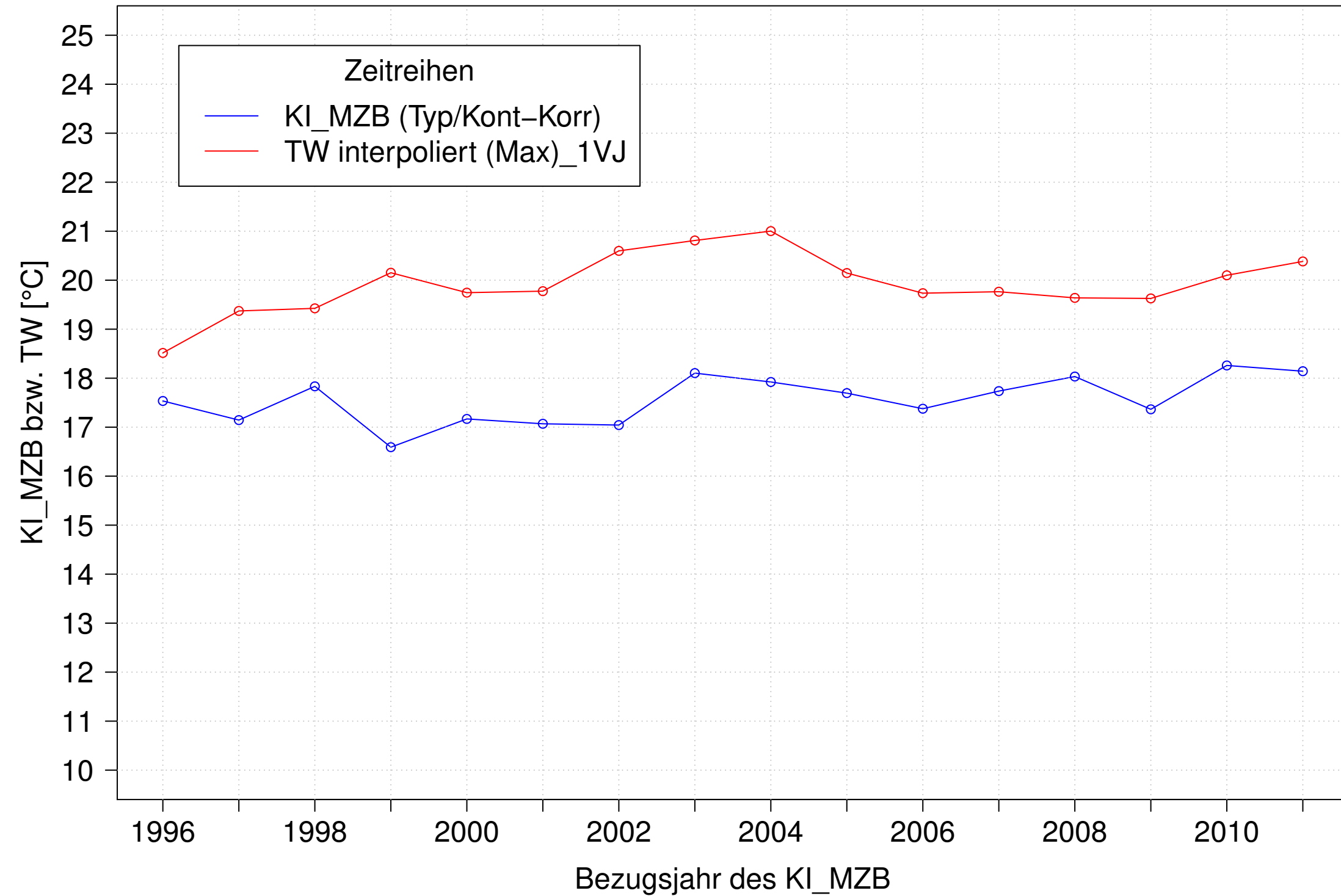
Kocher_Kochendorf, Typ 09.2 mit Neozoen, Serie 4
 KI_MZB (Typ/Kont-Korr) und 3JMW TW interpoliert (JA) des 1. Vorjahres



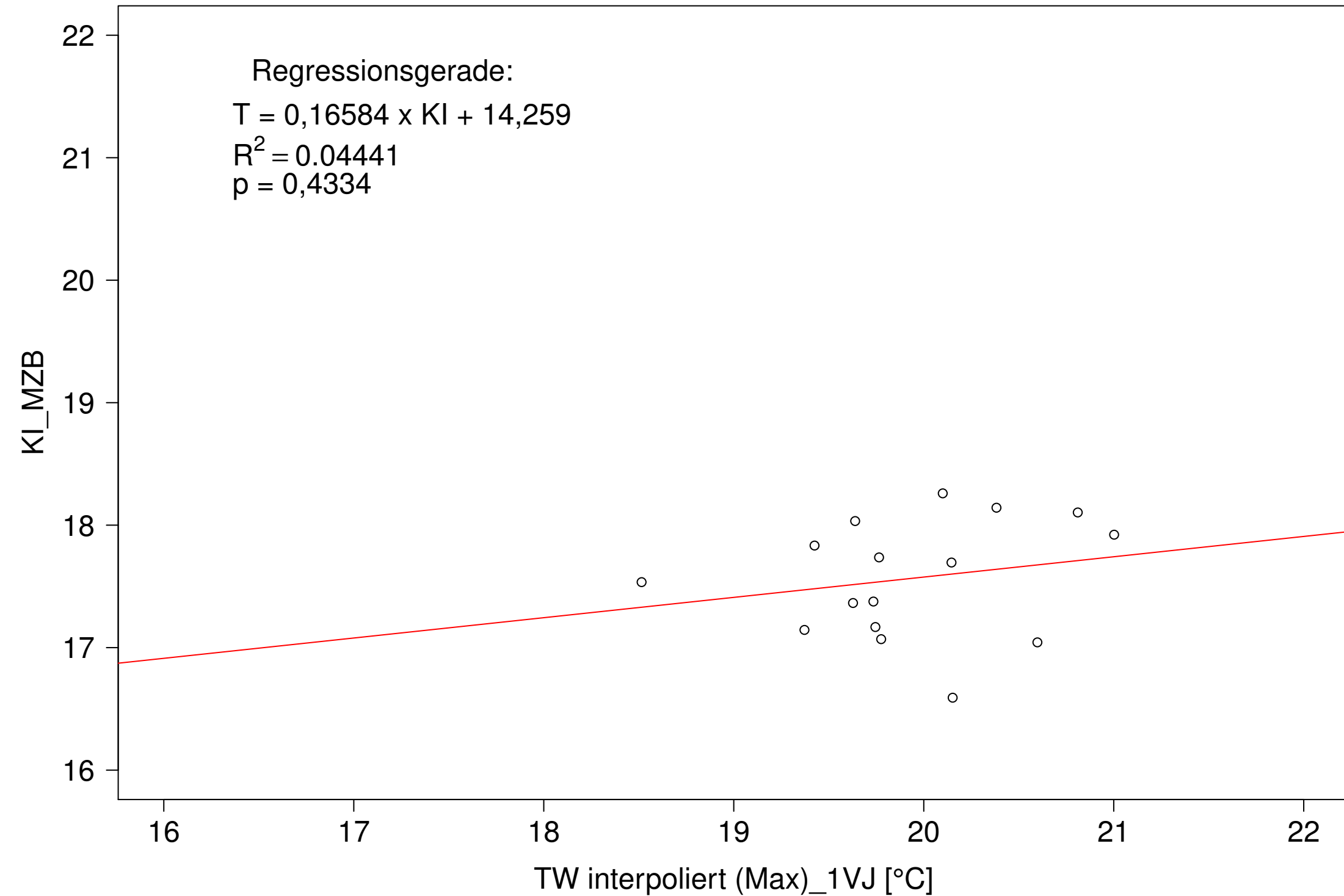
Kocher_Kochendorf, Typ 09.2 mit Neozoen, Serie 4
 KI_MZB (Typ/Kont-Korr) gegen 3JMW TW interpoliert (JA) des 1. Vorjahres



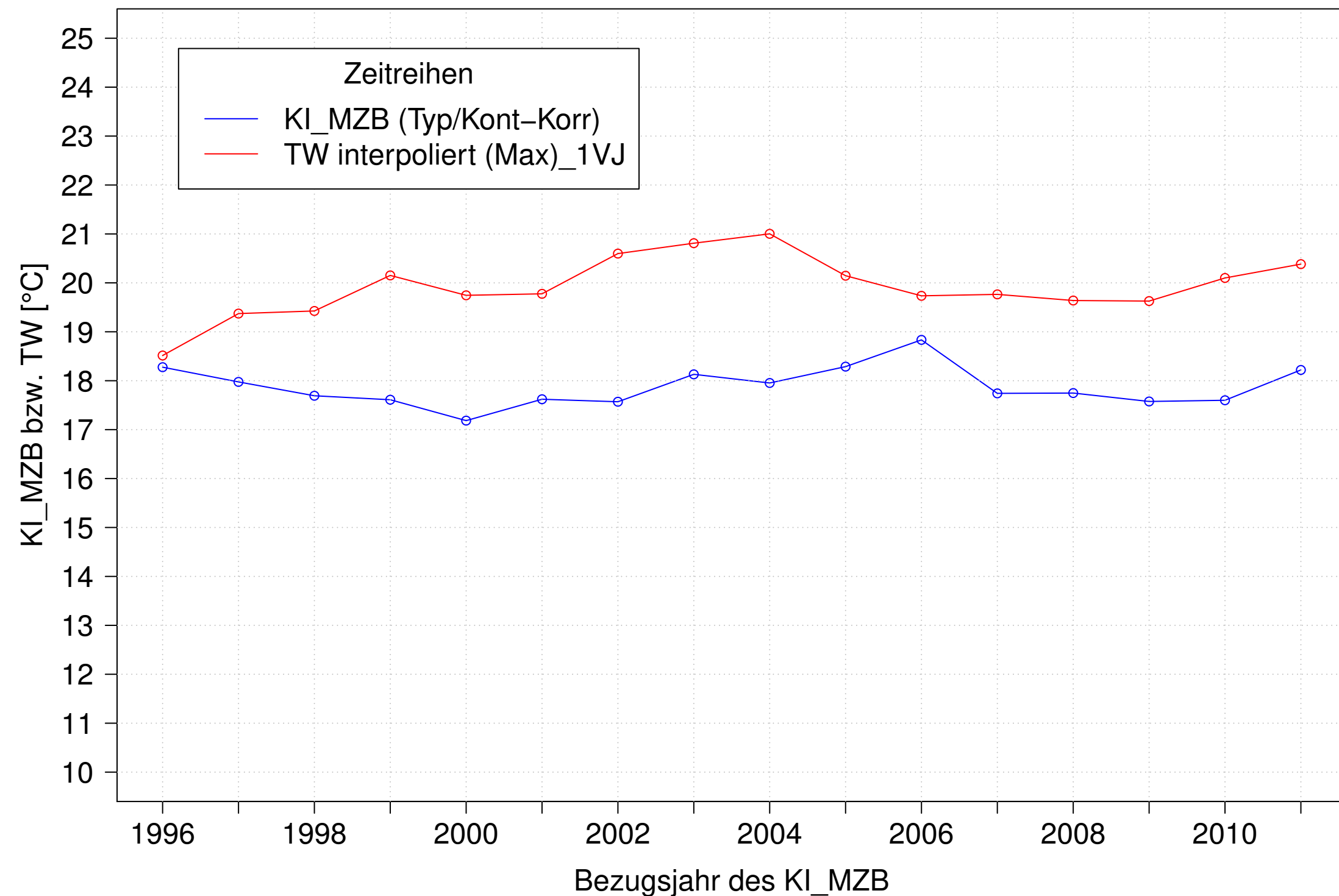
Kocher_Kochendorf, Typ 09.2 mit Neozoen, Serie 1
 KI_MZB (Typ/Kont-Korr) und 3JMW TW interpoliert (Max) des 1. Vorjahres



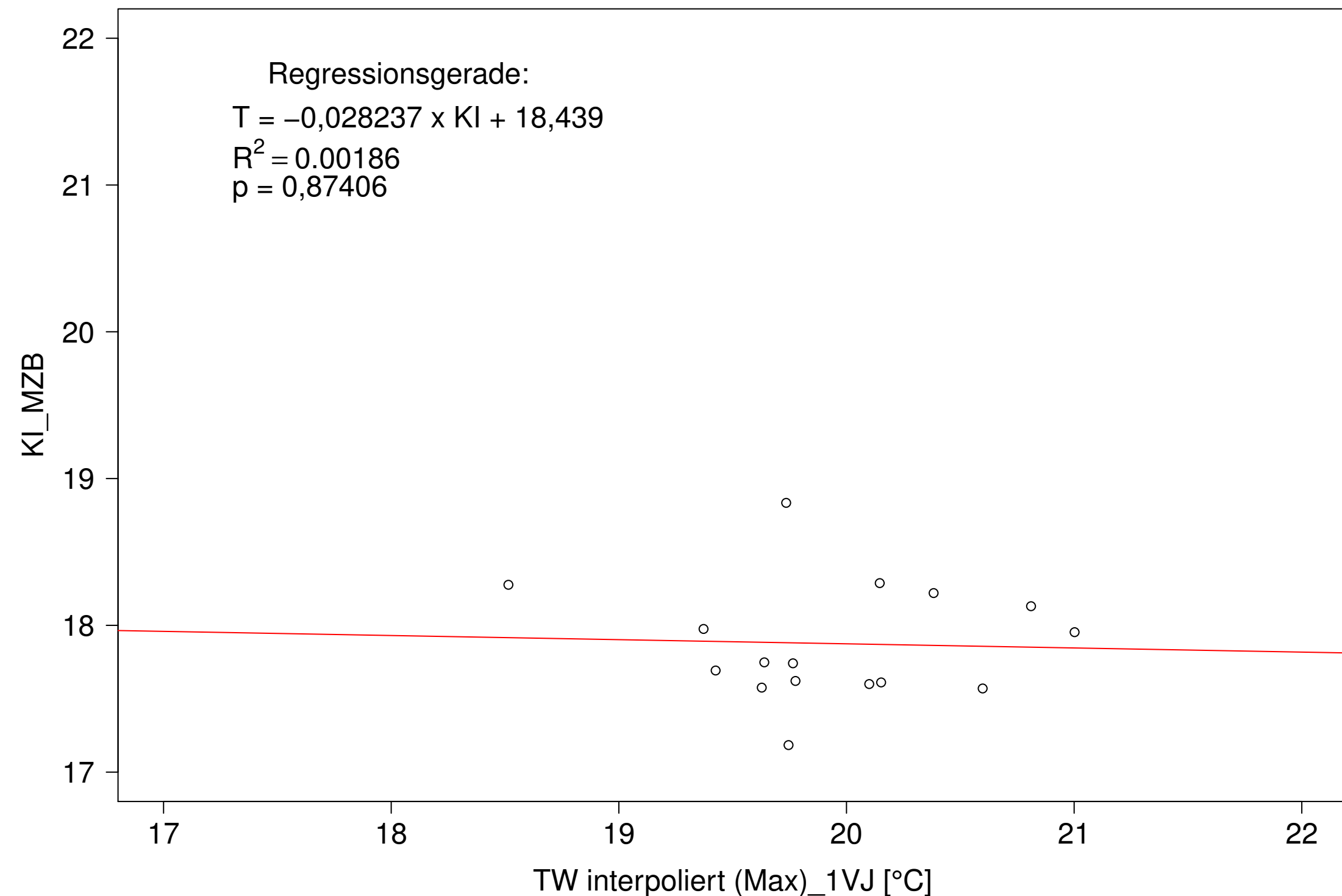
Kocher_Kochendorf, Typ 09.2 mit Neozoen, Serie 1
 KI_MZB (Typ/Kont-Korr) gegen 3JMW TW interpoliert (Max) des 1. Vorjahres



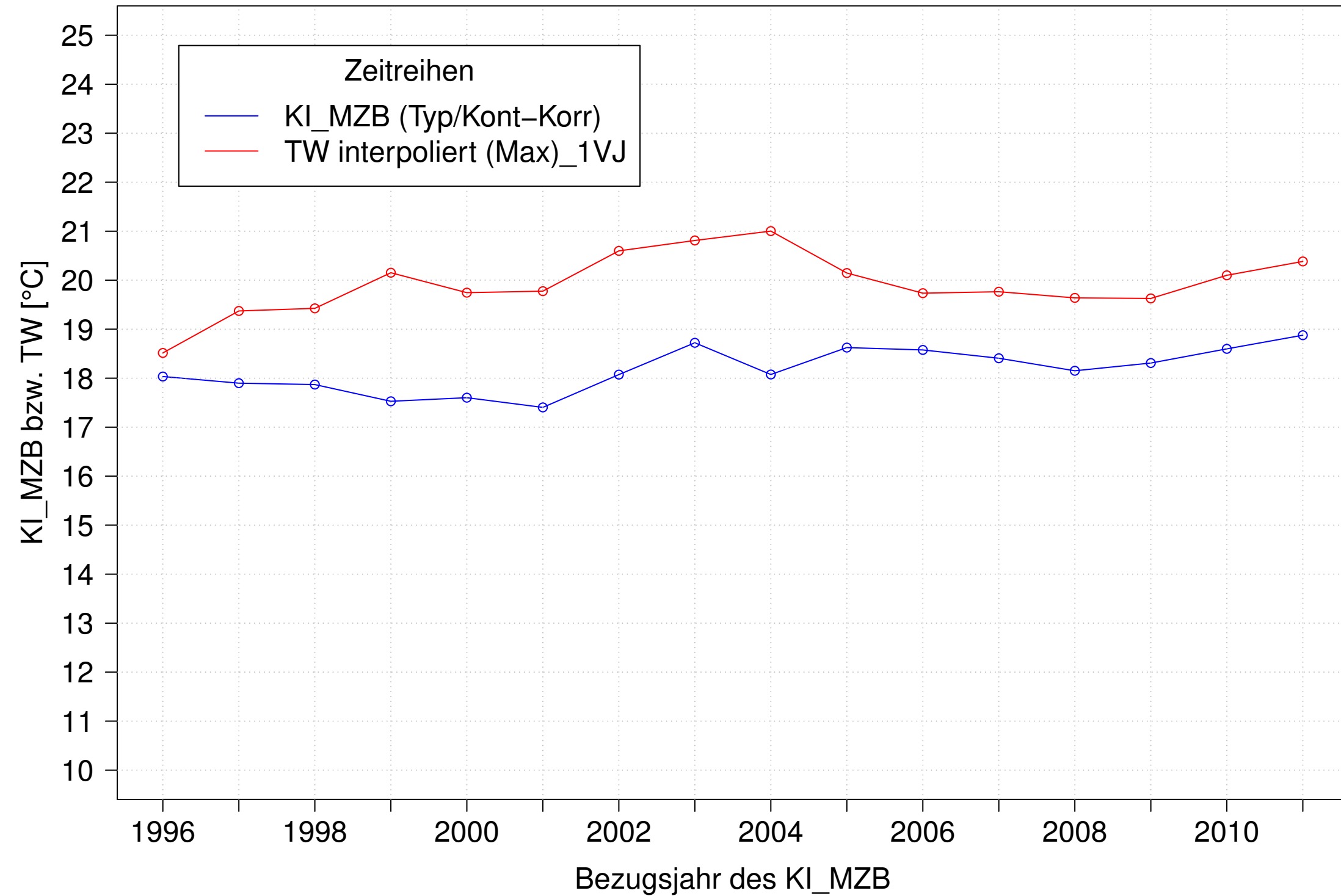
Kocher_Kochendorf, Typ 09.2 mit Neozoen, Serie 2
 KI_MZB (Typ/Kont-Korr) und 3JMW TW interpoliert (Max) des 1. Vorjahres



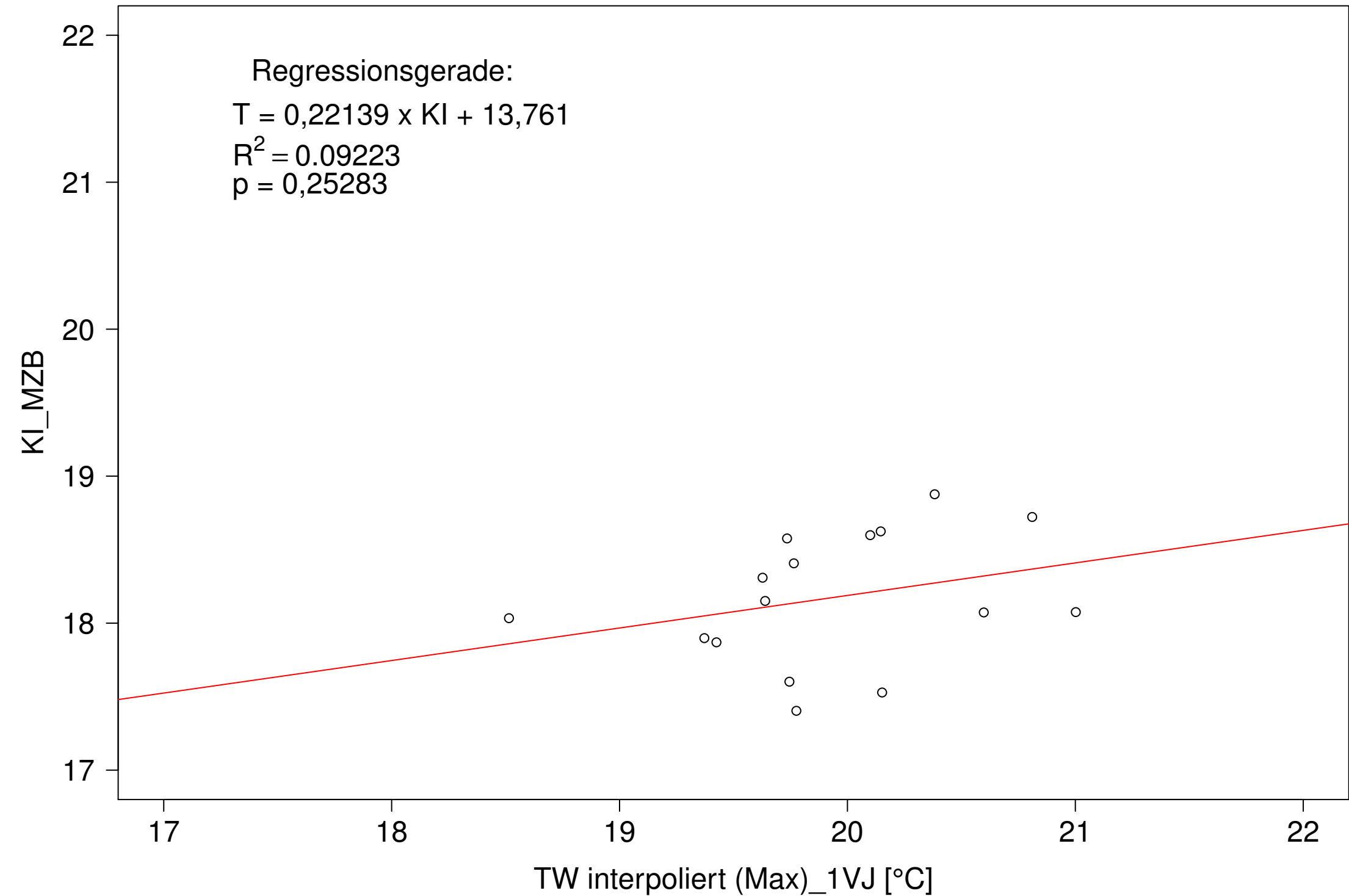
Kocher_Kochendorf, Typ 09.2 mit Neozoen, Serie 2
 KI_MZB (Typ/Kont-Korr) gegen 3JMW TW interpoliert (Max) des 1. Vorjahres



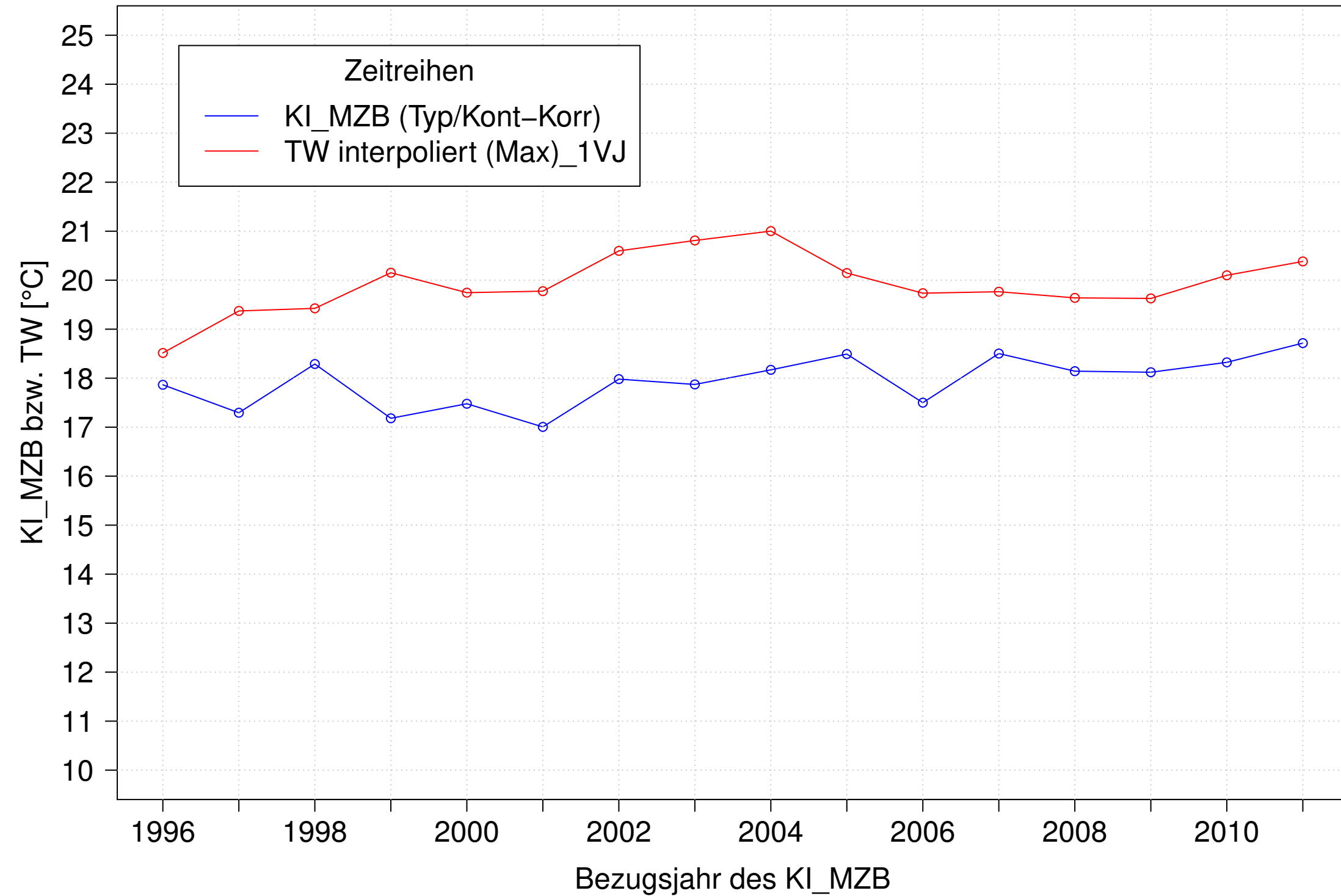
Kocher_Kochendorf, Typ 09.2 mit Neozoen, Serie 3
 KI_MZB (Typ/Kont-Korr) und 3JMW TW interpoliert (Max) des 1. Vorjahres



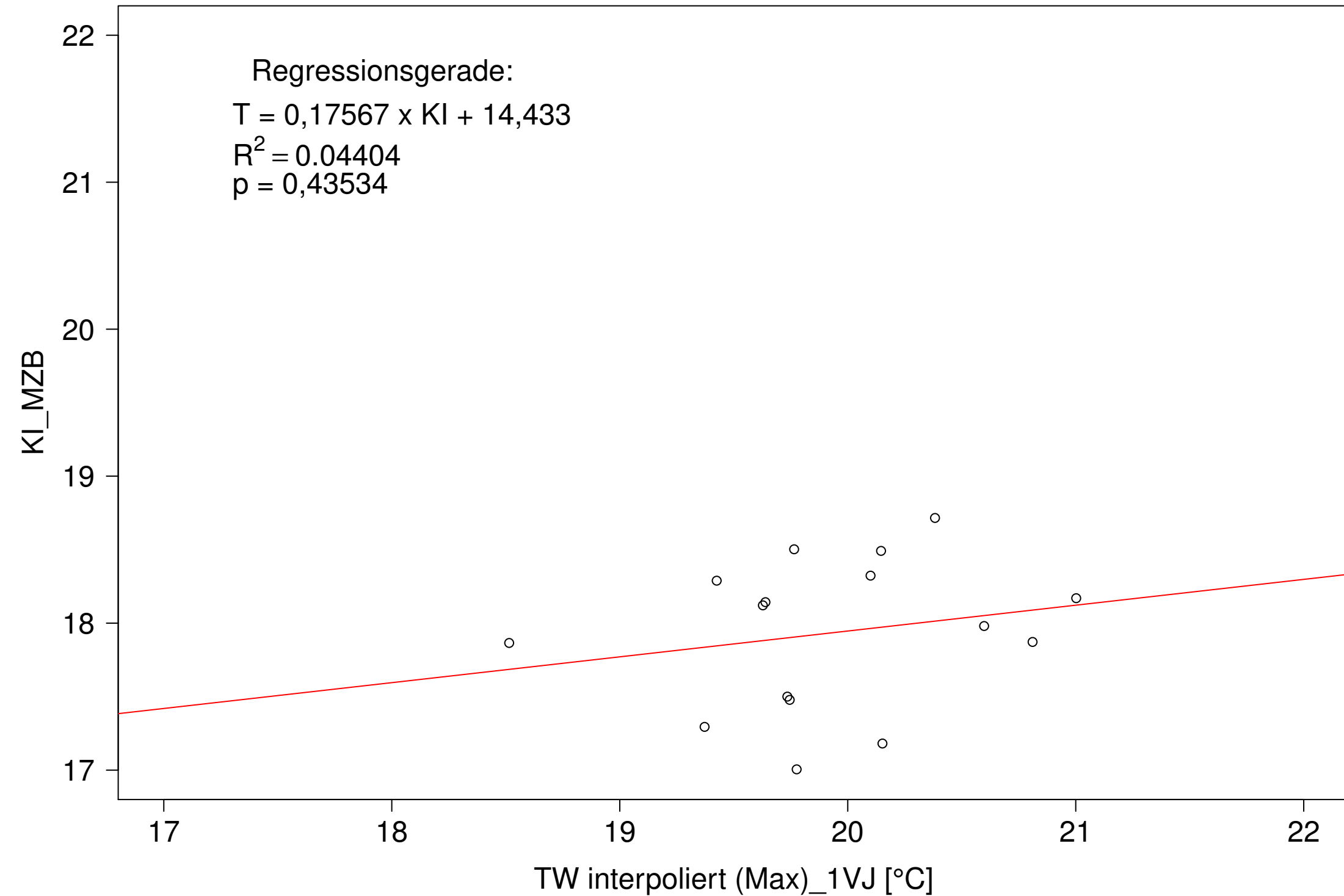
Kocher_Kochendorf, Typ 09.2 mit Neozoen, Serie 3
 KI_MZB (Typ/Kont-Korr) gegen 3JMW TW interpoliert (Max) des 1. Vorjahres



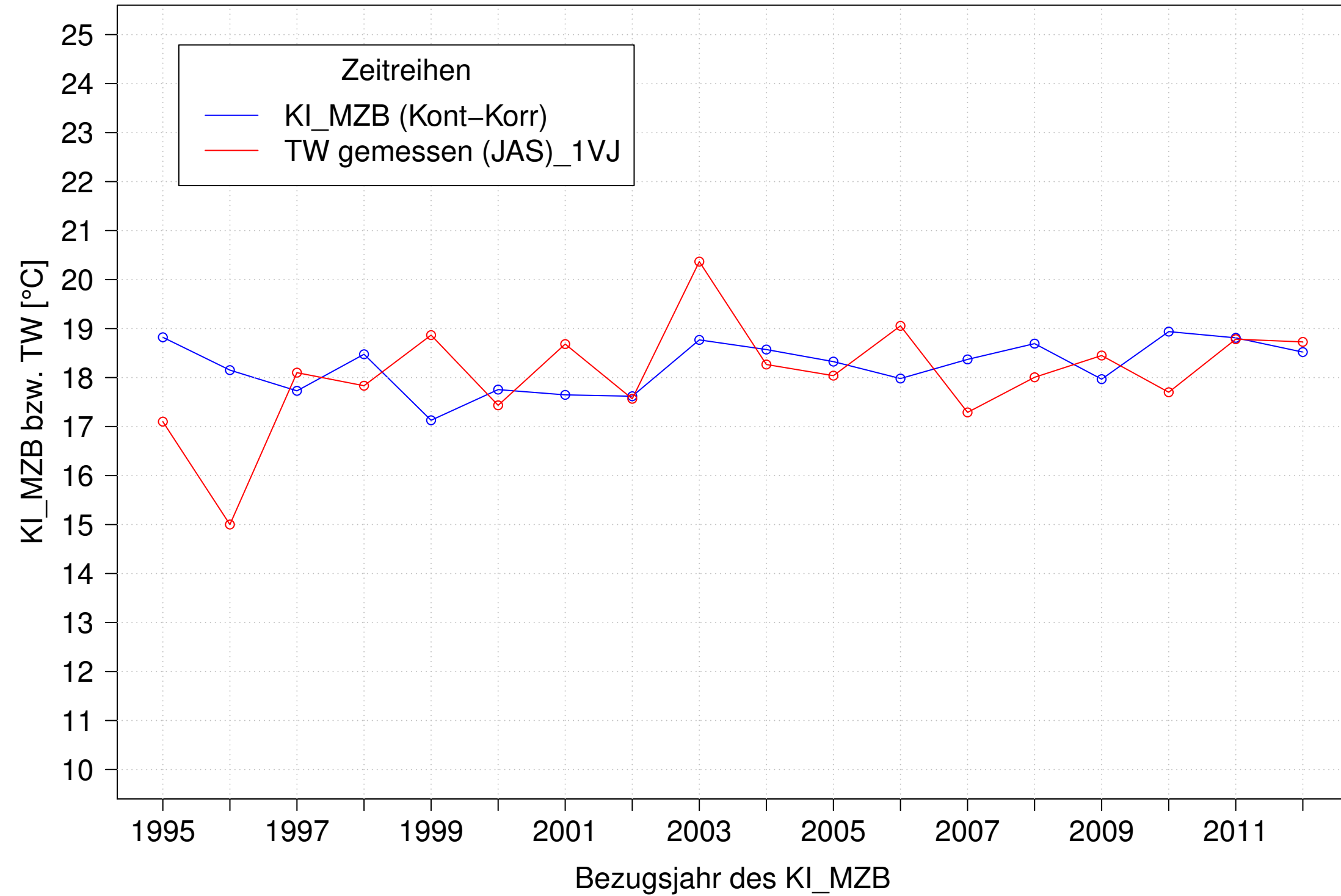
Kocher_Kochendorf, Typ 09.2 mit Neozoen, Serie 4
 KI_MZB (Typ/Kont-Korr) und 3JMW TW interpoliert (Max) des 1. Vorjahres



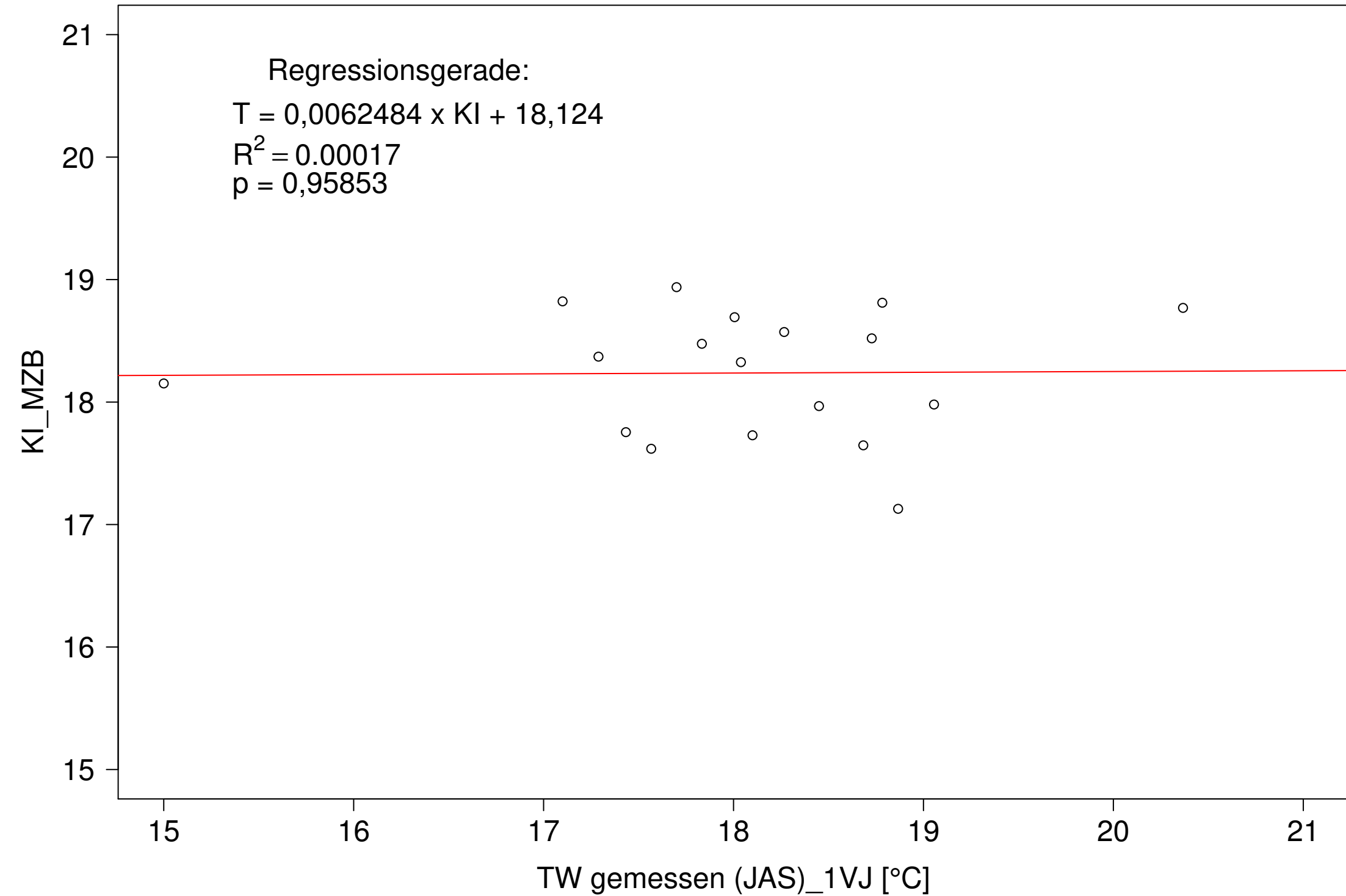
Kocher_Kochendorf, Typ 09.2 mit Neozoen, Serie 4
 KI_MZB (Typ/Kont-Korr) gegen 3JMW TW interpoliert (Max) des 1. Vorjahres



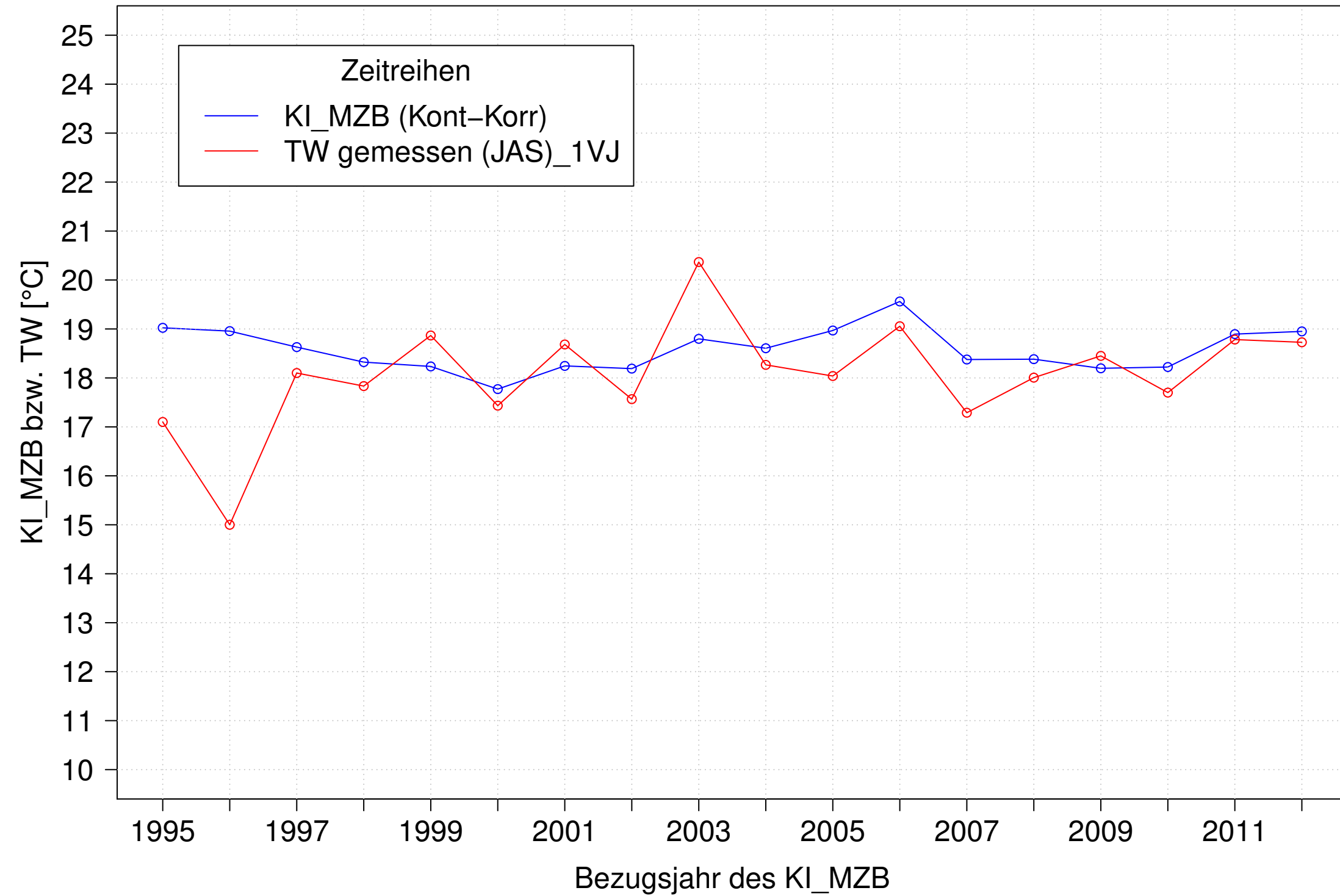
Kocher_Kochendorf, Typ 09.2 mit Neozoen, Serie 1
KI_MZB (Kont-Korr) und TW gemessen (JAS) des 1. Vorjahres



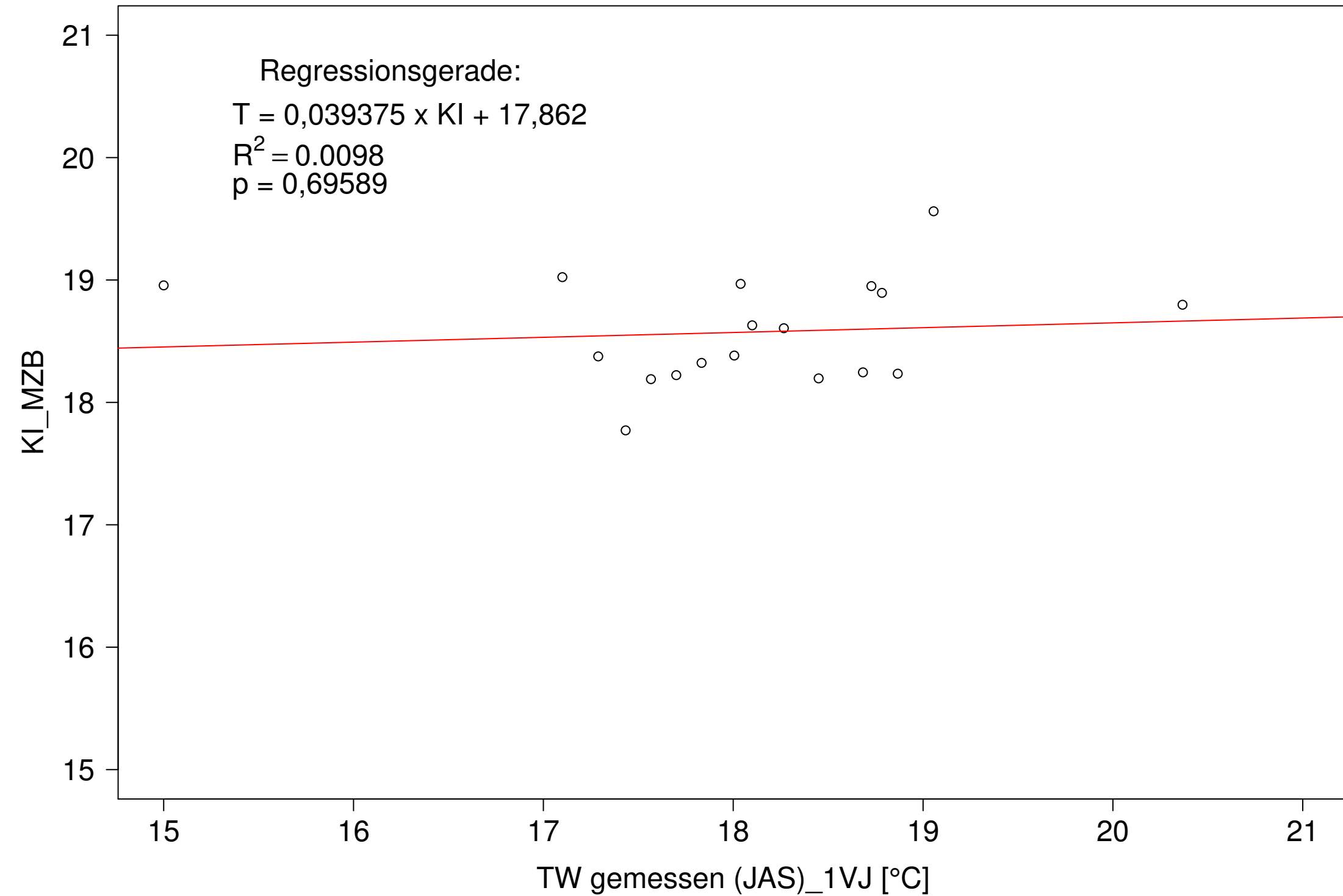
Kocher_Kochendorf, Typ 09.2 mit Neozoen, Serie 1
KI_MZB (Kont-Korr) gegen TW gemessen (JAS) des 1. Vorjahres



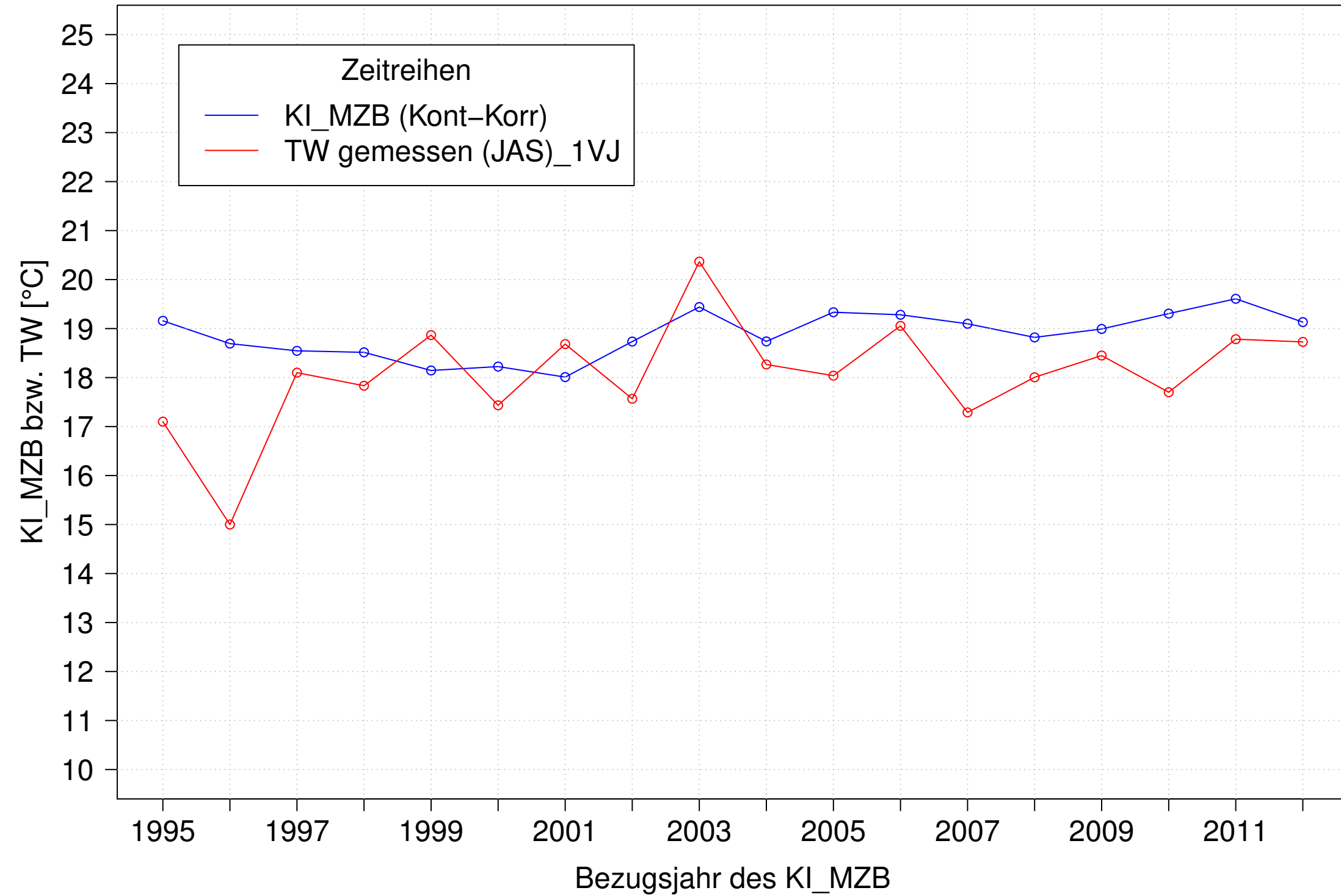
Kocher_Kochendorf, Typ 09.2 mit Neozoen, Serie 2
KI_MZB (Kont-Korr) und TW gemessen (JAS) des 1. Vorjahres



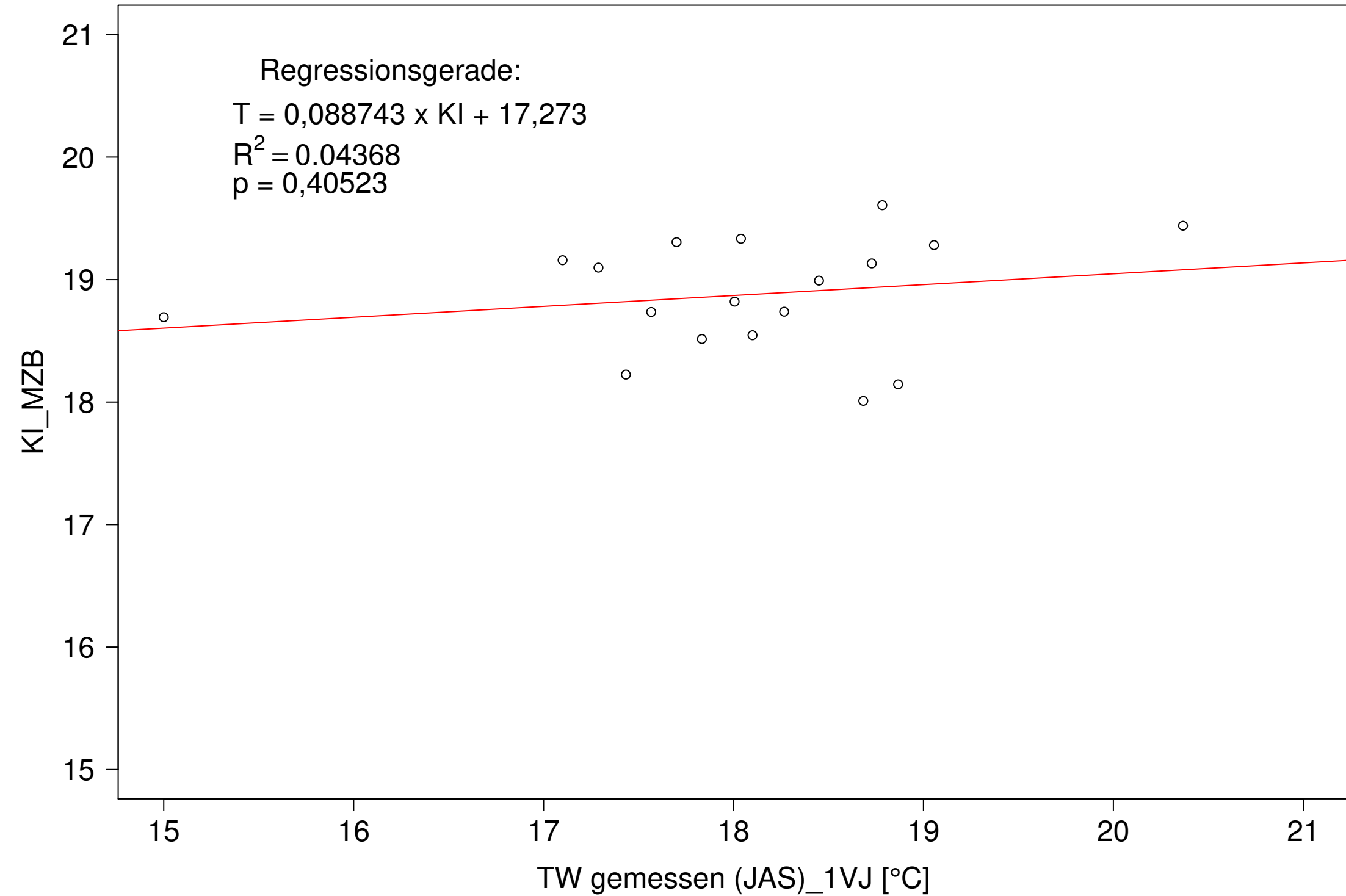
Kocher_Kochendorf, Typ 09.2 mit Neozoen, Serie 2
KI_MZB (Kont-Korr) gegen TW gemessen (JAS) des 1. Vorjahres



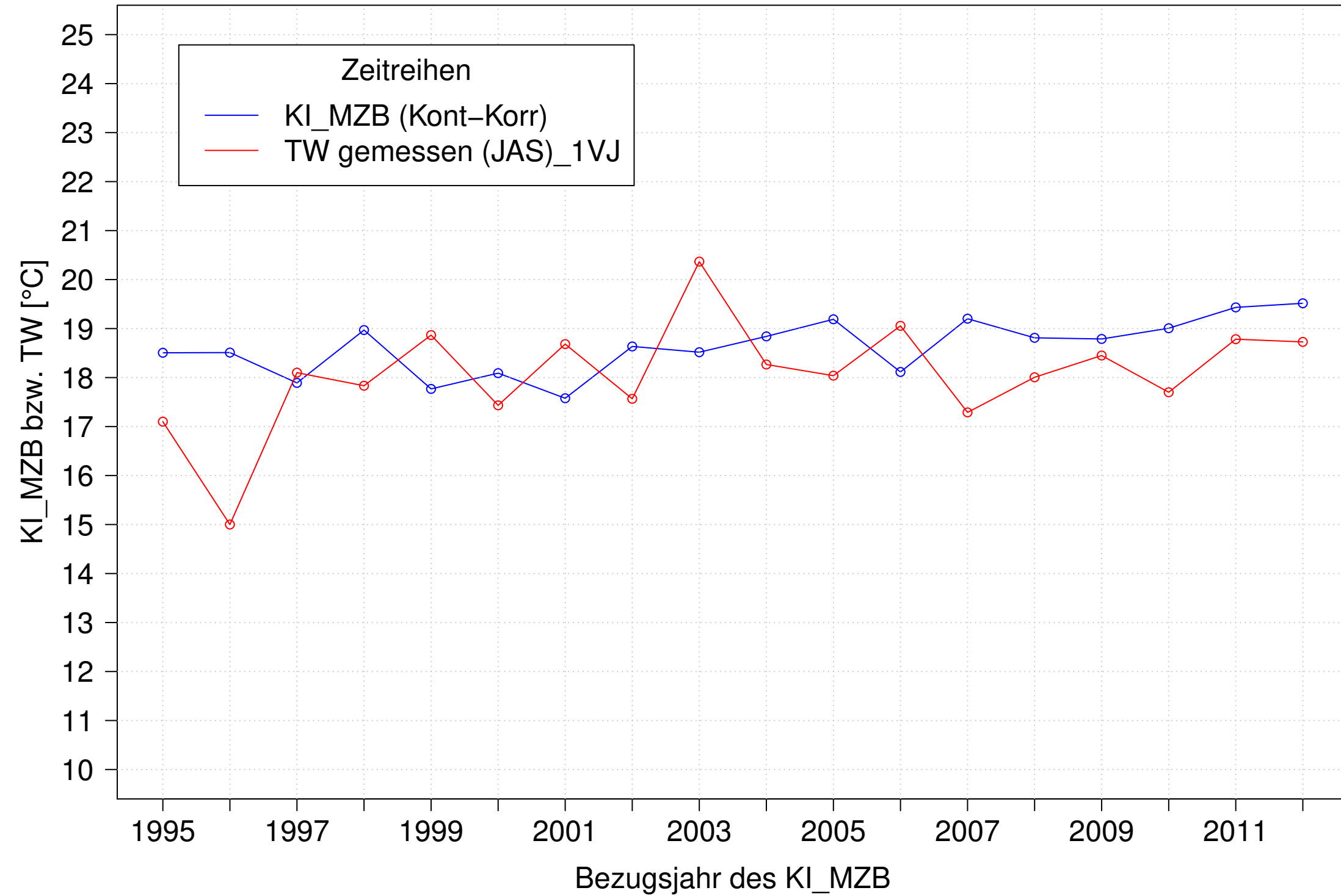
Kocher_Kochendorf, Typ 09.2 mit Neozoen, Serie 3
KI_MZB (Kont-Korr) und TW gemessen (JAS) des 1. Vorjahres



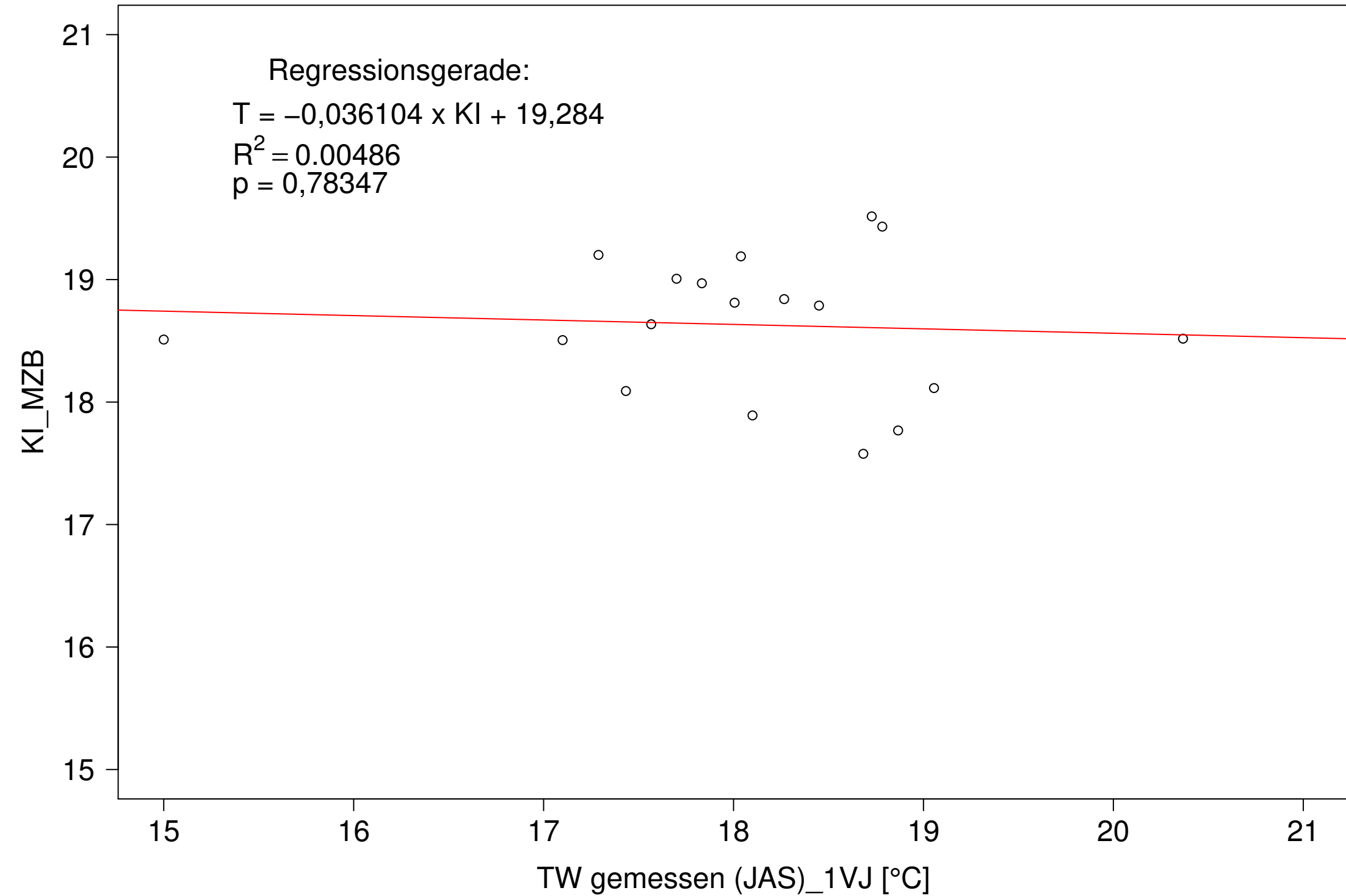
Kocher_Kochendorf, Typ 09.2 mit Neozoen, Serie 3
KI_MZB (Kont-Korr) gegen TW gemessen (JAS) des 1. Vorjahres



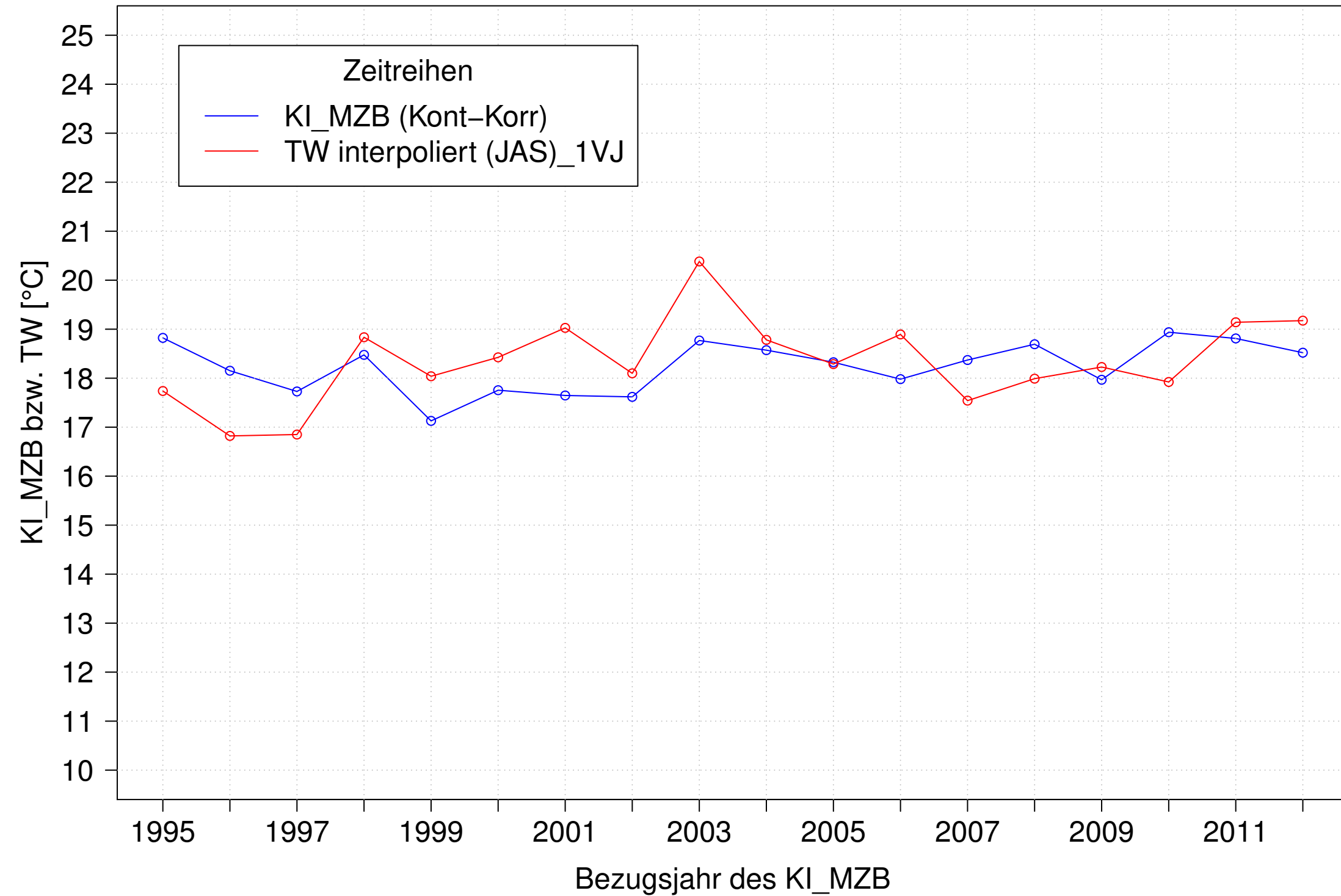
Kocher_Kochendorf, Typ 09.2 mit Neozoen, Serie 4
KI_MZB (Kont-Korr) und TW gemessen (JAS) des 1. Vorjahres



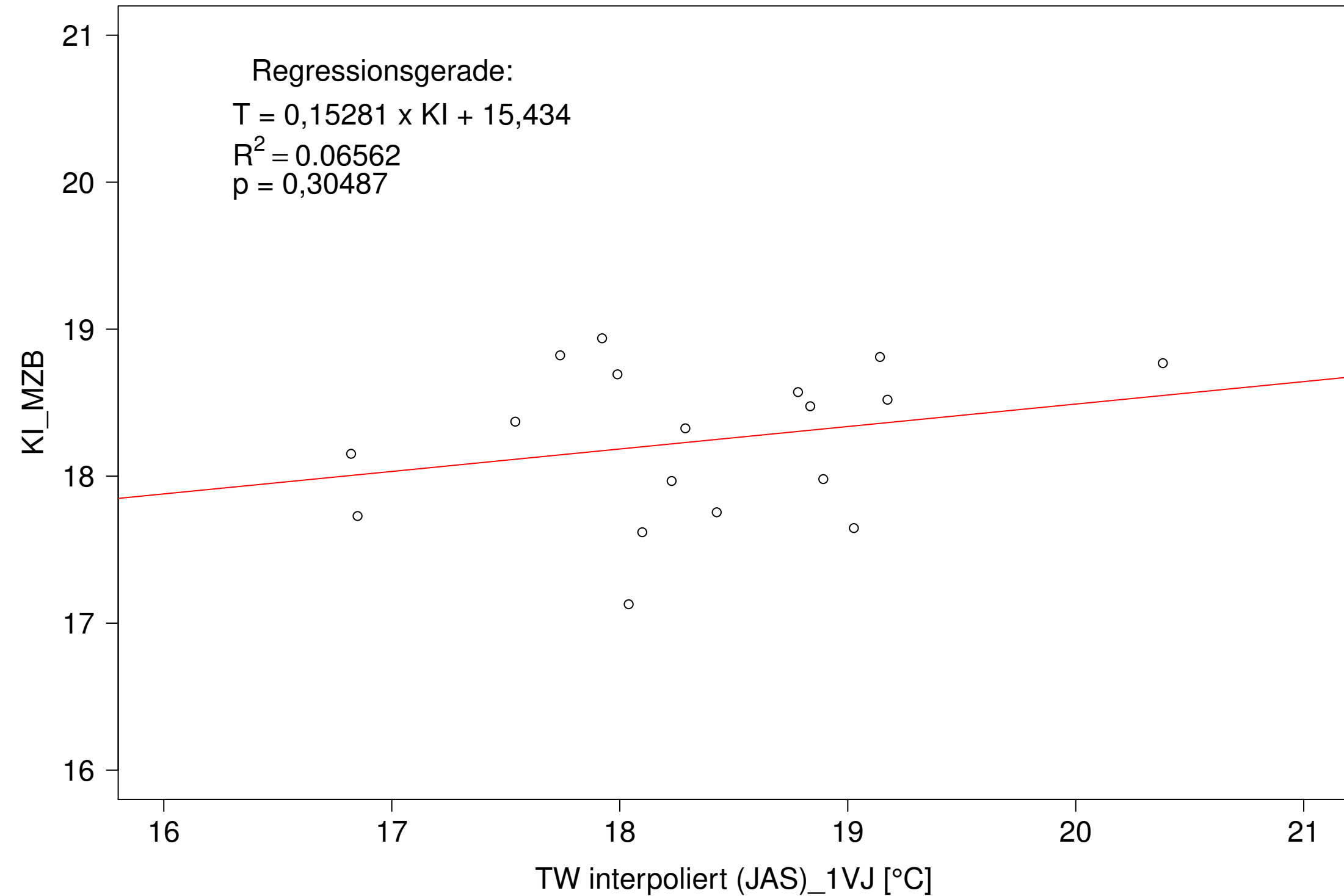
Kocher_Kochendorf, Typ 09.2 mit Neozoen, Serie 4
KI_MZB (Kont-Korr) gegen TW gemessen (JAS) des 1. Vorjahres



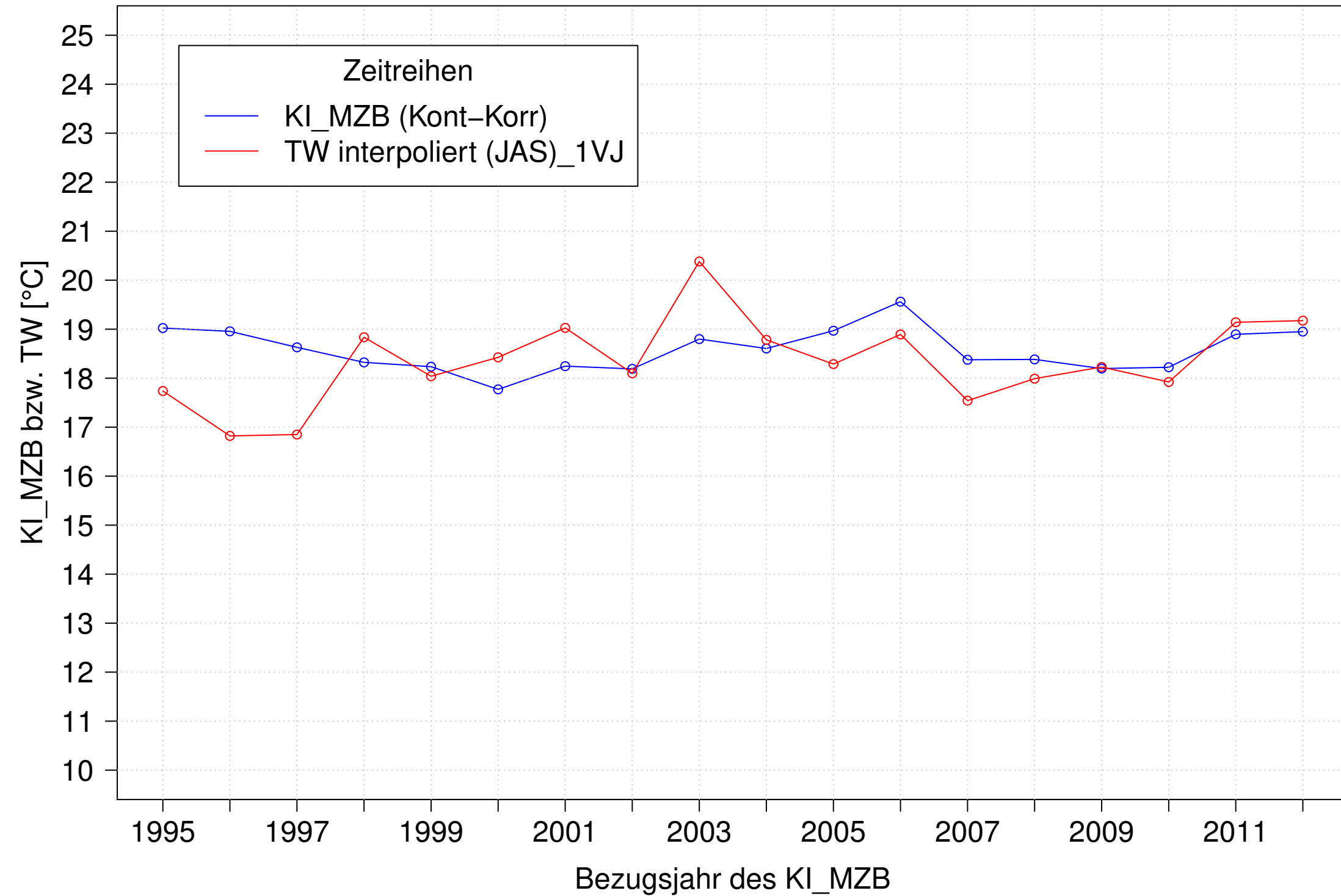
Kocher_Kochendorf, Typ 09.2 mit Neozoen, Serie 1
KI_MZB (Kont-Korr) und TW interpoliert (JAS) des 1. Vorjahres



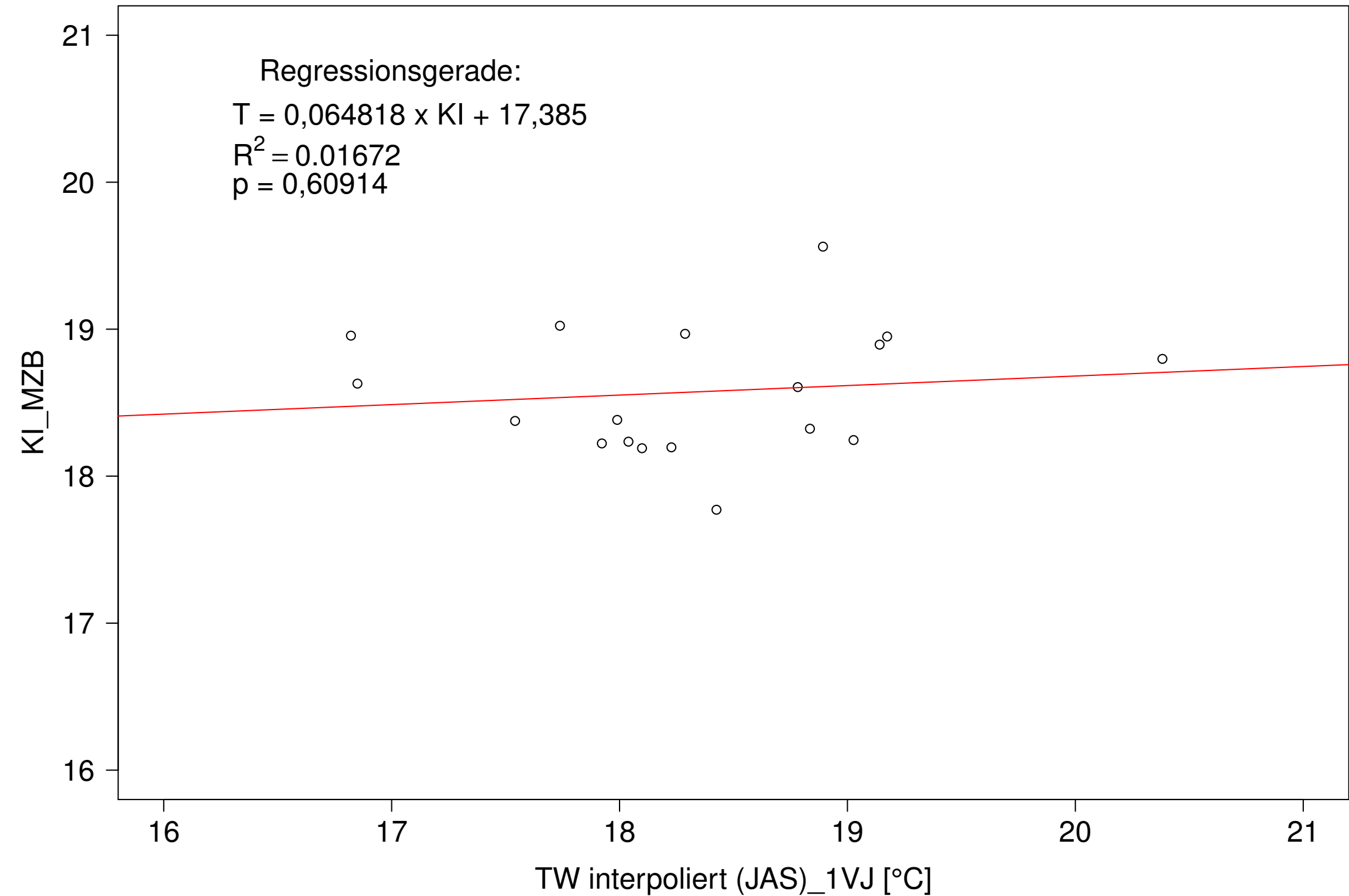
Kocher_Kochendorf, Typ 09.2 mit Neozoen, Serie 1
KI_MZB (Kont-Korr) gegen TW interpoliert (JAS) des 1. Vorjahres



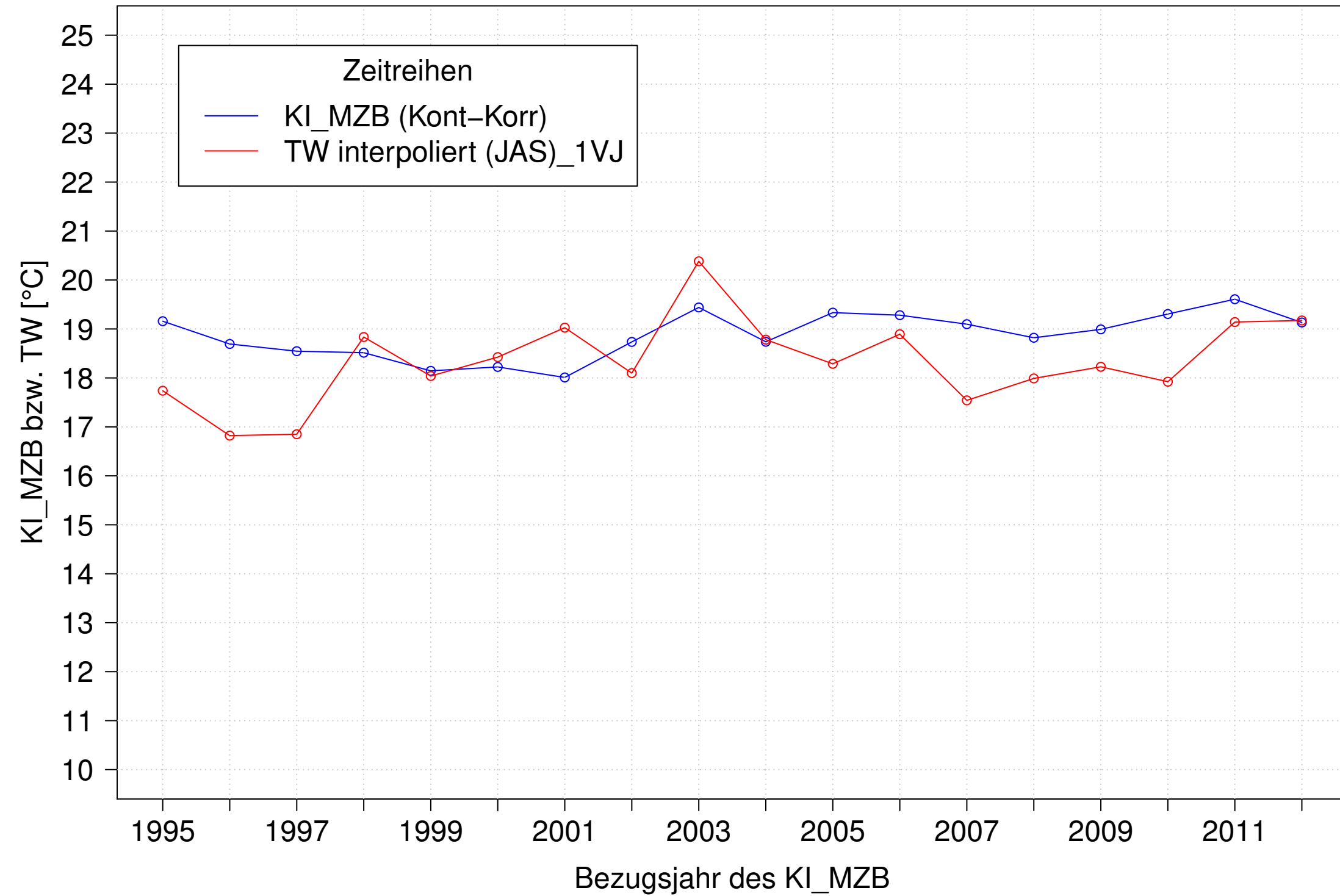
Kocher_Kochendorf, Typ 09.2 mit Neozoen, Serie 2
KI_MZB (Kont-Korr) und TW interpoliert (JAS) des 1. Vorjahres



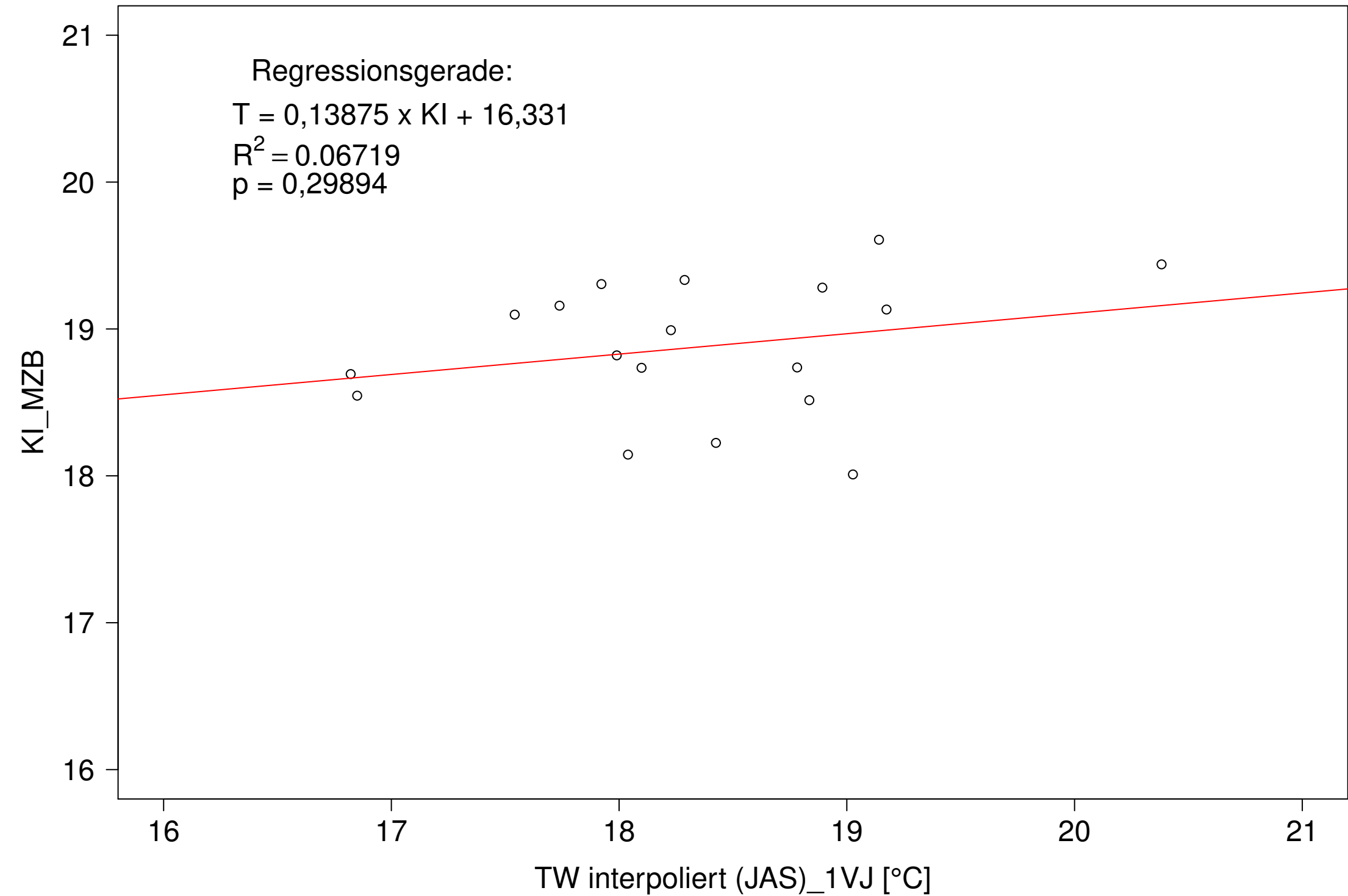
Kocher_Kochendorf, Typ 09.2 mit Neozoen, Serie 2
KI_MZB (Kont-Korr) gegen TW interpoliert (JAS) des 1. Vorjahres



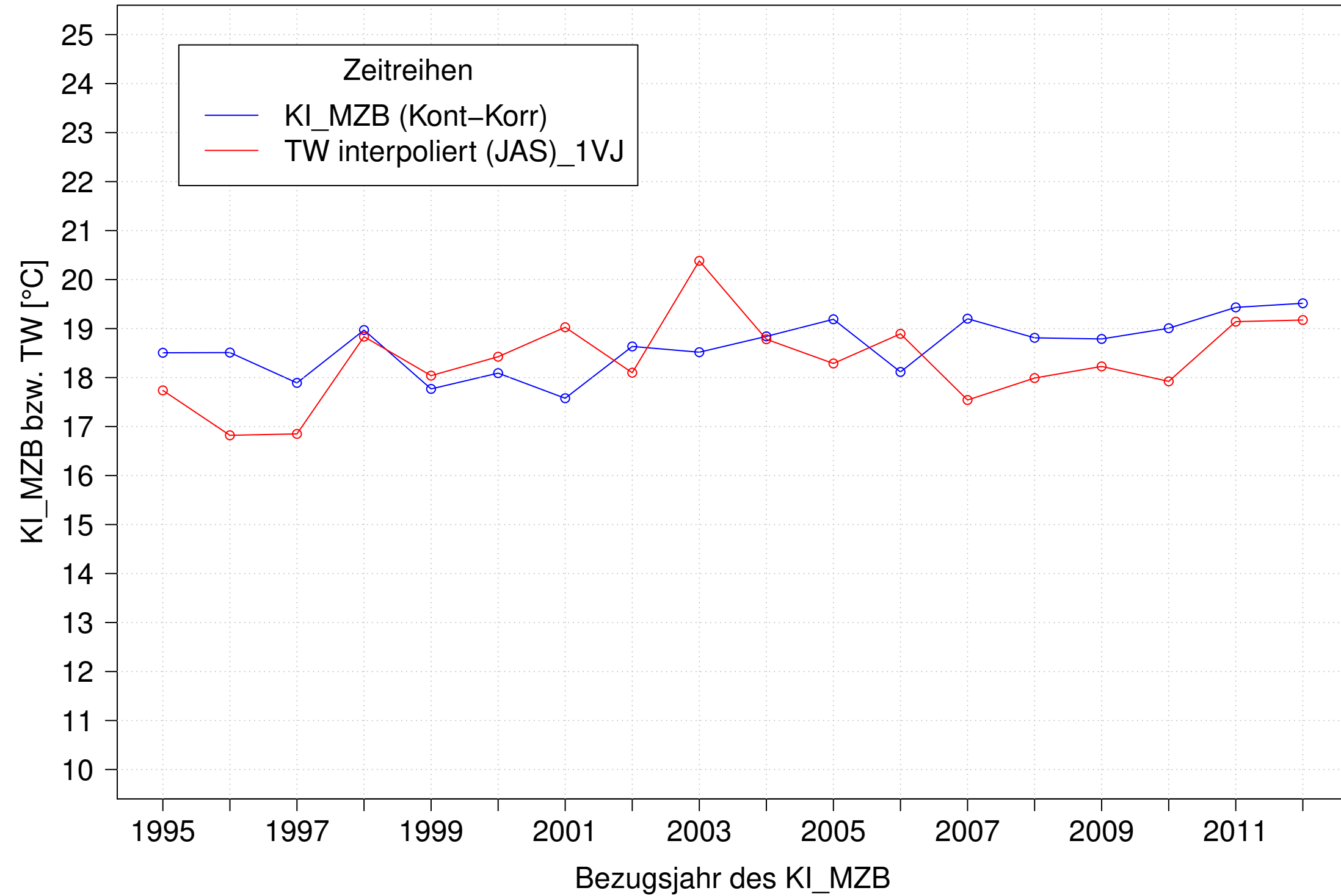
Kocher_Kochendorf, Typ 09.2 mit Neozoen, Serie 3
KI_MZB (Kont-Korr) und TW interpoliert (JAS) des 1. Vorjahres



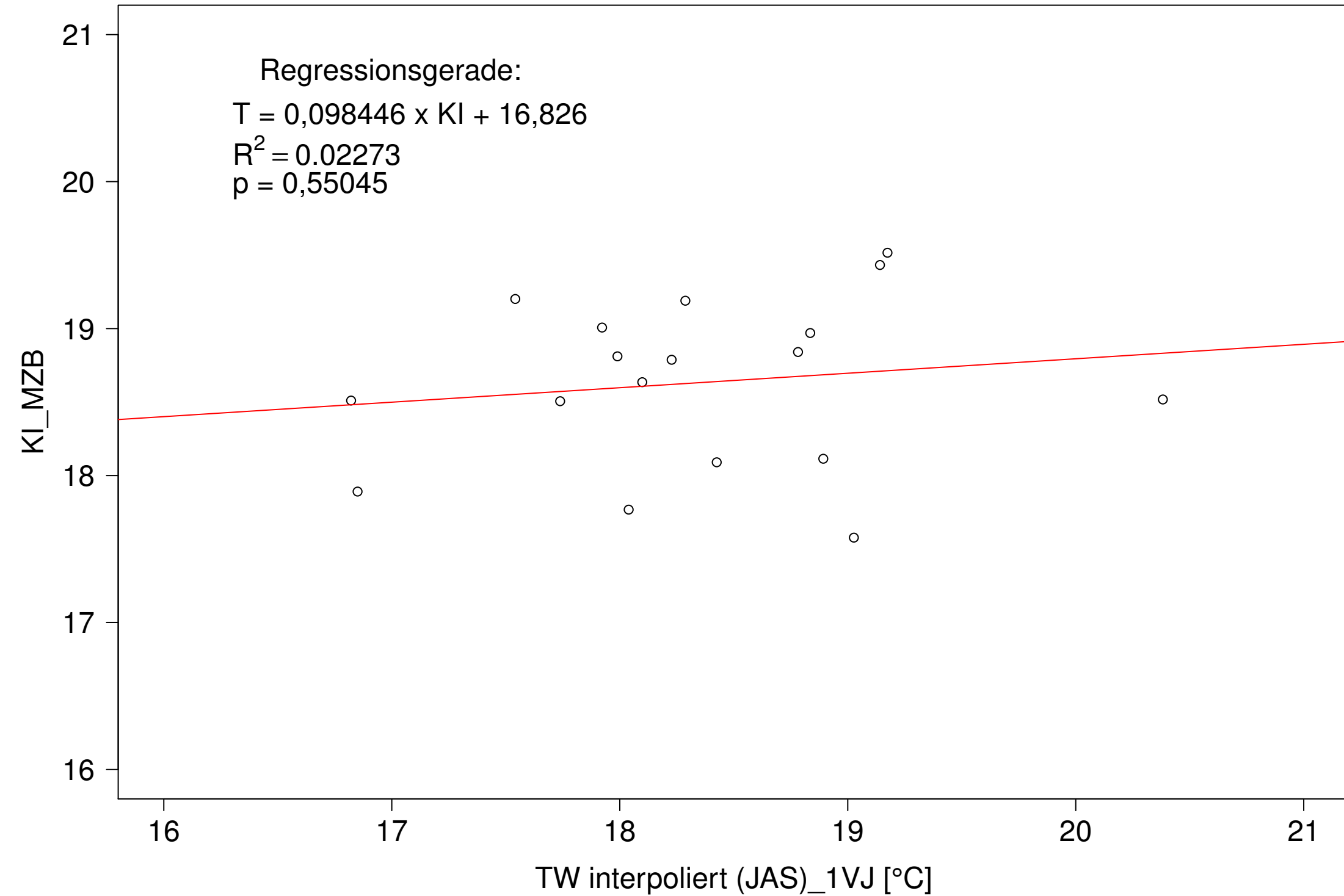
Kocher_Kochendorf, Typ 09.2 mit Neozoen, Serie 3
KI_MZB (Kont-Korr) gegen TW interpoliert (JAS) des 1. Vorjahres



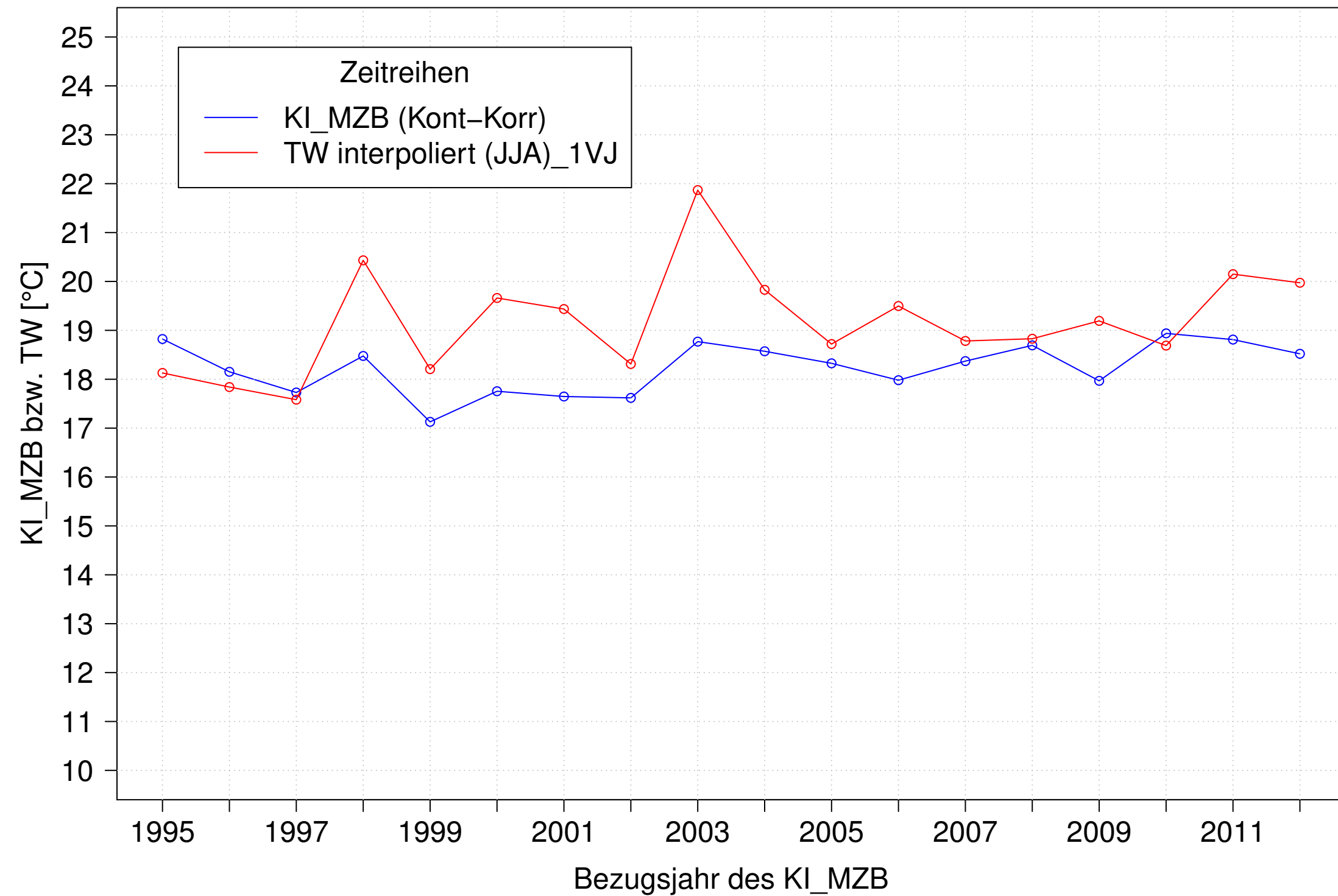
Kocher_Kochendorf, Typ 09.2 mit Neozoen, Serie 4
KI_MZB (Kont-Korr) und TW interpoliert (JAS) des 1. Vorjahres



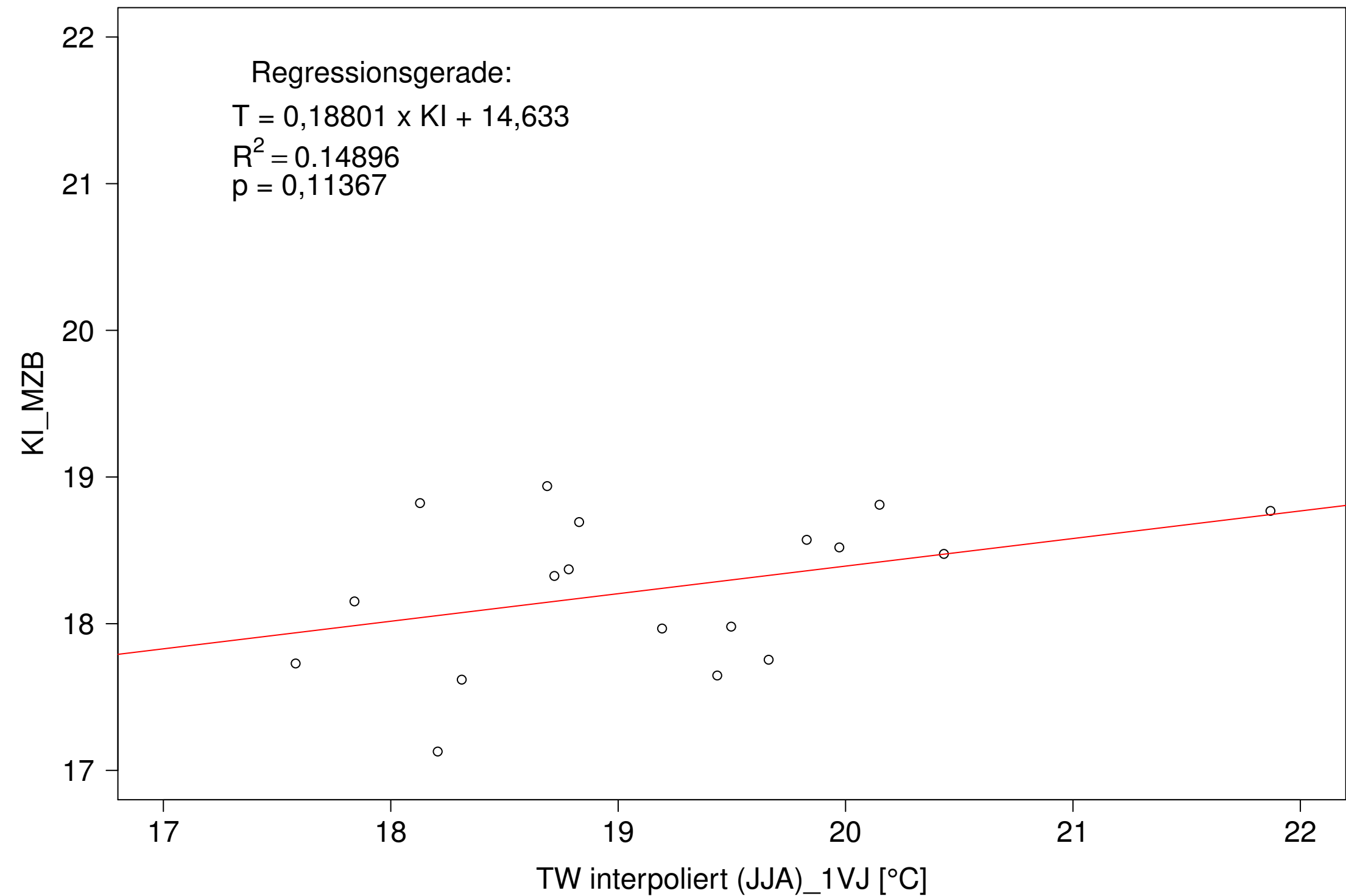
Kocher_Kochendorf, Typ 09.2 mit Neozoen, Serie 4
KI_MZB (Kont-Korr) gegen TW interpoliert (JAS) des 1. Vorjahres



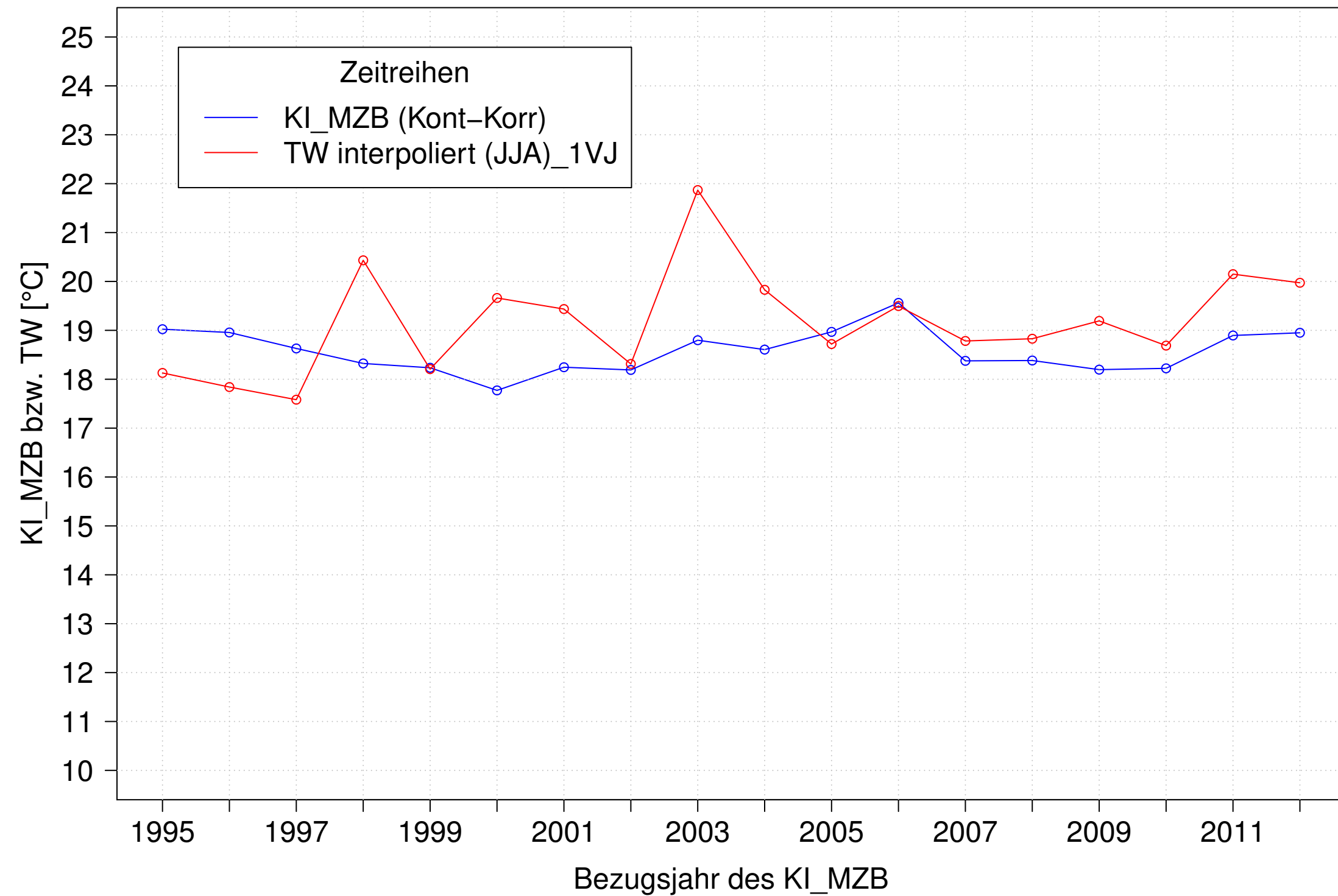
Kocher_Kochendorf, Typ 09.2 mit Neozoen, Serie 1
KI_MZB (Kont-Korr) und TW interpoliert (JJA) des 1. Vorjahres



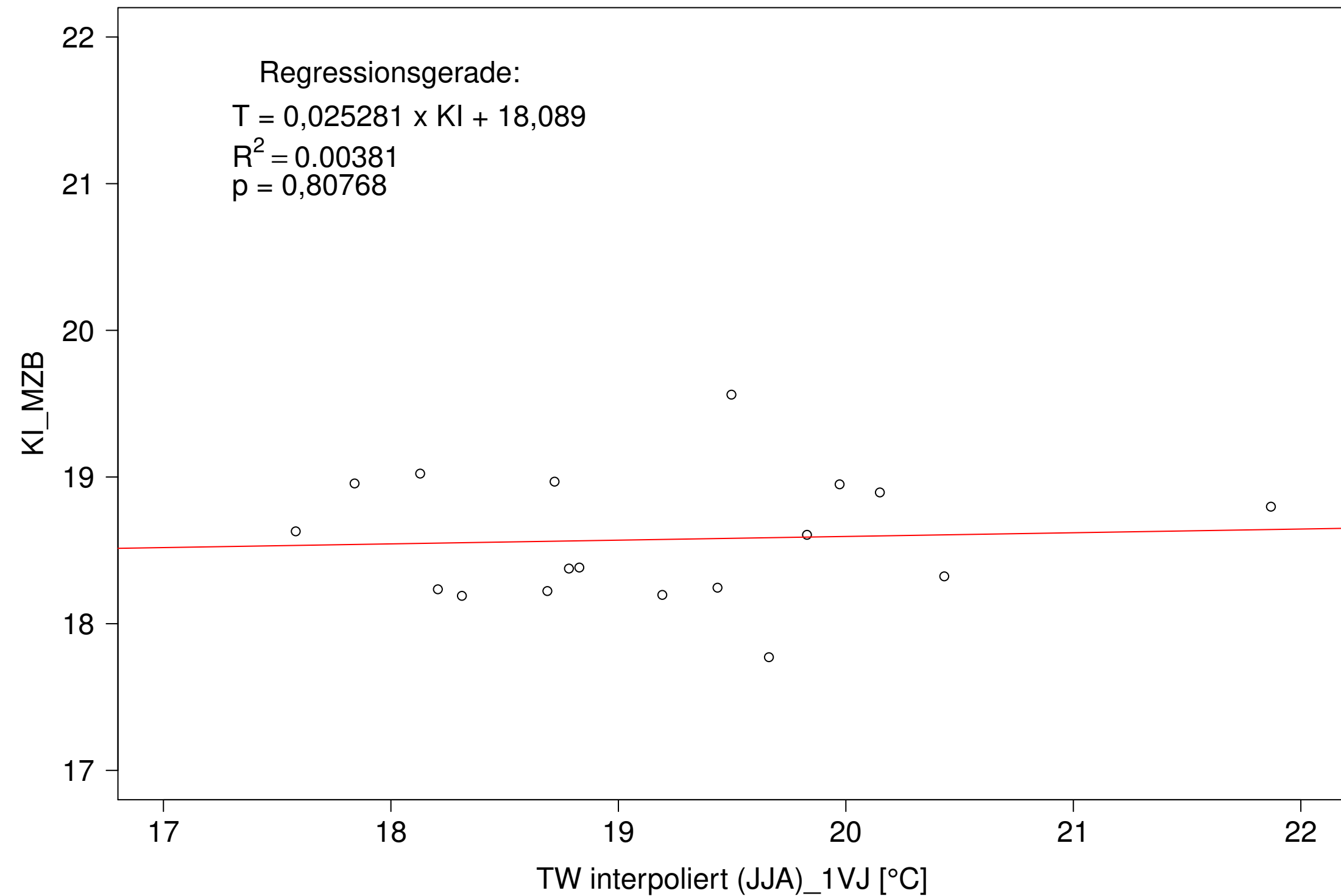
Kocher_Kochendorf, Typ 09.2 mit Neozoen, Serie 1
KI_MZB (Kont-Korr) gegen TW interpoliert (JJA) des 1. Vorjahres



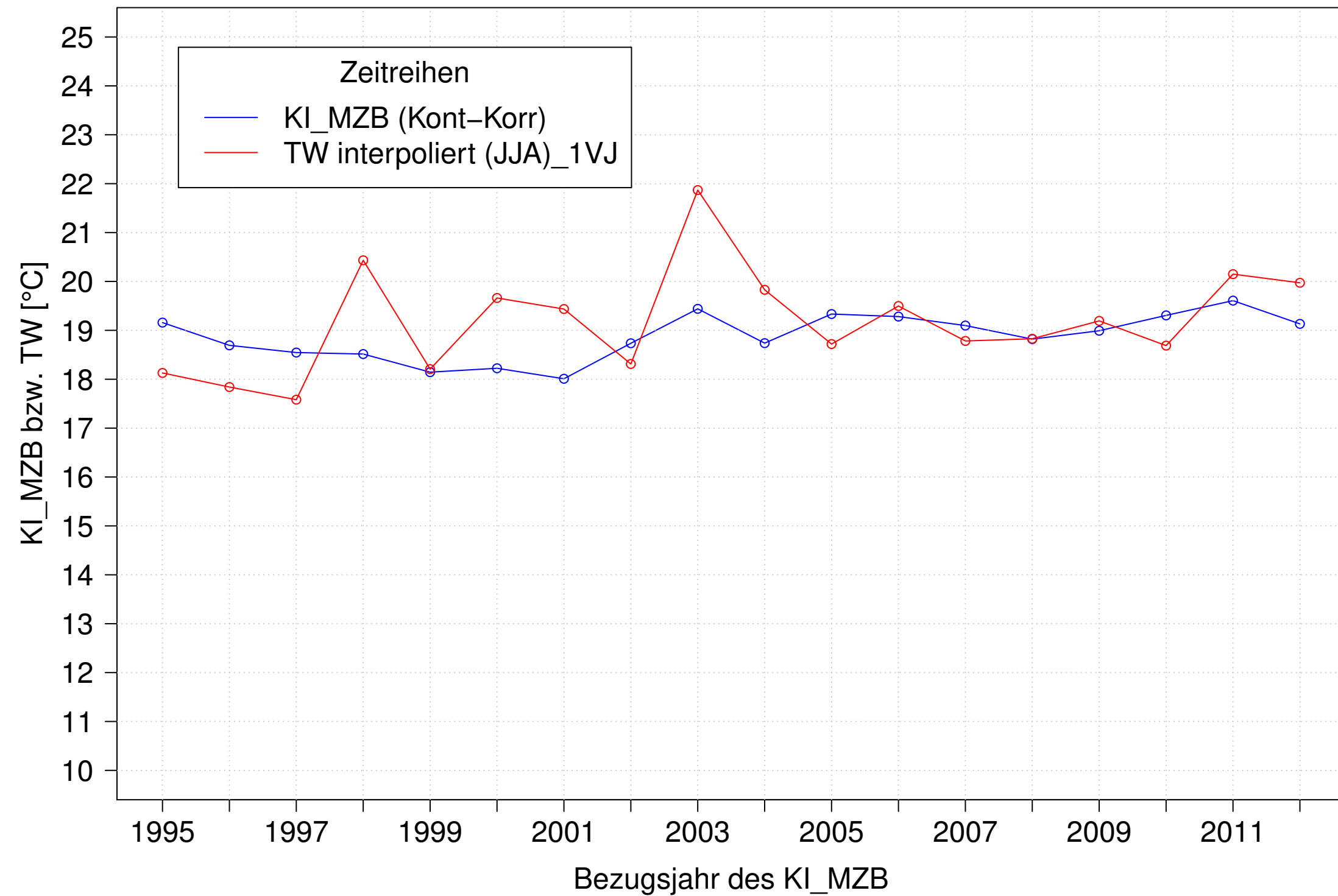
Kocher_Kochendorf, Typ 09.2 mit Neozoen, Serie 2
KI_MZB (Kont-Korr) und TW interpoliert (JJA) des 1. Vorjahres



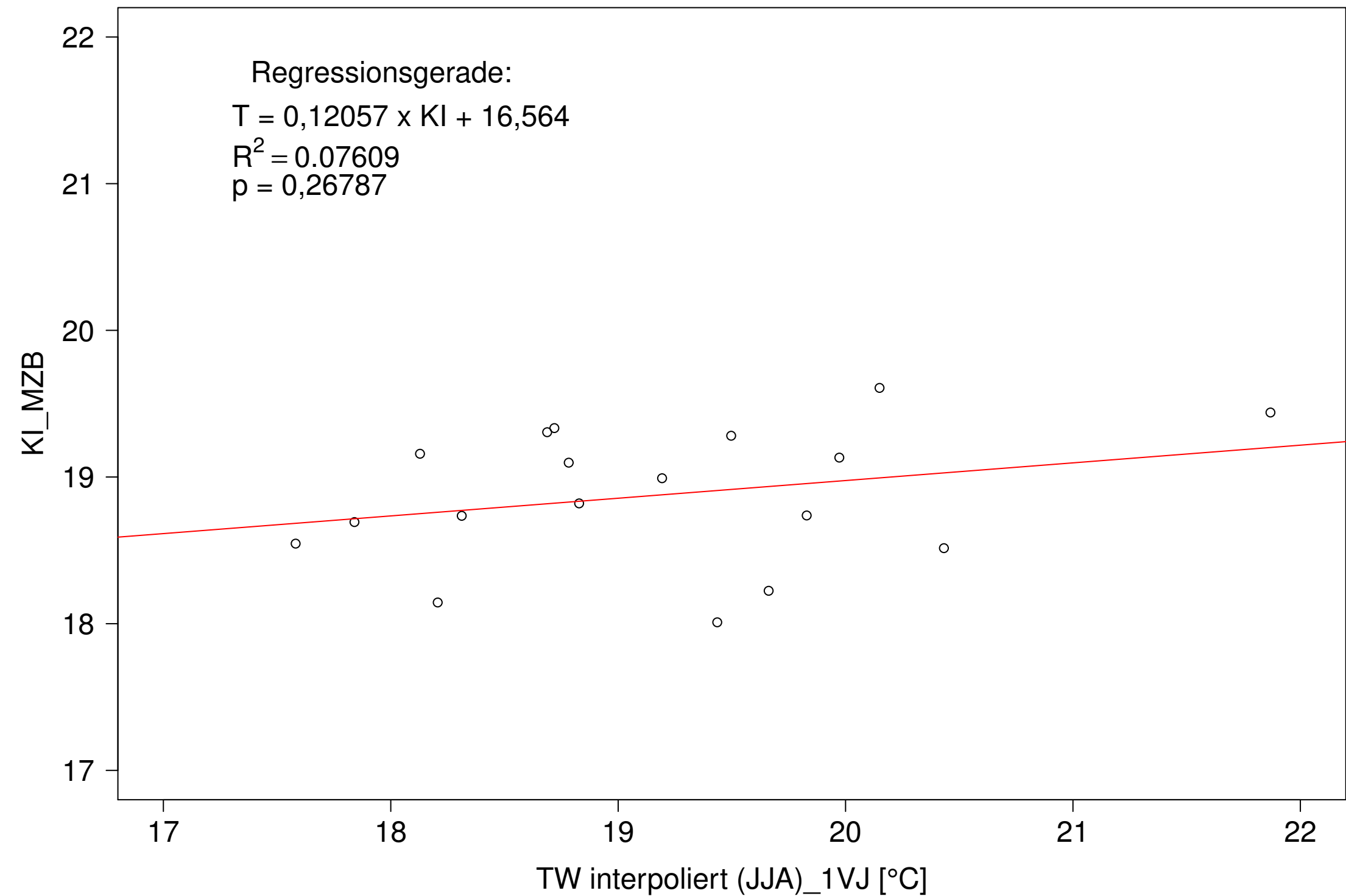
Kocher_Kochendorf, Typ 09.2 mit Neozoen, Serie 2
KI_MZB (Kont-Korr) gegen TW interpoliert (JJA) des 1. Vorjahres



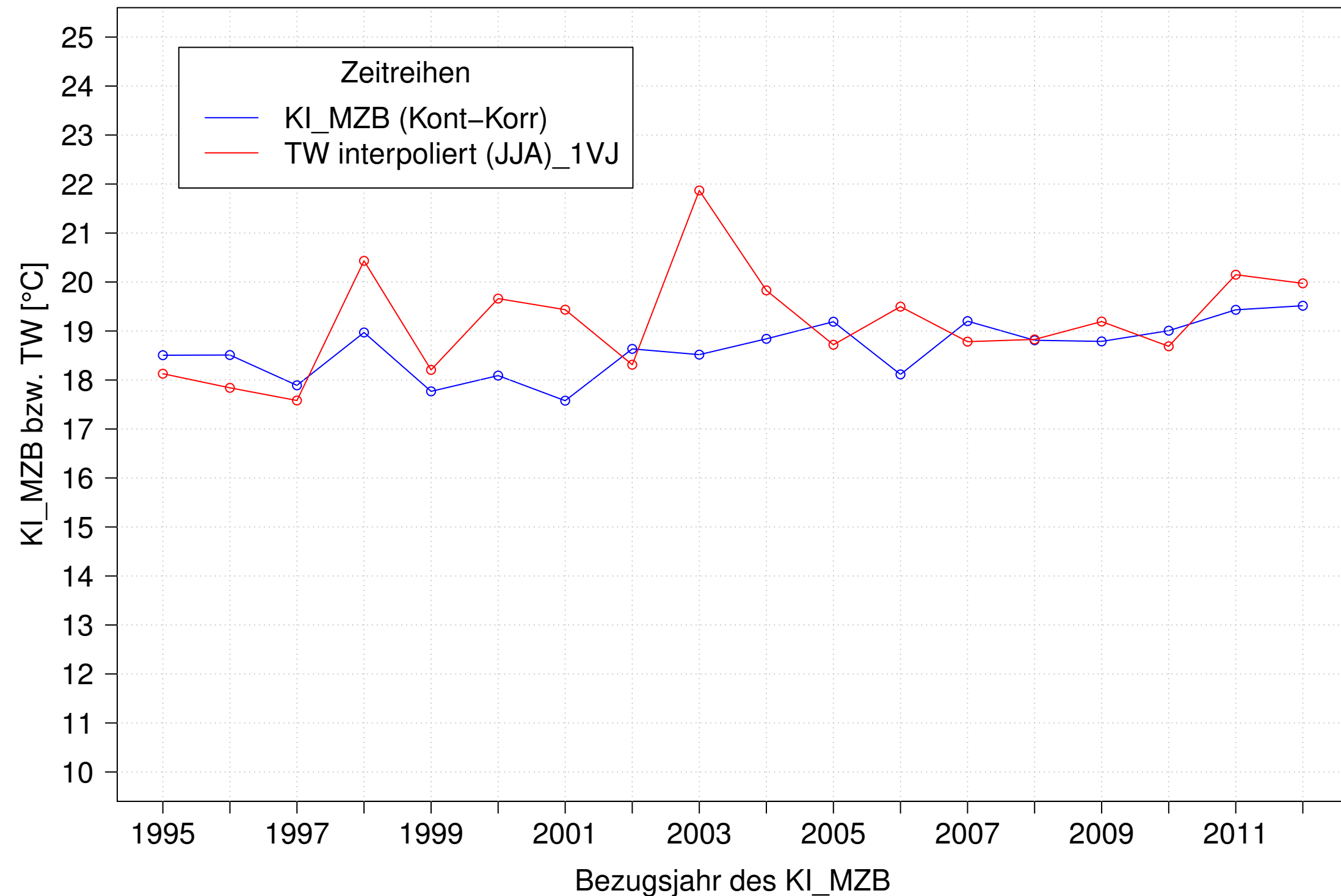
Kocher_Kochendorf, Typ 09.2 mit Neozoen, Serie 3
KI_MZB (Kont-Korr) und TW interpoliert (JJA) des 1. Vorjahres



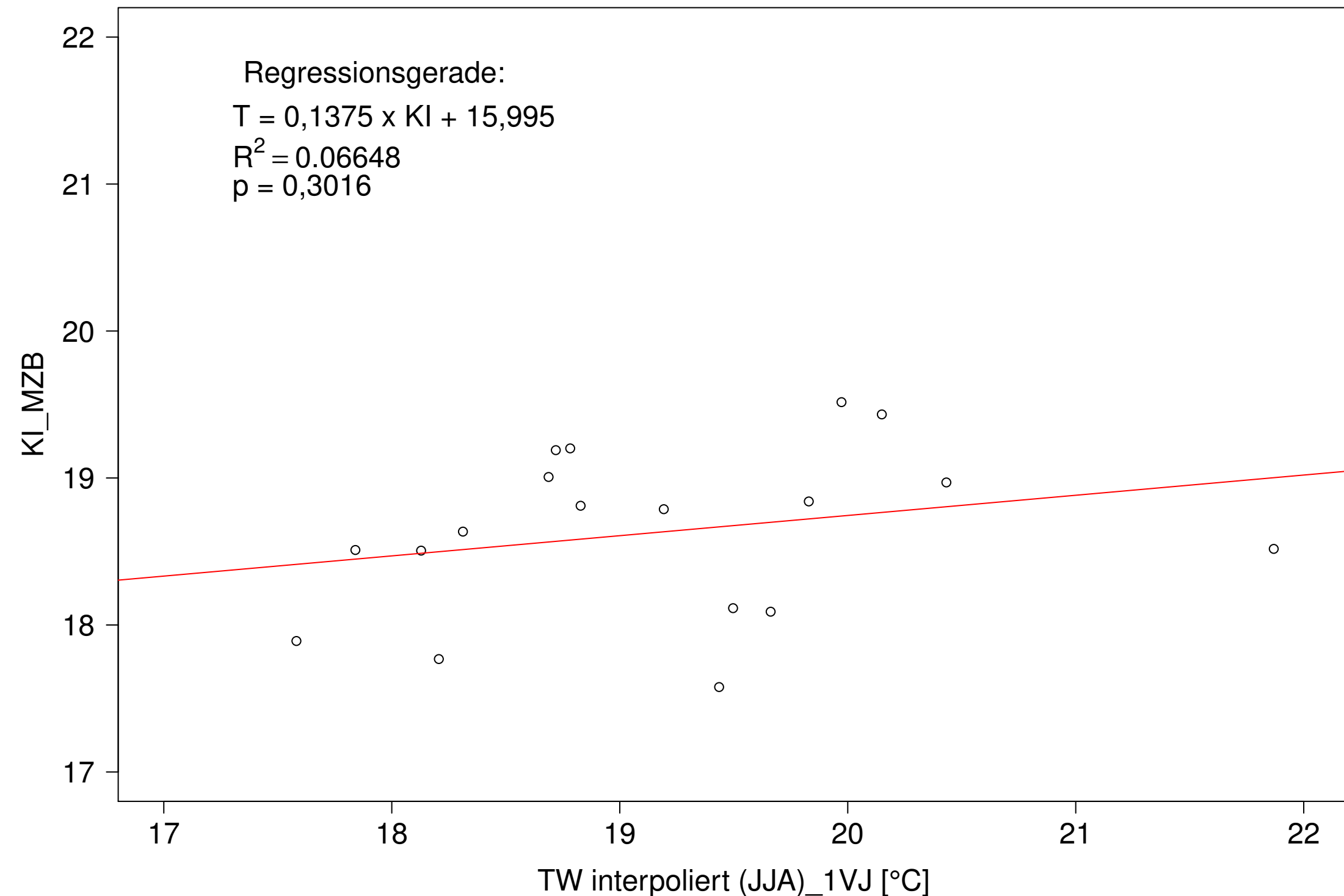
Kocher_Kochendorf, Typ 09.2 mit Neozoen, Serie 3
KI_MZB (Kont-Korr) gegen TW interpoliert (JJA) des 1. Vorjahres



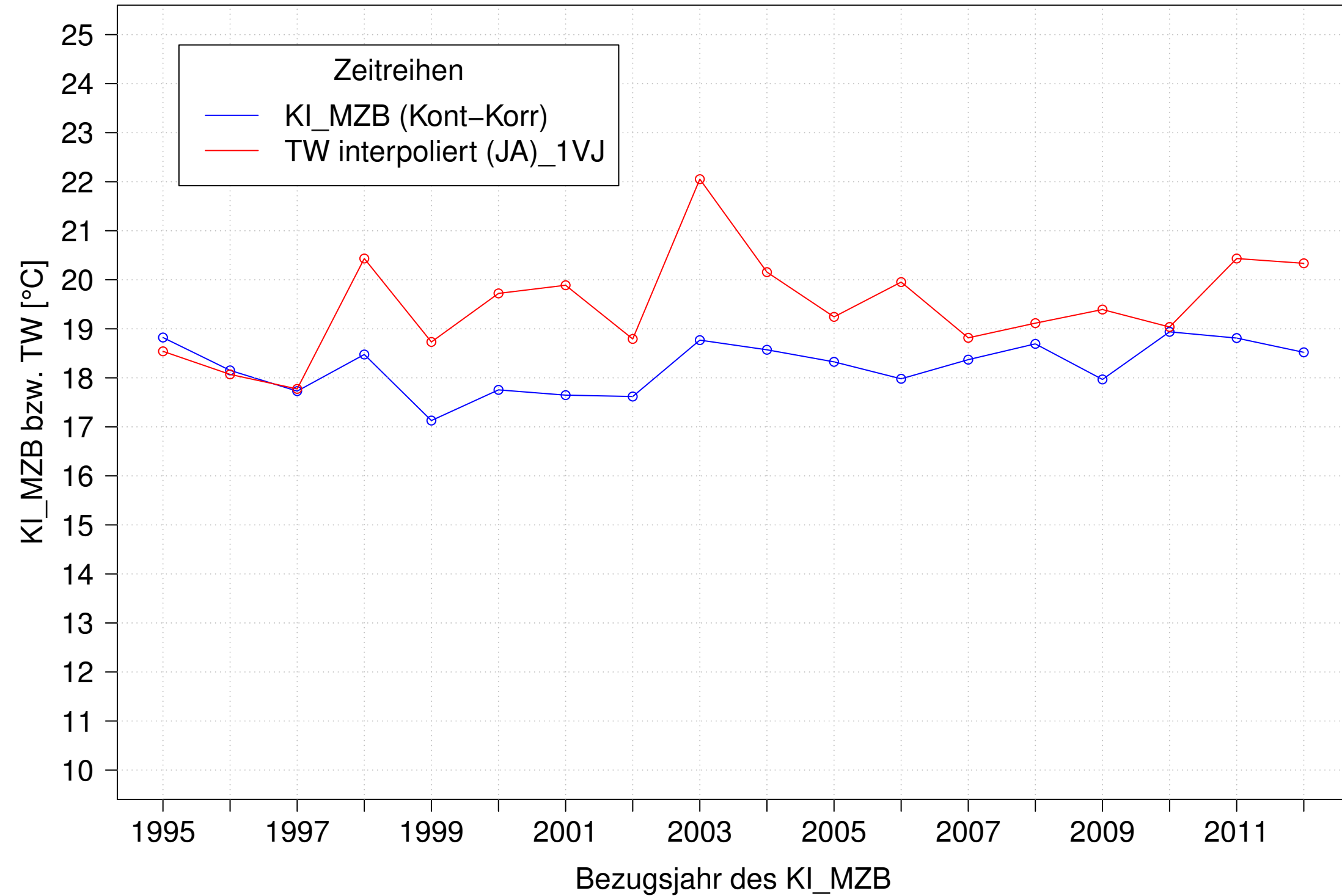
Kocher_Kochendorf, Typ 09.2 mit Neozoen, Serie 4
KI_MZB (Kont-Korr) und TW interpoliert (JJA) des 1. Vorjahres



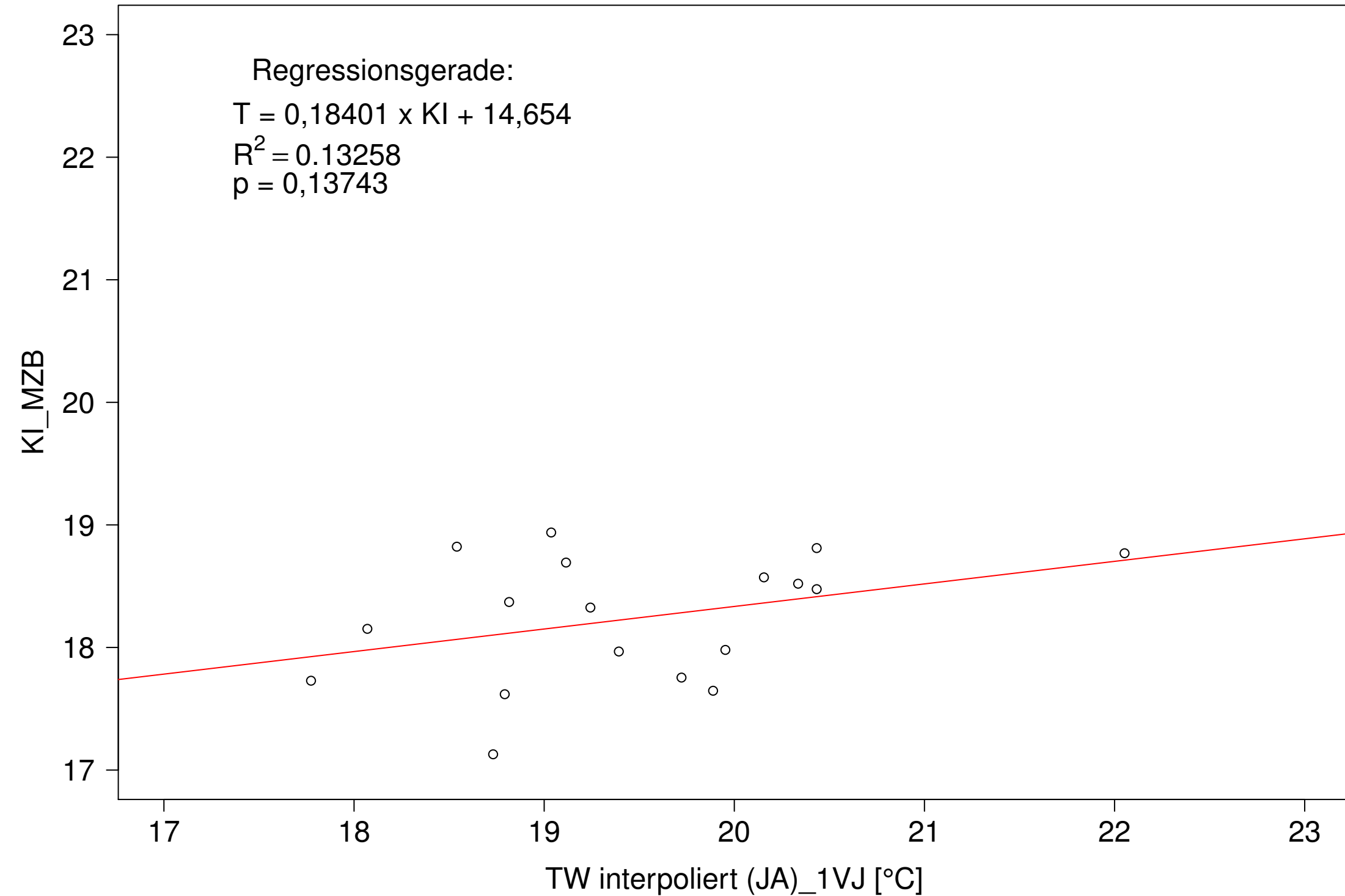
Kocher_Kochendorf, Typ 09.2 mit Neozoen, Serie 4
KI_MZB (Kont-Korr) gegen TW interpoliert (JJA) des 1. Vorjahres



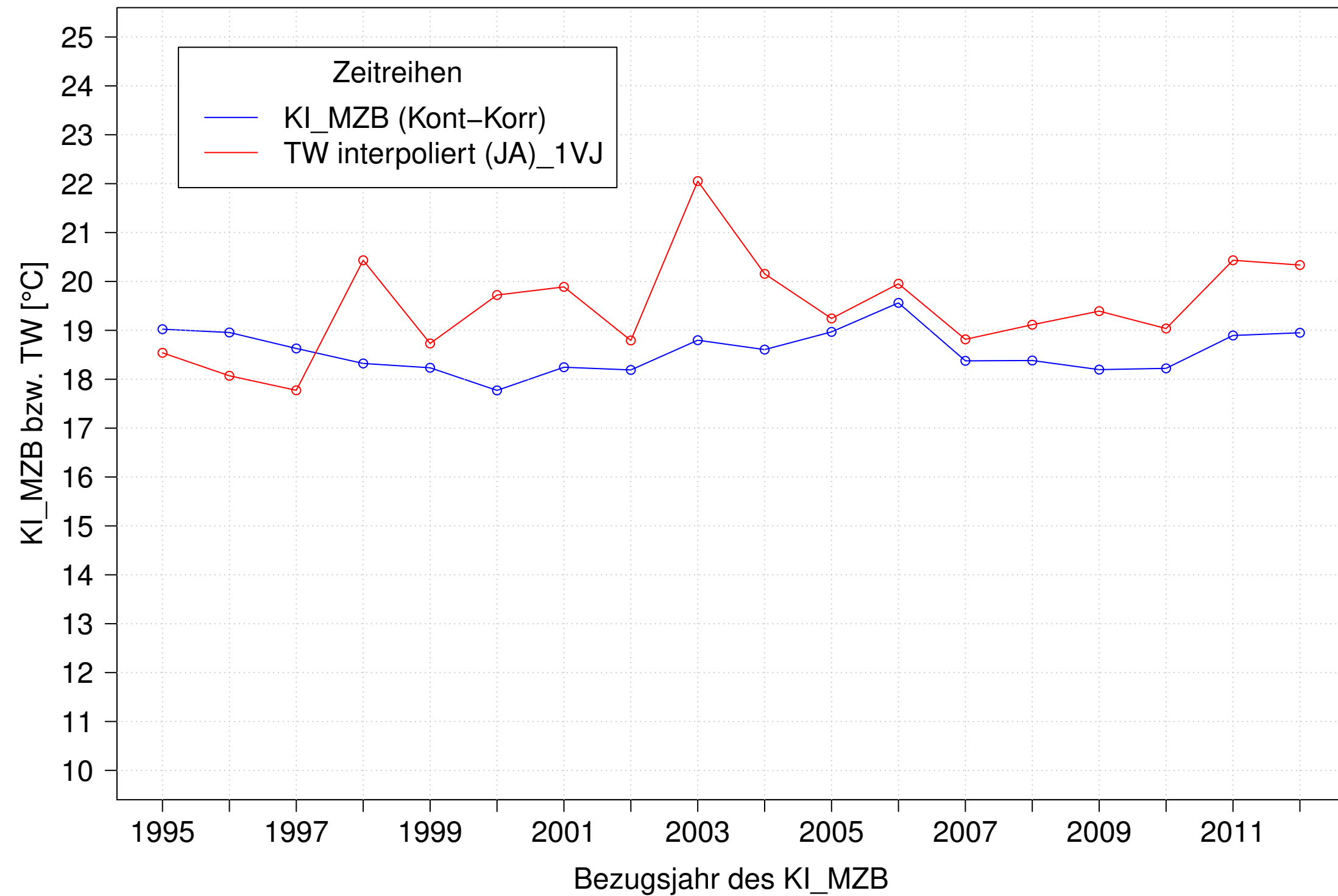
Kocher_Kochendorf, Typ 09.2 mit Neozoen, Serie 1
 KI_MZB (Kont-Korr) und TW interpoliert (JA) des 1. Vorjahres



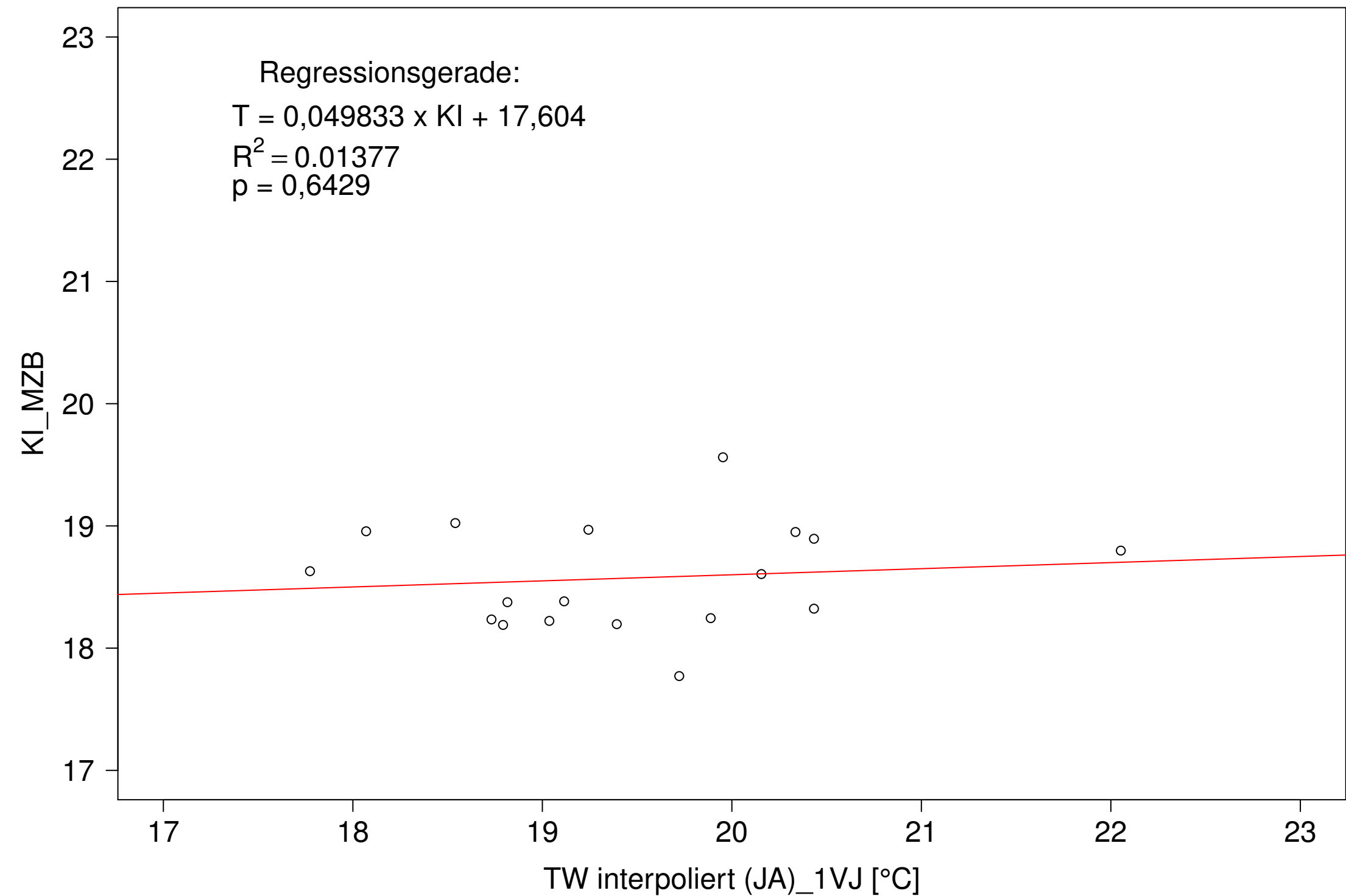
Kocher_Kochendorf, Typ 09.2 mit Neozoen, Serie 1
 KI_MZB (Kont-Korr) gegen TW interpoliert (JA) des 1. Vorjahres



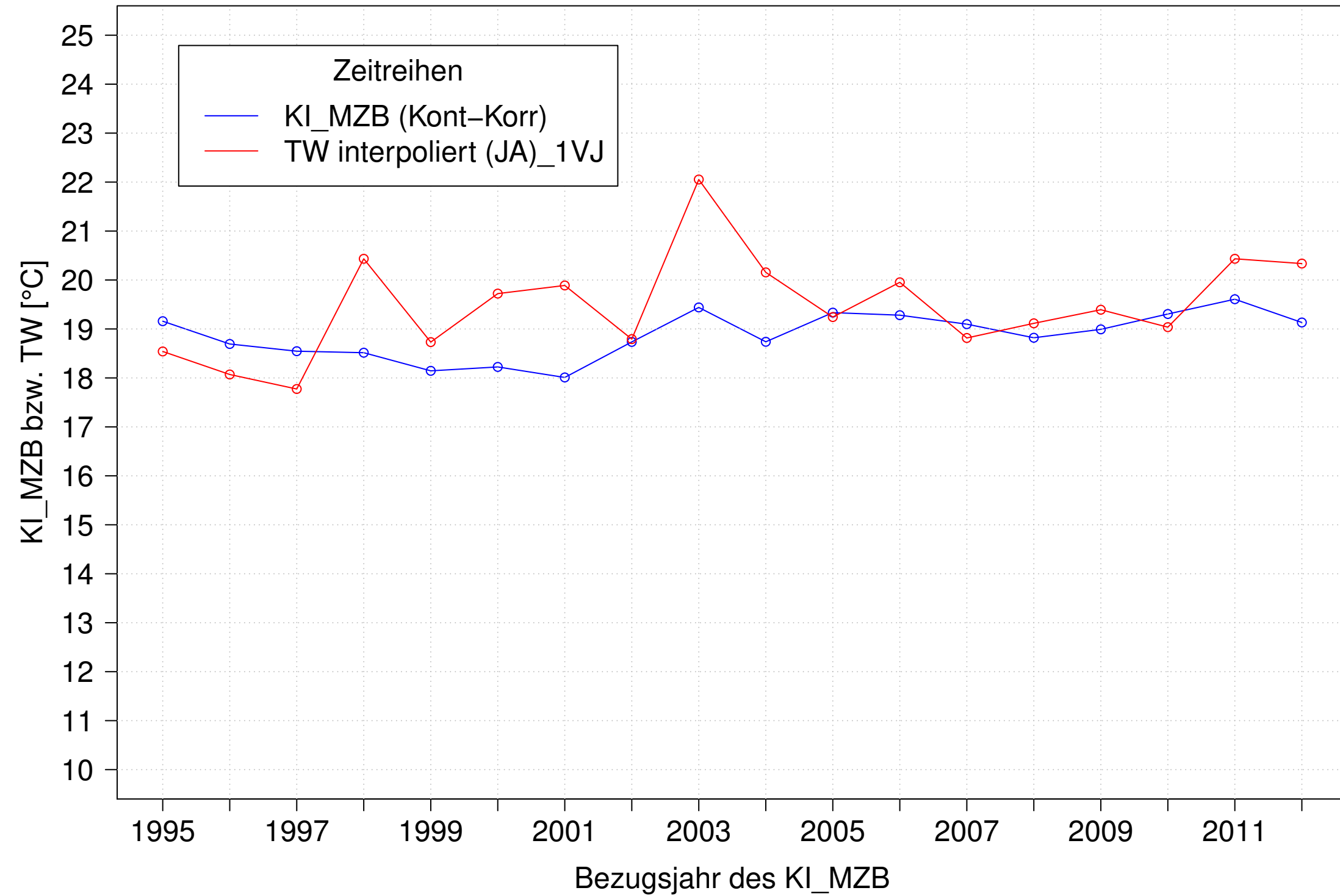
Kocher_Kochendorf, Typ 09.2 mit Neozoen, Serie 2
KI_MZB (Kont-Korr) und TW interpoliert (JA) des 1. Vorjahres



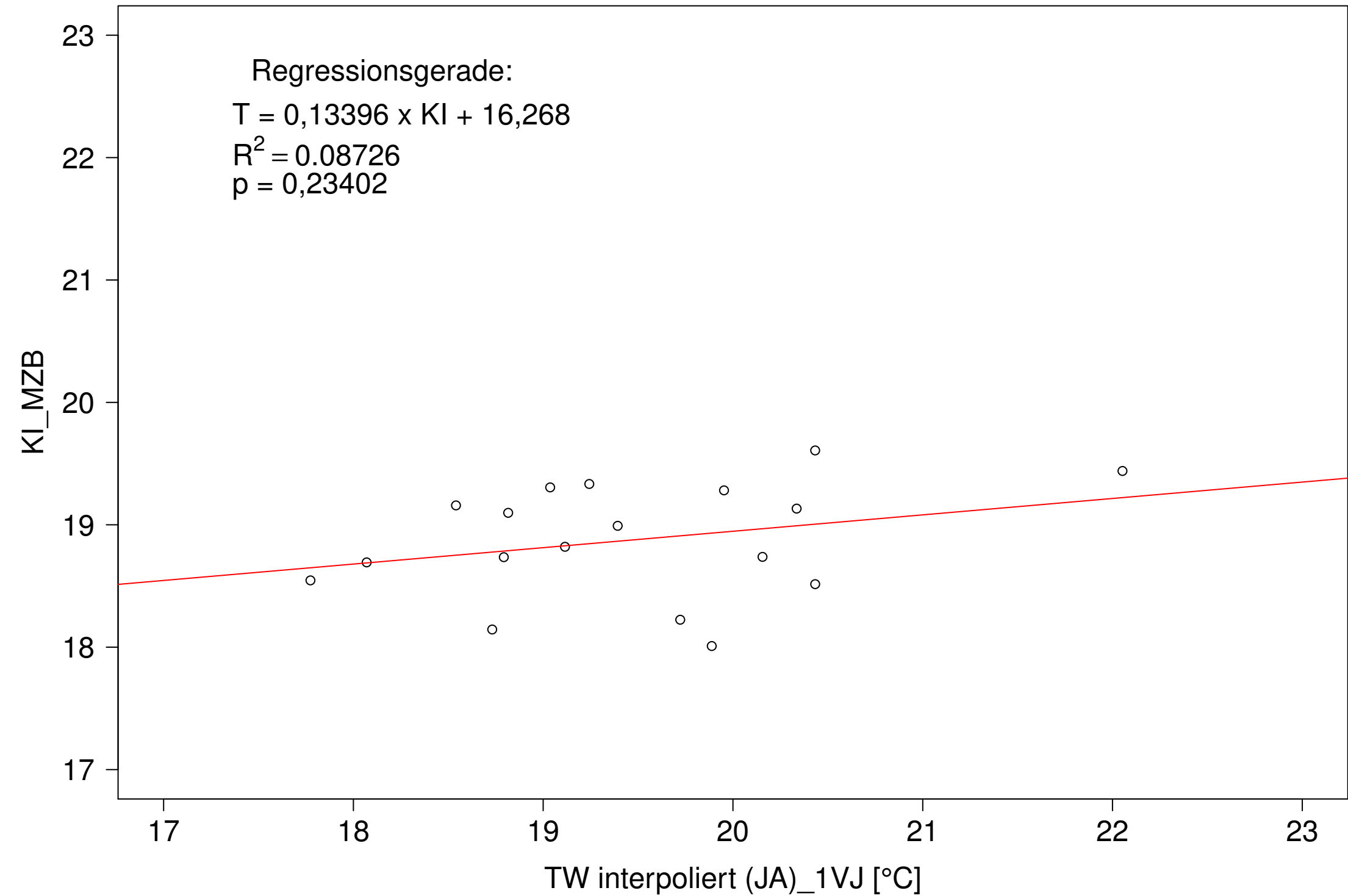
Kocher_Kochendorf, Typ 09.2 mit Neozoen, Serie 2
KI_MZB (Kont-Korr) gegen TW interpoliert (JA) des 1. Vorjahres



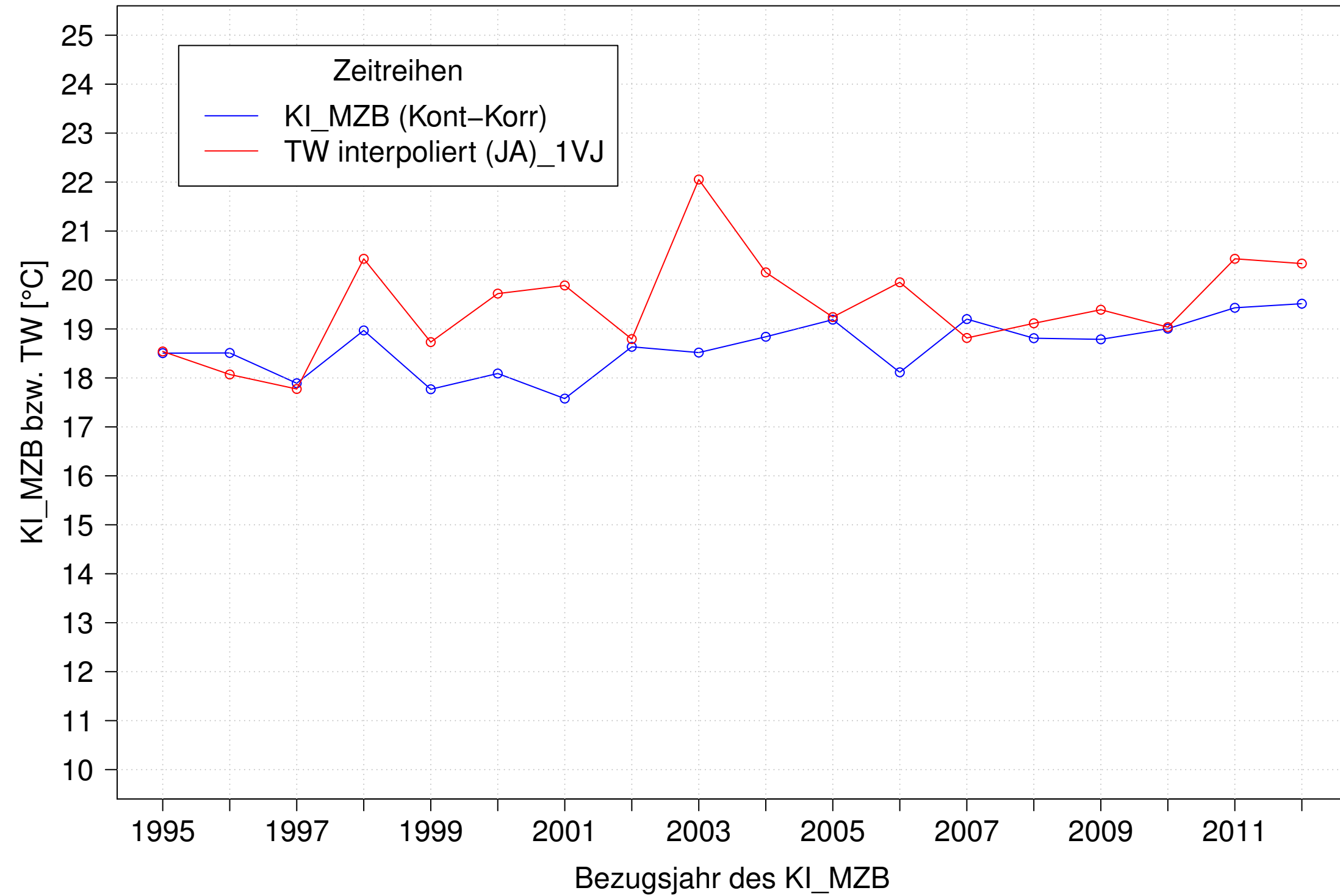
Kocher_Kochendorf, Typ 09.2 mit Neozoen, Serie 3
 KI_MZB (Kont-Korr) und TW interpoliert (JA) des 1. Vorjahres



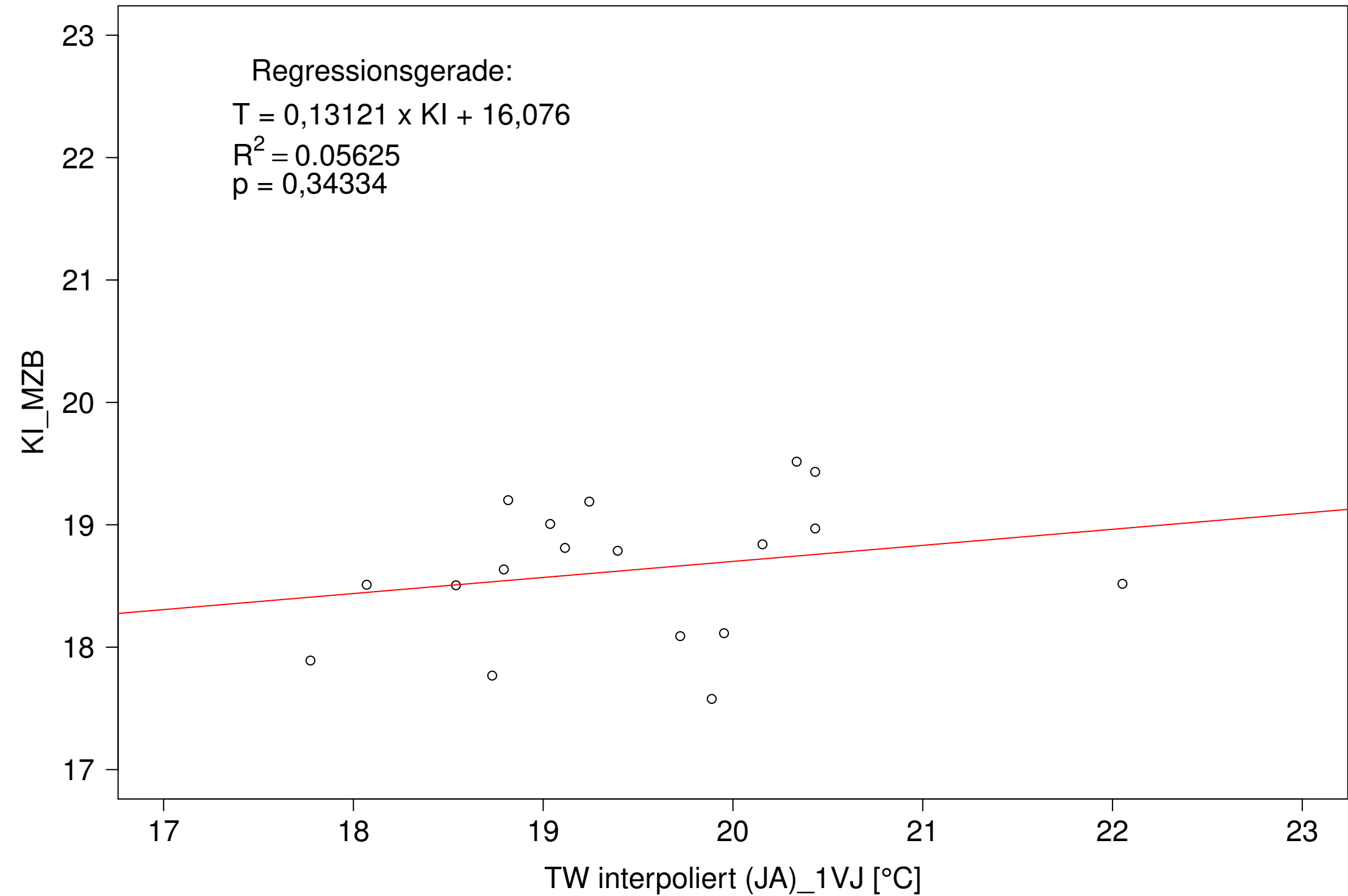
Kocher_Kochendorf, Typ 09.2 mit Neozoen, Serie 3
 KI_MZB (Kont-Korr) gegen TW interpoliert (JA) des 1. Vorjahres



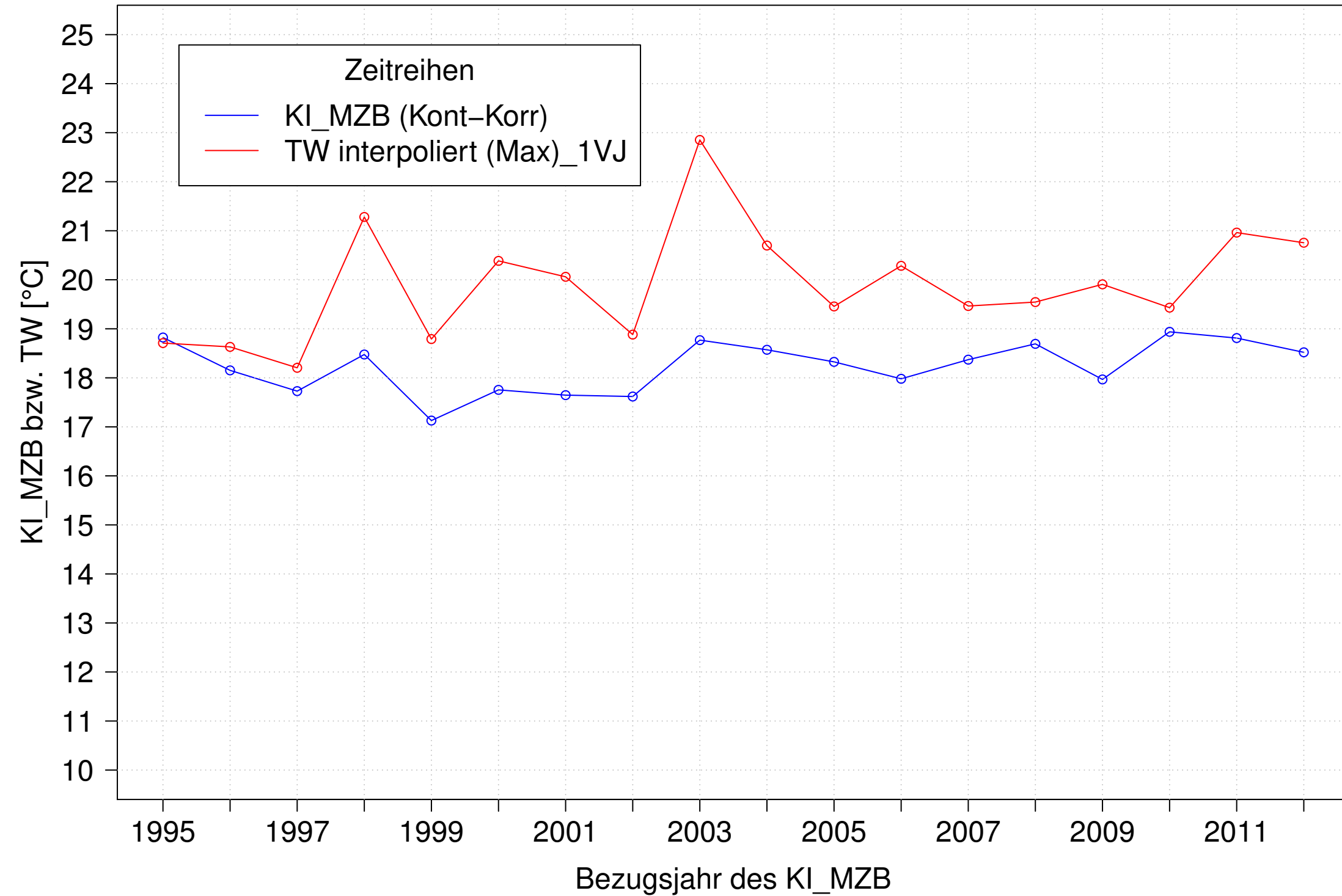
Kocher_Kochendorf, Typ 09.2 mit Neozoen, Serie 4
 KI_MZB (Kont-Korr) und TW interpoliert (JA) des 1. Vorjahres



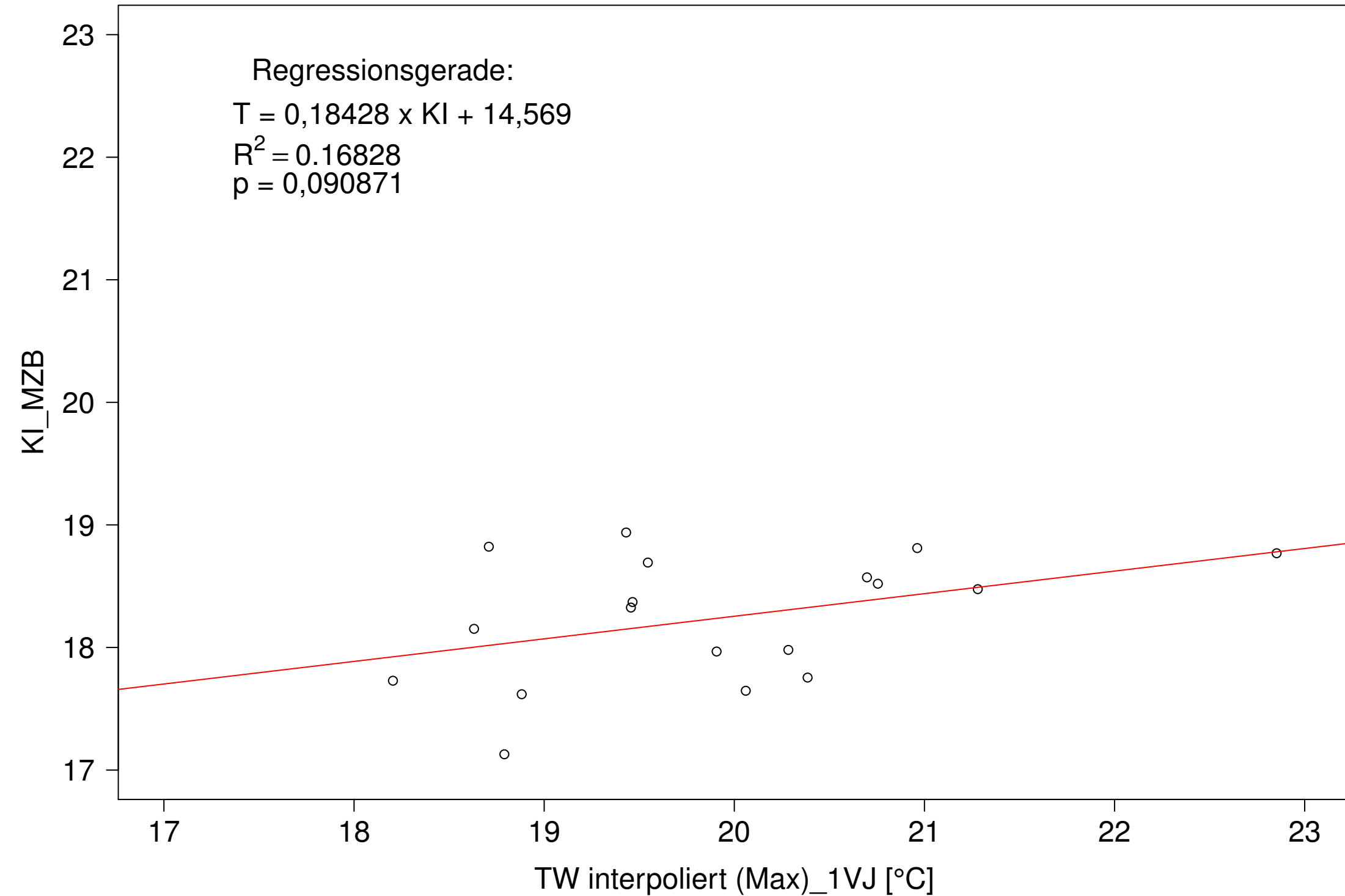
Kocher_Kochendorf, Typ 09.2 mit Neozoen, Serie 4
 KI_MZB (Kont-Korr) gegen TW interpoliert (JA) des 1. Vorjahres



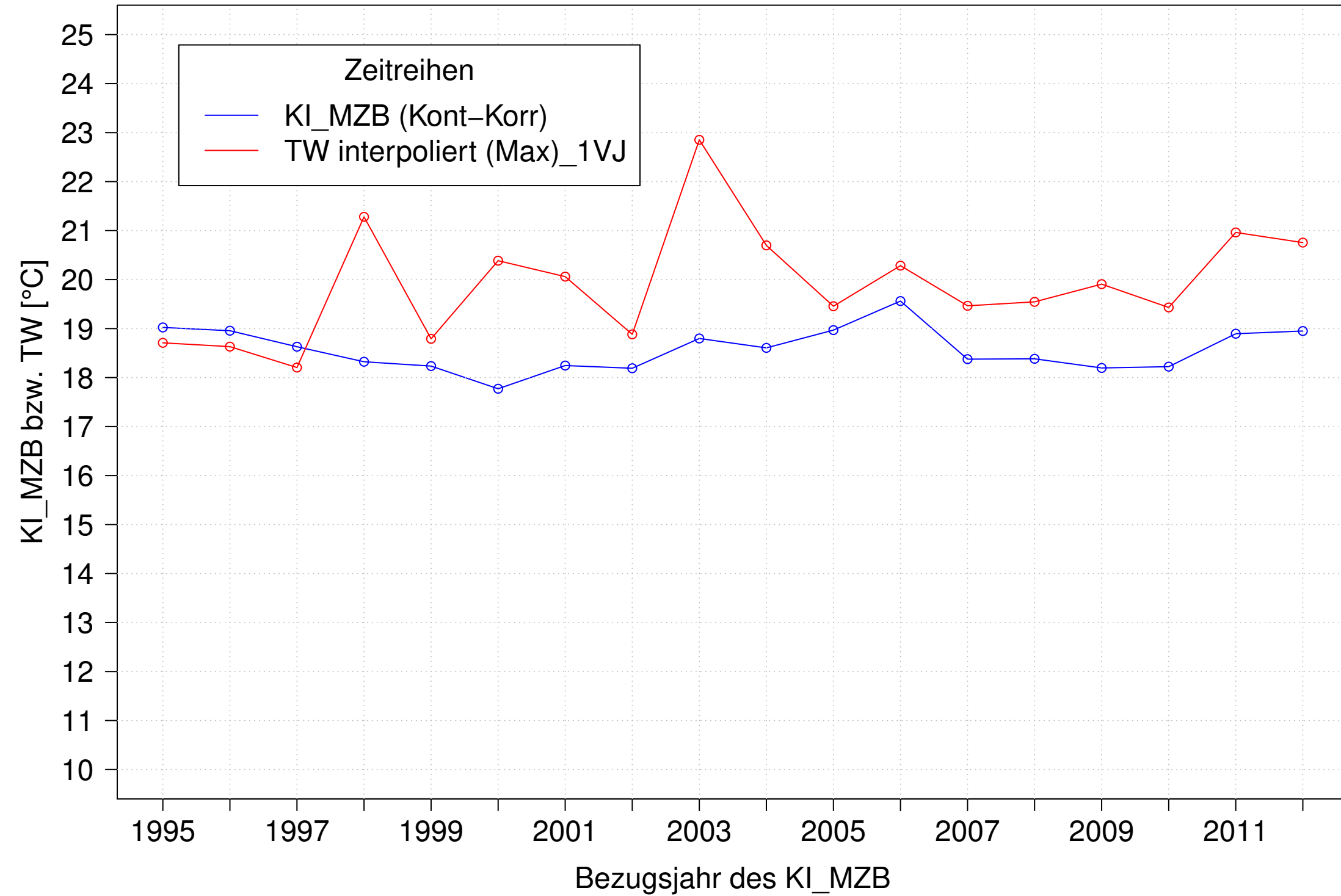
Kocher_Kochendorf, Typ 09.2 mit Neozoen, Serie 1
KI_MZB (Kont-Korr) und TW interpoliert (Max) des 1. Vorjahres



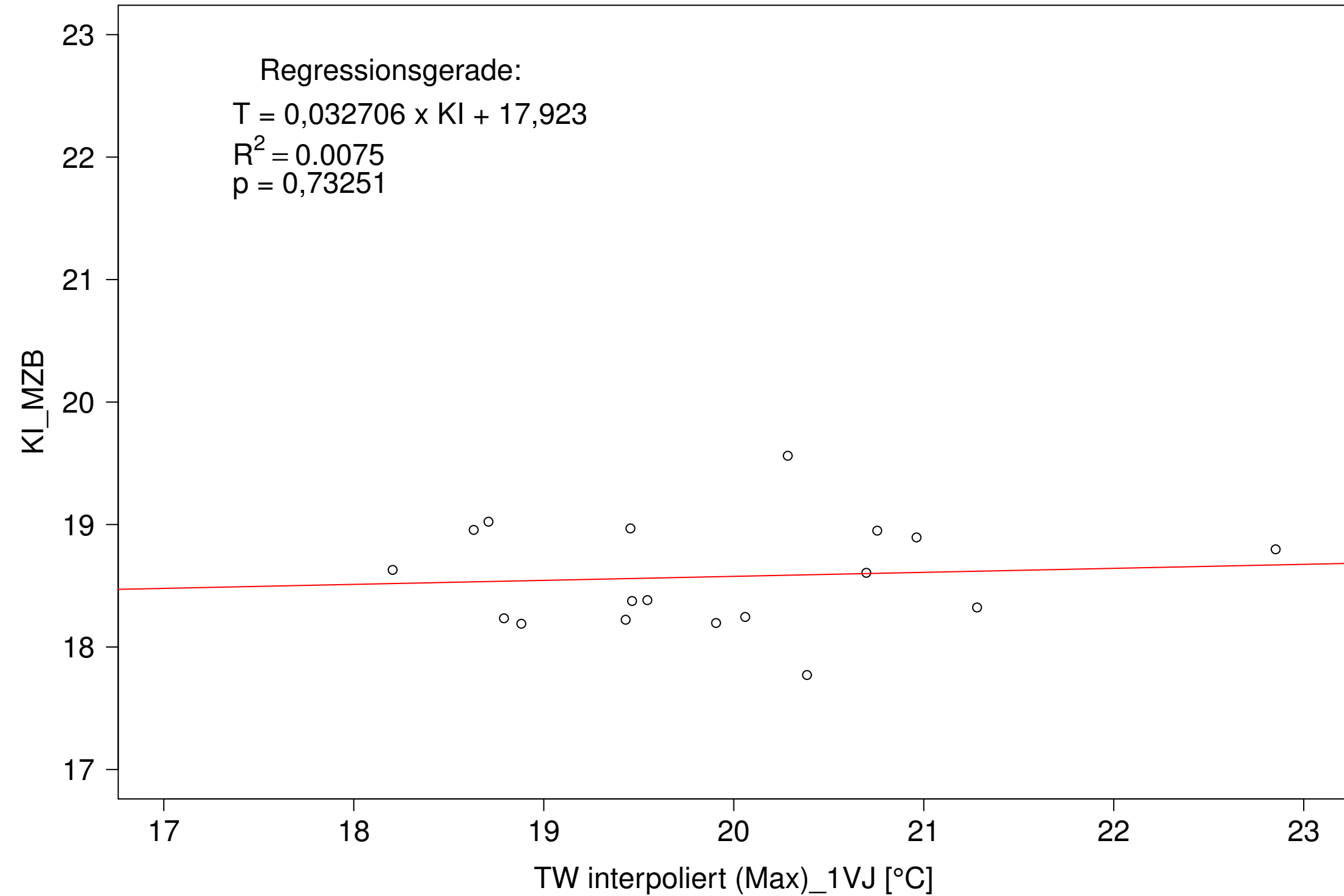
Kocher_Kochendorf, Typ 09.2 mit Neozoen, Serie 1
KI_MZB (Kont-Korr) gegen TW interpoliert (Max) des 1. Vorjahres



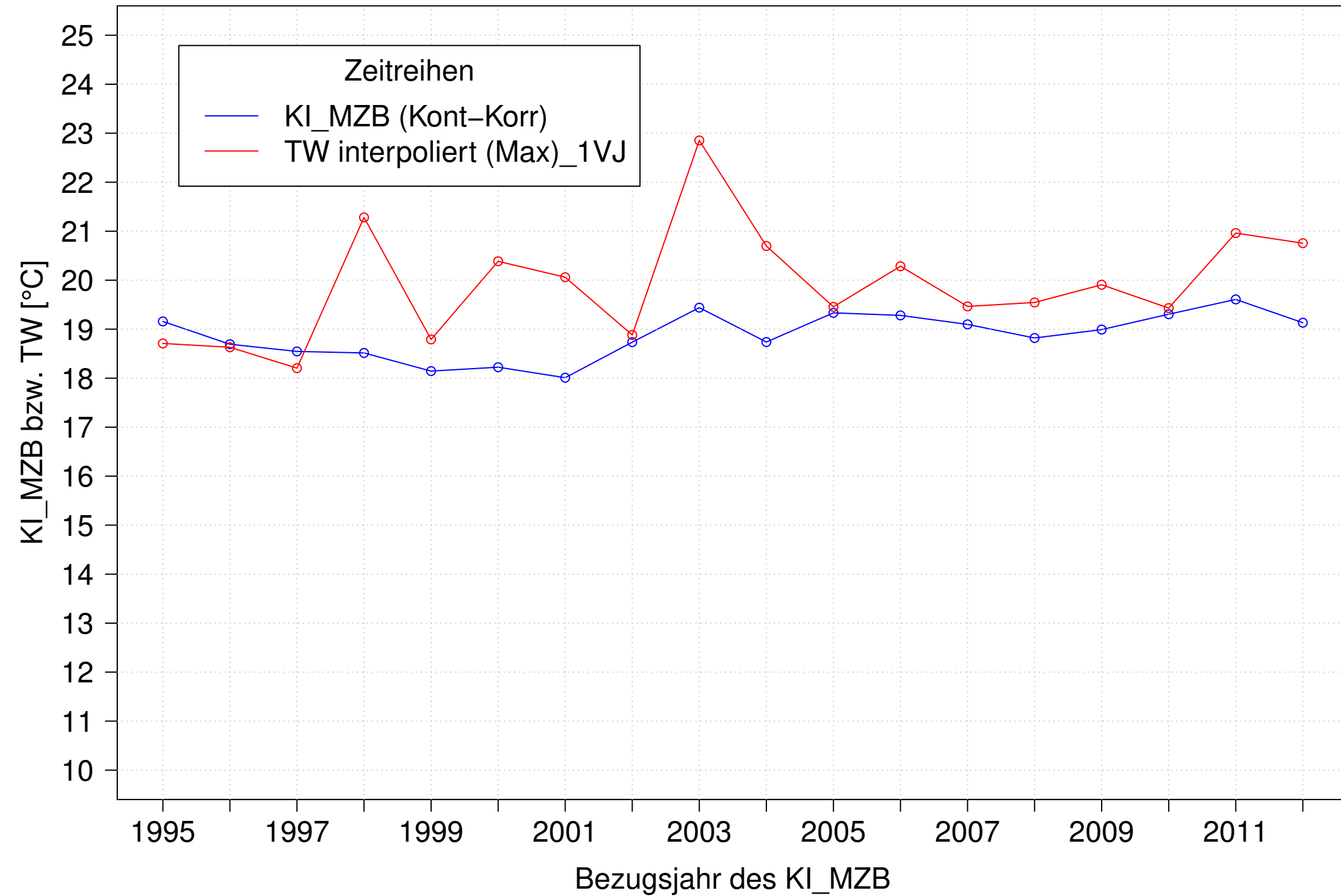
Kocher_Kochendorf, Typ 09.2 mit Neozoen, Serie 2
KI_MZB (Kont-Korr) und TW interpoliert (Max) des 1. Vorjahres



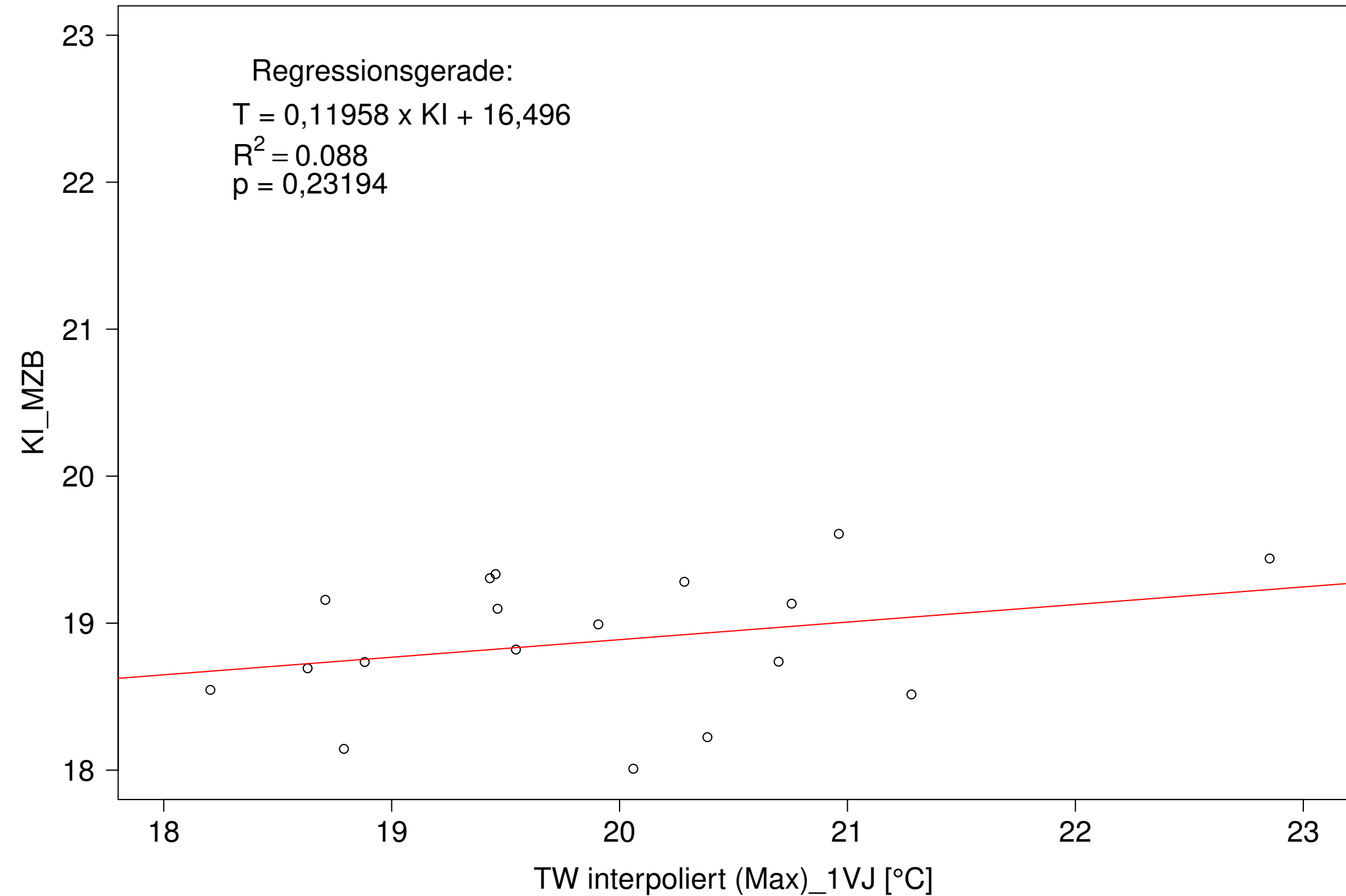
Kocher_Kochendorf, Typ 09.2 mit Neozoen, Serie 2
KI_MZB (Kont-Korr) gegen TW interpoliert (Max) des 1. Vorjahres



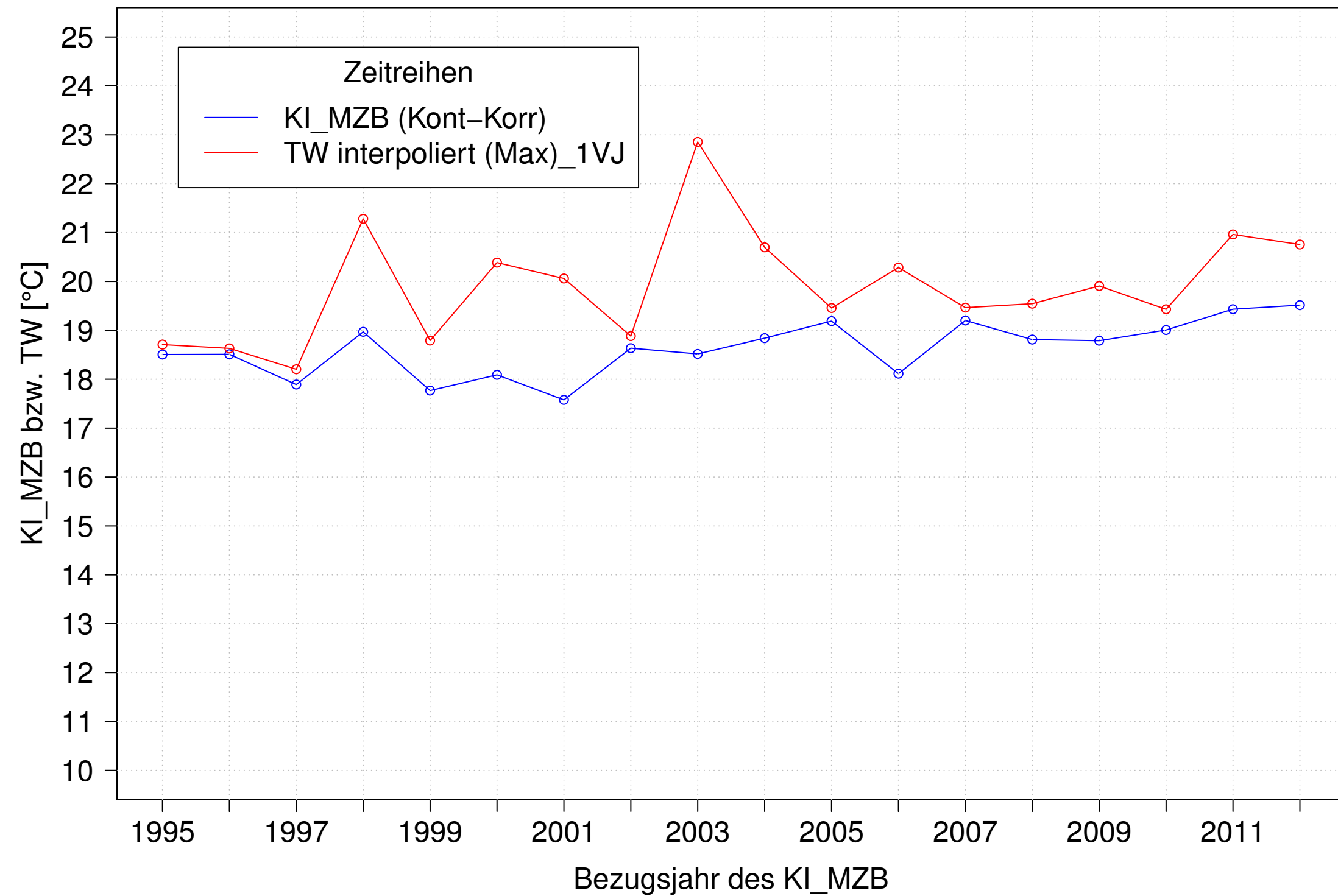
Kocher_Kochendorf, Typ 09.2 mit Neozoen, Serie 3
KI_MZB (Kont-Korr) und TW interpoliert (Max) des 1. Vorjahres



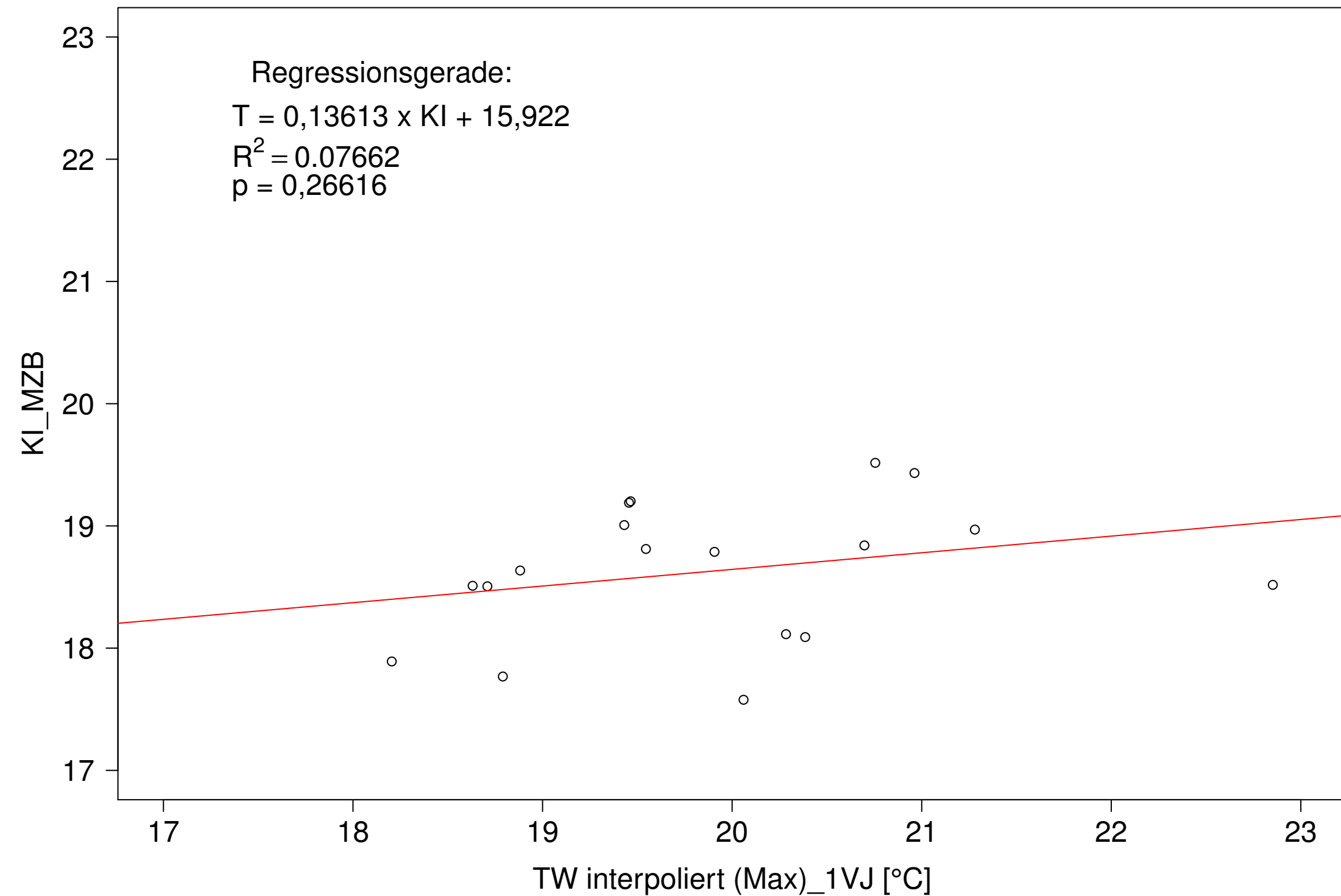
Kocher_Kochendorf, Typ 09.2 mit Neozoen, Serie 3
KI_MZB (Kont-Korr) gegen TW interpoliert (Max) des 1. Vorjahres



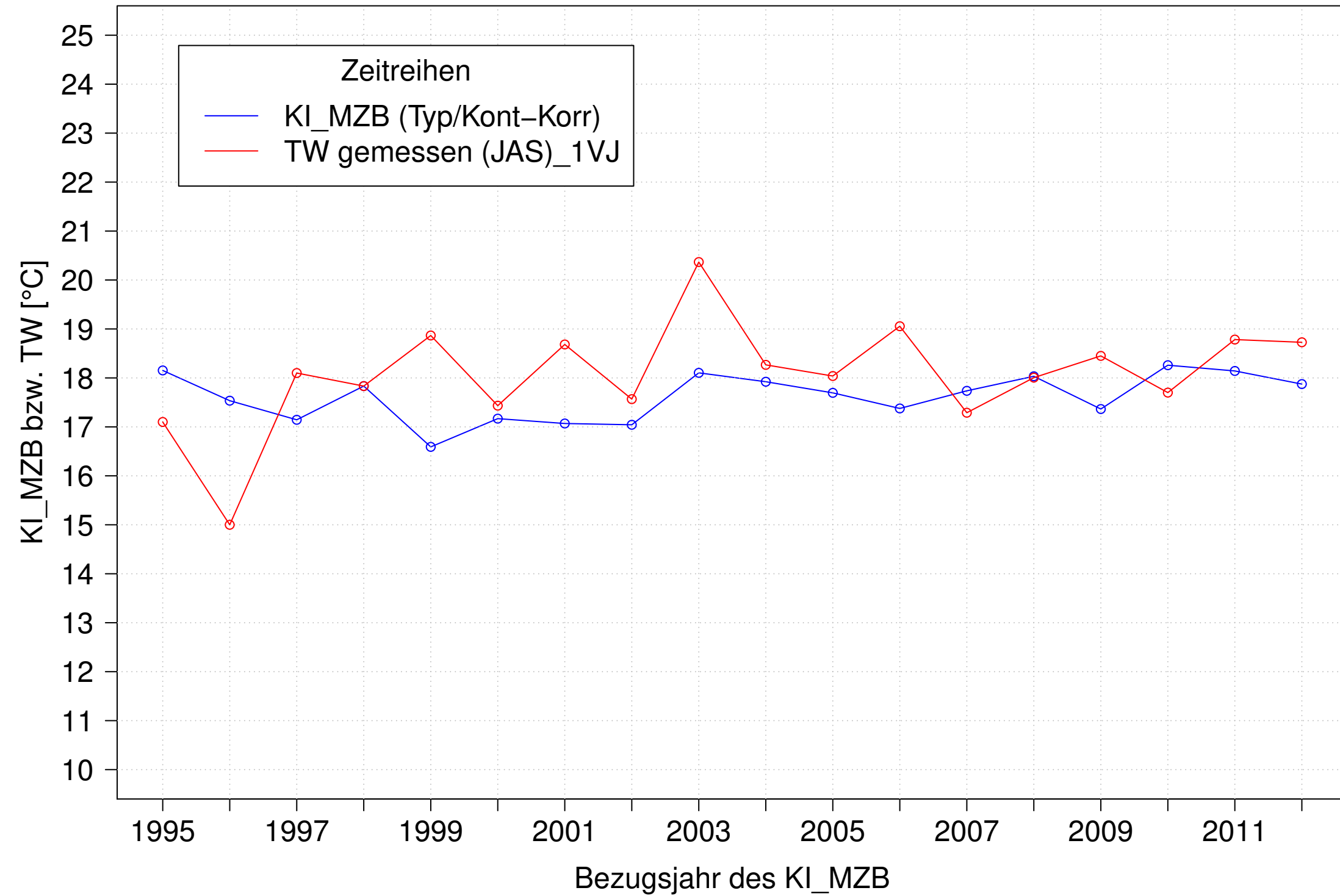
Kocher_Kochendorf, Typ 09.2 mit Neozoen, Serie 4
KI_MZB (Kont-Korr) und TW interpoliert (Max) des 1. Vorjahres



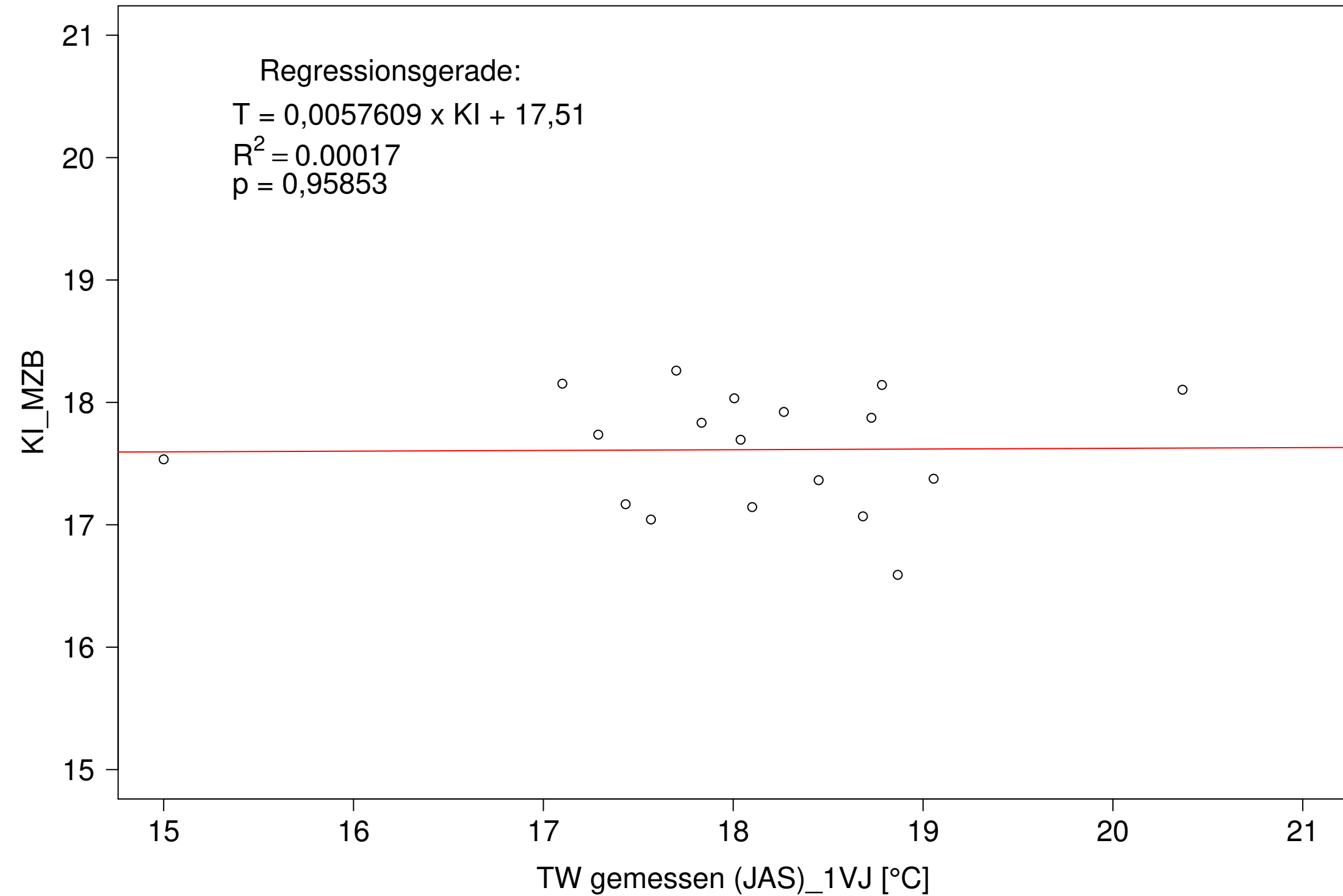
Kocher_Kochendorf, Typ 09.2 mit Neozoen, Serie 4
KI_MZB (Kont-Korr) gegen TW interpoliert (Max) des 1. Vorjahres



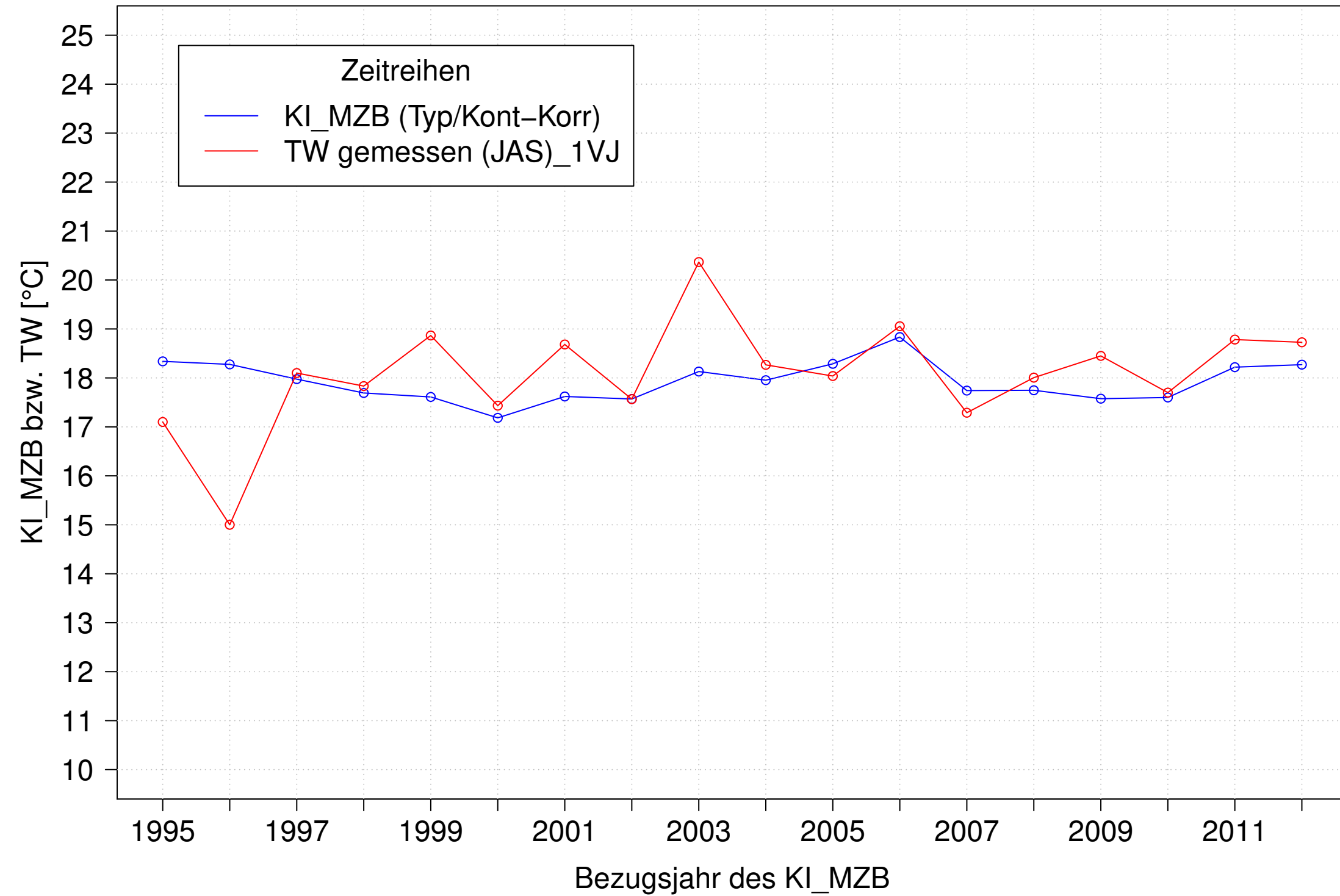
Kocher_Kochendorf, Typ 09.2 mit Neozoen, Serie 1
 KI_MZB (Typ/Kont-Korr) und TW gemessen (JAS) des 1. Vorjahres



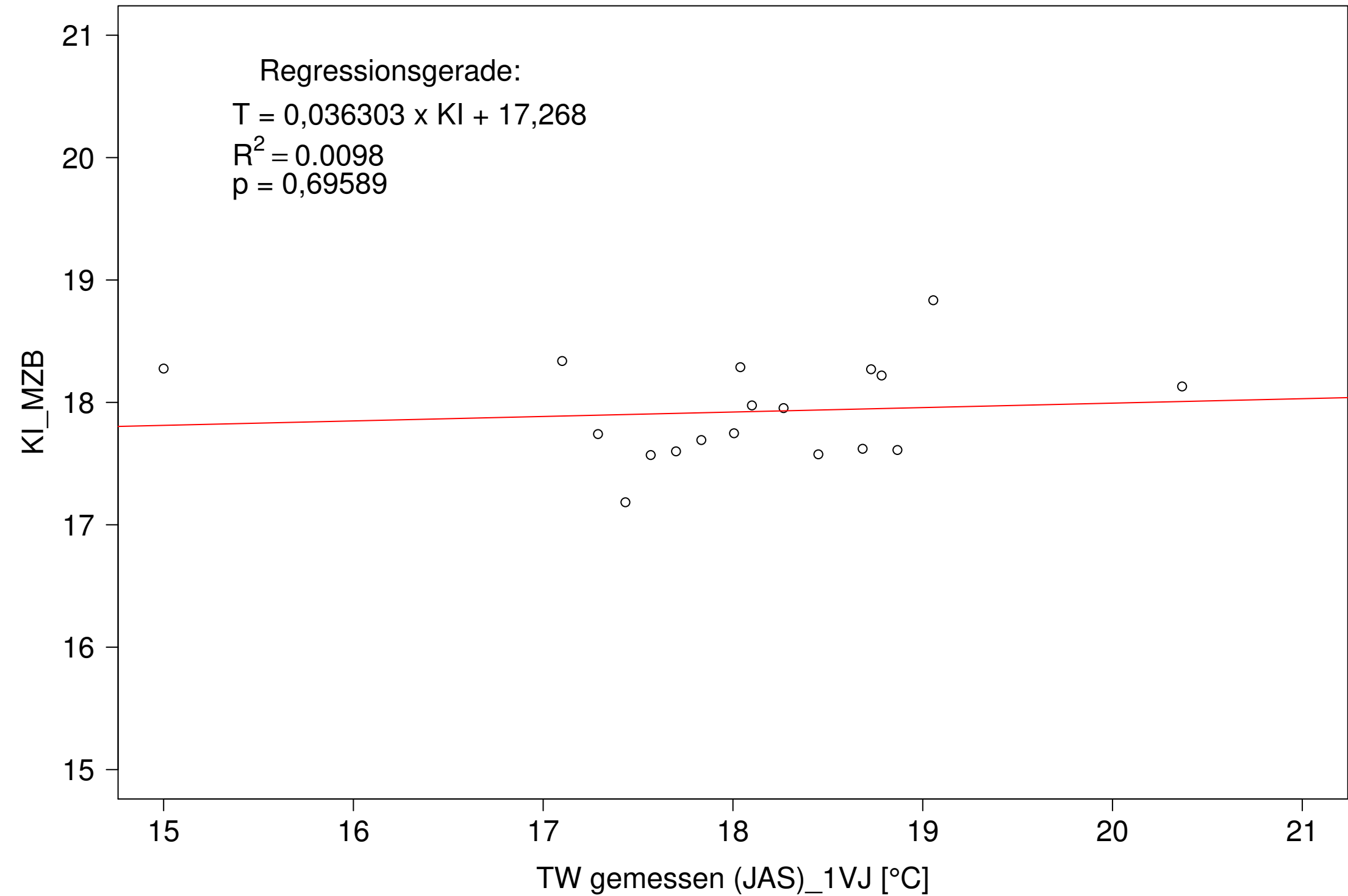
Kocher_Kochendorf, Typ 09.2 mit Neozoen, Serie 1
 KI_MZB (Typ/Kont-Korr) gegen TW gemessen (JAS) des 1. Vorjahres



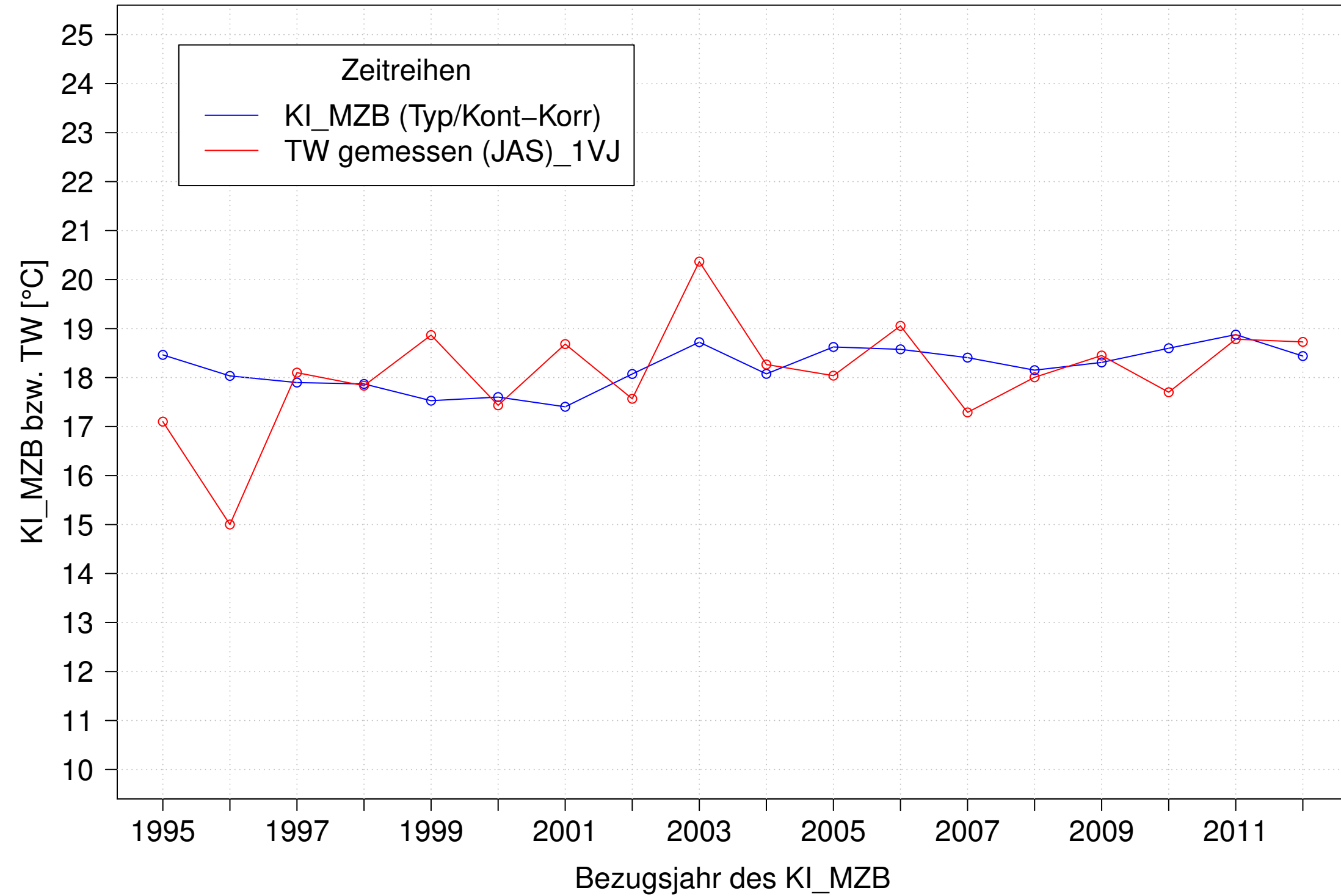
Kocher_Kochendorf, Typ 09.2 mit Neozoen, Serie 2
KI_MZB (Typ/Kont-Korr) und TW gemessen (JAS) des 1. Vorjahres



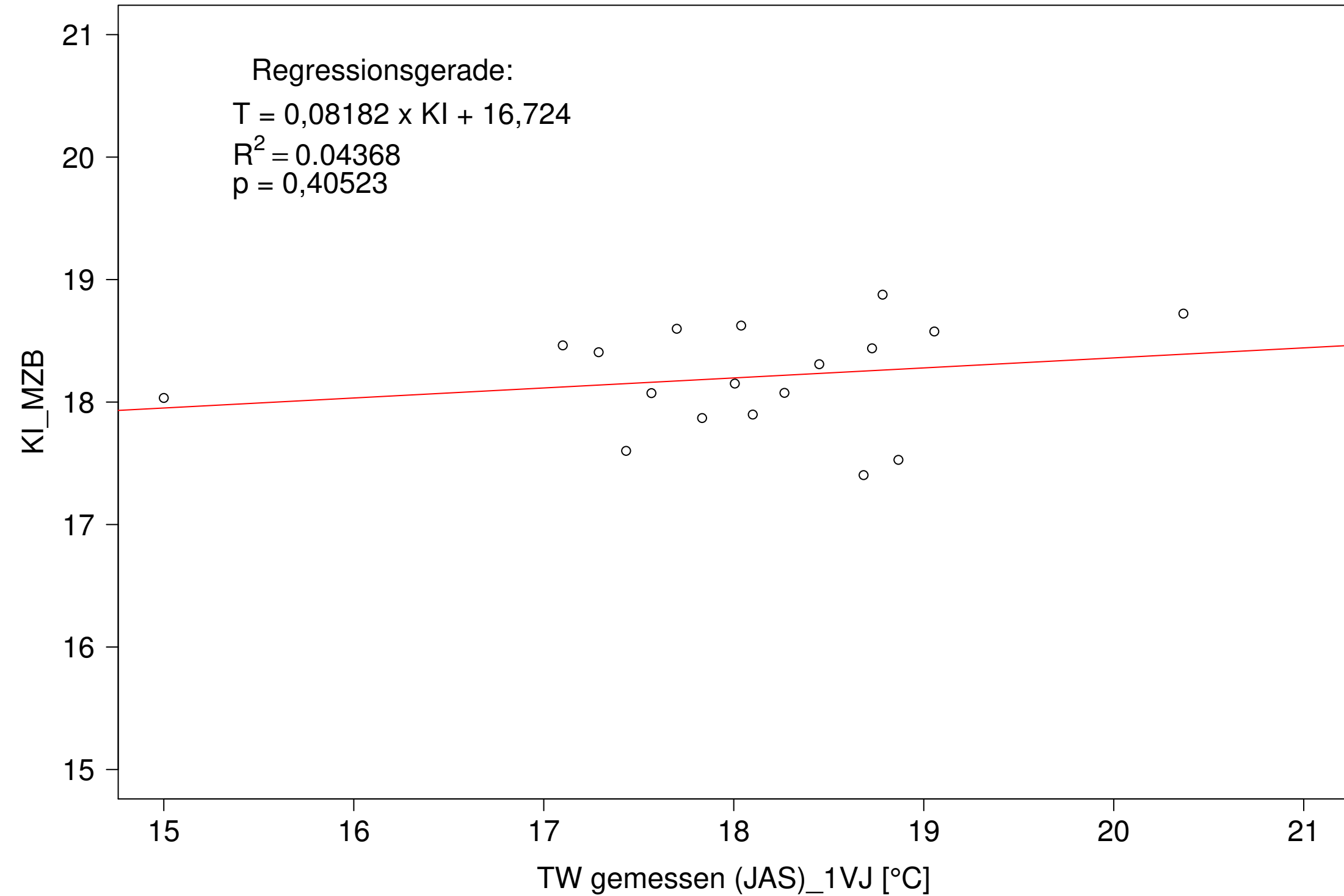
Kocher_Kochendorf, Typ 09.2 mit Neozoen, Serie 2
KI_MZB (Typ/Kont-Korr) gegen TW gemessen (JAS) des 1. Vorjahres



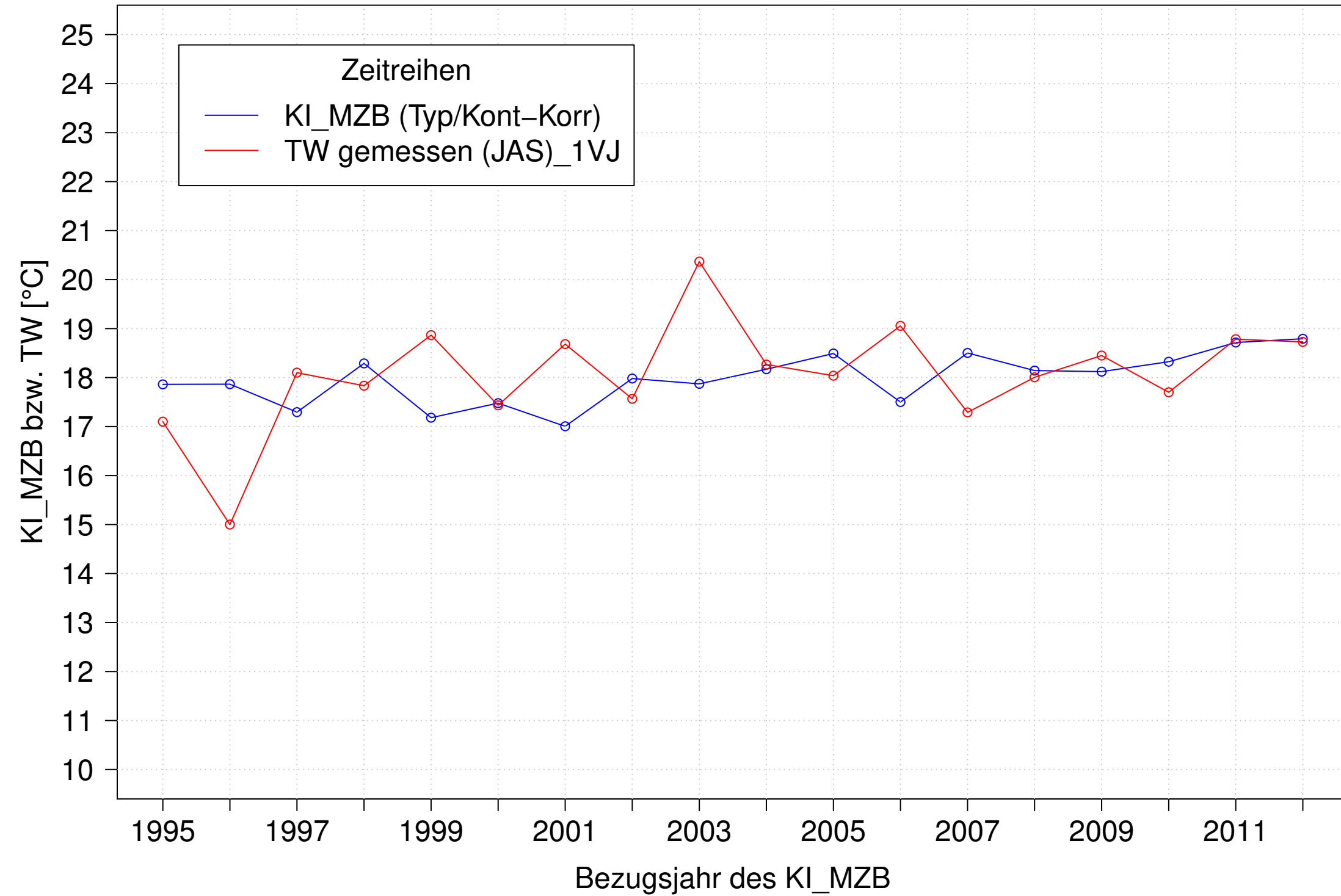
Kocher_Kochendorf, Typ 09.2 mit Neozoen, Serie 3
 KI_MZB (Typ/Kont-Korr) und TW gemessen (JAS) des 1. Vorjahres



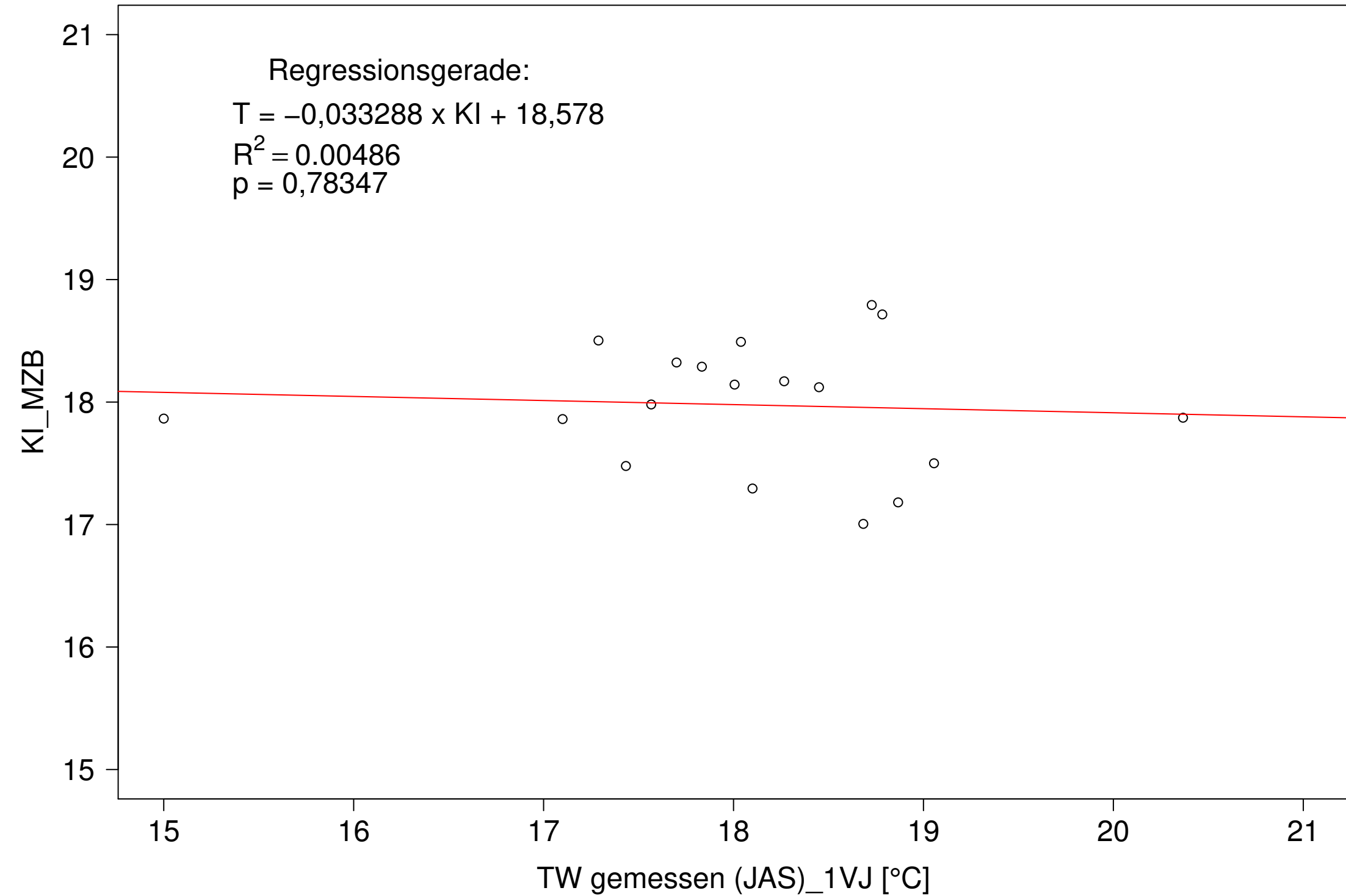
Kocher_Kochendorf, Typ 09.2 mit Neozoen, Serie 3
 KI_MZB (Typ/Kont-Korr) gegen TW gemessen (JAS) des 1. Vorjahres



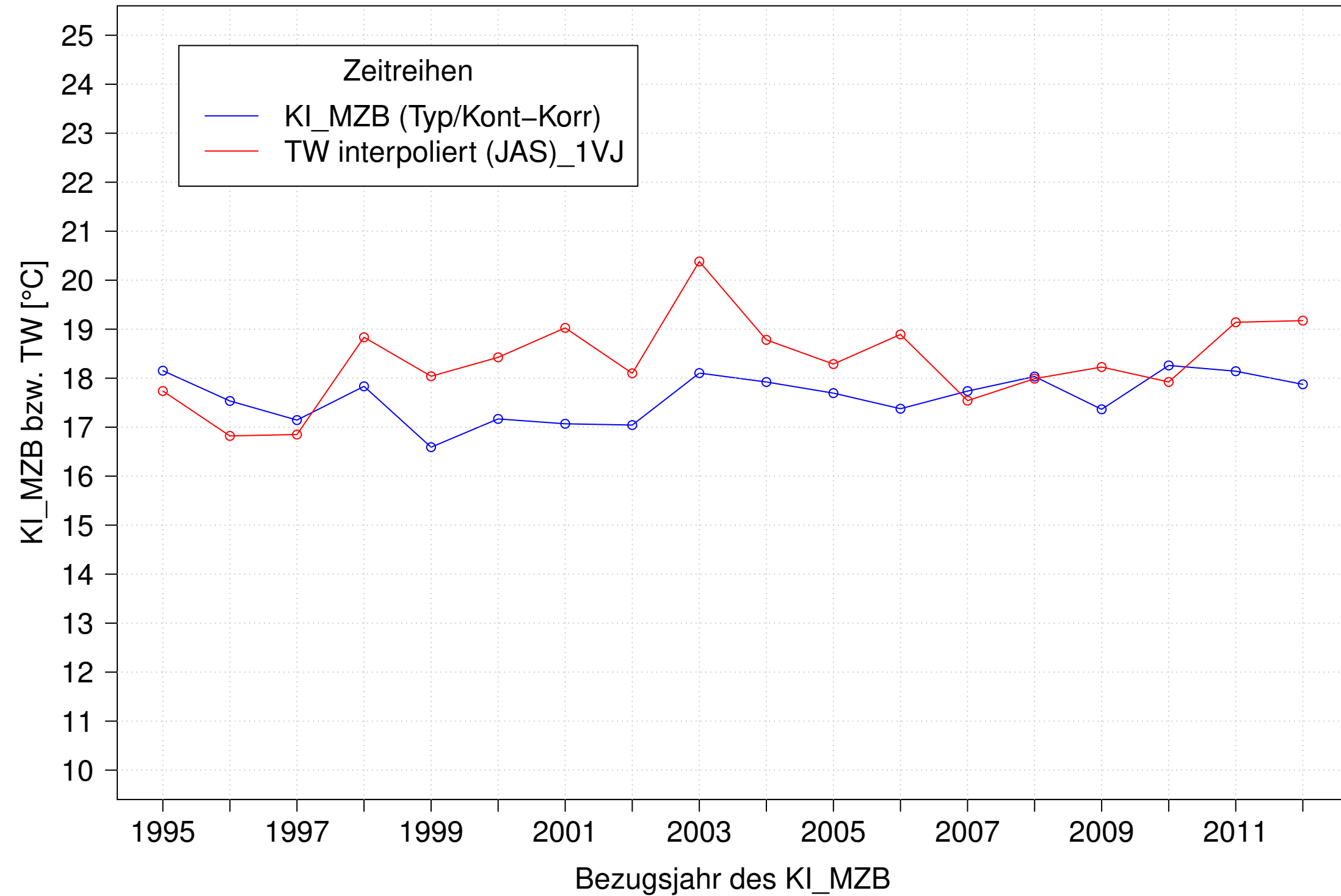
Kocher_Kochendorf, Typ 09.2 mit Neozoen, Serie 4
 KI_MZB (Typ/Kont-Korr) und TW gemessen (JAS) des 1. Vorjahres



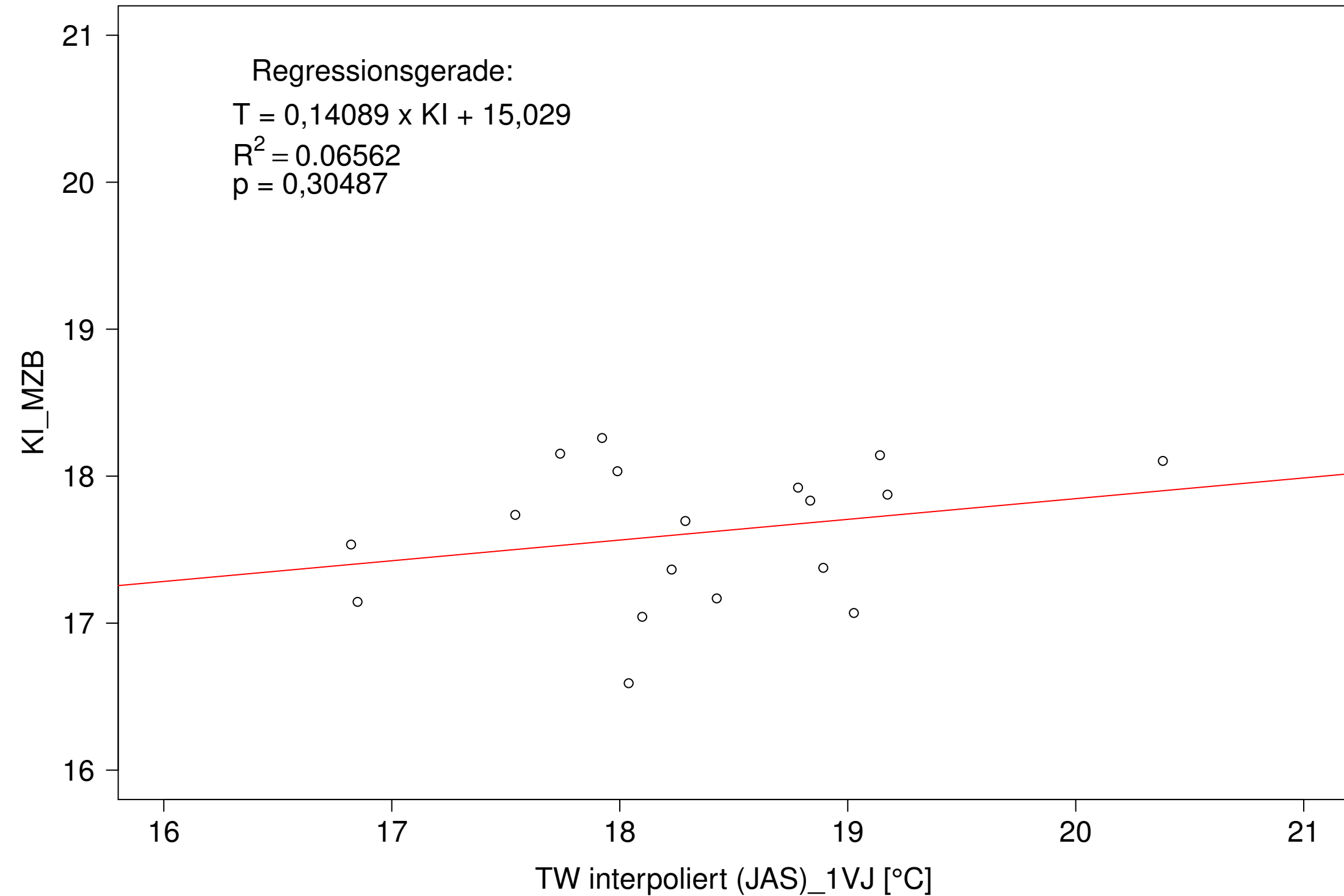
Kocher_Kochendorf, Typ 09.2 mit Neozoen, Serie 4
 KI_MZB (Typ/Kont-Korr) gegen TW gemessen (JAS) des 1. Vorjahres



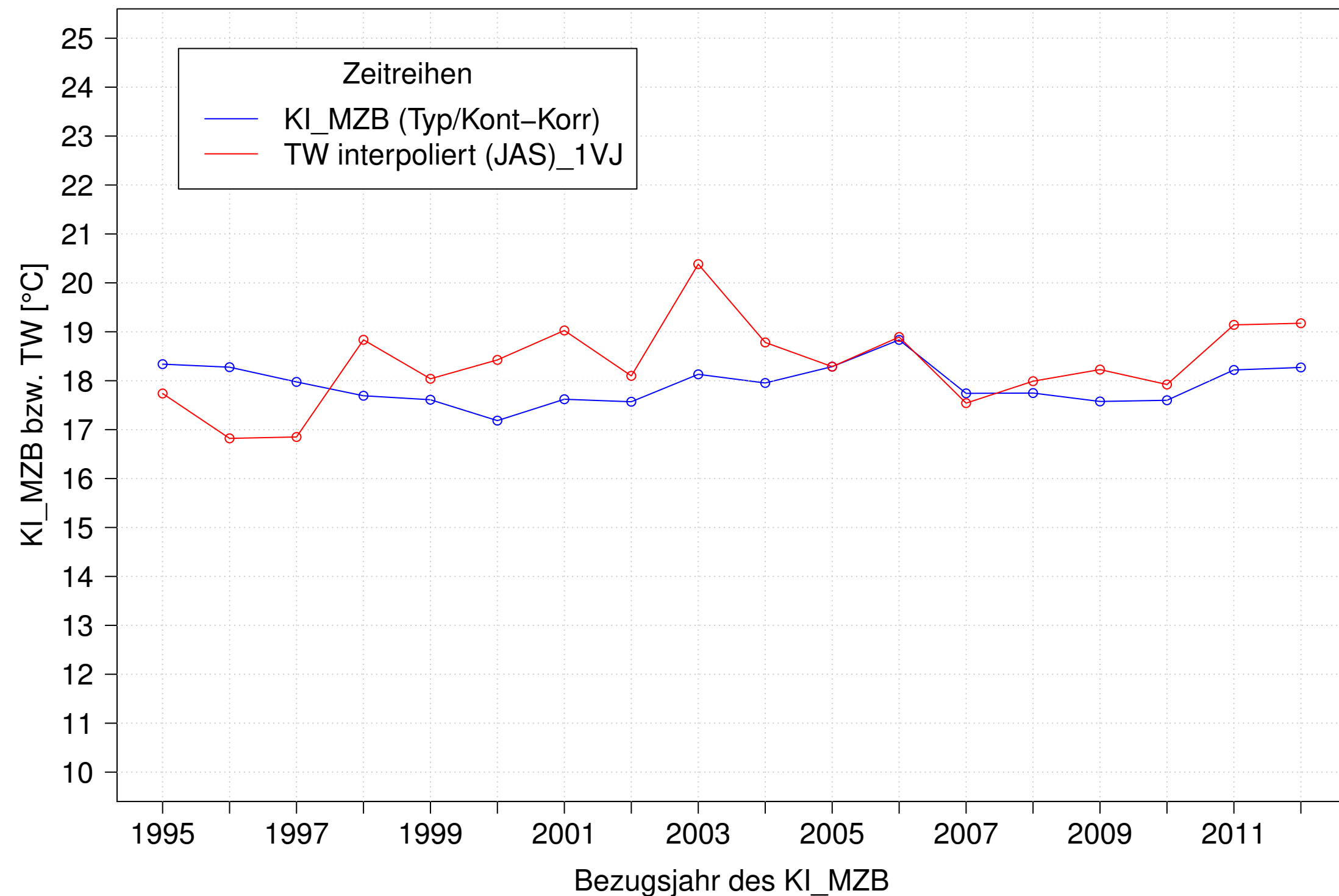
Kocher_Kochendorf, Typ 09.2 mit Neozoen, Serie 1
 KI_MZB (Typ/Kont-Korr) und TW interpoliert (JAS) des 1. Vorjahres



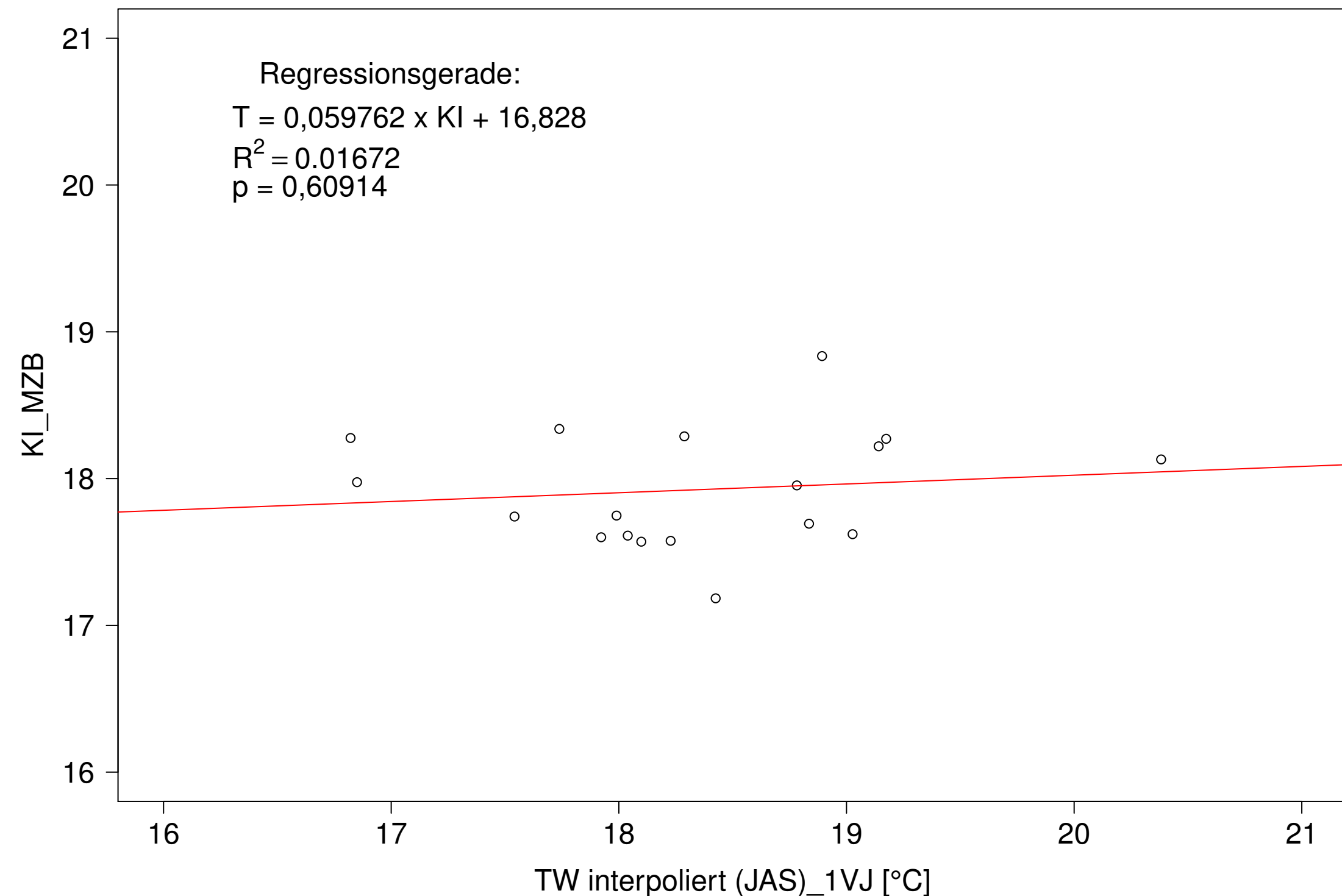
Kocher_Kochendorf, Typ 09.2 mit Neozoen, Serie 1
 KI_MZB (Typ/Kont-Korr) gegen TW interpoliert (JAS) des 1. Vorjahres



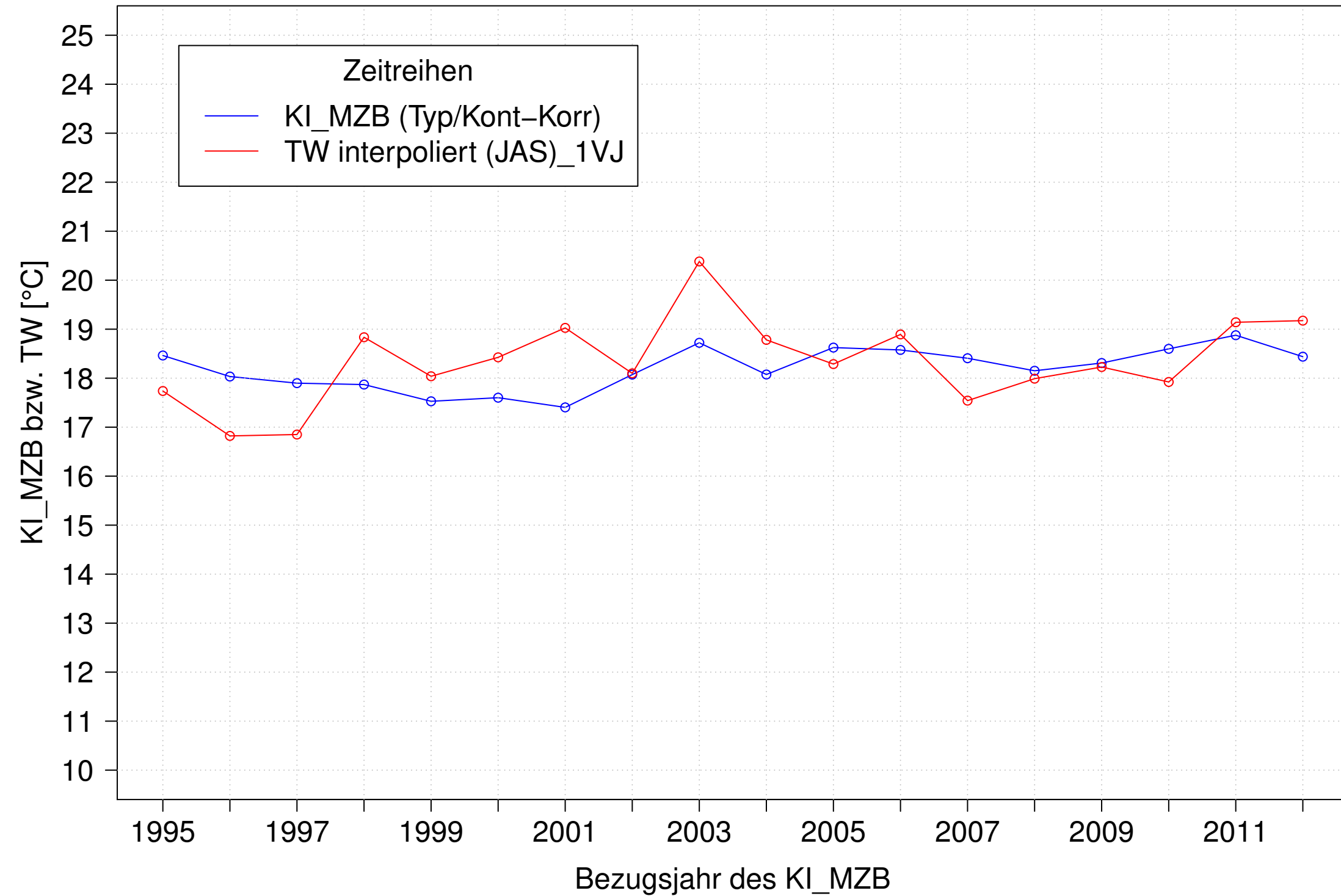
Kocher_Kochendorf, Typ 09.2 mit Neozoen, Serie 2
 KI_MZB (Typ/Kont-Korr) und TW interpoliert (JAS) des 1. Vorjahres



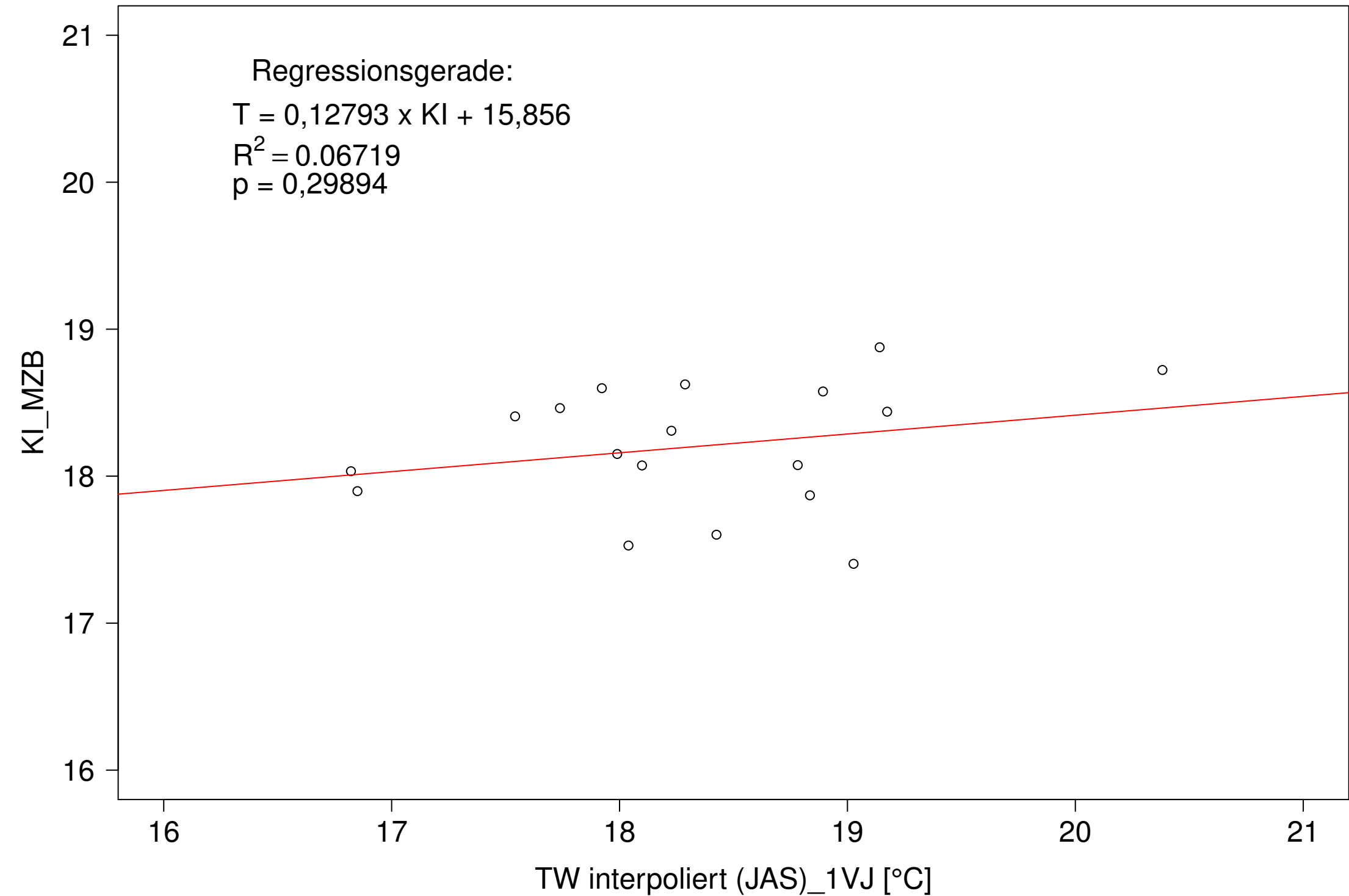
Kocher_Kochendorf, Typ 09.2 mit Neozoen, Serie 2
 KI_MZB (Typ/Kont-Korr) gegen TW interpoliert (JAS) des 1. Vorjahres



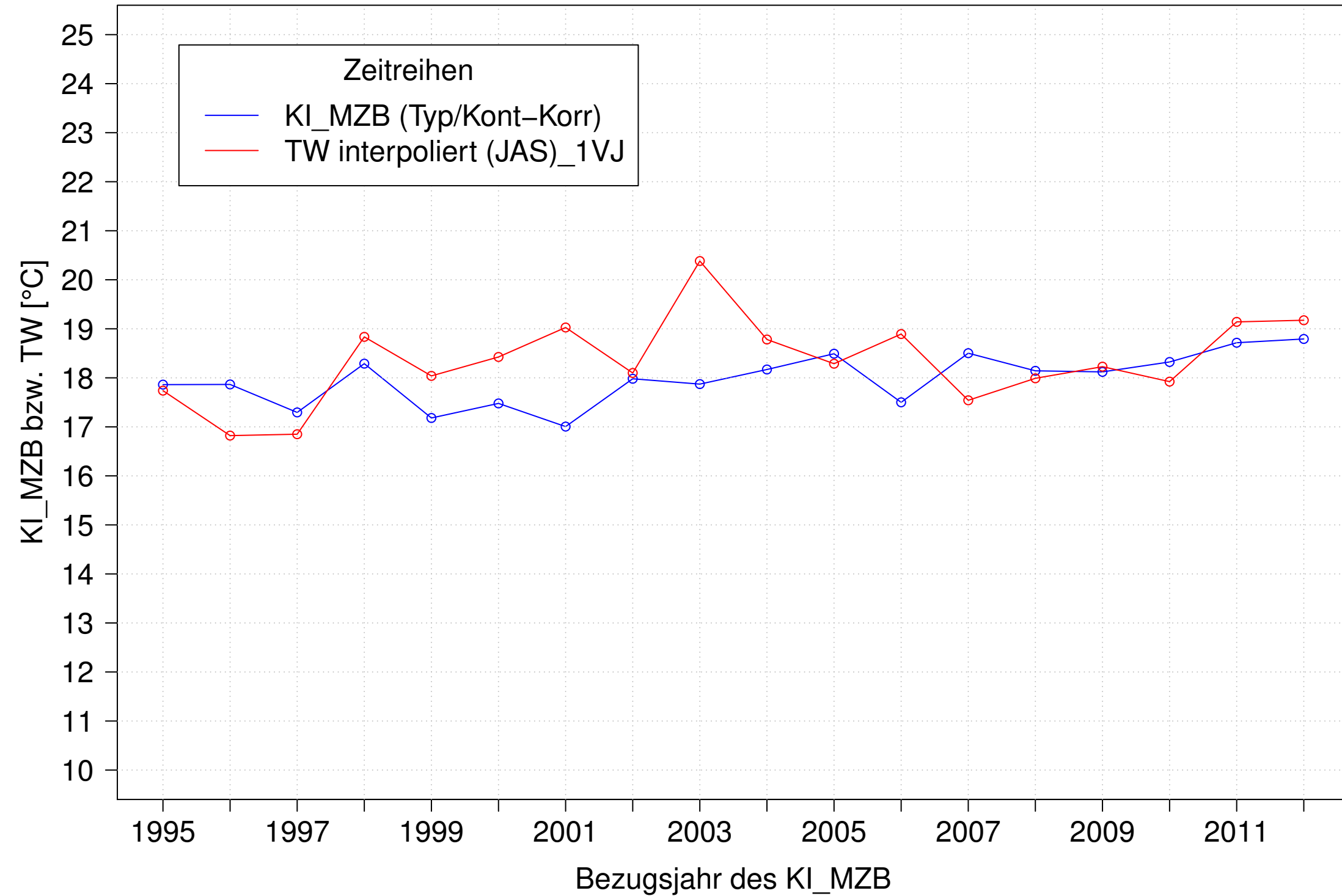
Kocher_Kochendorf, Typ 09.2 mit Neozoen, Serie 3
KI_MZB (Typ/Kont-Korr) und TW interpoliert (JAS) des 1. Vorjahres



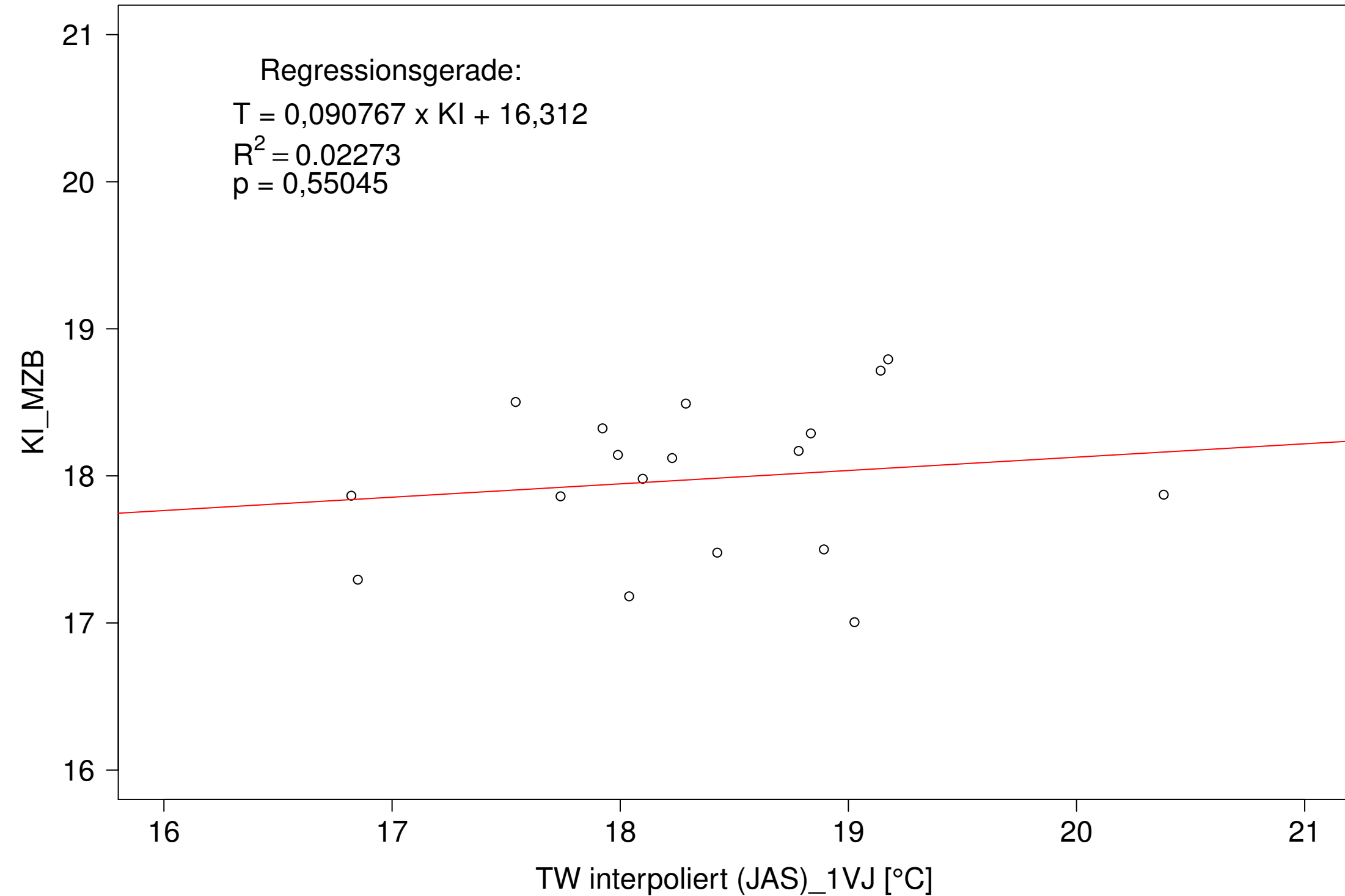
Kocher_Kochendorf, Typ 09.2 mit Neozoen, Serie 3
KI_MZB (Typ/Kont-Korr) gegen TW interpoliert (JAS) des 1. Vorjahres



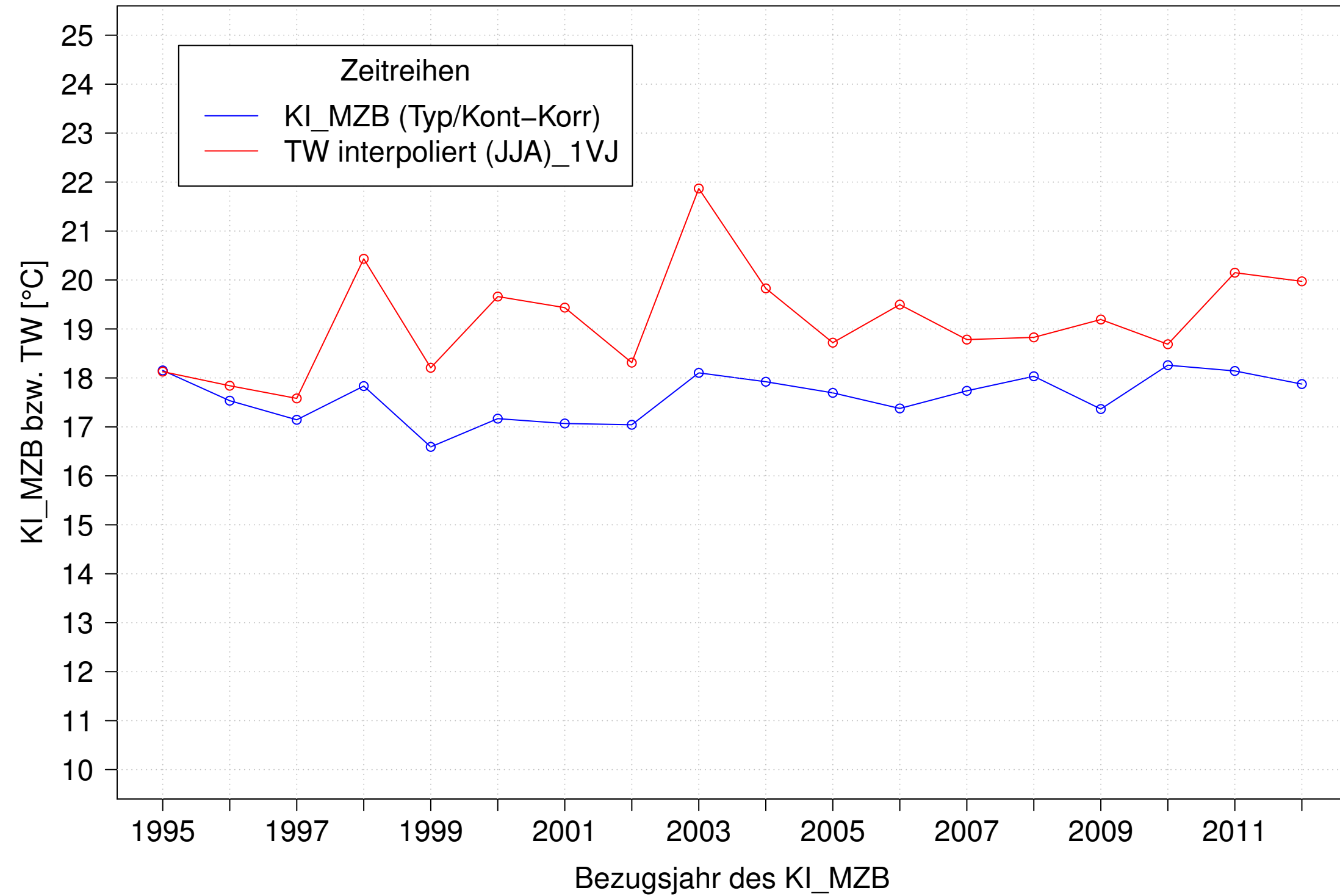
Kocher_Kochendorf, Typ 09.2 mit Neozoen, Serie 4
 KI_MZB (Typ/Kont-Korr) und TW interpoliert (JAS) des 1. Vorjahres



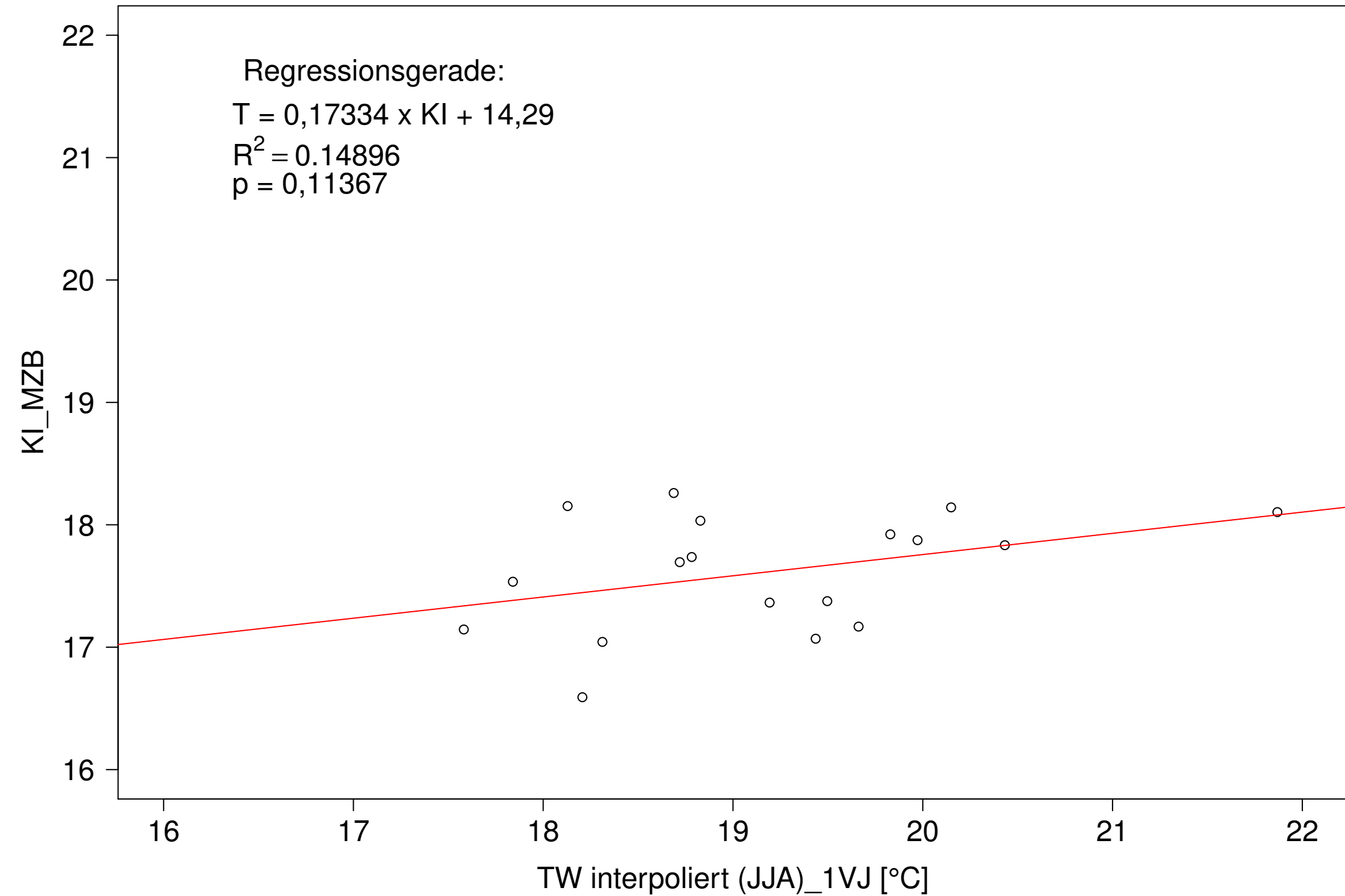
Kocher_Kochendorf, Typ 09.2 mit Neozoen, Serie 4
 KI_MZB (Typ/Kont-Korr) gegen TW interpoliert (JAS) des 1. Vorjahres



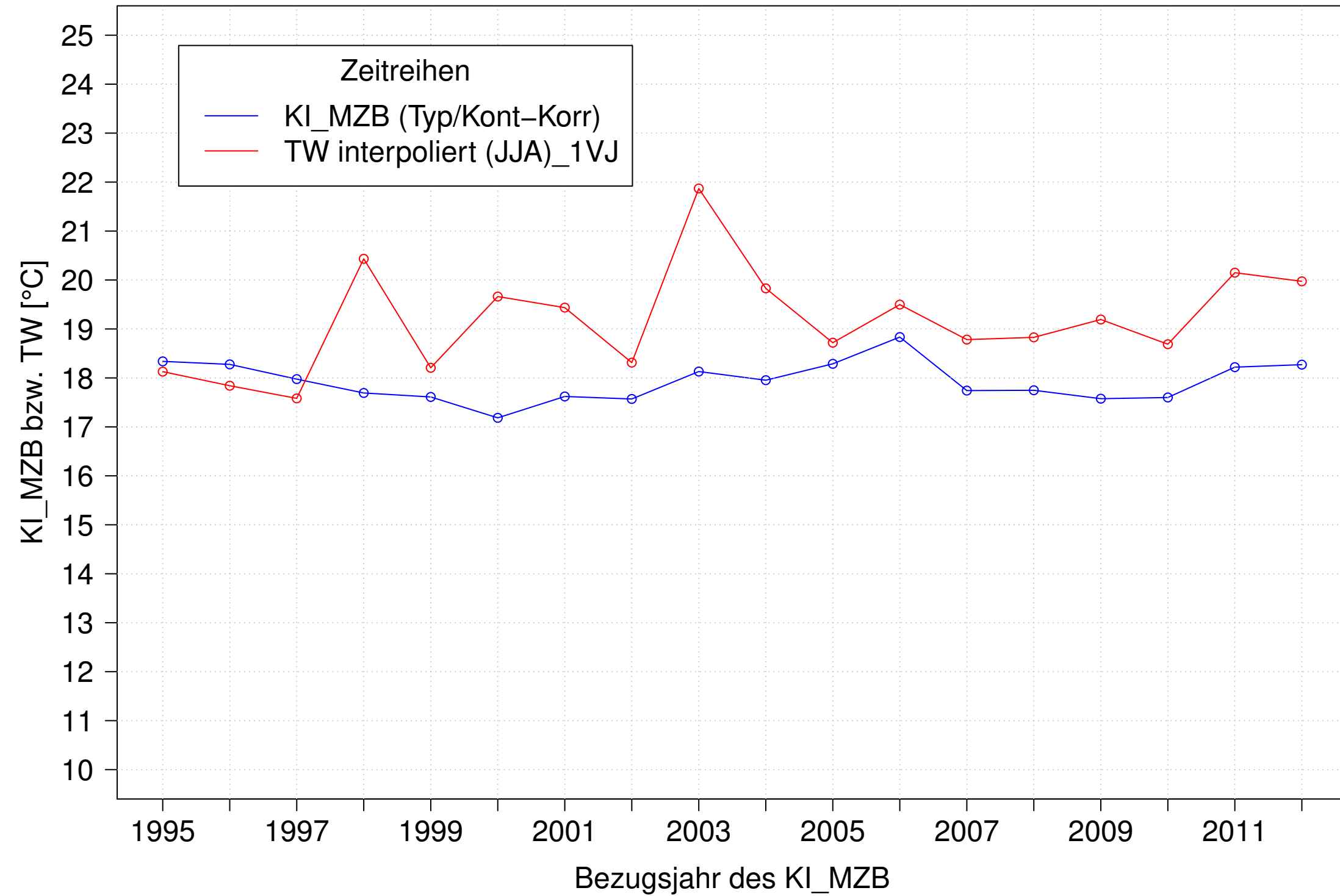
Kocher_Kochendorf, Typ 09.2 mit Neozoen, Serie 1
KI_MZB (Typ/Kont-Korr) und TW interpoliert (JJA) des 1. Vorjahres



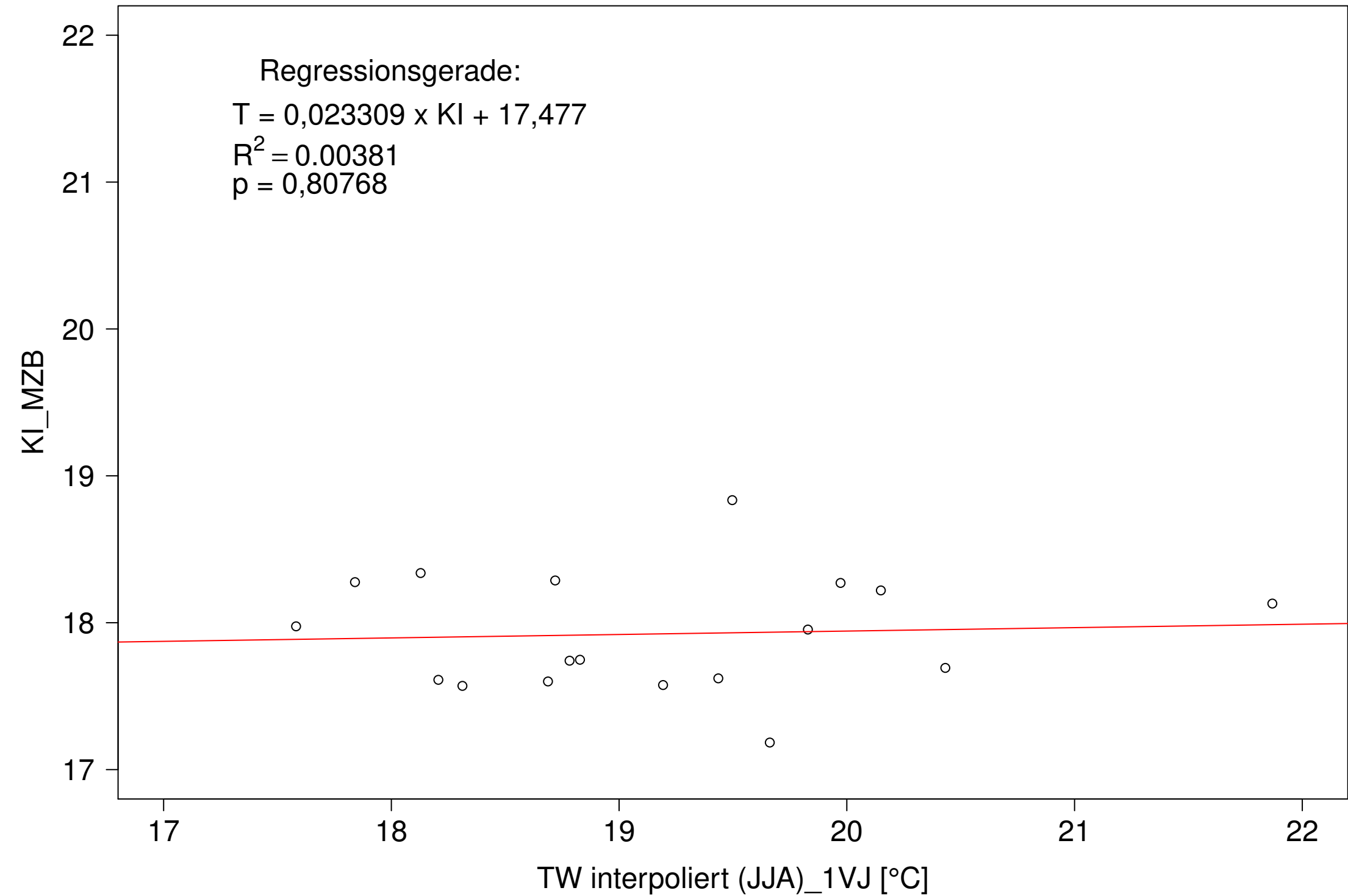
Kocher_Kochendorf, Typ 09.2 mit Neozoen, Serie 1
KI_MZB (Typ/Kont-Korr) gegen TW interpoliert (JJA) des 1. Vorjahres



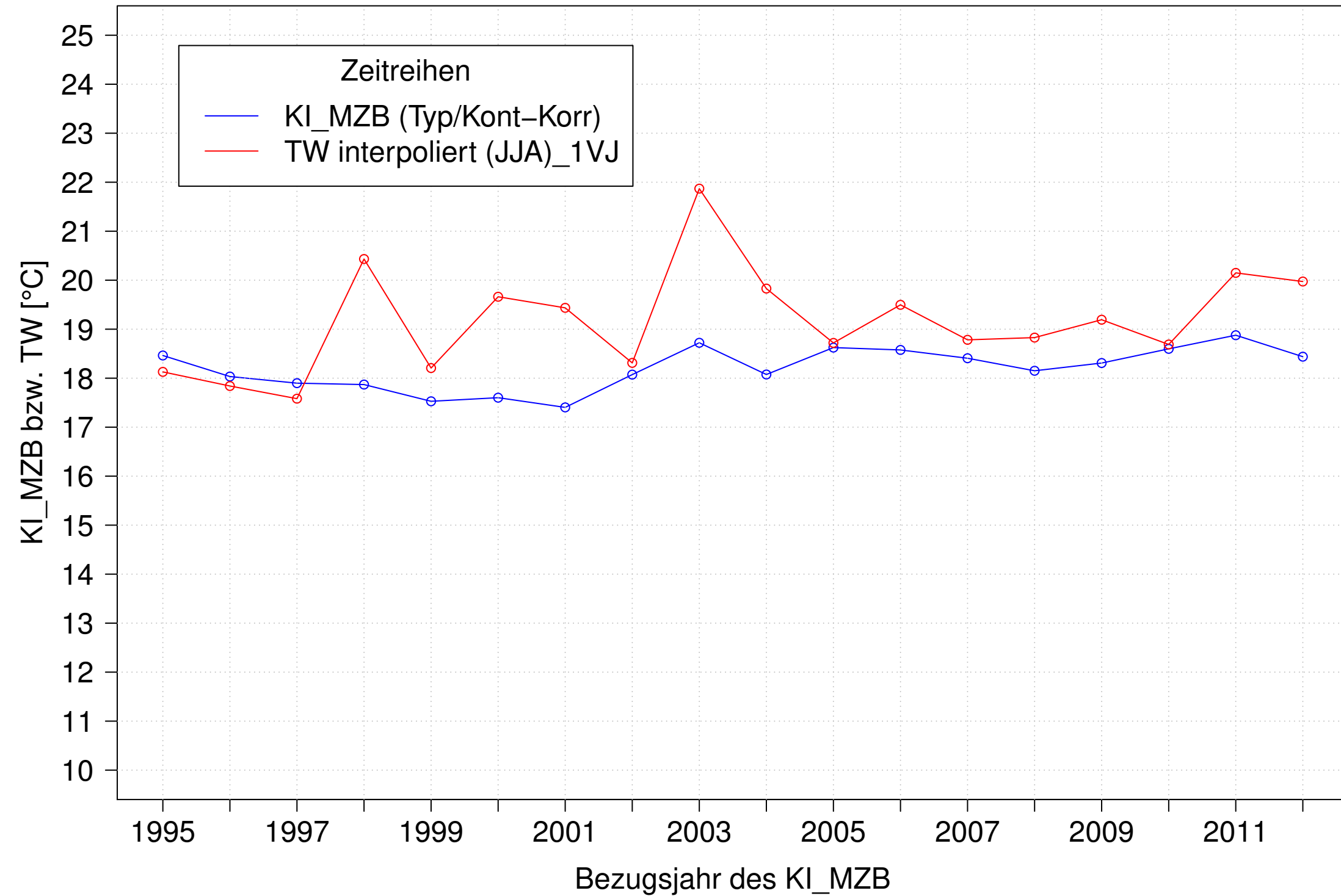
Kocher_Kochendorf, Typ 09.2 mit Neozoen, Serie 2
KI_MZB (Typ/Kont-Korr) und TW interpoliert (JJA) des 1. Vorjahres



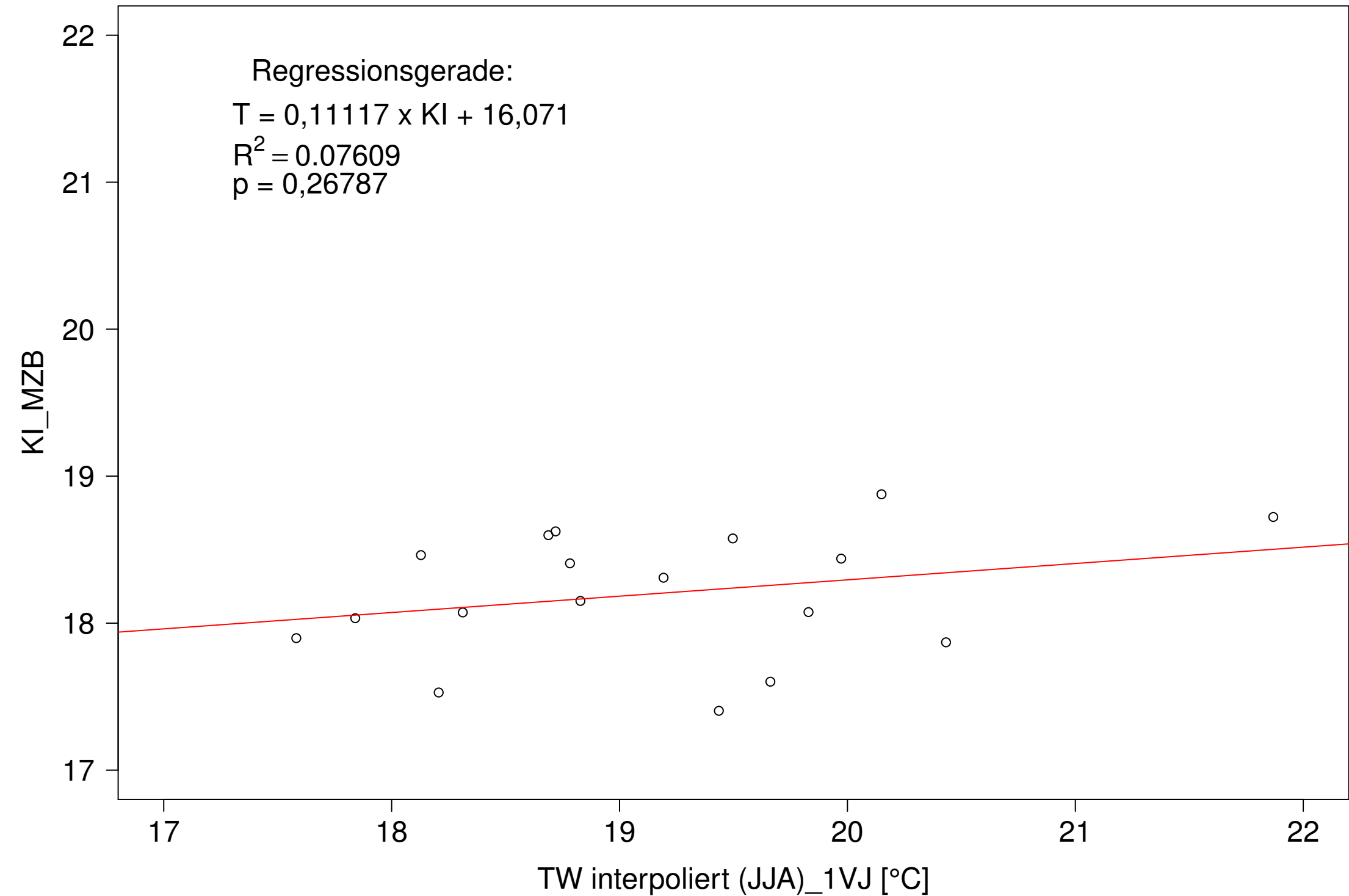
Kocher_Kochendorf, Typ 09.2 mit Neozoen, Serie 2
KI_MZB (Typ/Kont-Korr) gegen TW interpoliert (JJA) des 1. Vorjahres



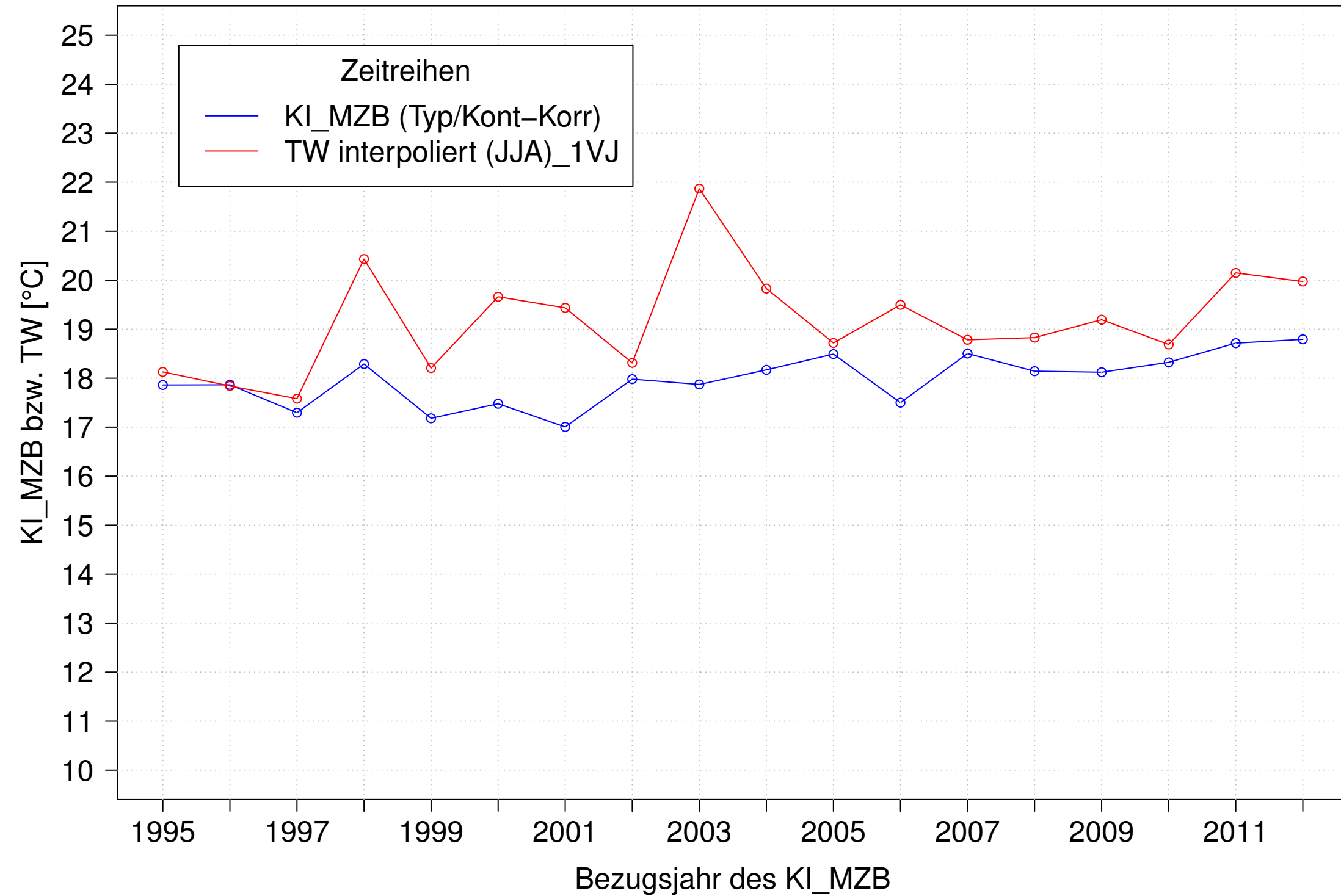
Kocher_Kochendorf, Typ 09.2 mit Neozoen, Serie 3
KI_MZB (Typ/Kont-Korr) und TW interpoliert (JJA) des 1. Vorjahres



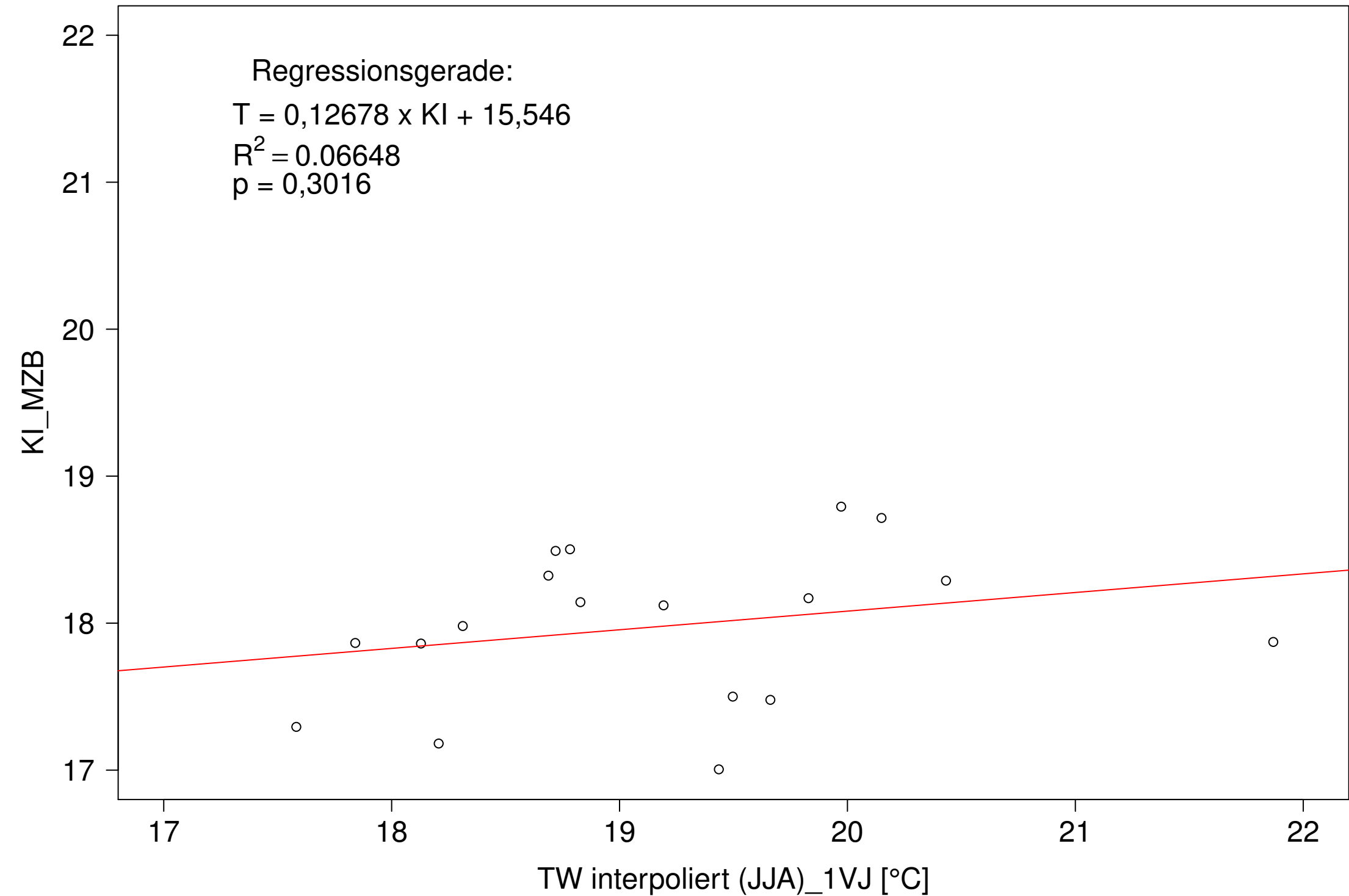
Kocher_Kochendorf, Typ 09.2 mit Neozoen, Serie 3
KI_MZB (Typ/Kont-Korr) gegen TW interpoliert (JJA) des 1. Vorjahres



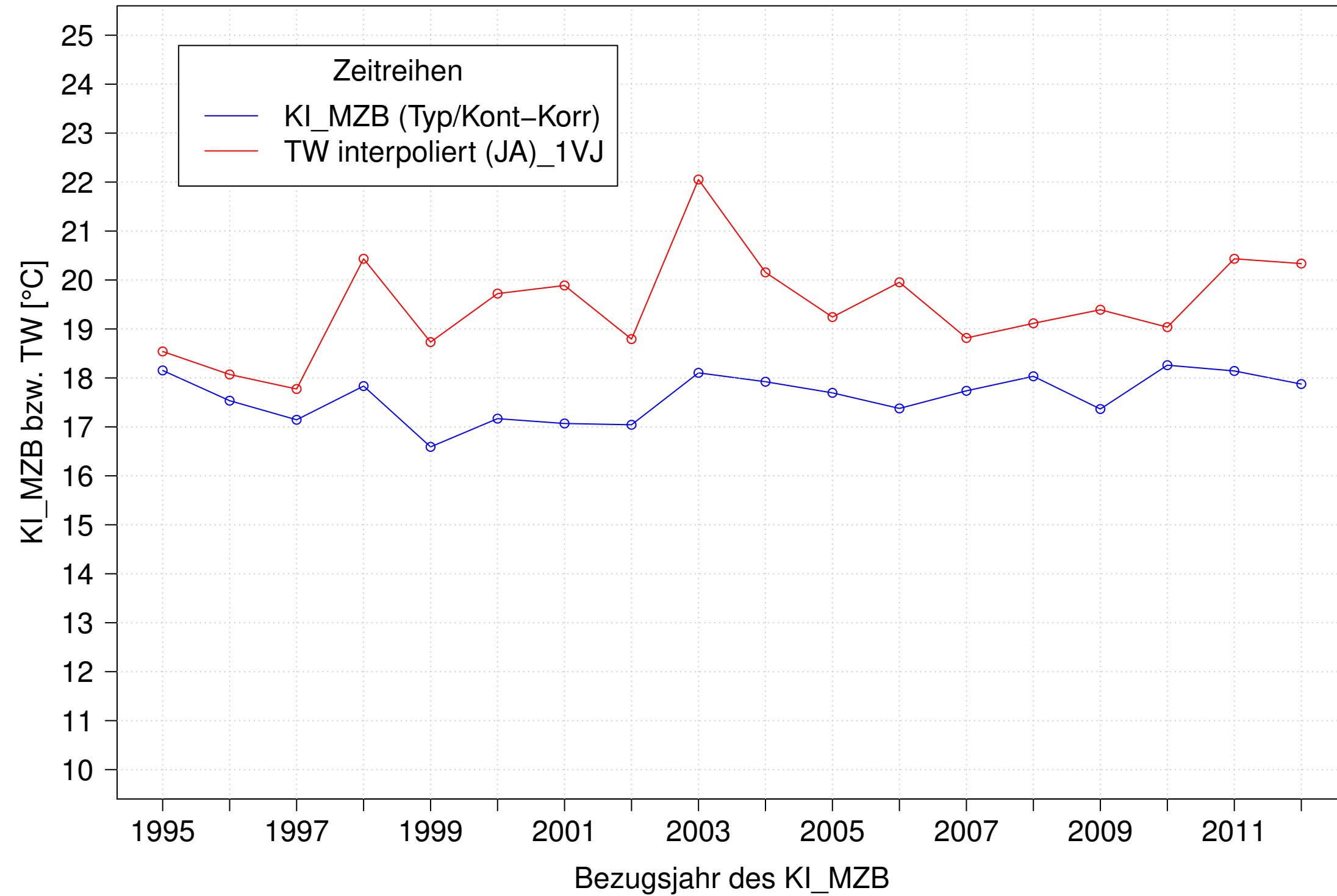
Kocher_Kochendorf, Typ 09.2 mit Neozoen, Serie 4
KI_MZB (Typ/Kont-Korr) und TW interpoliert (JJA) des 1. Vorjahres



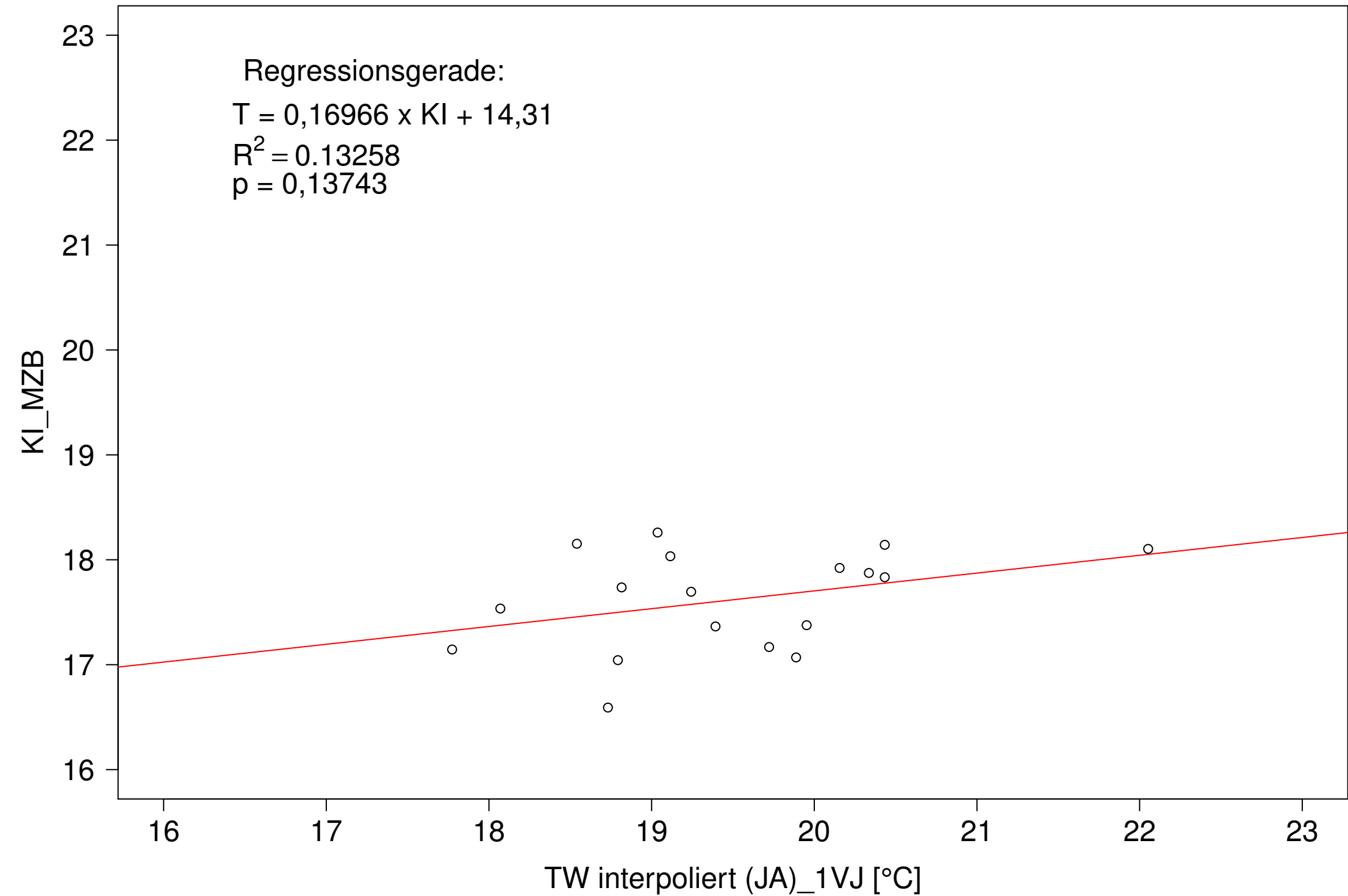
Kocher_Kochendorf, Typ 09.2 mit Neozoen, Serie 4
KI_MZB (Typ/Kont-Korr) gegen TW interpoliert (JJA) des 1. Vorjahres



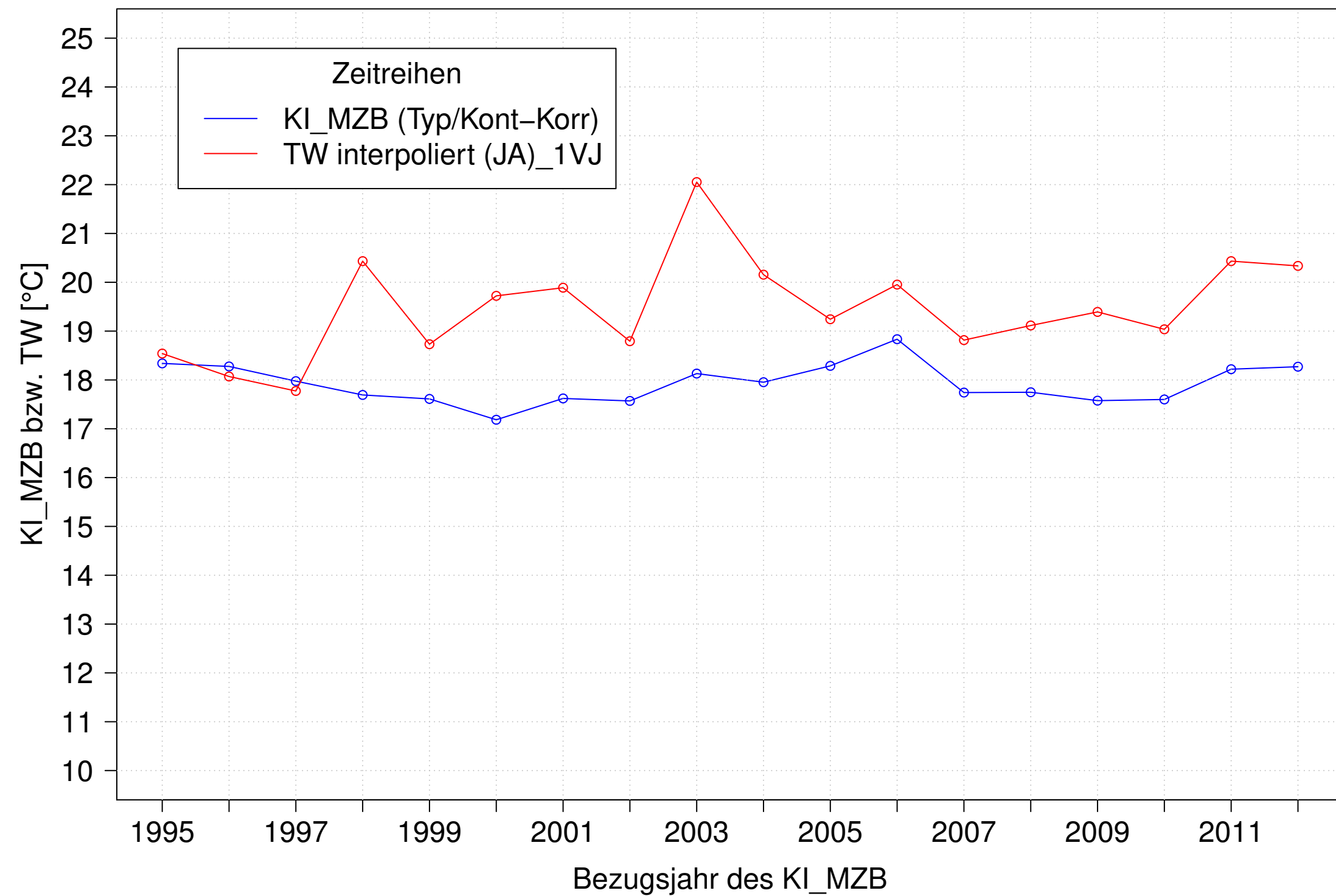
Kocher_Kochendorf, Typ 09.2 mit Neozoen, Serie 1
KI_MZB (Typ/Kont-Korr) und TW interpoliert (JA) des 1. Vorjahres



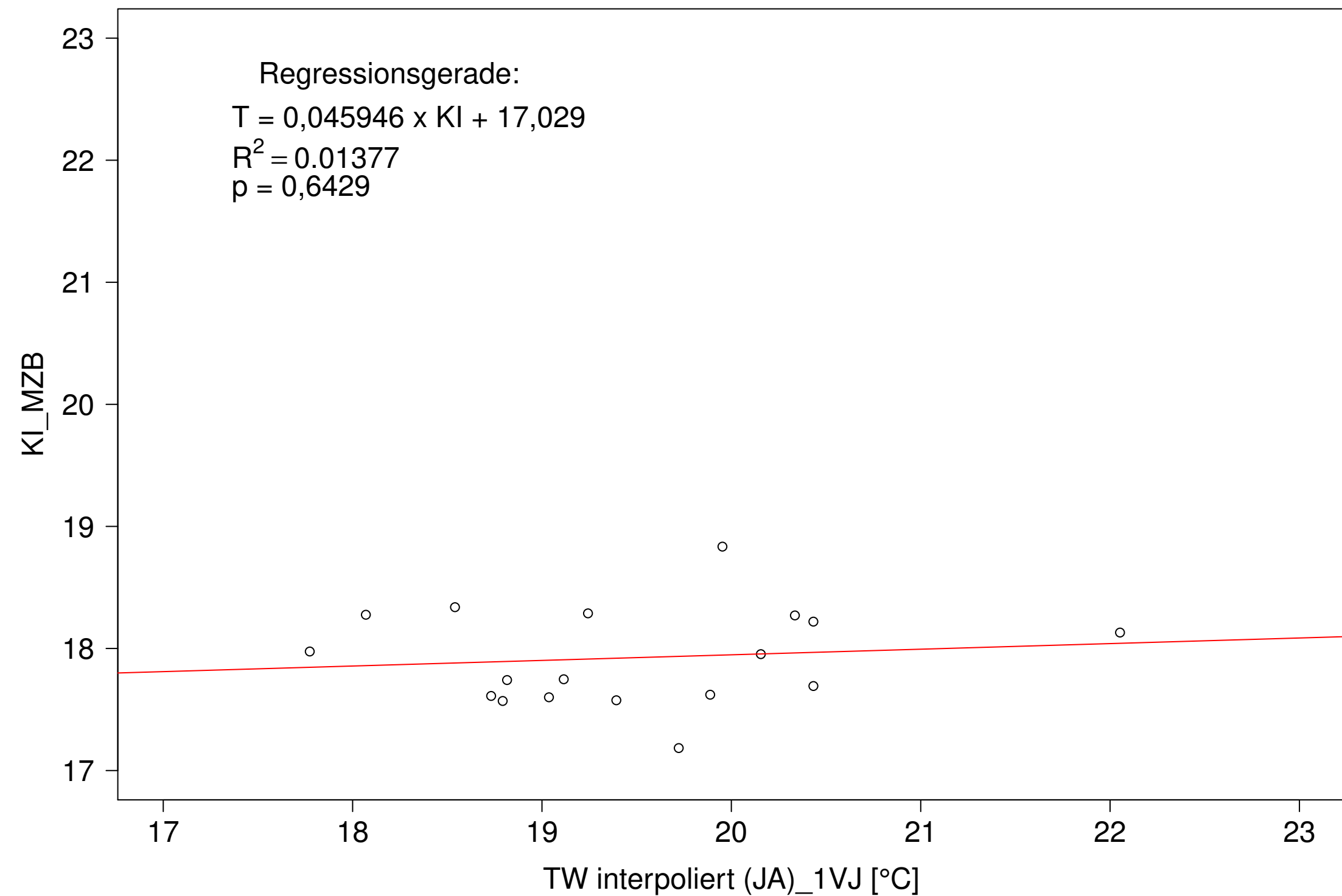
Kocher_Kochendorf, Typ 09.2 mit Neozoen, Serie 1
KI_MZB (Typ/Kont-Korr) gegen TW interpoliert (JA) des 1. Vorjahres



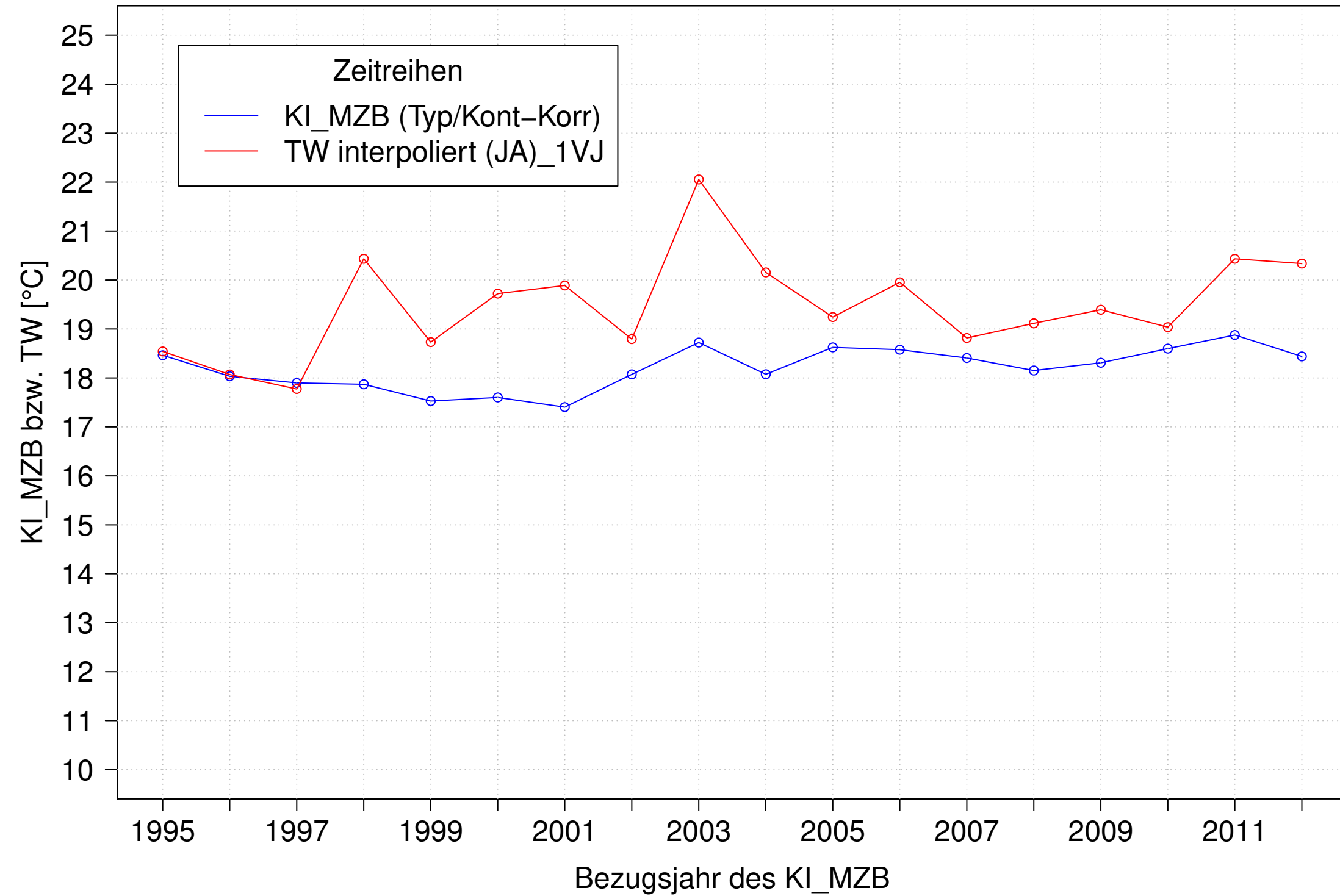
Kocher_Kochendorf, Typ 09.2 mit Neozoen, Serie 2
 KI_MZB (Typ/Kont-Korr) und TW interpoliert (JA) des 1. Vorjahres



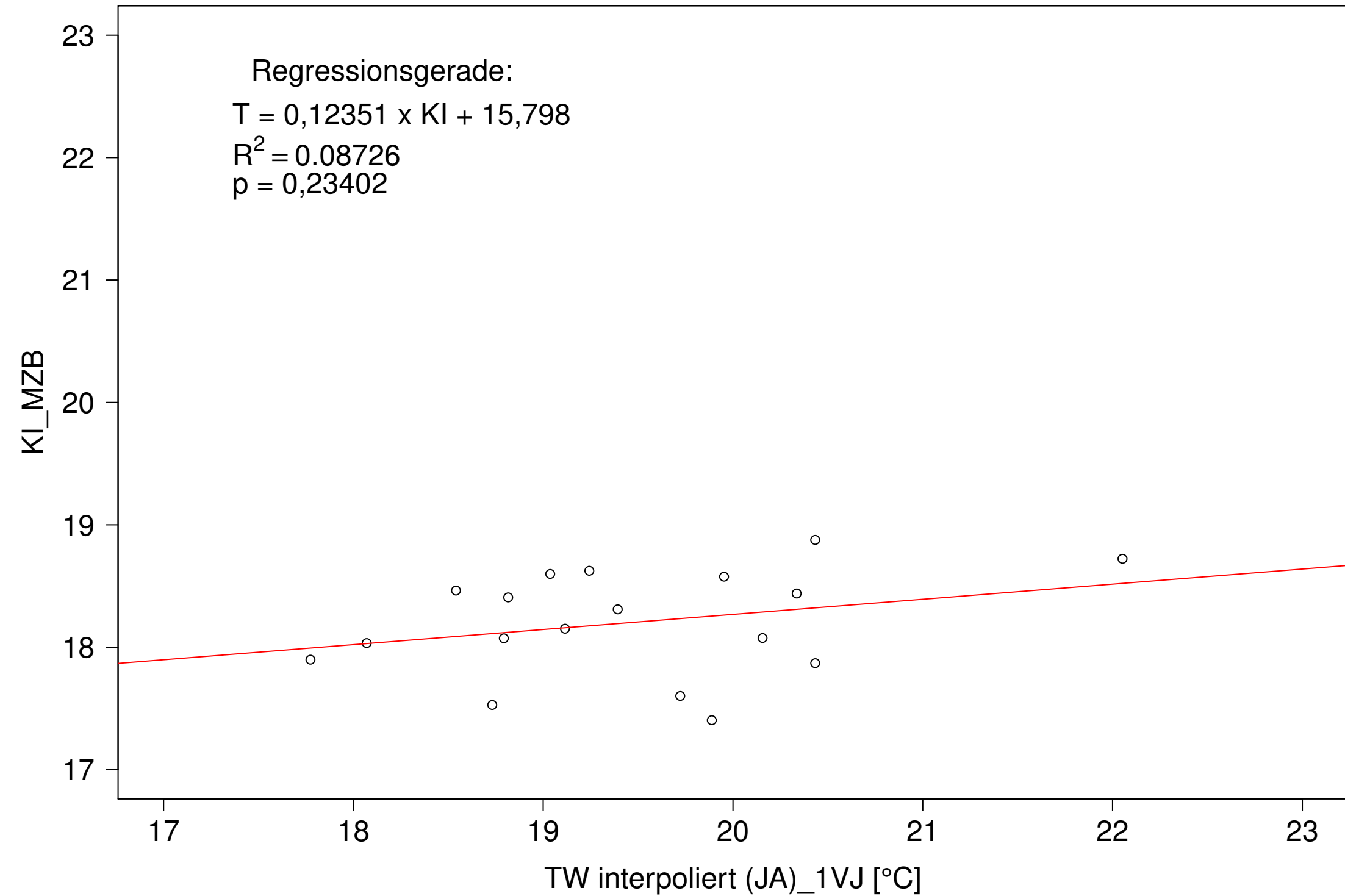
Kocher_Kochendorf, Typ 09.2 mit Neozoen, Serie 2
 KI_MZB (Typ/Kont-Korr) gegen TW interpoliert (JA) des 1. Vorjahres



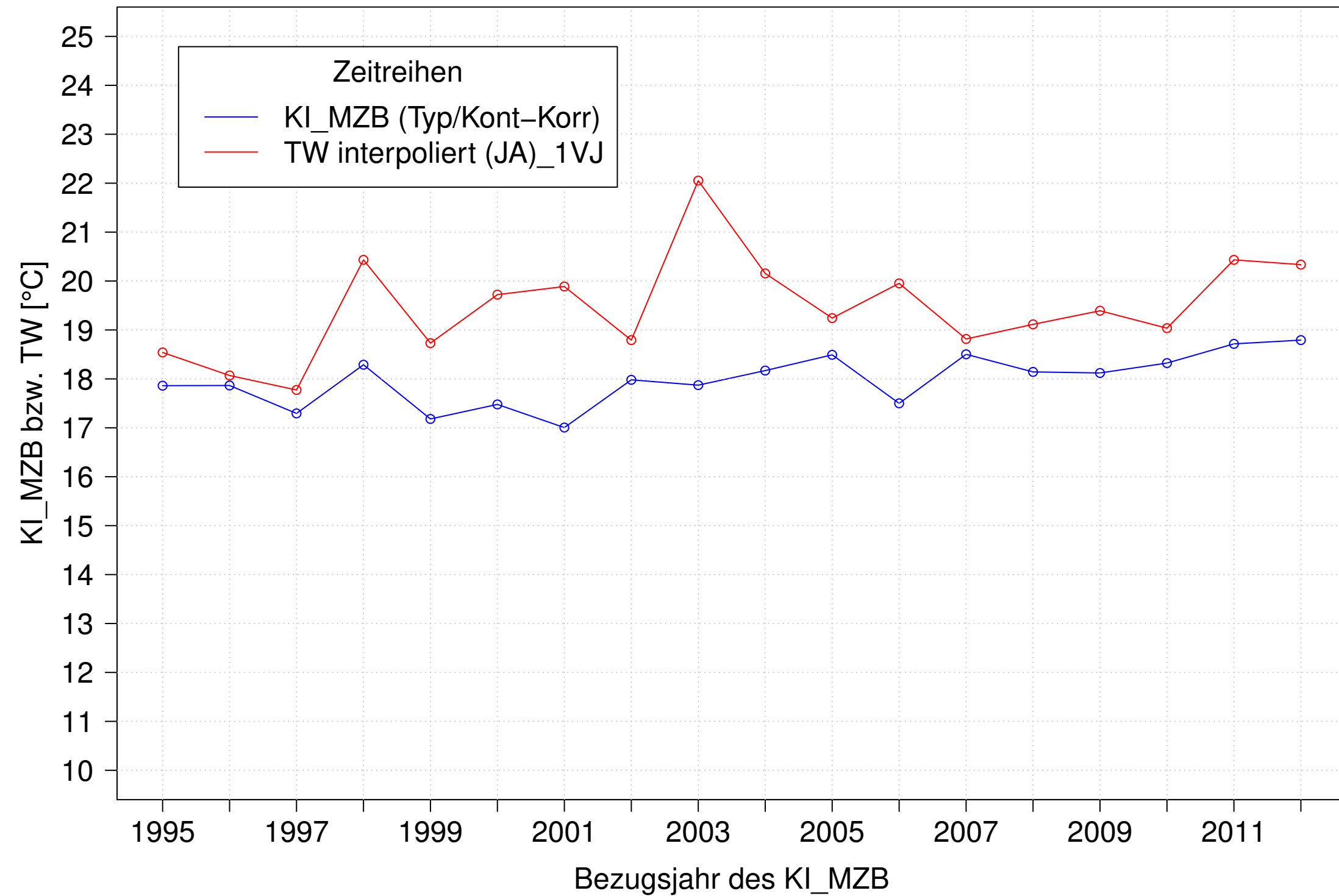
Kocher_Kochendorf, Typ 09.2 mit Neozoen, Serie 3
KI_MZB (Typ/Kont-Korr) und TW interpoliert (JA) des 1. Vorjahres



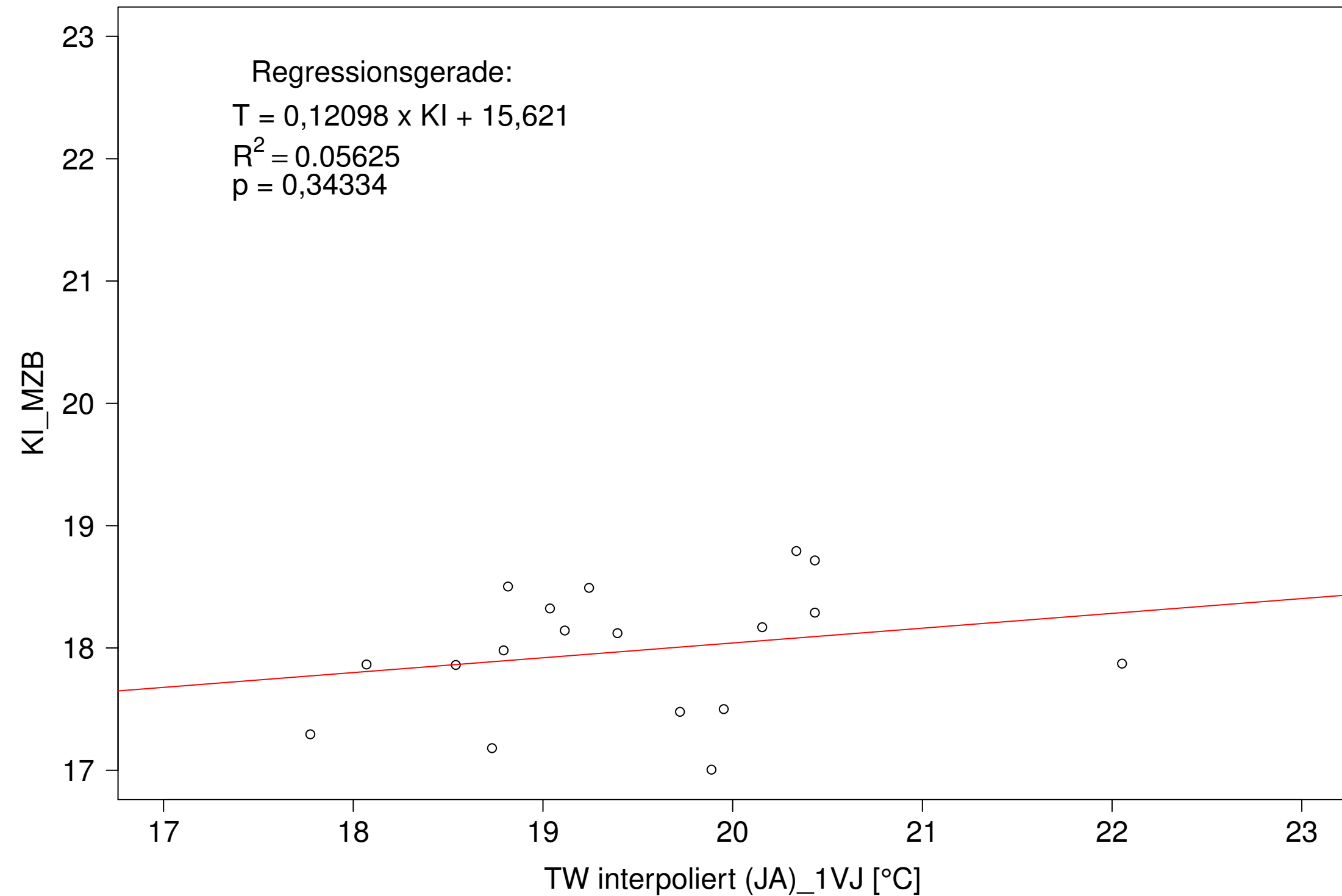
Kocher_Kochendorf, Typ 09.2 mit Neozoen, Serie 3
KI_MZB (Typ/Kont-Korr) gegen TW interpoliert (JA) des 1. Vorjahres



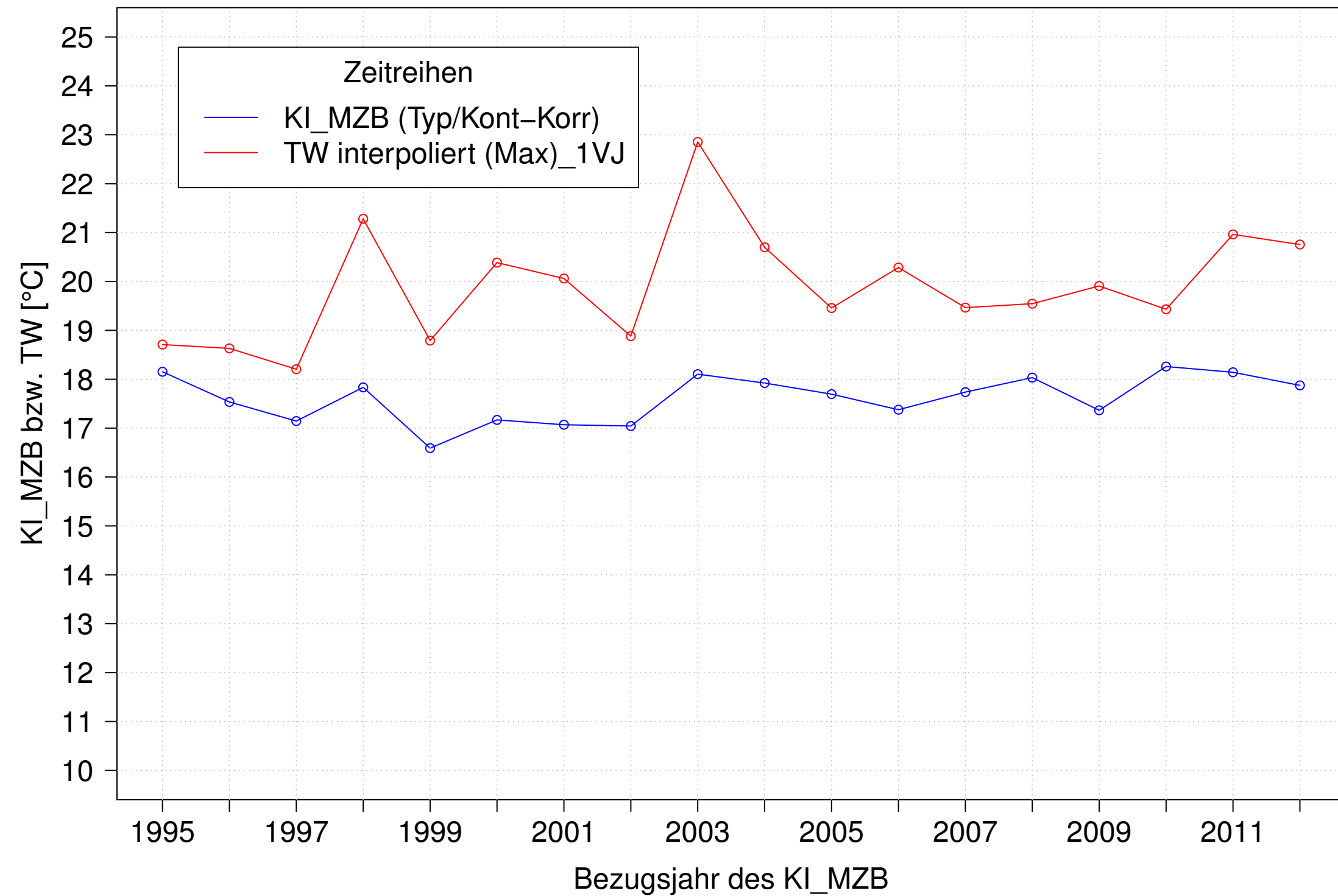
Kocher_Kochendorf, Typ 09.2 mit Neozoen, Serie 4
 KI_MZB (Typ/Kont-Korr) und TW interpoliert (JA) des 1. Vorjahres



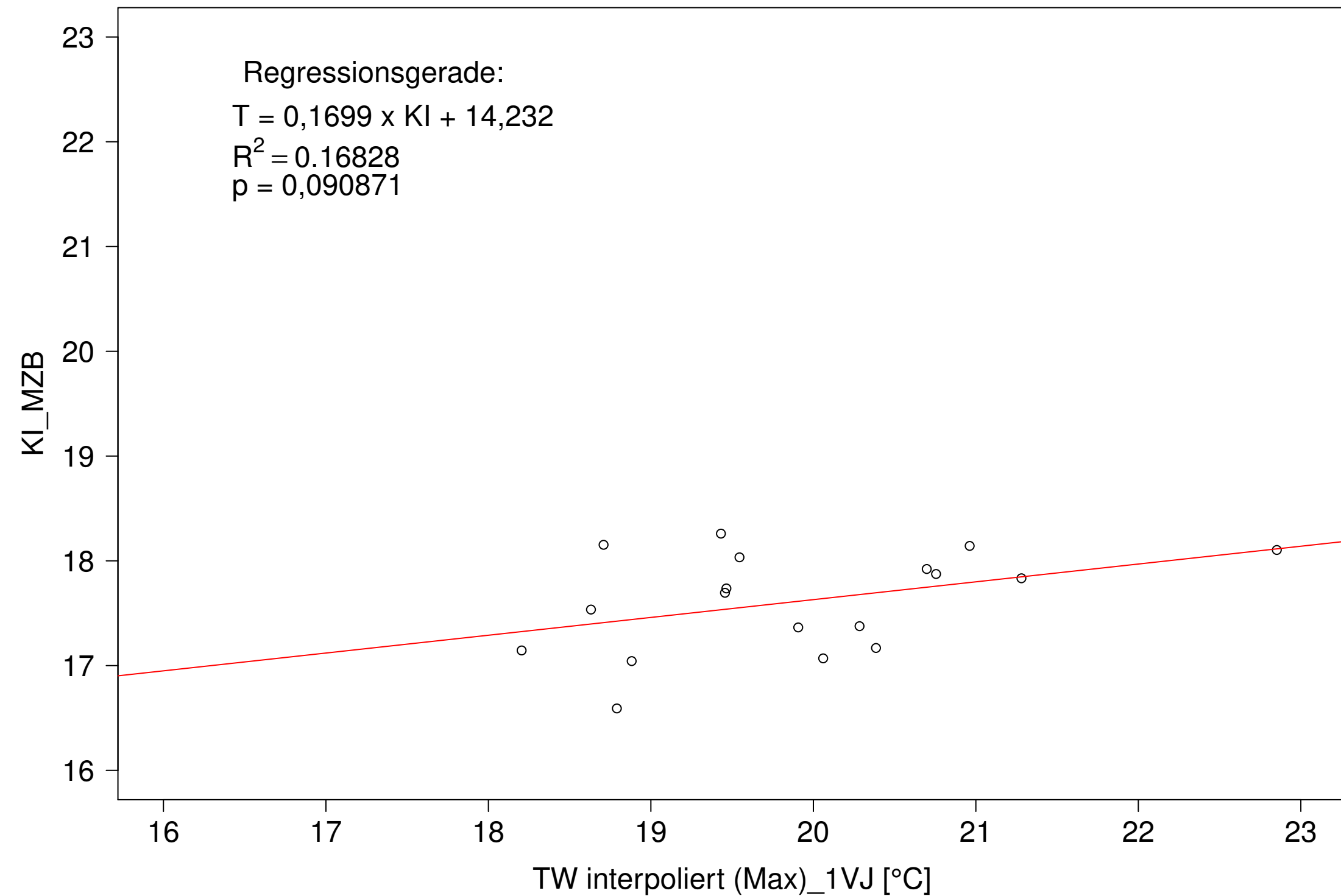
Kocher_Kochendorf, Typ 09.2 mit Neozoen, Serie 4
 KI_MZB (Typ/Kont-Korr) gegen TW interpoliert (JA) des 1. Vorjahres



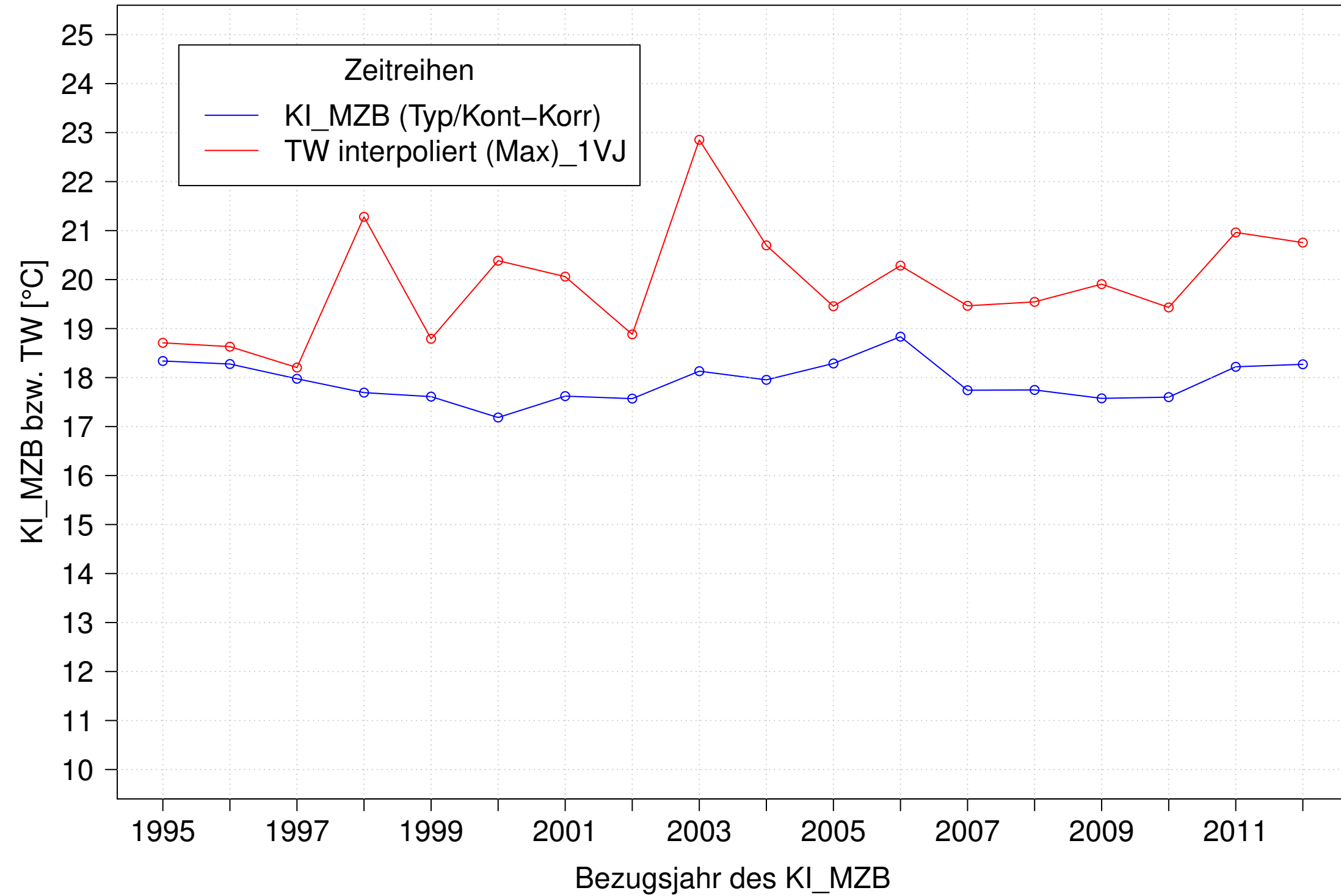
Kocher_Kochendorf, Typ 09.2 mit Neozoen, Serie 1
 KI_MZB (Typ/Kont-Korr) und TW interpoliert (Max) des 1. Vorjahres



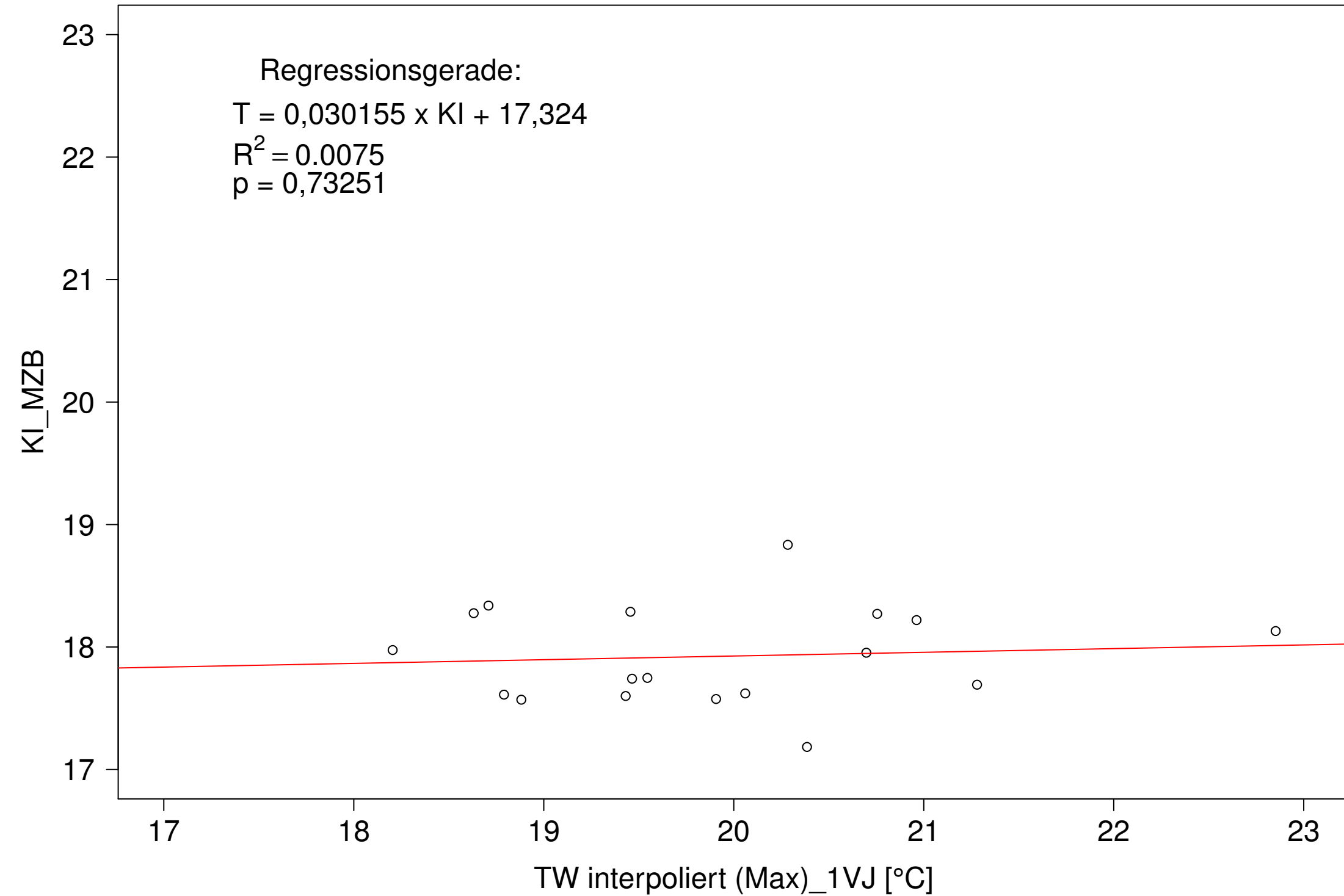
Kocher_Kochendorf, Typ 09.2 mit Neozoen, Serie 1
 KI_MZB (Typ/Kont-Korr) gegen TW interpoliert (Max) des 1. Vorjahres



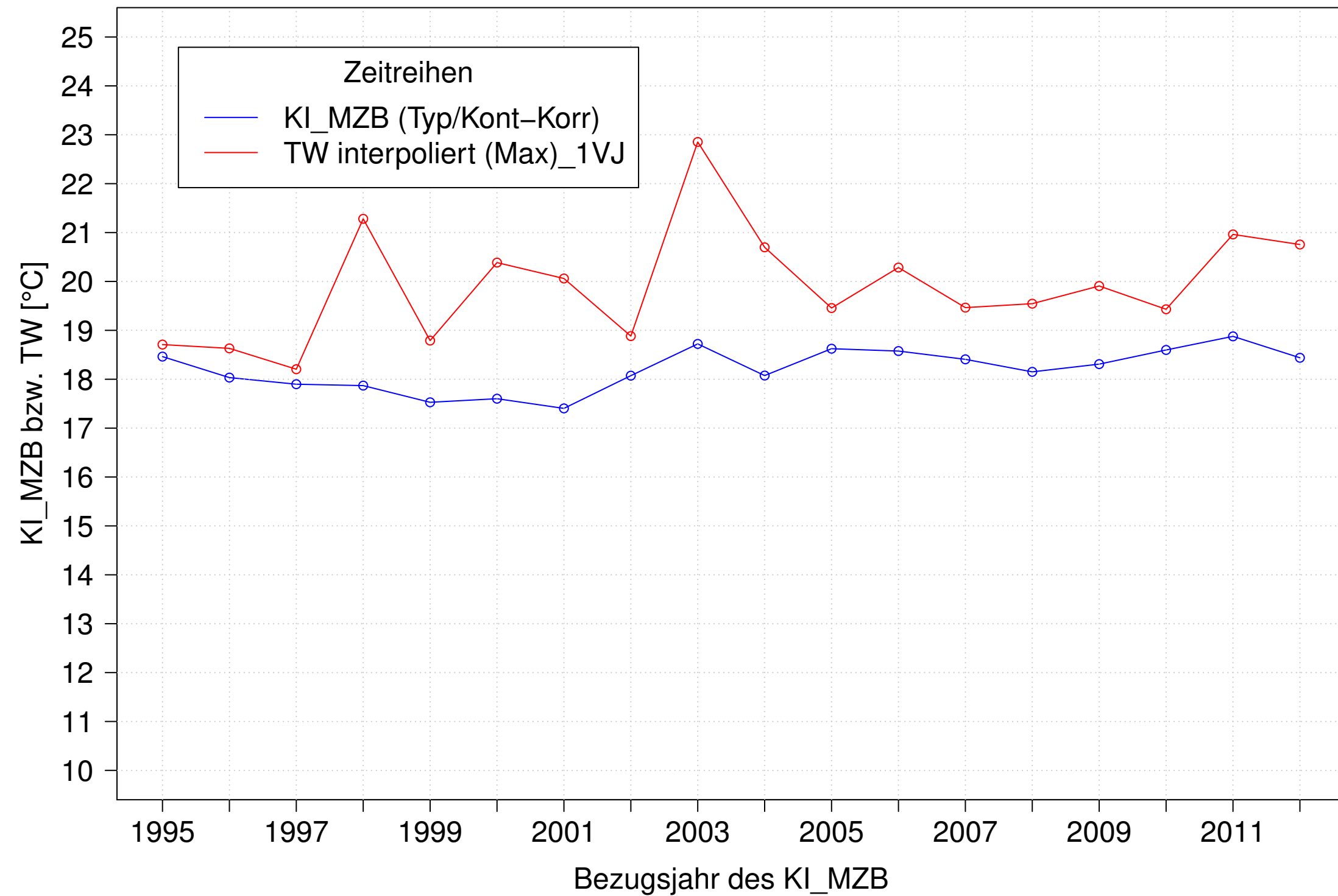
Kocher_Kochendorf, Typ 09.2 mit Neozoen, Serie 2
KI_MZB (Typ/Kont-Korr) und TW interpoliert (Max) des 1. Vorjahres



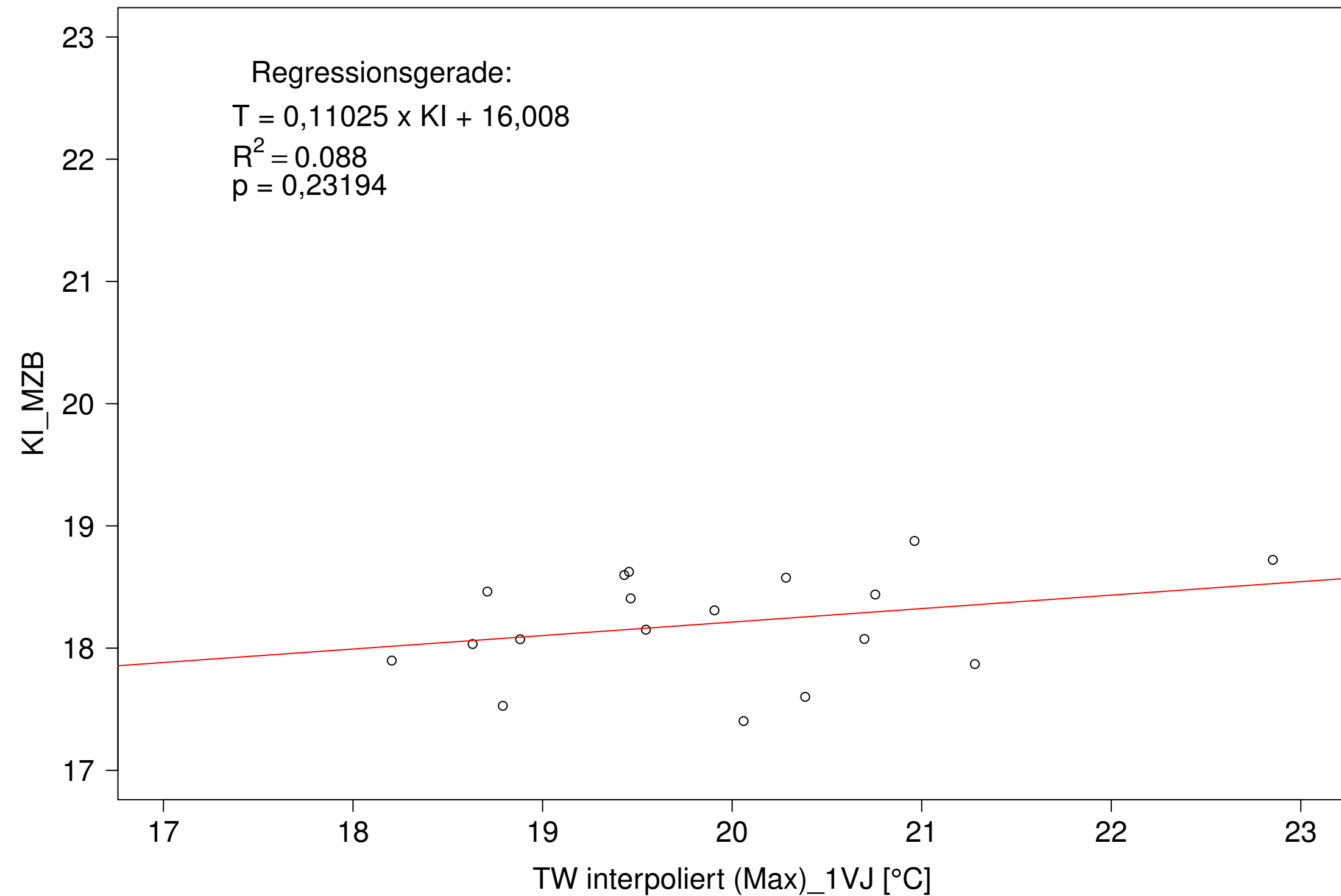
Kocher_Kochendorf, Typ 09.2 mit Neozoen, Serie 2
KI_MZB (Typ/Kont-Korr) gegen TW interpoliert (Max) des 1. Vorjahres



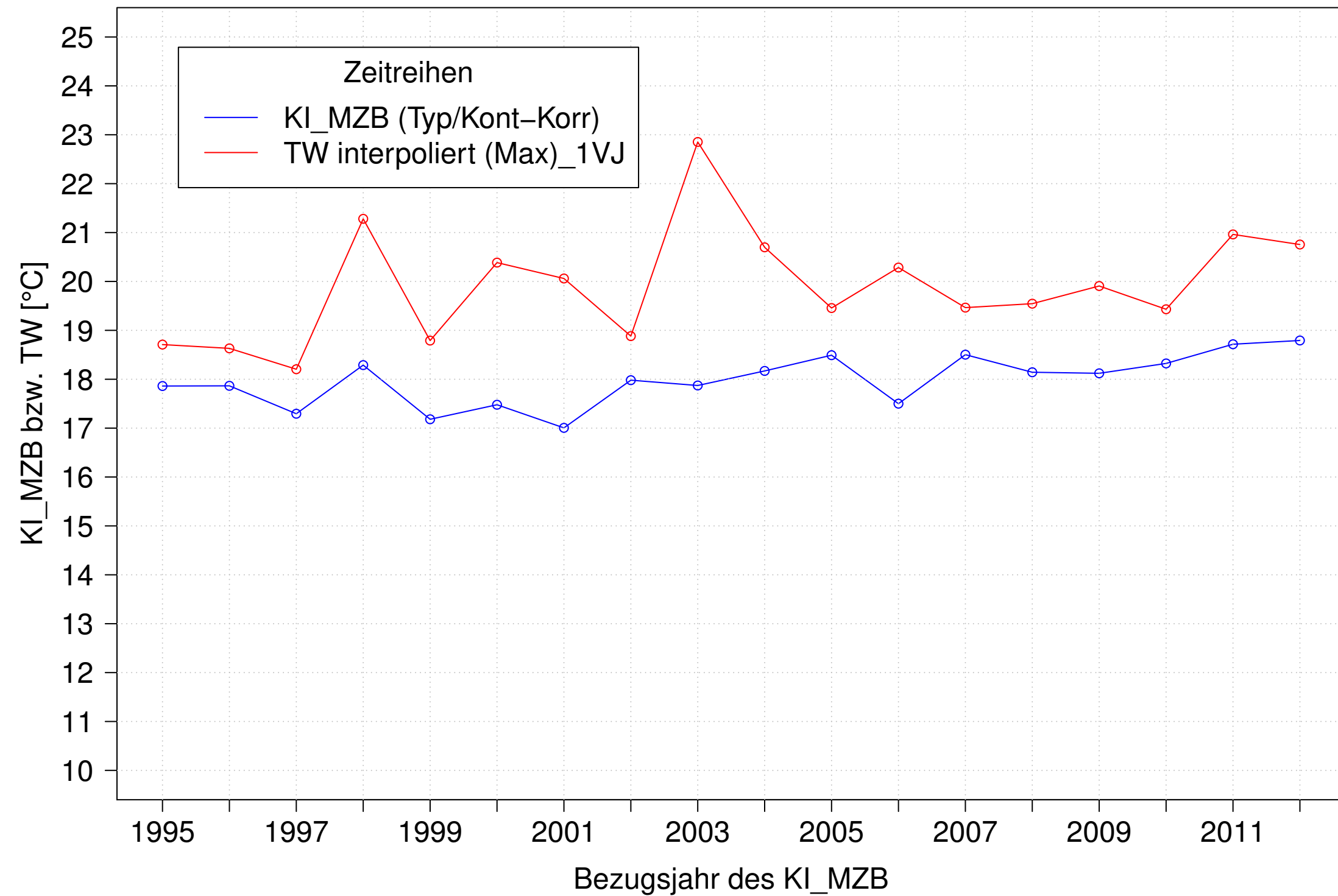
Kocher_Kochendorf, Typ 09.2 mit Neozoen, Serie 3
 KI_MZB (Typ/Kont-Korr) und TW interpoliert (Max) des 1. Vorjahres



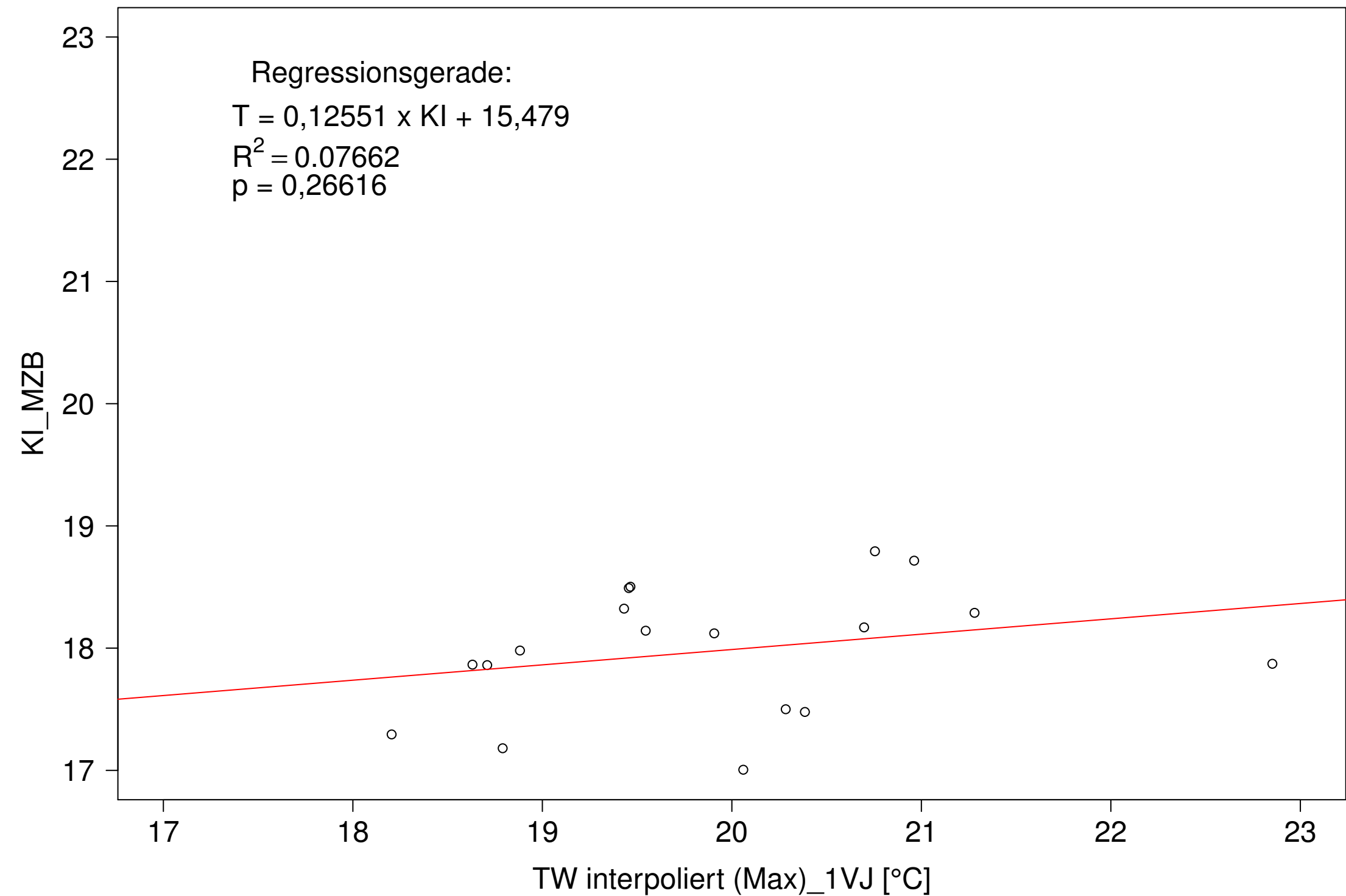
Kocher_Kochendorf, Typ 09.2 mit Neozoen, Serie 3
 KI_MZB (Typ/Kont-Korr) gegen TW interpoliert (Max) des 1. Vorjahres



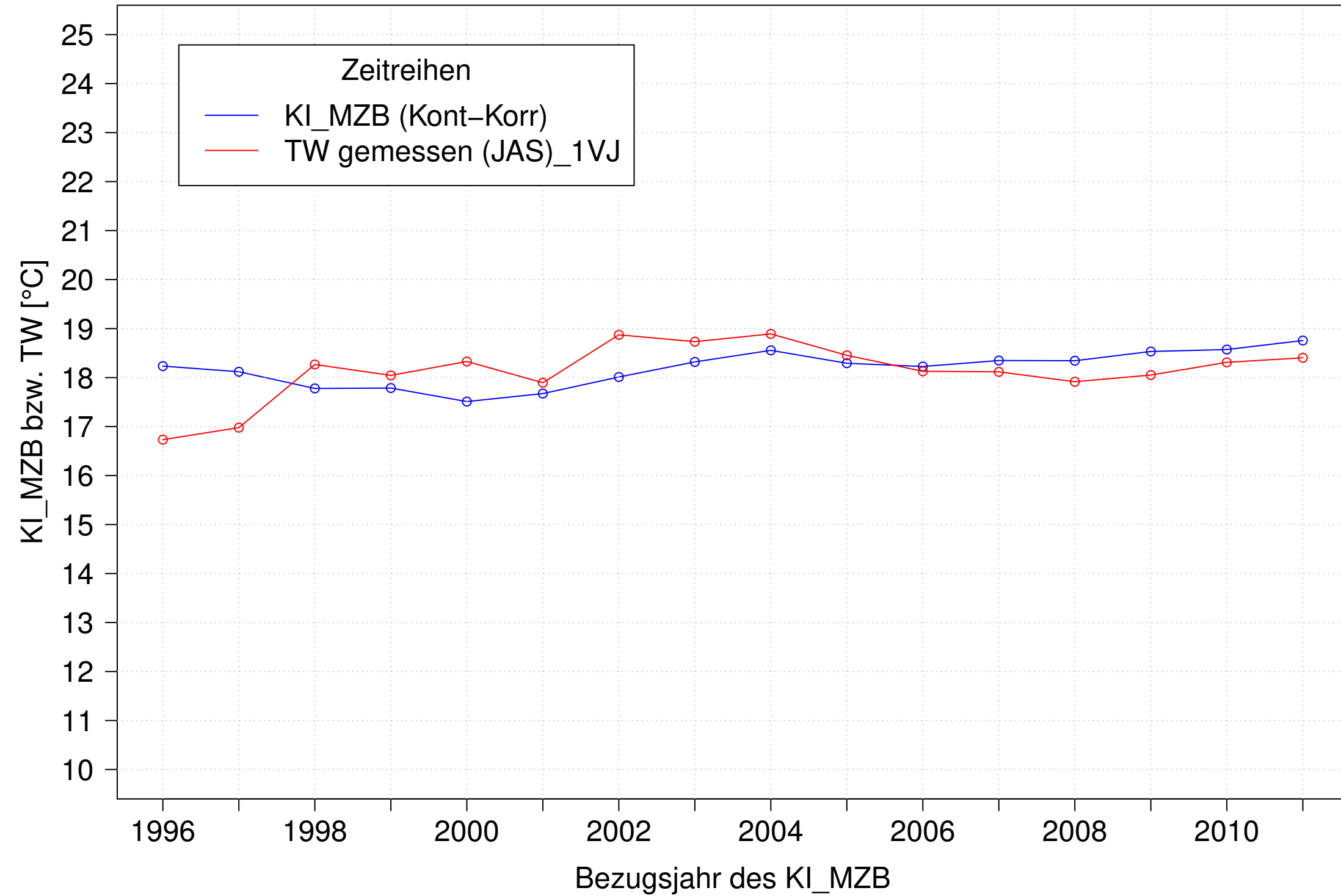
Kocher_Kochendorf, Typ 09.2 mit Neozoen, Serie 4
KI_MZB (Typ/Kont-Korr) und TW interpoliert (Max) des 1. Vorjahres



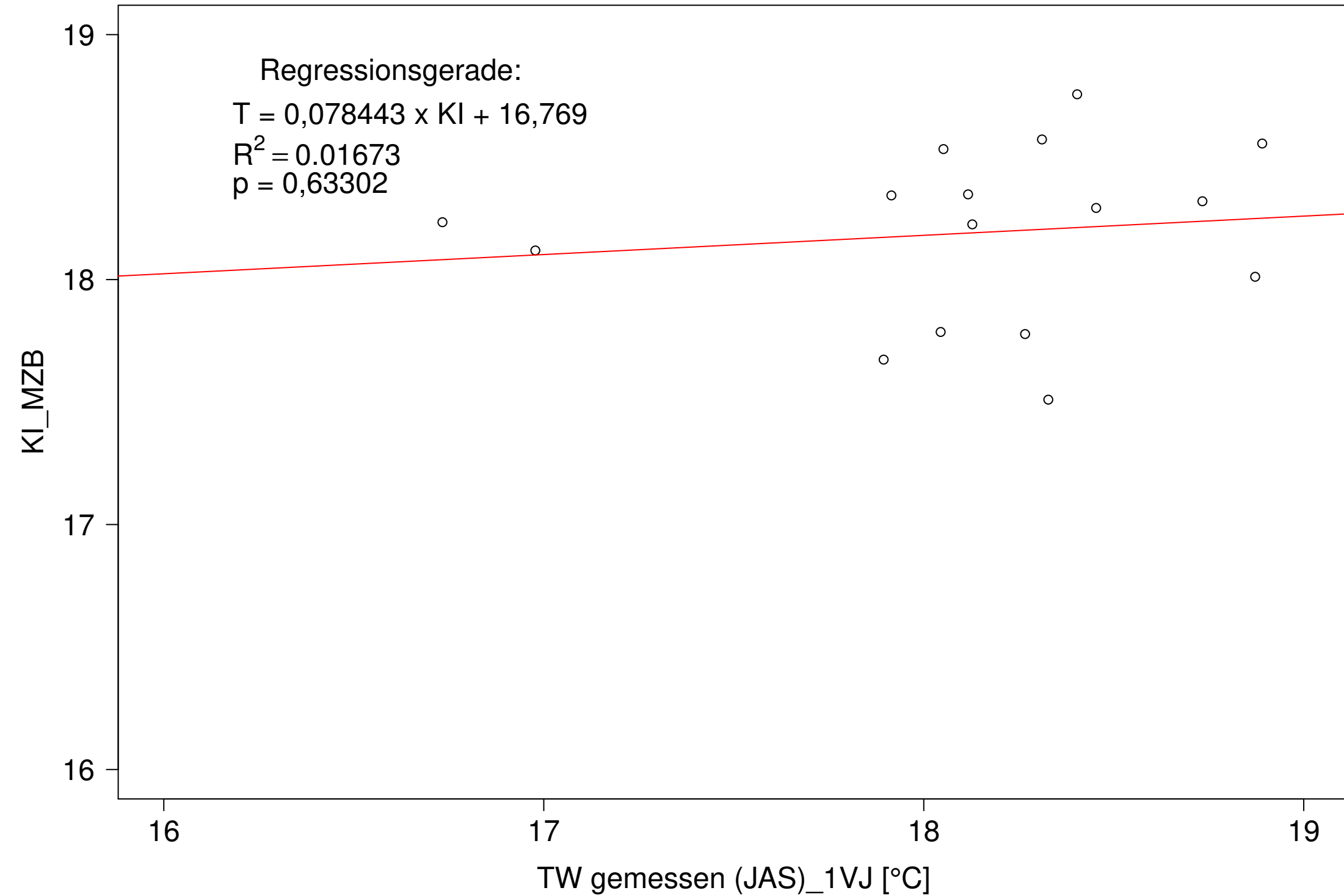
Kocher_Kochendorf, Typ 09.2 mit Neozoen, Serie 4
KI_MZB (Typ/Kont-Korr) gegen TW interpoliert (Max) des 1. Vorjahres



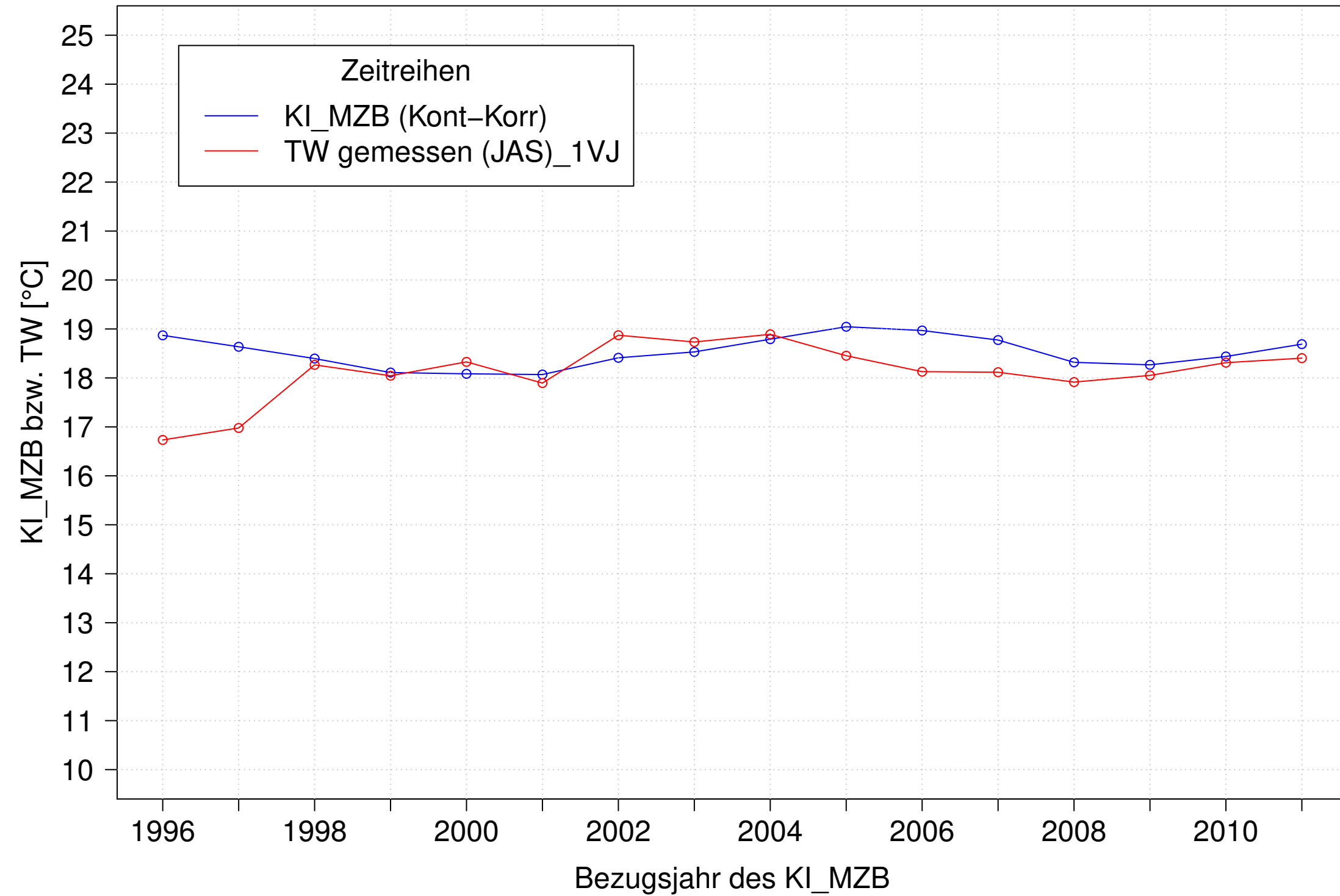
Kocher_Kochendorf, Typ 09.2 mit Neozoen, Serie 1
3JMW KI_MZB (Kont-Korr) und 3JMW TW gemessen (JAS) des 1. Vorjahres



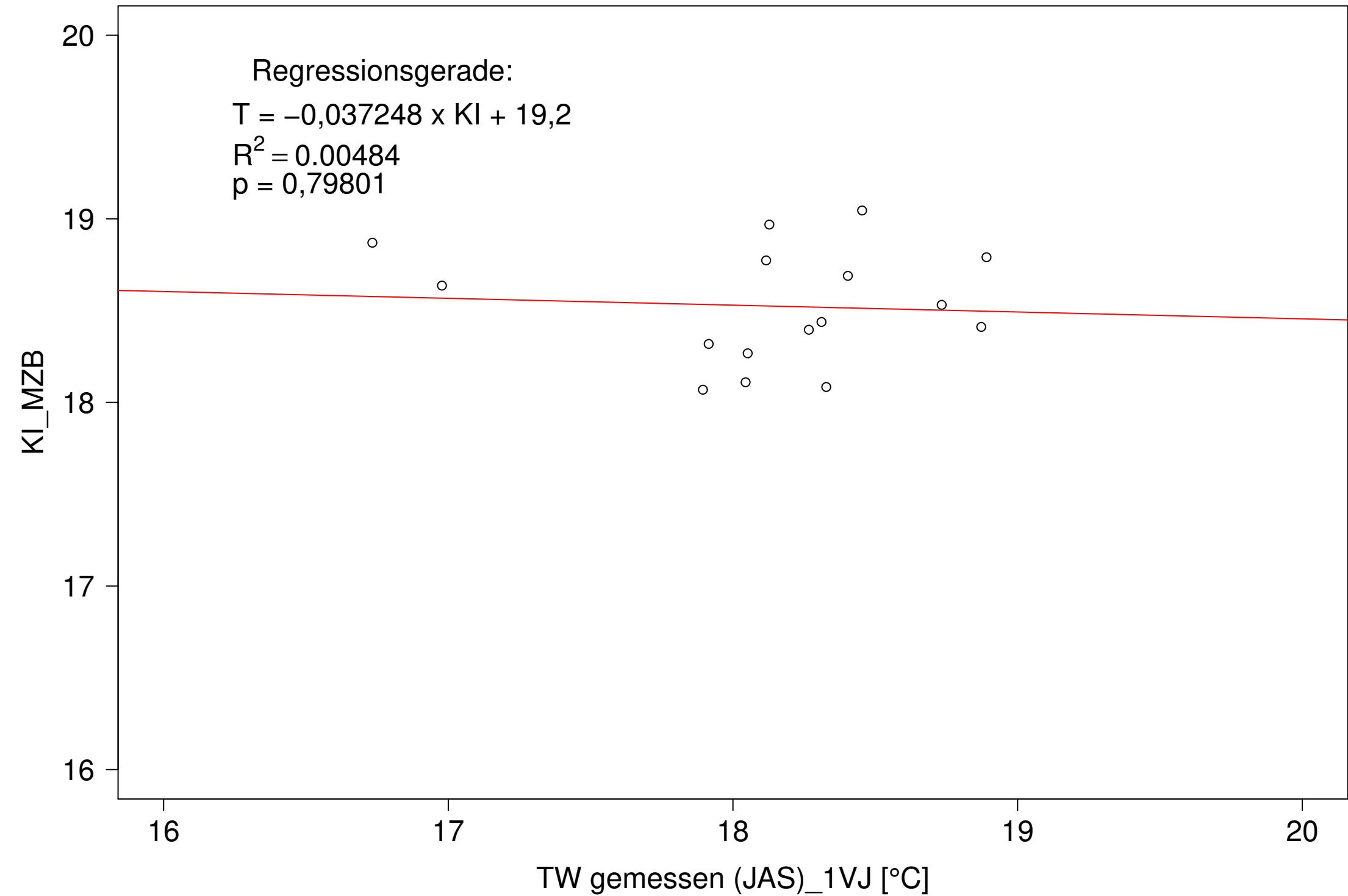
Kocher_Kochendorf, Typ 09.2 mit Neozoen, Serie 1
3JMW KI_MZB (Kont-Korr) gegen 3JMW TW gemessen (JAS) des 1. Vorjahres



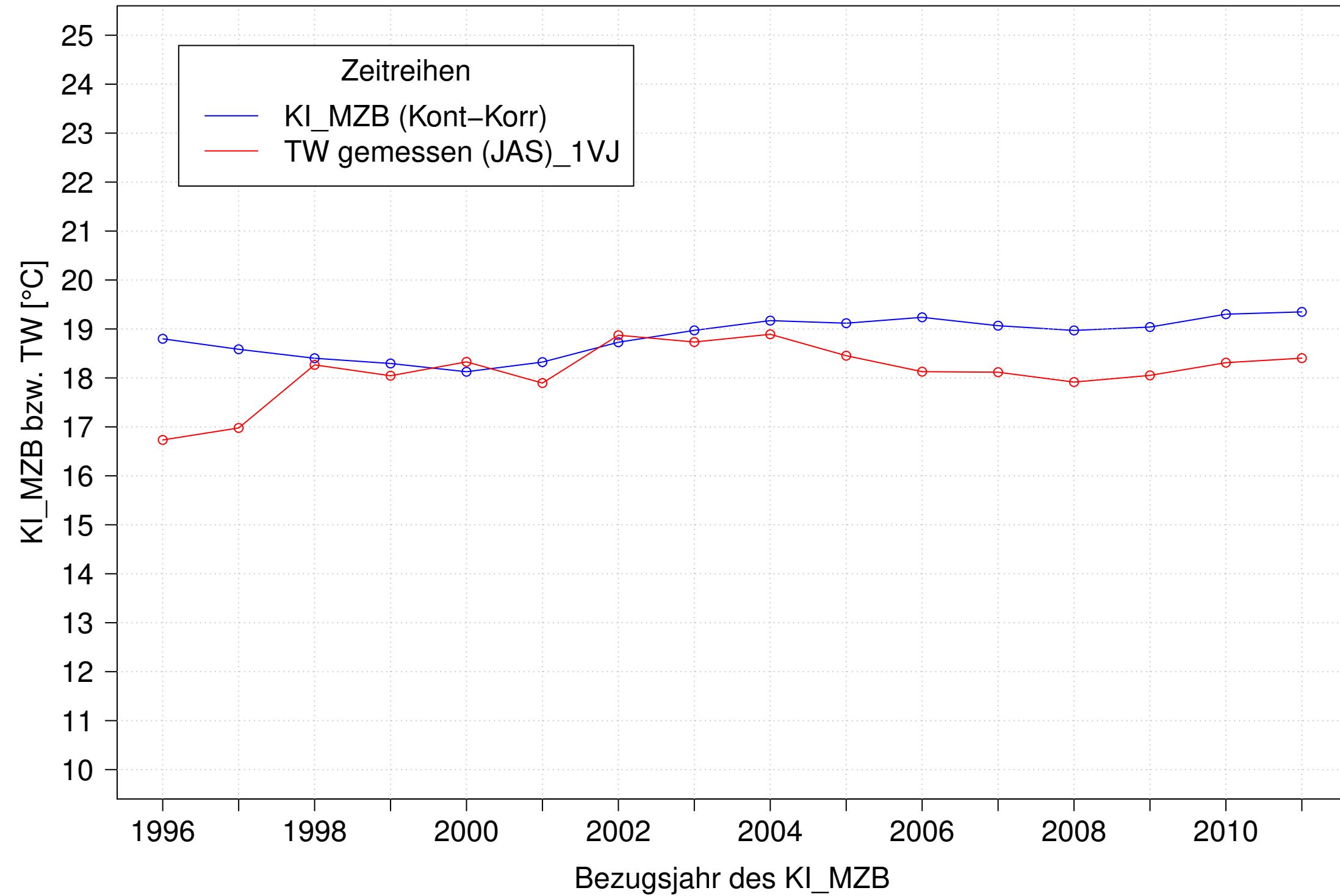
Kocher_Kochendorf, Typ 09.2 mit Neozoen, Serie 2
3JMW KI_MZB (Kont-Korr) und 3JMW TW gemessen (JAS) des 1. Vorjahres



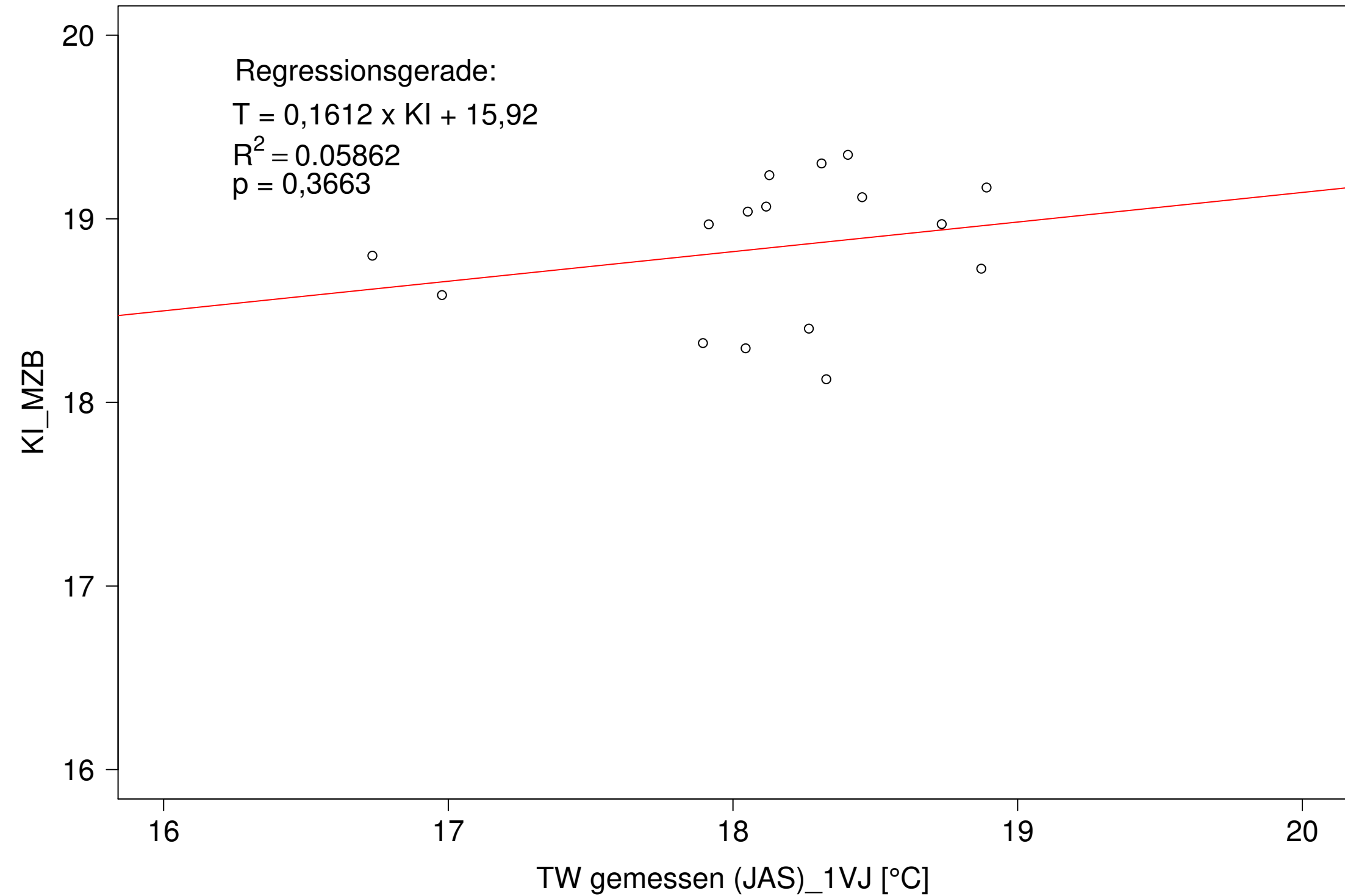
Kocher_Kochendorf, Typ 09.2 mit Neozoen, Serie 2
3JMW KI_MZB (Kont-Korr) gegen 3JMW TW gemessen (JAS) des 1. Vorjahres



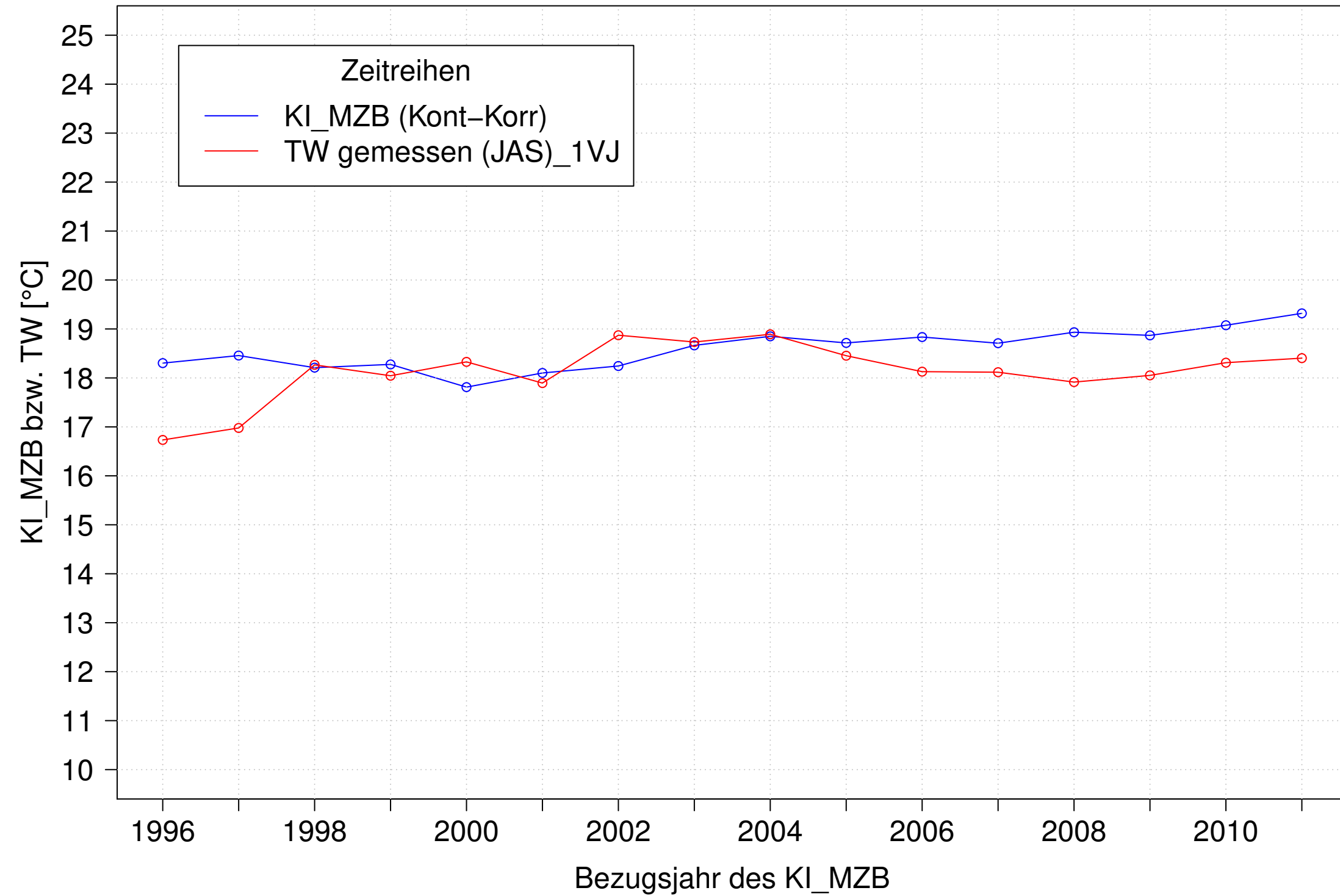
Kocher_Kochendorf, Typ 09.2 mit Neozoen, Serie 3
3JMW KI_MZB (Kont-Korr) und 3JMW TW gemessen (JAS) des 1. Vorjahres



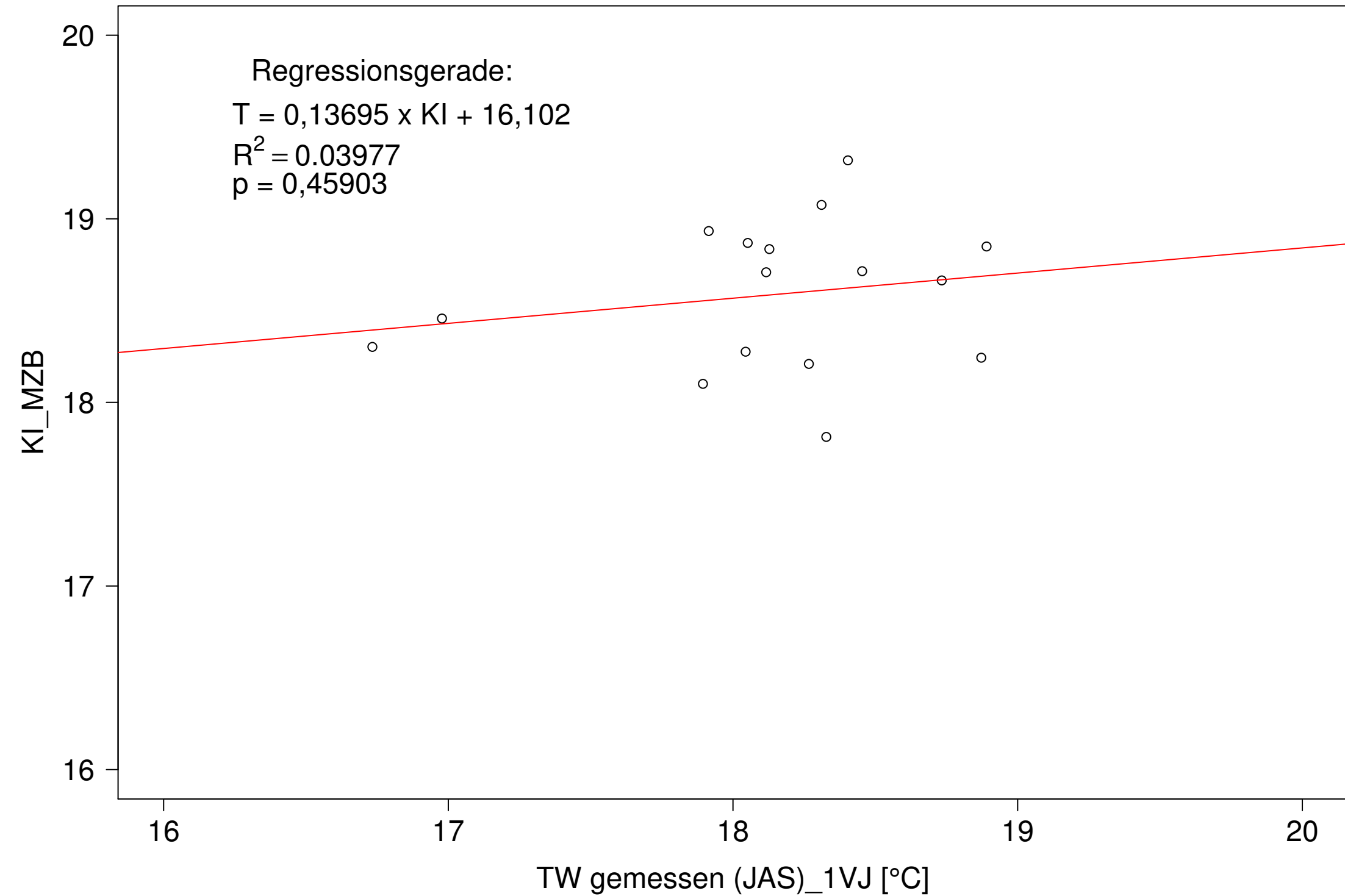
Kocher_Kochendorf, Typ 09.2 mit Neozoen, Serie 3
3JMW KI_MZB (Kont-Korr) gegen 3JMW TW gemessen (JAS) des 1. Vorjahres



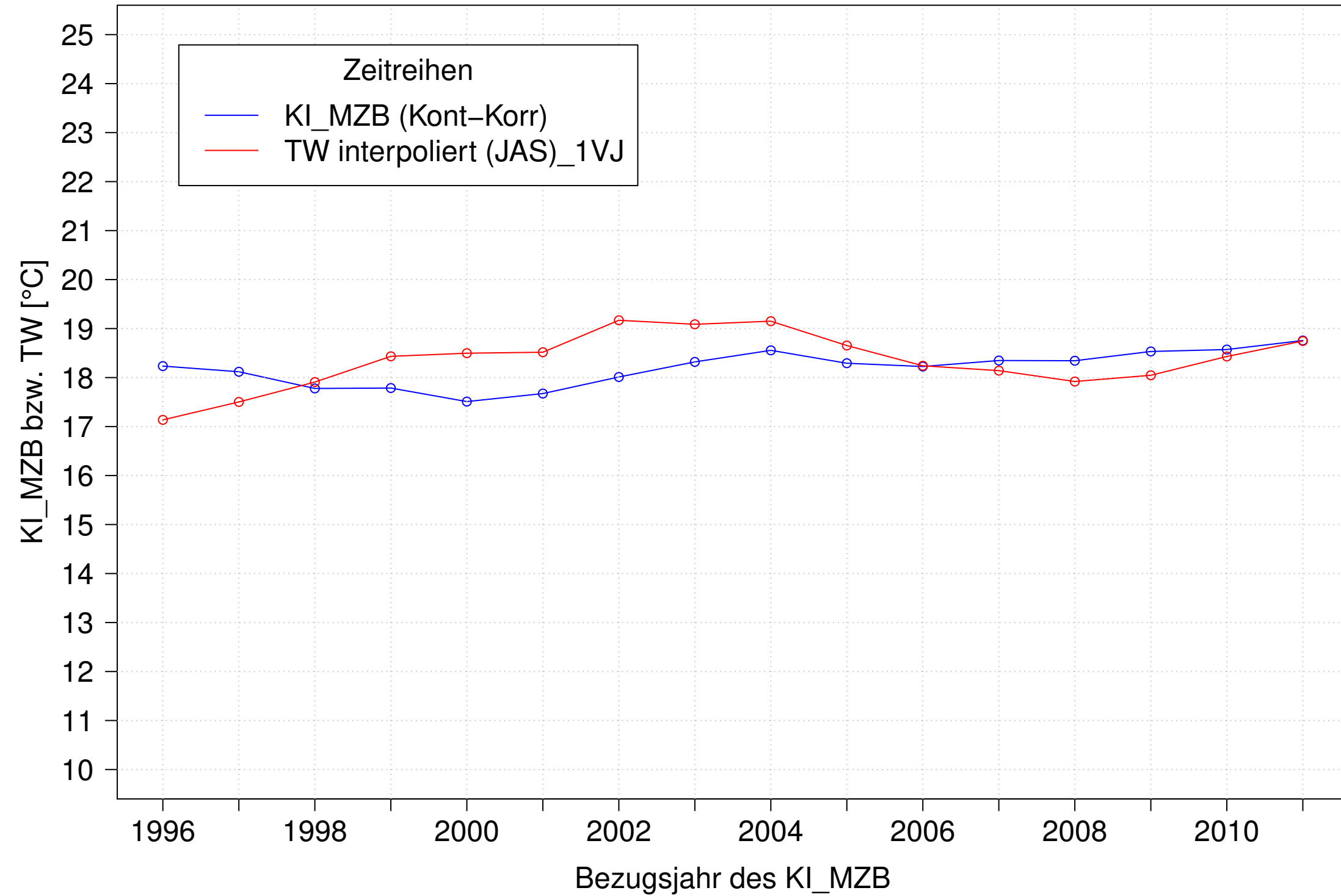
Kocher_Kochendorf, Typ 09.2 mit Neozoen, Serie 4
3JMW KI_MZB (Kont-Korr) und 3JMW TW gemessen (JAS) des 1. Vorjahres



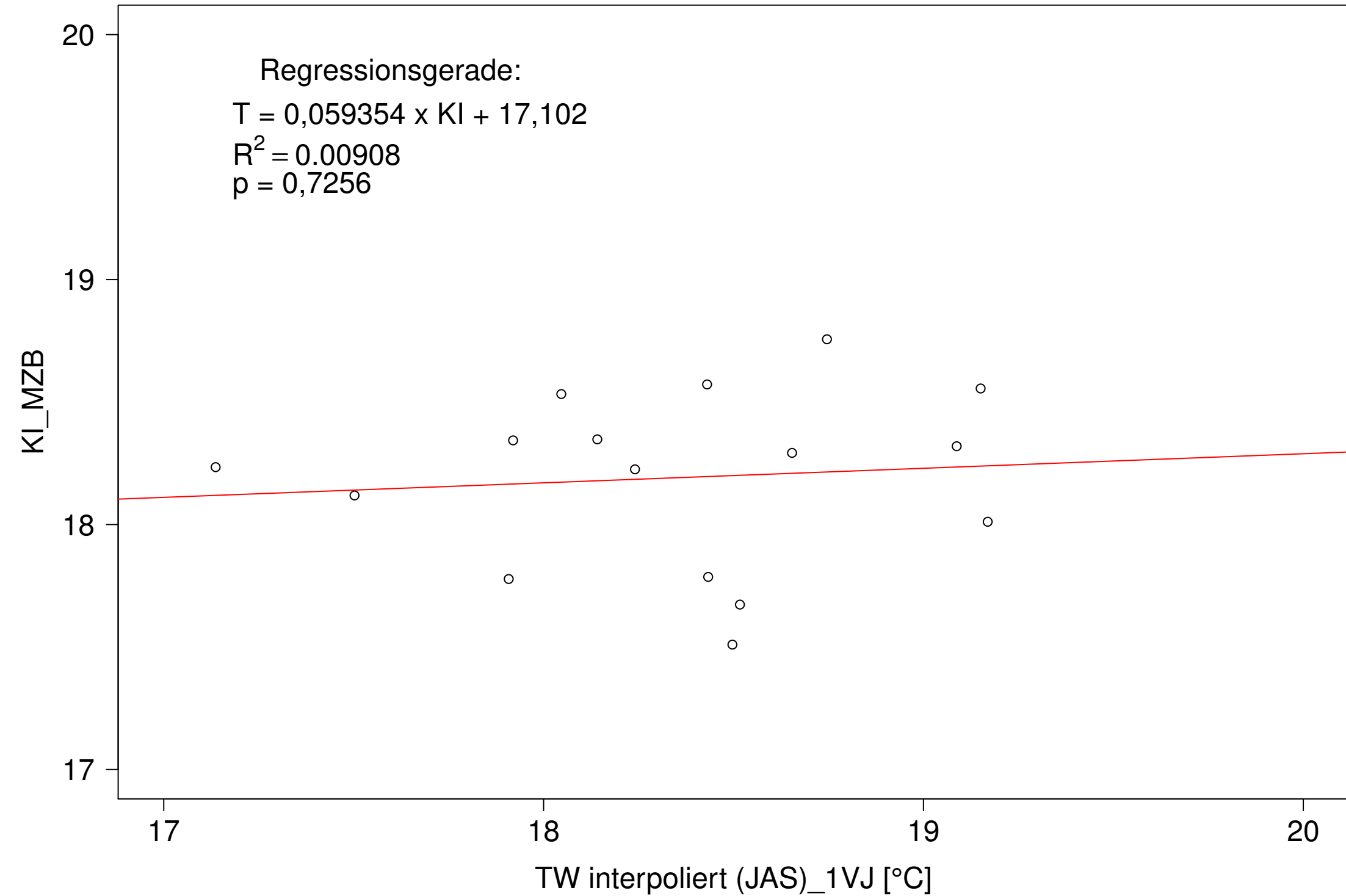
Kocher_Kochendorf, Typ 09.2 mit Neozoen, Serie 4
3JMW KI_MZB (Kont-Korr) gegen 3JMW TW gemessen (JAS) des 1. Vorjahres



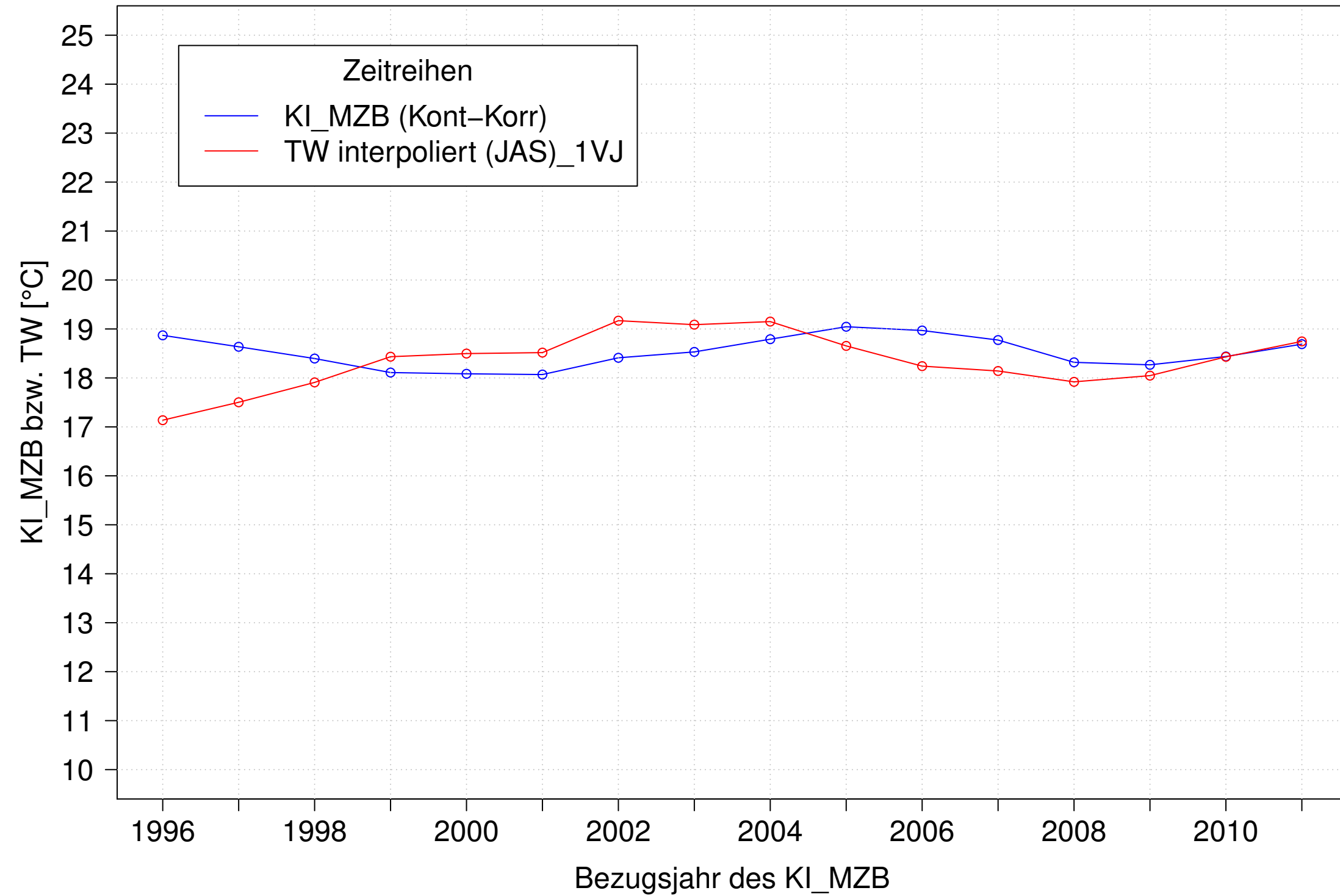
Kocher_Kochendorf, Typ 09.2 mit Neozoen, Serie 1
3JMW KI_MZB (Kont-Korr) und 3JMW TW interpoliert (JAS) des 1. Vorjahres



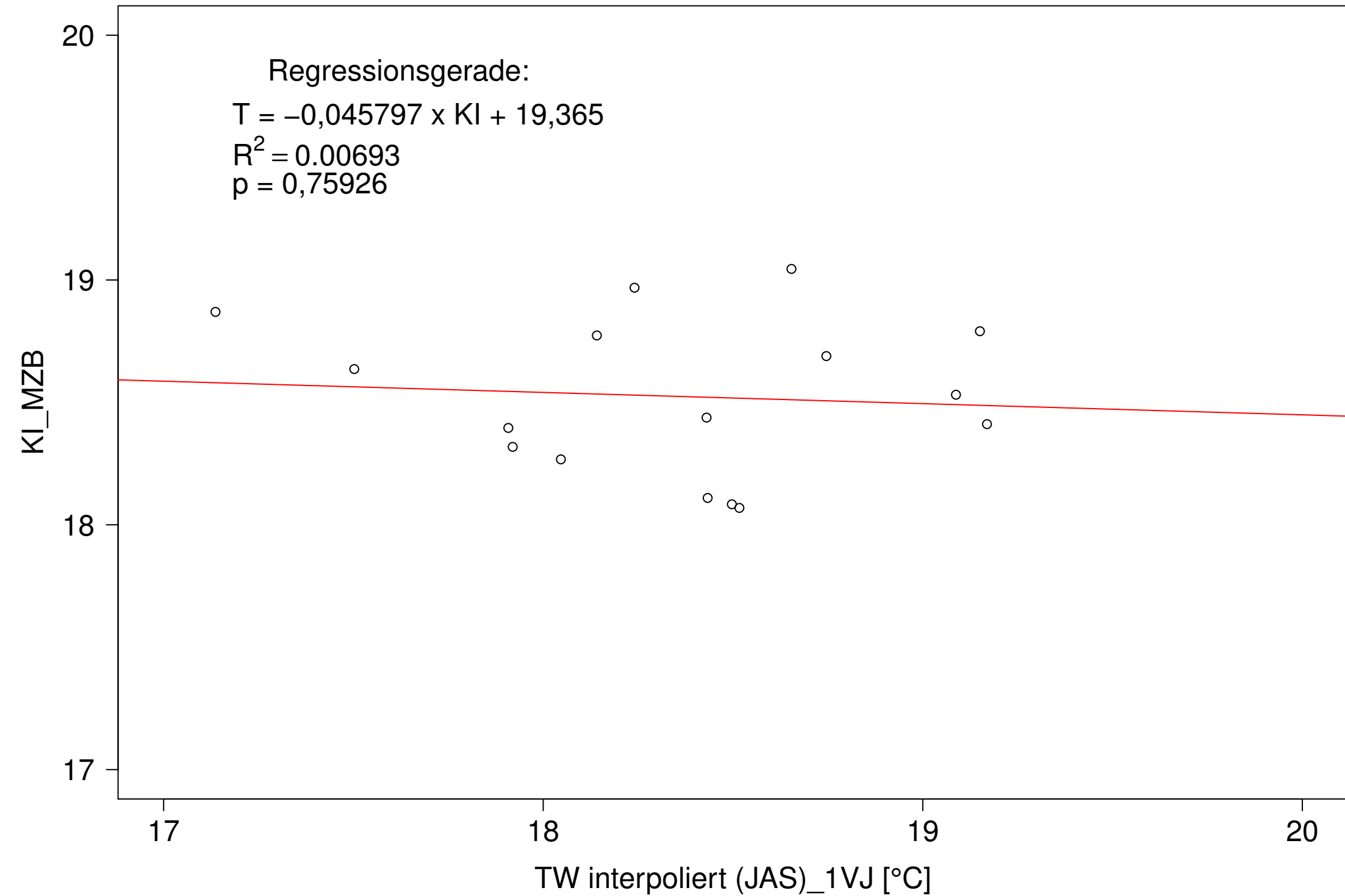
Kocher_Kochendorf, Typ 09.2 mit Neozoen, Serie 1
3JMW KI_MZB (Kont-Korr) gegen 3JMW TW interpoliert (JAS) des 1. Vorjahres



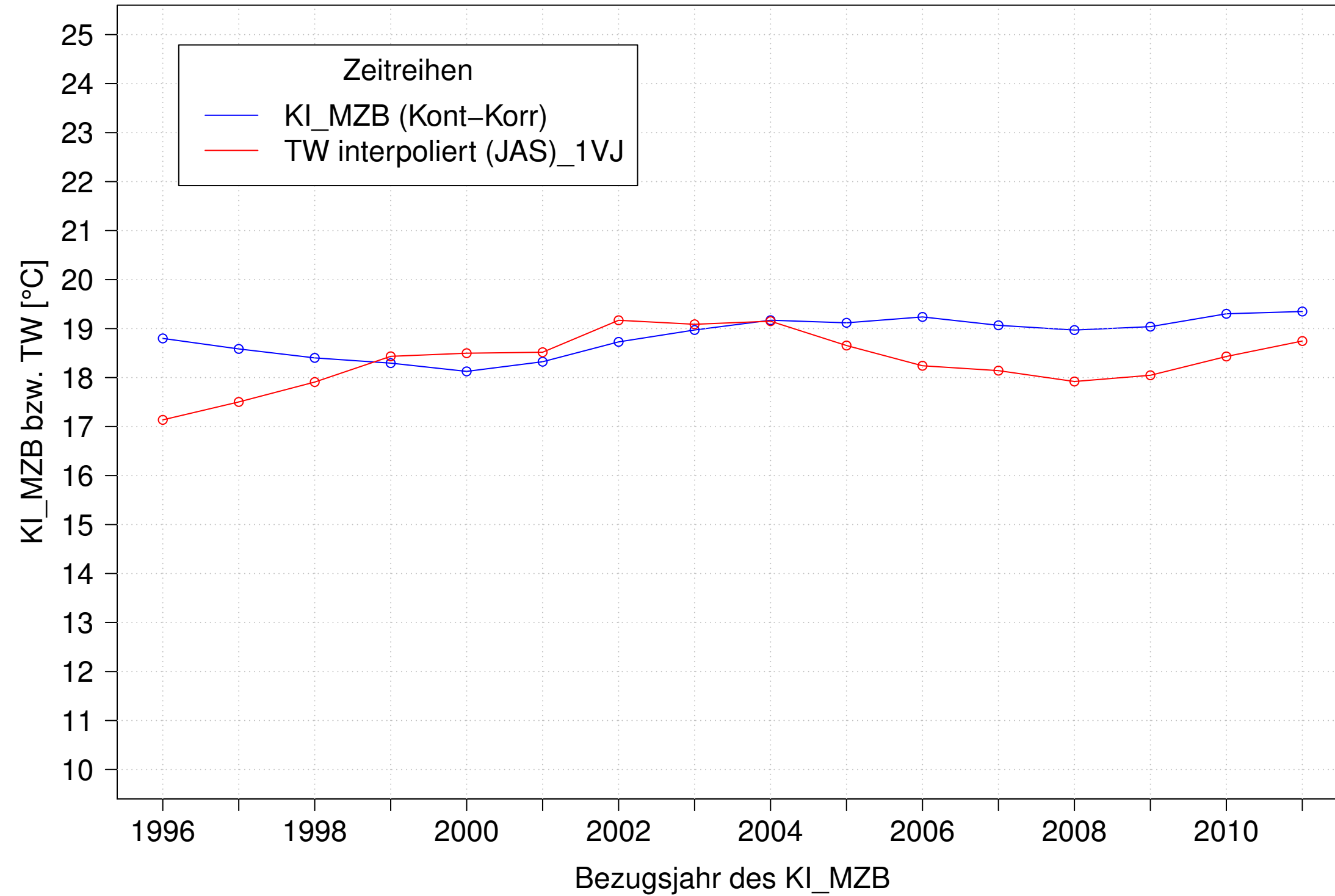
Kocher_Kochendorf, Typ 09.2 mit Neozoen, Serie 2
3JMW KI_MZB (Kont-Korr) und 3JMW TW interpoliert (JAS) des 1. Vorjahres



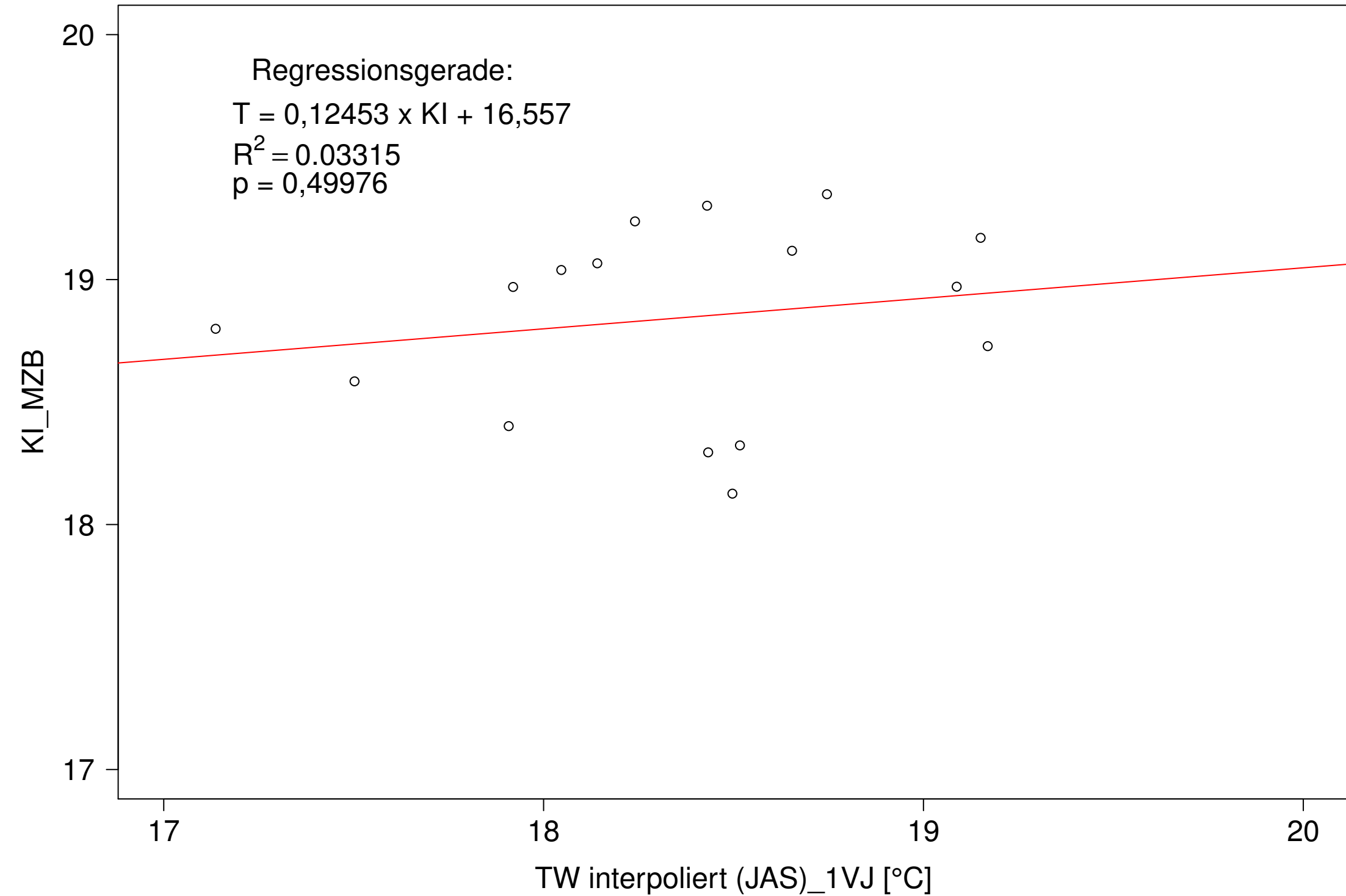
Kocher_Kochendorf, Typ 09.2 mit Neozoen, Serie 2
3JMW KI_MZB (Kont-Korr) gegen 3JMW TW interpoliert (JAS) des 1. Vorjahres



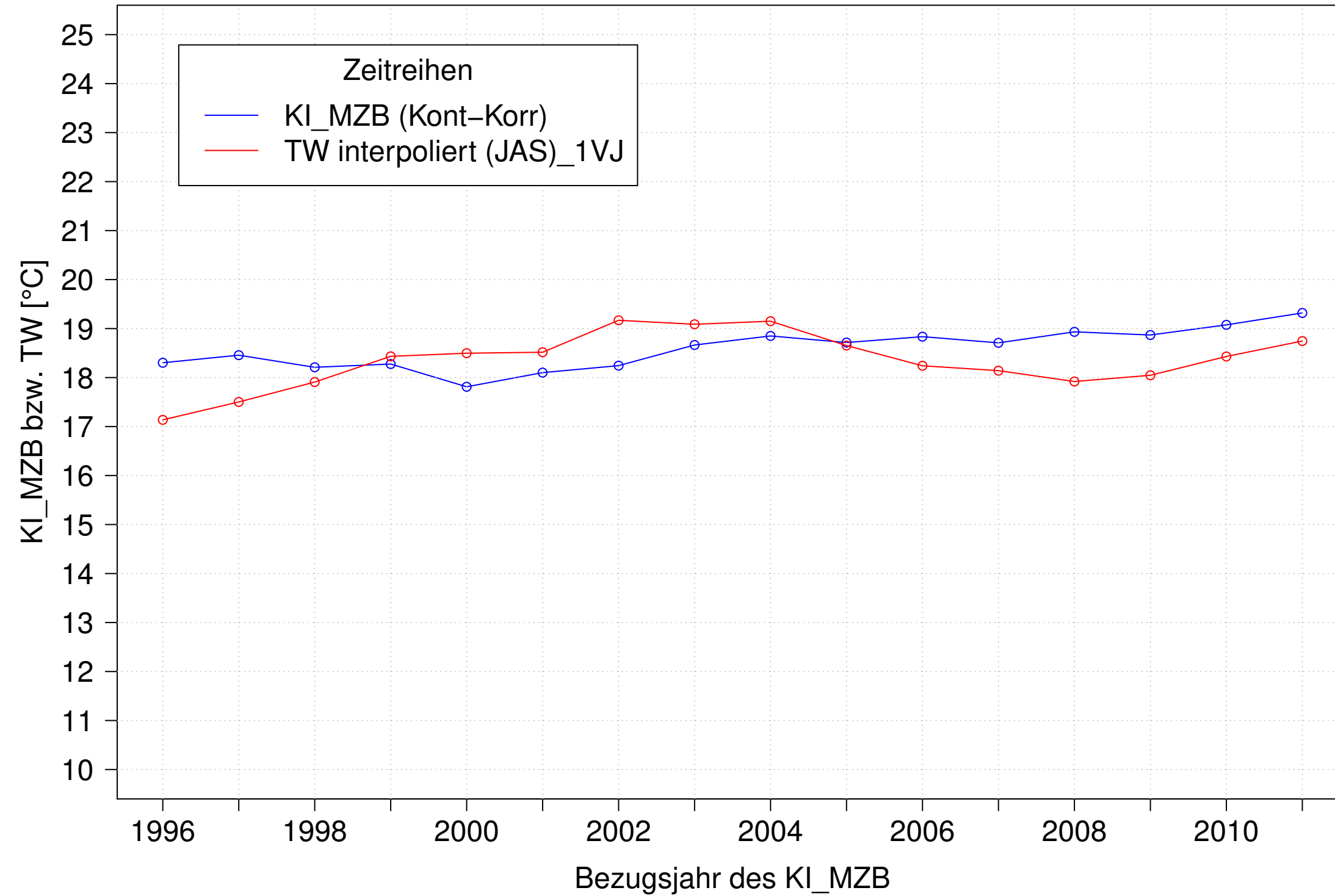
Kocher_Kochendorf, Typ 09.2 mit Neozoen, Serie 3
3JMW KI_MZB (Kont-Korr) und 3JMW TW interpoliert (JAS) des 1. Vorjahres



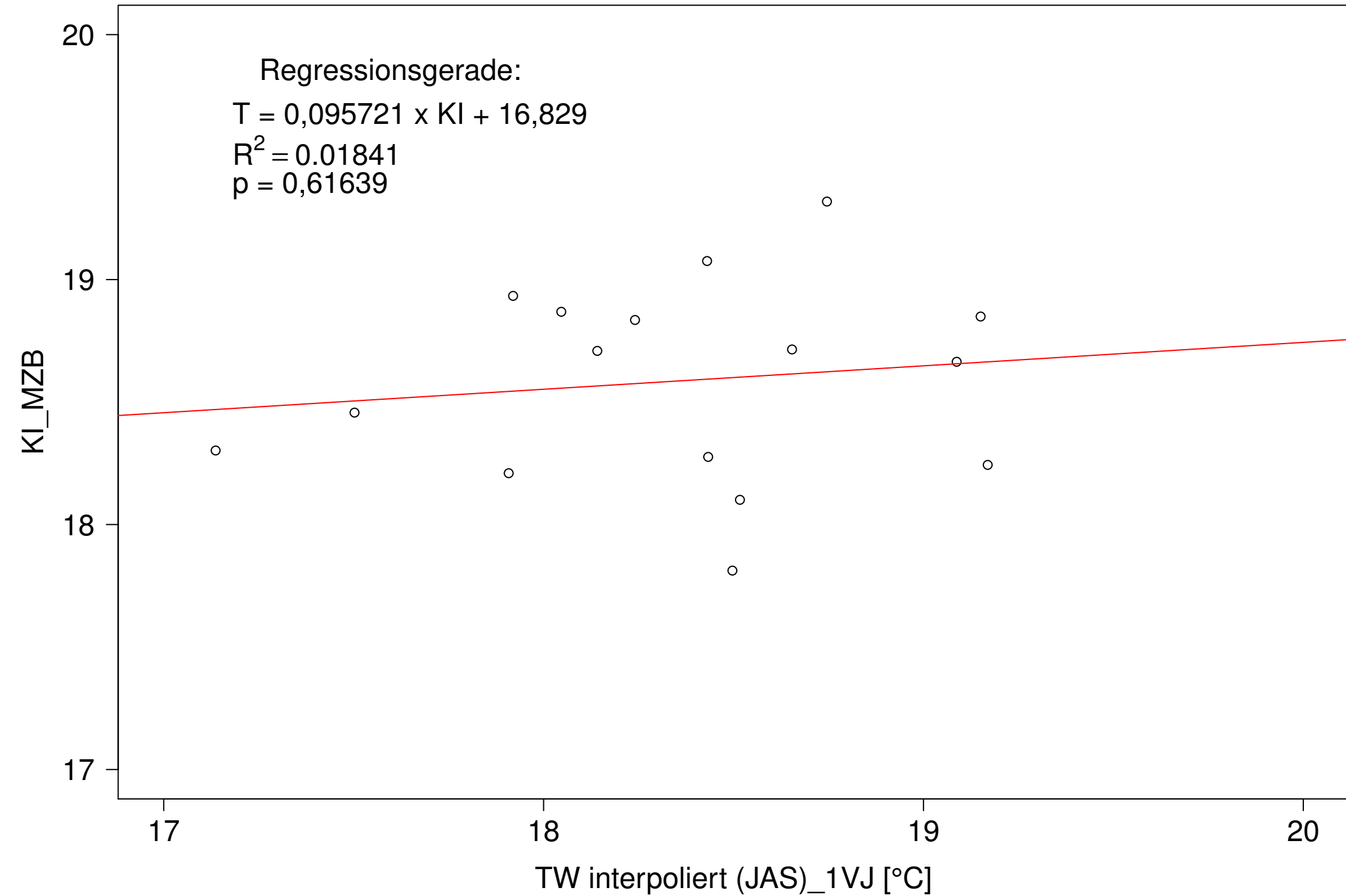
Kocher_Kochendorf, Typ 09.2 mit Neozoen, Serie 3
3JMW KI_MZB (Kont-Korr) gegen 3JMW TW interpoliert (JAS) des 1. Vorjahres



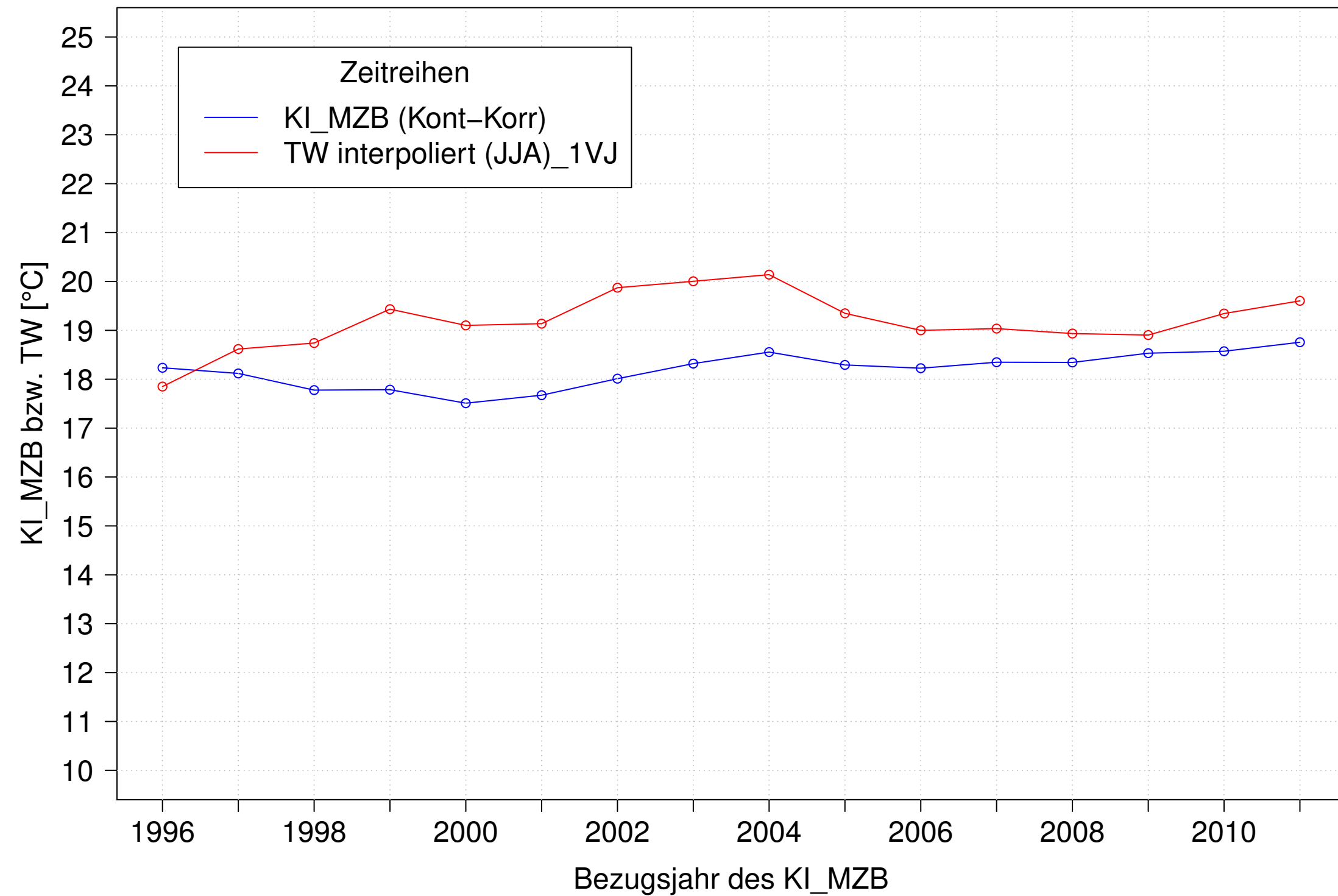
Kocher_Kochendorf, Typ 09.2 mit Neozoen, Serie 4
3JMW KI_MZB (Kont-Korr) und 3JMW TW interpoliert (JAS) des 1. Vorjahres



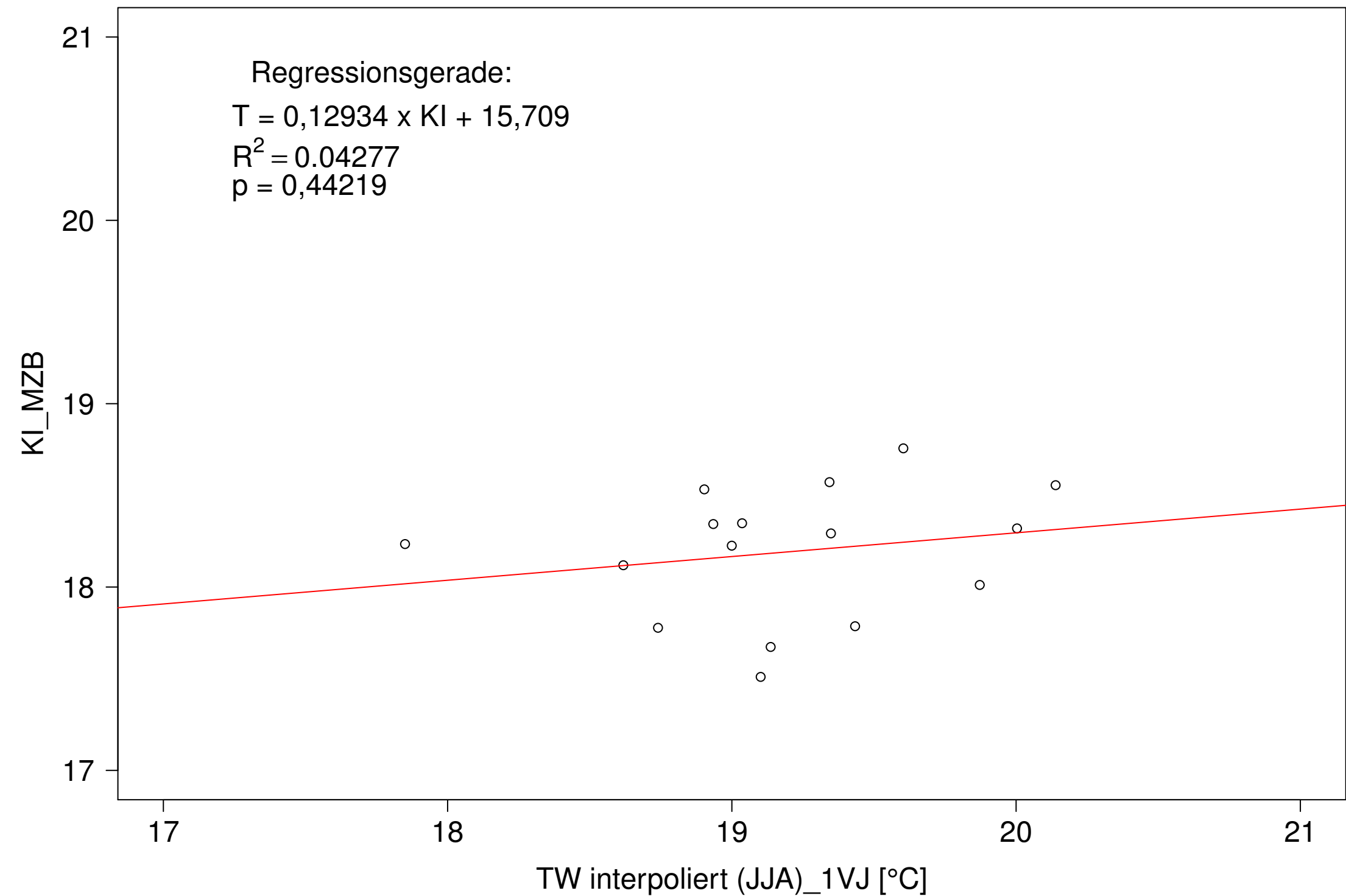
Kocher_Kochendorf, Typ 09.2 mit Neozoen, Serie 4
3JMW KI_MZB (Kont-Korr) gegen 3JMW TW interpoliert (JAS) des 1. Vorjahres



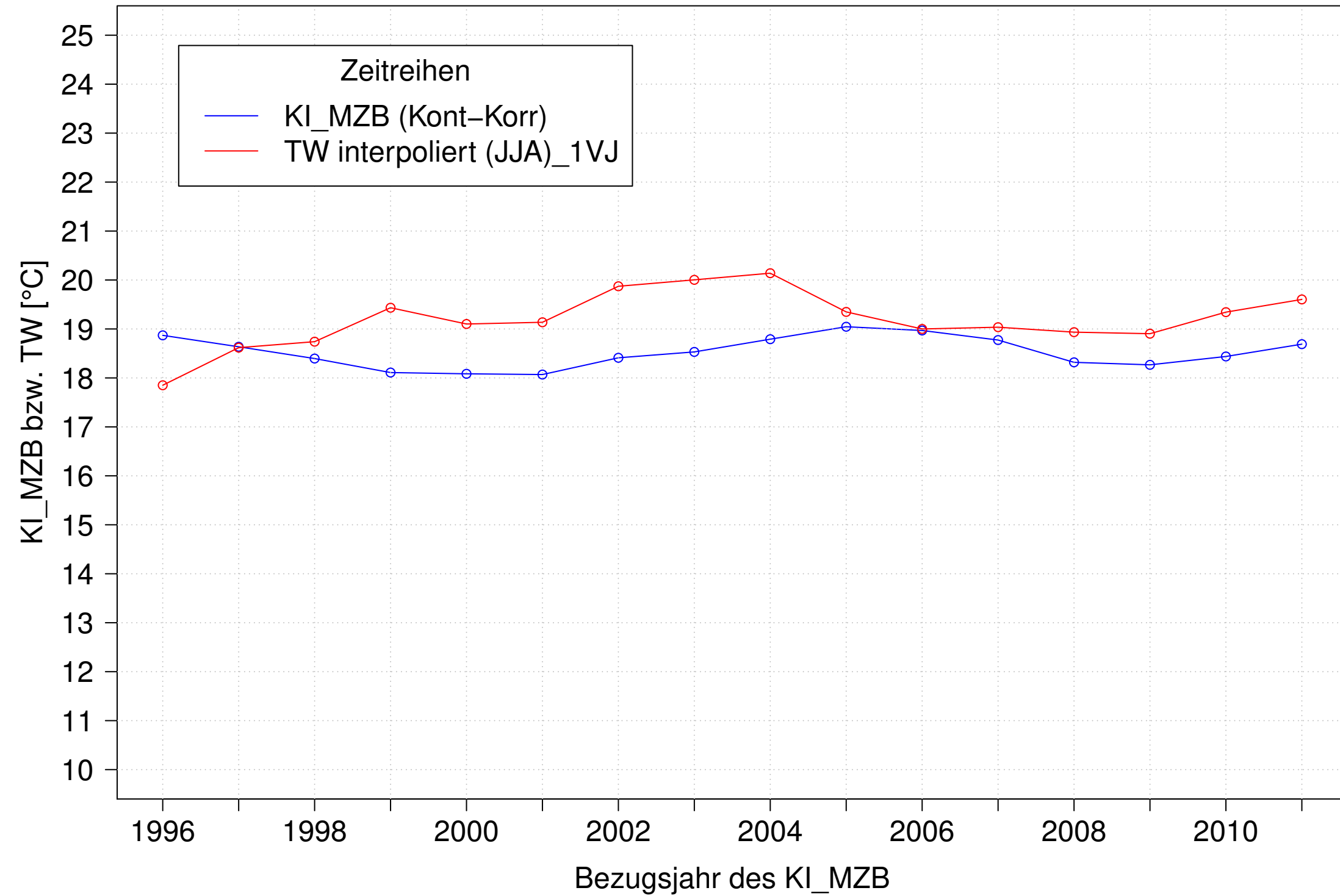
Kocher_Kochendorf, Typ 09.2 mit Neozoen, Serie 1
3JMW KI_MZB (Kont-Korr) und 3JMW TW interpoliert (JJA) des 1. Vorjahres



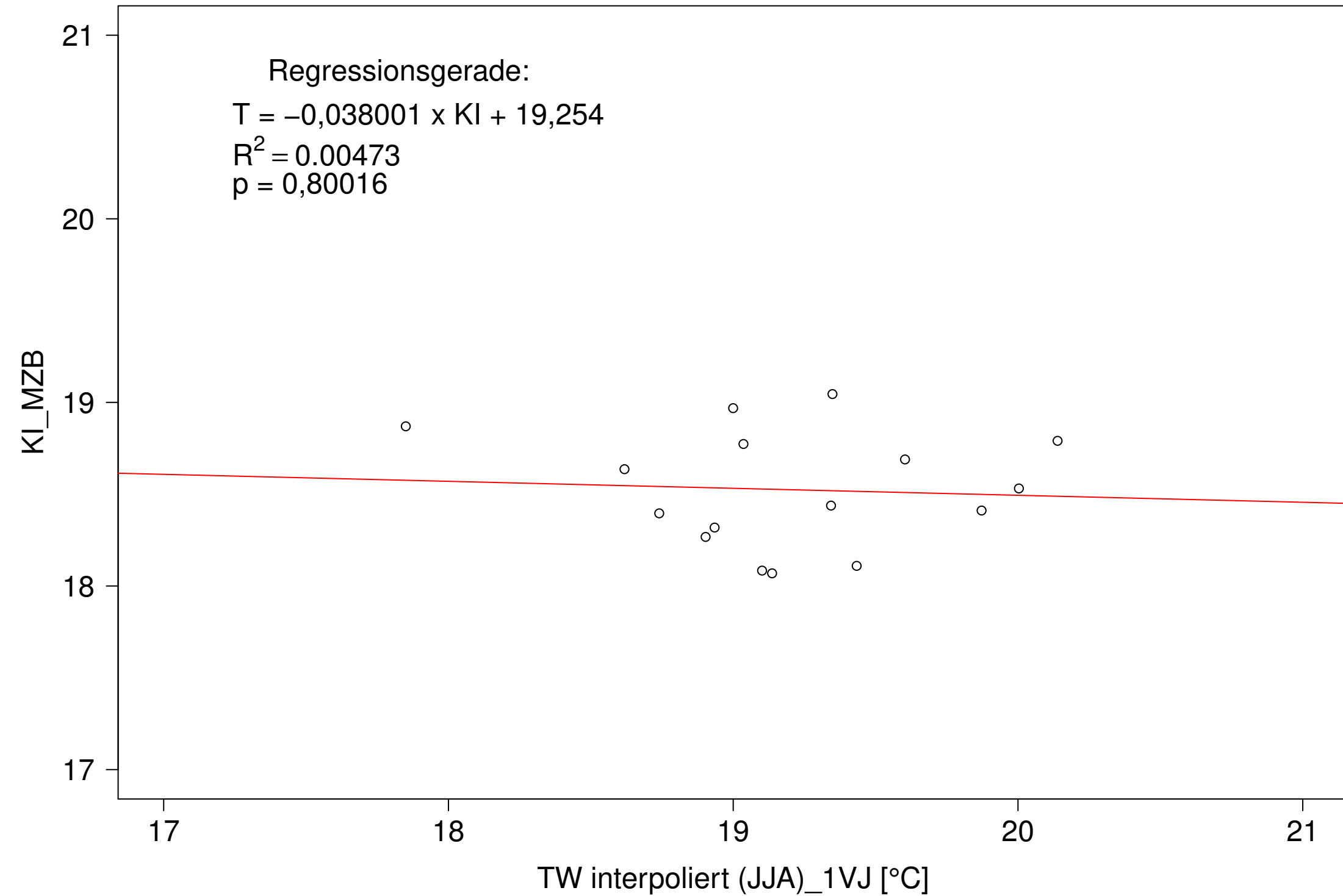
Kocher_Kochendorf, Typ 09.2 mit Neozoen, Serie 1
3JMW KI_MZB (Kont-Korr) gegen 3JMW TW interpoliert (JJA) des 1. Vorjahres



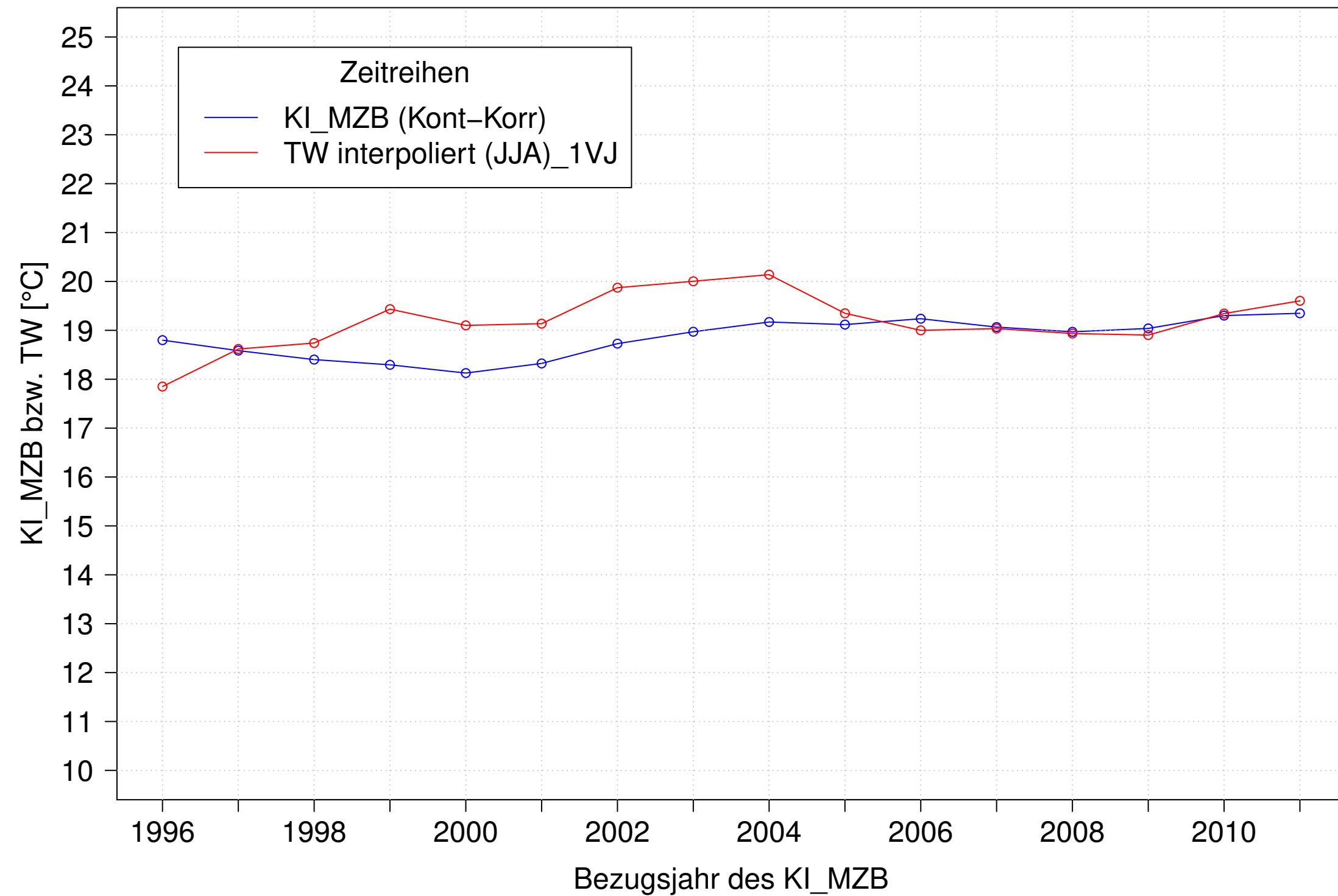
Kocher_Kochendorf, Typ 09.2 mit Neozoen, Serie 2
3JMW KI_MZB (Kont-Korr) und 3JMW TW interpoliert (JJA) des 1. Vorjahres



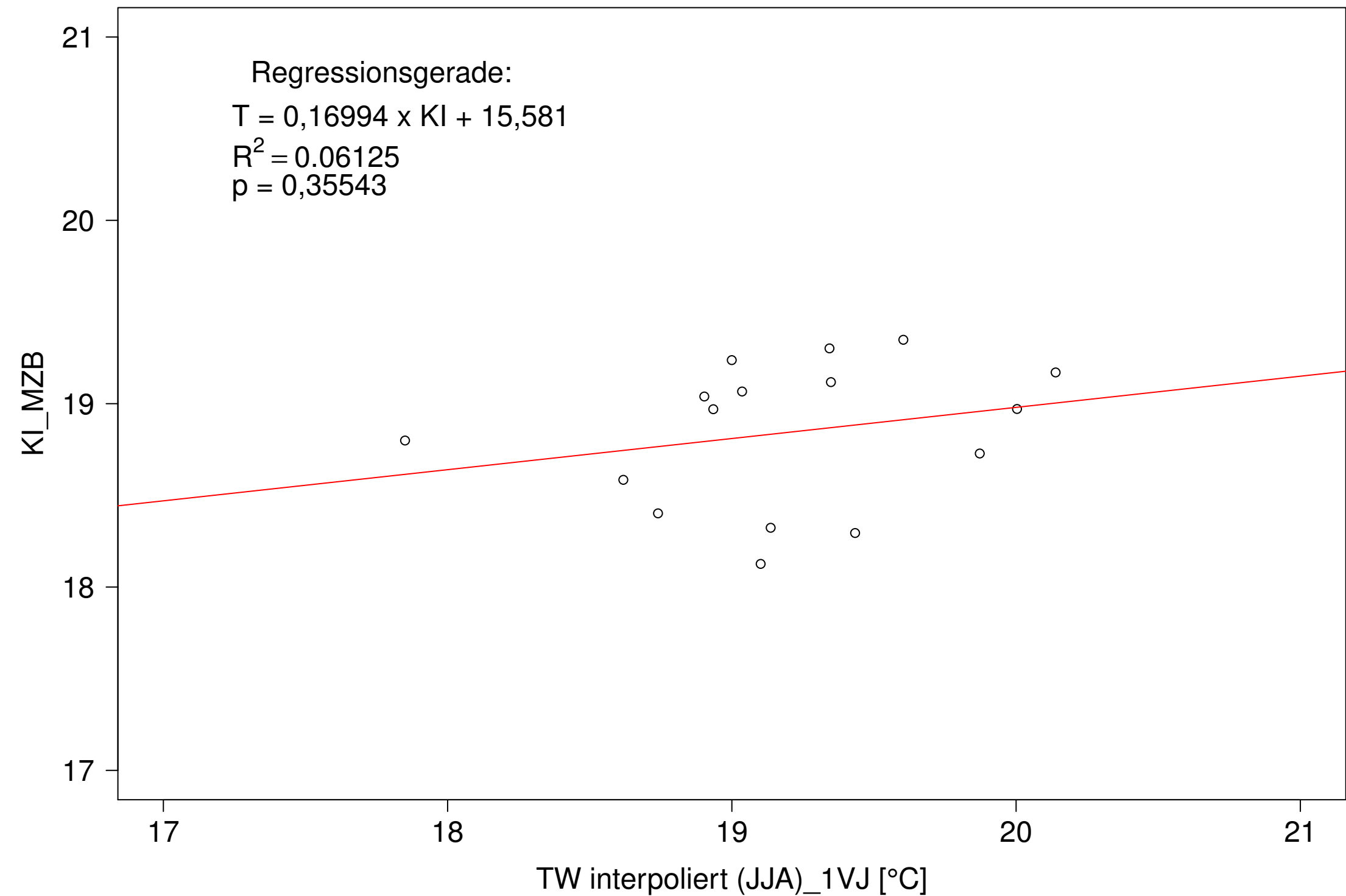
Kocher_Kochendorf, Typ 09.2 mit Neozoen, Serie 2
3JMW KI_MZB (Kont-Korr) gegen 3JMW TW interpoliert (JJA) des 1. Vorjahres



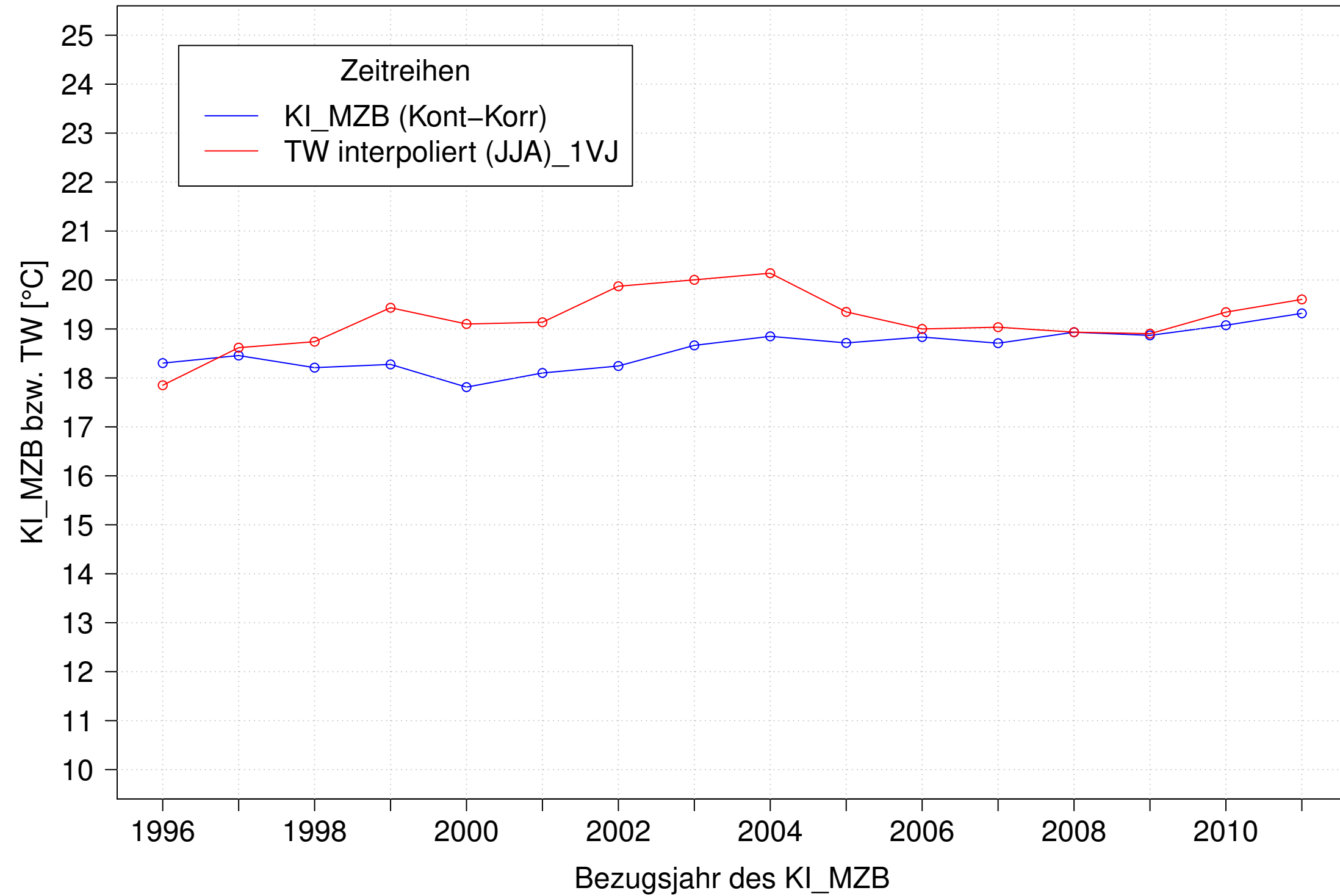
Kocher_Kochendorf, Typ 09.2 mit Neozoen, Serie 3
3JMW KI_MZB (Kont-Korr) und 3JMW TW interpoliert (JJA) des 1. Vorjahres



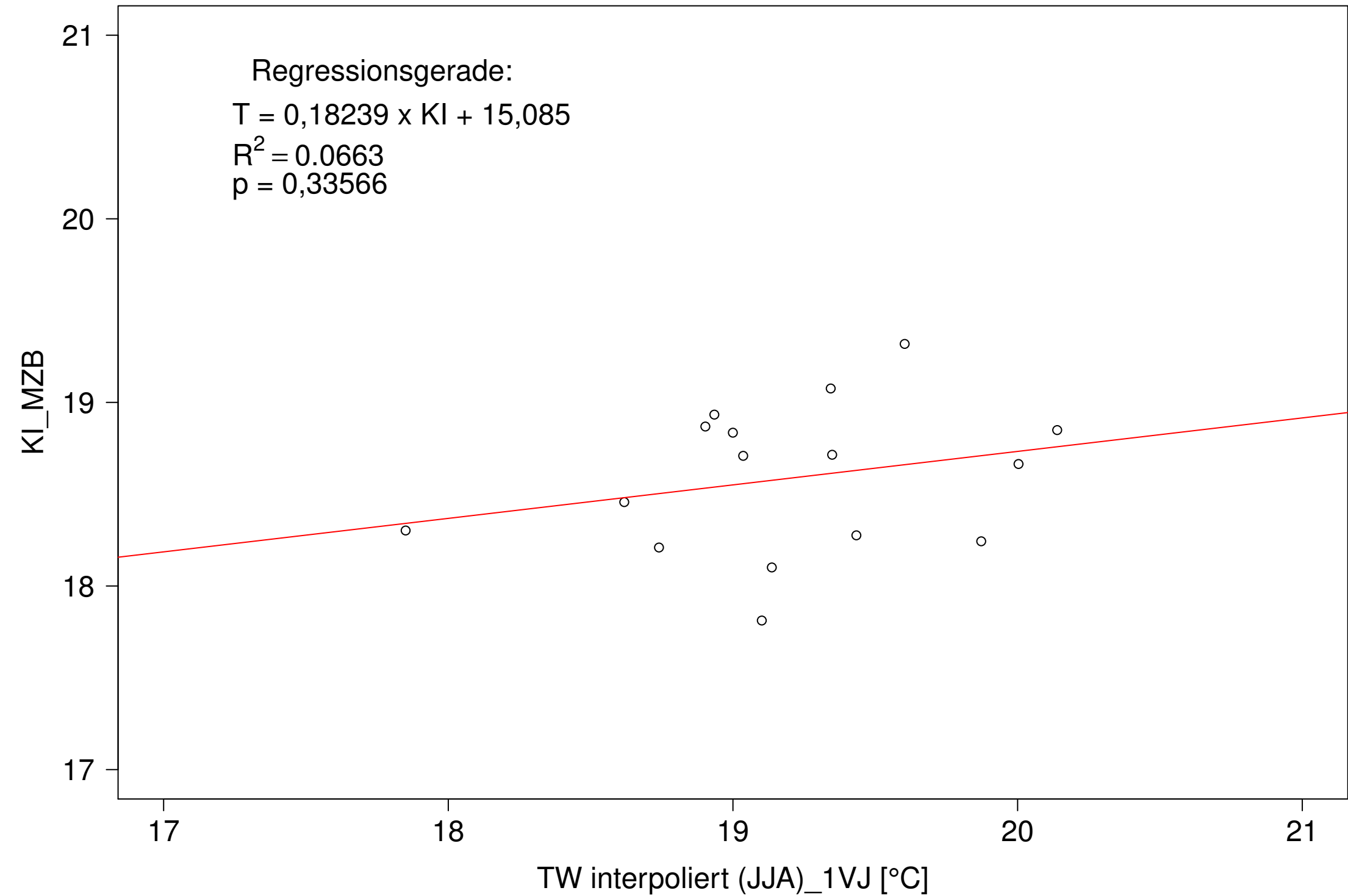
Kocher_Kochendorf, Typ 09.2 mit Neozoen, Serie 3
3JMW KI_MZB (Kont-Korr) gegen 3JMW TW interpoliert (JJA) des 1. Vorjahres



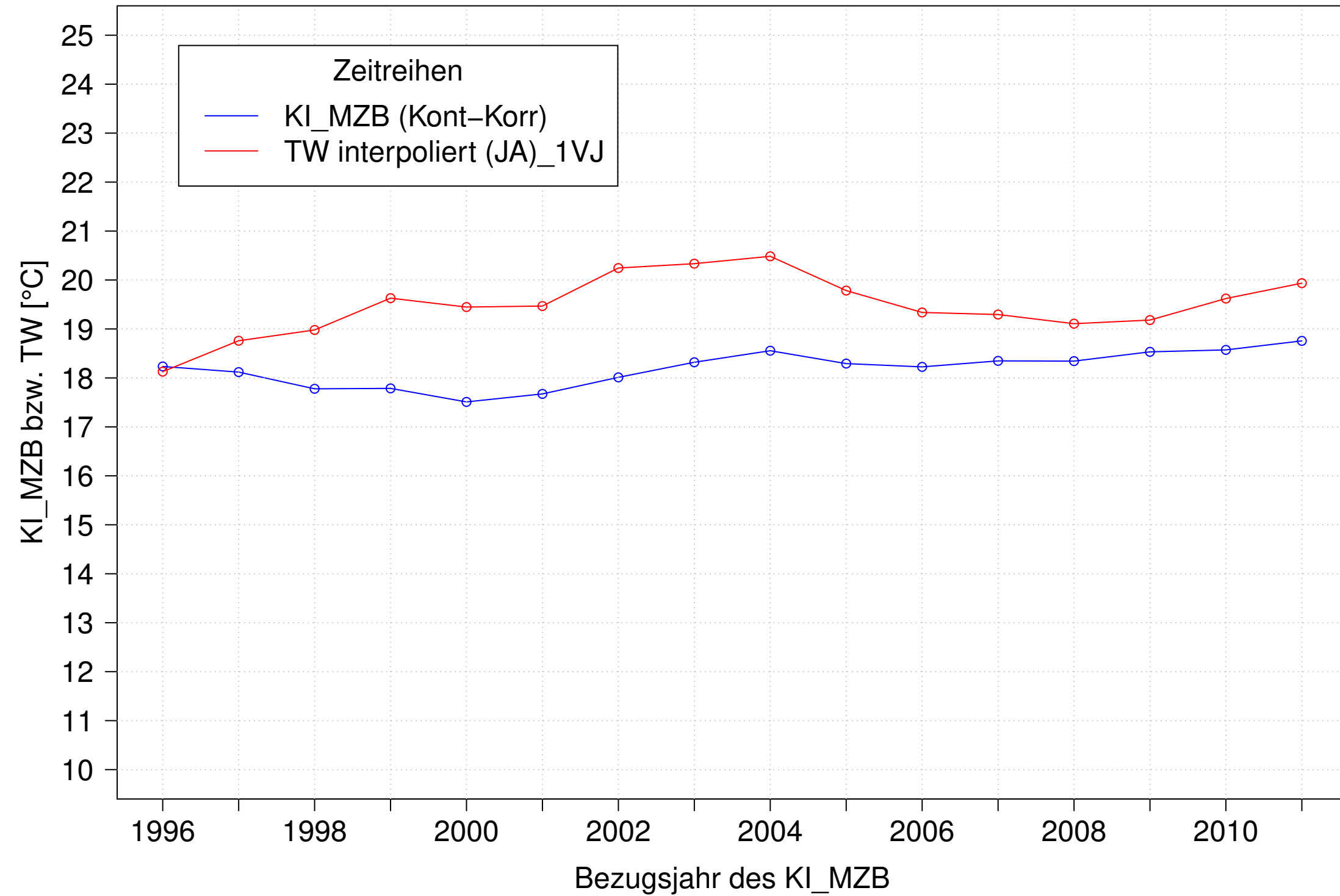
Kocher_Kochendorf, Typ 09.2 mit Neozoen, Serie 4
3JMW KI_MZB (Kont-Korr) und 3JMW TW interpoliert (JJA) des 1. Vorjahres



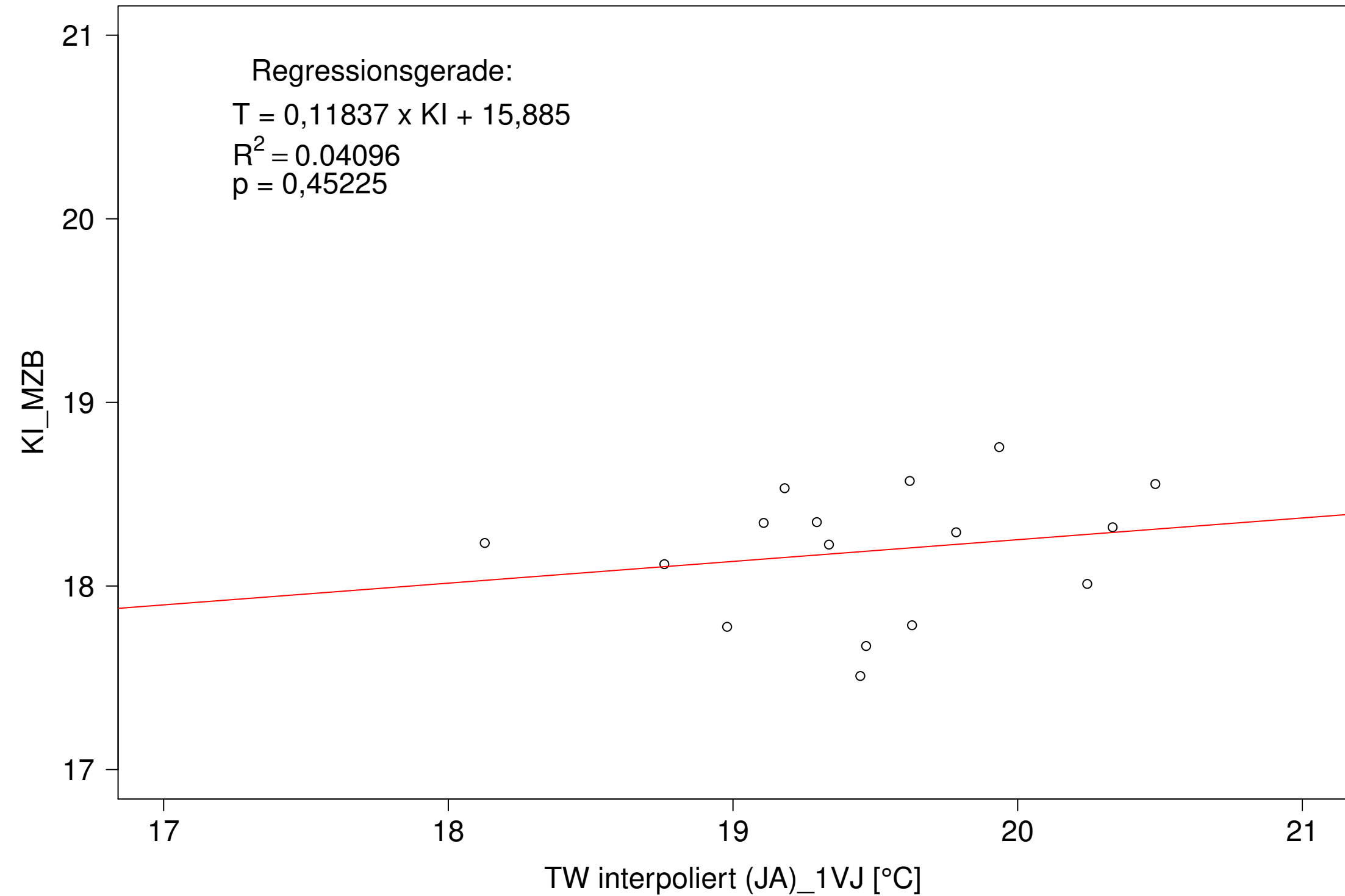
Kocher_Kochendorf, Typ 09.2 mit Neozoen, Serie 4
3JMW KI_MZB (Kont-Korr) gegen 3JMW TW interpoliert (JJA) des 1. Vorjahres



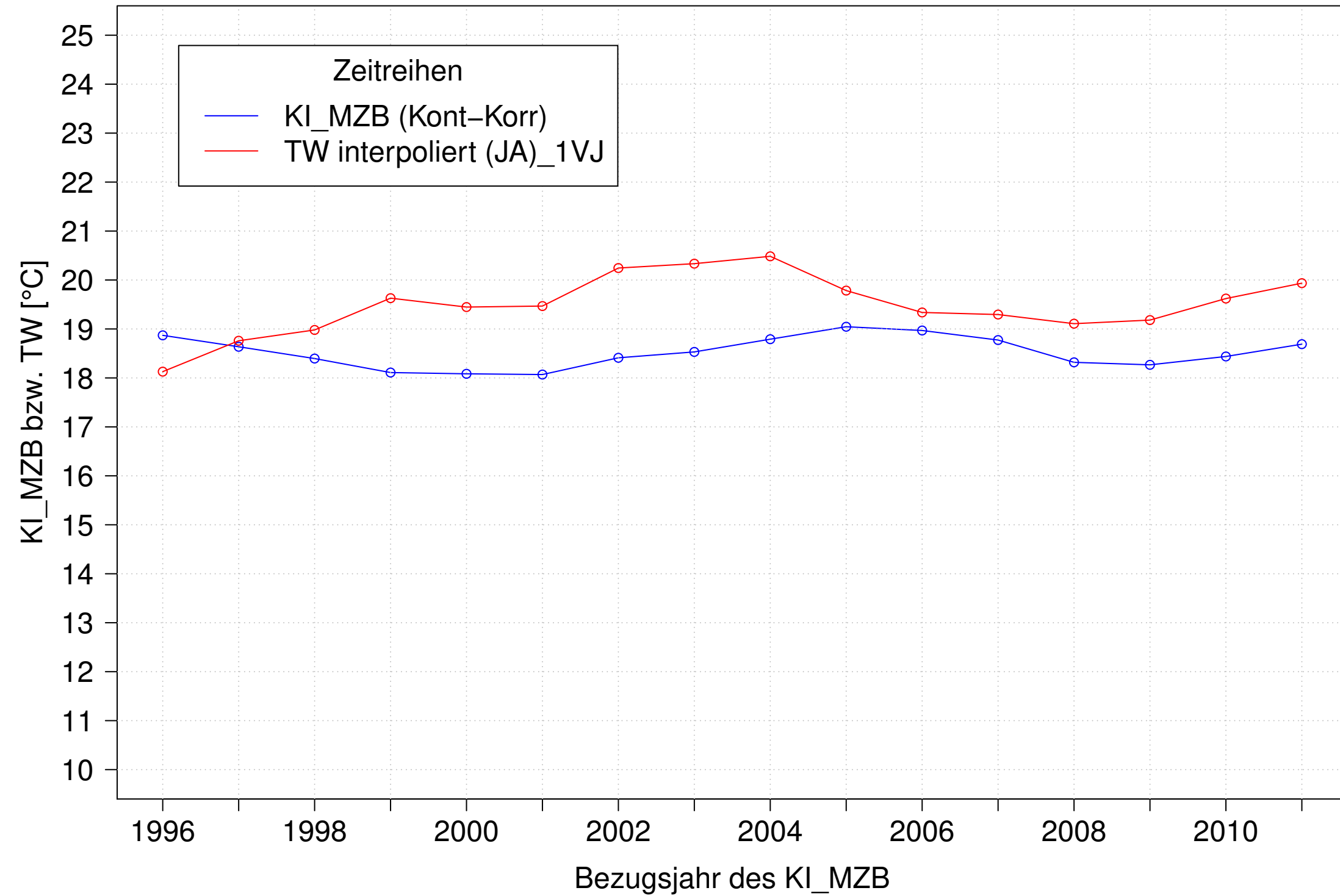
Kocher_Kochendorf, Typ 09.2 mit Neozoen, Serie 1
3JMW KI_MZB (Kont-Korr) und 3JMW TW interpoliert (JA) des 1. Vorjahres



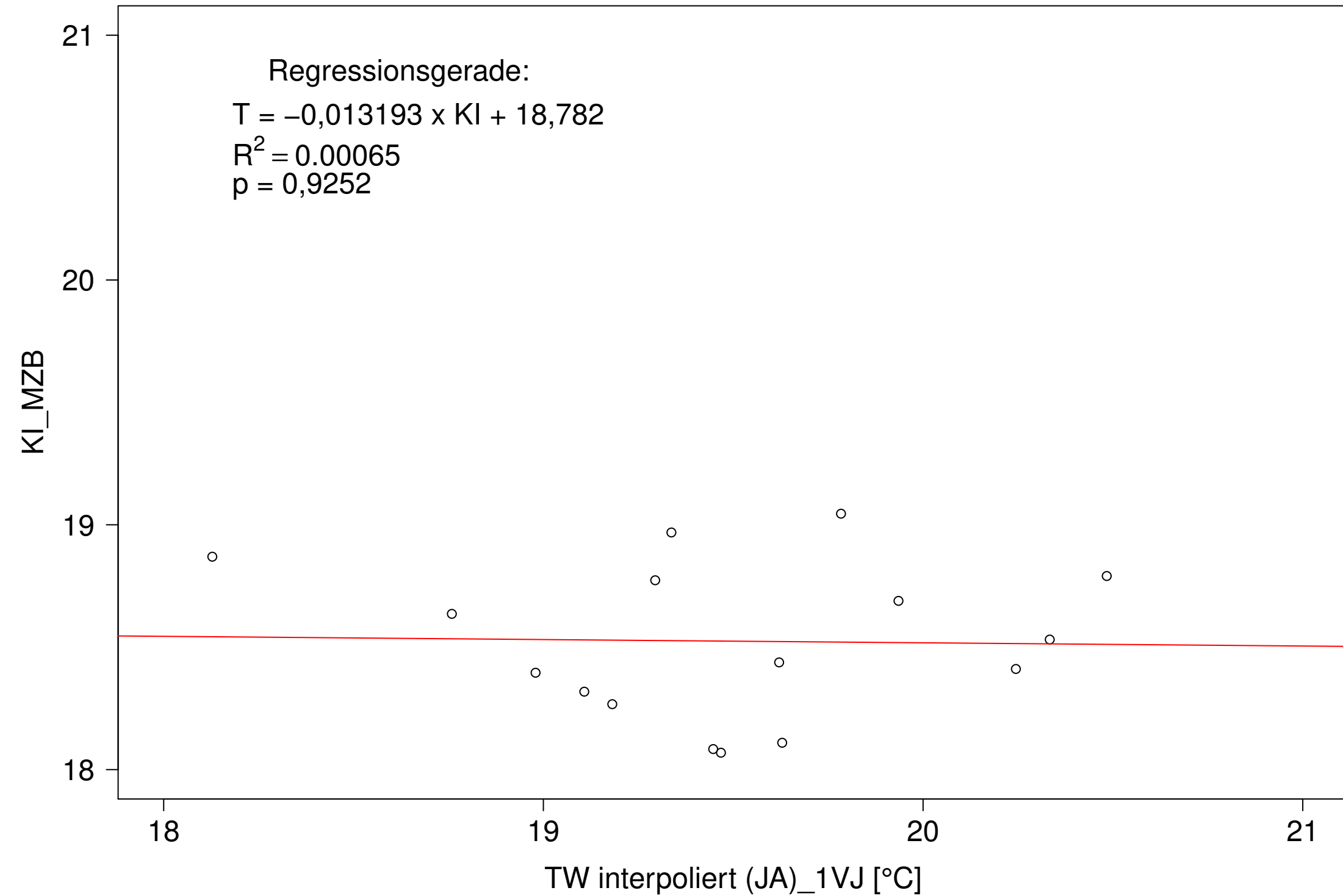
Kocher_Kochendorf, Typ 09.2 mit Neozoen, Serie 1
3JMW KI_MZB (Kont-Korr) gegen 3JMW TW interpoliert (JA) des 1. Vorjahres



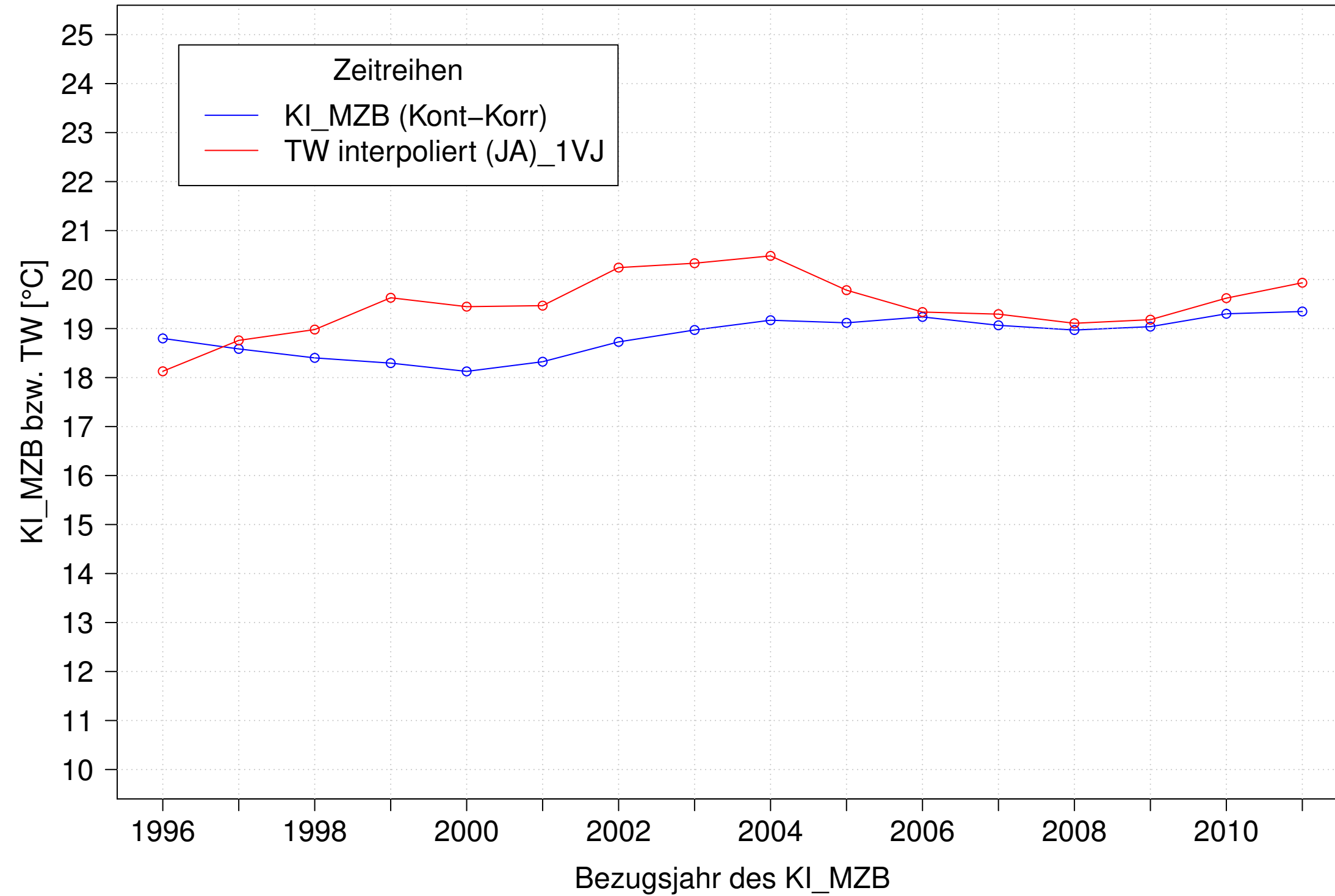
Kocher_Kochendorf, Typ 09.2 mit Neozoen, Serie 2
3JMW KI_MZB (Kont-Korr) und 3JMW TW interpoliert (JA) des 1. Vorjahres



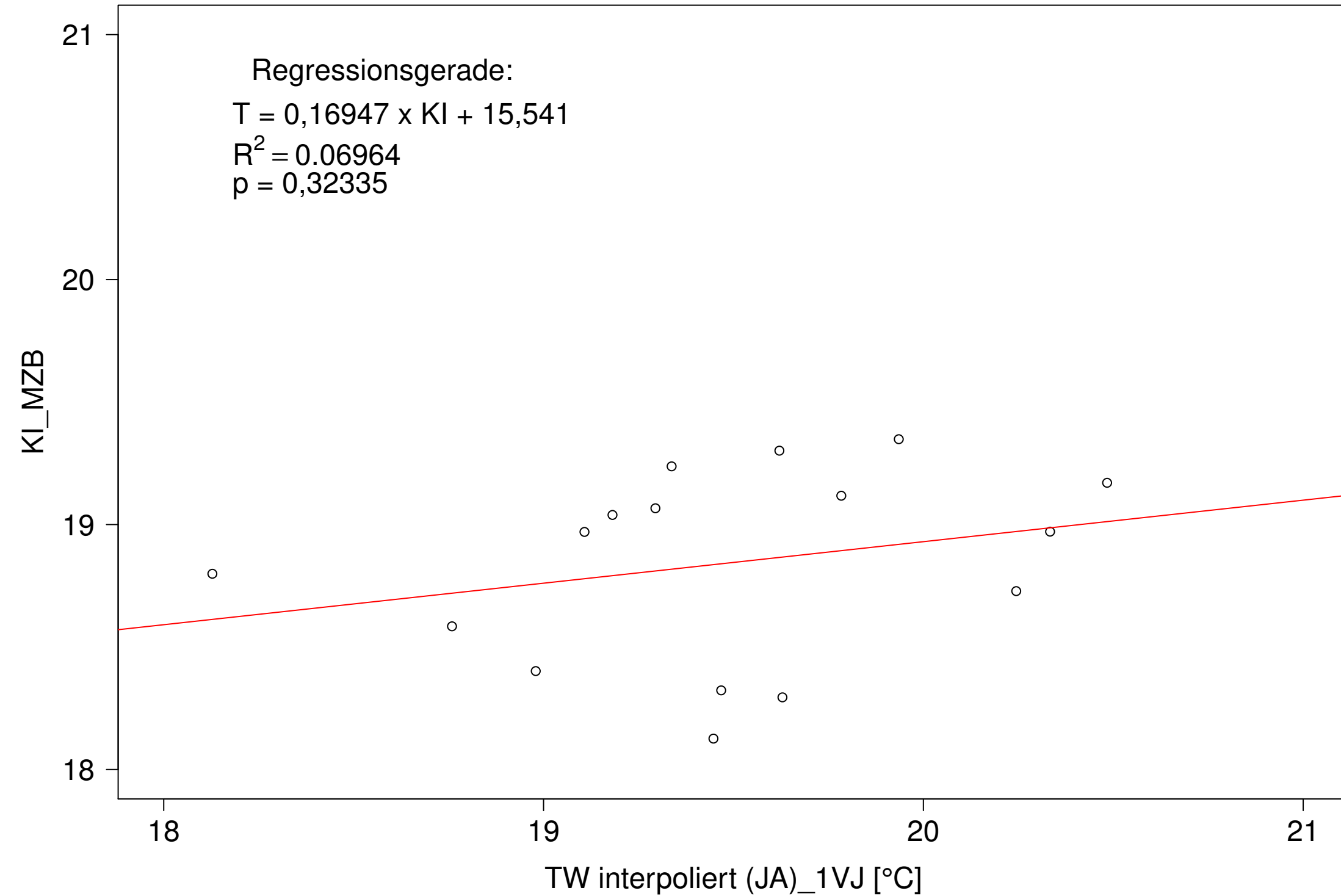
Kocher_Kochendorf, Typ 09.2 mit Neozoen, Serie 2
3JMW KI_MZB (Kont-Korr) gegen 3JMW TW interpoliert (JA) des 1. Vorjahres



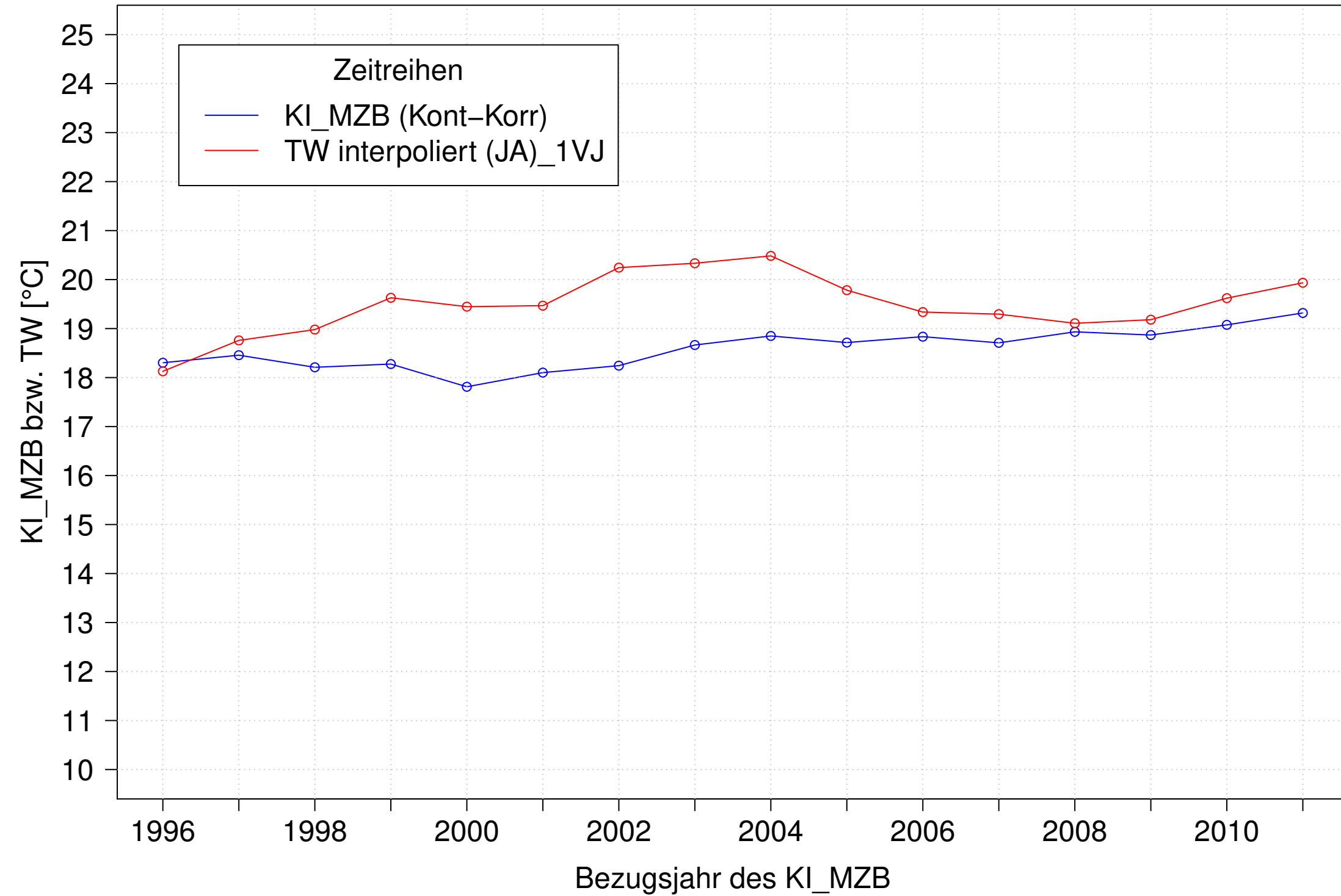
Kocher_Kochendorf, Typ 09.2 mit Neozoen, Serie 3
3JMW KI_MZB (Kont-Korr) und 3JMW TW interpoliert (JA) des 1. Vorjahres



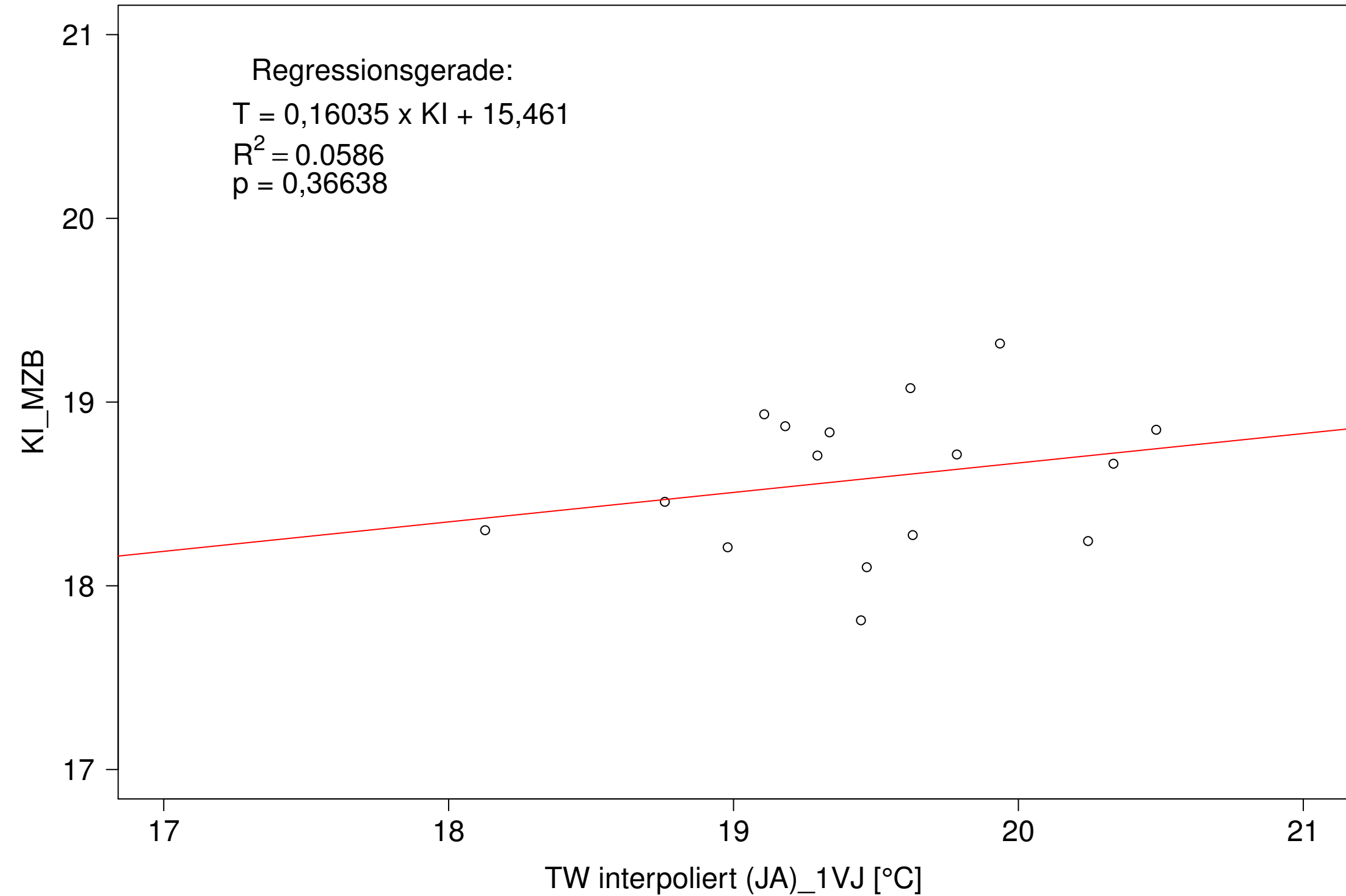
Kocher_Kochendorf, Typ 09.2 mit Neozoen, Serie 3
3JMW KI_MZB (Kont-Korr) gegen 3JMW TW interpoliert (JA) des 1. Vorjahres



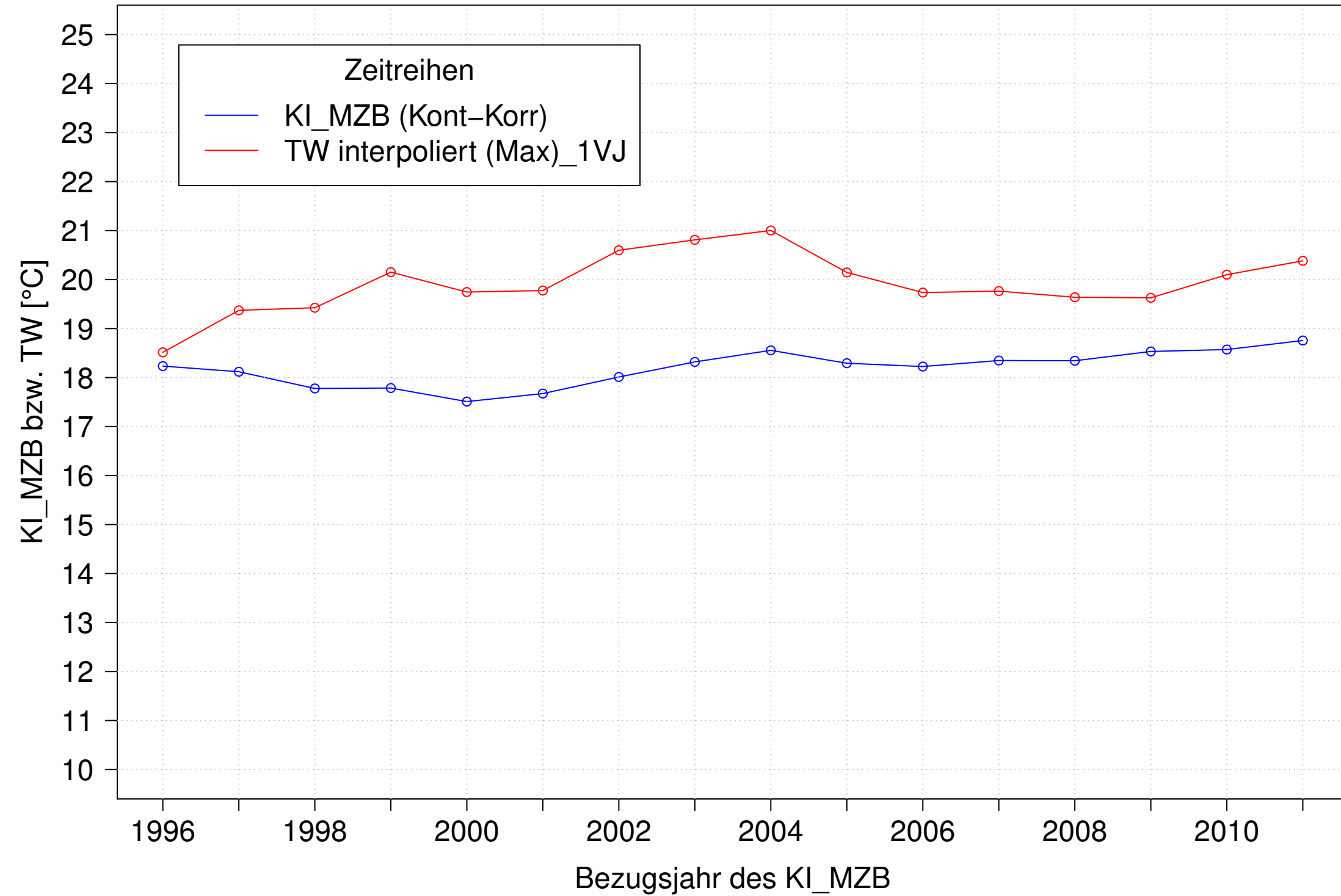
Kocher_Kochendorf, Typ 09.2 mit Neozoen, Serie 4
3JMW KI_MZB (Kont-Korr) und 3JMW TW interpoliert (JA) des 1. Vorjahres



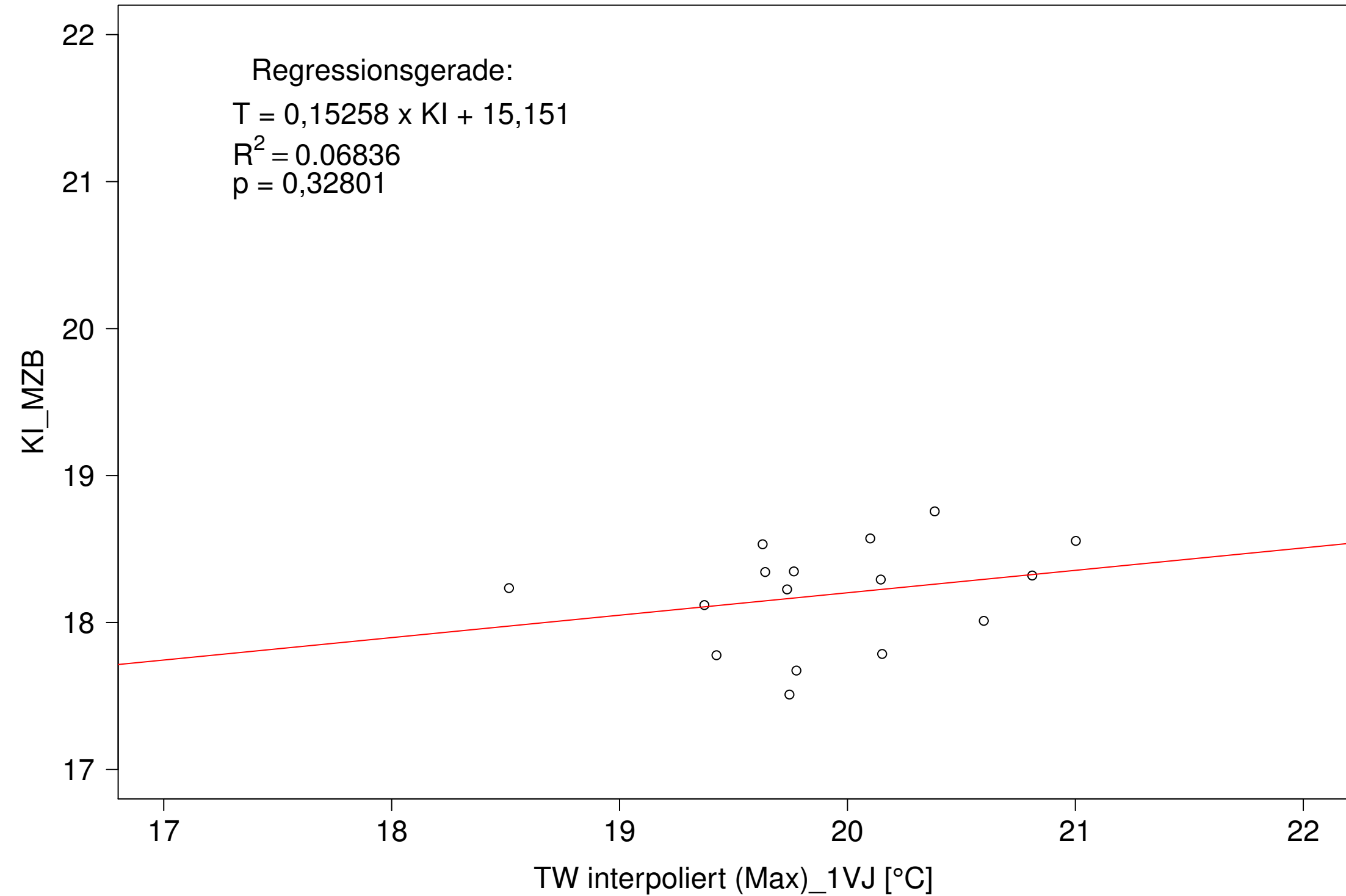
Kocher_Kochendorf, Typ 09.2 mit Neozoen, Serie 4
3JMW KI_MZB (Kont-Korr) gegen 3JMW TW interpoliert (JA) des 1. Vorjahres



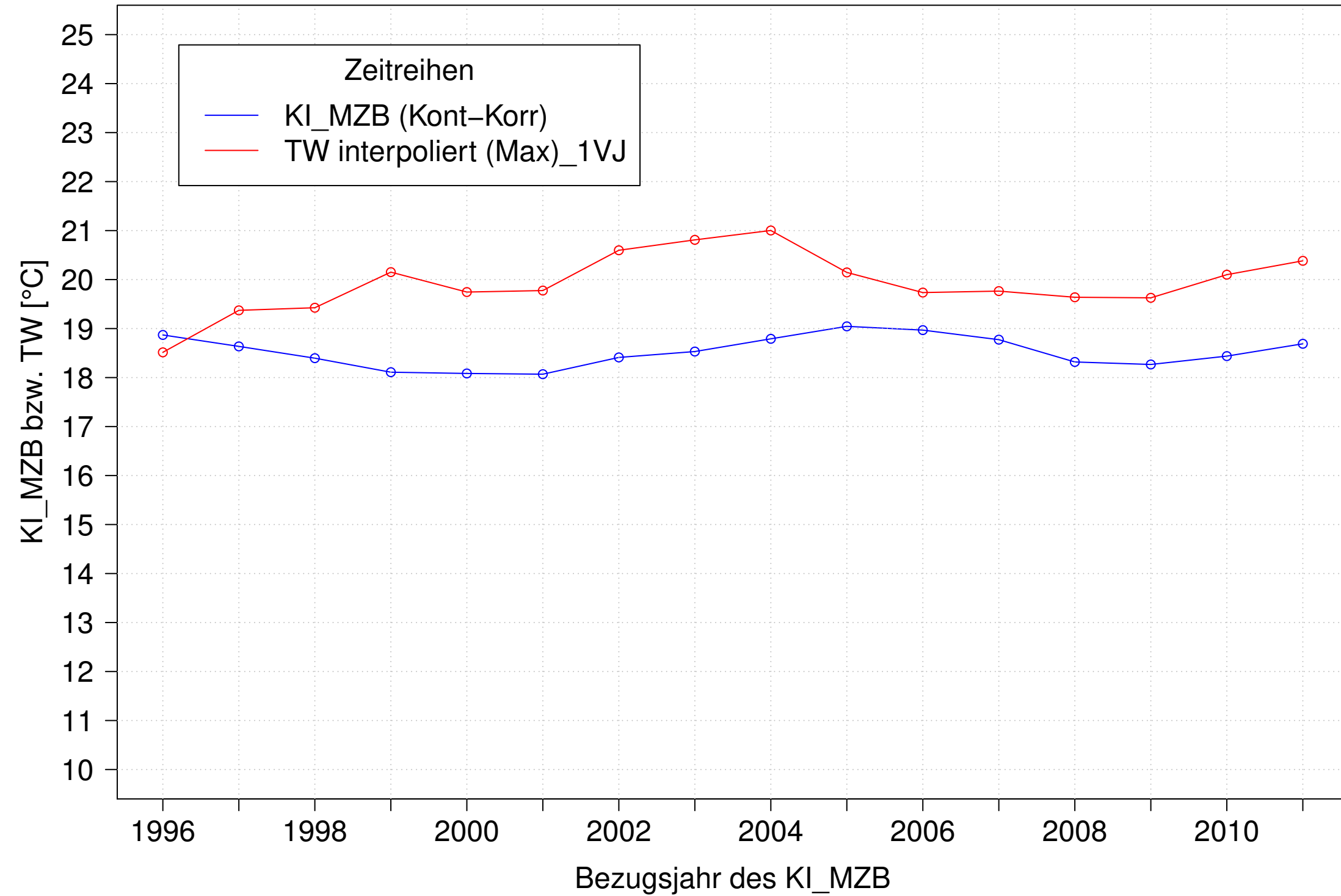
Kocher_Kochendorf, Typ 09.2 mit Neozoen, Serie 1
3JMW KI_MZB (Kont-Korr) und 3JMW TW interpoliert (Max) des 1. Vorjahres



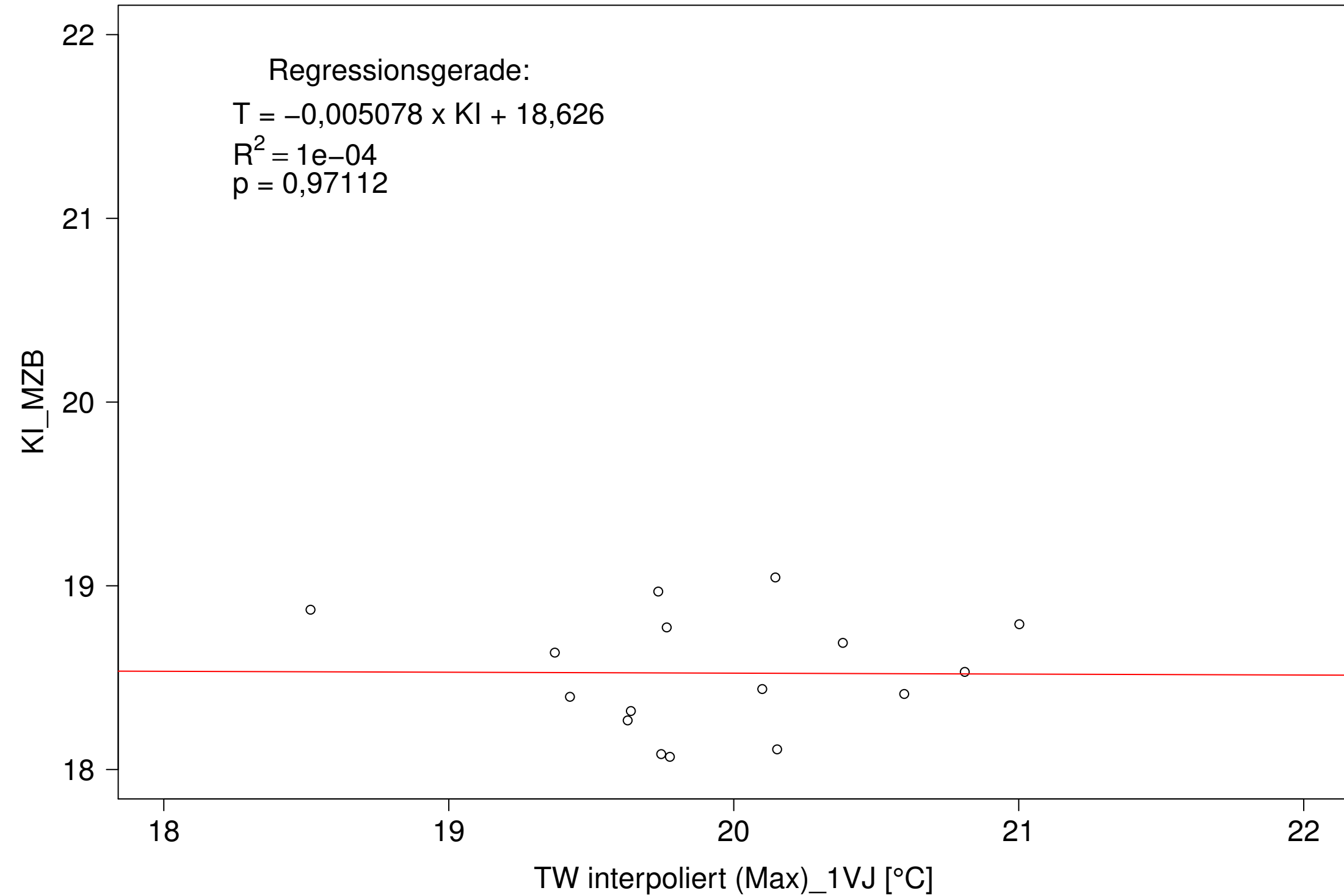
Kocher_Kochendorf, Typ 09.2 mit Neozoen, Serie 1
3JMW KI_MZB (Kont-Korr) gegen 3JMW TW interpoliert (Max) des 1. Vorjahres



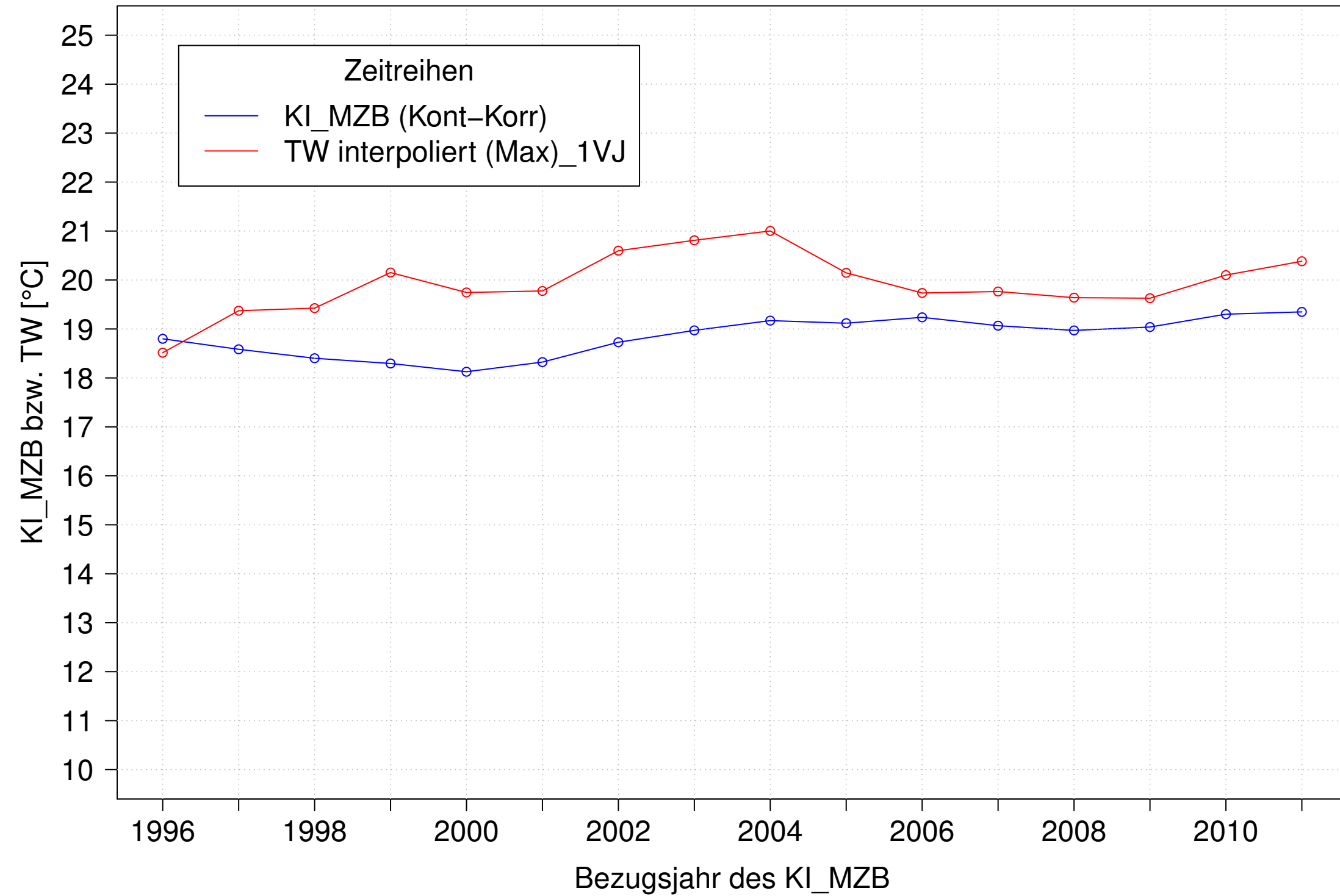
Kocher_Kochendorf, Typ 09.2 mit Neozoen, Serie 2
3JMW KI_MZB (Kont-Korr) und 3JMW TW interpoliert (Max) des 1. Vorjahres



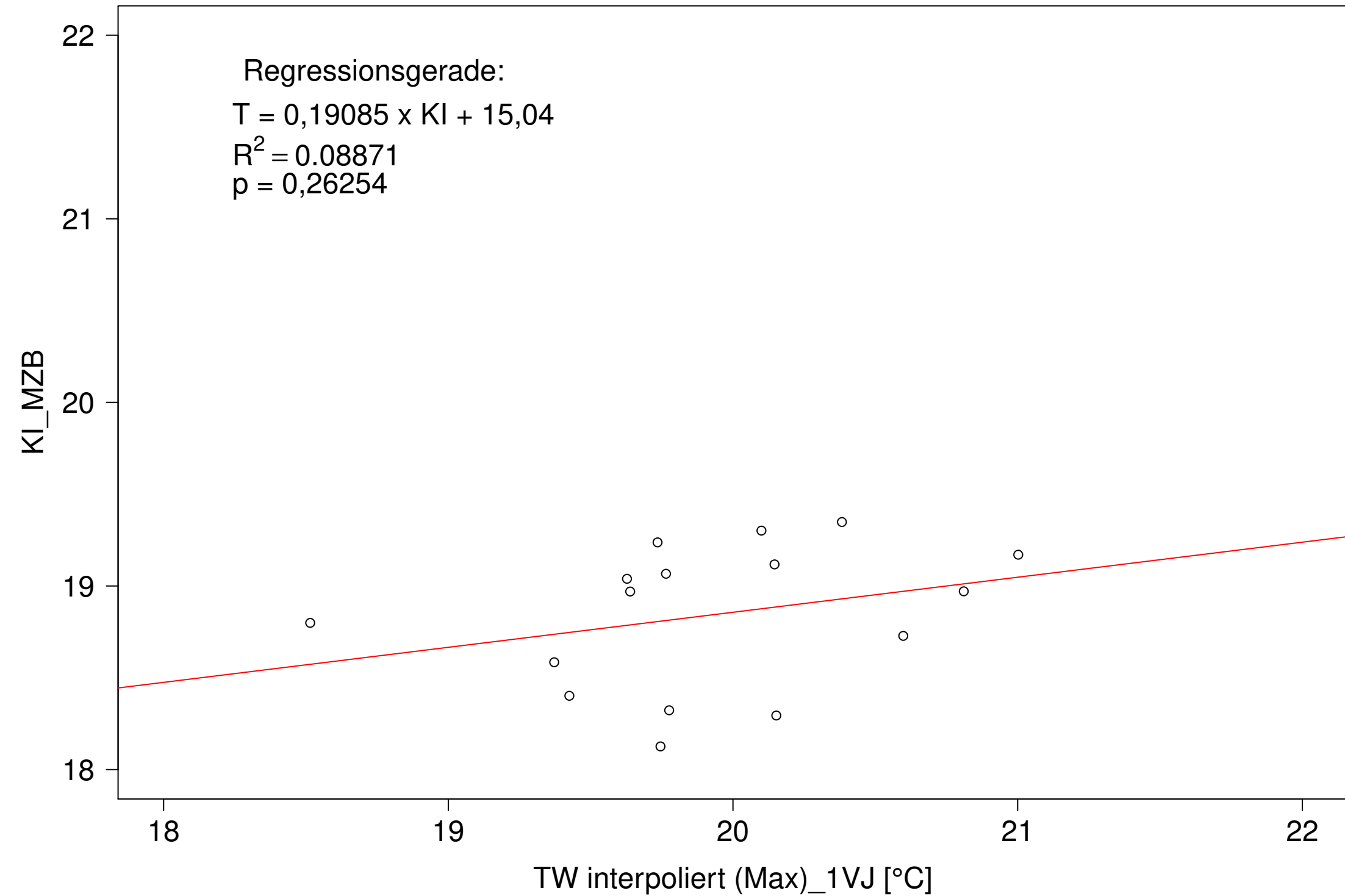
Kocher_Kochendorf, Typ 09.2 mit Neozoen, Serie 2
3JMW KI_MZB (Kont-Korr) gegen 3JMW TW interpoliert (Max) des 1. Vorjahres



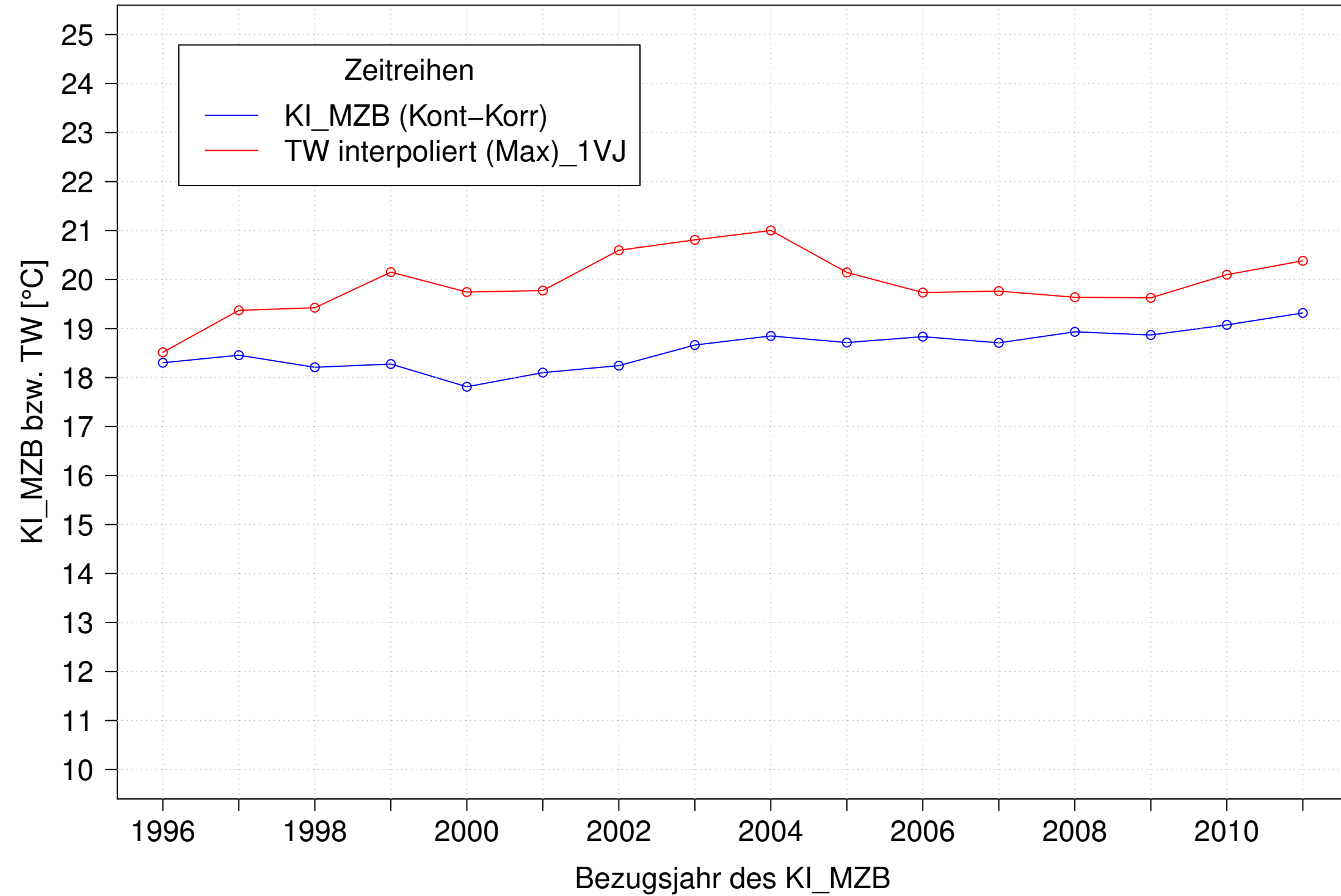
Kocher_Kochendorf, Typ 09.2 mit Neozoen, Serie 3
3JMW KI_MZB (Kont-Korr) und 3JMW TW interpoliert (Max) des 1. Vorjahres



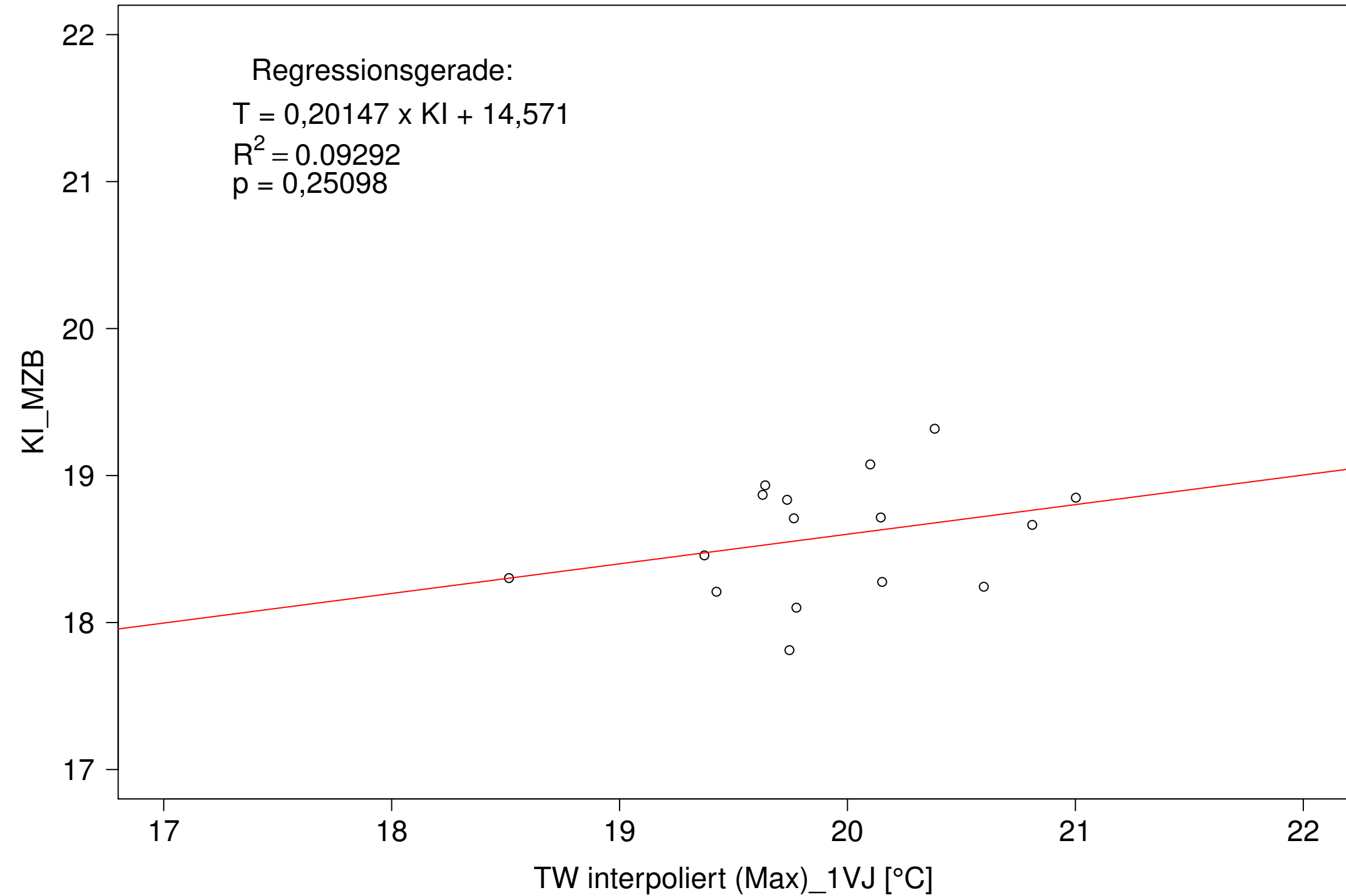
Kocher_Kochendorf, Typ 09.2 mit Neozoen, Serie 3
3JMW KI_MZB (Kont-Korr) gegen 3JMW TW interpoliert (Max) des 1. Vorjahres



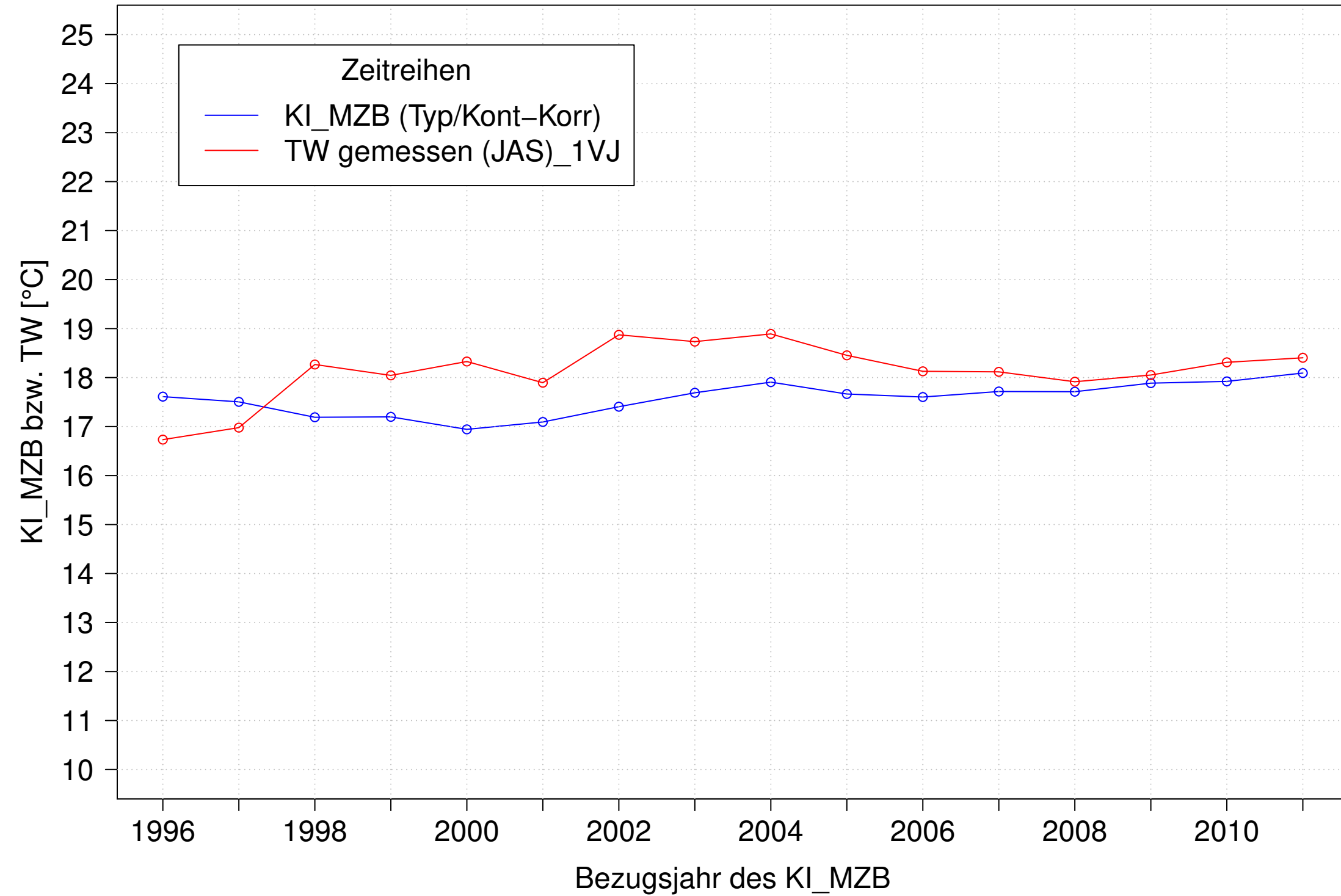
Kocher_Kochendorf, Typ 09.2 mit Neozoen, Serie 4
3JMW KI_MZB (Kont-Korr) und 3JMW TW interpoliert (Max) des 1. Vorjahres



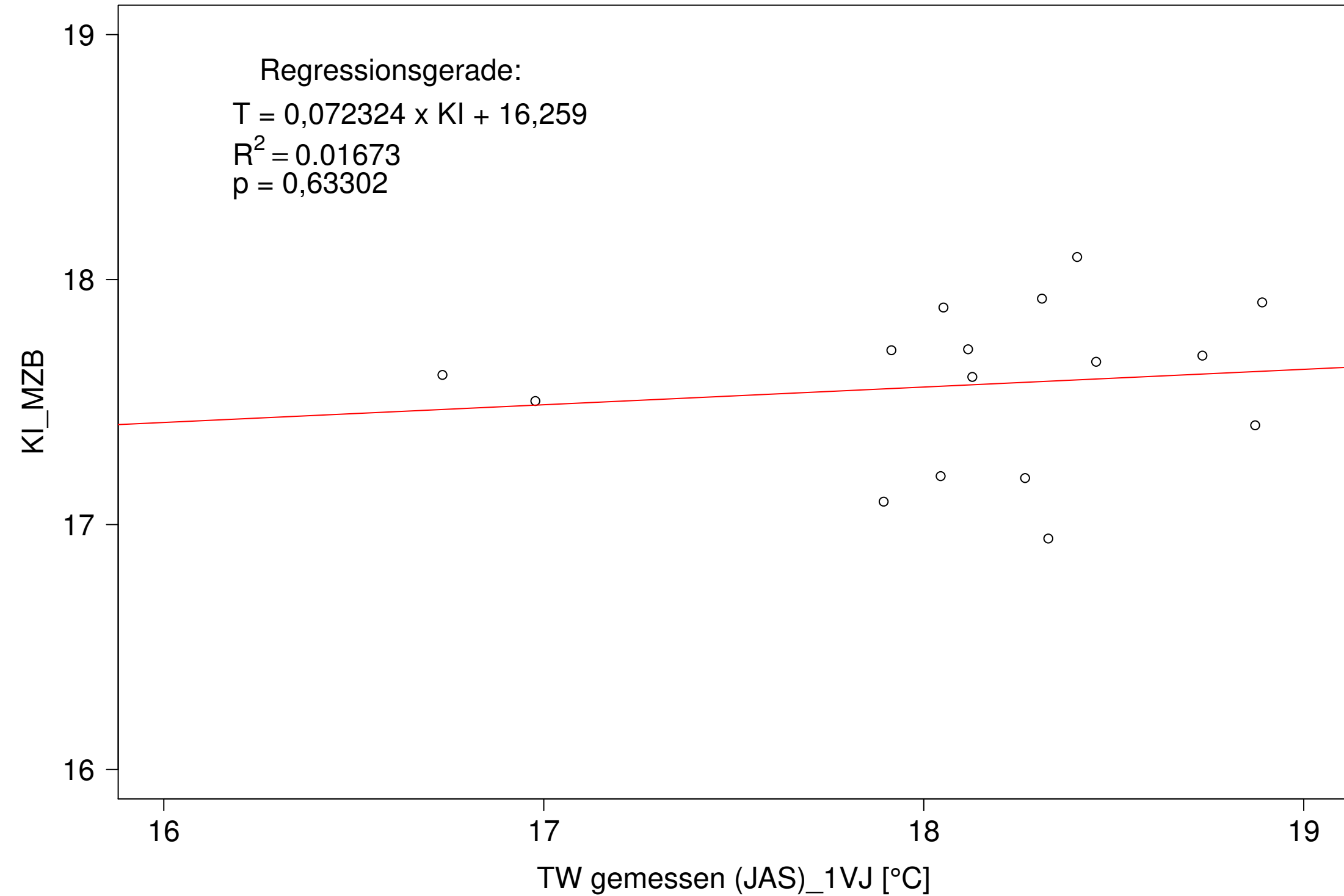
Kocher_Kochendorf, Typ 09.2 mit Neozoen, Serie 4
3JMW KI_MZB (Kont-Korr) gegen 3JMW TW interpoliert (Max) des 1. Vorjahres



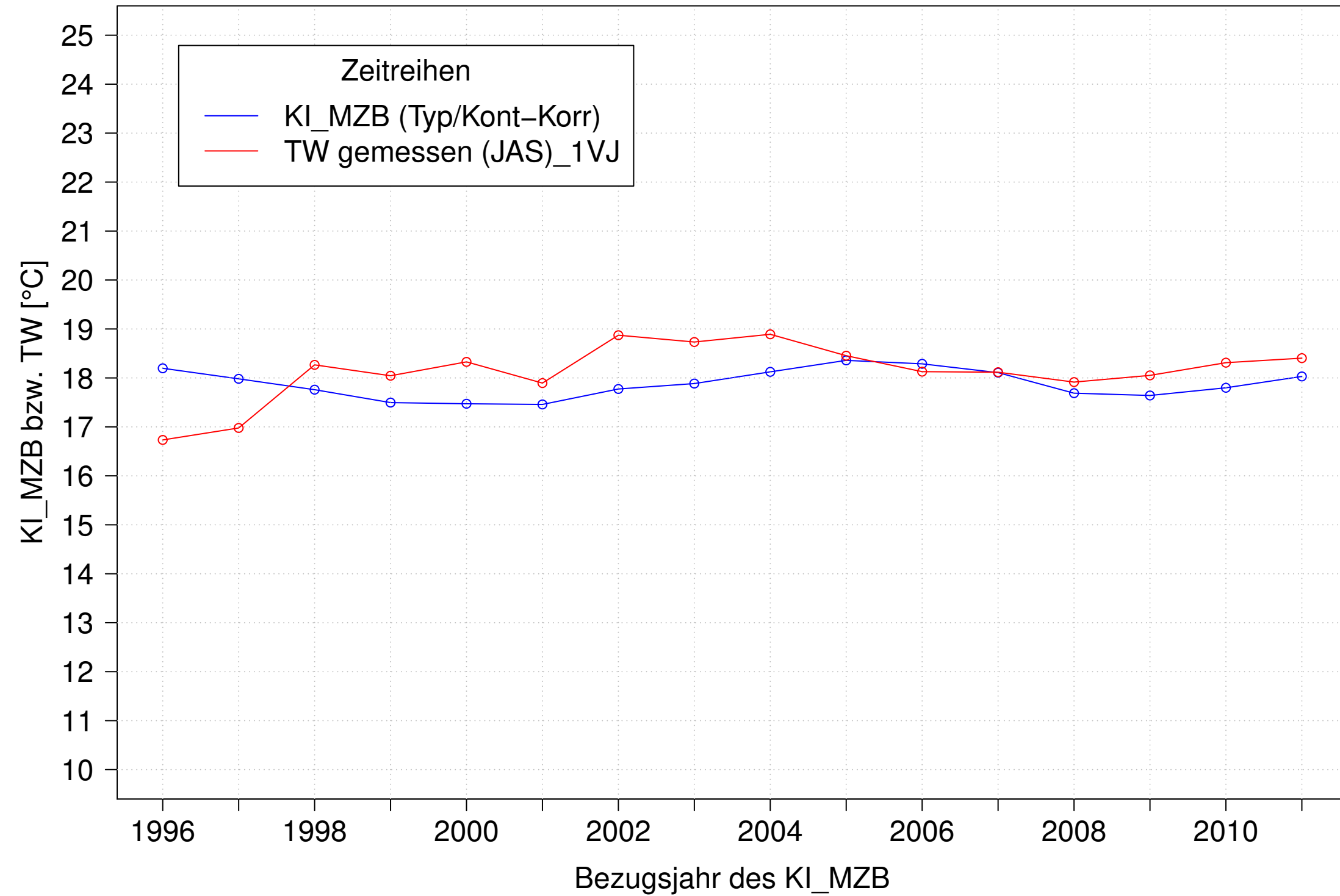
Kocher_Kochendorf, Typ 09.2 mit Neozoen, Serie 1
3JMW KI_MZB (Typ/Kont-Korr) und 3JMW TW gemessen (JAS) des 1. Vorjahres



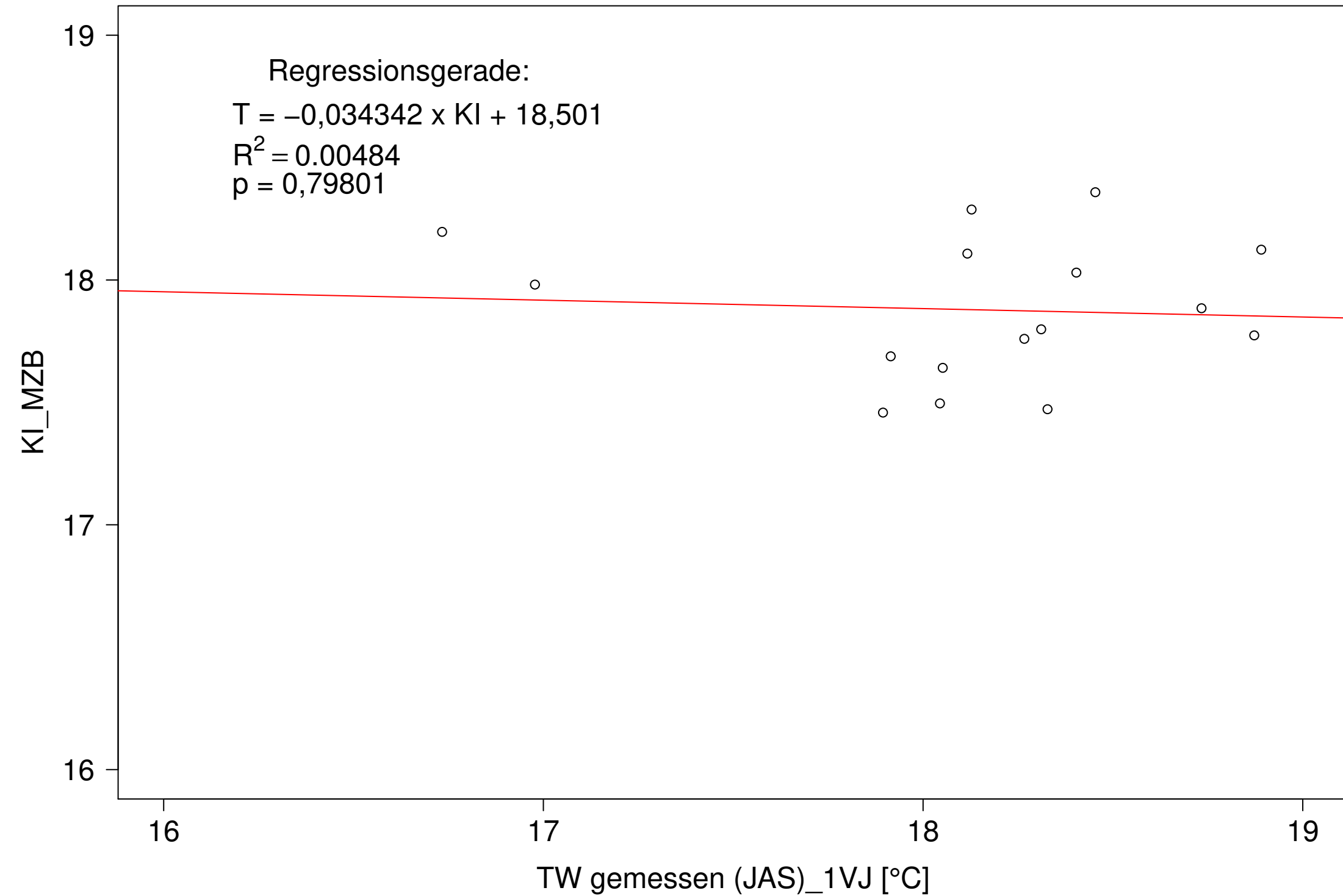
Kocher_Kochendorf, Typ 09.2 mit Neozoen, Serie 1
3JMW KI_MZB (Typ/Kont-Korr) gegen 3JMW TW gemessen (JAS) des 1. Vorjahres



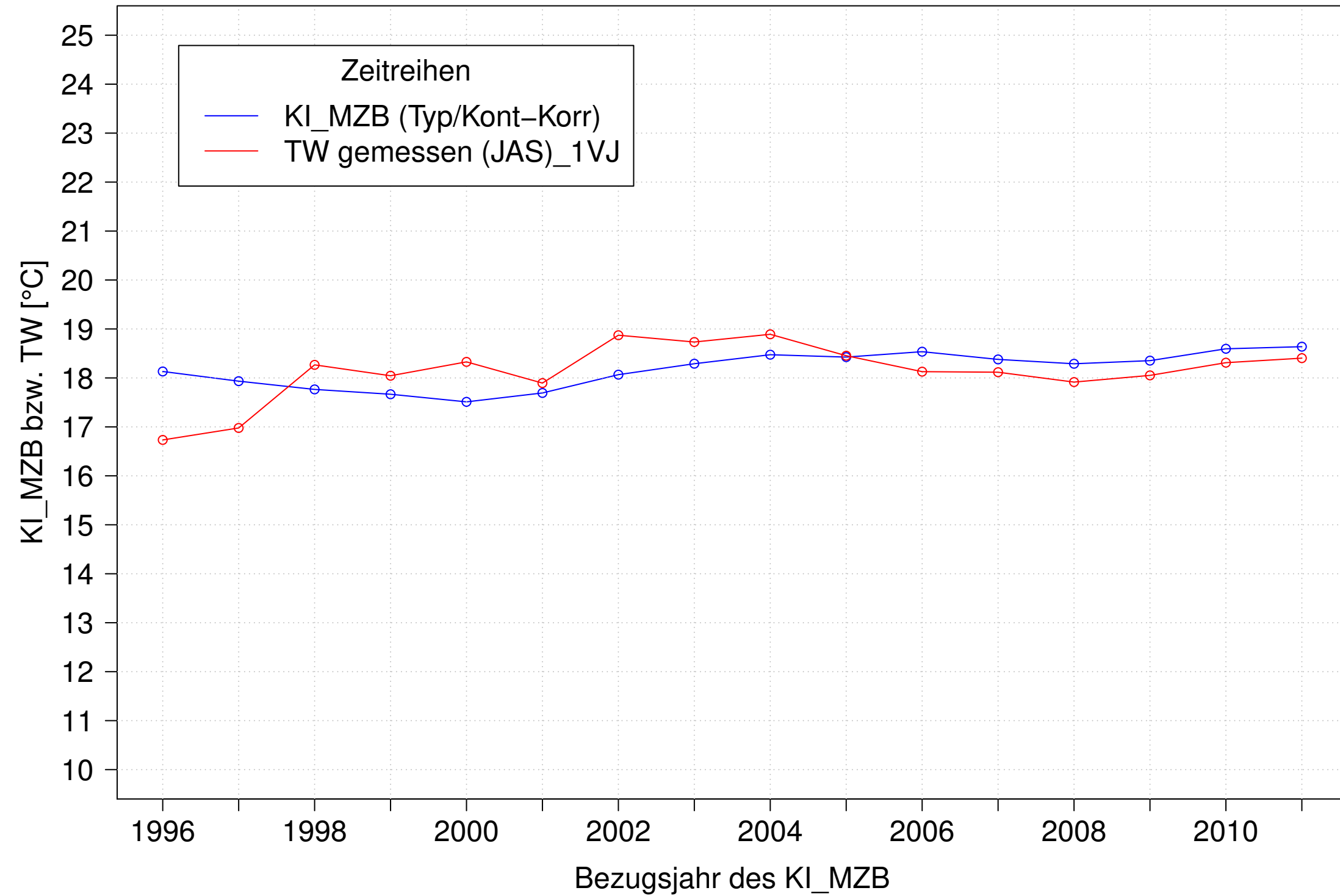
Kocher_Kochendorf, Typ 09.2 mit Neozoen, Serie 2
3JMW KI_MZB (Typ/Kont-Korr) und 3JMW TW gemessen (JAS) des 1. Vorjahres



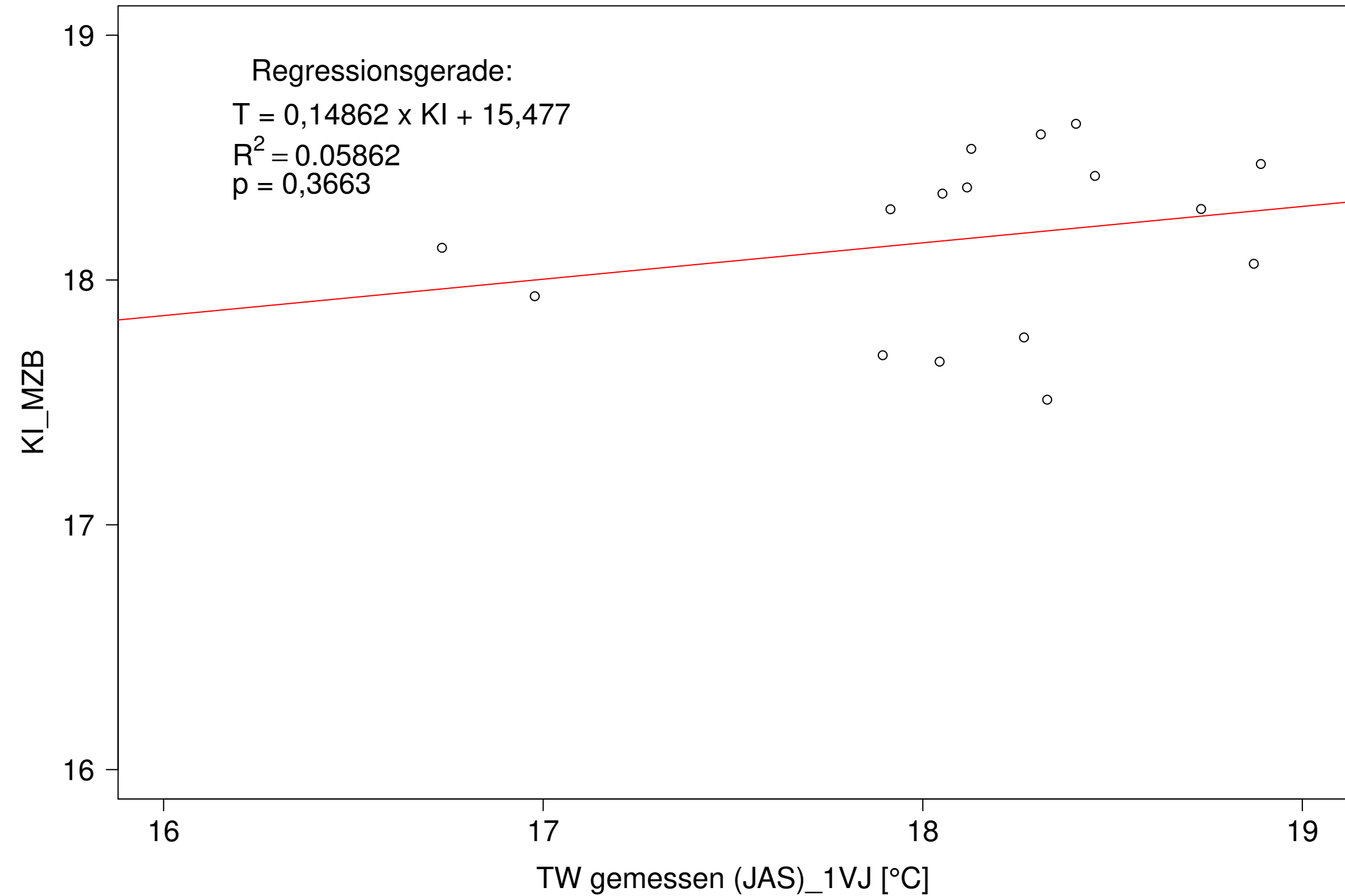
Kocher_Kochendorf, Typ 09.2 mit Neozoen, Serie 2
3JMW KI_MZB (Typ/Kont-Korr) gegen 3JMW TW gemessen (JAS) des 1. Vorjahres



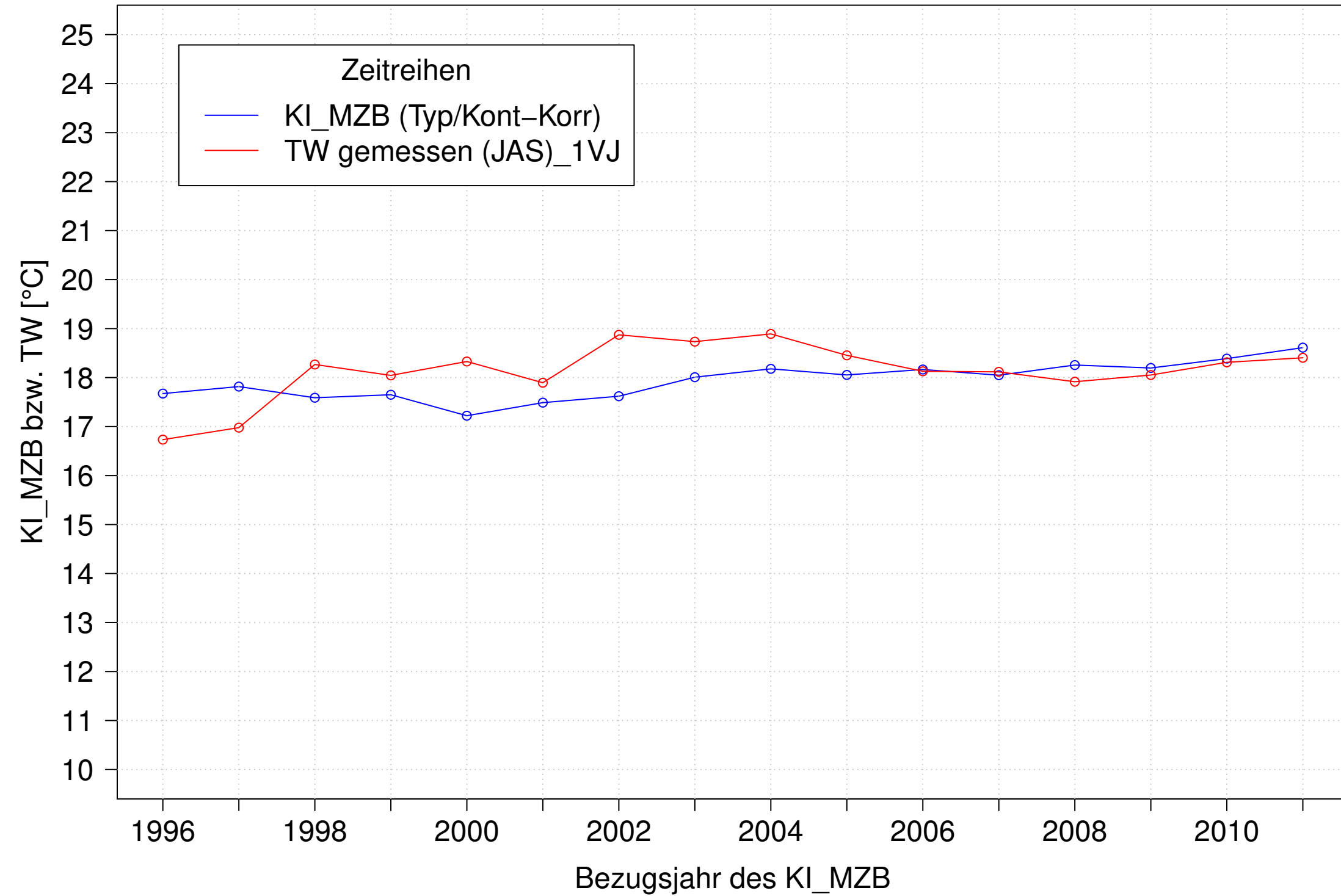
Kocher_Kochendorf, Typ 09.2 mit Neozoen, Serie 3
3JMW KI_MZB (Typ/Kont-Korr) und 3JMW TW gemessen (JAS) des 1. Vorjahres



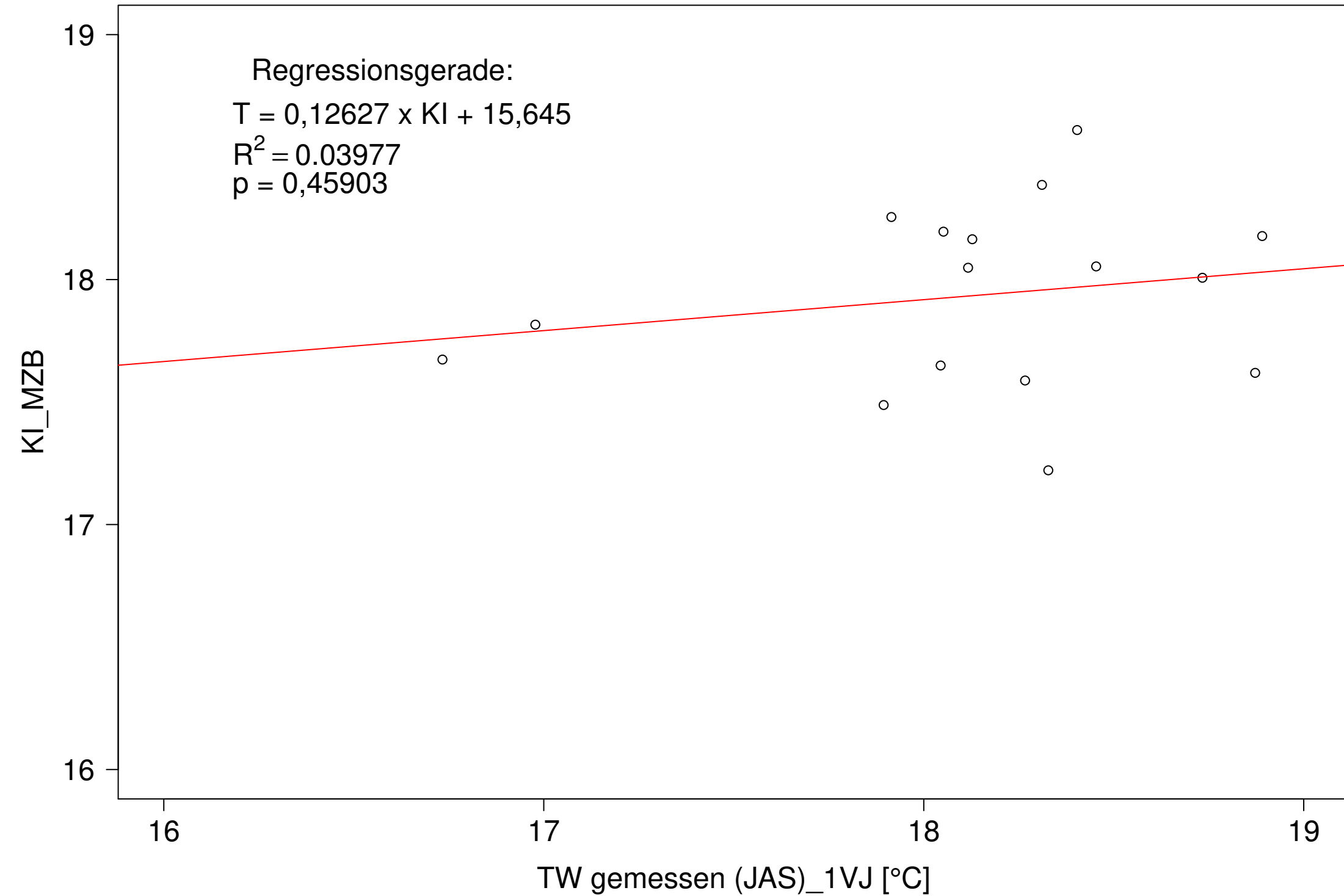
Kocher_Kochendorf, Typ 09.2 mit Neozoen, Serie 3
3JMW KI_MZB (Typ/Kont-Korr) gegen 3JMW TW gemessen (JAS) des 1. Vorjahres



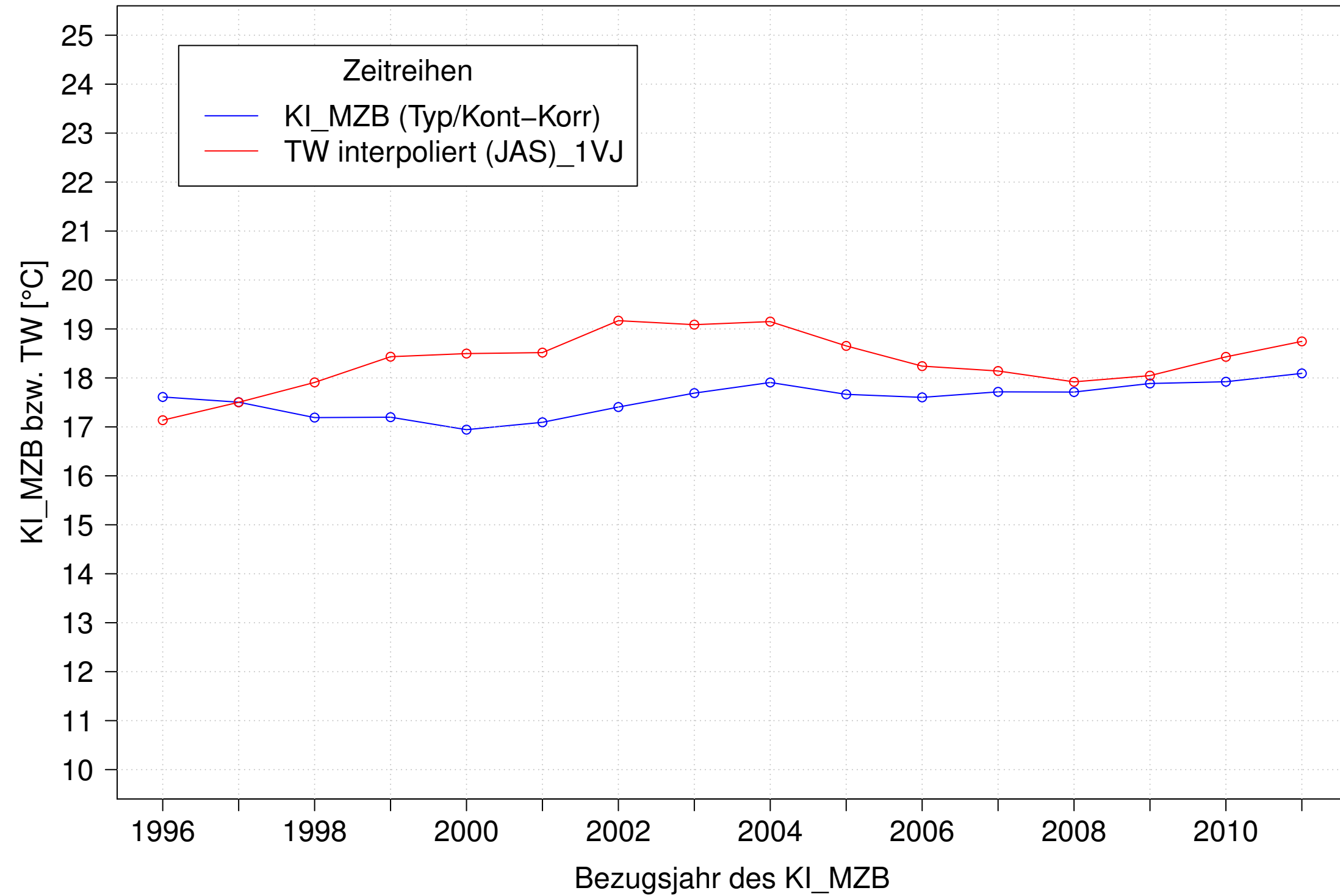
Kocher_Kochendorf, Typ 09.2 mit Neozoen, Serie 4
3JMW KI_MZB (Typ/Kont-Korr) und 3JMW TW gemessen (JAS) des 1. Vorjahres



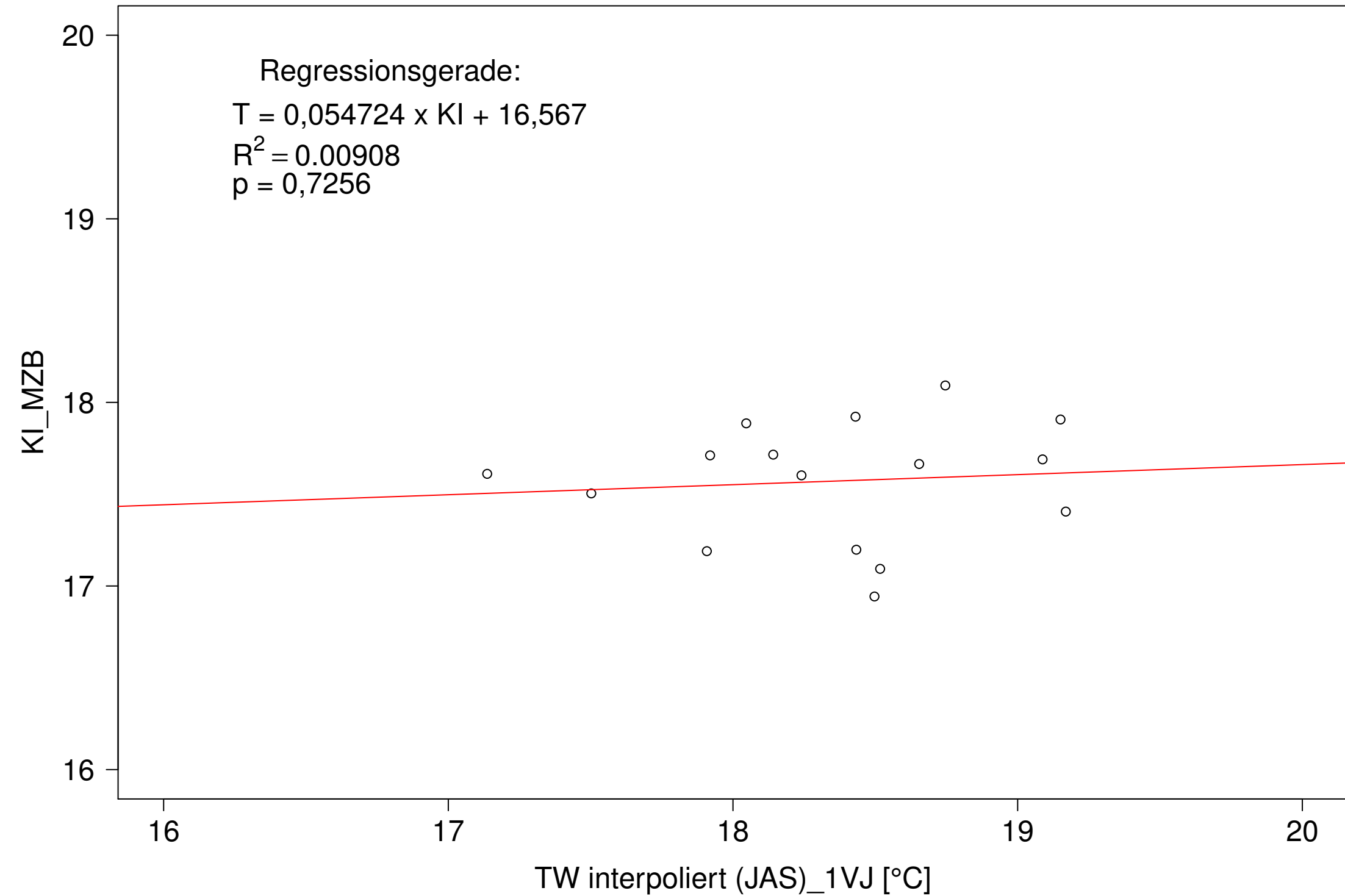
Kocher_Kochendorf, Typ 09.2 mit Neozoen, Serie 4
3JMW KI_MZB (Typ/Kont-Korr) gegen 3JMW TW gemessen (JAS) des 1. Vorjahres



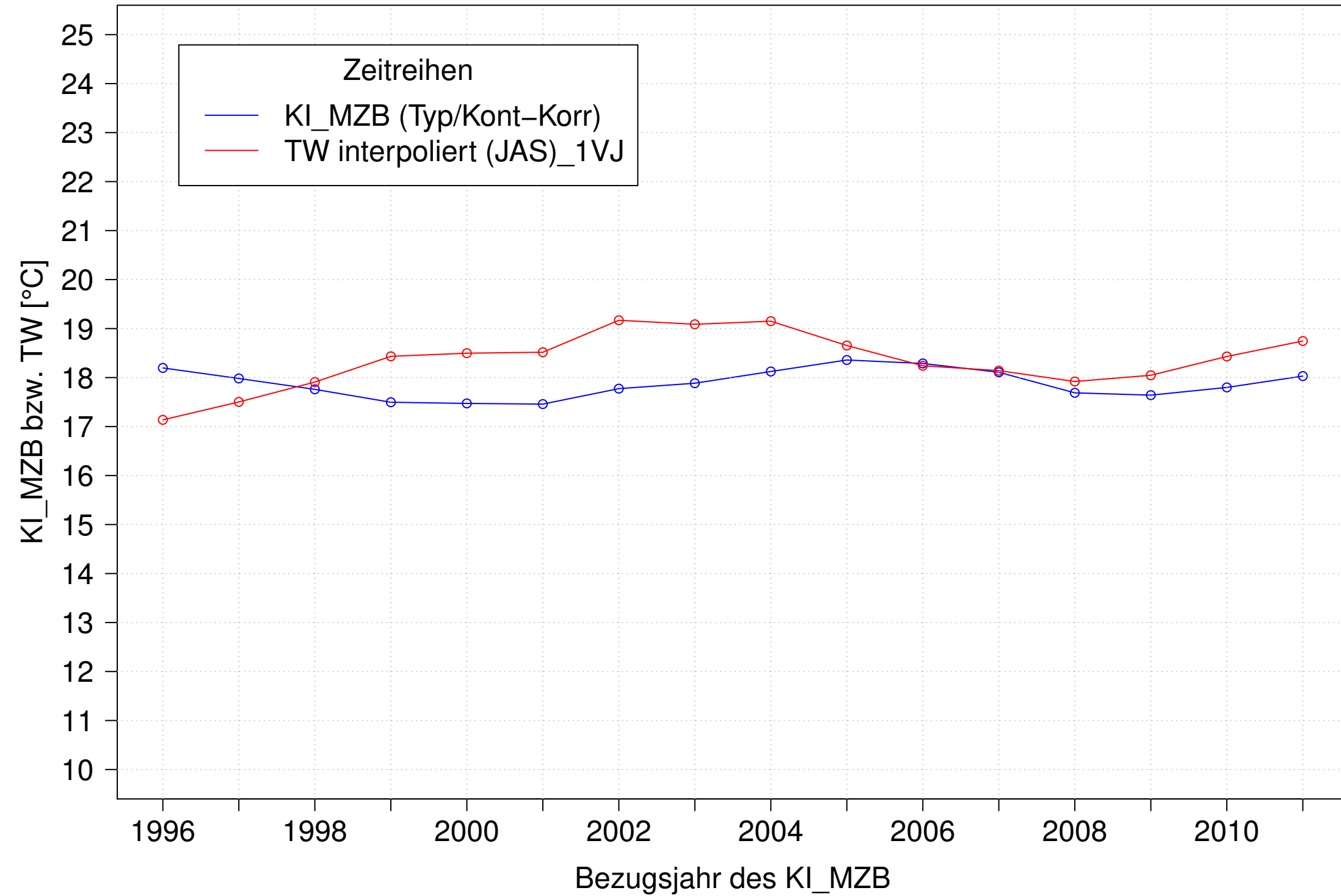
Kocher_Kochendorf, Typ 09.2 mit Neozoen, Serie 1
3JMW KI_MZB (Typ/Kont-Korr) und 3JMW TW interpoliert (JAS) des 1. Vorjahres



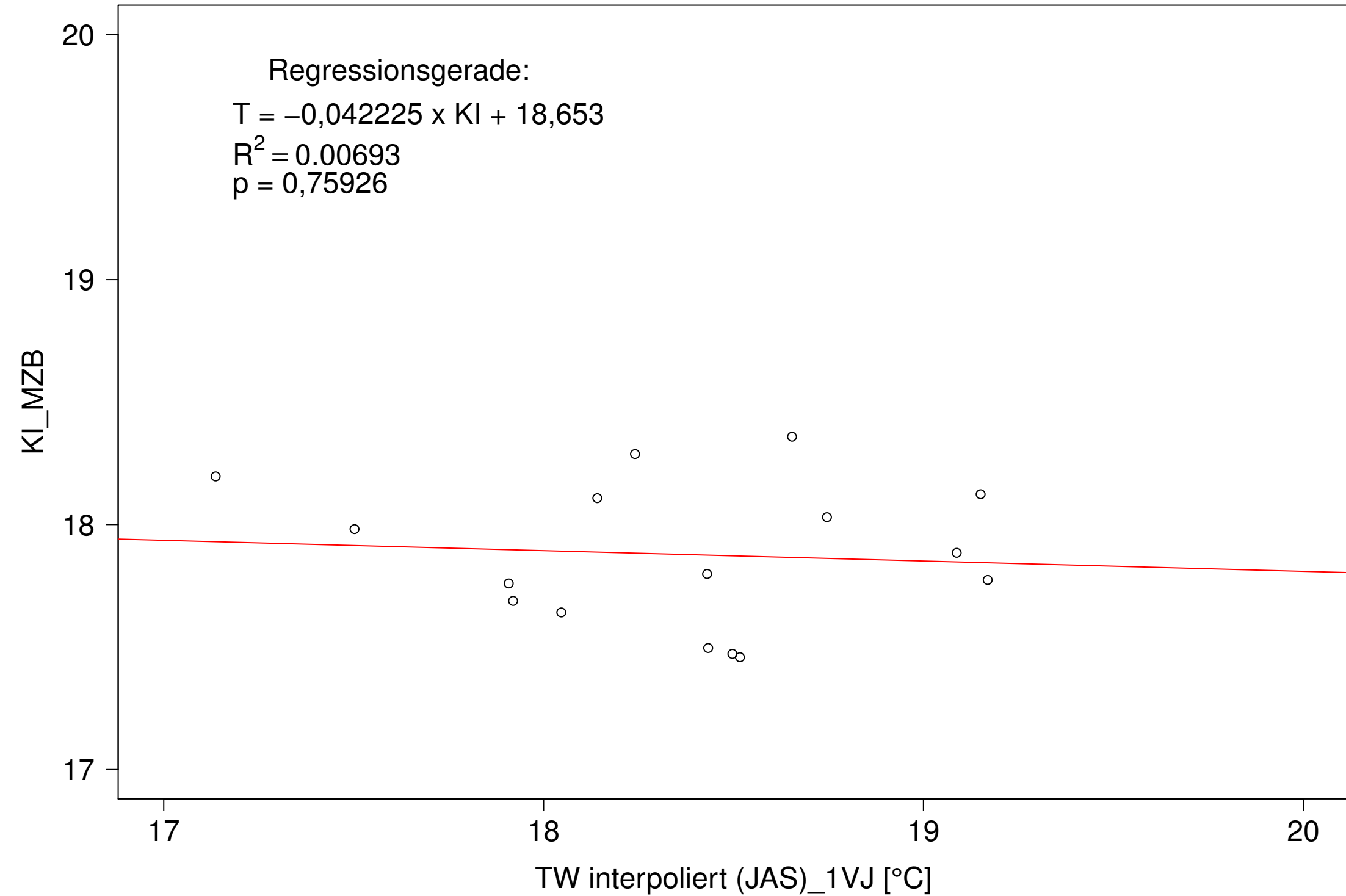
Kocher_Kochendorf, Typ 09.2 mit Neozoen, Serie 1
3JMW KI_MZB (Typ/Kont-Korr) gegen 3JMW TW interpoliert (JAS) des 1. Vorjahres



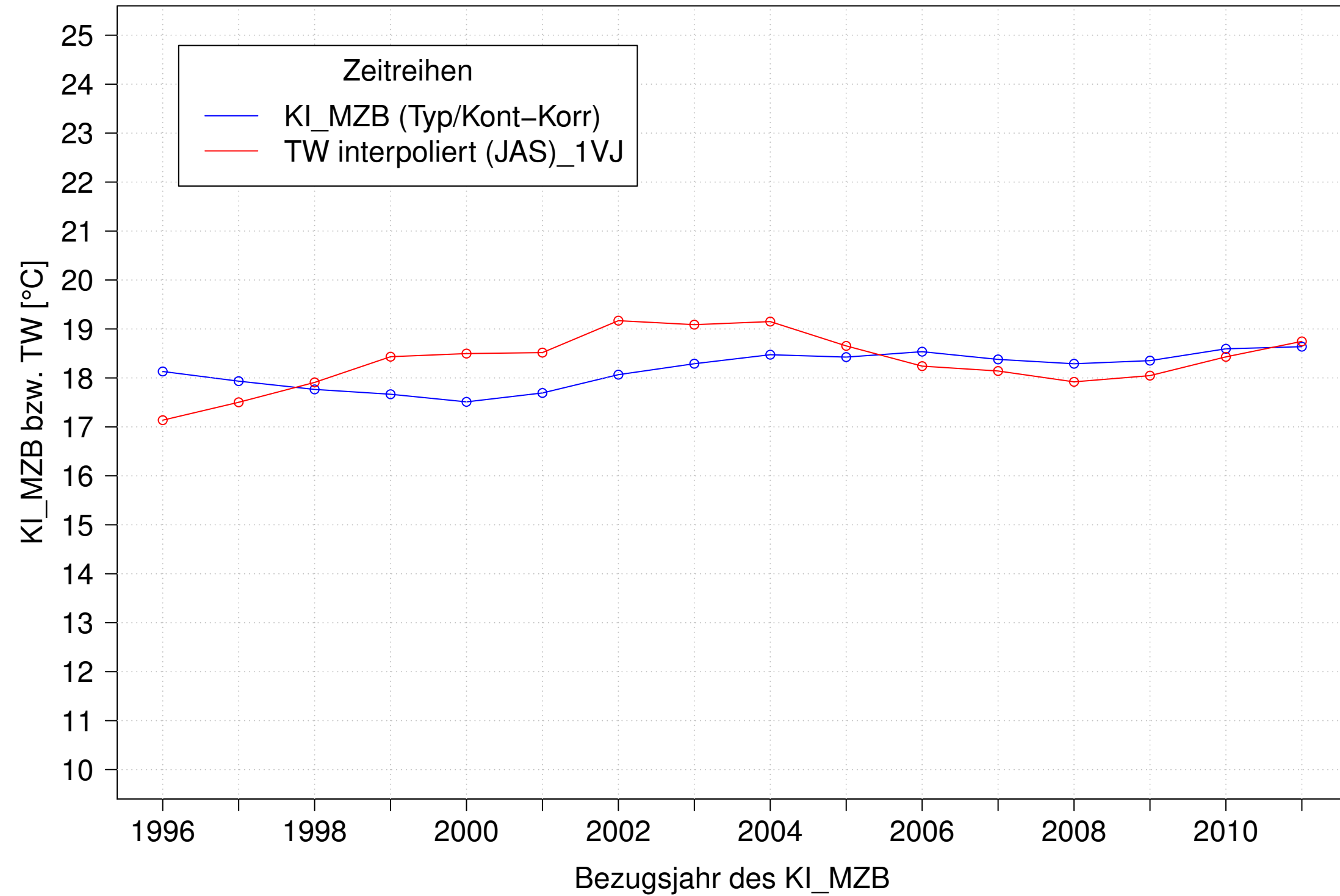
Kocher_Kochendorf, Typ 09.2 mit Neozoen, Serie 2
3JMW KI_MZB (Typ/Kont-Korr) und 3JMW TW interpoliert (JAS) des 1. Vorjahres



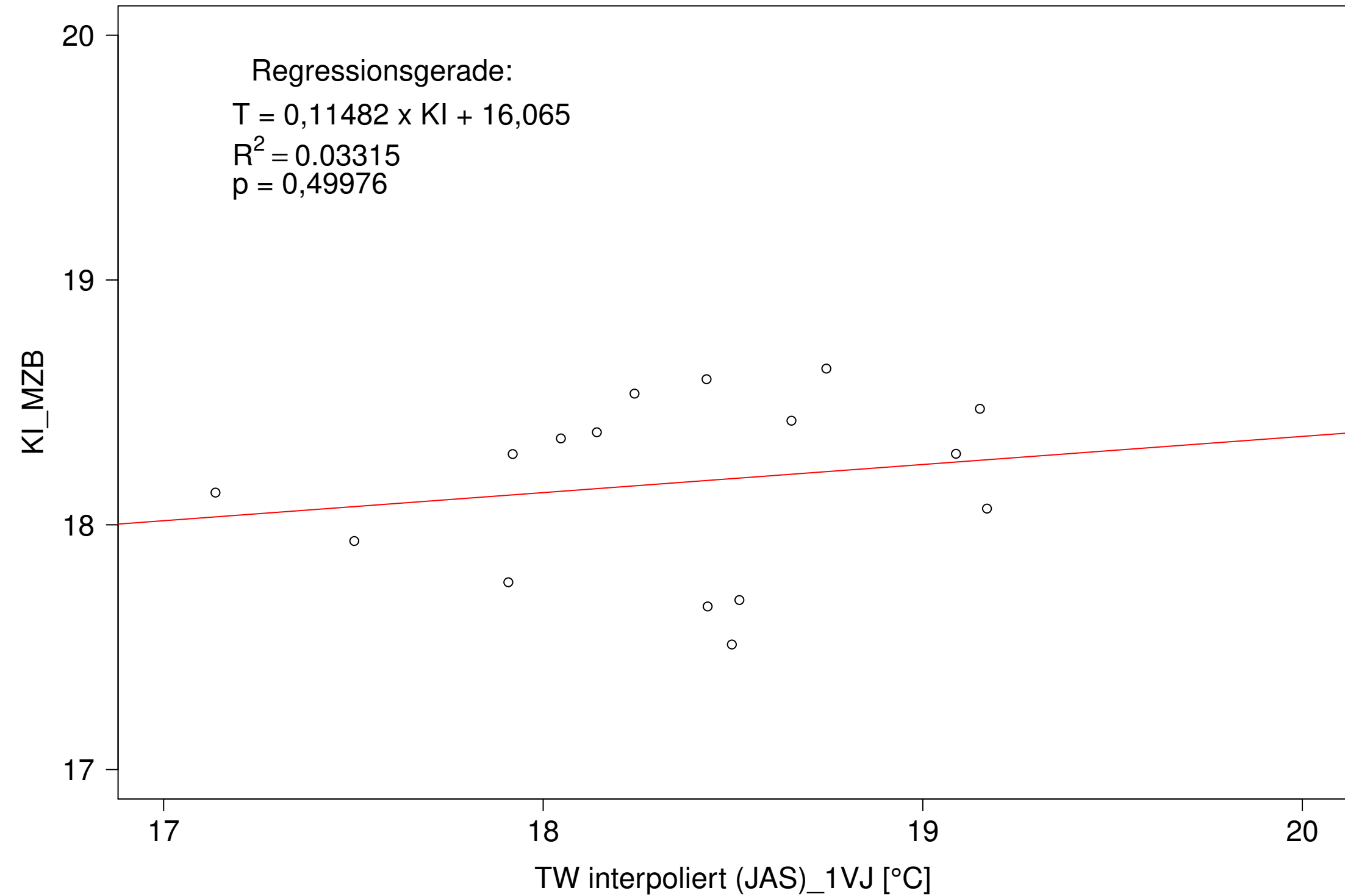
Kocher_Kochendorf, Typ 09.2 mit Neozoen, Serie 2
3JMW KI_MZB (Typ/Kont-Korr) gegen 3JMW TW interpoliert (JAS) des 1. Vorjahres



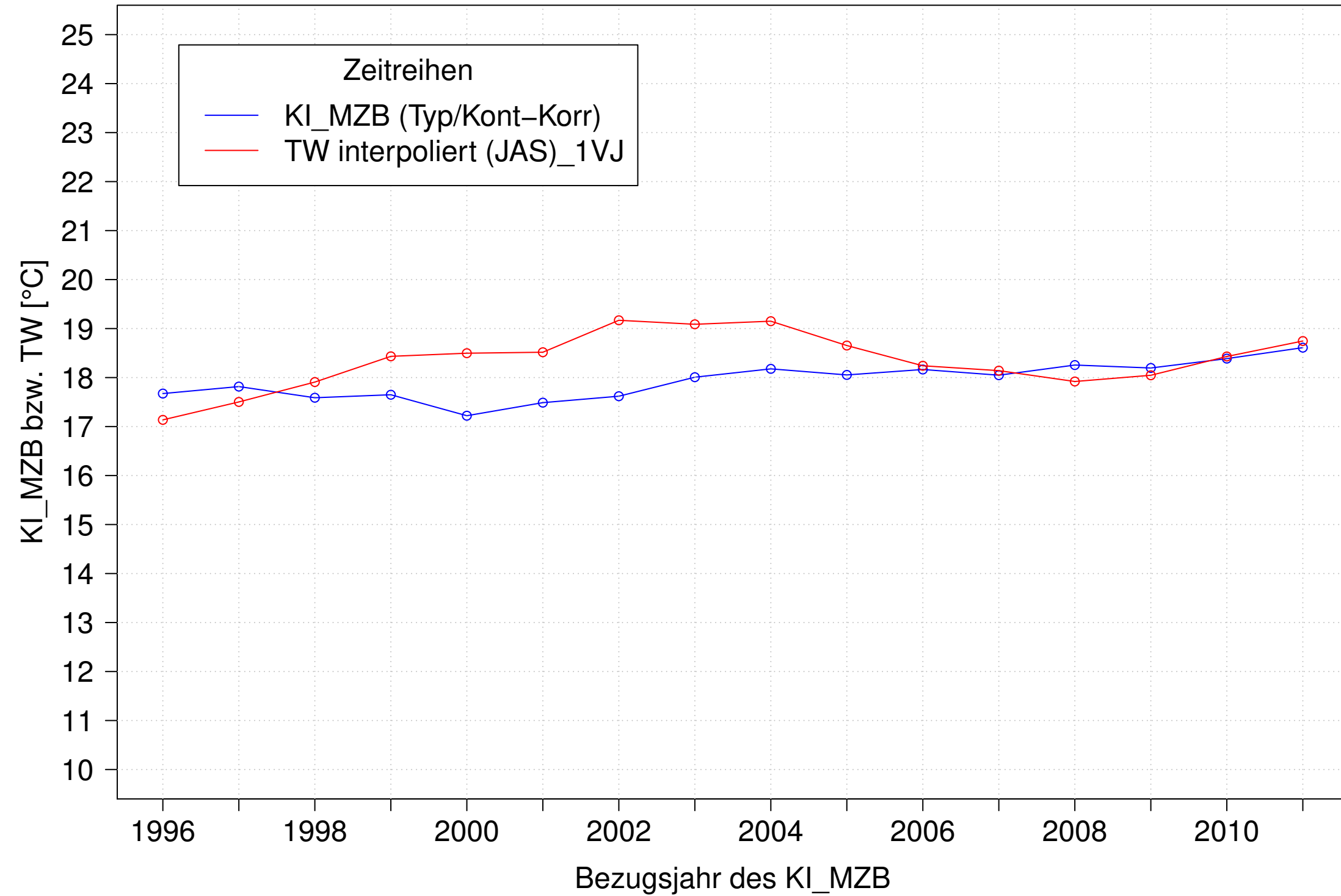
Kocher_Kochendorf, Typ 09.2 mit Neozoen, Serie 3
3JMW KI_MZB (Typ/Kont-Korr) und 3JMW TW interpoliert (JAS) des 1. Vorjahres



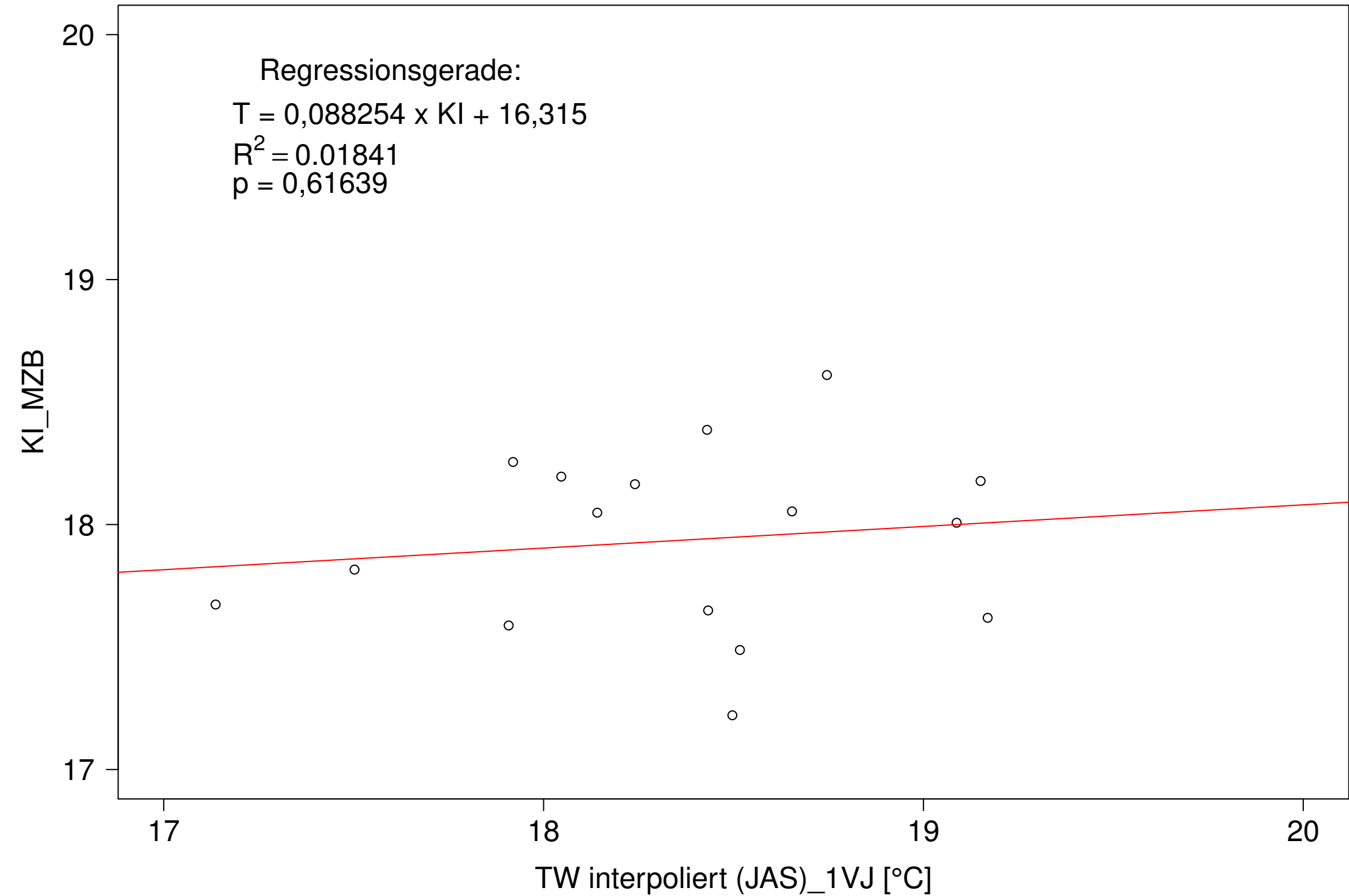
Kocher_Kochendorf, Typ 09.2 mit Neozoen, Serie 3
3JMW KI_MZB (Typ/Kont-Korr) gegen 3JMW TW interpoliert (JAS) des 1. Vorjahres



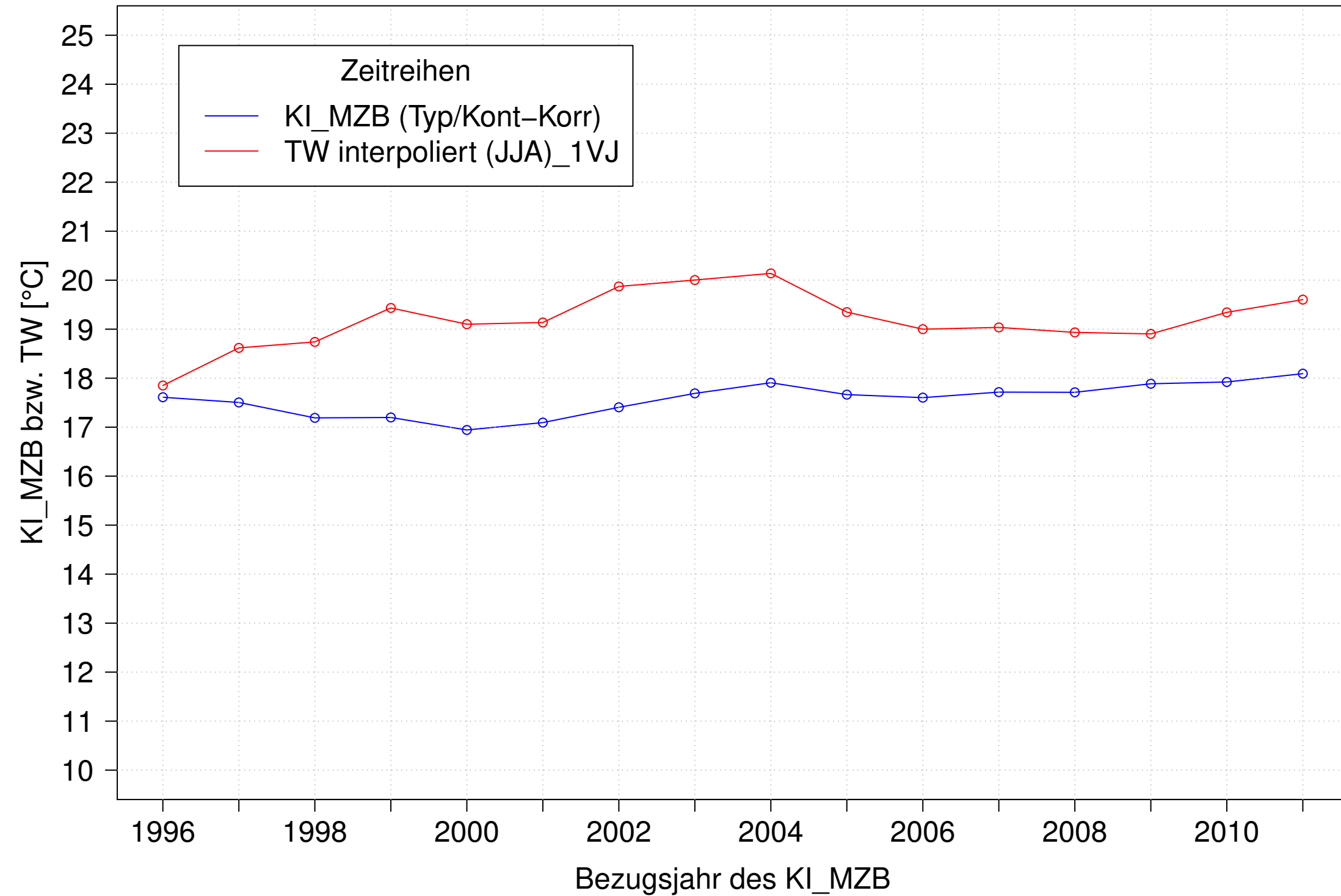
Kocher_Kochendorf, Typ 09.2 mit Neozoen, Serie 4
3JMW KI_MZB (Typ/Kont-Korr) und 3JMW TW interpoliert (JAS) des 1. Vorjahres



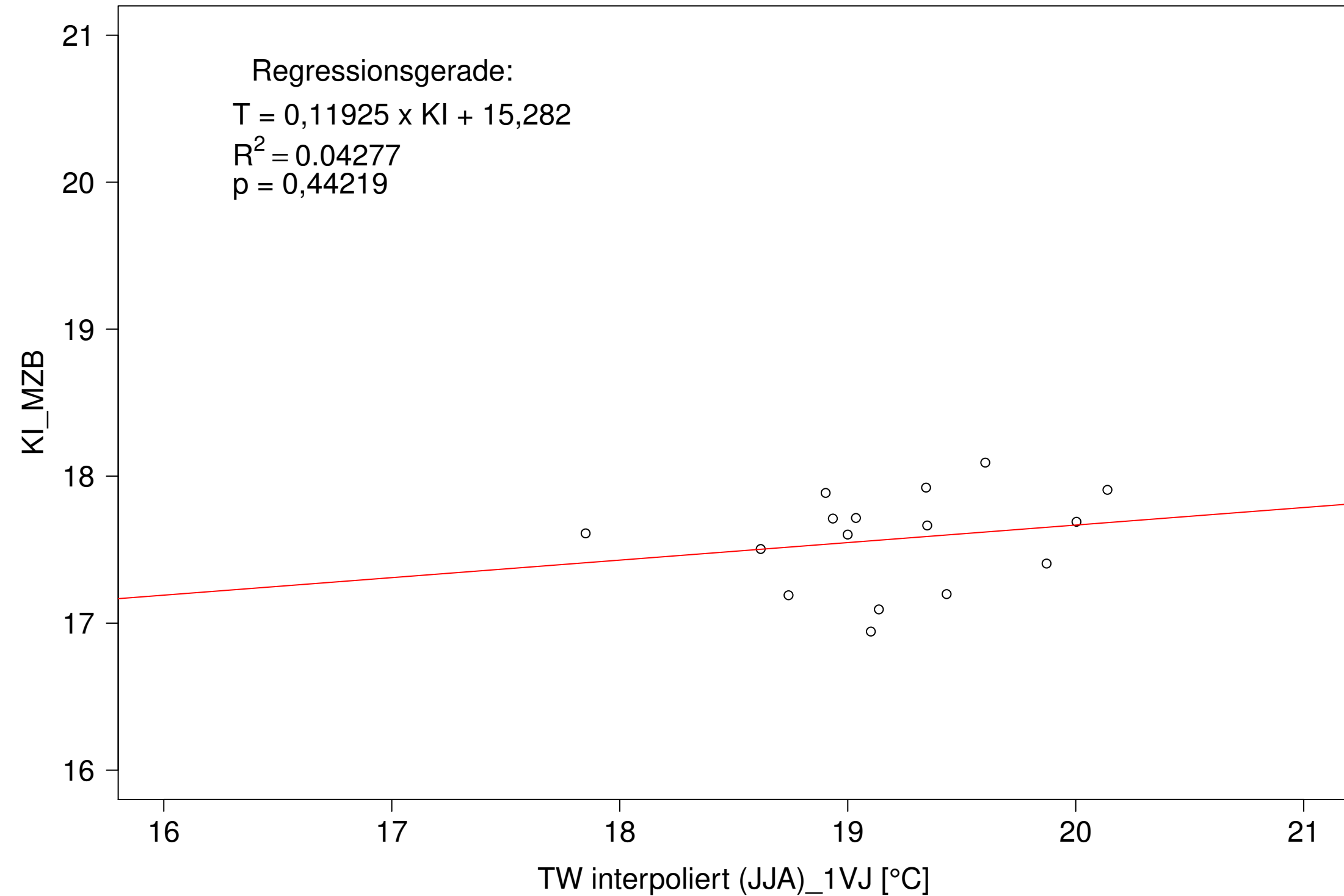
Kocher_Kochendorf, Typ 09.2 mit Neozoen, Serie 4
3JMW KI_MZB (Typ/Kont-Korr) gegen 3JMW TW interpoliert (JAS) des 1. Vorjahres



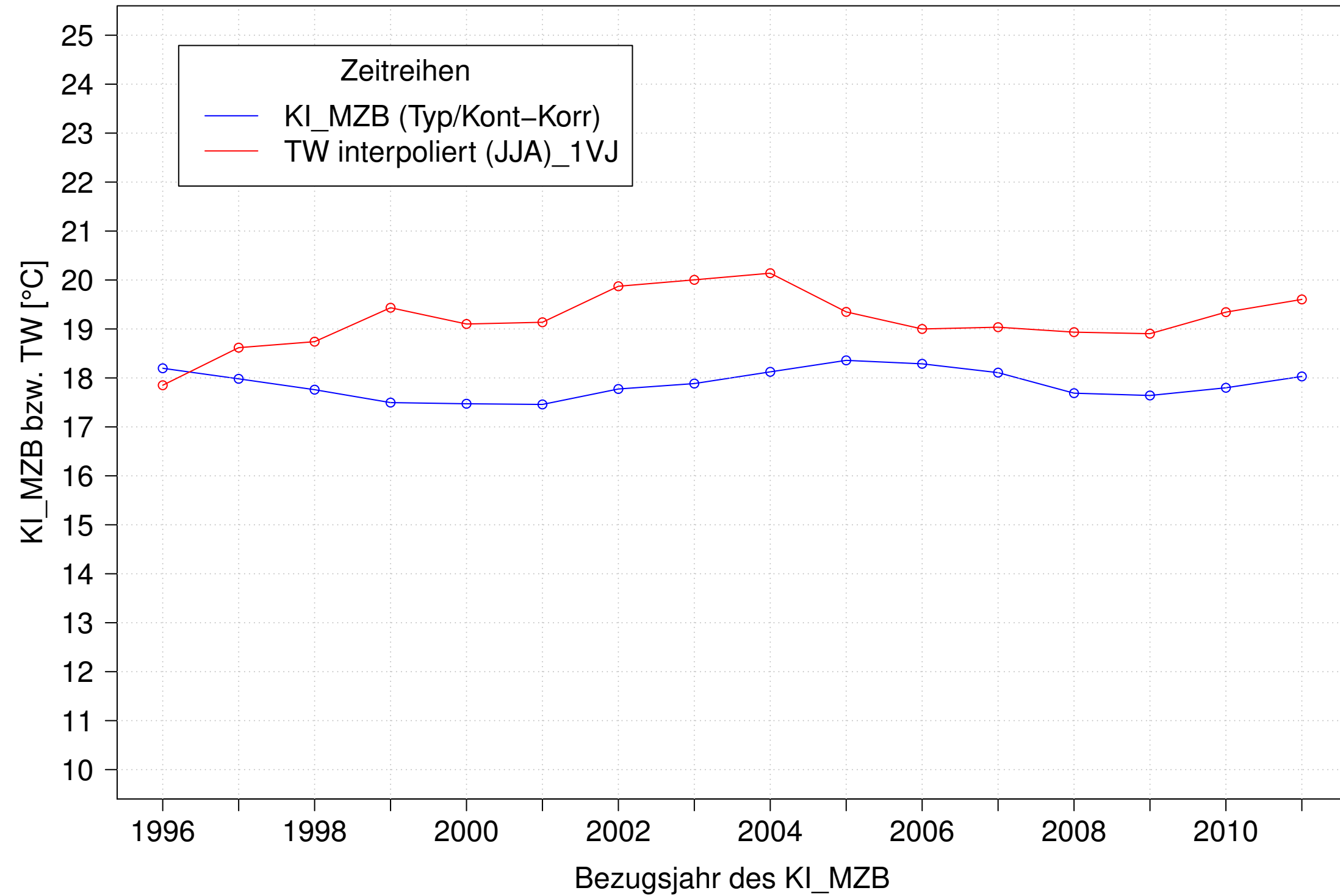
Kocher_Kochendorf, Typ 09.2 mit Neozoen, Serie 1
3JMW KI_MZB (Typ/Kont-Korr) und 3JMW TW interpoliert (JJA) des 1. Vorjahres



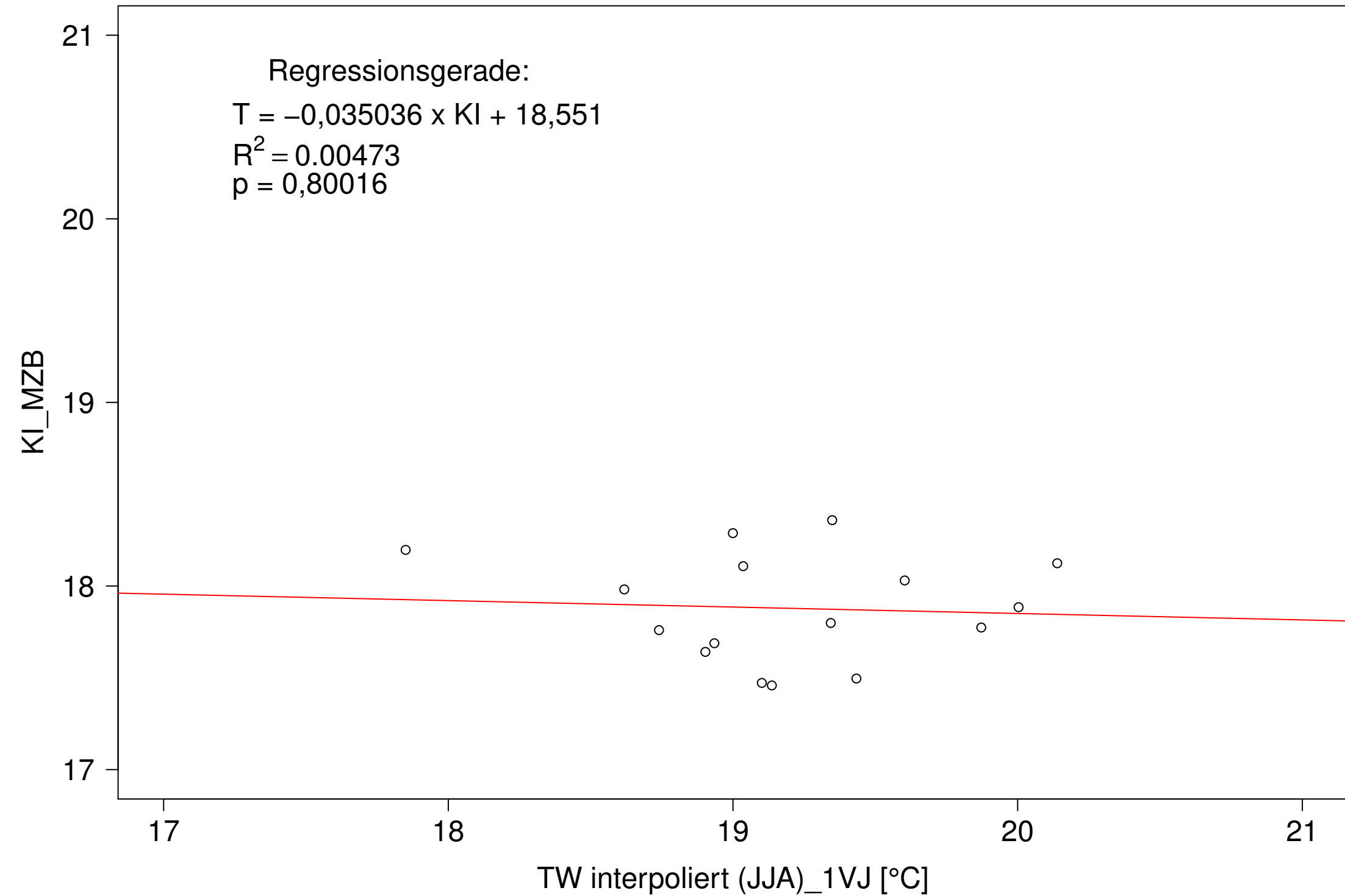
Kocher_Kochendorf, Typ 09.2 mit Neozoen, Serie 1
3JMW KI_MZB (Typ/Kont-Korr) gegen 3JMW TW interpoliert (JJA) des 1. Vorjahres



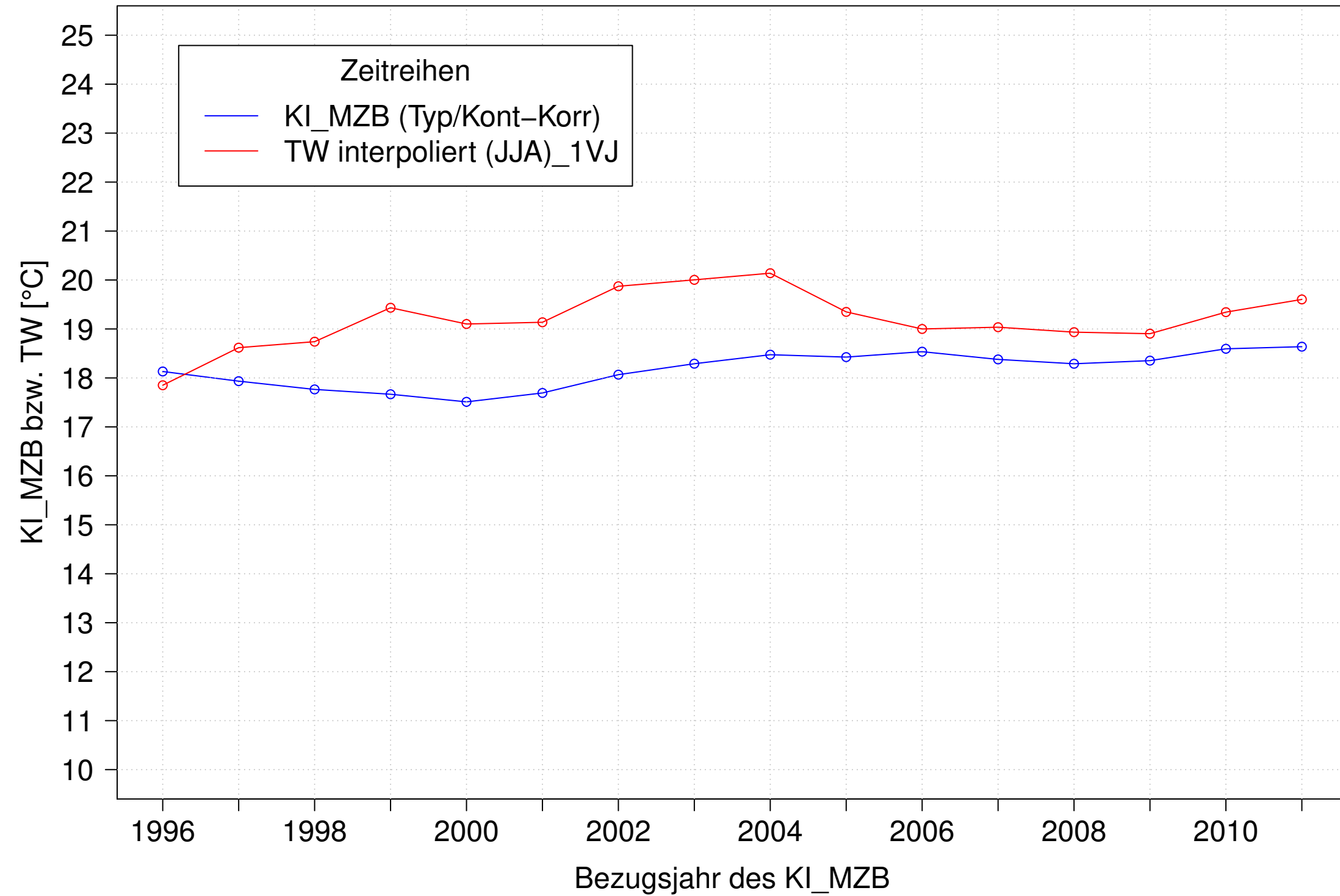
Kocher_Kochendorf, Typ 09.2 mit Neozoen, Serie 2
3JMW KI_MZB (Typ/Kont-Korr) und 3JMW TW interpoliert (JJA) des 1. Vorjahres



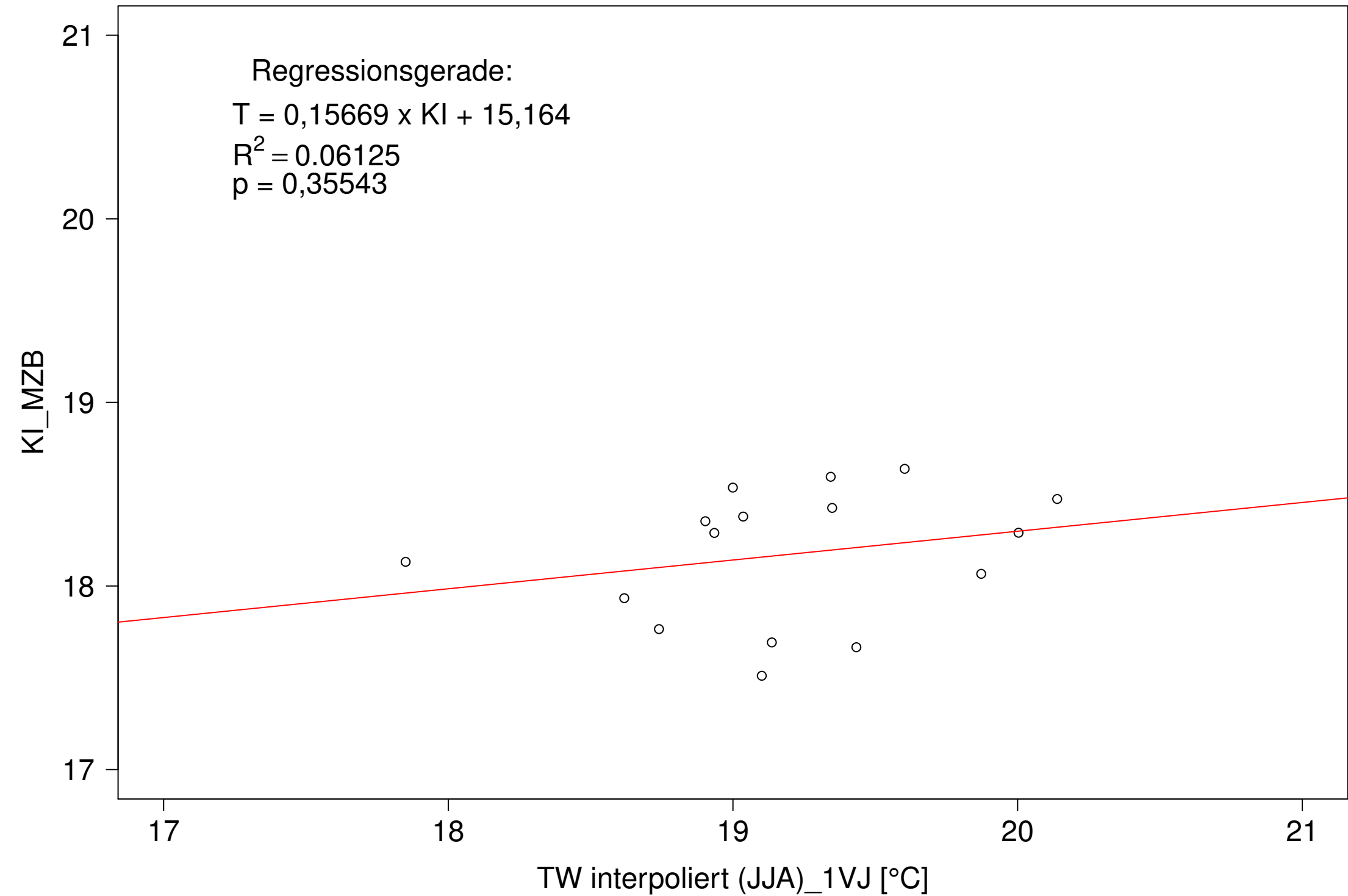
Kocher_Kochendorf, Typ 09.2 mit Neozoen, Serie 2
3JMW KI_MZB (Typ/Kont-Korr) gegen 3JMW TW interpoliert (JJA) des 1. Vorjahres



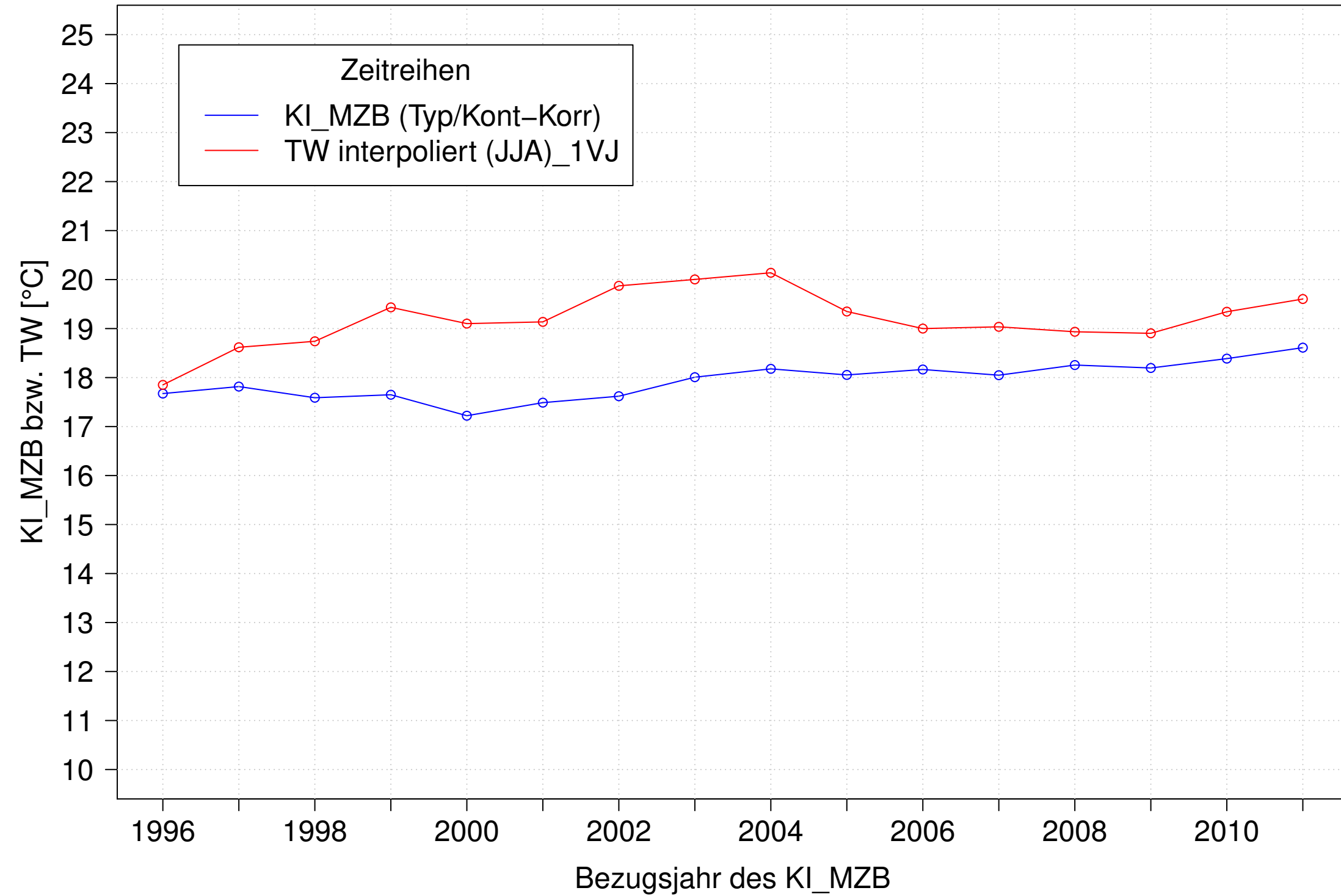
Kocher_Kochendorf, Typ 09.2 mit Neozoen, Serie 3
3JMW KI_MZB (Typ/Kont-Korr) und 3JMW TW interpoliert (JJA) des 1. Vorjahres



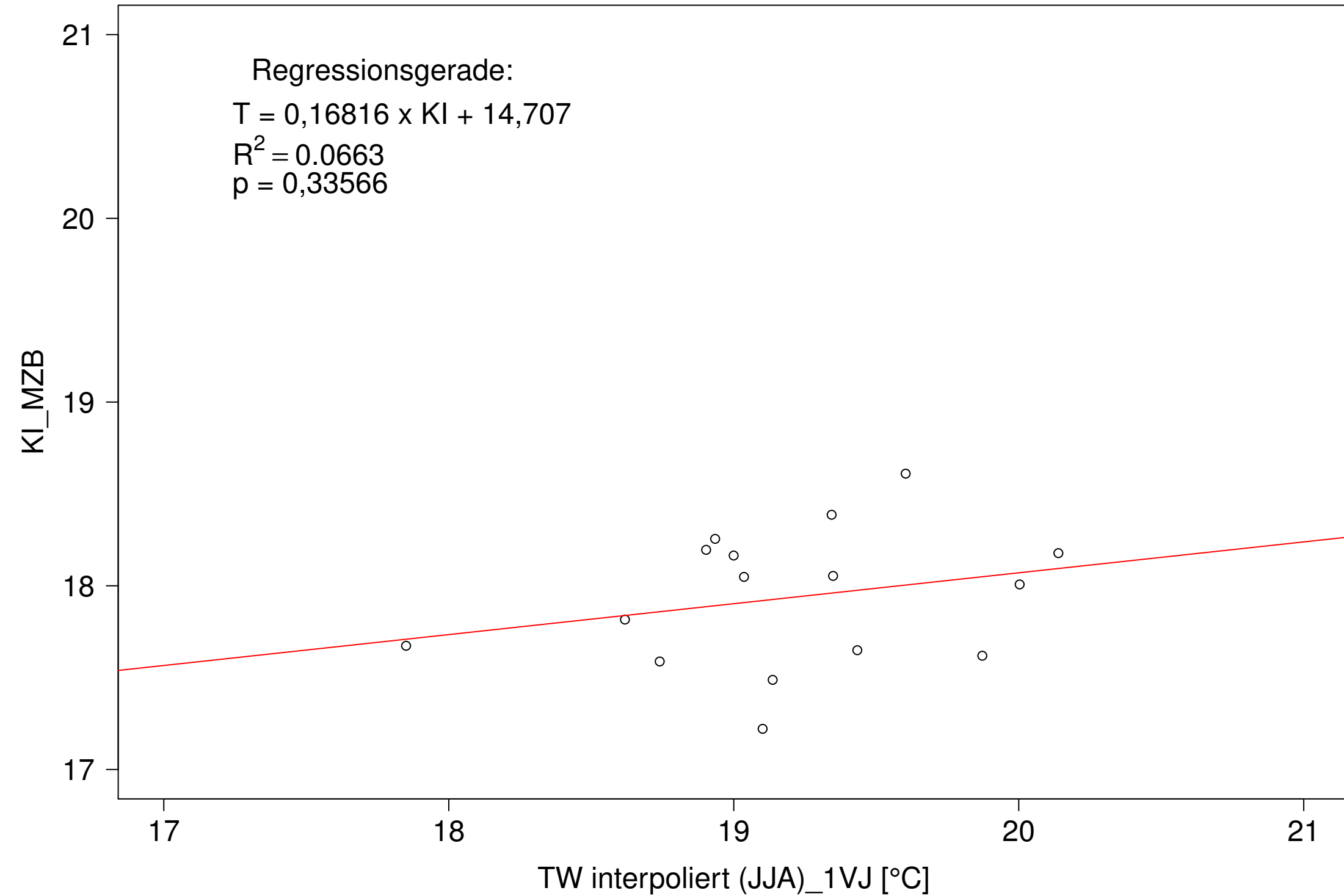
Kocher_Kochendorf, Typ 09.2 mit Neozoen, Serie 3
3JMW KI_MZB (Typ/Kont-Korr) gegen 3JMW TW interpoliert (JJA) des 1. Vorjahres



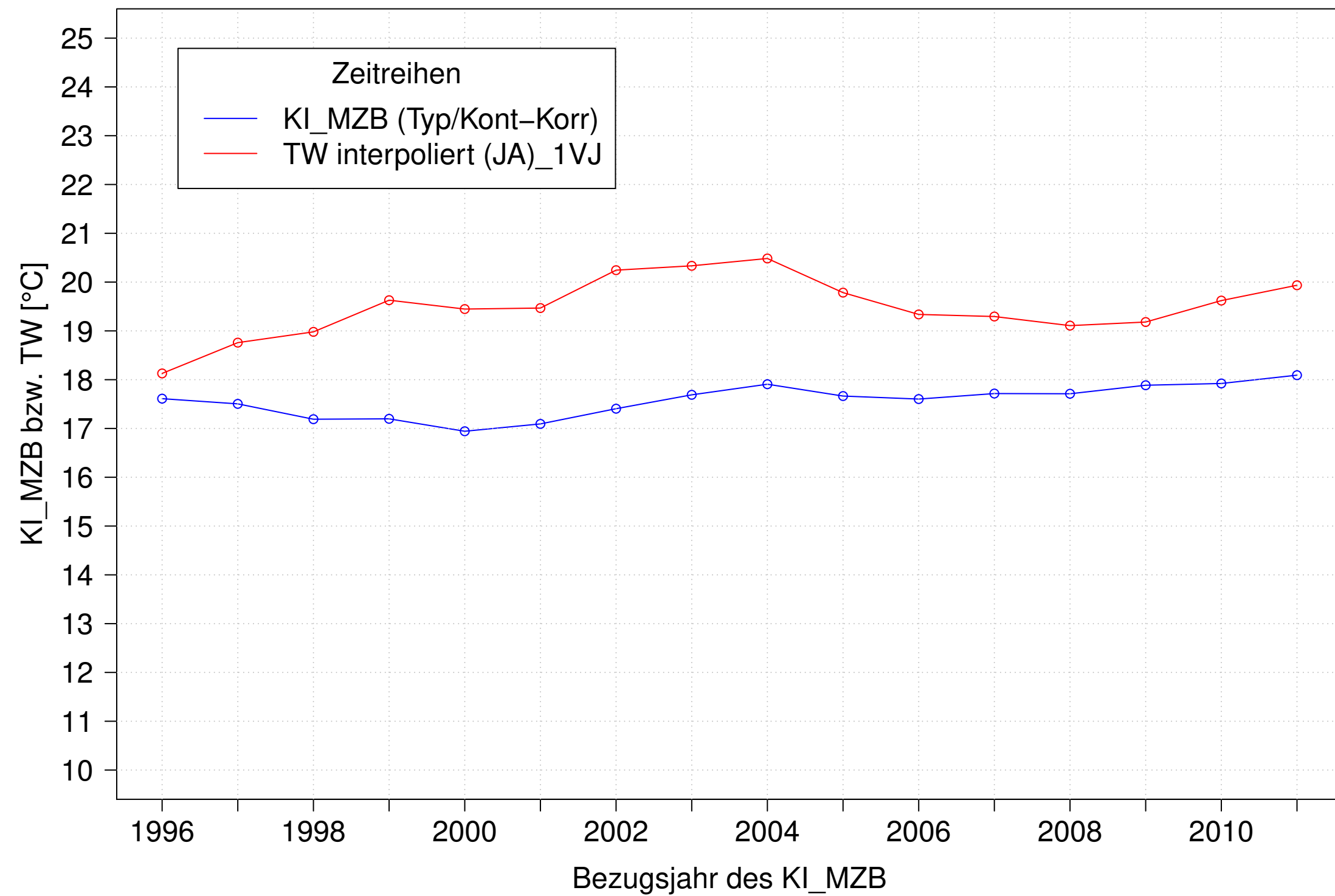
Kocher_Kochendorf, Typ 09.2 mit Neozoen, Serie 4
3JMW KI_MZB (Typ/Kont-Korr) und 3JMW TW interpoliert (JJA) des 1. Vorjahres



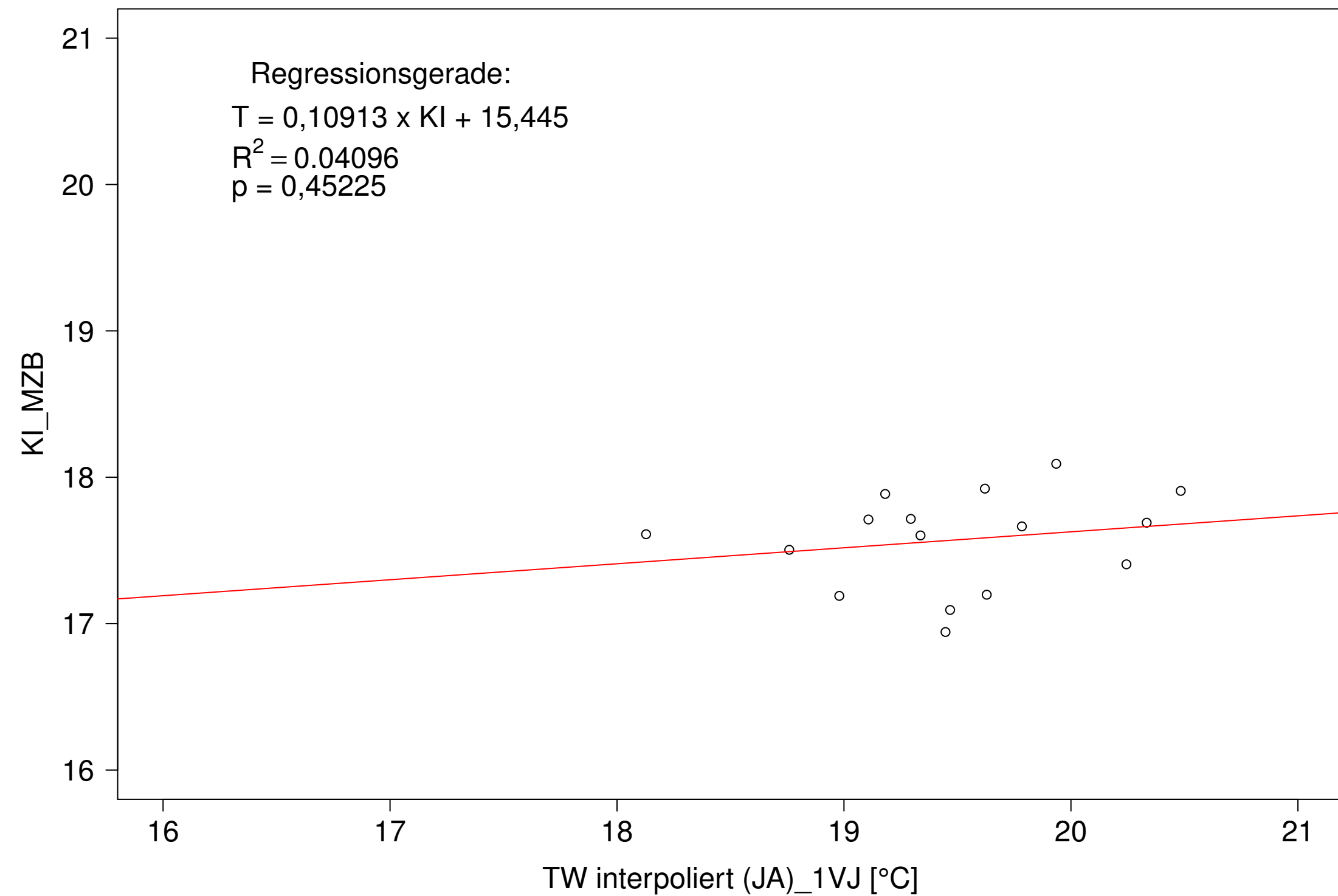
Kocher_Kochendorf, Typ 09.2 mit Neozoen, Serie 4
3JMW KI_MZB (Typ/Kont-Korr) gegen 3JMW TW interpoliert (JJA) des 1. Vorjahres



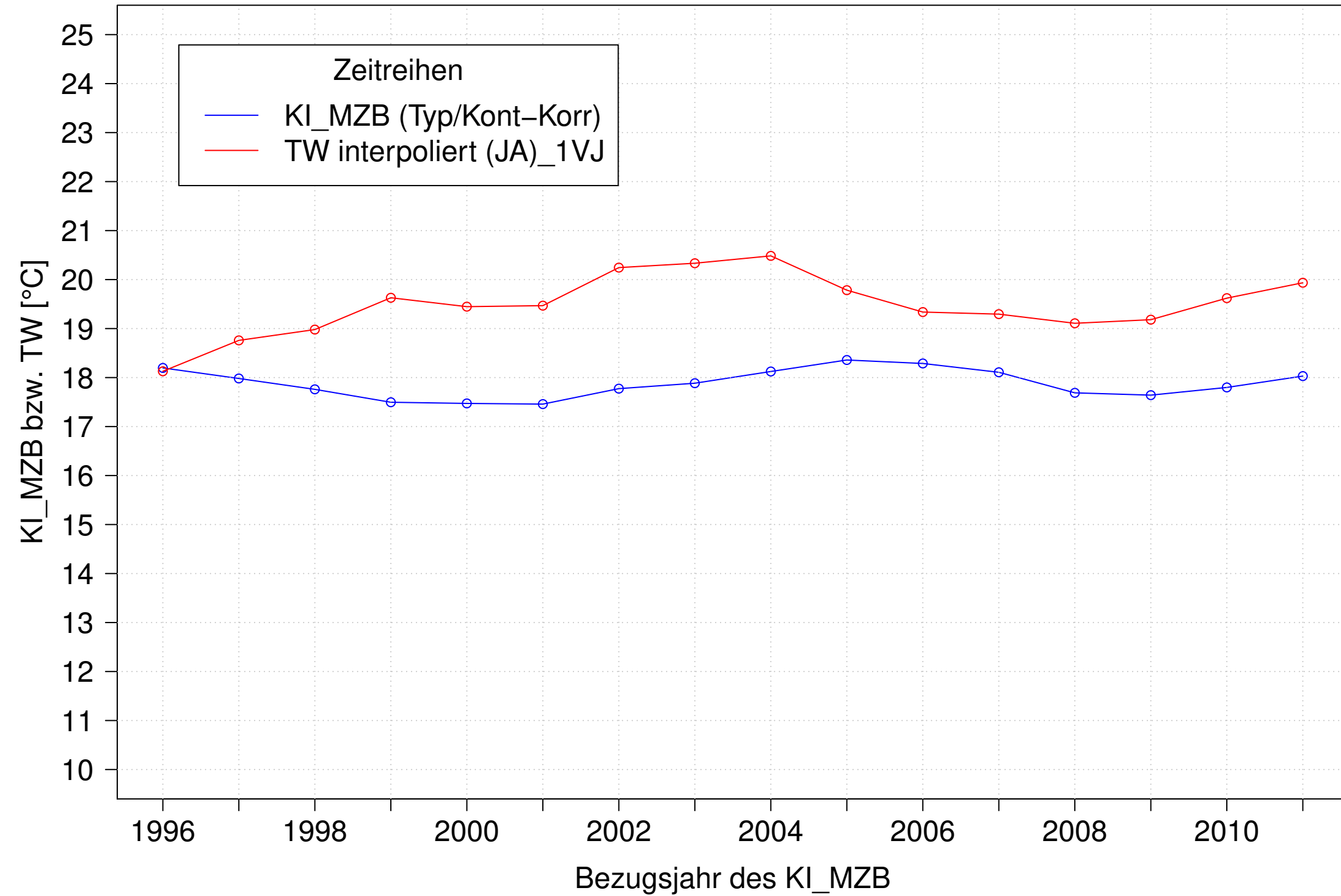
Kocher_Kochendorf, Typ 09.2 mit Neozoen, Serie 1
 3JMW KI_MZB (Typ/Kont-Korr) und 3JMW TW interpoliert (JA) des 1. Vorjahres



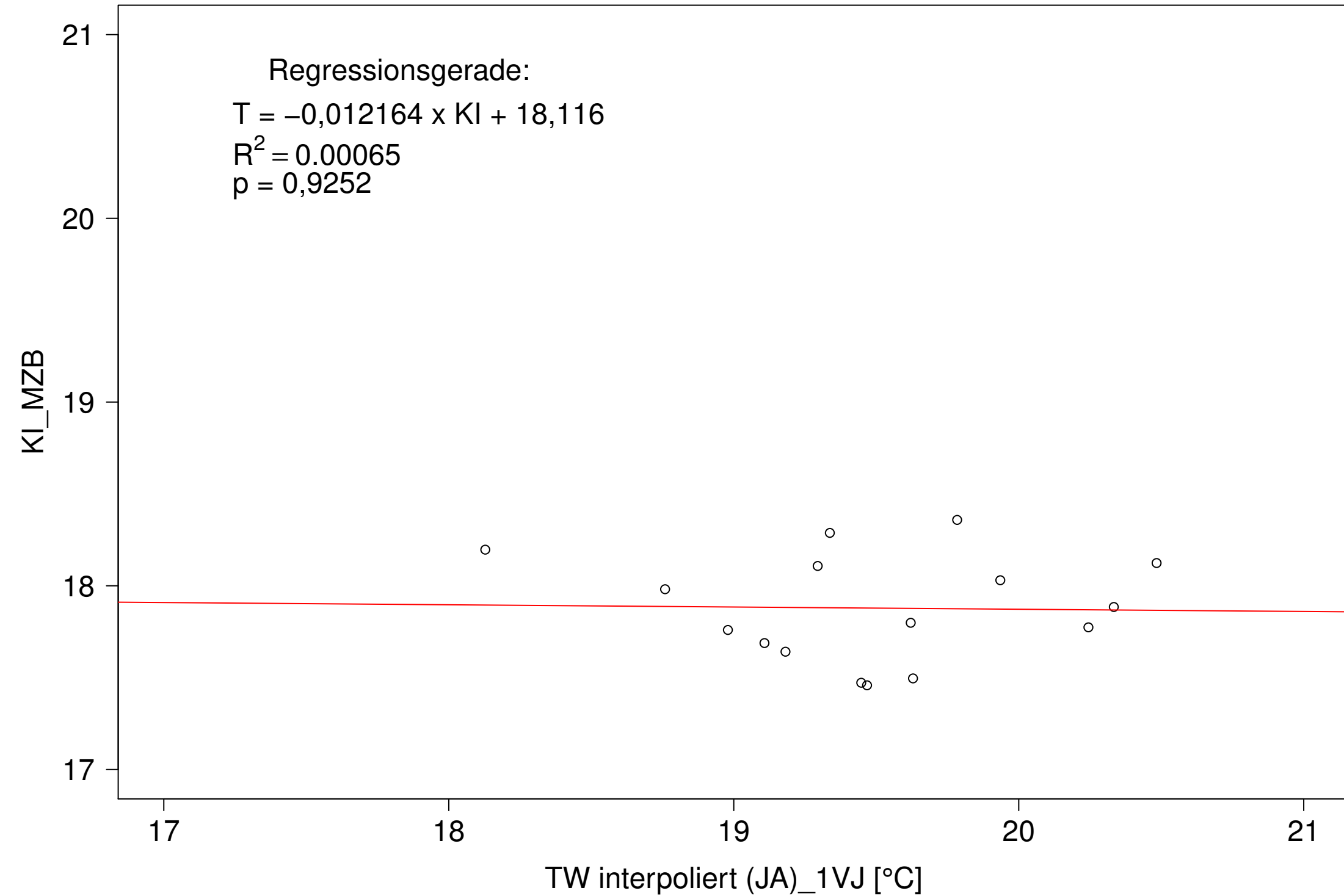
Kocher_Kochendorf, Typ 09.2 mit Neozoen, Serie 1
 3JMW KI_MZB (Typ/Kont-Korr) gegen 3JMW TW interpoliert (JA) des 1. Vorjahres



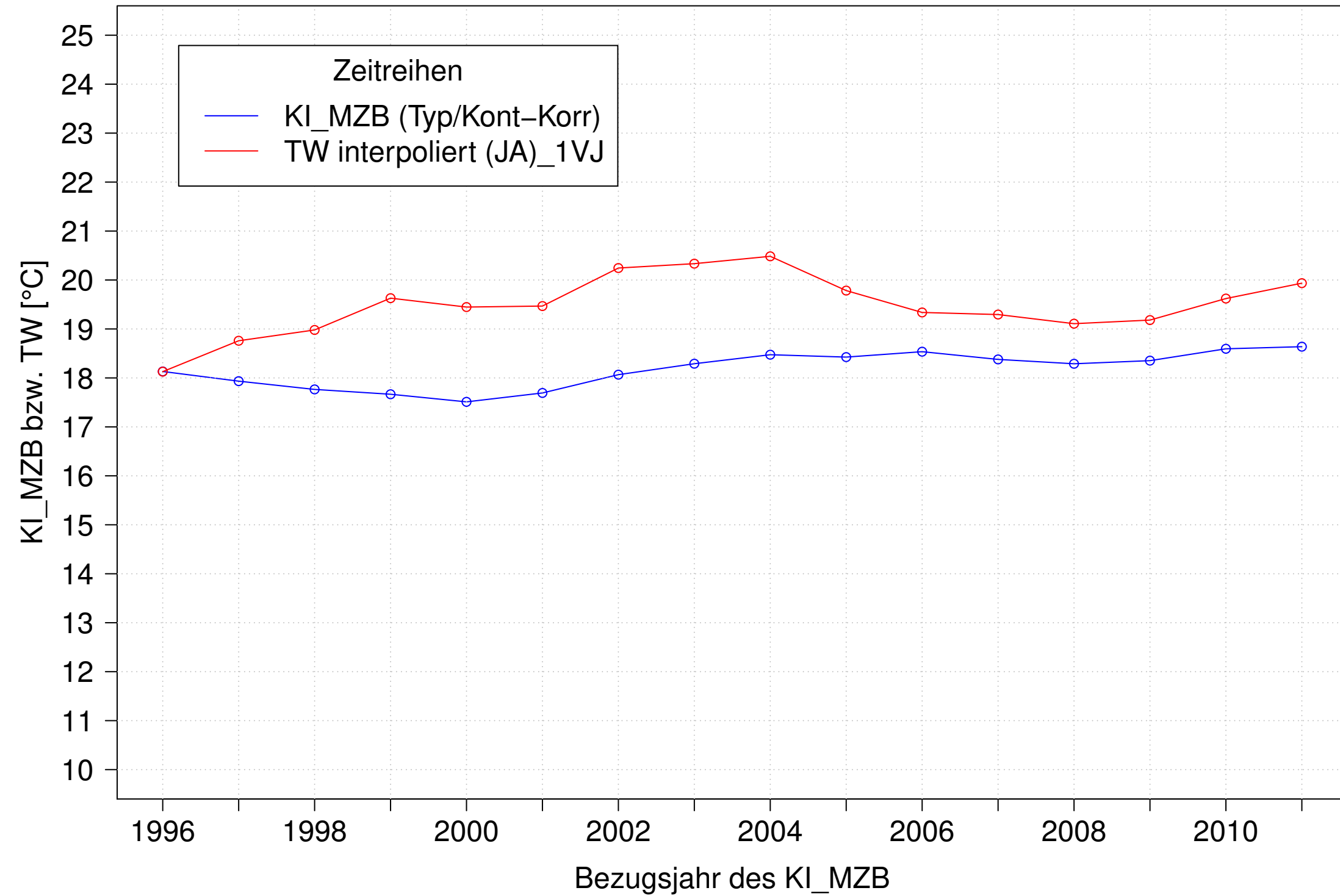
Kocher_Kochendorf, Typ 09.2 mit Neozoen, Serie 2
3JMW KI_MZB (Typ/Kont-Korr) und 3JMW TW interpoliert (JA) des 1. Vorjahres



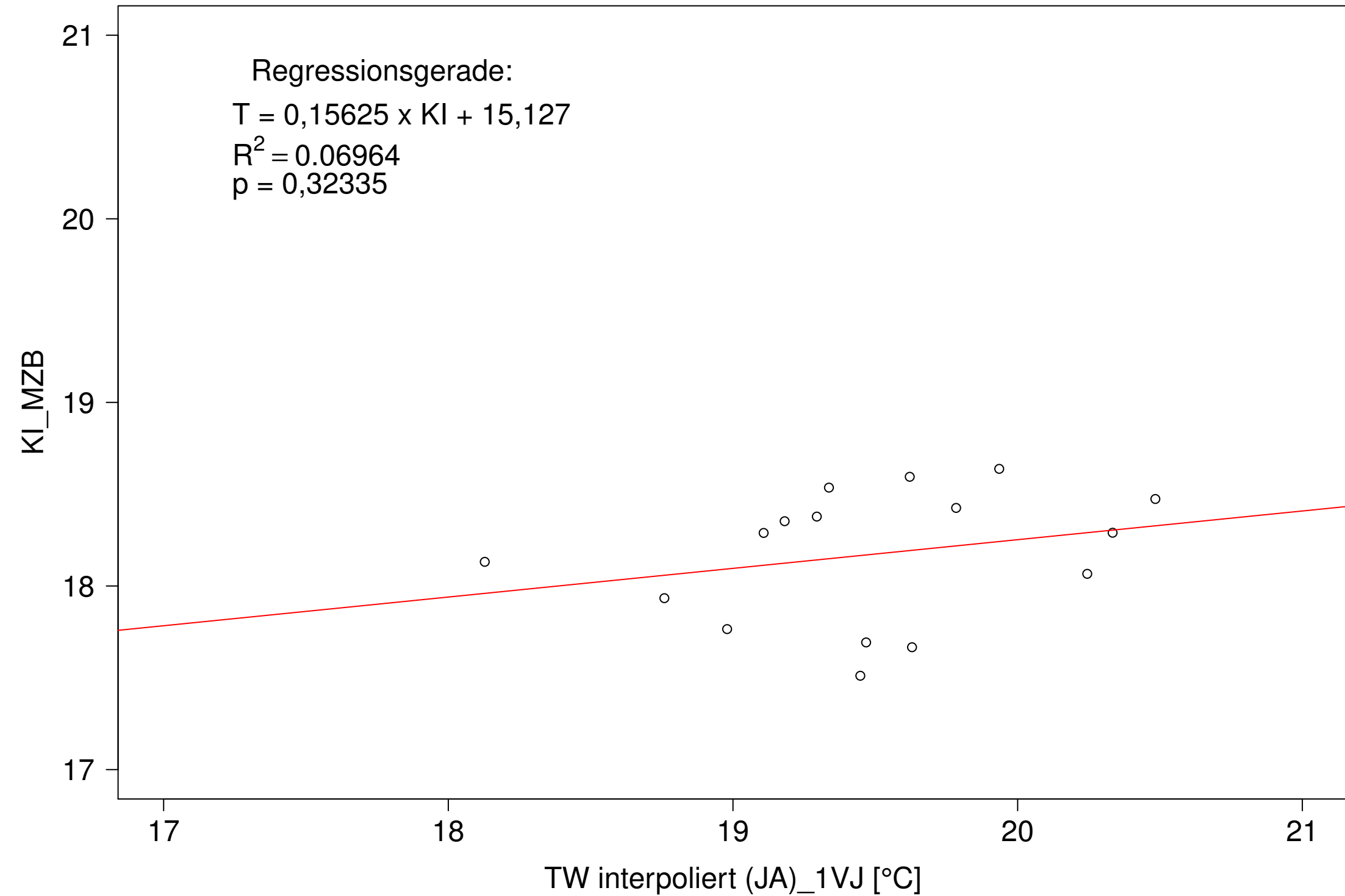
Kocher_Kochendorf, Typ 09.2 mit Neozoen, Serie 2
3JMW KI_MZB (Typ/Kont-Korr) gegen 3JMW TW interpoliert (JA) des 1. Vorjahres



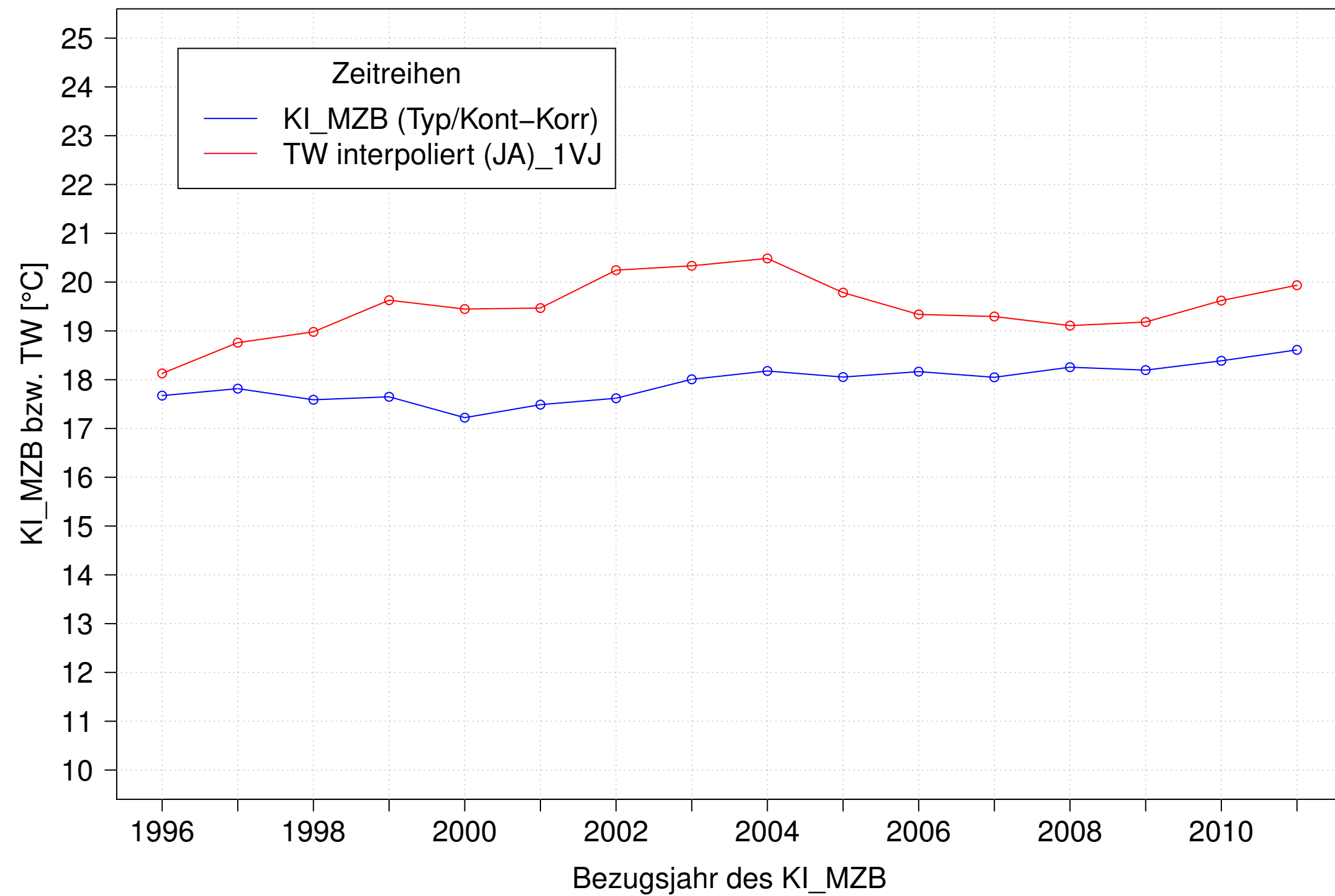
Kocher_Kochendorf, Typ 09.2 mit Neozoen, Serie 3
3JMW KI_MZB (Typ/Kont-Korr) und 3JMW TW interpoliert (JA) des 1. Vorjahres



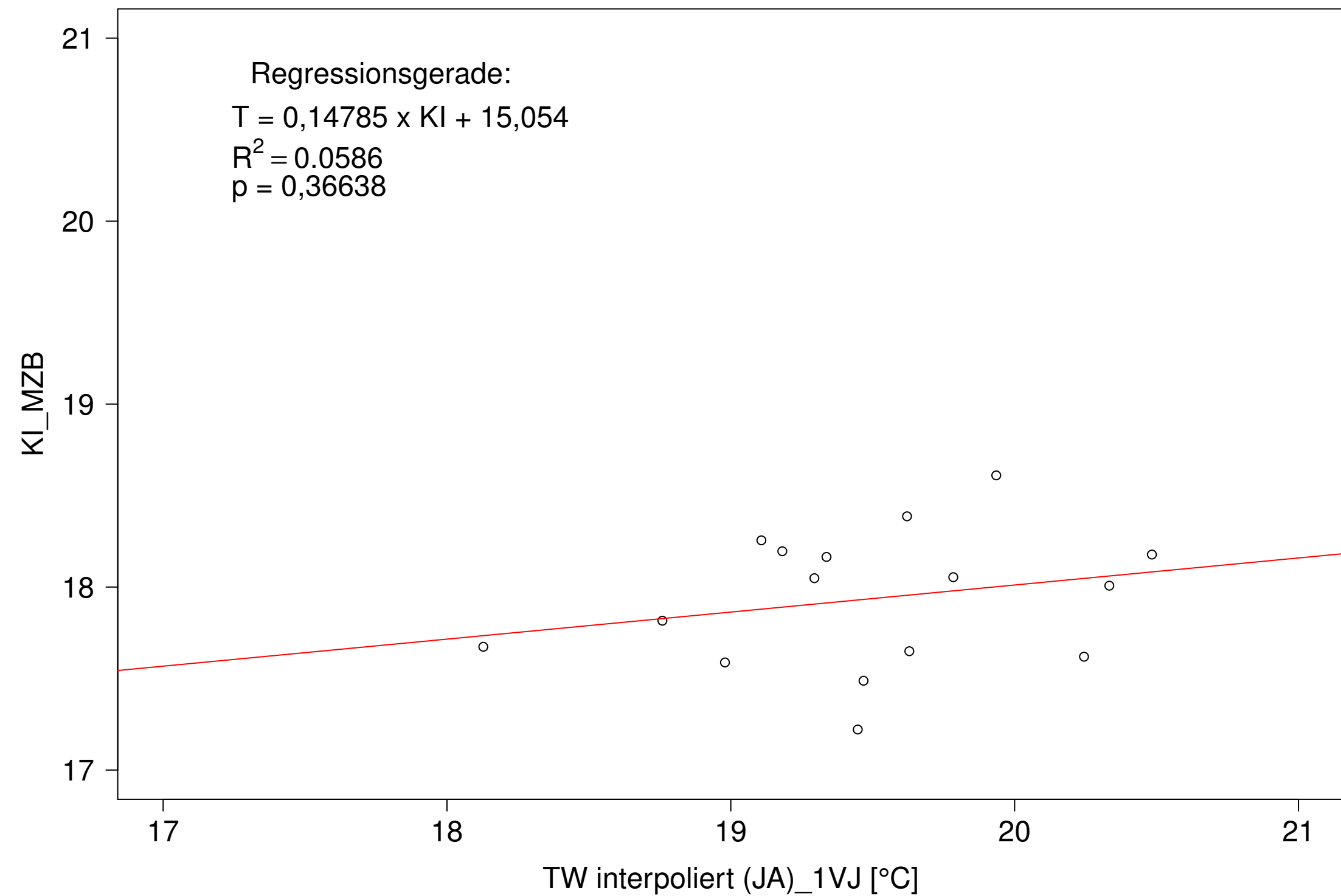
Kocher_Kochendorf, Typ 09.2 mit Neozoen, Serie 3
3JMW KI_MZB (Typ/Kont-Korr) gegen 3JMW TW interpoliert (JA) des 1. Vorjahres



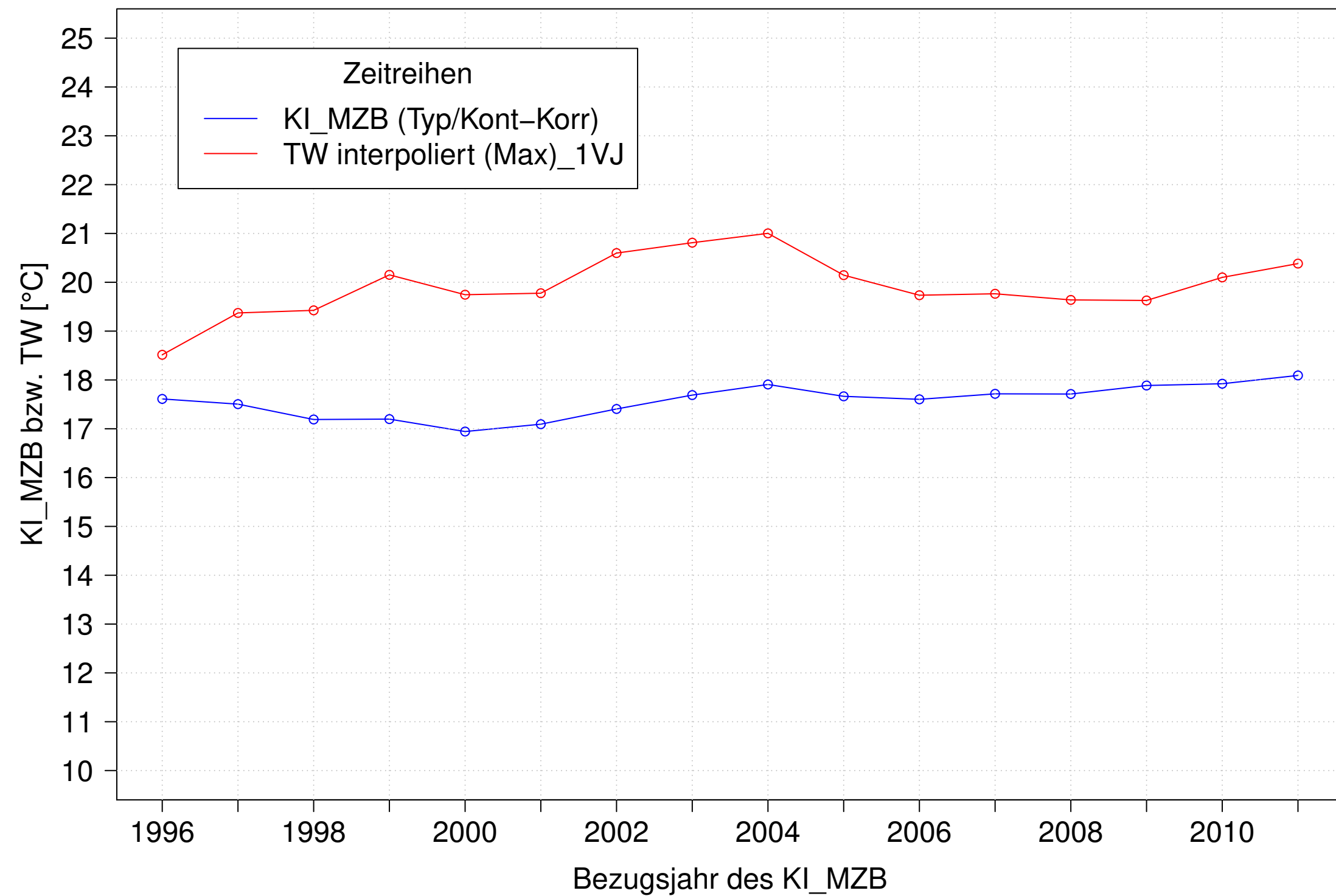
Kocher_Kochendorf, Typ 09.2 mit Neozoen, Serie 4
3JMW KI_MZB (Typ/Kont-Korr) und 3JMW TW interpoliert (JA) des 1. Vorjahres



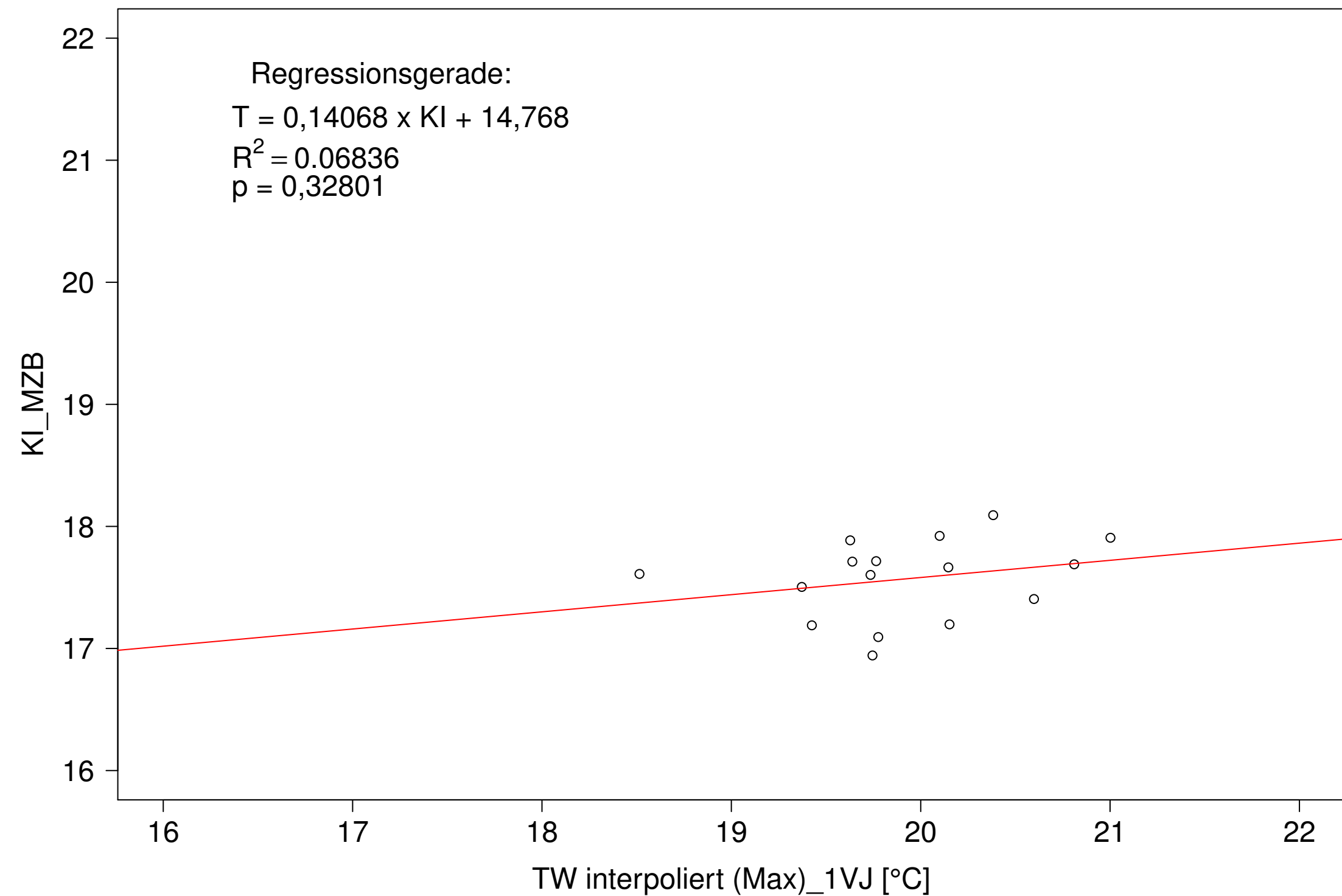
Kocher_Kochendorf, Typ 09.2 mit Neozoen, Serie 4
3JMW KI_MZB (Typ/Kont-Korr) gegen 3JMW TW interpoliert (JA) des 1. Vorjahres



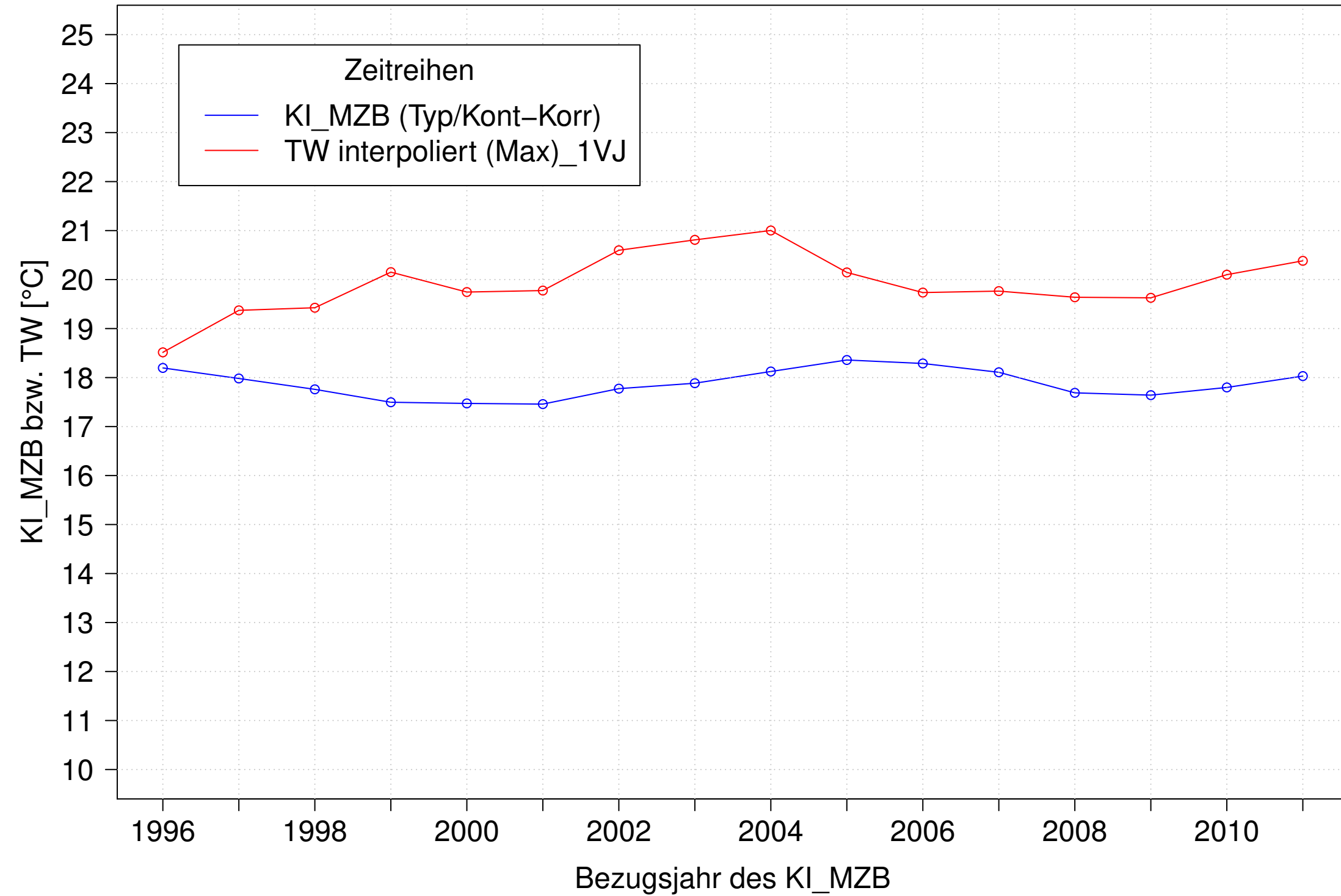
Kocher_Kochendorf, Typ 09.2 mit Neozoen, Serie 1
3JMW KI_MZB (Typ/Kont-Korr) und 3JMW TW interpoliert (Max) des 1. Vorjahres



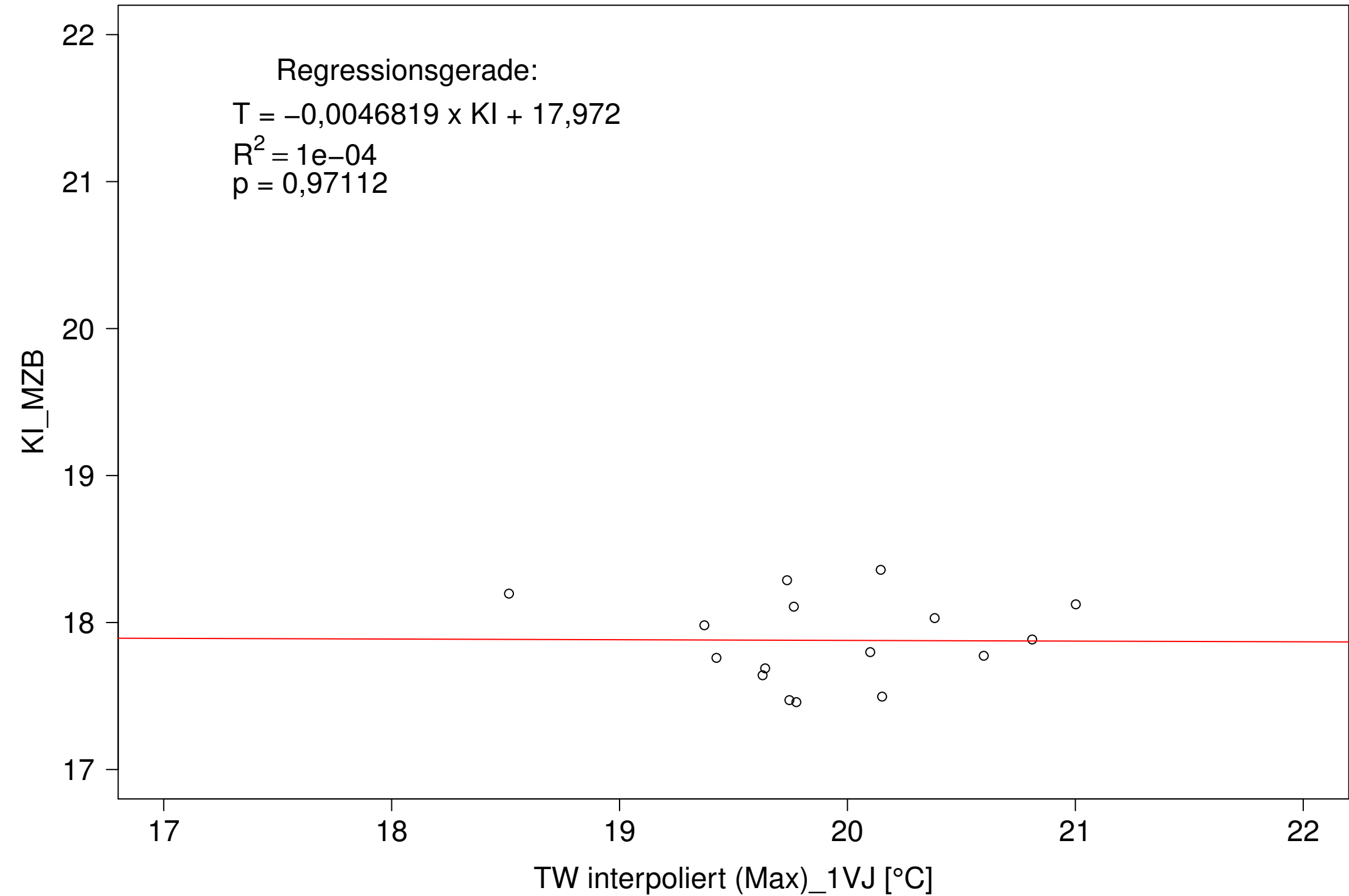
Kocher_Kochendorf, Typ 09.2 mit Neozoen, Serie 1
3JMW KI_MZB (Typ/Kont-Korr) gegen 3JMW TW interpoliert (Max) des 1. Vorjahres



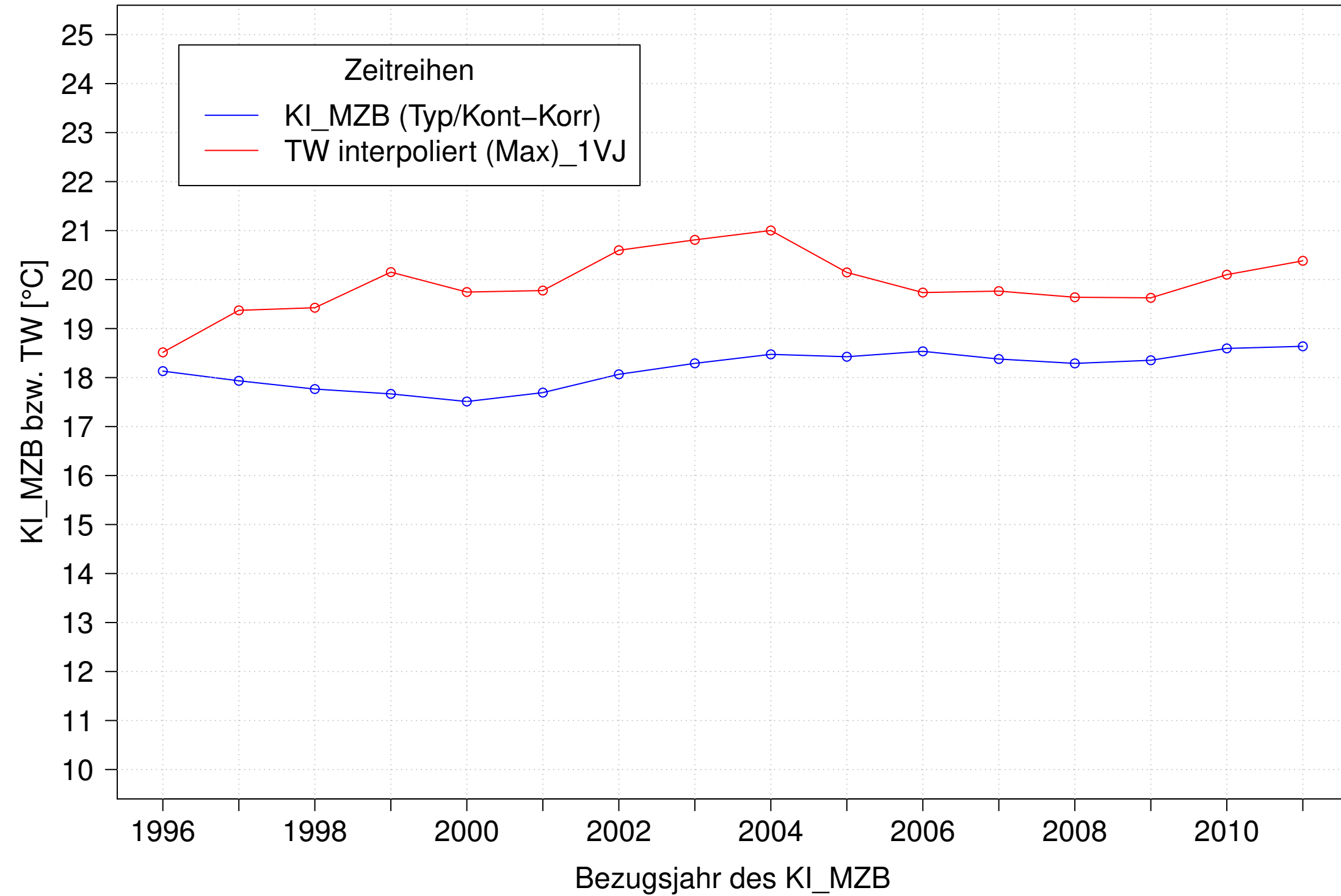
Kocher_Kochendorf, Typ 09.2 mit Neozoen, Serie 2
3JMW KI_MZB (Typ/Kont-Korr) und 3JMW TW interpoliert (Max) des 1. Vorjahres



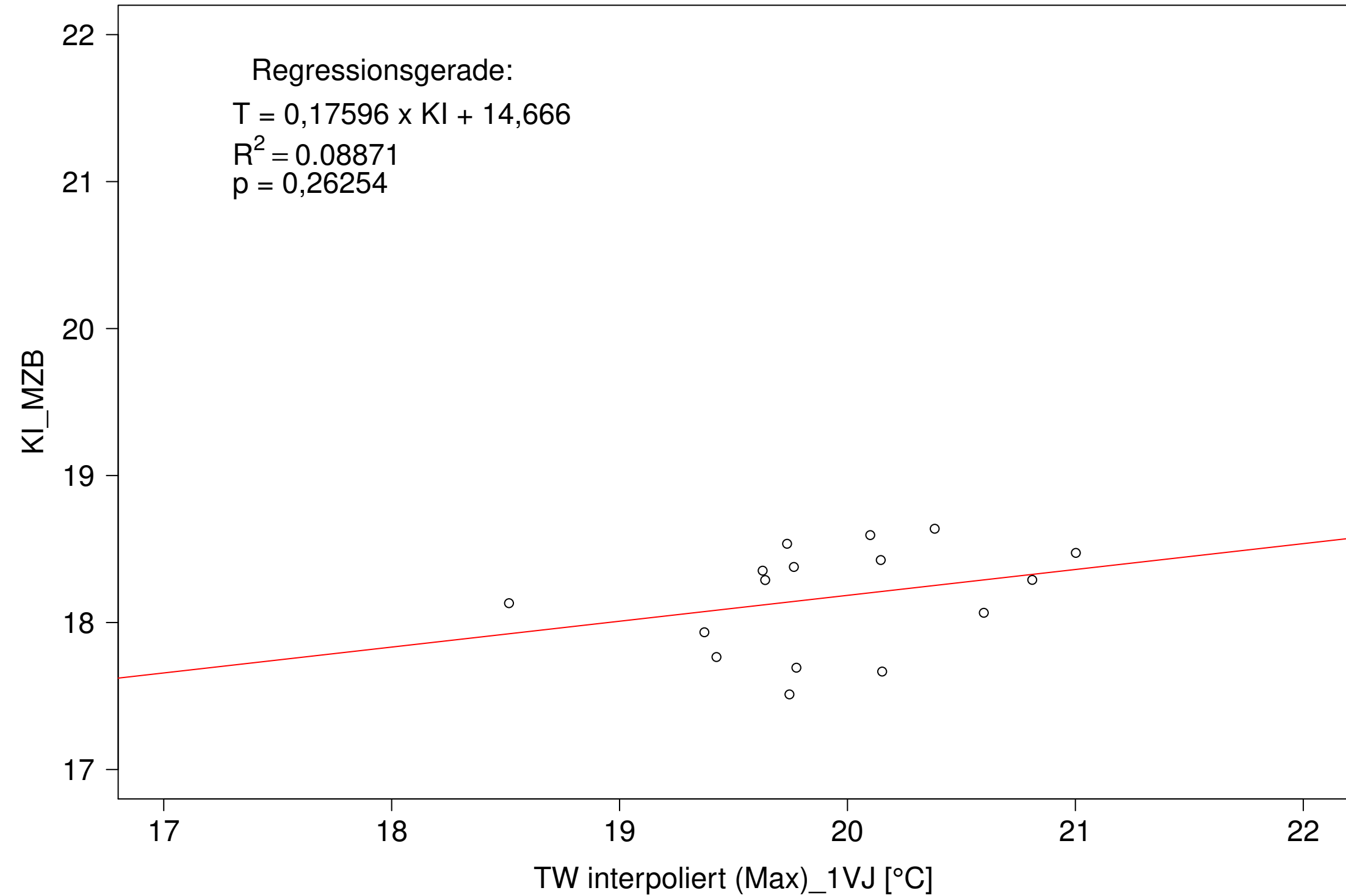
Kocher_Kochendorf, Typ 09.2 mit Neozoen, Serie 2
3JMW KI_MZB (Typ/Kont-Korr) gegen 3JMW TW interpoliert (Max) des 1. Vorjahres



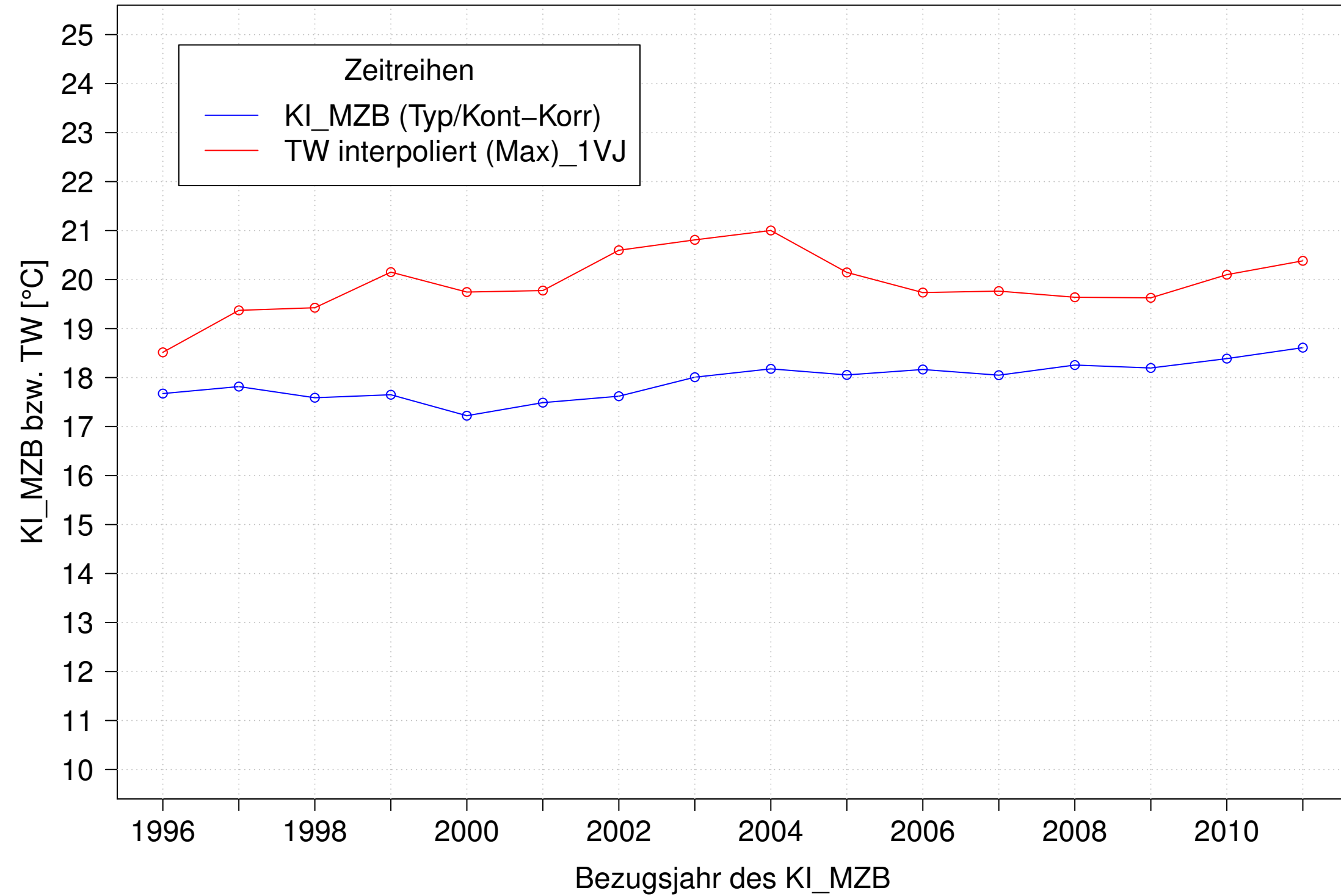
Kocher_Kochendorf, Typ 09.2 mit Neozoen, Serie 3
3JMW KI_MZB (Typ/Kont-Korr) und 3JMW TW interpoliert (Max) des 1. Vorjahres



Kocher_Kochendorf, Typ 09.2 mit Neozoen, Serie 3
3JMW KI_MZB (Typ/Kont-Korr) gegen 3JMW TW interpoliert (Max) des 1. Vorjahres



Kocher_Kochendorf, Typ 09.2 mit Neozoen, Serie 4
3JMW KI_MZB (Typ/Kont-Korr) und 3JMW TW interpoliert (Max) des 1. Vorjahres



Kocher_Kochendorf, Typ 09.2 mit Neozoen, Serie 4
3JMW KI_MZB (Typ/Kont-Korr) gegen 3JMW TW interpoliert (Max) des 1. Vorjahres

